28691

JAHRGANG XXXV. 1913

Deutsches

Meteorologisches Jahrbuch

für

1913

Bayern

MÜNCHEN 1914
In Kommission bei A. Buchholz.

Veröffentlichungen

der

Königlich Bayerischen Meteorologischen Centralstation

Beobachtungen

der

Meteorologischen Stationen

im

Königreich Bayern

im Jahre 1913

MÜNCHEN 1914
In Kommission bei A. Buchholz.

Erklä
Beric
Beric
Besc
Tägl
Tago
Mon
Über
Win
Dat
Die
Aus
Aus

Anh

Erklärung der in den Tabellen benützten Zeichen und Abkürzungen.

⛆ = Regen,	≡ = Nebel,	∞ = Dunst,	◯ = Sonnenhof,
✳ = Schnee,	⌴ = Reif,	⛈ = Gewitter,	◎ = Mondring,
✢ = Schneegestöber,	V = Rauhfrost,	≤ = Wetterleuchten,	☾ = Mondhof,
△ = Graupeln,	ᔓ = Glatteis,	⌓ = Nordlicht,	◠ = Regenbogen.
▲ = Hagel,	⍙ = Tau,	⊙ = Sonnenschein,	
≡ = Bodennebel,	≋ = starker Wind,	⊕ = Sonnenring,	

Abgesehen von den hier aufgeführten Zeichen werden noch folgende Abkürzungen benützt:

n = nachts,	p = nachmittags, abends,	o = schwach, (als Exponent)
mn = Mitternacht,	t = den ganzen Tag,	2 = stark, (als Exponent)
a = morgens, vormittags,	fortges. = fortgesetzt,	i. d. F. = in der Ferne,
m = mittags,	ztw. = zeitweise,	v. = von.

Hinsichtlich der redaktionellen Anordnung der Bemerkungen zu den täglichen Beobachtungen sämtlicher Stationen ist für den vorliegenden Band sowie auch für die übrigen Bände noch folgendes zu erwähnen:

Der meteorologische Tag wird für alle Witterungselemente von 9 Uhr abends des vorangehenden Tages bis 9 Uhr abends des laufenden Datums gerechnet, so zwar, dass z. B. ein Niederschlag, der nach 9 Uhr abends eines bestimmten Datums gefallen ist, unter den Bemerkungen des darauffolgenden Tages aufgeführt wird.

Die Bemerkungen sind, mit dem obenerwähnten Zeitpunkte beginnend, chronologisch geordnet, und zwar ohne Unterscheidungszeichen aneinandergereiht, wenn sie gleichzeitig stattfanden, dagegen durch Kommata voneinander getrennt, wenn sie zeitlich unmittelbar aufeinander folgten, durch Punkte, wenn zwischen zwei nacheinander aufgeführten Erscheinungen entweder kein sachlicher Zusammenhang besteht, oder wenn dieselben zeitlich weit auseinander lagen.

Die Messung des Niederschlages erfolgt jeweils um 7a und wird dem Datum des Messungstages zugeschrieben.

Alle Luftdruckangaben sind nicht blos auf Nullgrad, sondern auch bereits auf Normalschwere reduziert. Der Betrag der Schwerekorrektion findet sich in der Zusammenstellung der Monats- und Jahresresultate am Kopfe jeder Station angegeben, an der Luftdruckbeobachtungen angestellt worden sind.

Die Berechnung der mittleren Temperatur eines Tages erfolgte nach der Formel $\frac{1}{4}$ (7a + 2p + 2 × 9p). Die übrigen Mittelwertsbildungen sind arithmetische Mittel.

Interpolierte Werte sind stets kursiv gedruckt.

Berichtigungen zu Band XXXV. Jahrgang 1913.

Seite 36	Zugspitze	Niederschlagssumme im April 76.3 (nicht 77.1).
„ 45	„	Luftdruckmittel im Mai 9 p 29.2 (nicht 29.1).
„ 45	„	Niederschlagssumme im Mai 100.0 (nicht 130.0).
„ 63	„	Luftdruckmittel im Juli 9 p 30.8 (nicht 30.9).
„ 63	„	Lufttemperatur am 19. Juli 9 p −0.7 (nicht −0.1).
„ 63	„	Rel. Feuchtigkeit am 28. Juli 2 p 98 (nicht 89).
„ 146	Hohenpeissenberg	Luftdruck am 7. November 7 p 70.0 (nicht 67.0).
„ 146	„	Luftdruckmittel im November 7 p 77.84 (nicht 77.74).
„ 165	„	Luftdruckmittel im November 7 p 77.84 (nicht 77.74).
„ 168	Zugspitze	Luftdruckmittel im Juni 3 p 33.39 (nicht 32.39).
„ 169	„	Luftdruckmittel im Juli 5 p 30.81 (nicht 38.81).

Inhalts-Verzeichnis zum Band XXXV. Jahrgang 1913.

	Seite
ärung der in den Tabellen benützten Zeichen und Abkürzungen	VI
:htigungen	VI
:ht über die Tätigkeit der K. B. Meteorologischen Centralstation und der ihr angeschlossenen Stationen im Jahre 1913	VII—XI
hreibung der Neuaufstellung der Instrumente in Reichenhall, Gössweinstein, Roggenstein, Rohr	XII
iche Beobachtungen von 17 Stationen II. Ordnung	1—108
:smittel der Windgeschwindigkeiten in München, Nürnberg F. W. und Kaiserslautern	109—110
ats- und Jahresresultate	111—132
:sicht über die wichtigsten Jahresresultate der Stationen II. und III. Ordnung	133—135
tertage, Frosttage, Sommertage	136
ımsgrenzen von Wintertagen, Frosttagen, Sommertagen sowie von Schneefällen	137
Sonnenscheindauer in Bayern im Jahre 1913	138—140
wertung der Registrierungen vom Hohenpeissenberg	141—165
wertung der Registrierungen auf der Zugspitze	166—190
	A 1— 7
ang: 1. Beobachtungen über Gewitter in Bayern während des Jahres 1913	B 1—48
2. Übersicht über die Witterungsverhältnisse in Bayern im Jahre 1913 von **E. Alt** und **L. Weickmann**	
3. Münchener Aerologische Studien von **A. Schmauss:** No. 3. Der extreme Typus IV der Temperaturzustandskurve	E 1— 6
4. Münchener Aerologische Studien von **A. Schmauss:** No. 4. Vertikalbewegungen in der Stratosphäre	F 1— 6
5. Münchener Aerologische Studien von **A. Schmauss:** No. 5. Die Veränderlichkeit der Steiggeschwindigkeit von Registrierballonen	G 1— 5
6. Der Föhn in Lindau von **A. Schmauss**	H 1— 3
7. Münchener Pilotballonbeobachtungen im Jahre 1913 von **P. Zistler** und **K. Bux**	J 1—31
8. Die Münchener Registrierballonfahrten im Jahre 1913 von **A. Schmauss**	K 1—53
9. Das Klima der Zugspitze von **A. Huber**	L 1—62

Bericht

über die

Tätigkeit der K. Bayerischen Meteorologischen Centralstation

im Jahre 1913.

Sammlung und Veröffentlichung der Beobachtungen.

Die Redaktion des vorliegenden Jahrbuchs erfolgte entsprechend den in der Einleitung zum Jahrgang 1901 dargelegten Grundsätzen, worauf hier verwiesen werden möge.

Bezüglich der Veröffentlichung der Sonnenscheindauer sowie der Schneehöhen darf auf das Vorwort 1912 verwiesen werden.

Die monatliche Witterungsübersicht wurde lange vor dem Jahrbuche gedruckt. Es war daher nicht zu vermeiden, dass in den Zahlenangaben der Monatsübersicht und des eigentlichen Jahrbuches gelegentlich Unstimmigkeiten bestehen: Fehler im Tabellenmaterial, die sich erst später ermitteln liessen. Für Zahlenangaben ist daher stets das ausführliche Material des Jahrbuches massgebend.

Aus den Monatsübersichten wurden wieder die Abweichungen der Temperatur und des Niederschlages von den langjährigen Mitteln ausgezogen und auf S. 135 wiedergegeben.

Vom Hirschberghause können aus den Gründen, welche in den früheren Vorworten erläutert wurden, keine Beobachtungen mitgeteilt werden. Die Station wird eigentlich nur wegen des täglichen Wetterberichtes beibehalten, da das Publikum Wert auf die Beobachtungen derselben legt.

Auch von Schaftlach können keine Beobachtungen veröffentlicht werden.

Die Station Wendelstein wurde endgültig aufgehoben. Seit der Ausführung des Bahnbaues, der naturgemäss eine starke Steigerung der Besucherziffer brachte, sind alle in Betracht kommenden Angestellten so sehr in Anspruch genommen, dass ihnen eine pünktliche Besorgung der Geschäfte einer meteorologischen Station unmöglich gemacht ist.

Die Beobachtungen der Stationen Planegg, Weihenstephan und Nürnberg-Feuerwache sind im Archive niedergelegt.

Bei der Monats- und Jahreszusammenstellung von Nürnberg wurden wie in den beiden Vorjahren die Windbeobachtungen der städtischen Wetterwarte eingesetzt, mit Zustimmung des Vorstandes derselben, Herrn Professors Rudel. Die Windregistrierungen von Nürnberg-Feuerwache sind von diesem Jahr ab ebenfalls für die Termine 9—9 p berechnet, statt wie bisher für die Termine 7—7 a. Auch sonst wurden die Beobachtungen der Wetterwarte-Nürnberg fleissig zu Rate gezogen zur Ergänzung der Aufzeichnungen an unserer Station. Wir sagen auch in diesem Jahre Herrn Professor Rudel wieder besten Dank für seine Unterstützung.

Der direkte Verkehr mit der österreichischen Station Salzburg für die Zwecke des Wetterdienstes sowie die allmonatlichen Mitteilungen der Temperatur- und Niederschlagsverhältnisse einzelner Stationen von Hessen, Württemberg, Baden und Elsass zur Ergänzung und Erweiterung der Isothermen- und Isohyetenkarten in unseren Monatsübersichten sind erhalten geblieben.

Im Archiv der K. B. Meteorologischen Centralstation sind folgende Registrierungen vom Jahre 1913 vorhanden:

Station	Höhe	Sonnenschein	Barometer	Thermometer	Hygrometer	Anemometer	Bemerkungen
Ludwigshafen a/Rh.	100.3	1	1	1	1		Thermometer- u. Hygrometer-Registrierungen vom 5.—11. VIII. fehlen.
Kaiserslautern . .	242.2	1	1	1	1	1	
Luitpoldheim . . .	250	1		1	1		
Bamberg	287.7	1	1	1	1		
Lindau i. B. (Reutin)	401.7			1	1		Thermometer- u. Hygrometer-Registrierungen vom 24. VII. ab.
Bad Reichenhall . .	470.4	1	1				
München-C.St. . . .	526.4	1	2	1	1	1	
München-F.V.A. . .			1	1	1		Baro-, Thermo- u. Hygrometer-Registrier. vom 23. VIII.—8. X. fehlen.
Planegg	558	1		1	1		
Alexandersbad . .	590	1	1	1	1		Hygrometer-Registrierung vom 12.—19. V. fehlt.
Traunstein . . .	597		1				
Berchtesgaden . . .	600	1					
Partenkirchen . . .	716.8	1	1	1	1		
Buchenau	750	1		1			Thermometer-Registrierung vom 23.—30. VI. fehlt.
Schaftlach	760			1			Thermometer-Registrierungen vom 10.—24. II. fehlen.
Oberstdorf . . .	811.4	1					
Mittenwald	911.8	1	1	1	1		
Hohenpeissenberg .	994.1		1	1	1	1	
Zugspitze	2962.2	1	2	1	1	1	

Bericht über die Stationen.

a) Die Aufstellungen:

Verlegt wurde am 15. April die Station in Bad Reichenhall, da der Beobachter seine Wohnung wechselte.

Der Regenmesser in Passau musste am 10. Mai nach dem Garten des nahegelegenen Klosters Niederburg verlegt werden.

Aufgehoben wurde die Station auf dem Wendelstein.

Neu errichtet wurden die Ergänzungsstationen Rohr, Roggenstein und Gössweinstein, deren Aufgabenbereich aus der Beschreibung der Aufstellungen entnommen werden wolle.

Die Station Lindau i. B. (Reutin) wurde am 21. Juli mit einem Thermographen und Hygrographen ausgerüstet, womit einem Wunsche von Dr. Kleinschmidt, des Vorstandes der Drachenstation am Bodensee entsprochen wurde. Dr. Kleinschmidt benötigt Registrierungen an verschiedenen Punkten des Bodensees zu speziellen Untersuchungen.

Schliesslich ist noch die genauere Bestimmung der Seehöhe des Barometers auf der Zugspitze zu erwähnen: Auf Grund der Bearbeitung der Beobachtungen durch Dr. A. Huber wurde die Seehöhe zu 2962.2 m (bisher 2964 m) berechnet (vergl. Anhang Nr. 9). Ferner darf nicht unerwähnt bleiben, dass die Aufstellung der Instrumente durch die Erweiterungsbauten des Münchener Hauses nicht ganz unbeeinflusst geblieben sein wird. Noch mehr wird dies im Jahre 1914 der Fall sein, wenn das Dach des Münchner Hauses gehoben sein wird.

b) Die Beobachter.

Der Beobachter in Bayreuth, Oberarzt Dr. G. Wagner starb am 28. Mai. Nach einer interimistischen Führung durch den Pfleger W. Ott übernahm am 1. Juni der Anstaltsarzt Dr. G. Bleser die Station, deren Aufstellung durch den Wechsel nicht berührt wurde.

Der Beobachter in Passau, Lyzealprofessor Dr. Putz, der mehr als 25 Jahre die Station treu versorgt hatte, zog sich in den Ruhestand zurück. Für ihn übernahm Pedell Stephan die Beobachtungen, die er schon in den letzten Jahren inoffiziell ausgeführt hatte.

An den neu errichteten Stationen Rohr, Roggenstein und Gössweinstein übernahmen die Beobachtungen: Tierarzt a. D. J. Pletz, Pfarrer Sterr und P. J. Lochner.

Auf dem Hochobservatorium Zugspitze wurde am 1. September Assistent K. Bux durch den Assistenten Dr. Zistler abgelöst.

Der Personalstand an den Stationen war demnach am Jahresschlusse folgender:

Übersichtstabelle über sämtliche Stationen.

(Stand vom 31. Dezember 1913.)

A. Stationen II. Ordnung.

Station	See-höhe	Geograph. Breite		Länge östlich von Greenwich				Beobachter	Lokal
	m	°	′	°	′	m	s		
Hof	476.1	50	19	11	55	47	40	Joseph Schramm, Buchhalter.	Gasanstalt.
Bad Kissingen	209.2	50	12	10	5	40	20	H. Meyer, K. Pedell.	K. Realschule.
Kahl a. M.	114.1	50	4	9	1	36	4	A. Schilling, Hauptlehrer.	Schulhaus.
Luitpoldheim	250	50	1	9	34	38	16	Dr. O. Pischinger, prakt. Arzt.	Sanatorium.
Alexandersbad	590	50	1	12	1	48	4	H. Schlötterer, Badverwalter.	Kuranstalt.
Bayreuth	363.3	49	57	11	34	46	16	Dr. G. Bleser, Anstaltsarzt.	K. Kreisirrenanstalt.
Bamberg	287.7	49	53	10	53	43	32	Hofrat Prof. Dr. E. Hartwig, Direktor. Frl. E. Hartwig u. Dr. E. Zinner.	Remeis-Sternwarte.
Würzburg	179.3	49	48	9	56	39	44	Peter Knöllinger, K. Hausmeister u. Laborant.	Physik. Institut der K. Universität.
Ludwigshafen a. Rh.	100.3	49	29	8	26	33	44	M. Beinzer, K. Reallehrer.	K. Ober-Realschule.
Kaiserslautern	242.2	49	27	7	46	31	4	K. Tillmann, K. Professor.	K. Kreis-Oberrealschule.
Nürnberg	309.1	49	27	11	3	44	12	Marie Büchele, Schwester.	Städtisches Waisenhaus.
Amberg (M.-H.-B.)	519	49	27	11	52	47	28	Das Priorat.	Franziskanerkloster.
Ansbach	437.5	49	18	10	33	42	12	Medizinalrat Dr. A. Herfeldt, K. Direktor.	K. Kreisirrenanstalt.
Cham	386	49	13	12	40	50	40	Dr. P. Ketterl, prakt. u. Bahnarzt.	K. Distriktskrankenhaus.
Landau i. Pf.	149.9	49	12	8	7	32	28	K. Hensler, Ökonomierat, K. Landwirtschaftslehrer.	K. Landwirtschaftliche Winterschule.
Weissenburg i. B.	431	49	2	10	58	43	52	Karl Fleischmann, K. Pedell.	K. Realschule.
Buchenau	750	49	2	13	20	53	20	J. Membarth, Hüttenleiter.	Auf dem Landgute des H. v. Poschinger.
Regensburg	354.3	49	1	12	7	48	28	P. Paulinus Schöning, Seminarpräfekt.	Karmelitenkloster Kumpfmühl.
Metten	320	48	51	12	55	51	40	P. Ruppert Hauth, O. S. B., K. Konrektor.	Benediktinerstift.
Nördlingen	435.6	48	51	10	30	42	0	Dr. E. Frickhinger, Apotheker.	Einhornapotheke.
Ingolstadt	368	48	45	11	26	45	44	Nikolaus Martin, K. Eisenbahnsekretär.	Privathaus des Beobachters.
Karlshuld	382.0	48	40	11	18	45	12	Die Oberin der Armen Schulschwestern.	Kloster der Armen Schulschwestern.
Passau	309.3	48	34	13	28	53	52	Joseph Stephan, K. Studienpedell.	K. Lyzeum.
Landshut	397.7	48	32	12	10	48	40	Dr. H. Willemer, städt. Chemiker.	Privathaus des Beobachters.
Eggenfelden	417	48	24	12	46	51	4	Das Guardianat.	Franziskanerkloster.
Augsburg	499.6	48	22	10	54	43	36	P. Ferd. Eichinger, O. S. B., K. Professor.	Benediktinerstift „St. Stephan“.
Burghausen	365	48	10	12	50	51	20	P. Gerard Stegmiller, O. Cap., K. Lektor.	Kloster der Kapuziner.
München-C.-St.	526.4	48	9	11	34	46	16	Georg Götz, K. Bote u. Diener.	K. Met. Centralstation, gemiet. Lokal.
Ottobeuren	660	47	56	10	18	41	12	Casimir Raith, K. Präparandenlehrer a. D.	Wohnung des Beobachters.
Traunstein	597	47	52	12	39	50	36	L. Blumschein, K. Professor.	K. Realschule.
Tegernsee	727.8	47	43	11	45	47	0	Ludwig Biebl, Gemeindesekretär.	Rathaus.
Bad Reichenhall	470.4	47	43	12	53	51	32	A. Bauer, Hauptlehrer.	Privathaus des Beobachters.
Berchtesgaden	600	47	38	13	0	52	0	Schwester Willehada.	K. Distriktskrankenhaus.
Ettal	879.5	47	34	11	5	44	20	M. Hochenleitner, Gärtner.	Benediktinerabtei.
Lindau i. B. (Reutin)	401.7	47	33	9	41	38	44	J. Westermayr, K. Zolloberkontrolleur.	K. Zollneubauten (Wohngebäude).
Partenkirchen	716.8	47	30	11	6	44	24	M. Beckert, K. B. Hofphotogr. u. Magistratsrat.	Privathaus des Beobachters.
Mittenwald	911.8	47	27	11	16	45	4	G. Tiefenbrunner, Herzogl. Nass. Hof-Saiten-Instrumenten-Fabrikant.	Privathaus des Beobachters.
Oberstdorf	811.4	47	24	10	17	41	8	Adolfine Aubele, Oberin.	Neues Schulhaus.
Hohenpeissenberg	994.1	47	48	11	1	44	4	Joseph Wallner, Pfarrer. Hans Jung, Lehrer.	Pfarrhaus.
Zugspitze	2962.2	47	25	10	59	43	56	Dr. Peregrin Zistler.	Observatorium.

B. Ergänzungs-Stationen.

Gössweinstein	494	49	46	11	20	45	20	P. Ildefons Lochner, O. F. M.	Franziskanerkloster.
Roggenstein	520	49	38	12	16	49	4	A. Sterr, Pfarrer.	Pfarrhaus.
Rohr i. Ndb.	426	48	46	11	58	47	52	Joseph Pletz, Tierarzt a. D.	Privathaus des Beobachters.

Den Herren Beobachtern danke ich für ihren bewährten Eifer. Als kleines Zeichen ihrer Dankbarkeit hat die Centralstation den Beobachtern die Monats- und Jahreszusammenstellungen als Separatabzug übersandt.

Desgleichen danke ich den Herren der Centralstation, welche an der Bearbeitung des Materials beteiligt waren und die prompte Ausgabe des Jahrbuches ermöglichten (25. April 1914).

Die Auswertung der Registrierungen des Zugspitzobservatoriums besorgten wie bisher die Beobachter; die Registrierung vom Hohenpeissenberg bearbeitete Kustos Dr. A. Huber, nur die Auszählung der Kontakte des Anemometers besorgte der Beobachter Lehrer Jung selbst. Gelegentlich trat — meist infolge starker Rauhfrostbildung — eine Unterbrechung der Windregistrierung ein. In solchen Fällen wurde ein Monatsmittel zwar berechnet; es ist jedoch bei der event. Ausgleichung des täglichen Ganges hierauf Rücksicht zu nehmen.

Die verantwortungsvolle Aufgabe der Lesung der Korrekturbögen lag in den Händen des Sekretärs K. Brunner und des Dieners G. Götz.

Das Personal der Centralstation.

Das etatsmässige Personal der Centralstation bestand im Jahre 1913 aus den Herren: Direktor Dr. A. Schmauss (zugleich Privatdozent an der Universität); Kustoden Dr. E. Alt, Dr. L. Weickmann und Dr. A. Huber (ab 1. Dezember); Sekretäre K. Brunner und L. Gsell. Kanzlei- und Registraturassistent G. Bader; Diener und Bote G. Götz.

Nichtetatsmässige Assistenten: K. Bux ab 1. September, (bis dahin auf dem Hochobservatorium), A. Frankl, Dr. P. Zistler (bis 31. August, von da ab auf dem Hochobservatorium) und H. Altmann.

Für den Telephon- und Wetterdienst waren verwendet Frl. M. Wiedemann und Frl. E. Hecker (ab 15. Februar).

Dienstreisen.

In diesem Jahre wurden folgende Stationen besucht bezw. neu eingerichtet:

von Schmauss: Oberstdorf und Lindau im Anschluss an die Sitzung des Kuratoriums der Drachenstation in Friedrichshafen (am 4. bezw. 8. Juli), Würzburg (25. August) im Anschluss an eine Reise nach Frankfurt a. M. anlässlich der Einweihung des Taunus-Observatoriums, Zugspitze (4. Oktober), Partenkirchen (5. Oktober) und Mittenwald (6. Oktober). Am 26. Oktober wurde der Hochfelln bestiegen, da die Absicht bestand, in dem nunmehr ganzjährig bewirtschafteten Unterkunftshause eine östlicher gelegene Ersatzstation für den Wendelstein zu errichten. Leider fanden sich aber bei der als Beobachter in Frage kommenden Persönlichkeit weder Neigung noch Fähigkeit zur Übernahme vor.

von Alt: Roggenstein und Gössweinstein (9.—12. März), Ottobeuren (8. Mai), Wielenbach (31. Mai, 2. und 30. Juli) woselbst eine spezjellen Zwecken der K. Teichwirtschaftlichen Versuchsstation dienende Station errichtet werden sollte, Bayreuth (16.—17. Juni), Regensburg (29. Dezember), Pfelling (30. Dezember).

von Weickmann: Wendelstein (5.—6. April), Reichenhall, Berchtesgaden und Traunstein (18.—20. April), Ottobeuren (24. April), Regensburg und Passau (18.—20. Mai).

Aus der Geschichte.

a) der Centralstation.

Der gemeinsam mit dem K. Hydrotechnischen Bureau eingerichtete Hochwasserwarnungsdienst wurde weitergeführt.

Die Wetterkarte hat ab 1. Januar eine weitere Verbesserung erfahren durch die Beigabe einer Kopie des Barogramms und Thermogramms von München während der letzten 24 Stunden. Die Abonnentenzahl hat sich nicht wesentlich verändert und betrug rund 400.

Die Wetterkarte wird auch an Sonn- und Feiertagen an der Meteorologischen Centralstation hergestellt, darf aber wegen der gesetzlichen Sonntagsruhe erst am Montag Früh gedruckt werden. Um wenigstens einen kleinen Ersatz zu bieten, wurde mit der Redaktion der Münchner Neuesten Nachrichten ein Abkommen getroffen, dass der Text (enthaltend die Beschreibung der Wetterlage und die Wettervorhersage) in das am Montag früh ausgegebene Morgenblatt aufgenommen wird.

Die tägliche Abgabe der Prognose an die Post-, Telegraphen- und Bahnämter erfolgt seit 1. März um 11^{15}. Im Anschlnss an das auf 11^{30} verlegte Zeitzeichen wird mit dem Generaltaster in der gewohnten Weise die Wettervorhersage verbreitet.

Anlässlich des Fluges „Rund um München" wurde am 14. und 15. Juni der übliche Spezialwetterdienst eingerichtet ebenso bei Gelegenheit des Offiziersflugwettbewerbes am 19. Oktober.

Als Neueinrichtung im Wetterdienst war im Vorworte 1912 ein Abonnement erwähnt, welches Grosskaufleuten die Möglichkeit gibt, täglich bestimmte Aufschlüsse über gegebene (nicht zukünftige) Witterungszustände zu erhalten. Bisher haben erst drei Firmen von dieser Einrichtung Gebrauch gemacht.

Unsere Wetterprognose trägt naturgemäss mehr den südbayerischen Verhältnissen Rechnung, wenn auch stets in Pfalz, Nordwest-, Ost- und Südbayern abgetrennt wird, wenn es die Verhältnisse notwendig machen. Da die Errichtung eigener Prognosenzentren in der Pfalz und Nordbayern aus verschiedenen Gründen nicht in Frage kommt, versuchten wir eine Besserung der Wettervorhersage für die entfernteren und klimatologisch anders gearteten Gebiete der Pfalz und von Nordwestbayern dadurch zu erreichen, dass wir die Wettervorhersage unserer Frankfurter Kollegen verwerten. Einem Antrage, täglich die Frankfurter Prognose, die gerade vor der Abgabe unserer eigenen einlaufen kann, beziehen zu dürfen, wurde von dem vorgesetzten K. Staatsministerium stattgegeben. Seit 1. August erhalten wir täglich die Frankfurter Prognose, die oft nicht bloss für die in Frage kommenden Gebiete vom grossem Werte ist, sondern als Urteil eines nach Westen vorgeschobenen Observatoriums weitere Bedeutung besitzt. Ein Ideenaustausch der Prognosenzentren vor der Abgabe der Vorhersage könnte, wie mir scheint, mehr Nutzen stiften als etwa eine weitere Vermehrung von blossen Berichtstationen.

Die meteorologischen Kenntnisse des Publikums liegen noch sehr im Argen. Es ist das objektiv bedauerlich, aber auch subjektiv unangenehm, weil dadurch ein richtiges Verständnis des Wetterdienstes unmöglich ist. Die Wettervorhersage wendet sich täglich an alle Menschen, setzt aber für eine richtige Würdigung, die durchaus keine bedingungslose Anerkennung zu sein braucht, einige Kenntnisse voraus. Es wurde daher auch im Berichtsjahre fortfahren, Interesse für die Meteorologie in weiteren Kreisen zu wecken. In den Tagen vom 1. bis 3. September fand in München mit Genehmigung des K. Staatsministeriums ein Lehrkurs für die Lehrer der Physik und Erdkunde an den Lehrerbildungsanstalten Bayerns statt, der sehr gut besucht war. Es ist zu hoffen, dass, wenn erst einmal die Lehrer für die Meteorologie interessiert sein werden, die heranwachsende Generation gerechtere und vernünftigere Anschauungen vom Wetterdienste bekommen wird.

Ausser an der Universität hielt der Berichterstatter im Sommer Vorträge vor den Offizieren der K. Militärfliegerstation in Schleissheim, die eine wünschenswerte Fühlungnahme mit einem der Hauptinteressenten des Wetterdienstes brachten.

Eine grosse Freude für unser Institut war der Abschluss einer ersten Bearbeitung der Klimatologie des Zugspitzgipfels durch den damaligen Assistenten A. Huber. Die Arbeit wurde vom Senat der K. Technischen Hochschule als Doktorarbeit angenommen, der Verfasser im Juli zum Dr. der technischen Wissenschaften promoviert. Seine Untersuchungen bildeten auch den Gegenstand eines öffentlichen Vortrages am 18. Dezember, der sich eines guten Besuches erfreute. Auch Mitglieder des Königlichen Hauses wohnten dem durch zahlreiche Lichtbilder ergänzten Vortrage an.

Durch die dankenswerte Beihilfe einer Reihe von Freunden war es möglich, die Arbeit in unserem Jahrbuche abdrucken und insbesondere mit charakteristischen Bildern versehen zu lassen.

Noch ein anderes Mitglied unseres Institutes, der jetzige Zugspitzbeobachter P. Zistler legte im Juli (mit einer mathematischen Arbeit) das Doktorexamen ab.

Der bald ein Menschenalter währende Wunsch der Meteorologischen Centralstation, ein eigenes Dienstgebäude zu erhalten, hat auch im Berichtsjahre keine Förderung erfahren. Die Veranstaltung von Pilotballonvisierungen von der Plattform des Institutes ist an den meisten Tagen nicht mehr möglich, da der Turm des Neubaus der K. Technischen Hochschule in der Hauptwindrichtung steht. Wir mussten daher die K. Technische Hochschule bitten, uns die Benützung des Turmes zu diesem Zwecke zu gestatten, auf welchem seit dem 1. Januar alle Pilotballonvisierungen veranstaltet wurden. Auch die Sonnenscheinregistrierung musste ab 20. April nach dem Turm verlegt werden, während von der Übersiedelung der Windregistrierung Abstand genommen werden musste. So fristen wir unser Dasein und sind dazu verurteilt, auf alle die interessanten Arbeiten der modernen Meteorologie zu verzichten. Nur die Aufgaben der wissenschaftlichen Luftschiffahrt können, dank dem freundlichen Entgegenkommen des K. Lutt- und Kraftfahrbataillons auf dessen Übungsgelände erledigt werden.

Unsere schlimme Lage wird uns am meisten zum Bewusstsein gebracht, wenn auswärtige Kollegen die Anstalt besuchen. Wir verzeichneten im Jahre 1913 den Besuch der Herren W. Köppen (Hamburg), H. Hergesell (Strassburg), Frhr. von Soden (Friedrichshafen), J. Iglauer (Prag), K. Pircher (Wien), L. Pilgrim (Stuttgart), A. Kopfmüller (Friedrichshafen), L. Wenger (Leipzig), W. J. Dines und G. Dobson (London), A. Wagner (Wien), P. Borissow (Moskau), F. M. Exner (Innsbruck) und F. H. Bigelow (Buenos Aires), G. Marczell (Budapest).

b) des Hochobservatoriums.

Dank der zähen Ausdauer des Beobachters 1912/13 K. Bux war es möglich, eine fast während des ganzen Jahres betriebsfähige Antenne für den Empfang drahtloser Telegramme zu erhalten. Betreff der Verspannung usw. sei auf das Vorwort 1912 verwiesen. Leider riss die Antenne am 15. November; an eine Wiederherstellung kann vor dem Sommer nicht gedacht werden. Infolgedessen musste der Beobachter auf die Lautstärkemessungen, die bis dahin genau anzustellen waren, einstweilen verzichten. Das Zeitzeichen dagegen bekommt er durch eine improvisierte Antenne. Eine Verbesserung der Gebeanordnung hat in diesem Jahre keine Fortschritte gemacht. Es hat sich als notwendig erwiesen, einen stärkeren Motor zu beschaffen, für welchen ein Häuschen an den Turm angebaut werden soll.

Am 23. Juli befreite der Beobachter K. Bux einen auf der Zugspitze abgestürzten Touristen, der an einer sehr exponierten Stelle noch einen Halt gefunden hatte. Für diese Tat wurde ihm von Seiner Majestät dem König die Rettungsmedaille verliehen.

Einer Schenkung für das Hochobservatorium ist dankbar zu gedenken: Die Firma Grimme, Natalis & Co. stiftete eine Brunsviga Rechenmaschine, welche dem Beobachter bei der Berechnung der Registrierungen gute Dienste leistet.

Betreff der Schneehöhenmessungen und ihre Schwierigkeiten sei auf das Vorwort 1912 verwiesen. Da es nicht angeht, die auf dem Plattachferner gemessenen Schneehöhen auf die Zugspitze zu übertragen, wurde von der Angabe derselben abgesehen. Es wurde nur eingetragen, wann eine Schneedecke vorhanden war.

Im Herbste hielt sich der Kandidat des höheren Lehramtes R. Rubach (Kiel) einige Wochen auf der Zugspitze auf, um im Auftrage des Herrn Geheimrates Weber Messungen der Himmelshelligkeit auszuführen.

Beschreibung

der

Neuaufstellung der Instrumente in Reichenhall, Gössweinstein, Roggenstein und Rohr.

Bad Reichenhall.

Seehöhe = 470.4 m. Polhöhe = 47° 43′ N. Östl. Länge von Greenwich = 12° 53′.

Die Station wurde nach dem neuen Wohnhause des Beobachters A. Bauer verlegt. Dasselbe liegt am Südwestende von Bad Reichenhall ziemlich frei. Die Rückseite des Hauses geht auf einen Garten und hat die Richtung N 40° W. Während des Sommers verhindern zwar belaubte grosse Nussbäume die Bestrahlung des Thermometergehäuses, doch wird die westliche Seite der Hauswand sicher von Sonnenstrahlen getroffen und erwärmt. Die Aufstellung ist daher leider nicht günstig; die 7^ha-Ablesung muss an einer auf der NW-Seite des Hauses angebrachten Hilfsaufstellung vorgenommen werden. Im Winter fallen keine Sonnenstrahlen auf das Gehäuse. Die Thermometer befinden sich 3 m über dem Boden (Sand).

Das Barometer hängt in einem ungeheizten Zimmer an der Ostecke des Gebäudes.

Der Regenmesser steht in dem auf der Nordostseite des Hauses befindlichen Garten, die Auffangfläche liegt 1.65 m über dem Boden.

Zur Bestimmung der Windrichtung dient eine gut gehende Windfahne auf einem Nachbarhause, ausserdem werden Windrichtung und -stärke direkt vor dem freistehenden Hause bestimmt.

Gössweinstein.

Seehöhe = 494 m. Polhöhe = 49° 46′. Östl. Länge von Greenwich = 11° 20′.

Die Station ist im Franziskanerkloster untergebracht, welches im Südosten der auf einer Höhe des Jura gelegenen Ortschaft sich befindet.

Die Beobachtungen beschränken sich auf Ablesung eines trockenen Thermometers zu den Terminen 7 Uhr, 2 Uhr, 9 Uhr und Aufzeichnung des allgemeinen Witterungscharakters.

Das Thermometer ist vor einem nach Norden schauenden Fenster der Bibliothek aufgestellt, völlig geschützt vor störenden Einflüssen. Das Quecksilbergefäss des Instrumentes liegt 6,3 m über dem Erdboden.

Die Beobachtungen werden von den Mitgliedern des Klosters durchgeführt.

Roggenstein.

Seehöhe = 520 m. Polhöhe = 49° 38′. Östl. Länge von Greenwich = 12° 16′.

Die Station, welche nur Ablesungen des trockenen Thermometers zu den drei Terminen 7 Uhr, 2 Uhr, 9 Uhr, sowie Aufzeichnungen über den allgemeinen Witterungscharakter zur Aufgabe hat, ist im Pfarrhofe des auf einer Höhe gelegenen Ortes untergebracht. Die Umgebung ist hügelig und mittelmässig mit Wäldern bewachsen.

Das Thermometer befindet sich in 4 m Höhe über dem Boden vor einem Nordfenster, genügend geschützt vor direkter und indirekter Strahlung. Die Heizung des Hauses ist ohne Einfluss auf den Stand des Instrumentes.

Die Beobachtungen werden von Herrn Pfarrer Sterr, in dessen Vertretung von einem Hausgenossen ausgeführt.

Rohr i. Ndb.

Seehöhe 426 m. Polhöhe 48° 46′. Östl. Länge von Greenwich = 11° 58′.

Die Station ist im Wohnhause des Beobachters untergebracht, das am Rande der in einer flachen Terrainmulde eingebetteten Ortschaft liegt.

Die Thermometer befinden sich in einem luftigen Skreen, der auf einem nach Norden schauenden Balkon Aufstellung gefunden hat. Vor direkter und indirekter Strahlung sind die Instrumente genügend geschützt. Die Thermometer liegen zirka $4^1/_2$ m über gepflastertem Boden.

Die Beobachtungen, welche sich nur auf Ablesungen des trockenen und feuchten Thermometers, der Extremthermometer, auf Bestimmung und Aufzeichnung der Windrichtung und -stärke, sowie allgemeiner Witterungserscheinungen beschränken, werden von Herrn Tierarzt a. D. Pletz, in dessen Vertretung von einem wohlunterrichteten Hausbewohner durchgeführt.

Kahl a/M.

Januar — $\varphi = 50^0\ 4'$ N. $\lambda = 9^0\ 1'$ E $= 36^m\ 4^s$. H $= 114.1$ m. Cg $= +0.3$ mm. — 1913.

Datum	Luftdruck auf 0^0 u. Normalschwere reduziert 700 mm + 7a	2p	9p	Lufttemperatur C° 7a	2p	9p	Max.	Min.	Absolute Feuchtigkeit mm 7a	2p	9p	Relative Feuchtigkeit Proz. 7a	2p	9p	Richtung und Stärke des Windes 0 bis 12 7a	2p	9p	Bewölkung 0 bis 10 7a	2p	9p	Niederschlag mm 7a	Schneedecke cm 7a	Bemerkungen
1.	57.9	55.5	55.4	− 3.3	− 1.3	− 3.0	1.4	− 3.8	3.6	4.1	3.6	100	98	98	C 1	C 1	C 1	10^1=	10^1=	0	–	–	a ⌋ ≡1. 2 p ≡1
2.	55.2	54.7	54.6	− 0.1	3.3	2.2	4.0	− 3.4	4.5	5.1	5.3	98	88	98	SW 2	S 2	C 1	10^1	10^1	10^1	–	–	a ⌋
3.	54.4	55.0	56.7	2.5	6.0	− 1.2	6.9	− 1.5	5.4	5.9	4.0	98	85	94	C 1	C 1	C 1	9^1	○○	0	–	–	
4	58.5	59.0	59.5	− 1.3	0.5	0.3	1.6	− 3.2	3.9	4.1	4.2	94	85	89	SE 2	SE 2	SE 2	0	○○	10^1	–	–	a ⌋
5.	59.5	59.7	60.6	0.3	1.6	− 1.7	2.4	− 2.1	4.1	4.3	3.9	87	84	96	C 1	C 1	SE 2	10^1	○○	0	–	–	
6.	60.5	59.1	59.4	0.5	2.7	2.1	3.4	− 2.8	4.2	4.4	5.1	89	79	94	S 2	C 1	C 1	10^1	10^1	10^1	–	–	
7.	60.5	60.4	60.7	2.9	4.9	0.6	5.7	− 0.8	5.5	5.5	4.8	98	84	100	C 1	SE 2	C 1	10^1	9^1	10^1	2.4	–	n ◍
8.	59.3	58.0	58.4	− 2.7	2.5	− 0.9	3.1	− 3.1	5.4	4.3	3.6	96	77	84	C 1	E 2	SE 2	0	○○	0	–	–	a ⌋⌋
9.	58.9	59.0	58.4	− 1.4	− 1.7	− 1.9	0.4	− 2.4	3.3	3.1	3.0	80	78	76	SE 2	E 2	E 2	10^1	10^2	10^1	–	–	a ⌋⌋
10	57.5	56.4	56.0	− 1.5	0.0	− 2.0	0.6	− 2.2	3.0	2.7	2.6	74	60	66	SE 2	E 2	E 2	10^1	10^1	10^1	–	–	
11.	54.7	53.4	50.8	− 1.9	− 0.5	− 1.6	0.8	− 3.0	3.0	2.4	2.4	76	55	60	E 2	SE 2	NW 2	10^1	1^1	10^1	–	–	
12.	47.8	46.3	48.0	− 3.4	− 1.9	− 1.7	0.2	− 3.6	3.2	3.6	3.7	91	90	92	S 2	S 2	C 1	10^1*	10^1*	10^1	6.3	8	n ✳. t ◍0 ✳
13	50.2	51.7	53.4	− 8.9	− 2.3	− 1.1	0.1	− 9.9	2.1	3.7	4.1	94	96	96	C 1	C 1	SW 2	10^1=	10^1	10^1	**8.0**	**15**	7 a ≡1
14.	53.3	52.6	52.0	− 0.6	− 0.6	− 2.7	0.8	− 5.1	3.7	3.4	3.1	85	77	81	SE 2	E 2	E 4	9^1	10^1	10^1	–	12	
15.	49.9	49.7	49.7	− 5.7	− 4.2	− 4.5	− 1.2	− 6.2	**1.9**	2.0	2.6	65	61	81	SE 2	SE 2	C 1	10^1	10^0	10^0	–	11	
16.	48.6	48.8	48.2	− 3.6	− 1.3	− 2.5	0.3	− 4.5	2.8	3.5	3.2	80	84	85	C 1	SE 2	SE 2	10^1	10^1	0	0.7	10	n ✳
17.	45.7	44.9	44.9	0.1	6.0	3.7	7.0	− 3.1	4.2	5.0	5.5	90	72	92	S 2	SW 2	SW 2	0	10^0	10^1	–	10	
18.	45.5	47.1	48.8	1.3	3.4	2.9	5.3	0.9	5.0	5.4	5.5	100	93	98	S 2	S 2	C 1	2^0	10^2	10^1	–	5	3^{16} p an ◍
19.	51.1	51.9	50.3	3.2	4.9	2.6	5.4	1.9	5.5	5.6	4.8	95	86	87	SW 2	SW 2	SE 2	10^1	1^0○	9^0	2.6	–	n ◍
20.	45.3	44.9	42.6	1.8	4.5	4.2	5.6	0.9	4.5	5.7	5.1	85	90	82	SW 2	SW 2	SW 2	10^0	10^1	10^1	–	–	
21.	35.1	36.3	39.0	3.6	5.4	4.5	7.8	2.5	5.6	6.1	5.8	95	91	92	SE 4	SW 4	W 4	10^1	10^1	10^0	7.3	–	n ◍
22.	44.8	50.2	54.7	4.1	3.8	2.9	6.2	2.4	5.1	4.4	4.9	84	73	86	SW 6	NW 4	C 1	10^1	10^1	10^1	1.6	–	n ◍
23.	53.2	49.9	49.1	0.5	2.3	7.4	8.0	0.1	4.6	5.1	**7.0**	96	94	91	C 1	S 2	S 4	4^0	10^1●	10^0	–	–	p ◍ ✳0
24.	50.6	51.1	50.4	6.9	7.8	6.3	**9.0**	6.1	6.1	6.2	5.7	83	79	79	SW 4	SW 4	SW 2	9^0	10^1	10^1	4.8	–	
25.	47.9	47.4	50.6	6.7	6.7	6.5	7.6	5.8	5.5	6.8	**7.0**	76	93	98	SW 4	SW 4	SW 2	10^0	10^1●	$1C^1$	–	–	t ◍
26.	55.0	58.5	**61.7**	3.5	4.1	− 2.7	7.8	− 2.9	5.5	3.1	3.3	93	50	89	W 2	N 4	C 1	10^1	1^0○	0	4.0	–	
27.	60.5	57.2	55.5	− 6.4	2.1	− 3.1	3.0	− 7.1	2.6	3.4	3.3	95	64	91	C 1	SW 2	C 1	0	○○	0	–	–	a ⌋
28.	55.2	55.2	56.5	− 1.1	3.1	1.1	4.1	− 5.5	2.9	3.2	3.5	69	56	68	E 2	NE 2	C 1	10^0	4^0	0	–	–	
29.	57.5	56.2	55.7	− 3.8	0.1	− 2.9	3.2	− 4.2	2.3	2.4	2.3	66	53	64	E 4	E 4	E 4	4^0	○○	0	–	–	
30.	55.0	53.5	51.3	− 6.3	− 0.2	0.2	0.9	− 6.6	**1.9**	2.3	2.5	66	52	54	C 1	SE 2	SE 4	0	10^1	10^1	–	–	
31.	40.9	41.1	49.7	2.1	5.9	1.0	7.2	− 0.8	4.9	6.3	4.5	91	91	90	C 1	W 4	SW 2	10^2●	10^1●	8^0	2.9	–	n, a, 1^{31}–2^{32} p ◍. 20$^{1-21}$ p ⊿. 43$^{6-46}$ p ◍ ✳. 7^{06} p ◎
Mittel	52.5	52.4	53.0	− 0.4	2.2	0.5	3.8	− 2.2	4.1	4.3	4.2	87	78	86				7.6	7.0	7.0	40.6		

Bayreuth.

Januar. — $\varphi = 49^0\ 57'$ N. $\lambda = 11^0\ 34'$ E $= 46^m\ 16^s$. H $= 363.3$ m. Cg $= +0.3$ mm. — 1913.

1.	36.7	34.0	33.5	− 0.9	1.4	− 0.9	2.0	− 2.0	3.9	4.1	4.0	90	83	93	SE 2	SE 2	E 2	10^0	○○	0	–	–	a ⌋^{1}
2.	33.2	32.4	32.7	− 1.6	1.9	1.1	2.5	− 2.7	3.7	4.5	4.6	92	87	90	E 2	E 2	C 1	8^1	10^2	10^2	–	–	a ⌋^{2}
3.	32.6	33.6	35.3	− 0.3	2.5	− 0.9	2.8	− 1.1	4.2	4.6	3.9	94	83	90	E 2	E 2	E 4	10^1=	○○	0	–	–	a ≡1
4.	37.2	37.4	38.1	− 0.8	0.9	0.5	1.0	− 3.7	4.0	4.4	4.4	92	90	92	E 4	E 6	E 4	6^0	10^2	10^2	–	–	a ⌋^{2}
5.	37.9	38.3	39.5	− 2.5	0.1	0.1	0.6	− 3.7	3.4	3.8	4.0	89	83	87	E 2	SE 2	SE 2	10^1=	10^2	10^0	–	–	a ⌋^{1} ≡1
6.	**39.9**	38.4	38.3	− 1.7	− 0.3	− 1.3	0.2	− 2.3	3.7	3.9	3.8	92	87	90	E 4	E 4	E 2	10^0	5^0○	0	–	–	a ⌋^{1}
7.	39.3	39.4	39.2	− 2.1	0.3	0.3	0.7	− 2.7	3.5	4.0	4.2	90	85	89	SE 4	SE 2	C 1	10^2	10^2	0	–	–	a ⌋^{0}
8.	37.6	36.1	36.7	− 4.1	2.5	− 0.9	3.0	− 5.1	3.6	3.7	3.5	91	66	80	C 1	E 6	SE 4	0	○○	0	–	–	a ⌋^{2}
9.	36.8	36.3	36.0	− 3.4	− 1.3	− 3.1	− 0.9	− 5.5	3.1	3.1	2.8	87	84	78	SE 2	E 4	E 4	7^0	10^1	10^2	–	–	a ⌋^{2} ≡0
10.	35.0	33.6	33.2	− 2.4	− 1.5	− 2.4	− 1.2	− 3.7	2.5	2.4	2.5	65	58	65	SE 4	E 4	E 4	10^1	10^2	10^1	–	–	a ⌋^{0}
11.	32.2	31.4	29.8	− 2.6	− 2.9	− 3.9	− 1.3	− 4.1	2.4	2.3	2.9	64	61	66	E 4	E 4	E 4	10^2	10^2	10^2	–	–	
12.	24.6	23.6	25.6	− 4.4	− 3.3	− 3.9	− 3.2	− 4.9	2.8	3.1	2.9	86	87	87	E 4	SE 2	C 1	10^2*	10^2*	10^2*	0.1	–	ab 6^{16} a–n ✳0.1
13.	27.9	28.9	31.2	− 3.7	− 1.0	− 1.9	− 0.8	− 4.7	2.9	3.8	3.6	87	88	90	SE 2	E 2	E 2	10^2	10^2	10^2	6.2	**13**	
14.	32.6	31.9	31.6	− 3.7	− 3.1	− 7.3	− 1.9	− 7.7	2.9	2.9	2.0	84	80	78	E 2	SE 2	SE 4	10^2	10^2	0	–	11	
15.	28.9	28.8	28.8	− 9.5	− 6.5	− 7.7	− 6.0	**-10.7**	**1.5**	1.7	1.7	68	63	69	SE 4	SE 6	E 6	2^1	10^1	10^0	–	10	
16.	28.6	27.6	28.6	− 8.5	− 6.1	− 5.4	− 5.0	− 9.3	1.8	2.0	2.4	76	71	80	SE 4	SE 4	SE 4	5^1	10^2	10^2	–	9	
17.	25.3	24.5	23.6	− 3.5	− 0.3	− 0.5	0.2	− 5.9	3.0	3.9	4.0	87	87	90	SE 4	SW 4	SE 4	7^1	○○	10^2	0.1	8	n u. ca 8–9 a ✳0
18.	23.3	24.1	26.2	2.3	2.4	0.9	3.1	− 1.3	4.9	5.1	4.7	91	93	**96**	SW 2	SW 2	W 2	10^2	10^2●*	10^2●*	2.2	9	n ztw. ✳0, ca 1 p–n ◍0 ✳0.1
19.	28.2	29.7	29.3	1.4	2.4	0.9	2.9	0.6	4.9	5.2	4.7	**96**	94	**96**	W 2	W 2	SW 2	10^2	5^1	5^1	2.7	6	n ✳0 ◍0, t ztw. ◍0 ✳0.1
20.	24.7	23.3	22.2	0.2	1.1	0.8	1.5	− 0.9	4.2	4.6	4.6	92	92	94	E 2	E 2	E 2	7^1	10^2*	2^1	1.2	–	a ⌋0, ca 11 a–3 p ✳0.1
21.	17.4	**15.9**	16.9	− 0.7	4.9	3.3	5.2	− 1.8	4.1	5.1	4.9	94	79	86	SE 4	S 4	SW 4	10^2*	9^1	10^1	2.8	3	n–ca 9 a ✳1, p ztw. ◍0
22.	20.1	24.6	30.0	2.1	1.4	0.3	3.3	0.3	4.8	4.6	4.2	90	91	89	W 6	W 6	W 6	10^2●	10^2*	10^1	**10.2**	–	n ◍1, t ztw. ◍0 ✳0.1
23.	30.8	28.3	26.2	0.0	1.1	0.6	2.2	− 1.4	4.2	4.2	4.5	90	86	94	W 2	S 2	SE 2	10^1	10^2	10^2*	1.3	1	6^{06} p–n ✳0
24.	26.5	28.2	27.9	4.7	5.5	4.2	**6.0**	0.1	5.9	5.8	5.2	92	87	86	W 6	W 4	W 4	10^2●	10^2	10^2	4.9	–	n ◍0.1, t ztw. ◍0
25.	25.9	24.5	26.6	3.7	5.3	5.9	**6.0**	3.1	5.0	5.9	**6.1**	84	90	89	W 4	SW 4	W 6	10^2	10^2●	10^1	0.8	–	t ztw. ◍0
26.	31.2	34.4	39.0	0.5	2.3	− 2.3	**6.0**	− 2.7	4.3	3.8	3.5	90	69	89	C 1	NW 4	N 2	8^1	2^1○	0	0.7	–	
27.	38.4	34.8	33.8	− 5.3	1.3	− 1.5	1.8	− 6.3	2.7	2.8	3.2	90	56	78	E 2	E 2	E 2	0	○○	10^2	–	–	a ⌋^{2}
28.	33.0	33.3	35.5	− 1.7	1.3	− 4.1	1.5	− 4.4	3.5	3.4	2.6	86	67	77	C 1	E 2	E 4	10^2	8^1	0	–	–	a ⌋⌋^{1}
29.	36.3	35.5	34.8	− 6.1	− 2.8	− 6.3	− 2.3	− 7.5	2.2	2.5	2.0	77	68	74	E 4	E 4	SE 4	0	○○	0	–	–	a ⌋^{0}
30.	31.9	31.8	30.9	− 7.5	− 0.7	− 4.4	0.4	− 8.1	1.8	1.9	1.9	72	**44**	59	SE 4	E 4	SE 4	0	3^0○	0	–	–	a ⌋^{0}
31	23.5	17.8	26.9	− 4.3	− 0.7	0.6	4.4	− 7.2	2.0	3.9	4.3	61	90	90	SE 6	SE 4	W 6	10^2	10^2	8^1	–	–	a ⌋, t ◍0 ✳1
Mittel	30.9	30.4	31.2	− 2.2	0.3	− 1.3	1.1	− 3.8	3.5	3.8	3.7	85	79	84				7.7	7.3	6.3	33.2		

Alle Angaben nach Ortszeit.

Bamberg.

Januar. $\varphi = 49^0\ 53'$ N. $\lambda = 10^0\ 53'$ E $= 43^m\ 32^s$. H $= 287.7$ m. Cg $= +0.3$ mm. 1913.

Datum	Luftdruck auf 0^0 u. Normalschwere reduziert 700 mm + 7a	2p	9p	Lufttemperatur C° 7a	2p	9p	Max.	Min.	Absolute Feuchtigkeit mm 7a	2p	9p	Relative Feuchtigkeit Proz. 7a	2p	9p	Richtung und Stärke des Windes 0 bis 12 7a	2p	9p	Bewölkung 0 bis 10 7a	2p	9p	Niederschlag mm	Schneedecke cm	Bemerkungen
1.	42.8	40.4	39.8	− 1.9	3.2	− 0.1	3.6	− 2.8	3.8	4.0	3.9	96	70	85	S 2	S 2	S 2	2^1	⊙⊙	0	0.1	–	n ⌊
2.	39.5	39.1	39.1	− 2.4	3.0	0.3	3.4	− 3.1	3.8	3.9	4.3	98	69	92	SW 1	SW 1	NW 2	9^2	7^1	2^1	–	–	n ⌊^{0}
3.	39.2	40.1	42.3	− 0.6	1.6	− 1.8	2.0	− 1.9	4.4	4.6	4.0	100	89	100	W 1	W 1	C	10^2	3	0	–	–	n ⌊, ·2 p ∞
4.	44.0	44.0	44.6	− 2.6	0.0	0.3	0.6	− 4.2	3.7	4.1	4.2	98	89	90	S 1	SE 4	SW 3	10^2	10^2	10^2	0.1	–	n ⌊
5.	44.7	45.0	46.2	0.3	0.5	− 0.6	1.4	− 0.8	4.3	4.1	4.1	92	87	92	W 3	S 3	S 2	10^2	10^2	10^2	0.1	–	n ⌓^{0}
6.	**46.4**	44.8	44.6	− 4.2	3.0	− 1.6	3.4	− 5.1	3.2	3.7	3.9	97	66	96	C	S 2	S 2	7^0	7^0⊙	10^1	0.1	–	n ⌊. 7 a ≡
7.	46.2	45.7	45.7	− 0.8	1.8	0.5	2.5	− 2.4	3.8	3.9	4.3	88	75	90	SW 1	SE 1	W 2	10^2	10^1	10^2	0.1	–	
8.	43.9	42.8	42.9	− 2.0	2.9	− 0.8	3.3	− 2.5	3.9	3.4	3.2	98	61	73	C	E 2	W 1	10^1	⊙⊙	0	–	–	n ⌊. 7 a ≡^{1}. ca 8^{15} p ⎽⎽
9.	44.1	43.3	42.7	− 4.8	− 2.4	− 2.9	0.0	− 4.8	2.9	3.0	2.8	90	79	76	S 1	S 3	SE 5	8^1	10^2	10^2	0.1	–	n ⌊
10.	41.9	40.4	39.9	− 2.1	− 1.7	− 2.2	− 1.4	− 3.5	2.7	2.3	2.4	69	58	63	E 4	E 5	E 3	10^2	10^2	10^2	–	–	ca 0^{15} p, ca 3^{15} p, ca 4^{15} p ⚹^{0}
11.	39.0	37.8	36.1	− 2.6	− 2.3	− 3.6	− 0.7	− 3.8	2.6	2.2	2.4	70	57	69	S 1	E 5	E 4	10^2	10^2	10^2	–	–	ca 10^{15} p, ca 4^{15} p ⚹^{0}
12.	31.0	30.2	32.8	− 4.6	− 3.2	− 3.4	− 2.7	− 4.8	3.0	3.4	3.5	93	96	98	SE 3	S 3	C	10^2*	10^2*	10^2*	1.3	2	ca 4^{45} a–9 p ⚹^{1}
13.	34.8	35.9	38.3	− 2.6	− 0.1	− 1.5	0.7	− 3.8	3.7	4.0	4.0	98	89	98	SE 1	C	C	10^2	10^2	10^2	**9.4**	**13**	
14.	39.0	37.8	38.4	− 2.6	− 3.5	− 7.7	− 0.4	− 7.7	3.4	2.7	2.0	92	78	81	SE 1	SE 4	SE 5	10^2	10^2	10^0	0.1	10	ca 10^{45} a ⚹^{0}. 9 p Ψ
15.	35.5	33.5	34.1	− 9.4	− 6.2	− 7.0	− 5.5	**−10.5**	1.4	1.7	1.9	66	59	73	SE 5	SE 4	SW 3	9^2	10^1	10^1	0.1	9	ca 6^{45} p Ψ u. ⊽
16.	35.2	34.0	34.2	− 8.4	− 4.0	− 3.8	− 2.8	− 8.5	1.7	2.5	3.0	73	73	89	S 4	S 2	SW 3	7^1	10^2△	10^1	0.4	7	ca 0^{45} a ⚹^{0}. ca 11^{45} a–0^{15} p ⚹^{1}. 18^7–20^0p △. 24^0–44^5p ⚹^{1}
17.	32.1	30.5	30.2	− 2.3	4.1	1.8	4.7	− 4.3	3.6	4.0	4.7	94	66	90	SW 2	S 5	SW 2	10^2	4^1⊙	10^2●	1.1	9	$80^{7.22}$ a ⚹^{1}. ca 5^{45}–9 p ◍$^{0.1}$
18.	30.1	31.4	33.3	1.8	1.3	1.8	3.7	0.8	5.0	4.5	5.1	95	98	96	S 2	C	C	10^2	10^2*	10^2	2.9	5	n ◍^{1}. ca 11^{45} a–1^{45}p ◍$^{0.1}$. ca 1^{45}–2^{45}p ⚹^{1}. ca 5^{45}–7^{45}p ◍^{1}
19.	35.4	36.5	36.0	1.8	3.1	0.8	3.8	0.8	5.1	5.3	4.6	98	93	94	W 1	W 2	SW 1	10^2●	10^2	10^1	4.7	4	n–7^{02} a ◍$^{0.1}$. ca 8–9^{15} a ◍$^{0.1}$. 9 p ⊽
20.	30.9	29.6	28.5	− 0.2	2.2	1.0	3.2	− 0.8	4.0	4.9	4.4	89	91	89	SW 4	SW 2	SW 4	10^1	9^1⊙	3^1	0.3	–	n ⌊. ca 11^{15} a–0^{15} p ⚹^{0}. 4^{56} p ◍^{0}
21.	22.8	22.3	23.7	0.9	4.3	2.4	6.4	− 0.2	4.7	5.2	5.0	96	84	91	S 5	SW 6	SW 2	10^2●	10^2●	10^2	6.0	2	n ⚹. ca 6^{15}–7^{15} a ◍^{0}. ca 1^{45}–2^{45} p ◍^{1}. ca 4^{15}–6^{45}p ◍^{0}
22.	27.8	32.2	38.0	2.1	1.3	1.4	3.4	1.2	5.0	4.8	4.0	94	94	78	W 3	W 4	NW 6	10^2	10^2●	10^2	5.6	–	ca $9^{15.45}$ p, ca 10^{45} p ◍^{1}. 8^{03} a–2^{45} p ◍^{1} mit ⚹. 1)
23.	38.2	35.3	32.8	0.5	1.4	0.5	2.7	− 0.3	4.5	4.3	4.8	94	85	100	C	S 2	SW 2	10^2*	10^2	10^2●	3.3	–	ca 6^{45}–7^{45} a ⚹^{0}. ca 2^{15}–7^{45} p ⚹^{1}. 9 p ◍^{0}
24.	34.1	35.4	34.8	5.6	5.8	4.2	**7.6**	0.4	6.0	6.1	5.4	88	88	87	W 3	W 2	SW 1	10^2●	10^2●	10^2	4.6	–	n, 7 a, ca 0^{15} p, 2 p ◍^{0}
25.	32.2	31.2	34.1	4.6	5.9	6.2	6.6	3.5	5.0	6.2	**6.5**	79	90	91	SW 5	SW 3	S 3	10^2	10^2●	9^1	0.1	–	ca 9^{45}–4^{45} p ◍$^{0.1}$
26.	38.2	41.7	46.2	1.5	3.1	2.2	7.4	− 2.2	4.5	3.8	3.0	87	66	77	C	N 4	C	10^1	7^1	0	1.1	–	ca 8^{45}–9 a ◍^{0}. $14^{8.53}$ p ⚹^{0}
27.	45.3	41.6	40.2	− 6.8	2.7	− 1.9	2.9	− 7.0	2.6	2.3	3.3	97	**41**	84	S 1	E 1	NW 2	1^1	⊙⊙	2^1	0.1	–	n ⋁
28.	39.7	39.8	42.0	− 2.0	2.3	− 3.0	2.9	− 3.6	3.5	3.2	2.4	90	59	66	W 1	E 3	E 5	10^2	10^0⊙	2^1	0.1	–	n ⌊
29.	43.2	41.8	41.6	− 7.8	− 1.0	− 6.0	− 0.6	− 7.8	1.8	2.3	2.1	74	54	71	S 1	SE 3	SW 4	1^1	⊙⊙	0	0.1	–	n ⌊^{0}
30.	40.0	37.7	37.5	− 7.8	0.0	− 3.9	0.6	− 8.4	1.8	2.0	1.9	72	43	58	S 2	SW 4	S 3	1^1	8^1	1^0	0.1	–	n ⌊^{0}
31.	29.1	24.9	34.4	− 1.6	4.3	0.2	5.8	− 5.3	3.4	5.9	4.4	84	96	94	S 7	W 5	W 3	10^2●	10^2	2^1	–	–	ca 11^{45} a ⎽⎽. ca $7^{00.15}$ a ◍$^{1.2}$. ca 7^{45} a ᔓ. 2)
Mittel	37.6	37.0	37.9	− 2.0	1.1	− 1.1	2.2	− 3.4	3.6	3.8	3.7	89	76	85				8.5	7.9	6.8	42.0		

1) 4^{07}–ca 5^{45} p ⚹^{0}.

2) ca 10-11 a ⚹^{1}. ca 3^{15}p ⎽⎽. ca $3^{15.45}$ p ◍^{1}. ca 6^{15}p ⚹^{1}

Würzburg.

Januar. $\varphi = 49^0\ 48'$ N. $\lambda = 9^0\ 56'$ E $= 39^m\ 44^s$. H $= 179.3$ m. Cg $= +0.3$ mm. 1913.

1	52.7	49.9	49.8	− 2.5	− 1.2	− 1.9	1.3	− 2.5	3.7	3.9	3.8	**98**	92	96	C	W 3	W 2	10^2=	10^2=	10^2=	–	–	n ⌊, t ≡^{2}
2.	49.2	48.5	48.8	− 1.2	2.8	1.8	2.8	− 1.9	3.9	4.9	5.0	92	88	95	W 1	SE 2	W 1	10^2	10^2	10^2	–	–	n ⌊
3.	48.7	49.5	51.6	1.3	3.3	0.1	3.3	0.1	4.9	5.0	3.9	**98**	87	85	W 2	SE 2	W 2	10^2	⊙⊙	0	–	–	
4.	53.4	53.8	54.2	− 0.8	0.3	0.5	0.5	− 0.8	3.8	3.9	3.9	88	83	82	E 4	E 3	E 2	10^2	10^2	10^2	–	–	n ⌊
5.	54.3	54.6	**56.0**	0.4	1.1	− 0.2	1.1	− 0.2	4.0	4.1	4.0	85	83	89	SE 3	SE 1	SE 2	10^2	10^2	10^2	–	–	t trüb
6.	55.6	54.3	54.3	− 1.2	2.3	0.8	2.3	− 1.3	3.9	4.1	4.5	92	75	92	W 3	SE 2	C	10^2	10^2	10^1	–	–	a ⌊
7.	55.0	55.5	55.5	1.4	2.3	2.1	2.3	0.7	4.4	4.7	4.7	87	85	87	SW 1	E 2	SE 1	10^1	10^2	10^2	–	–	t trüb
8.	53.9	52.7	52.7	0.7	1.9	− 1.2	2.1	− 1.2	4.5	3.9	3.5	92	75	84	E 2	SE 3	C	10^2	1^2⊙	0	–	–	
9.	53.3	53.3	52.7	− 3.3	− 2.1	− 2.1	− 0.9	− 3.4	3.2	2.9	2.9	89	75	73	SE 3	SE 3	E 3	2^1	10^2	10^2	–	–	n ⌊
10.	51.6	50.1	49.8	− 1.5	− 1.0	− 1.8	− 0.5	− 2.1	2.7	2.5	2.9	66	59	72	E 4	SE 4	C	10^2	10^2	10^1	–	–	t fielen einige ⚹-Flocken
11.	48.6	47.3	44.5	− 2.0	− 1.3	− 2.2	− 0.9	− 2.2	3.1	2.6	2.4	78	63	63	SE 2	SE 4	SE 4	6^2	3^2⊙	10^2	–	–	n ⌊, ab 10^{10} p ⚹
12.	40.2	39.8	42.4	− 3.5	− 2.0	− 2.3	− 1.5	− 3.6	3.4	3.5	3.5	**98**	90	92	E 1	E 2	C	10^2*	10^2*	10^2	3.1	6	t bis abds. ⚹
13.	44.3	45.3	47.7	− 4.5	− 0.5	− 1.0	− 0.5	− 5.5	3.2	4.1	4.0	**98**	92	94	C	SE 2	C	10^2=	10^2	10^2	**18.0**	**21**	a ≡^{1}
14.	47.9	47.3	47.2	− 1.6	− 1.2	− 3.7	− 0.9	− 3.7	3.7	3.5	2.8	90	82	80	S 1	E 3	SE 4	10^2	10^2	10^2	–	19	
15.	45.3	44.6	44.6	− 7.6	− 4.9	− 5.4	− 3.7	− 7.6	2.5	2.0	2.4	66	62	80	SE 4	SE 4	SE 4	10^2	6^2	10^2*	–	16	abds. ⚹
16.	44.3	43.7	43.3	− 5.1	− 4.1	− 4.4	− 3.0	− 5.7	2.3	2.7	2.8	76	82	86	SE 5	SE 1	SE 2	10^2	10^2*	5^1	0.3	18	ztw. ⚹
17.	40.7	39.4	39.0	− 3.2	4.2	3.1	4.5	− 6.2	3.4	4.9	5.1	96	79	90	SE 1	SW 2	SE 1	4^1	8^1⊙	8^1	2.9	20	m Tauwetter, gegen Abend ◍
18.	39.4	40.8	42.9	2.9	2.7	2.6	3.1	− 0.6	5.3	5.1	5.3	94	91	96	SW 1	SW 1	SW 2	10^2	10^2	8^2	1.3	12	ztw. ◍
19.	44.9	46.1	44.0	2.8	4.9	1.3	4.9	0.2	5.4	5.4	4.7	96	82	93	W 1	W 1	W 1	10^2●	9^2	9^1	4.3	7	a ztw. ◍tropfen, n Ψ
20.	40.1	38.9	37.3	− 1.6	4.9	1.8	4.9	− 1.8	3.8	5.1	4.7	94	79	90	W 2	SW 4	C	10^2	10^2	8^2	0.6	7	a ≡, n ztw. ◍
21	30.8	30.9	31.8	2.3	5.1	4.5	5.5	0.9	5.1	5.5	5.3	94	85	84	W 3	W 3	W 2	10^2	10^2	8^2●	2.1	–	n u. t ztw. ◍
22.	37.7	42.9	47.7	4.1	3.3	2.9	4.5	2.9	4.7	4.6	4.3	77	80	76	W 4	W 5	SE 2	10^2	10^2	8^2	9.2	–	ztw. ◍^{0}
23.	47.2	44.2	42.2	1.3	2.2	5.1	5.2	0.9	4.7	5.1	6.1	92	94	94	NW 3	SE 1	C	9^2	10^2●	10^2	1.0	–	p ztw. ◍, ⚹, abds. ≡^{0}
24.	43.7	44.7	42.9	7.9	8.0	6.5	**8.5**	5.1	5.9	5.8	5.1	73	72	71	NW 5	W 3	C	10^2	6^2⊙	10^2	3.4	–	10^{40}–11^{40} a ◍ u. ⚹
25.	41.9	40.9	43.7	6.1	7.6	7.5	7.8	5.7	4.9	6.5	**6.6**	71	83	86	W 5	W 5	W 2	9^2	10^2●	10^2	0.2	–	10^{40} a–4^{50} p ztw. ◍
26.	47.9	51.8	55.8	4.2	5.0	− 0.9	7.5	− 0.9	5.2	3.4	3.6	84	52	82	W 1	N 2	N 2	9^2	2^2⊙	0	2.9	–	
27.	55.1	50.9	49.6	− 4.9	1.8	− 2.0	2.0	− 4.9	2.6	2.9	3.5	84	55	88	N 2	SW 1	C	0	⊙⊙	0	–	–	n ⌊
28.	49.3	49.2	50.8	− 2.9	2.8	0.3	2.8	− 3.2	3.4	3.3	3.2	91	57	70	SW 1	SW 2	SW 3	8^2	4^1⊙	0	–	–	n ⌊ Ψ
29.	52.1	51.0	50.6	− 5.1	− 0.7	− 4.1	0.3	− 5.1	2.4	2.2	2.4	76	51	70	E 3	E 5	E 4	1^1	⊙⊙	0	–	–	n ⌊
30.	49.3	47.6	46.4	− 7.3	− 0.7	− 3.1	− 0.2	**7.6**	**1.9**	2.2	2.4	75	51	65	E 2	E 4	E 4	0	3⊙	0	–	–	
31.	36.9	33.8	43.8	− 1.0	7.0	1.7	7.8	− 3.6	4.3	5.6	4.1	87	75	80	SW 3	W 4	NE 4	10^2	10^2●	0	0.1	–	n ◍, 7^{45} a–1^{40} p ◍, 3^{10} p ⎽⎽, ⎽⎽ u. ◍. 5^{40}–6^{50} p ⚹
Mittel	46.9	46.6	47.2	− 0.8	1.7	0.2	2.4	− 1.9	3.9	4.1	4.0	86	76	83				8.3	7.5	6.9	49.4		

Alle Angaben nach Ortszeit.

Ludwigshafen a/Rh.

Januar. $\varphi = 49^0\ 29'$ N. $\lambda = 8^0\ 26'$ E $= 33^m\ 44^s$. H $= 100.3$ m. Cg $= +0.3$ mm. 1913.

Datum	Luftdruck auf 0^0 u. Normalschwere reduziert 700 mm + 7a	2p	9p	Lufttemperatur C° 7a	2p	9p	Max.	Min.	Absolute Feuchtigkeit mm 7a	2p	9p	Relative Feuchtigkeit Proz. 7a	2p	9p	Richtung und Stärke des Windes 0 bis 12 7a	2p	9p	Bewölkung 0 bis 10 7a	2p	9p	Niederschlag mm 7a	Schneedecke cm 7a	Bemerkungen
1.	59.2	56.4	57.1	− 0.9	3.4	1.1	3.5	− 2.0	3.9	4.1	4.2	90	70	85	S 1	S 1	SW 1	0	00	0	−	−	n ⌴¹
2.	56.4	55.7	55.6	2.1	5.1	3.6	5.1	0.8	4.4	4.9	5.4	82	75	92	S 1	S 1	N 2	10^1	10^2	10^2	−	−	a ≡-Reissen
3.	55.4	56.1	57.6	2.6	6.8	2.1	7.0	2.0	5.2	5.8	5.0	94	78	93	C	N 1	SW 1	$10^{2}_{=}$	00	0	0.4	−	a ≡¹. 2 p ∞. abds. ≡⁰
4.	59.8	60.3	60.7	− 0.9	− 0.3	− 1.5	2.1	− 2.2	4.0	4.3	3.9	94	**96**	**98**	N 1	N 1	N 1	$10^{2}_{=}$	$10^{2}_{=}$	$10^{2}_{=}$	−	−	a ⌴¹. t ≡²
5.	61.5	61.5	62.5	− 1.5	− 0.1	− 0.9	− 0.1	− 2.0	3.8	4.2	4.1	92	92	**96**	N 1	N 1	N 1	$10^{2}_{=}$	10^1	10^2	−	−	a ⌴¹, ≡¹. t–n ≡⁰
6.	62.1	60.7	60.7	1.1	4.6	3.5	4.8	− 0.9	4.2	4.5	5.3	85	71	90	SW 1	S 1	SW 2	10^2	10^2	10^2	−	−	abds. ◎⁰
7.	61.9	61.8	61.5	3.6	6.0	2.3	6.0	2.3	5.4	6.4	5.0	92	91	93	NW 1	N 1	NE 1	10^1	9^1	0	0.6	−	
8.	59.7	58.9	59.6	− 0.4	2.8	0.8	3.0	− 0.9	4.1	4.3	3.9	92	75	80	N 1	SW 1	N 1	$10^{2}_{=}$	00	10^1	−	−	a ≡¹, ⌴¹. t ∞
9.	60.2	60.0	59.6	0.5	0.5	− 0.7	2.6	− 0.7	3.9	3.9	3.6	82	82	83	C	E 1	N 1	10^1	10^1	0	−	−	a ⌴ ∞. t ∞
10.	58.4	57.6	56.8	− 1.1	− 0.5	− 0.7	− 0.4	− 2.0	3.2	3.0	2.8	76	68	64	E 1	E 1	E 1	10^1	10^1	10^1	−	−	a ⌴. m ✳-Flocken
11.	55.4	53.7	52.3	− 1.0	1.1	− 1.1	1.8	− 1.1	3.4	4.4	3.8	78	89	90	E 1	E 1	NE 1	10^1	10^1	$10^{2}*$	−	−	30⁴ p ✳⁰. ca 5^{34} p–n ✳¹
12.	46.0	47.6	51.3	− 1.7	1.9	2.5	2.6	− 2.2	3.6	4.5	4.7	90	86	85	SW 1	SW 1	SW 1	10^2	00	9^1	**13.8**	**15**	n ✳¹. vorm. ✳
13.	51.5	52.9	54.2	− 0.1	0.5	1.6	2.5	− 2.8	4.1	4.4	4.7	90	92	91	N 1	E 1	E 1	$10^{1}_{=}$	10^1	10^1	1.6	13	a ≡¹; dann ∞
14.	53.7	52.6	52.1	− 1.9	2.3	− 0.5	2.6	− 4.6	3.6	3.9	3.7	90	72	83	E 1	E 1	E 1	10^1	00	0	−	12	
15.	49.9	50.1	50.6	− 2.2	− 2.0	− 2.6	− 0.5	− 2.8	3.2	3.0	3.4	81	76	89	E 1	NW 1	N 2	10^1	9^2	10^2	−	11	abds. ◎, ✳
16.	49.8	49.8	49.0	− 2.7	2.2	− 1.1	2.4	− 3.2	3.3	4.3	3.9	89	80	92	NE 1	SE 1	E 1	10^1	10^2	$10^{2}_{=}$	0.4	10	7^{14} a △. $10^{19.44}$ a ✳¹. abds. ≡¹
17.	47.2	46.2	46.6	2.9	6.3	4.6	6.3	− 1.1	5.1	5.0	5.4	90	71	86	SW 2	S 1	SW 1	5^1	$5^{1}\odot$	10^1	4.5	8	
18.	47.0	48.3	50.5	3.6	6.0	4.3	6.2	2.8	5.4	5.9	5.4	92	85	87	SW 1	C	SW 3	10^2	9^2	6^1	−	−	n ◎. 7^{19} a an untertags ◎⁰
19.	53.7	53.5	51.7	5.0	6.4	3.7	6.5	3.7	5.2	5.6	4.8	80	78	80	SW 2	SW 2	SW 1	10^2	10^2	5^1	5.2	−	n ◎
20.	46.4	46.4	44.1	3.4	6.3	5.6	6.3	1.8	5.0	5.8	5.0	85	81	74	SW 2	S 1	S 1	10^1	10^2	10^1	−	−	vorm. ◎
21.	36.2	38.7	41.1	6.4	6.6	5.8	7.6	3.8	5.6	5.8	5.5	78	80	81	SW 3	SW 3	SW 3	$10^{2}\bullet$	$10^{2}\bullet$	10^2	3.5	−	n ◎. t–5^{34} p ◎⁰
22.	47.5	52.8	57.0	5.1	6.1	4.2	6.1	4.2	5.3	4.7	5.1	82	68	82	SW 2	W 3	SW 2	10^2	10^2	10^2	1.8	−	
23.	54.6	51.3	51.7	1.3	3.2	9.8	**9.8**	0.2	4.7	5.3	**7.1**	92	92	79	SW 1	S 2	SW 4	$10^{2}\bullet$	10^1	10^2	0.2	−	a ≡-Reissen. 8^{34}–9^{19} a ✳ u. ◎
24.	53.5	53.5	52.4	7.6	8.8	7.0	**9.8**	7.0	6.0	5.8	5.1	77	68	69	SW 5	SW 2	SW 1	9^2	10^2	10^2	4.2	−	n ⌴
25.	50.4	49.1	51.6	6.0	9.2	8.0	9.4	5.2	5.2	6.4	6.7	75	74	83	SW 2	SW 2	SW 1	10^2	10^1	10^2	−	−	a u. p ◎
26.	56.5	61.7	**63.3**	5.6	3.8	1.3	8.0	1.3	5.4	3.6	3.9	80	58	75	N 2	N 1	N 1	10^2	00	0	1.4	−	n ◎
27.	61.6	58.2	56.3	− 2.2	3.8	0.2	4.0	− 2.8	3.4	2.4	4.1	87	40	89	C	SE 1	SW 2	0	00	0	−	−	a ∨ u. ∞; vorm.–9^{34} a ∞
28.	55.8	55.4	56.8	− 1.6	2.9	2.4	3.7	− 2.2	3.7	3.7	3.8	90	66	70	C	NW 1	N 1	10^2	10^2	10^2	−	−	
29.	57.2	56.5	55.9	1.3	3.1	0.2	3.4	0.2	3.3	2.7	2.6	65	47	55	NE 1	E 1	NE 2	10^1	10^2	0	−	−	
30.	54.8	54.2	52.7	− 3.1	1.1	0.9	2.0	− 3.6	2.2	2.5	3.1	61	50	63	E 2	S 1	E 2	10^1	$3^{0}\odot$	10^1	−	−	
31.	42.6	42.8	51.7	3.5	8.5	3.1	8.5	0.2	5.3	5.2	4.4	90	62	76	E 1	SW 4	SW 2	$10^{2}\bullet$	$5^{2}\odot$	0	1.4	−	n ◎. vorm. u. nachm. ◎-Böen
Mittel	53.7	53.7	54.3	1.3	3.8	2.2	4.6	− 0.1	4.3	4.5	4.5	85	75	82				9.1	7.1	6.8	39.0		

Nürnberg.

Januar. $\varphi = 49^0\ 27'$ N. $\lambda = 11^0\ 3'$ E $= 44^m\ 12^s$. H $= 309.1$ m. Cg $= +0.2$ mm; über 735.0 mm Cg $= +0.3$ mm. 1913.

1.	40.9	38.5	37.5	− 1.3	4.0	1.8	4.9	− 1.7	3.8	3.9	4.2	90	64	80	SE 1	S 1	SE 2	0	00	0	−	−	4^{45} a ⌴. 7^{45}–11^{45} a ≡⁰
2	37.4	36.8	36.6	− 0.9	3.7	1.2	4.0	− 1.6	3.6	4.9	4.6	84	82	91	SE 1	SW 1	SE 1	10^1	$7^{1}\odot$	0	−	−	4^{45} a ⌴². 5^{45} a–6^{45} p ztw. ≡¹·⁰
3.	37.0	37.7	39.9	0.3	3.4	− 0.3	3.8	− 0.3	4.5	4.7	3.9	96	80	87	SE 1	SE 1	SE 3	10^1	00	0	−	−	4^{45} a ⌴⁰. 3^{45} a–4^{45} p ztw. ≡⁰·²
4.	41.6	42.1	42.0	− 1.3	0.3	0.3	1.0	− 1.8	3.8	4.2	4.4	90	90	94	SE 3	SE 2	SE 2	10^1	10^1	10^1	−	−	7^{45} a–3^{45} p ≡⁰. 9 p ∞
5.	42.2	42.7	44.3	0.5	0.5	− 1.3	1.9	− 1.3	4.7	4.3	4.0	98	89	96	S 3	SE 2	SE 2	10^1	10^1	10^0	−	−	7^{45} a–3^{45} p ≡⁰·¹
6.	**44.5**	42.8	42.4	− 1.9	1.5	− 1.5	1.9	− 2.8	3.9	4.3	3.9	98	83	94	SE 2	SE 3	SE 2	10^1	00	0	−	−	3^{45} a ⌴². 6^{45}–10^{45} a ≡⁰·¹
7.	43.4	43.7	43.3	− 1.0	2.3	0.4	2.6	− 2.2	3.8	4.2	4.4	88	77	92	SE 2	E 1	NE 2	10^1	9^1	0	−	−	4^{45} a ⌴⁰. 7^{45} a–7^{45} p ≡⁰
8.	41.8	40.4	40.7	− 1.3	1.8	− 1.5	2.1	− 1.7	4.0	3.9	3.8	96	75	92	SE 2	E 2	SE 1	0	00	0	−	−	5^{45} a ⌴⁰. 5^{45}–10^{45} a ≡⁰
9.	41.3	41.1	40.3	− 4.5	− 2.9	− 3.3	− 1.5	− 4.9	3.0	3.0	3.0	93	83	85	E 3	E 3	E 3	4^0	10^1	10^1	−	−	4^{45} a ⌴². 7^{45}–9^{45} a ≡⁰
10.	39.2	37.9	37.3	− 3.1	− 2.5	− 2.3	− 1.9	− 3.5	2.8	2.8	3.1	78	72	79	E 3	SE 2	E 2	10^1	10^1	10^1	−	−	5^{45} a ⌴⁰. 9^{45} a–4^{45} p, 4^{45}–5^{15} p ✳⁰
11.	36.4	35.4	33.2	− 2.8	− 2.7	− 3.2	− 1.8	− 4.0	3.2	2.7	2.7	85	72	76	E 3	F 2	E 3	10^1	6^1	10^1	−	−	11^{45} p–4^{45} a ✳⁰. 5^{45} a ⌴⁰. $8^{15.45}$ a, 9^{45} a–11^5 p ✳⁰
12.	28.4	28.3	30.0	− 4.3	− 1.8	− 2.1	− 1.4	− 4.5	3.3	3.9	3.9	100	98	100	E 3	SE 3	NW 1	10^1	10^1	10^1	3.5	7	1^{45} a–3^{45} p ztw. ✳⁰·¹. 3^{45}–9^{15} p ✳¹
13.	32.0	33.3	35.7	− 1.7	− 0.4	− 1.5	0.6	− 2.4	4.0	4.5	3.9	98	100	96	SE 1	N 2	SE 1	10^1	9^1	10^1	**11.6**	**18**	9^{45}–11^{15} p ✳⁰. 11^{45} p–4^{30} a ✳⁰△⁰. 5^{45} a–7^{45} p ztw. ≡⁰·
14.	36.2	35.8	35.7	− 2.1	− 2.1	− 5.1	− 1.3	− 5.1	3.9	3.4	2.7	100	87	88	E 3	SE 3	SE 3	10^1	10^0	9^1	−	16	
15.	33.2	32.7	33.0	− 9.3	− 6.1	− 6.9	− 5.1	− 9.9	**1.6**	1.9	2.0	72	66	75	SE 3	SE 3	SE 2	7^0	$9^{0}\odot$	8^1	−	14	7^{45} p ☋
16.	33.0	31.8	32.6	− 8.6	− 3.6	− 4.2	− 3.4	− 8.6	1.9	2.7	3.2	82	78	95	SE 2	SE 3	SE 3	9^0	9^0	10^1	−	14	$11^{20.44}$ a ✳⁰·². 21^4–4^{14} p ✳⁰
17.	29.8	29.1	28.3	− 3.5	3.1	1.9	4.3	− 4.8	3.5	5.3	4.8	100	93	91	S 3	S 2	S 2	5^0	$5^{0}\odot$	10^1	1.3	16	1^{45}–2^{45} a ✳⁰. 7^{45} a ⌴⁰. 8^{29}–9^{30} a ✳¹. 7^{45} a–9^{45} p ≡⁰. [1]
18.	28.2	29.3	31.2	2.0	2.9	1.8	3.0	1.4	5.2	5.2	5.1	98	93	96	SW 2	SW 2	SW 1	10^0	10^0	10^0	1.0	11	11^{45} p–11^{45} a häuf. ◎. 10^{45} a–0^{45} p, $8^{14.45}$ p ◎ m. ✳ gem.
19.	33.7	34.7	33.5	2.2	3.7	1.1	4.0	0.9	5.0	5.3	4.7	93	88	94	SW 2	SW 2	S 1	10^1	10^1	10^1	3.6	6	9^{29}–10^{14} p ◎ m. ✳ gem. $11^{45.54}$ a ◎⁰. 7^{45}–11^{45} a ≡⁰. [2]
20.	29.1	27.8	26.9	0.9	3.7	1.1	4.4	− 0.1	4.1	4.6	4.3	84	77	87	SE 2	S 2	S 2	10^1	10^0	1^1	−	2	11^{45} p dopp. farb. ☋. 2^{45} a ⌴⁰. $8^{45.59}$–9^{54} a, $11^{10.18}$ a ◎⁰. [3]
21.	21.7	21.3	22.0	1.5	4.5	3.9	6.1	− 0.1	4.8	5.3	5.0	94	84	82	SE 3	SW 4	SW 4	10^1	10^1	$10^{1}\bullet$	5.0	4	1^{45} a ☋. 6^{59}–8^{45} a ✳⁰. früh–n öfters ◎⁰·¹
22.	26.2	30.2	35.8	2.1	1.8	1.6	4.0	0.8	5.0	4.8	4.1	93	91	80	W 3	W 3	NW 3	10^1	10^1	10^1	2.6	−	n ◎⁰·¹. 2^{14}–3^{14} a, 9^{59} a–0^{59} p ◎⁰. $4^{29.45}$ a, 5^{35}–6^{59} a ◎⁰·¹. [4]
23.	35.7	32.7	30.8	0.9	1.7	1.7	2.2	0.2	4.6	4.2	5.1	94	82	98	W 3	SE 2	S 1	10^1	10^1	$10^{1}*$	3.0	2	3^{45}–5^{45} a ✳⁰·¹. 5^{45}–7^{04} a ✳⁰. $13^{6.14}$ p ztw. ✳⁰. 4^{14} p–n ✳⁰
24.	32.4	33.4	32.8	6.0	6.6	4.5	6.9	1.7	5.6	5.6	6.0	81	77	96	SW 3	W 3	SW 2	10^1	10^1	10^1	4.3	−	4^{54}–5^{34} a, 5^{59}–6^{44} a, 7^{56}–9^{45} a, $10^{34.44}$ a, $0^{14.39}$ p, [5]
25.	31.4	30.0	32.0	4.3	5.8	6.2	**7.0**	4.0	4.8	6.2	**6.4**	77	90	90	SW 3	SW 2	W 3	10^1	10^0	10^1	−	−	9^{45}–10^{45} a ≡⁰. 10^{29}–11^{29} a ◎⁰. $0^{34.57}$ p ◎¹. [6]
26.	36.0	39.1	43.6	2.8	3.5	− 1.3	6.2	− 1.3	4.8	4.6	3.4	86	78	82	NW 1	NW 2	N 2	10^1	$5^{1}\odot$	0	3.0	−	11^{44} p–0^{22} p, $10^{39.54}$ a ◎⁰. $10^{24.39}$ a ✳⁰. 9^{45}–10^{45} a ≡¹. [7]
27.	43.0	39.0	38.1	− 5.2	2.8	− 1.0	3.3	− 5.3	3.0	2.7	2.5	98	48	59	E 2	SE 1	E 1	$5^{0}_{=}$	00	0	−	−	3^{45} a ⌴². 5^{45}–10^{45} a ≡¹
28.	37.4	37.5	39.0	− 2.1	1.6	− 1.3	1.9	− 3.2	3.4	3.6	3.0	87	71	73	E 2	E 3	E 2	$10^{0}_{=}$	9^0	10^0	−	−	2^{14} a ☋. 3^{45} a ⌴⁰. 5^{45}–10^{45} a ≡⁰·²
29.	40.4	39.2	38.9	− 6.8	− 1.5	− 5.7	− 1.1	− 7.0	2.2	2.6	2.4	84	62	80	E 3	SE 3	E 3	0	00	0	−	−	5^{45} a ⌴⁰. 6^{45} a ☋
30.	37.0	35.9	35.3	− 7.5	0.0	− 2.1	0.2	− 7.6	2.0	2.3	2.7	81	51	69	E 2	SE 2	SE 2	0	$7^{0}\odot$	0	−	−	4^{45} a ⌴¹. 7^{45}–9^{45} a ≡⁰·¹
31.	28.2	22.7	32.7	− 1.4	5.1	0.5	5.9	− 4.5	2.6	6.0	4.4	86	92	92	SE 1	W 2	W 2	10^0	10^1	0	−	−	7^{45}–10^{45} a ≡⁰·¹. $5^{14.22}$ a, $2^{20.30}$ p ◎⁰. [8]
Mittel	35.4	34.9	35.7	− 1.4	1.3	− 0.5	2.1	− 2.6	3.8	4.1	3.9	90	80	87				7.8	7.3	6.1	38.9		

Alle Angaben nach Ortszeit.

[1] 6^{59}–7^{09} p ✳⁰. [2] 10^{45}–11^{45} a △. 11^{45} a–0^{45} p ◎⁰ ✳⁰. [3] 11^{59} a–0^{04} p ✳⁰. [4] $1^{03.19}$ p ◎⁰ ✳⁰ △¹. p ztw. ✳⁰ ◎⁰. [5] $10^{3.37}$ p, $3^{23.44}$ p ◎⁰. [6] 1^{36}–3^{10}, 4^{14} p–n ztw. ◎⁰. [7] $1^{34.37}$ p △⁰. [8] 4^{30}–7^{27} p ztw. ◎⁰ ✳⁰ △⁰. 7^{14}–8^{04} a, 11^{42} a–1^{30} p ◎⁰. 8^{54}–11^{34} a ◎⁰·¹ △⁰.

Kaiserslautern.

Januar. $\varphi = 49^0\ 27'$ N. $\lambda = 7^0\ 46'$ E $= 31^m\ 4^s$. H $= 242.2$ m. Cg $= +0.3$ mm. 1913.

Datum	Luftdruck auf 0^0 u. Normalschwere reduziert 700 mm +			Lufttemperatur C°					Absolute Feuchtigkeit mm			Relative Feuchtigkeit Proz.			Richtung und Stärke des Windes 0 bis 12			Bewölkung 0 bis 10			Niederschlag mm	Schneedecke cm	Bemerkungen
	7^a	2^p	9^p	7^a	2^p	9^p	Max.	Min.	7^a	2^p	9^p	7^a	2^p	9^p	7^a	2^p	9^p	7^a	2^p	9^p	7^a	7^a	
1.	45.9	43.6	43.4	− 2.6	3.6	0.3	4.5	− 3.0	3.8	5.0	4.2	100	85	90	W 1	W 2	C	2^0	○○	o	–	–	a ≡¹ ⌴. p ∞
2.	43.2	42.4	42.1	1.9	5.9	4.3	6.1	0.1	5.1	6.7	6.0	96	97	97	C	C	C	10^1=	10^1	10^1	–	–	a ≡¹. ca 7^{30}–10^{30} a, abds. ◍^{0}. p ≡^{0}
3.	42.2	42.8	44.5	0.8	5.6	0.1	5.9	0.1	4.7	6.1	4.4	98	89	96	C	NE 1	C	10^2=	○○	o	1.5	–	a–ca 10^{30} a ≡¹·², t ∞
4.	46.2	46.4	46.7	− 1.4	1.8	− 1.4	2.0	− 2.4	4.0	5.1	3.9	96	98	94	C	NE 1	C	10^2=	10	o	–	–	a ≡², ⌴². p ∞
5.	47.2	47.1	48.0	− 1.3	2.0	0.8	2.3	− 2.4	3.8	4.6	4.4	90	87	90	SE 1	SE 1	C	10^1	○○	o	–	–	a ⌴¹²
6.	48.0	46.9	47.0	1.0	4.4	5.5	5.9	− 0.7	4.6	5.7	6.5	92	92	97	SE 1	C	C	10^1	10^1	10^2●	0.5	–	n ◍^{0}. a ≡¹ ∽^{0}. p–n ztw. ◍^{0} ≡
7.	48.3	48.1	47.8	4.9	6.4	4.2	7.0	4.2	6.3	6.9	6.1	98	96	98	C	SE 1	C	10^2=●	10^1=	10^1	1.7	–	n ◍. a ≡ ◍^{0}. p ≡. 4^{41}–ca 7^{30} p ≡²
8.	46.1	45.1	45.6	0.4	1.2	− 0.2	4.2	− 0.3	4.6	3.8	3.7	96	75	81	SE 1	SE 2	SE 2	o	○○	10^0	0.1	–	
9.	46.4	46.0	45.5	− 1.2	− 0.3	− 2.0	0.0	− 2.3	3.5	3.8	3.4	84	85	86	SE 2	SE 1	SE 2	10^1	10^1	10^1	–	–	p ≡^{0}
10.	44.4	43.6	43.1	− 2.3	− 2.0	− 2.3	− 1.9	− 2.7	3.1	2.7	2.7	81	70	71	E 2	SE 2	SE 2	10^1	10^2*	10^1	–	–	10^{31} a ab ✳^{0}. p–ca 4^{30} p ztw. ✳-Flocken
11.	41.6	39.9	37.4	− 2.0	− 1.2	− 2.6	− 0.9	− 2.7	3.0	3.4	3.5	76	80	94	SE 2	SE 1	SE 2	10^1	10^2*	10^2*	–	–	ca 0^{30} p–n ✳ (ztw. ✳$^{-2}$)
12.	33.0	34.8	37.2	− 2.4	2.8	2.0	3.3	− 3.3	3.7	5.1	5.0	96	91	94	SE 2	NW 2	NW 1	10^2	10^2●	10^1●	**15.6**	**30**	n ✳^{2}. ca 8^{30} a–0^{21} p ✳. 1^{21} p–n ztw. ◍^{0}
13.	38.4	39.6	40.7	1.0	2.5	0.1	3.0	0.0	4.7	4.9	4.4	96	89	96	NW 1	W 1	C	10^1	10^1	o	2.2	20	n ◍^{0}. 6^{09}–ca 6^{30} p ◍tropfen
14.	40.3	39.0	38.1	− 0.1	1.0	− 1.0	1.7	− 1.3	4.4	4.5	3.7	96	90	86	SE 2	SE 2	SE 2	10^1	10^1	10^1	–	8	
15.	36.6	36.3	36.9	− 3.2	− 0.3	− 1.4	0.0	− 3.6	2.9	3.0	3.6	80	66	86	SE 2	E 2	C	10^2	10^1	10^1	0.7	5	n ✳^{0}. p–6^{51} p ztw. ✳^{0}
16.	36.2	36.3	35.0	− 1.2	3.2	1.4	4.0	− 3.4	4.0	5.3	4.9	96	92	96	SE 1	W 2	C	10^1	10^2	10^1	1.2	3	n ✳^{0}. a ∽², ztw. ◍ ✳^{0}. p ztw. ◍^{0}
17.	33.3	33.4	33.5	3.2	5.3	4.4	6.0	1.2	5.3	5.5	5.6	92	83	90	W 3	W 3	W 2	1^1	10^1	9^1	5.6	1	n ◍$^{1.2}$. a ztw. ⌴. $1^{36.56}$ p ◍^{0}
18.	34.2	35.7	38.4	3.5	4.6	4.1	4.9	3.1	5.7	5.8	5.8	96	92	95	W 2	W 2	W 1	10^2●	10^2●	10^1	2.0	–	n ◍. a–9^{01} a ◍^{0}. 0^{46} p–n ztw. ◍^{0}
19.	40.4	40.6	38.3	3.9	4.9	1.8	5.0	1.4	5.4	5.1	4.9	88	78	93	W 2	W 2	W 1	10^2	10^2	10^0	5.3	–	n ◍. 11^{01} a kurz ◍^{0}. $11^{51.59}$ a △
20.	33.3	33.1	30.8	2.9	5.0	5.1	5.5	0.8	5.1	5.4	4.9	90	83	75	W 1	S 1	W 2	10^2●	10^2●	8^1	0.4	–	n, a, t ztw. ◍
21.	23.2	26.3	28.9	6.3	4.8	4.5	6.6	3.0	5.2	5.7	5.5	74	89	87	W 8	NW 5	NW 3	10^2●	10^2●	10^2	12.0	–	n ◍^{2} ⌴. t–n meist ◍. t–3^{31} p ⌴
22.	35.2	40.6	43.9	3.7	4.1	3.0	4.5	3.0	5.4	4.9	4.8	90	80	85	NW 3	W 2	W 2	10^1	10^2●	10^1	7.6	–	n ◍. 2^{51}–3^{16} p, abds. ztw. ◍^{0}
23.	40.8	38.2	39.2	1.0	3.3	8.2	**8.7**	1.0	4.7	5.5	**7.1**	96	95	88	W 1	W 1	NW 6	10^2=●	10^2●	10^2	0.2	–	n ✳. a–11^{01} a ✳^{0} ◍, dann ztw. ◍. p ztw. ◍^{0}. [1]
24.	40.7	40.2	39.1	6.3	6.9	5.9	8.2	5.8	6.1	5.9	5.1	86	80	74	W 2	W 2	W 1	10^2	10^1	10^1	4.1	–	n ◍, ⌴
25.	37.2	37.0	39.6	6.1	6.7	6.9	7.0	5.1	5.4	6.2	7.0	76	84	94	W 4	W 3	W 2	9^1	10^2	5^1	0.6	–	8^{21} a an ztw. ◍^{0}
26.	43.1	46.7	**49.4**	4.4	4.5	− 0.5	5.4	− 0.6	5.9	3.5	4.0	96	56	90	N 1	NE 1	C	10^0	8^1○	o	1.7	–	
27.	47.4	44.1	43.3	− 2.4	3.3	− 1.6	3.9	− 3.4	3.1	3.3	3.4	81	56	84	NE 2	NE 2	E 1	o	○○	o	–	–	a ⌴², ≡¹
28.	41.9	41.9	42.8	− 1.0	2.6	2.2	3.0	− 3.8	3.7	3.9	3.6	86	70	66	NE 1	E 1	E 1	9^1	10^1	10^1	–	–	a ⌴², p ≡^{0}
29.	43.1	42.2	41.3	0.4	0.8	− 0.4	2.2	− 0.8	3.5	3.1	2.8	75	65	63	E 2	SE 2	E 2	10^2	10^2	10^1	0.1	–	n ✳^{0}. a, p–2^{01} p ✳-Flocken
30.	40.9	40.3	38.7	− 4.0	− 0.4	0.3	0.6	− 4.3	2.2	2.6	3.1	66	59	66	E 2	SE 2	C	3^0	7^0○	10^1	0.1	–	
31.	29.2	31.4	39.1	5.5	4.6	1.6	7.2	0.0	6.1	5.3	4.7	91	84	91	W 3	W 5	W 1	10^2●	10^2●	o	5.5	–	n, a ◍. ca 6^{30} a, ca 8^{30}–10^{30} a ⌴. $0^{06.21}$ p ◍^{2}. [2]
Mittel	40.3	40.3	40.8	1.0	3.1	1.7	4.1	− 0.4	4.5	4.8	4.6	89	82	87				8.5	7.9	7.2	68.7		

[1] 7^{01} p–n ⌴.

[2] p ztw. ◍$^{0.1}$. $4^{30.46}$ p ◍^{2} ✳ △ ⌴. 4^{46}–5^{01} p ◍^{0}

Ansbach.

Januar. $\varphi = 49^0\ 18'$ N. $\lambda = 10^0\ 33'$ E $= 42^m 12^s$. H $= 437.5$ m. Cg $= +0.2$ mm. 1913.

1.	29.0	26.9	26.3	− 3.4	3.3	− 1.1	3.4	− 3.6	3.1	4.0	3.5	89	67	82	C	C	C	o	○○	o	–	–	mrgs. ⌴
2.	25.9	25.1	25.2	− 2.4	4.7	− 0.7	5.0	− 2.5	3.4	4.8	3.9	89	74	90	C	C	C	2^0	4^0○	10^2	–	–	mrgs. ⌴. t ≡^{0}
3.	25.2	26.0	28.1	− 1.8	2.4	− 2.6	2.4	− 2.6	3.6	4.0	3.4	90	73	89	C	E 2	C	2^0	○○	o	–	–	mrgs. ⌴
4.	29.5	30.0	30.3	− 3.0	− 1.6	− 2.0	− 1.2	− 3.0	3.3	3.6	3.5	91	88	88	S 2	SE 4	S 2	10^2	10^2	10^2	–	–	mrgs. ⌴. t ≡^{0}
5.	30.5	30.8	31.9	− 1.8	− 1.2	− 3.2	− 0.6	− 3.2	3.7	3.7	3.4	90	88	94	S 2	S 2	S 2	10^2	10^2	10^2	–	–	
6.	**32.2**	30.8	30.7	− 4.4	1.1	− 1.8	1.2	− 4.8	3.1	4.2	3.4	**95**	85	86	C	SE 2	C	o	○○	o	–	–	mrgs. V
7.	31.8	31.7	31.4	− 1.0	2.0	− 2.4	2.0	− 2.4	3.7	4.1	3.5	86	78	92	C	C	C	10^2	8^1	o	–	–	
8.	29.9	28.8	28.9	− 2.4	− 1.4	− 4.6	− 0.6	− 4.8	3.5	3.4	2.9	92	82	90	SE 2	SE 2	C	10^2	2^0○	o	–	–	mrgs. ⌴
9.	29.2	29.0	28.2	− 4.8	− 4.3	− 4.8	− 3.2	− 5.4	2.8	2.9	2.7	88	89	86	SE 2	SE 2	SE 2	10^2	10^2	10^2	–	–	mrgs. ⌴
10.	27.1	25.8	25.5	− 4.7	− 4.0	− 4.3	− 3.0	− 4.8	2.5	2.4	2.5	79	71	75	E 2	E 4	E 2	10^2	10^2	10^2	–	–	mrgs. ⌴
11.	24.4	23.3	21.1	− 4.6	− 3.0	− 4.9	− 2.4	− 5.0	2.8	2.5	2.5	86	68	79	NE 2	E 4	E 4	10^2*	10^1	10^2	0.1	–	mrgs. ✳^{0}, stellenweise ⊠
12.	16.3	16.0	18.6	− 5.4	− 3.0	1.3	1.4	− 5.4	2.7	3.2	4.5	90	87	90	E 4	S 2	W 4	10^2*	10^1*	10^1	6.1	6	n, a ✳. abds.–5^{12} p ✳
13.	20.7	21.5	24.0	− 1.6	− 0.6	− 2.5	1.6	− 3.6	3.7	4.0	3.5	92	90	92	C	C	C	6^1	10^2=	10^2=	**12.3**	**18**	nachm. u. abds. ≡²
14.	24.2	23.5	23.1	− 3.4	− 2.9	− 6.0	− 1.4	− 9.0	3.3	3.1	2.4	93	85	85	E 2	E 2	E 2	10^2	10^2	8^2	–	13	
15.	20.7	20.4	21.0	−10.6	− 5.5	− 8.0	− 4.0	−10.8	1.4	1.8	1.7	73	61	71	SE 2	E 2	C	2^0	4^1	10^2	–	13	Morgenröte
16.	20.7	19.9	20.0	−10.2	− 3.6	− 4.8	− 2.8	−10.4	1.6	2.5	2.8	76	71	88	E 2	S 2	SE 2	2^0	10^2*	10^2	–	12	9^{27} a ab ztw. ✳
17.	18.2	17.4	16.8	− 3.8	3.1	1.3	3.2	− 5.2	3.1	4.5	4.7	91	77	92	SW 2	SW 2	SW 4	10^2	6^0○	10^2●	3.6	15	n, a ✳. 8^{57} p–n ◍
18.	17.0	18.0	20.1	1.4	2.7	1.3	2.8	0.6	4.8	5.0	4.8	94	90	94	SW 2	SW 4	W 2	10^2●	10^2●	10^2	1.6	10	n, a ◍. 8^{22} a ab ✳, später ztw. ◍ u. ✳
19.	22.1	23.4	22.3	1.7	2.6	− 0.4	3.2	− 0.6	4.8	4.8	4.1	93	88	92	W 4	W 4	C	10^2	10^2	8^1	6.2	7	2^{27} p ab Tauwetter. abds. Ψ ☂
20.	17.5	16.4	15.3	− 0.3	3.3	− 0.6	3.6	− 1.1	3.9	4.4	3.9	87	77	88	S 2	SW 2	S 4	8^2	4^0○	o	–	5	$11^{07.22}$ a ✳
21.	09.4	09.8	11.0	1.1	3.7	2.3	4.2	− 1.0	4.6	5.1	4.9	92	86	90	S 4	SW 4	SW 6	10^2	10^2	10^2	2.5	4	n, a ✳ u. ◍. t stw. ◍
22.	15.4	19.6	25.0	1.7	1.3	0.9	2.8	0.4	4.9	4.5	4.1	94	90	84	W 4	W 6	W 4	10^2	10^2*	10^1	3.2	2	t ztw. ◍, ✳, ⌴
23.	24.3	21.2	20.0	− 1.4	1.5	5.5	5.6	− 1.4	3.8	4.5	**6.3**	92	87	94	C	S 2	W 6	4^0	10^2*	10^2●	2.6	2	n, a ✳. 1^{12} p ab ✳. 5^{57} p ab ◍
24.	22.1	22.4	21.6	5.3	5.9	3.9	6.4	3.5	5.3	5.3	4.7	81	76	78	W 6	W 2	W 4	10^2	10^2	10^2	5.6	–	n, a, mrgs. ⌴, mrgs. stellenweise ⊠
25.	20.1	18.9	21.2	3.1	6.8	5.5	**7.0**	2.7	4.5	5.8	6.2	80	79	93	SW 2	SW 6	W 4	10^2	10^2	10^2	–	–	mrgs. stellenweise ⊠. nachm. ⌴. t ztw. ◍
26.	24.7	27.9	32.0	2.5	2.2	− 3.4	6.0	− 3.4	5.1	3.7	3.0	93	67	85	NW 2	N 2	C	10^2	2^1○	o	4.2	–	
27.	30.7	27.3	26.0	− 6.6	1.7	− 3.6	1.8	− 6.9	2.5	3.0	2.8	92	58	80	C	E 2	C	o	○○	o	–	–	mrgs. V
28.	25.3	25.4	27.0	− 3.8	1.3	− 1.2	1.8	− 5.0	3.0	4.5	3.6	87	90	86	C	E 2	E 4	6^0	8^0	10^2	–	–	⌴⌴
29.	28.0	26.8	26.5	− 7.8	− 2.6	− 6.8	− 0.2	− 7.9	2.3	2.0	2.2	92	54	84	E 4	E 4	E 4	o	○○	o	–	–	⌴⌴
30.	24.8	23.7	23.2	−10.0	− 1.4	− 4.8	− 0.6	−10.2	1.7	1.8	2.2	84	43	69	E 4	E 4	SE 2	o	2^0○	o	–	–	⌴⌴
31.	15.8	12.2	21.7	− 1.4	5.1	0.5	5.4	− 5.4	3.7	5.7	4.2	90	89	89	S 8	W 8	W 6	10^2●	10^2○	o	–	–	n, a ⌴. 6^{57} a–2^{12} p ab ◍ u. ⌴; dann ztw. ◍ u. ⌴
Mittel	23.6	23.2	24.0	− 2.7	0.6	− 1.7	1.6	− 3.8	3.4	3.8	3.6	88	78	86				6.8	6.8	6.3	48.0		

Alle Angaben nach Ortszeit.

Regensburg.

Januar. $\varphi = 49^0\ 1'$ N. $\lambda = 12^0\ 7'$ E $= 48^m\ 28^s$. H $= 354.3$ m. Cg $= +0.2$ mm. 1913.

Datum	Luftdruck auf 0^0 u. Normalschwere reduziert 700 mm + 7a	2p	9p	Lufttemperatur C° 7a	2p	9p	Max.	Min.	Absolute Feuchtigkeit mm 7a	2p	9p	Relative Feuchtigkeit Proz. 7a	2p	9p	Richtung und Stärke des Windes 0 bis 12 7a	2p	9p	Bewölkung 0 bis 10 7a	2p	9p	Niederschlag mm 7a	Schneedecke cm 7a	Bemerkungen
1.	37.6	35.8	34.7	− 2.4	− 0.6	− 2.0	0.0	− 3.0	3.6	4.1	3.7	95	94	96	W 2	W 3	W 1	10≡	10≡	10^1	−		7^{00} a ≡¹, ca 2 p ≡²
2.	35.8	33.4	33.5	− 3.8	− 0.2	− 1.2	0.5	− 4.0	3.2	4.3	4.0	95	95	93	C	W 2	C	10^0	10^1	10^1	−		a ∞, ≡
3.	33.3	34.4	36.3	− 2.8	− 2.4	− 2.2	− 0.4	− 3.4	3.5	3.6	3.6	96	95	96	C	C	W 1	10≡	10^1	10^0	−		
4.	38.1	38.5	38.5	− 2.2	− 0.8	− 0.6	− 0.2	− 3.0	3.6	4.0	4.2	96	93	96	SW 3	SW 2	SW 2	10^1	10^1	10^1	−		a ⌊⌋, m in der Ferne leichte Nebel
5.	38.5	39.1	40.4	− 0.8	− 0.8	− 1.4	− 0.4	− 1.4	4.1	4.1	3.9	96	94	96	C	SW 1	C	10^1	10^1	10^1	−		ca 9 a leichte Nebelbildung
6.	**41.2**	39.7	39.9	− 2.0	− 2.0	− 2.4	− 1.4	− 2.4	3.7	3.7	3.6	96	96	96	SW 1	SW 2	C	10≡	10≡	10≡	−		t ≡¹.²
7.	40.4	40.6	38.9	− 2.6	− 1.6	− 2.4	− 1.4	− 3.0	3.5	3.8	3.6	96	96	94	SW 1	SW 1	W 2	10^1	10≡	10^1	−		m ≡¹
8.	38.3	37.0	36.9	− 3.0	− 2.0	− 3.6	− 1.6	− 3.6	3.4	3.5	3.0	94	91	87	SW 1	SW 1	C	10^1	5^0⊙	o	−		m u. p langsame Aufheiterung
9.	37.8	37.6	36.5	− 4.6	− 3.4	− 3.2	− 3.0	− 5.0	2.7	3.4	3.4	84	78	78	SW 3	SW 3	SW 4	10^1	10^2	10^1	−		
10.	35.2	33.6	33.1	− 3.8	− 3.0	− 3.0	− 2.0	− 4.2	3.2	3.6	2.8	78	69	77	SW 2	SW 3	SW 1	10^1	10^1	10^1	−		ca 9 p einzelne ✳-Flocken
11.	32.4	31.5	30.0	− 3.6	− 3.0	− 3.6	− 2.2	− 3.8	2.6	2.7	2.6	77	76	77	SW 2	SW 3	SW 2	10^2	10^1*	10^1	−		11^{38} a ✳¹
12.	24.9	25.0	26.1	− 4.7	− 3.8	− 4.2	− 3.2	− 5.2	3.0	3.2	3.1	96	96	97	SW 1	SW 1	SW 3	10^1	10^1*	10^1*	3.4		n, t meist ✳
13.	28.4	29.6	32.0	− 3.3	− 1.8	− 2.0	− 1.4	− 4.4	3.4	3.8	3.7	97	96	94	C	SW 1	SW 3	10^1	10^1	10^1	8.6		
14.	32.9	32.6	32.5	− 4.0	− 3.7	− 9.8	− 2.0	− 9.8	3.2	2.9	1.8	97	87	89	SW 1	SW 3	SW 1	10^1	10^1	o	−		
15.	30.1	29.8	29.9	−14.4	− 8.4	− 9.7	− 7.6	**−14.6**	**1.2**	1.6	1.6	89	69	82	C	C	C	8^0	9^1	9^0	−		bis Nachm. ziemlich heiter
16.	30.0	29.3	29.8	−11.4	− 8.2	− 6.4	− 6.4	−11.6	1.5	1.9	2.4	86	83	91	SW 1	SW 1	SW 3	7^0	10^1	10^1	−		anfangs heiter, m Trübung, 2^{38}-ca 4^{22} p ✳
17.	27.3	27.3	26.1	− 6.2	− 3.6	− 4.6	− 2.6	− 7.0	2.6	3.3	3.0	96	94	96	SW 3	SW 3	SW 1	10^1*	10^1	10^1	3.8		7^{00} a ✳
18.	25.2	26.0	27.7	− 2.6	− 1.2	0.2	0.2	− 5.0	3.7	4.2	4.7	99	99	100	SW 1	SW 2	C	10^1*	10^1*	10^1●	3.7		7^{00} a, 2^{00} p ✳, ca 7^{15} p ◍
19.	30.0	31.1	30.6	1.2	3.2	− 1.6	3.4	− 1.6	4.8	5.0	4.0	96	87	100	SW 3	SW 3	C	10^2	8^1	10≡	**9.6**		9^{28} a ◍, abds. ≡¹
20.	26.4	25.3	24.6	− 3.6	− 0.6	− 3.0	− 0.2	− 4.2	3.4	4.2	3.5	100	96	98	SW 1	SW 1	W 1	10≡	10^2	o	0.6		mrgs. ≡¹, 2^{38} p kurz ✳
21.	20.3	19.2	19.8	− 1.6	0.4	2.8	2.8	− 0.5	4.0	4.4	4.7	99	92	82	SW 3	SE 2	S 4	10^1*	6^1⊙	10^1	0.4		7^{00} a ✳ ztw. ◍, m Aufheiterung
22.	22.3	25.3	31.6	1.8	3.2	1.2	3.6	1.2	4.9	4.6	4.2	93	80	83	S 4	SW 4	W 4	10^2●	10^3	10^2	1.8		7^{00} a ◍, t ⌊⌋, ztw. ◍
23.	32.0	30.1	27.9	0.6	0.8	0.2	1.6	0.2	4.4	4.0	4.7	92	82	100	W 2	SW 2	S 1	10^1	10^1	10^1*	1.4		2^{38} p ✳, 9^{00} p ✳
24.	28.4	29.9	29.4	5.0	5.4	3.6	**6.0**	0.0	5.3	5.3	4.5	81	78	77	W 4	SW 3	S 2	10^2	10^2	10^2	6.0		5^{28} a ◍, ztw. ⌊⌋
25.	28.6	27.2	28.6	2.1	4.0	4.0	4.8	1.8	4.7	5.7	**5.9**	87	93	97	S 2	S 1	S 2	10^2	10^1●	10^2	−		
26.	32.2	34.6	39.0	2.5	2.7	1.0	4.6	− 1.0	5.0	3.9	3.5	81	70	83	SW 1	W 3	C	10^2	7^2⊙	o	5.6		
27.	39.3	36.2	34.3	− 5.8	− 1.2	− 2.8	− 0.2	− 5.8	2.8	3.4	3.3	96	82	90	C	E 2	C	4^0	3^0⊙	9^1	−		
28.	33.3	33.5	35.5	− 2.4	1.0	− 1.8	1.0	− 4.0	3.4	3.8	2.9	90	77	72	C	E 1	E 2	10^1	10^0	3^0	−		
29.	36.8	36.1	35.4	− 7.4	− 3.2	− 6.2	− 1.8	− 7.6	2.1	2.3	2.1	85	64	78	NE 1	E 3	C	3^0	3^0⊙	o	−		a ⌊⌋
30.	32.2	32.7	31.9	− 8.2	− 1.8	− 6.2	− 0.8	− 8.4	1.8	1.9	2.4	80	48	85	C	E 3	C	3^0	4^0⊙	o	−		a ⌊⌋
31.	26.7	21.8	29.0	− 5.6	− 3.4	1.8	1.8	− 7.0	2.1	3.3	4.1	72	95	78	E 5	E 3	E 6	10^1	10^1●	o	−		9^{24} a–0^{34} p ◍, bis 1^{18} ✳, dann wieder ◍
Mittel	32.1	31.7	32.3	− 3.2	− 1.3	− 2.3	− 0.3	− 4.4	3.4	3.7	3.5	91	85	89				9.2	8.9	7.5	44.9		

Passau.

Januar. $\varphi = 48^0\ 34'$ N. $\lambda = 13^0\ 28'$ E $= 53^m\ 52^s$. H $= 309.3$ m. Cg $= +0.2$ mm. 1913.

1.	42.9	39.9	39.6	− 2.5	0.1	− 1.0	0.7	− 3.2	3.6	4.3	**4.1**	95	94	96	C	C	C	10^2=	5^0=	10^1=	−	−	a ≡²
2.	38.6	37.7	37.8	− 3.2	− 0.1	− 1.4	0.0	− 4.0	3.6	3.9	3.7	100	85	90	C	C	C	10^2=	oo	10^1	−	−	a ≡² V
3.	37.8	38.3	40.5	− 2.4	0.1	− 1.0	0.1	− 3.2	3.4	3.9	3.4	90	85	79	C	C	C	10^1	oo	o	−	−	⌊⌋
4.	42.3	42.6	43.0	− 1.6	1.0	0.4	1.0	− 2.0	3.9	4.4	4.3	95	89	90	C	C	C	10^2=	10^1	10^1	−	−	a ≡²
5.	42.8	43.3	44.7	− 2.0	0.8	− 1.6	1.8	− 2.4	3.9	4.4	4.0	99	90	99	C	C	C	10^2=	oo	10^2=	−	−	a ≡² ⌊⌋
6.	**45.6**	43.9	44.3	− 2.0	− 0.8	− 1.4	− 0.8	− 2.2	3.7	3.9	3.8	95	90	92	C	C	C	10^1	10^1	10^1	−	−	⌊⌋
7.	44.7	44.3	44.3	− 1.4	− 0.8	− 1.7	− 0.7	− 1.8	3.7	3.8	3.8	90	87	95	C	C	C	10^1	10^1	10^1	−	−	⌊⌋⌋
8.	43.1	41.2	41.3	− 4.9	0.8	− 2.8	2.0	− 5.1	2.8	3.7	3.2	90	74	85	C	C	C	10^1	oo	o	−	−	⌊⌋⌋
9.	42.1	41.5	41.2	− 7.5	− 2.0	− 3.6	− 2.0	− 7.7	2.3	2.9	2.5	90	74	74	C	C	E 4	o	10^1	10^1	−	−	⌊⌋⌋
10.	39.6	38.6	37.3	− 4.0	− 1.0	− 2.2	− 1.0	− 4.3	2.4	2.6	3.5	70	60	90	E 4	E 2	E 2	10^1	10^1	10^1	−	−	⌊⌋
11.	36.7	35.3	34.6	− 2.4	− 1.4	− 2.8	− 1.2	− 2.9	2.5	2.7	2.4	65	65	65	C	E 4	C	10^1	10^1	10^1	−	−	⌊⌋
12.	29.8	29.8	31.2	− 3.8	− 2.6	− 3.6	− 2.2	− 4.1	3.1	3.3	3.2	90	88	91	C	C	C	10^1*	10^1*	10^1*	0.5	1	a, t ✳
13.	33.0	34.0	36.3	− 3.2	0.2	− 2.6	0.0	− 4.1	3.3	3.8	3.4	92	85	89	C	C	C	10^1	10^1	10^1	**16.0**	**16**	n ✳
14.	37.5	37.3	37.7	− 4.4	− 2.2	− 7.6	− 2.2	− 7.6	2.8	2.8	1.7	85	70	70	C	E 2	C	10^1	oo	o	−	12	
15.	35.2	34.3	35.0	−15.7	− 8.2	− 8.0	− 5.8	**−15.8**	**0.9**	1.7	1.8	74	71	74	C	W 2	C	o	oo	5^1	−	12	V
16.	34.9	35.2	35.3	−12.5	− 5.4	− 5.8	− 5.2	−12.8	1.4	2.1	2.4	82	70	82	C	W 2	C	5^1	10^1	10^1	−	10	V, ca 5–8 p ✳
17.	32.6	32.9	32.2	− 6.2	− 2.4	− 4.2	− 1.7	− 7.8	2.5	3.1	3.0	90	82	90	C	C	C	10^1	10^1	10^1	1.0	11	V, ca 9–11 a ✳
18.	30.8	31.0	32.8	− 3.7	− 0.2	− 0.8	− 0.1	− 4.9	3.1	3.7	4.1	90	80	95	C	C	C	10^1*	10^1	10^1	1.2	13	a, t ✳^{8}
19.	35.0	35.9	35.6	0.8	2.8	0.0	2.8	− 0.8	4.7	5.1	4.4	96	90	96	C	C	C	10^1	10^1	10^2=	6.0	10	a ztw. ◍
20.	31.4	29.5	29.9	− 2.9	1.4	0.2	1.8	− 3.3	3.7	4.3	4.1	100	85	90	C	C	C	10^2=	10^1	10^2=	0.5	8	V, a ≡²
21.	25.3	**25.2**	25.7	− 4.0	1.6	0.4	1.8	− 4.3	3.3	4.3	4.4	98	84	90	C	W 2	C	10^2=	10^2	10^1	−	8	a ≡¹
22.	27.9	29.9	33.7	2.0	2.8	1.0	3.0	0.0	4.8	4.8	4.5	90	85	90	SW 2	SW 2	W 4	10^1	10^1	10^1●	−	7	n ◍, t öfters ◍
23.	36.6	35.0	33.4	0.6	2.4	0.1	2.8	0.1	4.4	3.8	4.3	92	70	95	C	C	C	10^1	3^1⊙	10^1	3.0	3	n ◍, t ztw. ✳^{0}
24.	33.3	34.6	34.8	3.6	4.7	1.6	**4.8**	0.0	5.3	5.3	4.9	90	82	94	W 2	W 2	C	10^1●	10^1	10^1	9.4	10	n, a ◍ ✳^{0}
25.	34.1	32.4	33.3	0.6	4.5	2.4	4.5	− 1.0	4.6	**5.4**	5.3	97	85	96	C	C	C	10^0	10^1	10^1	2.8	5	t ◍
26.	35.5	38.2	43.0	2.6	3.0	− 0.8	3.3	− 0.8	**5.4**	4.8	3.9	98	85	89	W 1	W 2	C	10^1	10^1	o	6.2	2	a ≡¹
27.	44.2	39.5	38.8	− 6.6	1.0	− 2.2	2.0	− 6.9	2.3	2.1	2.8	85	43	70	C	E 1	C	o	oo	o	−	−	⌊⌋
28.	37.4	38.1	40.1	− 1.8	1.6	− 2.6	1.8	− 2.6	3.2	3.3	2.3	80	65	60	C	C	E 4	o	10^1	o	−	−	⌊⌋⌋
29.	41.5	41.0	40.4	− 6.4	− 2.0	− 5.0	− 1.4	− 6.8	1.8	2.2	1.8	65	57	59	E 2	E 4	E 4	o	oo	o	−	−	⌊⌋⌋
30.	37.5	37.0	36.9	− 5.0	1.4	− 1.8	1.8	− 5.7	1.6	1.8	1.5	52	35	36	E 1	E 1	E 4	o	oo	o	−	−	⌊⌋
31.	32.6	27.3	33.3	− 5.0	− 1.2	− 1.0	− 0.7	− 5.8	2.1	2.4	4.1	65	57	96	E 1	W 1	C	10^1	10^1●*	10^1	−	−	⌊⌋, 2^{04} p ✳ ◍^{0}, 2^{38}–ca 6 p ✳
Mittel	36.8	36.3	37.0	− 3.4	0.0	− 1.9	0.4	− 4.3	3.2	3.6	3.4	87	76	84				7.9	6.7	7.3	46.6		

Alle Angaben nach Ortszeit.

Landshut.

Januar. $\varphi = 48^0\ 32'$ N. $\lambda = 12^0\ 10'$ E $= 48^m\ 40^s$. H $= 397.7$ m. Cg $= +0.2$ mm. 1913.

Datum	Luftdruck auf 0^0 u. Normalschwere reduziert 700 mm +			Lufttemperatur C⁰					Absolute Feuchtigkeit mm			Relative Feuchtigkeit Proz.			Richtung und Stärke des Windes o bis 12			Bewölkung o bis 10			Niederschlag mm	Schneedecke cm	Bemerkungen
	7^a	2^p	9^p	7^a	2^p	9^p	Max.	Min.	7^a	2^p	9^p	7^a	2^p	9^p	7^a	2^p	9^p	7^a	2^p	9^p	7^a	7^a	
1.	33.5	31.3	30.1	− 5.6	0.2	− 2.7	2.0	− 7.4	2.9	4.2	3.6	98	90	96	C	C	C	10^1≡	○○	○	−	−	≡¹ ⌐¹
2.	29.5	29.0	28.7	− 4.3	1.2	− 2.3	2.5	− 6.7	3.1	4.4	3.8	95	89	98	W 2	N 2	C	10^1	8^0○	10^1≡	−	−	⌐, ca 9 p ≡¹
3.	29.0	29.7	31.6	− 3.0	− 1.8	− 2.1	− 0.9	− 5.2	3.7	4.0	3.8	100	100	98	E 2	NE 2	E 2	10^1	10^1	10^1	−	−	⌐, ca 8 a ≡¹
4.	33.4	34.0	34.0	− 0.6	0.0	− 0.7	1.0	− 4.0	4.2	4.3	4.2	96	94	96	E 2	E 2	E 2	10^1	10^1	10^1	−	−	⌐
5.	34.3	34.9	36.0	− 1.0	− 0.4	− 1.9	0.0	− 3.0	4.2	4.1	3.9	98	92	98	SE 2	SE 2	C	10^1	10^1	10^1	−	−	⌐
6.	**36.8**	35.2	35.2	− 3.7	− 1.4	− 2.7	− 0.3	− 5.2	3.4	3.8	3.7	98	92	98	E 2	E 2	E 2	10^1	10^1	10^1	−	−	⌐
7.	36.1	35.5	34.9	− 3.1	0.2	− 3.0	1.0	− 4.3	3.5	4.2	3.7	98	90	100	SE 2	NE 4	E 2	10^1	10^1	10^1	−	−	⌐
8.	33.3	32.3	32.2	− 2.4	− 0.1	− 4.6	0.8	− 5.3	3.5	3.5	3.1	92	78	95	E 4	E 4	E 2	10^1	3^0○	○	−	−	⌐, ca 2 p ∞
9	32.9	32.5	31.3	− 3.8	− 2.6	− 3.6	− 1.8	− 7.2	3.0	3.2	2.9	89	85	82	E 2	E 2	E 4	10^1	10^1	10^1	−	−	⌐
10.	30.1	28.6	28.3	− 4.5	− 3.1	− 3.1	− 2.1	− 5.7	2.6	2.8	2.9	79	76	80	E 6	E 2	E 4	10^1	10^1	10^1	−	−	⌐, ca 4 p kurze Zeit wenig ⚹⁰
11.	27.5	26.6	25.1	− 3.2	− 2.4	− 3.0	− 1.3	− 4.3	3.0	2.7	2.8	82	71	76	E 2	NE 2	E 2	10^1	10^1	10^1	−	−	⌐
12.	19.8	20.2	21.6	− 4.4	− 3.2	1.6	2.5	− 5.6	3.0	3.0	4.3	91	85	84	E 4	S 2	W 4	10^1*	10^1*	10^1	4.6	9	n, ca 7 a–3^{04} p 4^{14-39} p ⚹
13.	24.1	25.1	27.4	− 1.2	0.3	− 1.0	4.2	− 2.1	4.1	4.0	3.9	98	85	90	C	NW 2	C	10^1	8^1	10^1	7.7	**16**	⌐
14.	28.2	27.4	27.2	− 5.4	− 2.2	− 8.6	− 1.0	− 9.4	2.7	3.0	1.8	90	77	76	E 2	E 4	E 4	10^1	8^0	○	−	10	
15.	24.5	24.7	24.8	−12.7	− 6.6	−11.3	− 5.2	−14.3	1.4	1.7	1.6	84	63	85	E 4	NE 4	E 4	4^1	8^1	○	−	9	ca 9 p ☋
16.	24.8	24.9	25.1	−12.5	− 6.6	− 6.0	− 4.5	−13.8	1.5	1.9	2.6	88	70	90	E 4	E 2	E 2	2^1	10^1	10^1	−	9	⌐, ca 4–5^{19} p ⚹⁰
17.	23.2	22.9	21.6	− 4.8	1.6	− 0.4	3.3	−10.5	2.9	3.9	4.0	90	76	90	SW 2	C	W 2	10^1*	8^0○	10^1	3.0	12	n, ca 7a ⚹, 8^{19}a Eisregen, dann–ca 10 a, 10^{19}–11^{19}a ⚹
18.	21.1	21.7	24.0	− 0.1	5.1	2.2	6.2	− 2.9	4.6	5.1	4.8	100	78	89	NE 2	W 2	W 2	10^1●	10^1	10^0	**10.9**	14	n, a–ca 8 a, 3^{04}–ca 5 p ◍
19.	26.5	27.4	26.7	1.6	4.3	− 2.8	5.1	− 4.1	4.9	4.7	3.6	94	76	96	SW 4	W 2	W 2	10^1	7^1	1^1	5.2	6	
20.	22.0	21.0	20.1	− 4.4	0.2	− 2.2	1.5	− 6.6	3.2	4.0	3.6	98	87	94	E 2	W 2	SW 2	10^1	10^1	6^0	−	3	⌐⁰
21.	15.4	15.5	16.1	− 2.0	5.4	3.4	6.3	− 8.4	3.9	4.0	4.4	98	60	75	E 2	W 6	SW 6	10^1	5^0○	8^1	−	3	⌐
22.	19.3	22.5	27.4	2.0	2.9	1.4	4.1	− 0.5	4.7	4.5	4.2	89	79	83	W 4	W 4	W 6	10^1●	10^1●	10^1●*	0.6	1	ca 7–8^{39} a, ca 10 a–m, 1^{19} p ◍, ca 4 p–n ⚹
23.	28.1	25.9	23.7	− 0.4	2.4	1.5	3.3	− 2.3	3.8	4.3	4.9	85	79	96	W 6	SW 2	W 4	10^1	10^1	10^1●	4.5	1	n ⚹, ca 1-1^{09} p ⚹⁰, 2^{19}–6^{39} p ⚹⁰, dann–n ◍
24.	25.4	26.4	25.8	3.7	5.7	1.0	6.7	0.0	5.2	4.8	4.7	87	70	94	W 6	W 6	W 2	10^1	9^0	1^1	8.2	−	n ◍
25.	25.0	23.4	24.9	2.2	6.5	4.4	**7.9**	− 1.8	4.6	5.2	**5.6**	85	72	90	W 4	W 4	W 6	10^1	10^1	10^1●	−	−	3^{04} p–n ◍⁰
26	27.6	30.8	34.7	3.2	2.6	− 0.4	4.9	− 1.9	5.5	4.7	3.3	95	84	74	W 4	W 2	E 2	10^1	10^1●	8^1	1.6	−	n ◍¹, ca 2-2^{04} p ◍⁰
27.	34.5	31.1	29.2	− 6.4	2.2	− 2.2	3.0	− 7.4	2.6	2.6	3.3	95	48	85	E 2	E 2	C	○	○○	○	0.1	−	⌐
28.	28.4	29.0	30.3	− 2.8	2.2	− 0.4	3.0	− 5.0	3.6	3.0	2.9	96	56	65	NW 2	E 4	E 4	5^1	10^1	10^0	−	−	⌐
29.	31.9	30.6	30.3	− 6.8	− 2.8	− 5.6	− 0.4	− 8.2	2.2	2.3	2.1	81	62	70	E 6	E 6	E 6	1^1	○○	○	−	−	⌐
30.	27.8	27.2	27.3	− 7.0	− 0.4	− 4.4	1.0	− 8.3	1.8	1.9	2.1	68	43	65	E 4	E 4	C	○	○○	○	−	−	⌐⁰
31.	22.3	17.5	24.8	− 4.5	− 1.0	2.1	3.2	− 7.3	2.1	3.7	4.3	65	86	80	NE 4	S 2	SE 4	10^1	10^1●	○	−	−	⌐⁰, 11^{19} a ◍, ᔓ, ca 1-1^{04} p Eisregen, dann–ca 3 p ◍⁰
Mittel	27.6	27.3	27.8	− 3.2	0.3	− 1.9	1.8	− 5.8	3.4	3.7	3.6	90	77	87				8.4	7.9	6.6	46.4		

Augsburg.

Januar. $\varphi = 48^0\ 22'$ N. $\lambda = 10^0\ 54'$ E $= 43^m\ 36^s$. H $= 499.6$ m. Cg $= +0.1$ mm, über 728.8 mm Cg $= +0.2$ mm. 1913.

1.	24.0	21.9	21.1	− 2.9	5.3	0.7	5.3	− 2.9	3.3	4.2	4.3	89	62	89	C	SE 2	SE 2	○	○○	○	−	−	⌐
2.	21.2	20.1	19.6	− 1.1	4.2	0.6	4.2	− 1.1	3.9	4.8	4.4	92	77	92	SW 2	C	SE 2	10^2≡	6^1○	10^1	−	−	⌐, n, a ≡²
3.	19.9	20.7	22.6	− 1.0	2.1	− 2.0	2.6	− 2.0	4.1	4.7	4.0	96	87	100	SE 2	SE 2	SE 2	8^1	5^1○	10^2≡	−	−	⌐, p ≡²
4.	24.5	24.8	24.9	− 3.1	− 2.2	− 2.2	− 1.0	− 3.3	3.5	3.3	3.7	98	85	96	SE 2	E 2	SE 2	10^2≡	10^2≡	10^2≡	−	−	⌐, n, t ≡²
5.	25.5	25.6	27.2	− 3.5	− 2.2	− 3.4	− 1.2	− 3.6	3.5	3.8	3.5	100	98	100	SE 2	SE 2	SE 2	10^2≡	10^2≡	10^2≡	−	−	⌐, n, t ≡²
6.	**27.5**	25.8	26.2	− 4.8	0.0	− 3.3	0.0	− 5.6	3.2	4.2	3.6	100	91	100	SE 2	SE 2	SE 2	10^2≡	○○	10^2≡	−	−	V; n, a u. p ≡²
7	26.5	25.8	25.6	− 2.1	2.0	− 1.4	2.0	− 4.1	3.7	4.3	4.1	95	80	100	SE 2	SE 2	NE 2	10^1	○○	10^2≡	−	−	⌐, p ≡²
8.	24.0	23.1	23.2	− 3.0	− 2.8	− 3.4	− 1.4	− 3.4	3.5	3.6	3.2	96	96	91	NE 2	NE 2	E 2	10^2≡	10^2≡	10^2≡	−	−	⌐, t ≡²
9.	23.7	23.2	22.2	− 4.7	− 3.6	− 3.8	− 3.4	− 4.7	3.0	3.2	3.4	94	91	98	E 2	SE 2	E 2	10^2≡	10^2	10^2	−	−	⌐, n, a ≡²
10.	20.8	20.1	19.6	− 4.8	− 4.7	− 4.1	− 3.8	− 5.1	3.0	2.9	2.7	96	91	82	E 4	E 4	E 2	10^2	10^2	10^2	−	−	⌐
11.	18.2	17.3	15.6	− 3.5	− 2.8	− 3.9	− 1.9	− 4.1	2.9	3.0	3.2	85	82	96	E 2	E 2	E 2	10^2*	10^2*	10^2*	0.1	−	n, t ⚹
12.	10.6	11.1	14.1	− 4.6	2.4	0.8	2.4	− 4.6	3.1	5.2	4.5	98	95	92	SE 2	SW 2	NW 2	10^2*	10^2	○	**12.0**	15	n, a–11^{14}a ⚹, 2^{19} p ab ztw. ◍ ⚹, abds. Aufhellen
13.	15.3	15.5	18.4	− 0.5	0.8	− 0.8	1.4	− 2.0	4.2	4.4	4.3	94	90	100	NW 2	W 2	NW 2	○	8^1	10^2*	9.7	**17**	ca 5 p–n ⚹
14.	18.4	17.8	17.3	− 2.0	− 3.3	− 7.0	− 0.8	− 7.0	4.0	3.5	2.5	100	99	95	E 2	E 2	E 2	10^2	10^2	10^2	0.3	16	⌐
15.	15.1	15.4	15.4	−10.5	− 6.8	− 8.0	− 5.9	**−11.1**	**1.6**	2.0	2.0	79	74	83	E 2	SE 2	E 2	6^1	6^1	10^1	−	15	⌐
16.	15.2	16.0	15.3	− 9.3	− 5.2	− 6.5	− 4.1	− 9.8	1.8	2.5	2.8	80	82	99	E 2	SW 2	C	7^1	10^2	10^2≡	−	15	⌐, ca 2-2^{39} p ⚹
17.	13.9	13.6	12.5	− 0.8	4.2	1.9	4.4	− 7.5	4.3	5.1	4.5	100	82	86	C	SW 2	SW 2	10^1	5^1○	10^1	5.0	**17**	n ⚹
18.	12.1	13.4	15.6	2.7	4.7	2.6	4.7	0.9	5.5	5.2	5.1	98	81	93	SW 2	SW 2	SW 2	4^1	7^1	10^1	4.1	12	n ◍
19.	18.5	18.7	17.4	2.0	4.0	0.0	4.0	0.0	4.7	5.1	4.2	89	84	90	SW 2	SW 2	SW 2	10^2	4^1○	10^1	2.1	7	n ◍
20.	12.7	12.6	11.0	− 2.4	3.3	− 0.6	3.5	− 2.6	3.0	3.7	4.0	79	62	90	SW 2	SW 2	SW 2	10^2	10^2	10^2	−	5	⌐
21.	05.8	06.2	07.3	1.0	4.8	3.0	5.6	− 1.1	4.4	4.9	4.9	89	70	87	S 2	SW 6	SW 6	10^1	3^0○	10^1	−	4	⌐
22.	11.4	15.2	20.2	2.5	2.0	1.2	3.0	1.2	5.0	4.9	4.4	91	93	87	SW 6	SW 6	SW 6	10^1	10^1	10^1	0.5	3	n ◍, a u. p ztw. ◍ ⚹
23.	19.4	17.4	16.2	− 0.5	0.8	4.2	4.9	− 0.5	4.2	4.7	**6.2**	94	96	100	SW 4	SW 2	SW 4	10^1	10^2*	10^2●	1.5	2	⌐, 9^{14} a–ca 2^{14} p ⚹
24.	18.0	18.4	17.2	4.1	6.4	3.0	6.4	3.0	5.7	5.2	4.9	93	72	87	SW 4	SW 2	SW 4	6^1	5^2○	10^1	8.7	−	n ◍
25.	16.6	14.7	17.2	2.9	8.0	5.7	**8.0**	2.1	5.0	**6.2**	5.8	88	77	85	SW 4	SW 4	SW 4	10^2	8^1	10^2	−	−	2^{34}–6^{39} p ◍
26.	19.4	22.7	26.2	4.0	2.8	− 0.4	6.8	− 0.4	5.9	5.2	4.1	97	93	92	W 2	N 2	N 2	10^2	10^2	○	1.9	−	n, a u. p ztw. ◍
27.	25.1	22.9	20.3	− 3.3	2.1	− 0.9	4.4	− 3.3	3.0	3.0	3.9	84	57	90	E 2	E 2	E 2	○	○○	○	0.9	−	⌐
28.	19.6	20.1	20.9	− 0.6	− 0.4	− 0.5	0.6	− 1.6	4.2	4.1	3.6	96	92	82	E 2	E 2	E 2	10^2	10^1	10^2	−	−	⌐
29.	21.8	20.8	20.3	− 3.9	− 2.7	− 5.6	− 0.5	− 5.6	2.8	2.9	2.4	82	79	80	E 2	E 2	E 2	10^2	10^2	4^1	0.2	I	n ⚹
30.	18.6	18.2	18.3	− 7.8	− 2.6	− 3.4	− 0.9	− 8.0	1.8	2.6	3.0	75	68	85	E 2	E 2	SE 2	5^0	5^{10}○	10^1	−	−	⌐
31.	11.9	08.8	17.6	− 1.3	4.9	1.8	7.9	− 3.4	3.7	6.0	4.3	88	93	82	SE 2	SW 4	SW 4	10^2	10^2	○	−	−	⌐, 7^{34} a–0^{49} p, ca 2-2^{34} p, 4^{39}–5^{11} p ◍
Mittel	18.6	18.3	18.9	− 2.0	0.8	− 1.2	1.8	− 3.3	3.7	4.1	3.9	91	83	91				8.3	7.2	8.2	47.0		

Alle Angaben nach Ortszeit.

München-C.St.

Januar. $\varphi = 48^0\ 9'$ N. $\lambda = 11^0\ 34'$ E $= 46^m\ 16^s$. H $= 526.4$ m. Cg $= +\ 0.1$ mm. 1913.

Datum	Luftdruck auf 0^0 u. Normalschwere reduziert 700 mm +			Lufttemperatur C°					Absolute Feuchtigkeit			Relative Feuchtigkeit			Richtung und Stärke des Windes 0 bis 12			Bewölkung 0 bis 10			Niederschlag	Schneedecke	Bemerkungen
	7^a	2^p	9^p	7^a	2^p	9^p	Max.	Min.	7^a	2^p	9^p	7^a	2^p	9^p	7^a	2^p	9^p	7^a	2^p	9^p	mm 7^a	cm 7^a	
1.	22.0	19.8	18.6	− 1.6	4.4	0.8	4.5	− 2.0	2.8	3.2	3.3	68	51	68	C	C	C	0	○○	0	–	–	a ⌴², t ∞, nachm. Gebirge schwach sichtbar
2.	18.4	17.6	17.3	0.6	5.3	0.6	5.7	− 1.0	3.3	3.8	3.9	68	58	63	C	NW 1	C	8^0	6^0⊙	0	–	–	a ⌴², ≡¹, 11^{35} a ⊕ mit Nebensonne, t ∞
3.	17.4	17.9	20.0	− 1.4	− 0.3	− 2.6	0.8	− 2.9	3.7	4.0	3.8	90	88	100	C	NE 1	C	7^1≡	3^0⊙	10^2≡	–	–	a ⌴², ≡¹·², m ∞, p ≡¹·²
4.	21.7	22.1	22.2	− 2.4	− 1.9	− 2.8	− 1.4	− 3.4	3.7	3.6	3.7	96	89	100	E 1	E 1	E 2	10^1≡	10^1	10^1≡	–	–	n, a ≡²·¹, V, abds. ≡¹
5.	22.7	23.0	24.4	− 3.4	− 1.8	− 2.6	− 1.6	− 3.8	3.4	3.7	3.8	94	91	100	C	E 1	C	10^1	10^1	10^2≡	–	–	a ⌴¹, ≡⁰, V, abds. ≡²
6.	**24.8**	23.2	23.6	− 6.2	1.2	− 3.4	1.3	− 6.6	2.7	4.0	3.5	94	80	100	C	E 1	C	0	○○	10^1≡	–	–	n ≡², a ⌴², t ∞, 3^{30} p–n ≡¹
7.	24.0	23.4	23.1	− 2.4	2.2	− 3.6	2.4	− 5.0	3.3	4.2	3.5	84	79	99	C	E 1	C	10^1≡	○○	0	–	–	n, a ≡¹ ⌴, m ∞, abds. ≡¹
8.	21.3	20.5	20.4	− 4.0	− 3.0	− 3.4	− 2.8	− 4.8	3.1	3.3	3.2	98	90	90	E 3	E 2	E 1	10^1	10^1	10^1	–	–	a ≡⁰, ⌴², t V
9.	21.0	20.3	18.5	− 4.3	− 3.4	− 4.2	− 2.0	− 4.9	3.0	2.9	2.9	91	81	86	E 1	E 1	E 3	10^1	10^1	10^1	–	–	a ⌴, ≡⁰
10.	18.0	16.9	16.7	− 4.5	− 4.3	− 4.2	− 3.3	− 5.0	2.9	2.7	2.8	89	82	84	E 2	E 1	C	10^1	10^1	10^1	–	–	a ⌴, ⎓⁰, ca 10 a ✳⁰
11.	15.5	14.6	13.1	− 3.4	− 3.3	− 4.4	− 2.5	− 4.6	3.1	2.8	2.9	86	80	88	E 1	E 1	E 2	10^1*	10^1*	10^1*	0.1	–	n, a–n ✳
12.	05.2	08.7	11.4	− 4.8	2.7	1.3	2.7	− 5.2	2.9	4.7	4.2	91	85	84	E 2	SW 3	SW 2	10^1*	10^1	10^1	**13.7**	**18**	n–ca 11^{30} a ✳, 2^{46} p–n ztw. ◍
13.	12.9	13 8	16.1	0.2	1.1	− 0.4	2.0	− 0.8	4.1	4.0	4.2	89	82	94	SW 1	SW 1	C	4^1	10^1*	10^1*	6.1	16	11^{31} a–n ✳⁰
14.	16.0	15.2	14.6	− 1.8	− 3.6	− 6.6	− 0.2	− 7.0	3.8	3.2	2.5	96	90	91	E 1	E 1	E 2	10^1≡	10^1	10^1	1.2	**18**	n ✳, a ≡¹
15.	12.6	12.7	12.9	−10.1	− 7.0	− 8.2	− 5.5	**−11.5**	1.8	1.9	1.9	86	70	79	E 1	E 1	E 2	10^1	7^1	0	–	**18**	a V
16.	13.0	12.9	13.3	− 9.4	− 5.0	− 2.1	− 0.4	− 9.9	**1.7**	2.2	3.5	79	71	90	E 1	E 1	C	7^0	10^1	1^0	–	14	t ∞, 2^{51}–ca 5 p ✳⁰
17.	12.0	11.2	10.4	− 2.4	5.1	2.9	6.0	− 5.8	3.2	4.7	4.2	83	72	74	C	SE 2	SW 2	10^1	1^0⊙	8^1	**2.1**	17	7^{31}–ca 8 a ◍⁰, a ≡¹, 9^{06} a kurz ✳⁰, m ∞
18.	10.0	11.1	13.1	3.2	4.9	3.2	4.9	2.3	5.1	5.0	4.8	90	76	84	SW 1	SW 3	SW 3	10^1	4^1⊙	9^1	0.6	10	a ≡⁰, t Gebirge sichtbar
19.	15.9	16.5	15.2	2.5	4.6	0.4	4.9	0.2	4.6	4.4	3.9	83	69	83	SW 4	SW 3	C	10^1	9^1	8^1	2.1	7	n ◍, a ztw. kurz ✳⁰ ◍⁰
20.	10.7	10.3	09.2	− 1.2	1.3	0.9	4.6	− 1.5	3.4	3.8	4.3	80	74	88	SE 1	NW 3	SW 1	3^0	10^1	0	–	6	a ⌴², ≡⁰
21.	04.2	04.4	05.5	1.2	6.6	3.2	6.9	− 0.6	3 8	4.0	4.4	76	55	77	SE 1	SW 3	SW 4	10^1	4^1⊙	10^1	–	5	a ⌴², t Gebirge sichtbar
22.	09.1	12.5	17.2	2.5	2.6	1.6	3.8	1.2	4.6	4.7	3.8	83	85	76	SW 4	SW 3	SW 6	7^1	9^1	10^1	0.6	3	n, t ztw. ✳⁰ ◍⁰
23.	16.9	14.1	13.3	− 0.2	0.8	4.1	4.3	− 0.6	3 5	4.3	5.8	78	90	95	SW 2	SW 2	SW 3	3^1	10^1*	10^1●	0.9	3	n ✳, 11^{11}–ca 5 p ztw. ✳, dann–n ◍
24.	15.7	15.9	14.8	4.8	6.3	4.1	6.9	2.4	5.4	4.7	4.7	85	66	77	SW 4	SW 2	C	9^1	2^1⊙	10^1	11.5	–	n ◍, ztw. ⩩
25	14.6	12.6	14.6	3·4	9·3	6.1	**9.4**	2.2	4.7	4.4	5.4	81	51	76	SW 3	SW 2	SW 4	10^1	4^1⊙	10^1●	–	–	m Gebirge schwach sichtbar, 3^{41} p–n ztw. ◍$^{9.1}$
26.	16.6	19.7	23.4	4.7	1.8	0.1	6.9	0.0	**5.9**	4.5	3.8	93	86	84	SW 2	SW 1	C	10^1	10^1*	0	1.9	–	n ◍, a ztw. ◍, 10^{36} a–ca 4 p ✳, abds. Aufklaren
27.	22.7	19.3	17.6	− 3.3	2.4	− 0.6	2.4	− 3.8	2.6	3.5	3.7	73	62	86	SE 1	SE 2	E 1	0	○○	0	1.5	–	a ⌴, m i. S ∞
28.	17.1	17.0	18.3	− 1.6	− 0.6	− 0.8	0.6	− 3.0	3.9	3.9	3.3	96	88	75	C	E 2	E 3	10^1≡	10^1	10^1	0.1	–	a ≡¹, ⌴²
29.	19.2	18.3	17.7	− 4.9	− 3.4	− 6.4	0.0	− 6.6	2.4	2.5	2.2	75	71	78	E 3	E 3	E 3	10^1	8^1⊙	0	–	–	a einzelne ✳-Flocken, 1^{16} p ztw. Aufklaren
30.	15.6	15.6	15.6	− 9.2	− 3.5	− 3.3	− 1.9	− 9.4	2.0	2.1	2.3	86	61	66	E 3	E 2	C	0	4^0⊙	10^1	–	–	a ⌴², m i. S ∞
31.	10,2	06.1	15.2	− 1.6	4.1	1.8	6.3	− 5.6	3.3	5.0	4.5	81	80	86	SE 1	SW 1	SW 4	10^1	10^1	4^1	–	–	a ≡⁰, 9^{16} a–ca 1^{48} p ◍, p ztw. ◍, ca 8 p ✳
Mittel	16.1	15.7	16.3	− 2.0	0.8	− 0.9	2.1	− 3.5	3.5	3.8	3.7	85	76	85				7.7	6.8	6.8	42.4		

Traunstein.

Januar. $\varphi = 47^0\ 52'$ N. $\lambda = 12^0\ 39'$ E $= 50^m\ 36^s$. H $= 597$ m. Cg $= +\ 0.1$ mm. 1913

1.	16.3	13.9	12.9	− 4.8	7.2	0.6	**7.8**	− 0.5	2.6	2.6	2.3	84	**34**	49	SE 2	SE 2	SE 2	0	○○	0	–	–	mrgs. ⌴
2.	12.3	11.8	11.4	− 1.0	4.9	− 1.5	5.0	− 3.0	3.0	3.1	3.6	71	48	88	S 2	S 2	W 2	8^2	6^2⊙	0	–	–	mrgs. ⌴
3.	11.5	11.9	14.0	− 4.2	0.3	− 3.1	1.0	− 4.2	3.1	3.8	3.5	93	80	98	S 2	SE 2	E 2	2^2	4^2⊙	0	–	–	mrgs. ⌴, abds. ≡
4.	15.6	16.4	16.2	− 3.7	− 2.6	− 2.8	− 2.2	− 4.2	3.3	3.6	3.6	95	96	96	E 2	E 2	E 2	10^2	10^2	10^2	–	–	mrgs. ⌴ V, a u. p V
5.	16.7	17.0	18.5	− 4.2	− 0.4	− 4.0	− 0.2	− 5.0	3.2	4.3	3.2	97	96	95	E 2	E 2	E 2	10^2	○○	0	–	–	mrgs. ≡, abds. ≡
6.	**18.9**	17.4	17.6	− 6.2	− 1.1	− 5.0	− 1.0	− 6.8	2.7	4.1	3.0	95	96	95	N 2	E 2	E 2	0	1^1⊙	0	–	–	mrgs. ⌴, abds. ≡
7.	18.3	17.9	17.3	− 7.0	0.3	− 4.0	0.5	− 7.2	2.5	4.4	3.2	94	94	95	E 2	E 2	E 2	2^1	○○	0	–	–	mrgs. ⌴, abds. ≡
8.	15.5	14.3	14.4	− 4.6	− 3.0	− 4.0	− 2.8	− 5.1	3.1	3.5	3.2	95	96	95	E 2	E 2	E 2	10^2	10^2	10^2	–	–	t V
9.	15.0	14.5	13.4	− 5.5	− 4.1	− 4.6	− 3.8	− 6.0	2.9	2.9	2.9	96	87	90	NE 2	E 2	E 2	10^2	10^2	10^2	–	–	t V
10.	11.8	10.4	10.5	− 5.6	− 4.4	− 4.8	− 4.2	− 6.0	2.7	2.9	2.9	90	88	90	E 4	NE 2	E 2	10^2	10^2	10^2	–	–	t V
11.	09.2	08.6	07.3	− 4.8	− 3.8	− 5.0	− 3.6	− 5.1	2.9	3.0	2.9	93	89	93	NE 2	NE 2	E 2	10^2*	10^2*	10^2*	0.6	1	n, a u. p ✳
12.	02.0	03.0	05.7	− 5.1	− 1.6	1.2	1.2	− 5.3	2.9	3.6	3.9	93	88	78	E 2	E 2	W 4	10^2*	10^2*	10^2*	10.5	10	n u. a ✳, p ◍ ✳
13.	07.4	08.0	09.9	0.0	1.5	− 0.8	2.0	− 0.8	4.4	4.0	4.1	96	78	94	W 2	W 2	W 2	10^2	8^2⊙	10^2*	**14.7**	22	abds. ✳ ◍
14.	10.2	09.5	09.0	− 2.8	− 2.9	− 6.0	− 0.8	− 6.0	3.6	3.4	2.6	96	91	90	SW 2	S 2	S 4	10^2≡	10^2	10^2	3.4	**25**	n ✳, a ≡
15.	06.7	06.5	07.1	−11.0	− 7.4	−10.2	− 6.0	−11.6	1.8	2.1	1.8	93	81	87	S 2	S 2	S 2	0	○○	0	–	23	mrgs. ⌴
16.	07.1	07.1	07.9	−13.2	− 5.0	− 7.9	− 4.8	**−13.5**	1 5	2.4	2.3	92	79	92	SE 2	SW 2	S 2	0	10^2	4^2	–	20	abds. ✳
17.	05.8	06.3	05.4	− 3.2	2.5	− 0.8	2.8	− 8.1	3.3	4.3	3.8	91	77	88	S 2	SE 2	S 2	0	○○	10^2	2.2	**25**	
18.	04.4	05.8	07.6	0.0	3.4	3.0	4.0	− 1.0	4.4	4.5	4.2	96	76	74	S 2	W 4	W 2	10^2	10^2	10^2	–	18	a ◍
19.	09.9	10.7	09.7	1.6	3.5	− 2.5	3.8	− 2.5	4.7	3.8	3.6	91	65	96	W 6	W 4	SE 2	8^2	6^2	0	5.7	10	n ◍, a ◍ ✳
20.	04.9	03.5	03.7	− 2.5	4.2	0.2	4.7	− 3.2	3.2	3.4	4.4	85	55	94	S 2	W 2	W 2	8^2	10^2	10^2	1.1	8	a u. p ◍ ✳
21.	098.6	699.6	00.3	− 2.5	3.7	0.1	3.9	− 2.9	3.5	3.8	3.8	92	64	81	S 2	SE 2	S 2	4^2	10^2	8^2	1.8	8	
22.	03.3	06.7	10.6	1.2	0.6	− 0.4	2.4	− 0.4	4.6	4.5	4.5	92	94	100	W 6	W 6	W 6	10^2●*	10^2*	10^2*	1.0	7	n ◍, a ◍ ✳, p ✳
23.	11.2	08.9	07.7	− 0.4	1.8	1.8	2.0	− 1.1	3.5	3.6	4.9	78	69	93	W 2	SW 2	S 2	10^2	10^2	10^2*	7.9	18	n, p ✳, abds. ◍
24.	09.8	10.4	09.0	3.8	4.3	− 0.6	5.0	− 0.6	5.1	4.5	4.2	85	73	94	W 6	W 4	S 2	10^2	10^2	0	14.6	10	n ⩩
25.	08.8	07.7	08.7	1.8	5.1	5.9	7.0	− 2.2	4.8	4.0	4.8	91	61	69	W 2	W 2	SW 6	10^2	6^2	10^2●	–	5	
26.	10.6	13.3	17.4	3.3	0.4	− 0.7	5.9	− 0.7	**5.5**	4.4	4.2	95	92	96	SW 2	W 2	NW 2	10^2●	10^2*	6^2	7.9	4	n, a ◍, p ✳
27.	17.3	14.2	12.4	− 7.8	− 1.2	− 4.6	− 0.7	− 8.0	2.3	3.6	3.0	94	86	93	SE 2	E 2	E 2	0	○○	0	7.7	6	
28.	10.9	11.2	13.1	− 4.2	− 1.2	− 2.4	− 1.0	− 6.0	3.0	3.4	3.3	91	80	87	W 2	E 2	E 2	8^2	10^2*	10^2*	–	6	abds. ✳
29.	13.3	12.7	11.7	− 6.8	− 4.3	− 7.2	− 2.4	− 7.2	2.4	2.5	2.2	89	77	84	E 2	E 2	E 4	10^2	8^2⊙	6^2	0.3	6	
30.	09.4	09.7	09.6	−11.0	− 4.4	−10.2	− 4.0	−11.2	1.7	2.1	1.8	86	63	90	E 2	E 2	E 2	0	○○	0	–	6	
31.	05.5	01.6	09.3	− 7.4	1.6	0.6	2.0	−11.0	2.3	3.8	4.4	92	75	92	E 2	SW 2	W 8	2^2	10^2●	10^2*	–	6	p ◍, abds. ◍ ✳ △
Mittel	10.3	10.0	10.6	− 3.8	− 0.1	− 2.6	0.8	− 5.2	3.2	3.5	3.4	91	78	89				6.5	6.7	5.9	79.4		

Alle Angaben nach Ortszeit.

Partenkirchen.

Januar. $\varphi = 47^0\ 30'$ N. $\lambda = 11^0\ 6'$ E $= 44^m\ 24^s$. H $= 716.8$ m. Cg $= +\ 0.1$ mm. 1913.

Datum	Luftdruck auf 0^0 u. Normalschwere reduziert 700 mm + 7a	2p	9p	Lufttemperatur C° 7a	2p	9p	Max.	Min.	Absolute Feuchtigkeit mm 7a	2p	9p	Relative Feuchtigkeit Proz. 7a	2p	9p	Richtung und Stärke des Windes 0 bis 12 7a	2p	9p	Bewölkung 0 bis 10 7a	2p	9p	Niederschlag mm 7a	Schneedecke cm 7a	Bemerkungen
1.	06.5	03.7	03.4	− 2.8	6.1	1.1	6.3	− 3.5	2.1	2.7	2.3	55	38	47	S 2	S 1	S 3	0	00	0	–	–	Berge sehr rein, föhnig
2.	02.9	01.0	01.2	− 0.6	4.9	− 1.4	5.4	− 1.4	2.6	3.7	3.1	59	56	74	C	SE 2	C	3^0	$2^0\odot$	0	–	–	Berge sehr rein, föhnig
3.	01.3	01.3	02.9	− 2.4	5.8	− 1.4	6.3	− 2.8	2.7	3.3	3.1	71	48	74	C	S 2	C	0	00	0	–	–	Berge sehr rein, föhnig
4.	04.9	05.2	05.2	− 4.8	1.2	− 5.2	2.2	− 5.2	2.7	3.6	2.8	86	72	93	C	C	C	0	00	0	–	–	Berge sehr rein, föhnig
5.	06.1	06.0	08.1	− 1.0	6.2	0.2	7.3	− 7.9	2.9	3.4	3.1	67	48	67	S 3	C	S 2	0	00	0	–	–	⌴, Berge rein, föhnig
6.	08.5	06.3	07.4	− 1.5	6.9	− 1.0	7.3	− 1.6	2.8	3.2	3.1	68	42	73	SE 2	C	C	0	00	0	–	–	Berge sehr rein, föhnig
7.	07.8	06.3	05.8	− 1.5	6.6	− 1.5	7.0	− 2.8	3.0	3.3	3.0	72	46	72	C	S 2	C	3^1	00	0	–	–	a Berge teilw. bedeckt, p ∞
8.	04.4	03.4	03.4	− 7.7	− 4.8	− 7.9	− 1.5	− 7.9	2.5	3.1	2.4	100	98	97	SE 2	C	C	10	10	0	–	–	⌴, V, Berge im Nebel, t bis 5 p ≡⁰
9.	04.0	03.2	02.2	− 5.2	− 0.7	− 6.6	2.9	− 9.9	1.9	3.0	2.8	61	70	100	C	S 2	C	0	00	5^1	–	–	⌴, Berge sehr rein
10.	01.0	699.7	699.6	− 7.5	− 5.2	− 5.4	− 5.1	− 8.8	2.5	3.1	3.0	100	100	100	C	NW 2	C	10^1=	10^1=	8^1*	–	–	Berge im Nebel, abds. ✳
11.	698.9	697.7	696.2	− 5.6	− 4.6	− 5.2	− 4.4	− 5.6	3.0	3.1	3.1	100	98	100	C	C	C	10^1*	10^2*	10^1*	9.6	24	t ✳²
12	692.1	694.0	696.2	− 3.0	1.5	− 0.4	2.9	− 5.3	3.7	4.7	4.2	100	93	94	C	C	SE 2	10^1*	10^1●	6^1	**38.0**	**60**	a ✳⁰, m ◉⁰
13.	697.5	697.3	699.4	− 6.6	− 0.3	− 2.0	− 0.2	− 7.3	2.8	3.6	4.0	100	81	100	C	C	C	3^0	8^0	10^1	2.5	55	n ✳⁰, a Berge rein
14.	699.8	697.6	697.6	− 6.0	− 0.2	− 4.6	0.0	− 8.0	2.4	2.8	2.6	82	63	81	SE 2	C	S 3	9^0	00	2^0	5.0	58	Berge frei
15.	695.6	695.8	696.4	− 4.0	− 4.0	− 8.2	− 0.6	− 8.2	2.6	2.6	2.3	77	77	97	S 3	S 3	C	5^0	8^0	2^0	–	53	a Berge frei
16.	696.5	696.4	696.4	− 5.8	1.2	− 2.1	1.5	-10.0	2.8	3.9	3.9	95	78	100	SE 2	C	C	2^0	10^0	6^1	–	48	Berge frei
17.	696.2	694.8	694.8	− 2.2	1.8	1.0	3.1	− 4.0	3.3	3.5	4.5	85	67	90	S 3	C	C	2^0	$2^0\odot$	8^0	1.0	44	Berge rein, föhnig
18.	694.6	695.9	698.2	0.4	2.8	0.2	3.3	− 2.0	4.6	**5.6**	4.7	98	100	100	S 2	C	C	10^1	10^1●	7^1	1.5	43	n 3 cm Neuschnee u. ◍, a Berge meist bedeckt
19.	01.1	00.3	698.9	0.0	2.8	− 2.9	3.2	− 2.9	4.6	4.1	3.4	100	72	94	C	C	S 2	10^1*	$2^0\odot$	7^0	4.2	40	a ✳⁰
20.	695.0	694.0	693.1	− 3.0	2.0	− 1.2	2.5	− 3.9	3.2	3.8	3.9	87	71	92	S 3	C	C	8^0	10^1	2^0	–	37	Berge rein
21.	688.8	688.7	690.2	− 2.0	5.6	− 0.4	6.4	− 4.7	3.2	3.2	3.9	82	46	89	S 2	S 3	C	10^0	$5^0\odot$	8^0	–	34	Berge frei
22.	694.4	697.6	01.6	0.2	0.3	− 1.6	1.4	− 1.6	4.6	4.6	3.9	98	98	96	C	N 5	C	10^1	10^1ᵪ	10^0	6.0	39	n ✳, a 10 cm Neuschnee, Berge teilw. bedeckt
23.	01.4	698.8	698.6	− 5.0	− 1.2	1.0	2.5	− 5.0	3.0	4.2	4.7	95	100	96	C	C	C	5^0	10^1*	10^0●	7.0	42	a Berge frei, m ✳¹, abds. ◍¹
24.	00.2	699.8	698.7	0.5	3.6	− 0.6	5.0	− 0.6	4.8	4.4	4.4	100	75	100	C	C	C	3^0	$3^0\odot$	0	9.6	42	Berge frei
25.	699.0	698.8	699.1	− 5.8	5.8	2.2	6.5	− 5.8	2.9	4.0	4.5	100	58	84	C	C	C	0	$2^0\odot$	9^1	–	40	⌴, Berge frei, 10^{14} p ◍⁰
26.	01.1	01.9	05.2	1.6	1.6	− 1.4	2.7	− 1.4	5.2	5.1	4.1	100	98	100	C	C	C	10^1●	10^1●	10^0	6.8	33	a, m ◍⁰, gegen Abend ✳⁰, Berge a teilw. frei
27.	05.4	04.0	01.6	− 3.1	2.2	− 1.6	2.8	− 4.2	3.4	4.2	3.4	94	79	84	C	C	C	0	$3^0\odot$	1^0	6.0	30	Berge frei
28.	00.8	00.8	01.2	− 4.4	− 0.1	− 1.6	0.1	− 5.2	2.8	3.5	4.1	86	78	100	C	C	C	5^0	7^0	10^0=	–	29	Berge frei, abds. ≡
29.	02.0	00.8	00.0	− 3.2	− 3.2	− 5.2	− 1.5	− 5.2	3.6	3.3	3.1	100	91	100	C	C	C	10^0=	10^1*	10^0*	0.1	28	Berge im Nebel, p ✳⁰
30.	698.3	698.4	699.2	− 7.6	− 5.2	− 6.6	− 4.9	− 7.6	2.5	2.7	2.8	100	88	100	C	W 2	C	10^0=	9^0	9^0	1.5	31	Berge im Nebel, Hoch≡
31	693.6	691.4	699.4	− 0.7	3.8	1.6	5.0	− 7.9	3.4	4.8	3.8	79	80	75	S 4	C	C	10^0	10^0●	10^1	–	30	a Berge frei, ab 0^{44} p ◍⁰, ca 6 p NW 4
Mittel	00.0	699.1	00.4	− 3.2	1.4	− 2.2	2.4	− 5.1	3.2	3.7	3.5	87	74	89				5.4	5.5	5.2	98.8		

Hohenpeissenberg.

Januar. $\varphi = 47^0\ 48'$ N. $\lambda = 11^0\ 1'$ E $= 44^m\ 4^s$. H $= 994.1$ m. Cg $= \pm 0.0$ mm. 1913.

	600 mm + 7a	2p	9p	7a	2p	9p	Max.	Min.	7a	2p	9p	7a	2p	9p	7a	2p	9p	7a	2p	9p	7a	7a	
1.	81.5	79.8	78.8	2.8	8.2	9.0	9.0	0.1	1.7	2.7	2.1	30	33	25	SW 1	SW 1	SE 2	0	00	0	–	–	7 a Umgebung sehr rein, 2 p Horiz.≡
2.	78.2	77.3	76.7	3.9	4.2	2.7	**9.5**	2.7	2.0	4.4	4.2	33	71	75	N 1	NW 1	SE 2	10^1	2^1	0	–	–	7 a Umgebung rein, ⌴; 2 p u. 9 p ∞
3.	76.7	77.3	78.7	1.3	3.3	3.0	3.8	1.3	4.0	4.1	2.6	80	71	45	SE 1	SE 1	SE 2	0	00	0	–	–	t ∞, 2 p Horiz.≡, 9 p ≡
4.	80.3	80.9	80.1	2.0	2.8	− 0.5	4.1	− 0.7	2.6	3.3	3.0	49	59	68	N 1	C	SE 5	0	00	0	–	–	7 a ringsum ≡, Berge rein, 2 p Berge ∞, 9 p ≡.[1]
5.	81.4	82.0	83.5	1.8	3.5	4.0	4.7	− 0.5	3.2	2.6	2.8	62	44	46	NE 1	E 1	SW 1	0	00	0	–	–	7 a ⌴, Umgebung sehr rein, 2 p rein, t Horiz ≡, ≡
6.	**83.7**	82.7	82.5	4.8	2.8	1.9	5.0	1.8	1.9	2.9	2.8	30	53	54	SE 1	E 1	SW 5	0	00	0	–	–	7 a Umgebung sehr rein, p Horiz.≡
7.	83.4	82.0	81.2	3.1	3.4	1.4	3.8	0.5	2.7	3.9	3.4	47	66	67	SW 1	E 5	SE 4	4^2	00	0	–	–	7 a Umgebung rein, p ∞, Horiz.≡, ≡
8.	79.3	78.5	78.6	− 7.1	− 6.0	1.2	1.5	− 7.4	2.6	2.9	2.5	100	100	5^1	E 1	E 1	E 3	0=	10^2=	0	–	–	V, 7 a ≡¹, 2 p ≡¹, 9 p Nebelmeer, ≡
9.	79.2	78.8	77.5	1.0	1.8	− 6.9	2.4	− 6.9	1.6	**1.3**	2.7	33	26	100	SW 1	SW 1	NE 4	0	0	10^2=	–	–	7 a Berge sehr rein, 2 p Berge rein, ≡, 9 p ≡¹
10.	76.0	75.0	74.7	− 7.6	− 7.0	− 6.8	− 6.7	− 7.9	2.5	2.6	2.7	100	100	100	NE 1	NE 1	SW 1	10^1=	10^1=	10^2=	–	–	t V ≡²
11.	74.1	73.3	71.0	− 7.0	− 6.8	− 7.1	− 6.6	− 7.6	2.7	2.7	2.6	100	100	100	NW 1	NW 1	NE 5	10^2=*	10^2=*	10^2=*	9.6	25	t ≡² ✳, 9 p ✢
12.	67.0	69.5	71.5	− 0.5	− 0.4	− 1.8	0.4	− 7.1	4.4	4.5	3.9	100	100	98	NW 6	W 8	W 7	10^2=*	10^2=*	10^2	**18.3**	35	t meist ≡² ✢, 7 a Schneewehen, abds. ∞
13.	72.9	73.0	74.8	− 2.9	− 2.7	− 2.6	− 1.8	− 3.5	3.0	3.7	3.7	81	98	98	W 1	W 1	W 1	6^2	10^2=*	10^2=*	5.5	40	7 a Umgebung sehr rein, p ✳ ≡²
14.	74.6	73.5	72.1	− 3.4	− 4.7	− 4.8	− 2.5	− 6.3	2.7	3.2	2.8	78	100	88	NW 1	E 1	E 4	10^1	0=	0=	5.2	**45**	7 a Umgebung sehr rein, p ≡¹, aufsteigende ≡
15.	70.9	71.6	71.6	− 1.6	0.6	0.7	0.9	− 4.9	2.2	2.6	2.6	54	54	54	SE 1	W 1	W 1	10^1	10^1	0=	–	40	7 a ≡, Berge rein, p Umgebung ∞, 9 p ≡¹
16.	71.8	72.2	72.5	− 0.5	0.0	0.2	1.5	− 1.6	3.2	4.3	3.6	71	94	78	SE 2	SW 6	E 3	8^2	10^2=*	2^1	–	40	7 a ∞ ≡, ca 1 p ab ≡¹ ✢
17.	71.6	71.4	70.7	− 0.3	1.8	1.5	2.0	− 0.3	3.6	3.6	3.8	81	69	74	SW 1	SW 1	W 4	10^1	8^1	4^2	1.2	35	t Umgebung rein
18.	70.0	71.4	72.9	1.3	0.7	0.0	2.8	− 0.1	3.9	4.3	4.3	78	89	94	SW 4	SW 3	W 8	10^1	10^1*	10^2*	–	30	7 a, 2 p Umgebung rein, m ab ✳⁰
19.	75.9	76.2	74.3	− 1.0	0.3	− 1.5	0.4	− 1.5	4.3	4.2	3.6	100	89	88	SW 5	SW 3	SE 4	10^2=	$5^1\odot$	0=	2.7	32	n ✢. 7 a ≡², 2 p Umgebung rein, 9 p ≡ ⊽
20.	70.9	70.6	69.4	1.4	− 0.7	− 1.1	2.7	− 1.7	1.5	3.6	3.7	31	83	86	W 1	W 1	E 3	10^1	10^2=*	1^1	–	30	7 a Umgebung rein, 2 p ≡¹ ✳, 9 p Umg. sehr rein
21.	64.1	65.0	65.6	3.0	2.7	− 0.7	3.1	− 1.1	1.7	3.1	4.3	29	55	98	SE 1	SW 5	W 8	10^1	$1^2\odot$	10^2=*	0.2	25	t Umgebung sehr rein, 9 p ≡² ⩩, beginnendes ✢
22.	69.9	73.3	76.9	− 1.6	− 2.3	− 3.4	0.0	− 3.4	4.1	3.9	3.5	100	100	98	W 4	W 6	SW 8	10^1=	10^2	10^2=*	5.7	25	n, t ✢ u. Schneewehen. 9 p ⩩ ≡¹
23.	76.1	73.2	74.2	− 2.2	− 0.5	1.9	1.9	− 3.9	2.2	4.4	5.3	57	100	100	W 1	SW 7	SW 9	10^1	10^2=*	10^2	11.3	25	7 a Umgebung ∞, 2 p ≡² ✢, ca 7 p ab ●, ⩩
24.	75.8	76.1	74.2	0.8	1.6	0.0	2.1	0.0	4.8	4.6	4.6	100	89	100	W 8	W 1	SW 1	10^1	10^2	10^2	10.0	15	t ∞
25.	74.3	73.6	74.2	− 0.3	6.1	3.7	6.1	− 1.3	3.8	2.2	4.2	85	31	70	W 4	SW 3	W 9	0	$6^2\odot$	7^2	–	15	t Umgebung sehr rein, 4^{34} p ab ◍⁰, 9 p ∞ ⩩
26.	76.7	78.9	81.8	2.0	− 1.2	− 3.2	3.7	− 3.4	5.3	4.2	3.5	100	100	98	SW 1	NW 1	NE 1	10^2=	10^2=*	10^2	4.8	5	n ◍, 7 a, 2 p ≡², p ✳, 9 p ∞
27.	80.4	78.0	76.8	− 4.6	− 2.0	− 0.9	− 0.9	− 4.9	3.2	3.4	3.1	100	86	71	SE 1	SE 3	C 0	0	00	0	10.3	10	V, 7 a ≡, 9 p Horiz.≡
28.	76.0	75.6	76.3	− 1.6	1.2	− 4.0	1.2	− 4.0	3.5	4.1	3.4	86	82	100	C	C	NE 6	10^2	10^1	10^2=	–	10	t ∞, 9 p ≡¹ V
29.	76.8	76.1	74.9	− 7.0	− 6.9	− 8.4	− 4.0	− 8.4	2.7	2.7	2.4	100	100	100	NE 1	NE 4	NE 5	10^2=	10^2=*	10^2=	–	10	t V ≡², p ✳
30.	73.3	73.7	74.4	-10.9	− 7.0	− 1.1	− 1.1	-11.2	1.9	2.6	4.2	100	97	100	NE 3	NE 1	SW 2	10^2=	10^2=	10^2=	3.4	15	t V ≡²
31	70.3	67.0	74.9	1.8	2.7	− 1.8	4.7	− 1.8	3.6	**5.6**	4.9	69	100	100	NW 1	SW 5	SW 7	10^1	10^2=●	10^2=*	–	15	7 a Umgebung rein, föhnig, a ●, 2 p ≡¹ ◍, [2]
Mittel	75.3	75.1	75.4	− 0.9	0.0	− 0.8	1.7	− 3.1	3.0	3.5	3.4	73	79	81				6.7	6.2	5.3	88.2		

[1] Nebelmeer. [2] 9 p ≡¹ ✢

Alle Angaben nach Ortszeit.

Zugspitze.

Januar. $\varphi = 47^0\ 25'$ N. $\lambda = 10^0\ 59'$ E $= 43^m\ 56^s$. H $= 2964$ m. Cg $= -0{,}2$ mm. 1913.

Datum	Luftdruck auf 0^0 u. Normalschwere reduziert 500 mm + 7a	2p	9p	Lufttemperatur C° 7a	2p	9p	Max.	Min.	Absolute Feuchtigkeit mm 7a	2p	9p	Relative Feuchtigkeit Proz. 7a	2p	9p	Richtung und Stärke des Windes 0 bis 12 7a	2p	9p	Bewölkung 0 bis 10 7a	2p	9p	Niederschlag mm 7a	Schneedecke cm 7a
1.	32.7	32.6	31.7	- 7.2	- 6.7	- 6.1	0.6	- 7.7	1.2	1.8	1.8	48	67	64	NW 5	NW 5	NW 2	2^0	4^0⊙	0	–	Schneedecke während des ganzen Monats, Angabe der Höhe unmöglich
2.	29.7	28.4	27.8	- 4.0	- 5.2	- 7.8	- 3.5	- 8.0	2.4	2.1	1.8	72	71	76	S 3	W 2	N 2	7^1	6^0⊙	0	–	
3.	27.6	28.3	29.6	- 8.6	- 7.4	- 8.0	- 7.2	- 8.6	2.3	1.9	1.9	100	75	80	NW 2	NE 1	E 1	3^0	2^0⊙	0	–	
4.	30.7	31.5	31.7	- 7.8	- 6.3	- 7.1	- 6.3	- 8.3	1.8	2.0	1.6	73	74	64	N 1	SE 3	SE 3	1^0	2^0⊙	0	–	
5.	31.8	32.5	33.7	- 6.4	- 4.6	- 6.6	- 4.6	- 7.1	2.0	2.0	1.9	72	64	69	S 2	SW 5	SW 5	1^0	1^0⊙	0	–	
6.	33.5	32.7	32.6	- 7.4	- 6.2	- 9.0	- 5.3	- 9.0	1.8	1.6	2.0	68	55	92	SE 3	SW 6	NW 4	2^0	3^0⊙	0	–	
7.	32.2	31.8	31.5	- 8.6	- 8.7	- 7.3	- 7.3	- 9.1	2.3	2.2	1.4	99	100	56	N 1	SE 3	SE 3	5^0	3^0⊙	0	–	
8.	30.3	29.4	29.6	- 7.0	- 5.9	- 6.2	- 4.9	- 7.8	1.1	1.1	1.3	42	39	45	SE 1	SW 3	SW 1	1^0	1^0⊙	0	–	
9.	29.2	28.6	26.9	- 9.4	- 9.2	-10.6	- 6.2	-11.9	0.8	1.2	0.9	40	54	45	SW 1	N 1	NW 3	3^1	2^0⊙	0	–	
10.	24.2	23.3	22.5	-12.8	-12.1	-12.1	-10.3	-13.1	1.3	1.7	1.7	86	100	100	NW 3	NW 3	NW 5	3^1	10^2=	10^2=	–	
11.	21.2	21.0	21.0	-11.9	-11.0	-10.2	-10.6	-12.8	1.7	1.8	1.8	100	100	100	NW 6	NW 7	NW 3	10^2=	10^2=	10^2=	5.2	
12.	18.4	18.6	19.9	- 8.2	-13.0	-15.2	- 8.1	-15.4	2.1	1.5	1.3	100	100	100	NW 8	NW 9	NW 4	10^2=	10^2=	10^2=*	7.6	
13.	20.2	20.5	22.3	-17.4	-14.9	-15.4	-14.9	-17.5	1.0	1.3	1.2	100	100	100	N 2	N 3	NW 3	6^1	10^2=*	10^1	4.3	
14.	22.6	22.7	22.8	-16.2	-11.4	- 9.6	- 8.5	-17.5	1.2	1.6	1.8	100	92	87	NW 2	SW 3	S 5	10^1	4^0⊙	7^1	5.6	
15.	22.1	22.5	22.6	- 9.8	- 9.2	- 8.3	- 7.8	-10.5	1.9	2.1	2.2	95	100	95	SW 7	W 3	SW 6	9^1	8^1	3^0	–	
16.	22.3	22.2	22.5	-11.2	-10.8	-13.9	- 8.3	-13.9	1.8	1.8	0.9	100	100	67	S 4	NW 3	W 3	8^0	10^2=*	0	–	
17.	22.2	21.9	21.8	-11.1	-11.0	-10.8	-10.1	-13.9	1.8	1.8	1.8	98	100	100	SW 5	SW 8	W 6	10^1	5^1⊙	10^2=*	3.4	
18.	20.7	21.1	22.2	-11.4	-12.1	-13.0	-10.3	-13.0	1.8	1.7	1.5	100	100	100	W 5	NW 3	NW 7	10^2=*	10^2=*	1^0	4.6	
19.	23.8	24.4	23.8	-14.0	-14.2	-14.2	-13.0	-15.3	1.4	1.4	1.2	100	100	86	NW 5	W 5	W 5	10^2=	2^0⊙	3^0	9.1	
20.	21.1	20.4	19.4	-10.5	- 9.2	-13.8	- 8.6	-14.3	1.7	2.1	1.4	90	100	100	SW 8	SW 4	SW 2	10^1	10^2=*	10^2=*	–	
21.	16.6	16.7	16.9	-10.4	-12.8	-13.2	-10.4	-13.8	1.7	1.5	1.5	88	100	100	SE 8	W 5	W 8	10^1	7^1	10^2=	3.1	
22.	19.2	20.3	23.3	-14.2	-14.7	-17.2	-13.0	-17.2	1.4	1.3	1.1	100	100	100	NW 8	NW 9	NW 9	10^2=	10^2=	10^2=	0.8	
23.	23.1	22.8	24.5	-17.2	-10.2	- 8.0	- 7.7	-17.9	1.1	2.0	2.4	100	100	100	N 8	NW 8	NW 11	10^1	10^2=	2^0	0.5	
24.	26.2	26.5	26.3	- 9.6	- 8.8	- 7.2	- 7.0	- 9.6	2.1	1.2	1.5	100	55	58	NW 5	NW 7	NW 5	10^1	2^0⊙	10^2=*	15.1	
25.	26.0	25.3	26.0	- 8.4	- 8.6	- 7.4	- 6.6	- 9.2	1.4	1.5	2.5	60	64	100	NW 5	NW 6	NW 6	2^0	6^0⊙	10^2=*	–	
26.	26.5	26.8	27.6	- 8.7	-10.4	-12.4	- 7.3	-12.4	2.2	1.9	1.6	100	100	100	NW 7	NW 3	NW 6	10^2=	10^2=*	10^2=*	5.1	
27.	28.1	27.7	26.9	-15.2	-11.5	- 9.6	- 9.6	-15.4	1.3	1.6	1.6	95	90	75	N 1	NW 2	NW 7	0	6^0⊙	0	5.8	
28.	25.6	25.3	25.4	-10.0	- 9.4	-10.2	- 9.3	-10.9	1.9	2.1	2.0	95	100	100	W 5	NW 4	NW 5	9^0	10^2=	10^2=	–	
29.	25.4	25.0	24.5	-10.9	- 8.6	- 9.0	- 8.6	-11.2	1.8	2.3	2.2	100	100	100	N 5	NW 3	NW 3	10^2=	10^2=	10^1=	6.2	
30.	23.1	23.8	25.0	- 9.6	- 8.4	- 9.1	- 8.2	-10.0	2.1	2.3	2.1	100	100	100	N 2	NW 3	NW 2	8^1	10^2=	10^2=	0.5	
31.	22.7	20.0	23.0	- 7.5	- 6.0	-14.4	- 4.9	-14.4	2.4	2.8	1.3	95	100	100	SW 7	NW 6	NW 5	10^1	10^2=*	10^2=	–	
Mittel	25.1	25.0	25.4	-10.4	- 9.6	-10.4	- 8.0	-12.2	1.7	1.8	1.7	88	87	86				6.8	6.6	5.4	76.9	

1. a über Flachland leichte Nebeldecke, t über Flachland ∞², abds. Fernsicht ringsum frei u. rein
2. a über Flachland Nebeldecke, t stark wechselnde Bewölkung, ab ca 5^{30} p über Flachland Nebeldecke
3. a über Flachland Nebeldecke, t ∞¹, ab 4^{30} p über Flachland und teilweise Alpenvorland Nebeldecke, ca 8 p st. Abflauen des Windes, ztw. C
4. a, t und abds. über Alpenvorland und Flachland Nebeldecke, m Nebeldecke über Alpenvorland k. Z. teilweise in Auflösung
5. a über südöstl. Teil der Zentralalpen cu-meer in ca 2200 m, über Alpenvorland und Flachland Nebeldecke, ca 11 a Nebeldecke über Flachland und Alpenvorland in Auflösung, [1])
6. a ∞², über Flachland leichte Nebeldecke, p über Flachland ∞¹, ca 4 p Wind dreht nach NW, abds. über Flachland Nebeldecke
7. a über Alpenvorland und Flachland cu-meer in ca 2500 m, in Tälern cu und Nebelfahnen, p ∞², ab 4^{30} p Nebeldecke über Flachland
8. a üb. Flachland u. Alpenvorland Nebeldecke, ca 1 p Nebeldecke dringt bis zum Gipfelmassiv vor, abds Auflösung des Nebels in Tälern
9. a üb. Flachland u. teilw. üb. Alpenvorland Nebeldecke, ca 10 a Nebeldecke üb. Alpenvorld. in Auflösung, 1^{30} p Wind dreht nach NW u. N, ab 5 p wieder gleichmäss. Nebeldecke üb. [2])
10. a über Flachland und Alpenvorland cu-Decke, Inntal ≡⁰, 8^{31}–9^{15} a ztw. fr-cu (NW r) über Gipfel, 0^{05-45} p fr-cu und fr-str. (NW r) über Gipfel, ab 0^{45} p ≡², leichter ⋁, abds. [✳treiben, 5 cm ⋁
11. n ✳⁰, a 10 cm ⋁, t ≡², ✳treiben, 8^{35} a–m ✳¹, p ztw. ✳⁰, 9 p 5 cm Neuschnee
12. ab 10^{35} p ✳¹, mn 10 cm Neuschnee, a 10 cm ⋁, ≡² ✳treiben, ztw. ✳$^{0.1}$, p ztw. NW 9–10, 4^{10}–ca 7 p ztw. Zerreissen d. Nebelschicht i. SW u. W, ca 8–9 p schwaches negativ. [3])
13. 9–10 p schwaches negativ. Elmsfeuer, a 30 cm ⋁, Ferns. zieml. klar, längs d. Zentralkette cu-str, ab 10 a ≡$^{0.1}$ u. d. G, 11 a k. Z. W 5, ✳$^{0.1}$, dann N 5, p ✳$^{0.1}$, 9 p 5 cm Neuschnee
14. a ≡⁰, 40 cm ⋁, 10 cm Neuschnee, ca 9 a Wind dreht auf SW, rasch. Aufklar., p üb. Flachld. cu-Decke, üb. Alpenvorld. vereinzelte cu, 4^{05} p wieder vollständ. bedeckt (a-str u. str [4])
15. ab 10 p wieder teilw. Aufklaren, Wind dreht ztw. auf W, a über Alpenvorland Nebeldecke, über Flachland teilw. cu, ca 10 a–1 p ≡$^{0.1}$ u. d. G., W 5, p längs der Zentralkette von [5])
16. a über südöstl. Teil der Zentralkette Föhnmauer, über Alpenvorland teilw. Nebeldecke, ab 9^{40} a ≡⁰ ✳⁰, ab 10^{05} a ≡² ✳¹, ca 11^{30} a ⊙ k. Zeit durchscheinend, 2^{05}–ca 4 p ✳^{2} [6])
17. 7 a Fernsicht ringsum frei, 7^{45}–8^{25} a ≡$^{0.1}$, ab 8^{25} a allmähliches Aufklaren, p rasch wechselnde Bewölkung, ztw. starkes ✳treiben, ab 4^{00} p ≡², 4^{30}–ca 5 p ✳⁰, ab 7^{35} p ≡treiben
18. n ✳$^{0.1}$, a 5 cm Neuschnee, 3 cm ⋁, ≡² ✳⁰, t ≡², 5^{15} a k. Z. △¹, ab 10^{55} a–n ✳$^{0.1}$, 9 p 5 cm Neuschnee [teilw. Aufklaren
19. n ✳$^{0.1}$, a 10 cm ⋁, ≡² ✳treiben, ca. 9 a k. Z. ✳⁰, ab 10^{15} a ≡treiben, 0^{55} p vollständiges Aufklar., ca 5–7 p wieder bedeckt gleichmässige a-str-Schicht, str-cu NWr, . dann wieder
20. ab 10 p langsame Bewölkungszunahme, ci-Gewölk vorherrschend, Wind dreht auf NW, 11 p Halo von 46^0 ohne Berührungsbögen, mn SW 7, 7 a längs d. südl. u. südwestl. Kammes [7])
21. 7 a Fernsicht ringsum frei, ab 8^{50} a ≡$^{0.1}$, 9^{35} a k. Z. ✳⁰, 1^{00} p Aufklaren, a-cu, str-cu vorherrschend, p ziemlich stark bewölkt, längs des westl. Teiles der Zentralkette Föhnmauer,
22. a ≡², ✳treiben, 3 cm ⋁, t ≡², ztw. ✳⁰, ✳treiben, ca 1^{30}–5 p starke elektrische Ausstrahlung, abds. 10 cm ⋁ [ab 6^{05} p ≡² ztw. ✳⁰
23. a ≡⁰, sehr schöne farbige Corona u. d. Mond, üb. Alpenvorland u. Flachland str-cu-Decke in ca 2000 m, ab 8^{25} a ≡², ztw. ✳⁰, p starker ⋁ u. ∽ Niederschlag, 4–7 p NW 11–12 [8])
24. 11^{15} p schwaches negatives Elmsfeuer, 7 a 30 cm ⋁, ≡treiben, Mondhalo von 22^0 Halbmesser (rot u. gelbe Zone ziemlich gut sichtbar), ab 8^{35} a Aufklaren, t über Alpenvorland u. [9])
25. a über Alpenvorland cu-Decke, p über Alpenvorland einzelne cu-str ∞¹, ca 3^{45} p st. Bewölkungszunahme, str-cu Wr, 5 p vollständig bedeckt, ab 5^{25} p ≡², ab 6^{35} p ✳⁰
26. n ✳⁰, a ≡², 20 cm ⋁ ✳⁰, ✳treiben, t ≡², 9^{15} a–2^{15} p ✳¹, ab 5 p ztw. ✳⁰, 9 p 40 cm ⋁
27. a 5 cm Neuschnee, 40 cm ⋁, über Inntal cu-meer in ca 2000 m, in Tälern vereinzelte cu u. Nebelfahnen, über Alpenvorland l. Nebeldecke, m cu-meer über Inntal in Auflösung [10])
28. a über Alpenvorland und Flachland cu-meer, über westl. Teil der Zentralkette Föhnmauer, ab 7^{55} a ≡², ca 1–4 p ⊙ ztw. durchscheinend, 9 p 5 cm ⋁
29. n ztw. ✳⁰, a 30 cm ⋁, ≡², t ≡², 11^{15} a k. Z. ✳⁰, p ztw. ✳⁰, 8^{35} p teilw. Zerreissen der Nebelschicht, Talblick ztw. frei, 9 p ≡¹
30. a ≡⁰, in Tälern über Alpenvorland und Flachland Nebeldecke, t ≡$^{1-2}$, ca 11 a und 3 p k. Z. ⊙, ab 5 p ≡²
31. a über westl. Teil der Zentralkette Föhnmauer, über Flachland ∞¹, ab ca 10 a ≡$^{0.1}$, ab m ≡², ztw. ✳⁰, p ∽, 5^{55}–9 p sehr stark ausgebildetes negatives Elmsfeuer

[1]) p über östl. u. südöstl. Teil der Zentralkette Föhnmauer, abds. über Flachland Nebeldecke.
[2]) Alpenvorland und Flachland, abds. Zodiakallicht.
[3]) Elmsfeuer, 9 p 15 cm ⋁, 5 cm Neuschnee.
[4]) über Alpenvorland und Flachland gleichmässige Nebeldecke.
[5]) E bis SW Föhnmauer, ab 3^{00} p Wind dreht auf S u. SW zurück, abds. nur über westl. Teil der Zentralkette Föhnmauer.
[6]) 4–5 p ✳$^{0.1}$, 5 p 10 cm Neuschnee, ztw. Zerreissen der Nebelschicht, ab 6^{05} p Aufklaren, abds. über Inntal Nebeldecke.
[7]) d. Zentralk. Föhnmauer, ab 8^{10} a ≡$^{0.1}$, ab 1^{10}–4^{40} p ≡² ✳$^{0.1}$, ab 4^{40} p ≡⁰, Talblick tlw. fr., 5 p 5 cm Neuschnee, ab 6 p Aufkl.
[8]) ztw. Windstösse bis 42 m/sec. 9 p 30 cm ⋁
[9]) Flachland teilw. cu-Decke, abds. k. Z. ringsum cu-meer in ca 1500 m, 9 p über Alpenvorland und Inntal Nebeldecke.
[10]) 2^{35}–ca 5 p starke Bewölkungszunahme a-cu, str-cu NWr, abds. starkes ✳treiben

Alle Angaben nach Ortszeit.

Kahl a/M.

Februar. $\varphi = 50^0\ 4'$ N. $\lambda = 9^0\ 1'$ E $= 36^m\ 4^s$. H = 114.1 m. Cg = + 0.3 mm. 1913.

Datum	Luftdruck auf 0° u. Normalschwere reduziert 700 mm +			Lufttemperatur C°					Absolute Feuchtigkeit mm			Relative Feuchtigkeit Proz.			Richtung und Stärke des Windes 0 bis 12			Bewölkung 0 bis 10			Niederschlag mm	Schneedecke cm	Bemerkungen
	7^a	2^p	9^p	7^a	2^p	9^p	Max.	Min.	7^a	2^p	9^p	7^a	2^p	9^p	7^a	2^p	9^p	7^a	2^p	9^p	7^a	7^a	
1.	52.1	51.1	45.7	1.4	4.5	4.3	5.6	0.8	4.6	5.5	5.4	91	87	87	C	SE 2	NE 2	1^0	10^2	10^2	**13.2**	–	a
2.	**10.7**	50.4	51.9	7.1	6.2	4.0	9.6	3.5	5.9	4.2	4.2	78	59	69	SW 6	SW 6	SW 4	8^2	3^1	9^0	6.0	–	n
3.	52.2	55.3	57.6	5.8	8.8	8.8	10.2	2.9	6.2	6.7	6.7	90	80	80	SW 4	SW 4	SW 4	8^1	10^0	10^1	2.6	–	n, a
4.	60.2	61.7	62.1	8.6	8.7	7.7	10.3	7.5	6.6	6.7	6.1	79	80	77	SW 4	SW 2	SW 2	10^1	10^1	10^1	0.4	–	
5.	60.2	56.9	54.4	6.0	9.2	4.8	9.9	4.3	6.0	5.4	5.3	87	62	82	C	SE 2	SE 2	10^0	1^1	0	–	–	
6.	54.8	55.5	57.1	2.5	9.4	7.2	10.1	1.9	5.1	6.6	6.8	93	75	90	S 2	SW 2	E 2	8^0	10^1	10^1	–	–	
7.	59.7	60.1	59.6	5.0	10.9	6.0	**11.8**	4.0	6.1	6.5	5.9	94	67	85	C	SW 4	C	5^1	1^0	10^1	–	–	
8.	57.1	60.0	66.4	6.2	8.8	2.7	9.4	2.4	5.9	6.5	5.3	84	77	94	SW 2	W 2	C	10^1	9^0	0	0.1	–	n, $a-10^{11}$ a
9.	**67.8**	66.6	66.9	1.5	7.2	5.3	8.2	2.7	3.9	5.4	5.1	96	72	76	C	SW 2	SW 2	1^0	10^1		5.3	–	a
10.	66.8	65.3	65.2	4.2	9.8	5.8	10.7	3.5	5.8	5.6	6.7	93	62	**97**	C	SW 2	C	10^0	4^0	10^1	–	–	
11.	65.6	65.8	67.1	4.9	9.0	6.8	10.0	3.3	6.2	**6.9**	5.5	**97**	80	74	S 2	SW 2	C	10^1	10^1	10^1	–	–	a
12.	67.6	66.8	66.9	1.9	6.9	0.2	8.9	3.0	3.8	4.5	4.4	96	60	94	C	C	C	0	1^0	0	–	–	a
13.	65.7	64.2	62.6	0.5	7.3	4.5	8.0	3.1	4.2	5.3	6.1	94	69	**97**	S 2	C	SW 2	10^1	10^1	10^1	–	–	
14.	60.3	59.9	61.4	3.9	7.4	0.1	8.2	0.3	5.7	5.4	3.5	93	70	76	NW 2	NE 4	C	10^1	6^1	0	–	–	
15.	61.5	59.9	59.6	2.4	2.9	2.6	4.1	4.3	3.1	2.5	2.8	81	44	74	SE 2	E 2	E 2	0	00	0	–	–	a
16.	58.3	57.6	56.8	4.4	3.6	1.3	4.7	5.1	2.7	2.7	3.3	81	44	80	C	NE 4	C	0	8^0	0	–	–	a
17.	54.4	53.5	54.9	0.5	1.2	0.9	2.1	2.0	4.0	3.6	2.6	90	72	59	C	E 4	NE 4	10^1	8^1	0	–	–	$8^{16}-10^{26}$ a, 3^{41} p an ztw.
18.	55.9	55.5	56.4	5.4	0.7	2.4	1.5	6.0	1.8	2.1	1.9	61	44	50	NE 2	E 4	E 2	0	00	0	1.2	–	
19.	55.8	53.8	53.9	5.7	2.6	1.4	3.5	6.3	1.6	2.0	2.3	53	36	55	E 4	E 6	E 4	0	00	0	–	–	
20.	54.0	52.8	53.1	7.3	2.6	4.4	3.7	7.9	1.7	2.0	2.1	64	37	65	E 2	E 2	E 2	0	00	0	–	–	a
21.	54.3	55.6	58.7	8.2	3.5	1.9	5.3	9.0	2.1	2.9	3.3	88	49	84	E 2	NE 2	C	0	00	0	–	–	a
22.	62.1	62.1	63.1	5.9	2.8	3.1	4.2	7.4	2.7	2.6	2.2	93	46	61	C	NE 2	C	1^0	00	0	–	–	a
23.	63.7	62.8	62.1	8.9	4.2	2.9	5.2	9.2	2.1	2.8	2.8	91	46	76	C	E 2	E 2	0	00	0	–	–	
24.	59.3	57.0	56.3	8.4	5.6	3.0	6.9	9.4	2.2	2.6	2.9	94	38	78	C	S 2	C	0	2^0	0	–	–	a
25.	56.3	55.2	54.0	9.5	7.0	3.1	9.0	10.2	2.0	3.7	3.3	94	49	91	C	SW 2	C	0	00	0	–	–	a
26.	53.7	50.5	49.9	7.9	8.5	2.0	10.0	8.3	2.3	3.5	3.1	94	43	80	C	S 2	C	0	00	0	–	–	
27.	47.0	46.6	46.5	0.5	5.9	3.1	7.0	3.1	3.6	5.9	5.5	81	86	96	C	SW 2	C	3^0	10^1	10^1	–	–	0^{56} p an
28.	48.9	51.9	56.0	2.5	4.7	0.5	6.0	0.1	5.3	5.1	4.4	96	79	92	C	NW 4	C	10^1	10^1	10^1	1.8	–	a
																					30.6		
Mittel	57.7	57.7	58.1	0.7	6.1	1.5	7.3	2.3	4.0	4.5	4.3	87	61	79				4.4	4.4	4.3			

Bayreuth.

Februar. $\varphi = 49^0\ 57'$ N. $\lambda = 11^0\ 34'$ E $= 46^m\ 16^s$. H = 363.3 m. Cg = + 0.3 mm. 1913.

1.	30.1	32.3	26.9	0.2	3.9	1.6	4.0	0.8	4.3	4.7	4.7	92	78	91	SE 2	W 2	E 4	8^1	10^1	0	**8.6**	4	n
2.	**17.3**	26.5	30.1	5.5	2.0	1.6	6.0	0.2	6.0	4.4	3.7	90	85	74	SW 6	W 8	W 6	10^2●	6^1	0	6.2	–	n, $0^{0.1}$, t, 0^0, △, $0^{0.2}$
3.	28.1	31.7	34.8	2.5	5.3	5.9	6.0	0.2	5.1	6.1	**6.4**	93	92	94	W 8	W 6	W 6	10^2●	10^2●	10^2●	4.7	–	n, 0^0, t, 0^0
4.	37.5	38.8	39.8	6.3	7.0	5.7	7.3	5.2	6.0	5.9	5.6	85	79	83	W 4	W 6	W 4	10^2	10^2	10^2	1.6	–	n
5.	38.9	35.8	33.4	3.4	6.5	1.5	6.6	1.2	5.2	4.9	4.5	91	68	88	E 2	S 2	E 2	10^2	10^1	0	–	–	
6.	32.6	33.6	35.4	0.5	7.0	4.3	8.0	0.4	4.2	5.9	5.6	89	79	91	SW 2	NW 2	E 2	10^1	8^0	10^2	–	–	a
7.	37.5	38.9	39.0	3.5	8.9	2.8	**9.7**	2.1	5.3	5.4	4.9	91	63	89	C	SW 4	E 2	10^1	5^1	0	–	–	
8.	36.4	37.5	42.7	0.5	3.7	3.2	4.0	0.3	4.3	5.6	5.5	90	93	**95**	E 2	SW 2	W 2	3^1	10^2●	0	–	–	a, 11^{16} a–2^{16} p
9.	**45.7**	45.3	44.7	1.0	4.7	2.1	6.0	0.8	4.7	5.2	4.9	94	82	91	W 2	NW 2	W 2	10^1	4^0	10^0	2.4	–	a
10.	44.7	43.7	43.1	1.3	6.2	3.7	6.8	0.2	4.4	5.6	5.6	88	80	93	E 2	E 2	W 2	10^1=	4^0	10^0	–	–	a
11.	42.8	44.0	45.5	3.1	7.5	2.7	7.6	2.2	5.5	6.1	5.0	96	80	90	W 2	N 2	E 2	10^2=	9^1	3^0	0.6	–	n, a
12.	45.1	44.2	44.3	1.5	5.1	3.5	6.2	2.8	3.9	4.0	3.5	94	62	59	NW 2	NW 2	NW 2	3^1	5^0	10^1	–	–	a
13.	42.6	40.4	38.9	1.3	4.5	4.6	5.3	0.6	4.3	5.5	5.6	86	88	90	W 2	W 2	NW 2	10^1	10^2	10^2	–	–	
14.	36.6	37.9	39.0	2.3	0.7	1.5	4.6	1.8	4.5	3.0	2.6	83	61	64	N 2	N 4	E 2	5^1	7^1	3^1	–	–	
15.	39.1	37.6	37.0	4.7	0.6	1.6	3.0	5.7	2.3	1.7	2.8	72	35	68	E 2	E 2	SE 2	0	1^0	3^1	–	–	a
16.	35.2	34.2	33.0	1.7	0.7	1.4	0.8	2.9	3.1	3.0	2.9	76	61	70	C	NW 4	N 2	10^0=	10^1	9^1	–	–	a
17.	31.3	31.4	32.6	1.9	0.3	2.9	0.7	3.1	3.2	2.6	2.3	80	60	64	E 2	E 6	E 4	10^2*	7^1	0	–	–	$6^{46}-8^{26}$ a
18.	33.9	33.5	33.3	7.7	1.3	3.9	1.0	8.4	1.6	1.8	1.7	63	44	49	E 4	E 6	E 4	0	00	0	0.2	–	
19.	33.3	31.5	31.8	6.3	0.7	3.1	1.3	7.1	**1.4**	1.7	2.0	48	35	55	E 4	E 6	E 4	0	00	0	–	–	
20.	31.3	30.1	30.6	9.8	2.1	4.1	2.5	10.3	1.6	1.6	2.0	74	30	59	NW 2	SE 4	E 2	0	00	0	–	–	a
21.	31.4	32.2	35.8	10.5	2.4	1.1	2.8	**11.3**	1.8	2.1	3.4	90	38	80	C	NE 4	N 4	0	00	10^0	–	–	a
22.	38.6	38.6	39.8	5.4	0.6	4.5	1.2	6.1	2.6	1.9	2.2	85	41	68	N 2	NE 4	NE 2	2^0	00	0	–	–	a
23.	39.8	39.8	40.0	3.7	2.2	3.3	4.4	5.9	2.8	2.3	2.8	80	44	78	C	NE 2	E 2	9^1	00	0	–	–	
24.	37.4	34.6	34.5	8.1	7.5	1.0	8.4	8.6	2.1	2.3	2.8	85	29	65	E 2	E 4	E 2	0	5^0	0	–	–	a
25.	33.7	33.0	32.2	5.9	7.1	1.7	8.1	6.5	2.4	2.9	2.8	82	38	70	NE 2	SE 4	C	0	2^0	0	–	–	a
26.	31.0	28.9	28.1	7.2	6.0	1.6	8.1	8.3	2.2	2.9	3.1	84	42	76	NE 2	C	SE 2	0	00	0	–	–	a
27.	26.3	24.0	23.8	1.7	7.7	3.0	9.5	4.7	3.0	3.7	4.2	74	48	75	SE 2	E 2	W 2	10^1	3^{11}	10^2	–	–	a
28.	25.5	27.2	32.1	2.7	5.2	0.1	5.5	0.1	5.2	5.3	3.4	93	81	74	W 2	W 2	N 4	10^1=	10^2	10^2	0.6	–	n, a
																					24.9		
Mittel	35.1	35.3	35.8	1.5	4.1	0.5	5.1	3.0	3.7	3.9	3.8	84	61	77				6.1	5.2	4.5			

Alle Angaben nach Ortszeit.

Bamberg.

Februar. $\varphi = 49^0\ 53'$ N. $\lambda = 10^0\ 53'$ E $= 43^m\ 32^s$. H $= 287.7$ m. Cg $= +0.3$ mm. 1913.

Datum	Luftdruck auf 0^0 u. Normalschwere reduziert 700 mm +			Lufttemperatur C°					Absolute Feuchtigkeit mm			Relative Feuchtigkeit Proz.			Richtung und Stärke des Windes 0 bis 12			Bewölkung 0 bis 10			Niederschlag mm	Schneedecke cm	Bemerkungen
	7^a	2^p	9^p	7^a	2^p	9^p	Max.	Min.	7^a	2^p	9^p	7^a	2^p	9^p	7^a	2^p	9^p	7^a	2^p	9^p	7^a	7^a	
1.	37.0	36.8	32.6	− 0.9	4.1	3.2	5.0	− 1.4	4.2	4.8	4.9	98	79	85	S 2	SW 3	S 5	4^1	10^1	10^1	**10.1**	–	ca 4^{30} a ⚹⁰
2.	**21.7**	34.1	36.7	6.3	4.0	0.8	7.0	0.8	**6.6**	4.1	3.6	93	67	73	W 6	W 6	S 3	10^2●	3^1⊙	2^1	5.8	–	n u. a ◍$^{0.1}$, m △⁰, p ◍⁰, abds. ⚹⁰
3.	35.7	39.0	42.4	2.6	6.8	5.9	7.4	0.0	5.4	**6.6**	6.5	98	90	94	SW 5	W 3	W 2	10^2●	10^2	10^2●	2.1	–	n u. a ◍$^{0.1}$, p ◍$^{0.1}$
4.	44.6	45.9	46.8	6.9	7.1	5.8	8.4	5.5	6.3	6.4	5.8	84	86	85	W 4	C	C	10^2	10^2	10^2	1.8	–	n ◍
5.	45.3	42.1	39.8	3.7	7.5	2.8	8.1	2.7	5.4	5.1	4.7	90	66	84	SW 2	S 3	SW 5	10^2	7^1⊙	o	0.2	–	
6.	39.6	40.3	42.2	1.4	8.7	6.0	9.7	0.3	4.4	6.4	5.9	87	76	85	SW 2	SW 2	S 1	5^1	9^1⊙	10^1	0.1	–	n ⌴
7.	44.3	45.5	45.3	3.9	10.2	2.7	**11.0**	2.7	5.3	6.1	5.1	87	66	91	**SW** 1	W 3	S 4	10^1	9^1	o	0.1	–	
8.	42.8	44.4	49.8	0.6	4.8	4.2	5.6	0.1	4.6	6.1	5.2	96	96	85	SW 3	SW 1	W 3	3^1	10^2	9^1	0.1	–	n ⌴, a u. p ◍$^{0.1}$
9.	**52.7**	51.9	51.3	− 0.8	6.2	2.3	7.2	− 1.7	4.3	5.7	5.0	100	81	93	SW 1	S 2	SW 2	10^2	4^0	10^2	2.6	–	n ⋁⁰
10.	51.5	50.6	49.7	1.6	8.7	5.1	9.1	1.1	4.9	6.4	6.0	94	76	92	S 1	W 2	S 1	10^2	7^0⊙	10^2●	0.1	–	
11.	49.7	50.5	52.4	3.9	9.9	3.7	10.3	3.3	5.9	6.4	5.2	97	70	87	S 1	N 3	NW 3	10^1	6^1⊙	10^1	0.1	–	n ⏢, ca 8–9 p ◍⁰
12.	52.0	51.2	51.1	− 1.4	6.7	3.6	7.7	− 2.2	4.1	3.2	3.9	100	43	65	C	C	N 1	10^2	2^1⊙	10^2	0.1	–	ca 4^{30} a ≡, n ⌴
13.	49.3	47.2	45.8	2.2	6.9	5.1	7.5	1.8	4.5	5.6	5.9	84	76	90	W 1	W 2	W 3	10^1	10^2	10^2	0.1	–	n ⏢⁰, a ◍⁰
14.	43.6	44.3	45.9	2.9	2.6	− 1.3	6.6	− 1.5	5.3	3.7	2.8	94	67	67	N 2	NE 3	NE 1	6^1	oo	1^1	0.1	–	n ⏢
15.	46.0	44.4	43.6	− 5.3	2.4	− 2.0	3.0	− 5.5	2.3	2.3	2.8	76	43	72	S 1	N 2	C	1^1	6^1⊙	9^1	0.1	–	n ⌴, ca 7^{30} p ∞
16.	42.0	41.1	40.7	− 2.6	2.0	− 0.5	2.9	− 3.2	3.4	2.9	3.5	89	56	79	W 2	NE 3	W 2	10^1	9^1⊙	10^2	0.1	–	
17.	38.2	38.0	39.5	− 1.4	0.3	− 3.0	2.1	− 3.1	3.3	3.0	2.5	80	64	68	NW 1	E 6	E 3	10^2△	10^1	10^0	0.1	–	ca 7^{00-30} a △⁰, a u. p ⚹, ca 7^{30} p ≋
18.	40.4	40.0	41.0	− 6.9	− 0.4	− 4.3	0.0	− 7.1	1.7	2.0	1.8	62	45	54	E 4	E 5	E 1	1^1	1^0⊙	10^0	0.2	–	
19.	40.0	38.0	38.4	− 6.3	2.4	− 3.4	2.7	− 6.3	**1.6**	**1.6**	2.2	56	30	63	E 1	E 4	E 2	1^1	oo	o	0.1	–	
20.	38.3	36.7	37.5	− 8.2	3.5	− 2.8	3.9	− 8.2	1.8	2.0	2.2	73	34	59	NW 2	SE 2	W 2	10	oo	o	–	–	
21.	38.3	39.2	42.7	− 8.6	3.8	− 1.0	6.0	− 8.6	2.1	2.5	3.5	91	41	82	NW 2	W 3	NW 3	o	oo	9^1	0.1	–	n ⌴
22.	45.8	46.1	47.1	− 6.4	1.8	− 3.2	2.6	− 6.6	2.6	2.5	2.3	95	49	65	W 2	N 3	NW 2	2^1	oo	1^1	0.1	–	n ⌴
23.	48.0	47.7	47.0	− 4.6	3.6	− 1.8	4.4	− 5.7	3.1	3.0	2.6	95	51	64	N 2	W 1	NW 1	10^1	oo	o	0.1	–	
24.	44.0	41.6	40.8	− 8.3	7.7	− 2.0	8.4	− 8.3	2.2	1.9	2.6	94	**24**	66	W 2	S 2	C	1^0⊙	9^1⊙	o	–	–	n ⋁
25.	40.7	39.8	38.5	− 9.8	7.6	− 2.1	8.3	− 9.8	2.1	2.6	3.0	100	33	77	S 2	C	NW 1	3^0⊙	1^0⊙	1^0	0.1	–	n ⋁
26.	37.8	35.8	34.6	− 8.7	7.7	− 0.2	8.5	− 9.5	2.2	3.0	2.5	97	38	56	W 1	S 1	C	1^1⊙	oo	2^1	0.1	–	a ∞
27.	33.8	30.5	30.5	− 1.0	8.5	3.7	9.3	− 4.7	3.2	3.5	4.6	74	43	77	SW 1	N 1	S 2	9^1⊙	10^1	10^1	0.1	–	n u. a ztw. ◍⁰, ca 2 p ◍⁰
28.	32.8	34.7	39.3	2.8	4.7	0.9	5.4	− 0.1	5.4	5.5	3.9	96	86	79	W 1	W 3	W 4	10^1	10^2	10^2△	0.3	–	9 p △
																					24.9		
Mittel	42.1	42.1	42.6	− 1.7	5.6	0.9	6.4	− 2.7	3.9	4.1	3.9	89	60	76				6.5	5.5	6.2			

Würzburg.

Februar. $\varphi = 49^0\ 48'$ N. $\lambda = 9^0\ 56'$ E $= 39^m\ 44^s$. H $= 179.3$ m. Cg $= +0.3$ mm. 1913.

1.	46.0	45.7	41.4	1.9	5.0	3.7	5.5	0.9	4.4	4.8	4.8	84	74	80	SW 3	SW 2	C	o	10^2	10^2●	**9.1**	–	4^{10} p ◍
2.	**34.0**	43.9	45.8	7.5	5.8	3.4	8.0	2.4	5.9	3.8	3.7	76	55	63	W 5	NW 5	NW 5	10^2	5^2⊙	o	4.8	–	a ztw. ◍, t ≋
3.	45.3	49.0	52.1	4.0	9.1	8.4	9.8	2.9	5.5	6.2	**6.6**	90	72	81	W 2	W 5	W 2	10^2●	10^2	10^2●	2.0	–	ztw. ◌
4.	54.5	55.7	56.9	8.3	9.2	7.9	9.2	7.9	6.4	5.8	5.7	78	67	72	W 4	W 3	W 2	10^2	10^2	10^2	1.1	–	a ◍Tr.
5.	54.8	51.6	48.9	5.9	8.4	3.3	8.4	3.3	5.8	5.0	5.0	84	61	87	SW 1	S 2	SW 2	10^2	1^1⊙	o	0.1	–	
6.	48.6	49.5	51.4	2.8	10.6	7.1	10.6	0.9	5.0	6.1	6.4	89	64	86	C	SW 3	C	10^2≡	8^2	10^2	–	–	a ≡¹
7.	53.8	54.7	54.5	5.7	10.9	5.4	**10.9**	5.3	5.8	5.4	5.4	85	55	80	SW 2	SW 1	C	10^2	1^1⊙	o	–	–	
8.	51.7	53.6	60.2	3.2	7.9	5.4	8.0	2.6	4.9	6.5	5.8	85	82	80	SE 1	C	C	o≡	7^2⊙	o	–	–	a ≡¹, $7^{40-10^{40}}$ a ◍
9.	**62.4**	61.5	61.8	− 0.5	7.2	4.2	7.2	− 0.5	4.3	4.8	5 2	**98**	64	84	SE 1	SW 2	C	o≡	2^1⊙	o	2.2	–	a ≡¹
10.	61.3	59.8	58.7	4.3	8.6	6.3	8.9	3.3	5.4	5.5	6.3	87	66	88	C	SW 2	C	10^2≡	8^2	o	–	–	a ≡¹, $4^{40-5^{40}}$ p ◍
11.	59.4	60.0	62.1	6.8	10.2	5.1	10.2	5.0	6.3	4.9	5.4	85	53	83	SW 1	SW 2	SW 1	8^2	oo	9^1	0.8	–	$8^{40-10^{40}}$ a ◍
12.	61.9	61.1	61.1	− 0.8	6.2	2.7	7.0	− 1.4	4.2	3.3	4.0	96	46	72	NW 2	SW 2	SW 2	10^2≡	oo	7^2	1.0	–	n ◍, a ≡²
13.	59 7	57.8	56.4	2.5	9.2	7.0	9.2	1.8	4.4	4.0	6.0	79	46	79	W 2	SW 2	NW 3	4^2≡	8^2	10^2	–	–	a ≡¹
14.	53.8	53.5	56.1	4.8	6.9	− 0.2	7.2	− 0.2	5.7	3.8	3.2	89	51	70	NW 3	NE 3	NW 3	10^2	2^2⊙	o	0.7	–	n ◍
15.	55.7	54.2	53.6	− 3.5	1.4	− 2.1	2.0	− 3.5	2.8	2.4	3.2	80	48	81	E 3	E 2	C	o	3^1⊙	o	–	–	n ⌴
16.	52.3	51.1	50.7	− 4.2	3.1	− 0.7	3.1	− 4.2	3.1	2.8	3.3	93	50	77	SW 2	SW 4	N 3	o	5^2⊙	6^2	–	–	n ⌴ ⌬
17.	47.9	47.3	48.6	− 0.7	1.6	− 1.8	1.8	− 1.8	3.6	3.3	2.6	83	64	64	N 3	W 4	N 3	9^2	5^2	o	–	–	a ztw. ⚹⁰
18.	49.5	49.3	50.1	− 5.9	0.2	− 3.3	0.5	− 6.9	1.9	2.0	2.1	67	43	58	E 4	E 5	E 4	o	oo	o	–	–	ztw. ≋
19.	49.6	47.4	47.2	− 6.0	2.8	− 2.6	2.8	− 6.0	**1.8**	2.2	2.3	61	39	60	E 4	E 4	E 4	o	oo	o	–	–	ztw. ≋
20.	47.9	46.4	47.0	− 1.9	2.0	− 2.6	2.3	− 2.6	3.0	2.1	2.6	76	40	68	N 3	E 3	C	o	oo	o	–	–	n ⌴
21.	48.1	49.1	52.6	− 8.1	3.1	− 1.6	4.2	− 8.3	2.2	2.3	3.1	91	41	76	E 3	NE 3	C	o	oo	o	–	–	n ⌴, a ≡¹
22.	56.8	56.1	56.9	− 6.3	1.9	− 2.2	2.1	− 6.7	2.6	2.5	2.4	93	47	61	W 2	C	NW 2	o≡	oo	o	–	–	n ⌴, a ≡¹
23.	57.8	57.3	56.6	− 7.4	3.2	− 3.0	3.2	− 7.9	2.3	2.7	2.5	89	47	70	W 2	E 2	E 2	o	oo	o	–	–	n ⌴, a ≡¹
24.	53.8	51.1	50.3	− 7.8	4.9	− 3.0	5.9	− 8.0	2.3	2.3	2.4	94	**36**	66	E 1	E 2	E 2	o	oo	o	–	–	n ⌴², a ≡ ☋
25.	50.4	48.1	48.4	− 8.5	6.1	− 2.7	6.9	− **9.0**	2.1	3.3	2.9	88	47	77	W 1	C	N 2	o≡	2^1⊖	o	–	–	n ⌴, a ≡¹
26.	47.6	44.9	44.2	− 8.3	6.6	− 2.0	7.5	− 8.6	2.2	3.4	2.7	91	47	70	E 2	C	C	10^0≡	oo	o	–	–	n ⌴, a ≡¹
27.	42.0	40.3	40.1	− 2.3	6.9	3.2	8.9	− 4.1	3.1	4.6	5 0	79	62	87	W 1	W 2	C	9^2≡	10^2	10^2	–	–	a ≡¹, abds. ◍Tr.
28.	44.5	43.6	49.2	3.9	5.3	2.1	5.3	1.6	5.6	5.5	3.8	92	83	71	NW 2	W 1	NW 1	10^2	10^2	10^2	0,5	–	ztw. ◍
29.																							
30.																					22.3		
Mittel	51.8	51.6	52.2	− 0.4	5.9	1.7	6.3	− 1.5	4.0	4.0	4.1	85	55	75				5.0	3.8	3.3			

Alle Angaben nach Ortszeit.

Ludwigshafen a/Rh.

Februar. $\varphi = 49^0\ 29'$ N. $\lambda = 8^0\ 26'$ E $= 33^m\ 44^s$. H = 100.3 m. Cg = +0.3 mm. 1913.

Datum	Luftdruck auf 0^0 u. Normalschwere reduziert 700 mm +			Lufttemperatur C°					Absolute Feuchtigkeit mm			Relative Feuchtigkeit Proz.			Richtung und Stärke des Windes 0 bis 12			Bewölkung 0 bis 10			Niederschlag mm	Bemerkungen
	7^a	2^p	9^p	7^a	2^p	9^p	Max.	Min.	7^a	2^p	9^p	7^a	2^p	9^p	7^a	2^p	9^p	7^a	2^p	9^p	7^a	
1.	53.9	52.3	46.4	2.2	7.6	5.6	7.9	0.4	4.5	5.6	5.9	84	72	86	S 1	C	SW 1	3^0	9^1	10^2●	4.8	ca 5^{30} p–n ◎^{0}
2.	44.8	53.1	54.1	7.3	7.2	4.5	7.7	4.5	5.0	3.5	4.1	66	46	65	SW 5	SW 3	N 1	10^2	○○	10^1	5.6	n ◎^{0}, ztw. ◎^{1}
3.	55.3	58.4	60.8	6.1	10.0	10.0	10.3	4.5	6.1	**6.6**	6.4	87	72	69	SW 1	SW 1	SW 2	10^2	10^2	10^2	0.4	a ◎^{0}
4.	63.5	63.5	64.6	9.4	9.6	8.6	10.0	6.2	6.3	6.1	5.7	71	69	68	SW 2	SW 1	SW 1	10^2	10^1	10^2	–	
5.	61.9	58.4	55.7	7.3	10.2	6.3	10.4	6.0	5.5	5.1	5.2	72	55	74	S 1	SE 1	SW 1	10^2	○○	○	–	
6.	56.2	57.5	59.0	6.0	11.1	8.4	11.6	4.2	5.2	6.1	6.2	75	62	76	S 1	C	SW 1	10^1	10^2	10^1	–	
7.	61.7	62.3	61.7	5.9	12.2	7.0	**12.4**	4.9	5.9	5.7	5.4	86	54	72	S 1	SW 1	SW 1	9^2	○○	○	–	
8.	59.2	62.4	67.9	5.8	8.2	5.2	8.3	4.6	5.3	6.1	5.1	78	75	77	SE 2	W 1	W 2	10^2	5^1	○	–	vorm. ◎^{0}, nachm. ztw. ◎^{0}
9.	**70.1**	69.6	68.9	0.1	6.4	5.2	7.2	– 0.2	4.3	5.9	5.3	94	83	80	S 1	SE 1	SW 1	○	5^1	10^1	**6.6**	n ⌴^{2}
10.	68.4	67.3	67.2	3.5	9.2	6.6	9.2	3.0	5.0	5.3	6.2	85	61	85	S 1	C	SW 1	10^1	3^0○	○	–	
11.	67.7	67.7	68.1	4.2	9.3	5.8	10.0	3.3	5.2	6.0	6.3	85	69	91	SE 1	E 1	N 1	10^2	10^2	○	–	
12.	69.0	68.3	68.3	1.6	8.3	3.6	8.7	1.2	5.0	4.9	3.9	**96**	60	65	NW 2	W 1	N 1	10^1=	○○	○	–	n ⌴^{1}, a ≡^{1}
13.	67.6	66.0	64.2	1.3	8.6	7.8	8.8	0.0	3.8	4.6	5.9	76	55	75	N 2	N 1	NW 1	10^2	5^1○	10^1	–	
14.	61.9	61.2	62.3	3.7	8.3	2.7	8.5	2.7	5.4	4.8	3.5	90	59	62	W 1	N 2	N 1	10^2=	5^1○	○	–	a ≡^{1} u. ≡-Reissen
15.	62.3	61.2	61.0	– 1.1	3.0	– 0.5	3.3	– 1.8	3.2	2.4	2.8	74	42	62	NE 2	NE 1	NE 1	○	○○	○	–	a ⌴^{1}
16.	59.7	58.8	58.3	– 1.7	4.1	– 0.3	4.2	– 2.9	3.1	2.8	3.4	76	46	73	NW 1	W 1	N 1	○	9^1	○	–	
17.	55.9	53.9	55.0	– 0.1	3.1	0.3	3.2	– 0.8	4.0	3.0	2.8	87	53	60	N 1	NE 2	NE 2	10^1	10^2	○	–	ca 7^{15} a ✳-Flocken
18.	55.9	55.6	56.8	– 3.7	1.3	– 0.5	1.8	– 4.0	2.2	2.1	2.3	65	43	53	N 2	NE 2	NE 1	○	○○	○	–	a ⌴^{0}
19.	56.3	53.9	53.9	– 4.0	2.3	0.1	2.8	– 4.2	2.1	2.2	2.3	62	41	49	NE 1	NE 1	NE 1	○	○○	○	–	a ⌴^{0}
20.	54.7	53.6	53.9	– 4.8	2.3	0.5	2.4	– 5.1	2.5	2.4	2.4	79	46	51	N 1	W 1	NE 1	○	○○	○	–	a ⌴^{1}
21.	55.1	56.9	59.9	– 5.6	3.3	– 0.6	3.4	– 5.8	2.7	2.7	3.6	90	46	81	N 1	N 2	N 2	○	○○	○	–	a ⌴^{1}
22.	63.4	63.5	64.4	– 2.5	3.3	– 0.7	3.6	– 3.0	3.2	2.5	2.4	83	42	55	N 1	NE 1	NE 1	○	○○	○	–	a ⌴^{1}
23.	63.6	63.7	63.2	– 4.6	5.7	0.7	6.0	– 4.8	2.9	2.6	3.0	90	38	63	N 1	SE 1	NE 1	○	○○	○	–	a ⌴^{1}
24.	60.0	58.4	57.3	– 5.1	5.4	0.6	6.0	– 5.2	2.8	2.0	3.1	90	31	64	N 1	S 1	S 1	○	○○	○	–	a ⌴^{1} ∞
25.	57.3	55.1	54.7	– 5.3	8.6	2.5	9.0	– 5.5	2.4	2.9	3.2	80	35	58	S 1	SE 1	SW 1	○	○○	○	–	a ⌴^{1} ∞
26.	54.8	52.2	50.2	– 3.2	9.6	3.5	9.9	– 3.8	3.2	3.0	4.7	89	33	80	S 1	S 1	S 1	○	○○	○	–	a ⌴^{1} ∞
27.	49.2	47.6	48.1	1.9	7.8	4.9	8.2	0.8	3.6	5.6	5.7	67	71	87	S 1	S 1	SW 1	5^1	9^1	10^1	–	ca 9^{15}–10 a ≡-Reissen
28.	51.0	54.1	57.9	– 4.7	4.7	1.7	7.8	1.7	5.4	5.8	3.7	84	81	71	SW 1	W 3	SW 3	10^2	10^1	○	4.4	n u. vorm. ◎^{0}; n ztw. ◎^{1}
																					21.8	
Mittel	59.4	59.2	59.4	1.0	6.8	3.6	7.2	0.0	4.1	4.2	4.3	81	55	70				5.2	3.9	2.9		

Nürnberg.

Februar. $\varphi = 49^0\ 27'$ N. $\lambda = 11^0\ 3'$ E $= 44^m\ 12^s$. H = 309.1 m. Cg = +0.2 mm, über 735.0 mm Cg = +0.3 mm. 1913.

1.	35.0	34.8	31.0	– 0.1	5.5	3.5	5.5	– 0.3	4.1	4.9	4.5	90	72	77	S 2	SW 2	E 2	3^0=	8^0	10^1	**4.9**	n klar, 4^{44} a ☂, a ztw. ◎$^{0.1}$
2.	23.2	32.5	35.6	6.5	4.7	1.4	6.5	1.4	6.2	4.4	3.9	86	68	76	SW 1	SW 3	SW 3	10^1	9^1	○	2.6	a bed., p Aufkl., a u. p ztw. ◎ u. ✳, ca 7 a u. 1 p W6-SW6
3.	34.1	37.7	40.7	2.7	7.6	6.0	7.8	0.9	5.2	5.9	**6.9**	93	76	99	SW 3	SW 3	SW 3	10^1●	10^0	10^1	2.7	durchaus bedeckt, n öfters ⌴☂, n u t ztw. ◎$^{0.1}$
4.	42.9	44.6	45.1	7.0	7.6	6.2	8.0	6.0	6.0	5.9	5.7	79	76	81	W 4	SW 2	W 2	10^1	10^0	10^1	2.0	durchaus bedeckt, n ztw. ◎^{0}, lebhafte abfl. westl. Winde
5.	43.4	39.9	37.7	4.9	7.8	2.5	8.5	2.5	5.1	4.6	4.7	79	59	84	SE 2	SE 3	SE 2	10^1=	1^0○	○	–	a bedeckt, p Aufklaren, mässige Winde SW-S-SE
6.	37.6	38.5	40.2	1.8	9.4	4.9	9.5	1.0	4.6	5.9	5.6	88	67	86	S 1	SE 2	SE 1	10^1=	9^1	○	–	n klar, ca 6 a ⌴^{0}, wechselnde Bewölkung, [1]
7.	42.3	43.8	43.6	4.1	9.6	3.6	9.8	3.3	5.3	5.3	5.2	87	59	88	SW 1	SW 2	W 2	10^1=	9^0	○	–	a wechs. Bew., p Aufkl., ca 6–11 a ≡$^{0.1}$, mäss. südl. Winde
8.	41.1	42.1	47.8	1.5	5.1	2.5	6.5	1.3	4.4	6.0	5.1	85	92	93	W 3	W 1	SW 1	3^0=	10^0	○	–	n ztw. klar, ca 5 a ⌴^{2}, a u. p ≡$^{0.1}$, wechs. Bew., [2]
9.	**50.4**	49.9	49.4	– 0.5	5.7	1.9	6.0	– 0.7	4.3	4.8	4.8	96	70	91	S 1	SW 2	S 1	○=	5^0○	○	2.9	n klar, ca 6 a ⌴^{1}, a ≡$^{0.2}$, sehr schw. südl. Winde, [3]
10.	49.0	48.1	47.6	2.2	7.6	5.5	8.1	1.5	4.7	5.5	5.9	87	70	88	SE 2	SW 2	C	10^1=	10^0	10^1	–	ca 6 a ⏢^{0}, a u. abds. ≡$^{0.1}$, wechs. Bew., $9^{19.49}$ p ◎^{0}
11.	47.2	48.0	49.7	5.2	9.8	3.8	**10.0**	3.8	5.7	5.5	5.1	86	60	85	C	N 2	C	10^1=	6^1○	10^1	–	9^{45}–3^{29} a ◎^{0}, 4^{34}–5^{44} a ◎^{0}, ca 6–11 a ≡$^{0.1}$, [4]
12.	49.4	48.8	48.6	– 1.7	5.3	4.1	6.2	– 2.1	4.0	3.6	4.0	98	54	65	C	NW 1	C	10=	3^1○	10^1	–	n klar, ca 5 a ⌴^{2}, ca 5 a–3 p ≡$^{0.2}$, meist bedeckt
13.	47.1	45.0	43.4	2.5	5.5	5.0	6.2	1.9	4.4	4.5	5.9	79	67	90	S 1	NW 2	NW 2	10^1=	10^1	10^1	–	n bedeckt, a ≡$^{1.2}$, abds. ◎Tr.
14.	41.4	41.7	42.9	3.4	2.7	– 1.1	5.0	– 1.1	5.6	3.3	3.0	97	58	71	NW 2	NE 3	NE 2	10^0	9^1	○	–	n bedeckt, a ≡^{1}, auffrischende nördl. Winde
15.	43.3	42.1	41.5	– 4.7	0.9	– 1.2	2.0	– 4.8	2.5	2.4	2.7	79	49	65	E 1	E 2	E 1	○	2^0○	9^1	–	n klar, ca 6 a ⌴^{1}, a ≡^{0}, ab 9 p bedeckt
16.	39.6	38.5	38.1	– 3.4	2.1	0.1	2.6	– 4.0	3.0	3.2	3.5	85	61	76	C	NW 2	E 2	10^1	10^1	10^1	–	a ≡^{0}, schwache nördl. bis östl. Winde
17.	36.0	35.2	36.0	– 1.5	– 0.3	– 2.9	0.1	– 2.9	3.3	2.7	3.0	80	61	81	NE 2	E 2	E 3	10^1	7^1	○	–	ca 6^{30}–11 a ✳^{0} mit Unterbrechung, p ztw. ✳^{0}, [5]
18.	37.0	36.9	37.6	– 7.1	– 1.1	– 3.5	– 0.7	– 7.2	2.1	2.3	2.2	81	54	63	NE 4	E 3	E 3	○	○○	○	–	lebhafte östl. Winde, ⌴^{0} in der Umgebung
19.	36.9	34.8	35.0	– 6.7	1.1	– 2.5	1.5	– 6.7	1.9	2.1	2.2	68	42	58	E 2	E 4	E 3	○	○○	○	–	lebhafte östl. Winde, p ☂
20.	35.4	34.2	34.2	– 7.1	1.7	– 2.5	2.1	– 7.1	2.0	2.4	2.3	75	46	60	E 2	E 2	E 2	○	○○	○	–	a ⌴^{0}, abflauende östl. Winde, a u. abds. ≡^{0}
21.	35.2	36.5	40.0	– 8.1	2.7	– 2.7	3.9	– 8.3	2.1	2.6	2.9	85	48	77	NE 2	NE 2	N 3	○	○○	○	–	fast stets wolkenlos, a ⌴^{0}, mässige östl. Winde
22.	42.6	43.3	44.2	– 2.7	1.1	– 3.0	2.1	– 3.0	3.0	2.5	2.5	81	50	68	NE 2	NE 2	C	9^1	○○	○	–	n bedeckt, ab 9 a Aufklaren, ab 0^{00} p klar, p oft Stille
23.	45.0	44.9	44.3	– 4.3	2.8	– 1.3	3.8	– 5.8	2.8	3.0	2.9	84	54	71	SE 1	SE 1	SE 1	10^0	○○	○	–	n häufig C, ⌴ in der Umgebung, a ≡$^{0.1}$, [6]
24.	41.5	39.1	38.6	– 8.2	6.6	– 1.7	7.2	– 8.3	2.3	2.8	2.6	94	39	62	SE 1	SE 2	SE 1	○=	8^0○	○	–	n klar, a ⌴^{1} u. ≡$^{1.0}$, ca 6–8 p ≡$^{1.0}$, wechs. ger. Bew.
25.	38.2	37.5	36.4	– 5.9	5.8	– 0.7	7.2	– 6.3	2.5	2.5	3.1	87	36	71	SE 1	W 1	E 2	○=	○○	○	–	n klar, ca 0 a ☂, a ⌴^{1}, t ztw. ≡$^{0.1}$, wenig Bew.
26.	35.6	33.7	32.5	– 7.3	5.8	– 1.7	6.4	– 8.0	2.6	2.5	3.0	100	36	74	C	NW 1	SE 2	○=	○○	○	–	n klar, ca 2 a ☂, a ⌴^{1}, t ztw. ≡$^{0.2}$, oft Stille
27.	30.5	28.4	28.4	– 2.9	8.0	3.4	8.6	– 5.8	3.0	4.0	5.4	81	51	93	SE 1	SW 2	W 2	10^0=	5^0○	10^0●	–	n klar, a ⌴^{0} u. ≡$^{0.1}$, abds. ◎$^{0.1}$
28.	30.6	32.3	36.7	2.5	4.3	0.2	4.9	0.2	5.5	5.7	4.0	100	92	87	W 2	W 3	N 2	10^0	10^0	10^1	3.1	durchaus bedeckt, n u. t ztw. ◎$^{0.1}$, westl. bis nördl. Winde
																					18.2	
Mittel	39.7	39.8	40.3	– 1.0	4.8	1.1	5.5	– 2.1	3.9	4.0	4.0	86	60	78				6.2	5.4	3.9		

[1] wechs. schw. Winde
[2] t ztw. ◎^{0}, ab 7 p Aufklaren.
[3] ztw. Bewölkung.
[4] wechs. Bewölkung, ca 8 p ☂.
[5] p ztw. Aufklaren.
[6] östl. schwache Winde.

Alle Angaben nach Ortszeit.

Kaiserslautern.

Februar. $\varphi = 49^0\ 27'$ N. $\lambda = 7^0\ 46'$ E $= 31^m\ 4^s$. H $= 242.2$ m. Cg $= +0.3$ mm. 1913.

Datum	Luftdruck auf 0^0 u. Normalschwere reduziert 700 mm + 7a	2p	9p	Lufttemperatur C° 7a	2p	9p	Max.	Min.	Absolute Feuchtigkeit mm 7a	2p	9p	Relative Feuchtigkeit Proz. 7a	2p	9p	Richtung und Stärke des Windes 0 bis 12 7a	2p	7p	Bewölkung 0 bis 10 7a	2p	9p	Niederschlag mm 7a	Bemerkungen
1.	40.7	39.2	33.3	2.3	6.1	4.9	6.2	1.2	4.9	5.8	5.9	89	83	92	W 3	NW 2	W 3	10^2	$10^0\odot$	$10^2\bullet$	11.2	$11^{1.46}$ p ztw. ◍^{0}. ca 4^{30} p–n ◍, ztw. ◍^{2}
2.	32.4	40.5	40.5	5.3	5.7	3.9	8.5	3.1	5.3	4.0	4.3	80	58	70	NW 6	W 8	W 9	7^3	$6^1\odot$	10^2	**15.2**	n ◍^{2} ≡, a ≡, ztw. ◍tropfen, p–n ≡
3.	42.3	45.4	48.0	6.3	8.4	8.5	8.9	2.5	6.5	**6.8**	6.6	91	82	79	W 2	W 3	W 4	10^1	10^2	10^2	3.6	n ◍ ≡, a ztw. ◍tropfen, ca 4^{30} p–n ≡
4.	49.9	50.8	50.9	7.8	8.3	7.3	8.6	7.3	6.5	6.6	5.8	82	81	76	W 5	W 3	C	9^1	10^2	10^1	–	n ≡
5.	48.3	44.6	42.7	5.5	9.5	5.4	10.0	5.0	5.6	5.0	5.4	83	56	80	W 1	C	S 2	10^1	$1^0\odot$	o	–	a kurz ≡^{0}
6.	43.2	44.1	45.8	5.3	9.3	7.4	9.9	5.0	5.6	6.2	6.3	85	71	82	W 2	W 2	W 1	10^1	10^1	10^1	–	
7.	48.7	48.9	48.1	5.0	9.9	5.9	10.0	4.6	5.6	6.1	5.7	86	67	83	W 1	W 3	W 1	9^1	$2^1\odot$	o	–	
8.	45.8	49.0	54.9	6.9	8.2	3.3	8.3	3.3	6.0	6.0	5.2	81	74	90	W 3	W 2	C	$10^2\bullet$	9^1	o	0.1	n ◍^{0}, a–10^{01} a ◍, 11^{16} a–0^{16} p ◍ ≡, $2^{11.16}$ p ◍△. [1]
9.	**55.9**	54.8	54.9	– 1.6	7.0	4.3	7.4	– 1.8	4.1	4.0	4.9	100	53	79	C	W 2	C	o	$2^0\odot$	10^1	4.4	a ⌙^{2}
10.	54.5	53.1	53.4	3.4	11.5	4.6	**11.8**	3.0	5.3	5.6	5.7	92	55	90	C	W 2	C	10^1	$3^0\odot$	o	–	a ≡^{0}
11.	53.8	53.5	54.7	1.0	10.9	4.7	11.0	0.4	4.7	5.1	5.4	96	53	84	C	C	C	10^1	$9^0\odot$	5^0	–	a ⌙^{0}, ≡^{2}
12.	55.0	54.2	54.5	– 0.2	8.7	0.6	8.9	– 0.8	4.5	2.3	4.2	100	**27**	89	C	SE 2	C	10^2=	oo	o	–	a ⌙^{2}, ≡^{2}. abds. ≡^{1}
13.	53.7	52.2	50.9	– 2.3	7.8	1.8	8.8	– 3.4	3.7	4 5	5.0	96	58	95	E 1	NE 1	C	5^1	$1^0\odot$	5^1	–	a ⌙^{2}
14.	48.6	47.6	48.3	1.6	6.7	1.7	7.3	– 0.6	5.2	4.9	4.6	100	67	90	NE 1	E 2	E 2	10^1	$4^1\odot$	o	–	a ≡^{2}. 7^{31}–10^{01} a ≡-Reissen
15.	48.3	47.0	46.5	– 2.7	2.0	– 0.8	2.9	– 3.3	3.6	2.4	3.3	96	46	75	E 1	E 2	E 1	1^0	$1^0\odot$	o	–	a ⌙^{2}
16.	45.7	45.0	44.3	– 5.3	2.6	– 0.6	3.0	– 5.8	2.7	2.6	3.6	90	46	81	C	E 1	E 1	o	9^1	o	–	a ⌙
17.	42.0	40.4	41.3	– 1.0	1.0	– 1.0	1.7	– 1.9	4.1	3.3	3.0	96	66	71	SE 1	E 2	E 2	$10^2\#$	7^1	3^1	–	n, a–10^{28} a ztw. ✳^{0}. ca 3^{30} p ab ztw. ✳-Flocken
18.	41.7	41.7	42.4	– 5.0	– 0.3	– 2.5	0.0	– 5.4	2.4	**2.0**	2.3	76	45	60	E 2	E 4	E 3	o	oo	o	0.2	a, p ztw. ≡
19.	42.3	40.6	41.2	– 5.6	0.4	– 1.8	1.1	– 5.9	2.1	2.1	2.2	70	45	54	E 2	E 3	E 2	o	oo	o	–	a, p ztw. ≡
20.	41.2	40.3	40.8	– 7.0	0.8	– 3.0	1.3	– 7.9	2.3	2.5	2.5	86	51	70	SE 1	E 2	C	o	oo	o	–	a ⌙^{2}
21.	42.0	43.5	46.6	– 8.5	1.9	– 0.4	2.8	– **9.0**	2.2	2.3	3.9	91	44	87	C	NE 3	E 2	10^2=	oo	o	–	a ⌙^{2}, ≡^{2}. t ztw. ≡
22.	49.0	49.5	50.8	– 4.2	1.9	– 1.6	2.4	– 4.7	3.0	2.5	2.4	91	47	60	E 1	E 3	E 1	2^0	oo	o	–	a ⌙, p ztw. ≡
23.	51.2	49.9	48.7	– 7.8	3.7	– 1.6	4.0	– 8.0	2.2	3.3	3.1	89	55	76	E 1	SE 3	E 2	o	oo	o	–	a ⌙^{2}, dann kurz ≡^{2}. t ztw. ≡
24.	46.1	44.2	44.2	– 5.4	6.6	– 2.0	6.9	– 5.9	2.6	2.6	3.1	85	35	78	C	NE 1	NE 1	3^0	$3^0\odot$	o	–	a ≡
25.	44.0	42.4	41.8	– 7.3	8.7	– 1.4	9.9	– 7.8	2.5	3.6	3.0	95	43	72	C	E 1	C	7^1	oo	o	–	a ⌙^{2}, ≡, ∞
26.	41.5	38.9	38.1	– 5.8	9.9	1.5	10.3	– 6.5	2.8	2.9	3.6	95	32	71	C	W 2	C	o=	$1^0\odot$	o	–	a ⌙^{2}, ≡^{1}, ∞^{0}. $1^{01.21}$ p ≡
27.	36.3	34.7	35.8	2.9	7.1	3.6	7.2	0.0	4.7	5.8	5.4	82	77	92	W 1	W 1	W 1	10^2	10^2	10^1	–	8^{31}–$10^{1.}$ a ◍^{0}
28.	38.2	41.5	45.0	3.1	3.3	0.3	5.5	0.3	5.7	4.8	3.2	98	83	70	W 1	NW 2	C	10^2	10^2	o	2.0	n ◍. a ztw. ◍^{0}, ≡^{0}
																					36.7	
Mittel	45.8	45.6	46.0	– 0.5	6.0	1.9	6.6	– 1.5	4.2	4.1	4.3	89	57	78				6.2	4.2	3.0		1) $2^{16.19}$ p △.

Ansbach.

Februar. $\varphi = 49^0\ 18'$ N. $\lambda = 10^0\ 33'$ E $= 42^m\ 12^s$. H $= 437.5$ m. Cg $= +0.2$ mm. 1913.

1.	23.8	23.3	19.3	– 0.4	5.7	2.9	6.0	– 0.4	3.9	4.6	4.5	89	67	80	W 2	S 2	S 4	2^0	$4^0\odot$	10^2	**5.7**	n, a ✳
2.	**12.2**	21.3	23.9	6.2	3.5	0.9	6.4	0.4	**6.6**	4.1	3.7	93	70	75	SW 8	W 6	SW 6	$10^2\bullet$	$2^1\odot$	o	4.4	n, a ◍ ≡, bis 0^{57} p ≡ ✳
3.	23.6	27.2	29.9	1.7	6.6	5.7	7.0	0.2	4.8	6.1	6.1	93	85	91	SW 4	W 6	W 6	$10^2\bullet$	10^2	$10^2\bullet$	1.9	t ≡, ztw. ◍
4.	32.0	33 5	33.8	6.4	7.0	5.1	7.2	4.8	5.8	5.6	5.1	82	75	79	W 4	W 4	C	10^2	10^2	10^2	1.8	
5.	31.8	28.5	26.2	3.5	7.0	2.7	7.4	1.9	4.9	4.9	4.7	84	66	85	C	S 2	S 2	10^2	oo	o	–	
6.	26.3	27.3	28.9	0.9	8.4	2.3	9.2	– 0.6	4.4	5.1	5.0	90	62	93	SW 2	SW 2	C	4^0	$4^0\odot$	o	–	
7.	31.1	32.5	31.9	3.9	9.2	2.9	**9.4**	0.8	5.1	5.4	5.1	85	62	91	C	W 4	C	4^1	oo	o	–	
8.	29.6	30.8	36.5	0.2	4.3	2.1	6.0	– 0.2	4.2	5.6	5.0	90	91	93	SW 2	SW 2	W 2	2^0	10^2	o	–	⌙, 11^{22} a–1^{27} p ◍
9.	**38.8**	38.3	37.7	– 1.8	5.7	2.1	6.0	– 2.1	3.7	5.1	4.7	92	74	88	C	C	SW 2	2^0	$2^1\odot$	o	1.9	mrgs. ⌙
10.	37.5	36.5	36.3	0.5	7.8	3.7	8.0	– 0.2	4.4	5.7	5.1	92	72	86	C	C	C	6^0	$6^0\odot$	10^2	–	
11.	36.0	36.3	38.1	4 9	8.8	3.1	**9.4**	2.7	5.3	5.1	5.0	82	60	89	W 2	NE 2	C	8^2	$2^1\odot$	2^0	–	
12.	37.9	37.0	37.1	– 3.8	5.9	2.1	6.2	– 3.8	3.1	3.4	3.7	91	48	69	C	C	C	2^0=	oo	10^2	–	mrgs. ≡^{1} V
13.	35.6	34.2	32.3	0.3	5.9	4.9	6.2	– 0.2	3.7	4.1	5.1	83	58	80	C	NW 2	NW 2	4^1	10^2	10^2	–	
14.	29.6	29.6	31.0	2.9	4.3	– 3.2	5.0	– 3.2	5.2	3 6	2.9	93	57	80	C	NE 6	NE 2	10^2	$4^1\odot$	o	–	nachm. ≡
15.	31.5	30.0	29.5	– 6.2	0.1	– 4.9	0.6	– 6.3	2.4	2.1	2.2	84	46	71	E 2	E 4	C	o	$2^0\odot$	6^1	–	mrgs. ⌙
16.	27.6	27.1	26.3	– 7.8	1.3	– 1.4	1.4	– 7.9	2.1	2.6	3.4	86	51	82	C	NE 2	NE 2	4^0	10^2	10^2	–	
17.	23.9	23 3	24.0	– 2.8	– 1.2	– 4.4	– 0.2	– 4.4	2.6	2.6	2.3	70	64	73	NE 2	E 2	E 6	10^2	10^2	o	–	7^{12}–9^{32} a ✳, ≡
18.	24.9	24.8	25.4	– 8.2	– 1.8	– 5.6	– 0.8	– 8.5	1.8	1.9	1.7	76	46	58	E 4	E 6	E 4	o	oo	o	0.2	n, t ≡
19.	24.7	22.7	23.2	– 8.6	0.8	– 4.2	1.0	– 8.7	**1.6**	1.9	1.7	70	39	52	E 4	E 6	E 4	o	oo	o	–	≡
20.	23.6	22.4	22.9	–11.0	0.8	– 4.4	1.4	**-11.2**	1.7	1.9	1.8	85	39	54	C	E 2	C	o	oo	o	–	mrgs. ≡^{0}
21.	23.5	25.0	28.3	– 9.6	0.3	– 3.7	1.8	–10.2	1.8	2.1	2.1	84	45	62	C	NE 2	NE 4	o	oo	o	–	mrgs. ≡^{0} ⌙
22.	30.8	31.6	32.8	– 3.2	0.5	– 5.5	0.6	– 5.5	2.6	2.0	2.0	74	42	68	NE 4	NE 2	C	10^2	oo	o	–	
23.	33.2	33.3	32.6	– 8.2	2.1	– 4.0	2.6	– 9.3	2.1	2.5	2.0	85	46	60	C	E 2	C	6^1	oo	o	–	⌙
24.	29.3	27.0	26.8	– 8.4	6.4	– 3.8	6.8	– 8.7	2.0	2.3	2.3	85	32	66	C	SE 2	C	o	$2^0\odot$	o	–	⌙
25.	26.4	25.9	24.7	– 9.4	7.0	– 4.2	7.8	– 9.8	2.0	2.5	2.0	91	34	61	C	C	C	o	oo	o	–	⌙, mrgs. ≡^{0}
26.	23.9	22.4	21.1	– 9.8	6.5	– 3.0	7.4	–10.0	1.9	2.2	2.2	91	**31**	61	C	C	C	o	oo	o	–	mrgs. ≡^{0}
27.	18.9	17.4	17 5	– 2.5	8.6	2.1	8.8	– 4.2	2.8	4.0	5.1	74	50	**94**	C	C	C	6^0	10^2	$10^2\bullet$	–	5^{32} p ab ◍
28.	19.3	21.5	25.3	1.3	2.7	– 1.0	2.8	– 1.0	4.9	5.1	3.7	90	91	86	W 4	NW 2	NW 2	$10^2\bullet$	$10^2\bullet$	o	4.2	t-5^{02} p ◍
																					20.1	
Mittel	28.1	28.2	28.7	– 2.5	4.4	– 0.4	5.0	– 3.8	3.5	3.7	3.6	85	57	76				4.6	3.8	3.1		

Alle Angaben nach Ortszeit.

München-C.St.

Februar. $\varphi = 48^0\ 9'$ N. $\lambda = 11^0\ 34'$ E $= 46^m\ 16^s$. H $= 526.4$ m. Cg $= +0.1$ mm. 1913.

Datum	Luftdruck auf 0^0 u. Normalschwere reduziert 700 mm +			Lufttemperatur C^0					Absolute Feuchtigkeit mm			Relative Feuchtigkeit Proz.			Richtung und Stärke des Windes 0 bis 12			Bewölkung 0 bis 10			Niederschlag mm	Schneedecke cm	Bemerkungen
	7^a	2^p	9^p	7^a	2^p	9^p	Max.	Min.	7^a	2^p	9^p	7^a	2^p	9^p	7^a	2^p	9^p	7^a	2^p	9^p	7^a	7^a	
1.	17.4	16.2	12.7	1.5	6.3	2.1	6.7	0.4	3.9	4.4	4.0	77	62	74	SW 1	W 2	SW 2	9^1	$3^0\odot$	9^1	**2.9**	1	n ⚹, a ztw. ⚹^{0}, ◍^{0}
2.	06.7	15.2	17.9	5.1	2.2	1.5	7.3	1.2	3.8	4.6	3.8	59	86	75	S 2	SW 3	SW 3	10^1	$10^1\bullet$	0	0.2	–	ca 8^{30} a an ◍, ≡, 8^{31} a–0^{40} p ◍^{0} ⚹^{0}, 1^{26} p ⚹höe
3.	17.4	21.1	23.9	2.6	5.3	5.8	6.1	1.1	4.2	5.2	5.3	75	79	77	SW 6	SW 4	SW 5	10^1	10^1	10^1	2.4	–	n ztw. ≡, a ⌊, t ztw. ≡, ◍
4.	25.9	26.8	27.0	6.3	7.7	3.3	8.7	3.0	4.7	5.2	4.7	67	66	83	SW 5	SW 2	C	10^1	10^1	0	0.1	–	n ≡, abds. Aufklaren
5.	24.2	20.8	19.0	4.0	7.2	3.1	7.7	2.9	4.7	5.0	4.4	78	66	77	C	SE 2	E 1	10^1	$4^0\odot$	0	–	–	a ≡^{0}, ca 7^{30} a Aufklaren
6.	19.4	20.0	21.7	4.4	10.4	4.4	**10.9**	1.0	4.1	4.9	5.1	64	53	83	SW 3	SW 2	C	10^1	$4^0\odot$	0	–	–	a ⌊^{0}, m ∞, abds. ≡^{0}
7.	23.9	24.7	24.5	2.1	9.5	3.9	9.5	1.6	4.0	4.8	4.8	74	55	79	S 2	SW 2	C	0	$3^0\odot$	0	–	–	a ⌊^{1}, ≡^{0}, m ∞
8.	23.2	23.8	29.0	1.4	6.3	3.3	9.8	0.9	3.2	5.4	4.9	62	76	86	S 2	W 3	W 1	1^0	$10^1\bullet$	10^1	–	–	a ⌊^{2}, 1^{31} p–n ztw. ◍
9.	**31.1**	30.5	30.2	1.4	5.5	1.7	5.9	1.2	4.6	5.1	4.5	92	75	89	SW 1	NW 1	C	3^1	$4^1\odot$	0	1.0	–	a ⌊^{0}
10.	29.7	28.6	28.1	1.2	7.2	4.2	7.3	0.8	3.6	4.4	4.9	69	58	80	SW 1	NE 1	C	3^0	$1^0\odot$	0	–	–	a ⌊, t ∞
11.	28.1	28.1	29.6	5.0	7.8	5.0	8.2	3.3	4.4	**6.1**	5.7	67	77	87	SW 2	SW 1	C	10^1	$6^1\odot$	9^1	0.2	–	n, 7^{16}–ca 11 a ◍
12.	29.5	29.0	28.7	1.1	4.7	2.8	5.0	– 0.1	4.4	4.0	3.1	90	62	54	C	C	C	$10^1=$	10^1	10^1	2.5	–	a ≡$^{1.0}$, ⌊^{2}
13.	27.4	25.4	24.2	– 0.6	5.5	2.8	5.8	– 1.1	2.8	2.6	4.8	64	40	84	C	NW 2	NW 2	0	9^1	$10^1\bullet$	–	–	a ⌊^{2}, ≡^{0}, m Gebirge teilweise sichtbar, [1]
14.	21.0	20.6	22.2	2.3	3.2	– 1.6	3.9	– 2.0	5.0	3.8	2.7	**93**	66	66	NW 2	N 1	NW 2	10^1	$7^1\odot$	7^1	0.3	–	n ◍, a ≡^{0}, 10^{16-26} a △
15.	22.3	21.1	20.9	– 6.1	– 1.1	– 4.2	– 0.6	– 6.4	2.0	2.0	1.9	71	49	56	E 2	E 3	E 3	0	$1^0\odot$	9^1	–	–	a ⌊
16.	18.8	18.3	17.7	– 5.9	– 0.8	– 2.3	– 0.8	– 6.0	1.8	2.1	2.1	62	49	55	E 1	NE 2	E 1	0	10^1	10^1	–	–	a ⌊
17.	15.2	13.8	14.3	– 3.8	– 0.9	– 5.2	– 0.4	– 5.2	2.3	2.2	1.7	66	50	57	E 2	E 3	E 5	9^1	8^1	0	–	–	a ⌊
18.	14.8	15.1	16.1	– 8.4	– 1.2	– 5.2	– 1.1	– 8.7	1.5	1.9	1.7	65	46	57	E 3	E 3	E 5	0	∞	0	–	–	a ⌊
19.	14.8	13.3	13.6	– 8.5	0.9	– 3.8	1.2	– 9.0	1.4	2.0	1.8	58	41	54	E 3	E 5	E 3	0	∞	0	–	–	a ⌊^{2}, m böiger Wind
20.	14.4	13.6	14.0	– 7.4	1.6	– 2.4	2.0	– 7.4	1.5	2.6	2.1	59	52	54	E 1	C	C	0	∞	0	–	–	a ⌊^{2}, 8^{31}–ca 9^{37} a ≡^{1}, t ∞
21.	14.4	15.7	18.9	– 6.4	1.8	– 3.2	2.0	– 7.1	1.8	2.8	2.4	62	54	67	E 1	E 1	C	1^0	$1^0\odot$	4^0	–	–	a ⌊, ∞
22.	21.9	22.6	24.1	– 8.0	– 0.9	– 3.8	– 0.8	– 8.2	1.9	2.6	2.3	78	61	66	E 1	E 2	E 2	0	9^1	0	–	–	a ⌊, ∞
23.	24.6	24.4	24.1	– 6.8	2.3	– 2.8	2.3	– 7.1	2.0	2.8	2.1	72	52	56	C	E 2	E 1	4^1	∞	0	–	–	a ⌊, ∞
24.	20.7	19.4	19.0	– 7.4	5.1	0.0	6.0	– 7.7	1.9	2.5	2.5	71	38	53	E 1	E 1	C	0	∞	0	–	–	a ⌊, t ∞, abds. ≡^{0}
25	18.6	18.2	16.2	– 3.3	6.7	0.9	7.9	– 3.8	2.1	2.7	2.4	58	37	48	SE 1	SE 1	C	0	∞	0	–	–	a ⌊, ≡^{0}, t ∞
26.	15.8	14.2	13.9	– 2.3	8.2	1.4	8.6	– 3.8	2.1	2.6	3.2	59	32	63	SW 1	NW 1	C	0	∞	0	–	–	a ⌊, t ∞
27.	11.8	09.5	10.2	– 0.8	9.5	2.9	9.8	– 1.4	2.6	2.6	5.0	59	29	89	C	NE 1	C	1^0	$4^0\odot$	$10^1\bullet$	–	–	a ⌊, ∞, ca $8^{.0}$ a ⊕, abds. ◍
28.	12.1	13.5	16.5	2.4	3.8	0.8	4.0	0.5	4.8	5.3	4.1	86	88	86	SW 1	W 2	NW 2	10^1	$10^1\bullet$	$10^1\bullet$*	1.6	–	n, a ztw.–ca 8^{30} p ◍, von da ab ● mit ⚹
																					11.2		
Mittel	20.2	20.1	20.7	– 1.2	4.4	0.6	5.1	– 2.4	3.1	3.7	3.5	70	57	70				4.3	4.8	3.9			[1] ca 5^{30} p–n ⚹^{0} ◍^{0}

Traunstein.

Februar. $\varphi = 47^0\ 52'$ N. $\lambda = 12^0\ 39'$ E $= 50^m\ 36^s$. H $= 597$ m. Cg $= +0.1$ mm. 1913.

1.	12.0	11.5	08.0	– 1.2	4.2	– 0.8	4.6	– 1.6	4.0	4.0	4.0	**96**	65	92	W 2	SW 2	SE 2	8^2	$6^2\odot$	0	**10.8**	**6**	mrgs. u. a ⚹
2.	01.2	09.3	11.8	1.2	0.5	0.4	2.0	– 0.8	3.9	4.6	3.7	78	**96**	78	W 2	W 8	W 2	2^2	10^2*	0	0.1	5	a ≡, t ztw. ◍ ⚹
3.	11.8	14.7	18.1	0.0	3.6	5.4	5.4	– 3.5	4.4	4.7	4.5	**96**	80	68	W 2	W 6	W 6	10^2*	10^2	10^2	6.3	3	n ≡ u. ⚹, p ztw. ◍
4.	20.2	21.2	21.5	5.6	7.2	1.8	7.4	1.8	3.9	4.3	4.6	58	57	88	W 6	W 6	W 2	10^2	8^2	6^2	0.8	2	
5.	18.5	15.4	13.5	0.8	5.2	– 1.3	5.8	– 1.3	4.4	4.3	3.8	90	65	92	W 2	E 2	E 2	8^2	$6^2\odot$	0	–	1	
6.	13.7	14.7	15.7	1.4	8.6	– 0.2	8.8	– 2.0	3.8	3.9	3.7	74	48	81	SW 2	W 2	S 2	8^2	$4^2\odot$	0	–	1	
7.	17.9	19.7	19.3	– 1.6	7.6	– 0.8	7.6	– 1.8	3.7	4.4	4.1	90	57	94	SE 2	W 2	S 2	0	$8^2\odot$	0	–	–	mrgs. ⌊
8.	17.8	17.5	23.1	– 2.6	9.5	3.2	**10.0**	– 2.6	3.0	2.4	5.1	81	27	89	W 2	NW 4	W 2	1^1	$6^2\odot$	$10^2\bullet$	–	–	mrgs. ⌊, abds. ◍
9.	**25.2**	24.7	24.4	1.3	5.1	– 1.2	5.1	– 1.2	4.6	3.7	4.0	92	57	**96**	SW 2	W 2	SE 2	10^2	$4^2\odot$	0	2.1	–	
10.	23.8	23.0	22.3	– 1.3	7.1	0.7	7.5	– 2.0	3.5	3.0	3.8	84	40	78	SE 2	E 2	E 2	4^2	∞	6^2	–	–	mrgs. ⌊
11.	23.0	22.4	23.6	2.9	6.0	3.0	6.2	0.5	5.0	**6.5**	5.4	88	93	95	W 2	W 4	W 2	$10^2\bullet$	10^2	10^2	0.6	–	mrgs. ◍
12.	23.2	23.1	22.7	0.5	3.8	0.4	4.0	– 0.2	4.6	2.8	3.3	**96**	47	70	NW 2	NW 2	NW 2	10^2	10^2	10^2	3.0	–	
13.	21.3	19.8	17.7	– 4.2	4.0	0.9	4.2	– 4.2	3.0	3.8	4.3	91	63	87	SE 2	W 4	W 4	0	10^2	10^2	–	–	mrgs. ⌊, abds. ⚹
14.	14.5	14.2	15.8	1.0	0.5	– 2.4	2.0	– 2.4	4.6	2.7	2.5	92	57	67	W 2	N 4	N 2	10^2	10^2	6^2	0.2	–	
15.	16.2	15.3	13.9	– 7.6	– 2.6	– 5.8	– 2.4	– 7.9	1.7	1.8	1.7	69	48	57	E 2	E 4	E 2	0	$1^1\odot$	1^1	–	–	mrgs. ⌊
16.	12.7	12.1	11.8	– 8.8	– 2.4	– 4.2	– 2.2	– 9.0	1.9	1.9	2.1	82	50	64	E 2	E 2	E 2	0	10^2	8^2	–	–	mrgs. ⌊
17.	09.2	07.9	08.7	– 7.0	– 1.6	– 6.4	– 1.0	– 9.0	2.3	**1.6**	**1.6**	86	39	58	E 2	E 6	E 6	10^2	$2^1\odot$	0	–	–	mrgs. ⌊, t ≡
18.	08.8	09.4	10.4	–10.1	– 2.0	– 6.6	– 1.8	–10.1	**1.6**	1.7	1.9	76	44	68	E 4	E 4	E 4	0	∞	0	–	–	mrgs. ⌊, t ≡
19.	08.7	07.9	07.5	–10.1	– 0.4	– 4.6	0.0	–10.3	1.8	2.0	1.9	87	45	60	E 2	NE 4	E 2	0	∞	0	–	–	mrgs. ⌊
20.	08.2	07.9	07.9	–11.4	0.1	– 5.4	0.2	**–11.4**	1.7	2.0	2.2	93	44	73	SE 2	E 4	E 2	0	∞	0	–	–	mrgs. ⌊
21.	08.2	09.6	12.4	– 9.8	0.6	– 4.7	0.8	–10.0	1.9	2.3	2.6	91	49	81	S 2	SE 2	E 2	0	$1^1\odot$	0	–	–	mrgs. ⌊
22.	15.2	16.5	17.7	– 7.8	– 1.2	– 8.2	– 1.0	–10.0	2.3	2.2	1.9	92	54	79	E 2	E 4	E 2	10^2	$7^2\odot$	0	–	–	mrgs. ⌊
23.	18.7	18.9	18.4	– 9.3	0.2	– 3.4	0.5	–10.1	2.0	2.3	2.1	91	50	60	E 2	E 2	E 2	6^2	$1^1\odot$	0	–	–	mrgs. ⌊
24.	14.6	13.3	13.8	– 9.5	5.6	– 3.8	6.0	– 9.8	1.8	**1.6**	2.1	81	**24**	62	E 2	E 2	E 2	0	$1^1\odot$	0	–	–	mrgs. ⌊
25.	13.1	12.6	10.8	– 7.6	6.1	– 3.6	6.2	– 7.9	1.9	1.9	2.3	75	27	67	S 2	E 2	E 2	0	∞	0	–	–	mrgs. ⌊
26.	09.9	08.6	08.1	– 7.6	6.6	– 3.4	7.0	– 7.9	2.2	1.9	2.8	86	26	80	S 2	W 2	E 2	0	∞	0	–	–	mrgs. ⌊
27.	06.3	04.1	03.7	– 5.6	7.4	– 0.4	8.0	– 5.6	2.4	2.1	3.1	80	27	70	S 2	E 2	NE 2	0	5^2	6^2	–	–	mrgs. ⌊
28.	06.2	07.4	10.9	0.6	3.6	0.7	4.0	– 0.4	4.5	5.1	4.7	94	87	**96**	W 2	W 4	W 2	10^1*	10^2	$10^2\bullet$	2.1	–	mrgs. ⚹, a ⚹ ◍, abds. ◍
																					26.0		
Mittel	14.3	14.4	14.8	– 3.9	3.3	– 1.8	3.7	– 5.0	3.1	3.1	3.2	85	52	77				4.5	5.0	3.3			

Alle Angaben nach Ortszeit.

Partenkirchen.

Februar. $\varphi = 47^0\ 30'$ N. $\lambda = 11^0\ 6'$ E $= 44^m\ 24^s$. H $= 716.8$ m. Cg $\doteq +0.1$ mm. 1913.

Datum	Luftdruck auf 0^0 u. Normalschwere reduziert 700 mm +			Lufttemperatur C⁰					Absolute Feuchtigkeit mm			Relative Feuchtigkeit Proz.			Richtung und Stärke des Windes 0 bis 12			Bewölkung 0 bis 10			Niederschlag mm	Schneedecke cm	Bemerkungen
	7^a	2^p	9^p	7^a	2^p	9^p	Max.	Min.	7^a	2^p	9^p	7^a	2^p	9^p	7^a	2^p	9^p	7^a	2^p	9^p	7^a	7^a	
1.	01.9	01.3	697.4	− 0.6	3.4	0.4	3.9	− 1.8	3.7	3.7	3.5	85	63	75	C	C	S 4	10^1	9^1	2^0	**10.2**	28	n ⚹⁰, a Berge meist frei
2.	692.0	699.7	01.9	2.6	3.0	− 4.7	6.4	− 4.7	3.6	3.9	3.1	65	69	95	S 3	N 4	SE 2	4^0	10^1	1^0	−	27	a Berge rein, föhnig
3.	03.0	06.1	08.8	0.0	2.6	1.6	4.3	− 4.7	4.2	4.9	4.3	90	90	84	W 3	C	C	10^1*	10^1	10^1	2.8	**29**	mrgs. ⚹, Berge bedeckt
4.	10.9	09.9	11.0	0.2	6.8	− 1.9	7.4	− 1.9	4.2	3.1	3.8	90	42	96	SE 2	S 2	C	4^0	oo	o	1.6	27	a Berge rein, föhnig
5.	08.0	04.1	03.4	− 4.2	8.5	0.6	9.0	− 4.3	3.0	3.4	3.6	91	41	75	SE 2	S 2	C	o	1^0⊙	1^0	−	26	a Berge rein, föhnig
6.	04.2	04.0	06.1	− 0.4	7.4	0.0	7.7	− 0.4	3.5	4.1	3.8	79	53	83	C	C	S 3	5^0	4^0⊙	o	−	24	a Berge rein, föhnig
7.	08.7	08.6	08.5	− 3.1	7.0	− 0.8	7.2	− 3.1	2.9	3.6	3.3	80	48	77	S 4	C	S 3	o	2^0⊙	o	−	23	a Berge rein, föhnig
8.	08.3	06.9	12.9	− 2.4	7.1	0.5	7.7	− 2.9	2.5	2.6	4.7	65	35	98	SE 2	C	C	o	8^0	7^1	−	22	a Berge rein, föhnig
9.	**14.7**	13.7	14.0	0.0	4.8	− 1.8	5.5	− 1.8	4.5	3.6	2.9	98	56	74	C	C	S 2	7^1	oo	o	0.5	21	n ◍⁰, a Berge teilweise bedeckt
10.	13.7	11.7	12.1	− 2.2	6.6	− 0.7	8.1	− 2.8	2.4	2.8	2.8	63	38	64	S 3	SE 2	S 3	1^0	1^0⊙	2^0	−	20	a Berge rein, föhnig
11.	12.1	12.0	13.0	1.6	4.2	1.4	6.2	− 0.8	4.2	**5.2**	5.0	82	84	100	C	C	C	10^1	9^1	7^1	−	18	vorm. ◍⁰
12.	13.0	12.1	11.8	− 2.0	3.2	0.0	3.9	− 2.0	4.0	4.4	3.8	100	76	83	C	SE 2	C	9^1	8^0	7^1=	3.0	17	a Berge teilweise bedeckt, abds. ≡⁰.¹
13.	11.0	09.1	08.6	− 4.8	4.9	0.9	5.4	− 4.8	2.4	2.4	3.4	76	37	68	S 3	NW 2	C	o	2^0⊙	10^1	−	16	a Berge rein
14.	04.6	03.7	04.5	0.2	0.8	− 3.2	2.1	− 3.2	4.3	4.1	2.6	92	85	74	S 2	N 2	NW 5	10^1	10^1*	7^1	3.0	18	m △ ⚹; 3 cm Neuschnee
15.	04.6	03.0	03.9	− 9.2	− 1.0	− 9.5	− 0.6	− 9.5	2.1	2.3	1.8	94	54	84	C	NW 3	S 2	3^0	1^0⊙	o	6.0	18	a Berge frei
16.	01.8	01.3	00.6	−11.0	− 2.4	− 6.0	− 2.1	−11.0	1.5	2.2	2.1	79	57	74	S 3	NW 4	C	o	10^0	8^0	−	18	a Berge rein
17.	698.2	695.9	696.9	−12.7	− 1.1	− 9.4	− 0.6	−12.8	1.3	2.0	1.6	80	48	75	SE 3	NW 2	C	o	1^0⊙	o	−	18	a Berge frei
18.	697.2	697.4	698.6	−12.7	− 1.4	− 8.4	− 1.4	−13.7	1.4	2.1	1.7	84	51	73	SE 2	NW 2	S 2	o	oo	o	−	18	a Berge rein
19.	697.3	696.0	696.6	−15.1	− 1.6	− 6.7	− 1.1	**-15.1**	1.2	2.2	2.1	91	54	76	C	W 2	C	o	oo	o	−	18	a Berge rein
20.	698.1	696.3	697.5	−12.6	2.1	− 5.3	2.9	−13.4	1.6	2.7	2.4	96	51	78	C	NW 3	SE 3	o	oo	o	−	18	V⁰, a Berge rein
21.	697.7	698.2	01.7	−11.1	2.6	− 4.1	2.7	−11.1	1.8	3.0	2.4	97	54	73	C	NW 4	C	o	2^0⊙	5^0	−	18	V⁰, a Berge rein
22.	04.3	05.1	06.8	−12.0	− 4.6	− 7.4	− 4.1	−12.0	1.7	2.5	2.2	96	79	86	NW 2	NW 5	C	3^0	7^0	6^0	−	17	a Berge rein, m u. abds. Hochnebel
23.	07.9	06.9	06.0	−10.8	2.0	− 6.5	2.1	−11.0	1.7	2.3	2.1	86	43	76	C	NW 3	SE 2	o	oo	o	−	17	a Berge rein
24.	04.0	02.8	03.2	− 6.9	5.7	− 2.8	6.0	− 7.7	1.3	2.1	1.9	49	31	51	SE 2	S 2	S 3	o	oo	o	−	16	a Berge sehr rein, föhnig
25.	02.8	01.3	00.8	− 6.3	8.4	− 2.0	8.5	− 6.3	1.5	2.2	2.1	53	26	54	S 3	C	S 2	o	oo	o	−	16	a Berge sehr rein
26.	00.0	697.8	698.6	− 5.1	8.2	− 1.7	8.3	− 5.2	1.7	2.0	2.7	57	24	66	C	NW 3	S 2	o	oo	o	−	15	a Berge rein
27.	696.6	693.0	693.5	− 3.0	9.6	1.8	**9.7**	− 4.4	2.0	2.0	3.7	55	**21**	71	SE 3	C	C	5^0	3^0⊙	8^1	−	14	a Berge rein, föhnig
28.	696.4	697.4	699.9	0.1	2.0	0.3	2.9	0.0	4.5	4.9	4.4	98	93	94	C	C	NW 3	10^1*=	10^1	10^1*	4.0	20	n ⚹, a Berge im Nebel; 8 cm Neuschnee, mrgs. u. abds. ◍ ⚹
																					31.1		
Mittel	04.0	03.4	04.2	− 5.1	3.5	− 2.7	4.2	− 6.2	2.7	3.1	3.0	81	54	78				3.3	3.9	3.3			

Hohenpeissenberg.

Februar. $\varphi = 47^0\ 48'$ N. $\lambda = 11^0\ 1'$ E $= 44^m\ 4^s$. H $= 994.1$ m. Cg $= \pm 0.0$ mm. 1913.

	600 mm +																						
1.	77.0	75.8	72.3	0.0	2.1	2.6	2.6	− 1.9	3.3	3.7	3.1	72	69	57	SW 3	SE 1	NE 1	10^2	10^2	o	**7.9**	**15**	n ⚹, a ⬭³, p reine Fernsicht, abds. Dunst i. d. Höh.
2.	68.0	74.7	77.5	5.8	− 0.8	− 2.0	5.8	− 2.1	3.0	4.2	3.2	44	98	82	W 1	SW 6	SW 7	10^1	10^2=*	o	−	**15**	a reine Fernsicht, föhnig, p ≡² ⚶, abds. klar
3.	77.6	81.0	83.6	− 1.0	1.2	2.5	2.5	− 2.0	4.2	4.4	4.4	98	89	79	SW 6	W 8	SW 8	10^1	10^2	10^2	4.4	**15**	a reine Fernsicht, vorm. kurz ⚶, p ⬭, abds. ≡
4.	85.7	86.4	86.1	2.4	3.9	2.0	3.9	1.9	3.6	4.3	4.3	66	70	82	W 6	NW 1	W 1	5^1	1^1	9^2	0.2	10	a ⬭, p starker Horiz.≡, abds. reine Fernsicht
5.	83.0	80.4	79.0	0.0	7.4	4.8	**7.4**	− 0.2	3.7	2.2	2.4	81	28	37	W 1	S 1	SE 1	o	5^1	o	−	8	t reine Fernsicht, Horiz.≡
6.	79.4	80.3	81.5	3.9	6.2	3.8	6.3	1.8	3.4	4.1	3.9	56	58	65	W 4	W 1	SW 2	9^1	5^1	o	−	6	a ⬭, p u. abds. reine Fernsicht, Horiz.≡
7.	83.5	84.3	83.8	2.0	4.6	3.3	4.6	1.9	3.5	4.4	3.2	66	70	55	W 1	W 1	SW 2	o	1^1	o	−	5	a reine Fernsicht, Horiz.≡ im Norden, p ⬭, [1]
8.	82.9	83.6	88.1	4.3	2.1	− 0.5	5.5	− 0.5	1.5	4.4	4.4	24	82	100	SW 4	W 6	SW 3	o	10^1	10^2=	−	4	a sehr reine Fernsicht, p ⬭, ca 3 p ⚶, abds. ≡²
9.	**89.8**	89.2	88.8	− 1.0	2.1	− 0.9	2.1	− 1.0	4.3	3.4	3.7	100	64	86	NW 1	E 1	SW 2	10^1	6^2	o	1.3	4	n ≡² ⚹, t ⬭, abds. reide Fernsicht, p Horiz.≡
10.	88.9	87.7	87.2	1.3	4.9	5.3	5.3	− 0.9	1.4	3.2	1.5	28	49	23	E 1	SE 1	SW 3	o	oo	8^2	−	4	a sehr reine, p u. abds. reine Fernsicht
11.	87.9	87.6	88.3	4.6	5.1	2.5	5.3	2.5	2.0	**5.2**	**5.2**	31	80	94	SW 1	SW 1	NE 2	10^2	5^2	1^2	−	4	t reine Fernsicht, öfters ◍ u. ⚹, abds. ⬭
12.	88.2	87.5	87.0	1.2	1.1	1.2	2.5	− 2.0	4.2	2.7	1.9	100	53	46	NE 3	NE 4	E 5	10^2=	5^1	2^1	1.2	4	a ≡², p ⬭⁰, abds. reine Fernsicht, Horiz.≡
13.	85.9	84.8	83.4	− 1.6	1.8	1.4	2.2	− 1.7	1.9	1.4	4.1	46	27	100	SE 1	SE 1	W 5	o	4^1⊙	10^2=	−	4	a Horiz.≡, sehr reine, p reine Fernsicht, abds. ≡²
14.	80.4	79.4	80.2	1.0	0.0	− 5.4	0.0	− 5.4	4.2	2.9	2.4	98	63	78	NW 1	NW 5	E 5	10^2=	8^2⊙	10^2	2.1	4	n ≡² ⚹, vorm. ⚹⁰, p ⬭, Berge bed , abds. ⬭
15.	79.3	78.6	78.2	−10.4	− 6.1	− 8.4	− 5.4	−10.5	2.0	1.6	1.8	100	56	76	NE 2	NE 5	NE 5	2^2	1^1⊙	o	−	4	a ⌴, Horiz.≡, t reine Fernsicht, [2]
16.	76.7	76.4	75.8	− 9.1	− 4.8	− 7.4	− 4.8	− 9.8	2.0	**1.2**	1.8	88	39	69	SE 1	E 3	NE 5	o	10^1	10^1	−	4	a reine Fernsicht, Horiz.≡, p u. abds. ⬭, [3]
17.	73.1	72.0	71.9	−10.0	− 5.1	− 8.9	− 5.0	−10.3	2.1	1.7	2.0	100	57	88	E 3	NE 3	E 9	o	2^2	o	−	4	a ⌴ ⬭¹, p ⬭⁰, abds. reine Fernsicht, [4]
18.	72.0	73.0	73.2	−13.8	− 5.9	− 8.7	− 5.7	**-13.8**	1.5	1.7	2.2	100	57	94	NE 3	NE 5	NE 6	o	oo	o	−	4	⌴, t reine Fernsicht, abds. ⬭²
19.	72.0	71.6	71.8	−12.7	− 5.0	− 6.4	− 3.5	−12.7	1.7	2.0	2.1	100	64	76	NE 5	NE 5	NE 5	10^2=	oo	o=	−	4	a ≡², p ⬭, abds. ⌴ ≡¹
20.	72.8	72.7	72.5	− 7.1	− 2.3	− 4.8	− 1.8	− 8.2	2.0	2.3	2.0	75	61	64	W 1	NE 1	E 2	o	oo	o	−	4	n ≡¹ ⌴, a reine Fernsicht, p u. abds. ⬭
21.	72.8	74.4	76.8	− 4.5	− 2.0	− 6.2	− 1.5	− 6.2	2.3	2.5	2.1	72	64	74	W 1	NE 1	NE 5	o	4^1⊙	o	−	4	t ⬭⁰.¹
22.	79 1	80.4	81.4	−10.3	− 6.6	− 7.8	− 5.9	−10.4	2.0	2.8	2.2	100	100	89	NE 1	E 3	NE 6	10^2=	8^2	o	−	4	a ≡² V, p u. abds. ⬭
23.	82.2	82.5	81.3	− 7.5	− 2.7	− 5.8	− 2.3	− 8.2	1.7	2.2	2.2	67	57	74	E 3	E 3	NE 7	o	oo	o	−	4	a Horiz.≡, t reine Fernsicht
24.	78.4	78.9	78.6	− 5.5	2.3	− 0.3	2.6	− 6.6	1.7	1.7	1.6	56	31	36	SE 4	W 1	SW 1	o	oo	o	−	3	t Horiz.≡, reine Fernsicht
25.	78.2	77.7	75.4	− 1.0	3.7	0.5	4.6	− 1.7	**1.2**	1.5	1.7	30	25	37	C	NE 1	SW 1	o	oo	o	−	3	t Horiz.≡, reine Fernsicht
26.	75.4	74.4	73.8	− 1.1	4.1	1.3	4.4	− 1.1	1.6	2.2	1.9	39	35	38	W 1	NW 1	NW 1	o	oo	o	−	3	a reine Fernsicht, p ⬭, t Horiz.≡
27.	71.8	70.0	70.0	1.6	5.7	0.9	5.7	− 0.3	1.6	1.9	4.2	30	28	85	SW 1	SW 2	W 3	5^1	8^1⊙	10^2●	−	3	a reine Fernsicht, p u. abds. ⬭, abds. ◍⁰
28.	72.2	73.4	75.8	− 0.9	− 0.1	− 1.4	0.9	− 1.4	4.3	4.6	4.1	100	100	100	W 1	W 1	W 5	10^2=	10^2*	10^2=*	1.2	4	n u. t ⚹, a u. abds. ≡²
																					18.3		
Mittel	79.1	79.2	79 4	− 2.6	0.6	− 1.7	1.4	− 4.0	2.6	2.9	2.8	70	60	71				4.3	4.4	3.2			

[1] abds. Horiz.≡.
[2] abds. ⬭ u. Horiz.≡.
[3] abds. ⧻ ⧼.
[4] nur Gebirge dunstig, ⧻.

Alle Angaben nach Ortszeit.

Zugspitze.

Februar. $\varphi = 47^0\ 25'$ N. $\lambda\ 10^0\ 59'$ E = 43m 56s. H = 2964 m. Cg = −0.2 mm. 1913.

Datum	Luftdruck auf c^0 u. Normalschwere reduziert 500 mm +			Lufttemperatur C⁰					Absolute Feuchtigkeit mm			Relative Feuchtigkeit Proz.			Richtung und Stärke des Windes 0 bis 12			Bewölkung 0 bis 10			Niederschlag mm	Schneedecke cm
	7^a	2^p	9^p	7^a	2^p	9^p	Max.	Min.	7^a	2^p	9^p	7^a	2^p	9^p	7^a	2^p	9^p	7^a	2^p	9^p	7^a	7^a
1.	25.1	24.9	23.8	−14.2	− 8.8	− 7.3	− 7.3	−15.2	1.4	2.1	2.5	100	95	100	W 5	SW 8	W 8	10^1	10^1	10^2=*	**8.7**	
2.	21.0	23.3	24.2	− 6.4	−13.9	−16.7	− 6.4	−16.7	2.5	1.4	1.1	90	100	100	S 10	NW 4	W 5	10^1	10^2=*	0	–	
3.	25.4	29.5	31.9	−12.4	−10.4	−10.5	− 9.2	−17.4	1.6	1.9	1.9	100	100	100	NW 10	NW 9	NW 8	10^2=	10^2=	10^0	0.4	
4.	34.5	35.7	36.3	− 8.8	− 6.0	− 4.7	− 4.4	−10.6	1.2	1.1	2.3	55	41	72	NW 6	N 4	NW 3	7^1	4^0⊙	0	2.1	
5.	34.0	32.8	31.4	− 3.7	− 2.4	− 3.8	**− 2.3**	− 5.4	2.0	2.1	2.0	60	56	60	SW 6	S 5	S 7	4^0	5^0⊙	3^1	–	
6.	29.8	30.2	31.0	− 8.2	− 7.5	− 9.2	− 3.8	− 9.2	2.0	2.0	1.7	86	80	81	C	SW 3	W 1	7^1	8^0⊙	0	–	
7.	32.3	33.5	34.4	−11.3	− 5.2	− 6.4	− 4.3	−11.4	1.5	1.8	1.1	85	61	38	N 1	SW 2	N 1	3^0	4^0⊙	0	–	
8.	33.6	32.2	34.1	− 7.8	− 8.3	−13.2	− 5.9	−13.8	0.9	1.5	1.5	36	56	100	E 1	W 3	NW 4	3^0	9^0	10^2=	–	
9.	34.9	36.2	37.3	−14.9	− 9.6	− 8.2	− 8.2	−15.1	0.7	0.7	1.1	55	33	45	N 3	N 3	N 4	1^0	3^0⊙	0	3.9	
10.	37.2	**37.7**	37.2	− 7.6	− 3.8	− 5.2	− 3.5	− 8.4	2.3	1.0	1.1	92	29	35	N 2	C	N 5	10^1	4^0⊙	2^0	–	
11.	36.2	36.1	35.8	− 7.8	− 5.7	−11.1	− 5.1	−11.7	2.4	**2.9**	0.9	100	100	48	N 3	N 4	N 5	10^2=	10^2=	0	1.6	
12.	34.5	33.7	32.7	−11.8	−13.6	−14.7	−10.8	−14.7	1.0	1.0	1.3	58	67	100	N 5	N 4	N 7	9^0	10^0	0	1.5	
13.	31.3	31.8	30.2	−15.1	−10.5	−12.8	−10.1	−17.3	1.0	1.1	1.5	75	57	100	N 7	N 6	N 5	2^0	6^0⊙	10^2=	–	
14.	26.6	25.7	24.5	−13.7	−14.8	−20.0	−12.8	−20.0	1.5	1.3	0.6	100	100	70	N 5	N 3	N 8	10^2=	10^2=*	0	4.1	
15.	23.8	24.1	24.3	−17.4	−14.6	−15.3	−14.6	−20.0	0.6	**0.5**	**0.5**	55	37	36	E 5	E 5	E 2	2^0	4^0⊙	1^1	7.5	
16.	22.5	21.3	20.4	−15.7	−17.6	−20.4	−14.0	−20.4	1.2	1.0	0.8	100	100	100	NW 5	N 3	NE 1	1^0	⊙⊙	10^2=	–	
17.	17.6	**17.0**	17.7	−21.6	−18.5	−20.2	−17.3	**−21.6**	0.7	0.9	0.8	100	100	100	E 1	S 3	SE 2	2^1⊙	1^0⊙	0	–	
18.	19.1	19.9	21.1	−17.2	−15.1	−16.0	−15.1	−20.6	0.8	0.8	0.8	76	63	74	S 2	S 2	NW 1	⊙⊙	⊙⊙	0	–	
19.	19.2	20.6	20.9	−16.9	−12.8	−11.6	− 9.2	−16.9	0.6	1.0	0.9	60	65	50	SE 5	S 5	N 1	⊙⊙	⊙⊙	0	–	
20.	22.3	22.2	22.8	−13.2	−11.5	−11.4	−10.2	−13.3	1.3	1.4	1.6	85	81	92	SW 2	SE 3	S 2	1^0⊙	3^0⊙	0	–	
21.	22.7	23.8	24.8	−11.8	− 8.4	−13.2	− 7.5	−13.2	1.1	1.4	1.0	65	62	65	W 2	E 1	SE 5	4^0⊙	6^0⊙	9^0	–	
22.	25.2	25.8	26.6	−15.2	−15.0	−16.4	−12.8	−16.4	0.6	0.8	0.7	51	64	55	E 3	SE 4	E 4	4^1⊙	3^0⊙	1^0	–	
23.	27.2	28.2	28.5	−17.1	−14.3	−13.2	−13.2	−17.7	0.8	0.8	0.7	78	58	45	NE 4	E 3	SE 5	⊙⊙	2^0⊙	0	–	
24.	28.3	29.3	29.2	−10.2	− 5.9	− 8.7	− 5.4	−13.2	0.7	1.0	0.8	36	35	35	SE 2	NW 1	W 1	⊙⊙	3^0⊙	0	–	
25.	28.8	28.7	28.1	− 5.7	− 4.1	− 5.2	− 4.1	− 9.0	0.7	0.9	1.3	23	25	43	NW 1	SE 2	SE 1	1^0⊙	2^0⊙	0	–	
26.	26.3	25.3	24.2	− 7.9	− 7.6	−11.6	− 4.8	−11.6	1.0	1.0	0.9	40	40	48	SE 1	E 3	NW 1	⊙⊙	⊙⊙	0	–	
27.	22.2	21.6	20.8	−11.6	− 9.4	−10.6	− 8.5	−13.5	1.8	1.6	1.9	100	75	100	W 1	SW 6	W 6	8^0	6^0⊙	10^2=	–	
28.	21.2	22.5	24.0	−12.2	−11.5	−13.0	−10.6	−13.0	1.7	1.8	1.5	100	100	100	NW 5	NW 3	NW 4	10^2=	10^2=	10^2=*	2.3	
																					32.1	
Mittel	27 2	27.6	27.8	−12.1	−10.2	−11.8	− 8.6	−14.5	1.3	1.3	1.2	74	67	71				4.6	5.1	3.1		

Schneedecke während des ganzen Monats, Angabe der Höhe unmöglich

59

1. a ≡1, 11[35] a Aufklaren, p ztw. ≡0.1 u. d. G., ab 7 p ≡2, 9 p k. Z. ✳0
2. ab 8[40] a ≡2, 8[50] a–4[15] p ztw. ✳0.1, 6[10] p k. Z. teilw. Aufklaren
3. t ≡2, st. ✳treiben, ca 3 p k. Z. ✳0.1, ab ca 7[15] p ztw. Aufklaren, Talblick teilw. frei
4. p starke Abnahme der Bewölkung, ca 4 p wolkenlos, abds. Wind springt ztw. auf W.
5. t über Flachland ∞1.
6. t über Flachland ∞1, 10[10] a plötzlich st. Bewölkungszunahme, 11[00] a k. Z. ≡3 u. d. G. ✳-Flocken, ab 5 p Aufklaren.
7. a üb. Flachland ∞1, ztw. cu in ca 1200–1500 m, 9 a k. Z. ci NNW–SSE, 9[00] a–ca 1[30] p üb. westl. Teil der Zentralkette Föhnmauer, p mässig bewölkt, üb. Flachland ∞1.2 [1])
8. a Ferns. ringsum frei, üb. Flachl. ∞1, ab 2[15] p bedeckt (str, fr-str.), ab 2[40] p ≡0.1 u. d. G. ✳0, NW 5, ab 3[00] p ≡2 ztw. ✳1, ca 6 p Aufhören des Schneefalles, 5 cm Neuschnee
9. a 5 cm V, ringsum cu-meer in ca 2200–2500 m, 8 a cu-meer üb. Alpenvorland, 10[30] a cu-meer üb. Inntal in Auflösung, p üb. Alpenvorland u. Flachland cu in ca 1200 m, abds. über [2])
10. a ztw. ≡0 u. d. G., p lebhafte Bewölkungszunahme, str-cu vorherrschend, 8 p Auffrischen des Windes (N 5)
11. 11[15] p gleichmäss. str-Schicht, n ✳0, a 3 cm V, ≡2, ca 8–ca 10 a ztw. ✳0.1, m ztw. Zerreiss. d. Nebelschicht, p st. ∽ Niederschlag, 5[01] p Aufkl., ringsum cu-meer bis 2950 m [3])
12. a bedeckt, üb. Inntal l. Nebeldecke, üb. Alpenvorland u. Flachland cu-meer in ca 1800–2000 m, m cu-meer üb. Alpenvorland u. Flachland in Auflösung, p meist gleichmässige [3])
13. a über Flachland l. ∞, p mässige Bewölkungszunahme, a-str u. a-cu vorherrsch. ca 6[30] p ≡0.1 u. d. G. ab 6[35] p ≡2, ab ca 8 p l. ✳treiben, V bildung, 9 p 3 cm V
14. n ✳0.1, a 5 cm Neuschnee, 30 cm V, ≡2, t ≡2, ✳0.2, 4[25] p Aufhören des Schneefalles, 30 cm Neuschnee, ca 7[15] allmähliches Aufklaren; 9 p über Alpenvorland und Flachland [4])
15. t in Tälern und über Alpenvorland teilw. cu-Decke in ca 1800 m, ztw. st. ✳treiben, p l. Bewölkungszunahme ci-Gewölk vorherrschend
16. a in Tälern u. üb. Alpenvorland ∞1, ab ca 10 a ≡0.1 u. d. G., p über Zentralkette u. Alpenvorland str-cu-Decke in ca 2800 m, ab ca 3 p ≡2, ztw. ✳-Flocken, abds. l. V bildung
17. a l. V, über Inntal cu-meer in ca 2000 m, in Tälern vereinzelt cu, über Alpenvorland u. Flachland ∞2, p ztw. ≡treiben, über Alpenvorland, Flachland u. lgs. Zentralkette cu [5])
18. a über Alpenvorland und in Tälern vereinzelt cu, t wolkenlos, ∞2
19. a über Alpenvorland und Flachland Nebeldecke, ca 9 a Nebeldecke über Alpenvorland und Flachland in Auflösung, p vereinzelt Auftreten von cu-str l. S.
20. a–ca 3 p längs des südl. u. südwestl. Teiles der Zentralkette Föhnmauer, 11[15] a k. Z. st. Bewölkungszunahme (a–cu S r), abds. über Flachland l. Nebeldecke
21. t üb. Flachl. ∞2, p üb. Alpenvorl. teilw. l. Nebeldecke, st. Bewölkungszunahme, 3[25] p bed., a-str-Schicht geht teilw. in str-cu üb. ztw. C, 7[05] p Auffrisch. d. Windes ztw. Aufklar.
22. a üb. Alpenvorland u. teilw. in Tälern l. Nebelschleier, p üb. Alpenvorland zusammenhäng. cu-Decke, über Flachland str-cu, in Tälern l. Nebel, abds. ringsum cu-meer in ca 1800 m.
23. a über Inntal cu-meer in ca 1800–2000 m, in Tälern und über Alpenvorland ∞2, über Flachland vereinzelte str-cu, 9 a cu-meer über Inntal in Auflösung, p ∞1
24. a über Flachland ∞1, ca 10 a–1[30] p vollständige Windstille, mässige Bewölkungszunahme, p l. ∞, abds. Fernsicht klar
25. t über Flachland ∞0.1
26. t über Flachland ∞1, ab 5 p über Alpenvorland und Flachland l. Nebeldecke
27. a über Flachland ∞1 stark wechselnde Bewölkung, ztw. SW; ab 3[25] p bedeckt (a-str, str, tiefhängender fr-str i. W), ab 5[05] p ≡0.1 u. d. G., ab 5[35] p ≡2, ✳0
28. n ✳0, a 5 cm Neuschnee, 10 cm V, ≡2, ztw. ✳0, t ≡2, ✳treiben, 0[25] p k. Z. Zerreissen d. Nebelschicht; ab ca 6 p ✳1, ab 8 p ztw. st. positives Elmsfeuer, Länge d. Büschel [6])

[1]) ztw. cu, ab 3 p N1.2, 5–7 p l. Nebeldecke über Flachland, abds. Fernsicht ringsum frei u. rein.
[2]) Flachland l. Nebeldecke
[3]) a-str-Decke, ab ca 6[45] p Aufklaren, ≡0 u. d. G., in Tälern ≡1.2.
[4]) str-cu-Decke in ca 1800 m, in Tälern Nebelfahnen
[5]) in ca 1800–2500 m, ab 5 p Fernsicht ringsum frei.
[6]) durchschnittlich 2 cm, Öffnungswinkel nahezu 90°, deutlich ausgeprägter Stiel, Schnee zeigte dem ausströmenden Gegenstande gegenüber schwaches Leuchten

Kahl a/M.

März. $\varphi = 50^0\ 4'$ N. $\lambda = 9^0\ 1'$ E $= 36^m\ 4^s$. H $= 114.1$ m. Cg $= +0.3$ mm. 1913.

Datum	Luftdruck auf 0° u. Normalschwere reduziert 700 mm + 7a	2p	9p	Lufttemperatur C° 7a	2p	9p	Max.	Min.	Absolute Feuchtigkeit mm 7a	2p	9p	Relative Feuchtigkeit Proz. 7a	2p	9p	Richtung und Stärke des Windes 0 bis 12 7a	2p	9p	Bewölkung 0 bis 10 7a	2p	9p	Niederschlag mm 7a	Bemerkungen
1.	59.7	60.2	60.4	− 4.0	2.2	− 2.7	3.4	− 5.7	3.0	**2.7**	2.9	89	49	77	SW 2	NE 4	NE 2	1¹	3⁰	0	0.5	a ⌐
2.	59.7	58.2	59.2	− 5.8	5.2	2.6	6.2	− 6.3	2.5	3.0	3.8	85	45	69	C	SE 2	C	0⊖	9⁰	10¹	–	a ⌐
3.	60.1	58.1	57.3	0.1	9.8	7.0	10.6	− 0.1	4.4	5.4	5.6	96	59	75	C	SW 4	C	0⊖	9⁰	10¹	–	
4.	56.1	57.3	57.4	7.0	9.4	9.2	11.4	5.9	6.2	6.8	7.4	82	78	86	SW 4	SW 4	SW 2	10¹	10¹	10¹	1.5	n ◍
5.	57.7	59.5	61.0	9.0	11.4	9.1	12.3	8.9	6.6	6.8	7.9	77	67	92	SW 2	SW 4	SW 2	10¹	10¹	10¹	–	
6.	60.6	59.3	58.0	9.8	12.6	10.5	14.0	8.5	7.2	7.7	6.7	80	71	71	SW 2	SW 4	SW 2	10⁰	10¹	9¹	–	
7.	55.8	54.6	54.3	9.5	11.4	5.5	12.9	5.2	6.5	7.4	6.5	74	73	97	SW 4	SW 4	SW 2	1⁰	10¹	10¹●	–	
8.	49.2	54.5	59.8	9.1	4.4	2.8	10.3	2.0	7.4	5.0	4.7	87	80	82	SW 4	NW 4	C	10¹	10¹	10¹	2.8	n ◍
9.	64.3	66.3	**66.4**	0.6	6.1	1.5	7.3	− 1.2	4.6	4.7	4.5	96	68	89	C	SW 2	SW 2	10⁰	1⁰	8⁰	–	a ⌐
10.	64.0	62.5	62.5	3.4	7.4	6.6	8.2	1.0	4.2	5.4	6.4	71	70	88	SW 2	SW 2	SW 4	10¹	10⁰	10¹	–	
11.	62.4	59.0	58.9	6.5	12.2	6.0	13.1	5.1	6.6	6.8	6.3	91	64	90	SW 2	SW 4	C	10¹	4⁰	0	0.8	n ◍
12.	62.6	61.8	58.0	2.0	10.6	6.4	12.3	0.2	4.9	4.8	4.3	93	50	59	C	SE 2	SE 2	0⊖	0⊖	0	–	a ⌐
13.	54.1	53.6	54.5	2.2	12.0	8.3	13.6	− 1.1	4.4	6.5	6.8	82	63	84	S 2	SW 2	SW 2	4⁰	7⁰⊖	0	–	a ⌐
14.	55.4	54.8	53.8	8.5	12.3	9.4	13.2	4.8	6.0	5.9	5.9	73	55	67	SW 2	SW 4	SW 2	10¹	2⁰	10⁰	–	
15.	53.0	55.3	60.1	9.2	12.3	4.8	13.4	4.8	6.3	3.8	4.4	72	35	68	SW 6	W 8	SW 2	10¹	2¹	0	–	
16.	56.6	52.7	50.8	3.0	11.2	9.1	11.8	0.4	4.1	3.9	4.5	73	39	52	S 2	SW 6	SW 6	9¹	10⁰	2⁰	–	
17.	47.7	40.5	41.6	7.0	12.7	4.5	15.0	4.2	4.9	6.0	5.2	66	55	82	SW 4	SW 8	SW 4	8⁰	9¹	10⁰	–	$^{430-51}$ p ⌇, $^{432-516}$ p ◍
18.	43.7	44.6	46.2	2.9	5.6	1.7	7.1	0.9	4.8	3.7	4.8	85	55	93	SW 2	NW 4	SW 2	8¹	6¹	2¹	4.7	
19.	44.3	38.6	36.8	0.5	6.2	6.7	7.9	− 2.2	4.4	3.4	6.3	92	48	86	S 2	SW 4	SW 4	2⁰	10¹	7²	–	p ztw. ◍ ≡
20.	44.0	45.3	46.0	8.0	12.0	8.1	12.7	5.9	6.3	7.2	8.0	79	69	99	W 4	SW 4	SW 4	10⁰	10¹	9⁰	4.9	n ◍. ca 4 p-abds. ◍
21.	47.5	48.9	50.2	9.1	14.3	8.9	14.9	7.3	7.4	7.2	7.2	87	59	86	SW 2	SW 4	SW 2	10¹	4¹⊖	0	**8.4**	n ◍
22.	50.3	46.7	44.4	6.1	18.9	12.9	19.6	5.2	6.9	8.2	9.3	99	51	85	S 2	S 4	SE 4	1⁰	2²⊖	10¹⧖	–	$^{816-900}$ p ⌇, $^{848.33}$ p ◍
23.	46.8	46.6	46.8	8.7	11.7	7.9	14.4	7.8	7.1	6.6	6.9	86	64	88	SW 4	SW 2	SE 2	10⁰	10¹	10⁰	7.0	$^{900.33}$ p ⌇, $^{941.45}$ p ◍
24.	47.5	49.9	53.8	4.9	11.8	6.2	13.2	4.0	6.3	5.4	6.8	98	52	96	C	SW 2	C	10⁰	10¹	10¹	–	a ⌓
25.	57.8	58.4	58.4	1.7	10.3	5.5	11.2	0.5	5.2	4.9	4.7	100	52	70	E 2	NE 2	NE 2	1⁰	4¹	0	–	ca 7 a ≡
26.	55.8	51.1	48.0	3.6	13.7	8.7	14.3	0.6	4.2	4.1	4.4	70	35	52	E 4	SE 4	E 2	0⊖	1⁰	0	–	
27.	48.2	47.2	46.6	6.2	8.9	6.8	11.7	5.0	4.9	7.0	6.8	69	83	93	SE 2	C	SW 2	10¹	10¹	10¹	–	
28.	46.0	46.2	47.6	5.0	16.0	12.2	17.6	0.4	6.0	5.4	5.6	92	40	53	SE 2	SW 2	SE 4	0⊖	1⁰⊖	0	0.6	n ◍
29.	47.2	47.9	48.9	9.6	16.5	13.8	17.4	9.1	6.1	7.0	7.0	69	50	59	SE 2	SE 2	C	10¹	10⁰	0	–	
30.	49.1	47.2	46.5	9.1	20.8	11.4	21.9	7.7	7.3	**9.5**	9.2	86	52	92	C	SW 2	SW 2	10¹	10¹	0	–	
31.	46.4	44.8	47.5	5.6	22.2	14.8	**23.7**	3.0	6.4	7.9	9.1	94	40	73	S 2	SE 2	C	1⁰	0⊖	10¹	–	
Mittel	53.3	52.6	53.0	5.1	11.4	7.3	12.8	3.0	5.6	5.8	6.1	84	57	79				6.3	6.6	5.7	31.2	

Bayreuth.

März. $\varphi = 49^0\ 57'$ N. $\lambda = 11^0\ 34'$ E $= 46^m\ 16^s$. H $= 363.3$ m. Cg $= +0.3$ mm 1913.

1.	36.2	37.0	38.1	4.5	1.1	− 3.3	1.8	− 5.2	2.8	**2.1**	2.3	88	42	65	E 2	W 2	E 2	8¹	7¹	0	–	a ⌓⁰
2.	37.8	36.8	36.7	− 8.5	2.6	− 8.3	3.9	− **9.6**	**2.1**	2.2	2.8	88	40	63	E 2	SE 4	S 2	0⊖	2⁰⊖	10¹	–	a ⌓²
3.	37.7	36.2	35.6	1.3	8.2	6.5	8.7	− 8.3	4.3	4.1	4.4	86	51	61	SW 2	SW 6	W 6	10²=	7¹	10²	–	a ≡⁰
4.	33.2	35.0	35.5	4.7	7.5	6.1	8.1	3.7	5.7	6.1	6.5	90	80	93	SW 6	SW 6	W 2	10²	10²	10²	0.6	n ◍⁰
5.	35.8	37.5	39.7	6.9	10.5	8.1	11.0	5.6	6.0	6.6	6.4	82	70	80	SW 4	SW 6	SW 6	10²	8¹	10¹	–	
6.	39.4	37.9	36.5	7.3	12.9	8.7	12.9	5.2	6.4	6.2	6.2	86	56	74	S 2	W 4	W 2	10¹	10¹	0	–	
7.	34.3	32.6	31.5	5.5	11.9	10.0	12.6	4.1	5.4	6.0	6.1	81	58	67	SE 2	SW 6	W 2	5¹	10¹	10¹	–	
8.	28.2	28.4	35.6	7.1	2.7	1.0	10.0	0.7	6.6	5.0	4.7	88	90	94	SW 4	N 4	C	10²●	10²●	10²✱	3.2	t ◍⁰, ztw. ✳⁰
9.	40.5	43.1	**43.2**	0.3	3.4	0.0	5.0	− 0.8	4.5	4.1	4.1	96	69	87	NW 2	NW 2	W 2	10¹	10¹	0	7.3	n ✳$^{0.1}$
10.	41.8	39.9	39.6	1.5	3.4	4.4	4.8	− 1.8	3.9	4.6	5.7	77	79	**98**	SW 2	SW 4	W 4	10¹	10²●	10²●	–	a ⌓⁰, t ztw. ◍⁰
11.	40.0	37.5	35.9	4.8	8.1	5.5	10.3	3.7	6.0	6.7	6.0	94	84	90	SW 2	SW 2	W 4	10¹=	10¹	0	0.9	a ≡¹
12.	39.8	39.9	38.5	3.1	8.7	3.5	10.9	2.2	5.1	3.7	4.2	91	44	71	W 2	NW 2	E 2	2⁰⊖	0⊖	0	–	
13.	32.8	31.7	32.6	0.9	11.3	6.6	11.3	− 0.1	3.4	5.3	5.9	68	53	82	E 2	SW 2	SE 2	3⁰⊖	10⁰	10⁰	–	a ⌓⁰
14.	33.9	33.6	32.6	6.2	9.5	6.2	10.0	4.0	6.0	6.2	6.0	87	70	87	W 2	SW 2	SW 2	10²	10¹	7¹	0.4	n ◍⁰
15.	31.2	33.0	37.0	7.3	7.4	5.0	10.2	4.4	5.9	5.8	4.3	77	75	65	SW 4	W 4	W 6	10¹	10¹	0	–	10^{31} a–^{106} p ◍$^{0.1}$
16.	35.6	30.5	29.4	− 0.8	10.9	8.1	11.3	− 1.8	3.7	4.2	4.0	86	44	52	E 2	SW 6	W 2	0⊖	10¹	7¹	0.8	a ⌓⁰
17.	27.0	20.6	19.1	6.3	14.3	5.1	15.5	3.2	4.7	4.4	5.3	66	37	83	S 2	S 6	SW 8	7¹	8¹	10²●	–	$^{446-900}$ p ◍⁰
18.	20.7	21.6	23.8	1.4	4.6	0.7	5.1	0.2	4.6	4.5	4.5	91	71	92	SW 4	SW 4	SE 2	10²	10¹	5⁰	4.4	n ✳⁰, ◍⁰, $^{346-446}$ p ✳$^{0.1}$, △
19.	22.2	18.1	**14.5**	0.7	6.1	5.2	6.7	− 1.3	4.2	3.8	4.2	96	55	62	SE 4	S 6	SW 6	10¹	2¹⊖	10²●	0.3	$^{746-900}$ p ◍⁰
20.	21.4	24.6	24.2	6.1	10.5	8.0	11.5	3.2	6.1	6.6	7.5	88	70	93	SW 6	W 6	NW 4	10²	10²	10²●	1.2	n ◍⁰, ≡, t ztw. ◍⁰
21.	26.6	28.5	29.4	7.5	12.8	9.7	12.8	6.2	7.4	7.4	8.1	96	68	91	SE 2	SW 4	SW 2	10²●	10¹	8¹	5.8	n–^{816} a ◍$^{0.1}$
22.	29.9	27.1	24.2	7.1	16.1	11.5	18.0	4.7	6.8	**8.9**	8.0	91	65	79	SE 4	SE 2	C	10¹	4¹⊖	8¹	0.8	
23.	23.9	24.5	24.2	9.7	12.6	7.3	13.0	6.9	8.1	6.5	7.1	91	60	93	SE 2	W 2	W 2	10¹	10¹	10²●	–	a ≡⁰, p ztw. ◍⁰
24.	24.0	26.7	30.9	5.0	6.7	5.5	7.9	4.0	6.1	6.8	6.4	94	93	96	W 2	NW 2	C	10²●	10²●	5¹	**11.0**	n ◍$^{0.1}$, t–^{546} p ◍⁰
25.	35.4	36.2	37.1	3.2	7.3	3.3	7.8	1.5	5.5	5.0	4.3	95	66	74	NW 2	NE 2	N 2	8⁰	7¹⊖	0	4.5	a ≡¹
26.	35.4	31.4	28.8	2.7	10.3	6.3	12.0	− 2.1	3.8	4.2	4.3	68	45	61	E 4	E 6	E 6	0⊖	0⊖	0	–	a ⌓¹
27.	26.8	26.5	24.9	1.3	2.9	3.9	6.3	− 1.0	4.2	4.9	5.2	84	87	86	SE 2	SE 4	SE 2	10²	10¹	10¹	–	a ≡⁰
28.	25.0	25.7	27.5	3.9	13.9	8.6	15.9	2.6	5.3	5.8	6.2	88	49	74	SE 2	SE 4	SE 2	2⁰⊖	6⁰⊖	0	0.3	n ◍⁰
29.	27.1	26.6	29.0	8.3	15.3	9.4	16.6	3.5	5.9	6.5	7.2	72	50	83	SE 2	SE 4	C	10¹	8⁰⊖	0	–	
30.	28.7	26.6	26.5	7.5	20.5	12.2	**20.8**	5.2	7.2	8.0	8.5	93	45	81	W 2	SE 4	E 2	5¹⊖	8⁰⊖	0	–	a △
31.	26.4	24.9	25.5	9.3	20.4	12.3	20.7	6.1	6.9	5.7	8.4	79	32	79	E 2	E 4	E 2	3⁰⊖	10⁰	0	–	a △
Mittel	31.6	31.0	31.2	3.9	9.5	6.0	10.8	1.6	5.3	5.4	5.6	86	61	79				7.5	8.0	5.5	41.5	

Alle Angaben nach Ortszeit.

Bamberg.

März. $\varphi = 49^0\ 53'$ N. $\lambda = 10^0\ 53'$ E $= 43^m\ 32^s$. H $= 287.7$ m. Cg $= +0.3$ mm. 1913.

Datum	Luftdruck auf 0^0 u. Normalschwere reduziert 700 mm +			Lufttemperatur C⁰					Absolute Feuchtigkeit mm			Relative Feuchtigkeit Proz.			Richtung und Stärke des Windes 0 bis 12			Bewölkung 0 bis 10			Niederschlag mm	Bemerkungen
	7^a	2^p	9^p	7^a	2^p	9^p	Max.	Min.	7^a	2^p	9^p	7^a	2^p	9^p	7^a	2^p	9^p	7^a	2^p	9^p	7^a	
1.	43.2	43.8	44.8	− 4.5	2.4	− 2.6	3.9	− 4.7	3.1	**2.1**	2.5	95	38	66	W 1	NW 2	N 2	8^1⊙	2^1⊙	0	0.1	n △⁰, 8^{14} a ✳⁰, 11 a ✳⁰
2.	44.3	43.3	43.5	− 8.2	4.7	0.1	5.3	− **8.2**	2.3	2.9	3.1	97	46	67	W 2	SE 3	SW 2	2^1⊙	4^0⊙	10	0.1	n V
3.	44.4	43.0	42.0	0.8	9.2	5.6	10.6	− 1.1	4.1	4.8	5.0	85	56	74	SW 1	SW 4	S 2	10^2	9^1	10^2	0.1	6^{14} u. 8^{14} p ◍⁰
4.	40.5	42.1	42.4	5.3	8.8	6.9	10.5	4.9	5.9	6.5	6.6	89	77	88	W 3	W 3	SW 2	10^2	10^2	10^2	1.0	n ◍, a ztw., 7^{14} p ◍⁰
5.	42.6	44.3	46.7	6.4	11.7	8.3	13.3	6.3	6.2	7.1	6.9	87	69	86	SW 2	W 4	C	10^2	9^1⊙	10^2	0.1	
6.	46.0	44.5	43.1	6.2	12.2	8.3	13.7	5.4	6.4	7.1	6.5	90	67	79	S 2	SW 2	SW 3	10^2	10^2	10^1	0.1	
7.	41.1	39.8	38.4	3.9	12.0	8.6	14.3	2.9	5.4	6.9	7.0	88	66	84	S 1	W 5	S 1	10^0⊙	10^2	10^1	−	
8.	39.8	35.7	42.7	6.7	4.9	1.4	10.6	0.8	7.0	5.7	4.9	96	89	96	SW 1	W 2	W 3	10^2●	10^2●	10^2	3.2	n u. t ◍0.1, 7^{14} p ✳⁰
9.	48.3	50 1	**51.3**	0.4	5.2	0.6	6.2	− 0.1	4.6	4.7	4.0	96	71	83	W 1	NW 1	W 1	10^2	9^1	1^1	3.2	n ✳⁰, 7^{40}–8^{24} a ✳⁰, 9^{44} a ✳⁰
10.	48.9	46.9	46.7	0.8	4.6	5.4	6.0	− 1.3	4.1	4.8	6.0	85	76	89	S 3	SW 1	W 3	10^2	10^2	10^2●	0.1	n ⌴, 7^{38}–9^{44} a ztw. ✳⁰, 11^{34} p u. 1^{37}–2^{09} p Eisregen
11.	47.0	44.5	43.0	4.9	9.1	6.7	10.4	4.8	6.2	7.0	6.3	97	81	86	SW 1	SW 2	W 3	10^2	10^2	1^1	0.3	n ◍
12.	46.8	46.7	44.1	3.1	10.5	4.0	11.3	2.0	5.4	4.8	4.1	95	51	67	NW 3	W 2	S 2	3^1	○○	0	0.1	n △
13.	40.0	38.5	39.4	1.0	10.5	8.7	12.4	0.7	4.2	6.4	7.1	85	68	86	NW 1	S 1	SW 2	10^1	10^2	10^2	0.1	n ⌴, 1^{33} p, 7^{29} p ◍⁰
14.	40.5	40.4	39.2	5.5	10.3	7.3	12.0	5.1	6.1	6.7	6.3	91	72	83	SW 2	SW 3	SW 3	10^2	10^2	5^1	0.1	
15.	37.9	39.9	44.4	6.2	7.8	4.8	11.8	3.4	6.4	6.6	4.6	90	83	71	SW 3	W 2	W 6	10^2	9^2△●	0	−	9^{44} p Ψ, ca 7 a ◍⁰, 10^{44} a–0^{14} p ◍0.1, 1^{39} p ◍⁰ u. △⁰, 1)
16.	42.1	37.7	36.3	− 0.6	11.3	7.5	12.9	− 2.2	3.9	5.5	4.9	88	55	64	SW 2	SW 4	SW 3	2^1⊙	10^1	10^1	1.1	n ⌴, 8^{14} p Ψ
17.	33.4	26 6	26.6	3.8	15.4	3.0	16.0	2.1	4.8	6.6	5.4	80	51	95	S 4	W 7	W 2	10^1	9^1⊙	10^2●	0.1	1^{51} p ◍⁰, 2^{19} p ◍¹, $4^{49.59}$ p, 6^{44}–8^{59} p ◍¹, 6^{44} p ⌴ W8
18.	27.3	28.6	30.6	1.2	5.9	− 0.9	6.7	− 1.2	4.6	3.9	4.0	92	56	92	SW 2	W 4	C	10^2	10^2	3^1	5.0	n ◍, $0^{04.09}$ p ◍⁰ u. △⁰, 5^{42}–6^{04} p ◍ u. ✳⁰
19.	28.9	24.4	21.3	− 1.8	6 2	6.0	7.8	− 2.9	3.9	4.1	5.5	98	58	79	S 3	S 8	SW 5	10^1	9^1	10^2●	0.1	n V, 7^{49}–9^{00} p ◍¹
20.	28.6	30.7	31.5	6.6	11.1	7.5	13.6	4.1	6.2	7.4	7.6	85	75	**99**	W 3	SW 3	C	10^2●	10^2	10^2●	1.9	n u. t ztw. ◍0.1
21.	33.2	34.7	35.8	7.0	12.5	7.2	13.7	6.5	7.3	7.9	7.3	98	73	96	S 2	SW 3	S 2	10^2●	10^2	1^1	**8.1**	n u. mrgs. ◍0.1
22.	36.1	33.0	30.0	7.1	17.6	13.3	18.9	4.7	7.1	**9.7**	8.8	94	65	77	SW 2	S 4	S 1	8^1⊙	3^1⊙	10^1	0.1	ca 7^{30} p ≤ u. ⌇ i, NW
23.	30.7	31.4	31.0	10.0	12.4	7.4	14.0	7.1	8.8	7.7	**7.2**	96	72	94	W 1	W 1	C	10^2●	10^0	10^2	0.9	n ◍, 4^{44} p ◍⁰
24.	31.0	33.4	37.8	5.8	9.6	6.8	10.5	5.4	6.7	6.5	6.3	97	73	85	C	W 1	W 1	10^2	10^2	10^2●	2.4	n, a ztw. ◍, 8^{14}–9^{00} p ◍⁰
25.	42.2	42.9	43.5	3.1	9.9	3.3	11.4	2.8	5.5	5.5	4.2	96	61	73	NW 2	NW 3	NW 1	10^2	9^1	0	1.7	9^{00}–11^{44} p ◍0.1, n △
26.	41.5	37.1	34.0	3.1	12.4	6.1	13.0	1.1	3.9	4.1	4.1	68	39	59	E 3	E 5	SE 2	○○	1^0⊙	1^1	0.1	8^{30} p ⌴ SE 7
27.	33.3	32.2	31.1	2.7	5.3	4.2	8.7	2.1	4.3	5.0	6.1	77	75	98	S 2	E 4	S 1	10^2	10^2●	10^2	0.1	n △, 1^{31}–2^{04} p ◍⁰
28.	31.3	31.8	33.9	3.5	15 1	10.8	16.3	1.9	5.3	5.7	6.0	90	45	62	SE 4	SE 4	S 2	4^0⊙	9^1	10^1	0.1	n ⌴⁰
29.	33.2	33.4	35.0	7.5	17.0	11.0	18.0	6.1	5.7	6.4	6.9	73	45	70	SE 3	SE 3	W 2	10^2	9^1⊙	10^1	0.1	
30.	34.8	32.7	32.4	8.5	22.0	13.2	**22.7**	7.2	7.0	7.3	8.1	86	37	72	W 1	SE 2	W 1	10^0⊙	10^1	10^0	0.1	n △⁰
31.	32.5	30.8	31.8	6.4	21.5	14.2	22.5	5.5	6.9	5.1	6.9	96	**27**	57	W 1	S 4	S 3	10^0⊙	10^2	10^1	0.1	n △
Mittel	38.3	37.6	37.9	3.6	10.6	6.3	12.2	2.3	5.5	5.9	5.8	90	62	80				8.6	8.4	7.2	30.6	1) 6^{39} p ◍⁰.

Würzburg.

März. $\varphi = 49^0\ 48'$ N. $\lambda = 9^0\ 56'$ E $= 39^m\ 44^s$. H $= 179.3$ m. Cg $= +0.3$ mm. 1913.

1.	53.3	53.9	55 0	− 3.6	2.4	− 3.0	2.9	− 3.9	3.3	**2.2**	**2.4**	93	41	66	W 1	C	C	○○	3^2⊙	0	0.1	n ⌴
2.	54.1	52.7	52.8	− 6.9	4.8	0.9	5.8	− **7.1**	2.4	2.9	3.6	89	44	72	E 1	N 2	C	5^1⊙	5^1⊙	10^2	−	n ⌴
3.	54.0	52.6	52.3	1.1	10.3	7.9	10.3	0.7	4.1	4.5	4.8	83	48	60	W 2	W 5	NW 3	5^1⊙	4^2⊙	0	−	mrgs. ≡
4.	50.2	51.7	51.8	6.1	9.1	8.4	9.1	5.8	6.0	6.7	6.6	86	77	81	W 4	W 3	W 1	10^2	10^2	10^2	1.4	mrgs. ztw. ◍
5.	52.0	53.7	55.6	8.5	13.1	8.7	13.1	7.0	6.3	6.2	6.7	76	55	80	W 4	NW 5	C	10^2	8^2⊙	0	0.3	
6.	55.3	54.0	52.5	6.4	14.1	10.9	14.1	5.9	6.3	6.7	6.0	88	56	62	SW 2	W 4	SW 3	9^2	8^2	0	−	mrgs. △
7.	50.1	49.9	47.4	8.6	12.8	10.9	13.2	8.0	5.8	6.6	6.5	69	60	67	SW 5	W 5	W 4	5^1	9^2	0	−	ztw. ⌴ u. ◍Tr.
8.	43.7	46.8	52.9	8.5	4.3	3.0	11.0	2.8	7.5	4.7	4.2	91	76	74	W 3	NW 3	NW 4	10^2●	10^2	2^2	2.7	ztw. ◍ u. ⌴
9.	58.0	60.3	**60.8**	1.2	6.1	1.5	6.2	0.8	4.4	3.7	4.3	87	53	83	NW 3	W 2	NE 2	9^2	5^2	0	2.0	ztw. ✳
10.	58.8	56.4	56.9	3.1	7.8	6.5	7.8	0.7	3.9	4.7	6.3	68	60	87	SW 4	W 5	W 2	10^2	10^1	10^2	−	ztw. ◍ u. ⌴
11.	56.7	53.7	52.6	6.4	11.0	7.6	12.5	6.1	6.4	6.5	6.0	90	67	70	SW 2	W 2	C	10^2	8^2	0	0.2	
12.	56.7	56.1	53.0	3.8	10.4	3.7	10.5	3.5	3.6	4.2	2.6	93	45	77	SW 1	S 2	C	○≡	○○	0	−	mrgs. ≡¹
13.	48.5	47.7	48.2	0.3	11.4	8.7	12.0	− 0.3	4.2	5.7	6.8	89	57	81	C	SW 1	C	○≡	10^2	7^1	−	n ⌴, mrgs. ≡¹
14	49.6	49.3	48.2	7.3	13.3	8.1	13.3	5.1	6.3	5.8	6.3	83	50	78	C	W 2	NW 2	○≡	7^2⊙	7^2	−	mrgs. ≡¹
15	46.8	49.2	54.6	9.2	11.4	6.4	11.5	6.4	6.0	4.3	3.6	70	42	50	SW 5	W 5	SW 5	10^2	10^2		−	ztw. ◍ u. ⌴
16	51.3	46.6	45.4	1.0	12.0	9.6	12.0	− 0.5	4.0	4.2	4.4	81	40	44	SE 2	SW 5	W 4	1^1	8^2⊙	9^1	1.8	n ⌴ u. ⌴
17.	42.5	35.2	35.5	6.2	14.8	3.7	15.2	3.0	4.9	4 4	5.2	69	35	87	S 3	W 4	W 4	8^2	6^2⊙	10^2	−	⌴, ca 5^{40}–8^{40} p ◍
18.	37.1	38.1	39.8	2.7	3.8	1.3	7.9	1.1	4.8	4.8	4.6	85	80	91	W 2	N 3	C	10^2	6^2⊙	2^1	3.9	$1^{10.40}$ p ✳ u. ◍, ca 6 p ✳ u. ◍
19.	38.1	33.4	30.3	− 0.4	7.6	7.2	7.8	− 1.1	4.1	3.3	6.6	92	42	87	S 1	S 4	SE 4	2^1	10^2	10^2●	0.1	n ⌴, abds. ⌴ u. ◍
20.	37.1	39.8	41.8	8.3	12.4	8.4	12.4	7.2	6.2	7.0	7.9	75	65	**96**	W 4	SW 4	C	8^2	10^2	10^2●	1.8	ztw. ◍ u. ⌴, abds. ◍
21.	41.6	43.7	44.6	8.6	14.0	8.2	14.9	7.2	7.7	6.7	7.2	92	57	89	SW 2	SW 3	E 2	10^2●	10^2	0	**13.3**	n u. mrgs. ◍
22.	45.0	41.7	38.7	5.8	17.2	11.6	18.5	5.4	6.6	8.5	**9.7**	**96**	58	**96**	SE 2	S 1	C	8^2	2^2⊙	8^1●	0.1	mrgs. ≡, 4^{40}–5^{10} p ⌇, 4^{50}–5^{25} p ◍
23.	40.0	41.2	40.6	9.8	11.5	8.8	12.0	8.8	7.7	5.9	6.1	86	58	72	SW 1	W 2	E 2	10^2	10^2	10^2	5.0	mrgs. ◍
24.	40.4	43.1	47.8	7.0	11.1	8.2	11.1	6.0	6.3	5.4	6.2	84	54	77	W 1	NW 4	W 1	10^2	10^2	8^2	−	abds. ◍Tr.
25.	51.5	52.1	52.7	4.1	10.5	4.9	10.9	3.2	5.5	5.3	4.9	90	56	75	W 1	E 2	C	6^2	5^2⊙	0	−	mrgs. △
26.	50.8	45.8	42.7	2.2	13.0	7.3	13.0	1.2	4.1	4.7	4.8	77	42	64	E 2	E 4	E 3	○○	4^1⊙	0	−	ztw. ⌴
27.	42.4	41.9	40.2	4.6	9.7	7.4	10.0	4.3	4.5	6.3	6.2	71	70	80	E 1	E 2	E 2	2^1	9^2	9^2	−	ztw. ◍Tr.
28.	40.1	40.4	42.5	3.6	15.2	10.3	16.0	2.8	5.1	5.0	6.3	87	39	67	SE 1	SE 3	C	1^1⊙	2^1⊙	0	0.2	mrgs. △
29.	42.0	41.8	43.4	7.0	17.4	10.7	17.4	5.2	6.2	6.4	7.2	82	44	74	E 1	C	C	10^2	8^1	0	−	mrgs. △
30.	43.2	41.1	42.1	9.2	21.8	13.5	21.8	6.9	7.2	6.9	8.1	83	36	71	E 1	E 2	C	10^2	8^1⊙	0	−	mrgs. △
31.	41.1	38.7	40.8	5.3	22.7	16.2	**23.2**	4.8	6.3	5.8	7.5	**96**	28	55	C	SE 1	NW 2	3^1⊙	5^1⊙	0	−	mrgs. ≡¹
Mittel	47.5	46.9	47.2	4 7	11.5	7.3	12.2	3.5	5.4	5 4	5.8	84	53	75				6.8	7.1	3.9	32.9	

Alle Angaben nach Ortszeit

Ludwigshafen a/Rh.

März. $\varphi = 49^0\ 29'$ N. $\lambda = 8^0\ 26'$ E $= 33^m\ 44^s$. H $= 100.3$ m. Cg $= +0.3$ mm. 1913.

Datum	Luftdruck auf 0^0 u. Normalschwere reduziert 700 mm +			Lufttemperatur C°					Absolute Feuchtigkeit mm			Relative Feuchtigkeit Proz.			Richtung und Stärke des Windes 0 bis 12						Bewölkung 0 bis 10			Niederschlag mm	Bemerkungen
	7^a	2^p	9^p	7^a	2^p	9^p	Max.	Min.	7^a	2^p	9^p	7^a	2^p	9^p	7^a		2^p		9^p		7^a	2^p	9^p	7^a	
1.	61.2	61.8	62.0	− 1.2	4.1	0.7	4.1	− 1.9	3.9	2.6	2.9	92	42	59	N	1	NE	1	N	1	00	5^1⊙	0	1.2	n ⌊ ^{1}, a ∞
2.	60.8	60.1	61.6	− 1.1	5.4	4.5	6.1	− 3.4	3.6	2.6	3.5	84	39	56	E	1	NW	1	NE	1	00	5^1	10^0	–	n ⌊ ^{1}, a ∞
3.	62.3	60.1	59.2	2.6	11.0	8.6	11.0	1.5	4.3	5.1	4.8	77	52	58	S	1	S	1	S	1	00	5^1	10^1	–	a ∞
4.	59.1	60.3	59.7	7.1	9.8	9.6	11.1	6.2	5.9	7.0	6.8	78	78	76	SW	1	SW	1	S	1	10^2	10^2	10^2	0.2	n ◍^{0}
5.	60.5	62.3	63.3	8.2	13.0	10.6	13 1	8.0	6.1	6.4	6.6	75	57	70	SE	1	SW	3	C		10^1	10^1	0	–	
6.	63.0	61.5	60 1	9.4	14.6	10.9	15.1	8.2	6.7	6.6	6.0	76	53	62	S	1	SW	2	S	1	10^2	10^1	0	–	
7.	58.3	56.5	55.5	8.4	13.8	11.8	14 5	8.0	6.0	6.6	6.4	73	57	63	S	2	SW	4	SW	2	3^1	8^1	10^2	–	
8.	51.8	57.3	61.6	9.8	5.8	3.6	11.8	3.6	7.3	4.9	4.4	82	72	75	SW	3	W	2	SW	2	10^2●	10^2●	0	1.6	n ◍, a u. p ztw. ◍
9.	66.8	68.6	**69.2**	3.1	6.8	3.6	7.5	0.9	4.2	4.1	4.2	73	56	72	W	1	SW	1	SW	1	10^1	3^1⊙	0	2.8	
10.	66.8	65.6	65.7	3.1	9.2	7.4	9.3	2.7	4.0	5.1	6.4	69	58	83	S	2	SW	1	SW	2	10^2	10^2	10^2●	–	ca 4 p–n ◍^{0}
11.	65.1	62.0	61.0	6.3	12.5	9.2	12.7	5.8	6.4	6.6	5.9	90	61	68	S	1	S	1	SW	3	10^1	5^1⊙	0	1.2	n ◍
12.	65.0	63.1	58.7	4.7	12.5	9.0	13.1	4.0	5 6	4.3	4.6	87	40	53	W	1	SE	1	E	1	00	00	0	–	a ≡^{0}
13.	55.2	55.5	56.1	3.8	12.1	10.0	12.5	2.9	4.5	6.7	6.6	75	64	72	SW	1	C		SW	2	5^1	9^1	0	–	
14.	58.1	57.3	55.6	9.2	13.2	11.2	13.7	7.0	5.4	5.1	6.1	62	45	61	SW	1	SW	2	SW	1	10^1	3^1⊙	5^1	–	
15.	55.6	58.3	62 4	9.8	12.6	6.6	13.3	6.6	6.3	3.7	3.0	69	34	42	SW	2	SW	2	SW	3	10^2	3^0⊙	0	–	
16.	58.7	57.1	53.6	3.2	10.2	9.8	10.5	1.9	4.2	5.0	4.3	73	54	47	S	1	S	3	SW	3	5^1	3^1⊙	9^1	–	
17.	49.5	42.0	43.7	6.4	12.3	3.9	13.1	3.9	5.0	7.3	5.3	69	69	87	S	2	S	1	SW	2	5^1	10^2	10^1	–	11^{19} a u. p ◍, ca $4–5^{15}$ p ◸
18.	45.8	46.4	47.6	3.1	4.1	3.2	7.1	1.9	4.8	4.5	4.9	84	74	85	S	1	SW	2	SW	2	10^2	9^1●	10^2●	3.4	m u. p öfters ◍ ✳, abds. ◍
19.	45.1	40.1	**39.3**	− 0.3	7.2	9.4	9.4	− 1.1	4.2	3.3	6.4	94	43	72	S	1	S	1	SW	3	00	10^1	10^2●	0.6	n ⌊ ^{1}, ca 5^{15} p–n ◍
20	45.8	47.2	48.2	7.6	11.0	9.3	12.1	7.0	7.1	**8.6**	7.9	91	87	91	SW	1	S	1	SW	1	10^2●	10^2●	10^2●	7.8	t ztw. ◍
21.	49.4	50.7	51.8	9.4	14.6	10.2	14.7	8.0	8.0	6.4	7.9	91	52	82	S	1	S	1	S	1	10^2	3^0⊙	0	**11.4**	
22.	51.8	47.7	45.1	8.6	19.2	14.5	19.2	8.0	7.9	7.9	8.4	**95**	48	69	S	1	S	1	C		7^1	5^1	10^1●	–	ca 5^{15} p–n ◍, ca $8^{15.30}$ p ◸
23.	48.4	48.1	47.8	8.4	11.2	8.4	14.5	8.0	7.1	6.3	6.2	87	63	76	C		S	1	S	1	10^2	10^2	10^2	6.5	
24.	49.2	51.9	56.6	6.9	11.8	10.2	12.5	6.2	6.5	6.0	7.4	87	58	79	S	1	W	2	W	1	10^2●	10^2	10^2●	0.2	mrgs., ca $2^{30}–3$ p u. abds. ◍, ca 3 p ▲^{0}
25.	59.3	59.5	59.1	5.8	11.9	7.4	13.1	4.8	6.2	5.7	5.2	90	55	68	W	1	N	2	NE	1	10^2	5^1	0	0.8	
26.	56.0	51.2	47.8	4.3	14.8	11.3	15.0	2.6	4.9	5.6	6.0	79	45	60	NE	1	NE	1	C		00	2^0⊙	10^2	–	
27.	49.0	48.5	47.9	7.6	10.8	8.4	12.1	6.0	5.9	5.4	6.5	76	56	79	E	1	S	2	SW	1	10^2	10^1	10^2	0.1	n u. abds. ◍^{0}
28.	47.0	47.1	48.4	4.5	16.5	13.4	16.6	4.0	5.5	5.0	5.9	87	36	52	SE	1	SE	1	E	1	00	00	0	0.8	
29.	47.6	48.9	50.7	7.2	15.2	12.4	15.2	6.2	5.9	7.0	7.5	77	54	70	SW	1	SE	1	SE	1	10^2	10^2	10^2	–	
30.	49.8	48.5	48.2	9.8	19.6	13.6	19.8	6.0	7.1	8.0	9.2	79	47	80	N	1	NW	1	C		10^2	10^2	10^2	–	
31.	47.5	45.0	49.6	7.0	21.7	15.2	**22.0**	6.2	6.9	6.1	8.5	92	32	66	SW	1	SW	1	C		5^0	2^0⊙	0	–	a ∞
Mittel	55.1	54.5	54.7	5.9	11.9	9.c	12.8	4.5	5.7	5.7	6.0	81	54	69							6.8	6.6	5.6	38.6	

Nürnberg

März. $\varphi = 49^0\ 27'$ N. $\lambda = 11^0\ 3'$ E $= 44^m\ 12^s$. H $= 309.1$ m. Cg $= +0.2$ mm, über 735.0 mm Cg $= +0.3$ mm. 1913.

1.	41.0	41.9	42.3	− 2.4	0.7	− 1.5	1.8	− 3.1	3.1	3.1	2.9	83	65	72	N	1	NW	2	NE	2	7^0	5^1⊙	0	2.2	n wechs. Bewölkung, mrgs. ⌊ ^{0}, 11^{40} a–0^{07} p u. $1^{09.20}$ p ✳^{0}
2.	42.1	41.4	41.3	− 5.7	3.0	0.3	4.1	− 5.7	2.7	3.0	3.6	93	53	76	E	1	S	1	SE	2	00	00	0	–	n klar, mrgs. ⌊ ^{2} ≡$^{0.1}$, p ztw. schwach bewölkt
3.	42.3	41.5	40.4	1.7	8.5	6.0	8.9	− 0.8	4.3	4.5	4.2	84	55	60	S	1	SW	3	SW	2	10^0	7^1	10^1	–	n meist bedeckt, mrgs. u. vorm. ≡$^{0.1}$, ca 3 p ≡ SW 5
4.	38.6	40.4	40.9	5.1	8.0	6.5	8.8	3.9	5.5	6.3	6.2	85	79	86	SW	2	SW	3	SW	3	10^0●	10^1	10^1	3.0	n u. t ztw. ◍$^{0.1}$, mrgs. ≡^{0}, lebhafter SW
5.	40.6	42.8	44.7	6.7	11.0	8.5	11.3	6.1	5.6	6.3	6.3	77	64	76	SW	3	SW	3	SW	3	10^0	5^0⊙	10^1	1.4	ca 6 a ≡ SW 5, p ztw. Aufklaren
6.	44.6	43.2	41.7	6.6	12.8	6.7	13.0	6.2	5.9	6.3	5.4	81	57	74	S	1	SW	2	SW	2	10^0	9^1	0	–	n bedeckt, mrgs, u vorm. ≡^{3}, p teilw. Aufklaren
7.	39.7	38.0	36.7	5.5	13.4	10.0	14.1	4.2	5.7	6.2	6.4	88	54	69	SW	2	W	3	S	2	8^0	9^1	10^1	–	n meist klar, a u. p wechs. Bewölkung, p öfters W 5
8.	33.0	33.2	40.4	8.1	4.9	2.3	11.0	1.9	5.8	5.5	4.8	72	84	87	SW	2	W	2	W	3	10^0	10^0	10^1	–	n meist bedeckt, a ≡^{0}, t ◍$^{0.1}$, m △, abds. ✳$^{0.}$, [1]
9.	45.5	48.1	**49.2**	0.9	4.2	0.7	5.0	0.7	4.3	3.9	4.1	87	63	85	NW	2	N	1	W	1	10^0	9^0	0	1.7	n meist bedeckt, $4^{44}–5^{08}$ a ✳^{0}, ca 5^{15} a–1^{30} p ✳$^{0.}$, [2]
10.	47.4	44.4	44.8	1.3	6.4	5.1	6.6	− 0.7	4.0	4.4	5.6	80	61	86	SW	3	SW	3	SW	3	10^0	10^0	10^0●	–	ca 5 a ⌊ ^{1}, ca 7–9 a ≡^{0}, $9^{30.54}$ a ✳$^{.0}$, a u. p ztw. ◍^{0}
11.	45.1	42.4	41.0	5.2	11.0	7.0	12.1	4.9	6.2	6.9	6.3	94	70	84	SW	2	SW	2	W	2	10^0	4^0⊙	0	–	n bedeckt, ◍^{0}, a ≡$^{1.0}$,
12.	44.9	44.4	41.9	4.1	9.2	4.3	9.9	4.0	5.7	4.1	4.9	93	47	79	W	2	N	2	E	2	5^0⊙	00	0	–	n ◍^{0}, ⌓^{0}, a ≡$^{0.1}$
13.	36.9	36.4	38.2	3.3	12.8	9.4	13.0	1.9	3.8	5.6	7.3	65	51	84	SE	2	SW	2	SE	2	10^0	10^0	10^0	–	n klar, a ⌊ ^{0}, p ztw. ◍$^{0.1}$, abflauende südl. Winde
14.	38.9	38.7	37.4	6.0	10.5	6.9	11.8	5.0	6.0	6.7	6.5	87	71	87	SW	2	SW	2	S	1	10^0	10^0	3^1	–	n wechs. Bewölkung, a u. p meist bedeckt, ca 7^{15} p ψ
15.	36.7	38.8	42.3	5.8	9.0	6.2	10.6	4.2	5.9	6.2	4.9	87	72	69	S	2	SW	2	W	3	8^0⊙	9^0	0	–	ca 0 a ψ, a ⌊ ^{0}, ≡$^{1.0}$, a u. p ztw. ◍^{0}, p öfters W 5 ≡
16.	40.3	35.9	34.6	0.5	12.1	6.9	12.5	− 0.2	3.8	4.2	4.6	80	40	62	SE	2	SW	3	SW	3	00	6^0⊙	5^1	–	n klar, ca 5 a ⌊ ^{1}, ca 5 p ≡ SW 5, ca 7^{15} p ψ
17.	32.0	25.9	24.9	5.4	16.0	3.8	16.6	3.5	4.6	4.6	5.3	69	**34**	88	S	2	SW	2	W	2	8^1	4^1⊙	10^1●	–	n meist klar, t zunehm. Bew., p ztw. ◍^{0}
18.	25.7	26.8	28.3	1.8	4.7	1.5	5.9	1.5	4.8	4.9	4.5	91	76	89	SW	2	SW	2	S	1	10^0	10^1	2^0	**10.5**	ca $10^{15}–11^{45}$ p ✳^{1}, n u. t ztw. ◍$^{0.1}$, ✳^{1} u. △^{1}
19.	27.2	23.2	**20.0**	− 1.9	6.0	5.7	6.0	− 2.2	3.5	3.6	5.0	88	52	73	S	2	S	4	SW	2	9^0	10^1	10^1	1.2	n ztw. klar, ⌊ ^{2}, a wechs., p zunehm. Bew., abds. ◍^{0}
20.	20.5	29.2	28.2	6.6	12.6	8.6	13.0	5.3	5.9	7.1	7.9	90	66	95	SW	2	W	4	NW	3	10^0	10^1	10^0●	2.2	fast durchaus bedeckt, n u t ztw. ◍
21.	31.3	33.1	33.7	8.1	12.0	8.4	12.0	7.0	7.7	8.2	7.8	96	79	94	S	1	SW	2	SW	2	10^0●	10^0	0	5.3	n u. t ztw. ◍^{3}, vorm. ≡$^{1.0}$
22.	33.7	30.7	27.8	7.8	17.1	12.1	17.6	6.6	7.2	7.4	8.1	92	51	78	E	2	SE	3	SE	2	5^0⊙	3^0⊙	3^0	0.3	n u. a ztw. ◍^{0}, $6^{34.36}$ p ◹ i. N, NW, W, SW
23.	28.4	28.6	28.6	10.2	11.3	7.3	12.1	7.3	8.4	6.5	6.9	91	65	90	NW	1	NW	2	NW	2	10^0	10^0	10^1●	–	n u. t ztw. ◍^{3}, bedeckt
24.	28.6	31.2	35.6	5.8	6.4	6.4	7.7	5.6	6.5	6.7	6.7	94	93	93	NW	2	N	2	W	2	10^0	10^1●	10^1	4.2	n u. t ztw. ◍$^{0.2}$, $2^{44}–3^{01}$ p ▲, durchaus bedeckt
25.	39.7	40.3	40.5	3.9	9.5	4.5	9.9	3.6	6.1	5.2	5.3	100	59	84	C		NE	2	E	2	10^0=	8^1⊙	0	8.1	11^{54} p–ca 2^{45} a ◍^{0}, a ≡$^{.2}$, p Aufklaren
26.	39.0	34.4	30.6	2.5	11.4	6.2	11.6	2.0	4.4	4.7	4.3	79	47	60	E	2	E	4	E	3	00	1^0⊙	0	–	n meist klar, mrgs. ⌊ ^{0}, ≡ öfters E 5
27.	30.7	29.8	29.2	3.7	5.3	6.2	8.0	3.1	4 6	5.6	6.1	77	85	87	E	2	E	2	SE	2	10^0	10^0●	10^0	–	ziemlich bewölkt, t ≡^{0}, p ztw. ◍$^{0.2}$
28.	29.4	29.8	31.2	3.5	14.0	10.0	14.7	2.8	5 3	5.3	6.5	90	45	70	SE	2	SE	2	S	2	1^0⊙	9^0	0	4.5	gegen 2 a Aufklaren, mrgs. ⌊ ^{0}, ≡^{1}
29.	30.7	30.8	32.2	6.2	15.0	11.2	16.2	5.2	6.0	7.5	7.7	86	59	78	E	2	SE	2	S	2	9^0⊙	8^0⊙	0	–	n klar, mrgs. ⌓^{0}, a u. p ziemlich bewölkt
30.	32.3	30.6	30.4	10.0	21.6	13.7	**21.7**	8.8	7.5	6.9	**8.9**	82	36	77	S	1	S	2	S	2	8^0⊙	9^0⊙	2^0	–	n meist bewölkt, mrgs. ⌓^{0}, Cirrusschleier
31.	30.3	28.6	29.5	7.5	20.7	14.1	20.8	7.0	6.3	6.1	7.9	82	**34**	66	SE	2	SE	2	SE	2	5^0⊙=	9^0⊙	4^0	–	n meist bewölkt, mrgs. ⌓^{0}, ≡^{1}
Mittel	36.3	35 7	35.8	4.3	10.4	6.6	11.2	3.2	5.4	5.6	5.9	85	60	79							7.8	7.5	4.8	44 6	

[1] ca 11 a ≡ SW 5, ca 3 p NW 5. [2] abfl. wechs. Winde

Alle Angaben nach Ortszeit.

Kaiserslautern.

März. $\varphi = 49^0\ 27'$ N. $\lambda = 7^0\ 46'$ E $= 31^m\ 4^s$. H $= 242.2$ m. Cg $= +0.3$ mm. 1913.

Datum	Luftdruck auf 0^0 u. Normalschwere reduziert 700 mm +			Lufttemperatur C°					Absolute Feuchtigkeit mm			Relative Feuchtigkeit Proz.			Richtung und Stärke des Windes o bis 12			Bewölkung o bis 10			Niederschlag mm	Schneedecke cm	Bemerkungen
	7^a	2^p	9^p	7^a	2^p	9^p	Max.	Min.	7^a	2^p	9^p	7^a	2^p	9^p	7^a	2^p	9^p	7^a	2^p	9^p	7^a	7^a	
1.	48.0	48.1	48.1	− 1.3	2.8	− 1.8	3.7	− 1.8	3.3	**2.4**	2.9	78	42	72	E 1	NE 1	C	5^1	7^0⊙	0	0.1	–	
2.	46.8	46.1	47.9	− 5.3	5.9	2.7	6.1	− **5.9**	2.5	**2.4**	3.3	83	**35**	58	C	W 2	C	⊙⊙	7^0⊙	8^1	–	–	a ⌴, ≡⁰
3.	48.8	46.9	46.0	2.1	9.6	7.2	10.1	2.1	4.6	5.2	5.1	85	58	68	W 2	SW 3	C	7^1	10^1	10^1	–	–	p ztw. ⌓
4.	45.6	47.1	46.4	5.9	7.8	8.5	8.8	5.6	6.2	7.2	6.9	90	92	84	W 2	SW 1	C	10^2	10_2	10^2	0.1	–	n, t ztw. ◍⁰
5.	47.2	49.1	50.2	8.1	10.5	8.5	11.1	7.7	6.3	6.8	7.2	78	73	87	SW 3	SW 3	C	10^1	10^2	10^1	0.4	–	t ztw. ⌓
6.	49.4	47.9	46.7	9.1	13.3	9.9	13.4	8.2	7.4	7.3	6.1	87	64	67	SW 1	W 2	W 1	10^2	9^1⊙	10^1	–	–	n, a ◍Tr.
7.	44.8	43.6	42.3	8.1	12.1	10.9	12.4	7.6	6.5	7.1	6.8	81	68	70	W 3	W 4	W 2	8^1	10^2	10^1	–	–	$11^{31.46}$ a ◍⁰, p ztw. ◍Tr.
8.	38.5	44.0	48.8	8.5	5.3	1.6	10.9	1.5	7.4	4.8	4.5	89	72	87	W 4	NW 2	C	10^2	10^2	o	5.7	–	n ◍, 8^{31}–9^{11} a ◍² ⌓, bis 11^{01} a ztw. ◍⁰. 1)
9.	53.0	54.5	**55.1**	1.2	5.8	1.0	7.4	0.5	4.4	4.1	4.1	87	60	83	NW 1	W 1	C	10^1	8^1⊙	o	1.2	–	6^{46} a ✳-Flocken
10.	52.9	51.6	52.3	3.1	8.1	6.1	8.1	0.9	3.9	5.4	6.2	68	67	88	W 3	W 2	W 1	10^1	10^2	10^1	–	–	
11.	51.1	48.5	47.3	5.5	10.3	5.7	11.1	5.0	6.4	6.4	6.0	96	69	68	W 1	W 2	C	10^1	7^1	o	–	–	n, $8^{06.11}$ a ◍Tr.
12.	51.3	47.9	44.9	0.8	11.5	6.1	12.0	0.4	4.8	5.1	4.7	100	50	68	C	E 1	C	10^1≡	2^1⊙	o	–	–	a ⌴⁰, ≡
13.	41.9	42.2	43.9	1.0	12.4	7.3	13.6	0.4	4.7	6.6	6.4	94	62	85	E 1	W 2	C	10^1	7^1⊙	o	–	–	a ⌴⁰, ≡²
14.	44.4	43.8	42.6	8.0	12.0	9.1	13.0	6.8	5.9	5.4	5.9	73	52	68	W 3	W 3	W 2	10^1	5^1⊙	7^1	–	–	a, p ztw. ⌓
15.	42.5	45.2	49.1	7.5	10.5	5.2	11.1	5.2	6.9	4.0	3.8	89	42	57	W 3	W 3	W 1	10^2●	4^1⊙	o	–	–	n ⌓, ca 6^{30}–9^{30} a ◍⁰, 10^{21} a ab u. p–ca 7^{30} p ⌓, 2)
16.	44.7	41.5	40.4	4.6	10.5	7.8	10.9	− 0.5	4.2	4.4	4.5	67	46	58	W 2	W 6	W 8	10^1	5^1⊙	2^1	0.4	–	ca 10^{30} a–n ⌓
17.	36.0	29.4	30.9	6.5	12.4	3.0	13.9	2.6	5.1	6.4	5.2	71	60	91	W 5	W 4	W 3	7^1	10^2	10^2●	–	–	n, a ⌓, $11^{41.46}$ a ◍², bis 0^{01} p ◍⁰; 3^{31}–4^{26} p ◍ ⌓, 3)
18.	33.0	33.9	34.9	2.2	4.6	2.1	6.9	2.0	4.7	4.2	4.8	87	67	89	NW 2	NW 3	NW 1	10^1	7^1	7^1	5.3	–	n ◍, ✳. 0^{21}–ca 2^{33} p ztw. ✳
19.	32.5	**27.1**	27.6	0.9	5.7	7.7	7.9	− 0.7	4.6	3.6	6.5	94	52	83	W 1	W 3	NW 5	3^0	10^2	10^2	0.2	–	a ⌴², p–n ztw. ⌓, 2^{06} p ab ◍Tr. 4)
20.	33.1	34.4	35.3	6.7	9.5	7.8	10.4	5.8	6.9	8.4	7.3	94	95	93	NW 1	W 1	W 1	10^2●	10^2●	10^2●	9.9	–	n ◍, ⌓, a–9^{01} a, 11^{41}a–n ◍
21.	36.6	37.9	38.6	8.5	12.6	8.8	13.0	7.3	7.4	6.3	7.5	89	58	89	W 1	SW 2	C	10^2	4^1⊙	o	**13.2**	–	n ◍, a bis 7^{31} a ztw. ◍⁰
22.	38.7	35.1	32.9	7.6	16.5	13.1	16.9	6.9	7.5	8.4	8.9	96	60	80	C	SE 2	W 3	10^1	4^1⊙	9^2	0.1	–	n ◍⁰, a ≡². 7^{01}–ca 8^{30} p ≲, $8^{11.21}$ p ◍, ⌓
23.	35.5	35.2	35.6	7.9	10.7	7.1	13.1	7.1	6.6	5.8	6.4	83	61	86	W 1	W 1	C	10^1	10^1	10^1	6.6	–	n ◍², ⌓, ≲
24.	37.1	39.3	42.6	5.1	9.5	7.0	10.5	4.0	5.9	6.9	6.7	90	78	89	C	C	C	10^1	9^1	10^0	0.1	–	n ◍⁰, a ≡², ca 11^{30} a–0^{31} p ztw. ◍, $6^{01.13}$ p ▲, ◍
25.	46.0	46.1	45.8	2.3	10.1	5.3	10.7	2.0	5.1	5.5	4.9	94	60	74	C	E 2	E 2	10^2≡	7^1	o	1.4	–	a ≡²
26.	42.2	37.8	35.2	2.3	12.3	9.0	13.0	1.3	4.7	5.8	5.8	85	54	68	E 1	SE 2	E 1	10^0	5^0⊙	5^0	–	–	p ztw. ⌓
27.	36.2	36.0	35.4	7.4	7.5	6.9	10.0	6.4	7.0	6.0	6.6	91	77	88	SE 1	W 1	C	9^1	10^2	9^1	0.7	–	n ◍⁰, a ≡⁰, 8^{31} a, 10^{01} a kurz ◍⁰, ca 4^{30} p–n ztw. ◍
28.	34.1	34.4	36.0	1.5	14.7	8.8	15.0	1.0	4.8	4.8	6.2	94	39	73	SW 1	S 1	C	⊙⊙	1^0⊙	2^0	0.4	–	a ⌴⁰
29.	34.7	36.0	38.0	7.9	14.4	10.3	15.0	6.7	6.2	7.5	7.2	78	61	76	SE 1	SE 1	C	10^1	10^1	10^0	–	–	
30.	37.4	36.3	35.8	7.9	20.1	12.1	**20.1**	7.1	7.2	8.6	**9.0**	90	49	87	C	NW 1	C	8^0	9^0	6^1	–	–	a ≡⁰, ⌓⁰, t ∞⁰
31.	35.2	34.5	37.0	5.6	18.6	13.1	19.0	4.3	6.1	7.4	7.6	89	46	68	C	NW 2	W 2	5^0	3^0⊙	10^1	–	–	a ≡⁰, ⌓², ∞², t ∞
Mittel	41.9	41.3	41.7	4.8	10.6	7.0	11.6	3.5	5.7	5.8	6.0	86	60	78				8.5	7.4	6.0	45.8		

1) $4^{11.21}$ p ◍, ✳, ⌓, 5^{16}–ca 5^{30} p ◍⁰ ✳⁰.
2) 2^{56}–4^{06} p ⌓ ◍⁰. 3) $3^{31.41}$ p △, ca 4p ⌈, dann–n ◍⁰
4) 2^{41} p ab ✳ ◍, ⌓ bis ca 3^{30} p, dann bis 7^{16} p ztw. ◍

Ansbach.

März. $\varphi = 49^0\ 18'$ N. $\lambda = 10^0\ 33'$ E $= 42^m\ 12^s$. H $= 437.5$ m. Cg $= +0.2$ mm. 1913.

1.	29.1	30.2	30.7	− 4.4	0.1	− 4.8	1.2	− 4.8	3.0	2.4	**1.6**	91	51	51	C	N 2	C	6^1	4^1⊙	o	1.4	–	mrgs. ⌴, Abendröte
2.	29 8	29.6	29.7	− 8.2	2.3	− 1.0	3.0	− **8.2**	2.2	2.9	2.9	91	54	67	C	S 2	SW 4	⊙⊙	⊙⊙	o	–	–	mrgs. ⌴
3.	30.9	30.2	28.8	0.9	7.8	5.3	8.4	− 1.0	4.0	4.2	4.2	80	54	64	W 2	W 4	W 2	2^1	6^1⊙	10^2	–	–	
4.	27.8	29.4	29.2	4.5	6.5	6.0	6.8	4 0	5.5	6.4	6.0	87	89	88	W 4	W 4	W 2	10^2●	10^2	10^2	0.3	–	mrgs. u. t ztw. ◍
5	29.9	31.5	33.4	5.9	9.8	7.6	10.8	5.2	6.2	7.0	6.2	90	78	80	SW 2	SW 2	W 2	10^2	4^1⊙	o	0.8	–	
6.	32.9	31.7	30.2	5.9	12.3	6.4	12.4	5.4	5.7	6.3	5.5	84	60	76	SW 4	SW 2	SW 4	8^2	8^2	o	–	–	
7	28.1	26.7	25.5	5.5	12.4	7.9	12.8	3.7	5.3	6.4	6.2	80	61	77	SW 4	SW 4	W 2	4^0	8^2	o	–	–	
8.	22.1	23.0	29.4	6.4	3.9	1.3	9.2	0.6	5.9	5.3	4.7	84	88	93	W 2	W 6	W 4	10^2●	10^2	10^2	–	–	6^{32} a ab ◍, t ztw. ◍ ✳ ⌓
9	34.1	36.4	**37.8**	− 0.4	3.5	− 0.6	4.0	− 0.8	4.1	3.9	4.0	92	66	90	NW 2	N 2	C	10^2*	10^2	o	2.3	–	mrgs. u. vorm. ztw. ✳
10.	35.5	34.2	33.7	0.5	6.1	4.5	6.4	− 1.3	3.7	4.3	5.5	83	62	88	SW 4	W 6	W 4	10^2	10^2	10^2●	0.2	–	6^{37} p ab ◍
11.	33.7	31.1	30.1	4.7	10.6	4.7	12.0	4.0	6.0	6.8	5.7	94	72	90	W 4	W 4	C	10^2	4^0⊙	o	1.4	–	
12.	33.5	32.9	30.2	3.3	9.4	3.3	10.0	2.9	5.4	4.7	4.0	93	54	71	C	C	C	⊙⊙	⊙⊙	o	–	–	
13.	25.2	25.1	26.1	1.3	12.4	8.0	12.4	− 0.6	4.0	5.8	7.0	81	54	89	C	SW 2	SW 2	4^0	10^2	10^2	–	–	mrgs. ⌴, 4^{22}–5^{17} p ◍
14.	27.6	27.2	26.3	5.3	10.3	5.3	11.2	4.6	5.7	6.4	6.0	87	68	92	SW 2	W 2	C	10^2	10^2	o	0.3	–	
15.	25.2	27.4	31.6	6.1	7.6	4.7	10.0	4.4	5.8	6.5	4.1	84	83	63	SW 2	W 4	W 6	8^1	10^2	o	–	–	10^{12} a–1^{02} p ztw. ◍, abds. ⌓
16.	28.7	24.7	23.7	− 0.2	11.0	6.4	11.8	− 1.3	4.0	3.9	4.2	89	40	59	SW 2	SW 6	W 2	⊙⊙	2^0⊙	o	0.2	–	mrgs. ⌴, nachm. ⌓
17.	21.1	13.8	13.7	3.6	15.8	2.1	16.0	1.7	4.3	3.9	5.0	71	**30**	94	SW 2	SW 6	W 4	2^0⊙	4^1⊙	10^2●*	–	–	4^{22} p ab ◍, ztw. ◍ ✳, vorher ⌓
18	14.7	15.6	17.1	0.5	3.9	− 1.8	3.9	− 1.8	4.5	4.7	3.6	94	78	90	SW 2	SW 2	C	10^2*	10^2	o	**9.8**	**2**	n, a u. mrgs. ✳, Tauwetter, t ztw. ✳
19.	15.7	11.9	09.1	− 3.4	3.3	5.4	5.8	− 5.2	**3.2**	4.6	5.7	91	80	85	S 2	S 6	SW 4	8^2	10^2	10^2●	2.0	1	ztw. ⌓, 7^{42} p ab ◍
20.	15.6	18.3	18.1	7.2	11.2	7.4	11.6	5.0	6.8	6.9	7.2	90	69	94	W 6	W 6	NW 4	10^2	10^2	10^2●	2.9	–	n, t ⌓, 6^{42} p ab ◍
21.	19.9	22.1	22.8	7.6	10.8	7.4	11.8	6.2	7.3	**8.4**	7.0	94	89	91	SW 2	SW 2	SW 2	10^2●	10^2●	o	4.9	–	n, a u. mrgs. ◍, t ztw. ◍
22	22.7	19.7	16.8	6.0	16.0	10.8	17.0	5.0	6.4	7.8	7.8	91	57	82	C	S 6	S 2	2^0⊙	2^1⊙	o	1.8	–	p ztw. ⌓
23.	17.4	18.0	17.8	8.2	9.6	6.0	10.8	5.8	7.2	6.1	6.0	90	68	88	W 2	W 2	NW 2	10^2	10^2●	10^2●	0.8	–	5^{42}–6^{32} a ◍, t ztw. ◍
24.	17.5	20.8	24.8	4.9	6.8	5.7	7.0	4.0	6.0	6.4	6.0	94	88	89	NW 2	NW 2	W 4	10^2●	10^2●	10^2	5.6	–	ztw. ◍
25.	28.1	28.8	29.3	1.1	9.0	3.1	10.2	0.6	4 8	6.7	5.1	**96**	78	91	C	NE 2	NE 2	⊙≡	10^2	o	3.5	–	mrgs. u. a ≡¹
26.	26.9	22.7	19.0	1.1	11.4	5.1	12.0	− 0.2	4.2	7.5	5.2	86	75	80	E 2	E 6	E 6	⊙⊙	⊙⊙	o	–	–	⌴, nachm. u. abds. ⌓
27	19.6	18.0	17.8	3.7	10.5	5.9	12.0	2.7	5.0	5.6	5.7	84	59	84	C	W 4	SW 4	6·	10^2	o	–	–	
28.	17.9	18.4	20.2	1.5	14.6	6.6	14.8	0.2	4.7	5.6	5.8	93	45	80	C	S 2	C	⊙⊙	2^0⊙	o	–	–	mrgs. ≡⁰
29.	19.0	19.8	21.3	5.3	16.0	8.6	16.8	3.3	5.5	6.8	7.5	84	50	92	E 2	S 2	C	4^0	2^0⊙	o	–	–	Morgenröte
30.	20.8	19.6	19.2	8.7	20.9	11.0	**21.2**	5.6	7.3	7.0	8.2	88	38	83	NE 2	S 2	C	8^1	10^2	o	–	–	mrgs. ≡⁰
31.	19.1	17.7	19.0	8.6	20.5	12.4	20.8	6.0	6.1	6.8	7.7	72	38	72	C	S 2	C	2^0⊙	4^0⊙	o	–	–	
Mittel	24.8	24.4	24.6	3.3	9.9	5.2	10.8	1.8	5.2	5.7	5.5	87	64	82				5.9	6.8	3.2	38.2		

Alle Angaben nach Ortszeit.

Regensburg.

März. $\varphi = 49^0\ 1'$ N. $\lambda = 12^0\ 7'$ E $= 48^m\ 28^s$. H $= 354.3$ m. Cg $= +0.2$ mm. 1913.

Datum	Luftdruck auf 0° u. Normalschwere reduziert 700 mm + 7a	2p	9p	Lufttemperatur C° 7a	2p	9p	Max.	Min.	Absolute Feuchtigkeit mm 7a	2p	9p	Relative Feuchtigkeit Proz. 7a	2p	9p	Richtung und Stärke des Windes 0 bis 12 7a	2p	9p	Bewölkung 0 bis 10 7a	2p	9p	Niederschlag mm 7a	Bemerkungen
1.	36.7	37.1	38.2	− 2.4	0.6	− 1.4	1.6	− 2.8	2.6	4.1	3.1	70	85	76	NW 2	W 2	W 2	10^1	6^1⊙	0	0.4	
2.	38.5	38.0	38.0	− 7.0	0.6	− 2.2	1.0	− **7.2**	**2.4**	4.1	2.9	97	85	75	W 1	SE 5	C	5^0	3^0⊙	0	–	⌊
3.	39.2	38.6	36.9	− 2.4	5.1	2.0	6.8	− 4.0	3.3	4.7	4.1	88	72	77	SE 1	SE 2	C	10^2	10^2	10^2	–	
4	35.4	36.7	36.9	2.7	7.8	4.4	8.0	1.8	5.2	6.2	5.8	93	79	93	S 4	SW 4	C	10^2	10^2	10^1	2.4	n ◍
5.	37.9	39.3	40.8	4.3	8.7	6.0	9.8	3.0	5.3	6.2	5.9	85	74	85	SW 4	SW 4	C	10^2	10^2	10^1	–	ca 4^{30} p kurze Aufheiterung
6.	41.3	39.6	38.4	3.1	11.6	3.9	11.9	2.9	5.5	6.3	5.6	96	62	92	S 3	S 3	C	10^2	6^1⊙	4^1	–	
7.	37.2	34.9	33.5	0.0	12.4	6.8	13.0	− 1.0	4.5	6.4	6.5	98	60	88	E 3	SW 3	C	10^1	4^1	10^1	–	⌊^{9}, vorm. Aufheiterung, ca 4 p Trübung
8.	30.3	28.4	36.4	1.8	11.2	2.1	11.2	1.4	5.0	6.8	4.5	95	68	84	SE 4	S 7	W 3	10^2	10^2	10^2	–	≡, 3^{23} p ◍
9.	40.6	43.6	**45.2**	1.1	2.8	0.0	4.2	0.0	4.2	4.2	4.0	85	74	88	W 4	W 3	C	10^2	9^2*	0	1.1	9^{11} a u. 2^{00} p ✳^{0}
10.	44.3	42.3	41.2	− 1.2	3.8	4.4	4.8	− 2.2	3.9	3.9	5.2	94	65	84	SW 3	SW 4	SW 3	10^1	10^1	10^1●	0.3	⌊, 9^{00} p einige ◍Tr.
11.	41.5	39 6	36.9	3.6	9.1	4.6	11.0	2.8	5.7	6.9	5.9	97	80	94	SW 2	SW 2	C	10^2	6^1⊙	0	–	nachm. Aufheiterung
12.	40.6	40.8	38.7	5.0	9.2	3.5	9.8	3.0	5.9	4.4	4.5	90	51	77	W 1	W 2	C	7^1	3^1⊙	3^0	–	
13.	34.3	33.2	33.7	− 0.8	9.6	7.0	10.4	− 1.2	3.7	5.4	6.4	86	60	85	NE 1	E 3	C	4^0	10^1	10^2	–	⌊, m Trübung
14.	35.9	35.8	34.5	2.9	10.1	5.7	11.1	2.3	5.5	4.1	6 1	98	45	90	SW 1	W 3	W 1	8^1	7^1	0	–	früh ∞, m Aufheiterung
15.	34.1	34.9	40.1	0.7	10.2	4.6	11.0	0.0	4.8	6.2	4.4	100	67	70	E 2	W 6	W 2	10^1≡	10^1●	0	–	früh ≡^{1}, m Trübung, 2^{00} p ◍
16.	37.5	33.1	31.5	− 0.8	10.9	7.3	12.2	− 1.2	4.1	4.6	3.9	96	47	51	SW 1	SW 2	SW 3	00	2^0⊙	4^1	0.1	
17.	30.8	23.8	19.6	0.2	13.8	8.7	14.5	− 0.3	4.1	5.2	5.1	89	45	60	SE 2	S 3	W 2	6^1	00	8^1	–	⌊, abds. Trübung
18.	22.4	23.4	25.3	0.9	2.9	0.4	9.5	0.3	4.7	4.5	4.4	96	79	92	SW 3	SW 4	SW 3	10^1*	10^1	8^1	0.1	ca 7–10 a ✳^{0}
19.	24.4	21.2	**17.2**	− 2.3	5.6	7.0	7.6	− 3.0	3.8	4.0	3.7	100	60	49	SW 1	S 2	S 5	10^1	2^1⊙	8^1	–	⌊, ca 3 p Trübung
20.	23.4	26.3	26.0	5.4	12.4	9.8	13.3	5.1	6.2	7.2	7.7	92	68	86	S 1	SW 3	S 1	10^2	10^1	10^1	0.7	n ◍
21.	28.0	30.3	31.0	7.1	11.6	9.6	12.1	1.9	7.3	8.7	7.8	98	86	88	S 2	S 1	S 5	10^1	10^1	2^1	2.1	n, a–ca 11 a ◍, nachm. langsame Aufheiterung
22.	31.3	28.2	25.4	4.9	15.5	11.4	16.8	4.0	6.3	8.9	7.8	96	67	78	S 1	SE 2	NW 1	10^1≡	2^2	1^0	4.7	≡^{1}, m Aufhellung
23.	25.3	25.1	24.1	10.4	13.4	8.4	13.4	3.6	7.8	7.7	7.8	84	67	94	SW 2	N 2	W 3	9^1	8^1	10^1●	–	ca 6 p ab ◍
24.	24.2	27.5	32.3	5.0	4.9	4.9	8.6	4 6	6.0	6.0	6.2	92	94	97	NW 1	N 3	N 2	10^1●	10^1●	10^1	9.8	t–ca 8 p ◍
25.	35.5	36.1	36.8	3.8	8.6	5.6	9.4	3.2	5.9	4.3	5.9	98	76	86	W 2	W 2	W 6	9^1	5^1⊙	7^1	**14.4**	mrgs. trüb, dann Aufheiterung
26.	36.5	31.5	28.4	2.6	12.1	4.5	12.4	2.4	4.5	5.7	4 5	80	54	71	N 5	NE 6	E 5	2^1	1^1	0	–	ziemlich starker Wind
27.	27.2	28.0	26,2	2.1	5.2	5.1	5.8	1.4	4.5	5.7	6.4	84	86	97	NE 2	NE 4	NE 2	10^1	6^1	5^1	–	m ◍^{0}
28.	26.4	27.3	28 3	1.8	13.3	6.9	14.2	0.4	5.2	6.3	6.8	100	55	91	SE 4	SE 2	SE 1	10^2≡	2^1	2^1	0.3	≡^{2}, m Aufheiterung
27.	28.2	27.2	28.8	2.8	15.2	9.2	15.2	2.8	5.5	7.2	7.6	98	56	89	SE 2	E 2	SW 2	4^1	5^1	0	–	
30.	29.3	27.4	27.5	6.8	18.8	10.0	**19.3**	5.7	7.3	**12.1**	8.6	99	75	94	NW 1	NE 2	E 1	3^1	2^1	0	–	
31.	27.9	26.2	26.2	5.2	18.7	12.3	18.9	4.5	6.2	9.0	8.4	94	57	79	SE 1	E 3	E 2	7^1	9^1	6^1	–	
Mittel	33.1	32.4	32.4	2.2	9.5	5.6	10.6	1.1	5.1	6.0	5.7	93	68	83				8.2	6.4	5.2	36.4	

Passau.

März. $\varphi = 48^0\ 34'$ N. $\lambda = 13^0\ 28'$ E $= 53^m\ 52^s$. H $= 309.3$ m. Cg $= +0.2$ mm. 1913.

1.	40.4	41.5	42.5	− 1.6	1.0	− 1.0	1.8	− 2.1	2.0	**1.8**	2.8	47	37	65	N 1	NW 1	C	10^1	3⊙	0	2.4	
2.	42.9	42.5	42.9	− 6.0	2.0	− 1.2	2.7	− **6.5**	2.1	2.2	2.4	74	41	56	E 1	E 2	C	00	00	0	–	⌊
3.	44.1	43.0	42.0	− 3.6	5.7	1.0	6 7	− 5.5	2.3	4.2	4.2	66	61	85	C	C	C	10^1	3^1⊙	0	–	
4.	41.0	41.3	41.7	1.0	4.5	3.0	5.5	0.0	4.7	6.0	5.7	95	95	100	C	C	C	10^1●	10^1	10^1≡	1.0	n, a ◍
5.	43.0	43.6	45.2	2.4	9.7	5.7	9.7	1.4	5.5	6.4	6.1	100	72	90	E 2	W 2	C	10^1	10^1	10^1	2.8	
6.	46.3	44.4	43.2	2,2	10.7	3.2	11.7	1.4	5.2	5.8	5.2	97	61	90	E 1	C	C	10^1	3^1⊙	0	–	
7.	42.2	39.4	38.5	− 0.8	12.2	4.5	13.9	− 1.3	4.2	6.0	5.7	96	56	90	C	C	C	10^2≡	00	0	–	a ≡^{2}
8.	36.0	33.5	39.9	0.8	9.7	3.6	9.7	0.4	4.7	6.0	4.2	95	67	70	E 1	W 2	NW 4	10^1≡	10^1	10^1	–	a ≡^{1}, t ◍
9.	44.8	47.1	**49.6**	1.6	3.8	0.6	3.8	0.6	4.4	4.2	4.1	85	70	85	W 2	W 4	C	10^1	3^1	0	1.0	
10.	49.2	46.7	46.5	− 1.6	4.3	2.2	4.7	− 2.9	3.7	3.5	4.6	90	55	85	C	SW 4	W 4	10^2≡	10^1	10●	–	a ≡^{2}, ca 8–9 p ◍
11.	46.4	44.2	41.5	2.0	6.3	2.6	7.6	1.1	4.8	6.4	5.3	92	90	95	E 1	C	C	10^1≡	10^1	10^2≡	3.8	a ≡^{1}
12.	44.6	44.9	43.7	2,0	9.9	2.8	9.9	0.9	5.0	4.8	4.6	94	52	81	C	W 4	W 2	10^1≡	3^1	0	–	a ≡^{1}
13.	39.0	37.4	38.7	− 1.4	10.3	6.9	10.6	− 2.1	3.7	4.3	5.9	90	47	80	C	S 1	C	00	00	10^2	–	⌊, ca 7–8 p ◍
14.	39.0	40.1	39.0	3.0	12.1	5.3	12.7	2.6	5.1	6.6	6.0	90	64	90	C	W 4	C	$1C^2$≡	3^1⊙	0	0.5	a ≡^{2}
15.	38.9	38.7	42.6	0.8	13.2	7.1	13.8	0.0	4.5	5.9	4.9	92	52	65	C	W 4	C	10^2≡	8^1	3^1	–	a ≡^{2}
16.	42.3	37.4	36.5	− 0.2	11.7	4.7	11.9	− 0.9	3.2	4.9	4.9	70	47	75	C	C	C	00	00	0	–	⌊
17.	34.7	29.1	24.6	0.6	15.5	11.5	15.8	0.0	3.7	4.8	4.5	76	37	45	C	S 2	E 2	00	00	10^1	–	⌊
18.	26.7	27.9	29.8	2.6	2.6	2.0	11.5	1.9	3.9	3.9	3.8	70	70	70	W 4	W 4	W 2	10^1	10^1	10^1	–	a ✳-Flocken, ◍
19.	29.1	27.2	**24.1**	− 0.6	5.5	4.0	6.7	− 0.9	3.1	4.1	4.1	70	60	66	C	S 2	W 4	00	00	10●	1.7	⌊, 8^{24}–ca 9 p ◍
20.	29.1	31.5	31.6	6.3	10.9	8.9	11.1	3.4	5.9	7.3	7.2	82	75	85	S 1	C	C	10^1	10●	8^1	1.0	n ◍, t ztw. ◍
21.	32.5	34.9	35.8	6.1	12.4	10.1	13.5	5.6	6.5	8.8	7.9	92	82	85	E 1	C	0	10^1	10^1	10^1	0.5	n ◍
22.	36.0	32.4	30.4	3.6	18.2	9.7	18.8	2.8	5.3	6.6	7.0	90	43	78	C	E 2	C	10^1≡	00	0	0.5	a ≡^{1}
23.	29.0	28.6	26.9	6.9	16.4	11.8	16.8	5.4	5.9	6.8	**8.5**	80	49	83	E 2	C	C	10^1	3^0⊙	10^1	–	
24.	27.7	30.0	36.7	7.5	5.9	5.5	11.8	5.5	7.0	6.2	6.3	90	89	94	C	SW 4	SW 2	10^1≡	10^1●	10	–	t ◍
25.	39.7	40.0	40.4	5.3	10.3	7.1	11.0	4.8	6.1	3.8	5.5	91	41	72	E 1	C	C	10^1	10^1	0	**8.1**	
26.	39.5	36.4	31.7	3.8	10.5	4.9	10.5	3.0	4.8	4.7	3.7	80	50	57	E 1	E 4	E 2	00	00	0	–	⊾
27.	31.4	31.8	31.3	2.6	6.5	5.7	6.7	2.1	4.6	5.7	5.5	82	80	80	C	C	C	10^1●	10^1	10^1	–	a ◍
28.	31.3	30.6	32.4	2.6	14.6	7.1	14.7	1.7	5.3	6.3	6.3	95	52	84	C	C	C	10^2≡	00	0	0.6	
29.	32.5	31.0	33.2	1.8	19.0	9.3	19.9	0.9	5.0	5.2	6.7	95	32	76	C	E 2	C	10^2≡	10^0	10^0	–	
30.	33.7	31.5	33.0	4 0	22.2	11.1	**22.3**	3.2	5.5	6.5	4.7	90	33	47	C	C	C	00	00	0	–	⊾
31.	31.4	31.2	30.1	5.9	19.2	14.0	20.1	5.2	5.8	6.6	7.4	80	40	62	E 2	C	C	10^1	10^0	0	–	
Mittel	37.6	36.8	37.0	1.9	10,2	5.6	11.2	1.0	4.6	5.4	5.3	85	58	77				7.8	5.1	4.9	23.9	

Alle Angaben nach Ortszeit.

Landshut.

März. $\varphi = 48^0\ 32'$ N. $\lambda = 12^0\ 10'$ E $= 48^m\ 40^s$. H $= 397.7$ m. Cg $= +0.2$ mm. 1913.

Datum	Luftdruck auf 0^0 u. Normalschwere reduziert 700 mm +			Lufttemperatur C°					Absolute Feuchtigkeit mm			Relative Feuchtigkeit Proz.			Richtung und Stärke des Windes 0 bis 12			Bewölkung 0 bis 10			Niederschlag	Schneedecke	Bemerkungen
	7^a	2^p	9^p	7^a	2^p	9^p	Max.	Min.	7^a	2^p	9^p	7^a	2^p	9^p	7^a	2^p	9^p	7^a	2^p	9^p	mm 7^a	cm 7^a	
1.	32.6	33.2	33.9	− 2.0	1.2	− 4.4	2.1	− 6.1	2.6	**1.7**	2.7	66	34	81	NE 2	N 2	C	9^1	2^1⊙	0	0.6	–	
2.	33.6	33.4	33.9	− 7.1	2.7	− 3.1	3.8	− 8.4	2.4	2.4	2.4	93	43	68	NE 2	E 4	E 2	0	1^0⊙	0	–	–	⌋
3.	35.1	34.3	33.0	− 1.4	8.0	2.4	9.3	− 6.1	3.7	3.7	4.1	90	46	75	W 2	W 4	W 2	9^1	7^1⊙	10^1	–	–	⌋
4.	32.2	32.9	33.7	3.2	9.4	4.6	10.4	0.2	5.1	5.6	5.2	89	63	82	W 4	W 4	C	10^1●	10^1	10^1	2.5	–	n ◍, 6^{49}-7^{04} a ◍^{0}, ◍Tr.
5.	34.5	35.8	36.9	4.6	10.7	2.8	12.1	0.5	5.1	5.3	5.0	81	55	89	W 4	NW 4	C	10^1	9^1	0	–	–	
6.	37.5	35.7	34.4	1.8	12.9	2.4	14.3	− 0.8	4.8	5.9	4.9	91	53	89	W 2	NW 4	W 2	9^1⊙	3^1⊙	0	–	–	
7.	33.3	31.2	29.6	0.0	14.2	6.3	15.7	− 2.0	4.3	6.1	5.8	94	51	81	W 2	W 4	W 2	9^0	5^0⊙	10^1	–	–	⌋
8.	26.5	25.2	32.5	1.8	11.0	2.2	13.6	− 1.0	4.5	5.8	4.7	85	59	87	W 2	W 6	W 4	10^1	10^1	10^1	–	–	a u. p öfters ◍Tr.
9.	37.7	39.6	**41.1**	0.6	4.0	0.6	5.2	− 0.8	4.0	3.1	4.0	83	50	83	W 2	N 4	NW 2	10^1	10^1	7^0	0.3	–	$11^{04.09}$ a ✳-Flocken
10.	40.3	38.0	37.4	− 2.2	5.9	3.6	6.9	− 5.9	3.4	3.9	4.4	87	56	75	W 2	W 4	W 4	10^1	10^1	10^1●	–	–	⌋, 7^{19}-ca 9 p ◍^{0}
11.	37.7	35.1	32.7	3.4	12.2	2.6	15.0	1.0	5.3	6.2	5.0	92	59	91	W 2	W 2	C	10^1	2^0⊙	0	0.8	–	n ◍
12.	36.6	36.4	34.2	2.4	11.1	4.4	13.1	− 0.9	4.8	4.2	4.4	87	42	70	W 2	W 2	E 2	9^1	1^1⊙	0	–	–	⌋^{0}
13.	29.5	28.8	29.9	0.2	13.1	7.7	14.0	− 2.8	3.6	5.1	7.3	76	45	93	NE 2	W 4	C	0⊙	9^1⊙	10^1	–	–	⌋^{0}, 5^{59} p ◍Tr., 6^{19}-ca 7 p ◍^{0}
14.	32.0	31.3	29.9	1.0	12.6	4.2	15.0	− 0.8	4.8	6.2	5.7	**98**	57	92	W 2	W 2	C	8^0	2^1⊙	0	0.7	–	
15.	30.2	30.6	34.8	1.0	11.2	5.4	14.2	− 0.9	4.6	6.2	5.4	92	62	80	W 2	W 4	W 4	1^1⊙	10^2	0	–	–	⌋, ca 6 p ◍ Tr.
16.	32.8	28.8	27.4	− 1.3	13.2	5.0	15.8	− 4.1	3.8	4.3	3.8	92	38	58	N 2	W 2	W 4	0⊙	1^0⊙	1^1	–	–	⌋ u. ∞
17.	25.3	19.6	15.9	1.2	16.7	6.4	18.0	− 2.0	4.1	3.5	4.3	82	25	59	W 2	W 2	W 4	8^1⊙	8^0	1^1	–	–	⌋
18	18.3	19.6	20.8	1.0	3.0	− 0.9	6.4	− 2.0	4.5	4.6	4 0	90	81	92	W 2	SW 2	W 2	10^1*	10^1	0	0.5	–	n ✳^{0}, ca 7 a–m ✳^{0}
19.	19.9	17.7	**14.3**	− 4.5	6.7	7.2	9.0	− 7.3	3.2	3.8	4.0	**98**	52	52	C	SW 2	W 6	10^1	5^0⊙	10^1	1.6	–	⌋ u. ≡^{0}
20.	19.9	22.6	22.5	5.9	13.6	9.7	15.2	4.2	6.2	7.1	7.3	90	61	83	W 2	W 4	W 2	10^1	10^1	10^1●	–	–	n ⩲, 8^{19}-ca 9 p ◍^{0}
21.	23.8	26.1	27.1	7.7	14.0	8.7	15.0	5.7	7.3	**9.1**	7.7	93	77	92	SW 2	W 2	W 2	10^1●	10^1	9^1	3.2	–	n ◍, ca 7 a–0^{04} p ◍
22.	27.0	23.8	20.9	4.8	17.7	10.5	21.3	3.0	6.2	7.6	8.0	97	51	85	C	SE 2	C	10^1=	0⊙	0	5.8	–	ca 7 a ≡^{1}, ca 9 p ☋
23.	20.3	20.4	19.6	8.7	13.8	7.9	15.3	5.8	7.1	7.6	7.4	86	65	93	C	NW 2	W 4	6^1	8^1⊙	10^1●	–	–	5^{19}-ca 9 p ◍^{0}
24.	19.5	23.2	28.4	5.5	3.6	4.0	7.9	2.3	5.8	5.6	5.6	86	95	92	NW 2	NW 4	W 2	10^1	10^1●	9^1	5.0	–	ca 8 a–7^{19} p ◍
25	31.0	32.0	31.8	3.0	8.0	4.9	11.1	0.3	5.4	5.8	5.8	95	72	90	C	NE 2	E 2	9^1	1^1⊙	0	**18.4**	–	
26.	30.1	26.8	23.2	3.0	11.2	4.6	13.3	1.3	5.1	5.6	4.7	90	57	74	NE 2	E 4	E 4	1^1⊙	7^0⊙	0	–	–	⌋
27.	22.7	22.6	22.0	4.6	6.5	4.3	11.3	2.5	5.4	6.5	5.7	86	90	92	W 2	NE 4	C	10^1	10^1●	0	–	–	0^{19}-ca 4 p ◍^{0}, 3^{34} p Fern⌈◺ i. E. 5^{09}-ca 8 p ◍
28	22.0	21.6	23.5	− 0.4	14.4	7.2	16.0	− 2.9	4.4	6.3	6.4	**98**	51	84	C	SE 2	C	10^1	2^0⊙	0	1.9	–	⌋ u. ≡
29.	23.3	22.5	24.4	5.4	17.2	8.2	19.0	1.3	5.7	6.5	7.8	85	45	96	E 2	NE 2	E 2	9^1⊙	5^0⊙	0	–	–	⌋
30.	24.7	23.2	23.0	4.3	22.2	9.8	**24.0**	1.3	6.0	7.9	7.9	97	40	87	NE 2	E 2	C	2^1⊙	8^0⊙	0	–	–	⌋^{0}
31.	23.5	22.0	22.0	6.1	21.0	14.2	22.0	2.9	5.3	5.6	7.4	75	30	61	C	E 4	E 2	10^1	10^0	0	–	–	⌋^{0}
Mittel	28.8	28.2	28.2	2.0	11.1	4.9	13.1	− 0.7	4.8	5.4	5.4	89	55	81				7.7	6.3	3.8	41.3		

Augsburg.

März. $= 48^0\ 22'$ N. $\lambda = 10^0\ 54'$ E $= 43^m\ 36^s$. H $= 499.6$ m. Cg $= +0.1$ mm, über 728.8 mm Cg $= +0.2$ mm. 1913.

1.	23.7	24.4	24.9	− 1.0	1.8	− 1.7	1.8	− 1.9	3.9	3.5	2.7	92	66	69	NE 2	E 2	E 2	10^1	6^2⊙	0	1.8	–	n ◍ ✳
2.	24.2	24.1	24.8	− 4.8	3.0	0.2	3.2	− 4.8	2.5	3.2	2.9	79	56	63	SE 2	NE 2	SE 2	0	0⊙	0	–	–	⌋
3.	26.6	25.6	24.6	1.4	7.6	3.6	7.9	− 0.7	4.5	4.6	4.9	89	59	84	SW 2	SW 2	SW 2	5^1	2^1⊙	0	–	–	⌋
4.	24.5	24.8	25.2	3.9	9.2	6.2	9.5	3.6	5.6	6.0	5.6	92	69	79	SW 4	SW 4	SW 2	10^1	10^1	8^1	1.3	–	n ◍
5	26.1	27.3	28.7	5.7	11.6	6.4	12.6	5.3	5.6	6.9	6.1	82	68	86	SW 2	W 4	W 2	10^1	7^1⊙	8^1	–	–	
6.	28.7	27.5	25.8	3.0	12.4	7.6	12.5	3.0	5.0	7.0	6.3	88	65	80	SW 2	SW 2	SW 2	6^1	2^1⊙	0	–	–	
7.	24.5	23.0	21.4	5.2	14.0	8.8	14 0	4.1	5.7	7.3	6.5	86	62	77	SW 2	SW 4	SW 2	6^0	1^1⊙	0	–	–	⌋
8.	17.7	17.2	24.8	6.0	10.2	1.2	10.2	1.2	5.4	7.0	4.8	78	75	96	SW 2	SW 2	SW 2	8^1	10^2●	10^2●*	–	–	1^{49}-ca 3 p ◍, ca 5 p-n ◍ ✳
9.	29.5	31.5	**33.1**	− 0.3	1.7	0.9	3.5	− 0.3	4.3	4.2	4.5	96	82	90	NW 2	NW 2	SW 2	10^1	6^2⊙	0	2.9	I	n ◍, t ztw. ◍ ✳
10.	31.7	29.8	29.7	− 1.8	5.1	4.0	5.7	− 1.8	3.5	4.3	4.8	88	65	78	SW 2	SW 2	SW 4	10^1	8^1	10^1	0.4	–	⌋, $7^{29.39}$ p ◍ △
11.	29.6	26.5	25.2	4.6	12.8	8.2	13.4	3.7	5.1	7.0	6.2	81	63	76	SW 2	NW 2	SW 2	10^1	2^0⊙	0	0.3	–	
12.	28.5	27.5	24.7	4.1	11.5	5.2	11.5	4.1	5.2	6.0	5.3	85	59	80	SW 2	SE 2	SE 2	5^1	0⊙	0	–	–	
13.	20.6	20.8	21.5	0.9	13.6	9.7	13.6	0.9	4.5	6.6	7.2	90	57	80	S 2	SW 2	W 2	4^0	10^1	0	–	–	⌋
14.	23.1	22.5	21.5	5.6	13.1	9.4	13.7	4.8	6.0	7.6	6.9	88	68	79	W 2	W 2	SW 2	8^1	2^1⊙	0	–	–	
15.	21.8	22.9	27.1	7.2	10.6	6.0	11.8	6.0	6.4	7.5	5.0	84	78	72	SW 2	W 4	SW 2	0	10^2	0	–	–	3^{29}-4^{39} p ◍
16.	24.1	20.3	19.2	1.0	13.0	8.3	13.0	1.0	4.6	5.7	5.2	92	51	63	S 2	SW 4	SW 4	0⊙	0⊙	0	0.5	–	⌋
17.	10.6	10.5	07.3	2.6	15.8	9.2	16.3	2.6	4.7	6.1	6.5	84	45	75	SW 2	SW 4	W 2	3^0⊙	6^1	5^2	–	–	
18.	10.1	11.0	12.3	0.7	2.7	− 1.2	9.2	− 1.2	4.6	4.3	4.0	94	77	94	W 2	SW 2	SW 2	10^2*	10^1	0	3.1	**2**	n, a–0^{14} p ✳
19.	11.2	07.9	06.0	− 4.2	6.3	8.2	9.4	− 4.5	3.2	4.0	5.2	95	56	64	SW 2	SW 2	SW 6	10^1	3^0⊙	10^1	2.4	I	⌋
20.	11.4	13.8	13.8	9.6	13.5	12.0	13.5	8.2	6.7	8.1	8.3	75	71	79	SW 4	SW 4	SW 4	10^1	10^1	10^1	–	–	n ⩲
21.	15.6	17.3	18.8	8.0	11.6	9.0	12.0	8.0	7.7	8.9	7.8	96	88	92	SW 2	SW 2	SW 4	10^2●	10^1	10^1	3.8	–	n–10^{34} a ◍, p ztw. ◍
22.	17.9	14.6	11.9	7.7	17.3	12.4	17.3	7.5	7.4	9.2	8.4	94	63	78	SW 2	E 2	SE 2	6^1	0⊙	0	4.2	–	
23.	13.0	12.2	12.1	10.1	9.1	6.1	12.4	6.1	8.1	7.3	6.9	88	86	**99**	C	N 2	NW 2	10^1	10^2	10^2	–	–	4^{34} p-n ◍
24.	12.3	15.9	20.2	4.5	5.5	4.0	7.1	4.0	6.0	6.3	5.8	96	94	95	N 2	NW 2	NW 2	10^2●	10^2●	10^1	**19.1**	–	n–ca 5 p ◍
25.	22.6	22.9	23.0	3.1	8.1	5.3	8.7	3.1	5.5	6.8	6.2	96	85	94	C	SE 2	SE 2	0⊙	5^1⊙	0	9.7	–	
26.	20.3	16.7	12.9	4.4	11.2	5.3	11.2	3.3	5.8	7.3	5.5	93	73	83	E 4	SE 6	SE 4	10^1	4^1⊙	5^1	–	–	
27.	16.7	13.1	13.5	4.8	11.9	5.8	11.9	3.9	6.3	7.2	6.1	98	68	88	SW 2	W 4	N 2	10^1	6^2⊙	0	–	–	3^{04}-ca 4 p, 4^{34}-5^{19} p ◍
28	12.9	12.5	14.5	1.9	14.6	8.7	14.6	1.9	4.7	8.0	6.9	90	64	83	C	SE 2	SE 2	0⊙	5^0⊙	2^0	2.1	–	⌋
29.	13.4	14.1	16.1	5.0	17.5	11.7	17.5	5.0	5.8	9.0	8.9	89	61	87	SE 2	NE 2	NE 2	8^1	5^1	0	–	–	
30.	15.5	14.5	14.0	6.9	19.2	12.4	19.5	0.9	7.0	**10.5**	8.9	94	64	85	SE 2	SE 2	SE 2	5^1	5^0⊙	4^0	–	–	△
31.	14.1	12.6	13.9	7.9	21.4	14.6	**21.4**	7.5	6.4	8.6	8.0	68	45	64	SE 2	S 2	C	7^1	8^1	5^0	–	–	
Mittel	20.3	19.5	19.8	3.7	10.9	6.7	11.6	2.9	5.4	6.6	6.1	88	67	81				6.8	5.6	3.4	51.6		

Alle Angaben nach Ortszeit.

München-C.St.

März. $\varphi = 48^0\ 9'$ N. $\lambda = 11^0\ 34'$ E $= 46^m\ 16^s$. H $= 526.4$ m. Cg $= +0.1$ mm. 1913

Datum	Luftdruck auf 0° u. Normalschwere reduziert 700 mm +			Lufttemperatur C°					Absolute Feuchtigkeit mm			Relative Feuchtigkeit Proz.			Richtung und Stärke des Windes 0 bis 12			Bewölkung 0 bis 10			Niederschlag mm	Schneedecke cm	Bemerkungen
	7^a	2^p	9^p	7^a	2^p	9^p	Max.	Min.	7^a	2^p	9^p	7^a	2^p	9^p	7^a	2^p	9^p	7^a	2^p	9^p	7^a	7^a	
1.	20.7	21.8	22.2	− 1.8	0.6	− 1.6	1.8	− 2.1	3.4	2.8	2.8	83	58	67	NW 1	NE 1	C	10^1✱	7^1⊙	0	3.0	1	n, a-ca 9 a ✳
2.	21.6	21.6	22.4	− 5.4	2.6	0.0	2.8	− 5.8	2.3	3.2	2.7	76	57	60	SE 1	SE 1	C	⊙⊙	⊙⊙	0	−	−	a ⌴²
3.	24.2	23.2	22.2	1.3	8.1	4.9	8.2	− 1.0	3.5	3.4	3.7	68	43	56	SW 3	SW 1	SW 2	3^1	2^1⊙	0	−	−	n △, m Gebirge sichtbar
4.	22.0	22.4	22.4	4.2	9.7	6.1	9.8	4.0	5.1	5.2	5.1	83	59	73	SW 4	W 2	W 2	10^1●	8^1⊙	7^1	0.2	−	n, a ztw. ◍ u. ≡
5.	23.7	24.7	26.1	4.3	11.9	6.3	11.9	3.8	4.9	5.2	5.8	80	50	82	SW 2	SW 2	C	1^0⊙	1^0⊙	0	0.8	−	a ⌓, ∞
6.	26.2	24.6	23.3	3.2	12.4	7.0	12.8	2.2	4.5	5.6	6.0	79	52	79	S 2	SW 2	C	1^0⊙	⊙⊙	0	−	−	a ⌴, t ≡⁰
7.	22.4	20.5	19.1	5.1	14.8	9.8	14.8	− 4.1	5.0	5.0	5.1	78	41	58	SW 2	SW 3	SW 1	5^0	1^0⊙	0	−	−	a ⌴, t ∞
8.	16.0	15.0	22.1	5.7	10.0	1.8	11.9	1.5	4.2	5.9	4.4	62	64	85	SW 3	SW 6	SW 2	10^0	10^1●	10^1●✱	−	−	ca 11 a-ca 1^{30} p ztw. ◍, 4^{45} p-n ◍ ✳
9.	26.2	28.7	**30.1**	0.0	2.0	1.1	2.9	− 0.2	4.1	4.4	3.9	90	81	80	W 2	W 1	W 1	10^1	6^1⊙	8^1	2.7	−	n ◍ ✳, t ztw. ✳
10.	29.4	27.1	27.0	− 1.8	5.5	4.3	5.8	− 2.5	3.0	3.1	3.6	76	47	58	SE 2	SW 1	SW 2	6^0	10^1	10^1●	0.1	−	a ⌴, m Gebirge gut sichtbar
11.	26.9	25.9	22.4	4.2	13.1	8.0	13.8	2.4	4.8	5.0	4.8	78	45	60	SW 1	SW 1	C	10^1	3^0⊙	0	2.5	−	n ◍, a ∞, m Gebirge gut sichtbar
12.	25.9	25.1	22.4	4.3	10.8	5.6	10.9	3.7	4.7	4.7	4.8	77	48	70	SW 1	NW 2	W 2	3^0⊙	1^0⊙	0	−	−	a △, t ∞
13.	18.0	17.8	19.1	2.6	14.2	10.1	14.9	1.0	4.0	5.1	6.5	71	42	70	SW 1	SW 2	C	8^0⊙	10^0	10^1●	−	−	a ⌴, ∞, ca 5 p-n ◍⁰
14.	20.8	19.9	19.1	6.1	14.1	9.1	14.3	5.0	5.6	6.3	6.3	79	52	73	C	W 2	C	3^0⊙	1^0⊙	0	0.1	−	n ◍⁰, a ≡⁰
15.	19.3	20.1	24.5	5.9	12.7	6.7	13.0	5.3	5.8	5.8	5.6	84	52	77	SW 2	SW 4	SW 3	⊙⊙	10^1	4^1	−	−	a △, ∞
16.	21.7	18.0	17.0	3.0	14.5	8.6	14.8	2.2	4.1	3.8	4.5	75	32	54	SE 1	W 2	C	⊙⊙	⊙⊙	0	−	−	a ⌴, ∞
17.	14.5	08.6	05.3	4.5	17.1	9.9	17.5	3.9	4.4	3.3	4.1	71	23	45	SE 1	SW 2	SW 1	1^0⊙	8^0	2^0	−	−	a ⌴, ∞
18.	07.6	08.6	10.0	0.4	1.2	− 0.8	10.2	− 1.1	4.2	3.9	3.4	89	78	88	C	NW 1	NW 1	10^1✱	10^1✱	0	1.5	**4**	n, a-ca 3 p ✳, gegen 5 p Aufklaren
19.	08.4	06.4	**04.5**	− 3.0	5.9	6.8	7.3	− 4.0	3.1	3.4	4.2	84	49	57	C	SW 3	SW 2	10^1=	6^0⊙	10^1	4.5	3	a ⌴², ≡¹, m Gebirge gut sichtbar, ca 7 p ◍⁰
20.	09.7	12.0	11.9	8.9	12.7	10.7	13.9	6.7	6.1	6.4	7.4	72	59	77	SW 2	SW 3	SW 2	10^0	10^1	10^1●	0.4	−	n ≡, ca 3 p-n ◍⁰
21.	13.3	15.3	15.0	8.7	12.7	9.1	12.8	8.0	6.3	**9.7**	7.3	74	90	85	C	SW 2	C	10^1●	10^1	10^1	0.4	−	n, a ◍⁰, ≡⁰, p ztw. ◍⁰
22.	15.7	12.7	10.0	7.1	17.9	13.5	18.4	7.0	6.5	7.0	5.1	87	46	44	S 1	SE 2	SW 2	1^0⊙	⊙⊙	3^0	2.9	−	a ⌴², ∞, m Gebirge gut sichtbar
23.	10.2	09.8	09.4	10.3	10.1	6.0	13.8	6.0	7.1	7.5	6.4	76	80	91	S 1	NW 1	NW 2	8^1	10^1	10^1●	−	−	a ∞, ca 6 p-n ◍
24.	09.1	13.1	17.8	4.2	3.2	3.4	6.9	3.2	6.0	5.4	5.2	**97**	94	91	NW 1	NW 2	NW 2	10^1●	10^1●	6^1	7.4	−	n, a-9^{30} a ◍, von da ab mit ✳
25.	19.8	20.3	20.6	3.4	7.8	6.1	8.9	1.9	5.2	6.1	5.9	89	77	85	SE 1	E 1	E 1	10^1	10^1	3^0	**18.5**	−	
26.	17.7	14.6	10.9	4.5	11.7	4.7	11.8	2.7	5.7	6.5	5.2	91	63	82	E 3	E 3	E 5	10^1	4^0⊙	0	−	−	a ⌴
27.	11.8	11.3	11.2	6.1	11.1	6.0	12.5	3.0	6.2	5.6	5.9	89	56	86	SW 2	SW 2	SW 1	10^1	10^1	0	−	−	a ⌴, ∞, ca 10^{40} a ◍, abds. ztw. ◍
28.	10.4	10.0	12.3	3.1	15.4	8.5	15.2	2.4	4.8	5.7	6.4	85	43	77	SE 1	SE 1	E 1	⊙⊙	4^0⊙	0	0.3	−	a ⌴, t Gebirge gut sichtbar
29.	11.0	11.3	13.7	4.7	19.0	12.3	19.0	4.0	5.4	6.9	8.6	85	43	81	SE 2	SE 1	C	9^1	4^0⊙	0	−	−	a ⌴, t Gebirge gut sichtbar
30.	13.2	11.8	12.2	8.9	23.9	15.7	**24.0**	7.9	5.5	4.4	2.8	64	20	22	C	SE 1	SE 2	8^0⊙	7^1⊙	10^0	−	−	a ⌴, t Gebirge gut sichtbar
31.	12.2	10.7	11.8	14.1	21.6	15.2	21.8	10.2	4.0	6.0	6.1	34	32	51	SE 1	SE 2	C	10^0	10^0	0	−	−	a ⌴, Gebirge gut, m schwach sichtbar
Mittel	17.7	17.1	17.4	4.1	11.2	6.9	12.2	2.8	4.8	5.2	5.1	78	54	70				6.4	5.9	3.6	45.3		

Traunstein.

März. $\varphi = 47^0\ 52'$ N. $\lambda = 12^0\ 39'$ E $= 50^m\ 36^s$. H $= 597$ m. Cg $= +0.1$ mm. 1913.

1.	14.1	15.8	16.2	− 2.2	− 0.5	− 5.0	0.7	− 5.0	3.7	2.2	2.7	94	50	86	NW 4	E 2	E 2	10^2	8^2	0	10.8	1	n, mrgs. u. a ✳
2.	16.1	15.9	16.4	− 8.4	− 0.4	− 3.6	0.2	− 8.6	2.0	1.8	2.9	85	42	82	E 2	E 2	E 2	⊙⊙	⊙⊙	0	0.2	−	mrgs. ⌴
3.	18.3	17.9	16.7	0.6	5.4	1.0	6.0	− 5.4	3.3	2.9	3.9	70	43	79	W 2	W 4	W 2	10^2	3^2⊙	6^2	−	−	
4.	16.4	16.6	17.0	5.2	7.6	1.0	8.0	0.5	2.7	4.8	4.3	41	61	87	W 6	W 4	W 2	10^2	8^2⊙	0	−	−	a ◍
5.	18.2	19.0	20.6	0.4	10.5	1.0	11.0	− 0.1	4.3	4.6	4.6	90	49	92	W 2	W 2	W 2	3^2	⊙⊙	0	3.3	−	
6.	20.6	19.0	18.9	− 1.0	10.4	2.1	11.0	− 1.0	4.0	4.1	4.9	94	44	91	SE 2	NW 2	S 2	⊙⊙	⊙⊙	0	−	−	mrgs. ⌴
7.	17.3	15.3	13.9	0.8	13.1	3.2	13.6	0.3	4.3	4.0	4.7	89	36	81	S 2	W 4	S 2	3^2	3^2⊙	0	−	−	mrgs. ⌴
8.	11.1	09.6	16.0	1.3	11.4	0.6	12.0	0.6	4.3	4.2	4.5	85	41	94	S 2	W 2	W 4	2^2	9^2	10^2●	−	−	mrgs. ⌴, abds. ◍ u. ✳
9.	20.5	22.5	**24.3**	− 0.9	1.2	− 1.1	1.4	− 1.6	4.0	4.1	4.0	94	82	94	W 2	W 2	W 2	10^2	8^2⊙	10^2	8.5	2	n, mrgs., a u. p ✳
10.	23.2	22.0	21.2	− 5.4	3.0	3.5	3.6	− 6.0	2.9	3.0	2.7	**96**	53	46	W 2	W 2	W 2	3^2	10^2	10^2	4.4	3	
11.	21.5	18.6	16.5	1.1	10.2	3.5	10.5	0.7	4.8	4.4	4.9	**96**	47	83	W 2	W 2	W 2	10^2	⊙⊙	0	3.3	1	n u. a ◍
12.	20.0	19.6	17.5	4.2	9.4	4.0	9.8	3.1	4.6	4.5	4.8	74	51	78	W 2	W 2	E 2	8^2	2^1⊙	0	0.1	−	
13.	12.4	12.1	13.9	− 1.3	14.4	6.5	14.8	− 1.5	3.3	3.0	5.5	80	25	77	E 2	NW 2	W 2	⊙⊙	9^2⊙	4^2	−	−	mrgs. ⌴
14.	15.4	14.4	13.8	2.0	13.0	5.0	14.0	1.6	4.8	5.6	5.7	91	50	87	W 2	W 2	W 2	⊙⊙	⊙⊙	0	−	−	
15.	13.9	14.4	18.8	2.4	13.3	6.2	13.9	2.1	4.7	5.4	5.7	85	47	81	S 2	NW 4	NW 2	⊙⊙	8^2⊙	10^2●	−	−	mrgs. ⌴, abds. ◍
16.	16.4	12.6	11.7	− 1.0	11.2	3.8	12.0	− 1.1	3.9	4.7	5.1	92	48	85	SW 2	S 2	S 2	⊙⊙	2^2⊙	0	0.4	−	mrgs. ⌴
17.	08.9	04.3	699.9	1.3	15.4	10.2	16.0	− 0.4	4.0	2.5	3.3	80	20	36	S 2	S 4	S 2	⊙⊙	6^2⊙	6^2	−	−	mrgs. △
18.	01.9	02.4	04.3	0.0	0.6	− 2.0	10.2	− 2.0	4.3	4.3	3.6	92	90	92	W 4	N 2	W 2	10^2✱	10^2✱	6^2	3.3	1	n u. mrgs. ✳, a u. p ✳⁰
19.	02.7	01.4	698.6	− 6.7	3.0	2.0	4.0	− 7.8	2.5	3.6	4.5	92	62	85	NW 2	SW 2	W 2	8^2	4^2⊙	6^2	**18.4**	**10**	
20.	04.7	07.1	06.7	6.6	11.0	6.8	12.3	1.5	4.8	6.6	5.9	67	64	80	W 2	S 2	S 2	$1C^2$	10^2✱	4^2	−	3	a u. p ◍
21.	07.2	09.9	10.6	5.3	12.7	7.9	13.0	4.0	5.5	6.7	7.2	83	61	90	E 2	N 2	S 2	6^2⊙	10^2	6^2	0.5	−	p ◍
22.	10.4	09.0	05.5	4.3	15.1	7.8	18.0	3.0	5.8	6.0	6.2	93	47	79	E 2	E 2	E 2	4^2⊙	2^1⊙	0	3.5	−	mrgs. △
23.	04.2	03.6	03.2	10.4	15.0	6.9	15.3	6.3	5.8	7.2	6.4	62	57	86	W 2	NE 2	W 4	9^2	4^2⊙	10^2	−	−	
24.	02.9	06.8	11.5	4.3	2.8	3.0	6.9	0.8	5.7	5.1	5.1	92	91	90	W 2	W 6	W 2	10^2●	10^2●	10^2●	1.1	−	n u. mrgs. ◍, a ✳ u. ◍, p ◍
25.	14.0	14.7	14.8	1.6	8.8	4.4	9.2	1.4	4.8	5.1	4.2	93	60	66	S 2	E 2	E 2	8^2	8^2	0	13.3	−	
26.	12.4	09.9	05.7	3.5	9.8	3.4	10.2	3.0	5.0	5.5	4.7	85	60	80	E 4	E 4	E 6	10^2	4^2⊙	0	−	−	mrgs. △
27.	06.0	06.4	05.9	6.6	8.6	5.7	9.0	2.0	5.8	5.4	5.1	80	65	74	SE 4	W 4	E 2	10^2	10^2	0	−	−	a ◍
28.	05.1	04.8	06.9	0.2	14.2	5.4	14.8	0.1	3.9	4.5	5.3	83	37	78	NE 2	E 2	E 2	⊙⊙	6^2⊙	0	0.7	−	mrgs. ⌴
29.	06.4	05.7	08.6	2 8	18.7	8.6	20.0	1.7	4.6	**7.4**	**7.4**	80	46	89	E 2	E 2	E 2	6^2	6^2⊙	6^2	−	−	mrgs. ⌴
30.	08.0	06.8	07.4	6.5	22.7	10.4	**23.0**	4.5	4.8	4.0	4.6	67	20	48	SE 2	SE 2	SE 2	4^2⊙	6^2⊙	2^1	−	−	mrgs. △
31.	07.2	06.1	06.9	6.0	19.3	9.6	20.1	5.8	4.6	4.8	6.8	66	29	76	SW 2	SE 2	E 2	8^2	10^2	10^2	−	−	
Mittel	12.2	11.7	11.9	1.6	10.0	3.9	11.1	0.1	4 3	4.6	4.9	83	51	80				5.5	5.6	3.7	71.8		

Alle Angaben nach Ortszeit.

Partenkirchen.

März. $\varphi = 47^0\ 30'$ N. $\lambda = 11^0\ 6'$ E $= 44^m\ 24^s$. H $= 716.8$ m. Cg $= +0.1$ mm. 1913.

Datum	Luftdruck auf 0° u. Normalschwere reduziert 700 mm +			Lufttemperatur C°					Absolute Feuchtigkeit mm			Relative Feuchtigkeit Proz.			Richtung und Stärke des Windes o bis 12			Bewölkung o bis 10			Niederschlag mm	Schneedecke cm	Bemerkungen
	7a	2p	9p	7a	2p	9p	Max.	Min.	7a	2p	9p	7a	2p	9p	7a	2p	9p	7a	2p	9p	7a	7a	
1.	03.6	04.8	05.3	− 1.9	− 2.0	− 3.5	0.3	− 3.5	3.5	3.1	2.8	88	78	83	C	N 4	C	10^1≡	10^1	10^0	5.8	**21**	mrgs. u. vorm. ✳
2.	04.9	04.5	06.5	− 9.4	2.4	− 5.0	2.7	− 9.4	1.8	2.8	2.5	81	52	81	SE 3	W 3	C	0	1^0○	0	0.3	20	a Berge rein
3.	08.6	06.6	06.4	− 6.0	6.2	0.7	7.1	− 6.4	2.3	3.2	3.4	79	45	70	SE 2	SW 2	SW 3	2^0	1^0○	5^0	−	19	a Berge meist frei
4.	07.0	06.0	07.0	0.5	9.0	0.0	10.5	0.0	3.4	3.9	3.7	71	46	81	C	C	SE 2	10^0	6^0	0	−	17	a Berge meist bedeckt
5.	08.3	08.3	10.6	− 2.0	10.4	0.5	11.1	− 2.0	3.4	4.1	4.3	86	44	90	S 2	C	C	0	○○	0	−	15	a Berge sehr rein, föhnig
6.	10.6	08.1	08.0	− 2.0	12.2	2.1	12.3	− 2.1	3.5	5.5	4.6	90	52	85	C	SW 3	C	0	○○	0	−	12	a Berge sehr rein, föhnig
7.	07.3	04.2	03.9	0.2	14.6	2.1	15.0	− 0.5	3.6	4.0	4.3	78	33	80	S 3	C	C	2^0	2^0○	0	−	10	a Berge sehr rein, föhnig
8.	01.7	698.6	06.0	2.0	11.5	0.3	12.3	− 0.1	3.5	4.1	4.2	66	40	90	S 2	C	N 5	7^0	9^0	10^1≡	−	7	a Berge frei, ca 6 p–n ✳
9.	09.9	11.8	**13.9**	− 2.0	1.8	− 3.9	3.0	− 3.9	3.5	2.6	3.0	88	50	91	C	W 2	S 2	10^1	6^1	0	7.1	14	n u. mrgs. ✳, 9 cm Neuschnee, a Berge meist bed.
10.	12.9	10.9	10.7	− 7.0	3.3	0.7	4.0	− 8.0	2.1	2.7	4.2	81	47	87	SE 2	W 2	C	5^0	9^0	10^0	−	10	a ⌊⌋, Berge frei
11.	11.0	07.7	07.1	1.4	11.2	2.4	13.1	0.5	4.1	4.5	4.6	82	45	84	C	S 2	SE 3	5^1	○○	0	−	7	a Berge meist frei, föhnig
12.	10.0	08.3	06.2	− 0.6	12.4	3.7	13.7	− 0.8	4.2	4.4	4.2	96	41	70	C	W 2	C	1^0	○○	0	−	5	a Berge meist frei, föhnig
13.	02.6	01.7	04.3	2.8	14.8	5.6	15.5	0.4	3.0	3.1	4.5	52	25	67	S 2	NW 4	SE 2	2^0	8^0	5^0	−	3	a Berge sehr rein, föhnig
14.	05.2	03.5	03.9	1.8	16.4	3.7	16.6	0.9	3.9	5.3	4.9	75	38	82	S 2	W 3	C	0	1^0○	0	−	−	a Berge sehr rein, föhnig
15.	04.3	04.2	08.0	2.5	13.2	7.2	14.3	1.1	4.0	5.4	4.3	72	47	57	SE 3	NW 3	C	0	8^0	7^1	−	−	a ⌊⌋, Berge sehr rein
16.	05.7	01.5	01.7	0.4	14.2	3.6	15.4	− 0.9	3.7	4.3	4.3	78	35	73	C	NW 4	S 2	0	1^0○	0	−	−	a ⌊⌋, Berge rein
17.	699.3	693.6	689.9	2.7	15.0	10.7	15.6	0.7	3.4	2.9	4.6	60	23	48	S 3	S 5	W 4	3^0	3^0○	6^0	−	−	a Berge rein, föhnig
18.	631.1	692.3	694.0	− 0.4	− 0.2	− 3.0	10.7	− 3.0	4.5	4.4	3.6	100	96	98	C	NW 2	C	10^1≡	10^1≡	5^1	5.4	10	n u. a ✳^{1}, a Berge im ≡, p ✳
19.	692.6	690.4	689.8	− 5.6	4.7	4.8	5.2	− 7.1	2.7	3.5	3.8	90	55	59	C	NW 3	W 4	7^0	1^0○	9^1	9.0	15	n ✳, a Berge frei
20.	695.4	696.2	696.9	3.4	13.0	5.3	13.7	2.1	4.8	5.9	5.1	83	53	76	C	C	SE 2	7^1	7^1	3^0	−	8	a Berge meist frei
21.	697.9	699.2	01.0	6.1	11.6	5.2	12.6	3.3	5.3	7.4	6.4	75	73	97	C	W 3	C	9^1	9^1	3^0	−	−	a Berge frei, ca 3^{30} p–abds. ◍
22.	00.3	696.9	695.3	5.0	18.4	11.2	19.1	3.7	5.2	4.6	2.8	80	29	28	S 3	S 5	S 4	0	1^0○	3^0	1.2	−	a Berge sehr rein
23.	694.7	693.0	693.4	6.4	12.8	5.5	15.1	5.0	5.7	**7.5**	6.2	79	68	93	C	NW 5	C	7^0	8^1	10^1	−	−	a Berge rein
24.	693.5	697.9	01.9	1.6	2.6	2.2	5.5	1.6	5.2	5.0	5.3	100	91	98	C	C	C	10^1●	10^1	10^1	4.0	−	mrgs. ◍^{1}, a Berge im ≡, t ztw. ◍ ✳, 1)
25.	03.7	03.3	03.9	0.5	9.6	5.6	10.3	− 0.5	4.7	5.9	5.9	98	66	86	C	N 4	C	8^1	2^1○	8^0	**11.3**	−	a Berge meist bedeckt
26.	01.2	697.4	694.5	1.0	15.0	7.4	15.3	− 0.7	4.4	6.6	6.3	89	52	82	C	NW 3	C	2^0	3^0○	9^1	−	−	a ⌊⌋, Berge sehr rein
27.	696.4	696.1	696.0	4.1	6.6	3.6	8.3	2.2	5.5	6.5	5.1	90	90	87	C	C	SE 3	10^1	10^1●	0	−	−	a Berge meist bedeckt, t ztw. ◍
28.	694.5	694.1	696.6	0.8	15.4	6.6	16.2	− 0.2	4.1	3.4	4.2	85	26	58	C	S 3	S 2	0	2^0○	2^0	2.4	−	a ⌊⌋, Berge frei, föhnig
29.	695.9	696.3	698.3	6.8	21.3	8.8	**22.0**	4.1	4.0	3.8	**4.9**	54	20	58	SE 3	S 5	S 3	7^0	7^0	5^0	−	−	a Berge frei, föhnig
30.	698.4	697.6	697.7	8.4	21.2	9.0	**22.0**	7.9	5.0	2.1	3.8	01	**19**	45	C	S 4	C	8^0	7^1	5^0	−	−	a Berge frei, sehr föhnig
31.	696.8	695.6	696.6	15.0	20.9	14.8	21.3	6.1	2.9	4.8	4.8	23	26	39	S 6	S 5	S 3	6^0	7^0	0	−	−	a Berge sehr rein, föhnig
Mittel	02.1	01.0	01.8	1.2	11.0	3.8	12.3	− 0.3	3.9	4.4	4.4	78	49	75				4.8	4.8	4.0	46.5		1) abds. Hoch≡

Hohenpeissenberg.

März. $\varphi = 47^0\ 48'$ N. $\lambda = 11^0\ 1'$ E $= 44^m\ 4^s$. H $= 994.1$ m. Cg $= \pm 0.0$ mm. 1913.

	600 mm +																						
1.	79.4	80.4	80.5	− 4.6	− 3.5	− 5.4	− 1.4	− 5.4	3.2	2.8	2.7	100	80	90	NE 1	NE 1	NE 2	10^3▬	10^2≡	7^2	3.0	4	n u. m ✳, a ≡^{1}
2.	79.6	80.1	81.2	− 6.6	− 1.5	− 2.0	− 0.4	− **6.7**	2.4	2.1	2.9	87	51	74	SE 1	E 1	SW 6	0	○○	0	0.2	6	t reine Fernsicht
3.	83.4	82.7	81.5	− 2.3	4.0	2.1	4.4	− 2.4	3.3	2.8	3.3	85	46	62	W 1	SW 1	SW 4	1^1	○○	6^2	−	6	a Horiz.≡, t reine Fernsicht
4.	81.5	82.5	82.3	0.0	5.9	2.8	5.9	0.0	4.6	4.1	4.2	100	59	74	W 6	NW 5	W 4	10^2=≡	9^2	0	0.5	6	a ≡^{1}, ztw. ┼, m u. abds. ∞, abds. Horiz.≡
5.	83.5	84.6	85.6	1.8	7.3	3.5	7.5	1.6	4.2	4.4	4.6	80	59	78	SW 1	W 1	SW 2	○○	○○	0	−	5	a reine Fernsicht, m u. abds. ∞
6.	85.7	84.2	83.2	3.3	7.6	5.7	7.9	2.8	4.8	5.0	4.6	83	64	67	NW 1	W 1	SW 3	1^1	2^2○	1^1	−	4	a ⌊⌋, bis p Horiz.≡, t reine Fernsicht
7.	82.5	81.1	79.4	3.8	9.9	7.0	10.0	3.3	3.9	3.9	4.3	65	43	57	W 1	NW 1	SW 3	1^1	1^1○	0	−	3	a u. abds. ∞, p reine Fernsicht
8.	76.5	75.4	81.2	6.6	5.4	− 1.4	8.2	− 1.4	3.3	5.1	4.0	46	77	96	W 4	W 8	SW 3	10^1	10^1	10^2=≡	−	2	a reine Fernsicht, p ∞, abds. ≡^{2} u. seit ca 4 p ✳
9.	85.3	87.3	**88.7**	− 3.5	− 1.3	− 3.6	− 1.3	− 3.6	3.5	3.8	3.1	100	90	89	W 3	NW 1	SW 2	10^2	10^1≡	0	13.4	12	n ✳ ≡^{2}, t ∞, abds. reine Fernsicht, p ✳^{0}
10.	87.4	86.3	85.8	− 3.6	1.6	1.6	2.6	− 4.2	2.2	2.1	2.6	65	40	50	SW 1	W 4	SW 7	10^1	10^1	10^2	0.2	12	t reine Fernsicht
11.	86.1	84.1	82.8	2.0	8.2	5.5	9.1	1.6	4.0	3.2	3.8	75	39	56	W 1	SW 1	W 6	8^1	○○	3^2	−	12	t reine Fernsicht, abds. ∞
12.	85.7	84.5	80.8	2.3	7.1	2.7	7.2	2.3	4.4	4.5	4.4	80	59	79	W 1	E 1	E 7	○○	○○	0	−	3	a ∞^{0}, abds. ∞^{2}
13.	78.4	78.8	79.4	7.7	9.9	8.7	10.5	2.0	**2.0**	3.8	2.9	25	41	34	W 1	W 4	W 4	8^1	10^1	10^2	−	−	a sehr reine Fernsicht, p ∞^{0}, abds. reine Fernsicht
14.	80.9	80.3	79.5	3.3	11.3	7.6	11.4	3.2	5.1	5.0	5.4	88	50	69	W 1	W 1	SW 6	○○	○○	0	−	−	a ∞^{0}, p reine Fernsicht, abds. wieder ∞
15.	79.7	80.2	84.5	5.9	8.8	3.1	8.8	3.1	4.8	4.6	4.5	69	54	79	W 1	SW 6	SW 6	○○	10^2	10^2	−	−	a ∞^{0}, 6^{14} p kurz ◍^{0}, abds. reine Fernsicht
16.	81.1	78.2	77.3	1.3	9.7	6.3	10.2	1.2	3.6	3.7	3.8	70	41	53	W 1	W 2	W 6	○○	2^1○	1^1	−	−	a ⌊⌋, t reine Fernsicht, abds. ∞
17.	74.6	69.9	68.4	3.9	13.0	6.4	13.2	3.9	3.4	3.2	3.2	56	29	44	SW 1	SW 1	W 5	○○	9^1	8^2	−	−	a ∞^{0}, p Flachland rein, Gebirge ∞, 1)
18.	67.5	68.2	69.3	− 2.4	− 2.4	− 4.0	6.4	− 4.0	3.8	3.8	3.2	100	100	95	W 1	NW 1	E 1	10^2=≡	10^2=≡	0	4.5	**20**	n ✳, a–p ≡^{1} ✳, abds. Horiz.≡
19.	68.1	66.6	65.1	− 4.4	2.1	5.3	6.3	− 4.5	2.4	2.4	3.6	75	45	54	W 1	SW 1	SW 8	5^2	1^1○	10^2	18.3	18	t reine Fernsicht, abds. ≡≡
20.	70.7	72.7	72.8	5.8	9.0	7.9	9.4	5.2	5.3	6.0	6.0	78	70	75	SW 1	W 1	SW 3	10^2	10^2	10^1	−	−	a u. abds. ∞, m reine Fernsicht, ca 5–8 p ◍
21.	74.2	76.1	76.7	7.1	7.5	6.2	9.3	6.0	6.0	**7.3**	6.5	80	94	91	N 1	W 1	SW 3	10^2●	10^2●	10^2●	0.6	−	t öfters ◍$^{0.1}$, abds. reine Fernsicht, ≡^{0}
22.	76.2	73.5	71.3	8.2	14.3	10.3	15.1	6.2	5.1	5.7	4.4	63	48	47	NE 1	NW 1	W 6	○○	○○	7^2	11.5	−	t sehr reine Fernsicht, Horiz.≡ i. N
23.	71.4	70.7	70.0	7.4	4.4	2.2	11.0	2..	6.9	6.2	5.3	90	100	98	C	N 1	SW 2	10^1	10^2=	10^2=	−	−	a Flachl. rein, Geb. i. d. Hochlagen bed., p ≡^{2} ◍, 2)
24.	70.0	73.6	77.6	− 0.5	0.2	0.2	2.4	− 0.9	4.4	4.7	4.6	100	100	98	W 1	W 1	W 1	10^2=≡	10^2=≡	10^2●	10.7	−	n–p ≡^{2} ✳, abds. ◍^{0}, reine Fernsicht
25.	79.0	79.7	79.1	0.0	4.1	2.6	4.7	− 0.2	4.5	5.0	5.5	98	82	100	W 1	NE 1	NE 7	10^1	7^2	10^2=	**20.5**	**20**	a ∞^{0}, Gebirge bed., p reine Fernsicht, abds. ≡^{2}
26.	76.6	74.1	70.3	0.0	7.9	3.9	8.3	− 0.1	4.6	6.0	5.4	100	75	88	NE 1	NE 4	E 6	10^2=	2^1○	3^2	−	8	a ≡^{1}, p u. abds. ∞
27.	72.6	72.1	71.2	4.4	6.8	3.5	7.1	2.9	5.4	4.3	4.7	87	59	80	W 3	NW 4	W 6	10^2	9^2	0	−	−	a ∞^{0}, p Flachland rein, Gebirge bedeckt, 6^{30} p ◍
28.	70.4	70.9	72.4	2.7	11.2	7.6	11.4	2.4	4.1	4.2	4.9	74	42	62	W 1	NE 3	NE 5	○○	5^1○	0	0.7	−	a ⌊⌋, Horiz.≡, t sehr reine, abds. reine Fernsicht
29.	71.5	72.9	74.8	10.3	17.0	11.1	17.6	7.1	3.0	5.8	5.5	33	40	55	SW 1	N 1	SE 5	10^1	8^1○	2^2	−	−	a sehr reine, abds. reine Fernsicht, 3)
30.	74.2	74.1	73.7	13.1	18.8	12.6	**19.1**	10.9	3.9	2.4	2.1	35	**15**	19	S 1	SW 1	SW 5	10^1	10^1	8^2	−	−	t sehr reine, abds. reine Fernsicht
31.	73.2	72.6	73.3	10.9	18.1	13.8	18.1	10.5	3.1	5.1	4.6	32	33	40	S 3	SE 1	E 4	9^1	10^1	1^2	−	−	a u. abds. reine Fernsicht, p ∞^{0}
Mittel	77.6	77.4	77.4	2.7	7.2	4.3	8.4	1.5	4.0	4.3	4.2	75	59	69				5.9	6.0	4.7	84.1		1) abds. i. S ∞. 2) abds. ≡^{2} 3) p ∞^{0}, starker Horiz.≡

Alle Angaben nach Ortszeit.

Zugspitze.

März. $\varphi = 47^0\ 25'$ N. $\lambda = 10^0\ 59'$ E $= 43^m\ 56^s$. H $= 2964$ m. Cg $= -0.2$ mm. 1913.

Datum	Luftdruck auf 0^0 u. Normalschwere reduziert 500 mm +			Lufttemperatur C^0					Absolute Feuchtigkeit mm			Relative Feuchtigkeit Proz.			Richtung und Stärke des Windes 0 bis 12			Bewölkung 0 bis 10			Niederschlag	Schneedecke
	7^a	2^p	9^p	7^a	2^p	9^p	Max.	Min.	7^a	2^p	9^p	7^a	2^p	9^p	7^a	2^p	9^p	7^a	2^p	9^p	mm 7^a	cm 7^a
1.	24.3	25.2	25.7	−15.8	−18.2	−15.6	−13.0	−18.3	1.2	0.7	0.8	100	65	70	N 6	N 4	N 4	10^{2}=	0⊙	0	2.5	
2.	26.3	27.9	29.2	−14.0	−12.5	−13.5	−12.5	−15.7	0.8	1.0	1.0	62	58	68	N 4	NE 3	NW 7	1^{0}⊙	3^{0}⊙	0	–	
3.	29.5	30.6	31.3	−14.6	−11.4	− 9.4	− 8.9	−15.5	1.3	1.1	0.8	100	58	40	NW 5	W 3	NW 4	10^{2}=	4^{0}⊙	6^{1}	–	
4.	30.9	31.8	33.0	−10.4	− 9.4	− 5.8	− 4.8	−10.7	1.9	2.1	0.9	100	100	30	NW 5	W 5	N 2	10^{2}=*	8^{1}⊙	3^{0}	1.0	
5.	33.4	35.2	36.0	− 8.0	− 6.3	− 7.1	− 2.6	− 8.9	2.4	2.2	2.5	100	80	95	NW 8	W 4	N 3	4^{0}⊙	2^{0}⊙	0	0.8	
6.	36.2	35.9	35.2	− 5.4	− 3.3	− 4.2	− 3.1	− 7.1	1.0	1.5	1.4	34	42	44	W 5	W 6	W 7	2^{0}⊙	4^{0}⊙	3^{0}	–	
7.	33.6	32.8	31.7	− 5.6	− 4.7	− 5.7	− 4.2	− 5.9	1.5	1.7	2.0	52	53	70	SW 6	W 5	W 4	7^{0}	6^{0}⊙	1^{0}	–	
8.	28.7	27.7	27.5	− 7.6	− 6.5	−14.0	− 5.7	−14.0	1.9	2.6	1.4	75	95	100	W 6	W 4	N 3	9^{0}	10^{1}=	10^{2}=*	–	
9.	28.8	30.9	32.2	−18.4	−16.7	−18.4	−14.0	−18.5	0.9	1.1	0.7	100	95	75	NW 5	N 1	N 3	10^{2}=	10^{2}=	0	9.3	
10.	33.6	34.5	34.7	−11.8	− 6.8	− 8.3	− 5.5	−18.4	0.9	2.6	2.3	56	100	100	N 3	NW 5	NW 8	10^{0}	10^{2}=	10^{1}=	0.2	
11.	34.7	35.3	34.6	− 7.2	− 6.0	− 5.3	− 4.8	− 9.6	2.6	2.4	2.7	100	87	90	NW 4	NW 3	NW 6	10^{2}=	4^{0}⊙	4^{1}	–	
12.	33.3	34.6	33.2	−10.5	− 7.5	− 5.6	− 5.2	−11.7	1.4	0.9	1.0	75	34	32	N 6	N 1	S 2	3^{0}⊙	4^{0}⊙	1^{0}	–	
13.	31.2	31.3	31.3	− 5.5	− 3.8	− 6.8	− 3.7	− 7.1	2.0	2.3	2.6	70	67	100	NW 1	SW 1	W 5	7^{0}⊙	9^{0}⊙	10^{1}=*	–	
14.	31.8	32.3	32.0	− 7.7	− 5.0	− 5.6	− 3.9	− 8.9	2.3	2.6	2.5	94	82	85	NW 3	SW 3	SW 5	4^{0}⊙	4^{0}⊙	0	0.9	
15.	31.3	32.0	32.9	− 7.0	− 6.2	− 8.8	− 5.0	− 8.8	2.2	2.8	2.2	84	100	100	SW 5	NW 2	NW 2	5^{0}⊙	10^{1}	10^{2}=△*	–	
16.	31.0	30.3	29.2	− 8.5	− 5.7	− 7.9	− 5.1	−10.9	1.2	1.9	1.7	52	68	69	SW 7	W 5	SW 9	1^{0}⊙	6^{0}⊙	5^{0}	0.7	
17.	25.9	23.8	20.1	− 8.7	− 5.0	− 6.7	− 5.0	− 8.7	1.4	2.2	2.0	62	73	75	SW 10	S 8	S 10	7^{0}⊙	8^{1}⊙	10^{1}	–	
18.	16.3	16.6	17.7	−14.0	−15.4	−17.0	− 6.7	−17.1	1.4	1.2	1.1	100	100	100	NW 5	NW 2	NW 1	10^{2}=*	10^{2}=*	1^{0}	1.7	
19.	17.2	17.8	19.6	−13.6	−11.4	− 6.8	− 6.1	−17.5	1.1	1.4	2.6	76	78	100	W 9	W 9	W 8	10^{1}	5^{0}⊙	10^{1}	15.7	
20.	24.4	26.8	27.0	− 5.0	− 3.7	− 3.3	− 3.1	− 6.9	3.1	3.4	3.0	100	100	85	NW 3	W 8	S 7	10^{1}=*△	10^{1}	6^{0}	0.3	
21.	27.4	28.5	29.4	− 4.0	− 2.8	− 5.0	− 2.7	− 5.0	3.2	3.7	3.1	95	100	100	S 7	S 5	W 6	10^{1}	10^{1}	8^{1}	–	
22.	29.0	28.5	27.2	− 4.1	− 2.4	− 3.0	− 1.6	− 5.1	3.2	3.8	2.2	95	97	88	S 6	S 7	S 6	3^{1}⊙	4^{1}⊙	8^{1}	0.3	
23.	25.3	23.8	22.4	− 2.8	− 2.2	− 4.0	− 1.9	− 4.0	3.7	3.9	3.3	99	100	100	SE 5	SE 3	SE 4	10^{1}	10^{2}=	10^{2}=*	–	
24.	20.4	23.5	26.4	− 6.2	−10.1	−10.8	− 4.0	−11.1	2.8	2.0	1.8	100	100	100	E 1	SE 1	C	10^{2}=*	10^{2}=*	9^{0}	3.2	
25.	28.1	29.6	30.1	− 6.8	− 5.0	− 6.8	− 4.2	−10.9	2.6	2.8	1.5	98	89	55	S 4	SE 4	SE 4	3^{0}⊙	6^{0}⊙	4^{0}	9.5	
26.	29.5	28.3	26.0	− 3.7	− 2.6	− 2.2	− 1.2	− 6.8	2.4	2.6	3.7	72	70	96	S 7	SE 4	SE 3	7^{0}⊙	7^{0}⊙	4^{1}	–	
27.	24.6	23.5	23.1	− 5.4	− 7.0	− 8.8	− 1.6	− 8.9	3.0	2.6	2.1	100	100	95	SE 1	NW 2	W 5	10^{2}=	10^{2}=*	0	–	
28.	22.7	25.9	27.2	− 7.8	− 3.3	− 2.8	− 2.2	− 9.5	1.7	2.4	2.0	70	70	56	S 3	SW 4	SE 2	2^{0}⊙	6^{0}⊙	0	8.5	
29.	28.0	30.3	30.6	− 0.8	1.5	1.2	2.4	− 3.0	2.9	3.8	3.9	68	74	78	S 8	S 6	S 8	10^{1}	8^{1}	7^{1}	–	
30.	30.4	30.0	29.6	0.4	− 0.2	− 1.6	2.5	− 2.3	2.5	2.5	2.3	69	56	58	S 7	S 7	S 6	10^{1}	10^{1}	6^{0}	–	
31.	28.3	28.9	28.8	− 1.7	− 0.6	− 2.4	0.1	− 4.1	3.5	4.2	3.6	77	95	95	S 9	S 4	SE 5	8^{1}	10^{1}	4^{1}	–	
Mittel	28.3	28.8	28.9	− 7.8	− 6.5	− 7.2	− 4.4	−10.0	2.1	2.3	2.1	82	80	79				7.2	7.0	4.8	54.6	

Schneedecke während des ganzen Monats, Angabe der Höhe unmöglich.

1. n ✳$^{0.1}$, a 20 cm Neuschnee, ≡^{2}, 8^{00} a Wind springt ztw. auf NE, langsames Aufklaren, ab ca 10 a ringsum cu-meer in ca 2500–2800 m, ab 3 p cu-meer üb. Inntal teilw. in Auflösung
2. a über Inntal Nebelmeer in ca 1800 m, üb. Flachland ∞^{1}, 8 a Nebelmeer üb. Inntal in Auflösung, p üb. Flachl. ∞^{1}, kräft. Auffrischen des Windes (N 6-7), starkes ✳treiben, [1]
3. a ≡^{2}, leichte V bildung, 10^{15} a ≡treiben, Aufklaren, ca 11 a fast wolklos, über Alpenvorland u. Flachland teilw. str-cu, p mässige Bewölkungszunahme, [2]
4. a ≡^{2} ✳^{0}, Wind springt ztw. auf W, ab 1^{00} p starkes ≡- u. ✳treiben, 2^{30} p Gipfel ≡frei, gegen Abend langsame Bewölkungsabnahme
5. a starkes ✳treiben, in Tälern ∞^{1}, üb. Flachl. teilw. str-cu-Decke, ca 9 a str-cu üb. Flachl. in Auflösung; ab 11 a neuerdings Bildung einer str-cu-Decke, p stark. Abflauen d. Windes
6. a über Flachland leichter ∞, ab ca 10 a Auftreten von cu-Gewölk über Alpenvorland u. Flachland, ab mn W, ab 2 p WSW, Windstärke t ziemlich konstant (6–7), [3]
7. a ztw. böiger Wind, ziemlich stark bewölkt, a u. t über Alpenvorland u. Flachl. vereinzelt cu, ab mn allmähl. Bewölkungsabnahme, ab 7 p üb. Alpenvorland u. Flachl. l. Nebeldecke
8. a über Inntal teilw. cu, über Alpenvorland u. Flachland ∞^{2}, ab 0^{25} p ztw. ✳$^{0.1}$ u. d. G., Wind dreht auf WNW, ab 4^{10} p ≡^{2} ✳^{1}, 9 p 15 cm Neuschnee, 5 cm V
9. a 10 cm V, 30 cm Neuschnee, ≡^{2}, ab 2^{15} p ≡treiben, ztw. Aufklaren, 4^{35} p kurze Zeit ✳$^{0.1}$, ca 7 p Aufklaren, ringsum Nebelmeer, abds. in Tälern, üb. Alpenvorl. u. Flachl. l. Nebel
10. a über Flachland ∞^{1}, starkes ✳treiben, ≡$^{0.1}$ u. d. G., ab 11^{55} a–4^{05} p ≡^{2}, ab 4^{05} p ≡- u. ✳treiben, Talblick ztw. frei, 9 p 3 cm V
11. a ≡^{2}, 5 cm V, ab 8^{25} a ≡treiben, kurze Zeit kräftiges Auffrischen des Windes, Stärke 7–8, 10^{55} a Aufklaren, längs des südl. u. südöstl. Teiles der Zentralkette Föhnmauer, [4]
12. a über Alpenvorland u. in Karwendeltälern teilw. cu-Decke in ca 2000–2200 m, über Flachland vereinzelt str cu, ca 9 a cu-Decke über Alpenvorland in Auflösung, [5]
13. ca 10 p–2 a S 7–8, a ∞^{0}, ab 10 a W, ab 0^{30} p SW, ca 3 p a-str geht vollständig in cu-str u. fr-st über, ztw. ✳^{0}, ab 7^{00} p ≡$^{0.1}$ v. d. G., ✳^{2}, Wind dreht auf W zurück
14. n ✳^{0}, a leichter V; in Tälern u. über Alpenvorland ≡^{0}; t ∞^{0}, abds. über Flachland u. Alpenvorland leichte Nebeldecke
15. a über westl. Teil der Zentralkette Föhnmauer, 10^{15} a lebh. Bewölkungszunahme, ab 1^{25} p ztw. ≡^{0} u. d. G., 2^{25}–3^{25} p ≡^{2}, 3^{55}–ca 5 p ≡treiben, ab 5 p ≡^{2}, ab 8^{35} p ztw. ✳^{0} △^{0}, [6]
16. t längs des östl. u. südöstl. Teiles der Zentralkette Föhnmauer, ∞^{1}, abds. ∞^{2}
17. ab 9^{30} p ztw. gut ausgebild. Halo von 22°, t längs des östl. u. südöstl. Teiles der Zentralkette Föhnmauer, ca 3 p a-Gewölk geht teilw. in str-cu über, ab 5 p str-cu-Wolken vorherrschend
18. n ✳$^{0.1}$, a 5 cm Neuschnee, leichter V-Ansatz, ≡^{2}, t ≡^{2} ✳$^{0.1}$, 5^{30} p Aufhören des Schneefalles, 40 cm Neuschnee, ab 5^{55} p ≡treiben, teilw. Aufklaren, 6^{15} p wolklos, [7]
19. a bedeckt, 8^{25} a teilw. Aufklaren, t starkes ✳treiben; ab 5^{05} p a-Schicht geht vollständig in str-cu über, nahezu bedeckt, 6^{05}–ca 8 p ≡$^{0.1}$ um den Gipfel
20. a leichter V-Ansatz, ≡$^{0.1}$ u. d. G. 11^{35} a–ca 1 p ≡^{2}, p ≡$^{0.1}$, 4^{05} p kurze Zeit ✳^{0}, ab 4^{25} p langsames Aufklaren, Wind springt auf S
21. a ≡^{0}, längs des östl. u. südöstl. Teiles der Zentralkette Föhnmauer, ab 1^{35} p ≡$^{1.2}$ u. d. G., ab 2^{55} p ≡^{2}, 3^{35}–ca 5 p ≡^{2}, ab 5 p ≡treiben, 7^{05} p allmähl. Aufklaren, [8]
22. t längs des südöstl. u. südl. u. ztw. südwestl. Teiles der Zentralkette Föhnmauer, p mässige Bewölkungszunahme, ab ca 7 p str-cu-Wolken vorherrschend
23. a ≡^{0}, vollständig bedeckt, längs des östl. u. südöstl. Teiles der Zentralkette Föhnmauer, über Alpenvorland teilw. str-cu-Decke, ab 11^{00} a ≡^{2}, ab ca 5 p ✳$^{0.1}$, 9 p 3 cm V
24. a 10 cm V, 5 cm Neuschnee, ✳^{0}, ≡^{2}, t ≡^{2}, 7^{25} a–ca 5 p ✳$^{0.1}$, 8^{05} p langsames Aufklaren, 9 p ringsum Nebelmeer in ca 2500 m
25. a ringsum cu-meer in ca 2200–2500 m, ab ca 9 a cu-meer in Tälern teilw. in Auflösung, ca 1 p starke Bewölkungszunahme, a-str vorherrsch., p–abds. üb. Alpenvorland, Flachland [9]
26. a üb. Alpenvorl. u. Flachl. Nebeldecke in ca 800–1000 m, p üb. Alpenvorl. u. Flachl. ∞^{1}, ab ca 3 p str-cu-Gewölk vorherrsch., ab 4 p Föhnmauer längs d. südl. u. südöstl. Teiles [10]
27. a ≡^{2}, ztw. ✳^{0}, leichte V bildung, t ≡^{2}, ca 10 a kurz Zeit ✳^{0} △^{0}, ab 1^{25} p ✳$^{0.1}$, 5 p 5 cm Neuschnee, 7^{05} p Aufklaren
28. a über Inntal u. Isartal cu-meer in ca 1500–1800 m, t stark wechs. Bewölkung, ztw. kräftig ausgebildete Föhnmauer längs d. südöstl., südl. u. südwestl. Teiles d. Zentralkette [11]
29. t fast vollständig bedeckt, ci- u. a-Gewölk vorherrschend, starkes ✳treiben
30. t fast vollständig bedeckt (a-str), Fernsicht sehr klar, abds. teilw. Aufklaren
31. a längs des südl. u. südwestl. Teiles der Zentralkette Föhnmauer, üb. Flachl. ∞^{1}, ca 8 a–ca 2^{30} p vollst. bedeckt, gleichmässiger a-str, ab ca 2^{30} p langsames Aufklaren, [12]

1) 4^{05} p starke Bewölkungszunahme, a-cu, str-cu W r, abds. wieder Aufklaren, ztw. C. 2) abds. starke Zunahme der Bewölkungsdichte, a-str geht grossenteils in cu-str über.
3) Bewölkungsgrösse mässigen Schwankungen unterworfen. 4) über Flachland teilw. cu, ca 3^{30} p Bewölkungszunahme, abds. str-cu-Gewölk vorherrschend.
5) 3 p lebh. Bewölkungszunahme, 5 p bedeckt, gleichmässiger ci-Schleier, 7^{15} p rasches Aufklaren. 6) 9 p 5 cm V.
7) Inntal u. Hochtäler cu-meer in ca 2500–2800 m, über Alpenvorland ≡^{0}
8) abds. längs des östl. u. südöstl. Teiles d. Zentralkette Föhnmauer, in Tälern vereinzelt Nebelfahnen. 9) u. teilw. in Tälern cu-Decke in ca 1800–2000 m
10) der Zentralkette, ab 6^{25} p ztw. ≡$^{0.1}$ u. d. G., ca 8^{30} p wieder Aufklaren. 11) p über Flachland ∞^{1}. 12) str-cu-Wolken vorherrschend.

Alle Angaben nach Ortszeit.

Kahl a/M.

April. $\varphi = 50^0\ 4'$ N. $\lambda = 9^0\ 1'$ E $= 36^m\ 4^s$. H $= 114.1$ m. Cg $= +0.3$ mm. 1913.

Datum	Luftdruck auf 0° u. Normalschwere reduziert 700 mm +			Lufttemperatur C°					Absolute Feuchtigkeit mm			Relative Feuchtigkeit Proz.			Richtung und Stärke des Windes 0 bis 12			Bewölkung 0 bis 10			Niederschlag mm	Bemerkungen
	7a	2p	9p	7a	2p	9p	Max.	Min.	7a	2p	9p	7a	2p	9p	7a	2p	9p	7a	2p	9p	7a	
1.	49.4	51.0	52.4	10.1	10.2	8.6	16.0	8.3	6.8	7.7	7.8	74	83	93	SW 2	SW 2	SW 2	10^1	10^1	10^1	–	8^{31} a ab untertags ztw. ◍.
2.	55.5	56.4	**56.5**	7.0	9.9	6.5	11.1	5.8	5.9	5.2	5.7	78	57	80	SW 2	SW 2	C	6^1	10^1	10^1	2.6	
3.	53.3	50.6	49.8	7.2	12.2	11.3	13.1	5.2	6.9	6.9	7.3	91	65	73	NW 2	NW 6	NE 2	10^1	10^1	10^1	1.3	n ◍
4.	49.0	47.3	46.5	9.8	18.6	11.6	19 9	8.9	7.2	6.0	7.5	80	37	74	NE 2	NE 2	NE 4	○○	1^0	0	–	a ⏢
5.	44.0	43.0	43.4	10.0	16.8	8.8	17.7	8.5	4.9	5.8	8.0	54	41	95	NE 2	SE 4	C	○○	10^0	10^1	–	6^{31}–7^{26} p ◍
6.	43.6	42.3	41.2	3.3	13.3	9.7	15.2	2.8	5.7	7.7	7.2	**98**	67	82	C	SW 2	C	10^0	10^0	0	3 6	ca 7 a ≡^{1}
7.	40.2	41.7	44.9	6.5	9.5	5.5	11.0	5.1	6.3	6.1	5.5	87	69	82	NW 2	N 2	NE 4	10^1	10^1	8^0	–	
8.	48.8	49.6	50 5	3.6	6.7	4.2	7.6	2.9	3.9	3.9	4.5	65	53	73	NE 2	E 4	E 4	10^0	10^1	10^1	–	
9.	51.4	52.0	52.8	3.5	8.2	2.6	9.0	2.0	4.2	3.5	5.0	72	43	91	SE 2	NE 4	C	7^0	9^1	0	–	a ⏢
10.	51.2	48.2	47.1	2.5	4.6	4.0	7.0	– 2.0	4.6	5.6	5.9	82	89	97	C	SW 2	SW 2	10^1	10^1●	10^1	–	11^{06} a-n ◍
11.	48.6	48.4	47.5	1.7	3.6	– 0.4	6.1	– 1.1	3.7	4.0	4.3	71	67	96	NW 2	NW 4	C	7^0	10^1*	6^0	**7.5**	t ztw. ✳
12.	40.1	43.4	47.7	– 0.4	3.4	– 0.8	5.2	– 1.6	3.8	2.0	2.8	85	35	66	E 2	NE 6	C	10^1*	1^0	0	0.6	a–ca 10 a ✳
13.	50.8	51.9	53.6	– 3.1	3.5	– 2.0	6.0	– 6.3	3.3	2.8	2.7	91	47	70	C	NE 4	C	○○	8^1	0	–	a ⌊
14.	55.5	55.4	55.6	– 2.2	5.8	– 1.5	7.9	– 6.8	3.5	2.6	3.5	89	37	84	C	NW 2	C	○○	3^1	0	–	a ⌊
15.	55.6	54.6	54.0	– 2.1	9.2	1.4	10.2	– 5.6	3.5	3.4	4.0	90	39	80	SE 2	S 2	C	○○	6^1	0	–	a ⌊
16.	52.3	48.3	46.5	– 0.3	12.7	10.2	14.0	– 5.0	4.1	3.7	4.1	90	34	44	C	SW 2	SW 2	○○	6^0○	10^1	–	a ⌊
17.	43.9	40.5	45.5	8.2	10.6	7.3	12.6	5.9	7.8	8.8	6.3	96	93	83	S 2	S 4	SW 2	10^1●	10^1●	10^1	4.9	n ◍, t ztw. ◍
18.	49.1	49.8	50.1	6.2	10.4	6.5	11.9	4.7	6.4	5.9	6.3	90	63	87	SW 2	SW 2	C	10^1	7^1○	3^0	4.3	n ◍, t ztw. ◍
19.	48.0	47.0	45.8	8.8	10.4	10.0	11.1	6.0	7.2	7.8	8.7	86	84	95	SW 2	SW 4	SW 2	10^1	10^1●	10^1	2.8	n ◍, p ztw. ◍
20.	48.0	51.1	54.2	8.1	11.2	3.1	11.7	2.9	6.7	4.6	5.7	83	46	**98**	SW 2	W 2	C	5^0	8^0	0	4.3	ca 7 p ◠
21.	55.0	54.1	54.0	1.8	14.5	8.8	15.6	– 2.0	4.9	5.1	5.0	93	42	59	C	S 2	C	○○	8^0○	1^0	–	a ⌊
22.	55.0	54.7	54.3	8.4	16.8	8.4	19.4	4.0	6.4	4.5	5.2	78	31	63	C	C	C	○○	○○	0	–	
23.	53.7	51.4	50.3	7.1	17.0	9.2	18 2	1.0	5.4	4.7	4.7	71	32	55	C	S 2	C	○○	○○	0	–	a ⏢
24.	48.6	46.7	46.0	5.2	16.0	12.6	20.0	– 0.1	6.0	6.4	8.6	90	47	80	C	SW 4	SW 2	○○	7^0	0	–	a ⌊
25.	45.7	45.0	45.9	11.0	19.4	13.7	20.4	8.0	8.6	9.0	9.4	87	54	81	S 2	W 2	C•	10^0	3^1○	10^2	1.2	n ◍
26.	48.3	48.9	46.9	12.7	16.7	10.2	18.1	9.7	9.1	6.7	8.1	85	48	87	S 2	SW 2	C	10^1	5^1	0	–	
27.	45 7	44.6	45.7	10.2	22.9	14.2	25.0	4.3	8.1	10.3	10.6	87	49	88	C	SW 2	C	○○	1^0	0	–	a ⏢
28.	49.2	49.7	51.7	15.1	22.5	14.3	23.9	7.7	10.3	**13.2**	11.2	81	65	93	C	SW 2	C	○○	10^1	0	–	a ⏢
29.	54.2	52.3	51.1	14.5	25.2	15.9	27.2	9.3	10.5	10.0	10.9	86	42	81	C	E 2	C	5^0	1^0	0	–	a ⏢
30.	50.8	48.8	47.4	16.3	26.1	19.0	**28.9**	7.9	10.9	7.4	11.4	79	30	70	C	SW 2	C	1^0○	2^1○	9^0	–	
																					33.1	
Mittel	49.5	49.0	49.3	6.4	12.9	7.8	14.7	3.0	6.2	6.0	6.6	83	53	80				5.0	6.5	4.2		

Bayreuth.

April. $\varphi = 49^0\ 57'$ N. $\lambda = 11^0\ 34'$ E $= 46^m\ 16^s$. H $= 363.3$ m. Cg $= +0.3$ mm. 1913.

1.	27.3	28.3	31.0	7.7	10.7	6.9	14.3	6.2	6.8	6.7	6.9	89	71	93	C	W 4	W 4	10^1=	10^2	10^2●	–	a ≡^{1}, p ztw. ◍$^{0.1}$
2.	33.9	33.6	**34.2**	6.0	9.0	6.1	9.0	4.8	6.7	6.8	6.7	96	79	96	SW 2	W 2	C	10^2●	10^2	10^2●	7.6	n ◍^{0}, t ztw. ◍^{0}
3.	31.2	29.0	28.5	7.9	10.9	9.5	12.9	5.6	6.5	7.1	7.0	83	72	79	E 4	E 4	E 2	10^1	10^1	0	3.5	n ◍^{0}
4.	28.2	26.3	25.8	5.7	16.8	12.5	17.3	4.2	6.3	5.5	4.8	93	38	45	E 2	E 6	E 6	2^0○	3^1○	0	–	a ⏢
5.	23.3	20.7	22.3	8.3	15.0	7.2	16.0	6.2	4.9	5.7	6.3	60	45	84	E 4	E 8	E 2	5^1	10^1	0	–	t ⩩, 5^{31}–6^{06} p ⍁
6.	20.7	18.0	17.3	1.8	11.1	8.2	11.8	0.2	5.1	6.4	7.7	**98**	63	94	W 2	NW 2	W 2	10^2=	10^1	10^2	–	a ≡^{1}, p ztw. ◍^{0}
7.	16.4	19.0	23.6	7.3	6 7	4.1	8.2	3.7	7.3	6.6	5.4	96	91	89	W 2	NW 4	N 4	10^2	10^2	10^1	4.3	n ◍^{0}, a ztw. ◍^{0}
8.	25.7	26.7	28.0	1.5	4.9	2.7	5.8	0.2	3.9	3.6	3.8	75	55	68	NE 4	NE 4	NE 2	9^1	9^1	10^1	2.0	
9.	28.8	29.2	30.0	1.9	5.3	3.3	7.4	0.2	4.1	3.7	3.6	79	56	60	NW 2	NE 4	E 4	7^1	9^1	0	–	
10.	27.7	24.7	23.1	– 0.1	4.2	1.7	5.7	– 2.8	4.0	4.7	4.9	87	77	94	E 2	W 6	W 4	10^1	10^2	10^2●	–	a ⌊^{1}, p ztw. ◍^{0}
11.	23.6	23.9	24.3	0.3	– 0.9	1.7	2.2	– 2.1	3.8	4.0	3.0	80	94	74	W 6	W 8	NW 4	10^2	10^2*	10^1	0.9	t ztw. ✳^{2}, △
12.	18.6	18.9	23.5	– 2.3	1.2	– 1.7	1.8	– 4.7	2.7	1.8	2.8	71	36	70	E 2	NE 4	N 6	10^2	10^0	10^2	0.5	a ⌊^{0}
13.	26.7	28.0	30.6	– 5.1	2.1	– 2.3	3.0	– 7.5	2.7	2.1	3.5	88	40	89	NW 2	NW 4	N 2	○○	6^1	0	–	a ⌊^{2}, p ztw. ✳$^{0.2}$
14.	32.5	32.6	33.5	– 2.1	2.7	– 1.7	3.7	– 4.6	3.5	3.6	3.4	90	63	84	NW 2	NE 2	E 2	8^1	8^1	0	–	
15.	33.3	31.9	31.7	– 4.5	5.9	1.1	8.0	– 6.5	2.9	2.1	3.3	90	30	65	C	NW 4	NW 4	3^0 ○=	2^1○	0	–	a ≡$^{0.2}$ ⌊^{2}
16.	30.2	26.5	24.8	– 1.1	10.1	5.7	12.0	– 4.5	3.5	3.4	4.1	82	37	60	E 2	SW 6	SW 2	5^1	○○	10^0	–	a ⌊^{1}
17.	22.3	20.6	22.4	6.3	11.0	7.3	11.1	4 3	6.5	8.3	5.6	92	84	73	SW 4	SE 2	W 6	10^2	10^2●	10^2	1.0	n ◍^{0}, t ztw. ◍^{0}
18.	27.0	28.5	29.4	5.7	8.9	6.2	11.5	4.2	5.7	5.1	4.9	84	60	69	SW 4	SW 6	SW 2	10^2	9^1	3^1	1.9	a ztw. ◍^{0}
19.	28.2	26.1	25.0	6.7	11.0	9.3	11.5	2.2	5.7	7.0	7.9	78	71	91	S 4	S 6	SW 2	10^1	10^2	10^2	0.7	p ztw. ◍$^{0.1}$
20.	25.6	27.8	31.9	8.1	10.4	2.1	11.0	1.8	7.1	5.0	5.2	88	53	96	SW 4	SW 6	SW 2	10^2	10^2	3^0	**8.4**	n ◍$^{0.1}$, p ztw. ◍^{0}
21.	33.7	33.1	33.1	0.7	10.5	4.8	13.7	– 1.3	4.3	3.9	5.2	89	41	81	E 2	S 2	E 2	10^1=	4^1○	0	1.6	a ⌊^{2}, ≡$^{0.1}$
22.	34.4	33.5	33.3	2.5	14.2	8.5	15 8	– 1.8	4.7	4.4	4.4	84	36	54	E 2	SW 2	C	○○	1^1○	0	–	a ⌊^{1}
23.	31.8	29.7	29.0	1.7	13.9	7.5	15.6	– 1.2	4.6	3.2	5.0	90	**27**	65	C	NE 2	E 2	○○	○○	0	–	a ⌊^{1}
24.	27.2	25.1	24.2	4.0	18.2	12.3	18.9	– 0 8	5.0	5.7	7.8	82	37	73	E 2	SW 4	W 2	○○	8^0○	10^1	–	a ⌊^{1}
25.	24.9	24.6	24.6	10.2	19.1	13.5	20.1	7.1	7.6	7.7	8.5	82	47	74	SE 4	SE 4	E 2	5^0○	8^1○	10^1	–	a ⏢
26.	26.9	26.7	25.4	11.3	18.9	13.5	19.4	9·3	9.4	8.4	8.8	94	52	76	C	W 2	E 2	10^1	8^0○	0	1.6	n ◍^{0}
27.	24.1	22.9	24.7	8.7	24.1	16.3	25.7	5.3	7.6	7.0	8.5	91	32	61	C	SE 4	SE 2	2^0○	3^0○	3^1	–	a ⏢
28.	28.1	28.5	30.8	13.1	25.0	14.4	25.6	7.4	8.5	8.0	9.8	76	34	81	E 2	SE 2	E 2	○○	5^1○	0	–	a ⏢, $4^{01.06}$ p ⍁
29.	33.2	31.7	31.3	15.2	24.6	17.4	26.0	9.3	10.0	9.0	**11.4**	77	39	77	E 2	SE 4	C	5^0	3^1○	0	–	a ⏢
30.	30.2	28.2	26.8	13.5	25.0	18.4	**27.8**	8.1	9.2	6.3	9.2	80	**27**	59	SE 2	SE 2	E 2	○○	5^1○	0	–	a ⏢
																					34.0	
Mittel	27.5	26.8	27.5	4.7	11.7	7.2	13.1	1.8	5.7	5.4	6.0	85	53	76				6.4	7 0	4.6		

Alle Angaben nach Ortszeit.

Bamberg.

April. $\varphi = 49^0\ 53'$ N. $\lambda = 10^0\ 53'$ E $= 43^m\ 32^s$. H $= 287.7$ m. Cg $= +0.3$ mm. 1913.

Datum	Luftdruck auf 0° u. Normalschwere reduziert 700 mm +			Lufttemperatur C°					Absolute Feuchtigkeit mm			Relative Feuchtigkeit Proz.			Richtung und Stärke des Windes 0 bis 12			Bewölkung 0 bis 10			Niederschlag mm	Bemerkungen
	7a	2p	9p	7a	2p	9p	Max.	Min.	7a	2p	9p	7a	2p	9p	7a	2p	9p	7a	2p	9p	7a	
1.	34.0	35.4	38.0	7.8	9.7	6.5	14.2	6.5	7.3	6.5	7.0	93	73	98	S 1	W 2	C	10^1	10^2	10^2●	0.1	n ⌓. 330–4 p ◍0, 615–9 p ●1
2.	39.7	40.4	**40.8**	6.3	8.8	6.1	9.7	5.8	7.1	6.7	6.6	**99**	80	95	SW 1	W 1	W 2	10^2●	10^2●	10^2●	9.9	9 p–015 a, 145 a–900 p ◍0.1
3.	37.5	34.9	34.8	7.6	12.4	9.9	13.4	5.7	6.5	7.0	6.9	83	65	76	NE 4	E 5	N 4	10^1	9^1	3^1	2.2	n ztw. ◍, abds. ∞
4	34.3	32.4	31.4	8.6	18.2	12.7	18.8	7.0	6.6	4.8	4.2	79	31	38	E 2	E 5	E 7	1^0○	1^1○	0	0.1	n ⌓
5.	29.1	28.0	28.7	8.3	16.1	7.7	17.4	6.8	4.4	5.9	6.0	55	44	76	E 3	E 3	S 2	7^1	10^1	1^0	0.1	515 p ◍0, 549 p ◹ i. W
6.	27.4	25.0	24.3	3.0	12.6	8.0	13.4	1.7	5.5	6.5	7.8	96	60	98	W 2	W 1	W 2	10^2	10^2	10^2●	0.1	n ⌓, a ≡. 456–624 p ●0, 624–34 p ◍2, 631–950 p ◍0.1
7	23.2	25.5	29.2	7.5	9.7	5.3	12.8	5.1	7.3	6.6	5.2	94	74	78	SW 2	N 3	NW 4	10^2	10^1	10^2	7.7	n, 515 p ◍0
8.	32.5	33.4	35.0	2.0	5.6	3.4	7.5	1.7	3.6	3.5	3.9	68	52	66	NE 4	NE 5	N 1	10^1	9^1	10^1	0.1	n ⌓0
9.	35.7	36.3	37.1	2.2	5.7	8.6	8.0	0.6	4.4	3.3	4.2	82	48	72	NW 2	NE 2	NW 1	10^1	10^2	10^2	0.1	n ⌓
10.	34.6	31.9	30.3	– 0.4	4.7	2.4	7.4	– 2.8	4.3	5.2	5.2	96	81	94	S 2	NW 1	W 3	10^1	10^2●	10^2●	0.1	n ⌓, ca 1–9 p ◍0.1
11.	31.0	31 5	31.1	1.0	0.8	– 1.5	4.9	– 1.6	3.5	4.1	2.9	70	85	70	W 4	W 6	NW 3	10^2*	10^2*	8^1	3.5	n ✳, ca 7–815 a ✳0, 1130–43 a, 1236–34 p ✳1, 134–215 p ✳0.1
12.	25.0	25.5	30.4	2.0	2.5	– 1.8	3.7	– 4.1	3 0	**1.7**	2.9	76	30	72	SE 2	NE 4	NW 2	10^2	9^1	3^1	0.7	
13	33.7	35.0	37.6	– 3.6	4.5	– 2.4	5.7	– 6.6	2.9	2.1	3.6	82	34	94	W 3	W 2	W 1	○○	9^1	2^1	0.1	n ⌓, 551 p ✳1
14.	39.6	39.4	40.4	– 3.1	6.1	– 1.7	6.8	– 5.1	3.5	3.0	3.7	96	42	92	C	W 3	C	1^1○	8^1○	0	0.1	n ⌓, a ∞; 1013 a, 0902.15 p ✳1; ca 1 p, 413–504 p ✳
15.	40.0	38.5	38.3	– 3.8	7.7	1.3	8.6	– 5.2	3.2	2.1	2.4	93	**27**	48	W 1	C	C	○○	1^1○	0	0.1	n V, a ∞
16.	37.0	33.3	31.2	– 1.1	12.0	7.4	12.8	– 4.2	3.6	3.5	3.9	84	34	50	SW 1	SW 3	SW 2	1^0○	1^0○	10^1	0.1	n ⌓
17.	28.8	26.6	30.6	6.5	11.0	6.1	12.1	5.1	6.8	8.2	5.1	94	83	74	SW 1	SW 5	W 2	10^2●	10^2●	10^2	1.2	n–ca 6 p ztw. ◍0
18	34.1	35.0	36.0	4.1	10.7	5.5	11.8	3.8	5.8	4.9	5.3	95	51	79	W 1	W 3	S 4	10^2●	8^1○	4^0	3.6	948 p ◹, 515–715 a, 1019.29 a ◍1, 1149.54 a, 019 24 p △1
19.	34.3	32.4	31.5	6.7	10.9	8.9	12.7	12.5	6.1	6.8	8.0	83	70	95	S 5	SW 4	SW 2	10^1	10^2	10^2●	1.0	1048–1144 a ◍1, 245–ca 9 p ztw. ◍1
20.	32.5	35.2	38.7	7.7	9.5	3.5	13.4	3.5	7.3	5.2	5.2	93	59	88	SW 1	W 1	W 1	10^1	9^1	4^1	**10.2**	501 p, 619 p ◍0
21.	40.2	39.5	39.5	0.1	13.0	5.9	13.7	– 1.7	4.5	4.8	4.7	98	43	68	S 1	SE 1	S 1	10^2≡	5^1○	10^0	0.1	n ⌓, a ≡2
22.	**40.8**	39.9	39.6	3.4	15.8	9.1	16.5	0.6	4.5	4.4	4.5	76	33	52	W 2	W 1	N 4	○○	○○	0	0.1	n ⌓, a ≡, abds. ∞
23	38.1	36.3	35.3	4.4	16.2	9.2	16.7	1.7	4.5	4.3	4.5	71	32	52	W 2	W 2	C	○○	○○	0	0.1	n ⌓, a ≡
24.	33.7	31.5	31.2	3.8	17.4	11.8	19.5	1.1	4.7	6.4	7.1	78	44	69	W 2	S 2	S 3	○○	10^2	9^1	0.1	n ⌓, a ≡, p ztw. ◍0, 830.54 p ◹
25.	31.4	30.9	30 8	10.3	19.6	14.6	21.5	6.1	7.9	8.5	8.6	85	50	70	S 4	S 5	S 1	3^1○	7^1○	10^2	0.2	mn ◍, n ⌓
26.	33.4	33.4	32.0	11.6	18.2	13.0	19.6	9.8	9.4	8.8	8.6	94	57	77	C	C	W 2	10^2	10^1	3^1	0.8	415–ca 7 a ◍0.1
27.	30.2	29.5	30.9	10.9	24.9	15.8	25.7	8.6	8.5	8.1	7.4	89	35	56	W 2	S 3	S 1	1^1○	2^1○	2^1	0.1	n ⌓, a ≡
28.	34.4	35.0	37.0	11.6	24.3	14.9	25.5	6.5	7.8	9.4	10.7	77	41	85	C	S 3	S 2	4^1○	5^1○	8^1	0.1	1045 p ◹, n ⌓; 415–518 p ◹, 445 p, 602–707 p ◍0
29.	39.7	37.0	37.1	13.3	24.3	16.5	26.4	9.9	10.1	9.1	10.0	89	40	71	W 1	NE 1	SE 2	8^1○	7^1○	1^1	0.1	n ⌓, 430–509 p ◹
30	36.3	34.3	32.8	13.6	25.7	17.8	**26.5**	9.9	9.0	**11.0**	8.8	78	45	58	W 2	W 1	C	2^0○	4^1○ ☒	10^0	0.1	n ⌓, a ∞. 2000.06 p ◹
																					42.9	
Mittel	34.1	33.4	34.1	4.9	12.6	7.3	14.2	2.6	5.8	5.7	5.8	85	51	74				6.3	7.1	5.9		

Würzburg.

April. $\varphi = 49^0\ 48'$ N. $\lambda = 9^0\ 56'$ E $= 39^m\ 44^s$. H $= 179.3$ m. Cg $= +0.3$ mm. 1913.

1.	43.3	44.8	47.3	11.2	10.3	8.1	16.2	8.0	7.8	6.3	7.7	79	70	**96**	SW 1	SW 3	C	10^2	10^2	10^2●	–	mrgs. ⌓, 340 a ab ◍
2.	49.1	**50.1**	50.0	7.4	10.4	7.5	10.9	6.8	6.3	5.1	6.9	82	54	89	W 2	NW 2	E 1	10^2	10^2	10^2●	2.7	610 p ab ◍
3.	46.7	43.8	43.6	7.6	12.1	10.8	12.5	6.2	7.1	7.7	7.6	91	73	79	E 2	E 2	E 2	10^2●	10^2	10^2	4.6	mrgs. ◍
4.	43.1	40.9	40 4	8.5	18.1	12.3	18.2	7.6	6.9	5.4	7.5	84	35	71	E 3	E 4	E 3	○○	1^1○	0	0.1	mrgs. ⌓
5	37.5	36.8	37.5	7.9	15.5	8.7	16.4	6.6	4.9	6.0	7.3	61	46	87	E 4	E 3	SE 2	○○	10^2	0	–	437–530 p ◹, 502.10 p ▲ u. ◍
6.	36.9	35.1	34.2	3.6	14.0	11.5	14.0	2.8	5.5	5.7	6.3	93	48	62	W 1	SW 3	W 1	1^2≡	9^2○	10^2	0.7	mrgs. ≡2
7.	32.9	34.5	38.6	8.5	11.5	6.4	12.1	6.0	7.0	6.3	5.3	86	62	73	W 3	W 1	W 3	10^2	8^2	10^2	–	
8.	41.8	42.9	44.0	4.0	7.9	5.2	7.9	3.7	4.0	3.5	4.2	66	44	63	E 1	E 2	E 2	10^2	8^2○	10^2	–	
9.	44.9	45.1	46.5	3.6	8.4	5.1	8.4	2.7	4.2	3.1	4 2	72	37	64	E 1	NE 2	E 1	8^2	8^2	10^2	–	
10.	44.2	41.6	40.1	3.6	4.6	3.6	7.0	– 0.5	3.5	5.2	5.5	58	82	93	C	NE 2	NE 2	10^2	10^2●	10^2	–	n ⌓, p ◍
11.	41.2	41.5	41.1	2.5	1.7	0.8	4.8	0.1	3.5	4.7	4.3	63	91	89	NW 2	N 2	C	8^2	10^2*	10^2	1.6	ztw. ✳
12.	33.5	35.9	40 8	– 0.3	4.4	– 0.1	4.5	– 1.0	3.7	**2.2**	2.3	83	35	52	SE 1	NE 3	C	10^2*	6^1○	0	0.6	mrgs. ✳
13.	43.8	44.8	47.2	– 2.0	4.9	0.2	5.3	– 3.5	2.9	**2.2**	2.6	74	34	55	C	N 2	N 2	○○	5^2	0	–	ztw. ✳0
14.	49.4	49.1	50.0	– 2.6	5.1	1.3	7.1	– 4.5	2.9	2.5	3.4	77	38	67	C	N 1	C	○○	3^2○	0	–	n ⌓, ✳0
15.	49 8	48.5	48.1	– 2.1	8.3	2.4	8.9	– 3.6	3.2	2.4	3.5	83	30	65	W 1	C	NW 1	3^1≡	7^2	0	–	n ⌓, mrgs. ≡1
16.	46.6	42.5	40.4	– 0.9	11.9	9.7	12.5	– 2.9	3.3	3.8	**5.1**	76	**27**	46	SE 1	SE 2	W 2	○○	1^1○	10^1	–	mrgs. ≡1
17.	38.1	35 6	39.3	7.9	11.5	7.7	12.5	7.0	7.1	8.6	6.1	89	86	77	SE 2	SW 3	C	10^2	10^2●	9^2	1.0	ztw. ◍
18.	43.2	44.3	44.8	5.5	11.8	6.2	12.1	4.1	6.0	4.7	5.5	89	46	78	SW 3	SW 4	NE 1	10^2	5^2○	1^1	2.0	mrgs., abds. ◍
19.	43.0	41.3	40.4	8.6	12.5	10.4	12.5	4.9	6.5	6.8	8.3	78	63	89	SE 3	SW 5	NW 2	10^2	10^2	10^2●	–	340 p ab ◍
20	41.9	44.6	48.4	8.3	10.5	5.0	11.3	4.7	7 0	5.1	5.7	87	53	87	SW 1	NW 2	C	10^2	10^2	1^1	**5.9**	ztw. ◍, 625 p ◠
21.	49.6	48.5	48.1	0.8	13.3	8.6	14.0	– 0.2	4.7	4.2	5.0	**96**	36	60	C	C	NW. 1	10^2≡	6^1○	0	0.6	mrgs. ≡2
22.	49.5	49.0	48.5	5.1	15.9	9.1	17.8	2.7	5.1	3.8	4.7	78	29	55	C	C	C	○○	10	0	–	mrgs. ⌓
23.	47.6	45.4	44.3	5.0	15.8	9.1	17.5	2.8	4.7	3.5	5.4	72	**27**	62	E 1	C	NW 2	○○	○○	0	–	mrgs. ⌓
24.	42.8	40.7	40.2	4.2	17.8	13.1	18.0	2.1	4.7	5.6	7.5	76	36	67	C	SW 2	SW 1	○○	9^2	10^1	–	mrgs. ⌓
25.	40.1	39.3	39.6	11.5	20.9	15.0	21.4	8.0	7.6	7.0	8.5	75	38	67	SW 1	SW 2	SW 1	2^1○	6^2○	10^2	–	n ⌓
26.	42.4	42.6	41.0	12.5	18.2	13.6	20.0	11.0	9.1	8.4	8.7	86	54	75	SW 1	SW 1	C	10^2	10^2	0	0.2	n ◍0
27.	39.4	38.0	39.5	10.1	23.4	17.0	25.7	8.0	7.7	8.7	10.4	83	40	72	SW 1	SE 1	SE 1	○○	○○	0	–	n ⌓
28	42.9	43.4	45.8	12.8	24.1	16.6	25.0	10.4	9.3	10.2	11.0	86	46	78	C	8 3	C	○○	3^2○	0	–	n ⌓2
29	48.5	46.7	45.7	13.0	24.7	17.3	25.2	10.7	9.6	9.9	**11.7**	87	43	80	S 1	S 1	C	6^1○	1^2○	0	–	n ⌓.
30.	45.3	43.1	41.7	12.7	25.4	16.9	**26.2**	10.2	9.4	8.1	9.5	87	34	66	SW 1	SE 3	C	○○	○○	0	–	n ⌓
																					20.0	
Mittel	42.7	42.7	43.2	6.0	13.2	8.6	14.2	4.0	5.8	5.6	6.4	80	48	72				5.6	6.2	4.7		

Alle Angaben nach Ortszeit.

Ludwigshafen a/Rh.

April. $\varphi = 49^0\ 29'$ N. $\lambda = 8^0\ 26'$ E $= 33^m\ 44^s$. H $= 100.3$ m. Cg $= +0.3$ mm. 1913.

Datum	Luftdruck auf 0^0 u. Normalschwere reduziert 700 mm + 7a	2p	9p	Lufttemperatur C° 7a	2p	9p	Max.	Min.	Absolute Feuchtigkeit mm 7a	2p	9p	Relative Feuchtigkeit Proz. 7a	2p	9p	Richtung und Stärke des Windes 0 bis 12 7a	2p	9p	Bewölkung 0 bis 10 7a	2p	9p	Niederschlag mm 7a	Schneedecke cm 7a	Bemerkungen
1.	51.9	52.7	54.3	10.0	13.5	10.1	15.2	9.2	7.0	6.6	7.1	76	57	78	S 1	S 1	S 1	10^2●	10^2	10^2	–	–	vorm. ◯^{0}
2.	57.9	**58.1**	57.7	7.2	10.8	8.9	11.0	6.6	5.3	4.2	5.0	70	44	59	SW 1	C	C	10^1	5^0⊙	0	0.8	–	
3.	53.9	50.9	50.2	7.1	11.4	10.4	11.4	5.2	7.0	7.1	7.7	93	71	82	N 1	NE 1	NE 1	10^2	10^2	0	1.5	–	n ◯
4.	49.5	47.1	46.1	8.6	18.8	15.0	19.2	7.0	7.1	5.4	4.6	86	33	36	C	NE 1	NE 1	00	2^0⊙	0	–	–	a ∞
5.	43.2	44.0	44.7	10.0	16.8	10.2	17.4	9.0	4.1	5.5	7.9	45	39	82	NE 3	SW 1	SW 1	7^1	10^2	10^2	–	–	ca 2^{15}–8 p ◯
6.	44.8	43.9	43.6	5.1	13.4	11.7	13.4	4.0	5.7	6.2	6.7	88	54	66	SW 1	W 1	C	00	3^1⊙	10^1	1.8	–	
7	41.6	42.6	45.6	8.0	9.4	8.2	11.7	7.0	6.7	6.0	6.3	83	69	78	N 1	NW 2	NW 3	10^2	10^1	10^1	0.5	–	n ◯, ca 7^{15}–10 a ●
8.	49.3	51.3	51.7	5.4	6.4	5.8	8.2	5.0	4.5	3.8	4.5	68	51	66	N 2	NE 2	NE 2	10^1	10^2	10^1	1.6	–	
9.	52.3	53.7	54.5	4.3	9.2	7.0	9.2	3.0	4.4	3.5	3.8	71	40	51	N 1	NE 1	NE 1	10^1	9^2	10^1	–	–	
10.	53.1	50.3	49.3	3.1	7.1	4.8	8.0	1.8	4.1	4.9	5.3	71	65	82	SE 1	W 3	SW 2	10^2	10^2	10^2	–	–	ca 1^{15} p ◯^{0}, dann wiederholt kurze ◯böen
11.	51.1	50.3	48.9	2.9	6.4	2.6	6.8	2.0	3.9	3.2	4.3	69	44	77	N 2	W 2	W 2	9^2*	7^2	10^2	0.8	–	n ◯ ✳. 6^{49}–7^{19} a ✳^{1}
12.	39.5	44.4	46.9	1.1	3.7	1.1	3.7	0.4	4.6	2.5	4.0	92	42	79	NE 1	NE 1	NE 1	10^2*	6^2	0	1.2	3	n–ca 7^{30} a ✳^{1}
13.	52.4	53.8	56.2	– 1.1	2.4	1.5	2.6	– 2.0	3.6	3.7	3.8	84	68	74	W 1	W 1	W 1	00	5^2	0	2.4	–	vorm. wiederholt ✳, ca 3^{30} p ab Aufklaren
14.	57.7	57.3	57.4	– 2.8	6.4	4.4	6.4	– 4.0	3.7	2.3	3.2	100	32	51	W 1	W 1	SE 1	10^2	5^0⊙	2^1	2.8	–	a ⌙^{1}, ≡^{1}
15.	57.5	56.3	55.7	– 0.5	8.6	5.4	9.0	– 1.6	3.7	2.8	3.0	85	34	45	S 1	SE 1	SE 1	00	5^1⊙	5^1	–	–	a ⌙^{1}
16.	54.5	50.5	47.9	1.8	12.9	11.2	13.4	0.2	3.4	2.5	3.7	64	23	37	SE 1	S 1	C	00	00	10^1	–	–	ca 4^{30} p ab bedeckt
17.	45.4	42.2	47.4	9.1	11.0	9.1	11.4	7.6	7.5	8.3	5.8	88	85	67	SW 1	S 2	SW 1	10^2	10^2●	10^2	0.1	–	a–ca 2^{30} p ◯, dann ⌙⌙
18.	51.5	51.6	51.8	6.6	12.0	8.6	12.6	5.4	5.6	5.2	5.9	77	49	70	SW 1	SW 3	SW 1	9^2	5^1	10^2	2.4	–	n ◯
19.	49.8	48.6	47.8	9.4	11.8	10.4	12.0	7.6	6.9	7.6	8.4	79	74	89	S 3	SW 2	SW 1	10^2	10^2	10^2	–	–	ca 5^{30} p ab ◯
20.	50.3	54.3	56.1	8.5	10.8	9.1	12.0	7.4	5.9	4.3	5.4	71	45	62	SW 1	NE 2	NE 1	5^2	10^2	7^2	**4.3**	–	n, ca 5^{15} p–6^{45} p ◯^{0}
21.	56.3	55.1	54.5	4.1	15.5	12.7	16.0	2.0	5.3	4.8	5.4	87	37	49	N 1	SE 1	SE 1	00	10^1	10^1	0.2	–	n ⌓, a ∞
22.	55.9	55.7	55.1	6.6	19.2	13.4	19.8	5.2	5.4	5.5	4.8	74	33	42	N 1	E 1	NE 1	00	00	0	–	–	a ∞
23.	54.4	52.5	51.1	6.5	17.5	13.5	17.5	5.2	5.2	4.9	4.7	72	33	41	N 1	W 1	NE 1	00	00	0	–	–	
24.	49.2	48.1	47.5	7.1	15.0	13.4	15.0	6.0	4.8	7.9	9.1	64	62	80	N 1	SW 1	C	1^0⊙	10^1	10^1	–	–	ca 11^{30} a–0^{30} p ◯^{0}
25	47.3	46.5	47.2	11.8	21.1	15.6	21.1	9.8	7.6	6.9	8.8	74	37	66	S 1	S 2	C	7^1⊙	7^2⊙	10^1	1.4	–	
26.	50.1	49.8	48.0	13.5	18.0	14.6	18.0	13.0	7.5	6.6	7.9	65	42	63	SW 1	S 1	N 1	10^2	8^1⊙	0	–	–	
27.	46.9	46.8	47.1	10.3	22.4	20.8	24.7	9.0	7.6	8.8	10.6	81	44	58	N 1	N 1	SW 1	00	5^1⊙	0	–	–	
28.	51.0	51.7	53.0	14.5	23.3	18.6	25.0	12.8	9.6	8.9	**11.2**	79	42	70	C	C	C	00	10^3≡	0	–	–	1^{29}–2^{24} p ◸, dann Aufklaren
29.	55.8	53.5	52.3	14.2	26.0	21.6	26.5	12.4	9.8	10.3	10.1	82	42	53	SE 1	C	C	7^1⊙	2^1⊙	0	–	–	
30.	52.2	50.4	48.6	15.4	26.2	21.4	**27.4**	13.2	9.4	7.0	9.4	72	28	50	S 1	SW 1	C	00	00	0	–	–	
																					21.8		
Mittel	50.9	50.5	50.6	6.9	13.6	10.7	14.2	5.6	5.9	5.6	6.3	77	47	63				5.5	6.5	5.5			

Nürnberg.

April. $\varphi = 49^0\ 27'$ N. $\lambda = 11^0\ 3'$ E $= 44^m\ 12^s$. H $= 309.1$ m. Cg $= +0.2$ mm, über 735.0 mm Cg $= +0.3$ mm. 1913.

1.	31.8	33.5	35.8	9.4	9.4	6.8	14.1	6.8	7.4	6.6	6.8	86	75	93	NW 2	NW 3	W 2	10^0	10^1	10^0	–	–	a ≡^{1}, zunehm. Bew., 10 a ab bedeckt, p ztw. ◯
2.	37.3	**38.4**	38.0	6.7	8.0	6.4	8.8	6.4	6.7	6.0	6.7	91	75	93	W 2	NW 2	NW 2	10^0●	10^0	10^0	7.2	–	a ≡^{0}, ztw. ◯^{0}, p ztw. ◯^{0}
3.	35.1	32.0	31.5	7.9	13.0	10.4	13.5	6.0	6.6	7.3	6.9	83	66	74	E 3	E 3	E 3	10^0	8^0⊙	0	–	–	n u. t ztw. ◯, a bed., p Aufklar., ca 2 p ⌙⌙ (E 5)
4.	31.3	29.6	28.7	8.4	16.8	11.8	16.9	7.6	6.6	6.2	5.3	81	43	51	E 3	E 3	E 3	00	1^0⊙	0	–	–	n klar, a ⌓^{0}, t bedeckt, 8 p ab klar
5.	26.4	25.1	26.3	7.4	15.1	8.4	16.8	6.5	4.8	6.4	6.9	62	51	84	E 3	E 2	C	7^0⊙	10^0	0	–	–	n klar, 5 a ab zunehm. Bew., p ⌙⌙, $4^{48.52}$ p Fern ◸
6.	25.4	23.6	22.6	2.3	11.1	8.8	11.8	0.9	5.3	6.6	7.6	**98**	67	91	NW 2	NW 3	NW 3	10^1≡	10^1	10^0●	–	–	n klar, a ⌙, ≡$^{0.1}$, abds. ◯$^{0.2}$
7.	21.4	23.0	26.3	7.8	9.8	5.6	10.0	5.6	6.9	6.4	5.6	88	70	82	W 3	NW 2	NW 2	10^1	10^1	10^1	5.2	–	a ≡^{0}, meist bed., t ztw. ◯, p ztw. Aufklaren
8.	29.4	30.6	31.8	2.7	5.5	4.3	6.6	2.3	4.0	4.0	4.0	72	59	65	N 3	NE 3	NE 3	10^1	10^1	10^1	–	–	fast durchaus bedeckt
9.	32.7	33.2	34.5	1.8	6.1	4.1	6.7	1.0	4.0	3.1	4.6	77	45	76	NE 1	NE 3	N 1	10^0	10^1	10^1	–	–	wechs. Bew., oft ganz bed., p abfl. wechs. Winde
10.	32.7	29.6	28.4	2.0	7.0	3.4	7.1	1.0	4.1	4.0	5.3	77	53	92	SW 2	SW 2	W 3	9^0⊙	10^1	10^0	–	–	n meist bed., a stellenw. Aufklaren, p ztw. ◯^{0}
11.	28.8	28.8	29.0	1.0	2.9	– 0.5	4.0	– 0.5	3.7	3.1	3.8	75	54	86	NW 3	NW 4	W 2	2^0⊙	9^2	5^0	4.0	–	wechs. Bew., oft ganz bedeckt, n u. a ◯^{0}, ✳^{0}, [1]
12.	22.4	22.6	28.2	– 1.5	0.5	– 1.7	1.3	– 2.3	3.5	2.5	2.5	84	52	61	E 2	NE 3	NW 2	10^1	10^0	0	–	–	a meist bedeckt, 5 p ab Aufklaren, a ztw. ✳^{0}
13.	31.2	32.6	35.1	– 3.3	1.7	– 0.8	3.0	– 5.0	2.9	1.8	3.1	81	34	71	NW 2	N 3	N 1	00	8^1	0	–	–	n klar, ca 5 a ⌙^{2}, t wechselnde Bewölkung
14.	37.0	37.2	37.8	– 1.2	2.7	0.2	3.3	– 2.6	3.4	3.3	4.1	80	58	87	W 2	E 2	SE 1	10^1	8^1⊙	0	–	–	ca 0 a ⌇, ca 5 a ⌙^{0}, t ✳^{0} mit Pausen
15.	37.7	36.8	36.7	– 3.2	5.3	0.9	5.6	– 4.7	3.2	2.8	3.2	88	42	66	C	NW 1	SW 1	o=o	2^0⊙	0	–	–	ca 0 a ⌇, a ⌙^{2} u. ≡$^{1.2}$, wenig Bewölkung
16.	34.9	31.4	29.4	– 0.6	9.4	7.1	10.1	– 3.4	3.6	3.5	4.5	81	39	55	SE 1	SW 2	SW 2	00	00	10^0	–	–	n klar, a ⌙^{2} u. ≡$^{0.1}$, abds. zunehm. Bewölkung
17.	27.3	25.4	28.0	7.4	11.2	8.0	13.0	5.6	6.6	8.2	5.8	86	83	72	SW 2	S 3	W 2	10^0	10^1	10^1	0.3	–	n u. t ztw. ◯$^{0.1}$, auffrischende westl. Winde, [2]
18.	31.8	33.1	34.0	5.1	10.2	5.7	11.0	4.9	6.5	4.8	5.8	**98**	52	85	SW 2	W 3	S 2	9^0	9^0	2^0	–	–	ca 1 a ⌇, n meist bedeckt, ca 5–9 a ◯^{0} mit Pausen
19.	32.8	30.7	29.7	7.6	12.0	9.6	13.0	3.5	5.9	4.7	7.7	76	71	87	S 2	SW 3	S 1	9^0⊙	10^0	10^0●	1.0	–	ca 0 u. 2 a ⌇, zunehm. Bew., a u. p ztw. ◯$^{0.1}$
20.	30.7	32.9	36.6	7.7	10.8	5.1	10.9	5.0	6.9	4.6	5.7	89	47	88	SW 2	W 3	SW 2	10^0	9^1	10^1	**7.9**	–	a ≡^{0}, n u. t ztw. ◯$^{0.2}$, ca 5^{30} p ⌒
21.	37.9	37.3	36.9	3.3	11.4	8.0	12.0	0.5	4.8	4.3	4.3	83	42	55	SE 1	NW 2	E 2	00	5^0⊙	9^0	0.6	–	n meist klar, a ⌙^{1} u. ≡$^{0.1}$, ca 11 p ⌇
22.	38.2	37.6	36.9	5.5	13.9	9.8	14.3	2.2	4.3	3.9	4.7	64	33	52	E 2	NE 2	NE 2	00	00	0	–	–	ca 0 a ⌇, a ⌓^{0} u. ≡^{0}
23.	35.8	33.7	32.9	4.3	14.6	10.4	14.9	1.8	4.9	4.7	4.5	79	39	47	NE 2	N 1	E 2	00	00	0	0.2	–	a ⌓^{0} ≡^{0}
24.	31.5	29.6	29.1	4.1	17.8	12.3	18.1	1.3	5.1	5.7	8.0	84	37	75	E 1	SW 1	C	10	8^0	9^1	–	–	n klar, a ⌓^{0} ≡$^{0.1}$, p ztw. ◯$^{0.1}$, $8^{01.55}$ p ◹ i. S
25.	29.5	28.9	28.5	10.3	19.2	15.0	20.0	7.1	8.1	8.7	9.3	88	53	73	SE 2	S 3	C	8^0⊙	9^1	10^0	1.4	–	n teilw. klar, t wechselnde Bewölkung
26	31.1	31.1	29.3	12.0	17.8	12.8	18.2	10.9	9.6	9.1	8.8	93	60	81	W 1	NW 3	NW 2	10^0	9^0⊙	0	0.5	–	n ztw. ◯$^{0.2}$, a ≡$^{0.1}$
27.	28.2	27.2	28.6	9.6	23.8	17.8	24.0	7.5	7.6	5.8	7.6	86	27	50	C	SE 3	SE 2	1^0⊙	3^0⊙	0	–	–	n meist klar, a ⌓^{0} u. ≡$^{0.1}$, p wechs. Bew. [3]
28.	32.1	33.3	34.3	11.8	21.8	15.8	23.0	9.3	8.0	10.4	**10.5**	78	53	79	SE 2	SW 2	E 1	00	2^0⊙	0	–	–	a ⌓^{1} ≡$^{0.1}$, 2^{49}–3^{18} p ◸ aus E, p ztw. ◯$^{0.2}$, [4]
29.	37.1	35.9	34.9	13.0	23.3	16.9	23.8	10.0	9.3	9.5	10.0	85	45	70	S 1	SE 1	SW 1	2^0⊙	5^1⊙	0	0.2	–	a ⌓^{0} u. ≡$^{0.1}$, wechs. Bew., 2^{50}–3^{23} p ◸ aus E, [5]
30.	34.0	32.0	30.7	13.4	24.7	18.8	**24.8**	9.7	9.5	7.5	7.6	83	32	47	E 1	E 1	S 2	00	61	0	1.4	–	a klar, ⌓ u. ≡$^{0.1}$, abds. ◹
																					29.9		
Mittel	31.8	31.2	31.7	5.4	11.9	8.0	12.7	3.5	5.8	5.5	6.0	83	52	73				5.6	7.0	4.8			

[1] p ztw. ✳$^{0.1}$. [2] öfters ⌙⌙ (SW 5–W5)
[3] $8^{06.21}$ p ◹ i. S. [4] 5^{54}–7^{38} p ◸
[5] p ztw. ◯$^{0.2}$

Alle Angaben nach Ortszeit.

Kaiserslautern.

April. $\varphi = 49^0\ 27'$ N. $\lambda = 7^0\ 46'$ E $= 31^m\ 4^s$. H $= 242.2$ m. Cg $= +0.3$ mm. 1913.

Datum	Luftdruck auf 0^0 u. Normalschwere reduziert 700 mm +			Lufttemperatur C°					Absolute Feuchtigkeit mm			Relative Feuchtigkeit Proz.			Richtung und Stärke des Windes 0 bis 12			Bewölkung 0 bis 10			Niederschlag mm	Schneedecke cm	Bemerkungen
	7^a	2^p	9^p	7^a	2^p	9^p	Max.	Min.	7^a	2^p	9^p	7^a	2^p	9^p	7^a	2^p	9^p	7^a	2^p	9^p	7^a	7^a	
1.	39.0	40.0	41.7	8.4	11.9	8.4	13.1	8.0	7.0	5.8	6.6	86	56	81	SW 2	W 2	C	10^2	9^1	9^1	–	–	6^{51} a ◍ Tr., 7^{06-31} a ◍
2.	44.7	**44.8**	44.5	5.7	9.8	5.9	10.9	5.1	5.4	4.4	5.3	79	48	77	W 1	C	C	10^1	$7^{1}\odot$	0	0.9	–	
3.	40.7	38.5	38.1	6.0	8.6	7.1	9.4	3.1	6.6	7.4	7.0	94	89	93	E 1	SE 1	C	$10^{2}\bullet$	10^2	10^1	1.2	–	n–8^{51} a ◍, 0^{30} p ◍^{0}, p ≡^{0}
4.	37.0	34.9	34.2	7.6	16.5	11.2	17.0	1.7	7.1	6.8	7.6	91	50	77	SE 1	SE 2	SE 3	10^2	$4^{1}\odot$	0	0.5	–	
5.	30.8	32.4	32.5	7.1	13.6	8.0	14.0	6.4	5.2	5.3	6.9	69	46	86	E 1	S 1	C	9^1	10^2	10^1	–	–	2^{06-36} p, 4^{11}–ca 5^{30} p ◍
6.	32.6	31.3	30.9	4.0	15.1	10.5	15.2	3.2	5.6	5.6	7.6	92	44	80	C	NW 1	C	○○	10^0	10^1	0.7	–	
7.	29.6	30.9	33.5	7.6	6.1	6.7	10.5	4.9	6.8	6.0	6.3	88	86	86	C	E 1	NE 1	$10^{2}\bullet$	$10^{2}\bullet$	10^2	0.1	–	n ◍^{0}, a–ca 2^{30} p meist ◍$^{0.1}$
8.	37.0	38.4	39.2	3.6	5.5	4.7	6.7	3.4	4.4	3.8	4.0	75	56	62	NE 3	NE 1	C	10^2	10^2	10^2	4.1	–	
9.	39.7	40.3	41.9	3.3	7.8	3.6	8.1	2.8	4.5	3.4	4.6	78	44	78	E 1	NE 1	C	10^1	$9^{1}\odot$	7^1	–	–	
10.	40.3	37.9	37.0	1.2	4.9	3.9	6.4	– 0.3	4.4	5.3	5.7	87	81	93	C	W 2	W 1	10^1	10^2	10^2	–	–	a ≡^{0} ⌴^{0}, ca 0^{30} p ◍-Tr., ca $3^{30-7^{30}}$ p ◍
11.	38.6	37.[illegible]	35.8	2.4	5.7	1.8	5.9	1.7	4.0	3.6	4.4	74	52	84	NW 1	N 1	C	7^1	10^2	10^1	3.5	–	t ztw. ✳-Flocken
12.	25.8	32.5	37.2	0.5	2.4	– 1.3	3.1	– 1.3	4.8	2.5	3.0	100	46	73	E 2	NE 2	C	$10^{2}*$	$8^{1}\odot$	8^0	6.9	**4**	n ✳^{2}, a ✳^{4}, später bis 0^{51} p ✳^{0}
13.	39.7	40.7	42.6	– 3.4	1.9	– 0.8	3.9	– 5.4	3.0	3.5	3.4	85	65	79	C	E 1	C	8^1	$8^{1}\odot*$	0	5.0	3	8^{01-51} a ✳-Flocken; t ztw. bis ca 5 p ✳-Flocken
14.	44.3	43.9	44.1	– 3.4	5.7	0.2	6.5	– 5.4	3.0	2.3	3.6	85	34	76	E 1	N 1	C	○○	8^1	0	0.1	–	a ⌴^{2}, ○○^{0}, kurz ✳-Flocken
15.	43.9	42.5	42.4	– 1.4	8.5	2.4	8.5	– 3.9	3.5	3.3	4.1	84	40	75	E 1	NW 1	C	○○	8^0	0	–	–	a ⌴, ○○^{0}
16.	40.8	37.0	35.7	– 0.9	11.5	8.5	12.1	– 2.3	3.6	4.0	5.7	82	39	69	E 1	W 1	W 3	$2^{0}\odot$	$1^{0}\odot$	$10^{1}\bullet$	–	–	a ⌴ ○○^{0}. 8^{46} p–n ◍^{0}
17.	32.8	29.3	35.1	8.1	11.7	6.8	12.0	6.8	7.6	8.0	6.0	94	79	81	SW 3	W 5	W 2	$10^{2}\bullet$	10^1	1^1	1.6	–	n, a–0^{46} p, 2^{16}–ca 3^{30} p ◍$^{0.1}$, m ztw. ⎓
18.	38.7	38.6	38.9	5.2	8.9	7.5	10.0	4.1	5.7	6.6	6.6	85	77	86	SW 3	W 2	W 3	$7^{1}\odot$	7^2	$10^{2}\bullet$	**7.7**	–	n ●, a kurz ◍^{0}, 10^{1} p ◍ △^{0} ⎓, p–n ztw. ◍ ⎓
19.	36.5	36.0	35.1	8.2	9.7	10.0	10.0	7.1	7.3	8.0	8.3	91	89	91	W 4	W 4	W 4	$10^{2}\bullet$	$10^{2}\bullet$	$10^{2}\bullet$	3.5	–	n ◍ ⎓, t meist ◍$^{0.1}$, ztw. ⎓
20.	38.0	40.5	42.9	6.6	11.6	7.3	11.8	5.9	5.8	4.5	5.7	80	44	74	NW 2	W 4	C	$2^{1}\odot$	$5^{1}\odot$	10^1	5.5	–	n ◍^{0}, $3^{51-4^{46}}$ p ◍, t ztw. ⎓
21.	42.9	41.8	41.8	4.0	13.8	10.7	15.0	1.2	5.4	5.5	6.0	88	47	63	E 1	E 2	C	○○	$10^{0}\odot$	10^1	0.6	–	a ≡^{0}, ○○
22.	42.8	42.5	42.3	7.5	17.5	10.5	18.1	5.0	5.6	6.2	5.9	72	42	63	SE 1	SE 1	C	○○	○○	0	–	–	a △^{2}
23.	41.7	39.6	38.8	5.6	16.9	9.4	17.3	2.4	5.2	5.0	5.6	77	35	63	C	E 2	C	○○	○○	0	–	–	a △^{2}, ○○^{0}
24.	37.1	35.5	35.1	4.0	15.9	11.6	17.5	2.2	5.0	8.2	8.1	82	61	80	C	SW 1	W 2	7^1	$7^{1}\odot$	$10^{2}\bullet$	–	–	a △^{2}, 11^{21} a–0^{31} p, 5^{01} p ⛉. $5^{36-7^{01}}$ p, ca 9^{00} p ◍^{0}
25.	35.0	34.6	35.2	12.2	18.5	12.2	18.6	10.6	8.1	8.2	9.4	76	52	90	SW 2	W 2	C	10^2	9^2	10^2	0.5	–	n ◍^{0}, 2^{36} p–n ztw. ◍^{0}
26.	37.7	37.5	35.6	10.6	14.8	11.1	16.5	10.1	8.1	7.1	8.3	85	57	84	W 1	NE 1	C	10^1	10^1	0	1.7	–	n ◍^{0}
27.	34.8	34.0	35.6	8.3	22.3	14.5	22.3	5.6	6.9	8.9	**10.8**	86	45	88	C	C	C	○○	$5^{1}\odot$	0	–	–	a △^{2}, 4^{02-36} p ⛉, 4^{16-41} p ◍^{0}
28.	38.9	39.5	41.0	12.4	22.0	13.9	23.1	10.5	9.6	9.4	10.5	90	48	90	C	W 1	C	○○	$5^{1}\odot$	0	0.2	–	a △, ≡^{0}, ○○^{2}, 11^{21} a–0^{31} p, $2^{43-3^{21}}$ p ⛉, 1)
29.	43.4	43.0	39.9	11.2	23.4	16.3	24.6	8.8	8.3	9.6	9.2	84	45	66	C	E 1	C	7^1	$3^{1}\odot$	0	–	–	a △, ≡^{0} ○○^{2}
30.	40.2	38.0	36.2	13.9	21.4	17.4	**25.0**	10.2	9.2	7.4	10.1	78	33	68	C	NW 1	E 1	○○	○○	8^2	–	–	a △, ○○; abds. ↘
																					44.3		
Mittel	38.2	37.8	38.2	5.5	12.2	8.0	13.1	3.7	5.9	5.9	6.5	84	54	79				6.0	7.1	5.8			

1) $0^{36-3^{46}}$ p ◍-Tr.

Ansbach.

April. $\varphi = 49^0\ 18'$ N. $\lambda = 10^0\ 33'$ E $= 42^m 12^s$. H $= 437.5$ m. Cg $= +0.2$ mm. 1913.

1.	21.1	22.5	24.9	8.2	7.8	5.7	12.4	5.4	6.9	6.4	6.4	86	82	94	C	SW 2	SW 2	6^0	10^2	$10^{2}\bullet$	–	–	ca 5 p ab ◍
2.	26.7	**27.1**	**27.1**	5.7	6.8	5.5	8.2	5.0	6.2	5.9	6.1	92	81	92	W 2	NW 2	N 2	10^2	10^2	10^2	4.3	–	n, a ◍, t ztw. ◍
3.	23.4	20.5	20.4	6.2	11.4	8.0	12.4	5.0	6.6	7.6	6.9	**94**	76	86	NE 4	E 2	NE 2	10^2	10^2	0	2.1	–	n, a ◍
4.	20.0	18.3	17.3	5.9	15.6	10.1	16.6	4.6	6.5	5.7	5.1	**94**	44	54	E 4	E 6	E 2	○○	$2^{1}\odot$	0	–	–	mrgs. ≡^{0} △, nachm. ⎓
5.	14.6	13.8	15.4	5.3	14.4	4.5	14.8	3.7	4.3	6.1	5.7	64	50	91	E 2	NE 2	C	4^0	10^2	0	–	–	4^{12}–ca 5 p ◍ ⎓
6.	14.1	12.9	11.7	2.1	10.4	9.0	10.8	– 0.4	4.9	6.3	6.4	91	67	74	C	W 2	W 2	10^2	10^2	10^2	0.2	–	mrgs. ⌴
7.	10.6	12.2	15.1	6.8	8.8	5.1	10.0	4.8	6.4	6.3	5.5	88	74	86	NW 4	E 2	NE 4	10^2	10^2	10^2	–	–	
8.	18.1	19.4	20.7	1.9	4.7	3.1	6.0	1.3	4.1	4.1	4.0	79	63	69	NE 4	NE 4	N 2	10^2	10^2	10^2	–	–	
9.	21.4	22.1	23.6	1.5	7.0	1.5	7.2	0.2	4.1	3.1	4.0	80	42	79	NE 2	E 2	C	10^2	8^2	10^2	–	–	
10.	21.7	18.6	17.2	1.5	6.6	2.0	7.2	– 0.2	3.6	3.3	4.8	71	47	92	W 2	W 6	W 4	4^0	10^2	$10^{2}\bullet$	–	–	nachm. ⎓, 3^{27} p ab ◍
11.	18.3	18.2	17.5	– 1.2	1.9	– 2.6	2.6	– 2.6	4.0	3.2	3.5	**94**	60	**94**	NW 4	NW 4	C	$10^{2}*$	8^2	10^2	4.7	–	6^{07} a ab ✳, t ztw. ✳, stellenweise ⛋
12.	10.2	11.5	17.1	– 2.1	– 1.3	– 3.6	0.2	– 3.6	3.5	2.4	2.0	90	59	58	E 2	NE 4	C	$10^{2}*$	10^2	0	1.6	–	geringe ⛋, bis 0^{22} p ✳
13.	19.8	21.5	23.7	– 5.0	0.6	– 3.4	2.0	– 8.3	2.4	2.3	2.4	79	47	70	C	NE 2	C	○○	6^2	0	3.2	2	Tauwetter, 10^{17} a–0^{22} p ztw. ✳
14.	25.7	25.5	26.5	– 2.9	3.5	– 2.3	4.2	– 6.2	3.0	2.6	3.5	83	44	89	C	W 2	C	○○	10^2	0	0.1	–	stellenweise ⛋
15.	26.0	25.3	24.8	– 3.9	5.7	– 1.8	6.0	– 6.9	3.0	2.7	2.8	91	39	70	C	NW 2	C	○○	$4^{1}\odot$	0	–	–	mrgs. ⌴
16.	23.5	20.1	18.2	– 1.6	8.8	5.9	10.8	– 5.2	3.5	3.3	3.7	84	39	53	C	C	C	○○	○○	10^2	–	–	mrgs. ≡^{0} ⌴
17.	15.8	14.1	17.4	6.6	11.2	5.8	11.4	4.8	6.5	7.9	5.4	91	80	80	W 2	SW 4	W 2	10^2	$10^{2}\bullet$	4^9	0.9	–	$4^{32-6^{32}}$ n, 0^{12}–ca 4 p ◍
18.	20.7	22.0	23.0	4.3	9.4	3.8	10.8	3.5	5.4	4.3	5.3	88	50	89	W 4	W 4	W 2	10^2	$4^{1}\odot$	0	1.0	–	6^{47-57} p ◍
19.	21.4	19.7	18.5	6.4	11.4	9.0	12.2	2.9	5.7	6.4	7.5	80	64	89	SW 4	W 4	W 2	8^2	10^2	$10^{2}\bullet$	0.8	–	8^{22} p ab ◍
20.	19.4	22 3	25.6	6.6	9.4	2.7	10.0	2.3	6.5	4.3	5.2	91	50	93	SW 2	SW 2	NW 2	10^2	8^2	8^2	**5.2**	–	n, a ●, nachm. u. abds. ztw. ◍, ca 4 p u. 4^{46} p ◠
21.	26.3	25.8	25.6	1.1	12.8	5.1	12.8	– 1.9	4.4	4.5	4.6	89	40	70	C	C	C	○○	$2^{1}\odot$	2^0	0.3	–	mrgs. ≡^{0} ⌴
22.	26.7	26.2	25.7	3.5	14.0	5.7	14.8	– 0.2	4.6	4.0	4.5	79	35	66	C	E 2	C	○○	○○	0	–	–	mrgs. ⌴
23.	24.4	22.7	21.8	3.9	14.2	7.0	14.8	– 0.2	4.7	4.6	4.4	76	38	59	C	C	C	○○	○○	0	–	–	mrgs. ⌴ ≡^{0}
24.	19.8	18.8	19.0	4.3	17.5	11.4	17.8	0.4	4.8	6.2	8.3	78	42	83	C	C	W 6	○○	8^1	$10^{2}\bullet$	–	–	mrgs. ⌴ ≡^{0}
25.	17.5	18.0	17.9	9.8	19.3	12.2	19.8	6.6	7.7	8.2	9.1	87	50	87	W 2	SW 2	C	4^0	$6^{1}\odot$	10^2	2.6	–	
26.	20.4	20.3	18.5	11.8	17.1	11.8	17.4	10.1	9.4	8.4	8.4	93	58	83	W 2	C	C	10^2	10^2	0	1.8	–	n, a ◍
27.	17.0	16.6	18.0	9.3	22.7	14.0	23.8	6.0	7.6	8.6	9.7	89	42	82	C	S 2	C	○○	$4^{1}\odot$	0	–	–	mrgs. ≡^{0} △
28.	21.0	22.6	24.0	14.4	20.3	14.8	21.8	10.9	8.7	9.4	**10.6**	72	54	85	C	SW 2	C	○○	$2^{0}\odot$	0	–	–	mrgs. △, 7^{10-17} p ⛉
29.	26.4	24.9	24.1	13.4	22.7	14.6	24.8	8.5	9.3	9.2	9.1	82	45	74	C	C	C	$4^{1}\odot$	$4^{1}\odot$	0	–	–	mrgs. △ ≡^{0}
30.	23.2	21.3	19.8	12.4	24.1	14.2	**25.4**	8.1	8.9	7.9	8.8	84	34	74	C	C	C	○○	$2^{1}\odot$	0	–	–	mrgs. △ ≡^{0}, $2^{32-3^{32}}$ p ⛉
																					28.8		
Mittel	20.5	20.2	20.7	4.5	11.3	6.0	12.3	1.9	5.6	5.5	5.8	85	53	79				5.0	6.6	4.4			

Alle Angaben nach Ortszeit.

Regensburg.

April. $\varphi = 49^0\ 1'$ N. $\lambda = 12^0\ 7'$ E $= 48^m\ 28^s$. H $= 354.3$ m. Cg $= +0.2$ mm. 1913.

Datum	Luftdruck auf 0° u. Normalschwere reduziert 700 mm +			Lufttemperatur C°					Absolute Feuchtigkeit mm			Relative Feuchtigkeit Proz.			Richtung und Stärke des Windes 0 bis 12			Bewölkung 0 bis 10			Niederschlag mm	Schneedecke cm	Bemerkungen
	7a	2p	9p	7a	2p	9p	Max.	Min.	7a	2p	9p	7a	2p	9p	7a	2p	9p	7a	2p	9p	7a	7a	
1.	27.6	28.8	32.0	7.8	11.2	7.2	13.2	7.0	7.6	7.5	6.5	96	75	86	C	SW 4	SW 3	10	10^1	10^2	–	–	früh ≡⁰
2.	33.8	34.0	33.9	5.3	7.0	6.8	7.4	5.0	6.6	6.7	7.3	**99**	90	**99**	SW 4	SW 3	SW 2	10^2	10^2	10^2	2.8	–	n ◍, t meist ◍⁰
3.	30.8	27.9	27.6	7.4	13.8	10.2	15.3	5.9	6.8	7.7	7.5	89	67	81	NE 5	N 3	N 1	10^2	7^1⊙	0	1.0	–	
4.	27.6	25.0	25.2	8.0	17.0	10.2	17.2	6.6	6.9	8.5	6.7	86	59	72	N 4	E 5	E 3	4^0⊙	4^1⊙	0	–	–	
5.	23.1	21.3	22.5	6.8	14.5	6.8	17.0	5.0	5.4	8.9	6.5	73	73	88	C	SE 6	C	8^1	10^1	0	–	–	früh ≡⁰, nachm. Aufheiterung
6.	20.8	19.2	18.0	5.0	9.5	7.7	10.0	2.8	5.8	6.4	7.1	89	72	90	W 3	W 2	NW 5	10^2	10^2●	10^2●	–	–	9^{28} a kurz ◍, 1^{35} p ◍, ca 5 p ab anhaltend ◍
7.	**17.3**	18.9	21.9	7.5	11.0	5.7	11.8	5.7	7.1	8.3	6.1	91	85	90	W 4	SW 4	NW 5	10^2	10^2	0	**10.3**	–	ca 3 p Aufheiterung
8.	24.6	26.1	27.8	4.0	5.2	3.5	5.9	3.5	5.0	4.8	4.4	82	72	75	N 5	NE 4	N 2	10^2	10^2	10^1	–	–	
9.	28.4	29.1	30.8	1.8	5.9	1.7	6.0	1.4	4.3	4.6	4.3	82	66	84	NE 2	NE 3	NE 2	10^1	8^1	10^1	–	–	
10.	29.0	26.1	24.7	1.9	7.0	2.8	7.2	1.0	4.1	5.2	5.4	78	70	96	S 3	SW 5	SW 2	10^1	10^2	10^1●	–	–	6^{28} p ab ◍⁰
11.	24.5	24.8	25.0	0.8	2.8	– 1.6	4.0	– 1.6	4.1	3.4	3.6	85	60	91	W 5	W 6	W 2	4^1	10^1	0	1.2	–	6^{05} a ⚹, abwechselnd heiter, ⎓ ⚶
12.	19.5	17.9	24.1	– 2.7	0.0	– 1.0	0.7	– 4.0	3.5	3.5	3.3	94	77	54	E 3	N 4	NE 2	10^1	10^1	0	0.8	–	ztw. ⚹⁰
13.	27.2	28.1	30.8	– 4.0	1.8	– 1.0	2.0	– 5.4	2.8	4.7	3.7	86	90	87	C	W 4	NW 2	3^1⊙	6^1⊙	6^1	0.6	–	10^{42} a ⚹, ztw. heiter, ztw. ⚹⁰
14.	32.8	33.1	34.0	– 1.0	2.6	0.2	3.6	– 1.8	3.6	4.8	3.7	85	85	79	NW 3	N 2	NW 2	10^1	10^2	9^1	–	–	11^{28} a kurz ⚹, öfters kurz heiter
15.	33.8	32.4	32.3	– 2.8	5.0	1.4	6.8	– 4.0	3.5	3.3	3.5	97	51	69	C	W 2	W 2	4^0⊙	3^1⊙	2^0	–	–	früh ⌙
16.	31.3	30.1	26.0	– 2.4	8.4	6.0	9.4	– 3.8	3.5	3.1	4.1	92	37	59	C	W 3	C	3^0⊙	2^0⊙	5^0	–	–	
17.	24.3	22.8	24.6	4.4	11.4	8.6	13.0	3.0	6.0	8.0	6.8	97	79	83	SW 2	SW 4	SW 2	10^2	10^2	10^2	0.6	–	n ◍, 0^{13}–ca 4^{15} p ◍⁰
18.	28.4	29.9	31.2	6.1	9.1	4.4	9.2	4.4	6.6	5.2	5.7	94	61	92	S 4	W 4	SW 4	10^1	10^2	0	1.0	–	abds. Aufheiterung
19.	30.9	27.9	26.7	1.7	13.7	10.3	14.0	0.2	5.0	6.4	6.9	96	55	74	E 3	SW 4	S 3	10^2	10^2	10^2	–	–	bis m heiter, dann trüb u. regnerisch, schwül
20.	27.4	29.3	32.6	7.3	11.0	4.8	12.0	4.8	6.9	5.3	5.5	90	54	86	W 4	SW 5	W 3	10^2●	6^1	3^1	2.4	–	n–ca 7^{30} a ◍
21.	34.1	33.6	33.6	0.8	10.4	6.8	11.2	0.0	4.7	3.4	5.1	98	36	70	SW 1	N 3	C	5^0⊙	2^1	0	0.2	–	a ⌓, in der Ferne nebelig
22.	**34.7**	34.1	33.0	1.2	12.8	7.3	13.8	– 0.6	4.5	3.8	4.8	91	34	64	NW 1	SE 3	C	4^0⊙	2^0⊙	0	–	–	
23.	31.8	30.2	29.2	2.7	13.5	8.0	15.0	0.6	4.8	4.7	5.6	85	41	69	SE 1	E 3	C	4^0⊙	2^0⊙	0	–	–	
24.	27.8	26.1	25.5	4.8	16.6	13.3	17.4	2.0	5.4	5.5	8.1	84	40	72	NE 1	SE 4	C	10^1	7^0⊙	10^1●	–	–	8^{33} p ab ◍
25.	26.5	25.8	25.2	9.9	17.4	14.7	18.9	9.1	8.7	9.3	9.6	96	63	77	C	E 3	C	10^2	10^1	10^1	1.4	–	n ◍, t ztw. heiter
26.	27.0	26.9	24.9	12.6	20.0	14.4	21.0	10.8	8.3	9.1	9.8	77	53	81	SE 3	NW 2	C	10^1	8^0⊙	0	–	–	nachm. Aufheiterung
27.	24.7	24.3	25.3	12.5	21.6	14.9	22.0	8.2	8.4	7.3	8.7	78	38	69	NW 3	SE 4	C	4^0⊙	8^1⊙	0	–	–	abds. kurze Trübung
28.	28.8	29.9	31.3	9.2	20.8	15.0	21.4	7.0	7.6	10.5	10.5	89	57	83	C	SE 3	C	5^0	3^0⊙	0	–	–	abds. kurze Trübung
29.	34.1	33.0	31.5	10.8	21.8	16.1	22.2	9.0	8.9	10.1	**10.6**	93	52	78	SE 1	E 3	C	7^0⊙	3^0⊙	0	–	–	
30.	30.9	28.9	27.4	11.2	23.5	16.5	**23.8**	8.2	8.9	7.0	10.1	90	32	72	C	E 4	C	3^0⊙	2^0⊙	0	–	–	
																					22.3		
Mittel	28.1	27.5	28.0	4.6	11.5	7.4	12.4	3.0	5.8	6.2	6.4	89	61	79				7.6	7.1	4.2			

Passau.

April. $\varphi = 48^0\ 34'$ N. $\lambda = 13^0\ 28'$ E $= 53^m\ 52^s$. H $= 309.3$ m. Cg $= +0.2$ mm. 1913.

1.	31.5	32.3	35.7	7.9	15.0	8.7	15.0	6.8	7.2	8.3	7.1	90	65	86	C	W 2	W 2	10^1	10^0	10^1	–	–	
2	37.9	38.0	38.1	6.6	7.7	6.9	8.7	6.2	6.2	6.4	6.8	85	82	90	NW 2	W 2	W 2	10^1●	10^1	10^1	0.2	–	t ◍⁰
3.	34.9	31.9	32.2	5.9	16.2	12.6	16.2	4.0	6.4	6.4	6.5	92	47	60	E 2	S 2	C	10^1	10^0	0	0.2	–	
4.	32.2	30.8	30.5	5.7	17.2	12.6	17.2	5.0	5.8	3.7	3.8	85	26	35	C	E 4	E 4	○○	○○	0	–	–	⌓
5.	27.8	26.9	27.3	11.5	17.2	11.7	17.8	9.6	4.5	6.2	5.3	45	42	52	E 4	E 4	C	10^1	10^1	0	–	–	
6.	24.8	23.8	23.2	6.3	7.7	7.1	11.7	4.8	5.5	6.6	6.8	77	85	90	E 1	NW 4	C	10^1	10^1●	10^1●	–	–	ca 10 a–n ◍
7.	21.8	23.2	25.6	7.3	12.4	7.5	12.7	6.5	7.0	6.4	6.5	92	60	85	W 2	W 4	C	10^1●	5^1⊙	8^1	**23.8**	–	n, a–ca 11 a ◍
8.	27.8	29.9	31.9	6.1	6.5	4.7	7.6	4.7	5.6	4.6	4.2	80	64	65	C	E 1	C	10^1	10^1	10^1	1.1	–	
9.	32.5	33.1	34.6	3.6	6.1	4.0	6.2	3.1	3.9	3.6	3.2	65	51	52	E 2	E 1	C	10^1	10^1	10^1	–	–	
10.	33.9	30.7	29.9	– 0.6	6.8	4.3	7.1	– 1.9	3.9	3.4	5.3	87	45	85	E 1	NW 4	C	10^1	10^1	10^1●	–	–	⌙
11.	28.3	28.8	29.2	2.6	3.2	0.6	4.7	1.3	4.8	4.3	4.3	86	75	90	W 2	NW 4	NW 2	10^1	10^1	10^1	2.2	–	n, a ◍, t ztw. ◍ ⚹
12.	24.4	**21.1**	26.3	– 1.0	0.6	– 0.4	2.2	– 2.6	3.8	4.3	2.7	88	90	60	C	C	C	○○	10^1*	10^1	0.4	1	t ztw. ⚹
13.	30.8	32.0	34.2	– 2.6	3.2	0.6	3.2	– **3.7**	3.0	3.6	4.1	79	75	86	W 1	NW 4	C	○○	10^1*	10^1	1.9	2	⌙, ca 11 a–m ⚹, t ztw. ⚹
14.	36.3	38.1	**39.1**	– 1.0	0.6	– 0.4	3.2	– 1.6	3.7	**2.3**	3.5	85	50	78	C	NW 2	C	10^1	10^1	10^1	2.8	**3**	n ◍
15.	38.0	36.4	36.1	– 2.5	6.6	– 0.4	6.7	– 3.0	3.4	3.0	3.7	85	45	64	W 1	W 4	C	○○	10^1	10^1	–	–	a ≡ ⌙
16.	35.7	32.5	31.2	– 2.2	8.7	2.4	8.8	– 3.1	3.5	3.1	4.1	90	36	75	E 1	W 5	C	○○	5	0	–	–	⌙
17.	30.0	28.2	28.8	2.6	11.5	8.3	11.7	0.4	5.3	6.9	7.8	95	68	95	C	C	C	10 ●≡	10●	10	4.2	–	a ztw. ◍
18.	33.9	35.1	36.5	6.9	10.1	5.9	10.1	5.9	5.6	4.1	5.7	86	45	84	W 4	SE 2	C	10●	10●	10	2.8	–	bis m ◍
19.	36.1	33.5	32.3	2.4	13.8	11.3	14.7	0.7	5.0	5.2	6.9	90	45	69	C	C	C	10^2	10^2	10^2	1.5	–	
20.	32.0	34.0	34.7	9.5	11.7	8.7	11.7	8.1	7.6	8.8	5.4	87	57	65	S 2	W 4	C	10^1	10^1	10^1	1.1	–	
21.	38.4	38.0	37.8	1.0	12.1	5.5	12.9	0.1	4.8	2.9	4.8	**97**	28	72	C	S 2	C	10≡	2○	0	1.3	–	n ◍, a ≡
22.	39.0	38.0	36.9	1.8	14.3	6.1	14.9	0.1	4.4	3.5	4.8	84	29	67	C	C	C	○○	○○	0	–	–	a ⌓
23.	35.6	34.3	33.5	1.8	15.4	8.1	15.4	– 0.3	4.4	4.5	6.1	84	35	76	C	W 2	C	○○	○○	0	–	–	
24	32.0	30.1	29.5	6.7	18.0	13.4	19.5	1.9	5.2	5.7	9.0	82	37	80	E 1	W 1	C	○○	10^1	0	–	–	a ⌓
25.	30.9	30.1	29.3	9.7	20.6	13.2	21.3	8.1	8.1	5.2	9.3	90	42	84	SW 1	C	C	10^1	10^1	0	1.3	–	n ◪ ◍
26.	31.5	31.1	29.9	9.5	21.2	14.6	21.7	8.1	7.7	6.4	8.7	88	47	78	C	SE 1	C	10^1	1○	0	–	–	a ≡
27.	30.5	29.1	29.5	9.9	22.6	15.0	22.6	7.2	7.5	5.6	7.1	83	28	66	E 1	E 4	C	10^1	○○	0	–	–	a ⌓
28.	34.5	34.3	35.3	9.3	21.6	15.2	21.7	7.2	7.4	**9.5**	9.4	85	51	74	C	C	C	5^1	2○	0	–	–	a ⌓
29.	38.6	36.7	35.4	10.5	22.4	14.2	23.3	8.3	8.1	8.3	8.7	87	42	74	C	NW 1	C	○○	2○	0	–	–	a ⌓
30.	35.2	33.4	31.8	10.7	24.4	17.4	**24.4**	2.7	7.8	7.5	8.6	83	33	59	C	C	C	○○	○○	0	–	–	a ⌓
																					44.8		
Mittel	32.6	31.8	32.2	4.9	12.5	8.0	13.2	3.2	5.6	5.3	6.0	84	51	73				6.8	6.9	5.3			

Alle Angaben nach Ortszeit.

Landshut.

April. $\varphi = 48^0\ 32'$ N. $\lambda = 12^0\ 10'$ E $= 48^m\ 40^s$. H $= 397.7$ m. Cg $= +0.2$ mm. 1913.

Datum	Luftdruck auf 0^0 u. Normalschwere reduziert. 700 mm +			Lufttemperatur C°					Absolute Feuchtigkeit mm			Relative Feuchtigkeit Proz.			Richtung und Stärke des Windes 0 bis 12			Bewölkung 0 bis 10			Niederschlag mm	Schneedecke cm	Bemerkungen
	7^a	2^p	9^p	7^a	2^p	9^p	Max.	Min.	7^a	2^p	9^p	7^a	2^p	9^p	7^a	2^p	9^p	7^a	2^p	9^p	7^a	7^a	
1.	23.4	25.4	28.0	7.5	9.7	6.0	14.2	4.4	7.1	6.8	6.3	91	75	90	W 2	W 4	W 2	10^1	10^1	10^1●	–	–	6^{34} p–n ◍^{0}
2	29.8	30.1	29.5	4.9	7.3	6.3	8.0	3.3	5.9	6.9	6.9	92	90	**98**	W 4	SW 2	W 2	10^1●	10^1●	10^1●	2.6	–	n, ca 7 a–2^{09} p ◍, ca 4 p–n ◍^{0}
3.	25.8	23.2	22.8	5.5	14.6	11.4	15.3	3.8	6.4	7.1	7.0	96	57	70	E 4	E 2	E 4	10^1	10^1	0	3.2	–	n ◍^{0}
4.	22.7	21.5	20.3	6.2	17.4	11.2	19.0	3.8	5.9	4.2	3.7	84	29	37	E 4	E 4	E 4	1^1⊙	2^0⊙	0	–	–	
5.	17.8	17.0	18.3	8.5	17.5	5.2	21.0	3.6	4.1	5.4	5.5	50	36	83	NE 4	SE 4	C	10^1	9^1	0	–	–	
6.	16.4	15.8	14.6	2.4	9.5	8.2	12.2	– 0.8	4.9	5.0	6.0	89	56	74	C	W 2	W 4	10^1	10^1	10^1●	–	–	⌴^{0}, ca 1–1^{39} p, ca 6 p–n ◍^{0}
7.	14.1	15.2	17.3	7.3	11.8	7.1	15.9	5.3	6.4	5.8	6.3	85	57	84	W 4	W 4	E 2	10^1	9^1	0	6.3	–	ca 5 p ◍-Tr.
8.	19.8	21.6	23.2	4.2	5.4	2.9	7.1	1.2	5.2	4.7	4.8	84	71	85	NE 4	N 2	NE 4	9^1	10^1	10^1	0.2	–	
9.	23.8	24.7	26.1	2.3	6.2	2.9	7.0	0.4	4.6	3.7	3.9	84	52	69	NE 2	NE 2	C	10^1*	10^1	0	0.3	–	n ◍, ca 7 a ✳-Flocken
10	25.3	22.6	20.8	– 1.6	6.5	3.6	8.9	– 5.1	3.8	3.7	4.8	94	51	82	W 4	W 4	W 4	9^1	9^1⊙	10^1●	–	–	⌴^{2}, ca 7 p–n ◍^{0}
11.	20.7	21.0	21.0	1.0	3.6	– 0.6	5.0	– 1.8	4.4	2.6	3.6	89	43	83	W 6	NW 6	W 4	10^1*	10^1	0	1.1	–	ca 7–7^{19} a ✳, ca 10 a u. 11 a ✳böe, ca 6 p ✳△böe, [1]
12.	14.4	15.3	19.5	– 1.2	– 0.6	– 4.4	1.0	– 5.6	3.5	4.0	2.7	82	90	84	E 4	N 4	E 2	10^1	10^1*	8^0	0.1	–	ca 8 a–5^{09} p ✳
13.	23.3	24.3	26.4	–10.1	2.3	– 3.2	3.4	–12.8	**1.7**	3.8	3.2	83	70	89	W 4	W 2	W 2	2^1⊙	4^1⊙	0	5.0	6	⌴^{2}, 0^{34}–1^{19} p, ca 3–3^{04} p ✳, ca 5 p u. 6 p ✳böe
14.	28.5	29.2	29.5	– 2.8	2.2	– 3.2	4.5	– 5.9	3.2	2.9	3.4	85	54	96	W 4	NW 2	C	10^0	10^1	7^1	0.4	–	⌴, ca 10–11 a ✳-Flocken, 5^{59}–6^{09} p ✳^{2} böe
15.	29.4	28.5	28.1	– 3.0	5.4	– 0.6	8.0	– 7.4	3.5	3.0	3.4	96	45	77	W 4	NW 4	W 2	10^1≡	9^1	0	0.6	–	⌴ ≡^{1}
16	27.3	24.3	22.2	– 1.8	9.0	3.1	13.1	– 5.9	3.3	3.2	4.5	82	37	78	SW 2	W 2	S 2	○○	○○	9^1	–	–	⌴
17.	20.3	19.3	20.7	7.1	11.7	8.0	14.0	1.4	5.8	7.9	7.3	77	78	92	W 4	W 4	SW 2	10^1	10^1●	10^1●	–	–	7^{04}–8^{04} a, 0^{04}–5^{09} p ◍^{0}, ca 8 p–n ◍
18.	25.0	26.4	26.8	5.2	11.2	5.1	12.1	3.5	5.8	5.7	5.5	87	58	85	SW 2	SW 2	E 2	10^1	8^2⊙	1^1	**7.1**	–	n ◍, m ◍-Tr.
19.	26.9	24.2	23.1	4.1	16.5	10.0	17.3	– 0.6	4.7	5.5	7.1	77	40	78	W 2	W 2	W 2	10^1	9^1⊙	10^1	–	–	3^{09} p ◍-Tr., ca 6–6^{09} p ◍^{0}
20.	22.7	25.6	28.4	8.8	10.5	5.7	14.0	4.9	7.8	6.7	5.3	92	71	77	W 4	SW 4	C	10^1●	10^2	2^1	3.2	–	n, ca 7–9^{19} a ◍
21.	30.1	29.3	29.2	4.2	12.4	5.8	15.9	– 0.8	5.5	3.7	4.6	89	34	67	N 2	N 2	C	○○	5^0⊙	0	0.9	–	⌴
22.	**30.3**	29.6	28.7	2.8	13.9	5.6	16.7	– 1.2	4.2	3.3	5.1	74	**28**	75	E 2	E 4	E 2	1^0⊙	○○	0	–	–	⌴
23.	27.4	25.6	24.7	3.9	15.6	6.4	19.1	– 0.9	5.8	4.4	5.9	82	33	83	E 2	NE 2	C	1^1⊙	3^0⊙	0	–	–	⌴
24.	23.5	21.5	20.8	5.8	19.6	12.8	21.0	2.8	5.6	6.1	7.6	82	36	69	NE 2	E 4	C	10^1	3^0⊙	8^1	–	–	7^{09} a ◍-Tr., ca 9 p ≲ im SW
25.	22.6	21.1	20.8	10.2	21.0	12.8	23.0	7.4	8.8	8.2	9.1	95	44	83	W 2	E 2	C	10^1	8^1⊙	0	0.7	–	n ◍^{0}
26.	24.4	22.6	20.8	13.7	21.2	12.0	23.7	8.9	8.5	9.1	8.9	73	49	86	NE 4	E 4	C	10^1	6^1⊙	0	–	–	
27.	20.5	20.1	20.7	10.4	24.4	14.8	**28.0**	5.2	7.7	7.4	7.5	82	32	60	C	E 2	E 2	9^1⊙	6^0⊙	0	–	–	⌓
28.	24.7	25.9	27.1	12.3	22.0	13.4	27.6	7.5	8.0	9.2	10.0	75	47	88	SW 2	W 2	C	2^1⊙	2^1⊙	0	–	–	⌓
29.	29.9	28.5	26.8	11.6	22.0	14.6	26.4	7.8	8.8	**10.5**	8.9	87	54	72	N 2	NE 2	E 2	○○	3^2⊙	0	–	–	⌓
30.	26.6	25.0	22.8	12.4	25.0	16.2	27.0	7.4	8.5	7.0	8.5	79	30	62	C	E 2	C	○○	1^2⊙	0	–	–	⌓
																					31.7		
Mittel	23.9	23.4	23.6	4.7	12.5	6.6	15.0	1.1	5.6	5.6	5.9	84	52	79				7.1	6.9	3.5			

[1] ca 7 p ✳böe

Augsburg.

April. $\varphi = 48^0\ 22'$ N. $\lambda = 10^0\ 54'$ E $= 43^m\ 36^s$. H $= 499.6$ m. Cg $= +0.1$ mm, über 728.8 mm Cg $= +0.2$ mm. 1913.

1.	16.1	17.8	20.1	8.6	8.2	5.3	14.6	5.3	7.9	7.0	6.3	95	87	96	C	NW 2	NW 2	10^1	10^2	10^2●	–	–	10^{39}–11^{34} a, 3^{24} p–n ◍
2	**21.7**	21.5	21.0	4.4	6.5	5.4	6.5	4.3	6.0	6.2	6.6	97	86	99	NW 2	N 2	NE 2	10^2●	10^2●	10^2●	5.4	–	n u. t ◍
3.	16.6	14.2	14.1	5.9	11.8	8.9	12.6	5.2	7.0	8.1	7.7	100	78	91	E 2	E 4	E 2	10^1	8^1	0	3.3	–	n ◍
4.	13.6	12.1	10.7	3.9	16.4	9.5	16.4	2.3	6.0	7.9	6.1	98	56	67	E 2	SE 4	E 2	○○	2^0⊙	0	–	–	n ≡^{1}
5.	07.5	08.6	10.0	6.3	12.0	7.0	16.3	4.9	5.1	7.3	7.0	72	70	94	E 4	SW 2	NW 2	10^1	10^2●≋	0	–	–	1^{29}–2^{04} p ≋, 1^{39}–5^{19} p ◍
6	08.2	07.9	07.1	3.2	11.2	9.7	11.2	2.3	5.5	7.3	6.1	95	73	67	NE 2	NW 2	W 2	10^1	10^1	10^1	2.3	–	⌴
7.	05.9	06.6	08.9	6.6	11.9	8.0	13.4	6.6	6.3	7.6	6.9	87	73	86	SW 2	NW 4	N 2	10^1	8^2	8^2	–	–	
8.	11.6	13.3	14.7	4.5	5.4	3.2	8.0	3.2	5.8	5.3	4.6	92	78	80	NE 4	NE 4	NE 2	10^2	10^1	10^1	–	–	
9.	14.9	16.1	17.8	1.0	4.3	3.2	4.6	1.0	4.7	5.1	4.7	96	82	81	NE 2	NE 2	NE 2	10^2*	10^2	10^1	1.3	–	n–8^{14} a ◍
10.	16.8	14.3	13.0	0.9	7.1	3.1	7.1	0.2	4.3	5.6	5.1	87	60	90	NW 2	NW 2	NW 4	5^0	10^1	10^1	0.3	–	⌴, 4^{39} p–5^{54} p ◍
11.	12.9	13.5	12.8	1.6	3.1	0.1	3.6	0.1	3.8	4.2	4.4	75	72	96	NW 2	NW 4	NW 4	10^2	10^2	6^2	1.7	–	n ✳
12.	04.1	04.5	11.4	– 0.7	– 0.6	– 3.8	0.1	– 3.8	4.4	4.4	3.3	100	100	95	E 2	NE 2	NE 2	10^2*	10^2*	8^0	0.6	–	n u. a bis 5^{34} p ✳
13.	14.6	16.0	18.2	– 6.3	1.5	– 2.9	1.8	– 7.5	**2.4**	3.0	3.2	87	60	87	NW 2	NW 2	SW 2	5^1	6^2⊙	2^0	**12.8**	**15**	4^{09}–^{19} p ✳
14.	20.1	20.9	21.3	– 3.4	2.0	– 1.2	4.8	– 5.5	2.8	3.2	4.1	80	61	98	NW 2	N 2	SW 2	8^1	3^2⊙	0	0.2	3	⌴
15.	20.7	20.5	20.1	– 3.3	3.8	1.2	5.5	– 5.1	3.0	3.5	3.6	85	57	72	C	SW 2	SW 2	○○	6^2⊙	0	–	1	⌴
16.	18.4	15.5	13.7	– 2.1	8.4	6.8	10.0	– 3.5	3.0	4.6	5.3	78	56	72	C	SW 2	SW 2	○○	○○	10^1	–	–	⌴
17.	11.6	10.4	12.9	7.2	10.6	7.5	11.4	5.3	6.1	7.7	7.1	80	81	91	SW 2	SW 4	SW 4	8^1	10^2●	10^2	2.3	–	n, 1^{34}–3^{14} p, 6^{39}–ca 7^{45} p ◍
18.	16.3	17.5	18.5	5.6	8.8	5.0	9.9	3.7	6.2	6.1	5.9	91	72	90	SW 4	SW 4	SW 2	8^2	5^2⊙	2^1	6.7	–	n ◍ △, ca 0^{45}–1^{09} p ◍
19.	17.5	15.7	14.8	5.2	12.1	9.8	12.8	3.5	5.5	7.2	7.3	83	69	82	SW 4	SW 6	SW 4	3^1	10^2	10^1	2.6	–	
20.	15.3	17.3	20.1	7.3	11.7	7.0	12.9	7.0	7.3	7.5	5.5	96	73	74	C	NW 4	NW 2	10^2●	5^2⊙	3^2	3.7	–	n–9^{14} a ◍
21.	19.8	20.4	20.3	5.2	12.9	8.7	13.4	4.9	5.6	6.3	6.0	84	57	72	NW 2	NW 2	NE 2	3^1⊙	4^1⊙	0	1.1	–	⌓
22.	20.8	20.6	20.1	5.4	14.6	9.0	16.1	4.3	5.1	6.5	5.8	77	53	68	E 2	E 4	NE 2	○○	○○	0	–	–	⌓
23.	18.4	17.0	16.2	5.2	15.5	11.6	15.9	3.2	4.9	6.8	6.5	74	51	64	NE 2	SE 2	C	2^0⊙	3^1⊙	0	–	–	⌓
24.	14.2	13.3	12.9	8.4	19.1	13.2	19.3	7.5	6.6	9.0	9.3	81	55	83	C	C	SW 2	10^1	5^0⊙	10^2≋	–	–	⌓, 6^{39} p–n ≋, $7^{14.29}$ p ◍, $7^{19.24}$ p ▲
25.	13.6	12.9	12.7	10.6	17.9	14.7	19.0	10.0	8.8	10.7	10.4	93	69	84	SW 2	SE 2	C	8^1	3^0⊙	10^1	8.6	–	n ≋
26.	15.2	13.9	12.7	12.2	18.8	14.5	19.9	11.7	9.4	10.6	10.4	90	65	85	SW 2	E 2	E 2	10^1	5^1⊙	0	–	–	
27.	11.7	11.4	13.1	9.1	23.8	16.2	24.6	7.5	8.1	10.0	9.3	93	**46**	67	C	E 2	E 2	3^0⊙	4^1⊙	2^0	–	–	⌓
28.	16.6	18.4	19.1	13.2	18.6	15.7	20.1	12.6	9.7	11.4	11.2	87	72	84	SW 2	SW 2	NW 2	10^2≋●	5^1⊙	0	0.2	–	4^{14}–10^{14} a ≋, 6^{49}–7^{19} a ◍
29.	21.4	19.9	18.5	12.6	22.6	17.0	24.1	10.4	9.4	11.9	10.5	88	59	72	SW 2	E 2	C	○○	2^1	0	0.4	–	⌓
30.	18.0	16.2	14.6	13.5	24.3	18.2	**26.1**	11.2	9.4	**12.0**	10.8	81	53	69	SW 2	NE 2	SE 2	4^1	3^2⊙	0	–	–	⌓
																					53.5		
Mittel	15.1	14.9	15.4	5.1	11.5	7.7	12.7	3.8	6.0	7.1	6.7	87	67	82				6.6	6.2	4.6			

Alle Angaben nach Ortszeit.

München-C.St.

April. $\varphi = 48^0\ 9'$ N. $\lambda = 11^0\ 34'$ E $= 46^m\ 16^s$. H $= 526.4$ m. Cg $= +\ 0.1$ mm. 1913.

Datum	Luftdruck auf 0^0 u. Normalschwere reduziert 700 mm +			Lufttemperatur C°					Absolute Feuchtigkeit			Relative Feuchtigkeit			Richtung und Stärke des Windes o bis 12			Bewölkung o bis 10			Niederschlag	Schneedecke	Bemerkungen
	7^a	2^p	9^p	7^a	2^p	9^p	Max.	Min.	7^a	2^p	9^p	7^a	2^p	9^p	7^a	2^p	9^p	7^a	2^p	9^p	mm 7^a	cm 7^a	
1.	13.5	15.1	17.9	9.6	8.0	5.4	15.8	5.3	7.3	6.7	6.0	84	84	90	SW 2	NW 3	W 2	10^1	10^1	10^1	–	–	ca 2^{25} p-n
2.	**19.2**	19.0	18.5	4.2	5.8	5.2	6.2	4.0	5.7	6.1	4.6	93	89	**97**	SW 2	SW 1	C	10^1•	10^2•	10^1•	0.9	–	n u. t
3.	14.2	11.7	11.7	5.2	12.5	10.5	14.5	4.2	4.6	7.4	7.1	**97**	69	75	NE 2	E 3	E 1	10^1	7^1⊙	0	10.7	–	n
4.	11.2	09.6	08.8	5.3	17.0	9.7	17.0	4.9	5.5	5.0	5.0	84	35	56	E 1	E 3	E 1	⊙⊙	3^0	0	–	–	a ⏢, ∞, m Gebirge sichtbar
5.	05.7	05.7	07.8	7.8	17.0	9.1	17.6	5.9	4.4	2.8	5 9	57	20	68	SE 2	SE 4	C	10^1	6^1⊙	0	–	–	t Gebirge gut sichtbar
6.	05.8	05.2	04.8	4.2	10.7	9.5	10.8	3.8	5.5	6.4	4.5	90	66	51	C	W 1	SW 4	10^0	10^1	10^1	–	–	a ⏢
7.	03.7	04.3	06.4	7.1	11.3	7.5	11.9	6.9	6.0	5.1	6.2	81	51	80	SW 2	NW 2	NW 2	10^0	6^1	8^1	2.8	–	n, t ztw.
8.	09.0	10.3	12.1	4.2	5.0	1.8	7.7	1.6	5.4	4.9	5.0	88	75	96	NE 1	NE 2	NW 1	10^1	10^1	10^1• *	0.8	–	ca 4^{45} p-n ✳
9.	12.3	13.3	15.2	1.3	5.5	3.6	5.7	1.0	4.7	3.8	4.1	92	57	68	NE 2	NE 2	C	10^1*	10^1	5^1	2.1	–	n-ca 9 a ✳
10.	14.4	11.7	10.5	1.1	6.9	3.1	7.1	0.2	4.2	3.6	5.0	86	48	89	SW 2	SW 3	SW 2	8^0	8^1	10^1	0.2	–	a ⌴, ≡^{0}, ça 5^{15} p-n
11.	10.3	10.5	10.2	0.7	3.2	0.1	3.7	– 0.1	3.9	3.0	3.5	81	52	76	NW 3	NW 4	NW 2	10^1*	10^1	9^1	1.7	–	n, a ztw. ✳
12.	02.3	02.2	08.5	– 1.0	– 1.1	– 3.4	0.4	– 3.8	3.7	4.1	3.2	86	96	90	E 3	NE 2	NW 2	10^1*	10^2*	9^1	0.9	1	n, 6^{36} a-ca 6^{42} p ✳
13.	12.0	13.3	15.5	– 5.0	0.3	– 3.0	0.4	– 6.9	2.5	2.4	3.1	80	51	85	SW 1	NW 1	NW 1	7^0	4^1⊙	4^0	**14.2**	**15**	a einzelne ✳-Flocken, ca 2^{45} ab ztw. ✳1.2
14.	17.3	17.8	18.4	– 4.0	1.0	– 0.4	2.0	– 4.8	2.8	2.8	3.4	82	57	76	SW 1	NW 1	C	4^1	9^1*	8^1	1.4	8	1^{02} a ab ztw. ✳
15.	18.1	17.5	17.5	– 2.0	4.2	1.0	4.4	– 3.4	3.1	3.6	3.1	79	59	64	C	NW 1	C	3^0⊙	4^1⊙	0	0.1	1	a ⌴, ≡^{0}
16.	15.8	13.2	11.4	– 0.4	8.4	7.1	9.8	– 2.4	3.0	2.8	3.4	66	33	46	SW 2	W 1	C	⊙⊙	⊙⊙	10^1	–	–	a ⌴^{2}
17.	09.6	08.7	10.5	8.3	10.7	7.9	13.4	5.1	4.9	6.4	6.3	60	66	79	SW 2	SW 4	SW 2	10^1	10^1•	10^1	0.2	–	n, t ztw. ^{0}
18.	13.9	15.3	16.7	6.1	8.6	5.9	9.8	5.2	5.6	4.9	5.3	79	59	76	SW 2	SW 2	C	10^1	10^1	10^0	0.5	–	n, t ztw. ^{0}
19.	15.8	13.7	12.6	6.1	12.5	10.1	14.7	4.3	4.3	8.6	6.8	65	54	73	SW 2	SW 4	C	3^0	10^1•	10^1•	–	–	t Gebirge sehr gut sichtbar, ca 1^{15} p-n ztw. ^{0}
20.	12.8	15.2	17.8	8.0	8.3	7.3	10.8	7.0	7.0	6.4	5.4	89	78	70	W 2	SW 2	C	10^1•	10^1	10^1	3.5	–	n, a ; p ztw. , 4^{47} p
21.	18.3	17.5	17.9	6.9	12.4	8.5	12.6	4.8	5.4	5.0	5.2	72	47	62	C	E 1	E 1	6^0⊙	6^0⊙	10^1	3.1	–	a ⏢
22.	18.3	18.0	17.7	5.1	14.7	9.3	14.7	3.8	4.6	4.7	4.2	70	38	48	SE 1	NE 1	C	4^0⊙	⊙⊙	o	–	–	a ⏢
23.	15.7	14.6	13.8	5.1	15.2	12.2	15.6	3.8	4.2	4.6	5.2	64	38	50	E 1	NE 2	E 1	4^0⊙	6^0⊙	10^1	–	–	a ⏢, ∞
24.	11.8	10.3	10.5	9.7	19.2	13.5	19.4	8.4	6.5	5.8	8.2	72	41	72	E 1	C	C	9^1	6^0⊙	10^1	–	–	a ⏢, ca 4^{45}–5^{27} p , 5^{02}–6^{32} p
25.	11.5	10.2	10.2	10.8	18.8	15.3	19.1	9.4	7.9	8.4	7.4	83	52	58	SE 2	E 1	C	10^1	6^0⊙	4^0	1.7	–	n
26.	12.9	11.8	10.2	12.5	19.4	15.4	20.0	11.8	8.5	9.2	9.4	79	55	74	SW 1	NE 1	C	10^1	6^1⊙	o	–	–	
27.	09.4	09.3	10.4	11.9	22.6	16.5	23.2	9.2	7.9	6.6	7.9	76	33	57	C	E 2	C	4^0⊙	6^0⊙	o	–	–	a ⏢, ∞, m Gebirge schwach sichtbar
28.	14.0	15.5	16.7	14.7	19.4	16.6	20.7	12.8	7.8	9.2	**9.5**	62	55	68	SW 2	E 2	C	4^1⊙	6^1⊙	o	–	–	a ⏢, Gebirge sehr gut sichtbar
29.	19.0	17.5	16.2	13.3	22.7	17.1	22.9	10.9	8.7	8.7	8.2	77	43	56	SW 1	E 1	E 2	⊙⊙	4^1⊙	o	–	–	a ⏢
30.	15.8	13.7	12.4	15.2	24.4	18.4	**24.4**	12.0	7.9	7.3	8.3	61	32	53	SW 1	E 1	E 1	⊙⊙	6^2⊙	o	–	–	a ⏢ ∞, t Gebirge gut sichtbar
																					44.8		
Mittel	12.8	12.4	13.0	5.7	11.5	8.0	12.5	4.2	5.5	5.5	5.7	78	54	70				6.9	7.0	5.9			

Traunstein.

April. $\varphi = 47^0\ 52'$ N. $\lambda = 12^0\ 39'$ E $= 50^m\ 36^s$. H $= 597$ m. Cg $= +\ 0.1$ mm. 1913

1.	07.3	08.7	12.0	9.1	9.3	4.6	11.2	4.6	6.6	7.0	5.9	76	80	94	SW 2	W 4	W 4	10^2	10^2	10^2	–	–	p
2.	13.3	13.1	12.7	3.0	5.1	4.2	5.3	2.6	5.2	5.3	6.0	91	82	97	W 4	NW 4	W 2	10^2•	10^2	10^2	1.5	–	mrgs. u. t ztw.
3.	08.7	06.5	06.4	4.0	11.9	8.0	12.2	3.8	5.8	5.9	7.1	95	57	89	E 2	E 4	SE 2	10^2	10^2	4^2	3.8	–	
4.	06.0	04.4	03.9	1.6	16.2	7.1	17.5	0.5	4.6	3.4	5.2	89	25	69	S 2	E 4	E 2	4^2⊙	4^2⊙	o	–	–	mrgs. ⌴
5.	01.2	01.8	02.1	9.3	16.4	9.4	17.0	4.9	4.0	3.2	3.7	45	23	42	SE 6	S 8	S 4	8^2	4^2⊙	o	–	–	
6.	00.2	699.8	699.1	5.3	7.8	7.0	9.4	2.9	4.4	5.5	4.7	66	69	63	W 2	NW 2	W 6	10^2	10^2•	10^2	–	–	p
7.	698.2	699.1	00.6	5.6	10.9	5.1	11.5	4.9	5.8	5.5	5.7	85	56	88	W 4	W 4	E 2	10^2	10^2	o	7.2	–	n u. mrgs.
8.	02.8	04.3	06.1	3.2	4.1	1.8	5.1	1.8	5.6	5.6	5.1	97	92	96	NW 2	W 2	E 2	10^2	10^2•	10^2•	0.5	–	mrgs. u. p
9.	06.2	07.2	09.8	0.1	5.6	2.2	6.0	0.0	4.2	3.9	4.2	90	58	79	E 2	E 2	E 2	10^2*	8^2⊙	8^2	5.6	–	n u. a
10.	08.4	06.0	04.9	0.4	5.6	2.2	6.0	– 1.8	4.3	3.3	4.7	90	49	87	SE 2	W 4	W 4	8^2	8^2⊙	10^2	0.3	–	mrgs. ⌴
11.	03.7	04.2	04.1	0.8	0.8	– 0.2	2.2	– 1.3	4.5	3.9	3.9	92	80	87	W 6	W 6	W 4	10^2• *	10^2*	10^2*	4.0	–	n u. t meist u. ✳. $7^{06.11}$ a, $1^{31.56}$ p △
12.	697.9	694.6	00.1	– 2.2	0.6	– 3.4	0.9	– 3.4	3.5	4.2	3.5	89	89	100	E 2	W 2	W 2	10^2	10^2*	10^2*	5.2	–	m-n ✳
13.	05.4	07.0	08.7	– 5.6	– 0.4	– 3.0	– 0.1	– 6.4	2.6	2.1	3.7	87	46	100	W 4	W 4	W 2	10^2*	6^2⊙	10^2*	**10.2**	5	n u. mrgs. ✳, p u. abds. ztw. ✳
14.	11.3	12.0	12.5	– 4.0	1.2	– 2.0	1.8	– 4.4	2.9	4.6	3.3	87	92	84	W 2	W 2	S 2	10^2*	9^2⊙	8^2	4.4	6	n u. mrgs. ✳, t ztw. ✳
15.	12.0	11.4	11.6	– 1.8	2.3	– 0.6	3.2	– 3.2	3.5	4.9	3.2	88	91	73	W 2	W 2	S 2	10^2	8^2	4^2	2.7	1	
16.	10.6	07.4	06.2	– 2.1	7.0	0.4	9.0	– 4.2	2.9	2.4	3.7	73	32	78	S 2	W 4	W 2	⊙⊙	⊙⊙	6^2	–	1	mrgs. ⌴
17.	04.8	03.3	04.1	4.4	12.1	7.6	13.3	0.4	5.4	5.2	6.3	87	50	80	W 2	NW 2	W 2	10^2	10^2	10^2	0.5	–	n
18.	08.9	10.0	10.6	4.2	7.2	4.2	8.2	3.3	5.6	4.7	4.3	90	63	70	W 2	W 2	S 2	10^2•	10^2	o	7.5	–	n-a
19.	10.6	07.9	07.2	4.2	15.5	8.1	17.0	0.0	4.1	4.7	6.8	66	36	85	S 2	W 2	W 2	8^2	7^2⊙	3^2	1.8	–	
20.	06.7	10.3	**13.4**	7.8	7.1	5.6	9.2	5.6	7.1	5.7	6.4	90	76	94	W 2	W 4	W 2	9^2	10^2•	10^2•	1.3	–	mrgs. u. t ztw.
21.	12.6	11.8	12 3	4.6	11.4	7.3	12.4	3.0	5.5	4.8	5.0	87	48	66	SW 2	NE 2	E 4	6^2	6^2⊙	6^2	7.8	–	
22.	12.7	12.3	12.0	4.4	13.0	5.1	14.0	2.8	4.8	5.0	5.8	77	45	89	E 2	NE 2	SE 2	4^2⊙	1^1⊙	o	–	–	
23.	10.0	08.8	08.6	2.4	14.7	9.3	15.5	– 0.5	4.5	6.4	7.9	80	52	89	S 2	NE 2	S 2	4^2⊙	4^2⊙	4^2	–	–	mrgs. ⌴, p
24.	06.6	04.7	04.9	7.8	18.6	11.5	19.0	5.0	6.2	9.8	9.1	79	61	91	S 2	E 2	NE 2	9^2⊙	6^2	o	0.1	–	
25	05.8	04 6	04.8	8.8	19.8	13.5	21.0	6.8	7.3	9.2	9.5	87	54	83	SE 2	E 4	SE 2	8^2⊙	7^2⊙	3^2	–	–	
26.	06.9	06.5	05.0	12.6	19.3	12.4	21.0	10.5	8.6	**10.2**	9.8	80	61	93	W 4	E 2	E 2	8^2⊙	5^1⊙	o	–	–	
27.	04.1	04.0	04.6	11.0	22 5	13.4	23.1	6.1	6.8	7.8	8.8	69	39	77	W 2	SW 4	NE 2	6^2⊙	7^2⊙	o	–	–	
28.	08.2	09.9	11.2	14.2	19.8	12.4	20.3	10.5	8.1	9.8	9 6	67	57	90	W 2	NE 2	S 2	2^1⊙	4^2⊙	o	–	–	1^{36}–2^{03} p, 2^{29}–3^{41} p , einzelne -Tr.
29.	**13.4**	12.0	11.0	11.8	22.2	15.6	**23.2**	8.1	8.1	9.0	9.3	79	46	70	W 2	E 2	E 2	⊙⊙	2^2⊙	o	–	–	
30.	10.1	08.9	07.0	12.6	22.4	14.1	**23.2**	7.8	8.3	9.8	9.7	77	49	81	S 2	E 2	E 2	⊙⊙	2^2⊙	o	–	–	mrgs. ⏢
																					64.4		
Mittel	07.2	06.8	07.3	4.6	11.0	6.1	12.0	2.4	5.4	5.8	6.1	82	59	83				7.5	6.9	4.9			

Alle Angaben nach Ortszeit.

Partenkirchen.

April. $\varphi = 47^0\ 30'$ N. $\lambda = 11^0\ 6'$ E $= 44^m\ 24^s$. H $= 716.8$ m. Cg $= +0.1$ mm 1913.

Datum	Luftdruck auf 0^0 u. Normalschwere reduziert 700 mm + 7^a	2^p	9^p	Lufttemperatur C° 7^a	2^p	9^p	Max.	Min.	Absolute Feuchtigkeit mm 7^a	2^p	9^p	Relative Feuchtigkeit Proz. 7^a	2^p	9^p	Richtung und Stärke des Windes 0 bis 12 7^a	2^p	9^p	Bewölkung 0 bis 10 7^a	2^p	9^p	Niederschlag mm 7^a	Schneedecke cm 7^a	Bemerkungen
1.	697.9	698.9	02.0	4.7	5.6	3.9	10.3	2.9	5.2	6.3	6.0	81	93	98	C	NW 4	C	2^0	10^0●	10^1●	–	–	⌓, a Berge teilw. bedeckt, p u. abds. ◍
2.	03.0	02.5	01.8	2.0	4.4	2.8	4.7	1.9	5.2	5.6	5.2	98	90	93	C	N 3	C	10^1●	10^1	10^1	9.0	–	n u. a ◍^{1}, a Berge im Nebel, bis 850 m Neuschnee
3.	698.0	695.3	696.4	1.8	13.0	5.8	14.4	0.4	4.8	6.2	5.4	91	55	79	C	W 3	S 2	1^0	6^1	2^0	5.4	⊣	a Berge meist rein
4.	695.4	693.9	692.8	4.2	16.7	10.0	17.7	3.2	5.2	3.6	3.5	84	25	39	C	S 3	S 2	3^0	3^1⊖	0	–	–	a Berge rein
5.	688.4	691.0	692.3	13.6	14.1	5.2	15.2	4.2	3.1	3.2	4.0	27	27	60	S 7	S 4	SE 2	6^1	2^1	0	–	–	a Berge rein, ≡ (S u. SE)
6.	690.6	689.5	690.1	2.6	11.8	5.6	13.9	1.4	3.6	5.4	6.1	65	52	89	S 3	NW 5	C	3^0	8^1	8^1	–	–	a Berge sehr rein, $2^{14.59}$ p ◹ mit ◍
7.	689.2	689.1	690.3	4.1	8.6	5.4	11.5	3.0	5.9	5.2	6.1	97	63	91	C	NW 2	C	7^1	10^1	2^0	6.2	–	a Berge teilweise bedeckt
8.	692.4	693.6	695.1	3.0	4.6	2.4	6.2	2.2	5.3	5.1	5.1	93	81	93	NW 3	N 2	NW 4	10^1	10^1	10^1	0.4	–	a Berge im Nebel (Hoch≡)
9.	695.2	696.3	698.4	1.2	2.8	1.4	3.2	0.6	4.7	4.6	4.5	94	80	89	NW 2	NW 4	C	10^1*	10^1	10^1*	0.9	–	mrgs. u. abds. ✳, Berge im Nebel
10.	698.3	695.4	696.0	0.2	7.4	2.8	8.5	– 0.5	4.3	4.1	4.7	92	53	82	NW 2	NW 3	C	10^1	7^1	10^1●	0.2	–	Berge meist im Nebel, abds. ◍^{0}
11.	693.9	694.5	694.1	0.2	0.6	– 0.6	2.8	– 0.6	4.5	4.2	4.4	96	89	100	N 5	NW 4	N 2	10^2*	10^1*	10^1*	7.5	10	n u. t ✳, Berge im Nebel
12.	686.4	685.5	692.3	– 1.5	2.8	– 3.8	4.2	– 3.8	3.7	3.6	3.4	90	64	100	SE 3	NW 5	NW 5	10^1	10^1	10^1*	4.0	9	Berge meist im Nebel, abds. ✳^{2}
13.	695.5	696.8	699.1	– 6.5	– 3.5	– 6.7	– 3.0	– 8.9	2.7	2.6	2.4	97	74	89	NW 2	NW 5	C	10^1*	8^1	4^0	9.0	**20**	mrgs. ✳^{1}, Berge bedeckt
14.	00.9	00.9	01.9	– 5.8	1.4	– 4.6	1.6	– 8.4	2.6	2.4	2.8	90	48	88	C	N 4	C	9^1·	5^1⊖	3^0	0.5	12	Berge meist im Nebel, ztw. ✳^{0}
15.	01.5	00.6	01.3	– 5.0	2.8	– 2.4	3.5	– 5.7	2.5	2.7	3.3	81	48	85	C	NW 4	C	3^1	7^1	5^1	0.1	–	a Berge teilweise im Nebel
16.	699.7	696.6	696.2	– 4.0	9.4	2.2	10.7	– 5.8	2.7	3.2	4.3	80	36	80	S 3	NW 2	C	○○	○○	1^0	–	–	⌓, a Berge frei
17.	694.3	693.0	695.1	6.2	12.5	8.4	13.9	1.9	4.8	6.2	5.7	67	58	69	SE 2	C	NW 5	10^1	9^1	10^1●	–	–	a Berge meist frei, abds. ◍^{0}
18.	698.3	699.6	00.7	3.6	6.2	2.5	9.0	2.5	5.8	4.8	4.5	98	67	80	C	NW 3	S 3	10^1	9^1	6^1	5.3	–	n u. t ztw. ◍^{0}, mrgs. Berge teilw. bedeckt
19.	00.1	697.2	696.8	3.6	15.2	8.9	16.4	1.1	4.2	5.0	6.3	70	39	74	S 3	C	C	1^0⊖	9^0	8^1	2.4	–	a Berge rein
20.	697.2	699.4	01.9	7.6	7.7	4.8	9.4	4.8	6.5	6.7	5.3	83	86	82	C	C	C	9^0●	10^1●	5^1	0.4	–	a bis 2^{14} p ◍, a Berge teilw. bewölkt
21.	02.2	00.6	01.7	4.6	13.0	7.4	13.4	3.3	5.5	5.5	6.4	87	49	83	C	NW 4	C	3^0⊖	8^1·	8^1	4.2	–	a Berge meist frei
22.	01.9	00.8	01.3	5.8	16.6	6.7	17.2	4.0	6.1	5.7	6.4	88	41	87	C	NW 4	SE 2	3^1⊖	2^1⊖	10^1	0.1	–	⌓, a Berge meist frei
23.	699.3	698.3	699.0	4.5	15.2	9.0	16.3	2.4	5.6	6.5	7.4	89	51	87	C	NW 3	C	7^0	6^0⊖	9^0	–	–	⌓, a Berge frei
24.	695.9	694.3	695.1	9.4	18.3	11.7	20.3	6.2	7.1	7.4	7.7	80	48	75	SE 2	NW 4	C	3^0	5^1	9^0	–	–	a Berge rein
25.	696.0	694.1	695.1	8.5	19.8	11.5	21.0	6.9	6.9	8.0	7.2	84	47	71	S 3	W 3	C	10^0	7^1	9^0	0.2	–	a Berge teilweise bedeckt
26.	697.6	695.2	695.1	8.4	19.2	11.5	19.9	6.8	7.3	**8.9**	8.4	89	54	83	C	NW 3	SE 2	9^0	3^0⊖	10^0	–	–	a ⌓, Berge meist bedeckt, t ∞
27.	694.6	693.6	696.1	11.8	22.1	12.4	22.5	7.7	6.4	5.6	4.9	63	29	46	C	S 4	C	5^0	2^0⊖	2^1	–	–	a Berge rein
28.	699.8	699.6	01.7	9.4	17.7	8.6	20.0	8.6	8.8	8.3	8.3	100	56	100	C	NW 3	S 2	10^1	7^1⊖	0	**14.5**	–	2^{14} ↖ u. 6^{14} a ◹ mit ◍$^{1.2}$; 3^{24} p ◹, 3^{24} p ▲^{0}, [1]
29.	**03.9**	01.1	00.4	10.2	21.8	13.4	22.3	7.2	7.6	8.0	8.1	82	41	71	SE 2	NW 4	C	1^0⊖	4^1⊖	0	5.8	–	a ⌓, Berge meist frei
30.	00.5	698.3	697.1	11.5	21.6	13.6	**23.3**	8.6	6.6	6.5	7.2	65	34	62	S 2	NW 2	C	1^0⊖	5^1	0	–	–	a ⌓, Berge sehr rein
																					76.1		
Mittel	696.9	696.2	697.2	4.0	11.0	5.3	12.3	1.9	5.2	5.4	5.5	83	56	81				6.2	6.7	5.7			[1] p ztw. ◍

Hohenpeissenberg.

April. $\varphi = 47^0\ 48'$ N. $\lambda = 11^0\ 1'$ E $= 44^m\ 4^s$. H $= 994.1$ m. Cg $= \pm 0.0$ mm. 1913.

	600 mm + 7^a	2^p	9^p	7^a	2^p	9^p	Max.	Min.	7^a	2^p	9^p	7^a	2^p	9^p	7^a	2^p	9^p	7^a	2^p	9^p	7^a	7^a	
1.	74.2	75.4	77.5	6.0	3.1	0.3	13.8	0.3	6.9	5.7	4.6	96	98	98	NW 1	W 1	W 6	10^1	10^2≡	10^2≡*	–	–	a ∞, p u. abds. ≡^{2}, abds. ✳
2.	78.7	78 7	77.8	0.0	2.3	0.5	2.3	0.0	4.6	4.8	4.5	100	87	94	W 1	NW 1	NE 2	10^2≡*	10^2≡*	10^2≡*	7.7	4	n u. t ≡^{1} ✳
3.	73.2	72.3	72.2	0.8	7.4	6.9	9.8	0.5	4.8	6.9	6.1	100	90	83	W 1	E 1	SW 3	10^2≡	8^2	2^2	11.5	–	n u. a ≡^{2}, p Aufklaren, abds. reine Fernsicht, ≡
4.	71.4	70.6	69.4	5.2	13.8	7.1	14.0	4.1	4.5	4.1	3.3	68	35	44	SE 3	SE 3	E 7	○○	1^2⊖	0	–	–	a ≡, t Gebirge dunstig, p Flachland sehr rein, [1]
5.	66.1	67.5	68.2	6.8	11.1	6.1	12.9	6.0	3.2	4.8	3.9	44	49	56	E 6	NW 1	E 4	10^1	9^2	0	–	–	a sehr reine Fernsicht, 0^{14}–1^{44} p ◹, $10^{4.18}$ p ▲, [2]
6.	66.9	66.7	66.5	4.7	8.0	5.6	8.0	4.3	2.6	5.2	4.6	41	64	68	W 1	C	SW 3	9^1	10^2	10^2	0.2	–	a Gebirge sehr rein, Flachl. ≡^{0} u. ⌓, p ∞^{0}, [3]
7.	65.2	65.4	66.7	3.6	8.2	4.3	8.2	2.9	5.2	4.5	4.8	88	56	77	W 3	SW 1	NE 5	9^1	8^2	1^2	–	–	a Flachland ∞^{0}, Gebirge bedeckt, p ∞^{0}, [4]
8.	68.8	70.2	71.2	0.2	0.9	– 1.1	4.3	– 1.1	4.7	4.9	4.2	100	100	100	W 1	NE 1	NE 8	10^2≡	10^2≡*	10^2≡*	–	–	a u. abds. ≡^{2}, ca 8^{15} a–n meist ✳
9.	71.2	72.6	74.5	– 1.7	– 0.4	– 1.4	– 0.2	– 1.8	4.0	4.5	4.1	100	100	100	NE 1	NE 1	NE 2	10^2≡*	10^1	10^2≡	6.5	–	n V ✳, n u. a ≡^{2}, p ∞, V, ✳; abds. ≡^{1}
10	74.0	71.7	70.8	– 1.5	2.7	– 0.9	2.7	– 1.7	3.9	3.1	4.2	96	55	98	NE 1	W 4	W 8	9^2	10^2	10^2≡*	1.2	1	n ≡^{1}, t ∞, abds. ≡^{2} ✳ ≡
11.	70.2	70.5	69.6	– 2.0	– 1.3	– 2.8	– 0.9	– 2.8	4.0	3.6	3.7	100	86	100	NW 1	W 5	W 3	10^2≡*	10^1	10^2	4.3	2	n u. a ≡ ✳, t ztw. ✳ ∞
12.	61.5	61 3	67.8	– 3.8	– 0.5	– 7.0	– 0.5	– 7.0	3.4	3.7	2.7	100	78	100	W 1	W 6	NE 2	10^2*	10^2	10^2	2.8	2	t ztw. ✳, p u. abds. ∞, abds. V
13.	70.7	72.2	74.3	– 8.2	– 4.0	– 7.0	– 3.9	– 8.9	2.4	1.6	2.5	100	46	84	NW 1	W 1	W 4	10^2≡*	4^2	8^2	12.3	**15**	a ≡^{1} ✳^{2}, p u. abds. ∞, abds. ✳^{2}
14.	75.9	76.8	77.0	– 7.0	– 2.5	– 4.7	– 2.1	– 8.0	2.7	2.1	2.4	100	56	77	W 1	N 1	NE 1	9^2	5^2	10^1	0.2	10	a ✳, t ∞
15.	76.8	76.6	76.4	– 3.4	0.2	– 2.8	0.3	– 4.7	3.0	2.1	2.0	85	45	53	C	NE 1	E 1	○○	5^2⊖	0	1.6	5	a u. abds. reine Fernsicht, p ∞
16.	75 0	73.4	71.9	– 2.1	5.4	5.1	6.7	– 3.9	2.2	2.2	2.3	57	34	35	SW 1	SW 1	SW 7	○○	○○	○○	–	4	a reine Fernsicht, p ∞^{0}, abds. ≡^{1}
17.	70.3	69.6	71.5	5.7	8.6	2.5	10.2	2.5	4.4	5.4	5.2	64	65	94	W 6	SW 7	W 8	10^2	10^2	10^2●	–	–	n ≡^{1}, a reine Fernsicht ins Flachl., Berge bed., [5]
18.	74.2	75.4	76.0	0.9	4.8	2.2	6.2	0.9	4.6	3.9	4.1	94	61	77	W 6	W 1	SW 5	10^2	10^2	9^2	0.9	–	t Flachl. rein, Gebirge bed., abds. allgemein klar
19.	75.8	74.3	73.4	4.4	9.6	5.5	11.1	2.2	3.9	4.6	5.9	62	52	88	SW 1	SW 2	SW 3	○○	10^2	10^2≡●	–	–	a sehr reine Fernsicht, p ∞^{0}, abds. ≡^{1} ◍
20.	73.3	75.9	77.4	3.7	3.9	3.6	6.5	2.6	6.0	5.7	4.8	100	93	82	NW 1	SW 1	SW 3	10^2≡●	10^2≡●	10^2	4.2	–	n–p ≡$^{1.2}$ ◍, abds. ztw. ◍
21.	78.0	77.7	77.6	4.2	9.0	5.3	9.0	2.6	4.5	5.2	5.3	73	61	80	W 1	E 1	E 2	1^1⊖	10^1	8^2	**14.1**	–	t ∞^{0}, p ◍^{0}, abds. reine Fernsicht, Flachland ≡
22.	77.9	78.2	77.3	5.9	11.5	6.0	11.5	4.3	5.4	5.1	3.3	78	50	47	NE 1	NE 2	E 7	○○	○○	0	0.1	–	t ∞^{0}, p cu üb. d. Geb., p u. abds. Horiz.≡, [6]
23.	75.6	75.3	74.2	4.8	10.5	8.2	10.6	4.7	4.3	5.2	5.4	67	55	66	NE 1	SE 1	E 4	4^1⊖	10^1	4^1	–	–	t ∞
24.	72.3	72.0	71.7	8.8	15.0	10.6	15.2	7.5	6.1	6.8	6.8	72	53	72	W 1	N 1	SE 2	9^2	9^2	10^2	–	–	t ∞$^{0.1}$, 4^{29} p ◹ u. ◍
25.	72.0	71.8	71.8	9.1	14.1	10.7	14.6	6.7	6.8	7.0	**8.4**	79	59	89	SE 1	N 3	SE 2	8^2	4^2⊖	10^2	7.4	–	n ◍, a ≡, t Flachland ∞, abds. reine Fernsicht
26.	74.0	73.0	71.7	9.1	14.2	12.1	14.8	9.0	7.0	8.4	8.0	81	69	76	NW 1	E 1	NE 3	10^1	4^2⊖	0	–	–	t ∞, abds. reine Fernsicht, Horiz.≡
27.	71.2	71.0	72.5	14.1	18.1	11.5	18.3	11.5	4.8	5.2	6.6	40	34	65	E 1	E 1	SW 5	3^1⊖	5^2⊖	3^2	–	–	t reine Fernsicht, abds. ◹ im W
28.	75.9	76.9	78.0	9.3	15.2	11.8	15.2	8.5	7.3	8.1	7.8	84	63	76	SW 4	NW 1	SW 2	8^9●	9^2	0	0.1	–	ca 6^{45} a ◍ ⌒, a reine Fernsicht, p ∞^{0}, [7]
29.	**80.2**	78.5	77.2	11.3	17.5	14.9	17.8	10.4	7.6	6.9	6.3	76	46	51	W 1	NE 4	NE 7	○○	5^2⊖	0	–	–	a reine Fernsicht, p ∞^{0}, abds. Horiz.≡
30.	77.2	75.3	73.7	15.2	19.6	15.0	**19.6**	13.5	5.1	6.5	6.6	40	38	52	SW 1	W 2	W 2	5^2⊖	7^2⊖	3^2	–	–	a ⌓, t reine Fernsicht, abds. ◹ von S bis W
																					75.1		
Mittel	72.9	72.9	73.2	3.5	7.5	4.3	8.5	2.2	4.7	4.9	4.8	80	63	76				6.8	7.4	5.9			

[1] abds. reine Fernsicht. [2] p u. abds. reine Fernsicht. [3] abds. reine Fernsicht. [4] abds klare Fernsicht [5] abds. ◍ ≡. [6] abds. reine Fernsicht [7] abds. Horiz.≡, rein

Alle Angaben nach Ortszeit.

Zugspitze.

April. $\varphi = 47^0\ 25'$ N. $\lambda = 10^0\ 59'$ E $= 43^m\ 56^s$. H $= 2964$ m. Cg $= -0.2$ mm. 1913.

Datum	Luftdruck auf 0° u. Normalschwere reduziert 500 mm +			Lufttemperatur C°					Absolute Feuchtigkeit mm			Relative Feuchtigkeit Proz.			Richtung und Stärke des Windes 0 bis 12			Bewölkung 0 bis 10			Niederschlag	Schneedecke
	7^a	2^p	9^p	7^a	2^p	9^p	Max.	Min.	7^a	2^p	9^p	7^a	2^p	9^p	7^a	2^p	9^p	7^a	2^p	9^p	mm	cm
1.	27.0	26.6	26.9	− 4.0	− 3.5	− 9.0	− 2.6	− 9.0	3.3	3.5	2.2	100	100	100	SE 4	SE 5	C	10^2	10^2	10^2 *	–	
2.	27.2	26.9	26.3	−10.4	− 7.5	− 9.8	− 7.5	−10.4	1.9	2.5	2.0	100	100	100	N 1	C	SE 5	10^2 *	10^2 *	10^2	4.8	
3.	25.0	25.1	25.3	− 7.4	− 3.4	− 6.6	− 2.7	− 9.8	2.4	3.2	2.3	97	91	88	SE 3	SE 2	SE 4	4^1⊙	10^2	4^1	7.6	
4.	24.3	24.6	22.7	− 7.7	− 4.3	− 7.6	− 4.2	− 7.9	2.3	2.9	2.2	95	89	88	S 6	SE 5	SE 7	7^1⊙	9^1⊙	4^1	–	
5.	19.9	20.3	21.3	− 7.0	− 8.0	− 9.0	− 6.6	− 9.1	2.5	2.1	1.7	95	89	79	SE 9	SE 8	SE 5	8^1⊙	6^1⊙	5^1	–	
6.	19.6	19.3	19.0	− 9.8	− 8.0	− 8.6	− 7.2	−10.7	1.6	2.4	2.3	79	100	100	N 2	N 2	N 6	7^1⊙	10^2 *	10^2 △	–	
7.	17.5	18.3	19.6	− 9.6	− 5.0	− 7.8	− 4.4	− 9.7	2.1	3.1	2.4	100	100	100	N 4	C	C	10^2 *	10^2 *	10^2 *	5.8	
8.	20.1	20.8	21.0	− 9.0	− 4.4	− 9.6	− 3.8	− 9.6	2.2	3.2	2.1	100	99	100	C	C	C	10^2	10^2	10^2	0.6	
9.	20.6	21.7	22.5	−10.6	− 7.6	−12.6	− 5.2	−12.6	1.9	2.4	1.6	100	97	100	C	N 1	C	10^1 *	10^2 *	10^2 *	0.7	
10.	21.8	21.5	19.9	−13.9	−10.6	−13.2	−10.5	−14.3	1.3	1.9	1.5	100	100	100	NW 4	NW 4	NW 8	10^2	10^2	10^2	2.1	
11.	18.4	18.1	17.8	−13.6	−15.3	−16.0	−13.2	−16.6	1.5	1.2	1.2	100	100	100	NW 8	NW 6	NW 3	10^2 *	10^2	10^2 *	2.1	
12.	14.0	**11.7**	13.3	−12.2	−14.6	−20.4	−10.1	−20.4	1.7	1.3	0.8	100	100	100	W 8	NW 9	NW 2	10^2	10^2 *	10^2 *	2.9	
13.	14.9	16.5	18.3	−23.0	−21.2	−22.4	−20.1	**−23.0**	0.6	0.7	0.7	100	90	100	NW 5	NW 2	NW 5	10^2	10^1 *	10^2	7.5	
14.	19.9	21.3	21.9	−21.4	−15.4	−20.1	−13.8	−22.4	0.7	1.2	0.8	100	96	96	NW 1	C	NW 3	10^1	10^2 *	0	6.5	
15.	21.2	22.5	23.2	−20.0	−15.8	−16.2	−15.6	−21.3	0.8	1.0	1.0	100	85	83	NW 4	N 4	N 3	00	00	0	0.5	
16.	23.1	24.0	24.1	−13.8	−10.7	−10.2	−10.0	−16.5	0.9	1.3	1.6	63	69	82	W 4	W 6	W 7	2^0⊙	2^0⊙	7^0	–	
17.	23.1	23.3	23.5	− 6.3	− 4.8	− 6.0	− 4.5	−10.4	2.8	3.1	2.8	100	100	100	W 7	W 7	SW 5	10^2	10^2	10^2	2.5	
18.	23.9	24.6	25.8	−11.0	−10.9	−11.3	− 6.0	−12.0	1.8	1.8	1.8	100	100	100	NW 5	NW 4	NW 3	10^2	10^1	10^2 *	6.1	
19.	26.0	27.1	26.2	− 9.5	− 4.2	− 4.0	− 4.0	−11.6	2.1	3.3	3.3	100	99	100	W 8	SW 6	SW 7	5^0⊙	10^1	10^1	3.1	
20.	25.9	26.7	27.9	− 4.8	− 5.2	− 8.8	− 3.3	− 9.0	3.1	3.0	2.2	100	100	100	NW 5	NW 4	NW 6	10^2	10^2 *	10^2	3.0	
21.	27.7	29.0	29.0	− 8.5	− 3.8	− 4.7	− 3.0	− 8.9	2.3	3.4	3.1	100	100	100	NW 4	W 3	NW 5	10^2	10^1	10^2 *	**9.4**	
22.	29.9	30.8	30.4	− 5.0	− 0.8	− 2.7	− 0.3	− 5.4	3.1	4.1	3.1	100	96	85	NW 3	W 1	W 1	7^0	8^0⊙	3^0	2.9	
23.	28.6	28.5	28.3	− 3.3	− 0.2	− 1.8	0.4	− 4.5	3.4	4.3	4.0	98	96	100	W 2	W 1	SW 5	9^1	10^2	10^2	–	
24.	26.9	27.4	26.7	− 1.0	0.3	− 2.0	0.9	− 2.5	3.5	3.8	3.3	82	81	86	SW 6	S 4	SE 5	7^0⊙	10^1	10^2 *	0.2	
25.	26.3	27.2	27.6	− 1.8	1.7	− 1.4	1.7	− 2.6	3.7	4.5	4.1	93	88	100	SE 5	S 6	SE 4	10^1	10^1	10^1	0.3	
26.	28.2	28.3	27.7	− 0.2	− 0.1	− 2.2	1.2	− 2.3	3.9	4.3	3.6	85	94	92	S 4	SE 3	SE 4	10^0	6^0⊙	2^1	–	
27.	26.8	27.4	28.3	− 1.0	1.0	− 1.2	1.1	− 3.3	2.5	4.4	3.7	58	89	87	E 1	SE 1	C	7^1⊙	5^0⊙	4^0	–	
28.	29.6	31.1	32.4	− 2.4	0.7	− 1.2	1.5	− 3.1	3.8	**4.6**	3.8	100	94	90	SE 3	SE 1	SE 1	10^2 *	10^1 △	1^1	7.3	
29.	33.4	**33.7**	33.1	− 2.4	0.8	− 0.2	1.5	− 3.0	3.8	4.5	4.2	100	93	92	NW 2	SE 4	SE 2	3^0⊙	8^1⊙	0	0.4	
30.	32.4	31.8	30.6	− 0.3	2.6	0.8	**2.7**	− 1.3	3.3	3.5	4.0	73	65	82	C	SE 1	SE 2	3^0⊙	7^0⊙	6^1	–	
																					77.1	
Mittel	24.1	24.5	24.7	− 8.4	− 5.9	− 8.2	− 4.9	−10.1	2.4	2.9	2.5	94	93	94				7.9	8.7	7.2		

Schneedecke während des ganzen Monats, Angabe der Höhe unmöglich.

52

1. a ≡², leichter ∨-Ansatz. 8^{30} a kurze Zeit ≡treiben, 8^{45} a–u ≡², ab 4^{05} p ✳¹
2. a 10 cm Neuschnee, 10 cm ∨, ≡² ✳¹, t ≡² ✳¹, vorwieg. C, ca 10 a–3 p ⊙ ztw. durchschein., ca 8^{30} p Aufhör. des Schneefalles, 30 cm Neuschnee, Wind dreht auf SE u. frischt auf
3. a über Inntal u. teilw. Alpenvorland Nebelmeer in ca 1800 m, in übrigen Tälern vereinzelte cu u. Nebelfahnen, ab 7^{30} a ≡treiben, 8^{35} a–2^{05} p ≡², ab 2^{05} p ≡treiben, [1]
4. mrgs. leichter ∨-Ansatz, a längs der Zentralkette v. SE–SW Föhnmauer, üb. Alpenvorland u. Flachl. Nebeldecke, 10^{30} a–0^{25} p ≡treib., ca 0–5 p cu, str-cu-Gewölk vorherrsch., [2]
5. t längs der Zentralkette v. E–SW Föhnmauer, a starkes ✳treiben, vorzugsw. cu-Bewölkung, 9^{35} a–0^{35} p ≡treiben, ca 5 p kurze Zeit Auftreten von ci u. ci-cu (WSW l), [3]
6. ca 9–10^{25} p ≲ i. SW u. W; a über Flachland ∞¹, ca 10 a–1^{45} p ztw. ≡$^{0.1}$ u. d. G., ztw. ✳⁰, 1^{35}–4^{25} p ≡² ✳¹, ztw. kräftige elektr. Ausstrahlung, $4^{25.55}$ p Aufklaren, [4]
7. $9^{00.20}$ p Gewitterbö △², neg. Elmsfeuer; a 10 cm ∨ ≡¹ ✳¹, t ≡¹, vorwieg. C, 9^{25}–10^{15} a ≡tr., ab 10^{15} a ≡¹, ztw. ✳$^{0.1}$, $0^{25.35}$ p △², schwache elektr. Ausstrahlung, p ztw. ≡tr.
8. ca 10 p kurze Zeit Aufklaren, ab 11^{15} p neuerd. ≡treiben, a ≡², leichter ∨, ab 7^{25} a ≡treiben, 9^{30} a Aufklaren, ab ca 11^{30} a neuerd. ≡treiben, ab ca 0 p–abds. ≡², ztw. ✳⁰
9. ca 10 p Aufklaren, a bedeckt, ≡⁰, ztw. ✳⁰, ringsum cu-Decke in ca 2500 m, t vorwieg. C, ab 1^{15} p ≡$^{1.2}$, ztw. ✳⁰, abds. leichter ∨-Ansatz
10. n ✳⁰, a ≡², 5 cm ∨, 9^{15} a–1^{30} p Aufklaren, ringsum cu-meer in ca 2700–2900 m, ab 1^{30} p neuerd. ≡², ab 8 p starkes Auffrischen des Windes NW 7–8, 9 p leichte ∨bildung
11. t ≡², a ztw. ✳⁰, böiger NW, ca 5–7 p ztw. Windstärke 9, ab ca 8 p Abflauen des Windes, ✳¹, 9 p ca 3 cm Neuschnee
12. t ≡², a ztw. ✳⁰, 11^{35} a k. Z. Abflauen d. Windes, Wind dreht auf NW, ab 0^{05} p ✳⁰, ab 4^{35} p neuerd. starkes Abflauen d. Windes, ✳¹, 5^{47} p Windstärke sinkt bis auf 2, ✳², [5]
13. a ≡², 20 cm Neuschnee, leichter ∨, ca 9–11^{35} a ≡$^{1.2}$, ztw. ⊙, ztw. ✳$^{0.1}$, 11^{35} a–ca 2^{30} p teilw. Aufklaren, p ≡treiben, abds. ≡², n ✳⁰
14. a ≡¹, 5 cm ∨, ab 9^{15} a ≡treiben, 1^{25}–2^{15} p ≡², ztw. ✳⁰, ab 2^{15} p neuerd. ≡treiben, ringsum cu-meer in ca 2900 m
15. a ≡treiben, t ringsum cu-meer in ca 2500–2900 m, ca 9–10^{25} a Gipfel nebelfrei, 10^{35} a–ca 4^{30} p neuerd. ≡treiben, ab 4^{30} p Gipfel nebelfrei, langsames Sichauflösen des cu-meeres
16. a vorwieg. ci-Gewölk, üb. Inntal u. Flachland ∞¹, t starkes ✳treiben, ca 4 p starke Bewölkungszunahme, a-cu, cu-str; ca 6 p vollständ. bedeckt, 6^{15} p teilw. Aufklaren
17. ca 11 p gleichmäss. a-str Schicht im E, ab 11^{30} p ≡¹, n ✳⁰, a ≡², 3 cm ∨, starke ∿bildung, t ≡$^{1.2}$, 10^{00} a kurze Zeit △⁰, p ztw. SW u. S, abds. ≡²
18. n ✳⁰, a 5 cm ∨ ≡², ✳treib., ab ca 10 a ✳⁰, 11^{25} a–1^{35} p ✳¹, ztw. △¹, ab 1^{35} p ≡$^{1.2}$ u. d. G., ab 5 p ≡treib., ab 6^{30} p Gipfel nebelfrei, teilw. Aufkl., 8^{35} p neuerd. ≡$^{1.2}$, ztw. ✳⁰
19. a starkes ✳treiben, in Tälern teilw. cu, ab ca 11 a ztw. ≡treiben, fast vollständig bedeckt, 3^{05} p kurze Zeit ≡²
20. n ✳⁰, a 5 cm ∨, t ≡², ztw. ✳⁰, p sehr starke ∨bildung
21. a 20 cm ∨, ≡², ca 8 a–0 p ≡treiben, ab ca 0 p ≡¹, ab 5 p ≡², 6^{30} p kurze Zeit NW 7, ✳¹
22. ab 9 p starke ∨bildung, n ztw. ✳⁰, a 40 cm ∨, ≡¹, t ≡treib., in Tälern cu, stark. Lawinengang, ab 4^{30} p Auflösung d. oberen cu-Schicht, ca 5 p obere cu-Grenze in ca 2200 m, [6]
23. a ∞¹, ab 7^{40} a ≡⁰, ab 8^{00} a–9^{00} p ≡², 9^{35} a–ca 0 p ztw. △⁰ ✳⁰, 4^{35} p Wind dreht auf SW
24. 9^{00} a–ca 10^{05} p ≡², dann langs. Aufklaren, t längs Karwendel- u. Zillertalerkette Föhnmauer, stark wechs. Bewölkung, 3^{10}–ca 7^{15} p vorwieg. C, ab 7^{15} p böig. Wind, ab ca 8 p ≡$^{1.2}$, [7]
25. a ≡¹, leichter ∨, ztw. ✳treiben, t stark bewölkt, ztw. ≡$^{0.1}$, 2^{05} p kurze Zeit △⁰, ca 3–6 p vorwiegend C
26. a vollständig bedeckt, über Flachland u. teilw. Alpenvorland cu-meer in ca 1500–2800 m, ca 11 a allmähliches Aufklaren, p ci-Gewölk vorherrschend
27. t Bewölkungsgrösse stark wechselnd, a-cu vorherrschend, a Zug der a-cu S l, ab 3 p NE m, ca 5 p Auftreten von Gewitter-cu i. W u. NW, ca 8–9^{00} p ≲ i. NW u. W
28. $9^{00.15}$ p ≲ i. NW u. W, n u. a ✳$^{0.1}$, a 10 cm Neuschnee, ≡², 8^{05} a Aufklaren, in Tälern u. längs Zentralkette lebhafte cu-Bildung, 10^{55}–11^{35} a, 1^{30}–5^{05} p ≡$^{0.1}$ u. d. G., [8]
29. 11^{15} p fast vollst. bedeckt (str-cu), Wind hat auf NW gedreht, ≲ i. NW; a ztw. ≡treiben, in Tälern u. teilw. über Alpenvorland lebh. cu-Bildung, 10^{30} a–1^{40} p ≡$^{1.2}$ u. d. G., [9]
30. t ∞¹, a cu-Gewölk vorherrsch., ab 1 p Auftreten von a-cu, ab 2^{25} p ztw. vollst. bedeckt, ab ca 7 p Auftreten von Gewitter-cu i. SW u. W, abds. starkes ≲ i. S, SW u. W.

---

[1] 4^{25} p Aufklaren, cu, cu-str zunächst vorherrsch., gegen 5 p Auftreten von a-Gewölk.
[2] p gut ausgebild. Föhnmauer v. E–SW
[3] 7 p allmähl. Übergang der cu in cu-str ohne merkbaren Zug, 9 p ≲ i. SW u. W.
[4] ab 4^{55} p neuerd. ≡², 8^{40}–9^{00} p Gewitterbö △², kräft. negat. Elmsfeuer
[5] 9 p 5 cm Neuschnee.
[6] Auftreten von a-Gewölk, ca 7 p vollständige Auflösung des cu-Gewölkes.
[7] ztw. ✳⁰
[8] 1^{35}–2^{01} p, $4^{31.48}$ p △$^{0.1}$, 5^{06} p Aufklaren, 6^{25} p kurze Zeit ≡treiben.
[9] ab 1^{40} p Aufklaren, ztw. ≡⁰, ca 8 p wolklos.

Alle Angaben nach Ortszeit.

Kahl a/M.

Mai. $\varphi = 50^0\ 4'$ N. $\lambda = 9^0\ 1'$ E $= 36^m\ 4^s$. H $= 114.1$ m. Cg $= +0.3$ mm. 1913.

Datum	Luftdruck auf 0° u. Normalschwere reduziert 700 mm +			Lufttemperatur C°					Absolute Feuchtigkeit mm			Relative Feuchtigkeit Proz.			Richtung und Stärke des Windes o bis 12			Bewölkung o bis 10			Niederschlag mm	Bemerkungen
	7a	2p	9p	7a	2p	9p	Max.	Min.	7a	2p	9p	7a	2p	9p	7a	2p	9p	7a	2p	9p	7a	
1.	47.6	46.3	47.4	14.5	15.3	10.7	23.2	10.4	9.9	11.0	8.7	81	85	92	S 2	W 2	NW 2	10²	10²	10¹	–	1³⁸·⁵⁵ p, 6³⁶–7³⁶ p
2.	49.5	50.1	50.3	8.9	10.1	8.9	12.7	7.9	7.4	7.1	8.2	87	78	96	SW 2	SW 2	C	10¹	10¹	10²	7.6	3³⁶ p ab
3.	49.6	47.6	46.5	7.4	14.0	8.3	15.5	4.9	7.2	7.0	7.6	94	59	93	C	E 2	C	10¹	8⁰	0	3.4	a ≡¹
4.	43.0	39.9	42.0	7.5	17.4	8.8	18.1	1.9	6.9	7.6	8.0	89	51	95	SE 2	S 2	C	1⁰	2⁰⊙	10⁰	–	a ⏢, 3²¹–4¹¹ p
5	41.9	41.9	41.4	7.6	9.0	8.1	10.3	6.0	6.6	6.4	7.8	85	87	98	SW 2	C	C	10¹	10¹●	10²●	1.6	t ztw.
6	41.7	43.1	44.5	8.3	6.9	5.4	9.7	5.2	7.7	6.6	6.6	94	88	89	C	S 2	C	10¹	10¹	10¹	7.5	t ztw.
7.	44.2	45.7	49.0	6.2	9.2	7.3	9.9	4.5	6.5	7.6	7.5	91	89	99	C	W 2	W 2	10¹●	10¹	10⁰	1.7	n, t–3³⁶ p
8.	50.2	48.7	48.8	5.5	15.6	9.4	17.1	2.1	6.8	5.9	6.7	100	45	76	C	SE 2	S 2	10¹	1⁰⊙	0	5.2	a ≡¹
9	48.7	47.6	47.3	9.4	18.3	13.0	20.2	6.2	6.0	6.8	6.5	69	43	58	SE 2	SE 2	C	00	00	0	–	
10.	47.9	46.1	45.6	11.5	20.8	15.9	22.9	6.2	6.3	7.5	8.5	62	41	63	W 2	SE 2	C	1⁰	2⁰⊙	10¹●	–	a ⏢
11.	49.9	49.3	53.3	9.8	14.3	10.5	17.0	9.2	8.7	6.7	8.6	96	55	92	SW 2	W 2	C	10¹●	10¹	10⁰	7.6	n, a
12.	54.9	54.2	54.6	10.4	16.3	8.7	17.9	7.2	8.6	8.2	8.1	92	59	96	SE 2	S 2	C	10⁰	10⁰	0	2.6	
13.	54.7	54.3	54.6	11.5	18.1	12.4	20.7	6.9	8.5	6.4	7.6	85	41	71	C	E 4	C	8⁰	8¹	6⁰	0.5	n
14.	54.5	53.2	52.7	13.6	21.2	13.8	22.9	6.1	8.1	6.3	7.2	70	34	61	SW 2	E 4	C	00	00	0	–	a ⏢
15.	52.7	51.5	50.7	13.3	21.1	15.1	23.0	6.7	7.5	6.9	8.2	66	37	64	SE 2	NE 4	NE 2	7⁰⊙	10¹	10⁰	–	
16.	48.9	45.9	44.5	14.3	24.3	18.4	26.2	10.5	8.3	9.1	9.8	68	40	62	E 2	E 4	C	10¹	1⁰	1⁰	–	
17.	43.8	43.9	43.0	15.0	17.8	15.8	21.2	13.7	11.0	11.6	9.7	87	76	73	C	SW 4	SW 2	10¹	10¹	9¹	0.3	n, a; 2¹⁹–3¹² a
18	42.8	43.4	48.7	13.3	17.5	8.4	18.4	8.1	10.6	8.3	8.1	94	56	99	SW 2	W 4	C	10¹●	10⁰	1⁰	1.7	n, a–9⁰⁶ a
19.	50.8	51.8	53.7	9.7	9.2	5.6	15.0	3.7	7.2	6.8	6.8	80	79	100	S 2	E 2	C	9¹	1⁰⊙	0	**9.0**	p ztw. 9⁰⁰ p
20.	56.4	56.6	57.0	6.6	14.6	8.4	16.8	0.1	6.5	6.1	7.0	90	50	86	C	SW 2	SW 2	6⁰	1⁰⊙	9¹	1.2	a ⏢
21.	58.2	56.8	55.7	10.5	19.2	12.2	21.2	3.5	7.2	6.5	7.5	75	39	71	S 2	SW 2	C	00	2¹⊙	0	–	a ⏢
22	53.3	53.8	56.9	12.8	15.5	10.0	19.6	4.0	6.8	6.8	6.8	61	52	74	S 2	SW 4	W 2	1⁰⊙	10¹	1¹	–	t ztw.
23	57.4	57.2	57.2	11.7	14.6	10.8	16.2	6.9	8.0	7.1	8.8	79	57	92	SW 2	SW 4	SW 2	00	10¹	10¹	2.3	
24.	58.3	58.6	59.4	12.2	18.7	14.9	19.6	10.4	10.2	10.0	12.1	97	62	96	S 2	SW 4	C	10¹●	10⁰	10¹	0.9	n, 6²¹–7¹¹ a, 8¹¹·¹⁶ a
25	**60.4**	59.5	59.3	12.6	21.5	14.5	24.3	9.1	10.5	10.2	11.1	97	54	91	C	E 2	C	10¹	1⁰⊙	0	1.5	n, a
26.	60.0	58.4	57.2	14.2	24.9	18.1	27.9	5.9	10.2	10.7	11.2	85	46	73	SE 2	SE 2	C	00	1⁰⊙	0	–	a ⏢
27	55.7	53.3	51.8	18.0	25.1	18.9	28.0	9.6	10.0	12.0	13.9	72	51	86	S 2	SW 2	SW 2	00	10¹	10¹ R	–	a ⏢, 8³¹–9⁰⁰ p, 8⁴¹·⁵⁶ p
28.	52.9	52.9	54.8	17.5	21.9	15.3	25.4	13.6	12.6	11.6	11.6	85	59	89	C	W 4	C	10¹	8²	0	3.6	9⁰⁰·²⁶ p, 11²⁶ p–0²¹ a, 11³¹ p–0²¹ a
29.	55.5	53.5	52.2	17.3	27.4	19.1	30.1	9.3	11.4	9.3	10.4	78	34	60	S 2	SE 2	C	00	1⁰⊙	1⁰	–	a ⏢
30.	51.4	49.4	49.0	19.3	28.0	21.9	**30.4**	18.8	10.9	13.2	13.4	65	47	69	S 2	SW 2	SE 2	10⁰	7¹	9⁰	–	
31.	50.0	49.2	52.2	19.6	28.3	18.9	29.8	15.6	13.3	10.3	**14.2**	79	36	87	S 2	SW 2	SW 4	5⁰	2⁰	10¹	–	a ⏢, 4³⁷ p ab ztw.
Mittel	51.2	50.4	51.0	11.9	17.9	12.5	20.4	7.6	8.6	8.3	9.0	82	56	82				6.4	6.0	5.4	58.2	

Bayreuth.

Mai. $\varphi = 49^0\ 57'$ N. $\lambda = 11^0\ 34'$ E $= 46^m\ 16^s$. H $= 363.3$ m. Cg $= +0.3$ mm 1913.

1.	25.3	23.3	22.7	13.0	24.5	17.0	26.4	8.0	8.9	8.9	9.4	81	39	64	E 2	SE 2	W 4	00	3¹⊙	10²	–	a ⏢, 3²⁶–4²⁶ p
2.	26.6	27.3	28.1	8.7	9.5	7.7	17.0	7.4	7.6	7.4	7.1	92	86	91	W 4	W 2	W 2	10²	10²●	10²	6.1	9¹⁶–10¹⁶ p mit
3.	27.5	25.7	24.2	7.5	12.1	9.3	13.3	6.6	7.2	7.2	7.4	94	69	87	SW 2	SE 2	E 2	10²	10¹	3¹	4.7	a ≡ u. ⏢
4.	21.4	18.9	18.7	8.1	15.8	10.1	18.3	6.0	7.5	8.4	7.4	94	63	80	W 2	SE 2	W 2	10¹≡	5¹⊙	10²	–	n c, t ztw. 0.1
5	18.5	17.8	18.6	6.4	8.4	7.5	10.2	6.0	6.6	6.9	7.3	92	85	94	W 4	W 4	W 2	10²●	10²	10²	0.9	n u. t
6.	19.2	20.9	22.5	6.6	3.9	4.2	7.6	3.5	6.9	5.4	5.9	84	89	96	NE 2	N 6	N 2	10²●	10²●	10²●	10.2	n u. t
7.	22.6	24.0	26.4	4.9	8.2	6.5	9.8	3.2	5.7	6.8	6.4	90	81	89	SE 2	SE 4	NE 2	10²	10²	10²●	6.4	n u t ztw.
8.	28.0	28.2	28.2	5.9	9.5	6.2	12.3	5.1	6.6	6.5	5.9	96	73	85	SE 2	SE 4	SE 2	10¹●≡	10¹	0	2.3	n ztw. 0, a ≡¹
9.	28.6	27.4	27.8	5.6	13.9	9.1	15.8	2.4	5.1	6.1	5.5	75	51	63	E 2	E 4	E 4	00	00	0	–	a ⏑⁰
10.	27.8	25.9	24.9	6.1	17.7	13.3	19.6	1.7	5.7	6.9	6.3	82	46	55	E 2	E 4	E 4	00	00	0	–	a ⏑⁰
11.	26.5	28.2	31.0	7.1	9.1	8.0	13.4	6.7	7.1	8.3	7.8	94	96	**98**	E 2	NW 4	NW 4	10²	10²●	10²●	–	8¹⁶ a ab untertags 0
12.	32.6	32.7	33.1	8.3	11.4	9.7	11.5	7.2	8.0	7.9	8.5	**98**	79	95	NW 2	NW 2	NW 2	10²●	10²●	10²●	6.6	n u. t 0
13.	33.5	33.3	33.4	10.3	16.3	10.2	18.0	7.3	8.6	7.7	7.9	93	56	82	C	E 4	E 2	9¹	8¹	0	2.8	n ztw. 0
14.	33.7	32.1	32.0	11.7	19.0	12.9	20.6	3.2	6.1	5.5	6.3	59	34	57	E 4	SE 4	E 4	00	00	8⁰	–	a ⏢
15.	32.6	29.8	29.0	7.3	20.2	15.0	22.0	2.9	6.1	7.8	9.0	80	44	71	NW 2	NE 2	E 2	5⁰	8⊙	8¹	–	a ⏢
16.	27.2	25.4	24.3	11.9	20.9	17.2	23.4	7.8	9.0	11.2	9.5	87	61	65	NW 2	SE 2	E 4	10⁰	9¹	6¹	–	a ⏢
17.	21.8	21.2	21.6	14.6	15.4	12.5	18.0	10.3	9.8	11.2	10.4	79	86	97	SE 2	SW 4	SW 2	8¹	10¹● R	10²	–	14⁶–15⁶ p i. W mit 1.2
18.	20.8	21.4	25.1	12.5	13.4	8.9	17.0	8.4	9.0	9.1	7.0	84	79	84	SW 4	SW 2	W 6	8²	10²●	10²	22.0	9¹⁶ a ab ztw. 0
19.	29.1	28.5	31.0	7.5	13.2	6.7	13.3	4.2	7.0	5.9	5.9	91	52	83	SE 4	W 4	W 2	6²⊙	10¹	4²	1.5	a ⏢
20.	34.0	34.2	35.8	4.7	13.3	7.1	13.5	0.9	5.8	4.6	6.2	91	40	84	NW 4	NW 4	E 2	10²	8¹	0	–	a ⏑, ≡⁰
21.	36.9	35.7	34.8	6.2	17.3	10.9	19.0	2.0	5.8	6.4	7.8	83	44	80	E 2	NW 2	E 2	1⁰⊙	5¹⊙	0	–	a ⏢
22.	32.4	30.2	33.3	8.1	19.5	9.4	19.8	4.2	6.8	8.8	6.6	86	52	75	E 2	SW 4	SW 2	00	7¹⊙	0	–	a ⏢
23.	35.7	34.9	35.1	8.7	19.1	8.1	19.1	5.1	6.8	6.5	6.9	81	55	87	NW 2	NW 2	W 2	7¹	7¹⊙	3¹	–	a ⏢
24.	36.3	37.6	38.1	9.5	12.9	11.5	13.8	4.2	7.4	8.7	9.5	86	79	95	C	SW 2	E 2	8¹	10²	10¹	–	a ⏢
25.	38.4	37.9	38.2	12.6	20.1	15.2	22.0	10.2	10.1	8.7	9.1	93	49	71	C	NE 2	NE 2	1C¹≡	5¹⊙	0	–	a ≡¹
26.	**39.1**	38.5	36.4	12.1	23.0	15.7	25.8	6.7	8.9	8.9	9.7	85	42	74	E 2	NW 2	W 2	00	3¹⊙	0	–	a ⏢
27.	35.1	32.0	30.0	15.6	26.0	19.2	27.3	9.2	8.9	11.1	12.0	75	45	73	SE 4	W 4	W 2	3⁰⊙	5¹⊙	10¹	–	a ⏢, 7⁰⁶·³¹ p Fern-
28.	30.4	30.9	33.1	15.8	14.0	13.9	20.4	12.9	11.2	11.2	10.6	84	95	91	SW 4	C	W 2	6¹	10²R	5¹	5.7	9¹⁶–11¹⁶ p mit 1, 11⁵⁶ s–0³⁶ p mit 1)
29.	34.5	33.4	32.4	13.1	24.1	17.6	27.2	9.5	10.3	10.0	11.5	93	45	77	C	SW 4	C	3¹⊙	2¹⊙	2¹	**22.3**	a ⏢
30.	30.6	29.0	28.8	16.8	26.8	19.4	28.2	11.2	10.0	11.9	12.6	70	45	75	E 4	NW 4	SE 2	7⁰⊙	4⁰⊙	2²	–	a ⏢
31.	30.1	29.0	29.3	17.9	27.2	19.5	**29.9**	13.7	11.9	10.7	**12.8**	78	40	77	NW 2	W 4	E 2	1¹⊙	2¹⊙	3¹	1.5	11⁴⁶ p–0⁵⁶ a u. 14⁶–2³¹ a mit
Mittel	29.6	28.9	29.3	9.8	16.3	11.6	18.5	6.4	7.8	8.1	8.3	85	61	80				6.2	6.8	5.3	93.0	1) 0³⁶–2²⁶ p mit, 0⁰⁷·¹⁰ p ▲

Alle Angaben nach Ortszeit.

Bamberg.

Mai. $\varphi = 49^0\ 53'$ N. $\lambda = 10^0\ 53'$ E $= 43^m\ 32^s$. H $= 287.7$ m. Cg $= +0.3$ mm. 1913.

Datum	Luftdruck auf 0° u. Normalschwere reduziert 700 mm + 7ª	2ᵖ	9ᵖ	Lufttemperatur C° 7ª	2ᵖ	9ᵖ	Max.	Min.	Absolute Feuchtigkeit mm 7ª	2ᵖ	9ᵖ	Relative Feuchtigkeit Proz. 7ª	2ᵖ	9ᵖ	Richtung und Stärke des Windes 0 bis 12 7ª	2ᵖ	9ᵖ	Bewölkung 0 bis 10 7ª	2ᵖ	9ᵖ	Niederschlag mm 7ª	Bemerkungen
1.	31.9	29.8	30.8	13.4	24.3	13.5	25.5	8.9	9.0	9.5	10.5	78	42	90	W 1	W 1	SW 2	3^1⊙	4^1⊙	10^2	–	n ⏢, 3^{16}–5^{18} p ◸ mit ◍, 6^{51}–8^{42} p ◸ mit ◍, 1)
2	33.7	33.9	34.6	7.9	8.6	7.0	10.6	6.9	7.6	7.4	7.0	96	89	94	W 2	W 3	S 2	10^2●	10^2●	10^2	12.1	10^{04}–11^{09} p ◸ mit ◍, p ztw. ◍^{1}
3.	34.1	32.4	31.0	7.5	11.4	9.7	13.4	6.5	7.4	7.2	8.0	96	72	89	S 1	W 1	NW 1	10^2	10^2	10^2	5.8	
4.	28.1	25.5	25.8	8.1	16.5	8.2	17.6	6.7	7.8	7.2	6.4	98	52	79	S 2	NW 1	NW 3	10^2	6^1⊙	10^1●	–	n ⏢, ca 7 p ⚌ W 7, ca 7 p ◍^{0}
5	25.3	24.8	24.4	6.1	8.4	6.9	10.7	5.8	6.6	7.2	6.9	95	88	93	W 2	W 3	W 1	10^2●	10^2●	10^2	4.2	ca 10^{30} p–11 a ◍$^{0.1}$, p ztw. ◍^{1}
6.	25.9	27.8	29.2	7.2	5.0	3.0	7.8	2.6	7.5	5.5	5.6	99	84	98	W 1	N 4	W 2	10^2●	10^2	10^2●	3.7	n u. t ztw. ◍$^{0.1}$
7.	28.6	30.7	32.7	5.8	8.3	6.5	9.7	3.0	6.6	7.7	7.0	96	94	98	E 1	SE 1	W 2	10^2	10^2●	10^2●	11.7	p ◍$^{0.1}$
8.	34.8	34.4	34.4	5.4	11.4	6.9	12.8	3.8	6.4	6.6	5.7	95	65	77	NW 2	E 2	E 3	10^1=	10^1	0	4.1	n ◍, n ⏢
9.	34.7	33.2	33.6	7.1	15.3	9.3	16.1	2.7	5.2	6.3	5.6	69	49	63	E 3	SE 4	E 4	1^0⊙	1^0⊙	2^1	–	n ⏢
10.	34.0	32.0	31.3	8.1	18.6	12.4	19.4	3.6	5.7	7.5	6.3	71	47	59	E 3	S 3	SE 3	1^0⊙	oo	2^1	–	n ⏢
11.	32.9	35.2	38.0	10.1	10.6	8.4	13.5	8.4	8.5	8.9	8.0	92	94	97	W 2	W 3	W 1	10^2●	10^2●	10^2●	0.5	ca $9^{00.45}$ p ◹ i. S, t ◍^{1}
12.	39.4	40.6	39.7	8.9	11.4	9.3	12.9	8.0	8.3	9.1	8.3	98	91	95	NW 1	NW 1	C	10^2●	10^2●	10^2●	**12.4**	n u. t ◍$^{0.1}$
13.	39.9	39.4	39.8	10.3	17.8	10.9	18.9	8.6	7.9	6.9	6.8	85	46	70	SE 2	SE 5	E 2	10^1	9^1⊙	1^1	3.3	n ⏢
14.	39.9	38.3	38.3	12.8	19.4	13.4	20.3	7.1	6.4	5.7	6.0	58	34	53	SE 3	SE 4	E 2	oo	oo	10^0	–	n ⏢
15.	38.2	36.3	35.5	10.5	20.8	14.4	21.7	6.4	6.6	7.4	8.6	70	41	71	N 2	W 2	NW 2	10^0⊙	10^1⊙	10^1	–	
16.	33.4	31.7	30.0	12.3	22.4	17.3	23.4	10.5	9.1	12.2	9.9	87	61	68	NW 2	C	C	10^2	7^1⊙	10^1	–	n ⏢
17.	28.5	28.3	28.4	14.4	13.2	11.6	19.2	11.6	10.6	11.3	10.1	87	100	99	N 2	W 2	SE 2	10^2	10^2●	10^1	0.1	ca 6 a ◸, ◹ i. NW mit ◍, 2^{30}–3^{36} p ◸ mit ◍
18	27.5	28.4	33.0	12.7	13.6	7.8	16.0	7.8	9.1	10.5	7.6	85	92	56	W 3	W 1	W 2	9^1	10^2	10^1	7.7	n u. t ztw. ◍$^{0.2}$
19.	35.8	35.6	38.5	7.5	12.5	5.6	14.6	3.3	7.6	6.1	6.1	99	57	89	S 2	W 2	W 1	7^1=	10^1	6^1	5.2	n ⏢, ca 0^{30}–1 p ◍^{0}, ca $5^{15.30}$ p ◍^{1}
20.	40.9	40.9	42.5	2.9	12.6	7.7	14.6	– 0.3	5.6	5.4	5.0	100	49	64	S 1	W 3	NW 1	10^2	3^1⊙	2^1	0.2	n ⏢
21.	43.5	42.4	41.2	6.8	16.2	10.5	19.5	2.4	6.6	4.5	6.8	90	48	73	S 2	S 2	S 1	10^1	9^1	3^1	–	n ⏢
22.	39.0	37.0	40.7	8.2	16.7	9.1	20.6	3.1	7.1	8.0	6.6	88	56	76	S 1	W 2	NW 2	1^1⊙	10^2●	3^2	–	n ⏢
23.	42.6	42.0	42.1	8.6	12.8	9.3	15.0	3.3	7.3	8.6	7.4	88	78	86	SE 2	S 2	SW 2	9^0	10^1	10^2●	0.2	n ⏢, a u. p ztw. ◍^{1}
24.	43.2	44.4	41.8	10.2	13.8	12.1	15.0	8.0	8.7	10.0	10.3	94	86	98	SW 1	SW 1	C	10^2	10^2	10^1	1.6	n u. t ztw. ◍^{1}
25	45.0	44.6	44.6	15.5	20.6	14.8	22.3	11.1	10.9	10.6	10.1	83	58	81	S 1	W 2	C	10^0	4^1⊙	2^1	0.1	n ⏢
26.	**45.5**	43.9	42.7	13.3	23.4	16.1	23.9	9.0	9.2	10.4	9.9	81	48	73	NW 3	NW 3	C	oo	2^1⊙	1^1	–	
27.	41.2	38.5	36.4	15.0	26.0	18.6	27.4	9.9	10.4	11.9	12.4	82	48	78	SE 2	S 1	W 2	3^1⊙	7^1	10^2	–	n ⏢, $6^{.7.34}$ p, 8^{23}–9^{00} p, 8^{39}–9^{00} p ◸
28	37.2	36.9	39.7	15.6	22.3	14.3	23.2	12.8	12.1	11.2	11.6	92	56	96	SW 1	W 4	NW 1	8^1⊙	4^1⊙	6^0	7.9	$9^{00.44}$ p, 10^{30} p–0^{04} a ◸, ca 11^{15} p ▲, 1^{44}–2^{10} a, 2)
29.	40.9	39.7	38.6	14.4	24.8	17.6	25.4	10.4	11.9	8.5	10.7	98	36	71	SE 2	S 1	SW 1	8^1⊙	1^1⊙	4^1	1.5	n ⏢
30	36.6	35.3	35.1	18.3	26.6	19.2	27.6	10.8	11.1	**13.8**	12.8	71	54	77	S 3	S 2	S 3	9^0⊙	4^1⊙	7^1	–	4^{45}–5^{00} p ◍^{0}
31.	36.0	35.2	35.6	18.9	27.0	20.1	**27.9**	14.9	13.1	10.5	12.2	81	40	70	S 2	S 2	S 1	7^1⊙	3^1⊙	10^2	7.0	
Mittel	36.1	35.5	35.9	10.5	16.5	11.3	18.3	7.0	8.3	8.5	8.3	87	63	81				7.6	6.9	7.1	89.3	1) 7^{18}–8^{42} p ◹ i. SE u. N 2) 3^{06}–4^{19} p ◸

Würzburg.

Mai. $\varphi = 49^0\ 48'$ N. $\lambda = 9^0\ 56'$ E $= 39^m\ 44^s$. H $= 179.3$ m. Cg $= +0.3$ mm. 1913.

1.	40.5	38.7	40.3	14.2	23.0	13.5	23.0	9.9	9.1	8.6	9.7	76	41	85	W 3	S 2	SW 4	3^1⊙	4^2⊙	10^2	–	n ⏢, 8^{00}–9^{09} a ◍, 8^{30}–9^{20} a, 2^{28}–4^{30} p, 4^{30}–5^{40} p ◸, 1)
2.	44.0	43.6	43.8	8.9	9.6	8.5	13.5	8.4	7.6	7.3	7.6	89	83	92	W 3	W 1	W 1	10^2	10^3●	10^2	**16.6**	meistens ◍
3.	43.5	41.5	40.2	6.1	12.5	8.7	12.5	5.7	6.8	6.9	7.5	97	64	89	C	W 1	C	10^2=	10^2	3^2	5.3	mrgs. ≡^{2}
4.	37.2	33.8	35.5	6.0	17.3	9.3	17.3	4.7	6.8	6.1	7.0	97	42	80	C	S 1	S 3	10^3=	2^2⊙	10^2	–	mrgs. ≡^{2}, p ztw. ◍
5	35.1	34.3	34.4	7.4	9.1	8.2	9.5	4.0	6.2	6.9	7.2	80	80	89	SW 2	SW 1	C	10^2	10^3●	10^3●	1.3	ztw. ◍
6.	35.1	36.8	38.4	8.3	6.7	5.0	8.3	4.8	7.3	6.5	5.3	89	88	81	SW 1	E 3	E 1	10^2●	10^2	10^2	1.3	ztw. ◍
7.	38.0	39.1	42.5	6.1	10.0	7.1	10.5	4.0	6.3	8.4	7.3	90	92	**98**	E 1	E 1	C	10^2	10^2	10^2	5.1	ztw. ◍
8.	44.2	42.7	43.0	4.4	14.1	8.2	14.4	**2.9**	5.9	6.4	6.5	96	54	81	C	SE 3	C	10^2=	6^2	0	3.8	n ≡^{2}
9.	43.3	41.8	41.7	7.1	16.7	10.7	17.9	3.7	5.7	6.5	6.6	76	46	70	SE 3	SE 3	SE 2	oo	oo	0	–	n ⏢
10.	42.6	40.5	39.6	10.0	19.3	14.4	21.2	4.9	6.4	5.9	8.2	69	36	67	E 2	SE 2	S 1	8^1⊙	oo	5^1	–	n ⏢
11.	42.6	45.3	47.2	9.5	11.0	10.0	14.4	9.2	8.0	8.1	8.8	91	82	96	W 4	W 3	NE 1	10^2●	10^2●	10^2●	5.5	t ◍
12.	48.5	48.8	48.7	10.1	11.8	11.0	13.0	6.8	8.7	9.1	9.2	95	88	94	W 1	S 1	C	10^2●	10^2	10^2●	5.8	ztw. ◍
13.	48.7	48.4	48.3	11.8	17.7	12.5	18.0	9.9	8.6	7.1	8.4	84	48	78	E 2	SE 4	C	9^2	7^2	0	6.7	
14.	48.8	47.1	46.6	10.0	20.2	13.4	22.0	6.3	7.6	5.4	7.0	83	30	61	C	SE 5	C	oo	oo	6^1	–	mrgs. ⏢
15.	46.9	45.5	44.4	9.9	20.8	15.0	21.9	6.9	6.9	6.8	9.3	76	37	73	C	SW 3	C	9^1⊙	8^1⊙	8^2	–	n ⏢
16.	42.5	40.4	38.6	14.0	22.9	18.3	24.5	11.9	9.4	9.3	10.3	79	45	65	E 1	E 4	SW 4	9^1	oo	8^1	–	n ⏢
17.	37.2	37.8	37.1	15.1	16.2	15.8	20.5	13.5	11.1	10.6	9.3	87	77	69	SW 1	W 3	W 3	10^2	10^2	4^1	3.5	n ◹, n u. a ◍
18.	36.4	37.0	42.1	14.8	15.4	10.2	17.1	10.0	9.4	9.3	6.6	75	71	71	SW 3	SW 1	SW 3	7^2⊙	6^2⊙	10^2	0.1	ztw. ◍
19.	44.5	45.0	48.8	8.9	11.3	7.3	12.9	4.9	6.8	5.9	6.4	80	59	85	C	NW 2	C	8^1⊙	3^2⊙	3^2	3.5	n ⏢, ztw. ◍
20.	50.4	50.5	52.1	4.9	13.2	9.2	16.1	3.8	5.7	5.1	6.5	89	45	75	S 1	N 1	N 1	10^2	7^2	5^2	0.2	
21.	52.5	51.3	50.8	8.1	18.0	13.0	19.5	4.2	6.6	5.8	7.8	82	38	70	C	SE 3	C	oo	2^2⊙	1^1	–	mrgs. ⏢
22.	47.8	47.4	50.3	7.9	13.3	10.7	18.9	5.1	6.9	8.6	7.1	88	76	73	SW 1	NW 1	SE 1	1^1⊙	10^2●	2^2	–	mrgs. ⏢, 1^{40}–2^{10} p ◸, 1^{40}–2^{05} p ◍
23.	51.8	51.1	51.3	10.5	15.1	9.7	15.3	8.3	7.3	6.0	8.5	76	47	95	SW 1	SW 2	C	3^2⊙	8^2	10^2●	1.0	5^{20} p ab ◍
24.	52.5	53.2	53.8	10.6	16.0	13.8	16.0	7.9	9.2	10.1	10.9	97	75	94	SE 1	SW 2	C	10^2	10^2	10^2	4.5	mrgs. ∞, p ztw. ◍
25.	54.2	54.0	54.0	13.1	21.0	14.9	22.6	12.0	10.6	9.8	10.9	95	53	87	W 1	SE 2	SW 1	6^2	3^1⊙	0	0.2	mrgs. ≡^{1}
26.	**54.6**	52.8	51.7	11.1	23.4	16.8	24.9	9.2	9.1	11.0	10.6	93	51	81	SE 2	SW 1	C	oo=	2^1⊙	0	–	mrgs. ≡^{2}
27.	50.1	47.4	45.9	14.0	26.4	19.8	26.9	11.1	10.0	9.4	12.0	85	37	70	SW 1	SW 3	SW 2	1^1⊙	3^2⊙	10^2≡	–	mrgs. ⏢, $0^{35.55}$ p, 8^{30}–9^{00} p ◸ mit ◍
28.	46.3	46.3	48.8	17.5	23.7	17.9	24.2	13.9	11.9	10.8	11.8	80	50	77	SW 3	SW 4	C	3^2⊙	3^2⊙	0	3.5	9 p–ca 2 a ◸
29.	49.7	48.2	47.4	15.5	25.6	19.0	26.5	12.6	11.1	8.3	12.0	85	34	74	C	SW 3	S 1	2^1⊙	oo	0	–	n ⏢
30.	45.5	43.8	43.4	15.3	26.3	21.7	27.9	12.2	10.7	12.0	**14.2**	83	48	74	E 1	SW 3	W 1	10^2	1^1⊙	9^2	–	n ⏢, 8^{55}–9 p ◸
31.	44.5	43.7	45.6	16.4	27.1	20.3	**28.0**	15.6	13.1	12.4	12.6	95	46	71	C	S 1	W 3	10^2	oo	8^2≡	2.8	$9^{00.40}$ p ◸, 4^{50}–6^{00} a, 8^{00}–9^{00} p ◸ mit ◍
Mittel	45.1	44.4	45.0	10.6	17.2	12.7	18.7	8.0	8.3	8.1	8.8	86	57	80				6.7	5.3	5.9	70.7	1) 3^{40}–4^{30} p ◍

Alle Angaben nach Ortszeit

Ludwigshafen a/Rh.

Mai. $\varphi = 49^0\ 29'$ N. $\lambda = 8^0\ 26'$ E $= 33^m\ 44^s$. H $= 100.3$ m. Cg $= +0.3$ mm. 1913.

Datum	Luftdruck auf 0^0 u. Normalschwere reduziert 700 mm +			Lufttemperatur C⁰					Absolute Feuchtigkeit mm			Relative Feuchtigkeit Proz.			Richtung und Stärke des Windes 0 bis 12			Bewölkung 0 bis 10			Niederschlag mm	Bemerkungen
	7^a	2^p	9^p	7^a	2^p	9^p	Max.	Min.	7^a	2^p	9^p	7^a	2^p	9^p	7^a	2^p	9^p	7^a	2^p	9^p	7^a	
1.	48.1	48.1	49.2	15.8	16.7	12.2	21.4	12.2	9.7	8.9	9.1	73	63	87	SW 1	W 2	SW 2	2^0⊙	10^2	10^2	–	10^{15}–11^{34} a ◍ ⌇
2.	52.0	52.1	51.6	9.0	10.8	10.2	12.2	8.0	6.5	7.2	7.0	76	73	76	W 2	SW 1	SW 1	10^2	10^2●	10^2	9.6	n, ca 1^{30}–3^{30} p ◍
3.	50.9	48.5	47.2	6.0	14.7	12.2	14.7	4.8	6.6	6.3	7.1	94	51	67	S 1	NE 1	NE 1	10^2=	9^1	10^2	1.8	a ≡², dann ∞; später wechs. Bewölkung
4.	44.0	42.7	43.4	10.2	16.2	8.5	17.0	8.0	6.9	6.6	7.0	74	49	86	SE 1	SW 2	SW 2	7^1	10^2	10^2	–	a wechs. Bewölkung, ca 1^{30} p ab öfters ◍⁰
5.	43.2	42.4	43.0	7.4	12.6	8.6	13.4	6.0	5.8	5.1	7.4	74	47	89	S 1	W 1	SW 1	10^2	10^2	10^2	1.2	a wechs. Bewölkung, nachm. u. abds. öfters ◍
6.	43.0	43.8	45.1	8.3	10.7	7.6	10.7	7.4	7.4	7.6	7.1	91	79	91	SW 1	E 1	NE 2	10^1●	10^2	10^1	4.6	n, mrgs. anhaltend ◍; dann dauernd bedeckt
7.	44.7	48.3	50.3	7.6	8.7	7.6	10.0	6.0	7.2	6.4	6.9	93	76	89	SW 1	SW 2	SW 1	10^1●	10^2	0	2.6	n–ca 1^{10} p ◍⁰
8.	51.5	48.9	48.7	3.9	16.2	12.5	17.0	2.0	5.9	4.5	6.8	97	33	62	NE 1	E 1	E 1	0=	1⊙	2	5.6	a ≡¹
9.	48.9	47.8	47.8	9.0	20.5	16.1	21.0	7.0	7.0	6.2	7.2	81	35	54	NW 1	E 1	C	⊙⊙	⊙⊙	0	–	a ∞
10.	48.8	46.8	47.8	10.6	19.6	13.8	19.6	9.6	7.4	9.1	10.4	77	53	90	NW 1	W 2	SW 2	1⊙	9^2·	10^2●	–	a ∞, nachm. wechs. Bewölkung, ca 7^{30} p ab ◍¹
11.	51.9	53.2	55.3	10.6	15.8	11.4	15.8	10.0	7.2	6.3	8.3	74	47	83	SW 1	SW 2	NE 1	10^1●	10^2	10^2	12.4	n–in den Vormitt. hinein ◍; ca 5 p ◍⁰, wechs. Bew.
12.	56.3	55.8	56.6	11.2	18.4	12.7	19.4	9.0	8.0	6.3	7.8	80	40	71	SE 1	SE 1	SE 1	5^1⊙	2^0⊙	0	0.6	t rasch wechs. Bewölkung, ca 4 p ◍¹
13.	55.5	54.6	55.2	10.0	22.2	16.2	22.2	8.0	7.8	7.5	7.2	76	38	53	E 1	E 1	E 1	⊙⊙	2^1	2^1	0.6	a ∞, ⌓
14.	55.3	53.6	52.8	12.2	23.0	17.4	23.0	8.2	7.8	6.4	6.7	74	31	45	NE 1	NE 1	C	⊙⊙	2^0⊙	2^0	–	nachm. cir aus NE; ca 3^{30} p bedeckt
15.	53.7	52.4	51.3	11.1	23.4	18.8	23.4	9.0	7.2	6.2	7.1	73	29	45	N 1	E 1	C	10^1	2^0⊙	10^2	–	t wechs. Bewölkung
16.	49.4	46.9	44.5	13.6	24.5	19.6	24.5	12.0	8.2	8.6	10.8	71	38	63	NW 2	N 2	N 2	5^1⊙	⊙⊙	9^2	–	7^{49} p ≺ i. W. 8^{19}–9^{14} p Fern-⌇, dann ≺
17.	46.0	45.1	44.3	14.5	19.1	15.8	19.6	14.0	10.6	10.5	9.7	87	63	73	SW 1	S 2	S 2	10^2●	10^2	5^1	2.2	n, a ◍; ca 2^{30} p ab wechs. Bewölkung
18.	44.4	44.8	50.4	13.2	19.0	18.2	19.4	12.2	9.7	10.3	10.2	87	63	65	S 1	SW 1	SW 1	10^1●	9^2	10^2	6.6	n–ca 10^{30} a anhalt. ◍; nachm. wechs. Bewölkung
19.	52.6	53.6	55.6	9.6	11.5	8.7	18.2	7.8	6.1	5.4	5.6	69	54	67	SW 1	W 2	W 1	5^1⊙	8^2	0	4.4	a cir aus SW, nachm. ◍⁰
20.	58.3	58.7	58.9	7.1	14.2	13.1	14.6	4.2	5.9	5.4	6.3	78	45	56	SW 1	S 1	S 1	⊙⊙	2^0⊙	10^2	0.4	n ⌓, ca 1 p ◍⁰, abds. bedeckt
21.	60.4	58.3	56.8	8.7	20.3	16.0	20.3	6.2	6.2	5.6	6.8	74	31	50	SE 1	SW 1	C	⊙⊙	2^0⊙	0	0.2	a ∞
22.	54.7	55.6	59.0	12.1	17.0	13.4	17.6	8.0	5.7	6.4	7.1	54	45	62	S 1	W 2	W 1	5^1⊙	10^2	10^2	–	a cir aus S, ca 10 a ◍¹, dann öfters ◍ u. wieder Aufkl.
23.	59.7	59.2	58.9	11.2	16.7	12.0	16.7	9.6	7.1	7.1	9.9	72	50	96	SW 1	SW 1	SW 1	10^2	10^2●	10^2●	1.6	ca 2 p ab ◍
24.	60.3	61.4	61.2	13.4	19.2	17.6	19.2	11.4	9.6	9.9	10.5	85	59	70	W 1	SW 1	W 1	10^2	3^1⊙	10^2	2.4	t wechs. Bewölkung
25.	62.2	61.2	61.1	13.6	24.6	19.2	25.2	12.4	10.1	8.6	10.1	88	37	61	N 1	N 1	C	⊙⊙	⊙⊙	0	–	
26.	61.8	59.8	57.8	13.8	26.0	22.2	26.9	12.0	10.2	9.4	11.5	87	38	58	N 1	S 1	C	⊙⊙	⊙⊙	0	–	
27.	57.2	55.0	53.6	17.0	28.5	21.8	**30.8**	15.0	11.5	10.9	10.6	80	38	55	S 1	SW 2	SW 1	⊙⊙	2^0⊙	2^0	–	ca 10 a Gewitterwolken. ca 5 p ⌇ (5 Min. ◍¹), abds. ≺
28.	54.4	54.7	56.2	18.8	25.2	20.0	25.2	16.8	11.8	8.5	9.6	73	36	55	SW 1	W 3	N 1	⊙⊙	2^0⊙	0	0.2	ca 0^{30} p ◍⁰, wechs. Bewölkung
29.	56.8	54.9	52.7	16.3	28.2	23.0	28.2	13.4	10.5	7.6	10.2	76	**27**	49	C	C	C	⊙⊙	⊙⊙	0	–	
30.	52.6	50.5	50.4	18.3	29.4	25.8	29.7	16.0	10.7	10.3	**13.8**	68	34	56	C	C	C	2^0⊙	2^0⊙	10^2	–	abds. Gewitterwolken
31.	51.3	50.2	53.4	20.1	30.0	18.6	30.2	18.0	12.1	9.6	12.8	69	30	81	C	S 2	SW 3	⊙⊙	6^2	10^2●	1.8	ca 1^{30}–3^{30} a ⌇ ◍, abds. ◍
Mittel	52.6	51.9	52.3	11.7	19.4	15.2	20.2	9.8	8.2	7.6	8.7	78	46	68				4.6	5.2	5.9	58.8	

Nürnberg

Mai. $\varphi = 49^0\ 27'$ N. $\lambda = 11^0\ 3'$ E $= 44^m\ 12^s$. H $= 309.1$ m. Cg $= +0.2$ mm, über 735.0 mm Cg $= +0.3$ mm. 1913.

1.	29.3	27.4	28.4	14.5	22.8	13.2	23.2	10.6	8.3	9.4	10.2	68	46	91	SE 1	N 2	W 3	1^0⊙	3^1⊙	10^1	–	11^{44} p–4^{17} a ≺, ca 5 a ⌓, 1^{52}–3^{28}, 2^{13}–4^{34} u. 5^{48}–9^{00} p ⌇ m. ◍
2.	31.7	31.9	32.2	8.6	9.3	7.8	13.4	7.8	7.7	7.4	7.2	92	86	92	SW 2	W 3	W 2	10^1●	10^1●	10^1	7.3	9^{00}–10^{41} p ⌇ mit ◍, n u. t ztw. ◍⁰
3.	31.9	30.2	28.4	7.8	11.2	10.0	11.8	6.8	7.0	6.7	7.5	89	67	82	C	C	NW 1	10^1	10^0	10^0	4.8	a ≡⁰, westl. bis nördl. Winde, ztw. C
4.	26.2	23.2	23.6	9.7	16.0	8.9	17.1	8.0	7.8	6.6	6.9	87	49	81	SW 2	S 2	NW 3	10^0	5^0⊙	8^1	0.2	ca 5 a ⌓, ca 5–9 a ≡⁰, 6^{40} p ab ztw. ◍
5	23.9	23.1	23.1	6.6	8.3	7.4	9.0	6.0	5.9	6.9	6.8	81	86	89	W 2	NW 3	W 2	10^0	10^0●	10^1	0.8	n u. t ztw. ◍⁰, durchaus bedeckt, lebh. westl. Winde
6.	23.7	24.8	26.3	7.4	7.2	4.9	8.6	4.8	7.1	6.9	6.2	93	91	97	SW 2	NE 2	NW 2	10^0●	10^0●	10^1	3.3	n u. t ztw. ◍⁰·¹, durchaus bedeckt
7.	26.6	28.0	30.8	5.7	9.0	7.2	9.0	4.5	6.4	7.7	6.8	94	91	90	E 2	E 2	W 2	10^0=	10^0●	10^1	9.3	ca 5–8 a ≡⁰·¹, n u. t ztw. ◍⁰·¹
8.	32.5	31.8	31.5	5.1	11.3	7.6	12.0	4.1	6.2	6.3	5.9	95	62	76	W 1	E 2	E 2	10^0=	4^0⊙	0	6.0	ca 4–11 a ≡¹·², 1^{14}–^{19} a ◍⁰, 9^{45} a ab Aufklaren
9.	32.2	31.1	31.0	6.3	14.4	9.4	15.2	3.2	5.0	5.7	5.8	71	47	66	E 3	SE 2	E 3	⊙⊙	⊙⊙	0	–	ca 4 a ⌓, lebh. östl. Winde
10.	31.6	30.0	28.8	8.2	17.5	13.0	18.7	4.8	5.8	6.0	6.5	71	41	58	SE 1	SE 2	E 2	⊙⊙	⊙⊙	0	–	ca 11 p Ψ, ca 5 a ⌓⁰
11.	31.1	33.3	35.6	10.0	9.3	8.7	13.0	8.7	8.3	8.0	7.9	91	92	95	SW 2	NW 3	NW 3	10^0●	10^0●	10^0●	0.2	ca 10 p Ψ, a ztw. ◍⁰·¹, lebh. westl. bis nördl Winde
12.	37.0	37.1	37.1	8.7	10.7	9.8	11.0	8.1	8.2	8.5	8.8	**98**	90	**98**	N 1	NW 2	NE 1	10^0●	10^0●	10^0	**12.1**	n u. a ◍⁰·¹, durchaus bedeckt, abfl. nördl. Winde, p ztw. C
13.	37.3	37.0	36.8	10.7	16.4	12.0	16.8	8.4	8.3	6.3	7.7	87	45	74	SE 2	E 2	E 2	9^0	9^0	0	4.6	ca 5 a ⌓¹, ca 6–8 a ≡
14.	37.5	36.0	35.4	10.8	18.6	14.0	18.9	8.0	6.4	5.2	6.0	67	32	51	E 3	E 3	E 3	·⊙⊙	⊙⊙	4^0	–	ca 10 p Ψ, 4 a ⌓, ca 8 p Ψ
15.	35.5	33.9	32.8	11.2	20.0	17.2	20.1	7.9	5.9	6.5	8.5	59	38	58	E 3	E 2	NE 1	10^0	9^0⊙	10^0	–	ca 0 a Ψ, wechs Bewölkung
16.	31.0	29.0	27.3	13.9	22.3	18.2	22.8	11.2	9.1	9.5	10.6	77	48	68	E 3	E 3	E 2	10^0	1^0⊙	9^1	–	ca 0–8 a bedeckt, $5^{07.16}$ a, 5^{54}–6^{53} a ◍
17.	26.4	26.5	26.5	15.3	13.2	13.1	18.2	13.0	10.0	10.9	10.7	78	97	96	S 3	SW 3	SW 2	9^1⊙	10^0●	10^0	1.1	n ≺, 9^{29} p–2^{32} a u. 4^{19}–5^{40} a ⌇, 4^{46} a ⌒, 4^{18}–5^{11} a ◍¹, ¹)
18.	25.9	26.1	30.6	15.0	15.1	9.2	16.8	9.2	9.3	11.1	8.1	73	87	93	SW 3	SW 2	NW 3	4^0⊙	10^0	10^0	4.9	n ◍, ca 5 a ⌓, a u. p ztw. ◍, 4^{48}–5^{56} p ⌇ a ^{13} W
19.	33.6	33.5	36.1	9.5	12.8	6.6	12.9	6.6	7.1	5.9	6.1	80	54	84	SW 2	NW 2	SW 2	2^0⊙	10^0	4^1	1.4	4^{14} a ⌓⁰, mrgs. ≡⁰·¹, $9^{32.50}$ a u. $3^{37.30}$ p ◍², ²)
20.	38.3	38.9	40.1	5.6	11.8	8.0	12.9	3.3	5.9	3.1	6.3	86	30	79	NW 3	NW 3	SW 2	⊙⊙	2^0⊙	4^1	0.2	9^{15} p, ca 0 a Ψ, a ⌓²
21.	41.3	40.0	38.8	8.9	15.4	11.5	16.6	3.5	5.9	6.1	7.6	70	47	75	SE 3	SW 1	S 1	·9^0⊙	6^1⊙	4^0	–	ca 0 a Ψ, a ⌓¹
22.	36.9	34.8	38.5	8.4	18.4	11.0	18.9	5.0	6.3	7.2	6.6	77	46	68	SE 1	W 2	NW 3	⊙=	8^1	1^1	–	ca 3^{30} a ⌓¹, a ≡⁰·¹, 2^0–4^{30} p ⌇ mit ◍
23.	40.4	39.9	39.6	9.0	12.8	9.8	14.7	5.9	7.3	7.3	8.7	86	67	96	W 1	NW 1	W 3	10^0	10^0	10^0	–	a ⌓², ≡⁰·¹, a u. p ztw. ◍
24.	40.8	42.1	42.4	10.4	14.2	13.4	16.4	8.4	8.3	9.2	10.4	89	77	91	SE 1	W 2	W 1	10^0	10^0	10^0	2.2	ca 5–7 a ≡⁰·¹, n u. t ztw. ◍, ca 6–8 p ≡⁰·¹
25.	42.8	42.5	42.2	13.3	19.5	15.4	19.7	11.8	10.6	10.0	10.1	94	59	78	NW 1	W 2	N 1	10^0=	3^0⊙	0	–	a ⌓¹ u. ≡⁰·¹, $3^{25.44}$ a ◍
26.	**43.2**	41.5	40.4	12.4	22.1	17.9	22.6	8.4	9.2	10.2	10.6	87	52	69	E 1	N 2	NE 1	0=	3^0⊙	0	–	n klar, a ⌓¹ u. ≡⁰·¹
27.	39.2	36.7	34.6	16.6	25.3	19.0	25.8	11.4	10.1	11.2	12.7	71	47	78	SE 2	W 2	SW 2	5^0⊙	6^1⊙	10^0	–	a ⌓⁵, $3^{18.38}$ p ⌇ i. S mit ◍. 8^{30} 9^{30} p ⌇
28.	35.4	34.9	37.5	17.6	22.3	16.7	22.3	13.3	12.1	10.7	11.5	81	54	81	SW 3	W 5	W 2	6^0⊙	6^0⊙	10^0	5.0	$9^{00.20}$ p ⌇, $11^{27.30}$ p ▲¹, 10^{14} p–2^{56} a, 10^{38}–11^{44} p ⌇, ³)
29.	38.8	37.6	36.5	15.0	24.2	19.0	24.8	11.2	10.9	9.4	10.7	86	42	65	E 1	S 1	S 2	2^0⊙	1^0⊙	3^0	0.2	ca 2 a Ψ, ca 4 a ⌓¹, a ≡⁰·¹
30.	35.8	33.3	33.3	19.1	27.3	19.9	**27.7**	13.6	10.3	13.2	**13.4**	63	49	78	E 2	W 2	S 1	5^0⊙	5^0⊙	9^1	–	ca 3 a Ψ, a ⌓⁰, $3^{16.29}$ p ⌇ i. S., $4^{03.37}$ p ◍⁰
31.	33.9	33.0	33.0	19.3	26.6	23.1	26.9	15.9	12.0	10.7	13.0	73	42	62	SE 1	S 2	S 2	2^0⊙	6^1⊙	9^0	–	10^{02} p–1^{23} a ⌇ i. N, a ⌓, ≡⁰
Mittel	33.9	33.2	33.5	11.0	16.3	12.4	17.3	8.2	8.0	8.1	8.6	81	60	79				6.2	6.3	6.6	63.6	1) 1^{12}–5^{44} p ◍⁰·¹. 2) $4^{02.16}$ u. $6^{56.59}$ p ◍, 7^{00} p ⌒. 3) ca 4^{15} p ⌒

Alle Angaben nach Ortszeit.

Kaiserslautern.

Mai. $\varphi = 49^0\ 27'$ N. $\lambda = 7^0\ 46'$ E $= 31^m\ 4^s$. H = 242.2 m. Cg = + 0.3 mm. 1913.

Datum	Luftdruck auf 0° u. Normalschwere reduziert 700 mm +			Lufttemperatur C°					Absolute Feuchtigkeit mm			Relative Feuchtigkeit Proz.			Richtung und Stärke des Windes 0 bis 12			Bewölkung 0 bis 10			Niederschlag mm	Bemerkungen
	7a	2p	9p	7a	2p	9p	Max.	Min.	7a	2p	9p	7a	2p	9p	7a	2p	9p	7a	2p	9p	7a	
1.	36.4	36.9	38.1	14.3	12.5	9.1	17.4	9.1	9.7	9.0	8.1	81	85	93	C	W 2	W 3	9⁰⊙	10²●	10²●	–	n ≲, a ⌓, 7^{36} a–n ◎$^{0.1}$, ztw. ◎^{2}
2.	39.6	39.3	39.0	7.5	10.6	8.5	11.9	6.7	6.5	7.0	7.4	85	73	89	W 1	W 1	C	10²	10²	10²	15.8	n, 5^{16}–6^{31} p ◎$^{0.1}$
3.	38.2	36.6	35.1	4.7	10.6	8.5	13.8	3.2	6.0	7.5	7.4	94	79	89	C	SE 1	C	10²≡	10²●	10²	0.5	n u. a ≡$^{1.2}$ ⌓^{2}, ca 10^{00} a–abds. ztw. ◎$^{0.1}$
4.	31.4	29.6	31.1	8.3	11.2	7.5	15.0	5.3	7.3	7.1	6.1	89	72	79	C	W 3	W 2	2⁰⊙	10²●	10^{1}	1.2	11^{16} a ab ztw. ◎-Tr.
5.	31.1	30.7	31.1	6.9	10.0	8.0	12.2	5.6	6.0	6.0	7.2	81	66	90	W 1	W 1	C	10²	10²●	10²●	0.2	1^{45} p–n ◎$^{0.1}$
6	30.7	31.5	33.0	8.1	9 8	6.9	11.0	6.9	7.4	7.7	6.8	92	86	91	W 1	E 1	C	10² ≡●	10²	10^{1}	5.3	n–7^{11} a ◎, a ≡$^{1.2}$, 5^{30} p–n ◎^{0}
7.	32.3	35.6	37.6	7.3	9.1	7.0	11.7	6.0	7.2	6.6	6.7	94	76	89	E 1	NW 1	C	10²●	10^{1}	7^{1}	2.9	n–abds. ztw. ◎
8.	38.4	36.6	36.2	5.3	15.1	10.3	16.0	1.2	5.9	6.1	6.9	89	48	74	E 1	SE 3	E 2	oo	1^{0}⊙	3^{0}	5.7	a ⌓^{2}
9.	36.1	35.2	35.4	10.0	19.8	13.6	20.9	7.0	6.6	7.7	7.8	72	45	68	SE 3	SE 2	C	oo	co	1^{0}	–	
10	36.4	34.8	36.7	11.9	19.7	11.6	19.7	10.2	7.5	8.9	8 8	73	52	87	C	E 1	C	1^{0}⊙	7^{0} ⊙☈	10^{7}●	–	t ztw. ◎-Tr., ca 1^{30}–2^{30} p, 4^{30}–7^{30} p ☇, 6^{04} p–n ◎
11.	39.7	40.6	42.3	8.9	14.0	9.9	15.5	8.1	7.4	7.6	7.7	87	64	84	NW 2	W 1	C	10²	9^{2}●	7^{1}	6.4	n ◎, 1^{56}–2^{06} p ◎-Tr.
12.	43.4	42.6	42.6	8.3	15.3	10.3	17.6	5.7	7.0	7.7	7.9	87	59	85	C	W 2	SE 1	3^{0}⊙	9^{1}	2^{0}	0.1	a ⌓^{2}, ∞; $10^{01.31}$ a ztw. ◎-Tr.
13.	42.6	42.0	42.4	10.0	18.1	12.2	19.2	5.8	8.0	7.7	8.2	87	50	78	SE 2	SE 3	C	10^{1}	3^{0}⊙	o	0.1	a ⌓, m–4^{01} p ztw. ≡
14.	42.4	40.7	40.7	9.6	20.6	14.1	21.0	5.2	7.3	8.3	8.8	83	46	74	C	SE 1	C	oo	5^{1}⊙	o	–	a ⌓^{2}, ∞
15	41.0	39.7	39.3	10.8	21.3	15.5	21.3	8.0	6.9	7.5	9.2	71	40	70	E 2	E 1	C	10^{1}	10^{0}	10^{1}	–	a ⌓
16.	37.1	34.8	33.2	13.7	22.8	16.5	24.0	10.4	8.3	9.8	11.9	71	48	85	E 1	E 3	C	5^{0}	oo	10² ☇●	–	a ⌓, p ztw. ≡, 6^{36} p–n ☇, 8^{01} p–n ◎^{2} ≲
17	33.9	33.1	32.8	13.5	18.5	14.7	20.1	12.5	10.2	9.9	9.5	89	62	76	W 1	W 3	W 2	10²	7^{1}	2^{0}	12.0	n ☇ u. ◎
18.	32.2	33.3	37.9	13.3	18.2	10.1	18.2	10.1	10.3	7.2	7.3	91	47	79	W 1	W 5	C	10²●	10^{1}	7^{2}	0.1	n ◎^{0}, mrgs.–7^{37} a, 8^{11}–10^{21} a ◎, p ztw. ≡
19.	40.3	40.6	43.0	7.2	11.9	7.1	14.0	3.6	6.0	4.9	5.8	79	47	77	NW 1	NW 4	C	10^{1}	5^{1}⊙	2^{1}	3.2	a ⌓^{2}, $11^{11.21}$ a ◎^{0}
20.	45.2	45.3	46 3	4.7	14.1	8.9	16.0	1.7	5.4	4.5	6.7	84	37	78	C	NW 3	S 1	oo	3^{1}⊙	o	–	a ⌓^{2}, ∞
21.	46.9	45.3	43.8	7.2	18.1	11.9	20.2	3.1	6.1	7.1	7.2	80	46	69	C	SE 1	SE 2	oo	5^{1}⊙	o	–	a ⌓^{2}, ∞
22.	42.0	43.1	45.8	10.1	16.3	10.7	16.3	5.4	6.8	6.1	8.1	74	44	85	C	W 5	C	7^{1}	7^{1}⊙	10^{2}	–	a ⌓^{2}, ∞; $10^{06.51}$ a ◎^{0}, p ztw. ≡, kurz ◎^{0}
23.	46.8	46.2	45.9	9.3	12 9	12.1	13.9	6.6	6.9	8.9	10.0	79	73	**96**	C	W 1	C	10^{1}	10^{2}	10^{2}	0.4	1^{46} p–n meist ◎^{0} ≡^{3}
24.	47.5	48.5	48.7	11.5	17.1	14.7	17.7	10.1	8.4	10.4	11.3	83	72	91	W 1	NW 2	C	10^{2}	10^{1}	10^{2}	2.8	n ◎, a ≡^{0}, t ∞^{0}
25.	**49.0**	48.1	48.0	11.9	21.6	15.5	23.0	9.2	9.6	9.7	10.9	94	51	83	C	E 1	C	3^{0}⊙	3^{1}⊙	o	–	n ≡^{2}, a ⌓^{2}, ≡; t ∞^{0}
26.	48.6	46 4	45.6	13.2	25.4	17.8	27.4	9.0	9.6	8.5	10.7	86	36	70	C	C	C	oo	oo	o	–	a ⌓, ≡^{0} ∞
27.	44.4	42.6	41.5	15.4	26.3	21.2	**28.5**	11.8	10.7	10.3	10.2	82	41	55	SE 1	NW 1	NW 2	oo	5^{1}	5^{1}	–	a ⌓^{0} ∞, 6^{01} p ☇ ◎-Tr., 8^{31} p–n ≲
28.	42.4	43.3	44.0	18.4	17.6	16.5	23.9	15.2	11.6	11.8	11.9	74	79	85	NW 2	NW 4	NW 1	2^{0}⊙	10^{2}●	7^{0}	–	n ≲, a ∞; $0^{28.36}$ p ◎^{0}, $1^{31.56}$ p ☇, 1^{41}–2^{16} p ◎^{0} 1, 1)
29	44.2	42.1	40.7	14.2	27.0	20.1	28.1	9.8	9.2	8.2	10.3	77	**31**	58	C	E 2	SE 2	oo	oo	2^{0}	2.2	a ∞
30.	40.1	38.5	38.1	17.0	27.9	22.2	**28.5**	13.9	11.3	9.9	12.2	79	36	62	C	W 2	W 1	10^{1}	3^{0}⊙	2^{2}	–	$6^{31.43}$ a ◎-Tr., a ∞; 11^{46} a–ca 3^{30} p ≡, p ztw. ◎-Tr. 2)
31	39.0	38.7	41.1	19.6	27.3	16.6	27.8	16.3	11.8	9.8	**12.4**	70	36	89	C	W 3	C	oo	5^{1}⊙	10^{2}	–	n ≲, a ⌓, ∞; p–3^{10} p ≡, $3^{51.54}$ p ◎-Tr. $4^{01.21}$ p. 3)
Mittel	40.0	39.4	39.9	10.7	17.4	12.6	19.1	7.8	8.0	8.0	8.8	82	56	80				5.5	6.4	5.7	58.9	1) 1^{56}–2^{04} p ◎^{2}, $1^{31.59}$ p ≡ (NW). 2) 8^{41} p–n ≲ l. SE 3) $6^{01.21}$ p ☇, 6^{31}–8^{01} p ztw. ◎^{2}; abds. ≲

Ansbach.

Mai $\varphi = 49^0\ 18'$ N. $\lambda = 10^0\ 33'$ E $= 42^m\ 12^s$. H = 437.5 m. Cg = + 0.2 mm. 1913.

1.	18.8	16.9	18.6	12.6	22.3	10.0	23.6	7.9	8.3	9.6	8.6	77	48	94	S 2	C	SW 6	6^{2}	2^{1}⊙	10^{2}●	–	mrgs. ⌓. $7^{02.52}$ a ◎, 2^{28}–4^{11} p, 4^{13}–6^{07} p, 6^{47}–8^{37} p ☇. 1)
2.	20.7	21.0	21.5	6.8	7.8	6.3	10.6	6.0	6.8	7.1	6.6	94	91	94	W 4	W 2	W 2	10^{2}●	10^{2}●	10^{2}	**18.8**	n, a, mrgs. ◎, t ztw. ◎
3.	20.6	18.9	17.5	7.2	11.5	8.4	12.0	5.8	6.9	6.1	7.0	92	60	86	C	C	C	10^{2}	10^{2}	10^{2}	6.4	
4.	14.6	12.1	13.0	8.6	16.8	6.8	16,8	4.6	7.1	6.6	6.2	87	47	85	C	S 4	W 2	6^{1}	4^{1}⊙	10^{2}●	–	4^{57} p ab ◎
5.	13.7	**12.0**	12.3	5.9	8.6	6.2	9.2	4.4	5.7	6.1	6.4	84	72	91	W 2	NW 2	C	10^{2}	10^{2}	10^{2}	5.3	n, a ◎
6	12.8	13.8	15.4	6.0	8.5	4.1	8.8	3.7	6.5	6.6	5.7	94	79	93	W 2	C	N 2	10^{2}●	10^{2}	10^{2}●	4.1	n, a–10^{12} a, 3^{32} p ab ◎
7.	15.2	16.9	20.0	6.0	9.4	5.2	10.0	3.3	6.6	7.7	6.1	94	89	93	N 2	W 2	W 2	10^{2}	10^{2}●	4^{1}	6.0	mrgs. ≡^{0}, t ztw. ◎
8.	21.3	20.3	20.5	3.9	12.0	6.4	12.8	0.4	5.5	6.3	6.2	91	60	88	C	E 2	E 2	oo≡	4^{1}⊙	o	2.6	mrgs. ⌙ ≡^{1}
9	20.5	19.5	19.8	5.7	14.6	9.4	16.0	1.9	5.3	6.4	6.2	77	52	71	SE 2	E 4	E 2	oo	oo	o	–	mrgs. ⌓
10.	20.3	18.4	17.7	7.8	17.7	15.7	18.4	2.7	5.9	6.2	6.6	74	43	7c	C	E 2	C	oo	oo	2^{0}	–	mrgs. ⌓, p ztw. ≡, abds. ☋
11.	20.2	22.7	25.1	8.2	8.8	7.8	15.7	7.7	7.6	7.4	7.5	93	89	94	NW 2	NW 6	NW 2	10^{2}●	10^{2}●	10^{2}●	2.7	4^{17} a ab ◎, p ztw. ≡
12.	25.9	26.1	25.9	8.0	9.4	8.6	10.0	7.3	7.7	7.5	8.0	96	88	96	NW 2	N 2	C	10^{2}●	10^{2}●	10^{2}	9.6	t–5^{57} p ◎
13.	26.1	25.9	26.0	9.6	16.0	10.0	16.8	6.4	8.0	8.7	7.6	90	64	83	E 2	E 2	C	6^{1}	8^{1}	o	5.2	
14	26.2	25.6	25.5	9.6	18.3	12.0	19.8	4.4	6.6	6.1	6.1	74	40	58	E 2	E 4	E 2	oo	oo	2^{0}	–	mrgs. ⌓, abds. ☋
15.	24.2	23.1	22.1	10.2	19.3	14.5	20.8	4.8	6.9	7.1	8.4	74	44	69	NE 2	E 2	C	10^{2}	6^{0}⊙	8^{2}	–	mrgs. ⌓
16	19.8	18.1	16.3	13.0	22.5	17.5	22.8	11.5	9.2	10.5	10.4	82	52	70	NE 2	E 4	E 4	6^{1}	oo	6^{1}	–	mrg. ⌓. 8^{17} p ☇
17.	15.5	16.2	16.2	13.6	12.2	13.0	17.8	11.9	10.4	10.2	8.9	90	**97**	81	W 4	W 2	W 6	10^{2}	10^{2}●	8^{2}	0.9	n, 11^{22} p–1^{02} a, a ☇. n, a ztw. ◎. 0^{22}–2^{57} p ◎
18.	15.3	15.4	19.9	12.4	13.2	8.0	16.2	7.9	8.4	9.9	7.2	79	88	91	W 4	W 6	NW 2	4^{1}⊙	10^{2}●	10^{2}	8.3	t ztw. ◎ u. ≡. 4^{21}–7^{07} p ☇
19.	22.4	22.6	25.2	8.8	12.0	5.3	12.4	3.7	6.7	**4.7**	5.2	79	46	79	W 2	W 2	NW 2	2^{0}⊙	10^{2}	4^{1}	6.8	mrgs. ⌓
20.	27.3	27.9	28.3	6.4	12.2	5.5	12.4	1.9	5.7	**4.7**	5.5	79	45	82	C	NW 4	C	oo	2^{1}⊙	o	–	mrgs. ⌓
21.	29.9	29.0	28.0	7.4	15.0	8.2	17.6	1.3	6.3	5.7	6.5	83	45	81	C	C	C	10^{2}	4^{1}⊙	o	–	mrgs. ⌙
22.	25.4	24.0	27.9	8.4	18.7	9.8	18.8	2.1	6.5	8.0	6.2	80	50	69	S 2	W 2	W 4	oo	8^{2}	8^{2}	–	mrgs. ⌙. 2^{27}–3^{14} p ☇
23.	29.4	28.6	28.9	10.0	14.0	8.6	14.0	6.0	7.0	6.3	7.8	76	53	94	W 2	W 2	C	6^{1}	10^{2}	10^{2}●	0.6	mrgs. ⌓, p ztw. ◎, abds. ◎
24.	29.9	31.1	31.6	9.6	15.0	12.2	15.8	7.7	8.2	9.7	9.3	93	76	89	SW 2	SW 2	SW 2	10^{2}	10^{2}	10^{2}	6.3	n, a ◎
25.	31.6	31.5	31.5	13.0	19.5	12.4	20.6	10.9	10.2	9.0	9.6	93	52	90	C	N 2	C	10^{2}	4^{1}⊙	o	0.3	n, a ◎, ≡^{0}
26.	**31.9**	30.7	29.5	13.2	22.3	14.8	24.2	7.0	8.9	10.0	10.7	79	51	86	NE 2	C	C	oo	4^{1}⊙	o	–	mrgs. ⌙
27.	28.1	26.1	24.6	17.0	24.9	19.1	25.4	10.1	10.6	10.6	10.4	74	46	61	C	W 4	W 2	6^{1}⊙	6^{1}⊙	10^{2}☇	–	mrgs. ⌓. 7^{44}–9^{00} p ☇
28.	24.8	24.4	26.7	15.4	21.5	14.6	22.4	13.0	12.3	9.5	10.6	94	50	86	W 4	W 6	C	10^{2}	4^{1}⊙	o	2.8	$9^{00.22}$ p, 10^{07}–11^{07} p; $7^{04.22}$ a, $1^{22.42}$ p ☇
29.	27.9	26.8	25.4	16.2	24.5	17.3	25.6	9.1	11.1	7.9	9.9	81	**34**	68	C	S 2	C	oo	oo	2^{0}	–	mrgs. ⌓
30	23 7	22.3	22.7	17.5	27.0	18.3	**27.2**	9.1	10.3	9.6	11.0	69	36	70	SW 2	W 4	SW 2	2^{0}⊙	2^{0}⊙	o	–	mrgs. ⌓. 2^{38}–4^{12} p ☇
31	23.0	22.4	22.8	18.7	24.3	19.9	26.8	12.2	**11.6**	10.3	10.7	72	47	62	C	N 2	C	2^{0}⊙	co	8^{2}	0.4	mrgs. ⌓. $11^{27.42}$ a ◎
Mittel	22.8	22.3	22.8	10.2	16.1	10.7	17.5	6.3	7.9	7.8	7.8	84	59	82				5.6	5.7	5.5	87.1	1) 4^{36}–6^{27} p, 6^{42} p ab ◎

Alle Angaben nach Ortszeit.

Regensburg.

Mai. $\varphi = 49^0\ 1'$ N. $\lambda = 12^0\ 7'$ E $= 48^m\ 28^s$. H $= 354.3$ m. Cg $= +0.2$ mm. 1913.

Datum	Luftdruck auf 0° u. Normalschwere reduziert 700 mm +			Lufttemperatur C°					Absolute Feuchtigkeit mm			Relative Feuchtigkeit Proz.			Richtung und Stärke des Windes 0 bis 12			Bewölkung 0 bis 10			Niederschlag mm	Bemerkungen
	7a	2p	9p	7a	2p	9p	Max.	Min.	7a	2p	9p	7a	2p	9p	7a	2p	9p	7a	2p	9p	7a	
1.	26.3	24.1	24.2	13.1	23.2	15.4	23.3	10.1	8.3	8.8	10.0	74	41	77	SE 4	SE 4	W 6	4^0⊙	3^1	10^2●	–	8^{50} p ab ⩩, 8^{55} p–n ◍
2.	28.3	28.4	28.9	7.8	9.3	8.2	15.4	7.0	7.2	7.4	7.0	92	86	87	SW 4	SW 4	SW 1	10^2	10^2●	10^2	1.4	n, 8^{56}–ca 10^{30} a, 12^3 ca 4^{30} p ◍
3.	28.0	26.5	24.4	7.2	10.3	7.4	13.3	5.9	6.8	6.0	6.6	90	64	86	SW 2	N 4	SW 1	10^2	10^2	6^1	2.6	ca 3^{30} p Aufheiterung
4.	22.3	20.0	19.3	8.9	15.0	10.5	15.6	6.0	7.2	7.1	7.2	86	56	75	SW 3	S 2	W 7	10^2	4^3⊙	10^1	–	ztw. heiter, abds. ⩩
5	20.1	19.1	19.3	6.8	9.4	7.8	10.5	6.1	5.7	5.8	6.6	77	66	83	SW 4	W 4	W 2	10^2	10^2	10^2	–	
6	20.2	21.1	22.5	6.4	9.0	6.8	9.3	5.9	6.8	7.0	6.5	94	81	88	SW 4	SW 4	SW 3	10^3	10^2●	10^2	4.1	n ◍, m–abds. ◍^{0}
7.	22.9	24.3	26.2	5.6	9.8	7.2	10.3	4.9	6.4	7.1	6.9	94	79	91	N 2	N 3	W 4	10^2●	10^2	10^2	1.4	früh ◍, t öfters ◍
8.	28.6	28.3	27.9	6.5	11.0	8.0	12.3	5.9	6.5	6.5	6.1	90	67	76	SW 4	SW 4	E 1	10^2	7^1	0	7.3	
9.	28.9	27.7	27.6	4.4	13.0	8.6	14.4	2.0	5.1	6.9	6.7	82	62	81	NE 1	NE 3	NE 1	4^0⊙	2^1	0	–	
10.	28.3	25.6	25.2	5.9	17.0	12.0	17.0	2.2	5.8	7.4	8.0	84	52	76	C	E 3	C	5^0⊙	3^0⊙	0	–	
11.	27.6	29.1	31.3	8.2	9.6	8.3	12.0	5.8	7.4	8.2	7.8	92	92	96	C	W 3	W 1	10^1	10^2●	10^2●	–	t, 7^{16} a ab meist ◍
12.	32.9	32.9	32.4	8.4	11.1	9.6	11.4	7.8	7.8	8.6	8.8	94	87	**99**	SW 4	SW 2	SW 1	10^1●	10^1	10^1●	8.8	n ◍, t meist ◍
13.	33.7	33.4	33.2	9.8	16.4	10.3	17.0	8.6	8.4	6.4	8.6	94	46	93	C	NE 4	C	10^1	7^1⊙	0	4.8	früh in der Ferne ≡
14.	33.8	32.3	31.9	9.0	18.1	12.6	18.7	4.3	6.6	7.3	7.6	77	47	70	SE 1	E 1	C	○○	○○	2^1	–	
15	31.5	30.5	28.9	10.0	18.4	16.9	19.8	7.6	6.4	8.0	10.4	69	51	73	N 4	N 4	NE 1	7^0	6^0⊙	10^2●	–	abds. Trübung, 8^{53} p ab ◍^{0}
16	27.4	25.5	24.1	14.2	22.6	15.5	22.8	12.0	9.8	10.4	11.3	82	51	86	N 3	N 5	C	10^1	5^0⊙	0	–	
17.	22.8	23.5	23.3	13.2	11.8	12.4	15.5	10.1	10.0	10.1	10.3	89	98	97	C	S 6	S 2	7^1⊙	10^2●	10^2●	–	11^{23} a–0^{28} p ⍁ u. wolkenbruchartiger ◍, abds. ◍
18.	23.1	23.1	26.5	11.6	13.5	11.5	18.4	10.2	9.1	9.9	9.0	89	87	89	S 3	SW 4	SW 2	7^1	10^2●	10^2	**48.8**	1^{40} p, 8^{16} p ⍁ ◍
19.	30.3	30.1	32.2	9.1	11.4	6.7	12.1	6.7	7.4	8.1	7.0	87	81	96	SW 2	SW 2	W 1	10^1	10^1	10^2	3.3	10^{01} a ◍, t öfters ◍
20.	34.5	35.1	36.7	5.6	10.4	7.0	12.0	3.2	5.6	5.2	6.6	83	56	88	W 3	NE 5	C	5^1⊙	5^1	0	4.3	p kräftiger Wind, der von W nach NE u. NW übersprang
21	37.8	36.5	35.6	5.0	14.7	9.6	15.4	1.4	5.8	5.6	7.8	89	46	88	NW 4	NW 3	C	3^0⊙	6^1	0	–	früh ⌙, in der Ferne ≡
22	33.6	31.5	34.5	6.6	17.6	10.3	18.2	2.8	6.4	6.6	8.5	88	44	92	NW 3	W 4	SW 3	3^0	5^0⊙	2^1	–	ca 5 a ≡^{1}, nachm. Trübung, 4^{30} p ⩩ ◍
23.	37.0	36.5	36.4	8.2	9.8	8.9	14.0	5.2	6.8	7.6	8.2	83	84	96	W 3	W 2	W 2	3^0⊙	10^2	10^2	0.9	ca 10^{45} a ◍^{0}, 5^{30} p ◍
24.	37.6	38.1	38.8	7.8	14.8	13.1	16.1	6.1	7.3	8.8	9.8	93	70	88	W 3	SW 4	C	10^2	10^2	10^2	4.1	
25.	39.2	38.6	38.6	12.1	19.4	14.4	20.0	9.8	9.9	10.0	10.8	93	60	90	C	W 4	C	8^0⊙	7^0⊙	0	–	früh in der Ferne ≡
26.	**39.6**	38.4	37.0	11.6	20.8	15.4	21.9	8.9	8.9	10.3	11.5	88	56	88	C	W 3	C	2^0⊙	2^1⊙	0	–	
27.	36.6	33.8	31.8	12.8	23.8	16.2	23.9	9.1	10.1	12.1	12.2	93	56	89	E 3	SE 3	S 4	3^0⊙	8^1	10^1	–	$2^{12.46}$ p ⍁, abds. ⩩
28.	32.0	31.4	34.1	15.4	18.1	14.2	21.6	13.4	11.6	10.4	10.9	89	67	92	SW 5	N 6	N 5	10^1	10^2⧖●	10^2	2.6	ca 0^{30}–1^{13} a ⍁ ◍, 0^{38}–ca 2^{45} p ⍁, 12^3–ca 2^{30} p ◍
29.	35.4	34.8	33.4	13.9	21.9	17.4	22.6	11.0	10.9	11.4	11.8	93	59	80	N 1	E 3	C	7^1⊙	○○	0	3.8	
30.	32.3	30.3	29.3	15.4	25.0	17.2	**25.9**	10.9	10.8	12.7	13.1	83	54	90	SE 4	S 2	SW 2	4^0⊙	1^0⊙	9^2	–	3^{38} p ⍁, $3^{42.46}$ p, $4^{13.22}$ p ◍, 5^{12}–ca 6 p ⍁. 5^{18}–6^{53} p ◍
31.	30.8	30.4	30.0	17.9	19.6	17.8	24.6	15.0	13.0	12.0	**13.9**	85	71	92	S 2	W 3	C	4^1⊙	6^2	2^1	3.4	0^{02}–ca 1^{45} p ⍁, 6^{35}–1^{18} p ◍
Mittel	30.4	29.7	29.9	9.6	15.3	11.5	16.9	7.3	7.9	8.4	9.0	87	65	87				6.9	6.7	5.8	101.6	

Passau.

Mai. $\varphi = 48^0\ 34'$ N. $\lambda = 13^0\ 28'$ E $= 53^m\ 52^s$. H $= 309.3$ m. Cg $= +0.2$ mm. 1913.

1.	31.4	29.3	27.5	11.1	23.0	16.2	23.8	8.7	8.3	7.7	9.2	84	37	69	C	C	C	○○	○○	0	–	früh ⍁
2.	33.1	32.9	33.4	8.3	9.3	9.3	16.2	6.8	6.9	7.4	7.6	86	86	88	W 4	SW 4	C	10^1	10^1	0	–	früh ≡, ca 8 a–1 p ◍^{0}
3.	32.8	29.5	28.4	8.3	14.1	11.7	15.0	6.2	7.4	6.4	7.7	91	54	75	C	W 1	W 2	4^1	7^1	10^1ʒ	3.5	früh ⍁, 8^{28}–9^{00} p ⍁ ◍^{0}
4.	26.9	24.9	23.0	9.5	15.6	12.1	16.0	8.4	7.4	7.8	8.6	86	59	83	NW 1	NW 2	W 1	7^1	7^1	0	0.8	$9^{00.09}$ p ⍁, n ◍^{0}, früh ⍁
5.	24.3	23.1	23.0	7.5	10.7	9.3	12.1	6.2	6.7	6.4	7.0	88	67	80	W 4	W 1	W 4	10^2	10^1	10^2	3.3	n ◍^{0}
6.	24.3	25.8	26.5	7.9	9.5	8.7	10.4	7.0	7.2	7.3	7.4	90	83	88	W 4	W 2	W 1	10^2	10^2	10^1	–	n u. früh, ca 11 a ◍^{0}
7.	27.3	28.8	31.5	7.3	10.1	8.6	11.0	6.2	6.7	7.1	7.7	88	78	92	E 1	E 2	C	10^2	10^2	10^2	2.8	ca 6 p ab ◍^{0}
8.	32.9	32.4	32.7	7.3	12.6	7.9	13.2	6.2	6.7	7.0	9.5	88	65	73	SW 2	NE 1	E 2	10^2	8^1	0	6.4	n ◍^{2}, ca 3 p ab Aufklaren
9.	33.2	32.1	32.5	5.1	14.2	8.9	14.7	2.6	5.6	5.4	6.8	86	45	80	E 1	E 1	C	1^1≡	○○	0	–	7 a ≡, früh ⌙
10.	33.0	31.1	30.1	5.1	17.6	11.8	18.0	1.7	5.6	6.0	8.1	86	41	78	C	E 1	C	4^1≡	○○	0	–	7 a ≡
11.	31.9	33.1	35.5	7.3	10.5	9.1	11.8	4.8	6.2	7.9	7.7	82	84	91	E 1	SW 4	W 4	10^1	10	10^1●	–	9^{39} p unteres Horn des zunehm. Mondes stark verzerrt. [1]
12.	36.6	37.2	37.7	8.7	11.7	10.1	12.5	7.7	7.8	8.6	8.7	93	85	95	W 4	C	C	10^2●	10^2	10^2●	7.6	bis m ◍, dann Aufklaren
13.	37.7	37.5	37.5	10.5	16.6	10.1	16.8	8.1	7.9	6.6	8.1	84	48	88	E 1	E 2	C	10^1	10^2	0	1.0	
14.	37.7	36.4	35.8	9.5	19.4	12.4	19.9	6.2	7.1	6.2	7.2	80	37	68	E 1	E 2	C	○○	○○	0	–	früh ⍁
15.	35.2	34.1	33.0	9.1	22.2	16.0	22.2	6.2	7.5	8.2	10.8	88	41	80	C	E 1	C	10^1	4	4^1	–	früh ⍁
16	32.0	29.7	29.0	12.9	23.4	18.1	24.4	10.9	9.9	10.1	9.4	90	47	61	C	C	C	10^1	6^1	6^1	–	früh ⍁
17.	27.4	28.6	28.4	13.2	14.8	12.8	18.1	10.9	9.8	9.0	9.7	89	72	89	W 4	W 1	C	10^1	10^1	0	–	6^{39} p ab ◍, 7^{44}–8^{34} p ⍁
18.	28.2	27.3	30.0	12.2	20.0	13.8	20.0	10.1	9.1	8.4	10.2	87	48	87	C	SW 1	C	4^1⊙	6^1⊙	10^1	8.4	0^{34}–ca 1 p ⍁ ◍
19.	34.0	34.6	37.4	9.9	11.1	7.9	13.8	7.2	8.0	7.4	7.2	88	75	90	W 1	W 1	C	10^2●	10^2●	10^2	6.2	a, 0^{09}–ca 1 p ◍, nachm. Strichregen
20.	37.9	38.3	40.0	7.1	12.6	9.4	13.5	6.2	6.6	5.5	7.3	87	50	84	W 1	W 1	SW 1	10^2	2^1⊙	0	3.2	$10^{39.49}$ a △, nachm. leichte Strichregen
21.	42.0	40.3	39.5	3.4	15.0	9.1	15.9	1.7	5.8	6.8	7.3	100	54	86	C	W 1	C	10^2≡	6^1⊙	0	1.0	a ≡ ⌙
22.	37.4	35.5	37.4	4.5	18.0	12.6	18.8	3.8	6.0	8.1	8.6	96	53	80	C	W 1	W 4	10^1≡	2^1⊙	10^2	–	früh ⍁
23.	40.9	39.5	40.3	8.7	14.2	10.5	14.9	7.2	6.8	6.6	8.1	81	55	87	W 2	W 4	W 4	2^1⊙	10^1	10^1●	–	früh ⍁, ca $7^{00.04}$ p heftige Gewitterböen, ca 8 p ab ◍^{0}
24.	41.1	41.9	42.1	9.3	16.4	12.9	16.8	7.9	7.4	7.5	9.1	86	54	83	SE 2	W 3	C	10^2	8^1⊙	10^1	–	
25.	43.0	42.5	42.0	12.6	18.6	14.6	19.9	10.3	9.8	9.8	10.7	91	61	87	W 1	W 1	C	10^1	10	10^1	–	früh ⍁, Inntal Nebel
26.	**43.5**	42.1	41.2	9.3	22.4	15.6	22.6	7.2	8.5	10.3	10.9	98	52	83	C	E 1	C	10^2≡	○○	2^1	–	früh ≡
27.	40.7	38.0	36.2	11.7	22.6	15.0	23.6	9.3	9.4	11.5	11.7	93	56	92	E 1	C	C	2^1⊙	4^1⊙	10^1≡	–	früh ≡, ca 2 p ab st, cu-Bild. i. W, ca 4–5^{04} p ⍁, bis 4^{44} p ◍
28.	36.3	35.1	37.1	14.4	18.4	14.2	20.9	12.3	11.4	11.9	11.2	94	76	94	W 1	W 4	C	10^2	10^2	0	5.3	ca 6 a ◍, ca 2–3 a, 4–5 a ⍁, $14^{0.54}$ p ⍁ △ ◍^{0}
29.	39.6	38.3	37.9	12.6	22.6	15.4	22.6	10.9	10.3	10.6	11.0	96	52	85	C	C	C	10^0≡	○○	0	**10.0**	7 a ≡
30.	36.3	34.8	34.0	12.5	26.6	20.0	**26.7**	9.9	9.9	**13.7**	**13.7**	93	54	78	C	W 1	C	○○	○○	2^1	–	a ⍁, Inntal st. Nebel, 3^{09}–4^{09} a ergaben die Mond- u. [2]
31.	35.1	34.0	33.5	16.0	26.2	18.6	26.5	14.1	11.9	12.8	13.0	88	51	82	SW 1	E 1	C	10^2	10	0	–	Inntal Nebel, nachm. Aufheiterung
Mittel	34.6	33.8	34.0	9.4	16.8	12.3	17.8	7.5	7.9	8.3	9.1	89	59	83				7.6	5.8	4.6	59.5	

[1] Scheinbar scharfe Grenzschicht. i. d. Atm., ca 2 p ab ◍^{0}

[2] Venusbeobacht. sehr starke Unruhe i. d. Luft i. E u. 8_E

Alle Angaben nach Ortszeit.

Landshut.

Mai. $\varphi = 48^0\ 32'$ N. $\lambda = 12^0\ 10'$ E $= 48^m\ 40^s$. H $= 397.7$ m. Cg $= +0.2$ mm. 1913.

Datum	Luftdruck auf 0° u. Normalschwere reduziert 700 mm + 7ª	2ᵖ	9ᵖ	Lufttemperatur C° 7ª	2ᵖ	9ᵖ	Max.	Min.	Absolute Feuchtigkeit mm 7ª	2ᵖ	9ᵖ	Relative Feuchtigkeit Proz. 7ª	2ᵖ	9ᵖ	Richtung und Stärke des Windes 0 bis 12 7ª	2ᵖ	9ᵖ	Bewölkung 0 bis 10 7ª	2ᵖ	9ᵖ	Niederschlag mm 7ª	Bemerkungen
1.	22.4	20.3	20.7	13.4	24.2	13.0	26.2	6.4	8.3	6.4	9.1	73	28	82	E 2	S 2	W 6	1⁰⊙	1¹⊙	8¹	–	⌓, 7^{10}–8^{19} p ◸, $8^{04.29}$ p ◍ ⎓
2.	24.9	24.6	24.7	6.7	9.1	7.9	13.0	6.2	6.7	6.9	7.1	91	80	89	W 4	W 2	W 2	10^1	10^{1}●	10^1	2.2	n ◍, 7^{19}–9^{04} a, 0^{24}–2^{19} p ◍⁰
3.	24.0	21.8	20.0	7.7	11.1	7.4	13.3	3.2	6.4	6.3	6.3	82	63	82	W 2	E 2	C	9¹⊙	10^1	8¹	2.7	
4	18.3	15.9	15.5	9.6	17.6	10.1	21.1	6.8	6.6	6.3	6.5	74	42	71	W 2	W 2	W 6	9¹	9¹	10^1	–	
5.	16.2	14.7	15.2	7.2	11.0	7.2	13.8	5.4	6.3	4.6	6.5	83	47	86	W 4	N 2	N 2	10^1	10^1	10^{1}●	0.5	n, ca 7^{09}–n ◍
6.	16.9	17.3	18.3	6.1	9.9	4.8	11.2	4.2	6.0	6.5	6.0	86	71	94	W 4	W 4	C	10^{1}●	10^{1}●	0	4.2	n, 10^{19} a ◍-Tr., ca 2–2^{19} p ◍⁰
7.	18.9	20.4	23.4	6.4	9.5	6.5	13.6	3.7	6.4	8.1	6.6	90	92	91	W 2	W 4	W 2	10^1	10^{1}●	8¹	3.1	7^{19}–ca 10 a, 1^{19}–ca 6 p ◍⁰
8.	24.6	23.4	23.4	5.3	14.0	8.5	15.9	0.5	5.9	5.8	6.3	89	49	76	W 2	E 4	E 4	○○	3¹⊙	0	3.2	⌊⁰
9.	24.2	23.1	23.6	6.5	15.2	8.3	18.6	1.7	5.2	5.3	6.5	72	41	79	E 4	E 4	E 2	○○	○○	0	–	⌓⁰
10.	24.0	22.1	20.8	8.5	18.4	12.4	21.3	2.3	5.3	5.6	6.5	64	35	61	E 4	E 4	C	○○	○○	0	–	
11.	23.9	25.7	27.3	8.9	9.3	7.7	12.4	7.2	7.8	8.1	7.6	92	93	**98**	W 4	W 4	W 4	10^{1}●	10^{1}●	10^{1}●	3.2	ca 6 a-n ◍
12.	29 0	29.2	29.0	8.2	11.4	9.0	14.3	7.1	7.8	8.4	8.1	96	84	95	W 2	W 2	W 2	10^{1}●	10^{1}●	9¹●	11.2	n ◍
13.	29.2	29.0	28.4	8.5	16.4	8.5	19.0	6.5	8.2	6.2	7.3	99	44	88	NE 2	E 4	E 2	8¹⊙	6¹⊙	0	1.8	ca 6 a ≡⁰
14.	28.9	27.7	27.1	11.4	19.6	11.4	22.6	3.5	5.5	5.2	7.7	55	30	77	E 4	E 4	E 2	○○	○○	1^1	–	
15	27.0	25.8	24.5	10.6	20.8	15.7	23.8	5.9	7.2	9.3	10.5	74	51	79	N 2	NE 2	E 2	7⁰⊙	7⁰⊙	4^1	–	⌓⁰
16.	22.9	20.9	19.3	14.8	24.1	17.6	25.8	10.5	10.1	9.3	10.0	81	42	67	E 2	E 2	E 4	8¹	4⁰⊙	0	–	
17.	19.2	20.4	19.5	15.0	14.0	11.4	17.6	9.2	9.8	10.2	8.4	77	86	84	W 4	W 2	W 2	8¹	10^1	3^1	–	9^{19} a–10^{1} p ◍⁰
18.	19.6	18.8	22.4	14.1	18.6	12.5	21.2	9.2	8.7	7.4	9.1	73	46	86	W 6	W 6	W 6	8¹⊙	9¹	10^1	2.7	$3^{24.29}$ p ◍böe
19.	26.1	26.8	28.1	9 5	7.5	6.4	13.0	6.2	7.3	7.2	6.7	83	93	93	W 2	NW 4	W 2	10^1	10^{1}●	10^0	1.0	10^{19}–3^{04} p ◍
20.	30.2	30.9	32.2	6.6	11.4	5.6	15.8	2.2	0.3	4 2	6.2	87	41	91	SW 4	NW 2	W 2	10^1	10^1	o	5.9	
21.	33.9	32.5	31.3	7.0	17.0	6.4	20.1	0.1	6.2	4.2	6.3	82	29	88	SW 2	N 4	C	○○	7²⊙	o	–	⌓
22.	28.9	27.4	30.4	8.0	19.4	10.4	21.3	1.6	6.9	5.8	9.2	86	35	**98**	NE 2	W 6	W 2	1⁰⊙	7⁰⊙	10^1	–	⌓, 4^{31}–6^{19} p ◍
23.	32.7	32.0	32.4	10.9	14.6	8.7	16.3	6.5	7.4	6.4	8.1	76	52	96	W 4	W 4	W 4	2¹⊙	9¹	10^{1}●	3.3	⌓, $11^{00.19}$ a ◍-Tr., 4^{21} p ◸, $4^{21.32}$ p ◍⁰▲
24.	33.3	34.2	34.6	8.6	18.0	11.9	19.4	5.3	7.1	6.9	9.2	86	45	90	NW 2	W 2	C	10^1	7¹⊙	8⁰	3.9	
25.	**35.0**	34.4	34.1	15.4	22.4	12.8	26.0	10.2	9.7	9.5	10.1	75	47	93	NW 2	NW 4	C	9¹	6¹⊙	o	–	
26.	**35.0**	33.7	32.6	13.7	23.4	13.8	26.6	6.4	9.7	8.6	9.6	83	40	82	SW 2	C	C	○○	○○	o	–	⌓
27.	32.2	30.9	27.9	15.6	16.5	14.7	26.4	6.1	10.0	10.8	11.5	76	77	92	C	W 6	SW 2	1⁰⊙	10^{1}●	1^1	–	⌓, $11^{19.29}$ a ◸, ca 11 a ◍, 1^{38}–2^{09} p ◸, 1^{33}–2^{44} p ◍, [1]
28.	28.2	27.2	29.6	15.5	21.8	13.4	24.9	12.6	11.7	9.0	10.8	89	46	95	W 4	SW 6	C	10^1	5²⊙	1^1	**28.2**	$3^{36.57}$ p ◸, ca 4 p ◍-Tr.
27.	31.5	30.4	28.6	15.2	25.6	16.2	29.0	8.8	11.0	9 9	9.8	86	41	71	W 2	S 2	E 2	8¹⊙	○○	1^1	0.3	⌓
30.	28.2	26.3	26.2	18.2	29.2	18.6	**33.0**	10.0	11.5	13.6	11.5	74	45	72	C	S 2	SW 2	1⁰⊙	○○	10^1	–	⌓, 7^{19}–8^{01} p ◸, 7^{29} p ◍-Tr.
31.	26.8	25.5	25.4	20.0	27.2	18.6	30.0	15.2	**14.6**	11.8	12.4	84	44	78	W 4	E 4	NE 2	○○	1¹⊙	1^1	0.6	n ◍, ca 9 p ◹
Mittel	26.3	25.6	25.7	10.7	17.0	10.9	20.2	6.1	8.0	7.5	8.3	81	54	85				5.8	6.1	4.6	78.0	

[1] 1^{14}–2^{04} p ▲

Augsburg.

Mai. $\varphi = 48^0\ 22'$ N. $\lambda = 10^0\ 54'$ E $= 43^m\ 36^s$. H $= 499.6$ m. Cg $= +0.1$ mm, über 728.8 mm Cg $= +0.2$ mm. 1913.

1.	13.8	11.5	14.1	14.6	23.5	11.2	23.5	11.2	8.7	11.6	9.2	71	55	93	SW 2	SE 2	SW 2	○○	3¹⊙	10^2	–	⌓, $0^{04.39}$ p ◍
2.	16.3	15.2	16 6	6.3	8.6	7.6	11.2	5.4	6.5	7 0	7.0	91	84	90	SW 2	SW 2	NW 2	10^2	10^2	10^2	3.7	8^{19} a–1^{24} p ◍
3.	15.2	12.8	12.0	5.8	11.5	9.2	11.5	3.7	6 7	7.7	7.3	97	75	84	C	NE 2	NE 2	10^1	10^1	10^1	4.4	⌓
4	09.6	06.7	08.9	7.4	15.8	6.4	17 3	6.4	7.0	8.2	0.8	91	62	94	C	N 2	W 2	2¹⊙	5²⊙	10^{2}●	–	⌓, $6^{29.39}$ p ◸, $0^{04.29}$ p, 6^{34} p–n ◍
5.	07.5	06 5	07.4	6.0	9.7	6.2	10.1	5.4	6.1	6.5	6 6	88	72	93	SW 2	NW 2	NW 2	10^2	10^2	10^2	11.4	n, 6^{34} p–n ◍
6.	08.1	08.7	09.8	5.4	9.9	7.0	10.2	5.1	6.3	6.9	6.4	94	75	85	SW 2	SW 2	SW 2	10^{2}●	10^2	10^1	3 6	n-8^{19} a ◍
7.	10.1	11.9	15.3	7.0	10.4	6.4	10.4	6.4	6.6	7.6	6.2	88	81	87	SW 2	W 2	NW 2	10^1	10^1	10^1	0.3	t ztw. ◍
8.	16.1	14.5	14.4	4.0	14.2	9.2	15.0	2.4	5.5	8 0	6.9	90	66	80	NW 2	E 2	E 2	○○	2¹⊙	o	0.8	⌊
9.	14.9	14.0	14.2	5.7	15.3	10.3	16.6	4.4	5.8	8.6	7.1	85	66	76	E 4	E 4	SE 2	3⁰⊙	○○	o	–	
10.	14.8	12.9	12.1	6.9	19.0	13.1	20.1	4.3	6.1	8.5	7.6	83	52	68	E 2	E 2	E 2	○○	○○	7^2	–	
11.	15.3	17.9	20.1	8.0	8.0	7.6	13.1	7.6	7.7	7.6	7.8	96	94	100	SW 2	SW 2	SW 2	10^{2}●	10^{2}●	10^{2}●	1.8	n u. t ◍
12.	20.7	20.3	20.3	7.6	12.0	9.0	12.0	7.3	7.6	8.5	8.4	98	82	99	SW 2	NW 2	NE 2	10^{2}●	10^1	o	12.0	n-ca 10^{15} a ◍
13.	20.4	19.7	19.9	7.8	16.1	11.5	17.3	6.2	7.7	9.6	8.3	98	70	82	E 4	E 4	E 4	10^1	3¹⊙	o	0.7	
14.	19.9	18.6	18.5	9.6	19.0	15.5	19.8	7.4	7.2	9.8	5.3	82	60	41	E 2	E 4	E 2	○○	○○	o	–	⌓
15.	18.5	17.5	16.3	10.8	22.0	15.6	22.0	8.4	6.4	9.1	9.3	66	46	70	NE 2	E 4	E 2	10^1	5⁰⊙	o	–	⌓
16.	13.8	12.4	10.1	13.7	24.2	17.0	24.2	11.0	9.6	9.2	10.0	82	41	69	NE 2	E 2	E 2	3⁰⊙	5⁰⊙	o	–	⌓
17.	11.3	11.3	12.0	13.4	16.3	13.6	18.7	11.3	8.7	8.5	7.7	76	61	66	W 6	W 4	SW 4	10^1	10^2	10^1	–	8^{34} a–0^{14} p ◍
18.	11.0	10.8	14 8	12.4	16.6	10.4	16.9	10.4	7.7	7.8	8.4	72	56	91	S 2	W 6	SW 4	5^1	7^2	10^{2}●	8.5	⌓, $0^{04.14}$ p, 2^{34}–ca 3^{15} p, 6^{49} p–n ◍
19.	17.3	18.4	20.2	8.4	8.8	7.0	10.4	7.0	6.8	5.5	7.0	82	65	94	SW 2	SW 4	W 2	10^1	10^1	10^1	2.6	10^{34}–11^{04} a ◍
20.	21.9	22.9	24.4	6.1	10.8	7.5	14.2	3.7	5.9	4.7	5.7	84	47	73	W 4	NW 4	SW 2	○○	7^2	4^1	0.7	t ztw. ◍
21.	25.0	23.6	22.6	6.2	16.2	10.8	17.3	1.5	5.1	4.5	5.6	72	34	58	C	SE 2	SE 2	○○	3¹⊙	o	0.4	⌓
22.	20.4	18.8	23.1	7.0	18.5	10.7	18 5	4.3	5.3	7.5	7.3	71	47	75	SE 2	SW 2	SW 2	2⁰⊙	10^2	10^1	–	⌓, 2^{34} p–ca 3^{15} p ◸, $2^{29.49}$ p ◍
23.	24.5	23.7	24.2	9.6	14.6	8.5	14.6	7.8	6.7	6.1	7.4	75	50	89	SW 2	W 2	SW 2	10^2	10^2	10^{2}●	1.6	10^{40}–11^{09} a, 11^{48} a–0^{04} p, ca 5^{45} p–n ◍
24.	24.7	26.0	**26.6**	8.8	15.4	13.4	15.5	7.5	7.5	8.7	9.6	89	67	85	SE 2	W 2	NW 2	10^1	10^2	10^1	**12.6**	n ◍
25.	26.5	26.0	26.1	13.9	20.7	16.2	22.4	10.9	10.1	9.7	10.4	86	53	75	NW 2	NE 2	E 2	8¹	6¹⊙	o	–	⌓
26.	26.2	25.4	24.7	12.7	23.4	18.2	24.5	10.6	9.3	10.0	10.8	86	46	69	C	NE 2	E 2	○○	1⁰⊙	o	–	⌓
27.	23.5	22.0	19.8	14.7	24.6	20.1	25.3	11.7	9.6	9.7	11.1	76	43	64	SW 2	W 4	SW 2	4^2⊙	5^2⊙	6^2	–	$0^{04.34}$ p ◸
28.	20.3	19 8	22.1	15.4	22.9	17.4	24.0	14.5	9.8	8.8	9.8	75	42	66	SW 4	SW 6	NW 2	10^2	4^2⊙	o	0 5	ca 9-10 p ◸, n ◍
29.	23.0	21.9	20.4	15.1	25.1	18.3	25.6	12.6	10.0	8.4	9.9	77	36	64	C	SE 2	SE 2	3¹⁰⊙	○○	o	–	⌓
30.	19.4	18.2	19.0	15 8	26.7	20.2	27.4	11.9	9.4	9.2	11.5	70	36	66	SE 2	SW 2	SE 2	3⁰⊙	4^2⊙	10^1	–	2^{39}–4^{49} p ◸
31.	18.1	17.1	15.3	19.1	27.4	20.7	**28.1**	15.7	10.6	11.7	**13.2**	64	43	73	C	E 2	SE 2	○○	2⁰⊙	4^1	–	
Mittel	17.7	17.0	17.6	9.8	17.0	12.1	18.0	7.9	7.5	8.2	8.2	82	58	78				5.6	5.9	5.5	65.6	

Alle Angaben nach Ortszeit.

München-C.St.

Mai. $\varphi = 48^0\ 9'$ N. $\lambda = 11^0\ 34'$ E $= 46^m\ 16^s$. H $= 526.4$ m. Cg $= +0.1$ mm. 1913

Datum	Luftdruck auf c^0 u. Normalschwere reduziert 700 mm +			Lufttemperatur C°					Absolute Feuchtigkeit mm			Relative Feuchtigkeit Proz.			Richtung und Stärke des Windes 0 bis 12			Bewölkung 0 bis 10			Niederschlag mm	Bemerkungen
	7^a	2^p	9^p	7^a	2^p	9^p	Max.	Min.	7^a	2^p	9^p	7^a	2^p	9^p	7^a	2^p	9^p	7^a	2^p	9^p	7^a	
1.	11.8	09.3	12.0	15.4	23.8	10.3	23.9	10.0	7.4	6.8	6.7	57	31	72	SW 1	E 2	SW 4	6^0	$2^1\odot$	10^1	–	a ⌓, t Gebirge gut sichtbar, ca 6^{15} p–n ⎓
2.	13.9	14.7	14.0	6.5	9.1	7.1	11.0	6.0	5.7	5.8	6.4	79	67	85	SW 2	SW 2	C	$10^1\bullet$	10^1	0	–	6^{41} a–ca 0^{45} p ◍
3.	12.7	10.3	09.5	6.7	11.3	8.7	12.8	5.0	6.2	5.6	6.0	84	56	71	NE 1	NE 2	NE 1	$4^0\odot$	10^1	10^1	2.3	a ⌓
4.	07.5	04.7	06.4	9.3	14.1	6.1	14.9	6.0	7.0	6.3	6.4	80	53	91	SW 1	C	SW 3	9^1	8^1	$10^1\bullet$	–	n ◍^{0}, ca 6^{45} p–n ◍
5.	05.4	**04.0**	04.8	6.1	8.7	6.5	9.8	5.2	5.2	5.3	6.4	75	62	89	W 2	NW 1	NW 1	10^1	$10^1\bullet$	$10^1\bullet$	13.1	n ◍, 1^{17} p–n ◍^{0}
6.	05.8	06.3	07.6	6.0	9.7	7.5	10.8	5.0	5.8	5.4	6.2	85	61	80	W 2	NW 1	SW 3	9^1	10^1	8^1	3.9	n, ca 7–8 p ◍
7.	07.9	09.8	13.1	6.9	9.1	5.7	10.8	5.1	5.7	6.9	6.2	77	81	92	SW 2	SW 2	SW 1	10^1	$10^1\bullet$	0	0.5	n, t ztw. ◍
8.	13.7	12.0	12.0	5.6	14.0	8.7	14.2	2.9	5.5	4.8	6.2	83	41	74	C	E 1	E 1	$0\odot$	$1^0\odot$	0	3.7	a ⌓, ∞
9.	12.5	11.6	11.9	4.7	15.9	9.7	16.0	**2.8**	5.2	6.3	5.6	82	47	62	E 2	E 1	E 3	$0\odot$	$0\odot$	0	–	a ⌓^{0} ∞
10.	12.6	10.5	09.9	6.3	19.1	13.1	19.1	4.0	5.5	7.1	6.0	79	44	53	E 1	E 1	E 1	$0\odot$	$0\odot$	10^1	–	a ⌓, ∞; ca 8^{15} p–n ◍ u. ≼ im S
11.	13.6	15.6	17.5	8.1	7.9	7.3	13.6	7.0	7.3	7.1	7.2	92	90	**94**	SW 3	SW 2	C	$10^1\bullet$	$10^1\bullet$	$10^1\bullet$	4.3	n ≼, n u. t ◍
12.	18.2	18.3	17.9	7.8	10.1	8.4	11.0	6.8	6.9	7.6	7.7	90	82	93	W 1	W 2	C	$10^1\bullet$	$10^1\bullet$	2^1	**15.4**	n, a–ca 4^{15} p ◍, abds. Aufklaren
13.	17.7	17.1	17.3	8.1	16.7	10.4	16.7	5.1	7.4	6.9	6.7	93	49	71	E 3	E 3	E 2	8^1	3^0	0	0.8	a ⌓
14.	17.4	16.2	15.9	8.7	19.3	13.4	19.5	6.0	6.5	7.3	6.8	77	44	60	E 3	E 3	C	$0\odot$	$0\odot$	0	–	a ⌓
15.	15.9	14.7	13.7	10.8	21.3	16.5	21.7	8.8	7.0	7.5	10.1	72	40	72	NE 1	NE 2	C	10^0	$4^0\odot$	2^0	–	a ⌓, ≡^{1}
16.	11.7	09.7	08.2	14.1	23.4	17.3	23.9	12.2	9.4	9.4	9.0	79	44	62	NE 1	NE 2	NE 2	$3^0\odot$	$6^0\odot$	0	–	a ⌓ ∞^{1}
17.	08.9	09.2	10.1	14.5	18.2	13.8	18.7	12.9	8.9	8.2	7.1	73	53	60	SW 4	SW 1	SW 3	9^1	$6^1\odot$	10^1	–	7^{08}–11^{36} a ◍$^{0.1}$
18.	09.1	08.5	12.3	12.1	19.1	10.9	19.8	10.4	7.8	7.1	8.0	74	44	83	SW 2	SW 5	SW 5	$6^{\prime}\odot$	$6^1\odot$	$10^1\bullet$	6.4	n ◍, t Gebirge sehr gut sichtbar, p ztw. ⎓, [1]
19.	15.0	15.8	18.0	8.3	8.5	5.7	11.8	5.6	6.0	6.5	5.9	74	78	87	SW 1	SW 1	C	10^1	$10^1\bullet$	10^1	2.0	n, t ztw. ◍
20.	19.4	20.2	21.9	6.0	10.3	6.1	11.0	4.1	5.6	**4.4**	5.9	82	48	85	SW 2	SW 2	SW 1	9^1	7^1	0	5.1	n, t ztw. ◍, 0^{38} p ztw, kurz △
21.	22.6	21.3	20.1	7.1	14.5	10.3	14.8	4.0	5.4	4.6	5.7	71	39	61	W 1	NE 1	NE 1	$0\odot$	4^1	0	3.5	a ⌓
22	17.7	16.9	20.3	8.5	18.7	10.3	19.2	5.2	5.4	6.2	8.6	65	39	93	C	NW 2	W 2	$4^0\odot$	8^1	3^1	–.	a ⌓, ∞; ca 4–8^{30} p ◍
23.	22.0	21.0	22.1	9.5	12.3	8.6	13.6	8.0	6.6	6.6	7.2	75	62	88	NW 2	NW 2	NW 2	6^0	9^1	$10^1\bullet$	13.1	t ztw. ◍$^{0.1}$
24.	22.3	23.3	**24.0**	8.9	16.3	13.4	17.0	7.4	7.1	6.9	9.1	85	50	79	NE 1	SW 2	SW 1	$8^1\odot$	$5^1\odot$	9^1	12.7	n ◍
25.	23.8	23.4	23.5	13.9	19.4	15.3	20.6	12.2	9.3	8.7	9.9	79	52	77	C	NE 1	C	$8^1\odot$	6^1	0	–	a ⌓
26.	23.7	22.7	22 2	14.2	22.8	17.4	23.0	10.7	8.6	9.4	10.5	72	46	71	C	NE 1	C	$0\odot$	$1^0\odot$	0	–	a ⌓
27.	21.3	19.9	17.6	16.7	20.3	19.0	24.6	12.3	9.2	10.9	10.4	65	62	64	SE 1	SW 1	SW 3	$2^0\odot$	10^1	8^1	–	a ⌓, $8^{46.51}$ a, 0^{38}–1^{41} p, 2^{56}–3^{26} p ◹; [2]
28.	18.4	17.3	19.5	15.2	21.4	15.7	22.9	14.8	10.3	9.6	10.3	81	51	78	SW 2	SW 2	SW 1	10^1	8^1	7^1	3.7	n ≼, ztw. ◍; $7^{08.31}$ a ◍, 5^{11} p ◹
29.	20.8	19.1	18.0	15.1	23.8	17.7	24.0	12.9	9.9	9.5	9.3	77	43	62	SW 1	NE 2	NE 2	7^1	$2^1\odot$	0	–	
30.	17.2	15.7	16.6	17.7	28.2	17.9	**28.3**	13.3	9.2	9.5	11.5	62	33	76	C	NE 1	SW 3	$1^0\odot$	$2^1\odot$	10^1	–	a ⌓, 5^{11}–7^{21} p ◍, 5^{36}–6^{21} p ◹, abds. ≼ im N
31.	15.8	14.8	14.8	18.7	26.4	20.3	26.4	15.8	10.5	11.6	**13.0**	66	46	74	SE 1	C	W 1	$1^0\odot$	$1^1\odot$	8^2	5.9	n ≼, a ⌓, abds. ≼
Mittel	15.4	14.6	15.2	10.2	16.6	11.6	17.6	8.0	7.2	7.3	7.8	77	53	76				5.8	5.8	5.1	96.4	[1] ca 8^{15} p–n ◍^{0} [2] 9^{26} a, 0^{01}–1^{41} p, 3^{06} p an ztw. ◍. $4^{11.21}$ p ▲

Traunstein.

Mai. $\varphi = 47^0\ 52'$ N. $\lambda = 12^0\ 39'$ E $= 50^m\ 36^s$. H $= 597$ m. Cg $= +0.1$ mm. 1913.

1.	06.1	04.2	04.6	11.9	22.7	14.6	24.0	8.8	6.9	8.3	8.5	67	**41**	69	NW 2	E 2	W 8	$0\odot$	$4^2\odot$	2^1	–	abds. ≼ im NW
2.	08.3	08.1	08.3	6.4	8.2	7.6	14.6	6.0	5.5	5.9	6.4	76	73	82	W 4	W 6	W 2	10^2	10^2	10^2	–	a ◍
3.	06.8	04.5	03.7	6.7	12.1	9.5	12.6	4.5	6.3	7.1	7.3	86	68	83	E 2	E 2	W 2	10^2	10^2	10^2	0.5	abds. ◍^{0} (kein messbarer Niederschlag)
4.	02.0	699.7	699.8	7.8	13.0	7.5	15.0	7.0	7.0	8.8	6.1	89	80	79	W 2	E 2	**W** 8	10^2	8^2	10^2	–	abds, ≼ im NW
5.	00.0	**698.3**	698.8	6.1	8.1	6.0	9.1	3.0	5.4	**5.0**	5.9	76	62	85	SW 2	NW 2	W 2	10^2	10^2	$10^2\bullet$	4.6	n u. abds. ◍
6.	00.2	00.8	01.8	4.0	10.4	6.3	11.6	3.0	5.5	5.4	6.6	90	58	93	W 4	W 4	NW 2	$10^2\bullet$	$8^2\odot$	6^2	7.0	n u. a ◍
7.	02.4	04.1	06.4	6.6	7.0	5.8	8.5	4.6	6.2	6.7	6.3	85	89	91	S 2	W 2	W 4	8^2	$10^2\bullet$	10^2	1.7	m u. p ◍
8.	07.9	06.5	06.3	4.9	12.9	7.4	14.0	**0.9**	5.1	6.5	6.5	79	58	85	W 2	NE 4	E 2	$0\odot$	$1^1\odot$	0	5.5	⌓
9.	06.6	06.1	06.3	4.1	13.8	7.4	14.1	2.0	5.2	6.5	5.8	85	56	76	E 4	E 4	E 2	10^2	1^1	0	–	
10.	06.8	05.4	04.2	5.8	16.0	9.6	17.6	1.4	5.6	6.3	6.4	82	45	71	E 4	E 4	E 2	$0\odot$	$2^1\odot$	0	–	mrgs. ⌓
11.	07.9	10.1	11.5	7.4	5.8	5.9	9.6	5.1	7.1	6.2	6.2	93	90	90	W 6	SW 6	W 4	$10^2\bullet$	$10^2\bullet$	$10^2\bullet$	5.8	n u. t ◍
12.	12.4	12.4	12.6	6.7	11.5	7.9	12.0	5 3	6.6	6.9	7.5	90	69	94	W 2	W 2	W 2	10^2	10^2	10^2	13.9	n u. abds. ◍
13.	12.0	11.7	11.7	8.2	15.4	9.8	15.8	5.0	7.0	7.1	6.3	87	55	69	E 4	E 4	E 2	$7^2\odot$	$4^2\odot$	0	4.6	
14.	11.8	10.3	10.4	8.2	17.0	12.7	18.0	3.4	6.3	7.4	6.8	78	52	62	SE 4	NE 2	E 2	$0\odot$	$2^1\odot$	0	–	
15.	10.1	09.2	08.3	10.1	21.2	13.9	21.2	5.8	7.5	9.6	9.6	80	52	81	W 2	E 4	E 2	$9^2\odot$	$4^2\odot$	6^2	–	
16.	06.4	04.8	03.3	14.5	23.5	14.0	23.5	10.9	10.2	9.8	10.0	84	46	85	E 2	E 4	E 2	$7^2\odot$	$6^2\odot$	0	–	
17.	03.3	04.0	03.8	15.0	16.5	10.2	17.8	9.1	8.3	9.3	8.6	65	67	93	NW 6	NW 2	SE 2	$8^2\odot$	$6^2\odot$	4^2	–	a ◍, 5^{35}–6^{31} p ◹
18.	03.8	03.1	06.6	10.6	16.9	11.3	18.0	8 0	8.3	11.3	8.4	89	79	84	SW 2	SW 2	W 6	$6^2\odot$	8^2	10^2	8.2	p ◍
19.	09.1	09.5	12.2	7.8	8.0	3.9	11.3	3.7	7.3	7.2	5.7	93	90	95	W 2	W 2	W 2	$10^2\bullet$	$10^2\bullet$	$10^2\bullet$	3.9	n u. t ◍
20.	13.5	14.8	16.3	4.6	4.3	3.8	6.0	3.4	5.7	5.6	5.5	90	90	92	W 2	W 6	S 2	$10^2\bullet$	$10^2\bullet$	2^2	**23.1**	mrgs. u. a ◍. $9^{37.41}$ a △
21.	16.8	15.8	15.2	5.6	12.3	6.0	13.3	1.0	5.8	5.6	6.3	85	52	90	SE 2	E 2	S 2	3^2	$6^2\odot$	0	8.2	mrgs. ⌓
22.	12.1	11.2	14.5	8.4	17.9	9.3	18.9	2.5	5.3	6.2	8.1	65	**41**	93	E 2	N 7	W 2	$1^1\odot$	$8^2\odot$	$10^2\bullet$	–	mrgs. ⌓, abds. ◍
23.	16.2	15.3	16.3	8.4	11.2	7.2	12.2	7.2	7.1	8.0	7.1	87	80	94	W 4	SW 4	W 4	10^2	7^2	$10^2\bullet$	5.1	a ◍ △, p u. abds. ◍
24.	16.3	17.7	**18.3**	7.6	14.8	11.0	15.5	5.9	6.9	5.2	8.2	89	42	83	SW 2	NW 2	W 2	8^2	$4^2\odot$	6^2	11.2	
25.	**18.3**	18.0	18.2	11.9	19.0	11.4	19.8	9.4	8.9	7.8	9.6	86	48	96	SW 2	NW 4	SE 1	$8^2\odot$	$7^2\odot$	0	–	
26.	18.0	17.2	16.7	12.6	21.7	13.6	25.0	7.8	9.1	10.1	8.5	85	52	73	SW 2	E 4	S 2	$0\odot$	$2^1\odot$	0	–	
27.	15.8	14.4	12.1	14.6	23.5	14.8	23.5	8.9	9.5	9.0	10.7	77	42	86	W 2	S 4	S 2	$0\odot$	$6^2\odot$	2^2	–	mrgs. ⌓ u. ≡
28.	12.7	11.7	14.1	13.4	20.6	12.5	21.0	12.4	10.5	9.7	10.7	93	54	**99**	W 4	W 6	W 2	10^2	$6^2\odot$	$10^2\bullet$	4.2	n ◍, 10^{41} p ab, 3^{34}–4^{41} p, 7^{21}–8^{15} p ◹
29.	15.5	14.3	12.9	14.0	21.4	15.2	21.5	11 3	10.2	9.4	9.0	86	50	76	W 2	SE 2	SE 2	10^2	$3^2\odot$	0	15.6	
30.	11.5	10.5	12.9	17.1	26.1	15.6	**26.1**	9.1	9.5	12.3	10.9	65	49	83	E 2	E 4	W 4	2^2	$3^2\odot$	$10^2\bullet$	–	$8^{56.31}$ p ◹ ⎓, abds. ◍
31.	10.7	09.5	09.0	17.8	24.3	19.8	25.0	13.0	12.7	**13.3**	12.1	84	59	70	W 2	NE 4	E 2	$4^2\odot$	$4^2\odot$	3^2	8.4	9^{36}–10^{06} p ◹
Mittel	09 7	09.1	09.6	9.3	15 4	10.0	16.6	6.1	7.4	7.9	7.9	83	61	84				6.5	6.1	5.2	131.5	

Alle Angaben nach Ortszeit.

Partenkirchen.

Mai. $\varphi = 47^0\ 30'$ N. $\lambda = 11^0\ 6'$ E $= 44^m\ 24^s$. H $= 716.8$ m. Cg $= +0.1$ mm. 1913.

Datum	Luftdruck auf 0° u. Normalschwere reduziert 700 mm +			Lufttemperatur C°					Absolute Feuchtigkeit mm			Relative Feuchtigkeit Proz.			Richtung und Stärke des Windes 0 bis 12			Bewölkung 0 bis 10			Niederschlag mm	Bemerkungen
	7a	2p	9p	7a	2p	9p	Max.	Min.	7a	2p	9p	7a	2p	9p	7a	2p	9p	7a	2p	9p	7a	
1.	696 5	693.6	694.6	12.8	21.8	12.6	23.0	9.2	7.5	6.2	5.6	68	32	51	SE 2	S 2	NW 3	1^0○	3^1○	10^1●	–	1^{15} p u. 8^{15} p ◍^{0}
2.	698.3	697.5	697.3	4.9	8.3	7.0	12.6	4.7	6.0	5.9	6.8	94	73	91	C	NW 4	C	10^1●	10^1	10^1‾	5.0	n ◍^{0}, a Berge bewölkt
3	696.2	693.9	693.8	5.0	11.6	7.0	12.5	4.3	6.1	6.6	7.4	94	64	99	C	NW 3	C	10^1	8^1	10^1●	4.7	abds. ◍^{0}
4.	691.8	689.0	690.5	7.3	13.4	6.2	14.5	5.6	6.7	5.5	6.2	88	48	88	C	NW 2	N 4	7^0	6^1	10^1●	2.0	a Berge meist bedeckt, 5^{34} p u. ca 6^{45} p ◹ mit ◍
5.	689.7	688.5	689.4	3.0	6.0	3.2	6.8	1.2	5.5	5.5	5.6	96	79	97	C	NW 3	C	10^1	10^1	10^1●	11.1	a Neuschnee bis ca 1100 m herab, abds. ◍^{1}
6.	690.4	690.4	691.8	3.5	9.4	5.7	10.3	2.0	5.6	4.9	5.5	95	56	80	C	NW 3	NW 2	9^1	9^1	9^1	6.1	a Berge meist bedeckt, langsames Aufklaren
7.	692.2	694.0	697.2	4.7	9.2	6.7	9.9	3.8	5.9	6.2	5.3	92	71	73	C	NW 2	SE 2	10^1	10^1●	1^0	0.1	m ◍^{0}
8.	697.5	694.8	695.4	3.0	15.7	8.5	16.3	0.2	4.7	5.7	6.6	83	43	79	C	NW 4	C	○○	1^0○	4^1	1.5	a ⌴, Berge rein
9.	695.8	694.3	695.3	7.4	17.4	10.3	18.1	6.1	6.8	8.2	8.1	89	56	88	C	NW 5	C	8^1	5^1○	0	–	
10.	696.1	693.6	694.3	9.2	19.9	11.9	20.3	6.9	7.6	8.3	8.0	89	48	77	C	NW 5	C	○○	4^1○	7^1	–	a ⏢, Berge rein
11.	698.3	00.1	02.0	6.7	6.2	5.9	11.9	5.9	7.1	6.4	6.4	98	90	93	C	C	C	10^1●	10^1●	10^1●	18.0	$9^{16.34}$ p ◹ mit ◍^{1}, mrgs. ◍^{1}, t ◍^{0}
12.	02.5	01.9	01.9	5.4	9.2	7.8	10.9	4.9	6.5	7.2	7.2	97	83	92	C	C	C	10^1	10^1	1^0	9.0	a Berge bis 2000 m frei
13.	01.1	699.8	00.6	7.7	17.5	9.8	18.0	3.1	6.4	7.6	7.9	82	52	87	SE 3	NW 5	C	○○	3^1○	0	0.7	a ⏢, Berge sehr rein
14.	01.0	699.5	699.7	10.9	18.6	12.7	20.5	6.0	7.2	7.0	9.5	74	44	88	SE 3	NW 5	C	○○	7^1	2^0	–	a ⏢, Berge sehr rein
15.	00.0	698.3	698.3	11.5	21.7	14.2	22.2	6.6	7.3	8.6	8.7	72	45	73	SE 3	NW 5	C	8^0	3^0○	7^1	–	a ⏢, Berge sehr rein
16.	696.2	694.1	692.9	14.7	23.1	13.1	23.5	11.7	9.3	8.3	7.3	75	39	65	SE 1	SE 2	S 2	6^0	3^0○	2^0	–	a ⏢, Berge sehr rein, föhnig
17.	694.2	692.9	694.2	10.2	17.3	11.6	18.0	10.0	8.6	8.3	8.8	93	56	87	C	NW 4	C	10^0	7^1○	8^1	0.9	n ◍^{0}, a Berge meist frei, föhnig
18.	694.0	693.2	699.7	10.0	15.4	8.8	17.2	6.4	7.5	8.9	8.0	82	68	95	C	C	C	3^0○	7^1○	9^1	0.1	a Berge rein, föhnig. 0^{07} p ◹, 0^{39}–4^{45} p ◍
19.	698.9	699.7	01.2	6.4	6.6	4.2	8.8	4.2	7.0	6.4	5.8	98	88	93	C	W 2	C	10^1●	10^1●	10^1●	9.0	a Berge meist im Nebel
20.	02.5	04.4	06.6	4.0	5.8	3.6	8.2	3.1	5.7	5.5	5.7	93	81	97	C	S 2	C	10^1	7^1	10^1●	8.4	a Berge bewölkt, 11^{43} a ◹
21.	06.7	04.4	04.2	3.6	13.6	5.4	14.2	0 1	5.4	4.9	5.6	92	42	83	C	NW 3	SE 2	○○	1^0○	0	7.8	a Berge frei
22.	02.2	01.0	05.2	7.7	17.0	11.1	19.3	3.0	5.3	6.0	9.5	68	42	96	SE 2	NW 4	C	2^0○	7^1	10^1	–	a ⏢, Berge rein; 5^{14} p ◍^{0}
23.	06.0	04.8	05.5	7.4	12.2	6.9	12.8	6.5	7.4	5.5	7.4	96	52	100	C	NW 3	C	7^1	8^1	10^1●	5.6	a Berge meist bedeckt, abds. ◍^{1}
24.	06.4	07.1	**08.1**	5.8	14.4	10.7	15.3	5.6	6.9	6.7	8.7	100	55	92	C	NW 4	C	10^1●	7^1○	10^0	**30.0**	n u. a ◍
25.	07.9	06.9	07.4	10.8	19.2	12.2	20.0	8.8	8.2	8.2	8.7	86	50	83	C	NW 4	SE 2	9^0	4^0○	0	3.1	a Berge meist frei, Aufklaren
26.	07.9	06.4	06.6	11.8	22.4	15.0	23.0	8.0	7.8	8.8	9.8	76	44	77	SE 2	NW 4	C	○○	1^0○	0	–	a ⏢, Berge rein
27.	06.0	04.2	03.1	14.6	22.4	15.8	23.4	10.1	9.1	8.6	**13.1**	74	43	98	SE 2	N 2	C	3^0○	8^0	10^1●	–	a ⏢, Berge frei, 7^{39} a ◹, ca 7^{48}–8^{45} a ◍
28.	04.5	02.5	04.5	11.8	20.2	16.0	20.5	11.7	10.2	9.4	11.2	99	54	83	C	W 2	SE 2	10^1●	4^1○	3^1	18.7	9^{16} p, ca $9^{15.25}$ a ◹, a ◍^{0}
29.	06.3	02.7	02.5	13.0	22.9	15.6	23.3	9.6	9.5	8.2	12.8	86	39	97	S 3	NW 4	C	1^0○	1^0○	0	2.2	a ⏢, Berge frei
30.	02.0	00.0	01.7	16.1	25.4	14.7	**26.3**	11.2	9.8	9.1	11.8	72	38	94	C	NW 5	NW 3	2^0○	6^1	8^1	–	5^{49} p ◹, 5^{59}–ca 7^{15} p ◍^{2}
31.	01.2	698.7	699.6	16.0	24.9	15.6	25.3	12.1	10.7	10.1	11.2	79	43	85	SE 3	NW 4	SE 3	○○	2^1○	0	24.1	a Berge rein
Mittel	699.7	698.5	699.5	8.6	15.8	10.0	17.0	6.2	7.3	7.2	8.1	86	55	86				5.7	5.9	5.8	168.1	

Hohenpeissenberg.

Mai. $\varphi = 47^0\ 48'$ N. $\lambda = 11^0\ 1'$ E $= 44^m\ 4^s$. H $= 994.1$ m. Cg $= \pm\ 0.0$ mm. 1913.

	600 mm +																					
1.	73.2	70.9	72 4	12.7	17.6	4.0	18.4	4.0	5.2	5.9	6.1	47	40	100	W 1	NE 2	W 8	○○	8^2	10^2●	–	a sehr reine, p reine Fernsicht, ca 4^{45} p n ◍, abds. ⎓
2.	74.1	73.9	73.8	2.1	5.3	3.2	6.2	1.7	5.3	5.4	5.0	100	82	87	W 1	NW 1	NE 2	10^2	10^2	4^2	1.8	a Flachl. rein, Geb. bed., vorm. ◍, p ∞, abds. ^{1}, S ∞^{2}
3.	72.6	71.0	70.2	2.8	6.8	4 4	7.3	2.2	5.6	5.8	5.9	100	78	96	E 1	NE 1	NE 6	10^2≡	10^1	10^2●	0.7	a ≡^{2}, p ∞^{2}, abds. ◍ ∞^{2}
4.	68.6	66.2	67.0	5.7	10.5	2.0	11.1	2.0	6.0	5.9	5.0	88	63	94	W 1	E 1	NW 8	8^1≡	9^2	10^2●	0.5	a ≡^{1}, p ∞, ca 6^{15} p–n ◍
5.	66.0	65.1	65.5	2.6	4.4	1.3	4.4	1.3	4.3	5.3	4.9	77	85	98	W 1	C	SW 3	9^2	10^2	10^2●≡	1.8	t Flachland rein, Gebirge bedeckt, abds. ≡^{2} ◍
6.	66.6	67.1	68.0	2.4	6.5	2.4	6.7	0.9	5.0	4.7	5.0	91	65	91	W 1	NW 1	SW 4	9^1	10^1	9^2	4.0	t ∞
7.	68.2	70.2	73.1	3.7	5.1	2.9	7.2	2.1	5.4	5.4	4.9	90	83	86	SW 2	W 6	SW 3	10^2	10^2	1^2	0.1	n ◍, a ≡, sonst reine Ferns., m Geb. dunst., abds. klar
8.	73.6	72.2	71.8	4.1	10.3	6.1	10.6	2.0	4.9	4.2	5.4	80	45	76	E 1	NE 3	NE 7	○○	○○	2^2	2.3	n ◍, a u. abds. ∞^{0}
9.	72.2	72.2	72.1	7.0	12.3	7.7	13.0	4.6	6.3	6.9	0.2	84	65	79	E 1	NE 1	NE 6	○○	○○	0	–	a ≡ ringsum, Gebirge schwach dunstig, m allgemein ∞
10.	72.9	71.2	70.9	10.1	15.4	10.4	15.6	6.9	7.0	6.0	5.7	70	46	60	NW 1	NE 5	NE 4	○○	2^2○	7^2	–	t ∞, p Horiz-≡, abds. ◹ i. SE
11.	74.0	76.0	77.8	3.0	2.6	3.2	10.4	2.6	5.7	5.4	5.8	100	98	100	W 3	W 3	W 5	10^2≡●	10^2≡●	10^2≡●	5.2	n u. t ≡$^{1.2}$ ◍
12.	78.4	78.4	77.9	4.1	7.5	5.6	8.4	3.2	5.5	6.3	6.3	90	82	93	W 1	W 1	NE 4	10^1●	10^1●	1^1	10.2	n ≡^{2} ◍, t meist ◍, gegen Abend Aufklaren, ≡
13.	77.2	77.2	77.1	4.1	12.6	8.0	12.8	3.3	6.0	6.2	5.8	98	57	72	E 1	NE 3	NE 6	○≡○	1^2○	0	1.2	a ≡^{1}, Gebirge sehr rein, m reine Fernsicht, abds. ∞
14.	77.3	77.1	70.4	11.3	15.5	11.0	15.6	7.1	7.1	6.4	6.1	71	49	62	C	E 1	E 6	○○	5^2○	0	–	a ⏢, zieml. reine Fernsicht, p reine Fernsicht, abds. ∞
15.	76.7	76.1	75.0	13.1	18.0	14.0	18.3	9.9	5.9	7.5	7.8	52	49	66	SE 1	NE 1	NE 2	10^1	9^1○	1^2	–	t ∞^{0}
16.	72.9	71.6	70.1	15.2	20.7	15.5	20.7	13.6	6.5	6.6	6.1	51	**37**	49	SE 1	SE 1	SE 7	9^1○	8^2○	0	–	a reine Fernsicht, p Flachl. rein, Geb. s. rein, abds. ∞
17.	70.6	70.5	70.8	8.5	13.6	8.6	13.8	8.5	7.7	7.6	6.6	93	65	79	W 3	NE 1	W 6	10^2●	8^2	10^2●	–	7^{00} a ab ◍, a ∞, p s. klare Ferns., 7^{18} p ◹, 7^{49} p–n ◍
18.	70.8	70.4	73.4	9.3	12.7	7.1	13.9	7.1	6.7	6.6	6.9	76	60	91	W 3	W 8	SW 8	1^2○	7^2○	10^2●≡	1.1	t sehr reine Fernsicht, abds. ≡^{1} ◍
19.	75.3	76.0	77.2	4.1	3.9	3.0	7.1	1.7	6.1	5.6	4.2	100	92	74	NW 1	NW 1	SW 6	10^2≡●	10^2≡	6^2≡	6.9	n u. t meist ≡$^{1.2}$ ◍
20.	79.1	80.4	81.7	3.3	4.5	2.7	5.6	1.2	5.0	4.7	4.5	87	74	80	W 1	NW 1	W 3	10^2	10^1	1^1	4.5	a ∞, vorm. ztw. ◍ ✳, p ztw. △ ◍
21.	82.2	81.5	80.0	6.3	9.9	6.9	9.9	2.4	4.5	4.7	**4.1**	63	51	55	C	E 1	NE 6	○○	3^2	0	3.9	t ∞^{0}, abds. ≡^{2}, Horiz.≡
22.	78.4	78.2	81.0	9.0	14.5	6.6	15.1	6.5	**4.1**	4.8	6.2	48	39	85	SW 1	W 4	SW 5	8^1	10^2	8^2	–	a ∞^{0}, p klar, abds. ∞
23.	82.1	81.5	81.5	6.2	9.1	4.7	9.3	4.7	5.9	5.0	6.3	84	58	98	W 1	W 3	SW 6	10^1	10^2	10^2●	1.6	n ◍, t ∞, p u. abds. ztw. ◍
24.	81.9	83.8	**84.5**	4.5	11.8	9.3	11.8	4.5	6.3	6.7	7.6	100	65	88	W 1	N 1	E 1	10^2≡●	9^2	10^2	**22.7**	n u. a ◍, a ≡^{2}, p reine Fernsicht, abds. ∞
25	84.2	84.4	84.1	9.8	15.5	12.7	15.6	8.6	8.3	7.7	7.5	92	59	69	E 1	W 4	NE 8	10^1	1^2	0	0.4	t ∞, abds. Horiz.≡
26.	84.3	84.0	83.3	13.9	18.6	14.8	19.6	11.5	7.7	6.0	8.3	65	**37**	66	SE 1	NE 1	NE 8	○○	○○	2^1	–	a ∞, p reine Fernsicht, abds ∞, Horiz.≡
27.	82.5	81.4	80.2	17.1	19.9	14.7	20.8	14.4	7.9	7.9	7.5	55	46	60	W 1	W 3	SW 5	9^2⧖●	9^2	10^2●◹	–	6^{34}–7^{44} a ◹ mit ◍, t ∞; 8^{00}–9^{00} p ◹ ◍
28.	79.9	79.2	80.7	10.8	17.7	13.2	17.7	10.0	9.0	8.3	7.6	94	56	67	NW 4	S 7	SW 1	10^2	7^2	10^2	4.1	$9^{00.19}$ p ◹ mit ◍, n ◍, a Flachl. rein, Geb. bed., [1]
29.	81.8	80.3	79.3	14.6	18.8	15.2	18.8	11.6	8.9	6.8	7.9	72	43	61	SW 1	E 4	NE 5	1^1○	○○	1^1	0.6	t ∞, abds. ≡ u. Horiz.≡
30.	79.1	78.0	78.6	17.3	22.4	15.8	**23.1**	14.8	6.0	8.8	8.1	41	44	61	W 1	NE 1	SE 5	1^1○	7^2○	9^2	–	t reine Fernsicht, $5^{07.12}$ p ◹ u. ◍^{0}, abds. ∞ ◹
31.	77.8	76.9	76.3	21.1	22.0	18.1	22.0	15.7	6.9	**10.0**	**10.0**	37	51	64	C	NE 1	E 4	○○	○○	7^2	–	Niederschlag v. gestern nicht messbar, t reine Fernsicht, [2]
Mittel	76.0	75.6	75.9	8.4	12.5	8.2	13.3	6.1	6.2	6.3	6.3	77	60	78				6.0	6.5	5.5	73.6	[1]) p reine Fernsicht, ca 4^{45} p ◹ u. ◍; abds. ∞ [2]) abds. ◹

Alle Angaben nach Ortszeit.

Zugspitze.

Mai. $\varphi = 47^0\ 25'$ N. $\lambda\ 10^0\ 59'$ E $= 43^m\ 56^s$. H $= 2964$ m. Cg $= -0{,}2$ mm. 1913.

Datum	Luftdruck auf c^0 u. Normalschwere reduziert 500 mm + 7^a	2^p	9^p	Lufttemperatur C° 7^a	2^p	9^p	Max.	Min.	Absolute Feuchtigkeit mm 7^a	2^p	9^p	Relative Feuchtigkeit Proz. 7^a	2^p	9^p	Richtung und Stärke des Windes 0 bis 12 7^a	2^p	9^p	Bewölkung 0 bis 10 7^a	2^p	9^p	Niederschlag mm 7^a	Schneedecke cm 7^a
1.	28.8	27.9	26.4	0.3	0.6	− 1.9	0.9	− 1.9	3.4	3.9	3.9	68	80	100	C	SE 3	SE 3	4^0⊙	9^1	10^2≡*	–	
2.	24.7	24.8	24.7	− 6.4	− 4.2	− 7.0	− 1.9	− 7.0	2.7	3.2	2.6	100	97	100	SE 1	C	SE 4	10^2≡	10^2≡	10^2≡	0.8	
3.	23.6	23.4	22.6	− 7.2	− 2.9	− 5.7	− 1.4	− 7.3	2.6	3.4	2.9	100	92	100	SE 4	SE 2	SE 3	8^0	10^2≡	10^2≡	0.3	
4.	20.9	20.2	19.1	− 6.4	− 3.0	− 8.4	− 1.8	− 8.4	2.7	3.5	2.2	100	96	98	C	S 2	S 3	10^2≡	10^2≡*	10^2≡*≋	1.6	
5.	16.7	16.4	17.3	−11.6	− 7.4	−10.0	− 6.2	−12.9	1.8	2.5	2.0	100	100	100	NW 1	NE 2	NW 3	10^2≡*	10^2≡*	10^2≡*	11.0	
6.	17.6	18.8	20.1	−10.2	− 6.7	− 9.5	− 4.1	−11.3	2.0	2.6	2.1	100	98	100	N 3	N 1	NW 2	10^2≡	10^2≡*	6^1	10.7	
7.	20.1	22.3	23.9	− 8.7	− 6.0	− 9.5	− 6.0	−10.1	2.2	2.8	2.1	100	100	100	NW 5	NW 3	W 2	10^2≡	10^2≡*	o≡	5.3	
8.	25.1	26.2	26.6	− 8.5	− 3.8	− 3.3	− 1.8	−12.8	1.8	3.1	3.4	82	90	95	W 4	W 4	W 5	o⊙	3^0⊙	9^1	2.1	
9.	26.5	27.4	27.8	− 2.8	1.4	− 0.8	2.8	− 3.3	3.7	4.1	3.9	100	80	89	NW 4	S 1	S 2	10^2≡	10^1	1^0	2.9	
10.	27.8	27.6	27.2	− 1.5	0.6	0.2	1.5	− 2.3	3.3	4.6	4.5	80	96	96	NW 1	SE 3	W 5	3^1⊙	8^1	4^1	–	
11.	25.5	26.3	27.9	− 7.4	− 8.5	− 8.2	0.2	− 8.9	2.5	2.3	2.3	100	100	100	N 5	N 5	N 5	10^2≡*	10^2≡*	10^7≡	3.1	
12.	28.8	29.1	29.3	− 6.8	− 1.4	− 6.0	− 1.1	− 8.2	2.6	3.6	2.8	100	88	100	C	SE 1	W 1	10^2≡*	10^2≡*	o	6.8	
13.	29.3	30.5	31.1	− 3.6	− 1.4	− 1.9	− 0.1	− 6.9	2.0	3.6	3.1	58	87	78	S 2	SE 2	SE 3	1^0⊙	4^1⊙	3^0	2.0	
14.	31.0	31.7	31.6	− 2.4	1.3	− 0.7	1.4	− 3.7	2.9	4.3	3.6	78	86	83	SE 4	S 2	S 7	2^0⊙	10^1	6^0	–	
15.	31.3	32.0	31.0	0.6	2.7	0.8	3.1	− 1.8	3.9	4.9	4.4	80	87	91	SW 7	SW 5	S 8	8^0⊙	8^1⊙	9^1	–	
16.	29.2	29.1	27.4	1.4	2.4	− 0.4	3.4	− 0.4	4.4	5.1	4.5	87	93	100	S 5	S 2	SE 6	7^0	9^1	5^1	–	
17.	25.2	25.6	25.7	− 3.8	− 0.3	− 2.6	− 0.3	− 3.8	3.4	4.3	3.7	100	94	100	SE 5	S 5	SW 8	10^1	9^1	10^2≡*	0.1	
18.	24.8	25.6	26.4	− 2.8	− 0.6	− 5.0	− 0.1	− 5.0	3.4	4.4	3.1	93	100	100	SW 7	W 5	NW 5	6^1⊙	10^1≡	10^2≡*	0.3	
19.	26.4	26.1	26.8	− 4.0	− 7.2	−10.6	− 2.1	−10.6	3.3	2.6	1.9	100	100	100	S 4	NW 5	NW 5	10^2≡	10^2≡*	10^2≡*	6.6	
20.	27.3	28.5	30.4	−10.8	−10.8	−10.4	−10.4	−11.5	1.8	1.8	1.9	100	100	100	N 2	N 6	N 4	10^2≡*	10^2≡	10^7≡	10.8	
21.	30.8	31.9	31.9	−10.6	− 5.7	− 3.3	− 3.3	−11.0	1.9	1.2	1.2	100	39	44	N 4	N 4	NE 2	o⊙	1^0⊙	1^0	9.1	
22	30.8	31.5	31.9	− 4.3	− 3.7	− 5.8	− 3.0	− 5.8	3.0	3.4	2.9	93	100	100	NW 5	NW 4	NW 8	5^0⊙	10^1	10^2≡*	–	
23.	31.9	31.7	31.1	− 7.8	− 6.6	− 5.0	− 5.0	− 8.1	2.4	2.7	3.1	100	100	100	NW 5	NW 6	NW 10	10^7≡	10^2≡	10^2≡	10.2	
24.	32.0	34.7	35.6	− 5.1	− 4.2	− 3.8	− 2.6	− 6.2	3.0	3.3	3.4	100	100	100	NW 8	N 4	N 4	10^2≡*	10^2≡	10^2≡	**129**	
25.	35.6	37.0	37.5	− 3.2	− 0.4	− 0.8	0.6	− 4.4	3.6	4.1	2.6	100	92	61	NE 2	E 2	E 2	10^2≡	1^1⊙	o	–	
26.	37.9	**38.5**	38.0	2.2	2.0	1.8	4.0	− 0.8	2.7	4.5	5.2	51	86	100	NE 1	N 4	NW 4	o⊙	2^1⊙	10^2≡	–	
27.	37.1	36.9	35.5	1.6	1.9	1.4	2.5	0.2	5.1	4.9	5.1	100	93	100	NW 2	NW 3	NW 5	10^7≡	10^1	10^2≡≋	–	
28.	33.6	34.0	35.0	− 1.0	− 1.1	− 0.6	1.4	− 1.4	4.3	4.2	4.4	100	100	100	NW 7	NW 6	NW 5	10^2≡●	10^1≡	10^2≡	–	
29.	35.6	35.7	35.9	− 2.0	2.4	3.6	6.4	− 3.0	3.9	4.9	4.8	100	88	81	N 1	SE 4	N 1	6^2⊙	2^0⊙	1^0	1.5	
30.	35.5	35.6	34.8	2.8	6.9	2.6	7.4	2.4	4.1	5.1	4.9	73	69	87	N 2	SE 4	SE 1	4^0⊙	7^1⊙	10^1	–	
31.	34.5	34.4	34.2	4.0	5.8	4.2	**7.9**	1.4	4.4	**5.7**	5.0	73	83	80	N 1	S 5	S 4	2^0⊙	6^1⊙	4^1	1.9	
Mittel	28.6	29.1	29.1	− 4.1	− 1.9	− 3.4	− 0.2	− 5.6	3.1	3.7	3.3	91	91	93				7.0	8.0	7.1	130.0	

Schneedecke während des ganzen Monats, Angabe der Höhe unmöglich

54

1. t längs der Zentralkette v. E bis S Föhnmauer, a mässig bewölkt, p Auftauchen v. Gewitter-cu, 1^{30} p kurze Zeit △1, p dichte str-cu-Wolken vorherrsch., ab 7^{35} p ≡1, ab 8^{05} p ≡2 ✳3
2. n ✳0, a 3 cm Neuschnee, 15 cm ⋁ ≡2, ztw. ✳0, vorwiegend C, t ≡2, p mässiger SE
3. ab 10 p ⋁bildung, nn 5 cm ⋁, a 10 cm ⋁, ringsum cu-meer in ca 2200–2500 m, 11^{10} a–4^{30} p ≡1.2, 4^{30} p–n ≡2, 7^{01}–8^{25} p ✳1, kräft. elektr. Ausstrahlung, 9 p 5 cm Neuschnee
4. ab 10 p Aufklar., a ≡2, ztw. ⊙ durchschein., $8^{00.55}$ a ≡tr., 8^{55} a–m ≡2, m–1^{15} p ≡tr., ⊙, ab 1^{15} p vorwieg. ≡2, ztw. ✳0, ab 7^{05} p ✳1, ab 8^{30} p schw. posit. Elmsfeuer, 1)
5. $9^{00.10}$ p ≋, kräft. positives Elmsfeuer (Büschel mit gut ausgebildetem Stiel), 11^{20} p Erlöschen des Elmsfeuers, n ✳0.1, a 10 cm Neuschnee, leichter ⋁, ≡2 ✳1, t ≡2, 2)
6. n ✳0.1, a 5 cm ⋁, insgesamt 25 cm Neuschnee, ≡2, ab 7^{35} a ztw. Zerreissen d. Nebelschicht, dichter a-str sichtbar, ab 0^{35} p ztw. ✳0, 2^{25}–4^{00} p ✳1, ab 6^{30} p Aufklaren, 3)
7. 9 p teilw. Auflösung des cu-meeres, ab 11^{25} p neuerd. ≡2, n ✳0, a 5 cm ⋁, ≡2, t ≡2, ca 8 a, 10 a u. 2 p kurze Zeit ✳0.1, ab 6^{30} p ztw. ≡treiben, ca 8^{30} p Aufklaren
8. a in Tälern u. üb. Alpenvorland teilw. cu, ab 8^{25} a Auftauchen v. ci-Gewölk; p allmähl. Ausbildung einer cu-stg-Bank längs d. Zentralkette v. S bis W, Wind springt ztw. auf SW, 4)
9. n ✳0, a ≡2, 2 cm ⋁, 9^{30} a Aufklaren (cu N l), ca 10 a–2 p ztw. ≡treiben, ab 1 p südwestl. u. südl. Winde, p Auftauchen von Gewitter-cu i. SW. u. W
10. a in Tälern vereinzelte cu, ∞1, t Bewölkungsgrad st. Schwankungen unterworfen, ztw. ≡0, ab 5^{20} p Ausbild. einer cu-Decke i. Tälern u. üb. Alpenvorland, ab 8^{10} p ≲ i. W, NW u. N
11. n △0, ab 4 a ✳0, a ≡2 ✳0, 3 cm ⋁, t ≡2, ca 11 a–8 p ✳0.1, p starke ⋁bildung
12. ab 9^{15} p ☁, a 30 cm ⋁, ztw. ✳0.1, ≡2, t ≡2; ab ca 1 p ztw. ⊙ durchscheinend, ab 6^{30} p langs. Aufklaren, abds. Nebelgrenze in ca 2950 m
13. a über Inntal cu-meer in ca 1800 m, über Alpenvorland u. Flachland cu-Decke in ca 800 m, in Tälern teilw. cu, t lebh. cu-Bildung, ab ca 5 p ≡0.1 u. d. G., 5^{15}–6^{15} p ≡2, 5)
14. a längs Karwendel u. Zentralkette v. E bis SW Föhnmauer, in Tälern vereinzelte cu, ab 0^{30} p lebh. cu-Bildung, 1^{10} p bedeckt, ab 4^{35} p langs. Aufklaren, Auftreten von a-cu
15. a längs Zentralkette teilw. Föhnmauer, ∞1, t stark bewölkt, ci-Gewölk vorherrsch., p Föhnmauer längs Zentralkette v. SE bis W, 4^{55} p Auftreten v. Gewitter-cu i. SW u. W
16. a längs Karwendel u. Zentralkette v. E bis SW Föhnmauer, in Tälern vereinzelt Nebelfahnen, t Bewölkungsgrad st. schwankend, ab 0^{35} p ztw. ≡0, p cu-Gewölk vorherrsch., 6)
17. ca 10–11^{15} p ≲ i. NW; ca 5–6^{15} a ≡2 ✳0, a ≡0, t fast vollständig bedeckt, cu-Gewölk überwiegend, ab 8^{05} p ≡0.1 u. d. G., ab 8^{40} p ≡2 ✳0
18. ca 10 p Aufhören des ✳falles, 11^{05} p Aufklaren, a längs Zentralkette v. E bis S u. längs Karwendel Föhnmauer, in Tälern u. über Alpenvorland allenth. cu, ab 9^{30} a ≡0.1, 7)
19. a 5 cm ⋁, ≡2, ztw. ✳0, t ≡2, ab ca 1 p ✳1, 9 p 15 cm Neuschnee, 10 cm ⋁
20. a 20 cm ⋁, weitere 5 cm Neuschnee, ≡2, ztw. ✳0, t ≡2, ab ca 11 a–1^{30} p ✳1, p–ca 7^{45} p ✳0; weitere 5 cm Neuschnee, 25 cm ⋁.
21. a ∞kranz, in Tälern u. über Alpenvorland teilw. cu, 30 cm ⋁, 8^{25} a ca 1 p ≡tr., in Tälern u. über Alpenvorland starke cu-Bildung, ca 6^{40} p Wind dreht auf NE
22. a über Alpenvorland teilw. str-cu, Inntal Nebel, ci vorherrsch., ab ca 10 a lebh. cu-Bildung, 11^{25} a bedeckt, ab 0^{20} p ≡0.1, ab 4^{15} p ≡2, ✳0.1, ztw. elektr. Ausstrahlung, 8)
23. a insgesamt 10 cm Neuschnee, 15 cm ⋁, ≡2, t ≡2, ztw. ✳0, ab 6^{00} p NW 8–9, Windstärke wächst im Laufe der Nacht bis auf 11
24. ab ca 11 p ✳1, st. ⋁bild., ✳tr., a 20 cm Neuschnee, ≡2 ✳0, t ≡2, 8^{35}–10^{15} a ztw. Zerreissen d. Nebelschicht i. N u. NW, ca 0^{15} p st. Abflauen d. Windes, Wind dreht auf N
25. a ≡2, ztw. ⊙, ab 8^{55} a ≡tr., l. ci-Gewölk i. NW u. W, ringsum cu-meer in ca 2700–2900 m, geg. 11 a langs. Sichauflösen des cu-meeres, p l. cu-Gewölk vorherrsch., abds. ∞kranz
26. a ∞1, Inntal u. Karwendeltäler Nebel, ca 9 a über Alpenvorland u. i. Tälern lebh. cu-Bildung, ab ca 1 p cu, fr-cu NW l, ab 3^{00} p ztw. ≡0.1 u. d. G., ab 7^{05} p ≡2
27. a ≡2, 7^{02}–8^{24} a ≋, kräft. elektr. Ausstrahlung, ab 7^{25} a △0, 7^{34}–8^{14} a △2, $8^{14.36}$ a ✳1, 8^{55} a teilw. Aufklaren, 9^{35} a–m ≡0.1 u. d. G., p str-cu, cu-ni vorherrsch., ztw. ≡tr., 9)
28. 9^{00}–10^{36} p ≋, $9^{09.39}$ p △1.2, $10^{07.19}$ △0.1, 10^{30} p kurz sehr böiger Wind, 10^{46} p-n ≋, a–ca 8^{30} a Eisregen, st. ☁bildung, 8^{55} a teilw. Aufklaren, 10^{25} a–1^{05} p ≡tr., 10)
29. a–6^{15} a ≡tr., 6^{15} a Aufklaren, i. Tälern u. über Alpenvorland lebh. cu-Bildung, ci, ci-str vorherrsch., ab ca 10 a Auftreten v. cu u. fr-cu
30. a längs Zentralkette vereinzelte cu-str, 0^{05} p lebh. Bewölkungszunahme, Auftreten v. cu-ni; 3^{16} p kurze Zeit △0.1, $6^{14.24}$ p ≋ △1.2 ≡2, 7^{00} p Gipfel wieder nebelfrei
31. 11^{30} p kurze Zeit ◍0.1, a ∞1, t Bewölkungsgrad stark schwankend, ab 1 p Auftreten v. cu-ni i. W, ab 8^{20} p ≲ i. SE, N u. NW

1) 8^{45}–9^{00} p ≋. 2) ca 9 a–2^{25} p Wind dreht ztw. auf NE u. E, ztw. ✳0, ab 2^{25} p Wind dreht auf N zurück, ✳1, ab 8 p NW, 9 p 20 cm Neuschnee
3) ringsum cu-meer in ca 2800 m. 4) ab 6 p str-cu-Bewölkung überwiegend, ztw. leichtes Auftauchen von Gewitter-cu
5) dann wieder Aufklaren, abds. vollständ. Auflösung der cu. 6) ab 5 p Bildung v. cu-ni i. W u. NW
7) 11^{15} a–0^{25} p △2, kräft. elektr. Ausstrahlung, dann kurze Zeit ✳0, p ≡tr., $3^{05.35}$ p, 3^{57}–4^{34} p △2, ab 5 p ≡2, ab 6^{25} p ✳1, st. ⋁bildung, Wind dreht auf NW
8) ab ca 6 p st. ⋁- u. ☁-Niederschlag, 9 p 5 cm Neuschnee, 5 cm ⋁. 9) 8^{45}–9^{00} p ≋. 10) 1^{05}–3^{15} p Aufklaren, ztw. ⊙, ab 3^{35} p ≡1.2

Alle Angaben nach Ortszeit.

Kahl a/M

Juni. $\varphi = 50^0\ 4'$ N. $\lambda = 9^0\ 1'$ E $= 36^m\ 4^s$. H $= 114.1$ m. Cg $= +0.3$ mm. 1913.

Datum	Luftdruck auf 0^0 u. Normalschwere reduziert 700 mm + 7a	2p	9p	Lufttemperatur C° 7a	2p	9p	Max.	Min.	Absolute Feuchtigkeit mm 7a	2p	9p	Relative Feuchtigkeit Proz. 7a	2p	9p	Richtung und Stärke des Windes 0 bis 12 7a	2p	9p	Bewölkung 0 bis 10 7a	2p	9p	Niederschlag mm 7a	Bemerkungen
1.	52.8	49.9	52.7	15.1	27.8	18.2	28.8	13.6	12.1	**16.7**	13.2	94	57	85	SW 2	SE 4	C	10^1	5^1	10^1	6.1	n ◎
2.	53.9	53.8	53.2	18.4	23.9	17.6	25.1	13.4	11.6	11.1	13.3	74	51	89	SW 2	E 2	C	1^0⊙	4^0⊙	0	–	
3.	54.2	53.7	53.9	16.7	26.1	19.4	27.6	14.0	11.7	14.7	14.5	82	59	87	E 2	SW 2	C	10^0	2^0⊙	10^2	–	7^{30}–8^{36} p ◸, $7^{38.53}$ p ◎
4.	54.8	52.5	52.4	19.8	27.3	19.6	28.0	16.3	13.8	13.6	11.6	80	50	69	SE 2	E 2	SW 4	9^1	1^1⊙	10^2☾●	0.8	8^{06}–9^{00} p ◸, 8^{59}–9^{00} p ◎
5.	53.0	51.5	51.8	17.4	24.0	16.6	24.9	14.0	12.4	11.7	11.7	84	53	83	C	SW 4	C	7^1	6^0	9^2	**20.4**	9^{00}–11^{14} p ◸, 9^{00}–11^{21} p ◎
6.	53.4	53.4	54.6	16.2	18.5	11.5	20.2	11.0	10.6	8.5	8.7	77	54	87	SW 4	SW 4	S 2	8^1	10^1	0	0.3	n, $9^{06.11}$ a ◎^{0}
7.	56.7	56.8	56.7	12.9	16.0	14.6	18.5	7.9	8.5	7.3	8.7	77	54	71	SW 4	SW 4	SW 2	3^0⊙	9^0	10^1	0.2	a ⌓
8.	56.7	55.0	53.4	14.8	20.0	15.2	22.4	13.2	9.9	10.2	10.5	80	58	85	S 2	SW 2	C	10^1	8^1	7^0	–	
9.	54.8	55.9	55.7	15.7	18.1	13.7	20.8	13.6	10.7	6.3	8.9	81	41	77	W 2	NW 4	C	10^1	3^2	8^1	–	
10.	54.6	50.6	49.0	14.7	19.9	19.2	21.3	7.9	8.6	7.0	7.1	69	41	43	SW 2	SW 4	SW 8	9^1	10^1	10^2	–	
11.	51.0	52.7	52.8	16.0	18.3	14.7	20.1	14.5	6.6	6.4	7.7	49	41	61	SW 4	W 6	SW 4	9^1	5^0	10^1	–	n ≡
12.	51.9	54.2	56.5	12.7	13.1	10.5	17.9	10.5	7.3	9.0	8.7	67	81	87	SW 4	W 4	C	10^1	10^1	0	–	p ztw. ◎^{0}
13.	56.2	55.8	58.1	12.9	13.6	12.3	17.9	7.0	8.9	10.7	9.4	81	93	89	S 2	SE 2	NW 2	8^0	10^1	10^1	0.5	$0^{21.46}$ p ◎, dann ztw. ◎ .
14.	**61.9**	60.9	60.7	12.0	18.1	11.1	21.2	**4.0**	8.9	6.8	7.7	86	44	78	SE 2	E 2	E 2	1^0⊙	1^1⊙	0	1.1	a ⌓
15	60.6	59.3	58.7	14.4	21.9	13.4	25.1	6.2	7.5	6.8	8.2	61	35	72	E 2	NE 4	E 2	○○	○○	0	–	a ⌓
16.	58.7	57.1	56.1	16.8	23.8	14.2	27.9	9.8	7.5	7.2	9.0	53	33	75	SE 2	SE 2	E 2	○○	○○	0	–	a ⌓
17.	55.7	53.9	53.6	18.6	26.5	18.4	**31.2**	7.8	8.3	7.5	10.3	52	30	65	SE 2	SE 2	C	○○	○○	1^0	–	a ⌓
18.	53.5	51.4	51.7	18.1	28.2	17.0	29.9	10.8	11.1	10.7	14.0	72	38	**97**	SE 2	E 2	NE 2	7^1	2^1	10^2●	–	6^{51}–8^{46} p ◸, 7^{14}–9^{00} p ◎
19.	51.9	51.6	53.3	18.5	21.9	17.7	23.9	16.6	14.3	14.9	11.5	90	76	76	C	NE 2	NW 4	10^1	6^1⊙	10^1	19.0	$9^{00.36}$ p, $6^{38.51}$ p, $3^{28.34}$ p ◎
20.	53.4	53.3	53.6	16.3	19.3	14.6	20.0	14.6	11.6	11.1	9.5	84	66	77	S 2	S 2	NW 2	10^1	10^1	10^1	8.9	
21.	53.5	53.1	53.1	12.4	14.5	12.3	15.8	11.2	10.1	9.7	9.9	95	80	94	SW 2	E 2	C	10^1	10^0	10^0	6.7	n, 6^{51}–10^{36} a ◎
22.	54.2	54.8	56.2	11.1	16.4	13.1	20.7	10.4	9.2	11.0	10.3	94	79	93	SW 2	S 2	C	10^1●	6^0	1^0	8.2	n, a–9^{36} a ◎
23.	56.8	55.6	54.8	12.8	22.6	15.3	24.6	6.9	10.1	9.1	10.8	93	44	84	C	SW 2	C	○○	1^0⊙	1^0	1.7	a ⌓
24.	53.5	51.9	52.6	15.3	19.9	14.3	21.1	12.1	10.7	12.2	11.7	83	70	**97**	C	SW 2	C	10^1	6^0	10^1	–	a ◎, 3^{21}–4^{28} p ◸, 3^{43}–4^{01} p ◎
25.	51.8	50.8	51.7	13.5	16.9	11.8	17.9	11.2	10.1	8.1	9.6	88	57	94	SW 2	SW 2	C	10^1	10^0	1^0	3.6	
26.	54.5	55.0	55.8	12.5	18.5	13.2	20.0	6.3	9.8	9.2	9.5	91	58	85	C	W 4	SW 2	5^0	7^1⊙	10^0	–	
27.	54.2	53.3	54.4	13.4	16.6	12.0	18.4	11.6	10.0	8.7	9.4	88	62	91	SW 2	NW 2	W 2	10^1	3^0	10^1●	–	t ztw. ◎^{0}
28.	56.9	58.2	58.9	12.2	13.9	12.5	15.7	9.4	8.6	8.3	9.0	82	70	85	W 2	W 4	W 2	10^1	10^1	10^2	3.8	u ◎
29.	56.0	54.6	56.1	12.3	17.2	12.2	19.2	11.0	10.1	9.4	8.8	96	64	84	SW 2	W 6	NW 6	10^1●	10^1	10^1	2.0	n, t ztw. ◎^{0}
30.	57.6	57.6	57.5	11.5	15.9	11.9	18.3	9.4	7.8	7.3	8.6	77	55	84	SW 2	N 4	C	10^1	10^2	0	0.9	
																					84.2	
Mittel	55.0	54.3	54.7	14.8	20.0	14.6	22.1	10.9	9.9	9.7	10.1	79	56	81				7.2	5.8	6.3		

Bayreuth.

Juni. $\varphi = 49^0\ 57'$ N. $\lambda = 11^0\ 34'$ E $= 46^m\ 17^s$. H $= 363.3$ m. Cg $= +0.3$ mm. 1913.

1.	31.9	29.4	29.5	18.9	27.2	21.4	28.4	15.2	11.6	11.0	13.1	72	41	69	NE 4	SE 4	SE 2	3^0⊙	3^1⊙	5^1	0.8	n ◺, ◎^{0} ≡
2.	32.3	31.1	31.5	18.2	27.6	18.4	28.0	17.0	13.7	14.1	**14.6**	88	52	93	NW 2	NW 4	E 2	10^1	3^1⊙	10^1	–	n ◺, 9^{58}–10^{16} p ◸, 3^{01}–5^{36} p ◸ mit ◎^{1}, $4^{26.36}$ p ▲ . [1]
3.	32.3	32.1	33.1	18.6	25.0	19.8	**29.6**	14.2	12.2	15.2	12.5	77	65	73	SE 2	C	C	7^1	6^1⊙	8^2	9.6	n ◺, 5^{46}–6^{16} p Fern-◸
4.	33.8	31.8	30.3	17.8	27.0	21.9	28.9	16.2	13.3	13.3	14.0	88	50	73	C	E 4	E 4	9^1	5^2⊙	10^1	0.6	n ◺, 9^{46}–10^{46} p ◸ mit ◎^{0}, $10^{1.46}$ p ◸
5.	32.3	30.8	30.6	15.2	23.4	18.1	25.6	14.4	10.6	8.7	11.0	83	40	72	SW 4	SW 6	C	10^1	3^1⊙	10^1	4.1	n ◺, 10^{01}–11^{26} p ◸ mit ◎^{1}, $11^{28.32}$ p ▲
6.	31.9	32.2	33.0	16.4	14.8	11.0	18.2	10.7	10.3	10.4	9.0	74	84	92	SW 4	W 4	SE 2	9^1	10^7●	10^1	–	t ztw. ◎$^{0.2}$
7.	35.2	35.3	35.2	11.3	16.4	15.2	18.4	8.2	8.0	7.4	5.8	80	53	59	W 4	SW 4	C	8^1	9^1	0	9.6	
8.	35.7	33.6	31.9	13.1	20.0	15.9	23.0	7.7	8.6	9.0	10.2	77	52	76	S 2	SW 2	SW 2	1^0⊙	10^1	1^0	–	a ⌓
9.	32.3	33.0	33.9	15.6	17.0	12.9	19.8	11.2	10.5	9.4	7.6	80	65	69	SW 4	W 4	W 2	10^1	8^2	1^1	–	
10.	33.4	30.2	26.9	12.5	18.5	18.2	19.4	7.4	8.0	5.7	6.3	74	37	41	SW 2	SW 6	SW 6	3^0⊙	10^1	10^2	–	a ⌓
11.	27.8	30.0	30.9	14.3	16.1	12.9	18.3	12.7	7.5	6.4	6.3	62	48	57	W 8	W 8	W 2	7^1	8^1	5^1	–	n u. t ≡
12.	28.5	30.1	33.9	11.1	13.3	9.2	14.0	9.0	7.9	7.8	7.3	80	68	85	W 4	W 6	W 2	10^2●	8^1	2^0	0.4	t ztw. ◎^{0}
13.	34.4	33.6	34.3	9.1	12.5	10.6	15.0	5.7	7.6	7.3	8.9	90	68	94	C	W 4	W 2	10^2	10^2●	10^2	0.8	a ⌓, 2^{01}–5^{31} p ◎^{0}
14.	39.7	39.8	39.5	8.7	15.0	11.5	18.2	3.9	7.1	5.6	6.1	87	45	60	NW 2	NW 2	NE 2	7^1	3^1⊙	0	2.6	a ⌓
15.	**39.9**	38.9	38.5	8.3	19.6	14.1	20.9	3.1	6.6	7.5	7.1	80	44	60	E 2	SE 4	SE 2	○○	2^0⊙	0	–	a ⌓•
16.	38.5	36.9	35.4	12.9	20.9	13.5	22.4	5.4	6.6	6.1	7.0	59	34	61	E 2	E 4	E 2	○○	○○	0	–	a ⌓
17.	35.4	33.3	32.4	13.1	24 0	16.5	27.6	6.9	7.4	7.0	8.5	66	31	61	E 2	NE 2	C	○○	○○	0	–	a ⌓
18.	32.4	30.5	29.8	15.0	27.8	20.3	28.0	8.3	9.0	9.0	11.1	71	32	64	E 2	W 2	C	2^0⊙	3^1⊙	10^1	–	a ⌓
19.	30.1	29.7	30.0	17.8	17.0	16.6	22.8	14.3	12.8	13.1	12.9	85	91	92	C	W 2	W 2	10^1	10^1☾●	10^1	2.5	3^{16}–4^{36} a ◸, 4^{15}–5^{06} a ◎^{1}, 0^{56}–2^{16} p ◸ mit ◎$^{0.1}$, [2]
20.	31.1	31.3	30.9	15.8	16.4	14.6	18.2	14.2	12.2	12.6	12.1	91	91	98	NW 4	NW 2	NW 2	10^2	10^2●	10^2●	4.5	10 a ab ◎$^{0.1}$
21.	29.0	29.8	29.8	12.3	11.3	11.1	14.7	10.9	12.3	9.4	9.5	**97**	94	96	NW 2	W 4	W 2	10^2●	10^2●	10^2●	17.9	n ◎^{1}, t ◎$^{0.1}$
22.	30.9	32.7	33.8	9.1	11.5	11.3	12.3	8.2	8.3	8.6	9.5	**97**	86	86	NW 2	NW 2	W 2	10^2●	10^2	8^0	**30 8**	n ◎^{1}, a–11 a ◎^{0}
23.	35.0	34.0	33.6	10.7	21.3	15.1	23.8	8.6	9.0	6.4	10.2	94	33	81	SW 2	W 2	C	10^1=	2^1⊙	10^0	3.2	a ≡^{1}
24.	32.2	30.6	29.7	13.7	19.0	13.0	20.6	9.7	9.8	8.8	9 7	84	53	88	E 2	W 4	SW 4	10^1	10^1	8^2	–	7^{26}–8^{46} p ◸, 7^{56}–8^{31} p ◎^{0}, $8^{16.31}$ p ▲
25.	29.2	28.5	29.3	12 5	13.5	11.3	18.0	10.1	9.6	7.9	7.7	90	69	77	NW 2	W 6	NW 4	10^1	10^1	10^2	20.5	
26.	31.6	32.1	32.6	11.3	17.4	13.1	19.0	9.2	8.4	8.3	9.2	84	56	83	W 2	NW 4	W 2	8^1	8^2	10^0	–	
27.	31.9	30.2	30.5	11.9	14.7	12 9	16.6	9 9	8.9	8.7	8.7	86	70	79	W 4	W 4	W 2	10^2	8^1	10^1	–	t ztw. ◎$^{0.1}$
28.	33.5	34.4	35.9	10.9	13.3	11.1	14.4	7.7	7.3	6.1	7.9	75	53	80	NW 4	NW 6	W 2	10^1	8^2	10^1	5.5	n u. a ztw. ◎^{0}
29.	33.4	30.3	31.1	10.2	13.4	10.7	15.0	9.2	8.3	10.0	8.5	90	88	90	W 4	W 4	W 6	10^2	10^2●	10^2●	1.0	n ◎^{0}, t ztw. ◎$^{0.1}$
30.	34.0	33.3	34.4	9.9	15.2	11.3	16.0	8.1	7.8	7 2	7.4	86	56	74	W 4	W 6	W 4	10^2	10^2	10^1	4.4	n ◎^{0}
																					118.8	
Mittel	33.0	32.3	32.4	13.2	18.3	14.5	20.5	9.9	9.4	8.9	9.3	82	58	76				7.5	6.9	6.9		

1) 4^{16}–5^{16} p ◎

2) 4^{26}–5^{56} p ◸ mit ◎^{0}

Alle Angaben nach Ortszeit.

Bamberg.

Juni. $\varphi = 49^0\ 53'$ N. $\lambda = 10^0\ 53'$ E $= 43^m\ 32^s$. H $= 287.7$ m. Cg $= +0.3$ mm. 1913.

Datum	Luftdruck auf 0° u. Normalschwere reduziert 700 mm +			Lufttemperatur C°					Absolute Feuchtigkeit mm			Relative Feuchtigkeit Proz.			Richtung und Stärke des Windes 0 bis 12			Bewölkung 0 bis 10			Niederschlag mm	Bemerkungen
	7a	2p	9p	7a	2p	9p	Max.	Min.	7a	2p	9p	7a	2p	9p	7a	2p	9p	7a	2p	9p	7a	
1.	37.8	35.2	36.2	16.9	27.2	21.3	27.9	14.2	12.8	13.0	14.1	90	48	75	NW 1	S 4	NW 2	3^1⊙	3^1⊙	10^3	11.1	n ⌓, abds.
2.	38.9	37.5	37.9	17.8	26.1	19.1	27.3	14.1	11.9	15.0	13.4	78	60	82	W 2	W 4	NW 3	1^1⊙	8^1⊙	10^1	–	9^{00}–11^{01} p, 4^{40}–5^{40} p im E
3.	38.5	38.3	39.0	20.1	27.4	20.2	**29.4**	15.8	13.6	14.9	14.8	78	55	84	NE 1	SE 2	NW 3	10^0⊙	3^1⊙	10^3●	–	n ⌓, ca 10 a im S, 6^{38}–9^{00} p
4.	40.4	38.0	36.3	17.8	27.7	21.5	28.6	15.2	14.2	15.3	14.1	94	56	74	C 1	C	SW 2	10^1	5^1⊙	10^1	8.3	6–7 p u. 7–8 p
5.	38.3	37.2	37.2	17.2	23.4	17.6	24.6	14.0	12.1	11.3	11.1	82	53	74	SW 2	W 3	SW 2	9^1⊙	4^1⊙	10^2	3.2	9^{30}–10^{30} p, 9^{40}–10^{23} p ◍[1]
6.	38.4	38.9	39.5	15.1	15.5	9.8	18.7	9.8	11.2	10.9	8.8	88	83	98	SW 2	SW 2	SE 1	10^2	10^2●	8^1	0.1	n ⌓, 5^{31} p ◍[2]
7.	41.8	41.7	41.9	11.2	17.4	10.6	19.0	6.9	8.8	8.0	8.1	89	54	85	SE 2	SW 2	SW 1	8^2⊙	7^2⊙	1^1	3.8	n ⌓
8.	42.1	40.0	38.2	13.4	20.0	15.0	21.9	8.0	9.2	11.8	10.1	81	68	80	S 1	NW 2	SW 1	9^1	9^2	4^1	–	n ⌓
9.	38.9	39.8	40.6	15.0	18.9	12.3	20.6	11.5	11.2	9.7	7.3	88	59	69	SW 1	NW 3	NW 2	10^1	8^2⊙	10^1	–	n ⌓
10.	39.9	36.5	**33.7**	13.1	18.5	17.3	20.8	6.4	9.1	6.8	7.9	82	43	54	S 2	SW 4	S 1	10^1	10^1	10^2	–	n ⌓, p ztw. ◍[0]
11.	35.1	36.8	37.5	14.6	16.6	12.1	20.1	12.1	8.4	7.2	6.8	68	51	65	W 6	W 5	SW 2	8^1	8^1	4^1	0.2	n ◍[1]
12.	35.6	37.4	40.6	10.9	12.9	9.8	14.8	9.8	8.1	7.2	7.6	85	65	84	W 2	W 4	NW 2	10 ●	10^2	4^1	0.1	n ◍[0], t ztw. ◍[0]
13.	41.3	40.1	41.6	8.4	13.0	10.9	17.1	5.0	7.9	9.2	9.3	96	83	97	SE 1	NW 2	NW 2	10^2	10^2	10^2●	0.2	n ◍[0], t ztw. ◍
14	**46.6**	46.3	46.0	9.5	16.8	10.8	17.9	**4.2**	7.1	6.8	6.6	80	48	69	N 2	NW 1	E 1	2^1⊙	3^1⊙	5^0	3.2	n ⌓
15.	46.3	45.1	44.6	11.3	20.9	13.9	21.9	5.3	6.7	7.6	7.4	67	41	62	SE 2	SE 3	SE 2	1^1⊙	1^1⊙	1^1	–	n ⌓
16.	44.7	42.9	41.5	14.2	22.0	15.3	23.0	8.8	6.5	6.8	6.8	54	35	53	SE 3	SE 4	S 2	1^0⊙	00	0	–	n ⌓
17.	41.7	39.6	38.8	14.1	24.2	16.9	25.0	7.1	7.4	7.8	8.9	62	34	63	SE 2	SE 1	NW 1	00	00	1^1	–	n ⌓
18.	38.6	37.0	36.3	14.4	27.4	21.0	28.2	8.0	8.7	11.0	10.9	72	40	59	NW 1	NW 2	C	7^1⊙	3^1⊙	10^2	–	n ⌓
19.	36.5	35.9	37.1	17.7	20.9	15.6	25.0	15.0	12.8	**16.2**	12.8	85	88	97	SE 2	SW 3	NW 2	10^1	9^1	8^1	0.1	9^{30}–4^{00} a, 11^{08} a–0^{49} p, 3–6 p drei verschied. Gewitter
20.	37.9	38.0	37.4	15.1	16.9	13.7	18.0	13.7	12.1	13.3	11.4	94	93	98	NW 2	NW 2	W 3	10^2●	10^2●	10^2●	4.9	t ◍
21.	36.2	36.7	36.8	10.5	11.5	11.0	14.7	10.3	9.1	9.6	9.5	96	96	97	W 4	W 2	W 2	10^2●	10^2●	10^2●	10.8	n u. t ◍[1]
22.	37.7	39.4	41.0	10.3	11.2	11.3	13.7	8.9	9.0	9.6	9.9	96	97	99	W 2	C	C	10^2●	10^2●	9^2	**31.6**	9^{00} p–2^{44} p ◍
23.	41.6	40.6	40.0	10.2	21.9	15.5	22.8	6.4	9.3	8.5	9.9	100	44	76	SE 1	N 2	C	$10^{2\equiv}$	2^1⊙	8^1	2.2	n ⌓, a $\equiv^2$
24.	38.5	37.1	36.6	13.3	19.0	14.4	21.3	9.3	10.1	11.7	9.3	89	72	76	S 2	W 1	W 3	10^1	10^2	6^1	–	n ⌓, ca 9 a ◍[0], $0^{44.54}$ p ◍[1], ca 1 p ◍[0]
25.	35.7	35.3	36.3	13.2	15.1	11.0	18.8	10.6	10.2	9.1	8.7	91	71	89	W 1	SW 2	W 2	10^2	10^2	10^2●	0.3	ca 10 p ↖ im E, n ⌓, $7^{28.32}$ a ◍[1], 11^{30} a ◍ ⌇, p ◍[1]
26.	38.3	39.2	39.8	11.4	17.4	13.0	20.5	9.5	8.6	9.4	9.2	86	64	83	W 3	W 3	NW 3	7^1⊙	9^1	10^1	0.3	n ⌓, n ◍[0], ca 1 p ◍[0]
27.	38.4	37.2	38.2	11.5	12.7	10.6	16.7	10.2	9.2	9.9	9.0	92	91	95	SW 1	NW 2	NW 1	10^2	9^1●	10^2	0.1	n ⌓, 8^{34}–11^{34} a ◍[1.2], 6^{43}–7^{19} p ⌇ i. NW
28.	40.6	41.6	43.0	10.6	14.3	11.0	15.6	8.7	8.6	6.4	8.1	91	54	82	W 2	W 4	W 4	9^2	9^1⊙	9^2	12.5	ca 10 p–0 a ◍, ca 6 a ◍[0], a ◍[1], abds. ◍[0.1]
29.	40.1	37.4	39.0	10.5	15.6	10.9	17.7	9.7	8.9	10.3	8.5	94	78	89	C	W 1	W 3	10^2●	10^2●	10^2●	0.5	ca 6–10^{15} a, ca 0^{15} p ◍[0], p ztw. ◍[0]
30.	41.4	40.9	41.4	9.7	15.8	11.4	18.2	8.3	7.7	8.1	8.8	86	61	88	W 1	W 5	N 1	10^2	9^1⊙	10^2	2.3	n ◍, p ztw. ◍
																					95.8	
Mittel	39.6	38.9	39.1	13.3	18.9	14.2	21.0	9.9	9.7	10.1	9.6	84	63	80				7.8	7.0	7.6		

Würzburg.

Juni. $\varphi = 49^0\ 48'$ N. $\lambda = 9^0\ 56'$ E $= 39^m\ 44^s$. H $= 179.3$ m. Cg $= +0.3$ mm. 1913.

1.	46.7	43.5	46.2	17.3	26.9	18.4	28.1	15.5	13.3	14.0	13.3	91	53	84	SE 1	SW 3	SW 6	2^2⊙	3^1⊙	9^2●	20.0	9^{00}–11^{40} p ⌇, 9^{00}–11^{30} p ◍, 6^{30}–8^{00} p ⌇, 6^{38}–9^{00} p ◍
2.	47.9	47.2	46.5	17.3	25.3	21.2	26.0	14.8	11.6	12.5	14.5	79	52	78	W 1	W 2	C	00	4^1⊙	0	–	
3.	47.1	47.0	47.8	19.4	28.1	23.1	**29.1**	17.0	14.0	13.8	12.7	84	49	61	W 1	SW 2	S 3	9^2	6^2⊙	9^2●	–	mrgs. ⌓, 7^{30}–9^{00} p ⌇, 8^{00}–9^{00} p ◍
4.	49.3	46.6	46.1	16.6	25.9	19.5	26.9	8.8	13.5	15.3	10.7	96	62	63	E 1	SW 1	W 7	10^2	2^2⊙	10^2⌇●	**78.0**	9^{00} p–1^{30} a ⌇, 9^{38}–10^{00} p ▲, 9^{00} p–1^{10} a ◍, 5^{30}–6^{00} p ⌇[1]
5	46.9	45.8	45.9	16.5	23.5	17.7	23.7	14.5	11.1	9.3	11.9	79	43	79	S 2	SW 3	SW 2	1^1⊙	2^1⊙	9^2●	16.9	9^{00}–10^{10} p ⌇ mit ◍, 5^{40}–6^{10} p ◍, Fern-⌇ im E
6.	47.4	47.5	48.8	16.2	17.5	10.8	18.5	10.2	10.6	8.6	8.3	77	58	93	SW 3	W 4	C	10^2●	10^2	2^1	0.4	ztw. ◍
7.	51.0	51.0	51.3	12.1	17.2	13.2	18.5	9.2	8.0	6.7	8.6	76	46	76	W 1	W 6	W 1	1^1⊙	4^2⊙	0	2.5	
8.	50.8	48.9	47.7	15.8	20.1	17.2	22.0	12.2	9.1	9.4	11.1	67	54	76	W 4	W 3	W 1	3^1⊙	7^2	8^2	–	
9.	48.0	49.3	49.9	16.1	18.7	14.6	20.0	13.9	11.5	8.8	8.7	84	55	71	W 3	W 4	C	9^2	8^2	6^2	–	a ztw. ◍-Tr.
10.	48.8	45.0	42.8	14.3	21.0	16.8	21.4	10.2	7.9	6.7	10.2	65	36	72	W 2	W 5	SW 1	7^2	9^2	10^2●	0.3	abds. ◍
11.	44.0	46.7	46.6	15.9	17.4	13.2	19.0	13.2	6.5	6.7	8.0	48	45	71	NW 6	W 6	C	2^1⊙	3^2	6^1	0.2	t ⌇⌇⌇
12.	44.9	47.0	49.8	13.0	14.8	10.9	15.9	10.9	7.1	7.5	8.5	64	60	89	W 6	W 6	SW 1	10^2	8^2	0	0.2	t ⌇⌇⌇ u. ztw. ◍[0]
13.	50.4	49.4	51.2	11.1	13.8	12.5	15.9	7.2	8.5	10.8	9.0	86	93	85	SE 1	W 1	C	10^2	10^2	8^2	1.5	ztw. ◍
14.	**56.0**	55.5	54.9	9.9	17.0	12.6	19.1	6.1	7.1	6.3	7.6	79	44	65	SW 1	C	C	1^2⊙	00	0	1.6	mrgs. ⌓ u. $\equiv^1$
15.	55.2	54.1	53.4	10.8	21.3	15.0	24.0	6.3	6.9	6.1	8.6	71	34	68	SE 3	SE 4	C	00	00	0	–	mrgs. ⌓
16.	53.4	51.5	50.1	14.0	22.9	16.1	24.1	8.9	6.9	6.9	9.9	58	34	73	SE 3	SE 5	C	00	00	0	–	mrgs. ⌓
17.	50.2	48.1	47.8	13.8	24.6	17.5	25.9	8.4	7.8	7.2	10.5	67	32	70	SE 2	SE 1	C	00	00	1^1	–	mrgs. ⌓
18.	47.5	45.8	45.1	14.8	27.1	20.1	27.5	10.3	9.5	10.1	13.0	76	38	74	SE 1	C	C	2^1⊙	4^2⊙	4^2	–	mrgs. ⌓
19.	45.4	45.1	46.5	19.1	19.6	17.2	23.5	17.1	13.0	**15.7**	14.1	79	92	**97**	SE 3	NW 3	C	9^2	10^2⌇	8^2	–	11^{30} a–1^{40} p, 1^{10}–2^{30} p ⌇, $1^{20.40}$ p ◍, 5^{05}–6^{15} p ⌇ mit ◍
20.	47.0	47.1	46.9	15.0	16.7	15.3	17.8	14.5	12.3	11.8	11.6	97	83	89	NW 1	W 1	C	10^2	10^2●	10^2	10.6	ztw. ◍
21.	46.8	46.6	46.5	11.5	13.2	12.6	15.3	11.1	9.4	9.9	9.1	93	88	85	W 2	W 3	W 2	10^2●	10^2	3^2	2.5	meist ◍
22.	47.1	48.9	50.2	11.5	14.3	13.2	15.5	10.2	9.4	10.1	10.0	93	84	89	C	W 1	C	10^2●	10^2●	8^2	14.2	t bis ca 5 p ◍
23.	50.8	49.7	48.8	11.2	21.7	15.7	23.4	7.5	8.7	7.5	10.7	88	39	81	C	W 1	C	00	2^2⊙	2^2	2.5	mrgs. $\equiv^1$
24.	47.4	45.7	45.6	14.1	20.5	15.0	22.1	11.1	10.2	10.6	10.5	86	59	83	W 1	SW 1	W 1	10^2	10^2	3^2	–	n ⌓, $2^{35.35}$ p, 5^{31}–6^{00} p ⌇, 5^{48}–6^{30} p ◍
25.	45.0	44.5	45.0	13.6	12.5	12.1	15.4	10.0	9.1	10.1	9.3	79	94	89	W 1	W 4	C	10^2	10^2●	10^2	0.3	10^{40}–11^{35} a ⌇, 1^{05}–1^{50} p ◍
26.	47.8	48.3	49.0	12.1	19.3	14.1	19.5	9.1	8.6	9.4	9.3	83	56	78	W 3	W 4	W 2	9^1⊙	3^2⊙	0	6.3	
27.	47.6	46.6	47.4	13.5	16.9	13.2	18.2	11.9	9.2	8.0	9.2	80	56	80	SW 1	NE 4	C	10^2	10^2	10^2	–	n ⌓, ztw. ◍
28.	50.4	51.4	52.5	12.0	14.2	12.7	15.2	9.8	8.4	7.0	8.1	82	58	75	W 4	W 4	C	10^2	10^2	10^2	3.6	a ztw. ◍-Tr.
29.	49.4	47.2	48.7	12.2	16.7	12.4	17.5	11.1	9.3	9.9	8.6	89	69	80	W 4	W 4	W 5	10^2	10^2	10^2	0.2	ztw. ◍ u. ⌇⌇⌇
30.	50.9	50.8	51.2	11.3	15.7	12.6	17.2	9.9	8.0	7.3	8.0	80	56	74	SW 4	NW 3	NW 2	10^2	10^2	0	1.7	
																					163.5	
Mittel	48.7	48.1	48.3	14.1	19.5	15.2	20.9	11.0	9.6	9.5	10.1	79	57	78				6.2	6.2	5.2		

1) 5^{30}–6^{10} p ◍, 6^{10}–9^{00} p ⌇, 6^{20}–9^{00} p ◍

Alle Angaben nach Ortszeit.

Ludwigshafen a/Rh.

Juni. $\varphi = 49^0\ 29'$ N. $\lambda = 8^0\ 26'$ E $= 33^m\ 44^s$. H $= 100.3$ m. Cg $= +0.3$ mm. 1913.

Datum	Luftdruck auf 0^0 u. Normalschwere reduziert 700 mm + 7^a	2^p	9^p	Lufttemperatur C° 7^a	2^p	9^p	Max.	Min.	Absolute Feuchtigkeit mm 7^a	2^p	9^p	Relative Feuchtigkeit Proz. 7^a	2^p	9^p	Richtung und Stärke des Windes 0 bis 12 7^a	2^p	9^p	Bewölkung 0 bis 10 7^a	2^p	9^p	Niederschlag mm 7^a	Bemerkungen
1.	54.2	51.1	54.0	15.5	28.7	19.5	**30.1**	13.9	11.8	14.1	11.4	90	49	68	N 1	N 1	SW 1	10^2	5^1○	10^2	3.2	ca 3^{30}–6^{04} p ☇ ●
2.	55.3	55.3	54.5	16.9	23.5	21.2	23.7	14.9	11.0	11.8	13.1	77	55	70	SW 1	N 1	C	5^1	8^1	0	9.4	
3.	55.2	55 3	55.1	17.0	25.7	22 7	25.9	15.1	10.8	13.4	15.7	75	55	77	W 2	N 2	N 1	10^1	2^0○	0	–	t wechselnde Bewölkung
4.	56.2	53.8	54.1	19.6	27.3	18.5	27.5	17.9	13.0	13.4	12.6	77	50	80	NE 1	SW 1	SW 3	10^2	2^0○	10^2●	–	5^{56} p ☇, 8^{10} p ☇ ●^{1}
5.	54.2	52.9	53.0	15.0	24.5	18.6	24.6	13.5	11.2	9.4	11.1	88	41	70	SE 1	SW 1	S 1	3^1○	3^2○	3^1	4.2	ca 1^{30} p ☇, ca 3^{30} p ●
6.	55.1	55.8	56.7	16.3	16.8	12.4	18.6	12.4	10.1	9.1	8.9	73	64	85	SW 1	SW 1	S 1	7^2	10^2	0	0.8	ca 1^{30} p ab öfters ●^{0}
7.	59.0	58.8	58.4	11.7	17.8	17.6	18.0	10.4	7.9	6.8	7.6	78	45	51	S 1	SW 1	SW 1	00	7^2	10^2	1.4	
8.	58.4	58.4	56.9	16.2	20.4	19.2	20.5	**10.0**	9.2	10.3	9.9	67	57	59	SW 1	SW 1	SW 1	7^1	10^2	10^2	–	
9.	55.2	57.3	57.3	17.6	20.4	16.4	20.4	16.1	10.4	7.5	7.5	69	42	54	SW 2	N 2	C	5^1○	7^2	0	–	abds. Aufklaren
10.	56.7	52.5	50.8	13.9	22.7	21.3	24.3	11.4	7.7	6.6	6.4	65	33	34	S 1	S 2	SW 3	8^1	5^1○	10^2	–	
11.	53.6	55.2	54.8	16.6	20.0	15.7	21.3	15.7	8.6	5.6	7.3	61	32	56	SW 3	SW 3	SW 1	5^2	5^2○	0	–	lebhafte Winde, abds. Aufklaren
12.	54.2	56.3	57.8	13.6	16.8	14.7	18.1	13.1	7.5	7.1	8.1	64	50	64	SW 3	SW 3	SW 1	10^1	4^1	10^2	–	
13.	58.2	57.0	58.0	12.6	18.8	15.9	19.4	**10.0**	8.8	9.1	9.2	82	57	67	S 1	SW 1	N 2	10^1	10^2	10^2	0.2	6^{19} a ●, vorm. öfters ●^{0}
14.	**63.2**	62.1	61.7	11.8	19.8	17.6	19.8	**10.0**	7.6	6.0	6.6	74	35	44	N 1	NE 1	E 1	00	00	2^0	0.1	
15.	61.8	60.1	59.6	14 2	24.7	19.7	24.8	**10.0**	6.6	5.4	7.6	55	**24**	45	NE 1	NE 1	C	00	00	0	–	
16.	59.5	57.9	56.7	16.7	25.7	22.4	28.3	13.0	7.0	5.9	9.0	50	25	45	SE 1	NE 1	C	00	00	0	–	
17.	56.7	54.9	54.8	15.0	27.7	22.3	29.2	12.0	8.6	8.5	10.5	68	31	53	NW 1	C	W 1	00	00	2^1	–	
18.	54.7	53.9	52.7	18.0	27.1	21.6	28.7	17.3	11.3	9.9	12.5	74	38	66	SW 1	S 1	C	10^2●	3^2	5^2	–	6^{54} a ●^{0}, $10^{4.49}$ p ☇ im NW, abds. ●^{0}
19.	53.3	52.9	54.8	19.6	23.0	17.6	24.8	17.0	13.1	**15.2**	12.1	78	73	81	S 1	S 1	SW 3	5^1	9^2	10^2	0.8	n ●^{0}, 10^{46}–11^{34} a ☇, 10^{57}–11^{29} a ●$^{1.2}$, ca 4^{30} p ☇ (anhalt.)
20.	55.2	54.7	55.3	17.3	21.1	13.6	22.0	13.6	10.2	8.4	10.0	69	45	87	W 1	E 1	SW 1	9^1	$1C^2$	10^2●	12.2	nachm. u. abds. ●^{0}
21	54.8	54.2	54.2	13.0	18.8	14.2	18.8	11.6	9.3	9.5	8.6	85	59	72	SW 1	SW 2	W 1	10^2	5^1○	10^2	10.8	n ●
22.	55.7	57.9	57.9	13.0	18.2	15 0	20.3	12.0	8.8	9.9	10.5	80	63	83	N 2	NW 2	S 1	9^1	10^2	0	2.8	n ●
23.	58.5	57.2	55.8	12.6	23.5	19.6	23.5	11.0	9.4	6.4	9.2	88	30	54	S 1	S 1	C	00	2^1○	5^1	–	
24.	54.6	53.4	54.0	16.2	17.9	17.4	22.0	14.0	10.4	10.9	9.3	76	72	63	S 1	N 1	W 1	10^2	9^2	5^2	–	0^{34}–1^{31} p ☇ ●, dann ztw. ●
25.	53.1	52 2	53.4	14.0	16.7	14.1	17.7	12.6	9.0	7.0	8.4	76	50	7c	S 1	W 1	W 2	10^1	10^2	10^2	9.8	nachm. ●
26.	56.3	57.0	57.2	13.0	19.6	16.0	20.0	11.4	8.8	8.5	9.1	80	50	66	W 1	W 2	NW 1	5^1	5^1	10^2	–	a ∞
27.	55.8	56.0	56.1	13.1	17.4	13.3	17.5	12.8	10.0	8.7	9.7	90	59	86	SW 1	W 2	W 1	10^2●	9^2	10^2	0.8	5^{49} a ●^{0}, $10^{19.44}$ a ☇, nachm. öfters ●^{1}, abds. ●^{1}
28.	59.3	60.2	60.6	11.9	15.9	14.3	16.8	10.2	9.2	7.8	8.8	90	58	73	W 1	W 1	W 1	10^2	10^2	10^2	**14 6**	abds. ●^{0}
29.	57.8	56.9	58.6	13.0	18.6	13.2	19.2	12.0	10.5	9.4	8.6	**95**	59	71	SW 1	W 2	SW 1	10^2●	10^2	10^2	4.4	n, t–ca 2^{30} p ●^{0}
30.	59.8	59.5	59.1	12.8	18.2	13.6	18.2	11.6	8.4	7.2	6.7	77	47	58	SW 2	NW 1	NW 2	10^2	5^1○	0	3.4	nachm. Aufklaren
																					78.9	
Mittel	56.5	56.0	56.1	14.9	21.2	17.3	22.1	12.9	9.5	9.0	9.5	76	48	65				6.6	5.8	5.7		

Nürnberg.

Juni. $\varphi = 49^0\ 27'$ N. $\lambda = 11^0\ 3'$ E $= 44^m\ 12^s$. H $= 309.1$ m. Cg $= +0.2$ mm, über 735.0 mm Cg $= +0.3$ mm. 1913.

1.	35 7	32.9	34.3	18.0	27.5	21.7	27.8	15.3	12.8	10.6	14.2	83	39	74	N 1	SE 2	W 1	3^0○	1^0○	8^1☇	1.9	9^{39}–11^{42} p Fern-☇ i. N, n ztw. ●, 8^{34}–9^{06}p Fern-☇ i. Wu. NW
2.	36.9	35.5	35 0	17.5	25.2	20.0	25.8	14.4	11.6	**14.9**	13.0	78	59	75	N 2	NW 2	N 1	00	4^0○	9^0	–	5^{00}–10^{05} Fern-☇ i. W u NW, a ⏢^{0}
3.	36.0	36.0	36.3	20.0	27.8	21.5	28.1	17.2	13.0	10.8	12.6	75	39	66	E 2	W 3	W 2	8^0○	3^0○	8^1	–	ca 0–4 a ≺ im S–E, 2^{49}–4^{07} a ●^{0}, a ⏢^{0}, ≡^{0}
4.	38.0	35.5	35.5	19.8	27.5	22.4	**28.3**	16.8	12.9	12.3	10.1	75	44	50	SW 2	SE 3	W 2	8^0	5^1○	9^1☇	–	10^{34} p–2^{18} a Fern-☇ i. NW, 0 a ═ E 5, ca 4 a ⏢^{0}, 1)
5.	36.3	34.9	36.0	17.6	24.4	16.8	24.7	15.2	11.7	10.4	12.5	78	46	88	W 2	W 3	S 2	4^0○	4^0○	10^0	1.8	9^{00}–10^{52} p ☇, ca 5^a ⏢^{0}, ca 6 a ab Aufklaren, 5^{51}–8^{56} p ☇
6.	36.3	36.7	37.6	15.8	16.2	12.2	16.8	12.2	11.8	10.0	9.3	88	73	89	SW 2	W 3	SW 2	10^0	10^0	8^0	3.7	11^{44} p–2^{18} a ≺ i. E, a u. p ztw. ●
7.	39.8	39.5	39.7	12.4	17.2	13.6	17.8	9.0	8.3	7.7	8.5	78	53	73	W 2	SW 2	W 2	4^0○	6^0○	2^0	6.0	ca 3 a ⏢^{3}, ca 7 p ab Aufklaren
8.	40.3	37.8	36.3	14.4	21.8	17.1	21.9	8.7	8.4	9.4	10.7	69	48	74	SE 2	SW 1	SW 2	2^0●	5^0○	4^1	–	ca 3 a ⏢^{1}
9.	37.0	37.7	38.1	17.4	18.4	13.9	19.6	13.5	11.4	10.5	9.1	77	66	77	SW 2	NW 3	NW 2	8^1	9^1	3^1	–	a u. p ztw. ●
10	38.1	35.1	31.9	14.6	20.6	18.0	21.7	9.5	9.0	6.8	7.2	73	38	47	W 2	SW 4	SW 2	8^0	9^0○	10^1	–	ca 3 a ⏢^{0}, a u. p ztw. ═ SW 5
11.	32.3	34.9	35.4	15.4	18.1	13.3	19.2	12.9	8.1	7.4	7.7	62	48	67	NW 4	NW 4	W 3	9^1	5^0○	4^1	–	n ═, n ztw. ●, ca 0 a ═ SW 6
12.	33.6	35.5	38.5	13.0	12.3	9.6	14.1	9.6	8.6	6.8	7.2	77	64	82	NW 2	W 4	W 2	10^0	10^1	2^0	–	a u. p ztw. ●^{0}
13.	39.1	38.1	39.3	10.6	14.0	11.8	14.9	7.8	8.1	9.6	9.8	85	81	96	C	W 2	NW 1	10^0	10^0	10^0●	1.1	ca 9^{18} p Ψ, ca 1 a ⏢^{2}, ca 6–9 a ≡^{1}, p ztw. ●
14.	**44.3**	43.8	43.5	9.4	15.9	12.0	15.9	**5.6**	7.4	6.6	7.0	86	49	67	NE 1	N 1	NE 1	6^0	2^0○	2^0	2.6	ca 3 a ⏢^{2}, ca 9 p Ψ
15.	43.6	42.6	42.3	11.9	19 4	15.6	20.3	6.6	8.0	6.6	7.0	77	39	53	E 2	E 3	E 2	00	00	1	–	ca 4 a ⏢^{0}
16.	42.5	40.4	39.1	14.0	21.2	17.0	21.8	9.3	6.5	6.4	7.3	55	35	51	SE 3	E 2	E 2	00	00	0	–	wolkenloser Tag
17.	39.2	37.5	36.6	15.4	23.9	18.9	24.3	9.4	6.6	8.0	8.7	51	**35**	53	SE 2	SE 1	S 1	00	00	2^0	–	ca 5 a ⏢^{1}
18.	36.4	35.0	34.1	16.6	25.9	20.4	26.8	10.3	8.8	10.7	12.6	63	44	71	SE 2	W 3	NW 2	4^0○	6^0○	9^0	–	ca 10 p Ψ, n klar, ca 6–7 a ≡^{0}
19.	34.6	34.2	34.8	17.9	18.7	17.7	20.4	15.2	13.7	14.3	13.8	90	89	92	S 3	W 1	W 2	9^1	9^1○	10^1	1.7	9^{39}–11^{44} p ringsum ≺, ca 0 a Ψ, 2)
20	35.5	35.8	35.1	15.4	16.1	14.4	17.8	14.4	12.0	12.5	11.5	92	91	95	NW 2	NW 2	W 2	10^0	10^0●	10^0	7.2	mrgs. u. abds. ≡^{0}, 5^{10}–7^{10} ●^{0}, 7^{45} a–6^{42} p ●$^{0.1}$
21.	34.6	35.1	34.6	10.9	11.8	11.6	14.4	10.4	8.6	9.4	9.2	89	93	91	NW 3	W 3	W 2	10^0●	10^0●	10^0	**13.3**	0^{48}–1^{14} a ●^{1}, 2^{23}–8^{34} a ●$^{0.2}$, 10^{49} a–3^{49} p ●$^{0.1}$
22.	34.8	37.3	38.7	10.0	11.0	11.6	11.6	9.5	8.4	9.3	10.1	92	95	**99**	N 1	NW 3	W 2	10^0●	10^0●	10^0	10.0	n u. t ztw. ●$^{0.2}$
23.	39.7	38.8	37.7	12.6	19.6	16.2	20.4	8.6	9.4	8.5	10.8	88	50	79	SW 2	NW 1	W 2	00	2^0○	7^1	2.5	ca 3 a ⏢^{3}, ca $5–8^a$ a ≡$^{0.1}$, ca 10 a ab zunehm. Bew.
24.	36.7	34.8	34.1	14.0	20.8	14.3	21.1	10.7	9.4	9.9	10.2	79	54	85	SE 2	SW 3	W 2	10^0	9^0	8^0	–	ca 3 a Ψ, ⏢^{0}, ca 4 a ab meist bed., $8^{03.10}$ p Fern-☇ i. E
25.	33.6	33.2	33.6	13.8	11.8	11.9	14.3	10.0	9.8	9.2	8.8	84	90	85	W 1	NW 2	NW 2	10^0	10^0○	10^0	–	ca 4 a ⏢^{0}, ca 6–11 a ≡^{0}, a ztw. ●, 3)
26.	36.0	36.9	37.6	11.5	16.4	13.8	17.6	10.3	8.5	9.2	10.0	85	67	84	NW 3	NW 3	W 2	9^1○	10^0	5^0	4.4	n bedeckt, ca 8 a ab Aufklaren
27.	36 8	35.1	35.7	12.4	13.2	10.7	15.1	10.0	9.5	9.7	9.0	89	87	94	SW 2	NW 1	E 2	10^0	10^0	10^1	–	ca 4 a ⏢^{0}, ca 6–8 a ≡^{0}, $9^{07.31}$ a, 0^{44}–2^{04} p, $8^{04.42}$ p ☇
28.	38.4	39.3	40.8	11.6	14.2	11.8	14.2	8.9	8.4	7.9	8.1	84	65	78	NW 3	NW 2	NW 2	8^1○	6^0○	10^1	9.2	n bedeckt, n u. a ztw. ●^{0}, t ztw. Aufklaren
29	38.2	36.1	36.5	10.8	15.0	11.6	15.0	10.2	9.2	10.1	8.4	95	80	84	SW 2	W 3	NW 3	10^0	10^0	10^1	0.3	durchaus bedeckt, a u. p ztw. ●, ca 5 p ═ NW 5
30.	39.2	39.1	39.0	11.7	14.6	12.4	15.2	9.9	7.7	8.4	8.8	75	68	83	NW 4	NW 4	NW 2	5^1○	5^1○	10^1	1.5	n bedeckt, t ztw. Aufklareu, 4^{58}–5^{03} p ●, 7^{44}–8^{54} p ●
																					67.2	
Mittel	37.5	36.9	37.0	14.2	18.7	15.1	19.6	11.0	9.6	9.5	9.8	79	61	77				6.5	6.3	7.0		

1) 7^{34}–9^{00} p ☇
2) 3^{17}–5^{38} a, 9^{52}–10^{53} a, 0^{29}–4^{14} p ☇
3) 11^{12} a–0^{34} p Fern-☇ im W–N–NE

Alle Angaben nach Ortszeit.

Kaiserslautern.

Juni. $\varphi = 49^0\ 27'$ N. $\lambda = 7^0\ 46'$ E $= 31^m\ 4^s$. H $= 242{,}2$ m. Cg $= +0.3$ mm. 1913.

Datum	Luftdruck auf 0° u. Normalschwere reduziert 700 mm + 7^a	2^p	9^p	Lufttemperatur C° 7^a	2^p	9^p	Max.	Min.	Absolute Feuchtigkeit mm 7^a	2^p	9^p	Relative Feuchtigkeit Proz. 7^a	2^p	9^p	Richtung und Stärke des Windes o bis 12 7^a	2^p	7^p	Bewölkung o bis 10 7^a	2^p	9^p	Niederschlag mm 7^a	Bemerkungen
1.	41.5	39.0	41.7	15.0	24.1	17.9	24.1	13.4	11.2	**14.5**	11.1	88	66	73	E 1	C	SW 1	10^1	$7^1\odot$	9^2	3.2	n ≺, ◯. a–6^{36} a ◯^{0}, ∞. 2^{51}–3^{26} p, 3^{46}–4^{21} p ☇. [1]
2.	42.9	42.9	42.3	14.9	23.2	18.1	26.0	12.4	10.7	9.9	11.2	85	47	73	NW 1	C	E 1	10^1	$3^0\odot$	1^0	–	a ⏢. 11^{31} a–0^{11} p ☇
3.	42.9	42.7	43.3	16.8	25.9	21.4	27.0	13.6	10.6	13.8	14.9	75	56	78	E 1	NE 1	C	9^0	$5^1\odot$	10^1	–	$6^{26.46}$ p ☇
4	43.2	41.5	42.4	18.9	26.3	15.9	26.3	15.9	13.6	13.2	11.3	84	53	84	C	N 1	W 1	10^1	$7^1\odot$	$10^2\bullet$	–	a ⏢, ∞. 2^{36}–3^{16} p, 4^{41}–ca 6^{30} p, 7^{51}–8^{16} p ☇. [2]
5.	41.5	40.2	41.2	16.5	22.8	16.9	23.5	12.6	10.7	10.2	10.8	76	49	76	SW 1	W 2	W 3	$5^1\odot$	$7^2\odot$	10^2	**13.7**	n ≺, ◯. $2^{41.46}$ p ◯^{0}. 3^{28}–ca 3^{30} p ☇. p ztw. ⎓
6.	42.5	42.7	43 7	14.5	16.3	12.6	18.0	11.4	9.3	7.6	8.9	76	55	83	W 3	W 2	W 1	$9^2\odot$	10^1	7^1	0.1	n ◯^{0}. ca 11^{30} a–1^{16} p ☇. 0^{51}–1^{11} p, $3^{11.36}$ p ◯. [3]
7	45.9	45.8	45.7	11.3	16.4	14.7	18.0	8.1	7.9	6.9	8.4	79	50	68	W 1	W 3	NW 1	$5^1\odot$	$7^1\odot$	10^1	1.5	a ⏢^{0}. p–3^{31} p ztw. ⎓
8.	45.5	43.7	42.6	13.9	19.3	17.1	21.8	13.4	9.6	9.7	10.3	81	58	71	W 2	NW 2	W 1	10^1.	9^2	9^1	–	
9.	44.2	44.8	45.1	15.5	20.3	14.1	21.0	14.1	9.2	7.7	8.0	70	44	67	NW 2	NW 3	C	10^1	$7^1\odot$	2^0	–	
10.	43.9	40.2	38.9	13.7	21.9	19.9	24.0	10.0	7.8	6.2	7.6	67	32	44	W 2	NW 6	SW 5	10^1	$5^1\odot$	10^2	–	ca 8^{30} a–n meist ⎓
11.	41.2	42.7	42.1	15.2	18.6	13.9	19.9	13.9	8.1	6.8	8.2	63	43	69	W 6	NW 3	NW 1	$7^1\odot$	$7^1\odot$	2^1	0.2	n ◯. ⎓. t–ca 1^{30} p ⎓
12.	41.7	44.1	45.5	11.8	13.1	11.8	16.0	11.7	7.0	7.9	8.2	68	71	80	NW 3	NW 2	C	10^1	10^2	7^2	–	11^{16} a kurz ◯-Tr.
13.	44.8	44.7	46.6	12.7	14.5	14.4	18.0	10.0	9.1	10.4	9.1	85	85	75	NW 1	NW 1	C	10^1	$10^2\bullet$	10^1	–	ca 6^{30} a kurz, $10^{40.51}$ a ◯^{0}. 1^{46}–2^{06} p ◯
14.	**49.8**	48.8	48.7	11.8	19.1	13.6	20.5	8.3	8 2	6.8	6.6	80	42	57	E 1	E 2	E 1	oo	$3^0\odot$	2^0	0.6	a ⏢, ∞
15.	48.2	46.8	46.5	12.5	23.4	16.6	25 0	**6.1**	7.0	**5.0**	8.1	65	**24**	57	SE 1	E 3	C	oo	oo	o	–	t–ca 4^{30} p ztw. ⎓
16.	46.2	44.8	43.9	15.6	25.8	17.7	27.9	10.7	6.9	6.8	8.7	52	28	58	E 2	S 1	E 1	oo	oo	o	–	
17.	43.7	42.0	42.4	15.7	27.9	20.6	29.0	9.2	8.3	10.6	9.7	63	38	54	E 1	N 1	S 3	oo	$1^1\odot$	10^2	–	ca 5^{30}–7^{16} p ☇. 6^{47}–7^{21} p ztw. kurz ◯^{0}
18	42.3	40.5	41.0	17.5	28.0	18.7	**29.9**	14.8	11.9	12.1	13.8	80	43	87	C	C	C	oo	$5^1\odot$	10^1	0.1	n ◯-Tr. a ∞. 4^{26}–6^{11} p ☇. $6^{16.46}$ p ◯
19.	41.3	41.1	42.5	18.5	23.6	18.1	25.0	15 8	13.7	11.9	11.8	86	55	76	NW 1	SW 3	W 1	9^1	8^1	$10^2\bullet$	0.4	n ◯^{0}, ≺. a ∞^{2}. 9^{51}–10^{01} a ☇. 8^{41} p–n ztw. ◯-Tr.
20.	42.8	42.3	42.8	15.7	18.7	12.7	19.7	12.0	10.1	7.8	9.6	76	49	89	NW 1	W 2	W 1	10^1	9^0	$10^2\bullet$	–	n ◯-Tr. a ∞. $10^{1.06}$ p ◯-Tr. 4^{17} p–n ◯
21.	42.5	41.6	41.9	11.6	16.5	12.7	19.0	10.5	9.1	8 6	9.1	89	62	85	W 1	C	C	9^1	$7^1\odot$	8^2	11.8	n ◯. a ∞^{2}. $0^{06.56}$ p ◯
22.	43.5	44.0	45.0	12.3	17.9	12.9	18.2	11.2	9.1	8.9	10.0	87	58	91	C	W 1	C	$9^2\bullet$	10^1	7^2	5.5	n, a–ca 8^{30} a ◯. 3^{06}–4^{41} p ztw. ◯
23	45.5	44.3	43.5	11.3	22.0	15.5	23.0	7.2	8.5	8.9	10.6	85	45	81	C	C	C	10^1=o	$5^1\odot$	5^0	0.9	a ≡
24.	42.7	40.8	41.9	14.7	20.2	13.9	21.2	12.2	9.7	10.7	8.2	78	61	69	NW 1	NW 2	C	10^1	$5^1\odot$	3^1	–	5^{01} a ◯-Tr. $8^{16.26}$ a ◯^{2}, bis 9^{11} a ◯^{0}. 11^{19} a–0^{26} p ☇. [4]
25.	40.7	40.1	41.0	12.6	15.1	11.7	18.1	9.4	8.6	7.7	9.0	80	60	88	W 1	NW 1	C	10^1	9^1	7^1	6.7	a ∞. 7^{01}–8^{06} p ◯^{0}
26.	43.7	45.3	44.7	11.4	18.8	13.9	19.0	9.0	8.8	8.4	9.4	88	52	80	W 1	N 1	C	9^1	9^1	10^0	0.6	n ◯^{0}, a ∞
27.	43.3	42.8	43.9	11.7	15.3	12.6	19.5	10.3	9.5	9.6	9.4	**94**	74	88	C	NW 1	C	10^2	10^1	10^2	3.1	n ◯, a ∞^{2}. 5^{56}–6^{06} a, $8^{00.16}$ a ◯^{0}. 0^{26}–1^{11} p, 5^{26}–6^{16} p ☇. [5]
28.	47.0	47.3	48.1	11.1	15.5	12.7	18.0	10.1	8.7	7.7	8 4	89	59	77	NW 1	W 3	C	10^2	10^2	10^2	4.2	n, a, $11^{01.41}$ a ◯^{0}
29.	45.4	44.9	46.6	12.7	17.7	12.7	18.0	11.8	10.2	9.0	7.6	**94**	60	70	W 2	NW 3	N 3	10^2	10^1	10^2	0.9	n ◯^{0}. a–gegen m ◯. p ⎓, ztw. kurz ◯^{0}
30	46.9	46.5	45.9	12.1	17.9	11.4	19.8	10.3	8.3	7.5	7.5	79	49	75	NW 2	NW 2	C	9^1	$5^1\odot$	o	0.7	
																					54.2	
Mittel	43.9	43.3	43.7	14.0	20.2	15.2	21.8	11.3	9.4	9.1	9.5	79	52	74				7.7	6.7	7.0		

1) $2^{06.19}$ p ◯-Tr. 3^{26}–4^{16} p ⎓.
2) $3^{01.16}$ p ◯^{2}. $3^{16.26}$ p, $5^{11.36}$ p, ca 8^{30} p–n ◯.
3) $3^{16.41}$ p ◯^{2} ⎓. p ztw. ⎓.
4) 11^{31} a–0^{26} p ◯^{2}. 11^{18} a–0^{00} p ▲. 5) 0^{41}–1^{16} p, 5^{21}–6^{31} p ◯

Ansbach.

Juni. $\varphi = 49^0\ 18'$ N. $\lambda = 10^0\ 33'$ E $= 42^m\ 12^s$. H $= 437.5$ m. Cg $= +0.2$ mm. 1913.

1.	24.7	24.0	24.2	16.6	26.1	18.5	**27.8**	14.2	12.0	12.0	**14.3**	85	48	90	NE 2	E 2	W 4	$4^1\odot$	$2^1\odot$	10^2	7.4	$8^{12.22}$ p ◯
2.	25.9	25.1	25.0	16.8	24.5	18.3	24.8	11.9	10.4	12.7	13.6	74	56	87	NW 2	N 2	C	oo	$4^0\odot$	6^0	0 6	
3.	25.3	25.5	26.1	19.3	26.5	18.9	**27.8**	15.4	13.6	12.3	11.1	82	48	69	C	NE 2	C	$4^0\odot$	oo	10^2	–	9^{12} p ≺, 5^{14}–7^{22} p ☇
4.	26.9	24.7	24.6	18.4	26.7	17.0	**27.8**	14.6	13.2	12.1	11.2	84	47	78	C	E 2	SW 6	$4^0\odot$	$2^1\odot$	10^2☇	0.6	n (ca mn–1 a) ☇; n, a ◯, 8^{22}–9^{00} p ☇
5.	25.0	24.1	24.8	16.4	22.9	14.2	23.6	12.8	11.4	9.5	10.9	82	46	92	C	W 4	SW 2	$4^1\odot$	$4^1\odot$	10^2	4.6	$9^{00.10}$ p, 9^{17}–10^{27} p, 6^{00}–7^{42} p, 8^{26} p ☇, 7^{37} p ◠, 6^{23}–ca 9 p ◯
6.	25.7	25.7	26.6	15.2	14.9	9.8	15.8	9.7	10.9	7.6	8.4	85	60	94	C	W 2	SW 2	10^2	$10^2\bullet$	6^0	8.2	t–4^{32} p ◯
7.	28.9	28.8	29.0	10.8	15.8	10.0	18.0	7.9	7.9	5.7	7.8	83	42	86	W 2	W 2	C	$2^1\odot$	$4^1\odot$	o	5.1	
8.	29.2	26.8	25.6	12.8	21.3	14.2	22.6	6.5	8.4	9.2	10.3	77	49	86	C	S 2	C	oo	$4^1\odot$	4^1	–	mrgs. ⏢
9.	26.3	27.0	27.6	15.6	17.0	11.4	18.4	11.3	10.1	10.0	8.9	77	70	89	SW 4	W 2	C	10^2	10^2	8^2	–	7^{42}–11^{12} a ztw. ◯
10.	27.2	24.2	**21.5**	13.4	20.3	16.3	21.6	8.5	8.1	6.0	5.8	71	35	43	W 2	W 4	W 2	$4^0\odot$	$4^0\odot$	4^1	1.1	mrgs. ⏢
11.	22.7	24.3	24.9	14.0	18.0	10.9	18.2	10.7	8.7	6.1	7.3	74	40	75	W 4	W 8	C	10^2	8^2	2^1	–	n, t ⎓
12.	23.0	24.9	27.7	11.4	11.6	8.4	13.6	8.3	8.3	7.0	7.7	83	69	94	W 8	W 6	W 2	10^2	10^2	2^1	–	n, t ztw. ⎓, t ztw. ◯, 4^{32} p ◠
13.	27.9	27.0	28.6	10.0	15.2	11.8	15.2	7.1	8.3	9.3	9.7	91	72	95	W 2	NW 2	NW 2	10^2	10^2	$10^2\bullet$	2.6	⏢
14.	**32.6**	**32.6**	32.4	9.6	16.2	9.6	17.4	5.0	7.1	6.7	6.3	80	49	70	NE 2	E 2	C	$4^1\odot$	$2^1\odot$	2^0	5.5	⏢, Ψ
15.	32.1	31.5	30.8	9.6	17.9	13.4	20.8	**4.0**	6.6	**5.5**	6.2	74	36	54	NE 2	E 4	C	oo	oo	o	–	⏢
16.	30.8	29.3	28.1	12.8	20.3	14.6	23.2	7.5	6.3	6.2	6.7	57	35	53	SE 2	E 2	E 2	oo	oo	o	–	mrgs. ⏢
17.	28.2	26.6	25.7	13.6	23.1	16.4	**27.8**	6.6	6.5	6.7	7.9	56	**33**	56	S 2	S 2	C	oo	oo	o	–	mrgs. ⏢
18.	25.3	24.6	23.5	17.5	23.9	17.3	26.2	8.3	9.6	11.0	10.7	65	50	73	C	C	C	oo	$6^1\odot$	8^2	–	mrgs. ⏢
19.	23.8	22.9	24.5	19.1	23.7	17.1	24.8	15.0	12.0	11.9	13.2	74	55	91	NW 2	W 2	C	$2^1\odot$	$6^1\odot$	$10^2\bullet$	–	2^{28}–3^{42} p ☇, 8^{57} p ab ◯
20.	24.9	24.9	24.4	14.2	15.4	12.7	17.0	12.4	11.4	11.6	9.8	95	89	90	NW 2	NW 2	C	$10^2\bullet$	$10^2\bullet$	10^2	5.0	n, t–5^{32} p ◯
21.	24.0	24.1	23.8	9.8	12.5	11.4	14.8	9.5	8.4	8.5	8 9	94	79	89	NW 2	NW 2	C	$10^2\bullet$	10^2	10^2	**15.2**	5^{22} a–10^7 p ◯
22.	24.1	26.4	27.7	9.2	10.7	10.2	12.0	8.7	8.1	8.0	8.9	93	84	**96**	NE 2	N 2	C	$10^2\bullet$	$10^2\bullet$	10^2	9.2	n, t–2^{32} p, 4^{12}–ca 5 p ◯
23.	28.4	27.7	27.0	12.6	20.0	13.2	21.0	7.0	9.2	7.8	9.9	86	44	88	C	W 2	C	oo	$4^1\odot$	2^1	4.4	mrgs. ⏢
24.	25.5	23.9	23.6	15.2	20.1	14.4	21.8	8.9	8.7	8.2	10.3	68	47	85	W 2	W 2	C	10^2	10^2	6^2	–	⏢, $3^{32.42}$ p ◯
25.	22.7	22.2	22.8	12.4	12.2	10.1	16.2	9.5	8.7	8.5	8.5	81	81	93	W 2	NW 2	C	8^2	10^2	10^2	0.3	$9^{02.10}$ p ◯, ⏢, t ztw. ●, 6^{52} p ◠
26.	25.2	26.1	26.9	11.0	16.6	12.6	18.2	8.7	7.8	7.4	9.0	80	53	84	NW 2	NW 2	NW 2	$4^0\odot$	$4^1\odot$	6^0	1.0	mrgs. ⏢
27.	25.5	24.1	24.9	12.2	13.0	11.1	14.4	9.1	8.5	9 3	9.0	81	85	91	W 2	W 2	C	10^2	10^2	10^2☇	–	mrgs. ⏢, 8^{42}–10^{42} a, $5^{14.52}$ p ◯, 8^{06}–9^{00} p ☇
28.	27.6	28.3	30.0	10.2	12.7	10.4	13.2	8.1	8.0	6.7	7.7	86	61	82	NW 2	NW 2	W 2	10^2	10^2	10^2	9.6	$9^{00.02}$ p ☇, n, a ◯
29.	27.7	25.6	26.4	9.4	14.0	10.0	14.8	9.1	8.4	10.3	8.0	**96**	87	87	W 2	W 4	W 6	$10^2\bullet$	10^2	10^2	1.4	4^{42} a ab ◯, t ztw. ◯ ⎓
30.	28.2	28.6	28.5	10.0	12.4	10.8	14.6	8.5	7.2	6.1	7.7	89	57	80	W 2	NW 2	W 2	10^2	$6^1\odot$	8^1	4.8	
																					86.6	
Mittel	26.5	26.1	26.2	13.3	18.2	13.2	19.8	9.5	9.1	8.7	9.2	80	57	81				5.6	6.0	6.4		

Alle Angaben nach Ortszeit.

Regensburg.

Juni. $\varphi = 49^0\ 1'$ N. $\lambda = 12^0\ 7'$ E $= 48^m\ 28^s$. H $= 354.3$ m. Cg $= +0.2$ mm. 1913.

Datum	Luftdruck auf 0° u. Normalschwere reduziert 700 mm +			Lufttemperatur C°					Absolute Feuchtigkeit mm			Relative Feuchtigkeit Proz.			Richtung und Stärke des Windes 0 bis 12			Bewölkung 0 bis 10			Niederschlag mm	Bemerkungen
	7^a	2^p	9^p	7^a	2^p	9^p	Max.	Min.	7^a	2^p	9^p	7^a	2^p	9^p	7^a	2^p	9^p	7^a	2^p	9^p	7^a	
1.	31.8	29.8	30.2	18.0	26.2	20.4	26.6	15.2	12.3	12.3	15.2	80	49	85	N 3	SE 5	C	2^0⊖	1^1⊖	3^1	3.2	m ≡
2.	32.8	32.0	32.1	17.1	24.7	21.6	26.3	15.3	13.2	**15.2**	12.2	91	65	64	W 3	SW 2	NE 2	10^1	oo	8^2	–	vorm. Aufheiterung, 8^{15} p ⟋, 9^{00} p ≤
3.	31.7	32.7	33.8	18.1	25.7	20.0	**27.0**	16.2	13.1	10.8	13.4	85	45	77	SW 3	NW 4	E 4	10^2	1^0⊖	3^1	2.2	11^8–ca 3^{30} a ⟋, 14^3 a ◯, vorm. Aufheiterung, [1]
4.	34.5	32.5	31.1	18.2	25.8	21.0	26.9	15.3	12.5	12.8	14.8	80	52	80	E 1	SE 4	C	2^0⊖	2^1⊖	5^1	–	abds. Trübung
5.	32.9	31.6	32.2	16.2	23.3	17.8	23.6	14.8	11.4	10.9	11.9	83	51	78	SW 3	S 3	W 7	1^1⊖	6^1⊖	10^2 •≡	3.2	10^{05} p–mn ⟋, 11^{03} p ◯, 8^{22}–9^{00} p ⟋, 8^{30} p ◯
6.	33.1	32.8	34.2	14.4	15.3	12.2	17.8	12.2	11.9	11.4	10.1	**98**	88	96	SW 3	NW 3	W 2	10^2•	10^2	10^2	9.8	9^{00}–ca 10 p ⟋, n ◯, t meist ◯
7.	36.0	36.1	36.4	12.1	17.2	12.7	17.4	9.2	8.4	8.3	8.5	80	57	78	SW 4	SW 4	C	7^1	6^1	o	5.4	9^{33} a wenig ◯
8.	37.1	33.4	33.2	10.0	19.0	14.8	19.4	7.0	8.7	9.0	10.9	95	55	87	SW 3	E 4	C	5^1⊖	1^1⊖	o	–	früh in der Ferne Nebel
9.	33.9	33.8	34.8	13.6	19.3	14.3	19.8	9.8	10.5	11.8	10.1	92	71	84	C	W 4	C	8^1⊖	10^2	3^0	–	10^{22}–nach 11 a ◯, 2^{28} p kurz ◯
10.	34.6	32.5	29.0	13.2	19.0	15.4	19.0	9.4	9.3	8.1	10.5	83	49	81	SW 3	SW 4	C	4^0⊖	10^0⊖	10^1	0.6	nachm. Trübung
11.	29.6	30.9	32.1	16.5	18.8	12.8	19.0	12.8	8.8	9.7	7.6	63	60	69	SW 6	W 6	W 2	10^2	8^2	o	–	abds. ≡
12.	30.1	32.1	35.4	13.5	12.0	9.9	13.9	9.9	8.3	8.0	7.8	72	76	86	W 5	W 6	W 3	10^2	10^2	10^2	–	9^{28} a ◯0, 5^{34} p ◯
13.	35.7	34.6	34.9	10.4	16.0	11.5	16.8	8.2	8.6	7.4	9.2	92	55	92	W 3	SW 3	SW 3	8^1	10^1	10^1•	0.7	4^{16} p ◯
14.	40 0	**40.6**	39.9	9.2	14.0	11.8	15.6	7.0	6.9	5.7	6.9	80	48	67	NW 4	NW 3	N 1	4^0⊖	1^1⊖	o	2.2	
15.	40.3	38.9	38.9	9.0	18.2	13.6	18.8	**4.0**	6.4	8.4	8.2	74	54	72	N 3	E 3	E 2	3^0⊖	1^1⊖	2^0	–	
16.	38.9	37.5	36.1	11.4	18.9	14.0	19.6	5.8	6.2	8.9	9.8	61	55	82	E 4	E 4	C	3^0⊖	oo	o	–	
17.	36.1	34.7	34.4	10.4	20.8	15.4	21.4	6.0	7.5	10.0	10.5	80	55	81	SE 2	E 4	C	3^0⊖	oo	2^0	–	früh ⌓0
18.	33.5	31.6	30.4	12.9	24.4	20.6	25.0	7.4	8.6	13.4	13.5	78	59	74	E 4	E 4	C	3^0⊖	2^1⊖	10^2	–	⌓, abds. Trübung
19.	31.8	30.8	31.6	16.2	22.6	16.2	23.2	14.4	12.2	14.5	13.1	89	71	96	W 4	S 4	SW 2	10^2•	8^2	10^2	0.6	4^{50}–ca 6 a ⟋, 5^{42}–6^{02} a ◯, 0^{39} p ⟋, 2^{42} p–ca 6 p ◯. [2]
20.	31.7	31.2	31.2	16.7	19.6	14.8	19.6	14.8	12.8	13.4	12.3	91	80	**98**	SW 3	SW 5	W 2	10^2	10^2	10^2•	**22.3**	6^{08} p ab ◯
21.	30.2	31.7	30.9	11.8	11.7	11.8	14.8	10.4	9.6	9.6	9.8	94	95	96	SW 6	W 5	SW 2	10^2•	10^2	10^2	11.8	früh ◯0
22	31.4	32.4	34.4	11.9	13.7	11.5	13.9	10.3	9.2	8.3	9.1	90	71	91	SW 3	W 5	W 2	10^2	10^2	10^2	5.8	n ◯
23	36.0	35.0	34.4	11.6	20.0	14.5	20.2	10.2	9.1	11.1	10.6	89	64	87	W 3	SW 4	SW 1	8^1	7^2⊖	3^1	–	
24.	33.6	32.3	30.7	12.4	18.4	13.6	20.8	9.2	9.7	10.8	10.4	91	68	90	SW 4	SW 5	W 4	10^1	10^2	4^1	–	⌓, 1^{16} a ≡, 6^{18}–ca 7^{30} p ⟋, 6^{51}–ca 7^{20} p ◯
25.	30.5	29.1	29.6	12.3	17.1	11.7	17.2	9.0	9.8	8.7	9.4	93	60	93	W 1	W 4	W 3	5^1	8^1	10^1	1.7	
26.	31.8	33.1	33.8	10.8	15.7	12.7	17.0	10.0	8.9	9.6	9.5	93	73	88	W 3	W 3	W 2	10^1•	10^1	8^2	0.5	n, a–ca 8 a ◯0
27.	33.1	31.8	31.9	12.1	12.5	11.2	15.2	10.4	9.1	9.5	11.2	88	89	97	W 3	SW 3	W 2	10^1	10^1	10^2	–	⌓, 11^{38} a–m ⟋, 11^{31} a–ca 1 p ◯
28.	34.3	35.1	37.0	10.6	12.0	11.1	13.8	9.4	6.8	8.3	8.9	72	80	90	NW 5	W 5	W 3	3^0⊖	10^2	10^2•	8.6	n, 10^{01} a, 0^{28} p, 8^{51} p ab ◯
29.	35.3	32.5	32.1	10.3	13.9	11.7	14.8	9.8	8.5	10.4	9.4	92	88	93	SW 4	S 5	W 6	10^2	10^2	10^2•	2.0	ca 9^{30} a, 11^{23} a ◯, nachm. ≡ u. regnerisch
30.	34.8	35.1	35.0	10.7	13.4	11.0	15.0	9.4	8.3	8.7	8.8	87	76	90	W 5	W 5	W 3	9^1	10^2	10^2	7.8	n ◯, 5^{21} p ab ◯0, t ≡
																					88.4	
Mittel	33.9	33.3	33.4	13.1	18.3	14.4	19.3	10.4	9.6	10.2	10.5	85	65	85				6.9	6.4	6.4		

[1] abds. Trübung, ≤. [2] 3^{08}–ca 5^{30} p ⟋.

Passau.

Juni. $\varphi = 48^0\ 34'$ N. $\lambda = 13^0\ 28'$ E $= 53^m\ 52^s$. H $= 309.3$ m. Cg $= +0.2$ mm. 1913.

1.	36.0	34.1	31.8	16.2	27.8	20.2	**27.9**	13.1	11.3	11.3	14.5	82	40	83	W 1	E **2**	C	2^1	oo	o	–	a ⌓
2.	36.4	34.9	33.8	18.6	26.2	22.2	26.9	16.1	13.6	**18 0**	16.7	85	72	84	C	C	C	10^2	oo	5^1	–	abds. ∞2
3.	36.5	35.8	37.2	18 4	26.6	18.0	27.8	16.4	13.9	16.1	12.8	84	63	83	S 2W	1 E 2		10^1	4^1⊖	o	1.5	n, 3^{48}–4^{04} p ⟋, bis ca 5 p ◯, abds. starke Abkühlung
4.	38.3	35.8	34.5	16.8	27.0	21.0	27.8	14.4	11.5	11.8	15.4	80	44	84	SE 1W	4 E 1		10^1	6^1⊖	o	0.2	a ⌓, $3^{04.09}$ p ◯0, Inntal Nebel
5.	37.2	35.0	34.4	16.6	25.0	20.0	25.0	15.1	11.9	13.3	12.7	84	57	73	W 2E	1 W 2		10^2	oo	6	0.4	
6.	37.0	35.6	37.9	14.8	20.0	12.8	20.9	12.7	11.1	11.5	9.5	89	66	87	SE 1W	4 W 4		10^1	10^1	10^1	12.5	n–1^{14} a ⟋ (Wind ab 10 p, ◯ ab 10^{30} p), 5^{58} p ⟋, ca 7-9 p ◯
7.	40.3	40.5	40.6	12.4	15.2	11.9	16.6	11.1	9.2	9.4	9.5	87	73	93	W 2SE	1 C		10^2	6^1⊖	5^1	8.5	n ◯, merkliche Abkühlung
8.	41.4	38.0	36.8	9.9	20.6	15.2	20.9	7.5	8.3	11.2	11.3	91	62	88	E 1 C	C		10^1≡	oo	o	–	früh ≡
9.	37.8	37.2	38.0	10.9	20.0	15.2	20.5	8.7	9.1	11.2	12.2	94	65	94	C S 1	C		6^1	8^1⊖	10	–	Inn- u. Donautal Nebel. 3^{39} p ⟋, ca 4 p, 6–7 p ◯
10.	38.2	37.4	34.0	14.4	19.8	14.0	19.9	12.1	10.6	8.7	10.8	87	51	92	W 4W	4 C		10^2	10^2	o	6.2	n ◯
11.	33.5	34.4	36.3	17.0	20.2	15.4	20.4	10.1	9.3	8.6	8.9	64	48	68	W 6W	6 W 2		10^2	10^1	5	–	
12.	34.6	35.5	38.6	13.2	15.2	11.3	15.4	9.9	10.8	7.5	8.4	96	58	84	SW 2W	1 W 1		10^2•	10^1	2	1.0	seit ca 6 a–2^{09} p ◯
13.	39.7	38.6	38.6	10.1	15.8	12.6	16.8	8.1	8.1	10.0	9.8	88	75	91	C W	1 C		10^2	10^1	10•	4.0	t Strich-◯
14.	43.1	43.9	43.9	10.9	16.4	12.2	17.2	9.3	7.9	7.8	6.9	82	56	65	W 1S	1 C		4^1⊖	4⊖	o	4.0	früh ⌓
15.	**44.2**	43.3	43.3	8.9	18.8	14.8	19.1	**4.3**	7.5	6.8	6.5	88	43	52	E 1E	1 C		2⊖	1⊖	o	–	a ⌓, Inntal leichter Nebel, ☋
16.	42.9	41.3	40.3	11.3	20.2	13.8	20.3	7.3	6.7	6.3	9.1	67	36	78	E 1E	1 C		oo	oo	o	–	a ⌓
17.	40.3	38.3	37.1	10.1	21.6	15.2	22.1	5.6	7.1	9.4	10.1	78	49	79	C SE	2 SE 1		oo	oo	o	–	⌓, Inntal leichter Nebel
18.	37.5	36.1	34.7	11.7	24.4	15.4	25.5	8.1	9.1	10.0	11.5	89	45	88	E 1 C	C		oo	oo	6	–	a ⌓
19.	35.7	35.2	35.4	16.2	20.2	16.6	21.1	13.1	11.0	13.5	12.7	80	77	91	E 1W	2 W 3		6^1	10^1	10^1	–	t öfters ◯, 1^{30} p ⟋
20.	35.4	34.7	34.2	15.8	21.2	16.6	21.9	15.1	12.6	15.0	12.2	94	80	86	W 1W	1 W 2		10^1	10^1	10^2	5.1	n ◯, m ◯0, ca 5^{25} p ⟋, ca 6^{25} p ◯
21.	33.5	35.4	35.2	15.0	12.4	11.7	16,6	11.7	11 2	9.5	9.9	88	89	**97**	W 4W	4 W 1		10^2•	10^2•	10^2	16.5	n, t–ca 7^{25} p ◯
22.	35.4	36.3	38.1	11.7	15.0	13.2	16.3	10.1	9.1	9.4	10.0	89	74	95	W 2W	4 W 2		10^2	10^1	10^1	8.4	n ◯
23.	39.5	38.7	38.1	12.6	18.6	14.0	19.7	11.9	9.6	10.4	10.3	89	65	87	W 2SW	1 C		10^2	8^1	o	–	ca 9 a Aufklaren
24.	38.1	35.7	34.9	9.9	19.6	16.2	20.4	8.1	8.5	8.6	10.6	94	51	77	C W	4 W 2		10^2≡	10^2	10^1	–	a ≡, 8^{09-31} p ⟋
25.	34.5	33.3	33.1	12.8	17.0	11.7	17.3	10.7	10.5	10.1	9.4	96	70	93	W 1W	1 W 2		10^1	10^1	10^2•	0.6	n ◯0, ca 6 p ab ◯
26.	34.1	36.7	37.5	11.3	13.4	12.8	14.2	10.9	9.4	10.1	10.2	94	89	94	W 2W	2 W 4		10^2•	10^1	10^2	**29.5**	n, a–ca 11 a ◯2, ca 2 p ab ◯0
27.	36.9	35.1	35.5	12.4	13.4	11.3	16.0	11.3	8.2	8.8	9.4	77	77	94	W 2W	4 W 4		10^1	10•	10^2	4.5	a ≡0, ca 2–7^{14} p ◯
28.	36.6	38.3	40.3	11.5	13.1	11.3	14.7	10.7	9.2	8.8	8.6	92	78	87	W 1W	4 W 2		10^1	10•	6^1	3 5	t leichte Strich-◯
29.	39.7	37.0	35.3	11.1	11.7	11.5	13.9	10.4	8.5	9.6	9.5	86	95	95	W 1W	4 W 4		10^2	10^2	10•	0.2	a ◯, ≡-Reissen, abds. ◯2
30.	37.3	38.1	38.6	11.3	15.1	10.3	16.0	10.1	8.9	8.6	8.7	89	67	94	W 2W	6 W 1		10^2	10^2	10^1	10.2	n ◯, 5^{25}–6^{25} p ◯2
																					116.8	
Mittel	37.7	37.0	36.9	13.1	19.1	14.6	20.0	10.8	9.8	10.4	10.6	86	64	85				8.0	6.6	5.5		

Alle Angaben nach Ortszeit.

Landshut.

Juni. $\varphi = 48^0\ 32'$ N. $\lambda = 12^0\ 10'$ E $= 48^m\ 40^s$. H $= 397.7$ m. Cg $= +0.2$ mm. 1913.

Datum	Luftdruck auf 0° u. Normalschwere reduziert 700 mm +			Lufttemperatur C°					Absolute Feuchtigkeit mm			Relative Feuchtigkeit Proz.			Richtung und Stärke des Windes 0 bis 12			Bewölkung 0 bis 10			Niederschlag mm	Bemerkungen
	7^a	2^p	9^p	7^a	2^p	9^p	Max.	Min.	7^a	2^p	9^p	7^a	2^p	9^p	7^a	2^p	9^p	7^a	2^p	9^p	7^a	
1.	27.8	25.3	25.8	18.9	28.2	20.6	29.4	14.3	11.8	10 2	13.1	73	36	73	E 2	C	C	00	$1^1\odot$	1^1	0.2	n ◯^{0}, ⌓, 9^{11} p ≲ im W
2.	28.7	27.3	27.5	16.3	27.3	21.5	**31.3**	14.3	11.6	**14.8**	14.1	84	55	74	W 4	N 2	E 2	$1^1\odot$	$1^1\odot$	10^1	1.5	n ◯^{0}, 7^{39}–8^{09} p ◯^{0}
3.	27.9	28.1	29.3	19.2	27.1	17.0	27.8	13.1	11.6	12.5	13.1	70	46	91	SW 4	E 4	W 2	$8^1\odot$	$2^1\odot$	1^1	**29.0**	0^{34}–2^{39} a ◯, ca 1-2 a ◯ ▲
4.	30.1	27.9	27.2	18.8	27.8	19.4	31.1	13.3	12.1	13.5	13.3	75	48	49	NE 4	E 2	W 6	$1^0\odot$	00	10^1	–	
5.	28.8	27.2	28.2	16.4	24.6	14.2	26.0	14.0	11.7	10.2	11.1	84	45	93	W 4	E 2	W 6	$2^1\odot$	$1^1\odot$	10^1 ●E	13.2	9^{19}–10^{19} p ◯, 9^{29}–10^{06} p ◯ ▲, 7^{34}–9^{00} p ◯, 7^{39} p–n ◯
6.	29.0	28.6	30.2	14.6	14.6	10.6	18.1	10.2	11.7	10 3	9.0	94	84	95	W 2	NW 4	W 2	10^1●	10^1	10^1	12.6	$9^{00.36}$ p ◯, n, a–7^{29} a, 8^{19}–10^{29} a, 3^{19}–ca 5 p, ca 6–7^{01} p ◯
7.	32.4	32.5	32.2	12.1	19.5	10.5	20.9	10 0	8.5	8.7	8.6	82	52	92	W 4	SW 2	C	10^1	$2^1\odot$	0	5.7	7^{34}–ca 8 a ◯-Tr.
8.	32.9	30.2	28.6	10.8	20.9	13.6	26 4	6.2	8.7	7.6	10.5	90	41	92	W 2	NE 2	N 2	00	00	0	0.1	⌓
9.	29.9	29.8	30.3	14.4	17.0	15.0	22,1	8 2	10.2	12.8	11.7	84	89	96	SW 2	W 4	W 2	10^1	10^1●	3^1	–	⌓^{0}, ca 8–10 a ◯, $14^{1.59}$ p ◯^{0}
10.	30.6	28.5	25.2	13.4	21.3	13.8	22 9	11.7	8.1	7.3	9.5	71	39	81	W 4	W 4	W 2	$1^1\odot$	10^1	1^1	3.3	
11.	26.2	27.1	27.9	16.4	20.0	13.7	21.3	9.4	8.9	7.6	8.2	65	43	70	W 6	W 6	W 2	9^1	7^1	9^1	–	
12.	26 6	28.4	31.0	14.3	12.9	10 4	16.3	10.3	10.2	7.7	7.3	85	69	76	W 4	W 6	W 2	10^1	10^1	1^1	–	
13.	31.6	30.6	30.8	12.0	14.7	12.2	21.9	8.4	8.6	7.5	10.0	83	60	95	W 4	W 4	W 2	10^1	10^1	10^1●	–	ca 7–7^{19} p , ca 8 p–n ◯
14.	**35.8**	**35.8**	35.4	10.2	16.8	10.2	19.9	8.5	6 9	5.8	6.9	74	41	74	NE 2	E 2	C	$1^1\odot$	$1^1\odot$	1^1	1.6	
15.	35.6	34.8	34.2	9.8	19.6	14 0	21.6	4.9	6.0	5.8	7.5	66	34	63	E 2	E 4	E 4	$1^1\odot$	00	1^1	–	⌓
16.	34.2	33.0	31.5	11.9	20.7	10.6	22.3	6.2	4.7	4 0	6.5	45	**22**	69	SE 4	E 4	E 2	$1^0\odot$	00	0	–	⌓^{0}
17.	31.6	30.0	28.7	11.9	23.6	13.2	26 2	6.2	6.1	6.6	8 5	59	30	75	E 4	E 2	C	00	00	0	–	⌓^{0}
18.	29.3	27.4	26.2	12.8	27.4	18.1	30.0	5.2	7.7	9.5	11.5	70	35	75	NE 2	W 2	W 2	$1^1\odot$	$1^0\odot$	10^0	–	⌓^{0}
19.	27.8	26.9	27.6	17.5	21.6	15.2	25.8	14.4	12.3	13.1	11.9	83	69	92	W 2	W 2	W 2	10^1	10^1●	10^1	–	$8^{19.34}$ a ◯, m–0^{01} p, $20^{0.09}$ p ◯^{0}, $5^{39.54}$ p ◯^{2}
20.	27.5	26.9	26.9	16.1	19.7	14 3	21.3	14.2	12 5	11.9	11.9	91	70	98	W 2	N 2	NW 2	10^1●	8^1	10^1●	3.5	n, a–7^{19} a ◯, 8^{09}–9^{06} a ◯^{2}, 4^{39} p–n ◯
21.	26.7	27.9	27.0	10.9	12.6	10.9	15.8	10.2	9.0	8.1	8.4	93	75	87	W 6	W 4	W 4	10^1●	10^1●	10^1	16.5	n, ca 6 a–2^{19} p ◯
22.	27.6	28.6	30.5	11.4	14.8	11.2	17.0	8.4	8.3	7.1	8.9	83	59	90	W 6	W 2	W 2	10^1	9^1	10^1	5.2	ca 7^{19} p ◯
23.	31.8	31.0	30.1	12.0	21.2	12.2	25.2	10.4	9.3	7.3	9.1	90	39	87	W 2	S 2	W 2	10^1	$2^1\odot$	1^1	0.1	
24.	29 5	27.8	27.3	12.2	21.6	12.3	25 5	6.4	8.8	9.9	10.0	84	52	95	W 2	W 2	W 4	$9^1\odot$	$8^1\odot$	6^0	–	⌓^{0}, $6^{19.59}$ p ◯, 6^{29}–7^{34} p ◯
25.	26.3	**25 0**	25.5	15.2	16.4	10.6	18.8	7.2	9.6	7.8	8.8	74	56	93	W 4	W 4	W 2	$8^1\odot$	10^1	10^1●	4.5	ca 11 a ◯-Tr., ca 3–3^{04} p, 6^{04} p–n ◯^{0}
26.	27.6	29.1	29.7	10.0	14.9	11.2	16.0	9.4	8.7	10.1	9.0	95	81	92	W 4	W 2	W 4	10^1●	10^1	10^1	3.6	n, a–ca 10 a ◯
27.	29.2	27.7	27.8	11.0	13.0	10.1	17.3	8.2	9.2	9.6	9.1	94	87	**99**	SW 2	W 2	W 2	10^1	10^1	10^1	1.5	11^{59} a–0^{34} p ◯, $0^{04.59}$ p, ca 5–5^{29} p ◯, $6^{19.39}$ p ◯^{1}
28	30.2	31.1	32.9	9.6	12.5	9.3	16.0	8.4	8.0	8.3	7.5	89	77	87	NW 2	NW 2	W 2	10^1	10^1	2^1	10.0	n ◯, $10^{04.14}$ a ◯^{0}
29.	31.5	29 2	27.9	11.1	11.5	11.4	14.3	7.5	8.6	10.0	8.9	87	**99**	89	W 6	W 4	W 6	10^1	10^1●	10^1●	0.9	7^{04} ◯-Tr., 9^{19} a–ca 5 p, 5^{19} p–n ◯
30.	31.1	30.9	30.9	10.9	14.7	10.9	17.2	9.5	8.3	6.3	8.7	89	51	90	W 4	W 6	W 2	10^1	5^1	10^1	12.4	ca 8 a ◯-Tr., $7^{19.29}$ p ◯^{0}
																					125.4	
Mittel	29.9	29.2	29.1	13.4	19.3	13.3	22.2	9.6	9.3	9.1	9.8	80	56	85				6.4	5.6	5.9		

Augsburg.

Juni. $= 48^0\ 22'$ N. $\lambda = 10^0\ 54'$ E $= 43^m\ 36^s$. H $= 499.6$ m. Cg $= +0.1$ mm, über 728.8 mm Cg $= +0.2$ mm. 1913.

1.	18.9	**16.5**	18.8	17.1	26.9	20.1	28.3	12.6	12.1	13.2	**13.7**	83	50	78	SE 2	E 4	NE 2	00	00	3^1	7.8	n ≲ u. ◯
2.	20.6	19.5	20.2	17.3	27.0	18.8	27.3	14.3	10.8	14.0	12.8	73	53	83	C	NE 2	NW 2	$2^1\odot$	00	10^2 E	–	a ⌓, 7^{34} p–n ≲, 7^{34}–8^{39} p ◯
3.	20.3	20.4	21.2	20.2	26.8	21.0	27.1	16.9	13.6	12.9	13.6	77	49	74	C	NW 2	SW 2	$4^0\odot$	$4^2\odot$	10^1	3.3	n ≲ u. ◯
4.	21.2	19.0	20.3	18.6	28.6	16.4	**29.2**	15.7	12.3	13.0	12.0	77	45	86	SE 2	NE 2	SW 2	00	$1^0\odot$	10^2 E●	–	a ⌓, 7^{14} p–n ≲, 7^{34} p–n ◯
5.	20.8	19.0	19.9	15.6	23.9	15.8	24.3	13.6	9.4	8.9	10.9	71	40	82	SW 2	N 2	NW 2	$2^1\odot$	$2^2\odot$	10^2	7.2	5^{04}–7^{49} p ≲, 5^{29}–7^{39} p ◯
6.	20.7	21.0	22.4	13.9	13.6	10.6	15.8	10.6	10.7	9.3	8.2	92	80	87	SW 2	NW 2	SW 2	10^2●	10^2●	10^2	**20.1**	n, a–4^{39} p, 8^{34} p–n ◯
7.	24.1	23.9	23.9	10.9	16.1	13.4	16.8	9.3	8.0	7.2	7.9	83	53	70	W 2	NW 2	SW 2	8^2	6^2	0	8.4	
8.	24.0	21.4	20.5	12.0	20.8	17.2	22.2	7.3	7.3	7.2	9.6	69	46	66	SW 2	SE 2	SE 2	00	00	0	–	a ⌓
9.	21.9	22.4	22.5	13.6	16.4	16.2	17.2	12.1	9.5	10.3	10.1	82	73	73	SW 2	NW 2	NW 2	10^2	10^2	10^1	–	11^{04} a–0^{34} p ◯
10.	22.6	20.1	17.4	12.8	20.5	17.5	21.3	11.1	7.6	5.5	8.1	69	30	54	SW 2	SW 2	SW 2	6^0	10^0	0	–	
11.	18.5	19.6	20.5	16.2	19.1	15.1	19.8	15.0	7.4	7.3	8.7	54	44	69	SW 6	W 6	W 4	7^1	6^2	0	–	
12.	18.3	20.6	23.1	14.7	14.8	11.0	15.0	9.6	9.6	8.1	7.6	76	65	76	W 4	NW 6	NW 2	10^2	10^2	5^1	–	
13.	23.1	22.3	23.5	11.6	17.2	13.3	18.8	9.9	7.8	7.5	8.9	76	51	77	NW 2	NW 2	NW 2	10^1	7^2	10^2	–	
14.	27.1	**27.3**	26.4	10.3	16.9	13.8	18.2	8.0	7.6	6.1	6.8	81	43	59	NW 2	SE 2	E 2	10^1	$2^1\odot$	0	–	
15.	26.1	25.7	25.4	11.6	20.0	13.9	20.5	6.7	5.9	6.1	7.1	58	36	60	E 2	E 4	E 2	00	00	0	–	
16.	25.0	23.9	23.0	11.9	21.1	15.0	21.9	8.9	6.1	6.3	6.6	59	33	52	E 2	E 4	E 2	00	00	0	–	
17.	22.6	21.5	20.7	12.1	24.8	18.4	25.4	9.0	6.6	6.9	9.9	63	**28**	63	E 2	SE 2	SE 2	00	00	0	–	
18.	20.6	19.2	18.7	16.6	27.1	21.8	27.9	10 0	9.5	10.0	11.7	67	38	60	S 2	NE 2	NE 2	00	$4^2\odot$	3^2	–	a ⌓
19.	19.5	19.4	19.8	17.2	17.4	16.2	21.8	5.8	11.7	12.2	12.2	80	82	89	SW 2	SW 2	NW 2	8^1	10^2●	10^2	6.4	ca 0–1 a, $11^{29.49}$ a, $0^{09.54}$ p ≲; n, $11^{31.44}$ a, 0^{44}–1^{04} p, [1]
20.	19.4	19.5	19.4	15.2	17.4	14.3	17.6	14.3	12.0	12.1	11.3	93	81	94	W 2	NW 2	NW 2	10^2●	10^1	10^2●	18.7	ca 9–10 p ≲; n, a–1^{14} p, 1^{54} p–n ◯
21.	19.4	19.2	19.0	10.4	14.1	10.4	16.0	9.8	8.7	8.1	8.3	93	68	89	NW 2	W 2	SW 2	10^2●	9^2	10^2	19.4	n u. t ztw. ◯
22.	19.6	20.5	22.6	10.0	13.8	10.8	13.8	8.7	8.0	8.3	8.8	87	70	92	SW 2	NW 2	NW 2	10^2	10^2	10^1	5.3	n u. t ztw. ◯
23.	23.5	23.2	21.9	11.3	18.2	15.5	20.1	9.7	8.7	8.1	9.2	88	52	70	W 2	SW 2	SW 2	8^1	$6^2\odot$	5^0	2.7	
24.	20.9	18.6	19.4	12.8	22,1	13.2	22,1	9.2	8.3	9.4	10.2	75	48	91	C	SW 2	SW 2	8^0	7^2	10^2	–	a ⌓; $2^{14.39}$ p, 2^{44}–3^{39} p, $4^{24.59}$ p ≲, p häufig ◯; [2]
25.	17.8	16.9	17.6	13.4	14.3	10.7	14.3	10.7	8.4	7.9	8.4	73	65	89	SW 2	W 2	NW 2	10^2	10^2	10^2	18.5	ca 8^{45} a–0^{34} p, ca 4^{45}–7^{14} p ◯
26.	19.8	21.6	22.2	10.0	14.2	11.4	15.0	8.7	8.1	8.5	8.7	88	70	87	SW 2	NW 2	NW 2	10^2	10^2	10^1	3.1	
27.	20.9	20 4	20.4	11.0	10.8	11.2	14.2	9.7	9.0	8.2	8.7	92	86	88	C	W 2	SW 2	10^2	10^2●	10^2	4.4	$10^{36.44}$ a, 10^{52}–11^{04} a ≲; n, $10^{14.21}$ a, $11^{09.34}$ a ◯
28.	22.4	23 6	25.7	9.8	13.4	10.0	14.5	9.2	8.1	7.2	7.8	89	63	86	NW 2	NW 2	W 2	8^2	8^2	10^2	6.4	n, $9^{29.49}$ a, $6^{14.49}$ p ◯
29.	23.2	21.3	21.3	9.9	11.9	12.0	12.9	8.8	8.3	9.9	8.4	91	**96**	82	SW 2	W 2	W 2	10^2●	10^2●	10^2	3.3	n–7^{14} a, 9^{09}–4^{04} p ◯
30	23.4	23.2	23.6	9.9	14.8	10.9	15 6	9.0	7.9	7.2	7.3	87	58	75	W 4	NW 4	NW 2	10^2	$6^2\odot$	0	5.3	
																					140.3	
Mittel	21.5	21.0	21.4	13.3	18.8	14.5	19.8	10.5	9.0	8.9	9.5	78	57	77				6.4	5.9	6.2		

[1] 1^{39}–2^{54} p ◯. [2] $3^{09.19}$ p, $4^{54.56}$ p ▲.

Alle Angaben nach Ortszeit.

München-C.St.

Juni. $\varphi = 48^0\ 9'$ N. $\lambda = 11^0\ 34'$ E $= 46^m\ 16^s$. H $= 526.4$ m. Cg $= +0.1$ mm. 1913

Datum	Luftdruck auf 0° u. Normalschwere reduziert 700 mm +			Lufttemperatur C°					Absolute Feuchtigkeit mm			Relative Feuchtigkeit Proz.			Richtung und Stärke des Windes 0 bis 12			Bewölkung 0 bis 10			Niederschlag mm	Bemerkungen
	7a	2p	9p	7a	2p	9p	Max.	Min.	7a	2p	9p	7a	2p	9p	7a	2p	9p	7a	2p	9p	7a	
1.	16.6	14.3	15.3	17.7	27.0	22.8	**27.7**	14.8	12.0	13.6	13.1	79	52	64	NW 1	NE 2	C	⊙⊙	⊙⊙	8^1	2.8	ca 11 p u. 1 a ⊿; n ◍
2.	18.1	16.8	16.6	18.1	26.3	22.9	26.8	15.6	9.4	13.9	**15.4**	61	56	73	C	NE 1	C	3^1⊙	1^1⊙	10^1	–	a ⏢
3.	17.6	17.6	18.6	19.2	27.1	18.9	27.3	15.7	11.7	13.4	12.9	71	51	80	SE 1	NW 1	C	3^1⊙	6^2 ⊙◍	10^0	**45.0**	9^{26} p–ca 0 a ⊿, 9^{27}–10^{16} p ◍, 9^{56}–10^{06} p ▲
4.	18.9	16.8	17.4	17.1	26.9	16.9	27.0	14.8	11.9	12.3	11.2	83	46	79	NE 2	NE 1	SW 3	⊙⊙	1^1⊙	10^1◍	0.3	a ⏢, 7^{56} p ⩸, 8^{11}–9^{00} p ⊿, 8^{14} p einzelne ◍-Tr.
5.	18.3	16.3	17.3	16.9	23.8	14.6	24.0	13.0	9.3	9.2	10.5	65	42	85	SW 1	NE 1	SW 2	1^0⊙	1^1⊙	9^1◍	–	9^{00}–ca 10 p ⊿, a ⏢, Gebirge sichtbar; 6^{11}–9^{00} p ⊿, [2]
6.	18.3	18.2	20.0	14.7	12.9	10.6	15.6	10 2	10.5	10.2	7.8	85	93	83	SW 1	NW 2	W 2	10^1	10^1•	10^0	11.0	$9^{00.36}$ p ⊿; n, 7^{16} a–ca 5^{45} p ◍
7.	21.6	21.6	21.8	11.1	16.7	12.9	16.8	10.0	7.5	5.9	7.9	76	42	7^1	C	NW 1	C	9^1	8^1	1^0	15.7	
8.	21.7	19.0	18 2	12.5	20.9	16.7	21.3	8.8	7.9	8.0	10.0	73	44	70	C	C	C	⊙⊙	⊙⊙	○	–	a ⏢, t Gebirge gut sichtbar
9.	19.6	19.4	19.9	15.8	16.8	14.3	18.7	12.4	9.8	11.0	10.6	74	77	88	W 1	C	W 1	9^1	8^1	10^1	–	a ⏢, t ztw. ◍
10.	20.3	17.7	15.1	13.7	20.7	17.6	21.1	12.0	7.8	7.0	8.7	67	38	58	C	W 2	SW 1	6^0⊙	9^0	3^0	4.7	n ◍
11.	16.1	17.4	17.8	16.3	17.5	15.5	18.8	15.2	7.2	8.8	8.8	52	60	67	W 4	W 3	W 1	9^1	9^1	10^1	–	a ganze Gebirgskette sehr gut sichtbar
12.	15.7	17.5	20.7	15.7	13.6	11.7	15.8	11.0	9.1	8.6	8.0	68	74	79	W 3	W 1	C	10^1•	10^1•	10^1	–	a Gebirge schwach sichtbar, t ztw. ◍0.1
13.	20.7	19.8	20.6	11.8	15.6	13.9	18.2	9.7	7.8	7.4	9.5	76	57	81	W 1	W 1	W 1	7^1	10^1	10^1	0.2	a ⏢, 6^{56}–7^{16} p ◍^{0}
14.	**24.5**	24.4	**24.5**	10.1	16.0	12.1	16.5	9.1	6.8	4.9	6 5	73	37	62	C	SE 1	E 1	6^1⊙	1^1⊙	2^0	–	a ⏢, m ∞-Kranz
15.	23.7	23.2	23.0	10.3	19.1	13.6	19.6	6.4	6.1	6.5	6.4	65	41	56	E 3	E 2	E 1	1^0⊙	⊙⊙	1^0	–	a ⏢
16.	22.6	21.4	20.6	10.9	20.7	14.7	20.9	8.0	6.2	7.1	5.6	64	39	46	E 3	E 3	E 1	⊙⊙	⊙⊙	○	–	a ⏢
17.	20.2	18.8	18.2	11.5	23.5	18.2	24 2	8.9	6.0	6.7	8.4	59	31	55	E 1	C	C	⊙⊙	⊙⊙	○	–	a ⏢
18.	18.1	16.7	16.3	16.9	25.9	19.4	26.2	12 3	9.3	9.4	10.7	65	39	64	C	NW 1	C	⊙⊙	3^1⊙	1^0	–	a ⏢
19.	17.0	16.4	17.4	17.0	21.6	16.7	24.0	15.9	11.2	12.0	12 8	78	63	91	SW 1	C	SW 2	8^1	7^1⊙	10^1	1.6	n, t ztw. ◍0.2, 10^1 p ⊿
20	16.9	16.4	16.8	16.3	17.1	13.9	18.7	13.9	11.9	12.3	11.1	86	85	**95**	SW 1	NW 1	C	10^1	10^1•	10^1•	2.4	n ◍, ca 9^{45} p ab ◍^{0}, 3^{35} p–n ◍^{1}
21.	16.7	17.1	16.7	10.4	13.7	10.0	14.6	10.0	8.7	7.9	7.9	93	68	87	W 2	SW 1	SW 1	10^1•	9^1	6^1	30.6	n, t ztw. ◍0.2
22.	17.2	17.8	20.0	10.1	14.0	10.5	14.8	8.4	7.9	8.7	8.1	85	74	86	SW 1	SW 2	SW 1	10^1	9^1	10^1	6.6	t ztw. ◍
23	21.1	20.6	19.6	11.5	17.9	14.5	18.8	10.0	8.6	7.6	8.9	86	50	73	SW 1	NE 2	C	10^1	8^1	4^0	0.3	7^{38}–8^{16} a ◍^{0}, dann ztw. Aufklaren
24.	18.5	16.8	16.9	13.3	20.3	13.1	21.2	10.2	8.6	8.3	10.0	76	47	90	C	SW 1	SW 1	10^0	6^1⊙	8^1	–	a ⏢, 3^{36}–4^{26} p, 4^{31}–5^{40} p ⊿, ca 3^{45}–6^{45} p ◍
25.	15.6	**14.6**	15.0	13.4	13.3	9.7	16.7	9.7	8.2	7.5	8.1	72	66	92	SW 1	SW 2	C	8^1⊙	10^1	10^1•	9.0	a ztw. ◍^{0}, ca 2^{45} p–n ◍^{1}
26.	16.9	18.0	19.6	9.5	13.9	10.7	14.1	9.0	8.4	9.0	8.5	**95**	77	90	W 1	NW 2	NW 2	10^1•	10^1	10^1	10.0	n, a–ca 11^{45} a ◍
27.	18.7	17.9	17.5	10.5	10.2	10.8	14.5	9.9	8.8	8.7	8.2	94	94	86	SW 2	W 2	C	10^1•	10^1•	10^1	4.5	n, t ztw. ◍; 11^{55} a–0^{11} p, $0^{21.46}$ p ⊿
28.	19.6	20.8	22.9	9.1	12.1	9.7	14.6	8.8	7.8	6.9	7.6	92	65	85	W 2	W 2	W 1	10^1	10^1•	10^1•	17.4	n, t ztw. ◍-Böen
29.	21.0	18.9	18.2	10.5	11.3	12.1	12.8	9.2	8.0	9.1	9.5	87	92	91	SW 2	SW 1	SW 1	10^1	10^1•	10^1	2.5	n, t ztw. ◍
30.	20.9	20.4	20.7	9.6	12.8	10.5	14.3	9.0	7.9	7.6	7.1	89	69	75	SW 2	W 2	W 1	10^1	9^1•	10^0	12.7	n, t ztw. ◍
																					177.3	[1] Im NW der Stadt u. in den dortigen Vororten derselben war der Hagel katastrophal. Es wurden dortselbst Hagelkörner von Taubenei- bis Hühnereigrösse beobachtet.
Mittel	19.1	18.4	18.8	13.4	18.3	14.3	19.5	11.1	8.7	9.0	9.3	76	59	77				6.3	6.2	6.8		1^{31}–4^{56} p ⊿, 3^{08}–ca 5^{45} p ◍^{0}. [2] 7^{26}–8^{36} p ◍, 7^{41} p ⩸

Traunstein.

Juni. $\varphi = 47^0\ 52'$ N. $\lambda = 12^0\ 39'$ E $= 50^m\ 36^s$. H $= 597$ m. Cg $= +0.1$ mm. 1913.

1.	11.2	09.2	09.4	17.2	26.2	19.6	26.2	13.9	12.1	12.9	13.8	83	51	81	SE 2	E 6	E 2	2^2⊙	2^2⊙	2^2	–	9^{06} p ⩽ im N
2.	12.6	11.3	11.5	17.7	25.4	18.6	25.9	15.2	12.1	13.6	14.6	80	57	92	W 2	E 2	SE 2	⊙⊙	4^2⊙	4^2	–	
3.	12.4	12.0	13.4	17.6	25.6	15.8	**27.0**	14.2	13.6	13.3	11.1	91	55	83	S 2	E 4	S 2	4^2	6^2⊙	6^2	5.6	0^{36}–2^{21} a, 2^{06} p u. 3^{11} p ⊿
4.	13.3	11.8	11.0	17.2	25.2	15.4	26.4	11.1	11.8	14.0	12.5	81	59	96	E 2	E 4	SE 2	1^1⊙	2^2⊙	8^2•	3.6	7^{31}–9^{00} p ⊿
5.	13.0	10.9	11.3	15 6	22.0	17.4	23.1	11.9	11.2	11.7	12.1	85	59	82	W 2	E 4	N 2	2^2⊙	4^2⊙	4^2	6.7	$9^{00.11}$ p ⊿, n ◍, 8^{21} p ⩽
6.	12.4	11.8	14.4	16.1	15.0	9.2	17.4	9.2	10.9	9.9	8.0	80	78	92	W 2	W 4	W 2	8^2⊙	10^2.	10^2•	1.0	ca 9–10 p ⊿, ⩸; 5^{31} p ⊿, p u. abds. ◍
7.	15.7	16.1	15.9	9.4	14.2	9.8	16.0	8.0	7.9	7.6	8.2	89	63	91	W 2	W 4	S 2	10^2•	8^2	2^2	15.1	mrgs. ◍
8.	16.2	13.3	12.5	11.5	19.3	13.8	19.9	6.4	8.5	10.9	10.7	85	65	92	SE 2	E 4	E 2	⊙⊙	1^1⊙	2^1	–	mrgs. ⏢
9.	13.8	13.4	14.5	15.5	18.2	13.3	19.0	9.8	10.5	11.0	10.3	80	71	91	W 4	NW 4	S 2	6^2⊙	10^2	8^2	–	mrgs. ⏢. 2^{06} p ⊿
10.	14.6	12.5	09.8	12.4	19.0	14.4	20.0	11.0	9.7	8.1	10.7	91	49	88	SW 4	NW 4	S 2	10^2	8^2⊙	○	7.4	n ◍
11.	10.8	11.5	12.0	16.3	16.8	15.2	17.8	12.2	7.8	9.0	8.6	57	63	67	W 6	W 7	W 6	9^2	9^2	6^2	–	
12.	10.4	11.6	15.1	15.3	12.6	9.5	15.6	9.5	8.7	9.6	8.1	67	89	92	W 6	NW 4	W 2	10^2	10^2•	10^2•	–	p u. abds. ◍
13.	14.8	14.5	14.5	11.1	14.2	12.5	15.1	8.1	7.8	8.2	9.5	79	68	89	W 2	W 2	W 2	8^2⊙	10^2	10^2	8.7	abds. ◍
14	18 3	**18.7**	**18.7**	9.2	16.0	9.2	16.2	8.8	7.8	6.0	7.4	91	45	86	NW 2	NW 2	E 2	10^2	4^2⊙	○	3.2	n ◍
15.	17.9	17.5	17.8	9.4	17.5	11.5	17.6	4.0	6.7	5.4	6.3	76	36	62	E 4	E 4	E 2	2^2⊙	1^1⊙	○	–	
16	16.7	15.8	15.0	9.3	18.8	11.1	19.0	5.0	6.7	7.4	6.4	76	46	64	E 4	E 4	E 2	⊙⊙	1^1⊙	○	–	
17.	14.5	13.5	12.8	11.6	21.9	13.3	22.0	4.5	8.2	10.5	8.5	80	53	75	E 2	NW 2	S 2	⊙⊙	⊙⊙	○	–	mrgs. ⏢
18.	12.8	12.4	10.9	15.8	24.6	16.6	24.8	7.9	11.1	10.1	10.1	83	45	71	E 2	W 4	S 2	⊙⊙	2^2⊙	4^2	–	mrgs. ⏢
19.	11.5	11.1	11.9	17.4	20.6	15.8	21.5	13.0	11.6	**14.6**	12.4	79	81	92	W 2	S 2	W 2	10^2	6^2⊙	10^2	–	a ◍; $0^{21.41}$ p, ca 2–3 p, ca 4–5 p ⊿
20.	11.6	10.2	10.3	16.4	18.0	14.3	19.0	13.8	11.8	12.3	11.9	85	80	98	W 4	N 4	W 2	10^2	9^2	10^2•	6.9	n u. t meist ◍
21.	10.9	11.4	12.0	10.0	11.5	9.4	14.3	9.4	8.4	8.5	8.3	92	85	95	W 6	W 6	S 2	10^2•	10^1•	7^2•	31.6	n u. t ◍
22.	11.2	12.1	14.2	10.8	13.2	9.5	14.0	7.8	7.7	8.8	8.4	81	78	95	W 4	W 4	W 2	10^2	9^2	10^2•	6.0	p u. abds. ◍
23.	15.4	15.1	14.1	9.6	15.6	10.7	17.0	8.9	8.0	8.4	8.6	89	63	91	W 2	W 2	W 2	10^2	5^2⊙	2^2	4.2	
24.	12.8	12.1	11.2	13.0	16.1	12.6	19.0	6.9	9.3	11.2	9.6	85	82	89	SW 2	SW 2	S 2	8^2	8^2⊙	10^2•	–	m ◍, ca 4–5 p ⊿
25.	10.1	09.3	08.8	11.7	11.8	9.0	12.6	9.0	9.4	8.8	8.1	93	86	95	S 2	W 2	W 2	8^2	10^2•	10^2•	3.3	n u. p ◍
26.	10.6	12.9	13.5	8.3	10.2	9.6	10.9	7.8	7.6	8.6	8.4	93	93	95	W 2	W 2	S 2	10^2•	10^2•	10^2	**44.9**	n u. t ◍
27.	13.1	11.4	11.7	10.6	11.6	9.0	12.0	9.0	8.7	9.2	8.1	92	91	95	W 2	NW 6	W 2	10^2	10^2•	10^2•	13.2	p u. abds. ◍
28.	12.9	14.8	16.9	8.8	10.4	9.0	11.2	7.9	8.0	8.0	7.6	95	85	89	NW 4	W 4	W 4	10^2	10^2	10^2•	26.5	n u. t meist ◍
29.	15.5	13.0	12.0	10.0	10.1	11.4	11.5	8.0	7.5	8.6	10.1	82	94	100	W 6	W 6	W 6	10^2	10^2•	10^2	5.9	t meist ◍
30.	14.4	14.6	14.8	8.3	10.2	8.2	11.2	8.0	7.7	8.0	7.7	94	86	94	W 7	W 6	W 2	10^2•	8^2⊙	4^2	30.7	n–a ◍, p ztw. ◍
																					224.5	
Mittel	13.4	12.9	13.1	12.8	17.1	12.5	18.1	9.3	9.3	9.8	9.5	84	69	87				6.6	6.6	6.0		

Alle Angaben nach Ortszeit.

Partenkirchen.

Juni. $\varphi = 47^0\ 30'$ N. $\lambda = 11^0\ 6'$ E $= 44^m\ 24^s$. H $= 716{,}8$ m. Cg $= +0.1$ mm. 1913.

Datum	Luftdruck auf 0° u. Normalschwere reduziert 700 mm +			Lufttemperatur C°					Absolute Feuchtigkeit mm			Relative Feuchtigkeit Proz.			Richtung und Stärke des Windes 0 bis 12			Bewölkung 0 bis 10			Niederschlag mm	Bemerkungen
	7^a	2^p	9^p	7^a	2^p	9^p	Max.	Min.	7^a	2^p	9^p	7^a	2^p	9^p	7^a	2^p	9^p	7^a	2^p	9^p	7^a	
1.	00.7	698.7	00.9	17.2	26.5	16.6	**28.2**	11.8	9.4	3.2	10.6	64	13	75	S 3	NW 3	C	00	2^0⊙	1^0	–	Berge rein
2.	02.4	00.5	02.7	16.6	25.0	16.6	25.6	12.9	11.4	5.2	11.0	81	22	78	C	NW 2	SE 3	00	2^0⊙	3^1	–	10 p ≼ i. N, a ⏢, Berge rein, 5^{37} u. 5^{44} p ⍁ i. N u. W
3.	02.5	02.2	04.0	16.1	22.6	15.8	25.3	13.3	11.2	11.3	11.6	82	56	87	C	NW 4	SE 2	00	6^1	1^0	–	a ⏢, Berge rein; 2^{20} p ⍁, $4^{49.54}$ p ◍
4.	03.5	00.4	01.8	15.4	25.6	17.0	26.1	12.3	10.7	11.7	**12.5**	82	48	87	C	NW 4	C	2^1⊙	2^0⊙	3^0	0.1	a Berge rein; 5^{44} p ⍁ mit ◍
5.	02.3	00.0	02.2	13.6	20.6	17.0	21.9	11.2	10.5	10.4	9.9	92	58	69	SE 2	W 4	NW 3	00	7^1	9^1	0.4	a ⏢, Berge rein; ca 6^{45} p Gewitterwolken i. N
6.	02.7	02.4	04.7	12.2	11.6	8.6	17 0	8.6	10.3	9.8	8.2	98	97	99	C	N 3	C	10^1●	10^1●	10^1●	6.0	n u. t ◍. 2^{14} u. 3^{56} p ⍁ i. N u. NE
7.	05.9	05.2	06.5	8.1	12.0	9.8	12.9	7.0	7.5	6.2	7.6	93	59	84	C	NW 3	SE 3	9^0	9^0	0	26.2	a Berge teilweise frei, ◍^{0}
8.	05.8	01.8	02.6	10.0	19.6	14.4	20.2	5.1	7.5	8.5	10.4	82	50	86	SE 2	NW 2	C	1^0⊙	1^0⊙	o	0.3	a ⏢, Berge sehr rein, föhnig
9.	04.1	03.1	04.4	12.2	17.4	12.9	19.3	9.3	9.4	9.8	10.4	90	67	95	C	N 5	C	3^0	9^1	9^1●	–	a ⏢, Berge meist frei, 2^{24} p ◍^{2}, abds. ◍
10	04.7	02.0	00.7	11.7	19.6	13.2	20.3	11.1	9.6	9.6	10.2	95	56	91	C	N 2	SE 2	8^0	5^0⊙	1^0	4.5	
11.	01.0	01.1	02.6	13.0	20.8	13.0	22.0	8.9	9.8	6.7	8.8	89	37	80	S 3	NW 4	SW 3	6^9	6^0⊙	2^1	0.1	a ⏢, Berge frei
12.	01.1	02.0	05.2	12.1	14.2	9.0	17.5	8.6	8.4	10.0	8.3	80	84	97	S 1	C	N 2	7^0	9^1●	10^1●	–	a Berge meist frei, föhnig; m u. abds. ◍
13.	04.6	03.8	04.8	8.4	15.4	12.5	16.0	7.7	8.0	8.4	8.4	97	64	78	C	W 3	C	9^0●	7^1	9^1	9.7	m ◍, a Berge meist bedeckt
14.	**08.0**	07.4	07.7	9.4	15.6	10.5	16.0	9.0	8.6	7.8	8.0	98	59	85	C	NW 4	SE 3	10^1	3^0⊙	o	6.0	a Berge im Nebel
15.	06.8	06.0	06.6	9.8	19.0	11.6	19.3	6.8	7.6	8.9	8.0	84	54	79	C	NW 5	SE 2	1^0⊙	1^0⊙	o	0.3	a ⏢, Berge rein
16.	06.0	04.3	04.9	9.5	20.8	12.0	22.1	7.0	7.4	8.9	8.8	86	49	85	SE 2	NW 5	C	00	1^0⊙	o	–	a ⏢, Berge rein
17.	04.3	02.7	03.2	9.8	23.2	14.6	23.5	8.5	7.3	9.4	9.3	82	44	77	SE 2	NW 3	C	00	2^0⊙	1^0	–	a ⏢, Berge sehr rein
18.	02.9	01.9	01.6	14.4	18.8	14.7	23.6	10.7	9.8	11.1	10.7	81	69	86	C	C	C	2^0⊙	8^1●	10^1●	–	a ⏢, Berge meist frei, 1^{41} u. 8^{14} p ⍁ i. NNW, p u. abds. ◍
19.	02.6	01.1	02.5	14.2	20.4	14.8	21.3	13.1	11.5	10.8	12.0	96	57	96	C	NW 2	C	9^1	7^1	9^1	3.7	9^{29} p ab ◍^{1}, a Berge meist frei; p ztw. ◍
20.	01.6	00.9	01.2	13.9	13.8	12.7	18.5	12.7	11.3	11.5	10.8	96	98	99	C	C	C	7^0	10^1●	10^1●	4.4	a Berge meist frei, m u abds. ◍
21.	01.3	01.2	01.2	9.1	11.8	8.9	13.3	8.9	8.1	7.8	7.8	95	76	92	C	W 2	C	10^1	9^1	2^1	27.3	n ◍, a Berge bedeckt
22.	01.9	01.7	04.0	8.5	12.6	10.1	13.3	6.9	7.9	7.3	7.6	96	68	82	C	NW 3	C	10^1	9^1	10^1	1.5	a Berge bewölkt
23	05.3	04.3	03.8	9.0	13.3	10.8	16.8	8.1	8.0	6.0	8.4	93	52	89	C	NW 2	S 2	10^1	5⊙	o	1.1	a Berge bewölkt
24.	02.9	00.8	01.9	12.2	18.8	10.8	19.5	7.7	8.1	8.6	9.5	76	43	99	SE 2	C	C	10^0	8^0⊙	10^1 ⛆●	–	a ⏢, Berge frei, 3^{58}–4^{03} p, 8^{16}–9^{00} p ⍁ mit ◍
25.	00.0	699.1	699.0	10.2	9.9	7.7	11.5	7.7	9.2	8.6	7.1	99	95	90	C	C	N 2	10^1	10^1●	10^1●	6.4	9^{00}–ca 10 p ⍁ mit ◍, a Berge meist bewölkt, p u. abds. ◍^{1}
26.	01.5	04.0	04.4	6.6	8.2	8.1	9.0	6.6	7.2	7.9	8.0	99	98	99	C	C	W 2	10^1●	10^1●	10^1	26.5	n u. t meist ◍, a Berge bedeckt
27.	03.0	02.2	02.7	8.0	10.5	7.7	10.9	7.1	8.0	9.2	7.5	100	98	96	C	C	C	9^1	10^1●	9^1●	10.0	a Berge teilweise bedeckt, p u. abds. ◍
28.	04.2	05.7	07.6	6.6	9.6	7.2	10.5	6.3	7.2	7.4	7.4	99	84	98	C	C	C	10^1●	8^1	10^1●	15.0	n u. t ztw. ◍, a Berge bewölkt
29.	05.5	04.2	02.8	7.2	10.6	9.6	11.3	5.8	7.1	9.5	8.4	94	100	95	SE 2	C	NW 2	10^1	10^1	10^1●	9.0	n u. t ztw. ◍, mrgs. Berge grösstenteils frei
30.	05.3	04.7	05.7	7.5	13.0	8.4	13.3	5.9	7.6	5.9	8.0	99	53	97	C	SW 4	C	10^1	8^0⊙	9^1	**28.5**	11^{08} p ⍁ i. NNW mit ◍^{2}, a Berge im Nebel
																					187.0	
Mittel	03.5	02.5	03.5	11.1	16.7	11.9	18.2	8.9	8.9	8.6	9.2	90	64	88				6.1	6.5	5.6		

Hohenpeissenberg.

Juni. $\varphi = 47^0\ 48'$ N. $\lambda = 11^0\ 1'$ E $= 44^m\ 4^s$. H $= 994{.}1$ m. Cg $= \pm 0.0$ mm. 1913.

	600 mm +																					
1.	77.6	76.3	78.3	16.6	22.4	16.8	**23.5**	12.0	9.9	11.1	**12.8**	70	55	90	E 1	E 5	SW 4	00	00	3^2	–	t ◯^{0}, abds. ≡, Horiz.-≡; 5^{08}–6^{18} p ⍁ mit ◍
2.	79.2	78.8	78.8	14.8	21.6	16.7	22.5	11.7	8.6	11.9	11.1	69	62	78	E 1	NE 1	W 5	00	1^2	7^2	0.7	t ◯$^{0.1}$, abds. reine Fernsicht, 3^{09}–7^{32} p ⍁ mit ◍
3.	79.3	80.2	80.6	19.8	15.5	16.8	21.4	14.2	8.5	12.0	10.9	50	91	76	SE 1	SW 4	SW 2	1^1⊙	10^2=●▲	8^2	0.3	a r. Ferns., ca 0^{25}–1^{25} p ⍁, $1^{44.52}$ p ◍ u. ▲, abds. ◯ u. ≡
4.	80.0	78.8	78.8	19.2	22.3	14.5	22.7	12.1	10.8	10.7	8.2	65	54	66	SW 1	E 1	W 5	1^1⊙	00	10^2	12.8	a reine Fernsicht, p ◯^{3}, einige cu ü. d. Gebirge, ^{1})
5.	79.6	78.0	79.1	15.1	18.2	10.6	19.0	10.4	7.1	9.5	8.9	55	61	94	C	NE 1	W 4	00	1^2⊙	10^2	15.1	a sehr reine, p u. abds. r. Fernsicht; 6^{18}–8^{13} p ⍁ m. ◍ u. ▲
6.	79.3	78.7	79.8	11.2	8.1	7.1	11.8	6.4	9.2	8.1	6.6	93	100	87	SW 1	N 6	W 4	10^1	10^2=●	10^2●	19.0	a ◯, ≡ ü. d. Gewässern, vorm.–abds. meist ≡^{2} u. ◍
7.	81.8	82.1	82.1	6.3	12.3	8.5	12.3	5.7	6.0	5.9	6.0	84	55	73	W 1	SW 1	SE 3	10^2	10^2	o	19.0	n ◍, t Flachland rein, Gebirge bed., abds. Horiz.-≡, ^{2})
8.	82.1	80.2	79.7	12.1	15.5	13.8	17.1	7.5	6.7	7.4	7.7	68	57	66	SE 1	NE 3	NE 1	00	c⊙	1^2	–	t reine Fernsicht, abds. Horiz.-≡, ≡
9.	80.6	80.7	81.0	12.2	13.2	11.2	15.3	11.0	9.1	9.9	9.3	87	88	94	SW 1	NW 1	SW 3	10^2	10^2●	8^2	–	t ◯, p ◍, abds. ≡
10.	81.1	79.4	76.7	9.3	18.0	15.2	18.0	8.6	7.4	7.3	7.9	86	48	61	NW 1	SW 1	SW 7	10^1	9^1	o	13.4	n ◍, a u. abds. ◯, m reine Fernsicht
11.	77.4	78.7	78.8	12.0	12.7	11.4	15.2	11.4	5.8	7.0	6.9	56	65	69	W 6	W 8	SW 8	9^2	9^2	2^2	–	t reine Fernsicht, abds. im S ◯ ⌒
12.	77.5	78.5	81.0	11.9	10.3	6.6	12.0	6.6	7.7	9.0	7.3	74	96	100	W 8	W 4	SW 3	10^2	10^2●	10^2	–	a Flachl. rein, Gebirge bed., p ◯ u. ◍, abds. im Tal ≡
13.	80.9	80.7	81.6	7.4	12.2	9.0	13.2	6.1	7.1	7.7	8.2	93	73	96	SW 1	W 3	SW 5	10^2=	10^2	10^2=●	7.2	a ≡^{2}, p reine Fernsicht, abds. ◍ ≡^{1}
14.	84.2	**84.5**	84.0	6.2	12.6	7.8	12.9	6.2	7.1	7.3	5.5	100	68	69	W 1	NE 1	NE 1	10^2=	8^2	o	2.4	n u. a ≡^{1} ◍, p ◯^{0}, abds. ◯^{2}
15.	83.0	83.5	82.9	7.5	14.8	9.7	15.0	5.6	6.3	6.1	5.5	82	50	61	E 1	NE 1	E 9	00	00	o	–	t ◯$^{0.1}$, p einz. cu ü. d. Gebirge, abds. reine Fernsicht, ^{3})
16.	82.4	82.1	81.1	11.9	16.2	12.0	17.0	7.6	6.9	7.0	5.6	67	52	54	SE 1	E 1	NE 6	00	00	o	–	t reine Fernsicht, p einz. cu ü. d. Gebirge, abds. Horiz.-≡
17.	80.8	80.4	80.0	15.9	19 8	16.5	20.0	11.9	7.1	7.2	6.1	53	42	44	C	NE 3	E 4	c⊙	00	o	–	t reine Fernsicht, p einige cu über dem Gebirge, ^{4})
18.	79.9	79.1	78.5	16.8	17.8	16.8	21.0	14.5	7.8	8.6	7·2	55	57	51	W 1	SW 6	E 1	1^1	10^2	3^2	–	a ◯^{0}, p reine Fernsicht, 1^{24}–3^{38} p ⍁ mit ◍, ^{5})
19.	78.8	78.5	79.0	14.8	19.3	13.8	19.9	12.8	9.0	10.5	9.8	72	63	84	W 3	NW 1	SW 3	5^2	8^2	9^2	0.1	a reine Fernsicht, p u. abds. ◯^{3}, abds. ≡
20.	78.5	78.1	77.9	13.2	12.3	10.6	13.8	10.6	10.6	10.7	9.5	95	100	100	W 1	NW 1	SW 2	10^2	10^2=●	10^2=●	–	a ◯, vorm. kurz ◍, p u. abds. ≡$^{1.2}$ ◍
21.	77.7	77.6	77.4	6.2	9.4	6.8	10.6	5.9	6.9	7.1	7.0	97	80	94	W 1	W 3	W 3	10^2●	10^2	4^2	**31.7**	n ≡^{2}, n u. a ◍, t öfters ◍, abds. reine Fernsicht
22.	78.1	78.7	80.6	6.6	8.7	6.5	10.1	5.6	7.1	7.0	7.2	98	84	100	W 1	W 4	W 4	10^1	10^2	10^2=●	2.4	t reine Fernsicht, abds. ≡^{2} ◍
23.	81.5	81.4	80.6	7.2	13.1	11.6	14.1	6.3	7.4	7.3	6.4	98	65	63	W 1	NE 1	SE 1	10^2=	6^2⊙	5^2	7.3	n u. a ≡$^{1.2}$, p ◯^{1}, abds. ◯^{2}
24.	79.9	78.5	78.3	11.3	17.6	10.1	17.8	9.4	6.7	7.2	7.8	67	48	84	W 1	W 1	SW 7	10^1	9^2	10^2●	–	a ◯^{0}, p reine Fernsicht, öfters ◍; 3^{26} u. 6^{21} p ⍁, ^{6})
25.	76.7	75.9	75.8	9.4	10.1	6.1	10.6	6.1	8.7	8.6	7.0	99	94	100	W 1	SW 1	W 4	10^2	10^2	10^2=●	9.7	n u. t ztw. ◍, t ◯, abds. ≡^{2} ◍
26.	77.5	79.6	80.3	5.7	8.1	7.2	8.1	5.4	6.9	8.0	6.7	100	99	89	NW 5	SW 4	SW 6	10^2=	10^2=	9^2=	22.7	n-vorm. ◍, t ≡$^{1.2}$
27.	79.4	78.7	78.4	6.9	6.4	6.8	9.4	6.3	7.4	7.2	6.2	100	100	84	SW 1	NW 4	W 6	10^2=	10^2=●	10^2	8.2	n-p ≡$^{1.2}$, p ◍
28.	80.1	81.6	83.4	5.5	8.9	5.4	9.0	5.1	6.8	7.6	6.7	100	89	100	NW 1	W 1	SW 4	10^2=●	6^2	10^2=	19.1	t öfters ◍, a u. abds. ≡^{2}, 0^{23} p kurz △
29.	81.5	80.0	79.3	6.0	7.9	8.8	9.3	**4.6**	6.3	8.0	8.1	90	100	96	SW 6	SW 8	SW 9	10^2●	10^2=●	8^2=	12.4	n ≡^{2}, t meist ◍, p u. abds. ≡^{1}
30.	81.4	81.6	81.6	6.4	6.7	7.1	9.0	5.3	7.0	6.8	6.4	98	93	86	W 1	W 1	W 5	10^1	10^2●	2^2	9.1	n ≡^{1} ◍, p ◍, abds. Horiz.-≡
																					212.6	
Mittel	79.9	79.7	79.8	10.8	13.7	10.7	15.1	8.4	7.7	8.3	7.7	81	73	80				6.6	6.9	6.0		

^{1}) 34^1–8^{07} p ⍁ mit ◍ u. ▲, abds. ≼ i. N. ^{2}) i. S ◯ ^{3}) Horiz.-≡ u. ≡. ^{4}) abds. Horiz.-≡ i. N, i. S ◯ ^{5}) abds. ◯, ≼ i. SW. ^{6}) abds. ◍.

Alle Angaben nach Ortszeit.

Zugspitze.

Juni. $\varphi = 47^0\ 25'$ N. $\lambda = 10^0\ 59'$ E $= 43^m\ 56^s$. H $= 2964$ m. Cg $= -0.2$ mm. 1913.

Datum	Luftdruck auf 0^0 u. Normalschwere reduziert 500 mm + 7a	2p	9p	Lufttemperatur C° 7a	2p	9p	Max.	Min.	Absolute Feuchtigkeit mm 7a	2p	9p	Relative Feuchtigkeit Proz. 7a	2p	9p	Richtung und Stärke des Windes 0 bis 12 7a	2p	9p	Bewölkung 0 bis 10 7a	2p	9p	Niederschlag mm 7a	Schneedecke cm 7a
1.	33.9	34.6	35.5	3.2	6.6	4.6	7.2	2.3	4.5	5.6	4.7	78	76	74	SE 5	S 6	S 6	2^0	6^1	3^1	–	
2.	35.6	36.2	36.2	6.3	7.2	4.4	8.7	3.3	4.3	6.0	5.3	61	81	85	SE 1	S 4	SE 3	3^0	7^1	7^1	–	
3.	36.2	36.8	37.0	5.8	7.1	4.5	7.1	2.8	4.6	**6.1**	5.1	67	83	81	SE 2	SE 4	SW 5	4^1	9^1	5^1	7.6	
4.	36.1	36.2	35.0	4.6	7.4	2.8	7.4	2.7	4.5	5.7	4.9	72	75	85	SE 5	SE 3	SE 4	6^0	5^1	10^1	0.1	
5.	33.8	33.7	33.5	2.0	4.9	2.4	5.1	0.4	4.4	5.4	4.7	83	83	84	S 5	SE 4	S 6	3^0	8^1	7^1	–	
6.	32.4	31.9	31.6	0.2*	1.2	– 5.3	2.4	– 5.3	4.5	4.8	3.0	97	95	100	SW 4	SW 2	NW 6	10^1	10^2=*	10^2=*	2.8	
7.	31.8	33.1	33.8	– 6.2	– 0.8	– 2.4	– 0.1	– 6.5	2.8	4.1	**2.2**	100	94	58	N 1	C	N 1	10^2=	10^2=*	1^1	17.6	
8.	34.4	34.7	34.6	1.3	3.6	1.1	4.5	– 2.7	3.4	5.0	3.8	65	85	75	SW 4	S 5	S 4	00	2^1	6^1	1.6	
9.	34.4	34.6	34.3	– 0.2	2.8	– 0.6	2.8	– 0.6	4.5	5.4	4.4	100	97	100	NW 4	NW 3	NW 5	10^2=	10^2=	10^2=	–	
10.	33.5	34.2	33.7	– 1.7	3.0	2.5	3.6	– 2.0	4.0	4.9	4.9	100	86	89	W 4	W 6	W 6	10^2=	9^0	4^0	0.9	
11.	32.5	33.2	32.7	0.0	0.3	– 1.4	2.5	– 1.4	3.5	4.2	4.1	77	97	100	NW 6	W 6	NW 4	10^1	9^1	3^1	–	
12.	31.4	31.9	32.7	– 1.8	– 1.0	– 2.0	– 0.9	– 2.4	4.0	4.3	3.9	100	100	100	NW 5	NW 6	NW 4	10^2=	10^2=	10^2=*	0.2	
13.	32.7	33.6	33.9	– 1.6	– 0.4	– 2.8	– 0.1	– 2.8	4.1	4.5	3.7	100	100	100	NW 5	NW 5	NW 4	10^2=	10^2=	10^2=	16.1	
14.	34.5	36.0	36.4	– 3.4	– 0.9	– 0.8	1.2	– 5.2	3.5	3.7	2.6	100	84	60	NW 5	S 1	SW 4	10^2=*	3^1⊙	3^0	13.7	
15.	36.5	37.4	**37.5**	0.8	3.0	• 1.2	3.0	– 1.8	2.3	3.8	2.3	47	66	**45**	N 3	W 1	N 2	3^0⊙	3^1⊙	1^1	–	
16.	36.5	37.0	35.9	1.0	3.4	1.0	3.9	1.0	3.0	5.2	2.6	58	88	50	N 5	N 1	N 3	1^1⊙	6^1⊙	1^1	–	
17.	35.6	36.1	35.8	1.1	3.2	2.2	4.0	0.1	2.8	4.8	4.4	55	84	84	N 4	N 2	NW 2	00	7^1⊙	4^0	–	
18.	35.1	35.2	34.9	1.7	5.1	3.4	**8.9**	0.6	5.1	5.2	5.6	98	79	98	N 1	S 1	N 1	10^2=	8^1	10^2= ⛆*	–	
19.	34.1	34.2	33.9	1.2	3.3	0.6	3.6	0.5	4.9	5.7	4.8	98	98	100	NW 2	NW 4	NW 4	10^2=●	10^2=	10^2=	5.4	
20.	33.7	32.6	31.8	1.7	2.0	0.0	3.3	– 0.2	4.9	5.0	4.6	94	94	100	S 2	SE 1	C	8^0	10^1=*	10^2=*	10.3	
21.	29.5	29.5	29.5	– 4.3	– 3.6	– 4.9	0.1	– 4.9	3.2	3.5	3.1	100	100	100	NW 5	NW 4	NW 2	10^2=	10^2=*	10^9=	**29.0**	
22.	29.1	30.5	31.5	– 5.3	– 3.6	– 4.6	– 3.5	– 5.8	3.0	3.5	2.9	100	100	100	NW 3	NW 4	NW 4	10^2=*	10^2=*	10^2=	5.1	
23.	32.5	33.5	33.8	– 4.1	– 0.8	– 1.3	1.8	– 5.0	3.3	4.3	3.9	100	100	92	N 1	SE 3	W 4	10^2=	10^2=	3^1	3.0	
24.	33.5	33.2	32.2	– 1.6	– 0.2	– 1.2	0.0	– 1.8	3.9	4.5	4.2	95	100	100	NW 4	NW 4	NW 4	10^1	10^1=	10^2=	–	
25.	29.6	28.1	**27.3**	– 1.8	– 3.0	– 5.6	– 0.4	– 5.6	4.0	3.6	2.9	100	100	100	W 4	NW 4	NW 5	10^2=	10^2=*	10^2=*	14.3	
26.	28.4	30.5	32.0	– 6.0	– 4.4	– 4.4	– 4.1	– 6.5	2.8	3.2	3.2	100	100	100	NW 6	NW 5	NW 5	10^2=*	10^2=*	10^2=	19.5	
27.	31.0	30.1	30.1	– 4.0	– 3.7	– 4.2	– 3.0	– 5.1	3.3	3.4	3.3	100	100	100	NW 5	NW 5	NW 7	10^2=*	10^2=*	10^2=*	6.6	
28.	30.1	31.9	33.2	– 5.4	– 6.0	– 5.9	– 4.2	– 6.5	3.0	2.8	2.8	100	100	100	NW 8	NW 7	NW 8	10^2=*	10^2=*	10^2=*	18.9	
29.	32.4	32.2	31.6	– 4.6	– 2.0	– 2.2	– 1.5	– 7.4	3.2	3.9	3.9	100	100	100	NW 9	NW 8	NW 8	10^2=	10^2=	10^2=	7.8	
30.	31.8	31.3	31.5	– 6.2	– 5.0	– 5.4	– 2.2	– 6.2	2.8	3.1	3.0	100	100	100	NW 8	NW 5	NW 4	10^2=	10^2=*	10^2=*△	12.6	
																					193.1	
Mittel	33.1	33.5	33.4	– 0.9	1.0	– 0.8	2.0	– 2.4	3.7	4.5	3.8	88	92	89				7.7	8.4	7.3		

Schneedecke während des ganzen Monats; Angabe der Schneehöhe unmöglich.

Bemerkungen.

1. a ∞1, in Tälern vereinzelte cu, t cu-Bewölkung vorherrschend, 8 p ab ≲ i. W u. NW
2. a leichtes ci-Gewölk, ca 1 p starke Bewölkungszunahme (cu, cu-ni); 5^{34}–7^{38} p ⛆ von SSE nach NNW, 5^{52} p kurze Zeit ◍1
3. a Bewölkungsgrad stark schwankend, 11 a ab fast vollständig bedeckt (cu, cu-ni); 4^{54}–5^{01} p ◍0, 7^{15} p ab langsames Aufklaren
4. ca 0^{30} p lebhafte cu-Bildung, 3^{35} p ab vollständig bedeckt, 5^{29}–6^{04} p ⛆ von SSW nach NE, 5^{49} p kurze Zeit ◍0
5. 10^{45} p ab langsames Aufklaren, ≲ ringsum, a längs der Zentralkette von E bis S Föhnmauer, 4 p ab ztw. 〓treiben, abds. ≲ im N u. NE
6. n ⊁0.1, a 〓treiben, leichte ᔓ Bildung, ringsum cu-meer in ca 2500 m, 9^{20} a ab 〓2, 1^{00} p kurze Zeit △1 ⊁1, $2^{15.20}$ p, $3^{13.18}$ p ⛆ △0.1, kräftige elektr. Ausstrahlung. 1)
7. a 〓2 ⊁0, 10 cm ⋁, 15 cm Neuschnee, t 〓2, 0^{35}–1^{50} p ztw. ⊁1, 7^{35} p Aufklaren, ringsum cu-meer in ca 2900 m, 8^{10} p allmähl. Auflösung des cu-meeres
8. a wolklos, p cu-Bildung, 5^{00}–8^{25} p ztw. 〓0.1
9. a–6^{10} a 〓treiben, 6^{10} a ab 〓2, 9^{35} a kurze Zeit ⊁0.1, 2^{10} p kurze Zeit △1, ca 7 p ab starker ᔓ-Niederschlag
10. ca 10 p ab ⋁-Bildung, a 5 cm ⋁, 〓2, ca 10 a ab 〓treiben, 1^{00} p Gipfel nebelfrei, p langsames Aufklaren
11. a–2^{05} p fast vollständig bedeckt, str-cu-Gewölk vorherrschend, 2^{05}–4^{10} p teilw. Aufklaren, 4^{10} p–abds. 〓1.2 u. d. Gipfel, abds. 〓treiben
12. a 〓2, 2 cm ⋁, 8^{10}–ca 10^{30} a 〓treiben, 10^{30} a ab 〓2, 1 p ab starke ᔓ-Bildung, 7 p ab ⋁-Bildung, 8^{05} p ⊁1. 9 p 10 cm ⋁
13. a 〓2, 5 cm Neuschnee, 20 cm ⋁, t 〓2, abds. leichte ⋁-Bildung
14. n ⊁0, a 20 cm ⋁ 〓2, ⊁0, 8^{55} a Aufklaren, ringsum Nebelmeer bis ca 2900 m, 11 a ab Auflösung des Nebelmeeres, cu-Bildung
15. t Bewölkungsgrad wenig schwankend, a ci-Gewölk vorherrschend, ab ca 9 a in Tälern lebhafte cu-Bildung
16. p cu-Bildung, ca 4–6 p ztw. 〓0, abds. ∞1
17. a fast wolklos, 0^{35} p ab starke Bewölkungszunahme (cu, fr-cu NNW m), $5^{30.35}$ p 〓0.1 um den Gipfel, 6^{15} p ab teilw. Aufklaren
18. a 〓2, 8^{05} a ab Aufklaren, 11^{25} a–1^{05} p 〓1.2 um den Gipfel, 0^{38}–1^{03} p ⛆, 0^{35} p kurze Zeit ⊁1, 4^{35} p ab 〓treiben, ca 8 p ab 〓2, 8^{18}–9^{00} p ⛆
19. 9^{09}–10^{11} p ⛆, 9^{09} p kurze Zeit ⊁0, 9^{03} p ab ◍0.1, a 〓2, a–7^{05} a ◍1, t 〓2, 4^{56}–8^{24} p ◍1
20. 9^{35} a ab 〓1, 11^{05} a–1^{25} p ◍1, 1^{25} p–n ⊁1.2, 7^{25} p ab 〓2
21. ca 10^{30} p ab ⋁-Bildung, a 〓2, 5 cm ⋁, 10 cm Neuschnee, t 〓2, 1^{05}–ca 5^{30} p ztw. ⊁1
22. 11^{05} p teilw. Aufklaren, a 〓2 ⊁0, t 〓2, 6^{25} a–ca 5 p ztw. ⊁0, 9 p 20 cm ⋁
23. a 20 cm ⋁, 〓1, t 〓2, ztw. 〓treiben, ca 8 p ab Gipfel nebelfrei
24. 9^{35} a ab 〓treiben, 9^{50} a ab 〓1.2 um den Gipfel, 10^{00} a ab ztw. ⊁0.1, 3^{18} kurze Zeit ⛆, 9 p 3 cm ⋁
25. $9^{01.54}$ p ⛆, ztw. ⊁0, n ⊁0.1, a 5 cm Neuschnee, 5 cm ⋁ 〓2, ztw. ⊁0, t 〓2, p ⊁0.1
26. n ⊁0.1, a 25 cm Neuschnee, 15 cm ⋁ 〓2, ⊁0, t 〓2 ⊁0, starke ⋀-Bildung
27. n u. a ztw. ⊁0, a 〓2, 35 cm ⋁, t 〓2, ztw. ⊁0, 11^{00} a–ca 7 p ⊁1
28. a 〓2, ⊹, weitere 10 cm Neuschnee, 70 cm ⋁, t 〓2, p ztw. ⊁0.1, 9 p 75 cm ⋁, weitere 5 cm Neuschnee
29. n ⩍, a 85 cm ⋁, ⊁treiben, 〓2, t 〓2, 9^{35}–ca 8^{30} p starke ᔓ-Bildung
30. 10^{50} p ab kräftiges positives Elmsfeuer, 10^{57}–11^{01} p ⛆, n ⊁0.1, a 〓2, 5 cm Neuschnee, 40 cm ⋁, t 〓2, p ztw. ⊁0 △0

1) 4^{35} p Einsetzen von NW, ⊁1.

Alle Angaben nach Ortszeit.

Kahl a/M.

Juli — $\varphi = 50^{0}\ 4'$ N. $\lambda = 9^{0}\ 1'$ E $= 36^{m}\ 4^{s}$. H $= 114.1$ m. Cg $= +0.3$ mm. — 1913.

Datum	Luftdruck auf 0° u. Normalschwere reduziert 700 mm + 7a	2p	9p	Lufttemperatur C° 7a	2p	9p	Max.	Min.	Absolute Feuchtigkeit mm 7a	2p	9p	Relative Feuchtigkeit Proz. 7a	2p	9p	Richtung und Stärke des Windes 0 bis 12 7a	2p	9p	Bewölkung 0 bis 10 7a	2p	9p	Niederschlag mm 7a	Bemerkungen
1.	57.7	57.5	56.8	11.4	14.0	11.6	17.4	4.3	8.1	7.7	8.2	81	65	80	C	W 4	SW 2	00	9^{1}	10^{0}	–	a ⏢
2.	55.9	54.3	53.1	11.7	14.9	12.2	17.5	7.0	7.4	9.6	9.3	73	76	89	SW 2	SW 2	C	10^{0}	10^{1}	10^{1}	–	11^{12-16} a ◯
3.	52.1	51.1	50.6	13.7	17.9	14.8	20.3	10.5	9.7	8.2	9.3	83	54	74	C	SW 4	C	9^{0}	$6^{1}\odot$	10^{1}	0.2	
4.	50.1	49.1	49.1	14.5	17.7	13.1	18.9	10.9	10.4	9.9	10.6	85	66	95	SW 2	SW 2	C	9^{0}	10^{1}	10^{1}	0.3	$5^{16-6^{06}}$ a ◯
5.	48.8	48.7	48.6	13.6	15.9	12.9	18.3	9.9	10.8	12.1	9.7	94	90	88	C	SE 2	SW 4	10^{1}	10^{0}	10^{1}	–	t ztw. ◯
6.	47.2	45.8	45.8	13.0	18.4	13.8	19.4	8.5	9.8	8.7	10.4	89	55	90	C	S 2	SW 2	7^{0}	10^{0}	10^{0}	1.2	
7.	45.3	46.2	48.5	14.0	15.3	11.4	18.7	11.2	11.0	10.6	9.7	93	82	97	SW 2	SW 2	C	10^{1}	10^{0}	5^{1}	0.7	n, $0^{43-1^{31}}$ p ◯
8.	50.3	50.6	51.8	12.3	16.5	11.9	19.8	7.9	9.0	7.7	7.5	86	56	73	SE 2	SW 2	C	$1^{0}\odot$	10^{1}	1^{0}	4.9	
9.	54.3	54.3	54.3	11.8	15.8	12.4	18.1	6.0	8.6	8.9	9.8	84	66	93	SW 2	SW 4	SW 2	$3^{0}\odot$	9^{1}	7^{1}	–	11^{51} a–0^{01} p ◯
10.	51.5	49.1	47.5	10.5	16.1	12.1	18.2	5.3	8.3	9.2	10.0	88	69	96	C	SW 2	C	10^{1}	10^{1}	10^{0}	2.1	a, 2^{36} ▶–n ◯
11.	46.8	48.5	50.4	12.5	18.3	13.2	20.5	10.4	10.3	10.0	10.6	96	70	95	C	SE 2	C	$10^{1}\bullet$	$6^{1}\odot$	3^{0}	6.1	n–10^{51} a ◯
12.	53.0	52.8	53.5	12.9	22.6	14.9	23.9	10.8	10.7	9.9	11.2	97	49	89	C	W 4	C	10^{1}	5^{1}	1^{1}	3.7	a ≡¹
13.	54.3	54.0	54.1	15.2	24.5	15.7	25.9	8.9	11.0	9.4	12.1	86	41	91	C	SW 2	C	$1^{0}\odot$	$1^{0}\odot$	0	–	
14.	53.9	52.3	49.1	16.7	27.1	20.1	28.0	10.9	12.2	11.7	13.9	86	44	80	C	S 2	C	00	$2^{1}\odot$	10^{1}	–	a ⏢
15.	47.3	47.6	49.5	20.0	18.6	15.9	22.2	15.7	15.1	14.5	9.9	87	91	74	SW 2	SW 4	SW 2	8^{0}	$10^{1}\bullet$	1^{0}	–	t ztw. ◯
16.	50.2	50.2	50.8	13.8	19.8	14.0	22.5	11.2	9.6	9.9	10.6	82	57	90	S 2	SW 2	C	10^{1}	$7^{1}\odot$	3^{1}	5.0	
17.	53.1	54.5	55.0	14.4	19.1	13.6	23.0	12.3	11.1	10.1	10.8	92	61	94	C	SW 2	C	10^{1}	9^{1}	10^{1}	–	
18.	55.4	54.5	53.6	16.3	17.1	14.9	19.0	13.0	11.2	12.1	12.2	81	84	97	SW 2	SW 2	SW 2	10^{0}	10^{2}	10^{1}	–	p ◯
19.	53.5	52.3	51.9	15.6	18.3	13.5	20.2	13.4	12.3	12.1	10.7	93	78	94	SW 2	SW 2	NW 2	10^{0}	10^{1}	10^{1}	5.3	$2^{21-3^{06}}$ p, $4^{56-7^{16}}$ p ◯
20.	51.3	51.3	53.2	12.3	13.7	12.0	17.9	11.6	9.9	11.1	8.6	94	96	83	SW 2	C	E 2	10^{1}	10^{2}	10^{1}	13.7	p ztw. ◯
21.	54.3	54.4	54.0	10.8	15.9	13.1	17.6	7.3	8.1	7.8	10.7	84	58	96	W 4	SW 4	SW 2	8^{1}	10^{1}	$10^{1}\bullet$	3.1	p ztw. ◯⁰
22.	53.2	52.1	50.7	13.0	13.3	10.6	15.4	10.5	10.1	10.7	9.5	91	95	100	SW 2	SW 2	C	10^{1}	$10^{1}\bullet$	10^{1}	1.4	9^{71} a–2^{36} p ◯
23.	48.2	47.1	47.3	12.5	12.3	11.4	13.2	10.0	9.6	9.4	9.3	90	89	93	SW 2	S 2	SE 2	10^{1}	10^{1}	10^{1}	5.9	t ◯
24.	49.9	51.4	52.6	13.2	17.3	16.3	20.6	10.1	9.0	11.4	11.2	80	78	81	E 2	E 2	C	9^{1}	9^{1}	10^{1}	4.5	0^{39}–1^{36} p ◯⁰
25.	53.2	52.9	53.0	15.6	21.5	15.5	22.8	10.9	10.7	11.0	12.1	81	58	92	SW 2	NE 4	C	00	7^{1}	1^{1}	0.5	
26.	53.9	53.9	54.4	13.0	20.1	16.3	22.2	10.1	10.6	13.0	11.8	96	74	85	SE 2	E 2	C	9^{1}	10^{1}	1^{1}	–	a ≡⁰
27.	55.9	54.8	55.5	14.6	25.5	17.7	26.8	9.3	11.0	12.7	11.8	89	53	78	C	SE 2	C	00	$4^{2}\odot$	0	–	a ⏢
28.	55.1	53.5	53.6	16.4	25.7	17.2	28.0	12.0	12.3	12.6	13.1	88	51	90	C	SE 2	C	00	6^{2}	0	–	a ⏢
29.	53.5	53.1	53.7	14.9	19.7	13.7	20.9	9.3	11.4	9.6	10.7	90	56	93	SE 2	SW 2	C	10^{1}	6^{1}	1^{1}	–	a ≡¹
30.	53.8	52.5	51.8	10.9	22.4	14.1	26.1	7.1	9.0	10.3	10.5	93	52	88	C	SE 2	E 2	00	$1^{0}\odot$	0	–	a ≡²
31.	52.0	51.9	52.9	15.9	22.5	15.3	25.0	10.1	10.9	7.3	8.7	81	36	67	C	NE 2	E 2	00	00	0	–	a ⏢
Mittel	52.1	51.7	51.8	13.8	18.6	14.0	20.9	9.9	10.3	10.3	10.5	88	66	88				6.6	7.6	6.0	58.6	

Bayreuth.

Juli. — $\varphi = 49^{0}\ 57'$ N. $\lambda = 11^{0}\ 34'$ E $= 46^{m}\ 16^{s}$. H $= 363.3$ m. Cg $= +0.3$ mm. — 1913.

1.	33.7	32.9	33.4	11.2	16.6	10.8	17.3	9.2	7.8	7.6	7.4	79	54	76	NW 6	NW 6	NW 4	10^{2}	$4^{1}\odot$	2^{1}	0.5	n ◯⁰
2.	32.2	31.3	30.7	9.4	13.1	10.8	13.3	5.4	7.4	8.0	9.0	87	72	94	W 4	NW 4	W 2	10^{1}	10^{1}	10^{2}	–	a ⏢, $6^{16-8^{46}}$ p ◯⁰
3.	29.2	28.5	28.1	11.5	16.4	13.6	19.2	10.0	9.0	9.2	9.6	89	67	83	NW 2	W 4	C	10^{2}	10^{1}	10^{2}	0.5	a ⏢
4.	27.3	26.5	26.6	12.7	17.1	14.7	19.4	11.3	9.8	9.3	10.8	90	64	87	C	NW 4	C	$10^{2}\bullet$	10^{2}	10^{1}	0.3	n, a ztw. ◯⁰, a ≡¹·⁰, $6^{51-7^{06}}$ p ◯⁰
5.	26.6	26.3	25.9	13.2	14.8	13.5	19.7	10.2	9.7	10.9	10.9	87	87	95	W 2	W 4	SW 2	10^{2}	10^{2}	10^{2}	0.1	a ≡⁰, ⏢ i p ztw. ◯⁰
6.	24.3	23.9	23.9	11.3	15.9	13.1	18.1	10.6	9.5	9.3	9.8	96	68	88	W 2	SW 4	NW 2	$10^{2}\bullet$	10^{1}	$10^{2}\bullet$	5.1	n, a–7^{26} a ◯⁰·¹, 5^{46}–9 p ztw. ◯⁰
7.	23.6	24.2	26.1	12.4	17.9	13.1	20.1	11.2	10.1	10.5	10.1	95	69	91	SE 2	SW 2	SW 2	10^{2}	$7^{1}\odot$	9^{2}	0.9	a ≡⁰, ztw. ◯⁰. 4^{21-26} p ◯² mit △
8.	27.8	27.5	28.8	11.9	15.7	12.4	17.8	9.0	9.0	9.1	8.9	87	68	85	W 2	NW 4	NE 2	10^{1}	10^{1}	10^{1}	2.6	a ⏢
9.	30.1	31.8	32.2	10.5	14.8	11.5	16.0	9.6	8.4	6.0	8.1	90	48	81	NW 2	W 6	C	10^{2}	9^{1}	7^{1}	–	
10.	30.0	26.9	25.3	10.2	17.9	14.1	19.3	6.2	7.8	7.9	9.5	84	51	80	E 4	SE 2	E 2	1^{1}	$8^{1}\odot$	10^{1}	–	a ⏢
11.	25.1	25.8	27.3	13.1	17.3	13.5	17.9	10.7	9.8	7.8	10.1	88	62	88	C	NE 4	NW 2	10^{1}	9^{1}	10^{1}	–	a ≡⁰
12.	30.1	30.1	31.3	12.6	20.0	15.6	20.9	8.7	9.2	8.7	9.2	86	50	67	W 2	NW 4	NW 2	$7^{0}\odot$	$7^{1}\odot$	3^{0}	–	a ⏢
13.	33.1	32.5	33.0	11.7	23.0	16.3	24.8	7.2	8.5	8.9	11.4	84	42	83	E 2	SW 2	C	00	$4^{1}\odot$	2^{1}	–	a ⏢
14.	32.5	30.0	28.2	15.0	26.5	19.1	28.5	10.7	10.7	9.8	12.5	85	39	76	E 2	SE 2	C	$4^{0}\odot$	$5^{1}\odot$	4^{0}	–	a ⏢
15.	25.7	25.8	27.7	17.4	18.3	15.2	21.7	15.0	13.0	12.7	11.5	88	81	89	E 4	W 6	W 2	$7^{1}\odot$	$10^{1}\bullet$	8^{1}	0.3	n ◺, ◯⁰; t ztw. ◯⁰·¹
16.	28.5	28.2	29.0	13.6	17.6	14.1	18.8	10.7	9.6	8.4	10.1	83	56	85	W 2	W 4	SE 2	10^{1}	10^{1}	7^{1}	6.5	
17.	30.5	31.7	33.1	14.3	16.6	13.4	18.4	12.2	10.2	10.7	10.1	85	76	89	W 2	NW 4	C	10^{1}	10^{1}	0	–	
18.	34.0	32.4	31.7	12.1	17.9	15.3	20.5	9.3	9.6	10.3	11.1	93	68	86	C	W 4	C	$10^{1}=$	10^{1}	10^{2}	–	a ≡¹, ⏢
19.	30.3	29.8	28.7	13.7	17.7	13.2	18.5	13.0	11.0	11.0	10.6	95	73	95	NW 2	NW 4	W 2	10^{2}	10^{1}	$10^{2}\bullet$	1.3	n ◯⁰; t ztw. ◯⁰·¹
20.	28.2	28.5	30.0	12.3	13.1	10.5	15.8	10.3	9.6	9.4	9.0	91	84	95	W 4	W 4	C	10^{2}	10^{2}	10^{1}	9.2	n ◯¹; t ztw. ◯⁰
21.	31.4	31.9	31.9	10.3	14.3	11.8	15.0	8.2	7.6	7.4	8.2	80	61	79	W 4	W 6	SW 2	10^{1}	10^{1}	10^{1}	0.9	a ztw. ◯⁰
22.	30.6	29.6	28.7	10.7	12.0	10.5	16.0	10.0	8.7	9.4	9.0	92	91	95	SW 2	W 2	W 2	10^{1}	$10^{2}\bullet$	10^{2}	1.0	n ◯⁰, p ztw. ◯⁰·¹
23.	26.8	26.1	27.0	9.7	16.2	10.6	16.2	8.2	8.6	8.5	9.2	96	62	97	C	SW 2	W 2	$8^{1}\odot$	10^{1}	$10^{2}\bullet$	3.4	2^{46}–9 p ◯⁰
24.	27.4	28.2	29.5	10.3	17.5	14.2	18.6	9.1	9.0	10.4	10.4	96	70	87	C	NE 4	NE 2	10^{1}	10^{1}	10^{1}	2.7	n ◯⁰, a ≡². $9^{16-10^{46}}$ a ◯⁰. $4^{16-5^{46}}$ p ◺. $4^{41-5^{31}}$ p ◯¹
25.	30.3	30.8	31.0	11.6	18.6	14.2	19.1	8.2	9.7	11.3	10.6	96	71	88	NW 2	NE 4	C	10^{1}	$8^{1}\odot$	2^{1}	4.8	a ≡⁰
26.	32.0	31.6	33.0	12.1	20.0	15.9	23.7	8.2	9.8	11.2	11.4	94	65	85	C	NE 4	C	10^{1}	6^{1}	2^{1}	–	a ⏢, ≡⁰·², 1^{26-36} p ◺ i. d. Ferne. 4^{16-46}, $6^{36-7^{41}}$ p ◺
27.	34.1	33.7	34.2	12.7	21.0	17.0	23.8	11.2	10.0	11.6	13.0	92	64	90	C	SE 2	C	$7^{1}\odot$	10^{1}	0	–	a ⏢, ≡⁰. 1^{11-46} p ◺ i. d. Ferne. $2^{26-3^{46}}$ p, 2^{11-46} p ◯⁰
28.	33.6	31.6	31.4	13.1	25.2	17.4	26.3	10.0	10.0	10.0	12.1	90	42	82	C	W 4	C	00	$5^{1}\odot$	1^{1}	1.0	a ⏢, ≡⁰
29.	30.2	29.9	30.6	12.2	18.5	12.7	19.3	10.8	10.2	8.8	9.4	97	56	87	C	NW 6	NW 2	7^{1}	10^{1}	0	–	a ⏢, ≡²
30.	32.1	30.6	30.5	10.6	20.2	15.4	21.0	7.2	9.0	8.5	8.5	95	48	65	NW 2	NE 4	NE 2	$10^{2}=$	$4^{1}\odot$	0	–	a ⏢, ≡²
31.	30.1	30.1	31.0	10.7	19.5	14.0	20.1	6.8	7.8	7.7	8.1	81	45	68	NW 2	N 6	NW 2	00	$4^{1}\odot$	0	–	a ⏢
Mittel	29.7	29.3	29.7	12.1	17.8	13.8	19.5	9.6	9.4	9.4	10.0	89	63	85				8.0	8.4	6.4	41.1	

Alle Angaben nach Ortszeit.

Bamberg.

Juli. $\varphi = 49^0\ 53'$ N. $\lambda = 10^0\ 53'$ E $= 43^m\ 32^s$. H $= 287.7$ m. Cg $= +0.3$ mm. 1913.

Datum	Luftdruck auf 0° u. Normalschwere reduziert 700 mm +			Lufttemperatur C°					Absolute Feuchtigkeit mm			Relative Feuchtigkeit Proz.			Richtung und Stärke des Windes 0 bis 12			Bewölkung 0 bis 10			Niederschlag mm	Bemerkungen
	7a	2p	9p	7a	2p	9p	Max.	Min.	7a	2p	9p	7a	2p	9p	7a	2p	9p	7a	2p	9p	7a	
1.	**40.9**	40.5	40.5	11.3	17.1	10.4	18.8	10.1	8.4	9.5	7.8	84	65	84	NW 2	W 4	W 2	10^2	$5^1\odot$	2^1	0.1	
2.	39.1	38.3	37.3	8.1	14.1	11.1	15.5	6.1	7.7	9.4	9.0	96	79	91	S 1	SW 1	W 1	$10^2\equiv$	$10^2\bullet$	10^2	–	n ⏢, a ≡1, ca 130–845 p ztw. ◍0
3	36.1	35.3	34.8	12.2	16.4	13.3	18.8	9.5	9.2	10.3	9.7	88	74	86	W 1	S 2	SE 1	10^2	10^1	9^1	0.2	n ⏢, 924 a ◍0
4.	33.7	33.3	33.3	12.1	18.4	12.8	20.2	10.6	9.8	10.1	9.5	94	63	87	S 2	W 2	C	$7^1\odot$	10^2	2^0	0.2	11^{37} p ◍0
5.	33.1	33.2	32.9	12.5	16.2	13.3	20.2	8.4	10.3	12.0	10.1	96	87	98	S 2	W 2	C	$10^2\equiv$	10^2	$10^2\bullet$	–	n ⏢, a ≡1, $11^{43.56}$ a, 0^{54}–ca 3^{15} p, $5^{02.57}$ p, ca 8^{45}–9^{00} p ◍0.2
6.	31.2	30.5	30.7	11.2	16.3	12.4	18.0	10.6	9.4	9.4	10.3	95	68	97	W 1	C	C	10^2	10^2	$10^2\bullet$	6.2	n, ca 3^{45}–9^{00} p ◍
7.	30.1	30.8	32.9	12.4	16.8	11.7	18.8	11.1	10.2	10.2	9.4	95	72	93	S 2	W 2	E 1	$10^2\bullet$	10^2	1^2	0.8	n–8^{45} a ◍, 8^{45}–ca 0^{45} p ztw. ◍, $20^{0.18}$ p ◍1, $30^{9.38}$ p ⛆, 1)
8.	34.7	34.5	35.5	11.5	16.5	12.2	18.0	8.4	9.5	10.3	9.3	95	73	89	SW 2	W 2	W 2	10^2	10^2	10^2	5.3	n ⏢, ca $1^{50.15}$ p ◍0
9.	38.1	38.6	39.0	11.8	15.3	10.6	17.3	9.8	8.2	7.1	8.3	80	55	89	NW 2	W 3	C	$9^1\odot$	10^2	7^1	0.1	
10.	36.7	33.6	32.6	10.9	17.0	11.7	20.5	5.9	8.1	9.0	9.5	85	63	94	E 2	S 1	W 1	$3^1\odot$	10^2	$10^2\bullet$	–	n ⏢, 7^{11}–9^{00} p ◍0
11.	32.0	32.1	34.7	12.6	18.3	13.7	20.4	10.5	12.2	10.7	10.5	95	68	91	S 2	W 2	W 3	10^1	9^1	10^2	2.5	9^{00} p–ca mn ◍0.1, p ztw. ◍0
12.	37.1	37.2	37.8	14.9	20.2	15.3	23.2	11.5	10.0	9.0	10.3	80	51	80	NW 3	NW 4	NW 2	$6^0\odot$	9^2	1^1	0.2	n ⏢
13.	39.7	39.1	39.6	11.3	23.4	17.6	24.7	7.8	10.0	11.3	11.0	100	53	74	C	N 1	C	$10^0\odot\equiv$	$3^1\odot$	1^1	–	n ⏢, a ≡1
14.	39.2	36.7	34.4	13.9	26.7	19.7	**27.9**	10.5	10.1	11.8	12.8	86	45	75	NW 1	W 1	W 1	$5^0\odot$	$4^1\odot$	10^1	–	n ⏢
15.	32.3	32.8	34.3	17.6	18.0	14.8	24.0	14.8	**13.7**	13.2	11.0	92	86	88	SW 1	W 1	W 1	$10^2\bullet$	10^2	9^1	0.2	ca 9^{15} p ≺ im S, n u. t ztw. ◍0.1
16.	35.1	35.3	35.5	13.0	15.8	14.3	19.4	10.6	9.3	10.3	9.6	85	77	79	S 2	W 2	C	$10^2\bullet$	10^2	5^1	3.1	ca 6^{45}–7^{45} a ◍0
17.	37.3	38.7	40.1	12.8	19.4	13.9	20.6	11.7	10.2	10.9	9.8	94	64	84	C	NW 5	SW 1	$10^2\bullet$	10^1	1^1	0.1	n ⏢
18.	40.0	39.3	38.3	12.9	18.6	14.4	22.4	10.4	10.6	11.2	11.7	96	70	96	SE 1	W 4	C	10^1	10^2	$10^2\bullet$	0.3	ca 4^{45}–6^{15} a, 0^{15} p, 5^{00} p, 7^{35}–9^{00} p ◍0
19.	37.1	36.6	35.6	14.4	18.3	12.8	20.1	12.8	11.7	10.7	10.8	96	68	98	W 2	W 2	C	10^2	10^2	$10^2\bullet$	2.2	n u. t ztw. ◍0, ca 5^{15}–9^{00} p ◍1.2
20.	35.1	35.4	37.1	10.9	14.7	10.5	16.7	10.5	9.3	10.3	8.9	97	83	94	C	W 3	C	$10^2\bullet$	$10^0\odot$	10^2	**8.8**	9^{00}–10^{35} p ◍1, a ca 0^{45} p meist ◍1
21.	38.6	39.0	38.5	10.5	14.2	11.8	16.3	8.9	8.3	8.1	8.4	88	67	83	W 2	W 3	SW 2	$9^1\odot$	10^2	10^2	3.7	ca 7^{45} p ◍0
22.	37.4	36.4	35.0	10.7	12.6	11.0	17.4	9.4	9.0	8.8	9.5	94	82	97	SW 1	W 2	S 1	10^2	10^2	10^2	1.2	n u. t ztw. ◍0, ca 7^{30} a ◍1
23.	33.2	32.6	33.2	11.1	13.3	10.2	16.9	9.2	9.2	10.2	8.8	94	90	95	SW 2	W 1	SW 2	10^2	$10^2\bullet$	10^2	2.5	ca 10^{45} p ≡1, 10^{50} a–0^{13} p ◍2, ca 1^{15}–3^{30} p ◍1, 2)
24.	34.1	35.1	36.5	12.0	17.4	13.5	19.4	9.2	9.6	9.9	10.9	93	68	95	N 1	N 3	NW 3	$10^0\odot$	10^1	10^2	5.4	n, 10^{04}–ca m ◍0.1, 3^{45}–6^{16} p ⛆, 5^{46}–6^{29} p ◍1
25.	37.4	37.5	37.8	11.9	18.4	14.0	21.0	9.9	9.5	9.6	10.8	93	61	92	NW 3	N 3	NW 2	10^2	$7^1\odot$	3^1	1.4	n ⏢, ca 7^{45}–9^{15} a ◍0
26.	38.5	38.3	39.8	14.0	22.4	15.6	24.1	10.6	10.6	12.0	11.1	90	60	84	N 2	N 3	W 3	9^2	$4^2\odot$	7^1	0.1	n ⏢
27.	**10.9**	40.2	40.6	14.0	21.5	15.8	25.8	11.2	10.3	12.6	12.5	87	66	93	N 2	C	NW 1	$1^0\odot$	7^1	2^1	–	n ⏢; $0^{17.49}$ p, 2^{36}–4^{55} p, $5^{14.34}$ p ⛆, 3^{54}–4^{29} p ◍2, 3)
28.	40.1	38.3	37.8	14.6	25.3	17.6	26.1	11.7	10.9	11.5	11.7	88	48	78	N 3	N 1	C	oo	$6^1\odot$	1^1	2.9	ca 9^{15}–11^{45} p ≺ im SE, n ⏢, 8^{14} p Purpurlicht
29.	37.1	36.8	37.5	14.9	18.4	12.6	21.3	12.1	10.5	10.1	9.6	84	63	89	W 3	W 3	NW 1	2^1	8^1	1^1	–	n ⏢, 8^{14} p Purpurlicht
30.	38.6	36.9	36.8	10.7	21.4	14.4	22.8	7.0	8.7	9.2	9.0	92	49	74	W 2	C	NW 1	oo	7^1	0	–	n ≡1 ⏢
31.	36.6	36.8	37.5	12.8	20.7	13.8	21.6	9.0	8.6	7.5	8.6	78	41	73	W 3	NE 1	NW 1	oo	$1^1\odot$	1^1	–	n ⏢
Mittel	36.5	36.1	36.4	12.4	18.2	13.4	20.6	10.0	9.8	10.2	10.0	91	66	88				7.8	8.4	6.2	47.5	

1) 3^{10}–4^{09} p ◍1.2, $30^{3.04}$ p ▲, 6^{31} p ◍1.
2) ca 4^{45}–6^{45} p ◍0. 3) 4^{57}–5^{09} p ◍0.

Würzburg.

Juli. $\varphi = 49^0\ 48'$ N. $\lambda = 9^0\ 56'$ E $= 39^m\ 44^s$. H $= 179.3$ m. Cg $= +0.3$ mm. 1913.

1.	**51.1**	50.8	49.8	12.3	14.9	11.1	15.9	9.6	7.9	7.9	8.0	74	63	81	NW 4	W 5	C	7^2	10^2	2^2	–	
2.	48.8	48.1	46.6	10.9	14.4	13.3	15.0	7.9	7.9	8.9	9.3	82	73	82	NW 4	W 4	NW 1	7^2	10^2	9^2	–	$4^{10.39}$ p ◍
3.	45.5	44.3	44.0	13.0	18.2	13.3	18.9	9.2	9.1	9.2	9.5	81	59	85	NW 3	NW 4	C	10^2	$5^2\odot$	7^1	0.2	n ⏢
4.	43.4	42.6	42.5	14.4	19.0	14.0	20.8	12.2	9.1	9.5	10.2	75	57	86	SW 3	SW 2	C	$5^2\odot$	$5^2\odot$	3^2	–	n ⏢, a einige ◍-Tr.
5.	42.4	42.2	41.9	14.2	17.5	13.7	17.9	10.2	10.4	12.2	11.4	87	82	**98**	SE 1	W 1	C	7^2	10^2	10^2	–	mrgs. ⏢, ztw. ◍
6.	40.6	39.7	39.6	12.5	17.3	13.5	17.3	11.4	8.9	9.2	11.1	83	63	96	SW 1	C	C	8^2	10^2	$10^2\bullet$	2.9	p meist ◍
7.	**38.9**	39.7	42.1	12.4	15.7	12.5	18.1	11.4	10.5	11.3	9.3	**98**	85	93	C	NW 3	C	$10^2\bullet$	10^2E$\bullet$	5^2	4.5	1^{40}–2^{17} p ⛆, 1^{50}–2^{15} p ◍
8	43.6	43.6	44.8	12.7	17.9	13.4	17.9	10.4	9.4	7.8	8.2	87	51	72	W 3	NW 2	NW 1	10^2	9^2	0	–	n ⏢
9.	47.9	48.0	48.0	12.3	15.6	12.2	16.9	10.5	7.5	7.6	8.2	71	58	78	W 4	NW 6	NW 2	$2^1\odot$	10^2	10^2	3.9	n ⏢, 6^{10} a ◍-Tr., p ≡1
10.	45.4	42.1	41.6	10.9	18.3	12.3	18.3	**7.7**	8.0	8.3	10.3	83	54	97	C	SE 5	C	$4^2\odot$	10^2	$10^2\bullet$	0.1	mrgs. ⏢, ztw. ◍
11.	40.5	41.5	44.0	12.4	17.8	13.1	17.9	11.1	10.0	10.0	10.8	94	66	97	SW 3	SE 3	C	10^2	10^2	8^2	3.8	ztw. ◍
12.	46.3	46.5	47.3	13.2	22.3	15.7	22.3	10.9	9.9	9.5	11.6	88	48	87	SW 2	W 3	C	8^2	7^2	0	2.8	
13	48.7	48.0	48.2	12.1	23.9	16.9	25.4	10.7	9.9	9.9	12.3	95	45	86	W 1	NW 2	C	$10^2\equiv$	$4^2\odot$	1^1	–	mrgs. ≡2
14.	48.0	45.2	43.0	13.3	26.3	20.7	**26.6**	11.7	10.6	11.1	14.2	94	44	78	C	SE 2	C	$4^1\equiv$	$3^2\odot$	8^2	–	mrgs. ≡1
15.	40.9	41.3	43.2	17.6	21.7	15.7	22.0	15.7	**14.5**	12.5	10.0	97	65	83	W 2	W 4	C	$10^2\bullet$	6^2	3^1	4.0	1^{40}–3^{40} a ⛆, 2^{10}–6^{40} ◍, ztw. ◍-Tr.
16.	44.1	44.1	44.8	14.0	19.0	14.7	20.9	12.5	9.1	8.5	10.4	77	52	84	W 4	W 2	C	10^2	7^2	0	0.2	
17.	46.5	47.5	49.4	14.7	19.6	15.2	21.0	12.5	10.8	9.8	10.6	87	57	83	W 3	W 3	W 1	10^2	$3^2\odot$	2^1	–	n ⏢
18.	49.6	48.5	46.2	16.5	17.6	15.0	19.8	13.0	10.9	11.5	12.0	78	77	94	NW 2	W 2	C	$1^1\odot$	10^2	$10^2\bullet$	–	n ⏢, ztw. ◍
19.	46.7	45.9	44.9	15.3	18.6	13.2	18.6	11.8	12.0	11.2	10.6	92	70	95	W 2	W 3	C	$10^2\bullet$	10^2	$10^2\bullet$	3.0	meist ◍
20.	44.7	44.7	46.5	12.6	17.5	21.6	17.8	11.0	8.4	8.6	9.8	88	58	97	W 3	NW 2	C	10^2	$4^2\odot$	9^2	**7.9**	ztw. ◍, 4^{55}–6^{00} p ⛆, 5^{40}–6^{25} p ◍
21.	48.0	48.2	47.8	11.2	15.5	13.7	17.1	9.2	8.1	7.6	8.9	81	58	77	W 5	W 5	C	8^2	10^2	10^2	2.5	p ◍0
22.	40.6	45.6	44.1	13.6	13.2	12.0	15.4	9.8	8.8	8.9	9.8	80	88	95	SW 3	W 3	NW 2	10^2	$10^2\bullet$	8^2	0.2	ztw. ◍
23.	42.1	41.7	41.6	12.9	12.1	11.1	14.5	8.3	9.5	8.3	9.6	87	79	**98**	SW 3	W 4	C	10^2	$10^2\bullet$	$10^2\bullet$	3.2	10^{40} a ab meist ◍
24.	43.2	41.2	45.4	11.9	16.4	14.2	20.2	10.3	9.2	12.0	11.6	90	86	97	NE 2	E 1	E 4	$3^1\odot$	6^2	10^2	4.7	6^{15}–7^{10} p ⛆, 6^{28}–7^{10} p ◍, t ztw. ◍
25.	46.6	46.8	46.6	12.7	19.8	15.7	21.2	10.6	10.0	11.1	11.8	92	64	89	W 3	NE 2	C	$8^2\odot$	7^2	2^1	2.4	mrgs. ⏢
26.	47.7	47.3	47.9	12.7	21.9	16.4	22.1	11.0	10.2	11.3	11.4	94	58	82	W 2	E 3	C	9^2	8^2	2^2	–	n ⏢, $3^{15.40}$ p ⛆, 3^{56}–4^{05} p ◍
27.	49.7	49.0	49.4	13.8	23.2	17.7	24.8	11.2	10.4	11.2	12.1	90	53	80	C	NE 1	C	oo	$3^2\odot$	1^2	0.1	n ⏢, p einige ◍-Tr.
28.	49.2	47.4	46.9	14.0	21.1	18.5	25.0	12.2	11.0	8.8	12.9	93	48	81	NE 1	C	C	oo	$3^2\odot$	2^2	–	mrgs. ≡1
29.	46.5	46.5	46.6	15.7	19.2	14.9	20.0	12.0	11.0	9.2	10.3	83	55	82	NW 1	NW 4	W 1	$1^1\odot$	8^2	7^2	–	n ⏢
30.	47.5	46.3	45.2	11.4	21.4	16.1	23.6	9.6	9.3	9.1	10.1	93	48	74	SW 1	SW 2	C	$4^1\equiv$	$3^2\odot$	0	–	mrgs. ≡1
31.	45.7	45.5	46.4	12.4	21.8	16.2	22.0	9.9	9.2	7.0	9.1	87	36	66	E 1	E 4	C	oo	oo	0	–	mrgs. ≡1
Mittel	45.7	45.3	45.4	13.2	18.7	14.4	19.8	10.8	9.7	9.6	10.5	86	61	86				6.6	7.1	5.4	46.4	

Alle Angaben nach Ortszeit.

Ludwigshafen a/Rh.

Juli. $\varphi = 49^0\ 29'$ N. $\lambda = 8^0\ 26'$ E $= 33^m\ 44^s$. H $= 100.3$ m. Cg $= +0.3$ mm. 1913.

Datum	Luftdruck auf 0^0 u. Normalschwere reduziert 700 mm +			Lufttemperatur C°					Absolute Feuchtigkeit mm			Relative Feuchtigkeit Proz.			Richtung und Stärke des Windes o bis 12			Bewölkung o bis 10			Niederschlag mm	Bemerkungen
	7^a	2^p	9^p	7^a	2^p	9^p	Max.	Min.	7^a	2^p	9^p	7^a	2^p	9^p	7^a	2^p	9^p	7^a	2^p	9^p	7^a	
1.	**59.8**	59.4	58.6	11.3	15.2	12.5	15.5	9.0	7.8	7.5	**7.2**	78	58	67	W 1	NW 2	C 0	oo	8^1	1^1	–	
2.	57.3	56.3	54 6	11.5	14.4	14.2	15.4	9.0	7.4	8.5	9.1	74	70	76	W 1	W 1	W 1	oo	10^2	10^1	–	n ⊿, m u. abds. ◎
3.	53.5	52.4	51.6	12.2	18.1	16.8	18.4	12.0	9.7	8.3	9.4	93	54	66	W 1	SW 1	SW 1	10^1●	5^1⊙	10^2	0.6	a ◎
4.	51.3	50.4	50.2	13.5	18.0	15.4	19.0	13.1	9.3	9.6	10.8	81	63	83	S 1	W 1	SW 1	10^1	10^1	10^2	1.4	
5.	50.3	49.7	49.6	15.4	19.8	14.8	20.0	13.5	11.9	12.7	10.9	91	74	87	SW 1	S 1	N 1	10^1	7^2	10^2	2.4	n u. a–ca 2 p ztw. ◎. 3^{39}–5^{04} p ⊏
6.	48.4	47.8	46 8	13.2	16.2	13.7	17.0	12.0	8.5	10.3	10.7	75	75	93	N 1	NW 1	SW 1	10^2	10^2●	10^2●	9.8	p u. abds. anhaltend ◎
7.	46.8	47.6	49.6	14.4	16.3	13.5	17.5	13.1	10.7	9.3	8.8	88	67	76	S 1	SW 1	SW 1	10^1	10^2	5^2	8.6	n meist ◎^{0}
8.	51.9	51.6	52.8	11.0	17.8	15.2	18.0	9.4	7.7	6.9	7.8	79	46	60	N 1	N 1	W 2	2^0⊙	10^2	10^2	5.6	
9.	56.5	55.9	55.7	11.6	17.8	14.0	18.0	10.0	**7.2**	7.5	9.0	71	49	76	SW 1	SW 1	SE 1	7^1	5^1⊙	10^2●	–	ca 5^{45} p ab ◎^{0}
10.	52.1	49.6	47.8	12.0	17.0	13.1	18.0	10.8	8.4	8.7	10.0	82	61	90	SE 1	SW 1	S 1	10^2●	10^2●	10^2●	0.8	t ◎
11.	47.7	49.4	51.7	13.0	18.6	15.7	18.6	12.0	10.4	9.1	10.6	94	57	80	N 1	NW 1	SE 1	10^2	7^1	5^1	8.6	
12.	54.5	54.3	54.5	14.1	23.0	20.6	23.0	12.0	10.5	10.0	11.6	88	48	64	W 1	SW 1	C 0	oo	3^1⊙	0	–	a ∞, abds. sehr klar
13.	56.1	55.9	55.5	14.2	25.5	22.0	26.0	12.6	10.4	9.8	11.4	87	41	58	SE 1	NW 1	SE 1	oo	3^1⊙	0	–	a ⊿, abds. klar
14.	55 0	51.8	50.2	15.8	28.3	21.8	**28.3**	14.9	11.4	11.0	**13.7**	85	39	71	S 1	NE 1	SW 1	oo	2^0⊙	10^2	–	a ∞ u. ⊿, abds. ◎^{0}
15.	58.4	50.1	51.4	19.0	20.4	16.3	21.8	16.3	13.0	9.7	9.2	80	57	66	SW 2	SW 2	SW 1	10^2●	10^1	2^0	0.1	a ◎^{0}
16.	52.0	51.8	52.6	13.3	18.4	15.7	19.4	12.0	8.9	9.9	9.8	78	63	74	S 1	SW 1	SW 1	10^1	8^1●	0	0.4	a ∞, m ◎^{0}, abds. klar
17.	55.6	55.8	56.8	15.6	21.5	18.8	21.5	13.7	10.9	9.9	12.6	83	55	78	C 0	W 1	C 0	10^1	3^1⊙	10^2	–	
18.	57.4	55.8	55.3	16.2	18.4	14.8	19.0	13.9	11.0	11.5	11.7	80	73	93	C 0	SW 1	SW 1	10^2	10^2	10^2●	–	ca 4 p ab ◎^{1}
19.	55.0	53.4	53.0	16.7	20.4	14.6	22.0	14.3	12.1	10.8	11.8	85	61	**96**	SW 1	SW 1	SW 1	10^1	10^2	10^2●	12.8	n, ca 3^{30} p–n ◎^{1}
20.	53.0	52.6	54.4	14.1	19.2	13.2	19.4	13.0	9.4	7.7	9.5	79	47	85	SW 1	W 1	W 1	10^1	10^2	9^2	10.4	p öfters ◎
21.	56.8	56.5	55.7	11.1	16.6	15.6	17.0	8.8	7.9	**7.2**	8.7	80	51	65	SW 1	SW 1	C 0	oo	10^2	10^2	4.5	
22.	54 5	53.3	52.2	14.2	13.6	13.6	15.6	13.5	9.5	10.3	10.5	79	89	92	SW 1	W 1	C 0	10^1●	10^2●	10^2●	–	t ◎
23.	49.8	48.2	47.2	12.8	12.8	11.6	13.6	11.2	9.2	9.5	8.7	85	87	86	SW 1	S 1	SE 1	10^2●	10^2●	10^2●	14.8	t ◎
24.	50.3	52.1	53.6	12.2	19.1	16.5	19.1	11.0	9.6	9.8	11.5	91	59	82	N 1	N 1	C 0	7^1⊙	5^1⊙	10^2●	**21.2**	abds. ◎, 4^{06}–5^{14} p ⊏
25.	54.3	53.7	54.1	14.5	22.8	19.0	23.4	13.0	10.6	8.2	11.7	87	40	72	NW 1	N 1	C 0	5^1⊙	5^1⊙	0	0.6	
26.	54.8	54.8	56.0	15.1	24.2	18.2	25.2	13.1	11.1	10.3	8.3	87	47	54	NW 1	S 1	N 1	oo	6^1	2^1	–	
27.	57.1	55.9	56.1	14.7	25.8	20.6	25.9	13.0	10.7	10.1	12.8	86	41	71	N 1	NE 1	NE 1	oo	2^0⊙	0	–	
28.	56.2	54.8	54.7	15.8	25.2	20.2	26.3	12.6	11.9	9.9	11.6	89	49	66	NE 1	NE 1	NE 2	oo	1^0⊙	0	–	a ∞^{0}
29.	54.8	54.2	54.4	15.9	21.3	17.4	22.0	14.7	11.3	10.0	10.1	84	54	68	NW 1	NE 2	NE 2	7^1⊙	3^1⊙	10^2	–	a ∞^{0}
30.	54.8	52.8	51.9	14.0	24.6	20.8	25.2	12.4	9.6	9.6	10.0	81	42	56	NE 1	E 1	C 0	oo	oo	0	–	
31.	52.6	52.3	53.3	14.6	25.0	20.4	25.3	12.6	9.9	8.6	8.4	81	36	47	C 0	E 1	C 0	oo	2^1⊙	0	–	a ∞, t böig
Mittel	53.5	52.9	53.0	14.0	19.9	16.5	20.5	12.3	9.9	9.4	10.3	83	57	74				5.7	6.6	6.3	102.6	

Nürnberg.

Juli. $\varphi = 49^0\ 27'$ N. $\lambda = 11^0\ 3'$ E $= 44^m\ 12^s$. H $= 309.1$ m. Cg $= +0.2$ mm, über 735.0 mm Cg $= +0.3$ mm. 1913.

1.	38.6	38.5	38.3	12.0	15.5	10.2	15.9	9.8	8.2	8.7	8.1	79	66	87	NW 3	NW 3	W 3	5^1⊙	6^1⊙	4^1	–	2 a Ψ, 6 a ◠, wenig sichtig
2.	37.3	36.5	35.1	10.6	14.5	12.1	14.8	8.1	8.3	8.4	8.9	89	69	85	NW 3	NW 2	W 2	10^0	10^0	10^0	–	n ztw. klar, 4 a ⊿^{1}, p ztw. ◎-Tr.
3.	34.1	33.2	32.6	11.8	15.8	13.2	16.0	9.8	9.1	8.8	9 5	88	65	85	SW 2	NW 2	W 2	10^0	10^0	10^0	–	mrgs. ztw. kurz Aufkl., 4 a ⊿^{0}, 6–8 a ≡^{0}, a unsichtig, [1]
4.	32.0	31.1	31.0	13.6	19.1	14.6	19.1	10.9	9.6	10.1	11 0	83	61	89	W 1	W 2	S 2	8^0	8^1⊙	10^0	–	5–9 a ∞, p sichtig. 6^{14} p ⊏
5.	31.0	30.9	30.5	14.0	16.5	14.8	19.7	11.3	10.7	11.9	11.6	91	85	92	SW 2	NW 1	S 2	5^0⊙	10^0	10^0	–	4 a ⊿; 6–7 a, 6–9 p ≡^{0}, 0^{42} p–n häufig ◎^{0}, wenig sichtig
6.	29.1	28.7	28.3	11.6	15.6	13.6	15.9	10.9	9.4	10.3	10.9	94	78	95	NW 2	SW 1	NW 2	10^0	10^0	10^0	6.0	n u. t häufig ◎$^{0.1}$, wenig sichtig
7.	**28.1**	29.1	31.1	13.2	18.2	12.4	18.7	11.9	10 6	11.6	9.7	95	75	91	S 2	SW 2	SW 2	10^0	4^0⊙	2^1	0.4	n u. t häuf. ◎$^{0.1}$, $3^{33.39}$ p ◎^{2}, 6–8 a ≡^{1}, 3^{04}–4^{56} p, ($6^{54.53}$ p ⊏, [2])
8.	32.5	31.8	32.9	10.6	17.2	12.6	17.2	9.0	8.4	9 4	9.6	90	64	89	W 1	NW 1	NW 2	10^0	10o	10^0	1.9	4 a ⊿, 6–8 a ≡-Reissen, a unsichtig, p sichtig
9.	36.0	36.7	36.8	11.4	14.5	11.0	15.9	10.0	8.1	8.8	8.7	81	72	89	NW 3	W 3	W 3	10^0	10^0	10^0	–	t ztw. ◎-Tr., ztw. Aufklaren, sichtig
10.	34.6	31.3	30.3	12.2	18.4	12.8	19.4	8.8	8.0	10.6	10.0	75	67	91	SE 2	SE 2	NW 1	9^0	8^0	10^0	–	4 a ⊿^{1}, $1^{29.32}$ p, $6^{54.54}$ p ⊏, 6^{59}–n ◎^{0}, t sichtig
11.	29.8	29.8	31.9	13.2	18.8	13.4	19.2	11.5	9.3	10.0	11.0	83	61	**97**	SE 2	N 1	NW 2	8^0⊙	9^1	10^0	1.0	n–ca 2 a ◎, 3^{32}–4^{53} p ⊏, t sichtig
12.	34.7	34.7	35.6	13.0	19.8	16.9	20.7	10.9	10.5	11.7	12.0	95	68	84	NW 2	NW 3	W 2	10^0	8^0⊙	4^0	1.0	4 a ⊿^{0}, m sehr sichtig
13.	37.4	37.1	37.1	14.2	22.4	19.2	23.0	10.3	9.9	10.8	12.6	83	54	76	SE 1	NW 3	C 0	cb	6^1⊙	3^0	–	4 a ⊿^{2}, 4–8 a ≡^{1}, t ztw. sichtig
14.	37.1	34.4	32.2	16.0	26.5	21.6	**26.7**	11.9	11.7	9.7	14.3	86	38	75	S 1	W 2	C 0	7^1	2^0⊙	10^0●	–	5–8 a ≡$^{0.1}$, p sichtig
15	30.2	30.6	32.3	19.0	20.4	15.8	21.9	15.8	14.3	**15.0**	10.9	87	84	82	SW 2	W 2	W 2	8^0	10^0	2^0	1.0	$9^{10.44}$ p ◎^{0}, 10^{29} p Ψ, 10^{59}–11^{44} p ≺ i. S u. SW, [3]
16.	33.0	33.1	33.6	13.8	17.6	14.6	17.8	12.0	9.8	9.8	10.2	85	66	83	W 2	W 2	SW 1	10^0	10^0	8^0	–	7^{14}–8^{22} a ◎-Tr., t sehr sichtig
17.	34.9	36.7	37.6	14.4	17.7	14.0	18.0	13.0	10.6	10.8	11.1	87	71	94	W 2	W 3	SW 1	10^0	10^0	0	–	n–m ztw. ◎$^{0.2}$, a ∞, p sichtig
18.	38.6	37.1	36.1	14.3	19.5	15.4	20.9	11.8	10.0	10.0	12.6	92	59	**97**	S 1	NW 1	SW 2	10^0	9^0	10^0	–	4 a ⊿^{1}, 4–9 a ≡$^{0.1}$ ◎^{0}, t häufig ◎^{0}, wenig sichtig
19.	35.5	34.6	33.5	15.4	18.2	13.6	19.8	13.2	11.8	10.7	11.1	90	69	96	W 2	NW 3	W 2	10^0	10^0	10^0●	1.0	t häufig ◎$^{0.2}$, wenig sichtig
20.	33.1	33.3	34.8	12.0	14.5	11.4	16.1	11.4	9.4	8.9	9.6	91	73	96	W 2	NW 2	W 2	10^0	10^1	10^0	**8.9**	n u t häufig ◎$^{0.1}$, p sichtig
21.	36.6	37.2	36.7	11.0	14.8	12.6	15.7	8.9	9.2	7.5	6.8	94	60	80	W 2	W 2	SW 2	10^0	10^0	10^0	–	$4^{18.27}$ p ◎^{0}, t sichtig bis sehr sichtig
22.	35.7	34 6	33.1	12.4	13.0	12.4	14.2	9.9	9.5	9.8	10.0	89	89	94	SW 2	W 2	C 0	10^0	10^0	10^0	1.0	9 a–2 p ≡$^{0.1}$ u ◎^{0}, unsichtig
23.	31.3	30.7	30.8	12.2	15.0	11.2	16.0	10.8	9.1	7.4	8.7	83	58	88	SW 2	W 2	SE 2	9^1	10^0	10^0	3.0	1^{34} p–n häufig ◎-Tr., p sichtig
24.	31.6	32.7	33.6	11.0	16.6	12.9	17.0	9.9	8.3	9.8	10.4	85	69	95	E 2	E 2	NW 2	8^0	10^0	10^0	–	4 a ⊿^{1}, t ztw. ◎$^{0.1}$, 4^{44}–5^{35} p ⊏, t wenig sichtig
25	34.7	34.9	34.9	12.8	19.4	15.1	19.4	9.9	8.4	10.9	12.2	77	64	96	NW 2	NW 3	C 0	8^0⊙	8^1⊙	5^0	3.0	mn Ψ, 3 a ⊿^{2}, 4–7 a ≡$^{0.1}$, a ztw. ◎, p ztw. Strich-◎, [4]
26.	36.2	36.0	36.7	11.4	22.2	17.8	22.7	10.0	9.4	9 3	11.0	95	47	72	C 0	N 1	E 2	10^0	4^1⊙	4^1	1.7	n–6 a ≡$^{0.2}$, 3 a ⊿^{1}, 5^{04} p ◠, t wenig sichtig
27.	**38.7**	37.8	37.8	14.4	23.9	17.4	23.9	10.4	10.6	9.6	11.2	87	44	76	C 0	SE 2	SE 2	oo	8^1⊙	4^0	–	1 a Ψ, 4 a ⊿^{2}, 5–10 a ≡$^{0.1}$; $11^{48.54}$ p, $2^{52.54}$ p ⊏. [5]
28.	37.7	36 0	35.5	14.2	24.4	18.8	24.4	11.1	10.2	9.1	10.8	85	40	67	E 1	NW 2	W 2	oo	5^1⊙	5^1	–	5 a ⊿^{1}, 5–10 a ≡$^{0.1}$, 7^{14}–8^{00} p ⊏, p sichtig
29.	35.0	34.3	34.8	14.8	19.0	15.0	20.0	12.8	9.4	9.0	9.1	75	55	67	NW 1	NW 3	NW 2	6^0⊙	10^0	6^1	–	4 a ⊿, p sichtig
30.	30.4	34.6	33.8	11.0	20.3	16.0	21.0	9.5	8.6	7.8	8.8	87	44	64	C 0	SE 1	S 2	10^2=	1^9⊙	0	–	3^{39} a ⊿^{2}, 4 a ≡$^{0.2}$, p sehr sichtig
31.	33.9	33.9	34.8	13.5	21.1	16.2	21.1	8.8	8.9	**5.7**	7.7	77	**31**	56	NE 2	NE 2	NE 1	oo	2^0⊙	0	–	4 a ⊿^{1}, 5–8 a ≡$^{0.1}$, p sichtig
Mittel	34.4	33.9	34.0	13.1	18.4	14.5	19.1	10.8	9.7	9.7	10.3	86	63	85				7.8	8.0	7.0	29.9	

[1] p sichtig. [2] 4–7 p öfters ◠. [3] 0^{07}–2^{19} a ⊏, $1^{03.17}$ a ◎^{2}, dann t ztw. ◎^{0}. $3^{32.54}$ p ◎^{2}, t sehr sichtig [4] 3^{31}–4^{07} p ⊏, p ≡^{0}. [5] abds. ≺

Alle Angaben nach Ortszeit.

Kaiserslautern.

Juli. $\varphi = 49^0\ 27'$ N. $\lambda = 7^0\ 46'$ E $= 31^m\ 4^s$. H $= 242.2$ m. Cg $= +0.3$ mm 1913.

Datum	Luftdruck auf 0° u. Normalschwere reduziert 700 mm + 7a	2p	9p	Lufttemperatur C° 7a	2p	9p	Max.	Min.	Absolute Feuchtigkeit mm 7a	2p	9p	Relative Feuchtigkeit Proz. 7a	2p	9p	Richtung und Stärke des Windes 0 bis 12 7a	2p	9p	Bewölkung 0 bis 10 7a	2p	9p	Niederschlag mm 7a	Bemerkungen
1.	**47.1**	46.4	45.9	9.6	16.3	10.9	18.1	5.0	**7.1**	7.7	**7.1**	80	56	72	C	N 2	NE 2	5^0	$5^{0}\odot$	1^{0} •	–	a ⏢, ≡⁰
2.	45.0	43.6	42.0	8.7	14.0	12.5	17.8	5.7	**7.1**	8.0	9.3	86	67	87	C	N 1	W 1	10^{0}	10^{1}	10^{2}	–	a ⏢², ≡⁰; ca 730 p–n ztw. ◍-Tr.
3.	41.0	40.1	39.6	11.8	17.1	14.2	21.0	10.3	9.2	8.9	9.6	90	62	80	C	C	C	10^{1}	7^{0}	9^{1}	–	a ◍-Tr., ∞
4.	38.9	38.6	38.3	13.7	14.4	14.3	16.9	10.7	9.0	10.2	10.4	78	84	86	SW 2	W 1	C	10^{1}	10^{9}•	10^{1}	–	a, t ∞. 0^{11}–ca 2^{30} p ztw. ◍-Tr. 7^{31}–8^{01} p ◍-Tr.
5.	38.0	37.4	37.8	15.0	20.4	12.9	20.4	12.9	11.2	10.4	9.8	88	58	89	NW 1	NW 1	C	10^{1}	10^{1}	10^{1}	–	a, t ∞. $9^{41.56}$ a, $10^{11.26}$ a ◍⁰. $11^{46.56}$ a ◍-Tr. $23^{1.36}$ p ◍ t, 1)
6.	36.0	34.9	34.8	12.9	15.2	13.7	16.9	11.6	8.8	10.2	10.6	80	80	92	E 1	W 1	C	10^{1}	10^{2}	10^{2}•	1.1	n ztw. ◍. 0^{36}–1^{16} p, 3^{21}–n ztw. ◍⁰
7.	34.6	35.7	38.1	13.2	14.5	11.5	17.0	11.5	10.0	10.0	8.7	89	82	87	W 1	S 1	C	10^{2}	10^{1}•	5^{1}	2.9	n ◍. 10^{46}–11^{16} a, 11^{26} a–0^{41} p ◍, ztw.–3^{06} p ◍⁰
8.	39.5	39.5	41.4	9.5	13.5	11.7	17.9	6.4	7.9	8.8	9.4	89	76	92	C	C	C	10^{2}=	10^{2}•	10^{2}	5.2	a ≡², ⏢; ca 1^{30}–3^{01} p ◍⁰. 6^{41}–8^{01} p ztw. ◍⁰
9.	44.0	43.3	43.0	10.3	16.0	10.8	17.7	7.0	7.8	7.9	8.8	83	58	92	W 1	W 3	W 1	10^{1}	9^{2}	10^{2}	0.6	a ⏢, t ∞, ≡⁰. $7^{17.19}$ p ▲⁰, bis ca 7^{30} p ◍
10.	38.5	37.0	35.4	10.7	14.9	12.1	15.9	9.2	8.9	9.4	9.8	93	74	94	E 1	S 2	S 2	10^{1}	10^{2}	10^{2}•	2.7	n ◍, a ≡⁰, ∞; t–n ztw. ◍
11.	35.5	37.5	39.8	12.5	17.3	13.7	19.0	11.4	9.8	9.8	9.6	91	67	82	C	N 1	C	10^{1}	9^{1}	7^{1}	8.0	n ◍; a ∞
12.	42.2	42.1	42.4	11.5	20.0	15.3	20.5	8.6	9.1	10.6	11.8	91	61	91	C	C	C	10^{2}=	7^{1}	0	–	a ≡² ⏢; abds. ≡²
13.	43.4	43.0	43.2	12.1	23.8	16.7	25.4	9.0	9.3	9.7	11.8	89	44	83	C	S 1	C	10^{2}=	3^{1}	0	–	a ≡² ⏢; p–n ∞
14.	42.5	40.0	38.2	13.6	26.5	18.1	**28.0**	10.7	10.0	9.7	14.2	87	38	92	C	W 2	E 1	10^{2}=	1^{0}	10^{1}	–	a ≡² ⏢²; t ∞. 5^{30}–6^{26} p ◪. 5^{46}–7^{01} p ◍¹
15.	36.5	37.9	39.1	17.0	18.3	15.6	19.9	15.6	13.1	10.3	10.3	91	65	78	SW 1	NW 3	W 2	10^{1}	10^{1}	9^{2}	4.8	4^{56}–ca 6^{30} a, ca 8^{30}–9^{21} a, 10^{51}–11^{16} a ◍; ca 0^{30}–4^{30} p ztw. ⎓
16.	39.3	39.3	40.4	13.2	17.0	13.7	19.9	11.4	9 5	9.7	10.1	85	68	87	W 2	W 3	C	10^{1}	7^{1}	2^{1}	2.2	$10^{41.56}$ a ◍⁰
17.	42.4	44 0	44.8	14.4	18.7	16.3	22.0	12.0	11.0	10.6	11.2	92	66	81	W 1	W 2	C	10^{0}	9^{1}	10^{1}	0.5	n ◍⁰; a ≒ ∞. 10^{56}–11^{06} a ◍⁰. 0^{16} p kurz ◍-Tr. 2)
18.	44.9	43.3	42.9	14.5	17.2	14.4	17.9	12.0	10.6	11:5	11.5	87	79	95	W 2	NW 2	NW 1	10^{1}	10^{1}	10^{2}	0.2	a ∞. 8^{41} a ztw. ◍⁰; p ∞. 3^{06}–7^{51} p ◍¹
19.	42.7	41.5	41.3	15.6	18.2	13.1	19.9	13.1	12.0	11.5	10.4	91	74	94	W 2	NW 2	NW 2	10^{1}	10^{1}	10^{2}	9.8	n ◍; a, p ∞; ca 2^{30}–6^{31} p, 7^{26}–8^{16} p, dann–n ◍
20.	40.6	40.8	42.8	12.8	16.7	12.7	19.2	11.9	9.6	9.1	9.6	88	64	89	NW 1	NW 1	C	7^{1}	10^{2}•	9^{2}	7.3	n ◍; a ∞. $10^{1.56}$ p ◍-Tr.; p ztw. ◍-Tr. 3)
21.	44.1	43 7	43.3	9.5	16.7	14.5	18.0	6.0	7.4	7.7	8.4	84	55	69	NW 1	NW 2	NW 1	oo	9^{1}	9^{1}	0.1	a ⏢² ∞²
22.	42.2	40.9	39.6	12.5	15.2	12.5	16.2	11.4	9.6	9.2	10.0	89	71	94	NW 1	W 2	W 1	9^{1}	10^{1}	10^{2}	–	6^{16}–ca 6^{30} a ◍-Tr., später ∞. 9^{01}–11^{31} a ztw. ◍⁰. 4)
23.	38.0	35.3	34.1	10.9	12.3	11.1	12.9	9.4	8.5	8.9	9.6	89	85	**98**	W 2	W 2	C	10^{2}	10^{2}	10^{2}•	5.0	n ◍. 6^{46} a ◍-Tr.; ca 7^{30} a–0^{16} p ◍. 1^{16} p–n ztw. ◍. 5)
24.	38.1	39.8	41.6	11.2	17.3	13.0	17.5	10.0	9.0	10.0	10.5	92	68	95	E 2	E 1	C	9^{1}	9^{1}	3^{1}	**46.7**	n ◍², ca 2^{30}–3^{46} p ztw. ◍-Tr., auf den Höhen abds. ≡²
25.	42.3	41.5	41.7	12.7	21.7	16.0	24.1	10.1	10.4	9.6	11.4	96	50	84	C	E 2	C	$3^{1}\odot$	$3^{1}\odot$	2^{1}	–	a ⏢² ∞²
26.	42.5	42.3	43.4	13.7	22.7	15.7	22.9	10.5	10.3	11.1	11.8	89	54	89	C	W 2	E 1	$1^{0}\odot$	9^{1}	1^{0}	–	a ∞ ⏢². $3^{31.36}$ p Fern-◪; abds. ∞
27.	44.5	43.6	44.0	13.3	24.4	18.1	26.0	10.1	9.8	10.2	**12.7**	87	46	82	C	N 3	C	$1^{0}\odot$	$3^{1}\odot$	2^{1}	–	a ∞ ⏢². $11^{34.56}$ a Fern-◪
28.	43.8	42.6	42.9	14.5	25.1	19.6	27.0	11.6	10.8	12.0	12.5	88	51	74	C	N 2	C	$10=\odot$	$3^{1}\odot$	3^{1}	–	a ≡¹ ⏢²; ca 3^{30} p Fern-◪
29.	42.6	41.6	42.2	14.7	21.4	15.3	22.9	11.6	11.1	9 5	9.9	89	51	77	N 1	N 2	NE 2	9^{1}	oo	1^{1}	–	a ⏢² ∞² ≡
30.	42.0	40.1	39.5	13.4	22.9	16.1	24.2	9.7	9.7	8.9	10.5	86	43	77	E 3	E 2	E 2	$2^{1}\odot$	$0\odot$	0	–	a ∞ ⏢¹; p ∞
31.	40.1	40.2	41.3	14 0	23.7	16.3	24.8	10.1	9.4	8.7	9.0	79	40	65	SE 1	SE 3	C	oo	$1^{0}\odot$	0	–	a ⏢, ∞; p–n ∞
Mittel	41.1	40.6	40.8	12.7	18.5	14.3	20.3	10.2	9.6	9.7	10.3	88	62	85				7.9	7 2	6.2	97.1	1) dann–n ztw. ◍. 2) p–n ∞. 3) 4^{36}–5^{16} p ⎓ u. ◍⁰ 4) 3^{11}–n ◍. 4^{26}–ca 4^{30} p ◍² (Guss). 5) 6^{31}–7^{06} p ◍²

Ansbach.

Juli. $\varphi = 49^0\ 18'$ N. $\lambda = 10^0\ 33'$ E $= 42^m 12^s$. H $= 437.5$ m. Cg $= +0.2$ mm. 1913.

1.	27.8	27.8	27.5	10.4	15.2	9.1	15.4	7.3	7.6	8.1	7.2	81	63	85	NW 2	NW 2	C	$2^{0}\odot$	$2^{1}\odot$	0	–	mrgs. ⏢
2.	26.3	25.4	24.2	8.8	14.7	10.4	15.2	5.8	7.4	7.4	8.6	89	60	92	W 4	NW 2	C	10^{2}	10^{2}	6^{2}	–	mrgs. ⏢. $2^{42.52}$ p ◍⁰
3.	23.1	22.5	21.9	11.2	13.6	11.4	16.4	7.7	8.6	7.7	8.8	86	67	88	W 2	NW 2	C	10^{2}	10^{2}	2^{1}	0.1	mrgs. ⏢
4.	21.0	20.3	20.7	13.6	18.5	13.2	18.8	8.5	9 2	8.3	10.4	80	53	93	W 2	NW 2	NW 2	8^{1}	$6^{1}\odot$	10^{2}•	–	mrgs. ⏢. 3^{00} p ab ztw. ◍. 7^{42} p ◪. 9 p ◍
5.	20.4	20.3	19.8	13.4	17.9	13.8	18.6	10.1	10.4	10.5	11.2	91	69	**96**	C	NW 2	C	8^{2}	10^{2}	10^{2}•	1.4	$5^{47.57}$ a, 3^{47}–5^{32} p, 8^{54} p ab ◍
6.	18.2	17.7	17.8	11.0	14.6	12.2	15.4	10.3	8.9	9.1	10.0	91	74	95	NW 2	NW 2	NW 2	10^{2}	10^{2}	10^{2}	10.1	n, a, 2^{47} p ab ◍
7.	17.3	17.6	20.2	12.0	18.4	10.8	18.6	10.7	9.7	9.7	8.6	94	62	90	W 2	SW 2	W 2	10^{2}•	$6^{2}\odot$	0	1.3	5^{37} a ab ◍; t ztw. ◍. 2^{20}–3^{18} p ◪. 5^{34} p ◠ (NE–S)
8.	21.5	21.1	22.5	10.6	17.0	12.2	17.8	7.9	8.2	7.1	8.1	87	50	76	C	N 2	N 2	10^{2}	8^{2}	10^{2}	3.0	mrgs. ⏢
9.	25.0	25.9	26.2	10.2	14.4	9.4	15.2	9.1	7.4	6.5	8.2	79	54	93	NW 1	NW 6	NW 2	8^{1}	$6^{1}\odot$	10^{2}	–	9^{50}–10^{17} a, 7^{07}–8^{32} a ◍; nachm. ztw. ⎓
10.	23.1	20.1	19.1	11.0	19.2	11.7	19.4	5.6	7.9	7.9	9.8	81	48	**96**	C	SW 2	C	10^{2}	10^{2}	10^{2}•	1.6	mrgs. ⏢. 5^{17} p, 9 p ◍
11.	18.2	19.2	21.6	12.8	18.0	11.8	18.2	9.5	9.2	9.2	9.7	85	60	95	C	W 2	C	10^{2}	$8^{2}\odot$	8^{2}	3.6	4^{34}–5^{40} p ◪ ◍
12.	23.8	24.2	25.2	12.8	19.7	14.2	20.6	10.9	9.7	8.1	10.3	89	48	86	NW 2	NW 4	C	10^{2}	$6^{1}\odot$	0	6.8	mrgs. ⏢
13.	26.5	26.3	26.6	13.8	22.3	14.9	24.8	9.1	10.0	10.0	10.2	86	51	82	C	NW 2	C	oo	$2^{1}\odot$	0	–	mrgs. ⏢
14.	25.7	23.6	21.7	15.6	24.9	19.9	**27.0**	10.3	10.6	10.6	**14.4**	81	46	83	C	C	C	oo	$2^{1}\odot$	10^{2}	–	mrgs. ⏢. ≡⁰
15.	19.6	20.1	21.9	19.0	20.5	14.0	21.2	13.8	12.5	11.5	9.0	77	64	76	SW 2	W 4	C	$4^{1}\odot$	8^{2}	2^{0}	0.2	$4^{07.12}$ a ◍
16.	22.2	22.3	23.0	12.6	17.1	13.0	18.8	11.9	8.5	8.4	9.3	78	58	84	W 2	W 4	C	10^{2}	8^{1}	0	–	
17.	24.3	25.5	27.2	14.2	17.1	13.6	18.4	11.7	9.9	10.0	9.9	83	69	86	W 2	NW 2	C	10^{2}	10^{2}	0	–	$9^{32.52}$ a ◍
18.	**27.9**	26.6	25.4	14.6	18.1	14.0	20.0	11.5	10.7	9.0	11.2	87	58	95	W 2	W 4	C	10^{2}	10^{2}	10^{2}•	0.4	$5^{27.37}$ a, 5^{40} p ab ◍
19.	24.7	24.0	22.9	13.8	18.5	11.8	19.0	11.7	10.9	8.1	9.7	94	51	95	W 2	W 4	W 2	10^{2}	10^{2}	10^{2}•	2 2	mrgs. ztw. ◍. 4^{42} ab ◍
20.	22.4	22.6	24.2	11.0	15.4	9 9	15.8	9.7	8.8	8.1	8.1	90	62	89	W 2	W 2	NW 2	10^{2}	10^{2}	10^{2}•	10.3	4^{52} p ab ◍
21.	25.8	26.1	25.9	9.6	14.4	10.8	15.2	7.5	7.3	6.0	8.0	83	49	83	W 4	W 4	W 2	10^{2}	8^{1}	8^{1}	2.5	
22.	24.5	23.5	22.2	11.2	12.4	10.4	14.0	9.3	8.8	9.5	9.0	89	**96**	96	W 2	W 2	W 2	10^{2}	10^{2}•	10^{2}	–	7^{17} a–6^{37} p ◍
23.	20.2	19.8	19.6	11.0	12.4	10.0	14.8	9.7	8.6	8.6	8.7	87	80	95	W 2	W 2	C	10^{2}	10^{2}	10^{2}•	**11.3**	t ztw. ◍. 6^{42} p ab ◍
24.	20.3	23.1	24.1	10.6	14.0	12.1	16.8	8.6	8.9	9.7	10.0	94	82	**96**	E 2	NE 2	C	10^{2}	10^{2}•	10^{2}	2.8	t ztw. ◍. 5^{14}–6^{32} p ◪
25.	24.1	24.2	26.4	13.6	18.1	13.2	19.8	9.7	9.6	10.5	9.9	84	68	88	N 2	N 2	C	$2^{1}\odot$	$4^{1}\odot$	2^{0}	3.5	mrgs. ⏢
26.	25.3	25.2	26.2	13.1	21.7	15.2	22.6	10.1	9.8	10.1	11.3	88	52	88	N 2	N 2	C	4^{1}	$4^{1}\odot$	2^{0}	–	mrgs. ⏢
27.	27.3	26.7	27.3	14.2	21.5	14.0	23.6	9.7	10.6	10.2	10.7	88	54	91	C	NE 2	NW 2	oo	6^{2}•◎	4^{1}	–	mrgs. ⏢, ≡⁰. 1^{47}–2^{56} p, 3^{32}–5^{14} p ◪, ◍⁰
28.	26.6	25.4	25.1	14.3	23.9	16.4	24.6	9.1	10.8	10.9	11.8	90	50	85	C	C	C	oo	$4^{1}\odot$	0	0.2	mrgs. ⏢. Abendröte
29.	24.4	23.4	24.4	15.7	21.1	14.8	21.2	11.7	11.1	8.8	9.8	84	47	78	C	NW 4	NW 2	oo	$6^{1}\odot$	10^{2}	–	mrgs. ⏢, nachm. ztw. ⎓
30.	25.2	23.6	23.2	12.6	19.9	13.8	21.2	6.8	9.3	9.1	8.6	87	52	73	C	NE 4	C	oo	oo	0	–	mrgs. ⏢. Abendröte
31.	23.3	23.1	24.0	12.8	19.7	14.2	21.2	7.5	8.9	8.0	7.2	82	47	60	C	N 4	C	oo	$2^{1}\odot$	0	–	mrgs. ⏢. Abendröte
Mittel	23 4	23.1	23.5	12.6	17.9	12.8	19.0	9.4	9.3	8.9	9.6	86	59	87				6.6	6.9	5.6	61.3	

Alle Angaben nach Ortszeit.

Regensburg.

Juli. $\varphi = 49^0\ 1'$ N. $\lambda = 12^0\ 7'$ E $= 48^m\ 28^s$. H $= 354.3$ m. Cg $= +0.2$ mm. 1913.

Datum	Luftdruck auf 0^0 u. Normalschwere reduziert 700 mm +			Lufttemperatur C°					Absolute Feuchtigkeit mm			Relative Feuchtigkeit Proz.			Richtung und Stärke des Windes 0 bis 12			Bewölkung 0 bis 10			Niederschlag mm	Bemerkungen
	7^a	2^p	9^p	7^a	2^p	9^p	Max.	Min.	7^a	2^p	9^p	7^a	2^p	9^p	7^a	2^p	9^p	7^a	2^p	9^p	7^a	
1.	34.7	34.2	34.3	11.4	16.6	11.1	17.0	9.0	8.3	9.0	8.5	83	64	86	W 6	W 6	W 3	10^2	$6^2\odot$	0	0.4	t ⩩
2.	33.6	32.6	31.5	10.3	14.0	11.8	15.3	6.9	7.9	9.4	9.3	85	79	91	W 4	W 5	W 2	10^1	10^1	10^1	–	⌓. 6^{13} p ◍-Tr.
3.	30.8	29.7	29.2	11.2	15.6	13.6	16.8	8.0	8.8	9.2	9.7	89	69	85	W 2	W 3	C	10^1	10^1	10^1	–	⌓
4.	28.4	27.9	27.9	12.2	16.3	13.2	18.4	10.8	9.6	9.7	10.0	91	70	89	W 3	W 4	C	10^1	10^2	4^1	–	⌓. 0^{53}–1^{33} p ⊿. 1^{39} p ◍^{0}
5.	28.0	27.0	27.0	12.7	18.9	15.4	19.8	10.8	9.9	10.9	11.6	91	67	89	SW 4	W 4	C	10^2	$7^1\odot$	10^1	–	⌓
6.	25.2	24.9	24.6	14.3	18.5	14.7	18.8	13.0	11.7	12.2	12.0	97	77	97	SW 3	W 3	W 2	10^2	8^2	10^2●	2.9	n, 11^{13} a, 4^{16} p–n ◍
7.	25.0	26.0	27.7	13.4	17.3	13.2	18.0	11.6	11.2	10.5	10.1	98	71	90	W 2	SW 4	S 2	10^2	10^2	10^2	5.0	n, 5^{24} p ◍
8.	28.8	28.4	28.7	12.2	16.7	13.0	17.2	8.4	9.2	8.8	10.2	88	62	93	SW 3	SW 3	W 2	$5^1\odot$	8^2	10^2●	0.9	0^{51} p ◍-Tr. 6^{15} p–n ◍
9.	31.2	32.9	33.4	10.9	13.8	12.1	15.3	10.3	9.3	6.6	8.8	97	57	84	NW 3	SW 5	W 3	10^2	4^1	10^1	**28.4**	n ◍^{2}
10.	31.5	28.2	26.5	9.9	17.4	14.6	18.0	8.0	8.1	7.0	8.7	89	48	71	W 2	W 4	S 4	7^1	$3^1\odot$	10^1	–	⌓
11.	26.3	25.9	26.2	13.0	17.8	13.1	18.0	11.4	9.7	9.6	10.0	88	63	90	S 2	S 3	SE 2	10^1	9^1⊿	10^2	–	1^{23}–2^{03} p ⊿. 2^{03}–ca 4 p ◍
12.	30.6	31.2	31.9	13.1	18.7	15.6	19.1	10.9	9.5	7.8	11.2	86	49	85	SE 4	N 5	SW 4	$4^1\odot$	$8^1\odot$	10^2	3.0	3^{25}–ca 4 p ◍
13.	34.0	33.5	33.8	13.9	21.5	16.2	22.0	10.8	10.4	10.5	12.2	88	55	89	SW 3	NW 2	C	$3^1\odot$	$3^2\odot$	4^1	1.0	
14.	33.7	31.1	28.0	13.9	24.2	20.1	**24.6**	11.4	11.1	11.4	13.1	95	51	75	E 2	S 3	S 3	$2^1\odot$	$3^2\odot$	5^2	–	⌓
15.	26.0	28.0	29.3	17.2	19.2	15.5	20.5	15.4	12.9	**14.1**	12.1	89	86	92	S 1	SW 3	W 3	10^2	6^2	9^2	–	ca 9 p–mu ◍
16.	29.8	30.1	30.9	13.7	14.7	12.9	15.6	10.6	10.5	11.3	10.3	91	91	94	SW 2	SW 3	SW 2	9^2	10^2	10^2●	5.4	t ztw. ◍
17.	31.4	32.2	34.2	12.7	17.3	14.8	17.8	10.8	10.7	11.4	10.6	88	78	85	SW 2	W 3	W 3	10^2	10^2	10^2●	1.8	n ◍, abds. ◍-Tr.
18.	**35.0**	33.6	33.4	13.7	19.7	15.2	20.0	11.2	10.6	12.0	11.7	92	70	91	W 3	W 4	W 1	$8^2\odot$	10^1	10^1	–	
19.	31.8	31.1	30.1	13.8	16.2	13.8	19.2	13.2	11.2	12.7	11.2	96	93	96	SW 3	W 2	W 3	10^2	$6^2\odot$	10^2●	1.6	u ◍, ca 7 p–n ◍
20.	29.4	29.8	31.0	12.2	14.9	11.8	15.8	11.2	9.8	8.6	9.4	94	68	93	SW 4	W 5	W 2	10^1	10^1	10^2●	15.6	n, 7^{18}–8^{18} p ◍
21.	33.1	33.0	33.4	11.1	15.4	11.6	15.5	9.2	8.1	8.1	8.0	83	62	79	SW 5	SW 6	SW 2	8^1	$7^1\odot$	5^0	1.8	⌓; t ⩩
22.	31.8	32.1	30.0	9.1	14.3	11.3	14.8	8.0	8.6	9.7	9.6	100	81	97	SW 3	SW 4	NW 2	10^2●	10^1	6^1	0.4	$6^{48.58}$ a, 7^{48}–10^{33} a, 2^{48}–3^{38} p, $7^{08.18}$ p ◍
23.	28.8	27.0	28.1	11.7	15.0	11.3	17.9	10.1	9.8	9.3	9.6	96	73	97	NW 2	S 2	W 2	6^1	$6^0\odot$	10^1●	6.8	m, 3^{12}–4^{48} p, 6^{38}–9^{00} p ◍; $3^{04.30}$ p ⊿
24.	27.9	28.9	30.5	11.1	13.5	12.6	14.9	10.0	9.0	10.3	10.6	92	90	98	C	C	C	7^1	10^1●	7^1	7.4	n ◍, a ⌓. 8^{53}–9^{58} a, 0^{08}–8^{18} p ◍, 3^{38}–5^{55} p mehrere ⊿
25.	30.7	30.7	31.4	12.3	19.2	14.9	19.9	11.1	10.0	9.7	10.5	95	59	84	C	N 1	N 1	10^0	$6^1\odot$	7^1	16.9	
26.	32.5	32.4	33.3	12.8	21.6	15.3	22.0	10.4	10.6	10.3	11.6	97	54	89	C	N 2	NE 1	$5^1\odot$	$5^2\odot$	3^1	–	⌓
27.	34.8	34.8	34.5	12.9	20.3	15.7	22.6	11.0	10.4	12.1	12.0	95	68	90	N 1	E 3	N 1	oo	7^2⊿	9^1	–	⌓. 11^{35} a ca 3 p ⊿, abds. ≤
28.	34.3	32.7	32.0	13.3	22.7	16.5	23.3	10.7	10.7	10.5	13.1	95	51	94	C	NW 3	NW 2	oo	$3^1\odot$	7^2	–	n ≤; a ⌓. 3^{10}–4^{05} p ⊿. 3^{13}–4^{04} p u. später ◍
29.	31.0	30.2	31.1	14.1	21.2	15.6	21.8	11.9	11.2	8.9	9.6	94	48	73	NW 1	W 6	NW 3	oo	8^1	9^1	7.8	⌓, p ⩩
30.	32.3	30.8	30.2	11.7	19.7	16.2	20.9	9.4	9.0	8.2	13.3	88	48	97	NW 4	NW 1	NW 3	oo	$4^1\odot$	o	–	⌓
31.	30.2	30.5	31.1	10.6	19.2	13.7	19.9	9.0	8.6	6.9	9.6	91	42	82	N :	NE 5	NE 1	oo	$3^1\odot$	o	–	⌓, p ⩩,
Mittel	30.7	30.4	30.6	12.5	17.5	14.1	18.7	10.5	9.9	9.9	10.6	92	66	89				6.9	7.1	7.6	107.1	

Passau.

Juli. $\varphi = 48^0\ 34'$ N. $\lambda = 13^0\ 28'$ E $= 53^m\ 52^s$. H $= 309.3$ m. Cg $= +0.2$ mm. 1913.

1.	38.0	37.0	37.4	11.3	17.4	13.8	18.2	10.1	8.9	8.2	9.1	89	56	78	W 1	W 1	W 1	10^2	8^1	4^1	10.3	n ◍
2.	37.6	34.7	35.7	9.7	16.8	12.2	17.8	8.7	7.9	9.1	9.3	88	64	89	W 1	W 4	W 1	10^1=	$10^1\odot$	10^1	–	a ≡1.2
3.	34.4	33.3	32.3	11.5	16.8	13.8	18.0	10.1	9.5	9.7	10.2	95	68	87	E 1	W 1	W 1	10^2=	10^1	10^1	–	a ≡1.2
4.	32.3	31.9	31.3	12.5	18.6	13.0	19.1	11.4	10.1	10.8	10 2	94	68	94	E 1	E 2	C	10^1=	8^1	2^1	0.2	a ≡1.2, ca 4 p ◍-Tr.
5.	31.7	31.3	31.0	11.7	18.8	15.4	20.7	10.1	9.6	10.5	12.0	95	65	92	E 1	W 2	W 1	10^1=	10^2	10^1	–	a ≡1.2, ca 8 p ab ◍^{0}
6.	30.3	29.4	29.5	13.8	16 6	14 4	18,6	12.3	10.9	12.4	10.8	94	89	90	W 1	W 1	C	10^1=	10^2●	10^2●	3.6	n u. t ztw. ◍, a ≡1.2
7.	30.7	31.7	32.3	14.0	16.0	14.0	17.6	12.9	11.1	10.8	10.8	94	80	92	W 1	SW 2	C	10^2	10^2	6^1	3.4	n u. 3 p ab ztw. ◍
8.	32.7	32.3	32.3	13.2	18.2	13.4	18.2	12.1	10.5	10.9	10.7	94	70	94	SE 2	W 1	C	10^1	10^1●	10^1	2.7	p u. abds. ztw. ◍
9.	34.1	36.7	37.5	10.7	12.2	11.9	14.9	10.7	9.2	8.6	8.8	97	82	85	W 2	NW 2	W 1	10^1●	10^1●	10^1●	**34.1**	n u. t ztw. ◍
10.	35.7	32.3	29.3	8.4	19.0	12.0	19.4	6.7	6.9	8.7	8.2	84	54	79	E 1	E 1	E 1	10^2=	2^1	2^1	9.5	a ≡1.2
11.	29.5	29 5	31.4	12.8	16.2	13.4	16.8	11.1	9.7	10.6	10.7	89	77	94	W 1	SE 1	W 1	10^1	10^1	4^1	–	ca 2^{15} p ab ztw. ◍
12.	33.5	34.3	35.7	12.4	19.6	14.4	19.6	11.5	9.7	8.9	10.8	91	52	90	W 1	W 2	C	10^2=	10^1	10^2	4.2	mrgs. u. abds. ≡1.2
13.	37.5	37.0	37.5	12.6	22.2	15.8	22.6	10.9	10.3	10.4	11.5	96	53	86	W 1	W 2	C	8^1	4^1	o	–	mrgs. ≡1.2
14.	37.6	35.6	33.2	13.0	24.0	17.4	**24.9**	10.9	10.4	13.0	12.8	94	59	87	E 1	E 2	C	2^1	$2^1\odot$	o	–	mrgs. ≡1.2
15.	31.9	32.2	33.0	16.4	20.6	17.0	21.1	14.1	12.3	12.1	11.0	88	67	83	E 1	E 2	W 4	8^1	$8^1\odot$	10^2	–	ca 6–7 p ◍
16.	33.4	34.1	35.1	13.6	15.0	13.0	17.0	12.5	11.1	10.8	10.1	96	85	91	W 2	W 4	W 4	10^2=	10^1●	10^1●	4.3	a ≡1.2, ca 2 p–n ◍
17.	34.8	35.6	37.4	11.9	15.4	14.4	15.4	11.4	9.8	11.2	11.7	95	86	96	SW 1	W 2	W 2	10^2●	10^1●	10^1	7.0	n u t. ztw. ◍; a ≡1.2
18.	**38 9**	37.8	36.9	14.2	18.2	15.8	19.9	12.4	10.7	10.9	11.2	90	70	84	W 1	W 4	W 2	10^2	10^2	10^2	0.8	a ≡1.2
19.	36.2	35.2	33.6	13.6	17.0	14.2	17.0	12.9	11.1	13.1	11.5	96	91	96	W 2	E 1	W 1	10^2●	10^1	10^1	3.5	mrgs. ◍, abds. ◍^{2}
20.	33.5	33.8	34.4	12.8	14.4	12.6	16.0	12.1	10.2	10.6	9.6	94	87	89	SW 2	W 1	C	10^2	10^2	2^1	27.5	n ◍^{2}
21.	37.1	36.6	37.8	11.5	15.8	11.1	16.8	10.7	9.0	8.7	8.7	89	64	89	W 4	W 2	W 2	10^2	8^1	2^1	1.5	n ◍
22.	37.2	36.6	34.6	7.7	13.6	13.6	16.0	5.8	6.2	10.3	10.0	79	89	87	E 1	W 1	C	10^2	10^1	10^2	–	a Inntal Nebel, ca 8 p ab ztw. ◍
23.	32.4	32.7	32.3	11.7	15.2	12.6	16.8	10.1	10.1	10.9	9.3	**99**	85	87	E 1	SW 1	C	10^2	10^2	10^2	9.7	n u. a ◍
24.	32.0	31.8	32.2	10.5	13.2	13.6	14.9	9.7	8.9	10.2	11.1	94	91	96	E 1	W 3	C	10^2●	10^2●	10^2	2.1	mrgs. u. t ◍
25.	32.4	34.2	34.7	11.3	18.8	15.4	20.4	9.7	9.6	10.8	12.0	97	67	92	W 1	W 2	C	10^2	$8^1\odot$	10^1	7.3	a Inntal Nebel
26.	36.3	35.7	36.8	13.8	22.0	15.6	22.3	11.3	10.7	**13.4**	11.9	92	68	90	E 1	W 1	C	10^2	$8^1\odot$	o	–	
27.	**38.9**	38.1	38.6	12.8	21.0	15.8	24.0	9.9	10.2	11.0	12.4	94	60	92	E 1	SE 4	C	10^1=	$8^1\odot$	o	–	a ≡1.2
28.	38.3	36.9	36.1	12.8	22.4	16.4	23.8	11.4	10.5	11.9	12.6	96	59	91	E 1	E 2	C	10^2=	$6^1\odot$	o	–	a ≡1.2
29.	35.3	33.2	34.3	13.0	21.0	17.2	22.6	11.3	10.6	9.2	10.9	96	50	75	E 1	W 4	C	10^2=	8^1	8^1	–	a ≡1.2
30.	36.0	35.1	34.5	12.4	20.8	15.8	20.9	9.7	9.7	9.5	10.8	91	52	81	E 1	W 1	C	oo	$4^1\odot$	o	–	a ⌓
31.	34.3	33.8	35.0	11.3	21.2	14.8	21.2	8.1	8.9	10.2	9.3	89	55	74	E 1	W 1	C	oo	$4^1\odot$	o	–	a ⌓
Mittel	34.7	34.2	34.3	12.2	18.0	14.3	19.1	10.7	9.8	10.6	10.6	93	70	88				9.0	8.3	6.1	131.7	

Alle Angaben nach Ortszeit.

Landshut.

Juli. $\varphi = 48^{0}\ 32'$ N. $\lambda = 12^{0}\ 10'$ E $= 48^{m}\ 40^{s}$. H $= 397.7$ m. Cg $= +0.2$ mm. 1913.

Datum	Luftdruck auf 0^{0} u. Normalschwere reduziert 700 mm +			Lufttemperatur C°					Absolute Feuchtigkeit mm			Relative Feuchtigkeit Proz.			Richtung und Stärke des Windes o bis 12			Bewölkung o bis 10			Niederschlag mm	Bemerkungen
	7^{a}	2^{p}	9^{p}	7^{a}	2^{p}	9^{p}	Max.	Min.	7^{a}	2^{p}	9^{p}	7^{a}	2^{p}	9^{p}	7^{a}	2^{p}	9^{p}	7^{a}	2^{p}	9^{p}	7^{a}	
1.	30.7	30.0	30.1	11.9	16.9	10.3	19.3	8.2	8.1	7.9	7.8	79	55	83	NW 4	W 4	C	8^{1}	$7^{2}\odot$	o	0.1	
2.	29.5	28.3	27.4	10.2	14.6	11.4	17.1	4.4	8.1	8.1	8.9	87	65	89	W 2	W 2	W 2	8^{1}	10^{1}	$10^{1}\bullet$	–	⌓. 4^{19} p ◎-Tr., ca 7–9 p ◎
3.	26.6	25.2	24.8	11.9	18.5	12.8	21.0	9.2	8.6	7.2	9.8	84	46	90	W 2	W 2	C	10^{1}	$8^{1}\odot$	1^{1}	0.7	
4.	24.6	23.8	23.7	13.2	15.0	12.1	21.1	9.5	9.7	10.1	9.5	87	80	91	W 2	C	W 2	10^{1}	$10^{1}\bullet$	10^{1}	–	$10^{04.19}$ a, 1^{29}–2^{04} p ◎^{0}, $3^{10.29}$ p ◎^{2}
5.	24.0	23.3	23.1	13.5	19.8	14.4	23.0	9.5	10.2	9.4	10.7	89	54	88	W 2	W 4	C	9^{1}	$5^{0}\odot$	$10^{1}\bullet$	3.3	$7^{04.36}$ p, ca 9 p-n ◎
6.	21.4	20.8	20.9	15.3	19.0	13.4	23.0	12.1	11.8	12.1	11.2	91	75	98	S 4	SW 2	W 2	10^{1}	7^{1}	10^{1}	3.1	n, 8^{39} a–1^{29} p ◎, $5^{19.49}$ p ◎^{2}, 5^{59}–6^{24} p ◎
7.	21.0	22.1	23.6	14.4	18.6	13.1	21.6	11.4	11.0	10.2	9.8	91	64	88	SW 4	SW 2	W 2	10^{1}	8^{1}	10^{1}	6.5	10^{19} a–ca 1 p ◎, ca 7 p ◎-Tr.
8.	24.7	23.8	24.6	12.8	18.4	11.5	20.3	10.3	9.6	8.8	10.1	88	56	100	W 2	C	W 2	10^{1}	10^{1}	$10^{1}\bullet$	1.6	3^{39} p-n ◎^{2}
9.	27.0	29.1	29.2	10.4	15.1	10.3	17.2	9.5	9.0	6.2	7.9	96	49	85	NW 2	W 4	W 2	$10\bullet$	$7^{1}\odot$	9^{1}	36.8	n, ca 7–10^{29} a ◎
10.	27.2	23.5	22.1	9.9	19.4	13.0	22.6	4.8	7.9	6.6	9.1	87	39	82	SW 2	E 2	C	$8^{1}\odot$	$7^{1}\odot$	10^{1}	1.6	⌓
11.	21.9	22.0	23.7	11.3	17.3	12.2	18.2	10.6	9.5	9.2	10.1	96	63	96	W 4	W 4	W 2	$10^{1}\bullet$	10^{1}	10^{1}	3.2	n–9^{19} a, $20^{0.39}$ p, ca 6–8 p ◎
12.	26.6	27.0	28.0	12.9	17.4	13.8	21.6	10.3	9.9	10.5	10.8	90	71	93	W 4	W 4	C	9^{1}	10^{1}	7^{1}	3.8	9^{29} p-n, $1^{14.24}$ p, $4^{00.39}$ p ◎^{0}
13.	29.9	29.7	29.6	14.4	23.1	14.9	27.9	9.2	11.2	9.7	11.6	93	46	92	W 2	E 2	C	$2^{0}\odot$	$5^{1}\odot$	1^{1}	1.7	⌓
14.	29.5	27.3	24.8	15.4	27.1	18.4	30.3	10.1	10.2	9.3	13.3	79	35	84	W 2	W 4	C	$1^{0}\odot$	$1^{1}\odot$	10^{0}	–	
15.	23.3	24.2	25.3	17.6	19.0	14.7	23.0	14.6	12.7	13.0	11.8	85	80	94	W 4	W 4	W 2	9^{1}	8^{1}	9^{1}	2.6	ca 4–4^{15} a ⌅ im W; $4^{19.19}$ a, ca 8–11 a ◎
16.	25.8	26.5	26.7	13.8	15.6	11.8	18.0	10.5	11.1	9.6	9.4	95	73	93	W 2	SW 4	C	$10^{1}\bullet$	10^{1}	10^{1}	1.9	ca 7–7^{30} a, 9^{19}–10^{49} a ◎, 2^{03} p ◎-Tr., ca 8–8^{15} p ◎^{0}
17.	27.5	28.5	30.4	12.0	15.6	14.4	19.0	10.8	10.1	11.1	11.4	97	84	94	W 2	W 2	W 2	$10^{1}\bullet$	10^{1}	10^{1}	3.4	n, ca 7–9 a ◎^{0}, $1^{04.09}$ p ◎-Tr.
18.	31.3	29.9	29.1	14.8	21.4	15.4	24.0	12.6	11.8	11.0	11.2	94	59	86	W 2	W 2	C	10^{1}	$5^{1}\odot$	10^{0}	0.3	
19.	28.4	27.1	26.2	13.0	18.4	14.0	22.4	12.2	10.6	12.2	11.5	96	78	97	SW 2	SW 4	SW 4	10^{1}	10^{1}	$10^{1}\bullet$	0.9	n ◎^{0}, a u. p öfters ◎-Tr., 3^{19} p-n ◎
20.	25.9	25.8	27.2	11.8	16.2	11.2	17.8	11.0	10.0	8.5	9.0	97	62	92	SW 2	W 2	W 2	10^{1}	10^{1}	$10^{1}\bullet$	9.2	n ◎, $8^{29.34}$ p ◎^{2}, ca 9 p ◎^{0}
21.	29.5	29.2	29.9	10.6	15.6	10.2	18.2	8.8	8.6	7.0	8.1	91	53	87	W 4	W 6	C	10^{1}	$8^{1}\odot$	3^{0}	3.0	n ◎
22.	28.6	27.5	26.1	10.0	15.2	12.0	18.0	6.6	8.7	8.9	10.2	95	69	98	W 2	W 4	C	10^{1}	10^{1}	10^{1}	–	10^{19}–11^{04} a, 0^{04}–1^{19} p ◎^{0}; 6^{20}–7^{00} p ◎^{2}, $6^{34.31}$ p ⌅
23.	23.8	23.6	24.2	11.8	11.6	10.0	20.6	9.2	10.0	9.7	8.9	97	96	98	W 2	W 6	C	10^{1}	$10^{1}\bullet$⌅	10^{1}	7.4	n–6^{19} a, 10^{29}–ca 11 a ◎^{0}; 1^{24}–2^{02} p ⌅; 1^{29}–2^{24} p, 4^{34}–5^{04} p ◎^{2}
24.	23.6	24.2	24.9	11.8	12.8	12.0	15.0	8.4	9.8	9.7	10.5	96	89	100	C	N 4	C	10^{1}	$10^{1}\bullet$	10^{1}	10.2	n, 10^{19} a–6^{19} p, 7^{04}–8^{19} p ◎
25.	26.1	26.8	27.0	12.4	19.4	15.6	24.0	10.2	10.2	9.9	10.8	95	59	82	N 2	NW 2	C	10^{1}	$6^{2}\odot$	1^{1}	5.4	
26.	28.3	27.9	28.9	10.8	23.6	17.4	27.2	8.2	9.3	9.6	12.2	97	44	83	C	C	C	10^{1}	$1^{1}\odot$	2^{1}	–	≡^{1} u. ⌓; ca 7–8 p ◎^{0}
27.	30.7	30.0	30.6	15.4	22.6	15.4	26.2	10.2	11.2	9.4	12.0	86	46	92	C	NE 2	C	$1^{0}\odot$	$8^{2}\odot$	1^{1}	0.3	⌓. 1^{34} p ⌅ im N
28.	29.8	28.4	28.1	16.6	24.8	16.0	28.0	11.2	11.3	10.9	12.2	80	47	90	C	C	C	$8^{0}\odot$	$5^{2}\odot$	1^{1}	–	⌓^{0}
29.	27.1	25.6	27.0	15.4	23.2	14.8	24.4	11.0	12.3	6.6	5.4	94	31	75	W 2	W 4	C	$1^{1}\odot$	$8^{1}\odot$	1^{1}	–	⌓
30.	28.3	26.8	26.2	13.8	20.6	13.8	23.0	10.0	9.5	8.6	9.5	81	47	81	NE 2	E 4	C	oo	oo	o	–	⌓
31.	25.9	25.8	26.9	13.6	21.2	14.2	22.4	7.2	9.6	7.9	8.6	83	42	72	E 2	E 4	NE 2	oo	$4^{1}\odot$	o	–	⌓
Mittel	26.7	26.2	26.5	13.0	18.6	13.4	21.8	9.7	10.1	9.3	10.2	90	60	89				7.9	7.1	6.6	107.0	

Augsburg.

Juli. $\varphi = 48^{0}\ 22'$ N. $\lambda = 10^{0}\ 54'$ E $= 43^{m}\ 36^{s}$. H $= 499.6$ m. Cg $= +0.1$ mm, über 728.8 mm Cg $= +0.2$ mm. 1913.

1.	23.1	22.6	22.3	9.5	16.6	11.6	18.1	6.9	7.1	7.7	8.2	80	55	80	NW 2	NW 2	NW 2	$3^{0}\odot$	8^{2}	o	–	⌓
2.	21.4	19.9	19.4	9.7	18.3	12.4	19.1	7.2	7.2	7.6	8.2	82	49	76	SW 2	NW 2	N 2	$2^{0}\odot$	$6^{2}\odot$	10^{1}	–	⌓
3.	18.1	17.2	17.1	11.9	17.1	13.4	18.8	10.5	8.3	8.8	8.6	80	61	75	N 2	NW 2	NW 2	10^{1}	$6^{2}\odot$	10^{1}	–	⌓
4.	16.2	15.8	15.8	13.1	15.4	13.1	17.0	11.7	8.6	9.1	9.1	76	70	82	SW 2	SW 2	NW 2	8^{1}	8^{2}	$10^{2}\bullet$	–	$10^{09.39}$ p, 8^{19} p-n ◎
5.	15.7	15.1	14.9	13.1	19.1	14.8	20.7	11.3	10.0	9.1	10.6	90	56	85	SW 2	SW 4	NW 2	$5^{1}\odot$	$7^{2}\odot$	10^{2}	4.3	n, $6^{14.24}$ p ◎
6.	13.1	12.0	12.8	14.0	17.8	13.4	17.8	13.4	10.8	11.1	10.4	92	72	91	SW 2	NW 2	SW 2	$10^{2}\bullet$	10^{2}	$10^{2}\bullet$	1.2	n–11^{14} a, p ztw. ◎
7.	12.6	13.8	15.6	13.1	16.1	13.4	16.8	11.8	9.8	9.2	9.6	88	67	85	SW 2	SW 2	SW 2	$10^{2}\bullet$	10^{2}	8^{2}	15.4	n–10^{34} a, 4^{34}–5^{34} p ◎
8.	16.3	15.9	16.9	11.8	17.2	11.2	17.2	10.5	8.3	8.4	9.0	81	57	92	NW 2	C	SW 2	10^{2}	10^{2}	$10^{2}\bullet$	2.1	ca 3^{45} p-n ◎
9.	20.3	21.3	21.5	10.2	14.2	10.4	15.0	9.2	7.8	6.1	6.9	84	51	74	SW 4	SW 4	SW 2	10^{2}	$5^{2}\odot$	o	18.2	n ◎
10.	18.2	14.9	14.7	9.2	19.4	11.4	19.4	6.2	6.4	6.0	9.2	73	36	92	SW 2	SW 2	SW 2	5^{1}	9^{2}	$10^{2}\bullet$	–	⌓. 4^{14} p-n ◎
11.	13.4	13.7	16.4	11.8	16.6	12.6	16.9	10.4	8.6	9.3	9.7	84	66	90	C	NE 2	SW 2	10^{2}	$10^{2}\bullet$	10^{2}	3.1	n, t ztw. ◎
12.	18.7	20.0	20.4	12.1	19.2	14.4	19.4	10.8	10.0	9.2	9.1	96	56	74	W 2	NW 2	C	10^{2}	$8^{2}\odot$	o	1.2	
13.	21.7	21.3	21.5	13.9	22.4	18.1	24.1	9.4	9.4	9.7	11.5	79	48	74	W 2	SW 2	S 2	oo	$5^{1}\odot$	o	–	⌓
14.	21.0	18.6	16.6	16.0	27.2	21.7	28.4	11.7	10.1	9.9	12.7	74	37	67	C	W 2	C	oo	$1^{1}\odot$	4^{1}	–	Ω
15.	15.6	15.9	17.2	15.3	19.2	15.3	21.7	15.3	10.8	11.6	11.6	84	69	89	SW 2	SW 4	C	$10^{2}\bullet$	10^{2}	2^{1}	4.7	ca 2–3 a ⌅, n–ca 8^{15} a, 9^{14}–10^{00} a, $10^{14.44}$ a, 5^{00}–ca 5^{48} p ◎
16.	17.8	17.9	18.2	12.0	13.3	12.9	15.3	11.5	9.2	8.7	9.4	89	76	86	SW 2	SW 2	S 2	$10^{2}\bullet$	10^{2}	10^{2}	4.5	n–8^{14} a, 9^{14}–10^{44} a ◎
17.	19.7	20.6	22.6	12.3	16.5	14.0	17.4	11.2	9.5	12.2	10.6	90	87	90	SW 2	N 2	S 2	10^{2}	$10^{2}\bullet$	10^{2}	1.5	n, $8^{14.44}$ a, $0^{29.44}$ p, 1^{29}–2^{44} p ◎
18.	23.0	21.7	20.9	13.9	18.3	15.2	18.8	12.7	10.4	9.4	10.5	88	63	82	W 2	W 2	SW 2	10^{2}	10^{2}	$10^{2}\bullet$	0.9	8^{19} p-n ◎
19.	20.1	19.3	18.6	13.7	16.8	13.3	17.4	11.6	10.7	11.9	10.5	93	83	93	SW 2	W 2	W 2	10^{2}	10^{2}	$10^{2}\bullet$	1.4	n, $11^{19.29}$ a, 11^{34}–0^{09} p, $1^{04.54}$ p, $2^{30.44}$ p, 4^{29} p-n ◎
20.	17.4	17.5	19.2	12.7	16.4	12.4	16.6	11.1	9.3	8.9	8.8	86	65	83	W 2	W 2	W 2	10^{2}	10^{2}	8^{2}	5.2	n, $8^{04.14}$ p ◎
21.	21.2	20.9	21.2	10.7	16.4	13.4	18.5	8.5	8.1	6.7	7.9	85	48	76	NW 2	N 2	C	9^{1}	5^{1}	10^{1}	0.2	
22.	19.9	18.4	17.3	11.6	17.9	13.7	18.0	11.2	8.0	8.4	9.8	79	55	85	W 2	W 2	NW 2	10^{2}	10^{2}	10^{2}	–	6^{29} a, 8^{14} a, $10^{24.54}$ a, $11^{29.44}$ a, 2^{39}–3^{34} p ◎
23.	15.6	14.7	14.9	11.4	15.7	10.5	15.9	10.5	9.1	8.1	8.7	91	01	93	SW 2	SW 2	SW 2	10^{2}	10^{2}	10^{2}	14.3	n–7^{29} meist ◎, $8^{04.30}$ a, 2^{49}–7^{39} p ◎
24.	15.1	15.9	17.2	10.5	13.7	12.0	14.9	9.5	8.3	9.6	9.9	88	82	96	SW 2	C	NW 2	10^{2}	10^{2}	10^{2}	13.2	n, 1^{39} p-n ◎
25.	18.5	18.8	18.9	12.1	18.2	15.3	19.5	11.1	10.0	11.1	11.0	96	71	85	NW 2	N 2	N 2	6^{1}	$7^{2}\odot$	3^{1}	3.0	n ◎
26.	20.1	19.7	20.7	10.7	22.9	17.4	23.7	9.7	9.2	10.0	11.7	97	48	79	C	NE 2	NE 2	10^{2}≡	$4^{1}\odot$	3^{2}	–	n, a ≡^{2}
27.	22.3	21.3	21.8	14.2	25.0	17.7	25.8	11.5	10.1	10.0	12.5	84	73	83	E 2	NE 2	N 2	5^{1}	$4^{2}\odot$	2^{1}	–	⌓, 8^{14} p-n ⌅ im E
28.	21.6	20.1	20.1	14.8	25.3	19.0	26.6	12.7	9.9	11.4	11.8	78	48	72	SW 2	SW 2	SW 2	$4^{0}\odot$	$4^{2}\odot$	o	–	⌓, 4^{34}–5^{24} p ⌅, 3^{19}–4^{09} p ◎
29.	19.5	17.9	19.0	15.5	23.9	16.2	24.2	14.3	11.3	11.0	10.4	86	50	75	SW 2	SW 4	NW 2	oo	$4^{1}\odot$	3^{1}	0.6	⌓
30.	20.1	17.8	17.4	13.2	21.9	16.4	23.0	11.8	9.3	9.1	9.5	82	47	68	NE 2	NE 2	NE 2	$2^{0}\odot$	oo	o	–	⌓
31.	17.2	17.4	18.4	13.2	22.3	15.8	24.1	10.6	8.9	8.2	8.5	78	41	63	NE 2	NE 2	NE 2	oo	oo	o	–	⌓
Mittel	18.4	18.0	18.4	12.5	18.7	14.3	19.7	10.8	9.2	9.3	9.9	85	59	82				7.1	7.1	6.2	95.0	

Alle Angaben nach Ortszeit.

München-C.St.

Juli. $\varphi = 48^0\ 9'$ N. $\lambda = 11^0\ 34'$ E $= 46^m\ 16^s$. H $= 526.4$ m. Cg $= +\ 0.1$ mm. 1913.

Datum	Luftdruck auf 0^0 u. Normalschwere reduziert 700 mm +			Lufttemperatur C°					Absolute Feuchtigkeit			Relative Feuchtigkeit			Richtung und Stärke des Windes o bis 12			Bewölkung o bis 10			Niederschlag	Bemerkungen
	7^a	2^p	9^p	7^a	2^p	9^p	Max.	Min	7^a	2^p	9^p	7^a	2^p	9^p	7^a	2^p	9^p	7^a	2^p	9^p	mm 7^a	
1.	20.2	19.5	19.6	9.9	17.5	11.7	17.6	8.5	7.1	8.0	8.4	79	53	82	W 2	SW 2	C	9^1	$8^1\odot$	o	0.7	1^{16} p kurz
2	18.6	17.2	16.5	10.1	17.9	13.5	18.2	8.0	7.7	7.5	9.3	83	49	81	W 1	SW 1	C	$1^0\odot$	9^0	4^1	2.4	a ⏢, ∞
3.	15.5	14.4	14.6	12.1	16.6	14.1	17.8	10.1	8.5	8.2	8.1	81	58	68	C	NW 1	C	9^1	10^1	10^1	0.1	n ●^{0}, a ≡^{0}
4.	14.0	13.0	13.3	11.9	16.5	13.0	17.8	11.6	9.1	8.2	9.6	89	59	87	SW 1	NW 1	C	$10^1\bullet$	10^1	$10^1\bullet$	0.1	ca 6^{36}–7^{21} a ●, ca 6^{45} p–n ●
5.	13.5	12.9	12.9	12.0	18.7	14.4	20.2	11.3	9.6	8.9	10.0	93	56	83	SW 2	W 2	W 1	10^1	7^1	8^1	7.0	n–6^{36} a ●
6	11.1	10.0	10.4	13.7	16.9	15.2	18.8	13.0	10.7	11.2	9.4	93	79	73	SW 2	W 1	W 1	$10^1\bullet$	$10^1\bullet$	10^1	2.9	n, a–ca 2^{45} p ●
7.	10.4	11.3	13.1	13.5	18.0	13.5	18.5	12.4	10.0	9.7	9.4	88	64	82	SW 1	SW 1	SW 2	10^1	9^1	9^1	2.4	n, ca 7^{45} a–abds. ztw. ●
8.	14.0	12.9	14.3	12.3	15.9	10.5	16.8	10.4	8.0	8.1	8.8	75	60	93	C	NE 1	SW 1	10^1	9^1	$10^1\bullet$	3.5	ca 2^{45} p–n ●
9.	17.2	18.9	19.0	9.1	13.3	9.1	14.8	8.4	7.9	6.6	7.0	92	57	77	W 2	SW 3	C	$10^1\bullet$	8^1	3^0	50.9	n, a ztw. ●
10.	16.0	12.2	11.9	9.7	19.3	11.8	19.4	6.8	6.0	6.0	9.3	66	37	91	C	NE 1	SW 2	$3^0\odot$	$6^0\odot$	$10^1\bullet$	0.6	a ⏢ ∞, ca 1^{43} p ⊕, ca 5^{15} p–n ●
11	11.1	11.5	3.5	10.7	15.1	12.1	15.1	10.0	8.5	8.7	10.0	90	68	96	W 1	C	W 1	$10^1\bullet$	10^1	$10^1\bullet$	7.3	n, t ztw. ●
12.	16.1	16.5	17.9	12.3	18.8	15.0	19.3	11.0	9.7	8.8	9.4	92	54	74	W 1	NW 1	W 1	10^1	10^1	10^1	2.1	n ●, a ztw. ●^{0}
13.	19.2	18.9	19.3	14.1	22.6	17.5	23.0	11.7	9.3	7.7	10.3	78	37	69	SW 1	NW 1	C	∞	$3^1\odot$	o	–	a ⏢, ∞
14.	18.7	16.3	14.1	16.3	27.0	22.0	27.6	13.0	9.5	8.9	12.1	69	34	63	SW 1	W 2	C	∞	∞	7^0	–	a ⏢, ∞
15.	13.5	13.6	14.8	17.2	20.5	16.5	21.7	16.5	11.3	10.8	11.0	78	60	79	W 1	SW 2	C	10^1	10^1	10^1	0.5	ca $2^{15.45}$ a ◹, a ztw. ●, Gebirge im SE gut sichtbar
16.	15.4	15.7	16.0	12.7	13.3	11.9	16.7	11.9	9.6	8.9	8.0	89	78	77	SW 1	SW 1	SW 2	10^1	$10^1\bullet$	10^1	2.7	n, t ztw. ●
17.	17.1	17.9	20.3	11.9	16.5	13.3	17.0	11.0	9.5	8.9	10.6	93	74	94	W 1	W 1	W 1	$10^1\bullet$	10^2	$10^1\bullet$	2.0	n, t ztw. ●$^{0.1}$
18.	21.6	19.2	18.4	14.3	19.6	16.0	19.8	12.6	10.5	9.4	10.7	87	55	79	W 1	W 1	W 1	10^1	10^1	10^1	2.3	n ●, ca 5 p ●^{0}
19.	17.8	16.7	16.1	13.5	19.1	13.0	20.0	12.2	10.6	10.4	10.9	93	64	98	W 1	W 1	W 1	10^1	10^2	$10^1\bullet$	1.1	n ●, a ≡^{1}, ≡-Reissen, 1^{36} p–n ztw. ●$^{1.2}$
20.	15.1	15.2	16.7	11.9	14.9	12.4	15.8	11.1	9.1	8.9	9.1	89	71	86	W 1	NW 1	SW 1	10^1	10^1	$10^1\bullet$	19.6	n ●, a ztw., abds. ●, ca 6^{15} p kurz Aufklaren
21.	18.6	18.2	18.9	10.2	16.5	13.9	17.4	8.1	8.0	6.9	6.7	86	51	57	W 1	NW 3	C	9^1	$6^1\odot$	10^1	3.5	n ●
22.	17.6	16.2	15.3	12.7	16.5	12.1	17.8	11.4	8.4	9.1	10.0	77	66	96	SW 1	NW 1	C	10^1	9^0	$10^2\bullet$	–	3^{36}–4^{36} p ◹, 3^{56}–5^{06} p ●, 5^{56} p ◹, 5^{46} p–n ●
23.	12.9	12.5	12.9	12.1	16.0	10.8	16.0	10.7	9.5	8.8	8.4	91	65	89	SW 1	SW 1	SW 1	$10^1\bullet$	10^1	$10^1\bullet$	26.2	n, t ztw. ●, $0^{23.31}$ p ◹ mit ●
24.	12.6	13.3	14.3	11.5	12.9	11.7	13.2	10.2	8.5	9.8	9.9	85	89	97	C	NE 1	NW 1	10^1	$10^1\bullet$	$10^1\bullet$	6.4	u ●, t–n ztw. ●
25.	15.7	15.9	16.4	12.3	18.5	14.7	20.8	11.2	10.1	9.1	9.2	96	58	74	W 1	W 1	C	10^1	$6^1\odot$	2^0	10.2	n ●
26.	17.2	17.0	18.1	12.6	22.2	17.1	22.8	10.8	9.1	8.4	10.7	85	42	74	C	E 1	C	∞	$1^1\odot$	2^1	–	a ⏢ ∞
27.	19.8	19.0	19.3	14.8	24.2	18.4	24.7	12.4	10.4	9.3	10.3	84	41	65	C	E 1	SW 2	$3^0\odot$	$2^1\odot$	4^1	–	a ⏢, abds. ≺ im SW u. NW
28.	19.2	17.9	17.6	15.0	23.1	17.9	23.8	13.3	10.3	11.0	11.5	82	53	76	C	NW 1	C	$2^0\odot$	$4^1\odot$	1^1	3.1	9^{11}–ca 9^{45} p ●, 9^{36}–10^{04} p ◹, 4^{56} p ab ztw. ●, 5^{36} p ◹
29.	16.5	15.5	16.4	16.0	21.1	16.1	23.8	13.9	10.7	11.0	9.9	79	60	73	W 1	W 3	C	∞	9^1	4^0	0.3	a ⏢
30.	17.2	15.6	15.0	13.8	20.9	16.2	21.3	13.1	9.8	8.0	8.8	84	44	64	C	E 1	C	7^0	∞	o	–	a ⏢
31.	14.7	14.8	16.0	13.5	21.2	15.6	21.8	11.0	8.9	7.0	7.6	77	38	58	E 1	E 1	C	∞	$3^1\odot$	o	–	a ⏢
Mittel	16.1	15.4	15.9	12.7	18.4	14.3	19.3	11.2	9.2	8.8	9.5	85	57	79				7.2	7.4	6.9	157.9	

Traunstein.

Juli. $\varphi = 47^0\ 52'$ N. $\lambda = 12^0\ 39'$ E $= 50^m\ 36^s$. H $= 597$ m. Cg $= +\ 0.1$ mm. 1913

1.	14.5	13.6	13.3	10.1	13.8	10.4	15.6	8.2	7.1	7.2	9.0	78	61	96	W 2	W 4	W 2	10^2	$8^2\odot$	2^2	6.9	p ●
2.	12.8	11.7	11.0	10.2	16.9	11.8	17.7	8.5	7.4	6.6	9.4	79	46	93	NW 2	W 4	E 2	8^2	$5^2\odot$	8^2	1.1	p ●
3.	09.9	08.5	08.8	11.6	17.1	12.4	17.9	8.9	8.6	9.7	10.0	85	67	94	W 2	NE 4	N 2	8^2	8^2	10^2	0.1	p ●
4.	08.3	07.6	07.7	12.3	16.2	11.6	17.5	9.0	9.5	8.7	9.1	90	63	89	W 2	W 4	S 2	8^2	$4^2\odot$	8^2	0.6	p ●^{0}
5.	08.0	07.5	07.1	11.8	17.3	12.6	18.1	10.2	9.1	8.8	10.3	88	60	96	W 4	W 6	S 2	10^2	$6^2\odot$	6^2	1.6	p ●
6.	05.6	04.8	05.1	12.8	17.8	12.8	19.2	11.1	10.5	10.4	9.8	96	68	89	S 2	W 2	W 4	10^2	$8^2\odot$	$10^2\bullet$	4.0	n u. t ztw. ●, 6^{31} p ◹
7.	05.2	06.7	07.7	13.3	13.2	12.6	15.0	11.1	10.2	10.1	9.8	90	90	91	SE 2	W 2	S 2	10^2	$10^2\bullet$	8^2	6.7	t ztw. ●
8.	08.2	07.4	07.7	11.4	13.5	10.4	14.2	10.4	9.6	9.7	9.2	96	85	98	S 2	N 2	S 2	10^2	10^2	$10^2\bullet$	2.7	a u. abds. ●
9.	10.0	13.2	13.6	7.8	8.8	9.8	12.3	6.6	6.9	7.5	6.4	91	89	70	W 6	SW 6	S 2	$10^2\bullet$	9^2	10^2	42.3	n u. t ztw. ●
10.	10.8	07.0	05.8	9.0	18.0	12.0	18.2	4.0	6.5	6.3	9.6	76	41	93	S 2	NE 2	S 2	$3^2\odot$	$6^2\odot$	$10^2\bullet$	18.1	abds. ●
11.	06.0	06.2	07.6	8.9	12.4	10.4	13.0	8.2	7.9	8.7	9.2	93	82	98	W 2	W 2	W 2	$10^2\bullet$	$10^2\bullet$	$10^2\bullet$	9.5	n u. t ●
12.	10.1	11.0	12.5	11.0	14.3	11.8	16.0	10.0	8.8	10.5	9.4	90	87	93	W 6	SW 4	W 2	10^2	8^2	10^2	7.6	t ztw. ●
13.	13.7	13.4	14.8	14.2	21.0	13.3	21.5	10.0	10.2	7.6	10.8	85	41	96	W 2	NW 2	S 2	4^2	$4^2\odot$	o	2.7	
14.	13.3	11.4	09.2	15.4	24.6	17.6	24.6	9.8	10.9	10.4	13.0	84	46	87	S 2	NW 2	S 2	$2^2\odot$	$1^1\odot$	6^2	–	mrgs. ⏢
15.	08.4	08.6	09.5	18.3	16.6	14.6	19.3	14.6	12.4	11.4	11.5	80	81	93	W 6	W 4	W 2	$6^2\odot$	10^2	$10^2\bullet$	–	t ztw. ●
16.	09.5	10.2	10.6	11.6	11.1	9.4	14.6	9.4	9.7	8.3	8.6	96	84	98	W 2	N 4	S 2	$10^2\bullet$	$10^2\bullet$	4^2	8.6	n u. t ●
17.	11.2	12.3	14.0	10.0	12.2	11.4	12.8	9.4	8.7	9.4	9.9	95	90	99	W 2	W 4	W 2	$10^2\bullet$	10^2	$10^2\bullet$	16.2	n u. t ●
18.	14.9	13.8	12.8	12.4	16.6	13.4	18.0	9.4	9.8	10.7	10.8	93	76	95	W 2	W 2	W 2	10^2	10^2	10^2	9.6	n u. abds. ●
19.	12.3	11.4	10.0	11.8	16.8	13.2	18.1	11.5	10.1	12.0	11.0	98	84	98	W 2	W 4	W 2	$10^2\bullet$	$6^2\odot$	$10^2\bullet$	5.4	n u. t ztw. ●
20.	09.6	09.8	10.8	11.6	13.4	11.6	14.1	10.9	9.7	10.0	8.9	96	88	88	W 2	W 2	W 2	10^2	$10^2\bullet$	10^2	22.3	n u. t ztw. ●
21.	12.8	12.4	13.3	10.4	15.6	11.2	17.0	8.0	8.3	7.5	8.6	89	57	86	W 2	W 4	W 2	$6^2\odot$	8^2	10^2	9.7	ca 11 p ≺, n ●
22.	12.0	10.7	10.1	10.8	17.1	10.8	18.0	9.0	8.7	8.5	8.6	90	59	100	SW 2	NW 4	S 2	10^2	$8^2\odot$	6^2	–	6^{41} p ◹ mit ●
23.	07.5	07.2	07.8	11.1	16.1	10.1	16.9	9.7	9.9	9.2	8.6	100	69	94	W 2	N 2	W 2	10^2	$7^2\odot$	$10^2\bullet$	13.4	n u. mrgs. ●, t ztw. ●
24.	07.3	07.5	08.3	9.4	10.6	9.8	11.5	8.8	8.6	9.2	8.8	98	97	98	W 2	W 2	W 2	$10^2\bullet$	$10^2\bullet$	$10^2\bullet$	8.6	n u. t ●
25.	09.8	10.8	11.3	11.4	15.3	11.8	16.5	9.5	9.8	11.4	10.1	98	88	98	W 4	W 2	E 2	10^2	9^2	6^2	18.3	a ztw. ●
26.	11.7	11.3	12.5	11.6	21.2	13.6	22.0	9.0	9.2	10.4	11.1	91	55	96	S 2	W 2	E 1	$4^2\odot$	$4^2\odot$	2^1	0.1	mrgs. ⏢
27.	14.0	13.8	14.0	14.4	22.2	14.6	22.6	9.8	10.6	11.9	11.5	87	60	93	SE 1	N 2	SE 1	o	$3^2\odot$	2^2	–	9^{06} p ≺, mrgs. ⏢. 5^{21} p ◹ im W mit ●
28.	13.4	12.1	12.4	15.0	22.7	16.1	23.4	12.2	11.3	10.8	10.3	89	53	76	SE 2	W 2	W 2	$6^2\odot$	$4^2\odot$	4^2	0.6	
29.	10.8	09.5	10.6	16.8	22.9	15.2	23.5	10.9	11.3	11.1	12.2	79	54	94	W 4	NW 6	W 2	$6^2\odot$	$6^2\odot$	8^2	–	ca 4 p ●
30	11.5	10.4	09.5	13.6	19.4	13.0	22.0	12.0	10.1	9.7	9.6	88	58	87	SW 2	E 4	E 2	8^2	$3^2\odot$	o	1.7	
31	09.0	10.6	10.0	11.4	19.7	15.0	20.0	7.0	9.1	8.0	8.4	91	47	66	S 2	NE 4	NE 2	∞	$4^2\odot$	4^2	–	mrgs. ⏢
Mittel	10.4	10.1	10.3	12.0	16.6	12.4	17.8	9.6	9.4	9.4	9.8	90	69	92				7.7	7.0	7.6	218.4	

Alle Angaben nach Ortszeit.

Partenkirchen.

Juli. $\varphi = 47^0\ 30'$ N. $\lambda = 11^0\ 6'$ E $= 44^m\ 24^s$. H $= 716.8$ m. Cg $= +0.1$ mm. 1913.

Datum	Luftdruck auf 0° u. Normalschwere reduziert 700 mm +			Lufttemperatur C°					Absolute Feuchtigkeit mm			Relative Feuchtigkeit Proz.			Richtung und Stärke des Windes 0 bis 12			Bewölkung 0 bis 10			Niederschlag mm	Bemerkungen
	7a	2p	9p	7a	2p	9p	Max.	Min.	7a	2p	9p	7a	2p	9p	7a	2p	9p	7a	2p	9p	7a	
1.	05.1	04.0	04.2	7.2	13.0	9.6	13.0	5.8	7.4	6.9	7.7	98	62	87	C	N 2	SE 2	10^0	10^0	4^1	0.7	n u. a ◎, a Berge meist bedeckt
2.	02.8	01.3	00.4	8.7	15.6	12.0	16.2	5.7	7.4	7.9	9.4	88	60	91	N 2	NW 2	C	7^0	8^0	5^0	0.4	⏢, a Berge meist frei
3.	699.8	698.7	699.9	9.4	16.1	10.3	17.0	8.1	8.3	10.9	9.2	95	80	99	NE 2	C	C	10^0	9^1	10^1●	–	a ⏢, Berge im Nebel, p u. abds. ◎^{1}
4.	698.5	697.4	698.1	9.6	13.7	10.1	15.5	9.1	8.9	8.9	9.1	100	77	99	C	W 2	C	10^1	9^1	10^1●	9.8	a Berge meist bewölkt, n u. abds. ◎^{1}
5.	698.4	697.5	697.6	9.8	15.5	12.5	16.5	9.0	8.9	9.4	10.8	99	71	100	C	W 2	C	10^1●	7^1○	10^1●	9.0	a Berge meist bewölkt, n, mrgs. u. abds. ◎^{0}
6.	695.8	694.3	695.3	11.6	16.6	12.5	17.2	10.4	9.9	10.6	10.4	98	75	97	C	W 2	C	10^1●	9^1	10^1●	4.0	a Berge meist bedeckt, n, mrgs. u. abds. ◎^{0}
7.	695.2	696.6	697.7	11.1	11.8	11.1	14.0	10.2	9.5	9.8	9.5	96	96	96	C	C	C	10^1	10^1●	10^1●	4.0	a Berge bewölkt; n, p u. abds. ◎^{1}
8.	698.4	697.2	698.9	9.6	10.8	7.3	14.4	7.3	8.7	9.2	7.6	98	95	100	C	W 3	C	10^0	10^1●	10^1●	6.2	a Berge frei, n, p–n ◎^{1}
9.	02.4	03.9	03.6	5.2	9.6	6.1	11.6	5.1	6.5	5.9	6.1	98	66	87	C	N 4	S 2	10^1●	8^1	5^1	**33.3**	n u. mrgs. ◎^{1}, a Berge im Nebel
10.	00.3	695.7	696.6	7.4	16.6	10.4	17.5	4.2	5.7	7.2	9.0	74	51	96	S 4	NW 4	C	4^0	9^1	10^1●	4.0	a Berge frei, abds. ◎^{0}
11.	695.9	696.2	698.4	8.8	10.0	9.3	10.5	8.0	8.3	8.8	8.7	99	96	100	C	C	C	10^1●	10^1●	10^1●	6.3	n, t ◎^{0}, a Berge bedeckt
12.	01.0	01.6	02.7	8.8	13.8	11.2	15.2	8.1	8.3	9.1	9.0	99	78	92	C	C	C	10^1●	7^0	10^0	11.9	n u. mrgs. ◎^{0}, a Berge bedeckt
13.	03.9	02.7	03.8	10.0	20.5	13.3	21.2	7.5	8.7	8.8	9.7	95	49	86	C	NW 4	SE 2	○○	2^0○	0	2.5	a ⏢, Berge frei, dunstig
14.	03.6	00.9	00.1	14.0	24.8	17.7	**25.9**	10.0	9.2	9.7	10.3	78	42	68	SE 3	NW 2	C	○○	1^0○	3^0	–	a ⏢, Berge sehr rein
15.	698.4	698.6	699.1	15.0	16.8	14.4	17.7	14.0	11.3	12.0	11.7	89	84	96	C	C	NW 3	10^1	10^1	10^1	0.5	n ◹ i. W, ◎^{0}, a Berge teilw. bedeckt; ca 9^{45} a ◹ i. NW
16.	699.9	00.2	00.8	9.6	10.2	9.3	14.4	9.3	8.2	8.8	8.7	92	95	100	NW 4	C	C	10^1●	10^1	10^1●	25.5	n, a u. abds. ◎, a Berge im Nebel
17.	02.0	02.9	05.1	8.9	11.5	10.9	11.8	8.2	8.5	9.4	9.6	100	93	99	C	SE 2	C	10^1●	10^1	10^1	18.0	mrgs. ◎^{1}, Berge im Nebel
18.	**05.4**	04.1	03.0	10.5	15.1	12.8	16.0	10.1	9.5	9.9	10.8	100	77	98	C	C	C	10^1	8^1	10^1●	6.4	a Berge im Nebel, abds. ◎^{0}
19.	02.8	01.6	01.1	12.0	15.7	12.7	18.5	11.5	10.5	11.0	10.7	100	83	98	C	S 3	C	10^1●	7^1○	10^1●	5.4	n, mrgs. u. abds. ◎$^{0.1}$
20.	699.1	699.4	01.6	10.8	12.6	10.7	13.5	10.7	9.6	10.1	8.9	100	93	93	C	NW 4	C	10^1●	9^1	10^1●	21.0	n, mrgs. u. abds. Strich-◎^{0}, a Berge im Nebel
21.	02.9	02.2	03.2	8.8	15.2	12.0	16.3	7.3	7.8	7.2	8.8	92	56	85	SE 2	NW 4	C	5^0	5^0	3^0	13.5	n u. a ztw. ◎, mrgs. Berge meist frei
22.	02.1	699.8	699.4	9.9	18.2	10.1	18.5	8.9	8.5	7.7	8.9	94	50	96	C	N 2	C	7^1	8^1○	3^1	0.4	a Berge teilw. frei, 3^{34} p u. 4^{44} p ◹ mit ◎ bis ca 5^{48} p
23.	698.0	696.9	697.3	9.6	13.6	9.7	14.2	9.3	8.9	8.7	8.7	100	75	98	C	NW 2	C	10^1●	8^1	10^1●	16.0	n ztw. ◎, abds. ◎; a Berge im Nebel
24.	696.7	697.7	699.4	8.6	9.8	9.2	10.5	8.1	8.3	8.9	8.4	99	99	98	C	C	C	10^1	10^1●	10^1●	6.7	n, p–abds. ◎$^{0.1}$, a Berge meist bedeckt
25.	00.4	00.6	01.2	9.6	15.0	10.1	16.3	8.5	8.8	9.7	8.7	99	76	95	C	NW 1	SE 2	6^0	8^1	1^0	17.6	n ◎, a Berge teilw. frei
26.	02.8	01.0	02.8	10.4	20.6	13.7	21.3	7.9	7.8	9.6	10.5	84	53	91	S 4	NW 3	C	○○	2^1○	1^0	–	a ⏢, Berge frei
27.	04.4	04.2	05.0	12.6	15.6	13.4	20.5	10.0	10.2	10.9	11.2	95	83	98	SE 3	C	C	1^0○	9^1●	8^1	–	ca 10 p ◹ ringsum, a ⏢, Berge rein, [1]
28.	03.6	02.8	03.0	12.5	16.2	12.3	19.7	10.1	9.6	**13.0**	10.1	90	95	96	SE 2	C	SE 2	○○	8^1●	2^1	16.0	a Berge föhnig rein, 0^{39} p, ca 4–5 u. 7–8 p ◹ mit ◎
29.	01.9	699.8	01.0	12.0	19.9	14.8	21.5	10.0	9.8	10.9	12.3	95	62	98	C	NW 3	C	2^0○	8^1	7^1	7.5	a Berge mit Ausnahme d. Zugspitze frei, ca 4–5 p ◹ mit ◎
30.	01.1	698.9	699.0	12.5	20.2	13.2	21.0	11.2	10.1	11.6	9.6	94	66	86	C	NW 4	C	○○	1^0○	0	0.7	a ⏢, Berge dunstig
31.	698.5	698.2	00.5	11.0	19.4	13.9	20.3	8.8	9.2	7.9	9.3	94	48	79	S 2	N 4	C	1^0○	2^0○	2^0	–	a ⏢, Berge dunstig
Mittel	00.7	699.9	00.6	10.2	15.3	11.5	16.7	8.8	8.8	9.4	9.5	95	74	94				6.9	7.5	6.9	253.3	

1) ca 10^{48} a, ca 6–8 p ◹ mit ◎

Hohenpeissenberg

Juli. $\varphi = 47^0\ 48'$ N. $\lambda = 11^0\ 1'$ E $= 44^m\ 4^s$. H $= 994.1$ m. Cg $= \pm 00$ mm. 1913.

	600 mm +																					
1.	81.1	80.9	80.6	7.4	12.1	8.7	13.1	6.6	6.8	6.0	6.9	89	57	83	SW 1	NW 1	NW 5	1^1○	9^2	3^2	2.4	t ∞$^{0.1}$, abds. ≡u. Horiz.-≡
2.	79.4	78.7	77.6	7.9	14.5	9.1	16.3	6.7	7.4	5.7	6.9	93	47	80	SW 1	NW 1	NE 5	10^1	9^1	4^2	–	t ∞$^{1.2}$
3.	76.4	75.7	75.7	9.2	12.0	9.3	12.6	7.3	7.5	8.1	8.1	87	78	93	E 1	N 1	NE 1	9^1	10^2	10^2	–	t ∞$^{1.2}$, p ◎, abds. ≡
4.	75.2	74.7	74.2	9.4	11.9	9.7	12.7	8.0	8.6	8.9	7.7	98	86	86	W 1	SW 1	N 2	10^2=	10^2●	10^2●	1.7	a ≡^{1}, ca 11 a–n ztw. ◎, abds. ∞^{2}
5.	74.7	74.6	74.3	8.9	14.4	11.5	15.7	7.7	7.8	8.4	8.6	92	69	86	SW 1	NW 1	W 4	10^2	9^2	10^2	1.5	t ∞$^{1.2}$
6	72.6	**71.8**	72.2	9.9	15.2	10.3	15.2	9.8	9.1	8.9	8.3	100	69	89	SW 1	W 1	SW 5	10^2=●	10^2	10^2●	3.2	n ◎, a ≡^{2}, p Gebirge bed., Flachl. s. rein, abds. ∞ ◎
7.	72.1	73.0	74.1	8.9	12.0	9.7	12.3	8.9	7.9	7.1	6.5	93	68	73	W 1	SW 4	W 6	10^1	10^1	10^2	3.1	n u. t ztw. ◎, t ∞, abds. klar
8.	74.7	74.4	75.3	9.4	9.9	6.3	11.2	6.3	7.2	8.6	7.2	82	95	100	NW 1	NW 1	SW 5	10^2	10^2●	10^2=●	5.2	a ∞, p u. abds. ◎, abds. ≡^{2}
9.	78.4	79.9	79.5	5.8	6.8	7.5	9.2	4.8	6.9	6.0	4.9	100	81	64	W 3	SW 4	SW 5	10^2=	10^1	10^2	**37.3**	n u. a ≡^{2}, ztw. ◎; p ∞, abds. klar
10.	76.7	73.6	73.1	8.4	14.7	7.8	14.7	6.8	**4.0**	5.1	7.9	50	42	100	SW 1	N 1	W 2	9^2	10^1	10^2=●	2.1	n ◎, a ∞. p reine Fernsicht, abds. ≡^{2} ◎
11.	72.2	72.8	74.8	7.5	10.6	8.0	10.6	6.6	6.5	8.3	8.0	85	89	100	NW 1	C	SW 2	10^2●	10^2	10^2=●	4.6	n ≡^{2} ◎, a ◎, p ∞, p u. abds. ≡^{2} ◎
12	77.5	78.3	79.3	7.6	14.9	10.9	15.1	7.0	7.8	9.2	7.2	100	73	74	W 1	NW 1	SW 5	10^2=	9^2	10^2	12.4	n ◎, n u. a ≡^{2} ◎, p u. abds. ∞
13	80.3	80.5	80.7	13.8	17.9	15.8	18.5	10.7	8.0	8.1	6.9	68	53	52	C	NE 1	NE 2	○○	1^2○	0	2.3	n ◎, t ∞, abds. ≡ u. Horiz.-≡
14.	80.4	78.7	76.6	17.0	22.8	17.8	**23.3**	13.4	6.5	7.4	8.8	46	36	58	NE 1	NW 1	SW 1	○○	○○	4^2	–	a ∞^{1}, p ∞^{3}, abds. klar
15.	75.4	75.7	76.1	14.3	14.6	11.8	19.0	11.6	8.8	9.4	9.6	73	76	94	W 1	W 4	W 4	10^1	10^2	10^2	0.3	10^{15} p ◎, a ∞^{0}, p Flachl. rein, Gebirge bed., abds. klar
16.	76.5	76.4	77.0	7.5	7.6	9.1	11.8	6.4	7.7	6.8	6.7	100	88	77	W 1	SW 5	SW 6	10^2=●	10^2●	10^2	13.3	n u. a ≡^{2} ◎, p ∞, abds. reine Fernsicht, ≡
17.	78.2	79.4	81.0	8.1	10.2	9.5	11.2	7.7	8.1	9.0	8.5	100	97	96	W 1	SW 3	SW 6	10^2=●	10^2●	10^2	8.1	a ≡^{2} ◎, p ◎ ∞, abds. ∞
18.	**81.7**	80.7	79.7	10.2	14.2	11.4	16.6	9.3	9.3	8.4	8.6	100	69	86	W 1	NW 1	SW 4	10^2=	10^1	10^2●	4.2	n ◎, a ≡^{2}, p ∞, abds. ◎ ∞
19.	79.2	78.5	77.4	9.7	14.6	10.0	14.7	9.2	9.0	9.3	9.2	100	75	100	W 1	W 1	W 6	10^2=	10^2	10^2=●	5.7	n ◎, a ≡^{2}, p ∞, abds. ≡^{2} ◎
20.	76.4	76.5	77.7	8.2	11.1	8.9	11.1	8.2	8.1	9.2	7.8	100	94	92	NW 1	NW 1	SW 8	10^2=●	10^2	10^2	24.7	n u. a ≡^{2} ◎, p Flachland rein, Gebirge bedeckt, abds. ∞
21.	79.1	79.2	79.6	7.5	12.6	9.4	13.1	5.9	6.3	6.4	5.4	82	59	61	W 1	NW 1	NE 2	10^2	8^2	10^2	3.8	t ∞$^{0.1}$
22	78.7	77.3	76.2	8.9	15.4	10.4	15.4	8.4	7.0	5.9	8.3	83	45	89	SW 3	NW 4	N 1	10^1	9^2	10^2	–	a ∞, p Flachl. zieml. rein, Gebirge bed., p öft. ◎ u. ◹
23.	74.0	73.7	73.4	7.7	11.0	7.0	11.1	6.9	7.9	6.3	6.9	100	64	92	SW 5	W 6	SW 3	10^2=	10^2	10^2	19.3	n u. t öfters ◎, a Flachland rein, Gebirge bedeckt
24.	73.5	74.4	75.6	8.3	8.3	7.9	9.5	6.9	6.6	8.2	8.0	81	100	100	W 1	NW 1	W 5	10^2	10^2=●	10^2=●	2.3	a reine Fernsicht, ≡ üb. den Gewässern, p u. abds. ≡^{2} ◎
25.	77.1	77.7	77.6	9.0	13.6	12.0	14.8	7.8	8.6	8.6	7.4	100	74	71	NW 1	NW 1	NE 3	10^2=	9^2	○	12.5	n ≡^{2} ◎, a ≡^{2}, p ∞, abds. ≡^{2}, stellenw. ≡
26.	78.3	78.6	79.5	12.5	18.3	15.4	18.4	10.3	8.3	8.9	7.0	77	57	54	SW 1	E 1	NE 4	○○	1^2	8^2●≡	–	a u. p ∞, abds. ≡, klar, 8^{43} p–n ◹ mit ◎
27.	80.8	80.7	80.6	16.2	19.3	13.6	20.2	11.9	8.7	9.1	7.6	63	55	65	W 1	E 1	W 8	○○	9^2	10^2	0.9	9^{00}–10^{24} p ◹ mit ◎, a ∞^{0}, p Flachland rein. [1]
28.	80.4	79.7	79.5	16.2	19.6	14.5	20.0	12.5	8.7	8.4	10.0	63	49	82	SE 1	NW 1	SW 1	○○	7^2	1^1	4.2	9^{09} p–n ◹ mit ◎, t sehr reine Fernsicht, [2]
29	78.6	77.6	77.8	14.6	15.4	12.3	19.8	12.3	8.6	**10.4**	9.0	64	80	86	W 1	NW 1	N 8	○○	10^1	8^2	–	a reine Fernsicht, p ∞^{0}, ztw. ◎^{0}, abds. ∞
30.	78.0	76.7	76.2	10.5	16.2	12.6	16.9	9.8	8.6	9.3	8.1	92	68	75	E 1	NE 3	E 4	○○	○○	○	0.1	a ⏢, t ∞, abds. Horiz.-≡
31.	75.4	76.2	76.9	11.9	15.9	12.1	16.6	9.9	7.9	7.8	6.8	78	58	65	E 1	NE 1	NE 9	○○	5^2○	3^2	–	t ∞, a u. abds. Horiz.-≡
Mittel	77.2	77.0	77.1	10.1	13.8	10.7	14.9	8.6	7.7	8.0	7.7	85	69	81				7.1	8.2	7.8	175.2	

1) Gebirge bedeckt, im S ◹
2) abds. ∞ ≡ u. Horiz.-≡

Alle Angaben nach Ortszeit.

Zugspitze.

Juli. $\varphi = 47^{0}\ 25'$ N. $\lambda = 10^{0}\ 59'$ E $= 43^{m}\ 56^{s}$. H $= 2964$ m. Cg $= -0.2$ mm. 1913.

Datum	Luftdruck auf 0° u. Normalschwere reduziert 500 mm + 7a	2p	9p	Lufttemperatur C° 7a	2p	9p	Max.	Min.	Absolute Feuchtigkeit mm 7a	2p	9p	Relative Feuchtigkeit Proz. 7a	2p	9p	Richtung und Stärke des Windes 0 bis 12 7a	2p	9p	Bewölkung 0 bis 10 7a	2p	9p	Niederschlag mm	Schneedecke cm
1.	31.5	32.2	32.3	− 6.0	− 5.4	− 5.0	− 4.6	− 7.0	2.8	3.0	3.1	100	100	100	C	NW 5	NW 5	10^{2}=	10^{2}=	10^{2}=	7.4	
2.	30.9	31.2	30.6	− 5.6	− 2.8	− 3.6	− 2.1	− 6.0	2.9	3.7	3.5	100	100	100	NW 4	N 4	NW 1	10^{2}=	10^{2}=	10^{1}	–	
3.	29.4	28.8	28.7	− 2.3	− 0.5	− 2.4	0.2	− 4.0	3.9	4.4	3.8	100	100	100	N 1	N 6	NW 6	10^{2}=	10^{2}=△	10^{2}=	0.5	
4.	27.8	27.9	28.0	− 3.3	− 1.5	− 3.1	− 0.9	− 3.5	3.5	4.1	3.6	100	100	100	NW 4	NW 3	NW 3	10^{2}=	10^{2}=	10^{2}=	4.6	
5.	27.6	28.7	28.9	− 3.3	− 0.1	− 1.0	0.8	− 4.0	3.5	4.5	4.3	100	100	100	NW 6	NW 4	NW 3	10^{2}=*	10^{2}=△	10^{2}=	4.2	
6.	27.3	27.4	27.1	0.8	0.6	− 1.6	− 1.0	− 1.6	4.8	4.8	4.1	100	100	100	SE 8	NW 3	NW 4	10^{2}=*	10^{2}=	10^{2}=*	6.8	
7.	26.5	27.1	28.2	− 0.8	− 1.7	− 1.0	− 2.0	− 1.7	4.3	4.0	4.3	100	100	100	SE 2	NW 4	C	10^{2}=*	10^{2}=*	10^{2}=*	15.9	
8.	27.3	27.4	27.1	− 5.0	− 1.3	− 4.8	− 0.8	− 5.2	3.1	3.9	3.1	100	94	100	NW 2	NE 1	NE 4	10^{1}	10^{2}=*	10^{2}=*	5.1	
9.	28.6	30.3	30.7	− 7.3	− 6.2	− 6.4	− 4.8	− 7.3	2.6	2.8	2.6	100	100	96	N 8	NW 4	NW 2	10^{2}=*	10^{2}=	10^{1}	**21.9**	
10.	28.7	28.1	26.6	− 5.8	0.6	− 2.7	− 1.0	− 7.8	2.8	4.6	3.7	96	95	100	W 5	S 4	SE 2	8^{1}	9^{1}	10^{2}=	1.5	
11.	24.8	26.0	27.3	− 4.9	− 2.6	− 3.9	− 2.4	− 6.4	3.1	3.7	3.3	100	100	100	N 5	NW 4	N 4	10^{2}=*	10^{2}=*	10^{2}=*	8.3	
12.	29.8	31.4	32.5	− 3.2	− 2.8	− 3.0	− 2.1	− 3.9	3.6	3.7	3.6	100	100	100	N 4	N 4	N 3	10^{2}=	10^{2}=	10^{2}=	17.0	
13.	33.5	35.2	35.7	− 2.4	1.2	0.7	2.9	− 3.4	3.8	4.6	4.0	100	93	81	N 4	W 2	W 2	oo	5^{1}⊙	1^{1}	4.0	
14.	35.8	**36.4**	34.7	1.6	4.6	4.8	5.4	0.2	3.7	4.8	4.5	71	76	69	NW 2	NW 4	SE 4	3^{0}⊙	6^{0}⊙	4^{0}	–	
15.	31.1	31.0	30.9	2.9	2.1	0.6	4.8	0.3	**5.7**	5.4	4.8	100	100	100	SE 4	NW 2	E 2	10^{2}=	10^{2}=	10^{2}=●	2.5	
16.	29.0	29.0	29.3	− 2.8	− 3.4	− 4.3	0.6	− 4.8	3.7	3.5	3.2	100	100	100	C	NW 4	NW 4	10^{2}=*	10^{2}=*	10^{2}=	14.4	
17.	29.9	31.9	33.7	− 3.7	− 2.7	− 1.4	− 1.3	− 4.3	3.4	3.7	4.1	100	100	100	N 5	N 5	N 6	10^{2}=	10^{2}=*	10^{2}=	10.5	
18.	34.2	34.1	33.5	− 1.3	− 0.4	− 0.1	− 0.1	− 1.4	4.1	4.5	4.5	100	100	100	N 3	N 3	NW 1	10^{2}=*	10^{2}=	10^{2}=*	10.6	
19.	32.1	32.7	31.0	− 0.4	0.1	− 0.1	0.1	− 1.1	4.5	4.6	4.3	100	100	100	N 6	NW 5	NW 6	10^{2}=	10^{2}=	10^{2}=*	10.4	
20.	29.3	29.8	29.9	− 0.8	− 0.7	− 3.5	− 0.2	− 3.5	4.3	4.3	3.5	100	100	100	NW 5	NW 5	NW 7	10^{2}=	10^{2}=	10^{2}=*	20.5	
21.	30.2	31.8	32.1	− 5.4	− 2.2	− 2.2	− 1.4	− 6.0	3.0	3.9	3.9	100	100	100	NW 6	NW 3	NW 4	10^{2}=	8^{1}=	10^{2}=	16.9	
22.	31.1	31.4	29.9	− 2.9	− 0.4	− 1.5	− 0.1	− 2.9	3.6	4.5	4.1	100	100	100	NW 5	NW 5	NW 5	10^{2}=	10^{2}=	10^{2}=	–	
23.	27.2	27.0	26.5	− 2.9	− 2.3	− 3.1	− 0.2	− 3.1	3.6	3.8	3.6	100	100	100	NW 4	NW 5	NW 4	10^{2}=*	10^{2}=	10^{2}=*	20.2	
24.	25.8	26.5	28.0	− 4.8	− 3.6	− 3.2	− 3.1	− 5.4	3.1	3.5	3.6	100	100	100	NW 3	NW 4	NW 5	10^{2}=	10^{2}=*	10^{2}=*	9.3	
25.	29.6	31.5	31.5	− 2.9	− 2.0	− 1.0	0.6	− 3.3	3.6	3.5	3.8	100	91	90	N 3	E 2	NW 2	10^{2}=	9^{1}	8^{1}	20.1	
26.	32.3	33.9	34.5	− 0.3	1.4	0.4	2.0	− 2.1	4.5	5.1	4.7	99	100	100	NW 2	NW 4	NW 4	4^{0}⊙	10^{2}=	10^{2}=	–	
27.	35.3	36.0	35.9	0.0	1.9	0.8	3.0	− 0.8	4.4	5.2	4.8	95	99	100	NW 2	NW 5	W 2	6^{1}⊙	10^{2}=△[	10^{2}=	–	
28.	35.0	35.1	34.6	0.8	2.2	0.9	3.2	0.0	4.0	5.6	4.9	82	89	100	NW 3	NW 2	NW 5	4^{1}⊙	10^{2}=	10^{2}=	2.8	
29.	33.6	33.5	32.7	0.4	2.0	1.9	2.4	− 0.7	4.6	5.1	5.3	98	97	100	NW 5	NW 5	NW 6	10^{2}=	9^{1}	10^{2}=	3.2	
30.	32.3	33.1	32.4	0.1	5.0	3.5	**6.5**	− 0.3	4.4	5.0	5.4	97	77	90	NW 3	SW 2	NW 2	2^{0}⊙	4^{1}⊙	3^{1}	1.5	
31.	30.8	31.2	31.3	1.5	2.8	− 0.7	3.1	− 0.9	3.5	4.7	1.8	67	81	42	NW 4	C	N 3	1^{0}⊙	8^{1}	1^{1}	–	
Mittel	30.3	30.9	30.9	− 2.3	− 0.6	− 1.5	0.6	− 3.3	3.8	4.3	3.9	97	97	96				8.3	9.3	8.9	240.1	

Schneedecke Während des ganzen Monats; Angabe der Schneehöhe unmöglich

39

Bemerkungen.

1. t ≡², a–ca 10^{15} a vorwiegend C, dann mässiger NW, 50 cm ⋁
2. a 60 cm ⋁, t ≡², 7^{21} p Aufklaren, 9 p Gipfel nebelfrei, gleichmässige a-str-Decke
3. 11^{55} p neuerdings ≡$^{0.1}$ um den Giptel, t ≡², ab ca 8 a ztw. ≡treiben, 12^{5}–3^{00} p ✳$^{0.1}$, $20^{1.11}$ p, $3^{35.50}$ p △^{1}, elektrische Ausstrahlung, 4 p ab leichte ⋁-Bildung, ztw. ✳^{0}
4. a u. t ≡², 11^{20} a, 0^{50} p, 3^{15} p kurze Zeit ≡treiben, 5 p ab leichte ⋁-Bildung
5. n ✳^{0}, t ≡², $20^{1.31}$ p △$^{1.2}$, dann kurze Zeit ✳^{1}, abds. ≡treiben, 10 cm ⋁
6. n ✳^{0}, a ≡^{2} ✳^{0}, ztw. Eis-◍, 6^{35} p ab ✳^{0}, 8^{00} p ab ✳^{1}
7. n ✳$^{0.1}$, starke ⋁- u. ᔓ-Bildung, a ≡², ztw. ✳^{0}, 5 cm ⋁, t ≡², 0^{15} p ab ztw. ✳$^{0.1}$, abds. vorwiegend C, 9 p 5 cm Neuschnee
8. a 5 cm ⋁, 10^{25} a ab ≡², 11^{05} a ab ztw. ✳$^{0.1}$, 1^{35} p ab ✳$^{1.2}$, 9 p 10 cm Neuschnee
9. n ✳$^{1.2}$, a ≡², 10 cm ⋁, 40 cm Neuschnee, ztw. ✳$^{0.1}$, t ≡², 4^{30} p ab ≡treiben, 6^{55} p ab langsames Aufklaren
10. a stark bewölkt, 1^{30} p ab ≡$^{0.1}$ um den Gipfel, ✳^{0}, 2^{43} p ab ≡² ✳$^{0.1}$, 7^{00} p Aufhören des Schneefalles
11. n ✳^{0}, a ≡², 10 cm ⋁, 5 cm Neuschnee, ztw. ✳^{0}, t ≡². 10^{10} a–n ✳^{1}, p starke ᔓ-Bildung
12. a 20 cm Neuschnee, 15 cm ⋁, a u. t ≡². 0^{25}–ca 6 p ztw. ✳^{0}, 8 p kurze Zeit ≡treiben
13. t mässig bewölkt, cu-Bewölkung vorherrschend, 4^{25}–7^{05} p ≡$^{1.2}$ um den Gipfel
14. a mässig bewölkt, ci-str vorherrschend, 3^{05} p ab lebhafte cu-Bildung, ztw. bedeckt, 7^{35} p Wind dreht auf SW, 8^{35} p auf SE
15. n ◍^{0}, a ≡², ztw. ◍^{0}, 10^{35} a kurze Zeit △^{1}, 11^{35} a–0^{05} p ≡treiben, p ≡², ztw. ◍$^{0.1}$ ✳^{0}
16. n ◍^{0}, ✳$^{0.1}$, a 5 cm Neuschnee, ᔓ, ≡², t ≡², ztw. ✳$^{0.1}$, 9 p 10 cm ⋁
17. a 15 cm ⋁, 10 cm Neuschnee, a–6^{50} a ✳^{0}, t ≡², ztw. ✳$^{0.1}$, ᔓ- u. ⋁-Bildung, 9 p 25 cm ⋁
18. a 25 cm ⋁, 5 cm Neuschnee, a–7^{35} a ✳^{1}, t ≡², 8 p ab ᔓ, 8^{35} p ab ✳^{0}
19. n ✳^{0}, a 30 cm ⋁, ≡², t ≡², 5^{35} p ab ✳$^{0.1}$, ⋁-Bildung
20. a ≡², 5 cm Neuschnee, 10 cm ⋁, t ≡², 3^{35} p ab ⋁-Bildung, 6^{35} p ab ✳$^{0.1}$, 9 p 15 cm ⋁
21. a ≡², 5 cm Neuschnee, 20 cm ⋁, t ≡², 10^{05} a–2^{20} p ≡treiben, ztw. ⊙
22. a 30 cm ⋁, t ≡², 0^{05} p u. 1^{35} p kurze Zeit ◍^{1}, 4^{25} p kurze Zeit ⟆, 6^{20} p ab ✳$^{0.1}$
23. a ≡², 35 cm ⋁, 5 cm Neuschnee, ✳^{1}, t ≡² ✳$^{0.1}$, ⋁-Bildung
24. a ≡², 40 cm ⋁, 10 cm Neuschnee, t ≡² ✳$^{0.1}$, ⋁-Bildung, 9 p 50 cm ⋁
25. a ≡², 55 cm ⋁, 10 cm Neuschnee, 9^{05} a ab ≡treiben, 11^{55} a.ab ztw. ⊙, 0^{50} p teilw. Aufklaren, abds. über Alpenvorland u. Flachland cu-meer in ca 1500 m
26. a–8^{35} a ≡^{0} um den Gipfel, 1^{00} p–n ≡treiben, ztw. ≡² um den Gipfel
27. 9^{10} p ab ≤ ringsum, in Tälern verbreitete ⟆, a mässig bewölkt, 9^{20} a ab ≡$^{1.2}$ u. d. G. 1^{35} p kurze Zeit ⟆ im E △$^{0.1}$, 5^{51}–6^{45} p ⟆ v. W n. E ◍^{0} △$^{0.1}$, 7^{25}–9^{00} p ⟆, ztw. △$^{0.1}$
28. 9^{00}–10^{00} p ⟆, ztw. △$^{0.1}$, 8^{10} a ab ≡treiben, ztw. ≡$^{1.2}$ u. d. G. 2^{44}–3^{15} p ⟆ im NW, $5^{00.05}$ p ⟆ im E. 5^{04}–6^{35} p △$^{0.1}$
29. n ztw. ◍^{0}, a–1^{25} p ≡², 1^{35} p ab ≡treiben, ca 5^{30} p ab neuerdings ≡², 7^{04}–8^{34} p ◍$^{0.1}$, 7^{15} p kurze Zeit ⟆
30. a–7^{05} a ztw. ≡treiben, t mässig bewölkt, p ztw. ≡treiben, abds. ≤ im S, SW u. W
31. 9^{05} p ab ≡treiben, 7^{55} p teilw. Aufklaren, ztw. ≤ im S, ringsum cu-meer in ca 2500 m

Alle Angaben nach Ortszeit.

Kahl a/M.

August. $\varphi = 50^0\ 4'$ N. $\lambda = 9^0\ 1'$ E $= 36^m\ 4^s$. H $= 114.1$ m. Cg $= +0.3$ mm. 1913.

Datum	Luftdruck auf 0° u. Normalschwere reduziert 700 mm + 7ª	2ᵖ	9ᵖ	Lufttemperatur C° 7ª	2ᵖ	9ᵖ	Max.	Min	Absolute Feuchtigkeit mm 7ª	2ᵖ	9ᵖ	Relative Feuchtigkeit Proz. 7ª	2ᵖ	9ᵖ	Richtung und Stärke des Windes 0 bis 12 7ª	2ᵖ	9ᵖ	Bewölkung 0 bis 10 7ª	2ᵖ	9ᵖ	Niederschlag mm 7ª	Bemerkungen
1.	54.3	54.0	54.7	15.5	23.8	15.1	25.5	7.5	9.4	7.7	10.6	71	35	83	C	NE 2	E 2	00	00	1¹	–	a ⊿
2.	55.5	55.8	56.1	15.1	18.5	11.7	18 9	9.7	10.0	8.9	9.1	78	56	89	NE 2	NE 4	NE 2	00	10⁰	1⁹	–	
3.	55.8	52.7	52.8	12.4	24.9	17.6	27.0	8.1	9.5	12.1	13.4	89	52	90	C	E 2	C	00	5¹	0	–	a ⊿
4.	52.3	50.5	50.0	16.3	26.5	18.5	27.6	11.1	12.0	11.3	**15.0**	87	44	95	C	W 2	C	00	4¹⊙	10¹	–	432.58 p ◎
5.	50.1	50.1	50.2	14.3	18 7	14.1	20.1	13.7	10.5	9.2	10.0	87	57	84	SE 2	NW 2	C	10⁰	9¹	10¹	9.6	
6.	48.9	**48.2**	49.9	12.9	18.4	12.6	19.2	11.6	7.9	6.4	9.3	72	41	87	E 2	SW 2	C	9¹	10¹	10¹	–	
7.	52.3	52.4	52.9	10.1	16.6	9.0	19.2	**4.1**	8.5	7.0	8.0	92	50	93	C	SW 2	C	00	7¹	1¹	–	a ⊿
8.	52.4	51.0	50.4	10.7	17.9	10.5	20 9	6.2	8.6	**6.1**	8.3	91	40	88	C	SW 2	C	1⁰⊙	5⁰	0	–	a ⊿
9.	49 0	48.7	48.6	10.6	15.4	11.5	18.1	6.9	8.1	9.7	10 0	85	75	99	C	SW 4	C	10¹	9¹	1¹	–	696–711 p ◎
10.	50.5	50.6	52.6	12.0	17.3	13.1	18.9	10.5	10.1	9.5	10.3	97	65	93	S 2	SW 4	SE 2	10²●	4¹	10²	5.2	n u. a ◎
11.	53.7	53.6	53.9	13.4	17.6	13.8	20.3	10.9	10.5	10.0	10.9	93	67	94	S 2	SW 2	SW 2	10¹	9¹	1⁰	0.6	
12.	53.3	52.3	53.9	12.0	20.0	13.9	22.4	7.2	9.9	10.8	10.4	96	62	88	C	SW 2	C	10¹	8¹	7⁰	–	336.51 p ○
13.	55.6	55.2	54.2	11.6	16.5	13.6	17.9	8.5	8.8	7.5	9.1	87	54	79	C	SW 2	C	10⁰	10¹	10⁹	6.3	a ⊿
14.	52.3	49.8	51.0	12.5	16.7	13.1	18.8	11.4	10.4	12.0	11.2	97	84	100	C	SW 2	C	10¹	9¹	10¹	1.8	n, a–11³⁷ a, 236–336 p ◹, 367.46 p ◹ ◎
15.	52.1	52.2	52 9	13.5	16.0	12.8	16.9	9.1	9.8	8.0	10.4	86	59	95	C	NW 4	C	5⁰	10¹	9⁰	**17.6**	
16.	52.8	53.1	52.9	13.2	17.7	12.8	19.5	10.4	10.2	9.4	9.6	91	62	88	SE 2	W 4	C	1⁰⊙	8¹	8¹	–	
17.	52.5	53.2	54.0	12.2	16.1	15.6	17.9	10.5	9.8	10.6	11.5	94	78	87	SW 2	W 4	W 2	10¹	10¹	10¹	–	
18.	54.5	54.1	54.2	14 4	19.7	15.5	21.0	13.0	11.0	10.8	12.1	91	83	92	C	SW 2	C	10¹	10⁰	8⁰	–	a ⊿
19.	54.1	53.4	52.6	14.5	21.7	17.1	22.7	13.8	11.5	10.6	11.4	94	55	79	C	S 2	C	10¹	9⁰	10⁰	–	a ⊿
20.	52.2	52.5	53.8	14.9	19.7	14.8	20.9	13.6	10.1	10.5	10.9	81	61	87	E 2	NE 2	NE 2	10¹	10¹	8¹	–	
21.	55.0	55.3	56.0	14.2	18.4	13.2	20.1	11.9	10 9	8.0	10.2	92	51	91	C	W 4	C	10¹	10¹	0	–	a ⊿
22.	56.3	55.6	55.3	11.0	22.8	15.1	24.2	6.1	9.0	9.4	10.6	92	46	83	C	SW 2	SW 2	10¹	1⁰⊙	0	–	a ⊿
23.	54.3	51.9	51.9	12.9	27.0	16.6	**27.8**	9.0	10.3	8.0	10.7	94	30	76	C	SW 4	C	4¹	00	0	–	a ⊿
24.	52.8	52.5	53.9	13.6	26.5	18.9	27.0	9.6	10.7	11.4	11.5	93	45	71	C	SW 2	NW 4	00	6¹	0	–	a ⊿
25.	57.5	57.9	58.9	13.5	20.8	12.5	22.3	8.6	10.1	8.7	9.1	88	48	86	C	W 2	C	00	4²	0	–	a ⊿
26.	**60.2**	58.8	58.7	10.7	22.6	14.3	23.7	6.2	9.0	9.4	9.6	94	46	79	C	NE 4	C	00	1²⊙	0	–	a ⊿
27.	58.8	57.1	56.3	14.4	23.5	15.1	25.5	10.1	9.7	8.2	9.9	80	38	77	C	SW 2	C	00	2¹⊙	0	–	a ⊿
28.	55.8	54.0	53.1	13.6	24.5	16.5	25.9	9.2	10.4	10.3	10.9	90	46	78	C	E 2	C	00	1¹⊙	0	–	a ⊿
29.	52.4	50.7	49.8	14.2	26.3	17.7	27.2	10.3	10.8	10.8	11.5	91	43	76	C	E 4	C	00	3¹⊙	0	–	a ⊿
30.	48.6	48.6	49.2	18.0	22.5	17.0	23.1	14.8	11.4	13.7	11.8	75	68	82	SE 2	C	SW 2	9¹	10⁰	9¹	–	
31.	50.6	51.4	52.2	16.7	22.5	16.3	23.9	15.3	12.1	12.6	13.2	85	63	96	S 2	SW 4	SW 2	6⁰	7¹	9⁰	–	611–706 p ◎
Mittel	53.4	52.8	53.1	13.4	20.6	14.5	22.1	10.0	10.0	9.6	10.7	88	55	87				5.3	6.5	4.6	41.1	

Bayreuth.

August. $\varphi = 49^0\ 57'$ N. $\lambda = 11^0\ 34'$ E $= 46^m\ 16^s$. H $= 363.3$ m. Cg $= +0.3$ mm 1913.

1.	32.2	32.3	32.8	9.3	21.7	14.8	22.0	5.7	7.7	8.1	10.3	88	42	84	W 2	NE 2	C	00	5¹⊙	2⁰	–	a ⊿
2.	33.3	33.2	33.4	13.9	23.5	14.8	20.6	9.5	9.7	9.1	9.1	82	56	73	N 4	NW 2	N 6	10¹	4¹⊙	0	–	a ⊿
3.	33.9	31.8	31.2	13.2	25.9	19.1	24.2	8.7	9.5	9.3	9.4	85	43	57	W 2	NE 6	NE 2	4¹⊙	2¹⊙	0	–	a ⊿
4.	30.5	28.9	27.7	12.5	16.9	18.5	27.8	7.8	8.9	9.9	11.2	83	40	71	C	W 2	C	00	2¹⊙	2⁰	–	a ⊿
5.	27.5	27.5	28.0	13.9	19.1	12.1	18.6	11.9	10.9	10.1	8.1	93	71	78	NE 4	NW 2	C	10²	10²	1¹	19.5	046–156 a ◹, 056–246 a ◎²
6	26.7	**25.7**	27.4	10.7	14.8	10.4	15.3	8.2	8.7	7.7	8.2	92	62	88	NW 2	N 4	N 4	10¹	10⁰	1¹	–	a ⊿
7.	29.8	29.8	30.3	7.6	15.6	10.1	18.0	5 0	7.5	**7.1**	7.5	96	53	80	NW 2	NW 4	C	10²=	6¹	0	–	a ⊿, ≡²
8.	29 9	29.3	29.3	7.3	10.7	10.1	17.7	4.7	6 8	7.2	7.8	90	51	84	NW 2	SW 2	C	3⁰⊙	8¹	0	–	a ⊿
9.	27.9	26.6	26.9	9.3	17.6	12.6	18.2	6.2	7.4	8.0	9.4	87	53	88	E 2	S 2	SW 2	10¹	9¹	10²●	–	a ⊿, p ztw. ◎0.1
10	28.7	29.1	31.0	11.3	15.4	11.1	16.1	10.2	8.9	8.9	9.3	89	68	89	W 2	W 4	SW 2	10²	10²	5¹	1.5	n ztw. ◎, t ztw. ◎0.2
11.	32.6	31.8	32.4	11.3	18.1	12.8	19.3	8.9	9.0	9.2	9.3	91	60	86	SE 2	W 4	W 2	10¹	10¹	6¹	7.6	n ◎¹
12.	31.0	31.1	31.3	11.6	17.0	12.8	20.0	8.0	9.2	11.3	10.8	91	79	98	SE 2	E 2	NE 2	8¹⊙	10¹	10²	–	a ⊿, 696–746 p ◎²
13.	32.6	32.1	32.2	9.0	16.0	11.2	16.5	7.2	8 3	**7.1**	8.3	97	52	84	W 2	W 4	C	10²=	10¹	8⁰	9.9	a ⊿, ≡²
14.	30.0	28.4	28.0	10.4	14.0	12.2	14.8	8.7	8.6	7.2	10.2	92	78	97	E 2	W 4	W 2	10²●	10²	10²	–	t ztw. ◎⁰
15	28.3	28 3	29.5	9.9	12.3	10.5	13.6	9.4	8.5	9.3	9.1	94	88	96	NW 4	NW 4	NW 2	10²●	7¹	10²	2.0	n ◎², t ztw. ◎²
16.	28.6	29.0	28.4	10.6	12.2	11.9	13.5	9.4	9.3	9.8	9.5	98	94	93	W 2	W 4	W 4	10²●	10²●	10²●	**19.6**	n ◎², t ◎0.1
17	27.6	28.8	30.2	10.7	12 7	13.5	13.6	10.3	9.0	10.0	10.9	94	92	95	W 4	W 6	W 4	10²●	10²●	10²●	11.8	n u. t ◎0.1
18.	31.4	32.1	32 6	13.0	14.9	14.1	16.0	12.3	10.4	11.5	11.6	94	91	97	W 2	NW 2	SW 2	10²	10¹	10²	9.3	n ◎0.1, a ztw. ◎⁰
19.	32.2	31.7	31.3	13.7	18.6	14.1	20.8	12.7	11.3	10 6	11.2	97	67	94	SW 2	NW 2	C	10²	6¹	0	0.6	a ≡⁰
20.	29.7	29.7	30.0	10.5	19.8	14.6	19 8	9.2	9.3	9.0	10.0	**98**	52	82	W 2	NW 4	NW 2	5=	8¹	10²	–	a ⊿, ≡2.0
21.	32.5	33.3	33.8	13.1	17.2	12.8	18.0	11.4	10.2	9.2	10.0	91	64	91	W 2	W 2	E 2	10²	9¹	0	–	a ⊿
22.	34.9	34.7	34.7	10.2	20.6	14.4	22.1	7.2	8.8	9.5	10 7	95	52	88	E 2	W 4	E 2	10¹=	2¹⊙	0	–	a ⊿, ≡2.0
23.	34.0	31.8	31.5	13.1	24.2	15.6	26.3	10.0	9.8	9.7	9.7	88	43	74	SE 2	SE 2	SE 2	2⁰⊙	3⁰⊙	0	–	a ⊿
24.	32.2	31.3	31.9	14.5	26.8	20.4	**28.0**	11.0	10.2	11.2	**13.2**	84	43	75	E 2	SW 2	C	00	3¹⊙	10¹	–	516.46 p ◹
25.	34.9	35.8	37.7	14.8	19.7	12.9	20.5	12.6	11.0	7.6	9.0	88	44	82	W 2	W 4	C	1¹⊙	4¹⊙	0	–	a ⊿
26.	**39.2**	38.0	38.0	10.1	19.5	14.1	21.3	8.7	8.4	8.2	8.5	91	49	71	C	NW 4	E 2	00	5¹⊙	0	–	a ⊿
27.	38.0	36.0	35.5	6.7	20.9	15.8	23.9	**4.2**	6.6	9.9	10.6	91	54	80	C	E 2	E 2	00	1¹⊙	0	–	a ⊿
28.	35.0	32.9	31.9	10.9	22.4	15.2	24.0	8.8	9.1	10.7	10.8	94	53	84	E 2	E 4	SE 2	2⁰⊙	7¹	0	–	a ⊿
29.	31.4	29.6	29.4	11.1	23.4	16.7	24.8	9.1	8.9	9.5	11.2	90	44	79	E 2	SE 4	E 2	00	4¹⊙	0	–	a ⊿, ≡⁰
30.	27.5	27.4	28 6	12.1	23.2	15.8	23.8	9.4	9.6	12.8	12.4	93	61	92	C	SW 2	E 2	5¹⊙	9⁰	0	–	a ⊿
31.	30.2	30.3	31.4	13.3	22.8	16.5	23.4	11.3	10.6	12.3	11.6	94	60	83	E 2	SE 4	E 2	9¹	6²⊙	2	–	a ⊿, 746 p ab ◹
Mittel	31.5	30.9	31.3	11.3	18.8	14.0	20.1	9.0	9.1	9.4	10.0	91	60	84				6.4	6.8	3.8	81.8	

Alle Angaben nach Ortszeit.

Bamberg.

August. $\varphi = 49^0\ 53'$ N. $\lambda = 10^0\ 53'$ E $= 43^m\ 32^s$. H $= 287.7$ m. Cg $= +0.3$ mm. 1913.

Datum	Luftdruck auf 0° u Normalschwere reduziert 700 mm +			Lufttemperatur C°					Absolute Feuchtigkeit mm			Relative Feuchtigkeit Proz.			Richtung und Stärke des Windes 0 bis 12			Bewölkung 0 bis 10			Niederschlag mm	Bemerkungen
	7a	2p	9p	7a	2p	9p	Max.	Min.	7a	2p	9p	7a	2p	9p	7a	2p	9p	7a	2p	9p	7a	
1.	38.9	38.8	38.4	11.2	21.8	15.4	23.7	7.6	8.1	8.0	9.8	81	41	76	W 2	N 3	C	1^1○	4^1○	4^1	–	n ⏢
2.	39.9	39.9	40.6	13.0	19.2	12.8	21.6	9.3	9.7	10.4	9.3	88	63	86	NW 2	W 2	NW 2	9^3○	9^1○	0	–	n ⏢
3.	40.2	38.5	37.8	13.3	25.5	17.3	26.3	9.7	9.3	10.5	10.6	82	44	72	NW 3	NW 2	NW 1	1^1○	6^1○	3^0	–	n ⏢, ca 8 p Polarbanden im S, 8^{14} p Purpurlicht
4.	36.9	35.2	34.1	13.6	25.5	18.7	26.5	9.8	9.1	10.3	11.5	79	43	71	NW 1	NW 1	W 4	0○	3^1○	10^1	–	n ≡, ⏢
5.	33.7	34.1	34.3	14.7	16.2	12.7	19.6	12.7	12.2	10.8	9.9	98	79	91	N 2	W 2	C	10^2	10^2	9^1	9.8	11^{32} p–0^{06} a ◹, 11^{34} p–0^{34} a ◍^{1}
6.	32.9	32.5	33.9	11.3	13.0	10.8	15.0	10.1	9.0	8.5	8.8	91	76	92	NW 4	NW 4	C	$1C^1$	10^2	9^2	–	n ⏢. 0^{57}–1^{02} p ◍^{0}
7.	36.3	36.3	36.8	8.3	17.1	10.2	19.2	5.6	7.8	7.9	7.0	96	55	76	NW 1	NW 3	NW 1	3^1○	7^1○	1^0	0.1	n ⏢ u. ≡^{1}, $1^{37.41}$ p ◍^{0}
8.	36.4	35.6	35.3	7.8	17.7	9.8	18.6	4.8	7.5	7.4	7.6	94	49	84	SE 1	SW 3	SE 2	5^0○	6^1○	1^0	–	n ⏢ u ≡^{0}, $10^{14.28}$ a u. $3^{14.29}$ p ◍^{0}
9.	33.8	33.3	33.3	8.8	12.7	11.5	20.2	6.2	7.5	10.3	10.0	89	95	99	E 1	W 3	SE 1	9^0○	10^1●	8^2	0.1	0^{39}–1^{26} p ◹, 0^{46}–1^{31} p ◍^{1}, 1^{59}–2^{29} p ◍^{0}, $7^{45.52}$ p ◍^{1}
10.	35.0	35.7	37.4	11.1	13.4	11.3	17.0	10.0	9.4	9.6	9.1	95	85	92	SW 2	W 3	SW 1	10^2	9^2●	7^2	5.2	t ztw. ◍$^{1.2}$
11.	38.7	38.5	39.0	11.0	18.1	13.2	19.5	7.9	9.2	10.1	9.9	94	65	88	SW 3	SW 2	SW 2	10^2	10^0○	10^2	3.3	n ⏢. 9^{56}–10^{08} a, $4^{00.06}$ p ●^{2}
12.	38.1	37.4	38.1	10.8	19.2	13.3	20.3	8.1	9.4	11.9	11.1	98	72	98	C	SW 2	W 1	10^0○	9^1	10^1	3.0	n ⏢, ca $11^{15.30}$ a ◍^{0}, $5^{11.26}$ p, ca $6^{15.45}$ p ◍^{1}
13.	39.5	39.1	39.1	10.2	16.7	10.9	17.8	8.1	9.0	8.4	7.9	97	59	82	W 1	NW 3	S 1	10^2	10^0○	10^1	1.0	n ⏢
14.	36.9	35.2	34.9	9.6	12.9	12.3	15.3	8.8	8.7	10.7	10.4	98	97	98	S 3	S 1	C	10^2●	10^2●	10^2●	1.0	n–ca 10 a ◍$^{0.1}$, p ztw. ◍^{1}, $8^{18.32}$ p ◹, 8^{46}–9^{00} p ◍^{0}
15.	35.4	35.4	36.6	10.5	11.0	10.8	16.7	9.8	8.9	9.8	9.2	94	100	95	W 2	NW 1	S 1	10^2●	10^2●	10^2●	7.5	6^{39} a–ca 2^{30} p ◍$^{0.2}$, 3^{00}–5^{24} p ◹, p–n ztw. ◍^{1}
16.	35.8	36.1	35.9	11.0	14.0	13.0	16.2	10.4	9.5	10.3	9.2	97	87	83	W 3	W 2	NW 3	10^2	10^2●	10^2	**15.5**	n u. t ztw. ◍
17.	34.9	36.6	37.5	10.7	12.6	13.8	14.5	10.6	9.1	10.6	11.1	95	98	95	W 3	C	W 2	10^2●	10^2●	10^2	8.0	n u. t ztw. ◍
18.	38.6	38.8	39.2	13.6	17.0	14.7	18.7	13.2	10.5	12.1	11.8	92	84	94	W 2	C	W 1	10^2	10^2	10^2	6.7	
19.	39.0	38.2	37.6	13.8	20.2	14.2	21.4	12.9	11.3	11.9	11.2	97	67	94	C	N 2	NW 1	10^2	7^1○	5^1	–	n ⏢
20.	36.0	36.1	37.7	12.7	20.8	14.7	21.7	10.9	9.8	10.8	11.1	90	59	89	NW 3	NW 3	W 2	4^1○	10^2	10^2	–	n ⏢, ca 6^{30}–7^{15} p ◍^{0}
21.	39.4	40.0	40.7	12.8	16.5	12.6	18.7	11.4	10.2	10.5	9.4	94	75	88	NW 1	W 2	S 1	10^2	10^2	10^0	0.2	n ⏢, 6^{56}–7^{00} a ◍^{1}, a ztw. ◍^{0}
22	41.6	41.2	40.8	9.5	21.8	15.4	22.7	7.3	8.6	10.5	10.5	98	54	81	S 1	W 2	S 2	10^0○	5^1○	1^1	0.7	n ⏢
23	40.2	38.3	37.6	12.3	24.9	17.8	25.5	9.9	9.4	11.1	10.6	89	48	69	W 1	SE 3	S 1	4^0○	2^1○	1^1	–	n ⏢
24.	38.2	37.3	38.6	14.1	26.8	19.4	**28.1**	10.9	10.1	**13.0**	12.9	85	50	77	SE 2	SE 2	S 1	1^1○	7^1	10^2●	–	n ⏢, ca 7–9 p ◍^{0}, p ◹ im S
25.	41.5	42.8	43.1	14.9	20.4	13.3	22.4	13.3	10.7	8.6	9.5	85	48	85	W 2	W 5	W 1	2^1○	5^2	1^1	0.1	n ⏢ u. ◍^{0}
26.	**45.5**	44.6	44.6	11.8	20.2	14.4	22.2	9.1	9.1	9.0	8.0	88	51	65	NW 1	NW 2	N 1	1^0○	4^1○	0	–	n ⏢
27	44.2	42.5	41.6	9.6	22.6	15.7	23.2	7.3	**7.4**	10.1	10.6	84	50	80	NW 3	E 3	C	0○	1^1○	1^1	–	n ⏢
28.	41.3	39.3	38.3	13.0	24.5	15.9	25.6	11.1	9.8	10.8	11.0	89	48	82	W 2	E 3	N 2	10^0○	9^1○	1^1	–	n ⏢
29.	37.8	35.9	35.5	13.8	24.3	17.0	26.2	11.8	10.2	11.0	10.4	87	49	72	N 2	E 4	C	4^1○	8^1○	1^1	–	n ⏢, ca 8^{30} p ◹ i. SE
30.	33.5	34.0	34.9	14.4	22.0	17.0	23.4	12.6	10.4	12.6	12.8	86	64	89	N 2	W 1	S 2	8^1○	10^2●	1^1	–	ca 9^{15}–11 p ◹ i. SW, n ⏢, ca 2–4^{30} p ●^{0}
31.	36.7	36.8	37.7	14.1	23.2	15.7	24.0	12.6	11.3	12.8	12.1	95	61	91	E 1	W 1	S 2	9^1	7^1	3^1	0.1	n ⏢, ca 11 p ◹ i. SW
Mittel	38.0	37.5	37.8	11.8	19.1	14.1	21.0	9.8	9.4	10.3	10.1	91	65	85				6.8	7.7	5.7	62.3	

Würzburg.

August. $\varphi = 49^0\ 48'$ N. $\lambda = 9^0\ 56'$ E $= 39^m\ 44^s$. H $= 179.3$ m. Cg $= +0.3$ mm. 1913.

1.	47.7	47.6	48 2	12.2	22.6	16.2	24.2	9.2	8.7	7.9	10.2	83	39	74	C	C	C	0○	0○	0	–	mrgs. ⏢
2.	48.9	49.5	49.7	14.1	18.2	14.4	20.8	11.1	10.5	9.5	9.4	88	61	77	C	NW 3	NW 2	2^1○	3^2○	2^2	–	n ⏢
3.	49.5	47.4	46.6	11.7	23.8	18.4	26.5	9.4	8.9	10.6	12.4	87	49	79	W 1	SE 4	C	0○	3^2○	0	–	mrgs. ⏢
4.	46.1	44.4	43.3	14.1	26.1	19.2	26.5	11.4	10.5	9.0	10.0	88	37	66	C	W 2	C	0○	2^2○	10^2	–	mrgs. ⏢
5.	43.2	43.4	44.0	15.7	17.9	14.9	19.2	14.8	12.3	10.2	9.2	92	67	73	NE 3	C	C	10^2	10^2	10^2	**15.3**	ca 0–3 a ◹, ca 0–5 a ◍
6	42.4	42.5	43.4	13.2	16.0	13.3	18.1	12.2	7.7	8.9	9.3	68	65	82	E 1	NE 1	C	10^2	10^1	1^2	–	a ◍^{0}
7.	45.5	45.5	45.9	10.3	17.5	11.7	18.4	8.3	7.7	6.5	7.5	82	44	74	SW 3	SW 3	C	1^1○	4^2○	0	0.2	mrgs. ⏢
8.	45.8	44.8	44.4	10.1	18.3	12.3	18.3	**7.8**	7.5	**6.0**	8.5	80	39	80	C	W 2	C	8^1	3^2○	0	–	mrgs. ⏢
9.	42.9	**41.9**	42.2	10.9	18.0	13.3	18.0	8.9	8.0	8.8	9.0	83	57	80	W 2	W 4	C	8^1	6^1○	10^2●	–	n ⏢, ztw. ◍
10.	43.9	44.7	46.5	12.7	16.2	12 9	17.9	11.0	9.4	8.4	9.8	87	61	89	W 4	W 5	W 2	10^2●	9^2	7^2	2.3	ztw. ◍
11.	47.3	47.2	47.8	13.7	19.0	13.2	19.0	11.8	9.6	9.4	11.2	82	58	**99**	NE 1	NW 3	C	10^2	10^2	7^2	1.3	p ztw. ◍
12.	47.0	46.5	47.4	11.0	20.6	15.0	21.2	11.0	9.0	9.7	11.0	92	54	87	SE 1	W 2	C	10^2	4^2○	10^2●	3.8	mrgs. ≡^{1}, p ztw. ◍
13.	48.6	48.6	48.2	12.1	17.2	13.3	18.0	9.3	8.8	7.3	8.1	84	50	72	NW 3	W 2	NW 2	6^2○	8^2○	3^2	0 2	
14.	45.8	44.0	44.0	11.8	13.5	13.7	16.1	10.8	10.0	11.0	11.1	97	96	96	S 1	C	NW 2	10^2	10^2	10^2●	2.0	n ◍, t ztw. ◍
15.	45.2	45.5	46.1	12.2	15.9	15.1	16.5	11.5	8.3	8.6	8.4	79	64	85	NW 2	NW 3	NW 2	4^2○	8^2	7^2	2.5	ztw. ◍
16.	45.8	45.7	45.8	13.7	16.1	14.5	16.9	11.2	9.2	10.1	9.1	79	74	74	NW 3	N 3	NW 3	6^2○	9^2	10^2	3.5	ztw. ◍
17.	45.1	46.3	47.1	11.7	15.3	15.6	15.8	11.1	9.2	10.4	10.9	91	81	83	NW 5	NW 6	NW 5	10^2	10^2	10^2	1.6	ztw. ◍-Tr. u. ⩫
18	47.7	47.8	48.0	14.9	19.0	16.5	19.8	14.2	10.7	10.6	11.9	85	71	85	W 3	NW 1	C	10^2	9^2	9^2	–	
19.	47.7	46.9	46.1	14.1	20.3	16.2	21.7	12.5	10.0	11.6	10.7	93	66	85	C	C	C	4^2	4^2○	0	–	n ≡^{1}
20.	45.2	45.5	46.8	14.9	17.7	14.6	18.5	14.1	10.4	11.5	11.5	83	76	93	C	W 2	C	10^2	10^2	7^1	–	mrgs. ⏢, ca 2–6 p ◍
21.	48.6	49.0	49.9	14.2	18.3	12.1	18.3	12.0	10.0	9.7	9.1	84	62	88	SW 4	SW 2	C	9^2	10^2	0	1.9	2^{10}–3^{10} p ◍
22.	50.9	49.9	49.7	9.7	21.7	15.8	22.0	8.3	8.4	9.3	12.1	94	48	90	C	SW 3	C	0○	2^2○	0	0.5	mrgs. ⏢, n ≡^{1}, t ∞
23.	48.9	46.3	46.0	11.4	25.2	16.5	25.7	10.5	9.8	9.1	12.2	98	38	87	C	S 3	C	10≈	0○	0	–	mrgs. ≡^{2}
24.	46.8	46.1	47.3	12.1	27.0	20.0	**27.0**	10.9	9.8	12.2	13.5	94	46	78	SW 1	SW 3	W 1	0○	3^1○	5^1	–	n ⏢, abds, einige ◍-Tr.,
25	51.2	52.0	53.2	14.3	21.1	13.8	21.8	12.8	9.8	7.6	9.1	82	41	78	NW 3	NW 4	NW 1	3^1○	6^2	0	–	n ◹
26.	**54.5**	53.6	53.8	10.3	20.7	14.5	21.8	8.9	8.4	8.9	10.1	90	50	83	C	S 1	C	0○	3^2○	0	–	mrgs. ⏢
27.	53.3	51.3	50.5	10.8	21.9	15.4	22.1	9.2	8.7	7.4	10.7	90	38	82	C	SE 3	C	0○	1^1○	0	–	mrgs. ⏢
28	50.2	48.0	46.9	12.2	22.8	16.2	23.8	10.8	10.1	10.3	11.5	96	50	84	E 2	E 4	C	0○	2^2○	0	–	mrgs. ≡
29	46.6	44.3	43.8	12.4	24.5	17.0	25 0	11.1	10.0	11.1	11.6	94	49	81	C	E 4	E 2	1^1○	5^1○	0	–	n, mrgs. ⏢
30	42.8	42.4	43.6	14.0	21.4	16.3	22.0	12.5	10.7	**15.2**	12.0	91	80	87	C	C	C	10^2	10^2●	0	–	n ⏢, n ≡^{1}, p ◍
31.	45.1	45.5	46.3	14.2	22.8	16.5	23.1	12.8	11.1	10.7	12.5	93	52	90	SW 2	SW 4	C	8^2	8^2	0	0.7	$3^{01.13}$ p ◹, $3^{10.25}$ p ◍
Mittel	47.1	46.6	46.9	12.6	19.9	15.1	20.8	11.0	9.5	9.6	10.4	87	57	83				5.5	5.9	3.8	35.8	

Alle Angaben nach Ortszeit

Ludwigshafen a/Rh.

August. $\varphi = 49^0\ 29'$ N. $\lambda = 8^0\ 26'$ E $= 33^m\ 44^s$. H = 100.3 m. Cg = + 0.3 mm. 1913

Datum	Luftdruck auf 0° u. Normalschwere reduziert, 700 mm +			Lufttemperatur C°					Absolute Feuchtigkeit mm			Relative Feuchtigkeit Proz.			Richtung und Stärke des Windes 0 bis 12			Bewölkung 0 bis 10			Niederschlag mm	Bemerkungen
	7^a	2^p	9^p	7^a	2^p	9^p	Max.	Min.	7^a	2^p	9^p	7^a	2^p	9^p	7^a	2^p	9^p	7^a	2^p	9^p	7^a	
1.	55.0	55.1	55.7	13.8	24.9	21.2	25.0	12.0	9.6	6.5	8.9	82	28	48	C	NE 3	C	00	00	0	–	klar, nachm. einzelne Böen
2.	56.9	57.0	56.9	15.2	19.1	16.8	21.2	14.1	10.6	8.7	9.1	83	53	64	N 2	N 2	N 2	00	5^1⊙	0	–	klar, gegen m u. nachm halb bedeckt
3.	56.4	54.7	54.1	13.3	26.9	20.2	27.1	10 8	9.7	11.2	12.2	86	43	69	N 1	E 1	C	00	5^1⊙	0	–	klar, nachm. teilw. halb bedeckt
4.	52.9	51.1	50.9	16.8	27.2	20.6	**27.4**	11.0	11.9	9.9	10.4	83	37	58	N 1	C	C	00	4^1⊙	0	–	m leichte Wolkenbildung, abds. ≲
5.	51.1	51.7	50.7	15.8	19.5	16.4	20.6	**10 0**	10.5	9.3	9.4	79	55	68	N 2	N 2	N 1	10^2	5^1	3^1	5.4	ca 0^{30}–1^{30} a ⟆ ◍, m langsames Aufklaren
6.	49.2	49.1	51.2	13.9	19.5	15.1	19.5	13.1	9.1	7.6	7.3	77	45	57	N 1	N 1	NW 2	10^2	5^1⊙	10^2	–	meist ganz bedeckt, ca 7^{30} a ◍^{0}
7.	53.7	53.8	54.0	11.0	17.1	15.2	17.2	**10.0**	7.6	**6.1**	7.0	77	42	54	NW 1	W 2	NE 2	00	5^1	0	1.6	rasch wechselnde untere Windrichtung
8.	53.5	52.6	51.4	11.5	19.6	16.8	19.8	11.0	7.3	6.2	8.8	72	37	63	W 1	SW 1	C	8^1	2^0⊙	10^1	–	wechselnde Bewölkung
9.	50.1	49.7	50.5	13.5	17.5	14.2	17.9	12.6	8.3	9.2	9.5	72	62	79	SW 1	SW 1	SW 1	10^2	8^1⊙	3^0	–	
10.	52.1	52.7	54.5	12.4	17.0	14.2	18.0	12.0	10.0	8.7	9.9	**94**	61	83	S 1	SW 1	C	10^2●	9^2	10^2	2.5	n ◍, a u. p ztw. ◍
11.	55.3	54.9	55.1	13.4	20.5	16.0	20.5	13 0	10.0	10.5	11.0	86	56	72	S 1	SW 1	C	10^2	5^1⊙	0	1.8	m ◍^{1}
12.	53.9	54.0	55.0	13.8	21.2	17.8	21.3	13.0	9.6	9.9	11.5	85	55	85	S 1	S 1	NW 3	10^2	10^2	10^2●	5.2	abds. ◍^{0}
13.	57.1	57.1	55.9	12.4	16.8	15.2	17.8	11.8	8.5	7.1	8.5	79	50	66	C	NW 1	NW 1	10^1	5^1⊙	10^2	0.4	a ∞ t meist ganz bedeckt
14.	53.6	52.1	52.3	12.8	16.8	14.6	16.8	12.0	10.2	10.5	11.3	**94**	74	91	S 1	SW 2	SW 1	10^1●	10^2	10^2	4.2	n u. a ◍, 4^{24}–5^{04} p ⟆, ◍^{2}
15.	53.8	53.5	54.4	14.0	17.8	15.4	18.4	13.0	9.1	7.7	9.4	77	51	72	W 1	W 2	SW 1	2^0⊙	5^1	10^1	**12.8**	wechselnde Bewölkung
16.	54.3	54.2	54.2	12.6	18.8	16.2	19.0	12.0	9.3	7.9	7.7	87	49	56	W 1	SW 1	W 1	00	2^1⊙	0	–	a ∞^{0}, sonst meist klar
17.	54.4	55.1	55.3	12.6	17.6	16.6	18.0	10.8	8.8	10.0	10.3	82	67	73	SW 1	NW 2	NW 1	10^2	10^2	10^2	–	t ganz bedeckt, 8^{19}–nach 9^{30} a ◍^{0}
18.	56.3	55.6	55.4	13.9	19.8	17.0	20.0	13.3	10.1	10.8	12.1	86	62	84	W 1	NW 1	C	10^2	6^1⊙	0	0.6	p Aufklaren
19.	54.8	53.7	53.4	14.3	23.2	19.0	23.6	13.3	11.2	10.9	11.1	93	52	68	N 1	N 1	N 1	3^1	5^1⊙	10^1	–	a ∞, p zunehmende Bewölkung
20.	52.8	53.8	55.1	15.0	17.2	16.5	19.0	14.7	11.6	12.5	10.9	91	86	78	NW 1	NW 1	NW 2	10^2●,	10^1●	10^2●	6.8	n ◍, mit wenig Pausen den ganzen Tag anhaltend
21.	56.8	57.1	57.1	15.0	18.2	16.6	19.2	13.9	10.9	10.0	10.3	86	64	73	W 1	W 1	C	10^1	7^2	0	1.6	a ∞, p Aufklaren
22.	58.2	57.5	56.7	11.6	23.8	18.7	24.0	10.2	9.4	7.9	11.9	**94**	35	74	SE 1	SW 1	C	00	00	0	–	a ∞ u. ⌓
23.	55.6	53.0	53.5	13.8	26.5	22.6	26.7	13.0	10.7	8.9	11.0	92	35	54	C	S 1	C	0=	00	0	–	a ≡^{1}, ⌒
24.	54.4	54.0	55.4	16.5	24.5	20.4	25.0	13.1	11.5	14.0	**14.2**	82	61	80	C	SW 1	S 1	00	10^2●	0	–	n ⌓, 1^{34} nach 2^{30} ⌐ ◍^{0}
25.	59.5	59.8	60.3	15.0	22.6	19.2	22.6	14.1	8.1	6.7	8.5	64	33	51	SW 1	SW 1	C	00	2^0⊙	0	0.2	a ⌓, meist klar
26.	**61.7**	60.4	60.2	12.3	23.2	19.5	23.2	11.2	9.0	8.8	10.0	86	41	59	N 1	NE 1	C	00	00	0	–	a ⌓, t klar
27.	59.7	58.2	57.1	13.7	24.5	19.4	24.6	12.4	9.2	7.5	8.6	79	32	51	N 1	NE 1	C	00	5^1⊙	0	–	a ⌓, m leichte Wolkenbildung
28.	56.4	54.6	53.2	14.2	25.7	20.6	26.0	13.0	10.2	10.0	10.7	85	42	59	C	NE 2	C	c0	00	0	–	a ⌓, t heiter
29.	52.6	50 7	50.7	14.6	27.1	21.8	27.3	13.5	10.7	9.3	11.0	87	35	57	N 1	SE 1	S 1	00	5^1⊙	10^1	–	p zunehmende Bewölkung
30.	48.9	**48.7**	51.5	18.2	23.6	18.2	23.8	16.9	11.9	12.5	13.4	76	62	86	SE 1	SE 1	SE 1	8^1	7^2⊙	6^1	–	8^{04} a ◍^{0}, ca 3^{30} p ◍, 3^{04-59} p ⟆
31.	52.4	53.1	53.9	16.5	20.6	18.4	22.0	14.9	12.2	13.8	13.0	87	76	82	S 1	SW 1	SW 2	00	10^2●	0	0.6	a ⌓, mrgs. klar, nach 9^{30} a ◍^{0}, 1^{04} p ab ◍
Mittel	54.6	54.1	54.4	14.0	21.2	17.8	21.7	12.6	9 9	9.4	10.3	83	51	68				4.5	5.2	3.9	43.7	

Nürnberg

August. $\varphi = 49^0\ 27'$ N. $\lambda = 11^0\ 3'$ E $= 44^m\ 12^s$. H = 309.1 m. Cg = + 0.2 mm, über 735.0 mm Cg = + 0.3 mm. 1913.

1.	36.4	36 0	36.9	11.4	21.8	17.0	22.0	7.8	7.8	6.4	7.9	78	33	55	C	N 2	N 2	2^0⊙	1^0⊙	0	–	n u. mrgs. meist C, ca 4 a ⌓^{1}, ca 5–8 a ≡^{0}
2.	37.2	37.3	37.7	12.8	19.8	14.6	20.1	9.9	9.0	8.9	9.3	82	52	75	NW 3	NW 2	N 2	6^0⊙	4^0⊙	0	–	n klar, C, ca 4 a ⌓^{2}, ca 5 8 a ≡$^{0.1}$, ca 6 p ab klar
3.	37.8	36.2	35.5	12.6	23.5	19.6	24.9	9.4	9.1	10.1	9.6	85	47	56	C	E 2	NE 2	1^0⊙	6^0	1^0	–	ca 5 a ⌓^{1}, ca 7 a ab zunehm., ca 6 p ab abnehm. Bewölkung
4.	34.8	33.4	31.9	13.7	24.6	19.0	25.9	9.8	9.2	8.0	10.5	79	34	64	C	W 2	C	00	1^0⊙	4^1	–	ca 5–9 a ≡^{1}, a klar, p wechselnde Bewölkung
5.	31.4	31.8	31.7	16.2	16.0	13.2	19.0	12.8	11.8	11.7	9.5	86	86	85	NE 2	NW 3	C	10^0	10^0	0	–	10^{41} p–ca 4 a ≲, 3^{54}–4^{01} a ⟆, a u. p ztw. ◍-Tr., ca 8a–3p ≡$^{0.1}$
6.	31.0	29.7	31.6	12.1	17.2	11.4	17.2	10.2	7.9	10.5	8.6	75	72	87	E 1	NW 3	NW 2	10^0	9^0	2^0	–	9^{30-42} a ⟆ i. S, 4^{28-42} a ◍^{0}, ca 6 a–2 p ≡$^{1.0}$
7.	34.0	33.9	34.5	9.3	17.0	11.6	17.0	6.6	7.3	5.9	7.5	84	41	74	NW 2	NW 2	W 1	00	6^0⊙	4^0	–	n klar, oft C, ca 4 a ⌓^{2}, ca 5–8 a ≡$^{0.1}$, 5^{56-51} ◍^{0}
8.	34.0	33.8	33.4	8.3	16.7	11.6	17.0	**6.4**	6.9	6.5	7.5	86	46	74	C	SW 2	E 1	5^0⊙	8^0⊙	0	–	n klar, oft C, ca 4 a ⌓^{2}, ca 5–8 a ≡^{0}, 0^{54}–1^{11} p ◍^{0}
9.	31.8	31.1	31.2	10.2	17.4	11.8	18.6	7.8	7.2	8.3	9.4	78	56	93	E 2	SW 4	SW 2	10^0	10^0	3^1	–	bis ca 2 a klar, dann zunehm. Bew., ca 5- 9 a ≡$^{1.0}$, 1)
10.	33.0	33.8	35.5	11.9	15.2	12.3	16.7	10.5	9.8	8.5	9.3	95	66	88	SW 2	W 3	S 1	10^0	6^1⊙	5^1	4.4	a u. p ztw. ◍$^{0.2}$, p Aufklaren, 5^{29} p ⌒, 1^{18} p ⩸ W 5
11.	36.9	36.6	36.8	11.8	18.8	15.0	19.1	9.3	7.4	9.0	10.1	72	56	80	S 2	NW 2	SE 1	10^0	9^0	10^1	0.9	n klar, ca 4 a ab bedeckt, p ztw. Aufklaren, p ztw. ◍$^{0.1}$
12.	36.0	35.6	35.8	12.2	17.0	14.7	17.8	9.9	8.2	11.1	11.2	78	77	93	SE 2	S 2	NW 1	9^1	10^0	10^1	–	ca 3 a ⌓^{2}, ca 7–9 a ∞ ca 9–11 a ≡^{1}, a u. p ztw. ◍$^{0.1}$
13.	37.1	37.1	36.9	11.3	16.0	10.2	16.0	9.2	8.6	6.6	7.8	87	49	84	NW 2	NW 3	W 2	8^0⊙	9^0	4^1	2.6	ca 4 a ⌓^{1}, t meist bedeckt, ca 4 p ab Aufklaren, 8^{01} p ⋎
14.	35.0	33.1	32.6	10.2	13.5	12.9	14.8	9.0	7.4	9.3	10.0	79	81	91	SW 1	W 2	W 2	10^0	10^0	10^0	0.7	fast durchaus bedeckt, 4^{14} a ⌓^{1}, ca 5 - 11 a ≡$^{0.1}$, t ztw. ◍^{0}
15.	33.2	33.4	34.4	12.0	12.0	10.6	13.7	9.9	8.7	8.3	8.7	84	80	92	NW 2	NW 2	NW 2	9^1	10^1●	10^0●	2.7	a ztw. ◍$^{0.2}$, $10^{27.32}$ a △^{0}, 11^{56-58} a ⟆ i. W, 6^{09} p ⟆ i. S, 2)
16.	33.7	34.2	33.7	11.0	13.8	13.6	15.4	10.1	9.4	9.6	9.1	**97**	82	79	W 2	NW 3	W 2	10^0●	10^0●	10^0	**25.0**	n u. t ztw. ◍$^{0.1}$
17.	33.3	34.7	35.6	10.8	13.2	14.3	14.3	10.3	9.0	9.5	10.2	94	85	85	NW 2	W 3	W 2	10^0	10^0	10^0	10.5	durchaus bedeckt, 1^{34} a ⩸ W 5, a u. p ztw. ◍$^{0.1}$
18.	36.3	36.8	36.8	14.0	16.9	15.6	16.9	13.3	10.3	10.8	11.2	87	76	85	W 3	NW 2	C	10^0	10^0	10^0	6.8	10^{07-14} p, $10^{49-11^{04}}$ p ◍^{0}, ca 6-9 a ≡^{0}, ca 0–8 p ∞
19.	36.8	36.0	34.8	12.6	19.6	16.8	19.7	11.3	10.3	9.9	11.3	96	58	79	C	NE 2	NE 2	10^0	9^0	10^0●	–	ca 1a ⋎, ca 4 a ⌓^{0}, ca 3–11 a ≡$^{2.0}$, $8^{54-9^{00}}$ p ◍-Tr.
20.	33.8	33.6	34.9	14.8	19.6	14.9	19.7	13.4	10.6	9.1	11.4	85	53	90	NE 1	N 2	NW 2	9^0	10^0	10^0	–	9^{00-14} p, 3^{11-29} a, $3^{54-5^{28}}$ p, $6^{56-7^{29}}$ p ◍-Tr., $7^{29-8^{54}}$ p ◍^{0}
21.	37.2	37.8	38.4	13.2	17.6	14.8	17.8	12.6	9.9	8.4	10.3	88	56	83	NW 2	N 2	W 1	10^0	10^0	10^0	0.4	ca 4 a ⌓^{1}, $7^{57-8^{18}}$ ◍-Tr.
22.	39.5	39.1	38.6	11.7	20.2	15.6	21.2	9.4	8.1	10.0	10.2	78	56	77	SW 2	W 2	S 1	1^0⊙	6^0⊙	0	–	ca 6–10 a ≡$^{1.0}$, ca 0–3 p ∞, ca 7–9 p ≡^{0}
23.	38.0	36.1	35.2	13.8	23.8	18.6	24.1	10.3	8.9	8.8	10.2	76	40	64	SE 2	S 2	SE 2	2^1⊙	1^0⊙	0	–	ca 11 p ⋎, ca 4 a ⌓^{2}, ca 5–8 a ≡$^{0.1}$
24.	36.3	35.7	36.8	15.6	26.3	19.3	**26.4**	12.2	8.8	10.9	**13 3**	66	43	80	C	S 2	W 2	00	3^0⊙	10^0	–	ca 11 p ⋎, ca 6 a ⌓^{0}, ca 6-10 a ≡^{0}, $5^{29-7^{17}}$ p ◍-Tr. 8^{57-9}p ≲
25.	39.5	40.4	41.6	15.7	19.9	14.9	21.8	10.0	10 7	7.2	8.7	81	42	69	NW 3	NW 2	NW 1	5^0⊙	4^0⊙	0	–	$9^{00-10^{18}}$ p ≲ i. N-E-SE, n meist bed., ca 6 a ab Aufklaren
26.	**43.4**	42.1	41.9	10.4	20.4	15.3	20.8	8.8	8.0	7.2	8.6	85	41	66	E 1	W 2	NE 1	00	5^0⊙	0	–	n klar, 4^{14} a ⌓^{2}, ca 5–9 a ≡^{0}
27.	42.0	40.0	39.1	9.4	21.5	17.0	21.7	7.1	7.5	8.3	9.8	87	44	68	SE 1	SE 2	E 2	00	00	0	–	klar, 4^{31} a ⌓^{1}, ca 5–8 a ≡$^{0.1}$
28.	38.8	36.6	35.8	12.4	23.0	18.4	23.0	10.9	9.6	9.7	10.6	90	47	67	E 2	E 2	E 2	2^0⊙	4^0⊙	0	–	4^{14} a ⌓^{2}, 5–9 a ≡$^{0.1}$
29.	35.6	33.3	32.8	14.6	24.0	18.6	24.3	11.0	9.9	8.8	10.4	81	40	65	E 2	SE 3	E 2	00	6^0⊙	0	–	4^{34} a ⌓^{2}, 6–8 a ≡$^{0.1}$
30.	31.2	31.6	32.7	15.9	22.2	17.5	22.2	12.9	10 5	**13.3**	12.6	78	67	85	E 3	SW 2	S 2	7^0⊙	10^0	0	–	9^{31}–ca 11 p ≲ i. SW, ca 4 a ⋎, ca 5 a ⌓^{0}, ca 8–11 a ∞, 3)
31.	34.5	35.0	35.9	14.8	21.2	16.9	22.8	12.9	10.6	10.7	13.1	85	57	92	C	W 2	S 2	10^0	9^1	0	–	4^{14} a ⌓^{1}, ca 6–8 a ≡^{0}, 11^{22-31} p ≲ i. S, p ztw. ◍$^{0.2}$, 4)
Mittel	35.8	35.4	35.6	12.5	19.0	15.1	19.7	10.2	9.0	9.1	9.9	83	57	78				6.0	7.0	4.2	54 0	

1) p ztw. ◍$^{0.2}$, ca 6–7 p ≡^{0}. 2) m ⩸ N 5, 4^{19} p ⌒
3) p ztw. ◍-Tr., 6^{17} p ⌒, $7^{12-8^{34}}$ p ≲
4) 5^{04}, 5^{49} p ⌒, $7^{27-9^{03}}$ p ≲ i. E.

Alle Angaben nach Ortszeit.

Kaiserslautern.

August. $\varphi = 49^0\ 27'$ N. $\lambda = 7^0\ 46'$ E $= 31^m\ 4^s$. H $= 242.2$ m. Cg $= +0.3$ mm. 1913.

Datum	Luftdruck auf 0° u. Normalschwere reduziert 700 mm +			Lufttemperatur C°					Absolute Feuchtigkeit mm			Relative Feuchtigkeit Proz.			Richtung und Stärke des Windes 0 bis 12			Bewölkung 0 bis 10			Niederschlag mm	Bemerkungen
	7a	2p	9p	7a	2p	9p	Max.	Min.	7a	2p	9p	7a	2p	9p	7a	2p	9p	7a	2p	9p	7a	
1.	42.8	42.7	43.6	12.3	23.8	16.3	24.9	9.0	8.6	7.7	9.8	82	35	71	C	SE 2	C	00	1^0⊙	1^1	–	a $\triangle^2$, ∞^2
2.	44.3	44.3	44.6	13.0	20.1	14.4	20.9	10.1	9.0	9.4	9.3	81	54	76	C	N 3	NE 1	1⊙	3^1	0	–	a $\triangle^2$, $\equiv^0$, ∞^2
3.	43.9	42.2	41.5	11.7	24.6	18.0	25.5	7.4	8.5	11.2	12.1	84	49	79	C	E 3	C	00	1^0⊙	0	–	a $\triangle^2$, ∞^1
4.	40.9	39.3	39.0	14.7	27.1	18.9	**27.1**	11.7	10.1	10.9	12.2	82	41	75	C	C	C	00	3^1	0	–	a $\triangle^0$, ∞^2
5.	39.2	39.4	38.5	14.6	17.7	14.9	19.9	14.4	10.9	9.8	9.1	88	65	72	N 1	NE 2	E 1	10^1	3^1⊙	10^1	2.4	ca 0 a ◹, ◍, a $\equiv^2$, ztw. ◍-Tr.
6.	37.3	37.0	39.3	13.7	18.1	14.1	18.5	12.7	8.5	7.3	7.8	73	47	65	E 1	N 1	C	10^1	9^1	10^1	–	n ◹, a ∞^1
7.	41.2	41.1	41.5	9.1	17.3	12 9	18.0	6 0	6.9	5.1	8.5	80	35	77	E 2	W 1	C	3^1⊙	7^1⊙	8^1	–	a $\triangle$, $\equiv^2$
8.	41.1	39.7	39.1	9.3	18.9	12.1	19.0	6.9	7.1	6.9	8.3	82	43	79	C	SW 1	C	7^1	4^1⊙	10^1	–	a $\triangle$, $\equiv^0$
9.	37.7	37.4	38.1	11.7	14.9	12.1	16.4	10.9	9.2	10 0	9.3	91	80	89	C	W 1	W 1	10^2●	9^1	10^2●	1.3	n ◍^{0}, a-ca 1^{30} p ztw. ◍$^{0.1}$
10.	39 6	40.2	41.9	11.9	14.3	13.8	17.2	11.5	9.4	10.0	10.0	91	83	86	W 2	W 1	W 1	10^2●	8^1⊙	10^2●	3 2	9^{01} p-ca 7^{30} a ◍^{0}, t ztw. ◍$^{0.2}$, $2^{18.16}$ p ◹, 2^{21}–3^{00} p ◍
11.	42.6	42.5	4 .5	12.9	17.6	13.9	19.0	11.4	9.5	10.1	10.7	87	68	92	W 1	W 2	C	10^1	10^2●	5^1	**4.3**	a ztw. ◍^{0}, 1^{46}–2^{16} p ◍$^{1.2}$
12.	41.6	41.7	43.3	12.5	19.0	15.4	19.9	10 1	9.8	10.4	10.9	91	63	84	8W 1	NW 2	C	10^1	10^1	5^1	1.9	a $\triangle^0$, ∞^0, $\equiv^0$, p ztw. ◍-Tr.
13.	44.4	43.9	43.3	11.0	16.5	13.6	17.2	10.1	8.4	7.7	8.8	87	56	76	C	NW 2	C	7^0⊙	9^1	10^1	–	a $\triangle$, $\equiv^0$
14.	41.0	39.7	40.7	12.3	15.1	13.7	18.0	11.8	9.9	11.2	10.9	**94**	88	**94**	W 1	8W 2	C	10^2●	9^1⊙	10^1	3.5	n-ca 7^{30} a ◍^{1}, a u. p ztw. ◍, 4^{34}–5^{00} p ◍^{2}
15.	41.7	41.6	42.2	12.0	17.8	14.5	18.0	11.1	9.6	7.3	9.1	93	49	74	C	NW 2	C	10^1	7^1⊙	10^1	1.4	
16.	42.2	42.1	42.3	10.8	17.9	12.0	18.5	7.3	8.6	8.6	8.8	90	57	85	C	NW 1	C	1C≈	7^1⊙	0	–	a $\equiv^2$, $\triangle^2$
17.	42.4	43.0	43.6	10.4	15.3	12.8	16.8	7.9	8.3	9.6	10.1	89	74	93	NW 2	NW 3	C	9^1	10^1	0	–	a $\triangle^2$, später ztw. ◍^{0}
18.	43.9	42.9	42.7	11.4	19.4	14.6	21.0	7.9	8.9	10.7	11.0	89	64	89	C	E 3	C	1C≈	7^0⊙	5^0	0 2	a $\equiv^1$, $\triangle^2$, p ∞^1
19	42.6	41.2	40.9	11.9	22.2	17.7	22.2	9.8	9.6	11.5	11.8	**94**	58	78	C	SE 1	C	10≈	9^1⊙	10^2	–	a $\equiv^2$, $\triangle^2$
20.	40.4	41.5	42.7	15.0	16.7	14.7	17.7	14.7	10.6	11.5	11.1	84	81	89	E 2	C	C	10^1●	10^1	5^1	–	n ◹, a ∞, ztw. ◍-Tr., a u. p ztw. ◍$^{0.1}$
21.	44.3	44.4	44.9	12.5	19.4	12.7	19.9	11.4	10.0	7.9	9.6	**94**	48	89	C	W 1	C	10≈	7^1⊙	0	3.8	a ∞ $\equiv^2$
22.	45.7	44.9	44.2	10.1	21.8	14.5	22.5	8.1	8.5	10.1	10.9	92	52	90	C	NW 1	C	10≈	7^1⊙	0	–	a $\equiv^2$, $\triangle^2$, ∞ u. ztw. ▁▁
23.	42.7	40.6	41.0	11.1	25.1	17.1	26.0	9.3	8.9	9.6	11.8	90	41	82	C	W 3	C	10^1=	00	0	–	a $\equiv^1$, $\triangle^2$, p ∞^2, 0^{21} p an ztw. ▁▁
24.	41.8	41.8	43.5	13.7	24.6	17.9	24.9	11.2	10.1	10.9	11.1	87	48	73	C	W 3	W 2	3^0⊙	5^1⊙	0	–	a $\triangle^2$, ∞, ca 0^{30} p ▁▁, $2^{33.41}$ p ◍-Tr., $5^{11.33}$ p ▁▁, 1)
25.	46.8	46.9	47.8	11.1	21.4	14.1	22.2	9.9	8.6	7.7	9.2	87	40	77	C	W 3	C	00	1^1⊙	0	–	n ◹, a $\triangle$, ∞, $\equiv^0$, p ztw. ▁▁
26.	**48.8**	47.4	47.5	10.7	22.9	15.7	23.0	8.0	7.9	8.6	9.9	83	41	75	C	SE 2	C	00	00	0	–	a $\triangle^2$, $\equiv^0$, p ztw. ▁▁
27.	46.5	45.2	44.8	12.2	23.8	15.7	23.8	9.2	8.6	8.6	9.4	82	39	70	C	SE 3	C	5^0⊙	5^0⊙	0	–	a $\triangle^2$, ∞, p ztw. ▁▁
28.	43.6	42.0	41.3	11.5	24.8	16.7	24.9	8.6	8.3	9.5	10.7	82	41	75	C	SE 3	C	00	00	0	–	a $\triangle^2$, ∞^2, t-ca 4^{30} p ztw. ▁▁
29.	40.1	38.4	38.1	14.9	25.9	18.1	25.9	12.4	10 4	9.7	**13.7**	83	40	89	E 1	SE 5	C	3^0⊙	7^0⊙	10^2	–	a $\triangle^0$, ∞, t ztw. ▁▁, ca 6^{30}–8^{01} p ◹, abds. ◍^{2}, ▁▁
30.	36 4	36.4	38.1	16.8	24.0	17.6	24.0	14.9	12.8	12.3	13.3	90	56	89	C	C	C	10^1	8^1	10^2	1.6	n ◍^{0}, a ztw. ◍-Tr., a u. p ztw. ◍, $2^{16.26}$ p ▁▁, 2)
31.	39.6	40.5	41.3	16.3	21.2	17.1	21.9	15.4	11.8	12.3	13.3	85	66	92	SW 3	8W 3	C	9^1	9^1	10^2	1.0	n ◍, t ztw. ▁▁, p ztw. ◍
Mittel	42.2	41.7	42.1	12.4	20.3	15.1	21.1	10.4	9.3	9.5	10.4	87	55	81				6.7	6.0	4.8	24.6	

1) abds. ◹. 2) 2^{36} p u. $3^{06.31}$ p ◹

Ansbach.

August. $\varphi = 49^0\ 18'$ N. $\lambda = 10^0\ 33'$ E $= 42^m\ 12^s$. H $= 437.5$ m. Cg $= +0.2$ mm. 1913.

1.	25.4	25.6	26.2	11.4	20.8	13.2	21.6	6.6	8.4	7.0	7.8	84	39	69	C	NE 2	C	00	00	0	–	mrgs. $\triangle$
2.	26.5	26.5	26.9	14.0	19.3	13.2	19.4	9.1	9.3	9.6	9.0	79	57	80	NE 2	N 4	N 2	c⊙	4^1⊙	0	–	mrgs. $\triangle$
3.	26.6	25.1	24.6	12.2	23.3	15.8	24.8	8.1	8.9	10.6	9.5	86	50	71	N 2	NE 2	C	00	4^1⊙	0	–	mrgs. $\triangle$
4.	23.7	22 5	21.4	15.6	23.9	16.4	25.8	9.7	10.4	9.2	9.4	79	42	68	C	C	C	00	2^1⊙	0	–	mrgs. $\triangle$
5.	20.9	21.1	21.3	15.0	15.8	12.0	17.2	11.9	12.0	11.2	9.8	94	84	95	C	NW 2	NW 2	10^2	10^2	2^0	0.4	5^{22}–6^{02} a ◍, 9^{02} a-m ztw. ◍
6	19.7	**18.9**	21.2	12.2	16 0	10.0	17.4	9.5	9.7	10.4	7.7	93	77	84	C	N 4	C	10^2	10^2	0	0.3	mrgs. $\equiv^0$, $\triangle$
7.	22.9	23.3	23.9	10.0	15.4	9.0	10.6	6.0	7.6	6.6	6.7	83	51	78	C	NW 2	C	00	6^1⊙	2^1	–	mrgs. $\triangle$
8.	23.1	22.7	22.5	9.6	10.2	8.6	16.6	5.4	7.2	6.4	6.2	81	46	74	C	W 2	C	6^1	4^1⊙	0	–	$\triangle$
9.	20.5	20.1	20.5	10.5	16.4	10.4	17.5	6.6	7 8	9.3	8.8	82	68	94	C	SW 2	W 2	8^2	8^2	4^1	–	$\triangle$, 11^{22} a–0^{17} p ◍ u. ▲, 3^{37}–4^{14} p ◍, 5^{28}–6^{06} p ◹
10.	22.2	23.0	25.0	10.8	15.4	10.4	16.4	9 5	9.0	8.4	8.4	94	64	91	W 4	W 6	SW 2	10^2	6^1⊙	0	**8.6**	n u. a ◍, t ztw. ◍
11.	25.6	25.3	26.0	12.2	18.7	12.8	18.8	8.5	8.8	9.3	10.4	84	58	95	C	W 2	C	8^1	6^1⊙	8^1	3.7	$0^{10.27}$ p, $3^{02.42}$ p ◍
12.	24.8	24.5	25.0	12.2	16.4	13.6	18.8	8.1	9.1	10.8	10.8	87	78	94	C	C	NW 2	10^2	8^1⊙	10^2●	2.3	mrgs. $\equiv^0$, 9^{32}–10^{27} a, abds. ◍
13.	26.2	26.1	26.1	11.6	15.6	8.2	16.2	8.1	8.4	7.5	6.9	83	57	85	C	NW 2	NW 2	7^2	6^1⊙	0	0.9	$\triangle$
14.	23.8	22.3	22.0	10.1	12.2	11.8	13.2	7.1	8.5	9.7	9.8	92	93	96	W 2	C	W 2	10^2●	10^2●	8^2	0.7	4^{42} a ab, 1^{27}–4^{17} p ◍
15.	22.6	22 6	23.6	10.8	13.4	10.0	14.8	9.9	8.3	8.6	8.6	87	76	94	NW 2	NW 4	W 2	8^2	6^2	10^2	3.4	t ztw. ◍
16	23.0	23.1	23.4	10.6	15.6	12.8	15.8	9.9	9.2	7.6	8.3	**97**	58	76	NW 2	NW 2	W 2	10^2	10^2	10^2	5.4	n u. a, 3^{22}–5^{32} p ◍
17.	22.8	24.1	25.0	10.4	13.6	12.8	13.6	9.7	8.4	9.5	10.0	91	82	91	W 4	W 4	SW 4	10^2●	10^2	10^2	0.4	6^{12}–19^{32} a ◍
18.	25.8	25.9	25.9	13.2	17.7	14.3	18.2	12.4	10.1	11.0	10.9	90	73	91	W 2	NW 2	C	10^2	10^2	6^1	0.8	
19.	25.5	24.8	24.1	13.2	20.1	15.4	20.4	10.5	10.6	10.9	11.5	95	62	88	C	C	C	10^2	10^2	2^0	0.8	4^{42}–6^{32} a ◍
20.	22.7	23.3	24.6	14.0	17.5	13.4	18.6	13.2	11.2	8.8	10.0	95	60	88	N 2	N 2	NW 2	10^2●	10^2	10^2	1.8	n u. a, $1^{37.48}$ p, 4^{57}–7^{57} p ◍
21.	26.0	26.8	27.6	12.4	17.0	12.0	17.0	11.7	9.6	8.2	9.1	90	57	88	N 2	N 2	C	10^2	10^2	0	0.9	8^{27}–10^{07} a, $2^{22.47}$ p ◍
22.	28.5	28.5	28.1	11.4	20.3	12.0	20.8	7.9	9.2	8.1	8 7	92	46	84	C	NW 2	C	00	2^1⊙	0	1.0	mrgs. $\triangle$, $\equiv^0$
23.	26.5	25.0	24.4	11.0	23.5	15.4	24.4	8.5	8.9	9.9	9.8	91	46	76	C	S 4	C	2^0⊙	00	0	–	mrgs. $\triangle$, $\equiv^0$, ztw. ▁▁
24.	25.2	25.0	26.0	12.6	25.0	17.5	**26.2**	10.9	9.4	10.6	**12.6**	88	46	85	C	SW 4	W 2	c⊙	4^1⊙	0	–	mrgs. $\triangle$, $\equiv^0$, $4^{32.52}$ p ◹, ◹ i. SE
25.	28.7	29.5	30.7	14.2	19.7	11.2	19.8	11.1	9.9	7.4	7.6	83	44	77	NW 2	NW 4	NW 2	6^0⊙	6^1⊙	0	0.5	mrgs. $\triangle$
26.	**31.9**	30.0	30.9	9.4	20.3	11.6	20 8	6.0	7.7	7.0	7.2	89	40	71	C	C	C	00	2^1⊙	0	–	mrgs. $\triangle$
27.	30.5	28.7	28.1	9.0	21.1	12.8	21.8	6.2	7.5	8.7	8.3	89	47	76	NE 2	NE 4	C	00	00	0	–	mrgs. $\triangle$
28.	27.6	25.9	24.9	10.9	22.3	14.2	23.0	8.1	8.6	9.3	9.1	89	47	76	C	E 2	C	00	4^1⊙	0	–	mrgs. $\triangle$
29.	24.2	22 4	22.3	11.8	23.5	15.4	24.0	9.3	9.1	9.2	8.9	88	43	68	C	E 2	C	00	4^1⊙	0	–	mrgs. $\triangle$
30	20.7	21.0	22.3	15.4	19.1	15.0	21.8	11.3	10.0	11.7	10.9	84	72	86	C	C	C	4^0	10^2	0	–	$\triangle$, $5^{32.34}$ p ◹
31.	23.3	23.7	24.6	14.0	22.3	16.0	22.8	11.9	10.8	10.5	10.3	92	53	76	C	SW 2	C	6^0	8^1	0	0.3	$\triangle$
Mittel	24.8	24.4	24.8	12.0	18.6	12.8	19.5	9.1	9.1	9.1	9.1	88	59	83				5.4	6.1	2.6	32.2	

Alle Angaben nach Ortszeit.

Regensburg.

August. $\varphi = 49^0\ 1'$ N. $\lambda = 12^0\ 7'$ E $= 48^m\ 28^s$. H $= 354.3$ m. Cg $= +0.2$ mm. 1913.

Datum	Luftdruck auf 0° u. Normalschwere reduziert 700 mm + 7a	2p	9p	Lufttemperatur C° 7a	2p	9p	Max.	Min.	Absolute Feuchtigkeit mm 7a	2p	9p	Relative Feuchtigkeit Proz. 7a	2p	9p	Richtung und Stärke des Windes 0 bis 12 7a	2p	9p	Bewölkung 0 bis 10 7a	2p	9p	Niederschlag mm 7a	Bemerkungen
1.	32.5	32.3	32.9	10.2	20.4	15.1	21.6	7.2	8.2	11.1	10.4	89	63	82	NE 2	NW 4	NW 2	00	00	0	–	△¹
2.	33.3	33.1	33.5	13.2	21.1	17.0	21.8	10.4	9.5	11.2	10.2	85	61	70	N 2	NW 5	N 1	00	3⊙	1¹	–	△¹
3.	34.1	32.3	41.4	12.9	22.3	18.0	23.0	11.4	9.7	11.6	13.1	88	58	85	N 1	N 3	NE 2	8¹⊙	5⊙	5²	–	△¹
4.	31.2	29.7	28.5	13.3	23.6	17.1	**24.3**	10.6	10.1	8.5	11.4	89	39	79	C	C	W 1	00	00	1¹	–	△¹
5.	28.4	27.8	28.4	14.0	18.8	14.9	20.6	12.2	10.8	**13.8**	11.6	92	86	92	W 1	W 4	NW 2	5¹⊙	5⊙	8¹	–	△⁰, früh ∞, m ◍
6.	27.0	**25.9**	27.1	12.1	19.1	14.1	19.7	11.3	10.3	13.1	11.3	98	80	95	C	S 2	W 3	10¹●	6¹⊙	8¹	4.0	u u. vorm. ◍, 4^{21}–5^{30} p ⟀
7.	30.1	30.3	31.0	10.3	16.6	12.2	17.5	8.4	8.7	7.3	8.8	94	52	84	SW 1	SW 5	W 2	8¹⊙	6¹	5⁰	8.6	△
8.	30.6	30.0	29.9	9.8	16.8	10.7	16.9	8.2	8.0	6.5	8.6	88	46	91	W 2	SW 4	W 2	10⁰	8⁰	0	0.1	△, abds. Aufheiterung
9.	28.9	28.6	28.0	9.2	14.5	12.1	15.8	7.2	7.8	9.9	9.8	92	81	94	C	E 4	W 1	10^0≡	10^1	7^1	–	△¹, ≡, 7^{03}–8^{38} p ◍
10	30.1	31.0	32.9	11.6	14.9	11.1	15.8	10.5	9.7	10.7	9.4	96	84	95	SW 2	SW 3	SW 2	10^1●	5^1	6^1	2.4	früh, 0^{03}–1^{33} p ◍
11.	34.0	33.2	33.9	10.1	16.2	13.2	18.8	8.2	8.9	10.3	10.6	96	75	95	SW 2	SW 1	C	6^0	7^1	4^0	3.1	△², 0^{38}–1^{03} p ◍
12.	32.9	32.4	32.1	10.4	15.8	12.5	17.6	8.3	9 2	11.5	10.2	98	86	94	SW 2	NE 1	C	6^0≡⊙	10^1●	0	0.4	△¹, ≡, 1^{08} a–2^{18} p ◍
13.	33.1	33.1	33.1	11.9	16.6	11.7	16.9	11.4	9.2	7.8	9.1	90	56	89	N 5	W 5	W 1	8⁰	6^1⊙	7^1	2.1	△¹
14.	31.9	29 9	29.4	9.7	13.2	12.5	13.9	7.2	8.1	9.6	10.3	91	86	96	C	W 1	C	10^1	7^0	9^2	–	△⁰, 9^{13} a–ca m ◍
15.	29.5	29 4	30.6	11.4	13.4	10.7	15.0	10.0	9.4	9.1	9.2	95	80	97	W 4	W 5	NW 3	10^1●	7^2●	10^1	2.0	vorm. ztw. ◍
16.	30.1	30.1	30.2	11.0	13.2	11.5	14.8	9.8	9.3	10.1	9.9	95	90	98	NW 4	W 4	W 3	9^1●	10^1●	10^1●	5.6	ca 6–10^{18} a, 1^{03} p–n ◍
17.	29.3	31.1	32.1	11.2	13.5	12.9	13.9	11.1	9.2	9.7	10.6	93	85	96	SW 5	SW 5	SW 2	10^1●	10^1	10^1	**10.5**	t ◍
18.	33.1	32.9	33.2	13.4	18.3	14.9	18.6	12.5	11.2	12.1	11.9	98	78	94	SW 1	C	C	10^1	6^1	10^1	5.5	trüb, kein nennenswerter ◍
19.	33.1	32.1	31.5	13.8	20.0	16.8	20.1	12.4	11.5	12.3	13.6	98	71	96	C	SW 2	SW 2	10^1≡	2^0⊙	10^1	0.2	≡, 7^{58}–8^{18} p ◍, 8^{10} p Fern-⟀
20.	30.1	29.8	30.9	15.1	19.7	16.4	19.7	14.8	12.8	11.9	10.9	100	70	78	C	C	W 2	10^1≡	8^0	10^1	2.4	a–ca m ≡²
21.	32.8	33.8	35.0	13.6	17.4	13 0	17.4	13.0	10.9	10.5	10.2	95	71	93	W 1	W 5	C	10^1	4^1⊙	2^1	0.5	n ◍⁰
22.	36.2	35.8	35.8	9.8	19.0	14.4	19.8	8.5	9.0	9.6	11.1	100	58	92	C	SW 3	C	0≡	3^1⊙	0	1.0	≡, △
23.	35.0	33.0	32.6	10.9	22.1	14.8	23.2	9.8	9.4	9.9	11.1	98	51	89	NE 2	SE 3	C	c≡	00	0	–	≡⁰ △²
24.	33.3	32.6	33.3	12.1	23.2	18.7	23.8	10.4	10.1	12.3	13.4	97	59	84	SE 1	C	SW 3	00	00	10^1	–	△, abds. Trübung, 8^{48} p ◍
25.	35.0	36.4	38.1	16.0	19.9	13.2	19.9	12.9	12.9	8.5	9.6	96	49	86	SW 2	W 3	C	10^1	4^2⊙	0	1.5	n, 4^{38}–5^{08} a, 6^{18}–ca 7 a ◍, dann heiter
26.	**39.4**	38.5	38.3	11.5	19.1	14.0	19.8	9.4	8.7	8.1	9.5	87	50	80	W 1	NW 1	C	1^1⊙	1^1⊙	0	–	
27.	38.4	36.7	35.6	8.6	20.4	14.8	21.0	6.5	7.9	8.9	11.3	95	50	90	NW 1	NE 2	C	00	00	0	–	△
28.	35.2	33.4	32.3	11.4	22.1	16.1	22.5	10.1	9.7	11.0	11.9	97	56	87	E 1	SE 2	E 1	1^1⊙	4^2⊙	0	–	△
29.	31.8	30.1	30.1	12.5	22.8	16.1	23.1	11.3	10.4	11.2	12.3	97	54	90	E 1	SE 2	C	00	5^2⊙	0	–	△²
30.	27.6	28.2	29.9	13.8	22.0	16.9	22.2	11.7	11.1	13.1	13.4	95	67	94	SE 1	C	C	3^1	10^1	0	–	△
31.	32.3	32.2	32.5	14 3	20.1	15.6	21.7	13.1	12.0	13.4	12.3	99	77	93	C	S 2	S 1	9^1	5^1	4^1	–	△, ca 9–11 a ◍, 0^{15} p ab Aufheiterung
Mittel	32.3	31.8	32.1	11.9	18.6	14.3	19.4	10 3	9 8	10.5	10.9	94	67	90				5.9	5.1	4.4	49.9	

Passau.

August. $\varphi = 48^0\ 34'$ N. $\lambda = 13^0\ 28'$ E $= 53^m\ 52^s$. H $= 309.3$ m. Cg $= +0.2$ mm. 1913.

1.	35.9	35.3	36.1	10.1	20.2	15.4	20.7	**7.1**	8.1	8.8	11.5	88	59	88	C	W 1	C	10^2≡	10^2	4^1	–	a ≡
2.	36.7	36.3	37.2	13.6	21.8	17.4	23.2	12.1	10.3	12.3	13.1	89	64	89	S 1	S 4	S 1	4⊙	8⊙	6^1	–	a Inntal Nebel, m Gewitterneigung
3.	37.3	35.9	35.4	15.2	20.8	17.6	22.8	14.5	11.9	12.9	13.0	92	71	87	W 1	SW 1	C	10	10⊙	6^1	0.2	a Inntal Nebel, 0^{52}–1^{04} p ◍, abds. Aufklaren
4.	34.9	33.5	32.8	13.0	24.0	16.6	24.9	11.8	10.6	13.0	11.6	96	59	82	C	W 2	C	10≡	2⊙	0	–	a ≡
5.	32.7	31.1	32.1	12.6	23.8	17.4	24.2	10.1	9.6	13.1	12.2	89	60	83	E 1	W 1	C	00	3	0	–	a Inntal Nebel, $3^{04.11}$ p, $5^{19.29}$ p ◍²
6.	30.8	30.8	30.8	13.6	18.2	15.6	19 9	12.7	11.1	12.0	12.1	96	77	92	W 1	S 1	C	10≡	8	10^2●	0.5	a ≡, abds. ◍²
7.	34.0	34.2	34.8	11.9	17.6	14.2	18.2	10.7	9.2	9.2	10.7	90	61	90	SW 1	SW 1	C	10	10	0	**10.3**	a Inntal Nebel
8.	36.6	34.1	34.6	10.1	17.4	11.9	17.8	7.9	8.6	**7.4**	9.2	94	51	90	C	W 1	C	10^2≡	10	0	–	a ≡•
9.	33.1	33.6	33.3	9.5	13.2	11.1	14.5	**7.1**	7.8	10.2	9.5	88	91	96	C	S 1	C	10≡	10^2●	0	–	a ≡, m ◍, abds. Aufklaren
10.	34.3	34.9	36.9	12.1	16.2	11.1	16.6	9.7	9 6	9.8	9.5	93	71	96	SW 1	SW 4	C	8	10●	0	3.0	vorm. ztw. ◍, $0^{29.51}$ p ◍², $0^{34.49}$ p ⟀
11.	38.3	37.5	38.1	10.3	19.0	13.0	20.3	8.7	9.0	10.1	10.4	96	62	94	S 1	W 4	C	0≡	6⊙	0	8.1	a ≡
12.	37.2	36.3	35.7	10.1	18.2	14.2	18.6	7.3	8.1	12.3	11.5	88	79	96	S 1	W 2	C	5	10⊙	4	–	m-1^{44} p ◍
13.	36.3	36.3	36.9	12.3	18.4	13.6	19.1	10.9	10.3	9.6	10.3	97	61	89	C	W 4	C	10^1≡	6⊙	0	0 5	a ≡
14.	36.1	34.3	33.8	10.9	12.8	12.6	15.6	9.4	8.9	9.7	10.1	92	89	93	W 2	W 2	C	10	10●	10	–	a ≡, ca 1 p ab ◍
15.	32.7	32.8	34.1	12.6	13.8	11.3	15.8	11.3	9.8	9.6	8.6	91	82	87	W 2	SW 2	C	10	10	10	6.0	n ◍, a Inntal Nebel, ca 11^{30} a–m ◍²
16.	33.8	33.8	34.0	11.1	13.0	11.3	13.1	10.1	8.7	9.6	9.4	89	87	94	SW 2	W 2	C	10	10●	10●	3.0	a Inntal Nebel, t–n ◍
17.	33.8	34.6	36.0	12.2	13.2	13 0	13.9	10.9	9.4	10.5	10.6	91	94	96	SW 4	W 2	C	10	10●	10●	10.0	n, t ◍
18.	37.0	37.3	37.3	13.4	17.4	13.6	17.8	12.7	10.7	12.0	11.1	94	81	96	SW 2	SW 1	C	10≡	10	0	6.5	a ≡
19.	37.1	**37.6**	35.5	10.3	21.4	16.6	22.3	9.7	9.2	13.4	11.9	**99**	71	84	C	W 1	C	10^2≡	2⊙	0	–	a ≡
20.	34.3	33.7	33.7	14.8	20.8	16.8	21.9	14.1	11.8	13.8	13.2	94	76	93	C	S 2	C	10^2≡	10⊙	10	1.0	n ◍, a ≡
21.	35.5	36.6	38.8	14.8	18.8	13.0	19.7	13.0	11.4	12.0	10.6	91	74	96	W 1	W 4	C	10^1≡	8	10	3.8	a ≡
22.	39.9	39.9	40.3	11.5	18.8	12.6	19.9	10.7	9.8	11.4	10.1	98	70	93	C	SW 1	C	10^2≡	4⊙	0	–	a ≡
23.	39.5	37.0	36.7	10.3	24.8	14.4	25.1	8.7	9 0	8.9	10.6	96	**38**	87	C	E 2	C	10^2≡	00	0	–	a ≡
24.	37.6	37.3	36.7	10.5	26.0	16.8	**26.0**	9.7	9.2	11.7	13.5	98	47	95	C	W 1	C	10^2≡	00	0	–	a ≡
25.	38.9	40.1	41.7	15.4	20.8	13.6	21.7	14.3	12.5	10.8	10.3	96	59	89	C	W 4	C	10^2≡	6⊙	0	9.6	ca 11 p–mn ⟀
26.	**42.4**	41.7	41.7	11.5	20.6	13.6	21.1	10.1	9.5	9.7	10.0	95	54	87	W 1	W 3	C	8¹	4^1⊙	0	0.1	△, a ≡
27.	41.9	40.1	39.4	8.5	20.6	14.0	22.3	7.3	8.0	11.8	11.1	97	65	94	C	W 1	C	10^2≡	4^1⊙	0	–	a ≡
28.	39.1	36.6	36.4	10.9	23.0	15.4	23.8	9.7	9.3	11.5	11.8	97	56	90	C	S 1	C	10^2≡	00	0	–	a ≡
29.	35.9	34.2	34.1	11.1	24.0	16.4	24.6	9.9	9.5	12 6	12.0	96	57	86	C	S 2	C	10^2≡	4⊙	0	–	a ≡
30.	32 0	32.0	33.6	11.1	24.8	18.8	24.8	10.5	9.7	**14.8**	14.4	**99**	64	89	C	SW 4	C	10^2≡	10⊙	10	–	△, a ≡
	35.0	35.6	36.1	15.8	22.6	15.8	22.6	15.1	12.8	13.0	12.4	96	64	92	E 1	E 1	C	10^m	6⊙	0	–	n einige ◍-Tr., a ≡
Mittel	36.1	35.6	36.0	12.0	19.5	14.5	20.4	10.6	9.8	11.2	11.2	94	68	91				8.9	6.8	3.2	62.6	

Alle Angaben nach Ortszeit.

Landshut.

August. $\varphi = 48^0\ 32'$ N. $\lambda = 12^0\ 10'$ E $= 48^m\ 40^s$. H $= 397.7$ m. Cg $= +0.2$ mm. 1913.

Datum	Luftdruck auf 0^0 u Normalschwere reduziert 700 mm +			Lufttemperatur C^0					Absolute Feuchtigkeit mm			Relative Feuchtigkeit Proz.			Richtung und Stärke des Windes 0 bis 12			Bewölkung 0 bis 10			Niederschlag mm	Bemerkungen
	7^a	2^p	9^p	7^a	2^p	9^p	Max.	Min.	7^a	2^p	9^p	7^a	2^p	9^p	7^a	2^p	9^p	7^a	2^p	9^p	7^a	
1.	28.2	28.1	28.4	10.2	20.7	13.5	25.0	5.4	7.5	6.1	9.7	81	34	85	NE 2	E 4	C	00	1^1⊙	0	–	⏢^{0}
2.	29.2	28.7	28.9	12.8	22.4	16.6	26.6	8.3	8.9	9.3	10.3	82	47	73	N 2	NW 2	C	1^0⊙	7^1⊙	0	–	⏢^{0}
3.	29.4	27.8	27.2	14.2	23.4	13.6	26.4	9.8	10.4	10.8	11.2	87	51	97	E 2	E 2	C	8^1	10^1	0	–	⏢, 7^{10}–8^{09} a ◍
4	26.8	25.7	24.5	12.1	25.3	14.8	30.0	8.2	9.9	10.0	11.1	95	42	89	SW 2	NE 2	C	10^1≡	1^1⊙	0	0.4	⏢, ≡^{1}
5.	24.0	23.6	24.2	14.6	21.2	14.8	25.0	10.1	10.6	13.6	11.4	86	73	91	W 2	NE 2	W 2	1^1⊙	2^1⊖	0	–	⏢, 9^{30}–10^{09} a ◍, 0^{04}–1^{11} p ⟋, 0^{54}–1^{19} p ◍, 3^{05} p ⟋, ^{1})
6.	23.2	21.5	22.9	12.9	21.9	13.9	25.1	11.9	10.7	13.3	11.7	97	68	99	E 2	SW 4	W 2	10^1●	4^1⊙	10^1●	13.7	n ◍, $4^{34.53}$ p ⟋, 4^{37}–7^{19} p. ca 8 p–n ◍^{1}
7.	25.9	26.1	26.5	12.1	17.3	11.9	20 8	9.2	9.5	6.4	9.2	91	44	90	W 4	W 2	C	9^1	8^1⊙	3^1	12.9	
8.	26.2	26.1	26.0	10.2	16.4	9.9	21.0	7.3	8.8	8.4	8.3	95	60	91	W 2	W 2	C	10^1	10^1	0	–	10^{34}–11^{19} a ◍
9.	24.6	24.5	24.1	9.6	17.0	12.8	20.3	6.2	8.4	10.1	8 8	95	70	81	W 4	SW 4	W 2	10^1	8^1⊙	6^1	0.9	7^{04}–ca 10 a ◍
10.	26 3	26.8	28.7	12.1	16.4	10.4	18.5	10.2	9.0	7.8	9.0	87	56	96	SW 4	W 4	W 2	10^1	8^2	1^1	1 2	ca 10 a ◍-Tr., 3^{29}–4^{04} p ◍
11.	30.0	28.9	29.2	10.3	21.1	10.4	24.2	5.7	8.4	9.9	8.9	90	53	95	SW 2	SW 2	C	1^1⊙	9^1	0	1.1	⏢
12.	28.6	27.9	27.7	9.9	17.7	12.0	20.3	6.5	8.4	12.1	10.3	92	80	99	NW 2	W 2	N 2	9^1	9^1	10^0	–	10^{23} a–1^{29} p ◍^{0}
13.	28.7	29.0	28.8	13.4	17.3	11.8	19.0	10.8	10.4	7.2	9.6	91	50	94	N 2	NW 2	C	10^1	10^1	9^0	0.8	⏢
14.	27.8	25.8	25.3	8.4	13.4	11.2	16.8	6.3	7.7	10.0	9.7	93	88	98	SW 2	SW 2	W 2	10^1	10^1	2^1	–	⏢, 9^{34} a–1^{19} p ◍^{0}, 6^{34}–7^{39} p ◍
15.	25.2	25.2	26.2	12.0	16.0	9.9	17.0	9.4	9.2	7.4	8.5	89	55	94	W 6	W 4	W 4	10^1	9^1	10^1●	1.2	7^{19}–8^{29} a ◍, 11^{19} a u. t öfters ◍böen
16.	25.9	26.1	26.6	9.9	15.2	11.1	16.8	9.2	8.7	10.0	9.6	96	77	98	W 4	W 4	W 6	10^1●	10^1	10^1●	4.2	n, a–ca 9 a, 10^{09} a, 1^{19} p, ca 4 p, ca 6 p–n ◍
17.	26.0	27.0	28.0	10.7	16.0	13.1	17.0	10.2	8.7	8.8	10.0	92	64	90	W 6	W 6	W 4	10^1●	10^1	10^1	5.0	n, a–m ◍, 6^{19}–ca 8 p ◍^{0}
18	29.0	29.1	28.7	13.6	19.0	15.1	24.8	10.2	10.4	12.0	12.1	90	74	94	W 4	W 2	C	10^1	6^0⊙	3^1	1.1	
19.	28.9	27.6	27.0	12.4	22.3	15.4	25.8	10.0	10.5	12.1	12.7	98	61	98	C	C	W 4	10^1	5^1⊙	10^1●	–	ca 6 a ≡^{0}, 7^{19}–8^{04} p ⟋ ◍
20.	25.9	25.8	26.5	14.9	16.7	15.6	22.9	10.1	12.5	13.7	12.0	99	97	91	S 2	NE 2	W 2	10^1	10^1●	10^1	16.0	0^{04}–5^{19} p ◍
21.	28.8	29.5	30.8	13.9	18.4	12.8	19.9	12.5	10.5	10.1	10.6	90	63	97	NW 2	N 4	C	10^1	8^1⊙	1^1	24.4	ca 10–10^{49} a, $0^{00.09}$ p, 6^{19}–7^{04} p ◍
22.	31.9	31.9	31.5	12.3	20.6	12.1	24.5	12.0	10.4	8.2	10.1	98	45	97	W 2	NW 2	C	00	6^1⊙	0	1.0	⏢
23.	30.5	28.8	28.1	9.7	23.9	15.0	28.2	7.2	8.9	9.9	11.3	99	45	89	W 2	E 4	C	5^0⊙	00	0	–	⏢ ≡^{1}
24.	29.4	28.5	29.9	12.6	26.3	16.8	32.2	10.2	9.7	12.4	13.2	90	49	93	SW 2	C	W 6	00	00	10^1 ●≡	–	⏢, 8^{29}–9^{00} p ⟋, 8^{34}–9^{09} p ◍
25.	31.1	32.6	33.6	16.4	20.4	11.2	23.2	11.0	13.0	7.3	9.3	94	42	94	SW 2	W 2	C	10^1	2^1⊙	0	11.8	$9^{00.24}$ p ⟋, 9^{00}–ca 10 p ◍
26.	34.9	34.2	33.7	10.3	20.6	10.4	24.1	7.7	8.6	7.9	9.0	93	44	96	NW 2	E 2	C	8^1	1^1⊙	0	–	⏢^{0}
27.	33.9	32.0	31.1	9.2	21.2	14.1	23.9	5.2	7.8	8.4	10.8	91	45	91	C	E 4	C	00	00	0	–	⏢
28.	30.9	28.9	27.6	11.4	23.3	15.5	26.0	9.2	9.6	10.1	11.1	96	48	85	E 2	E 4	E 2	00	2^1⊙	0	–	⏢
29.	27.5	25.6	25.2	12.8	23.8	15.6	27.0	10.4	10.1	11.7	11.8	93	53	89	C	E 2	E 2	1^0⊙	4^0⊙	0	–	⏢, ca 8 p ≤ i. SW
30.	23.2	24.6	25.7	13.2	19.3	14.7	22.3	11.2	10.4	13.3	11.9	93	80	96	NE 2	W 2	C	7^1⊙	10^1	0	–	⏢, m ◍-Tr., $4^{19.29}$ p ◍^{0}
31.	27.4	28.0	28.1	14.8	22.2	15.3	28.1	12.6	11.7	14.1	12.0	93	71	92	W 2	SE 2	C	10^1●	3^1⊙	0	0.7	ca 7–9 a ◍^{0}
Mittel	28.0	27.6	27.8	12.0	19.9	13.3	23.3	9.2	9.7	10.1	10.5	92	59	92				6.7	5.9	3.4	96.4	

^{1}) ca 4–5 p ◍

Augsburg.

August. $\varphi = 48^0\ 22'$ N. $\lambda = 10^0\ 54'$ E $= 43^m\ 36^s$. H $= 499.6$ m. Cg $= +0.1$ mm, über 728.8 mm Cg $= +0.2$ mm. 1913.

1.	20.1	19.9	20.8	12.6	22.4	17.3	24.2	9.9	8.2	7.0	8.5	75	35	57	C	C	C	00	00	0	–	⏢
2.	21.3	20.6	21.4	13.6	23.9	16.0	24.8	9.7	8.3	9.5	10.8	71	43	79	C	NE 2	SE 2	3^0⊙	4^7⊙	0	–	⏢
3.	21.1	19.6	19.1	12.8	24.8	19.7	25.9	10.7	9.5	10.2	11.4	88	44	66	NE 2	NE 2	E 2	00	3^2⊙	10^2	–	⏢
4	18.6	17.4	16.6	14.6	25.4	20.3	27.3	12.2	10.2	8.4	10.5	83	35	59	E 2	NE 2	C	00	3^1	0	–	⏢
5.	16.1	15.2	16.4	14.4	22.4	15.8	22.8	12 7	9.2	12.6	11.9	75	63	89	SW 2	SW 2	C	2^1	10^3≡	10^1	–	⏢. 1^{49}–2^{54} p ⟋. $2^{04.44}$ p ◍. 2^{04} p ▁^{III}
6.	15.0	12.6	15.9	13.8	21.3	13.2	21.3	13.2	10.9	10.8	10.2	91	58	91	SW 2	C	NW 2	10^2●	9^2	10^1	11.4	ca 3-4 a ⟋, n u. a ◍, 2^{41}–3^{14} p ⟋. 2^{34}–3^{04} p, 5^{54}–7^{19} p ◍
7.	18.2	17.9	18.7	11.5	17.2	12.5	17.2	11.2	8.5	6.7	9.1	85	47	86	NW 2	NW 2	SW 2	8^1	3^1⊙	10^1	16.2	
8.	20.1	17.6	17.5	10.8	16.8	12.8	17.5	9.7	8.2	7.5	8.9	86	53	81	C	NW 2	NW 2	10^1	8^2	0	–	⏢
9.	15.8	15.5	16.1	11.4	16.2	12.1	16.4	9.3	7.9	8.3	8.9	78	60	85	SE 2	SE 2	SW 2	10^2	8^2	5^1	0 3	n ◍
10.	18.9	18.7	20.5	10.8	14.9	12.9	15.8	10.0	7.8	8.2	9.8	82	65	89	SW 2	NW 4	SW 2	7^2	10^2●	10^2●	–	$9^{00.24}$ a, 1^{39}–2^{04} p, $3^{34.54}$ p, 6^{44}–7^{14} p, 8^{34} p–n ◍
11.	21.7	21.0	21.5	10.8	18.4	14.4	20.1	7.2	8.0	9.1	9.6	83	58	78	SW 2	N 2	NW 2	3^1⊙	6^3⊙	0	4.7	
12.	19.8	19.8	19.8	12.2	15.1	14.9	16.3	9.2	8.8	10.9	11.6	83	85	92	SW 2	W 2	W 2	10^1	10^2	10^2	–	⏢, 9^{04} a–0^{09} p ◍
13.	21.0	21.1	20.9	12.4	16.8	12.2	16.8	10.8	9.6	8.3	8.1	90	59	75	NW 2	NW 2	W 2	10^2	10^1	2^0	2.1	
14.	19.4	17.8	17.5	14.8	13.9	11.7	15.5	7.6	11.0	9.0	9.9	88	75	97	SW 2	W 4	W 4	10^2	10^2	6^1	–	7^{39}–ca 9^{45} a, 3^{19}–5^{39} p ◍
15.	17.7	17.6	18.8	11.4	14.6	10.9	15.1	8.9	9.3	8.8	7.9	93	72	82	NW 2	NW 2	NE 2	9^1	7^2	10^2●	3.2	n, 7^{29}–8^{34} a, $0^{21.31}$ p, $10^{3.14}$ p, 8^{49} p–n ◍
16.	18.3	18.3	19.1	10.4	15.6	11.8	16.0	8.9	8.7	8.5	8.6	93	64	84	W 2	W 4	SW 2	10^2●	10^2	10^2	10.2	n–7^{34} a ◍
17	18.9	19.8	20.9	10.4	15.1	13.1	16.0	8.1	7.8	9.3	10.6	84	73	95	SW 4	NW 2	NW 2	7^1	10^2	10^1	0.7	
18.	20.9	20.9	20.8	12.1	17.0	15.5	18.1	9.9	9.6	11 6	11.7	93	80	89	SW 2	NE 2	NE 2	10^2	5^1⊙	10^2	–	
19.	20.5	19.3	19.2	12.5	23.1	15.4	23.1	10.8	10.3	12.8	11.9	96	61	91	C	SE 2	SW 2	10^2≡	6^2⊙	10^2	–	n u. a ≡^{2}, 5^{29}–7^{04} p ⟋, 6^{04}–7^{14} p ◍
20.	17.6	17.8	19.2	14.9	17.1	13.9	18.1	13.1	11.9	12.4	11.1	94	85	95	SW 2	NE 2	NW 2	2^0⊙	10^2●	10^2	8.2	1^{34}–3^{04} p ◍
21.	21.3	22.2	23.0	13.1	16.8	14.2	18.1	8.1	10.3	10.9	10.6	93	69	88	C	NW 2	N 2	10^2	9^2	10^2	11.9	11^{34} a–0^{14} p ◍
22.	24.0	23.8	23.5	11.4	20.8	16.3	22.0	10.1	8.9	9.9	9.9	89	52	71	SW 2	NW 2	SW 2	3^1	4^1⊙	0	8 1	n ◍
23.	21.8	20.3	20.2	10.9	24.7	18.4	26.2	9.1	8.9	10.2	11.0	92	45	69	C	SE 2	SW 2	00	00	0	–	⏢
24.	21.0	20.3	22.1	14.4	26.5	16.6	26.5	11.5	9.8	10.8	11.7	80	43	82	SW 2	SW 2	SW 2	2^0⊙	4^1⊙	4^2	–	⏢. 6^{07} p ⟋, 6^{14}–ca 6^{45} p ◍
25.	23.8	24.5	25.9	15.4	20.2	14.9	22.1	13.9	12.0	8.0	9.2	92	46	72	SW 2	NW 2	NW 2	10^1	3^1⊙	0	4.1	n ⟋ u. ◍
26.	26.7	25.9	25.8	10.8	21.6	15.4	23.1	8.9	8.6	8.2	9.0	90	42	69	SW 2	NE 2	NE 2	00	1^0⊙	0	–	⏢
27.	25.1	23.6	23.1	11.2	22.0	16.1	22.0	8.2	7.9	7.4	9.6	79	38	70	NE 2	NE 2	NE 2	00	00	0	–	⏢
28.	22.4	20.5	19.7	12.1	22.8	17 1	23.0	10.1	9.6	10 4	11.1	91	50	76	E 2	E 4	C	00	1^0⊙	0	–	⏢
29.	19.0	17.3	17.0	12.4	22.9	17 8	22.9	11.5	9.8	12.1	12.0	93	59	78	C	E 2	SE 2	1^0⊙	5^0⊙	0	–	⏢
30.	15.4	16.9	17.8	15.1	19.1	17.4	22.0	13.1	11.4	12.5	12.1	89	75	81	C	SW 2	SW 2	10^1	10^2	10^1	–	t ztw. ◍
31.	19.1	19 5	20.3	14.8	22.7	18.2	22.7	8.8	10.7	10.6	11.0	86	52	70	W 2	SW 2	C	7^2	5^1⊙	0	0.8	n ◍
Mittel	20 0	19.5	20.0	12.6	19.7	15.1	20.6	10.2	9.4	9.7	10.3	87	58	80				5.6	5.9	5.1	81.9	

Alle Angaben nach Ortszeit.

München-C.St.

August. $\varphi = 48^0\ 9'$ N. $\lambda = 11^0\ 34'$ E = 46m 16s. H = 526.4 m. Cg = +0.1 mm. 1913.

Datum	Luftdruck auf 0° u. Normalschwere reduziert 700 mm +			Lufttemperatur C°					Absolute Feuchtigkeit mm			Relative Feuchtigkeit Proz.			Richtung und Stärke des Windes 0 bis 12			Bewölkung 0 bis 10			Niederschlag mm	Bemerkungen
	7a	2p	9p	7a	2p	9p	Max.	Min.	7a	2p	9p	7a	2p	9p	7a	2p	9p	7a	2p	9p	7a	
1.	17.3	17.3	18.4	13.3	20.9	17.1	21.2	10.3	8.6	7.3	7.7	76	43	53	E 1	E 1	C	00	3⁰⊙	0	–	a ⏢, ∞
2.	18.4	18.2	18.4	13.9	22 8	18.1	23.0	11.2	8.9	7.4	9.9	76	36	64	W 1	E 1	NE 1	3⁰⊙	7¹	3⁰	–	a ⏢
3.	18.5	17.3	16.5	13.7	23.2	18.3	23.7	12.8	10.2	8.4	10.9	88	39	70	C	SE 1	C	00	7¹	3¹	–	a ⏢, ∞
4.	15.9	15.1	14.3	16.0	24.7	19.1	24.9	13.0	10.0	7.4	10.2	74	32	62	C	NE 1	C	00	2¹⊙	0	–	a ⏢, ∞
5.	13.4	13.0	13.9	15.4	22.7	24.1	24.7	14.9	10.2	11.5	12.1	79	57	84	NW 2	NW 1	W 1	3⁰⊙	3⁰	9¹	–	a ⏢, 026–ca 1 p ◯⁰. 613 p, 241–321 p ◹, 301.17 p ◯, 1)
6.	12.3	10.6	13.0	14.3	21.1	13 8	21.4	13.0	11.2	10.4	10.8	93	56	93	W 1	SW 1	SW 1	10¹●	7¹⊙	10¹●	5.6	n ◯, ca 345 p ◹, t ztw. ◯, 356 p ▁ⁱⁱⁱ◯², 401.56 p ◹
7	15.2	15.4	16.2	12.7	15.0	12.4	15.2	11.8	9.0	8.2	9.5	83	65	89	C	SE 2	SW 1	8¹	9¹	10¹●	13 0	t ztw. ◯
8.	15.3	15.3	15.1	11.5	15.6	12.4	16.8	9.9	8.5	7.0	8.3	85	51	78	SW 1	W 1	C	10¹	7⁰⊙	0	4.1	n ◯, 328–401 p ◹. 341–416 p ◯
9.	13.8	13.5	13.8	11.1	16.1	12.7	17.2	10.0	8.4	7.6	7.9	85	56	72	SW 1	SW 1	SW 1	10¹●	6⁰	7⁰	5 3	n u. a ◯
10.	15.5	16.2	18.3	12.0	16.5	10.9	17.0	10.2	8.1	7.7	8.5	77	55	90	SW 2	SW 3	C	10⁰	4¹⊙	1⁰	1.9	a ⏢, t ztw. ◯
11.	18.9	18.0	18.7	12.1	19.9	14.8	20.2	9.4	8.2	6.5	9.5	79	38	76	W 1	SW 2	W 1	6⁰⊙	9¹	0	2.2	a ⏢¹, ∞
12.	16.2	17.2	17.3	14.1	16.1	15.0	18.0	12.1	9.4	10.4	11.6	79	77	91	C	W 1	SW 2	10⁰	10¹	10¹●	–	a ⏢¹, am Horizont ≡⁰, t ztw. ◯
13.	17.9	18.2	18.3	12.8	15.5	13.5	16.9	12.4	10.0	7.8	8.6	91	60	75	NW 1	NW 1	NW 2	10⁰	10¹	10¹	3.6	n, t ztw. ◯, am Horizont ≡⁰
14.	16.7	15.1	14.9	10.2	12.9	11.7	13.6	8 8	7.7	8.7	9.4	82	79	93	W 1	SW 3	SW 4	10¹	10¹	9¹	–	a ⏢², t ztw. ◯
15.	14.8	14.9	16.2	11.3	14.1	9.7	15.8	9.6	9.1	6.4	8.2	92	54	92	NW 3	NW 3	C	9¹	7¹⊙	10¹●	2.6	n ◯, a ∞, 844–911 a ◹ mit ◯. 536 p ◹. 601 p–n ◯
16.	15.1	16.0	16.5	9.9	12.0	11.1	15.2	8.6	8.6	7.8	8.9	95	75	90	W 2	W 3	SW 3	10¹●	10¹●	10⁰	33.6	n, a–ca 1045 a, p ztw. ◯
17.	16.4	16.7	18 0	11.1	17.6	13.1	18.5	9.4	8.1	8.6	9.8	82	57	88	W 3	W 4	SW 1	6⁰	10⁰	8¹	3.8	a ⏢², m ztw. ◯⁰
18.	18.6	17.8	18.2	12.3	19.5	16.1	19.5	10.8	9.4	10.8	11.6	89	64	85	SW 1	N 2	C	10⁰	3¹⊙	8⁰	0.2	a ringsum ≡⁰
19.	17.7	16.5	16.8	13.0	23.4	15.7	23.5	11.7	10.5	12.1	12.2	95	57	92	C	NW 3	C	10⁰⊙	4⁰⊙	9¹	–	n ◯⁰, a ≡⁰, 444–506 p ◹. 450–508 p ◯, 512 p, 606 p ◹ mit ◯
20.	15.0	15.0	16.2	16.2	18.9	15.4	19.7	14.5	11.8	12.5	12.0	86	77	92	SW 1	SW 2	W 1	9⁰	10⁰	10¹●	9.5	a ≡², Dunstkranz, t ztw. ◯
21.	18.1	19.0	20.3	13.4	14.6	13.7	16.1	12.9	10.8	10.7	10.2	95	87	88	NW 1	NW 1	SW 1	10¹	10¹●	10¹	3.5	☽, t ztw. ◯, ringsum Nebelkranz
22.	21.4	21.3	21.0	13.1	20.7	15.5	20.8	11.6	9.7	8.3	9.3	87	46	71	W 1	W 1	SW 1	2⁰⊙	2⁰⊙	0	3.3	a ◯, a Dunstkranz
23.	19.0	17.5	17.6	12.9	24.6	18.3	25.1	10.4	8.4	9.5	10.1	76	41	64	SE 1	C	SW 1	00	00	0	–	a ⏢
24.	18.5	17.7	19.7	16.0	27.5	17.6	27.7	14.0	9.8	9.6	12.7	73	35	86	SW 1	C	SW 2	00	00	10¹	–	a ⏢ ∞⁰, 646–841 p ◹, 711 p–ca 845 p ◯
25.	20.8	21.7	23.3	16.2	20.8	15.0	20.9	14.8	12.1	8.1	9.4	88	45	74	SW 1	W 2	C	8¹	4¹⊙	0	5.5	n ◯, a ∞
26.	24.0	23.1	23.1	12.1	20.8	15.5	20.8	11.3	8.8	7.8	9.0	84	43	68	C	NE 1	E 1	4⁰	1⁰⊙	0	–	a ⏢, ∞¹
27.	22.4	20.8	20.3	12.6	21.4	15.9	21.6	10.2	8.4	7.7	9 9	78	41	74	E 1	E 2	C	00	00	0	–	a ⏢, ∞
28.	19.5	17.9	16.7	12.3	22.8	16.9	23.0	10.8	9.6	12.3	10.7	91	51	75	E 1	NE 1	E 1	00	1⁰⊙	0	–	a ⏢, ∞
29.	16.2	14.8	14.3	12.7	22.0	18.0	23.2	11.4	10.0	11.4	12.4	92	58	89	C	E 1	C	10¹≡	5⁰⊙	5⁰	–	a ≡¹ ⏢², ca 645 p öfters ◹ im E
30.	12.1	14.5	15.4	14.5	20.0	16.8	20.8	13.3	11.5	10.9	11.6	94	69	82	E 1	SW 2	C	6⁰⊙	10¹	0	–	a ⏢, ∞; t ztw. ◯, abds. ∞
31.	16.5	17.1	17.7	15.7	22.6	18.3	22.8	14.9	11.3	9.9	11.5	85	49	74	C	W 1	C	10¹	4¹⊙	0	0.3	n ◯, ca 745 a kurz ◯0.1, t Gebirge sichtbar, föhnig
Mittel	17.1	16.9	17.4	13.2	19.5	15.2	20.3	11.6	9.6	9.1	10.1	85	55	80				6.3	5.6	4.9	98.0	1) 303.05 p ▲

Traunstein.

August. $\varphi = 47^0\ 52'$ N. $\lambda = 12^0\ 39'$ E = 50m 36s. H = 597 m. Cg = +0.1 mm. 1913.

1.	11.5	11.7	12.6	10.6	19.2	15.2	20.1	6.9	8.3	9.0	9.6	89	55	74	S 2	N 4	NE 2	00	6²⊙	6²	–	mrgs. ⏢
2.	12.6	12.5	12.9	13.1	20.0	15.4	20.8	14.2	9 0	9 6	11.0	81	55	85	W 2	W 4	W 2	2²⊙	7²	9²●	–	abds. ◯
3	12.8	11.7	11.0	13.4	21.0	15.8	21.2	11.0	10.8	7.4	11.2	95	40	96	S 2	W 2	W 2	6²	6²⊙	10²	0.1	356 p ◹, p u. abds. ◯
4	10.4	09.7	09.0	13.6	22.6	15.0	23.0	10.7	10.3	12.6	11.4	89	62	90	SE 2	S 2	S 2	2²⊙	4²⊙	0	2.6	mrgs. ⏢
5.	07.8	07.2	08.4	15.6	19.5	14.5	21.0	10.5	10.7	12.9	11.3	81	77	93	S 2	W 4	W 2	5²⊙	6²⊙	4²	–	mrgs. ⏢, 055 p, 531 p ◹
6.	07.2	05.8	07.4	13.0	18.6	12.8	19.2	10.9	10.4	11.9	10.5	94	75	96	W 5	E 2	W 2	10²	6²⊙	10²●	2.1	mrgs. ≡1.2 ◯. 552 p ◹ mit ◯
7	09.5	09 5	10.2	10.8	17.0	11.4	17.2	10.3	9.3	7.7	8.6	97	54	86	SW 2	NE 2	E 2	10¹	8²⊙	9²	37.0	t ztw. ◯
8.	09.6	09.5	09.5	10.5	15.8	10.3	16.9	8.2	8.1	10.1	8.5	87	76	92	NW 2	W 2	E 2	6²⊙	6²⊙	3²	0.6	mrgs. ⏢
9.	08.1	07.9	08.3	9 8	12.4	10.4	13.0	8.9	8.3	9.5	9.0	92	89	96	W 2	S 2	SE 2	10²●	10²	8²	–	a ◯
10.	10.1	10.5	12.8	11.2	12.4	9.4	13.0	9.4	8.3	7.5	8 3	84	70	95	W 2	W 2	SE 2	10²	5²⊙	0	8.5	p u. abds. ◯
11.	13.4	12.6	13.1	10.5	18.0	12.6	19.0	6.4	8.4	8.7	10.0	90	57	93	W 2	SW 2	S 2	2²⊙	6²⊙	4²	0.7	mrgs. ⏢
12.	11.7	11.5	11.3	11.9	19.0	14.1	19.9	9 5	9.5	10.0	11.4	93	61	96	S 2	NW 2	NW 2	10²	10²	10²●	–	mrgs. ⏢, abds. ◯
13.	11.9	12.2	12.4	13.1	13.3	11.6	14.1	11.3	10.6	10.6	9.9	95	94	98	NW 2	W 2	W 2	10²●	10²	10²	8.4	n u. t meist ◯
14.	11.2	08.8	09.4	11.1	10.4	10.4	11.6	9.3	8.5	8.7	9.2	86	93	98	W 2	W 4	W 2	6²⊙	10²●	10²●	1.2	p ◯
15.	08.8	09.0	10.2	10.8	9.8	8.8	11.6	7.2	9.4	8.8	8.3	98	98	99	W 4	NW 2	W 2	10²	9²●	10²●	9.8	n u. t meist ◯. 1104 a, 123 p, 202 p, 231 p, ca 4 p, ca 5 p ◹. 1)
16.	09.6	10.4	10.9	8.2	10.6	9.4	12.1	6.9	7.9	8.3	8.1	98	89	92	W 2	W 4	S 2	10²●	9²⊙	10²●	60.9	n u. t meist ◯
17.	10.2	10.8	12.3	11.9	17.2	13.2	18.2	9.2	7.9	9.4	9.7	76	64	87	W 6	NW 4	W 2	9²	9²⊙	6²	12.8	t ztw. ◯
18.	12.8	12.3	12.5	10.3	19.6	14.2	22.0	8 2	8.7	10.8	11.5	94	63	96	W 2	N 2	E 2	2²⊙	4²⊙	3²	0.2	mrgs. ⏢
19.	11.8	11.2	11.1	12.5	22.4	15.0	23.0	10.5	10.1	13.3	12.0	94	66	94	SE 2	E 2	W 2	4²⊙	4²⊙	10²	–	mrgs. ⏢. 521 p, 601 p ◹
20.	09.3	09.3	10.2	13.8	19.6	14.6	21.0	12.2	11.1	12.0	12.0	95	71	97	S 2	W 4	W 2	2²⊙	10²	10²●	5.2	n, p u. abds. ◯
21.	11.6	12.9	14.4	12.6	15.1	12.4	15.3	12.2	10.6	11.4	10.2	98	89	95	W 4	W 4	W 4	10²●	8²	10²●	10.9	n u. t meist ◯
22.	15.5	16.0	15.7	11.0	18.1	11.3	18.7	10.4	9.5	9.4	9.9	97	01	99	S 2	NW 4	E 1	10²	6²⊙	0	14.9	
23.	13.7	12.3	12.2	11.3	22.0	13.7	23.0	8 3	8.1	11.7	11.1	82	59	96	E 2	E 2	E 2	00	00	0	–	mrgs. ⏢
24.	13.9	12.6	13.3	13.4	25.2	18.0	25 8	10.1	9.7	10.9	11.4	86	46	75	S 2	NW 2	W 6	00	2²⊙	10²	–	mrgs. ⏢, ca 8 p ◹ im W u. N
25.	14.7	15.9	17.5	15.2	18.2	14.1	19.4	13.6	11.5	11.3	10.8	89	73	91	W 2	W 4	N 2	7²⊙	7²⊙	0	4.4	909 p, 331 a ◹, n ◯
26.	18.0	16.8	17.2	10.4	19.2	11.2	20.2	8.8	8.2	10.6	8.8	88	63	89	NW 2	S 2	E 2	6²	2²⊙	0	–	mrgs. ⏢
27.	16.6	15.1	14.5	8.8	20.1	13.4	21.0	6.9	7.5	8.5	9.9	89	48	87	S 2	E 4	E 2	00	00	0	–	mrgs. ⏢
28.	13.8	12.2	11.2	8.8	21.3	13.8	22.0	6.9	7.8	12.4	11.2	92	66	96	E 2	NE 4	E 2	00	2²⊙	0	–	mrgs. ⏢
29.	10.6	09.3	09.0	10.7	21.2	14.3	22.2	8.5	9.0	13.4	11.7	94	73	97	E 2	E 2	E 2	3²▬	3²⊙	0	–	mrgs. ⏢ ≡1.2
30.	06.7	08.9	09.6	13.4	18.3	15.8	19.2	11.4	10.4	14.1	12.8	91	91	96	E 2	W 6	W 2	4²⊙	10²	10²	–	mrgs. ⏢, t ◯
31.	11.1	12.0	12.3	14.2	21.0	15.4	21.9	13.7	11.8	12.0	12.2	98	65	93	S 2	E 2	E 2	10²	2¹⊙	0	1.3	n u. a ◯
Mittel	11.5	11.3	11.7	11.8	18.0	13.1	18.9	9.7	9.3	10.5	10.4	91	69	93				5.7	6.0	5.5	181.6	1) 148.52 p ▲. 248 p △

Alle Angaben nach Ortszeit.

Partenkirchen.

August. $\varphi = 47^0\ 30'$ N. $\lambda = 11^0\ 6'$ E $= 44^m\ 24^s$. H $= 716.8$ m. Cg $= +0.1$ mm. 1913.

Datum	Luftdruck auf 0° u. Normalschwere reduziert 700 mm +			Lufttemperatur C°					Absolute Feuchtigkeit mm			Relative Feuchtigkeit Proz.			Richtung und Stärke des Windes 0 bis 12			Bewölkung 0 bis 10			Niederschlag mm	Bemerkungen
	7^a	2^p	9^p	7^a	2^p	9^p	Max.	Min.	7^a	2^p	9^p	7^a	2^p	9^p	7^a	2^p	9^p	7^a	2^p	9^p	7^a	
1.	01.2	01.2	03.2	10.2	18.4	12.0	18.9	7.2	8.6	7.1	8.1	93	45	78	C	NW 4	C	2^0⊙	2^0⊙	0	–	a △, Berge teilweise frei
2	03.1	02.6	03.1	10.2	20.4	13.2	21.0	7.7	8.1	8.0	8.5	87	45	75	C	NW 3	SE 2	⊙⊙	2^1⊙	1^0	–	a △, Berge rein
3.	02.5	01.4	01.3	10.5	20.4	12.9	21.1	9.0	8.6	10.6	9.8	92	59	89	C	NW 2	C	⊙⊙	7^1	0	–	a △, Berge rein, 2^{34} p ◎-Böe
4.	00.7	699.2	699.5	11.7	22.2	13.6	22.5	10.0	9.2	8.9	9.7	91	45	85	S 2	N 2	C	⊙⊙	2^0⊙	0	7.1	a △, Berge sehr rein
5.	698.7	697.1	699.3	14.0	24.3	14.9	24.8	11.3	9.4	7.7	12.2	79	33	97	S 2	C	C	2^0⊙	3^0	1^0	–	a △, Berge sehr rein. 5^{23} p u. ca 7^{45} p ◹, abds. ◺ u. ◎
6.	697.2	694.7	697.9	12.2	18.4	11.5	19.6	10.7	10.0	11.2	10.0	95	71	99	C	NW 3	C	10^1	9^1	10^1●	4.4	a Berge teilweise frei, abds. ◎^{0}
7.	699.5	699.8	00.5	9.2	11.2	9.8	11.5	9.2	8.7	9.2	8.8	100	93	98	C	C	C	10^1●	10^1	9^0	19.0	mrgs. ◎^{0}, Berge im Nebel
8.	699.7	699.5	699.4	8.6	12.2	10.9	15.3	8.0	8.3	8.1	8.9	100	76	92	C	NW 4	C	10^1●	8^1	9^1	2.5	mrgs. ◎^{0}, Berge im Nebel
9.	698.6	698.2	698.6	9.2	11.0	9.7	11.6	8.5	8.7	8.1	8.1	100	83	91	S 2	C	W 2	10 ●	10^1	2^1	6.3	mrgs. ◎^{0}, Berge im Nebel
10.	00.1	00.9	02.0	8.2	13.4	11.8	16.0	6.9	7.7	7.8	8.4	94	69	83	C	S 2	SW 2	7^1	4^1⊙	1^0	7.3	n u. a ◎
11.	03.3	02.5	03.5	9.0	17.6	14.0	18.3	7.1	7.2	7.7	10.4	84	52	88	S 3	NW 4	C	2^0⊙	7^0	3^0	2.5	a △, Berge sehr rein
12.	01.6	01.6	01.9	12.1	15.9	12.7	16.5	9.6	9.3	11.0	10.9	89	82	100	C	W 1	C	8^0	8^0	10^1●	0.2	n ◎, a Berge frei, abds. ◎
13.	02.2	02.6	02.8	11.2	11.2	10.7	12.7	10.7	9.9	9.8	9.6	100	99	100	C	W 2	C	10^1●	10^1●	10^1●	9.2	n u. t ◎, a Berge im Nebel
14.	01.3	699.9	699.8	8.2	9.6	9.5	10.7	8.1	8.1	8.8	8.9	100	99	100	C	C	C	10^1	10^1●	10 ●	6.2	n, p u. abds. ◎, a Berge im Nebel
15.	699.5	00.2	01.0	9.0	8.6	9.2	10.7	8.6	8.6	8.3	8.6	100	100	99	C	C	C	10^1●	10^1●	10^1●	11.7	n u. t ◎, 0^{44} p u. 7^{11} p ◹ im N u. NW
16.	699.9	01.2	01.5	8.0	10.8	9.9	11.7	6.8	7.9	7.7	8.6	99	81	95	C	C	C	10^1	9^1	7^0	15.2	n u. a ◎, a Berge teilw. frei, bis auf 1900 m herab Berge ✳
17.	01.4	01.0	02.3	6.6	19.0	12.6	20.1	5.2	7.1	8.3	9.8	98	51	91	SE 2	NW 3	C	⊙⊙	2^0⊙	0	5.8	a Berge rein
18.	02.8	01.4	02.7	9.4	19.6	14.4	20.5	7.8	8.3	10.8	11.7	95	63	96	C	N 2	C	⊙⊙	8^0⊙	8^1	–	a △, Berge rein
19.	02.2	00.4	01.8	13.0	21.6	15.1	23.0	11.4	10.6	12.2	12.2	96	64	96	C	NW 4	SE 2	1^0⊙	8^1	6^1	0.1	2^{29} p bis nach 3 p ◹ mit ◎^{1}
20.	699.8	00.1	00.7	13.0	15.2	14.0	17.1	11.7	10.6	12.3	11.9	96	96	100	C	C	C	7^0	9^1	10^1●	13.4	a Berge meist frei, abds. ◎^{1}
21.	02.7	03.5	04.9	11.6	12.7	11.7	14.0	11.4	10.2	10.4	10.3	100	96	100	C	C	C	10^1●	9^1	9^1	20.2	mrgs. ◎^{1}, Berge im Nebel, t ztw. ◎
22.	06.0	05.5	05.8	10.1	18.0	10.8	18.4	9.1	9.1	7.9	8.3	99	51	87	C	SW 3	SE 3	2^0⊙	6^0⊙	0	14.9	a Berge meis' frei
23.	03.5	01.8	03.1	11.2	23.6	14.1	24.2	9.2	8.0	8.6	9.7	79	39	81	S 4	NW 2	SE 3	⊙⊙	⊙⊙	0	–	a △, Berge rein
24.	03.7	01.9	04.8	13.6	25.0	14.1	25.4	11.2	9.0	8.3	11.8	78	36	99	S 3	NW 2	C	1^0⊙	2^0⊙	8^1	–	a △, Berge rein; 5^{38} p bis nach 6^{30} p ◹ mit ◎^{1} ≡≡ (S 6)
25.	05.6	06.0	07.6	13.8	19.0	14.8	20.0	11.1	11.7	10.9	9.8	100	67	78	C	N 2	SE 3	9^1●	6^0⊙	4^0	**35.3**	mrgs. ◎^{0}, Berge teilweise frei
26.	**08.2**	06.5	07.0	10.4	19.8	11.5	20.2	9.3	8.7	10.1	9.0	93	58	89	C	NW 4	SE 2	1^0⊙	1^0⊙	0	0.3	a △, Berge frei
27.	06.4	04.3	04.6	10.7	20.3	12.9	20.8	9.0	8.4	10.3	9.3	89	58	85	SE 3	NW 4	SE 2	⊙⊙	⊙⊙	0	–	a △, Berge rein
28.	03.5	02.5	01.6	10.6	21.5	14.0	22.0	9.8	8.8	11.0	10.6	93	58	90	S 2	NW 4	SE 2	⊙⊙	⊙⊙	0	–	a △, Berge rein
29.	00.0	698.1	699.3	13.2	22.5	17.2	23.3	11.3	10.5	12.6	**12.8**	94	63	88	S 2	NW 4	C	⊙⊙	4^0⊙	6^1	–	a △, Berge rein; abds. ◹ im S u. SE
30.	696.7	699.9	01.1	16.6	15.0	14.8	20.3	13.4	10.6	12.7	12.0	75	100	96	S 3	C	SE 2	8^1	8^1	9^1	–	a Berge frei, 0^{34} p u. ca 5^{45}–6^{45} p ◹ mit ◎^{1}
31.	01.3	01.5	02.7	12.8	19.1	15.1	20.2	11.7	10.4	10.5	10.8	95	63	85	SE 1	NW 3	C	4^0	5^0	3^0	15.3	a Berge sehr rein, föhnig
Mittel	01.7	01.2	02.1	10.9	17.3	12.7	18.5	9.4	9.0	9.6	10.0	93	68	91				4.6	5.8	4.7	196.9	

Hohenpeissenberg.

August. $\varphi = 47^0\ 48'$ N. $\lambda = 11^0\ 1'$ E $= 44^m\ 4^s$. H $= 994.1$ m. Cg $= \pm 0.0$ mm 1913.

	600 mm +																					
1.	77.9	78.7	79.7	10.9	15.4	12.9	15.8	9.5	6.6	6.8	6.1	69	52	55	NE 1	NE 1	E 1	⊙⊙	⊙⊙	0	–	t ∞, abds. klar, ≡ u. Horiz. ≡
2.	79.7	79.9	79.7	14.4	16.7	13.8	17.7	11.3	6.6	8.1	9.2	54	57	79	C	NE 1	NE 5	⊙⊙	8^2	8^2	–	t ∞, abds. Gebirge ∞, Flachland klar
3.	79.2	78.8	78.0	13.9	18.0	14.8	18.1	12.0	8.7	9.1	8.3	73	59	66	E 1	NE 4	NE 6	⊙⊙	3^2	3^2	–	a ∞, p reine Fernsicht, abds. im S ∞ ◹ ≡
4.	77.3	77.1	76.5	14.7	19.0	17.0	20.3	13.5	8.2	7.8	7.8	66	48	54	E 1	NE 1	NE 2	⊙⊙	⊙⊙	1^2	–	a ∞^{0}, p reine Fernsicht, abds. i. S ∞ ◹ Horiz.-≡
5.	75.8	75.1	75.1	14.8	21.1	13.7	21.1	13.7	7.9	7.3	9.4	63	39	81	W 4	W 6	SW 2	9^2	10^1	3^2	–	a Flachland rein, $7^{39.40}$ a ◹, p u. abds. Flachl. ∞, [1]
6.	74.2	72.6	74.3	10.6	16.8	10.1	17.7	10.1	9.4	10.9	9.2	99	76	100	W 1	SE 1	SW 2	10^2●	10^2	10^2≡	2.8	n u. a ◎, a ∞, 2^{36}–3^{39} p ◹ mit ◎, abds. ≡^{2}
7.	76.1	76.5	76.7	8.5	9.9	8.6	10.1	7.5	7.9	8.5	6.8	96	94	83	NW 1	C	SW 3	10^2●	10^2●	8^2	30.9	n ≡^{2}, n–p ◎, abds. Flachland ∞ ≡
8.	76.3	76.4	75.9	8.0	12.1	8.9	12.3	6.6	7.1	7.8	6.8	89	74	80	NW 1	C	NE 2	10^1	8^1⊙	4^2	0.5	t ∞, abds. im S ∞ ≡
9.	74.8	74.7	74.7	8.3	11.9	9.5	12.3	7.9	7.5	6.4	6.1	92	62	69	SW 1	SW 1	SW 7	10^2●	9^1	8^2	6.5	a ◎ ∞, abds. reine Fernsicht
10.	76.5	77.4	79.0	7.8	11.1	9.5	12.2	6.8	6.6	6.4	6.3	83	64	71	W 4	SW 5	W 5	9^1	4^2	7^2	2.0	a ◎ ∞, p u. abds. sehr reine Fernsicht
11.	79.8	79.6	79.8	10.5	15.2	12.2	15.6	8.5	5.8	6.0	7.8	62	47	74	SW 1	W 1	SE 2	8^2	9^2	1^2	1.1	a Roll-cu u. alto-cu, t sehr reine Fernsicht
12.	78.5	78.4	78.4	12.2	15.1	11.2	15.8	11.2	7.6	9.8	9.9	72	76	100	W 1	W 1	SW 4	10^1	10^2	10^2●	–	a reine Ferns., p Flachl. rein, Gebirge bed., p ◎ ≡^{2}, [2]
13.	79.0	79.4	79.0	9.6	9.9	8.8	11.2	8.8	8.9	8.3	8.5	100	91	100	N 1	NW 1	W 5	10^2≡●	10^2●	10^2≡●	12.4	n u. t ◎, a u. abds. ≡^{2}
14.	77.8	76.5	76.1	7.0	8.1	8.0	8.8	7.0	6.9	7.8	8.0	92	98	100	W 2	W 4	SW 6	10^2	10^2●	10^2≡●	5.5	n ≡^{2} ◎, t ∞, p u. abds. ◎, abds. ≡^{2}
15.	76.1	76.4	77.1	8.0	10.8	7.0	11.1	7.0	8.0	7.5	7.7	100	77	96	NW 1	NW 1	SW 3	10^2≡	7^2	9^2	2.8	n u. a ≡^{2} ◎, abds. ∞
16.	76.4	77.6	77.7	6.6	7.6	8.5	10.1	6.5	7.3	7.2	7.3	100	93	88	NW 1	NW 1	W 3	10^2≡●	10^2●	10^2≡●	5.6	n u. t ◎, a u. abds. ≡$^{1.2}$
17.	77.3	77.9	79.2	7.6	15.5	10.3	15.6	6.8	7.0	7.1	8.7	90	54	94	W 4	SW 6	N 3	11^0	6^2⊙	3^2	13.7	n ≡^{1} ◎, a Horiz.-≡, t ∞^{1}, abds. ∞^{2}
18.	79.2	79.2	79.3	11.7	16.4	12.4	16.4	8.7	9.1	10.4	10.5	89	75	98	SW 1	NE 1	NE 3	⊙⊙	5^2	8^2●	–	a Horiz.-≡, t ∞^{1}, abds. ∞^{2} ◎
19.	78.9	78.4	78.3	14.6	18.5	13.2	18.9	12.3	9.4	**12.5**	10.2	76	79	91	N 1	NE 1	NE 5	9^2	9^1	10^2●	2.3	n ◎, t ∞, 2^{48}–6^{13} p ◹ mit ◎, abds. ◎
20.	76.8	76.8	77.3	14.2	16.7	11.2	17.1	11.2	9.1	11.1	9.9	76	78	100	W 1	W 1	NW 3	10^2	10^2	10^2≡●	**49.7**	t reine Ferns., ztw. ◎, $4^{19.52}$ p ◹ mit ◎, [3]
21.	79.2	80.0	81.0	10.1	10.7	9.7	12.9	9.4	9.2	9.0	8.3	100	94	92	N 1	NW 4	SW 2	10^2≡	9^2	10^2	28.5	n ◎, n u. a ≡^{2}, p öfters ◎, Gebirge bed., Flachl. rein
22.	82.2	82.6	81.9	10.0	16.0	13.3	16.5	9.2	7.7	7.4	7.7	84	55	67	W 1	NW 1	SE 4	9^1	5^2⊙	0	6.2	t ∞, abds. ∞^{2} Horiz.-≡
23.	79.8	79.7	79.5	14.6	21.2	18.0	21.6	11.7	6.3	7.4	5.3	51	39	34	W 3	W 1	SW 6	⊙⊙	⊙⊙	0	–	t reine Fernsicht, Horiz.-≡, abds. ∞
24.	80.2	79.6	80.8	17.0	22.4	14.5	**22.7**	14.5	8.2	9.2	11.1	57	46	91	SW 1	NE 1	SE 4	⊙⊙	3^2	9^2●	–	a ∞, p Flachl. rein, Gebirge dunstig, ca 5–6 p ◹, [4]
25	81.9	82.6	83.9	12.6	16.8	12.4	16.8	11.7	10.5	8.6	7.1	97	61	66	W 5	NW 3	NE 4	8^2	6^2	2^2	7.3	n ◎ ◹, p im S ∞^{2}, abds. sehr klare Fernsicht
26.	84.0	**84.1**	83.8	11.7	16.0	12.8	16.3	10.4	7.9	7.9	6.8	78	58	61	E 1	NE 3	NE 7	1^1⊙	⊙⊙	0	0.2	a △, t Horiz.-≡, ∞
27.	82.3	81.8	81.0	11.9	16.6	13.4	17.0	11.4	7.5	6.0	8.7	73	43	76	E 1	NE 5	NE 7	⊙⊙	⊙⊙	0	–	a △, t Horiz.-≡, abds. ◹ im SW
28.	79.9	79.3	78.3	12.0	18.0	14.8	18.3	11.4	8.6	8.3	10.1	83	54	81	SE 2	E 5	E 7	⊙⊙	⊙⊙	0	–	a Nebelmeer, t Horiz.-≡
29.	77.1	76.6	76.4	14.9	18.8	16.5	19.5	14.1	9.2	11.1	11.5	73	69	82	SE 3	NE 4	SE 5	1^1⊙	6^1⊙	$1C^2$	–	a Nebelmeer im E, t Horiz.≡ ∞, abds. ◹ im SE
30.	74.4	76.1	77.0	14.0	14.9	14.3	18.6	12.5	10.7	12.3	9.1	91	98	75	SW 7	SW 5	W 5	10^2	7^2	10^2●	–	a ≡ ∞, p u. abds. reine Fernsicht, p u. abds. ◎
31.	78.0	79.0	79.5	13.2	18.0	14.6	18.3	11.2	8.3	9.5	9.7	74	62	78	SW 1	NW 1	SW 2	9^1	9^2	4^2	4.6	n ◎, a u. abds. sehr reine, p reine Fernsicht, abds. ≡
Mittel	78.3	78.3	78.5	11.5	15.3	12.1	16.0	10.1	8.1	8.5	8.4	81	67	80				5.9	6.2	5.7	182.6	

[1] abds. ◹ i. S. [2] abds. ◎. [3] abds. ≡^{2} ◎ [4] abds. ∞ ◎^{0}

Alle Angaben nach Ortszeit.

Zugspitze.

August. $\varphi = 47^0\ 25'$ N. $\lambda\ 10^0\ 59'$ E = 43m 56s. H = 2964 m. Cg = −0,2 mm. 1913.

Datum	Luftdruck auf c⁰ u. Normalschwere reduziert 500 mm +			Lufttemperatur C⁰					Absolute Feuchtigkeit mm			Relative Feuchtigkeit Proz.			Richtung und Stärke des Windes 0 bis 12			Bewölkung 0 bis 10			Niederschlag mm	Schneedecke cm
	7a	2p.	9p	7a	2p	9p	Max.	Min.	7a	2p	9p	7a	2p	9p	7a	2p	9p	7a	2p	9p	7a	7a
1.	31.2	32.6	33.4	− 1.6	0.8	− 1.0	2.7	− 2.0	1.4	4.0	1.9	33	80	44	N 4	SE 2	N 3	oo	9¹⊙	1¹	–	
2.	33.1	34.2	34.3	0.2	2.5	0.1	3.4	− 1.5	1.6	4.9	4.4	34	87	95	N 4	SE 2	N 2	4¹⊙	10¹	3¹	–	
3.	33.4	34.0	33.2	0.4	3.1	0.6	4.4	− 1.0	4.2	4.8	4.1	90	84	86	SE 4	SE 4	N 5	1¹	10¹=●	4¹	–	
4.	32.6	33.3	32.8	1.5	5.2	1.8	5.4	0.6	3.8	5.6	5.1	76	85	98	N 3	W 1	NW 3	4⁰⊙	6¹◎	7¹	3.0	
5.	31.9	32.3	31.3	1.4	3.7	0.8	4.3	0.4	4.6	4.3	4.6	91	71	93	NW 3	NW 4	NW 5	6¹⊙	7¹⊙	6¹	–	
6.	29.4	29.0	28.6	1.2	3.3	− 1.4	3.3	− 1.4	4.8	5.1	4.1	97	87	100	S 6	W 4	NW 6	10²=●*	10¹*	10²=*	0.8	
7.	28.4	29.1	29.4	− 3.4	− 2.9	− 4.0	− 1.4	− 4.0	3.5	3.6	3.3	100	100	100	NW 4	N 5	N 5	10²=	10²=	10²=*	**25.1**	
8.	28.2	29.2	29.1	− 4.8	− 1.7	− 2.0	− 1.3	− 5.6	3.1	4.0	3.9	100	99	100	NW 4	NW 1	SW 5	10²=	10²=	7¹=	5.6	
9.	**27.4**	27.7	28.0	− 3.3	− 3.0	− 3.9	− 1.2	− 3.9	3.5	3.6	3.3	100	100	100	NW 3	W 4	NW 5	10¹=*	10²=*	10²=*	8.4	
10.	28.7	30.2	32.0	− 4.8	− 2.8	− 3.4	− 2.3	− 5.3	3.1	3.7	3.5	100	100	100	NW 3	W 6	NW 4	10²=	10²=	10²=	14.0	
11.	32.3	33.2	34.0	− 1.8	1.2	0.4	1.6	− 4.6	3.6	4.8	4.6	90	97	97	SW 6	SW 5	SW 5	7¹⊙	10²=	4¹	2.7	
12.	32.8	33.0	32.7	0.9	1.4	0.3	2.4	− 0.1	4.3	4.9	4.7	88	97	100	SW 8	W 3	NW 5	10¹	10²=*	10²=●	–	
13.	31.9	32.0	31.4	− 0.6	− 1.3	− 3.2	0.3	− 3.2	4.4	4.1	3.6	100	100	100	NW 3	N 4	NW 4	10²=	10²=	10²=*	15.6	
14.	29.8	28.8	29.1	− 4.0	− 3.6	− 2.9	− 2.8	− 8.9	3.3	3.5	3.7	100	100	100	NW 6	NW 7	NW 5	10²=	10²=*	10²=*	11.6	
15.	28.2	28.5	28.9	− 3.8	− 4.6	− 4.8	− 2.9	− 4.9	3.4	3.2	3.1	100	100	100	NW 7	NW 6	NW 5	10²=*	10²=*	10²=	11.3	
16.	27.9	29.4	30.2	− 5.6	− 4.2	− 4.0	− 4.0	− 5.7	2.9	3.3	3.3	100	100	100	NW 7	NW 5	NW 6	10²=	10²=	10²=	16.0	
17.	30.5	32.6	33.6	− 5.2	− 1.7	− 1.5	0.0	− 5.2	2.7	3.9	3.4	89	98	86	NW 5	NW 3	NW 5	3⁰⊙	4⁰⊙	1⁰	7.3	
18.	34.0	35.0	35.2	− 1.0	1.4	1.5	1.9	− 2.0	3.1	4.8	4.8	73	94	94	W 4	W 2	W 2	2⁰⊙	8⁰⊙	10¹	–	
19.	34.7	35.1	34.1	2.0	5.0	1.6	5.0	1.2	5.1	**6.3**	5.1	97	96	100	W 3	SE 2	S 5	10¹	10¹●	9¹●	0.1	
20.	32.4	32.0	32.0	1.5	1.0	0.8	3.5	0.6	5.0	4.9	4.8	98	100	100	NW 3	NW 4	NW 4	10¹=	10²=	10²=	7.5	
21.	32.4	33.1	33.5	− 1.2	− 1.4	− 2.3	0.8	− 2.5	4.2	4.1	3.8	100	100	100	NW 4	NW 5	NW 4	10²=	10²=	10²=*	25.0	
22.	33.9	35.9	36.3	− 3.2	− 1.0	− 0.8	0.8	− 3.6	3.6	4.3	3.3	100	100	76	N 6	C	N 1	10²=	6¹⊙=	0	11.7	
23.	36.1	36.6	36.7	2.2	4.4	3.8	5.6	− 0.8	3.7	4.7	3.2	69	74	53	SW 2	C	NW 1	3⁰⊙	1⁰⊙	0	–	
24.	36.4	37.1	37.0	2.5	5.4	3.0	**7.7**	2.0	5.2	4.7	5.4	94	70	94	NW 4	NW 3	NW 3	5⁰⊙	6¹⊙	10¹=	–	
25.	36.2	37.1	37.4	0.8	2.5	0.6	3.1	0.6	4.7	5.5	4.8	98	100	100	NW 4	NW 6	NW 5	8¹	10²=	0	6.7	
26.	37.6	**38.4**	38.1	0.2	2.5	2.3	2.7	− 1.1	4.4	5.1	3.6	93	93	67	W 4	NW 4	N 5	2⁰⊙	6¹⊙	0	1.8	
27.	37.2	37.6	36.8	2.7	4.5	3.0	5.8	1.4	3.9	4.9	3.3	68	78	61	N 6	N 2	N 4	2⁰⊙	4⁰⊙	0	–	
28.	35.4	35.9	35.1	2.5	4.5	3.8	5.1	2.1	3.2	4.9	4.7	60	78	78	NW 4	NW 1	NW 3	3¹⊙	6¹⊙	2¹	–	
29.	33.6	34.2	34.2	3.8	6.2	4.8	7.1	3.1	4.2	5.9	5.3	67	83	82	N 6	C	NW 2	6⁹⊙	7¹⊙	7¹	–	
30.	32.2	32.2	33.1	5.0	5.2	2.0	5.6	2.0	5.2	6.1	5.3	80	95	100	SW 8	S 4	NW 2	9¹●	10³=	10³=●	–	
31.	33.2	34.2	35.1	0.7	5.4	2.2	5.4	0.2	4.8	6.2	5.2	98	92	96	NW 4	S 4	NW 2	10¹=	9¹=	10²=	14.2	
Mittel	32.4	33.0	33.1	− 0.5	1.3	− 0.1	2.3	− 1.7	3.8	4.6	4.1	87	92	90				6.9	8.4	6.5	188.4	

Schneedecke nicht mehr zusammenhängend.

40

Bemerkungen.

1. a über Alpenvorland, Flachland u. Inntal cu-meer in ca 2500–2700 m, p Bewölkungsgrad stark schwankend, 2^{35}–ca 7^{45} p ≡treiben
2. a in Tälern teilw. cu u. Nebelfahnen, ci-Gewölk vorherrschend, ca 9^{30} a cu-bildung, 10^{30} a–abds. ≡treiben, 7^{55} p–n ≤
3. a in Tälern allenthalben cu, 9^{40} a–3^{15} p ≡treiben, ztw. ≡² u. d. G., 2^{54}–3^{34} p △0.1, 3^{03} p kurze Zeit ⊏≤, abds. ≤
4. a in Tälern vereinzelt cu u. Nebelfahnen, ab 2^{15} p ≡treiben, 3^{25}–ca 7 p ≡², abds. ztw. ≡treiben, ≤ im S
5. t ∞¹, a–3^{55} p stark wechselnde Bewölkung, 3^{55}–5^{40} p ≡² u. G., 5^{15} p kurze Zeit ⊏≤, ◎⁰ △⁰, 5^{40} p ztw. Aufklaren, abds. ≤ i. S u. SW
6. t ≡², a ztw. ◎0.1 ✳0.1, 11^{15} a–1^{05} p ztw. ≡treiben, teilw. Aufklaren, ca 4–6 p ✳¹, abds. ca 3 cm Neuschnee
7. a ≡², 5 cm Neuschnee, 10 cm ⋁, t ≡², ab 8^{15} p ztw. ✳⁰
8. n ✳⁰, a ≡², 20 cm ⋁, t ≡³, ztw. ≡treiben, ⊙, 8^{10} p ab SW teilw. Aufklaren
9. n ✳0.1, a 10 cm Neuschnee, leichte ⋁-Bildung ≡¹, t ≡², ztw. ✳0.1, 9 p weitere 15 cm Neuschnee
10. a ≡², 15 cm ⋁, t ≡³, p ztw. ⊙ durchscheinend, 7^{35} p ab ztw. ✳⁰, leichte ⋁-Bildung
11. a längs Zentralkette von E bis W Föhnmauer, in Tälern vereinzelt cu, p ≡treiben, ztw. ≡² u. d. G., 6^{55} p teilw. Aufklaren
12. a längs Zentralkette Föhnmauer, ca 9^{45} a ab ≡0.1 u. d. G., ztw. ✳⁰, 1^{35} p ab ≡², 6^{30} p ab ztw. ◎0.1
13. n ✳⁰, starke ∽-Bildung, t ≡², ztw. ✳⁰, 5^{05}–ca 8^{30} p ✳⁰, 9 p 5 cm ⋁
14. n ✳0.5, a ≡³, ca 5 cm Neuschnee, t ≡², 1^{25} p ab ✳0.1, starke ⋁-Bildung, 9 p 30 cm ⋁
15. a ca 10 cm Neuschnee, 40 cm ⋁, ≡³ ✳⁰, t ≡² ✳0.1, p starke ⋁-Bildung, 9 p 80 cm ⋁, weitere 15 cm Neuschnee
16. n ✳⁰, a ≡³, 80 cm ⋁; t ≡², ztw. ✳⁰, 9 p 85 cm ⋁
17. ca 1 p ab cu-bildung, 2^{55}–ca 6^{30} p ztw. ≡treiben
18. a im Inntal u. Isartal leichte Nebel, über Alpenvorland vereinzelte cu, 0^{35} p lebhafte Bewölkungszunahme, 2^{05} p ab fast vollständig bedeckt, vorwiegend a-st, $8^{44.54}$ p ◎⁰
19. n teilw. Aufklaren, a–ca 8 a ≡⁰, p ≡treiben, $2^{18.43}$ p ⊏≤, 2^{25} p ab ◎¹, $2^{43.53}$ p ◎², ca 6^{30} p ab ztw. ≡1.2, 7^{10} p ab ◎1.2, 9^{00} p kurze Zeit positives Elmsfeuer
20. n ◎0.1, ztw. ≤ i. E u. SE: a ≡¹, 10 a ab ≡², 5^{00}–7^{05} p ◎¹, 5^{30} p kurze Zeit △¹, abds. ztw. ◎⁰
21. n ✳0.1, a ≡³, leichte ⋁-Bildung, ca 5 cm Neuschnee, $9^{04.26}$ a Eis-◎, t ≡², ztw. ✳⁰, p starke ⋁-Bildung, 9 p 30 cm ⋁
22. n ✳⁰, a 35 cm ⋁, a–0^{15} p ≡², 0^{15} p ab ≡0.1 u. d. G., 3^{05} p Aufklaren
23. t nur leicht bewölkt, ci-st u. a-st vorwiegend, ∞1.2
24. 8^{55} a ab cu-bildung, 2^{35} p Wind dreht nach SE, 5^{34}–6^{41} p ⊏≤, von WNW nach ESE, ◎¹ △¹, ca 8 p Wind dreht auf NW zurück, ztw. ◎0.1
25. a–6^{50} a ◎0.1, ztw. △⁰, ztw. ≡treiben, 7^{55} p ab–n ≡², ztw. ◎⁰, 8^{35} p Aufklaren
26. a in Tälern u. über Alpenvorland cu-meer in ca 1800–2000 m, 9^{05} a ab cu-bildung, ca 0^{30} p ab ztw. leichtes ≡treiben, ca 6 p Aufklaren
27. a in Tälern u. über Alpenvorland leichter Nebel, p leichte cu-bildung, 4^{15}–5^{05} p ≡treiben
28. a über Alpenvorland teilw. cu-decke, ca 11^{30} a ab cu-bildung, p ztw. ≡treiben
29. t ziemlich bewölkt, ca 2^{15} a ab lebhafte cu-bildung, p ztw. bedeckt, 7^{10} p ab ≤ i. SE, S u. SW
30. a über Alpenvorland teilw. Nebeldecke, ztw. ◎⁰, 11^{15} a ab ztw. ≡1.2 u. d. G., ◎0.1, 5^{55} p kurze Zeit ⊏≤ i. SE, abds. ≤ i. E u. SE, ca 8 p ab ◎1.2
31. n ✳⁰, a u. t ≡¹, m Wind dreht auf S, ztw. ≡treiben, abds. ≡1.2, ≤ i. SE

Alle Angaben nach Ortszeit.

Kahl a/M.

September. $\varphi = 50^0\ 4'$ N. $\lambda = 9^0\ 1'$ E $= 36^m\ 4^s$. H $= 114.1$ m. Cg $= +0.3$ mm 1913.

Datum	Luftdruck auf 0^0 u. Normalschwere reduziert 700 mm +			Lufttemperatur C°					Absolute Feuchtigkeit mm			Relative Feuchtigkeit Proz.			Richtung und Stärke des Windes o bis 12			Bewölkung o bis 10			Niederschlag mm	Bemerkungen
	7^a	2^p	9^p	7^a	2^p	9^p	Max.	Min.	7^a	2^p	9^p	7^a	2^p	9^p	7^a	2^p	9^p	7^a	2^p	9^p	7^a	
1.	52.8	52.3	52.1	16.6	22.7	15.3	**24.2**	15.1	12.3	11.6	12.0	87	56	92	S 2	SW 2	C	9^1	6^0⊙	0	1.1	
2.	52.6	52.2	53.2	14.8	22.6	16.5	24.1	11.4	11.4	10.6	11.9	91	52	85	SE 2	SW 2	C	1^0	5^0	0	–	
3.	54.2	53.7	53.8	11.9	22.6	16.5	**24.2**	9.6	9.8	11.3	11.5	95	56	82	C	NE 2	C	0=	6^0⊙	0	–	a ≡¹
4.	54.1	53.7	53.6	15.1	22.8	16.2	23.5	11.2	11.2	12.9	12.7	88	63	93	C	SE 2	C	10^1	8^1⊙	9^1	–	
5.	52.9	52.8	52.7	15.1	16.5	17.0	18.9	14.4	11.8	**13.7**	12.2	92	98	85	C	SE 2	SE 2	10^1	10^1	10^1	0.5	n, a–^{136} p ◎
6	53.7	54.9	55.8	15.2	18.1	16.3	18.8	15.1	12.0	13.1	12.3	93	85	89	E 2	NE 2	NE 2	10^1●	10^1	10^1	8.0	n, a–^{431} p ◎
7.	56.5	56.3	56.8	15.1	20.5	14.6	21.7	14.6	9.7	10.9	8.7	75	61	71	E 4	NE 2	C	10^1	7^1	0	6.5	
8.	57.7	57.0	56.7	11.1	21.3	12.0	22.2	8.1	8.9	7.9	9.1	90	42	88	SW 2	SE 2	E 2	○○	○○	0	–	
9.	55.6	52.9	51.4	8.8	21.5	15.2	23.4	5.0	8.1	10.7	12.0	96	56	93	C	S 2	C	○○	○○	10^1	–	
10.	52.3	53.8	55.2	11.4	16.2	9.9	18.1	9.9	8.8	7.2	8.7	88	53	96	N 2	NW 4	C	9^1	1^1⊙	1^1	2.9	n ◎
11.	56.5	56.1	55.2	8.0	15.9	7.7	16.3	4.5	7.7	7.7	7.7	96	57	99	C	SW 2	C	○○	7^0	0	–	a ≡¹
12.	53.6	50.8	49.5	4.6	18.6	9.8	19.8	1.3	6.1	7.1	7.9	97	45	87	C	E 2	C	○○	○○	0	–	a ≡¹
13.	47.1	44.1	43.5	7.3	20.1	15.0	22.1	2.4	6.8	9.9	11.4	89	56	90	C	S 2	C	○○	○○	9^0	–	a ⊿
14.	43.5	43.0	43.0	11.1	22.1	14.6	23.1	8.1	9.4	11.9	11.7	95	61	94	C	SE 2	SW 4	9^1	9^1	10^2ℨ●	–	$^{856-900}$ p ℨ, ^{830} p–n ◎
15.	43.5	45.2	47.6	12.7	14.7	11.8	16.0	11.3	10.8	11.2	9.8	99	90	96	S 2	SE 2	C	10^1	10^1	7^1	**14.0**	$^{920.18}$ p ℨ, n, $^{314.19}$ p ◎
16.	48.1	47.5	46.2	8.0	19.1	13.5	20.1	4.7	7.7	9.8	10.3	96	59	90	C	SE 2	SW 2	2^0	1^1	10^1	0.7	
17.	42.1	42.7	44.7	11.8	12.4	12.4	14.9	9.0	9.1	10.1	9.6	88	95	90	S 2	SW 4	SW 6	10^1	10^1●	10^0	–	^{806} a–^{416} p ◎
18.	47.6	49.0	51.0	9.4	15.3	12.0	16.7	7.9	8.6	9.6	10.3	98	74	99	C	E 2	C	2^0	10^1	10^1	10.7	$^{416.56}$ p ◎
19.	52.9	53.2	53.6	10.7	18.1	9.9	18.6	9.1	9.3	9.4	9.1	98	61	100	C	SW 2	C	10^1	9^1	0	0.3	a ≡⁰
20.	53.3	51.8	52.4	7.7	17.8	13.2	19.2	6.3	7.6	9.9	10.5	98	65	94	C	SW 2	SW 2	10^2	8^1	10^1	–	a ≡², $^{436.21}$ p ◎
21.	53.7	55.0	56.1	11.7	15.2	11.3	16.0	10.6	9.9	10.4	9.7	97	81	98	C	SW 2	C	10^2	10^1	10^1	1.4	$^{621.36}$ p ◎
22.	56.5	55.7	55.3	11.0	16.4	12.4	17.4	8.9	9.4	10.0	10.6	96	72	99	C	SW 2	C	10^1	6^0⊙	10^2●	3.7	^{651} p–n ◎
23.	54.9	54.8	55.8	11.7	15.9	8.7	16.7	8.3	9.9	9.0	8.3	97	66	99	SW 2	SW 2	N 2	10^1	5^1⊙	0	10.6	n ◎
24.	56.6	56.2	56.3	6.0	16.5	9.8	17.4	3.8	6.9	7.3	7.5	99	53	83	C	E 2	C	9^1	1^0⊙	0	–	
25.	56.8	56.3	56.6	6.4	15.7	9.8	17.0	4.1	6.8	7.8	7.0	94	59	78	C	E 2	E 2	1^0	○○	0	–	
26.	**58.2**	57.6	57.4	6.3	15.9	7.7	17.0	4.9	5.8	7.3	7.4	81	55	94	E 2	E 2	C	○○	○○	0	–	
27.	57.4	56.0	56.5	8.7	17.5	8.7	18.3	5.9	7.1	8.8	8.4	86	60	100	E 2	E 2	C	○○	○○	0	–	a ⊿
28.	56.7	55.8	55.5	7.2	18.2	11.5	19.1	5.1	7.1	8.8	9.0	94	57	89	C	SE 2	C	○○	1^0⊙	0	–	a ⊿
29.	55.8	54.4	53.9	8.6	18.3	9.6	19.2	7.2	7.9	9.3	8.8	95	60	99	S 2	SE 2	C	○○	○○	0	–	a ⊿
30.	52.8	49.8	50.3	3.8	19.8	12.1	20.8	3.0	6.0	8.5	8.0	100	50	76	C	E 2	NE 2	○○	1^1⊙	0	–	a ≡¹
																					60.4	
Mittel	53.0	52.5	52.7	10.3	18.3	12.4	19.5	8.0	8.8	9.8	9.8	93	63	91				5.1	4.7	4.2		

Bayreuth.

September. $\varphi = 49^0\ 57'$ N. $\lambda = 11^0\ 34'$ E $= 46^m\ 16^s$. H $= 363.3$ m. Cg $= +0.3$ mm 1913.

1.	31.9	31.0	30.7	13.3	21.8	15.2	23.6	11.1	10.5	10.8	11.7	93	56	91	E 2	W 2	C	○○	6^0⊙	1^0	–	n ≤, a ⊿
2.	31.2	29.8	31.0	12.7	23.9	14.6	24.0	9.5	9.8	10.9	11.4	90	50	92	E 2	SW 2	SE 2	2^0⊙	8^1	0	–	a ⊿, ≡⁰, $^{236-346}$ p ℨ, $^{236-328}$ p ◎$^{0.1}$
3.	32.4	32.2	33.0	10.9	21.0	13.0	22.0	9.2	9.3	11.2	11.0	97	61	93	E 2	W 2	E 2	10^2=	4^1	0	2.6	a ⊿, ≡²
4.	33.0	32.5	32.3	10.2	20.2	15.3	21.5	8.4	9.0	**12.3**	11.0	97	70	85	C	NW 2	E 2	10^2=	10^0	0	–	a ⊿, ≡²
5.	31.5	31.4	31.7	12.1	18.8	15.8	20.3	10.2	9.9	11.9	11.5	95	74	86	NW 2	SE 4	E 2	5^0	9^1	10^1	–	a ⊿, ≡²
6.	32.6	33.1	34.9	14.8	21.1	15.0	21.7	14.0	11.1	10.4	11.9	89	56	93	C	E 4	NE 2	10^2	9^1	10^2●	–	$^{756-900}$ p ◎^{0}
7.	35.7	35.4	35.9	12.1	18.7	13.5	19.8	11.2	9.1	9.2	7.5	88	58	66	NW 2	E 4	E 4	5^0⊙	5^1⊙	0	1.9	n ◎^{0}
8.	36.8	35.9	35.5	6.4	19.6	13.1	21.9	4.0	6.6	7.9	8.5	92	46	76	E 2	E 4	E 2	○○	○○	0	–	a ⊿
9.	34.3	31.3	29.6	7.5	20.5	14.1	23.9	4.2	6.5	8.7	9.9	86	48	84	E 2	NE 2	E 2	○○	○○	10^1	–	a ⊿
10.	28.0	29.8	31.8	12.2	13.8	8.5	15.2	8.3	9.8	6.7	7.6	94	58	93	NW 2	NW 6	E 2	10^2●	9^1	1^1	3.8	n ◎$^{0.1}$
11.	33.7	33.9	33.4	6.1	13.2	7.9	16.8	2.3	6.5	7.8	7.2	93	69	91	SE 2	E 2	E 2	10^2=	8^2	0	0.8	a ⊿, ≡²
12.	31.6	30.0	28.4	3.1	17.0	9.1	18.3	1.7	5.3	6.6	7.1	93	46	84	E 2	E 4	E 2	○○	○○	0	–	a ⌊⁰
13.	26.1	23.5	23.0	4.9	17.8	11.5	20.3	2.3	5.7	7.9	8.3	90	49	82	E 2	E 4	E 2	○○	○○	0	–	a ⊿
14	22.7	22.1	21.0	8.7	21.8	16.2	**24.1**	8.0	7.2	10.2	9.3	92	52	64	E 2	SE 2	SE 4	1^0⊙	5^0⊙	8^1	–	a ⊿
15.	22.5	24.2	25.5	10.8	14.7	12.1	16.3	9.2	9.4	7.5	9.6	98	60	93	SE 2	W 2	SW 2	10^1=	10^1	9^2	0.3	n ≤, ◎⁰, a ≡¹, p ztw. ◎$^{0.1}$
16.	27.2	26.2	25.7	8.9	16.8	12.3	19.6	7.8	8.3	8.4	9.3	98	60	88	SE 4	SE 2	E 2	10^1=	2^1⊙	0	2.3	a ⊿, ≡¹
17.	20.5	21.6	23.9	8.9	14.6	12.1	17.6	6.2	8.2	9.1	8.2	96	74	79	SE 2	SW 6	W 2	10^2	7^1	3^1	–	a ⊿, ≡⁰, ◎$^{0.1}$
18.	26.7	26.9	28.6	9.6	15.4	11.5	16.9	7.2	7.7	9.1	9.0	87	70	89	SE 2	SE 2	NW 2	10^2	10^1⊙	10^1	2.0	a ⊿
19.	30.7	30.8	31.2	9.5	17.2	10.4	17.5	6.9	8.7	8.8	8.6	99	61	92	C	NW 2	NW 4	10^1=	5^1⊙	10^2	–	a ⊿, ≡²
20.	30.3	29.3	30.0	8.7	16.8	11.1	18.5	8.0	8.1	8.2	8.5	96	58	86	NW 2	W 4	W 2	10^1=	5^1⊙	10^2	–	a ⊿, ≡¹, p ztw. ◎⁰
21.	31.2	31.9	33.3	10.9	13.1	9.2	14.5	8.6	8.6	9.8	8.4	89	88	98	W 2	W 2	W 2	10^2	10^2	2^1	1.8	n ztw. ◎⁰, $^{581.11}$ p ℨ, p ztw. ◎$^{0.2}$
22.	33.5	32.8	32.7	10.5	14.8	11.0	15.0	8.2	8.9	8.1	8.8	94	65	90	W 2	W 4	C	10^2	10^1	10^2	**7.7**	t ztw. ◎⁰, $^{116.26}$ p ℨ
23.	32.2	32.0	34.2	9.5	13.7	7.6	14.8	7.4	8.5	7.8	7.1	96	67	92	NW 2	NW 4	N 2	10^1	4^1⊙	0	4.0	n ◎⁰
24.	35.2	34.2	34.8	2.4	14.5	8.5	14.8	0.8	5.5	7.0	6.8	100	57	84	C	NW 4	E 2	10^2=	7^1⊙	0	–	a ⊿, ≡²
25.	35.8	35.1	35.4	2.2	13.1	7.7	15.3	0.6	5.3	6.3	6.2	98	56	80	C	NE 2	E 2	10^2=	6^1⊙	0	–	a ⊿, ≡²
26.	**37.1**	36.8	36.7	0.9	13.8	7.9	16.0	– **0.6**	**4.6**	7.0	6.9	94	60	89	E 2	SE 2	E 2	○○	○○	0	–	a ⌊¹
27.	36.0	35.3	35.6	4.1	14.2	9.3	16.4	2.1	5.9	8.0	7.4	97	66	87	NW 2	E 4	E 4	○○	○○	0	–	a ⊿
28.	35.2	34.4	34.5	7.1	17.0	12.3	18.3	5.7	7.0	8.3	7.6	93	58	72	C	SE 4	E 2	○○	○○	0	–	a ⊿
29.	34.6	33.2	32.6	5.8	17.0	11.1	18.4	3.2	6.4	8.4	8.0	93	59	81	C	SE 4	E 2	○○	○○	0	–	a ⊿
30.	30.9	29.1	29.2	3.5	16.2	10.9	16.5	2.3	5.7	7.8	7.8	97	57	80	E 2	E 4	E 2	○○	1^1⊙	0	–	a ⊿, ≡¹
																					27.2	
Mittel	31.4	30.9	31.2	8.3	17.1	11.6	18.7	6.3	7.8	8.7	8.7	94	60	85				5.8	5.0	3.1		

Alle Angaben nach Ortszeit.

Bamberg.

September. $\varphi = 49^0\ 53'$ N. $\lambda = 10^0\ 53'$ E $= 43^m\ 32^s$. H $= 287.7$ m. Cg $= +0.3$ mm. 1913.

Datum	Luftdruck auf 0^0 u. Normalschwere reduziert 700 mm + 7^a	2^p	9^p	Lufttemperatur C° 7^a	2^p	9^p	Max.	Min.	Absolute Feuchtigkeit mm 7^a	2^p	9^p	Relative Feuchtigkeit Proz. 7^a	2^p	9^p	Richtung und Stärke des Windes 0 bis 12 7^a	2^p	9^p	Bewölkung 0 bis 10 7^a	2^p	9^p	Niederschlag mm 7^a	Bemerkungen
1.	38.2	37.5	37.2	14.2	23.1	15.0	24.5	11.9	10.9	11.8	11.0	92	56	87	S 2	SW 2	S 1	$1^1\odot$	10^1	1^1	–	ca 9^{30} p ≶ i. E, n ⏢, ca 8^{30}–9 p ≶ i. E
2.	37.5	37.0	37.8	11.7	17.6	13.6	**24.8**	8.6	9.9	12.4	11.2	97	83	97	C	SW 1	SW 1	$1^1\odot$	$10^2\bullet$ ☈	1^1	–	ca 9 p–0 a ≶ i, E u. W, n ⏢, ☰, ca 0^{45}–2^{16} p ☈, [1]
3.	38.9	38.7	39.0	11.4	21.9	14.9	23.4	11.0	10.1	11.7	11.5	100	60	91	SE 1	NW 3	W 2	$10^2=$	$4^1\odot$	0	0.5	ca 10 p ≶, n ⏢, ≡[2]
4.	38.9	38.8	38.6	13.3	19.1	15.7	22.5	11.6	10.7	**14.4**	11.3	95	87	85	NW 3	SW 1	N 2	$8^1\odot$	$10^2\bullet$	3^0	–	n ⏢, 0^{49}–2^{09} p ◍[0.1]
5.	37.8	37.7	38.2	14.6	18.8	16.3	20.6	12.7	10.9	12.4	12.2	88	77	88	W 1	SE 2	S 1	9^1	10^2	$10^2\bullet$	0.4	n ⏢, t ztw. ◍[0]
6.	38.9	39.8	40.9	14.0	16.6	14.9	17.7	13.9	11.6	13.6	11.8	98	97	93	NW 1	C	N 3	$10^2\bullet$	$10^2\bullet$	$10^2\bullet$	2.9	meist ◍[1.2]
7.	42.1	41.8	42.5	13.2	18.8	12.2	20.6	12.2	9.5	9.5	8.4	85	59	80	NW 1	SE 2	N 3	10^1	$5^1\odot$	1^1	**13.4**	n ◍[0]
8.	43.1	42.4	42.0	9.6	20.4	12.2	21.0	7.2	7.3	7.7	8.1	83	44	76	NW 2	E 3	C	$1^0\odot$	$2^0\odot$	1^1	–	n ⏢
9.	40.7	37.7	35.7	7.4	20.9	15.7	21.6	6.1	7.1	9.5	10.6	93	52	80	NW 3	C	C	∞	∞	$10^2\bullet$	–	n ⏢, a ≡, 8^{44}–9^{00} p ◍[0]
10.	35.0	37.0	39.0	11.8	14.0	9.1	16.7	9.1	9.7	6.6	7.5	95	56	88	W 1	W 4	NW 2	$10^2\bullet$	$6^1\odot$	9^1	1.2	ca $9^{15.30}$ p ◍[1], $11^{24.49}$ p ☈, 11^{29} p, ca 6^{15}–8^{30} a, $4^{10.24}$ p, [2]
11.	40.6	40.5	39.7	7.3	15.3	7.7	16.7	4.6	7.1	6.7	7.2	93	52	91	W 1	N 2	W 1	$1^1\odot$	$6^1\odot$	1^1	2.5	n ⏢, ca 0^{30} p ◍[0], abds. ≡[0]
12.	37.9	36.0	34.6	4.5	17.8	10.9	18.7	3.1	5.9	7.6	6.8	94	50	70	N 1	S 3	SE 2	$1^0\odot$	∞	0	0.1	n ⏢, a ≡
13.	32.3	29.7	28.8	6.7	18.5	12.5	19.4	4.5	6.3	8.4	9.1	86	53	86	N 1	S 2	SE 1	∞	$1^1\odot$	2^1	–	n ⏢, a ≡
14.	29.0	28.2	26.4	9.9	22.6	18.0	24.0	8.1	8.1	11.3	8.9	89	56	58	W 1	S 1	S 5	∞	$4^1\odot$	9^2	–	n ⏢, a ≡, 8^{17} p ≶ i, SW
15.	28.7	30.5	32.6	12.2	14.6	12.2	18.8	10.6	10.5	10.7	10.2	99	87	97	S 1	S 2	NW 1	9^1	10^2	10^2	4.9	$10^{11.27}$ p ☈, n, a u. p ztw. ◍[1]
16.	33.3	32.7	31.6	8.7	16.8	11.7	17.7	7.1	8.3	9.7	9.6	99	68	95	S 2	S 1	W 1	$10^2=$	$3^1\odot$	10^0	2.5	n ⏢, a ≡[1]
17.	27.1	28.2	30.4	11.0	13.9	10.5	18.8	9.4	8.8	8.9	8.3	90	76	88	NW 2	S 3	S 4	$10^2\bullet$	10^2	3^1	0.2	n ◍[0], $7^{00.14}$ a ◍[0], 10^{29} a–0^{39} p ◍[1]
18.	32.9	33.4	35.2	7.9	15.7	11.5	17.0	6.7	7.3	9.1	9.5	92	68	95	SW 3	NW 2	W 1	10^2	5^1	10^1	3.3	
19.	37.4	38.1	37.9	8.1	16.7	10.7	17.5	6.9	8.1	9.5	8.9	100	67	93	SW 1	NW 2	S 1	$10^2=$	$10^0\odot$	10^1	–	n ⏢, a ≡[2]
20.	37.3	35.9	36.7	7.6	17.2	11.0	18.9	6.7	7.7	8.9	8.9	99	59	91	S 2	W 3	C	$10^2=$	$3^1\odot$	9^1	–	n ⏢, a ≡[1], ca 5–6 p ◍[0.1]
21.	37.9	38.8	40.2	9.3	14.7	11.5	16.9	7.7	8.5	9.1	9.7	98	73	97	C	W 2	C	10^2	$7^2\odot$	10^2	0.3	n ⏢, $7^{09.41}$ p ☈, 8^{02} p ◍[0], $8^{33.39}$ p ◍[1]
22.	40.4	39.7	39.6	10.8	15.2	11.4	16.6	9.9	8.8	8.8	9.1	92	68	91	NW 2	W 2	SW 1	10^2	$9^1\odot$	10^2	0.8	ca 7 a ◍[0]
23.	38.8	39.1	41.1	9.8	13.5	8.1	16.3	8.1	8.9	8.5	7.5	99	74	93	NW 1	NW 1	NW 1	10^2	$10^2\bullet$	0	4.1	n u. t ztw. ◍[0.1], abds. ≡
24.	41.8	40.9	41.5	3.9	16.2	7.9	17.3	3.4	6.0	7.3	7.1	98	54	89	W 2	S 2	N 2	$10^2=$	$6^1\odot$	0	0.1	n ⌊, a ≡[1]
25.	42.0	41.4	42.4	4.5	14.7	6.7	16.4	4.0	5.9	6.8	6.1	94	54	83	N 2	N 2	N 1	$1^1\odot$	$2^1\odot$	0	–	n ⏢
26.	**43.4**	43.1	43.0	4.1	15.2	9.1	15.6	**2.1**	5.1	7.0	6.7	84	54	77	NW 1	E 2	SE 1	$1^1\odot$	∞	0	–	n ⏢, a ≡
27.	42.5	41.3	42.1	5.1	15.8	9.8	17.1	4.1	6.1	8.1	7.3	94	61	82	W 2	S 4	S 5	$3^1\odot$	$1^1\odot$	0	–	n ⏢, a ≡
28.	41.5	40.9	40.8	7.1	17.8	13.2	19.0	5.5	6.7	8.8	7.7	88	58	68	N 1	SE 4	S 4	∞	$2^1\odot$	1^1	–	n ⏢
29.	40.9	39.4	38.7	7.1	17.8	11.5	18.9	6.4	6.8	9.1	8.6	90	60	86	N 1	S 2	S 3	∞	$2^1\odot$	0	–	n ⏢, a ≡
30.	37.1	35.0	35.1	6.3	17.4	10.2	18.9	5.7	6.9	8.7	8.1	98	59	87	S 1	SE 4	W 3	∞	$1^0\odot$	7^1	–	n ⏢, a ≡
																					37.2	
Mittel	37.8	37.4	37.6	9.1	17.3	11.9	19.1	7.6	8.2	9.4	9.0	93	64	86				5.5	5.3	4.6		

1) 1^{51}–2^{29} p ◍[0.1].
2) $5^{49.54}$ p ◍[1], 6^{24} p ◍[0].

Würzburg.

September. $\varphi = 49^0\ 48'$ N. $\lambda = 9^0\ 56'$ E $= 39^m\ 44^s$. H $= 179.3$ m. Cg $= +0.3$ mm. 1913.

1.	46.9	46.0	46.1	14.8	23.1	16.0	**23.1**	13.2	11.7	11.2	12.1	93	53	89	C	S 3	C	∞	$4^2\odot$	0	0.3	n ⏢
2.	46.4	45.9	46.6	12.3	17.1	14.8	20.5	11.9	10.3	13.5	12.4	97	93	**99**	C	SW 1	C	$4^1=$	$10^2\bullet$	0	–	mrgs. ≡[1], ca 0–0^{55} p, ca 2-2^{55} p ☈. $10^{5.10}$ p, ca 2-3^{10} p ◍, [1]
3.	47.7	47.3	47.8	11.8	22.3	16.0	22.8	10.9	10.2	10.7	11.9	**99**	54	88	C	C	C	10=	$2^2\odot$	0	3.5	mrgs. ≡[2]
4.	48.0	47.7	47.3	13.6	17.8	15.4	19.9	12.3	10.9	**14.4**	12.9	95	95	**99**	C	SW 1	C	9^2	$10^2\bullet$	0	–	mrgs. ⏢, ca 11 a–3 p ◍, abds. ≡[1]
5.	46.7	46.3	46.5	14.3	18.1	16.4	18.1	13.8	10.8	13.5	13.3	90	87	96	C	SW 2	C	$10^2\bullet$	10^2	$10^2\bullet$	1.5	ca 7 p ab–ca 11 a ◍, ca 2 p ab meist ●
6.	47.1	48.5	49.3	14.9	17.9	15.8	18.2	14.8	11.9	12.7	12.5	94	83	93	SE 4	E 2	E 3	$10^2\bullet$	10^2	10^2	9.2	t ztw. ◍
7.	50.4	50.3	51.1	14.2	19.6	13.8	20.0	13.8	10.0	10.8	9.0	84	63	77	E 4	SE 3	C	10^2	8^2	0	2.2	
8.	52.2	51.1	50.7	9.8	19.9	12.5	20.5	8.1	8.0	8.2	9.6	88	47	90	C	E 2	C	∞	∞	0	–	n ⏢, mrgs. ≡[1]
9.	49.8	46.8	44.8	7.8	20.6	16.9	21.0	7.2	7.6	9.8	12.5	96	54	88	C	S 3	C	10=	$1^1\odot$	8^2	–	mrgs. ≡[2]
10.	44.6	46.7	48.4	11.8	15.1	10.5	16.9	10.5	9.4	7.4	8.6	93	58	92	C	NW 4	NW 2	$10^2\bullet$	$3^2\bullet$	4^2	2.3	n, mrgs. u. abds. ◍
11.	50.1	49.7	49.0	9.9	15.9	9.2	16.5	8.9	7.9	6.7	7.8	87	50	91	W 1	W 1	C	$4^2\odot$	$3^2\odot$	0	0.8	
12.	47.4	45.7	43.6	5.0	17.5	10.2	17.5	4.3	6.2	6.7	8.1	95	46	87	W 1	E 3	E 1	10=	∞	0	–	mrgs. ≡[2]
13.	41.1	38.2	37.6	6.2	18.7	13.9	19.5	5.1	6.6	9.3	10.5	93	58	90	C	S 3	C	∞	∞	2^1	–	mrgs. ≡[1]
14.	37.3	36.5	36.0	9.3	20.9	17.4	22.2	8.8	8.4	11.6	10.7	96	64	72	C	S 3	W 5	4^2	9^2	8^2	–	n ⏢ u. ≡[1]
15.	37.3	38.8	41.7	13.0	14.7	12.2	17.4	12.1	10.9	11.3	9.7	98	91	93	S 2	C	SW 2	10^2	10^2	10^2	3.1	n ◍, mrgs. ≡[1], ztw. ◍
16.	42.1	41.2	39.5	8.2	17.1	13.6	18.1	7.8	7.9	10.4	10.4	98	72	94	C	S 2	C	10=	$3^2\odot$	1^1	5.5	mrgs. ≡[2]
17.	**35.2**	36.6	39.0	11.7	13.9	12.3	14.9	10.4	9.1	9.6	8.6	89	81	82	S 1	SW 5	SW 4	10^2	9^2	8^2	–	ca 8 a–1^{10} p ●
18.	41.6	42.4	44.3	10.1	15.8	12.3	16.2	8.9	8.4	9.9	9.9	91	74	94	S 3	C	C	9^2	10^2	8^2	**17.1**	mrgs. ≡[1]
19.	46.3	46.8	47.1	10.9	16.2	11.1	16.6	9.9	9.2	9.5	9.4	96	69	95	C	C	C	10=	6^2	0	–	mrgs. ≡[2]
20.	46.7	45.0	45.7	8.0	17.8	13.1	19.0	7.3	7.8	9.3	9.5	98	61	86	C	NW 2	C	10=	3^2	8^2	–	mrgs. ≡[2]
21.	46.8	47.8	49.5	11.6	14.0	12.2	14.2	11.1	9.3	9.6	9.7	92	81	93	NW 2	NW 3	C	10^2	9^2	10^2	–	a ◍[0]
22.	50.2	49.3	48.9	12.1	15.7	12.8	16.7	11.3	9.4	9.3	9.3	90	69	86	C	SW 2	SW 2	10^2	9^2	10^2	0.8	
23.	48.1	48.1	49.8	11.2	15.2	9.8	16.0	9.8	9.6	9.2	8.9	97	71	**99**	NW 2	SW 2	C	10^2	$3^2\odot$	0	3.6	n u. a ◍
24.	50.7	50.1	50.2	5.6	15.2	9.4	15.2	5.2	6.6	6.9	7.5	97	53	87	W 1	E 3	C	10=	$3^2\odot$	0	2.3	mrgs. ≡[2]
25.	51.0	50.3	51.0	6.3	14.8	8.7	15.1	4.8	6.5	7.5	6.8	91	60	81	SE 3	SE 3	SW 3	$3^1\odot$	$2^1\odot$	0	–	n ≡[1]
26.	**52.5**	52.1	51.8	4.4	14.7	8.1	14.8	**2.9**	5.5	6.7	7.5	89	53	93	C	SE 4	C	8^2	∞	0	–	
27.	51.8	50.3	50.7	6.2	15.8	10.2	15.8	4.8	6.6	8.1	8.3	93	61	90	E 2	SE 4	C	∞	∞	0	–	n ≡[1]
28.	50.4	49.3	49.3	5.9	18.2	11.3	18.2	5.2	6.9	8.4	8.9	**99**	54	89	SE 1	SE 4	C	∞	$3^2\odot$	0	–	n ≡[1]
29.	49.6	48.1	47.6	7.1	17.1	10.3	17.3	6.1	6.9	8.5	9.0	91	59	96	SE 3	SE 1	C	∞	∞	0	–	n ⏢
30.	46.5	43.9	43.9	5.7	18.1	11.1	18.1	5.2	6.5	8.7	8.4	96	57	85	C	SE 3	C	10=	$2^1\odot$	0	–	mrgs. ≡[2]
																					52.2	
Mittel	46.8	46.2	46.5	9.8	17.3	12.6	18.0	8.9	8.6	9.6	9.8	94	66	90				7.0	4.7	3.2		

1) abds. ≡[0.1]

Alle Angaben nach Ortszeit.

Ludwigshafen a/Rh.

September. $\varphi = 49^0\ 29'$ N. $\lambda = 8^0\ 26'$ E $= 33^m\ 44^s$. H $= 100.3$ m. Cg $= +0.3$ mm. 1913.

Datum	Luftdruck auf 0° u. Normalschwere reduziert 700 mm +			Lufttemperatur C°					Absolute Feuchtigkeit mm			Relative Feuchtigkeit Proz.			Richtung und Stärke des Windes 0 bis 12			Bewölkung 0 bis 10			Niederschlag mm	Bemerkungen
	7^a	2^p	9^p	7^a	2^p	9^p	Max.	Min.	7^a	2^p	9^p	7^a	2^p	9^p	7^a	2^p	9^p	7^a	2^p	9^p	7^a	
1.	54.4	53.1	53.1	15.8	24.0	18.8	**24.1**	14.9	12.2	12.3	13.0	91	56	81	S 1	S 1	C	○○	5^1○	5^1	2.2	
2.	53.8	53.7	54.5	16.2	19.5	18.2	22.0	14.9	12.2	12.4	11.6	89	74	75	S 1	SW 1	SW 1	5^1○	9^2	10^2	–	11^{29} a–0^{49} p, $5^{31.47}$ p ⟆
3.	55.4	54.5	54.8	14.2	23.6	19.4	23.6	14.0	11.5	11.8	11.8	96	55	70	N 1	NE 1	NE 1	○○	5^1○	3^1	10.8	n ◍, a ≡¹
4.	54.2	54.5	54.4	15.3	20.4	18.2	20.6	13.7	11.6	13.3	12.8	89	74	82	N 1	NE 1	NE 1	9^2	10^2	10^2	–	a ∞, vorm. ◍, ca 10^{30-47} a Fern-⟆
5.	52.8	52.8	53.3	17.4	18.5	17.4	20.0	16.7	12.4	**14.7**	13.6	84	93	92	C	NE 1	NE 1	10^2=	10^2●	10^2	1.6	n ◍^{0}, a ≡¹, vorm. u. nachm. ◍^{0}
6.	54.0	55.6	56.0	16.9	18.0	17.4	18.6	15.9	13.0	12.6	11.5	91	82	78	N 1	NE 1	NE 2	10^2	10^2	10^2	3.8	t bedeckt, abds. ◍^{1}
7.	57.1	57.6	57.8	15.9	21.4	18.6	21.4	15.1	12.1	12.3	11.1	90	65	70	NE 1	NE 1	NE 1	10^2	5^1	0	9.4	n ◍^{1}, m Aufklaren
8.	58.6	57.9	57.8	12.6	21.7	17.2	22.0	11.0	9.1	8.5	9.1	85	44	63	N 1	NE 1	NE 1	2^0○	2^0○	0	–	n ⏢
9.	56.4	54.0	52.6	11.7	22.0	17.4	22.0	10.2	9.1	11.2	11.2	89	57	76	N 1	SW 1	SW 1	○○	5^1○	5^1	–	n ⏢
10.	53.9	55.3	57.2	11.9	16.8	13.0	17.4	11.6	8.9	6.3	7.8	86	44	70	W 3	W 2	SW 3	10^2●	5^1○	7^1	3.4	n ◍
11.	58.2	57.4	56.7	10.0	16.0	12.5	16.6	9.6	8.0	6.3	7.2	87	46	67	NW 1	N 1	N 1	5^1○	6^1	0	0.4	n ⏢
12.	53.9	51.4	49.6	7.2	19.2	14.1	19.2	6.6	7.0	5.8	7.7	93	35	64	N 1	E 1	E 1	○○	○○	0	–	n ⏢, a ∞
13.	47.9	45.2	44.2	9.0	21.4	16.9	21.4	8.5	7.5	9.4	11.5	88	50	81	SE 1	SE 1	C	○○	2^0○	5^1	–	≡¹, n ⏢
14.	44.6	43.6	45.3	14.6	21.0	18.6	21.0	12.0	11.0	11.0	10.2	89	60	64	S 1	C	SW 1	10^2●	5^1	10^2	0.6	a ◍, $6^{17-8^{22}}$ p ⟆, ◍^{2}
15.	44.8	46.7	49.3	13.2	15.2	12.5	18.6	12.2	10.4	9.8	9.9	93	76	93	SE 1	SW 1	SW 1	10^2●	6^1○	2^0	**28.4**	n u. a ◍, t ztw. ◍
16.	49.0	47.8	47.0	8.6	19.1	15.4	19.8	7.6	7.8	8.4	10.5	93	51	81	C	SW 3	SW 1	10^1=	10^2	5^1	1.5	n ⏢, a ≡¹, ∞, m zunehmende Bewölkung
17.	42.5	44.6	47.0	12.6	14.0	12.6	15.4	11.8	9.6	10.9	9.3	89	90	87	W 1	SW 1	SW 1	10^2=●	10^2●	10^2	–	a ≡¹, ca 7 a ◍, mit Pausen den ganzen Tag anhaltend
18.	48.9	50.3	51.7	9.2	15.4	12.9	15.6	9.0	7.8	9.4	9.9	91	72	90	S 1	NW 1	SW 1	○○	10^2●	10^2	8.2	a ∞, ca 1^{30} p ab ◍^{0}
19.	54.1	54.3	54.3	10.7	17.8	13.4	18.0	10.0	9.2	8.5	9.6	97	57	85	SW 1	SW 1	C	10^2=	5^2○	0	1.4	a ≡¹
20.	54.4	53.1	54.2	8.9	15.4	12.2	17.8	8.6	8.4	8.4	10.1	**99**	64	96	SE 1	SW 2	NW 1	0=	10^2●	10^2	–	a ≡², $0^{37-1^{19}}$ p, ca 6^{15-7} p ⟆, ca $1^{30-2^{04}}$ p ●, $6^{40.54}$ p ▲
21.	55.3	56.5	57.3	11.9	14.4	12.2	15.8	10.8	9.8	9.8	9.6	95	81	91	SW 1	SW 1	SW 1	10^2●	10^2●	5^1	17.8	n ◍
22.	58.4	57.5	56.7	11.4	16.8	13.5	17.0	10.5	8.9	9.3	8.8	89	65	76	SW 1	SW 1	SW 1	5^1=	7^1	5^1	0.8	a ≡¹
23.	56.1	56.3	56.9	12.1	14.7	12.2	15.0	11.0	9.9	9.6	9.8	95	77	94	SW 1	SW 1	C	10^2●	9^2	0	1.5	n ◍, a, abds. ≡¹
24.	57.6	56.7	56.9	9.2	16.9	12.4	17.0	7.4	8.4	8.5	7.7	98	60	72	NW 1	C	NE 1	10^2=	5^1	0	–	n u. a ≡², ⏢²
25.	57.4	56.9	57.5	7.4	17.2	12.8	17.4	6.0	7.0	8.0	8.0	91	55	73	NE 1	E 1	C	○○	○○	0	–	n ⏢, a ≡^{0}
26.	**58.9**	58.6	58.4	7.1	16.6	12.2	16.8	5.4	6.8	7.4	7.8	90	53	74	NE 1	E 1	E 1	0=	○○	0	–	n ⏢, a ≡¹
27.	58.3	56.7	57.1	8.7	17.8	12.7	18.0	7.6	6.9	8.2	8.3	83	55	76	C	C	C	○○	○○	0	–	n ⏢, a ≡¹
28.	57.5	56.9	56.9	11.0	16.5	14.2	16.5	9.6	7.7	8.5	8.4	79	61	69	NE 1	SE 1	C	2^0=	○○	0	–	n ⏢, a ≡¹
29.	56.6	55.5	54.5	8.0	17.2	12.7	17.2	5.6	7.6	9.7	10.3	94	66	95	W 1	C	SW 1	0=	○○	0	–	n ⏢, a ≡¹, abds. ≡²
30.	52.9	50.2	50.5	7.9	20.3	15.2	20.3	6.8	7.9	7.9	8.8	**99**	45	68	N 1	E 1	C	10^2=	5^1○	0	–	n ⏢, a ≡²
31.																					91.8	
Mittel	53.9	53.5	53.8	11.6	18.3	14.9	18.9	10.5	9.3	9.7	9.9	91	62	78				5.3	5.5	4.1		

Nürnberg.

September. $\varphi = 49^{\circ}\ 27'$ N. $\lambda = 11^0\ 3'$ E $= 44^m\ 12^s$. H $= 309.1$ m. Cg $= +0.2$ mm, über 735.0 mm Cg $= +0.3$ mm. 1913.

1.	36.3	35.0	34.6	14.8	23.1	16.6	**23.4**	12.2	10.4	11.0	12.2	84	53	86	SE 1	SW 1	C	4^0○	6^0○	0	1.3	n Aufkl., ca 4^{45} a ⏢², ca 5–10 a ≡$^{0.1}$, a zu-, p abnehm. Bew.
2.	35.1	34.7	35.5	14.2	20.6	14.2	21.3	11.9	10.3	11.9	10.9	86	66	92	SE 2	S 2	S 2	1^0○	9^1	0	–	ca $0-1^{24}$ a ≲ i. E, SW, W, ca 3 a ⏢¹, ca 6–10 a ≡¹, [1]
3.	36.6	36.3	36.7	12.0	20.7	16.2	20.9	9.9	9.3	11.6	11.8	90	64	86	C	N 1	E 1	0=	1^0	0	**50.2**	ca 0–11 a ≡$^{0.3}$, ca 5 a ⏢¹, wechselnde Bewölkung
4.	36.8	36.6	35.9	13.4	21.6	16.2	21.8	10.5	10.1	11.5	12.0	89	60	87	NE 2	N 2	E 1	7^0○	10^0	0	–	n klar, ca 4 a ⏢², ca 5–11 a ≡$^{0.1}$, $2^{08-4^{14}}$ p ◍^{0}, ca 4–7 p ≡^{0}
5.	35.5	35.5	35.5	14.2	18.4	16.2	18.4	12.9	11.5	**12.5**	12.2	96	80	89	E 2	E 1	E 1	10^0●	10^0	10^1	4.5	6^{14}–ca 11 a ◍, ca 7a–0 p ∞, $6^{50-9^{00}}$ p ◍^{0}
6.	36.2	37.5	38.3	15.2	17.2	15.4	17.5	14.6	11.5	12.0	11.6	89	88	89	E 2	E 1	NE 2	10^0	10^0●	10^0	5.5	durchaus bedeckt, n u. t ztw. ◍^{0}
7.	39.2	39.3	39.4	14.0	19.2	13.8	19.2	13.4	9.1	9.0	8.1	80	55	69	E 2	E 2	E 1	9^1	4^0○	0	2.8	n bedeckt, $0^{24-2^{19}}$ a, 4^{04-7} a ◍^{0}
8.	40.6	39.4	39.7	10.4	19.3	13.2	19.7	8.0	7.3	7.1	8.5	76	43	75	E 2	NE 2	E 2	○○	1^0○	0	–	n klar, ca 5 a ⏢¹, ca 8 p ☿
9.	38.8	35.6	33.4	8.8	20.2	16.4	20.2	6.4	7.4	8.8	11.1	88	50	80	SE 2	SE 1	SW 1	○○	○○	10^0	–	n klar, ca 5 a ⏢², ca 6–9 a ≡^{0}, t klar bis ca 2 p
10.	32.8	34.8	36.7	12.4	14.0	9.5	16.8	9.5	9.7	6.0	7.1	91	51	80	NW 3	NW 3	NW 2	10^0	8^1	3^0	–	a bed., p Aufkl., $0^{18-3^{08}}$ a ⟆, a u. p ztw. ◍^{0}, ca 8–9 p ☿
11.	38.4	38.4	37.5	9.0	14.4	9.3	14.5	6.8	7.4	5.7	7.5	87	47	88	NW 2	NW 2	C	10^0	7^0○	0	–	n Aufklaren, ca 4 a ⏢², 7^{09} p ☿
12.	35.7	34.1	32.0	5.9	16.4	11.4	16.8	3.2	6.4	5.5	6.4	93	40	64	SE 1	SE 2	E 2	1^0○	○○	0	–	n klar, ca 0 a ☿, ca 4 a ⏢², ca 6–9 a ≡^{0}
13.	30.2	27.4	26.8	7.4	18.0	14.0	18.1	5.9	6.0	8.1	9.1	79	53	77	E 2	SW 2	E 2	○○	3^0○	0	–	a wolkenfrei, ca 5 a ⏢², ca 5-9 a ≡$^{0.1}$, ca 5-6 p ⊕, ca 8 p ☿
14.	26.8	26.1	24.5	10.8	21.8	16.4	22.5	9.3	7.7	9.6	8.9	81	49	65	SE 1	E 2	E 2	5^0	2^0○	5^0	–	n meist klar, ca 5 a ⏢², ca 5–9 a ≡^{0}, ca 8^{30} p ☿
15.	26.9	28.0	30.6	12.2	16.1	12.8	17.0	10.7	9.4	9.7	10.0	90	71	91	SE 2	NW 3	SW 2	10^0	10^0	10^0	2.5	$9^{14-10^{09}}$ p ⟆, $9^{57-11^{05}}$ p ◍^{1}, ca 8–11 a ≡$^{0.1}$, p ztw. ◍^{0}
16.	31.4	30.2	29.1	9.0	17.4	13.4	17.6	7.9	7.8	8.5	9.6	92	57	85	SE 1	SE 2	E 1	0=	2^0○	10^0	1.7	ca 3^{30} a ⏢², ca 4^{30} a ☿, ca 4–7 a ≡¹, ca 8–10 a ≡$^{2.0}$, [2]
17.	24.6	26.3	28.4	11.2	15.4	11.0	15.8	11.0	9.0	8.0	8.2	92	61	84	NE 3	SW 3	SW 3	10^0●	4^0○	0	–	ca 0 a ☿, a u. p ztw. ◍^{0}, 11^{34} a ⟆
18.	31.0	31.0	32.5	8.4	16.2	12.2	16.2	7.4	7.0	7.9	9.3	86	58	89	SE 2	NW 1	N 1	9^1	6^0○	7^1	–	ca 0 a ☿, ca 5 a ⏢, ca 8–11 a ≡$^{0.1}$, $7^{36.36}$ p ◍^{0}, ca 8^{39} p ☿
19.	35.0	35.5	36.0	8.9	16.3	12.0	16.6	7.5	8.2	8.0	8.9	96	58	86	SE 1	NW 2	C	0=	9^0○	10^0	–	ca 3 a ⏢², ☿, ca 3–4 a ≡$^{0.1}$, ca 4–11 a ≡$^{2.0}$, ca 8 p ☿
20.	35.1	34.0	34.0	8.8	17.4	11.8	17.6	7.2	8.0	8.2	8.6	95	56	84	NW 1	NW 3	SW 1	8^0	6^1	8^0	–	ca 5 a ⏢ ☿, ca 5–11 a ≡$^{0.1}$, ca 9 p ☿
21.	36.0	37.0	38.0	11.0	12.6	11.6	15.3	10.3	8.9	9.8	9.2	92	91	91	W 2	NW 2	W 2	10^0	10^0●	10^0	–	ca 1 a ☿, ca 8–11 a ∞, a u. p ◍$^{0.2}$
22.	38.2	38.0	37.4	11.5	13.8	11.5	14.7	11.0	9.1	8 6	9.0	91	73	89	NW 2	W 2	SW 2	10^0	8^0○	8^1	7.0	a bedeckt, $5^{18.30}$ p, $5^{53-6^{04}}$ p ◍^{0}
23.	36.8	36.8	38.3	10.4	13.4	9.9	13.7	9.9	8.9	8.5	8.5	95	74	94	NW 2	NW 1	E 1	10^0●	6^0○	0	6.0	ca 5–10 a ≡$^{1.0}$, a u. p ◍$^{0.2}$, ca 6–9 p ≡^{0}
24.	39.3	38.5	38.5	4.8	14.2	9.0	14.3	3.6	6.3	6.5	7.2	**98**	54	84	C	SE 2	E 2	0=	3^0○	0	4.5	n meist klar, ☿, ca 4 a ⏢¹, ca 4–10 a ≡$^{1.2}$, ca 6–7 p ≡^{0}
25.	39.2	39.2	39.7	5.7	14.0	8.0	14.0	5.2	5.9	6.7	5.8	86	57	72	E 2	NE 2	E 2	○○	6^0○	0	–	n klar, ca 4^{30} a ⏢², ca 6 a stellenweise ⌴^{0}
26.	**41.0**	40.8	40.3	4.7	13.2	9.8	14.0	3.5	5.3	6.0	6.7	82	53	74	E 2	NE 2	SE 2	○○	○○	0	–	n klar, ca 5 a ⏢¹, stellenweise ⌴
27.	40.1	38.9	38.8	6.6	14.6	9.6	14.8	4.6	6.5	8.0	7.6	90	64	86	S 2	NE 3	E 3	○○	○○	0	–	n klar, ca 5 a ⏢¹, stellenweise ⌴
28.	39.0	38.5	37.9	7.3	18.0	13.0	18.0	5.0	7.0	7.7	8.2	91	50	74	NE 2	E 3	E 2	○○	5^0○	0	–	n klar, ca 5 a ⏢¹, stellenweise ⌴
29.	38.3	36.9	36.3	8.0	17.6	11.6	17.6	6.3	7.1	8.0	8.4	89	53	84	E 2	SE 2	E 1	○○	○○	0	–	n klar, ca 5^{30} a ⏢¹, ca 6–10 a ∞
30.	34.8	32.8	32.6	6.3	16.2	10.8	16.2	4.0	6.8	7.7	8.0	96	56	83	E 1	SE 2	SE 2	○○	2^1	0	–	n klar, ca 5 a ⏢^{0}, ca 6–9 a ≡^{0}, ca 9a–0 p ∞
31.																					86.0	
Mittel	35.6	35.0	35.4	9.9	17.0	12.6	17.5	8.3	8.2	8.6	9.0	89	60	83				5.1	4.9	3.4		

[1] 11^{54} a–5^{54} p ⟆, $2^{12-3^{01}}$ p ▲, $0^{00-0^{29}}$ p, 2^{42} 5^{54} p ●, p ≡$^{1.0}$

[2] ca 8 p ☿

Alle Angaben nach Ortszeit.

Kaiserslautern.

September. $\varphi = 49^0\ 27'$ N. $\lambda = 7^0\ 46'$ E $= 31^m\ 4^s$. H $= 242.2$ m. Cg $= +0.3$ mm. 1913.

Datum	Luftdruck auf 0^0 u. Normalschwere reduziert 700 mm +			Lufttemperatur C^0					Absolute Feuchtigkeit mm			Relative Feuchtigkeit Proz.			Richtung und Stärke des Windes 0 bis 12			Bewölkung. 0 bis 10			Niederschlag mm	Bemerkungen
	7^a	2^p	9^p	7^a	2^p	9^p	Max.	Min.	7^a	2^p	9^p	7^a	2^p	9^p	7^a	2^p	9^p	7^a	2^p	9^p	7^a	
1.	41.9	40.9	41.0	15.8	22.5	16.8	22.5	14.9	12.1	11.5	12.5	90	57	88	W 1	NW 2	C	10^1	9^1	0	2.8	a ∞^2, abds. $\swarrow$
2.	41.7	41.2	42.2	13.5	21.6	15.9	22.4	12.4	11.0	11.5	12.3	96	60	91	C	C	C	$5^1\odot$	7^1	0	3.8	n $\swarrow$, a–6^{51} a $\equiv^2$, $10^{28.48}$ a, 0^{36} p $\swarrow$; 10^{46}–11^{06} a $\bigcirc^2$, 1)
3.	42.9	42.0	42.2	11.8	22.8	15.5	**22.9**	10.4	9.3	11.3	11.4	91	55	87	C	E 2	E 1	$10^1\equiv$	$5^1\odot$	0	–	a $\equiv^{1.2}$ $\triangle^2$, t ∞
4.	42.4	42.0	41.6	14.4	20.0	16.7	20.8	12.4	11.1	12.9	13.0	92	74	92	C	E 2	C	$10^1\equiv$	$9^1\odot$	0	–	a $\equiv^{1.2}$, $\triangle^0$, ca 8^{30}–10^{26} a $\bigcirc^0$
5.	40.5	40.5	40.7	15.6	17.3	16.5	18.2	15.4	11.9	**13.5**	13.2	90	92	95	E 2	E 2	E 1	10^1	$10^2\bullet$	$10^2\bullet$	0.6	n $\bigcirc^0$, a ztw. $\bigcirc$, p–n meist $\bigcirc$, abds. $\equiv^{1.2}$
6.	41.9	43.1	43.6	15.3	15.9	15.7	16.6	15.2	12.6	13.0	12.7	97	97	96	C	E 1	E 1	$10^2\bullet$	$10^3\bullet$	10^2	4.4	n $\bigcirc^0$, a $\bigcirc^0$ $\equiv^{1.2}$, p–8^{56} p $\bigcirc^2$ $\equiv^{1.2}$
7.	44.3	44.9	45.0	14.9	16.3	14.5	17.0	14.4	12.1	11.5	11.5	96	83	94	E 1	E 2	C	10^2	10^1	5^1	14.4	n $\bigcirc$, a $\bigcirc$-Tr.
8.	**45.6**	45.2	45.2	10.9	19.4	12.9	19.8	10.1	8.5	9.6	10.0	89	57	91	E 1	SE 3	C	$3^0\odot$	$1^0\odot$	0	–	a $\triangle$
9.	43.9	41.5	40.9	9.3	21.2	15.3	21.4	7.7	7.8	11.7	11.6	89	63	89	C	SW 2	C	$0\odot$	$3^1\odot$	1^0	–	a $\triangle^2$, t ∞
10.	41.8	43.3	44.6	11.1	15.5	10.7	16.0	10.6	8.9	6.9	8.1	90	53	85	C	N 1	C	10^1	$1^1\odot$	5^1	4.5	n–6^{31} a $\bigcirc$, $5^{01.11}$ p $\bigcirc$-Tr.
11.	45.5	44.6	43.4	6.4	15.3	8.9	15.8	5.0	6.4	6.9	7.6	90	54	89	C	NE 1	E 1	$7^1\odot$	$7^1\odot$	1^0	–	a $\triangle^2$, $\equiv^1$
12.	41.1	38.5	37.5	5.7	17.3	9.9	17.7	3.9	6.0	6.4	7.9	88	**44**	87	E 1	SE 2	C	$0\odot$	$0\odot$	0	–	a $\triangle^2$
13.	35.1	33.0	32.1	6.1	18.9	14.9	20.0	4.3	6.2	10.2	11.1	88	63	88	C	W 2	C	$10^0\equiv\odot$	$10^2\bullet$	9^1	–	a $\triangle^2$ $\equiv^{1.2}$, ca 2–2^{16} p $\bigcirc^0$
14.	32.2	31.5	31.5	12.3	19.6	14.8	20.0	10.6	10.1	12.0	12.1	96	71	97	E 1	SE 1	C	$10^2\bullet$	9^1	9^1	0.9	n–ca 8^{30} a $\bigcirc^0$, ∞^2, 3^{01}–5^{01} p, 5^{26}–8^{21} p $\swarrow$, 2)
15.	32.8	34.6	36.8	11.7	14.3	10.3	15.7	10.3	9.8	8.7	8.9	96	72	95	NW 1	NW 2	C	$10^2\bullet$	$5^1\odot$	1^0	8.4	n $\swarrow$ $\bigcirc$, ca 6^{30} a–0^{31} p ztw. $\bigcirc$, 4^{46}–5^{30} p $\bigcirc^{1.2}$
16.	36.3	35.6	35.2	7.8	17.8	12.7	18.2	6.0	7.3	8.0	9.1	93	53	85	C	NW 2	C	$10^1\equiv$	$7^1\odot$	7^1	3.6	a $\equiv^{1.2}$, dann ∞, 0^{51}–1^{11} p $_\!\!\!

Regensburg.

September. $\varphi = 49^0\ 1'$ N. $\lambda = 12^0\ 7'$ E $= 48^m\ 28^s$. H $= 354.3$ m. Cg $= +0.2$ mm. 1913.

Datum	Luftdruck auf 0^0 u. Normalschwere reduziert 700 mm +			Lufttemperatur C⁰					Absolute Feuchtigkeit mm			Relative Feuchtigkeit Proz.			Richtung und Stärke des Windes 0 bis 12			Bewölkung 0 bis 10			Niederschlag mm	Bemerkungen
	7ª	2ᵖ	9ᵖ	7ª	2ᵖ	9ᵖ	Max.	Min.	7ª	2ᵖ	9ᵖ	7ª	2ᵖ	9ᵖ	7ª	2ᵖ	9ᵖ	7ª	2ᵖ	9ᵖ	7ª	
1.	32.9	31.7	31.4	12.6	22.0	17.7	22.3	11.7	10.9	12.3	12.5	100	63	83	C	S 3	SE 3	0	4^1	5^1	0.8	⌓², ≡, 6^{46}–ca 9 p ⟍ i. d
2.	32.4	31.6	32.3	12.8	16.8	14.5	22.3	11.8	10.8	12.6	11.9	98	89	97	S 4	SW 3	C	00	9^2● ⟍	0	–	⌓. 0^{28}–2^{02} p ⟍, 0^{54}–2^{06} p
3.	33.3	32.8	33.3	10.5	20.5	15.2	20.6	9.8	9.5	12.1	12.2	100	68	94	C	SE 2	C	0	3^1	0	3.6	⌓², ≡²
4.	33.2	32.7	32.5	11.6	22.4	17.1	**22.6**	10.3	10.1	12.2	12.9	99	61	89	C	NE 3	N 2	00	7^0	0	–	⌓, schwül
5.	31.5	32.2	32.0	14.7	16.1	15.9	17.1	14.4	11.8	12.9	12.6	94	95	93	C	N 3	N 1	10^1●	10^1●	10^1	–	5^{58} a–0^{18} p
6.	32.9	33.9	34.8	14.6	16.2	15.1	16.6	14.2	12.4	**13.1**	12.5	100	96	98	C	SE 2	C	10^1●	10^1●	10^1	**19.6**	n, t–8^{08} p
7.	35.4	35.6	36.0	13.6	18.0	12.4	18.2	12.2	10.7	9.5	9.7	93	62	91	NE 2	NE 5	C	10^0	1^0	0	9.4	nachm. Aufheiterung
8.	36.7	36.0	35.8	8.9	19.0	12.1	19.3	6.8	7.5	8.2	9.5	88	50	91	NE 1	N 4	C	00	00	0	0.2	⌓
9.	35.4	32.4	30.6	6.6	18.2	14.1	19.4	5.9	7.2	11.3	11.7	99	73	98	C	E 2	C	0	00	3^1	–	⌓², ≡²
10.	29.6	30.6	32.7	14.1	13.0	9.1	14.6	8.9	11.0	8.3	7.2	93	75	84	SW 5	W 6	NW 2	8^0	9^1	4^1	0.5	früh ◍⁰
11.	34.1	34.7	34.0	7.8	13.4	7.9	14.7	7.1	7.3	7.1	7.3	93	62	92	W 3	NW 2	C	5^1	5^2⊙	10^1=	–	vorm. meist trüb, nachm. heiter, 9 p ≡¹
12.	32.2	29.2	28.9	3.8	15.6	8.8	16.0	**3.0**	6.0	6.8	7.8	100	51	92	NW 2	SE 3	C	00	00	0	–	
13.	26.7	24.4	24.0	4.9	16.2	12.0	17.8	3.2	6.1	8.8	9.8	96	64	95	C	E 3	E 1	3^0⊙	2^0⊙	0	–	früh ⌓
14.	23.6	22.5	21.2	8.0	20.8	14.2	21.6	6.6	7.9	9.7	11.2	99	53	94	S 1	SE 4	C	3^0⊙	1^1⊙	0	–	früh ⌓, in der Ferne Nebel
15.	23.5	23.5	27.5	10.6	17.8	12.3	18.2	9.6	9.3	11.3	10.1	98	74	96	C	W 4	SW 3	7^1	10^1	10^1●	–	früh ⌓, ca 7 p ab ◍
16.	28.2	26.5	25.7	9.8	16.7	11.2	18.2	9.0	8.7	7.2	9.0	96	51	92	SW 2	SE 2	C	3^1⊙	00	2^1	1.3	n ◍⁰
17.	20.4	22.9	26.0	12.3	15.6	12.6	19.3	9.4	9.1	7.9	8.6	87	60	80	N 4	W 6	W 2	8^1	4^2	3^1	–	1^{05} p u. 5^{08} p unbedeutend ◍
18.	27.8	27.1	29.2	7.6	15.6	13.8	17.0	6.0	7.6	8.8	9.2	98	66	79	SW 3	W 4	W 3	10^1	10^1	10^2●	–	⌓, 7^{13} p ◍, 7^{13}–ca 9 p ⟍
19.	31.0	31.7	31.3	10.1	15.6	13.0	16.0	9.6	9.0	10.8	11.0	98	82	99	NW 3	NW 2	W 2	10^2	10^1	10^2	1.4	6^{31} p ◍
20.	30.6	30.5	31.7	11.2	15.8	10.7	16.2	10.6	9.6	9.1	9.2	97	67	97	W 4	W 4	W 2	10^2●	8^2	10^2	9.4	n u. a–ca 7^{45} a ◍
21.	32.1	32.8	34.2	10.2	13.4	11.3	14.0	8.8	9.0	9.7	9.2	97	86	93	W 3	W 2	W 2	10^2●	10^2	10^2	3.3	n, a–m ◍⁰
22.	34.4	34.3	33.9	11.0	13.6	9.9	14.3	9.9	9.3	9.1	8.6	95	79	95	W 3	W 4	C	10^2	10^2	0	1.4	
23.	32.8	33.0	34.5	10.0	12.2	8.8	12.6	8.8	8.8	8.9	8.1	96	86	96	SW 3	SW 3	W 2	10^2●	10^2⊼	0	0.6	früh ◍, 1^{56}–ca 2^{30} p ⟍
24.	35.9	35.4	35.0	4.1	11.6	8.0	13.0	3.6	6.1	8.0	7.5	100	79	93	C	NE 2	C	10^2=	3^1⊙	0	3.6	früh ≡
25.	35.7	35.3	35.7	4.4	12.8	6.8	13.4	3.4	**6.0**	7.2	6.1	97	66	83	NW 2	N 3	N 3	3^0⊙	4^1	0	–	⌓
26.	37.1	**37.5**	37.2	5.3	11.3	7.8	12.6	**3.0**	6.1	6.8	6.9	92	68	88	N 1	NE 3	C	4^1	2^1⊙	0	–	⌓
27.	36.2	35.3	36.1	6.6	14.6	9.6	16.0	3.4	6.7	8.2	7.7	93	67	87	N 2	E 4	N 4	00	2^1⊙	0	–	⌓
28.	35.1	34.4	34.6	8.4	18.0	10.2	18.2	6.8	7.3	**7.7**	8.2	89	53	89	N 3	SE 5	C	00	00	0	–	⌓, m ziemlich starker Wind
29.	34.6	33.8	32.8	7.2	16.8	9.4	17.8	6.2	6.8	8.1	8.2	90	57	93	E 1	E 5	C	2^1⊙	00	0	–	⌓
30.	31.4	29.2	29.2	5.8	15.7	9.9	18.0	5.0	6.8	7.7	8.1	99	58	89	SE 1	NE 5	C	3^0⊙	00	0	–	⌓
31.																					55.1	
Mittel	31.9	31.5	31.8	9.3	16.2	11.7	17.3	8.0	8.5	9.4	9.5	96	69	91				4.9	4.8	3.2		

Passau.

September. $\varphi = 48^0\ 34'$ N. $\lambda = 13^0\ 28'$ E $= 53^m\ 52^s$. H $= 309.3$ m. Cg $= +0.2$ mm. 1913.

1.	36.4	35.4	34.7	11.7	22.6	17.2	24.6	11.1	13.4	**15.5**	13.2	92	76	91	C	W 1	C	10^2=	8^2⊙	10	–	früh ≡ ⌓
2.	36.6	35.5	35.9	13.2	22.6	16.6	24.6	12.3	10.5	13.0	12.7	94	64	91	S 1	S 1	C	2	4⊙	0	–	früh Inntal Nebel, ⌓
3.	37.5	36.5	37.0	12.2	21.8	14.4	23.2	10.9	10.1	10.1	11.1	96	52	92	C	S 2	C	10^2=	00	0	–	früh ≡ ⌓
4.	37.1	35.0	36.0	10.9	24.6	18.2	**25.5**	9.7	9.3	12.6	13.8	97	55	89	C	S 1	C	10^2=	2⊙	0	–	früh ≡ ⌓
5.	35.2	35.3	35.9	15.4	18.6	16.2	20.9	14.7	12.0	14.2	13.0	92	89	95	E 1	E 1	C	10^2=	10●	10●	1.5	früh ≡ ⌓, ≡-Reissen, 1^{34} p ab ◍, abds. ◍²
6.	36.4	37.9	37.9	15.6	17.2	15.4	18.2	15.1	12.1	12.7	12.3	92	87	94	C	SW 2	C	10^2●=	10^2●	10^2=	**41.9**	früh ≡, t stw. ◍
7.	39.6	39.0	39.8	15.6	18.2	12.8	23.6	12.8	11.1	9.5	9.7	84	61	89	E 2	E 4	C	6^1	2^1⊙	0	1.1	
8.	40.3	40.0	39.6	8.3	19.8	12.2	20.7	6.9	7.2	8.6	9.4	88	**51**	91	E 4	E 4	C	4	4⊙	0	–	früh Inntal Nebel ⌓, sehr windig
9.	39.1	36.3	34.7	7.1	20.2	14.8	20.9	5.9	7.4	11.7	11.6	99	66	92	C	E 1	C	10^2=	00	0	–	früh ≡ ⌓
10.	33.3	33.3	36.0	14.6	13.2	11.5	15.8	11.5	11.7	9.7	8.7	94	87	87	S 1	SW 1	C	10	10●	8	6.1	n ⟍ ◍², t ◍
11.	36.9	38.1	37.7	9.1	15.0	8.5	15.8	8.5	8.0	7.9	7.5	91	62	91	SW 1	W 1	C	10^1	8^1⊙	0	6.3	früh ⌓
12.	36.6	33.7	33.7	3.8	16.6	10.3	18.2	3.1	5.8	8.2	8.0	97	58	86	S 1	S 1	C	3	00	0	–	früh ⌓
13.	31.2	29.4	28.4	5.5	18.2	11.7	19.1	3.6	**5.7**	10.6	9.5	85	68	94	C	SW 2	C	10^2=	00	0	–	früh ≡
14.	27.8	27.2	26.2	8.5	20.6	14.4	22.8	7.1	7.0	12.7	11.7	86	70	96	C	W 1	C	10^2=	00	0	–	früh ≡ ⌓
15.	27.9	26.3	31.0	12.8	20.8	13.8	22.6	10.4	10.5	14.6	10.7	96	80	92	E 1	W 4	C	10^2=	1⊙	10●	–	früh ≡ ⌓, 6^{10} p ⟍ ◍
16.	32.8	30.5	30.6	8.7	19.8	13.2	20.9	8.1	8.1	11.7	10.5	96	68	94	C	S 2	C	10^2=	1⊙	0	3.8	früh ⌓
17.	24.5	27.3	30.3	11.7	19.0	12.8	22.3	10.1	9.5	10.4	9.8	94	63	91	SW 1	W 4	C	8^1	8	10^1	–	früh ⌓, Inntal Nebel
18.	31.6	30.7	31.9	7.7	19.2	14.0	20.9	7.1	7.5	10.6	9.8	96	63	82	E 1	SW 1	C	10^2=	8	10=	–	früh ≡
19.	35.3	35.9	35.0	11.1	14.8	12.8	14.8	9.0	9.2	9.8	10.8	94	78	98	E 1	S 1	C	10^2=	10=	10=	–	t ≡
20.	33.1	34.9	36.1	12.8	13.8	10.7	15.1	10.7	10.2	9.6	9.5	94	82	99	W 4	SW 2	C	10^2=	10	10=	12.4	n, a, ca 2–5 p ◍
21.	35.9	37.3	38.1	11.1	11.9	11.5	12.5	9.1	9.0	9.5	9.7	91	93	97	W 2	W 4	C	10^2●	10^2●	10	10.0	t ◍
22.	38.4	37.9	38.4	11.1	12.8	10.5	13.9	8.9	9.2	10.0	8.9	94	91	94	SW 1	W 4	C	10^2●=	10●	10^2	9.6	früh ≡, t ◍, 6^{04}–ca 7 p ⟍
23.	36.5	36.5	39.0	10.1	11.9	9.3	13.5	9.3	8.6	9.0	8.4	94	87	96	W 1	W 4	C	10^2●=	10●	10^2	11.9	früh ≡, t ◍
24.	39.4	38.6	39.4	9.1	15.0	8.9	15.8	8.7	7.7	8.6	7.9	91	68	93	E 1	E 1	C	10^2	1^1⊙	0	9.8	
25.	39.4	38.9	40.1	3.6	14.6	9.9	15.1	2.6	5.9	9.1	7.7	100	74	84	C	W 1	C	10^2=	2^1⊙	10^2	–	früh ≡²
26.	41.2	41.2	**41.4**	6.1	12.8	8.9	14.5	5.6	6.1	7.0	8.3	87	64	98	E 1	E 3	C	00	6^1⊙	10	–	früh ≡ ⌓
27.	39.9	39.1	40.0	7.8	15.8	11.7	16.2	6.7	7.2	7.5	7.9	92	56	78	E 2	E 4	C	6^1⊙	00	0	–	früh ⌓
28.	38.7	38.7	38.7	12.2	18.6	13.2	18.6	9.7	8.1	8.4	9.0	76	54	71	E 4	E 4	E 4	00	00	0	–	früh ⌓
29.	38.7	37.6	37.4	7.5	17.4	11.3	19.3	6.9	7.2	9.0	9.9	93	61	100	E 2	E 4	C	10^2=	00	0	–	früh ≡ ⌓
30.	35.5	33.3	32.9	4.3	18.6	11.3	19.1	4.0	6.1	12.4	9.6	98	78	97	E 1	E 2	C	10^2=	2^1⊙	ↄ	–	früh ≡²
31.																					114.4	
Mittel	35.8	35.3	35.8	10.0	17.5	12.6	19.0	8.7	8.7	10.5	10.0	92	70	91				8.3	4.6	4.6		

Alle Angaben nach Ortszeit.

Landshut.

September. $\varphi = 48^0\ 32'$ N. $\lambda = 12^0\ 10'$ E $= 48^m\ 40^s$. H $= 397.7$ m. Cg $= +0.2$ mm. 1913.

Datum	Luftdruck auf 0^0 u. Normalschwere reduziert 700 mm +			Lufttemperatur C°					Absolute Feuchtigkeit mm			Relative Feuchtigkeit Proz.			Richtung und Stärke des Windes 0 bis 12			Bewölkung 0 bis 10			Niederschlag mm	Bemerkungen
	7^a	2^p	9^p	7^a	2^p	9^p	Max.	Min.	7^a	2^p	9^p	7^a	2^p	9^p	7^a	2^p	9^p	7^a	2^p	9^p	7^a	
1.	28.6	27.3	27.3	14.2	24.5	14.4	**28.0**	11.2	11.1	11.9	11.1	93	52	92	S 2	C	W 2	1^1⊙	1^1⊙	10^1	0.4	⏢, 6^{49}–7^{54} p ◪, 7^{09}–8^{39} p ●
2.	28.2	27.2	27.8	13.6	24.0	14.2	25.9	10.6	10.7	12.2	11.5	93	55	96	C	W 2	C	2^1⊙	2^0⊙	0	6.0	⏢, 5^{19} p ◪
3.	29.2	28.5	28.6	11.4	22.8	14.4	26.2	9.4	10.1	11.0	11.7	100	54	96	E 2	E 2	C	10^1=	2^1⊙	0	–	≡^{1} ⏢
4.	28.8	28.0	27.5	10.6	24.6	17.8	25.2	10.2	9.5	10.9	12.0	100	48	79	E 2	C	E 2	10^1=	10^0	0	–	≡^{1} ⏢
5.	27.3	27.7	27.8	15.2	17.8	15.8	19.2	14.2	12.6	13.0	**13.2**	98	86	99	SW 2	N 2	C	10^1●	10^1	10^1	2.0	n, a–7^{09} a ●, m–0^{29} p ●^{0}
6.	28.4	29.5	30.0	16.0	15.2	14.2	17.0	14.2	13.1	11.7	11.8	97	91	98	W 2	E 2	E 2	10^1●	10^1●	10^1●	0.9	n ●^{0}, a u. p ●
7.	30.6	30.6	31.2	14.7	19.5	13.1	22.0	12.0	11.6	10.1	8.5	93	60	76	E 2	E 2	E 2	10^1	7^1⊙	0	9.8	
8.	32.0	31.7	31.1	8.7	19.2	11.1	21.6	6.7	7.6	7.9	9.5	91	48	96	E 2	E 4	E 2	1^0⊙	7^0⊙	0	–	⏢
9.	30.5	28.0	26.4	7.8	21.1	13.8	25.9	6.5	7.7	10.9	11.3	98	59	97	E 2	E 2	C	4^1⊙	2^0⊙	0	–	⏢
10.	24.9	26.9	28.5	13.8	11.8	8.5	13.8	8.1	11.3	8.8	7.4	97	86	89	W 4	W 4	W 4	10^1●	10^1	1^1	4.6	n, a–ca 11^{34} a ●
11.	30.2	30.7	29.3	8.2	14.4	6.1	19.2	5.7	7.4	7.5	6.7	92	61	96	W 4	W 2	E 2	10^1	8^1⊙	0	6.6	
12.	27.4	25.5	24.3	3.4	16.4	8.7	19.3	2.0	5.6	6.0	7.6	97	43	91	C	E 4	E 2	1^1⊙	00	0	–	⏢
13.	22.4	20.1	19.4	5.4	19.9	12.9	25.2	3.2	6.5	9.2	10.0	97	53	91	E 2	E 2	C	00	2^0⊙	1^1	–	⏢
14.	19.1	18.2	16.9	8.5	22.1	15.6	25.2	6.7	8.2	9.7	10.7	99	49	81	C	E 4	E 4	1^0⊙	1^1⊙	0	–	⏢
15.	19.1	19.5	23.5	12.6	17.5	10.7	19.1	10.2	10.1	10.5	9.1	93	70	95	W 2	W 4	W 2	10^1	8^1⊙	10^1●	–	⏢, ca 7 p ab ●^{0}
16.	23.9	22.2	21.0	8.0	18.4	10.9	20.3	6.2	7.7	8.8	9.3	96	56	97	C	E 4	C	00	1^1⊙	1^1	0.8	⏢
17.	15.9	19.2	21.8	11.9	17.2	10.3	20.6	8.3	10.0	8.0	8.0	97	55	86	E 2	W 4	SW 2	3^1⊙	1^1⊙	1^1	–	⏢
18.	23.3	22.5	24.9	7.6	16.2	12.5	18.9	4.5	7.3	9.1	9.5	94	66	89	W 2	NE 4	W 2	10^1	6^1⊙	8^1●	–	⏢, ca 9–10 a ●, 8^{21} p Fern-◪
19.	27.3	27.6	27.2	10.3	14.9	12.2	16.9	9.2	9.2	9.0	10.3	99	71	98	SW 2	W 2	W 2	10^1	10^1	10^1●	0.6	ca 6^{19} p ab ●
20.	26.2	26.7	26.5	10.4	15.7	8.8	18.0	8.5	9.3	8.6	8.2	99	64	98	W 2	W 4	W 2	10^1●	9^1	0	**31.3**	n, a–9^{09} a ●, ca 5 p ●-Tr.
21.	28.2	29.0	30.2	10.0	12.7	10.3	14.1	7.5	8.9	10.2	9.1	98	94	97	W 4	W 2	W 4	10^1●	10^1	10^1	2.0	n, t–0^{19} p, 3^{19}–ca 4 p, 5^{34}–ca 6 p, 7^{59}–8^{19} p ◪
22.	31.1	30.3	30.1	9.8	12.8	8.0	15.0	7.4	8.7	9.1	7.9	96	83	99	W 4	W 4	C	10^1●	10^1●	0	11.0	ca 7–8^{19} a, ca 2–2^{19} p ●
23.	29.1	29.0	30.4	9.3	12.9	7.5	14.9	6.3	8.4	7.7	7.6	96	69	99	W 2	W 4	C	10^1	9^1⊙	0	1.4	ca 8–10^{09} a, ca 3–3^{34} p ●
24.	31.7	30.7	30.4	6.0	12.9	6.8	15.8	3.6	7.0	8.0	7.2	100	73	98	E 2	E 2	C	10^1	1^1⊙	0	13.9	≡^{9} ⏢
25.	31.2	31.0	31.0	3.0	13.5	7.5	17.0	1.7	5.5	7.5	6.6	96	65	86	E 2	E 2	E 2	10^1=	1^1⊙	0	–	≡^{1} ⏢
26.	**32.8**	32.6	32.4	4.3	12.2	7.8	14.0	2.8	5.9	6.6	6.6	96	63	83	NE 2	E 4	C	00	00	0	–	⏢ ∞
27.	31.7	30.6	30.9	4.4	16.0	10.0	18.0	3.2	6.0	8.0	7.5	97	59	82	E 2	E 4	E 4	3^1⊙	00	0	–	⏢
28.	30.6	29.9	29.7	5.7	18.5	10.4	20.0	4.2	6.7	8.2	8.1	99	52	87	E 2	E 4	E 2	9^1	00	0	–	⏢
29.	30.3	29.3	28.2	4.9	18.2	11.4	20.2	3.2	6.1	8.1	7.8	96	53	78	E 2	E 2	E 4	8^0⊙	00	0	–	⏢
30.	26.7	24.4	24.3	4.8	18.0	9.3	19.0	3.2	6.0	7.1	8.1	94	46	93	E 2	E 2	C	2^0⊙	4^0⊙	0	–	⏢
																					91.3	
Mittel	27.6	27.1	27.3	9.2	17.4	11.2	19.9	7.0	8.5	9.2	9.1	96	63	91				6.5	4.7	2.4		

Augsburg.

September. $\varphi = 48^0\ 22'$ N. $\lambda = 10^0\ 54'$ E $= 43^m\ 36^s$. H $= 499.6$ m. Cg $= +0.1$ mm, über 728.8 mm Cg $= +0.2$ mm. 1913.

1.	20.8	19.1	19.6	14.0	24.3	16.8	**24.3**	12.0	10.4	10.6	11.9	87	48	83	C	NW 2	SW 2	00	3^2⊙	0	–	⏢. 4^{34}–5^{34} p ◪, $4^{39.56}$ p ●
2.	20.0	19.2	20.1	15.1	21.2	17.1	22.1	13.9	9.9	11.9	11.4	77	64	78	SW 2	SW 2	SW 2	4^2⊙	5^2⊙	0	2.7	⏢. 1^{14} p ◪, $10^{3.34}$ p ●
3.	21.0	20.2	20.8	13.1	23.2	17.5	23.2	11.1	10.0	10.8	11.7	90	51	78	SW 2	E 2	NE 2	00	4^1⊙	0	1.8	⏢
4	20.0	19.4	19.6	13.7	23.9	17.9	24.1	12.3	10.5	11.5	11.6	91	52	76	NE 2	E 2	E 2	2^0⊙	10^0	10^1	–	⏢
5.	18.9	19.1	19.8	15.2	20.6	15.4	20.6	14.1	11.9	11.3	12.0	92	65	92	C	SW 2	NW 2	8	8^2	10^2	2.7	n ●
6.	20.4	21.3	21.9	14.7	17.5	14.9	17.9	14.0	11.6	**12.1**	11.9	93	81	94	W 2	W 2	NE 2	10^2●	10^2●	8^1	2.1	n, a, 1^{04}–3^{39} p ●
7.	22.2	21.9	22.7	14.2	17.8	14.4	18.4	13.3	10.8	10.9	10.0	91	71	83	E 2	NE 2	NE 2	10^2	4^1⊙	0	3.4	⏢
8	23.2	22.7	22.9	9.7	17.4	14.1	18.8	8.4	7.2	9.3	9.5	82	63	80	E 2	SE 2	E 2	2^0⊙	6^0⊙	0	–	⏢
9.	22.2	20.0	18.3	9.9	20.2	16.9	20.8	9.5	8.3	10.6	11.6	91	60	81	E 2	NW 2	NW 2	00	3^0⊙	7^2	–	⏢
10.	17.2	19.0	20.8	13.5	11.7	9.0	16.9	9.0	10.5	8.6	7.6	90	85	89	W 2	SW 2	W 2	10^2●	10^2	5^1	1.9	n ◪; n–1^{14} p, 5^{19}–6^{14} p ●
11.	22.6	22.2	20.8	8.0	14.0	9.8	16.1	7.4	7.3	7.0	6.9	92	59	76	SW 2	N 2	SE 2	6^2	4^1⊙	3^0	9.5	
12.	18.6	16.7	15.8	6.2	16.3	11.0	16.5	5.1	**6.0**	6.8	6.5	86	49	66	E 2	SE 2	SE 2	00	00	0	–	⏢
13.	13.8	11.2	11.1	6.4	20.0	16.0	20.3	6.2	6.2	10.4	11.1	87	59	81	C	C	SE 2	00	4^1⊙	10^2●	–	⏢, 8^{09} p–n ●
14.	10.5	09.2	08.9	10.4	22.0	16.6	22.0	10.0	7.8	10.1	11.0	84	51	77	SE 2	SE 2	SE 4	10^1	3^0⊙	4^1	0.6	
15.	10.1	11.3	15.4	11.6	17.4	11.1	17.4	11.1	9.1	10.2	8.3	89	68	84	C	NW 4	SW 4	8^2	10^2	4^1	–	⏢, 5^{34}–7^{14} p ●
16.	14.4	13.3	12.5	9.7	19.0	13.7	19.2	8.6	7.8	8.8	9.8	87	53	85	SW 2	E 2	E 2	00	3^0⊙	10^1	3 2	
17.	06.7	10.5	13.8	12.1	17.4	12.6	17.4	10.7	9.8	7.2	7.3	94	49	68	SE 2	NW 8	SW 4	10^2	3^0⊙	4^2	–	
18.	14.4	14.2	17.0	9.9	16.6	12.0	16.6	8.5	8.1	11.4	9.4	89	80	91	SW 2	SE 2	NW 2	10^1	7^1	10^1	–	⏢, p ztw. ●
19.	18.8	19.3	19.5	9.8	14.8	12.9	15.1	9.7	8.6	9.2	9.7	95	73	88	C	C	C	10^2=	10^1	10^1	2.4	n u. a ≡^{2}
20.	19.4	18.2	18.4	9.7	17.5	12.8	17.5	9.7	8.1	7.8	7.8	91	53	70	SW 2	SW 2	SW 2	8^1	6^2⊙	10^1	–	
21.	19.8	21.3	22.7	9.6	10.8	10.2	12.8	9.3	8.4	8.4	8.6	95	89	93	SW 2	SW 2	SW 2	10^2●	10^2●	10^2	**10.8**	n–0^{54} p, p ztw. ●
22.	22.9	22.6	22.2	9.5	13.5	10.2	14.2	8.7	8.1	8.2	8.0	92	72	92	SW 2	SW 2	SW 2	10^2	8^2	6^2	9.9	
23.	20.5	21.4	22.5	9.9	10.8	9.6	11.7	9.3	8.3	8.1	8.2	91	84	92	W 2	NW 2	SW 2	10^2	10^2	10^2	1.0	7^{49}–11^{34} a ●
24.	22.5	21.9	21.8	4.3	13.0	8.4	13.4	4.1	6.1	7.8	7.3	98	70	89	C	E 2	NE 2	10^2=	2^1⊙	0	5.6	n u. a ≡^{2}
25.	22.3	23.0	22.7	5.6	11.4	7.5	11.4	5.2	6.7	7.8	7.2	99	77	93	C	SE 2	SE 2	10^2=	2^1⊙	0	–	n u. a ≡^{2}
26.	23.7	**23.8**	23.5	4.8	13.6	8.0	13.6	**3.7**	6.2	6.8	6.9	97	59	86	SE 2	SE 4	SE 2	10^2=	00	0	–	n u. a ≡^{2}
27.	22.5	22.0	21.9	6.4	12.8	10.2	14.1	5.3	6.3	7.8	8.3	88	70	90	SE 4	NE 2	NE 2	10^2=	3^1⊙	0	–	n u. a ≡^{2}
28.	21.6	21.6	21.4	8.9	12.2	9.3	13.9	8.4	7.7	8.3	8.1	91	78	93	NE 2	NW 2	SE 2	10^2=	10^1	0	–	n u. a ≡^{2}
29.	21.4	21.2	19.6	6.2	10.9	8.8	13.8	4.7	7.1	8.7	8.1	100	90	96	SE 2	NE 2	C	10^2=	8^1	0	–	n u. a ≡^{2}
30.	17.6	15.5	15.6	5.4	17.4	11.2	17.5	5.2	6.6	7.4	8.2	99	51	83	SE 2	E 2	NE 2	10^2=	2^0	0	–	n u. a ≡^{2}
																					57.6	
Mittel	19.0	18.7	19.1	9.9	16.6	12.5	17.4	9.0	8.4	9.2	9.2	91	66	84				6.9	5.6	4.4		

Alle Angaben nach Ortszeit.

München-C.St.

September. $\varphi = 48^0\ 9'$ N. $\lambda = 11^0\ 34'$ E $= 46^m\ 16^s$. H $= 526.4$ m. Cg $= +\ 0.1$ mm. 1913.

Datum	Luftdruck auf 0^0 u. Normalschwere reduziert 700 mm +			Lufttemperatur C°					Absolute Feuchtigkeit			Relative Feuchtigkeit			Richtung und Stärke des Windes o bis 12			Bewölkung o bis 10			Niederschlag	Bemerkungen
	7^a	2^p	9^p	7^a	2^p	9^p	Max.	Min.	7^a	2^p	9^p	7^a	2^p	9^p	7^a	2^p	9^p	7^a	2^p	9^p	mm 7^a	
1.	18.0	16.6	16.9	15.9	24.0	15.5	24.1	14.2	11.3	11.1	11.1	84	51	85	C	N 1	W 2	6^1⊙	6^1⊙	4^1	–	a ⏢, m ∞, $6^{11.36}$ p ⧹, 6^{36}–ca 7^{48} p ●
2.	17.6	16.6	17.7	15.3	24.0	17.5	24.1	14.0	10.0	9.7	12.0	78	44	81	SW 1	SW 2	C	2^0	8^1	o	2.0	a ⏢, t Gebirge teilweise schwach sichtbar
3.	18.3	17.6	18.0	14.8	23.2	18.0	23.6	13.7	10.8	9.6	11.4	87	45	75	SW 1	NE 1	C	oo	3^0⊙	o	–	a ⏢², ≡⁰; m i. S ∞²
4.	17.5	16.9	17.2	15.1	23.9	17.5	**24.6**	13.6	11.1	10.3	12.3	87	47	83	C	NE 2	NE 1	3^0⊙	9^1	o	–	a ⏢, ∞
5.	16.4	16.9	17.3	15.9	19.0	15.9	19.8	15.0	12.3	**12.8**	11.3	91	79	84	C	NW 1	SW 2	8^1	10^1	10^1	5.3	n ●, a ∞, 10^{36} a–n ztw. ●
6.	17.9	18.6	19.1	14.7	18.4	14.9	18.4	14.0	11.6	10.6	11.2	93	68	89	SW 2	NW 2	C	10^1●	10^1	10^1	6.5	n, a ●, $4^{06.31}$ p ●²
7.	19.4	19.5	20.1	13.5	17.6	13.4	18.7	12.3	11.0	9.9	9.3	96	67	82	E 1	E 3	E 2	10^1	8^1	o	8.1	a ●⁰, 0^{16} p an teilweises Aufklaren
8	20.4	20.3	20.4	10.1	17.9	13.5	18.2	8.9	7.7	9.2	9.4	83	61	82	NE 1	NE 2	C	10^1	6^0	3^0	0.1	a ⏢
9.	19.4	17.3	16.0	10.9	21.1	17.2	21.8	9.9	8.9	10.2	11.9	92	61	78	C	NE 1	C	oo	3^0⊙	1^1	–	a ⏢², ∞², m i. S ∞⁰, abds. ⧹
10.	14.6	16.5	18.3	14.1	10.4	9.3	17.2	9.2	11.2	8.1	7.9	94	87	91	SW 2	NW 2	SW 1	10^1●	10^1●	3^0	**30.5**	10^{46} p–ca 2^{25} p ztw. ●
11.	19.7	19.8	18.2	8.9	13.4	9.6	13.9	8.4	7.3	**5.0**	6.6	87	**44**	74	NW 1	E 1	E 3	10^1	8^1	2^0	17.4	a ⏢, abds. Ψ
12.	15.7	14.3	13.2	6.3	16.4	10.9	16.4	4.4	6.2	6.9	6.4	87	50	65	E 1	E 2	E 1	3^0⊙	2^0⊙	o	–	a ⏢², ∞
13.	11.0	09.1	08.9	7.9	19.8	14.6	20.0	6.9	7.2	9.9	10.2	90	58	83	C	NE 1	C	oo	1^0⊙	8^1	–	a ⏢², ∞, m ∞, 6 p einige ●-Tr.
14.	08.0	07.2	05.9	10.3	21.2	15.9	21.4	9.3	8.9	10.9	11.1	95	58	83	SW 1	E 2	E 1	3^0⊙	oo	1^0	–	a ⏢², ∞
15.	08.0	09.3	13.2	12.3	16.7	10.5	17.7	10.3	9.0	9.8	8.5	86	70	91	C	NW 2	SW 3	4^1⊙	10^1	10^1	–	a ⏢, Gebirge schwach sichtbar, 6^{06}–ca 8^{15} p ●
16.	12.4	11.0	10.1	10.1	19.1	13.5	19.2	9.3	7.8	8.2	9.8	84	51	86	E 1	NE 1	E 1	oo	2^0⊙	9^1	3.0	a ⏢², t Gebirge gut sichtbar
17.	05.0	08.8	11.6	12.1	17.1	12.6	17.8	11.1	9.8	7.6	9.3	94	52	89	C	SW 3	SW 1	6^1⊙	7^1	8^1	–	a ⏢², ∞
18.	12.0	11.4	14.6	10.1	16.3	12.5	16.6	8.9	7.5	9.3	9.5	80	67	89	C	NE 1	C	10^1	4^0●	9^1	–	a ⏢, 7^{56} a–m ztw. ●⁰, 6^{56}–7^{26} p ⧹, 7^{01}–ca 8^{30} p ●, 1)
19.	16.3	17.1	16.6	11.5	13.9	12.1	14.0	11.0	9.4	9.2	9.6	93	78	93	C	E 1	E 1	10^1	10^1	10^1●	5.8	a ⏢², ≡⁰, 7^{46}–ca 9^{45} a, ca 5^{45} p–n ztw. ●⁰
20.	16.7	16.0	15.9	11.1	16.2	12.0	16.2	10.7	8.6	7.9	8.6	87	58	83	SW 2	SW 2	C	10^1	8^1	10^1	2.5	n u. a ztw. ●⁰
21.	17.5	18.7	19.9	9.3	11.0	9.5	12.0	9.0	8.1	8.4	7.6	93	87	86	SW 1	W 3	W 1	10^1●	10^2●	10^1	2.7	n u. a–p ztw. ●
22.	20.5	19.8	19.7	9.9	13.0	10.1	13.8	9.1	7.9	8.1	7.6	87	73	82	SW 2	W 1	SW 1	10^1●	8^1	4^0	9.1	n u. a–m ztw. ●
23.	18.2	18.5	19.7	10.3	9.9	8.4	11.3	8.3	8.1	8.0	7.5	88	88	92	SW 1	NW 1	NW 1	10^1	10^1●	o	1.3	a ⏢², ca 8^{45} a–0^{45} p ●
24.	20.1	19.1	19.1	5.6	13.9	8.7	14.2	4.0	6.1	8.0	7.2	90	68	87	C	E 2	E 1	oo	2^0⊙	o	6.1	a ⏢², ∞
25.	19.6	20.0	20.2	7.2	9.7	6.5	9.7	5.3	7.1	7.3	6.8	94	83	94	C	NE 1	C	10^1▬	10^1	o	–	a ⏢², ≡¹, gegen 4 p Aufklaren
26.	21.2	**21.4**	21.1	5.5	13.3	7.1	13.3	**3.9**	6.4	6.7	6.6	96	59	88	SE 2	E 2	NE 3	10^1▬	oo	o	–	a ⏢² ≡¹
27.	20.1	19.3	19.4	6.0	13.8	9.2	14.8	4.8	6.3	7.8	7.6	91	67	90	E 2	E 2	E 1	10^1	4^1⊙	o	0.1	a ⏢² (Niederschlag aus ⏢)
28.	18.8	18.7	18.7	8.8	16.1	10.7	17.0	8.4	7.6	8.5	8.4	92	62	90	C	E 2	E 1	10^1	oo	o	–	a ⏢, ca 11^{30} a Zerreissen der st-Decke, Aufklaren
29.	18.9	18.1	17.1	7.9	17.3	11.1	17.4	6.7	7.9	9.0	8.5	**99**	62	86	C	E 1	E 1	10^1▬	oo	o	–	a ⏢² ≡¹
30.	15.4	12.9	13.2	5.9	18.1	11.6	18.2	5.2	6.2	8.0	7.7	91	53	76	C	NE 3	C	2^0⊙	2^0⊙	o	–	a ⏢², a, m ∞
31.																						
Mittel	16.5	16.2	16.6	10.6	16.9	12.3	17.5	9.3	8.6	8.9	9.1	90	63	85				6.6	5.7	3.7	100.5	1) $7^{11.17}$ p ▲

Traunstein.

September. $\varphi = 47^0\ 52'$ N. $\lambda = 12^0\ 39'$ E $= 50^m\ 36^s$. H $= 597$ m. Cg $= +\ 0.1$ mm. 1913

1.	12.2	11.1	12.3	13.8	22.7	13.2	23.0	11.0	10.7	13.4	11.0	92	66	98	S 2	E 2	W 2	3^2⊙	6^2⊙	10^2	0.1	mrgs. ⏢, 4^{21} p, 5^{31} p, 7^{01} p ⧹ mit ●
2.	12.0	11.3	12.1	12.4	22.4	14.9	23.3	11.0	10.2	8.5	11.4	95	**42**	90	S 2	NW 2	W 2	2^2⊙	6^2⊙	11^1	**30.8**	mrgs. ⏢. 5^{21} p ⧹, abds. ⧹
3.	12.7	12.0	12.8	12.1	22.0	14.4	22.8	10.3	9.6	12.6	8.9	93	64	73	S 2	NW 2	E 2	6^2⊙	6^2	o	–	mrgs. ⏢
4.	12.0	11.6	11.6	12.1	23.1	15.4	**24.0**	10.8	7.7	13.5	12.0	73	64	92	E 2	E 3	SE 2	4^2⊙	3^2⊙	2^2	–	mrgs. ⏢
5.	11.4	11.5	11.9	14.8	16.4	14.6	17.2	13.2	12.1	13.3	11.8	97	96	96	NW 2	W 2	W 2	4^2	10^2●	10^2●	2.2	n ●, t ztw. ●
6.	12.1	13.3	13.4	13.8	15.0	14.0	16.2	13.5	11.3	12.3	11.6	97	97	98	W 6	NW 2	E 2	10^2●	10^2●	10^2	29.3	n u. t meist ●
7.	13.7	13.3	15.0	13.0	17.1	12.4	18.0	11.8	10.6	12.0	9.5	96	83	89	E 2	E 5	E 2	10^2	8^2	6^2	18.7	
8.	14.5	14.2	14.7	9.6	16.6	11.1	17.1	8.8	8.0	9.8	9.2	89	69	94	E 2	E 6	E 2	8^2⊙	6^2⊙	4^2	–	mrgs. ⏢
9.	13.7	11.6	10.2	9.6	20.2	14.9	21.1	7.9	8.2	**14.3**	12.3	92	82	98	SE 2	E 2	S 2	6^2⊙	4^2⊙	5^2	–	mrgs. ⏢
10.	09.0	10.2	12.4	13.3	10.0	9.2	14.9	9.2	10.8	9.2	8.7	96	100	100	W 6	W 6	W 2	10^2●	10^2●	10^2	7.5	9^{11} p, 11^{06} p ⧹, n u. t meist ●
11.	13.3	14.0	13.7	8.0	13.0	6.8	14.0	6.8	8.0	8.1	7.0	100	73	94	W 6	W 4	E 2	10^2	6^2⊙	2^2	27.9	n u. a ●
12.	10.1	08.5	07.7	4.3	14.7	8.0	15.6	2.9	5.7	7.8	7.6	92	62	94	E 2	E 4	E 2	3^2⊙	oo	o	0.5	mrgs. ⏢
13.	05.6	04.0	03.5	6.1	18.0	11.5	19.2	4.2	6.5	10.2	9.7	93	66	97	SE 2	E 2	E 2	oo	6^2⊙	6^1	–	mrgs. ⏢
14.	02.6	02.3	01.1	9.0	20.4	13.5	21.2	7.8	8.1	12.5	10.9	95	70	95	S 2	E 4	E 2	7^2⊙	2^2⊙	3^2	–	mrgs. ⏢
15.	02.9	02.8	08.3	9.8	19.4	10.0	19.9	8.7	8.4	11.8	8.4	94	70	92	E 2	W 6	W 6	2^2⊙	6^2⊙	10^2●	–	mrgs. ⏢, 7^{11} p ⧹ mit △
16.	07.1	05.5	04.9	7.2	17.2	10.9	18.0	6.1	7.1	10.0	9.1	94	68	94	W 2	E 2	E 2	oo	6^2⊙	2^2	6.4	mrgs. ⏢
17.	699.5	02.9	05.9	10.4	16.6	12.6	20.0	9.6	8.7	7.9	9.7	93	56	90	SE 2	W 6	W 2	3^2⊙	6^2⊙	9^2	–	mrgs. ⏢, t ⎓
18.	06.3	05.4	08.9	9.0	16.5	13.6	18.0	6.9	7.4	10.5	10.2	87	75	88	SW 2	SE 2	SE 2	8^2⊙	4^2⊙	6^2	–	mrgs. ⏢
19.	10.8	11.1	10.6	9.5	12.3	10.5	13.6	8.9	8.5	9.8	9.2	96	93	98	SW 2	NE 2	W 2	10^2	10^2●	10^2●	–	mrgs. ⏢, p ●
20.	10.5	10.8	10.4	8.6	13.8	9.8	15.0	8.2	7.8	8.1	8.8	93	69	98	W 6	W 4	W 2	10^2●	8^2	8^2	25.6	n u. mrgs. ●
21.	11.8	12.8	13.9	8.6	9.7	8.7	10.3	8.1	8.1	8.4	7.8	98	94	93	W 2	W 4	W 4	10^2●	10^2●	10^2	16.5	mrgs. u. t ●
22.	14.7	14.3	14.3	8.8	9.6	8.8	10.6	8.2	7.5	8.2	8.1	89	92	96	W 6	W 2	W 2	10^2	10^2	10^2	20.1	t ●
23.	12.6	12.9	14.2	8.6	7.9	7.6	9.0	7.1	8.0	8.0	7.2	96	100	93	S 2	W 2	W 2	10^2●	10^2●	10^2	13.8	n u. t meist ●
24.	14.2	13.2	13.5	4.4	13.8	6.8	14.6	3.3	6.0	7.5	6.8	96	63	93	S 2	E 4	E 2	oo	1^1⊙	o	14.9	mrgs. ⏢
25.	13.8	14.1	14.2	3.4	9.0	5.1	9.5	**1.9**	**5.6**	7.3	6.2	97	86	94	E 2	E 2	E 2	10^2▬	10^2▬	o	–	mrgs.–p ≡¹·², abds. ≡
26.	15.4	**15.5**	15.3	3.5	11.7	6.1	12.5	2.5	5.7	6.5	6.3	97	63	90	E 2	E 4	E 2	oo	2^2⊙	o	–	mrgs. ⏢
27.	13.9	13.6	13.5	5.5	13.7	9.4	14.5	3.8	6.3	8.8	8.0	94	75	91	E 4	NE 4	E 4	10^2▬	oo	o	–	mrgs. ≡¹·²
28.	13.1	14.0	12.6	6.5	16.9	9.2	18.0	5.7	6.8	8.9	8.2	94	63	95	SW 2	E 4	E 2	10^2▬	2^2⊙	o	–	mrgs. ⏢ ≡¹·²
29.	13.1	12.3	11.6	4.2	17.6	8.6	17.9	3.0	**5.6**	9.8	7.9	90	66	95	SE 2	E 2	E 2	oo	3^2⊙	o	–	mrgs. ⏢
30.	09.6	07.5	07.5	4.3	17.4	9.0	17.8	3.6	5.8	8.0	8.0	93	54	93	E 2	E 4	E 2	4^2	4^2⊙	o	–	mrgs. ⏢
31.																						
Mittel	10.8	10.6	11.0	8.8	15.8	10.7	16.9	7.5	8.0	9.6	9.1	93	74	93				6.0	5.8	4.8	214.3	

Alle Angaben nach Ortszeit.

Partenkirchen.

September. $\varphi = 47^0\ 30'$ N. $\lambda = 11^0\ 6'$ E $= 44^m\ 24^s$. H $= 716.8$ m. Cg $= +0.1$ mm. 1913.

Datum	Luftdruck auf 0^0 u. Normalschwere reduziert 700 mm +			Lufttemperatur C^0					Absolute Feuchtigkeit mm			Relative Feuchtigkeit Proz.			Richtung und Stärke des Windes 0 bis 12			Bewölkung 0 bis 10			Niederschlag mm	Bemerkungen
	7^a	2^p	9^p	7^a	2^p	9^p	Max.	Min.	7^a	2^p	9^p	7^a	2^p	9^p	7^a	2^p	9^p	7^a	2^p	9^p	7^a	
1.	02.6	01.6	02.3	12.8	16.4	13.8	20.6	10.9	9.7	13.0	11.1	89	94	95	S 2	N 4	C	2^0	10^2●	8^1	–	a Berge rein, 1^{44} p ◸ mit ◍^{1}
2.	02.5	01.2	02.6	12.2	20.3	15.0	21.5	11.2	9.3	10.0	11.0	89	56	87	SE 3	NW 1	SE 2	7^1	7^0	3^0	6.5	a Berge rein, föhnig; ca 8 p ◺ i. S
3.	02.9	01.7	02.5	11.6	21.9	16.2	23.1	11.0	9.7	11.9	12.2	96	61	89	C	NW 3	SE 2	1^0⊖	3^0	0	–	a ⏢, Berge rein
4.	02.0	00.9	01.6	14.0	22.9	16.8	**23.4**	13.1	10.3	12.4	13.0	87	60	92	S 2	NW 4	C	3^0⊖	6^0⊖	3^0	–	a ⏢, Berge rein, föhnig; abds. ◺, ◍^{0}
5.	00.9	02.1	02.3	15.4	16.1	14.3	16.8	14.3	12.6	**13.7**	11.7	97	100	97	C	C	C	9^0	9^1	10^1	1.2	a Berge meist bedeckt, abds. ◍^{0}
6.	02.5	02.6	04.3	13.0	17.4	13.2	18.5	12.8	11.0	10.7	10.6	99	72	95	C	NW 3	SE 2	9^1	8^1	0	10.6	
7.	03.6	02.7	03.8	11.2	15.4	14.1	16.4	10.4	9.4	10.1	10.6	95	78	90	C	NW 5	C	1^0⊖	7^1	10^0	0.1	a ⏢, Berge rein
8.	03.7	03.9	04.4	12.2	15.5	14.2	16.2	11.4	9.6	10.3	11.1	91	79	93	S 2	NW 5	C	6^0	3^0⊖	8^0	–	a ⏢, Berge frei; 6^{14} p ◸
9.	03.5	01.5	01.3	13.2	20.2	13.6	20.6	12.5	10.9	12.2	10.7	97	69	93	C	NW 3	C	4^0	5^0⊖	8^1	0.8	a Berge rein, $4^{24.19}$ p ◸, 6^{19} p ◸ i. S
10.	699.0	00.8	02.7	12.6	10.1	7.8	13.6	7.8	10.9	8.9	7.8	100	96	99	S 3	C	C	10^1	10^1	10^1●	**18.1**	n ztw. ◍^{1}, a Berge teilweise frei; abds. ◍
11.	03.9	02.5	01.7	5.2	12.8	7.2	13.3	4.7	6.5	6.9	7.1	98	62	94	C	NW 4	C	3^0	3^0⊖	4^0	13.2	a Berge meist frei, Neuschnee bis ca 1700 m
12.	699.0	697.1	697.3	4.6	15.6	8.6	16.3	4.2	5.9	8.5	7.9	94	64	95	C	NW 4	S 2	1^0⊖	1^0⊖	0	–	a ⏢, Berge föhnig, rein
13.	695.1	693.5	693.5	9.6	18.4	10.6	19.3	7.0	7.2	9.5	9.0	82	60	95	S 2	N 2	C	2^0⊖	8^0⊖	0	–	a ⏢, Berge föhnig, rein. $3^{29.59}$ p ◸, 3^{44} p ◍^{0}
14.	692.7	691.6	691.8	11.0	20.0	11.8	21.2	8.7	7.8	10.5	8.8	80	60	86	S 3	NW 3	S 1	7^0	3^1⊖	1^0	0.4	a Berge frei, föhnig
15.	692.1	693.8	698.7	10.2	13.8	9.2	17.6	8.2	8.0	9.4	8.6	86	80	99	C	NW 4	C	7^0	9^1	9^1●	–	a ⏢. Berge meist frei, föhnig. 4^{24} p ◸, abds. ◍
16.	696.8	694.7	694.7	7.2	18.8	11.6	20.0	6.1	7.1	8.4	8.9	94	52	88	S 3	NW 2	C	1^0⊖	2^0⊖	7^0	5.1	a Berge sehr rein, föhnig
17.	690.1	692.7	696.3	10.0	14.6	10.2	18.4	8.1	7.6	7.9	8.6	83	63	93	S 1	NW 4	C	1^0⊖	6^1	4^0	–	a ⏢. Berge sehr rein, föhnig
18.	695.5	695.1	699.0	8.5	16.4	12.1	17.5	7.4	7.8	9.4	8.8	94	68	84	C	W 3	C	9^0	6^0⊖	10^1	–	a ⏢. Berge sehr rein
19.	00.6	00.7	01.6	9.7	10.8	8.8	12.1	8.8	8.9	8.6	8.5	99	90	100	C	W 2	C	9^1	10^1	10^1●	2.5	ca 9^{45} p ab ◍^{0}, a Berge meist bedeckt, p u. abds. ◍^{1}
20.	01.5	00.5	00.7	8.2	12.6	9.2	13.9	7.8	8.0	8.1	8.6	99	75	99	C	NW 2	C	9^0	7^1	10^1●	14.5	a Berge teilw. bewölkt, bis ca 1900 m Schnee, abds. ◍^{0}
21.	01.7	03.1	**05.1**	7.6	9.4	8.3	10.2	7.3	7.7	8.2	7.4	99	93	91	C	NW 2	C	9^0	10^1	10^1●	6.0	n ◍, a Berge meist frei, abds. ◍^{0}
22.	**05.1**	03.9	04.4	6.8	9.8	7.0	12.3	5.3	7.0	8.3	7.2	94	92	96	C	C	C	9^1	10^1	3^1	0.9	a Berge teilweise bedeckt
23.	02.7	02.4	03.9	6.9	9.4	6.8	11.2	5.8	6.9	8.6	7.4	93	98	100	C	C	C	9^0	10^1●	0	1.2	a Berge meist frei, p ◍^{0}
24.	03.9	02.0	03.0	3.2	14.7	6.8	15.3	2.9	5.5	7.8	7.0	95	62	94	SE 4	NW 2	C	⊖⊖	1^0⊖	0	7.6	a ⏢, Berge sehr rein
25.	03.5	02.8	03.8	5.8	13.2	9.6	14.3	4.6	6.1	8.8	8.7	88	78	98	C	W 4	C	1^0⊖	2^0⊖	6^0	–	9 ⏢, Berge sehr rein; abds. Hochnebel
26.	04.5	04.0	04.8	7.3	13.2	7.1	13.9	7.1	7.5	8.0	6.9	99	71	91	C	W 4	C	10^0	1^0⊖	0	–	a Berge im Nebel
27.	03.3	02.7	03.3	3.9	7.6	4.3	8.3	2.9	6.1	6.9	5.9	100	89	96	C	NW 2	C	10^0	10^0	0	–	a ⏢, Berge im Nebel
28.	03.0	02.4	03.2	4.2	14.0	8.6	15.0	**2.5**	6.0	8.7	7.9	97	74	95	C	NW 2	S 2	⊖⊖	2^0⊖	0	–	a ⏢, Berge rein
29.	03.1	01.7	01.7	8.2	16.2	8.2	17.5	6.3	6.5	8.2	7.2	81	59	89	SE 2	NW 2	S 2	6^0	6^0	0	–	a Berge rein, föhnig
30.	699.5	696.4	697.5	7.2	17.7	10.6	18.7	6.2	5.7	7.5	8.0	76	**50**	84	S 3	NW 2	C	⊖⊖	2^0⊖	0	–	a Berge sehr rein, föhnig
																					88.7	
Mittel	00.7	00.1	01.1	9.1	15.2	10.5	16.6	7.9	8.1	9.4	8.9	92	74	93				5.2	5.9	4.4		

Hohenpeissenberg.

September. $\varphi = 47^0\ 48'$ N. $\lambda = 11^0\ 1'$ E $= 44^m\ 4^s$. H $= 994.1$ m. Cg $= \pm 0.0$ mm. 1913.

	600 mm +																					
1.	79.4	78.7	78.5	15.3	18.0	14.2	18.2	14.2	9.5	11.0	11.8	73	72	98	W 1	E 1	C	8^1	9^2	8^2	–	a sehr reine, p reine Fernsicht, ca 2–3 p ◸ i. SW, p kurz ◍
2.	79.0	78.7	79.1	15.5	18.6	14.4	19.1	13.5	6.9	8.0	9.5	53	51	78	SW 1	NW 1	NW 3	7^1	9^2	1^2	0.1	t sehr reine Fernsicht, abds. Horiz.-≡, ◺ i. SE
3.	79.5	79.4	79.3	14.7	19.3	15.8	19.6	13.4	9.2	10.9	9.3	74	65	69	C	N 1	E 7	⊖⊖	3^2⊖	0	–	a ⏢, p ◯^{0}, abds. Horiz.-≡, ◯
4.	78.9	78.7	78.1	16.5	20.6	15.3	**21.6**	15.2	9.7	11.6	10.3	69	64	80	SE 1	SW 1	E 8	1^1⊖	9^1	9^2	–	a ⏢ ◯^{5}, p ◯^{1}, abds. klar, ⌒
5.	78.0	78.6	78.4	12.8	15.8	11.7	15.8	11.6	11.0	11.1	9.9	100	83	97	N 1	SW 1	SW 7	10^2≡	10^2	10^2●	10.5	n u. t ztw. ◍, a ≡^{2}, p u. abds. sehr reine Fernsicht
6.	79.0	79.7	79.9	11.7	16.4	12.3	17.0	10.9	9.6	10.0	10.7	95	72	100	W 4	NW 1	E 5	10^2	10^2	10^2≡	3.5	a ◯, p reine Fernsicht, p öfters ◍, abds. ≡^{2}
7.	80.0	80.2	80.2	10.3	12.1	10.9	12.8	10.0	9.3	10.4	9.5	100	99	98	NE 3	NE 4	NE 4	10^2≡	10^2	10^2	1.9	n u. a ≡^{2}, p u. abds. ◯
8.	80.2	**81.1**	80.9	9.6	13.2	11.6	13.8	8.5	8.9	10.0	8.4	100	89	84	E 1	NE 1	NE 3	10^2≡	10^1	10^2	–	a ≡^{2}, p ◯, abds. sehr klar
9.	80.2	79.0	77.8	12.1	17.9	14.3	19.0	11.6	10.1	**12.4**	8.8	97	81	73	W 1	C	SW 5	9^1	8^2⊖	7^2	2.2	n ◍, t ◯, abds. reine Fernsicht, ◺ i. S u. W
10.	76.1	77.4	78.8	10.5	7.3	5.8	15.1	5.6	9.5	7.6	6.9	100	100	100	W 1	W 1	W 5	10^2≡●	10^2	10^2≡	20.9	n u. a ◍, a u. abds. ≡^{2}, t ztw. ◍
11.	80.1	80.0	78.3	5.2	9.2	6.2	9.4	4.5	6.3	5.7	6.0	95	66	86	W 1	NE 1	NE 7	9^2	5^2	8^1	**23.2**	n ≡^{2}, a ◯^{1}, p ◯^{0}, abds. 〓 ◯
12.	75.9	75.5	74.5	4.7	11.5	8.5	11.9	3.7	5.9	7.1	6.8	92	70	83	E 3	NE 1	NE 4	⊖⊖	⊖⊖	0	–	a ⏢ 〓, Horiz.-≡ ringsum, a–p einige ci ü. d. Geb., [1]
13.	72.7	71.0	70.9	10.8	16.4	12.8	16.6	8.5	7.3	8.4	8.2	75	60	75	SW 1	NE 2	SE 2	⊖⊖	7^2	4^2	–	a ⏢ Horiz.-≡, einz. st ü. d. Geb., p ◯, besond. Geb. [2]
14.	69.9	69.4	69.3	14.3	16.7	13.3	17.2	11.2	6.6	9.1	9.8	54	64	87	SW 1	NE 1	W 7	8^2	1^1⊖	2^2	0.5	a reine Fernsicht, p ◯^{0} Horiz.≡, abds. ◯
15.	69.5	70.9	74.3	10.2	11.1	6.3	13.3	6.3	8.0	8.6	6.0	86	87	84	NE 1	NW 1	SW 7	4^1⊖	10^2●	10^2	–	a ⏢, reine Fernsicht, p ◯^{0} ◍, abds. sehr reine Ferns.
16.	73.2	72.8	71.4	7.9	14.9	11.2	15.2	6.3	6.2	7.1	9.3	78	56	94	SE 3	NE 1	NE 7	⊖⊖	1^2⊖	10^2	7.8	t sehr reine Fernsicht, abds. 〓 ◯
17.	66.6	70.5	72.7	13.5	12.2	9.5	15.4	9.5	6.7	7.4	6.4	58	70	72	SW 1	W 5	SW 4	3^2⊖	2^2	8^2	–	a ⏢, ≡ i. E, t sehr reine, abds. reine Fernsicht
18.	72.5	72.7	75.8	8.3	12.1	9.1	13.1	7.8	6.6	8.8	8.1	81	84	95	NE 5	E 1	SW 4	10^1	2^1⊖	10^2≡●	–	a reine Fernsicht, p ◯^{0}, abds. ≡^{2} ◍
19.	77.3	77.8	77.7	8.1	9.4	7.8	9.6	7.8	8.1	8.2	7.9	100	93	100	E 1	NE 1	W 3	10^2≡	10^2	10^2≡●	3.4	n ≡^{2} ◍, p ◯^{2} ◍, abds. ≡^{2} ◍
20.	77.9	77.5	77.2	6.9	12.6	9.9	12.6	6.6	7.4	6.8	7.0	100	62	78	W 1	W 1	NE 4	10^1≡	5^2⊖	10^2	5.0	n ≡^{2} ◍, a ≡^{1}, p u. abds. ◯
21.	77.9	79.5	80.6	6.2	6.5	6.4	9.9	5.3	6.7	6.8	6.0	94	94	84	W 6	W 4	SW 5	10^2	10^2●	7^2	4.6	n u. p ◍, t ◯, abds. sehr klar
22.	80.9	80.6	80.4	5.7	9.9	7.7	10.2	5.7	6.5	6.9	6.8	96	76	88	W 3	W 2	W 2	9^2	9^2	10^2	1.5	a ◯^{1}, p u. abds. ◯^{0}
23.	78.9	79.0	79.9	6.8	6.9	6.5	8.2	6.0	6.5	7.3	6.0	88	99	83	W 2	NW 1	W 3	10^1	10^2⊖●	1^2	1.4	n, vorm.–p ◍, p ≡^{2}, abds. sehr reine Fernsicht, ≡^{2}
24.	79.4	79.1	79.2	4.8	10.7	6.8	10.9	4.2	5.7	6.4	7.2	89	67	98	E 3	NE 6	E 5	1^1	⊖⊖	10^2	8.0	a ⏢ 〓, Flachland rein, Gebirge ◯, t Horiz.-≡, [3]
25.	79.6	80.2	80.0	7.5	8.9	6.9	8.9	6.2	6.2	8.0	7.3	80	95	99	SW 1	C	SW 2	2^1⊖	10^2≡	10^2≡	–	a ⏢ 〓, besond. i. N u. E, Gebirge ◯, p ≡^{1}, abds. ≡^{2}
26.	80.5	**81.1**	80.2	4.1	9.5	4.7	9.7	4.1	5.9	6.5	6.2	97	74	97	E 1	E 3	E 7	⊖⊖	⊖⊖	0	–	n u. a ≡$^{1.2}$, a ⏢ 〓 i. S, Gebirge ◯, p u. abds. ◯ [4]
27.	79.3	79.4	79.3	3.1	5.3	7.4	7.5	**2.7**	5.7	6.7	7.7	100	100	100	E 1	E 3	E 4	10^2≡	10^2≡	10^2≡	–	a ⌣, t ≡^{2}
28.	79.1	79.6	79.3	5.6	10.5	9.5	11.1	5.5	6.8	8.1	8.5	100	87	96	E 1	E 1	E 3	10^2≡	⊖⊖	0	0.3	n ◍, n u. a ≡^{2}, t Horiz.-≡, p einz. cu ü. d. Gebirge, [5]
29.	79.5	78.9	77.8	9.4	13.3	9.6	13.4	8.4	7.5	8.9	7.7	87	78	87	W 1	NE 3	E 2	8^1	5^2⊖	1^2	–	t ◯, abds. ⏢, reine Fernsicht, Horiz.-≡
30.	75.9	74.1	74.2	10.1	13.6	10.3	13.8	9.4	5.1	6.4	7.3	55	55	78	SE 1	NE 6	E 2	⊖⊖	5^1	1^2	–	a ⏢, sehr reine Fernsicht, 〓 i. E, p ◯^{0}, Horiz.-≡, [6]
																					94.8	
Mittel	77.2	77.4	77.5	9.4	12.7	9.9	13.6	8.1	7.5	8.4	8.0	86	77	88				6.3	6.3	6.6		

[1] abds. reine Fernsicht, Horiz.≡
[2] ztw. ◍. 4^{30} p ◸ i. S, abds. 〓 ◯
[3] abds. reine Fernsicht. [4] Horiz.-≡, abds. reine Ferns.
[5] abds. ≡ i. W u. N. [6] abds. reine Fernsicht

Alle Angaben nach Ortszeit.

Zugspitze.

September. $\varphi = 47^0\ 25'$ N. $\lambda = 10^0\ 59'$ E $= 43^m\ 56^s$. H $= 2964$ m. Cg $= -0{,}2$ mm. 1913.

Datum	Luftdruck auf 0^0 u. Normalschwere reduziert 500 mm + 7a	2p	9p	Lufttemperatur C° 7a	2p	9p	Max.	Min.	Absolute Feuchtigkeit mm 7a	2p	9p	Relative Feuchtigkeit Proz. 7a	2p	9p	Richtung und Stärke des Windes 0 bis 12 7a	2p	9p	Bewölkung 0 bis 10 7a	2p	9p	Niederschlag mm 7a	Schneedecke cm 7a
1.	35.0	34.6	34.3	2.3	4.2	0.8	5.0	0.8	4.8	**5.9**	4.5	88	96	93	SW 5	SW 1	NW 5	7^0	10^1=	8^1	–	–
2.	34.4	34.6	34.7	0.5	4.2	0.8	5.1	0.2	4.5	5.6	4.7	94	90	98	S 1	SW 3	NW 4	7^0	10^1	10^2=	**20.0**	–
3.	34.6	36.0	36.2	0.8	4.2	3.5	4.9	0.2	4.8	5.6	4.1	100	90	69	NW 5	W 3	NW 3	5^0	6^0	6^1	0.8	–
4.	35.7	36.1	35.7	3.6	6.8	5.8	**7.9**	2.9	4.7	**5.9**	5.8	80	79	85	W 5	SE 4	SE 1	4^0⊙	7^0⊙	10^1	0.1	–
5.	33.9	33.6	33.4	3.5	0.5	0.4	5.8	– 0.2	5.4	4.7	4.7	91	98	100	SW 3	NW 4	NW 8	5^1⊙	10^2=	10^2=	5.0	–
6.	33.4	34.7	34.8	0.0	2.6	0.8	3.0	– 0.2	4.5	5.0	4.7	98	91	96	NW 5	SW 3	NW 1	10^2=	10^2	8^1	**20.0**	–
7.	34.7	35.2	35.4	1.2	4.4	1.9	5.3	0.4	4.6	5.2	3.5	92	83	67	W 2	SW 1	C	4^0⊙	3^0⊙	2^1	0.4	–
8.	35.6	**36.3**	**36.3**	2.4	5.3	2.6	5.9	1.3	4.7	5.7	5.1	84	86	92	SW 4	S 1	S 1	8^0	8^1	10^1	–	–
9.	35.6	35.0	33.8	2.0	4.6	1.0	5.4	1.0	4.9	5.6	4.9	93	89	100	SE 3	S 2	W 2	9^1	6^1⊙	10^1=[	4.1	–
10.	30.2	29.7	29.8	– 0.1	– 3.5	– 6.0	1.0	– 6.0	4.6	3.5	2.9	100	99	100	W 6	NW 5	NW 4	10^1=	10^2=*	10^1=*	16.4	–
11.	30.3	31.?	31.7	– 7.8	– 2.4	– 1.0	– 1.0	– 8.9	2.5	3.3	2.1	100	84	50	N 6	SW 4	N 2	10^2=	2^0⊙	2^0	16.5	⊠
12.	30.6	30.7	30.4	0.9	2.5	– 0.5	3.6	– 1.3	2.4	3.4	4.2	48	62	94	NW 1	NW 1	NW 3	1^0⊙	1^0⊙	0	–	–
13.	28.0	27.6	27.3	1.2	2.1	0.8	2.3	– 0.5	3.9	5.0	4.3	79	93	89	S 3	S 4	SE 8	2^0⊙	9^1	2^0	–	–
14.	27.0	27.2	26.9	1.6	2.5	1.5	3.6	0.8	4.1	5.2	4.7	80	94	91	S 2	SE 4	S 7	8^1	10^1=	3^1	0.1	–
15.	25.2	27.1	27.4	– 0.2	1.2	– 2.3	2.1	– 3.2	4.5	5.0	3.8	100	100	98	SE 9	SE 7	SE 5	7^1	10^2=●	10^2=	–	–
16.	27.2	28.9	28.1	– 2.5	0.2	– 0.2	0.8	– 2.9	3.4	4.3	4.3	89	94	92	SE 6	SE 6	SE 7	2^0⊙	3^0⊙	5^1	4.7	–
17.	23.7	25.8	26.8	– 1.1	0.7	– 1.6	1.3	– 1.8	4.2	4.6	3.9	98	94	96	S 10	S 6	SE 6	3^0⊙	5^0⊙	3^0	–	–
18.	26.8	28.5	29.5	– 2.5	0.7	– 0.8	1.6	– 2.8	3.6	4.8	4.3	94	98	99	SE 3	SE 3	SE 3	9^1	10^2=	10^2=	–	–
19.	30.1	30.3	30.2	– 2.4	– 1.4	– 3.8	– 0.7	– 3.9	3.8	4.0	3.4	100	96	100	SE 3	N 2	NW 4	10^2=	10^2=	10^2=*	0.5	⊠
20.	29.9	30.3	30.3	– 5.2	– 1.8	– 4.0	– 1.8	– 5.2	3.1	3.8	3.4	100	96	100	N 5	SW 3	NW 4	10^2=*	10^1=	10^2=*	15.6	⊠
21.	29.6	30.9	31.7	– 6.2	– 5.3	– 6.4	– 4.0	– 6.4	2.8	2.8	2.8	100	93	100	NW 5	NW 5	NW 5	10^2=*	10^2=*	10^2=*	6.2	⊠
22.	31.7	32.2	32.1	– 6.3	– 3.3	– 5.8	– 3.0	– 7.2	2.8	3.6	2.9	100	100	98	N 6	NW 4	NW 3	10^2=	10^2=	10^2=	6.8	⊠
23.	30.7	30.1	31.2	– 5.4	– 4.6	– 5.3	– 4.6	– 5.9	3.0	3.2	3.0	100	100	100	NW 4	NW 6	NW 4	10^2=	10^2=*	10^2=*	1.1	⊠
24.	31.8	32.9	33.3	– 6.4	– 1.3	– 2.1	0.5	– 7.8	2.0	3.1	3.7	70	75	94	N 3	W 2	SE 1	1^0⊙	2^0⊙	0	5.6	⊠
25.	33.1	33.8	33.2	– 2.8	– 1.2	– 3.0	– 0.8	– 4.3	3.5	4.0	**3.3**	94	96	91	W 5	W 2	NW 7	3^0⊙	3^0⊙	0	–	⊠
26.	32.5	33.8	33.9	– 5.8	– 2.0	– 1.3	– 0.5	– 6.3	**1.6**	2.1	3.8	54	54	90	N 5	N 3	N 3	1^1⊙	1^0⊙	0	0.2	–
27.	32.3	33.1	33.5	– 2.0	– 0.3	– 0.4	0.2	– 2.1	3.4	4.3	3.0	85	96	66	N 1	SE 5	SE 1	1^0⊙	2^0⊙	0	–	–
28.	32.5	33.3	33.1	– 1.9	– 0.9	– 1.6	– 0.2	– 2.4	2.6	4.2	3.5	65	98	86	E 1	SE 3	C	1^0⊙	8^1	0	–	–
29.	32.8	32.9	32.3	– 2.7	– 1.2	– 1.8	– 0.7	– 3.4	3.5	3.6	3.5	94	87	87	SE 1	SE 1	S 5	9^1	9^1	2^1	–	–
30.	29.9	29.5	29.6	– 2.4	1.2	0.2	1.4	– 3.8	3.4	4.1	4.3	89	82	91	S 3	SW 5	W 5	10^0⊙	7^0 ●	4^0	–	–
																					124.1	
Mittel	31.3	31.9	31.9	– 1.5	0.6	– 0.9	1.6	– 2.6	3.7	4.4	3.9	89	90	90				5.9	7.1	5.8		

42

Bemerkungen.

1. 7 a st. Bew.-Zunahme, in Tälern Nebelmeer in ca 1800 m; i. E u. SE Föhnmauer, ü. Flachl. ∞^{0}, 1^{14} p ab ≡^{1}, 2^{10} p △$^{1.2}$, dann ◎^{2} mit △ bis ca 2^{30} p, 1)
2. 9 u. 11 p ≼ i. NE u. N. 7 a ü. Alpenvorl. u. in Tälern teilw. noch Nebel. 2 p ü. Loisachtal Nebelschicht; 2^{24}–ca 4^{30} p ≡^{1}. 6^{14} p st. ≡tr. u. d. G. 8 p ≼ i. E u. N
3. 7 a über Zentralalpen Föhnmauer, 10 a ⊙ ztw. durchbrechend; 2–4^{24} p ztw. ≡$^{0.1}$, 4^{30}–7 p ≡$^{1.2}$; 6 p st. ≡tr. u. d. G.
4. 7 a über Flachland teilw. Nebel, 11 a Drehung des Windes nach SE 7 m/s; 4–8 p W ca 7 m/s, t ∞$^{0.1}$
5. n ◎^{1}. 7 a ü. Alpenvorland u. Flachland cu-meer in ca 2500 m, 7^{18} a st. Bew.-Zunahme. 8^{44}–9^{25} a △^{2}, dann bis 10^{24} a ◎^{1}, p ztw. ◎$^{0.1}$. 4 p ⚹^{3}; t ≡^{2}
6. n ◎^{0}. 7 a 2 cm ⋁. 1 p allmähl. Aufklaren. 2 p in Tälern cu-meer. 5^{14}–ca 8 p ≡^{1}
7. 7 a in Tälern Nebelmeer in ca 2500 m; ⌴; 7^{18} p ⋓, ≼ i. S u. SW; 9 p über Alpenvorland Nebeldecke
8. 7 a über Inntal u. Alpenvorland cu-meer in ca 1500 m. 10 a ci N l, 10^{18} a cu S l, 2 p ≡tr. u. d. G. 3^{14}–ca 4 p, 5^{24}–6 p ◎^{0}, 6^{44}–7^{04} p ⟅
9. n ◎^{0}, $6^{34.54}$ a ≡^{1}, 7 a über Zentralkette Föhnmauer. 5 p, 5^{30} p, 7 p ⟅ mit ▲. 9 p ⟅ i. NW
10. 9 p ⟅ i. NW, n ⚹^{0}. 7 a ≡tr. 8 a–m, 0^{30}–9 p ⚹^{1}, 1 p Windst, 5 m/s
11. 7 a 15 cm Neuschnee, 15 cm ⋁. ⚹tr. 8^{54} a allmähl. Aufklaren. 7–8^{14} p cu-meer über Tälern u. Flachland in ca 1500 m. ⋓
12. 7 a Berge frei u. rein, über Flachland cu-meer in ca 1000 m. 2 p cu über den Bergen. 6 p Berge ∞, 9 p in Tälern Nebel
13. 7 a ⌴, ∞^{0}, ü. Tälern teilw. Nebel. 11 a S ca 8 m/s; st. Bewölkungszunahme, ci SW m. 1^{16} p ≡^{1}, 2 u. 4 p ≡tr. u. d. G. 4 p ⟅ i. N. 9 p ü. Zentralkette Föhnmauer
14. 6^{37} a △^{0}. 7 a über Alpenvorland teilw. Nebel. 6 p SE ca 12–15 m/s. 7–9 p ≼ i. N. 9 p über Zentralkette Föhnmauer
15. 9 p ≼ i. N. 7 a über Zentralkette Föhnmauer, i. N Nebel. 1 p kurze Zeit △, $2^{00.14}$ p ◎^{0}, vermischt mit △. $4^{24.44}$ p ⟅, △^{1}. 6–8^{24} p ⚹^{0}, 2 p u. 9 p ≡
16. n 4 cm Neuschnee, 4 cm ⋁. 7 a in Tälern teilw. noch Nebel in ca 1500 m. 2 p über Alpenkette Föhnmauer. 9 p ⋓
17. 7 a über Zentralkette Föhnmauer, über Flachland teilw. Nebel. 10 a u. 2 p i. N Nebelmeer bis zum Gipfel; 9 p über Tälern u. Flachland Nebelmeer in ca 2000 m.
18. 8 a kurze Zeit ⚹^{0}, SE 18 m/s. 9 a ab st. ≡tr. u. d. G. 7^{14}–9 p △$^{0.1}$, t ≡^{2}
19. n 2 cm Neuschnee, 5 cm ⋁; 10 a 6^0 ⊙ ci S l, a-st, st-cu, m-3 p ≡-Reissen. 5–9^{00} p ⚹^{1}
20. 9^{00} p–n ⚹^{1}; 15 cm Neuschnee, 15 cm ⋁; 10 a kurze Zeit Aufklaren, p st. Bew.-Zunahme, ci-cu W,m, st-cu; 8^{34}–9^{00} p ⚹^{1}
21. 9^{00} p–n ⚹^{1}; 20 cm Neuschnee, 15 cm ⋁, t ⚹^{1} ⨢
22. 7 a 20 cm Neuschnee, 30 cm ⋁, ⚹tr. 2 p kurze Zeit △$^{0.1}$, dann ⚹$^{0.1}$ bis 2^{24} p. 5^{29} p kurze Zeit ⚹^{0}. 6^{24} p von W her Aufklaren, ≡tr., 8^{14} p ab wieder ≡^{2}
23. 7 a 30 cm ⋁. 9 a–8 p ⚹^{1}, ⨢, 8 p ab ⚹^{0}, Abflauen des Windes
24. 11 p Aufklaren. 7 a über Inntal u. Leutaschtal Nebelmeer in ca 2000 m; über Flachland teilw. Nebel, 30 cm ⋁. 10 a u. 2 p über Flachland ∞-Kranz
25. 7 a über Flachland Nebelmeer in Tälern teilw. Nebel; 9 a fr-cu NW r. 3^{14}–4^{04} p ≡$^{0.1}$, 7 p in Tälern Nebelmeer in ca 1500 m
26. 7 a cu-meer über Inntal in ca 2200 m, über Loisachtal u. Flachland in ca 1800 m. 11 a ab in Aufl. 11^{20} a E 2. 2 p Windrichtung u. Windstärke stark wechselnd, E, NE u. N
27. 7 a cu-meer in ca 1200 m. 9 a a-cu E l., t über Flachland Nebeldecke. 9 p in Tälern teilw. Nebel
28. 7 a über Flachland cu-meer in ca 1000 m. 10 a ab in Auflösung; 11^{04} a ab teilw. ≡^{1}, fr-cu S l, SE 3. 2 p i. N Nebel, abds. Aufklaren
29. 7 a über Flachland Nebelmeer, über Alpenvorland teilw. Nebel, 10 a Föhnmauer i. SE; 6 p SW 3, st-cu SW m
30. 7 a i. SE Föhnmauer, über Flachland teilw. Nebel; 3 p ab vollständig bedeckt; 4–ca 7 p ztw. ⚹^{0}, 4^{04}–7 p ≡^{1}

1) dann bis ca 5 p ◎^{1}; $2^{13.29}$ p ⟅, 5 p ab ≡^{2}, 9 p ≼ i. NE u. N

Alle Angaben nach Ortszeit.

Kahl a/M.

Oktober. $\varphi = 50^0\ 4'$ N. $\lambda = 9^0\ 1'$ E $= 36^m\ 4^s$. H $= 114.1$ m. Cg $= +0.3$ mm. 1913.

Datum	Luftdruck auf 0° u. Normalschwere reduziert 700 mm + 7a	2p	9p	Lufttemperatur C° 7a	2p	9p	Max.	Min.	Absolute Feuchtigkeit mm 7a	2p	9p	Relative Feuchtigkeit Proz. 7a	2p	9p	Richtung und Stärke des Windes 0 bis 12 7a	2p	9p	Bewölkung 0 bis 10 7a	2p	9p	Niederschlag mm 7a	Bemerkungen
1.	51.4	50.8	50 8	7.9	18.2	10.5	19.3	5.8	7.3	8.9	8.6	92	58	92	C	E 2	C	0⊖	1^0⊖	0	–	
2.	52.2	52.2	52.7	7.6	19 5	11.2	20.9	5.2	7.7	10.7	9.6	99	63	97	C	S 2	C	0⊖	1^0⊖	0	–	
3.	53.7	53.0	52.5	13.1	19 6	14.8	**21.0**	11.2	10.3	11.3	10.6	93	67	85	SE 2	SW 2	SW 2	9^1	6^1	0	2.0	n ◍
4.	51.2	48.2	46.8	9.2	19.3	14.7	20.0	7.5	8.3	11.4	11.6	96	68	93	C	SW 2	C	2^1	9^2	10^2	–	
5.	43.6	43.6	44.8	13.4	18.1	12.6	18.9	12.8	11.2	9.5	10.0	98	62	93	S 2	SW 2	C	10^2	7^1	10^2	0.9	n ◍
6	46.2	47.2	47.5	12.0	16.0	10.1	17.0	9.5	9.6	8.2	8.4	93	60	91	SW 2	SW 2	C	7^1	2^2⊖	10^1	1.8	n ◍
7.	47.6	46.6	45.7	11.6	19.6	16.2	20.4	9.0	8.8	11.2	9.9	87	66	72	SE 2	SE 2	SE 4	7^1	10^0	10^1	–	
8	43.3	**41.7**	45.8	13.0	16.9	11.6	18.1	11.5	10.6	**12 8**	9.4	96	90	94	SE 2	SE 2	SW 4	8^0	10^1	10^1	3.1	n ◍, p ◍^{0}
9.	46.7	48.4	51.5	11.4	13.7	10.2	14.3	9.9	8.7	8.5	8.3	87	73	90	SW 4	SW 4	SW 2	3^1	10^1	10^1	1.9	n, 3^{46}–4^{36} p ◍
10.	53.9	54.4	55.8	6.3	11.6	7.3	12.3	4.9	7.1	6.3	7.0	99	62	91	C	SW 2	SE 2	5^1	10^1	8^1	6.2	n ◍
11.	56.6	55.6	55.4	5.8	13.0	9.2	14.2	3.2	6.2	7.2	7.5	90	65	88	SE 2	SE 4	C	2^0	7^2	0	–	
12.	55.5	57.5	60.2	11.2	12.1	10.5	13.2	9.2	9.3	9.5	8.9	94	91	94	SW 4	W 4	C	10^2●	10^2	9^1	**8.2**	n ◍
13.	62.3	63.4	65.7	8.1	12.0	6.4	12.9	6.0	8 1	7.2	5.0	100	69	69	C	E 2	E 2	4^0	0⊖	0	–	a ≡^{0}
14.	**66.0**	64 0	61.8	0.1	11.6	1.1	12.2	– 1.0	4 6	4.8	4.9	100	**47**	98	C	SE 2	C	0⊖	7^2	0	–	a ⌊
15.	56.9	55.5	57.1	3.3	6.6	7.2	7.8	– 1.2	4.8	7.0	7.5	83	96	99	SW 2	S 2	C	10^0	10^1	10^1	–	16^{21} a an ◍
16.	59.7	60.4	61.5	7.2	11.1	3.7	11.6	3.0	7.6	8.1	6.0	100	82	100	C	C	C	10^1	10^1	0=	6.1	
17.	60.9	59.0	58.4	4.7	12.3	4.6	13.5	1.5	6.4	7.8	6.3	100	73	100	C	S 2	C	9^0	0⊖	0	–	
18	57.3	56.3	56.3	0.3	13.4	4.5	14.4	– 1.0	4.7	8.2	6 3	100	72	100	C	E 2	C	0⊖	0⊖	0	–	a ⌊ ≡^{0}
19.	56.0	54.1	54.0	4.0	10.4	5.0	11.0	2.4	6.1	7.5	6.2	100	80	95	C	SW 2	NE 2	10^2	0⊖	10^1	–	a ≡^{1}
20.	54.2	53.9	53.9	5.2	9.3	1.9	10.3	1.6	6.6	7.5	5.3	100	87	100	SW 2	SW 2	C	10^1	0⊖	0=	0.4	n ◍^{0}
21.	52.3	49.6	47.4	– 0.4	11.3	5.8	12.0	– 1.3	4.4	7.0	6.6	98	70	96	C	SE 2	C	3^0	0⊖	1^0	–	a ≡^{1} ⌊
22.	48.6	49.4	51.0	6.3	11.7	9.5	13.0	5.0	6.7	8.4	8.4	94	83	95	C	C	SW 2	8^0	10^1	10^1●	–	
23.	53.7	55.1	55.6	9.2	12.1	9.3	13.0	7.0	8.7	9.3	8.5	100	89	98	S 2	SE 2	S 2	10^1	10^1	10^2	1.8	n ◍
24	57.4	58.3	58.6	8.0	13.2	3.7	13.9	3.2	8.0	8.1	6.0	100	72	100	C	E 2	C	10^1	7^1⊖	0	–	a ≡^{1}
25	58.5	56.1	55.1	0.1	12.6	6.3	14.0	– 0.3	4.6	8.6	7.2	100	80	100	C	C	C	10^2	0⊖	0	–	a ≡^{1}
26.	53.0	51.8	50.4	5.6	12.4	10.8	15.1	2.0	6.8	8.7	9.0	100	82	94	C	SE 2	C	10^0	10^1	10^1	–	a ≡^{0}
27	52.2	50.3	49.9	8.3	18.8	12.9	19.4	7.5	8.1	10.1	9 5	99	62	87	C	SW 2	SW 2	7^0	4^1	0	–	
28	48.6	45.7	44.5	8.4	18.4	14.0	19.6	6.7	8.1	10.3	8.9	99	65	75	C	SE 2	C	3^0	5^0⊖	10^2	–	
29.	44.0	43.8	43.8	8.7	17.2	9.1	18.2	7.3	8.1	10.4	8.3	96	71	96	C	C	SW 2	6^1	9^1	0	–	
30	45.2	47.5	50.8	4.4●	12.5	10.2	13.1	4.0	6.2	9.5	9.0	100	89	97	C	C	C	1^0	10^1	0	–	
31.	51.9	52.7	54.4	7.2	15.9	8.0	17.0	6.0	7.6	8.4	7.8	100	62	98	C	SW 2	C	1^0	6^1	0	–	
Mittel	52.9	52.5	52.9	7.1	14.2	8.8	15.2	5.1	7.5	8.8	8.0	97	73	93				6.0	5.8	4.5	32.4	

Bayreuth.

Oktober. $\varphi = 49^0\ 57'$ N. $\lambda = 11^0\ 34'$ E $= 46^m\ 16^s$. H $= 363.3$ m. Cg $= +0.3$ mm. 1913.

1.	30.2	29.5	29.3	11.7	16.4	11.5	17.5	9.3	8.2	8.7	8.5	80	62	85	E 4	E 6	E 2	10^2	6^1	0	–	a ⌓
2.	30.6	31.2	32.1	7.1	17.8	11.1	19.7	6.0	7.2	9.8	9.1	96	65	93	C	E 2	E 2	10^1=	4^1⊖	0	–	a ⌓, ≡^{1}
3.	32.8	31.7	31.3	9.3	19.0	14.6	**20.6**	7.8	8.3	9.6	9.8	95	59	79	SE 2	W 2	W 4	10^1	5^1⊖	10^1	–	a ⌓, ≡^{0}
4.	29.8	27.3	24.9	9.9	16.4	12.7	17.0	7.8	8.7	**11.0**	10.3	96	79	95	E 2	SE 2	SE 2	10^2=	10^1	10^2	–	a ⌓, ≡^{1}
5.	22.1	22.0	23.3	11.5	15.0	11.9	15.5	11.0	10.0	10.9	9 8	99	86	95	C	SW 2	C	10^2●	10^2	0	5.4	n ◍$^{0.1}$, a ≡^{1}, ztw. ◍^{0}
6	24.3	25.1	26.6	11.7	15.5	8.2	15.5	8.0	9.1	7.5	7.4	89	58	93	SW 4	W 6	W 2	10^2	7^1⊖	0	0.5	n ◍^{0}
7.	27.1	26.5	25 9	9.5	18.6	13.1	19.0	7.0	8.0	8.2	9.7	92	52	87	SE 2	S 4	SE 2	7^1	10^0	5^1	–	
8.	23.6	20.8	23.3	12.1	18.0	12.1	18.8	10.2	8.2	9.3	9.0	79	61	87	SE 2	SE 6	W 6	10^1	10^1	10^2●	0.1	n ◍^{0}, 8^{06} p ab ◍^{0}
9	25.7	26.4	28.3	10.7	12.4	10.2	13.3	9.9	7 7	7.8	7.8	80	73	84	SW 4	SW 8	W 6	10^2	10^2	10^2	4.5	n ◍$^{0.1}$, t ztw. ⩲, p ztw. ◍^{0}
10.	30.7	31.7	33.7	6.6	9.7	6.3	10.2	6.0	6.4	5.7	6.4	89	64	91	W 4	NW 4	N 2	7^1	10^1	8^1	0.5	
11.	35.5	35.3	35.0	0.9	10.3	6.7	11.0	0.1	4.7	5.8	5.7	96	62	79	E 2	E 4	E 2	10^2=	7^1	10^1	–	a ⌓, ≡^{1}
12.	33.7	34.0	36.4	7.0	10.3	9.9	11.3	6.2	7.0	9.0	8.7	94	96	96	E 2	W 4	W 2	10^2●	10^2●	10^2	1.0	n ◍^{0}, t ◍$^{0.1}$
13.	39.5	41.4	44.0	6.9	8.8	3.1	10.0	2.9	6.7	5.3	4.5	91	64	80	N 2	N 4	E 2	10^2	0⊖	0	**10.0**	
14.	**45 0**	43.0	41.2	– 1.9	9.4	2.0	9.8	– 2.8	3.8	4.0	4.3	96	**46**	83	E 2	E 4	SE 2	0⊖	2^0⊖	0	–	a ⌓^{2}, ≡$^{0.1}$
15.	35.1	33.1	34.4	0.3	4.3	4.5	5.2	– 2.0	4.1	5.3	6.1	87	86	97	SE 2	S 2	W 2	10^1	10^2	10^2	–	a ⌓^{1}, 2^{16}–6^{36} p ◍^{0}
16.	37.7	38.6	40.0	5.1	8.3	7.3	8.4	4.2	6.5	7.0	7.2	98	88	94	W 2	W 2	NW 2	10^1=	10^2	10^1	3.9	a ≡^{1}, ⌓
17.	39.9	37.6	36.9	2.4	12.9	4.5	13.8	1.9	5.5	6.3	5.9	100	57	94	E 2	E 4	E 2	10^2=	2^0⊖	0	–	a ⌓, ≡^{1}
18	35.7	34.7	34.4	0.8	11.6	5.3	13.2	– 0.3	4.6	7.1	6.3	94	70	96	E 2	E 2	E 2	0⊖	0⊖	0	–	a ⌓^{1}
19.	34.1	32.1	31.7	1.1	11.3	3.7	13.2	– 0.4	5.0	7.3	6.0	100	73	100	E 2	E 2	C	10^2=	0⊖	10^2=	–	a ⌓, ≡^{1}, abds. ≡^{1}
20.	32.1	32.1	32.0	2.1	6.7	5.4	7.5	1.2	5.3	6.7	6.5	100	92	97	E 2	E 4	SE 2	10^1=	10^2	10^2	–	n u. a ≡$^{0.2}$, ⌓, p ≡^{0}
21.	31.4	29.0	27.4	3.7	6.7	4.2	8.0	3.2	6.0	6.6	5.9	100	91	96	E 2	SE 4	E 2	10^2=	9^1	0	–	a ⌓, ≡^{1}
22	27.7	26.7	27.6	3.1	14.1	6.9	14.2	1.8	5.5	8.0	6.6	96	67	89	SE 2	E 2	E 2	2^0	9^0	10^2	–	a ⌓
23	32.3	32.5	33.9	3.8	14.1	6.8	15.8	3.2	5.9	8.5	7.2	98	71	98	E 2	W 2	C	10^2=	4^0⊖	0	–	a ⌓, ≡^{1}
24.	34.6	35.8	37.3	5.4	11.9	5.1	12.8	4.2	6 5	7.9	6.2	97	76	95	E 2	NW 2	E 2	10^1=	3^1⊖	0	–	a ⌓, ≡^{1}, abds. ≡^{2}
25	36.9	35 4	34.3	1.7	11.4	6.9	11.5	0.3	5.2	8.3	7.3	100	83	95	E 2	SE 2	SE 2	10^2=	0⊖	0	–	a ⌓, ≡^{2}
26.	31.9	29.8	29.2	6.1	15.4	12.8	15.9	4.2	6.7	9.0	8.1	96	69	74	SE 2	SE 4	E 2	3^0	9^0	10^0	–	a ⌓
27.	31.5	29.9	28.9	7.7	16 1	10.3	17.2	7.2	7.3	9.9	8.4	94	73	90	E 2	SE 2	E 2	3^1	5^0⊖	0	–	a ≡^{0}
28.	28.4	26.1	25.9	5.5	15.0	7.9	15.1	4.0	6.5	9.0	**7.2**	97	71	91	E 2	SE 4	E 2	1^0	8^0	0	–	a ⌓
29.	23.0	22.8	22.9	7.9	14.7	7.9	14.8	6.9	7.1	8.6	7.4	90	70	93	S 2	SE 4	C	10^1	8^0	0	–	
30.	23.8	25.3	28.3	5.3	13.8	9.9	14.0	4.0	6.3	8.8	9.0	96	75	**99**	SE 2	W 2	E 2	2^0	9^0	10^2	–	a ⌓, 4^{36}–7^{36} p ◍^{0}
31.	30.8	31.8	33.3	8.9	14.7	8.8	14.8	8.1	8.4	9.2	7.8	99	74	93	E 2	SE 4	SE 2	10^1=	7^1	0	1.4	a ⌓, ≡^{1}
Mittel	31.5	30.9	31.4	5.9	12.9	8.1	13.7	4.6	6.7	7.9	7.4	94	71	91				7.9	6.6	4.6	27.3	

Alle Angaben nach Ortszeit.

Bamberg.

Oktober. $\varphi = 49^0\ 53'$ N. $\lambda = 10^0\ 53'$ E $= 43^m\ 32^s$. H $= 287.7$ m. Cg $= +0.3$ mm. 1913.

Datum	Luftdruck auf 0^0 u Normalschwere reduziert 700 mm +			Lufttemperatur C⁰					Absolute Feuchtigkeit mm			Relative Feuchtigkeit Proz.			Richtung und Stärke des Windes o bis 12			Bewölkung o bis 10			Niederschlag mm	Bemerkungen
	7^a	2^p	9^p	7^a	2^p	9^p	Max.	Min.	7^a	2^p	9^p	7^a	2^p	9^p	7^a	2^p	9^p	7^a	2^p	9^p	7^a	
1.	36.6	36.0	35.5	8.7	17.2	12.3	18.4	8.4	7.5	8.0	8.3	89	55	78	W 1	SE 4	SE 3	1^1⊙	3^1⊙	6^1	–	n ⏢, a ≡
2.	37.0	37.5	38.5	7.8	19.2	11.4	20.8	7.1	7.7	10.4	9.6	98	63	96	NW 1	S 2	S 2	1^1⊙	1^1⊙	0	–	n ⏢, a ≡, ca 8–9 p ≺ i. SW
3.	39.0	38.0	37.5	10.1	19.6	13.6	**21.3**	9.7	8.7	10.5	9.5	95	61	82	S 1	S 3	SW 2	9^2	9^2	3^1	–	ca 9–11 p ≺ i. SW, n ⏢, 2^{11} p ◍^{0}, ca 4 p ◍^{0}
4.	35.9	33.3	31.0	9.3	18.8	13.8	20.3	8.1	8.5	6.5	**10.8**	98	59	93	W 1	S 1	C	4^1⊙	10^0⊙	10^2	–	ca 10 p ≺ i. SW, n ⏢
5.	28.5	28.7	30.2	12.1	15.8	10.6	17.1	10.4	10.4	10.4	9.0	99	78	95	W 1	W 4	SW 2	10^2●	10^2	10^1	**28.8**	11^{14} p–0^{04} a ◍$^{0.1}$, 0^{54}–ca 8 a ◍^{2}
6.	30.8	32.0	32.9	10.7	15.4	9.2	16.7	9.2	9.2	8.3	8.2	97	63	95	SW 2	C	SW 3	10^2	7^1	8^1	2.8	2^{57}–3^{00} a ◍^{2}
7	33.2	32.6	31.8	8.9	18.5	14.2	20.2	7.0	7.8	9.6	9.6	92	60	80	S 2	SW 4	SW 4	6^1⊙	10^2	8^1	–	n ⏢
8.	29.8	26.8	30.5	12.8	18.4	10.5	19.4	10.5	9.6	10.6	9.0	88	67	95	S 3	SW 3	W 1	10^2	10^2	10^2●	0.4	ca 4 a, 7^{36} a, ca 2 p u. ca 5 p ◍^{0}, 7^{14}–9^{00} p ◍$^{0.1}$
9.	32.3	33.3	35.7	10.2	12.8	9.4	15.3	9.0	7.8	7.8	8.1	84	72	92	SW 3	W 3	W 2	10^2	10^2	10^2	5.0	ca 9^{15}–11 p ◍^{1}, ca 6 a, $4^{31.39}$ p ◍^{0}, ca 5^{45}–9 p ◍^{1}
10.	37.9	38.5	40.7	6.7	10.8	5.4	12.2	5.4	6.8	6.1	6.4	93	63	95	C	W 2	W 2	4^1	9^1	2^1	2.8	n ⏢
11.	42.0	41.2	41.3	4.2	11.8	8.3	12.4	3.0	**3.7**	6.2	6.4	92	60	78	E 1	SE 3	SW 4	10^0⊙	10^0⊙	10^1	–	n ⌴, a ≡, ca 3 p ◯, ca 9 p ◍^{0}
12	39.9	41.2	44.5	9.1	10.5	10.2	12.6	7.7	8.1	8.9	8.8	95	94	95	S 2	W 4	W 1	10^2●	10^2●	10^2	1.5	n u. t ztw. ◍$^{0.1}$
13.	46.4	48.4	51.1	8.1	9.6	3.0	11.1	2.6	7 5	5.4	4.7	93	60	83	W 2	NW 2	NW 2	10^2	1^1⊙	0	4.4	ca 10^{45} p ◍^{1}
14.	**51.3**	49.6	47.5	– 0.4	10.4	2.5	10.8	– 0.7	4.1	4.9	4.7	92	52	84	W 2	S 3	S 3	⊙⊙	4^0⊙	10^0	–	n ⌴, a ≡
15.	41.8	39.8	41.3	0.0	4.2	5.2	5.7	– 1.4	4.3	5.7	6.5	92	92	98	SW 2	S 2	SW 2	10^2	10^2●	10^2	–	n ⌴, 1^{34}–ca 4 p ◍^{1}
16.	44.6	45.3	46.6	5.8	8.5	5.2	9.4	4.8	6.8	7.4	6 4	99	89	97	SW 1	C	S 1	10^2	10^2	9^1≡	5.0	ca 11^{30} p ≡^{0}, abds. ≡^{2}
17.	46.1	44.1	43.5	5.7	13.6	7.3	14.7	5.0	6.6	6.9	6.3	98	59	83	N 1	SE 2	S 1	10^2	10^0⊙	1^0	–	ca 9^{18}–11^{30} p ≡^{1}
18.	42.2	41.1	41.0	0.8	12.8	5.2	13.7	0.4	4.7	7.5	6.6	96	68	100	N 1	C	S 1	10^2≡	⊙⊙	10^1≡	–	n ⏢, 2^{18}–ca 10^{30} a ≡^{1}, abds. ≡^{1}
19.	40.7	39.0	38.6	3.0	6.5	6.5	7.6	2.6	5.7	7.1	7.0	100	99	98	S 1	S 1	SE 1	10^2≡	10^1	10^2	–	n ⏢, ca 10^{30} p–8 a ≡^{1}, abds. ≡^{0}
20.	38.9	38.8	38.7	2.5	5.3	5.6	7.4	1.9	5.5	6.5	6.6	100	97	97	S 1	S 1	S 2	10^2≡	10^2	10^2	0.1	n ◍^{0}, a ≡^{1}, abds. ≡^{0}
21.	38.1	35.5	33.7	3.0	8.6	4.7	10.2	2.6	5.7	7.2	6.1	100	87	96	SE 3	S 3	S 1	10^2≡	5^1⊙	1^1	–	n ⏢, ca 11 p–9 a ≡^{1}
22.	34.4	32.6	34.7	2.4	11.8	8.5	12.6	1.4	5.3	8.1	7.3	96	78	88	NW 1	W 2	SW 1	10^2≡	10^1	10^2	0.1	n ⏢, mn–10 a ≡^{1}
23.	38.7	39.2	40.5	3.0	14.2	7.2	14.6	2.7	5.7	8.6	7.4	100	72	98	S 1	W 1	SW 1	1^0⊙	5^0⊙	10^0≡	–	n ⏢, ca 9 p ≡^{1}
24.	41.4	42.9	44.0	5.7	12.8	4.5	13.7	4.5	6.9	7.3	6.3	100	67	100	S 1	W 1	C	10^2≡	1^1⊙	10^2≡	–	n ⏢, ≡^{1}, ca 9^{15} p–10 a, 8^{44}–9^{00} p ≡^{2}
25.	43.5	41.6	40.6	2.3	7.2	6.1	9.1	1.9	5.3	7.3	6.9	98	96	99	C	NW 2	NW 1	10^2≡	⊙⊙	10^2≡	–	n ⏢, ca 9^{15}–1 p ≡^{2}, p ≡^{0}, ca 8^{30}–9 p ≡^{2}
26.	38.3	36.5	36.4	3.9	12.4	13.3	15.0	3.6	6.1	9.5	8.6	100	89	76	C	C	C	10^2≡	10^1	9^1	–	n ⏢, a ≡^{2}, ca 6 p ◍^{0}
27.	37.5	35.9	35.4	8.7	18.1	9.9	18.8	8.6	7.9	10.0	8.0	95	64	98	S 2	SW 3	C	3^1⊙	10^0⊙	1^1	0.1	9^{54} p ◍^{0}, abds. ≡^{0}
28.	34.6	32.1	31.6	4.4	15.4	10.3	17.0	4.1	6.1	10.5	7.7	98	81	82	N 2	SE 1	S 1	10^2≡	9^2	5^1	–	n ⏢, a ≡^{2}
29.	29.2	29.1	29.1	7.7	15.0	8.5	15.8	7.0	6.9	8.9	7.8	89	70	94	S 3	W 1	W 1	10^2	10^1	1^1	–	n ⏢
30.	30.0	32.2	35.3	3.6	11.4	10.6	12.3	2.6	5.9	9.1	8.6	100	91	94	SE 1	C	S 1	3^1≡	10^2	10^2	–	n ⌴, $7^{00.04}$ a, ca 9 a ≡^{1}
31.	37.4	38.2	40.0	7.1	15.3	8.3	16.3	6.7	7.5	9.0	7.6	100	69	93	SW 1	W 1	S 2	10^2≡	3^1⊙	1^1	–	n ⏢, a ≡^{1}
Mittel	38.0	37.5	38.1	6.1	13.0	8.4	14.2	5.0	6.8	8.1	7.6	96	73	91				7.8	7.3	6.9	51.0	

Würzburg.

Oktober. $\varphi = 49^0\ 48'$ N. $\lambda = 9^0\ 56'$ E $= 39^m\ 44^s$. H $= 179.3$ m. Cg $= +0.3$ mm. 1913.

1.	45.5	44.3	44.2	7.5	17.1	11.4	17.2	6.8	7.4	8.5	9.1	96	59	91	C	E 4	C	⊙⊙	3^2●	0	–	n ≡^{1}
2.	45.9	46.1	46.8	8.0	19.5	11.4	19.9	7.4	7.7	10 1	9.6	96	60	96	E 1	SE 1	C	3^1	2^1⊙	0	–	mrgs. ≡^{1}, abds. ≺ i. W
3.	47.7	46.8	46.5	11.6	20.1	12.7	**20.1**	10.3	10.1	8.8	10.2	99	50	94	S 1	SW 4	C	7^2	4^2⊙	0	0.6	mrgs. ◍^{0}
4.	44.8	42.1	40.2	9.9	19.7	14.3	19.8	8.8	8.6	10.0	**11.7**	95	58	97	S 1	S 3	C	5^2⊙	4^2⊙	10^2●	0.2	n ⏢, abds. ◍
5.	37.5	37.4	38.2	12.9	16.3	12.2	17.0	12.0	11.1	11.3	10.1	100	82	96	C	W 4	C	10^2●	7^2	0	2.9	vorm. ◍^{0}
6.	39.6	41.0	41.8	11.9	15.6	11.1	16.2	11.1	9.1	7.5	8.7	89	57	89	W 2	W 1	C	10^2	6^1	0	0.6	mrgs. ◍
7.	41.7	41.0	40.3	9.9	20.0	13.7	20.0	9.1	8.5	9.2	10.2	94	53	88	W 2	W 4	C	8^2	9^2	8^2	–	mrgs. ⏢
8.	38.0	34.8	39.8	12.4	18.2	11.7	18.2	11.7	10.5	11.7	9.4	98	75	93	C	SE 1	SW 3	10^2●	10^2	10^2	0 7	ztw. ◍
9.	40.8	42.2	44.8	11.4	14.6	11.1	15.0	10.9	8.9	7.6	8.5	89	61	86	SW 6	SW 5	W 5	7^2	10^2	6^2	4.6	⸗ u. ztw. ◍
10.	47.3	47.8	49.6	7.7	12.4	6.5	12.4	6.5	7.2	5.8	6.7	91	54	93	W 3	W 3	W 1	⊙⊙	7^2⊙	3^2	0.6	
11.	50.8	50.1	49.8	2.9	12.2	9.2	12.2	2.1	5.3	6.5	7.3	94	62	84	C	SE 4	C	1^1⊙	7^1	4^2	–	n ⌴
12.	48.9	51.0	54.1	11.2	11.6	10.8	11.9	7.8	9.0	8.9	8.7	92	88	90	SW 4	SW 3	W 1	10^2●	10^2	10^2	1.3	mrgs. u. vorm. ◍
13.	55.6	57.6	60.4	9.6	10.7	4.3	11.3	4.2	8.3	7.4	5.2	94	77	84	NW 1	C	C	9^2	2^2	0	2.3	mrgs. ◍^{0}
14.	**60.5**	58.7	56.8	0.8	10.2	3.8	10.2	– 0.2	4.4	4.3	5.1	90	46	85	C	SE 2	SE 2	⊙⊙	1^1	3^1	–	n ⌴, Ψ
15.	51.0	49.3	50.5	1.4	5.2	6.7	6.7	0.2	4.5	6.5	7.2	89	98	99	SE 3	C	SW 1	10^2	10^2●	10^2	–	n ⌴, 0^{10}–ca 4 p ◍
16.	53.7	54.5	55.4	7.2	9.7	6.2	9.8	6.2	7.3	7.7	6.9	96	86	97	SW 1	SW 2	C	10^2	10^2	9^2	**5.3**	abds. ≡^{1}
17.	55.4	53.0	52.5	7.0	12.4	6.3	12.8	5.3	6.8	7.4	7.1	91	69	99	S 2	SE 2	SW 1	10^2	2^1⊙	⊙≡	–	abds. ≡^{1}
18.	51.7	50.1	50.0	2.1	13.1	6.3	14.2	1.7	5.2	7 6	6.7	98	68	94	C	S 1	C	10^2≡	⊙⊙	0	–	n ⌴, mrgs. ≡^{2}
19.	49.8	48.4	47.8	4.6	6.5	6.1	6.7	1.4	6.1	6.5	6.5	97	90	93	C	C	SE 2	10^2	10^2	10^2	–	mrgs. ≡^{1}, ◍^{0}
20.	47.9	47.8	47.9	5.0	7.1	6.4	7.3	4.8	6.3	6.7	6.9	97	88	96	SE 1	SE 1	C	10^2	10^2	10^2	0.4	
21.	47.1	44.3	42.6	4.3	9.0	5.1	9.0	4.0	5.8	6.7	6.2	93	78	95	SE 4	SE 1	C	10^2	4^2⊙	0	–	n ≡^{1}
22.	43.0	42.6	44.0	3.6	9.3	8.1	9.8	3.0	5.7	7.2	7.4	97	83	92	C	SW 3	C	9^2	9^2	10^2	–	mrgs. ≡^{1}
23.	47.9	48.6	49.8	5.6	11.3	7.2	11.3	4.0	6.6	8.3	7.5	97	83	100	C	SW 1	C	10^2≡	4^1⊙	10^2≡	–	mrgs. abds. ≡^{1}
24.	50.8	52.0	52.8	5.8	13.1	5.4	13.2	4.7	6.9	7.4	6.5	100	66	97	C	SW 1	C	10^2≡	2^2⊙	0	–	mrgs. ≡^{2}, abds. ≡^{1}
25.	53.0	50.9	49.5	3.0	7.3	6.5	7.8	2.3	5.7	7.3	7.2	100	96	100	C	SE 1	C	10^2≡	10^2	10^2≡	–	mrgs. u. abds. ≡^{2}
26.	47.6	45.7	45.6	7.0	11.0	9.4	11.0	5.3	7.5	8.7	8.4	100	89	96	C	SE 1	S 1	10^2	10^2	0	0.3	mrgs. ⏢, nachm. ◍^{0}, ⌒
27.	46.3	44.5	44.0	7.4	17.9	9.5	18.2	6.7	7.5	9.5	8.5	98	63	96	SE 1	SW 3	C	3^2	4^1⊙	0	0.2	mrgs. ⏢, ≡^{1}
28.	43.2	40.2	39.5	5.5	16.3	11.9	16.4	5.3	6.7	9.6	8.4	99	69	81	C	SW 3	C	10^2≡	3^2⊙	0	–	mrgs. ≡^{2}, n ⏢
29.	38.0	37.7	37.5	7.7	15.1	8.7	15.8	7.5	7.5	8.7	7.9	96	68	95	SW 2	SW 1	SW 1	8^2	10^2	5^2	–	
30.	38.9	41.2	44.4	5.8	15.2	11.9	15.8	5.2	6.8	8.6	9.1	99	67	89	SW 1	SW 3	C	10^2≡	10^2	10^2	–	mrgs. ⏢, ≡^{2}, abds. ◍^{0}
31.	46.4	47.0	48.6	7.9	16.7	8.7	16.7	7.0	8.0	7.5	7.7	100	53	92	C	SW 3	C	10^2≡	5^2⊙	0	0.2	mrgs. ≡^{2}
Mittel	47.0	46.4	47.0	7.1	13.4	8.9	13.7	5.9	7.3	8.0	8.0	96	71	93				7.7	6.3	4.5	20.2	

Alle Angaben nach Ortszeit

Ludwigshafen a/Rh.

Oktober. $\varphi = 49^0\ 29'$ N. $\lambda = 8^0\ 26'$ E $= 33^m\ 44^s$. H $= 100.3$ m. Cg $= +0.3$ mm. 1913.

Datum	Luftdruck auf 0^0 u. Normalschwere reduziert 700 mm +			Lufttemperatur C°					Absolute Feuchtigkeit mm			Relative Feuchtigkeit Proz.			Richtung und Stärke des Windes 0 bis 12			Bewölkung 0 bis 10			Niederschlag mm	Bemerkungen
	7^a	2^p	9^p	7^a	2^p	9^p	Max.	Min.	7^a	2^p	9^p	7^a	2^p	9^p	7^a	2^p	9^p	7^a	2^p	9^p	7^a	
1.	51 9	51.1	50.9	10.4	20.0	14.6	20.0	9 4	8.3	8.8	9.1	89	51	74	W 1	E 1	E 1	10^2	7^1	5^1	–	a ≡^{0}, abds. ⏢
2.	53.3	53.2	54.3	10.6	20.3	15.6	20.3	9.4	9.3	10.2	9.8	**98**	57	75	S 1	S 1	C	10^{2}≡	8^1	7^2ξ	–	n ⏢, a ≡^{2}. $8^{23.39}$ p ≺, 8^{59-900} p ξ
3.	54.7	54.1	53.6	13.8	21.0	15.7	**21.4**	12.3	10.2	9.6	10.6	87	52	80	SE 1	SW 1	C	8^1	10^2	0	0.2	$9^{00.51}$ p ξ, n ◎
4	52.1	49.6	48.2	10.4	19.2	14.4	19.4	9.6	8.8	10.7	11.2	94	64	90	S 1	SW 1	SW 1	⊙⊙	10^3	10^{2}●	–	n ⏢, a ≡^{0}, ca 4^{30} p ab ◎^{0}
5	47 0	45.6	46.4	16.4	18.2	13.9	18.4	12.7	9.8	9.9	10.4	70	63	88	S 1	C	SW 1	5^2	7^2	10^2	1.8	
6.	48.0	48.2	48.3	10.8	16.7	14.2	17.0	9.6	8.4	8.7	8.7	89	61	73	S 1	C	S 1	5^1	7^2	0	3.6	n ◎, ztw. ◎^{1}
7	48.5	47.8	46.2	12.0	20.5	17.4	20.5	11.8	8.9	9.9	10.1	86	55	68	C	S 1	S 1	5^1	⊙⊙	10^1	0.6	a ◎^{0}
8	43.6	43.8	47.6	14.4	17.0	12.2	17.6	12.2	11.0	**11.5**	9.1	91	80	87	E 1	SW 2	SW 2	10^{2}●	10^2	10^2	3.0	n, t ◎^{0}
9.	49.1	50.7	53.3	11.5	14.7	12.6	15.2	10.4	8.7	8.1	8.8	87	64	82	S 3	SW 3	SW 2	5^1	10^2	5^1	2.5	vorm. u. nachm. ztw. ◎^{0}
10.	55.7	55.5	56.6	8.4	12.6	7.6	13.3	7.4	7.3	5.7	6.5	89	52	83	SW 1	N 1	N 2	10^{2}▰	3^1⊙	0	0.6	n ⏢, a ≡^{1}
11.	57.1	56.5	56.2	5.4	14.6	11.0	14.9	4.4	6.0	6.9	8.1	89	55	82	N 1	SE 1	SW 1	10^{2}=	9^2	0	–	n ⏢, a ≡^{1}
12.	57.6	60.8	62.6	12.4	14.2	11.2	14.6	9.4	8.5	8.1	8.9	79	67	90	SW 1	NW 2	N 1	10^2	10^2	10^2	1.0	n nachm. ◎^{0}
13.	64.3	65.0	66.7	9.3	13.6	9.0	14.1	8.4	7.9	7.6	6.5	91	60	76	N 1	N 2	N 1	10^{2}=	2^0⊙	0	0.2	n ⏢, a ≡^{1}
14.	**67.4**	65.6	63.4	2.1	12.1	7.4	12.2	**1.4**	4.9	3.8	5.0	93	36	65	N 1	S 1	N 1	10^{2}=	5^1⊙	0	–	n ⌊, a ≡^{1}, t ≡^{1}
15	58.7	56.9	58.5	3.4	7.5	8.3	8.5	1.8	5.1	6.9	7.4	87	89	91	SE 1	S 1	S 1	10^{2}▬	10^{2}●	10^2	–	a ≡^{1}, ca 11^{15} a ◎, nachm. ◎^{0}
16.	61.3	62.2	63.0	9.0	11.5	8.5	11.6	7.4	7.6	7.6	7.0	89	75	86	E 1	SW 1	SW 1	10^{1}=	10^1	10^{2}=	2.8	a, p ≡^{1}
17.	62.6	59.9	59.3	3.5	13.2	9.6	13.3	1.5	5.8	6.5	7.2	**98**	57	82	N 1	E 1	NE 1	10^{2}▬	⊙⊙	0	–	n ⏢, a ≡^{2}
18	58.4	57.6	57.3	5.3	12.2	8.0	12.5	2.4	6.2	7.0	7.6	94	66	94	NE 1	C	C	10^{2}=	⊙⊙	10^{2}=	–	n ⏢, a ≡^{2}, abds. ≡^{1}
19.	57.1	55.1	54.9	4.7	7.2	6.8	8.1	2.5	6.2	6.7	6.1	97	89	82	S 1	NE 2	N 1	10^{2}=	10^{2}▬	10^{2}=	–	n ⏢, a ≡^{2}, t ≡^{1}
20.	55.5	54.8	54.5	6.5	9.3	7.6	9.4	5.6	7.0	7.6	7.6	**98**	88	**98**	S 1	S 1	S 1	10^{2}●	10^2	10^{2}=	0.6	a ≡-Reissen, abds. ≡^{2}
21.	53.2	49.3	47.6	6.4	15.4	9.6	15.8	5 6	6.8	8.0	8.0	94	61	89	S 1	C	NW 1	10^{2}=	⊙⊙	0	–	n ⏢, a ≡^{1}
22.	49.9	49.7	50.9	7.8	13.0	11.2	14.1	6.6	6.8	8.6	9.2	86	77	93	SW 1	N 1	N 1	10^{1}=	10^2	10^{2}●	–	a ≡^{0}, ca 6^{30} p ab ◎$^{0.1}$
23.	54.9	56.3	56.7	9.4	12.4	10 6	12.5	7.6	8.6	9.2	8.8	**98**	87	93	S 1	SE 1	C	10^{2}=	10^2	10^2	**3.8**	a ≡^{2}
24.	59.3	59.7	60.3	8.0	13.4	9.0	13.5	6.8	7.8	7.8	7.6	**98**	69	89	N 1	N 1	NW 1	10^{2}=	⊙⊙	0=	–	n ⏢, a ≡^{2}, abds. ≡^{0}
25.	60.4	57.4	56.8	4.5	8.4	8.0	9.0	2.8	6.1	7.4	6.2	97	91	78	N 1	N 1	N 1	10^{2}=	5^1=	10^{2}=	–	n ⏢, a ≡^{2}, m ≡^{1}, abds. ≡^{2}
26	54.3	50.9	51.9	6.2	10.8	11.5	11.5	5.5	6.7	8.4	9.2	94	89	92	S 1	SW 1	E 1	10^{2}=	10^2	0	–	n ⏢, a ≡^{2}, p öfters ≡-Reissen
27.	53.2	51.0	50.3	10.6	18.8	12.9	18.9	10.2	9.2	10.1	9.4	97	62	86	SE 1	S 1	SW 2	2^0	9^1	0	0.4	n ≡-Reissen
28.	49.0	45.9	44.6	9.6	18.3	13.3	18.5	8.6	8.2	10.8	9.2	92	69	81	SW 1	SW 1	SW 1	10^{2}=	5^1⊙	0	–	n ⏢, a ≡^{1}
29.	44 2	44.1	44.2	10.6	17.7	13.4	17.8	9.5	8.6	9.9	9.4	91	66	82	SW 1	C	C	10^{2}=	2^0⊙	0	–	a ≡^{1}
30.	46.7	49.6	51.7	9.8	13.2	11.6	13.5	9.0	8.3	10.0	9.7	92	89	96	S 2	S 1	C	10^{2}=	10^2	10^2	–	n ⏢, a ≡^{1}, ča 10^{30} a ab öfters ◎^{0}
31.	53.5	54.0	55.2	7.8	16.4	12.2	16.4	7.2	7.7	8.2	8.6	**98**	59	82	SE 1	S 3	S 1	10^{2}=	8^1	0	1.8	n ⏢, a ≡^{2}
Mittel	54.3	53.6	53.9	8.7	14.6	11.3	15.0	7.4	7.8	8.4	8.4	91	68	84				8.7	6.7	5.1	22.9	

Nürnberg.

Oktober. $\varphi = 49^0\ 27'$ N. $\lambda = 11^0\ 3'$ E $= 44^m\ 12^s$. H $= 309.1$ m. Cg $= +0.2$ mm, über 735.0 mm Cg $= +0.3$ mm. 1913.

1.	34.0	33.2	32.7	4.9	16.9	12.0	16.9	4.5	6.2	8 1	8.4	97	57	82	E 1	E 3	E 2	⊙⊙	⊙⊙	0	–	n klar, ca 5 a ⏢^{2}, ca 6–9 a ≡
2.	34.7	35.5	36.3	10.9	17.2	12.2	17.4	8.9	8.7	9.8	9.1	90	67	87	C	SE 1	SE 2	9^0	1^0⊙	0	–	ca 5 a ⏢^{0}, ca 6–10 a ≡^{0}, 8^{04-900} p ≺ i. W, SW
3.	36.9	36.4	35.1	9.8	18.8	12.5	18.8	8.5	8.2	10.0	10.0	91	61	94	SE 2	S 2	S 2	10^0	3^0⊙	0	–	$9^{00-1107}$ p ≺ i. W, SW, ca 5 a ⏢^{0}, ca 6–9 a ≡^{0}, $4^{05.32}$ p ◎^{0}, 1)
4.	34.1	31.3	28.8	8.6	19.5	14.2	**19.5**	8.0	7.9	9.3	**10 8**	95	55	91	SE 2	SE 2	SE 2	5^{0}⊙	10^0	10^0	1.7	11^{57} a ≺ i. W u. NW, ca 5 a ⏢^{2}, ca 5–11 a ≡$^{0.2}$
5.	27 0	26.7	28.0	12.4	16.0	12.2	16.6	11.3	9.3	10.1	9.4	88	71	90	SW 2	SW 2	SW 1	7^0	8^{0}⊙	10^0	4.9	$11^{10.44}$ p ◎^{1}, n u. a ztw. ◎$^{0.2}$, ca 9–10 a ≡^{1}
6.	29.5	30.0	30.5	11.0	15.2	11.2	15.4	10.6	9.3	8.4	8.7	95	65	88	SW 2	W 2	SE 1	10^0	5^{0}⊙	0	1.6	5^{19-639} a, 10^{26}–ca 11 a ◎^{0}, a meist bed., p wechs. Bewölk.
7	31.2	31.1	30.0	11.0	18.2	13.6	18.2	9.6	8.4	8.8	9.5	87	57	82	SE 2	SE 3	SE 2	6^{0}⊙	9^0	3^0	–	a u. p wechs. Bew., ca 5 a ⏢^{0}, auffrisch. südl. b. östl. Winde
8	27.9	25.0	28.9	13.2	18.2	11.6	18.3	11.6	9.5	10.5	9.3	85	67	92	SE 3	SE 3	W 2	10^0	10^0	10^{0}●	–	n ztw. ◎^{0}, ca 9-m ∞, p ztw. ◎$^{0.2}$, 6^{04-703} p ≺ i. W u. SW
9.	30.9	31.7	33.4	10.2	13.7	11.6	14.5	9 3	8.1	7.9	8.2	87	68	80	SW 2	W 4	SW 2	10^0	9^0	10^{0}●	**7.4**	n u. a ztw. ◎$^{0.2}$, 11^{00} a, m ≣ SW 5, $8^{06.21}$ p ◎^{0}
10.	35.9	36.0	37.9	7.5	11.1	5.3	12.2	5.3	7.0	5.6	6.1	90	57	92	W 1	NW 2	E 1	3^{0}⊙	5^{0}⊙	0	1.5	ca 3 a ab Aufkl., ca 6 a ⏢^{1}, ca 7 p Ψ, ca 7 p ab klar
11.	39.4	38.9	38.9	– 0.3	12.1	8.4	12.2	– 0 9	4.2	6.0	6.6	94	57	81	E 2	SE 2	SE 2	⊙⊙	9^{0}⊙	9^0	–	n klar, mn Ψ, ca 5 a ⌊^{2}, 8^{14} p Ψ
12.	38.3	39.5	41.9	9 9	10.4	10,2	10.8	7.9	8.5	8.9	8.6	94	95	93	S 1	W 2	NW 2	10^0	10^{0}●	10^0	–	n meist bedeckt, n u, t ztw. ◎$^{0.1}$
13.	4.0	46.0	48.1	9.0	10.0	4.9	10.9	4 9	8.1	6.0	5.0	95	66	76	N 1	NE 2	E 2	10^0	1^{0}⊙	0	4.0	n bedeckt, ca 6–11 a ≡$^{0.1}$, p Aufklaren, ca 7 p Ψ
14.	**49.1**	47.5	44.9	0.7	8.8	3.7	8.9	0.2	4.3	**3.9**	4.4	89	**47**	73	E 2	SE 2	SE 2	⊙⊙	3^{0}⊙	0	–	n klar, Ψ, ca 5 a ⌊^{1}, ca 6 p Ψ
15.	39.8	38.1	39.3	0.2	6.2	5.7	6.2	– 0.2	4.2	5.5	6.5	91	78	96	SE 3	S 2	SW 2	10^0	10^0	10^0	–	n Ψ, ca 4 a ⏢^{1}, ca 5 a–6 p ≡$^{0.1}$, 2^{27-506} p ◎^{1}, 8^{22-900} p ◎^{0}
16.	42.1	42.9	44.5	6.0	8.2	5.5	8.2	5.5	6.7	7.0	6.7	69	87	99	C	C	C	10^0	10^0	10^0	3.5	$9^{00.18}$ p, $11^{24.44}$ p ◎^{0}, mn-m ≡$^{0.2}$, mn-4^{12} a, 6^{54-738} a ◎^{0}, p Ψ
17.	43.7	41.4	40.9	5.3	12.8	7.0	12.9	3.3	6.6	6.3	6.3	99	57	84	SE 2	SE 2	C	10^0	6^{0}⊙	0	–	mn-m ≡$^{2.0}$, p Aufklaren, ca 7 p Ψ
18.	40.0	38.6	38.7	0.9	12.2	4.5	12.3	0.0	4.8	7.1	6.3	98	67	100	E 2	S 1	S 2	10=	⊙⊙	10	–	n klar, Ψ, ca 6–11 a ≡$^{2.1}$, p meist klar
19.	38.2	36.6	35.9	5.1	7.6	6.4	8.0	3.8	6.6	7.1	7.1	100	91	99	SE 2	SE 1	SE 2	10^0	10^0	10^{0}=	–	ca 9 p-m ≡$^{2.0.2}$, ca 4–8^{39} a ◎^{0} (≡-Reissen)
20.	36.5	36.5	36.5	2.9	6.8	4.5	8.2	1.9	5.4	6.6	6.2	96	90	98	SE 2	SE 2	SE 2	10^{1}=	10^0	10^0	–	ca 11 p-mn ◎^{0} (≡-Reissen), mn-m ≡$^{2.0.2}$, 1^{36-404} a ◎^{0} 2)
21.	35.9	33.1	31.6	2.9	8.4	6.0	8.9	2.5	5.5	6.9	6.5	98	84	93	SE 2	SE 2	SE 2	10^{0}=	1^{0}⊙	10^0	–	mn-m ≡$^{2.0}$, p Aufklaren
22.	31.9	30.5	31.7	4.7	12.8	8.1	13.2	4.2	6.2	7.5	6.8	97	68	85	SE 1	E 2	E 2	10^0	10^0	10^0	–	ca 5–11 a ≡$^{0.2.0}$, p zunehmende Bewölkung
23.	36.4	36.9	38.0	3.8	13.8	7.9	14.8	3.5	5.9	7.5	7.9	98	64	99	SE 1	C	C	10=	6^{0}⊙	0	–	a Ψ, ca 4 a ⏢^{2}, ca 5-6 a ≡^{1}, ca 6 a-4 p ≡$^{2.0}$, ca 8-9 p ≡$^{0.1}$
24.	39.1	40.6	41.4	7.0	12.9	6.2	12.9	6.2	7.2	8.4	6.8	96	76	96	S 2	NW 2	C	8^{0}=	5^{0}⊙	0	–	ca 9 p-mn ≡$^{0.1}$, n Ψ, ca 0-5 a ≡$^{0.}$ 2^{46-328} a ◎, ca 5 a ⏢^{1}, 3)
25.	41.0	39.4	38.4	2.8	14.1	9.0	15.0	2.5	5.6	9.6	8.3	100	80	97	C	SE 2	SE 2	10	⊙⊙	0	–	n klar, Ψ, n u. a ≡$^{2.1}$, ca 8–9 p ≡^{2}
26.	35.9	34.4	33.3	8.0	17.2	13.6	17.2	7.0	8.0	8.7	8 5	100	60	73	SE 2	SE 2	SE 2	10^{0}=	7^0	10^0	–	ca 9 p-mn ≡^{2}, ca 0-1 a ≡$^{1.0}$, ca 1-2 a ◎^{0} (≡-Reissen), 4)
27.	35.6	33.8	32.9	8.4	16 8	11.2	17.2	8.3	7.8	9.7	8.7	94	68	88	C	S 1	S 2	5^{0}=	5^0	0	–	ca 5 a ⏢^{1}, ca 6–10 a ≡$^{1.0}$
28.	32.4	30.0	29.1	6.5	16.0	10.2	16.6	5.1	6.9	7.8	7.6	96	57	82	C	E 2	E 2	7^0	10^0	10^0	–	ca 3 a ⏢^{2}, ca 3–11 a ≡$^{0.2.0}$
29.	26.9	26.9	26.5	8.2	16.9	10.1	16.9	8.0	7.3	8.6	8.1	91	61	88	E 1	E 2	S 2	10^0	6^{0}⊙	0	–	ca 7–11 a ∞
30	28.0	29.4	32.8	6.6	14.8	10.8	14.9	4.8	6.7	9.9	8.9	93	82	93	C	W 2	W 2	8^{0}=	10^0	10^0	–	ca 4 a ⏢^{1}, ca 6 a–1 p ≡$^{1.2.0}$, 3^{34-539} p ◎^{0}
31.	35.0	36.1	37.4	6.8	14.8	10.0	14.9	6.0	7.2	7.7	8.2	98	62	89	C	S 1	SE 2	10^0	3^{0}⊙	0	1.3	$9^{39.52}$ p ◎^{0}, ca 3 a ⏢^{2}, ca 3–11 a ≡$^{0.2.0}$
Mittel	35.9	35.3	36.0	6.6	13.5	9.0	13.8	5.6	7.0	7.9	7.7	93	68	89				8.1	6.1	5.2	25.9	

1) 6^{44-734} p ◎^{1}, $7^{22.32}$ p ≺ i. S. 2) (≡-Reissen)
3) ca 5–11 a ≡^{1}, ca 11 a–2 p ∞, abds. ≡$^{0.1}$
4) ca 1–10 a ≡$^{2.1}$

Alle Angaben nach Ortszeit.

Kaiserslautern.

Oktober. $\varphi = 49^0\ 27'$ N. $\lambda = 7^0\ 46'$ E $= 31^m\ 4^s$. H $= 242.2$ m. Cg $= +0.3$ mm. 1913.

Datum	Luftdruck auf 0° u. Normalschwere reduziert 700 mm +			Lufttemperatur C°					Absolute Feuchtigkeit mm			Relative Feuchtigkeit Proz.			Richtung und Stärke des Windes 0 bis 12			Bewölkung 0 bis 10			Niederschlag mm	Bemerkungen
	7a	2p	9p	7a	2p	9p	Max.	Min.	7a	2p	9p	7a	2p	9p	7a	2p	9p	7a	2p	9p	7a	
1.	39.3	38.8	38.7	10.6	17.9	11.9	18.2	9.7	8.3	9.4	9.4	89	62	91	E 1	E 1	C	9¹	9¹	0	–	a ⌓
2.	40.4	40.7	41.5	7.3	20.2	12.3	**20.2**	6.1	7.0	9.0	9.9	91	51	94	E 1	W 4	C	7¹⊙	7¹⊙	5¹	–	a ≡⁰, m ab ztw. ⸗, 7²¹ p–n ≺
3	42.2	41.6	41.2	11.5	18.7	12.0	19.5	10.3	9.4	9.3	9.6	93	58	93	C	W 3	W 1	9¹⊙	7¹	2¹	–	n ≺, a ∞, t ztw. ⸗, ca 7³⁰ p–n ≺
4	39.6	37.1	35.7	8.0	18.4	13.9	18.9	7.6	7.5	**11.1**	**11.1**	93	71	95	SE 1	W 1	C	5⁰⊙	9¹	10²●	0.1	n ≺ ◍⁰, a ≡³ ∞, ca 2³⁰ p–n ztw. ◍⁰
5	33.4	33.3	34.2	13.1	16.4	13.0	16.9	12.6	10.4	9.2	10.0	94	67	90	W 1	W 1	C	10¹	7¹⊙	10¹	1.7	n ◍, 7²¹.⁴¹ p ◍⁰
6	35.6	35.8	36.3	9.5	15.9	11.8	16.1	9.0	8.1	7.7	9.1	92	57	88	W 1	SW 1	C	9¹	7¹⊙	0	0.6	n ◍⁰
7.	36.2	35.1	34.0	10.3	19.4	15.1	19.9	9.2	8.6	9.0	9.8	93	54	76	C	SE 2	C	10¹	7¹⊙	5¹	–	a ∞ ≡⁰
8.	**31.7**	32.5	35.2	12.9	13.0	11.7	16.9	11.7	10.4	9.7	8.6	95	88	85	E 1	W 2	W 4	10¹	10¹	10¹	**15.2**	n ◍², ca mn–1 a ⸗, t meist ◍⁰, ztw. ⸗
9.	36.8	38.4	39.8	11.3	14.1	11.1	14.1	10.9	8.5	8.3	9.0	85	69	91	W 4	W 3	W 1	5¹	7¹⊙	10⁰	6.0	n ⸗, ca 5³⁰–7⁰¹ p ◍⁰
10.	42.7	42.5	43.8	5.9	12.5	6.1	12.9	5.0	6.7	5.6	6.2	97	52	88	C	NE 2	C	10²▬	8¹⊙	0	0.3	a ≡² ⌓
11.	43.5	43.1	43.4	4.9	13.0	10.1	13.8	3.7	5.8	7.5	8.4	90	67	91	E 2	E 2	C	7¹⊙	5⁰	7¹	–	a ⌓
12.	44.9	47.3	49.4	11.1	13.4	8.4	14.5	8.4	8.4	8.7	7.7	85	76	93	W 4	NW 2	C	10¹	10¹	0	0.2	9¹¹ p ab ◍⁰, a–ca 0³⁰ p ztw. ⸗
13.	51.2	51.7	52.7	7.7	12.2	6.2	12.5	5.8	7.3	7.4	6.5	93	70	91	C	C	C	10²▬	3¹⊙	3¹	–	a ≡¹ ⌓²
14.	**53.0**	51.3	48.4	1.1	10.8	2.2	11.0	0.9	4.8	**4.4**	4.9	96	46	91	E 1	E 2	C	1⁰⊙	7¹⊙	2⁰	–	a ⌓ ∞
15.	45.5	43.9	46.0	2.9	6.9	7.7	7.8	0.5	5.1	6.8	7.5	90	91	96	W 1	W 2	C	10¹	10²●	10¹	–	a ⌓ ∞, 9³¹ a–ca 6³⁰ p ztw. ◍, abds. ∞²
16.	48.0	48.8	49.8	7.8	10.3	4.8	10.5	4.8	7.8	7.2	6.1	99	76	96	C	N 1	C	10¹▬	5¹⊙	0	3.0	a ≡¹, abds. ∞² ≡¹
17	48.7	46.8	46.7	5.5	11.9	5.1	12.0	2.9	6.3	6.8	6.1	94	66	94	SE 2	SE 3	C	10²≡	0⊙	0	–	a ≡², p ∞², abds. ≡²
18.	45.7	44.6	44.6	0.6	13.5	5.5	13.9	0.4	4.8	8.1	6.4	100	71	96	C	C	C	10²≡	0⊙	0	–	a ≡¹ ⌓, p ∞, abds. ≡⁰
19.	43.8	42.0	41.7	2.3	10.1	4.9	10.1	2.0	5.4	8.3	6.3	100	89	98	C	C	C	10²≡	0⊙	10²▬	–	n u. a ≡², a ⌓, p ∞, abds. ≡⁰
20.	42.1	41.3	41.6	3.6	12.8	5.5	13.7	3.0	5.8	8.3	6.5	98	76	97	C	NW 1	C	10²▬	0⊙	10²▬	–	a ≡² ⌓, abds. ≡²
21.	40.1	36.2	34.9	3.4	16.9	10.5	17.3	3.1	5.8	7.1	8.5	100	50	91	C	SE 2	C	10²≡	1⁰⊙	7¹	–	a ≡² ⌓²
22.	37.2	37.7	38.5	9.4	14.3	10.3	14.5	8.1	8.4	8.9	9.0	96	74	96	C	NW 1	C	9¹	7¹⊙	10¹	–	a ⌓, kurz ztw. ◍-Tr. 7³¹–8⁰¹ p ◍⁰
23.	41.9	42.8	43.9	8.7	15.0	12.0	15.2	8.1	8.2	8.5	8.1	98	67	78	SE 1	W 2	C	10²≡	4¹⊖	10¹	1.0	n ◍⁸, a ≡²
24.	46.1	46.3	47.4	7.1	13.5	6.1	13.9	6.0	7.3	7.4	6.6	98	64	95	C	C	C	10²≡	0⊙	0	–	a ⌓ ≡², p u. abds. ∞
25.	46.3	43.4	42.5	3.0	16.3	8.0	16.5	2.1	5.7	10.1	7.8	100	73	98	C	SE 1	C	10²≡	0⊙	0	–	a ⌓² ≡², p u. abds. ∞
26.	41.0	37.9	39.1	6.8	14.1	13.9	15.1	5.2	7.2	10.1	9.8	98	85	84	SE 1	E 2	S 2	10¹	10¹	0	–	a ∞ ≡⁰, 7¹⁶ a–0⁴¹ p ◍⁰, p–ca 7³⁰ p ◍⁰, kurz ⸗
27.	40.4	38.5	37.7	10.1	18.5	12.7	18.8	9.6	9.0	8.8	9.1	98	55	85	S 1	W 2	C	4⁰⊙	9¹	0	1.4	n ◍⁰
28.	36.2	33.2	32.7	9.3	19.4	11.7	20.0	8.1	8.3	8.1	8.7	95	49	86	C	SE 2	C	9¹	3⁰⊙	0	–	a ⌓ ∞²
29.	31.9	32.1	32.2	9.9	19.6	10.9	19.6	7.8	8.5	8.1	8.9	94	48	92	C	W 2	C	10¹	3⁰⊙	0	0.1	a ∞, a–6³⁰ a ztw. ◍⁰, ca 8³⁰–10⁴⁵ a ≡²
30.	34.6	37.8	39.2	8.9	14.4	10.7	14.7	7.1	7.9	8.6	8.6	93	71	91	C	W 2	C	10¹	9¹	10¹	–	ca 8³⁰–10³⁰ a ztw. ◍-Tr. ≡¹·², p ∞
31.	40.4	41.1	42.5	5.4	15.9	8.9	15.9	5.0	6.4	8.8	7.8	95	64	92	SE 1	W 3	C	5¹	6¹⊙	0	–	a ⌓² ∞, p ztw. ⸗
Mittel	41.3	40.8	41.1	7.4	14.8	9.5	15.3	6.3	7.4	8.3	8.1	95	66	91				8.7	5.5	4.2	29.6	

Ansbach.

Oktober. $\varphi = 49^0\ 18'$ N. $\lambda = 10^0\ 33'$ E $= 42^m\ 12^s$. H $= 437.5$ m. Cg $= +0.2$ mm. 1913.

1.	22.8	21.8	22.0	4.9	17.1	10.2	17.2	3.7	6.2	7.4	8.2	**97**	51	89	C	NE 2	C	10²▬	2¹⊙	0	–	mrgs. ≡²
2.	23.6	24.1	25.0	7.5	18.5	10.4	18.8	7.0	7.1	7.8	8.4	91	50	91	C	C	C	4⁰	2¹⊙	0	–	mrgs. ⌓, ≡⁰, 8³⁷ p ≺ i. W
3	26.1	25.3	24.6	10.0	18.1	10.3	**19.0**	8.3	8.2	8.3	8.4	89	54	90	C	C	W 2	6¹	4¹⊙	0	–	mrgs. ⌓, ≡⁰, 5²⁸.⁵⁶ p ≺ i. W–E, abds. ≺ i. S
4	22.7	20.3	17.9	5.7	18 3	12.8	18.4	5.4	6.2	**10.4**	9.7	91	66	89	C	S 2	C	2⁰▬	10²	10²	4.5	mrgs. ≡¹
5.	15.8	16.0	17.3	11.4	15.8	11.4	15.8	11.1	9.1	9.8	9.3	91	74	93	C	SW 2	C	6²	6¹	10²	3.1	n u. a ◍
6.	18.4	18.8	19.8	9.6	15.2	9.7	15.8	9.5	8.6	6.7	8.3	96	52	92	W 2	NW 2	C	10²	6¹⊙	10²	1.0	n u. a ◍
7.	19.9	19.7	18.7	9.6	17.5	13.2	17.8	8.1	8.3	8.4	9.7	94	57	87	C	SW 2	SW 2	2⁰⊙	10²	10²	–	mrgs. ⌓
8.	16.6	13.6	18.0	11.6	18.5	9.9	**19.0**	9.7	9.3	9.7	8.4	92	61	93	C	C	W 6	8¹	10²	10²●	–	4⁰⁷.²⁷ p ◍, 5³⁷ p ab ◍ u. ⸗
9.	19.9	20.8	22.8	9.2	12.4	10.4	13.8	7.9	7.4	7.8	7.6	87	73	81	SW 4	W 8	W 6	10²	4¹⊙	10²	5.6	n u. a ◍, t ⸗
10.	24.6	24.6	26.8	6.4	10.8	5.7	11.4	5.4	6.4	4.6	5.5	91	48	80	W 2	NW 2	C	2⁰⊙	4¹⊙	8¹	–	mrgs. ⌓
11.	27.9	27.5	27.6	2.1	12.2	7.8	12.6	0.8	5.9	5.8	7.1	96	55	91	NE 2	SE 2	C	10²▬	10²	6¹	–	mrgs. ≡²
12.	27.3	28.5	31.2	9.4	9.8	9.2	10.0	7.9	8.3	8.2	8.1	95	92	93	W 2	W 6	W 2	10²●	10²	10²●	2.9	n u. a ◍, 6⁴² a–1²⁷ p ◍, p ⸗, ca 7⁵⁷ p ◍
13.	32.8	34.2	36.8	8.2	10.0	2.7	10.8	2.3	7.8	5.0	4.6	96	55	82	NW 2	NE 4	C	10²●	2⁰⊙	2¹	**6.9**	n–8¹² a ◍
14.	**37.2**	36.0	33.4	– 1.2	8.2	1.7	8.8	– 1.3	3.9	**3.7**	4.3	92	**46**	85	C	E 2	S 2	0⊙	0⊙	0	0.2	mrgs. ⌓, ⏚
15.	28.0	26.5	28.0	– 0.6	6.8	5.3	7.2	– 1.5	4.0	4.8	6.2	90	66	94	C	W 2	W 2	10²	10²	10²	–	mrgs. ⌓. 9³²–5²³ p ◍
16.	30.6	31.4	32.8	6.0	9.6	6.0	10.0	5.0	6.4	7.0	6.1	91	79	88	C	NE 2	NE 2	10²▬	10²	10²	4.6	mrgs. ≡¹
17.	32.0	28.9	29.6	4.1	12.4	3.7	12.8	3.5	5.6	6.0	5.3	92	56	88	C	b 4	C	10²▬	2⁰⊙	0	–	mrgs. ≡²
18.	28.3	27.6	27.5	– 1.2	10.2	4.9	10 6	– 1.2	3.9	6.6	5.8	92	71	90	C	SW 2	C	10²≡	0⊙	10²▬	–	mrgs. ≡², ⌓, abds. ≡²
19.	26.4	25.1	24.4	4.8	7.9	6.2	8.2	4.0	6.2	6.5	6.4	**97**	82	90	C	SE 2	C	10²▬	10²▬	10²▬	–	mrgs. ≡², t ≡¹, abds. ≡²
20.	24.8	24.8	24.9	2.5	9.4	5.7	9.8	1.7	5.0	7.5	6.1	91	88	90	C	C	C	10²▬	10²	10²▬	–	mrgs. abds. ≡²
21.	24.0	21.7	20.2	3.1	7.8	4.3	9.4	2.3	5.5	6.4	6.0	96	81	**97**	S 2	SE 2	C	10²▬	4¹	10²▬	–	mrgs. ≡², abds. ≡¹
22.	20.6	19.4	21.1	3.5	11.8	7.4	12.0	3.1	5.7	7.4	6.9	**97**	68	90	C	C	C	10²≡	8¹	10²	–	mrgs. ≡²
23.	25.1	25.8	27.2	2.1	15.2	6.8	15.6	1.7	5.2	7.9	6.7	96	61	91	C	C	C	10²≡	0⊙	0	–	mrgs. ≡², abds. ≡⁰
24.	27.9	29.4	30.2	7.5	12.9	4.5	13.0	4.2	7.2	7.7	5.7	93	69	90	C	C	C	2⁰	2¹⊙	0	–	mrgs. ≡⁰, ⌓
25.	29.7	28.0	26.9	3.1	13.0	7.0	14.0	0.4	5.5	9.1	6.8	96	82	91	C	C	C	10²▬	0⊙	0≡	–	mrgs. ≡², abds. ≡¹
26.	24.3	23.1	23.2	7.2	16.2	13.0	16.2	6.0	6.9	10.3	9.5	91	75	87	C	C	SW 2	10²▬	8¹	0	–	mrgs. ≡²
27.	23.6	22.9	22.0	6.6	17.0	8.9	17.8	6.4	6.5	8.3	7.5	90	58	88	C	C	C	0⊙	4⁰⊙	0	–	mrgs. ≡⁰
28.	20.7	18.6	17.9	3.3	15.6	10.0	15.8	2.9	5.2	8.7	7.7	90	66	84	C	C	C	8⁰▬	8¹	10²	–	mrgs. ≡¹
29	15.6	15.4	15.3	7.4	17.1	8.2	17.4	6.6	6.7	10.0	7.1	88	69	88	C	E 2	C	10²	4⁰⊙	0	–	
30	16.6	18.8	22.2	8.6	14.2	10.6	14.8	5.6	8.0	7.1	8.1	96	59	85	C	W 4	C	10²	8²	10²	–	mrgs. ≡⁰
31.	24.2	24.8	26.5	4.3	15.2	6.1	15.2	4.0	5.6	7.2	6.7	90	56	96	C	SW 2	C	0≡	2⁰⊙	0	–	mrgs. ≡¹
Mittel	24.5	24.0	24.6	5 7	13.4	7.9	13.8	4.5	6.5	7.5	7.2	93	65	89				7.4	5.5	5.7	28.8	

Alle Angaben nach Ortszeit.

Regensburg.

Oktober. $\varphi = 49^0\ 1'$ N. $\lambda = 12^0\ 7'$ E $= 48^m\ 28^s$. H $= 354.3$ m. Cg $= +0.2$ mm. 1913.

Datum	Luftdruck auf 0° u. Normalschwere reduziert 700 mm + 7ª	2ᵖ	9ᵖ	Lufttemperatur C° 7ª	2ᵖ	9ᵖ	Max.	Min.	Absolute Feuchtigkeit mm 7ª	2ᵖ	9ᵖ	Relative Feuchtigkeit Proz. 7ª	2ᵖ	9ᵖ	Richtung und Stärke des Windes 0 bis 12 7ª	2ᵖ	9ᵖ	Bewölkung 0 bis 10 7ª	2ᵖ	9ᵖ	Niederschlag mm 7ª	Bemerkungen
1.	30.3	29.6	29.3	6.8	17.0	11.1	**17.4**	6.2	7.2	8.5	8.6	98	59	87	N 1	NE 5	N 3	3⁰⊙	3¹⊙	0	–	⏢
2.	30.9	32.6	33.1	10.6	13.4	8.2	14.2	8.2	9.0	10.1	7.9	95	89	98	C	E 3	C	10¹	10¹	0	–	⏢, abds. Aufheiterung
3.	33.9	33.3	31.6	6.8	14.7	11.8	15.8	5.6	7.3	**10.1**	10.1	99	82	98	NE 1	E 3	C	8¹	5¹	0	–	früh ⏢, in der Ferne ≡
4.	31.0	28.7	25.2	9.2	13.4	12.5	15.0	8.8	**8.7**	**10 8**	10.7	100	95	99	C	E 2	C	10²≡	7¹⊙	10¹	–	früh ≡²
5.	23.0	23.2	24.7	12.4	13.9	11.8	16.2	11.8	10.5	10.0	9.3	98	83	97	SE 1	SW 3	SW 2	10²	10²	3¹	2.6	n, 4³¹ p ◍
6	25.8	26.9	27.9	10.6	13.9	10.5	14.2	10.4	9.3	9.6	9.0	98	81	95	SW 3	S 2	S 3	10³●	3¹⊙	0	0.9	a–ca 10 a ◍
7.	28.7	28.0	27.3	9.2	16.9	11.9	17.2	8.8	8.4	9.2	8.9	98	64	86	S 3	SE 3	E 4	4¹⊙	7⁰⊙	0	2.1	
8.	24.5	**22.2**	24.9	10.4	16.9	13.4	17.0	9.8	8.9	10.7	8.8	95	75	77	E 1	E 4	S 6	8¹	10¹	10²	–	⏢, abds. ≡
9.	28.3	28.5	30.7	9.1	13.8	9.6	14.2	8.8	7.6	8.0	7.3	89	68	83	SW 5	SW 5	SW 3	4¹	8²	2¹	4.9	n, 1²⁰·³⁵ p ◍
10.	32.0	32.4	34.1	8.6	11.6	5.3	11.7	5.3	7.3	6.3	6.0	88	62	91	W 3	W 4	W 3	4¹	8¹	0	0.5	
11.	35.6	35.6	36.1	2.3	11.3	7.5	12.0	0.8	5.2	5.9	6.4	96	59	83	W 1	E 4	SE 3	3⁰⊙	1¹⊙	2¹	–	⌴, in der Ferne nebelig
12.	36.1	35.6	37.9	5.9	10.3	9.8	11.0	4.8	6.7	8.5	8.7	97	92	96	E 3	SW 6	W 2	10¹●	10²●	10²●	–	n ◍, t meist ◍
13	39.8	41.2	44.1	8.5	8.8	4.7	9.8	4.6	7.5	6.0	4.9	91	71	76	NW 5	N 4	N 2	10²	10²	2¹	**10.2**	n ◍, nachm. Aufheiterung
14	**44.8**	44.2	42.0	– 0.5	7.4	1.5	7.8	– 1.8	4.2	4.2	4.6	95	55	91	C	E 4	C	3⁰⊙	0⊙	0	–	⌴
15	37.0	34.7	36.0	– 1.7	4.7	4.5	5.0	– 2.0	3.5	5.3	6.2	97	82	98	C	SE 3	SE 2	6¹	10¹	10¹	–	⌴
16.	38.4	38.9	40.5	5.6	8.4	5.5	9.0	4.2	6.8	6.9	6.4	100	84	96	C	SE 2	E 1	10¹≡	10¹	0	0.7	n ◍, früh ≡, nachm. Aufheiterung
17.	40.0	38.0	37.2	3.6	11.6	6.1	12.6	3.2	5.9	6.3	6.5	100	62	93	NE 2	E 4	C	10²≡	0⊙	0	–	früh ≡, m Aufheiterung
18.	36.3	34.6	35.2	3.5	9.8	4.0	11.4	2.2	5.9	6.7	6.1	100	74	100	E 1	E 2	C	10²≡	3⁰⊙	10¹≡	–	früh ≡², m Aufheiterung, abds. ≡
19.	34.9	33.1	32.2	3.0	5.0	4.7	6.0	2.0	5.7	6.5	6.4	100	100	100	SE 3	C	C	10²≡	10¹≡	10²≡	–	≡², t ≡
20.	33.5	33.0	32.8	2.7	4.7	4.7	5.0	1.8	5.6	6.3	6.4	100	98	100	SE 2	SE 3	SE 3	10²≡	10¹≡	10²≡	–	t ≡
21.	32.5	30.5	28.6	4.3	4.7	4.7	5.2	3.8	6.2	6.4	6.4	100	100	100	SE 2	SE 2	SE 2	10¹≡	10¹≡	10¹≡	–	t ≡
22.	28.9	27.2	28.1	3.4	11.9	7.8	12.8	3.0	5.8	8.3	7.1	100	80	90	SE 3	E 2	C	10²≡	6⁰⊙	10¹	–	früh ≡²
23.	32.5	32.7	34.6	3.8	13.3	8.0	15.1	3.5	5.9	8.4	7.7	98	74	96	W 3	W 3	W 2	6⁰	⊙⊙	0	–	⏢, in der Ferne ≡
24.	35.9	36.7	38.0	6.3	12.4	6.1	13.3	5.1	7.1	9.5	6.6	99	89	64	SW 2	SW 3	SW 1	10¹	5¹	0	–	⏢, in der Ferne ≡
25	37.9	37.0	35.3	4.7	8.8	9.1	9.4	3.8	6.4	8.5	8.6	100	100	100	C	E 3	E 1	10²≡	10¹≡	10²≡	–	t ≡
26.	33.3	31.0	30.7	5.3	14.4	10.8	15.0	4.8	6.7	9.5	8.9	100	78	93	SE 3	SE 3	SE 3	10²≡	3⁰⊙	10¹	–	früh ≡
27.	33.3	31.7	29.9	6.4	8.0	7.4	11.0	6.0	7.1	7.8	7.6	99	98	99	SE 4	E 3	C	10²≡	10¹	0	0.8	früh ≡², abds. Aufheiterung
28.	29.6	27.0	27.0	5.6	10.4	6.9	12.9	4.9	6.8	8.8	7.3	100	94	99	E 3	E 2	C	10²≡	9¹	0	–	früh ≡, nachm. Aufheiterung
29.	24.1	23.8	23.3	7.8	11.5	6.7	12.0	6.6	7.5	8.5	7.0	94	85	96	E 4	E 2	C	10³	10²	0	–	⏢, ca 4 p ab heiter
30	24.5	25.6	29.2	3.9	13.6	10.6	14.0	3.6	6.0	9.7	8.9	98	85	94	E 2	E 2	SE 4	5¹	10¹	10¹	–	⏢, ztw. heiter
31.	32.1	33.1	34.6	8.0	12.8	8.8	14.0	7.4	8.0	8.8	8.2	100	81	98	C	S 2	S 1	10¹≡	4¹⊙	0	–	früh ≡
Mittel	32.6	32.0	32.3	6.0	11.3	7.9	12.2	5.0	6.9	8.1	7.5	97	81	94				8.2	6.8	4.2	22.7	

Passau.

Oktober. $\varphi = 48^0\ 34'$ N. $\lambda = 13^0\ 28'$ E $= 53^m\ 52^s$. H $= 309.3$ m. Cg $= +0.2$ mm. 1913.

1.	34.5	33.4	33.0	7.1	17.6	12.9	18.3	6.7	7.4	**13 0**	10.2	99	91	93	E 1	E 2	C	3≡	⊙⊙	0	–	früh ≡ ⏢
2.	35.2	36.9	37.7	9.5	15.6	10.1	16.2	8.9	8.7	12.1	8.6	99	92	94	E 1	E 1	C	10²≡	10	0	–	früh ≡
3.	38.2	37.4	36.9	6.3	15.8	10.9	17.0	5.6	7.1	10.3	9.3	99	77	97	C	S 1	C	10⁷≡	6⊙	10⁷≡	–	früh ≡, t ∞, abds. ≡
4.	35.4	31.5	30.4	9.7	17.2	14.2	17.8	9.1	9.8	11.5	11.5	99	79	96	E 1	E 1	C	10²≡	10¹	10²≡	–	früh ≡, ≡-Reissen, t ∞, abds. ≡-Reissen
5.	27.4	27.8	28.8	13.0	16.0	13.8	17.6	12.1	10.4	10.9	10.9	94	76	94	W 2	W 1	W 2	10²	10¹	10²	9.6	n, a–ca 8 a ◍, dann Aufhellen, ca 8–8³⁰ p ◍
6.	30.3	31.4	32.4	11.9	14.8	10.8	15.1	10.8	9.8	8.5	8.7	95	68	90	W 1	W 2	C	10²	6¹⊙	0	5.6	n ◍
7.	33.4	32.4	31.8	8.7	16.0	10.7	18.4	8.1	8.1	8.5	8.5	96	63	90	C	E 1	C	10²≡	⊙⊙	0	–	früh ≡
8.	29.6	26.8	26.4	9.3	19.4	14.2	**20.9**	7.7	8.1	10.4	10.7	93	62	90	E 1	E 1	C	10³≡	4⊙	10≡	–	früh ≡ ⏢, abds. ≡
9.	33.1	33.1	35.0	10.1	15.4	12.2	16.6	9.9	8.1	7.4	7.8	88	57	74	W 2	W 3	C	10²	10⁰⊙	3	–	früh ⏢
10.	36.1	36.1	37.8	9.3	12.4	6.1	13.5	6.1	7.9	6.1	6.3	91	57	90	W 1	W 1	C	10²≡	⊙⊙	0	–	früh ≡
11.	40.1	39.5	40.8	1.6	12.8	7.3	13.5	– 1.2	4.9	5.6	6.7	94	51	88	C	E 1	C	10²≡	4¹	6¹	–	früh ≡, n ◍
12.	40.5	39.8	41.4	6.9	10.7	10.5	11.7	5.8	6.5	7.8	8.4	87	83	90	E 1	W 1	W 2	10²≡	10●	10●	4.2	früh ≡, p ◍
13.	42.9	45.1	47.9	9.7	10.7	6.7	11.5	6.7	8.6	5.5	5.3	96	57	73	W 2	W 1	C	10●	4⊙	0	9.4	a–ca 8 a ◍
14.	**48.6**	48.2	46.3	2.2	8.5	2.2	8.6	1.0	4.8	4.6	4.5	89	56	84	E 2	E 2	C	⊙⊙	⊙⊙	0	0.4	früh ⌴, Inntal Nebel
15.	41.7	38.9	39.3	– 2.0	6.3	4.7	7.2	– 3.0	3.9	6.2	5.7	98	87	89	C	W 1	C	10²≡	10²≡	0	–	früh ⌴, t ≡
16.	42.8	42.9	44.5	5.9	9.3	7.5	9.8	4.6	6.2	6.8	7.0	90	79	90	E 1	E 1	C	10²≡	10²	10²≡	–	früh, abds. ≡
17.	43.7	41.7	40.7	2.6	14.4	7.1	14.5	2.2	5.5	6.3	6.8	100	51	90	C	E 2	C	10²≡	⊙⊙	0	–	früh ≡
18.	40.4	38.5	38.7	1.2	12.4	4.9	12.9	1.0	4.9	7.7	5.9	98	72	92	C	S 1	C	10²≡	⊙⊙	0	–	früh ≡ ⌴
19	39.4	37.3	36.2	1.6	12.6	6.1	12.7	1.0	5.0	7.8	6.9	96	72	99	C	S 1	C	10²≡	⊙⊙	10²≡	–	früh ≡ ⌴
20.	37.9	36.9	36.9	4.7	7.7	6.3	8.4	3.0	5.9	6.2	7.1	92	79	99	C	S 1	C	10²≡	10²≡	10²≡	–	t ≡
21.	36.9	35.1	32.9	3.8	8.1	6.3	8.1	3.6	6.0	6.2	7.1	100	77	99	E 1	S 1	C	10²≡	10²≡	10²≡	0.3	t ≡
22.	32.0	31.7	33.4	1.8	14.8	7.5	16.2	1.2	5.2	8.5	7.2	100	68	93	E 1	S 1	C	10²≡	⊙⊙	0	–	früh ≡ ⌴
23.	36.0	36.6	38.9	5.3	13.9	7.7	15.1	4.9	6.6	9.1	7.5	99	77	96	C	S 1	C	10²≡	⊙⊙	10²≡	–	früh ≡ ⌴
24.	40.5	40.7	40.3	7.3	12.8	8.5	13.5	5.6	7.3	9.2	8.2	96	85	99	C	S 2	C	10²≡	8⊙	10²≡	–	früh, abds. ≡
25.	41.9	40.7	39.3	7.5	12.6	7.3	13.5	6.0	7.6	9.6	7.5	99	89	99	C	S 1	C	10²≡	⊙⊙	10²≡	–	früh ≡, abds. ≡²
26.	37.7	34.8	34.9	4.9	14.4	7.3	14.7	4.0	6.4	9.8	7.1	100	81	93	C	W 1	C	10²≡	2⊙	0	–	früh ≡
27.	37.6	35.3	34.2	6.7	15.4	8.5	17.0	5.9	7.0	10.0	7.9	96	77	96	E 1	E 1	C	10²≡	10⁰⊙	10²≡	–	früh, abds ≡
28.	34.4	31.2	31.8	6.9	13.9	7.3	15.1	6.0	7.1	9.6	7.5	96	81	99	C	S 1	C	10²≡	4	10²≡	–	früh, abds. ≡
29.	29.7	28.4	28.2	4.9	14.0	8.6	14.1	4.0	6.1	10.8	7.9	96	92	95	C	W 1	C	10²≡	10¹	10²≡	–	früh, abds. ≡
30.	29.1	29.0	33.0	6.3	17.4	11.9	17.6	6.0	6.8	9.8	9.5	96	67	93	E 1	SW 2	C	2⊙	8⊙	10²≡	–	früh Inntal Nebel, abds. ≡
31.	36.1	37.7	38.6	10.7	14.4	7.3	14.7	7.3	9.5	9.1	7.5	99	76	99	SE 1	E 1	C	10¹	6¹	10²≡	**9.9**	n ◍, abds. ≡
Mittel	36.9	36.0	36.4	6.3	13.5	8.6	14.3	5.2	7.0	8.5	7.8	96	74	92				9.2	5.2	5.8	39.7	

Alle Angaben nach Ortszeit.

Landshut.

Oktober. $\varphi = 48^0\ 32'$ N. $\lambda = 12^0\ 10'$ E $= 48^m\ 40^s$. H $= 397.7$ m. Cg $= +0.2$ mm. 1913.

Datum	Luftdruck auf 0° u. Normalschwere reduziert 700 mm +			Lufttemperatur C°					Absolute Feuchtigkeit mm			Relative Feuchtigkeit Proz.			Richtung und Stärke des Windes 0 bis 12			Bewölkung 0 bis 10			Niederschlag mm	Bemerkungen
	7a	2p	9p	7a	2p	9p	Max.	Min.	7a	2p	9p	7a	2p	9p	7a	2p	9p	7a	2p	9p	7a	
1.	25.8	24.8	24.4	6.2	17.4	9.8	19.0	5.2	7.0	8.7	8.3	99	59	92	E 2	E 2	E 2	1^1⊙	2^1⊙	10^1	–	⌓ ≡⁰
2.	27.2	28.4	28.8	11.4	15.6	8.2	17.8	7.3	9.6	9.8	8.0	96	75	99	C	SW 2	C	10^1	8^1⊙	0	–	≡⁰, ca 9 p ≡⁰
3.	29.6	29.0	28.0	7.5	15.7	10.1	17.3	5.5	7.6	10.9	9.1	99	82	99	C	NE 2	C	10^1=	5^0⊙	0	–	≡¹ ⌓, ca 9 p ≡⁰
4.	26.8	23.7	21.0	7.7	18.0	12.3	19.3	7.1	7.7	**11.3**	10.4	99	74	98	C	C	C	10^1=	10^1	10^1●	–	≡¹ ⌓, ca 5 p-n ◍⁰
5.	19.3	19.3	20.8	12.2	17.2	11.2	18.3	10.7	10.3	10.1	9.9	98	69	100	W 4	W 4	W 2	10^1●	9^1	10^1	**7.2**	n ◍, ca 7–8^{09} a ◍⁰, $5^{04.19}$ p ⊿, 4^{49}–5^{24} p ◍²
6.	21.9	22.9	23.3	10.3	15.9	10.2	17.0	9.1	9.1	9.3	8.6	97	68	93	W 4	C	C	10^1●	2^0⊙	0	6.8	n, ca 7–9 a ◍, ca 5 p ◍-Tr.
7.	24.4	23.7	22.7	9.3	17.9	11.7	19.3	8.2	8.5	10.5	9.6	98	68	95	C	SE 2	E 2	9^1	10^1	10^1	1.5	ca 5 p ◍-Tr.
8.	20.0	**17.1**	20.6	10.0	20.6	12.8	**22.0**	9.0	8.8	11.0	8.2	96	61	75	C	SE 2	W 6	9^1	10^0	10^1	0.1	⌓
9.	24.8	24.8	26.4	8.8	15.9	9.4	16.9	8.3	7.4	7.3	7.4	88	55	86	SW 4	W 6	W 2	2^1	2^1⊙	1^1	4.8	n ◍ ≡
10.	28.1	28.0	29.3	8.7	12.5	4.6	15.0	4.1	7.4	6.7	5.9	88	62	94	W 2	N 2	C	9^1	7^1⊙	0	–	⌓
11.	31.2	30.8	31.8	0.4	12.5	7.9	14.1	– 0.3	4.6	6.6	6.2	98	61	78	E 2	E 4	E 4	10^1=	6^0⊙	10^1	0.2	≡¹ ⌓
12.	32.4	32.1	34.1	4.8	11.0	9.7	15.7	3.5	6.1	8.2	8.1	96	83	91	W 2	W 4	W 2	5^1=	10^1●	10^0	0.2	≡¹ ⌓, 10^{39} a–ca 5 p ◍⁰
13.	35.2	37.1	39.3	9.1	8.1	4.6	10.9	4.1	8.1	6.4	5.6	93	79	89	N 4	N 2	W 2	10^1●	10^1	10^1	5.5	n, a–ca 8 a ◍
14.	**39.9**	39.6	37.1	0.0	7.9	0.8	9.0	– 1.6	4.3	4.0	4.1	94	51	85	E 2	SE 4	E 2	○○	1^1⊙	1^1	0.3	⌊
15.	32.1	30.2	31.2	– 2.6	7.1	5.4	8.0	– **4.0**	**3.7**	5.6	6.1	98	74	91	C	W 4	W 2	10^1	10^1	10^1●	–	⌊ ≡, 7^{19} a–n meist ◍
16.	34.6	34.4	35.9	5.9	9.7	4.8	11.2	4.1	6.7	6.8	6.1	97	75	96	W 2	NE 2	C	10^1	10^1	8^0	1.1	
17.	35.2	33.0	32.4	1.5	12.9	4.9	14.0	0.8	5.0	6.0	5.9	98	54	92	E 2	E 4	C	10^1=	1^1⊙	0	–	≡¹
18.	32.0	31.3	30.9	– 0.3	9.3	4.3	10.2	– 1.0	4.5	7.1	6.1	100	82	88	C	W 2	W 2	10^1=	1^1⊙	10^1●	0.1	≡¹, ca 9 p ≡-Reissen
19.	30.2	28.6	27.7	2.8	6.7	4.3	7.4	2.1	5.6	7.0	6.0	100	96	97	W 2	NE 2	C	10^1=	10^1	10^1=	0.2	≡¹, ca 2 p ≡, 9 p ≡¹
20.	28.9	28.5	28.4	4.1	7.1	4.7	8.1	1.8	6.0	6.9	6.3	98	91	98	W 2	NE 2	E 2	10^1	10^1	10^1=	0.2	≡, ca 8 a ≡-Reissen, ca 5 p ≡¹ u. ≡-Reissen
21.	27.8	25.7	24.1	2.9	6.2	4.7	7.3	2.2	5.6	6.6	6.2	100	93	97	W 2	E 2	C	10^1	10^1	10^1=	0.1	ca 9 p ≡¹
22.	24.1	22.6	23.3	2.3	14.7	8.7	16.0	1.4	5.3	9.3	7.4	98	75	88	NE 2	E 2	E 2	10^1	7^0⊙	10^1	0.1	≡¹
23.	28.5	28.3	30.3	3.2	16.0	5.7	17 0	2.4	5.7	8.0	6.7	98	59	99	C	E 2	C	10^1=	○○	0	–	≡¹
24.	31.9	32.6	33.4	6.3	14.8	7.7	17.0	4.3	6.8	9.7	7.7	96	77	99	W 2	W 2	C	10^1	10^1	0	–	⌓
25.	33.2	32.2	30.6	5.7	14.3	9.3	15.5	5.0	6.7	9.4	8.6	99	78	99	C	E 4	E 2	10^1=	○○	10^1	0.1	≡¹
26.	28.9	26.5	25.7	5.1	18.3	10.3	19.3	4.2	6.5	8.5	8.4	98	54	90	E 2	E 2	E 2	10^1	1^1⊙	10^0	0.1	≡
27.	28.5	26.5	25.1	6.0	15.9	8.5	16.9	5.3	6.9	9.8	8.2	99	73	99	C	E 2	C	10^1	6^1⊙	10^1	–	≡
28.	24.9	22.3	21.9	2.8	16.9	9.3	18.0	2.2	5.5	9.5	7.4	98	66	86	C	E 2	E 4	10^1=	1^1⊙	0	–	≡¹
29.	19.2	19.3	18.8	7.3	11.2	8.1	13.0	6.2	7.3	8.6	7.8	96	86	98	NE 2	E 2	E 2	10^1	10^1	10^1	–	
30.	20.3	22.0	25.4	4.8	14.2	10.7	15.5	4.2	6.3	9.1	9.0	98	76	94	NE 2	W 2	W 2	7^1	10^1	10^1	–	≡ ⌓, ca 5–8 p ◍⁰
31.	27.9	29.0	30.2	6.5	15.6	6.5	17.0	5.4	7.1	8.0	6.9	99	66	96	W 2	W 2	C	10^1	10^0⊙	0	1.5	≡
Mittel	28.2	27.6	27.8	5.5	13.5	7.8	14.9	4.1	6.7	8.3	7.4	97	72	93				8.9	6.1	6.4	30.1	

Augsburg.

Oktober. $\varphi = 48^0\ 22'$ N. $\lambda = 10^0\ 54'$ E $= 43^m\ 36^s$. H $= 499.6$ m. Cg $= +0.1$ mm, über 728.8 mm Cg $= +0.2$ mm. 1913.

1.	16.7	16.0	16.0	7.8	16.7	12.6	16.9	7.1	7.5	9.4	9.3	94	67	87	NE 2	NE 4	NE 2	2^1⊙	2^0⊙	0	–	⌓
2.	18.8	19.9	20.5	10.2	16.8	12.0	17.2	9.7	8.9	9.8	9.6	96	68	93	SW 2	NW 2	NE 2	10^2=	3^0⊙	0	–	n u. a ≡¹
3.	21.1	20.1	20.0	8.8	17.2	12.9	17.7	8.0	8 3	11.0	10.4	99	75	95	C	C	NE 2	10^2=	2^0⊙	0	–	n u. a ≡¹
4.	17.7	15.0	13.0	9.0	17.3	13.5	17.5	8.7	7.8	10.4	10.9	92	70	95	SW 2	SE 2	SW 2	4^1⊙	10^2	10^2	–	5^{18} p-n ◍
5.	11.1	10.8	12.7	12.0	16.1	11.7	16.1	11.7	9.7	9.9	9.4	94	72	93	SW 2	W 2	W 2	10^2	10^2	10^2●	5.1	n, $11^{34.39}$ a, 2^{49}–3^{24} p, 7^{24} p-n ◍, 3^{19} p ⊿
6.	14.0	14.4	14.8	10.3	15.4	11.4	15.5	10.3	8.5	8.2	8.6	92	63	86	SW 2	SW 2	SW 2	10^2●	5^1⊙	4^0	**8.9**	n–7^{39} a ◍
7.	15.2	14.7	13.6	9.8	18.2	14.0	18.4	9.6	8.3	10.4	10.3	92	67	87	SW 2	E 2	SE 2	5^0⊙	10^1	10^1	0.6	
8.	10.8	08.6	14.0	10.5	20.0	11.2	**20.0**	10.4	9.1	**11.1**	8.9	96	64	90	SE 2	E 2	NW 2	7^1	6^1⊙	10^2●	–	6^{34} p-n ◍
9.	16.2	16.9	18 7	9.2	14.1	10.7	14.5	8.4	7.1	6.5	6.7	81	54	71	SW 4	SW 6	SE 2	3^1⊙	8^2	3^1	5.1	n ◍
10.	19.8	19.4	21.1	8.4	12.9	7.4	13.4	6.8	7.1	7.1	6.4	87	65	83	W 2	N 2	NE 2	8^2	4^2⊙	2^1	–	
11.	21.9	21.7	22.8	3.7	13.3	10.2	13.4	2.6	5.1	7.3	8.1	85	63	87	NE 2	E 2	SE 2	2^1⊙	5^2⊙	10^1	–	⌊
12.	23.8	24.1	26.4	10.0	12.8	9.4	12.9	8.1	8.3	7.1	7.9	91	65	89	SW 2	W 4	NW 2	8^1⊙	8^2	10^1	–	p zlw. ◍
13.	27.5	28.1	30.3	8.4	10.9	5.9	11.6	5.9	7.3	7.5	5.4	89	76	78	W 2	NE 2	NE 2	8^1	10^2	2^1	1.6	
14.	30.2	**30.7**	27.8	0.8	7.8	2.3	7.9	0.7	4.2	4.8	4.7	87	61	85	E 4	E 4	E 2	○○	2^0⊙	0	–	⌊
15.	23.5	21.9	22.8	– 0.4	7.4	6.0	7.4	– 1.5	3.9	5.7	6.5	89	74	93	C	NW 2	NW 2	5^1=	10^2	10^2●	–	a ⌊ ≡¹
16.	25.4	25.6	27.2	6.7	9.1	6.1	9.3	5.2	7.0	7.1	6.3	96	83	90	NE 2	NE 2	NE 2	10^2	10^2	5^1	2.6	n ◍
17.	26.0	24.2	23.8	3.9	10.9	6.8	11.2	2.8	6.0	6.6	6.5	98	68	88	NE 2	E 4	E 2	10^2=	○○	0	–	n u. a ≡²
18.	23.1	22.5	22.4	1.2	6.8	6.2	7.1	0.7	4.8	6.7	6.9	96	91	97	C	C	E 2	10^2=	10^2=	10^2=	–	n u. t ≡²
19	21.4	19.5	19.3	2.6	9.1	5.8	9.3	1.7	5.4	7.5	6.7	98	88	97	SE 2	NW 2	NE 2	10^2=	10^2=	10^2=	–	n u. t ≡²
20.	20.0	19.9	19.6	3.7	8.2	6.6	8.8	3.2	5.9	7.2	7.2	98	89	99	C	E 2	NE 2	10^1=	10^1	10^2=	–	n u. t ≡²
21.	19.1	16.6	15.1	4.6	6.2	5.4	7.1	3.7	6.2	7.0	6.5	98	99	97	C	E 2	SE 2	10^2=	10^2=	10^2=	–	n u. t ≡²
22.	14.8	14.0	15.6	3.7	9.8	7.5	10.3	3.2	6.0	7.5	7.4	100	83	96	SE 2	SE 2	SE 2	10^2=	8^1	10^1	–	n u. a ≡²
23.	19.9	20.3	22.1	4.4	14.6	8.6	14.6	3.7	6 0	8.1	7.7	97	65	92	C	E 2	SE 2	10^2=	3^0⊙	0	–	n u. a ≡²
24.	23.4	24.1	25.1	10.5	15.3	10.0	15.6	7.6	8.1	8.7	8.7	87	67	95	SW 2	W 2	E 2	7^1	6^1⊙	0	–	⌓
25.	24.4	22.8	21.7	5.0	15.4	9.0	15.4	4.6	6.3	9.8	8.2	97	75	96	E 2	SE 2	E 2	10^2=	○○	0	–	n u. a ≡²
26.	19.7	17.9	17.9	5.0	15.4	12.0	15.4	4.3	6.1	9.1	9.4	94	70	91	SE 2	SE 2	SE 2	4^1	5^1⊙	4^1	–	⌓
27.	19 8	17.8	16.7	9.6	18.0	11.5	18.4	8.8	7.3	8.6	9.2	83	56	92	SW 2	SE 2	SE 2	2^1⊙	4^0⊙	0	–	⌓
28.	15.9	13.1	12.3	7.6	16.6	12.7	16.6	6 7	6.7	10.0	9.0	86	70	83	NE 2	E 2	E 4	4^1	7^1	10^1	–	⌓
29.	10.5	10.3	09.7	9.2	14.9	10.5	16.2	8.7	7.5	8.9	8.6	88	70	92	NE 4	NE 2	NE 2	10^1	4^1⊙	0	–	⌓
30.	11.9	14.1	17.1	8.2	14.8	12.0	14.8	7.7	7.3	8.6	9.1	91	69	88	C	NW 2	NW 2	10^1	10^1	0	–	⌓
31.	19.5	20.4	21.5	7.2	15.8	10.0	15.8	6.8	6.9	7.3	7.1	91	57	77	SW 2	SW 2	SW 2	2^0	3^1⊙	0	–	⌓
Mittel	19.5	18.9	19.4	6.8	13.5	9.4	13.8	6.0	6.9	8.2	8.0	92	71	90				7.0	6.2	4.8	23.9	

Alle Angaben nach Ortszeit.

München-C.St.

Oktober. $\varphi = 48^0\ 9'$ N. $\lambda = 11^0\ 34'$ E $= 46^m\ 16^s$. H $= 526.4$ m. Cg $= +0.1$ mm. 1913.

Datum	Luftdruck auf 0° u. Normalschwere reduziert 700 mm +			Lufttemperatur C°					Absolute Feuchtigkeit mm			Relative Feuchtigkeit Proz.			Richtung und Stärke des Windes 0 bis 12			Bewölkung 0 bis 10			Niederschlag mm	Bemerkungen
	7ª	2ᵖ	9ᵖ	7ª	2ᵖ	9ᵖ	Max.	Min.	7ª	2ᵖ	9ᵖ	7ª	2ᵖ	9ᵖ	7ª	2ᵖ	9ᵖ	7ª	2ᵖ	9ᵖ	7ª	
1.	14.3	13.5	13.4	10.2	17.1	11.7	17.2	8.1	8.1	8.9	9.0	87	62	88	E 1	E 1	E 1	4⁰⊙	3⁰⊙	0	–	a ⊿ ∞
2	16.1	17.1	17.8	11.9	16.4	12.3	16.8	10.1	9.8	9.5	9.6	95	69	91	W 1	NW 1	NE 1	10¹	2⁰⊙	1⁰	–	a ⊿², ≡⁰
3.	18.5	17.7	18.0	10.5	19.1	14.4	19.2	10.0	8.9	9.7	**11.2**	94	60	93	C	NE 1	SW 2	2⁰⊙	2⁰⊙	10¹●	–	a ⊿² ≡⁰, abds. ≺ i. N, 8³⁶ p-n ◍
4	15.5	12.8	10.4	10.6	16.9	13.3	17.1	9.9	8.9	10.7	10.3	94	75	91	C	C	C	5¹⊙	10¹	10¹●	1.4	n ≺ i. S u. W, n ◍, a ≡⁰
5.	09.2	08.7	10.6	12.0	16.7	11.7	16.7	11.6	9.6	9.4	9.6	93	67	95	SW 2	SW 1	SW 3	10¹	9¹	10²●	6.3	n ◍, 5³⁶ p-n ◍²
6.	12.2	12.0	12.7	10.7	15.2	11.6	15.3	10.0	8.5	6.8	8.6	90	53	85	SW 2	S 1	SW 2	10¹●	4⁰⊙	10⁰	**8.5**	n u. a ◍, m Gebirge sehr gut sichtbar
7.	13.5	12.5	11.6	11.1	19.0	13.7	19.0	9.9	8.1	9.8	10.2	82	60	88	SW 1	C	SE 2	9¹	10⁰	10¹	0.5	a ⊿² ∞, t Gebirge gut sichtbar
8.	08.6	**06.4**	11.4	13.9	22.5	10.9	**23.9**	10.8	8.4	8.7	9.0	71	44	93	SE 2	SE 2	SW 2	9¹	8⁰⊙	10¹●	–	a ⊿, Gebirge gut sichtbar, 8⁷⁶ p-n ◍
9.	14.1	14.4	16.4	9.9	15.8	11.1	15.9	8.4	6.9	5.9	6.7	76	**43**	69	S 2	SW 6	SW 2	7¹	3¹⊙	4¹	8.3	n ◍, a Gebirge teilweise sichtbar, m ab ztw. ≡
10.	17.4	16.6	18.4	8.9	12.8	8.8	13.0	8.0	7.2	6.4	6.4	85	59	75	W 1	NW 2	W 1	9¹	8¹	9¹	–	a ⊿
11.	19.5	19.4	20.6	3.9	13.1	10.0	13.2	3.4	5.7	7.1	7.3	93	64	80	E 1	NE 1	C	∞	6¹⊙	10⁰	–	a ⌊⁰
12.	21.5	21.5	23.8	10.5	12.5	9.7	15.2	9.7	8.5	7.1	7.9	91	66	88	SW 1	SW 3	SW 2	7¹⊙	10²	10¹	1.3	n ◍, 0³⁶ p-n ztw. ◍
13.	24.9	25.4	27.5	8.0	8.9	5.1	9.8	4.9	7.3	7.8	5.6	92	92	86	C	NW 1	C	10¹●	10¹●	2¹	3.8	n, a-ca 3³⁵ p ztw. ◍
14.	27.3	**27.9**	25.5	1.4	7.8	1.8	7.9	0.8	**4.2**	3.9	4.3	83	50	82	E 1	SE 2	C	∞	1⁰⊙	3⁰	*1.8*	a ⌊¹²
15.	21.0	19.2	20.8	1.8	8.9	7.0	9.0	– 0.8	4.5	6.1	5.6	86	72	75	C	NW 1	C	10¹≡	10¹	10¹	–	a ⌊¹², ≡¹; m Gebirge schwach sichtbar
16.	22.8	22.8	24.5	6.4	10.0	7.7	10.0	4.0	6.7	6.9	6.5	93	75	84	C	NE 1	C	10¹≡	10¹	10¹	–	a ⊿² ≡¹
17.	23.7	21.6	21.2	4.2	10.7	6.2	11.2	3.2	6.0	6.6	6.4	97	69	90	E 1	NE 2	C	10¹≡	2⁰⊙	0	–	a ⊿² ≡¹
18	20.5	20.0	19.8	3.4	7.0	5.9	7.3	2.8	5.6	6.6	7.0	97	89	100	C	NW 2	C	10¹≡	10⁰	10²≡	–	a ⊿² ≡¹, abds. ≡²
19.	19.1	16.9	16.6	2.6	10.3	6.1	12.2	1.4	5.3	7.5	6.9	96	79	99	C	NW 1	C	∞	∞	10²≡	–	a ⌊¹², ≡², abds. ≡²
20.	17.6	17.0	17.0	5.5	11.7	5.9	11.8	4.2	6.5	8.0	7.0	97	79	100	C	NW 1	C	10¹≡	∞	10²≡	–	a ⊿² ≡¹, abds. ≡¹ ≡-Reissen
21.	16.8	13.9	12.8	5.7	8.9	6.0	9.6	4.2	6.4	7.4	6.9	94	88	99	C	NE 1	C	10¹≡	6⁹	10¹≡	0.1	a ⊿², ≡¹, abds. ≡¹
22.	12.6	11.5	12.8	3.2	14.4	9.5	14.4	2.7	5.5	8.2	7.9	95	67	89	E 1	E 1	C	10¹≡	8⁰	10¹	–	a ⊿², ≡¹
23.	17.4	17.4	19.8	6.9	15.4	9.8	15.4	6.2	6.9	8.1	8.2	94	62	92	C	NE 1	C	2⁰	2⁰⊙	0	–	a ⊿², ≡⁰
24.	20.7	21.7	22.5	10.3	14.8	9.5	15.0	8.0	7.9	9.0	8.3	86	72	94	SW 2	SW 1	C	9¹	8¹⊙	0	–	a ⊿², ∞, 8⁴⁵ a kurz ◍
25.	21.8	20.5	19.2	8.4	17.6	10.4	17.6	5.2	7.3	9.0	8.8	89	61	94	SW 1	E 1	C	∞	∞	0	0.1	a ⊿², ∞
26.	17.3	15.3	14.9	7.5	19.7	14.1	19.8	5.2	6.3	8.5	9.7	83	50	81	C	C	SW 1	6⁰⊙	3⁰	10¹	–	a ⊿² ∞, m Gebirge sichtbar
27.	17.7	15.3	14.1	11.1	17.6	11.5	18.3	10.8	7.6	9.4	9.1	77	63	91	S 1	E 1	SW 1	1⁰⊙	8⁰	0	–	a ⊿² ∞
28.	13.6	11.1	10.7	8.9	19.4	14.3	20.5	8.0	6.2	8.3	7.8	73	50	64	C	SE 1	SE 1	3⁰⊙	7⁰	10⁰	–	a ⊿² ∞, t Gebirge gut sichtbar
29.	07.8	08.0	07.6	17.6	15.0	15.7	18.7	12.8	6.5	8.6	6.5	44	68	49	S 3	NE 1	SE 1	9¹	7¹	0	–	a ⊿, vorm. Gebirge sichtbar, m ∞
30.	09.6	11.5	14.8	11.3	14.3	12.1	15.8	10.8	7.2	8.3	8.9	72	69	85	SW 1	SW 3	SW 1	10¹	10¹	10¹	–	a ⊿ ∞
31.	17.2	18.0	19.0	10.0	16.4	10.5	16.4	8.9	8.0	5.9	8.0	87	43	85	S 1	SW 1	SE 1	3¹	1¹⊙	0	0.9	ca 9¹⁵ p ◍, m Gebirge schwach sichtbar
Mittel	17.1	16.4	17.0	8.3	14.4	9.0	14.9	6.9	7.1	7.9	7.9	87	65	86				6.6	5.7	6.4	33.0	

Traunstein.

Oktober. $\varphi = 47^0\ 52'$ N. $\lambda = 12^0\ 39'$ E $= 50^m\ 36^s$. H $= 597$ m. Cg $= +0.1$ mm. 1913.

1.	08.6	07.8	08.0	6.2	15.5	10.0	16.0	5.5	6.7	9.6	8.8	94	74	96	S 2	E 4	E 2	∞	2²⊙	0	–	mrgs. ⊿, ≡¹.²
2.	10.6	11.8	12.4	8.5	17.2	9.2	17.2	8.2	7.9	**10.1**	8.3	96	69	96	W 2	NE 2	E 2	10²≡	4²⊙	0	–	mrgs. ⊿, ≡¹.²
3	12.6	12.2	12.2	6 1	17.6	9.6	18.1	5.5	6.5	8.4	8.6	93	56	96	E 2	W 2	E 2	3²⊙	2²⊙	0	–	mrgs. ⊿
4	10.2	07.4	04.4	7.2	16.6	11.8	16.8	7.0	7.1	9.0	10.0	94	64	97	NE 2	E 4	W 2	7²	8²⊙	10²●	–	mrgs. ⊿, p u. abds. ◍
5.	03.6	03.0	04.7	11.0	16.4	10.6	16.5	10.2	9.4	9.1	9.2	96	66	97	S 2	W 2	W 2	10²	8²	10²●	13.3	n, mrgs. u. abds. ◍
6.	06.3	06.2	07.6	9.7	14.4	9.4	14.7	8.7	8.4	8.0	8.4	95	65	96	W 6	E 2	E 2	10²●	6²⊙	5²	**15.2**	n u. mrgs. ◍, p ztw. ◍
7.	07.9	07 4	06 6	7.4	17.8	10.4	17.9	7.1	7.4	9.7	8.9	96	64	95	E 2	E 4	E 2	4²⊙	8²	2²	4.5	mrgs. ⊿
8.	04.2	**02.4**	04.2	10 0	21.7	15.2	**22.2**	8.5	8.6	7.4	10.0	94	**39**	77	NW 2	E 2	W 6	8²	6²	8²	–	
9.	08.7	08.9	10.8	7.8	13.8	11.4	15.2	7.2	7.8	6.4	6.4	**99**	55	64	W 2	NW 4	W 6	10²	6²⊙	8²	9.8	n ◍
10.	11.1	11.2	12.6	7.8	12.8	8.8	13.7	7.7	7.3	6.8	7.1	93	61	84	W 2	N 2	W 2	4²	6²⊙	6²	–	
11.	13.3	13.7	15.0	3.4	11.6	7.8	12.0	3.3	5.5	7.5	7.2	95	74	92	E 2	E 2	W 2	∞	3²⊙	8²	–	mrgs. ⊿
12.	15.7	15.3	17.7	9.4	13.6	8.6	14.0	7.2	8.4	6.0	7.9	96	52	95	W 2	W 6	W 4	8²●	10²	10²●	4.9	n, t ◍
13.	18.5	19.4	21.7	8.0	7.7	4.5	8.6	4.4	7.6	7.5	6.0	94	96	96	NW 4	NE 2	E 2	10²●	10²	0	13.4	n-p ◍
14.	21.4	**22.0**	19.7	– 0.2	6.0	– 0.4	6.3	– 0.8	4.4	**3.6**	4.3	96	52	96	E 2	E 4	E 2	∞	1¹⊙	0	3.9	mrgs. ⌊
15.	14.9	13.3	15.2	– 1.6	9.3	5.8	9.9	– 2.5	3.9	6.8	5.3	96	78	78	E 2	S 2	E 2	3²⊙	10²	3²	–	mrgs. ⌊
16.	17.1	17.2	18.5	5.6	8.6	4.3	9.2	4.3	6.6	7.1	6.0	97	86	97	W 2	E 2	E 2	10²	10²	0	1.0	n ◍, mrgs. ≡¹.²
17	17.4	15.7	10.2	3.6	9.9	3.4	10.7	3.1	5.6	6.6	5.5	96	73	95	E 2	E 2	E 2	10²≡	∞	0	–	mrgs. ⊿ ≡¹.²
18.	14.4	14.0	13.8	0.8	12.4	3.8	12.4	0.0	4.7	7.0	5.7	96	65	95	S 2	NE 2	E 2	∞	∞	0	–	mrgs. ⌊ ≡¹.²
19.	13.3	11.1	10.5	1.2	13.2	3.8	13.5	0.4	4.8	6.3	5.7	96	55	95	S 2	SE 2	E 2	∞	∞	0	–	mrgs. ⌊
20.	12.0	11.1	11.1	2.8	13.4	5.8	13.4	2.6	5.3	7.6	6.6	94	66	96	W 2	NE 2	E 2	∞	∞	10¹≡	–	mrgs. ⊿, abds. ≡¹.²
21.	11.1	08.3	07.0	2.2	9.8	4.6	10.0	1.4	5.1	7.6	6.0	94	84	96	E 2	E 2	E 2	10²≡	2²⊙	0	–	n u. mrgs. ≡¹.²
22.	07.1	06.1	07.0	1.5	17.8	9.8	18.3	0.7	4.9	8.5	7.6	95	57	84	NE 2	E 2	W 2	2²	4²⊙	10²	–	mrgs. ⌊
23.	11.5	11.5	14.1	5.6	15.0	8.2	16.5	5.5	6.5	7.9	7.7	96	62	94	W 2	E 2	E 2	6²	2²⊙	0	–	mrgs. ⊿
24.	15.2	16.3	16.6	7.4	13.8	10.4	14.4	5.2	7.4	8.9	9.0	96	76	96	S 2	W 2	E 2	10²	10²	4²	–	mrgs. ⊿
25.	16.0	15.3	14.0	5.8	15.4	7.4	15.9	5.3	6.6	9.2	7.2	96	70	94	E 2	E 2	E 2	∞	2²⊙	0	0.8	mrgs. ⊿
26.	11.8	10.0	09.8	5.6	18.2	10.5	18.8	4.4	6.4	9.9	8.0	94	63	85	SE 2	E 2	SW 2	3²	6²⊙	6²	–	mrgs. ⊿
27.	12.2	09.7	08.8	7.1	17.5	9.8	17.7	6.9	6.8	8.8	8.1	90	60	89	W 2	E 4	E 2	∞	6²⊙	0	–	
28.	08.6	06.0	05.9	4.8	18.6	9.1	18.7	4.3	6.2	7.9	7.7	97	50	91	S 2	NE 2	E 2	2²	6²⊙	4²	–	mrgs. ⊿
29.	03.5	03.1	02.9	9.8	13.4	12.4	14.8	8.9	7.3	9.5	7.8	82	83	73	W 2	SE 2	SW 2	8²	10²	10²	–	
30.	04.1	05.2	09.9	8.3	13.8	10.8	14.8	7.4	7.2	8.5	9.0	88	72	94	S 2	SE 4	W 2	6²	9²	10²●	–	abds. ◍
31.	11.2	12 8	13.7	7.5	13.6	7.0	13.9	6.9	7.5	8.3	7.2	98	72	96	8 2	NE 2	E 2	4²	6²⊙	0	11.2	n ◍, mrgs. ≡
Mittel	11.4	10.8	11.2	5.8	14.1	8.2	14.6	5.0	6.6	7.9	7.5	95	66	91				5.1	5.3	4.0	78.0	

Alle Angaben nach Ortszeit.

Partenkirchen.

Oktober. $\varphi = 47^0\ 30'$ N. $\lambda = 11^0\ 6'$ E $= 44^m\ 24^s$. H $= 716.8$ m. Cg $= +0.1$ mm. 1913.

Datum	Luftdruck auf 0° u. Normalschwere reduziert 700 mm +			Lufttemperatur C°					Absolute Feuchtigkeit mm			Relative Feuchtigkeit Proz.			Richtung und Stärke des Windes 0 bis 12			Bewölkung 0 bis 10			Niederschlag mm	Bemerkungen
	7a	2p	9p	7a	2p	9p	Max.	Min.	7a	2p	9p	7a	2p	9p	7a	2p	9p	7a	2p	9p	7a	
1.	698.4	696.9	698.0	9.2	16.7	10.6	17.4	7.9	6.7	9.2	8.8	78	65	93	S 3	NW 4	C	6^0	5^0⊙	0	0.1	a Berge rein, föhnig
2.	00.9	00.5	02.5	5.7	17.4	9.7	18.3	5.2	6.4	7.4	8.4	94	51	94	C	N 3	S 1	4^0	6^0⊙	0	–	a ⏢, Berge rein, föhnig
3.	03.2	01.5	01.8	7.8	18.5	11.2	19.2	6.9	6.7	9.0	8.4	85	57	85	S 2	NW 3	C	○○	2^0⊙	2^1	–	a ⏢, Berge rein, föhnig. 6^{14} p ◹ i. N
4.	00.2	697.1	695.0	9.1	14.0	10.6	15.8	7.8	7.1	**10.0**	9.3	83	85	98	SE 2	C	C	5^0	10^0	10^1	–	a Berge rein, föhnig
5.	694.1	692.9	695.4	10.0	13.9	10.1	15.7	9.5	9.2	9.4	8.9	100	80	96	C	C	C	8^0●	10^1	10^1●	4.0	mrgs. u. abds. ◍^{0}
6.	696.9	696.5	697.3	7.4	12.3	8.2	13.0	7.2	7.5	8.8	7.6	98	83	93	C	C	S 2	9^1	9^0	4^0	**27.4**	n ◍, a Berge bis ca 1800 m Neuschnee
7.	698.1	696.7	696.4	8.0	16.5	11.4	17.3	7.6	7.5	9.6	6.8	93	69	67	C	C	S 2	8^0	7^0	2^0	0.3	a Berge rein, föhnig
8.	693.9	**691.6**	695.6	11.3	20.8	9.2	22.0	9.2	7.9	7.8	8.0	79	43	92	C	S 2	N 6	7^0	4^0⊙	10^1●	–	a Berge rein, föhnig; abds. ◍^{1}
9.	699.3	698.7	00.9	6.6	14.6	7.8	15.3	6.2	6.6	6.3	7.0	91	51	89	S 2	NW 2	C	6^1	2^0⊙	2^0	18.5	n ◍, a Berge meist frei
10.	01.8	699.9	02.1	5.4	12.8	9.0	13.3	5.2	6.1	6.8	7.4	91	61	87	S 2	NW 4	C	2^0	2^0⊙	3^0	–	a ⏢, Berge sehr rein, föhnig
11.	02.9	02.5	05.2	4.7	13.6	8.5	14.0	4.7	6.1	7.7	7.7	96	67	93	S 1	NW 2	C	0	2^0⊙	8^1	–	a ⏢, Berge frei, dunstig
12.	06.2	05.2	08.0	7.0	14.9	8.1	15.4	6.8	7.4	5.7	7.6	99	46	94	SE 3	NW 4	C	3^1	4^1	10^1●	4.6	n u. abds. ◍^{2}, a Berge meist frei
13.	08.8	09.0	11.0	6.8	7.4	5.1	8.1	5.1	7.3	7.2	6.1	99	94	94	C	C	SE 2	10^1●	10^1	10^1	4.4	mrgs. ◍^{0}, Berge bedeckt
14.	07.4	**11.1**	08.6	1.6	6.3	2.2	6.7	1.1	4.8	4.1	4.7	93	58	87	S 3	NW 3	SE 4	0	2^0⊙	0	5.3	a ⏢, Berge rein
15.	04.9	02.9	04.3	1.0	10.0	6.8	11.7	– 0.5	3.8	5.9	5.5	77	04	74	C	C	SE 2	3^0	10^0	8^0	–	a ⏢, Berge sehr rein, föhnig
16.	06.6	05.6	07.6	2.9	10.8	7.4	11.5	2.9	5.3	7.0	6.9	94	72	90	C	NW 4	C	3^0	1^0⊙	0	–	a ⏢, Berge rein, föhnig
17.	06.5	04.7	04.9	3.2	10.0	3.4	12.0	2.2	5.4	6.6	5.6	93	72	97	C	NW 3	C	0	○○	2^0	–	a ⏢, Berge rein, föhnig
18.	04.4	03.3	04.0	2.0	15.8	5.8	16.3	1.1	5.0	7.0	6.1	94	53	88	C	C	C	0	○○	0	–	a ⏢, Berge sehr rein
19.	03.2	00.3	00.5	4.0	15.5	6.4	16.1	3.8	5.1	6.3	6.8	84	48	94	SE 2	NW 2	SE 2	0	○○	0	–	a ⏢, Berge sehr rein
20.	02.1	00.2	00.9	4.0	16.4	7.0	17.3	2.8	5.7	6.8	6.5	84	49	87	S 3	NW 3	C	0	○○	0	–	a ⏢, Berge sehr rein
21.	00.5	697.5	697.2	2.4	13.0	8.2	14.0	1.2	4.8	7.6	3.9	87	68	49	C	C	S 2	0	5^0	0	–	a ⏢, Berge sehr rein, föhnig
22.	697.3	696.5	698.8	8.0	15.8	8.4	18.2	6.0	4.5	5.7	6.3	57	42	77	S 3	C	C	3^0	9^0	2^0	–	a Berge sehr rein, föhnig
23.	01.9	01.9	04.5	6.2	14.2	8.2	17.4	6.0	5.8	6.0	5.8	82	50	71	S 2	S 2	S 2	0	1^0⊙	0	–	a ⏢, Berge sehr rein, föhnig
24.	05.8	06.4	06.9	7.6	10.8	8.5	11.4	4.9	5.8	9.2	8.1	74	95	98	S 3	C	S 3	7^0	8^1	1^0	–	a Berge meist frei. t ztw. ◍^{0}
25.	06.7	01.4	04.6	6.4	19.6	10.0	19.9	5.8	6.3	8.6	6.2	88	51	68	SE 3	C	S 4	0	○○	0	2.8	a Berge rein, föhnig
26.	02.6	699.9	00.2	8.8	21.4	14.2	**22.3**	7.3	5.3	6.9	3.4	63	36	28	S 3	C	C	2^0	2^0⊙	1^0	–	a ⏢, Berge rein, föhnig
27.	02.5	699.5	699.1	6.4	16.8	9.5	17.5	6.4	6.1	8.1	7.3	86	57	83	S 2	C	C	6^0	6^0	0	–	a ⏢, Berge rein, föhnig
28.	698.4	696.0	695.5	6.9	15.4	12.6	18.7	6.8	5.8	8.1	6.1	79	62	56	C	C	C	1^0	9^0	8^0	–	a Berge sehr rein, föhnig
29.	693.5	693.1	692.5	10.0	22.0	16.1	**22.3**	9.4	7.0	6.6	5.8	76	34	43	C	S 2	NW 4	5^0	4^0⊙	4^0	–	a Berge sehr rein, föhnig
30.	693.7	695.9	699.1	11.4	12.9	9.9	16.1	9.7	7.4	7.9	8.9	73	72	98	C	NW 4	C	8^0	10^1	10^1	–	a Berge rein, mrgs. noch föhnig, abds. kurz ◍^{0}
31.	01.4	01.6	03.5	8.7	15.1	6.2	16.1	6.2	7.9	6.8	6.5	95	53	91	C	NW 2	S 2	9^1	1^0⊙	0	0.3	mrgs. Berge im Nebel
Mittel	01.5	00.3	01.4	6.5	14.7	8.7	15.8	5.6	6.3	7.4	6.9	86	61	82				3.5	4.5	3.5	67.7	

Hohenpeissenberg.

Oktober. $\varphi = 47^0\ 48'$ N. $\lambda = 11^0\ 1'$ E $= 44^m\ 4^s$. H $= 994.1$ m. Cg $= \pm 0.0$ mm. 1913.

	600 mm +																					
1.	75.0	74.6	74.5	10.0	13.5	9.5	13.8	9.5	6.9	8.5	8.7	75	74	99	SE 2	NE 4	E 3	1^1	2^1⊙	2^2	–	a Flachland rein, ≡ i. E, p Horiz.-≡, p u. abds. ∞
2.	77.3	78.3	78.6	8.7	13.5	10.3	13.9	8.1	8.1	**9.8**	9.3	96	86	100	SW 2	NE 1	SW 4	10^1	2^2○	2^2	–	a ⏢, t ∞, abds. Horiz.-≡.
3.	79.5	79.0	78.9	10.7	15.2	10.6	15.3	9.7	7.2	9.0	9.0	74	70	95	SW 3	NE 1	E 3	○○	5^2	9^2	–	a ⏢, t ∞, 5^{48}–8^{38} p ◹. 6^{36}–7^{23} p ◍, abds. ≺ i. E
4.	76.7	74.5	72.1	12.0	12.3	10.1	12.8	10.1	6.9	8.8	9.0	66	83	98	W 1	NW 1	NE 1	8^1	10^2	10^2●	4.5	n, t ztw. ◍, t ∞
5.	70.8	70.7	71.7	9.1	11.8	8.7	12.0	8.7	8.3	8.3	7.1	96	81	86	NW 4	NW 3	SW 5	10^2	10^2	10^2	5.8	n ◍, t reine, abds. sehr reine Fernsicht; ca 6^{48} p ◍
6.	73.0	73.4	73.6	5.6	11.4	9.4	11.4	5.5	6.4	7.6	6.6	94	76	75	SW 6	SW 1	SE 4	10^2●	10^1	10^2	10.3	a ◍, p u. abds. sehr reine Fernsicht
7.	74.3	74.0	73.2	9.5	14.6	13.2	15.0	8.6	6.9	8.5	6.3	78	69	55	SW 1	SE 1	SE 4	5^1○	10^1	10^2	0.3	t sehr reine, abds. reine Fernsicht
8.	70.8	**69.1**	72.6	14.4	18.4	6.6	**18.8**	6.6	5.7	7.2	7.2	47	46	99	SW 6	SE 4	SW 7	9^1	2^1○	10^2●	–	a sehr reine, p reine Fernsicht, abds. ◍ ⸗
9.	75.2	75.9	77.1	7.0	10.0	7.8	10.4	4.5	5.5	5.7	6.0	74	62	76	SW 6	SW 5	SW 6	10^2	4^2○	10^2	**14.8**	n ◍, t reine Fernsicht, abds. i. S ∞^{2}
10.	77.7	77.4	78.6	6.2	9.0	5.4	9.7	5.4	6.4	6.9	6.1	90	80	91	NW 1	NE 1	NE 5	9^2	9^2	10^2=	–	t ∞^{0}, abds. ≡^{1}
11.	78.8	79.7	80.9	4.1	10.5	9.6	10.9	3.8	6.1	7.3	7.3	100	76	83	SE 1	SE 1	SW 5	0=	5^1○	10^2●	–	n u. a ≡^{1}, p ∞, abds. ◍^{0}
12.	81.9	82.2	84.2	7.6	8.9	6.2	10.4	6.2	6.9	5.3	6.5	89	62	91	W 5	W 6	SW 5	5^2	10^2●	10^2	0.4	a Gebirge bedeckt, Flachland rein, p ◍, p u. abds. ∞
13.	85.0	85.3	**86.5**	5.0	6.7	2.5	6.7	2.5	6.5	6.7	5.5	100	91	100	NW 1	NW 1	NE 4	10^2=	9^2	10^2=	6.5	a u. abds. ≡^{2}, p ∞, △, öfters ◍^{2}
14.	85.2	**86.5**	84.0	– 1.2	2.6	2.7	2.9	– 1.5	4.1	3.8	4.1	98	69	74	NE 4	NE 4	SE 2	○○	○○	4^1	6.1	n ≡^{2}, a ⏤, Gebirge rein, Flachl. ≡, p Flachl. rein, ^{1})
15.	80.6	79.5	79.9	3.7	7.0	4.1	7.5	0.7	2.8	4.3	4.4	46	57	72	W 1	NW 3	SW 3	4^1	10^1	9^2	–	a im Tal Reif, s. reine Ferns., p Geb. rein, Flachl. ∞, ^{2})
16.	82.4	82.3	83.3	3.8	6.2	4.4	6.2	3.3	5.7	6.4	5.9	95	90	96	W 1	E 1	E 5	8^1·	10^2	10^2	0.5	n ◍, t ∞^{1}, abds. ∞^{2}
17.	82.0	81.1	80.7	2.2	5.2	4.6	5.3	1.6	5.4	6.5	6.1	100	98	97	NE 1	NE 3	E 3	10^2=	5^2○	0	0.1	a ≡^{2}, p u. abds. ∞, abds. Horiz.-≡
18.	80.4	80.3	80.2	7.6	11.3	10.2	11.4	3.4	4.3	7.2	5.5	56	72	59	W 1	C	SW 3	○○	○○	0	–	a u. abds. ⏢, a reine Fernsicht, p u. abds. ∞$^{0.1}$, ^{3})
19.	79.4	77.8	77.0	7.9	11.2	8.0	11.3	7.7	4.9	6.2	7.0	61	62	88	SW 1	NE 1	SE 1	○○	○○	0	–	a u. abds. ⏢, t reine Fernsicht, starker Hor'z. ≡, ^{4})
20.	78.1	77.7	77.3	9.3	11.8	9.7	11.9	7.3	4.6	6.8	6.5	52	66	73	SW 1	NE 1	NE 2	○○	○○	0	–	a ⏢, reine Fernsicht, t Horiz.-≡, p ∞^{0}, abds. ≡ ringsum
21.	77.1	74.8	73.5	7.7	10.4	11.4	11.5	6.7	6.3	7.5	3.5	80	80	35	W 1	E 2	SE 6	○○	7^1	1^1	–	a ⏢, i. Tal Reif, ≡ i. E, t Horiz.-≡, p ∞^{0}, abds. ∞^{1}, ^{5})
22.	73.7	73.1	74.2	13.8	15.4	14.5	15.9	11.4	3.5	4.0	3.8	30	31	31	SE 1	S 8	S 8	4^1	10^1	10^2	–	t sehr reine Fernsicht, Horiz.-≡, ≡, i. E föhnig, ^{6})
23.	78.0	78 5	80.2	10.3	11.8	8.4	14.5	8.4	5.6	8.1	7.5	60	78	92	NE 1	C	SW 3	1^1○	1^1○	1^1	–	a ⏢, reine Fernsicht, p u. abds. ∞^{1}, abds. teilw. ≡
24.	81.9	82.5	82.9	10.9	10.6	9.7	11.8	8.4	5.1	8.3	7.9	53	89	88	W 1	W 1	C	10^1	10^2	2^2	–	a reine Fernsicht, vorm. ◍, p u. abds. ∞, abds. ztw. ≡
25.	82.5	81.5	80.6	10.1	14.6	14.6	14.6	8.9	7.1	8.1	6.1	78	65	50	SW 1	E 1	S 1	○○	○○	0	1.3	a ⏢, ≡ i. E, t reine Fernsicht, Horiz.-≡
26.	78.7	77.3	77.3	14.2	18.0	13.5	18 7	13.5	3.8	6.7	6.6	32	43	57	S 2	C	W 5	2^1	7^2	3^2	–	t sehr reine Fernsicht
27.	78.8	76.4	75.7	11.1	14.0	13.4	14.2	10.7	7.3	7.4	5.7	74	62	50	W 1	E 5	SE 4	○○	9^1	1^2	–	a ⏢. Horiz.-≡, t reine Fernsicht, abds. teilw. ≡
28.	75.1	73.0	72.6	11.6	15.4	14.9	16.4	11.6	4.8	5.3	5.8	47	40	47	SE 3	SW 6	SE 4	1^1	10^1	10^2	–	t sehr reine Fernsicht, abds. ≺ i. SW
29.	70.5	70.5	70.0	14.2	17.6	13.9	17.6	13.9	5.4	6.2	5.6	45	41	48	S 6	S 8	SE 1	9^2	3^1○	8^2	–	t sehr reine Fernsicht, abds. ≺ i. SW
30.	71.2	73.3	76.0	11.5	10.3	8.1	14.2	8.1	5.2	7.9	8.0	52	85	99	NE 1	NW 1	SW 4	10^1	10^1	10^2=●	–	a sehr reine Fernsicht, p ∞, abds. ≡^{1} ◍
31.	78.1	79.0	79.4	8.4	11.0	9.5	11.1	6.9	6.4	5.5	6.3	78	56	71	SW 1	NW 1	E 2	9^1	○○	0	3.9	n ≡^{1}, a ∞^{0}, ztw. ≡^{0}, p einz. cu ü. d. Gebirge, abds. ∞
Mittel	77.7	77.4	77.7	8.6	11.6	9.2	12.2	7.1	5.8	7.0	6.5	71	69	77				5.0	5.8	5.9	54.5	

Alle Angaben nach Ortszeit.

^{1}) Horiz.-≡, abds. ≡, i. SE ⏚. ^{2}) abds. ∞^{2}
^{3}) Horiz.-≡, abds. ≡. ^{4}) abds. im Tal ≡
^{5}) ≡ ü. d. Gewäss. ^{6}) abds. sehr reine Fernsicht

Zugspitze.

Oktober. $\varphi = 47^{0}\ 25'$ N. $\lambda\ 10^{0}\ 59'$ E = 43 m 56 s. H = 2964 m. Cg = −0.2 mm. 1913.

Datum	Luftdruck auf 0° u. Normalschwere reduziert 500 mm +			Lufttemperatur C°					Absolute Feuchtigkeit mm			Relative Feuchtigkeit Proz.			Richtung und Stärke des Windes 0 bis 12			Bewölkung 0 bis 10			Niederschlag mm	Schneedecke
	7a	2p	9p	7a	2p	9p	Max.	Min.	7a	2p	9p	7a	2p	9p	7a	2p	9p	7a	2p	9p	7a	7a
1.	30.0	30.1	30.3	− 0.6	0.5	0.0	0.9	− 1.6	3.8	**4.6**	4.1	88	96	88	SE 1	SE 4	SE 6	9^{1}	$10^{2}\equiv$	3^{0}	0.1	–
2.	31.3	33.0	33.4	− 1.5	0.5	0.1	1.5	− 1.9	3.2	4.1	4.0	78	86	85	W 4	SE 4	S 4	$5^{0}\odot$	6^{0}	1^{1}	–	–
3.	33.5	33.8	33.4	− 1.1	0.8	− 0.2	1.3	− 1.7	3.5	4.1	4.2	82	83	92	SW 4	S 3	SE 4	$2^{0}\odot$	$6^{0}\odot$	3^{1}	–	–
4.	31.5	29.9	27.3	− 0.6	0.0	− 0.1	2.2	− 1.0	3.6	4.2	4.3	83	91	94	S 6	SE 3	S 4	6^{1}	$10^{1}\equiv *$	$10^{2}\equiv *$	–	–
5.	25.6	25.4	26.3	− 1.9	0.3	− 3.6	0.3	− 3.6	4.0	4.3	3.5	100	92	100	W 4	SE 2	NW 8	$10^{2}\equiv *$	$10^{2}\equiv *$	$10^{2}\equiv *$	6.4	⊠
6.	26.1	27.6	28.4	− 4.7	− 1.4	− 1.0	− 0.3	− 4.8	3.2	3.9	3.5	100	94	82	NW 5	S 4	S 7	$10^{2}\equiv *$	$10^{1}\equiv *$	2^{0}	**14.0**	⊠
7.	29.3	29.9	29.9	− 2.0	0.6	0.4	0.7	− 2.2	3.6	4.2	3.9	92	86	82	W 7	S 8	S 11	8^{1}	10^{1}	8^{1}	1.8	⊠
8.	27.9	27.0	26.7	0.4	1.0	− 0.2	1.1	− 0.2	4.1	4.5	4.5	86	91	100	S 10	S 10	SE 5	9^{1}	$8^{0}\odot$	$10^{2}\equiv *$	–	⊠
9.	27.7	28.9	29.9	− 6.4	− 4.2	− 5.4	− 0.2	− 6.7	2.8	2.9	3.0	100	89	100	NW 5	W 5	NW 4	$10^{2}\equiv$	$3^{1}\odot$	$10^{2}\equiv$	2.8	⊠
10.	29.5	29.9	30.6	− 6.8	− 3.7	− 3.8	− 3.6	− 6.8	2.6	2.0	2.6	94	58	75	W 4	W 8	W 8	$1^{1}\odot$	$1^{1}\odot$	1^{0}	–	⊠
11.	32.0	33.5	34.1	− 3.0	− 1.3	− 3.1	− 0.5	− 3.8	0.9	2.3	3.2	24	56	100	NW 4	NW 4	NW 3	$2^{0}\odot$	$4^{0}\odot$	$10^{2}\equiv$	–	⊠
12.	33.8	33.6	34.0	− 5.0	− 5.4	− 6.6	− 2.7	− 7.3	3.1	3.0	2.8	100	100	100	W 5	NW 6	NW 8	$10^{2}\equiv$	10^{1}	$10^{2}\equiv *$	4.7	⊠
13.	34.3	34.5	34.8	− 6.8	− 6.8	− 7.9	− 6.1	− 7.9	2.7	2.7	2.5	100	100	100	N 4	N 2	N 3	$10^{2}\equiv *$	$10^{2}\equiv *$	$10^{2}\equiv *$	6.3	⊠
14.	34.1	35.5	36.3	− 8.8	− 5.0	− 1.4	− 1.4	**−12.8**	1.1	1.0	0.8	47	34	20	E 7	E 6	E 4	$0\odot$	$1^{1}\odot$	3^{0}	10.3	⊠
15.	34.8	32.8	31.5	− 0.2	− 2.3	− 5.4	1.2	− 7.8	0.9	1.1	2.9	15	30	95	N 3	NW 6	NW 4	$4^{0}\odot$	10^{1}	$10^{1}*$	–	⊠
16.	32.9	34.2	35.3	− 3.3	− 1.7	0.3	0.3	− 6.3	3.1	1.2	1.0	87	30	22	N 3	N 3	N 5	$2^{0}\odot$	$2^{0}\odot$	0	0.4	⊠
17.	35.5	35.9	36.2	1.8	3.9	3.1	4.3	0.3	1.8	2.4	2.5	34	40	43	E 3	E 5	E 3	$1^{0}\odot$	$1^{1}\odot$	2^{2}	–	⊠
18.	35.6	35.8	35.9	4.8	4.8	5.0	**6.5**	2.3	1.6	2.0	1.7	25	32	26	N 3	SE 3	E 1	$1^{0}\odot$	$1^{0}\odot$	1^{0}	–	⊠
19.	34.8	34.2	33.9	5.4	4.8	3.8	5.4	3.8	1.5	2.0	2.1	22	32	36	SE 4	S 3	C	$1^{0}\odot$	$1^{0}\odot$	0	–	⊠
20.	33.1	33.0	33.5	1.8	4.2	4.7	5.3	1.8	2.0	2.7	2.1	38	43	33	SE 4	S 1	SW 4	$1^{0}\odot$	$0\odot$	0	–	⊠
21.	32.3	30.8	30.7	1.8	3.0	3.9	5.2	1.7	1.8	3.0	3.5	34	54	58	SE 4	SE 8	SE 10	$1^{0}\odot$	6^{0}	2^{0}	–	⊠
22.	30.8	30.3	31.0	2.5	2.0	− 0.4	4.5	− 0.4	4.0	3.7	3.9	73	70	88	S 10	S S	SE 6	$4^{0}\odot$	8^{1}	8^{1}	–	–
23.	32.4	33.6	35.0	− 0.9	2.9	0.8	3.1	− 1.1	3.6	3.2	2.9	86	57	59	SE 6	SW 8	W 8	$3^{0}\odot$	$2^{0}\odot$	2^{0}	–	–
24.	35.4	35.6	36.4	− 1.2	− 0.8	− 0.8	0.8	− 2.7	4.2	4.3	4.3	100	100	100	NW 4	NW 5	NW 4	$10^{2}\equiv$	$10^{2}\equiv *$	$10^{2}\equiv$	–	–
25.	36.4	**36.8**	**36.8**	− 1.2	1.0	1.8	2.4	− 2.4	4.2	3.9	2.9	100	78	55	NW 4	NW 4	NW 5	$2^{0}\odot$	$2^{0}\odot$	2^{0}	11.6	–
26.	34.8	34.1	33.6	2.9	4.6	2.6	5.0	0.8	2.0	3.9	4.2	35	62	76	SW 8	S 11	S 11	4^{1}	5^{1}	3^{1}	–	–
27.	33.2	32.1	31.5	0.6	1.8	0.2	2.7	0.0	3.9	4.4	3.8	92	85	80	SW 7	S 6	S 9	$2^{0}\odot$	8^{0}	3^{1}	–	–
28.	30.7	29.9	29.5	0.4	1.8	1.0	2.3	− 1.0	2.6	4.1	4.4	56	80	90	SW 9	SW 10	SW 7	$3^{0}\odot$	9^{1}	5^{1}	–	–
29.	27.3	27.8	26.6	− 0.9	0.6	− 0.6	1.7	− 1.0	4.3	4.3	3.9	100	90	89	SE 7	S 4	SE 10	$9^{1}\equiv$	5^{1}	8^{1}	–	–
30.	27.3	28.0	29.3	− 0.8	− 1.2	− 2.6	− 0.2	− 2.8	4.0	4.2	3.7	93	100	100	SE 7	SE 4	S 3	9^{1}	9^{1}	$6^{1}\equiv$	–	–
31.	30.3	31.8	33.0	− 3.9	− 1.9	− 0.8	− 0.8	− 3.9	3.4	3.5	3.1	100	89	72	SW 1	S 2	S 2	$10^{1}\equiv$	$3^{0}\odot$	0	–	–
Mittel	31.7	31.9	32.1	− 1.3	0.1	− 0.5	1.4	− 2.6	2.9	3.3	3.2	73	72	75				5.1	5.8	4.9	59.4	

Bemerkungen.

1. 7 a über Flachland teilw. Nebel, 8 a Aufklaren; 10^{34} a–1 p ztw. $\equiv^{1}$, 1–ca 4 p $\equiv^{2}$; 5 p a-cu SW m, über Flachland cu-meer in ca 1800 m
2. 7 a über Zentralkette Föhnmauer, über Flachland teilw. Nebeldecke, ∞^{1}; m ci W r, cu SW m, a-st im NE; 5 p ab über Flachland cu-decke in ca 2000 m
3. 7 a st-cu über der Alpenkette, st-Schicht i. W, über Alpenvorland teilw. Nebel, ⌴; t stark wechs. Bewölkung. 10 a ci W 1; 4 p ab in Tälern Nebelbildung; 4 p kurze Zeit $\times^{0}$, [1])
4. 9 p ≤ i. N. 7 a a-st i. N, über Flachland teilw. Nebel, ⌴. 11^{10} a, 1^{10}–6 p ztw. $\times^{0}$, 0^{34} p ab $\equiv^{1}$, 3^{34} p ⌈≤ i. SW. 4 p ab $\equiv^{2}$; 8–9^{00} p $\times^{1}$
5. 9^{00} p–n $\times^{1}$, n 8 cm Neuschnee, 3 cm ⋁. n–7^{14} a $\times^{1}$, 8 a–m ztw. Aufklaren; 1^{34} p $\times^{0}$. 2^{26} p $\triangle^{0}$, 2^{34}–9^{00} p $\times^{1}$. 9 p negat. Elmsfeuer
6. 9^{00} p–n $\times^{1}$, n 40 cm Neuschnee, 5 cm ⋁. 9 a Drehung des Windes auf S. 11 a ab $\equiv^{3}$, 1^{34}–ca 4 p $\times^{0.1}$, 6^{14} p rasches Aufklaren; t $\times$treiben
7. 7 a 3 cm ⋁, in Tälern teilw. Nebel. 10 a über Alpenkette Föhnmauer. 2 p Windst. bis 18 m/s. 5 p S ca 25 m/s., ci-cu SW r; t $\times$treiben
8. 7 a über der Alpenkette Föhnmauer. 10 a $\times$treiben. 5 p S 25 m/s, ci W 1, cu SW r, fr-cu S r, über Loisachtal Nebelbildung. 5^{14} p Abflauen des Windes; 7^{14}–9^{00} p $\times^{0.1}$
9. 9^{00} p–n $\times^{0.1}$, 10 p posit. Elmsfeuer, n 10 cm Neuschnee, 5 cm ⋁. 8 a Aufklaren. 2 p ztw. $\equiv^{0.1}$, fr-cu. 5–6 p $\equiv^{2}$
10. 7 a 10 cm ⋁, in Tälern stllw. cu, üb. Flachland cu-decke in ca 3000 m; 10 a in Aufl. ca 3 p Bildung einer Nebeldecke üb. Tälern u. Flachl. 8 p ⋓. 9 p Nebeldecke in ca 2000 m
11. 7 a über Tälern u. Flachland cu-decke in ca 1500 m, Berge frei u. rein, Windr. stark wechselnd. 10 a cu über Flachland. 2 p ∞^{1}. 8^{24} p ab $\equiv^{2}$
12. n 5 cm Neuschnee, 3 cm ⋁. ≡-Reissen; t ztw. Aufklaren, meist $\equiv^{1.2}$, 6–9^{00} p $\times^{0.1}$
13. 9^{00} p–n $\times^{0.1}$, n 10 cm Neuschnee, 30 cm ⋁; a–ca m, 1^{14}–5 p $\times^{0}$, 5–9^{00} p $\times^{1}$, 8^{14} p kurze Zeit $\triangle^{1}$
14. 9^{00}–10^{14} p $\times^{1}$, dann Aufklaren. 7 a über Inntal cu-meer, üb. Flachland teilw. cu-decke in ca 1500 m. Berge frei u. rein, ∞, st. $\times$tr. 10 a üb. Tälern u. Flachland cu. [2])
15. 7 a ∞^{1}, Berge frei u. rein. 10 a ∞^{2}, 10^{34} a Drehung des Windes auf NW, starke Bewölkungszunahme. 2 p Verst. d. Windes; 8^{14}–9^{00} p $\times^{0}$, p st. $\times$treiben
16. 9^{00} p–n $\times^{0}$. 7 a ⌴, über Alpenvorland u. Flachland Nebelmeer in ca 2200 m, i. E. in ca 2700 m. 10 a über Flachland cu, ci NE 1. 2 p ∞^{1}. 4 p Nebelbildung in Tälern
17. 7 a Nebelmeer über Flachland in ca 1000 m, über Inntal in ca 1500 m. 2 p ∞^{1}, 5 p ci NE m. 7 p Wind dreht auf N, 8^{14} p auf E. 9 p über Flachland Nebelmeer
18. 7 a über Flachland Nebelmeer. 10 a ∞^{1}, 2 p ∞^{2}. 5 p über Flachland Nebelbildung. 9 p ⋓
19. 7 a ∞^{2}, über Flachland teilw. Nebel. 2 p ∞^{2}, über Flachland ∞-Kranz. 4 p ab im Alpenvorland Nebelbildung. 9 p über Flachland Nebelmeer
20. 7 a über Flachland teilw. Nebel, 2 p i. S ∞streifen. 5 p Zunahme der Windst. SE 11 m/s; st-Schicht i. W. 9 p über Flachland Nebel, t ∞^{2}
21. 7 a über Flachland teilw. Nebel, 11 a a-st in st übergehend. 5 p Windst. 20 m/s
22. 7 a cu i. SE; st i. SW. Berge ∞; 2 p i. S Föhnmauer. 4 p Abflauen des Windes. 7–8 m/s, Richtung st. wechselnd, SE, S, SW, W
23. 7 a i. SE Föhnmauer, über Flachland teilw. Nebel; ∞-Kranz, m W 20 m/s. 2 p ∞^{2}. 5 p Abflauen des Windes, st-Schicht i. W
24. 7 a ⌴. 7^{34} a $\triangle^{0.1}$. 8^{14} a $\times^{0}$; 9^{24} a–ca 3 p $\times^{1}$, dann $\times^{0}$ bis ca 4 p. 7 p Auffrischen d. Windes
25. 7 a 5 cm Neuschnee, 5 cm ⋁, starkes $\times$treiben u. d. G., über Flachland teilw. Nebel. 2 p ∞^{1}
26. 7 a Berge frei; 8 a starke Bewölkungszunahme, Zunahme d. Windst. 20–23 m/s. 10 a u. 2 p ∞^{2}, 4 p 10^{1} st-cu SW m, $4^{14.34}$ p ◍^{0}
27. 7 a i. S u. SE st-cu-Schicht in ca 3500 m, 10 a i. SE Föhnmauer. 2 p ∞^{1}. 4 p ab ztw. $\equiv^{1}$, fr-cu, $\equiv$treiben
28. 7 a i. SE Föhnmauer in ca 3500 m, 2 p in ca 5000 m. 8 p ≤ i. S
29. 9 p ab Abflauen d. Windes, momentane Windstösse. 7 a st. $\equiv$tr. u. d. G., fr-cu ü. d. G. Blick nach N frei, 10 a ⊙ ztw. durchbrechend; a ztw. $\equiv^{1.2}$; 5^{14} p ab SE bis 18 m/s. [3])
30. 9 p ≤ i. SW. 10 p Windst. bis 30 m/s. 7 a zeitw. $\equiv$tr. u. d. G., fr-cu ü. d. G. 2 p i. N Nebelmeer bis zur Gipfelhöhe, i. W cu-meer in ca 2000 m
31. 7 a allm. Zerreissen d. Nebelschicht, ⌴; 7^{04} a Durchbr. d. ⊙; 10 a 5^{0} ⊙, ci, ci-st, a-st i. N, a cu W 1, st-cu SW m, i. N cu-decke in ca 2500 m, i. S in 3000 m, $\equiv$tr.; [4])

---

[1]) 5 p kurz $\equiv^{1}$. 6^{14}–7^{04} p ⌈≤ i. N. 9 p ≤ i. N; t $\infty^{0.1}$. [2]) 2 p ∞^{1}. 9 p ⋓. [3]) 7 u. 9 p ≤ i. SW. [4]) 4 p ab Nebelbild. in Tälern; 4^{14} p Abfl. d. Windes W 4 m/s.

Alle Angaben nach Ortszeit.

Kahl a/M.

November. $\varphi = 50^{\circ}\ 4'$ N. $\lambda = 9^{\circ}\ 1'$ E $= 36^{m}\ 4^{s}$. H $= 114.1$ m. Cg $= +0.3$ mm. 1913.

Datum	Luftdruck auf 0° u. Normalschwere reduziert 700 mm + 7a	2p	9p	Lufttemperatur C° 7a	2p	9p	Max.	Min.	Absolute Feuchtigkeit mm 7a	2p	9p	Relative Feuchtigkeit Proz. 7a	2p	9p	Richtung und Stärke des Windes 0 bis 12 7a	2p	9p	Bewölkung 0 bis 10 7a	2p	9p	Niederschlag mm 7a	Bemerkungen
1.	53.5	51.9	51.3	9.4	14.4	12.7	**15.5**	4.5	7.4	8.5	8.9	86	70	82	SE 2	SE 2	SW 2	10^{0}	10^{0}	10^{1}	–	p ◯^{0}
2.	55.8	56.1	55.4	9.7	13.1	10.4	14.1	7.5	8.3	7.9	7.8	92	71	84	SW 2	C	SW 2	8^{0}	8^{0}	10^{1}	2.6	
3.	53.4	54.2	54.7	11.0	12.2	11.2	13.0	9.4	8.2	**10.1**	9.6	83	96	97	S 2	C	SW 2	10^{1}	10^{1}	10^{1}	–	p ◯^{0}
4.	54.8	54.0	52.8	6.2	12.1	2.8	12.8	2.4	7.0	6.9	5.6	99	66	100	C	SW 2	C	8^{0}	6^{1}	0	3.4	
5.	49.3	46.6	43.5	7.1	13.1	11.1	13.9	2.8	7.5	10.0	9.1	100	90	93	C	SW 2	SW 2	10^{1}	7^{0}	10^{1}	2.0	n ◯
6.	45.0	44.9	43.9	6.8	10.2	7.0	13.2	5.8	6.8	5.9	6.7	93	64	89	SW 2	SW 2	SW 2	10^{1}	7^{1}	10^{1}●	–	abds. ◯
7.	43.3	43.5	45.7	5.5	7.9	5.6	9.5	4.0	6.5	6.9	6.6	97	88	97	S 2	SW 2	C	3^{0}	9^{1}●	10^{1}	2.7	n ◯, p ztw. ◯^{0}
8.	49.7	50.5	50.0	6.9	7.9	6.8	8.5	5.3	6.6	6.4	6.7	88	81	91	SW 2	SW 2	SW 2	10^{2}	10^{1}	10^{1}●	1.5	abds. ◯
9.	50.5	50.2	50.1	3.1	9.0	8.0	10.8	1.1	5.7	7.7	8.0	100	91	100	C	C	C	1^{1}=	10^{1}	10^{1}	0.5	n ◯, a ≡^{1}, p ztw. ◯
10.	50.9	51.3	50.9	8.7	11.6	9.5	12.6	7.9	8.2	8.4	8.4	98	84	95	C	SE 2	SW 2	10^{1}	7^{1}	1^{1}	5.3	n ◯
11.	49.4	48.0	48.0	8.8	8.8	9.7	10.5	8.0	7.6	8.1	8.6	91	96	96	SE 2	SE 2	E 2	10^{1}	10^{1}●	10^{1}	0.3	t ztw. ◯
12.	47.5	45.0	44.3	10.9	11.1	9.8	11.6	9.6	8.6	9.5	9.0	89	96	100	S 2	S 2	S 2	10^{1}	10^{1}	10^{1}	3.1	a, p ◉
13.	39.8	38.3	38.6	9.3	9.2	6.0	12.8	5.9	7.9	8.1	6.6	91	93	94	SE 2	S 2	SW 4	10^{1}	10^{1}●	0	**17.9**	n, 1^{36}–5^{06} p ◯
14.	38.6	40.4	39.4	7.8	8.8	7.6	10.8	5.1	6.8	6.6	6.9	86	78	89	SW 6	SW 2	SW 4	10^{1}	10^{1}	10^{1}	10.1	n ◯ ⎓, t ztw. ◯
15.	43.2	44.2	47.9	6.1	7.8	6.3	10.5	4.6	6.3	7.1	6.3	90	90	88	SW 2	SW 2	SW 4	10^{1}	10^{1}	0	4.6	a ◯, p ztw. ◯
16.	45.0	49.2	53.6	7.7	9.1	6.1	11.1	5.0	7.2	5.8	6.9	91	67	99	SW 4	W 4	SW 2	10^{2}	5^{1}⊙	10^{1}	6.0	n ◯, t ztw. ◯
17.	55.8	56.1	58.0	8.3	9.8	10.4	11.0	5.5	8.0	8.6	8.9	98	95	95	SW 2	SW 2	SW 2	10^{1}●	10^{1}	10^{1}	13.3	n, a, t ◯^{0}
18.	58.6	57.8	57.6	10.7	12.7	10.4	13.4	9.6	8.6	9.3	7.6	91	86	81	SW 2	SW 2	SW 4	10^{1}	10^{1}	10^{1}	3.0	3^{36} p an ◯^{0}
19.	58.3	61.5	**63 9**	8.4	8.6	1.8	12.6	1.1	7.2	4.7	5.0	88	56	95	NW 4	NW 4	C	8^{0}	1^{0}	0	3.6	n ◯
20.	62.2	59.9	59.5	– 1.5	7.7	5.4	8.4	– 1.8	4.1	5.4	5.8	100	69	86	C	SW 2	SW 2	1^{0}	10^{0}	9^{1}	–	a ⌴
21.	58.2	56.8	56.0	4.2	8.0	6.8	9.0	3.9	5.7	6.8	6.4	92	85	87	SW 2	SW 2	SW 2	10^{0}	10^{1}	10^{1}	–	
22.	56.1	57.4	59.8	8.0	12.0	8.4	13.2	5.8	7.0	8.7	8.0	88	84	97	SW 2	C	C	10^{1}	10^{1}	10^{1}	–	
23.	59.7	57.6	55.6	5.6	10.3	6.8	11.0	4.8	6.8	6.9	6.2	100	74	84	C	E 2	E 2	9^{1}	1^{0}⊙	0	–	
24.	53.0	53.0	54.2	6.1	6.9	5.6	8.0	5.4	6.6	6.3	6.3	95	84	93	C	SE 2	C	10^{1}	10^{1}	10^{1}	–	
25.	57.2	59.1	61.2	5.5	7.3	4.7	8.1	4.0	6.7	7.3	6.4	99	96	100	S 2	C	S 2	10^{1}●	10^{1}	0	3.1	n, a–9^{36} a ◯
26.	61.8	60.6	59.9	3.8	7.2	7.2	8.1	0.6	6.0	6.3	6.7	100	83	89	C	SW 2	SW 4	10^{1}	10^{2}	10^{1}	2.3	
27.	58.9	59.6	60.2	7.3	7.2	6.2	8.8	6.0	6.2	6.7	6.6	82	89	93	W 2	W 2	C	10^{1}	10^{1}	10^{1}	–	
28.	57.4	57.1	58.8	5.9	10.4	10.8	11.4	5.1	6.6	8.7	8.4	96	93	89	W 4	W 2	NW 2	10^{1}	10^{1}	10^{1}	1.5	n ◯
29.	61.0	61.3	61.3	9.5	10.0	9.0	11.9	8.9	7.6	7.6	7.3	87	83	86	W 2	SW 2	SW 2	10^{1}	10^{2}	10^{0}	–	
30.	60.7	60.2	59.2	8.5	8.4	7.6	10.0	7.4	7.4	7.3	7.2	89	89	93	SW 2	SW 2	SW 4	10^{1}	10^{1}	10^{1}	–	
																					86.8	
Mittel	53.0	52.9	53.2	7.2	9.8	7.7	11.2	5.2	7.0	7.5	7.3	93	83	92				8.9	8.7	7.7		

Bayreuth.

November. $\varphi = 49^{0}\ 57'$ N. $\lambda = 11^{0}\ 34'$ E $= 46^{m}\ 16^{s}$. H $= 363.3$ m. Cg $= +0.3$ mm. 1913.

1.	33.3	31.4	30.8	5.3	14.6	11.9	**15.2**	4.2	6.7	8.5	8.4	100	69	81	E 2	SE 4	SE 4	10^{2}=	9^{1}	10^{2}	–	a ⌓, ≡^{2}
2.	33.4	34.3	34.4	10.3	11.7	7.1	13.0	6.9	8.4	7.2	6.4	90	70	87	W 4	W 2	SW 4	10^{2}	8^{1}	0	2.1	n ◯^{0}
3.	32.6	31.8	32.6	5.5	12.2	10.4	14.0	4.7	6.4	**8.8**	8.4	96	84	91	E 2	W 4	W 4	10^{0}	10^{1}	10^{2}	–	3^{16}–4^{16} p ◯^{0}
4.	32.6	31.8	31.0	5.9	10.5	3.7	11.0	3.5	6.2	5.7	5.5	91	60	92	W 2	NW 2	E 2	8^{0}	9^{1}	0	0.5	
5.	28.1	25.6	22.9	5.9	9.3	9.5	9.9	1.0	5.9	8.1	8.6	87	93	98	SE 2	E 2	E 4	10^{2}	10^{2}	10^{2}	–	t ztw. ◯^{0}
6.	21.6	22.7	22.3	8.1	7.9	3.4	9.5	3.2	6.8	6.3	5.5	86	80	95	W 6	W 4	W 4	10^{2}	10^{2}	5^{0}	3.9	
7.	21.9	21.8	23.6	3.7	7.7	4.1	8.2	1.7	5.7	6.0	5.7	95	76	94	E 2	SE 4	C	10^{2}	10^{1}	3^{1}	–	
8.	26.6	28.0	28.8	5.7	6.5	3.6	7.1	3.2	6.1	5.6	5.5	91	78	93	SW 4	W 6	SW 4	10^{2}	10^{1}	10^{0}	–	a ◯^{0}
9.	28.0	27.9	27.9	5.5	9.5	6.6	10.0	2.7	6.4	6.0	7.1	96	67	98	SW 2	W 2	SW 2	10^{2}	4^{1}⊙	10^{2}	0.9	n ◯^{0}, 5^{16}–7^{46} p ◯^{0}
10.	30.2	30.5	31.0	3.1	8.5	6.1	8.7	2.2	5.4	6.0	5.7	95	72	82	E 2	SE 4	SE 4	10^{2}	10^{2}	10^{2}	0.7	
11.	29.2	27.2	27.4	3.3	5.9	7.3	7.5	2.9	5.3	6.2	7.2	92	91	94	SE 4	SE 6	SE 4	7^{0}	10^{2}●	10^{0}	–	p ◯^{0}
12.	27.2	25.0	22.0	7.4	9.9	8.4	10.6	6.0	7.2	8.3	8.0	94	91	97	SE 4	SE 2	SE 2	10^{2}	10^{2}●	10^{2}●	2.3	a ≡^{0}, t ◯$^{0.1}$
13.	19.8	17.6	17.2	8.6	9.0	6.8	9.6	6.6	7.3	7.4	6.0	89	88	82	SE 2	SW 2	W 2	10^{1}	10^{2}●	7^{1}	**11.5**	p ztw. ◯^{0}
14.	**16.6**	18.2	17.2	5.1	7.3	5.2	7.3	3.5	5.6	6.0	5.8	87	79	88	SW 6	W 6	W 4	10^{2}●	10^{2}	10^{2}●	4.4	n ◯$^{0.1}$, ⎓, t ztw. ◯$^{0.1}$, ⎓
15.	21.4	22.0	24.6	5.2	6.9	5.4	7.0	4.4	5.8	6.5	5.8	88	88	87	W 4	W 4	W 4	10^{2}	10^{2}●	10^{2}	4.1	n ◯^{0}, ztw. ⎓, t ztw. ◯^{0}
16.	22.9	25.2	29.5	5.7	6.5	3.3	7.3	3.1	5.9	5.3	5.1	87	73	89	SW 4	W 8	W 2	10^{2}●	8^{1}	7^{1}	4.3	n ztw. ◯$^{0.1}$, t ztw. ◯^{0}, ⎓
17.	32.4	33.3	34.8	6.6	8.2	8.5	8.5	2.5	6.6	7.4	7.7	92	93	93	W 6	W 4	W 2	10^{2}●	10^{2}●	10^{2}	8.0	n ◯$^{0.1}$, t ◯^{0}
18.	36.9	36.6	35.4	9.7	11.2	10.3	11.7	8.0	8.1	8.7	7.6	91	88	81	W 2	SW 4	W 4	10^{2}	10^{2}	10^{2}	3.0	
19.	34.5	38.2	**41.1**	8.7	6.9	2.1	10.3	1.9	7.6	4.4	4.5	92	58	85	W 6	W 6	W 4	10^{2}●	7^{1}	0	0.8	n u. a ztw. ◯^{0}
20.	40.3	38.2	37.9	0.4	7.3	1.8	7.5	– 0.8	3.9	4.0	4.8	82	52	91	SE 2	SW 2	E 2	8^{1}	3^{0}⊙	0	0.8	a ⌴^{1}
21.	37.0	35.7	34.9	2.0	3.2	1.3	3.5	– 0.9	4.8	5.2	4.7	91	61	92	SE 4	SE 4	E 2	10^{2}	10^{0}	0	–	a ≡^{0}
22.	35.0	36.0	37.9	2.7	7.5	5.8	8.3	0.8	5.0	6.1	6.1	90	80	89	E 2	SE 2	E 2	8^{1}	10^{1}	10^{1}	–	a ≡^{0}
23.	38.1	35.7	33.2	2.9	8.3	6.6	9.0	2.7	5.4	5.9	5.7	96	72	78	E 2	E 2	E 4	8^{1}	3^{1}⊙	7^{1}	–	a ≡$^{0.2}$
24.	30.6	30.6	31.7	0.9	4.2	3.1	6.7	0.1	4.5	4.9	4.9	92	80	88	W 2	SE 4	E 4	3^{1}	10^{2}	10^{2}	–	
25.	34.4	37.3	39.1	2.9	5.5	5.1	5.9	2.1	5.2	5.6	5.8	93	84	90	E 2	C	C	10^{1}=	10^{2}	10^{2}	–	t ≡$^{1.0}$
26.	39.5	38.6	37.9	4.9	6.7	5.3	7.0	4.1	6.3	5.6	5.1	98	77	77	SW 2	SW 2	SW 4	10^{1}=	10^{2}	10^{2}	–	a ⌓, ≡^{1}
27.	34.7	35.6	37.0	6.1	3.7	4.1	7.0	3.7	6.1	5.7	5.6	88	96	93	W 4	W 4	W 4	10^{2}	10^{2}●	10^{2}	0.6	n ztw. ◯^{0}, △, t ztw. ◯$^{0.1}$
28.	32.4	31.7	33.8	4.5	7.7	9.7	9.8	2.8	5.9	7.3	8.1	95	94	92	W 4	W 4	W 6	10^{2}●	10^{2}●	10^{2}	8.6	n ◯^{1}, t ◯^{0}
29.	37.5	38.3	38.7	8.3	8.5	7.9	9.8	7.7	7.2	7.5	6.9	89	92	89	W 4	W 4	W 4	10^{2}	10^{2}	10^{2}	0.9	
30.	38.1	37.7	36.7	7.5	7.5	7.1	8.7	6.9	7.0	7.0	6.8	91	91	91	W 4	W 4	W 4	10^{2}	10^{2}	10^{2}	–	
																					57.4	
Mittel	30.9	30.8	31.1	5.4	8.0	6.1	9.0	3.4	6.2	6.4	6.3	91	80	89				9.4	9.0	7.6		

Alle Angaben nach Ortszeit.

Bamberg.

November. $\varphi = 49^0\ 53'$ N. $\lambda = 10^0\ 53'$ E $= 43^m\ 32^s$. H $= 287.7$ m. Cg $= +0.3$ mm. 1913.

Datum	Luftdruck auf 0^0 u. Normalschwere reduziert 700 mm + 7a	2p	9p	Lufttemperatur C° 7a	2p	9p	Max.	Min.	Absolute Feuchtigkeit mm 7a	2p	9p	Relative Feuchtigkeit Proz. 7a	2p	9p	Richtung und Stärke des Windes 0 bis 12 7a	2p	9p	Bewölkung 0 bis 10 7a	2p	9p	Niederschlag mm 7a	Bemerkungen
1.	39.5	36.9	37.2	2.3	15.6	11.7	**17.5**	1.7	5.3	**9.7**	8.3	98	74	81	SE 1	SW 3	S 2	3^0⊙	10^2	10^2	–	n ⏢, a ≡², 3^{57}–4^{29} p ◍⁰, ca 6–6^{15} p ◍¹
2.	40.2	40.9	40.9	9.1	13.2	6.6	14.7	6.1	7.5	6.9	6.5	88	61	90	W 2	SW 2	S 2	1^2	7^1	8^1	0.8	
3.	38.9	38.6	39.6	5.8	12.2	9.9	14.6	4.6	6.5	8.9	8.6	94	86	95	S 3	SW 2	NW 2	10^2	10^2	10^2	–	n ⏢, p ◍
4.	39.3	38.3	37.7	6.0	11.7	3.5	12.7	3.5	6.6	6.6	5.5	94	64	93	C	W 3	W 2	4^1	10^1	2^1	0.8	mrgs. u. abds. ≡⁰
5	34.3	31.8	29.4	4.9	10.9	9.8	11.8	1.8	6.0	9.1	8.7	94	94	96	S 1	S 3	SW 3	10^2●	10^2●	10^1●	–	n ⏢, mrgs. ≡⁰, 7^{01} a–9^{00} p ◍$^{0.1}$
6.	29.0	29.4	29.3	6.8	8.3	2.6	11.2	2.5	6.8	6.1	5.2	93	74	94	W 2	W 2	S 2	10^2	10^2	8^0	5.5	ca 6^{30} p ⏛, Radius 45^0; ca 7^{45} p ⏚
7	28.3	28.3	30.6	3.3	7.5	4.4	9.8	2.4	5.6	6.0	5.7	97	77	92	S 2	S 2	W 1	9^2	10^2	10^2	–	n ⏢, $1^{40.54}$ p, $2^{11.34}$ p ◍⁰
8.	33.9	34.7	35.4	5.1	7.5	3.6	8.4	3.1	6.1	6.2	5.5	94	80	90	W 1	W 2	SW 2	10^2	6^1	10^1	0.4	n ◍
9.	34.8	34.5	34.6	4.6	11.0	7.1	11.4	3.7	6.1	6.3	7.3	97	64	98	SW 1	S 1	S 1	3^2	7^1⊙	10^2●	0.5	n ◍, 3^{10}–4^{19} p ◍⁰, 4^{19}–ca 6 p ◍¹, ca 7–9 p ◍⁰
10.	36.5	36.9	36.9	4.5	9.5	7.4	10.3	4.4	6.1	6.2	6.7	97	70	88	W 2	C	E 2	10^2●	10^2	10^2	5.0	ca 9 p–7^{30} a ◍, mrgs. ≡⁰, p ◍⁰
11.	34.7	33.4	33.7	5.6	7.6	8.3	8.3	5.4	6.1	6.9	8.0	89	89	98	S 2	SW 2	SW 4	10^2	10^2●	10^1	0.1	11^{34} a–ca 1^{15} p ◍⁰, ca 2–7 p ◍¹
12.	33.3	31.5	29.0	9.4	9.9	8.5	10.6	7.5	8.2	8.9	8.2	93	98	**99**	S 2	S 1	C	10^2●	10^2●	10^2●≈	3.0	ca 5^{30} a–9 p ◍¹, ca 8–9 p ≡¹
13.	26.2	24.1	24.3	8.1	9.2	5.2	9.7	4.9	7.5	7.5	6.2	93	88	94	S 4	S 3	SW 3	10^2	10^2	10^2	**20.9**	ca 9–11 p ◍¹, ca 9–11 p ≡¹, p ztw. ◍$^{0.2}$
14.	23.5	25 2	23.8	5.7	7.1	5.2	9.2	3.1	5.7	6.2	5.8	83	83	87	W 6	W 4	SW 6	10^2	10^2	10^2	6.4	ca 6–7^{15} a ◍¹, ca 1–2 p ◍⁰, ca 5^{30} p ab ztw. ◍¹
15	28.5	28.9	32.4	4.4	6.7	4 9	7.7	4.0	5.7	6.7	6.0	92	91	94	SW 1	W 1	W 1	10^1	10^2●	9^1	3.0	ca 10–11^{30} p, ca 10–11 a, ca 1–8^{30} p ◍$^{0.1}$
16	29.8	32.3	37.3	5.9	7.6	3.0	9.4	2.6	6.3	5.6	5.3	91	72	93	SW 5	W 7	C	10^2●	10^1	7^1	10.0	ca 10–11 p, ca 0–9 a ◍¹, 9^{44}–11^{32} a ◹, 11^{30} a NW 8, 1)
17	39.6	40.3	42.8	6.7	8.4	8.9	9.3	2.5	7.0	7.8	8.2	96	94	96	W 2	W 1	W 2	10^2●	10^2●	9^2	11.4	n u. t–ca 8 p ◍⁰
18.	41.1	43.1	42.5	9.6	11.6	8.9	12.3	8.9	8.3	4.4	7.9	94	84	93	SW 1	SW 2	S 2	10^2	10^2	10^2	4.8	
19.	41.6	45.2	**48.4**	8.5	8.6	1.7	10.8	0.3	7.9	**3.9**	4.3	96	**46**	84	SW 1	W 3	SE 1	10^2●	3^1	1^1	2.1	n–ca 7^{30} a ◍
20.	47.7	45.1	44.7	– 1.4	7.1	1.3	7.6	– **1.6**	4.0	4.8	4.7	96	64	92	SW 2	SW 2	S 2	8^1	2^1⊙	2^0	1.8	n ⏑
21.	43.4	42.5	41.2	2.0	3.1	2.1	3.7	– 0.2	5.1	5.5	5.2	96	96	96	S 2	SW 3	SW 2	10^2≈	10^2≈	2^1	–	ca 10 p ⏑, ca 7–8 p ≡²·
22.	41.3	42.6	44.6	3.1	10.6	7.6	11.4	1.6	5.4	7.5	7.5	95	79	96	S 3	SW 1	W 1	10^2	3^1⊙	10^2≈	–	n ⏢
23.	44.9	42.5	39.7	5.7	9.5	5.9	10.6	5.6	6.4	6.2	5.6	94	70	81	W 1	NE 2	E 2	9^2	2^1⊙	1^1	–	n ⏢
24.	37.3	37.4	38.6	1.6	3.4	3.1	6.8	0.2	5.0	5.0	5.0	96	88	88	C	C	C	4^1≈	10^2	10^2	–	n ⏑, mrgs. ≡¹
25	41.7	44.0	46 3	3.1	5.7	4.9	6.5	2.8	5.7	6.2	6.1	98	91	96	W 1	SW 1	SW 1	10^2	10^2	10^2	–	n ⏢, ca 7^{45} a ◍⁰
26	46.5	45.6	44.9	4.5	5.9	4.2	8.3	3.3	6.2	5.7	5.9	98	83	96	SW 1	W 1	S 2	10^2≈	9^2	10^2●	0.1	n ◍⁰, mrgs. ≡¹
27.	42.0	42.6	44.1	6.6	6.2	3.9	7.3	3.4	6.2	5.7	5.7	85	81	93	NW 4	W 3	NW 1	10^2	9^1	10^2	0.6	n ◍⁰, ca 0–1 p ◍$^{0.1}$
28.	39.9	39.3	41.8	4.5	8.6	9.9	10.3	3.4	6.0	7.8	8.1	96	93	89	W 1	W 5	W 2	10^2●	10^2	10^2	3.9	n–ca 10 a ◍$^{0.1}$, p ztw. ◍⁰
29.	45.0	45.6	45.9	8.6	9.2	8.3	10.9	7.8	7.2	7.2	7.0	87	83	87	W 3	W 3	W 1	10^2	10^2	10^2	0.7	
30.	45.2	44.8	43.7	7.5	7.9	7.1	9.4	7.1	7.1	6.9	6.9	91	88	91	W 2	W 1	S 2	10^2	10^2	10^2	0.2	n, ca 10–11 a ◍⁰
																					82.0	
Mittel	37.7	37.5	38.0	5.4	8.7	5.0	10.1	3.5	6.3	6.7	6.5	94	80	92				8.7	8.6	8.3		1) p ztw. ◍$^{1.2}$, ca 6^{30}–8^{30} p ◹ i. S

Würzburg.

November. $\varphi = 49^0\ 48'$ N. $\lambda = 9^0\ 56'$ E $= 39^m\ 44^s$. H $= 179.3$ m. Cg $= +0.3$ mm. 1913.

1.	48.1	46.3	45.6	4.4	14.7	11.8	**14.9**	3.8	5.9	9.5	9.6	96	76	94	W 1	C	C	2^1≈	10^2	10^2	–	mrgs. ≡, nachm. ◍⁰
2.	49.3	49 9	49.7	9.4	13.4	8.9	13.8	8.9	7.4	6.6	7.5	86	58	88	SW 1	SW 2	SW 2	9^2	5^2⊙	3^2	1.3	
3.	47.6	47.9	48.5	8.3	12.5	10.2	13.2	6.5	7.4	**9.8**	8.8	91	91	95	SW 1	SW 3	SW 2	8^2	10^2●	10^2	–	ca 1–7 p ◍
4.	48.6	47.5	46.6	7.2	12.3	5.1	12.3	5.1	7.4	6.4	6.2	98	60	95	SW 2	SW 1	C	3^2	8^2	0	1.2	
5.	43.1	40.6	37.1	6.3	11.2	10.4	12.1	3.8	6.8	9.0	9.0	96	92	96	SW 1	SW 1	C	10^2●	6	10^2●	0.6	meist ◍
6.	38.6	38 5	37.6	7.3	9.7	4.5	10.4	4.5	6.2	5.1	5.8	82	**57**	92	SW 3	SW 4	C	9^1	10^2	9^2	3.5	
7.	37.3	37.1	39.8	5.3	9.7	6.3	9.7	4.0	6.3	5.8	6.1	96	64	86	C	C	SW 3	10^2	9^2	10^2	–	mrgs. ⏢
8.	42.6	43.9	44.1	6.5	8.6	5.9	8.9	5.9	6.7	6.0	6.2	93	7^1	90	SW 1	SW 1	SW 3	10^2	10^2	10^2	0.7	mrgs. u. abds. ◍
9.	43.8	43.4	43.5	6.2	10.4	8.7	10.5	5.7	6.7	7.8	8.2	94	84	98	W 1	C	C	7^2	10^2●	10^2●	0.9	2^{10} p ab ◍
10.	45.0	45.4	45.2	8.2	9 9	10.2	10.3	8.0	7.8	8.3	8.7	96	91	94	SE 1	C	NW 2	10^2	10^2	10^2	6.0	ztw. ◍
11.	43.5	41.8	42.4	7.2	7.6	7.6	10.2	7.2	6.4	7.2	7.7	84	93	99	SE 5	C	C	10^2	10^2●	10^2≈	0.4	ztw. ◍, abds. ≡²
12.	41.4	39.6	37.3	11.1	10.5	9.9	11.3	6.5	8.6	9.3	8.7	87	**99**	96	S 4	C	SW 3	10^2	10^2●	10^2●	3.8	7^{10} a ab ◍
13.	34.5	32.3	32.7	8.2	11.6	6.7	11.6	6.3	7.8	7.6	5 9	96	75	82	C	SW 4	S 4	10^2	10^2	8^1	**15.2**	ca 4–6^{10} p ◍, 4^{10} p ◠
14.	32.5	34.3	32.8	7.3	8.5	7.4	8.5	5.1	6.0	6.6	6.2	79	79	80	W 6	SW 4	SW 6	10^2	10^2	10^2	10.2	t ⚊ u. ztw. ◍
15.	37.0	37.9	41.6	5.9	7.7	7.2	8.1	5.4	6.1	6.7	6.2	88	86	82	SW 3	SW 3	SW 2	8^2	10^2●	8^2	2.7	ztw. ◍
16.	38.9	41.9	47.0	7.3	8.3	5.7	10.2	4.4	6.9	5.8	6.3	90	71	93	SW 4	W 5	W 1	10^2●	2^2⊙	9^2	9.2	10^{55}–11^{05} a, 11^{35} a–0^{05} p ◹, 11^{35} a–0^{50} p ▲, ztw. ⚊ u. ◍, 1)
17.	49.5	49.9	52.1	8.3	9.5	10.3	10.3	5.7	7.5	8.1	8.4	92	92	90	SW 3	SW 2	C	10^2●	10^2●	9^2	10.5	ztw. ◍
18.	52.8	52.3	51.8	10.9	13.4	11.0	13.9	10.0	8.3	8.5	7.1	86	75	73	W 2	W 3	NW 2	10^2	9^2	10^2	3.5	abds. ◍⁰
19.	51.4	55.4	**58.1**	9.1	8.9	4.1	11.0	4.0	7.5	4.9	**4.8**	88	58	79	W 4	SW 2	C	10^2●	3^2⊙	0	2.7	mrgs. ◍
20.	57.0	54.4	54.5	1.4	8.0	2.6	8.0	**0.7**	4.7	4.9	5.0	94	62	91	S 1	SW 1	NW 4	4^1	7^1⊙	0	1.8	n ⏑
21.	52.6	51.2	50.2	3.4	7.7	4.8	7.8	1.0	5.2	6.4	5.6	90	82	89	SE 2	SW 1	NW 2	9^2≈	7^1⊙	0	–	n ⏑, mrgs. ≡¹
22.	50.3	51.0	53.7	5.5	13.2	9.1	13.2	2.0	6.1	7.6	7.9	91	67	92	SE 2	C	C	10^2≈	9^2	10^2	–	n ⏑, mrgs. ≡¹
23.	54.0	51.4	49.3	7.4	9.7	7.0	10.0	6.8	6.9	6.9	6.2	90	79	82	C	NE 2	C	9^2	5^2	10^2	–	
24.	46.6	46.5	47.9	4.4	5.7	4.7	7.0	3.6	5.6	5.6	5.6	90	82	87	C	C	E 2	10^2	10^2	10^2	–	
25.	50.7	53.1	55.5	4.5	7.3	6.3	7.3	3.7	6.0	6.7	6.4	96	88	90	SW 2	SW 2	N 2	10^2●	10^2	10^2	0.3	ztw. ◍-Tr.
26	55.7	55.5	54.9	4.6	8.0	6.4	8.0	4.4	5.9	5.8	6.2	94	72	86	SE 2	SW 2	NW 2	10^2	9^2	10^2	0.3	mrgs. ⏢, abds. einige ◍-Tr.
27.	52.2	52.9	53.9	7.9	7.7	6.6	8.0	6.1	5.9	6.3	6.2	73	80	85	W 3	NW 4	NW 2	10^2	7^2	10^2	0.4	vorm. ◍⁰
28.	50.0	49.8	51.8	6.2	10.0	10.6	10.6	5.8	6.9	8.0	8.3	86	87	89	NW 5	NW 5	NW 4	10^2	10^2	10^2	1.0	ztw. ◍⁰ u. ⚊
29.	54 9	55.2	55.5	9.7	10.1	9.1	11.0	9.1	7.2	7.1	6.8	80	78	79	W 4	NW 3	W 4	10^2	10^2	10^2	0.2	nachm. einige ◍-Tr.
30.	54.7	54.4	53.9	8.9	8.9	8.3	9.0	8.3	7.4	6.9	6.8	87	81	84	W 3	N 4	SW 2	10^2	10^2	10^2	0.1	
																					76.5	
Mittel	46.8	46.7	47.2	6.9	9.8	7.6	10.4	5.4	6.7	7.0	7.0	90	78	89				8.9	8.5	8.2		10^{50}–11^{05} a, 11^{40} a–0^{10} p ◍

Alle Angaben nach Ortszeit.

Ludwigshafen a/Rh.

November. $\varphi = 49^0\ 29'$ N. $\lambda = 8^0\ 26'$ E $= 33^m\ 44^s$. H $= 100.3$ m. Cg $= +0.3$ mm. 1913.

Datum	Luftdruck auf 0^0 u. Normalschwere reduziert 700 mm + 7a	2p	9p	Lufttemperatur C° 7a	2p	9p	Max.	Min.	Absolute Feuchtigkeit mm 7a	2p	9p	Relative Feuchtigkeit Proz. 7a	2p	9p	Richtung und Stärke des Windes 0 bis 12 7a	2p	9p	Bewölkung 0 bis 10 7a	2p	9p	Niederschlag mm 7a	Bemerkungen
1.	54.4	53.9	52.2	9.4	13.4	12.6	13.4	7.6	7.1	8.1	9.1	80	71	85	SE 1	SE 1	S 1	0	10^2	10^2	–	n ⏢, a ∞, ca 2^{30} p ab öfters ◍^{0}
2.	57.9	57.8	56.7	11.0	14.2	11.8	14.8	10.4	7.6	7.4	8.1	77	61	78	S 1	SW 1	SW 1	10^2	5^1	10^2	2.5	n ◍
3.	55.2	56.3	56.3	10.5	12.3	11.2	13.0	9.8	8.4	**10.1**	8.9	90	96	90	SE 1	SW 1	SW 1	10^2	10^2●	10^2	–	ca 10^{30} a–3^{14} p ◍
4.	56.3	54.9	53.0	10.8	12.6	10.6	12.8	10.0	9.2	8.2	8.3	95	75	89	C	NE 1	N 1	10^2=	10^2	10^2	4.2	n ⏢, a ≡^{1}
5	50.2	47.6	44.4	9.4	13.6	11.6	15.0	7.2	8.3	9.5	9.7	95	82	96	SW 1	SW 1	SW 1	10^2=	10^2	10^2●	2.4	n ◍, a ≡^{1}, a u. p wiederholt ◍
6.	46.8	46.2	45.4	8.8	11.3	7.4	11.6	7.2	6.8	5.8	6.6	81	58	86	SW 1	SW 2	SW 4	9^2	9^2	10^2●	1.8	n ◍, ca 8 p ab ◍^{1}
7.	44.8	44.4	47.5	6.0	9.4	7.8	9.9	5.8	6.4	6.3	6.4	91	71	81	SE 1	SW 3	SW 3	5^1	10^2	10^2	3.2	nachm. ◍
8.	51.3	51.6	50.9	6.2	9.6	8.2	9.7	6.0	5.9	6.1	6.1	84	69	75	SW 1	S 1	SW 1	5^2	10^2	10^2	1.8	n ◍
9.	51.7	50.6	51.8	5.8	9.6	10.6	10.6	5.2	6.5	8.4	9.0	94	95	95	S 1	W 1	SW 1	5^2	10^2	10^2	1.0	n ◍, a u. p öfters ◍
10.	51.2	51.3	51.2	10.4	14.7	10.6	**15.1**	10.0	9.2	9.6	9.0	**98**	77	95	SE 1	SE 1	W 1	10^2=	10^2	10^2=	5.4	n ◍, a ≡^{2}, abds. ≡^{1}
11.	49.5	48.6	49.5	8.4	9.9	11.4	11.6	6.6	7.8	8.6	8.6	94	95	86	E 1	SW 2	SW 2	10^2●=	10^2●	9^2	1.2	n ◍, a ≡^{1}, ca 7^{15} a–2^{30} p ◍^{0} mit Pausen
12.	48.9	46.8	45.4	11.0	11.4	10.2	11.5	10.2	8.8	9.6	8.6	90	96	93	SE 1	S 1	SW 2	10^2●	10^2●	10^2●	9.4	n u. t ◍
13.	41.0	39.4	40.4	9.8	9.1	6.6	12.2	6.6	6.5	7.3	6.0	71	86	83	S 2	SW 2	SW 3	10^2	10^2●	o	**17.8**	0^{57}–1^{22} p ⚿, $1^{14.45}$ p ◍^{2}, $1^{17.19}$ p ▲^{2}
14.	41.6	43.3	42.0	8.2	9.0	8.0	10.1	6.6	6.3	6.1	6.9	78	71	86	SW 3	SW 4	SW 5	10^2	10^2	10^2●	4.8	n ≡, nachm. u. abds. ◍
15.	45.0	46.4	50.3	7.4	8.6	7.4	8.7	6.8	6.2	6.5	6.2	80	78	80	SW 3	SW 3	SW 2	10^2	10^1	9^2	0.8	n ≡, a ≡^{0}, vorm. ◍^{0}
16.	47.9	51.9	55.7	9.2	10.6	9.2	10.7	6.8	6.6	5.8	6.4	76	61	74	SW 2	SW 5	SW 2	10^2●	5^1	10^2	2.2	n ◍
17.	57.9	58.7	60.6	9.2	10.5	10.8	11.1	9.0	7.6	8.4	8.7	89	90	90	SW 2	SW 2	SW 2	10^2●	10^2●	10^2	0.8	ca 3^{30}–8^{30} a ◍, nachm. ◍
18.	61.2	60.0	59.8	10.0	13.3	10.4	14.2	9.4	8.7	9.4	8.2	95	83	88	S 1	S 1	S 2	10^2=	10^2	10^2●	6.4	n ◍, a ≡^{1}, 8 p ab ◍
19.	60.5	63.2	**66.4**	9.2	9.7	5.2	10.4	5.2	7.5	4.6	4.9	87	51	74	SW 2	W 2	S 2	10^2●	⊙⊙	o	3.6	n ◍
20.	64.4	62.2	61.7	1.3	8.4	5.2	8.7	**0.9**	**4.5**	5.6	5.8	89	67	87	SE 1	SE 1	SE 1	10^2=	5^1⊙	5^1	0.4	n ⌴^{1}, a ≡^{1}
21.	59.7	58.2	57.1	2.8	9.1	7.6	9.2	2.4	5.3	6.3	6.6	94	73	85	SE 2	S 1	E 1	10^2=	3^1⊙	o	–	n ⌴^{1}, a ≡^{1}
22.	57.2	58.7	60.6	9.1	13.9	9.8	14.1	7.2	6.7	8.0	7.3	77	68	82	S 2	SW 1	SW 1	10^2	5^1⊙	o	–	a ⏢
23	60.4	57.4	55.7	5.8	11.1	8.3	11.9	5.0	6.3	6.8	6.5	91	69	79	N 1	NE 1	NE 2	3^1	6^1⊙	10^1	–	n ≡^{1}
24	53.9	53.8	55.7	7.0	7.9	7.4	8.3	6.0	6.6	6.6	6.4	88	83	83	NE 1	NE 1	NE 1	10^2=	10^2	10^2●	–	a ≡^{2}, abds. ◍^{0}
25.	58.6	61.4	63.3	6.8	7.0	5.1	7.4	5.1	7.0	6.8	6.1	94	91	94	S 1	S 1	SW 1	10^2●	10^2	o	5.4	n u. a ◍
26.	63.9	63.2	62.2	3.7	8.2	7.8	8.3	2.9	5.6	6.2	6.4	93	77	81	S 1	S 1	S 1	10^2	9^1	10^2	0.8	a ≡^{1}
27.	61.2	61.7	62.6	7.6	8.9	7.4	9.3	6.2	6.9	6.0	6.4	89	71	83	SW 1	W 1	SW 2	10^2	10^2	10^2	–	t ∞
28.	59.8	59.7	61.6	6.3	9.8	11.4	11.4	5.6	6.6	8.1	7.8	93	89	78	SW 1	SW 3	SW 3	10^2●	10^2	10^2	2.6	n ◍, nachm. u. abds. öfters ◍^{0}
29.	63.7	64.0	63.8	10.3	10.6	9.6	11.4	9.6	7.8	7.8	7.2	83	83	82	SW 2	SW 1	SW 1	10^2=	10^2	10^2	0.6	a ≡^{1}
30.	63.3	63.3	62.4	8.2	8.6	8.1	9.6	8.0	7.2	7.0	6.8	89	84	85	S 1	SW 1	SW 1	9^1	10^2	10^2	–	
																					79.1	
Mittel	54.6	54.6	54.9	8.0	10.5	9.0	11.2	6.8	7.1	7.4	7.3	88	77	85				8.9	8.6	8.1		

Nürnberg.

November. $\varphi = 49^0\ 27'$ N. $\lambda = 11^0\ 3'$ E $= 44^m\ 12^s$. H $= 309.1$ m. Cg $= +0.2$ mm, über 735.0 mm Cg $= +0.3$ mm. 1913.

1.	37.4	35.7	34.9	4.9	14.8	11.8	**14.9**	4.8	6.1	8.5	7.6	96	68	74	SE 1	SW 2	C	10^2=	10^0	10^0	–	n meist klar, ca 5^{30} a ⏢, ca 6–10 a ≡$^{1.0}$, $5^{16.24}$ p ◍^{0}
2.	38.2	38.9	38.9	9.2	12.5	8.7	13.0	7.9	7.6	6.9	7.0	89	64	83	S 2	W 2	SW 1	3^1	5^0	o	0.7	n bedeckt, 2^{24}–4^4 a, 4^{49}–5^{04} a ◍^{0}, $5^{37.44}$ a ◍^{1}
3.	37.3	36.9	37.5	7.3	13.6	10.5	14.2	6.2	7.0	8.2	9.1	91	71	96	W 1	N 1	SE 1	9^0	10^0	10^0	–	n meist klar, ca 5 a ⏢, ca 5–11 a ≡$^{0.1}$, $3^{16.23}$ p, 3^{39}–7^{34} p ◍^{0}
4.	37.0	36.6	35 0	9.0	11.2	6.8	11.2	6.8	7.4	6.9	6.6	87	69	90	SE 2	SE 2	S 2	10^0	6^0	o	1.6	n bedeckt, 3^{22}–5^{54} a ◍^{0}, ca 6–10 a ≡^{0}
5.	32.0	29.9	27.4	8.7	12.9	10.3	13.0	5.6	7.8	**9.4**	8.5	93	86	92	NW 2	SW 2	SE 2	10^0	9^0	10^0	0.3	n meist bedeckt, ca 0–2 a ≡^{1}, a u. p ztw. ◍$^{0.2}$
6.	27.0	28.0	27.1	8.1	8.4	4.9	11.3	4.9	6.6	5.7	5.7	82	69	87	S 2	SE 2	SW 2	10^0	10^0	3^0	4.1	n bedeckt, 1^{11}–3^{18} a ◍$^{0.1}$, ca 4 a ≡ SW 5, ca 5^{30} p Ψ
7.	26.5	26.6	28.2	5.6	8.3	5.3	9.0	4.0	6.3	5.8	6.0	93	71	90	SW 2	W 2	SE 2	10^0	5^1⊙	2^1	0.4	a u. p ztw. ◍$^{0.1}$, ca 9 p Ψ
8.	31.4	32.9	32.9	5.5	7.4	5.1	7.4	5.1	6.3	5.8	5.5	94	76	85	SW 1	SW 2	C	10^0	6^0⊙	10^0	2.9	n bedeckt, 5^{17}–6^{04} a ◍^{0}, 8^{21}–10^{34} a ◍$^{0.1}$, 5^{00} p Ψ
9.	32.5	32.2	32.3	6.0	10.8	8.6	11.0	4.3	6.6	6.7	8.1	94	70	**98**	E 2	W 1	E 2	8^0	9^0	10^0=	1.7	n bed., n u. a ztw. ◍^{0}, ca 8–11 a ≡$^{1.0}$, p ztw. ◍$^{0.1}$, ca 6–9 p ≡^{1}
10.	33.9	34.3	34.4	7.2	10.6	9.2	10.7	6.9	6.6	7.7	7.6	87	81	89	SE 2	SE 2	S 2	10^0	10^0	10^0	5.5	ca 9 p–1 a ≡$^{1.0}$, ca 0–2^{24} a, $10^{14.24}$ a, 1^{07}–3^{34} p ◍^{0}
11.	32.9	31.5	31.2	5.5	7.8	8.8	8.8	5.0	6.1	6.5	7.9	91	82	93	SE 2	SE 2	S 2	9^0	10^0	10^0	–	n bedeckt, ca 9–11 a ≡^{0}, a u p ztw. ◍^{0}
12.	31.6	29.4	26.3	9.6	10.0	8.8	10.8	8.3	8.3	8.2	8.2	94	89	**98**	SE 2	SE 2	C	10^0	10^0●	10^0	5.1	a u. p ztw. ◍$^{0.1}$, 2^{24} a Ψ, ca 6 a–9 p ≡$^{0.2}$
13.	24.3	22.3	**22.2**	9.0	9.8	7.2	10.0	7.2	7.4	7.5	6.4	87	83	84	S 2	S 2	SW 2	10^0	8^0⊙	10^0	12.2	ca 9 p–mn ≡$^{0.2}$, a u. p ztw. ◍^{0}, ca 10 a ≡ S5, ca 6 p SW 5
14.	22.3	23.9	22.7	6.8	7.8	6.3	8.0	4.3	5.4	6.0	5.8	73	76	81	SW 2	SW 3	S 3	10^1	10^0	10^0	0.3	0^{04} a Ψ, n ztw. Aufkl., a u. p ztw. ◍^{0}, 9^{04} a, 0^{54} p ≡ SW 6
15.	26.2	27.3	30.2	5.4	8.0	6.0	8.0	4.5	5.9	6.1	5.8	87	76	84	SW 2	SW 2	W 2	10^0	10^0	10^0	–	$11^{14.22}$ p ◍, p ztw. ◍$^{0.1}$
16.	28.3	30.8	35.2	6.5	6.8	4.5	9.0	3.8	6.4	5.6	5.7	88	82	90	SW 3	NW 2	W 2	10^0	4^0●	6^0	3.5	ca 11 p, 0 a Ψ, a ztw. ◍^{0}, ca 9 a ≡ SW 6, [1]
17.	37.7	38.5	40.6	7.6	8.6	9.0	9.0	4.5	6.9	7.7	8.2	89	92	96	W 4	W 2	W 2	10^0	10^0	10^0●	**12.5**	n u. t ztw. ◍$^{0.2}$, ca 6 a, 7 a, 9 a ≡ W 6
18.	42.0	41.7	40.6	9.4	12.0	10.3	12.0	8.8	8.3	8.4	7.7	95	82	82	SW 2	SW 2	SW 2	5^0	10^0	10^0	8.2	$9^{00.01}$ p, $10^{09.32}$ p, $11^{9.34}$ a, $7^{19.40}$ p, $8^{07.24}$ p ◍^{0}
19.	39.8	43.5	**46.6**	9.4	7.8	3.2	10.3	3.2	8.1	5.0	4.7	92	**62**	81	SW 3	NW 3	W 1	10^0	2^0⊙	o	2.0	n ztw. Aufklaren, a ztw. ◍$^{0.1}$
20.	45.4	43.1	42.6	0.6	7.5	3.1	8.0	– **0.1**	**4.3**	5.2	5.2	90	68	91	SE 1	S 2	S 2	5^0	2^0⊙	o	1.0	ca 0 a Ψ, ca 4 a ⌴^{2}, ca 7–11 a ≡^{1}
21.	41.7	40.1	39.2	1.9	4.8	3.8	5.1	0.5	5.0	5.9	5.5	95	92	92	SE 1	SE 1	SE 2	10^0=	8^0	o	–	ca 11 p–0 a ≡^{1}, ca 0 a–6 p ≡$^{2.0}$, ca 6 a stellenw. ⏢, [2]
22.	39.3	40.2	42.0	3.3	11.2	6.0	11.2	2.7	5.0	7.6	6.6	90	77	94	S 2	C	SE 1	9^0	7^0	o	–	ca 1 a Ψ, ⏢^{0}, stellenw. ⌴
23.	42.1	39.5	37.0	2.5	8.4	5.5	8.4	2.1	5.3	6.2	5.8	96	76	86	C	E 2	E 2	o	2^0⊙	o	–	ca 3 a Ψ, ca 5 a ⏢^{2}, stellenw. ⌴, ca 7–11 a ≡^{0}
24.	34.6	34.6	36.2	0.6	3.9	3.7	5.5	0.3	4.7	5.2	5.7	**98**	85	95	E 1	E 2	SE 1	10^0	10^0	10^0	–	ca 5 a Ψ, ⏢^{2}, stellenw. ⌴, 6–11 a ≡$^{0.2}$, 2^{34}–5^{05} p, [3]
25.	39.5	42.1	43.7	3.9	5.7	5.5	5.8	3.2	5.9	6.0	6.3	97	87	94	C	W 2	W 2	10^0	10^0	10^0	–	$9^{00.03}$ p ◍^{0}, 4^{34}–6^{34} a ◍^{0}, ca 6 a–4 p ≡$^{0.2}$
26.	44.0	43.6	42.9	5.0	6.8	5.1	7.0	5.0	6.3	5.9	5.5	97	80	85	SW 1	SW 1	SW 2	10^0	10^0	10^0	–	ca 10 p–mn ≡$^{0.2}$, n ztw. ◍^{0}, ca 7–11 a ≡$^{2.0}$
27.	39.9	40.8	42.2	6.9	5.7	5.0	6.9	3.9	6.6	5.9	6.0	88	88	92	W 4	W 3	W 2	10^0●	9^0●	10^0	0.8	n, a u. p ztw. ◍^{0}
28.	38.7	37.5	39.8	5.0	7.1	8.7	8.7	4.5	6.2	7.3	8.1	95	**98**	96	SW 2	W 2	W 2	10^0	10^0●	10^0●	3.4	n, a u. p ztw. ◍^{0}, ca 10 a–5 p ≡$^{0.1}$
29.	42.6	43.7	43.9	8.6	9.1	8.3	9.1	7.9	7.4	7.3	7.4	88	86	91	W 2	W 2	SW 2	10^0	10^0	10^0	1.6	n u. a ztw. ◍^{0}, ca 8–11 a ≡^{0}
30.	43.2	42.7	42.2	7.6	8.3	7.5	8.5	7.5	6.8	7.0	6.9	88	87	89	SW 2	W 2	SW 2	10^0	10^0	10^0	–	ca 8 a–m ≡^{0}, 7^{34}–8^{24} p ◍^{0}
																					67.8	
Mittel	35.7	35.7	35.9	6.2	8.9	6.9	9.5	4.8	6.5	6.7	6.7	91	79	89				8.9	8.0	7.0		

1) 11^{39} a–1^{49} p ⚿, 0^{57}–2^{03} p ◍^{2}, ca 1 p ≡ NW 6, 0^{54}–1^{09} p △, nachm. ztw. ◍^{0}, 3^{24} p ◠

2) stellenw. ⌴^{0} 3) 6^{59}–9^{00} p ◍^{0}

Alle Angaben nach Ortszeit.

Kaiserslautern.

November. $\varphi = 49^0\ 27'$ N. $\lambda = 7^0\ 46'$ E $= 31^m\ 4^s$. H $= 242.2$ m. Cg $= +0.3$ mm. 1913.

Datum	Luftdruck auf 0° u. Normalschwere reduziert 700 mm +			Lufttemperatur C°					Absolute Feuchtigkeit mm			Relative Feuchtigkeit Proz.			Richtung und Stärke des Windes 0 bis 12			Bewölkung 0 bis 10			Niederschlag mm	Bemerkungen
	7a	2p	9p	7a	2p	9p	Max.	Min.	7a	2p	9p	7a	2p	9p	7a	2p	7p	7a	2p	9p	7a	
1.	41.2	40.1	40.3	8.6	15.8	12.7	**16.4**	6.6	7.5	8.0	**9.9**	91	60	91	C	W 4	W 1	10^1	10^2●	10^2●	–	a ⏢, 13^6–ca 6^{30} p ztw. ◍^{0} ⚌, 7^{41} p–n ◍
2.	44.5	44.5	43.6	9.7	12.4	10.9	13.0	9.2	7.5	7.6	8.4	84	71	87	W 2	W 3	W 1	9^1	5^1◎	0	1.4	n ◍, a ztw. ⚌
3.	42.1	43.3	43.8	11.7	12.0	10.9	12.0	10.3	8.7	9.6	8.7	86	93	90	NW 2	W 1	W 2	10^1	10^2●	10^1	–	ca 7^{30} a ab ◍^{0}, p–ca 5^{30} p ◍
4.	43.2	41.9	40.2	9.7	11.8	9.9	12.1	9.2	8.5	8.7	8.1	95	85	89	C	E 1	C	10^2=	10^1	10^1	4.0	a ≡^{2}, p ztw. ∞. 9^{16} p–n ◍
5.	37.0	35.2	32.1	10.2	12.6	11.1	13.0	9.0	9.0	8.8	8.9	97	82	90	C	SW 2	C	10^2=	10^2	10^2●	6.6	n ◍, a ≡^{2}. 8^{31}–9^{21} a, ca 6^{30} p–n ◍^{0}
6.	34.6	33.5	32.4	8.1	10.3	6.5	11.1	6.5	6.7	5.8	6.5	83	63	90	W 3	W 3	C	10^2	5^1◎	10^2●	3.7	n, 6^{01} p–n ◍
7.	32.0	32.1	35.2	6.2	8.3	6.1	8.6	5.0	5.9	6.6	6.4	84	81	91	SW 2	W 2	W 1	9^2●	10^2	9^1	2.5	n ◍, a ztw. ◍, p–0^{46} p ◍, p–7^{01} p ztw. ◍
8.	38.8	38.5	37.7	6.1	8.2	7.2	8.4	5.1	6.0	6.2	6.8	86	77	90	W 3	W 1	W 3	10^2	10^2	10^2	1.8	4^{01} p–n ztw. ◍, ⚌
9.	38.8	38.1	38.3	7.2	10.1	10.0	10.1	6.5	7.3	8.7	8.8	96	95	96	C	W 2	W 1	10^1	10^2●	10^2●	1.5	n ◍, ztw. ⚌. 10^{41} a–n ◍$^{0.1}$
10.	38.6	38.4	38.5	9.5	14.1	9.0	14.1	9.0	8.7	9.1	8.2	**99**	76	96	N 1	SE 1	C	10^2●	10^2	1^0	5.3	n, a–8^{01} a ◍
11.	36.3	35.8	36.6	8.9	11.4	10.8	11.7	6.1	8.0	9.4	8.6	95	95	90	E 1	NW 1	SW 2	10^2●	10^2●	10^1	0.7	n, a, p–3^{51} p ◍
12.	35.7	33.9	32.8	10.9	11.1	9.2	11.6	9.2	9.0	8.9	7.8	93	90	91	C	S 1	SW 2	10^2●	10^2●	10^2●	9.0	n ◍, ca 5^{30} a ◪, t–n ◍, ztw. ◍^{2}
13.	28.5	**27.1**	28.3	9.9	9.3	6.2	11.3	6.2	7.8	6.9	5.7	86	79	81	W 4	NW 3	W 5	10^2	9^2	3^1	**13.5**	n–10^{16} p ◍, a ztw. ⚌, ◍-Tr. $0^{14.16}$ p △^{2}, ◍^{2} ⚌, [1]
14.	30.1	29.2	30.0	7.1	7.3	7.3	8.1	5.2	6.4	6.1	6.8	86	80	89	W 6	W 3	W 2	10^2	10^2	10^2	3.1	n, a ztw. ⚌, $10^{1.41}$ p ◍^{0}, dann ztw. ◍, abds.–7^{51} p ◍^{2} ⚌
15.	32.7	34.3	37.9	6.5	7.3	6.3	7.8	5.5	6.6	6.5	6.1	91	86	86	W 2	W 2	W 3	10^2●	10^2●	7^1	3.5	n ◍, a ◍^{0}, ztw. bis ca 10^{30} a ◍^{2}; [2]
16.	36.1	39.4	43.3	7.5	9.0	8.4	9.2	5.3	7.2	6.2	6.5	93	72	79	W 4	NW 3	NW 4	10^2●	10^2	10^2	9.9	n, a–ca 7^{30} a ◍ ⚌; ca 6^{30} p–n ⚌
17.	44.7	45.9	47.8	8.5	9.5	9.6	9.9	6.6	7.6	8.1	8.6	92	92	96	W 2	W 3	W 2	10^2●	10^2	10^2●	2.0	n ◍, ⚌, t–n meist ◍$^{0.1}$
18.	48.2	46.7	46.6	10.2	10.9	9.8	12.0	9.2	8.4	8.7	7.7	91	90	86	W 2	W 2	W 4	10^1	10^2●	10^2	3.5	n ◍^{0}. 0^{06}–ca 7^{30} p ◍^{0}, dann bis n ⚌
19.	47.7	50.6	**52.7**	7.8	8.5	1.7	10.0	1.7	7.5	5.0	5.0	93	60	96	W 3	W 2	W 1	10^2	3^0◎	0	4.5	n ◍, ⚌, a–6^{41} a ztw. ◍
20	51.0	48.7	48.0	– 0.7	7.5	6.7	7.8	– **1.2**	4.2	5.0	6.1	96	65	84	C	NW 2	C	10^1=	5^0◎	10^0	0.2	a ⌊^{2}, ≡
21.	46.3	44.8	43.8	6.1	8.5	6.3	9.5	5.7	5.8	6.5	6.5	83	78	91	W 2	W 3	C	10^1	5^0◎	0	–	
22.	44.3	45.8	48.3	9.7	11.7	5.7	12.0	5.7	7.5	7.3	6.4	84	72	94	W 1	NW 3	C	10^2	3^1	0	–	
23	46.5	44.7	42.6	7.1	9.1	6.9	9.2	5.0	7.1	7.2	6.6	94	84	88	E 1	E 1	E 2	10^2	10^1	10^1	–	p ∞
24.	40.8	40.6	42.3	5.9	6.9	6.3	7.0	5.5	6.3	6.6	6.9	91	88	98	E 2	N 1	C	10^1	10^2●	10^2●	–	a ∞^{2}, p ∞, Staub-◍; ca 7^{30} p–n ◍^{0}
25.	46.0	48.0	50.1	5.7	7.3	2.2	7.5	2.2	6.4	6.3	5.2	94	83	96	W 1	W 1	C	10^2●	10^1	0	7.0	n ◍, a–8^{30} a ◍^{2}, dann bis 9^{01} a ◍^{0}, p ztw. ≡
26.	50.0	49.5	49.2	5.5	7.5	6.9	7.9	1.2	6.3	6.2	6.8	94	80	91	W 1	W 1	NW 2	10^1	10^1	10^1	3.2	7^{16}–8^{21} p ◍^{0}, dann ztw. ◍^{0}; bis n ⚌
27.	48.2	48.8	49.2	7.7	7.3	6.5	8.0	6.4	6.9	6.2	6.4	89	82	88	NW 3	W 2	W 1	10^1	10^2	10^1	0.3	n ◍^{0} ⚌; a ztw. ◍-Tr.
28.	46.9	48.2	49.0	6.5	8.9	9.6	9.8	5.0	6.8	8.2	8.2	94	96	92	SW 2	W 3	C	10^2●	10^2●	10^1	3.3	n, a ◍^{0}, nachm. meist Staub-◍
29.	50.6	50.5	50.6	8.9	9.3	8.7	9.9	8.1	8.0	7.3	7.3	95	84	87	W 2	NW 2	W 4	10^1	10^1	10^1	0.8	n ◍^{0}; a, p ≡^{0}, abds. ztw. ⚌
30.	50.1	49.9	48.9	6.7	7.0	6.7	8.7	6.2	6.9	6.8	6.9	94	91	94	W 4	SW 4	W 1	10^1	10^2	10^2	–	n ⚌, a ztw. ◍-Tr., ⚌; p Staub-◍, ≡^{0}
																					91.3	
Mittel	41.7	41.6	42.0	7.8	9.7	7.9	10.3	6.0	7.2	7.3	7.2	91	81	90				9.9	8.8	7.7		[1] bis ca 0^{30} p ◍^{0}, ca 3^{30} p–n ⚌ [2] dann bis ca 4^{30} p ztw. ◍, bis n ⚌

Ansbach.

November. $\varphi = 49^0\ 18'$ N. $\lambda = 10^0\ 33'$ E $= 42^m\ 12^s$. H $= 437.5$ m. Cg $= +0.2$ mm. 1913.

1.	25.9	24.3	23.7	3.1	13.7	10.8	**13.8**	2.7	5.5	7.7	7.3	96	66	75	C	SW 2	SW 4	10^2=	10^2	0	–	mrgs. ≡^{2}
2.	27.1	27.8	27.7	8.4	12.0	7.4	12.4	5.6	7.4	5.6	6.6	92	54	87	W 4	SW 2	C	0 ◎	4^1◎	0	–	
3.	26.0	25.8	26.7	6.7	12.8	9.6	13.6	3.3	6.9	8.1	8.3	94	74	94	SW 3	W 4	W 2	6^1	10^2	10^2	–	Morgenröte. 3^{42}–7^{32} p ◍
4.	25.8	25.0	23.8	8.6	11.6	6.4	11.8	6.2	7.8	6.2	6.1	94	61	86	C	C	C	10^2	8^2	0	2.6	
5.	20.5	18.6	15.8	8.3	13.1	9.6	13.4	5.8	7.4	**9.1**	8.0	91	83	89	SW 2	W 2	W 2	10^2●	10^2	10^2	1.0	mrgs. ◍, t–2^{24} p ztw. ◍
6.	16.3	16.6	15.5	6.2	7.1	3.7	10.0	3.3	6.1	4.8	5.2	88	64	88	W 4	W 2	W 2	10^2	10^2	0	3.2	n, a ztw. ◍
7.	15.2	14.9	17.1	4.1	6.3	3.3	7.4	2.5	5.5	5.7	5.2	90	79	90	SW 2	W 2	W 2	10^2●	8^2	4^1	1.2	n, a–7^{42} a ◍. $12^{2.47}$ p, ca 6–7 p ◍ u. △, nachm. ztw. ◍
8.	20.3	21.7	21.8	4.5	7.2	4.4	7.4	2.9	5.8	5.4	5.3	93	72	86	W 4	W 4	W 2	10^2	8^2	10^2	5.8	n, a, ca 7^{30}–9 a ◍
9.	21.6	21.3	21.1	5.9	9.4	9.0	10.2	4.0	6.1	6.4	8.2	88	72	96	W 2	W 2	W 2	10^2	10^2	10^2●	4.0	9^{04} p ab ◍
10.	22.4	23.1	23.0	8.1	9.8	9.0	10.0	7.9	8.0	8.2	8.0	**99**	91	93	N 2	NW 2	SE 2	10^2=●	10^2	10^2	7.8	n, a, t ◍; mrgs. ≡^{2}
11.	21.1	19.7	20.0	4.8	8.8	9.0	10.0	4.4	6.1	7.9	7.8	96	93	93	SE 4	SW 2	SW 6	10^2	10^2●	10^2	0.4	10^{27} a–7^{27} p ◍
12.	20.6	18.1	14.9	8.6	9.6	8.4	10.0	6.0	8.0	8.0	7.4	96	89	91	C	C	W 2	10^2●	10^2●	10^2●	10.4	n, a, t ◍
13.	13.1	**10.8**	11.1	7.4	8.8	5.4	9.0	5.0	7.1	7.3	5.8	94	88	87	SW 4	S 6	SW 6	10^2	8^2	4^1	15.8	10^{52}–0^{42} p, 4^{32}–5^{32} p ◍, ⚌
14.	11.6	13.0	12.5	5.1	6.8	5.3	7.0	2.9	5.1	5.9	5.5	79	81	84	W 6	W 6	W 6	10^2	10^2	10^2●	1.7	mrgs. ⚌, t u. abds. ztw. ◍ u. ⚌
15.	15.4	16.0	19.4	5.1	6.0	4.9	6.8	4.0	5.8	5.4	5.8	90	78	91	W 4	W 6	W 6	10^1	10^2●	10^2●	1.6	t ztw. ◍. $7^{40.44}$ p △. 9^{15} p ◍
16.	17.2	19.4	24.3	5.5	7.2	3.8	7.8	1.3	6.1	5.1	5.5	92	68	93	W 6	W 6	W 4	10^2●	8^2◪	10^2●	6.8	n, a–9^{40} a, 0^{50}–1^{30} p, 1^{54}–2^{28} p, 6^{27}–7^{42} p ◪, ztw. ▲, [1]
17.	26.8	27.4	29.9	6.6	7.4	8.2	8.4	3.3	6.9	7.4	7.8	94	96	96	W 6	W 6	W 6	10^2●	10^2●	10^2●	**27.1**	n, a, t–n ◍
18.	30.8	30.4	29.5	8.6	11.6	9.2	11.8	7.9	7.8	8.4	7.2	94	84	84	W 4	W 2	W 4	6^2	8^2	10^2	10.2	
19.	28.8	32.3	**35.3**	8.0	6.4	0.5	9.6	0.0	7.6	4.2	4.1	94	58	87	W 4	NW 2	C	10^2●	0 ◎	0	0.1	6^{42}–9^{27} a ◍. Abendröte
20.	33.7	31.6	31.3	– 1.8	6.2	0.4	7.0	– **1.8**	3.7	4.6	4.4	92	65	92	C	SW 2	C	2^0	2^0◎	0	3.9	mrgs. ⌊
21.	30.0	28.5	27.7	1.5	4.9	3.2	5.8	– 0.2	4.9	5.8	5.3	96	91	92	SW 2	C	SW 2	10^2=	2^1◎	0	–	mrgs. ≡^{2}
22.	28.3	29.1	30.7	2.5	11.2	5.9	11.4	1.5	5.3	7.5	6.2	96	75	90	C	C	C	8^1	2^0◎	0	–	
23.	30.5	28.0	25.7	2.3	7.6	4.1	8.0	0.6	4.9	6.4	5.7	91	83	93	E 2	E 2	E 2	0	0 ◎	0	–	mrgs. ≡^{0}
24.	23.3	23.2	24.4	1.9	3.7	2.9	4.6	0.6	5.1	5.2	5.1	96	88	90	C	NE 2	C	10^2	10^2	10^2	–	mrgs. ≡^{0}
25.	27.6	30.6	32.5	3.7	4.9	4.3	5.7	2.5	5.8	5.7	5.8	97	89	93	C	SW 2	C	10^2	10^1	10^2	1.1	n, a, 2^{22}–3^{02} p ◍, mrgs. ≡^{0}
26.	32.6	32.1	31.5	3.7	5.9	3.7	6.2	3.3	5.8	5.5	5.0	97	80	84	C	W 2	SW 4	10^2	10^2	10^2	0.5	
27.	29.0	29.3	30.9	5.7	5.3	4.7	6.0	3.3	6.4	5.4	5.6	94	83	88	W 4	NW 4	W 2	10^2	8^2	10^2	0.3	n, a ◍ u. ⚌, vorm. ztw. ◍
28.	26.9	26.5	29.3	3.9	6.0	7.6	8.0	3.5	5.7	6.9	7.5	93	**95**	96	W 6	W 4	W 4	10^2●	10^2●	10^2●	2.8	n, a ◍, ⚌ u. ◍, abds. ◍
29	32.0	32.5	32.8	7.6	8.5	7.2	8.8	7.1	7.2	6.9	6.5	94	85	87	W 2	W 4	W 4	10^2	10^2	10^2	1.4	
30.	32.0	31.7	30.9	6.9	7.3	5.9	7.6	5.6	6.4	6.3	6.3	87	84	91	W 6	W 4	W 4	10^2	10^2	10^2	–	n, a ⚌. 6^{42}–7^{32} p ◍
																					109.7	
Mittel	23.6	23.5	23.9	5.2	8.0	5.7	8.7	3.4	6.1	6.2	6.1	90	77	87				8.4	7.6	6.3		[1] abds. ✳ u. ◍

Alle Angaben nach Ortszeit.

Regensburg.

November. $\varphi = 49^0\ 1'$ N. $\lambda = 12^0\ 7'$ E $= 48^m\ 28^s$. H = 354.3 m. Cg = +0.2 mm. 1913.

Datum	Luftdruck auf 0° u. Normalschwere reduziert 700 mm +			Lufttemperatur C°					Absolute Feuchtigkeit mm			Relative Feuchtigkeit Proz.			Richtung und Stärke des Windes 0 bis 12			Bewölkung 0 bis 10			Niederschlag mm	Bemerkungen
	7a	2p	9p	7a	2p	9p	Max.	Min.	7a	2p	9p	7a	2p	9p	7a	2p	9p	7a	2p	9p	7a	
1.	34.3	32.6	32.5	4.0	11.2	8.9	**17.0**	3.7	6.1	**8.9**	8.2	100	90	96	SE 1	SE 2	S 2	10^{2}≡	3^{0}○	0	0.2	früh ≡²
2.	35.6	35.7	35.7	6.9	11.6	7.8	12.2	5.8	7.3	6.6	7.3	99	64	93	SE 2	W 3	SW 1	10^{2}●	2^{1}○	0	1.6	n u. früh ◍⁰
3.	35.0	33.8	34.1	4.4	11.0	10.0	13.0	4.0	6.2	8.8	8.8	100	90	96	SW 1	S 1	SW 1	10^{2}≡	5^{1}○	10^{1}●	0.9	früh ≡², ca 7³⁰ p ab ◍
4.	33.2	33.0	32.1	9.1	9.8	6.3	10.2	6.2	8.4	7.3	6.9	98	82	98	SW 1	SW 1	S 2	10^{2}	10^{2}	10^{1}	2.3	
5.	29.3	27.4	24.3	7.2	9.6	8.7	10.0	5.6	7.6	8.8	8.2	100	99	98	S 3	E 3	E 3	10^{2}●	10^{2}	10^{2}	0.9	früh ◍, in der Ferne Nebel
6.	22.7	24.1	24.8	9.5	8.3	4.7	10.1	4.7	7.4	6.5	5.9	86	79	92	SW 4	W 2	W 1	10^{2}	10^{2}	10^{2}	2.8	n ◍
7.	23.5	23.1	24.8	3.4	7.0	2.9	7.2	2.4	5.7	6.3	5.5	98	84	98	SE 2	S 1	C	10^{2}●	10^{2}	10^{2}≡	0.9	n u. früh ◍, Ferne nebelig, abds. ≡²
8.	28.2	29.4	30.4	4.6	7.1	3.3	7.4	2.0	6.0	6.2	5.7	96	83	98	SE 3	SW 2	C	10^{2}	10^{2}	10^{1}	0.7	früh einzelne ◍-Tr.
9.	29.9	29.6	28.7	3.7	9.0	7.4	9.2	2.4	6.0	7.4	7.5	100	87	98	SE 3	SE 1	SE 2	10^{2}	10^{2}	10^{2}●	1.6	n ◍, früh in der Ferne Nebel, ca 7 p ab ◍⁰
10.	30.6	31.4	31.8	7.2	9.4	6.1	9.4	6.1	6.7	7.9	6.5	89	89	93	SE 2	S 3	E 3	10^{2}	10^{2}	0	1.4	n ◍, abds. Aufheiterung
11.	30.5	28.0	29.7	3.3	6.3	5.5	6.8	3.0	5.6	6.2	6.5	97	87	97	E 3	E 3	SE 2	5^{0}	10^{1}	10^{1}	–	früh ⌓
12.	29.5	25.1	22.8	4.0	7.1	6.8	8.8	3.2	6.1	7.0	7.4	100	93	100	E 4	E 2	C	10^{2}≡	10^{2}	10^{1}≡	–	früh ≡², abds. ≡¹
13.	22.4	20.1	**19.1**	6.2	8.8	7.4	9.0	5.0	7.1	7.6	6.6	100	91	86	SE 3	SW 4	SW 2	10^{2}●	10^{2}●	10^{2}	1.4	n u. früh ◍, m ◍⁰
14.	19.9	20.6	19.7	4.8	7.9	5.5	8.2	3.8	5.4	5.5	5.9	84	69	88	SW 5	SW 6	SW 4	4^{1}	10^{2}	10^{2}●	0.6	⎓, ca 3³⁰ p ◍⁰, ca 8 p ab ◍
15.	23.2	24.0	26.7	4.5	7.5	5.1	8.2	4.2	5.5	6.5	5.7	87	85	88	SW 3	SW 4	SW 3	5^{1}	8^{2}	10^{2}	1.3	n ◍⁰, t meist ◍
16.	25.9	27.5	31.1	5.5	3.1	2.6	8.0	2.6	6.2	5.1	5.1	93	90	93	SW 4	W 5	W 4	10^{2}●	10^{2}△●	3^{1}	4.6	n u. früh ◍, 1⁵¹ p ab ◍² mit △-ca 2³⁰ p, 2¹³.²⁸ p ⍁
17.	34.0	35.2	37.2	6.6	7.8	8.4	8.4	2.2	6.6	7.3	7.9	91	93	96	SW 4	W 3	W 2	10^{2}●	10^{2}●	10^{2}●	**12.6**	t ◍
18.	38.7	38.6	37.3	8.7	11.1	9.8	11.2	8.2	8.1	8.5	8.1	96	86	89	SW 3	SW 3	SW 2	10^{2}	8^{2}	10^{1}	4.6	n ◍
19.	36.5	39.6	**43.1**	8.8	7.2	2.4	10.0	2.4	7.9	5.4	4.8	95	72	87	S 3	W 3	C	10^{1}	5^{1}	0	0.4	m kurze Zeit heiter, abds. Aufheiterung
20.	42.2	40.8	39.6	– 1.8	1.6	1.1	3.4	– **2.0**	**4.0**	5.2	4.9	100	100	98	SW 3	SE 2	C	10^{1}≡	10^{1}≡	0	–	früh ⌴ ≡, m ≡¹
21.	38.6	37.4	35.6	0.3	1.8	0.4	3.0	0.0	4.7	5.2	4.7	100	100	100	SE 2	SE 2	C	10^{1}≡	10^{1}≡	10^{2}≡	0.3	t ≡
22.	37.4	37.6	39.1	– 0.6	4.8	0.8	5.0	– 1.4	4.4	5.9	4.7	100	92	98	SE 1	SE 2	C	10^{2}≡	3^{1}○	0	–	früh ⌴⁰ ≡
23.	38.2	35.4	33.0	1.1	7.8	4.6	8.2	– 0.2	4.9	6.1	5.5	98	78	87	SE 2	NE 4	NE 3	3^{0}	3^{1}○	0	–	früh ⌴
24.	31.4	31.6	32.7	0.9	2.5	2.5	4.6	0.2	4.8	5.4	5.4	98	98	98	NE 2	NE 4	NE 3	10^{1}≡	10^{2}	10^{2}	–	früh ≡
25.	35.5	38.1	40.1	2.5	3.6	3.8	4.0	1.8	5.4	5.9	6.0	98	100	100	NE 1	NE 2	NE 2	10^{2}	10^{2}≡	10^{2}	0.7	n ◍⁰, m ≡¹
26.	40.6	40.2	39.4	3.3	5.0	4.2	5.2	3.0	5.8	6.3	5.5	100	97	89	NE 2	NE 2	SW 4	10^{2}	10^{2}	10^{2}	0.2	früh in der Ferne Nebel
27.	36.4	36.5	38.1	4.5	6.2	4.3	6.4	2.8	5.9	5.4	5.4	94	76	87	SW 4	W 4	W 3	10^{2}	10^{2}	5^{1}	–	8^{43} a ◍⁰
28.	34.8	32.7	35.5	4.5	7.0	8.6	8.6	3.8	5.8	6.8	7.8	92	91	93	W 2	W 4	W 4	10^{2}●	10^{2}	10^{2}	3.1	n u. früh ◍, t ztw. ◍²
29.	38.5	39.7	40.0	8.5	8.5	8.2	9.2	8.2	7.3	7.5	6.9	85	91	85	W 4	SW 3	SW 2	10^{2}	10^{2}	10^{2}	8.1	
30.	39.8	39.1	38.4	7.2	9.2	7.0	9.2	6.8	6.5	6.7	6.6	86	78	88	SW 3	SW 3	SW 3	10^{2}	8^{1}	10^{2}	–	
																					51.2	
Mittel	32.5	32.3	32.6	4.8	7.3	5.5	8.4	3.4	6.2	6.7	6.4	95	87	94				9.2	8.5	7.3		

Passau.

November. $\varphi = 48^0\ 34'$ N. $\lambda = 13^0\ 28'$ E $= 53^m\ 52^s$. H = 309.3 m. Cg = +0.2 mm. 1913.

1.	38.2	36.7	36.7	4.7	10.1	7.5	**14.7**	4.4	6.3	8.1	7.4	98	88	96	C	S 1	C	10^{2}≡	2○	0	–	früh ≡²
2.	39.6	40.3	40.6	7.7	11.5	7.3	12.9	6.0	7.3	8.7	7.5	93	87	99	E 1	W 1	C	10^{2}≡●	4○	10^{2}≡	1.5	früh ≡, bis ca 10 a ◍, abds. ≡
3.	39.9	38.2	38.2	5.7	10.3	8.9	11.1	4.6	6.7	8.0	7.9	99	86	93	C	E 1	C	10^{2}≡	8○	0	3.0	früh ≡, m Inntal Nebel
4.	37.4	36.3	36.0	9.1	11.5	9.9	11.9	8.7	8.3	**9.2**	8.7	96	92	96	C	W 1	C	10^{2}≡	10●	0	1.1	früh ≡, bis ca 10 a ◍, 2 p ◍
5.	34.7	32.7	29.9	7.7	11.7	9.3	11.7	6.7	7.5	8.6	8.0	96	85	92	E 1	E 1	C	10^{2}≡	10^{2}	0	0.5	früh ≡
6.	27.7	28.8	29.0	8.1	8.7	6.9	9.8	6.9	7.7	6.7	6.9	96	80	93	W 1	W 1	C	10^{2}≡	10^{2}	10^{2}	1.4	früh ≡, ≡-Reissen, nachm. ◍⁰
7.	28.2	27.9	28.5	3.2	7.1	5.1	7.6	2.6	5.6	6.3	6.0	97	84	92	E 1	W 2	C	10^{2}≡	10	10	1.2	früh ≡
8.	33.0	33.3	34.5	5.5	6.3	4.3	6.7	4.3	6.0	6.4	5.9	89	90	96	W 1	W 2	C	10^{2}≡	10●	10^{2}≡	–	früh ≡, ca 10 a-4 p ◍, abds. ≡²
9.	34.8	34.0	33.3	4.1	7.7	8.3	8.6	2.5	5.6	6.8	7.4	92	88	91	E 1	W 1	C	10^{2}≡	10	10^{2}≡	1.0	früh ≡
10.	34.2	35.9	36.2	8.3	8.9	5.5	9.4	5.5	8.2	7.2	6.4	100	86	96	C	E 1	C	10^{2}≡	10^{2}≡	0	8.4	früh ≡
11.	34.9	33.2	34.3	2.0	7.3	5.1	7.4	1.0	5.3	7.6	6.2	100	88	95	E 2	SW 1	C	10^{2}≡	10	10^{2}≡	0.2	früh ≡², abds. ≡
12.	34.4	29.9	28.3	4.3	9.9	5.9	9.9	3.0	5.7	7.0	6.6	92	78	96	E 2	S 4	C	10^{2}≡	10	0	–	früh ≡²
13.	27.9	24.8	**24.1**	6.9	8.1	6.7	8.4	3.8	7.3	7.7	7.2	99	96	99	E 1	E 1	C	10^{2}≡●	10●	10^{2}≡	1.5	früh ≡ ◍, m ◍, abds. ≡
14.	25.9	25.9	25.9	6.1	9.5	7.5	9.6	4.2	6.1	5.5	5.9	87	62	76	W 1	W 4	C	10^{1}	10	0	3.2	früh ≡ ⌓
15.	27.4	28.9	29.9	7.5	8.3	7.1	8.6	6.0	7.3	7.2	6.1	94	88	81	W 3	E 4	C	10	10●	10	2.3	n ◍, t ◍⁰
16.	31.7	31.0	33.9	6.1	7.7	4.5	7.7	4.5	6.1	6.1	5.8	87	77	92	W 4	W 4	C	10^{2}●	10^{2}●	10^{2}●	1.2	n ◍⁰, 2^{37}–3^{14} p ⍁ ◍² ✳ ▲
17.	38.5	39.7	41.6	4.5	5.3	7.6	7.8	3.8	5.8	6.3	7.6	92	96	98	SW 3	W 2	C	10^{2}●	10^{2}●	10^{2}●	12.6	t ◍
18.	43.5	42.5	41.9	8.9	11.1	8.5	11.7	7.5	8.2	8.7	8.2	96	89	99	W 2	SE 2	C	10●	10●	10^{2}≡	16.0	t ◍, abds. ≡
19.	41.0	42.9	47.5	8.9	7.7	4.1	10.2	4.1	7.7	5.6	5.6	91	71	92	W 2	W 4	C	10●	10●	0	1.3	n, t ◍⁰
20.	**46.5**	44.8	44.2	0.5	6.1	0.5	6.5	– 0.4	4.7	5.9	4.7	98	84	98	C	E 1	C	10^{2}≡	0○	10≡	2.3	früh ≡², abds. ≡
21.	43.0	41.0	40.3	– 0.2	6.7	1.8	7.4	– 0.4	4.5	6.6	5.2	100	90	100	C	E 1	C	10^{2}≡	0○	10^{2}≡	–	früh ≡², abds. ≡
22.	43.9	42.0	42.8	– 0.2	5.9	2.4	7.6	– 0.6	4.5	6.2	5.3	100	90	96	C	W 1	C	10^{2}≡	8	10^{2}≡	–	früh ≡², abds. ≡
23.	42.6	39.7	37.3	0.0	10.1	4.5	10.1	– 0.2	4.6	5.8	5.8	100	63	92	C	E 1	C	10^{2}≡	2	0	–	früh ≡²
24.	35.7	36.1	36.5	2.0	3.0	3.0	4.5	1.2	4.7	4.8	5.3	82	85	93	E 1	E 1	C	10^{2}≡	10^{2}≡	10	–	früh ≡², m nebelig
25.	40.9	42.5	44.1	3.2	4.7	4.7	4.9	2.4	5.2	6.1	6.3	90	97	100	E 2	E 1	C	10^{2}≡	10^{2}≡	10^{2}≡	–	früh ≡², m nebelig
26.	45.1	44.9	44.6	4.3	4.9	5.1	6.7	3.8	5.9	6.2	5.3	96	97	81	C	E 2	C	10^{2}≡	10^{2}≡	10^{2}≡	0.5	t ≡
27.	41.5	39.9	41.6	3.7	5.3	3.0	5.9	3.0	5.7	5.5	5.3	97	83	93	C	W 3	C	10^{2}≡●	8○	10	2.3	früh ◍, m Strichregen
28.	39.5	36.9	37.7	4.3	4.9	8.1	8.4	3.0	5.8	6.1	7.7	93	96	96	W 2	W 1	C	10^{2}●	10^{2}≡●	10≡●	10.4	n, t ◍
29.	41.9	43.5	44.0	8.5	8.3	7.9	8.6	7.9	7.7	7.8	7.6	93	96	96	W 4	W 4	C	10^{2}≡●	10≡●	10≡●	**17.6**	n, t ≡-Reissen
30.	44.0	43.7	42.9	7.5	7.9	6.9	8.0	6.7	7.0	7.2	7.1	90	90	96	W 2	E 1	C	10^{2}≡	10^{2}≡	10^{2}≡	1.0	t ≡
																					91.4	
Mittel	37.3	36.6	36.9	5.1	7.9	5.9	8.8	3.9	6.3	6.9	6.6	94	86	94				10.0	8.4	7.0		

Alle Angaben nach Ortszeit.

Landshut.

November. $\varphi = 48^0\ 32'$ N. $\lambda = 12^0\ 10'$ E $= 48^m\ 40^s$. H $= 397.7$ m. Cg $= +0.2$ mm. 1913.

Datum	Luftdruck auf 0° u. Normalschwere reduziert 700 mm + 7ª	2ᵖ	9ᵖ	Lufttemperatur C° 7ª	2ᵖ	9ᵖ	Max.	Min.	Absolute Feuchtigkeit mm 7ª	2ᵖ	9ᵖ	Relative Feuchtigkeit Proz. 7ª	2ᵖ	9ᵖ	Richtung und Stärke des Windes 0 bis 12 7ª	2ᵖ	9ᵖ	Bewölkung 0 bis 10 7ª	2ᵖ	9ᵖ	Niederschlag mm 7ª	Bemerkungen
1.	29.7	28.4	28.2	4.4	12.1	7.2	14.0	2.3	6.2	7.7	7.5	100	73	99	C	W 2	C	10^1≡	6^0⊙	0	0.1	≡¹
2.	30.7	31.8	31.7	9.2	14.2	6.5	15.0	4.0	8.6	7.5	7.0	99	62	98	W 2	W 4	C	10^1●	6^1⊙	0	1.5	n, a–7^{19} a ◍
3.	30.6	29.7	30.0	3.7	13.9	9.9	**15.3**	1.3	5.8	9.1	8.0	97	77	88	W 2	W 2	W 2	8^1	8^0⊙	10^1	–	ca 7 a ⌓
4.	29.2	28.5	27.4	9.1	10.8	9.4	13.2	8.4	8.4	8.9	8.4	98	93	96	SW 2	W 2	C	10^1	10^1	10^2	0.5	n ◍, 2^{04} p ◍-Tr.
5.	24.9	23.2	20.2	8.7	13.0	9.1	14.3	7.7	8.2	**9.5**	8.3	98	86	96	SW 2	S 2	SW 2	10^1●	8^0⊙	10^1	0.4	n, a–ca 7^{19} a ◍^{0}
6.	18.7	20.6	20.0	9.0	8.0	4.2	9.1	3.5	7.2	6.3	5.8	84	79	93	W 4	W 4	C	10^1	10^1	10^1	3.7	n ◍
7.	19.1	18.7	20.2	1.1	7.1	4.1	8.3	0.2	4.7	5.4	5.8	94	71	95	SW 2	W 2	W 2	10^1	10^1	10^1	–	⌓
8.	23.9	25.6	26.1	4.9	7.9	2.4	9.2	1.6	5.7	5.6	5.0	89	71	91	W 4	W 2	C	10^1	8^1	10^1	0.2	n ◍^{0}, 8^{29}–10^{19} a ◍, $2^{20.39}$ p ◍-Tr.
9.	25.6	25.3	24.6	1.8	9.1	8.5	10.8	1.3	5.1	7.5	8.1	98	88	98	W 2	SW 4	W 2	7^0	10^1	10^1●	1.3	2^{03} p, ca 8 p–n ◍^{0}
10.	25.9	27.1	27.0	8.3	10.1	6.9	11.3	6.4	8.1	8.5	7.1	99	92	96	W 2	E 2	E 4	10^1	10^1●	10^1	1.6	n ◍, ca 9 a ≡¹, 2^{00} p ◍-Tr.
11.	25.4	24.2	25.2	4.8	7.2	4.8	8.2	3.7	6.2	6.5	6.2	97	86	97	E 4	E 2	SE 2	10^1	10^1	3^0	–	
12.	25.4	26.1	18.5	2.3	8.5	3.8	9.2	1.4	5.3	7.5	5.9	98	91	98	C	NE 2	C	10^1	9^0	10^0	–	ca 7 a u. 9 p ≡^{0}
13.	18.4	16.4	**14.9**	7.8	8.2	7.5	10.0	3.2	7.1	7.3	7.0	90	91	90	S 4	S 2	SW 2	10^1●	10^1●	9^0	3.1	n, ca 7 a–4 p ◍
14.	16.8	17.5	16.3	4.7	8.3	7.3	10.2	2.8	5.2	5.2	4.7	81	63	62	W 6	W 6	SW 6	1^1	10^1	10^1	1.8	
15.	19.4	20.6	23.4	5.2	6.7	5.0	9.2	4.3	5.8	6.1	5.4	87	83	83	SW 2	W 4	W 4	9^1	10^1	5^1	–	1^{29}–ca 2 p ◍^{0}, 4 p ◍-Tr., ca 6–6^{19} p ◍^{0}
16.	22.7	23.6	27.2	5.7	7.5	1.7	9.3	0.5	5.9	5.9	5.1	86	76	98	W 4	W 4	NW 4	10^1●	7^1⊙	10^1●	1.6	n ◍, a–ca 10 a ◍^{1}, 3^{50} p ◍, $4^{09.31}$ p ⊼ △^{2}, dann–n ◍
17.	30.4	31.6	33.1	5.6	7.6	7.5	9.2	1.3	6.6	7.3	7.6	97	94	99	W 4	W 4	W 2	10^1●	10^1●	10^1●	**21.3**	n, ca 7 a–n ◍
18.	34.7	34.6	33.5	7.8	11.8	9.8	13.0	7.2	7.6	8.7	7.9	96	**85**	87	W 4	W 2	W 4	10^1	9^0	10^1	4.5	
19.	32.8	35.3	**39.0**	8.3	7.2	1.3	11.3	0.3	7.4	5.4	4.5	91	72	89	W 2	W 4	C	9^1	4^1⊙	0	–	9^{34} a–m ◍^{0}
20.	37.5	35.8	35.1	– 2.8	6.6	0.9	8.2	– 4.0	3.6	6.2	4.7	98	85	96	C	S 2	C	0	0⊙	0	0.8	ca 7 a ⌓ ≡^{0}
21.	34.0	32.4	32.0	– 2.0	4.8	– 1.0	7.3	– 3.0	3.9	6.1	4.2	98	96	98	C	E 2	C	10^1	1^1⊙	5^1	–	≡^{0} ⌓, 9 p ≡
22	32.8	33.2	34.2	– 1.2	6.4	1.4	8.1	– 3.0	4.1	6.3	5.0	98	88	98	C	E 2	E 2	8^1	7^0⊙	10^1	–	⌓ ≡
23	33.4	30.4	28.1	– 0.5	8.3	2.3	10.0	– 2.0	4.4	6.6	5.3	100	81	98	E 2	E 2	E 2	9^1	0⊙	0	–	⌓ ≡¹
24.	26.4	26.9	27.9	2.6	3.2	3.8	5.2	0.0	5.3	5.7	5.9	96	98	98	W 2	NE 2	C	10^1≡	10^1≡	10^1	0.2	a, p ≡¹, ≡-Reissen
25.	31.2	33.9	35.8	4.3	4.9	4.3	6.2	2.2	5.8	5.9	6.0	93	92	97	W 2	W 4	W 2	10^1	10^1	10^1●	0.3	2^{04} p ≡-Reissen, 4^{19} p–n ◍
26.	36.1	36.0	35.9	3.5	4.8	3.8	5.9	2.6	5.8	5.5	5.2	98	86	87	W 2	W 4	W 4	10^1	10^1	10^1	1.7	ca 7 a ≡^{0}
27.	32.9	32.8	33.9	4.2	5.6	3.3	6.3	2.2	5.7	5.4	5.4	92	80	93	W 4	W 4	W 2	10^1●	10^1●	10^1	0.5	n ◍, ca 7–8 a ◍^{0}, 9^{19}–ca 11 a ◍, $4^{09.29}$ p ◍^{0}
28.	31.0	28.9	32.2	4.0	6.2	8.1	9.0	2.6	5.6	6.8	7.5	92	96	93	W 4	W 4	W 6	10^1●	10^1●	10^1	6.0	n, a u. p–4^{19} p ◍
29.	34.5	35.9	36.1	7.6	7.8	7.3	10.0	6.5	7.7	7.8	7.4	99	99	98	W 2	W 2	W 2	10^1●	10^1●	10^1	10.5	n, a u. p–ca 4 p ◍
30.	35.9	35.0	34.2	6.1	9.3	5.4	10.6	5.0	6.1	7.2	6.5	87	83	97	W 2	W 4	W 2	10^0	3^0⊙	0	2.1	
																					63.7	
Mittel	28.3	28.3	28.4	4.6	8.2	5.2	9.9	2.4	6.1	6.8	6.3	94	84	94				9.0	7.9	7.4		

Augsburg.

November. = 48° 22′ N. $\lambda = 10^0\ 54'$ E $= 43^m\ 36^s$. H $= 499.6$ m. Cg $= +0.1$ mm, über 728.8 mm Cg $= +0.2$ mm. 1913.

1.	21.0	19.4	19.2	4.7	15.0	10.6	**15.2**	3.7	5.7	7.7	8.0	89	**61**	84	SW 2	SW 2	SW 2	2^0	4^1⊙	8^1	–	⌓
2.	22.6	22.9	22.9	10.2	13.7	9.4	13.7	9.4	8.2	7.1	7.4	89	**61**	86	SW 2	W 2	W 2	6^1	3^1⊙	0	–	n ◍
3.	22.2	21.5	21.9	8.4	14.6	11.4	14.8	6.2	7.0	7.8	8.3	86	63	83	SW 2	SW 4	SW 2	8^1	6^1⊙	10^2●	1.7	8^{39} p–n ◍
4.	20.7	19.9	18.6	10.0	11.2	9.8	11.6	9.2	8.6	**9.2**	8.6	94	93	95	S 2	C	SE 2	10^2≡	10^2	10^1	0.8	n ◍
5.	15.8	13.9	11.4	8.8	14.4	10.2	14.4	8.1	7.8	7.8	7.8	92	64	84	SW 2	SW 2	SW 2	7^1	6^2	10^1	–	
6.	11.5	12.0	11.0	7.6	7.7	5.0	10.2	4.6	6.4	6.0	5.4	82	76	83	W 4	SW 2	W 2	10^2	10^2	0	6.9	n ◍
7.	10.6	10.0	13.3	5.0	7.6	4.7	8.0	2.9	5.5	5.1	5.8	84	65	90	SW 2	SW 2	W 2	10^1	10^1	5^1	0.5	n ◍
8.	16.0	16.9	17.2	4.6	8.0	5.5	8.0	3.5	5.7	5.2	5.5	90	64	82	SW 4	W 2	SW 2	10^1	7^2	10^1	1.7	n ◍
9.	17.1	16.5	16.3	5.2	8.8	8.6	9.2	4.8	6.0	7.5	7.7	90	89	92	SW 2	SW 2	SW 2	5^1	10^2	10^2	–	10^{39} a–13^4 p, 6^{39} p–n ◍
10.	17.1	17.8	17.6	8.6	12.4	8.6	12.4	8.6	8.0	7.7	8.0	96	72	96	C	E 2	SE 2	10^2	6^2⊙	10^1	9.4	8^{24}–9^{29} a ◍
11.	15.8	15.0	16.8	6.1	7.4	7.4	9.5	5.2	6.8	6.8	7.4	97	89	96	C	SE 2	SW 2	10^2≡	10^2≡	5^1	0.7	n u. t ≡²
12.	16.1	13.0	09.7	7.6	10.7	8.1	10.7	6.3	7.1	7.9	7.7	91	83	96	S 2	E 2	E 2	10^1	10^1	10^0	–	
13.	09.2	**06.9**	**06.9**	7.7	8.8	7.2	8.9	6.7	6.8	7.3	6.1	88	87	80	SW 4	S 2	W 4	10^1	10^2●	4^1	3.2	n, 7^{51} a–2^{04} p ◍
14.	08.6	09.1	07.6	5.0	7.9	7.4	8.2	4.6	5.0	5.3	4.8	76	66	62	W 4	NW 6	W 6	0	5^2⊙	10^1	3.1	
15.	11.1	11.9	15.5	4.8	8.0	5.2	8.1	4.2	5.2	6.0	5.9	81	74	89	W 6	SW 6	SW 6	4^1	7^2	10^2●	0.7	n, 8^{24} p–n ◍
16.	13.9	16.0	19.9	6.6	5.9	5.8	6.9	4.4	5.7	6.0	6.2	78	87	90	W 6	NW 6	SW 4	10^1	8^2	10^1	1.8	n u. t ztw. ◍
17.	22.8	23.5	25.4	6.0	7.6	7.7	7.7	2.3	6.6	6.9	7.2	94	89	91	SW 6	SW 4	SW 2	10^2●	10^2●	10^2●	**12.0**	n u. t ◍
18.	26.8	26.4	25.1	8.7	10.7	10.6	10.9	7.2	7.7	8.0	7.6	92	84	80	SW 2	SW 2	SW 2	10^1	10^1	10^1	7.7	
19.	24.7	27.5	**30.7**	9.2	7.6	3.0	10.6	3.0	7.5	5.7	4.8	87	73	85	SW 4	NW 4	NW 2	4^1	5^1⊙	0	–	
20.	28.4	27.0	26.6	0.5	8.8	2.9	8.8	0.2	4.4	5.4	5.4	92	62	96	SW 2	SW 2	SW 2	0	0⊙	5^1	–	⌓
21.	25.0	23.9	23.5	– 0.8	8.8	3.7	8.9	– 0.8	**4.2**	5.6	5.1	96	67	85	C	C	SW 2	5^1≡	3^0⊙	0	–	⌓, n u. a ≡¹
22.	23.9	23.9	25.3	4.0	11.3	4.7	11.3	2.0	4.6	6.6	6.2	75	66	97	SW 2	C	E 2	2^0	5^0⊙	0	–	⌓
23.	24.3	21.7	19.3	1.7	6.6	4.9	7.1	0.3	4.9	6.1	6.0	94	84	94	E 2	E 2	E 2	0	10^1	10^1	–	⌓
24.	17.8	17.9	19.2	4.8	4.9	5.0	5.2	3.6	5.9	6.1	6.0	92	96	92	C	C	SW 2	10^2≡	10^2≡	10^2●	–	n–p ≡², p u. 6^{14} p–n ◍
25.	22.7	25.3	27.3	4.1	4.1	4.2	5.0	3.6	5.5	5.3	5.8	90	87	93	SW 2	SW 2	C	10^2	10^2	10^2	2.3	n ◍
26	27.4	27.1	27.7	4.1	5.6	4.2	5.7	2.2	5.9	5.2	5.2	97	77	84	SW 2	SW 2	SW 4	4^1	10^2	10^2	–	a ≡²
27.	25.0	25.0	26.4	3.8	4.9	4.2	5.0	2.4	5.7	5.7	5.7	95	89	92	SW 4	SW 4	SW 4	10^2●	10^2	10^1	0.6	n u. a ztw. ◍
28.	23.0	22.6	25.0	4.0	5.4	7.2	7.2	3.4	5.7	6.6	7.3	93	**99**	96	SW 4	SW 4	SW 4	10^2≡●	10^2≡●	10^2	4.1	n–p ≡² ◍
29.	27.0	27.8	28.4	7.5	7.8	6.8	7.8	6.3	7.5	7.7	6.8	98	98	93	SW 4	SW 2	SW 2	10^2≡	10^2≡	10^2≡	4.5	n u. t ≡², ztw. ◍
30.	27.6	26.7	25.9	6.2	9.8	6.5	9.8	6.2	6.2	7.2	6.4	88	80	88	SW 2	W 2	W 2	10^1	2^1⊙	8^1	0.7	n ≡²
																					62.4	
Mittel	19.9	19.6	20.1	5.8	8.9	6.7	9.4	4.5	6.3	6.6	6.5	90	78	88				7.2	7.6	7.5		

Alle Angaben nach Ortszeit.

München-C.St.

November. $\varphi = 48^0\ 9'$ N. $\lambda = 11^0\ 34'$ E $= 46^m\ 16^s$. H $= 526.4$ m. Cg $= +0.1$ mm. 1913

Datum	Luftdruck auf 0^0 u. Normalschwere reduziert 700 mm +			Lufttemperatur C°					Absolute Feuchtigkeit mm			Relative Feuchtigkeit Proz.			Richtung und Stärke des Windes o bis 12			Bewölkung o bis 10			Niederschlag mm	Bemerkungen
	7^a	2^p	9^p	7^a	2^p	9^p	Max.	Min.	7^a	2^p	9^p	7^a	2^p	9^p	7^a	2^p	9^p	7^a	2^p	9^p	7^a	
1.	18.4	17.1	17.2	5.6	14.9	10.3	15.1	5.4	6.1	7.5	7.5	89	60	79	C	SE 1	SE 1	1⁰	2⁰⊙	0	–	a ⏢², ∞, Gebirge teilweise sichtbar
2.	20.5	20.7	20.8	10.1	14.3	9.8	14.8	9.4	7.9	6.8	7.5	86	56	83	SW 2	W 2	SW 1	10¹	3⁰⊙	0	1.5	n ◍, t Gebirge gut sichtbar
3.	20.0	19.2	19.3	8.2	15.0	11.8	**15.3**	7.8	6.4	7.5	7.0	79	59	74	SW 2	SW 2	SW 3	5⁰	7⁰⊙	10¹	–	a ⏢², t Gebirge teilweise sichtbar
4.	18.4	17.3	16.4	10.2	11.0	8.8	11.8	8.8	8.7	9.0	8.0	94	92	95	SW 1	C	SW 1	10¹≈	10¹●	0	0.5	n ◍, a ≡¹, t ztw. ◍⁹
5.	13.7	12.0	09.7	8.7	14.0	11.1	14.8	6.0	7.7	8.2	7.6	93	69	77	SE 1	SW 1	S 1	10¹	8¹	10¹	0.5	n ◍, a ≡⁹, m Gebirge teilw. schwach sichtbar
6.	08.6	09.7	08.9	8.5	8.1	5.1	11.1	5.0	7.4	5.7	5.1	90	71	79	SW 2	SW 2	SW 1	10¹●	10¹	0	4.0	n u. a ◍
7.	08.4	07.9	09.7	4.9	7.3	4.9	7.5	3.0	5.0	5.6	5.2	76	73	79	SW 1	SW 1	SW 3	10¹	10¹	10¹	0.6	a ⏢², 7^{16}-9^{31} a ztw. ◍⁹
8.	13.6	14.7	15.0	4.4	7.5	4.6	7.9	3.1	5.5	5.0	5.2	88	65	82	SW 3	SW 2	SW 3	10¹	7¹	10¹	1.5	n, t ztw. ◍, 12^1 p kurz △
9.	14.9	14.4	14.2	6.6	8.5	8.5	8.8	4.6	6.4	7.7	7.7	88	93	93	SW 1	SW 2	SW 1	10¹	10¹●	10¹●	0.3	n, ca 8^{15} a–n ◍
10.	14.9	15.2	15.5	9.0	12.9	7.9	13.1	7.8	8.1	**9.2**	7.6	95	84	96	SW 1	E 1	E 1	10¹	9¹⊙	10¹	11.0	n ◍, a ztw. ◍$^{0.1}$
11.	13.8	13.2	14.5	5.1	8.3	7.6	8.4	4.9	6.3	6.9	7.0	95	87	91	SE 1	C	C	10¹≈	10¹	3^0	4.0	a ⏢², ≡¹
12.	13.6	09.8	07.6	7.1	9.9	7.7	10.9	6.6	6.7	7.7	7.4	89	84	94	SE 2	NW 2	SW 1	10¹	10¹	10⁰	–	a ⏢², a ∞¹
13.	07.9	05.4	04.8	7.4	8.1	7.2	8.6	3.0	6.8	7.1	6.2	89	89	83	SE 3	SE 2	SW 2	10¹●	10¹●	10^0	6.9	n ≡⁰, n, t–ca 7^{45} p ◍
14.	06.6	07.0	05.9	5.5	8.8	6.5	9.2	5.4	5.3	4.6	5.2	78	54	73	SW 3	SW 5	SW 2	1^1	8^1	10^1	4.6	t Gebirge sehr gut sichtbar, ⎓, abds. ◍-Tr.
15.	08.8	10.0	13.1	6.8	7.8	5.3	8.1	4.9	5.9	5.2	5.5	79	65	83	SW 2	SW 3	SW 5	10¹	10¹	5^1	–	ca 9^{15} p ◍, t ztw. ◍-Tr.
16.	12.2	13.6	16.6	6.0	6.9	5.9	7.2	4.4	5.4	5.8	5.8	77	78	85	SW 5	SW 4	SW 3	10¹●	10¹	10¹ξ	0.6	n, a ◍ ⎓, vorm. Gebirge sehr gut sichtbar, [1]
17.	20.3	21.1	23.0	5.9	7.2	7.7	7.9	1.2	6.2	6.5	7.2	91	87	92	SW 2	SW 3	SW 2	10¹●	10¹●	10¹●	**11.2**	9^{00}-11 p ξ, $9^{06.09}$ p ▲, ca 9^{45}-10^{15} p ✳; n, a–n ◍
18.	24.5	23.7	23.0	8.5	12.1	10.4	12.2	6.5	7.6	8.1	6.7	93	77	72	SW 2	W 1	W 1	10¹	10¹	9^1	8.7	n ◍
19.	22.6	25.2	**28.0**	10.4	6.2	3.7	10.8	3.4	6.7	5.6	5.0	72	79	84	SW 3	W 2	SW 1	10¹	10¹	0	–	8 a Gebirge sehr gut sichtbar, 9^{49} a ◍⁶, 11^{31} p ◍²
20.	26.1	24 3	23.9	2.2	9.5	4.6	9.6	1.0	4.7	5.8	5.2	86	65	82	C	SW 1	SE 1	1⁰	o ⊙	0	8.0	a ⏤², ∞, m Gebirge gut sichtbar
21.	22.5	21.1	20.8	1.8	11.1	4.2	11.2	0.0	4.5	5.9	5.3	86	60	86	C	NE 1	C	1⁰	2⁰⊙	0	–	a ⏤² ≡$^{0.1}$, m ∞, abds. ≡⁹
22.	21.4	21.7	22.8	4.8	12.1	4.5	12.1	3.5	4.7	6.0	5.8	72	57	92	SW 1	NW 1	SE 1	2^0	4^0⊙	0	–	a ⏤, Gebirge gut sichtbar, m ∞
23.	21.8	18.8	16.6	1.8	6.5	3.8	7.1	1.1	4.9	5.8	5.8	93	82	97	E 1	E 3	C	6^0	10^1	10^1	–	a ⏤², ∞
24.	15.4	15.6	16.8	4.8	5.1	5.1	5.7	2.4	6.0	5.9	6.0	94	91	93	C	NW 1	W 1	10¹	10^2	10^1	–	a ⏢², ≡⁰, 2^{30} p, 3^{46} p, 6^{31} p u. abds. ◍⁹
25.	20.2	22.6	24.7	4.3	4.6	3.6	5.3	3.4	5.2	5.2	5.3	86	82	91	W 1	W 2	W 1	10^1	10^1	10¹●	0.2	3^{36} p–n ◍⁹
26.	24.9	24.8	25.1	4.0	3.8	3.6	4.9	3.1	5.5	4.8	4.7	91	81	81	C	SE 1	SE 1	10¹≈	10^1	4^0	1.4	n ◍⁹, a ≡¹, abds. Aufklaren
27.	22.2	22.4	23.5	4.3	4.7	4.0	5.2	1.9	5.4	5.7	5.6	88	90	92	SW 4	SW 2	SW 2	10¹●	10^1	10^1	0.5	n, t ztw. ◍
28.	20.5	18.7	22.0	3.7	6.0	7.3	7.4	3.4	5.5	6.4	7.4	93	91	**98**	SW 3	SW 3	SW 4	10¹●	10¹●	10¹●	6.3	n, t ◍
29.	24.2	25.3	25.6	7.2	7.6	7.2	7.8	7.0	7.3	7.6	6.8	96	**98**	91	SW 3	SW 1	SW 1	10¹●	10¹●	10^1	9.5	n, t ◍
30	25.4	24.0	23.3	6.6	11.2	7.7	11.2	6.3	6.1	6.6	6.0	85	67	76	SW 3	SW 3	C	10^1	9^1	0	3.4	t Gebirge sichtbar
-																					85.2	
Mittel	17.5	17.2	17.6	6.1	9.0	6.7	9.7	4.5	6.2	6.5	6.3	87	76	86				8.2	8.3	6.4		[1] abds. ≲ im N, 8^{56}-9^{00} p ξ

Traunstein.

November. $\varphi = 47^0\ 52'$ N. $\lambda = 12^0\ 39'$ E $= 50^m\ 36^s$. H $= 597$ m. Cg $= +0.1$ mm. 1913.

1.	12.7	11.8	11.8	3.3	13.8	6.4	14.0	3.0	5.5	7.5	6.8	95	63	94	E 2	NE 2	E 2	o	4^2⊙	o	–	mrgs. ⏢
2.	14.4	15.2	15.0	9.4	12.8	8.2	13.1	4.9	7.4	7.7	7.7	86	70	94	W 2	S 2	E 2	10^2●	5^2⊙	o	0.4	mrgs. ◍
3.	14.3	13.5	13.8	5.4	14.4	8.8	**15.0**	4.5	6.3	7.4	8.0	94	60	95	S 2	S 2	S 2	6^2	10^2	8^2	1.7	mrgs. ⏢
4.	12.4	11.8	10.6	8.8	11.6	6.8	11.9	6.8	7.0	8.2	7.1	91	80	96	W 2	W 2	SE 2	10^2	10^2	o	–	abds. ≡
5.	08.5	06.9	04.1	5.8	13.6	8.1	14.5	3.9	6.7	7.0	7.3	98	60	91	SE 2	W 2	SE 2	10^2	4^2⊙	o	0.5	mrgs. ◍
6.	02.9	04.1	04.0	8.1	6.0	4.8	8.5	4.2	7.3	6.1	5.8	91	88	90	W 2	SW 2	W 2	10^2●	10^2●	10^2	3.7	n u. t meist ◍
7.	02.7	03.5	04.1	2.4	4.2	3.4	5.2	1.2	4.9	5.6	5.4	89	90	93	W 2	W 2	W 2	6^2	10^2●	10^2●	12.3	mrgs. ⏤, m u. p ◍
8.	07.7	09.2	09.8	3.7	6.2	1.8	6.8	1.0	5.5	4.9	4.8	92	69	91	W 4	W 4	W 2	10^2	8^2	6^2	6.2	n u. a ◍
9.	09.2	09.1	09.2	5.8	7.3	6.6	7.4	1.8	5.6	6.9	7.1	82	90	98	W 2	S 2	SW 2	10^2	10^2●	10^2●	2.7	t ◍
10.	09.2	10.3	10.0	7.4	10.0	6.6	10.5	6.4	7.5	8.0	7.2	98	87	99	S 2	SE 2	E 2	10^2●	10^2●	10^2	26.3	n u. t ◍
11.	08.5	07.1	08.8	2.0	10.0	6.2	10.0	1.8	5.3	7.3	6.9	100	80	97	E 2	NE 2	S 2	6^2	10^2	2^2	0.3	mrgs. ⏢
12.	08.6	04.2	02.0	3.4	10.1	5.6	10.5	2.9	5.6	7.5	6.7	97	80	99	SE 2	E 2	S 2	6^2	10^2	2^2	–	mrgs. ⏢
13.	03.6	00.6	699.5	6.8	6.6	6.4	7.4	3.8	7.4	7.0	7.0	100	96	98	S 2	SE 2	S 2	10^2●	10^2●	10^2●	7.5	n ⏢, mrgs. u. t ◍
14.	01.0	01.7	00.5	4.3	9.1	4.9	9.6	3.5	5.6	4.4	5.6	90	51	86	S 2	W 5	SE 2	8^2	6^2⊙	8^2	18.8	
15.	03.3	04.5	07.2	5.4	7.6	5.0	7.8	4.4	6.2	5.2	5.5	92	67	84	W 4	W 2	W 4	10^2●	8^2	7^2	5.6	mrgs. ◍
16.	07.3	07.9	10.4	5.6	4.6	4.6	6.3	3.5	4.5	5.3	5.5	67	84	87	W 4	W 6	W 6	10^2●	10^2	10^2	1.7	a ◍
17.	14.0	15.8	16.9	4.1	5.4	6.3	6.5	0.5	5.9	6.2	6.8	97	92	96	W 6	W 4	W 2	10^2●	10^2●	10^2●	24.9	n u. mrgs. ◍ ✳, t ◍
18.	18.7	18.1	17.6	7.4	11.0	7.6	11.2	5.9	7.5	**8.3**	7.1	98	85	91	W 4	S 2	S 2	10^2●	10^2	7^2	25.4	n u. mrgs. ◍
19.	16.8	18.7	**22.2**	9.2	6.6	3.2	9.8	3.2	6.0	6.6	5.4	70	91	93	W 2	NW 6	SE 2	10^2●	10^2●	o	0.8	mrgs.–p ◍
20.	20.5	18.7	18.3	- 0.6	8.3	1.0	8.5	- 0.9	4.4	5.9	4.7	100	73	96	S 2	N 2	NW 2	3^2	o ⊙	o	5.2	mrgs. ⏤
21.	17.8	15.5	14.9	1.2	11.6	2.2	11.9	- 0.5	4.0	4.5	4.5	80	44	84	S 2	E 2	E 2	3^2	o ⊙	o	–	mrgs. ⏤
22.	15.8	16.1	17.0	2.0	11.0	3.3	11.4	0.2	4.7	6.5	5.7	89	67	98	S 2	E 2	E 2	6^2	6^2	o	–	mrgs. ⏤
23.	16.1	13.5	10.5	2.4	6.0	2.0	6.3	0.9	5.1	5.8	5.5	93	84	100	E 2	E 2	E 2	6^2	4^2⊙	o	–	mrgs. ⏤
24.	10.0	09.8	11.2	2.2	5.0	3.6	5.3	1.1	5.4	5.9	5.5	100	90	93	SW 2	SW 2	W 2	10^2≈	10^2	10^2	–	mrgs. ⏢ ≡$^{1.2}$
25.	14.3	16.6	19.0	4.4	3.4	2.8	4.9	2.7	5.2	5.4	5.2	84	93	93	W 2	W 2	W 2	10^2	10^2●	10^2●	–	p u. abds. ◍
26.	18.8	18.5	19.5	2.6	5.5	3.0	5.9	2.2	5.3	5.4	4.9	96	80	87	W 2	NE 2	N 3	8^2	8^2⊙	10^2	4.2	
27.	15.9	15.7	17.6	4.9	3.2	1.3	5.2	0.7	4.4	5.3	4.8	67	92	96	N 4	W 6	NW 4	10^2	10^2●	10^2●*	–	t ztw. ◍, abds. ◍ ✳
28.	14.6	12.8	15.6	2.1	4.4	6.7	6.7	1.0	5.2	6.1	7.1	96	98	98	W 4	W 4	W 4	10^2●	10^2●	10^2●	19.8	n u. mrgs. ◍, t ◍ ✳
29.	17.9	19.3	19.9	6.5	6.6	6.6	7.5	6.1	7.0	7.3	6.9	98	100	94	W 2	W 2	SW 2	10^2●	10^2●	10^2	**42.5**	n, mrgs. u. t ◍
30.	19.6	18.6	17.8	5.1	9.5	7.0	10.5	5.0	5.8	6.0	7.0	89	67	94	SW 2	W 2	W 2	8^2	10^2	o	14.2	
																					224.7	
Mittel	11.9	11.6	12.0	4.7	8.2	5.0	9.0	2.9	5.8	6.4	6.2	91	79	94				8.2	8.1	5.7		

Alle Angaben nach Ortszeit.

Partenkirchen.

November. $\varphi = 47^0\ 30'$ N. $\lambda = 11^0\ 6'$ E $= 44^m\ 24^s$. H $= 716.8$ m. Cg $= +0.1$ mm. 1913.

Datum	Luftdruck auf 0° u. Normalschwere reduziert 700 mm + 7a	2p	9p	Lufttemperatur C° 7a	2p	9p	Max.	Min.	Absolute Feuchtigkeit mm 7a	2p	9p	Relative Feuchtigkeit Proz. 7a	2p	9p	Richtung und Stärke des Windes 0 bis 12 7a	2p	9p	Bewölkung 0 bis 10 7a	2p	9p	Niederschlag mm 7a	Schneedecke cm 7a	Bemerkungen
1.	02.8	01.0	01.9	5.0	16.6	7.8	**17.6**	4.5	5.2	6.6	5.5	80	48	69	SE 2	C	C	1^0	3^0⊙	0	–	–	a ⏢, Berge sehr rein
2.	04.4	04.1	05.4	7.5	14.3	6.5	15.8	6.2	5.9	7.5	6.5	77	62	90	S 2	NW 4	C	8^0	1^0⊙	0	–	–	a Berge zum Teil in Wolken
3.	04.6	03.3	03.8	4.2	13.0	7.1	14.3	4.0	4.9	6.2	6.1	79	55	81	S 2	C	C	7^0	5^0⊙	10^1	–	–	a ⏢, Berge frei
4.	02.5	00.8	00.3	7.2	12.4	6.8	12.7	6.3	5.9	7.1	6.3	77	66	85	C	N 2	C	10^1	10^1	7^0	–	–	a Berge frei
5.	698.2	696.0	693.7	6.4	14.6	7.0	16.0	6.2	7.0	7.4	6.8	98	59	91	S 2	NW 4	S 2	3^1	4^0⊙	5^1	0.1	–	a Berge rein, föhnig
6.	693.9	694.3	693.9	6.7	4 4	0.7	8.5	0.7	7.3	6.2	4.8	100	100	100	C	C	S 2	10^1●	10^1●	0	5.0	–	n, mrgs. u. m ◍, a Berge bed., Neuschnee bis ca 1200 m
7.	692.9	692.4	694.4	1.8	4.0	2.4	5.8	0.5	4.6	5.1	5.1	88	84	93	C	SW 2	C	10^0	10^1	9^0	8.0	–	a Berge meist frei, Neuschnee bis ca 1200 m
8.	698.7	698.6	699.2	1.2	6.8	2.8	7.3	1.0	4.9	4.8	4.7	98	66	82	C	S 2	NW 3	10^1●	8^0⊙	7^0	5.9	–	a ◍, Berge im Nebel, Neuschnee bis ca 800 m
9.	699.6	698.9	698.9	3.5	9.0	6.5	9.8	2.1	4.8	6.6	6.2	82	77	86	S 4	C	C	9^0	9^1	7^1	0.6	–	a Berge zum Teil in Wolken
10.	699.5	699.2	699.7	6.0	13.2	5.6	13.7	5.6	6.4	7.2	5.5	91	64	82	SE 1	C	C	10^1	7^0	0	4.2	–	a Berge meist frei
11.	698.9	697.2	699.0	6.0	12.4	5.6	13.1	4.4	5.3	7.4	6.0	76	69	88	SE 2	C	SE 2	5^0	10^0	5^0	–	–	a Berge rein, föhnig
12.	698.4	693.9	692.9	4.8	13.4	5.5	16.2	2.8	6.0	**8.0**	6.5	94	70	97	C	C	S 2	6^0	7^0	5^0	–	–	a ⏢, Berge rein, föhnig
13	693.2	690.4	689.6	5.0	5.7	4.2	6.8	4.2	6.5	6.9	6.2	100	100	100	C	C	C	10^1●	10^1●	3^1	13.0	–	n, a u. m ◍
14.	692.2	691.1	690.9	0.9	8.7	4.4	10.3	0.2	4.8	5.5	5.2	98	65	84	C	S 2	C	4^1	3^0⊙	8^0	14.5	–	a ⏤, Berge frei
15.	693.5	694.8	698.3	4.0	6.7	3.2	7.5	3.2	6.1	4.7	5.7	100	64	98	C	N 2	C	10^1●	7^1	10^1	2.7	–	mrgs. ◍⁰, a Berge meist im Nebel, abds. ◍¹
16.	697.7	699.0	01.8	3.0	3.2	4.2	4.9	1.5	5.0	5.7	5.7	88	98	92	SE 3	C	NW 3	10^0	10^1●	10^1●	5.5	–	a Berge meist frei, m ab ◍¹, abds. ◍⁰
17.	05.7	06.0	07.6	2.6	4.8	5.3	6.3	2.4	5.4	6.3	6.6	98	98	99	C	NW 3	NW 2	10^1●	10^1●	10^1●	28.6	–	n u. t ◍, a Berge meist in Wolken
18.	09.6	07.7	08.2	5.7	11.4	4.0	12.3	4.0	6.9	7.7	6.0	100	77	98	C	W 2	C	9^1	6^1	0	10.8	–	n ◍, a Berge teilw. bewölkt
19.	08.1	08.6	**12.0**	3.2	7.5	4.0	9.9	1.8	5.0	7.2	6.0	87	93	98	S 2	NW 5	SE 2	7^0	10^1●	2^0	–	–	a Berge meist frei, m ◍⁰
20.	10.0	08.1	08.4	– 0.7	5.7	2.8	9.1	– 0.7	4.4	5.1	3.9	100	74	69	SE 3	NW 2	SE 2	0	0⊙	0	2.5	–	a ⏤, Berge sehr rein, föhnig
21.	06.8	04.8	04.6	2.3	11.2	3.8	12.5	1.8	3.4	4.7	4.0	63	48	67	SE 4	S 2	S 2	0	4^0⊙	0	–	–	a ⏤, Berge sehr rein, föhnig
22.	06.4	05.5	06.6	1.3	9.5	3.4	11.5	0.2	3.8	5.4	4.2	76	61	71	C	C	S 3	3^0	8^0	2^0	–	–	a ⏤, Berge sehr rein, föhnig
23.	05.0	02.3	00.3	0.7	5.2	1.6	9.4	0.7	4.3	5.3	5.0	89	80	96	C	S 1	S 2	8^0	8^0	9^0	–	–	a Berge rein, föhnig
24.	699.8	699.1	01.0	2.1	4.8	3.4	5.7	1.5	5.2	5.2	5.7	98	81	98	C	S 1	C	10^1	9^1	10^1	–	–	a Berge bis ca 1100 m im Nebel
25.	04.4	06.3	08.0	3.0	3.2	1.4	4.2	1.4	5.6	5.8	5.0	98	100	98	C	C	C	10^1	10^1	10^1	1.0	–	a Berge bis ca 1300 m im Nebel
26.	08.6	08.1	09.5	1.2	3.2	0.6	5.5	0.6	5.0	5.0	4.2	100	87	89	C	W 2	S 2	8^0	5^1	4^0	4.8	–	a Berge teilw. bedeckt, Neuschnee bis ca 1000 m
27.	07.3	06.6	07.6	0.6	0.3	0.6	2.8	– 1.6	3.9	4.7	4.7	82	100	98	SE 2	C	C	10^1	10^1*	10^1●	–	–	a Berge meist bedeckt, p ◍ u. ⚹, abds. ◍⁰
28.	05.0	04.1	07.6	0.8	4.3	4.5	5.4	0.2	4.9	6.2	6.3	100	100	100	C	C	C	10^1●	10^1●	10^1	17.2	2	a Berge bis ca 1200 m im Nebel, mrgs. u. m ◍¹, m △
29.	09.1	09.8	09.8	4.2	5.6	2.2	6.0	2.2	6.2	6.7	5.4	100	99	100	SE 2	SE 2	SE 2	10^1●	9^1	0	**38.5**	–	a ◍⁰, Berge meist bedeckt
30.	09.9	08.5	07.4	0.0	8.2	4.8	9.4	– 1.1	4.5	5.7	5.3	98	70	82	S 2	S 2	C	0	7^0	2^0	1.0	–	mrgs. ⏤, Berge sehr rein, föhnig
																					163.9		
Mittel	02.2	01.4	02.1	3.3	8.1	4.1	9.7	2.2	5.3	6.1	5.5	91	77	89				7.3	7.3	5.2			

Hohenpeissenberg.

November. $\varphi = 47^0\ 48'$ N. $\lambda = 11^0\ 1'$ E $= 44^m\ 4^s$. H $= 994.1$ m. Cg $= \pm 0.0$ mm. 1913.

	600 mm + 7a	2p	9p	7a	2p	9p	Max.	Min.	7a	2p	9p	7a	2p	9p	7a	2p	9p	7a	2p	9p	7a	7a	Bemerkungen
1.	79.1	78.4	78.4	7.9	12.7	11.8	**13.0**	7.7	4.7	5.8	5.6	59	52	55	SE 1	C	W 2	○○	4^1⊙	1^2	–	–	a ⏢, im Tale ⏤, t reine Fernsicht, abds. ∞
2.	80.6	81.2	81.1	7.3	10.8	8.5	12.0	6.8	6.5	6.5	6.8	86	68	83	SW 4	W 4	E 2	10^2	4^2⊙	0	0.4	–	n ◍, t sehr reine Fernsicht, abds. teilw. ≡
3.	80.6	80.5	80.3	9.9	10.6	9.3	11.2	8.0	4.3	6.6	6.7	47	70	76	W 1	W 1	W 3	9^1	2^1⊙	10^2	–	–	t reine Fernsicht
4.	79.1	78.2	76.7	7.3	9.4	8.1	9.5	7.1	7.6	**8.1**	6.7	100	92	83	SW 1	C	E 3	10^2= ●	10^2	5^2	0.5	–	n ◍, a ≡² ◍, p u. abds. ∞, abds. ≡
5.	74.8	73.5	70.8	8.2	10.5	8.3	11.0	7.6	6.0	6.4	6.6	74	68	81	SW 3	W 4	E 1	10^2	5^2	9^2	1.2	–	t reine, p sehr reine Fernsicht
6.	70.4	70.7	69.8	4.1	2.2	2.5	8.7	2.1	5.7	5.4	3.9	93	100	70	W 1	SW 3	SW 3	10^2= ●	10^2=	0	5.2	–	n u. a ◍, a–p ≡¹·², abds. sehr reine Fernsicht, [1]
7.	69.1	68.8	70.3	1.4	3.1	0.9	5.5	0.8	4.8	4.6	4.7	94	81	96	W 2	SW 1	SW 6	10^2	10^1	10^2=	2.2	–	a ∞, 7^{12} a kurz ⚹, p reine Fernsicht, abds. ≡¹
8.	74.1	74.9	75.1	0.6	3.5	2.1	3.5	0.3	4.8	4.2	4.0	100	72	75	W 5	NW 1	SW 3	10^2=	9^2	10^2	3.3	–	n ⚹, n u. a ≡¹·², p u. abds. ∞
9.	75.4	75.2	74.9	3.5	6.6	7.0	7.8	2.1	5.9	6.4	6.4	100	88	85	SW 1	SW 5	SW 7	10^2	10^2●	10^2●	8.7	–	n u. t ztw. ◍, a reine Fernsicht, ≡ besond. i. E, [2]
10.	75.7	76.0	75.5	7.1	7.8	7.0	8.5	6.1	7.0	7.5	5.1	93	94	69	SW 1	SE 1	E 5	10^2	5^1	0	1.0	–	n ◍, a Geb. s. rein, im Flachl. stellenw. ≡, [3]
11.	74.6	74.2	75.2	8.9	10.8	8.1	12.7	5.3	4.6	5.1	6.5	54	53	81	S 1	NW 1	NE 4	9^1	10^2	8^1	–	–	a ⏢, Horiz.-≡, ≡ i. E, sonst sehr reine Ferns., [4]
12.	74.1	71.3	69.0	7.2	8.9	7.4	11.0	5.6	6.5	7.2	6.2	86	86	80	SE 6	SE 3	NE 2	10^1	9^1	4^2	–	–	a reine Ferns., stellenw. ≡; p ∞[5], st. Horiz.-≡, [5]
13.	69.2	66.7	66.1	4.2	5.2	3.8	9.9	3.3	6.2	6.0	4.8	100	90	80	SW 1	SW 4	SW 8	10^2●	10^2●	7^1	8.5	–	n u. t ◍, abds. ≡, sehr reine Fernsicht
14.	67.4	68.0	67.0	2.3	4.9	4.0	5.3	2.1	4.5	4.1	4.1	82	62	67	W 8	W 3	SW 7	1^2	9^1	10^2	8.0	–	t reine, abds. sehr reine Fernsicht, abds. ≡
15.	69.8	70.4	73.5	2.5	1.8	1.0	4.0	0.0	5.1	4.9	4.8	93	93	98	W 3	SW 8	SW 8	10^2	8^2	10^2= ●	1.0	–	n u. t ztw. ◍, p kurz ⚹, p u. abds. ≡, abds. ≡²
16.	72.7	74.5	77.3	2.8	2.3	2.9	4.0	0.0	4.6	5.4	5.3	80	100	94	SW 9	W 3	SW 8	10^2	10^2=	10^2●	4.3	–	a reine Ferns., ca 0^{15} p kurz ⚹, p ≡¹, abds. ∞ ◍
17.	80.7	80.9	82.7	2.9	3.0	5.2	5.2	2.1	5.6	5.5	6.3	100	96	95	W 6	W 8	SW 8	10^2= ●	10^2●	10^2●	**18.3**	–	n u. t ◍, a ≡², abds. ∞
18.	84.9	84.1	83.3	5.8	8.1	7.2	8.1	5.1	6.9	7.6	5.5	100	94	73	W 3	SW 1	SW 6	10^2=	10^2	6^2	10.9	–	n ◍, a ≡², p Gebirge bedeckt, Flachl. rein, [6]
19.	82.8	84.7	**87.0**	6.1	2.2	2.0	7.2	1.7	5.8	5.4	3.7	83	100	69	SW 6	NW 5	NE 3	8^2	10^2= ●	4^2	–	–	a u. abds. reine Fernsicht, p ≡² ◍
20.	85.3	84.2	83.8	1.6	6.8	6.2	6.8	0.9	4.4	4.6	3.6	85	63	50	S 1	SW 1	SW 4	○○	○○	0	1.7	–	a ⏤, ≡ i. E, t s. reine Ferns., p u. abds. Horiz.-≡
21.	82.7	81.6	81.1	9.1	9.1	6.6	9.9	5.4	**1.7**	5.7	4.1	20	66	57	SW 1	S 1	W 3	○○	○○	0	–	–	a ⏢, s. reine, p u. abds. reine Ferns., abds. Horiz.-≡
22.	81.9	81.9	82.1	6.2	8.6	6.6	8.8	4.7	3.6	4.7	3.8	50	56	53	SW 1	SE 1	E 4	2^1	5^1	0	–	–	a ⏢, t reine Fernsicht
23.	80.6	78.3	76.2	2.2	3.3	1.6	6.6	1.6	4.4	5.1	5.0	82	88	96	E 6	NE 2	SW 1	10^1	2^1⊙	10^2=	–	–	a Gebirge sehr rein, Flachl. ∞, p ∞[5], abds. ≡²
24.	75.4	75.4	76.5	2.1	2.6	1.4	3.1	1.4	5.1	5.5	5.0	94	100	98	W 1	NW 1	SW 3	10^2	10^2=	10^2=	–	–	a ∞, p u. abds. ≡²
25.	79.9	81.8	83.5	0.6	0.4	– 0.2	1.4	– 0.3	4.5	4.6	4.5	94	96	100	N 3	NW 4	SW 2	10^2	10^2	10^2= *	2.2	–	n ◍, a reine Ferns., p ∞, ca 4 p–n ⚹[6], abds. ≡²
26.	83.8	83.8	84.2	– 0.2	0.3	– 0.6	0.6	– 0.6	4.5	4.5	4.0	100	96	90	W 1	NW 1	SW 5	10^2=	10^2	0	3.2	1	n ≡² ⚹[6], a ≡¹, p ∞, abds. Horiz.-≡
27.	82.3	81.9	83.1	1.1	– 0.3	0.0	1.2	– 1.0	3.8	4.5	4.5	75	100	98	W 4	W 4	SW 5	10^2	10^2= *	10^2=	0.2	–	n ◍, a ∞, p–ca 2^{15} p ⚹, p u. abds. ≡²
28.	80.3	79.9	82.4	0.6	2.6	4.4	4.4	– 0.4	4.8	5.5	6.0	100	100	97	W 6	SW 10	SW 5	10^2=	10^2= ●	10^2=	7.2	–	t ≡², ztw. ◍
29.	84.4	85.4	85.3	3.9	4.2	3.9	4.4	3.8	6.1	6.2	5.9	100	100	97	W 3	W 1	SW 6	10^2= ●	10^2=	10^2	15.2	–	t ≡², ztw. ◍, abds. ∞
30.	85.1	84.7	83.5	1.4	8.4	7.2	8.4	1.4	5.0	4.4	4.4	100	54	58	W 1	NW 1	W 4	10^2=	9^2	0	0.4	–	a ≡² p u. abds. sehr reine Fernsicht
																					103.6		
Mittel	77.9	77.7	77.9	4.3	5.7	4.8	7.1	3.0	5.2	5.6	5.2	84	83	80				8.3	7.7	6.1			

[1] stellenw. ≡. [2] p u. abds. ∞
[3] p reine Fernsicht; abds. ⏤ ∞, im Tale ≡
[4] p reine Fernsicht, abds. ∞
[5] abds. ∞[1] ≡ Ψ. [6] abds. reine Fernsicht

Alle Angaben nach Ortszeit.

Zugspitze.

November. $\varphi = 47^0\ 25'$ N. $\lambda = 10^0\ 59'$ E $= 43^m\ 56^s$. H = 2964 m. Cg = − 0.2 mm. 1913.

Datum	Luftdruck auf 0° u. Normalschwere reduziert 500 mm +			Lufttemperatur C°					Absolute Feuchtigkeit mm			Relative Feuchtigkeit Proz.			Richtung und Stärke des Windes 0 bis 12			Bewölkung 0 bis 10			Niederschlag mm	Schneedecke
	7a	2p	9p	7a	2p	9p	Max.	Min.	7a	2p	9p	7a	2p	9p	7a	2p	9p	7a	2p	9p	7a	7a
1.	32.9	32.9	32.5	− 1.0	2.3	0.0	**2.5**	− 1.0	2.1	2.4	3.2	50	44	70	SW 6	SW 2	S 5	2^0⊙	4^0⊙	3^1	–	✳
2.	32.9	33.9	34.4	− 1.8	− 3.5	− 2.5	0.8	− 4.5	3.8	3.0	1.4	94	88	37	W 3	W 3	NW 3	7^1≡	3^0⊙	1^0	–	✳
3.	34.3	33.9	33.3	− 0.5	0.3	− 3.7	1.2	− 3.8	**1.2**	1.4	2.8	**28**	**28**	81	NW 3	W 3	NW 4	5^0	9^0	9^1	0.1	✳
4.	31.6	31.0	30.3	− 4.1	− 2.8	− 4.3	− 2.8	− 5.1	3.3	3.7	3.2	100	100	100	NW 3	W 1	W 1	10^1	10^1≡	9^1	–	✳
5.	28.0	27.2	25.3	− 4.6	− 2.3	− 2.0	− 1.7	− 4.6	3.2	3.6	3.0	100	94	77	NW 3	S 4	SW 6	5^0	5^0⊙	9^0≡	2.8	✳
6.	22.2	21.4	21.3	− 7.0	− 9.6	−11.2	− 2.0	−11.6	2.6	2.1	1.6	100	100	84	NW 6	NW 6	NW 1	10^2≡≡	10^1≡≡	1^0	4.1	✳
7.	19.8	19.2	20.8	− 9.4	−11.5	−11.4	− 8.1	−11.8	1.9	1.8	1.8	88	100	100	SE 4	NW 5	N 8	10^1≡	10^1≡≡	10^2≡≡	13.9	✳
8.	23.5	24.7	25.7	−11.6	−10.7	− 8.7	− 8.7	**−12.5**	1.8	1.9	2.2	100	100	100	W 8	W 4	NW 8	10^2≡≡	9^0⊙	10^2≡≡	8.7	✳
9.	26.9	27.5	27.8	− 6.5	− 4.6	− 4.5	− 4.5	− 8.7	2.7	3.2	3.2	100	100	100	NW 5	NW 5	NW 9	10^2≡≡	10^2≡≡	10^2≡≡	3.1	✳
10.	28.4	29.6	29.8	− 4.1	− 2.8	1.8	1.8	− 4.7	3.3	3.4	4.0	100	92	77	NW 5	NW 1	SW 6	10^2≡	7^0	2^0	6.1	✳
11.	29.7	29.2	29.3	− 1.1	0.2	− 0.6	1.8	− 1.3	3.5	3.9	**4.1**	83	84	91	SW 8	S 11	S 11	7^0	10^1	5^0	–	✳
12.	29.0	27.0	25.1	− 1.6	0.6	− 0.7	0.8	− 1.7	3.8	4.0	3.6	93	84	83	S 11	S 11	S 11	5^1	7^0⊙	5^0	–	✳
13.	22.2	20.0	18.4	− 5.0	− 5.7	− 8.9	− 0.7	− 8.9	3.1	2.9	2.2	100	100	100	S 5	NW 5	NW 5	10^1≡≡	10^2≡≡	10^2≡≡	13.7	✳
14.	20.1	20.5	20.0	− 7.4	− 8.0	− 8.2	− 7.1	− 9.9	2.5	2.2	2.1	100	91	90	W 7	W 9	W 8	7^1	4^0⊙	10^1≡≡	**16.3**	✳
15.	20.8	21.6	23.7	− 9.0	−10.0	−10.8	− 7.6	−11.1	2.2	2.0	1.8	100	100	100	NW 6	NW 6	NW 7	10^2≡≡	10^2≡≡	10^2≡≡	4.5	✳
16.	23.3	23.7	26.0	−10.3	− 9.8	− 9.8	− 8.5	−11.8	1.9	2.0	2.0	100	100	100	NW 7	NW 11	NW 11	10^2≡≡	10^2≡≡	10^2≡≡	3.8	✳
17.	29.4	30.6	34.2	− 8.9	− 6.9	− 3.0	− 3.0	−10.1	2.2	2.6	3.6	100	100	100	NW 10	NW 10	NW 6	10^2≡≡	10^2≡≡	10^2≡≡	4.6	✳
18.	35.4	35.4	34.7	− 4.5	− 4.5	− 5.4	− 3.0	− 5.4	3.3	2.9	2.4	100	91	78	NW 4	W 6	NW 7	10^2≡≡	3^0⊙	0	7.6	✳
19.	33.8	34.2	35.2	− 6.3	− 5.6	− 8.1	− 5.4	− 8.1	2.7	2.9	2.3	100	100	100	W 5	NW 7	NW 5	10^2≡≡	10^2≡≡	10^2≡≡	0.1	✳
20.	35.3	36.2	**37.0**	− 8.7	− 5.6	− 4.4	− 4.4	−11.1	1.4	2.4	2.7	62	79	82	NW 4	NW 3	W 3	1^0	2^0⊙	0	2.1	✳
21.	35.7	35.2	34.5	− 2.1	− 2.1	− 1.9	− 1.6	− 4.4	2.9	2.7	2.3	72	68	58	S 6	S 7	SW 8	2^0	3^0⊙	2^0	–	✳
22.	33.0	33.4	34.0	− 6.2	− 5.3	− 4.0	− 1.9	− 6.2	1.9	2.6	2.9	68	83	86	SW 3	W 6	S 1	4^0	9^1	2^1	–	✳
23.	32.9	31.6	30.0	− 2.9	− 2.0	− 3.2	− 1.8	− 4.5	2.2	2.4	1.9	59	59	54	SE 5	SE 1	SE 5	9^1	7^1	6^1	–	✳
24.	27.0	26.0	26.6	− 6.4	− 6.0	− 8.1	− 3.0	− 8.1	2.2	2.8	2.3	80	100	100	SE 6	SE 3	SE 3	3^1	10^2≡≡	7^1≡	–	✳
25.	28.5	29.8	31.0	−10.2	−10.0	−10.3	− 8.1	−10.4	2.0	2.0	2.0	100	100	100	NW 3	NW 4	NW 2	10^2≡≡	10^2≡≡	10^2≡≡	0.8	✳
26.	31.0	32.1	33.2	−10.4	− 8.0	− 7.6	− 6.7	−10.5	1.7	1.8	1.5	90	73	57	SE 2	SE 3	NW 4	3^0	2^0⊙	0	4.0	✳
27.	31.5	29.6	30.4	− 8.8	−10.5	−11.7	− 6.9	−11.9	2.2	1.9	1.8	100	100	100	NW 8	NW 9	NW 7	10^2≡≡	10^2≡≡	10^2≡≡	0.1	✳
28.	29.5	30.4	34.3	− 6.7	− 4.8	− 3.0	− 3.0	−11.8	2.6	3.1	3.6	100	100	100	NW 8	NW 11	NW 7	10^2≡≡	10^2≡≡	10^2≡	7.2	✳
29.	33.5	34.9	35.5	− 7.2	− 4.8	− 7.0	− 3.0	− 7.2	2.6	3.1	2.3	100	100	89	N 7	N 4	N 6	10^2≡≡	10^1≡	0	7.7	✳
30.	36.2	36.5	35.7	− 6.2	− 5.1	− 3.7	− 3.2	− 8.0	2.4	3.0	3.4	84	95	100	N 6	NW 7	NW 3	1^0	10^1	10^2≡	0.8	✳
																					112.4	
Mittel	29.3	29.3	29.7	− 6.0	− 5.3	− 5.6	− 3.3	− 7.7	2.5	2.7	2.6	88	88	86				7.4	7.8	6.4		

44

Bemerkungen.

1. 7 a Berge frei u. rein, 2 p ∞². 4 p st-Schicht i. W. 6 p 9^1 st, st-cu
2. 7 a Nebeltr. u. d. G., i. S cu-Schicht bis ca 3500 m, fr-cu in Gipfelhöhe. 6^{44-51} a ✳^{0}, dann ✳^{1}–6^{59} a, 6^{59}–9^{34} a ≡$^{1-2}$, ✳^{0}; p ztw. starke ci-Bew.
3. 7 a Berge frei. 10 a u. 2 p Föhnmauer i. W. 2 p über Flachland ver, cu. 3 p a-cu W m
4. 7 a i. W Föhnmauer, st. Nebeltr. u. d. G.; fr-cu in Gipfelhöhe. 8^{54-59} a ✳^{0}. 9^{24}–ca 11 a ✳^{1}, dann ✳^{0} bis 0^{14} p. 9^{14} a–2^{24} p meist ≡^{1}. 3 p ≡^{0}, Nebeltr., fr-cu W m, 4^{34}–6^{34} p ≡^{1}, [1])
5. n ✳^{0}. 7 a fr-cu NW m, i. SE u. W Föhnmauer, über Flachland teilw. cu-decke, 3 cm Neuschnee, Nebeltr.; a ∞^{1}; ab m ztw. Nebeltr.; 3 p a. ü. Flachl. cu-meer in ca 2000 m
6. n 5 cm Neuschnee. 7 a st. ✳tr.; a–6 p ✳^{1}, ≡^{1}. 5^{34} p Aufklaren. a-cu, i. S cu-meer in ca 3000 m, fr-cu ü. d. G.; ☂
7. 50 cm Neuschnee, 10 cm ⋁; a–9 a ≡^{0}, 9–11 a ≡^{1}, 11 a–3 p ≡$^{1-2}$, 3–6 p ≡^{1}, dann ≡^{2} bis 9^{00} p; 7 p Drehung des Windes auf N 15 m/s; t ✳$^{0-1}$, st. ✳tr.
8. 9^{00} p–n ≡^{2}, n ca 30 cm Neuschnee, 30 cm ⋁; 7 a st. ✳tr., a–11 a ✳^{1}, 11–11^{04} a ✳^{0}; a–m ≡^{1}, dann ≡^{1} bis 1^{24} p, 3 p i. S cu-meer in ca 3000 m. 8–9^{00} p ✳^{1}
9. 9^{00} p–n ✳^{1}, n 10 cm Neuschnee, 20 cm ⋁; 8–8^{34} a ✳^{0}, dann ✳^{1} bis 11^{34} a; p meist ✳$^{0-1}$, st. ✳tr. m–1 p Wind dreht auf W. 8 p Windst. bis 25 m/s
10. n 20 cm Neuschnee, 30 cm ⋁; 9 a Abflauen des Windes, Aufklaren. 2^{04}–ca 5 p W 2–3.. 5 p S 8 m/s. 7^{39} p SW 10–15 m/s, p wechs. Bew.
11. 7 a Föhnmauer v. SE bis W, über Flachland teilw. Nebel. 6 p allmähl. Aufklaren. 9 p Föhnmauer v. E bis W, ☂ v. 45°
12. 7 a fr-cu in Gipfelhöhe, st-cu ca 1000 m ü. d. G. 2 p fr-cu S r; p ✳tr., t Föhnmauer v. E bis W
13. n 15 cm Neuschnee, 8 a Wind dreht auf W, 9^{04} a auf NW; t ✳^{1}
14. 40 cm Neuschnee, 5 cm ⋁; 7 a st-cu ca 500 m ü. d. G., fr-cu in Gipfelhöhe, st. Nebel- u. ✳tr., über Inntal cu-meer in ca 2000 m; t st. ✳tr. 8^{24}– 9^{00} p ✳^{1}
15. 9^{00} p–n ✳^{1}, 15 cm Neuschnee, 20 cm ⋁; a meist ✳^{0}. 0^{14} p ztw. Durchdr. d. ⊙, ca 4 p ab Windst. bis 25 m/s. 1^{04}–9^{00} p ✳^{1}, t st. ✳tr.
16. 9^{00} p–n ✳$^{0-1}$. 7 a st. ✳tr. m Windst. 25 m/s, 2 p ab > 30 m/s. 8 p schw. pos. Elmsfeuer, t ✳$^{0-1}$, st. ✳tr.
17. 7 a st. ✳tr., 40 cm ⋁. 11 a Abflauen des Windes. 1^{24}–ca 4 p Windst. 20 m/s; p ztw. ✳tr.; t ✳^{1}, ≡^{2}
18. 7 a 20 cm Neuschnee, 50 cm ⋁. 8 a Aufklaren. 10 a über Flachland cu-meer in ca 3000 m, über Inntal in ca 2000 m; m Wind dreht auf W; 2 p über Tälern u. Flachl. cu, [2])
19. 7 a ✳tr. 9^{14} a kurze Zeit Durchdr. d. ⊙; a–ca 2 p ✳^{0}, bis 2^{24} p ✳^{1}, dann ✳^{0} bis 9^{00} p
20. 9^{00-34} p ✳^{0}, im Zenith Aufklaren, 5^1 ≡^{1}. 7 a über Inntal Nebelmeer in ca 1500 m, über Flachland teilw. Nebel, 10 cm ⋁; 2 p ∞^{1}; 5 p Windr. wechselnd: NE, E, SE, NW
21. 7 a Berge frei u. rein. 10 a Wind dreht ztw. auf SW. 2 p Wind springt ztw. auf SE über. 4 p ab Föhnmauer i. SW
22. 7 a i. E u. W st-Schicht, 8 a ab Bewölkungszunahme, 10 a über Flachland ∞-Kranz. 5 p 4^0 a-cu, i. SW Föhnmauer, st i. E, WSW 7–8 m/s, 8 p ab S 2–3 m/s
23. 7 a i. E u. SW Föhnmauer. 10 a ci, ci-cu S m, ci-st, a-st i. W u. N, st i. SE, über Flachland cu-streifen; 2 p ab i. SW Föhnmauer; p st. Bewölkungszunahme
24. 7 a i. SE u. S Föhnmauer, über Loisachtal, Alpenvorland u. Flachland Nebeldecke in ca 1500 m. 8 a zunehm. Bew., st, st-cu; 9 a Abnahme d. Windst. 11^{29} a ab ≡^{2}, 0^{56}–ca 4 p ✳^{0}, [3])
25. 7 a 5 cm Neuschnee, 5 cm ⋁, 7^{34}–ca 9 a ✳^{0}, 9 a–2^{14} p ✳^{0}, 2^{14}–ca 3 p ✳$^{0-1}$, 3^{34}–ca 6 p ✳$^{0-1}$, dann ✳^{0} bis 9^{00} p; t meist ≡^{2}, p ztw. ≡^{1}
26. 9^{50}–ca 10 p ✳^{0}. 7 a 10 cm Neuschnee, 10 cm ⋁, über Tälern, Alpenvorland u. Flachland cu-meer in ca 2500 m, 10 a ab teilw. in Aufl.; 2 p cu-meer in 1500 m, ∞^{2}, [4])
27. a–ca 9 a ✳^{0}, dann ✳^{1} bis 9^{00} p. 2^{24} p Abn. d. Windst. 15 m/s, 7 p ca 10 m/s; p meist ≡$^{1-2}$; t st. ✳tr.
28. 9^{00} p–n ✳^{1}. 7 a 20 cm Neuschnee, 40 cm ⋁; 9 a–5 p Windstösse > 30 m/s; 5 p Wind dreht ztw. auf N, ca 15 m/s; a–7 p ✳^{1}, t st. ✳tr.
29. 7 a 40 cm Neuschnee, 80 cm ⋁; a–m ✳^{0}, m–4 p ztw. Aufklaren im Zenith, Durchscheinen der ⊙, 4–5 p vollst. Aufkl. fr-cu, st-cu N r. 5–ca 7 p ≡^{2}
30. 7 a über Flachland Nebelmeer in ca 1000 m, 8 a ab in Aufl. 10 a ∞^{1}, 11 a–m, 1^{14}–2^{14} p ztw. ≡^{1}, fr-cu ü. d. G. ziehend; 2^{14} p ab ≡^{2}

---

[1]) 7 p ☂. 8 p ☋ v. 22°. [2]) 3 p ab cu-meer. [3]) dann ✳^{1} bis 6^{04} p. [4]) 8^{24} p Wind dreht auf NW

Alle Angaben nach Ortszeit.

Kahl a/M.

Dezember. $\varphi = 50^0\ 4'$ N. $\lambda = 9^0\ 1'$ E $= 36^m\ 4^s$. H $= 114.1$ m. Cg $= +0.3$ mm. 1913.

Datum	Luftdruck auf 0^0 u. Normalschwere reduziert 700 mm +			Lufttemperatur C°					Absolute Feuchtigkeit mm			Relative Feuchtigkeit Proz.			Richtung und Stärke des Windes 0 bis 12			Bewölkung 0 bis 10			Niederschlag mm	Schneedecke cm	Bemerkungen
	7^a	2^p	9^p	7^a	2^p	9^p	Max.	Min.	7^a	2^p	9^p	7^a	2^p	9^p	7^a	2^p	9^p	7^a	2^p	9^p	7^a	7^a	
1.	57.5	56.5	55.5	7.5	8.4	7.4	9.0	7.0	6.7	7.0	7.0	88	86	91	SW 2	W 2	SW 4	10^1	10^1	10^1	–	–	p ztw. ◍⁰
2.	56.8	56.6	55.6	3.5	8.4	8.6	9.3	2.2	5.9	**7.7**	7.3	100	93	88	SW 2	SW 2	SW 4	1^0	10^1	10^1	0.1	–	a ≡
3.	55.0	52.2	50.7	6.7	7.8	2.9	**11.1**	2.4	6.5	6.1	5.4	88	78	96	SW 2	SW 4	C	10^1	9^2	0	–	–	
4.	45.4	44.5	46.9	8.2	8.4	5.0	10.0	0.2	6.2	6.0	4.6	77	73	71	SW 2	W 4	W 6	10^1	8^1	0	–	–	9^{56}–10^{08} a ◍
5.	50.1	49.6	44.0	3.8	4.4	3.6	8.4	1.2	4.6	4.4	5.2	77	70	88	SW 6	SW 4	SW 4	9^1	10^1	10^0	0.8	–	n ◍ ≡, 4^{46}–5^{36} p ◍
6.	46.5	45.2	46.3	1.6	4.1	– 2.5	5.8	– 3.2	4.6	4.3	3.8	89	71	100	SW 2	C	C	1^0	6^2	9^0	5.3	–	n ◍
7.	49.1	52.5	56.1	– 3.9	– 0.5	0.3	0.8	– 4.7	3.4	4.2	4.4	100	94	94	C	C	C	10^1	9^1	10^0	–	–	a ⌊ ≡² V
8.	59.7	61.1	61.2	– 1.7	2.7	1.4	3.2	– 2.8	4.0	4.4	4.3	100	79	85	C	S 2	C	1^1	4^1	10^1	0.2	–	n ✳
9.	58.5	57.2	55.4	4.0	5.9	5.6	6.8	1.0	4.4	4.9	4.7	72	71	69	SW 2	SW 2	SW 2	10^1	10^1	10^1	–	–	
10.	52.4	52.8	51.7	6.2	6.5	6.3	8.0	5.0	5.8	6.2	6.4	82	86	90	W 2	W 4	SW 4	10^1	10^1	10^0	1.1	–	n ◍
11.	53.0	54.9	56.3	7.9	8.4	6.9	9.3	6.0	7.1	6.5	6.6	89	79	88	SW 2	W 2	SW 4	10^1	10^1	10^0	–	–	
12.	56.2	55.0	54.9	5.9	7.1	6.1	8.1	5.7	6.2	6.1	6.3	90	81	90	C	SW 2	SW 4	10^1	10^1	10^0	–	–	
13.	54.4	55.5	58.0	6.6	7.5	4.6	8.2	3.1	7.0	5.8	5.2	96	74	82	SW 2	C	SW 4	10^1	10^0	10^0	0.5	–	n ◍
14.	58.0	56.0	54.0	4.0	4.4	6.3	9.0	3.6	5.2	5.1	4.9	85	82	69	SW 2	SW 2	SW 8	10^1	10^1	10^1	–	–	
15.	58.2	57.6	57.2	4.5	6.0	6.7	8.0	4.0	6.1	6.3	6.9	97	90	94	SW 2	SW 2	W 2	10^1	10^1	10^1●	5.9	–	n ◍
16.	57.0	55.6	55.7	6.9	5.2	4.0	8.1	3.9	6.7	5.5	5.3	90	83	87	SW 4	SW 4	SW 4	10^1	10^1	9^1	–	–	
17.	52.4	53.9	58.0	4.8	6.0	5.1	6.7	3.3	6.0	6.9	5.7	94	99	88	SW 2	SW 2	N 4	10^1	10^1	10^1	2.5	–	n, a ztw. ◍
18.	60.4	62.0	63.0	3.5	2.3	– 0.2	6.8	– 0.6	4.8	3.3	2.5	82	61	56	NE 4	NE 4	NE 6	9^1	1^1	0	1.1	–	
19.	63.2	63.1	63.9	– 3.7	0.8	– 2.9	2.2	– 4.4	2.6	2.6	2.6	76	53	72	NE 2	E 2	E 2	0	00	0	–	–	
20.	64.6	64.4	65.3	– 7.5	1.3	– 1.8	2.1	– 8.0	2.4	3.3	3.4	95	65	86	C	C	E 2	0	00	0	–	–	a ⌊
21.	**66.1**	65.6	66.0	– 6.7	– 0.4	– 2.2	0.7	– 8.0	2.6	3.8	3.9	95	85	100	C	C	C	0	10^1	10^2	–	–	a ⌊
22.	64.1	61.1	58.9	– 0.4	0.8	– 0.8	1.3	– 2.2	4.4	4.2	3.9	98	87	90	C	SW 2	C	10^1	10^1	10^1	–	–	
23.	54.4	52.0	48.7	– 2.3	– 0.2	– 0.6	0.3	– 3.1	3.6	3.7	4.0	94	81	90	C	SW 2	C	10^1	10^1	10^1	–	–	
24.	44.6	43.9	45.9	– 3.2	0.6	0.4	1.3	– 5.3	3.6	4.7	4.7	100	98	100	C	C	C	0	10^1*	10^1	–	–	a ⌊, 11^{06} a–n ✳
25.	52.4	55.8	58.3	1.0	2.3	0.4	3.1	– 0.9	4.6	4.7	4.2	92	85	89	W 2	W 2	W 2	10^1	9^1	10^0	5.4	5	
26.	58.1	57.7	57.0	1.3	2.9	4.0	4.6	– 0.2	4.8	5.0	5.2	96	88	85	SW 4	SW 4	SW 6	10^1	10^1	10^2	2.4	3	n ◍ ✳
27.	49.5	47.3	48.4	4.7	3.9	2.6	6.1	1.8	4.5	5.5	4.9	70	90	89	SW 6	SW 4	SW 2	10^1	10^1	10^2	–	–	n ≡
28.	40.5	32.7	35.1	2.7	1.0	0.6	4.1	– 0.1	5.5	4.8	4.8	98	98	100	C	SW 2	NW 6	10^1	10^2●*	10^1*	7.0	–	n, a ◍. 10^{36} a–7^{36} p ◍ ✳. 7^{36} p an ✳
29.	38.3	38.8	39.6	– 1.0	0.0	– 1.4	1.4	– 1.7	4.2	4.4	4.1	100	96	98	SW 2	SW 2	C	10^1	8^0	10^1	**32.7**	5	a ✳
30.	41.6	44.8	49.6	– 1.7	– 1.3	– 4.0	0.8	– 5.0	3.9	3.4	2.9	96	82	87	C	N 2	N 2	10^1	1^0	2^0	2.2	**10**	n ✳
31.	54.2	57.9	61.4	– 3.9	– 2.6	– 9.5	– 2.0	-10.1	3.0	2.7	2.0	89	72	94	W 2	NE 2	C	10^1	9^1	0^1	–	**10**	
Mittel	53.9	53.7	54.1	1.9	3.6	2.0	5.2	– 0.3	4.9	5.0	4.7	90	82	87				7.8	8.2	7.7	67.2		

Bayreuth.

Dezember. $\varphi = 49^0\ 57'$ N. $\lambda = 11^0\ 34'$ E $= 46^m\ 16^s$. H $= 363.3$ m. Cg $= +0.3$ mm 1913.

1.	34.2	32.8	31.7	6.4	6.1	6.4	7.1	5.7	**6.6**	6.3	6.2	92	91	88	W 6	W 6	W 4	10^2	10^2	10^2●	0.1	–	a, 8^{46} p ab ◍⁰
2.	33.7	34.0	33.0	4.5	6.9	6.7	7.3	4.1	5.7	5.8	**6.6**	91	80	91	W 4	NW 2	W 4	3^1	8^1	10^2●	0.5	–	n, 8^{16} p ab ◍⁰
3.	32.1	30.2	28.4	6.3	8.5	3.7	8.9	3.4	6.1	6.2	5.6	87	75	93	W 2	SW 4	W 2	10^2	5^0⊙	0	0.8	–	n ◍⁰
4.	25.5	22.5	21.4	4.5	8.9	5.9	**9.0**	1.1	5.4	5.9	4.4	87	69	64	E 2	SW 4	W 6	10^0	10^2	10^1	–	–	a ◍⁰
5.	26.7	27.0	21.5	2.7	3.1	0.9	6.0	0.6	3.9	3.6	4.5	70	62	92	W 6	SW 6	SW 6	9^1	8^1	10^2*	–	–	n ≡, $^{7}8^{16}$ p ab ✳¹
6.	23.0	22.3	22.9	0.3	1.1	– 2.0	3.4	– 2.3	4.2	4.0	3.5	89	82	90	W 4	W 4	W 2	10^2	5^1	6^0	2.4	–	n ✳⁰
7.	25.3	29.2	30.8	– 2.7	– 0.6	– 0.7	1.6	– 5.3	3.3	3.3	3.5	87	75	81	W 2	W 2	W 2	10^2	10^2	10^2	–	–	a ⌊¹, p ztw. ✳⁰
8.	36.3	38.3	38.9	– 1.8	0.2	– 0.6	1.3	– 2.6	3.4	3.7	3.7	86	81	85	NW 2	W 4	W 2	10^2	7^0	10^2	0.5	2	n ✳⁰·¹
9.	35.1	34.2	32.6	1.2	2.1	3.5	3.9	– 1.1	4.4	4.6	4.2	90	86	71	W 4	W 2	W 2	10^2●	10^2	10^2	0.5	–	n ✳⁰, ◍⁰, t ztw. ◍⁰
10.	27.4	27.7	26.7	4.7	4.9	4.3	5.2	2.2	6.1	5.3	5.5	96	82	90	W 6	W 6	W 8	10^2	10^2	10^2●	4.0	–	n u. t ◍⁰, ≡
11.	28.6	30.2	32.4	2.5	5.5	6.2	6.8	2.0	5.5	6.4	6.2	100	96	89	W 2	W 6	W 2	9^1	10^2●	10^2	7.5	–	n u. t ◍⁰
12.	32.8	32.0	31.9	4.7	4.6	4.7	6.4	4.2	5.8	4.9	5.9	91	79	92	W 4	W 4	W 6	10^2	10^2	10^2	3.6	–	
13.	30.5	31.3	33.9	5.3	5.8	2.7	6.0	2.4	5.9	5.3	4.8	90	79	86	W 6	W 4	W 4	10^2	10^1	10^1	0.2	–	n ◍⁰, ≡
14.	33.5	30.8	26.6	2.9	2.7	3.4	3.8	1.7	4.9	4.6	5.0	87	83	86	W 6	W 8	W 8	10^2	10^2	10^2	–	–	t ≡, 1^{46} p ab ◍⁰, ✳⁰
15.	33.9	34.1	32.8	1.7	3.9	4.4	4.4	1.1	4.4	5.0	5.9	86	83	96	W 4	W 4	W 4	9^1	10^1	10^2●	4.3	–	n ≡, ◍⁰, p ztw. ◍⁰
16.	32.4	32.0	32.2	6.4	5.1	2.9	6.5	2.6	**6.6**	5.5	5.1	92	86	91	W 6	W 4	W 6	10^2	10^2	10^2●	2.2	–	n ◍⁰, p ztw. ◍⁰
17.	30.5	31.7	34.8	2.0	2.5	2.5	3.0	1.2	4.8	5.1	5.1	91	93	93	SW 4	SW 2	NE 2	10^2●	10^2●	10^2	2.0	–	n u. t ◍⁰
18.	37.9	39.5	40.5	1.1	– 0.4	– 1.0	2.5	– 1.7	4.0	2.7	2.6	82	61	61	N 4	NE 4	E 4	10^2	7^1	10^2	0.7	–	
19.	41.1	40.8	41.5	– 4.5	– 0.9	– 4.6	– 0.5	– 5.2	2.8	2.6	2.8	86	59	86	E 2	E 2	E 2	2^0	00	0	–	–	a ⌊¹
20.	42.2	42.2	43.1	– 7.5	1.3	– 3.5	2.2	– 8.2	2.4	3.1	3.1	95	60	89	E 2	E 2	NE 2	0	00	0	–	–	a ⌊²
21.	**43.5**	42.4	42.1	– 8.0	– 1.1	– 2.5	– 1.0	– 8.5	2.3	4.0	3.6	94	94	96	N 2	C	C	0	10^1	0	–	–	a V, ≡⁰
22.	40.8	38.2	36.3	– 0.7	0.1	– 0.8	0.1	– 2.7	4.2	4.3	3.9	96	94	90	W 2	W 4	C	10^2	10^2	10^2	–	–	a ⌊¹
23.	30.6	28.8	26.4	– 3.5	– 1.1	– 2.0	– 0.7	– 4.0	3.4	3.7	3.5	95	86	90	SE 2	SW 2	SE 2	10^2	9^0	8^1	–	–	a ⌊¹
24.	22.2	20.0	21.4	– 2.3	4.1	0.4	4.3	– 2.8	3.6	4.1	4.6	94	69	96	E 2	SE 2	W 2	1^1	10^2	10^2*	–	–	a ⌊¹⁰, 3^{46} p ab ◍⁰, △, ✳⁰
25.	27.0	31.0	33.9	0.5	0.5	– 0.1	1.3	– 0.8	4.5	4.5	4.3	92	92	94	W 4	W 6	W 6	10^2	1^0	10^2	2.2	2	n ✳⁰·¹, t ztw. ✳⁰·¹
26.	34.6	33.6	34.0	0.1	1.5	2.4	2.5	– 1.8	4.5	4.7	4.9	98	93	90	W 4	W 8	W 8	10^2	10^2*	10^2	1.2	**5**	n ztw. ✳¹, t ztw. ✳⁰·¹, ◍⁰, ≡
27.	27.0	23.1	25 5	3.7	1.5	2.5	4.1	1.5	4.3	4.5	4.6	71	90	93	W 8	W 8	W 6	10^2	10^2●	10^2	4.5	–	n ◍⁰, ≡, t ◍⁰·¹, ≡
28.	19.6	11.8	09.0	2.1	3.9	4.1	5.2	0.8	4.8	5.5	3.9	90	91	62	SW 2	SW 4	SW 6	10^2	10^2●	10^2	5.3	–	t ✳¹, ◍⁰·¹
29.	15.3	15.2	15.7	0.4	0.7	– 1.3	4.2	– 1.6	4.0	4.0	3.3	85	82	80	SW 4	SW 2	NW 2	10^2	10^2	10^1	**12.6**	–	n ≡, a ✳⁰
30.	17.2	19.7	23.4	– 2.9	– 1.5	– 3.5	– 1.2	– 3.7	3.3	2.6	2.3	89	62	67	NW 2	NW 4	NW 4	5^1	9^0	10^2	0.1	1	
31.	28.2	32.2	36.1	– 4.3	– 3.3	– 4.5	– 2.9	– 5.3	2.5	2.3	2.4	75	65	75	NW 4	NW 4	N 4	10^2	10^2	10^2	1.8	**5**	n ✳¹
Mittel	30.6	30.3	30.5	0.8	2.5	1.3	3.6	– 0.7	4.4	4.5	4.4	89	80	85				8.2	8.6	8.5	59.0		

Alle Angaben nach Ortszeit.

Bamberg.

Dezember. $\varphi = 49^0\ 53'$ N. $\lambda = 10^0\ 53'$ E $= 43^m\ 32^s$. H $= 287.7$ m. Cg $= +0.3$ mm. 1913.

Datum	Luftdruck auf 0^0 u. Normalschwere reduziert 700 mm +			Lufttemperatur C°					Absolute Feuchtigkeit mm			Relative Feuchtigkeit Proz.			Richtung und Stärke des Windes 0 bis 12			Bewölkung 0 bis 10			Niederschlag mm	Schneedecke cm	Bemerkungen
	7^a	2^p	9^p	7^a	2^p	9^p	Max.	Min.	7^a	2^p	9^p	7^a	2^p	9^p	7^a	2^p	9^p	7^a	2^p	9^p	7^a	7^a	
1.	41.5	39.8	39.0	6.4	6.7	6.3	8.3	5.9	6.7	6.5	6.4	93	88	90	SW 1	SW 2	S 1	10^2	10^2	10^2●	0.1	–	ca 8–9 a ◍^{0}
2.	40.9	40.8	39.4	4.2	7.5	6.9	8.7	3.1	5.8	6.2	**7.0**	93	80	94	W 2	W 2	SW 4	1^1	10^2	10^2	0.1	–	n ◍, ca 4^{45}–5^{45} p ◍^{0}
3.	39.1	36.9	35.1	5.5	7.7	3.3	8.1	3.3	6.0	6.1	5.6	89	77	97	SW 2	SW 2	S 3	10^2	9^1⊙	5^0	0.7	–	
4.	31.9	29.3	31.8	2.8	8.7	5.3	**9.2**	0.6	5.1	6.1	4.6	91	73	69	S 2	SW 3	SW 4	10^1	10^2	10^2	–	–	n ⌓, ca 1 p ◍^{0}
5.	34.4	33.6	28.4	2.4	3.0	0.6	6.2	0.1	4.3	3.9	4.7	79	69	98	SW 2	SW 2	SW 2	10^2	9^2	10^2*	0.1	–	ca 6^{45}–9 p ✳^{0}
6.	30.0	28.6	30.2	0.4	2.1	– 2.5	2.8	– 2.7	4.5	4.3	3.8	94	80	100	W 2	W 1	W 1	10^2	10^2	10^0▬	3.9	1	n ✳, ca 7^{30} a ✳$^{-1}$, ca 6–11 a ztw. ✳^{0}, abds. ≡^{1}
7.	32.7	35.6	38.6	– 3.7	– 1.5	– 1.0	– 1.0	– 4.2	3.5	4.0	4.1	100	98	96	C	C	W 1	10^2▬	10^2	10^2*	0.1	–	ca 11 p–8 a ≡^{2}, n ⋁, a ztw. ✳^{0}, ca 4–9 p ✳^{0}
8.	43.8	45.3	45.9	– 3.0	0.2	– 0.8	0.5	– 3.2	3.7	4.6	4.0	100	98	92	S 1	SW 2	SW 2	10^2▬	10^2	10^2	0.9	1	a ≡^{1}
9.	42.4	40.8	39.6	1.2	2.9	3.5	4.3	– 1.2	4.5	4.7	4.0	94	82	69	W 1	SW 1	S 2	10^2	10^2	10^2	1.1	–	n ✳
10.	34.9	35.3	34.3	5.3	5.0	4.4	6.2	3.1	5.9	5.6	5.7	89	86	92	SW 2	W 2	W 5	10^2	10^2	10^2●	0.7	–	n ◍, ca 11 a–0 p, ca 6–9 p ◍$^{0.1}$
11.	35.7	37.8	40.1	5.9	7.0	5.9	7.5	4.2	6.7	6.8	6.3	97	91	91	W 1	W 3	NW 2	10^2●	10^2●	10^2	7.8	–	n ◍, ca 10–11 a ≡^{1}, t ztw. ◍$^{0.1}$
12.	39.8	38.8	38.4	4.7	5.0	5.4	7.0	4.5	5.9	5.4	5.4	92	83	80	W 1	W 1	SW 2	10^2	10^2	9^2	2.7	–	n ◍
13.	37.9	38.6	41.5	4.8	6.0	3.7	6.7	3.4	6.1	5.6	4.9	96	81	82	SW 4	W 2	NW 3	10^2●	9^1	9^1	0.6	–	n–ca 7^{45} a ◍
14.	41.1	38.1	35.3	3.0	3.0	4.0	4.8	2.2	4.9	4.8	5.1	87	85	84	W 3	W 4	W 7	10^2	10^2●	10^2●	0.1	–	ca 2–9 p ztw. ◍^{0}, ca 5 p ⌓^{III}
15.	41.7	41.2	39.9	2.3	3.8	4.9	5.3	1.4	4.8	5.6	5.9	87	93	92	NW 2	W 2	W 4	9^1	10^2●	10^2●	5.8	–	n ◍, ca 2–9 p ztw. ◍^{0}
16.	40.2	39.0	39.2	6.4	4.9	3.0	7.1	2.7	6.4	5.3	4.9	90	81	87	SW 2	SW 2	SW 2	10^2	10^2	10^2●	0.6	–	n u. p ◍^{0}
17.	37.0	38.3	42.0	2.4	1.6	2.2	3.8	0.4	5.1	5.1	5.2	93	98	96	W 2	S 2	NW 1	10^2●	10^2● =	10^2	2.4	–	n ◍, 11^{24} a–ca 1 p ✳$^{-1}$, p ≡^{1}
18.	44.8	46.1	47.7	2.3	0.8	– 0.9	3.4	– 1.9	4.8	2.8	2.6	87	58	61	NW 5	NE 5	E 3	10^2	5^1⊙	10^1	5.5	–	
19.	48.0	47.6	48.7	– 3.4	0.2	– 4.0	0.4	– 4.2	2.7	2.6	2.6	78	57	77	N 2	E 2	NW 1	9^1	0⊙	0	–	–	n ⌓
20.	49.0	48.8	50.0	– 6.2	3.0	– 1.8	4.3	– 6.4	2.7	3.6	3.5	95	62	88	NW 1	NW 1	N 1	0	0⊙	0	–	–	n ⌓
21.	**50.5**	49.9	49.8	– 6.3	– 1.2	– 3.9	– 0.7	– 6.6	2.7	3.6	3.3	98	86	98	NW 1	N 1	S 1	0	10^1	10^1	–	–	n ⋁
22.	48.2	45.3	43.5	– 1.7	0.4	– 1.0	0.8	– 3.9	3.9	4.2	3.9	96	89	92	SW 1	C	C	10^2	10^2	10^2	–	–	ca 0–1 p ✳^{0}
23.	38.0	35.6	32.9	– 5.0	– 1.5	– 1.0	– 0.1	– 5.2	3.1	3.4	3.8	100	82	88	SW 2	S 2	S 2	10^2	10^1	9^1	–	–	n ⋁
24.	28.5	26.8	28.8	– 2.3	3.8	0.3	5.4	– 2.9	3.5	4.3	4.7	92	72	100	SE 2	SW 1	W 2	2^1	10^2●	10^2*	–	–	ca 5 p ◍, ca 5^{30}–8^{30} p ✳$^{-1}$
25.	34.6	38.4	41.4	0.3	0.9	0.5	1.7	– 0.7	4.2	4.4	4.5	90	89	94	N 3	W 2	NW 3	9^1	10^2*	10^2*	3.0	2	n ztw. ✳, ca 1^{30}–2^{30} p, ca 9 p ✳$^{-1}$
26.	41.6	40.6	41.2	0.5	1.9	2.9	3.2	– 1.2	4.3	4.7	4.7	90	90	82	NW 3	SW 4	SW 4	10^2*	10^2●	10^2	1.3	**4**	n ✳, a ztw. ◍^{0}, p ztw. ●
27.	34.1	30.4	32.5	3.4	2.9	1.9	5.0	1.7	4.4	5.2	4.7	75	91	90	SW 5	SW 5	SW 2	10^2	10^2●	9^1	1.6	–	ca 11^{30} a ◍ u. ✳, p ◍^{1}
28.	25.9	17.9	15.0	1.9	3.8	3.2	5.5	0.0	4.8	5.2	4.0	91	87	70	SW 4	SW 5	SW 7	10^2●	10^2●	10^2	5.4	–	n ztw. ◍, ca 8^{30} a–0^{45} p ✳$^{-1}$, p ◍, p ⌓^{III} SW 8
29.	22.5	22.3	22.8	0.0	0.3	– 1.0	4.3	– 1.2	4.3	3.7	4.0	92	78	94	W 1	W 1	W 1	10^2*	10^2	10^2	**11.4**	–	n–ca 10^{15} a ✳
30.	24.5	26.8	31.7	– 2.1	– 0.7	– 3.9	0.4	– 3.9	3.8	3.2	2.9	96	73	84	NW 2	W 3	W 3	10^2	10^2	10^2*	0.4	–	n ✳^{0}, ca 8^{15}–10^{45} a, 1^{30-24} p ✳^{0}, p ztw. ✳^{0}
31.	35.8	39.9	44.2	– 4.5	– 3.2	– 4.4	– 2.4	– 4.5	2.9	3.0	2.7	90	85	81	W 2	W 4	N 3	10^2	10^2*	9^1	1.6	2	n, ca 8^{15}–10 a, ca 2–3 p ✳^{0}
Mittel	37.8	37.2	37.7	0.9	2.7	1.4	4.1	– 0.6	4.6	4.7	4.5	91	82	87				8.7	9.1	9.0	57.9		

Würzburg.

Dezember. $\varphi = 49^0\ 48'$ N. $\lambda = 9^0\ 56'$ E $= 39^m\ 44^s$. H $= 179.3$ m. Cg $= +0.3$ mm. 1913.

1.	51.2	49.7	48.7	7.5	8.3	7.8	8.4	7.4	**6.9**	6.4	6.5	89	78	82	W 3	NW 3	NW 5	10^2	10^2	10^2	–	–	abds. ⌓^{III}
2.	50.5	50.1	49.1	5.4	9.3	8.2	9.3	5.3	6.1	6.4	7.3	91	74	91	N 3	W 3	NW 2	6^2	10^2	10^2●	0.2	–	nachm. ●
3.	48.5	46.3	43.0	5.8	7.5	3.0	8.5	3.0	6.1	5.9	5.3	88	76	93	W 3	W 1	NW 3	8^2	6^1	0	0.4	–	
4.	40.3	38.5	41.0	5.7	9.2	6.3	**10.0**	1.9	5.6	6.4	4.4	82	74	60	SW 4	SW 5	NW 6	9^2	10^2●	10^2	–	–	n ⌓, nachm. ⌓^{III} u. ztw. ◍
5.	43.7	43.4	37.5	4.4	4.5	3.0	6.3	2.9	4.1	4.2	4.9	65	66	87	W 6	W 5	W 6	10^2	9^2	10^2●	0.5	–	nachm. ⌓^{III}, ztw. ◍
6.	40.1	38.4	39.5	1.8	3.6	– 1.2	3.6	– 1.2	4.7	4.0	4.0	90	67	96	W 4	NW 2	NW 3	8^2	4^1⊙	0	3.0	–	mrgs. △ u. ztw. ◍
7.	42.5	45.5	49.0	– 3.9	1.1	1.2	1.2	– 4.2	3.2	4.2	4.3	96	85	85	W 1	SW 1	W 1	10^2▬	8^2	10^2*	–	–	n ⋁, abds. ✳
8.	53.5	55.1	55.1	1.2	2.6	1.3	2.6	0.2	4.2	4.0	4.2	83	72	83	W 2	W 1	NW 1	10^2	9^1	10^2	0.2	1	n ✳^{0}
9.	52.0	50.7	48.3	3.2	5.6	5.3	5.9	1.1	4.3	4.3	4.3	75	64	65	W 3	W 2	W 2	10^2	10^2	10^2	–	–	abds. ⊽
10.	44.6	45.6	45.0	6.9	6.2	6.1	7.0	4.2	6.3	5.6	5.9	84	79	84	NW 5	W 5	W 5	10^2	10^2	10^2●	0.7	–	ztw. ◍ u. ⌓^{III}
11.	45.5	47.9	49.7	7.9	8.2	7.2	8.2	5.9	6.8	6.8	6.4	86	83	84	NW 5	SW 4	W 2	10^2	10^2	10^2	1.8	–	n u. abds. einige ◍-Tr.
12.	49.5	48.3	48.2	6.2	6.9	6.4	7.5	6.0	6.0	5.4	5.6	86	73	78	W 3	W 1	NW 4	10^2	10^2	10^2	–	–	
13.	47.5	48.3	51.0	6.4	7.4	4.4	7.4	4.4	6.3	5.8	5.1	88	76	82	NW 4	NW 4	NW 3	10^2	9^2	7^2	0.5	–	mrgs. ◍
14.	51.4	48.5	46.5	4.2	5.0	6.2	6.2	3.9	4.9	4.6	4.7	79	71	66	W 3	W 5	W 7	7^2	10^2	10^2	–	–	nachm. ⌓^{III}
15.	51.6	51.4	50.4	3.4	5.9	6.4	6.4	3.1	5.4	5.8	6.4	93	85	90	W 3	W 3	W 3	7^2	10^2	10^2●	2.5	–	ztw. ◍
16.	50.0	48.8	49.0	7.8	6.5	4.4	7.8	4.4	6.6	5.0	4.9	83	70	79	W 4	N 2	SW 3	10^2●	10^2	10^2	1.2	–	mrgs. ◍
17.	46.0	47.3	51.5	3.6	5.0	4.8	5.0	3.3	5.3	5.7	5.4	90	87	84	W 2	SW 3	N 3	10^2●	10^2	10^2	2.8	–	ztw. ◍
18.	54.1	55.8	57.3	4.2	1.6	– 0.7	4.8	– 0.7	5.1	3.3	2.9	82	64	68	E 4	SE 3	E 4	10^2	2^2	0	1.5	–	mrgs. ◍
19.	57.3	57.3	58.2	– 2.2	0.0	– 2.8	0.2	– 2.8	2.8	2.9	3.3	71	63	89	E 2	E 4	C	3^1	0⊙	0	–	–	n ⌓
20.	58.7	58.7	59.3	– 5.3	1.6	– 2.0	2.0	– 5.3	2.9	3.0	3.5	96	58	90	E 2	C	C	0	0⊙	0	–	–	n ⌓
21.	**60.4**	59.8	59.8	– 5.5	0.4	– 1.4	0.4	– 5.6	2.9	3.9	3.9	**98**	83	94	C	SW 1	NW 1	0	10^2	10^2	–	–	n ⌓, abds. ≡^{1}
22.	58.0	55.3	52.8	0.7	1.6	– 0.1	1.6	– 1.8	4.4	4.1	3.9	90	80	85	W 2	W 2	N 2	10^2	10^2	10^2	–	–	n ⌓
23.	47.5	45.2	42.4	– 3.1	0.3	0.2	0.3	– 3.7	3.4	3.8	3.9	94	81	83	N 3	C	C	10^2	10^2	10^2	–	–	n ⌓
24.	38.0	36.3	38.9	0.5	4.0	1.5	4.8	0.0	3.7	4.5	4.7	78	73	93	E 2	W 2	W 3	0	10^2●	10^2	–	–	n △, 1^{30} p ◍, abds. ✳
25.	45.0	48.9	52.0	1.2	2.4	1.0	2.8	0.3	4.1	4.3	3.9	82	79	79	NW 3	W 3	N 3	0	9^2	10^2	3.9	–	ztw. ✳ u. ◍
26.	52.1	51.2	50.6	1.3	2.8	4.0	4.0	0.0	4.8	5.0	5.4	94	89	88	NW 2	W 3	NW 3	10^2*	10^2●	10^2	2.3	**2**	mrgs. ✳, meistens ◍
27.	42.6	40.2	41.7	4.9	4.6	3.8	5.0	3.6	4.2	5.5	4.5	64	87	75	W 7	W 4	NW 2	10^2	10^2●	10^2	2.5	–	n ⌓^{III}, ztw. ◍
28.	35.0	26.6	24.4	2.4	2.3	2.3	6.0	2.2	5.3	5.2	4.6	96	96	84	W 3	W 2	W 7	10^2●	10^2●	10^2●*	9.5	–	meistens ◍ mit ✳, abds. ⌓^{III}
29.	31.8	31.6	32.5	1.0	0.8	– 0.2	2.8	– 0.2	4.2	4.2	5.9	85	89	87	W 4	W 3	NW 4	10^2	10^2	10^2	**12.2**	–	n ⌓, vorm. ✳^{0}
30.	34.6	36.9	41.8	– 1.2	0.6	– 2.1	0.6	– 2.3	4.0	3.7	2.9	94	76	73	NW 3	NW 2	NW 2	10^2	10^2	10^2	0.5	1	n ✳, nachm. ✳^{0}
31.	46.6	50.2	54.5	– 3.0	– 1.8	– 4.7	– 1.8	– 4.7	3.3	3.3	2.4	89	82	77	NW 3	C	NE 2	10^2*	10^2*	9^2	0.5	1	n u. vorm. ✳^{0}
Mittel	47.4	47.0	47.4	2.4	4.0	2.6	4.7	1.0	4.8	4.8	4.7	86	77	82				8.0	8.6	8.2	46.7		

Alle Angaben nach Ortszeit.

Ludwigshafen a/Rh.

Dezember. $\varphi = 49^0\ 29'$ N. $\lambda = 8^0\ 26'$ E $= 33^m\ 41^s$. H $= 100.3$ m. Cg $= +0.3$ mm. 1913.

Datum	Luftdruck auf 0^0 u. Normalschwere reduziert 700 mm +			Lufttemperatur C^0					Absolute Feuchtigkeit mm			Relative Feuchtigkeit Proz.			Richtung und Stärke des Windes o bis 12			Bewölkung o bis 10			Niederschlag mm	Schneedecke cm	Bemerkungen
	7^a	2^p	9^p	7^a	2^p	9^p	Max.	Min.	7^a	2^p	9^p	7^a	2^p	9^p	7^a	2^p	9^p	7^a	2^p	9^p	7^a	7^a	
1.	59.8	58.5	57.2	7.4	9.0	7.3	9.1	7.0	6.5	6.6	6.4	85	77	85	SW 1	S 2	S 1	10^2	9^1	10^2	–	–	
2.	58.9	58.4	57.5	7.4	9.2	9.2	9.5	6.8	7.0	**7.1**	**7.1**	91	81	81	S 1	SW 2	S 1	10^2	10^1	10^2	–	–	nachm. ◎^{0}
3.	56.3	54.0	51.4	5.2	7.2	3.9	9.2	3.9	6.1	6.3	5.7	92	83	93	S 2	S 2	NE 1	10^2	2^1⊖	0	0.2	–	
4.	47.4	46.8	49.4	7.0	8.9	6.0	**10.1**	3.9	6.0	5.6	4.4	79	66	63	S 3	SW 3	SW 5	10^2	9^2	5^1	–	–	vorm. ◎, nachm. u. abds. ≡
5.	53.0	51.6	47.0	4.3	5.1	4.7	6.0	3.9	4.6	4.3	5.2	74	66	81	SW 2	SW 3	SW 2	10^2	10^2	10^2	0.4	–	abds. ◎^{1}, n ✳-Fl.
6.	48.0	46.4	46.4	3.3	4.0	3.7	4.7	1.9	5.0	5.2	5.4	87	85	90	SW 2	SW 1	SW 1	10^2	5^1⊖	10^2≡	1.8	–	a, p ∞, abds. ≡^{2}
7.	51.0	54.3	55.7	– 1.9	1.5	2.3	3.7	– 2.1	3.4	4.4	5.0	86	85	92	N 2	N 2	N 1	10^1≡	5^1	10^2	–	–	n ⌴^{1}, a ≡^{1}, ca 4^{30} p ab ◎^{0} u. ✳-Fl.
8.	62.0	63.2	63.4	1.3	3.7	1.8	3.7	0.9	4.5	4.6	4.4	89	77	84	NE 2	SW 1	SW 1	10^2≡	9^2	10^2	0.1	–	a ≡^{2}
9.	61.2	59.2	57.0	1.9	6.2	5.4	6.3	1.1	4.9	4.3	4.3	93	60	65	SW 1	SW 2	SW 2	10^1	3^1⊖	10^1	–	–	a ∞
10.	54.3	56.3	54.7	7.1	7.2	6.9	7.7	5.0	6.8	5.7	6.0	90	76	81	SW 2	SW 2	SW 3	10^2	10^2	10^2	0.8	–	n, nachm. u. abds. ◎^{0}
11.	55.3	57.0	58.1	8.2	9.4	7.8	**10.1**	6.9	6.5	6.4	6.4	81	72	81	SW 3	SW 2	SW 2	10^2	10^2	10^2	0.8	–	
12.	57.8	56.8	56.8	6.5	8.0	7.2	8.1	6.0	6.1	5.9	5.6	84	73	74	SW 1	SW 2	SW 2	10^2	10^2	9^2	–	–	
13.	56.0	57.4	59.9	7.2	8.2	4.9	8.3	4.9	6.7	5.8	4.9	89	71	75	SW 3	W 1	SW 2	10^2	9^1	7^1	–	–	ca 9^{30} a auffallend starke Wolken aus W rasch, [1]
14.	60.4	59.2	57.9	3.9	5.4	6.4	6.4	2.9	5.1	4.9	4.6	84	74	64	SW 2	SW 2	SW 4	10^2	10^2	10^2	–	–	
15.	60.3	60.2	59.6	6.0	6.5	6.7	6.7	5.8	5.4	6.5	6.8	78	90	93	SW 2	S 2	S 2	10^2	10^1●	10^1●	–	–	nachm. u. abds. ◎^{1}
16.	59.2	57.7	58.0	6.5	6.2	4.9	6.9	4.9	6.5	4.9	5.1	90	69	78	SW 1	SW 3	SW 4	10^2	10^2	10^2	7.8	–	n ◎
17.	54.5	55.4	58.8	5.2	6.6	5.5	6.7	4.0	5.6	6.3	5.7	84	87	85	SW 4	SW 2	SW 4	10^2●	10^2	10^2	0.4	–	n ≡, a u. vorm. ◎
18.	61.5	62.6	64.0	5.4	4.3	0.9	5.6	0.9	5.6	3.3	2.9	83	52	58	N 2	N 3	N 3	10^3	3^0⊖	0	1.4	–	
19.	64.2	63.3	65.1	– 0.5	1.3	– 1.5	2.5	– 1.5	3.3	2.8	3.0	75	56	75	NE 2	NE 2	NE 3	3^0	⊖⊖	0	–	–	a ⌴^{1} ∞
20.	65.9	65.6	66.9	– 4.0	1.5	– 0.5	1.5	– 4.1	3.0	3.4	3.6	89	67	81	NE 2	N 1	N 2	0	⊖⊖	0	–	–	a ⌴^{1} ∞
21.	67.7	67.9	**68.3**	– 3.2	– 2.4	– 2.0	– 0.5	– 4.0	3.4	3.3	3.4	96	85	86	NE 2	NE 1	NE 1	0	⊖⊖	0	–	–	n ⌴^{1}, t ∞
22.	66.6	63.6	60.6	– 1.5	– 0.4	– 2.2	– 0.1	– 2.2	3.5	3.7	3.4	84	83	87	NE 1	S 1	SW 1	10^1	10^1	10^1	–	–	n ⌴^{0}
23.	55.7	52.9	49.6	– 5.0	– 0.3	0.1	0.1	– **5.2**	2.8	4.0	3.8	90	89	81	SW 1	S 1	SW 2	10^2≡	10^2	10^2	–	–	n ⌴, a ≡^{1} ᔓ
24.	46.0	44.6	48.0	– 1.1	3.7	2.3	3.7	– 1.1	3.7	5.0	4.3	86	83	79	SW 2	SW 2	SW 2	0	10^2●	6^1	–	–	n ⌴, mrgs. ᔓ, ca 1–8^{30} p ◎
25.	55.1	59.6	60.7	1.1	1.3	1.1	2.3	0.9	4.2	4.1	4.0	85	82	81	SW 2	SW 1	SW 1	10^2	⊖⊖	0	3.8	–	
26.	60.9	60.8	60.2	1.5	4.3	4.3	4.5	0.9	4.5	5.0	4.8	89	80	77	SW 2	SW 2	SW 2	10^2	10^2	5^1	0.6	–	n ✳^{0}
27.	52.1	50.0	52.0	4.5	5.6	4.7	6.7	3.1	3.9	5.6	5.0	62	83	78	SW 4	SW 3	SW 2	10^2	10^2●	10^2	–	–	n ≡, nachm. ◎^{0}
28.	41.4	33.8	38.7	3.6	3.9	3.7	4.7	2.9	5.6	5.9	5.6	95	**97**	93	SW 1	SW 4	SW 3	10^2	10^2●	10^2●*	5.4	–	n ◎, ca 4^{30}–7^{30} p ≡, ca 6^{30}–9^{30} p ◎^{1} u. ✳
29.	39.7	40.3	41.0	0.7	1.7	0.1	3.7	0.1	4.0	3.5	3.8	82	68	81	SW 1	SW 1	SW 2	10^2	3^9	10^2*	**14.2**	–	ca 7^{15} p ab ✳
30.	42.8	45.9	50.3	– 0.9	0.2	– 2.4	0.3	– 2.4	3.6	3.7	3.1	84	80	81	W 3	N 2	N 3	10^2*	10^2	10^2	3.2	5	a u. m ✳^{1}
31.	55.4	58.7	62.6	– 3.0	– 1.7	– 4.0	– 1.7	– 4.0	3.1	3.1	2.6	85	76	77	N 2	N 1	N 3	10^2*	9^1	0	0.8	5	mrgs. ✳^{0}
Mittel	55.8	55.5	56.0	2.7	4.4	3.2	5.0	1.7	4.9	4.9	4.7	85	77	80				8.8	7.3	7.1	41.7		[1] dann ◎^{0}

Nürnberg.

Dezember. $\varphi = 49^0\ 27'$ N. $\lambda = 11^0\ 3'$ E $= 44^m\ 12^s$. H $= 309.1$ m. Cg $= +0.2$ mm; über 735.0 mm Cg $= +0.3$ mm. 1913.

1.	39.7	39.1	37.3	6.7	6.8	6.8	7.3	6.7	**6.9**	6.4	6.4	94	87	87	SW 2	SW 2	W 3	10^0	10^0	10^1	–	–	n bed., a u. p ztw. ◎^{0}, t bed., ca 7 p ab teilw. Aufkl.
2.	38.8	39.2	37.7	5.7	7.9	7.9	7.9	5.0	6.0	6.2	6.8	88	78	86	W 3	W 2	W 2	4^0	10^0	10^0	–	–	a u. p ztw. ◎^{0}, ca 9–11 a ≡^{0}
3.	37.1	34.8	32.6	5.1	9.6	4.9	**10.0**	4.9	5.9	6.7	5.6	90	75	86	SW 2	SW 2	SW 2	2^4	5^0⊖	0	–	–	ca 2 a ab Aufklaren, ca 8–10 a ≡$^{1.0}$, ca 5 p ᔓ
4.	30.4	27.9	29.0	2.9	9.3	6.2	9.3	2.0	4.9	6.3	4.7	86	72	66	S 2	S 3	SW 2	10^0	10^0	10^0	–	–	n klar, ca 6 a ⌴, $2^{24.38}$ p, 2^{48}–3^{09} p, $3^{18.27}$ p ◎^{0}
5.	32.4	32.5	26.8	3.7	3.1	2.6	6.2	2.6	5.2	4.2	5.2	85	73	94	**9**W 4	W 3	SW 3	10^0	10^0	10^0	–	–	ca 10 p ≡ SW 5, n bed., ca 6 a ≡ SW 6, [1]
6.	28.2	27.2	27.6	1.1	2.2	– 0.4	2.9	– 0.4	4.3	3.9	3.9	87	74	87	W 2	NW 2	S 1	7^0	6^0	0	–	–	ca 9–10 p ◎^{0}, ✳^{0}, ca 9–11^{04} p ◎^{0}, ca 1 a ≡, [2]
7.	30.2	33.4	36.3	– 3.7	– 0.8	– 0.1	0.3	– 5.3	3.4	3.8	4.0	98	86	88	NW 1	S 1	NW 2	10^0≡	10^0	10^0	–	–	n–ca 5 a klar, ca 4 a ⌴^{2}, V, ca 4 a–5 p ≡$^{2.0}$, [3]
8.	41.6	43.2	44.0	– 0.1	– 0.9	– 0.5	1.3	– 2.5	4.0	4.2	4.0	100	85	90	NW 2	C	S 1	10^1	10^0	9^0	4.0	**5**	10^{37} p–ca 5 a ✳$^{0.1}$, ca 8 a–1 p ≡$^{1.0}$, ca 5 p ᔓ
9.	40.8	39.5	38.0	1.5	4.3	3.9	4.5	– 1.0	4.6	4.4	4.7	91	71	77	SW 2	SW 2	SW 2	10^0	10^0	10^0	–	3	n bed., 6^{14}–7^{23} a, 7^{49}–8^{16} a, 10^{38} a–1^{03} p ◎^{0}, ca 7 p ᔓ
10.	32.7	33.7	32.6	5.8	4.9	4.8	6.2	3.3	6.3	5.7	5.6	91	87	87	SW 3	W 3	W 4	10^0	9^1⊖	10^0	2.6	–	0^{14}a–9^{00}p mit Pausen ◎^{0}, ca 8 a ≡ NW5, ca 8p ≡ W6
11.	33.0	35.9	37.7	6.0	7.5	6.4	7.6	4.5	**6.9**	6.6	6.3	99	86	88	NW 3	W 3	W 4	10^0●	10^0	10^0	**6.0**	–	9^{00}–11^{04} p, 0^{49}–2^{04}a ◎^{0}, 3^{24}–10^{34} a ◎$^{0.2}$, 11^{34} a–0^{34}p ◎^{0}, [4]
12.	37.7	37.4	37.1	5.0	6.3	5.1	7.3	3.5	5.9	6.4	5.4	90	90	83	W 3	SW 2	SW 2	10^0	10^0	10^0	4.3	–	durchaus bed., ca 8–11 a ≡$^{1.0}$, 11^{38} a–0^{03} p, $0^{30.34}$ p, [5]
13.	36.0	36.8	39.0	5.7	5.7	3.5	6.3	3.5	6.0	6.1	5.4	88	88	92	SW 4	W 2	W 2	10^0	10^0	10^0	–	–	a ztw. ◎$^{0.1}$, ca 3–4 a ≡ SW 6, ca 10–11 a ≡$^{0.1}$
14.	39.1	37.0	33.6	2.9	3.5	4.5	4.5	2.5	5.1	5.0	4.7	90	85	74	SW 2	SW 4	W 4	10^0	10^0	10^0	–	–	4^{24}–5^{04} a ◎^{0}, p ztw. ◎^{0}, ca 6 p ≡ SW 7
15.	39.5	39.7	38.2	2.5	4.3	4.7	4.7	1.5	5.7	5.6	6.0	93	90	94	NW 2	W 2	SW 3	8^0	10^0	10^0	5.6	–	n ztw. ◎^{0}, a ᔓ, ca 11 a–4 p ≡$^{1.0}$, a u. p ztw. ◎$^{0.2}$, [6]
16.	38.1	37.7	37.5	5.5	4.4	3.6	5.7	3.6	6.4	4.7	5.1	96	76	87	SW 3	W 3	W 3	10^0	10^0	10^0	1.5	–	n mit Pausen ◎^{0}, fast durchaus bedeckt
17.	35.7	36.0	39.1	3.3	3.1	2.1	3.6	2.1	5.4	5.3	5.2	95	93	96	SW 3	S 2	N 2	10^0	10^0●	10^0	2.3	–	a u. p ztw. ◎$^{0.2}$, $11^{44.54}$ a ✳^{0}, ca 8 a–5 p ≡$^{0.1}$
18.	41.5	43.3	44.6	2.1	0.5	– 2.2	2.5	– 2.2	5.0	3.3	2.8	93	70	73	NE 3	E 2	NE 2	10^0	8^0	0	5.0	–	n bedeckt, ca 4 a ᔓ, 7^{35}–8^{19} a ◎^{0}, 8^{19}–9^{24} a ✳^{0}
19.	44.8	44.5	46.0	– 3.5	– 0.5	– 3.7	– 0.2	– 3.7	2.8	2.8	2.9	79	62	83	E 2	E 2	E 2	0	0	0	–	–	ca 4 a ᔓ, ca 7 a ⌴^{0}
20.	46.5	46.2	47.1	– 6.7	0.4	– 1.0	1.8	– 6.7	**2.4**	3.7	3.5	89	78	83	E 2	E 2	NE 2	0	0	0	–	–	ca 5 a ᔓ, ca 6 a ⌴^{1}, ca 8 a–1 p ≡$^{1.0}$
21.	**48.1**	47.2	47.2	– 6.7	0.1	– 2.3	0.5	– **7.0**	2.7	4.5	3.8	97	98	98	C	C	SW 2	0≡	10^0	10^0	–	–	ca 7 a ≡^{1} ⌴^{2}, ca 7 a–4 p ≡$^{2.1}$, ca 5–8 p ≡$^{1.0}$
22.	45.9	43.4	41.2	– 1.2	0.7	– 2.3	0.8	– 3.2	4.2	4.0	2.8	100	84	98	SE 1	W 2	SW 1	10^0	10^0	10^0	–	–	ca 5 a ⌴^{1}, ca 5 a–1 p ≡$^{1.0}$
23.	35.7	33.6	30.8	– 3.5	– 0.2	0.0	0.3	– 5.2	3.4	3.9	4.0	95	86	88	S 2	S 1	SE 2	10^0	10^0	0	–	–	ca 11 p–0 a ≡^{0}, ca 0 a–5 p ≡$^{1.0}$, ca 4 a ⌴^{1}, V^0
24.	27.0	25.3	26.2	– 1.4	4.7	0.7	4.9	– 1.4	3.7	4.9	4.7	91	76	96	SE 2	SW 2	W 2	0	10^0	10^0*	–	–	ca 6 a ᔓ, ca 8 a ⌴^{0}, ca 5–7 p ◎^{0}, ca 7–9 p ✳^{0}
25.	32.2	37.0	39.4	1.1	1.1	0.3	1.5	0.0	4.7	4.7	4.5	94	94	96	W 3	W 2	SW 3	10^0	9^1	10^0	2.0	–	n u. t ztw. ✳^{0}, 6^{14} a ≡ W 5
26.	40.0	39.8	39.9	0.9	2.3	3.2	3.2	– 1.1	4.8	4.9	4.9	98	91	85	SW 3	SW 3	SW 2	10^0	10^0	10^1	3.4	4	n u. t ztw. ◎^{0}, ca 10 a u. m ≡ SW 5, p ztw. ◎^{0}
27	33.1	28.7	30.7	2.7	5.0	3.6	6.8	1.2	4.3	5.3	5.6	77	81	95	SW 2	SW 4	SW 2	7^0	10^0●	10^0	–	–	12^{1}–5^{38} p ✳^{0}, ◎^{0}, ca 5 a ≡ SW5, ca 1–2 p ≡ SW6
28.	24.5	16.2	14.4	– 1.9	5.1	4.2	6.0	1.0	4.8	5.5	4.2	91	85	68	S 1	NW 2	NW 5	10^0	10^0	10^1	5.9	–	n u. t ztw. ◎$^{0.1}$, ✳^{0}, ca 8–11a ≡$^{1.0}$, ca 8 p ≡ SW8
29.	20.1	19.9	20.1	– 0.6	0.4	– 0.4	4.2	– 0.4	4.0	3.8	4.3	83	81	96	N 2	NW 2	N 2	10^0	10^0	10^0	**6.0**	–	ca 2 a ≡ W 5, a ztw. ✳^{0}
30.	21.8	24.8	28.7	– 1.3	– 0.8	– 3.4	0.3	– 3.4	4.0	3.2	3.3	97	75	93	N 1	N 2	N 3	10^0	8^0	10^1	–	–	n u. t ztw. ✳^{0}
31.	33.3	37.3	41.0	– 4.2	– 3.1	– 3.9	– 1.6	– 5.2	3.2	3.5	3.4	96	97	99	N 2	N 3	N 3	10^0*	10^0	10^0	0.7	1	ca 3 a–1 p, 2^{24}–5^{29} p ✳^{0}
Mittel	35.7	35.5	35.6	1.2	3.2	1.9	4.1	0.0	4.7	4.8	4.6	92	82	88				8.0	8.9	8.0	49.3		

[1] p ztw. ✳^{0} u. ◎^{0}, ca 5 p ᔓ, ca 8 p ≡ S 6
[2] 4^{49}–5^{34} a ✳^{0}, ca 8–11 a ∞^{1}, ca 6 p ᔓ
[3] 2^{14}–3^{37} p ✳^{0}. [4] ca 8–10 a ≡^{0}
[5] 3^{39} 5^{11} p ◎^{0}. [6] $2^{14.47}$ a ✳, 2^{14} p ≡ NW 7

Alle Angaben nach Ortszeit.

Kaiserslautern.

Dezember. $\varphi = 49^0\ 27'$ N. $\lambda = 7^0\ 46'$ E $= 31^m\ 4^s$. H $= 242.2$ m. Cg $= +0.3$ mm. 1913.

Datum	Luftdruck auf 0^0 u. Normalschwere reduziert 700 mm +			Lufttemperatur C⁰					Absolute Feuchtigkeit mm			Relative Feuchtigkeit Proz.			Richtung und Stärke des Windes 0 bis 12			Bewölkung 0 bis 10			Niederschlag mm	Schneedecke cm	Bemerkungen
	7^a	2^p	9^p	7^a	2^p	9^p	Max.	Min.	7^a	2^p	9^p	7^a	2^p	9^p	7^a	2^p	9^p	7^a	2^p	9^p	7^a	7^a	
1.	46.9	45.7	44.7	6.0	5.9	6.3	6.7	5.3	6.5	6.3	6.7	93	91	94	W 4	W 3	W 5	10^1	10^2	10^2●	0.2	–	n Staub-◍, a u. p ⩲, ztw. ◍-Tr. u. Staub-◍, [1]
2.	45.8	45.2	45.0	7.1	7.5	7.5	8.0	6.0	**7.1**	**7.1**	6.7	94	91	88	W 3	W 3	W 5	10^1	10^2	10^1	0.5	–	n ⩲, ◍-Tr., p ztw. ◍^{0}, ≡^{0}, ca 6^{30} p ab ⩲
3.	43.5	41.2	38.6	5.7	6.9	4.8	7.5	4.8	5.9	6.0	5.7	86	81	89	W 6	SW 3	SW 6	10^1	10^1	1^1	0.4	–	n, t–ca 2^{30} p, ca 6^{30} p ab ⩲
4.	34.3	34.1	37.5	8.0	7.5	4.5	**9.0**	**4.1**	5.7	5.6	4.7	71	72	74	W 8	W 9	W 9	9^1	7^2	9^2	–	–	n u. a ⩲, 5^{01-16} a, 9^{16-31} a ◍^{0}, p ⩲, abds. ◍, ⩲, [2]
5.	40.5	37.6	37.0	3.2	3.9	3.2	4.5	2.6	4.7	4.5	4.9	81	73	85	W 4	W 7	W 6	10^1	10^1	9^2	2.2	–	n ⩲, ◍^{0}, a u. p ⩲
6.	35.3	33.5	34.2	2.6	3.4	– 0.2	3.9	– 0.9	5.0	4.8	4.4	91	82	98	W 1	C	C	10^1	9^1	10^1≡	5.7	–	n ◍, ✳ u. ⩲, a ztw. ◍^{0}, abds. ≡^{2}, ⌴
7.	37.8	41.4	44.4	– 0.4	0.2	– 0.6	0.9	– 1.6	4.3	4.4	4.4	96	94	100	C	W 1	C	10^1	9^1⊙	5^1	–	–	a u. p ⌴^{2} ≡^{2}
8.	48.3	49.2	49.7	– 0.8	2.2	1.8	2.9	– 1.8	4.2	4.0	4.5	96	75	85	C	NW 1	W 1	10^1	7^1⊙	10^1	–	–	a ⌴^{2}, ≡^{0}
9.	47.9	45.9	44.4	2.2	5.5	4.3	5.5	1.7	4.5	4.4	4.8	84	65	77	W 2	W 2	W 3	10^1	3^1⊙	10^1	–	–	
10.	42.0	42.9	42.5	6.3	5.5	5.8	6.8	3.4	6.7	5.9	6.3	94	88	91	W 2	W 3	W 5	10^2	10^2●	10^2●	1.0	–	n ◍, p ztw. ◍, abds.–n ztw. ◍
11.	43.6	44.5	45.3	6.4	7.0	5.9	8.3	5.2	6.7	6.5	6.3	93	87	91	W 2	NW 2	W 1	10^1	10^1	10^2	2.4	–	n ◍, ztw. ⩲, ca 3^{30} p ab ztw. ◍^{0}
12.	44.8	44.0	44.0	5.1	6.7	5.7	7.0	4.6	6.0	5.9	6.2	92	82	91	W 1	W 2	W 3	10^2●	10^1	10^1	0.2	–	n u. a ◍^{0}, p ztw. ◍-Tr., abds. Staub-◍, ⩲
13.	43.6	44.5	47.3	6.5	7.1	1.8	7.5	1.8	6.6	5.4	4.7	91	71	90	W 1	W 2	C	10^2	8^1⊙	9^1	0.4	–	n ◍^{0}
14.	47.7	46.0	45.5	2.4	3.9	5.1	5.1	1.5	5.2	5.1	4.7	94	84	73	NW 1	NW 3	W 6	10^1	10^1	10^2	–	⌴	p–n ztw. ⩲
15.	47.8	47.1	46.7	4.5	5.5	5.9	6.1	4.0	5.5	6.1	6.7	87	91	97	SW 3	W 2	W 1	10^1	10^2●	10^2●	–	–	n ⩲, ca 9^{30} a–n ◍^{0}
16.	46.1	45.1	44.9	5.3	4.6	3.0	6.0	3.0	5.6	4.9	5.2	85	78	91	NW 3	NW 4	NW 3	10^2	10^1	10^2	1.2	–	n ◍^{0}, a ztw. ◍^{0}, p ztw. Staub-◍
17.	42.4	42.8	46.1	4.3	5.6	4.9	6.0	3.0	5.6	6.4	5.7	90	94	87	W 3	NW 2	C	10^2	10^2	10^2	1.0	–	n ◍, ⩲, a, p–ca 7 p ztw. ●
18.	48.2	48.8	50.2	4.0	2.6	– 0.4	5.0	– 0.7	5.4	4.3	3.0	88	77	68	E 3	E 2	E 2	10^2	9^1	0	3.3	–	a ztw. ◍^{0}, a ✳^{0}
19.	50.0	50.1	50.7	– 1.6	– 0.8	– 2.8	– 0.1	– 3.1	2.9	2.9	2.9	72	68	79	E 2	NE 2	NE 1	10^1	0⊙	0	0.1	–	n ⩔, a ⌴, t ∞
20.	51.7	51.5	52.6	– 5.1	1.0	– 2.2	1.0	– 5.4	2.6	2.7	3.3	85	55	85	E 2	SE 2	C	0	0⊙	0	–	–	n ⩔, a ⌴, p ∞
21.	53.7	53.9	**54.2**	– 6.2	1.0	– 3.4	1.1	– 6.6	2.6	4.0	3.4	93	81	95	C	N 1	C	0	5^0⊙	0	–	–	n, a ⩔^{2}, dann ≡✳, p ∞
22.	52.3	49.1	47.0	– 2.1	– 0.5	– 3.4	– 0.2	– 5.1	3.7	4.0	3.5	96	90	100	W 2	NW 1	C	10^1	7^0⊙	10^1≡	–	–	a ⌴^{2}, p ∞, abds. ≡^{2}, abds.–n ⌴^{2}
23.	41.9	39.5	36.8	– 4.2	0.2	0.4	1.0	– 6.9	3.1	3.9	3.8	**91**	83	80	W 2	C	C	10^2	10^1	10^2*	–	–	a ⩔^{2}, p ≡, ∞, ⌴, ca 8^{30}–n ✳
24.	33.3	32.4	36.0	0.6	0.9	0.6	3.0	– 0.3	4.3	4.7	4.6	90	96	96	W 2	W 1	W 1	10^2	10^2*	10^1	–	–	ca 10^{30} a–0^{30} p ◍, dann–7^{00} p ✳, ztw. ⩲
25.	42.3	45.4	47.8	– 0.1	1.4	– 0.8	1.9	– 0.8	4.4	4.6	3.9	96	91	90	NW 2	W 3	NW 3	9^2	10^1	10^1	4.0	**5**	n ✳^{0}, abds. ⩲, abds.–n ✳^{0}
26.	47.5	47.2	45.9	0.9	1.9	2.8	3.0	– 1.3	4.7	4.9	4.9	96	96	88	NW 5	W 6	W 9	10^2●*	10^2●	10^2	1.0	3	n ⩲, ✳, a ✳, ◍ ⩲, p ztw. ◍^{0}, p–n ⩲
27.	38.8	37.0	37.2	2.6	3.0	2.7	4.1	**2.1**	4.3	5.3	5.2	77	93	92	W 8	W 9	W 2	10^2	10^2●	10^0	0.2	–	n ⩲, a ⩲ ●, ✳, p ◍^{2}, ✳, p–ca 7^{30} p ⩲
28.	29.1	**20.7**	26.7	1.6	1.4	0.6	3.8	0.6	5.2	5.0	4.8	100	100	100	W 2	C	W 3	10^2●	10^2●*	10^2*	13.1	–	n u. a ◍^{0}, ca 8^{30} a ab ✳, p ✳, p–ca 4^{30} p ◍, [3]
29.	27.6	27.6	29.0	– 1.2	– 0.3	– 3.5	0.9	– 4.8	4.0	3.6	3.4	96	81	95	C	NW 1	NW 1	10^1	5^1⊙	10^2*	**20.6**	1	n ✳, ⩲, a ∞, 8^{01} p–n ✳
30.	30.8	33.6	37.9	– 2.8	– 1.1	– 4.5	– 0.9	– 4.5	3.3	3.7	2.9	89	86	90	NW 1	NE 1	NE 1	10^2*	10^1	10^2*	1.3	3	n ✳, a–ca 8^{30} a ✳^{0}, dann–m ztw. ✳, p ztw. ✳
31.	42.7	46.0	49.3	– 4.2	– 3.0	– 6.2	– 2.5	– 6.2	3.2	3.1	**2.5**	95	85	87	NW 1	NE 1	NE 1	10^2*	10^2*	3^0*	1.6	**5**	n, a ✳$^{0-1}$, p–abds. ztw. ✳
Mittel	42.8	42.4	43.2	1.8	3.1	1.6	4.0	0.1	4.8	4.8	4.7	90	83	89				9.3	8.4	8.0	60.4		[1] abds. ◍^{0}, ⩲. [2] ca 6^{30} p ≤ [3] dann ✳, bis n ⩲

Ansbach.

Dezember. $\varphi = 49^0\ 18'$ N. $\lambda = 10^0\ 33'$ E $= 42^m\ 12^s$. H $= 437.5$ m. Cg $= +0.2$ mm. 1913.

1.	28.5	27.5	26.3	5.3	6.0	5.3	6.8	5.0	6.2	6.0	5.9	94	88	90	W 4	W 4	W 2	10^2	10^2	0	0.1	–	
2.	27.6	27.9	26.8	5.3	6.4	6.7	7.0	4.8	6.5	6.1	**6.7**	**97**	86	92	W 4	W 2	W 6	10^2	10^2	10^2	1.0	–	n, a, 2^{42}–5^{32} p ◍, abds. ⩲
3.	25.6	24.3	21.4	5.1	10.0	3.9	**10.4**	3.5	5.6	6.3	5.4	87	69	89	W 2	W 4	C	0	2^0⊙	0	1.2	–	Abendröte
4.	18.7	16.7	19.2	2.3	9.6	5.3	9.8	0.0	4.9	5.8	4.1	90	65	62	SW 2	W 6	W 8	6^0	10^2●	10^2	–	–	Morgenröte; a ⌴. 1^{37}–3^{07} p ◍; ⩲
5.	21.6	21.3	15.6	2.1	2.2	1.1	5.4	– 0.2	4.0	3.9	4.9	71	74	91	W 6	W 2	W 6	10^2	10^2·	10^2*	0.5	–	n, a, mrgs. ⩲. 1^{36-42} p △. 6^{32} p ab ✳
6.	17.0	15.6	16.3	– 0.6	0.9	– 3.6	2.0	– 3.6	4.0	3.2	3.2	90	74	91	W 4	W 2	C	0	4^1	2^0	2.0	–	a stellenw. ⊠, 0^{22-28} p △
7.	18.6	21.3	25.2	– 5.4	0.3	– 1.1	0.4	– 7.1	2.8	3.6	3.7	93	76	86	C	W 2	W 2	0≡	4^1	10^2	0.1	–	mrgs. ⩔ ≡^{1}
8.	29.7	31.6	31.9	– 1.2	0.5	– 1.4	0.8	– 1.5	3.8	3.4	3.3	90	71	80	NW 2	SW 2	SW 4	10^2*	10^2	10^2	0.6	1	9^{47} p–9^{42} a ✳
9.	29.7	27.7	26.2	1.1	3.7	3.7	4.0	– 1.4	4.0	4.0	4.6	81	67	78	W 6	W 4	SW 6	10^2	10^2	10^2	0.1	–	a stellenw. ⊠, ⩲. 8^{22-27} p ◍, ⩲
10.	21.8	23.1	22.6	4.9	4.1	3.9	5.0	3.3	6.0	5.3	5.4	94	88	89	W 6	W 4	W 6	10^2●	10^2	10^2●	3.6	–	n u. mrgs. ztw. ◍ ⩲. t ⩲. 9 p ◍
11.	22.7	25.1	26.9	5.2	6.0	5.0	6.2	3.1	6.4	6.5	6.0	**97**	94	93	NW 4	W 4	W 2	10^2●	10^2	10^2●	6.8	–	n, a, t ◍ u. ⩲. 9 p ◍
12.	26.7	26.2	25.9	3.7	4.5	3.9	5.0	3.3	5.7	5.5	5.1	95	88	85	W 2	W 2	W 4	10^2	10^2	10^2	1.3	–	10^{37} a–0^{42} p ◍
13.	25.4	25.5	27.8	4.5	4.5	1.9	5.8	1.5	5.8	5.8	5.0	93	92	95	W 4	W 4	2 C	10^2	10^2	0	0.9	–	5^{37}–6^{42} a ◍, t ztw. ◍
14.	28.4	26.1	23.5	1.5	2.7	3.1	3.4	0.9	4.5	4.4	4.5	90	80	79	W 2	W 8	W 10	10^2	10^2	10^2	3.0	–	t ⩲
15.	28.6	28.4	27.5	1.3	3.3	3.7	3.8	0.2	4.8	5.4	5.7	96	93	95	W 4	W 4	W 6	6^1	10^2●	10^2●	7.1	–	n, a ✳ u. ⩲, a stellenw. ⊠, t ✳ u. ◍, abds. ◍ ⩲
16.	26.4	26.3	26.1	4.4	3.1	2.3	4.2	1.9	5.9	4.7	4.7	96	84	86	W 4	W 6	W 6	10^2●	10^2	10^2	4.0	–	mrgs. ◍, t ztw. ◍ u. ⩲
17.	24.0	24.6	27.4	1.5	2.7	1.6	3.0	0.9	4.6	5.2	5.0	92	93	96	W 8	W 2	N 2	10^2*	10^2●	10^2●	1.1	–	mrgs. ✳ ◍ ⩲, t ◍
18.	30.0	31.2	32.4	1.6	0.1	– 3.0	1.8	– 3.0	4.9	3.3	2.7	94	71	74	NE 4	NE 4	NE 6	10^2	10^2	0	4.3	–	9^{02}–10^{07} a ✳
19.	32.6	32.6	33.7	– 4.8	– 1.6	– 5.8	1.2	– 5.8	2.3	3.4	2.2	74	66	74	E 2	E 2	E 2	6^1	0⊙	0	0.4	–	
20.	34.1	34.3	35.0	– 8.6	– 0.4	– 4.2	– 0.2	– **9.1**	**2.0**	**2.8**	2.7	85	63	81	C	NE 2	C	0	0⊙	0	–	–	Morgenröte
21.	35.6	35.6	**35.7**	– 8.0	1.1	– 2.8	1.4	– 8.3	**2.1**	3.6	3.1	85	70	81	C	C	W 2	0	0⊙	0	–	–	Morgenröte
22.	34.3	31.6	29.2	– 2.4	– 1.0	– 5.3	– 0.2	– 5.3	3.3	3.4	2.7	86	80	90	C	SW 2	SW 2	10^2	10^2	10^2≡	–	–	abds. ≡^{1}
23.	23.8	21.8	19.1	– 7.6	0.3	– 1.8	0.4	– 7.9	2.2	3.7	3.4	89	78	84	C	W 2	SW 2	0	4^1	0	–	–	mrgs. ⩔, Morgen- u. Abendröte
24.	15.2	13.7	16.0	– 2.8	3.5	0.1	3.8	– 2.8	2.9	4.2	4.2	79	71	90	C	SW 2	NW 2	0	10^2	10^2*	–	–	4^{42} p ab ◍, 5^{32} p ab ✳
25.	21.6	25.7	28.7	– 0.8	0.3	– 1.6	0.4	– 1.6	3.8	3.6	3.4	88	83	84	W 4	W 6	W 8	10^2	10^2*	10^2	3.6	2	n, a, t ztw. ✳ ⩲
26.	28.7	28.6	28.6	– 0.4	1.3	2.1	2.2	– 1.9	4.0	4.7	4.6	90	92	86	W 8	W 8	W 4	10^2*	10^2*●	10^2	3.6	**4**	n, a, t ✳ ⩲, später ◍ ⩲
27.	21.8	17.8	19.5	1.1	4.1	2.5	5.8	0.6	4.1	4.9	4.8	83	80	88	SW 4	W 8	SW 6	10^2	10^2●	10^2	1.8	–	a stellenw. ⊠, Tauwetter. 1^{32}–5^{37} p ◍ ⩲
28.	12.8	05.6	04.1	0.5	3.9	1.5	4.6	0.0	4.3	5.1	3.7	90	85	72	W 2	SW 6	W 10	10^2*	10^2●	10^2	9.0	–	n, a ◍. 5^{32}–8^{47} a ✳; dann ✳ u. ◍ ⩲ (bis 5^{32} p ⩲)
29.	09.1	08.5	09.2	– 1.0	– 0.8	– 1.8	2.8	– 1.8	3.5	3.3	3.2	82	77	80	W 2	NW 2	NW 2	10^2*	10^2	10^2	**10.9**	–	a stellenw. ⊠; n, a, mrgs.–9^{02} a ✳
30.	10.5	13.1	17.7	– 3.0	– 1.8	– 5.2	– 0.8	– 5.2	3.1	3.2	2.4	85	80	78	NW 2	NW 2	N 4	10^2	10^2*	10^2	1.2	1	n, a, 0^{12}–2^{42} p ✳
31.	22.0	25.9	29.3	– 5.8	– 4.7	– 6.4	– 3.6	– 6.6	2.4	2.6	2.4	85	84	87	NW 2	N 4	N 2	10^2*	10^2*	10^2	1.4	2	t–7^{30} p ✳
Mittel	24.3	24.0	24.3	0.0	2.4	0.4	3.3	– 1.4	4.2	4.4	4.2	88	79	85				7.3	8.2	7.1	69.6		

Alle Angaben nach Ortszeit.

Regensburg.

Dezember. $\varphi = 49^0\ 1'$ N. $\lambda = 12^0\ 7'$ E $= 48^m\ 28^s$. H $= 354.3$ m. Cg $= +0.2$ mm. 1913.

Datum	Luftdruck auf 0° u. Normalschwere reduziert 700 mm +			Lufttemperatur C°					Absolute Feuchtigkeit mm			Relative Feuchtigkeit Proz.			Richtung und Stärke des Windes 0 bis 12			Bewölkung 0 bis 10			Niederschlag	Schneedecke	Bemerkungen
	7a	2p	9p	7a	2p	9p	Max.	Min.	7a	2p	9p	7a	2p	9p	7a	2p	9p	7a	2p	9p	mm	cm	
1.	36.2	34.9	33.9	5.0	6.6	5.6	7.4	4.8	6.0	6.1	6.2	92	84	91	SW 3	SW 3	SW 2	10^1	10^1	0	–	–	abds. Aufheiterung
2.	34.8	35.6	34.7	6.7	7.4	7.0	8.0	5.6	6.4	6.4	**6.7**	87	83	90	SW 3	SW 3	SW 3	10^2●	6^1	10^2	0.8	–	n u. a–ca 7^{45} a ◍
3.	33.9	32.5	30.3	4.2	8.4	3.6	**9.0**	3.6	5.9	6.3	5.5	96	77	93	S 2	S 1	S 3	3^1	3^1⊙	0	0.4	–	früh ⌓
4.	27.8	25.5	27.5	0.3	5.9	6.5	7.8	0.0	4.5	5.8	4.8	96	84	67	SE 1	E 3	S 4	3^1	3^1⊙	10^2	–	–	früh ⌊⌋, abds. Trübung
5.	29.9	29.8	25.1	3.7	3.7	0.8	6.6	0.8	4.0	4.3	4.6	67	72	94	S 4	SW 4	SW 5	10^2	10^2	10^2*	1.0	–	n ◍, ca 8^{30} p ab ✳
6.	24.7	23.3	23.8	1.1	2.4	– 1.6	3.0	– 1.6	3.9	3.8	4.0	79	70	100	W 3	W 3	C	10^2	5^1	10^1=	0.8	–	3^{28}–ca 4^{30} p ✳, abds. ≡
7.	26.4	30.2	32.7	– 3.8	– 1.5	– 0.5	– 0.4	– 4.2	3.3	3.7	3.9	100	93	90	W 3	W 2	C	10^1	10^1	10^1	1.3	–	früh in der Ferne Nebel
8.	37.2	39.6	40.5	– 1.8	0.2	– 1.4	0.4	– 2.2	3.7	3.1	3.9	93	66	94	W 3	W 2	SW 1	5^1	4^1⊙	10^1	0.4	–	n ✳⁰
9.	37.8	36.5	34.8	– 0.4	1.0	2.0	2.0	– 2.2	3.9	4.4	4.3	88	89	82	W 4	W 4	W 1	10^1	10^1	10^1	–	–	9^{36} a ✳, ca 11 a in ◍ übergehend
10.	29.2	29.5	29.0	3.5	5.5	4.2	6.0	1.6	5.4	5.3	5.4	92	79	87	W 4	W 6	W 6	10^2●	8^1	10^2●	2.9	–	früh u. t ◍, ab m ⩸
11.	29.8	31.7	34.0	4.6	4.5	5.8	6.4	3.8	5.7	6.0	6.5	90	96	94	W 4	SW 2	SW 2	10^2	10^2●	10^2	**9.6**	–	n u. früh ◍, t ztw. ◍
12.	34.6	33.9	34.0	4.8	5.0	4.6	6.7	4.6	5.6	5.5	5.5	87	84	87	SW 3	SW 3	SW 2	10^2	10^2	10^1●	1.8	–	ca 9 p einzelne ◍-Tr.
13.	33.0	32.9	35.1	4.6	5.0	3.6	5.2	3.6	5.5	5.7	5.1	87	87	87	S 4	SW 4	SW 4	10^2	10^2	3^1	0.3	–	m ◍⁰
14.	35.5	33.2	29.5	2.2	3.7	4.5	4.6	1.8	4.8	4.5	4.3	89	75	68	W 4	SW 5	SW 6	10^2	10^2	10^2	0.8	–	früh ◍⁰, 3^{08} p ◍, abds. ⩸
15.	35.3	36.1	34.4	2.1	3.5	3.9	4.6	0.4	4.7	5.2	5.6	87	88	92	W 5	W 4	W 3	7^2	10^2	10^2	5.4	–	n ⩸ ◍ ✳, t ztw. ◍
16.	34.2	34.1	33.8	5.8	5.9	3.4	6.2	3.4	6.4	5.8	4.9	93	84	83	W 3	W 4	W 2	10^2	10^2	10^2	1.3	–	
17.	32.7	33.0	35.3	2.2	2.4	0.5	3.6	0.4	4.9	5.1	4.8	91	93	100	SW 2	SW 2	SW 2	10^2	10^2	10^2*	–	–	ca 9 a ab ✳ ◍, abds. ◍ ✳
18.	37.2	38.4	40.7	2.2	0.6	– 1.6	2.2	– 1.6	4.9	3.7	2.7	91	78	68	N 3	NE 4	N 4	10^2	10^2	10^2	5.2	–	einigemal ✳⁰
19.	40.9	41.0	42.0	– 4.8	– 1.8	– 4.6	– 1.6	– 5.0	2.4	2.8	2.4	75	70	76	N 1	NE 3	N 1	3^0	2^0⊙	0	–	–	
20.	42.9	42.5	43.2	– 6.6	– 0.2	– 2.0	0.6	**7.0**	**2.3**	3.4	3.2	85	74	82	N 1	E 2	N 1	3^0	3^0⊙	0	–	–	früh ⌊⌋
21.	**43.9**	43.7	**43.9**	– 6.8	– 0.8	– 4.0	– 0.4	– **7.0**	2.5	3.7	3.2	95	86	98	N 1	E 1	S 2	5^0	4^0⊙	8^1	–	–	⌊⌋
22.	42.9	40.7	37.7	– 3.6	– 2.0	– 4.4	– 1.8	– 4.4	3.3	3.8	3.1	98	97	98	S 2	S 3	C	10^1	10^1	10^1	–	–	⌊⌋
23.	32.6	30.7	28.3	– 5.5	– 3.8	– 3.2	– 1.8	– 5.5	2.9	3.0	3.3	99	89	94	S 1	S 1	S 2	10^1	8^1	10^1	–	–	⌊⌋
24.	24.7	23.3	22.2	– 4.3	– 0.1	1.0	1.8	– 4.7	3.1	3.9	4.5	96	86	91	SE 2	E 2	S 1	7^1	2^1	10^1●	–	–	⌊⌋, t heiter, abds. ◍ ✳
25.	28.6	32.5	35.5	0.6	1.1	0.6	2.2	– 0.4	4.2	3.9	3.8	87	79	80	SW 4	SW 5	SW 3	10*	3^1	10^2	0.5	–	ca 4 p, 8 p ✳
26.	36.8	36.3	35.9	– 1.2	2.1	2.2	2.7	– 1.7	4.2	4.3	4.3	100	80	80	SW 4	SW 5	SW 3	10^1*	10^1*	10^1*	1.8	5	ca 8–11 a ✳
27.	30.7	25.3	27.6	0.5	5.7	3.5	7.2	– 0.4	3.9	3.7	5.0	83	**54**	85	SW 3	SW 5	SW 1	7^1*	10^1*	10^1	0.8	5	ca 5–9 p ◍
28.	20.9	13.6	**12.8**	0.8	2.8	3.7	4.8	0.6	4.8	5.6	4.5	100	100	75	SW 2	E 3	W 7	10^1●	10^1	5^1	6.5	1	n, a–ca 11 a ◍, 9 p ⩸
29.	16.9	15.9	16.5	0.1	0.5	– 0.9	4.8	– 1.1	3.9	3.9	3.4	84	82	79	SW 1	SW 2	NE 2	10^1	10^2	10^1	2.5	–	
30.	17.3	19.8	25.5	– 1.7	– 0.7	– 4.2	– 0.2	– 4.2	3.5	3.5	2.8	87	81	85	SW 2	SW 3	SW 2	10^1	8^1	0	–	–	ca 2 p ✳⁰
31.	28.9	32.4	36.5	– 4.8	– 3.0	– 4.4	– 2.4	– 5.0	2.8	2.9	2.7	89	80	85	SW 3	SW 3	SW 2	10^1*	6^1*	10^1*	–	1	ztw. ✳
Mittel	32.2	31.9	32.2	0.3	2.3	1.1	3.4	– 0.7	4.3	4.5	4.4	90	82	86				8.5	7.6	7.9	44.1		

Passau.

Dezember. $\varphi = 48^0\ 34'$ N. $\lambda = 13^0\ 28'$ E $= 53^m\ 52^s$. H $= 309.3$ m. Cg $= +0.2$ mm. 1913.

1.	40.7	39.2	38.4	6.3	7.9	6.7	9.4	6.0	6.9	**9.6**	6.6	97	86	91	W 2	W 1	C	10^2=	8^1⊙	10^2=	–	–	früh u. abds. ≡
2.	38.9	41.0	39.3	6.7	6.9	5.5	7.4	5.0	7.8	6.7	6.4	96	90	96	W 2	W 1	C	10^2	10^2	10	2.2	–	n ◍⁰
3.	38.7	36.9	35.9	6.3	10.3	3.0	**10.6**	3.0	6.8	7.0	5.7	96	76	100	E 1	E 1	C	8^1	2⊙	10^2=	1.9	–	abds. ≡
4.	33.2	31.0	31.4	– 0.1	5.9	4.9	6.9	– 0.4	4.3	6.2	5.1	100	90	79	C	S 1	C	10^2=	0⊙	10^2=	–	–	früh ≡², abds. ≡
5.	34.2	33.3	30.7	4.9	4.7	2.4	4.9	2.4	4.6	4.5	4.3	70	70	79	W 4	W 4	C	10^2	10^2	0	0.8	–	windig
6.	29.4	29.0	28.5	2.4	3.8	1.6	3.8	1.2	4.3	4.2	4.8	79	70	93	W 2	W 1	C	10^2	10^2	10	0.7	–	
7.	29.5	33.1	36.2	– 2.6	– 0.2	– 0.4	1.6	– 3.3	3.7	3.4	3.7	98	76	83	W 1	W 3	C	8	8⊙	10	–	–	abds. ✳
8.	40.0	44.0	45.4	– 0.8	0.4	– 2.6	1.0	– 2.6	4.1	4.6	3.5	94	96	94	W 4	W 4	W 2	8	8⊙	0	1.8	4	Inntal Nebel, m windig
9.	44.1	41.2	40.1	– 1.4	0.6	1.0	1.6	– 3.0	3.4	4.4	4.4	82	92	89	W 2	S 3	C	0	10^2=	10=	–	3	ca 8 a ab ✳, abds. ≡
10.	34.6	33.6	32.9	1.4	4.3	3.8	4.7	0.6	4.5	5.5	5.4	89	89	90	C	W 3	W 4	10^2●=	10^2	10^2●	7.2	3	n, t ◍, früh ≡
11.	33.2	35.5	37.2	4.1	5.3	5.5	6.5	3.8	5.8	6.1	6.4	95	92	96	W 4	W 4	W 4	10^2●	10^2●	10^2●	**16.1**	–	n ◍, ca 11 a ab ◍ u. Wind
12.	38.1	38.1	38.1	5.3	5.1	4.7	5.7	4.7	6.1	5.8	5.9	92	89	92	W 3	W 3	C	10^2	10^2	0	2.4	–	n, t ◍
13.	37.4	36.9	38.6	4.7	5.1	4.1	6.7	3.8	6.1	6.2	5.8	97	95	95	W 4	W 2	W 2	10^2	10^2●	10^2	2.7	–	n ◍, t Strich-◍
14.	39.8	37.9	33.4	3.2	4.3	3.6	4.8	3.0	5.4	5.1	5.7	93	82	97	W 4	W 4	W 4	10^2	10^2	10^2●	4.6	–	früh Inntal Nebel, windig, abds. ◍
15.	37.6	40.0	37.8	2.2	3.6	3.6	4.5	1.0	4.8	5.7	5.7	89	97	97	W 4	W 3	W 2	4^1	10^2	10●	11.0	–	n ◍ ✳, t ◍, windig, abds. ◍
16.	37.7	37.2	37.7	5.5	6.1	4.5	6.3	3.2	6.4	6.3	5.2	96	90	82	W 2	NW 4	C	10^2●=	10	0	10.0	–	früh ≡, windig
17.	38.1	37.7	39.2	3.0	1.8	2.4	4.5	1.8	5.5	5.1	5.5	96	96	100	W 2	NE 1	C	10^2=	10^2●=	10^2	3.6	–	früh ≡, ◍
18.	39.8	43.6	44.2	1.8	1.8	– 1.4	2.7	– 1.4	5.2	4.1	2.9	100	78	70	W 1	S 1	C	10^2=	10	0	6.7	–	früh ≡
19.	45.0	45.6	46.2	– 3.1	0.2	– 4.8	1.2	– 4.8	2.4	**2.3**	**2.3**	65	**50**	70	E 1	E 2	E 2	0	0⊙	0	–	–	
20.	47.0	46.2	46.6	– 7.2	– 0.2	– 2.8	0.8	– **7.5**	2.5	3.1	3.4	95	67	92	E 2	W 1	C	0	0⊙	10^2=	–	–	früh ⌊⌋, Inntal Nebel, 9 p ≡
21.	**48.3**	47.4	47.5	– 6.0	– 2.6	– 2.4	– 1.6	– 6.5	2.8	3.3	3.3	98	87	87	E 1	E 1	C	10^2=	10^2=	10=	–	–	früh ≡ ⌊⌋, t–n ≡
22.	46.9	44.5	41.8	– 2.2	– 1.2	– 1.4	– 0.2	– 3.0	3.5	3.6	3.7	89	86	90	E 2	W 2	C	10^2=	10^2=	0	–	–	früh ≡ ⌊⌋, t ≡
23.	36.6	35.2	34.3	– 3.2	– 2.2	– 2.6	– 1.2	– 4.1	3.5	3.4	3.3	98	87	87	E 1	E 1	C	10^2=	10^2=	10	–	–	t ≡
24.	30.0	28.1	27.4	– 3.6	1.8	– 0.8	2.0	– 3.9	3.4	4.1	4.0	98	78	92	E 1	E 1	C	10^2=	2⊙	10=	–	–	früh ≡ ⌊⌋, abds. ≡
25.	33.0	36.8	38.6	0.8	0.6	0.4	2.0	– 0.8	4.1	4.2	4.4	85	89	92	W 4	W 4	C	10^2=	8^2	10^2*	1.0	1	früh ✳, windig, abds.–n ✳
26.	41.9	41.5	41.2	– 0.8	0.6	1.0	1.8	– 0.8	4.1	4.6	4.7	94	96	96	W 4	C	C	10^2=	10^2=	10	6.2	10	✳
27.	36.5	31.5	32.0	– 0.6	1.8	4.7	7.1	– 0.8	4.0	4.5	4.7	90	85	73	C	W 1	C	10^1	10	10●	12.2	**13**	abds. ◍
28.	26.6	20.9	**16.9**	2.2	2.4	1.6	5.0	1.0	5.4	5.3	5.0	100	96	96	E 1	E 1	E 1	10^2●	10^2	10	11.3	8	n ◍
29.	21.3	20.3	20.3	1.4	1.2	0.2	2.2	0.2	4.5	4.3	4.5	89	85	96	W 1	NW 3	W 4	10	10^2=	10*	1.3	5	abds. ✳
30.	21.2	23.5	27.6	– 1.2	0.4	– 2.6	0.8	– 2.6	3.8	3.5	3.0	90	73	81	E 2	W 2	C	10^2=	4⊙	0	1.3	6	früh ≡
31.	32.0	35.4	40.1	– 3.4	– 2.2	– 2.8	– 1.6	– 4.5	3.1	3.2	3.2	89	83	87	W 2	W 2	C	10	10*	10	–	6	✳
Mittel	36.5	36.3	36.3	0.8	2.5	1.3	3.6	– 0.3	4.6	4.8	4.6	92	84	89				8.6	8.1	7.4	105.0		

Alle Angaben nach Ortszeit.

Landshut.

Dezember. $\varphi = 48^0\ 32'$ N. $\lambda = 12^0\ 10'$ E $= 48^m\ 40^s$. H $= 397.7$ m. Cg $= +0.2$ mm. 1913.

Datum	Luftdruck auf 0^0 u. Normalschwere reduziert 700 mm + 7a	2p	9p	Lufttemperatur C° 7a	2p	9p	Max.	Min.	Absolute Feuchtigkeit mm 7a	2p	9p	Relative Feuchtigkeit Proz. 7a	2p	9p	Richtung und Stärke des Windes 0 bis 12 7a	2p	9p	Bewölkung 0 bis 10 7a	2p	9p	Niederschlag mm 7a	Schneedecke cm 7a	Bemerkungen
1.	32.4	30.7	30.0	1.2	9.4	2.0	10.3	− 0.8	4.9	5.7	5.0	98	65	94	W 2	W 2	W 2	10^1≡	⊙⊙	0	–	–	ca 7 a ≡[1]
2.	30.9	31.7	30.9	5.5	7.7	6.5	9.1	0.9	6.5	**6.9**	6.6	97	89	91	W 4	W 4	W 4	10^1	10^1	10^1	1.3	–	n, $0^{23.59}$ p ◍
3.	30.1	28.3	25.9	4.6	10.9	2.2	**12.0**	1.5	5.4	6.6	4.9	86	69	91	W 4	W 4	W 2	2^1	1^0⊙	0	0.4	–	
4.	23.2	21.7	23.4	− 1.6	10.1	5.0	11.8	− 2.9	3.8	6.1	4.6	94	66	71	SW 2	SW 2	W 4	8^0	1^0⊙	10^1	–	–	
5.	26.2	25.7	21.5	3.1	4.1	2.6	5.3	0.3	4.1	3.6	3.1	71	58	57	W 4	W 4	W 6	10^1	10^1	10^1	–	–	ca 11 a △[0] böe, ca 9 p ✳-Fl.
6.	21.0	19.5	19.3	0.6	1.0	− 1.3	2.6	− 2.0	3.7	4.7	4.2	76	94	100	W 4	W 2	W 2	10^1	10^1●	1^1	0.6	–	n ✳[0], 0^{29}–ca 1 p ✳ böe, ca 2–2^{24} p ✳[0]
7.	21.6	25.1	28.1	− 2.3	− 0.2	− 2.0	0.8	− 4.0	3.6	4.0	3.8	94	89	96	C	W 2	W 2	10^1	1^1⊙	10^1*	1.4	–	ca 7 a ⌴, ca 8 p–n ✳
8.	32.4	35.3	36.6	− 3.0	0.2	− 4.6	1.2	− 6.2	3.7	4.0	3.1	100	85	95	W 2	C	W 2	5^1	⊙⊙	10^0	2.4	**4**	n ✳, ca 9 p ⋓
9.	33.9	32.2	30.4	− 0.7	2.3	3.3	4.1	− 5.1	3.7	3.9	3.8	85	72	65	W 4	W 4	W 4	10^1	10^1	10^1	–	2	ca 11 a–1 p ◍[0]
10.	25.5	26.1	25.9	4.4	5.4	3.0	6.3	2.1	5.7	5.4	3.2	92	80	91	W 6	W 4	W 6	10^1	10^1	10^1●	2.1	–	n, 7^{04}–ca 10 a, 5^{19} p–n ◍
11.	25.2	27.5	30.0	5.0	5.0	5.2	7.0	2.3	5.9	6.2	6.4	90	95	97	W 6	W 4	W 2	10^1●	10^1●	10^1●	**10.5**	–	n ◍ ⌴, ca 7 a–n ◍
12.	30.2	30.1	30.2	4.2	5.0	4.6	5.3	3.3	5.8	5.6	5.4	93	86	86	W 2	W 4	W 4	10^1	10^1	10^1	8.7	–	$4^{23.59}$ p ◍ böe
13.	29.1	29.0	31.1	4.4	5.2	3.1	6.0	2.2	5.3	5.4	5.3	85	81	93	W 4	W 4	W 2	10^1	10^1●	10^1	0.6	–	ca $10^{-11^{19}}$ a, 1^{19}–ca 4 p ◍[0]
14.	31.8	30.4	26.3	2.3	4.1	3.9	5.8	0.3	4.5	4.3	4.0	82	71	65	W 6	W 6	W 8	10^1	10^2	10^1	1.7	–	a u. p ⌴
15.	31.0	31.8	30.6	1.6	3.0	3.4	4.9	0.0	5.0	5.2	5.4	96	91	93	W 4	W 4	W 6	8^1	10^1	10^1	4.9	–	n ✳ böe ⌴ ◍, 2^{09}–ca 4 p ◍[0], ca 6–8^{19} p ◍
16.	30.0	30.2	29.8	4.8	5.8	2.8	7.2	1.0	6.1	5.6	4.7	96	82	84	W 6	W 4	W 4	10^1	10^1	10^1	2.6	–	n ◍
17.	28.9	29.1	30.6	2.4	2.8	2.4	3.1	0.3	4.8	5.0	5.0	87	89	91	W 4	W 2	W 4	10^1	10^1	10^1	1.3	–	n, ca 8 a ◍, 10^{04} a–m ✳ ◍, ca 3–8 p ◍[0]
18.	32.1	33.4	35.1	1.3	1.3	− 1.0	2.4	− 1.9	4.8	4.3	2.8	96	85	65	W 4	W 2	E 4	10^1	10^1	10^1	6.4	–	
19.	35.4	35.9	36.6	− 4.2	− 1.4	− 5.6	− 0.3	− 6.2	**2.2**	2.3	2.7	66	57	90	E 4	E 4	E 4	3^1	⊙⊙	0	–	–	
20.	37.3	37.5	38.2	− 7.6	− 1.2	− 4.6	0.0	− 8.4	2.4	3.1	3.1	95	74	95	E 4	E 2	E 2	0	⊙⊙	0	–	–	ca 7 a ⌴
21.	38.5	39.2	**39.3**	− 6.8	− 3.4	− 4.2	− 2.2	− 9.2	2.7	3.4	3.2	100	95	95	C	SW 2	C	0	10^1	10^1	–	–	ca 7 a ⌴
22.	38.1	36.1	33.1	− 4.7	− 3.4	− 4.6	− 2.1	− 5.3	3.1	3.3	3.1	98	93	98	W 2	W 2	C	10^1	10^1	10^1	–	–	⌴ ≡[0], ca 9 p ≡
23.	28.0	26.0	23.5	− 7.2	− 1.6	− 3.0	− 0.8	− 8.6	2.6	3.3	3.4	100	82	94	W 2	W 2	C	10^1	10^1	10^1	–	–	ca 7 a ⋁
24.	20.1	18.9	17.9	− 5.0	3.8	1.4	5.0	− 6.6	3.0	4.2	4.1	98	70	82	W 2	W 4	W 2	1^0	3^0⊙	10^1●	–	–	⌴, ca 9 p ≡-Reissen
25.	24.9	29.1	32.1	0.4	0.9	0.0	2.1	− 1.0	4.3	3.9	3.7	90	79	81	W 4	W 4	W 6	10^1*	10^1	10^1*	0.5	–	n ✳[0], a öfters ✳-Fl., ca 5 p–n ✳[0]
26.	33.1	33.2	33.0	− 0.8	3.0	1.9	4.0	− 2.0	4.1	3.7	3.8	94	64	73	W 6	W 4	W 6	10^1*	10^1	5^1	2.0	–	n, a–7^{19} a ✳[0], 3^{09}–4^{19} p ✳-Fl.
27.	26.8	22.1	23.8	0.8	7.5	3.8	9.3	− 1.0	3.4	3.5	5.7	70	**45**	95	W 4	W 4	W 2	10^1	10^1	10^1●	0.1	–	ca 6 p–n ◍[0]
28.	16.9	09.0	09.7	4.1	5.3	4.4	6.6	1.0	5.6	4.4	3.9	92	66	62	W 2	W 4	W 6	10^1●	10^1	10^1	9.2	–	n, a–7^{04} a ◍
29.	12.8	11.8	11.6	0.0	0.2	− 0.8	4.4	− 1.8	3.7	3.6	3.5	81	76	81	W 2	W 2	NW 2	10^1	10^1	10^1	–	–	
30.	13.0	15.9	19.6	− 2.6	− 0.8	− 5.6	0.2	− 6.3	3.5	3.7	2.8	94	85	93	SW 2	W 2	N 2	10^1	10^1	0	0.3	–	n, 8^{19}–ca 10 a, m–ca 1 p ✳[0]
31.	24.8	28.1	31.5	− 5.2	− 3.4	− 4.6	− 2.8	− 8.1	2.8	3.0	2.9	90	85	90	NW 4	SE 2	NW 2	10^1	10^1*	10^1*	0.3	–	ca 1–2^{19} p, ca 4–9 p ✳[0]
Mittel	27.9	27.8	27.9	0.0	2.9	0.6	4.1	− 2.3	4.2	4.4	4.1	90	78	86				8.3	7.6	7.9	57.3		

Augsburg.

Dezember. $\varphi = 48^0\ 22'$ N. $\lambda = 10^0\ 54'$ E $= 43^m\ 36^s$. H $= 499.6$ m. Cg $= +0.1$ mm, über 728.8 mm Cg $= +0.2$ mm. 1913.

1.	23.9	22.9	22.2	3.5	9.0	6.0	9.9	1.0	5.1	**6.5**	6.0	87	74	87	SW 2	SW 2	W 2	0	⊙⊙	10^1	–	–	⌴
2.	23.1	23.4	22.8	5.7	7.2	7.3	7.7	5.2	6.4	**6.5**	**6.5**	94	86	86	W 2	W 2	SW 2	10^2	10^2	10^1	0.4	–	n ◍
3.	21.5	19.4	17.3	5.3	10.4	5.4	**11.6**	3.8	5.6	5.7	4.9	85	58	74	SW 2	S 2	SW 2	0	2^0⊙	0	–	–	
4.	14.4	12.8	15.5	4.0	11.2	4.7	11.2	2.7	4.8	5.6	4.6	78	**54**	71	SW 2	SW 4	SW 4	3^1	6^2	10^1	–	–	⌴
5.	17.6	17.3	12.7	2.0	3.6	0.8	4.7	0.2	3.9	3.6	4.2	73	60	87	SW 4	SW 4	SW 4	2^1	10^2	10^2*	–	–	8^{19} p–n ✳
6.	12.5	10.5	10.7	1.4	0.8	0.4	2.1	− 0.1	4.5	4.4	4.2	89	90	89	SW 4	SW 2	W 2	10^2	10^2*	10^1	0.2	–	8^{34} a–4^{34} p ✳
7.	13.1	16.9	21.1	− 1.3	− 0.9	− 2.4	0.4	− 3.1	3.8	3.8	3.3	90	88	85	NE 2	C	SW 2	8^1	4^1⊙≈	7^1	2.1	–	t ≡[1.2]
8.	24.9	26.8	27.8	− 1.9	0.5	− 2.8	0.6	− 3.2	3.5	3.8	3.2	89	80	86	SW 2	W 2	SW 2	10^1	7^1	10^1	0.7	–	n ✳
9.	25.8	24.1	22.4	− 0.4	3.8	3.6	3.9	− 3.9	3.5	4.0	3.9	79	67	64	SW 4	SW 4	SW 4	10^1	8^1	10^1	–	1	⌴
10.	17.9	18.9	18.7	4.4	5.3	2.8	5.3	1.2	6.1	4.9	5.5	99	74	98	SW 6	SW 6	SW 4	10^2●	10^2●	10^2●	0.8	–	n u. t ztw. ◍
11.	18.5	20.6	22.2	3.7	4.8	4.5	4.8	2.1	5.8	5.8	6.1	97	90	97	SW 4	SW 4	SW 4	10^2●	10^2●	10^2●	6.4	–	n u. t ◍
12.	22.1	21.9	22.4	4.1	4.8	4.4	5.0	3.7	5.6	5.4	5.5	92	84	89	SW 2	SW 2	SW 2	10^2	10^2	10^2	5.8	–	
13.	21.1	20.8	23.4	3.8	4.4	2.2	5.0	1.8	5.1	6.1	5.1	85	96	94	SW 4	SW 2	SW 2	8^1	10^2	0	–	–	2^{24} p–ca 5^{45} p ◍
14.	24.0	22.3	20.6	2.3	3.6	3.0	3.9	1.8	4.5	3.8	4.2	82	63	74	SW 4	SW 4	SW 6	10^1	10^2	10^1	0.9	–	
15.	23.9	24.1	23.2	2.5	3.5	3.2	3.8	1.2	5.1	5.0	5.3	93	85	92	SW 4	SW 4	SW 4	10^2	7^1	10^2	1.2	–	n ⌴ ◍, a ztw. ◍ ✳, p ztw. ◍
16.	23.1	22.0	21.5	4.4	5.1	2.7	5.4	2.2	5.7	5.5	4.8	92	85	85	SW 4	W 2	W 2	10^2	8^1	7^1	5.2	–	
17.	20.5	20.3	21.9	2.2	2.2	1.9	2.7	0.7	4.6	4.9	4.9	85	91	93	SW 2	SW 2	SW 2	10^2	10^2	8^1	–	–	7^{39} a–1^{14} p ✳
18.	23.6	24.5	25.6	1.3	0.4	− 1.0	1.9	− 1.2	4.8	4.4	3.7	96	92	86	SW 4	NE 4	NE 4	10^2	10^2*	4^1	4.5	–	10^{34} a–4^{24} p ✳
19.	26.0	26.2	27.3	− 4.2	− 1.9	− 4.2	− 1.0	− 5.0	2.7	2.8	2.7	80	71	82	E 4	SE 4	E 4	10^1	2^1⊙	0	0.4	–	⌴
20.	28.1	27.9	28.9	− 6.2	− 0.1	− 3.2	0.4	− 7.5	2.2	2.9	3.0	78	64	82	E 4	E 4	SE 2	0	⊙⊙	0	–	–	⌴
21.	30.0	31.0	**31.5**	− 7.6	− 4.5	− 4.3	− 3.2	− 8.5	2.2	2.6	3.1	90	82	96	C	NW 2	NW 2	10^2≈	10^2≈	10^1	–	–	n u. t ≡[1.2] ⋁
22.	29.3	27.0	24.5	− 5.4	− 2.2	− 5.4	− 2.0	− 5.8	2.9	3.3	3.0	96	85	100	NW 2	NW 2	C	10^2≈	2^0⊙	10^2≈	–	–	n u. t meist ≡[1.2] ⋁
23.	18.9	17.0	14.6	− 7.4	0.0	− 1.0	0.3	− 8.8	**2.1**	3.7	4.1	83	82	96	SW 2	SW 2	C	0	5^1⊙	0	–	–	⋁
24.	11.3	09.8	10.4	− 0.6	4.2	2.1	4.2	− 3.3	3.2	4.7	4.7	73	76	88	SW 2	SW 2	SW 2	2^1	3^1⊙	10^1	–	–	⌴
25.	17.5	21.2	24.4	− 0.9	1.4	− 1.0	2.1	− 1.0	4.3	4.0	3.7	100	79	86	SW 2	W 2	W 2	10^2	5^1⊙	5^1	1.5	**2**	n u. a ztw. ✳
26.	25.7	25.3	24.9	− 0.4	2.2	1.4	2.2	− 2.2	3.7	4.0	4.0	83	76	80	SW 6	SW 6	SW 6	10^2	10^2	0	0.7	**2**	n ✳
27.	18.5	13.7	15.1	2.9	7.7	5.0	8.1	− 0.2	3.8	4.2	**6.5**	68	56	100	SW 6	SW 8	SW 4	4^1	10^1	10^2●	–	**2**	6^{14} p–n ◍
28.	08.1	09.9	01.3	4.3	6.7	3.2	7.1	3.2	5.4	5.2	4.1	88	72	72	SW 4	SE 4	SW 8	10^2	10^1	10^1	**7.3**	–	n ◍
29.	04.2	02.9	03.5	− 0.5	0.0	− 1.3	3.2	− 1.3	3.7	3.7	3.6	83	81	87	NW 4	NW 2	NW 2	10^2	10^2	10^2	–	–	n ⌴
30.	05.6	07.3	11.5	− 2.5	− 1.4	− 3.8	− 1.0	− 3.8	3.4	3.4	3.0	89	83	88	NW 2	NW 2	NW 2	10^2	10^2	8^1	0.2	1	n–ca 10^{45} a, 0^{39}–ca 0^{45} p, 3^{24}–6^{14} p ✳
31.	16.7	20.0	23.3	− 5.1	− 3.4	− 4.7	− 3.2	− 6.2	2.4	2.8	3.0	79	80	92	NW 2	NW 2	NW 2	9^1	10^2*	10^2*	2.2	**2**	0^{34} p–n ✳
Mittel	19.7	19.3	19.8	0.4	2.9	1.0	3.5	− 1.1	4.2	4.4	4.3	86	78	87				7.6	7.4	7.4	40.5		

Alle Angaben nach Ortszeit.

München-C.St.

Dezember. $\varphi = 48^0\ 9'$ N. $\lambda = 11^0\ 34'$ E $= 46^m\ 16^s$. H $= 526.4$ m. Cg $= +\ 0.1$ mm. 1913.

Datum	Luftdruck auf 0^0 u. Normalschwere reduziert 700 mm +			Lufttemperatur C°					Absolute Feuchtigkeit			Relative Feuchtigkeit			Richtung und Stärke des Windes 0 bis 12			Bewölkung 0 bis 10			Niederschlag	Schneedecke	Bemerkungen
	7^a	2^p	9^p	7^a	2^p	9^p	Max.	Min.	7^a	2^p	9^p	7^a	2^p	9^p	7^a	2^p	9^p	7^a	2^p	9^p	mm	cm	
1.	21.4	19.9	19.7	5.3	11.9	7.1	12.0	3.6	5.3	5.2	5.1	81	50	72	SW 1	SW 2	SW 1	0	00	8^1	–	–	a ⌙, ∞, t ganze Gebirgskette sehr gut sichtbar
2.	20.5	20.6	20.3	6.3	8.3	7.0	8.6	6.0	**6.7**	6.4	6.3	94	79	85	SW 3	SW 3	SW 2	10^1●	10^1	10^1	0.9	–	n, a
3.	19.1	17.2	15.2	5.2	13.1	5.4	**13.3**	4.9	5.4	4.9	4.7	82	44	70	SW 2	SW 1	SE 1	3^0	3^0⊙	0	0.5	–	a ⌙^{0}, a Gebirge gut, m schwach sichtbar, m i. S ∞
4.	12.5	10.6	13.6	6.5	11.8	4.6	11.8	4.0	4.3	4.7	4.2	59	46	66	SW 1	SW 4	SW 4	3^0	1^0⊙	10^1	–	–	a ⌙^{0} Rauchkranz, 8 a Geb. sichtbar, 5^{36}–ca 7^{45} p ◍$^{0.1}$
5.	15.4	14.7	10.9	3.1	4.1	2.7	5.3	2.4	4.4	3.4	3.1	77	55	54	SW 5	SW 4	SW 7	10^1	9^1	10^2*	0.4	–	n, t ztw. ≡, a Gebirge sichtbar, [1]
6.	10.3	08.4	08.2	1.8	0.4	0.6	3.1	– 0.2	4.2	4.1	4.2	81	88	90	SW 1	C	C	10^1	10^2*	10^1	–	–	n ✳-Fl., 8^{16} a–n ✳$^{0.1}$
7.	10.2	14.3	17.5	– 1.0	– 2.8	– 2.5	0.8	– 4.8	4.1	3.6	3.5	96	95	91	C	NW 1	NW 2	10^1	10^1=	10^1	4.4	5	a ≡^{0}
8.	21.7	24.1	25.6	– 1.8	– 0.2	– 2.6	– 0.2	– 3.0	3.8	3.8	3.4	94	86	89	W 3	SW 2	SW 1	10^1*	10^1	3^0	0.4	**7**	n, a–ca 0^{45} p ✳; m Tauwetter, abds. ☩
9.	23.3	21.5	19.6	0.0	4.0	5.4	5.7	– 3.1	3.4	3.6	4.7	75	59	70	SW 3	NW 1	SW 3	10^1	10^1	8^1	–	**7**	a ≡^{0}, m Gebirge teilw. sichtbar, Tauwetter
10.	15.4	16.2	16.1	5.3	5.1	2.8	6.9	2.6	6.1	5.0	4.8	93	76	87	SW 5	W 3	SW 3	10^1●	10^1	10^1●	0.6	–	n, a ◍ ≡, ca 6^{45} p ◍^{0}, ca 8^{15} p–n ◍^{t}
11.	15.6	17.7	19.3	3.4	4.1	4.5	4.7	2.1	5.3	5.8	6.2	93	95	98	SW 4	SW 2	SW 2	10^1●	10^1●	10^1	6.0	–	n, a ztw. ≡, n, a–n ◍
12.	19.8	19.2	19.8	4.2	4.9	4.4	5.1	4.0	5.5	5.1	5.0	90	80	81	SW 1	SW 1	SW 1	10^1	10^1	10^1	**9.3**	–	a ≡^{0}, 7^{31} a kurz ◍^{0}
13.	18.8	18.3	20.6	4.7	5.0	2.7	6.1	2 5	5.1	5.3	5.3	80	82	94	SW 2	SW 2	W 1	10^1	10^2	9^1	0.1	–	n, t ztw. ◍$^{0.1}$
14	21.4	20.1	17.9	2.2	4.1	2.8	4.7	1.9	4.2	3.9	4.1	80	62	71	SW 2	SW 2	SW 5	10^1	10^1	10^1●	1.0	–	p ≡, abds. ◍^{0}
15	21.0	21.4	20.7	1.6	3.2	3.2	3.3	1.2	4.8	5.1	5.2	93	88	90	SW 4	SW 3	SW 3	10^1	10^1	10^1●	0.6	–	9^{16} p kurz △ u. ✳, n, a–n ztw. ≡ ◍ u. ✳
16.	20.1	18.9	19.0	5.0	7.4	2.2	7.5	1.1	5.1	5.4	4.7	85	70	86	SW 2	W 2	SW 1	10^1	4^0⊙	6^1	4.4	–	ca 10^{15} a Aufklaren, abds. ☩
17.	18.3	18.0	19.4	2.4	2.2	1.2	3.1	1.1	4.8	4.9	4.7	86	90	94	SW 2	SW 3	SW 1	8^1	10^1●*	10^1●*	1.8	–	n ◍, 10^{12} a–n ◍^{0} ✳^{0}
18	20.6	21.3	22.9	1.7	0.6	– 1.6	1.6	– 2.0	5.1	4.5	3.1	98	94	77	C	NE 1	NE 1	10^1=	10^1*	10^1	8.1	–	n u. t ◍^{0} ✳^{0}, a ≡^{1}
19.	23.0	23.5	24.5	– 4.0	– 2.4	– 5.1	– 1.0	– 5.2	2.6	2.7	2.5	78	70	81	E 2	E 3	E 1	10^1	4^1⊙	0	0.8	–	ca 9^{45} a Aufklaren
20.	25.2	25.2	26.1	– 6.4	– 0.6	– 3.4	– 0.6	– 7.0	2.5	3.0	3.0	89	69	84	E 1	E 1	C	0	00	0	–	–	a ⌙^{2}, m i. S ∞
21	27.1	27.6	**28.3**	– 8.3	– 1.6	– 5.0	– 1.6	– 8.7	2.2	3.5	2.8	91	86	90	C	W 1	C	0	4^0⊙	0	–	–	a ⌙^{2}, 8^{16}–ca 11^{15} a ≡$^{1.2}$, m ∞, abds. ⋁
22.	26.2	24.3	21.7	– 4.4	0.6	– 6.4	0.6	– 7.0	2.9	3.4	2.8	88	72	100	C	W 1	C	0	2^0⊙	10^2=	–	–	a ⌙^{2} ≡^{0}, ca 6^{45} a ☩, m ∞^{2}, abds. ≡^{2}
23.	16.4	14.6	12.3	– 6.8	2.0	0.2	2.8	– 8.9	2.7	4.2	3.8	100	79	82	SE 1	SW 1	C	0	9^1	0	–	–	n ≡^{2}, a ⋁, m Gebirge teilw. schwach sichtbar, [2]
24.	08.8	08.1	07.5	– 0.4	5.1	3.1	5.3	– 1.0	3.0	3.2	4.1	68	49	70	SW 1	SW 2	W 3	2^0	3^0⊙	10^1●	–	–	a ⌙, t Gebirge gut sichtbar, ca 8^{45} p–n ◍^{0}
25.	14.7	18.4	21.7	– 0.2	0.3	– 0.6	3.4	– 0.8	3.8	4.0	3.6	82	84	84	SW 3	SW 2	SW 3	10^1*	8^1⊙	10^1	1.3	4	n–abds. ztw. ✳, ca 8^{45} a teilw. Aufklaren
26.	22.9	22.5	22.5	– 0.3	3.6	2.0	3.9	– 1.4	3.6	3.5	3.5	79	61	65	SW 7	SW 5	SW 3	10^1	10^1	0	0.1	4	n ✳^{0}, n, a ztw. ≡, t Gebirge gut sichtbar
27.	16.0	11.9	13.2	5.6	9.7	4.5	9.8	0.2	3.6	2.5	5.4	55	**27**	87	SW 4	SW 7	SW 4	6^0	10^1	10^1●	–	–	n, t ztw. ≡, t Gebirge sehr gut sichtbar
28.	06.1	697.8	699.6	5.3	6.6	4.2	7.1	4.0	4.2	4.0	3.5	63	55	56	C	SE 2	SW 5	10^0	10^1	10^1	2.9	–	n ◍, m Gebirge schwach sichtbar, $7^{01.31}$ p ◍, [3]
29.	01.5	00.8	00.7	0.6	– 0.4	– 1.6	4.9	– 2.1	3.9	3.6	3.4	79	80	84	SW 1	C	NE 1	10^1*	10^1	10^1	0.1	–	n ✳^{0}, 7^{36}–ca 9^{15} a ✳^{t}
30.	02.5	04.8	08.7	– 2.4	– 1.4	– 3.2	– 1.0	– 3.4	3.4	3.3	3.2	90	80	89	NW 1	W 1	C	10^1	8^1	10^1	0.8	3	n, t ztw. ✳
31.	13.7	16.9	20.4	– 5.4	– 3.9	– 4.8	– 2.1	– 6.0	2.8	**2.9**	3.0	92	87	92	NW 1	NW 1	NW 1	10^1	10^1*	10^1*	1.5	5	n, ca 8^{45}–n ✳
Mittel	17.1	16.7	17.2	0.9	3.4	1.1	4.4	– 0.7	4.2	4.1	4.1	84	72	82				7.5	7.6	7.5	46.0		

[1] m teilw. schwach sichtbar, 3^{21} p–n ztw. ✳^{0}
[2] abds. ≡^{0}. [3] 7^{06} p–n ≡

Traunstein.

Dezember. $\varphi = 47^0\ 52'$ N. $\lambda = 12^0\ 39'$ E $= 50^m\ 36^s$. H $= 597$ m. Cg $= +\ 0.1$ mm. 1913

1.	16.0	14.1	14.0	1.6	10.8	5.3	**10.9**	1.4	5.0	4.7	6.2	96	48	94	S 2	W 2	W 2	0	2^2⊙	4^2	–	–	mrgs. ⌙
2.	14.6	14.8	14.8	5.4	6.3	6.5	7.9	5.1	6.2	**6.5**	6.1	92	91	84	W 4	W 2	S 2	10^2●	10^2	10^2	3.2	–	mrgs. u. t ztw. ◍
3.	13.6	12.0	10.0	3.4	10 4	4.4	10.8	2.9	5.4	5.7	4.6	93	60	74	SE 2	S 2	SE 2	4^2	2^2⊙	0	7.3	–	mrgs ⌓
4.	07.2	05.8	08.7	0.1	8.3	2.6	8.9	– 0.1	4.2	4.0	4.9	90	49	89	S 2	SE 2	W 6	4^2	00	10^2●	–	–	mrgs. ⌙, abds. ◍
5.	10.0	09.1	05.3	2.2	3.2	– 0.7	3.4	– 0.7	3.6	3.2	3.6	66	56	83	W 6	W 6	W 2	10^2	7^2	4^2	4.5	–	n ◍ ≡
6.	01.6	02.8	02.1	0.4	– 0.6	– 0.8	1.0	– 0.8	4.4	4.4	4.2	92	100	98	W 2	W 2	W 2	10^2*	10^2*	10^2	0.6	1	mrgs. u. t ✳
7.	03.6	07.7	11.6	– 1.2	– 1.2	– 3.5	– 0.5	– 3.5	4.1	3.8	3.2	98	90	91	NE 2	W 2	W 2	10^2	6^2⊙	6^2	13.1	7	
8.	14.8	17.9	19.7	– 2.7	– 1.6	– 6.6	– 0.5	– 6.6	3.7	3.7	2.7	100	90	97	W 2	W 4	W 2	10^2*	8^2	0	4.8	10	n u. mrgs. ✳, p ztw. ✳
9.	17.4	15.6	14.3	– 2.2	2.6	0.2	3.5	– 7.1	3.3	3.8	4.6	85	69	98	W 2	W 2	W 2	10^2	10^2	10^2	2.5	10	abds. ◍
10.	09.9	09.5	09.8	4.6	3.6	1.4	5.3	0.2	5.4	5.3	4.8	86	90	94	W 6	W 4	W 6	10^2●	10^2●	10^2●	2.0	5	t ◍
11.	08.9	11.2	13.7	2.3	2 8	3.2	3.7	1.0	5.0	5.1	5.4	93	91	93	W 6	W 6	W 2	10^2●	10^2●	10^2	18.5	–	n–p ◍, n ≡
12.	13.8	13.4	13.9	3.5	3.7	4.0	4.8	3.0	5.2	4.9	4.5	88	82	73	W 4	W 4	W 2	10^2	10^2	10^2	8.8	–	
13.	12.8	12.0	14.6	2.2	5.2	2.0	5.8	1.4	4.8	5.4	5.3	89	81	100	W 2	W 2	W 2	10^2●	10^2●	10^2●	1.3	–	t ◍
14	15.2	14.0	11.5	2.1	3.2	2.1	3.5	1.8	5.2	3.6	3.7	98	63	69	W 4	W 6	W 8	8^2	8^2	10^2●	10.6	–	abds. ◍
15.	13.9	14.9	14.2	0.3	1.5	2.3	2.8	– 0.1	4.7	4.7	4.8	100	93	87	W 6	W 4	W 4	10^2	10^2	10^2●	10.0	3	n ≡, mrgs. ✳, vorm. △ ✳, abds. ◍
16.	13.9	12.9	13.4	4.0	5.3	3.1	5.5	2.0	5.5	6.0	5.2	90	91	91	W 6	W 2	S 2	10^2●	10^2	4	18.6	–	n u. mrgs. ◍
17.	12.9	12.7	13.7	0.9	1.6	1.1	3.1	0.0	4.9	4.8	4.7	100	93	94	W 2	W 2	W 2	10^2●	10^2●*	10^2●*	2.6	–	mrgs. ◍, p u. abds. ◍ ✳
18.	14.1	14.8	16.6	0.6	0.8	– 3.5	1.4	– 3.5	4.8	4.7	2.8	100	96	80	S 2	NE 4	NE 4	10^2*	10^2*	0	14.1	2	n–p ✳, a ≡$^{1.2}$
19	16.7	17.1	18.6	– 5.2	– 3.4	– 7.0	– 2.9	– 7.0	2.3	2.5	2.6	76	72	97	NE 4	NE 2	NE 2	1^2	00	0	0.7	2	
20	19.0	19.2	19.9	– 7.6	– 2.8	– 6.6	– 2.0	– 7.9	2.4	3.2	2.6	95	85	95	E 2	SE 2	E 2	0	00	0	–	2	
21.	21.1	**21.2**	21.1	– 8.7	– 1.6	– 5.2	– 1.0	– 8.9	2.2	3.2	2.9	97	78	96	S 2	SW 2	S 2	0	3^2⊙	0	–	2	
22.	20.3	18.4	15.8	– 5.7	– 0.6	– 5.8	– 0.1	– 6.5	2.9	3.0	2.8	98	68	95	S 2	W 2	W 2	2^2	2^2⊙	0	–	2	
23.	10.3	09.0	07.2	– 7.4	0 6	– 2.4	1.0	– 7.8	2.5	3.1	3.7	97	64	96	NW 2	W 2	W 2	0	7^2	5^2	–	2	
24.	03.4	03.2	01.5	– 3.4	3.1	– 1.9	3.9	– 3.9	3.0	2.9	3.4	85	51	86	S 2	W 2	W 2	6^2	3^2⊙	6^2	–	2	
25.	09.1	12.1	15.7	– 1.1	– 1.0	– 1.4	– 0.6	– 1.9	3.8	4.1	3.5	90	96	83	W 6	W 6	S 4	10^2	10^2*	10^2	1.6	4	n u. t ✳
26.	17.2	17.1	16.7	– 1.0	2.6	0.1	3.0	– 2.2	4.0	3.4	3.3	94	62	71	W 4	NW 2	W 2	10^2*	9^2	6^2	1.4	7	a ✳
27.	10.6	06.4	07.7	– 2.5	7.1	5.4	7.6	– 4.4	3.2	**1.7**	3.1	85	**22**	46	W 2	W 2	W 2	8^2	8^2	10^2	0.6	10	
28.	01.9	693.0	694.8	2.2	4.6	4.8	5.6	2.0	4.0	3.6	3.3	75	56	52	S 2	NE 2	SW 8	6^2	10^2	10^2●	–	3	
29.	696.1	694.6	694.5	– 1.2	– 1.8	– 2.4	4.8	– 3.0	4.2	3.9	3.8	100	98	98	W 2	NW 2	NW 2	10^2*	10^2*	10^2*	5.5	6	n u. t ✳
30.	696.3	698.5	02.4	– 3.4	– 2.3	– 5.7	– 1.8	– 4.2	3.5	3.5	3.4	100	92	98	NW 2	NW 2	NW 2	10^2*	8^2	6^2	**26.1**	42	n u. t ztw. ✳
31.	07.5	10.8	13.8	– 6.2	– 4.4	– 5.8	– 4.2	– 6.4	2.8	2.9	2.8	98	88	95	NW 2	W 4	W 2	10^2*	10^2*	10^2*	2.2	**44**	t ✳
Mittel	11.2	10.8	11.3	– 0.8	2.1	– 0.3	3.1	– 2.1	4.1	4.0	4.0	92	76	87				7.7	7.2	6.5	160.6		

Alle Angaben nach Ortszeit.

Partenkirchen.

Dezember. $\varphi = 47^0\ 30'$ N. $\lambda = 11^0\ 6'$ E $= 44^m\ 24^s$. H $= 716.8$ m. Cg $= +0.1$ mm. 1913.

Datum	Luftdruck auf 0^0 u. Normalschwere reduziert 700 mm +			Lufttemperatur C⁰					Absolute Feuchtigkeit mm			Relative Feuchtigkeit Proz.			Richtung und Stärke des Windes 0 bis 12			Bewölkung 0 bis 10			Niederschlag mm	Schneedecke cm	Bemerkungen
	7^a	2^p	9^p	7^a	2^p	9^p	Max.	Min.	7^a	2^p	9^p	7^a	2^p	9^p	7^a	2^p	9^p	7^a	2^p	9^p	7^a	7^a	
1.	06.0	03.6	04.0	1.8	11.3	1.6	12.3	1.6	4.5	5.4	4.7	85	53	91	C 1	C 2	SE 2	0	⊙⊙	0	–	–	a Berge sehr rein, föhnig
2.	04.6	04.6	05.0	3.5	7.9	4.8	8.3	0.2	5.0	**6.3**	4.8	85	79	74	C 2	NW 2	C	10^1	6^0	6^0	–	–	a Berge teilw. bedeckt, vorm. ◍
3	03.9	01.6	00.1	1.6	8.6	3.3	9.5	1.1	4.0	4.9	3.6	78	59	61	S 2	C	S 3	1^0	3^0⊙	0	1.5	–	a Berge sehr rein, föhnig
4.	696.9	694.7	00.2	2.0	8.7	0.9	10.2	0.6	3.3	5.1	4.8	62	60	98	C 1	C	NW 4	2^0	2^0⊙	10^1	–	–	a Berge sehr rein, föhnig; abds. ⚹⁰
5.	01.0	698.9	696.0	– 0.3	1.7	– 0.4	2.1	– 0.4	4.5	3.6	3.5	100	69	78	C	SE 2	SE 2	9^1	5^0⊙	9^0	4.5	2	n ◍ u. ⚹
6.	694.5	692.1	691.7	– 0.2	– 1.2	– 1.0	– 0.2	– 1.6	4.5	4.2	4.3	100	100	100	C	C	C	10^1≡	10^1≡	10^1≡	11.2	12	t ⚹
7.	693.8	697.4	02.2	– 0.8	– 1.6	– 3.7	– 0.7	– 3.7	4.3	3.9	3.3	100	96	95	C	N 3	C	10^1≡	10^1≡	7^1	**27.0**	**45**	t ⚹
8.	05.9	07.5	09.3	– 5.4	– 1.8	– 6.0	– 1.5	– 9.7	3.0	3.2	2.5	98	80	87	C	SE 2	C	10^1≡	4^0	2^0	1.5	40	mrgs. ⚹¹, a Berge bedeckt
9.	07.5	05.0	04.1	– 3.6	2.7	1.8	4.0	– 8.7	2.9	5.0	5.1	85	89	96	S 2	C	C	7^1	10^0	7^0	2.0	42	a Berge meist frei
10.	699.5	00.0	00.8	2.4	3.1	0.8	4.5	0.7	5.4	4.9	4.9	98	87	100	C	W 5	N 2	9^1	10^1●	10^1≡	–	27	t Berge teilw. frei, m ◍⁰, abds. ⚹⁰
11.	00.8	02.7	03.9	1.8	1.8	1.2	2.2	0.2	5.1	5.1	5.0	98	98	100	NW 2	C	C	10^1●	10^1●	10^1●	13.2	15	n ◍⁰, t ◍¹, Berge bedeckt
12.	03.7	03.5	03.5	0.7	2.2	0.7	2.6	0.6	4.8	5.2	4.8	100	98	100	C	C	C	10^1	10^1	8^0	9.4	12	a Berge im Nebel
13.	03.5	02.3	04.8	– 0.6	2.0	0.2	2.4	– 1.8	4.2	4.8	4.7	96	91	100	C	W 2	C	8^0	8^1	10^1≡	–	11	a Berge meist frei, abds. ⚹⁰
14.	05.8	04.1	02.0	– 0.1	2.6	2.5	3.1	– 0.1	4.5	3.8	2.9	98	69	54	NW 4	SE 3	NW 6	10^1≡	9^0	9^1	7.8	14	n ◍⁰, mrgs. ⚹⁰
15.	05.3	05.5	05.2	1.2	2.8	2.1	3.2	– 0.2	4.1	4.1	4.5	82	72	84	NW 4	N 3	N 2	10^1≡	10^1	10^1	2.8	15	mrgs. ⚹⁰, Berge bedeckt
16.	04.6	02.6	03.3	1.8	6.2	– 1.0	6.3	– 1.0	5.2	5.8	4.3	100	82	100	C	S 3	S 2	10^2●	2^0⊙	4^0	1.8	12	mrgs. ◍⁰, Berge bis m im Nebel
17.	02.8	02.0	03.1	– 1.4	2.0	– 0.3	2.3	– 2.2	4.1	4.3	4.5	100	82	100	C	C	C	8^1	9^1	10^1	0.7	8	
18.	03.4	03.6	04.1	– 0.2	0.1	– 2.0	0.5	– 2.0	4.5	4.5	3.6	100	98	92	C	NW 4	N 3	10^1≡	10^1≡	10^1	4.0	14	n, mrgs. u. m ⚹⁰
19.	05.3	05.8	07.3	– 5.0	– 3.4	– 6.0	– 2.0	– 7.3	2.9	2.7	2.6	93	78	90	NE 3	NE 2	S 3	7^0	⊙⊙	0	2.0	16	a Berge teilw. frei
20.	07.8	07.9	09.0	– 6.7	– 5.8	– 4.2	– 4.2	**-10.2**	**2.1**	2.4	2.6	78	82	77	S 4	SE 3	C	0	⊙⊙	0	–	15	a Berge rein
21.	10.2	10.4	**11.8**	– 3.8	– 0.2	– 3.4	– 0.2	– 8.5	2.4	2.7	2.7	69	60	76	S 3	S 3	C	0	2^0⊙	0	–	14	a Berge sehr rein
22.	10.2	07.2	05.2	– 5.0	2.6	– 2.6	2.9	– 5.5	2.2	3.1	2.5	71	57	66	S 2	S 2	S 2	0	⊙⊙	0	–	13	a Berge sehr rein, föhnig
23.	00.4	698.2	696.6	– 4.8	2.2	– 0.2	2.3	– 5.1	**2.1**	3.0	3.0	67	56	66	S 2	S 3	S 2	0	7^0	2^0	–	12	a Berge sehr rein, föhnig
24.	693.8	692.6	692.2	– 3.1	0.8	– 2.6	1.3	– 3.2	2.4	2.7	2.4	65	56	64	S 4	C	SW 3	0	1^0⊙	1^0	–	12	a Berge sehr rein, föhnig
25.	699.3	02.6	06.0	– 2.0	– 0.5	– 1.3	1.0	– 4.0	3.5	2.8	2.8	88	64	67	C	NW 2	C	10^1≡	6^1	9^1	1.0	15	mn–a ⚹⁰
26.	08.2	06.4	06.4	– 0.2	4.1	– 3.1	5.4	– 3.1	3.3	3.4	3.0	72	55	82	C	S 2	S 1	10^1	3^0⊙	1^0	2.0	17	a Berge bis ca 1700 m im Nebel
27.	00.1	696.0	695.8	– 1.9	9.3	7.0	**12.4**	– 6.3	2.6	4.6	3.5	66	30	47	SE 2	NW 3	W 3	2^0	7^0	2^0	–	15	a Berge sehr rein, föhnig
28.	690.0	682.4	683.7	– 0.7	8.4	2.4	9.6	– 0.9	3.1	2.9	4.5	65	35	80	N 2	NW 3	N 2	7^2	9^0	10^1≡	–	10	a Berge sehr rein, föhnig; abds. ⚹⁰
29.	686.3	684.8	686.0	– 2.3	– 3.0	– 3.6	2.4	– 3.6	3.9	3.7	3.5	100	100	100	C	C	C	10^1	10^1≡	10^1≡	4.0	14	n, m u. abds. ⚹¹, a Berge bedeckt
30.	686.8	688.3	692.6	– 4.7	– 4.4	– 6.8	– 3.3	– 6.8	3.2	3.1	2.7	100	95	100	C	NW 2	C	10^1≡	8^1	10^1≡	18.0	36	t meist ⚹⁰
31.	697.7	00.2	03.8	– 6.8	– 5.4	– 8.3	– 5.1	– 8.3	2.6	2.6	2.3	94	83	97	C	S 2	S 1	10^1	10^1≡	10^1≡	7.8	45	n u. t ⚹⁰, a Berge bis ca 1200 m im Nebel
Mittel	01.3	00.5	01.3	– 1.3	2.1	– 0.9	3.0	– 3.2	3.7	3.9	3.7	87	75	85				6.8	6.2	6.0	122.2		

Hohenpeissenberg.

Dezember. $\varphi = 47^0\ 48'$ N. $\lambda = 11^0\ 1'$ E $= 44^m\ 4^s$. H $= 994.1$ m. Cg $= \pm 0.0$ mm. 1913.

	600 mm +																						
1.	81.7	80.5	79.5	5.4	8.9	5.4	9.0	4.8	3.9	4.5	4.5	59	53	68	W 4	W 4	SW 9	0	⊙⊙	3^2	–	–	t sehr reine Fernsicht, p Horiz.-≡
2.	80.5	80.8	80.4	2.7	4.0	3.7	5.4	2.5	5.6	**5.8**	5.3	100	95	88	W 4	NW 1	SW 5	10^2●	10^2●	2^2	3.0	–	n–p ◍, abds. reine Fernsicht
3	79.2	77.7	76.1	5.5	9.9	8.3	**10.7**	2.6	3.6	3.6	2.8	53	39	34	W 5	SW 2	SW 2	0	7^1	0	0.5	–	a einz. ci-st üb. d. Geb., p u. abds. sehr reine Fernsicht
4.	73.4	72.0	73.2	5.2	7.4	– 0.8	9.8	– 0.9	2.6	3.7	4.3	40	48	100	W 3	SW 2	W 8	0	$.4^1$	10^2≡⚹	–	–	a s. reine Ferns., p ∞, ca 5 p ab ztw. ⚶, abds. ≡¹
5.	75.2	74.7	70.9	– 1.5	– 1.0	0.0	0.0	– 2.4	3.1	3.6	2.2	76	84	49	SW 1	W 3	SW 8	10^2	10^2	10^2	0.3	–	n ≡², a sehr reine, p u. abds. reine Fernsicht
6.	70.6	68.5	68.1	– 2.4	– 2.0	– 1.3	0.0	– 2.8	3.8	4.0	4.2	100	100	100	NW 1	NW 1	SW 1	10^2≡⚹	10^2⚹	10^2≡⚹	9.3	20	n u. t meist ≡² ⚹
7.	69.7	73.2	76.6	– 3.0	– 4.0	– 6.0	– 1.1	– 6.0	3.6	3.2	2.9	100	95	100	C	NE 1	NW 2	10^2≡	4^2⊙	0	**19.4**	30	n u. a ≡² ⚹, p ∞⁰, abds. Horiz.-≡
8.	80.5	82.7	83.9	– 5.0	– 4.6	– 4.7	– 4.0	– 6.0	3.1	3.2	2.4	100	100	77	NW 4	W 1	W 2	10^2≡⚹	1^1⊙	10^2	3.7	**35**	n u. a ≡² ⚹, p u. abds. ∞
9.	82.3	81.0	79.6	– 1.7	3.0	4.8	5.5	– 4.7	1.9	2.6	4.1	46	45	64	SW 4	W 4	SW 9	10^2	10^2	8^1	0.8	30	t reine, abds. sehr reine Fernsicht
10.	75.9	76.2	76 0	2.3	0.2	– 0.6	5.9	– 0.6	5.4	4.2	4.3	100	90	98	W 8	NW 8	SW 7	10^2	10^2	10^2≡⚹	0.2	10	n ◍, t ∞, abds. ≡² ⚶
11.	76.0	78.3	79.3	– 0.4	0.2	0.6	0.6	– 0.6	4.5	4.7	4.7	100	100	98	NW 6	W 6	W 5	10^2≡⚹	10^2≡⚹	10^2≡●	16.2	15	n u. t ≡² ⚶, abds. ≡² ◍
12.	79.4	79.0	79.5	0.2	0.8	0.6	0.9	0.0	4.7	4.2	4.1	100	87	85	W 4	W 6	W 6	10^2	10^2	10^2	8.6	5	n ≡ ◍, p u. abds. ∞
13.	78.9	78.4	80.0	0.1	0.4	0.0	1.6	– 0.2	4.4	4.7	4.6	96	100	100	W 6	NW 4	W 3	10^2	10^2≡⚹	10^2≡	–	5	p ⚹, p u. abds. ≡²
14.	81.1	79.5	77.6	– 1.6	– 0.4	– 1.2	0.0	– 1.6	3.8	3.8	3.9	94	85	92	W 4	NW 6	SW 9	10^2	10^2	10^2	4.6	10	t ∞, abds. ⚊
15.	80.3	81.0	80.2	– 1.8	– 1.0	– 0.2	– 0.2	– 1.9	4.0	4.3	4.5	100	100	100	W 8	W 6	SW 8	10^2≡⚹	10^2≡⚹	10^2	0.9	5	n ⚹, t ≡² ⚶, abds. klar
16.	80.1	78.9	78.6	1.5	5.0	0.7	5.3	– 0.2	4.9	4.8	4.4	96	74	90	W 4	W 6	W 6	10^2	1^2⊙	4^1	3.7	3	a reine, p sehr reine Fernsicht, p Horiz.-≡, abds. ∞
17.	78.1	77.7	78.5	– 1.4	– 0.8	– 1.0	0.9	– 1.5	4.1	4.2	4.1	100	96	96	W 6	SW 6	SW 5	10^2	10^2≡⚹	10^2≡⚹	0.5	3	n ⚹, p ≡¹ ⚶, abds. ≡² ⚹
18.	79.2	79.4	80.0	– 1.5	– 1.8	– 5.6	– 1.0	– 5.6	3.9	4.0	2.9	96	100	98	W 1	NE 2	NE 7	10^2≡	10^2≡	10^2	4.7	5	n–p ≡² ⚹, p ztw. ⚹, abds. V
19.	80.2	81.0	81.9	– 8.3	– 6.9	– 6.1	– 5.6	– 8.4	2.4	2.7	2.9	100	100	100	NE 3	NE 3	SE 3	10^2≡	10^2≡	0	2.6	20	a–p ⌊ ≡², abds. V Nebelmeer, Horiz.-≡
20.	82.3	82.9	83.9	– 7.4	– 5.7	– 1.6	– 1.6	– 7.5	2.4	2.4	2.4	95	82	60	E 1	E 1	E 2	0	⊙⊙	0	–	20	a Geb. sehr rein, p rein, t ≡ allseits, abds. Horiz.-≡
21.	85.5	86.2	**86.6**	– 0.4	2.7	2.0	2.7	– 3.5	1.6	1.7	2.1	36	30	40	NW 1	W 1	SW 1	0	1^1⊙	0	–	20	a Gebirge sehr rein, ≡ i. E, p reine Fernsicht, [1]
22.	85.1	83.1	80.8	– 0.4	3.8	1.9	4.0	– 1.2	1.7	1.5	1.5	40	25	28	SW 1	SW 1	SW 1	1^1	1^1⊙	0	–	10	t reine Fernsicht, p u. abds. Horiz.-≡
23.	76.5	74.7	72.5	2.2	3.7	3.2	3.7	1.4	**1.1**	1.5	1.6	20	25	27	E 1	W 3	SW 2	0	9^2	1^2	–	7	t sehr reine, abds. reine Fernsicht
24.	69.7	69.1	67.9	2.4	1.9	2.3	4.5	– 0.3	**1.1**	3.6	4.0	20	67	74	W 3	W 3	SW 6	0	1^1⊙	9^2	–	–	a sehr reine, p reine Fernsicht, abds. Gebirge ∞, [2]
25.	74.6	77.9	80.4	– 3.9	– 3.6	– 4.4	2.3	– 4.5	3.4	3.2	3.1	100	91	95	NW 3	W 3	SW 8	10^2≡⚹	5^2	2^2	3.5	10	n ⚹, a ≡² ⚹, p ∞, abds. Gebirge im Nebel, [3]
26.	81.9	82.0	81.5	– 3.6	– 0.6	– 1.7	– 0.5	– 4.7	3.1	3.4	3.1	89	77	76	SW 8	SW 8	SW 7	10^2	10^2	3^2	0.2	10	t reine Fernsicht
27.	76.0	72.1	73.1	3.5	7.0	3.3	7.1	– 2.0	3.0	1.5	2.7	51	**19**	48	W 10	W 10	W 9	8^2	9^2	10^2	–	5	a sehr reine, p reine Fernsicht
28.	66.7	59.4	60.3	2.6	4.7	– 0.8	5.8	– 1.0	2.9	2.7	3.6	52	43	83	SW 4	S 3	SW 9	9^2	10^1	10^2	–	–	t s. reine, abds. reine Ferns., abds. ⚊, 8^{28} p kurz ⚹
29	61.9	60.8	60.7	– 3.5	– 4.4	– 5.4	– 0.8	– 5.4	3.2	2.6	3.0	91	79	98	W 1	C	SW 2	10^2	10^1	10^2≡	0.1	–	n ⚊, a reine Ferns., p ∞, abds. ≡¹, 7^{34} p–n ⚹⁰
30.	62.5	64.4	67.9	– 6.4	– 5.7	– 6.7	– 5.4	– 6.7	2.8	3.0	2.7	100	100	100	W 1	NW 1	NW 3	10^2≡	10^2⚹	10^2≡⚹	2.5	5	n ⚹, a ⌊ ≡¹, p ztw. ⚹, abds. ≡² ⚹
31.	72.6	75.6	78.4	– 9.1	– 7.5	– 8.7	– 6.7	– 9.4	2.3	2.5	2.3	100	100	100	C	NW 1	NE 3	10^2≡⚹	10^2≡⚹	10^2⚹	6.0	20	n u. t ⚹ ⌊, a ≡², p ≡¹
Mittel	76.7	76.4	76.6	– 1.0	0.4	– 0.6	1.9	– 2.5	3.3	3.4	3.4	79	75	80				7.4	7.2	6.5	91.3		

[1] abds. Gebirge im Nebel, Flachland sehr klar
[2] Flachland sehr rein. [3] Flachland klar

Alle Angaben nach Ortszeit.

Zugspitze.

Dezember. $\varphi = 47^{0}\ 25'$ N. $\lambda = 10^{0}\ 59'$ E $= 43^{m}\ 56^{s}$. H = 2964 m. Cg = −0.2 mm. 1913.

Datum	Luftdruck auf 0^{0} u. Normalschwere reduziert 500 mm +			Lufttemperatur C°					Absolute Feuchtigkeit mm			Relative Feuchtigkeit Proz.			Richtung und Stärke des Windes 0 bis 12			Bewölkung 0 bis 10			Niederschlag mm	Schneedecke
	7^{a}	2^{p}	9^{p}	7^{a}	2^{p}	9^{p}	Max.	Min.	7^{a}	2^{p}	9^{p}	7^{a}	2^{p}	9^{p}	7^{a}	2^{p}	9^{p}	7^{a}	2^{p}	9^{p}	7^{a}	7^{a}
1.	33.8	32.4	31.2	− 6.3	− 6.4	− 7.2	**− 3.7**	− 7.2	2.5	2.3	2.4	89	83	93	NW 4	NW 6	NW 8	2^{0}	$2^{0}\odot$	3^{0}	–	✳
2.	30.3	30.7	31.4	− 7.7	− 8.1	− 7.8	− 7.2	− 8.3	2.4	2.2	2.4	100	97	100	NW 4	NW 6	NW 5	$10^{2}\equiv *$	7^{1}	$10^{1}\equiv$	1.9	✳
3.	31.2	31.6	30.7	− 6.0	− 5.7	− 5.3	− 5.2	− 7.9	2.6	2.1	2.1	93	70	67	NW 6	NW 7	W 8	3^{0}	$6^{0}\odot$	0	0.7	✳
4.	27.1	25.0	23.3	− 4.8	− 6.7	−11.0	− 4.3	−11.0	2.1	2.1	1.8	65	76	100	S 9	S 8	W 5	3^{0}	$3^{1}\odot$	$10^{2}\equiv *$	–	✳
5.	22.5	22.1	19.8	−15.8	−15.8	−14.5	−11.0	−17.3	1.2	1.2	1.3	100	100	100	NW 5	NW 4	W 10	$10^{2}\equiv *$	$5^{1}\equiv$	$10^{1}\equiv$	2.4	✳
6.	18.8	17.7	18.5	−14.1	−10.7	− 9.7	− 9.7	−14.5	1.4	1.8	2.0	100	100	100	NW 5	NW 8	NW 7	$10^{1}\equiv *$	$10^{1}\equiv *$	$10^{2}\equiv *$	1.3	✳
7.	18.8	20.2	22.0	−10.9	−13.8	−16.1	− 9.3	−16.1	1.8	1.4	1.2	100	100	100	NW 6	NW 7	NW 6	$10^{2}\equiv *$	$10^{1}\equiv$	$9^{1}\equiv$	7.8	✳
8.	24.8	26.8	29.1	−18.7	−17.8	−17.2	−16.1	−18.9	0.9	1.0	0.9	100	100	76	NW 6	N 4	N 5	$10^{1}\equiv *$	$3^{1}\odot$	10^{0}	2.4	✳
9.	30.2	31.8	31.8	− 8.5	− 6.0	− 5.4	− 5.3	−17.2	2.3	2.8	**3.0**	100	100	100	N 10	N 6	NW 2	$10^{1}\equiv *$	$10^{1}\equiv$	8^{0}	2.1	✳
10.	27.0	25.0	23.4	− 6.5	− 9.6	−12.3	− 5.4	−12.3	2.7	2.1	1.6	100	100	100	NW 8	NW 8	NW 10	$10^{2}\equiv *$	$10^{1}\equiv *$	$10^{2}\equiv *$	1.4	✳
11.	24.9	27.4	28.1	−10.8	− 9.8	− 9.6	− 9.1	−12.3	1.8	2.0	2.1	100	100	100	NW 10	N 8	N 5	$10^{2}\equiv *$	$10^{1}\equiv *$	$10^{1}\equiv$	3.5	✳
12.	28.9	28.2	29.0	− 8.5	− 7.4	− 9.2	− 6.6	−10.1	2.0	2.3	1.9	90	89	82	NW 5	W 5	NW 8	2^{0}	$3^{0}\odot$	8^{0}	4.1	✳
13.	28.4	27.6	28.3	− 9.2	− 9.0	−10.9	− 8.7	−10.9	2.1	2.2	1.8	100	100	100	W 5	W 4	NW 4	$10^{1}\equiv *$	$10^{1}\equiv *$	$10^{1}\equiv *$	1.6	✳
14.	27.7	27.2	24.2	−13.3	−14.0	−14.3	−10.9	−14.3	1.5	1.4	1.3	100	100	100	NW 7	NW 10	NW 10	$10^{2}\equiv *$	10^{1}	10^{0}	**13.5**	✳
15.	27.4	28.7	29.8	−13.8	−13.0	− 9.1	− 9.1	−14.6	1.4	1.5	2.1	100	100	100	NW 10	NW 6	NW 7	$10^{2}\equiv$	$10^{1}\equiv$	$10^{1}\equiv *$	0.6	✳
16.	29.6	29.3	28.7	− 7.2	− 7.8	−10.7	− 7.1	−10.7	2.6	2.4	1.7	100	100	83	N 8	W 6	W 6	$10^{1}\equiv$	$7^{1}\equiv$	5^{0}	2.1	✳
17.	26.2	25.9	26.4	−12.6	−12.0	−12.7	−10.7	−12.7	1.5	1.6	1.6	94	95	100	W 6	W 5	W 1	3^{0}	$10^{1}\equiv *$	$10^{1}\equiv *$	1.5	✳
18.	26.2	25.9	25.7	−12.9	−12.1	−13.3	−12.0	−13.4	1.5	1.6	1.5	100	95	94	C	E 2	E 4	$7^{1}\equiv$	$10^{1}\equiv *$	$10^{1}\equiv *$	6.4	✳
19.	26.2	27.4	30.4	−12.9	−13.0	−10.8	−10.3	−14.0	1.4	1.4	1.4	89	82	69	E 3	E 5	E 6	2^{0}	$1^{0}\odot$	0	2.8	✳
20.	32.1	33.2	34.1	−10.0	− 8.7	− 8.7	− 8.6	−11.1	1.2	1.5	1.5	60	67	65	E 6	SE 4	SE 3	1^{0}	oo	0	–	✳
21.	35.2	35.8	**36.2**	− 8.1	− 7.9	− 7.6	− 6.9	− 9.0	1.1	1.1	1.0	45	42	44	E 2	NE 4	N 5	0	$3^{0}\odot$	2^{0}	–	✳
22.	34.9	33.8	32.4	− 8.0	− 6.8	− 6.4	− 6.4	− 8.4	1.0	1.0	0.9	39	37	34	N 4	N 3	N 3	3^{0}	$3^{0}\odot$	0	–	✳
23.	28.0	26.1	25.0	− 7.6	− 8.1	− 8.3	− 6.4	− 8.8	1.1	1.0	0.9	36	41	38	NW 3	NW 8	NW 3	1^{0}	$8^{0}\odot$	4^{1}	–	✳
24.	22.4	20.6	19.3	− 7.2	− 7.2	−11.5	− 6.7	−11.8	0.9	1.1	1.7	37	42	95	SW 7	SW 5	W 6	2^{1}	$4^{0}\odot$	$10^{1}*$	–	✳
25.	21.2	23.3	25.4	−17.6	−18.6	−19.1	−11.3	−19.1	1.0	0.9	0.9	100	100	100	NW 7	N 8	N 8	$10^{1}\equiv *$	$10^{1}\equiv$	$10^{1}\equiv *$	2.9	✳
26.	28.6	30.4	31.2	−13.5	−13.1	− 9.1	− 9.0	−19.7	1.5	1.2	1.7	100	76	74	NW 10	NW 7	W 5	$10^{2}\equiv *$	8^{1}	3^{1}	0.4	✳
27.	28.7	25.6	24.9	− 8.4	− 7.3	− 9.2	− 7.3	− 9.8	1.4	1.7	1.5	60	65	66	W 7	W 7	W 8	8^{1}	8^{1}	5^{1}	1.0	✳
28.	19.7	13.1	12.8	− 8.3	− 8.7	−13.0	− 8.1	−13.0	1.6	1.8	1.5	70	77	100	S 9	S 11	NW 5	4^{1}	10^{1}	$10^{2}\equiv *$	–	✳
29.	11.1	09.4	08.7	−18.3	−18.4	−20.3	−13.0	−20.3	0.9	0.9	0.8	100	100	100	NW 5	N 2	NW 3	$10^{1}\equiv *$	$10^{1}\equiv *$	$10^{1}\equiv *$	4.0	✳
30.	09.6	11.2	13.9	−20.9	−19.7	−21.2	−19.5	−21.2	0.7	0.8	0.7	100	100	100	N 3	N 1	N 3	$10^{1}\equiv *$	$10^{1}\equiv *$	$10^{1}\equiv *$	12.0	✳
31.	16.8	19.3	21.5	−21.7	−21.1	−21.6	−21.1	−21.9	0.7	0.7	0.7	100	100	100	NE 4	N 3	N 5	$10^{1}\equiv *$	$10^{1}\equiv$	$6^{1}\equiv$	4.8	✳
Mittel	25.8	25.6	25.7	−11.3	−11.1	−11.7	− 9.2	−13.5	1.6	1.6	1.5	86	85	86				6.8	7.1	7.2	81.2	

43

Bemerkungen.

1. 7 a 5 cm ⋁, Berge frei; 5 p st i. W. 8 p Zunahme d. Windst. 15 m/s. Wind t sehr böig, ztw. ✳tr.
2. 7 a 5 cm ⋁; a–11^{14} a $\equiv^{1.2}$ $\times^{0}$. 11^{14} a v. W u. N her Aufklaren, st, st-cu, fr-cu, Zunahme d. Windst. 18–20 m/s. 3–5 p ztw. $\equiv^{1}$, 5 p kurze Zeit $\times^{0}$, t ✳tr.
3. 7 a Berge frei u. rein; 11 a Zunahme d. Windst. 15 m/s, böig. 6 p Wind dreht auf W, ca 8 p auf WSW 18–20 m/s, p starke ci-Bew.; ztw. ✳tr.
4. 7 a Berge frei u. rein; 9 a ab i. SE Bildung einer Föhnmauer, 1 p ab v. E bis W reichend; 3 p Windst. > 30 m/s. 5 p st, Bewölkungszunahme, ca 7 p $\equiv^{1}$ $\times^{0}$, ab 7^{24}–9^{00} p $\equiv^{2}$ $\times^{1}$
5. 9^{00} p-n $\equiv^{2}$ $\times^{1}$. 7 a 40 cm Neuschnee; 5 cm ⋁; a–ca 9 a $\times^{0}$ $\equiv^{2}$, dann $\equiv^{1}$. 10^{24} a ztw. Aufklaren, Durchdr. d. ⊙; p meist $\equiv^{1.2}$, $\equiv$- u. ✳tr. 6 p Zunahme d. Windstärke
6. n $\times^{0}$. 6^{14} a neg. Elmsfeuer. 7 a 5 cm ⋁. 8^{24} a–ca 4 p $\times^{1}$, dann $\times^{0}$ bis 9^{00} p; p–ca 7 p Windstösse > 20 m/s, p st, ✳tr.
7. 9^{00} p-n $\times^{0}$. 7 a 30 cm Neuschnee, 30 cm ⋁; a–8^{24} a $\equiv^{2}$ $\times^{0}$, dann $\equiv^{1}$ bis ca 3 p. 11 a–2 p ztw. Durchdr. d. ⊙, 11 a–1 p Drehung d. Windes auf N; 4 p Windst, 8 m s. [1]
8. 9 p ab ztw. Aufklaren im Zenith. 7 a 40 cm ⋁; ca 8 a–m $\times^{1}$, dann Aufklaren. 2 p Nebelmeer bis zur Gipfelhöhe. 3 p a-st i. E u. W, ci, ci-st i. S. u. N, in Tälern u. Flachl. cu. [2]
9. 7 a 40 cm ⋁; n–ca 8 a $\times^{1}$, dann $\times^{0}$ bis 9^{04} a. 11 a–m ztw. Durchdr. d. ⊙, m–1 p vollständ. Aufklaren; p meist $\equiv^{1.2}$, 9 p ⋓
10. 7 a 5 cm Neuschnee, 20 cm ⋁. 9^{14} a u. 9 p Windst > 30 m/s; a–ca 11 a $\times^{1}$, dann $\times^{0}$ bis 5^{24} p, 5^{24}–9^{00} p $\times^{1}$, t st, ✳tr.
11. 9^{00} p-n $\times^{1}$. 7 a 40 cm Neuschnee, 30 cm ⋁; ab 8 a $\equiv^{1}$ bis 4^{14} p, dann $\equiv^{1}$ bis 6 p; a–ca 1 p $\times^{0.1}$, 1–ca 3^{30} p $\times^{0}$, 3^{30}–5 p $\times^{1}$, dann $\times^{0}$ bis 8^{14} p; t starkes ✳tr.
12. n Aufklaren. 7 a 30 cm ⋁, über Tälern u. Flachland cu-meer bis ca 1500 m; 8 a ab ztw. $\equiv^{1}$; 9^{14} a ab ✳tr.; p st, ci-Bew. 9 p cu-meer über Flachland teilw. in Auflösung
13. n $\times^{0}$. 7 a 30 cm ⋁; 7^{44}–9^{14} a ztw. $\times^{0.1}$, 9^{14}–ca 11 a ztw. Durchdr. d. ⊙; p meist $\times^{0.1}$, ztw. ✳tr.
14. 7 a 50 cm Neuschnee, 60 cm ⋁; n–8 a $\times^{1}$, dann $\times^{0}$ bis ca 10 a, dann Aufklaren; p st. $\equiv$- u. ✳tr. 1^{30} p zunehmende Windst. > 30 m/s
15. 7 a 50 cm ⋁; 9–9^{34} a $\times^{1}$, dann $\times^{0}$ bis ca 1 p; a st. ✳tr. $3^{34.54}$ p gegen N Aufklaren; ca 8–9^{00} p $\times^{0}$
16. 9^{00} p-n $\times^{0}$. 7 a 50 cm ⋁, ✳tr. 11^{34} a allmähl. Aufklaren. 0^{00}–ca 3 p ztw. Durchdr. d. ⊙, Nebel- u. ✳tr. 3 p ab vollständ. Aufklaren. 9 p über Loisachtal, Inntal u. Flachland. [3]
17. 7 a 50 cm ⋁, st, $\equiv$tr. u. d. G., über Tälern u. Flachland cu-meer in ca 1500 m. 9^{34} a ab $\equiv^{1}$, ab ca 10 a–9^{00} p $\times^{0.1}$. 5 p Windst. 3 m/s
18. 9^{00} p-n $\times^{1}$. 7 a 20 cm Neuschnee, 60 cm ⋁, ⋓. $7^{14.34}$ a Aufklaren, a $\times^{0.1}$; p–8 p $\times^{1}$, 8–9^{00} p $\times^{0}$
19. 9^{00} p-n $\times^{0}$, n Aufklaren. 7 a 50 cm Neuschnee, 60 cm ⋁, über Tälern u. Flachland cu-meer in ca 1400 m, über Loisachtal teilw. in Auflösung. 2 p ∞^{1}, cu-meer über Flachland
20. 7 a über Flachland Nebelmeer in ca 1200 m, 10 a ab teilw. in Auflösung. 2 p ∞^{0}; p über Flachland teilw. Nebel
21. 7 a über Flachland teilw. Nebel. Wind ztw. auf NE drehend; m–3 p st. ci-Bew.; ca 5 p Wind dreht auf N
22. 11 a Wind dreht auf NW; a st. ci-Bew. 2 p ∞^{1}. 3–7 p NW, 5 p ab Stärke ca 8 m/s
23. 7 a Berge frei u. rein. 9 a Wind dreht auf W, 10 a ∞^{1}, m st. Bewölkungszunahme; a-cu, a-st 1 p ab in st übergehend. 0^{50}–4^{04} p Windst. ca 15 m/s, böig, ✳tr.
24. 8^{50} a Abflauen d. Windes u. Drehung auf W. 9^{34} a auf WNW, 1 p auf SW, 4 p ab st i. W u N. 5 p Windst. ca 15 m/s, p ztw. ✳tr.
25. ca 9 p-n $\times^{0}$. 7 a 5 cm ⋁, ✳tr., a–1 p $\times^{0}$. 2^{14} p kurz Durchdr. d. ⊙. 7^{24}–9^{00} p $\times^{0.1}$; p st. ✳tr. Windst. ca 15 m/s
26. 9^{00} p-n $\times^{0.1}$, 7 a Windstösse > 30 m/s; a–8 a $\times^{0}$, 8^{04}–9^{14} a Abnehmen d. Windst. 10 m/s; ab 9–11 a $\equiv^{0}$, 11 a–1 p ztw. $\equiv$tr., fr-cu in Gipfelhöhe; t st. ✳tr.
27. 7 a st-Schicht ca 1000 m ü. d. G.; ca 5 p Wind dreht auf NW; p meist bedeckt; t st. ✳tr.
28. 7 a Föhnmauer v. E bis W. 1–5 p Windstösse bis 40 m/s. 1^{34} p $\equiv^{1}$ $\times^{0}$, 8^{14}–9^{00} p $\times^{1}$, 9 p neg. Elmsfeuer; t st. ✳tr.
29. 9^{00} p-n $\times^{1}$. 7 a 20 cm Neuschnee, a–8 a $\times^{0}$; t $\times^{0.1}$. $\equiv^{1}$
30. 7 a 50 cm Neuschnee, a–9^{34} a $\times^{1}$. 10^{34} a–2^{04} p $\equiv^{0}$, Durchscheinen d. ⊙; t $\times^{0.1}$
31. 7 a 110 cm Neuschnee, a–7^{54} a, 8^{54}–9^{16} a $\times^{0}$; t $\equiv^{0.1}$

[1] 7^{34}–8^{04} p $\times^{1}$. [2] 7 p ⋓, a-cu aus N rasch. [3] cu-meer in ca 1500 m

Alle Angaben nach Ortszeit.

1913. **Tagesmittel der Windgeschwindigkeit in Metern pro Sekunde.** 1913.

München-C.St.

Datum	Januar	Februar	März	April	Mai	Juni	Juli	August	September	Oktober	November	Dezember	Datum
1.	0.2	2.4	0.8	2.2	2.3	2.2	1.5	1.4	0.7	0.9	0.5	1.1	1.
2.	0.1	3.1	1.6	1.9	3.1	1.8	1.0	0.9	1.2	0.7	1.3	1.7	2.
3.	0.2	**4.1**	2.3	2.5	1.2	**2.5**	0.7	0.8	0.5	0.6	1.4	1.5	3.
4.	1.2	3.3	3.0	2.6	1.3	1.9	0.8	0.4	0.8	0.7	0.6	1.6	4.
5.	0.5	3.6	2.4	3.0	2.1	2.4	1.1	1.1	0.5	0.9	0.9	2.6	5.
6.	0.3	0.5	1.1	1.5	2.0	2.0	1.3	1.3	1.1	0.8	1.4	1.5	6.
7.	0.5	0.7	2.5	2.4	2.2	2.1	1.4	0.9	**1.5**	0.8	1.1	1.0	7.
8.	1.6	2.5	3.2	1.3	0.6	0.8	0.7	0.7	1.0	1.2	1.4	2.2	8.
9.	1.2	0.7	1.9	1.8	2.0	1.5	**1.8**	1.0	0.4	**2.1**	1.2	2.0	9.
10.	1.9	0.7	2.5	2.2	1.6	1.8	1.0	**1.7**	1.2	0.7	1.1	2.4	10.
11.	1.3	1.7	1.9	3.3	2.4	2.4	1.0	1.0	1.0	0.7	1.0	2.5	11.
12.	2.6	0.4	1.1	1.9	1.6	1.8	1.3	0.3	1.1	1.2	0.8	1.6	12.
13.	1.4	1.2	1.7	1.6	3.1	2.0	1.4	0.8	0.5	0.6	2.0	1.6	13.
14.	2.1	2.3	1.5	1.5	2.6	1.2	0.9	1.1	0.8	1.3	2.3	1.9	14.
15.	1.6	2.6	2.2	0.9	1.7	1.8	1.7	1.6	1.3	0.3	2.3	2.5	15.
16.	0.8	1.8	2.0	1.8	1.6	1.6	1.5	1.2	0.8	0.2	**2.6**	2.0	16.
17.	1.5	3.0	2.2	**3.5**	2.4	0.7	1.4	**1.7**	1.4	0.9	2.1	1.6	17.
18.	2.4	3.5	1.6	2.2	**3.6**	0.5	1.1	0.7	0.7	0.1	1.4	0.4	18.
19.	3.1	3.1	1.6	1.9	2.0	1.5	1.4	0.6	0.5	0.1	2.0	1.5	19.
20.	1.4	1.3	**4.2**	2.6	2.3	1.2	1.3	0.8	0.8	0.4	0.6	1.0	20.
21.	2.7	0.9	1.7	1.1	1.7	1.2	1.4	1.0	1.1	0.4	0.4	0.5	21.
22.	**4.5**	1.5	1.5	1.6	2.3	1.1	1.0	1.2	1.3	0.4	0.9	0.5	22.
23.	2.6	1.5	1.8	1.1	2.2	0.8	1.2	0.8	1.1	0.4	1.1	0.3	23.
24.	3.7	1.5	2.1	1.5	1.4	0.7	0.6	1.0	0.8	0.7	0.7	1.3	24.
25.	3.1	0.7	1.0	1.8	0.8	1.1	0.8	1.1	0.6	0.5	1.1	1.7	25.
26.	2.1	1.1	**3.6**	1.4	1.8	1.3	0.4	0.4	1.0	0.3	0.8	**2.7**	26.
27.	1.2	1.4	2.3	0.9	1.6	1.5	0.5	0.8	1.2	0.7	1.9	**2.7**	27.
28.	1.5	1.7	1.8	2.2	3.5	1.9	0.8	1.0	0.9	0.6	2.2	0.8	28.
29.	3.2		1.7	1.8	1.7	2.0	1.3	0.7	0.6	1.0	1.6	1.1	29.
30.	2.7		1.5	1.4	1.8	1.9	0.9	0.9	0.6	1.0	1.3	0.9	30.
31.	2.3		2.2		1.9		0.8	0.8		0.7		0.9	31.
Mittel	1.79	1.88	2.02	1.91	2.01	1.57	1.10	0.96	0.90	0.71	1.33	1.53	Mittel

Nürnberg.

Datum	Januar	Februar	März	April	Mai	Juni	Juli	August	September	Oktober	November	Dezember	Datum
1.	1.9	2.2	1.7	2.2	2.1	2.9	**3.3**	2.1	1.7	2.1	1.7	2.5	1.
2.	1.5	**4.2**	2.2	2.3	3.0	2.8	2.6	1.9	1.6	1.7	2.2	2.5	2.
3.	1.7	3.6	2.1	3.0	1.3	1.9	1.8	2.1	1.4	1.9	2.0	2.1	3.
4.	2.9	3.3	2.8	2.6	1.9	2.5	2.3	1.5	1.8	1.5	1.5	2.6	4.
5.	2.6	1.9	2.5	3.2	3.0	2.5	2.1	2.0	2.0	1.9	2.1	**3.8**	5.
6.	2.5	1.9	2.1	2.2	2.0	2.1	1.7	1.9	1.7	2.5	2.5	2.8	6.
7.	2.2	2.0	2.5	3.0	2.1	2.4	2.0	2.0	2.5	1.9	1.9	1.5	7.
8.	2.3	2.3	2.9	3.0	2.2	2.1	1.9	2.0	2.5	2.2	2.0	1.8	8.
9.	2.5	1.7	2.6	2.3	2.8	2.4	3.1	2.1	1.5	**3.3**	1.8	2.2	9.
10.	2.8	1.5	**2.3**	2.1	2.5	2.3	2.1	2.3	2.6	2.6	2.1	3.7	10.
11.	2.4	1.7	2.3	**4.2**	3.0	**4.5**	1.7	1.9	1.8	2.0	2.8	2.6	11.
12.	2.3	1.5	2.3	2.8	1.9	3.4	2.5	1.7	2.0	2.5	1.9	2.4	12.
13.	1.5	1.7	2.3	2.5	2.3	1.8	1.5	2.3	1.8	2.4	2.3	3.1	13.
14.	3.0	2.8	2.1	1.9	2.8	2.1	1.6	1.7	1.9	2.4	**2.7**	3.7	14.
15.	3.6	2.1	2.6	1.7	2.3	2.8	2.8	2.6	2.1	1.8	2.9	3.7	15.
16.	3.0	1.8	2.6	1.8	2.3	2.8	2.0	2.7	2.6	1.2	3.2	**3.2**	16.
17.	3.0	2.8	**3.2**	3.0	2.3	2.0	2.1	**3.2**	**3.3**	1.9	2.5	2.4	17.
18.	2.0	4.2	2.3	2.8	2.8	1.9	2.0	2.0	1.9	1.5	2.3	2.7	18.
19.	2.1	3.6	3.1	2.5	2.3	2.1	2.7	1.2	1.6	1.8	3.2	2.5	19.
20.	2.1	2.4	3.0	2.8	2.3	2.5	2.8	2.0	2.1	2.0	1.8	1.8	20.
21.	3.4	2.3	2.0	1.7	1.9	3.1	2.8	2.5	2.0	2.4	1.9	1.4	21.
22.	**3.8**	2.3	2.2	2.1	2.3	2.3	2.1	1.8	2.2	2.2	1.8	1.7	22.
23.	2.2	1.7	2.2	2.1	2.1	1.6	2.4	1.8	1.9	1.5	2.4	2.1	23.
24.	3.4	1.7	2.3	1.5	1.5	1.9	2.3	1.9	1.7	1.4	1.7	2.2	24.
25.	2.7	1.4	1.9	2.1	1.5	2.1	1.9	2.9	2.1	1.7	1.6	3.4	25.
26.	2.3	1.5	3.8	1.9	1.7	2.8	1.7	1.6	2.3	2.1	1.7	3.4	26.
27.	1.7	1.7	2.1	1.7	2.1	2.1	1.7	1.9	2.3	1.7	3.2	3.2	27.
28.	2.1	2.4	2.5	1.7	**3.2**	2.8	1.7	2.2	2.6	1.9	**3.3**	2.7	28.
29.	3.5		2.6	1.5	1.7	3.0	2.8	2.3	2.3	2.1	3.0	3.2	29.
30.	2.6		2.3	1.9	2.1	4.2	2.1	1.8	2.1	1.7	2.3	2.8	30.
31.	3.7		2.1		1.9		2.2	1.8		1.5		3.3	31.
Mittel	2.56	2.29	2.44	2.37	2.23	2.52	2.20	2.05	2.06	2.00	2.28	2.68	Mittel

1913. **Tagesmittel der Windgeschwindigkeit in Metern pro Sekunde.** 1913.

Kaiserslautern.

Datum	Januar	Februar	März	April	Mai	Juni	Juli	August	September	Oktober	November	Dezember	Datum
1.	0.9	3.4	1.5	2.8	1.8	2.3	1.4	1.7	1.7	1.9	2.1	4.4	1.
2.	0.4	**8.7**	1.3	2.2	1.6	1.4	0.9	1.9	0.6	1.0	3.4	4.1	2.
3.	0.4	6.3	4.2	1.7	0.5	1.0	0.5	1.4	1.0	1.5	3.4	4.8	3.
4.	1.1	4.6	4.6	3.0	2.1	1.9	2.0	0.6	1.1	0.4	1.1	7.8	4.
5.	1.3	1.4	5.2	2.3	1.5	3.6	1.5	1.3	2.1	1.8	2.0	6.5	5.
6.	0.5	2.4	3.9	0.6	1.5	3.5	0.9	1.3	1.6	2.0	3.7	1.1	6.
7.	1.3	2.4	**5.4**	1.6	1.2	3.6	2.0	0.8	**2.6**	1.1	2.3	0.7	7.
8.	2.9	3.2	3.9	2.9	2.8	2.6	0.6	1.1	2.0	3.3	3.1	0.8	8.
9.	2.6	0.9	1.5	1.7	**3.1**	2.7	2.4	1.6	0.8	**5.0**	1.5	4.7	9.
10.	3.8	0.3	4.4	2.6	1.9	5.5	1.2	**2.9**	1.6	0.8	1.1	5.6	10.
11.	3.5	0.5	2.9	2.1	2.5	**6.0**	0.9	1.9	0.9	2.4	1.2	4.1	11.
12.	3.0	1.1	1.5	3.1	1.1	4.6	0.2	0.9	1.7	3.3	1.3	3.9	12.
13.	0.7	0.4	2.2	1.1	2.4	2.2	0.7	1.0	0.7	1.0	5.4	2.7	13.
14.	3.7	1.5	4.8	1.0	1.7	2.4	0.9	2.0	1.1	2.0	**7.6**	4.6	14.
15.	2.8	2.9	**5.4**	0.7	1.4	2.8	**3.3**	1.3	1.3	1.3	4.8	4.2	15.
16.	1.6	1.5	5.3	2.4	**2.3**	2.5	2.7	1.2	1.3	0.9	5.9	4.8	16.
17.	4.9	3.1	5.1	5.0	2.6	1.4	1.2	1.6	2.2	1.7	4.5	4.3	17.
18.	2.4	5.2	2.0	3.8	2.9	1.2	2.1	1.0	0.4	0.3	4.1	4.3	18.
19.	2.8	4.4	3.9	**5.6**	2.6	3.2	2.7	0.9	0.8	0.7	3.1	3.8	19.
20.	2.7	1.6	3.2	3.2	1.5	2.0	2.0	0.8	1.1	0.9	2.0	2.1	20.
21.	**6.3**	2.2	2.5	1.2	0.8	1.8	2.5	1.0	2.5	1.0	3.0	0.2	21.
22.	4.9	2.5	1.6	1.5	2.3	1.2	1.7	1.5	1.5	0.8	1.9	0.6	22.
23.	3.6	1.8	1.8	1.0	1.5	0.5	3.0	1.3	0.2	0.8	2.4	0.9	23.
24.	5.0	1.3	0.4	0.8	1.0	2.2	2.4	1.7	2.1	0.5	0.9	3.0	24.
25.	5.1	0.8	1.5	2.3	1.0	2.1	1.3	1.1	1.4	1.0	1.5	3.7	25.
26.	1.6	1.6	3.1	0.9	0.9	0.9	1.1	1.5	2.0	1.6	2.7	7.4	26.
27.	1.3	1.4	1.8	0.2	2.5	1.7	1.0	2.0	2.3	1.7	3.0	**7.8**	27.
28.	2.3	1.8	1.2	0.6	1.7	1.9	0.8	1.8	2.0	1.2	3.6	2.9	28.
29.	3.8		1.5	1.2	2.0	4.2	1.5	2.3	0.3	0.6	2.7	1.5	29.
30.	2.7		0.5	1.0	2.0	1.9	2.6	1.6	1.7	0.9	3.7	1.3	30.
31.	5.2		1.9		2.9		1.9	**2.9**		1.3		1.5	31.
Mittel	2.74	2.47	2.90	2.00	1.86	2.49	1.61	1.48	1.42	1.44	2.96	3.55	Mittel

Monatliche und Jahres-Resultate.

Stationen II. Ordnung.

1913

Hof.

$\varphi = 50^{0}\ 19'$ N $\lambda = 11^{0}\ 55'$ E — H = 476.1 m — Cg = + 0.3 mm

Monat	Luftdruck auf 0° und Normalschwere reduziert: Mittel mm	Maximum mm	Minimum mm	Lufttemperatur: 7a C°	2p C°	9p C°	Tagesmittel C°	Mittl. Maximum C°	Mittl. Minimum C°	Absol. Maximum C°	Datum	Absol. Minimum C°	Datum	Absolute Feuchtigkeit: 7a mm	2p mm	9p mm	Mittel mm	Relative Feuchtigkeit: 7a Proz.	2p Proz.	9p Proz.	Mittel Proz.	Minimum Proz.
Januar	719.5	727.9	704.4	− 2.8	− 0.3	− 2.4	− 2.0	0.4	− 4.7	4.6	25.	−13.8	15.	3.4	3.8	3.5	3.6	88	82	88	86	59
Februar	**724.0**	**733.6**	706.3	− 2.8	3.0	− 1.0	− 0.5	3.8	− 4.7	9.0	25., 26.	−13.3	18.	3.5	3.7	3.7	**3.6**	87	65	82	78	26
März	719.9	732.2	703.6	2.2	8.3	3.7	4.5	9.4	− 0.2	19.7	30.	−14.6	2.	4.9	5.1	5.2	5.1	89	62	86	79	34
April	716.3	723.0	705.5	2.8	11.3	4.6	5.8	12.4	− 0.1	27.1	30.	−11.4	12.	5.2	5.2	5.6	5.4	90	53	85	76	23
Mai	718.3	727.7	706.9	8.9	15.5	8.9	10.6	16.8	4.1	27.9	31.	− 1.7	21.	7.3	7.5	7.7	7.5	84	59	88	77	31
Juni	721.4	728.6	715.9	**12.5**	17.8	**12.1**	**13.6**	**19.5**	7.9	**28.7**	2.	− 0.4	15.	**9.1**	8.9	8.9	9.0	83	60	84	76	24
Juli	718.6	723.5	713.0	11.3	17.1	11.6	12.9	18.8	**8.4**	27.0	14.	3.6	31.	**9.1**	9.4	9.3	**9.3**	92	66	91	83	40
August	720.1	727.5	715.6	9.9	**17.9**	11.6	12.7	19.1	7.1	27.1	24.	1.6	27.	8.5	**9.6**	**9.5**	9.2	94	64	93	84	41
September	720.1	725.7	709.9	7.3	16.6	9.1	10.5	17.7	4.8	24.7	2.	− 2.2	26.	7.5	8.5	8.1	8.1	**96**	62	93	84	38
Oktober	720.0	733.3	710.5	5.2	13.1	5.7	7.4	13.8	2.7	20.1	3.	− 5.9	14.	6.5	7.7	6.6	6.9	95	69	**95**	86	46
November	719.2	728.5	704.8	4.4	7.1	4.4	5.0	8.1	1.6	15.0	1.	− 4.4	5.	5.9	6.1	5.9	6.0	**93**	81	93	**89**	54
Dezember	718.3	731.1	697.0	− 0.2	1.4	− 0.1	0.3	2.4	− 2.0	8.5	4.	−11.6	21.	4.2	4.3	4.2	4.3	91	**83**	89	88	60
Jahr	719.6	733.6	697.0	4.9	10.7	5.7	6.7	11.9	2.1	28.7	2. VI.	−14.6	2. III.	6.3	6.7	6.5	6.5	90	67	89	82	23

1913

Hof.

$h_t = 1.2$ m — $h_r = 1.5$ m

Monat	Bewölkung: 7a	2p	9p	Mittel	Niederschlag: Summe mm	Tagesmaximum Betrag mm	Tagesmaximum Gemessen am	Zahl der Tage: ≧0.1 mm Niederschlag	≧1.0 mm Niederschlag	≧0.1 mm ✳	⊞	△	▲	⊼	≡	heitere	trübe	Windverteilung: N	NE	E	SE	S	SW	W	NW	C
Januar	7.6	6.4	6.4	6.8	35.6	12 2	22.	12	8	10	10	–	–	–	10	2	12	4	7	6	**32**	21	12	5	6	–
Februar	7.7	6.0	6.0	6.6	33.9	11.8	1.	**11**	6	5	3	–	–	–	9	**3**	13	18	**11**	2	6	16	14	7	10	–
März	7.0	7.1	5.7	6.6	67.6	17.6	24.	18	9	10	2	–	–	–	11	1	8	8	4	5	10	30	26	5	4	1
April	7.4	6.3	**4.1**	5.9	45.5	12.0	7.	15	8	4	2	1	–	–	6	2	8	**24**	8	7	7	12	13	6	13	–
Mai	6.9	7.0	4.5	6.1	60.6	10.9	7.	16	14	1	–	–	–	**6**	9	2	9	7	9	**10**	18	6	20	9	14	–
Juni	7.2	7.3	6.0	6.8	**147.5**	**38.7**	21.	21	13	–	–	–	–	**6**	4	**3**	11	14	8	2	7	11	13	14	21	–
Juli	8.5	**8.4**	5.9	7.6	41.7	10.1	20.	21	11	–	–	–	–	1	7	1	13	**24**	2	–	1	10	17	16	23	–
August	7.1	7.4	4.7	6.4	67.5	**22.7**	17.	14	10	–	–	–	–	3	8	1	10	17	4	1	10	7	11	9	**34**	–
Septemher	7.6	5.0	4.5	5.7	37.4	13.6	18.	12	8	–	–	–	2	4	9	**3**	10	18	7	5	13	10	**7**	9	18	**3**
Oktober	9.0	5.5	6.4	6.9	28.5	7.0	13.	13	8	–	–	–	–	–	**18**	–	9	6	**1**	4	19	**31**	12	**10**	**4**	**6**
November	**9.5**	8.1	7.3	8.3	52.1	13.7	15.	18	11	–	–	–	–	–	6	–	20	3	**1**	3	12	16	**29**	20	6	–
Dezember	8.2	8.3	**8.8**	**8.4**	79.1	15.8	29.	**22**	**16**	**14**	**11**	–	–	–	3	–	**21**	6	6	–	2	9	24	**27**	19	–
Jahr	7.8	6.9	5.9	6 8	697.0	38 7	21. VI.	193	122	44	28	1	2	20	100	18	144	149	68	45	137	179	198	137	172	10

Alle Angaben nach Ortszeit.

1913

Monat	Luftdruck auf 0° und Normalschwere reduziert			Lufttemperatur										Absolute Feuchtigkeit				Relative Feuchtigkeit				
	Mittel	Maximum	Minimum	7a	2p	9p	Tagesmittel	Mittl. Maximum	Mittl Minimum	Absol. Maximum	Datum	Absol. Minimum	Datum	7a	2p	9p	Mittel	7a	2p	9p	Mittel	Minimum
	mm	mm	mm	C°	C°	C°	C°	C°	C°	C°		C°		mm	mm	mm	mm	Proz.	Proz.	Proz.	Proz.	Proz
Bad Kissingen. $\varphi = 50^0\ 12'$ N. $\lambda = 10^0\ 5'$ E. H = 209.2 m. Cg = + 0.3 mm																						
Januar	744.5	753.3	727.9	- 1.4	1.0	- 0.5	- 0.3	1.6	- 3.0	7.2	24.	-10.1	15.	3.7	4.0	3.9	3.9	88	78	86	84	48
Februar	**749.3**	**759.9**	731.1	- 1.7	5.6	0.5	1.2	6.2	- 3.1	10.9	7.	-10.1	25.	3.8	4.0	4.0	3.9	88	57	80	75	33
März	744.8	758.1	727.7	3.9	10.6	6.0	6.6	11.7	1.9	22.7	31.	- 8.5	2.	5.4	5.3	5.7	5.4	86	56	80	74	32
April	741.2	748.2	730.8	4.5	12.9	7.0	7.9	13.8	2.8	26.6	30.	- 6.9	13.	5.7	5.8	6.3	5.9	86	51	80	72	31
Mai	742.9	752.6	732.4	9.6	16.9	11.3	12.2	18.1	7.0	27.1	31.	1.0	20.	8.0	8.4	8.8	8.4	89	60	87	79	33
Juni	746.3	753.7	740.9	**13.0**	**19.5**	**14.5**	**15.3**	20.8	**10.3**	**29.7**	3.	3.6	15.	9.6	9.8	10.2	9.9	85	58	82	75	34
Juli	743.6	748.3	737.3	12.6	18.6	13.8	14.7	19.8	10.1	26.3	14.	6.1	10.	**9.7**	**9.9**	**10.4**	**10.0**	90	63	89	80	39
August	745.0	752.6	740.3	11.3	**19.5**	13.9	14.7	**21.1**	9.1	27.4	21.	5.2	8.	9.2	9.5	10.3	9.6	92	57	87	79	33
September	744.8	750.4	733.9	8.8	17.6	11.1	12.2	18.5	7.3	22.8	1.	1.2	26.	8.2	9.2	9.2	8.9	95	62	92	83	46
Oktober	745.0	758.9	734.0	6.1	13.0	7.6	8.5	13.3	4.9	19.6	3.	- 1.8	14.	7.0	8.1	7.5	7.5	**97**	72	**95**	88	45
November	744.5	755.3	729.5	5.8	8.6	6.1	6.7	9.4	3.9	12.8	2.	- 1.1	20.	6.4	7.0	6.6	6.7	92	**82**	92	**89**	50
Dezember	744.7	757.1	**724.7**	1.7	3.4	1.9	2.2	4.2	0.0	9.8	4.	- 7.3	21.	4.8	4.8	4.7	4.8	89	79	88	85	55
Jahr	744.7	759.9	724.7	6.2	12.3	7.8	8.5	13.2	4.3	29.7	3. VI.	-10.1	15.I. 25.II	6.8	7.2	7.3	7.1	90	65	87	80	31
Kahl a. M. $\varphi = 50^0\ 4'$ N $\lambda = 9^0\ 1'$ E. H = 114.1 m Cg = + 0.3 mm																						
Januar	752.6	761.7	735.1	- 0.4	2.2	0.5	0.7	3.8	- 2.2	9.0	24.	- 9.9	13.	4.1	4.3	4.2	4.2	87	78	86	83	50
Februar	**757.8**	**767.8**	740.7	- 0.7	6.1	1.5	2.1	7.3	- 2.3	11.8	7.	-10.2	25.	4.0	4.5	4.3	4.3	87	61	**79**	76	36
März	753.0	766.4	736.8	5.1	11.4	7.3	7.8	12.8	3.0	23.7	31.	- 6.3	2.	5.6	5.8	6.1	5.8	84	57	**79**	73	35
April	749.2	756.5	740.1	6.4	12.9	7.8	8.7	14.7	3.0	28.9	30.	- 6.8	14.	6.2	6.0	6.6	6.3	83	53	80	**72**	**30**
Mai	750.9	760.4	739.9	11.9	17.9	12.5	13.7	20.4	7.6	30.4	30.	0.1	20.	8.6	8.3	9.0	8.6	82	56	82	73	34
Juni	754.6	761.9	749.0	**14.8**	20.0	**14.6**	**16.0**	**22.1**	**10.9**	**31.2**	17.	4.0	14.	9.9	9.7	10.1	9.9	79	56	81	**72**	**30**
Juli	751.9	757.7	745.3	13.8	18.6	14.0	15.1	20.9	9.9	28.0	14., 28.	4.3	1.	**10.3**	**10.3**	10.5	**10.4**	88	66	88	81	36
August	753.1	760.2	748.2	13.4	**20.6**	14.5	15.7	**22.1**	10.0	27.8	23.	4.1	7.	10.0	9.6	**10.7**	10.1	88	55	87	77	**30**
September	752.7	758.2	742.1	10.3	18.3	12.4	13.3	19.5	8.0	24.2	1., 3.	1.3	12.	8.8	9.8	9.8	9.5	93	63	91	82	42
Oktober	752.8	766.0	741.7	7.1	14.2	8.8	9.7	15.2	5.1	21.0	3.	- 1.3	21.	7.5	8.8	8.0	8.1	**97**	73	**93**	87	47
November	753.0	763.9	738.3	7.2	9.8	7.7	8.1	11.2	5.2	15.5	1.	- 1.8	20.	7.0	7.5	7.3	7.3	93	**83**	92	**89**	56
Dezember	753.9	766.1	**732.7**	1.9	3.6	2.0	2.4	5.2	- 0.3	11.1	3.	-10.1	31.	4.9	5.0	4.7	4.9	90	82	87	86	53
Jahr	753.0	767.8	732.7	7.6	13.0	8.6	9.4	14.6	4.8	31.2	17. VI.	-10.2	25. II.	7.2	7.5	7.6	7.5	88	65	85	79	30
Luitpoldheim. $\varphi = 50^0\ 1'$ N $\lambda = 9^0\ 34'$ E. H = 250 m																						
Januar				- 1.6	0.2	- 0.7	- 0.7	1.3	- 2.6	7.1	25.	**- 9.1**	15.	3.7	4.0	3.9	3.9	90	**84**	87	87	54
Februar				- 1.0	4.4	1.1	1.6	5.1	- 2.2	10.9	7.	- 8.8	21.	4.0	4.3	4.0	4.1	89	65	75	77	41
März				4.3	9.7	6.7	6.8	10.8	2.9	22.3	31.	- 7.0	2.	5.7	5.9	6.0	5.9	89	65	80	78	43
April				4.5	11.5	7.9	7.9	12.3	3.3	24.5	30.	- 5.3	14.	6.0	7.0	6.7	6.6	92	66	80	79	41
Mai				8.8	15.8	11.5	11.9	16.7	6.8	**27.7**	31.	1.9	4.	8.1	8.8	8.9	8.6	94	68	86	83	42
Juni				**12.0**	17.9	14.3	14.6	18.7	**9.9**	26.4	3.	4.4	14.	9.4	10.2	9.8	9.8	89	67	80	79	40
Juli				11.6	16.7	13.6	13.9	17.8	**9.9**	24.5	14.	6.2	10.	**9.5**	**10.6**	10.1	**10.1**	93	75	87	85	47
August				11.2	**18.6**	**14.6**	**14.8**	**19.4**	9.3	24.8	4., 23.	5.3	7., 8.	9.2	10.4	**10.3**	9.9	92	66	81	80	44
September				8.9	16.7	12.3	12.5	17.2	7.7	22.4	3.	1.4	26.	8.2	9.9	9.4	9.1	94	70	87	84	50
Oktober				6.7	11.9	8.8	9.0	12.5	5.4	19.7	3.	- 0.8	14.	7.1	8.4	7.8	7.7	**95**	80	**92**	**89**	56
November				6.1	8.4	6.9	7.1	9.0	4.2	12.7	2.	- 2.5	20.	6.6	6.8	6.7	6.7	92	83	90	88	59
Dezember				1.7	2.7	1.6	1.9	3.5	- 0.3	8.1	3.	- 6.8	31.	4.6	4.6	4.5	4.5	86	80	85	84	58
Jahr				6.1	11.2	8.2	8.4	12.0	4.5	27.7	31. V.	- 9.1	15. I.	6.8	7.6	7.3	7.2	91	72	84	83	40
Alexandersbad. $\varphi = 50^0\ 1'$ N $\lambda = 12^0\ 1'$ E. H = 590 m																						
Januar				- 4.1	- 1.8	- 3.4	- 3.2	- 0.9	- 5.6	3.8	26.	**-17.2**	15.	3.3	3.5	3.4	3.4	93	86	93	91	51
Februar				- 3.4	1.6	- 1.5	- 1.2	2.5	- 4.7	7.1	25.	-12.0	19.	3.5	3.6	3.6	3.6	91	69	84	81	28
März				1.3	7.0	3.4	3.8	8.3	- 0.1	18.5	31.	-13.1	2.	4.8	5.2	5.2	5.1	92	68	87	82	37
April				3.0	9.9	4.7	5.6	10.9	0.6	24.6	30.	- 8.6	12.	5.3	5.5	5.6	5.5	89	59	83	**77**	36
Mai				8.0	13.6	8.8	9.8	15.0	4.2	25.1	30.	- 1.2	9.	7.1	7.5	7.4	7.4	**87**	67	88	81	37
Juni				**11.4**	15.7	**11.9**	**12.7**	**17.1**	8.2	**26.6**	2.	1.8	15.	**8.9**	8.8	8.8	8.8	**87**	67	84	79	31
Juli				11.3	15.2	11.7	12.5	16.4	**8.9**	23.1	14.	5.0	2.	**8.9**	**9.4**	**9.2**	**9.2**	90	74	90	84	49
August				10.2	**15.8**	11.7	12.4	17.0	8.1	24.7	24.	3.4	9.	8.7	9.2	**9.2**	9.0	94	69	90	84	44
September				7.4	14.9	9.3	10.2	15.8	5.8	21.4	2.	- 0.5	26.	7.5	8.6	8.0	8.0	**97**	68	92	85	51
Oktober				4.5	11.5	6.1	7.1	12.2	3.1	18.6	3.	- 4.2	14.	6.1	7.7	6.9	6.9	96	76	**96**	89	54
November				3.4	5.7	4.3	4.4	7.2	2.1	13.8	1.	- 1.8	20.	5.6	6.1	5.9	5.9	96	**89**	94	**93**	69
Dezember				- 0.8	0.4	- 0.8	- 0.5	1.5	- 2.4	7.5	4.	-10.2	21.	4.1	4.2	4.1	4.1	92	87	93	91	66
Jahr				4.4	9.1	5.5	6.1	10.3	2.4	26.6	2. VI.	-17.2	15. I.	6.2	6.6	6.4	6.4	92	73	90	85	28

Alle Angaben nach Ortszeit.

1913

Bad Kissingen.

$h_t = 4.8$ m — $h_r = 1.4$ m

Monat	Bewölkung 7a	2p	9p	Mittel	Niederschlag Summe mm	Tagesmaximum Betrag mm	Gemessen am	Zahl der Tage ≧0.1 mm Niederschlag	≧1.0 mm	≧0.1 mm ✳	⊛	△	▲	⊠	≡	heitere	trübe	Windverteilung N	NE	E	SE	S	SW	W	NW	C
Januar	8.9	7.8	**8.0**	8.2	53.7	11.2	13.	15	13	**8**	**11**	1	–	–	4	2	**24**	**23**	**17**	12	1	12	8	9	4	7
Februar	5.0	4.9	3.2	4.4	38.6	13.8	2.	9	6	3	–	–	–	–	3	**9**	6	12	13	11	3	14	8	**7**	2	14
März	7.7	7.2	5.1	6.7	36.6	8.8	21.	16	11	3	–	–	–	1	**1**	3	14	11	2	6	3	**22**	**25**	13	7	4
April	5.6	6.3	4.5	5.5	33.4	6.6	2.	14	8	4	1	1	–	1	2	5	10	13	9	**13**	1	15	16	10	6	7
Mai	6.8	6.5	5.9	6.4	77.2	10.8	12.	18	**17**	–	–	–	**2**	7	4	3	11	10	8	12	**4**	11	10	18	**10**	10
Juni	6.4	6.0	5.6	6.0	**121.2**	**27.2**	22.	18	16	–	–	–	1	**9**	1	4	6	9	2	7	2	5	11	**33**	**10**	11
Juli	7.7	7.2	5.1	6.7	47.0	6.7	20.	18	13	–	–	–	–	1	5	3	13	12	4	11	1	9	13	26	4	13
August	5.9	6.1	4.6	5.5	18.9	4.8	17.	10	7	–	–	–	–	–	4	8	9	13	3	3	2	11	8	12	8	**33**
September	5.1	5.1	3.3	4.5	50.2	11.7	18.	11	9	–	–	–	–	1	4	**9**	**6**	21	6	10	1	9	5	19	2	17
Oktober	8.0	7.0	4.8	6.6	53.0	15.5	5.	**9**	8	–	–	–	–	1	**16**	1	11	15	10	4	2	10	16	11	6	19
November	**9.1**	**8.4**	7.4	**8.3**	110.0	15.8	17.	**22**	**17**	–	–	–	–	1	3	–	19	14	3	–	–	18	19	25	7	4
Dezember	7.3	8.0	7.7	7.7	83.6	17.8	29.	21	16	**8**	5	–	–	–	1	2	17	16	3	**2**	1	**22**	22	21	3	3
Jahr	7.0	6.7	5.4	6.4	723.4	27.2	22. VI.	181	141	26	17	2	3	22	48	49	146	169	80	91	21	158	161	~~212~~ 214	69	142

Kahl a. M.

$h_t = 6.1$ m — $h_r = 1.6$ m

Monat	Bewölkung 7a	2p	9p	Mittel	Niederschlag Summe mm	Tagesmaximum Betrag mm	Gemessen am	Zahl der Tage ≧0.1 mm Niederschlag	≧1.0 mm	≧0.1 mm ✳	⊛	△	▲	⊠	≡	heitere	trübe	Windverteilung N	NE	E	SE	S	SW	W	NW	C
Januar	7.6	7.0	7.0	7.2	40.6	8.0	13.	10	9	4	**7**	–	–	1	2	3	15	1	1	12	**18**	9	19	3	2	28
Februar	4.4	4.4	4.3	4.4	30.6	13.2	1.	8	6	1	–	–	–	–	1	**11**	6	–	7	**15**	4	5	19	1	2	31
März	6.3	6.6	5.7	6.2	31.2	8.4	21.	9	6	–	–	–	–	3	–	5	10	–	4	3	12	6	**50**	2	2	**14**
April	5.0	6.5	4.2	5.3	33.1	7.5	11.	10	9	1	–	–	–	–	1	5	8	1	**10**	4	3	7	23	2	**6**	34
Mai	6.4	6.0	5.4	5.9	58.2	9.0	19.	17	14	–	–	–	–	3	3	5	10	–	2	7	11	**13**	21	8	1	30
Juni	7.2	5.8	6.3	6.4	84.2	20.4	5.	16	11	–	–	–	–	**5**	–	6	10	1	3	10	9	6	27	9	**6**	19
Juli	6.6	7.6	6.0	6.7	58.6	13.7	20.	16	12	–	–	–	–	–	3	4	15	–	2	6	9	4	34	3	1	34
August	5.3	6.5	4.6	5.5	41.1	17.6	15.	6	5	–	–	–	–	1	–	8	10	–	7	6	4	4	20	6	3	43
September	5.1	4.7	4.2	4.7	60.4	14.0	15.	12	9	–	–	–	–	2	**5**	8	9	2	5	13	10	6	15	–	1	38
Oktober	6.0	5.8	4.5	5.4	32.4	8.2	12.	10	8	–	–	–	–	–	4	5	8	–	1	5	14	6	21	1	–	**45**
November	**8.9**	**8.7**	**7.7**	**8.4**	**86.8**	17.9	13.	**19**	**17**	–	–	–	–	–	1	–	**20**	–	–	3	7	8	43	6	3	20
Dezember	7.8	8.2	**7.7**	7.9	67.2	**32.7**	29.	14	10	**5**	5	–	–	–	1	2	19	**3**	5	3	–	1	43	**11**	1	26
Jahr	6.4	6.5	5.6	6.2	624.4	32.7	29.XII.	147	116	11	12	–	–	15	21	62	140	8	47	87	101	75	335	52	28	362

Luitpoldheim.

$h_t = 1.7$ m — $h_r = 1.3$ m

Monat	Bewölkung 7a	2p	9p	Mittel	Niederschlag Summe mm	Tagesmaximum Betrag mm	Gemessen am	Zahl der Tage ≧0.1 mm Niederschlag	≧1.0 mm	≧0.1 mm ✳	⊛	△	▲	⊠	≡	heitere	trübe	Windverteilung N	NE	E	SE	S	SW	W	NW	C
Januar	8.7	8.2	**7.8**	8.2	67.8	16.5	13.	16	11	**9**	**11**	–	1	1	3	2	**22**	4	**19**	9	–	2	19	5	1	34
Februar	4.7	4.2	3.5	4.1	37.0	14.8	1.	14	6	2	–	–	–	–	3	**10**	7	**21**	5	7	4	1	**16**	–	–	30
März	6.5	6.7	5.7	6.3	46.0	7.9	18.	19	11	5	–	–	–	3	3	3	11	2	6	2	–	4	44	1	–	34
April	5.0	5.4	4.5	5.0	41.2	7.8	20.	16	11	3	–	1	–	2	1	8	9	5	2	10	**5**	4	25	5	1	33
Mai	6.4	5.9	5.1	5.8	61.4	8.9	2.	18	**16**	–	–	–	1	**7**	9	6	10	–	1	13	**5**	3	27	1	–	43
Juni	7.2	5.9	5.1	6.1	101.6	26.5	4.	19	13	–	–	–	1	**7**	7	5	9	1	3	2	**5**	**6**	20	12	3	38
Juli	7.4	7.0	5.8	6.7	64.8	8.5	20.	20	14	–	–	–	–	4	12	2	13	–	3	9	–	3	29	7	2	40
August	6.7	6.3	4.7	5.9	18.8	8.9	11.	12	5	–	–	–	–	4	9	6	12	–	2	1	4	3	33	**13**	**5**	32
September	6.7	4.2	3.7	4.9	45.4	15.1	18.	13	9	–	–	–	1	–	**14**	8	6	6	2	**15**	1	2	30	2	2	30
Oktober	8.3	5.9	5.1	6.4	34.5	8.3	10.	9	7	–	–	–	–	–	**14**	3	12	–	5	8	1	2	22	–	–	**55**
November	**9.1**	**8.8**	**7.8**	**8.6**	**124.9**	**28.8**	17.	**26**	14	–	–	–	**2**	1	8	–	21	–	1	2	1	1	**49**	9	1	26
Dezember	6.9	8.1	6.9	7.3	105.0	22.5	29.	23	15	8	5	**3**	–	–	–	2	15	1	4	2	–	1	44	11	3	27
Jahr	7.0	6.4	5.5	6.3	748.4	28.8	17. XI.	205	132	27	16	4	6	29	83	55	147	40	53	80	26	32	358	66	18	422

Alexandersbad.

$h_t = 1.8$ m — $h_r = 1.4$ m

Monat	Bewölkung 7a	2p	9p	Mittel	Niederschlag Summe mm	Tagesmaximum Betrag mm	Gemessen am	Zahl der Tage ≧0.1 mm Niederschlag	≧1.0 mm	≧0.1 mm ✳	⊛	△	▲	⊠	≡	heitere	trübe	Windverteilung N	NE	E	SE	S	SW	W	NW	C
Januar	7.5	7.3	6.6	7.1	58.7	10.1	13.	13	11	13	**20**	–	–	1	2	3	13	–	5	**31**	9	–	7	9	6	26
Februar	5.1	5.2	4.6	4.9	60.7	26.7	1.	8	4	6	12	–	–	–	1	**9**	7	7	**7**	13	1	4	**2**	20	7	23
März	6.2	6.3	5.2	5.9	77.1	18.2	24.	15	11	6	2	–	–	–	2	4	9	2	–	7	4	1	**19**	**29**	8	23
April	5.2	5.9	3.5	4.9	55.2	13.0	26.	14	9	4	1	1	–	1	–	7	7	5	**17**	9	2	3	2	22	10	20
Mai	4.9	5.9	4.5	5.1	63.6	9.5	2.	17	13	1	–	**2**	1	5	–	5	9	3	9	20	2	–	9	16	11	23
Juni	5.7	6.0	5.2	5.6	**140.9**	**58.0**	21.	16	13	–	–	–	1	**7**	–	4	6	7	11	8	3	2	4	21	20	14
Juli	6.5	7.7	5.1	6.4	64.1	12.7	25.	14	12	–	–	–	1	**7**	3	2	11	9	15	6	–	1	5	21	**26**	10
August	5.6	5.8	3.7	5.0	45.7	16.0	16.	8	7	–	–	–	–	1	2	7	7	6	11	3	–	2	5	27	15	24
September	5.0	4.2	2.5	3.9	21.1	6.0	10.	10	5	–	–	–	1	4	6	**9**	2	7	7	20	6	1	–	6	13	**30**
Oktober	8.5	5.1	5.5	6.4	24.8	10.4	13.	10	5	–	–	–	–	–	**13**	2	12	4	1	6	**23**	2	6	9	13	29
November	**9.4**	7.5	7.1	**8.0**	97.9	13.8	17.	19	17	–	–	1	–	1	3	–	17	4	2	5	9	**7**	15	15	19	14
Dezember	7.9	**8.3**	**7.8**	**8.0**	101.1	20.9	29.	**24**	**20**	**16**	17	–	–	–	–	2	**19**	**20**	3	1	4	5	12	19	20	9
Jahr	6.5	6.3	5.1	5.9	810.9	58.0	21. VI.	168	127	46	52	4	4	27	32	54	119	74	88	129	63	28	86	214	168	245

Alle Angaben nach Ortszeit.

1913

Bayreuth.

$\varphi = 49^0\,57'$ N $\lambda = 11^0\,34'$ E — H = 363.3 m Cg = + 0.3 mm

Monat	Luftdruck auf 0° und Normalschwere reduziert: Mittel mm	Maximum mm	Minimum mm	Lufttemperatur: 7a C°	2p C°	9p C°	Tagesmittel C°	Mittl. Maximum C°	Mittl. Minimum C°	Absol. Maximum C°	Datum	Absol. Minimum C°	Datum	Absolute Feuchtigkeit: 7a mm	2p mm	9p mm	Mittel mm	Relative Feuchtigkeit: 7a Proz.	2p Proz	9p Proz.	Mittel Proz.	Minimum Proz.
Januar . .	730.8	739.9	715 9	- 2.2	0.3	- 1.3	- 1.1	1.1	- 3.8	6.0	öfters	-10.7	15.	3.5	3.8	3.7	3.6	85	79	84	83	44
Februar . .	**735.4**	**745.7**	717.3	- 1.5	4.1	0.5	0.9	5.1	- 3.0	9.7	7.	-11.3	21.	3.7	3.9	3.8	3.8	84	61	77	74	29
März . . .	731.3	743.2	714.5	3.9	9.5	6.0	6.3	10.8	1.6	20.8	30.	- 9.6	2.	5.3	5.4	5.6	5.5	86	61	79	75	32
April . . .	**727.3**	734.2	716.4	4.7	11.7	7.2	7.7	13.1	1.8	27.8	30.	- 7.5	13.	5.7	5.4	6.0	5.7	85	53	**76**	**71**	**27**
Mai	729.2	739.1	717.8	9.8	16.3	11.6	12.3	18.5	6.4	**29.9**	31.	0.9	20.	7.8	8.1	8.3	8.1	85	61	80	76	34
Juni	732.6	739.9	726.9	**13.2**	18.3	**14 5**	**15 1**	**20.5**	**9.9**	29 6	3.	3.1	15.	**9 4**	8.9	9.3	9.2	82	58	**76**	72	31
Juli	729.6	734.2	723.6	12.1	17.8	13.8	14.4	19.5	9.6	28.5	14.	5.4	2.	**9.4**	**9 4**	**10.0**	**9.6**	89	63	85	79	39
August . .	731.2	739.2	725.7	11.3	**18.8**	14.0	14.5	20.1	9.0	28.0	24.	4.2	27.	9.1	**9.4**	**10.0**	9.5	91	60	84	79	40
September .	731.1	737.1	720.5	8.3	17.1	11.6	12.2	18.7	6.3	24.1	14.	- 0 6	26.	7.8	8.7	8.7	8.4	**94**	60	85	80	46
Oktober . .	731.3	745 0	720.8	5.9	12.9	8.1	8.8	13.7	4.6	20.6	3.	- 2.8	14.	6.7	7.9	7.4	7.3	**94**	71	**91**	85	46
November .	730.9	741.1	716.6	5.4	8.0	6.1	6.4	9.0	3.4	15.2	1.	- 0.9	21.	6.2	6.4	6.3	6.3	91	**80**	89	**87**	52
Dezember .	730.5	743.5	**709.0**	0.8	2.5	1.3	1.5	3 6	- 0.7	9.0	4.	- 8.5	21.	4.4	4.5	4.4	4.4	89	**80**	85	85	59
Jahr	730.9	745.7	709.0	6.0	11.4	7.8	8.3	12.8	3.8	29.9	31. V.	-11.3	21. II.	6.6	6.8	7.0	6.8	88	66	83	79	27

Bamberg.

$\varphi = 49^0\,53'$ N $\lambda = 10^0\,53'$ E — H = 287.7 m Cg = + 0.3 mm

Januar . . .	737.5	746.4	722.3	- 2.0	1.1	- 1.1	- 0.7	2.2	- 3.4	7.6	24.	-10.5	15.	3.6	3.8	3.7	3.7	89	76	85	83	41
Februar . .	**742.3**	**752.7**	724.7	- 1.7	5.6	0.9	1.4	6.4	- 2.7	11.0	7.	- 9.8	25.	3.9	4.1	3.9	4.0	89	60	76	75	24
März . . .	737.9	751.3	721.3	3.6	10.6	6.3	6.7	12.2	2.3	22.7	30.	- 8.2	2.	5.5	5.9	5.8	5.7	90	62	80	77	27
April . . .	733.9	740.8	723.2	4.9	12.6	7.3	8.0	14.2	2.6	26.5	30.	- 6.6	13.	5.8	5.7	5.8	5.8	85	51	**74**	**70**	27
Mai	735 8	745.5	724.4	10.5	16.5	11.3	12.4	18.3	7.0	27.9	31.	- 0.3	20.	8.3	8.5	8.3	8.4	87	63	81	77	34
Juni . . .	739.2	746.6	733.7	**13.3**	18.9	**14.2**	**15.1**	**21.0**	9.9	**29.4**	3.	4.2	14.	9.7	10.1	9.6	9.8	84	63	80	76	34
Juli	736.3	740.9	730.1	12.4	18.2	13.4	14.4	20.6	**10.0**	27.9	14.	5.9	10.	**9.8**	10.2	10.0	**10.0**	91	66	88	82	41
August . .	737.8	745.5	732.5	11.8	**19.1**	14.1	14.8	**21.0**	9.8	28.1	24.	4.8	8.	9.4	**10.3**	**10.1**	**10.0**	91	65	85	80	41
September .	737.6	743.4	726.4	9.1	17.3	11.9	12.5	19.1	7.6	24.8	2.	2.1	26.	8.2	9.4	9.0	8.9	93	64	86	81	44
Oktober . .	737.8	751.3	726.8	6.1	13.0	8.4	9.0	14.2	5.0	21.3	3.	- 1.4	15.	6.8	8.1	7.6	7.5	**96**	73	91	**87**	52
November .	737.8	748.4	723.5	5.4	8.7	6.0	6.5	10.1	3.5	17.5	1.	- 1.6	20.	6.3	6.7	6.5	6.5	94	80	**92**	**87**	46
Dezember .	737.6	750.5	**715.0**	0.9	2.7	1.4	1.6	4.1	- 0.6	9.2	4.	- 6.6	21.	4.6	4.7	4.5	4.6	91	**82**	87	**87**	57
Jahr	737.6	752.7	715.0	6.2	12.0	7.8	8.5	13.6	4.3	29.4	3. VI.	-10.5	15. I.	6.8	7.3	7.1	7.1	90	67	84	80	24

Würzburg.

$\varphi = 49^0\,48'$ N $\lambda = 9^0\,56'$ E — H = 179.3 m Cg = + 0.3 mm

Januar . .	746.9	756.0	730.8	- 0.8	1.7	0.2	0.3	2.4	- 1.9	8.5	24.	- 7.6	15., 30.	3.9	4.1	4.0	4.0	86	76	83	82	51
Februar . .	**751.9**	**762.4**	734.0	- 0.4	5.9	1.7	2.2	6.3	- 1.5	10.9	7.	- 9.0	25.	4.0	4.0	4.1	4.0	85	55	75	72	36
März . . .	747.2	760.8	730.3	4.7	11.5	7.3	7.7	12.2	3.5	23.2	31.	- 7.1	2.	5.4	5.4	5.8	5.5	84	53	75	70	28
April . . .	**743.1**	750.1	732.9	6.0	13.2	8.6	9.1	14.2	4.0	26.2	30.	- 4.5	14.	5.8	5.6	6.4	5.9	80	48	**72**	67	**27**
Mai	744.9	754.6	733.8	10.6	17.2	12.7	13.3	18.7	8.0	28 0	31.	2.9	8.	8.3	8.1	8.8	8.4	86	57	80	74	30
Juni	748.4	756.0	742.8	**14.1**	19.5	**15.2**	**16.0**	**20.9**	**11.0**	**29.1**	3.	6.1	14.	9.6	9.5	10.1	9.7	79	57	78	72	32
Juli	745.4	751.1	738.9	13 2	18.7	14.4	15.2	19.8	10.8	26.6	14.	7.7	10.	**9.7**	**9 6**	**10.5**	**10 0**	86	61	86	78	36
August . .	746.5	754.5	741.9	12.6	**19.9**	15.1	15 7	20.8	**11.0**	27.0	24.	7.8	8.	9.5	**9 6**	10.4	9.8	87	57	83	76	37
September .	746.5	752.5	735.2	9.8	17.3	12.6	13.1	18.0	8.9	23.1	1.	2.9	26.	8.6	**9.6**	9.8	9.3	94	66	90	83	46
Oktober . .	746.8	760.5	734.8	7.1	13.4	8.9	9.5	13.7	5.9	20.1	3.	- 0.2	14.	7.3	8.0	8.0	7.8	**96**	71	**93**	**86**	46
November .	746.9	758.1	732.3	6.9	9.8	7.6	8.0	10.4	5.4	14.9	1.	0.7	20.	6.7	7.0	7.0	6.9	90	**78**	89	85	57
Dezember .	747.3	760.4	**724.4**	2.4	4.0	2.6	2.9	4.7	1.0	10.0	4.	- 5.6	21.	4.8	4.8	4.7	4.7	86	77	82	82	58
Jahr . . .	746.8	762.4	724.4	7.2	12.7	8 9	9.4	13.5	5.5	29 1	3. VI.	- 9.0	25. II.	7.0	7.1	7.5	7.2	87	63	82	77	27

Ludwigshafen a. Rh.

$\varphi = 49^0\,29'$ N $\lambda = 8^0\,26'$ E — H = 100.3 m Cg = + 0.3 mm

Januar . .	753.9	763.3	736.2	1.3	3.8	2.2	2.4	4.6	- 0.1	9.8	23., 24.	- 4.6	14.	4.3	4.5	4.5	4.5	85	75	82	81	40
Februar . .	**759.3**	**770.1**	744.8	1.0	6.8	3.6	3.8	7.2	0 0	12.4	7.	- 5.8	21.	4.1	4.2	4.3	4.2	81	55	70	68	31
März . . .	754.8	769.2	739.3	5.9	11.9	9.0	8.9	12.8	4.5	22.0	31.	- 3.4	2.	5.7	5.7	6.0	5.8	81	54	69	68	32
April . . .	**750.7**	758.1	739.5	6.9	13.6	10.7	10.5	14.2	5.6	27.4	30.	- 4.0	14.	5.9	5.6	6.3	5.9	77	47	**63**	**63**	**23**
Mai	752.2	762.2	742.4	11.7	19.4	15.2	15.4	20.2	9.8	**30.8**	27.	2.0	8.	8.2	7.6	8.7	8.1	78	**46**	68	64	27
Juni	756.2	763.2	750.8	**14.9**	**21.2**	17.3	**17.7**	**22.1**	**12.9**	30.1	1.	10.0	öfters	9.5	9.0	9.5	9.3	**76**	48	65	**63**	24
Juli	753.1	759.8	746.8	14.0	19.9	16.5	16.7	20.5	12.3	28,3	14.	8.8	21.	**9.9**	9.4	**10.3**	**9.9**	83	57	74	71	36
August . .	754.4	761.7	748.7	14.0	**21.2**	**17.8**	**17.7**	21.7	12.6	27.4	4.	10.0	5., 7.	**9.9**	9.4	**10.3**	**9.9**	83	51	68	68	28
September .	753.7	758.9	742.5	11.6	18.3	14.9	14.9	18.9	10.5	24.1	1.	5.4	26.	9.3	**9.7**	9.9	9.6	**91**	62	78	77	35
Oktober . .	753.9	767.4	743.6	8.7	14.6	11.3	11.5	15.0	7.4	21.4	3.	1.4	14.	7.8	8.4	8.1	8.2	**91**	68	84	81	36
November .	754.7	766.4	739.4	8.0	10.5	9.0	9.1	11.2	6.8	15.1	10.	0.9	20.	7.1	7.4	7.3	7.2	88	**77**	**85**	**83**	51
Dezember .	755.8	768.3	733 8	2.7	4.4	3.2	3.4	5.0	1.7	10.1	4., 11.	- 5.2	23.	4.9	4.9	4.7	4.8	85	**77**	80	81	52
Jahr . . .	754.3	770.1	733.8	8.4	13.8	10.9	11.0	14.5	7.0	30.8	27. V.	- 5.8	21. II.	7.2	7.2	7.5	7.3	83	60	74	72	23

Alle Angaben nach Ortszeit.

1913

Bayreuth.

h_t = 9.7 m h_r = 1.7 m

Monat	Bewölkung 7a	2p	9p	Mittel	Niederschlag Summe mm	Tagesmaximum Betrag mm	Gemessen am	Zahl der Tage ≧0.1 mm Niederschlag	≧1.0 mm	≧0.1 mm ✳	⊠	△	▲	⊼	≡	heitere	trübe	Windverteilung N	NE	E	SE	S	SW	W	NW	C
Januar	7.7	7.3	6.3	7.1	33.2	10.2	22.	12	8	9	**9**	–	–	–	2	3	17	1	–	37	**27**	2	6	13	1	6
Februar	6.1	5.2	4.5	5.3	24.9	8.6	1.	8	5	3	1	1	–	–	3	7	6	**7**	6	27	6	1	4	19	8	6
März	7.5	8.0	5.5	7.0	41.5	11.0	24.	14	7	3	–	1	–	–	2	2	14	2	1	13	18	**5**	**25**	19	6	4
April	6.4	7.0	4.6	6.0	34.0	8.4	20.	12	9	1	–	1	–	2	4	6	10	3	7	25	9	3	13	13	9	8
Mai	6.2	6.8	5.3	6.1	93.0	22.3	29.	13	12	–	–	–	1	5	3	3	11	2	5	24	13	–	10	18	15	6
Juni	7.5	6.9	6.9	7.1	**118.8**	**30.8**	22.	17	13	–	–	–	**3**	**6**	1	3	13	–	3	10	6	1	12	33	15	10
Juli	8.0	8.4	6.4	7.6	41.1	9.2	20.	17	10	–	–	1.	–	**6**	12	1	18	1	**8**	5	5	–	8	24	**21**	**21**
August	6.4	6.8	3.8	5.7	81.8	19.6	16.	9	8	–	–	–	–	2	4	6	10	4	5	17	8	1	7	24	14	13
September	5.8	5.0	3.1	4.6	27.2	7.7	22.	10	8	–	–	–	–	3	10	**8**	6	1	3	36	14	–	3	11	13	9
Oktober	7.9	6.6	4.6	6.4	27.3	10.0	13.	9	6	–	–	–	–	–	**14**	2	10	3	–	**38**	22	3	4	14	3	6
November	**9.4**	**9.0**	7.6	**8.7**	57.4	11.5	13.	17	10	–	–	1	–	–	4	–	21	–	–	16	18	–	13	39	1	3
Dezember	8.2	8.6	**8.5**	8.4	59.0	12.6	29.	**21**	**14**	**10**	5	1	–	–	–	2	**23**	3	3	8	3	–	11	**54**	8	**3**
Jahr	7.3	7.1	5.6	6.7	639.2	30.8	22. VI.	159	110	26	15	6	4	24	59	43	159	27	41	256	149	16	116	281	114	95

Bamberg.

h_t = 2.3 m h_r = 1.4 m

Monat	Bewölkung 7a	2p	9p	Mittel	Niederschlag Summe mm	Tagesmaximum Betrag mm	Gemessen am	Zahl der Tage ≧0.1 mm Niederschlag	≧1.0 mm	≧0.1 mm ✳	⊠	△	▲	⊼	≡	heitere	trübe	Windverteilung N	NE	E	SE	S	SW	W	NW	C
Januar	8.5	7.9	6.8	7.8	42.0	9.4	13.	25	10	**11**	**9**	1	–	–	–	3	18	1	–	**10**	10	24	20	14	3	11
Februar	6.5	5.5	6.2	6.1	24.9	10.1	1.	26	5	3	–	2	–	–	1	5	9	7	3	8	**1**	15	12	22	8	8
März	8.6	8.4	7.2	8.1	30.6	8.1	21.	29	9	5	–	**3**	–	1	–	2	18	1	–	3	7	19	24	27	7	5
April	6.3	7.1	5.9	6.4	42.9	10.2	20.	**30**	8	4	–	1	–	4	1	5	12	4	**6**	6	3	16	10	29	6	10
Mai	7.6	6.9	7.1	7.2	89.3	12.4	12.	19	**14**	–	–	1	–	6	–	3	14	3	–	8	11	20	6	26	13	6
Juni	7.8	7.0	7.6	7.5	**95.8**	**31.6**	22.	20	11	–	–	–	–	**7**	1	3	16	3	1	**1**	**13**	6	14	25	20	7
Juli	7.8	8.4	6.2	7.5	47.5	8.8	20.	22	12	–	–	–	1	3	5	1	16	9	1	2	2	9	8	**32**	14	**16**
August	6.8	7.7	5.7	6.7	62.3	15.5	16.	16	10	–	–	–	–	4	1	2	13	7	–	5	6	11	7	25	**22**	10
September	5.5	5.3	4.6	5.1	37.2	13.4	7.	15	8	–	–	–	–	4	5	**8**	8	**12**	–	2	8	22	7	15	16	8
Oktober	7.8	7.3	6.9	7.4	51.0	28.8	5.	**11**	7	–	–	–	–	–	**14**	1	12	3	–	**1**	8	**28**	16	19	6	12
November	**8.7**	8.6	8.3	8.5	82.0	20.9	13.	21	12	–	–	–	–	1	6	–	20	–	1	2	2	21	23	31	3	7
Dezember	**8.7**	**9.1**	**9.0**	**8.9**	57.9	11.4	29.	24	13	**11**	5	–	–	–	5	1	**25**	5	1	2	1	9	**30**	29	12	4
Jahr	7.6	7.4	6.8	7.3	663.4	31.6	22. VI.	258	119	34	14	8	1	30	39	34	181	55	13	50	72	200	177	294	130	104

Würzburg.

h_t = 4.6 m h_r = 1.4 m

Monat	Bewölkung 7a	2p	9p	Mittel	Niederschlag Summe mm	Tagesmaximum Betrag mm	Gemessen am	Zahl der Tage ≧0.1 mm Niederschlag	≧1.0 mm	≧0.1 mm ✳	⊠	△	▲	⊼	≡	heitere	trübe	Windverteilung N	NE	E	SE	S	SW	W	NW	C
Januar	8.3	7.5	6.9	7.5	49.4	18.0	13.	14	10	6	**9**	–	–	1	2	3	20	3	1	16	**26**	1	12	21	2	11
Februar	5.0	3.8	3.3	4.0	22.3	9.1	1.	**10**	6	–	–	–	–	–	12	**10**	5	5	2	16	2	1	17	15	9	17
März	6.8	7.1	3.9	5.9	32.9	13.3	21.	14	8	2	–	–	–	1	4	5	6	2	1	13	6	5	14	26	8	18
April	5.6	6.2	4.7	5.5	20.0	5.9	20.	11	6	4	–	–	1	1	4	8	11	4	**5**	**18**	7	3	18	8	7	20
Mai	6.7	5.3	5.9	5.9	70.7	16.6	2.	18	**15**	–	–	–	–	5	5	4	8	2	1	9	12	7	24	13	2	23
Juni	6.2	6.2	5.2	5.8	**163.5**	**78.0**	4.	19	13	–	–	–	1	**7**	2	7	10	–	1	**1**	10	2	13	38	4	21
Juli	6.6	7.1	5.4	6.4	46.4	7.9	20.	17	12	–	–	–	–	5	5	3	9	–	4	6	4	–	9	24	16	30
August	5.5	5.9	3.8	5.1	35.8	15.3	5.	13	9	–	–	–	–	2	6	7	8	1	3	5	4	4	**7**	9	**24**	36
September	7.0	4.7	3.2	5.0	52.2	17.1	18.	13	10	–	–	–	–	1	**17**	7	7	–	–	8	11	**8**	10	5	6	**42**
Oktober	7.7	6.3	4.5	6.2	20.2	5.3	16.	14	5	–	–	–	–	–	15	3	10	–	–	3	15	6	21	10	1	37
November	**8.9**	8.5	**8.2**	**8.6**	76.5	15.2	13.	**23**	14	–	–	–	1	1	4	–	22	2	1	2	5	3	**35**	10	11	21
Dezember	8.0	**8.6**	**8.2**	8.3	46.7	12.2	29.	19	11	**9**	4	2	–	–	1	2	**23**	**6**	1	7	1	–	7	**41**	**24**	6
Jahr	6.9	6.4	5.3	6.2	636.6	78.0	4. VI.	185	119	21	13	2	3	24	77	59	139	25	20	104	103	40	187	220	114	282

Ludwigshafen a. Rh.

h_t = 6.5 m h_r = 1.3 m

Monat	Bewölkung 7a	2p	9p	Mittel	Niederschlag Summe mm	Tagesmaximum Betrag mm	Gemessen am	Zahl der Tage ≧0.1 mm Niederschlag	≧1.0 mm	≧0.1 mm ✳	⊠	△	▲	⊼	≡	heitere	trübe	Windverteilung N	NE	E	SE	S	SW	W	NW	C
Januar	**9.1**	7.1	6.8	7.7	39.0	13.8	12.	13	9	5	**6**	1	–	–	6	2	18	**18**	5	**17**	2	10	32	**1**	3	5
Februar	5.2	3.9	2.9	4.0	21.8	6.6	9.	5	4	1	–	–	–	–	2	10	4	17	14	1	6	14	19	7	3	3
März	6.8	6.6	5.6	6.3	38.6	11.4	21.	14	8	1	–	–	1	2	–	3	10	4	5	4	6	**27**	32	6	2	7
April	5.5	6.5	5.5	5.8	21.8	4.3	20.	14	9	4	1	–	–	1	1	6	9	12	16	1	8	11	**17**	10	2	13
Mai	4.6	5.2	5.9	5.2	58.8	12.4	11.	18	13	–	–	–	–	4	2	10	10	7	7	8	5	11	28	11	3	13
Juni	6.6	5.8	5.7	6.0	78.9	14.6	28.	16	11	–	–	–	–	**6**	–	4	9	10	5	2	2	14	30	**15**	5	7
Juli	5.7	6.6	6.3	6.2	**102.6**	21.2	24.	16	11	–	–	–	–	2	–	6	11	10	9	2	6	8	27	12	7	12
August	4.5	5.2	3.9	4.6	43.7	12.8	15.	13	9	–	–	–	–	3	1	**12**	7	16	5	1	5	9	**17**	9	**11**	**20**
September	5.3	5.5	4.1	5.0	91.8	**28.4**	15.	15	12	–	–	–	1	4	15	7	7	9	**17**	6	5	5	25	4	4	15
Oktober	8.7	6.7	5.1	6.8	22.9	3.8	23.	14	8	–	–	–	–	2	**20**	–	11	**18**	3	6	6	24	21	**1**	2	12
November	8.9	**8.6**	**8.1**	**8.5**	79.1	17.8	13.	**22**	**17**	–	–	–	1	1	11	–	**23**	2	6	2	**11**	18	46	4	–	1
Dezember	8.8	7.3	7.1	7.7	41.7	14.2	29.	15	7	**7**	2	–	–	–	3	3	20	13	10	–	–	11	**57**	2	–	–
Jahr	6.6	6.3	5.6	6.2	640.7	28.4	15. IX.	175	118	18	9	1	3	25	61	63	139	136	102	50	62	162	351	82	42	108

Alle Angaben nach Ortszeit.

1913

Kaiserslautern.

$\varphi = 49^0\ 27'$ N $\lambda = 7^0\ 46'$ E — H = 242.2 m Cg = + 0.3 mm

Monat	Luftdruck auf 0° und Normalschwere reduziert: Mittel mm	Maximum mm	Minimum mm	Lufttemperatur: 7a C°	2p C°	9p C°	Tagesmittel C°	Mittl. Maximum C°	Mittl. Minimum C°	Absol. Maximum C°	Datum	Absol. Minimum C°	Datum	Absolute Feuchtigkeit: 7a mm	2p mm	9p mm	Mittel mm	Relative Feuchtigkeit: 7a Proz.	2p Proz.	9p Proz.	Mittel Proz	Minimum Proz.
Januar	740.5	749.4	723.2	1.0	3.1	1.7	1.9	4.1	− 0.4	8.7	23.	− 4.3	30.	4.5	4.8	4.6	4.6	89	82	87	86	56
Februar	**745.8**	**755.9**	732.4	− 0.5	6.0	1.9	2.3	6.6	− 1.5	11.8	10.	− 9.0	21.	4.2	4.1	4.3	4.2	89	57	78	75	27
März	741.7	755.1	727.1	4.8	10.6	7.0	7.3	11.6	3.5	20.1	30.	− 5.9	2.	5.7	5.8	6.0	5.8	86	60	78	75	35
April	738.0	744.8	725.8	5.5	12.2	8.0	8.4	13.1	3.7	25.0	30.	− 5.4	13., 14.	5.9	5.9	6.5	6.1	84	54	79	72	33
Mai	739.8	749.0	729.6	10.7	17.4	12.6	13.3	19.1	7.8	28.5	27., 30.	1.2	8.	8.0	8.0	8.8	8.3	82	56	80	73	31
Juni	743.6	749.8	738.9	**14.0**	20.2	**15.2**	**16.2**	**21.8**	**11.3**	**29.9**	18.	6.1	15.	9.4	9.1	9.5	9.3	**79**	**52**	**74**	68	**24**
Juli	740.8	747.1	734.1	12.7	18.5	14.3	14.9	20.3	10.2	28.0	14.	5.0	1.	**9.6**	**9.7**	10.3	**9.9**	88	62	85	79	38
August	742.0	748.8	736.4	12.4	**20.3**	15.1	15.7	21.1	10.4	27.1	4.	6.0	7.	9.3	9.5	**10.4**	9.7	87	55	81	74	35
September	741.2	745.6	730.8	10.0	17.0	12.2	12.8	17.5	8.5	22.9	3.	3.3	25.	8.6	**9.7**	9.8	9.4	93	68	**91**	84	44
Oktober	741.1	753.0	731.7	7.4	14.8	9.5	10.3	15.3	6.3	20.2	2.	0.4	18.	7.4	8.3	8.1	7.9	**95**	66	**91**	84	46
November	741.8	752.7	727.1	7.8	9.7	7.9	8.3	10.3	6.0	16.4	1.	− 1.2	20.	7.2	7.3	7.2	7.2	91	81	90	**87**	60
Dezember	742.8	754.2	**720.7**	1.8	3.1	1.6	2.0	4.0	0.1	9.0	4.	− 6.9	23.	4.8	4.8	4.7	4.8	90	**83**	89	**87**	55
Jahr	741.6	755.9	720.7	7.3	12.7	8.9	9.5	13.7	5.5	29.9	18. VI.	− 9.0	21. II.	7.1	7.3	7.5	7.3	88	65	84	79	24

Nürnberg.

$\varphi = 49^0\ 27'$ N $\lambda = 11^0\ 3'$ E — H = 309.1 m Cg = + 0.2 mm, über 735.0 mm = + 0.3 mm

Monat	Luftdruck auf 0° und Normalschwere reduziert: Mittel mm	Maximum mm	Minimum mm	Lufttemperatur: 7a C°	2p C°	9p C°	Tagesmittel C°	Mittl. Maximum C°	Mittl. Minimum C°	Absol. Maximum C°	Datum	Absol. Minimum C°	Datum	Absolute Feuchtigkeit: 7a mm	2p mm	9p mm	Mittel mm	Relative Feuchtigkeit: 7a Proz.	2p Proz.	9p Proz.	Mittel Proz	Minimum Proz.
Januar	735.3	744.5	721.3	− 1.4	1.3	− 0.5	− 0.3	2.1	− 2.6	7.0	25.	− 9.9	15.	3.8	4.1	3.9	3.9	90	80	87	85	48
Februar	**739.9**	**750.4**	723.2	− 1.0	4.8	1.1	1.5	5.5	− 2.1	10.0	11.	− 8.3	21., 24.	3.9	4.0	4.0	3.9	86	60	78	74	36
März	735.9	749.2	720.0	4.3	10.4	6.6	7.0	11.2	3.2	21.7	30.	− 5.7	2.	5.4	5.6	5.9	5.6	85	60	79	75	34
April	731.5	738.4	721.4	5.4	11.9	8.0	8.3	12.7	3.5	24.8	30.	− 5.0	13.	5.8	5.5	6.0	5.8	83	52	73	69	27
Mai	733.5	743.2	723.1	11.0	16.3	12.4	13.0	17.3	8.2	27.7	30.	3.2	9.	8.0	8.1	8.6	8.2	81	60	79	73	30
Juni	737.1	744.3	731.9	**14.2**	18.7	**15.1**	**15.8**	19.6	**11.0**	**28.3**	4.	5.6	14.	9.6	9.5	9.8	9.6	79	61	77	72	35
Juli	734.1	738.7	728.1	13.1	18.4	14.5	15.1	19.1	10.8	26.7	14.	8.1	2.	**9.7**	**9.7**	**10.3**	**9.9**	86	63	85	78	31
August	735.6	743.4	729.7	12.5	**19.0**	**15.1**	15.4	**19.7**	10.2	26.4	24.	6.4	8.	9.0	9.1	9.9	9.3	83	57	78	73	33
September	735.4	741.0	724.5	9.9	17.0	12.6	13.0	17.5	8.3	23.4	1.	3.2	12.	8.2	8.6	9.0	8.6	89	60	83	77	40
Oktober	735.7	749.1	725.0	6.6	13.5	9.0	9.6	13.8	5.6	19.5	4.	− 0.9	11.	7.0	7.9	7.7	7.5	**93**	68	**89**	84	47
November	735.8	746.6	722.2	6.2	8.9	6.9	7.2	9.5	4.8	14.9	1.	− 0.1	20.	6.5	6.7	6.7	6.6	91	79	**89**	86	62
Dezember	735.6	748.1	**714.4**	1.2	3.2	1.9	2.1	4.1	0.0	10.0	3.	− 7.0	21.	4.7	4.8	4.6	4.7	92	**82**	88	**87**	62
Jahr	735.5	750.4	714.4	6.7	12.0	8.6	9.0	12.7	5.1	28.3	4. VI.	− 9.9	15. I.	6.8	7.0	7.2	7.0	87	65	82	78	27

Amberg (M.-H.-B.).

$\varphi = 49^0\ 27'$ N $\lambda = 11^0\ 52'$ E — H = 519 m

Monat	Luftdruck auf 0° und Normalschwere reduziert: Mittel mm	Maximum mm	Minimum mm	Lufttemperatur: 7a C°	2p C°	9p C°	Tagesmittel C°	Mittl. Maximum C°	Mittl. Minimum C°	Absol. Maximum C°	Datum	Absol. Minimum C°	Datum	Absolute Feuchtigkeit: 7a mm	2p mm	9p mm	Mittel mm	Relative Feuchtigkeit: 7a Proz.	2p Proz.	9p Proz.	Mittel Proz	Minimum Proz.
Januar				− 3.9	− 1.6	− 2.9	− 2.8	0.8	− 5.6	7.0	1.	−16.0	15.									
Februar				− 2.4	2.3	− 0.4	− 0.2	5.0	− 3.9	9.0	7., 10.	−11.3	18.									
März				2.1	8.3	5.0	5.1	10.0	0.6	20.2	31.	− 8.4	2.									
April				4.5	10.6	6.5	7.0	13.3	2.3	26.0	30.	− 7.4	13.									
Mai				9.1	15.0	10.6	11.3	17.2	6.6	28.0	30.	1.1	9.									
Juni				**12.2**	17.4	13.2	14.0	**20.4**	9.4	**28.2**	4.	5.0	14.									
Juli				11.8	17.2	12.8	13.7	20.3	9.4	28.0	14.	5.6	2.									
August				11.8	**17.6**	**13.5**	**14.1**	**20.4**	**10.0**	27.0	4.	6.2	7., 9.									
September				9.1	15.7	11.5	11.9	18.1	7.5	25.0	1.	2.5	26.									
Oktober				5.3	11.0	7.8	8.0	12.5	4.2	17.8	5.	− 2.9	15.									
November				4.1	6.5	4.7	5.0	8.4	2.4	15.1	3.	− 2.4	20.									
Dezember				− 0.6	1.3	0.2	0.3	2.8	− 2.2	9.1	3.	− 7.4	öfters									
Jahr				5.3	10.1	6.9	7.3	12.4	3.4	28.2	4. VI.	−16.0	15. I.									

Ansbach.

$\varphi = 49^0\ 18'$ N $\lambda = 10^0\ 33'$ E — H = 437.5 m Cg = + 0.2 mm

Monat	Luftdruck auf 0° und Normalschwere reduziert: Mittel mm	Maximum mm	Minimum mm	Lufttemperatur: 7a C°	2p C°	9p C°	Tagesmittel C°	Mittl. Maximum C°	Mittl. Minimum C°	Absol. Maximum C°	Datum	Absol. Minimum C°	Datum	Absolute Feuchtigkeit: 7a mm	2p mm	9p mm	Mittel mm	Relative Feuchtigkeit: 7a Proz.	2p Proz.	9p Proz.	Mittel Proz	Minimum Proz.
Januar	723.6	732.2	709.4	− 2.7	0.6	− 1.7	− 1.4	1.6	− 3.8	7.0	25.	−10.8	15.	3.4	3.8	3.6	3.6	88	78	86	**84**	43
Februar	**728.3**	**738.8**	712.2	− 2.5	4.4	− 0.4	0.3	5.0	− 3.8	9.4	7., 11.	−11.2	20.	3.5	3.7	3.6	3.6	85	57	**76**	73	31
März	724.6	737.8	709.1	3.3	9.9	5.2	5.9	10.8	1.8	21.2	30.	− 8.2	2.	5.2	5.7	5.5	5.5	87	64	82	78	30
April	720.4	727.1	710.2	4.5	11.3	6.0	6.9	12.3	1.9	25.4	30.	− 8.3	13.	5.6	5.5	5.8	5.6	85	53	79	72	34
Mai	722.6	731.9	712.0	10.2	16.1	10.7	11.9	17.5	6.3	27.2	30.	0.4	8.	7.9	7.8	7.8	7.8	84	59	82	68	34
Juni	726.3	732.6	721.5	**13.3**	18.2	**13.2**	**14.5**	**19.8**	**9.5**	**27.8**	öfters	4.0	15.	9.1	8.7	9.2	9.0	80	57	81	73	33
Juli	723.3	727.9	717.3	12.6	17.9	12.8	14.0	19.0	9.4	27.0	14.	5.6	10.	**9.3**	8.9	**9.6**	**9.3**	86	59	87	77	46
August	724.7	731.9	718.9	12.0	**18.6**	12.8	14.1	19.5	9.1	26.2	24.	5.4	8.	9.1	**9.1**	9.1	9.1	88	59	83	76	39
September	724.2	729.5	713.0	8.6	16.5	10.6	11.6	17.3	6.8	24.2	1.	0.4	26.	7.8	8.5	8.4	8.3	92	61	87	80	43
Oktober	724.3	737.2	713.6	5.7	13.4	7.9	8.7	13.8	4.5	19.0	3., 8.	− 1.5	15.	6.5	7.5	7.2	7.1	**93**	65	**89**	82	46
November	723.7	735.3	710.8	5.2	8.0	5.7	6.2	8.7	3.4	13.8	1.	− 1.8	20.	6.1	6.2	6.1	6.1	90	77	87	**84**	54
Dezember	724.2	735.7	**704.1**	0.0	2.4	0.4	0.8	3.3	− 1.4	10.4	3.	− 9.1	20.	4.2	4.4	4.2	4.3	88	**79**	85	**84**	62
Jahr	724.2	738.8	704.1	5.9	11.4	6.9	7.8	12.4	3.6	27.8	öfters VI.	−11.2	20. II.	6.5	6.7	6.7	6.6	87	64	84	78	30

Alle Angaben nach Ortszeit.

1913

Kaiserslautern.

h_t = 6.0 m — h_r = 1.3 m

Monat	Bewölkung 7a	2p	9p	Mittel	Niederschlag Summe mm	Tagesmaximum Betrag mm	Gemessen am	Zahl der Tage ≧0.1 mm Niederschlag	≧1.0 mm	≧0.1 mm ✳	⊠	△	▲	⊿	≡	heitere	trübe	Windverteilung N	NE	E	SE	S	SW	W	NW	C
Januar	8.5	7.9	7.2	7.9	68.7	15.6	12.	21	13	**9**	**6**	**2**	–	–	5	2	19	1	**6**	8	**23**	1	–	29	7	18
Februar	6.2	4.2	3.0	4.5	36.7	15.2	2.	7	5	2	–	1	–	–	5	**7**	5	–	5	**24**	4	1	–	25	3	22
März	8.5	7.4	6.0	7.3	45.8	13.2	21.	16	7	4	–	1	1	1	2	1	12	–	1	7	5	1	**7**	38	9	25
April	6.0	7.1	5.8	6.3	44.3	7.7	18.	18	10	3	2	1	–	3	–	4	11	2	**6**	14	6	1	5	18	5	33
Mai	5.5	6.4	5.7	5.9	58.9	15.8	2.	16	10	–	–	–	–	6	3	**7**	11	–	–	11	12	1	–	22	11	36
Juni	7.7	6.7	7.0	7.1	54.2	13.7	5.	17	8	–	–	–	1	**11**	1	3	15	4	1	10	1	3	3	21	**22**	25
Juli	7.9	7.2	6.2	7.1	**97.1**	**46.7**	24.	15	11	–	–	–	1	4	5	2	17	**8**	2	10	2	**4**	2	19	13	33
August	6.7	6.0	4.8	5.8	24.6	4.3	11.	11	10	–	–	–	–	4	6	**7**	12	3	2	7	6	–	5	14	7	**49**
September	8.4	6.3	3.3	6.0	73.8	17.5	18.	15	10	–	–	–	–	3	**17**	4	9	2	1	18	8	1	2	9	7	42
Oktober	8.7	5.5	4.2	6.1	29.6	15.2	8.	11	6	–	–	–	–	1	13	–	5	1	1	9	10	2	1	20	3	46
November	**9.9**	**8.8**	7.7	**8.8**	91.3	13.5	13.	**23**	**19**	–	–	–	1	1	4	–	**23**	2	–	6	1	1	6	**48**	10	16
Dezember	9.3	8.4	**8.0**	8.5	60.4	20.6	29.	20	13	**9**	5	–	–	–	2	2	**23**	1	**6**	5	1	–	3	46	16	15
Jahr	7.8	6.8	5.7	6.8	685.4	46.7	24. VII.	190	122	27	13	5	4	34	63	39	162	24	31	129	79	16	34	309	113	360

Nürnberg.

h_t = 10.3 m — h_r = 1.3 m

Monat	Bewölkung 7a	2p	9p	Mittel	Niederschlag Summe mm	Tagesmaximum Betrag mm	Gemessen am	Zahl der Tage ≧0.1 mm Niederschlag	≧1.0 mm	≧0.1 mm ✳	⊠	△	▲	⊿	≡	heitere	trübe	Windverteilung N	NE	E	SE	S	SW	W	NW	C
Januar	7.8	7.3	6.1	7.0	38.9	11.6	13.	10	10	**9**	**11**	**4**	–	–	10	4	15	2	1	19	**38**	10	12	7	4	–
Februar	6.2	5.4	3.9	5.1	18.2	4.9	1.	6	6	1	–	–	–	–	**14**	7	8	3	**8**	16	15	5	14	9	6	8
März	7.8	7.5	4.8	6.7	44.6	10.5	18.	12	11	4	–	3	1	–	6	3	12	4	2	10	13	**16**	**30**	10	7	1
April	5.6	7.0	4.8	5.8	29.9	7.9	20.	12	7	1	1	–	–	3	1	5	11	5	**8**	17	8	7	13	10	17	5
Mai	6.2	6.3	6.6	6.4	63.6	12.1	12.	17	12	–	–	–	1	**9**	8	4	11	4	4	21	9	9	14	16	14	2
Juni	6.5	6.3	7.0	6.6	67.2	13.3	21.	15	**14**	–	–	–	–	8	1	3	11	5	2	7	8	3	13	**26**	25	1
Juli	7.8	8.0	7.0	7.6	29.9	8.9	20.	12	11	–	–	–	–	4	1	1	17	2	3	4	8	6	12	25	**26**	7
August	6.0	7.0	4.2	5.7	54.0	25.0	16.	9	6	–	–	1	–	3	7	5	10	5	6	12	7	8	**7**	16	22	10
September	5.1	4.9	3.4	4.4	**86.0**	**50.2**	3.	10	10	–	–	–	1	4	6	**9**	6	3	**8**	**30**	17	2	8	3	14	5
Oktober	8.1	6.1	5.2	6.4	25.9	7.4	9.	8	8	–	–	–	–	–	**14**	2	13	**1**	1	14	36	11	**7**	7	3	**13**
November	**8.9**	8.0	7.0	8.0	67.8	12.5	17.	**19**	**14**	–	–	1	–	1	8	**1**	20	**1**	–	6	19	11	24	20	3	6
Dezember	8.0	**8.9**	**8.0**	**8.3**	49.3	6.0	11., 29.	13	12	7	4	–	–	–	10	2	**22**	**9**	3	6	3	9	**30**	21	9	3
Jahr	7.0	6.9	5.7	6.5	575.3	50.2	3. IX.	143	121	22	16	9	3	32	86	46	156	44	46	162	181	97	184	170	150	61

Amberg (M.-H.-B.).

h_t = 5.9 m — h_r = 1.5 m

Monat	Bewölkung 7a	2p	9p	Mittel	Niederschlag Summe mm	Tagesmaximum Betrag mm	Gemessen am	Zahl der Tage ≧0.1 mm Niederschlag	≧1.0 mm	≧0.1 mm ✳	⊠	△	▲	⊿	≡	heitere	trübe	Windverteilung N	NE	E	SE	S	SW	W	NW	C
Januar	8.4	7.9	7.2	7.8	49.1	15.5	13.	18	10	11	15	–	1	–	12	3	19	4	14	**28**	**23**	5	1	15	–	3
Februar	6.2	4.7	4.8	5.2	30.9	12.3	1.	**11**	6	4	4	2	–	–	8	7	7	14	11	13	6	**14**	4	19	1	2
März	7.6	6.8	4.4	6.3	52.0	16.0	24.	16	10	6	2	**4**	–	–	4	2	9	5	3	13	9	9	**6**	42	4	2
April	5.8	6.3	3.8	5.3	43.9	19.5	7.	13	10	4	2	3	–	5	7	6	6	11	13	13	6	6	2	29	6	4
Mai	6.0	6.6	6.2	6.3	**122.4**	**47.0**	18.	21	14	–	–	–	**3**	7	11	4	8	8	14	15	5	9	4	27	4	7
Juni	7.0	6.4	6.8	6.7	96.2	18.5	22.	20	16	–	–	–	–	8	5	4	10	6	4	14	2	5	2	46	9	2
Juli	6.6	6.9	6.7	6.7	57.5	9.5	7.	19	14	–	–	–	–	**9**	4	3	11	17	3	6	2	4	4	42	10	5
August	6.0	6.9	4.8	5.6	75.8	18.0	16.	13	9	–	–	–	–	2	8	4	11	**23**	6	6	6	2	2	26	**13**	9
September	**4.7**	**4.4**	2.8	4.0	51.8	27.0	3.	14	8	–	–	–	–	2	14	**11**	3	12	**18**	18	4	5	–	**11**	**13**	9
Oktober	7.7	6.4	5.5	6.5	30.8	11.0	13.	22	7	–	–	–	–	1	16	2	9	4	10	19	17	10	1	12	3	**17**
November	**8.9**	7.8	7.4	**8.0**	61.7	13.7	17.	**27**	16	–	–	–	1	1	**19**	1	20	–	6	10	9	12	–	47	2	4
Dezember	8.1	**8.2**	**7.9**	**8.0**	62.1	7.5	11.	26	**17**	**14**	**18**	1	–	–	5	3	**21**	4	6	2	5	6	3	**62**	2	3
Jahr	6.9	6.6	5.7	6.4	734.2	47.0	18. V.	220	137	39	41	10	5	35	113	50	134	108	108	157	94	87	29	378	67	67

Ansbach.

h_t = 5.0 m — h_r = 1.4 m

Monat	Bewölkung 7a	2p	9p	Mittel	Niederschlag Summe mm	Tagesmaximum Betrag mm	Gemessen am	Zahl der Tage ≧0.1 mm Niederschlag	≧1.0 mm	≧0.1 mm ✳	⊠	△	▲	⊿	≡	heitere	trübe	Windverteilung N	NE	E	SE	S	SW	W	NW	C
Januar	6.8	6.8	6.3	6.4	48.0	12.3	13.	11	10	9	**12**	–	–	–	1	6	15	1	**1**	**20**	**10**	**12**	10	14	1	24
Februar	4.6	3.8	3.1	3.8	20.1	5.7	1.	**7**	6	2	–	–	–	–	1	9	3	–	**10**	12	1	4	8	10	4	35
März	5.9	6.8	3.2	5.3	38.2	9.8	18.	16	10	4	2	–	–	–	1	6	7	2	3	4	–	9	**24**	26	5	20
April	5.0	6.6	4.4	5.3	28.8	5.2	20.	14	9	4	1	–	–	2	–	8	9	2	9	9	–	1	8	17	6	38
Mai	5.6	5.7	5.5	5.6	87.1	18.8	2.	17	13	–	–	–	–	**8**	1	8	9	5	3	13	1	4	6	24	8	29
Juni	5.6	6.0	6.4	6.0	86.6	15.2	21.	18	15	–	–	–	–	6	–	3	11	2	5	6	1	3	4	28	15	26
Juli	6.6	6.9	5.6	6.3	61.3	11.3	23.	17	13	–	–	–	–	5	–	5	13	7	3	1	–	–	3	25	**21**	33
August	5.4	6.1	2.6	4.7	32.2	8.6	10.	17	7	–	–	–	1	3	–	**11**	6	**8**	5	2	–	1	5	13	16	43
September	5.8	4.7	2.7	4.4	67.0	18.2	7.	15	9	–	–	–	–	3	7	8	4	2	6	14	3	–	4	**10**	7	44
Oktober	7.4	5.5	5.7	6.2	28.8	6.9	13.	8	7	–	–	–	–	1	**15**	4	11	–	5	3	3	3	7	12	3	**57**
November	**8.4**	7.6	6.3	7.4	**109.7**	**27.1**	17.	22	**18**	1	–	2	1	1	3	3	18	1	1	3	2	1	15	45	3	19
Dezember	7.3	**8.2**	**7.1**	**7.5**	69.6	10.9	29.	**25**	**18**	**14**	5	2	–	–	2	4	**20**	4	4	3	–	–	11	**52**	8	**11**
Jahr	6.2	6.2	4.9	5.7	677.4	27.1	17. XI.	187	135	34	20	4	2	20	31	75	126	34	55	90	21	38	105	276	97	379

Alle Angaben nach Ortszeit.

1913

Cham.

$\varphi = 49^0\ 13'$ N $\lambda = 12^0\ 40'$ E — H = 386 m

Monat	Luftdruck auf 0° und Normalschwere reduziert: Mittel mm	Maximum mm	Minimum mm	Lufttemperatur: 7a C°	2p C°	9p C°	Tagesmittel C°	Mittl. Maximum C°	Mittl. Minimum C°	Absol. Maximum C°	Datum	Absol. Minimum C°	Datum	Absolute Feuchtigkeit: 7a mm	2p mm	9p mm	Mittel mm	Relative Feuchtigkeit: 7a Proz.	2p Proz.	9p Proz.	Mittel Proz.	Minimum Proz.
Januar				− 2.9	− 0.5	− 2.2	− 1.9	1.0	− 4.3	5.6	26.	−13.9	15.									
Februar				− 2.4	3.4	− 0.4	0.2	4.9	− 3.5	11.0	25.	− 8.9	24.									
März				2.5	9.5	5.6	5.8	11.6	1.4	20.8	22.	− 7.0	2.									
April				4.0	12.4	6.8	7.5	13.9	2.4	26.9	30.	− 6.0	13.									
Mai				8.6	15.9	11.2	11.7	18.2	7.1	28.1	30.	1.3	9., 21.									
Juni				**12.0**	18.2	13.8	**14.4**	20.2	9.7	**30.1**	2.	3.0	13.									
Juli				11.1	17.6	13.3	13.8	19.3	**9.8**	26.9	14.	6.1	2.									
August				11.0	**18.7**	**14.0**	**14.4**	**20.5**	9.7	27.4	24.	5.0	1.									
September				8.7	17.4	11.8	12.4	18.8	7.7	25.1	1.	2.0	12.									
Oktober				5.6	12.7	7.6	8.4	13.8	4.3	20.2	4.	− 4.0	15.									
November				4.4	7.9	5.0	5.6	9.2	2.6	16.8	1.	− 3.0	20.									
Dezember				0.1	2.1	0.9	1.0	3.9	− 1.0	10.4	3.	− 7.8	21.									
Jahr				5.2	11.3	7.3	7.8	12.9	3.8	30.1	2. VI.	−13.9	15. I.									

Landau i. Pf.

$\varphi = 49^0\ 12'$ N $\lambda = 8^0\ 7'$ E — H = 149.9 m Cg = + 0.3 mm

Monat	Luftdruck: Mittel mm	Maximum mm	Minimum mm	Lufttemperatur: 7a C°	2p C°	9p C°	Tagesmittel C°	Mittl. Maximum C°	Mittl. Minimum C°	Absol. Maximum C°	Datum	Absol. Minimum C°	Datum	Absolute Feuchtigkeit: 7a mm	2p mm	9p mm	Mittel mm	Relative Feuchtigkeit: 7a Proz.	2p Proz.	9p Proz.	Mittel Proz.	Minimum Proz.
Januar	748.9	757.6	732.0	0.6	3.1	1.6	1.7	4.2	− 0.5	12.1	25.	− 5.2	30.	4.2	4.6	4.4	4.4	86	79	83	83	54
Februar	**754.1**	**764.4**	739.2	0.3	6.3	2.3	2.8	7.1	− 0.5	12.2	7.	− 6.1	25.	4.0	4.3	4.2	4.1	80	57	74	70	32
März	750.1	763.7	735.5	5.6	11.8	7.5	8.1	12.8	4.1	21.2	31.	− 4.1	2.	5.7	6.1	6.2	6.0	83	58	77	73	38
April	746.1	752.4	733.9	8.1	13.0	8.7	9.6	14.1	5.0	26.1	30.	− 4.5	14.	6.2	6.1	6.5	6.3	74	54	75	68	30
Mai	747.6	756.5	737.4	13.6	18.6	13.3	14.7	19.7	8.8	**29.2**	30., 31.	1.9	8.	8.5	8.5	8.8	8.6	73	54	78	68	29
Juni	751.1	757.8	746.5	**16.0**	20.6	**16.1**	**17.2**	**22.0**	**12.3**	28.3	18.	7.8	7.	9.8	9.7	9.6	9.7	**72**	54	**71**	66	27
Juli	748.5	754.1	743.0	15.7	19.8	15.1	16.4	21.0	11.7	28.7	14.	7.3	1.	**10.1**	10.0	10.3	10.1	76	59	81	72	40
August	749.4	756.0	744.6	15.6	**20.8**	15.7	16.9	21.6	12.1	27.8	4.	8.7	18.	**10.1**	**10.3**	**10.4**	**10.3**	77	57	79	71	34
September	748.8	753.1	738.6	11.9	17.6	13.0	13.9	18.3	9.9	24.5	2.	5.1	30.	9.3	**10.3**	9.9	9.8	89	69	88	82	43
Oktober	749.2	761.9	740.2	8.3	14.2	10.1	10.7	15.0	7.1	21.2	3.	1.3	14.	7.7	8.8	8.6	8.4	**93**	74	**92**	87	41
November	750.0	761.8	735.6	7.8	10.2	8.3	8.6	11.0	6.6	14.3	2.	0.0	20.	7.3	7.7	7.4	7.6	91	**83**	90	**88**	60
Dezember	750.9	762.2	729.0	2.4	4.1	2.5	2.9	5.0	1.2	11.0	13.	− 5.6	23.	4.7	5.1	4.9	4.9	86	82	86	85	60
Jahr	749.6	764.4	729.0	8.8	13.3	9.5	10.3	14.3	6.5	29.2	30., 31. V.	− 6.1	25. II.	7.3	7.6	7.6	7.5	82	65	81	76	27

Weissenburg i. B.

$\varphi = 49^0\ 2'$ N $\lambda = 10^0\ 58'$ E — H = 431 m Cg = + 0.2 mm

Monat	Luftdruck: Mittel mm	Maximum mm	Minimum mm	Lufttemperatur: 7a C°	2p C°	9p C°	Tagesmittel C°	Mittl. Maximum C°	Mittl. Minimum C°	Absol. Maximum C°	Datum	Absol. Minimum C°	Datum	Absolute Feuchtigkeit: 7a mm	2p mm	9p mm	Mittel mm	Relative Feuchtigkeit: 7a Proz.	2p Proz.	9p Proz.	Mittel Proz.	Minimum Proz.
Januar	724.8	733.2	711.6	− 2.1	0.9	− 1.1	− 0.9	1.6	− 3.4	6.3	26.	−10.3	16.	3.7	4.2	3.8	3.9	91	83	89	87	44
Februar	**729.3**	**739.6**	714.6	− 1.7	4.3	0.1	0.7	5.0	− 3.0	9.8	11.	**−11.0**	21.	*)								
März	725.8	738.7	710.4	4.5	10.2	6.4	6.9	11.2	2.7	20.2	31.	− 4.9	2.	5.4	6.2	6.0	5.9	85	66	81	77	34
April	721.3	727.7	711.6	5.8	11.8	6.9	7.8	12.7	2.5	25.4	30.	− 9.0	13.	5.9	6.2	6.0	6.1	83	59	78	73	34
Mai	723.3	732.3	712.9	11.6	16.5	11.3	12.7	17.5	7.2	27.7	30.	1.7	8.	8.8	9.2	8.7	8.9	85	67	86	79	44
Juni	727.0	733.3	722.7	**14.7**	18.7	**14.0**	**15.4**	19.6	**10.5**	**28.0**	1.	5.7	8.	10.5	10.8	10.3	10.5	84	68	86	79	43
Juli	724.1	728.8	718.3	13.8	18.4	13.5	14.8	19.2	10.0	26.8	14.	6.9	10.	10.2	11.1	10.3	10.5	86	71	89	82	51
August	725.4	733.4	719.3	13.8	**19.0**	13.8	15.1	**19.9**	10.1	26.1	24.	6.9	öfters	10.3	11.1	10.4	10.6	88	69	89	82	45
September	725.0	730.0	713.3	10.2	17.0	11.5	12.5	17.7	7.7	24.3	4.	1.4	25.	8.6	10.5	9.3	9.5	92	72	91	85	51
Oktober	725.3	737.3	716.3	6.7	13.8	8.7	9.5	14.2	5.4	19.4	29.	− 0.7	15.	7.1	9.0	7.7	7.9	96	76	91	87	60
November	725.6	735.9	712.7	5.8	8.7	6.4	6.8	9.3	4.4	14.5	1.	− 1.3	20.	6.5	7.2	6.7	6.8	93	85	93	90	71
Dezember	725.3	737.4	705.6	0.6	2.7	1.2	1.4	3.5	− 0.9	10.1	3.	− 7.8	23.	4.4	4.7	4.4	4.5	90	83	87	87	64
Jahr	725.2	739.6	705.6	7.0	11.8	7.7	8.6	12.6	4.4	28.0	1. VI.	−11.0	21. II.									

*) Unbrauchbar

Buchenau.

$\varphi = 49^0\ 2'$ N $\lambda = 13^0\ 20'$ E — H = 750 m Cg = + 0.1 mm, über 692.8 mm = + 0.2 mm

Monat	Luftdruck: Mittel mm	Maximum mm	Minimum mm	Lufttemperatur: 7a C°	2p C°	9p C°	Tagesmittel C°	Mittl. Maximum C°	Mittl. Minimum C°	Absol. Maximum C°	Datum	Absol. Minimum C°	Datum	Absolute Feuchtigkeit: 7a mm	2p mm	9p mm	Mittel mm	Relative Feuchtigkeit: 7a Proz.	2p Proz.	9p Proz.	Mittel Proz.	Minimum Proz.
Januar	696.1	705.0	685.0	− 4.5	− 0.7	− 3.6	− 3.1	0.0	− 5.7	5.8	5.	−12.9	15.	2.8	3.3	3.0	3.1	84	76	83	81	32
Februar	**700.2**	**710.4**	687.6	− 4.3	1.3	− 3.1	− 2.3	2.7	− 5.6	7.0	24.	−11.8	15.	2.8	3.2	2.8	2.9	**78**	**63**	**74**	**72**	**18**
März	697.6	708.8	683.9	0.1	6.7	2.3	2.9	8.0	− 1.1	21.5	30.	−12.8	2.	4.2	4.9	4.5	4.6	86	67	82	79	32
April	693.0	700.1	681.5	2.9	9.0	4.5	5.2	10.3	1.0	23.0	30.	− 9.3	13.	5.0	5.8	5.2	5.4	85	65	78	76	38
Mai	695.7	704.8	684.1	7.4	13.0	8.8	9.5	15.8	5.5	25.6	31.	− 0.1	21.	7.1	8.1	7.3	7.5	90	73	86	83	36
Juni	699.1	705.4	694.3	**10.6**	15.4	**11.3**	**12.2**	**17.6**	8.4	**27.4**	1.	3.0	13.	8.8	**10.0**	8.7	9.1	91	76	86	85	47
Juli	696.2	701.2	690.9	10.2	14.6	10.8	11.6	16.0	8.3	23.3	14.	5.1	10.	8.8	9.4	**8.8**	9.0	94	77	91	87	45
August	697.8	704.6	692.8	10.3	**16.0**	11.0	12.1	17.2	**8.8**	23.6	24.	5.5	1.	**8.9**	9.7	**8.8**	**9.2**	95	73	91	86	44
September	697.3	702.6	686.9	8.0	15.1	9.4	10.5	16.2	6.7	22.0	4.	1.3	26.	7.5	9.1	7.9	8.2	93	72	89	85	51
Oktober	697.7	708.7	688.7	5.4	13.3	6.7	8.0	13.8	4.3	20.9	22.	− 5.0	15.	6.1	7.4	6.2	6.6	89	66	84	80	19
November	697.2	707.1	684.3	3.0	5.3	3.1	3.6	6.4	1.5	14.7	1.	− 2.3	20.	5.6	6.1	5.5	5.7	**96**	**90**	**95**	**94**	70
Dezember	696.0	706.9	679.1	− 2.0	0.1	− 1.9	− 1.4	1.0	− 3.6	7.5	3.	−12.2	19.	3.8	4.1	3.8	3.9	92	87	92	90	57
Jahr	697.0	710.4	679.1	3.9	9.1	4.9	5.7	10.4	2.4	27.4	1. VI.	−12.9	15. I.	6.0	6.8	6.0	6.3	89	74	86	83	18

Alle Angaben nach Ortszeit.

1913

Cham.

h_t = 2.3 m — h_r = 1.4 m

Monat	Bewölkung 7a	2p	9p	Mittel	Niederschlag Summe mm	Tagesmaximum Betrag mm	Gemessen am	Zahl der Tage ≧0.1 mm Niederschlag	≧1.0 mm Niederschlag	≧0.1 mm ✳	⊠	△	▲	⊿	≡	heitere	trübe	Windverteilung N	NE	E	SE	S	SW	W	NW	C
Januar	7.9	7.6	7.1	7.5	44.8	11.2	13.	11	9	9	14	–	–	–	4	–	11	3	12	38	2	1	21	15	–	1
Februar	6.4	6.1	5.9	6.1	14.5	6.8	4.	7	6	2	–	–	–	–	4	–	7	–	33	6	–	4	14	27	–	–
März	7.1	6.6	7.2	7.0	47.5	19.0	25.	13	8	3	–	–	–	–	5	–	8	6	–	14	–	–	13	60	–	–
April	6.8	6.7	7.3	6.9	55.2	36.0	7.	13	9	3	2	1	–	1	5	1	7	5	5	27	1	–	9	35	7	1
Mai	6.6	6.9	6.8	6.8	50.2	14.0	18.	16	12	–	–	–	–	3	11	–	10	1	2	25	2	3	12	44	3	1
Juni	6.5	7.0	7.8	7.1	175.4	46.8	21.	19	16	–	–	–	–	5	9	–	15	–	1	15	1	3	12	51	7	–
Juli	8.2	8.3	8.4	8.3	87.0	23.1	9.	24	13	–	–	–	–	4	16	–	15	3	11	2	–	2	7	60	8	–
August	6.0	6.6	6.7	6.4	73.9	17.6	17.	16	11	–	–	–	–	2	11	–	6	4	9	8	1	1	8	49	13	–
September	5.0	5.9	5.5	5.5	52.8	25.0	20.	11	7	–	–	–	–	4	8	2	6	–	1	48	–	2	6	27	5	1
Oktober	6.4	5.5	5.9	6.0	22.0	7.0	13.	10	4	–	–	–	–	–	22	–	6	–	11	31	2	–	12	36	1	–
November	9.2	7.6	8.8	8.6	55.2	13.8	17.	21	11	–	–	–	1	1	17	–	16	–	2	11	–	2	12	62	1	–
Dezember	7.6	7.4	8.3	7.8	49.9	8.8	18.	22	14	10	6	–	–	–	6	–	15	–	–	9	–	–	8	72	2	2
Jahr	7.0	6.9	7.1	7.0	728.4	46.8	21. VI.	183	120	27	22	1	1	20	118	3	122	22	87	234	9	18	134	538	47	6

Landau i. Pf.

h_t = 7.9 m — h_r = 1.2 m

Monat	Bewölkung 7a	2p	9p	Mittel	Niederschlag Summe mm	Tagesmaximum Betrag mm	Gemessen am	Zahl der Tage ≧0.1 mm Niederschlag	≧1.0 mm Niederschlag	≧0.1 mm ✳	⊠	△	▲	⊿	≡	heitere	trübe	Windverteilung N	NE	E	SE	S	SW	W	NW	C
Januar	7.4	7.4	7.0	7.2	65.4	26.4	12.	17	11	6	11	–	–	–	1	5	18	–	40	1	1	–	42	2	7	–
Februar	5.0	3.7	2.7	3.8	35.0	17.1	2.	7	4	–	–	–	–	–	–	14	6	–	37	1	2	5	19	11	9	–
März	7.8	6.8	5.6	6.7	47.3	8.2	21.	15	8	–	–	–	–	2	–	4	12	–	22	1	4	–	52	10	4	–
April	6.1	6.4	6.2	6.2	39.7	9.4	13.	15	8	4	2	–	–	1	–	6	13	1	33	–	7	1	28	6	14	–
Mai	4.7	5.9	5.2	5.3	56.2	17.7	11.	18	10	–	–	–	–	8	1	8	9	–	33	2	9	2	26	15	6	–
Juni	7.1	6.2	5.5	6.3	41.7	10.1	22.	16	9	–	–	–	1	5	–	5	9	–	21	1	3	–	37	13	15	–
Juli	5.7	6.7	5.6	6.0	68.1	17.8	24.	13	8	–	–	–	–	3	–	8	14	–	29	2	2	–	21	11	28	–
August	5.5	6.0	4.8	5.4	45.4	14.0	5.	12	8	–	–	–	–	3	–	10	10	1	37	2	2	1	19	6	25	–
September	6.0	6.4	5.2	5.9	82.1	19.5	6.	18	11	–	–	–	–	3	2	7	10	–	44	–	1	–	24	4	17	–
Oktober	7.2	6.5	5.7	6.5	17.7	5.8	9.	11	5	–	–	–	–	2	6	1	11	–	29	2	6	2	31	10	13	–
November	9.3	8.5	7.7	8.4	95.5	22.2	13.	23	19	–	–	–	–	–	1	2	22	–	5	–	7	1	63	10	4	–
Dezember	8.5	7.6	6.6	7.6	55.1	25.9	29.	16	11	3	3	–	–	–	1	3	19	1	16	1	2	–	50	15	8	–
Jahr	6.7	6.5	5.7	6.3	649.2	26.4	12. I.	181	112	13	16	–	1	27	12	73	153	3	346	13	46	12	412	113	150	–

Weissenburg i. B.

h_t = 10.2 m — h_r = 1.2 m

Monat	Bewölkung 7a	2p	9p	Mittel	Niederschlag Summe mm	Tagesmaximum Betrag mm	Gemessen am	Zahl der Tage ≧0.1 mm Niederschlag	≧1.0 mm Niederschlag	≧0.1 mm ✳	⊠	△	▲	⊿	≡	heitere	trübe	Windverteilung N	NE	E	SE	S	SW	W	NW	C
Januar	7.3	7.7	6.0	7.0	42.9	7.2	24.	14	10	9	11	–	–	–	1	3	16	3	4	19	18	21	14	8	3	3
Februar	5.7	5.2	4.3	5.0	33.8	12.1	1.	6	6	2	–	–	–	–	2	7	6	1	13	23	8	9	10	11	3	6
März	7.3	7.1	5.7	6.7	43.0	11.2	24.	15	10	4	1	–	–	–	2	2	11	–	5	2	9	19	34	19	4	1
April	6.6	6.8	5.0	6.1	17.3	3.5	2.	14	8	4	–	2	–	2	1	2	10	10	11	8	8	5	10	14	7	17
Mai	5.8	6.7	6.0	6.1	86.6	17.4	12.	19	15	–	–	–	–	6	1	6	11	5	12	13	6	8	10	24	6	9
Juni	6.4	6.6	6.7	6.6	110.7	20.0	4.	18	14	–	–	–	–	6	1	4	12	7	6	6	7	6	14	25	15	4
Juli	7.3	7.5	7.0	7.3	85.4	24.7	5.	17	12	–	–	1	–	4	4	1	14	1	8	7	6	7	12	27	16	9
August	6.1	6.9	4.7	5.9	55.4	27.9	16.	16	10	–	–	–	–	5	3	4	10	8	9	7	6	8	12	21	17	5
September	5.4	5.7	4.4	5.2	90.8	31.6	7.	15	11	–	–	–	–	2	7	9	8	3	14	16	12	4	13	10	4	14
Oktober	6.7	6.9	5.3	6.3	30.2	9.3	9.	11	8	–	–	–	–	–	10	2	11	1	10	12	24	11	14	8	5	8
November	9.0	8.6	8.0	8.5	66.2	21.7	17.	20	11	1	–	1	1	1	6	–	23	1	1	1	6	18	26	29	5	3
Dezember	8.4	8.6	7.8	8.3	40.3	10.9	28.	22	12	12	6	1	–	–	1	2	22	4	2	7	2	4	25	41	5	3
Jahr	6.8	7.0	5.9	6.6	702.6	31.6	7. IX.	187	127	~~28~~ 32	18	5	1	26	39	42	154	44	95	121	112	120	194	237	90	82

Buchenau.

h_t = 1.6 m — h_r = 1.3 m

Monat	Bewölkung 7a	2p	9p	Mittel	Niederschlag Summe mm	Tagesmaximum Betrag mm	Gemessen am	Zahl der Tage ≧0.1 mm Niederschlag	≧1.0 mm Niederschlag	≧0.1 mm ✳	⊠	△	▲	⊿	≡	heitere	trübe	Windverteilung N	NE	E	SE	S	SW	W	NW	C
Januar	5.3	5.4	4.7	5.1	138.8	29.0	24.	13	10	13	20	–	–	–	1	12	11	–	2	41	3	1	2	25	–	19
Februar	5.1	4.4	3.9	4.5	56.9	33.4	4.	10	8	6	28	1	–	–	2	10	7	2	8	20	–	–	2	19	2	31
März	6.1	6.0	5.5	5.9	71.3	13.5	11.	17	11	12	21	–	–	–	1	8	12	–	2	27	4	1	5	28	1	25
April	6.2	7.4	4.1	5.9	71.8	24.0	7.	16	10	6	7	1	1	2	–	5	11	1	2	32	5	1	3	21	–	25
Mai	5.5	6.6	5.9	6.0	136.0	26.4	17.	19	16	–	–	1	2	5	1	6	13	1	2	30	1	–	2	37	2	18
Juni	5.8	7.3	6.7	6.6	168.2	23.1	1.	22	15	–	–	–	–	8	1	6	15	–	4	29	2	–	12	36	2	5
Juli	7.7	8.3	7.5	7.8	188.3	37.2	9.	22	17	–	–	–	1	6	1	2	20	1	2	32	1	–	5	31	4	17
August	4.9	7.0	4.9	5.6	124.3	41.3	17.	14	13	–	–	1	–	1	1	6	10	–	5	34	–	1	3	23	3	24
September	3.5	4.5	3.7	3.9	139.5	41.4	3.	14	11	–	–	–	1	3	1	12	8	–	2	40	1	–	6	20	1	20
Oktober	4.4	4.6	3.6	4.2	39.4	15.2	13.	8	7	–	–	–	–	–	1	12	6	1	2	29	2	1	11	22	–	25
November	7.8	8.0	7.9	7.8	146.0	29.6	29.	21	16	6	4	2	–	1	6	4	21	–	4	10	–	–	1	54	–	21
Dezember	7.8	8.1	7.9	7.9	213.3	34.7	11.	25	25	20	27	–	–	–	4	2	19	–	3	17	1	–	4	50	2	16
Jahr	5.8	6.5	5.5	5.9	1493.8	41.4	3. IX.	201	159	63	107	6	5	26	20	85	153	6	38	341	20	5	56	366	17	246

Alle Angaben nach Ortszeit.

1913

Regensburg.

$\varphi = 49^0\ 1'$ N $\lambda = 12^0\ 7'$ E — H = 354.3 m Cg = + 0.2 mm

Monat	Luftdruck auf 0° und Normalschwere reduziert: Mittel mm	Maximum mm	Minimum mm	Lufttemperatur: 7a C°	2p C°	9p C°	Tagesmittel C°	Mittl. Maximum C°	Mittl. Minimum C°	Absol. Maximum C°	Datum	Absol. Minimum C°	Datum	Absolute Feuchtigkeit: 7a mm	2p mm	9p mm	Mittel mm	Relative Feuchtigkeit: 7a Proz.	2p Proz.	9p Proz.	Mittel Proz.	Minimum Proz.
Januar	732.0	741.2	719.2	- 3.2	- 1.3	- 2.3	- 2.3	- 0.3	- 4.4	6.0	24.	-14.6	15.	3.4	3.7	3.5	3.5	91	85	89	88	48
Februar	**736.2**	**746.6**	721.4	- 2.8	2.5	- 0.2	- 0.2	3.4	- 3.6	8.3	11.	- 9.8	24.	3.5	3.9	3.7	3.7	90	69	79	79	43
März	732.6	745.2	717.2	2.2	9.5	5.6	5.7	10.6	1.1	19.3	30.	- 7.2	2.	5.1	6.0	5.7	5.6	93	68	83	81	45
April	727.9	734.7	717.3	4.6	11.5	7.4	7.7	12.4	3.0	23.8	30.	- 5.4	13.	5.8	6.2	6.4	6.2	89	61	79	76	32
Mai	730.0	739.6	719.1	9.6	15.3	11.5	12.0	16.9	7.3	25.9	30.	1.4	21.	7.9	8.4	9.0	8.4	87	65	87	80	41
Juni	733.5	740.6	729.1	**13.1**	18.3	**14.4**	**15.0**	19.3	10.4	**27.0**	3.	4.0	15.	9.6	10.2	10.5	10.1	85	65	85	78	45
Juli	730.6	735.0	724.6	12.5	17.5	14.1	14.5	18.7	**10.5**	24.6	14.	6.9	2.	**9.9**	9.9	10.6	10.1	92	66	89	82	42
August	732.0	739.4	725.9	11.9	**18.6**	14.3	14.8	**19.4**	10.3	24.3	4.	6.5	27.	9.8	**10.5**	**10.9**	**10.4**	94	67	90	84	39
September	731.7	737.5	720.4	9.3	16.2	11.7	12.2	17.3	8.0	22.6	4.	3.0	12., 26.	8.5	9.4	9.5	9.1	96	69	91	85	50
Oktober	732.3	744.8	722.2	6.0	11.3	7.9	8.3	12.2	5.0	17.4	1.	- 2.0	15.	6.9	8.1	7.5	7.5	**97**	81	**94**	91	55
November	732.5	743.1	719.1	4.8	7.3	5.5	5.8	8.4	3.4	17.0	1.	- 2.0	20.	6.2	6.7	6.4	6.4	95	**87**	**94**	**92**	64
Dezember	732.1	743.9	712.8	0.3	2.3	1.1	1.2	3.4	- 0.7	9.0	3.	- 7.0	20., 21.	4.3	4.5	4.4	4.4	90	82	86	86	54
Jahr	732.0	746.6	712.8	5.7	10.8	7.6	7.9	11.8	4.2	27.0	3. VI.	-14.6	15. I.	6.7	7.3	7.3	7.1	92	72	87	84	32

Metten.

$\varphi = 48^0\ 51'$ N $\lambda = 12^0\ 55'$ E — H = 320 m

Januar				- 4.5	- 0.5	- 2.5	- 2.5	0.1	- 5.9	5.0	24.	-18.6	15.	3.2	3.7	3.5	3.5	94	82	**91**	89	46
Februar				- 3.7	2.9	- 0.5	- 0.5	3.5	- 5.3	8.1	24.	-11.3	21.	3.2	3.8	3.5	3.5	88	68	77	78	20
März				1.9	9.9	5.8	5.8	11.3	- 0.2	22.0	30.	- 7.2	2.	4.9	6.0	5.4	5.4	91	66	78	78	30
April				5.4	12.5	7.8	8.4	13.9	2.3	25.6	30.	- 5.6	13.	5.9	6.0	5.8	5.9	84	56	72	71	15
Mai				10.2	16.9	11.7	12.6	18.9	6.6	27.8	30.	- 0.3	9.	8.0	8.3	8.0	8.1	85	59	78	74	28
Juni				**13.4**	19.5	**14.4**	**15.4**	**21.2**	**9.8**	**29.6**	4.	3.0	15.	9.7	10.0	9.9	9.9	84	61	81	75	29
Juli				12.4	18.9	14.1	14.9	21.0	9.4	27.2	14.	4.8	2.	**10.0**	10.1	10.2	10.1	93	63	86	81	35
August				12.3	**19.6**	14.1	15.0	21.1	9.0	26.5	4.	4.9	8.	**10.0**	**10.4**	**10.8**	**10.4**	94	63	90	82	34
September				9.4	17.7	12.0	12.8	18.5	7.2	24.6	1.	2.0	13., 25.	8.4	9.6	9.2	9.1	94	65	88	82	45
Oktober				5.4	12.9	7.7	8.4	13.5	3.8	21.2	8.	- 3.8	15.	6.7	8.4	7.3	7.5	**98**	76	**91**	88	51
November				4.2	7.6	5.1	5.5	8.5	2.1	13.7	1.	- 2.9	21.	6.2	6.8	6.1	6.4	**98**	**88**	**91**	**92**	64
Dezember				- 0.3	1.8	0.5	0.6	2.9	- 1.8	9.0	3.	- 9.5	20.	4.3	4.7	4.3	4.5	96	86	90	91	71
Jahr				5.5	11.6	7.5	8.0	12.9	3.1	29.6	4. VI.	-18.6	15. I.	6.7	7.3	7.0	7.0	92	69	84	82	15

Nördlingen.

$\varphi = 48^0\ 51'$ N $\lambda = 10^0\ 30'$ E — H = 435.6 m Cg = + 0.2 mm

Januar	723.3	732.2	709.9	- 2.0	0.7	- 1.0	- 0.9	1.5	- 3.1	7.1	25.	-10.4	15.	3.6	4.0	3.8	3.8	90	**82**	89	**87**	53
Februar	**727.9**	**738.4**	712.9	- 2.0	4.5	0.2	0.8	5.2	- 3.0	9.3	7.	-10.1	21.	3.6	4.0	3.8	3.8	87	62	79	76	33
März	724.5	737.6	709.7	3.6	10.5	6.1	6.6	11.6	2.5	19.8	31.	- 6.1	2.	5.2	5.6	5.5	5.4	86	59	78	74	24
April	720.0	726.6	709.2	4.7	12.0	6.9	7.6	12.9	2.8	25.9	30.	- 7.6	13.	5.5	5.7	5.9	5.7	83	54	77	71	34
Mai	722.2	731.3	711.8	9.8	16.4	11.3	12.2	17.8	7.4	**28.5**	30.	1.4	8.	7.6	7.8	8.1	7.8	82	57	80	73	34
Juni	725.9	732.2	721.0	**13.0**	18.7	13.6	14.7	19.6	10.3	27.9	3.	5.4	15.	9.0	9.3	9.2	9.2	80	59	80	73	34
Juli	722.9	727.7	717.1	12.2	18.1	13.6	14.4	19.5	**10.4**	26.3	14.	6.4	10.	9.1	9.6	9.9	9.6	88	63	86	79	44
August	724.1	731.3	717.9	12.1	**19.0**	**14.1**	**14.8**	**20.2**	**10.4**	27.0	4.	7.7	9.	**9.3**	**10.1**	**10.0**	**9.8**	88	63	84	78	35
September	723.6	728.6	712.2	9.4	16.8	11.8	12.5	17.8	8.2	24.8	4.	2.2	25.	8.2	9.3	9.1	8.9	92	66	88	82	44
Oktober	724.0	736.2	713.5	6.1	13.2	8.5	9.1	13.6	5.1	18.5	2.	- 1.4	15.	6.7	8.1	7.6	7.5	**94**	71	**91**	86	49
November	724.4	735.3	711.5	5.8	8.9	6.4	6.9	9.6	4.5	14.5	1.	- 0.8	20.	6.3	6.7	6.5	6.5	92	79	90	**87**	57
Dezember	724.2	735.7	705.6	0.3	2.7	0.9	1.2	3.4	- 0.8	10.0	3.	- 9.1	23.	4.2	4.6	4.3	4.4	88	**82**	87	85	39
Jahr	723.9	738.4	705.6	6.1	11.8	7.7	8.3	12.7	4.6	28.5	30. V.	-10.4	15. I.	6.5	7.1	7.0	6.9	88	66	84	79	24

Ingolstadt.

$\varphi = 48^0\ 45'$ N $\lambda = 11^0\ 26'$ E — H = 368 m

Januar				- 3.0	- 0.1	- 2.1	- 1.8	1.1	- 5.2	6.8	25.	-13.6	16.	3.3	3.8	3.5	3.5	89	81	87	86	47
Februar				- 3.4	4.4	- 0.5	0.0	5.3	- 4.9	10.7	11.	-12.4	25.	3.4	3.8	3.8	3.6	90	59	82	77	27
März				2.0	11.1	5.1	5.8	12.7	0.3	21.8	30., 31.	- 6.2	2.	5.0	5.7	5.5	5.4	92	58	83	77	29
April				4.2	12.6	6.7	7.5	14.0	1.3	27.3	30.	-13.6	13.	5.7	5.8	5.9	5.8	88	53	78	73	27
Mai				9.5	17.3	10.9	12.1	18.8	5.8	**29.8**	30.	- 1.1	21.	7.9	8.3	8.3	8.2	87	58	84	76	34
Juni				**12.9**	19.5	13.3	**14.7**	21.1	**8.6**	**29.8**	3.	3.1	8.	9.4	9.7	9.7	9.6	85	59	85	76	28
Juli				12.1	19.0	13.4	14.5	20.8	8.4	29.5	14.	3.2	2.	**9.8**	10.0	**10.1**	**10.0**	94	62	88	81	39
August				11.6	**20.1**	**13.6**	**14.7**	**21.7**	**8.6**	28.0	4.	3.4	1.	9.6	**10.3**	**10.1**	**10.0**	94	61	87	81	34
September				8.5	17.8	11.1	12.1	19.1	6.5	26.6	1.	0.0	25.	8.1	9.8	8.9	8.9	95	65	90	83	41
Oktober				5.4	12.9	7.9	8.5	14.0	4.1	19.6	7.	- 3.4	15.	6.7	8.4	7.5	7.5	**97**	76	**93**	88	52
November				4.8	8.3	5.4	6.0	9.6	2.9	15.3	2.	- 3.3	20.	6.1	6.7	6.3	6.4	93	**83**	92	**89**	59
Dezember				0.0	2.7	0.8	1.1	4.0	- 1.7	12.0	3.	- 9.2	21.	4.2	4.5	4.3	4.3	88	79	86	85	45
Jahr				5.4	12.1	7.1	7.9	13.5	2.9	29.8	30. V., 3. VI.	-13.6	16. I., 13. IV.	6.6	7.2	7.0	6.9	91	66	86	81	27

Alle Angaben nach Ortszeit.

1913

Regensburg.

h_t = 2.0 m h_r = 1.2 m

Monat	Bewölkung 7a	2p	9p	Mittel	Niederschlag Summe mm	Tagesmaximum Betrag mm	Gemessen am	Zahl der Tage ≧0.1 mm Niederschlag	≧1.0 mm Niederschlag	≧0.1 mm ✳	⊛	△	▲	⊠	≡	heitere	trübe	Windverteilung N	NE	E	SE	S	SW	W	NW	C
Januar	**9.2**	**8.9**	7.5	**8.5**	44.9	9.6	19.	11	9	**9**	*)	–	–	–	6	–	**22**	–	**1**	8	1	7	**44**	11	–	21
Februar	8.1	6.5	4.7	6.5	**17.8**	7.4	1.	**7**	5	1	*)	1	–	–	1	–	10	4	**12**	15	4	**2**	29	5	1	12
März	8.2	6.4	5.2	6.6	36.4	14.4	25.	10	6	2	–	–	–	–	3	2	9	4	6	8	11	**14**	19	17	4	10
April	7.6	7.1	4.2	6.3	22.3	10.3	7.	11	7	3	–	–	–	–	–	1	11	8	7	8	8	3	15	13	8	20
Mai	6.9	6.7	5.8	6.5	101.6	**48.8**	18.	15	**14**	–	–	–	–	6	1	2	12	10	6	5	5	7	23	17	3	17
Juni	6.9	6.4	6.4	6.6	88.4	22.3	20.	17	13	–	–	–	–	**7**	–	3	11	3	1	10	3	3	24	**31**	5	10
Juli	6.9	7.1	7.6	**7.2**	**107.1**	28.4	9.	17	**14**	–	–	–	–	6	–	2	13	7	3	**2**	2	8	20	30	**11**	10
August	5.9	5.1	4.4	5.1	49.9	10.5	17.	16	12	–	–	–	–	2	**5**	9	**7**	5	5	4	**5**	3	18	20	8	**25**
September	**4.9**	**4.8**	**3.2**	**4.3**	55.1	19.6	6.	13	9	–	–	–	–	3	5	**11**	**7**	**11**	7	6	8	3	7	17	6	**25**
Oktober	8.2	6.8	4.2	6.4	22.7	10.2	13.	8	4	–	–	–	–	–	**13**	1	10	3	4	**23**	**19**	6	10	8	1	19
November	**9.2**	8.5	7.3	8.3	51.2	12.6	17.	**22**	12	–	–	1	–	1	9	–	20	–	10	7	17	7	28	14	–	7
Dezember	8.5	7.6	**7.9**	8.0	44.1	9.6	11.	19	11	**9**	3	–	–	–	1	1	20	7	3	5	2	13	39	21	–	3
Jahr	7.5	6.8	5.7	6.7	641.5	48.8	18. V.	166	116	24	*)	2	–	25	44	32	152	62	65	101	85	76	276	204	47	179

*) Schneedecke im Januar und Februar nicht beobachtet.

Metten.

h_t = 13.0 m h_r = 1.5 m

Monat	Bewölkung 7a	2p	9p	Mittel	Niederschlag Summe mm	Tagesmaximum Betrag mm	Gemessen am	Zahl der Tage ≧0.1 mm Niederschlag	≧1.0 mm Niederschlag	≧0.1 mm ✳	⊛	△	▲	⊠	≡	heitere	trübe	Windverteilung N	NE	E	SE	S	SW	W	NW	C
Januar	6.5	8.0	6.5	7.0	57.4	12.9	13.	10	9	7	**20**	–	–	–	6	3	15	**2**	2	14	4	10	10	15	4	32
Februar	5.0	4.9	3.2	4.4	31.1	10.0	4.	10	6	6	18	–	–	–	3	8	5	–	**5**	10	3	6	**15**	16	5	24
März	5.8	6.4	4.5	5.6	43.5	15.1	25.	14	8	3	–	–	–	–	3	6	7	–	2	7	9	13	5	**11**	9	**37**
April	6.1	6.8	4.4	5.8	77.3	**49.6**	7.	13	6	3	2	–	–	1	2	7	8	1	1	14	4	**17**	4	18	8	23
Mai	6.3	6.2	5.2	5.9	63.9	16.5	18.	16	13	–	–	–	1	6	3	4	9	1	2	7	7	7	8	32	4	25
Juni	6.6	6.6	6.5	6.6	107.3	21.1	30.	17	11	–	–	–	–	**9**	1	6	16	–	–	4	8	5	12	**38**	5	18
Juli	**7.9**	7.4	5.8	7.0	**125.7**	36.0	9.	19	15	–	–	–	–	7	6	3	13	1	3	6	–	3	14	32	7	27
August	5.7	6.6	4.6	5.6	89.4	24.5	18.	15	11	–	–	–	–	6	7	4	9	1	3	6	8	7	4	21	10	33
September	**5.0**	**4.5**	**4.3**	**4.6**	83.1	19.4	20.	14	11	–	–	–	–	6	5	**9**	7	1	2	9	**15**	13	**2**	21	7	20
Oktober	7.8	5.8	3.9	5.8	31.7	10.4	13.	9	**5**	–	–	–	–	–	**15**	3	7	**2**	4	**19**	10	7	6	14	3	28
November	7.7	**8.3**	**8.0**	**8.0**	99.0	19.4	18.	19	16	–	–	1	–	1	7	**2**	**21**	1	2	14	10	**1**	8	26	5	23
Dezember	**7.9**	7.7	7.5	7.7	108.7	19.4	16.	**23**	**20**	**10**	11	1	–	–	3	**2**	20	1	2	7	4	**1**	**2**	37	**12**	27
Jahr	6.5	6.6	5.4	6.2	918.1	49.6	7. IV.	179	131	29	51	2	1	36	61	57	137	11	28	117	82	90	90	281	79	317

Nördlingen.

h_t = 3.5 m h_r = 1.5 m

Monat	Bewölkung 7a	2p	9p	Mittel	Niederschlag Summe mm	Tagesmaximum Betrag mm	Gemessen am	Zahl der Tage ≧0.1 mm Niederschlag	≧1.0 mm Niederschlag	≧0.1 mm ✳	⊛	△	▲	⊠	≡	heitere	trübe	Windverteilung N	NE	E	SE	S	SW	W	NW	C
Januar	8.0	7.5	7.2	7.6	48.8	9.8	12.	13	9	**9**	**13**	1	–	–	2	3	16	–	1	**22**	**30**	10	14	12	2	2
Februar	**4.9**	**4.9**	**4.3**	**4.7**	32.7	15.5	1.	**7**	**6**	2	–	–	–	–	2	**9**	5	6	11	13	9	5	16	8	8	8
März	7.7	6.8	5.7	6.7	46.1	13.3	18.	15	8	4	1	–	–	–	–	2	10	1	3	8	11	9	**35**	18	4	4
April	6.5	6.5	5.6	6.2	26.5	8.7	13.	16	7	6	3	–	1	4	1	5	11	7	**12**	12	3	4	13	22	9	8
Mai	5.2	6.6	5.9	5.9	93.3	**24.5**	31.	16	12	–	–	–	1	**8**	–	6	10	7	6	18	6	4	10	29	6	7
Juni	6.4	6.2	5.6	6.1	**112.0**	20.7	21.	17	**15**	–	–	–	1	7	–	4	12	4	3	11	5	6	9	**35**	12	5
Juli	6.9	7.7	7.2	7.3	89.0	16.2	12.	19	13	–	–	–	–	5	1	2	17	7	6	3	4	5	16	34	12	6
August	6.0	6.7	5.2	6.0	62.1	19.8	6.	14	11	–	–	–	1	6	1	6	12	**8**	4	5	11	3	10	22	**14**	**16**
September	5.7	5.4	5.1	5.4	54.6	10.0	6.	16	12	–	–	–	–	3	4	3	7	1	8	21	13	3	6	19	7	12
Oktober	7.5	6.8	6.5	6.9	23.9	7.5	9.	8	6	–	–	–	–	–	**13**	2	14	4	5	14	24	9	8	13	6	10
November	**8.7**	**8.2**	**8.6**	**8.5**	53.3	11.5	17.	21	16	–	–	–	–	1	7	–	**22**	–	4	1	12	**13**	26	28	–	6
Dezember	7.1	7.5	7.6	7.4	32.3	7.5	28.	**22**	13	**9**	6	–	–	–	1	4	19	–	8	–	3	4	24	**35**	9	10
Jahr	6.7	6.7	6.2	6.6	674.6	24.5	31. V.	184	128	30	23	1	4	34	32	46	155	45	71	128	131	75	187	275	89	94

Ingolstadt.

h_t = 1.8 m h_r = 1.6 m

Monat	Bewölkung 7a	2p	9p	Mittel	Niederschlag Summe mm	Tagesmaximum Betrag mm	Gemessen am	Zahl der Tage ≧0.1 mm Niederschlag	≧1.0 mm Niederschlag	≧0.1 mm ✳	⊛	△	▲	⊠	≡	heitere	trübe	Windverteilung N	NE	E	SE	S	SW	W	NW	C
Januar	8.7	8.2	7.0	8.0	43.4	11.6	13.	13	8	**11**	**12**	1	–	–	5	2	19	2	4	**42**	13	**4**	7	15	3	3
Februar	6.4	5.4	4.4	5.4	23.3	11.7	1.	8	6	1	–	1	–	–	3	**7**	9	1	7	30	10	**4**	4	19	5	4
März	7.6	7.0	4.1	6.3	50.8	14.7	24.	15	10	5	1	1	–	1	**1**	2	7	–	4	27	4	1	14	36	4	3
April	6.7	7.0	4.8	6.2	25.7	5.3	20.	12	6	4	1	2	–	2	**1**	5	11	3	**9**	21	7	–	13	24	5	**8**
Mai	6.1	6.3	5.9	6.1	54.9	11.8	12.	18	12	–	–	–	–	6	**1**	5	11	1	6	21	10	–	6	39	7	3
Juni	6.4	6.2	6.6	6.4	68.6	13.7	7.	17	11	–	–	–	–	**7**	1	4	12	2	4	14	3	–	18	39	10	–
Juli	7.7	8.1	6.6	7.5	**70.3**	12.9	25.	19	**15**	–	–	1	–	3	2	2	17	1	4	**10**	3	1	**35**	26	8	5
August	6.6	6.7	4.1	5.8	67.6	**16.2**	16.	15	11	–	–	1	–	6	1	5	9	–	7	20	2	1	11	32	**15**	5
September	6.1	5.2	4.0	5.1	42.8	9.4	24.	13	8	–	–	–	–	3	5	5	**4**	2	2	39	9	1	4	22	8	3
Oktober	8.7	7.5	6.7	7.6	**20.3**	6.3	9.	14	**5**	–	–	–	–	–	**16**	2	16	–	3	31	**19**	1	10	19	4	6
November	**9.1**	8.3	**7.7**	**8.4**	52.6	15.4	17.	**24**	11	–	–	2	–	–	5	–	20	–	2	15	9	2	16	38	3	5
Dezember	8.1	**8.4**	**7.7**	8.0	36.2	7.9	11., 28.	21	8	8	3	**3**	–	–	1	1	**21**	**4**	–	11	2	1	12	**54**	8	1
Jahr	7.4	7.0	5.8	6.7	556.5	16.2	16. VIII.	189	111	29	17	12	–	28	42	40	156	16	52	281	91	16	150	363	80	46

Alle Angaben nach Ortszeit.

1913

Karlshuld.

$\varphi = 48^0\ 40'$ N $\lambda = 11^0\ 18'$ E — H = 382.0 m Cg = + 0.2 mm

Monat	Luftdruck auf 0° und Normalschwere reduziert: Mittel mm	Maximum mm	Minimum mm	Lufttemperatur: 7a C°	2p C°	9p C°	Tagesmittel C°	Mittl. Maximum C°	Mittl. Minimum C°	Absol. Maximum C°	Datum	Absol. Minimum C°	Datum	Absolute Feuchtigkeit: 7a mm	2p mm	9p mm	Mittel mm	Relative Feuchtigkeit: 7a Proz.	2p Proz.	9p Proz	Mittel Proz.	Minimum Proz.
Januar	729.0	738.3	716.2	- 3.4	- 0.5	- 2.4	- 2.2	1.4	- 5.3	7.2	25.	-15.7	15.	3.2	3.5	3.3	3.3	86	78	83	82	44
Februar	**733.3**	**744.0**	718.4	- 3.6	3.8	- 0.8	- 0.3	5.2	- 4.8	10.3	11.	-11.5	21., 25.	3.3	3.8	3.6	3.5	90	60	**79**	**76**	31
März	729.7	742.9	715.1	1.8	10.5	4.9	5.5	12.1	0.3	22.9	30.	- 7.6	2.	5.1	6.1	5.7	5.6	95	64	86	81	34
April	725.1	731.7	715.5	4.1	12.1	6.7	7.4	14.5	1.4	27.7	29.	-14.7	13.	5.8	6.1	6.1	6.0	90	57	80	**76**	**25**
Mai	727.3	736.4	716.2	9.7	17.0	10.9	12.2	19.6	5.7	**32.8**	30.	0.0	öfters	8.0	8.2	8.5	8.2	88	58	86	77	25
Juni	730.9	737.2	726.5	**13.0**	**19.5**	13.6	**14.9**	**22.4**	**8.9**	31.7	18.	3.0	17.	9.7	9.5	10.0	9.8	86	58	86	77	36
Juli	727.8	732.4	722.0	12.5	18.7	13.6	14.6	21.3	8.6	29.0	14.	4.0	2.	9.9	9.7	**10.4**	10.0	92	61	89	81	31
August	729.2	736.5	722.8	12.4	19.3	**14.0**	**14.9**	21.7	7.9	29.0	4.	2.8	27.	**10.0**	**10.4**	10.3	**10.3**	93	64	87	81	33
September	728.8	734.2	717.4	8.4	16.9	11.0	11.8	18.8	5.8	27.1	1.	0.0	öfters	8.2	10.0	9.2	9.2	97	71	93	87	49
Oktober	729.3	741.3	720.0	5.2	12.3	7.4	8.1	13.5	3.5	18.7	1.	- 6.1	15.	6.6	8.4	7.5	7.5	**98**	78	**96**	91	50
November	729 7	740.3	716.7	4.5	8 0	5.2	5.7	9.3	2.8	15.2	5.	- 3.6	20.	6.1	6.9	6.5	6.5	96	**86**	**96**	**93**	60
Dezember	729.5	741.3	**709.9**	- 0.4	2.5	0.7	0.9	3.9	- 1.7	11.2	3.	-10.8	21.	4.1	4.5	4.3	4.3	88	80	86	85	35
Jahr	729.1	744.0	709.9	5.4	11.7	7.1	7.8	13.6	2.8	32.8	30. V.	-15.7	15. I.	6.7	7.3	7.1	7.0	92	68	87	82	25

Passau.

$\varphi = 48^0\ 34'$ N $\lambda = 13^0\ 28'$ E — H = 309.3 m Cg = + 0.2 mm

Monat	Luftdruck auf 0° und Normalschwere reduziert: Mittel mm	Maximum mm	Minimum mm	Lufttemperatur: 7a C°	2p C°	9p C°	Tagesmittel C°	Mittl. Maximum C°	Mittl. Minimum C°	Absol. Maximum C°	Datum	Absol. Minimum C°	Datum	Absolute Feuchtigkeit: 7a mm	2p mm	9p mm	Mittel mm	Relative Feuchtigkeit: 7a Proz.	2p Proz.	9p Proz	Mittel Proz.	Minimum Proz.
Januar	736.7	745.6	725.2	- 3.4	0.0	- 1.9	- 1.8	0.4	- 4.3	4.8	24.	-15.8	15.	3.2	3.6	3.4	3.4	87	76	84	82	35
Februar	**740.6**	**751.1**	727.5	- 3.2	3.6	- 0.3	0.0	4.2	- 3.9	8.1	24.	- 9 5	21.	3.3	3.5	3.5	3.5	85	58	76	73	24
März	737.1	749 6	724.1	1.9	10.2	5.6	5.8	11.2	1.0	22.3	30.	- 6.5	2.	4.6	5.4	5.3	5.1	85	58	77	73	32
April	732.2	739 1	721.1	4 9	12.5	8.0	8.4	13.2	3.2	24.4	30.	- 3.7	13.	5.6	5.3	6.0	5.6	84	51	73	69	26
Mai	734.2	743 5	723.0	9.4	16.8	12.3	12.7	17.8	7.5	26.7	30.	1.7	10., 21.	7.9	8.3	9.1	8.4	89	59	83	77	37
Juni	737.2	744.2	731.8	**13.1**	19.1	**14.6**	**15.4**	20.0	**10.8**	**27.9**	1.	4.3	15.	**9.8**	10.4	10.6	10.3	86	64	85	78	36
Juli	734.4	738.9	729.3	12.2	18.0	14.3	14.7	19.1	10.7	24 9	14.	5.8	22.	**9.8**	10.6	10.6	10.3	93	70	88	83	50
August	735.9	742.4	730.8	12.0	**19.5**	14.5	15.1	**20.4**	10.6	26.0	24.	7.1	1., 9.	**9.8**	**11.2**	**11.2**	**10.7**	94	68	91	84	38
September	735.6	741.4	724.5	10.0	17.5	12.6	13.2	19.0	8.7	25.5	4.	2.6	25.	8.7	10.5	10.0	9.7	92	70	91	85	51
Oktober	736.4	748.6	726 4	6.3	13.5	8.6	9.3	14.3	5.2	20.9	8.	- 3.0	15.	7.0	8.5	7.8	7.8	**96**	74	92	87	51
November	736.9	746.5	724.1	5.1	7.9	5.9	6.2	8.8	3.9	14.7	1.	- 0.6	22.	6.3	6.9	6.6	6.6	94	**86**	**94**	**91**	62
Dezember	736.4	748.3	**716.9**	0.8	2.5	1.3	1.5	3.6	- 0.3	10.6	3.	- 7.5	20.	4.6	4.8	4.6	4.7	92	84	89	88	50
Jahr	736.1	751.1	716.9	5.8	11.8	8.0	8 4	12.7	4.4	27.9	1. VI.	-15.8	15. I.	6.7	7.4	7.4	7.2	90	68	85	81	24

Landshut.

$\varphi = 48^0\ 32'$ N $\lambda = 12^0\ 10'$ E — H = 397.7 m Cg = + 0.2 mm

Monat	Luftdruck auf 0° und Normalschwere reduziert: Mittel mm	Maximum mm	Minimum mm	Lufttemperatur: 7a C°	2p C°	9p C°	Tagesmittel C°	Mittl. Maximum C°	Mittl. Minimum C°	Absol. Maximum C°	Datum	Absol. Minimum C°	Datum	Absolute Feuchtigkeit: 7a mm	2p mm	9p mm	Mittel mm	Relative Feuchtigkeit: 7a Proz.	2p Proz.	9p Proz	Mittel Proz.	Minimum Proz.
Januar	727.5	736 8	715.4	- 3.2	0.3	- 1.9	- 1.6	1.8	- 5 8	7.9	25.	-14.3	15.	3.4	3.7	3.6	3.5	90	77	87	85	43
Februar	**731.7**	**742.6**	717.4	- 3.4	4.3	- 0.8	- 0.2	5.5	- 5.6	10.7	11.	-11.4	22., 25.	3 3	3.4	3.5	3.4	88	53	**78**	73	**21**
März	728.4	741.1	714.3	2.0	11.1	4.9	5.7	13.1	- 0.7	24.0	30.	- 8.4	2.	4.8	5.4	5.4	5.2	89	55	81	75	25
April	723.7	730.3	713.3	4.7	12.5	6.6	7.6	15.0	1.1	28.0	27.	-12.8	13.	5.6	5.6	5.9	5.7	84	52	79	**71**	28
Mai	725.9	735.0	714.7	10.7	17.0	10.9	12.4	20.2	6.1	**33.0**	30.	- 0.5	8.	8.0	7.5	8.3	7.9	81	54	85	73	28
Juni	729.4	735 8	725.0	**13.4**	19.3	13.3	**14.8**	22.2	9.6	31.3	2.	4.9	15.	9.3	9.1	9.8	9.4	80	56	85	74	22
Juli	726.5	731.3	720.8	13.0	18.6	**13 4**	14.6	21 8	**9.7**	30.3	14.	4.4	2.	**10.1**	9.3	10.2	9.9	90	60	89	80	31
August	727.8	734.9	721.5	12.0	**19.9**	13.3	14.6	**23.3**	9.2	32.2	24.	5.2	27.	9.7	**10.1**	**10 5**	**10.1**	92	59	92	81	34
September	727.3	732.8	715.9	9.2	17.4	11.2	12.2	19.9	7.0	28.0	1.	1.7	25.	8.5	9.2	9.1	8.9	96	63	91	84	43
Oktober	727.9	739.9	717.1	5.5	13.5	7.8	8.6	14.9	4 1	22.0	8.	- 4.0	15.	6.7	8.3	7.4	7.5	**97**	72	93	87	51
November	728.4	739.0	714.9	4.6	8.2	5.2	5.8	9.9	2.4	15.3	3.	- 4.0	20.	6.1	6.8	6.3	6.4	94	**84**	**94**	**91**	62
Dezember	727.9	739.3	**709.0**	0.0	2 9	0.6	1.0	4.1	- 2.3	12 0	3.	- 9.2	21.	4.2	4.4	4.1	4.3	90	78	86	84	45
Jahr	727.7	742.6	709.0	5.7	12.1	7.0	8.0	14.3	2.9	33.0	30. V.	-14.3	15. I.	6.6	6.9	7.0	6.9	89	64	87	80	21

Eggenfelden.

$\varphi = 48^0\ 24'$ N $\lambda = 12^0\ 46'$ E — H = 417 m

Monat	Lufttemperatur: 7a C°	2p C°	9p C°	Tagesmittel C°	Mittl. Maximum C°	Mittl. Minimum C°	Absol. Maximum C°	Datum	Absol. Minimum C°	Datum
Januar	- 3.9	- 0.8	- 2.4	- 2.4	0.8	- 5.1	6.7	25.	-13 4	15., 16.
Februar	- 3.5	3.3	- 1.1	- 0.6	5.1	- 4.5	9.0	27.	-10.2	22.
März	1.9	10.3	5.1	5.6	12.5	0.8	21.4	30.	- 6.8	2.
April	5.2	11.9	6.8	7.7	12.5	2.7	24.3	30.	- 8.6	13.
Mai	10.8	17.0	11.1	12.5	17.9	6.5	**28.1**	30.	0.9	21.
Juni	**14.7**	18.7	**13.8**	**15.2**	20.2	10.1	28.0	1.	4.1	15.
Juli	13.4	18.6	13.5	14.8	19.6	**10 2**	26.1	14.	6.0	10.
August	13.3	**19.2**	13.7	15.0	**20.5**	9.7	27.1	24.	5.3	9.
September	9.8	16.8	11.3	12.3	17.9	7.6	25.0	2.	1.9	25.
Oktober	5.4	12.6	7.6	8.3	13.4	4.4	21.7	8.	- 3.1	15.
November	4.3	7.7	4.8	5.4	8.5	2.8	13.4	2.	- 4.1	21.
Dezember	- 0.2	2.4	0.3	0.7	3.1	- 1.8	10.2	3.	- 7.5	20.
Jahr	5.9	11.5	7.0	7.9	12.7	3.6	28.1	30. V.	-13.4	15. u. 16. I

Alle Angaben nach Ortszeit.

1913

Karlshuld.

h_t = 5.1 m — h_r = 0.9 m

Monat	Bewölkung 7ª	2ᵖ	9ᵖ	Mittel	Niederschlag Summe mm	Tagesmaximum Betrag mm	Gemessen am	Zahl der Tage ≧0.1 mm Niederschlag	≧1.0 mm	≧0.1 mm ✳	⊠	△	▲	⊿	≡	heitere	trübe	Windverteilung N	NE	E	SE	S	SW	W	NW	C
Januar	7.5	**7.8**	5.0	6.8	48.0	14.3	13.	9	8	6	**13**	–	–	–	1	**1**	10	–	24	**22**	1	–	7	18	–	21
Februar	4.5	5.0	3.5	4.3	20.5	13.4	2.	5	3	1	–	–	–	–	2	**8**	**5**	–	**29**	7	**2**	–	5	14	2	25
März	6.5	6.5	3.5	5.5	56.3	18.6	24.	14	9	3	1	–	–	–	5	2	**5**	–	9	6	–	–	10	28	–	40
April	6.0	6.6	4.4	5.7	28.3	6.2	13.	13	9	4	3	–	1	2	4	**8**	9	–	21	4	**2**	–	11	31	2	**19**
Mai	5.1	5.7	5.4	5.4	76.0	14.9	12.	15	14	–	–	–	–	**6**	3	6	10	–	12	10	–	–	15	25	–	31
Juni	5.8	5.8	6.1	5.9	74.9	12.2	7.	13	13	–	–	–	–	**6**	**1**	6	11	–	3	12	1	**2**	**23**	25	**3**	21
Juli	7.2	7.6	6.5	7.1	**97.0**	22.4	5.	**18**	**15**	–	–	–	–	4	2	3	**18**	–	8	–	–	1	17	30	1	36
August	5.7	6.0	4.9	5.5	87.6	**23.4**	17.	15	10	–	–	–	–	5	8	**8**	9	–	10	7	–	–	8	26	1	**41**
September	5.4	4.8	3.3	4.5	58.0	13.8	6.	10	10	–	–	–	–	2	**17**	7	7	–	14	18	–	–	11	**10**	–	37
Oktober	7.2	7.0	4.2	6.2	21.2	6.0	5.	8	6	–	–	–	–	–	**17**	4	9	–	12	18	–	–	6	17	1	39
November	**8.0**	7.6	6.1	**7.2**	47.1	15.5	17.	16	11	–	–	–	–	1	6	2	14	–	3	12	–	–	22	27	2	24
Dezember	7.0	7.5	**7.3**	**7.2**	28.3	7.3	28.	17	7	**8**	1	–	–	–	**1**	4	**18**	–	3	5	–	–	20	**43**	**3**	**19**
Jahr	6.3	6.5	5.0	5.9	643.2	23.4	17. VIII.	153	115	22	18	–	1	26	67	59	125	–	148	121	6	3	155	294	15	353

Passau.

h_t = 8.5 m — h_r = 1.3 m, vom 19. V. ab h_r = 1.4 m

Monat	Bewölkung 7ª	2ᵖ	9ᵖ	Mittel	Niederschlag Summe mm	Tagesmaximum Betrag mm	Gemessen am	Zahl der Tage ≧0.1 mm Niederschlag	≧1.0 mm	≧0.1 mm ✳	⊠	△	▲	⊿	≡	heitere	trübe	Windverteilung N	NE	E	SE	S	SW	W	NW	C
Januar	7.9	6.7	7.3	7.3	46.6	16.0	13.	10	8	**6**	**15**	–	–	–	7	4	**18**	–	–	15	–	–	2	9	–	**67**
Februar	5.9	4.4	4.1	4.8	17.3	6.7	4.	8	4	1	3	–	–	–	6	**9**	7	–	–	19	–	–	–	8	4	53
März	7.8	5.1	4.9	5.9	23.9	8.1	25.	12	8	1	–	–	–	–	8	4	11	1	–	16	–	5	3	12	2	54
April	6.8	6.9	5.3	6.3	44.8	23.8	7.	14	11	3	3	–	–	1	3	8	12	–	–	14	2	3	1	15	**8**	47
Mai	7.6	5.8	4.6	6.0	59.5	10.0	29.	13	12	–	–	2	–	**6**	8	5	8	–	1	15	1	–	6	30	2	38
Juni	8.0	6.6	5.5	6.7	116.8	29.5	26.	18	14	–	–	–	–	**6**	**2**	4	14	–	–	11	**5**	3	2	**49**	–	20
Juli	9.0	8.3	6.1	7.8	**131.7**	34.1	9.	17	15	–	–	–	–	–	15	3	**18**	–	–	22	3	–	4	45	1	**18**
August	8.9	6.8	3.2	6.3	62.6	10.3	7.	14	10	–	–	–	–	2	22	1	9	–	–	4	–	**10**	**12**	22	–	45
September	8.3	4.6	4.6	5.8	114.4	**41.9**	6.	11	11	–	–	–	–	3	18	2	11	–	–	**23**	–	9	8	12	–	38
Oktober	9.2	5.2	5.8	6.7	39.7	9.9	31.	8	5	–	–	–	–	–	**24**	2	11	–	–	22	1	**10**	1	16	–	43
November	**10.0**	**8.4**	7.0	**8.5**	91.4	17.6	29.	**22**	**19**	1	–	–	1	1	23	–	**18**	–	–	21	1	2	2	24	–	40
Dezember	8.6	8.1	**7.4**	8.0	105.0	16.1	11.	20	18	**6**	10	–	–	–	15	1	17	–	1	17	–	3	–	44	2	26
Jahr	8.2	6.4	5.5	6.7	853.7	41.9	6. IX.	167	135	18	31	2	1	19	151	43	154	1	2	199	13	45	41	286	19	489

Landshut.

h_t = 7.2 m — h_r = 1.4 m

Monat	Bewölkung 7ª	2ᵖ	9ᵖ	Mittel	Niederschlag Summe mm	Tagesmaximum Betrag mm	Gemessen am	Zahl der Tage ≧0.1 mm Niederschlag	≧1.0 mm	≧0.1 mm ✳	⊠	△	▲	⊿	≡	heitere	trübe	Windverteilung N	NE	E	SE	S	SW	W	NW	C
Januar	8.4	**7.9**	6.6	7.6	46.4	10.9	18.	10	8	6	**12**	–	–	–	3	3	19	1	6	**41**	**4**	2	5	**22**	2	10
Februar	6.1	4.6	3.2	4.6	10.9	5.4	1.	**7**	4	–	–	–	–	–	–	**9**	7	3	6	29	3	1	6	27	1	8
März	7.7	6.3	3.8	5.9	41.3	18.4	25.	12	7	2	–	–	–	1	1	2	9	3	8	11	2	–	3	44	**6**	16
April	7.1	6.9	3.5	5.8	31.7	7.1	18.	14	7	6	1	1	–	–	1	7	9	**5**	**9**	21	1	1	7	29	3	14
Mai	5.8	6.1	4.6	5.5	78.0	28.2	28.	17	14	–	–	–	2	6	–	6	10	4	4	20	–	3	6	40	5	11
Juni	6.4	5.6	5.9	6.0	**125.4**	29.0	3.	19	15	–	–	–	2	**7**	–	6	12	3	4	13	1	1	4	55	4	**5**
Juli	7.9	7.1	6.6	7.2	107.0	**36.8**	9.	**22**	**17**	–	–	–	–	4	1	2	17	2	3	5	–	1	9	43	3	**27**
August	6.7	5.9	3.4	5.3	96.4	24.4	21.	16	12	–	–	–	–	5	2	6	7	4	5	12	1	1	**10**	32	**6**	22
September	6.5	4.7	2.4	4.5	91.3	31.3	20.	14	10	–	–	–	–	3	3	8	5	1	2	40	–	1	3	26	–	17
Oktober	8.9	6.1	6.4	7.1	30.1	7.2	5.	18	7	–	–	–	–	1	**13**	2	16	3	7	26	3	–	2	26	–	26
November	**9.0**	**7.9**	7.4	**8.1**	63.7	21.3	17.	21	13	–	–	1	–	1	5	**1**	**20**	–	2	10	1	**4**	8	49	1	15
Dezember	8.3	7.6	**7.9**	7.9	57.3	10.5	11.	20	13	**9**	2	1	–	–	1	3	**20**	1	**1**	7	–	–	4	**71**	3	6
Jahr	7.4	6.4	5.1	6.3	779.5	36.8	9. VII.	190	127	23	15	3	4	28	30	55	151	30	57	235	16	15	67	464	34	177

Eggenfelden.

h_t = 4.8 m — h_r = 1.5 m

Monat	Bewölkung 7ª	2ᵖ	9ᵖ	Mittel	Niederschlag Summe mm	Tagesmaximum Betrag mm	Gemessen am	Zahl der Tage ≧0.1 mm Niederschlag	≧1.0 mm	≧0.1 mm ✳	⊠	△	▲	⊿	≡	heitere	trübe	Windverteilung N	NE	E	SE	S	SW	W	NW	C
Januar	7.6	7.2	6.5	7.1	46.5	9.9	24.	18	8	8	**14**	–	–	–	9	5	16	1	28	**34**	5	–	7	13	5	–
Februar	5.9	5.3	**3.7**	4.9	**12.9**	3.0	3.	16	5	2	–	–	–	–	6	7	6	–	23	20	2	–	10	12	17	–
März	6.9	6.3	4.7	6.0	42.4	13.4	25.	21	8	4	–	–	–	1	3	4	9	1	19	6	8	1	14	22	22	–
April	7.0	7.7	5.3	6.6	50.2	22.5	7.	22	8	8	2	–	–	1	3	5	11	2	20	10	**9**	2	10	15	22	–
Mai	5.8	5.9	5.0	5.6	45.4	9.4	29.	16	10	–	–	–	1	8	3	4	8	–	17	14	–	–	12	21	**29**	–
Juni	6.8	6.5	6.9	6.7	150.4	26.4	3.	17	12	–	–	–	1	**9**	2	4	15	3	12	12	2	1	7	32	21	–
Juli	7.3	7.3	7.0	7.2	**158.2**	**49.3**	9.	**27**	17	–	–	–	–	1	**1**	2	15	**5**	**9**	2	3	–	**17**	29	28	–
August	6.5	6.5	4.9	6.0	72.0	15.5	16.	17	12	–	–	–	1	6	7	4	11	4	14	7	3	1	16	23	25	–
September	5.1	5.1	3.9	4.7	146.5	46.0	6.	**14**	12	–	–	–	–	4	6	**9**	6	**5**	17	30	2	–	6	14	16	–
Oktober	8.6	7.1	5.0	6.9	40.1	12.1	6.	26	8	–	–	–	–	–	**15**	1	8	–	**37**	17	6	**3**	7	**11**	12	–
November	**9.1**	**8.5**	7.5	**8.4**	101.6	20.3	29.	26	**19**	–	–	–	1	1	11	–	**20**	4	16	3	4	–	8	38	17	–
Dezember	8.5	7.9	**7.9**	8.1	77.3	13.0	11.	23	13	**12**	9	–	–	–	3	1	**20**	–	19	–	1	–	7	**41**	25	–
Jahr	7.1	6.8	5.7	6.5	943.5	49.3	9. VII.	243	132	34	25	–	4	31	69	46	145	25	231	155	45	8	121	271	239	–

Alle Angaben nach Ortszeit.

1913

Augsburg.

$\varphi = 48^0\ 22'$ N $\lambda = 10^0\ 54'$ E — H = 499.6 m Cg = + 0.1 mm, über 728.8 mm = + 0.2 mm

Monat	Luftdruck auf 0° und Normalschwere reduziert: Mittel mm	Maximum mm	Minimum mm	Lufttemperatur: 7a C°	2p C°	9p C°	Tagesmittel C°	Mittl. Maximum C°	Mittl. Minimum C°	Absol. Maximum C°	Datum	Absol. Minimum C°	Datum	Absolute Feuchtigkeit: 7a mm	2p mm	9p mm	Mittel mm	Relative Feuchtigkeit: 7a Proz.	2p Proz.	9p Proz.	Mittel Proz.	Minimum Proz.
Januar	718.6	727.5	705.8	- 2.0	0.8	- 1.2	- 0.9	1.8	- 3.3	8.0	25.	-11.1	15.	3.7	4.1	3.9	3.9	91	**83**	**91**	**89**	57
Februar	**723.1**	**733.8**	708.5	- 1.3	4.4	0.6	1.0	5.0	- 2.4	9.5	11.	- 8.3	23.	3.5	4.1	3.9	3.9	79	63	79	74	37
März	719.9	733.1	706.0	3.7	10.9	6.7	7.0	11.6	2.9	21.4	31.	- 4.8	2.	5.4	6.6	6.1	6.0	88	67	81	79	45
April	715.2	721.7	704.1	5.1	11.5	7.7	8.0	12.7	3.8	26.1	30.	- 7.5	13.	6.0	7.1	6.7	6.6	87	67	82	79	**46**
Mai	717.4	726.6	706.5	9.8	17.0	12.1	12.8	18.0	7.9	28.1	31.	1.5	21.	7.5	8.2	8.2	8.0	82	58	78	73	34
Juni	721.3	727.3	716.5	**13.3**	18.8	14.5	15.3	19.8	10.5	**29.2**	4.	5.8	19.	9.0	8.9	9.5	9.1	78	57	77	70	28
Juli	718.3	723.1	712.0	12.5	18.7	14.3	14.9	19.7	**10.8**	28.4	14.	6.2	10.	9.2	9.3	9.9	9.4	85	59	82	75	36
August	719.8	726.7	712.6	12.6	**19.7**	**15.1**	**15.6**	**20.6**	10.2	27.3	4.	7.2	11.	**9.4**	**9.7**	**10.3**	**9.8**	87	58	80	75	35
September	719.0	723.8	706.7	9.9	16.6	12.5	12.9	17.4	9.0	24.3	1.	3.7	26.	8.4	9.2	9.2	8.9	91	66	84	80	48
Oktober	719.2	730.7	708.6	6.8	13.5	9.4	9.8	13.8	6.0	20.0	8.	- 1.5	15.	6.9	8.2	8.0	7.7	**92**	71	90	84	54
November	719.8	730.7	706.9	5.8	8.9	6.7	7.0	9.4	4.5	15.2	1.	- 0.8	21.	6.3	6.6	6.5	6.5	90	78	88	85	61
Dezember	719.6	731.5	699.9	0.4	2.9	1.0	1.3	3.5	- 1.1	11.6	3.	- 8.8	23.	4.2	4.4	4.3	4.3	86	78	87	83	54
Jahr	719.3	733.8	699.9	6.4	12.0	8.3	8.7	12.8	4.9	29.2	4. VI.	-11.1	15. I.	6.6	7.2	7.2	7.0	86	67	83	79	28

Burghausen.

$\varphi = 48^0\ 10'$ N $\lambda = 12^0\ 50'$ E — H = 365 m Cg = + 0.2 mm, unter 700.3 mm = + 0.1 mm

Monat	Luftdruck auf 0° und Normalschwere reduziert: Mittel mm	Maximum mm	Minimum mm	Lufttemperatur: 7a C°	2p C°	9p C°	Tagesmittel C°	Mittl. Maximum C°	Mittl. Minimum C°	Absol. Maximum C°	Datum	Absol. Minimum C°	Datum	Absolute Feuchtigkeit: 7a mm	2p mm	9p mm	Mittel mm	Relative Feuchtigkeit: 7a Proz.	2p Proz.	9p Proz.	Mittel Proz.	Minimum Proz.
Januar	721.0	740.1	719.5	- 3.5	0.0	- 2.2	- 2.0	0.9	- 5.0	7.0	25.	-15.9	16.	3.3	3.8	3.6	3.6	91	82	89	87	56
Februar	**735.0**	**745.9**	721.1	- 3.2	4.5	- 1.1	- 0.2	5.1	- 4.4	10.7	8.	- 9.6	23.	3.4	3.7	3.6	3.5	89	57	84	76	27
März	731.8	744.8	718.7	2.0	11.3	4.5	5.6	12.7	0.5	22.8	30.	- 7.1	2.	4.9	5.8	5.5	5.4	94	58	86	79	**23**
April	726.7	733.3	715.9	5.0	12.7	6.3	7.6	13.6	2.6	25.9	30.	- 5.7	13.	5.8	5.7	6.2	5.9	85	54	84	74	26
Mai	728.9	737.8	718.2	9.5	17.2	10.7	12.0	18.8	6.1	**29.5**	30.	0.0	14.	7.8	7.9	8.3	8.0	87	56	86	76	32
Juni	732.4	738.6	728.1	**13.3**	19.3	13.1	**14.7**	21.1	**10.0**	**29.5**	3.	3.3	15.	9.4	9.6	10.1	9.7	83	60	89	77	**23**
Juli	729.3	734.1	723.6	12.6	18.6	**13.2**	14.4	20.5	9.9	27.6	14., 26.	3.0	10.	9.8	9.6	10.3	9.9	90	63	92	82	35
August	730.8	737.7	724.3	12.3	**19.7**	**13.2**	14.6	**21.4**	8.8	28.5	5.	4.0	28.	**9.9**	**10.3**	**10.7**	**10.3**	93	61	**95**	83	38
September	730.4	735.7	719.0	9.0	17.1	11.1	12.0	18.1	7.2	25.3	2.	2.3	25.	8.5	9.1	9.3	9.0	**97**	64	94	85	41
Oktober	731.0	742.5	721.2	6.1	13.1	7.5	8.5	14.0	4.5	20.9	8.	- 3.0	15.	6.9	8.2	7.5	7.5	96	71	**95**	**88**	46
November	731.7	742.4	718.7	4.6	8.1	5.0	5.7	8.9	2.8	13.3	2., 5.	- 2.8	21.	6.0	6.8	6.2	6.4	94	**84**	94	**91**	50
Dezember	731.3	742.9	**713.0**	0.1	3.2	0.8	1.2	4.0	- 1.6	11.3	27.	- 7.1	20., 24.	4.2	4.4	4.3	4.3	89	77	88	85	28
Jahr	730.9	745.9	713.0	5.7	12.1	6.8	7.8	13.3	3.4	29.5	30.V., 3 VI.	-15.9	16. I.	6.7	7.1	7.1	7.0	91	66	90	82	23

München-C.St.

$\varphi = 48^0\ 9'$ N $\lambda = 11^0\ 34'$ E — H = 526.4 m Cg = + 0.1 mm

Monat	Luftdruck auf 0° und Normalschwere reduziert: Mittel mm	Maximum mm	Minimum mm	Lufttemperatur: 7a C°	2p C°	9p C°	Tagesmittel C°	Mittl. Maximum C°	Mittl. Minimum C°	Absol. Maximum C°	Datum	Absol. Minimum C°	Datum	Absolute Feuchtigkeit: 7a mm	2p mm	9p mm	Mittel mm	Relative Feuchtigkeit: 7a Proz.	2p Proz.	9p Proz.	Mittel Proz.	Minimum Proz.
Januar	716.1	724.8	704.2	- 2.0	0.8	- 0.9	- 0.7	2.1	- 3.5	9.4	25.	-11.5	15.	3.5	3.8	3.7	3.6	85	**76**	85	82	51
Februar	**720.3**	**731.1**	706.7	- 1.2	4.4	0.6	1.1	5.1	- 2.4	10.9	6.	- 9.0	19.	3.1	3.7	3.5	3.4	70	57	70	66	29
März	717.4	730.1	704.5	4.1	11.2	6.9	7.3	12.2	2.8	24.0	30.	- 5.8	2.	4.8	5.2	5.1	5.1	78	54	70	67	20
April	712.7	719.2	702.2	5.7	11.5	8.0	8.3	12.5	4.2	24.4	30.	- 6.9	13.	5.5	5.5	5.7	5.6	78	54	70	67	20
Mai	715.1	724.0	704.0	10.2	16.6	11.6	12.5	17.6	8.0	**28.3**	30.	2.8	9.	7.2	7.3	7.8	7.4	77	53	76	69	31
Juni	718.8	724.5	714.6	**13.4**	18.3	14.3	15.1	19.5	11.1	27.7	1.	6.4	15.	8.7	9.0	9.3	9.0	76	59	77	71	31
Juli	715.8	721.6	710.0	12.7	18.4	14.3	14.9	19.3	11.2	27.6	14.	6.8	10.	9.2	8.8	9.5	9.2	85	57	79	74	**34**
August	717.1	724.0	710.6	13.2	**19.5**	**15.2**	**15.7**	**20.3**	**11.6**	27.7	24.	8.6	16.	**9.6**	**9.1**	**10.1**	**9.6**	85	55	80	73	32
September	716.4	721.4	705.0	10.6	16.9	12.3	13.0	17.5	9.3	24.6	4.	3.9	26.	8.6	8.9	9.1	8.9	**90**	63	85	79	44
Oktober	716.8	727.9	706.4	8.3	14.4	9.9	10.7	14.9	6.9	22.9	8.	- 0.8	15.	7.1	7.9	7.9	7.6	87	65	**86**	79	43
November	717.5	728.0	704.8	6.1	9.0	6.7	7.1	9.7	4.5	15.3	3.	0.0	21.	6.2	6.5	6.3	6.3	87	**76**	**86**	**83**	54
Dezember	717.0	728.3	697.8	0.9	3.4	1.1	1.6	4.4	- 0.7	13.3	3.	- 8.9	23.	4.2	4.1	4.1	4.1	84	72	82	79	27
Jahr	716.8	731.1	697.8	6.8	12.0	8.3	8.9	12.9	5.3	28.3	30. V.	-11.5	15. I.	6.5	6.7	6.8	6.7	82	62	79	74	20

Ottobeuren.

$\varphi = 47^0\ 56'$ N $\lambda = 10^0\ 18'$ E — H = 660.0 m Cg = + 0.1 mm

Monat	Luftdruck auf 0° und Normalschwere reduziert: Mittel mm	Maximum mm	Minimum mm	Lufttemperatur: 7a C°	2p C°	9p C°	Tagesmittel C°	Mittl. Maximum C°	Mittl. Minimum C°	Absol. Maximum C°	Datum	Absol. Minimum C°	Datum	Absolute Feuchtigkeit: 7a mm	2p mm	9p mm	Mittel mm	Relative Feuchtigkeit: 7a Proz.	2p Proz.	9p Proz.	Mittel Proz.	Minimum Proz.
Januar	704.2	712.6	693.0	- 2.3	0.9	- 1.7	- 1.2	2.1	- 4.3	7.5	1.	-11.2	14.	3.5	4.0	3.8	3.8	89	**83**	**93**	**89**	**44**
Februar	**708.3**	**718.8**	697.6	- 3.3	3.5	- 1.5	- 0.7	4.3	- 4.6	10.1	27.	-12.0	24.	3.2	3.5	3.4	3.4	86	59	80	75	23
März	705.9	718.4	694.3	3.2	9.7	4.7	5.6	10.9	0.7	20.1	30.	- 8.4	19.	4.7	5.1	4.9	4.9	82	59	76	**72**	27
April	**701.3**	707.6	690.5	4.2	10.4	5.1	6.2	11.6	1.7	23.4	30.	-12.0	13.	5.4	5.6	5.6	5.5	84	60	83	76	34
Mai	704.0	712.9	694.2	9.6	15.8	9.1	10.9	17.0	5.6	28.0	30.	- 0.8	8.	7.4	8.2	7.6	7.7	82	60	86	76	40
Juni	707.9	712.9	702.9	**12.7**	17.7	12.1	13.6	19.3	9.1	**29.0**	1.	4.5	8.	9.0	**10.6**	9.2	**9.6**	82	71	87	80	43
Juli	705.0	710.1	699.3	12.2	17.4	12.1	13.4	18.6	9.1	26.4	14.	4.8	1.	9.0	9.2	9.2	9.1	85	64	88	79	39
August	706.2	712.4	701.5	12.5	**19.0**	**12.8**	**14.3**	**19.9**	**9.2**	26.1	24.	6.0	18.	**9.4**	9.6	**9.5**	9.5	87	59	86	78	38
September	705.3	710.0	693.7	9.5	15.9	10.6	11.7	16.6	7.5	24.6	1.	0.9	24.	8.3	9.0	8.5	8.6	**93**	67	88	83	47
Oktober	705.6	715.7	695.5	6.7	14.1	8.1	9.2	14.8	5.0	21.9	8.	- 2.0	15.	6.6	8.0	7.1	7.2	90	66	88	81	47
November	706.4	716.7	693.7	5.0	7.8	5.7	6.1	8.8	3.3	16.0	1.	- 1.8	20.	5.9	6.4	5.9	6.1	89	81	86	85	57
Dezember	706.0	716.9	687.0	- 0.9	1.5	- 0.6	- 0.1	2.6	- 2.6	10.3	4.	-13.7	21.	3.8	3.9	3.9	3.9	86	76	88	83	42
Jahr	705.5	718.8	687.0	5.8	11.1	6.4	7.4	12.2	3.3	29.0	1. VI.	-13.7	21. XII	6.4	6.9	6.6	6.6	86	67	87	80	23

Alle Angaben nach Ortszeit.

1913

Augsburg.

h_t = 9.2 m h_r = 1.5 m

Monat	Bewölkung 7a	2p	9p	Mittel	Niederschlag Summe mm	Tagesmaximum Betrag mm	Gemessen am	Zahl der Tage ≧0.1 mm Niederschlag	≧1.0 mm	≧0.1 mm ✳	⊠	△	▲	🌫	≡	heitere	trübe	Windverteilung N	NE	E	SE	S	SW	W	NW	C
Januar . .	**8.3**	7.2	**8.2**	**7.9**	47.0	12.0	12.	13	8	8	**13**	–	–	–	8	2	15	2	3	**27**	**21**	1	30	2	3	4
Februar . .	**4.7**	**4.7**	3.6	**4.3**	15.2	4.7	28.	6	5	3	–	–	–	–	3	**7**	5	1	12	15	10	**3**	28	–	7	8
März . . .	6.8	5.6	3.4	5.3	51.6	19.1	24.	13	10	4	3	1	–	–	–	4	8	3	4	4	16	**3**	44	9	6	4
April . . .	6.6	6.2	4.6	5.8	53.5	12.8	13.	17	12	6	3	1	1	4	1	4	10	3	14	14	4	–	24	1	20	10
Mai . . .	5.6	5.9	5.5	5.7	65.6	12.6	24.	16	13	–	–	–	–	5	–	6	10	1	7	20	11	1	27	10	10	6
Juni . . .	6.4	5.9	6.2	6.2	**140.3**	**20.1**	6.	16	**16**	–	–	–	1	**9**	–	4	14	1	5	9	7	1	24	13	**26**	4
Juli	7.1	7.1	6.2	6.8	95.0	18.2	9.	**18**	15	–	–	–	–	3	1	4	14	**6**	10	1	–	**3**	35	13	16	9
August . .	5.6	5.9	5.1	5.5	81.9	16.2	7.	13	10	–	–	–	–	5	1	6	11	2	13	5	6	–	26	8	18	**15**
September .	6 9	5.6	4.4	5.6	57.6	10.8	21.	14	13	–	–	–	–	3	8	3	7	1	11	12	19	–	23	5	8	11
Oktober . .	7.0	6.2	4.8	6.0	23.9	8.9	6.	6	5	–	–	–	–	1	**11**	3	9	1	**19**	17	16	–	**17**	6	8	9
November .	7.2	**7.6**	7.5	7.4	62.4	12.0	17.	**18**	12	–	–	–	–	–	8	1	15	–	–	7	3	**3**	50	**14**	4	9
Dezember .	7.6	7.4	7.4	7.5	40.5	7.3	28.	17	9	**10**	6	+	–	–	4	3	**16**	–	3	4	3	1	**56**	9	13	4
Jahr . . .	6.7	6.3	5.6	6.2	734.5	20.1	6. VI.	167	128	31	25	2	2	30	45	47	134	21	101	135	106	16	384	90	139	93

116

Burghausen.

h_t = 1.6 m h_r = 1.0 m

Monat	Bewölkung 7a	2p	9p	Mittel	Niederschlag Summe mm	Tagesmaximum Betrag mm	Gemessen am	Zahl der Tage ≧0.1 mm Niederschlag	≧1.0 mm	≧0.1 mm ✳	⊠	△	▲	🌫	≡	heitere	trübe	Windverteilung N	NE	E	SE	S	SW	W	NW	C
Januar . . .	8.0	7.2	7.3	7.6	44.4	11.7	13.	13	8	**9**	**12**	–	–	–	5	4	19	5	**18**	**18**	3	3	7	**1**	–	38
Februar . .	5.3	4.3	4.0	4.5	7.5	3.1	1.	**7**	4	2	–	–	–	–	1	**9**	**7**	**8**	4	12	**4**	1	13	**1**	–	41
März . . .	6.9	6.0	5.1	6.0	29.8	9.6	25.	15	7	7	–	–	–	–	5	3	9	–	7	9	**4**	3	22	2	–	46
April . . .	6.5	6.7	4.8	6.0	45.3	13.4	7.	13	11	3	1	**2**	–	3	1	5	12	3	2	16	2	**4**	**29**	3	–	31
Mai	6.2	5.7	5.2	5.7	76.0	11.0	23.	17	15	–	–	**2**	1	5	6	7	10	3	5	7	**4**	1	27	5	1	40
Juni	6.4	6.2	6.3	6.3	128.8	23.0	26.	21	15	–	–	1	1	**10**	4	4	13	6	3	4	1	1	26	13	5	**31**
Juli	7.2	6.9	7.2	7.1	**157.4**	**37.0**	9.	**23**	**18**	–	–	–	–	3	7	1	17	–	3	**1**	–	–	15	26	**14**	34
August . .	6.3	5.8	5.2	5.7	95.2	22.1	22.	18	12	–	–	–	–	6	10	4	9	3	3	**1**	–	–	4	16	8	**58**
September .	7.5	4.9	4.2	5.6	132.5	25.2	7.	12	11	–	–	–	–	4	**18**	3	**7**	5	8	6	1	–	7	9	9	45
Oktober . .	8.3	6.0	5.2	6.5	59.0	15.7	31.	9	8	–	–	–	–	–	14	2	8	4	10	11	–	1	–	7	4	56
November .	**9.7**	**7.8**	**8.3**	**8.6**	133.1	29.4	17.	22	14	–	–	1	–	1	12	–	**21**	2	8	3	1	–	11	26	–	39
Dezember .	7.8	7.1	7.5	7.5	70.5	16.5	12.	21	14	**9**	7	1	–	–	4	3	17	–	3	6	–	–	10	**32**	5	37
Jahr . . .	7.2	6.2	5.9	6.4	979.5	37.0	9. VII.	191	137	30	20	7	2	32	87	45	149	39	74	94	20	14	171	141	46	496

München-C.St.

h_t = 8.4 m h_r = 1.4 m

Monat	Bewölkung 7a	2p	9p	Mittel	Niederschlag Summe mm	Tagesmaximum Betrag mm	Gemessen am	Zahl der Tage ≧0.1 mm Niederschlag	≧1.0 mm	≧0.1 mm ✳	⊠	△	▲	🌫	≡	heitere	trübe	Windverteilung N	NE	E	SE	S	SW	W	NW	C
Januar . . .	7.7	6.8	6.8	7.1	42.4	13.7	12.	13	8	9	**12**	–	–	–	**9**	2	11	–	1	**34**	6	–	28	–	2	22
Februar . .	**4.3**	4.8	3.9	**4.3**	11.2	2.9	1.	9	5	4	1	1	–	–	3	**10**	4	1	3	25	3	3	18	4	7	20
März . . .	6.4	5.9	3.6	5.3	45.3	18.5	25.	15	8	6	3	1	–	–	1	9	10	–	1	6	**15**	3	35	8	9	16
April . . .	6.9	7.0	5.9	6.6	44.8	14.2	13.	16	9	8	4	–	–	1	–	3	12	–	9	18	4	–	23	4	**12**	20
Mai	5.8	5.8	5.1	5.5	96.4	15.4	12.	16	14	–	–	1	1	**3**	1	5	8	–	**16**	12	2	–	34	7	7	15
Juni	6.3	6.2	6.8	6.4	**177.3**	**45.0**	3.	18	15	–	–	–	1	**8**	–	5	14	–	6	8	2	–	23	20	8	23
Juli	7.2	7.4	6.9	7.2	157.9	**50.9**	9.	**24**	**18**	–	–	–	–	4	1	3	18	–	3	5	–	–	23	**28**	9	25
August . .	6.3	5.6	4.9	5.6	98.0	33.6	16.	16	14	–	–	–	1	6	1	7	9	1	4	10	3	–	25	17	10	23
September .	6.6	5.7	3.7	5.3	100.5	30.5	10.	15	13	–	–	–	1	2	3	6	5	1	12	24	1	–	**17**	4	7	24
Oktober . .	6.6	5.7	6.4	6.3	33.0	8.5	6.	11	7	–	–	–	–	–	8	4	12	–	**8**	10	8	**5**	22	3	7	**30**
November .	**8.2**	**8.3**	6.4	**7.6**	85.2	11.2	17.	21	14	1	–	1	1	2	4	3	17	–	**1**	4	11	1	51	8	3	11
Dezember .	7.5	7.6	**7.5**	7.5	46.0	9.3	12.	21	10	**11**	7	1	–	–	4	**2**	**19**	–	3	5	3	–	**54**	8	7	13
Jahr	6.7	6.4	5.7	6.2	938.0	50.9	9. VII.	195	135	39	27	5	5	26	35	59	139	3	67	161	58	12	353	111	88	242

Ottobeuren.

h_t = 7.6 m h_r = 1.9 m

Monat	Bewölkung 7a	2p	9p	Mittel	Niederschlag Summe mm	Tagesmaximum Betrag mm	Gemessen am	Zahl der Tage ≧0.1 mm Niederschlag	≧1.0 mm	≧0.1 mm ✳	⊠	△	▲	🌫	≡	heitere	trübe	Windverteilung N	NE	E	SE	S	SW	W	NW	C
Januar . . .	6.3	6.4	5.4	6.0	79.2	37.9	12.	14	12	**12**	**21**	1	–	–	7	8	12	–	8	9	5	**3**	35	1	–	32
Februar . .	3.5	4.6	2.6	3.6	31.2	11.7	3.	6	5	4	2	1	–	–	1	**14**	4	1	18	**22**	7	–	**19**	2	1	14
März . . .	5.5	5.1	3.3	4.7	64.5	20.9	24.	12	10	7	4	1	–	–	1	11	9	–	11	4	**1**	2	62	2	1	10
April . . .	5.9	6.3	5.9	6.0	86.3	22.1	3.	14	11	8	5	1	–	2	4	4	9	**3**	19	3	8	–	33	–	4	20
Mai	5.3	5.0	4.4	4.8	109.2	20.3	24.	18	15	–	–	**2**	1	**7**	1	7	7	2	**21**	7	2	–	37	3	**5**	16
Juni	6.0	5.7	5.5	5.8	154.0	25.6	28.	20	17	–	–	1	**2**	**7**	–	6	13	**2**	13	6	2	–	45	3	2	17
Juli	6.6	7.4	**7.8**	**7.2**	**198.9**	**43.3**	23.	**22**	**19**	–	–	–	1	6	1	4	**18**	–	5	6	1	1	48	**7**	3	22
August . .	5.3	5.3	4.9	5.1	113.9	18.8	7., 21.	20	15	–	–	–	–	6	2	9	10	–	14	4	3	–	33	1	**5**	33
September .	6.5	5.8	5.6	5.9	103.2	25.1	11.	13	11	–	–	–	–	**7**	**12**	3	8	–	18	5	**3**	–	25	–	**5**	**34**
Oktober . .	4.5	5.0	4.4	4.6	35.9	17.4	9.	5	4	–	–	–	–	–	7	9	7	2	14	5	**10**	1	26	–	2	33
November .	**7.8**	**7.7**	5.6	7.0	103.4	12.9	18.	20	16	1	–	–	–	–	4	2	13	–	3	1	6	1	**70**	–	–	9
Dezember .	7.4	7.0	6.2	6.8	78.4	15.0	7.	20	17	11	20	–	–	–	2	4	15	–	6	1	3	–	68	1	2	12
Jahr	5.9	5.9	5.1	5.6	1158.1	43.3	23. VII.	184	152	43	52	7	4	35	42	81	125	10	150	73	51	8	501	20	30	252

Alle Angaben nach Ortszeit.

1913

Traunstein.

$\varphi = 47^0\,52'$ N $\lambda = 12^0\,39'$ E — H = 597 m Cg = + 0.1 mm

Monat	Luftdruck auf 0° und Normalschwere reduziert: Mittel mm	Maximum mm	Minimum mm	Lufttemperatur: 7a C°	2p C°	9p C°	Tagesmittel C°	Mittl. Maximum C°	Mittl. Minimum C°	Absol. Maximum C°	Datum	Absol. Minimum C°	Datum	Absolute Feuchtigkeit: 7a mm	2p mm	9p mm	Mittel mm	Relative Feuchtigkeit: 7a Proz.	2p Proz.	9p Proz.	Mittel Proz.	Minimum Proz.
Januar . .	710.3	718.9	698.6	- 3.8	- 0.1	- 2.6	- 2.3	0.8	- 5.2	7.8	1.	-13.5	16.	3.2	3.5	3.4	3.4	91	78	89	86	34
Februar . .	**714.5**	**725.2**	701.2	- 3.9	3.3	- 1.8	- 1.0	3.7	- 5.0	10.0	8.	-11.4	20.	3.1	3.1	3.2	3.1	85	52	**77**	72	24
März . . .	712.0	724.3	698.6	1.6	10.0	3.9	4.9	11.1	0.1	23.0	30.	- 8.6	2.	4.3	4.6	4.9	4.6	83	51	80	**71**	20
April . . .	707.1	713.4	694.6	4.6	11.0	6.1	6.9	12.0	2.4	23.2	29., 30.	- 6.4	13.	5.4	5.8	6.1	5.7	82	59	83	74	23
Mai . . .	709.5	718.3	698.3	9.3	15.4	10.0	11.2	16.6	6.1	26.1	30.	0.9	8.	7.4	7.9	7.9	7.7	83	61	84	76	41
Juni . . .	713.1	718.7	708.8	**12.8**	17.1	12.5	13.7	18.1	9.3	**27.0**	3.	4.0	15.	9.3	9.8	9.5	9.5	84	69	87	80	36
Juli . . .	710.3	714.9	704.8	12.0	16.6	12.4	13.3	17.8	9.6	24.6	14.	4.0	10.	**9.4**	9.4	9.8	9.5	90	69	92	83	41
August . .	711.5	718.0	705.8	11.8	**18.0**	**13.1**	**14.0**	**18.9**	**9.7**	25.8	24.	6.4	11.	9.3	**10.5**	**10.4**	**10.1**	91	69	93	84	40
September .	710.8	715.5	699.5	8.8	15.8	10.7	11.5	16.9	7.5	24.0	4.	1.9	25.	8.0	9.6	9.1	8.9	93	74	93	87	42
Oktober .	711.1	722.0	702.4	5.8	14.1	8.2	9.1	14.6	5.0	22.2	8.	- 2.5	15.	6.6	7.9	7.5	7.3	**95**	66	91	84	39
November .	711.8	722.2	699.5	4.7	8.2	5.0	5.7	9.0	2.9	15.0	3.	- 0.9	20.	5.8	6.4	6.2	6.1	91	**79**	**94**	**88**	44
Dezember .	711.1	721.2	693.0	- 0.8	2.1	- 0.3	0.0	3.1	- 2.1	10.9	1.	- 8.9	21.	4.1	4.0	4.0	4.0	92	76	87	85	22
Jahr . . .	711.1	725.2	693.0	5.2	11.0	6.4	7.3	11.9	3.4	27.0	3. VI.	-13.5	16. I.	6.3	6.9	6.8	6.7	88	67	88	81	20

Tegernsee.

$\varphi = 47^0\,43'$ N $\lambda = 11^0\,45'$ E — H = 727.8 m Cg = + 0.1 mm

Monat	Luftdruck auf 0° und Normalschwere reduziert: Mittel mm	Maximum mm	Minimum mm	Lufttemperatur: 7a C°	2p C°	9p C°	Tagesmittel C°	Mittl. Maximum C°	Mittl. Minimum C°	Absol. Maximum C°	Datum	Absol. Minimum C°	Datum	Absolute Feuchtigkeit: 7a mm	2p mm	9p mm	Mittel mm	Relative Feuchtigkeit: 7a Proz.	2p Proz.	9p Proz.	Mittel Proz.	Minimum Proz.
Januar . .	698.8	707.0	687.6	- 0.8	1.8	- 0.6	0.0	3.7	- 3.5	9.7	1.	- 8.6	15.	3.4	3.8	3.6	3.6	79	**75**	83	79	19
Februar . .	**702.9**	**713.3**	692.3	- 2.3	3.4	- 1.1	- 0.3	4.3	- 4.3	9.8	7.	-13.1	19.	3.0	3.4	3.2	3.2	75	57	73	69	28
März . . .	700.7	712.0	688.2	4.0	9.4	4.7	5.7	11.3	0.6	22.2	30.	- 9.3	2.	3.1	4.6	4.2	4.3	69	54	**69**	**64**	**14**
April . . .	**695.7**	702.4	683.7	5.4	9.8	5.3	6.4	11.4	2.6	23.7	30.	- 7.6	13.	4.9	5.2	5.3	5.1	73	58	77	69	24
Mai . . .	698.3	707.2	687.3	9.6	14.9	9.1	10.7	16.3	6.4	26.0	30.	1.6	6.	6.7	7.3	7.3	7.1	75	59	84	73	35
Juni . . .	702.2	707.6	698.0	12.4	16.4	11.9	13.2	17.7	9.2	**27.0**	1.	5.7	15.	8.6	9.6	8.7	8.9	80	71	83	78	37
Juli . . .	699.4	704.1	693.6	11.2	15.1	11.6	12.4	16.3	9.2	25.0	14.	4.3	9.	8.7	9.3	8.9	9.0	**88**	74	**88**	**83**	48
August . .	700.7	706.9	693.9	**12.7**	**17.3**	**12.6**	**13.8**	**18.2**	**10.1**	25.7	24.	7.3	15.	**8.9**	**9.7**	**9.5**	**9.4**	82	67	87	79	42
September .	699.7	703.9	688.2	10.7	16.0	11.0	12.2	17.1	8.4	23.5	4.	2.8	27.	8.2	**9.7**	8.7	8.9	85	72	**88**	82	42
Oktober . .	700.2	710.0	690.2	9.6	14.9	10.2	11.2	16.4	7.0	23.6	22.	- 0.3	14.	6.4	8.0	7.0	7.1	72	65	78	72	19
November .	700.7	710.1	688.9	5.4	8.3	5.3	6.1	9.8	3.3	16.3	1.	0.5	19.	5.5	6.0	5.6	5.7	81	**75**	83	79	48
Dezember .	700.0	710.8	**680.8**	0.3	3.0	0.5	1.1	4.3	- 1.6	13.7	1.	- 7.5	20.	3.7	4.0	3.6	3.8	77	72	76	75	23
Jahr . . .	699.9	713.3	680.8	6.5	10.9	6.7	7.7	12.2	4.0	27.0	1. VI.	-13.1	19. II.	5.9	6.7	6.3	6.3	78	65	81	75	14

Bad Reichenhall.

$\varphi = 47^0\,43'$ N $\lambda = 12^0\,53'$ E — H = 477 m; vom 15. IV. ab 470.4 m Cg = + 0.1 mm

Monat	Luftdruck auf 0° und Normalschwere reduziert: Mittel mm	Maximum mm	Minimum mm	Lufttemperatur: 7a C°	2p C°	9p C°	Tagesmittel C°	Mittl. Maximum C°	Mittl. Minimum C°	Absol. Maximum C°	Datum	Absol. Minimum C°	Datum	Absolute Feuchtigkeit: 7a mm	2p mm	9p mm	Mittel mm	Relative Feuchtigkeit: 7a Proz.	2p Proz.	9p Proz.	Mittel Proz.	Minimum Proz.
Januar*) . .	721.3	730.5	709.9	- 3.0	0.6	- 1.6	- 1.4	2.3	- 4.2	8.9	1.	-14.2	16.	3.3	3.7	3.6	3.5	88	**79**	88	85	34
Februar*) .	**725.3**	**736.4**	711.9	- 2.3	4.8	- 0.6	0.3	6.3	- 3.6	12.1	8.	-11.9	19.	3.2	3.5	3.5	3.4	81	54	78	71	19
März *) . .	722.6	735.1	709.3	3.5	12.1	5.5	6.6	14.0	2.0	26.3	30.	- 7.3	2.	4.5	5.2	5.2	5.0	**77**	50	**77**	68	**18**
April *) . .	**717.9**	724.8	705.4	5.9	12.8	6.9	8.1	14.5	3.9	25.8	30.	- 3.9	13.	5.5	5.5	6.1	5.7	78	51	80	70	19
Mai . . .	719.9	729.0	708.2	10.6	16.7	10.6	12.1	18.6	7.4	28.2	30.	1.9	8.	7.5	7.6	8.3	7.8	80	55	87	74	27
Juni . . .	723.5	729.6	718.8	**13.4**	18.1	13.5	14.6	20.1	10.1	**29.0**	3.	4.6	15.	9.4	9.9	9.9	9.7	82	66	86	78	34
Juli . . .	720.6	725.5	714.8	12.5	17.2	13.2	14.0	19.3	10.5	28.2	14.	5.4	10.	9.5	9.6	10.2	9.8	88	67	91	82	39
August . .	722.0	728.7	716.9	13.2	**18.7**	**13.8**	**14.8**	**20.6**	**10.8**	28.0	24.	7.0	16.	**9.7**	**10.4**	**10.8**	**10.3**	87	66	92	82	40
September .	721.3	726.4	710.3	10.5	16.9	11.3	12.5	19.1	8.6	25.6	4.	1.8	25.	8.6	9.8	9.4	9.3	**90**	70	**94**	84	44
Oktober . .	721.8	732.7	712.3	7.2	15.2	9.1	10.1	16.2	5.7	22.2	8.	- 1.6	15.	6.8	8.5	7.8	7.7	**90**	66	90	82	46
November .	722.7	733.2	710.2	5.1	8.7	5.7	6.3	9.9	3.4	16.0	1.	- 0.9	24.	5.9	6.6	6.1	6.2	88	**79**	89	**86**	54
Dezember .	722.1	733.3	**703.6**	0.4	2.6	**0.5**	1.0	4.1	- 1.5	10.9	3.	- 8.8	23.	4.0	4.3	4.1	4.1	84	77	85	82	50
Jahr . . .	721.8	736.4	703.6	6.4	12.0	7.3	8.3	13.8	4.4	29.0	3. VI.	-14.2	16. I.	6.5	7.1	7.1	6.9	84	65	86	79	18

*) Die Barometermittel des Januar mit April sind auf die neue Barometerhöhe reduziert.

Berchtesgaden.

$\varphi = 47^0\,38'$ N $\lambda = 13^0\,0'$ E — H = 600 m

Monat	Luftdruck auf 0° und Normalschwere reduziert: Mittel mm	Maximum mm	Minimum mm	Lufttemperatur: 7a C°	2p C°	9p C°	Tagesmittel C°	Mittl. Maximum C°	Mittl. Minimum C°	Absol. Maximum C°	Datum	Absol. Minimum C°	Datum	Absolute Feuchtigkeit: 7a mm	2p mm	9p mm	Mittel mm	Relative Feuchtigkeit: 7a Proz.	2p Proz.	9p Proz.	Mittel Proz.	Minimum Proz.
Januar . .				- 4.1	0.0	- 2.4	- 2.2	0.6	- 5.3	6.1	24.	-12.1	15.	3.3	3.7	3.3	3.4	**93**	81	**93**	**89**	57
Februar . .				- 4.7	2.7	- 1.9	- 1.4	3.6	- 6.0	9.1	8.	-13.6	19.	3.0	3.2	3.3	3.2	87	57	80	74	32
März . . .				0.7	9.7	4.0	4.6	11.3	- 0.3	21.9	30.	-10.7	2.	4.4	4.7	5.0	4.7	89	54	81	75	15
April . . .				4.5	11.5	6.3	7.1	12.2	2.6	22.5	30.	- 4.8	13.	5.3	5.1	5.8	5.4	82	52	79	**71**	25
Mai . . .				8.8	15.4	10.4	11.3	16.4	6.3	26.0	30.	0.7	22.	7.3	7.0	7.7	7.3	85	55	81	74	27
Juni . . .				**12.2**	17.4	12.8	13.8	**18.5**	8.8	**27.3**	1.	3.5	15.	9.0	8.9	9.4	9.1	84	62	84	77	35
Juli . . .				11.5	16.3	12.4	13.1	17.5	9.2	24.1	14.	2.7	10.	9.0	8.9	9.5	9.1	89	66	89	81	38
August . .				11.7	**17.6**	**13.2**	**13.9**	18.3	**9.7**	24.4	24.	6.2	öfters	**9.4**	**9.6**	**10.0**	**9.6**	91	65	88	82	43
September .				9.2	16.1	11.0	11.8	17.1	7.7	23.1	4.	1.4	25.	8.2	9.0	8.9	8.7	92	66	90	83	36
Oktober . .				6.4	14.4	8.4	9.4	15.1	5.0	20.5	8.	- 2.4	15.	6.4	7.3	7.1	6.9	88	60	87	78	38
November .				3.5	7.6	4.6	5.1	8.2	2.1	13.7	1.	- 1.0	20.	5.5	6.4	5.8	5.9	**93**	**82**	90	88	50
Dezember .				- 1.0	1.9	- 0.7	- 0.1	2.7	- 2.9	9.2	1.	- 9.3	20.	3.9	4.2	3.8	4.0	89	79	87	85	50
Jahr . . .				4.9	10.9	6.5	7.2	11.8	3.1	27.3	1. VI.	-13.6	19. II.	6.2	6.5	6.6	6.4	89	65	86	80	15

Alle Angaben nach Ortszeit.

1913

Traunstein.

h_t = 6.7 m; h_r = 1.4 m

Monat	Bewölkung 7a	2p	9p	Mittel	Niederschlag Summe mm	Tagesmaximum Betrag mm	Gemessen am	≧0.1 mm Niederschlag	≧1.0 mm Niederschlag	≧0.1 mm ✳	⊠	△	▲	⊼	≡	heitere	trübe	Windverteilung N	NE	E	SE	S	SW	W	NW	C
Januar	6.5	6.7	5.9	6.4	79.4	14.7	13.	14	12	11	**21**	1	–	–	2	6	15	1	4	33	**9**	**17**	6	22	1	–
Februar	4.5	5.0	3.3	4.3	26.0	10.8	1.	9	5	5	6	–	–	–	–	**8**	5	2	2	34	7	6	3	26	4	–
März	5.5	5.6	3.7	5.0	71.8	18.4	19.	15	10	7	7	–	–	–	–	5	4	2	2	23	6	14	3	37	6	–
April	7.5	6.9	4.9	6.4	64.4	10.2	13.	17	13	5	4	1	–	1	–	3	12	–	6	20	6	13	3	38	4	–
Mai	6.5	6.1	5.2	5.9	131.5	23.1	20.	17	16	–	–	–	–	5	–	4	10	1	3	26	6	6	**8**	36	7	–
Juni	6.6	6.6	6.0	6.4	224.5	44.9	26.	18	18	–	–	–	–	**7**	–	4	13	2	–	18	**4**	12	3	42	**9**	–
Juli	7.7	7.0	**7.6**	**7.4**	218.4	42.3	9.	**25**	**21**	–	–	–	–	3	–	**1**	15	**5**	4	5	**4**	16	4	50	5	–
August	5.7	6.0	5.5	5.8	181.6	**60.9**	16.	18	14	–	–	1	1	**7**	2	3	9	3	3	20	**4**	15	2	37	**9**	–
September	6.0	5.8	4.8	5.5	214.3	30.8	2.	14	12	–	–	1	–	4	3	4	7	–	2	40	7	7	3	27	4	–
Oktober	5.1	5.3	4.0	4.8	78.0	15.2	6.	10	9	–	–	–	–	–	**6**	6	5	1	**8**	**43**	4	9	2	23	3	–
November	**8.2**	**8.1**	5.7	7.3	**224.7**	42.5	29.	21	17	3	–	–	–	–	–	3	15	3	3	13	8	16	6	38	3	–
Dezember	7.7	7.2	6.5	7.1	160.6	26.1	30.	23	20	**14**	20	1	–	–	1	3	**16**	–	7	2	4	12	2	**59**	7	–
Jahr	6.5	6.4	5.3	6.0	1675.2	60.9	16. VIII.	201	167	45	58	5	1	27	14	50	126	20	44	277	69	143	45	435	62	–

Tegernsee.

h_t = 1.8 m; h_r = 1.8 m

Monat	Bewölkung 7a	2p	9p	Mittel	Niederschlag Summe mm	Tagesmaximum Betrag mm	Gemessen am	≧0.1 mm Niederschlag	≧1.0 mm Niederschlag	≧0.1 mm ✳	⊠	△	▲	⊼	≡	heitere	trübe	Windverteilung N	NE	E	SE	S	SW	W	NW	C
Januar	6.5	6.2	5.9	6.2	116.4	30.5	12.	12	12	9	21	–	–	–	6	5	12	3	–	7	30	7	–	**25**	4	17
Februar	3.9	3.8	3.0	3.6	41.2	14.0	1.	7	6	3	**28**	–	–	–	?1	**12**	5	1	1	8	39	6	1	10	5	13
März	5.6	5.5	3.9	5.0	49.1	10.7	9.	9	7	6	14	–	–	1	–	9	6	**4**	–	7	35	**13**	–	17	6	11
April	6.8	6.8	6.2	6.6	70.2	14.8	13.	13	13	5	6	–	–	1	–	5	13	2	2	5	24	11	–	17	13	16
Mai	5.6	5.6	6.2	5.8	122.7	22.5	31.	20	17	–	–	–	–	**6**	–	5	10	–	**3**	6	33	7	–	14	7	23
Juni	6.3	6.4	5.9	6.2	**286.2**	47.5	21.	18	17	–	–	–	1	**6**	–	5	13	1	1	11	21	2	–	13	14	27
Juli	7.1	**7.3**	**7.6**	**7.3**	278.9	**53.0**	9.	**23**	**22**	–	–	–	–	2	–	3	**17**	–	–	6	32	–	1	8	4	**42**
August	5.2	5.6	5.8	5.5	211.6	40.5	16.	19	15	–	–	–	–	**6**	–	6	10	–	–	**19**	29	5	2	10	7	21
September	5.8	5.5	5.2	5.5	154.6	42.3	20.	13	11	–	–	1	–	1	–	3	6	–	–	9	44	–	–	9	13	15
Oktober	4.7	4.7	5.3	4.9	60.9	15.5	6.	10	6	–	–	–	–	1	–	5	7	2	–	4	**49**	1	–	16	9	12
November	**7.6**	7.2	5.5	6.8	193.9	35.0	17.	19	16	4	–	–	–	–	–	4	14	–	2	2	47	2	**4**	12	12	9
Dezember	7.4	6.7	6.6	6.9	142.0	25.0	11.	20	18	**16**	12	1	–	–	?–	6	**17**	1	–	2	36	–	1	**7**	**22**	24
Jahr	6.0	5.9	5.6	5.9	1727.7	53.0	9. VII.	183	160	43	81	2	1	24	?7	68	130	14	9	86	419	54	9	158	116	230

Bad Reichenhall.

h_t = 10.9 m; vom 15. IV. ab h_t = 2.9 m; h_r = 1.5 m; vom 15. IV. ab h_r = 1.7 m

Monat	Bewölkung 7a	2p	9p	Mittel	Niederschlag Summe mm	Tagesmaximum Betrag mm	Gemessen am	≧0.1 mm Niederschlag	≧1.0 mm Niederschlag	≧0.1 mm ✳	⊠	△	▲	⊼	≡	heitere	trübe	Windverteilung N	NE	E	SE	S	SW	W	NW	C
Januar	6.4	6.3	7.5	6.7	110.5	19.3	13.	15	12	11	**21**	–	–	–	**6**	3	14	–	–	17	1	2	12	23	2	36
Februar	4.3	3.6	3.2	3.7	34.3	10.8	4.	7	7	3	9	–	–	–	–	**11**	5	–	3	16	5	6	14	28	–	**12**
März	4.8	4.8	4.8	4.8	38.9	12.2	19.	13	8	6	**4**	1	–	–	–	8	4	–	1	20	–	12	20	16	–	24
April	7.3	6.6	5.8	6.6	45.8	7.3	12.	16	11	6	4	–	–	1	–	5	13	1	2	17	**7**	11	13	15	1	23
Mai	6.1	5.5	5.0	5.6	104.6	27.4	20.	18	14	–	–	–	–	3	–	6	11	–	**10**	18	–	4	10	27	–	24
Juni	6.4	6.3	5.9	6.2	258.3	50.0	30.	16	14	–	–	–	–	**5**	–	8	14	–	**10**	8	1	7	10	27	**3**	24
Juli	7.0	6.7	**7.8**	**7.2**	**276.2**	33.8	20.	**25**	**23**	–	–	–	–	2	–	4	**17**	1	3	7	2	7	15	22	**3**	33
August	5.2	6.4	5.7	5.8	180.5	44.9	16.	20	16	–	–	–	–	4	–	6	10	–	3	14	1	6	**22**	16	1	30
September	5.5	4.4	4.6	4.8	146.6	24.9	11.	15	14	–	–	–	–	4	3	10	8	–	2	17	4	–	5	23	–	**39**
Oktober	5.0	4.0	5.1	4.7	88.0	19.2	14.	9	8	–	–	–	–	–	**6**	9	8	–	1	**22**	–	**13**	9	17	1	30
November	**7.8**	**7.3**	5.8	7.0	261.0	**52.1**	29.	20	16	–	–	–	–	4	4	4	15	–	4	5	1	6	18	27	1	28
Dezember	7.1	6.9	6.6	6.9	179.8	31.1	11.	21	20	**13**	13	–	–	–	–	7	**17**	–	1	7	–	9	12	**32**	1	31
Jahr	6.1	5.7	5.7	5.8	1724.5	52.1	29. XI.	195	163	39	51	1	–	19	19	81	136	2	40	168	22	83	160	273	13	334

Berchtesgaden.

h_t = 3.5 m; h_r = 1.6 m

Monat	Bewölkung 7a	2p	9p	Mittel	Niederschlag Summe mm	Tagesmaximum Betrag mm	Gemessen am	≧0.1 mm Niederschlag	≧1.0 mm Niederschlag	≧0.1 mm ✳	⊠	△	▲	⊼	≡	heitere	trübe	Windverteilung N	NE	E	SE	S	SW	W	NW	C
Januar	5.1	5.1	5.4	5.2	128.6	22.7	24.	15	13	12	21	–	–	–	1	**11**	11									
Februar	4.6	3.7	2.8	3.7	44.4	18.0	4.	8	6	6	**28**	–	–	–	1	**11**	6									
März	6.1	5.0	4.7	5.3	30.1	13.0	19.	10	6	5	19	–	–	–	1	7	7									
April	7.4	6.6	6.5	6.8	50.4	6.5	9., 18.	15	14	7	4	–	–	1	–	2	12									
Mai	6.4	5.7	5.0	5.7	109.4	26.3	20.	15	14	–	–	–	–	5	–	4	10									
Juni	6.8	6.5	7.1	6.8	252.4	45.2	21.	18	15	–	–	–	–	6	–	4	14									
Juli	8.0	**7.6**	**8.4**	**8.0**	258.1	23.6	20.	**22**	**21**	–	–	–	–	5	1	1	**21**					*)				
August	6.4	6.3	6.5	6.4	193.0	40.0	16.	21	18	–	–	–	–	**7**	1	4	10									
September	5.6	4.8	4.0	4.8	143.8	24.7	6.	14	14	–	–	–	–	4	**6**	6	7									
Oktober	5.0	4.2	2.7	4.0	96.6	25.5	13.	11	11	–	–	1	–	–	4	10	5									
November	**8.2**	**7.6**	5.9	7.2	**262.2**	**48.2**	29.	18	16	2	–	–	–	2	**6**	3	16									
Dezember	7.3	6.9	5.8	6.7	163.2	30.1	11.	21	16	**16**	27	–	–	–	2	6	16									
Jahr	6.4	5.8	5.4	5.9	1732.2	48.2	29. XI.	188	164	48	99	1	–	30	23	69	135									

Alle Angaben nach Ortszeit.

*) Die eingeschlossene Lage von Berchtesgaden macht Windbeobachtungen unmöglich.

1913

Ettal.

$\varphi = 47^0\,34'$ N $\lambda = 11^0\,5'$ E — H = 879.5 m Cg = ± 0.0 mm

Monat	Luftdruck auf 0° und Normalschwere reduziert: Mittel mm	Maximum mm	Minimum mm	Lufttemperatur: 7a C°	2p C°	9p C°	Tagesmittel C°	Mittl. Maximum C°	Mittl. Minimum C°	Absol. Maximum C°	Datum	Absol. Minimum C°	Datum	Absolute Feuchtigkeit: 7a mm	2p mm	9p mm	Mittel mm	Relative Feuchtigkeit: 7a Proz.	2p Proz.	9p Proz.	Mittel Proz.	Minimum Proz.
Januar . . .	683.9	693.0	672.9	− 2.8	0.9	− 2.1	− 1.5	4.1	− 4.9	8.2	5., 31.	− 8.9	8., 10.	3.3	3.7	3.5	3.5	88	75	88	84	40
Februar . .	688.0	**698.7**	676.0	− 5.0	1.2	− 2.9	− 2.4	*)						2.8	3.2	3.2	3.1	85	64	84	78	34
März . . .	686.1	697.9	673.3	0.9	8.0	2.9	3.7	10.8	− 0.9	20.1	29.	−10.1	2.	4.0	4.6	4.3	4.3	82	61	78	74	19
April . . .	681.5	688.5	669.8	3.1	9.2	4.1	5.1	11.4	0.8	22.7	30.	−10.0	13.	5.0	5.3	5.2	5.2	85	61	83	76	25
Mai	684.0	693.0	673.0	8.8	14.3	8.6	10.0	16.4	5.4	26.1	30.	− 1.2	8.	6.9	7.1	7.0	7.0	82	**80**	84	75	36
Juni	**688.1**	692.7	683.6	**11.8**	15.8	10.7	12.3	18.9	8.4	**30.0**	1.	4.1	8.	8.5	8.9	8.5	8.6	83	68	88	79	29
Juli	685.4	690.2	679.6	10.1	14.6	10.4	11.4	17.2	7.8	27.8	14.	4.0	9.	8.4	9.2	8.5	8.7	91	75	91	86	49
August . .	686.6	692.7	679.5	11.2	**16.8**	**11.3**	**12.6**	18.4	8.3	24.9	24.	4.3	17.	**8.8**	9.5	**9.1**	**9.1**	89	68	92	83	35
September .	685.9	689.5	674.7	8.4	14.2	9.5	10.4	16.2	6.8	23.7	4.	1.6	27.	7.8	**9.7**	8.3	8.6	**94**	**80**	**93**	**89**	58
Oktober . .	685.9	695.2	676.7	6.5	13.1	8.7	9.2	14.7	4.9	21.0	8.	− 1.2	15.	6.1	7.3	6.5	6.6	85	67	79	77	22
November .	686.6	696.2	674.2	3.2	6.8	3.9	4.5	8.3	1.7	16.0	12.	− 1.8	27.	5.3	5.8	5.4	5.5	92	**80**	88	87	55
Dezember .	685.5	695.8	**667.2**	− 1.8	**0.6**	− 1.6	− 1.1	2.6	− 3.8	11.5	27.	−10.4	20.	3.5	3.5	3.4	3.5	85	73	82	80	33
Jahr	685.6	698.7	667.2	4.5	9.6	5.3	6.2			30.0	1. VI.			5.9	6.5	6.1	6.1	87	71	86	81	19

*) Unbrauchbar.

Lindau i. B. (Reutin).

$\varphi = 47^0\,33$ N $\lambda = 9^0\,41'$ E — H = 401.7 m Cg = + 0.1 mm

Januar . .	727.3	736.0	714.9	− 0.3	1.8	0.3	0.5	3.3	− 2.6	8.9	31.	− 6.6	16.	4.0	4.5	4.3	4.3	90	**87**	**91**	**89**	53
Februar . .	**731.1**	**742.1**	719.9	− 2.4	3.9	− 0.1	0.4	6.0	− 3.8	12.3	2.	− 9.4	20.	3.3	4.2	3.8	3.8	84	68	80	77	47
März . . .	728.6	741.9	715.7	3.1	10.1	6.1	6.4	12.8	0.8	21.9	31.	− 5.4	2.	4.7	5.7	5.3	5.2	83	63	**77**	75	**19**
April . . .	**723.7**	731.2	711.6	5.6	11.1	7.5	7.9	13.2	3.0	25.7	30.	− 7.1	13.	5.8	6.1	6.2	6.0	83	61	78	**74**	36
Mai	725.9	734.4	715.6	10.1	15.9	12.1	12.5	18.1	7.2	**28.7**	31.	0.1	8.	8.0	8.4	8.2	8.2	85	63	78	75	38
Juni . . .	729.9	734.2	724.0	**13.7**	17.8	14.9	15.3	19.7	10.8	28.1	1.	6.2	8.	9.7	10.4	9.9	10.0	83	69	79	77	43
Juli . . .	726.9	732.3	721.2	12.9	17.5	14.5	14.9	18.9	10.6	25.4	27.	6.3	10.	9.7	10.3	10.3	10.1	88	69	84	80	46
August . .	727.9	733.9	722.8	13.3	**18.9**	**15.3**	**15.7**	**20.5**	**11.1**	25.9	5.	8.1	11., 18.	**10.2**	**11.1**	**10.9**	**10.8**	90	70	85	81	41
September .	727.1	732.2	715.8	11.2	16.1	12.8	13.2	17.4	9.7	23.4	1.	4.5	24.	9.2	10.4	10.0	9.9	92	76	90	86	58
Oktober . .	727.4	737.1	716.3	8.0	13.5	9.6	10.2	15.3	6.2	22.6	28., 29.	− 0.3	15.	7.4	8.4	7.8	7.9	**93**	74	88	85	30
November .	729.1	739.1	716.0	5.9	8.6	6.6	6.9	10.0	4.4	16.4	2.	− 1.0	23.	6.2	6.8	6.6	6.5	89	82	90	87	58
Dezember .	729.3	740.4	**708.5**	0.5	2.9	1.4	1.6	4.8	− 1.1	12.4	4.	− 7.7	20.	4.2	4.5	4.3	4.3	87	80	84	84	52
Jahr	727.9	742.1	708.5	6.8	11.5	8.4	8.8	13.3	4.7	28.7	31. V.	− 9.4	20. II.	6.9	7.6	7.3	7.3	87	72	84	81	19

Partenkirchen.

$\varphi = 47^0\,30'$ N $\lambda = 11^0\,6'$ E — H = 716.8 m Cg = + 0.1 mm

Januar . . .	699.8	708.5	688.7	− 3.2	1.4	− 2.2	− 1.6	2.4	− 5.1	7.3	5., 6.	−10.0	16.	3.2	3.7	3.5	3.4	87	74	89	84	38
Februar . .	**703.9**	**714.7**	692.0	− 5.1	3.5	− 2.7	− 1.7	4.2	− 6.2	9.7	27.	−15.1	19.	2.7	3.1	3.0	2.9	81	54	78	71	21
März . . .	701.6	713.9	689.3	1.2	11.0	3.8	4.9	12.3	− 0.3	22.0	29., 30.	− 9.4	2.	3.9	4.4	4.4	4.2	78	49	75	67	19
April . . .	696.8	703.9	685.5	4.0	11.0	5.3	6.4	12.3	1.9	23.3	30.	− 8.9	13.	5.2	5.4	5.5	5.3	83	56	81	73	25
Mai	699.2	708.1	688.5	8.6	15.8	10.0	11.1	17.0	6.2	26.3	30.	0.1	21.	7.3	7.2	8.1	7.5	86	55	86	76	32
Juni	703.2	708.0	698.7	**11.1**	16.7	11.9	12.9	18.2	8.9	**28.2**	1.	5.1	8.	8.9	8.6	9.2	8.9	90	64	88	81	13
Juli	700.4	705.4	694.3	10.2	15.3	11.5	12.1	16.7	8.8	25.9	14.	4.2	10.	8.8	9.4	9.5	9.2	**95**	74	**94**	**87**	42
August . .	701.7	708.2	694.7	10.9	**17.3**	**12.7**	**13.4**	**18.5**	**9.4**	25.4	24.	5.2	17.	**9.0**	**9.6**	**10.0**	**9.5**	93	68	91	84	33
September .	700 6	705.1	690.1	9.1	15.2	10.5	11.3	16.6	7.9	23.4	4.	2.5	28.	8.1	9.4	8.9	8.8	92	74	93	86	50
Oktober . .	701.1	711.1	691.6	6.5	14.7	8.7	9.6	15.8	5.6	22.3	26., 29.	− 0.5	15.	6.3	7.4	6.9	6.8	86	61	82	76	28
November .	701.9	712.0	689.6	3.3	8.1	4.1	4.9	9.7	2.2	17.6	1.	− 1.6	27.	5.3	6.1	5.5	5.6	91	**77**	89	86	48
Dezember .	701.0	711.8	**682.4**	− 1.3	2.1	− 0.9	− 0.3	3.0	− 3.2	12.4	27.	−10.2	20.	3.7	3.9	3.7	3.8	87	75	85	82	30
Jahr	700.9	714.7	682.4	4.6	11.0	6.1	6.9	12.2	3.0	28.2	1. VI.	−15.1	19. II.	6.0	6.5	6.5	6.3	87	65	86	79	13

Mittenwald.

$\varphi = 47^0\,27'$ N $\lambda = 11^0\,16'$ E — H = 911.8 m Cg = ± 0.0 mm

Januar . . .	682.9	691.5	672.2	− 2.2	2.6	− 0.7	− 0.3	3.2	− 4.0	7.3	5.	−11.5	10.	3.3	3.8	3.7	3.6	84	71	85	80	35
Februar . .	**686.6**	**697.3**	675.9	− 4.2	2.9	− 2.7	− 1.7	3.6	− 6.3	8.2	25.	−16.2	17.	2.9	3.3	3.2	3.1	83	59	84	75	29
März . . .	684.8	696.2	673.1	1.6	9.6	3.8	4.7	10.9	− 0.2	19.0	30., 31.	− 9.8	3.	3.9	4.8	4.4	4.4	79	55	75	70	20
April . . .	680.0	687.3	668.3	3.7	10.0	4.9	5.9	11.4	1.3	22.1	30.	− 8.9	14.	4.8	5.5	5.1	5.1	80	59	78	73	40
Mai	682.7	691.5	671.3	8.4	14.6	8.1	9.8	15.9	4.9	26.2	30.	− 2.7	8.	6.7	7.1	7.2	7.0	81	60	88	76	36
Juni	**686.6**	691.1	682.4	**11.1**	16.5	10.5	12.1	17.9	7.0	**26.8**	1.	1.4	8.	8.2	8.8	8.4	8.5	85	65	90	80	37
Juli	683.8	688.6	678.0	9.7	15.0	10.1	11.2	16.6	7.4	25.1	14.	3.0	9.	8.2	8.6	8.7	8.5	**91**	69	91	**85**	37
August . .	685.2	691.4	679.8	10.5	**16.9**	**10.9**	**12.3**	**18.0**	**7.7**	24.6	24., 29.	3.7	17.	**8.3**	**9.2**	**9.3**	**8.9**	88	66	**95**	83	35
September .	684.0	688.1	673.2	9.1	15.7	9.7	11.0	17.0	6.5	24.1	4.	0.4	27.	7.7	8.6	8.0	8.1	88	65	89	81	38
Oktober . .	684.4	693.3	675.4	7.7	14.8	9 1	10.2	15.4	5.4	20.3	26.	0.0	18.	5.8	6.8	6.4	6.3	75	56	76	69	21
November .	685.0	694.1	673.0	3.3	7.8	4.8	5.2	8.8	1.4	15.2	1.	− 2.8	27.	5.1	5.6	5.1	5.3	86	**72**	81	80	37
Dezember .	683.9	694.4	**666.4**	− 1.2	1.9	− 1.0	− 0.3	2.6	− 3.5	10.3	3.	−10.2	8.	3.4	3.8	3.5	3.6	81	**72**	80	77	40
Jahr	684.2	697.3	666.4	4.8	10.7	5.6	6.7	11.8	2.3	26.8	1. VI.	−16.2	17. II.	5.7	6.3	6.1	6.0	83	64	85	77	20

Alle Angaben nach Ortszeit.

1913

Ettal.

h_t = 2.4 m h_r = 1.9 m

Monat	Bewölkung 7a	2p	9p	Mittel	Niederschlag Summe mm	Tagesmaximum Betrag mm	Gemessen am	Zahl der Tage ≧0.1 mm Niederschlag	≧1.0 mm	≧0.1 mm ✳	⊠	△	▲	⊠	≡	heitere	trübe	Windverteilung N	NE	E	SE	S	SW	W	NW	C
Januar	5.8	5.6	4.5	5.3	133.7	30.2	13.	15	15	12	**31**	–	–	–	**7**	10	10									
Februar	3.0	3.9	2.8	3.2	39.1	13.6	1.	8	8	7	**28**	1	–	–	1	**14**	2									
März	4.3	4.6	4.3	4.4	71.2	16.6	9., 25.	11	8	8	20	–	–	–	1	11	6									
April	5.9	6.1	5.4	5.9	81.6	17.1	13.	18	14	7	8	–	1	2	2	5	9									
Mai	5.4	5.9	5.2	5.6	145.7	35.5	24.	20	17	4	–	**2**	1	**7**	–	6	9									
Juni	6.3	6.0	**6.5**	6.3	288.8	45.0	30.	17	17	–	–	–	1	**7**	3	5	**14**									
Juli	7.3	**7.3**	**6.5**	**7.0**	**319.9**	**48.1**	9.	**26**	**22**	–	–	–	1	6	–	2	**14**					*)				
August	5.0	4.8	4.8	4.9	221.5	33.5	7.	19	16	–	–	–	–	**7**	1	10	8									
September	4.8	5.7	4.2	4.9	110.7	22.1	11.	15	15	–	–	–	–	2	6	6	4									
Oktober	3.7	4.5	5.2	4.5	77.8	23.1	6	11	9	–	–	–	–	1	2	11	4									
November	**7.4**	7.1	5.8	6.8	150.8	28.8	17.	20	17	5	1	1	–	–	1	3	11									
Dezember	7.0	6.3	6.4	6.5	147.5	33.2	7.	21	19	**17**	27	1	–	–	1	5	**14**									
Jahr	5.5	5.7	5.1	5.4	1788.3	48.1	9. VII.	201	177	60	115	5	4	32	25	88	105									

*) Die eingeschlossene Lage Ettals macht Windbeobachtungen unmöglich.

Lindau i. B. (Reutin).

h_t = 2.1 m h_r = 1.4 m

Monat	Bewölkung 7a	2p	9p	Mittel	Niederschlag Summe mm	Tagesmaximum Betrag mm	Gemessen am	Zahl der Tage ≧0.1 mm Niederschlag	≧1.0 mm	≧0.1 mm ✳	⊠	△	▲	⊠	≡	heitere	trübe	Windverteilung N	NE	E	SE	S	SW	W	NW	C
Januar	8.0	7.9	**8.5**	8.1	77.4	17.9	12.	16	10	**10**	**9**	1	–	–	5	–	**18**	14	11	1	**2**	19	1	10	8	**27**
Februar	3.6	3.6	2.9	3.4	34.1	12.8	3.	**7**	4	1	–	1	–	–	1	**12**	4	**16**	**22**	1	1	16	2	14	3	9
März	5.5	4.6	4.0	4.7	87.1	20.1	24.	12	9	6	2	–	–	–	1	10	9	8	8	**2**	–	25	6	12	**10**	22
April	6.0	5.5	5.0	5.5	75.1	15.2	2.	13	10	4	2	**2**	–	1	1	8	10	7	11	1	**2**	19	8	12	5	25
Mai	5.5	5.2	5.3	5.3	96.5	11.8	24.	**20**	**18**	–	–	1	1	5	–	7	10	3	12	–	–	31	7	17	4	19
Juni	5.9	5.7	6.5	6.0	190.0	36.0	26.	17	15	–	–	–	1	6	–	7	14	4	**7**	–	–	31	6	**23**	6	13
Juli	6.3	5.9	7.5	6.6	**208.6**	39.2	9.	**20**	**18**	–	–	–	–	2	–	5	14	3	**7**	1	1	**34**	**10**	18	–	19
August	5.5	4.9	4.7	5.0	156.5	33.3	7.	19	16	–	–	–	1	**8**	–	11	10	2	16	–	1	27	3	21	5	18
September	6.6	5.4	5.3	5.8	141.6	**56.9**	11.	15	11	–	–	–	–	6	–	**2**	9	9	16	–	–	18	2	21	–	24
Oktober	6.5	6.0	4.6	5.7	43.0	21.7	9.	8	5	–	–	–	–	–	**7**	5	4	14	21	1	–	21	**1**	19	4	12
November	**9.1**	**8.3**	7.3	**8.2**	153.4	23.8	28.	18	17	–	–	–	–	–	6	1	**18**	7	**7**	**2**	1	26	5	15	6	21
Dezember	8.7	7.2	7.9	7.9	87.9	24.8	7.	17	13	5	2	1	–	–	6	1	15	15	9	1	1	25	5	19	2	16
Jahr	6.4	5.9	5.8	6.0	1351.2	56.9	11. IX.	182	146	26	15	6	3	28	27	69	135	102	147	10	9	292	56	201	53	225

Partenkirchen.

h_t = 2.1 m h_r = 1.2 m

Monat	Bewölkung 7a	2p	9p	Mittel	Niederschlag Summe mm	Tagesmaximum Betrag mm	Gemessen am	Zahl der Tage ≧0.1 mm Niederschlag	≧1.0 mm	≧0.1 mm ✳	⊠	△	▲	⊠	≡	heitere	trübe	Windverteilung N	NE	E	SE	S	SW	W	NW	C
Januar	5.4	5.5	5.2	5.4	98.8	38.0	12.	14	13	9	21	–	–	–	1	8	10	1	–	–	6	17	–	1	1	**67**
Februar	3.3	3.9	3.3	3.5	31.1	10.2	1.	8	**7**	4	**28**	1	–	–	–	**13**	4	2	–	–	12	20	1	2	13	35
März	4.8	4.8	4.0	4.5	46.5	11.3	25.	9	8	6	16	–	–	–	–	10	5	3	–	–	10	21	**3**	**8**	7	41
April	6.2	6.7	5.7	6.2	76.1	14.5	28.	19	11	6	4	–	1	3	–	2	9	5	–	–	7	13	–	2	**26**	37
Mai	5.7	5.9	5.8	5.8	168.1	30.0	24.	21	17	–	–	–	–	**8**	–	6	10	2	–	–	**15**	4	–	2	25	45
Juni	6.1	6.5	5.6	6.1	187.0	28.5	30.	21	16	–	–	–	–	**8**	–	6	13	5	–	–	12	4	2	4	16	47
Juli	6.9	**7.5**	**6.9**	**7.1**	**253.3**	**39.3**	9.	**26**	**21**	–	–	–	–	5	–	5	**16**	5	1	–	9	5	–	4	13	56
August	4.6	5.8	4.7	5.0	196.9	35.3	25.	20	17	–	–	–	–	5	–	8	11	3	–	–	12	10	2	3	15	48
September	5.2	5.9	4.4	5.2	88.7	18.1	10.	15	11	–	–	–	–	5	–	5	7	2	–	–	6	13	–	4	20	45
Oktober	3.5	4.5	3.5	3.8	67.7	27.4	6.	10	7	–	–	–	–	1	–	11	4	2	–	–	8	**23**	–	–	14	46
November	**7.3**	7.3	5.2	6.6	163.9	38.5	29.	18	16	1	1	1	–	–	–	3	12	2	–	–	12	20	1	2	8	45
Dezember	6.8	6.2	6.0	6.3	122.2	27.0	7.	19	18	**14**	27	–	–	–	–	6	15	**7**	**2**	–	7	20	1	3	11	42
Jahr	5.5	5.9	5.0	5.5	1500.3	39.3	9. VII.	200	162	40	97	**2**	1	35	1	83	116	39	3	–	116	170	9	35	169	554

Mittenwald.

h_t = 2.0 m h_r = 1.7 m

Monat	Bewölkung 7a	2p	9p	Mittel	Niederschlag Summe mm	Tagesmaximum Betrag mm	Gemessen am	Zahl der Tage ≧0.1 mm Niederschlag	≧1.0 mm	≧0.1 mm ✳	⊠	△	▲	⊠	≡	heitere	trübe	Windverteilung N	NE	E	SE	S	SW	W	NW	C
Januar	5.1	5.2	6.0	5.4	90.4	28.3	12.	16	14	14	21	**2**	–	–	1	7	10	6	5	–	4	**35**	10	8	2	23
Februar	4.0	4.0	4.0	4.0	33.4	9.9	1.	9	8	5	**28**	1	–	–	–	**11**	6	8	5	2	–	22	8	4	5	30
März	5.9	5.5	5.2	5.5	53.6	13.1	25.	10	**7**	7	9	–	–	–	1	6	7	11	7	4	1	30	9	4	2	25
April	6.6	7.3	6.2	6.7	53.8	7.3	28.	15	12	9	6	–	–	1	–	4	12	8	**9**	3	–	19	11	1	3	36
Mai	6.0	6.5	6.0	6.2	136.0	37.8	24.	19	17	1	–	–	–	4	–	4	10	8	**9**	3	3	13	4	2	7	44
Juni	6.1	6.5	6.2	6.3	210.5	34.1	21.	19	16	–	–	–	–	**8**	–	5	13	**12**	8	3	4	8	4	–	2	49
Juli	7.3	**8.0**	**8.1**	**7.8**	**271.7**	52.5	9.	**26**	**22**	–	–	–	–	5	1	3	**21**	–	**9**	**6**	5	9	3	2	–	**59**
August	5.3	6.1	6.0	5.8	202.8	24.1	20.	17	17	–	–	–	–	6	–	5	12	2	8	3	2	13	1	2	3	**59**
September	5.2	5.6	5.9	5.6	94.5	19.6	11.	13	12	–	–	–	–	3	–	4	9	4	8	–	3	20	5	4	5	41
Oktober	4.4	5.4	4.9	4.9	69.2	20.4	6.	8	8	–	–	–	–	–	–	8	7	4	3	–	–	33	8	8	1	36
November	**7.8**	7.7	6.3	7.3	195.6	**58.6**	29.	18	15	6	1	–	–	–	–	2	16	3	3	1	3	26	**12**	3	–	39
Dezember	7.4	7.0	7.5	7.3	117.6	23.0	7.	18	17	**17**	27	**2**	–	–	**2**	3	18	4	1	–	**9**	20	5	**11**	**10**	33
Jahr	5.9	6.2	6.0	6.1	1529.1	58.6	29. XI.	188	165	59	92	5	–	27	5	62	141	70	75	25	34	248	80	49	40	474

Alle Angaben nach Ortszeit.

1913

Oberstdorf.

$\varphi = 47^0\,24'$ N $\lambda = 10^0\,17'$ E H = 811.4 m Cg = + 0.1 mm

Monat	Luftdruck auf 0° und Normalschwere reduziert: Mittel mm	Maximum mm	Minimum mm	Lufttemperatur: 7a C°	2p C°	9p C°	Tagesmittel C°	Mittl. Maximum C°	Mittl. Minimum C°	Absol. Maximum C°	Datum	Absol. Minimum C°	Datum	Absolute Feuchtigkeit: 7a mm	2p mm	9p mm	Mittel mm	Relative Feuchtigkeit: 7a Proz.	2p Proz.	9p Proz.	Mittel Proz.	Minimum Proz.
Januar . . .	691.4	699.6	679.5	- 3.0	1.9	- 2.4	- 1.5	3.3	- 5.7	8.1	25.	-10.8	15.	3.3	3.8	3.5	3.5	88	73	90	84	45
Februar . .	**695.4**	**705.9**	684.1	- 6.2	1.9	- 4.2	- 3.2	3.4	- 8.5	9.2	2.	-17.9	19.	2.7	3.2	3.0	3.0	89	60	87	78	33
März . . .	693.4	705.5	681.1	0.1	8.7	2.3	3.3	10.4	- 2.2	20.3	31.	-13.0	2.	3.9	4.4	4.4	4.2	84	55	81	73	15
April . . .	688.6	695.5	677.0	3.3	10.3	4.3	5.5	11.4	0.7	22.0	30.	-11.3	14.	5.2	5.1	5.4	5.2	85	55	84	75	26
Mai . . .	691.2	699.8	680.5	8.4	15.1	8.6	10.2	16.7	4.3	27.0	30.	- 2.1	8.	6.9	6.7	7.0	6.9	83	54	84	74	30
Juni	695.3	700.2	690.5	**11.9**	17.0	11.3	12.9	18.2	7.5	**27.4**	1.	1.9	8.	8.6	8.4	8.6	8.5	83	61	87	77	29
Juli	692.4	697.3	687.1	10.8	16.0	11.1	12.2	17.6	**8.0**	26.3	14.	2.2	9.	8.6	8.5	8.8	8.7	89	65	90	81	30
August . .	693.5	699.3	686.6	10.8	**18.2**	**11.7**	**13.1**	**19.0**	7.9	24.5	29.	3.0	17.	**8.9**	**9.1**	**9.5**	**9.2**	92	61	93	82	**23**
September .	692.4	697.0	681.3	8.3	15.7	10.0	11.0	16.6	6.3	23.3	3., 4.	1.8	24.	7.9	8.8	8.7	8.5	**94**	67	**95**	**85**	48
Oktober . .	692.7	701.6	683.0	5.6	14.2	7.4	8.6	15.1	3.6	19.8	26.	- 3.1	15.	6.1	7.2	6.8	6.7	90	61	89	80	30
November .	693.8	703.2	681.3	3.2	7.7	3.4	4.4	8.8	1.0	15.2	1.	- 2.9	30.	5.3	5.9	5.3	5.5	90	**75**	90	**85**	47
Dezember .	693.1	703.1	676.2	- 2.0	1.7	- 1.7	- 1.0	3.2	- 4.5	11.5	27.	-15.1	20.	3.4	3.8	3.5	3.6	84	71	84	80	18
Jahr . . .	692.8	705.9	676.2	4.3	10.7	5.1	6.3	12.0	1.5	27.4	1. VI.	-17.9	19. II.	5.9	6.2	6.2	6.1	88	63	88	80	15

Hochstationen.

Hohenpeissenberg.

$\varphi = 47^0\,48'$ N $\lambda = 11^0\,1'$ E H = 994.1 m Cg = ± 0.0 mm

Januar . . .	675.2	683.7	664.1	- 0.9	0.0	- 0.8	- 0.6	1.7	- 3.1	9.5	2.	-11.2	30.	3.0	3.5	3.4	3.3	73	79	81	78	25
Februar . .	679.2	**689.8**	668.0	- 2.6	0.6	- 1.7	- 1.4	1.4	- 4.0	7.4	5.	**-13.8**	18.	2.6	2.9	2.8	2.8	70	60	71	67	23
März . . .	677.5	688.7	665.1	2.7	7.2	4.3	4.6	8.4	1.5	19.1	30.	- 6.7	2.	4.0	4.3	4.2	4.2	75	59	69	68	15
April . . .	673.0	680.2	661.3	3.5	7.5	4.3	4.9	8.5	2.2	19.6	30.	- 8.9	13.	4.7	4.9	4.8	4.8	80	63	76	73	34
Mai	675.8	684.5	665.1	8.4	12.5	8.2	9.3	13.3	6.1	23.1	30.	0.9	6.	6.2	6.3	6.3	6.3	77	60	78	72	37
Juni . . .	**679.8**	684.5	675.8	10.8	13.7	10.7	11.5	15.1	8.4	**23.5**	1.	4.6	29.	7.7	8.3	7.7	7.9	81	73	80	78	42
Juli	677.1	681.7	671.8	10.1	13.8	10.7	11.3	14.9	8.6	23.3	14.	4.8	9.	7.7	8.0	7.7	7.8	85	69	81	79	36
August . .	678.4	684.1	672.6	**11.5**	**15.3**	**12.1**	**12.8**	**16.0**	**10.1**	22.7	24.	6.5	16.	**8.1**	**8.5**	**8.4**	**8.3**	81	67	80	76	34
September .	677.4	681.1	666.6	9.4	12.7	9.9	10.5	13.6	8.1	21.0	4.	2.7	27.	7.5	8.4	8.0	8.0	**86**	77	**88**	**84**	51
Oktober . .	677.6	686.5	669.1	8.6	11.6	9.2	9.7	12.2	7.1	18.8	8.	- 1.5	14.	5.8	7.0	6.5	6.4	71	69	77	72	30
November .	677.8	687.0	666.1	4.3	5.7	4.8	4.9	7.1	3.0	13.0	1.	- 1.0	27.	5.2	5.6	5.2	5.3	84	**83**	80	82	20
Dezember .	676.6	686.6	659.4	- 1.0	0.4	- 0.6	- 0.5	1.9	- 2.5	10.7	3.	- 9.4	31.	3.3	3.4	3.4	3.4	79	75	80	78	19
Jahr . . .	677.1	689.8	659.4	5.4	8.4	5.9	6.4	9.5	3.8	23.5	1. VI.	-13.8	18. II.	5.5	5.9	5.7	5.7	79	70	78	76	15

Zugspitze.

$\varphi = 47^0\,25'$ N $\lambda = 10^0\,59'$ E H = 2962.2 m Cg = — 0.2 mm

Januar . . .	525.2	533.7	516.6	-10.4	- 9.6	-10.4	-10.2	- 8.0	-12.2	0.6	1.	-17.9	23.	1.7	1.8	1.7	1.7	88	87	86	87	39
Februar . .	527.6	537.7	517.0	-12.1	-10.2	-11.8	-11.5	- 8.6	-14.5	- 2.3	5.	-21.6	17.	1.3	1.3	1.2	1.3	74	67	**71**	**71**	23
März . . .	528.7	536.2	516.3	- 7.8	- 6.5	- 7.2	- 7.2	- 4.4	-10.0	2.5	30.	-18.5	9.	2.1	2.3	2.1	2.2	82	80	79	80	30
April . . .	524.5	533.7	511.7	- 8.4	- 5.9	- 8.2	- 7.7	- 4.9	-10.1	2.7	30.	-23.0	13.	2.4	2.9	2.5	2.6	94	93	94	94	58
Mai	528.9	**538.5**	516.4	- 4.1	- 1.9	- 3.4	- 3.2	- 0.2	- 5.6	7.9	31.	-12.9	5.	3.1	3.7	3.3	3.4	91	91	93	92	39
Juni . . .	**533.3**	537.5	527.3	- 0.9	1.0	- 0.8	- 0.4	2.0	- 2.4	**8.9**	18.	- 7.4	29.	3.7	4.5	3.8	4.0	88	92	89	89	45
Juli	530.7	536.4	524.8	- 2.3	- 0.6	- 1.5	- 1.5	0.6	- 3.3	6.5	30.	- 7.8	10.	**3.8**	4.3	3.9	4.0	**97**	**97**	**96**	**97**	42
August. . .	532.8	538.4	527.4	**- 0.5**	**1.3**	**- 0.1**	**0.2**	**2.3**	**- 1.7**	7.7	24.	- 8.9	14.	**3.8**	**4.6**	**4.1**	**4.2**	87	92	90	89	33
September .	531.7	536.3	523.7	- 1.5	0.6	- 0.9	- 0.7	1.6	- 2.6	7.9	4.	- 8.9	11.	3.7	4.4	3.9	4.0	89	90	90	90	48
Oktober . .	531.9	536.8	525.4	- 1.3	0.1	- 0.5	- 0.6	1.4	- 2.6	6.5	18.	-12.8	14.	2.9	3.3	3.2	3.1	73	72	75	73	15
November .	529.4	537.0	518.4	- 6.0	- 5.3	- 5.6	- 5.6	- 3.3	- 7.7	2.5	1.	-12.5	8.	2.5	2.7	2.6	2.6	88	88	86	88	28
Dezember .	525.7	536.2	508.7	-11.3	-11.1	-11.7	-11.5	- 9.2	-13.5	- 3.7	1.	-21.9	31.	1.6	1.6	1.5	1.6	86	85	86	86	34
Jahr	529.2	538.5	508.7	- 5.5	- 4.0	- 5.2	- 5.0	- 2.6	- 7.2	8.9	18. VI.	-23.0	13. IV.	2.7	3.1	2.8	2.9	86	86	86	86	15

Alle Angaben nach Ortszeit.

1913

Oberstdorf.

$h_t = 3.0$ m — $h_r = 1.3$ m

Monat	Bewölkung 7a	2p	9p	Mittel	Niederschlag Summe mm	Tagesmaximum Betrag mm	Gemessen am	Zahl der Tage ≧0.1 mm Niederschlag	≧1.0 mm	≧0.1 mm ✳	⊠	△	▲	⊼	≡	heitere	trübe	Windverteilung N	NE	E	SE	S	SW	W	NW	C
Januar	5.5	4.8	5.1	5.2	196.5	31.1	24.	16	16	11	**31**	–	–	–	3	9	11	19	1	–	3	3	9	11	12	35
Februar	3.9	3.6	3.6	3.7	69.8	18.8	3.	8	7	4	**28**	–	–	–	2	**13**	6	20	–	**2**	2	4	6	8	13	29
März	6.3	5.5	4.2	5.3	99.3	24.0	9.	13	13	9	29	–	–	–	1	9	10	14	**3**	–	2	8	**12**	15	4	35
April	7.0	6.2	5.6	6.3	113.6	16.2	18.	18	16	8	6	–	–	1	3	4	12	22	–	1	3	**1**	4	12	10	**37**
Mai	6.0	6.6	5.3	6.0	100.1	20.2	24.	18	16	–	–	1	–	4	–	6	11	28	1	1	3	**1**	6	13	15	25
Juni	6.4	6.9	6.7	6.7	222.1	38.2	28.	17	16	–	–	1	–	**9**	1	4	16	21	1	**2**	3	7	3	16	8	29
Juli	7.1	7.5	**8.1**	**7.6**	**314.9**	**40.7**	9.	**24**	**22**	–	–	–	–	3	4	**2**	**21**	11	1	1	2	**18**	3	14	10	33
August	5.4	5.7	5.6	5.6	233.6	36.8	21.	18	17	–	–	–	–	6	2	8	11	26	1	–	–	15	4	9	8	30
September	5.9	6.2	6.1	6.1	107.2	26.8	11.	15	12	–	–	**2**	–	2	**7**	5	10	23	–	–	–	4	4	12	11	36
Oktober	5.5	5.0	4.4	5.0	73.8	36.0	9.	10	9	–	–	–	–	–	6	7	4	**33**	1	–	**4**	7	–	5	11	32
November	**8.0**	**7.8**	6.0	7.3	221.0	35.8	17.	20	16	3	2	1	–	–	2	3	15	8	1	–	–	12	9	**21**	5	34
Dezember	7.3	6.9	6.4	6.8	184.1	26.1	7.	19	19	**16**	27	–	–	–	1	5	15	13	–	–	–	5	8	17	**18**	32
Jahr	6.2	6.1	5.6	6.0	1936.0	40.7	9. VII.	196	179	51	123	5	–	25	32	75	142	238	10	7	22	85	68	153	125	387

Hochstationen.

Hohenpeissenberg.

$h_t = 9.0$ m — $h_r = 1.6$ m

Monat	Bewölkung 7a	2p	9p	Mittel	Niederschlag Summe mm	Tagesmaximum Betrag mm	Gemessen am	Zahl der Tage ≧0.1 mm Niederschlag	≧1.0 mm	≧0.1 mm ✳	⊠	△	▲	⊼	≡	heitere	trübe	Windverteilung N	NE	E	SE	S	SW	W	NW	C
Januar	6.7	6.2	5.3	6.1	88.2	18.3	12.	13	12	12	21	–	–	–	**19**	7	13	2	12	10	14	–	26	19	6	**4**
Februar	4.3	4.4	3.2	4.0	18.3	7.9	1.	7	6	6	**28**	–	–	–	10	**11**	3	–	22	11	7	1	17	19	6	1
März	5.9	6.0	4.7	5.5	84.1	20.5	25.	12	7	9	16	–	–	–	9	8	10	3	10	6	3	2	26	**35**	7	1
April	6.8	7.4	5.9	6.7	75.1	14.1	21.	16	11	9	8	–	1	2	12	5	12	3	17	12	6	–	17	25	8	2
Mai	6.0	6.5	5.5	6.0	73.6	22.7	24.	19	14	1	–	1	–	5	9	7	12	1	**23**	12	6	1	**12**	26	8	**4**
Juni	6.6	6.9	6.0	6.5	**212.6**	31.7	21.	19	16	–	–	1	**3**	**7**	14	5	12	1	10	9	5	–	26	30	7	2
Juli	7.1	**8.2**	**7.8**	**7.7**	175.2	37.3	9.	**24**	**21**	–	–	–	–	4	15	**3**	**20**	**5**	11	6	**1**	–	25	24	**19**	2
August	5.9	6.2	5.7	6.0	182.6	**49.7**	20.	18	16	–	–	–	–	6	10	6	12	4	20	7	7	–	20	20	12	3
September	6.3	6.3	6.6	6.4	94.8	23.2	11.	16	13	–	–	–	–	2	14	3	11	2	20	**21**	4	–	14	20	5	**4**
Oktober	5.0	5.8	5.9	5.6	54.5	14.8	9.	12	8	–	–	1	–	1	**7**	7	9	–	16	9	**15**	**6**	23	11	9	**4**
November	**8.3**	7.7	6.1	7.4	103.6	18.3	17.	21	17	5	1	–	–	–	17	3	15	1	4	6	5	3	**36**	26	7	2
Dezember	7.4	7.2	6.5	7.0	91.3	19.4	7.	21	13	**18**	23	–	–	–	16	4	16	–	6	4	**1**	1	29	**35**	14	3
Jahr	6.4	6.6	5.8	6.2	1253.9	49.7	20. VIII.	198	154	60	97	3	4	27	152	69	145	22	171	113	74	14	271	290	108	32

Zugspitze.

$h_t = 7.3$ m — $h_r = 10.0$ m

Monat	Bewölkung 7a	2p	9p	Mittel	Niederschlag Summe mm	Tagesmaximum Betrag mm	Gemessen am	Zahl der Tage ≧0.1 mm Niederschlag	≧1.0 mm	≧0.1 mm ✳	⊠	△	▲	⊼	≡	heitere	trübe	Windverteilung N	NE	E	SE	S	SW	W	NW	C
Januar	6.8	6.6	5.4	6.3	76.9	15.1	24.	15	12	15	**31**	1	–	–	19	6	12	10	1	1	7	4	**15**	11	44	–
Februar	4.6	5.1	3.1	4.3	32.1	8.7	1.	9	8	9	**28**	–	–	–	7	**10**	3	**22**	2	**10**	10	8	6	9	15	2
März	7.2	7.0	4.8	6.3	54.6	15.7	19.	14	8	14	**31**	3	–	–	17	1	12	12	1	1	11	20	9	**18**	20	1
April	7.9	8.7	7.2	7.9	76.3	9.4	21.	21	15	21	**30**	5	–	–	26	1	18	8	–	1	**24**	4	5	12	24	**12**
Mai	7.0	8.0	7.1	7.4	100.0	12.9	24.	20	16	15	**31**	4	–	3	20	1	16	17	**4**	2	17	14	4	7	24	4
Juni	7.7	8.4	7.3	7.8	193.1	**29.0**	21.	20	17	17	**30**	3	–	**5**	25	–	16	12	–	–	12	10	4	7	43	2
Juli	**8.3**	**9.3**	**8.9**	**8.8**	**240.1**	21.9	9.	**25**	**24**	18	**31**	5	–	4	**30**	–	**25**	18	2	2	5	1	1	4	**56**	4
August	6.9	8.4	6.5	7.3	188.4	25.1	7.	19	17	13	23	5	–	**5**	27	1	15	16	–	–	5	4	7	10	48	3
September	5.9	7.1	5.8	6.3	124.1	20.0	2., 6.	16	12	9	**30**	**6**	1	4	22	3	14	10	–	1	22	12	10	9	24	2
Oktober	5.1	5.8	4.9	5.3	59.4	14.0	6.	9	8	9	**31**	3	–	–	15	7	7	8	–	7	20	**22**	9	9	17	1
November	7.4	7.8	6.4	7.2	112.4	16.3	14.	19	16	22	**30**	–	–	–	23	2	12	5	–	–	9	11	7	14	44	–
Dezember	6.8	7.1	7.2	7.0	81.2	13.5	14.	23	19	**23**	**31**	–	–	–	–	3	15	19	2	7	2	4	2	16	40	1
Jahr	6.8	7.4	6.2	6.8	1338.6	29.0	21. VI.	210	172	185	357	35	1	21	231	35	165	157	12	32	144	114	79	126	399	32

Alle Angaben nach Ortszeit.

Ergänzungs-Stationen.

1913

Rohr.

$\varphi = 48^0\,46'$ N $\lambda = 11^0\,58'$ E H = 426 m h_t = 4.7 m

Monat	Lufttemperatur										Bewölkung				Zahl der Tage								Windverteilung								
	7a C°	2p C°	9p C°	Tagesmittel C°	Mittl. Maximum C°	Mittl. Minimum C°	Absol. Maximum C°	Datum	Absol. Minimum C°	Datum	7a	2p	9p	Mittel	≧0,1 mm Niederschlag	≧1,0 mm Niederschlag	≧0,1 mm ✳	△	▲	⟀	≡	heitere	trübe	N	NE	E	SE	S	SW	W	NW	C
Januar	− 3.4	− 0.8	− 2.9	− 2.5	− 0.2	− 4.5	6.5	24.	−15.1	15.	7.4	6.5	6.5	6.8				−	−	−	5	3	16	1	**28**	2	**28**	2	8	9	15	−
Februar	− 2.8	3.2	− 1.4	− 0.6	3.7	− 3.9	9.0	11.	− 9.9	22.	5.4	3.8	5.0	4.7				−	−	−	1	**9**	6	−	4	**24**	14	1	23	4	6	**8**
März	3.1	9.9	4.7	5 6	10.3	1.1	20,0	30.	− 6.3	2.	5.9	5.7	5.6	5.7				−	−	−	−	2	6	2	11	−	8	4	31	13	24	−
April	5.3	11.6	5.6	7.0	12.2	2.3	24.1	30.	− 8.8	13.	5.9	5.7	5.4	5.6				1	−	2	2	5	6	**7**	9	10	16	−	31	1	15	1
Mai	10.3	16.5	10.0	11.7	17.4	7.1	27.1	30.	0.7	21.	5.5	5.0	5.4	5.3				−	−	5	1	4	7	1	5	6	18	5	**34**	6	16	2
Juni	**13.3**	18.3	13.3	14.5	19.7	**10.1**	**28.1**	2.	4.7	15.	5.6	5.8	6.4	5.9				−	−	**7**	−	4	9	3	8	11	4	−	20	7	37	−
Juli	12.5	17.6	13.2	14.2	19.0	9.5	27.3	14.	5.0	10.	6.5	6.9	6.6	6.6	*)			−	−	4	2	2	14	2	25	2	−	−	3	**22**	38	1
August	12.6	**18.8**	**13.6**	**14.6**	**19.9**	9.5	26.3	4.	5.5	27.	6.1	5.8	6.1	5.6				−	−	2	−	5	5	−	20	17	2	−	13	16	25	−
Septbr.	9.6	16.5	11.6	12.3	17.4	8.1	23.6	1.	2.4	26.	5.5	5.4	4.3	5.0				1	−	3	2	7	8	6	26	17	−	−	11	10	19	1
Oktober	5.7	12.1	7.7	8.3	12.5	4.4	18.0	1.	− 2.9	15.	8.0	5 8	6.2	6.6				−	−	−	**15**	1	11	−	**28**	14	5	**7**	20	11	4	4
Novbr.	4.6	7.8	5.3	5.7	8.4	3.2	13.0	3.	− 1.8	20.	**9.0**	**7.6**	7.3	7 9				1	1	1	8	−	**19**	**7**	**2**	3	2	−	33	14	29	−
Dezbr.	− 0.2	2.2	0.4	0.7	2.7	1.4	9.9	3.	− 7.8	20.	8.6	**7.6**	**8.0**	**8.0**				−	−	−	2	−	18	−	12	−	−	−	−	15	**66**	−
Jahr	5.9	11.1	6.8	7.6	11.9	4.0	28.1	2. VI.	−15.1	15. I.	6.6	6.0	6.1	6.1				3	1	24	38	42	125	29	178	106	97	19	227	128	294	17

*) Beobachtet keinen Niederschlag.

1913

Monat	Gössweinstein. $\varphi = 49^0\,46'$ N, $\lambda = 11^0\,20'$ E, H = 494 m, h_t = 6.3 m				Roggenstein. $\varphi = 49^0\,38'$ N, $\lambda = 12^0\,16'$ E, H = 520 m, h_t = 4.0 m				Pfelling. $\varphi = 48^0\,53'$ N, $\lambda = 12^0\,45'$ E, H = 318 m, h_t = 4.0 m			
	Lufttemperatur				Lufttemperatur				Lufttemperatur			
	7a C°	2p C°	9p C°	Tagesmittel C°	7a C°	2p C°	9p C°	Tagesmittel C°	7a C°	2p C°	9p C°	Tagesmittel C°
Januar												
Februar												
März					3.6	8.9	6.2	6.2				
April	4.9	10.5	5.9	6.8	4.3	10.6	5.8	6.6				
Mai	10.5	14.9	10.7	11.7	9.3	14.7	10.3	11.2				
Juni	14.0	17.6	13.4	14.6	12.9	17.3	13.4	14.2				
Juli	14.1	17.9	13.6	14.8	12.2	17.1	12.8	13.7				
August	13.4	18.2	13.7	14.8	11.9	18.0	13.1	14.0				
September	9.8	15.7	11.0	11.9	9.5	16.1	11.2	12.0				
Oktober	5.7	11.7	7.0	7.9	5.9	11.8	7.3	8.1				
November	5.2	7.0	5.1	5.6	4.6	6.5	4.6	5.1	4.3	7.7	5.1	5.5
Dezember	− 0.1	1.1	0.0	0.3	− 0.4	1.1	− 0.1	0.1	0.1	2.3	0.6	0.9
Jahr												

Alle Angaben nach Ortszeit.

Übersicht

über die

wichtigsten Jahresresultate der Stationen II. Ordnung und der Ergänzungsstationen.

I. Resultate aus Elementen, welche nur an den Stationen II. Ordnung beobachtet wurden.

Station	Meereshöhe	Luftdruck									Luft-Temperatur				Feuchtigkeit							
		Mittel	höchster				tiefster								absolute				relative			
			Tag	Monat	bei Wind	mm	Tag	Monat	bei Wind	mm	7^a	2^p	9^p	Mittel	7^a	2^p	9^p	Mittel	7^a	2^p	9^p	Mittel
Ludwigshafen a. Rh.	100.3	754.3	9.	II.	S	770.1	28.	XII.	SW	733.8	8.4	13.8	10.9	11.0	7.2	7.2	7.5	7.3	83	60	74	72
Kahl a. M.	114.1	753.0	9.	II.	C	767.8	28.	XII.	SW	732.7	7.6	13.0	8.6	9.4	7.2	7.5	7.6	7.5	88	65	85	79
Landau i. Pf.	149.9	749.6	9.	II.	NW	764.4	28.	XII.	SW	729.0	8.8	13.3	9.5	10.3	7.3	7.6	7.6	7.5	82	65	81	76
Würzburg	179.3	746.8	9.	II.	SE	762.4	28.	XII.	W	724.4	7.2	12.7	8.9	9.4	7.0	7.1	7.5	7.2	87	63	82	77
Bad Kissingen	209.2	744.7	11.	II.	C	759.9	28.	XII.	W	724.7	6.2	12.3	7.8	8.5	6.8	7.2	7.3	7.1	90	65	87	80
Kaiserslautern	242.2	741.6	9.	II.	C	755.9	28.	XII.	C	720.7	7.3	12.7	8.9	9.5	7.1	7.3	7.5	7.3	88	65	84	79
Luitpoldheim	250										6.1	11.2	8.2	8.4	6.8	7.6	7.3	7.2	91	72	84	83
Bamberg	287.7	737.6	9.	II.	SW	752.7	28.	XII.	SW	715.0	6.2	12.0	7.8	8.5	6.8	7.3	7.1	7.1	90	67	84	80
Nürnberg	309.1	735.5	9.	II.	S	750.4	28.	XII.	NW	714.4	6.7	12.0	8.6	9.0	6.8	7.0	7.2	7.0	87	65	82	78
Passau	309.3	736.1	9.	II.	C	751.1	28.	XII.	E	716.9	5.8	11.8	8.0	8.4	6.7	7.4	7.4	7.2	90	68	85	81
Metten	320										5.5	11.6	7.5	8.0	6.7	7.3	7.0	7.0	92	69	84	82
Regensburg	354.3	732.0	9.	II.	SW	746.6	28.	XII.	W	712.8	5.7	10.8	7.6	7.9	6.7	7.3	7.3	7.1	92	72	87	84
Bayreuth	363.3	730.9	9	II.	W	745.7	28.	XII.	SW	709.0	6.0	11.4	7.8	8.3	6.6	6.8	7.0	6.8	88	66	83	79
Burghausen	365	730.9	9.	II.	SE	745.9	28.	XII.	NE	713.0	5.7	12.1	6.8	7.8	6.7	7.1	7.1	7.0	91	66	90	82
Ingolstadt	368										5.4	12.1	7.1	7.9	6.6	7.2	7.0	6.9	91	66	86	81
Karlshuld	382.0	729.1	9.	II.	SE	744.0	28.	XII.	SW	709.9	5.4	11.7	7.1	7.8	6.7	7.3	7.1	7.0	92	68	87	82
Cham	386										5.2	11.3	7.3	7.8								
Landshut	397.7	727.7	9	II.	N	742.6	28.	XII.	W	709.0	5.7	12.1	7.0	8.0	6.6	6.9	7.0	6.9	89	64	87	80
Lindau i. B. (Reutin)	401.7	727.9	9.	II.	C	742.1	28.	XII.	W	708.4	6.8	11.5	8.4	8.8	6.9	7.6	7.3	7.3	87	72	84	81
Eggenfelden	417										5.9	11.5	7.0	7.9								
Rohr	426										5.9	11.1	6.8	7.6								
Weissenburg i. B.	431	725.2	9.	II.	W	739.6	28.	XII.	SW	705.6	7.0	11.8	7.7	8.6	*)							
Nördlingen	435.6	723.9	9.	II.	C	738.4	28.	XII.	W	705.6	6.1	11.8	7.7	8.3	6.5	7.1	7.0	6.9	88	66	84	79
Ansbach	437.5	724.2	9.	II.	C	738.8	28.	XII.	W	704.1	5.9	11.4	6.9	7.8	6.5	6.7	6.7	6.6	87	64	84	78
Bad Reichenhall	470.4	721.8	9.	II.	C	736.4	28.	XII.	S	703.6	6.4	12.0	7.3	8.3	6.5	7.1	7.1	6.9	84	65	86	79
Hof	476.1	719.6	11.	II.	N	733.6	28.	XII.	SW	697.0	4.9	10.7	5.7	6.7	6.3	6.7	6.5	6.5	90	67	89	82
Augsburg	499.6	719.3	9.	II.	C	733.8	28.	XII.	SE	699.9	6.4	12.0	8.3	8.7	6.6	7.2	7.2	7.0	86	67	83	79
Amberg (M.H.B.)	519										5.3	10.1	6.9	7.3								
München-C.St.	526.4	716.8	9.	II.	SW	731.1	28.	XII.	SE	697.8	6.8	12.0	8.3	8.9	6.5	6.7	6.8	6.7	82	62	79	74
Alexandersbad	590										4.4	9.1	5.5	6.1	6.2	6.6	6.4	6.4	92	73	90	85
Traunstein	597	711.1	9.	II.	SW	725.2	28.	XII.	NE	693.0	5.2	11.0	6.4	7.3	6.3	6.9	6.8	6.7	88	67	88	81
Berchtesgaden	600										4.9	10.9	6.5	7.2	6.2	6.5	6.6	6.4	89	65	86	80
Ottobeuren	660.0	705.5	9.	II.	SE	718.8	28.	XII.	C	687.0	5.8	11.1	6.4	7.4	6.4	6.9	6.6	6.6	86	67	87	80
Partenkirchen	716.8	700.9	9.	II.	C	714.7	28.	XII.	NW	682.4	4.6	11.0	6.1	6.9	6.0	6.5	6.5	6.3	87	65	86	79
Tegernsee	727.8	699.9	9.	II.	SE	713.3	28.	XII.	SE	680.8	6.5	10.9	6.7	7.7	5.9	6.7	6.3	6.3	78	65	81	75
Buchenau	750	697.0	9.	II.	NW	710.4	28.	XII.	W	679.1	3.9	9.1	4.9	5.7	6.0	6.8	6.0	6.3	89	74	86	83
Oberstdorf	811.4	692.8	9.	II.	C	705.9	29.	XII.	N.	676.2	4.3	10.7	5.1	6.3	5.9	6.2	6.2	6.1	88	63	88	80
Ettal	879.5	685.6	9.	II.	–	698.7	28.	XII.	–	667.2	4.5	9.6	5.3	6.2	5.9	6.5	6.1	6.1	87	71	86	81
Mittenwald	911.8	684.2	9.	II.	N	697.3	28.	XII.	S	666.4	4.8	10.7	5.6	6.7	5.7	6 3	6.1	6.0	83	64	85	77
Hohenpeissenberg	994.1	677.1	9.	II.	NW	689.8	28.	XII.	S	659.4	5.4	8.4	5.9	6.4	5.5	5.9	5.7	5.7	79	70	78	76
Zugspitze	2962.2	529.2	26.	V.	N	538.5	29.	XII.	NW	508.7	-5.5	-4 0	-5.2	-5.0	2.7	3.1	2.8	2.9	86	86	86	86

*) Im Februar unbrauchbar.

II. Resultate aus Elementen, welche an den Stationen II. Ordnung und den Ergänzungsstationen beobachtet wurden.

Station	Meereshöhe	Luft-Temperatur													Niederschlag				Tage mit						Tage	
		mittleres		Mittel		absolutes Minimum			absolutes Maximum			grösste tägl. Schwankung			Summe	Maximum						Niederschlag überhaupt				heitere	trübe
		Max.	Min.	aus Maxim. u. Min.	der Schwankungen	Tag	Monat	C°	Tag	Monat	C°	Tag	Monat	C°	mm	Tag	Monat	mm	☀	△	▲	IV 0,1 mm	IV 1,0 mm	☇	☰		
Ludwigshafen a. Rh.	100.3	14.5	7.0	10.7	7.4	21.	II.	– 5.8	27.	V.	30.8	17.	VI.	17.2	640.7	15.	IX.	28.4	18	1	3	175	118	25	61	63	139
Kahl a. M.	114.1	14.6	4.8	9.7	9.8	25.	II.	–10.2	17.	VI.	31.2	17.	VI.	23.4	624.4	29.	XII.	32.7	11	–	–	147	116	15	21	62	140
Landau i. Pf.	149.9	14.3	6.5	10.4	7.8	25.	II.	– 6.1	30., 31.	V.	29.2	27., 29. 14.	V. VII.	15.7	649.2	12.	I.	26.4	13	–	1	181	112	27	12	73	153
Würzburg	179.3	13.5	5.5	9.5	8.0	25.	II.	– 9.0	3.	VI.	29.1	31.	III.	18.4	636.6	4.	VI.	78.0	21	2	3	185	119	24	77	59	139
Bad Kissingen	209.2	13.2	4.3	8.7	8.9	15. 25.	I II	–10.1	3.	VI.	29.7	18.	VI.	19.7	723.4	22.	VI.	27.2	26	2	3	181	141	22	48	49	146
Kaiserslautern	242.2	13.7	5.5	9.6	8.2	21.	II.	– 9.0	18.	VI.	29.9	17.	VI.	19.8	685.4	24.	VII.	46.7	27	5	4	190	122	34	63	39	162
Luitpoldheim	250	12.0	4.5	8.3	7.5	15.	I.	– 9.1	31.	V.	27.7	31.	III.	17.6	748.4	17.	XI.	28.8	27	4	6	205	132	29	83	55	147
Bamberg	287.7	13.6	4.3	8.9	9.4	15.	I.	–10.5	3.	VI.	29.4	28.	IV.	19.0	663.4	22.	VI.	31.6	34	8	1	***)258	119	30	39	34	181
Nürnberg	309.1	12.7	5.1	8.9	7.6	15.	I.	– 9.9	4.	VI.	28.3	24.	IV.	16.8	575.3	3.	IX.	50.2	22	9	3	143	121	32	86	46	156
Passau	309.3	12.7	4.4	8.5	8.2	15.	I.	–15.8	1.	VI.	27.9	30.	IV.	21.5	853.7	6.	IX.	41.9	18	2	1	167	135	19	151	43	154
Metten	320	12.9	3.1	8.0	9.8	15.	I.	–18.6	4.	VI.	29.6	29.	III.	21.0	918.1	7.	IV.	49.6	29	2	1	179	131	36	61	57	137
Regensburg	354.3	11.8	4.2	8.0	7.6	15.	I.	–14.6	3.	VI.	27.0	18.	VI.	17.6	641.5	18.	V.	48.8	24	2	–	166	116	25	44	32	152
Bayreuth	363.3	12.8	3.8	8.3	9.1	21.	II.	–11.3	31.	V.	29.9	17.	VI.	20.7	639.2	22.	VI.	30.8	26	6	4	159	110	24	59	43	159
Burghausen	365	13.3	3.4	8.4	9.8	16.	I.	–15.9	30. 3.	V. VI.	29.5	18.	VI.	22.5	979.5	9.	VII.	37.0	30	7	2	191	137	32	87	45	149
Ingolstadt	368	13.5	2.9	8.2	10.6	16. 13.	I. IV.	–13.6	30. 3.	V. VI.	29.8	18.	VI.	24.5	556.5	16.	VIII.	16.2	29	12	–	189	111	28	42	40	156
Karlshuld	382.0	13.6	2.8	8.2	10.9	15.	I.	–15.7	30.	V.	32.8	18.	VI.	26.9	643.2	17.	VIII.	23.4	22	–	1	153	115	26	67	59	125
Cham	386	12.9	3.8	8.4	9.1	15.	I.	–13.9	2.	VI.	30.1	18.	VI.	20.4	728.4	21.	VI.	46.8	27	1	1	183	120	20	118	3	122
Landshut	397.7	14.3	2.9	8.6	11.4	15.	I.	–14.3	30.	V.	33.0	18.	VI.	24.8	779.5	9.	VII.	36.8	23	3	4	190	127	28	30	55	151
Lindau i. B. (Reutin)	401.7	13.3	4.7	9.0	8.7	20.	II.	– 9.4	31.	V.	28.7	4.	IV.	17.7	1351.2	11.	IX.	56.9	26	6	3	182	146	28	27	69	135
Eggenfelden	417	12.7	3.6	8.1	9.0	15.,16.	I.	–13.4	30.	V.	28.1	17.	III.	20.4	943.5	9.	VII.	49.3	34	–	4	243	132	31	69	46	145
Rohr	426	11.9	4.0	7.9	8.1	15.	I.	–15.1	2.	VI.	28.1	18.	VI.	19.6	**)					3	1			24	38	42	125
Weissenburg i. B.	431	12.6	4.4	8.5	8.2	21.	II.	–11.0	1.	VI.	28.0	24.	IV.	18.7	702.6	7.	IX.	31.6	28	5	1	187	127	26	39	42	154
Nördlingen	435.6	12.7	4.6	8.6	8.2	15.	I.	–10.4	30.	V.	28.5	17.	VI.	17.1	674.6	31.	V.	24.5	30	1	4	184	128	34	32	46	155
Ansbach	437.5	12.4	3.6	8.0	8.7	20.	II.	–11.2	öfters	VI.	27.8	17.	VI.	21.2	677.4	17.	XI.	27.1	34	4	2	187	135	29	31	75	126
Bad Reichenhall	470.4	13.8	4.4	9.1	9.3	16.	I.	–14.2	3.	VI.	29.0	29.	III.	20.4	1724.5	29.	XI.	52.1	39	1	–	195	163	19	19	81	136
Hof	476.1	11.9	2.1	7.0	9.7	2.	III.	–14.6	2.	VI.	28.7	17.	VI.	24.5	697.0	21.	VI.	38.7	44	1	2	193	122	20	100	18	144
Augsburg	499.6	12.8	4.9	8.9	7.9	15.	I.	–11.1	4.	VI.	29.2	18.	VI.	17.9	734.5	6.	VI.	20.1	31	2	2	167	128	30	45	47	134
Amberg (M.H.B.)	519	12.4	3.4	7.9	9.1	15.	I.	–16.0	4.	VI.	28.2	18.	VI.	17.5	734.2	18.	V.	47.0	39	10	5	220	137	35	113	50	134
München-C.St.	526.4	12.9	5.3	9.1	7.7	15.	I.	–11.5	30.	V.	28.3	30.	III.	16.1	938.0	9.	VII.	50.9	39	5	5	195	135	26	35	59	139
Alexandersbad	590	10.3	2.4	6.3	7.9	15.	I.	–17.2	2.	VI.	26.6	24.	IV.	18.4	810.9	21.	VI.	58.0	46	4	4	168	127	27	32	54	119
Traunstein	597	11.9	3.4	7.5	8.5	16.	I.	–13.5	3.	VI.	27.0	30.	III.	18.5	1675.2	16.	VIII.	60.9	45	5	1	201	167	27	14	50	126
Berchtesgaden	600	11.8	3.1	7.5	8.1	19.	II.	–13.6	1.	VI.	27.3	29.	III.	20.4	1732.2	29.	XI.	48.2	48	1	–	188	164	30	23	69	135
Ottobeuren	660.0	12.2	3.3	7.8	8.9	21.	XII.	–13.7	1.	VI.	29.0	17.	VI.	19.8	1158.1	23.	VII.	43.3	43	7	4	184	152	35	42	81	125
Partenkirchen	716.8	12.2	3.0	7.6	9.2	19.	II.	–15.1	1.	VI.	28.2	27.	XII.	18.7	1500.3	9.	VII.	39.3	40	2	1	200	162	35	1	83	116
Tegernsee	727.8	12.2	4.0	8.1	8.3	19.	II.	–13.1	1.	VI.	27.0	22.	X.	18.2	1727.7	9.	VII.	53.0	43	2	1	183	160	24	7 ?	68	130
Buchenau	750	10.4	2.4	6.4	8.0	15.	I.	–12.9	1.	VI.	27.4	30.	III.	17.2	1493.8	3.	IX.	41.4	63	6	5	201	159	26	20	85	153
Oberstdorf	811.4	12.0	1.5	6.8	10.4	19.	II.	–17.9	1.	VI.	27.4	19.	III.	22.2	1936.0	9.	VII.	40.7	51	5	–	196	179	25	32	75	142
Ettal	879.5	*)							1.	VI.	30.0				1788.3	9.	VII.	48.1	60	5	4	201	177	32	25	88	105
Mittenwald	911.8	11.8	2.3	7.1	9.5	17.	II.	–16.2	1.	VI.	26.8	8.	VI.	18.9	1529.1	29.	XI.	58.6	59	5	–	188	165	27	5	62	141
Hohenpeissenberg	994.1	9.5	3.8	6.7	5.7	18.	II.	–13.8	1.	VI.	23.5	1.	V.	14.4	1253.9	20.	VIII.	49.7	60	3	4	198	154	27	152	69	145
Zugspitze	2962.2	–2.6	–7.2	–4.9	4.5	13.	IV.	–23.0	18.	VI.	8.9	10.	III.	12.9	1338.6	21.	VI.	29.0	185	35	1	210	172	21	231	35	165

*) Im Februar unbrauchbar.
**) Beobachtet keinen Niederschlag.
***) Die grosse Anzahl der Tage mit Niederschlägen ≧ 0.1 mm ist durch die Mitzählung von Reif und Tau bedingt.

III. Abweichungen der Temperatur und der Niederschlagsmenge vom langjährigen Mittel für eine Anzahl ausgewählter Beobachtungsorte.

Über die Bedeutung der Zahlen und die Grundlagen der Berechnung siehe Jahrbuch 1912 pag. 134.

a) Temperaturdifferenzen gegen das langjährige Mittel (1881—1910).

Stationen	Januar	Februar	März	April	Mai	Juni	Juli	August	September	Oktober	November	Dezember
Ludwigshafen a. Rh.	2.1	1.5	3.4	0.5	0.8	−0.3	−2.9	−1.2	−0.4	1.3	3.7	2.7
Kahl a. M.	1.6	1.0	3.8	0.1	0.6	−0.8	−2.9	−1.4	−0.2	1.1	3.9	2.8
Landau i. Pf.	2.2	1.4	3.3	−0.2	0.4	−0.3	−2.7	−1.5	−1.0	1.2	3.7	2.0
Würzburg	1.1	1.1	3.2	0.4	0.0	−1.0	−3.1	−1.5	−0.5	0.9	3.7	3.2
Bad Kissingen	1.3	1.0	3.4	0.1	−0.3	−0.7	−2.6	−1.6	−0.7	0.6	3.1	3.4
Kaiserslautern	2.5	1.1	3.4	0.2	0.5	−0.3	−3.2	−1.5	−1.7	1.5	4.0	2.2
Luitpoldheim	0.7	1.4	3.7	0.3	0.0	−0.5	−2.8	−1.2	−0.3	1.0	3.7	3.0
Bamberg	1.0	1.4	3.5	0.2	−0.3	−1.0	−2.9	−1.8	−0.8	0.9	3.2	3.0
Nürnberg	1.1	1.2	3.5	0.2	−0.1	−1.0	−3.0	−1.9	−0.5	1.1	3.5	3.0
Passau	0.6	0.2	2.3	0.5	−0.1	−0.9	−3.0	−1.8	−0.4	0.7	2.7	2.5
Metten	0.5	0.6	3.1	0.5	0.0	−0.8	−2.4	−1.2	0.1	0.8	3.0	2.4
Regensburg	0.7	0.7	3.0	0.4	−0.5	−1.2	−3.1	−1.7	−0.6	0.8	3.3	2.9
Bayreuth	0.9	1.2	3.6	0.4	−0.2	−0.8	−2.8	−1.8	−0.6	1.0	3.4	3.1
Burghausen	1.1	0.7	2.8	0.4	0.0	−0.9	−2.5	−1.5	−0.5	1.0	3.0	2.7
Ingolstadt	1.4	1.3	2.8	0.0	−0.4	−1.6	−3.6	−2.1	−0.5	1.6	3.5	3.0
Karlshuld	1.1	0.9	3.1	0.5	0.2	−0.7	−2.3	−1.0	−0.3	1.3	3.5	2.9
Cham	1.6	1.5	3.5	0.6	−0.6	−0.6	−3.1	−1.3	−0.4	1.1	3.1	2.8
Landshut	1.3	0.7	3.0	0.3	0.1	−1.0	−2.6	−1.7	−0.2	1.2	3.1	2.6
Lindau i. B. (Reutin)	1.2	−0.4	2.2	−0.6	−0.5	−1.4	−3.7	−2.2	−1.3	0.6	1.9	0.9
Eggenfelden	1.4	1.8	3.9	0.5	0.7	−0.3	−2.1	−1.1	0.2	1.5	3.1	2.9
Weissenburg i. B.	0.9	0.9	3.8	0.0	0.1	−0.8	−2.9	−1.8	−0.5	1.5	3.5	2.8
Ansbach	1.1	1.2	3.3	0.0	0.1	−1.1	−3.0	−2.0	−0.7	1.4	3.7	2.6
Bad Reichenhall	1.5	1.0	3.8	0.9	−0.1	−1.0	−3.2	−1.6	−0.4	2.2	3.5	2.4
Hof	1.3	1.3	3.4	0.3	0.0	−0.2	−1.9	−1.8	−0.2	0.5	3.2	2.3
Augsburg	1.2	1.3	3.8	0.1	0.1	−1.1	−3.0	−1.6	−0.3	1.6	3.8	2.2
Amberg (M.H.B.)	0.9	1.8	3.1	0.8	−0.8	−1.0	−3.4	−1.2	−0.1	0.7	3.0	2.2
München-C.St.	1.6	1.6	4.3	0.8	−0.5	−0.9	−3.0	−1.3	−0.1	2.7	4.0	2.6
Alexandersbad	−0.4	0.1	2.7	0.4	−0.4	−1.1	−2.7	−1.9	−1.0	0.9	2.9	2.4
Traunstein	1.4	0.8	3.4	0.8	0.0	−1.1	−3.0	−1.4	−0.4	2.3	3.7	2.1
Berchtesgaden	1.3	0.3	3.9	0.9	0.1	−1.0	−2.9	−1.4	−0.4	2.1	2.8	2.2
Ottobeuren	1.7	0.1	3.6	−0.1	−0.1	−1.2	−3.0	−1.5	−0.1	2.4	3.5	1.2
Partenkirchen	1.7	−0.2	2.8	−0.1	0.3	−1.2	−3.4	−1.9	−0.9	2.1	2.4	1.6
Tegernsee	1.2	0.1	3.3	0.2	0.0	−1.2	−3.5	−1.8	−0.4	3.0	2.4	0.9
Buchenau	0.6	0.0	2.4	0.8	−0.4	−1.1	−3.7	−1.3	−0.2	1.7	2.3	1.1
Oberstdorf	2.4	−0.8	2.4	−0.1	0.2	−0.8	−3.0	−1.6	−0.7	2.0	2.5	1.6
Mittenwald	2.0	−0.5	3.2	0.3	0.0	−1.1	−3.3	−1.6	−0.4	3.2	2.6	0.5
Hohenpeissenberg	1.6	0.0	3.4	−0.2	−0.2	−1.7	−3.5	−1.7	−0.7	3.0	2.8	0.4
Zugspitze	1.2	0.2	3.3	−0.3	0.0	−0.7	−3.2	−1.7	−0.7	3.1	1.5	−1.5

b) Niederschlagsverhältnisse.

Stationen	Januar	Februar	März	April	Mai	Juni	Juli	August	September	Oktober	November	Dezember
Ludwigshafen a. Rh.	1.2	0.8	1.0	0.5	1.1	1.1	1.3	0.7	1.6	0.5	2.1	1.1
Kahl a. M.	0.9	0.7	0.7	0.7	0.9	1.4	0.7	0.6	1.1	0.6	1.7	1.2
Landau i. Pf.	1.4	0.7	0.9	0.9	1.1	0.7	0.9	0.7	1.4	0.3	1.7	0.8
Würzburg	1.4	0.6	0.8	0.6	1.3	2.7	0.6	0.7	1.1	0.4	1.8	1.0
Bad Kissingen	1.6	0.8	0.7	0.9	1.5	1.9	0.6	0.3	1.0	0.8	1.9	1.2
Kaiserslautern	1.5	0.8	0.9	1.0	1.5	0.8	1.3	0.4	1.2	0.4	1.6	0.9
Luitpoldheim	1.2	0.5	0.8	0.9	0.9	1.5	1.1	0.3	1.0	0.7	1.6	1.6
Bamberg	1.0	0.7	0.7	1.2	1.6	1.3	0.6	1.0	0.7	1.0	1.8	1.1
Nürnberg	1.1	0.6	1.2	0.8	1.0	1.0	0.3	0.9	1.7	0.5	1.8	1.1
Passau	0.8	0.3	0.4	0.8	0.6	1.2	1.3	0.7	1.5	0.7	1.7	1.6
Metten	0.9	0.5	0.7	1.5	0.8	1.1	1.2	1.0	1.1	0.5	1.6	1.4
Regensburg	1.4	0.6	1.1	0.7	1.8	1.2	1.3	0.8	1.1	0.6	1.5	1.0
Bayreuth	0.9	0.7	1.1	1.0	1.7	1.8	0.6	1.2	0.6	0.6	1.3	1.2
Burghausen	0.8	0.1	0.6	0.6	0.8	1.2	1.5	1.0	1.5	1.1	2.7	1.2
Ingolstadt	1.3	0.8	1.5	0.6	0.9	0.8	0.8	0.9	0.7	0.4	1.4	0.8
Karlshuld	1.4	0.7	1.5	0.6	1.2	0.9	1.2	1.1	1.1	0.6	1.6	0.8
Cham	1.2	0.4	1.3	1.5	0.8	2.1	0.9	0.9	0.9	0.5	1.4	1.0
Landshut	1.2	0.3	1.0	0.7	1.0	1.3	1.1	1.2	1.3	0.6	1.5	1.1
Lindau i. B. (Reutin)	1.4	0.5	1.3	0.8	0.8	1.2	1.2	1.1	1.0	0.4	2.5	1.2
Eggenfelden	1.5	0.3	0.9	0.9	0.5	1.4	1.4	0.7	1.8	0.8	2.0	1.2
Weissenburg i. B.	1.5	1.0	1.0	0.4	1.3	1.3	0.9	0.7	1.6	0.6	1.5	0.8
Ansbach	1.9	0.5	0.9	0.6	1.3	1.2	0.8	0.5	1.2	0.5	2.4	1.2
Bad Reichenhall	1.5	0.4	0.4	0.5	0.8	1.6	1.3	1.1	0.9	1.1	4.1	2.1
Hof	0.8	0.8	1.3	1.0	0.9	1.9	0.5	0.9	0.7	0.5	1.0	1.4
Augsburg	1.1	0.4	1.1	0.9	0.8	1.3	0.8	0.9	0.7	0.4	1.3	0.6
Amberg (M.H.B.)	1.1	0.8	1.2	1.1	2.0	1.3	0.7	1.1	0.9	0.6	1.3	1.1
München-C.St.	0.5	0.3	0.8	0.6	1.2	1.4	1.2	0.9	1.1	0.5	1.7	0.8
Alexandersbad	0.9	0.7	1.2	0.9	0.9	1.9	0.8	0.5	0.3	0.5	1.0	1.4
Traunstein	0.9	0.3	0.7	0.6	0.8	1.2	1.1	1.0	1.4	0.8	2.7	1.6
Berchtesgaden	1.2	0.4	0.3	0.4	0.7	1.5	1.3	1.1	1.1	1.2	2.7	1.7
Ottobeuren	1.6	0.7	1.2	1.1	1.1	1.2	1.6	0.9	1.1	0.5	2.1	1.6
Partenkirchen	1.3	0.5	0.5	0.7	1.2	1.1	1.5	1.2	0.7	0.9	2.9	1.6
Tegernsee	1.5	0.5	0.5	0.6	0.8	1.8	1.5	1.3	1.1	0.7	3.1	1.8
Buchenau	1.2	0.5	0.7	0.8	1.2	1.3	1.2	0.9	1.3	0.4	1.5	1.8
Oberstdorf	1.9	0.6	0.8	0.9	0.7	1.0	1.5	1.3	0.7	0.7	2.4	1.6
Mittenwald	1.3	0.5	0.7	0.5	1.0	1.2	1.4	1.2	0.7	0.9	3.7	1.8
Hohenpeissenberg	1.9	0.4	1.5	0.9	0.5	1.5	1.1	1.4	0.9	0.8	2.0	1.7
Zugspitze	1.1	0.4	0.6	0.7	0.7	1.2	1.4	1.0	1.0	0.7	1.6	1.0

1913. Wintertage (W), Frosttage (F), Sommertage (S), Tropentage (T).

Stationen	Januar		Februar		März		April			Mai			Juni		Juli		August		Septbr.		Okt.	Nov.	Dezbr.		Jahr			
	W	F	W	F	W	F	W	F	S	F	S	T	S	T	S	T	S	T	F	S	F	F	F	W	W	F	S	T
Ludwigshafen a. Rh.	3	17	–	13	–	3	–	3	2	–	7	2	6	1	7	–	5	–	–	–	–	–	9	3	6	45	27	3
Kahl a. M.	1	23	–	17	–	6	–	9	3	–	7	2	8	1	5	–	8	–	–	–	5	1	16	1	2	77	31	3
Landau i. Pf.	3	20	–	14	–	4	–	5	3	–	6	–	7	–	4	–	6	–	–	–	–	–	11	2	5	54	26	–
Würzburg	9	23	–	16	–	5	–	7	3	–	4	–	6	–	2	–	5	–	–	–	1	–	11	1	10	63	20	–
Bad Kissingen	9	24	–	18	–	9	–	8	4	–	4	–	6	–	3	–	4	–	–	–	3	1	15	4	13	78	21	–
Kaiserslautern	2	17	–	16	–	4	–	6	–	–	5	–	6	–	4	–	4	–	–	–	–	1	15	4	6	59	19	–
Luitpoldheim	11	24	1	18	–	6	–	8	–	–	2	–	2	–	–	–	–	–	–	–	2	1	16	5	17	75	4	–
Bamberg	7	26	–	18	–	8	–	8	4	1	5	–	5	–	3	–	6	–	–	–	2	2	16	4	11	81	23	–
Nürnberg	8	25	1	17	–	6	–	6	–	–	3	–	5	–	1	–	2	–	–	–	2	1	15	2	11	72	11	–
Passau	13	27	–	25	–	8	–	7	–	–	2	–	5	–	–	–	2	–	–	1	2	4	16	4	17	89	10	–
Metten	14	29	1	25	–	18	–	12	2	2	5	–	6	–	5	–	4	–	–	–	6	5	18	6	21	115	22	–
Regensburg	19	27	2	20	–	9	–	7	–	–	1	–	4	–	–	–	–	–	–	–	2	3	17	7	28	85	5	–
Bayreuth	9	27	1	19	–	10	–	11	4	–	6	–	7	–	2	–	3	–	1	–	4	2	16	5	15	90	22	–
Burghausen	15	30	3	25	–	14	–	10	1	–	4	–	7	–	5	–	3	–	–	1	2	5	19	5	23	105	21	–
Ingolstadt	8	28	1	25	–	14	–	10	2	–	2	–	8	–	5	–	5	–	–	3	4	5	18	5	14	104	25	–
Karlshuld	10	28	–	22	–	12	–	11	4	–	7	–	10	3	5	–	6	–	–	3	4	5	17	5	15	99	35	3
Cham	10	29	1	24	–	9	–	10	3	–	4	–	6	1	1	–	3	–	–	1	2	4	18	5	16	96	18	1
Landshut	9	30	–	24	–	17	–	12	4	1	8	1	11	3	5	1	10	1	–	7	4	4	19	5	14	111	45	6
Lindau i. B. (Reutin)	7	27	–	22	–	17	–	5	1	–	4	–	6	–	2	–	3	–	–	–	1	3	16	6	13	91	16	–
Eggenfelden	13	30	1	24	–	12	–	8	–	–	3	–	5	–	1	–	1	–	–	–	4	4	18	7	21	100	10	–
Rohr	18	29	5	23	–	10	2	10	–	–	3	–	6	–	1	–	2	–	–	–	3	5	19	9	34	99	12	–
Weissenburg i. B.	11	16	–	18	–	6	1	11	1	–	2	–	5	–	2	–	2	–	–	–	2	1	16	5	17	70	12	–
Nördlingen	12	26	1	18	–	6	1	8	1	–	4	–	5	–	3	–	2	–	–	–	1	2	16	6	20	77	15	–
Ansbach	11	27	2	22	–	10	–	11	1	–	3	–	5	–	1	–	2	–	–	–	3	2	17	4	17	92	12	–
Bad Reichenhall	10	29	2	20	–	6	–	5	1	–	4	–	5	–	3	–	3	–	–	1	2	3	19	4	16	84	17	–
Hof	11	28	4	22	–	14	–	13	3	5	5	–	6	–	2	–	3	–	–	–	6	7	19	7	22	116[ff]	19	–
Augsburg	11	26	4	17	–	7	–	5	1	–	4	–	6	–	3	–	4	–	–	–	1	1	17	5	20	74	18	–
Amberg (M.H.B.)	9	31	1	25	–	12	–	9	1	–	3	–	6	–	2	–	2	–	–	–	3	4	23	5	15	107	14	–
München-C.St.	10	25	5	16	–	7	–	6	–	–	2	–	5	–	1	–	2	–	–	–	1	–	16	6	21	71	10	–
Alexandersbad	15	30	7	22	1	14	1	13	–	5	1	–	1	–	–	–	–	–	1	–	8	5	18	11	35	116	2	–
Traunstein	14	31	5	26	–	12	1	8	–	–	1	–	4	–	–	–	1	–	–	–	2	2	20	9	29	101	6	–
Berchtesgaden	12	31	5	26	–	14	–	8	–	–	1	–	3	–	–	–	–	–	–	–	1	6	22	7	24	108	4	–
Ottobeuren	8	28	6	24	–	11	–	8	–	1	3	–	6	–	1	–	1	–	–	–	2	2	17	7	21	93	11	–
Partenkirchen	7	31	6	27	–	16	1	7	–	–	2	–	4	–	1	–	1	–	–	–	1	3	24	8	22	109	8	–
Tegernsee	4	28	6	21	–	10	1	7	–	–	2	–	3	–	–	–	1	–	–	–	1	–	18	5	16	85	6	–
Buchenau	13	30	1	26	2	14	2	13	–	1	1	–	4	–	–	–	–	–	–	–	2	6	23	11	29	115	5	–
Oberstdorf	4	31	7	27	–	21	1	10	–	4	2	–	3	–	1	–	–	–	–	–	3	8	27	6	18	131	6	–
Ettal	3	31	3	26	–	17	–	10	–	2	2	–	5	–	1	–	–	–	–	–	2	5	25	6	12	118	8	–
Mittenwald	3	29	5	28	–	16	–	16	–	2	3	–	4	–	1	–	–	–	–	–	–	8	26	7	15	125	8	–
Hohenpeissenberg	7	25	9	24	3	11	5	9	–	–	–	–	–	–	–	–	–	–	–	–	1	4	26	10	34	100	–	–

Ausserdem wurden beobachtet in Bad Reichenhall 2 Sommertage im März und in Hof 1 Frosttag im Juni.

Winter- und Frosttage an der Hochstation Zugspitze.

Januar		Februar		März		April		Mai		Juni		Juli		August		Septbr.		Oktober		Novbr.		Dezbr.		Jahr	
W	F	W	F	W	F	W	F	W	F	W	F	W	F	W	F	W	F	W	F	W	F	W	F	W	F
30	31	28	28	31	31	22	30	17	31	10	30	12	28	7	20	10	22	9	24	24	30	31	31	231	336

Datumsgrenzen von Wintertagen, Frosttagen, Sommertagen, sowie von Schneefällen.

Stationen	Letzter Wintertag		Letzter Frosttag		Erster Sommertag		Letzter Sommertag		Erster Frosttag		Erster Wintertag		Letzter Schneefall		Erster Schneefall		Stationen
	Tag	Monat	Tag	Monat	Tag	Monat	Tag	Monat	Tag	Monat	Tag	Monat	Tag	Monat	Tag	Monat	
Ludwigshafen a. Rh.	15.	I.	15.	IV.	29.	IV.	29.	VIII.	7.	XII.	21.	XII.	13.	IV.	5.	XII.	Ludwigshafen a. Rh.
Kahl a. M.	15.	I.	24.	IV.	29.	IV.	29.	VIII.	14.	X.	31.	XII.	12.	IV.	8.	XII.	Kahl a. M.
Landau i. Pf.	15.	I.	16.	IV.	28.	IV.	29.	VIII.	7.	XII.	22.	XII.	14.	IV.	26.	XII.	Landau i. Pf.
Würzburg	30.	I.	21.	IV.	27.	IV.	24.	VIII.	14.	X.	31.	XII.	14.	IV.	5.	XII.	Würzburg
Bad Kissingen	29.	I.	21.	IV.	27.	IV.	24.	VIII.	14.	X.	19.	XII.	12.	IV.	5.	XII.	Bad Kissingen
Kaiserslautern	11.	I.	16.	IV.	26.	V.	29.	VIII.	20.	XI.	19.	XII.	14.	IV.	5.	XII.	Kaiserslautern
Luitpoldheim	18.	II.	16.	IV.	30.	V.	3.	VI.	14.	X.	19.	XII.	13.	IV.	4.	XII.	Luitpoldheim
Bamberg	29.	I.	20.	V.	27.	IV.	29.	VIII.	14.	X.	7.	XII.	14.	IV.	5.	XII.	Bamberg
Nürnberg	18.	II.	16.	IV.	27.	V.	24.	VIII.	11.	X.	19.	XII.	11.	IV.	8.	XII.	Nürnberg
Passau	31.	I.	23.	IV.	30.	V.	24.	VIII.	11.	X.	4.	XII.	13.	IV.	16.	XI.	Passau
Metten	18.	II.	21.	V.	29.	IV.	29.	VIII.	11.	X.	4.	XII.	14.	IV.	6.	XII.	Metten
Regensburg	18.	II.	22.	IV.	30.	V.	4.	VI.	14.	X.	7.	XII.	14.	IV.	5.	XII.	Regensburg
Bayreuth	18.	II.	24.	IV.	27.	IV.	24.	VIII.	26.	IX.	19.	XII.	13.	IV.	5.	XII.	Bayreuth
Burghausen	18.	II.	23.	IV.	30.	IV.	2.	IX.	14.	X.	19.	XII.	15.	IV.	6.	XII.	Burghausen
Ingolstadt	18.	II.	23.	IV.	29.	IV.	3.	IX.	11.	X.	7.	XII.	15.	IV.	6.	XII.	Ingolstadt
Karlshuld	30.	I.	23.	IV.	27.	IV.	3.	IX.	11.	X.	19.	XII.	14.	IV.	6.	XII.	Karlshuld
Cham	18.	II.	23.	IV.	27.	IV.	1.	IX.	14.	X.	19.	XII.	13.	IV.	5.	XII.	Cham
Landshut	29.	I.	8.	V.	27.	IV.	14.	IX.	11.	X.	19.	XII.	14.	IV.	5.	XII.	Landshut
Lindau i. B. (Reutin)	30.	I.	16.	IV.	30.	IV.	23.	VIII.	15.	X.	20.	XII.	14.	IV.	5.	XII.	Lindau i. B. (Reutin)
Eggenfelden	18.	II.	23.	IV.	27.	V.	24.	VIII.	14.	X.	19.	XII	15.	IV.	5.	XII.	Eggenfelden
Rohr	13.	IV.	23.	IV.	29.	V.	24.	VIII.	14.	X.	7.	XII.	13.	IV.	5.	XII.	Rohr
Weissenburg i. B.	12.	IV.	24.	IV.	30.	IV.	24.	VIII.	15.	X.	7.	XII.	14.	IV.	16.	XI.	Weissenburg i. B.
Nördlingen	12.	IV.	21.	IV.	30.	IV.	24.	VIII.	15.	X.	19.	XII.	14.	IV.	5.	XII.	Nördlingen
Ansbach	18.	II.	23.	IV.	30.	IV.	24.	VIII.	14.	X.	20.	XII.	13.	IV.	16.	XI.	Ansbach
Bad Reichenhall	16.	II.	16.	IV.	29.	IV.	4.	IX.	14.	X.	19.	XII.	14.	IV.	5.	XII.	Bad Reichenhall
Hof	19.	II.	15.	VI.	27.	IV.	24.	VIII.	13.	IX.	19.	XII.	6.	V.	5.	XII.	Hof
Augsburg	22.	II.	16.	IV.	30.	IV.	24.	VIII.	15.	X.	19.	XII.	13.	IV.	5.	XII.	Augsburg
Amberg (M.H.B.)	22.	II.	21.	IV.	30.	IV.	24.	VIII.	14.	X.	6.	XII.	15.	IV.	5.	XII.	Amberg (M. H. B.)
München-C.St.	22.	II.	16.	IV.	30.	IV.	24.	VIII.	15.	X.	8.	XII.	14.	IV.	17.	XI.	München C.St.
Alexandersbad	12.	IV.	21.	V.	30.	V.	2.	VI.	26.	IX.	6.	XII.	6.	V.	5.	XII.	Alexandersbad
Traunstein	13.	IV.	23.	IV.	30.	V.	24.	VIII.	14.	X.	7.	XII.	14.	IV.	17.	XI.	Traunstein
Berchtesgaden	22.	II.	19.	IV.	30.	V.	4.	VI.	15.	X.	8.	XII.	15.	IV.	7.	XI.	Berchtesgaden
Ottobeuren	22.	II.	8.	V.	27.	V.	24.	VIII.	14.	X.	7.	XII.	17.	IV.	27.	XI.	Ottobeuren
Partenkirchen	22.	II.	16.	IV.	30.	V.	24.	VIII.	15.	X.	6.	XII.	14.	IV.	27.	XI.	Partenkirchen
Tegernsee	13.	IV.	16.	IV.	30.	V.	24.	VIII.	14.	X.	8.	XII.	13.	IV.	7.	XI.	Tegernsee
Buchenau	13.	IV.	21.	V.	31.	V.	4.	VI.	14.	X.	6.	XII.	17.	IV.	8.	XI.	Buchenau.
Oberstdorf	13.	IV.	21.	V.	30.	V.	14.	VII.	14.	X.	8.	XII.	14.	IV.	25.	XI.	Oberstdorf
Ettal	25.	II.	21.	V.	30.	V.	14.	VII.	14.	X.	8.	XII.	20.	V.	8.	XI.	Ettal
Mittenwald	22.	II.	3.	V.	12.	V.	14.	VII.	7.	XI.	6.	XII.	17.	V.	7.	XI.	Mittenwald
Hohenpeissenberg	14.	IV.	16.	IV.	keiner		keiner		14.	X.	7.	XII.	20.	V.	7.	XI.	Hohenpeissenberg

Sonnenscheindauer im Jahre 1913.

NB. Die Sonnenscheindauern verschiedener Orte sind wegen der bekannten Mängel des Campbell-Stokes-Apparates nicht miteinander vergleichbar.

Die nachfolgenden Zahlen sollen nur ein Bild des Ganges der Sonnenscheindauer der einzelnen Orte geben. (Vergleiche Jahrbuch 1912 Seite 138.)

	Kaiserslautern	Luitpoldheim	Alexanderbad	München-C.St.	Mittenwald
Januar	19	29 1/4	38	53 1/4	72 1/2
Februar	114 1/4	111 1/2	88	135 3/4	112 1/4
März	93 3/4	100	100 3/4	155 1/2	132 1/4
April	138	134 1/4	143 1/2	157 1/2	130
Mai	163 1/2	166 1/4	162	219 1/2	176
Juni	168	163 1/4	165	174	151 3/4
Juli	130 1/2	139 1/2	119 1/4	159 3/4	107
August	169	162 1/4	150 3/4	201	175 1/2
September	140 1/4	145 3/4	162 1/4	173 3/4	144 3/4
Oktober	119 1/2	83 1/4	97 1/2	148 1/4	121 1/2
November	22 1/2	25 1/2	37 1/4	52	52
Dezember	9	23 1/2	26 1/2	52 1/2	46 1/4
Summe	1287 1/4	1284 1/4	1290 3/4	1682 3/4	1421 3/4

Datum	Sonnenscheindauer Januar 1913					Sonnenscheindauer Februar 1913					Sonnenscheindauer März 1913				
	Kaiserslautern	Luitpoldheim	Alexandersbad	München-C.St.	Mittenwald	Kaiserslautern	Luitpoldheim	Alexandersbad	München-C.St.	Mittenwald	Kaiserslautern	Luitpoldheim	Alexandersbad	München-C.St.	Mittenwald
1.	3 1/4	—	4 3/4	6 1/2	4	1/4	—	—	3	1 3/4	5 3/4	7 1/2	6	5 1/2	—
2.	—	—	1	2 1/4	1 3/4	3 3/4	—	—	—	—	4 1/4	5 1/4	6	9 1/2	6 3/4
3.	...	—	2 1/4	—	4	—	—	—	—	—	3 1/2	3 1/2	3	9 1/4	6 1/4
4.	—	—	—	—	4 1/4	—	—	1/2	3 3/4	6	—	—	—	3 1/4	3 1/4
5.	3	—	—	—	4 1/4	5 3/4	1 3/4	—	7 3/4	6	1/2	2 1/2	3/4	9 3/4	6 3/4
6.	—	—	—	4 1/2	4 1/2	—	2 3/4	—	2 1/4	1 1/4	—	2	1	10 1/4	6 3/4
7.	—	—	—	5	4 1/4	5 1/2	5 1/2	3 1/4	5	5	3/4	1	—	7 3/4	6 3/4
8.	4	1 1/2	1 1/4	—	4 3/4	1	—	1/2	2 3/4	1	—	—	—	1/4	2 1/4
9.	—	—	—	—	4 3/4	4 3/4	3	3 1/4	4	6	4 3/4	4 1/4	3 1/4	2 1/4	1/4
10.	—	—	1 3/4	—	4 1/4	4 1/4	1 1/4	1	7 1/4	5 1/4	—	—	—	1/2	1/4
11.	—	3 1/2	—	—	—	1/4	3	3/4	1 1/4	—	4 1/4	3	3/4	8 1/4	7
12.	—	—	—	—	—	6	4 1/4	2	—	1 3/4	8 1/4	9	9 1/2	6 3/4	7 1/4
13.	—	—	—	—	—	6 1/2	2 1/4	—	4 1/4	5	1/4	3/4	2	4	5 1/2
14.	—	—	—	—	4 1/2	3 1/2	6	3/4	2 1/2	—	4 1/4	2	2 1/2	9 1/2	7 1/2
15.	—	—	3/4	1 1/2	—	6 1/2	8	7 1/4	9 1/4	6 1/4	4	2 1/2	1 1/2	2 1/4	3 1/2
16.	—	—	1 3/4	—	—	3 3/4	1 1/2	—	—	—	4	1 3/4	6 3/4	10 1/4	7 1/2
17.	1 1/2	1 3/4	4	3 1/2	3	1/2	—	—	5 3/4	6 1/4	4	3	7 1/2	7 1/4	5 1/2
18.	—	—	—	1	—	7	8	8	9	6 1/4	4	2 1/4	—	—	—
19.	—	—	—	3	4 3/4	7 1/2	8 1/4	8 1/4	9 1/2	6 1/4	3	4 1/4	5 1/2	6	5 1/2
20.	—	—	—	—	—	7	8 1/2	7 1/4	7 3/4	6 1/4	—	1/4	3 1/4	1 1/2	3/4
21.	—	—	1/4	2 1/2	2 1/2	6	7 1/4	5 1/2	8	5 1/2	6 1/2	3 1/2	1 3/4	—	1/4
22.	—	—	—	—	—	7	8	7 1/2	1/2	5 1/4	6 1/2	7	6 3/4	11	8
23.	—	—	—	—	—	7	8 1/4	8	8 3/4	6 1/2	—	—	1/4	—	3 1/2
24.	—	3/4	—	3 3/4	3 3/4	7	7	8 1/4	9	6 1/2	1/2	—	—	—	—
25.	—	—	1/4	5 3/4	4 1/2	6 1/2	7	6 3/4	9 1/2	6 1/2	4 3/4	5	2 1/2	2 1/2	8
26.	2 1/2	5	4	—	—	7	8 1/4	7 1/4	9 1/4	6 1/2	3 1/4	9 3/4	9 1/4	6 1/2	7
27.	4 1/2	6 1/2	5 3/4	7 1/2	4 1/4	—	1 3/4	1 3/4	5 1/2	5 3/4	1/4	1/4	—	2	—
28.	—	1/2	1 1/4	—	—	—	—	1/4	—	1/4	7	7 1/4	9 1/2	10 1/2	8 1/4
29.	—	7	2 3/4	—	—						—	1/2	2 1/2	3 3/4	3 1/2
30.	—	2 3/4	6 1/4	6 1/2	4 1/2						4 1/2	4 1/4	6 1/4	5	—
31.	1/4	...	—	—	—						5	7 3/4	2 3/4	—	4 1/2
Summe	19	29 1/4	38	53 1/4	72 1/2	114 1/4	111 1/2	88	135 3/4	112 1/4	93 3/4	100	100 3/4	155 1/2	132 1/4

Datum	Sonnenscheindauer April 1913					Sonnenscheindauer Mai 1913					Sonnenscheindauer Juni 1913				
	Kaiserslautern	Luitpoldheim	Alexandersbad	München-C.St.	Mittenwald	Kaiserslautern	Luitpoldheim	Alexandersbad	München-C.St.	Mittenwald	Kaiserslautern	Luitpoldheim	Alexandersbad	München-C.St	Mittenwald
1.	2 1/4	—	1/2	—	—	1/4	5	8 1/2	11 1/2	8 3/4	2 3/4	9 1/2	11 3/4	12 1/2	12 1/2
2.	5	1/4	—	—	—	—	—	—	1/4	1/2	9 1/2	11 1/2	7 3/4	11 1/4	11 1/2
3.	—	—	—	4	5 1/4	1 3/4	1	—	4 1/4	—	9 3/4	9 1/4	5 1/2	8 1/4	9
4.	8	9 1/4	7	11	8 3/4	2 3/4	5	4 1/4	4 3/4	2 3/4	5 1/4	6 1/2	10 3/4	12	10 1/2
5.	1 1/4	2 3/4	2 1/2	5 3/4	6 1/2	1/4	—	—	1/4	—	8 1/4	8 1/2	10 1/4	10	10 3/4
6.	7 1/4	—	—	—	1 3/4	—	—	—	—	1 1/2	5	2	—	—	—
7.	1/4	1	—	2 1/2	4	1/4	—	—	1/2	—	4 1/4	6 1/4	9	2	1/2
8.	—	1/4	1/4	1/4	—	11 1/4	8	1/4	13	11 3/4	2	2 1/4	9 1/4	13 1/2	12 1/4
9.	1 1/4	3/4	2	1/2	—	12 1/2	12 3/4	9	13	6 1/2	5 1/2	7	4 3/4	2 1/4	2
10.	—	—	—	2 3/4	1 1/2	5	9 1/2	11 3/4	12 1/2	10 1/2	5	3/4	4 1/4	8 1/2	7
11.	1/2	3/4	3 3/4	—	—	3/4	—	—	—	—	9	8 3/4	4	3 1/4	4
12.	3 1/2	2 1/4	—	—	1/4	3 1/2	—	—	—	—	1 1/4	4 3/4	1 1/2	1/2	1 1/2
13.	5 3/4	8	6 1/4	7 3/4	1 1/4	8	3 1/2	2 3/4	10 1/2	10	3/4	2	2	3	3
14.	7	5	3 1/4	4 3/4	2 1/2	8 1/2	11 1/2	12 1/4	12	7 1/4	12 1/4	11 1/2	10 1/2	10 1/2	8 1/4
15.	5 3/4	6 1/4	9 1/4	7 1/4	6	3/4	6 1/2	11	7	6 1/2	13 1/2	13 1/4	13	13 1/4	12 1/4
16.	7	8 1/2	10 1/2	11 1/2	**11**	9	6 1/2	7	10 1/4	9 1/4	**14**	13 1/2	13 3/4	13 1/4	12 3/4
17.	1 1/4	1/4	1/4	1/4	—	1/2	4	1/2	3 1/2	2 1/2	11 1/2	13 1/2	**14**	13 1/2	12 1/2
18.	6	4 1/2	3 3/4	2	1 1/4	2	2	3/4	8	6	9 1/2	7	13	12 1/4	8
19.	—	—	3/4	2 1/2	5	5	4 1/4	2 1/2	—	—	4	1 1/2	3/4	3	1 3/4
20.	6 1/2	3 3/4	2 1/2	3/4	1/4	7 1/4	7 3/4	7 1/4	5 3/4	1	1/4	1/4	—	—	1 1/4
21.	3 1/2	5	10 1/4	9 1/2	7 1/4	10	8	6 3/4	11 1/2	12 1/4	3 3/4	—	—	1/4	3/4
22.	**11**	**12**	11	12	8 1/4	3 3/4	6 1/2	7 3/4	8 3/4	8	1 1/4	—	—	1	1/2
23.	**11**	**12**	11 1/2	11 1/4	1 1/2	—	1	5	2 1/4	1/2	8 3/4	6	10	6	4
24.	2 3/4	6 1/4	8 3/4	7 1/4	8 1/2	—	—	1 1/2	8	7 1/4	7	2	1/4	2 1/4	2
25.	5	6 1/4	7 1/4	4 1/4	6 1/2	11 3/4	11 1/2	7 1/4	10 1/4	8 1/2	1 1/2	1 1/4	1/4	1	1/4
26.	1 3/4	4 1/2	2 3/4	6 1/2	7	12 1/4	9	12	13 1/4	**13**	3 3/4	7 1/4	2 1/4	—	—
27.	9 1/2	10	9 3/4	10 3/4	10 1/4	9 3/4	7 1/2	9 3/4	5 1/4	4 1/4	1 1/2	2	1/4	—	—
28.	5	5 3/4	6 3/4	8	8 1/4	10	11 1/2	6	7 1/4	4 1/4	1/2	3/4	2	4 1/2	1/4
29.	9 1/2	8	11 1/2	12 3/4	9 3/4	11 3/4	11	10 1/4	11 1/2	12 1/4	1/2	3/4	1	—	—
30.	10 1/2	11	11 1/2	11 3/4	7 1/2	6	7	7 3/4	12	10 1/2	6 1/4	3 3/4	3 1/4	6 1/4	2 3/4
31.						9	6	10 1/4	12 1/2	10 1/2					
Summe	138	134 1/4	143 1/2	157 1/2	130	163 1/2	166 1/4	162	219 1/2	176	168	163 1/4	165	174	151 3/4

Datum	Sonnenscheindauer Juli 1913					Sonnenscheindauer August 1913					Sonnenscheindauer September 1913				
	Kaiserslautern	Luitpoldheim	Alexandersbad	München-C.St.	Mittenwald	Kaiserslautern	Luitpoldheim	Alexandersbad	München-C.St.	Mittenwald	Kaiserslautern	Luitpoldheim	Alexandersbad	München-C.St.	Mittenwald
1.	7	5 1/2	9 1/2	7	2	12 1/2	12 1/2	12 1/2	13 1/4	10 3/4	4 1/4	4 3/4	8 1/4	7 3/4	4
2.	1	—	1/4	6 1/2	2 1/2	7 3/4	2 1/2	6 1/2	10 1/2	10 1/2	4 1/4	4 1/2	6 1/2	10 3/4	5
3.	2 3/4	5 1/4	1 1/4	2 1/2	1 3/4	11 1/2	11 1/4	9	12 1/4	7 1/4	9 1/4	6 1/2	7 3/4	11 1/2	8 1/2
4.	—	1 3/4	—	2 3/4	1 1/2	9 1/2	10	11 1/2	13 1/4	11	1	—	1 3/4	8 1/4	6 3/4
5.	—	—	3 1/4	5	2 1/2	1 1/2	1 1/4	1	9 1/2	8 3/4	—	—	—	1/4	—
6.	—	2	—	1	3/4	2 1/4	1	—	3 1/4	1	—	—	2	—	—
7.	1 3/4	2 1/2	4	3/4	—	7 1/4	10	9 1/4	11 1/4	—	—	2	8 1/4	3 1/4	6 3/4
8.	2	5 1/2	3 3/4	1/4	1/4	5 1/2	7	5 1/2	3 3/4	2 1/2	10 3/4	10 3/4	10 3/4	5 3/4	3 3/4
9.	1	6 1/2	3 3/4	3 1/4	1 1/4	3/4	1/2	2 1/4	3 1/4	—	9 1/2	9	10 1/2	10 3/4	6 1/4
10.	—	1/2	6 1/2	9 1/2	6 3/4	2 3/4	3	2 1/4	4 3/4	4 1/4	5 1/2	4	2 1/4	—	—
11.	2	3	3/4	—	—	2 1/2	1 1/2	1/2	10 3/4	10	6	4	5	5 1/4	8
12.	5 3/4	6 1/4	5	4 1/2	1	—	3 1/4	2	3/4	1/4	11	9	9 1/2	10 3/4	8 3/4
13.	9 1/2	9 1/4	10	13 1/4	11 1/2	3/4	2 1/4	3 1/4	1/2	—	6 3/4	9 1/2	10 1/4	9 1/2	6
14.	9 1/4	9	11	12 1/2	11 1/2	1 1/2	1/2	—	1/4	—	1 3/4	4 1/2	9 3/4	9 1/4	8 1/4
15.	1 1/2	3/4	3	1	—	5 3/4	3 1/4	—	4 1/2	1/4	2 1/2	—	1 3/4	3 3/4	5 1/2
16.	4	4 1/4	4 3/4	—	—	7	1 1/4	—	1 1/4	—	5 1/2	3	8 1/2	10	7 1/4
17.	2	5	1/4	—	—	—	1/4	—	1 1/2	10	—	—	2	9 3/4	5 1/4
18.	—	1 1/2	1 1/4	1 1/4	3/4	4 1/4	1/2	—	5 3/4	7	3/4	1	4	3 1/2	4 3/4
19.	—	1/2	1/4	1	1 1/2	2 3/4	3 1/4	—	7 1/4	6 3/4	4 3/4	2 1/2	2 3/4	—	—
20.	2 1/2	2 1/2	—	1/2	1/2	—	1/4	5 1/2	1/4	1 1/4	1 1/2	6	1 1/2	4 1/2	1/2
21.	3 3/4	1 1/2	1 1/4	8 3/4	5	4 1/4	2 3/4	—	1/2	—	4 1/4	—	3/4	—	—
22.	—	3/4	1 1/4	2	3	9	8 1/4	9 1/4	9 1/2	6	1 1/2	1 3/4	1/2	1 1/4	1/4
23.	—	—	1/2	2	3/4	10 3/4	10	11	12 1/4	11 1/4	1/4	3 3/4	3 1/4	1 1/4	—
24.	2	3 1/2	1 1/4	—	—	6 1/2	8	10 1/2	11 1/4	10 1/2	7 1/2	7 3/4	6 1/4	10 1/4	8
25.	10	8	4 1/4	5 1/4	1	10 1/2	12	8 3/4	8 1/4	5	9 3/4	8 1/2	7	1	7 1/2
26.	5 1/4	2 3/4	4 1/2	12 1/4	9	11	10 1/2	12	11	10 1/4	8 1/2	7 3/4	9 3/4	9 1/2	7 1/2
27.	11 1/2	11 1/2	4 1/2	12 1/2	9 1/4	10 1/4	10 1/2	11	11 1/4	10 3/4	9 3/4	9	2 1/4	4 1/2	7 3/4
28.	10	8 3/4	9 3/4	11 3/4	5 1/2	11	11 1/4	6 1/2	12 1/2	10 3/4	3 1/2	9	7	5 1/2	7 3/4
29.	10 1/2	7	1 1/4	9 1/4	5 1/2	8 1/4	10 1/2	8 1/2	8 3/4	10	5	9 1/4	6 1/2	7	5 1/2
30.	**13**	12	10 1/4	10 1/2	11 1/2	3/4	1/2	1/4	2 3/4	2 1/2	5 1/4	8	6	9	5 1/4
31.	12 1/2	12 3/4	11 1/2	13	10 1/2	1	2 3/4	3	6	7 1/4					
Summe	130 1/2	139 1/2	119 1/4	159 3/4	107	169	162 1/4	150 3/4	201	175 1/2	140 1/4	145 3/4	162 1/4	173 3/4	144 3/4

Datum	Sonnenscheindauer Oktober 1913					Sonnenscheindauer November 1913					Sonnenscheindauer Dezember 1913				
	Kaiserslautern	Luitpoldheim	Alexandersbad	München C.St.	Mittenwald	Kaiserslautern	Luitpoldheim	Alexandersbad	München-C.St.	Mittenwald	Kaiserslautern	Luitpoldheim	Alexandersbad	München-C.St.	Mittenwald
1.	4 1/2	6 1/2	1	9 1/4	5 3/4	—	1	3	7 1/4	5 1/2	—	—	—	**8**	**4** 3/4
2.	**8** 1/2	**7** 1/2	3 3/4	4 1/4	6 1/2	1 3/4	2 1/2	3 1/2	7	**6**	—	1/4	3	—	1 1/4
3.	6	4 1/2	5 1/2	8	6	—	—	1 3/4	1 1/4	1 1/2	—	2 1/4	3 3/4	6 1/2	4 1/4
4.	4	2 3/4	5 3/4	2 3/4	—	—	3 3/4	**6**	—	—	—	—	2	6 1/2	**4** 3/4
5.	2	1 1/4	—	3/4	1 1/2	3/4	—	—	2	4 1/2	—	2	—	1 1/4	3/4
6.	5 1/4	7	4 1/4	2	—	2 3/4	—	—	—	—	—	3/4	1/2	—	—
7.	1	2	4 3/4	5 1/2	1/4	3/4	1 1/2	1	—	—	—	1/4	—	—	—
8.	—	—	1	2 3/4	3 1/2	—	—	1	1 1/2	1	—	2 1/2	—	3/4	—
9.	2 1/4	1	3/4	8 1/2	**6** 3/4	—	1	4 1/2	—	1 1/4	3 1/2	—	—	—	1 1/4
10.	5 1/2	2	1/4	3 1/2	**6** 3/4	2 1/2	—	—	2	2	—	—	—	—	—
11.	6 3/4	3 1/2	2	9 1/4	6	—	—	—	—	—	—	—	—	—	—
12.	3/4	1/4	—	4 1/4	4 1/4	—	—	—	1/4	1/4	—	—	—	—	—
13.	5 1/2	4 1/2	3 3/4	—	—	1/4	—	—	—	1/4	—	—	—	1 1/4	—
14.	8	7 1/4	**8** 1/4	**10**	6 1/2	—	—	—	3 1/2	4 3/4	—	—	—	1 1/4	1 1/2
15.	—	—	—	1/4	—	—	—	—	1	1/4	—	—	1	—	1/2
16.	1 1/2	—	1/4	—	6 1/2	—	1 1/2	1	—	—	—	1	—	2 1/2	1 3/4
17.	6	4 1/2	5	6 1/4	6 1/2	—	—	—	—	—	—	—	—	—	—
18.	7 1/2	6	6 1/2	1 1/2	6 1/2	1/4	1/4	1/4	—	4 3/4	—	3 1/2	2 3/4	—	—
19.	2 1/4	—	7 1/4	7	6 1/2	**6** 1/4	**6**	3 1/2	1 1/2	1/4	—	**5** 1/2	**5** 3/4	3 1/4	4
20.	5 1/4	—	4	8	6 1/2	4 3/4	3 1/2	5 1/4	**7** 1/2	5 1/4	**5**	4 1/4	3 1/2	7	4
21.	5 1/4	—	—	1/2	3 1/2	1 1/2	—	4 1/4	6 1/2	5	1/4	—	1 1/2	1 3/4	3 3/4
22.	3/4	—	2 1/2	4 3/4	1 1/4	1	2 1/2	2	4 3/4	1 1/2	—	—	—	3 1/2	4
23.	3	—	6 1/2	7 3/4	6 1/4	—	1 1/2	—	2 1/2	2 1/4	—	—	—	2 1/2	1 1/2
24.	5 1/4	5	4 1/4	1 1/4	—	—	—	—	—	1/4	—	—	—	6 1/2	3 1/2
25.	6	—	5 3/4	8 3/4	6 1/4	—	—	—	—	—	—	1 1/4	—	—	—
26.	1/4	—	2	7	4	—	—	—	—	2 1/4	—	—	—	—	2 1/2
27.	3	5	6 1/2	7	4	—	1/2	1/4	—	—	—	—	—	—	1
28.	5 3/4	4 1/2	1/4	6	1/2	—	—	—	—	—	—	—	—	—	1 3/4
29.	3 3/4	3 1/2	1/4	1 3/4	5	—	—	—	—	—	—	—	—	—	—
30.	—	2 1/2	3	1 1/4	—	—	—	—	3 1/2	3 1/4	1/4	—	—	—	—
31.	4	2 1/4	2 1/2	8 1/2	4 1/2						—	—	—	—	—
Summe	119 1/2	83 1/4	97 1/2	148 1/4	121 1/2	22 1/2	25 1/2	37 1/4	52	52	9	23 1/2	26 1/2	52 1/2	46 1/4

Auswertung der Registrierungen vom Hohenpeissenberg.

Barometer-Registrierung. 1913.

Januar

600 mm +

Datum	1ª	2ª	3ª	4ª	5ª	6ª	7ª	8ª	9ª	10ª	11ª	12m	1ᵖ	2ᵖ	3ᵖ	4ᵖ	5ᵖ	6ᵖ	7ᵖ	8ᵖ	9ᵖ	10ᵖ	11ᵖ	12 mn	Mittel
1.	82.3	82.0	81.9	81.9	81.7	81.6	81.5	81.3	81.2	81.2	81.1	80.7	80.3	79.8	79.4	79.3	79.3	79.1	79.0	78.9	78.8	78.9	79.0	78.6	80.37
2.	78.4	78.3	78.2	78.3	78.3	78.2	78.2	78.4	78.4	78.4	78.3	78.0	77.6	77.3	77.2	77.1	77.0	77.1	77.1	77.0	76.7	76.6	76.5	76.5	77.63
3.	76.4	76.4	76.4	76.5	76.6	76.6	76.7	76.9	77.0	77.3	77.3	77.1	77.0	77.3	77.4	77.6	77.8	78.3	78.5	78.6	78.7	78.8	79.0	79.0	77.47
4.	79.2	79.5	79.6	79.8	79.9	80.1	80.3	80.6	80.8	81.0	81.0	81.0	80.8	80.9	80.8	80.6	80.5	80.5	80.4	80.3	80.1	80.1	80.3	80.4	80.35
5.	80.4	80.6	80 8	81.0	81.0	81.2	81.4	81.6	81.9	82.2	82.2	81.9	81.8	82.0	82.2	82.3	82.5	82.9	83.3	83.4	83.5	83.7	83.7	83.7	82.13
6.	83.7	83.7	83.7	83.9	83.8	83.7	83.7	83.7	83.7	83.7	83.5	83.4	82.8	82.7	82.7	82.4	82.2	82.2	82.3	82.3	82.5	82.7	82.7	82.9	83.11
7.	83.0	83.1	83.1	83.2	83.2	83.3	83.4	83.2	83.2	83.1	83.1	82.7	82.3	82.0	81.9	81.9	81.9	81.7	81.6	81.4	81.2	80.9	80.9	80.7	82.33
8.	80.1	80.1	80.0	79.7	79.3	79.2	79.3	79.2	79.2	79.2	79.3	79.2	78.8	78.5	78.2	78.2	78.2	78.3	78.4	78.5	78.6	78.7	79.0	79.1	79.01
9.	79.2	79.3	79.4	79.3	79.0	79.1	79.2	79.3	79.5	79.6	79.5	79 4	79.1	78.8	78.7	78.5	78.4	78.2	78.0	77.7	77.5	77.4	77.3	77.0	78.68
10.	76.8	76.9	76.7	76.1	76.0	75.9	76.0	76.0	76.0	75.8	75.4	75.1	75.0	75 0	74.9	74.9	74.9	74.8	74.9	74.8	74.7	74.6	74.5	74.1	75.41
11.	73.9	74.0	74.1	74.0	73.9	74.0	74 1	74.1	74.1	74.2	73.9	73.5	73.4	73.3	73.2	73.1	72.8	72.2	72.0	71.6	71.0	70.4	69.9	69.3	72.92
12.	68.6	68.3	68.0	67.6	67.4	67.2	67.0	67.2	67.7	68.0	68.2	68.4	68.8	69.5	69.9	70.0	70.3	70.7	71.1	71.2	71.5	72.0	72.2	72.3	69.30
13.	72.3	72.5	72.8	73 0	72.9	72.9	72.9	73.2	73.5	73.5	73.6	73.7	73.1	73.0	73.2	73.3	73.5	74.0	74.2	74.4	74.8	74.9	74.8	74.7	73.53
14.	74.6	74.7	74.7	74.6	74.5	74.5	74.6	74.6	74.6	74.5	74.4	73.9	73.6	73.5	73.2	72.9	72.9	72.8	72.8	72.5	72.1	71.9	71.6	71.5	73.56
15.	71.2	71.2	71.4	71.4	71.4	71.0	70.9	70.9	71.0	71.3	71.6	71.4	71.2	71.6	71.6	71.8	72.1	72.0	71.8	71.7	71.6	71.6	71.6	71.8	71.46
16.	71.9	72.0	72.2	72.1	71.9	71.8	71.8	71.8	71.9	72.0	72.2	72.1	72.2	72.2	72.4	72.4	72.4	72.4	72.5	72.7	72.5	72.2	71.9	71.5	72.13
17.	71.4	71.7	71.6	71.0	71.2	71.8	71.6	71.8	72.0	72.5	72.4	71.8	71.5	71.4	71.3	71.3	71.3	71.2	71.0	70.8	70.7	70.6	70.6	70.5	71.38
18.	70.5	70.5	70.4	70.4	70.3	70.1	70.0	70.2	70.4	70.7	71.1	71.3	71.3	71.4	71.4	71.7	72.1	72.2	72.3	72.7	72.9	73.2	73.3	73.7	71.42
19.	74.3	74.6	74.6	74.9	75.1	75.5	75.9	76.1	76.5	76.7	76.8	76.6	76.5	76.2	75.9	75.8	75.5	75.1	74.8	74.6	74.3	73.8	73.5	72.9	75.27
20.	72.5	72.1	71.9	71.8	71.4	71.1	70.9	70.9	70.9	70.9	70.7	70.0	69.8	70.6	70.5	70.4	70.2	70.1	70.0	69.7	69.4	69.1	68.4	68.1	70.48
21.	67.5	66.8	66.1	65.3	64.9	64.5	64.1	64.1	64.7	65.2	65.2	65.1	65.1	65.0	64.7	64.9	65.0	65.2	65.4	65.5	65.6	66.0	66.1	66.5	65.35
22.	66.6	67.3	67.8	68.2	68.7	69.1	69.9	70.3	71.0	71.5	72.1	72.3	72.4	73.3	73.9	74.2	74.8	75.1	76.0	76.4	76.9	77.2	77.4	77.6	72.50
23.	77.4	77.5	77.5	77.1	76.9	76 4	76.1	76.0	76.0	75.8	75.2	74.4	73.6	73.2	72.7	72.9	73.2	73.0	73.0	73.3	74.2	74.5	74.6	74.2	74.95
24.	74.2	74.9	75.2	75.2	75.5	75.7	75.8	75.9	76.1	76.3	76.4	76.2	76.1	76.1	76.0	75.8	75.7	75.4	74.8	74.4	74.2	74.1	74.0	74.0	75.33
25.	73.9	73.9	73.8	73.7	73.8	74.1	74.3	74.3	74.3	74.1	74.1	73.9	73.6	73.6	73.4	73.5	73.7	73.7	74.1	74.2	74.2	74.9	75.2	75.5	74.08
26.	75.6	76.1	76.3	76.3	76.5	76.6	76.7	76.8	76.8	77.2	77.5	77.8	78.3	78.9	79.6	79.7	80.3	80.9	81.5	81.6	81.8	81.9	81.9	81.7	78.68
27.	81.4	81.3	81.3	81.2	81.1	80.8	80.4	80.0	79.8	79.6	79.4	79.1	78.3	78.0	77.8	77.4	77.3	77.3	77.1	77.0	76.8	76.7	76.5	76.4	78.83
28.	76.8	76.4	76.2	76.2	76.1	76.1	76.0	76.1	76.2	76.2	76.3	76.2	76.0	75.6	75.5	75.5	75.9	76.2	76.3	76.3	76.3	76.4	76.6	76.7	76.17
29.	76.6	76.7	76.7	76.7	76.6	76.7	76.8	76.9	77.1	77.0	77.2	76.8	76.7	76.1	75.9	75.7	75.6	75.6	75.5	75.3	74.9	74.7	74.4	74.2	76.10
30.	73.7	73.6	73.6	73.4	73.4	73.1	73.3	73.6	73.7	73.8	73.8	73.7	73.7	73.7	73.8	73.8	73.9	73.9	74.0	74.3	74.4	74.5	73.9	73.6	73.76
31.	72.7	72.8	72.5	71.7	71.4	70.6	70.3	69.6	69.5	68.2	67.0	67.3	67.0	67.0	67.3	68.8	69.8	71.8	72.8	73.7	74.9	75.4	75.9	76.2	71.01
Mittel	75.39	75.45	75.44	75.34	75.28	75.24	75.26	75.31	75.44	75.51	75.48	75.29	75.09	75.08	75.05	75.09	75.19	75.29	75.37	75.38	75.40	75.43	75.39	75.32	75.31

Februar

600 mm +

1.	76.3	76.5	76.5	76.5	76.6	76.9	77.0	77.1	77.3	77.7	77.8	77.3	76.7	75.8	75.5	75.1	74.6	74.0	73.7	73.0	72.3	71.9	71.7	70.9	75.36
2.	69.8	69.2	68.9	68.6	68.3	68.1	68.0	68.3	70.1	71.4	72.5	73.0	73.7	74.7	75.5	76.0	76.4	76.7	76.9	77.4	77.5	77.5	77.2	76.9	73.03
3.	76.8	77.0	76.9	76.8	77.1	77.4	77.6	77.7	78.5	79.2	79.8	80.5	80 8	81.0	81.2	81.3	81.5	82.2	82.8	83.3	83.6	83.9	84.0	83.9	80.20
4.	84.0	84.1	84.3	84.6	84.8	85.1	85.7	85.6	85.7	85.8	86.0	86.5	86.5	86.4	86.3	85.9	85.7	85.7	85.9	86.0	86.1	86.0	85.6	85.4	85.57
5.	85.1	84.6	84.4	84.1	83.8	83.3	83.0	82.5	82.3	82.2	81.8	81.3	80.9	80.4	80.2	79.6	79.4	79.4	79.3	79.1	79.0	78.9	78.7	78.6	81.33
6.	78 4	78.4	78.5	78.8	79.3	79.4	79.4	79.6	79.7	80.0	80.4	80.6	80.4	80.3	80.3	80.4	80.6	80.9	81.1	81.3	81.5	82.0	82.2	82.4	80.25
7.	82.5	82.9	83.0	83 1	83.2	83.3	83.5	84.2	84.4	85.1	85.2	85.1	84.9	84.3	84.7	84.8	84.8	84.8	84.6	84.3	83.8	83.6	83.6	83.6	84.05
8.	83.6	83.6	82.8	82.9	82.9	82.9	82.9	83.0	83.2	83.1	82.9	82.7	82.8	83.6	84.0	84.9	85.8	86.5	87.0	87.9	88.1	88.6	89.0	89.1	84.74
9.	89.1	89.2	89.2	89.3	89.4	89.6	89.8	89.8	89.8	89.7	89.8	89.5	89.4	89.2	89.1	89.0	89.0	88.9	89.0	89.1	88.8	88.6	88.6	88.6	89.23
10	88.7	88.7	88.7	88.8	88.8	88.9	88.9	88.9	88.9	88.8	88.8	88.8	88.0	87.7	87.6	87.4	87.3	87.4	87.4	87.3	87.2	87.2	87.3	87.3	88.12
11.	87.4	87.4	87.5	87.5	87.5	87.7	87.9	88.1	88.5	88.5	88.4	88.1	87.8	87.6	87.7	87.9	88.1	88.2	88.3	88.3	88.3	88.4	88.2	88.3	87.98
12.	88.1	88.0	87.7	87.8	87.8	88.1	88.2	88.3	88.4	88.3	88.3	88.1	87.7	87.5	87.3	86.8	86.7	86.8	86.7	86.6	87.0	87.1	87.0	86.7	87.54
13.	86.5	86 7	86.5	86.4	86.4	86.1	85.9	85.8	85.7	85.5	85 3	85.4	84.9	84.8	84.4	84.3	83.9	83.6	83.9	83.9	83.4	82.9	82.7	82.3	84.88
14.	82.0	81.5	81.1	81.0	80.5	80.5	80.4	80.4	80.2	80.1	80.1	80.0	79.7	79.4	79.3	79.3	79.4	79.6	80.1	80.2	80.2	80.3	80.3	80.3	80.25
15.	80.2	80.0	79.6	79.5	79.5	79.4	79.3	79.3	79.3	79.4	79.5	79.2	79.1	78.6	78.5	78.5	78.4	78.4	78.5	78.4	78.2	78.1	78.0	77.8	78.95
16.	77.7	77.4	77.1	77.0	76.9	76.8	76.7	76.6	76.7	76.8	76.8	76.8	76.6	76.4	76.2	76.2	76.2	76.2	76.1	76.0	75.8	75.7	75.3	75.1	76.46
17.	74.9	74.7	74.5	74.1	73.8	73.5	73.1	73.0	72.9	72.8	72.8	72.8	72.4	72.0	71.8	71.5	71.5	71.6	71.7	71.8	71.9	72.1	72.1	72.2	72.73
18.	72.2	72.1	72.1	71.8	71.8	71.9	72.0	72.2	72.5	72.6	72.8	72.9	72.9	73.0	73.2	73.3	73.3	73.5	73.4	73.4	73.2	73.2	73.2	73.1	72.73
19.	73.1	72.8	72.5	72.5	72.4	72.1	72.0	72.2	72.0	71.9	72.0	71.9	71.7	71.6	71.6	71.5	71.5	71.6	71.7	71.7	71.8	71.8	71.9	72.0	71.99
20.	72.1	72.2	72.3	72.4	72.5	72.7	72.8	73.0	73.2	73.2	73.0	72.9	72.8	72.7	72.6	72.6	72.5	72.6	72.6	72.6	72.5	72.5	72.6	72.5	72.64
21.	72.7	72.8	72.7	72.7	72.7	72.7	72.8	73.1	73.4	73.8	74.1	74.2	74.4	74.4	74.8	75.1	75.4	75.9	76.2	76.4	76.8	77.0	77.4	77.6	74.55
22.	77.9	78.2	78.3	78.4	78.5	78 8	79.1	79.3	79.6	79.9	80.3	80.4	80.4	80.4	80.4	80.5	80.6	80.8	80.9	81.2	81.4	81.6	81.7	81.8	80.02
23.	81.9	81.9	81.9	82.0	82.0	82.1	82.2	82.4	82.6	82.8	82.7	82.8	82.6	82.5	82.2	82.1	81.9	81.8	81.6	81.5	81.3	81.2	80.8	80.5	81.97
24.	80.3	80.3	79.7	79.5	79.1	78.7	78.4	78.5	78.6	78.7	78.9	79.2	79.0	78.9	78.8	78.6	78.5	78.7	78.9	78.8	78.6	78.4	78.5	78.4	78.92
25.	78.4	78.4	78.3	78.3	78.3	78.2	78.2	78.3	78.3	78.4	78.5	78.4	78.0	77.7	77.4	77.1	76.4	76.3	76.2	75.9	75.4	75.2	75.2	75.2	77.33
26.	75.2	75.2	75.2	75.2	75.2	75.4	75 4	75.4	75.5	75.4	75.4	75.1	74.7	74.4	74.1	74.0	73.9	73.9	74.0	73.9	73.8	73.7	73.6	73.5	74.63
27.	73.2	72.9	72.7	72.3	72.1	71.9	71.8	71.7	71.6	71.4	70.9	70.7	70.5	70.0	69.6	69.5	69.5	69.5	69.5	69.5	70.0	70.3	70.4	70.4	70.91
28.	70.7	70.9	71.0	71.4	71.8	72.0	72.2	72.6	72.9	73.0	73.2	73.3	73.3	73.4	73.6	73.7	74.1	74.6	75.0	75.4	75.8	76.2	76.7	77.1	73.50
Mittel	79.24	79.20	79.07	79.05	79.04	79.05	79.08	79.18	79.35	79.48	79.57	79.55	79.38	79.24	79.21	79.18	79.18	79.29	79 39	79.44	79.40	79.43	79.41	79.34	79.28

Barometer-Registrierung. **Hohenpeissenberg.** 1913.

März
600 mm +

Datum	1a	2a	3a	4a	5a	6a	7a	8a	9a	10a	11a	12m	1p	2p	3p	4p	5p	6p	7p	8p	9p	10p	11p	12mn	Mittel
1.	77.3	78.0	78.1	78.2	78.4	78 8	79.4	79.7	79.7	80.2	80.2	80.3	80.3	80.4	80.4	80.0	80.0	80.1	80.5	80.4	80.5	80.6	80.5	80.4	79.68
2.	80.0	79.9	79.7	79.6	79.6	79.6	79.6	79.7	79.6	79.7	79.8	80.1	80.1	80.1	80.1	80.1	80.1	80.3	80.5	81.0	81.2	81.5	81.6	82.1	80.23
3.	82.6	82.9	82.8	82.9	83.0	83.2	83.4	83.6	83.7	83.9	83.9	83.9	83.0	82.7	82.4	82.3	82.1	82.0	81.9	81.7	81.5	81.2	81.0	81.0	82.61
4.	81.1	81.1	80.9	80.7	80.9	81.3	81.5	81.8	82.0	82.4	82.5	82.5	82.6	82.5	82.5	82.4	82.2	82.2	82.3	82 3	82.3	82.5	82.7	82.8	82.00
5.	82.9	83.1	83.1	83.3	83.3	83.5	83.5	83.7	83.8	84.1	84.5	84.6	84.6	84.6	84.6	84.6	84.8	85.1	85.5	85.6	85.6	85.6	85.7	85.8	84.40
6.	85.7	85.7	85.7	85.6	85.6	85.6	85.7	85.6	85.6	85.5	85.4	85.0	84.6	84.2	83.8	83.5	83.3	83.3	83.3	83.2	83.2	83.1	83.1	83.1	84.52
7.	82.7	82.6	82.4	82.3	82.5	82.5	82.5	82.5	82.5	82.5	82.4	82.2	81.5	81.1	80.6	80.3	80.1	79.9	79.7	79.6	79.4	79.0	78 9	78.6	81.18
8.	78.0	77.8	77.7	77.2	76.8	76.7	76.5	75.9	76 0	76.1	76.2	75.9	75.9	75.4	76.0	77.3	78.4	79.3	80.3	80.6	81.2	81.5	81.7	82.2	77.94
9.	82.7	83.0	83.3	83.8	84.1	84.5	85.3	86.0	86.3	86.6	86.9	87.2	87.3	87.3	87.2	87.4	87.6	87.8	88.3	88.6	88.7	88.8	88.7	88.6	86.50
10.	88.4	88.0	87.7	87.6	87.8	87.5	87.4	87.4	87.4	87.3	87.2	87.2	86.5	86.3	86.2	85.8	85.6	85.6	85.7	85.8	85.8	86.0	86.0	86.2	86.77
11.	86.2	86.3	86.1	86.1	86.1	86.1	86.1	86.3	86.1	85.5	85.3	85.1	84.3	84.1	83.6	83.3	82.9	82.4	82.3	82.5	82.8	83.3	83.5	83.5	84.58
12.	83.8	84.4	84.6	84.9	85.0	85.3	85.7	85.9	86.0	85 9	85.8	85.4	85.0	84.5	83 8	83.4	83.0	82.3	82.0	81.3	80.8	80.1	79.7	79.3	83.66
13.	79.1	78.9	78.3	78.2	78.3	78.3	78.4	78.4	78.6	78.7	78.7	78.7	78.8	78.8	78.8	78.9	79.0	79.5	79.6	79.4	79.4	79.5	79.7	80.0	78.92
14.	80.0	79.9	80.2	80.4	80.6	80.7	80.9	80.9	81.0	81.0	81.2	81.8	80.6	80.3	80.0	79.7	79.6	79.6	79.7	79.8	79.5	79.6	79.5	79.5	80.21
15.	79.4	79.3	79.3	79.3	79.4	79.5	79.7	80.0	80.3	80.3	80.3	80.3	80.3	80.2	80.6	81.3	81.7	82.3	83.0	83.6	84.5	84.6	84.7	84.4	81.18
16.	84.3	83.6	82.9	82.2	81.8	81.2	81.1	80.9	80.7	80.3	79.9	79.5	78.7	78.2	77.8	77.6	77.5	77.4	77.4	77.4	77.3	77.3	77.4	77.3	79.57
17.	77.0	76.5	75.8	75.5	75.5	75 2	74.6	74.4	74.0	73.5	72.9	72.5	70.6	69.9	69.6	69.1	68 6	68.5	68.5	68.6	68.4	68.2	68.0	67.9	71.80
18.	67.7	67.7	67.6	67.4	67.4	67.4	67.5	67.7	67.9	68.0	68.0	68.1	68.1	68.2	68.4	68.7	68.6	68.8	68.9	69.2	69.3	69.4	69.5	69.2	68.28
19.	68.8	68.4	68.0	67.9	67.8	68.0	68.1	68.1	67.9	68.0	67.5	67.3	66.9	66.6	66.3	66.0	65.2	64.5	64.2	64.1	65.1	65.3	66.2	66.9	66.80
20.	67.4	67.8	68.0	68.8	69.5	70.0	70.7	71.1	71.9	72.1	72.6	72.8	72.9	72.7	72.7	72.7	72.4	72.4	72.4	72.9	72.8	7 2.9	72.9	74.1	71.52
21.	73.2	73.3	73.2	73.2	73.2	73.6	74.2	74.7	75.4	75.6	75.8	75.8	76.0	76.1	76.1	76.4	76.5	76.6	76.5	76.6	76.7	77.0	77.0	76.6	75.39
22.	76.5	76.3	76.4	76.4	76.4	76.2	76.2	76.0	75.8	75.4	75.2	74.7	74.1	73.5	73.1	72.8	72.4	71.8	71.6	71.5	71.3	70.9	70.8	70.6	74.00
23.	70.5	70.2	70.3	70.6	70.9	71.1	71.4	71.7	71.7	71.7	71.7	71.4	71.2	70.7	70.5	70.3	70.2	70.3	70.4	70.4	70.0	69.9	69.9	69.6	70.69
24.	69.7	69.7	69.7	69.7	69.7	69.9	70.0	70.3	70.8	71.8	72.0	72.7	73.4	73.6	74.1	74.4	75.2	76.1	76.4	77.2	77.6	77.9	78.3	78.5	73.28
25.	78.4	78.4	78.5	78.6	78.7	78.9	79.0	79.1	79.4	79.7	79.7	79.8	79.8	79.7	79.6	79.5	79.3	79.4	79.4	79.3	79.1	78.8	78.6	78.2	79.12
26.	77.8	77.6	77.1	77.0	76.8	76.8	76.6	76.5	76.3	76.0	75.9	75.5	74.9	74.1	73.6	72.9	72.2	71.4	71.1	70.9	70.3	70.0	69.9	70.1	74.22
27.	70.4	71.2	71.4	71.9	72.3	72.5	72.6	72.7	72.8	72.7	72.6	72.5	72.4	72.1	71.8	71.6	71.4	71.4	71.6	71.7	71.2	71.2	71.2	71.2	71.85
28.	71.2	71.0	70.6	70.4	70.3	70.4	70.4	70.5	70.7	71.0	71.0	71.1	71.0	70.9	71.0	71.2	71.3	71.2	71.3	72.0	72.4	72.6	72.8	72.8	71.21
29.	72.5	72.2	72.0	71.5	71.5	71.5	71.5	71.4	71.6	71.9	72.3	72.3	72.6	72.9	73.0	73.4	73.8	74.2	74.4	74.6	74.8	74.9	74.5	74.8	72.92
30.	74.8	74.7	74.5	74.5	74.5	74.3	74.2	74.2	74.2	74.2	74.1	74.1	74.1	74.1	74.0	74.0	73.9	73.9	73.7	73.8	73.7	73.5	73.5	73.4	74.08
31.	73.4	73.4	73.4	73.4	73.3	73.3	73.2	73.1	73.1	72.9	72.8	72.7	72.6	72.6	72.5	72.4	72.2	72.6	72.8	73.2	73.3	73.4	73.4	73.8	73.04
Mittel	77.53	77.51	77.40	77.39	77.45	77.53	77.64	77.74	77.83	77.89	77.88	77.81	77.57	77.37	77.25	77.20	77.13	77.17	77.26	77.38	77.41	77.42	77.45	77.50	77.49

April
600 mm +

1.	73.7	73.8	73.7	73.8	73.9	74.0	74.2	74.3	74.8	75.2	75.4	75.3	75.4	75.4	75.5	75.7	76.0	76.3	76.9	77.2	77.5	77.6	77.8	77.8	75.47
2.	77.9	77.9	78.0	78.1	78.2	78.5	78.7	78.9	79.1	79.3	79.3	79.3	79.0	78.7	78 5	78.3	78.2	78.0	78.0	77.9	77.8	77.6	77.0	76.7	78.29
3.	76.2	75.6	74.9	74.5	73.9	73.5	73.2	72.9	72.8	72.8	72.8	72.7	72.4	72.3	72 2	72.2	72.1	72.1	72.1	72.3	72.2	72.2	72.2	72.2	73.01
4.	72.0	72.0	71.8	71.7	71.5	71.4	71.4	71.4	71.3	71.2	71.1	71.0	70.8	70.6	70.4	70.4	70.3	70.1	69.8	69.7	69.4	69.1	68.9	68.8	70.67
5.	68.5	67.8	67.6	66.8	66.8	66.2	66.1	66.0	66.1	66.7	66.7	66.8	67.1	67.5	67.8	67.8	67.8	68.0	68.2	68.3	68.2	68.0	67.6	67.6	67.33
6.	67.4	67.2	67.0	66.8	66.8	66.8	66.9	66.9	66.8	66.9	67.0	67.0	66.8	66.7	66.7	66.6	66.6	66.5	66.5	66.5	66.5	66.5	66.5	66.4	66.76
7.	66.3	65.6	65.1	64.9	65.0	65.1	65.2	65.3	65.4	65.5	65.5	65.4	65.4	65.4	65.4	65.5	65.6	65.8	66.1	66.6	66.7	66.9	67.1	67.5	65.76
8.	67.7	67.9	68.1	68.1	68.2	68.5	68.8	69.3	69.4	69.8	70.0	70.1	70.2	70.2	70.2	70.2	70.3	70.5	70.9	71.1	71.2	71.2	71.2	71.3	69.77
9.	71.3	71.2	71.1	71.0	71.0	71.1	71.2	71.3	71.5	71.8	72.0	72.3	72.5	72.6	72.6	72.9	73.2	73.5	73.6	74.4	74.5	74.6	74.7	74.8	72.53
10.	74.7	74.5	74.4	74.2	74.1	74.0	74.0	73.9	73.8	73.6	73.1	72.5	72.3	71.7	71.6	71.4	71.1	70.8	70.7	70.8	70.8	70.6	70.5	70.5	72.48
11.	70.4	70.1	70.0	69.9	69.9	69.9	70.2	70.6	70.7	70.8	70.8	70.7	70.6	70.5	70.5	70.4	70.1	69.8	69.4	69.5	69.6	69.2	68.8	68.0	70.02
12.	67.4	66.7	65.8	64.8	63.7	62.6	61.5	61.4	60.4	59.7	59.5	59.7	60.3	61.3	61.9	62.2	63.3	64.5	65.6	66.7	67.8	68.5	68.9	69.4	63.90
13.	69.8	69.9	70.0	70.0	70.0	70.3	70.7	71.0	71.2	71.8	71.8	71.9	72.0	72.2	72.3	72.6	72.9	73.3	73.6	74.0	74.3	74.3	74.5	74.7	72.05
14.	74.8	74.9	75.0	75.2	75.3	75.7	75.9	76.1	76.5	76.6	76.6	76.7	76.8	76.8	76.9	76.9	76.9	76.9	76.9	77.0	77.0	77.0	77.0	77.0	76.35
15.	76.9	76.5	76.4	76.4	76.6	76.7	76.8	76.9	76.9	77.0	77.0	76.7	76.6	76.6	76.6	76.5	76.4	76.4	76.3	76.4	76.4	76.4	76.2	76.2	76.58
16.	75.8	75.6	75.4	75.3	75.3	75.2	75.0	74.9	74.9	74.6	74.4	74.2	73.6	73.4	72.9	72.6	72.4	72.3	72.1	72.2	71.9	71.6	71.5	71.4	73.69
17.	71.4	71.2	70.9	70.5	70.3	70.2	70.3	70.1	70.2	70.3	70.1	69.9	69.6	69.6	69.5	69.0	69.3	69.6	69.7	70.5	71.5	71.8	71.9	72.2	70.40
18.	72.5	72.5	72.6	72.4	72.8	73.5	74.2	74.5	75.0	75.3	75.4	75.4	75.4	75.4	75.3	75.2	75.4	75.6	75.7	75.7	76.0	76.2	76.3	76.2	74.77
19.	76.0	76.0	75.9	75.8	75.8	75.8	75.8	75.7	75.5	74.9	74.7	74.5	74.4	74.3	74.1	73.7	73.5	73.2	73.2	73.3	73.4	73.5	73.4	73.5	74.58
20.	73.5	73.4	73.1	72.9	72.7	72.9	73.3	73.9	74.6	75.1	75.5	75.6	75.8	75.9	75.9	75.7	75.6	75.9	76.4	77.2	77.4	77.8	78.1	78.3	75.27
21.	78.3	78.2	78.1	78.0	77.8	77.9	78.0	78.1	78.2	78.0	77.9	78.0	77.9	77.7	77.7	77.5	77.6	77.7	77.7	77.6	77.6	77.7	77.8	77.8	77.87
22.	77.7	77.6	77.6	77.5	77.6	77.8	77.9	78.0	78.1	78.2	78.4	78.3	78.2	78.2	78.0	78.0	77 6	77.5	77.2	77.2	77.3	76.9	76.8	76.7	77.68
23.	76.3	76.0	75.8	75.7	75.4	75.5	75.6	75.7	75.9	76.0	75.8	75.8	75.7	75.3	75.1	74.9	74.7	74.5	74.4	74.3	74.2	73.9	73.6	73.5	75.15
24.	73.2	72.9	72.8	72.6	72.6	72.4	72.3	72.2	72.2	72.3	72.2	72.2	72.1	72.0	71.6	71.2	71.1	71.1	71.4	71.6	71.7	71.8	72.4	72.5	72.10
25.	72.4	72.1	71.9	71.9	71.9	71.9	72.0	72.1	72.0	71.9	71.9	71.8	71.8	71.8	71.8	71.7	71.8	71.7	71.7	71.7	71.8	71.8	71.9	72.0	71.89
26.	72.0	72.1	72.4	72.8	73.0	73.3	74.0	74.1	74.1	74.1	74.0	73.8	73.3	73.0	72.8	72.4	72.1	71.9	71.8	71.7	71.7	71.6	71.6	71.4	72.71
27.	71.1	71.0	70.9	71.0	71.0	71.1	71.2	71.4	71.4	71.4	71.3	71.2	71.1	71.0	71.0	71.0	71.0	71.3	71.6	72.0	72.5	72.6	73.1	73.5	71.49
28.	73.7	73.8	74.4	74.8	74.9	75.3	75.9	76.1	76.5	76.8	76.9	76.9	76.9	76.9	76.9	77.0	77.0	77.1	77.4	77.7	78.0	78.2	78.5	78.7	76.52
29.	79.0	78.9	79.0	79.2	79.4	80.0	80.2	80.3	80.2	80.1	79.9	79.3	79.0	78.5	78.1	77.8	77.7	77.4	77.3	77.3	77.2	77.2	77.2	77.1	78.64
30.	77.0	76.9	77.0	77.0	77.0	77.2	77.2	77.1	77.1	77.0	76.8	76.2	75.8	75.3	75.0	74.8	74.6	74.3	74.2	74.0	73.7	73.7	73.7	73.6	75.68
Mittel	73.16	72.99	72.89	72.79	72.75	72 81	72.92	73.01	73.09	73.16	73.13	73.04	72.96	72.89	72.83	72.74	72.74	72.79	72.88	73.08	73.19	73.20	73.22	73.24	72.98

Barometer-Registrierung. **Hohenpeissenberg.** 1913.

Mai

600 mm +

Datum	1ª	2ª	3ª	4ª	5ª	6ª	7ª	8ª	9ª	10ª	11ª	12m	1p	2p	3p	4p	5p	6p	7p	8p	9p	10p	11p	12mn	Mittel
1.	73.6	73.3	73.2	73.1	73.1	73.2	73.2	73.1	73.0	72.8	72.3	71.8	71.4	70.9	70.5	70.2	70.1	70.7	71.5	72.0	72.4	73.0	73.3	73.4	72.30
2.	73.5	73.5	73.4	73.4	73.6	74.0	74.1	74.2	74.2	74.2	74.1	74.0	74.0	73.9	73.7	73.7	73.6	73.5	73.7	73.8	73.8	73.8	73.9	73.6	73.80
3.	73.1	73.1	73.0	72.8	72.6	72.7	72.6	72.5	72.3	72.2	72.0	71.7	71.0	71.0	70.9	70.6	70.5	70.4	70.4	70.3	70.2	70.2	70.2	70.1	71.52
4.	69.6	69.4	69.1	68.9	68.8	68.7	68.6	68.3	67.9	67.8	67.4	67.1	66.5	66.2	65.8	65.5	65.3	65.9	66.3	66.6	67.0	67.4	67.4	67.0	67.44
5.	66.7	66.5	66.4	66.3	66.1	66.1	66.0	65.8	65.7	65.7	65.7	65.7	65.2	65.1	64.9	64.9	64.8	64.9	65.0	65.2	65.5	65.6	65.7	65.8	65.64
6.	65.9	66.0	66.0	66.1	66.3	66.4	66.6	66.6	66.7	66.8	66.9	67.0	67.1	67.1	67.2	67.1	67.1	67.1	67.3	67.7	68.0	67.9	67.9	68.1	66.95
7.	68.0	68.0	67.8	67.8	67.9	68.0	68.2	68.5	68.8	69.1	69.5	69.7	69.9	70.2	70.3	70.5	71.0	71.4	72.0	72.7	73.1	73.3	73.4	73.4	70.10
8.	73 5	73.4	73.4	73.4	73.4	73.4	73.6	73.6	73.3	73.3	72.9	72.7	72.4	72.2	72.0	71.8	71.6	71.4	71.4	71.6	71.8	71.8	71.8	71.8	72.56
9.	71.6	71.6	71.7	71.7	71.7	72.0	72.2	72.3	72.2	72.2	72.2	72.3	72.2	72.2	72.1	72.0	71.9	71.9	72.1	72.0	72.1	72.1	72.1	72.2	72.03
10.	72.1	72.1	72.2	72.4	72.5	72.7	72.9	72.8	72.8	72.5	72.3	72.0	71.6	71.2	70.8	70.8	70.8	70.8	70.7	70.9	70.9	71.8	71.9	72.1	71.82
11.	72.4	72.7	72.9	73.1	73.5	74.0	74.0	74.3	74.6	75.0	75.3	75.4	75.8	76.0	76.1	76.2	76.6	76.7	77.1	77.3	77.8	77.9	78.0	78.0	75.45
12.	78.0	78.1	78.1	78.1	78.1	78.3	78 4	78.5	78.6	78.8	78.9	78.9	78.6	78.4	78.2	78.1	78.1	78.0	78.0	77.9	77.9	77.9	77.9	77.7	78.23
13.	77.4	77.3	77.1	77.0	77.1	77.1	77.2	77.2	77.2	77.2	77.2	77.2	77.2	77.2	77.0	77.0	77.0	76.9	77.0	76.9	77.1	77.1	77.2	77.2	77.13
14.	77 1	77.0	76.9	77.0	77.0	77.3	77.3	77.3	77.4	77.3	77.2	77.1	77.2	77.1	76.9	76.8	76.5	76.5	76.5	76.4	76.4	76.4	76.2	76.3	76.88
15.	76.5	76.5	76.5	76.5	76.5	76.4	76.7	76.8	76.7	76.6	76.5	76.4	76.1	76.1	75.9	75.6	75.2	75.2	75.1	75.1	75.0	74.9	74.7	74.6	75.92
16.	74.3	74.2	74.0	73.9	73.6	73.1	72.9	73.0	72.7	72.6	72.1	72.0	71.8	71.6	71.4	71.1	70.9	70.7	70.5	70.1	70.1	70.1	69.9	69.9	71.94
17.	69.7	69.5	69.3	69.6	69.9	70.2	70.6	70.9	70.9	70.8	70.8	70.8	70.6	70.5	70.3	70.2	70.2	70.1	70.0	70.6	70.8	70.7	70.9	70.9	70.37
18.	70.9	70.8	70.5	70.6	70.6	70.6	70.8	70.8	70.8	70 8	70.8	70.6	70 4	70.4	70.4	70.5	70.7	71.1	71.7	72.3	73.4	73.6	73.9	74.0	71.29
19.	74.4	74.4	74.5	74.6	74.9	75.1	75.3	75.4	75.5	75.6	75.9	76.0	75.9	76.0	76.0	76.1	76.5	76.8	76.9	76.9	77.2	77.7	78.2	78.2	76.00
20.	78.1	78.1	78.1	78.1	78.5	78.8	79.1	79.2	79.4	79.5	79.6	79.9	80.3	80.4	80.7	80.8	80.8	81.1	81.2	81.2	81.7	81.7	81.9	82.9	80.01
21.	81.9	81.9	81.8	81.9	81.9	82.2	82.2	82.3	82.4	82.4	82.2	81.9	81.6	81.5	81.2	81.0	80.6	80.5	80.3	80.2	80.0	79.9	79.6	79.2	81.28
22.	79.1	78.6	78.2	78.3	78.2	78.3	78.4	77.5	78.3	78.3	78.2	78.3	78.2	78.2	78 1	78.2	78.7	79.4	80.2	80.4	81.0	81.2	81.6	81.5	79.06
23.	81.6	81.6	81.6	81.7	81.8	82.0	82.1	82.0	82.0	81.9	81.9	81.9	81.6	81.5	81.4	81.4	81.3	81.4	81.5	81.5	81.5	81.0	81.0	80.8	81.58
24.	80.6	80.5	80.3	80.5	80.9	81.3	81.9	82.3	82.5	82.8	83.4	83.6	83.7	83.8	83.9	84.0	84.1	84.2	84.2	84.2	84.5	84.6	84.7	84.7	82.97
25.	84.8	84.6	84.3	84.2	84.2	84.2	84.2	84.2	84.2	84.3	84.5	84.4	84.4	84.4	84.3	84.2	84.1	84.0	84.1	84.1	84.1	84.1	84.2	84.2	84.26
26.	84.1	84.0	84.1	84.0	84 0	84.2	84.3	84.5	84.8	84.8	84.7	84.7	84.0	84.0	83.8	83.7	83.6	83.4	83.2	83.1	83.3	83.4	83.3	83.1	83.92
27.	82.9	82.7	82.5	82.4	82.4	82.3	82.5	82.5	82.6	82.6	82.3	81.8	81.7	81.4	81.1	80.9	80.5	80.1	79.8	79.8	80.2	79.9	79.8	79.7	81.43
28.	79.8	79.7	79.6	79.6	79.6	79.7	79.9	79.8	79.6	79.6	79.6	79.5	79.3	79.2	78.9	79 0	79.1	79.4	79.7	80.0	80.7	80.8	80.9	81.0	79.75
29.	81.0	81.1	81.2	81.3	81.7	81.9	81.8	81.7	81.4	81.4	81.2	81.0	80.5	80.3	80.0	79.8	79.4	79.3	79.2	79.2	79.3	79.3	79.1	79.1	80.47
30.	78.9	79.0	78.8	78.8	78.6	78.7	79.1	79.1	79.1	79.0	78.9	78.5	78.2	78.0	77.8	77.7	77.5	77.6	77.9	78.0	78.6	78.4	78.0	77.9	78.42
31.	77.8	77.6	77.6	77.6	77.8	77.8	77.8	77.9	77.9	77.9	77.8	77.7	77.3	76.9	76.3	76.1	75.8	75.8	75.8	75.8	76.3	76.7	77.5	77.9	77.14
Mittel	75.77	75.70	75.62	75.64	75.70	75.83	75.95	76.00	75.98	75.99	75.95	75.86	75.67	75.58	75.42	75.34	75.29	75.36	75.49	75.61	75.86	75.94	76.00	75.98	75.73

Juni

600 mm +

1.	77.9	77.8	77.7	77.8	77.7	77.7	77.6	77.5	77.4	77.3	77.1	76.9	76.6	76.3	76.0	76.2	76.1	76.6	76.8	77.5	78.3	78.5	79.3	79.3	77.41
2.	79.5	79.6	79.5	79.5	79.1	79.1	79.2	79.4	79.1	79.1	79.0	79.0	78.8	78.8	78.4	78.2	78.2	78.1	78.3	78.6	78.8	78.9	78.2	78.1	78.85
3.	78.9	78.5	78.4	78.9	79.1	79.2	79.3	79.5	79.5	79.9	80.2	80.3	80.0	80.2	80.2	80.0	80.4	80.5	80.6	80 4	80.6	80.5	80.5	80.5	79.84
4.	80.5	80.6	80.8	80.7	80.5	80.2	80.0	80.0	80.1	80.0	79.8	79.7	79.3	78.8	78.2	78.0	77.8	77.7	78.1	78.5	78.8	79.3	80.8	79.8	79.47
5.	79.7	79.8	79.8	79.7	79.5	79.5	79.6	79.6	79.4	79.3	78.9	78.7	78.2	78.0	77.8	77.8	77.2	77.0	77.2	78.9	79.1	79.6	79.8	79.5	78.90
6.	79.6	79.5	79.4	79.2	79.2	79.2	79.3	79.5	79.5	79.2	79.1	79.0	78.8	78.7	78.8	79.3	79.6	79.6	79.6	79.6	79.8	80.1	80.2	80.4	79.43
7.	80.4	80.6	80.7	80.8	81.0	81.2	81.8	81.9	81.9	82 0	82.3	82.5	82.2	82.1	82.1	82.0	82.0	81.9	82.0	82.0	82.1	82.1	82.3	82.3	81.76
8.	82.3	82.3	82.3	82.3	82.1	82.1	82.1	81.9	81.6	81.6	81.3	80.9	80.4	80.2	80.2	80.1	79.9	79.7	79.6	79.6	79.7	79 8	79.8	79.8	80.90
9.	79.8	79.7	79.7	79.9	80.2	80.4	80.6	80.8	80.7	80.8	80.9	80.9	80.8	80.7	80.8	81.0	81.2	81.0	81.0	81.0	81.0	81.0	81.0	80.9	80.66
10.	80.9	80.9	80.6	80.7	80.8	81.1	81.1	80.9	80.9	80.7	80.6	80.4	79.8	79.4	78.8	78.5	78.0	77.8	77.3	77.1	76.7	76.5	76.7	76.6	79.28
11.	76.5	76.3	76.2	76.4	76.9	77.2	77.4	77.6	77.9	78.4	78.4	78.5	78.6	78.7	78.9	78.9	78.8	78.8	78.9	78.9	78.8	78.8	78.8	78.8	78.06
12.	78.3	78.2	77.9	77.8	77.4	77.4	77.5	77.3	77.3	77.4	78.0	78.1	78.4	78.5	78.6	78.8	79.2	79.6	80.0	80.7	81.0	81.0	81.0	80.9	78.76
13.	80.9	80.8	80.8	80.8	80.8	80.9	80.9	80.9	80.9	81.0	81.0	81.0	80.8	80.7	80.9	81.0	81.0	81.0	81.0	81.2	81.6	82.0	82.1	82.4	81.10
14.	82.8	83.0	83.1	83.1	83.6	83.9	84.2	84.4	84.5	84.8	84.8	84.7	84.5	84.5	84.5	84.1	83.9	83.8	83.8	83.8	84.0	84.3	84.4	84.1	84.03
15.	83.8	83.5	83.2	83.0	83.0	83.0	83.0	83.1	83.4	83.5	83.6	83.7	83.6	83.5	83 3	83.2	83.0	83.0	82.8	82.8	82.9	82.8	82.5	82.4	83.15
16.	82.3	82.2	82.3	82.2	82.3	82.4	82.4	82.4	82.5	82 5	82.6	82.6	82 2	82.1	81.8	81.7	81.5	81.4	81.2	81.0	81.1	81.1	81.1	81.1	81.92
17.	80.9	80.7	80.8	80.7	80.6	80.7	80.8	80.8	80.9	80.9	80.8	80.8	80.7	80.4	80.2	80.1	80.0	79.9	79.7	79.8	80.0	80.0	80.2	80.2	80.44
18.	80.0	80.1	79.8	79.7	79.7	79.8	79 9	80.1	80.1	80.0	79.8	79.6	79.4	79.1	79.1	79.7	78.4	78.3	78.3	78.3	78.5	78.6	78.9	78.7	70.33
19.	78.6	79.2	79.1	79.1	79.0	78.8	78.8	79.2	79.2	79.1	79.5	79.3	78.7	78.5	78.2	78.1	78.1	78.1	78.3	78.6	79 0	79.1	79.1	79.0	78.82
20.	78.8	78.7	78.6	78.5	78.5	78.6	78.5	78.5	78.5	78.5	78.5	78.4	78.3	78.1	78.0	77.9	77.8	77.8	77.8	78.0	77.9	78.0	77.7	77.5	78.23
21.	77.2	77.1	76.9	77.0	77.3	77.6	77.7	77.8	77.8	77.9	77.9	77.9	77.8	77.6	77.5	77.3	77.2	77.4	77.4	77.4	77.4	77.4	77.4	77.4	77.47
22.	77.4	77.4	77.4	77.4	77.7	77.8	78.1	78.1	78.1	78.2	78.3	78.5	78.5	78.7	78.9	79.1	79.5	79.7	80.0	80.1	80.6	80.7	80.8	80.9	78.83
23.	80.9	80.9	80.9	81.1	81.1	81.3	81.5	81.7	81.7	81.7	81.7	81.8	81.4	81.4	81.2	81.0	80.8	80.7	80.5	80.6	80.6	80.6	80.5	80.3	81.08
24.	80.0	79.8	79.7	79.7	79.7	79.9	79.9	79.8	79.7	79.6	79.4	79.2	78.8	78.5	78.1	77.9	77.9	78.0	78.1	78.2	78.3	78.5	78.4	78.3	78.98
25.	77.9	77.7	77.4	77.1	76.9	76.8	76.7	76.8	76.8	76.9	76.9	76.6	76.4	75.9	75.8	75.6	75.3	75.3	75.4	75.7	75.8	75.8	75.8	75.8	76.38
26.	76.0	76.1	76.1	76.3	76.8	77.2	77.5	77.9	78.3	78.7	79.1	79.2	79.4	79.6	79.7	79 9	79.9	80.0	80.0	80.1	80.3	80.3	80.3	80.2	78.70
27.	80.1	80.1	79.8	79.5	79.4	79.3	79.4	79.4	79.1	79.0	78.7	78.5	78.3	78.3	78 7	78.8	78.7	78.4	78.5	78 3	78.4	78.4	78.4	78.4	78.92
28.	78.4	78.3	78.6	78.8	79.1	79.7	80.1	80.8	81.2	81.4	81.5	81.4	81.5	81.6	81.7	81.9	82.2	82.4	82.6	82.9	83.4	83.4	83.4	83.3	81.23
29.	83.0	82.7	82.5	82.3	82.1	81.7	81.5	81.1	80.7	80.6	80.5	80.3	80.0	80.0	79.7	79.7	79.6	79.5	79.5	79.5	79.3	79.5	80.1	80.3	80.65
30	80.7	80.7	81.0	81.0	81.1	81.3	81.4	81.5	81.6	81.6	81.6	81.6	81.6	81.6	81.6	81.5	81.4	81.3	81.5	81.6	81.6	81.7	81.8	81.8	81.42
Mittel	79.80	79.76	79.70	79.70	79 74	79.83	79.93	80.01	80.01	80.15	80.06	80.00	79.79	79.70	79.59	79.57	79.48	79.48	79.52	79.69	79.85	79.94	80.02	79 97	79.80

Barometer-Registrierung. **Hohenpeissenberg.** 1913.

Juli

600 mm +

Datum	1ª	2ª	3ª	4ª	5ª	6ª	7ª	8ª	9ª	10ª	11ª	12m	1P	2P	3P	4P	5P	6P	7P	8P	9P	10P	11P	12mn	Mittel
1.	81.7	81.5	81.3	81.2	81.2	81.2	81.1	81.2	81.1	81.1	81.1	81.0	80.9	80.9	80.8	80.8	80.5	80.3	80.4	80.5	80.6	80.7	80.7	80.6	80.93
2.	80.4	80.1	80.0	79.8	79.7	79.6	79.4	79.3	79.3	79.2	79.1	79.0	78.9	78.7	78.3	78.0	78.0	77.7	77.7	77.5	77.6	77.7	77.7	77.3	78.75
3.	76.9	76.8	76.7	76.4	76.3	76.5	76.4	76.4	76.3	76.2	76.2	76.1	75.8	75.7	75.5	75.4	75.4	75.4	75.4	75.4	75.7	75.7	75.5	75.5	75.98
4.	75.4	75.2	75.0	75.0	75.2	75.2	75.2	75.2	75.0	75.0	74.9	74.9	74.7	74.7	74.4	74.0	73.9	74.1	74.3	74.2	74.2	74.2	74.4	74.4	74.70
5.	74.4	74.4	74.4	74.3	74.4	74.5	74.7	74.7	74.7	74.8	74 8	74.7	74.7	74.6	74.5	74.2	74.2	74.1	74.0	74.0	74.3	74.4	74.3	74.1	74.23
6.	73.7	73.4	73.1	72.8	72.7	72.6	72.6	72.6	72.5	72.5	72.3	72.2	72.1	71.8	71.7	71.7	71.8	71.8	71.7	71.6	72.2	72.2	72.3	72.3	72.34
7.	72.2	72.1	71.8	71.6	71.8	71.9	72.1	72.3	72.5	72.7	73.0	72.9	72.7	73.0	73.1	73.1	73.5	73.5	73.7	73.7	74.1	74.2	74.4	74.4	72.93
8.	74.5	74.4	74.3	74.3	74.4	74.6	74.7	74.8	74.7	74.7	74.6	74.5	74.3	74.4	74.3	74.2	74.3	74.6	75.7	75.1	75.3	75.6	75.7	75.8	74.71
9.	75.7	75.9	76.3	76.5	77.0	77.6	78.4	78 8	79.1	79.4	79.6	79.7	79.8	79.9	79.7	79.7	79.6	79.5	79.5	79.5	79.5	79.5	79.4	79.2	78.70
10.	78.8	78.5	78.2	77.8	77.5	77.0	76.7	76.5	76.0	75.6	75.2	74.6	74.0	73.6	73.5	73.4	73.4	73.3	73.1	73.2	73.1	73.1	72.9	72.8	75.08
11.	72.5	72.5	72.4	72.3	72.1	72.0	72.2	72.3	72.3	72.4	72.5	72.6	72.7	72.8	73.1	73.4	73.5	73.7	74.2	74.5	74.8	75.3	75.4	75.7	73.22
12.	75.8	75.8	76.0	76.4	76.7	76.9	77.5	77.7	77.8	77.9	78.2	78.2	78.3	78.3	78.3	78.3	78.5	78.6	79.0	79.0	79.3	79.4	79.4	79.7	77.96
13.	79.9	80.0	79.9	80.0	80.1	80.2	80.3	80.3	80.4	80 4	80.5	80.5	80.5	80.5	80.5	80.5	80.3	80.4	80.5	80.5	80.7	80.7	80.7	80.8	80.38
14.	80.7	80.7	80.6	80.5	80.5	80.5	80.4	80.4	80.3	80.1	80.0	79.9	80.0	78.7	79.5	79.0	78.5	78.0	77.3	76.8	76.6	76.4	76.4	76.5	79.10
15.	76.0	75.4	75.4	75.6	75.4	75.3	75.4	75.4	75.5	75.5	75.5	75.7	75.7	75.7	75.7	75.6	75.6	75.6	75.6	75.7	76.1	76.2	76.4	76.2	75.68
16.	75.9	75.6	75.6	75.7	75.8	76.1	76.5	76.6	76.5	76.5	76.5	76.6	76.5	76.4	76.3	76.0	76.1	76.2	76.4	76.5	77.0	77.0	77.1	77.2	76.36
17.	77.2	77.2	77.3	77.4	77.6	77.9	78 2	78.3	78.6	78.7	78.9	79.0	79.3	79.4	79.5	79.6	80.0	80.2	80.3	80.6	81.0	81.0	81.2	81.2	79.15
18.	81.4	81.4	81.3	81.4	81.5	81.6	81.7	81.6	81.6	81.4	81.3	81.1	80.9	80.7	80.3	80.0	80.0	79.8	79.7	79.7	79.7	79.6	79.4	79.0	80.67
19.	79.0	78.9	78.9	78.9	79.0	79.1	79.2	79.2	79 2	79.2	79.1	79.0	78.7	78.5	78.2	78.0	77.6	77.4	77.1	77.1	77.4	77.5	77.4	77.0	78.36
20.	76.6	76.2	76.2	76.2	76.2	76.3	76.4	76.5	76.4	76.7	76.6	76.6	76.5	76.5	76.5	76.5	76.5	76.6	76.8	77.3	77.7	77.9	78.4	78.7	76.78
21.	78.8	78.9	79.0	79.0	79.0	79.1	79.1	79.3	79.3	79.3	79.3	79.3	79.2	79.2	79.2	79.2	79.3	79.4	79.5	79.5	79.6	79.6	79.7	79.6	79.27
22.	79.6	79.2	79.0	79.0	78.9	78.9	78.7	78.8	78.4	78.2	78.0	77.8	77.5	77.3	76.9	76.8	76.9	76.6	76.5	76.4	76.2	75.8	75.2	74.8	77.56
23.	74.8	74.6	74.3	74.2	74.1	74.0	74.0	73.9	73.9	73.9	73.9	73.9	73.8	73.7	74.0	73.8	73.4	73.4	73.5	73.4	73.4	73.4	73.4	73.3	73.83
24.	73.3	73.2	73.1	73.2	73.3	73.4	73.5	73.5	73.6	73.8	74.1	74.1	74.3	74.4	74.5	74.6	74.6	74.6	74.8	75.3	75.6	75.6	75.8	76.0	74.26
25.	76.1	76.1	76.2	76.4	76.7	76.8	77.1	77.2	77.4	77.5	77.5	77.6	77.6	77.7	77.6	77.4	77.4	77.4	77.5	77.5	77.6	77.9	78.1	78.0	77.26
26.	77.8	77.6	77.5	77.7	78.1	78.2	78.3	78.4	78.4	78.5	78.6	78.6	78.6	78.6	78.6	78.6	78.6	78.7	78.9	79.2	79.5	79.9	80.2	80.2	78.64
27.	80.2	80.2	80.2	80.2	80.3	80.5	80.8	81.0	81.1	81.0	81.0	80 9	80.8	80.7	80.7	80.5	80.3	80.4	80.5	80.5	80.6	80.3	81.2	80.9	80.62
28.	80.8	80.8	80.7	80.6	80.4	80.4	80.4	80.5	80.6	80.7	80.7	80.7	80.2	79.7	79.6	79.5	79.5	79.3	79.3	79.4	79.5	79.4	79.3	79.3	80.05
29.	79.3	78.7	78.4	78.5	78.5	78.6	78.6	78.6	28.5	78.5	78.0	77.8	77.6	77.6	77.5	77.4	77.4	77.5	77.6	77.6	77.8	78.0	78.2	78.1	78.10
30.	78.0	77.9	77.8	77.8	77.8	77.9	78.0	77.9	77.8	77.7	77.6	77.3	77.0	76.7	76.5	76.4	76.1	76.0	76.0	76.2	76.2	76.2	76.2	76.1	77.05
31.	75.9	75.7	75.4	75.3	75.3	75.3	75.4	75.5	75.7	75.9	76.0	76.0	76.0	76.2	76.2	76.1	76.1	76.1	76.5	76.6	76.9	77.0	77.2	77.2	76.06
Mittel	77.20	77.06	76.98	76.97	77.02	77.09	77.19	77.25	77.24	77.26	77.25	77.19	77.08	76.99	76.94	76.83	76.80	76.78	76.85	76.90	77.09	77.14	77.21	77.16	77.06

August

600 mm +

1.	77.1	77.0	77.1	77.2	77.5	77.0	77.9	78.0	78.2	78.3	78.5	78.7	78.7	78.7	78.7	78.7	78.9	78.8	79.1	79.5	79.7	79.7	79.8	79.8	78.44
2.	79.8	79.7	79.7	79.6	79.6	79.7	79.7	79.9	79 9	80.0	79.9	79.9	79.9	79.9	79.8	79.7	79.5	79.5	79.4	79.5	79.7	79.8	79.9	79.9	79.75
3.	79.6	79.5	79.5	79.4	79.2	79 3	79.2	79.2	79.2	79.3	79.1	79.1	79.0	78.8	78.6	78.3	77.9	77 8	77.8	77.9	78.0	78.1	78.0	77.9	78.74
4.	77 6	77.3	77.3	77.2	77.3	77.3	77.3	77.3	77.4	77.4	77.4	77.4	77.1	77.1	76.9	76.7	76.6	76.5	76.5	76.5	76.5	76.4	76.4	76.3	76.99
5.	76.1	75.8	75.8	75.6	75.7	75.7	75.8	75.9	75.7	75.6	75.6	75.5	75.1	75.1	75.0	74.9	74.8	74.9	75.4	75.5	75.1	74.9	74.6	74.5	75.36
6.	74 6	74.4	73.7	73.6	74.0	74.1	74.2	74.1	74.2	74.2	74.1	73.7	73.0	72.6	72.2	72.8	73.0	73.2	73.6	73.7	74.3	74.5	74.7	74.9	73.81
7.	74.9	75.0	75.2	75.2	75.4	75.5	76.1	76.2	76.3	76.4	76.4	76.4	76.4	76.5	76.5	76.6	76.7	76.8	76.7	76.8	76.7	76.7	76.8	76.7	76.20
8.	76.6	76.7	76.4	76.3	76.1	76.2	76.3	76.4	76.5	76.6	76.4	76.3	76.4	76.4	76.3	76.2	76.1	75.9	75.9	75.9	75.9	75.9	75.7	75.6	76.21
9.	75.2	74.8	74.6	74.7	74.8	74.8	74.8	74.9	74.8	74.9	74.9	74.8	74.7	74.7	74.5	74.4	74.4	74.3	74.5	74.5	74.7	74.9	75.6	75.5	74.78
10.	75.6	75.6	75.7	75.7	75.7	75.9	76.5	76.8	77.0	77.2	77.4	77.4	77.4	77.4	77.4	77.4	77.7	77.9	78.3	78.4	79.0	79.0	79.2	79.2	77.28
11.	79.3	79.4	79.3	79.4	79.4	79.6	79.8	79.9	80.0	80.0	80.1	80.0	79.6	79.6	79.6	79.7	79.7	79.6	79.7	79.8	79.8	79.8	79.8	79.6	79 69
12.	79.5	79.1	78.9	78.9	78.8	78.8	78.5	78.5	78.4	78.8	78.8	78.8	78.6	78.4	78.0	78.0	78.0	77.9	78.0	78.3	78.4	78.3	78.4	78.5	78.53
13.	78.5	78.2	78.2	78.1	78.4	78.8	79.0	79.1	79.3	79.4	79.4	79.4	79.5	79.4	79.2	79.2	79.1	79.1	79.0	79.2	79.0	79.0	79.0	79.1	78.98
14.	78.8	78.5	78.2	78.0	78.1	78.0	77.8	77.4	77.4	77.2	76.9	76.6	76.6	76.5	76.4	76.3	76.2	76.2	76.2	76.2	76.1	76.0	75.9	76.0	76.98
15.	76.0	75.9	75.7	75.6	75.7	75.9	76.1	76.2	76.2	76.2	76.3	76.3	76.4	76.4	76.4	76.4	76.8	76.8	76.9	77.0	77.1	77.1	77.1	77.1	76.40
16.	77.0	76.9	76.7	76.4	76.3	76.3	76.4	76.7	77.4	77.4	77.4	77.4	77 4	77.6	77.3	77.3	77.6	77.6	77.7	77.8	77.7	77.7	77.6	77.6	77.21
17.	77.3	77.1	77.0	76.9	77.1	77.3	77.3	77.4	77.5	77.6	77.7	77.7	77.9	77.9	78.0	78.1	78.3	78.4	78.7	79.1	79.2	79.3	79.4	79.5	77.99
18.	79.4	79.3	79.2	79.2	79.1	79.1	79.2	79.3	79.4	79.5	79.5	79.5	79.3	79.2	79.1	79.0	78.8	78.8	79.0	79.2	79.3	79.4	79.4	79.3	79.23
19.	78.8	78.7	78.8	78.7	78.7	78.8	78.9	79.0	79.0	79.0	79.0	78.9	78.7	78.4	78.1	78.1	78.6	78.6	78.2	78.1	78.3	78.3	78.1	77.8	78.57
20.	77.1	77.0	77.0	76.8	76.7	76.8	76.8	76.9	77.0	77.0	76.9	76.9	76.9	76.8	76.6	76.4	76.4	76.7	77.0	77.1	77.3	77.4	77.7	77.9	76.96
21.	77.9	78.1	78.2	78.3	78.5	78.8	79.2	79.4	79.4	79.5	79.9	80.0	80.1	80.0	80.1	80.2	80.2	80.3	80.4	80.9	81.0	81.0	81.1	81.1	79.73
22.	81.2	81.4	81.4	81.4	81.5	81.7	82.2	82.4	82.5	82.7	82.7	82.7	82.6	82.6	82.2	82.1	81.9	81.8	81.8	81.9	81.9	81.8	81.6	81.6	81.98
23.	81.4	81.2	80.9	80.4	80.0	79.8	79.8	79 9	79 9	80.1	80.2	80.1	79.8	79.7	79.6	79.5	79.4	79.3	79.3	79.4	79.5	79 5	79.6	79.6	79 91
24.	79.6	79.6	79.7	79.7	79.8	86.0	80.2	80.3	80.3	80.1	80.2	80.1	79.8	79.6	79.5	79.4	79.4	79.6	80.4	80.8	80.8	80.8	80.6	80.4	80.03
25.	80.3	80.3	80.7	81.0	81.1	71.3	81.9	82.1	82.4	82.7	82.8	82.8	82.6	82.6	82.6	82.7	82.9	83.0	83.2	83.5	83.9	84.1	84.1	84.0	82.44
26.	83.9	83.6	83.5	83.4	83.5	83.7	84.0	84.1	84.1	84.3	84.3	84.3	84.2	84.1	83.8	83.7	83.6	83.7	83.8	83.8	83.8	83.7	83.6	83.6	83.84
27.	83.2	83.0	82.8	82.5	82.3	82.2	82.3	82.4	82.3	82.3	82.1	81.9	81.9	81.8	81.6	81.5	81.5	81.2	81.2	81.2	81.0	80.8	80.7	80.6	81.85
28.	80.5	80.5	80.3	80 1	80.0	79.9	79.9	79.9	79.8	79.8	79.8	79.7	79.5	79.3	79.1	78.9	78.7	78.6	78.5	78.4	78.3	78.1	78.0	77.8	79.31
29.	77.6	77.6	77.5	77.1	77.2	77.2	77.1	77.1	77.2	77.1	76.9	76.7	76.7	76.6	76.5	76.4	76.2	76.1	76.1	76.2	76.4	76.3	75.9	75.6	76.72
30.	75.3	74.9	74.5	74.1	73.7	73.7	74.4	74.6	74.9	75.3	75.6	75.7	76.0	76.1	75.8	75.6	75.6	75.8	76.3	76.6	77.0	77.1	77.4	77.4	75 56
31.	77.5	77.1	76.9	76.8	77.4	77.7	78.0	78.3	78,8	79.0	79.0	79.0	79.0	79.0	78.9	78.9	78.9	79.0	79.2	79.4	79.5	79.6	79.7	79.7	78.60
Mittel	78.30	78.17	78.08	77.98	78.02	78.09	78.28	78.37	78.46	78.55	78.55	78.51	78.41	78.35	78.20	78.16	78.17	78.18	78.32	78.45	78.55	78.55	78.56	78.52	78.32

Barometer-Registrierung. **Hohenpeissenberg.** 1913.

September

600 mm +

Datum	1ª	2ª	3ª	4ª	5ª	6ª	7ª	8ª	9ª	10ª	11ª	12m	1p	2p	3p	4p	5p	6p	7p	8p	9p	10p	11p	12mn	Mittel
1.	79.5	79.4	79.3	79.2	79.0	79.2	79.4	79.4	79.5	79.4	79.3	78.9	78.8	78.7	78.4	78.1	78.0	77.7	77.9	78.4	78.5	78.6	78.6	78.7	78.83
2.	78.6	78.6	78.7	78.7	78.6	78.8	79.0	79.1	79.3	79.3	79.3	79.1	78.9	78.7	78.5	78.3	78.4	78.5	78.9	79.1	79.1	79.1	79.2	79.2	78.88
3.	79.3	79.3	79.2	79.3	79.3	79.4	79.5	79.5	79.5	79.5	79.5	79.5	79.4	79.4	79.2	79.1	79.3	79.2	79.2	79 3	79.3	79.3	79.1	79.0	79.32
4.	78.9	78.8	78.7	78.7	78 8	78.8	78.9	78.9	79.1	79.2	79.1	79.0	78.9	78.7	78.6	78.6	78.6	78.3	78.4	78 4	78.1	77.9	77.7	77.8	78.62
5.	77.8	77.8	78.1	77.8	77.7	77.9	78.0	78.0	78.6	78.8	78.8	78.8	78.8	78.6	78.6	78.6	78.4	78.4	78.5	78.5	78.4	78.4	78.4	78.5	78.34
6.	78.5	78.5	78.5	78.5	78.6	78.8	79.0	79.2	79.6	79.6	79.7	79.7	79.7	79.7	79.7	79.6	79.7	80.1	80.1	80.1	79.9	79.9	80.0	80.0	79.45
7.	79.9	79.9	79.8	79.7	79.6	79.9	80.0	80.1	80.2	80.3	80.2	80.3	80.3	80.2	80.3	80.1	80.1	80.0	80.2	80.2	80.2	80.2	80.2	80 2	80.09
8.	80.3	80.2	80.0	80 0	80.1	80.1	80.2	80.3	80.6	80.8	80.8	80.9	81.0	81.1	81.1	81.0	81.0	80.9	80.9	81 0	80.9	80.8	80.9	80.8	80.65
9.	80.8	80.6	80.4	80.2	80.2	80.3	80.2	80.2	80.2	80.1	79.8	79.4	79.2	79.0	78.7	78.6	78.3	78.1	78.2	78.2	77.8	77.7	77.5	77.6	79.22
10.	77.4	77.3	76.9	76.7	76.4	76.1	76.1	76.1	76.2	76.8	77.0	77.1	77.2	77.4	77.5	77.6	77.9	78.2	78.5	78.7	78.8	78.9	79.1	79 3	77.47
11.	79.5	79.4	79.3	79.4	79.6	79.9	80.1	80.2	80.3	80.3	80.2	80.2	80.2	80.0	79.6	79.2	79.1	78.9	78.9	78.8	78.3	78.0	77.7	77.5	79.36
12.	77.1	76.8	76.3	76.1	76.0	76.0	75.9	75.8	75.8	75.8	75.6	75.6	75.6	75.5	75.4	75.3	75.0	74.9	75.0	74.9	74.5	74.3	74.2	74.1	75.48
13.	73.9	73.6	73.3	73.2	73.0	72.9	72.7	72.5	72.4	72.1	71.8	71.6	71.3	71.0	71.0	71.1	71.0	70.9	70.9	71.0	70.9	70.6	70.4	70.3	71.81
14	70.0	69.9	69.8	69.8	69.8	69.8	69.9	70.1	70.0	70.0	70.0	69.9	69.6	69.4	69.0	68.6	68.3	68.1	68.3	68.4	69.3	70.1	70.5	70.8	69.56
15.	70.8	70.7	70.6	70.1	69.9	69.7	69.5	69.8	69.7	69.8	70.1	70.5	70.7	70.9	71.4	71.5	71.7	72.7	73.9	74.3	74.3	74.2	74.6	74.5	71.50
16.	74.7	74.3	74.3	74.0	73.7	73.5	73.2	73.1	72.8	72.8	72.8	72.9	72.8	72.8	72.7	72.7	72.5	72.2	71.9	71.8	71.4	71.0	70.5	70.0	72 68
17.	69.4	69.0	68.1	67.8	67.3	66.9	66.6	66.7	67.6	68.7	69.3	69.9	70.1	70 5	70.9	71.0	71.3	71.4	72.0	72.1	72.7	72.8	73.0	72.9	69.92
18.	72.9	72.8	72.5	72.3	72.1	72.3	72.5	72.5	72.7	72.5	72.4	72.4	72.6	72.7	72.8	73.1	73.4	74.0	75.0	75.2	75 8	76.1	76.1	76.2	73.45
19.	76.4	76.3	76.4	76.4	76.8	76.8	77.3	77.9	78.0	78.2	78.2	78.5	77.9	77.8	77.6	77.7	77.8	77.5	77.5	77.7	77.7	77.7	77.6	77.6	77.47
20.	77.4	77.4	77.5	77.5	77.4	77.6	77.9	77.9	78.1	78.1	78.0	77.9	77.9	77.5	77.4	77.3	77.3	77.3	77.3	77.3	77.2	77.4	77.8	78.0	77.60
21.	78.0	77.9	77.9	77.9	77.9	77.9	77.9	78.2	78.6	78.8	78.9	79.0	79.2	79.5	79.7	79.8	79.9	80.1	80.1	80.5	80.6	80.7	80.7	80.8	79.19
22.	80.8	80.7	80.7	80.6	80.7	80.7	80.9	81.0	81.0	81.0	81.0	81.0	80.6	80.6	80.5	80.4	80.4	80.3	80.3	80.4	80.4	80.2	80.0	79.8	80.58
23.	79.7	79.5	79.5	79.3	79.1	79.0	78.9	78.8	78.9	78.8	78.8	78.8	79.0	79.0	79.1	79.1	79.6	79.6	79.7	79.8	79.9	79.8	79.7	79.6	79.29
24.	79.6	79.1	78.9	78.9	79.0	79.1	79.4	79.5	79.7	79.8	79.5	79.5	79.3	79.1	78.9	78.9	78.9	79.0	79.1	79.2	79.2	79.2	79.2	79.2	79.22
25.	79.2	79.2	79.1	79.2	79.3	79.5	79.6	79.7	80.3	80.3	80.3	80.2	80.2	80.2	80.2	80.1	80.1	80.0	80.0	80.0	80.0	80.0	80.0	80.0	79.86
26.	80.0	80.0	80.1	80.1	80.3	80.4	80.5	80.8	81.0	81.1	81.1	81.1	81.1	81.1	80.9	80.7	80.6	80.7	80.5	80.5	80.2	79.9	79.8	79 7	80.51
27.	79.5	79.0	78.9	78.8	78.9	79.1	79.3	79.6	79.7	79.8	79.7	79.7	79.3	79.4	79.3	79.2	79.2	79.1	79.3	79.3	79.3	79.1	79.0	78.9	79.27
28.	78.8	78.8	78.9	78 9	79.0	79.0	79.1	79.1	79.6	79.8	79.7	79.7	79.7	79.6	79.4	79.3	79.2	79.4	79.4	79.4	79.3	79.3	79.2	79.2	79.28
29.	79.2	79.2	79.0	78.9	79.1	79.3	79.5	79.5	79.6	79.6	79.6	79.5	79.0	78.9	78.6	78.6	78.4	78.2	78.1	78.1	77.8	75.8	77.4	77.3	78.75
30.	77.4	77.0	76.7	76.5	76.2	75.8	75.9	75.6	75.4	75.2	74.8	74.5	74.3	74.1	74.1	74.2	74.1	74.2	74.1	74.1	74.2	74.3	74.5	74.7	75.08
Mittel	77.51	77.37	77.25	77.15	77.11	77.15	77.23	77.30	77.47	77.54	77.51	77.50	77.42	77.37	77.30	77.25	77.25	77.26	77.40	77.49	77.47	77.38	77.42	77.41	77.35

Oktober

600 mm +

Datum	1ª	2ª	3ª	4ª	5ª	6ª	7ª	8ª	9ª	10ª	11ª	12m	1p	2p	3p	4p	5p	6p	7p	8p	9p	10p	11p	12mn	Mittel
1.	74.7	74.7	74.7	74.7	74.7	74.9	75.0	75.1	75.3	75.3	75.2	75.0	74.8	74.6	74.7	74.4	74.3	74.2	74.3	74.5	74.5	74.7	74.9	75.0	74.76
2.	75.3	75.5	75.7	76.3	76.5	76.8	77.3	77.7	77.8	78.2	78.3	78.3	78.2	78.3	78.3	78.2	78.3	78.3	78.4	78.6	78.6	78.8	78.8	78.9	77.72
3.	79.0	79.0	79.1	79.2	79.3	79.4	79.5	79.7	80.2	80.2	79.9	79.5	79.2	79.0	79.1	79.0	78.9	78.9	79.0	79.0	78.9	78.9	78.8	78.7	79.23
4.	78.4	77.9	77.7	77.4	76.9	76.8	76.7	76.6	76.3	76.1	75.4	75.0	74.7	74.5	74.4	73.9	73.3	72.9	72.7	72.4	72.1	71.9	71.8	71.8	74.90
5.	71.7	71.4	70.9	70.7	70.8	70.7	70.8	70.9	71.0	71.0	71.0	71.0	7c.8	70.7	70.8	70.9	70.9	70.9	71.2	71.5	71.7	71.8	71.9	71.8	71.12
6.	71.7	71.7	71.8	71.8	72.0	72.7	73.0	73.2	73.3	73.5	73.7	73.6	73.5	73.4	73.5	73.5	73.5	73.6	73.6	73.6	73.6	73.4	73.3	73.5	73.08
7.	73.6	73.7	73.9	73.9	74.0	74.1	74.3	74.4	74.5	74.6	74.7	74.5	74.2	74.0	74.0	73.5	73.5	73.5	73.4	73.2	73.2	73.0	72.7	72.3	73.78
8.	72.2	71.9	71.5	71.5	71.0	70.8	70.8	70.7	70.7	70.7	70.3	70.0	69.3	69.1	69.0	78.8	69.5	70.4	71.2	71 6	72.6	73.4	73.8	73.9	71.03
9.	74.2	74.5	74.7	74.8	74.9	75.0	75.2	75.7	75.8	75.9	75.9	76.0	75.8	75.9	75.8	75.9	76.0	76.4	76.7	76.9	77.1	77.1	77.2	77.3	75.86
10.	77.4	77.4	77.3	77.3	77.3	77.5	77.7	78.1	78.3	78.1	77.8	77.6	77.5	77.4	77.4	77.4	77.6	78.1	78.3	78.4	78.6	78.7	78.6	78 6	77.85
11.	78.6	78.6	78.6	78.6	78.6	78.6	78.8	79.1	79.1	79.3	79.6	79.6	79.5	79.7	79.8	79.9	80.1	80.3	80.6	80.8	80.9	80.9	81.0	81.0	79.65
12.	81.1	81.4	81.5	81.6	81.7	81.7	81.9	82.1	82.1	82.2	82.2	82.2	82.1	82.2	82.6	82.9	83.0	83.2	83.7	83.9	84.2	84.3	84.4	84.4	82.61
13.	84.5	84.6	84.5	84.5	84.5	84.6	85.0	85.2	85.4	85.6	85.7	85.9	85.5	85.3	85.2	85.4	85.5	85.7	85.8	85.9	86.5	86.6	86.6	86 6	85.44
14.	86.7	86.6	86.5	86.1	85.6	85.1	85.2	85.5	86.1	86.3	86.5	86.8	86.7	86.5	86.1	85.9	85.2	85.1	84.8	84.1	84.0	83.7	83 2	83.2	85.48
15.	82.9	82.3	82.0	81.4	80.9	80.9	80.6	80.4	80.1	79.9	79.8	79.8	79.6	79.5	79.3	79.3	79.2	79.8	79.9	80.0	79.9	80.0	80.4	80.4	80.35
16.	80.9	81.1	81.4	81.6	81.7	81.9	82.4	82.6	82.6	82.6	82.5	82.5	82.3	82.3	82.4	82.5	82.8	83.2	83.3	83.4	83.3	83.3	83.2	83.1	82.45
17.	83.0	82.6	82.2	82.2	82.2	82.0	82.0	82.1	82.2	82.1	81.7	81.4	81.3	81.1	80.9	80.8	80.7	80.8	80.8	80 8	80.7	80.8	80.6	80.4	81.48
18.	80.1	80.1	80.1	80.1	80.2	80.2	80.4	80.5	80.7	80.8	80.9	80.7	80.4	80.3	80.2	80.0	80.1	80.2	80.2	80.1	80.2	80.2	80.2	80.3	80.30
19.	80.3	80.1	79.9	79.8	79.6	79.4	79.4	79.4	79.2	79.0	78.7	78.4	77.9	77.8	77.5	77.2	77.2	77.2	77.1	77.0	77.0	77.1	77.1	77.5	78.37
20.	77.7	77.9	77.9	77.8	77.9	78.0	78.1	78.3	78.5	78.5	78.5	78.0	77.7	77.7	77.7	77.6	77.6	77.5	77.4	77.3	77.3	77.4	77.3	77.3	77.79
21.	77.1	77.0	77.0	77.0	77.0	76.9	77.1	77.1	77.0	76.9	76.2	75.7	75.2	74.8	74.6	74.2	73.9	73.7	73.5	73.4	73.5	73.5	73.8	73 9	75.46
22.	74.0	73.9	73.8	73.7	73.5	73.6	73.7	73.7	73.7	73.7	73.6	73.4	73.3	73.1	73.1	73.1	73.1	73.4	73.7	73.7	74.2	75.1	75.5	76.1	73.82
23.	76.4	76.6	76.6	77.1	77.4	77.6	78.0	78.5	78.6	78.6	78.7	78.6	78.4	78.5	78.4	78.5	79.0	79.7	80.1	80.3	80.2	80.3	80.4	80.7	78.62
24.	81.0	81.2	81.4	81.4	81.5	81.7	81.9	82.5	82.8	82.9	82.9	82.8	82.5	82.5	82.5	82.6	82.7	82.9	82.8	82.9	82.9	82.9	83.0	82.9	82.38
25.	82.7	82.6	82.6	82.5	82.4	82.4	82.5	82.7	82.9	82.9	82.3	82.1	81.7	81.5	81.1	80.9	80.9	80.9	80.8	80.6	80.6	80.7	80.6	80.4	81.72
26.	80.0	79.8	79.5	79.2	79.0	78.8	78.7	78.5	78.2	78.1	77.8	77.6	77.5	77.3	77.2	77.0	76.9	76.7	76.7	76.8	77.3	77.5	77.7	77.8	77.98
27.	77.9	78.3	78.5	78.6	78.7	78.7	78.8	78.9	78.8	78.6	78.4	77.8	77.0	76.4	76.3	75.8	75.6	75.7	75.6	75.6	75.7	75.8	75.8	75.9	77.22
28.	75.9	75.9	75.9	75.8	75.6	75.3	75.1	75.1	74.8	74.6	74.1	73.7	73.4	73.0	72.8	72.8	72.8	72.7	72.7	72.6	72.6	72.5	72.2	72.0	73.91
29.	71.6	71.2	70.9	70.8	70.7	70.6	70.5	70.8	71.0	71.0	71.1	70.8	70.6	70.5	70.6	70.5	70.4	70.5	70.2	70.0	70.0	70.1	70.2	70.7	70.04
30.	70.8	71.0	71 0	71.0	71.1	71.1	71.2	71.3	71.8	72.1	72.5	72.5	73.0	73.3	73.7	74.2	74.6	75.1	75.2	75.5	76.0	76.2	76.3	76.6	73.22
31.	76.9	77.2	77.2	77.2	77.3	77.6	78.1	78.3	78.6	78.9	79.0	79.0	79.0	79.0	79.1	79.1	79.3	79.6	79.6	79.5	79.4	79.3	79.0	78.9	78.59
Mittel	77.69	77.67	77.62	77.60	77.56	77.59	77.73	77.89	77.98	78.01	77.90	77.74	77.50	77.39	77.36	77.28	77.30	77.45	77.53	77.55	77.65	77.74	77.76	77.80	77.64

Barometer-Registrierung. **Hohenpeissenberg.** 1913.

November

600 mm +

Datum	1ª	2ª	3ª	4ª	5ª	6ª	7ª	8ª	9ª	10ª	11ª	12m	1P	2P	3P	4P	5P	6P	7P	8P	9P	10P	11P	12mn	Mittel
1.	78.9	78.9	78.9	78.8	78.9	78.9	79.1	79.1	79.1	79.1	78.9	78.8	78.6	78.4	78.3	78.2	78.4	78.6	78.6	78.5	78.4	78.4	78.5	78.7	78.71
2.	79.1	79.2	79 6	80.0	80.2	80.4	80.6	81.1	81.3	81.5	81.4	81.4	81.2	81.2	81.3	81.2	81.2	81.4	81.4	81.3	81.1	80.8	80.9	80.8	80.82
3.	80.8	80.8	80.7	80.7	80.6	80.6	80.6	80.8	80.8	80.8	80.8	80.8	80.6	80.5	80.4	80.3	80.4	80.8	80.3	80.2	80.3	80.3	80.1	79.9	80.52
4.	79.6	79.5	79.3	79.3	79.3	78.9	79.1	79.3	79.3	79.4	79.1	78.6	78.3	78.2	78.0	77.8	77.6	77.6	77.4	77.1	76.7	76.5	76.4	76.2	78.27
5.	75.7	75.6	75.5	75.4	75.0	74.9	74.8	74.8	74.7	74.6	74.2	73.9	73.7	73.5	73.3	72.9	72.4	72.2	71.8	71.1	70.8	70.3	70.2	70.1	73.39
6.	70.1	70.1	70.0	69.9	69.6	70.0	70.4	70 9	71.2	71.3	71.3	71.1	70.9	70.7	70.7	70.6	70.5	70.4	70.2	70.0	69.8	69 6	69.2	69.2	70.32
7.	68.9	68.6	68.4	68.5	68.9	68.9	69.1	69.2	69 1	69.1	69.0	68.9	68.8	68.8	68.8	69.1	69.3	69.6	67.0	70.0	70.3	70.9	71.1	71.5	69.24
8.	71.7	72 4	72.5	72.7	73.4	73.6	74.1	74.6	74.8	75.0	75.2	75.1	75.0	74.9	74.9	74.9	74.9	75.0	75.1	75.1	75.1	75.1	75.0	75.0	74.38
9.	74.9	75.0	75.1	75.1	75.2	75.3	75.4	75.7	75.8	75.5	75.9	75.8	75.5	75.2	75.3	75.2	75.1	75.0	75.0	74.9	74 9	75.0	75.1	75.2	75.25
10.	75.4	75.4	75.5	75.3	75.4	75.6	75.7	75.9	76.0	76.0	76.1	76.4	76.1	76.0	75.9	75.8	75.7	75.7	75.7	75.6	75.5	75 4	75.1	74.9	75.67
11.	75.0	74.9	74.7	74.6	74.8	74.5	74.6	74.5	74.3	74.3	74.7	74.3	74.2	74.2	74.3	74.1	74.3	74.7	75.1	75.2	75.2	75.2	75.2	75.5	74.68
12.	75.6	75.8	75.5	75.1	75.1	74.4	74.1	73.9	73.6	73.0	72.3	72.0	71.7	71.3	71.2	70.6	70.1	70.0	69.2	69.2	69.0	69.0	69.3	70.2	72.13
13.	70.7	70.7	70.5	70 1	70.1	69.7	69.2	69.0	68.5	68 5	68.5	68.4	67.1	66.7	66.5	66.4	66.3	65.8	65.9	66.0	66.1	66.3	66.3	66.4	67.90
14.	66.4	66.4	66 4	66.4	66.7	67.1	67.4	67.5	68.0	68.2	68.0	68.1	68.2	68.0	67.7	67.7	67.6	67.3	67.0	67.0	67.0	67.1	67.4	67.7	67.35
15.	68.1	68.2	68.3	68.4	69.0	69.4	69.8	70.4	70 4	70.6	70.5	70.4	70.4	70.4	70.6	71.0	71.3	72.0	72.3	73.0	73.5	74.1	74.1	74.3	70.85
16.	74.4	74.3	74.0	73.6	73.7	73.3	72.7	72.7	72.6	73.0	72.7	73.6	73.7	74.5	75.0	75.2	75.9	76.2	76.3	76.9	77.3	77.8	78.4	78.4	74.84
17.	78.9	79.2	79.3	79.5	79.8	80.4	80.7	81.3	81.5	81.6	81.7	81.3	81.0	80.9	81.2	81.8	82.0	82.2	82.3	82.4	82.7	82.9	83.3	83.7	81.32
18	83.8	84.1	84 2	84.4	84.5	84.7	84.9	84.9	84.9	84.9	84.8	84.5	84.2	84.1	83.9	83.7	83.7	83.6	83.5	83.4	83.3	83.1	83.1	83.0	84.05
19.	82.6	82.5	82.5	82.7	82.7	82.7	82.8	82.9	83.2	83.6	83.7	83.9	84.4	84.7	85.4	85.7	86.3	86 6	86.8	86.9	87.0	86.9	86.7	86.6	84.58
20.	86.3	86.1	85.8	85.6	85.6	85.5	85.3	85.1	85.3	85.3	85.3	84.8	84.3	84.2	84.1	84.0	84.4	84.3	84.2	84.1	83.8	83 6	83.6	83.5	84.75
21.	83.4	83.5	83.4	83 3	83.1	82.9	82.7	82.7	82.6	82.6	82.4	82.2	81.8	81.6	81.5	81.6	81.5	81.4	81.4	81.2	81.1	81.1	81.2	81.3	82.15
22.	81.3	81.3	81.3	81.3	81.4	81.5	81.9	82.0	82.1	82.2	82.1	82.0	81.9	81.9	82.0	81.9	82.0	82.1	82.1	82.1	82.1	82.1	81.9	81.8	81.85
23.	81 8	81.6	81.2	80.9	80.9	80.8	80.6	80.6	80.3	80.2	79.9	79.6	78.9	78.3	77.7	77.7	77.5	77.0	76 6	76.4	76.2	76.0	75.6	75.5	78.83
24.	75.4	75.3	75.4	75.4	75.4	75.4	75.4	75.4	75.5	75.6	75.6	75.6	75.4	75.4	75.4	75.5	75.6	75.7	75.9	76.1	76.5	76.7	76.9	77.1	75.73
25.	77.4	77.9	78.1	78.3	79.0	79.4	79.9	80.4	80.9	81.3	81.8	81.9	81.8	81.8	82.0	82,3	82.8	83.1	83.3	83.4	83.5	83.5	83.6	83.6	81.29
26.	83.6	83.7	83.7	83.6	83.5	83.7	83.8	83.9	84.0	84.3	84.1	83.9	83.8	83.8	83.6	83.8	84.3	84.2	84.2	84.2	84.2	84.2	84.1	83.6	83.91
27.	83.4	83.4	83.2	82.5	82.2	82.2	82.3	82.3	82.3	82.3	82.4	82.4	82.2	81.9	82.0	82.2	82.5	32.5	82.5	82.8	83.1	82.8	82.8	82.7	82.54
28.	82.4	82.4	82.2	81.6	80.7	80.6	80.3	79.7	79.4	79.9	80.2	80.2	79.7	79.9	80.4	80 6	81.5	81.6	82.0	82.3	82.4	82.4	83.0	83.0	81.18
29.	83.3	83 6	83.7	83.8	83.7	84.0	84.4	84.5	84.7	85.2	85.3	85.3	85.3	85.4	85.4	85.3	85.3	85.4	85.4	85.2	85.3	85.3	85.3	85.3	84.81
30.	85.2	85.2	85.2	85.2	85.2	85.1	85.1	85.1	85.0	85.2	85.0	84.9	84.8	84.7	84.3	84.1	84.0	83.8	83.8	83.6	83.5	83.2	83.1	82.9	84.47
Mittel	77.80	77.86	77.80	77.73	77.79	77.81	77.89	78.01	78.04	78.14	78.10	78.00	77.78	77.70	77.70	77.70	77.81	77.85	77.74	77.84	77.86	77.85	77.88	77.92	77.86

Dezember

600 mm +

1.	82.5	82.3	82 0	81.8	81.6	81.6	81.7	81.7	81.6	81.6	81.6	81 5	80.7	80.5	80.4	80.2	79.9	79.9	79.8	79.7	79.5	79.5	79.6	79.7	80.87
2.	79.5	79.4	79.7	79.6	79.9	80.3	80.5	80.6	80.8	81.1	81.3	81.2	81.0	80.8	80.8	80.7	80.7	80.6	80 5	80.3	80.4	80.2	79.9	79.9	80.40
3.	79.8	79.7	79.7	79.5	79.4	79.2	79 2	79.0	78.8	78.7	78.6	78.5	78.0	77.7	77 6	77.3	77.0	76 9	76.8	76.5	76.1	75.9	75.5	75.2	77.94
4.	75.0	74.7	74.5	74 2	74.1	73.6	73.4	73.1	73.1	73.1	73.0	72.3	72.2	72.0	71.8	71.7	72.0	72.4	73.2	73.2	73.2	73.2	73.4	73.4	73.16
5	73.4	73.5	74.1	74.1	74.2	74.9	75.2	75.3	75.4	75.7	75.7	75.3	75.2	74.7	74.4	74.2	73.6	73.1	72.2	71.5	70.9	69.9	70.0	69.9	73.60
6.	70.2	70.9	71.0	71.1	70.9	70.6	70.6	70.6	70.4	70.3	70.1	69.3	69.0	68.5	68.3	68.1	67.9	67.9	68.1	68.2	68.1	68.1	68.1	68.2	69.35
7	68.1	68.0	68.0	68.1	68.5	69.2	69.7	70.5	71.4	72.0	72.4	72.6	73.0	73 2	73.6	74.2	74.9	75.3	75.9	76.2	76.6	77.2	77.6	78 0	72.68
8.	78.2	78.4	78.7	78.9	79 4	79.7	80.5	81.4	82.2	82.6	82.7	82.7	82.7	82.7	82.9	83.0	83.2	83.3	83.5	83.9	83.9	83.7	83.2	83.2	81.86
9.	82.6	82.6	82.8	82.6	82.3	82.4	82.3	82.4	82.2	82.2	82.1	81.6	81.2	81.0	80.9	80.7	80.8	80.7	80.5	80.1	79.6	79.2	79.1	78.4	81.26
10.	78.1	77.9	77.1	76.6	76 5	76.3	75.9	75.9	76.1	76.5	76.5	76.3	76.2	76.2	76.4	76.5	76.3	76.5	76.3	75.9	76.0	76.3	75.7	75.7	76.40
11.	75.4	75 2	75.4	75.5	75.6	75.7	76.0	76.5	76.8	77.5	77.9	78.0	78.1	78.3	78.6	78.6	78.9	78.9	79.1	79.2	79.3	79.4	79.5	79.6	77.63
12.	79.5	79.3	79.2	79.3	79.1	79.2	79.4	79.6	79.6	79.7	79.7	79.6	79.0	79.0	79.0	79.1	79.4	79.5	79.6	79.5	79.5	79.4	79.2	79.7	79.38
13.	78.5	78.7	78.6	78.6	78.7	78.8	78.9	78.9	78.8	79.0	78.8	78.6	78.5	78.4	78.4	78.6	78.7	79.0	79.3	79.9	80.0	80.2	80.5	80 5	79.04
14.	80 5	80.6	80.6	80.7	80.8	81.0	81.1	81.4	81.4	81.4	81.4	81.1	80.5	79.5	79.2	78.6	78.5	78.1	78.0	77.7	77.6	77 4	77.7	77.9	79.70
15.	77.2	77.7	78 7	78.9	79 4	80.0	80.3	81 0	81.3	81.6	81.8	81.6	81.2	81.0	81.0	81.1	81.1	80.8	80.6	80.6	80.2	80.1	80.1	79.7	80.29
16.	79.8	79.8	80.0	80.1	80.1	80.1	80.1	80.1	80.0	80.1	79.8	79.3	79.2	78 9	78.4	78.3	78.2	78.5	78.7	78.7	78.6	78.5	78.4	78.4	79.25
17.	78.3	78.5	78.5	78.5	78.5	78.5	78.1	77.9	77.9	78 1	77.8	77.7	77.6	77 7	77.8	77.8	78.2	78.3	78.4	78 5	78.5	78.6	78.7	78.8	78.22
18.	78.9	79.1	79.0	79.0	79.1	79.1	79.2	79.4	79.5	79.6	79.6	79.6	79.4	79.4	79.3	79.3	79.3	79.4	79.6	80.0	80.0	80.1	80.3	80.1	79.47
19.	79.8	79.9	79.9	79.7	79.7	79.9	80.2	80.4	80.6	80 8	81.0	81.0	80.9	81.0	81.4	81.6	81.6	81.7	81.8	81.8	81.9	82.1	82.4	82.4	80.98
20.	82.5	82.5	82.3	82.3	82.3	82.2	82.3	82.4	82.6	83.0	83.2	83.0	82.8	82.9	83.2	83.3	83.3	83.4	83 6	83.6	83.9	83.9	84.4	84.4	83.05
21.	84.5	84.7	85.0	85.0	85.0	85.3	85.5	85.5	85.8	86.5	86.6	86.5	86.4	86.2	86.2	86.3	86.4	86.5	86.6	86.5	86.6	86.8	86.7	86.4	85.98
22.	86.3	86.2	86.1	86.0	85.5	85.2	85.1	85.0	85.0	84.9	84.8	84.6	83.6	83 1	83.0	82.5	82.0	81.7	81.4	81.0	80.8	80.8	80.2	79.7	83.52
23.	78.9	78.3	77.6	77.1	76.5	76.5	76.5	76.2	76.1	75.9	75.7	75.2	74.9	74.7	74.4	74.1	73.6	73.4	73.2	73.0	72.5	72.1	71.9	71.3	74.98
24.	71.2	70.9	70.5	70.3	70.1	69.7	69.7	69.9	70.0	70.2	70.3	69.7	69.4	69.1	69.0	68.8	68.5	67.9	67.8	67.8	67.9	68.5	69.6	70.9	69.49
25.	71.8	72.2	73.0	73.3	73.6	74.1	74.6	75 5	76.0	76.7	77.4	77.6	77.6	77.9	78.1	78.8	78.9	79 5	79.9	80.2	80.4	81.2	81.2	81.2	77.11
26.	81.1	81.2	81.2	81.3	81.5	81.9	81.9	82.1	82.3	82.7	82.8	82.6	82.1	82.0	81.9	81.8	81.8	81.7	81.7	81.6	81.5	81.3	80.7	80.3	81.71
27.	79.5	79.3	78.7	77.6	77.1	76.5	76 0	75.4	74.7	74.3	73.7	72.7	72.1	72.1	72.2	72.4	72.7	72.9	73.0	73.1	73.1	72.4	72.3	71.8	74.48
28.	71.0	70.3	69.8	69.0	68.1	67.5	66.7	65.9	65.2	64.5	62.7	60.8	61.0	59.4	59.0	59.3	59.2	59.1	59.8	60 0	60.3	60.9	61.4	62.1	63.46
29.	62.2	62.3	62.4	62.3	62 1	62.0	61.9	61.9	62.0	62.0	61.9	61.6	60.9	60.8	60.7	60 6	60.5	60.3	60.6	60.7	60.7	60.8	60.8	60.9	61.37
30.	60.9	61.1	61.4	61.4	61.6	62.1	62.5	62.8	63.5	63.6	63.8	63.9	64.1	64.4	64.7	65.6	65.8	66.4	66.8	67.6	67.9	68.0	68.8	69.1	64.49
31.	69 7	70.0	70.8	71.0	71.3	71.9	72.6	73.2	73.7	74.3	74.7	75.2	75.3	75.6	76.0	76.3	76.8	77.1	77.7	78.1	78.4	78.5	78.7	78.8	74.82
Mittel	76.61	76.62	76.65	76.56	76.53	76.61	76.70	76.82	76.93	77.10	77.08	76.81	76.57	76.41	76.41	76.43	76.44	76.47	76.58	76.60	76.58	76.59	76.63	76.63	76.64

Thermometer-Registrierung. **Hohenpeissenberg.** 1913.

Januar

Datum	1ª	2ª	3ª	4ª	5ª	6ª	7ª	8ª	9ª	10ª	11ª	12m	1p	2p	3p	4p	5p	6p	7p	8p	9p	10p	11p	12mn	Mittel
1.	2.1	3.0	2.9	3.8	4.1	3.2	2.8	3.4	3.8	5.1	7.7	8.3	8.4	8.2	7.9	6.7	7.4	7.0	7.9	8.5	9.0	8.6	8.8	7.6	6.09
2.	7.7	7.6	6.9	5.1	4.9	4.4	3.9	3.5	3.1	3.8	3.6	4.2	4.1	4.2	3.8	3.4	3.2	3.0	2.7	2.7	2.7	2.3	2.2	2.2	3.97
3.	2.8	3.1	2.2	1.9	1.7	1.4	1.3	1.7	2.3	2.8	3.5	3.8	3.6	3.3	2.8	2.0	2.0	2.1	2.1	2.5	3.0	3.8	3.1	2.5	2.55
4.	1.8	2.1	2.7	1.7	1.7	2.0	2.0	1.9	1.7	2.0	2.3	2.9	2.9	2.8	2.7	2.0	2.4	2.2	2.3	1.8	− 0.5	− 0.1	− 0.1	1.2	1.85
5.	1.6	2.3	3.1	3.7	3.2	2.5	1.8	2.6	2.8	2.5	3.6	4.2	3.9	3.5	3.4	4.3	4.5	3.6	3.5	4.1	4.0	3.9	3.9	4.3	3.37
6.	3.5	3.1	3.3	2.6	3.8	4.4	4.8	4.7	4.2	3.7	4.7	4.4	3.8	2.8	3.0	2.8	2.6	2.7	2.6	2.3	1.9	2.3	2.2	2.0	3.25
7.	2.4	2.6	3.3	3.7	3.5	3.5	3.1	3.3	3.1	3.4	3.8	3.3	3.2	3.4	3.1	2.5	2.0	1.5	1.1	0.8	1.4	1.2	1.1	0.5	2.53
8.	0.4	0.0	− 1.0	− 2.0	− 2.9	− 4.5	− 7.1	− 6.5	− 7.4	− 7.0	− 6.4	− 6.7	− 5.7	− 6.0	− 5.6	− 5.5	− 4.1	− 2.8	− 1.2	0.5	1.2	0.7	0.5	1.0	− 3.25
9.	1.5	2.1	2.0	0.7	1.5	1.7	1.0	1.2	1.4	0.9	2.4	1.9	2.0	1.8	1.4	0.1	0.2	0.1	− 1.1	− 2.1	− 6.9	− 7.0	− 6.9	− 6.7	− 0.29
10.	− 7.6	− 7.7	− 7.5	− 7.7	− 7.8	− 7.7	− 7.6	− 7.7	− 7.6	− 7.4	− 7.7	− 7.3	− 6.7	− 7.0	− 7.2	− 7.4	− 7.4	− 7.3	− 7.2	− 7.0	− 6.8	− 7.0	− 7.0	− 7.2	− 7.35
11.	− 7.5	− 7.5	− 7.6	− 7.5	− 7.3	− 7.1	− 7.0	− 7.0	− 7.2	− 6.8	− 6.7	− 6.9	− 6.7	− 6.8	− 7.0	− 7.3	− 6.7	− 7.5	− 7.5	− 7.5	− 7.1	− 6.5	− 6.1	− 4.8	− 6.99
12.	− 4.6	− 3.8	− 3.2	− 3.3	− 1.7	− 0.6	− 0.5	0.2	0.4	0.4	0.3	0.3	0.2	− 0.4	− 0.6	− 0.9	− 1.0	− 1.3	− 1.3	− 1.5	− 1.8	− 1.8	− 2.0	− 2.1	− 1.28
13.	− 2.5	− 2.5	− 2.4	− 2.6	− 2.7	− 3.0	− 2.9	− 3.3	− 3.3	− 2.7	− 2.2	− 3.3	− 3.2	− 2.7	− 3.0	− 2.9	− 3.0	− 2.8	− 2.6	− 2.5	− 2.6	− 2.5	− 2.5	− 2.8	− 2.77
14.	− 2.7	− 3.0	− 3.1	− 4.1	− 3.8	− 3.4	− 3.4	− 5.0	− 5.3	− 4.2	− 3.7	− 3.9	− 3.9	− 4.7	− 5.0	− 5.1	− 5.8	− 6.1	− 6.2	− 4.8	− 4.8	− 4.7	− 4.6	− 4.6	− 4.41
15.	− 4.1	− 4.0	− 2.7	− 1.8	− 1.6	− 1.2	− 1.6	− 0.7	− 0.7	− 1.2	− 0.4	0.7	0.9	0.6	0.6	0.3	0.6	0.9	0.9	0.8	0.7	0.9	1.5	0.0	− 0.44
16.	0.4	− 0.2	− 1.5	− 1.2	− 1.5	− 0.3	− 0.5	0.2	0.2	0.0	0.5	0.1	0.3	0.0	0.0	− 0.3	− 0.1	0.1	− 0.2	− 0.2	0.2	0.0	− 0.1	0.5	− 0.15
17.	1.1	1.7	0.7	0.6	0.6	0.6	− 0.3	0.3	0.7	− 0.2	0.1	0.9	1.3	1.8	1.9	1.6	1.4	1.4	1.3	1.4	1.5	2.7	2.2	1.7	1.13
18.	2.3	2.2	2.3	2.6	1.6	1.4	1.3	1.6	1.8	1.7	1.6	0.8	1.2	0.7	0.4	0.3	0.3	0.5	0.5	0.2	0.0	0.4	0.3	− 0.4	1.07
19.	− 0.6	− 0.6	− 0.6	− 0.7	− 0.9	− 0.9	− 1.0	− 1.0	− 0.9	− 0.7	− 0.3	0.0	0.2	0.3	0.1	− 0.2	− 0.5	− 1.2	− 1.4	− 1.1	− 1.5	− 1.7	− 1.5	− 0.6	− 0.72
20	− 0.2	0.8	0.8	0.3	0.9	1.3	1.4	0.6	1.5	2.2	1.3	2.7	1.0	− 0.7	− 0.7	− 0.2	− 0.2	− 0.7	0.1	− 0.2	− 1.1	− 1.0	− 0.8	− 0.4	0.36
21.	0.0	0.2	0.6	0.9	1.2	1.4	3.0	2.6	1.1	1.5	1.2	2.1	2.5	2.7	2.7	2.2	1.4	0.0	− 0.6	− 0.6	− 0.7	− 0.9	− 0.1	− 1.1	0.97
22.	− 1.2	− 1.0	− 1.2	− 1.3	− 1.3	− 1.5	− 1.6	− 1.6	− 1.4	− 1.2	− 1.1	− 1.3	− 1.3	− 2.3	− 2.2	− 2.3	− 2.6	− 2.9	− 3.1	− 3.1	− 3.4	− 3.6	− 3.6	− 3.5	− 2.07
23.	− 3.6	− 3.9	− 3.3	− 3.0	− 2.8	− 2.9	− 2.2	− 2.1	− 2.3	− 2.3	− 2.2	− 2.0	− 1.2	− 0.5	0.0	0.2	0.2	0.4	0.4	1.7	1.9	2.1	2.0	1.5	− 1.00
24.	1.9	1.7	1.4	1.3	1.2	1.1	0.8	0.5	0.7	0.9	1.1	1.4	1.4	1.6	1.5	1.2	1.0	0.9	0.6	0.2	0.0	− 0.8	− 0.9	− 1.0	0.82
25.	− 1.0	− 1.2	− 1.0	− 1.1	− 1.2	− 1.3	− 0.3	− 1.0	0.0	0.6	2.6	4.4	5.2	6.1	5.8	5.1	4.4	2.7	3.6	4.0	3.7	2.9	2.4	1.8	1.97
26.	1.9	1.9	1.9	2.0	1.9	1.9	2.0	2.1	1.8	1.3	0.2	− 0.5	− 0.8	− 1.2	− 1.4	− 1.6	− 2.0	− 2.9	− 2.6	− 3.4	− 3.2	− 3.0	− 3.1	− 3.4	− 0.43
27.	− 3.6	− 4.0	− 4.2	− 4.6	− 4.8	− 4.6	− 4.6	− 4.3	− 3.6	− 3.4	− 3.3	− 3.1	− 2.7	− 2.0	− 2.6	− 2.7	− 2.3	− 2.2	− 2.1	− 2.0	− 0.9	− 1.5	− 1.5	− 1.3	− 3.00
28.	− 2.7	− 1.8	− 1.8	− 1.6	− 1.4	− 1.6	− 1.6	− 1.8	− 1.9	− 1.6	− 0.3	0.6	0.7	1.2	0.6	− 2.0	− 2.0	− 3.1	− 3.5	− 3.8	− 4.0	− 4.4	− 4.4	− 4.8	− 1.96
29.	− 5.1	− 5.3	− 5.6	− 5.9	− 6.1	− 6.5	− 7.0	− 7.5	− 7.3	− 6.4	− 6.3	− 7.1	− 7.1	− 6.9	− 7.0	− 7.1	− 7.4	− 7.7	− 7.9	− 8.1	− 8.4	− 8.8	− 9.3	− 9.5	− 7.14
30.	− 9.8	− 10.2	− 10.4	− 10.9	− 10.9	− 11.2	− 10.9	− 10.6	− 10.2	− 9.5	− 8.6	− 7.1	− 6.5	− 7.0	− 6.9	− 5.5	− 4.3	− 4.1	− 2.9	− 2.0	− 1.1	− 1.2	− 1.3	− 0.6	− 6.82
31.	− 0.2	0.5	0.6	0.9	0.9	1.4	1.8	2.0	3.1	2.7	2.8	4.4	2.5	2.7	2.5	0.0	− 0.5	− 0.3	− 0.4	− 1.1	− 1.8	− 1.9	− 1.9	− 1.9	0.78
Mittel	−0.83	−0.70	−0.72	−0.89	−0.84	−0.84	−0.94	−0.89	−0.82	−0.62	−0.19	0.07	0.11	−0.02	−0.16	−0.53	−0.53	−0.77	−0.72	−0.63	−0.82	−0.86	−0.89	−0.96	− 0.62

Februar

1.	− 1.7	− 1.8	− 1.6	− 1.6	− 0.9	− 0.6	0.0	0.2	0.1	0.6	0.9	1.2	2.1	2.1	1.9	1.8	1.8	2.0	2.0	2.2	2.6	3.8	4.3	3.2	1.03
2.	4.2	4.7	5.2	4.8	5.2	4.7	5 8	4.6	0.2	− 0.9	− 0.9	− 0.8	− 0.9	− 0.8	− 1.6	− 1.2	− 1.3	− 1.9	− 1.9	− 2.0	− 2.0	− 2.0	− 1.8	− 1.4	0 75
3.	− 1.4	− 0.6	− 0.6	− 0.8	− 0.7	− 1.3	− 1.0	− 0.4	0.2	0.3	0.4	0.6	0.7	1.2	1.8	1.9	1.8	2.1	2.2	2.2	2.5	2.7	2.8	2.7	0.80
4.	2.4	2.6	2.6	2.7	2.6	2.4	2.4	2.5	2.6	2.8	2.8	3.3	3.8	3.9	3.5	3.3	2.8	2.3	2.0	1.9	2.0	2.1	2.1	1.9	2.64
5.	1.7	1.6	1.3	1.1	0.9	0.5	0.0	− 0.2	0.3	0.5	2.1	3.5	4.4	7.4	7.3	7.3	6.2	6.0	6.1	4.4	4.8	4.8	4.8	5.9	3.45
6.	6.0	6.2	5.8	1.9	2.3	3.3	3.9	4.1	4.5	4.8	5.2	6.0	6.3	6.2	6.0	5.5	5.0	4.4	4.1	3.9	3.8	3.6	3.6	3.5	4.58
7.	3.3	3.3	3.0	2.9	2.1	2.2	2.0	1.9	2.2	2.3	3.2	3.4	4.2	4.6	4.3	4.3	4.2	3.2	2.9	3.1	3.3	3.5	4.7	3.6	3.24
8.	2.9	3.2	3.5	4.4	5.5	4.5	4.3	4.7	4.5	5.0	5.0	5.5	5.2	2.1	0.2	− 0.1	0.1	0.2	0.4	− 0.4	− 0.5	− 0.6	− 0.6	− 0.6	2.43
9.	− 0.5	− 0.4	− 0.5	− 0.8	− 0.9	− 1.0	− 1.0	− 0.7	− 0.4	0.3	1.0	1.3	1.6	2.1	2.0	2.0	1.6	1.0	0.7	− 0.3	− 0.9	− 0.3	1.0	0.7	0.32
10.	2.0	1.9	2.3	2.4	1.6	1.4	1.3	1.3	1.4	4.2	4.6	4.5	5.0	4.9	4.7	4.9	4.2	3.9	3.8	3.6	5.3	5.2	3.9	3.9	3.43
11.	3.6	3.5	3.2	3.6	3.7	4.2	4.6	4.0	3.1	3.1	3.9	3.7	4.7	5.1	5.0	4.3	4.0	3.4	3.0	2.8	2.5	1.2	1.0	0.6	3.41
12.	0.6	0.8	0.9	1.5	1.2	− 2.0	− 1.2	− 1.1	− 0.9	− 0.8	− 1.0	− 0.7	1.4	1.1	1.3	1.1	0.8	0.5	0.1	− 0.8	− 1.2	− 1.2	− 1.1	− 0.7	0.00
13.	− 0.5	− 0.9	− 1.1	− 1.4	− 1.6	− 1.7	− 1.6	− 0.5	− 0.4	− 0.1	0.0	0.4	1.1	1.8	2.2	1.2	1.0	0.4	0.0	− 1.4	− 1.4	− 1.5	− 1.6	− 1.1	− 0.36
14.	− 1.0	− 1.2	− 1.0	− 1.2	− 1.2	− 1.2	− 1.0	− 1.0	− 0.8	− 0.6	− 0.5	− 0.9	− 0.2	0.0	− 0.4	− 1.1	− 2.5	− 3.7	− 4.6	− 5.1	− 5.4	− 5.9	− 6.4	− 6.6	− 2.23
15.	− 7.3	− 7.6	− 8.1	− 8.6	− 9.2	− 9.7	− 10.4	− 10.3	− 9.7	− 9.2	− 8.1	− 7.2	− 6.7	− 6.1	− 6.0	− 6.0	− 6.2	− 6.8	− 7.4	− 8.0	− 8.4	− 8.5	− 9.2	− 9.1	− 8.08
16.	− 9.2	− 9.4	− 0.5	− 9.8	− 9.6	− 9.6	− 9.1	− 9.5	− 8.9	− 7.8	− 7.0	− 6.2	− 5.7	− 4.8	− 4.9	− 5.0	− 5.4	− 6.0	− 6.4	− 6.8	− 7.4	− 7.6	− 8.0	− 8.3	− 7.58
17.	− 8.9	− 8.8	− 8.9	− 9.2	− 9.5	− 9.0	− 10.0	− 10.3	− 10.2	− 9.9	− 9.0	− 7.5	− 5.5	− 5.1	− 5.0	− 5.4	− 5.6	− 6.3	− 7.1	− 8.0	− 8.9	− 9.8	− 10.6	− 11.1	− 8.32
18.	− 11.7	− 12.2	− 12.4	− 13.0	− 13.4	− 13.7	− 13.8	− 13.6	− 13.2	− 11.9	− 10.7	− 9.2	− 7 3	− 5.9	− 5.7	− 5.8	− 6.2	− 6.9	− 7.4	− 8.0	− 8.7	− 9.5	− 10.0	− 10.7	− 10.04
19.	− 11.3	− 11.6	− 11.7	− 11.8	− 12 3	− 12.4	− 12.7	− 12.5	− 12.0	− 11.2	− 9.7	− 8.4	− 7.2	− 5.0	− 3.6	− 3.5	− 3.8	− 4.3	− 4.9	− 5.4	− 6.4	− 7.3	− 7.7	− 7.1	− 8.49
20.	− 6.3	− 8.2	− 7.0	− 6.6	− 6.3	− 6.0	− 7.1	− 6.7	− 6.5	− 4.7	− 3.6	− 3.4	− 2.9	− 2.3	− 2.0	− 1.8	− 2.4	− 3.0	− 3.9	− 4.1	− 4.8	− 3.9	− 3.5	− 3.5	− 4.60
21.	− 3 6	− 3.1	− 2.5	− 3.3	− 3.8	− 4.3	− 4.5	− 3.3	− 3.0	− 3.1	− 3.3	− 3.2	− 2.8	− 2.0	− 1.5	− 2.1	− 2.8	− 3.9	− 4.9	− 5.9	− 6.2	− 6.6	− 7.0	− 7 4	− 3.92
22.	− 8.0	− 8.6	− 8.9	− 8.4	− 9.7	− 9.9	− 10.3	− 10.4	− 10.2	− 9.4	− 8.8	− 8.5	− 7.8	− 6.6	− 6.6	− 6.2	− 6.0	− 6.6	− 7.0	− 7.5	− 7.8	− 8.0	− 8.2	− 8.0	− 8.23
23.	− 8.1	− 8.0	− 8.0	− 8.1	− 8.0	− 7.7	− 7.5	− 7.4	− 6.9	− 6.3	− 6.3	− 4.5	− 3.2	− 2.7	− 2.3	− 2.6	− 3.1	− 4.0	− 4.4	− 5.3	− 5.8	− 6.4	− 6 5	− 5.6	− 5.78
24.	− 5.6	− 5.8	− 4.8	− 5.5	− 5.5	− 5.3	− 5.5	− 5.5	− 4.1	− 2 7	− 1.8	− 1.1	0.9	2.3	1.8	2.6	1.9	0.8	0.1	− 0.1	− 0.3	− 0.2	− 0.1	0.8	− 1.78
25.	0.7	0.6	0.4	− 0.4	− 0.7	− 0.7	− 1.0	− 1.6	0.3	0.4	1.4	2.1	2.9	3.7	4.2	4.6	4.1	2.9	2.1	1.0	0.5	1.3	1.7	1.3	1.33
26.	0.2	0.6	0.8	0.1	0.0	− 0.4	− 1.1	− 1.0	0.0	1.0	1.3	2.5	3.5	4.1	4.2	4.4	4.0	2.9	2.3	1.7	1.3	1.4	0.7	− 0.2	1.43
27.	− 0.2	0.1	− 0.1	0.5	0.0	0.8	1.6	1.8	2.2	2.5	3.1	3.5	4.4	5.7	5.5	5.0	4.4	2.9	2.0	2.3	0.9	− 0.1	− 0.6	− 0.7	1.98
28.	− 0.9	− 1.0	− 1.0	− 0.9	− 1.0	− 1.0	− 0.9	− 0.8	− 0.7	− 0.4	− 0.3	0.0	0.0	− 0.1	− 0.3	− 0.4	− 0.6	− 0.6	− 0.6	− 1.0	− 1.4	− 1.4	− 2.8	− 3.2	− 0.89
Mittel	−2.10	−2.15	−2.10	−2.34	−2.47	−2.63	−2.64	−2.56	−2.37	−1.83	−1.29	−0.67	0.07	0.60	0.57	0.46	0.07	−0.54	−0.95	−1.46	−1.71	−1.83	−1.97	−2.04	− 1.41

Thermometer-Registrierung. **Hohenpeissenberg.** 1913.

März

Datum	1ª	2ª	3ª	4ª	5ª	6ª	7ª	8ª	9ª	10ª	11ª	12m	1ᵖ	2ᵖ	3ᵖ	4ᵖ	5ᵖ	6ᵖ	7ᵖ	8ᵖ	9ᵖ	10ᵖ	11ᵖ	12mn	Mittel
1.	− 3.5	− 3.8	− 3.8	− 3.9	− 4.1	− 4.3	− 4.6	− 4.6	− 4.6	− 4.8	− 4.9	− 4.8	− 4.4	− 3.5	− 3.4	− 3.7	− 4.5	− 4.5	− 4.7	− 4.9	− 5.4	− 5.7	− 6.0	− 6.2	− 4.53
2.	− 6.3	− 6.2	− 6.4	− 6.7	− 6.6	− 6.7	− 6.6	− 6.1	− 5.2	− 4.7	− 3.6	− 3.6	− 3.5	− 1.5	− 1.0	− 0.6	− 0.5	− 1.5	− 1.7	− 1.8	− 2.0	− 1.8	− 1.6	− 1.7	− 3.66
3.	− 1.7	− 1.7	− 1.7	− 1.9	− 2.4	− 2.2	− 2.3	− 1.9	− 1.1	0.2	0.9	1.2	3.3	4.0	4.3	4.1	3.3	2.3	2.3	2.4	2.1	2.5	2.4	2.4	0.87
4.	2.8	2.8	2.7	2.9	2.2	1.7	0.0	0.1	1.1	3.5	4.7	4.7	5.1	5.9	5.8	5.7	5.2	4.2	4.0	3.3	2.8	2.6	2.5	2.5	3.28
5.	2.6	2.5	2.0	2.0	1.9	1.9	1.8	1.6	2.3	3.2	5.0	6.3	6.9	7.3	7.2	6.8	6.1	4.9	4.6	4.4	3.5	3.4	3.6	3.5	3.97
6.	2.8	3.5	3.5	3.4	3.3	3.3	3.3	3.0	3.3	4.1	4.7	6.2	6.9	7.6	7.9	7.8	7.2	6.0	5.4	5.3	5.7	6.0	5.5	4.9	5.03
7.	4.6	5.4	4.6	3.8	3.7	3.5	3.8	5.3	6.5	6.9	7.9	8.9	9.6	9.9	10.0	9.8	9.0	7.9	7.2	7.0	7.0	6.9	5.5	6.1	6.73
8.	5.8	6.9	6.1	5.8	5.8	6.0	6.6	6.8	6.9	7.4	6.1	7.9	7.5	5.4	4.1	0.1	− 0.6	− 0.9	− 0.8	− 1.1	− 1.4	− 1.6	− 1.7	− 2.8	3.51
9.	− 2.7	− 2.7	− 2.7	− 2.8	− 3.1	− 3.5	− 3.5	− 3.2	− 2.7	− 2.3	− 2.1	− 1.9	− 1.7	− 1.3	− 1.9	− 1.8	− 2.2	− 2.7	− 3.0	− 3.4	− 3.6	− 3.8	− 3.9	− 4.1	− 2.78
10.	− 4.0	− 4.2	− 3.8	− 3.8	− 4.0	− 3.9	− 3.6	− 3.0	− 2.8	− 2.3	− 1.9	− 1.0	0.5	1.6	1.5	1.7	2.2	2.4	2.2	1.8	1.6	1.6	1.6	1.8	− 0.74
11.	1.8	1.7	1.8	1.7	1.7	1.8	2.0	2.5	2.9	3.9	5.6	6.1	7.2	8.2	8.7	8.6	7.9	7.6	7.6	7.2	5.5	4.8	4.9	4.9	4.86
12.	4.0	3.7	3.2	3.0	3.0	2.5	2.3	2.6	3.2	4.2	5.3	6.0	6.8	7.1	7.0	6.8	6.3	5.6	4.6	3.6	2.7	2.1	2.0	3.9	4.23
13.	3.4	5.5	6.8	7.5	7.3	7.5	7.7	9.1	8.5	8.4	9.3	10.2	10.1	9.9	9.7	9.2	8.6	8.3	7.3	7.7	8.7	7.9	8.1	7.2	8.08
14.	6.4	5.5	4.7	4.5	4.5	4.0	3.3	4.1	5.4	6.6	7.9	9.0	10.4	11.3	11.4	11.4	10.5	9.6	8.9	8.1	7.6	7.7	6.9	6.6	7.35
15.	7.2	7.5	7.1	6.1	6.2	6.5	5.9	5.6	5.7	7.3	7.5	8.0	8.4	8.8	8.5	7.4	6.3	4.8	3.8	3.4	3.1	2.9	2.9	2.5	5.98
16.	2.6	2.1	2.0	1.8	1.2	1.3	1.3	2.4	4.4	5.9	7.2	8.2	9.1	9.7	10.2	9.7	8.7	6.9	6.2	6.1	6.3	6.2	5.2	4.0	5.36
17.	4.1	4.9	4.5	5.7	5.2	4.4	3.9	4.6	6.0	7.8	9.6	11.6	13.2	13.0	12.7	11.4	10.6	9.3	8.4	7.7	6.4	5.3	0.6	− 1.1	7.08
18.	− 1.1	− 1.3	− 2.0	− 2.1	− 2.6	− 2.7	− 2.4	− 2.2	− 2.1	− 1.8	− 1.9	− 2.0	− 2.1	− 2.4	− 2.7	− 2.5	− 2.9	− 2.9	− 3.3	− 3.7	− 4.0	− 4.2	− 4.2	− 4.2	− 2.22
19.	− 3.9	− 3.6	− 3.6	− 3.7	− 3.6	− 3.5	− 4.4	− 4.0	− 3.2	− 2.3	− 1.1	0.0	1.1	2.1	1.9	1.9	3.6	4.2	5.2	6.2	5.3	5.3	5.2	5.2	0.43
20.	5.3	5.4	5.5	5.8	5.4	6.0	5.8	6.4	7.6	7.6	8.8	8.7	8.5	9.0	9.0	8.5	8.8	8.1	8.1	7.9	7.9	7.8	7.2	8.1	7.38
21.	8.4	8.0	8.5	7.6	7.8	7.2	7.1	6.0	6.2	6.4	6.8	7.3	7.5	7.5	7.3	6.8	6.3	6.0	6.2	6.3	6.2	7.1	7.2	7.3	7.04
22.	7.4	7.9	7.2	8.1	7.4	6.9	8.2	8.8	9.1	9.6	10.1	11.3	12.6	14.3	14.9	15.1	13.9	12.5	11.3	11.2	10.3	10.7	10.6	10.4	10.41
23.	10.7	10.7	10.6	9.6	7.7	7.3	7.4	7.4	7.8	7.9	4.9	4.5	4.4	4.4	4.4	4.4	3.3	3.4	3.2	2.9	2.2	2.2	2.3	2.4	5.67
24.	2.2	1.9	1.0	0.7	0.1	− 0.1	− 0.5	− 0.9	− 0.8	− 0.6	− 0.7	− 0.6	− 0.7	0.2	0.3	0.3	0.3	0.3	0.3	0.2	0.2	0.2	0.2	0.2	0.15
25	0.3	0.4	0.4	0.3	0.0	− 0.2	0.0	0.3	0.4	0.7	1.5	2.7	3.5	4.1	4.4	4.7	4.6	4.3	3.5	3.0	2.6	2.3	2.1	1.7	1.98
26.	1.3	1.3	0.5	0.4	0.5	− 0.1	0.0	0.1	1.1	1.5	2.5	4.9	6.5	7.9	8.3	8.3	7.2	6.1	4.7	3.7	3.9	5.3	7.1	6.3	3.72
27.	6.5	4.4	4.2	4.2	4.3	4.4	4.4	4.6	3.5	3.5	4.7	5.8	5.8	6.8	6.5	6.6	6.3	5.3	3.4	3.3	3.5	3.5	2.9	2.9	4.64
28.	3.2	3.2	3.1	2.8	2.6	2.4	2.7	3.4	4.7	6.2	6.8	9.4	10.5	11.2	11.3	11.4	11.1	9.8	8.4	7.8	7.6	7.0	7.1	8.3	6.75
29.	7.3	7.8	7.1	7.4	8.5	9.8	10.3	11.2	12.4	14.4	15.8	16.8	17.4	17.0	16.2	14.9	13.0	11.9	11.7	11.6	11.1	10.9	11.7	11.6	11.99
30.	11.7	13.0	13.2	13.2	13.0	13.0	13.1	14.0	15.1	16.7	18.0	18.9	19.1	18.8	18.6	17.2	16.5	15.2	14.0	13.2	12.6	12.2	12.4	11.9	14.78
31.	12.5	12.0	11.8	11.4	10.5	10.5	10.9	11.6	13.3	14.5	15.4	15.7	17.6	18.1	17.8	16.9	15.9	15.4	14.8	13.9	13.8	13.6	12.8	10.1	13.78
Mittel	3.28	3.37	3.17	3.06	2.82	2.73	2.71	3.08	3.71	4.50	5.19	6.01	6.68	7.17	7.13	6.74	6.19	5.48	4.97	4.65	4.32	4.22	3.98	3.78	4.54

April

1.	10.0	9.2	8.1	7.6	6.4	6.2	6.0	5.8	5.5	4.2	3.7	3.2	3.1	3.1	3.0	2.7	2.4	1.7	0.9	0.6	0.3	0.3	0.3	0.3	3.94
2.	0.4	0.4	0.6	0.4	0.4	0.3	0.0	0.3	0.7	1.0	1.4	1.7	2.0	2.3	1.9	1.8	1.6	1.2	0.9	0.6	0.5	0.7	0.8	1.0	0.95
3.	1.1	0.9	0.5	0.6	0.7	0.8	0.8	1.0	1.2	1.9	2.2	3.7	5.7	7.4	7.2	8.7	9.6	9.4	8.8	7.5	6.9	6.6	6.9	6.8	4.45
4.	6.8	5.2	5.1	5.6	5.6	4.6	5.2	6.3	7.7	9.0	9.3	10.9	12.7	13.8	13.6	12.4	11.3	10.8	9.0	7.8	7.1	6.7	6.5	6.8	8.33
5.	6.9	7.6	7.2	6.2	6.2	6.1	6.8	7.2	8.9	10.0	10.8	12.8	10.0	11.1	8.8	9.0	8.5	7.4	6.7	6.3	6.1	5.6	5.7	5.6	7.81
6.	5.8	5.3	5.1	5.0	4.4	5.1	4.7	4.6	5.3	5.9	6.8	7.6	7.9	8.0	7.6	7.3	6.7	6.2	6.0	5.9	5.6	5.0	5.0	4.7	5.90
7.	3.6	2.9	3.1	3.4	3.2	3.2	3.6	4.1	4.3	4.9	5.5	6.0	6.8	8.2	7.9	6.3	6.0	5.3	5.2	4.3	4.3	4.2	3.1	3.1	4.69
8.	3.1	2.5	1.7	0.8	0.2	0.1	0.2	0.3	0.5	0.6	0.7	0.9	1.1	0.9	0.6	0.4	0.3	0.0	− 0.1	− 0.7	− 1.1	− 1.6	− 1.8	− 1.8	0.33
9.	− 1.7	− 1.6	− 1.5	− 1.5	− 1.4	− 1.6	− 1.7	− 1.8	− 1.6	− 1.5	− 1.4	− 1.0	− 0.6	− 0.4	− 0.3	− 0.5	− 0.6	− 0.7	− 0.8	− 1.2	− 1.4	− 1.7	− 1.7	− 1.7	− 1.24
10.	− 1.6	− 1.6	− 1.6	− 1.4	− 1.5	− 1.4	− 1.5	− 1.3	− 0.3	− 0.1	0.7	1.6	2.5	2.7	2.7	2.5	2.1	1.5	0.6	0.0	− 0.9	− 1.0	− 1.0	− 1.0	0.03
11.	− 1.0	− 0.9	− 1.0	− 1.1	− 1.7	− 1.8	− 2.0	− 2.4	− 2.6	− 2.2	− 1.9	− 2.4	− 2.1	− 1.3	− 1.6	− 1.3	− 1.4	− 1.7	− 2.4	− 2.7	− 2.8	− 2.8	− 3.1	− 3.6	− 1.99
12.	− 3.8	− 3.6	− 3.6	− 3.7	− 3.4	− 3.5	− 3.8	− 3.2	− 2.1	− 1.8	− 0.5	− 0.7	− 0.7	− 0.5	− 3.4	− 4.1	− 5.1	− 6.0	− 6.6	− 6.6	− 7.0	− 7.2	− 7.4	− 7.9	− 4.01
13.	− 8.0	− 8.2	− 8.3	− 8.8	− 8.9	− 8.8	− 8.2	− 7.0	− 6.2	− 5.7	− 5.1	− 4.2	− 4.2	− 4.0	− 3.9	− 4.0	− 4.5	− 5.0	− 6.0	− 6.4	− 7.0	− 7.2	− 7.4	− 7.6	− 6.44
14.	− 8.0	− 7.9	− 8.0	− 7.9	− 7.8	− 7.5	− 7.0	− 6.6	− 5.2	− 4.1	− 3.4	− 4.0	− 2.9	− 2.5	− 2.1	− 2.3	− 2.4	− 2.4	− 2.6	− 4.4	− 4.7	− 4.3	− 4.3	− 4.7	− 4.88
15.	− 4.6	− 4.7	− 4.5	− 4.6	− 4.6	− 4.3	− 3.4	− 2.9	− 2.3	− 1.9	− 0.5	− 0.3	− 0.4	0.2	0.2	0.0	− 0.4	− 0.7	− 1.8	− 2.3	− 2.8	− 2.9	− 3.2	− 3.3	− 2.31
16.	− 3.9	− 3.7	− 3.0	− 3.5	− 3.7	− 3.0	− 2.1	− 1.5	− 0.9	0.4	1.7	2.8	3.9	5.4	6.0	6.7	6.6	5.7	5.3	5.2	5.1	5.2	5.3	5.6	1.90
17.	5.3	4.6	3.7	3.6	5.3	5.7	5.7	6.6	7.0	7.9	8.0	8.0	7.7	8.6	9.2	9.7	8.6	7.2	6.8	4.3	2.5	1.7	1.7	1.9	5.89
18.	1.8	1.4	1.7	2.0	1.5	1.0	0.9	1.4	2.0	3.2	3.9	4.1	4.8	4.8	4.9	5.7	5.7	5.4	4.5	4.0	2.2	2.4	2.2	2.5	3.08
19.	3.1	3.4	2.6	2.7	2.4	3.4	4.4	5.7	7.5	9.1	9.7	10.6	9.7	9.6	9.8	9.3	9.1	8.4	6.4	6.3	5.5	5.2	5.1	4.9	6.43
20.	4.7	5.2	6.0	6.2	6.5	6.4	3.7	3.0	3.2	2.6	3.8	3.9	4.1	3.9	4.6	6.4	6.3	4.2	3.6	3.8	3.6	3.3	3.2	3.1	4.39
21.	3.0	2.8	2.7	2.6	2.7	3.2	4.2	5.0	5.3	5.6	6.4	7.8	8.5	9.0	8.9	8.5	7.7	6.9	5.8	5.4	5.3	5.1	4.5	4.3	5.47
22.	5.2	5.3	5.3	5.2	5.3	5.2	5.9	6.7	6.6	8.1	9.3	10.5	11.0	11.5	11.5	11.4	10.9	9.5	7.6	6.6	6.0	5.9	5.7	5.7	7.58
23.	5.5	5.5	5.2	4.8	5.2	5.6	4.8	5.8	6.2	6.5	7.6	9.2	9.6	10.5	10.6	10.6	10.1	9.6	9.2	8.8	8.2	8.3	8.2	8.5	7.67
24.	8.0	7.8	7.5	8.9	9.0	8.4	8.8	10.3	10.3	11.3	12.4	13.5	14.5	15.0	15.2	14.9	12.5	12.5	11.0	10.7	10.6	8.2	6.7	6.7	10.61
25.	6.9	7.1	7.3	7.5	7.7	8.7	9.1	9.6	10.6	11.1	11.9	13.0	13.6	14.1	14.6	14.4	14.1	13.5	12.3	11.7	10.7	10.6	10.3	9.7	10.84
26	9.2	9.1	9.1	9.1	9.0	9.0	9.1	9.5	10.6	11.2	11.6	12.3	13.3	14.2	14.5	14.8	14.7	14.3	13.3	12.8	12.1	12.0	11.9	12.2	11.62
27.	11.9	12.5	12.3	13.0	13.0	12.6	14.1	14.9	15.2	16.0	16.7	17.4	17.7	18.1	18.2	18.3	17.8	16.2	13.9	12.7	11.5	11.2	11.4	11.8	14.52
28.	11.4	10.6	10.2	10.1	9.5	9.1	9.3	9.2	10.3	11.5	12.9	14.3	14.7	15.2	15.1	14.8	15.0	14.9	13.6	12.5	11.8	11.5	11.7	11.7	12.11
29.	11.7	11.6	11.4	10.5	10.4	10.9	11.3	12.4	13.9	14.8	15.2	16.0	16.5	17.5	17.7	17.8	17.6	16.9	16.0	15.3	14.9	14.3	13.8	13.7	14.25
30.	13.8	13.8	14.1	14.0	13.5	14.2	15.2	15.3	15.5	16.6	17.3	18.4	18.9	19.6	19.4	19.4	19.0	17.9	16.9	16.4	15.0	14.0	13.7	13.8	16.07
Mittel	3.55	3.42	3.30	3.24	3.17	3.26	3.47	3.94	4.57	5.21	5.89	6.61	6.98	7.53	7.41	7.39	6.99	6.34	5.47	4.84	4.27	3.98	3.79	3.75	4.93

Thermometer-Registrierung. **Hohenpeissenberg.** 1913.

Mai

Datum	1a	2a	3a	4a	5a	6a	7a	8a	9a	10a	11a	12m	1p	2p	3p	4p	5p	6p	7p	8p	9p	10p	11p	12mn	Mittel
1.	13.3	13.3	13.2	13.1	12.8	13.3	12.7	13.1	14.3	15.0	16.0	17.0	17.3	17.6	18.3	18.4	18.3	11.3	6.9	5.2	4.0	3.8	3.1	2.3	12.23
2.	1.9	1.8	1.8	1.7	1.9	1.9	2.1	2.5	3.0	3.1	3.0	4.3	4.9	5.3	5.9	5.1	4.9	4.5	3.8	3.3	3.2	3.4	3.2	3.4	3.33
3.	2.8	2.6	2.3	2.2	2.5	2.4	2.8	2.8	4.5	4.8	5.1	6.3	7.1	6.8	7.0	6.8	6.4	5.8	5.3	5.2	4.4	4.4	4.5	4.8	4.57
4.	4.8	4.9	5.0	5.1	4.9	5.0	5.7	7.8	9.5	9.0	8.9	10.4	10.8	10.5	10.7	10.7	11.1	4.2	2.6	2.3	2.0	1.9	2.3	2.4	6.35
5.	2.4	2.5	2.1	2.2	2.3	2.3	2.6	2.9	3.0	3.7	3.7	3.7	4.1	4.4	4.0	4.0	1.8	1.7	1.4	1.5	1.3	1.2	0.9	0.9	2.53
6.	1.0	1.0	0.9	0.9	1.1	1.4	2.4	3.1	3.8	4.5	4.8	5.3	5.8	6.5	6.3	6.7	6.5	5.4	4.4	3.0	2.4	2.1	2.1	2.2	3.48
7.	2.4	2.6	2.6	2.7	2.7	3.0	3.7	4.3	4.1	3.4	3.6	4.5	4.9	5.1	5.3	7.2	6.7	4.6	3.6	3.4	2.9	2.9	2.9	2.9	3.83
8.	2.8	3.0	2.6	2.0	2.1	3.8	4.1	4.2	5.1	6.1	7.0	8.1	9.0	10.3	10.4	10.5	9.9	9.6	8.1	7.1	6.1	5.3	4.8	4.6	6.11
9.	5.4	5.5	6.8	6.3	6.0	6.8	7.0	7.8	8.1	8.2	9.2	10.1	11.3	12.3	13.0	12.9	12.7	11.9	10.5	9.1	7.7	6.9	8.1	8.7	8.85
10.	9.0	9.1	9.3	10.4	9.8	9.9	10.1	10.9	11.9	11.8	13.4	14.4	14.8	15.4	15.4	15.5	14.9	14.0	13.0	12.2	10.4	10.4	6.6	5.9	11.60
11.	5.3	5.1	4.7	4.6	4.6	3.9	3.0	2.9	2.8	2.8	2.7	2.8	2.5	2.6	3.0	3.2	3.4	3.3	3.4	3.3	3.2	3.2	3.2	3.4	3.45
12.	3.7	3.6	3.5	3.5	3.8	4.0	4.1	4.1	4.4	5.1	5.4	6.1	6.8	7.5	8.4	8.1	8.1	7.3	6.5	5.9	5.6	5.4	5.6	5.3	5.49
13.	4.4	4.8	3.8	3.6	3.6	4.8	4.1	4.1	5.1	7.2	9.0	10.4	12.1	12.6	12.8	12.5	12.0	11.2	10.0	8.8	8.0	7.9	7.2	8.3	7.85
14.	8.8	8.2	7.9	7.2	7.1	8.4	11.3	11.5	10.9	11.3	13.2	14.3	14.8	15.5	15.5	15.6	15.0	14.0	12.6	12.0	11.0	10.8	10.6	10.2	11.57
15.	10.8	10.4	11.2	11.2	11.8	12.5	13.1	13.4	13.6	14.5	15.7	16.5	17.4	18.0	17.8	17.4	16.8	16.0	15.0	14.6	14.0	13.5	13.6	13.9	14.28
16.	13.8	14.1	13.6	13.6	13.7	14.4	15.2	16.9	17.4	17.7	19.0	19.8	19.9	20.7	20.1	20.1	20.6	19.2	17.7	16.8	15.5	14.6	13.9	14.1	16.77
17.	13.9	13.9	11.4	10 5	9.9	8.9	8.5	8.5	9.5	10.1	11.4	12.1	13.2	13.6	13.4	13.6	13.8	13.3	11.9	8.9	8.6	10.3	10.2	9.7	11.21
18.	9.5	9.2	9.1	8.2	7.6	8.0	9.3	10.3	11.5	12.4	13.1	13.7	13.8	12.7	11.4	10.2	8.3	7.7	8.1	7.9	7.1	6.5	6.2	5.9	9.49
19.	4.7	4.3	4.5	4.4	4.5	4.6	4.1	4.1	5.1	5.6	6.1	5.5	4.1	3.9	3.6	3.2	1.8	2.3	2.8	3.0	3.0	1.7	1.2	1.6	3.74
20.	1.6	2.2	2.3	2.4	2.6	2.7	3.3	2.7	4.2	3.6	3.7	4.6	4.3	4.5	1.6	2.7	3.7	2.5	2.8	2.5	2.7	2.9	2.8	3.4	3.01
21.	3.4	3.1	3.5	2.9	3.1	5.8	6.3	6.5	6.7	7.3	7.8	8.5	9.5	9.9	9.9	9.8	9.8	9.3	8.2	7.5	6.9	6.7	6.8	6.8	6.92
22.	6.6	7.4	6.5	6.8	7.5	8.5	9.0	10.2	12.5	13.2	13.8	14.3	15.1	14.5	12.8	12.5	7.4	7.3	7.3	7.1	6.6	6.5	6.4	6.3	9.42
23.	6.2	5.9	5.6	5.6	5.5	5.6	6.2	7.0	8.5	8.0	8.0	7.8	8.8	9.1	7.9	6.9	6.2	5.6	5.0	4.8	4.7	4.5	4.5	4.7	6.36
24.	5.2	5.2	6.0	5.9	4.5	4.5	4.5	5.6	7.4	8.0	9.5	10.6	11.1	11.8	11.4	11.4	11.2	10.5	9.5	8.9	9.3	8.7	8.5	9.2	8.27
25.	9.0	8.9	9.0	8.6	8.9	9.1	9.8	9.9	10.8	12.8	14.0	14.5	15.0	15.5	15.2	15.4	15.5	15.1	14.4	13.4	12.7	12.6	12.1	12.4	12.28
26	12.0	11.9	11.8	11.5	11.9	12.3	13.9	14.9	15.3	15.4	16.6	17.4	18.1	18.6	19.0	18.9	19.5	18.2	16.2	15.5	14.8	14.9	14.9	15.1	12.36
27.	14.4	15.1	15.8	15.4	16.4	17.8	17.1	15.0	16.8	17.9	19.5	18.8	19.5	19.9	19.5	18.4	19.1	19.4	18.2	17.3	14.7	14.4	14.2	14.2	17.03
28.	13.5	12.3	11.6	11.2	10.4	10.6	10.8	10.4	11.7	13.6	15.4	15.8	17.4	17.7	17.2	17.5	16.6	15.9	14.7	13.0	13.2	13.1	13.0	12.9	13.73
29.	12.4	12.0	11.6	12.0	12.0	12.3	14.6	14.7	16.6	17.7	17.6	17.9	18.4	18.8	18.8	18.7	18.5	17.8	16.6	15.9	15.2	14.9	14.8	15 6	15.64
30.	15.9	16.3	16.4	16.1	16.6	17.2	17.3	18.1	19.6	20.4	21.4	21.6	21.9	22.4	22.9	23.1	18.8	19.8	17.9	16.7	15.8	15.7	15.8	16.1	18.49
31.	16.2	16.1	15.8	16.0	18.3	19.2	21.1	20.3	20.8	20.9	21.2	21.4	21.6	22.0	22.0	22.0	21.5	20.6	19.5	18.6	18.1	15.9	12.0	12.6	18.90
Mittel	7.65	7.62	7.49	7.35	7.43	7.90	8.38	8.73	9.63	10.16	10.93	11.56	12.11	12.45	12.27	12.23	11.64	10.62	9.61	8.86	8.23	7.97	7.61	7.74	9.42

Juni

1.	13.0	13.3	14.2	14.4	14.7	15.4	16.6	17.1	17.2	18.0	19.9	20.7	21.8	22.4	23.1	23.4	22.3	21.9	21.9	21.1	16.8	14.8	12.6	11.9	17.85
2.	11.7	12.5	12.4	12 6	13.7	14.1	14.8	15.1	16.2	17.1	18.9	19.9	20.5	21.6	22.3	21.2	21.3	21.0	18.1	17.0	16.7	16.2	15.5	15.1	16.90
3.	15.9	17.3	16.6	15.3	15.8	18.4	19.8	18.4	19.4	20.1	21.2	21.3	21.2	15.5	17.8	17.0	17.3	17.2	17.3	17.9	16.8	16.5	16.7	17 4	17.84
4.	16.6	15.0	15.7	15.0	15.5	17.7	19.2	20.0	19.4	19.2	20.7	21.3	22.0	22.3	22.7	22.7	21.5	20.7	12.1	13.5	14.5	13.1	12.0	11.8	17.68
5.	10.9	10.8	10.5	10.6	11.9	13.6	15.1	13.9	14.8	15.1	15.8	16.5	17.1	18.2	18.5	18.6	19.0	17.2	10.7	10.7	10.6	10.7	11.3	11.8	13.91
6.	10.8	10.5	10.8	10.6	10.6	10.0	11.2	10.2	9.9	10.2	10.3	10.2	8.4	8.1	8.9	6.6	6.4	7.0	6.7	6.7	7.1	7.4	6.7	6.8	8.88
7.	6.6	6.7	5.8	5.7	5.8	5.8	6.3	7.4	8.8	8.8	9.7	9.9	11.8	12.3	11.0	11.0	10.7	11.8	11.2	9.7	8.5	8.8	8.2	7.6	8 75
8.	7.5	7.7	7.5	7.7	10.3	10.8	11.1	11.3	10.7	11.7	13.0	13.9	14.7	15.5	16.1	16.7	16.8	16.9	15.5	14.8	13.8	13.4	12.7	12.6	12.61
9.	12.6	12.9	13.0	11.7	11.0	11.0	12.2	12.5	12.5	13.0	13.3	14.3	15.3	13.2	11.9	11.3	11.2	11.2	11.3	11.4	11.2	11.3	11.3	10.3	12.12
10.	10.1	10.0	9.8	8.8	9.1	9.0	9.3	10.4	11.7	13.2	14.9	16.3	16.8	18.0	17.9	17.3	16.8	16.9	16.1	15.4	15.2	14.1	13.7	13.3	13.50
11.	13.3	12.7	12.6	12.1	11.9	11.9	12.0	12.6	12.9	12.7	12.9	13.0	12.9	12.7	12.5	12.6	12.9	12.5	12.1	11.8	11.4	11.2	11.2	11.2	12.32
12.	10.8	10.4	10.4	10.6	11.3	11.5	11.9	11.7	12.0	12.0	11.2	11.4	10.9	10.3	9.8	9.8	8.1	6.6	6.5	6.9	6.6	6.1	6.3	6.3	9.56
13.	6.3	6.2	6.3	6.3	6.2	6.4	7.4	7.6	8.0	8.5	10.4	10.6	12.1	12.2	12.4	11.2	13.2	12.4	11.9	9.5	9.0	9.3	8.6	8.5	9.19
14.	8.4	8.5	7.9	7.8	7.4	6.7	6.2	7.7	9.8	10.1	11.2	11.7	12.8	12.6	12.6	12.9	12.7	12.1	10.6	9.0	7.8	7.5	7.1	6.8	9.50
15.	6.9	5.6	6.1	6.6	7.2	7.8	7.5	9.3	11.0	12.0	12.8	13.5	14.3	14.8	15.0	14.9	14.3	13.7	11.9	10.8	9.7	9.5	8.6	8.2	10.50
16.	7.6	7.8	8.0	9.2	10.2	10.1	11.9	12.5	12.8	13.2	13.9	14.9	15.8	16.2	17.0	17.0	16.8	16.0	14.5	13.1	12.0	11.9	13.1	13.1	12.86
17.	13.6	13.7	13.0	12.6	14.5	16.4	15.9	15.7	17.2	17.5	18.7	19.3	19.5	19.8	20.0	19.9	19.9	19.5	18.0	17.3	16.5	15.4	14.5	14.7	16.80
18.	15.6	16.3	15.6	15.7	15.9	16.2	16.8	17.3	18.4	19.3	20.5	20.4	21.0	17.8	17.8	19.3	20.5	19.4	18.3	17.7	16.8	16.1	13.5	13.9	17.50
19.	13.6	12.8	13.0	13.4	14.2	14.6	14.8	15.9	16.3	16.7	18.0	19.3	19.0	19.3	19.9	18.4	15.1	13 4	13.4	14.0	13.8	12.4	12.4	12 5	15.26
20.	12.7	12.7	12.6	12.5	12.5	12.7	13.2	13.0	13.5	13.3	12.5	12.4	12.5	12.3	12.1	11.8	11.5	11.4	11.0	11.1	10.6	10.5	10.6	10.6	12.07
21.	10.1	9.9	8.5	7.1	6.5	6.3	6.2	6.3	7.1	6.3	6.0	8.6	9.8	9.4	9.7	9.6	6.8	7.4	7.1	7.0	6.8	6.8	7.1	6.7	7.63
22.	6.3	6.1	5.9	5.6	5.6	5.9	6.6	7.1	8.4	7.1	8.3	8.7	10.1	8.7	8.0	7.5	7.2	6.5	6.4	6.6	6.5	6.4	6.3	6 3	7.00
23.	6.4	6.4	6.5	6.6	6.7	6.9	7.2	7.9	9.8	10.3	11.5	11.8	12.8	13.1	14.0	14.0	14.1	13.6	12.9	12.1	11.6	11.2	10.3	10.2	10.33
24.	10.5	11.1	10.0	10.5	10.3	11.0	11.3	12.0	13.6	15.0	14.4	16.2	17.3	17.6	16.0	15.2	13.7	11.8	9.4	10.0	10.1	10.1	10.6	10.4	12.42
25.	10.1	9.8	9.4	9.3	8.6	9.2	9.4	9.2	9.0	7.6	8.1	9.0	9.5	10.1	9.9	8.7	8.4	7.4	6.8	6.4	6.1	6.1	5.8	5.8	8.32
26.	5.6	5.5	5.4	5.4	5.5	5.6	5.7	5.9	6.0	6.0	6.4	7.1	7.7	8.1	7.3	7.2	7.4	7.1	7.0	7.0	7.2	6.7	7.0	7.3	6.55
27.	7.3	7.2	7.0	6.9	6 7	6.9	6.9	6.8	6.9	7.6	8.5	9.4	7.4	6.4	6.8	7.5	7.8	6.8	6.5	6.3	6.8	7.0	6.7	6.3	7.10
28	5.8	6 1	5.4	5.4	5.1	5.6	5.5	5.2	5.6	5.7	5.9	8.5	7.9	8 9	6.3	6.6	7.0	6.4	5.6	5.4	5.4	5.4	4.6	4.7	6.00
29.	5.5	5.5	5.4	5.5	5.4	5.5	6.0	6.1	7.2	7.1	7.4	7.8	7.7	7.9	8.2	8.5	9.2	9.3	9.0	8.5	8.8	7.2	5.8	5.5	7.08
30.	5.5	5.5	5.4	5.3	5.5	5.7	6.4	6.5	7.0	7.2	8.0	8.4	9.0	6.7	8.2	8.5	8.8	9.1	8.4	7.7	7.1	7.2	7.0	7.0	7.13
Mittel	9.92	9.88	9.69	9.56	9.85	10.32	10.81	11.09	11.77	12.05	12.81	13.54	13.99	13.73	13.79	13.56	13.29	12.81	11.61	11.21	10.73	10.34	9.93	9.82	11.51

Thermometer-Registrierung. **Hohenpeissenberg** 1913.

Juli

Datum	1a	2a	3a	4a	5a	6a	7a	8a	9a	10a	11a	12m	1p	2p	3p	4p	5p	6p	7p	8p	9p	10p	11p	12mn	Mittel
1.	7.2	7.1	7.6	7.3	6.8	6.7	7.4	8.5	9.9	9.5	10.0	11.0	10.9	12.1	12.4	12.4	12.8	12.0	10.8	9.7	8.7	8.1	7.6	7.0	9.31
2.	6.9	6.7	7.0	7.2	7.4	7.5	7.9	9.0	10.2	11.6	12.7	13.8	13.7	14.5	15.5	15.4	14.2	13.5	11.7	11.0	9.1	8.9	8.5	8.8	10.53
3.	8.3	7.4	7.5	7.8	8.3	8.1	9.2	10.6	10.2	11.0	11.7	12.0	12.5	12.0	11.8	11.4	11.0	9.7	9.8	9.8	9.3	8.4	8.6	8.2	9.78
4.	8.5	8.6	8.0	8.0	8.0	8.6	9.4	10.3	11.0	11.3	11.6	12.8	11.9	11.9	11.6	12.3	12.6	10.9	10.1	10.2	9.7	9.4	8.0	8.2	10.12
5.	8.5	8.6	8.5	7.8	8.2	8.1	8.9	10.1	9.8	10.9	13.1	13.1	12.6	14.4	15.0	14.4	14.4	13.2	12.7	12.2	11.5	11.3	11.3	11.2	11.24
6.	10.9	10.9	10.9	10.5	10.1	9.8	9.9	11.0	11.4	11.5	13.4	13.7	14.7	15.2	14.2	13.5	13.1	12.5	11.9	12.0	10.3	10.4	10.3	10.5	11.78
7.	10.5	10.4	10.4	10.4	9.9	9.3	8.9	9.0	9.4	9.1	9.3	9.9	11.8	12.0	11.4	12.2	10.7	9.7	9.6	9.5	9.7	9.6	9.7	9.5	10.08
8.	9.4	9.4	9.2	8.9	8.9	8.6	9.4	9.8	9.7	10.0	10.5	10.7	10.9	9 9	9.8	9.7	9.0	8.0	7.5	7.3	6.3	5.8	5.9	5.4	8.75
9.	5.0	4.7	5.0	5.7	5.9	5.8	5.8	5.8	5.9	6.9	7.9	7.4	5.1	6.8	8.2	7.9	7.5	9.1	8.3	7.4	7.5	7.5	7.9	7.3	6.76
10.	7.2	7.2	7.2	6.9	8.4	9.3	8.4	9.6	10.8	11.8	12.4	13.4	14.2	14.7	14.5	13.7	10.4	9.8	9.1	8.3	7 8	7.5	7.0	6.8	9.85
11.	6.6	7.0	7.0	7.1	7.8	7.2	7.5	8.4	8.9	9.7	9.8	9.7	10.1	10.6	10.5	10.5	9.4	8.8	8.3	8.3	8.0	8.0	7.8	7.2	8.51
12.	7.2	7.2	7.1	7.0	7.0	7.2	7.6	8.6	9.2	10.4	11.4	12.3	13.6	14.9	15.1	15.0	11.2	12.6	11.0	11.0	10.9	10.7	10.7	10.9	10.41
13.	11.0	11.1	11.1	11.2	11.3	12.0	13.8	13.9	15.3	15.5	16.1	16.7	17.3	17.9	18.1	18.0	18.2	17.7	17.0	16.8	15.8	14.9	13.5	13.5	14.90
14.	13.4	13.5	13.6	13.4	14.2	16.0	17.0	17.4	18.4	19.9	21.0	21.5	22.0	22.8	23.2	23.0	22.7	21.0	20.8	19.9	17.8	18.2	17.2	16.8	18.53
15.	18.5	17.0	13.7	13.3	13.6	14.4	14.3	13.4	11.8	12.2	12.1	14.0	15.7	14.6	13.5	13.4	12.6	13.4	12.7	12.4	11.8	11.2	10.3	9.9	13.33
16.	9.6	9.0	9.0	8.9	8.2	8.1	7.5	7.0	7.2	7.8	8.2	7.9	7.7	7.6	8.2	8.5	8.5	8.8	8.8	8.8	9.1	8.8	8.5	8.4	8.34
17.	8.1	8.2	7.9	7.8	7.7	7.9	8.1	8.5	9.0	9.4	10.4	10.4	10.8	10.2	9.9	10.4	10.1	9.9	9.4	9.4	9.5	9.5	9.5	9.4	9.23
18.	9.3	9.4	9.4	9.4	9.5	9.7	10.2	10.5	12.4	12.6	12.9	13.6	14.9	14.2	15.6	15.1	14.3	14.0	13.3	12.7	11.4	10.3	9.9	10.2	11.87
19.	10.3	9.2	9.4	9.8	9.9	9.8	9.7	10.0	10.5	10.6	11.4	12.4	13.7	14.6	13.3	11.7	11.4	11.4	11.5	11.4	10.0	9.7	9.5	9.6	10.87
20.	9.7	9.7	8.7	8.5	8.4	8.3	8.2	8.6	9.0	9.6	9.9	10.0	10.4	11.1	10.7	10.7	10.4	9.5	9.4	9.3	8.9	8.8	8.6	5.9	9.26
21.	6.0	5.9	6.2	6.5	6.6	7.1	7.5	7.8	9.5	10.8	11.4	11.9	12.4	12.6	12.6	12.2	11.4	10.5	9.5	9.3	9.4	9.5	9.7	9.3	9.40
22.	9.1	8.8	8.9	9.0	8.6	8.6	8.9	9.7	11.0	12.0	13.3	14.0	15.0	15.4	15.3	14.6	9.1	9.8	11.2	10.8	10.4	10.0	9.0	9.3	10.91
23.	8.3	8.2	7.9	7.8	8.0	8.0	7.7	7.6	8.1	10.1	9.3	9.9	10.0	11.0	9.4	8 8	7.9	7.7	7.5	7.0	7.0	7.1	7.1	7.2	8.28
24.	7.3	7.7	7.6	7.4	7.4	7.9	8.3	8.7	8.7	8.8	9.4	8.9	8.8	8.3	8.2	8.3	8.1	8.1	7.4	7.6	7.9	7.9	8.2	8.0	8.12
25.	7.8	7.8	8.4	8.3	8.5	8.4	9.0	9.2	9.4	10.8	11.9	12.6	13.3	13.6	14.5	14.0	13.6	13.6	12.8	12.5	12.0	11.7	11.5	10.7	11.08
26.	10.5	10.7	10.8	10.5	10.6	11.1	12.5	12.9	13.0	13.7	15.1	16.4	17.4	18.3	18.4	17.7	17.8	17.3	16.4	15.8	15.4	14.8	12.4	12.1	14.23
27.	12.7	12.0	13.7	15.0	13.6	14.5	16.2	16.3	17.4	17.0	18.1	18.6	19.4	19.3	19.8	19.9	19.2	18.8	18.5	17.9	13.6	13.3	14.8	15.5	16.46
28.	13.3	12.8	12.6	12.5	13.9	14.4	16.2	16.3	16.3	16.6	17.4	18.3	18.9	19.6	19.9	18.9	18.0	17.3	16.4	15.5	14.5	14.9	14.8	14.3	15.98
29.	14 2	14.1	14.1	14.1	13.8	14.0	14.6	16.0	17.3	17.5	18.6	19.6	19.5	15.4	16.9	14.5	15.7	15.3	14.9	14.5	12.3	12.0	12.1	11.8	15.12
30.	10.3	10.1	9.8	9.8	10.3	10.9	10.5	11 2	12.8	13.0	13 9	14.5	15.5	16.2	16.8	16.7	16.5	15.9	14.7	13.6	12.6	12.1	11.7	11.0	12.93
31.	10.4	9.9	10.9	11.1	11.4	11.6	11.5	11.4	12.4	13.7	14.4	14.9	15.7	15.9	15.9	15.8	15.8	15.4	14.1	12.6	12.1	11.4	11.1	10.3	12.90
Mittel	9.55	9.37	9.33	9.32	9.43	9.64	10.06	10.55	11.16	11.78	12.54	13.09	13.56	13.79	13.88	13.57	12.83	12.43	11.84	11.44	10.65	10.38	10.09	9.81	11.25

August

1.	10.0	9.6	9.9	10.3	11.3	11.5	10.9	11.0	11.8	13.0	14.0	14.6	15.1	15.4	15.4	15.4	15.7	15.5	14.2	13.3	12.9	12.1	11.4	11.4	12.74
2.	12.3	12.9	13.0	13.1	13.1	13.9	14.4	14.3	15.1	15.2	16.1	16.6	16.3	16.7	17.1	17.6	17.3	17.0	15.7	15.5	13.8	13.5	12.6	12.6	14.82
3.	12.9	12.9	13.1	13.6	13.2	14.1	13.9	13.3	14.8	16.0	17.4	18.0	18.1	18.0	17.9	17.9	17.6	16.8	15.3	15.0	14.8	14.8	14.7	14.7	15.37
4.	14.9	14.8	14.4	13.9	14.0	15.0	14.7	15.1	15.9	17.4	17.5	17.7	18.1	19.0	19.3	19.6	20.2	20.3	18.8	18.2	17.0	16.9	16.0	15.6	16.85
5.	16.0	16.2	17.0	16.8	16.5	16.2	14.8	15.4	17.4	18.8	19.7	19.8	20.8	21.1	20.9	17.5	17.5	15.7	14.3	14.3	13.7	13.6	13.2	13.2	16.68
6.	13.6	13.3	13.4	12.3	10.2	10.2	10.6	10.4	10.9	11.4	12.6	15.1	17.3	16.8	15.1	10.3	10.2	10.3	10.5	10.1	10.1	10.0	9.2	9.1	11.79
7.	7.8	7.7	8.0	8.1	8.1	8.0	8.5	8.7	8.9	8.9	9.9	9.9	9.7	9.9	9.1	9.1	9.1	9.0	8.9	8.9	8.6	7.7	7.5	8.0	8.67
8.	8.1	8.2	8.6	8.5	8.3	7.5	8.0	9.1	10.5	11.7	10.9	12.2	9.9	12.1	12.3	9.2	10.3	11.2	9.9	9.1	8.9	9.4	9.6	9.7	9.72
9.	9.8	9.4	9.5	8.5	8.0	8.1	8.3	8.1	7.9	8.2	9.0	9.1	11.5	11.9	12.3	12.3	10.5	10.0	8.1	8.2	9.5	9.0	8.1	7.9	9.30
10.	7.4	7.4	7 7	7.0	7.4	7.6	7.8	8.2	7..	7.7	6.8	9.0	10.6	11.1	12.0	12.1	10.9	11.0	10.1	9.8	9.5	9.0	9.4	9.7	9.05
11.	9.4	9.2	9.0	9.5	8.9	10.2	10.5	11.0	11.6	13.1	13.3	14.2	14.8	15.2	15.3	14.8	14.4	14.7	13.4	13.0	12.2	11.6	11.7	11.4	12.18
12.	11.2	12.5	11.6	11.7	12.0	12.5	12.2	13.2	13.3	13.2	13.4	13.8	14.9	15.1	14.7	14.0	11.3	11.5	11.2	11.2	11.2	11.2	11.2	10.2	12.43
13.	10.5	10.6	10.6	10.4	10.2	9.9	9.6	9.2	9.1	8.9	9.1	10.3	10.1	9.9	10.4	10.8	10.7	10.4	10.3	9.4	8.8	8.8	8.3	8.1	9.75
14.	7.7	7.6	7.5	7.4	7.2	7.3	7.0	7.1	7.3	7.8	7.4	7.5	8.0	8.1	8.1	8.1	8.1	8.0	8.1	8.1	8.0	8.1	8.1	8.1	7.74
15.	8.2	8.3	8.2	8.2	8.1	8.0	8.0	8.0	8.3	7.5	9.0	9.8	8.6	10.8	11.1	9.7	9.0	8 3	7.2	7.1	7.0	6.9	6.9	6.8	8.29
16.	7.0	6.6	6.8	6.7	6.6	6.6	6.6	6.6	6.9	7.3	7.3	8.0	8.9	7.6	10.1	9.7	7.7	9.0	8.5	9.0	8.5	8 5	8.7	8.7	7.83
17.	8.2	7.7	7.2	6.8	6.8	6.9	7.6	9.8	11.0	12.2	13.2	13.4	14.8	15.5	15.6	15.2	13.0	11.7	11.2	10.7	10.3	10.4	9.3	8.7	10.72
18.	9.4	9.7	9.8	10.0	10.1	10.6	11.7	12.2	12.5	13.5	14.6	15.0	15.8	16.4	16.1	15.9	15.5	14.7	14.5	13.0	12.4	12.3	12.5	12.8	12.96
19.	13.8	14.2	14.6	14.2	14.1	14.0	14.6	15.0	16.1	17.6	18.6	18.5	18.1	18.5	17.9	14.1	13.9	13.8	12.9	13.0	13.2	13.1	13.9	12.7	15.02
20.	13.2	14.4	13.9	13.7	14.6	14.3	14.2	13.3	13.8	14.1	14.1	14.4	16.2	16.7	17.0	13.6	13.0	13.0	12.2	11.8	11.2	11.3	10.7	10.4	13.55
21.	10.2	10.0	10.0	10.0	10.0	10.0	10.1	10.2	10.5	10.7	10.5	11.2	12.9	10.7	11.0	11.0	9.9	9.9	10.0	9.4	9.7	9.9	10.0	9.7	10.31
22.	9.6	9.5	9.5	9.5	9.2	9.5	10.0	10.3	11.9	12.6	13.6	14.5	15.5	16.0	16.5	16.4	16.4	15.7	15.1	14.0	13.3	13.1	12.8	12.8	12.80
23.	13.4	13.1	13.1	12.4	11.9	13.2	14.6	15.3	14.8	16.1	17.4	18.3	19.7	21.2	21.6	21.5	20.9	20.6	19.3	18.3	18.0	18.0	18.2	18.1	17.04
24.	18.1	17.9	17.5	17.3	16.7	16.3	17.0	17.6	19.2	19.5	21.0	21.6	22.0	22.4	22.6	21.5	21.0	19.3	16.3	16.3	14.5	14.5	14.9	16.6	18.40
25.	16.2	12.7	13.2	12.2	12.3	12.8	12.6	12.7	13.0	13.0	13.8	14.7	15.2	16.8	16.9	16.7	15.8	15.2	13.3	13.0	12.4	12.0	12.1	12.0	13.78
26.	12.0	11.8	11.6	11.3	10.8	11.0	11.7	12 1	12.9	12.9	14.3	15.0	15.8	16.0	16.3	15.9	15.5	14.8	13.9	13.3	12.8	12.5	12.2	11.9	13.26
27.	11.7	11.6	11.6	11.4	11.5	11.6	11.9	12.5	11.9	12.4	14.1	15.1	16.0	16.6	16.9	17.0	16.8	16.3	15.3	14.5	13.4	13.0	12.2	12.4	13.65
28.	13.5	13.1	12.5	11.9	11.6	12.2	12.0	12.3	14.0	14.8	14.5	15.7	16.7	18.0	18.3	18.3	18.2	17.6	16.6	16.3	14.8	14.8	15.0	14.7	14.89
29.	14.8	15.8	15.7	14.7	14.4	14.2	14.9	15.2	16.7	17.2	17.1	17.6	17.9	18.8	19.2	19.3	18.7	17.5	17.4	17.0	16.5	16.0	17.4	16.9	16.70
30.	18.1	17.4	17.7	16.7	16.3	16.7	14.0	14.6	14.9	14.9	15.3	15.7	13.6	14.9	16.0	16.4	16.5	15.8	15.6	16.0	14.3	12.7	11.7	11.5	15.30
31.	12.3	12.7	12.4	13.7	12.7	12.9	13.2	13.4	13.6	14.9	15.3	16.4	17.6	18.0	18.1	17.7	17.4	17.0	15.7	15.5	14.6	14.5	15.1	15.0	14.99
Mittel	11.65	11.57	11.57	11.35	11.16	11.38	11.48	11.78	12.40	12.98	13.57	14.28	14 85	15.33	15.52	14.79	14.29	13.92	13.03	12.65	12.13	11.91	11.76	11.66	12.79

Thermometer-Registrierung. **Hohenpeissenberg.** 1913.

September

Datum	1a	2a	3a	4a	5a	6a	7a	8a	9a	10a	11a	12m	1p	2p	3p	4p	5p	6p	7p	8p	9p	10p	11p	12mn	Mittel
1.	14.5	15.3	15.2	14.9	14.0	14.7	15.3	15.3	15.4	16.5	17.0	17.4	18.2	18.0	18.2	17.1	16.2	15.7	16.3	15.0	14.2	15.1	15.6	14.5	15.82
2.	14.1	15.5	15.3	14.7	14.1	14.6	15.5	15.6	16.7	17.0	18.2	18.0	18.8	18.6	18.9	18.2	17.6	16.6	15.2	15.1	14.4	14.4	14.2	14.3	16.09
3.	14.4	14.0	14.0	13.8	13.4	14.0	14.7	15.4	16.2	17.3	17.4	18.4	18.8	19.3	19.1	18.7	18.5	17.4	16.8	16.2	16.2	15.8	15.6	15.3	16.4	16.29
4.	16.1	15.9	17.5	16.8	15.7	15.5	16.5	17.6	18.5	19.0	19.2	19.6	20.4	20.6	20.8	20.8	18.9	17.6	16.8	15.8	15.3	15.1	14.9	14.2	17.46
5.	14.8	14.9	13.3	13.8	13.5	13.6	12.8	13.3	13.6	13.2	13.6	14.7	15.4	15.8	15.2	14.4	14.4	14.0	11.9	11.7	11.7	11.8	11.8	11.8	13.54
6.	11.6	11.5	11.1	10.9	11.0	11.1	11.7	12.1	13.3	14.8	15.0	16.4	15.8	16.4	15.6	13.4	12.8	12.7	12.6	12.5	12.3	12.8	12.7	12.5	13.03
7.	12.0	10.5	10.0	10.1	10.2	10.2	10.3	10.5	10.9	11.1	11.4	11.4	12.1	12.1	12.3	12.8	12.8	12.6	12.3	12.0	10.9	10.8	10.5	9.9	11.24
8.	9.4	8.9	8.3	9.6	10.1	10.2	9.6	9.8	9.3	9.9	9.9	10.2	12.4	13.2	13.4	13.4	13.8	13.4	13.0	11.9	11.6	11.7	12.1	11.9	11.13
9.	11.9	11.8	11.8	11.8	11.7	11.8	12.1	12.7	13.2	14.3	15.1	16.6	17.5	17.9	18.1	18.2	18.4	17.8	16.2	15.8	14.3	14.8	12.5	11.9	14.51
10.	11.6	11.7	11.9	11.7	10.5	10.5	10.5	10.4	9.2	7.5	7.4	7.1	7.0	7.3	6.6	6.5	6.6	6.5	5.6	5.8	5.8	5.8	5.5	5.5	8.10
11.	5.4	5.3	5.2	4.9	4.5	4.6	5.2	5.5	6.3	6.6	7.3	8.3	8.8	9.2	9.3	9.1	8.9	8.3	7.6	6.9	6.2	6.1	5.6	5.5	6.69
12.	4.8	4.5	3.9	4.3	4.8	3.9	4.7	6.1	6.4	6.8	8.8	10.0	11.1	11.5	11.9	11.8	11.0	10.1	9.5	8.4	8.5	8.6	9.7	10.3	7.98
13.	10.5	10.2	10.4	10.4	10.7	10.2	10.8	11.8	12.5	13.5	14.2	15.1	15.7	16.4	15.7	14.8	13.0	12.8	12.6	12.7	12.8	12.8	11.4	11.2	12.59
14.	12.0	11.9	12.4	12.2	12.2	13.3	14.3	14.3	14.2	13.9	15.2	15.8	16.6	16.7	17.1	17.2	16.8	16.2	15.4	15.8	13.3	11.8	10.9	10.3	14.16
15.	10.3	10.2	10.5	10.2	10.2	10.5	10.2	10.4	10.9	11.8	12.1	11.7	12.6	11.1	10.8	10.8	10.7	8.5	7.2	6.6	6.3	7.2	8.1	8.2	9.88
16.	8.3	8.8	9.9	9.2	7.8	7.8	7.9	8.4	8.9	9.9	10.9	12.5	14.2	14.9	15.1	15.0	13.9	13.1	12.1	11.4	11.2	11.0	12.9	13.0	11.17
17.	13.3	13.2	12.8	13.2	13.2	13.3	13.5	14.0	13.5	11.1	10.6	11.3	11.7	12.2	11.9	11.7	10.9	10.4	10.0	9.6	9.5	9.4	9.3	8.7	11.60
18.	8.6	8.6	9.1	8.9	8.7	8.7	8.3	7.9	7.9	8.7	10.1	10.4	11.2	12.1	13.0	13.0	11.9	10.8	8.9	9.1	9.1	8.9	8.8	8.9	9.65
19.	8.9	8.9	8.9	8.5	9.2	8.4	8.1	8.2	8.1	8.3	8.3	8.4	9.5	9.4	9.6	9.2	9.1	8.9	8.2	8.2	7.8	7.5	7.2	6.6	8.48
20.	6.7	6.7	6.7	6.8	6.9	6.9	6.9	7.5	8.5	10.0	10.5	11.4	12.1	12.6	12.4	12.5	11.9	11.3	10.6	10.2	9.9	9.5	6.9	6.2	9.23
21.	5.8	5.8	5.3	5.6	6.0	6.1	6.2	6.3	6.5	6.6	6.6	7.3	7.3	6.5	6.8	6.7	6.1	6.2	6.3	6.3	6.4	6.4	6.2	6.0	6.30
22.	5.9	6.0	6.0	6.0	6.0	5.8	5.7	6.5	7.4	7.9	8.2	8.1	9.7	9.9	9.9	8.8	9.1	8.6	8.5	8.0	7.7	7.7	7.7	7.3	7.60
23.	7.1	7.5	6.5	6.4	6.7	6.7	6.8	7.0	7.3	7.8	7.6	7.0	6.9	6.9	6.6	6.4	6.5	6.5	6.1	6.1	6.5	6.7	6.6	6.1	6.76
24.	5.7	5.5	4.9	4.8	5.1	5.0	4.8	4.3	5.5	6.4	7.1	8.3	9.8	10.7	10.8	10.8	10.4	9.0	8.0	7.0	6.8	6.4	6.4	7.2	7.11
25.	7.6	6.8	7.1	7.6	7.4	7.5	7.5	8.3	7.9	7.4	8.2	8.6	8.6	8.9	8.8	8.8	7.4	6.7	7.0	6.9	6.9	6.6	6.2	6.5	7.55
26.	6.3	5.6	5.5	4.2	4.8	5.1	4.1	5.6	6.2	7.9	6.4	7.6	9.1	9.5	9.7	9.1	8.3	7.1	6.1	5.2	4.7	4.2	4.2	3.9	6.27
27.	3.3	2.9	2.7	2.9	2.9	2.9	3.1	3.3	3.4	3.5	3.7	4.1	4.6	5.3	5.6	6.3	6.8	7.4	8.1	8.1	7.4	7.2	6.7	6.6	4.95
28.	6.5	6.5	6.4	6.3	6.0	5.8	5.6	5.7	6.2	6.9	7.9	8.5	9.7	10.5	10.9	11.0	10.9	10.9	10.7	10.3	9.5	10.1	8.6	8.5	8.33
29.	8.7	9.4	8.4	9.7	8.5	9.8	9.4	10.0	10.9	11.8	12.3	12.6	13.2	13.3	12.9	12.6	11.4	11.2	10.8	10.3	9.6	10.0	9.7	9.9	10.68
30.	9.8	9.5	9.7	9.5	10.0	9.7	10.1	10.7	11.4	11.7	12.0	13.3	13.8	13.6	13.2	12.7	12.2	11.5	10.7	10.2	10.3	9.9	10.1	10.9	11.10
Mittel	9.53	9.46	9.36	9.32	9.19	9.27	9.41	9.82	10.21	10.64	11.07	11.69	12.42	12.68	12.67	12.39	11.91	11.33	10.70	10.30	9.89	9.86	9.61	9.49	10.51

Oktober

1.	10.4	11.0	10.8	10.4	10.4	9.7	10.0	10.5	11.5	11.2	11.8	12.8	13.7	13.5	12.7	12.0	11.4	10.5	10.1	9.6	9.5	10.0	10.4	11.0	11.04
2.	12.3	12.0	10.2	8.2	8.5	8.5	8.7	9.2	10.0	10.5	11.9	13.0	13.9	13.5	13.5	13.0	12.4	11.8	10.9	10.7	10.3	10.4	11.0	10.6	11.04
3.	10.6	10.9	10.5	11.4	11.8	10.8	10.7	9.9	9.9	11.6	13.4	14.2	15.0	15.2	15.2	14.6	14.2	13.6	12.3	10.7	10.6	10.5	10.4	10.3	12.01
4.	10.7	11.5	11.8	10.7	12.8	12.0	12.0	12.4	12.2	11.6	12.0	12.0	12.1	12.3	12.1	11.8	11.9	12.0	11.0	10.4	10.1	9.7	9.0	8.9	11.38
5.	8.8	8.8	8.8	8.7	8.7	8.8	9.1	9.3	10.1	10.1	10.6	11.8	11.8	11.8	11.5	11.2	11.1	10.7	10.5	8.6	8.7	9.1	8.8	8.9	9.85
6.	10.2	9.3	8.8	7.4	6.7	6.2	5.6	5.9	7.0	8.1	9.4	9.9	11.4	11.4	10.9	10.9	10.5	10.0	9.5	9.5	9.4	9.6	9.7	9.9	9.05
7.	10.8	8.8	8.9	9.1	9.4	9.5	9.5	9.8	11.4	13.0	14.7	15.0	14.9	14.6	14.5	14.2	13.8	13.2	13.1	13.1	13.2	13.3	13.2	13.5	12.27
8.	13.7	14.6	15.0	14.6	13.9	13.9	14.4	14.5	14.8	14.9	16.6	18.2	18.6	18.4	18.1	17.8	15.8	12.4	10.9	8.4	6.6	5.5	4.5	4.9	13.38
9.	4.6	5.5	6.1	6.6	6.6	6.8	7.0	7.4	7.6	8.2	9.0	9.8	10.0	10.0	9.9	9.9	9.4	8.2	7.7	7.7	7.8	7.5	7.4	7.3	7.83
10.	6.9	6.7	6.5	6.4	6.2	6.4	6.2	6.3	7.2	7.4	9.0	9.4	9.7	9.0	9.1	8.5	7.6	7.0	6.4	6.0	5.4	5.2	4.7	4.5	6.99
11.	4.1	3.9	3.8	4.2	4.7	4.5	4.1	5.0	6.0	7.4	8.2	8.7	9.4	10.5	10.7	10.8	10.6	10.1	10.3	10.1	9.6	9.5	10.4	9.2	7.74
12.	9.1	9.1	8.9	8.7	8.3	7.9	7.6	7.7	8.6	9.1	9.9	9.9	9.7	8.9	6.9	6.6	6.5	6.7	6.5	6.2	6.2	5.6	5.6	5.4	7.73
13.	5.3	5.3	5.3	5.4	5.3	5.1	5.0	4.8	4.9	5.0	5.2	5.5	6.5	6.7	6.3	6.0	5.5	5.2	3.5	3.0	2.5	1.9	1.8	1.8	4.70
14.	1.0	0.2	− 0.5	− 0.3	− 0.8	− 1.1	− 1.2	− 1.5	− 1.1	− 0.8	0.2	1.0	1.9	2.6	2.9	2.9	2.0	1.5	0.8	1.7	2.7	2.1	1.1	1.1	0.77
15.	1.5	1.4	3.7	4.5	4.8	4.8	3.7	4.4	6.0	6.1	7.0	7.2	7.5	7.0	7.0	6.6	5.6	5.5	4.2	4.3	4.1	5.1	4.7	4.3	5.04
16.	4.4	4.3	3.5	3.3	3.3	3.8	3.8	4.3	5.0	5.0	5.7	5.7	5.8	6.2	5.8	5.4	4.8	4.6	4.7	5.0	4.4	4.1	4.0	3.5	4.60
17.	3.3	3.4	3.1	2.6	2.4	2.7	2.2	1.6	2.4	2.8	3.3	4.5	5.2	5.2	5.4	5.4	5.3	5.3	5.0	4.9	4.6	4.5	3.7	3.4	3.84
18.	8.6	6.9	7.4	7.0	7.2	7.4	7.6	7.9	9.5	9.6	10.5	11.0	11.2	11.3	11.1	10.4	9.6	8.7	8.7	10.1	10.2	10.0	9.7	9.5	9.21
19.	8.7	8.6	9.4	9.0	8.5	7.8	7.9	8.1	9.2	9.8	10.1	10.5	10.9	11.2	10.9	10.0	9.2	9.4	8.5	8.0	8.0	8.8	7.8	7.7	9.08
20.	7.3	7.4	7.3	8.3	9.4	9.5	9.3	9.7	10.9	10.9	11.6	11.8	11.9	11.8	11.5	10.4	9.3	8.7	8.2	9.0	9.7	9.7	9.1	7.7	9.60
21.	6.7	7.8	7.8	7.5	7.9	7.1	7.7	8.0	8.6	9.6	10.5	10.6	10.0	10.4	9.8	9.2	9.0	8.9	10.0	10.7	11.4	11.4	11.9	12.9	9.39
22.	14.7	13.0	13.2	13.2	12.7	12.3	13.8	14.0	14.9	15.1	15.1	15.7	15.9	15.4	15.5	15.3	15.1	14.9	14.8	15.3	14.5	11.4	10.9	10.2	14.01
23.	11.4	11.9	12.0	12.3	12.8	10.7	10.3	10.5	10.5	10.3	10.0	10.3	10.8	11.8	11.7	11.2	10.9	9.7	9.5	9.5	8.4	8.4	9.3	8.9	10.55
24.	8.6	9.5	9.0	10.2	11.7	11.6	10.9	11.4	11.5	10.2	10.9	11.2	10.1	10.6	10.6	10.2	10.1	10.3	10.4	10.2	9.7	9.7	9.7	9.2	10.31
25.	8.9	9.3	9.5	9.5	9.9	9.8	10.1	11.0	12.8	13.5	13.8	14.0	14.4	14.6	14.6	14.3	13.9	13.3	13.5	14.3	14.6	15.3	13.9	14.6	12.64
26.	13.6	14.1	14.2	14.2	14.5	14.6	14.2	15.4	15.8	17.3	18.3	18.4	17.8	18.0	17.1	16.3	16.0	15.0	15.2	17.2	13.5	12.5	12.1	13.1	15.35
27.	13.2	12.7	11.4	10.9	11.0	10.7	11.1	11.2	11.8	12.0	12.0	12.2	13.7	14.0	13.7	13.1	12.9	12.7	13.4	13.4	13.4	13.3	15.4	13.7	12.54
28.	12.8	13.6	12.8	12.1	11.7	11.7	11.6	11.9	14.3	14.7	15.7	16.2	15.2	15.4	15.0	14.8	14.8	14.7	15.3	15.2	14.9	14.6	14.6	14.8	14.10
29.	14.6	14.8	15.0	15.2	15.0	14.4	14.2	14.1	14.3	15.8	17.4	16.7	17.3	17.6	16.7	16.2	15.5	15.2	14.6	14.0	13.9	14.1	14.1	13.8	15.19
30.	13.6	13.5	13.3	13.5	13.2	12.3	11.5	10.5	9.5	8.5	8.7	9.1	9.4	10.3	9.1	8.8	8.7	8.7	8.8	8.8	8.1	7.8	7.2	7.2	10.00
31.	8.2	8.2	8.8	8.3	8.1	8.5	8.4	8.5	8.9	9.8	9.6	10.1	10.7	11.0	11.1	10.8	10.4	10.1	9.8	9.4	9.5	9.3	8.9	8.7	9.38
Mittel	8.99	8.97	8.91	8.81	8.92	8.67	8.61	8.83	9.55	9.95	10.71	11.17	11.50	11.62	11.32	10.92	10.45	9.95	9.62	9.52	9.21	9.03	8.81	8.73	9.70

Thermometer-Registrierung. **Hohenpeissenberg.** 1913.

November

Datum	1ª	2ª	3ª	4ª	5ª	6ª	7ª	8ª	9ª	10ª	11ª	12m	1P	2P	3P	4P	5P	6P	7P	8P	9P	10P	11P	12mn	Mittel
1.	9.5	9.2	8.6	8.8	8.8	8.7	7.9	7.9	8.9	9.6	10.2	11.3	12.6	12.7	12.7	12.0	11.7	11.3	11.0	11.5	11.8	11.8	11.6	11.9	10.50
2.	8.9	8.3	8.3	8.3	7.5	6.8	7.3	7.5	8.2	9.2	9.6	10 3	10.9	10.8	10.4	9.8	9.4	8.8	8.5	8.2	8.5	9.3	9.6	8.3	8.86
3.	8.9	9.3	10.2	9.9	9.3	9.6	9.9	10.0	10.1	9.7	10.1	10.6	11.2	10.6	10.5	10.0	9.9	9.8	9.9	9.8	9.3	9.0	9.1	8.4	9.80
4.	8.4	8.3	8.1	7.9	7.2	7.3	7.3	7.2	7.5	7.5	8.0	8.8	9.1	9.4	9.5	9.2	8.6	8.2	8.6	8.4	8.1	8.2	8.1	8.1	8.21
5.	8.4	8.3	7.8	7.8	7.9	7.7	8.2	8.3	8.7	9.1	9.6	10.3	10.4	10.5	9.4	9.0	8.7	8.7	8.6	8.3	8.3	8.3	8.4	8.7	8.73
6.	7.9	6.9	6.9	5.9	5.0	4.8	4.1	2.9	2.5	3.1	2.6	2.8	2.9	2.2	2.4	2.5	2.3	2.7	2.9	2.7	2.5	2.4	2.5	3.2	3.61
7.	3.2	3.5	4.2	2.7	1.7	1.6	1.4	0.8	0.8	1.6	2.9	2.7	2.9	3.1	3.2	3.0	2.7	2.0	2.0	1.6	0.9	0.8	0.8	1.2	2.14
8.	1.1	0.9	0.9	0.7	0.8	0.4	0.6	0.6	1.1	1.4	3.0	3.5	3.0	3.5	3.4	3.1	2.8	2.6	2.7	2.8	2.1	2.3	2.4	2.4	2.00
9.	2.5	2.4	3.1	4.1	3.5	3.4	3.5	4.4	4.4	5.2	5.3	5.7	6.3	6.6	6.5	6.5	6.3	6.4	7.4	6.7	7.0	6.7	6.7	6.5	5 30
10.	6.3	6.2	6.9	7.4	6.9	7.0	7.1	6.7	6.8	7.3	7.8	8.5	8.3	7.8	7.8	7.7	7.5	7.6	7.8	7.1	7.0	6.7	5.5	5.5	7.13
11.	5.6	8.1	7.8	8.1	8.1	7.9	8.9	9.0	10.2	11.5	12.5	12.7	10.2	10.8	10.8	10.7	10.1	9.8	9.6	9.2	8.1	7.7	7.6	8.0	9.29
12.	7.8	7.1	6.8	7.0	6.9	5.7	7.2	7.3	8.0	7.9	10.0	10.9	7.9	8.9	8.9	8.1	7.7	7.7	8.5	7.9	7 4	9.2	7.4	5.2	7.81
13.	5.6	5.4	4 8	3.6	4.0	4.0	4 2	4.3	4.2	4.4	4.9	4.8	5.2	5.2	4.7	5.3	4.4	4.7	4.5	3.8	3.8	4.1	4.4	4.3	4.53
14.	3.7	3.7	2.4	2.1	2.7	2.8	2.3	2.5	2.8	3.8	4.5	4.7	5.1	4.9	3.8	3.3	2.9	2.8	2.5	2.6	4.0	3.7	2.7	2.5	3.28
15.	3.0	3 0	3.3	3.2	3.1	2.2	2.5	2.4	2.4	2.5	3.9	3.7	1.9	1 8	2.3	1.4	0.0	0 7	0.7	0.7	1.0	1.0	0.4	0.3	1.98
16.	0.2	0.9	1.8	2.3	2.4	2.4	2.8	3.6	3.4	2.8	2.0	1.2	2.0	2.3	2.8	2.0	2.0	2.4	2.6	2.7	2.9	2.6	2.7	2.7	2.31
17.	2.8	2.7	2.2	2.2	2.5	2.6	2.9	2.9	2.4	2.2	2.3	2.9	2.8	3.0	3.4	4.3	4.7	5.0	5.1	5.2	5.2	5.1	5.1	5.1	3 53
18.	5.1	5.2	5.5	5.7	5.8	5.8	5.8	5.9	6.0	6.6	7.1	7.4	8.0	8.1	7.9	7.4	7.2	7.3	7.4	7.2	7.2	7.0	7.0	7.1	6.70
19.	7.1	7.0	6.6	6.0	6.4	7.1	6.1	6.0	6.0	6.3	6.4	5.7	2.4	2.2	2.2	1.7	2.2	2.4	2.5	2.3	2.0	1.7	1.8	1.4	4.23
20.	1.4	1.1	0.9	1.0	1.0	1.4	1.6	2.5	3.4	4.3	4.9	5.3	6.3	6.8	6.7	6.7	6.2	5.3	5.2	5.8	6.2	6.0	8.0	8.9	4.45
21.	8.9	9.1	9.5	8.7	7.3	7.9	9.1	8.1	7.8	8.1	9.0	9.3	9.6	9.1	7.7	6.4	5.6	5.4	5.5	5.7	6.6	6.1	5.8	4.7	7.54
22.	5.5	5.1	4.7	4.8	4.8	5.7	6.2	6.0	7.5	8.3	8.4	8.6	8.6	8.6	8.1	7.7	7.6	7.2	6.8	6.8	6.6	6.5	5.0	4.4	6.65
23.	4.8	4.2	4.1	4.4	1.9	2.3	2.2	3.1	5 0	4.2	2.8	2.3	2.9	3.3	3.1	2.6	2.4	2.2	1.9	1.9	1.6	1.5	3.1	1.7	2.90
24.	1.5	1.5	1.5	1.6	1.7	1.8	2.1	2.2	2.4	2.6	3.0	3.0	2.6	2.6	2.6	2 3	2.0	1.5	1.5	1.5	1.4	1.2	1.2	1.0	1.93
25.	0.9	0.8	0.7	0.7	0.8	0.7	0.6	0.5	0.5	0.4	0.5	0.6	0.5	0.4	0.4	0.1	− 0.2	− 0.2	− 0.3	− 0.3	− 0.2	− 0.1	− 0.2	− 0.4	0.30
26.	0.0	0.1	0.2	0.1	− 0.1	− 0.3	− 0.2	− 0.1	0.2	0.4	0.5	0.1	0.1	0.3	0.2	− 0.2	0.0	0.1	− 0.3	− 0.1	− 0.6	− 0.6	− 0.6	− 0.8	− 0.07
27.	− 0.9	0.0	0.1	0.7	1.2	1.0	1.1	0.6	1.0	0.9	0.4	− 0.4	− 0.4	− 0.3	− 0.1	0.0	0.2	0.1	0.1	0.1	0.0	− 0.1	− 0.2	− 0.3	0.20
28.	− 0.4	0.0	0.1	0.2	0.3	0.6	0.6	0.7	0.9	1.0	1.2	1.8	2.2	2.6	2.8	3.4	3.4	3.5	3.6	4.1	4.4	4.4	4.2	4.1	2.07
29.	3.9	3.9	3.8	3.8	3.9	3.9	3.9	4.0	4.0	4.0	4.1	4.1	4.1	4.2	4.3	4.4	4.3	4.4	4.1	3.9	3.9	4.0	3.9	3.6	4.02
30.	3.5	3.0	2.8	2.5	2.2	1.6	1.4	5.2	5.0	6.7	7.4	8.3	8.4	8.4	8.3	8.0	7.2	7.5	6.9	7.3	7.2	6.7	6.2	5.8	5.73
Mittel	4.50	4.51	4.49	4 41	4.18	4.15	4.29	4.43	4.74	5.09	5.50	5.72	5.60	5.68	5.56	5.28	4.99	4.93	4.93	4.85	4.81	4.77	4.67	4.45	4.85

Dezember

Datum	1ª	2ª	3ª	4ª	5ª	6ª	7ª	8ª	9ª	10ª	11ª	12m	1P	2P	3P	4P	5P	6P	7P	8P	9P	10P	11P	12mn	Mittel
1.	5.9	5.8	5.5	5.6	4.9	5.1	5.4	5.5	6.7	7.7	8.8	8.9	8 9	8.9	8.0	7.0	6.4	6.1	5.6	5.8	5.4	5.2	4.8	4.5	6.35
2.	4.5	4.9	4.8	4.6	3.3	3.0	2.7	2.6	2.6	2.9	3.9	3 9	3.9	4.0	4.1	4.2	4.1	4.0	3.9	3.9	3 7	3.8	4.0	3.1	3.77
3.	3.4	4.0	4.6	4.6	6.0	5.5	5.5	4.7	5.8	7.8	8.3	9.4	10.3	9.9	10.5	8.9	9.0	7.8	7.3	7.6	8.3	8.5	8.2	9 6	7.31
4.	8.7	7.9	7.9	7.0	5.1	5.2	5.2	5.8	5.8	6.1	6.8	7.5	7.7	7.4	6.6	6.0	5.2	2.3	− 0.3	− 0.9	− 0.8	− 0.7	− 0.6	− 0.6	4 60
5.	− 0.6	− 0.7	− 0.9	− 0.8	− 1.3	− 1.4	− 1.5	− 1.5	− 1.5	− 1.1	− 1.2	− 0.8	− 0.8	− 1.0	− 1.4	− 2.3	− 2.2	− 1.7	− 1.6	− 0.5	0.0	− 0.9	− 0.8	− 0.9	− 1.14
6.	− 1.3	− 1.2	− 1.5	− 1.6	− 1.7	− 1.8	− 2.4	− 2.7	− 2.8	− 2.7	− 2.6	− 2.0	− 2.1	− 2.0	− 2.0	− 2.0	− 2.1	− 1.9	− 1.7	− 1.5	− 1.3	− 1.1	− 1.5	− 1.3	− 1.87
7.	− 1.4	− 1.7	− 1.7	− 2.1	− 2.3	− 2.6	− 3.0	− 3.3	− 3.5	− 3.8	− 3.6	− 3.9	− 4.1	− 4.0	− 4.5	− 5.0	− 5.3	− 5.4	− 5.7	− 5.9	− 6.0	− 6.0	− 5.9	− 6.0	− 4.03
8	− 5.8	− 5.6	− 5.6	− 5.4	− 5.2	− 5.3	− 5.0	− 4.9	− 4.8	− 4.5	− 4.2	− 4.0	− 4.7	− 4.6	− 4.5	− 4.6	− 4.5	− 4.4	− 4.6	− 4.5	− 4.7	− 4.6	− 4.5	− 4.1	− 4.78
9.	− 4.1	− 3.5	− 3.3	− 3.1	− 2.8	− 2.7	− 1.7	− 1.4	− 2.1	− 0.8	0.6	1.3	3.1	3.0	2.9	2.9	3.5	3.3	4.1	4.5	4.8	5.0	3.8	5.3	0.94
10.	5.1	2.6	3.1	4.2	3.5	2.6	2.3	2.1	1.7	1.9	1.5	1.3	0.9	0.2	0.1	− 0.1	0.1	0.0	0.1	− 0.4	− 0.6	− 0.6	− 0.6	− 0.6	1.27
11.	− 0.5	− 0.5	− 0.4	− 0.5	− 0.4	− 0.4	− 0.4	− 0.4	− 0.4	− 0.4	− 0.3	− 0.1	− 0.1	0.2	0.3	0.3	0.3	0.4	0.4	0.5	0.6	0.6	0.5	0.5	0.00
12.	0.3	0.3	0.2	0.4	0.4	0.3	0.2	0.1	0.0	0.0	0.1	0.2	0.6	0.8	0.8	0.8	0.8	0.8	0.7	0.5	0.6	0.4	0.4	0.3	0.42
13.	0.2	0.3	0.0	− 0.1	0.1	0.0	0.1	0.2	0.5	1.0	1.5	1.5	1.3	0.4	0.5	0.5	0.4	0.4	0.3	0.2	0.0	0.0	− 0.4	− 0.6	0.35
14.	− 0.7	− 0.6	− 1.0	− 1.3	− 1.4	− 1.3	− 1.6	− 1.6	− 1.4	− 1.5	− 0.9	− 0.7	− 0.5	− 0.4	− 0.5	− 0.4	− 0.9	− 1.1	− 1.2	− 0.9	− 1.2	− 1.2	− 1.2	− 1.5	− 1.04
15.	− 1.7	− 1.6	− 1.5	− 1.8	− 1.9	− 1.8	− 1.8	− 1.7	− 1.5	− 1.4	− 1.2	− 1.0	− 1.0	− 1.0	− 0.9	− 0.8	− 0.5	− 0.5	− 0.2	− 0.1	− 0.2	0.3	0.4	0.7	− 0.95
16.	1.0	1.2	1.2	1.1	1.1	1.1	1.5	1.6	2.2	2.9	4.0	4.3	5.3	5.0	4.6	3.4	2.9	2.1	0.1	0.1	0.7	0.8	0.9	0.3	2.06
17.	− 0.4	− 0.6	− 0.7	− 0.9	− 1.1	− 1.2	− 1.4	− 1.5	− 1.3	− 1.5	− 1.4	− 1.1	− 1.0	− 0.8	− 1.1	− 1.1	− 0.9	− 1.1	− 1.1	− 1.0	− 1.0	− 1.1	− 1.2	− 1.2	− 1.07
18.	− 1.2	− 1.1	− 1.2	− 1.2	− 1.3	− 1.5	− 1.5	− 1.7	− 2.0	− 2.0	− 1.9	− 1.8	− 1.8	− 1.8	− 2.3	− 2.4	− 2.7	− 3.6	− 4.8	− 5.6	− 6.1	− 6.7	− 7.0	− 2.71	
19.	− 7.2	− 7.3	− 7.8	− 8.2	− 8.2	− 8.4	− 8.3	− 8.3	− 8.2	− 8.1	− 7.7	− 7.3	− 7.0	− 6.9	− 6.9	− 6.8	− 6.7	− 6.8	− 6.7	− 6.7	− 6.1	− 6.4	− 6.6	− 6 5	− 7.30
20.	− 6.1	− 6.1	− 6.4	− 6.2	− 6.0	− 6.7	− 7.4	− 6.3	− 6.0	− 6.0	− 5.3	− 6.2	− 6.5	− 5.7	− 6.2	− 6.3	− 6.5	− 5.1	− 3.6	− 3.7	− 1.6	− 3.0	− 2.7	− 2.1	− 5.32
21.	− 2.1	− 1.0	− 1.9	− 1.7	0.5	0.3	− 0.4	0.4	0.1	− 2.4	− 2.4	− 1.9	− 0.2	2.7	1.4	− 0.3	− 0.3	0.6	1.6	1.8	2.0	1.3	0.1	0.4	− 0.06
22.	0.6	1.1	0.2	− 0.9	− 1.0	− 1.1	− 0.4	1.2	1.5	1.9	2.2	2.8	3.8	3.8	3.5	2.6	2.1	1.8	2.1	2.4	1.9	3.0	2.0	2.1	1.63
23.	2.3	2.3	2.5	3.1	3.6	2.7	2.2	2.2	2.9	3.3	2.3	2.7	2.6	3.7	3.5	3.1	2.8	2.4	2.2	2.7	3.2	2.6	2.2	2.9	2.75
24.	4.5	3.4	2.8	2.7	2.7	2.5	2.4	1.0	− 0.3	0.0	0.4	1.4	2.1	1.9	2.0	2.0	1.7	1.8	2.4	2.5	2.3	0.9	− 1.4	− 1.3	1.69
25.	− 2.9	− 2.9	− 3.6	− 4.0	− 4.4	− 4.1	− 3.9	− 3.8	− 3.7	− 3.8	− 4.0	− 3.8	− 3.3	− 3.6	− 3.8	− 3.9	− 4.1	− 4.3	− 4.5	− 4.5	− 4.4	− 4.4	− 4.7	− 4.5	− 3.95
26.	− 4.4	− 4.3	− 4.3	− 4.1	− 3.9	− 4.4	− 3.6	− 2.6	− 1.7	− 1.3	− 1.0	− 0.6	− 0.5	− 0.6	− 0.9	− 1.1	− 1.4	− 1.4	− 1.1	− 1.6	− 1.7	− 1.7	− 1.8	− 1.7	− 2.15
27.	− 2.0	− 1.8	0.0	0.8	2.3	3.3	3.5	4 0	5.5	5.1	5.5	6.5	6.8	7.0	6.3	5.3	5.2	4.2	3.5	3.1	3.3	3.4	3.1	3.1	3.63
28.	3.4	3.2	3.4	3.3	3.6	3 1	2.6	2.7	2.8	3.2	4.2	4.1	4.6	4.7	5.7	2.8	2.4	2.2	− 0.1	− 1.0	− 0 8	− 1.6	− 2.0	− 2.2	2.26
29.	− 2.6	− 2.9	− 2.9	− 3.0	− 3.0	− 3.1	− 3.5	− 3.9	− 3.9	− 4.0	− 4.1	− 4.1	− 4.2	− 4.4	− 4.4	− 4.5	− 4.8	− 4.8	− 5.3	− 5.4	− 5.4	− 5.6	− 5.6	− 5.6	− 4.21
30.	− 5.8	− 5.9	− 6.3	− 6.7	− 6.7	− 6.7	− 6.4	− 6.6	− 6.4	− 6.0	− 6.2	− 5.9	− 5.7	− 5.7	− 5.9	− 6.0	− 6.1	− 6.2	− 6.4	− 6.7	− 6.7	− 7.0	− 7.1	− 7.5	− 6.36
31.	− 7.6	− 8.3	− 8.6	− 9.0	− 9.1	− 9.4	− 9.1	− 8.9	− 8.8	− 8.4	− 8.0	− 7.3	− 6.9	− 7.5	− 7.8	− 8.0	− 8.3	− 8.6	− 8.6	− 8.7	− 8.7	− 8.7	− 8.7	− 8.9	− 8.41
Mittel	−0.60	−0.66	−0.75	−0.81	−0.79	−0.94	−0.96	−0.87	−0.72	−0.51	−0.19	0.11	0 38	0.44	0.26	−0.18	−0 33	−0.51	−0.71	−0.75	−0.65	−0.80	−1.08	−1.01	− 0.53

Hygrometer-Registrierung. **Hohenpeissenberg.** 1913.

Januar

Datum	1ª	2ª	3ª	4ª	5ª	6ª	7ª	8ª	9ª	10ª	11ª	12m	1P	2P	3P	4P	5P	6P	7P	8P	9P	10P	11P	12mn	Mittel
1.	36	34	34	30	29	28	30	28	29	29	30	31	32	33	34	31	31	32	29	27	25	26	27	27	30.1
2.	27	27	28	31	32	33	33	38	46	66	65	64	67	71	72	73	71	73	74	75	75	78	73	72	56.8
3.	70	62	62	63	68	72	80	91	79	78	60	68	68	71	74	73	62	61	60	55	45	37	43	45	64.5
4.	47	50	46	53	50	49	49	49	52	54	56	56	56	59	60	58	57	58	56	62	68	71	73	64	56.4
5.	62	60	58	57	57	59	62	58	55	54	52	49	45	44	54	44	42	43	50	45	46	46	46	42	51.3
6.	41	43	41	40	37	34	30	29	31	32	34	40	47	53	63	58	59	59	58	56	54	55	56	54	46.0
7.	50	50	48	51	54	56	47	55	57	52	54	56	60	66	71	74	73	65	59	63	67	66	63	67	59.3
8.	68	68	69	74	81	83	100	100	100	100	100	100	100	100	100	100	100	97	70	55	51	49	51	44	81.7
9.	43	41	39	38	38	36	33	38	38	40	37	34	36	26	37	50	51	54	61	86	100	100	99	99	52.4
10.	99	99	99	100	99	100	100	100	100	100	99	100	100	100	100	100	100	100	100	100	100	100	100	100	99.8
11.	100	100	100	99	100	100	100	100	100	100	100	100	100	100	100	100	100	100	100	100	100	99	99	98	99.8
12.	98	97	97	96	99	100	100	100	100	100	100	100	100	100	100	100	97	89	87	92	98	100	100	100	97.9
13.	100	100	100	98	91	85	81	75	80	80	76	70	91	98	99	99	99	100	100	99	98	98	98	98	92.2
14.	98	98	99	95	90	83	78	79	85	81	74	74	73	100	100	98	95	94	91	91	88	83	78	82	87.8
15.	76	74	67	54	55	61	54	57	62	55	49	50	49	54	47	51	50	48	56	52	54	48	50	59	55.5
16.	59	59	72	71	76	71	71	69	65	64	68	75	86	94	100	100	99	91	86	84	78	77	75	66	77.3
17.	58	60	56	60	46	61	81	69	65	85	85	83	75	69	70	69	67	67	67	62	74	69	72	80	68.8
18.	73	75	66	71	77	85	78	71	72	77	78	89	87	89	96	92	91	91	91	94	94	87	87	98	83.7
19.	98	99	98	99	99	100	100	100	100	99	97	91	86	89	84	84	86	89	89	89	88	87	81	60	91.3
20.	55	41	39	39	34	30	31	38	35	33	39	47	50	83	93	89	86	88	79	81	86	83	81	70	59.6
21.	60	59	54	43	37	34	29	27	26	33	57	61	58	55	54	57	63	89	97	98	98	98	76	99	60.9
22.	99	99	99	99	100	100	100	100	100	100	100	100	100	100	100	99	99	98	98	98	98	95	94	92	98.6
23.	82	75	72	75	72	67	57	60	67	80	89	93	98	100	100	100	100	100	100	100	100	100	100	100	87.0
24.	100	100	100	100	100	100	100	99	99	98	96	92	91	89	89	90	92	93	96	99	100	100	100	100	96.8
25.	100	100	100	100	100	99	85	87	82	73	52	45	38	31	37	39	41	69	63	70	70	87	93	98	73.3
26.	98	99	98	99	99	100	100	100	100	100	100	100	100	100	100	99	99	98	98	98	98	98	99	99	99.1
27.	100	100	99	100	99	100	100	100	98	98	96	95	92	86	81	89	88	89	90	75	71	72	69	74	90.0
28.	83	78	76	78	85	86	86	91	93	91	92	88	82	82	86	99	100	100	100	100	100	99	100	100	90.6
29.	100	100	100	100	100	100	100	99	99	100	100	100	100	100	100	100	100	100	100	100	100	100	100	100	99.9
30.	100	100	100	100	100	100	100	99	98	97	98	98	98	97	97	98	99	98	99	99	100	99	97	96	98.6
31.	95	94	92	91	90	88	69	61	60	69	62	56	84	100	91	100	100	100	100	100	100	100	100	100	87.6
Mittel	76.6	75.5	74.5	74.3	74.0	74.2	73.0	73.1	73.3	74.8	74.0	74.4	75.8	78.7	80.3	81.1	80.5	81.7	80.8	80.8	81.4	80.9	80.0	80.1	77.2

Februar

1.	86	85	88	87	80	78	72	77	82	77	77	73	70	69	64	55	55	50	49	47	57	50	49	61	68.3
2.	58	51	52	52	47	50	44	44	97	98	98	98	96	98	97	99	100	98	90	83	82	79	76	72	77.5
3.	65	53	82	66	83	98	98	95	92	93	96	94	93	89	84	81	89	83	82	82	79	75	72	70	83.2
4.	71	69	68	67	66	66	66	66	67	69	71	70	70	70	70	69	71	75	81	83	82	81	78	78	71.8
5.	78	78	78	79	79	79	81	81	79	77	68	59	49	28	29	27	30	31	33	39	37	38	32	31	55.0
6.	31	32	32	61	60	56	56	56	56	56	56	55	57	58	58	61	62	65	67	66	65	65	65	64	56.7
7.	62	61	60	58	59	65	66	60	54	65	71	71	71	70	69	66	67	70	73	70	55	47	35	36	61.7
8.	39	41	38	28	25	24	24	23	25	27	33	35	42	82	94	95	96	95	88	99	100	100	98	96	60.3
9.	95	96	97	100	100	100	100	98	96	92	89	72	69	64	66	67	69	74	75	82	86	85	59	47	82.4
10.	35	33	32	27	31	33	28	34	43	32	43	55	50	49	45	43	49	40	37	36	23	22	24	29	36.4
11.	33	37	36	34	32	31	31	39	36	47	59	66	74	80	77	78	81	85	89	91	94	93	98	99	63.3
12.	99	98	88	80	81	100	100	99	97	91	67	38	35	53	41	47	48	43	50	55	46	51	41	42	66.3
13.	40	42	47	49	52	51	46	38	47	42	28	26	30	27	26	36	41	55	86	96	100	96	84	79	52.7
14.	83	88	88	88	91	96	98	97	97	96	96	94	78	63	69	70	83	87	84	82	78	89	95	97	87.0
15.	100	100	99	99	97	97	100	100	98	90	77	65	57	56	56	59	63	66	69	73	76	83	86	88	81.4
16.	90	92	94	99	99	99	88	97	84	75	73	64	52	39	36	39	37	49	58	65	69	73	77	80	72.0
17.	90	99	100	100	97	90	100	100	100	100	100	88	56	57	58	61	63	68	74	81	88	93	94	91	85.3
18.	92	95	95	98	100	100	100	98	98	96	95	77	76	57	53	56	60	65	76	86	94	98	100	100	86.0
19.	100	100	100	100	100	100	100	99	98	97	97	96	95	64	55	55	56	58	59	67	76	76	76	76	83.3
20.	76	75	75	75	75	75	75	73	71	69	67	65	63	61	62	63	64	66	67	66	64	65	63	69	68.5
21.	71	66	65	68	71	70	72	69	69	66	66	70	67	64	59	58	58	60	69	73	74	73	75	77	67.9
22.	83	86	91	90	100	100	100	98	98	96	98	99	100	100	88	84	83	83	86	88	89	90	91	89	92.1
23.	86	84	82	82	79	73	67	66	62	60	63	71	59	57	56	57	58	62	65	67	74	78	77	73	69.1
24.	64	65	55	58	56	55	56	54	43	42	42	47	37	31	30	35	35	35	37	37	36	35	35	33	43.9
25.	33	31	30	31	31	31	30	31	30	28	27	27	26	25	24	25	28	27	28	33	37	34	32	32	29.6
26.	35	34	32	34	33	37	39	39	39	37	39	37	35	35	35	34	35	36	36	38	38	36	37	39	36.2
27.	39	37	38	35	35	31	30	30	34	34	37	29	27	28	29	30	30	48	67	64	85	93	95	95	45.8
28.	96	97	97	98	98	99	100	100	100	100	100	100	100	100	100	100	100	100	100	100	100	100	100	100	99.4
Mittel	68.9	68.8	69.3	69.4	69.9	70.7	70.3	70.0	71.1	69.7	69.1	65.8	61.9	59.8	58.2	59.0	61.1	63.4	67.0	69.6	70.9	71.4	69.4	69.4	67.3

Hygrometer-Registrierung. **Hohenpeissenberg.** 1913.

März

Datum	1a	2a	3a	4a	5a	6a	7a	8a	9a	10a	11a	12m	1p	2p	3p	4p	5p	6p	7p	8p	9p	10p	11p	12mn	Mittel
1.	99	100	100	100	100	100	100	97	94	91	89	86	83	80	83	87	87	88	86	89	90	91	83	81	91.0
2.	86	83	80	83	84	86	87	82	77	73	68	63	61	51	52	59	65	66	59	63	74	67	55	64	70.3
3.	67	75	82	87	87	87	85	81	76	70	65	61	48	46	45	46	49	55	59	60	62	59	66	59	65.5
4.	60	60	56	53	58	67	100	100	89	72	69	67	69	59	58	59	60	64	66	71	74	73	74	75	68.9
5.	75	77	81	79	76	79	80	81	76	72	64	58	58	59	59	61	64	70	73	77	78	80	78	77	72.2
6.	78	76	77	78	81	83	83	78	79	80	79	71	65	64	66	63	66	70	72	68	67	64	66	65	72.5
7.	60	50	61	63	66	66	65	61	58	58	54	48	44	43	43	44	50	54	57	59	57	58	60	52	55.5
8.	51	50	52	53	51	48	46	46	46	48	58	53	58	77	100	99	98	97	97	96	96	97	96	97	71.3
9.	97	98	98	98	99	99	100	98	98	96	95	93	92	90	90	91	92	91	91	91	89	86	80	78	92.9
10.	76	72	71	70	65	63	65	55	55	47	46	49	52	40	45	43	32	34	36	41	50	55	63	65	53.8
11.	70	72	74	75	77	77	75	75	71	66	54	40	38	39	38	40	41	42	42	45	56	62	62	61	58.0
12.	68	71	76	78	76	79	80	80	75	64	54	55	52	59	60	57	56	56	57	73	79	79	71	48	66.8
13.	47	31	28	26	24	25	25	24	25	24	40	38	38	41	40	47	48	49	47	44	34	39	39	46	36.2
14.	51	64	78	81	80	82	88	81	70	68	65	60	53	50	48	48	50	52	59	61	69	66	65	67	64.8
15.	63	60	59	62	62	62	69	80	78	69	66	63	58	54	57	68	71	79	88	86	79	75	71	67	68.6
16.	61	63	66	71	73	71	70	62	61	57	50	53	44	41	42	45	49	55	57	52	53	54	56	59	56.9
17.	59	49	52	48	45	49	56	54	51	47	43	35	27	29	30	31	32	34	34	34	44	56	67	100	46.1
18.	100	100	99	100	100	100	100	100	100	100	100	100	100	100	99	100	98	98	97	96	95	93	93	92	98.3
19.	90	84	81	80	78	82	75	70	56	55	62	46	43	45	57	61	48	47	41	48	54	55	61	63	61.8
20.	63	63	63	65	70	72	78	75	67	68	63	65	73	70	72	74	70	76	76	76	75	74	74	69	70.5
21.	64	66	58	66	68	72	80	94	94	95	93	94	94	94	93	98	98	92	86	86	91	71	69	67	82.6
22.	64	61	63	61	59	66	63	65	64	58	63	56	52	48	44	41	44	45	45	45	47	45	46	48	53.9
23.	47	48	48	53	75	88	90	92	92	89	100	97	100	100	100	100	100	99	98	98	98	98	98	99	87.8
24.	99	99	99	99	100	100	100	100	100	100	100	100	100	100	100	99	99	99	99	98	98	98	98	98	99.3
25.	98	98	98	98	98	98	98	98	98	97	94	86	87	82	79	79	79	82	96	99	100	100	100	100	93.4
26.	100	100	100	100	100	100	100	99	99	98	98	85	79	75	72	68	76	79	86	91	88	78	63	60	87.3
27.	71	93	98	98	94	90	87	81	90	96	80	67	65	59	61	60	61	69	86	83	80	77	81	80	79.5
28.	79	77	77	76	76	76	74	71	69	67	59	54	41	42	44	44	42	52	66	70	62	53	46	37	60.6
29.	38	38	39	38	34	33	33	32	31	32	31	30	29	40	49	53	59	58	57	56	55	55	37	38	41.5
30.	37	34	33	33	33	35	35	33	31	30	27	20	17	15	15	17	17	19	18	19	19	19	19	21	24.8
31.	21	21	22	25	30	31	32	32	33	33	33	34	35	33	35	37	38	38	33	37	40	48	50	53	34.3
Mittel	69.0	68.8	70.0	70.9	71.6	73.1	74.8	73.5	71.1	68.4	66.5	62.2	59.8	58.9	60.5	61.9	62.5	64.8	66.6	68.1	69.5	68.5	67.1	67.3	67.3

April

1.	59	67	76	90	92	96	96	95	97	99	98	98	98	98	98	98	97	97	97	98	98	98	98	99	93.2
2.	99	99	99	99	100	100	100	98	97	95	93	90	89	87	89	89	89	91	93	94	94	95	95	97	94.6
3.	97	98	98	99	99	100	100	100	100	100	100	100	95	90	90	84	80	81	76	76	83	87	78	70	90.9
4.	66	90	82	63	66	70	68	62	57	47	54	49	42	35	36	37	40	42	44	44	44	46	47	47	53.3
5.	44	40	40	42	44	44	44	44	44	41	41	36	44	49	58	54	55	65	58	60	56	54	49	43	47.9
6.	38	47	41	41	43	40	41	41	54	73	70	61	59	64	66	65	67	68	70	66	68	72	71	76	58.4
7.	88	93	92	86	88	90	88	85	82	81	73	71	62	56	53	69	74	74	82	78	77	79	92	100	79.7
8.	100	100	100	100	100	100	100	100	100	100	100	100	100	100	100	100	100	100	100	100	100	100	100	100	100.0
9.	100	100	100	100	100	100	100	100	100	100	100	100	100	100	100	97	91	95	98	99	100	99	92	94	98.5
10.	96	96	96	97	90	89	96	95	86	80	77	64	57	55	56	58	60	65	75	89	98	99	99	100	82.2
11.	100	100	100	100	100	100	100	97	96	94	92	89	87	86	87	83	85	88	95	96	100	100	99	100	94.8
12.	100	100	100	100	99	100	100	97	91	91	89	87	83	78	82	84	86	90	93	96	100	100	99	100	93.5
13.	100	99	99	99	99	99	100	93	88	81	73	64	55	46	47	50	56	60	66	73	84	84	89	89	78.9
14.	85	92	94	99	98	99	100	99	95	91	80	95	63	56	56	58	61	64	71	73	77	78	82	76	80.9
15.	81	77	79	80	81	87	85	81	75	65	55	55	49	45	45	42	43	46	47	49	53	56	57	60	62.2
16.	63	62	58	62	63	61	57	50	45	45	44	37	38	34	31	28	29	28	29	29	35	36	37	38	43.3
17.	45	57	71	71	62	56	64	63	62	57	61	65	69	65	63	57	62	72	74	90	94	94	93	89	69.0
18.	92	94	92	81	84	94	94	84	78	75	72	68	61	61	59	53	50	50	54	54	77	76	75	68	72 8
19.	65	62	72	69	69	66	62	58	54	51	44	40	44	52	56	59	62	62	80	80	88	94	94	97	65.8
20.	95	91	82	82	77	83	100	100	93	97	96	96	89	93	94	96	77	78	89	85	82	75	68	69	87.0
21.	69	70	71	67	73	68	73	71	67	63	61	60	61	61	59	57	60	65	75	77	80	81	74	78	68.4
22.	77	79	79	79	78	83	78	70	76	61	54	54	54	50	48	46	47	48	48	48	47	44	42	42	59.7
23.	55	52	56	61	51	62	67	63	58	61	57	54	62	55	55	54	55	62	60	62	66	61	63	58	58.8
24.	70	79	69	67	72	72	72	80	78	71	64	58	54	53	52	55	66	66	69	75	72	67	97	96	69.8
25.	91	91	93	92	92	89	79	76	71	64	80	68	59	59	59	60	61	66	67	81	89	87	85	90	77.0
26.	91	85	84	84	83	82	81	79	75	75	75	73	71	69	66	65	66	65	67	67	76	69	70	47	73.5
27.	44	42	40	38	39	40	40	39	42	37	35	31	34	34	34	34	36	37	55	61	65	65	60	59	43.4
28.	60	63	68	69	71	74	84	81	79	74	68	64	65	63	66	66	73	69	69	71	76	77	80	77	71.1
29	76	75	72	74	75	77	76	75	72	65	63	58	54	46	39	41	44	47	48	50	51	52	57	61	60.3
30.	55	51	42	42	44	43	40	40	41	42	43	40	37	38	36	35	35	37	41	40	52	47	49	43	42.2
Mittel	76.7	78.4	78.2	77.8	77.7	78.8	79.5	77.2	75.1	72.5	70.4	67.5	64.5	62.6	62.7	62.5	63.6	65.9	69.7	72.0	76.1	75.7	76.4	75.4	72.4

Hygrometer-Registrierung **Hohenpeissenberg.** 1913.

Mai

Datum	1ª	2ª	3ª	4ª	5ª	6ª	7ª	8ª	9ª	10ª	11ª	12m	1p	2p	3p	4p	5p	6p	7p	8p	9p	10p	11p	12mn	Mittel
1.	44	43	42	43	42	41	47	55	57	58	54	46	43	40	40	41	40	70	96	98	100	100	100	100	60.0
2.	100	100	100	100	100	100	100	100	97	96	100	97	87	82	82	82	85	86	90	93	87	91	91	92	93.3
3.	92	96	100	100	94	100	100	100	90	88	87	76	76	78	77	78	83	84	87	90	96	95	92	88	89.5
4.	90	89	86	88	90	92	88	85	73	64	65	56	56	63	62	58	56	86	95	97	94	91	82	77	78.5
5.	74	68	67	69	66	73	77	80	79	75	76	77	80	85	73	75	88	96	96	97	98	98	98	98	81.8
6.	97	98	98	98	97	95	91	84	79	76	72	65	66	65	65	62	63	69	84	89	91	92	94	94	82.7
7.	94	93	93	93	95	93	90	88	92	97	100	87	88	83	78	53	49	78	87	85	86	85	83	78	85.3
8.	76	76	82	86	86	82	80	71	71	65	60	52	49	45	52	47	52	53	62	68	76	82	86	84	68.5
9.	83	80	73	83	85	84	84	83	84	83	79	76	70	65	61	59	59	62	72	74	79	79	73	78	75.3
10.	77	78	75	76	76	72	76	76	74	72	68	62	54	46	39	40	40	41	46	53	60	90	93	96	65.8
11.	96	98	98	97	99	100	100	99	99	97	97	96	95	98	100	99	99	99	97	98	100	100	98	94	98.0
12.	88	86	88	94	92	92	90	95	100	100	100	100	90	82	83	82	82	83	92	86	93	92	83	94	90.3
13.	96	99	100	100	98	91	98	100	100	95	81	72	65	57	56	56	61	64	68	73	72	73	78	74	80.3
14.	76	78	82	85	71	72	71	75	73	72	63	58	56	49	48	51	54	55	55	57	62	68	70	69	65.8
15.	69	69	63	58	55	53	52	49	56	48	51	46	49	49	51	54	56	60	63	62	66	65	60	56	56.7
16.	54	52	55	53	53	51	51	52	56	55	54	48	42	37	38	42	39	42	61	47	49	49	50	50	49.2
17.	48	48	71	79	83	94	93	92	86	80	73	68	67	65	62	63	70	73	79	84	79	77	67	74	74.0
18.	70	69	72	79	80	80	76	69	65	57	53	57	54	60	54	69	90	86	75	79	91	95	96	97	73.9
19.	98	97	93	97	92	98	100	98	95	88	88	88	88	92	93	95	97	94	84	79	74	79	96	86	91.2
20.	92	82	82	81	81	86	87	91	82	82	77	75	83	74	84	87	88	88	81	86	80	75	73	66	81.8
21.	65	67	63	67	67	58	63	63	62	58	53	53	52	51	49	50	50	51	54	54	55	55	55	58	57.2
22.	57	53	54	52	47	44	48	51	44	48	36	37	40	39	47	68	97	98	99	99	85	90	89	83	62.7
23.	84	84	86	86	86	85	84	75	71	67	73	65	66	58	70	85	89	93	97	98	98	93	98	99	82.9
24.	99	99	99	99	99	100	100	100	99	85	73	68	64	65	68	74	78	85	88	84	88	93	82	87	86.5
25.	91	93	99	99	98	95	92	92	81	77	65	62	60	59	59	61	61	63	63	64	69	69	70	70	75.5
26.	71	71	72	72	70	67	65	63	57	57	59	52	41	37	36	40	38	48	59	63	66	68	63	61	58.2
27.	63	63	63	61	61	68	55	66	56	64	57	54	55	46	44	51	50	47	43	50	60	59	65	63	56.8
28.	76	80	82	90	95	95	94	95	82	68	60	59	56	56	54	50	49	59	64	70	67	67	66	66	70.8
29.	59	74	77	77	79	77	72	72	62	55	44	42	42	43	44	47	48	52	57	58	61	65	67	62	59.8
30.	57	52	47	47	44	42	41	41	44	44	46	47	46	44	43	44	44	53	56	55	61	65	64	58	49.4
31.	54	55	54	50	41	40	37	44	42	43	49	47	54	51	50	49	50	53	57	61	64	89	90	87	54.6
Mittel	77.1	77.1	77.9	79 3	78.5	78.1	77.5	77.5	74.5	71.4	68.2	64.1	62.4	60.1	60.1	61.7	64.7	70.0	74.4	75.8	77.6	80.3	79.7	78.7	72.8

Juni

Datum	1ª	2ª	3ª	4ª	5ª	6ª	7ª	8ª	9ª	10ª	11ª	12m	1p	2p	3p	4p	5p	6p	7p	8p	9p	10p	11p	12mn	Mittel
1.	88	84	79	80	81	78	70	69	74	73	66	63	55	55	55	53	55	62	63	65	90	98	100	99	73.1
2.	93	78	80	86	73	84	69	74	71	70	68	65	59	62	61	63	63	70	77	93	78	94	92	78	75.0
3.	76	77	62	74	67	46	50	73	62	53	50	53	63	91	68	72	75	68	65	71	76	76	75	63	66.9
4.	64	91	82	87	82	72	65	64	72	65	60	60	61	54	48	52	54	56	95	71	66	81	87	85	69.8
5.	94	94	81	74	59	59	55	58	62	63	63	62	63	61	56	56	58	67	98	96	94	95	95	78	72.5
6.	83	94	92	91	91	94	93	97	98	97	94	97	98	100	100	100	98	98	98	88	87	83	76	92	93.3
7.	87	82	84	91	87	85	84	77	70	68	66	67	57	55	64	64	67	63	68	72	73	65	68	74	72.4
8.	74	74	72	74	67	64	68	67	65	63	64	63	59	57	56	55	54	57	58	61	66	69	76	71	64.8
9.	69	67	62	74	84	89	87	89	90	82	69	68	71	88	86	95	96	94	90	95	94	90	82	99	83.8
10.	100	100	100	97	91	91	86	79	82	79	76	60	54	48	49	52	52	54	57	60	61	66	58	54	71.1
11.	46	49	49	48	53	44	56	53	52	55	54	63	64	65	67	69	73	74	74	72	69	67	69	71	60.7
12.	80	85	83	80	75	73	74	72	72	78	83	84	92	96	97	99	99	99	99	100	100	99	94	90	87.6
13.	92	92	93	97	97	95	93	93	94	92	86	86	82	73	73	79	77	72	78	78	96	99	98	98	88.0
14.	100	100	98	100	100	100	100	92	84	78	76	73	72	68	67	63	62	64	70	76	69	79	79	73	81.0
15.	83	75	89	89	85	80	82	84	70	67	66	56	53	50	50	50	48	50	56	57	61	63	66	69	66.6
16.	75	76	74	70	69	69	67	70	71	65	65	62	54	52	47	41	42	76	52	54	54	52	49	47	60.5
17.	46	41	47	58	59	55	53	65	70	66	61	57	46	42	40	41	39	40	41	44	44	48	55	55	50.5
18.	53	50	54	53	57	54	55	62	60	58	55	58	56	57	61	58	55	53	52	51	51	65	81	75	57.7
19.	90	90	85	77	68	73	72	68	69	69	66	62	61	63	56	61	82	90	86	82	84	96	94	92	76.5
20.	90	89	90	90	94	94	95	96	95	94	93	98	99	100	100	100	100	100	100	100	100	100	100	99	96.5
21.	98	98	98	98	97	97	97	96	87	90	95	87	80	80	72	75	97	95	93	94	94	98	83	87	91.1
22.	92	95	100	100	100	100	98	93	92	97	92	84	80	84	80	89	96	100	100	100	100	100	100	100	94.7
23.	95	96	98	99	99	99	98	97	91	83	76	75	70	65	55	54	56	56	57	55	63	65	73	74	77.0
24.	71	68	70	71	66	70	67	70	70	68	59	59	49	48	61	60	74	72	96	79	84	85	81	84	70.1
25.	93	97	99	99	96	96	99	96	99	100	100	98	93	94	93	95	97	100	100	100	100	100	100	100	97.7
26.	99	100	100	100	100	100	100	100	100	100	100	100	100	99	99	99	93	94	96	89	89	92	91	89	97.0
27.	86	86	88	90	99	99	100	100	100	100	93	88	98	100	100	100	86	97	95	93	84	83	93	99	94.0
28.	100	100	100	100	100	100	100	100	100	100	91	90	87	89	86	98	98	97	98	100	100	100	97	88	96.6
29.	84	84	85	86	89	85	90	94	86	91	97	94	98	100	100	100	100	100	100	100	96	99	100	100	94.1
30.	100	100	100	100	100	100	98	97	94	90	86	83	71	93	85	79	79	84	83	82	86	84	87	86	89.5
Mittel	83.4	83.7	83.1	84.4	82.8	81.5	80.7	81.5	80.1	78.5	75.7	73.8	71.5	73.0	71.1	72.4	74.2	76.7	79.8	79.3	80.3	83.0	83.3	82.3	79.0

Hygrometer-Registrierung. **Hohenpeissenberg.** 1913.

Datum	1ª	2ª	3ª	4ª	5ª	6ª	7ª	8ª	9ª	10ª	11ª	12m	1p	2p	3p	4p	5p	6p	7p	8p	9p	10p	11p	12mn	Mittel
Juli																									
1.	84	84	78	77	82	77	89	86	77	71	70	60	64	57	53	52	56	58	69	77	83	97	93	95	74.5
2.	98	97	96	93	94	93	93	86	76	70	59	52	52	47	45	48	56	59	80	93	80	80	98	86	76.3
3.	91	94	91	81	88	92	87	83	84	83	77	75	76	78	75	79	93	87	84	84	93	92	91	92	85.4
4.	89	83	90	95	99	99	98	93	91	92	76	73	72	86	71	72	74	76	81	81	86	87	98	92	85.6
5.	91	89	84	87	87	89	92	87	86	86	67	64	68	69	57	61	67	63	77	79	86	91	88	87	79.3
6.	90	92	98	91	95	100	100	90	95	97	85	72	75	69	72	78	79	83	86	75	89	89	91	85	86.5
7.	86	88	85	85	88	91	93	96	91	93	95	94	78	68	74	72	78	93	88	80	73	71	70	69	83.4
8.	68	71	74	77	74	82	82	87	88	86	86	84	81	95	91	92	91	100	100	100	100	98	98	98	87.6
9.	99	100	100	100	100	100	100	100	99	89	84	88	92	81	67	66	69	62	66	66	64	62	62	61	82.4
10.	58	56	59	60	45	42	50	51	56	49	43	43	42	42	44	57	75	93	98	100	100	100	100	100	65.1
11.	91	87	89	89	80	91	85	92	91	87	96	95	95	89	92	94	98	100	100	100	100	100	100	100	93.4
12.	100	100	100	99	100	100	100	100	100	100	94	91	76	73	57	67	79	82	87	79	74	78	78	75	87.0
13.	75	74	73	72	74	74	68	78	71	65	53	55	57	53	52	51	47	51	43	42	52	62	72	70	61.8
14.	69	67	66	64	62	52	46	48	49	46	41	41	36	36	36	34	36	37	37	39	58	53	50	59	47.6
15.	59	51	86	85	82	82	73	79	80	90	88	86	70	76	83	86	88	86	87	88	94	97	100	100	83.2
16.	100	100	100	100	100	100	100	100	90	88	76	86	84	88	87	84	80	80	79	77	77	83	82	84	88.5
17.	87	93	96	98	100	100	100	100	100	100	92	94	92	97	98	97	98	97	100	99	96	97	98	100	97.0
18.	100	100	100	100	100	100	100	99	85	83	80	75	65	69	70	63	72	71	77	72	86	96	97	98	85.8
19.	99	99	99	99	100	100	100	100	100	100	99	95	85	75	85	97	98	99	99	99	100	100	100	100	97.0
20.	100	100	100	100	100	100	100	99	99	98	98	97	97	94	94	92	91	91	88	87	92	88	92	97	95.6
21.	99	99	93	96	88	78	82	87	73	68	71	65	61	59	59	60	64	66	67	63	61	57	54	61	72.1
22.	62	66	66	68	75	79	83	78	75	59	52	50	48	45	46	54	94	86	81	89	89	95	97	97	72.3
23.	100	100	100	100	100	100	100	99	87	79	94	83	76	64	73	77	85	88	95	97	92	90	94	90	90.1
24.	85	90	90	93	88	87	81	85	87	84	86	93	99	100	100	100	100	100	100	100	100	100	100	100	93.7
25.	100	100	100	100	100	100	100	100	100	100	85	89	79	74	68	72	74	76	71	77	71	81	81	81	86.6
26.	84	86	84	85	80	78	77	80	76	78	70	67	57	57	59	58	57	54	53	54	54	61	81	79	69.5
27.	68	64	61	62	66	62	63	64	71	64	58	56	55	55	56	53	51	53	54	61	65	70	58	54	60.2
28.	68	76	74	66	64	61	63	69	63	65	62	58	58	49	48	51	53	62	70	70	82	68	73	73	64.4
29.	69	66	65	64	62	64	64	71	71	65	60	58	52	80	77	88	74	87	81	67	86	92	79	86	72.4
30.	98	95	87	89	87	86	92	91	88	84	80	78	74	68	61	61	61	63	66	72	75	76	78	82	78.8
31.	83	88	83	78	76	74	78	80	79	70	63	58	56	58	55	54	53	53	62	68	65	69	68	71	68.4
Mittel	85.5	85.6	86.0	85.6	85.0	85.0	85.1	85.7	83.2	80.3	75.5	73.4	70.1	69.4	67.9	70.0	73.9	76.0	78.6	78.5	81.4	83.2	84.5	84.6	79.8
August																									
1.	76	78	81	81	75	58	69	75	70	55	48	48	49	52	49	50	48	50	53	52	55	60	62	62	60.7
2.	55	52	52	52	52	48	54	54	63	63	59	59	59	57	55	56	57	60	64	68	79	88	91	90	62.0
3.	95	87	84	80	81	75	73	81	86	74	68	60	60	59	56	56	55	61	68	71	66	64	63	61	70.2
4.	59	59	66	68	68	65	66	68	66	67	65	62	53	48	46	43	39	42	45	49	54	62	67	65	58.0
5.	61	67	61	57	54	55	63	75	72	62	53	51	45	39	51	77	67	79	89	90	81	81	89	86	67.0
6.	79	77	73	100	98	99	99	100	100	98	86	78	64	76	95	100	98	100	98	100	100	100	100	100	92.4
7.	100	100	97	95	96	97	96	100	92	92	86	84	87	94	93	85	88	84	95	83	83	77	100	91	91.5
8.	86	94	75	84	87	93	89	90	82	78	77	69	83	74	79	77	88	79	82	85	80	77	75	72	81.5
9.	75	79	77	82	96	97	92	93	90	82	77	77	72	62	57	60	68	77	90	85	69	74	88	94	79.7
10.	94	95	88	95	87	84	83	79	82	97	98	86	70	64	59	55	65	62	65	66	71	75	71	64	77.3
11.	61	69	73	69	67	63	62	63	66	61	64	58	52	47	44	43	49	53	68	66	74	75	70	69	61.9
12.	69	65	66	69	64	65	72	75	74	85	78	79	79	76	67	82	92	93	99	100	100	100	100	100	81.2
13.	100	100	100	100	100	100	100	100	99	99	99	99	83	91	89	91	89	88	86	100	100	100	97	94	96.0
14.	85	90	89	93	94	94	92	96	91	84	99	99	98	98	100	98	99	100	100	100	100	100	100	99	95.8
15.	99	100	100	100	100	100	100	99	90	91	84	85	87	77	72	74	88	91	89	92	96	97	95	95	91.7
16.	91	95	96	97	97	100	100	100	100	100	100	100	95	93	80	87	98	84	99	78	88	87	85	84	93 1
17.	89	91	91	94	95	90	90	80	74	70	66	62	60	54	52	57	84	88	96	94	94	96	100	100	82.0
18.	95	93	93	91	88	96	89	94	92	88	79	79	80	75	75	76	80	88	96	98	98	90	97	95	88.5
19.	92	84	82	87	87	88	76	73	81	74	67	83	81	79	78	88	89	100	94	95	91	93	85	90	84.9
20.	86	69	89	81	73	71	76	95	95	95	97	99	97	78	73	85	100	100	100	100	100	100	100	100	90.0
21.	100	100	100	100	100	100	100	100	99	99	99	99	98	94	90	91	98	96	94	99	92	95	90	95	97.0
22.	99	96	94	96	95	86	84	87	81	77	74	70	57	55	53	53	54	56	58	67	67	72	71	71	73.9
23.	65	59	63	68	63	58	51	48	55	56	59	42	41	39	35	34	39	36	39	37	34	36	36	37	47.1
24.	40	43	46	47	50	53	57	52	56	61	54	41	48	46	50	55	61	71	79	81	91	87	77	76	59.3
25.	74	100	91	96	91	91	97	99	99	92	85	77	71	61	59	59	60	63	65	65	66	66	63	62	77.2
26.	61	67	66	68	74	74	78	72	71	79	66	67	62	58	57	59	59	60	60	61	61	63	65	66	65.6
27.	66	65	64	65	65	68	73	66	76	76	63	56	49	43	42	44	42	43	49	67	76	82	83	65	62.0
28.	65	71	78	81	76	80	83	85	83	81	80	75	65	54	57	53	58	57	61	76	81	65	67	67	70.8
29.	62	61	68	72	73	75	73	78	81	75	78	72	71	69	69	73	70	68	71	77	82	64	74	69	71.9
30.	65	73	75	83	68	67	91	95	94	94	92	83	100	98	96	80	73	71	64	68	75	94	97	96	83.0
31.	82	84	79	62	75	74	74	78	79	80	77	75	63	62	62	64	70	70	74	77	78	78	74	76	73.6
Mittel	78.4	79.5	79 3	81.1	80.3	79.5	80.7	82.3	81.9	80.2	76.7	73.4	70.3	66.8	65.8	67.9	71.8	73.2	77.1	78.9	80.1	80.6	81.7	80.4	77.0

Hygrometer-Registrierung. **Hohenpeissenberg.** 1913.

Datum	1ª	2ª	3ª	4ª	5ª	6ª	7ª	8ª	9ª	10ª	11ª	12m	1P	2P	3P	4P	5P	6P	7P	8P	9P	10P	11P	12mn	Mittel
September																									
1.	73	71	68	70	72	72	73	73	80	80	76	74	70	72	85	83	76	79	77	73	98	95	82	72	76.8
2.	69	65	65	63	61	63	53	56	61	55	55	53	52	51	54	51	55	57	71	78	78	78	74	73	62.1
3.	77	77	72	68	72	69	74	76	75	74	70	68	67	65	66	64	63	70	68	68	69	71	76	74	70.5
4.	74	75	63	65	74	74	69	61	71	68	65	58	65	64	60	60	72	72	73	78	80	79	80	91	70.9
5.	88	92	98	95	98	97	100	100	100	100	100	95	78	83	81	83	90	83	98	97	97	95	96	97	93.4
6.	99	100	96	100	100	97	95	89	83	80	76	69	71	72	86	96	90	95	98	99	100	87	89	87	89.8
7.	84	100	100	100	100	100	100	100	100	100	100	100	100	99	92	90	90	92	87	92	98	98	97	98	96.5
8.	98	99	99	98	97	99	100	100	100	99	97	97	92	89	86	86	86	85	85	85	84	81	85	87	92.3
9.	89	94	96	98	98	98	97	95	94	86	75	82	84	81	78	79	78	61	71	74	73	67	82	96	84.4
10.	95	94	92	96	100	100	100	100	100	100	100	100	100	100	100	100	100	100	100	100	100	100	99	92	98.7
11.	91	89	88	89	98	98	95	95	89	82	80	73	69	66	67	69	68	71	71	79	86	85	87	89	82.3
12.	90	93	98	97	87	94	92	86	86	92	85	76	70	70	72	72	70	70	74	83	83	85	78	79	82.6
13.	74	73	72	72	70	75	75	72	74	70	66	61	57	60	67	76	86	81	76	78	75	76	80	79	72.7
14.	68	70	65	64	59	49	54	54	63	70	74	67	63	64	67	66	72	77	72	53	87	93	88	93	68.8
15.	93	89	84	83	87	81	86	84	80	77	78	85	75	87	94	78	79	94	97	93	84	79	67	72	83.6
16.	73	67	56	58	84	84	78	72	78	79	75	68	63	56	55	58	68	80	92	94	94	81	71	56	72.5
17.	62	61	61	59	57	54	58	58	81	81	78	74	72	70	74	70	73	68	72	72	72	72	73	76	68.7
18.	79	76	73	73	75	73	81	87	91	91	84	83	84	84	82	83	88	89	94	94	95	98	97	98	85.5
19.	97	90	89	94	87	98	100	100	100	100	100	100	96	93	92	95	91	97	100	100	100	98	100	95	96.3
20.	100	100	100	100	100	100	100	100	96	81	80	73	67	62	61	62	68	70	80	77	78	73	100	100	84.5
21.	100	93	100	100	99	97	94	94	91	92	96	90	93	94	93	94	89	86	84	84	84	87	90	89	92.2
22.	85	85	87	90	91	93	96	93	83	80	82	81	81	76	76	78	78	78	77	85	88	80	75	77	83.1
23.	80	81	81	90	100	91	88	91	90	82	93	100	99	99	99	99	99	100	100	93	83	82	80	85	91.0
24.	82	86	87	88	83	81	89	91	82	79	88	79	68	67	67	73	80	91	97	96	98	100	100	93	85.2
25.	95	98	95	92	88	85	80	82	95	99	100	99	97	95	97	98	100	100	100	99	99	99	97	96	95.2
26.	99	99	99	100	91	88	97	90	95	92	97	88	80	74	76	78	83	87	87	93	97	100	100	100	91.3
27.	100	100	100	100	100	100	100	100	100	100	100	100	100	100	100	100	100	100	96	100	100	100	100	100	99.8
28.	100	100	100	100	100	100	100	100	100	100	93	91	90	87	85	86	84	77	78	85	96	98	97	92	93.3
29.	94	84	94	75	81	71	87	89	87	80	70	83	80	78	85	81	81	88	87	87	87	84	81	70	82.7
30.	64	63	58	59	50	53	55	58	57	54	57	64	54	55	54	61	62	70	75	77	78	81	82	76	63.2
Mittel	85.7	85.5	84.5	84.5	85.3	84.5	85.5	84.9	86.1	84.1	83.0	81.4	77.9	77.1	78.4	79.0	80.6	82.3	84.6	85.5	88.0	86.7	86.8	86.1	83.7
Oktober																									
1.	74	79	75	75	74	76	75	74	73	74	75	78	71	74	76	84	90	97	97	99	99	93	92	87	81.7
2.	76	78	90	99	99	98	96	93	90	87	79	75	72	86	84	83	79	81	96	97	100	95	86	86	87.7
3.	85	86	74	74	74	69	74	87	87	83	72	66	73	70	72	76	73	76	83	84	95	93	90	87	79.3
4.	78	80	70	69	69	71	66	71	68	73	67	74	73	83	85	94	71	72	82	92	98	100	100	100	79.8
5.	100	100	95	99	100	99	96	97	96	94	91	84	79	81	92	88	93	91	99	93	86	88	83	71	91.5
6.	63	73	78	96	98	99	94	93	87	79	74	72	79	76	68	68	73	74	83	77	75	66	68	63	78.2
7.	65	83	85	81	74	77	78	81	72	67	64	56	67	69	69	69	76	74	67	62	55	54	52	52	68.7
8.	49	45	44	45	48	47	47	47	47	46	48	45	44	46	46	46	74	82	91	99	99	97	96	94	61.3
9.	95	90	80	76	76	73	74	76	72	73	68	60	58	62	60	63	67	73	78	77	76	78	83	82	73.8
10.	87	89	89	89	92	87	90	91	86	84	77	71	74	80	78	80	90	92	93	94	91	89	92	91	86.5
11.	96	97	96	96	93	95	100	98	96	91	86	84	80	76	68	72	74	77	76	76	83	87	74	83	85.6
12.	85	83	86	88	90	88	89	90	81	75	71	66	62	62	84	92	92	85	86	89	91	100	99	100	84.8
13.	99	100	100	100	100	100	100	100	100	100	99	93	94	91	91	91	99	100	100	100	100	100	100	100	98.2
14.	100	100	100	100	100	100	98	100	100	100	91	80	76	69	67	66	73	77	82	80	74	83	81	76	86.4
15.	76	76	65	50	35	37	46	42	32	40	43	51	52	57	52	49	55	64	77	71	72	65	76	82	56.9
16.	84	86	98	99	96	94	95	91	90	93	92	97	91	90	94	99	100	98	94	96	96	100	100	100	94.7
17.	100	100	100	100	100	100	100	100	99	99	99	99	98	98	97	92	93	92	92	94	97	97	97	100	97.6
18.	59	67	59	70	71	64	56	56	66	62	61	65	70	72	77	73	71	76	78	80	59	54	62	51	65.8
19.	60	55	48	49	59	59	61	65	65	60	56	57	59	62	79	86	87	83	91	91	88	91	98	100	71.2
20.	94	86	79	66	54	52	52	55	47	53	49	53	63	66	67	74	87	91	82	78	73	64	68	84	68.2
21.	89	80	81	74	72	75	80	79	78	68	57	52	54	80	84	84	87	89	60	47	35	35	32	29	66.7
22.	26	33	32	34	39	41	30	39	39	40	39	38	34	31	29	28	27	28	29	31	31	46	53	58	35.6
23.	54	51	50	48	47	60	60	62	63	66	72	78	79	78	78	76	79	87	89	87	92	93	92	94	72.3
24.	87	74	72	59	50	48	53	50	65	75	73	71	80	89	89	91	92	90	90	88	88	89	83	89	76.6
25.	90	88	85	83	78	80	78	75	66	68	65	64	65	65	68	72	75	74	76	55	50	45	45	41	68.8
26.	40	39	37	36	35	34	32	31	32	33	34	37	41	43	51	50	54	57	47	39	57	56	58	53	42.8
27.	51	53	54	64	71	72	74	73	73	72	71	73	65	62	66	72	72	70	60	56	50	50	42	40	62.8
28.	39	39	42	44	45	45	47	45	41	44	40	42	41	40	43	44	45	44	44	46	47	47	45	44	43.5
29.	43	44	43	44	43	44	45	46	45	43	44	42	41	41	43	43	44	45	47	47	48	47	47	47	44.4
30.	48	47	47	46	48	50	52	69	84	91	90	87	87	85	86	88	87	87	86	95	99	96	94	87	76.5
31.	74	74	75	77	82	78	78	79	80	75	75	63	58	56	57	60	59	61	60	67	71	70	70	78	69.9
Mittel	73.1	73.4	71.9	71.9	71.4	71.4	71.5	72.7	71.6	71.2	68.5	66.9	67.4	69.0	71.0	72.8	75.4	77.0	77.9	77.0	76.6	76.4	76.1	75.8	72.8

Hygrometer-Registrierung. **Hohenpeissenberg.** 1913.

November

Datum	1a	2a	3a	4a	5a	6a	7a	8a	9a	10a	11a	12m	1p	2p	3p	4p	5p	6p	7p	8p	9p	10p	11p	12mn	Mittel
1.	61	60	62	56	55	54	59	55	56	55	56	54	50	52	61	59	58	58	60	53	55	59	59	59	56.9
2.	62	71	81	88	86	93	86	88	87	82	80	74	68	68	70	77	78	81	82	85	83	72	68	74	78.5
3.	64	62	52	52	51	49	47	47	62	57	63	69	67	70	68	71	74	79	76	76	76	82	84	92	66.3
4.	89	90	93	95	100	100	100	100	100	100	95	89	91	92	90	91	92	92	84	85	83	80	81	83	91.5
5.	79	78	82	82	85	84	74	79	80	81	82	75	74	68	76	79	79	80	83	83	81	80	78	76	79.1
6.	91	94	94	90	93	92	93	94	96	96	97	96	98	100	99	97	93	79	72	74	70	67	62	57	87.3
7.	55	52	58	67	82	92	94	95	91	89	84	88	86	81	77	76	71	78	80	86	96	96	97	95	81.9
8.	97	99	99	99	99	100	100	99	93	85	73	70	75	72	71	71	72	69	70	70	75	69	68	72	82.0
9.	82	96	99	96	100	100	100	96	95	91	89	91	89	88	87	85	91	90	77	93	85	87	85	91	91.0
10.	100	100	96	81	93	93	93	90	87	92	82	80	87	94	87	91	95	80	80	71	69	67	73	71	85.5
11.	64	54	53	51	56	56	54	53	52	48	42	45	50	53	47	52	42	61	60	75	81	89	84	91	58.9
12.	89	94	85	85	89	97	86	80	73	69	55	64	83	86	94	88	90	88	78	97	80	76	100	100	84.4
13.	100	100	100	100	100	100	100	100	99	96	95	92	83	90	96	95	94	91	95	88	80	75	75	78	92.6
14.	85	93	95	92	80	89	82	75	65	58	60	58	60	62	70	68	74	79	81	70	67	79	89	88	75.8
15.	88	87	87	94	97	95	93	89	93	76	77	86	86	93	84	97	100	100	99	97	98	97	97	95	91.9
16.	97	87	72	67	72	81	80	73	76	87	96	99	98	100	97	98	100	98	95	94	94	96	96	96	89.5
17.	95	98	99	99	100	100	100	100	100	100	99	97	96	96	97	93	92	90	94	94	95	95	98	99	96.9
18.	99	99	99	99	100	100	100	100	100	100	100	100	93	94	95	95	93	85	81	80	73	72	70	69	91.5
19.	65	66	69	72	77	72	83	88	95	81	81	95	100	100	100	93	85	86	82	79	69	67	81	84	82.1
20.	82	80	88	89	89	87	85	81	76	70	75	73	72	63	58	47	56	60	59	55	50	39	31	28	66.4
21.	26	26	25	24	29	28	20	29	40	43	46	48	50	66	71	76	77	80	77	74	57	48	57	59	49.0
22.	60	64	63	64	68	57	50	53	54	55	58	60	59	56	60	61	60	62	64	63	53	57	61	65	59.5
23.	65	68	66	63	79	81	82	76	50	62	82	84	88	88	93	97	97	96	96	96	96	96	81	94	82.3
24.	96	96	95	95	95	95	94	89	88	87	87	84	97	100	100	100	100	97	95	95	98	98	98	99	94.9
25.	98	98	97	95	94	94	94	93	95	94	92	91	95	96	98	100	100	100	100	100	100	100	100	100	96.8
26.	100	100	100	100	100	100	100	99	99	99	98	98	98	96	94	94	90	92	86	87	90	89	86	87	95.1
27.	84	79	74	63	65	65	75	86	94	95	97	99	99	100	100	99	99	99	99	98	98	98	99	98	90.1
28.	98	99	99	99	99	100	100	100	100	100	100	100	100	100	100	99	99	98	98	97	97	97	98	98	99.0
29.	98	99	99	99	99	100	100	100	100	100	100	100	100	100	100	99	99	98	98	97	97	97	96	98	98.9
30.	98	100	100	100	100	100	100	65	50	56	56	56	55	54	60	61	60	55	59	59	58	50	61	62	69.8
Mittel	82.2	83.0	82.7	81.9	84.4	85.1	84.1	82.4	81.5	80.1	79.9	80.5	81.6	82.6	83.3	83.6	83.7	83.4	82.0	82.4	80.1	79.1	80.4	81.9	82.2

Dezember

Datum	1a	2a	3a	4a	5a	6a	7a	8a	9a	10a	11a	12m	1p	2p	3p	4p	5p	6p	7p	8p	9p	10p	11p	12mn	Mittel
1.	61	58	60	54	57	59	59	57	50	46	47	50	52	53	57	61	64	64	66	68	68	72	76	79	59.9
2.	82	80	79	81	93	100	100	100	100	100	95	93	95	95	97	96	87	87	89	89	88	88	83	91	91.2
3.	90	74	67	65	58	55	53	54	57	43	45	42	40	39	34	43	37	38	40	36	34	34	31	26	47.3
4.	27	27	28	30	40	41	40	37	40	39	40	42	44	48	53	64	82	94	93	100	100	100	100	100	58.7
5.	97	86	83	74	75	75	76	77	79	78	82	82	81	84	88	89	81	66	51	46	49	88	86	89	77.6
6.	94	95	100	100	100	100	100	100	99	99	99	100	100	100	100	100	100	99	99	99	100	100	100	100	99.3
7.	100	100	100	100	100	100	100	100	99	98	97	97	96	95	96	96	97	98	99	99	100	100	100	100	98.5
8.	100	100	100	99	99	99	100	100	100	100	100	100	100	100	99	98	97	97	95	94	77	88	82	82	96.1
9.	73	58	56	58	49	52	46	45	44	43	40	37	43	45	58	55	52	56	60	63	64	67	63	65	53.8
10.	65	75	74	75	89	95	100	100	100	100	100	100	92	90	70	91	86	89	89	98	98	98	98	99	91.5
11.	99	99	99	100	100	100	100	100	100	100	100	100	100	100	100	99	99	99	99	98	98	98	98	99	99.3
12.	99	99	99	99	100	100	100	98	96	94	92	90	89	87	80	78	76	79	78	82	85	85	88	86	90.0
13.	86	89	89	88	87	93	96	97	96	92	90	92	95	100	100	100	100	100	100	100	100	99	99	98	95.3
14.	98	98	98	97	96	95	94	96	97	95	95	93	91	85	88	89	95	98	94	92	92	91	91	94	93.8
15.	100	99	100	100	100	100	100	100	100	100	100	100	100	100	100	100	100	100	100	100	100	100	100	100	100.0
16.	97	100	99	99	99	99	96	95	89	88	83	83	70	74	75	80	79	84	93	96	90	95	91	88	89.3
17.	98	90	97	100	100	100	100	98	86	93	99	99	98	96	100	100	100	99	98	97	96	96	96	96	97.2
18.	96	96	96	96	96	96	96	96	96	97	98	99	99	100	100	100	100	100	99	99	98	99	98	98	97.8
19.	98	99	98	99	99	100	100	100	100	100	100	100	100	100	100	99	99	99	99	100	100	100	100	100	99.5
20.	100	99	99	98	97	97	95	92	88	85	80	80	81	82	81	82	81	76	66	66	60	55	56	44	80.8
21.	39	37	48	49	37	35	36	36	34	49	58	61	41	30	43	56	56	49	44	42	40	45	48	39	43.8
22.	35	33	32	37	39	42	40	33	28	28	28	28	25	25	26	32	37	36	35	34	28	28	30	32	32.1
23.	28	28	27	22	20	19	20	20	22	20	25	27	26	25	29	30	32	32	35	29	27	33	29	27	26.3
24.	20	21	21	20	20	19	20	27	35	46	50	58	59	67	74	72	70	68	63	62	74	100	100	100	52.8
25.	100	100	100	100	99	99	100	99	99	98	98	96	95	91	85	87	96	97	98	97	95	98	96	97	96.7
26.	83	83	74	75	82	93	89	80	80	77	77	76	78	77	78	79	80	78	74	75	76	74	73	75	78.6
27.	78	79	63	55	51	47	51	46	37	35	30	25	22	19	22	27	33	37	42	48	48	49	58	58	44.2
28.	56	58	53	53	49	49	52	49	48	47	41	40	44	43	32	53	55	57	77	97	83	75	77	78	56.9
29.	82	83	83	83	86	88	91	93	92	88	85	80	79	79	78	81	82	84	88	96	78	99	99	99	87.3
30.	99	100	99	100	99	100	100	100	100	100	100	100	100	100	100	100	100	100	100	100	100	100	100	100	99.9
31.	100	100	100	100	100	100	100	100	100	100	100	100	100	100	100	100	100	100	100	100	100	100	100	100	100.0
Mittel	80.1	78.8	78.1	77.6	77.9	78.9	79.0	78.2	77.1	76.7	76.6	76.5	75.3	75.1	76.2	78.6	79.1	79.4	79.5	80.7	79.5	82.4	82.1	81.9	78.6

Anemometer-Registrierung. **Hohenpeissenberg.** 1913.

Datum	0–1a	1–2a	2–3a	3–4a	4–5a	5–6a	6–7a	7–8a	8–9a	9–10a	10–11a	11a–m	0–1p	1–2p	2–3p	3–4p	4–5p	5–6p	6–7p	7–8p	8–9p	9–10p	10–11p	11p–mn	Mittel
Januar																									
1.	3.2	2.6	3.2	4.8	5.4	3.7	3.2	3.5	2.3	4.0	3.7	4.0	3.5	2.3	1.5	2.6	4.8	4.8	4.5	4.0	3.2	1.8	2.1	2.3	3.38
2.	0.5	2.6	2.6	2.9	3.5	2.9	4.0	4.5	4.2	4.8	5.1	3.2	1.5	1.5	0.5	0.8	1.2	0.8	0.0	1.8	2.6	3.2	3.5	3.5	2.57
3.	3.5	2.9	2.3	2.3	2.3	2.3	2.9	2.3	3.5	3.5	2.6	2.3	1.8	0.8	0.5	1.8	3.7	3.7	3.2	3.2	2.1	3.5	3.5	3.7	2.68
4.	2.1	1.5	1.2	2.3	1.8	1.5	2.9	3.5	2.9	2.1	2.1	2.6	1.8	0.8	1.8	3.2	4.5	6.5	7.4	6.2	5.7	6.5	3.5	3.7	3.25
5.	4.8	5.1	3.7	2.9	2.3	2.3	3.2	4.8	5.1	4.5	3.5	4.8	3.5	3.2	1.2	0.5	1.2	2.3	2.9	1.8	1.2	0.8	2.1	4.2	2.96
6.	3.2	3.2	2.3	2.6	2.6	2.6	4.2	4.5	3.5	2.1	2.9	0.8	0.8	0.5	1.2	0.8	1.8	1.8	2.3	2.9	4.8	5.1	4.8	5.4	2.78
7.	4.8	2.3	1.5	1.2	2.1	1.2	2.6	3.7	5.1	4.5	6.8	8.5	7.4	8.8	8.8	10.4	10.7	10.7	9.9	8.8	7.7	6.8	8.0	7.7	6.25
8.	7.4	6.5	6.2	6.5	5.9	5.1	4.2	3.5	2.9	2.6	1.5	1.8	1.2	0.8	2.9	2.3	1.5	1.8	3.2	2.6	2.9	2.9	3.7	2.1	3.42
9.	1.2	1.2	1.5	1.5	3.2	2.3	1.5	0.8	0.0	1.8	1.5	0.0	1.2	0.8	1.5	1.8	1.8	2.1	2.6	3.2	3.7	3.5	2.3	1.8	1.78
10.	1.8	2.1	2.1	2.6	1.2	0.0	0.0	0.5	2.1	1.5	1.8	0.8	0.5	0.0	0.5	0.8	0.8	0.5	0.5						
11.		1.2	1.2	1.5	1.5	1.2	0.8	2.3	2.1	1.8	1.8	1.5	1.2	1.2	1.8	2.9	4.2	5.7	5.9	6.2	6.5	5.9	5.9	5.7	2.92
12.	4.5	5.4	4.0	3.5	3.2	5.9	6.8	9.6	9.9	10.2	10.7	12.4	11.5	9.3	11.0	11.5	12.1	10.2	10.4	9.6	7.1	6.5	6.5	7.4	8.30
13.	6.2	6.2	5.1	4.8	6.2	6.5	4.0	2.6	1.8	2.1	1.8	3.5	3.5	2.1	3.7	2.6	2.3	2.6	3.7	2.6	2.6	2.1	1.8	1.8	3.43
14.	2.6	2.1	2.3	4.5	4.5	3.2	3.2	4.2	8.5	8.2	6.8	5.7	6.5	5.4	8.5	5.7	6.5	4.5	4.0	5.4	7.1	8.5	7.1	5.7	5.45
15.	5.4	5.4	3.2	2.3	2.3	5.7	7.1	4.5	4.0	5.9	5.4	4.0	4.0	3.7	2.6	4.2	4.0	3.2	1.8	1.8	3.5	2.3	3.2	1.8	3.80
16.	1.8	1.8	2.9	3.7	2.1	2.6	2.3	2.9	4.8	2.6	4.0	4.5	3.2	3.7	7.7	7.4	8.0	6.2	4.8	3.2	3.2	5.1	7.1	8.0	4.32
17.	5.4	3.7	4.0	4.2	3.2	5.4	4.5	2.3	2.6	4.5	4.8	3.7	2.9	3.5	2.9	4.2	2.9	3.5	4.2	6.2	5.7	8.0	8.0	7.1	4.48
18	7.1	6.8	7.1	6.8	3.7	8.5	11.5	9.0	9.3	9.6	8.8	8.8	8.8	5.9	7.4	6.5	7.4	7.4	7.4	7.4	7.7	9.3	9.3	7.4	7.87
19.	8.2	8.0	8.8	8.0	8.0	7.1	7.1	7.1	6.5	5.9	7.1	7.1	7.1	5.9	4.8	3.7	3.5	1.8	2.6	4.5	5.7	5.9	5.9	5.7	6.08
20.	5.1	3.7	2.1	1.8	2.1	1.2	1.5	0.0	2.1	1.8	2.6	1.8	3.7	7.4	7.7	6.5	6.8	5.7	5.7	7.1	4.5	4.5	5.1	5.9	4.02
21.	5.9	7.1	7.4	4.2	2.9	2.1	2.3	4.2	4.8	7.1	9.0	8.5	5.7	7.1	9.6	10.2	8.5	10.7	11.3	11.8	11.3	13.9	13.0	12.7	7.97
22.	13.9	13.3	11.3	8.0	7.1	6.2	5.9	6.2	7.1	6.5	8.0	6.2	6.5	8.0	8.2	6.8	6.5	8.8	8.2	7.7	8.0	7.4	7.4	6.2	7.98
23.	9.0	9.3	6.2	5.7	4.8	6.5	6.5	6.2	7.1	6.2	5.9	4.5	5.9	7.4	9.6	9.3	9.0	9.3	11.5	12.7	12.1	11.0	11.5	13.6	8.37
24.	14.2	10.4	9.9	9.0	9.3	9.6	12.7	11.5	11.3	10.2	6.5	7.1	6.5	4.2	4.2	4.8	3.2	2.3	2.3	1.8	0.0	0.5	0.8	2.3	6.44
25.	2.1	2.6	5.1	5.1	3.7	5.9	7.7	8.8	5.4	6.5	5.9	6.5	7.1	6.2	7.7	8.0	11.5	12.7	13.6	11.5	10.4	11.3	9.3	9.3	7.66
26.	8.2	7.4	6.8	7.4	7.4	6.5	4.5	6.2	5.7	3.7	4.8	2.1													
27.													3.2	4.0	3.5	2.9	3.2				2.1	1.5	0.5	4.2	
28	4.2	2.3	1.2	2.3	5.4	3.7					0.5	0.8	1.5	0.8	2.1										
29.																8.0	7.1	5.4	5.1	4.8	4.5	4.0	3.2	3.7	
30.	2.6	2.9	2.1	1.8	0.0	0.0	0.0	0.5	1.2	0.5	0.5	0.5	1.2	3.2	3.5	2.9	4.2	5.4	3.5	1.2	0.0	2.3	3.2	2.9	1.92
31.	2.3	2.3	2.3	2.6	2.1	3.5	4.0	3.7	3.7	4.0	8.2	6.2	9.9	10.2	12.7	9.9	8.8	7.1	8.0	10.7	8.8	8.8	6.2	7.1	6.38
Mittel*)	5.04	4.55	4.12	4.03	3.79	3.97	4.33	4.41	4.63	4.60	4.64	4.28	4.24	4.06	4.81	4.93	5.30	5.27	5.38	5.38	5.17	5.46	5.30	5.46	4.71
Februar																									
1.	6.5	8.5	7.1	7.7	8.2	9.3	8.2	7.7	5.4	6.2	3.7	2.6	1.8	3.2	5.9	5.9	6.2	7.4	5.9	4.2	3.2	3.5	2.3	4.2	5.62
2.	7.7	6.8	4.5	4.2	5.7	4.0	3.5	4.2	13.6	14.2	13.3	11.5	10.4	8.8	8.8	8.2	6.5	6.8	9.0	10.4	8.8	10.7	12.4	14.2	8.68
3.	13.0	9.9	15.9	12.7	14.2	13.9	14.2	13.3	12.4	11.3	11.5	11.8	11.5	11.5	12.1	13.9	14.4	11.0	12.1	12.1	11.3	10.4	11.5	10.7	12.36
4.	10.4	11.0	10.4	9.2	10.7	9.6	11.5	9.0	8.2	10.2	8.8	6.8	5.9	5.1	4.8	4.0	4.2	4.0	4.5	3.5	2.1	1.5	0.5	0.0	6.50
5.	1.2	0.8	2.1	2.1	1.8	4.2	7.1	7.7	7.1	5.4	3.7	2.6	2.3	1.8	2.1	2.3	2.6	2.6	2.1	2.6	0.8	0.8	1.2	1.8	2.87
6.	3.5	4.5	4.8	7.1	5.9	5.9	8.8	8.5	7.1	5.4	5.9	5.1	3.7	2.9	2.1	1.5	1.8	2.6	2.6	2.3	2.6	2.6	3.2	3.7	4.34
7.	3.7	3.5	3.2	3.7	4.0	4.2	3.7	4.0	4.5	5.4	4.2	3.5	2.3	4.5	2.1	2.3	0.8	1.2	4.0	6.8	6.5	2.6	3.7	4.5	3.70
8.	4.0	4.2	4.0	2.9	2.9	4.8	7.7	8.5	7.7	8.0	8.0	10.4	9.3	11.0	8.8	7.7	5.9	5.7	5.9	4.8	4.0	3.7	3.7	3.7	6.14
9.	3.2	2.1	2.9	4.0	3.7	2.1	1.8	3.7	3.7	3.5	2.6	2.3	2.1	2.1	2.3	2.3	1.5	2.3	1.8	1.8	2.6	2.6	3.2	4.0	2.68
10.	3.2	4.0	1.2	0.8	0.8	1.2	3.2	4.5	5.4	4.2	2.1	1.5	0.8	1.2	2.3	2.6	3.2	1.5	2.9	2.9	3.2	4.0	3.2	4.2	2.67
11.	4.0	4.0	4.0	4.2	5.1	3.7	4.0	3.5	2.6	2.1	2.1	1.8	2.1	0.5	0.8	1.8	2.3	2.6	2.3	1.8	2.1	6.5	5.4	7.1	3.18
12.	5.9	4.8	2.1	2.6	4.2	4.2	1.5	2.9	5.9	7.4	5.9	7.1	5.1	5.9	5.1	3.7	5.1	5.4	6.2	9.6	8.2	6.5	7.1	4.8	5.30
13.	3.7	7.1	5.9	5.9	5.1	5.8	3.5	4.0	3.7	3.2	3.2	3.5	2.1	2.6	2.1	2.1	3.7	4.8	4.8	3.7	3.5	4.0	4.8	3.7	4.02
14.	4.2	4.2	5.1	4.5	4.8	4.2	3.5	4.2	3.2	3.2	2.9	2.8	2.6	2.3	3.7	5.9	7.1	8.2	6.5	6.2	5.1	6.2	8.0	8.8	4.90
15.	8.5	8.0	7.4	8.0	8.0	5.4	5.7	4.5	5.9	5.9	8.2	8.5	9.3	11.0	9.6	8.5	7.1	11.5	9.6	11.3	10.2	6.8	4.2	5.9	7.88
16.	5.4	5.4	6.5	5.4	7.7	7.7	5.9	5.9	4.8	7.1	5.4	7.1	5.9	7.7	8.0	6.8	4.5	5.1	5.9	4.0	4.8	7.7	7.7	8.5	6.29
17.	8.0	6.8	5.9	5.9	5.9	6.8	7.1	6.8	8.0	7.7	7.4	7.1	8.5	8.5	9.9	10.4	9.9	10.4	12.4	12.1	12.7	11.8	10.4	10.7	8.80
18.	11.3	11.0	10.7	9.2	10.4	8.8	7.7	7.4	7.1	6.8	8.2	7.1	10.7	9.0	9.0	10.2	11.8	11.0	11.0	9.9	9.9	11.5	9.6	10.4	9.59
19.	9.9	8.8	6.8	7.4	6.2	6.5	5.4	4.5	3.7	4.8	4.2	5.9	8.5	10.2	10.2	9.0	9.9	10.2	10.7	11.5	7.7	6.5	4.5	1.8	7.28
20.	2.6	1.8	1.2	1.5	2.9	2.9	4.2	4.5	3.5	0.8	1.5	1.8	1.8	3.2	3.7	3.7	5.1	5.7	6.5	6.2	5.9	4.2	3.2	3.5	3.41
21.	3.7	4.0	3.7	3.5	2.9	2.6	2.6	4.2	3.2	3.5	2.6	3.2	3.7	4.0	3.7	3.2	5.4	5.9	7.7	9.3	7.7	7.7	7.4	6.5	4.66
22.	6.8	6.8	6.8	7.7	6.2	5.7	7.1	6.5	4.8	3.7	4.2	5.9	6.8	5.7	6.2	6.5	7.4	8.8	8.8	8.8	9.6	9.3	8.2	8.0	6.93
23.	8.2	9.3	8.2	8.8	8.8	9.3	9.3	9.0	8.2	9.9	10.2	7.7	8.5	8.0	8.0	8.2	8.2	8.8	8.8	9.9	8.8	9.3	9.9	9.0	8.85
24.	9.0	8.0	7.1	7.1	8.5	9.6	8.0	5.1	4.0	4.5	5.4	3.5	1.5	1.8	2.6	2.9	2.6	2.1	2.3	2.6	3.5	2.9	2.3	1.8	4.53
25.	1.5	1.5	3.7	4.0	2.1	0.8	1.2	0.8	1.2	2.1	1.5	1.2	3.2	4.2	4.2	5.1	6.5	8.2	7.7	9.0	4.8	2.1	2.6	5.4	3.53
26.	4.8	4.8	4.5	5.9	8.0	5.9	7.7	5.4	6.5	4.2	2.3	1.5	1.8	1.8	2.1	2.6	2.1	2.9	3.2	3.5	3.2	2.9	2.6	2.9	3.88
27.	2.9	3.7	3.5	3.5	2.9	2.6	2.6	2.1	1.2	1.8	3.2	2.6	1.5	0.8	1.8	2.1	2.9	4.8	3.7	3.2	4.5	4.0	2.6	6.5	2.96
28.	6.5	5.9	5.9	4.8	5.4	3.7	4.2	3.5	2.9	2.1	1.8	2.9	4.2	4.5											
Mittel*)	5.83	5.76	5.54	5.53	5.82	5.55	5.75	5.57	5.55	5.52	5.14	4.98	4.93	5.14	5.26	5.31	5.51	5.98	6.26	6.44	5.83	5.64	5.39	5.79	5.58

*) Die Mittel sind nicht aus allen Monatstagen gebildet.

Anemometer-Registrierung. **Hohenpeissenberg.** 1913.

Datum	0–1ª	1–2ª	2–3ª	3–4ª	4–5ª	5–6ª	6–7ª	7–8ª	8–9ª	9–10ª	10–11ª	11ª–m	0–1ᵖ	1–2ᵖ	2–3ᵖ	3–4ᵖ	4–5ᵖ	5–6ᵖ	6–7ᵖ	7–8ᵖ	8–9ᵖ	9–10ᵖ	10–11ᵖ	11ᵖ–mn	Mittel
März																									
1.									3.7	5.7	6.8	4.8	4.0	2.1	3.2	2.6	2.6	2.6	2.6	3.2	4.2	4.2	4.2	4.2	
2.	5.4	5.9	6.2	6.8	5.9	3.7	4.2	4.8	5.9	4.2	2.9	1.5	1.5	2.6	1.8	1.2	2.1	2.1	2.9	5.1	7.4	6.5	6.5	7.7	4.37
3.	7.1	6.5	5.9	7.1	5.4	4.2	3.7	3.2	2.9	3.7	2.6	2.9	2.6	3.2	3.2	4.2	4.2	4.2	5.4	5.9	6.5	7.7	7.7	6.5	4.85
4.	8.2	7.7	5.9	7.1	11.5	11.5	9.9	12.1	11.0	8.8	8.2	8.2	7.7	7.1	7.1	5.7	5.9	7.1	6.5	5.4	4.8	4.8	5.4	4.8	7.60
5.	5.4	4.8	5.9	7.1	7.1	5.4	6.5	7.1	3.7	3.2	4.2	3.2	4.2	3.7	3.2	5.4	4.2	5.4	4.2	3.7	3.2	3.2	3.5	2.9	4.60
6.	2.1	2.6	2.1	2.6	3.2	3.2	1.2	0.8	3.2	3.7	2.6	1.5	1.8	0.8	0.8	0.5	0.5	3.2	3.2	3.7	2.6	4.8	4.2	4.2	2.46
7.	6.5	5.4	7.1	7.1	7.7	8.2	5.9	8.2	6.5	7.7	7.7	8.0	8.2	6.5	6.2	4.2	4.2	3.7	4.2	4.2	4.8	7.1	5.4	5.4	6.25
8.	7.1	7.7	5.9	7.7	8.2	8.2	9.3	11.3	10.2	7.4	7.4	8.8	8.8	10.7	11.5	8.2	5.4	5.9	4.2	5.4	4.8	3.2	3.7	4.8	7.33
9.	4.0	2.9	3.2	2.6	2.6	2.6	2.3	1.2	0.5	0.0	1.2	1.2	1.8	0.5	1.2	1.5	0.5	2.3	2.6	2.6	3.7	3.7	4.2	3.2	2.17
10.	2.6	2.1	2.1	2.6	3.5	3.7	3.5	4.0	5.1	5.9	4.8	7.1	4.8	4.2	6.5	6.5	9.3	11.5	11.0	9.3	7.1	8.2	7.1	5.4	5.75
11.	6.5	5.4	5.9	7.1	5.4	5.4	3.7	2.6	1.5	2.1	2.6	1.5	1.5	3.2	3.2	4.2	3.7	5.9	6.2	8.5	8.8	7.4	6.8	8.8	4.91
12.	7.7	6.5	6.5	5.4	4.2	4.8	5.4	2.1	1.2	1.2	0.8	0.8	0.8	1.2	5.1	3.7	5.9	7.7	10.4	11.0	11.0	11.5	9.9	9.3	5.59
13.	7.7	5.1	4.5	4.2	3.7	5.9	5.1	2.9	3.2	3.7	5.4	4.8	5.9	6.5	6.2	7.1	5.1	2.9	2.9	5.1	3.2	5.9	7.1	8.2	5.10
14.	8.2	7.1	7.7	5.4	6.5	4.8	4.8	5.4	6.5	4.8	3.2	3.2	2.9	2.6	2.9	2.1	2.1	3.5	4.0	4.2	5.4	5.4	5.4	5.4	4.73
15.	5.9	7.7	9.9	9.9	9.3	9.9	8.8	8.8	8.2	11.0	10.7	8.0	9.3	10.4	10.2	8.2	9.9	7.7	8.0	6.2	5.9	6.5	5.4	5.4	8.38
16.	3.7	2.6	2.1	3.7	3.7	5.9	3.7	3.2	4.8	4.2	4.8	4.8	4.2	3.2	2.9	3.2	3.7	3.7	4.8	6.5	7.1	6.5	5.9	7.7	4.44
17.	5.9	7.1	5.1	3.2	2.9	3.2	2.9	1.2	3.2	4.2	4.2	5.9	6.5	5.7	6.5	7.1	9.3	6.5	5.9	5.4	4.8	5.4	4.8	4.8	5.07
18.	4.8	4.8	4.8	4.8	4.0	3.2	3.7	3.5	3.2	3.2	2.6	2.6	2.6	2.3	2.3	0.5	0.8	0.5	2.1	1.5	1.8	1.8	2.3	1.8	2.73
19.	1.8	4.2	4.0	5.4	3.2	0.8	4.8	4.0	4.2	4.5	3.7	5.4	4.8	4.2	3.5	5.4	6.5	8.2	12.1	13.3	9.9	14.4	14.4	12.1	6.45
20.	12.7	11.0	9.9	11.0	10.4	11.0	11.0	11.0	11.0	11.5	11.5	9.9	7.1	7.1	5.4	7.7	10.4	8.2	6.5	5.9	5.4	5.4	5.4	3.7	8.75
21.	3.7	4.2	5.9	4.0	1.8	2.1	4.2	4.2	5.9	4.8	3.7	2.9	2.9	2.6	3.7	4.2	4.8	4.2	7.7	6.5	4.2	3.7	3.2	3.2	4.10
22.	3.5	3.5	4.2	3.2	1.2	3.2	3.5	3.7	3.2	4.8	5.4	5.9	4.8	4.5	5.4	6.5	4.8	3.7	8.8	8.2	8.8	8.2	8.2	8.8	5.25
23.	9.3	9.9	7.7	4.2	5.4	2.6	1.5	2.1	2.1	3.2	3.2	2.6	2.1	2.1	2.1	2.6	3.7	4.2	4.0	2.6	2.6	2.1	1.2	0.8	3.50
24.	0.5	1.2	2.3	1.5	2.1	1.5	0.0	0.0					0.5	3.5	4.0	3.7	4.8								
25.		2.1	3.7	4.2	7.1	6.5	7.1	6.5	8.2	7.7	7.1	5.4	4.8	5.4	5.1	5.4	5.9	5.9	8.5	10.2	11.5	12.4	11.8	9.6	
26.	8.8	8.5	9.0	9.0	8.8	5.1	5.7	4.8	6.2	5.9	6.8	9.3	11.0	10.7	11.5	11.0	12.7	12.1	12.7	9.3	9.3	9.9	9.9	7.1	8.96
27.	7.7	7.1	8.8	5.9	5.4	4.8	5.4	5.4	5.9	6.5	7.1	7.1	5.4	5.4	5.9	5.9	5.4	4.2	4.8	6.5	5.4	4.8	2.6	2.3	5.65
28.	2.9	4.2	3.2	4.8	6.5	8.2	8.2	6.5	7.1	3.7	4.2	4.8	4.5	5.4	5.9	5.4	6.5	8.8	11.0	7.7	7.1	4.2	4.8	7.7	5.97
29	8.8	9.9	10.4	11.0	10.4	8.8	7.4	7.4	8.8	8.8	7.7	8.2	6.2	2.9	2.1	3.2	3.2	4.2	5.4	5.9	6.5	6.5	8.8	7.7	7.09
30.	7.7	7.1	5.9	5.9	7.1	5.4	4.2	2.6	3.2	4.8	5.4	5.9	5.4	5.7	5.4	5.9	5.4	4.8	5.9	5.9	6.5	7.7	7.1	8.2	5.80
31.	12.1	10.4	9.3	7.1	5.9	8.2	8.2	9.3	8.2	8.8	4.8	5.4	4.8	3.7	2.3	4.2	4.5	3.5	2.9	2.3	2.6	3.5	3.2	4.2	5.81
Mittel*)	6.15	5.84	5.84	5.72	5.67	5.40	5.19	5.00	5.28	5.32	5.11	5.05	4.63	4.51	4.72	4.75	5.10	5.28	6.05	6.04	5.90	6.22	6.00	5.86	5.44
April																									
1.	5.7	4.5	4.0	4.2	4.5	4.5	4.0	3.5	3.5	4.2	4.2	6.2	6.5	5.4	4.2	4.5	4.5	4.5	5.1	4.5	2.9	0.0	0.0	0.0	3.96
2.	0.0	0.0	2.9	2.9	2.6	3.2	2.6	3.2	3.5	3.2	2.6	3.2	2.9	2.3	2.3	1.5	1.5	1.5	0.5	0.0	0.0	0.5	3.2	3.7	2.08
3.	4.0	5.7	4.8	0.0	0.0	2.1	7.7	8.2	5.1	4.2	4.2	3.5	2.3	2.1	5.4	5.9	3.7	4.8	3.7	3.7	3.5	4.0	3.5	1.8	3.91
4.	1.8	3.5	2.9	2.3	4.2	5.7	6.8	5.7	4.0	4.8	4.8	6.5	4.8	5.9	6.8	6.8	6.8	5.9	7.7	8.0	8.5	8.2	5.1	4.5	5.50
5.	5.9	9.0	10.7	9.6	10.7	11.8	12.1	11.3	9.0	8.0	9.3	8.2	6.8	4.8	3.2	4.5	5.4	5.7	4.8	5.4	3.7	4.2	5.4	5.4	7.29
6.	2.9	2.9	3.2	3.2	2.9	2.9	3.5	4.0	5.1	3.5	1.8	0.8	0.8	0.8	2.1	1.5	1.5	1.8	2.6	2.9	3.5	4.8	5.7	2.6	2.80
7.	3.5	8.0	10.4	10.7	6.8	5.7	5.7	5.7	4.5	3.2	4.0	3.7	3.2	2.3	1.5	3.5	5.7	5.4	5.7	6.2	6.8	7.1	8.0	9.9	5.72
8.	7.1	6.5	4.2	5.1	5.1	5.4	0.0	0.5	2.9	2.3	2.9	1.8	2.6	2.9	3.2	3.7	3.2								
9.								6.5	5.9	5.9	5.9	5.9	5.9	5.9	5.7	5.7	5.1	4.8	4.2	5.1	4.8	4.2	4.0	4.2	
10.	2.9	2.3	1.5	0.5	0.8	1.8	2.1	2.6	2.6	4.0	4.2	5.1	5.9	5.8	8.0	8.8	8.2	8.8	8.0	9.0	6.5	7.4	9.9	6.8	5.19
11.	6.5	7.1	8.0	6.5	6.2	4.8	5.4	5.4	5.9	4.8	4.2	5.1	5.1	5.4	7.1	5.9	5.4	4.2	4.8	4.8	3.7				
12.								7.7	8.2	7.1	3.7	6.5	10.4	10.4	5.4	6.5	4.8	5.4	3.2	3.2	0.8	1.5	3.2	3.2	
13.	3.2	3.2	2.6	3.2	3.7	4.8	4.2	2.1	1.5	1.2	2.3	1.8	2.3	2.1	1.5	1.5	1.5	2.1	2.6	2.6	2.1	2.6	3.2	3.2	2.55
14.	3.2	3.2	3.7	3.7	3.7	3.2	3.2	2.6	0.8	1.2	1.2	1.2	1.2	1.2	1.2	2.1	1.2	0.5	0.5	1.2	1.2	0.8	0.0	0.5	1.77
15.	0.8	0.8	0.5	1.2	0.8	0.5	0.0	0.5	0.8	1.2	2.3	2.3	1.2	1.5	1.2	0.8	2.1	1.2	1.8	2.3	2.1	2.1	2.1	3.2	1.39
16.	2.3	2.1	2.9	3.7	3.2	2.6	2.6	2.1	1.8	2.1	2.6	3.2	4.0	3.5	4.2	5.1	4.5	5.9	7.4	6.2	9.0	10.2	9.6	8.5	4.55
17.	9.0	9.6	8.5	11.0	12.4	9.6	8.2	8.8	6.8	5.9	6.2	5.9	5.4	8.0	9.3	10.4	6.5	8.2	6.5	9.9	8.2	12.1	9.9	8.8	8.55
18.	7.7	8.8	8.2	12.1	8.8	7.7	8.8	8.2	7.7	5.9	5.9	5.4	5.9	4.2	5.4	4.2	3.7	3.7	3.7	4.2	5.9	5.9	4.8	4.8	6.32
19.	4.8	5.9	5.9	5.4	4.2	4.2	4.2	3.2	2.6	2.6	0.8	2.1	5.4	4.8	4.0	3.2	3.2	4.8	4.8	4.8	4.8	5.4	4.8	4.8	4.20
20.	6.5	6.5	8.8	11.0	10.4	11.5	8.2	7.7	5.9	4.8	1.5	2.1	1.5	0.8	3.2	5.9	8.8	6.5	7.7	4.8	5.4	5.9	6.5	4.2	6.09
21.	3.2	2.1	0.0	0.8	0.8	1.5	1.5	1.5	3.2	3.2	2.6	3.2	2.6	3.2	1.8	2.6	0.5	1.8	2.6	4.8	5.4	5.9	7.1	5.9	2.83
22.	4.8	4.2	4.8	3.7	2.6	5.9	4.8	5.4	6.5	7.7	5.9	4.2	4.8	4.5	5.1	2.9	4.8	8.2	9.6	11.0	11.0	10.4	11.0	9.9	6.40
23.	8.5	5.9	7.1	5.9	7.7	8.2	5.7	5.1	4.0	5.9	5.4	4.0	2.3	2.1	1.2	1.2	0.8	2.3	2.6	3.2	4.2	5.9	7.1	5.9	4.68
24.	4.8	5.9	4.2	3.7	3.2	3.2	3.7	2.3	0.5	0.5	2.9	2.3	1.8	1.8	0.8	0.8	3.2	4.2	3.2	4.8	3.2	3.7	2.1	2.1	2.87
25.	3.7	4.8	4.8	4.2	3.7	4.2	4.8	4.2	4.2	4.2	6.5	7.1	3.2	1.5	1.2	1.2	0.5	0.5	1.8	3.2	3.2	3.5	4.0	5.1	3.55
26.	5.1	4.4	4.0	4.0	4.2	4.2	2.3	1.2	2.6	3.5	3.2	5.4	6.8	5.4	6.5	6.5	7.1	6.5	5.9	9.9	6.5	4.8	4.8	5.4	5.03
27.	5.4	3.7	3.7	2.1	2.6	2.1	3.2	0.8	0.0	0.0	1.5	2.6	2.6	3.7	4.5	3.7	4.8	7.1	3.7	6.2	6.2	6.5	6.8	5.7	3.72
28.	5.4	7.1	6.2	5.7	5.9	5.5	6.8	7.7	6.5	4.5	4.2	2.6	2.6	2.1	1.5	0.8	0.5	1.2	2.9	2.6	2.3	2.6	2.9	2.1	3.80
29.	1.8	2.3	1.5	3.2	4.2	3.5	3.7	1.2	1.2	1.8	4.2	5.7	6.2	6.2	6.5	5.9	6.2	7.7	8.5	9.3	8.8	8.2	4.5	4.5	4.87
30.	3.7	4.2	5.7	4.2	3.5	2.9	1.5	0.0	2.1	1.8	1.5	1.2	0.8	1.2	3.7	4.5	3.7	5.4	4.2	5.7	6.5	4.5	4.8	5.4	3.45
Mittel*)	4.44	4.81	4.85	4.78	4.62	4.72	4.55	4.30	3.96	3.77	3.75	3.96	3.93	3.76	3.92	4.07	3.98	4.50	4.49	5.16	4.85	5.10	5.14	4.72	4.42

*) Die Mittel sind nicht aus allen Monatstagen gebildet.

Anemometer-Registrierung. **Hohenpeissenberg.** 1913.

Datum	0–1ª	1–2ª	2–3ª	3–4ª	4–5ª	5–6ª	6–7ª	7–8ª	8–9ª	9–10ª	10–11ª	11ª–m	0–1ᵖ	1–2ᵖ	2–3ᵖ	3–4ᵖ	4–5ᵖ	5–6ᵖ	6–7ᵖ	7–8ᵖ	8–9ᵖ	9–10ᵖ	10–11ᵖ	11ᵖ–mn	Mittel
Mai																									
1.	4.2	5.1	4.8	3.7	2.9	3.2	5.4	5.1	2.6	1.2	1.8	3.5	4.8	5.1	3.2	4.0	2.9	8.0	8.8	10.7	12.1	9.9	10.7	9.3	5.54
2.	9.6	8.8	8.0	6.5	6.8	6.2	4.8	4.0	3.5	2.9	3.7	2.9	1.8	2.1	2.3	3.2	3.2	2.9	2.1	1.8	2.1	0.5	1.2	0.5	3.81
3.	1.8	3.5	4.0	4.5	4.8	5.1	4.2	4.5	4.2	4.8	4.0	2.6	3.5	3.7	3.5	2.3	2.3	3.5	4.2	3.7	5.9	5.7	4.0	3.7	3.92
4.	2.9	4.0	4.0	2.3	2.6	2.9	2.9	3.2	2.3	2.1	2.1	1.8	1.5	1.2	3.5	3.7	2.3	5.7	10.4	9.3	9.3	6.5	7.1	5.9	4.15
5.	6.2	5.7	5.9	4.5	5.9	5.7	4.5	3.2	2.3	1.8	0.5	0.5	0.0	0.0	0.0	0.5	2.1	1.2	2.9	2.6	2.9	3.2	2.6	3.7	2.85
6.	3.7	3.7	4.2	4.2	4.0	4.8	4.5	5.1	4.8	4.8	4.8	3.5	3.7	2.3	3.2	3.2	3.2	4.0	4.5	4.2	4.2	4.8	4.5	4.2	4.09
7.	4.0	3.7	4.2	4.2	5.9	5.4	4.8	4.2	4.5	4.0	4.0	4.5	6.5	6.8	7.4	7.4	8.5	7.4	5.9	4.5	4.0	2.6	2.1	3.5	5.00
8.	2.3	1.5	0.5	1.8	2.9	3.7	3.5	4.5	4.5	4.8	4.5	5.9	5.9	5.9	5.7	6.2	8.8	7.1	9.3	9.9	10.4	9.9	7.7	4.5	5.49
9.	2.6	2.1	1.2	1.2	4.0	3.7	4.0	3.5	3.2	4.0	6.2	6.5	5.4	5.7	3.2	5.1	5.9	6.2	8.5	8.2	8.8	8.8	7.4	4.2	4.98
10.	5.9	3.7	2.9	2.6	3.7	3.7	3.5	2.1	0.5	0.0	2.9	3.7	4.5	6.2	7.4	7.1	8.0	8.2	8.5	7.7	8.2	8.0	11.0	12.4	5.52
11.	10.2	9.3	9.9	7.4	7.4	5.9	7.1	6.8	6.2	6.5	7.4	6.5	7.1	5.1	5.1	5.4	5.4	4.2	3.2	3.5	3.7	4.5	4.0	5.7	6.15
12.	5.9	6.2	5.1	4.5	5.1	4.0	4.0	3.2	2.1	1.5	0.8	1.8	1.2	0.5	0.0	1.2	0.8	2.1	2.9	4.0	5.1	6.5	5.7	6.5	3.36
13.	6.5	5.7	5.9	5.9	6.8	6.8	5.1	5.1	5.4	6.8	8.8	9.3	7.7	8.0	8.8	10.7	9.9	11.3	10.2	12.1	10.2	8.5	8.5	5.7	7.90
14.	5.4	5.9	5.9	7.4	6.2	3.5	0.8	0.0	0.5	4.0	7.4	7.1	4.5	5.1	4.5	4.8	7.4	8.2	8.8	9.3	10.2	9.0	6.5	2.9	5.64
15.	3.5	4.5	4.2	3.2	1.5	1.2	3.2	2.1	0.8	1.2	2.9	4.5	3.7	4.0	3.7	2.6	4.2	6.8	11.0	9.3	7.1	5.4	6.2	5.9	4 28
16.	4.2	3.5	2.9	1.8	1.5	2.9	5.1	2.9	3.5	2.9	3.5	4.5	5.9	4.5	4.8	5.7	5.9	5.4	4.5	5.1	6.8	8.0	8.8	8.8	4.73
17.	6.2	7.1	6.8	7.7	9.3	9.3	7.1	5.7	7.7	4.2	3.5	2.6	2.6	3.2	2.1	2.1	3.2	2.3	3.5	3.5	7.7	6.2	3.2	4.8	5.07
18.	4.0	4.8	5.7	5.4	5.9	6.2	6.2	6.2	7.1	5.7	7.4	7.4	8.8	8.5	11.8	10.7	11.0	8.8	9.3	9.3	7.4	7.4	5.4	4.2	7.28
19.	3.5	3.5	2.9	0.5	0.5	1.2	1.8	2.3	2.3	1.8	2.3	1.5	2.1	3.2	2.6	3.7	4.5	4.5	5.7	7.4	5.4	6.2	4.8	3.7	3.25
20.	4.2	4.5	4 5	4.5	3.7	4.8	3.2	3.5	4.0	3.2	4.0	3.2	5.4	4.2	2.3	4.0	3.7	4.2	3.5	4.8	4.8	3.7	4.0	3.7	3.98
21.	3.2	2.1	2.6	1.5	2.3	0.5	0.5	1.5	2.3	2.3	1.8	3.5	3.5	4.8	4.0	4.8	6.2	5.9	8.2	8.2	7.7	8.8	6.5	5.9	4.11
22.	6.5	6.5	4.2	1.8	3.2	3.5	3.5	5.4	6.5	8.8	8.2	7.7	7.4	5.9	7.7	8.2	9.0	7.7	3.7	4.5	5.4	6.2	5.7	5.7	5.95
23.	4.8	4.5	4.0	4.2	3.5	3.7	4.0	2.6	4.0	3.5	3.2	4.0	4.8	4.8	5.9	6.8	7.1	6.5	7.1	3.7	4.5	4.5	6.2	5.7	4.73
24.	5.1	5.4	4.5	4.5	4.8	5.9	4.0	3.7	2.6	2.3	1.5	1.2	1.5	2.3	1.5	1.2	0.8	1.5	1.5	2.6	2.6	0.5	2.6	1.5	2.73
25.	1.8	2.1	2.9	2.6	4.5	4.5	3.5	4.2	4.5	3.7	5.4	4.5	3.5	4.2	4.0	5.7	4.8	6.5	5.7	7.4	7.4	7.4	6.8	7.4	4.79
26.	8.2	8.0	6.5	7.4	7.1	4.8	3.7	2.6	1.8	4.5	4.5	3.7	3.7	3.5	3.2	4.2	2.1	2.9	5.1	8.8	8.5	7.4	6.8	6.5	5.23
27.	3.5	2.1	2.6	3.2	4.0	3.7	4.0	7.1	8.2	5.9	4.0	5.1	5.4	6.5	6.2	5.7	4.2	4.2	5.9	5.7	6.2	5.1	9.9	10.7	5.38
28.	9.6	7.7	9.0	6.2	8.2	10.7	11.0	8.2	9.0	7.4	6.2	7.7	8.0	6.5	6.8	6.8	7.4	5.7	6.8	5.4	4.8	5.1	6.2	5.1	7.31
29.	4.8	4.2	4.5	5.1	5.4	2.9	2.6	3.2	2.1	2.3	3.7	6.2	5.4	9.3	10.2	10.4	11.5	8.8	10.2	10.2	7.7	5.4	3.7	4.2	6.00
30.	3.7	4.2	4.2	4.8	5.1	5.1	4.2	4.0	3.2	1.8	0.5	3 7	4.0	3.7	1.8	1.2	1.2	6.2	2.6	5.1	4.5	6.5	7.7	8.0	4.04
31.	5.7	4.0	3.5	3.2	3.5	3.5	0.8	0.5	0.5	1.8	3.2	3.7	4.8	5.4	6.5	9.9	10.7	9.6	9.3	8.8	7.7	5.9	7.1	2.3	5.08
Mittel	4.96	4 76	4.58	4 14	4.61	4.48	4.11	3.88	3.76	3.63	4.02	4.35	4.47	4.59	4.61	5.11	5.43	5.73	6.25	6.49	6.56	6.07	5.95	5.38	4.91
Juni																									
1.	1.8	5.9	7.1	8.2	7.7	7.7	7.7	5.9	4.2	6.8	6.8	8.5	9.0	7.7	8.0	7.7	6.5	3.7	5.4	2.1	5.1	6.8	5.9	6.2	6.35
2.	5.1	3.7	3.5	4.2	4.8	4.8	5.1	5.9	6.8	5.1	5.9	4.8	3.5	4.8	4.0	3.2	1.2	3.2	6.8	4.0	6.2	6.8	8.8	7.4	4.98
3.	6.2	5.1	3.2	8.0	9.0	5.9	4.2	2.9	3.7	1.8	2.1	2.6	2.3	5.1	5.1	2.9	2.1	4.2	1.8	4.0	4.0	2.9	3.2	2.1	3.93
4.	3.2	4.8	6.8	3.2	3.7	2.9	2.3	2.1	1.5	5.4	5.1	4.2	2.9	5.4	5.1	5.7	7.7	7.7	6.5	9.3	5.4	5.9	5.5	5.4	4.90
5.	7.1	6.5	5.9	5.9	3.5	2.3	0.0	0.5	0.5	1.2	3.2	3.2	3.5	2.3	2.6	2.9	3.7	6.5	7.1	8.0	6.5	5.9	4.8	4.8	4.10
6.	6.2	5.4	3.2	3.2	2.9	3.2	2.3	2.3	3.5	3.5	3.5	2.9	3.2	6.8	5.1	7.4	6.8	4.5	4.2	4.0	5.9	3.5	4.5	5.9	4.33
7.	5.9	5.9	6.8	8.2	6.2	5.7	6.2	5.1	3.7	3.2	2.3	1.8	2.3	1.5	1.2	0.8	1.2	1.8	2.1	2.6	3.2	2.6	3.2	2.6	3.59
8.	2.9	2.9	2.3	1.8	0.5	1.5	1.5	2.9	2.6	3.7	4.0	4.0	3.2	3.7	2.1	0.8	1.2	2.1	2.1	2.9	0.0	0.0	1.8	3.7	2.26
9.	3.7	4.2	4.2	6.8	5 9	6.5	4.2	4.0	5.4	5.1	4.8	4.2	4.5	5.9	5.4	5.4	3.5	2.6	3.2	3.5	2.9	2.3	3.2	4.0	4.39
10.	4.8	4.0	4.0	4.8	5.1	3 7	3.2	2.3	2.9	2.6	2.9	3.2	4.2	4.0	4.8	4.0	4.5	4.5	4.5	6.8	9.3	9.3	9.0	10.2	4.94
11.	12.4	11.0	11.8	10.4	9.6	12.4	10.4	10.4	9.9	8.2	11.3	12.1	9.3	14.2	13.3	11.5	8.8	7.7	7.4	7.7	10.4	9.9	9.9	9.3	10.34
12.	10 7	9.6	8.8	9.9	10.4	9.0	9.3	10.4	11.0	10.2	10.7	6.5	9.3	8.0	8.0	7.7	8.0	8.0	6.5	4.8	2.6	3.2	2.9	2.9	7.85
13.	2.9	1.8	2.1	2.3	3.2	2.3	2.3	2.1	1.2	1.8	1.8	1.8	2.3	5.1	5.4	4.8	5.7	5.7	5.4	5.9	7.4	5.4	5.7	5.1	3 73
14.	4.8	4.0	2.3	1.8	1.5	2.6	5.1	4.5	2.3	2.3	2.6	3.2	4.2	4.8	4.5	4.8	5.7	7.4	8.2	11.0	11.3	9.0	10.7	10.7	5.39
15.	9.6	9.3	7.7	8.0	8.8	9.0	8.0	7.7	7.7	9.9	9.0	8.2	8.5	8.2	7.4	8.8	9.0	7.4	8.5	10.2	10.4	10.7	9.9	8.5	8.77
16.	7.7	6.8	4.2	4.0	3.5	4.0	4.8	4.8	0.8	1.8	4.0	5.4	5.7	5.9	5.4	4.2	4.8	5.9	6.8	6.2	8.5	7.7	6 8	2.1	4.95
17.	2.3	3.2	2.6	2.6	1.8	1.8	1.2	1.2	1.2	0.8	0.5	1.5	1.5	3.2	4.2	5.7	3.7	3.7	4.2	5.7	5.1	5.1	3.5	2.6	2,87
18.	2.9	3.2	3.7	4.2	4.5	3.5	3.2	3.2	2.3	1.2	1.2	1.8	1.8	2.3	8.2	4.2	2.3	1.8	4.5	2.1	1.8	2.3	8.2	8.8	3.47
19.	10.4	9.6	4.5	5.9	5.7	7.4	8.0	5.4	4.8	4.8	4.8	5.9	5.4	4.8	7.1	5.4	5.9	8.5	5.7	4.5	4.2	4.2	6.5	6.5	6.08
20.	6.5	4.8	4.8	6.5	4.8	2.9	2.3	3.2	2.1	2.9	4.0	4.8	4.2	2,9	4.2	5.1	4.5	4.2	4.2	2.1	1.2	1.5	0.8	0.5	3.54
21.	1.8	2.3	3.5	7.1	8.0	8.2	7.1	7.1	5.7	6.5	5.7	4.2	4.2	4.2	2.3	3.2	3.2	6.2	3.7	5.9	5.1	4.6	5.7	6.8	5.10
22.	6.8	5.4	4.8	4.5	5.1	4.2	4.2	4.2	4.8	4.2	4.8	5.1	4.8	5.1	5.9	4.8	4.8	4.8	3.5	2.9	2.9	3.5	3.7	3.7	4.52
23.	4.5	4.0	5.1	4.5	3.2	3.2	3.7	1.5	0.5	0 0	0.0	0.5	0.8	1.5	1.8	2.9	2.9	3.2	3.2	3.5	3.5	4.5	4.8	3.7	2.79
24.	3.7	2.3	2.1	3.5	2.9	4.0	4.2	4.5	5.7	4.0	5.1	4.5	4.5	4.2	4.0	6.5	7.7	6.2	6.2	9.3	7.4	5.9	5.4	4.8	4.94
25.	5.9	5.7	4.0	2.6	2.6	1.2	2.1	2.6	0.8	0.8	4.0	2.3	2.3	3.2	1.8	2.9	4.2	3.7	4.2	4.8	4.0	3.5	3.5	4.2	3.20
26.	4.5	4.0	3.7	4.8	5.1	4.5	4.0	4.2	4.2	4.5	4.2	3.2	2.3	2.6	4.5	3.7	3.7	4.2	5.1	5.9	5.9	6.2	5.4	5.7	4.42
27.	4.8	5.1	4.8	5.4	5.4	5.4	5.4	5.1	5.4	5.4	5.7	5.4	7.4	8.0	4.0	5.1	5.9	6.5	7.4	9.6	8.5	7.4	5.7	5.9	6.03
28.	5.4	4.5	4.5	5.7	4.2	3.2	4.8	6.2	4.0	4.0	3.7	2.9	3.5	4.0	5.9	3.5	4.0	4.0	4.8	4.5	4.5	4.0	4.5	5.1	4.39
29.	6.2	5.9	5.7	5.9	5.7	8.5	10.2	10.4	11.5	9.9	9.9	9.6	8.5	9.9	10.4	10.2	10.4	10.7	9.3	9.9	9.6	9.0	10.4	9.9	9.07
30.	7.1	5.9	5.9	6.8	5.4	5.1	6.5	5.9	5.9	5.7	5.7	6.2	6.2	5.7	7.4	6.5	5.7	3.2	4.2	5.4	5.1	5.4	3.5	3.7	5.59
31.																									
Mittel	5.59	5.23	4.79	5.36	5.02	4.89	4.78	4 52	4.33	4.24	4.64	4.48	4.51	5.17	5.30	5.08	4.98	5.13	5.22	5.64	5.60	5.31	5.58	5.43	5.03

Anemometer-Registrierung. **Hohenpeissenberg.** 1913.

Datum	0–1ª	1–2ª	2–3ª	3–4ª	4–5ª	5–6ª	6–7ª	7–8ª	8–9ª	9–10ª	10–11ª	11ª–m	0–1ᵖ	1–2ᵖ	2–3ᵖ	3–4ᵖ	4–5ᵖ	5–6ᵖ	6–7ᵖ	7–8ᵖ	8–9ᵖ	9–10ᵖ	10–11ᵖ	11ᵖ–mn	Mittel
Juli																									
1.	2.9	3.7	4.2	4.5	3.2	3.5	3.7	3.5	4.0	3.2	3.7	2.6	2.9	3.2	3.7	4.0	4.0	4.0	4.5	6.2	5.7	6.2	5.4	4.2	4.03
2.	3.2	3.5	3.5	2.9	3.2	2.6	2.3	2.1	3.5	3.5	3.7	4.2	4.2	3.5	2.3	2.6	2.6	1.5	2.9	3.7	3.7	3.2	3.5	2.3	3.09
3.	3.2	2.6	2.1	3.5	3.7	2.9	2.1	1.2	1.5	1.5	2.3	1.8	1.8	2.3	2.3	1.8	1.5	2.3	1.2	1.2	1.8	2.3	1.5	1.8	2.09
4.	2.1	2.9	2.9	2.3	1.2	0.5	1.5	2.1	2.3	2.6	0.8	2.1	2.1	4.0	1.2	2.1	2.1	2.3	2.9	2.6	3.2	3.7	4.0	3.7	2.38
5.	4.8	5.4	5.9	4.8	5.4	5.4	4.8	4.0	4.8	5.1	4.5	4.2	3.5	2.9	4.2	4.8	5.9	5.4	4.2	6.5	5.7	4.8	4.5	4.2	4.82
6.	5.4	6.2	6.5	6.2	5.9	4.8	5.7	4.8	2.9	6.5	6.4	4.0	5.1	4.5	6.2	5.9	5.7	5.7	8.2	11.0	6.8	8.0	8.0	8.0	6.14
7.	5.9	6.8	5.9	6.5	4.5	5.9	5.4	5.7	3.5	3.5	4.5	6.2	7.4	6.2	6.5	5.9	5.9	7.7	7.7	8.0	6.8	6.2	5.4	4.0	5.92
8.	4.5	4.5	4.2	2.6	2.6	2.1	0.8	0.8	1.2	2.6	2.3	2.6	2.1	1.8	1.5	1.2	1.5	2.1	2.1	2.6	4.2	3.5	3.5	5.1	2.58
9.	4.5	5.9	4.5	6.8	7.7	6.8	5.9	6.2	5.9	5.4	5.7	7.4	7.4	8.0	9.3	7.1	7.4	6.5	5.1	4.5	4.0	4.5	3.7	2.1	5.93
10.	2.1	1.8	1.8	2.3	2.6	2.9	3.7	5.1	4.5	3.5	2.9	3.2	2.9	2.9	1.5	2.1	4.2	3.7	3.5	3.2	3.7	3.2	3.7	4.8	3.16
11.	5.9	5.1	3.2	3.5	3.7	4.2	4.0	2.9	2.1	1.8	0.8	1.2	1.8	0.5	0.0	1.2	0.5	2.3	2.6	3.5	3.2	3.5	2.9	3.7	2.67
12.	3.7	4.0	4.5	4.2	5.1	4.2	4.0	3.7	3.7	2.9	2.6	3.5	2.3	1.8	1.8	2.6	4.5	3.7	3.7	4.2	4.5	4.5	4.5	3.2	3.64
13.	3.5	3.5	4.2	3.2	2.9	2.3	0.8	0.0	0.5	2.3	2.3	2.6	2.3	2.9	3.7	2.3	2.3	1.8	3.5	4.8	3.5	4.0	3.5	3.2	2.75
14.	3.2	2.9	2.9	2.9	2.6	2.3	2.3	1.5	1.5	2.9	3.2	3.2	4.5	4.2	4.8	4.8	4.8	4.5	5.4	4.0	2.6	1.8	3.2	6.8	3.45
15.	2.9	3.5	6.8	5.7	4.2	4.2	3.7	4.8	7.7	8.2	9.0	5.4	4.0	6.8	7.7	7.1	7.7	6.5	5.9	5.7	5.7	4.0	4.5	4.0	5.65
16.	3.7	2.9	2.9	3.2	4.0	4.2	5.4	4.8	6.5	5.7	5.4	4.8	4.8	5.9	4.5	3.7	4.5	3.7	3.2	3.7	4.5	4.8	4.5	4.0	4.39
17.	4.0	4.5	4.5	4.2	5.7	4.8	3.7	3.7	3.2	2.9	3.5	3.5	3.7	5.1	4.8	5.4	5.1	5.9	4.8	4.8	5.7	5.9	5.9	5.1	4.60
18.	5.1	4.0	4.5	5.9	5.1	4.8	2.9	3.2	2.9	2.3	2.3	2.1	1.8	2.9	2.1	4.8	3.7	3.7	4.0	4.8	5.9	6.5	7.7	8.0	4.21
19.	6.5	4.5	5.7	4.5	4.5	5.1	4.5	5.4	4.5	4.8	4.8	4.2	5.4	5.1	5.9	6.2	6.8	7.7	5.9	6.5	7.4	6.8	5.1	5.1	5.54
20.	5.4	5.7	6.8	5.9	3.7	3.7	2.6	1.8	1.8	2.1	1.8	2.1	2.6	2.3	3.2	3.5	4.0	5.7	5.9	6.5	5.4	6.8	7.7	7.7	4.36
21.	5.4	4.0	6.5	5.7	5.4	4.5	4.8	4.5	3.7	4.2	5.1	4.5	5.1	6.2	5.1	4.8	4.2	2.6	1.5	2.9	3.2	1.8	2.3	1.2	4.13
22.	1.5	2.1	2.3	2.3	4.0	3.7	4.8	3.2	4.5	5.9	6.5	6.8	6.5	7.1	7.4	7.4	5.9	7.4	5.7	3.2	1.2	2.9	5.4	5.9	4.73
23.	5.9	6.5	8.5	5.7	4.5	5.9	8.2	9.0	6.2	4.8	5.1	5.4	6.8	6.8	8.0	7.1	7.1	5.4	5.7	5.9	5.9	7.1	5.7	6.5	6.40
24.	4.5	3.2	2.9	2.6	3.7	2.9	1.5	2.3	3.2	2.6	2.3	2.9	2.1	1.8	2.3	1.8	2.6	2.6	2.9	3.2	2.3	2.6	2.9	2.3	2.67
25.	4.0	4.0	3.2	2.6	2.9	2.3	2.1	2.3	3.2	2.9	1.5	0.8	0.8	0.8	0.8	1.5	2.6	1.2	2.6	4.2	5.4	3.5	2.3	3.2	2.53
26.	4.0	2.6	2.3	2.3	3.7	3.7	2.9	1.8	2.1	4.5	4.8	5.9	4.2	2.6	1.8	3.7	3.2	2.9	4.2	5.7	6.2	5.7	4.0	3.2	3.67
27.	3.7	3.7	3.2	2.9	2.9	3.2	2.3	0.5	0.5	1.5	3.7	2.3	2.1	1.8	3.2	3.7	3.2	2.9	3.2	3.7	6.8	4.8	3.5	2.3	2.98
28.	2.1	1.2	4.2	3.5	1.5	1.5	1.2	1.5	0.8	0.8	0.8	1.2	2.9	1.8	2.9	3.7	2.1	2.9	1.8	1.2	2.3	2.9	3.5	3.7	2.17
29.	2.6	3.7	4.0	3.5	4.5	4.8	5.7	3.2	2.9	3.2	3.7	3.2	4.2	6.8	6.2	5.7	7.1	4.0	4.0	4.2	3.7	2.1	1.8	2.3	4.05
30.	2.3	6.2	7.1	5.1	4.8	4.2	4.0	4.5	4.8	6.2	5.9	5.9	5.9	5.7	7.4	7.7	7.1	7.7	8.0	8.8	9.9	9.3	8.0	7.7	6.43
31.	8.5	8.5	7.4	7.4	5.9	6.8	6.8	8.0	7.1	7.7	6.2	3.7	4.8	4.2	4.8	4.2	5.4	4.5	4.0	6.2	9.3	8.5	9.3	8.0	6.63
Mittel	4.10	4.18	4.49	4.17	4.04	3.89	3.68	3.49	3.47	3.79	3.78	3.73	3.81	3.95	4.10	4.21	4.36	4.22	4.22	4.75	4.85	4.69	4.56	4.43	4.12
August																									
1.	6.5	6.5	6.8	6.2	6.2	5.4	4.5	5.9	6.5	5.9	5.1	4.0	3.7	2.6	2.6	2.9	2.3	1.2	1.2	3.2	4.5	2.9	2.3	2.6	4.23
2.	2.3	0.0	0.5	0.5	0.0	0.8	0.5	0.5	1.2	2.3	2.6	2.6	2.3	1.5	3.5	1.8	1.5	3.2	2.9	4.8	4.8	4.2	7.4	8.0	2.49
3.	7.1	5.9	5.4	6.2	5.9	5.1	4.8	6.2	8.8	8.5	7.7	7.7	7.4	7.4	8.0	7.4	6.2	6.5	5.7	6.5	6.5	7.1	6.8	7.4	6.76
4.	6.5	6.2	5.7	4.5	4.8	3.2	3.5	3.7	2.3	3.5	3.5	2.9	2.3	2.1	2.1	1.8	0.8	1.8	2.6	4.5	4.2	3.7	3.7	2.6	3.44
5.	3.7	4.8	5.7	6.8	7.7	6.5	6.5	8.2	5.7	5.1	6.8	5.9	5.4	5.9	6.2	5.7	3.5	4.5	2.1	0.8	3.5	2.6	3.5	4.8	5.08
6.	5.1	3.7	4.0	6.8	7.4	4.8	5.7	5.1	4.8	5.9	5.9	3.2	2.1	2.1	3.7	5.9	9.3	8.0	6.5	7.7	5.4	3.7	3.5	3.2	5.15
7.	2.6	1.2	0.0	0.5	0.0	0.8	0.5	1.2	0.8	2.3	1.8	0.8	0.5	0.8	1.2	1.8	2.3	1.5	2.3	2.3	2.9	2.6	2.9	1.8	1.48
8.	1.5	1.5	1.5	0.5	1.8	2.9	3.5	2.1	1.8	0.8	1.8	1.2	4.5	0.8	2.3	1.8	2.6	0.5	1.5	4.5	4.8	4.2	4.0	4.8	2.38
9.	4.8	5.4	5.1	2.9	3.7	5.1	3.2	3.7	7.1	6.2	5.1	5.7	3.7	3.2	3.5	3.2	4.0	6.5	8.0	8.5	7.7	6.5	6.8	6.8	5.27
10.	9.0	10.2	9.3	8.0	8.0	8.5	6.5	5.9	6.2	5.7	7.4	7.4	8.0	8.0	7.4	6.5	6.5	3.7	5.1	6.2	5.9	8.5	9.6	7.4	7.29
11.	7.7	5.7	5.4	4.2	4.0	3.2	3.5	2.3	2.9	2.3	2.3	2.1	2.9	3.7	3.5	4.0	2.9	2.6	2.1	2.3	1.2	2.1	0.5	1.5	3.12
12.	2.6	3.7	6.2	5.1	3.7	3.5	4.2	3.7	2.3	3.7	4.0	3.2	3.7	4.2	3.7	2.9	3.7	5.7	5.4	5.7	5.1	4.0	4.8	4.8	4.15
13.	3.7	3.7	3.2	2.6	2.3	2.1	2.3	2.1	1.2	2.1	2.1	0.8	1.2	2.3	1.5	0.0	0.8	1.8	1.2	2.3	2.9	2.9	3.7	4.0	2.20
14.	3.5	3.2	4.0	2.6	2.6	3.5	4.0	4.5	4.2	5.4	5.4	6.5	5.4	5.4	5.9	6.2	5.9	5.7	5.4	5.4	5.9	5.9	6.2	5.7	4.93
15.	6.5	6.5	6.5	5.4	5.7	5.4	4.5	4.5	4.8	5.9	6.8	4.2	7.1	4.2	5.7	5.1	4.0	3.7	3.2	4.0	4.5	4.5	4.5	4.2	5.06
16.	5.4	5.1	5.7	5.9	5.1	5.9	7.4	6.5	3.7	3.5	3.5	5.1	5.7	5.4	5.9	5.9	5.7	6.2	4.5	5.7	4.5	3.5	4.2	6.2	5.26
17.	6.5	5.9	6.2	5.9	5.4	6.2	7.7	5.9	5.9	6.5	5.9	6.5	7.1	6.2	6.5	6.2	4.8	4.8	4.2	4.2	5.4	3.7	4.0	3.7	5.64
18.	2.6	2.9	2.3	2.1	2.6	0.5	0.5	0.8	0.5	0.0	0.5	2.6	3.2	3.2	3.5	3.7	4.2	3.7	4.8	4.8	5.9	5.9	4.2	3.2	2.84
19.	1.2	0.5	0.8	1.8	2.3	2.3	2.6	2.9	2.1	1.5	1.5	1.8	4.5	3.2	2.1	4.2	6.8	4.2	4.2	4.8	4.5	5.9	5.4	5.7	3.20
20.	6.5	4.0	3.5	3.5	2.9	2.6	2.6	2.6	4.2	2.6	3.2	4.2	3.7	2.1	4.0	4.0	6.5	5.1	2.9	3.5	2.3	2.1	2.3	2.3	3.47
21.	2.1	2.6	2.9	2.3	3.7	3.2	2.6	2.1	0.8	3.2	4.0	3.5	2.3	5.1	3.7	2.9	2.6	4.2	3.5	3.7	1.8	3.5	4.5	4.5	3.14
22.	6.5	5.7	6.2	4.8	5.1	5.1	5.9	4.5	4.0	3.2	2.6	2.1	2.3	2.1	2.6	1.2	0.5	1.8	2.9	3.5	5.1	5.4	5.7	6.5	3.97
23.	6.2	6.5	6.2	7.4	9.6	7.7	5.1	2.3	2.3	2.6	2.1	1.5	1.5	1.8	3.7	4.5	2.9	3.7	4.5	6.8	6.5	7.1	7.1	7.1	4.86
24.	4.5	5.4	4.5	3.5	4.0	3.5	2.6	2.3	1.2	2.1	2.3	1.5	2.1	0.8	2.1	5.1	2.1	2.3	4.8	2.6	4.2	4.8	3.2	3.7	3.13
25.	3.2	6.2	4.8	5.4	6.2	5.4	4.8	3.7	3.5	4.2	4.0	3.7	3.5	3.7	4.5	4.5	4.2	2.1	1.8	4.0	6.5	6.5	6.2	5.4	4.50
26.	5.1	4.8	4.8	4.8	6.5	6.8	5.4	4.5	5.1	6.5	5.1	3.2	2.6	2.6	1.8	4.0	4.0	4.5	7.7	8.2	8.2	7.7	8.0	9.0	5.44
27.	9.3	9.3	8.8	8.8	8.8	8.2	6.8	4.2	5.9	6.5	6.5	5.7	5.9	5.4	5.1	5.1	5.1	6.8	7.7	8.8	9.3	8.2	9.0	8.0	7.22
28.	6.5	4.8	4.8	4.2	5.4	6.2	3.7	3.2	1.8	0.8	2.6	3.2	4.0	4.0	4.0	3.5	3.5	5.9	6.8	7.1	7.7	5.4	3.2	1.5	4.33
29.	1.8	1.5	1.2	0.8	1.2	2.1	2.6	2.6	1.2	0.5	2.1	2.6	2.9	3.2	3.2	2.6	5.1	6.2	6.8	6.5	6.8	6.5	5.7	5.4	3.38
30.	3.5	1.8	3.2	3.2	6.8	8.8	6.8	7.1	7.1	6.8	6.8	6.2	5.9	4.2	3.5	5.9	5.7	6.2	6.5	4.0	5.1	6.2	9.0	7.1	5.73
31.	6.5	4.2	4.2	2.6	3.7	4.0	4.8	3.7	4.2	4.5	3.5	2.1	1.5	1.8	1.2	1.2	0.5	1.5	2.1	2.6	2.6	3.2	2.6	2.3	2.96
Mittel	4.85	4.50	4.50	4.19	4.62	4.49	4.18	3.82	3.68	3.88	4.02	3.67	3.84	3.52	3.81	3.92	3.89	4.07	4.22	4.82	5.04	4.87	4.98	4.88	4.26

Anemometer-Registrierung. **Hohenpeissenberg.** 1913.

September

Datum	0–1ª	1–2ª	2–3ª	3–4ª	4–5ª	5–6ª	6–7ª	7–8ª	8–9ª	9–10ª	10–11ª	11ª–m	0–1ᵖ	1–2ᵖ	2–3ᵖ	3–4ᵖ	4–5ᵖ	5–6ᵖ	6–7ᵖ	7–8ᵖ	8–9ᵖ	9–10ᵖ	10–11ᵖ	11ᵖ–mn	Mittel
1.	1.8	2.1	2.1	1.5	2.3	1.8	1.8	1.5	1.8	1.2	1.8	1.5	2.6	2.1	3.2	4.0	3.5	4.0	5.1	3.7	3.7	4.0	3.7	3.7	2.69
2.	6.8	6.5	3.5	3.2	3.7	4.2	3.2	2.6	2.3	2.3	1.2	2.1	2.3	3.2	4.5	4.5	5.7	4.2	5.1	4.2	3.2	3.2	2.9	2.3	3.62
3.	1.8	2.3	2.3	2.1	1.2	2.3	0.8	1.2	1.8	2.3	2.1	1.5	2.1	1.8	3.7	4.5	3.5	5.4	7.4	7.4	7.4	8.2	8.0	5.7	3.62
4.	5.4	4.8	4.2	2.9	2.6	2.6	1.2	1.2	0.8	0.8	2.3	4.0	3.2	4.0	4.8	4.5	4.8	8.2	9.9	10.7	9.0	11.4	8.2	5.7	4.88
5.	2.6	2.3	2.9	2.3	3.5	1.8	2.6	2.3	3.5	5.4	6.8	4.8	3.2	2.9	2.9	4.2	4.2	4.8	5.9	7.1	7.4	7.1	6.5	6.5	4.31
6.	6.5	6.2	7.1	8.0	8.8	7.4	7.4	6.8	6.5	5.4	5.1	5.1	3.7	2.9	2.3	3.7	5.4	6.2	3.2	4.8	5.4	4.8	4.8	4.2	5.49
7.	3.7	5.1	5.9	6.2	6.2	6.5	6.2	4.2	4.2	5.4	6.5	7.4	6.2	7.4	7.7	4.5	6.2	7.4	8.8	9.3	8.5	7.1	10.2	6.8	6.57
8.	4.0	3.7	4.2	2.3	3.2	3.7	2.9	2.3	1.8	1.5	1.8	3.2	2.6	2.9	3.2	3.5	2.1	1.5	1.8	2.3	5.1	5.4	2.3	0.0	2.80
9.	1.5	2.1	2.6	4.0	4.0	3.7	2.6	2.1	1.2	0.8	0.8	1.5	0.8	2.1	1.5	1.5	1.2	2.9	5.1	4.5	5.1	4.8	7.1	9.3	3.03
10.	7.4	5.9	5.4	5.4	6.8	6.8	5.7	4.8	5.1	5.9	6.2	5.7	5.9	5.4	4.8	4.0	3.7	3.5	4.8	4.5	4.0	3.5	5.1	4.8	5.21
11.	4.8	4.8	4.5	4.8	6.5	5.9	4.2	3.7	2.1	1.8	1.2	1.5	1.8	2.9	4.8	5.9	5.7	7.1	8.0	9.0	8.2	9.3	9.9	9.3	5.32
12.	8.2	7.4	7.1	6.2	5.4	5.7	5.9	4.0	3.5	2.9	4.0	3.2	4.0	3.5	4.2	4.8	5.1	6.5	6.5	6.2	6.5	4.0	1.8	2.6	4.97
13.	3.2	4.2	3.5	2.6	1.8	1.5	1.8	0.8	1.2	2.6	1.5	1.5	1.2	1.2	2.3	4.2	4.2	3.5	2.9	3.7	3.7	3.2	3.2	2.3	2.58
14.	2.9	3.5	2.9	2.9	3.2	2.3	1.5	1.8	1.8	2.6	1.5	1.2	2.1	4.8	7.1	7.7	8.8	8.8	8.8	9.9	7.1	7.1	7.1	5.1	4.69
15.	3.5	4.2	3.7	2.1	3.2	3.2	6.2	4.5	4.2	2.6	2.1	4.8	5.1	4.8	4.2	5.9	6.8	6.5	6.5	8.8	9.0	9.0	7.4	7.4	5.24
16.	4.2	2.6	1.5	3.2	5.9	6.8	8.0	8.0	5.9	4.2	3.7	3.7	3.5	2.9	2.3	2.3	2.6	7.1	8.2	9.9	10.2	7.1	5.4	6.8	5.25
17.	5.9	6.2	6.5	6.5	6.2	6.5	3.7	2.9	5.7	10.4	11.3	9.6	8.5	7.4	6.8	5.7	4.8	4.5	4.8	4.8	4.0	3.5	3.2	2.6	5.92
18.	1.8	2.1	2.3	3.5	5.7	6.5	8.2	7.4	7.1	7.7	8.8	8.2	8.0	5.7	4.8	1.8	2.3	3.5	3.7	2.9	0.8	1.5	2.6	3.5	4.60
19.	3.2	2.3	2.6	3.5	2.3	2.3	2.6	0.8	1.2	1.8	2.1	1.5	1.2	0.5	0.5	1.2	0.5	0.5	2.6	3.2	3.2	3.2	3.7	4.8	2.14
20.	4.2	4.0	4.0	4.2	4.8	5.1	4.5	4.8	3.2	2.6	2.6	2.3	2.3	1.8	1.8	0.8	0.5	0.0	0.5	0.5	2.6	4.5	5.4	5.9	3.04
21.	5.9	7.1	6.5	5.4	5.9	6.2	7.7	6.5	5.9	5.7	7.4	7.4	5.7	6.2	5.7	5.4	5.9	6.5	7.1	5.1	5.7	5.7	5.7	5.1	6.14
22.	5.4	5.9	5.9	6.5	6.5	5.1	6.2	5.4	5.9	5.7	5.1	4.8	4.5	4.0	3.5	3.2	4.5	4.5	6.2	6.2	4.8	4.5	4.2	5.7	5.18
23.	4.8	4.8	6.5	6.2	5.7	5.9	4.8	4.8	5.1	5.4	6.2	5.1	6.2	5.7	4.2	3.5	2.3	2.1	4.5	4.0	3.2	2.3	0.8	1.8	4.41
24.	3.7	5.4	5.9	5.4	5.7	5.9	6.5	6.8	6.5	5.4	5.9	7.7	7.7	7.4	7.4	7.4	6.8	8.2	9.0	8.5	7.4	5.4	2.1	0.8	6.20
25.	0.0	0.8	1.5	2.3	2.3	2.6	3.2	3.5	2.1	0.5	0.5	0.5	0.5	0.8	0.8	0.5	2.1	1.8	0.8	0.8	0.8	1.5	1.8	0.8	1.37
26.	0.8	1.5	1.2	4.8	4.2	2.6	4.0	4.2	4.2	3.2	2.9	3.2	5.1	7.1	5.9	6.5	8.0	9.9	9.9	11.0	9.0	8.5	7.4	6.5	5.48
27.	5.4	5.4	4.5	4.5	3.5	2.9	3.2	1.8	1.8	2.3	2.3	3.5	3.5	3.5	4.2	3.2	3.5	5.7	7.1	7.1	5.7	5.4	4.0	3.7	4.07
28.	1.8	0.8	0.0	0.5	0.8	0.5	0.8	1.5	0.5	0.5	0.5	1.8	2.9	2.9	4.5	4.5	4.8	5.7	5.1	5.7	5.4	3.5	2.1	3.2	2.51
29.	4.0	4.0	3.7	2.9	2.9	2.6	2.6	2.3	1.5	1.2	0.5	1.8	4.0	6.2	6.2	5.7	8.2	8.0	8.2	6.8	5.4	3.2	3.2	3.2	4.10
30.	3.7	3.7	4.5	4.2	1.5	2.6	3.2	3.5	4.0	4.2	5.1	5.9	7.1	8.2	9.3	7.1	9.0	8.8	8.5	7.4	4.5	2.3	2.6	2.1	5.13
Mittel	3.96	4.06	3.97	4.00	4.21	4.12	4.11	3.60	3.41	3.48	3.66	3.87	3.92	4.07	4.30	4.21	4.56	5.24	5.87	6.00	5.53	5.14	4.75	4.41	4.35

Oktober

1.	2.6	3.5	4.5	2.9	1.2	1.5	4.0	4.0	2.9	1.8	2.3	5.9	8.0	7.1	6.5	6.8	5.9	7.4	7.4	6.5	5.1	2.3	2.3	4.0	4.43
2.	5.7	4.8	5.9	6.2	4.8	4.2	4.2	3.7	3.2	1.8	1.2	1.2	0.8	3.2	2.3	4.2	4.8	4.8	5.4	5.9	7.7	5.4	3.5	2.1	4.04
3.	1.5	3.5	4.2	3.7	2.6	3.2	4.8	4.0	3.5	2.1	1.2	0.8	1.8	3.2	3.2	4.0	4.0	2.3	4.0	3.5	4.5	4.5	5.1	3.2	3.27
4.	2.9	1.2	1.8	2.3	3.5	2.9	2.6	2.6	2.6	5.4	5.7	6.5	5.7	6.2	4.5	5.9	5.9	6.2	6.8	5.9	2.3	2.9	4.2	3.5	4.17
5.	4.8	5.1	6.2	6.8	5.1	5.9	5.7	4.8	4.8	5.4	4.2	3.7	3.2	2.6	3.2	2.6	2.3	2.1	3.2	8.5	6.8	5.4	5.1	5.9	4.73
6.	5.7	5.1	4.2	6.2	7.1	7.4	8.8	5.7	4.5	4.0	2.6	1.5	0.5	1.2	2.3	1.8	0.8	1.2	4.0	4.5	5.1	6.5	8.0	5.1	4.33
7.	3.7	4.0	4.5	3.5	1.5	0.8	2.1	2.6	4.2	2.9	2.1	2.1	2.6	5.1	5.1	5.9	7.7	7.7	8.2	7.4	6.8	5.9	5.7	5.1	4.47
8.	5.7	7.7	8.5	8.5	11.8	9.6	10.2	11.5	8.8	9.3	8.5	8.0	8.8	8.2	8.5	8.5	7.7	8.0	8.2	9.3	10.4	8.8	9.0	10.4	8.91
9.	11.0	7.7	8.0	9.0	9.6	9.3	8.5	8.5	9.3	8.2	8.2	8.5	8.5	6.5	8.2	7.1	7.1	6.8	6.5	8.0	6.8	6.5	6.5	6.8	7.96
10.	3.2	6.5	5.9	5.1	4.5	4.0	4.0	3.2	2.3	1.8	0.5	0.8	0.8	3.5	2.1	2.6	3.7	8.2	8.5	8.2	8.8	9.0	8.2	8.5	4.75
11.	8.8	8.0	7.1	6.5	5.1	4.8	3.5	2.9	1.2	0.5	1.2	0.5	1.2	1.2	1.8	1.8	1.5	1.2	3.5	5.7	7.7	6.8	7.4	7.1	4.04
12.	9.3	7.4	7.1	6.5	7.7	7.1	7.4	6.8	8.0	10.2	9.9	9.9	10.7	9.6	8.8	6.2	6.5	7.7	6.2	6.2	5.1	4.2	4.0	4.5	7.38
13.	5.1	4.5	3.2	4.2	4.5	4.5	4.0	3.2	3.5	2.1	2.3	1.5	0.5	1.8	1.8	2.6	2.6	7.1	8.5	6.2	6.2	5.7	7.4	7.1	4.17
14.	8.5	9.0	8.8	8.5	8.2	7.9	7.7	7.4	8.0	7.7	9.0	8.5	5.7	5.9	6.5	5.9	6.5	8.2	9.9	7.4	5.9	5.7	3.2	1.5	7.15
15.	1.8	4.8	5.9	4.8	4.5	3.2	3.7	4.5	4.0	4.8	3.7	3.5	4.0	4.5	4.5	4.0	2.6	3.2	3.7	4.0	4.2	5.4	5.4	5.4	4.17
16.	4.5	4.0	3.7	3.2	1.5	1.8	0.8	1.8	1.5	2.9	4.0	5.1	4.5	5.4	4.8	4.8	4.8	5.7	6.8	6.5	5.9	6.2	6.5	6.8	4.31
17.	6.5	4.8	4.2	3.5	3.7	3.7	5.1	8.2	5.4	4.8	4.8	5.7	5.7	7.1	7.1	3.7	3.2	5.4	6.2	4.2	3.5	3.7	2.6	2.9	4.82
18.	4.5	4.2	3.7	3.2	4.2	4.0	3.2	1.5	1.2	2.3	2.6	0.8	0.5	0.5	0.0	0.5	3.2	3.4	3.2	3.2	2.9	3.7	3.7	3.7	2.67
19.	2.3	1.2	0.8	0.0	0.0	2.3	3.5	3.7	3.5	2.3	1.8	2.9	2.6	3.7	3.5	2.3	2.9	3.2	3.5	3.7	2.1	2.1	3.7	4.2	2.58
20.	5.9	4.2	4.2	4.5	5.1	4.0	3.2	2.6	2.1	2.6	0.8	0.0	1.5	2.3	2.3	2.9	3.7	5.4	5.7	7.1	4.2	4.0	3.2	1.8	3.47
21.	2.6	2.9	3.2	4.0	3.2	2.6	2.6	2.1	0.0	1.2	1.5	0.8	2.3	5.1	3.7	2.1	2.1	4.0	6.2	9.6	9.3	8.2	7.1	4.8	3.80
22.	4.0	3.2	6.8	7.7	8.0	7.1	6.2	5.7	5.9	5.7	5.9	5.9	7.4	9.9	11.0	11.0	11.8	10.2	10.4	11.0	11.0	6.5	5.9	5.1	7.64
23.	3.2	2.3	1.8	2.1	1.2	3.2	4.5	3.2	3.5	2.6	1.5	2.1	3.7	1.8	0.8	2.9	2.9	3.7	4.0	2.3	2.6	3.2	2.9	4.5	2.77
24.	4.2	4.2	4.2	4.2	5.4	4.8	5.1	4.0	4.0	4.5	4.2	4.5	4.2	5.9	5.4	2.6	2.9	3.5	4.0	4.0	1.2	0.0	0.8	2.3	3.75
25.	3.5	3.5	2.6	2.1	0.8	1.5	2.6	3.2	1.8	0.0	1.8	3.2	4.0	3.7	4.2	4.2	5.1	5.4	4.8	3.5	2.3	2.6	3.7	3.7	3.08
26.	4.0	3.2	4.5	4.0	3.5	4.2	4.8	5.7	5.9	4.8	3.5	1.8	1.2	0.8	2.1	4.2	5.4	6.5	6.2	4.2	5.4	7.1	7.1	4.8	4.37
27.	2.9	1.5	2.3	4.5	4.8	2.6	2.6	0.8	1.5	3.2	6.5	7.7	7.7	8.2	8.2	8.0	7.4	8.2	8.5	7.4	7.1	5.1	4.2	2.6	5.15
28.	3.2	3.5	2.6	4.8	5.1	5.9	6.2	5.9	6.2	7.1	7.4	5.9	7.1	8.5	9.0	8.2	8.2	9.0	8.2	5.9	6.2	6.2	7.7	7.4	6.48
29.	6.5	8.8	8.8	7.1	6.2	8.0	9.6	8.0	7.1	6.8	7.4	8.2	9.9	10.4	8.8	7.4	8.5	8.0	7.1	7.7	5.7	4.2	5.9	6.8	7.62
30.	5.4	4.8	3.7	4.2	5.2	4.2	3.5	4.8	3.7	4.8	4.8	2.6	2.3	2.1	2.1	2.6	2.9	2.9	2.6	2.9	3.2	3.5	3.7	3.2	3.58
31.	1.8	4.0	2.3	2.3	2.3	2.3	2.9	2.9	2.9	1.8	1.8	1.2	0.8	0.0	0.8	2.3	2.9	3.2	3.7	4.5	6.5	6.5	5.7	6.5	3.00
Mittel	4.69	4.62	4.68	4.71	4.58	4.47	4.76	4.50	4.10	4.05	3.96	3.91	4.14	4.68	4.62	4.50	4.76	5.48	5.97	5.96	5.56	5.09	5.14	4.88	4.74

Anemometer-Registrierung. **Hohenpeissenberg.** 1913.

November

Datum	0–1ª	1–2ª	2–3ª	3–4ª	4–5ª	5–6ª	6–7ª	7–8ª.	8–9ª	9–10ª	10–11ª	11ª–m	0–1ᵖ	1–2ᵖ	2–3ᵖ	3–4ᵖ	4–5ᵖ	5–6ᵖ	6–7ᵖ	7–8ᵖ	8–9ᵖ	9–10ᵖ	10–11ᵖ	11ᵖ–mn	Mittel
1.	4.8	4.2	2.1	3.7	4.0	3.2	3.7	4.0	2.3	3.2	0.0	1.2	3.2	3.2	1.5	2.3	2.6	2.6	3.2	4.0	4.2	3.5	3.2	1.2	2.96
2.	3.5	8.0	8.5	8.8	8.2	8.8	8.0	6.2	7.1	5.4	3.5	2.9	4.5	4.2	4.2	3.2	3.2	3.5	3.5	4.0	3.2	2.3	2.1	2.9	4.99
3.	2.9	2.3	4.0	5.4	5.1	5.4	5.1	5.4	6.5	5.9	6.2	4.8	5.7	5.9	5.9	5.4	5.7	5.7	5.7	5.7	5.7	4.2	4.5	4.5	5.15
4.	3.5	4.8	4.2	3.5	3.2	3.2	2.3	2.1	3.7	4.0	4.0	3.7	2.9	1.2	0.8	1.8	3.2	4.0	3.7	3.2	3.5	4.0	4.0	4.0	3.27
5.	3.5	2.6	3.5	5.1	4.2	4.5	5.1	5.9	4.8	4.8	3.7	4.2	4.0	4.0	5.9	3.7	2.9	3.2	2.9	3.5	3.5	2.6	1.5	2.1	3.82
6.	3.5	4.0	6.5	8.0	8.8	9.0	6.8	6.2	5.9	5.1	3.7	5.1	4.0	4.0	4.2	4.8	6.8	6.8	7.1	7.2	4.5	4.2	4.0	4.0	5.59
7.	4.2	4.2	2.6	5.1	5.9	4.5	5.4	5.1	3.2	3.7	1.5	2.3	2.6	2.9	3.2	2.1	4.0	4.0	4.5	5.4	5.1	4.5	4.0	5.4	3.98
8.	5.9	4.2	4.5	5.7	5.1	5.7	6.2	6.8	6.5	5.9	6.2	6.5	5.9	7.4	4.0	4.0	3.5	2.9	2.9	3.2	4.0	2.3	4.0	4.0	4.89
9.	5.4	6.2	6.8	7.1	5.1	4.8	4.2	4.2	6.5	8.8	5.1	4.5	5.4	6.5	5.9	5.9	3.7	4.5	4.8	7.1	7.4	7.4	6.8	5.9	5.83
10.	5.9	5.4	5.9	4.0	2.9	2.6	0.0	2.6	4.0	4.0	3.7	3.2	3.7	4.2	4.8	5.4	6.8	6.2	6.5	8.2	8.2	8.0	8.5	7.4	5.09
11.	4.5	2.9	2.6	4.0	4.0	4.2	5.4	6.2	6.2	5.7	3.2	2.9	5.9	5.7	3.2	5.4	4.5	3.2	2.9	3.5	1.8	3.2	4.2	2.6	4.08
12.	2.6	2.9	2.6	4.2	5.1	7.7	9.0	9.9	5.9	4.2	3.7	1.5	4.8	3.7	4.5	2.6	2.6	2.1	2.9	3.7	2.9	1.5	5.4	6.8	4.28
13.	8.0	7.1	6.8	8.8	5.9	6.5	4.5	5.4	5.1	4.5	5.4	5.9	5.9	5.9	5.7	3.5	4.8	5.4	6.5	8.0	8.2	8.5	7.4	6.5	6.26
14.	7.7	8.0	8.8	8.8	10.7	9.9	9.6	11.3	11.3	10.7	8.8	9.9	8.5	6.8	7.1	4.8	6.8	7.4	7.1	6.8	8.0	9.6	9.9	12.1	8.73
15.	9.9	9.3	9.3	8.8	7.7	8.2	8.0	6.5	7.1	7.4	9.0	9.6	8.2	9.0	10.2	9.3	9.6	10.2	10.7	8.0	6.5	8.0	8.5	7.1	8.59
16.	8.0	10.4	11.8	11.3	10.2	12.1	14.4	14.4	15.6	14.7	17.3	12.4	10.4	9.9	9.0	9.9	9.3	7.4	9.0	10.2	9.9	9.3	7.4	8.5	10.95
17.	5.1	7.1	8.2	7.4	7.4	9.0	9.0	11.0	8.0	9.6	9.6	10.4	13.0	12.1	11.0	9.9	8.5	8.2	10.2	8.8	8.0	8.0	8.8	7.7	9.01
18.	6.5	6.8	5.9	5.9	6.5	5.9	6.2	6.5	4.8	4.8	4.2	4.2	4.0	2.6	3.2	3.7	5.1	5.9	7.1	6.5	6.5	7.7	8.2	8.8	5.73
19.	9.9	11.0	9.3	8.2	6.5	9.3	9.6	10.4	11.3	9.9	11.5	8.8	8.5	8.5	5.4	4.8	4.5	4.0	2.9	3.7	5.1	4.2	3.2	1.8	7.18
20.	2.6	3.5	4.0	4.2	2.9	2.6	2.6	3.7	2.6	2.1	0.8	2.6	3.2	2.9	2.9	1.8	2.9	2.1	3.7	3.2	4.8	5.4	4.5	5.1	3.20
21.	5.4	5.1	4.2	3.7	2.9	1.8	1.5	2.1	1.8	4.2	4.0	4.0	4.2	1.2	1.5	1.5	0.8	0.5	1.2	1.8	2.9	3.2	3.5	4.0	2.79
22.	4.8	3.5	3.5	4.0	4.2	3.2	2.1	2.3	2.3	0.8	0.5	2.3	2.6	4.0	4.5	7.4	5.4	7.7	7.1	8.8	7.1	6.5	6.8	8.0	4.56
23.	7.1	8.8	9.9	13.0	8.5	11.0	11.8	10.4	5.9	5.4	3.5	3.7	5.4	6.2	6.2	7.1	6.5	5.4	4.0	0.5	1.8	2.6	3.5	4.2	6.35
24.	5.4	5.9	4.0	4.0	5.1	3.7	3.5	2.6	2.6	1.8	0.8	0.5	0.8	0.0	0.5	0.8	0.8	1.8	1.5	1.8	2.6	3.2	3.5	4.2	2.56
25.	5.4	5.7	6.8	7.1	5.9	4.8	6.5	5.4	5.1	4.5	5.1	5.4	7.1	5.9	5.1	3.7	3.5	3.5	2.9	3.5	3.2	2.6	2.6	2.9	4.76
26.	1.8	0.0	0.5	1.2	0.8	2.1	2.1	2.6	2.3	1.8	0.8	0.8	1.8	1.8	3.2	3.7	4.8	4.8	4.8	4.0	5.9	6.8	7.4	7.4	3.05
27.	7.4	8.0	8.2	11.0	10.4	7.7	8.2	9.6	9.0	9.0	8.8	7.4	7.4	5.9	6.5	5.7	4.8	4.2	4.5	3.5	3.2	3.5	4.0	4.5	6.77
28.	4.2	4.8	4.0	4.0	4.8	6.8	8.8	7.7	12.4	14.2	11.0	11.5	11.0	11.0	11.5	9.9	9.3	8.8	10.2	9.3	8.2	8.2	7.4	8.5	8.65
29.	8.8	5.7	5.4	5.7	5.4	6.8	6.8	7.1	7.7	5.9	5.4	5.4	5.4	4.8	4.2	4.2	3.2	4.5	4.5	5.1	5.9	5.1	4.8	4.2	5.50
30.	3.7	3.7	2.9	3.7	3.7	3.5	3.5	5.7	7.7	5.9	8.2	5.7	6.8	5.4	8.0	7.4	6.2	5.7	5.7	7.1	5.1	6.5	7.4	5.9	5.63
Mittel	5.40	5.55	5.58	6.18	5.70	5.92	6.00	6.31	6.17	5.93	5.31	5.11	5.56	5.23	5.13	4.86	4.88	4.87	5.14	5.31	5.23	5.22	5.37	5.41	5.47

Dezember

Datum	0–1ª	1–2ª	2–3ª	3–4ª	4–5ª	5–6ª	6–7ª	7–8ª.	8–9ª	9–10ª	10–11ª	11ª–m	0–1ᵖ	1–2ᵖ	2–3ᵖ	3–4ᵖ	4–5ᵖ	5–6ᵖ	6–7ᵖ	7–8ᵖ	8–9ᵖ	9–10ᵖ	10–11ᵖ	11ᵖ–mn	Mittel
1.	5.9	6.2	7.1	7.4	8.0	8.8	8.2	7.7	8.8	8.5	8.0	8.2	7.7	6.8	7.3	7.8	8.3	8.8	8.5	8.5	9.6	8.8	8.2	8.2	7.97
2.	9.9	9.9	9.6	8.8	8.5	9.0	9.0	7.4	6.2	7.4	5.7	4.2	4.2	4.2	4.5	4.2	5.4	4.5	5.1	6.5	5.4	5.4	7.1	8.5	6.69
3.	7.1	6.5	6.8	5.9	6.5	5.9	4.5	4.8	4.0	5.1	5.7	4.8	4.5	4.5	5.1	4.0	5.1	4.8	4.0	4.2	4.0	4.2	3.7	2.1	4.91
4.	0.8	4.0	5.1	5.7	7.4	8.8	5.4	5.1	5.7	6.2	6.8	5.4	4.2	4.8	5.5	6.2	9.3	9.3	11.3	10.4	10.4	11.8	9.0	8.0	6.94
5.	7.7	8.2	8.2	9.3	10.7	9.9	8.8	8.5	8.5	8.5	8.5	8.8	8.2	8.2	7.7	8.5	9.6	11.5	12.7	12.1	12.4	14.7	13.9	13.0	9.92
6.	10.7	9.9	8.0	6.2	5.1	5.1	5.4	3.2	2.1	1.2	0.5						0.5	0.5	1.2	0.8	0.5	0.5	0.5	1.2	
7.	1.8	0.8	0.8	0.0	0.5	0.5	2.1	1.2	1.5	0.8	0.5	0.8	0.8	0.5	0.8										
8.				0.8	2.6	2.9	3.5	2.9	2.6	1.5	1.8	2.1	2.3	2.3	0.5	0.5	1.8	2.3	2.3	2.6	3.7	4.2	4.0	3.2	
9.	4.0	4.5	3.5	4.0	4.0	4.5	7.1	6.5	7.1	7.7	8.5	9.9	9.0	6.8	7.4	8.5	9.3	7.4	11.0	10.7	8.2	14.2	11.0	10.4	7.72
10.	9.6	9.9	13.3	12.4	13.0	12.4	11.8	11.3	9.6	11.8	12.1	10.7	10.4	9.6	8.5	7.7	10.2	8.5	8.8	9.6	8.5	8.5	9.6	9.6	10.31
11.	9.6	9.6	9.0	8.0	7.1	7.7	7.4	6.8	6.5	6.5	5.9	4.5	5.7	5.4	4.8	4.5	4.8	5.4	6.2	7.1	6.2	5.9	5.1	5.7	6.48
12.	5.1	5.1	4.0	5.1	5.9	5.4	5.9	5.9	4.8	5.4	6.5	6.8	6.8	6.5	7.1	7.7	8.5	7.4	7.4	7.1	5.7	6.5	6.5	8.2	6.30
13.	8.2	8.2	9.9	9.0	7.4	8.2	7.4	7.7	8.8	11.0	6.8	5.9	7.1	7.7	7.7	6.2	6.2	5.9	5.4	3.5	2.3				
14.									5.4	5.7	7.4	11.0	9.3	9.6	9.6	11.8	11.8	11.3	14.7	13.6	12.7	12.7	12.4	12.4	
15.	13.6	15.0	11.5	11.5	11.3	10.7	9.3	9.0	8.5	9.0	7.7	6.8	6.5	6.5	6.8	8.0	9.9	10.2	9.9	9.3	11.0	10.4	11.0	11.3	9.78
16.	9.9	10.4	11.3	10.7	9.0	8.2	8.5	9.3	7.1	7.7	7.7	7.4	7.4	8.2	10.2	10.7	9.6	8.8	8.2	5.9	5.4	6.5	7.4	8.5	8.50
17.	8.5	9.9	8.2	8.2	7.4	6.5	7.7	9.0	11.0	11.3	13.0	11.8	11.3	11.8	9.0	8.8	8.5	6.8	5.9	6.2	5.7	5.1	5.1	4.0	8.36
18.	3.5	3.5	2.9	1.8	1.2	1.2	2.6	2.6	4.0	4.5	4.8	4.8	5.4	5.7	5.9	4.0	5.1	5.1	5.9	5.7	7.4	7.1	6.5	8.2	4.56
19.	8.8	7.1	7.7	5.9	6.2	5.7	4.0	5.1	4.8	4.0	4.5	6.2	3.5	3.2	3.5	3.7	4.2	3.7	3.7	4.0	3.2	2.1	3.2	3.5	4.65
20.	2.6	2.3	2.9	4.0	4.8	4.0	4.8	5.4	4.5	4.5	4.2	4.2	5.9	5.9	7.4	7.1	7.7	7.4	7.7	5.9	5.7	3.2	2.9	3.5	4.94
21.	3.5	4.8	4.5	4.2	4.2	3.2	2.6	4.2	4.8	5.1	4.5	4.2	4.8	4.2	4.0	4.8	4.2	5.7	4.5	4.2	3.7	3.5	3.7	4.2	4.22
22.	4.5	4.2	4.8	2.9	4.5	3.2	4.5	2.6	3.5	3.5	2.3	2.6	2.6	2.6	2.9	2.6	2.3	2.3	3.2	2.3	1.2	2.3	2.1	2.9	3.02
23.	2.6	3.5	2.6	1.8	3.2	3.5	4.5	5.1	7.7	8.0	6.8	8.0	5.4	5.9	5.1	5.1	4.5	4.8	4.2	3.7	4.2	4.8	4.8	4.2	4.75
24.	4.8	5.9	5.9	5.9	6.5	7.1	7.1	6.8	5.4	5.9	5.9	6.8	5.9	5.1	7.7	8.0	8.0	10.4	12.4	11.8	9.3	9.9	8.8	6.5	7.40
25.	5.4	4.8	5.9	6.8	7.4	6.8	6.8	5.7	6.2	5.7	4.5	6.5	7.7	6.5	7.7	8.0	7.1	7.7	8.0	8.8	8.8	8.2	8.8	9.3	7.05
26.	10.4	10.2	9.9	9.9	12.1	11.3	11.8	11.8	11.8	10.7	11.5	11.5	10.4	11.0	11.5	12.1	10.4	10.4	7.7	8.5	7.1	6.8	7.1	7.1	10.13
27.	8.5	9.6	12.4	13.9	15.0	13.6	15.9	17.0	18.2	15.0	16.2	14.4	17.6	16.2	16.2	15.6	13.3	13.3	13.6	12.4	11.0	10.4	10.4	10.2	13.75
28.	12.1	11.0	13.0	8.5	7.4	7.7	6.2	5.4	4.5	5.4	8.5	8.0	5.1	5.4	3.5	7.1	5.7	3.2	10.2	17.3	17.6	14.2	13.9	9.0	8.75
29.	7.1	6.5	3.7	2.9	3.2	2.9	3.7	3.5	2.6	2.6	2.1	2.3	0.8	0.5	0.5	0.5	1.5	2.1	4.2	4.0	2.6	2.3	1.8	3.5	2.81
30.	3.5	3.7	3.7	3.5	2.6	2.1	1.8	2.3	1.2	0.8	1.8	1.5	1.5	1.5	1.8	1.5	0.8	2.3	2.1	2.1	1.8	2.3	1.8	2.1	2.09
31.	2.6	1.8	1.5	2.1	1.8	2.3	0.8	1.5	1.2	0.8	0.8	0.8	0.5	0.8	1.5	1.2	0.8	0.8	0.8	0.5	0.5	0.5	0.0	0.5	1.10
Mittel*)	6.63	6.79	6.82	6.24	6.48	6.30	6.30	6.18	6.07	6.19	6.18	6.36	6.08	5.93	6.06	6.43	6.48	6.42	7.03	6.98	6.53	6.79	6.56	6.45	6.43

*) Die Mittel sind nicht aus allen Monatstagen gebildet.

Täglicher Gang der meteorologischen Elemente auf dem Hohenpeissenberg im Jahre 1913.

Luftdruck

600 mm +

Monat	1a	2a	3a	4a	5a	6a	7a	8a	9a	10a	11a	12m	1p	2p	3p	4p	5p	6p	7p	8p	9p	10p	11p	12mn	Mittel
Jan.	75.39	75.45	75.44	75.34	75.28	75.24	75.26	75.31	75.44	75.51	75.48	75.29	75.09	75.08	75.05	75.09	75.19	75.29	75.37	75.38	75.40	75.43	75.39	75.32	75.31
Feb.	79.24	79.20	79.07	79.05	79.04	79.05	79.08	79.18	79.35	79.48	79.57	79.55	79.38	79.24	79.21	79.18	79.18	79.29	79.39	79.44	79.40	79.43	79.41	79.34	79.28
März	77.53	77.51	77.40	77.39	77.45	77.53	77.64	77.74	77.83	77.89	77.88	77.81	77.57	77.37	77.25	77.20	77.13	77.17	77.26	77.38	77.41	77.42	77.45	77.50	77.49
April	73.16	72.99	72.89	72.79	72.75	72.81	72.92	73.01	73.09	73.16	73.13	73.04	72.96	72.89	72.83	72.74	72.74	72.79	72.88	73.08	73.19	73.20	73.22	73.24	72.98
Mai	75.77	75.70	75.62	75.64	75.70	75.83	75.95	76.00	75.98	75.99	75.95	75.86	75.67	75.58	75.42	75.34	75.29	75.36	75.49	75.61	75.86	75.94	76.00	75.98	75.73
Juni	79.80	79.76	79.70	79.70	79.74	79.83	79.93	80.01	80.01	80.15	80.06	80.00	79.79	79.70	79.59	79.57	79.48	79.48	79.52	79.69	79.85	79.94	80.02	79.97	79.80
Juli	77.20	77.06	76.98	76.97	77.02	77.09	77.19	77.25	77.24	77.26	77.25	77.19	77.08	76.99	76 94	76.83	76.80	76.78	76.85	76.90	77.09	77.14	77.21	77.16	77.06
Aug.	78.30	78.17	78.08	77.98	78.02	78.09	78.28	78.37	78.46	78.55	78.55	78.51	78.41	78.35	78.20	78.16	78.17	78.18	78.32	78.45	78.55	78.55	78.56	78.52	78.32
Sept.	77.51	77.37	77.25	77.15	77.11	77.15	77.23	77.30	77.47	77.54	77.51	77.50	77.42	77.37	77.30	77.25	77.25	77.26	77.40	77.49	77.47	77.38	77.42	77.41	77.35
Okt.	77.69	77.67	77.62	77.60	77.56	77.59	77 73	77.89	77.98	78.01	77.90	77.74	77.50	77.39	77.36	77.28	77.30	77.45	77.53	77.55	77.65	77.74	77.76	77.80	77.64
Nov.	77.80	77.86	77.80	77.73	77.79	77.81	77.89	78.01	78.04	78.14	78.10	78.00	77.78	77.70	77.70	77.70	77.81	77.85	77.74	77.84	77.86	77.85	77.88	77.92	77.86
Dez.	76.61	76.62	76.65	76.56	76.53	76.61	76.70	76.82	76.93	77.10	77.08	76.81	76.57	76.41	76.41	76.43	76.44	76.47	76.58	76.60	76.58	76.59	76.63	76.63	76.64
Mittel	77.17	77.11	77 04	76.99	77.00	77.05	77.15	77.24	77.32	77.40	77.37	77.28	77.10	77.01	76.94	76.89	76.90	76.95	77.03	77.12	77.19	77.22	77.25	77.23	77.12

Temperatur

Monat	1a	2a	3a	4a	5a	6a	7a	8a	9a	10a	11a	12m	1p	2p	3p	4p	5p	6p	7p	8p	9p	10p	11p	12mn	Mittel
Jan.	- 0.88	- 0.70	- 0.72	- 0.89	- 0.84	- 0.84	- 0.94	- 0.89	- 0 82	- 0.62	- 0.19	0.07	0.11	- 0.02	- 0.16	- 0.53	- 0.53	- 0.77	- 0.72	- 0.63	- 0.82	- 0.86	- 0.89	- 0.96	- 0.62
Feb.	- 2.10	- 2.15	- 2.10	- 2.34	- 2.47	- 2.63	- 2.64	- 2.56	- 2.37	- 1.83	- 1.29	- 0.67	0 07	0.60	0.57	0.46	0.07	- 0.54	- 0.95	- 1.46	- 1.71	- 1.83	- 1.97	- 2.04	- 1.41
März	3 28	3 37	3.17	3.06	2.82	2.73	2.71	3 08	3.71	4.50	5.19	6.01	6.68	7.17	7.13	6.74	6.19	5.48	4.97	4 65	4.32	4.22	3.98	3.78	4.54
April	3.55	3.42	3.30	3.24	3.17	3.26	3.47	3.94	4.57	5.21	5.89	6.61	6.98	7.53	7.41	7.39	6.99	6.34	5.47	4.84	4.27	3.98	3.79	3.75	4.93
Mai	7.65	7.62	7.49	7.35	7.43	7.90	8.38	8.73	9.63	10.16	10.93	11.56	12.11	12.45	12.27	12.23	11.64	10.62	9.61	8.86	8.23	7.97	7.61	7.74	9.42
Juni	9.92	9.88	9.69	9.56	9.85	10.32	10.81	11.09	11.77	12.05	12.81	13.54	13.99	13.73	13.79	13.56	13.29	12.81	11.61	11.21	10.73	10.34	9.93	9.82	11.51
Juli	9.55	9.37	9.33	9 32	9.43	9.64	10.06	10.55	11.16	11.78	12.54	13.09	13.56	13 79	13.88	13.57	12.83	12.43	11.84	11.44	10.65	10.38	10.09	9.81	11.25
Aug.	11.65	11.57	11.57	11.35	11.16	11.38	11.48	11.78	12.40	12.98	13.57	14.28	14.85	15.33	15.52	14.79	14.29	13.92	13.03	12.65	12.13	11.91	11.76	11.66	12.79
Sept.	9.53	9 46	9.36	9.32	9.19	9.27	9.41	9.82	10.21	10.64	11.07	11.69	12.42	12.68	12.67	12.39	11.91	11.33	10.70	10.30	9.89	9.86	9.61	9.49	10.51
Okt.	8.99	8.97	8.91	8 81	8.92	8.67	8.61	8.83	9.55	9.95	10.71	11.17	11.50	11.62	11.32	10.92	10.45	9.95	9.62	9.52	9.21	9.03	8.81	8.73	9.70
Nov.	4 50	4.51	4.49	4.41	4.18	4.15	4.29	4.43	4.74	5.09	5.50	5.72	5.60	5.68	5.56	5.28	4.99	4.93	4.93	4.85	4.81	4.77	4.67	4.45	4.85
Dez.	- 0.60	- 0.66	- 0.75	- 0.81	- 0.79	- 0.94	- 0.96	- 0.87	- 0.72	- 0.51	- 0.19	0.11	0.38	0.44	0.26	- 0.18	- 0.33	- 0.51	- 0.71	- 0.75	- 0.65	- 0.80	- 1.08	- 1.01	- 0.53
Mittel	5.42	5.39	5.31	5.20	5.17	5.24	5.39	5.66	6.15	6.62	7.21	7.77	8.19	8.42	8.35	8.05	7.65	7.17	6.62	6.29	5.92	5.75	5.53	5.44	6.41

Relative Feuchtigkeit

Monat	1a	2a	3a	4a	5a	6a	7a	8a	9a	10a	11a	12m	1p	2p	3p	4p	5p	6p	7p	8p	9p	10p	11p	12mn	Mittel
Jan.	76.6	75.5	74.5	74.3	74.0	74.2	73.0	73.1	73.3	74.8	74.0	74.4	75.8	78.7	80.3	81.1	80.5	81.7	80.8	80.8	81.4	80.9	80.0	80.1	77.2
Feb.	68.9	68.8	69.3	69.4	69 9	70.7	70.3	70.0	71.1	69 7	69.1	65.8	61 9	59.8	58.2	59.0	61.1	63.4	67.0	69.6	70.9	71.4	69.4	69.4	67.3
März	69.0	68.8	70.0	70.9	71.6	73 1	74.8	73.5	71.1	68.4	66.5	62.2	59.8	58.9	60.5	61.9	62.5	64.8	66.6	68.1	69.5	68.5	67.1	67.3	67.3
April	76.7	78.4	78.2	77.8	77.7	78.8	79.5	77.2	75.1	72.5	70.4	67.5	64 5	62.6	62.7	62.5	63.6	65.9	69.7	72.0	76.1	75.7	76.4	75.4	72 4
Mai	77.1	77.1	77.9	79 3	78.5	78.1	77.5	77.5	74.5	71.4	68.2	64.1	62.4	60.1	60.1	61.7	64.7	70.0	74.4	75.8	77.6	80.3	79.7	78.7	72.8
Juni	83.4	83.7	83.1	84.4	82.8	81.5	80.7	81.5	80.1	78.5	75.7	73.8	71.5	73.0	71.1	72.4	74.2	76.7	79.8	79.3	80.3	83.0	83.3	82.3	79.0
Juli	85.5	85.6	86.0	85.6	85.0	85.0	85.1	85.7	83.2	80.3	75.5	73.4	70.1	69.4	67.9	70.0	73.9	76.0	78.6	78.5	81.4	83.2	84.5	84.6	79.8
Aug.	78 4	79.5	79.3	81.1	80.3	79.5	80.7	82.3	81.9	80.2	76.7	73.4	70.3	66.8	65.8	67.9	71.8	73.2	77.1	78.9	80.1	80.6	81.7	80.4	77.0
Sept.	85.7	85.5	84.5	84.5	85.3	84.5	85.5	84.9	86.1	84.1	83.0	81.4	77.9	77.1	78.4	79.0	80.6	82.3	84.6	85.5	88.0	86.7	86.8	86.1	83.7
Okt.	73.1	73.4	71.9	71.9	71.4	71.4	71.5	72.7	71.6	71.2	68.5	66.9	67.4	69.0	71.0	72.8	75.4	77.0	77.9	77.0	76.6	76.4	76.1	75.8	72 8
Nov.	82.2	83.0	82.7	81.9	84.4	85.1	84.1	82.4	81.5	80.1	79.9	80.5	81.6	82.6	83.3	83.6	83.7	83 4	82.0	82.4	80.1	79.1	80.4	81.9	82.2
Dez.	80.1	78.8	78.1	77.6	77.9	78.9	79.0	78.2	77.1	76.7	76.6	76.5	75.3	75.1	76 2	78.6	79.1	79.4	79.5	80.7	79.5	82.4	82.1	81.9	78.6
Mittel	78.1	78.2	78.0	78,2	78.2	78.4	78.5	78 3	77.2	75.7	73.7	71.7	69.9	69.4	69.6	70.9	72.6	74.5	76.5	77.4	78.5	79.0	79.0	78.7	75.8

Stündliche Windgeschwindigkeiten

in m pro Sekunde

Datum	0–1a	1–2a	2–3a	3–4a	4–5a	5–6a	6–7a	7–8a	8–9a	9–10a	10–11a	11a–m	0–1p	1–2p	2–3p	3–4p	4–5p	5–6p	6–7p	7–8p	8–9p	9–10p	10–11p	11p–mn	Mittel
Jan. *)	5.04	4.55	4.12	4.03	3.79	3.97	4 33	4.41	4.63	4.60	4.64	4.28	4.24	4.06	4.81	4.93	5.30	5.27	5.38	5.38	5.17	5.46	5.30	5.46	4.71
Feb. *)	5.83	5.76	5.54	5.53	5.82	5.55	5.75	5.57	5.55	5.52	5.14	4.98	4.93	5.14	5.26	5.31	5.51	5.98	6.26	6.44	5.83	5.64	5.39	5.79	5.58
März*)	6.15	5.84	5.84	5.72	5.67	5.40	5.19	5.00	5.28	5.32	5.11	5.05	4.63	4.51	4.72	4.75	5.10	5.28	6.05	6.04	5.90	6.22	6.00	5.86	5.44
April*)	4.44	4 81	4.85	4.78	4.62	4.72	4.55	4.30	3.96	3.77	3.75	3.96	3.93	3.76	3.92	4.07	3.98	4.50	4.49	5.16	4.85	5.10	5.14	4.72	4.42
Mai	4.96	4.76	4.58	4.14	4.61	4.48	4.11	3.88	3.76	3.63	4.02	4 35	4.47	4.59	4.61	5.11	5.43	5.73	6.25	6.49	6.56	6.07	5.95	5.38	4.91
Juni	5.59	5.23	4.79	5.36	5.02	4.89	4.78	4.52	4.33	4.24	4.64	4 48	4.51	5.17	5.30	5.08	4.98	5.13	5.22	5.64	5.60	5.31	5.58	5.43	5.03
Juli	4.10	4.18	4.49	4.17	4.04	3.89	3.68	3.49	3.47	3.79	3.78	3 73	3.81	3.95	4.10	4.21	4.36	4.22	4.22	4.75	4.85	4.69	4.56	4.43	4.12
Aug.	4.85	4.50	4.50	4.19	4.62	4.49	4.18	3.82	3.68	3.88	4.02	3.67	3.84	3.52	3.81	3.92	3.89	4.07	4.22	4.82	5.04	4.87	4.98	4.88	4.26
Sept.	3.96	4.06	3.97	4.00	4.21	4.12	4.11	3.60	3.41	3.48	3.66	3.87	3.92	4.07	4.30	4.21	4.56	5.24	5.87	6.00	5.53	5.14	4.75	4.41	4.35
Okt.	4 69	4.62	4.68	4.71	4.58	4.47	4.76	4.50	4.10	4.05	3.96	3.91	4.14	4.68	4.62	4.50	4.76	5.48	5.97	5.96	5.56	5.09	5.14	4.88	4.74
Nov.	5.40	5.55	5.58	6.18	5.70	5.92	6.00	6.31	6.17	5.93	5.31	5.11	5.56	5.23	5.13	4.86	4.88	4.87	5.14	5.31	5.23	5.22	5.37	5.41	5.47
Dez. *)	6.63	6.79	6.82	6.24	6.48	6.30	6.30	6.18	6.07	6.19	6.18	6.36	6.08	5.93	6.06	6.43	6.48	6.42	7.03	6.98	6.53	6.79	6.56	6.45	6.43
Mittel	5.15	5.05	4.98	4.92	4.93	4.85	4.81	4.63	4.53	4 53	4.52	4.48	4.51	4.55	4.72	4.78	4.94	5.18	5.51	5.75	5.55	5.47	5 39	5.26	4 96

*) An einigen wenigen Tagen war das Anemometer ausser Betrieb, die hier mitgeteilten Mittel sind aus 27—31 Tagen gebildet.

Zugspitze.

Barometer-Registrierung. **Jahr 1913.** 1913.

Januar

500 mm +

Datum	1ª	2ª	3ª	4ª	5ª	6ª	7ª	8ª	9ª	10ª	11ª	12m	1p	2p	3p	4p	5p	6p	7p	8p	9p	10p	11p	12mn	Mittel
1.	34.2	33.9	33.6	33.4	33.0	32.8	32.7	32.5	32.5	32 5	32.4	32.5	32.3	32.6	32.5	32.4	32.3	32.1	32.0	31.8	31.7	31.7	31.6	31.3	32.51
2.	31.0	30.7	30.6	30.4	30.0	29.8	29.7	29.7	29.6	29.6	29.4	28.9	28.6	28.4	28.3	28.3	28.1	28.1	28.0	28.0	27.8	27.7	27.7	27.7	29.00
3.	27.6	27.6	27.6	27.6	27.5	27.5	27.6	27.8	27.9	28.3	28.3	28.4	28.3	28.3	28.5	28.7	28.8	29.1	29.1	29.4	29.6	29.6	29.7	29.7	28.44
4.	29.8	30.0	30.3	30.3	30.3	30.5	30.7	30.9	31.3	31.6	31.6	31.7	31.5	31.5	31.6	31.5	31.6	31.6	31.7	31.7	31.7	31.7	31.7	31.7	31.19
5.	31.7	31.7	31.7	31.7	31.7	31.8	31.8	31.9	32.1	32.5	32.6	32.5	32.5	32.5	32.7	32.9	33.1	33.2	33.5	33.6	33.7	33.7	33.9	33.8	32.62
6.	33.7	33.6	33.6	33.6	33.6	33.5	33.5	33.4	33.4	33.5	33.5	33.1	32.8	32.7	32.7	32.7	32.7	32.6	32.6	32.6	32.6	32.6	32.5	32 5	33.07
7.	32 5	32.4	32.4	32.4	32.2	32.1	32.2	32.3	32.4	32.4	32.6	32.3	32.1	31.8	31.7	31.7	31.7	31'7	31.6	31.6	31.5	31.5	31.3	31.1	31.98
8.	31.0	30.9	30.8	30.5	30.4	30.3	30.3	30.1	30.1	30.1	30.1	29.7	29.5	29.4	29.3	29.2	29.1	29.2	29.3	29.5	29.6	29.6	29.6	29.7	29.89
9.	29.6	29.6	29.6	29.4	29.3	29.2	29.2	29.1	29.2	29.2	29.2	28.9	28.7	28.6	28.4	28.2	27.9	27.7	27.6	27.3	26.9	26.7	26.5	26.3	28.43
10.	25.9	25.8	25.7	25.2	24.9	24.8	24.2	24.1	24.1	24.1	23.5	23.4	23.4	23.3	23.3	23.1	22.7	22.5	22.5	22.4	22.5	22.5	22.4	22.4	23.70
11.	22.3	22.3	21.9	21.7	21.8	21.6	21.2	21.7	22.0	22.2	22.0	21.8	20.8	21.0	21.3	21.5	21.6	21.3	21.4	21.2	21.0	20.8	20.5	20.3	21.47
12.	19.8	19.6	19.1	18.7	18.8	18.3	18.4	18.3	18.7	18.8	18.8	18.5	18.4	18 6	18.9	19.0	18.9	19.5	19.6	19.5	19.9	20.1	19.8	20.0	19.08
13.	20.1	20.1	20.3	20.3	20.2	20.1	20.2	20.4	20.7	20.9	20.9	20.6	20.5	20.5	20.8	21 0	21.3	21.4	21.9	22.1	22.3	22.3	22.3	22.2	20.98
14.	22.3	22.3	22.6	22.5	22.4	22.4	22.6	22.7	22 8	22.9	22.9	22.9	22.7	22.7	22.7	22.7	22.7	22.8	22.7	22.8	22.8	22.8	22.7	22.6	22.67
15.	22.5	22.5	22.5	22.5	22.2	22.1	22.1	22.1	22.4	22.6	22.7	22.6	22.5	22.5	22.5	22.5	22.6	22.6	22 6	22.6	22.6	22.7	22.7	22 6	22.49
16.	22.6	22.6	22.7	22.6	22.4	22.3	22.3	22.4	22.6	22.8	22.9	22.6	22.5	22.2	22.2	22.2	21.8	22.1	22.3	22.5	22.5	22.5	22.4	22.3	22.43
17.	22.1	22.1	22.3	21.9	22.1	22.1	22.2	22.4	22.1	22.5	22.5	22.1	21.8	21.9	21 9	21.8	21.9	21.9	21.8	21.8	21.8	21.7	21.7	21.5	22.00
18.	21.5	21.3	21.2	21.2	20.9	20.9	20.7	20.5	20.9	21.2	21.2	21.3	21 1	21.1	21.3	21.5	21.7	21.7	22.9	22.0	22.2	22.3	22.4	22.9	21.50
19.	23.0	23.2	23.4	23.2	23.6	23.6	23.8	24.1	24.4	24.7	25.0	24.7	24.6	24.4	24.2	24.1	23.9	23.9	23.8	23.7	23.8	23.5	23.4	23.3	23.89
20.	23.1	22.8	22.8	22.4	21.8	21.6	21.1	21.2	21.2	21.2	21.1	20.7	20.5	20.4	20.3	20.3	19.9	19.9	19.8	19.6	19.4	19.1	18.9	18.7	20.74
21.	18.5	18.1	17.7	17.3	17.3	17.1	16.6	16.3	16.7	17.1	17.2	16.7	16.7	16.7	16.7	16.7	16.7	16.7	16.7	16.8	16.9	17.1	17.2	17.1	17.03
22.	17.3	17.7	17.9	18 0	18.1	18.3	19.2	19.3	19.7	20.2	20.2	20.4	20.3	20.3	21.1	21.1	21.2	21.8	22.3	22.7	23.3	23.7	23.9	24.0	20.50
23.	24.0	24.1	24.1	23.7	23.5	23.3	23.1	23.5	23.8	23.7	23.2	22.5	22.6	22.8	22.7	22.3	23.7	22.8	23.0	23.2	24.5	24.9	25.2	24.8	23.55
24.	25.5	25.9	25.7	26.1	25.9	26.0	26.2	26.3	26.5	27.0	26.9	26.7	26.5	26.5	26.8	26.8	26.6	26.9	26.8	26.6	26.3	26.4	26.2	26.1	26.38
25.	26.1	26.1	26.3	26.2	26.2	26.1	26.0	25.9	26.0	26.1	26.0	25.7	25.5	25.3	25.6	26.0	26.1	26.2	26.2	26 4	26.6	26.7	26.7	26.3	26.10
26.	26.5	26.4	26.4	26.5	26.5	26.4	26.5	26.6	26.6	27.0	26.9	27.0	26.7	26.8	27.1	27.1	27.4	27.5	27.7	27.6	27.6	27.7	27.9	27.9	27.01
27.	27.9	27.9	28.2	28.2	28.2	28.2	28.1	27.9	27.9	28.0	28.0	27.9	27 8	27.7	27.7	27 6	27.6	27.4	27.5	27.2	26.9	27.1	27.0	26.9	27.70
28.	26.8	26.6	26.5	25.8	25.8	25.8	25.6	25.6	25.7	25.7	25.6	25.6	25.5	25.3	25.2	25.1	25.1	25.2	25.2	25.3	25.4	25.4	25.6	25.7	25.63
29.	25.6	25.5	25.5	25.4	25.3	25.2	25.4	25.5	25.6	25.7	25.9	25.6	25.4	25.0	24.9	25.0	25.0	25.0	24.9	24.8	24.5	24.5	24.5	24.2	25.16
30.	24.0	23.7	23 6	23.4	23.1	23.1	23.1	23.1	23.2	23.6	23.6	23.7	23.7	23.8	23.9	23.9	24.3	24.5	24.7	24.7	25.0	25.0	25.0	24 8	23.94
31.	24.2	24.1	23.9	23.6	23.1	23.1	22.7	22.4	22.4	21.2	20.4	20.2	20.0	20.0	19.8	19.8	20.3	21.1	21.9	22.0	23.0	23.2	23.6	23.8	22.08
Mittel	25.57	25.52	25.50	25.35	25.23	25.16	25.13	25.16	25.31	25.45	25.42	25.20	25.03	24.99	25.05	25.05	25.11	25.16	25.28	25.26	25.35	25.38	25.37	25.30	25.26

Februar

500 mm +

Datum	1ª	2ª	3ª	4ª	5ª	6ª	7ª	8ª	9ª	10ª	11ª	12m	1p	2p	3p	4p	5p	6p	7p	8p	9p	10p	11p	12mn	Mittel
1.	24.1	24.0	24.1	24.3	24.6	24.9	25.1	25.5	25.7	26 0	25.9	25.8	25.4	24.9	24.7	24.8	24.6	24.5	24.5	24.3	23.8	23.9	23.8	23.6	24.70
2.	23.5	22.7	22.4	21.9	21.3	21.1	21.0	21.2	21.9	22.4	22.7	22 7	23.0	23.3	23.5	23.8	23.9	24.2	24.4	24.5	24.2	24 5	24.2	24.0	23.01
3.	24.2	24.5	24.6	24.9	24.6	24.3	25.4	25.3	25.5	26.8	27.8	28.4	28.6	29.5	29.6	29.8	30.6	31.0	31.9	31.9	31.9	32.7	32.9	33.2	28.33
4.	33.2	33.2	33.5	33.4	33.7	34.2	34.5	34.8	34.7	35.1	35.4	35.7	35.8	35.7	35.9	35.8	35.7	35.9	36.0	36.1	36.3	36.2	36.1	35.8	35.11
5.	35.5	35.2	35.0	34.8	34.6	34.2	34.0	34.0	34.0	34.0	33 9	33.6	33.3	32.8	32.6	32 2	31.9	31.6	31.6	31.3	31.4	31.3	31.0	30.6	33.10
6.	30.5	30.4	30.4	30.3	30.2	29.8	29.8	29.9	30.2	30.3	30.6	30.3	30.3	30.2	30.1	30.1	30.2	30.3	30.5	30.7	31.0	31.2	31.4	31.5	30.43
7.	31.6	31.7	31.7	31.7	31.8	32.0	32.3	32.7	33.1	33.4	33 4	33.7	33.5	33.5	33 7	33.8	33.9	34 2	34.4	34.4	34.4	34.5	34.5	34.3	33.26
8.	34.3	34.2	34.1	33.9	33.6	33.6	33.6	33.6	33.5	33.1	33.1	33.0	32.6	32.2	32.1	32.0	32.8	32.9	33.4	33.6	34.1	34.3	34.6	34.6	33.45
9.	34.6	34.5	34.5	34.5	34.6	34.6	34.9	35.1	35.2	35.4	35.6	35.9	36.0	36.2	36.4	36.5	36.8	36.9	37.3	37.2	37.3	37.3	37 3	37.3	35.91
10.	37.3	37.3	37.3	37.1	37.1	37.1	37.2	37.4	37.5	37.7	37.9	37.8	37.5	37.7	37.7	37.6	37.6	37.6	37.5	37.3	37.2	37.0	36.8	36.8	37.38
11.	36.5	36.5	36.4	36.2	36.3	36.1	36.2	36.3	36.2	36.1	36.0	36.0	35.9	36.1	36.0	36 0	35.9	35.8	35.8	25.8	35.8	35.7	35.6	35.3	36.03
12.	35.4	35.2	34.9	34.8	34.7	34.6	34.5	34.5	34.2	34.3	34.2	34.0	33.8	33.7	33.5	33.4	33.4	33.3	33.1	32.9	32.7	32.5	32.4	32.3	33.85
13.	32.0	31.9	31.8	31.5	31.4	31.5	31.3	31.3	31.4	31.7	31.9	32.1	31.9	31.8	31.3	31.3	31.1	30.8	30.6	30.4	30.2	29.9	29.8	29.6	31.19
14.	29.3	28.7	28.4	28.0	27.8	27.4	26.6	26.8	26.5	26.2	26.3	26.4	26.1	25.7	25 8	25 4	25.4	25.3	25.1	24.7	24.5	24.6	24.4	24.2	26.24
15.	24.1	23.9	23.8	23.8	23.8	23.8	23.8	23.9	23.9	24.0	24.1	24.2	24.1	24.1	24.1	24.1	24.1	24.2	24.3	24.2	24.3	24.3	24.0	23.9	24.03
16.	23.8	23.6	23.2	23.0	22.8	22.8	22 5	22.4	22.3	22.3	21.8	21.8	21.7	21.3	20.9	20.9	20.9	20.8	20.7	20.6	20.4	20.2	20.0	19.9	21.69
17.	19.5	19.2	19.0	18.6	18.2	17.8	17.6	17.5	17.3	17.4	17.2	17.2	17.2	17.0	17.0	16.9	17.:	17.2	17.4	17 6	17.7	18 0	18.1	18.2	17.75
18.	18.3	18.4	18.4	18.6	18.7	18.9	19.1	19.2	19.5	19.6	20.1	19.7	19.8	19.9	19.9	20.2	20.3	20.6	20.7	20.9	21.1	21.1	21.1	21.0	19.80
19.	21.0	21.9	21.5	20.1	19.8	19.5	19.2	19.4	19.7	19.9	20.1	20.3	20.3	20.6	20.5	20.5	20.5	20.6	20.8	20.9	20.9	21.2	21.3	21.6	20.50
20.	21.7	21.9	22.0	22.1	22.2	22.3	22.3	22.5	22.5	22.6	22.7	22.4	22.2	22.2	22.2	22.3	22.3	22.4	22.5	22.6	22.8	22.8	22.8	22.8	22.38
21.	22.8	22.8	22.8	22.8	22 7	22.7	22.7	22.9	23.1	23.7	23.7	23.8	23.7	23.8	23.9	23.9	24.0	24.5	24.6	24.7	24.8	24.9	25.0	25.0	23.72
22.	25.0	25.0	25.0	25.0	25.0	25.0	25.2	25.4	25.6	25.9	25.9	25.9	25.9	25 8	25.8	25.9	25.9	26.0	26.1	26.4	26.6	26.6	26.7	26.8	25.77
23.	26.9	26.9	26.7	26.7	26.8	26.9	27.2	27.3	27.4	27.7	28.0	28.2	28.1	28.2	28.3	28.2	28.2	28.2	28.3	28.3	28.5	28.5	28.4	28.4	27.76
24.	28.4	28.5	28.3	28.3	28.3	28.3	28.3	28.5	28.9	29.2	29.4	29.3	29.2	29.3	29.3	29.2	29.1	29.2	29.2	29.2	29.2	29.2	29.2	29.2	28.93
25.	29.1	29.1	29.1	28.8	28.8	28.8	28.8	28.7	28.7	28.9	28.9	28.9	28.9	28.7	28.6	28.6	28.3	28 2	28.2	28.2	28.1	28.1	28.0	27.9	28.60
26.	27.9	27.4	27.1	26.9	26.6	26.5	26.3	26.3	26.3	26.3	26.3	25.9	25.6	25.3	25.1	24.9	24.7	24.6	24.5	24.4	24.2	24.2	24.1	23.7	25.63
27.	23.5	23.3	22.9	22.6	22.5	22.4	22.2	22.2	22.2	22.3	22.2	22.1	22.0	21.6	21.3	21.3	21.2	21.0	21.0	20.8	20.8	20.8	20.7	20.6	21.81
28.	20.6	20.6	20.6	20.7	20.9	21.1	21.2	21.6	21.9	22.0	22.4	22.6	22.5	22.5	22.6	22.7	22.9	23.3	23.5	23.8	24 0	24.1	24.2	24 3	22.36
Mittel	27.66	27.59	27.48	27.33	27.26	27.22	27.25	27.36	27.46	27.65	27.77	27.78	27.68	27.64	27 59	27.58	27.62	27.68	27.78	27.78	27.79	27.84	27.80	27.74	27.60

Barometer-Registrierung. **Zugspitze.** 1913.

März
500 mm +

Datum	1a	2a	3a	4a	5a	6a	7a	8a	9a	10a	11a	12m	1p	2p	3p	4p	5p	6p	7p	8p	9p	10p	11p	12mn	Mittel
1.	24.3	24.3	24.2	23.9	24.0	24.1	24.3	24.5	24.8	25.1	25.0	25.0	25.0	25.2	25.3	25.5	25.6	25.6	25.8	25.7	25.7	25.9	26.0	26.0	25.03
2.	26.0	26.0	26.1	26.1	26.1	26.2	26.3	26.5	26.7	27.2	27.4	27.8	27.8	27.9	27.9	27.7	28.2	28.3	28.5	28.8	29.2	29.3	29.0	29.2	27.52
3.	29.2	29.4	29.3	29.1	29.2	29.1	29.5	29.6	29.8	30.2	30.3	30.6	30.5	30.6	30.6	30.7	30.9	31.0	31.3	31.3	31.3	31.3	31.4	31.3	30.31
4.	31.2	31.2	30.9	30.8	30.8	30.6	30.9	31.0	30.8	31.5	31.4	31.6	31.8	31.8	32.0	32.2	32.3	32.5	32.8	33.0	33.0	33.1	33.3	33.4	31.83
5.	33.4	33.4	33.0	33.0	33.0	33.1	33.4	33.4	34.0	34.3	34.5	34.8	35.0	35.2	35.3	35.4	35.5	35.7	35.9	35.9	36.0	36.1	36.2	36.2	34.65
6.	36.1	36.1	36.2	36.0	36.0	36.0	36.2	36.0	36.3	36.5	36.5	36.2	36.1	35.9	35.7	35.6	35.6	35.5	35.4	35.2	35.2	35.0	34.9	34.8	35.79
7.	34.7	34.5	34.3	33.9	33.6	33.6	33.6	33.6	33.6	33.6	33.6	33.5	33.2	32.8	32.5	32.4	32.2	32.0	31.9	31.9	31.7	31.5	31.3	31.0	32.94
8.	30.8	30.2	29.8	29.5	29.4	29.0	28.7	28.6	28.6	28.5	28.4	28.1	28.0	27.7	27.5	27.4	27.2	26.3	27.1	27.4	27.5	27.5	27.4	27.4	28.25
9.	27.6	27.7	27.8	27.8	28.0	28.2	28.8	29.1	29.5	29.9	30.1	30.4	30.7	30.9	30.9	31.0	31.3	31.6	31.8	32.1	32.2	32.4	32.8	32.8	30.23
10.	32.8	32.7	32.7	32.7	33.1	33.3	33.6	33.8	33.8	33.9	34.0	34.3	34.4	34.5	34.7	34.7	34.8	34.6	34.7	34.4	34.7	34.7	34.4	34 9	34.01
11.	34.9	34.5	34.1	34.0	34.4	34.6	34.7	34.9	34.7	34.8	34.9	35.2	35.3	35.3	35.3	35.0	35.0	34.7	34.7	34.6	34.6	34.6	34.6	34.3	34.74
12.	34.1	34.1	33.6	33.6	33.4	33.4	33.3	33.7	34.0	34.5	34.7	34.6	34.6	34.6	34.6	34.4	34.2	34.0	33.7	33.5	33.2	32.7	32.3	31.9	33.78
13.	31.8	31.6	31.4	31.2	31.2	31.2	31.2	31.2	31.1	31.4	31.4	31.4	31.4	31.3	31.3	31.3	31.3	31.3	31.4	31.4	31.3	31.4	31.5	31.6	31.36
14.	31.6	31.6	31.5	31.5	31.5	31.6	31.8	32.0	32.4	32.6	32.5	32.5	32.4	32.3	32.3	32.2	32.2	32.1	32.1	32.1	32.0	32.0	31.9	31.9	32.03
15.	31.8	31.7	31.5	31.5	31.4	31.2	31.3	31.3	31.5	31.5	31.5	31.7	32.0	32.0	32.1	32.3	32.5	32.6	32.7	32.8	32.9	33.1	33.1	32.9	32.04
16.	32.7	32.2	31.8	31.6	31.1	31.0	31.0	31.1	31.1	31.1	30.9	30.8	30.6	30.3	30.3	30.1	29.9	29.8	29.7	29.4	29.2	29.0	29.0	28.9	30.53
17.	28.4	27.9	27.3	26.8	26.6	26.3	25.9	25.8	25.7	25.8	25.6	25.1	24.7	23.8	23.1	22.4	21.7	21.4	21.1	20.7	20.1	19.7	19.5	19.2	23.94
18.	18.6	18.3	17.8	17.6	17.2	16.6	16.3	16.4	16.4	16.4	16.4	16.4	16.4	16.6	16.8	16.7	17.0	17.1	17.4	17.6	17.7	17.7	17.8	17.7	17.12
19.	17.7	17.2	17.1	16.9	16.9	17.0	17.2	17.3	17.3	17.8	17.4	17.6	17.6	17.8	17.9	18.3	17.6	17.9	18.5	18.6	19.6	20.3	21.0	21.0	18.06
20.	21.4	21.9	22.2	22.8	23.3	23.9	24.4	24.9	25.4	25.9	26.3	26.5	26.6	26.8	26.8	27.0	27.0	27.0	27.1	27.0	27.0	26.9	27.1	26.9	25.50
21.	27.4	27.4	27.2	27.1	26.9	27.1	27.4	27.7	28.1	28.2	28.3	28.4	28.5	28.5	28.5	28.5	28.7	28.8	28.9	29.1	29.4	29.6	29.7	29.7	28.30
22.	29.6	29.6	29.6	29.2	29.3	29.1	29.0	28.8	28.7	28.8	28.8	28.7	28.7	28.5	28.3	28.0	27.7	27.7	27.5	27.4	27.2	26.7	26.6	26.2	28.32
23.	25 8	25.7	25.7	25.6	25.4	25.5	25.3	25.3	25.4	25.4	25.3	24.9	24.4	23.8	23.6	23.4	23.3	23.2	23.1	22.8	22.4	22.2	22.0	21.7	24.22
24.	21.7	21.4	21.2	20.9	20.8	20.7	20.4	20.2	20.8	21.3	21.0	22.7	23.0	23.5	23.8	24.3	24.9	25.3	25.8	26.2	26.4	26.5	26.9	27.0	23.20
25.	27.1	27.1	27.2	27.3	27.5	27.7	28.1	28.2	28.8	29.1	29.3	29.5	29.5	29.6	29.6	29.6	29.7	29.8	30.0	30.0	30.1	30.2	30.2	30.1	28.97
26.	29.9	29.7	29.6	29.4	29.6	29.5	29 5	29.7	29.7	29.7	29.7	29.4	28.9	28.3	28.0	27.4	26.8	26.5	26.1	26.1	26.0	26.0	25.8	25.8	28.21
27.	25.6	25.5	25.3	25.2	24.9	24.7	24.6	24.5	24.1	24.0	23.8	22.7	22.6	23.5	23.5	23.4	23.3	23.3	23.3	23.3	23.1	23.1	23.0	23.0	23.89
28.	22.9	22.7	22.5	22.2	22.3	22.3	22.7	22.9	23.5	23.8	23.9	25.0	25.3	25.9	26.2	26.2	26.0	26.2	26.3	27.2	27.2	27.7	27.8	27.9	24.86
29.	27.9	28.0	28.1	27.9	28.0	27.9	28.0	28.1	28.4	28.8	29.2	29.4	29.6	30.3	30.3	30.5	30.6	30.7	30.7	30.7	30.6	30.7	30.6	30.7	29.40
30.	30.8	30.9	30 8	30.7	30.6	30.4	30.4	30.4	30.4	30.5	30.2	30.2	30.0	30.0	30.0	30.0	30.0	29.7	29.6	29.7	29.6	29.6	29.4	29.4	30.14
31.	29.6	29.3	29.1	28.9	28.5	28.4	28.3	28.3	28.4	28.7	28.6	28.7	28.9	28.9	28.9	28.9	28.9	28.8	28.8	28.9	28.8	28.8	28.7	28.7	28.78
Mittel	28.63	28.51	28.35	28.22	28.19	28.17	28.26	28.35	28.51	28.74	28.74	28.83	28.82	28.84	28.83	28.80	28.77	28.74	28.83	28.86	28.87	28.88	28.88	28.82	28.64

April
500 mm +

1.	28.4	28.1	27.7	27.5	27.2	27.0	27.0	26.9	27.0	27.1	27.1	26.9	26.8	26.6	26.5	26.5	26.7	26.6	26.7	26.9	26.9	27.0	27.0	26.9	27.04
2.	26.8	26.7	26.8	26.8	26.9	26.9	27.2	27.2	27.4	27.6	27.5	27.3	27.2	26.9	26.8	26.7	26.7	26.6	26.5	26.4	26.3	26.1	25.8	25.5	26.78
3.	25.4	25.4	25.4	25.1	25.0	24.9	25.0	25.0	25.0	25.2	25.0	24.9	24.9	25.1	25.2	25.2	25.3	25.3	25.3	25.3	25.3	25.1	25.1	25.0	25.14
4.	24.7	24.6	24.6	24.5	24.4	24.4	24.3	24.2	24.5	24.6	24.5	24.4	24.5	24.6	24.6	24.5	24 2	23.9	23.4	23.0	22.7	22.4	22.3	21.9	23.99
5.	21.6	21.1	20.8	20.4	20.5	20.2	19.9	19.6	20.1	20.5	20.5	20.5	21 0	20.3	21.0	21.5	21.7	21.7	21.7	21.6	21.3	21.3	21.3	21.2	20.88
6.	20.9	20.6	20.1	19.9	19.6	19.6	19.6	19 3	19.3	19.3	19.3	19.4	19.4	19.3	19.1	19.2	19.3	19.3	19.0	19.2	19.0	18.7	18.5	18.5	19.39
7.	18.1	17.9	17.7	17.5	17.5	17.5	17.5	17.6	17.8	18.1	18.1	18.2	18.3	18.3	18.4	18.5	18.6	18.8	19.1	19.5	19.6	19.7	19.8	20.0	18.42
8.	20.0	20.0	19.8	19.8	19.9	19.9	20.1	20.2	20.3	20.6	20.6	20.6	20.7	20.8	20.7	20.6	20.5	20.6	20.8	21.0	21.0	20.9	21.0	20.9	20.47
9.	20.8	20.6	20 5	20.4	20.3	20.5	20.6	20.8	20.9	21.2	21.4	21.7	21.7	21.7	21.8	21.9	22.0	22.1	22.2	22.4	22.5	22.6	22.7	22.6	21.50
10.	22.5	22.4	22.3	22.0	21.9	21.8	21.8	21.8	21.8	21.8	21.7	21.6	21.6	21.5	21.3	21.3	21.0	20.6	20.6	20.4	19.9	19.8	19.5	19.4	21.26
11.	19.1	18.9	18.7	18.6	18.5	18.5	18.4	18.6	18.6	18.4	18.4	18.4	18.5	18.1	18.2	18.2	17.6	17.0	17.5	17.7	17.8	17.9	17.6	17.0	18.18
12.	16.6	15.8	15.4	15.1	14.5	14.3	14.0	13.1	12.1	11.5	11.5	11.9	11.9	11.7	11.9	12.0	12.5	12.5	12.7	13.1	13.3	13.5	14.3	14.4	13.32
13.	14.4	14.4	14.5	14.5	14.5	14.6	14.9	15.1	15.3	16.0	16.1	16.1	16.4	16.5	16.6	16.9	17.3	17.5	17.7	18.0	18.3	18.4	18.7	18 7	16.31
14.	18.8	18.8	18.8	18.9	19.0	19.4	19.9	19.9	20.1	20.7	20.8	21.1	21.0	21.3	21.4	21.4	21.6	21.6	21.8	21.8	21.9	21.9	21.8	21.7	20.64
15.	21.4	21.1	21.1	21.0	21.0	21.1	21.2	21.4	21.5	21.9	22.0	22.1	22.3	22.5	22.6	22.6	22.8	22.8	22.9	23.0	23.2	23.2	23.3	23.3	22.14
16.	23.2	23.1	23.2	23.1	23.1	23.2	23.1	23.0	23.0	23.5	23.7	23.8	23.9	24.0	24.0	24.0	23.9	22.9	23.9	24.1	24.1	24.1	23.9	23.6	23.60
17.	23.2	23.2	23.2	22.9	22.9	22.9	23.1	23.2	23.4	23.7	23.8	23.2	23.3	23.3	23.1	23.2	23.1	23.3	23 3	23.4	23.5	23.7	23.6	23.5	23.29
18.	23.5	23.3	23.0	23.2	23.2	23.7	23.9	24.0	24.1	24.6	24.6	24.7	24.6	24.6	24.7	25.0	25.1	25.2	25.5	25.5	25.8	26.0	26.0	26.0	24.58
19.	25.9	25 9	26.0	26.0	25.8	26.0	26.0	26.4	26.8	26.9	26.9	26.8	27.0	27.1	27.0	26.8	26.6	26.4	26.2	26.1	26.2	26.2	26.2	26.1	26.39
20.	25.9	25.6	25.6	25.6	25.6	25.7	25.9	26.0	26.2	26.5	26.5	26.5	26.5	26.7	26.8	26.7	26.9	26.8	27.2	27.7	27.9	28.0	28.0	28.0	26.62
21.	27.8	27.7	27.7	27.7	27.3	27.4	27.7	27.7	27.8	28.2	28.3	28.7	28.8	29.0	29.1	29.1	28.9	28.9	28.7	29.0	29.0	29.2	29.5	29.4	28.44
22.	29.6	29.5	29.4	29.5	29.5	29.6	29.9	30.1	30.2	30.6	30.7	30.7	30.8	30.8	30.8	30.7	30.6	30.5	30.4	30.4	30.4	30.4	30.1	29.9	30.21
23.	29.5	29.3	29.2	28.9	28.7	28.6	28.6	28.6	28.6	28.6	28.6	28.6	28.5	28.5	28.4	28.3	28.3	28.3	28.3	28.3	28.3	28.2	28.1	27.9	28.55
24.	27.6	27.4	27.2	26.9	27.0	26.9	26.9	26.7	26.8	27.1	27.1	27.4	27.4	27.4	27.2	27.1	26.9	26.8	26.6	26.7	26.7	26.7	26.7	26.6	26.99
25.	26.4	26.3	26.3	26.1	26.0	26.0	26.3	26.3	26.4	26.4	26.5	26.8	26.9	27.2	27.2	27.4	27.4	27.3	27.3	27.5	27.6	27.5	27.6	27.6	26.85
26.	27.6	27.4	27.5	27.6	27.7	28.0	28.2	28.3	28.3	28.5	28.6	28.6	28.6	28.3	28.2	28.1	28.1	28.0	27.8	27.8	27.7	27.5	27.3	27.3	27.96
27.	27.0	26.8	26.9	26.7	26.7	26.7	26.8	26.9	26.8	26.9	27.1	27.1	27.3	27.4	27.4	27.4	27.5	27.5	27.6	28.0	28.3	28.3	28.6	28.8	27.35
28.	28.7	28.7	29.0	29.0	29.0	29.4	29.6	29.8	30.3	30.7	30.7	30.8	31.0	31.1	31.3	31.3	31.6	31.6	31.8	32.1	32.4	32.5	32.6	32.8	30.74
29.	32.8	32.8	32.9	32.9	33.1	33.2	33.4	33.5	33.6	33.7	33.8	33.9	33.8	33.7	33.5	33.5	33.4	33.3	33.3	33.2	33.1	33.1	33.1	33.1	33.32
30.	32 9	32.8	32.5	32.4	32.4	32.4	32.4	32.3	32.2	32.2	32.1	32.0	32.0	31.8	31.6	31.5	31.2	31.0	30.9	30.7	30.6	30.4	30.2	30.0	31.69
Mittel	24.37	24.21	24.13	24.02	23.96	24.01	24.11	24.12	24.21	24.41	24.45	24.49	24.55	24.54	24.55	24.57	24.58	24.52	24.56	24.66	24.69	24.68	24.67	24.59	24.40

Barometer-Registrierung. **Zugspitze.** 1913.

Mai

500 mm +

Datum	1a	2a	3a	4a	5a	6a	7a	8a	9a	10a	11a	12m	1p	2p	3p	4p	5p	6p	7p	8p	9p	10p	11p	12mn	Mittel
1.	29.6	29.3	29.2	29.1	28.9	28.9	28.8	28.6	28.5	28.4	28.4	28.3	28.2	27.9	27.5	27.3	27.1	26.9	26.7	26.6	26.4	26.2	26.1	25.9	27.87
2.	25.4	25.3	25.2	25.0	24.9	24.9	24.7	24.7	24.6	24.6	24.6	24.6	24.7	24.8	24.7	24.7	24.7	24.6	24.6	24.7	24.7	24.8	24.8	24.7	24.79
3.	24.5	24.3	24.1	23.9	23.8	23.8	23.6	23.6	23.5	23.5	23.5	23.4	23.4	23.4	23.4	23.3	23.1	22.9	22.7	22.7	22.6	22.5	22.4	22.3	23.34
4.	22.1	21.7	21.4	21.0	21.0	20.9	20.9	20.9	20.8	20.7	20.6	20.5	20.3	20.2	20.0	19.9	19.7	19.5	19.4	19.4	19.1	18.9	18.9	18.5	20.26
5.	18.4	17.8	17.6	17.4	17.1	16.9	16.7	16.6	16.5	16.3	16.4	16.5	16.5	16.4	16.4	16.5	16.5	16.6	16.8	16.9	17.3	17.3	17.5	17.5	16.93
6.	17.4	17.4	17.4	17.4	17.5	17.6	17.6	17.6	17.9	18.1	18.3	18.6	18.7	18.8	19.0	19.0	19.1	19.3	19.4	19.7	20.1	20.1	20.1	20.1	18.59
7.	20.0	19.9	19.8	19.8	19.7	20.0	20.1	20.5	20.8	21.1	21.3	21.7	22.0	22.3	22.3	22.8	22.8	23.1	23.6	23.7	23.9	23.9	24.0	24.0	21.80
8.	24.1	24.1	24.3	24.3	24.5	24.8	25.1	25.2	25.2	25.5	25.4	25.5	26.0	26.2	26.2	26.3	26.4	26.4	26.4	26.4	26.6	26.6	26.6	26.6	25.61
9.	26.4	26.3	26.1	26.1	26.1	26.2	26.5	26.6	26.7	26.9	27.1	27.2	27.2	27.4	27.5	27.5	27.5	27.5	27.8	27.8	27.8	27.8	27.8	27.9	27.07
10.	27.8	27.7	27.6	27.6	27.7	27.7	27.8	27.9	28.0	28.0	28.0	27.9	27.6	27.6	27.5	27.3	27.3	27.0	27.0	27.0	27.2	27.2	26.9	26.8	27.50
11.	26.6	26.4	26.2	25.9	25.8	25.8	25.5	25.3	25.5	25.5	25.7	25.9	25.9	26.3	26.3	26.4	26.8	27.2	27.4	27 6	27.9	28.0	28.3	28.4	26.53
12.	28.4	28.3	28.4	28.4	28.4	28.7	28.8	28.8	28.7	29.0	29.1	29.1	29.1	29.1	29.2	29.1	29.2	29.2	29.3	29.2	29.3	29.3	29.3	29.3	28.95
13.	29.2	29.1	29.1	29.0	29.0	29.1	29.3	29.5	29.6	29.9	30.1	30.2	30.4	30.5	30.5	30.5	30.6	30.8	30.8	30.9	31.1	31.2	31.2	31.2	30.12
14.	31.1	31.0	30.9	30.9	31.0	31.0	31.0	31.0	31.0	31.3	31.4	31.5	31.6	31 7	31.7	31.5	31.5	21.5	31.5	31.6	31.6	31.6	31.6	31.5	31.33
15.	31.5	31.4	31.3	31.2	30.9	30.9	31.3	31.4	31.4	31.6	31.7	31.9	32.0	32.0	32.0	31.8	31.7	31.4	31.4	31.1	31.0	31.0	30.8	30.6	31 39
16.	30.3	30.3	29 9	29.9	29.8	29.5	29.2	29.1	29.2	29.1	29.0	29.1	29.1	29.1	28 9	28.6	28.5	28.3	27.8	27.5	27.4	27.4	27.2	26.7	28.79
17.	26.5	26.2	26.2	25.9	25.5	25.2	25.2	25.2	25.2	25.2	25.2	25.2	25.5	25.5	25.6	25.6	25.6	25.6	25.5	25.6	25.7	25.7	25.9	25.8	25.61
18.	25.6	25.4	25.2	24.9	24.9	24.7	24.8	24.7	24.9	25.3	25.4	25.5	25.5	25.6	25.7	25.7	25.4	25.4	25.5	26.0	26.4	26:4	26.6	26.6	25.50
19.	26.6	26.5	26.4	26.3	26.3	26.3	26.4	26.4	26.3	26.3	26.3	26.1	26.1	26.1	26.1	26.2	26 3	26.3	26.1	26.4	26.8	26.9	27.0	27.1	26.40
20.	26.9	26.7	26.7	26.7	26.9	27.1	27.3	27.4	27.5	27.8	27.9	28.0	28.3	28.5	28.7	28.1	29.4	29.6	29.7	30.0	30.4	30.4	30.4	30.6	28.38
21.	30.6	30.5	30.5	30.5	30.6	30.6	30.8	31.0	31.1	31.4	31.6	31.6	31.6	31.9	31.9	31.8	31.8	32.0	32.0	31.9	31.9	31.9	31.9	31.7	31.38
22.	31.6	31.3	31.0	30.9	30.8	30.7	30.8	30.9	30.9	31.0	31.2	31.4	31.5	31.5	31.4	31.4	31.2	31.0	31.4	31.5	31.9	31.7	31.9	31.7	31.28
23.	31.8	31.7	31.8	31.7	31.7	31.9	31.9	31.8	31.7	31.9	31.9	31.8	31.7	31.7	31.7	31.8	31.8	31.8	31.1	31.1	31.1	30.9	31.5	31.4	31.65
24.	31.2	31.1	30.9	31.0	31.2	31.6	32.0	32.4	32.8	33.2	33.5	34.0	34.3	34.7	34.9	35.0	35.2	35.2	35.4	35.4	35.6	35.7	35.7	35 8	33.66
25.	35.9	35.9	35.8	35.7	35.6	35.5	35.6	35.7	35.8	36.2	36.4	36.7	36.8	37.0	37.1	37.0	37.1	37.1	37.1	37.3	37.5	37.5	37.6	37.5	36.56
26.	37.5	37.4	37.5	37.5	37.5	37.6	37.9	38.0	38.0	38.3	38.3	38.3	38.5	38.5	38.4	38.3	38.3	38.2	38.1	38.0	38.0	38.0	38.0	37.6	37.99
27.	37.5	37.3	37.0	37.0	37.0	37.0	37.1	37.0	37.1	37.2	37.2	37.1	37.0	36.9	36.7	36 6	36.4	36.1	35.9	35.7	35.5	35.3	35.0	34.8	36.56
28.	34.7	34.1	33.8	33.5	33 3	33.4	33.6	33.3	33 4	33.7	33.8	33.9	34.0	34.0	34.0	33.9	33.5	34.3	34.4	34.4	35.0	35.0	34.9	35.0	34.04
29.	34.8	34.8	34.8	34.9	35.3	35.4	35.6	35.7	35.7	35.9	36.1	35.8	35.6	35.7	35.8	35.8	35.8	35.7	35.8	35.7	35.9	35.9	35.7	35.5	35.57
30.	35.4	35.3	35.2	35.3	35.2	35.3	35.5	35.5	35.6	35.5	35.6	35.6	35.5	35.6	35.4	35.4	35.1	34.9	34.8	34.7	34.8	34.8	34.5	34.3	35.20
31.	34.2	34.2	34.3	34.3	34.3	34.5	34.5	34.5	34.6	34.6	34.7	34.9	34 7	34.4	34.3	34.2	34.0	34.0	34.1	34.0	34.2	34.3	34.3	34.4	34.55
Mittel	28.83	28.67	28.57	28.48	28.46	28.50	28.57	28.61	28.66	28.81	28.89	28.97	29.01	29.08	29.06	29.01	29.01	29.01	29.02	29.06	29.18	29.17	29.17	29.09	28.87

Juni

500 mm +

1.	34.3	34.2	34.1	34.1	34.2	34.0	33.9	33 8	33 8	34.2	34.3	34.4	34.5	34.6	34.7	34.8	34.7	34.6	34.9	35.3	35.5	35.7	35.7	35.5	34.58
2.	35.3	35.3	35.3	35.3	35.3	35.3	35.6	35 8	35.9	36.1	36.0	36.1	36.1	36.2	36.0	36.0	35.6	35.6	35.7	35.8	36.2	36.0	36.1	36.2	35.78
3.	35.9	35.5	35.5	36.0	36.1	36.2	36.2	36.3	36.4	36.8	36.9	37.0	36.9	36.8	36.7	36.6	36.8	36.8	36.8	36.8	37.0	37.0	37.0	36.9	36.54
4.	37.0	36.9	36.6	36.5	36.3	36.1	36.1	36.1	36.4	36.7	36.7	36.6	36.6	36.2	36.1	35.8	35.6	35.1	34.7	35.0	35.0	35.2	35.2	34.8	35.97
5.	34.6	34.3	34.1	33.8	33.7	33.7	33.8	33.8	33.8	33.9	33.9	33.9	33.8	33.7	33.6	33.5	33.0	33.0	33.0	33.3	33.5	33.6	33.6	33.2	33.67
6.	33.0	32.9	32.8	32.6	32.6	32.5	32.4	32.4	32.4	32.2	32.0	32.1	32.0	31.9	31.6	31.8	31.5	31.3	31.3	31.4	31.6	31.5	31.5	31.5	32.03
7.	31.4	31.3	31.3	31.3	31.4	31.5	31.8	31.9	32.0	32.3	32.5	32.7	32.9	33.1	33.1	33.2	33.3	33.3	33.4	33.6	33.8	33.9	34.2	34.2	32.64
8.	34.2	34.2	34.2	34.2	34.2	34.4	34.4	34.5	34.5	34.7	34.7	34.7	34.7	34.7	34.7	34.7	34.7	34.5	34.5	34.5	34.6	34.5	34.4	34.3	34.49
9.	34.3	34.1	34.1	34.1	34.2	34.2	34.4	34.5	34.5	34.7	34.9	34.8	34.7	34.6	34.5	34.5	34.4	34.3	34.3	34 3	34.3	34.2	34.2	34.0	34.38
10.	34.0	33.8	33.7	33.6	33.6	33.6	33.5	33.5	33.5	33.8	33.9	34.2	34.2	34.2	34.2	34.1	34.0	34.0	33.9	33.8	33.7	33.6	33.5	33 3	33.80
11.	33.0	32.4	32.3	32.1	32.4	32.4	32.5	32.5	32.7	32.7	33.0	32.9	33.1	33.2	33.1	33.1	33.1	32.7	32.8	32.9	32.7	32.7	32.4	32.2	32.70
12.	31.9	31.8	31.6	31.4	31.3	31.3	31.4	31.5	31.4	31.4	31.5	31.9	31.8	31.9	31.7	32.1	32.4	32.5	32.6	32.7	32.7	32.6	32.6	32.6	31.94
13.	32.5	32.4	32.5	32.4	32.4	32.5	32.7	32.7	32.5	33.8	33.0	33.2	33.4	33.6	33 5	33.7	33.6	33.5	33.5	33.6	33.9	34.0	34.0	34.0	33.20
14.	34.0	34.0	33.9	34.0	34.3	34.3	34 5	34.7	34.8	35.1	35.3	35.8	35.9	36.0	36.2	36.2	36.2	36.1	36.1	36.1	36.4	36.4	36.4	26.5	35.38
15.	36.4	36.3	36.3	36.2	36.3	36.4	36.5	36.6	36.8	37.0	37.1	37.2	37.4	37.4	37.4	37.4	37.4	37.3	37.3	37.3	37.5	37.5	37.4	37.3	36.99
16.	37.2	36.9	36.7	36.7	36.6	36.6	36.5	36.6	36.6	36.9	37.1	37.1	37.1	37.0	36.8	36.7	36.5	36.3	36.0	36.0	35.9	35.8	35.7	35.7	36.54
17.	35.6	35.4	35.3	35.4	35.3	35.4	35.6	35.7	35.6	36.0	36.1	36.1	36.1	36.1	36.1	36.1	35.9	35 8	35.7	35.6	35.8	35.9	35.9	35.8	35.76
18.	35.5	35.3	35.2	35.1	35.1	35.1	35.1	35.1	35.2	35.4	35.4	35.2	35.2	35.2	35.2	35.0	35.7	35.7	35.7	35.7	34.9	34.9	34.8	34.8	35.23
19.	34.5	34.4	34.2	34.1	34.0	34.0	34.1	34.3	34.3	34.5	34.5	34 5	34.2	34.2	34.0	34 0	33.7	33.4	33.1	33.5	33.9	34.0	34.0	33.9	34.05
20.	33.8	33.6	33.5	33.6	33.6	33.7	33.7	33.6	33.6	33.4	33.6	32.8	32.8	32.6	32.4	32.3	32.0	31.9	31.9	31.8	31.8	31.6	31.3	31.0	32.72
21.	30.5	30.3	30.0	29.5	29.2	29.6	29.5	29.5	29.5	29 5	29 5	29.5	29.5	29.5	29.5	29.5	29.5	29.5	29.5	29.5	29.5	29.6	29.5	29 3	29.58
22.	29.1	29.0	29.0	28.9	28.9	28.9	29.1	29.2	29.4	29.7	29.7	30.3	30.3	30.5	30.7	31.0	31.2	31.2	31.4	31 4	31.5	31.7	31.7	31.8	30.23
23.	31.8	31.9	32.0	32.2	32.2	32.3	32.5	32.7	32.6	32.8	33.2	33.3	33.4	33.5	33.5	33.5	33.7	33.7	33.7	33.7	33.8	33.8	33.7	33.6	33.05
24.	33.5	33.5	33.5	33.4	33.2	33.4	33.5	33.5	33.4	33.4	33.3	33.4	33.3	33.2	33.0	33.6	32.2	32.3	32.1	31.9	32.2	31.9	31.8	31.4	32.91
25.	31.1	30.7	30.5	30.3	30.0	29.8	29.6	29.5	29.4	29.2	28,9	28.7	28,5	28.1	27.9	27.7	27.5	27.3	27.2	27 3	27.3	27.2	27.2	27.3	28.68
26.	27.3	27 3	27.3	27.4	27.7	27.9	28.4	28.8	29.2	29.7	30.1	29.9	30.1	30.5	30.8	31.0	31.4	31.5	31.6	31.7	32.0	32.0	32.0	32.0	29.90
27.	31.8	31.6	31.3	31.1	31.2	31.1	31.0	31.0	30.8	30.5	30.3	30.2	30.2	30.1	30.1	30.2	30.1	30.1	30.2	30.1	30.1	30.2	30.1	29.8	30.55
28.	29.6	29.6	29.5	29.6	29.6	29.8	30.1	30.4	30.9	31.3	31.4	31.6	31.6	31 9	32.2	32.2	32.7	32.5	32.8	32.9	33.2	33.3	32.7	33.2	31.44
29.	33.1	32.5	32.6	32.6	32.4	32.5	32.4	32.3	31.9	31.8	31.7	31.9	31.9	32.2	31.1	31.7	31.9	31.7	31.9	31.3	31 6	30.6	31.0	31.4	31.92
30.	31.5	31.4	31.3	31.5	31.4	31.7	31.8	31.6	31.6	31.6	31.4	31.3	31.4	31 3	31.4	31.4	31.3	31.4	31.5	31.5	31.5	31.7	31.4	31.6	31.48
Mittel	33.26	33.09	33.01	32.97	32.96	33.01	33.09	33.15	33.18	33.37	33.40	33.44	33.45	33.47	32.39	33.45	33.39	33.30	33.30	33.34	33.45	33.42	33.37	32.30	33.27

Barometer-Registrierung. **Zugspitze.** 1913.

Juli
500 mm +

Datum	1ª	2ª	3ª	4ª	5ª	6ª	7ª	8ª	9ª	10ª	11ª	12m	1p	2p	3p	4p	5p	6p	7p	8p	9p	10p	11p	12mn	Mittel
1.	31.7	31.3	31.1	31.2	31.2	31.3	31.5	31.5	31.6	31.8	32.0	32.1	32.1	32.2	32.2	32.3	32.3	32.1	32.1	32.3	32.3	32 3	32.1	31.9	31.85
2.	31.8	31.5	31.3	31.2	31.0	31.0	30.9	30.8	30.8	30.9	30.9	31.2	31.2	31.2	31.1	31.0	31.0	31.0	30.9	30.7	30.6	30.5	30.4	30.1	30.96
3.	30.0	29.9	29.7	29.5	29.5	29.5	29.4	29.2	29.4	29.3	29.2	29.0	29.0	28.8	28.9	28.9	28.8	28.6	28.7	28.7	28.7	28.7	28.7	28.5	29.11
4.	28.4	28.2	27.9	27.9	27.9	27.9	27.8	27.8	27.7	27.8	27.9	27.9	27.9	27.9	27.8	27.7	27.8	27.8	27.8	27.9	28.0	27.9	28.0	28.0	27.90
5.	28.0	27.9	27.8	27.8	27.8	27.8	27.6	27.8	28.0	28.4	28.4	28.5	28.6	28.7	28.6	28.7	28.7	28.8	28.9	28.9	28.9	28.9	28.8	28.8	28.38
6.	28.5	28.2	27.9	27.7	27.6	27.3	27.3	27.1	27.0	27.4	27.4	27.4	27.4	27.4	27.3	27.2	27.2	27.2	27.3	27.1	27.1	27.1	27.1	27.0	27.38
7.	26.9	26.8	26.8	26.7	26.7	26.6	26.5	26.5	26.6	26.8	26.9	26.9	26.9	27.1	27.3	27.6	27.7	27.8	27.8	28.0	28.2	28.1	28.0	27.8	27.21
8.	27.7	27.6	27.5	27.4	27.2	27.3	27.3	27.3	27.4	27.4	27.5	27.5	27.5	27.4	27.3	26.9	26.8	26.8	26.8	26.9	27.1	27.2	27.2	27.2	27.26
9.	27.0	26.9	27.0	27.2	27.4	28.0	28.6	28.6	28.7	29.7	29.0	29.2	29 4	30.3	30.1	30.1	30.3	30.3	30.5	30.6	30.7	30.6	30.4	30.1	29.20
10.	29.8	29.6	29.4	29.2	28.9	28.7	28.7	28.6	28.5	28.4	28.3	28.3	28.1	28.1	27.9	27.7	27.4	27.0	26.9	26.7	26.6	26.5	26 3	26.1	27.99
11.	25.9	25.6	25.2	25.0	25.0	25.0	24.8	24.8	24.9	25.2	25.3	25.5	25.8	26.0	26.1	26.4	26.5	26.6	26.7	27.0	27.3	27.5	27.6	27.7	25.98
12.	27.8	28.0	28.3	28.6	29.0	29.3	29.8	29.0	31.1	30.4	30.7	31.1	31.2	31.4	31.5	31.6	31.6	31.8	31.9	32.1	32.5	32.6	32.5	32.7	30.69
13.	32.8	32.9	33.0	33.0	33.1	33.3	33.5	33.8	33.9	34.2	34.4	34.7	35.1	35.2	35.3	35.4	35.4	35.4	35.5	35.7	35.7	35.7	35.8	35.8	34.53
14.	35.9	35.8	35.8	35.7	35.7	35.8	35.8	35.8	35.9	35.9	36.4	36.4	36.4	36.4	36.3	36.1	36.0	35.5	35.1	34.9	34.7	34.6	34.4	33.9	35.63
15.	33.2	32.7	32.5	32.0	31.4	31.2	31.1	30.9	30.7	30.8	30.8	30.7	30.8	31.0	31.0	30.9	30.8	30.8	30.8	30.8	30.9	30.8	30.6	30.4	31.15
16.	30.0	29.5	29.4	29.3	29.3	29.2	29.0	29.1	28.9	28.8	28.8	28.8	28.9	29.0	28.9	28.8	28.9	28.9	28.8	29.1	29.3	29.4	29.5	29.5	29.13
17.	29.4	29.4	29.5	29.5	29.5	29.8	29.9	30.1	30.3	30.8	31.1	31.4	31.6	31.9	32.1	32.3	32.5	32.6	32.8	33.2	33.7	33.6	33.9	33.9	31.45
18.	33.9	33.9	33.9	33.9	33.9	34.1	34.2	34.2	34.2	34.2	34.2	34.2	34.1	34.1	34.0	33.9	33.8	33.7	33.7	33.5	33.5	33.4	33.0	32.9	33.85
19.	32.7	32.3	31.8	31.9	31.8	32.0	32.1	32.4	32.6	32.9	32.9	32.9	32.7	32.7	32.4	32.4	32.2	31.9	31.6	31.4	31.0	30.9	30.8	30.3	32.03
20.	29.9	29.4	29.4	29.4	29.3	29.1	29.3	29.4	29.3	29.6	29.6	29.8	29.8	29.8	29.8	29.9	29.9	30.0	29.9	30.0	29.9	30.1	30.1	30.1	29.70
21.	30.2	30.0	30.0	30.0	30.0	29.9	30.2	30.3	30.5	30.9	31.0	31.4	31.5	31.8	31.8	31.8	31.8	31.8	31.8	31.9	32.1	32.1	32.0	31.9	31.11
22.	31.7	31.7	31.7	31.6	31.5	31.4	31.1	31.3	31.2	31.3	31.4	31.5	31.4	31.4	31.3	30.8	30.7	30.5	30.4	30.3	29.9	29.7	29.5	28.6	30.91
23.	28.4	28.2	27.7	27.6	27.5	27.5	27.2	27.1	26.9	27.0	27.2	27.2	27.1	27.0	27.1	27.0	26.9	26.8	26.7	26.4	26.5	26.5	26.4	26.4	27.10
24.	26.3	26.1	25.8	25.8	25.8	25.8	25.8	25.9	25.9	26.2	26.2	26.2	26.3	26.5	26.6	26.7	26.8	27.0	27.2	27.6	28.0	28.2	28.3	28.6	26.65
25.	28.7	28.8	28.8	28.9	29.3	29.4	29.6	29.9	30.2	30.4	30.7	31.1	31.3	31.5	31.4	31.4	31.3	31.4	31.5	31.5	31.5	31.6	31.7	31.7	30.57
26.	31.7	31.7	31 8	31.8	31.8	32.1	32.3	32.5	32.6	33.1	33.2	33.6	33.7	33.9	34.0	34.0	34.0	34.0	34.0	34 4	34.5	34.5	34.7	34.8	33.28
27.	34.9	34.9	34.9	35.0	35.0	35.2	35.3	35.4	35.7	35.9	35.9	36.0	36.0	36.0	35.9	35.9	35.9	35.8	35.8	35.9	35.9	35.9	35.8	35.7	35.61
28.	35.4	35.3	35.1	35.0	35.0	35.0	35.0	35.1	35.0	35.1	35.1	35.2	35.1	35.1	34.9	34.9	34.8	34.6	34.6	34.6	34.6	34.6	34.4	34.3	34.91
29.	34.2	33.8	33.6	33.6	33.5	33.5	33.6	33.3	33.4	33.5	33.5	33.6	33.6	33.5	33.4	33.3	33.2	33.0	32.9	32.8	32.7	32.7	32.5	32.5	33.30
30.	32.3	32.2	31.9	31.8	31.1	32.2	32.3	32.6	32.7	32.9	33.0	33.1	33.1	33.1	33.0	33.0	32.9	32.9	32.8	32.6	32.4	32.2	32.1	32.1	32.51
31.	31.7	31.5	31.2	31.0	30.9	30.8	30.8	30.8	30.8	30.9	31.1	31.1	31.1	31.2	31.2	31.3	31.2	31.1	31.1	31.2	31.3	31.4	31.4	31.4	31.15
Mittel	30.54	30.37	30.25	30.20	30.15	30.23	30.27	30.29	30.40	30.58	30.65	30.76	30.80	30.89	30.85	30.84	38.81	30.76	30.75	30.80	30.84	30.83	30.77	30.67	30.60

August
500 mm +

Datum	1ª	2ª	3ª	4ª	5ª	6ª	7ª	8ª	9ª	10ª	11ª	12m	1p	2p	3p	4p	5p	6p	7p	8p	9p	10p	11p	12mn	Mittel
1.	31.3	31.1	30.9	30.9	31.0	31.1	31.2	31.3	31.5	31.7	31.8	32.2	32.4	32.6	32.8	32.9	32.9	32.9	32.9	33.1	33.4	33.5	33.5	33.6	32.19
2.	33.6	33.5	33.3	33.1	33.1	33.1	33.1	33.2	33.3	33.7	33.7	34.0	34.1	34.2	34.3	34.2	34.2	34.2	34.2	34.2	34.3	34.5	34.5	34.2	33.83
3.	34.0	33.9	33.8	33.7	33.5	33.5	33.4	33.5	33.7	33.7	33.7	34.0	34.0	34.0	33.8	33.7	33.5	33.3	33.3	33.3	33.2	33.2	33.1	33.1	33.58
4.	32.9	32.7	32.5	32.4	32.4	32.5	32.6	32.6	32.7	32.7	32.7	32.9	33.1	33.3	33 3	33.1	33.0	32.9	32.9	32.8	32.8	32.8	32.6	32.5	32.78
5.	32.3	32.1	32.1	32.0	32.1	31.9	31.9	31.9	31.9	31.9	32.0	32.2	32.2	32.3	32.3	32.2	31.9	31.7	31.7	31.7	31.3	31.3	31.2	31.1	31.88
6.	30.9	30.7	30.2	29.9	29.8	29.5	29.4	29.5	29.5	29.6	29.4	29.4	29.1	29.0	28.9	28.4	28.2	28.2	28.3	28.6	28.6	28.6	28.7	28.6	29.21
7.	28.6	28.6	28.6	28.6	28.5	28.3	28.4	28.5	28.6	28.9	28.9	29.0	29.1	29.1	29.2	29.4	29.3	29.4	29.4	29.4	29.4	29.3	29.2	29.0	28.95
8.	28.8	28.8	28.7	28.4	28.3	28.2	28.2	28.3	28.5	28.6	28.8	28.9	29.0	29.2	29.2	29.3	29.2	29.1	29.1	29.1	29.1	29.1	29.1	28.8	28.83
9.	28.6	28.3	28.1	27.9	27.8	27.6	27.4	27.5	27.6	27.8	27.8	27.5	27.7	27.7	27.7	27.7	27.7	27.9	27.9	28.0	28.0	28.1	28.5	28.5	27.89
10.	28.3	28.3	28.3	28.2	28.2	28.4	28.7	28.9	29.2	29.5	29.5	29.7	29.8	30.2	30.4	30.5	30.8	31.1	31.3	31.7	32.0	32.0	32.0	32.0	29.96
11.	32.0	32.1	32.1	32.1	32 1	32.1	32.3	32.5	32.6	32.6	32.7	33.0	33.1	33.2	33.3	33.5	33 4	33.5	33.8	33.9	34.0	34.0	33.9	33.9	32.99
12.	33.5	33.2	33.1	33.1	32.8	32.8	32.8	32.8	32.9	33.1	33.0	32.9	33.0	33.0	32.9	32.9	32.9	32.8	32.7	32.8	32.7	32.5	32.3	32.3	32.87
13.	32.2	31.8	31.6	31.6	31.7	31.8	31.9	32.0	32.1	32.2	32.2	32.2	32.1	32.0	31.9	31.9	31.8	31.4	31.4	31.5	31.4	31.3	31.2	30.8	31.75
14.	30.6	30.2	30.1	29.9	29.8	29.8	29.8	29.5	29.6	29.3	29.0	28.8	28.8	28.8	28.6	28.8	28.9	28.8	28.8	28.9	29.1	28.9	28.7	28 8	29.26
15.	28.4	28.3	28.2	28.0	28.1	28.1	28.2	28.2	28.2	28.4	28.1	28.6	28.5	28.5	28.7	28.5	28.6	28.5	28.5	28.9	28.9	28.9	28.7	28.8	28.45
16.	28.6	28.2	28.1	28.0	27.9	27.9	27.9	27.9	28.1	28.8	28.9	29.0	29.5	29.4	29.4	29.6	29.9	30.7	30.8	30.0	30.2	30.1	30.4	30.3	29.15
17.	30 3	30.2	30.1	29.9	30.1	30.3	30.5	30 7	31.1	31.5	31.8	32.0	32.5	32.6	32.7	32.9	33.0	33.0	33.1	33.5	33.6	33.7	33.7	33.7	31.94
18.	33.7	33.7	33.8	33.8	33.8	33.8	34.0	34.1	34.3	34.5	34.6	34.9	35.0	35.0	35.0	35.0	35.0	34.9	34.9	35.3	35.2	35.2	35.2	35.1	34.58
19.	34.9	34.8	34.8	34.7	34.7	34.6	34.7	34.8	34.8	34.9	35.0	35.3	35.3	35.1	34.8	34.3	34.4	34.4	34.3	34.2	34.1	33.9	33.7	33.6	34.59
20.	33.2	33.1	33.0	32.5	32.5	32.4	32.4	32.4	32.5	32.6	32.6	32.3	32.2	32.0	31.9	31.9	31.8	31.7	31.8	31.9	32.0	32.0	32.0	32.0	32.28
21.	31.9	31.9	31.8	31.8	31.9	32.1	32.4	32.6	32.7	32.9	33.0	32.9	33.1	33.1	33.1	33.3	33.1	33.3	33 1	33.4	33.5	33.5	33.6	33.5	32.81
22.	33.6	33.6	33.6	33.5	33.7	33.8	33.9	34.2	34.7	35.1	35.2	35.5	35.6	35.9	35.9	35.9	36.1	36 1	36.2	36.4	36.3	36.3	36.4	36 3	35.16
23.	36.3	36.2	36.1	35.9	35 8	35.9	36.1	36.3	36.4	36.5	36.6	36.6	36.6	36.6	36.6	36.6	36.5	36.5	36.5	36.6	36.7	36.7	36.6	36.6	36.41
24.	36.5	36.2	36.2	36.0	36.1	36.1	36.4	36.5	36 6	36.6	36.9	36.9	37.0	37.1	37.0	37.1	36.9	36.7	36.7	37.1	37.0	36.9	36.8	36.5	36.66
25.	36.3	36.0	36.0	36.1	36.1	36.1	36.2	36.5	36.5	36.9	37.0	37.3	37.2	37.1	37.2	37.2	37.3	37.3	37.3	37.3	37.4	37.4	37.4	37.4	36.85
26.	37.4	37.3	37.2	37.1	37.7	37.4	37.6	37.8	37.8	38.1	38.2	38.2	38.4	38.4	38.3	38.1	38.1	37.9	38.1	38.2	38.1	37.9	37.8	37.5	37.84
27.	37.4	37.1	37.2	37.1	36.9	37.1	37.2	37.3	37.5	37.7	37.7	37.6	37.6	37.6	37.5	37.5	37.4	37.1	37.0	36.9	36.8	36.7	36.6	36.5	37.21
28.	36.2	36.0	35.8	35.6	35.4	35.2	35.4	35.4	35.7	35.8	35.8	35.8	35.9	35.9	35.7	35.7	35.6	35.5	35.4	35.4	35.1	35.1	35.0	34.9	35.55
29.	34.5	34.3	34.3	34.1	33.9	34.1	33.6	33.9	34.1	34.3	34.3	34.2	34.2	34.2	34.2	34.2	34.1	34.0	34.0	34.2	34.2	34.2	34.1	34.1	34.14
30.	33.7	33.3	32.9	32.5	32.5	32.4	32.2	32.2	32.1	32.2	32.2	32.2	32.3	32.2	32.2	32.4	32.5	32.6	32.8	33.2	33.1	33.2	33.2	33.1	32.63
31.	32.0	32.7	32.7	32 7	32.7	32.9	33.2	33.3	33.6	33.9	33.9	34.1	34.2	34.2	34.3	34.5	34.6	34.7	34.9	35.0	35.1	35.2	35.3	35 2	33.95
Mittel	32.66	32.52	32.43	32.29	32 27	32.28	32.35	32.45	32.59	32.77	32.81	32.91	32.99	33.02	33.00	33.01	32.99	32.97	33.00	33.11	33.12	33.10	33.06	32.98	32.78

Barometer-Registrierung. **Zugspitze.** 1913.

September
500 mm +

Datum	1a	2a	3a	4a	5a	6a	7a	8a	9a	10a	11a	12m	1p	2p	3p	4p	5p	6p	7p	8p	9p	10p	11p	12mn	Mittel
1.	35.2	35.2	35.0	34.9	34.7	34.8	35.0	35.0	35.0	35.1	35.1	35.1	35.0	34.6	34.5	34.4	34.4	34.0	34.1	34.3	34.3	34.4	34.4	34.5	34.71
2.	34.5	34.5	34.5	34.4	34.4	34.4	34.4	34.4	34.5	34.7	34.8	34.7	34.7	34.6	34.6	34.6	34.6	34.6	34.7	34.7	34.7	34.6	34 5	34.6	34.57
3.	34.4	34.5	34.5	34.4	34.4	34.5	34.6	34.7	34.9	35.3	35.5	35.6	35.8	36.0	36.0	35.9	36.0	36.1	36.2	36.3	36.2	36.2	36.2	36.1	35.43
4.	36.0	35.9	35.8	35.8	35.6	35.6	35.7	35.9	36.3	36.4	36.3	36.2	36.2	36.1	36.0	36.0	36.0	35.8	35.7	35.7	35.7	35.4	35.2	34.5	35.83
5.	34.3	34.2	34.0	33.8	33.8	33.8	33.9	33.8	34.0	34.0	34.0	34.0	33.8	33.6	33.7	33.6	33.5	33.4	33.5	33.3	33.4	33.4	33.4	33.5	33.74
6.	33.2	33.2	33.1	33.0	33.0	33.2	33.4	33.7	33.8	34.0	34.3	34.5	34.6	34.7	34.7	34.6	34.7	34.7	34.8	34.8	34.8	34.8	34.9	34.9	34.14
7.	34.9	34.9	34.8	34.7	34.6	34.7	34.7	34.7	34.8	34.9	35.0	35.1	35.2	35.2	35.2	35.2	35.2	35.1	35.2	35.4	35.4	35.6	35.6	35.6	35.07
8.	35.7	35.5	35.4	35.3	35.3	35.4	35 6	35.8	35.8	36.1	36.2	36.2	36.2	36.3	36.2	36.1	36.1	35.8	36.1	36.2	36.3	36.4	36.2	36.2	35.93
9.	36.1	36.1	35.9	35.7	35.7	35.7	35.6	35.6	35.5	35.7	35.4	35.6	35.1	35.0	35.0	34.7	34.3	33.9	33.9	33.9	33.8	33.6	33.1	32.8	34.90
10.	32.6	32.2	31.7	31.5	31.0	30.6	30.2	30.2	30 0	29.8	29.8	29.8	29.8	29.7	29.9	29.8	29.8	29.9	30.0	29.8	29.8	29.7	29.9	30.2	30.32
11.	30.1	30.0	29.9	29.8	30.1	30.2	30.3	30.6	30.8	31.2	31.4	31.7	31.8	31.7	31.7	31.7	31.6	31.5	31.6	31.6	31.7	31.7	31.6	31.5	31.08
12.	31.2	30.9	30.8	30.6	30.6	30.5	30.6	30.7	30.9	30.9	30.8	30.8	30 7	30.7	30.6	30.6	30.4	30.3	30.3	30.5	30.4	30.4	30.2	30.0	30.60
13.	29.8	29.4	29.0	28.8	28.6	28.4	28.0	27.9	28.1	28.0	28.0	27.7	27.7	27.6	27.5	27.4	27.4	27.1	27.2	27.4	27.3	27.0	27.1	27.1	27.90
14.	26.8	26.9	26.9	26.9	26.8	26.9	27.0	27.1	27.2	27.2	27.1	27.2	27.2	27.2	27.1	27.0	26.8	26.4	26.7	26.7	26.9	26.9	27.1	27.1	26.96
15.	27.0	27.0	26.7	26.3	25.6	25 9	25.2	25.3	25.4	26.0	26.4	27.1	27.2	27.1	27.1	26.7	26.7	26.7	27.0	27.1	27.4	27.6	27.8	27.8	26.67
16.	28.0	27.8	27.8	27.5	27.3	27.3	27.2	27.4	27.3	27.6	27.8	28.6	28.8	28.9	28.9	29 0	28.7	28.4	28.3	28.3	28.1	27.7	27.1	26.4	27.93
17.	26.1	25.7	25.2	25.0	24.7	24.1	23.7	23.8	24.3	24.8	25.1	25.2	25.4	25.8	26.1	26.0	26.0	26.0	26.3	26.7	26.8	27.0	27.0	26.9	25.57
18.	27.0	27.0	27.0	27.1	26.9	27.2	26.8	26.9	26.6	26.8	27.4	27.6	28.0	28.5	28.7	28.7	29.0	29.3	29.4	29.4	29.5	29.6	29.6	29.8	28.08
19.	29.9	29.8	29.6	29.5	29.6	29.7	30.1	30.3	30.4	30.5	30.6	30.6	30.4	30.3	30.2	30.3	30.0	29.9	30.0	30.1	30.2	30.1	30.0	29.9	30.08
20.	29.9	29.9	29.8	29.6	29.6	29.8	29 9	30.0	30.1	30.2	30.2	30.3	30.3	30.3	30.2	30.2	30.2	30.3	30.4	30.3	30.3	30.2	30.2	30 0	30.09
21.	30.0	29.8	29.6	29.6	29.5	29.3	29.6	30.0	30.2	30.3	30.5	30.7	30.8	30.9	31.1	31.2	31.4	31.3	31.3	31.4	31.7	31.8	31.8	31.8	30.65
22.	31.8	31.7	31.7	31.5	31.4	31.6	31.7	31.8	31.9	31.9	32.2	32.2	32.2	32.2	32.2	32.1	32.1	32.1	32.2	32.1	32.1	32.0	31.8	31.5	31.92
23.	31.3	31.1	31.1	31.0	30.8	30.7	30.7	30.7	30.4	30.5	30.4	30.3	30.1	30.1	30.2	30.2	30.4	30.8	31.0	31.2	31.2	31.2	31.2	31.2	30.74
24.	31.2	31.2	31.2	31.3	31.4	31.5	31.8	32.2	32.4	32.7	32.8	32.9	33.0	32.9	32.9	33.0	33.0	33.1	33.2	33.3	33.3	33.3	33.3	33.2	32.50
25.	33.2	33.1	33.0	32.8	32.8	32.8	33.1	33.2	33.4	33.5	33.6	33.8	33.9	33.8	33.8	33.7	33.5	33.4	33.3	33.2	33.2	33.2	32.9	32.7	33.29
26.	32.5	32.4	32.2	32.1	32.2	32.4	32.5	32.6	33 0	33.3	33 4	33.5	33.7	33.8	33.9	33.9	33.9	34.1	34.1	34.1	33.9	33.7	33.5	33.3	33.25
27.	33.2	33.0	32.4	32.5	32.3	32.3	32.3	32.4	32.8	32.9	33.0	33.1	33.1	33.1	33.1	33.1	33.2	33.3	33.4	33.4	33.5	33.4	33.3	33.1	32.97
28.	33.0	33.0	32.7	32.5	32.5	32.5	32.5	32.6	32.8	32.9	33.1	33.2	33.2	33.3	33.3	33.1	33.1	33.2	33.2	33.1	33.1	33.1	33.1	33.1	32.97
29.	33.0	32.9	32.8	32.4	32.6	32.7	32.8	32.9	32.9	32.9	32.9	33.0	33.0	32.9	32.7	32.5	32.3	32.4	32.4	32.4	32.3	32.3	32.0	31.9	32.62
30.	31.6	31.1	30.8	30.3	30.2	29.9	29.9	29.9	29.8	29.8	29.6	29.7	29.6	29.5	29.6	29.5	29.4	29.5	29.6	29.5	29.6	29.6	29.8	29.8	29.90
Mittel	31.78	31.66	31.50	31.35	31.27	31.28	31.29	31.40	31.51	31.66	31.76	31.87	31.88	31.88	31.89	31.83	31.79	31.75	31.84	31.87	31.90	31.86	31.79	31.70	31.68

Oktober
500 mm +

1.	29.9	30.0	29.9	29.9	29.8	29.9	30.0	30.1	30.2	30.2	30.2	30.1	30.1	30.1	30.1	30.1	30.1	30.0	30.1	30.2	30.3	30.4	30.6	30.7	30.13
2.	30.9	30.9	30.9	30.9	30.9	31.1	31.3	31.7	32.2	32.4	32.4	32.5	32.8	33.0	33.1	33.1	33.2	33.2	33.3	33.4	33.4	33.4	33.5	33.4	32.37
3.	33.4	33.4	33.3	33.3	33.2	33.3	33 5	33.6	33.8	34.0	33.9	33.9	33.9	33.8	33.8	33.7	33.4	33.4	33.4	33.4	33.4	33.4	33.3	33.2	33.53
4.	32.9	32.6	32.3	32.1	31.8	31.5	31.5	31.4	31.2	31.2	31.0	30.8	30.4	29.9	29.4	28.9	28.6	28.1	27.9	27.8	27.3	27.0	26.8	26.7	29.96
5.	26.3	26.0	25.5	25.6	25.6	25.6	25.6	25.8	25.8	25.9	25.8	25.8	25.6	25.4	25.3	25.4	25.6	25.8	25.9	26.1	26.3	26.7	26.7	26.5	25.86
6.	26.3	26.2	26.0	26.0	26.0	26.0	26.1	26.5	27.0	27.2	27.4	27.5	27.5	27.6	27.8	27.9	28.0	28.0	28.1	28.2	28.4	28.4	28.4	28.4	27.29
7.	28.5	28.6	28.6	28.6	28.6	28.9	29.3	29.4	29.6	29.8	30.1	30.1	30.1	29.9	29.8	29.7	29.7	29.8	29.8	29.9	29.9	29.7	29.4	29.3	29.46
8.	29.3	29.1	28.5	28.3	28.2	28.1	27.9	27.9	27.8	27.8	27.6	27.5	27.2	27.0	27.0	26.6	26.9	26.9	26.9	26.7	26.7	26.8	26.6	26.7	27.50
9.	26.8	26.7	26.9	27.1	27.3	27.3	27.7	28.0	28.0	28.0	28.2	28.5	28.6	28.5	29.0	29.0	29.2	29.4	29.6	29.7	29.9	30.0	29.9	29.9	28.48
10.	29.8	29.7	29.5	29.4	29.4	29.4	29.5	29.8	29.9	29.9	29.8	29.8	29.9	29.9	29.9	29.9	30.0	30.2	30.3	30.3	30.6	31.0	31.1	31.3	30.01
11.	31.4	31.4	31.5	31.5	31.7	31.8	32.0	32.3	32.4	32.7	33.0	33.4	33.4	33.5	33.6	33.7	33.9	34.1	34.1	34.1	34.1	34.2	34.1	34.1	33.00
12.	34.1	34.2	34.0	34.0	33.9	33.7	33.8	33.8	33.9	33.9	33.7	33.6	33.6	33.6	33.4	33.5	33.6	33.8	33.9	34.0	34.0	34.0	34.1	34.1	33.84
13.	34.1	34.1	34.1	34.1	34.1	34.2	34.3	34.3	34.4	34.5	34.5	34.5	34.5	34.5	34.4	34.5	34.5	34.6	34.6	34.7	34.8	35.0	34.9	34.5	34.45
14.	34.3	34.2	34.2	34.1	34.0	34.0	34.1	34.2	34.4	34.6	35.2	35.3	35.4	35.5	35.8	36.0	36.1	36.1	36.2	36.2	36.3	36.3	36.2	36.1	35.20
15.	36.0	35.5	35.3	35.1	35.0	34.9	34.8	34.4	34.2	34.0	34.0	33.6	33.3	32.8	32.5	32.2	31.9	31.8	31.5	31.3	31.5	31.4	31.5	31.8	33.35
16.	31.9	32.0	31.9	31.9	32.3	32.6	32.9	33.1	33.7	33.8	34.0	34.0	34.1	34.2	34.3	34.4	34.7	34.8	34.9	35.1	35.3	35.4	35.4	35.5	33.84
17.	35.4	35.3	35.2	35.1	35.2	35.3	35.5	35.5	35.7	35.9	36.0	35.9	35.9	35.9	35.9	35.9	36.0	36.1	36.2	36.2	36.2	36.1	36.0	36.0	35.77
18.	35.9	35.7	35.6	35.5	35.5	35.5	35.6	35.8	35.9	36.0	35.8	35.8	35.8	35.8	35.8	35.8	35.8	35.9	35.9	35.9	35.9	35.8	35.8	35.8	35.78
19.	35.6	35.4	35.1	34.9	34.8	34.7	34.8	34.8	34.8	34.7	34.7	34.5	34.3	34.2	34.1	34.1	34.1	33.9	33.9	33.9	33.9	34.0	34.0	34.0	34.47
20.	33.9	33.7	33.6	33.3	33.2	33.1	33.1	33.1	33.1	33.2	33.2	33.1	33.1	33.0	33.1	33.2	33.1	33.3	33.3	33.4	33.5	33.2	33.0	33.0	33.24
21.	32.9	32.7	32.5	32.3	32.3	32.2	32.3	32.2	32.1	32.1	31.7	31.1	30.8	30.8	30.7	30.6	30.6	30.6	30.6	30.6	30.7	30.7	30.7	30.9	31.45
22.	30.8	30.7	30.4	30.5	30.7	30.8	30.8	30.9	30.9	30.9	30 6	30.1	30.2	30.3	30.2	30.1	30.2	30.3	30.5	30.6	31.0	31.0	31.2	31.4	30.63
23.	31.6	31.6	31.8	32.0	32.2	32.3	32.4	32.6	33.0	33.0	33.2	33.3	33.3	33.6	34.0	34.1	34.1	34.4	34.5	34.8	35.0	35.1	35.1	35.2	33.43
24.	35.2	35.3	35.3	35.3	35.3	35.3	35.4	35.5	35.7	35.7	35.7	35.7	35.5	35.6	35.6	35.9	35.9	36.1	36.2	36.4	36.4	36.5	36.4	36.4	35.76
25.	36.3	36.3	36.4	36.3	36.3	36.3	36.4	37.0	37.2	37.2	37.1	37.0	36.9	36.8	36.7	36.9	36.9	36.9	36.9	36.7	36.8	36.8	36.8	36.6	36.73
26.	36.1	35.8	35.7	35.2	35.0	34.9	34.8	34.8	34.5	34.5	34.4	34.3	34.2	34.1	34.0	33.8	33.7	33.8	33.6	33.7	33.6	33.7	33.8	33.7	34.40
27.	33.5	33.5	33.3	33.3	33.3	33.2	33.2	33.1	33.1	32.9	32.8	32.5	32.2	32.1	32.0	31.8	31.8	31.8	31.6	31.5	31.5	31.6	31.6	31.4	32.44
28.	30.9	31.1	31.0	30.6	30.6	30.7	30.7	30.9	30.9	30.4	30.1	29.7	29.7	29.9	29.9	29.9	29.9	29.8	29.5	29.6	29.5	29.7	29.4	29.0	30.14
29.	28.8	28.5	28.0	27.9	27.7	27.4	27.3	27.8	27.9	27.9	27.9	27.8	27.8	27.8	27.8	27.8	27.6	27.6	27.1	26.8	26.6	26.9	27.0	27.0	27.61
30.	27.0	27.1	27.1	27.2	27.5	27.4	27.3	27.4	27.7	27.8	27.9	27.8	27.9	28.0	28.1	28.2	28.4	28.8	29.0	29.1	29.3	29.4	29.6	29.8	28.12
31.	29.9	30.1	30.1	30.1	30.1	30.1	30.3	30.5	30.8	31.2	31.3	31.4	31.5	31.8	32.1	32.2	32.3	32.5	32.7	32.8	33.0	33.0	33.0	33.1	31.50
Mittel	31.93	31.85	31.73	31.66	31.66	31.66	31.75	31.88	31.99	32.04	32.04	31.96	31.92	31.91	31.91	31.90	31.94	31.99	32.00	32.04	32.10	32.15	32.13	32.11	31.93

Barometer-Registrierung. **Zugspitze.** 1913.

November

500 mm +

Datum	1ª	2ª	3ª	4ª	5ª	6ª	7ª	8ª	9ª	10ª	11ª	12m	1P	2P	3P	4P	5P	6P	7P	8P	9P	10P	11P	12mn	Mittel
1.	33.1	33.1	33.0	32.9	33.0	33.0	32.9	33.0	33.0	33.1	32.9	32.9	32.9	32.9	32.8	32.7	32.7	32.7	32.7	32.5	32.5	32.5	32.6	32.7	32.84
2.	32.8	32.7	32.5	32.6	32.6	32.7	32.9	33.1	33.1	33.3	33.5	33.6	33.8	33.9	34.0	33.9	34.1	34.3	34.4	34.3	34.4	34.4	34.4	34.4	33.57
3.	34.4	34.5	34.4	34.3	34.3	34.3	34.3	34.4	34.4	34.5	34.3	34.2	34.0	33.9	33.9	33.8	33.7	33.5	33.3	33.2	33.3	33.1	33.0	32.9	33.91
4.	32.5	32.5	32.2	32.2	31.8	31.7	31.6	31.6	31.8	31.6	31.7	31.2	31.2	31.0	31.0	30.9	30.8	30.8	30.7	30.6	30.3	30.1	30.0	29.8	31.24
5.	29.4	29.2	29.0	28.8	28.6	28.1	28.0	28.1	28.2	28.1	27.9	27.6	27.5	27.2	26.7	26.6	26.2	26.3	26.1	25.6	25.3	25.0	24.8	24.4	27.20
6.	24.1	23.9	23.5	23.1	22.9	22.2	22.2	22.5	22.5	22.5	22.2	21.7	21.6	21.4	21.5	21.5	21.5	21.3	21.2	21.3	21.3	21.3	21.3	21.1	22.07
7.	20.9	20.7	20.5	20.3	20.1	19.9	19.8	20.0	19.9	19.6	19.6	19.5	19.4	19.2	19.2	19.3	19.5	20.0	20.2	20.5	20.8	21.4	21.7	21.7	20.15
8.	22.0	22.4	22.3	22.7	23.0	23.3	23.5	23.9	23.9	24.3	24.5	24.6	24.7	24.7	24.8	24.9	25.0	25.3	25.5	25.5	25.7	25.9	25.7	26.0	24.34
9.	25.6	26.1	26.2	26.2	26.3	26.4	26.9	27.1	27.3	27.4	27.4	27.5	27.6	27.5	27.6	27.6	27.5	27.8	27.7	27.4	27.8	27.9	28.1	28.0	27.20
10.	28.0	28.1	28.0	28.0	28.2	28.4	28.4	28.7	29.0	29.3	29.4	29.6	29.6	29.6	29.5	29.5	29.5	29.5	29.6	29.6	29.8	29.8	29.7	29.7	29.10
11.	29.6	29.6	29.4	29.3	29.4	29.6	29.7	29.7	29.8	29.9	30.0	29.5	29.4	29.2	29.4	29.1	29.2	29.4	29.4	29.4	29.3	29.4	29.4	29.5	29.48
12.	29.4	29.6	29.5	29.4	29.3	28.8	29.0	28.6	28.5	28.1	28.0	27.3	27.4	27.0	26.7	26.3	25.6	25.6	25.4	25.3	25.1	24.5	24.7	24.8	27.25
13.	24.5	24.1	24.0	23.4	23.1	22.9	22.2	22.1	22.0	22.0	21.3	20.9	20.2	20.0	19.9	19.3	19.1	18.8	18.6	18.3	18.4	18.8	18.9	18.8	20.90
14.	18.9	19.1	19.1	19.3	19.4	19.7	20.1	20.5	20.5	20.6	20.6	20.5	20.5	20.5	20.5	20.3	20.3	20.2	20.1	19.7	20.0	20.2	20.4	20.4	20.05
15.	20.3	20.5	20.4	20.5	20.5	20.7	20.8	21.4	21.7	21.8	21.6	21.5	21.5	21.6	21.6	21.5	21.6	22.3	22.6	23.0	23.7	23.9	24.0	24.4	21.81
16.	24.2	24.3	24.2	23.5	23.8	23.2	23.3	23.3	23.4	24.2	24.1	23.6	24.2	23.7	23.6	24.5	24.9	25.2	24.9	26.0	26.0	26.4	27.2	27.4	24.55
17.	27.6	27.9	28.1	28.4	27.9	29.0	29.4	29.9	30.1	30.6	30.8	30.8	30.8	30.6	31.8	32.9	33.4	34.0	34.0	34.1	34.2	34.1	34.5	34.8	31.24
18.	34.6	34.6	34.4	34.6	34.9	34.9	35.4	35.6	35.7	35.8	35.9	35.8	35.8	35.4	35.4	35.4	35.4	35.4	35.2	35.1	34.7	34.6	34.6	34.4	35.15
19.	34.2	34.3	34.0	33.8	33.8	33.7	33.8	33.8	33.7	33.8	34.3	34.2	34.2	34.2	34.6	34.8	34.7	34.9	35.0	35.0	35.2	35.2	35.2	35.2	34.40
20.	35.1	35.0	35.1	35.2	35.2	35.2	35.3	35.5	35.9	36.2	36.3	36.1	36.1	36.2	36.5	36.6	36.7	36.8	36.9	37.1	37.0	37.1	37.1	37.0	36.13
21.	37.0	36.8	36.6	36.3	36.1	36.0	35.7	35.7	35.7	35.6	35.4	35.4	35.3	35.2	35.2	35.1	35.0	35.0	34.8	34.6	34.5	34.3	34.2	34.1	35.40
22.	33.7	33.4	33.2	33.1	33.0	32.9	33.0	33.1	33.3	33.4	33.4	33.5	33.4	33.4	33.5	33.5	33 5	33.7	33.9	33.9	34.0	34.1	34.1	33.9	33.50
23.	33.7	33.7	33.5	33.3	33.2	33.2	32.9	33.0	33.0	33.0	32.6	32.4	32.2	31.6	31.4	31.3	31.1	30.8	30.6	30.4	30.0	29.8	29.5	29.4	31.90
24.	28.9	28.5	28.2	27.5	27.3	27.0	27.0	26.9	27.0	27.2	26.9	26.5	26.3	26.0	25.9	26.2	26.3	26.4	26.4	26.5	26.6	26.8	27.1	27.3	26.95
25.	27.4	27.5	27.6	27.7	27.8	28.3	28.5	28.9	29.2	29.5	29.7	29.7	29.7	29.8	30.1	30.3	30.5	30.7	30.9	31.0	31.0	31.0	30.9	31.0	29.53
26.	31.0	31.0	30.9	30.8	30.8	30.8	31.0	31.3	31.6	32.0	32.0	31.9	31.9	32.1	32.1	32.3	32.3	32.4	32.7	33.0	33.2	33.2	33.2	32.8	31.93
27.	32.6	32.5	32.4	31.8	31.6	31.5	31.5	31.0	30.8	30.6	30.5	29.9	29.8	29.6	29.7	29.8	29.9	29.9	30.3	30.0	30.4	30.2	30.2	30.6	30.71
28.	30.6	30.1	29.9	29.7	29.1	29.6	29.5	29.6	29.7	30.2	30.4	30.7	30.4	30.4	30.7	31.3	31.9	32.9	33.7	34.0	34.3	34.3	34.2	33.8	31.29
29.	33.6	33.6	33.3	33.4	33.4	33.3	33.5	33.8	34.1	34.5	34.7	34.8	34.8	34.9	35.0	35.2	35.3	35.4	35.4	35.4	35.5	35.3	35.4	35.8	34.56
30.	35.8	35.7	35.8	35.8	35.8	36.0	36.2	36.4	36.8	37.2	37.1	37.0	36.7	36.5	36.4	36.2	36.1	36.1	36.1	36.0	35.7	35.6	35.2	35.2	36.14
Mittel	29.52	29.50	29.37	29.26	29.21	29.21	29.28	29.42	29.52	29.66	29.63	29.48	29.43	29.31	29.37	29.42	29.44	29.58	29.61	29.61	29.67	29.67	29.71	29.71	29.48

Dezember

500 mm +

1.	35.0	34.7	34.3	34.3	34.3	34.0	33.8	33.9	33.7	33.8	33.3	33.0	32.5	32.4	32.2	32 0	31.9	31.8	31.7	31.2	31.2	31.2	31.1	30.9	32.84
2.	30.8	30.7	30.7	30.7	30.5	30.4	30.3	30.5	30.6	31.0	31.0	30.7	30.9	30.7	30.9	31.1	31.2	31.2	31.3	31.4	31.4	31.2	31.2	31.2	30.90
3.	31.2	31.3	31.3	31.1	30.9	31.2	31.2	31.4	31.5	31.8	31.6	31.5	31.6	31.6	31.5	31.5	31.4	31.3	31.0	30.9	30.7	30.6	30.3	30.0	31.18
4.	29.5	29.2	28.9	28.4	28.1	27.6	27.1	26.6	26.5	26.5	26.0	25.5	25.2	25.0	24.3	24.0	24.1	23.8	23.8	23.6	23.3	22.8	22.8	22.6	25.63
5.	22.4	22.8	22.6	22.3	22.3	22.4	22.5	22.7	22.8	23.0	22.7	22.5	22.2	22.1	21.9	21.8	21.0	20.4	20.4	20.0	19.8	19.9	19.9	19.7	21.67
6.	19.7	19.8	19.3	19.1	18.6	19.0	18.8	18.7	18.4	18.3	18.1	17.7	17.3	17.7	17.2	17.4	17.5	17.7	18.:	18.3	18.5	18.5	18.3	18.6	18.36
7.	18.2	18.2	18.3	18.4	18.3	18.5	18.8	19.2	19 3	20.0	20.0	20.2	20.1	20.2	20.2	20.5	20.9	21.2	21.3	21.6	22.0	22.2	22.4	22.5	20.10
8.	23.0	23.3	23.3	23.6	23.9	24.4	24.8	25.5	26.1	26.6	26.6	26.7	26.7	26.8	27.3	27.4	27.7	28.2	28.6	28.8	29.1	29.2	29.3	29.7	26.53
9.	29.8	30.1	29.9	29.9	29.7	30.1	30.2	30.6	31.3	31.8	31.6	31.7	31.8	31 8	31.8	31.8	31.9	31.9	32.0	31.9	31.8	31.5	30.8	30.5	31.09
10.	30.2	29.7	28.9	28.3	28.2	27.8	27.0	26.3	26.1	26.3	26.2	25.6	24.8	25.0	25.3	24.7	24.5	24.4	24.6	24.1	23.4	24.2	24.0	24.1	25.99
11.	23.4	23 0	23.9	24.2	24.6	24.7	24.9	25.5	25.6	25.9	26.9	26.7	26.7	27.4	27.5	27.7	28.4	28.3	28.0	28.2	28.1	28.2	28.3	28.3	26.43
12.	28.4	28.5	28.5	28.5	28.6	28.9	28.9	28.9	29 2	29.3	28.7	28.4	28.2	28.2	28.3	28.6	29.0	28.8	28.7	28.8	29.0	29.0	29.0	28.9	28.72
13.	28.5	28.6	28.6	28.4	28.3	28.4	28.4	28.5	28.8	29.0	28.5	28.4	27.8	27.6	27.5	27.5	27.6	27.6	28.0	28.2	28.3	28.4	28.4	28.4	28.24
14.	27.9	28.0	27.9	27.9	27.7	27.8	27.7	27.7	27.6	27.9	27.9	27.9	27.7	27.2	26.2	26.3	26.1	25.5	25.4	24.6	24.2	23.8	24.1	24.0	26.63
15.	24.5	24.1	24.2	24.9	25.5	26.0	27.4	27.6	28.4	28.7	28.8	28.7	28.7	28.7	28.6	29.0	29.0	28.9	29.2	29.3	29.8	29.6	29.8	29.6	27.88
16.	29.4	29.4	29.1	29.3	29.5	29.6	29.6	29.6	29.6	29.9	29.8	29.5	29.5	29.3	29.3	29.2	29.1	29.0	28.9	28.8	28.7	28.5	28.3	28.1	29.21
17.	27.9	27.8	27.3	27.1	26.4	26.3	26.2	26.1	26.2	26.4	26.1	26.0	26.0	25.9	26.0	26.1	26.2	26.2	26.3	26.4	26.4	26.4	26.4	26.4	26.44
18.	26.4	26.5	26.4	26.3	26.2	26.2	26.2	25.4	26.4	26.5	26.3	26.2	25.9	25.9	25.8	25.8	25.8	25.8	25.8	25.8	25.7	25.5	25.5	25.4	25.99
19.	25.3	25.4	25.5	25.5	25.8	25.9	26.2	26.3	26.6	27.0	27.2	27.1	27.1	27.4	28.1	28.6	29.2	29.6	29.7	30.1	30.4	30.7	31.1	31.5	27.80
20.	31.6	31.7	31.8	31.8	31.9	31.9	32.1	32.2	32.6	33.1	33.1	33.1	33.1	33.2	33.3	33.5	33.5	33.5	33.7	33.9	34.1	34.3	34.5	34.6	33.00
21.	34.6	34.8	34.9	34.8	34.8	35.0	35.2	35.5	35.7	35.9	36.0	36.0	36.0	35.8	35.7	35.6	35.6	35.7	35.9	36.1	36.2	36.3	36.4	36.3	35.62
22.	36.1	35.8	35.6	35.5	35.3	35.0	34.9	34.8	34.8	34.8	34.7	34.4	34.3	33.8	33.5	33.3	32.8	32.6	32.5	32.4	32.4	32.1	31.7	31.3	33.93
23.	30.8	30.3	30.1	29.2	28.7	28.2	28.0	27.9	27.6	27.7	27.4	27.2	26.6	26.1	25.4	25.4	25.4	25.4	25.2	25.1	25.0	24.9	24.9	24.5	26.96
24.	24.2	24.1	23.5	23.2	22.7	22.5	22.4	22.4	22.3	22.3	22.1	21.5	21.0	20.6	20.3	20.0	19.7	19.6	19.7	19.4	19.3	19.4	19.6	19.7	21.31
25.	19.8	20.0	20.0	20.0	19.9	20.3	21.2	21.4	22.2	22.6	23.0	23.0	22.7	23.3	23.7	23.8	24.5	24.6	24.6	25.3	25.4	25.7	25.9	26.0	22 87
26.	26.6	27.2	27.6	27.8	28.1	28.6	28.6	29.7	29.8	30.1	30.5	30.2	30.1	30.4	30.4	30.4	30.6	30.6	30.9	31.3	31.2	30.9	30.5	30 4	29.69
27.	29.9	29.7	29.8	29.4	28.8	28.8	28.7	27.9	27.8	27.6	26.2	26 0	25.8	25.6	25.7	25.6	25.5	25.4	25.2	25.2	24.9	24.6	24.5	21.0	26.78
28.	23.4	23.1	22.6	21.7	21.2	20.5	19.7	19.1	18.3	17.3	16.3	15.1	13.9	13.1	13.1	13.0	12.9	12.9	13.1	13.1	12.8	12.6	12.7	12.6	16.42
29.	12.3	12.4	12.3	12.1	11.8	11.8	11.1	11.0	10.9	10.8	10.4	09.9	09.5	09.4	09.2	09.0	08.7	08.6	08.7	08.7	08.7	08.7	08.8	08.9	10.15
30.	08.8	09.0	09.2	09.2	09.3	09.3	09.6	10.0	10.5	10.8	10.9	10.9	11.0	11.2	11.4	11.8	12.4	12.7	13.3	13.7	13.9	14.0	14.6	14.6	11.34
31.	14.8	15.3	15.7	15.8	15.9	16.4	16.8	17.5	17.9	18.4	18.5	18.6	18.9	19.3	19.7	20.2	20.6	20.7	20.9	21.3	21.5	21.5	21.7	21.6	18.73
Mittel	25.95	25.95	25.87	25.76	25.67	25.73	25.75	25.82	25.97	26.16	26.01	25.80	25.60	25.57	25.53	25.57	25.64	25.61	25.69	25.73	25.72	25.69	25.70	25.64	25.76

Thermometer-Registrierung. **Zugspitze.** 1913.

Januar

Datum	1a	2a	3a	4a	5a	6a	7a	8a	9a	10a	11a	12m	1p	2p	3p	4p	5p	6p	7p	8p	9p	10p	11p	12 mn	Mittel
1.	- 1.6	- 1.3	- 1.6	- 1.8	- 1.6	- 5.1	- 7.2	- 6.9	- 5.6	- 7.2	- 7.5	- 6.8	- 6.6	- 6.7	- 6.4	- 6.3	- 6.5	- 6.5	- 5.9	- 5.9	- 6.1	- 5.6	- 5.3	- 5.4	- 5.31
2.	- 5.6	- 5.6	- 5.4	- 5.4	- 4.7	- 4.3	- 4.0	- 4.8	- 5.3	- 5.0	- 4.7	- 3.6	- 5.0	- 5.2	- 5.4	- 5.3	- 6.8	- 7.2	- 7.7	- 8.0	- 7.8	- 7.9	- 8.0	- 7.8	- 5.85
3.	- 8.1	- 7.7	- 8.0	- 7.9	- 7.9	- 8.1	- 8.6	- 8.1	- 8.2	- 7.8	- 7.5	- 7.4	- 7.2	- 7.4	- 7.6	- 7.8	- 7.8	- 8.1	- 8.2	- 8.2	- 8.0	- 8.1	- 8.2	- 8.3	- 7.93
4.	- 8.1	- 8.1	- 7.9	- 7.9	- 7.8	- 7.7	- 7.8	- 7.7	- 7.4	- 7.0	- 6.7	- 6.3	- 6.4	- 6.3	- 6.4	- 6.6	- 7.0	- 7.1	- 7.2	- 7.3	- 7.1	- 5.9	- 5.7	- 5.4	- 7.03
5.	- 5.2	- 5.8	- 5.8	- 6.2	- 6.0	- 6.8	- 6.4	- 6.8	- 6.5	- 5.9	- 6.5	- 6.1	- 5.8	- 4.6	- 5.5	- 5.7	- 6.1	- 6.3	- 6.4	- 6.8	- 6.6	- 6.7	- 6.4	- 6.5	- 6.14
6.	- 6.6	- 7.5	- 8.1	- 8.4	- 7.9	- 7.0	- 7.4	- 7.9	- 7.4	- 7.2	- 6.2	- 5.9	- 5.5	- 6.2	- 6.6	- 6.8	- 7.8	- 8.3	- 8.7	- 8.7	- 9.0	- 9.0	- 8.8	- 8.7	- 7.57
7.	- 8.7	- 8.5	- 8.2	- 8.4	- 9.0	- 8.8	- 8.6	- 8.7	- 8.8	- 8.7	- 8.7	- 8.9	- 8.7	- 8.7	- 8.7	- 8.1	- 8.3	- 8.0	- 7.9	- 7.4	- 7.3	- 7.3	- 7.1	- 7.4	- 8.29
8.	- 7.5	- 7.6	- 7.3	- 7.3	- 6.8	- 7.3	- 7.0	- 6.8	- 6.7	- 6.0	- 6.0	- 5.8	- 5.6	- 5.9	- 6.3	- 6.0	- 6.2	- 5.5	- 5.6	- 5.8	- 6.2	- 6.9	- 7.1	- 7.8	- 6.54
9.	- 8.0	- 8.2	- 8.1	- 8.4	- 9.4	- 9.5	- 9.4	- 8.3	- 8.2	- 8.6	- 8.4	- 9.1	- 9.9	- 9.2	- 10.1	- 10.0	- 9.8	- 9.9	- 9.2	- 10.9	- 10.6	- 10.7	- 10.4	- 11.0	- 9.39
10.	- 11.7	- 11.9	- 11.7	- 11.7	- 12.6	- 12.5	- 12.8	- 12.6	- 13.0	- 12.7	- 12.2	- 12.0	- 12.3	- 12.1	- 12.0	- 12.1	- 12.1	- 12.0	- 11.9	- 11.9	- 12.1	- 12.4	- 12.7	- 12.8	- 12.24
11.	- 12.8	- 12.6	- 12.4	- 12.2	- 12.1	- 11.8	- 11.9	- 11.5	- 11.5	- 11.3	- 11.0	- 11.0	- 11.0	- 11.0	- 10.9	- 10.9	- 10.6	- 10.6	- 10.7	- 10.7	- 10.7	- 10.8	- 10.7	- 10.5	- 11.30
12.	- 10.3	- 9.4	- 9.1	- 9.1	- 8.7	- 8.1	- 8.2	- 9.7	- 10.7	- 10.7	- 11.3	- 12.2	- 12.2	- 13.0	- 13.4	- 14.2	- 15.0	- 15.3	- 15.4	- 15.3	- 15.2	- 15.2	- 15.4	- 15.6	- 12.20
13.	- 15.9	- 16.0	- 16.2	- 16.5	- 16.8	- 16.9	- 17.4	- 16.6	- 16.2	- 17.0	- 16.1	- 15.3	- 14.9	- 14.9	- 14.9	- 15.1	- 15.2	- 15.4	- 15.4	- 15.5	- 15.4	- 15.4	- 15.8	- 16.8	- 15.93
14.	- 17.2	- 17.5	- 17.5	- 17.5	- 17.3	- 16.3	- 16.2	- 14.6	- 14.9	- 13.8	- 13.0	- 13.3	- 12.2	- 11.4	- 11.6	- 11.0	- 9.6	- 9.6	- 10.6	- 9.7	- 9.6	- 9.9	- 10.2	- 10.5	- 13.13
15.	- 10.5	- 10.0	- 10.0	- 10.0	- 10.3	- 10.3	- 9.8	- 10.4	- 10.3	- 9.6	- 9.9	- 9.8	- 9.6	- 9.2	- 8.6	- 8.5	- 8.8	- 8.7	- 9.0	- 8.5	- 8.3	- 10.0	- 11.1	- 10.6	- 9.66
16.	- 11.3	- 10.5	- 9.9	- 10.5	- 9.7	- 10.3	- 11.2	- 10.9	- 10.8	- 10.0	- 10.6	- 10.5	- 10.7	- 10.8	- 11.0	- 12.5	- 13.4	- 13.9	- 13.9	- 13.8	- 13.9	- 13.7	- 12.9	- 12.5	- 11.63
17.	- 12.5	- 12.0	- 12.2	- 11.7	- 12.0	- 11.5	- 11.1	- 10.4	- 10.2	- 11.0	- 11.1	- 11.3	- 11.1	- 11.0	- 10.9	- 11.1	- 10 6	- 10.4	- 10.5	- 10.5	- 10.8	- 10.6	- 10.6	- 10.6	- 11.07
18.	- 10.8	- 10.9	- 11.1	- 10.7	- 10.6	- 10.7	- 11.4	- 11.1	- 11.3	- 11.4	- 11.7	- 11.9	- 11.9	- 12.1	- 12.2	- 12.4	- 13.0	- 12.8	- 13.0	- 12.8	- 13.0	- 13.4	- 13.4	- 13.5	- 11.96
19.	- 13.6	- 13.6	- 13.8	- 13.9	- 14.0	- 14.0	- 14.0	- 13.8	- 14.0	- 14.2	- 14.7	- 14.2	- 14.0	- 14.2	- 14.9	- 14.9	- 15.1	- 15.2	- 15.3	- 15.2	- 14.2	- 14.3	- 13.5	- 12.2	- 14.20
20.	- 12.9	- 11.5	- 11.0	- 11.0	- 10.9	- 10.5	- 10.5	- 10.4	- 10.3	- 10.0	- 9.5	- 9.8	- 8.9	- 9.2	- 10.2	- 10.9	- 12.2	- 12.0	- 12.9	- 13.4	- 13.8	- 11.6	- 12.7	- 13.1	- 11.22
21.	- 13.2	- 12.6	- 12.1	- 11.5	- 11.6	- 10.7	- 10.4	- 10.5	- 11.3	- 11.7	- 11.8	- 12.4	- 12.6	- 12.8	- 12.9	- 12.3	- 13.2	- 12.7	- 13.0	- 12.9	- 13.2	- 13.0	- 13.4	- 13.7	- 12.31
22.	- 13.9	- 13.9	- 14.1	- 13.9	- 13.8	- 14.0	- 14.2	- 14 3	- 14.2	- 14.1	- 14.1	- 14.3	- 14.4	- 14.7	- 15.3	- 15.8	- 16.2	- 16.3	- 16.7	- 16.9	- 17.2	- 17.4	- 17.4	- 17.5	- 15.19
23.	- 17.5	- 17.3	- 17.3	- 17.4	- 17.3	- 17.2	- 17.2	- 17.9	- 14.1	- 14.0	- 12.8	- 11.7	- 10.9	- 10.2	- 9.8	- 9.2	- 9.8	- 8.3	- 8.0	- 7.7	- 8.0	- 7.7	- 8.0	- 8.2	- 12.40
24.	- 8.3	- 8.3	- 8.3	- 8.5	- 8.6	- 9.0	- 9.6	- 9.1	- 9.5	- 9.2	- 9.8	- 10.3	- 8.6	- 8.8	- 8.5	- 8.4	- 7.9	- 8.1	- 8.1	- 7.6	- 7.2	- 6.9	- 7.0	- 7.0	- 8 44
25.	- 7.0	- 7.0	- 6.7	- 6.7	- 7.1	- 7.5	- 8.4	- 8.1	- 8.5	- 8.6	- 8.8	- 8.6	- 8.6	- 8.6	- 8.6	- 8.5	- 8.5	- 8.9	- 7.5	- 7.4	- 7.4	- 7.3	- 7.3	- 7.3	- 7.87
26.	- 7.5	- 7.5	- 7.6	- 7.6	- 7.6	- 7.6	- 8.7	- 8.6	- 8.5	- 8.0	- 7.7	- 8.6	- 9.6	- 10.4	- 10.9	- 11.2	- 11.2	- 11.3	- 11.5	- 11.2	- 12.4	- 12.4	- 12.5	- 12.9	- 9.71
27.	- 13.1	- 13.9	- 15.0	- 15.3	- 15.4	- 15.4	- 15.2	- 13.3	- 13.4	- 13.2	- 12.5	- 12.1	- 11.9	- 11.5	- 10.9	- 10.7	- 10.7	- 10.2	- 10.1	- 10.0	- 9.6	- 9.8	- 10.1	- 10.2	- 12.23
28.	- 10.5	- 10.7	- 10.1	- 9.5	- 10.1	- 10.0	- 10.0	- 9 9	- 10.1	- 10 0	- 10.0	- 9.8	- 9.4	- 9.4	- 9.5	- 9.7	- 9.8	- 10.2	- 10.1	- 10.0	- 10.2	- 9.8	- 9.8	- 10.0	- 9.94
29.	- 10.0	- 10.1	- 10.8	- 10.9	- 11.0	- 11.0	- 10.9	- 10.2	- 10.2	- 9.8	- 9.6	- 9.2	- 9.0	- 8.6	- 8.6	- 8.6	- 8.6	- 8.7	- 8.7	- 8.8	- 9.0	- 9.3	- 9.4	- 9.5	- 9.60
30.	- 9.5	- 9.4	- 9.3	- 9.2	- 9.3	- 9.4	- 9.6	- 9.1	- 9.8	- 10.0	- 9.7	- 9.5	- 8.9	- 8.4	- 8.4	- 8.3	- 8.6	- 8.8	- 9.1	- 9.1	- 9.1	- 9.1	- 9.2	- 9.3	- 9.17
31.	- 9.6	- 9.5	- 9.5	- 9.1	- 8.4	- 8.0	- 7.5	- 5.8	- 5.9	- 5.4	- 5.6	- 5.6	- 5.7	- 6.0	- 6.8	- 8.8	- 9.8	- 10.8	- 12.0	- 13.8	- 14.4	- 14.4	- 14.5	- 14.6	- 9.23
Mittel	-10.29	-10.21	-10.20	-10.20	-10.20	-10.24	-10.41	-10.15	-10.09	-9.97	-9.86	-9.78	-9 65	-9.63	-9.81	-9.93	-10.21	-10.23	-10.33	-10.38	-10.43	-10.41	-10.47	-10 55	-10.15

Februar

Datum	1a	2a	3a	4a	5a	6a	7a	8a	9a	10a	11a	12m	1p	2p	3p	4p	5p	6p	7p	8p	9p	10p	11p	12 mn	Mittel
1.	-14.9	-15.0	-15.0	-14.8	-14.6	-14.3	-14.2	-12.7	-12.9	-12.8	-12.3	-11.1	- 8.6	- 8.8	- 9.5	-10.2	-10.4	-10.4	- 9.5	- 8.8	- 7.3	- 7.2	- 6.9	- 7.2	-11.23
2.	- 6.8	- 6.7	- 6.5	- 6.5	- 6.8	- 6.4	- 6.4	- 7.1	- 7.6	- 9.7	-11.9	-12.6	-13.1	-13.9	-14.1	-14.3	-14.7	-15.0	-16.1	-16.3	-16.7	-16.6	-17 3	-17.4	-11.69
3.	-17.3	-17.3	-15.1	-14.0	-13.2	-12.8	-12.4	-12.0	-11.3	-11.1	-10.9	-10.6	-10.6	-10.4	-10.4	-10.2	-10.0	- 9.2	- 9.7	-10.5	-10.5	-10.5	- 9.8	- 7.3	-11.55
4.	- 8.8	- 8.8	- 7.8	- 8.2	- 8.7	- 8.8	- 8 8	- 8.3	- 6.5	- 6.8	- 6.6	- 6.2	- 6.3	- 6.0	- 5.7	- 4.9	- 4.7	- 4.7	- 4.7	- 5.1	- 4.7	- 5.3	- 4.6	- 4.4	- 6.48
5.	- 4.2	- 3.2	- 3.2	- 3.2	- 3.2	- 3.7	- 3.7	- 3.6	- 3.4	- 2.8	- 2.7	- 2.7	- 2.3	- 2.4	- 3.0	- 3.4	- 4.1	- 5.0	- 4.9	- 5.0	- 3.8	- 4.8	- 4.9	- 5.8	- 3.71
6.	- 5.8	- 5.9	- 6.8	- 6.8	- 7.8	- 8.1	- 8.2	- 8 5	- 8.2	- 8.0	- 8.0	- 6.5	- 7.2	- 7.5	- 7.8	- 8.0	- 8.6	- 7.4	- 8.1	- 8.7	- 9.2	- 9.9	-10.2	-10.6	- 7.99
7.	-10.9	-11.1	-11.4	-11.3	-11.2	-11.4	-11.3	-11.4	-10.8	-10.1	- 9.2	- 7.3	- 7.2	- 5.2	- 7.4	- 8.2	- 9.4	- 8.4	- 7.1	- 6.8	- 6.4	- 6.2	- 5.9	- 6.5	- 8.84
8.	- 6.1	- 7.6	- 7.5	- 7.6	- 7.4	- 7.7	- 7.8	- 7.4	- 7.6	- 7.2	- 7.2	- 6.7	- 7.5	- 8.3	-10.0	-10.9	-12.2	-12.0	-13.0	-13.0	-13.2	-13.5	-13.4	-13.5	- 9.51
9.	-12.7	-13.3	-13.4	-14.2	-14.9	-15.1	-14.9	-13.2	-12.9	-12.2	-11.1	-11.9	-10.9	- 9.6	- 9.2	- 8.9	- 9.6	- 8.4	- 8.3	- 8.2	- 8.2	- 8.4	- 7.7	- 8.1	-11.05
10	- 8.0	- 7.9	- 7.7	- 7.4	- 6.5	- 7.2	- 7.6	- 6.2	- 6.2	- 5.0	- 4.6	- 4.6	- 4.7	- 3.8	- 4.5	- 4.4	- 3.7	- 4.6	- 4.5	- 4.9	- 5.2	- 6.4	- 6.8	- 6.5	- 5.77
11.	- 5.1	- 5.4	- 5.9	- 6.6	- 6.9	- 6.8	- 7.8	- 7.6	- 8 5	- 7.6	- 7.1	- 5.9	- 5.6	- 5.7	- 6.0	- 6.9	- 7.8	-11.4	-11.0	-11.4	-11.1	-11.1	-10.9	-11.0	- 7.96
12.	-10.8	-10.9	-11.4	-11.5	-11.2	-11.5	-11.8	-11.4	-11.5	-12.2	-12 4	-13.4	-13.5	-13 6	-13.8	-14.0	-13.6	-13.4	-13.7	-14.1	-14.7	-14.3	-14.9	-16.1	-12.90
13.	-16.3	-17.0	-17.3	-17.0	-16.8	-15.6	-15.1	-14 4	-14.6	-14.4	-13.1	-12.3	-11.3	-10.5	-10.2	-10.2	-10.3	-11.4	-13.3	-13.0	-12.8	-12.9	-13.1	-13.3	-13 59
14.	-13.2	-13.1	-13.2	-13.3	-13 4	-13.4	-13.7	-13.4	-14.0	-14.1	-14.6	-14.5	-14.5	-14.8	-15.1	-15.6	-15.9	-16.4	-18.2	-19.2	-20.0	-19.7	-19.4	-19.4	-15.50
15.	-19.7	-19.9	-19.7	-19.2	-18.6	-18.0	-17.4	-16.9	-16.1	-15.2	-15.6	-14.9	-14.8	-14.6	-14.9	-15.1	-15.1	-15.4	-15.1	-15.2	-15.3	-15.8	-15.6	-14.8	-16.37
16.	-14.6	-15.1	-15.1	-14.9	-14.8	-15.7	-15.7	-14.1	-15.1	-15.6	-15.7	-15.6	-16.0	-17.6	-18.9	-18.7	-19.3	-19.6	-19.7	-19.8	-20.4	-20 7	-20.7	-20.8	-17.26
17.	-21.2	-21.3	-21.5	-21.5	-21.6	-21.6	-21.6	-20 7	-20.7	-20.4	-19.5	-18.8	-18.4	-18.5	-17.3	-19.2	-19.8	-19.2	-19.6	-19.5	-20.2	-20.6	-20.6	-20.6	-20.16
18.	-20.5	-19.9	-19.5	-18.7	-18.6	-17.7	-17.2	-16.3	-15.6	-15.8	-15.3	-15.2	-15.2	-15.1	-15.1	-15.2	-15.1	-15.3	-15 7	-16.2	-16.0	-15.8	-15.2	-15.1	-16.47
19.	-14.6	-15.2	-15.7	-16.0	-16.6	-16.4	-16.9	-16.2	-15.5	-14.3	-13.4	-13.1	-13.1	-12.8	-10.6	-10.1	-10.4	-10.1	-11.1	-11.4	-11.6	-12.1	-12.7	-12.6	-13.44
20.	-13.1	-13.1	-13.3	-12.6	-12.4	-12.9	-13.2	-12.5	-11.9	-11.7	-11.5	-11.8	-12.0	-11.5	-11.7	-11.9	-12.0	-11.3	-10.5	-10.2	-11.4	-11.5	-11.7	-11.5	-11.97
21.	-11.6	-10.7	-11.5	-11.7	-12.0	-11.8	-11.8	-11.0	-10.4	- 9.0	- 7.8	- 8.1	- 8.2	- 8.4	- 8.7	- 9.3	-10.8	-11.3	-12.1	-12.7	-13.2	-13.5	-12.8	-13.2	-10.90
22.	-13.4	-13.4	-13.5	-13.7	-14.2	-14.7	-15.2	-15.1	-15.2	-15.0	-14.8	-15.0	-14.9	-15.0	-15.1	-15.3	-15.6	-15.8	-15.7	-16.3	-16.4	-16.4	-16.6	-17.5	-15.16
23.	-17.5	-17.4	-17.3	-17.3	-17.6	-17.5	-17.1	-16.7	-16.4	-15.7	-15.4	-14.8	-14.3	-14.3	-14.3	-14.2	-14.1	-14.2	-14.2	-14.0	-13.2	-13.0	-12.3	-11.9	-15.20
24.	-11.4	-11.5	-11.6	-11.4	-11.0	-10.4	-10.2	- 9.1	- 7.8	- 7.0	- 6.3	- 5.8	- 6.1	- 5.9	- 5.9	- 5.9	- 7.1	- 8.2	- 8.9	- 8.8	- 8.7	- 8.7	- 8.0	- 7.8	- 8.48
25.	- 7.6	- 7.0	- 6.5	- 5.9	- 6.2	- 6.3	- 5.7	- 4.7	- 4.6	- 4.5	- 4.6	- 4.2	- 4.1	- 4.1	- 5.0	- 4.9	- 5.3	- 5.7	- 6.2	- 6.0	- 5.2	- 5.2	- 5.5	- 5.6	- 5.44
26.	- 5.7	- 5.7	- 5.9	- 6.4	- 7.2	- 7.5	- 7.9	- 7.1	- 7.1	- 7.1	- 6.6	- 5.9	- 7.6	- 7.6	- 7.1	- 8.5	- 9.0	-10.0	-10.3	-11.4	-11.6	-11.9	-12.1	-12.3	- 8.31
27.	-12.7	-13.2	-13.5	-12.9	-12.7	-11.8	-11.6	-10.8	-10.4	- 9.6	- 9.2	- 8.5	- 9.4	- 9.4	- 9.4	- 9.9	-10.3	-10.0	-10.4	-10.4	-10.6	-10.7	-11.4	-11.6	-10.85
28.	-11.7	-12.3	-12.3	-12.4	-12.3	-12.3	-12.2	-12.1	-12.1	-12.1	-11.9	-11.8	-11.6	-11.5	-12.1	-12.4	-12.2	-12.5	-13.0	-12.9	-13.0	-13.1	-13.3	-13.4	-12.35
Mittel	-12.01	-12.10	-12.11	-12.04	-12.09	-12.05	-12.05	-11.45	-11.25	-10.96	-10.69	-10.35	-10.30	-10 24	-10.46	-10.74	-11.11	-11.30	-11.59	-11.78	-11.81	-11.99	-11.94	-11.99	-11.43

Thermometer-Registrierung. **Zugspitze.** 1913.

März

Datum	1a	2a	3a	4a	5a	6a	7a	8a	9a	10a	11a	12m	1p	2p	3p	4p	5p	6p	7p	8p	9p	10p	11p	12mn	Mittel
1.	-13.6	-14.0	-14.3	-14.6	-15.1	-15.5	-15.8	-15.5	-15.5	-16.3	-16.9	-17.2	-17.6	-18.2	-18.0	-16.9	-16.7	-16.6	-16.1	-15.9	-15.6	-15.6	-15.7	-15.1	-15.93
2.	-14.8	-14.5	-14.5	-14.2	-14.2	-14.1	-14.0	-13.2	-13.1	-12.9	-12.8	-12.7	-12.6	-12.5	-13.1	-12.8	-12.8	-12.8	-12.8	-13.1	-13.5	-13.8	-14.5	-14.8	-13.50
3.	-15.2	-15.4	-15.0	-14.1	-14.4	-14.6	-14.6	-14.4	-14.3	-14.0	-13.4	-13.2	-12.9	-11.4	-11.6	-10.6	-11.2	-10.3	-10.4	- 9.2	- 9.4	- 8.8	- 9.2	- 8.3	-12.33
4.	- 8.1	- 8.9	- 9.8	- 9.5	- 9.7	- 9.5	-10.4	- 9.3	- 8.4	- 8.7	- 8.8	- 9.1	- 9.4	- 9.4	- 9.8	- 9.8	- 9.2	- 7.6	- 5.8	- 5.4	- 5.8	- 5.2	- 4.1	- 4.2	- 8.16
5.	- 3.2	- 3.5	- 8.3	- 8.4	- 8.8	- 8.2	- 8.0	- 6.8	- 7.1	- 7.1	- 6.9	- 6.4	- 6.3	- 6.3	- 6.5	- 6.5	- 6.1	- 6.7	- 7.2	- 7.3	- 7.1	- 6.9	- 6.5	- 6.5	- 6.78
6.	- 6.5	- 6.6	- 6.0	- 5.5	- 5.6	- 5.5	- 5.4	- 4.7	- 4.5	- 4.2	- 3.8	- 3.5	- 3.4	- 3.3	- 3.3	- 3.4	- 3.4	- 4.1	- 4.3	- 4.3	- 4.2	- 4.4	- 4.4	- 4.4	- 4.53
7.	- 4.5	- 4.6	- 5.3	- 5.3	- 5.1	- 5.3	- 5.6	- 5.3	- 5.6	- 5.6	- 5.2	- 5.0	- 5.0	- 4.7	- 4.9	- 4.8	- 5.0	- 5.4	- 5.6	- 5.7	- 5.7	- 5.7	- 5.8	- 6.0	- 5.28
8.	- 6.3	- 6.5	- 6.6	- 6.8	- 7.1	- 7.4	- 7.6	- 8.0	- 7.5	- 7.4	- 7.3	- 6.9	- 6.6	- 6.5	- 6.6	- 7.6	-11.6	-12.7	-13.2	-13.7	-14.0	-15.1	-16.0	-16.1	- 9.38
9.	-16.3	-17.1	-17.5	-17.8	-18.0	-18.2	-18.4	-18.2	-18.2	-17.5	-17.1	-16.4	-16.3	-16.7	-16.2	-16.1	-16.8	-16.9	-18.1	-18.4	-18.4	-18.0	-17.7	-16.9	-17.38
10.	-16.4	-12.9	-12.9	-13.8	-13.0	-12.4	-11.8	-11.0	-11.0	-10.7	-11.4	- 8.5	- 6.3	- 6.8	- 6.0	- 7.4	- 8.8	- 9.1	- 6.6	- 5.7	- 8.3	- 8.9	- 6.1	- 6.9	- 9.70
11.	- 8.8	- 9.0	- 9.5	- 9.4	- 8.5	- 7.7	- 7.2	- 6.8	- 6.3	- 6.2	- 6.3	- 6.4	- 5.9	- 6.0	- 5.4	- 5.4	- 4.8	- 5.1	- 5.0	- 5.3	- 5.3	- 5.6	- 6.3	- 7.0	- 6.63
12.	- 7.0	- 6.9	- 8.6	- 9.0	-11.7	-10.5	-10.5	-10.6	- 9.9	- 9.6	- 9.5	- 8.5	- 7.8	- 7.5	- 6.9	- 6.3	- 5.6	- 5.6	- 5.7	- 6.1	- 5.6	- 5.9	- 4.5	- 4.9	- 7.70
13.	- 5.2	- 5.6	- 5.4	- 5.2	- 5.4	- 5.5	- 5.5	- 4.8	- 4.1	- 4.3	- 4.2	- 4.3	- 4.4	- 3.8	- 3.7	- 4.6	- 5.0	- 5.9	- 7.1	- 6.8	- 6.8	- 6.9	- 7.3	- 7.7	- 5.40
14.	- 8.6	- 8.6	- 8.2	- 8.3	- 8.1	- 8.2	- 7.7	- 7.0	- 6.9	- 6.6	- 6.4	- 6.0	- 5.8	- 5.0	- 4.7	- 4.2	- 4.4	- 4.9	- 4.7	- 5.5	- 5.6	- 5.7	- 5.7	- 5.8	- 6.36
15.	- 5.9	- 6.0	- 6.2	- 6.5	- 6.8	- 6.8	- 7.0	- 6.6	- 7.0	- 7.0	- 6.7	- 5.9	- 5.6	- 6.2	- 6.3	- 6.7	- 7.1	- 7.4	- 7.4	- 7.9	- 8.8	- 9.4	-10.0	- 9.6	- 7.12
16.	- 8.6	- 8.6	-10.1	-10.7	-10.1	- 9.7	- 8.5	- 7.8	- 6.8	- 7.2	- 6.2	- 6.2	- 6.0	- 5.7	- 5.6	- 5.6	- 6.0	- 6.6	- 7.2	- 7.6	- 7.9	- 7.7	- 8.2	- 8.4	- 7.63
17.	- 8.4	- 8.3	- 8.1	- 8.4	- 8.3	- 8.7	- 8.7	- 7.5	- 7.4	- 7.0	- 6.4	- 6.4	- 6.4	- 5.0	- 5.0	- 5.7	- 6.1	- 6.5	- 6.7	- 6.8	- 6.7	- 7.5	- 7.8	- 8.5	- 7.18
18.	- 8.0	- 7.9	- 8.1	- 8.5	-12.0	-13.3	-14.0	-13.8	-14.0	-14.8	-15.3	-15.2	-15.4	-15.4	-15.4	-15.2	-15.3	-16.6	-17.0	-16.5	-17.0	-17.5	-17.3	-16.9	-14.18
19.	-17.1	-16.6	-14.1	-14.1	-13.4	-14.1	-13.6	-13.4	-13.2	-13.2	-12.6	-11.9	-11.8	-11.4	-11.2	-10.0	- 8.8	- 7.9	- 6.9	- 6.2	- 6.8	- 6.9	- 6.4	- 6.4	-11.17
20.	- 6.5	- 6.1	- 5.9	- 5.6	- 5.1	- 5.0	- 5.0	- 4.4	- 4.3	- 3.8	- 3.9	- 3.6	- 3.8	- 3.7	- 3.4	- 3.4	- 3.4	- 3.4	- 3.4	- 3.4	- 3.3	- 3.7	- 3.9	- 3.9	- 4.25
21.	- 4.1	- 4.5	- 4.6	- 4.1	- 4.0	- 4.0	- 4.0	- 4.1	- 3.8	- 3.8	- 3.4	- 3.1	- 2.9	- 2.8	- 3.4	- 3.4	- 3.9	- 4.1	- 4.4	- 4.9	- 5.0	- 4.8	- 4.3	- 4.1	- 3.98
22.	- 4.5	- 4.7	- 4.4	- 4.9	- 4.6	- 4.4	- 4.1	- 3.4	- 2.9	- 3.3	- 3.1	- 3.3	- 1.9	- 2.4	- 2.1	- 2.3	- 2.5	- 2.6	- 2.8	- 3.2	- 3.0	- 2.8	- 3.0	- 3.5	- 3.32
23.	- 3.7	- 3.7	- 2.9	- 3.7	- 3.1	- 2.5	- 2.8	- 1.5	- 2.1	- 2.0	- 1.8	- 2.1	- 2.3	- 2.2	- 1.9	- 2.1	- 2.6	- 2.9	- 3.4	- 3.8	- 4.0	- 4.6	- 5.0	- 5.3	- 3.00
24.	- 5.5	- 5.6	- 5.8	- 5.9	- 6.1	- 6.1	- 6.2	-10.2	-10.4	-10.6	-11.0	-11.1	-10.5	-10.1	-10.2	-10.5	-10.6	-10.8	-10.7	-10.7	-10.8	-10.6	-10.5	-10.4	- 9.20
25.	-10.7	-10.8	-10.7	- 8.5	- 8.3	- 8.1	- 6.8	- 4.3	- 6.1	- 6.1	- 6.5	- 6.2	- 5.2	- 5.0	- 5.7	- 5.7	- 5.6	- 6.2	- 7.0	- 6.8	- 6.8	- 6.7	- 4.9	- 4.7	- 6.81
26.	- 5.3	- 4.5	- 4.0	- 4.6	- 4.4	- 4.4	- 3.7	- 2.7	- 2.7	- 1.8	- 1.6	- 1.2	- 1.6	- 2.6	- 2.2	- 2.6	- 2.6	- 3.3	- 3.6	- 3.6	- 2.2	- 2.6	- 3.6	- 2.6	- 3.08
27.	- 3.6	- 4.6	- 4.6	- 4.9	- 5.3	- 4.9	- 5.4	- 5.5	- 5.5	- 5.4	- 4.9	- 4.1	- 6.4	- 7.0	- 7.4	- 8.2	- 8.3	- 8.2	- 8.5	- 8.9	- 8.8	- 8.8	- 9.5	- 9.4	- 6.59
28.	- 8.8	- 8.6	- 8.1	- 8.2	- 8.5	- 8.4	- 7.8	- 6.0	- 5.8	- 5.2	- 5.1	- 5.4	- 4.2	- 3.3	- 3.3	- 3.8	- 2.7	- 2.3	- 3.5	- 3.2	- 2.8	- 2.8	- 1.9	- 1.2	- 5.04
29.	- 0.6	- 0.1	0.0	- 0.1	- 0.9	- 0.8	- 0.8	- 0.8	0.5	0.3	0.7	0.7	0.9	1.5	1.5	1.2	0.9	0.4	0.7	1.2	1.2	1.6	1.9	1.5	0.53
30.	1.6	2.5	1.4	0.9	0.5	0.5	0.4	1.3	1.1	1.0	0.7	1.1	- 0.5	- 0.2	- 0.7	- 1.1	- 1.3	- 1.8	- 2.2	- 1.7	- 1.6	- 1.8	- 2.8	- 3.2	- 0.25
31.	- 3.6	- 4.1	- 2.8	- 2.9	- 2.3	- 1.9	- 1.7	- 2.0	- 1.4	- 1.4	- 0.8	- 0.1	0.0	- 0.6	- 0.9	- 0.7	- 1.0	- 1.5	- 2.2	- 2.4	- 2.4	- 2.5	- 3.5	- 3.7	- 1.93
Mittel	-7.67	-7.62	-7.77	-7.83	-7.98	-7.91	-7.81	-7.36	-7.23	-7.17	-7.03	-6.71	-6.58	-6.46	-6.45	-6.52	-6.72	-6.95	-7.06	-7.06	-7.16	-7.28	-7.24	-7.25	- 7.20

April

Datum	1a	2a	3a	4a	5a	6a	7a	8a	9a	10a	11a	12m	1p	2p	3p	4p	5p	6p	7p	8p	9p	10p	11p	12mn	Mittel
1.	- 4.0	- 4.4	- 4.4	- 4.5	- 4.5	- 4.5	- 4.0	- 3.2	- 3.3	- 3.0	- 2.7	- 2.6	- 3.0	- 3.5	- 4.3	- 5.3	- 6.0	- 6.4	- 8.0	- 8.5	- 9.0	- 9.2	- 9.5	-10.0	- 5.33
2.	-10.0	-10.0	-10.3	-10.4	-10.4	-10.4	-10.4	- 9.7	- 9.7	- 9.2	- 8.6	- 8.2	- 8.2	- 7.5	- 8.6	- 8.8	- 9.8	-10.3	-10.4	-10.3	- 9.8	- 9.3	- 9.2	- 8.8	- 9.51
3.	- 8.3	- 8.0	- 7.6	- 7.4	- 7.4	- 7.5	- 7.4	- 5.4	- 6.2	- 4.9	- 4.4	- 3.8	- 3.9	- 3.4	- 2.7	- 3.4	- 3.5	- 5.1	- 5.6	- 6.4	- 6.6	- 6.8	- 7.0	- 7.1	- 5.83
4.	- 7.2	- 7.3	- 7.4	- 7.4	- 7.5	- 7.8	- 7.7	- 6.6	- 6.1	- 5.8	- 6.0	- 5.4	- 4.8	- 4.3	- 4.6	- 5.2	- 5.7	- 6.4	- 7.4	- 7.4	- 7.6	- 7.8	- 7.9	- 7.8	- 6.63
5.	- 7.8	- 7.8	- 7.7	- 7.7	- 6.9	- 6.7	- 7.0	- 6.8	- 6.9	- 6.6	- 6.6	- 6.8	- 7.6	- 8.0	- 7.7	- 7.4	- 8.2	- 8.6	- 9.1	- 9.0	- 9.0	- 9.0	- 8.4	- 8.3	- 7.73
6.	- 8.4	- 8.4	- 9.3	- 9.8	- 9.5	-10.6	- 9.8	- 9.2	- 8.8	- 9.1	- 8.9	- 8.6	- 7.6	- 8.0	- 9.4	- 8.8	- 8.0	- 7.9	- 8.3	- 8.3	- 8.6	- 9.4	- 9.4	- 9.0	- 8.88
7	- 9.6	- 9.5	- 9.5	- 9.3	- 9.2	- 9.1	- 9.6	- 9.8	- 9.4	- 9.2	- 7.8	- 5.6	- 5.5	- 5.0	- 4.7	- 5.1	- 5.6	- 5.9	- 6.4	- 8.0	- 7.8	- 8.3	- 8.5	- 8.9	- 7.80
8.	- 9.1	- 9.1	- 9.0	- 9.4	- 9.5	- 9.4	- 9.0	- 6.8	- 6.4	- 6.8	- 5.8	- 5.4	- 3.8	- 4.4	- 6.2	- 7.0	- 8.1	- 8.8	- 9.4	- 9.4	- 9.6	-10.4	-10.8	-11.0	- 8.11
9.	-11.1	-10.7	-10.6	-10.7	-10.9	-10.8	-10.6	- 8.7	- 9.5	- 9.2	- 6.7	- 6.6	- 6.0	- 7.6	- 9.2	- 9.2	-10.8	-11.7	-12.1	-12.6	-12.6	-13.1	-13.4	-13.4	-10.33
10.	-13.4	-13.7	-13.8	-14.2	-14.3	-14.0	-13.9	-13.1	-13.4	-13.3	-12.7	-11.8	-10.7	-10.6	-11.3	-11.6	-12.0	-12.5	-12.8	-12.8	-13.2	-13.4	-13.5	-13.5	-12.90
11.	-13.4	-13.4	-13.5	-13.6	-13.6	-13.5	-13.6	-14.3	-14.6	-15.2	-15.1	-14.7	-14.9	-15.3	-14.9	-15.1	-15.7	-16.4	-16.2	-15.8	-16.0	-16.0	-15.9	-15.7	-14.85
12.	-15.5	-14.9	-14.5	-13.8	-13.2	-12.6	-12.2	-11.1	-11.1	-10.9	-10.3	-11.1	-13.6	-14.6	-14.6	-14.5	-13.9	-15.3	-17.1	-19.4	-20.4	-21.5	-21.9	-22.1	-15.00
13.	-22.3	-22.4	-22.5	-22.7	-22.8	-22.9	-23.0	-21.2	-21.2	-21.2	-21.2	-20.2	-21.2	-21.2	-20.7	-21.5	-21.6	-21.8	-22.0	-22.2	-22.4	-22.3	-22.2	-22.2	-21.87
14.	-22.1	-22.0	-22.0	-21.9	-21.7	-21.6	-21.4	-20.2	-21.1	-20.4	-19.7	-18.3	-16.8	-15.4	-14.0	-15.8	-17.4	-18.8	-19.5	-19.7	-20.1	-20.7	-20.7	-21.0	-19.68
15.	-20.9	-21.1	-21.3	-21.1	-21.0	-20.7	-20.0	-18.9	-19.0	-18.8	-17.9	-17.6	-16.3	-15.8	-15.6	-15.7	-15.8	-15.9	-16.2	-16.0	-16.2	-16.3	-16.4	-16.0	-17.94
16.	-15.6	-15.6	-15.0	-15 0	-14.9	-14.6	-13.8	-13.8	-13.5	-13.2	-12.3	-11.8	-11.8	-10.7	-10.6	-10.4	-10.1	-10.2	-10.2	-10.2	-10.2	-10.3	-10.3	- 9.6	-12.26
17.	- 8.5	- 8.1	- 8.1	- 7.5	- 7.4	- 6.7	- 6.3	- 5.8	- 5.2	- 5.0	- 5.1	- 5.2	- 5.2	- 4.8	- 4.7	- 4.9	- 5.3	- 5.7	- 5.9	- 5.8	- 6.0	- 7.6	- 8.5	- 8.8	- 6.34
18.	- 9.1	- 9.7	-10.1	-10.5	-10.6	-10.5	-11.0	-10.4	-10.5	- 9.8	- 9.2	- 9.3	- 9.0	-10.9	-11.6	-11.3	-11.4	-11.4	-11.8	-11.8	-11.3	-11.3	-11.3	-11.6	-10.64
19.	-11.2	-10.5	-10.3	-10.3	-10.2	- 9.7	- 9.5	- 7.2	- 6.6	- 6.0	- 5.9	- 5.5	- 4.7	- 4.2	- 4.0	- 4.0	- 4.3	- 4.5	- 4.5	- 4.3	- 4.0	- 4.3	- 4.5	- 4.7	- 6.45
20.	- 5.1	- 5.3	- 5.4	- 5.3	- 5.2	- 4.9	- 4.8	- 4.1	- 4.8	- 4.3	- 3.3	- 4.3	- 4.2	- 5.2	- 6.0	- 6.4	- 7.8	- 8.4	- 8.9	- 8.8	- 8.8	- 8.9	- 8.9	- 8.9	- 6.17
21.	- 8.9	- 8.8	- 8.8	- 8.8	- 8.7	- 8.7	- 8.5	- 8.1	- 8.0	- 7.8	- 7.0	- 6.3	- 4.8	- 3.8	- 3.7	- 3.3	- 4.0	- 4.2	- 4.6	- 4.5	- 4.7	- 4.8	- 4.8	- 4.9	- 6.27
22.	- 4.9	- 4.9	- 5.0	- 5.0	- 4.9	- 5.4	- 5.0	- 4.0	- 4.3	- 3.7	- 3.4	- 2.4	- 1.9	- 0.8	- 0.7	- 0.8	0.0	- 1.1	- 2.1	- 2.4	- 2.7	- 3.5	- 3.6	- 3.7	- 3.18
23.	- 4.1	- 4.4	- 4.5	- 4.4	- 4.2	- 3.6	- 3.3	- 0.6	- 1.8	- 1.2	- 0.9	- 0.4	- 0.4	- 0.2	0.3	- 0.3	- 0.8	- 1.3	- 1.7	- 1.8	- 1.8	- 1.9	- 2.0	- 2.1	- 1.98
24.	- 2.5	- 1.8	- 1.8	- 2.0	- 2.1	- 1.8	- 1.0	- 1.5	- 0.9	- 0.5	- 0.7	0.0	0.2	0.3	0.5	0.0	- 0.5	- 1.4	- 1.7	- 1.9	- 2.0	- 2.3	- 2.2	- 2.5	- 1.25
25.	- 2.2	- 2.4	- 2.1	- 2.1	- 2.2	- 2.2	- 1.8	- 1.5	- 0.7	- 0.5	- 0.5	0.6	1.0	1.7	0.1	0.4	- 0.2	- 0.2	- 0.9	- 1.0	- 1.4	- 1.6	- 1.9	- 1.1	- 0.95
26.	- 1.4	- 2.0	- 2.2	- 1.3	- 1.2	- 1.2	- 0.2	0.5	0.1	0.3	0.6	0.6	- 0.2	- 0.1	- 0.1	0.4	0.2	- 0.3	- 1.3	- 1.9	- 2.2	- 2.6	- 2.7	- 3.3	- 0.90
27.	- 2.3	- 1.4	- 1.6	- 1.5	- 2.4	- 2.4	- 1.0	0.2	- 0.1	0.3	0.6	0.1	0.5	1.0	0.7	1.0	0.1	0.3	- 0.7	- 0.8	- 1.2	- 1.6	- 1.8	- 1.9	- 0.66
28.	- 2.1	- 2.2	- 2.5	- 2.5	- 2.7	- 2.5	- 2.4	- 1.8	- 1.3	- 1.5	- 1.3	- 0.8	- 0.3	0.7	0.0	0.0	- 0.2	0.4	0.3	- 0.6	- 1.2	- 1.6	- 2.0	- 1.8	- 1.25
29.	- 2.3	- 2.5	- 2.4	- 2.7	- 2.9	- 2.4	- 2.4	- 1.6	- 1.1	- 1.2	0.1	0.6	0.5	0.8	1.0	1.3	1.4	1.5	0.8	0.1	- 0.2	- 0.1	0.0	- 0.6	- 0.60
30.	- 0.7	- 1.0	- 1.2	- 1.0	- 1.0	- 0.7	- 0.3	1.0	1.1	1.0	0.8	0.7	1.5	2.6	2.1	1.7	1.8	0.9	0.6	0.7	0.8	0.1	- 0.3	- 0.4	0.45
Mittel	-8.80	-8.78	-8.81	-8.79	-8.77	-8.65	-8.36	-7.46	-7.48	-7.22	-6.73	-6.34	-6.09	-5.94	-6.17	-6.37	-6.77	-7.25	-7.77	-8.03	-8.19	-8.53	-8.65	-8.69	- 7.69

Thermometer-Registrierung. **Zugspitze.** 1913.

Datum	1a	2a	3a	4a	5a	6a	7a	8a	9a	10a	11a	12m	1p	2p	3p	4p	5p	6p	7p	8p	9p	10p	11p	12mn	Mittel
Mai																									
1.	- 1.5	- 1.4	- 1.3	- 1.0	- 1.2	- 0.4	0.3	0.4	- 1.0	- 0.9	- 0.5	- 0.2	0.7	0.6	0.8	0.7	0.3	0.3	- 0.5	- 1.4	- 1.9	- 1.9	- 2.3	- 3.1	- 0.68
2.	- 4.3	- 4.3	- 5.1	- 5.2	- 4.9	- 5.5	- 6.4	- 5.8	- 5.7	- 5.6	- 5.3	- 4.6	- 4.8	- 4.2	- 3.9	- 4.8	- 5.8	- 5.9	- 6.6	- 6.8	- 7.0	- 7.2	- 7.0	- 7.1	- 5.58
3.	- 7.1	- 7.0	- 6.9	- 7.1	- 7.3	- 7.2	- 7.2	- 5.4	- 5.3	- 2.0	- 3.4	- 3.7	- 3.1	- 2.9	- 2.8	- 2.1	- 2.6	- 3.9	- 4.8	- 5.5	- 5.7	- 5.6	- 6.4	- 6.2	- 5.05
4.	- 6.6	- 6.8	- 6.9	- 7.4	- 7.1	- 7.0	- 6.4	- 4.8	- 4.3	- 4.1	- 4.3	- 4.2	- 3.0	- 3.0	- 2.0	- 2.9	- 3.2	- 3.8	- 4.3	- 5.7	- 8.4	- 8.9	- 9.7	-11.7	- 5.69
5.	-11.9	-12.7	-12.6	-12.6	-12.6	-12.4	-11.6	-10.2	- 9.6	- 8.6	- 8.3	- 7.0	- 6.4	- 7.4	- 8.4	- 8.1	- 9.8	- 9.7	- 9.8	- 9.9	-10.0	-10.5	-10.6	-10.8	-10.06
6.	-10.9	-11.0	-11.2	-11.1	-11.1	-11.0	-10.2	- 9.7	- 9.8	- 8.4	- 6.0	- 5.0	- 5.0	- 6.7	- 7.4	- 7.5	- 8.2	- 8.7	- 8.7	- 9.2	- 9.5	- 9.5	- 9.3	- 9.1	- 8.93
7.	- 9.2	- 9.5	- 9.9	-10.0	- 9.6	- 9.3	- 8.7	- 8.1	- 7.9	- 7.8	- 7.8	- 7.0	- 6.7	- 6.0	- 7.3	- 7.4	- 7.9	- 8.8	- 8.8	- 9.0	- 9.5	-10.3	-11.2	-11.8	- 8.73
8.	-11.3	-11.8	-12.1	-11.6	-11.0	- 9.9	- 8.5	- 5.7	- 6.8	- 6.6	- 6.1	- 5.7	- 4.6	- 3.8	- 2.6	- 1.8	- 2.1	- 2.4	- 3.0	- 3.0	- 3.3	- 3.3	- 3.3	- 3.3	- 5.98
9.	- 3.3	- 3.2	- 3.3	- 3.1	- 3.0	- 3.1	- 2.8	- 2.5	- 2.4	- 2.2	- 2.0	- 0.2	0.4	1.4	2.0	2.3	2.4	1.6	- 0.5	- 1.0	- 0.8	- 1.0	- 1.6	- 1.7	- 1.15
10.	- 1.7	- 1.9	- 2.3	- 2.0	- 2.2	- 1.8	- 1.5	0.4	1.4	1.3	1.0	1.2	0.7	0.6	1.2	1.3	1.5	1.1	0.8	1.3	0.2	0.2	- 0.7	- 1.1	- 0.04
11.	- 1.7	- 1.7	- 2.1	- 2.9	- 4.1	- 6.4	- 7.4	- 7.5	- 7.5	- 7.6	- 8.1	- 8.5	- 8.9	- 8.5	- 8.2	- 8.2	- 8.2	- 8 0	- 8.1	- 8.1	- 8.2	- 8.2	- 8.2	- 8.2	- 6.85
12.	- 8.0	- 7.7	- 7.6	- 7.5	- 7.3	- 7.3	- 6.8	- 5.9	- 5.5	- 4.2	- 3.9	- 3.2	- 2.2	- 1.4	- 2.3	- 3.1	- 3.5	- 4.7	- 5.4	- 5.6	- 6.0	- 6.4	- 6.2	- 6.9	- 5.36
13.	- 6.9	- 6.8	- 6.8	- 6.5	- 5.9	- 4.8	- 3.6	- 1.3	- 2.7	- 1.8	- 0.8	- 0.5	- 1.3	- 1.4	- 0.9	- 0.7	- 0.7	- 0.9	- 1.9	- 1.9	- 1.9	- 0.9	- 2.3	- 2.4	- 2.73
14.	- 2.8	- 2.8	- 2.9	- 3.6	- 3.5	- 2.9	- 2.4	- 1.5	- 1.2	- 0.7	- 0.6	0.8	0.4	1.3	0.5	0.5	- 0.1	- 0.3	- 1.0	- 0.9	- 0.7	- 0.7	- 0.4	- 0.3	- 1.08
15.	- 0.8	- 1.6	- 1.7	- 1.7	- 0.8	- 0.7	0.6	0.8	1.1	2.0	1.7	2.0	2.7	2.7	2.4	3.0	2.5	1.3	0.9	0.6	0.8	1.4	0.8	0.9	0.87
16.	0.7	0.7	0.9	0.4	0.4	0.7	1.4	2.3	2.8	2.3	1.4	2.2	0.6	2.4	2.8	2.6	3.2	3.1	1.7	0.5	- 0.4	- 0.5	- 0.9	- 1.6	1.24
17.	- 1.6	- 1.7	- 2.1	- 1.7	- 2.7	- 3.7	- 3.8	- 2.5	- 2.0	- 1.7	- 1.8	- 0.9	- 0.7	- 0.3	- 0.8	- 0.7	- 0.4	- 1.1	- 1.8	- 1.9	- 2.6	- 2.9	- 3.0	- 2.9	- 1.89
18.	- 3.1	- 3.4	- 3.2	- 3.2	- 3.1	- 3.0	- 2.8	- 2.3	- 1.9	- 1.6	- 1.1	- 0.9	- 0.6	- 0.6	- 0.4	- 0.4	- 1.8	- 2.8	- 4.0	- 4.9	- 5.0	- 4.9	- 5.0	- 5.0	- 2.71
19.	- 5.3	- 5.2	- 5.1	- 5.1	- 5.0	- 4.8	- 4.0	- 3.1	- 2.6	- 2.6	- 2.5	- 2.1	- 5.0	- 7.2	- 7.4	- 7.9	- 8.4	- 9.0	-10.5	-10.4	-10.6	-11.1	-11.0	-10.9	- 6.53
20.	-10.9	-11.0	-11.3	-11.5	-11.5	-11.5	-10.8	-11.0	-11.2	-11.2	-10.9	-10.4	-11.1	-10.8	-10.6	-10.5	-10.6	-11.0	-11.1	-11.5	-10.4	- 9.8	-10.3	-10.7	-10.90
21.	-10.5	-10.5	-10.4	-10.7	-10.8	-10.4	-10.6	-10.3	-10.2	- 9.0	- 8.0	- 7.1	- 6.7	- 5.7	- 5.7	- 4.8	- 4.8	- 4.7	- 4.6	- 4.0	- 3.3	- 3.6	- 3.6	- 3.0	- 7.21
22.	- 3.3	- 3.6	- 4.5	- 4.3	- 4.2	- 4.4	- 4.3	- 3.7	- 4.5	- 4.7	- 4.6	- 3.9	- 3.7	- 3.7	- 3.7	- 3.9	- 3.7	- 4.3	- 4.6	- 4.8	- 5.8	- 6.6	- 7.4	- 7.6	- 4.58
23.	- 7.7	- 7 8	- 7.9	- 7 9	- 7.9	- 7.9	- 7 8	- 8.0	- 8.0	- 7.8	- 7.7	- 6.2	- 6.6	- 6.6	- 6.4	- 6.7	- 6.0	- 6.4	- 6.6	- 5.9	- 5.0	- 5.4	- 4.7	- 4.8	- 6.82
24.	- 4.7	- 4.7	- 4.7	- 4.9	- 4.8	- 4.9	- 5.1	- 5.0	- 5.8	- 6.2	- 5.2	- 5.0	- 4.8	- 4.2	- 3.6	- 3.6	- 3.2	- 3.3	- 3.5	- 3.6	- 3.8	- 3.8	- 4.1	- 4.2	- 4.45
25.	- 4.4	- 4.4	- 4.4	- 4.4	- 4.1	- 3.9	- 3.2	- 1.5	- 0.5	- 2.7	- 2.5	- 0.5	- 1.2	- 0.4	0.2	0.4	0.6	0.6	- 0.3	- 0.8	- 0.8	- 0.6	- 0.3	0.6	- 1.60
26.	0.8	1.3	1.7	1.5	1.4	1.6	2.2	2.8	2.7	2.8	2.4	2.7	2.7	2.0	2.2	2.8	3.2	2.6	2.2	1.5	1.8	0.9	0.7	1.1	2.00
27.	1.1	0.8	0.3	0.3	0.4	0.7	1.6	0.6	0.4	0.3	0.9	1.9	2.4	1.9	1.9	1.8	2.0	1.9	1.7	1.3	1.4	0.6	- 0.3	- 0.4	1.06
28.	- 0.5	- 0.7	- 0.4	- 0.6	- 1.0	- 0.4	- 1.0	- 0.2	- 1.0	- 1.0	- 1.4	- 0.7	- 0.7	- 1.1	- 1.0	- 0.6	- 0.9	- 0.1	- 0.7	- 0.5	- 0.6	0.0	0.1	- 0.6	- 0.67
29.	- 0.6	- 1.0	- 1.2	- 1.9	- 1.7	- 3.0	- 2.0	- 0.4	- 0.2	0.0	0.7	0.7	1.7	2.4	3.0	4.6	6.0	6.0	5.7	4.4	3.6	3.2	2.9	2.9	1.49
30.	2.9	2.8	2.6	2.4	2.8	3.0	2.8	4.0	5.2	4.2	4.3	5.2	6.1	6.9	6.6	5 7	4.8	3.4	3.1	2.4	2.6	2.6	2.5	2.4	3.80
31.	2.2	2.2	1.9	1.4	2.1	2.8	4.0	6.2	6.0	5.9	5.7	5.9	5.7	5.8	6.0	6.5	6.5	7.0	6.0	5 9	4.2	4.0	4.0	3.8	4.62
Mittel	-4.29	-4.40	-4.53	-4.63	-4.56	-4.48	-4.06	-3.19	-3.16	-2.92	-2.73	-2.09	-2.03	-1.87	-1.80	-1.73	-1.90	-2.29	-2.87	-3.19	-3.44	-3.57	-3.83	-3.99	- 3.23
Juni																									
1.	3.0	3.0	2.9	2.4	3.0	3.0	3.2	2.9	3.2	4 5	4.5	5.1	5.7	6.6	7.2	7.0	7.0	6.4	5.9	5.2	4.6	4.5	4.1	3.7	4.53
2.	3.5	3.4	3.8	3.8	4.0	4.8	6.3	7.1	6.6	6.4	6.4	7.2	7 9	7.2	8.0	8.0	6.6	5.8	4.5	3.7	4.4	4.4	4.1	3.7	5.48
3.	2.9	3.4	4.0	4.3	4.4	5.7	5.8	5.8	5.3	5.4	5.5	5.6	5.7	7.1	6.2	5.8	5.4	5.4	4.7	4.7	4.5	4.1	3.9	3.7	4.97
4.	3.6	3.3	2.8	3.0	3.0	3.4	4.6	4.8	5.3	5.3	5.9	6.6	6.4	7.4	6.9	7.0	6.3	5.2	3.5	3.2	2.8	3.0	2.8	2.0	4.50
5.	1.8	1.7	1.2	0.7	0.7	1.8	2.0	1.9	1.9	2.8	3.0	3.9	4.1	4.9	5.0	4.7	3.9	3.9	3.4	2.6	2.4	1.7	1.0	0.9	2.58
6.	- 0.3	- 0.5	- 0.4	- 0.4	- 0.1	0.0	0.2	1.1	1.1	0.8	0.7	0.6	1.0	1.2	0.9	- 2.0	- 3.6	- 3.7	- 4.4	- 4.4	- 5.3	- 5.4	- 5.6	- 5.5	- 1.43
7.	- 5.7	- 6.4	- 6.5	- 6.4	- 6.4	- 6.4	- 6.2	- 4.5	- 4.6	- 3.0	- 2.3	- 1.3	- 0.8	- 0.8	- 0.6	- 1.9	- 2.1	- 0.9	- 1.7	- 2.1	- 2.4	- 2.5	- 2.5	- 2.3	- 3.35
8.	- 1.4	- 1.6	- 1.8	- 1.6	- 0.7	1.3	1.3	2.0	2.2	2.0	2.0	2.5	3.6	3.6	3.9	4.4	4.1	4.0	2.9	2.0	1.1	1.0	0.9	0.5	1.59
9.	0.1	- 0.2	- 0.2	- 0.2	0.1	0.1	- 0.2	0.4	0.7	1.4	2.1	1.5	2.3	2.8	1.6	1.1	0.1	0.0	- 0.1	- 0.5	- 0.6	- 0.8	- 0.9	- 1.4	0.38
10.	- 1 5	- 1.8	- 1.9	- 1.9	- 1.9	- 1.6	- 1.7	- 1.0	- 1.0	- 0 5	0.5	1.6	2.8	3 0	3.0	3.2	3.3	3.4	3.1	2.7	2.5	2.2	2.1	1.8	0.85
11.	1.8	1.3	0.9	0.6	0.5	0.5	0.0	0.0	- 0.3	- 0.4	- 0.2	0.2	0.2	0.3	0.4	0.5	0.5	0.2	- 0.3	- 0.8	- 1.4	- 1.9	- 1.9	- 1.9	- 0.05
12.	- 2.1	- 2.2	- 2.3	- 2.3	- 2.2	- 2.0	- 1.8	- 1.2	- 1.0	- 1.0	- 1.0	- 1.0	- 1.1	- 1.0	- 1.0	- 1.2	- 1.2	- 0.9	- 1.2	- 1.7	- 2.0	- 2.0	- 2.0	- 2.0	- 1.56
13.	- 1.9	- 2.0	- 2.0	- 2.0	- 2.0	- 2.0	- 1.6	- 1.4	- 1.4	- 1.2	- 0.9	- 0.7	- 0.7	- 0.4	- 0.2	- 0.7	- 1.5	- 1.8	- 2.8	- 2.8	- 2.8	- 2.7	- 2.7	- 2.7	- 1.70
14.	- 3.0	- 3.0	- 3.5	- 4.1	- 4.1	- 4.2	- 3.4	- 3.1	- 3.1	- 5.1	- 4.0	- 3.8	- 2.6	- 0.9	- 0.1	0.6	1.2	0.4	1.0	0.3	- 0.8	- 1.5	- 1.0	- 1.8	- 2.07
15.	- 1.3	- 0.4	0.1	0.0	- 0.1	0.1	0.8	1.1	1.1	1.1	2.0	2.0	2.5	3.0	2.5	2.7	2.8	2.1	1.5	1.2	1.2	1.3	1.3	1.0	1.23
16.	1.5	1.5	1.4	1.2	1.3	1.3	1.0	1.3	1.3	1.5	2.0	2.4	3.0	3.4	3.3	3.2	3.0	2.6	2.2	1.6	1.0	0.8	0.7	0.4	1.79
17.	0.3	0.3	0.2	0.2	0.4	0.8	1.1	1.5	1.6	1.8	2.0	2.6	3.4	3.2	3.7	3.8	4.0	3.3	3.3	3.0	2.2	2.0	1.9	1.5	2.00
18.	1.0	0.8	0.8	0.7	0.8	0.9	1.7	2.9	3.8	3.8	4.6	4.9	4.1	5.1	5.6	7.3	8.6	6.0	4.5	3.7	3.4	1.9	1.5	1.3	3.32
19.	1.7	1.0	0.9	0.4	0.8	0.7	1.2	2.0	1.9	2.1	2.3	2.4	2.5	3.3	2.5	2.6	1.2	1.8	1.1	0.5	0.6	0.3	0.2	0.3	1.43
20.	0.4	0.3	0.3	0.3	0.9	1.0	1.7	2.8	2.7	3.3	2.6	2.3	1.1	2.0	1.3	0.7	0.9	0.9	0.6	0.4	0.0	0.1	- 0.2	- 0.3	1.09
21.	- 0.3	- 0.4	- 1.2	- 2.3	- 3.7	- 4.2	- 4.3	- 4.1	- 4.3	- 4.3	- 4.6	- 4.3	- 4.0	- 3.6	- 3.5	- 4.2	- 3.9	- 4.6	- 4.7	- 4.8	- 4.9	- 5.3	- 5.2	- 5.2	- 3.83
22.	- 5.4	- 5.4	- 5.4	- 5.3	- 5.2	- 5.2	- 5.3	- 5.7	- 5 6	- 5.1	- 4.9	- 4.3	- 4.0	- 3.6	- 3.7	- 3.7	- 4.1	- 4.2	- 4.3	- 4.5	- 4.6	- 4.6	- 4.6	- 4.8	- 4 73
23.	- 4.9	- 4.9	- 4.9	- 4.8	- 4.8	- 4.6	- 4.1	- 1.7	- 2.0	- 1.8	- 1.2	- 1.1	- 0.8	- 0.8	- 0.8	0.3	1.5	0.7	0.5	- 0.4	- 1.3	- 0.6	- 1.2	- 1.5	- 1.88
24.	- 1.7	- 1.8	- 1.8	- 1.9	- 1.8	- 1.4	- 1.6	- 0.9	- 0.8	- 1.4	- 1.0	- 0.7	- 0.6	- 0.2	- 0.1	- 0.7	- 0.9	- 0.7	- 1.1	- 0.9	- 1.2	- 1.5	- 1.6	- 1.8	- 1.18
25.	- 1.9	- 2.1	- 2.1	- 2.5	- 2.5	- 2.0	- 1.8	- 0.8	- 0.8	- 0.8	- 1.0	- 2.1	- 2.8	- 3.0	- 3.2	- 3.3	- 3.6	- 4.0	- 4.4	- 5.1	- 5.6	- 6.1	- 6.3	- 6.4	- 3.09
26.	- 6.4	- 6.5	- 6.4	- 6.4	- 6.4	- 6.3	- 6.0	- 5.8	- 5.7	- 5.4	- 5.3	- 5.0	- 4.6	- 4.4	- 4.2	- 4.1	- 4.2	- 4.6	- 4.1	- 4.3	- 4.4	- 4.5	- 4 7	- 4.4	- 5.17
27.	- 4.3	- 4.2	- 4.1	- 4.8	- 4.7	- 4.3	- 4.0	- 3.1	- 3.4	- 3.2	- 3.7	- 3.6	- 3.6	- 3.7	- 3.9	- 4.8	- 4.9	- 4.8	- 4.5	- 4.5	- 4.2	- 4.2	- 4.6	- 4.8	- 4.16
28.	- 5.0	- 5.1	- 5.5	- 5.6	- 5.6	- 5.4	- 5.4	- 6.3	- 6.5	- 6.2	- 6.2	- 6.1	- 6.0	- 6.0	- 6.0	- 5.9	- 6.1	- 5.7	- 5.9	- 5.8	- 5.9	- 5.8	- 6.2	- 6.6	- 5.87
29.	- 6.9	- 6.9	- 7.3	- 6.9	- 6.6	- 5.8	- 4.6	- 4.1	- 4.2	- 2.8	- 2.5	- 2.0	- 2.0	- 2.0	- 1.7	- 1.8	- 2.0	- 2.0	- 2.0	- 2.0	- 2.2	- 2.7	- 3.0	- 4 5	- 3.69
30.	- 5.1	- 5.4	- 5.9	- 6.1	- 6.2	- 6.2	- 6.2	- 6.0	- 5.9	- 5.4	- 5.2	- 5.1	- 5.2	- 5.0	- 5.7	- 5.6	- 5.3	- 4.8	- 4.9	- 5.1	- 5.4	- 5.7	- 5.9	- 6.5	- 5.58
Mittel	-1.25	-1.36	-1.46	-1.60	-1.50	-1.21	-0.93	-0.40	-0.40	-0.18	0.07	0.34	0.58	0.95	0.91	0.77	0.57	0.31	-0.12	-0.50	-0.81	-1.02	-1.19	-1.45	- 0.45

Thermometer-Registrierung. **Zugspitze.** 1913.

Datum	1a	2a	3a	4a	5a	6a	7a	8a	9a	10a	11a	12m	1p	2p	3p	4p	5p	6p	7p	8p	9p	10p	11p	12mn	Mittel
Juli																									
1.	− 6.5	− 6.6	− 7.0	− 7.0	− 7.0	− 6.6	− 6.0	− 5.0	− 4.9	− 5.0	− 5.4	− 5.5	− 4.9	− 5.4	− 5.2	− 5.2	− 5.0	− 5.0	− 4.4	− 4.9	− 5.0	− 4.9	− 5.5	− 5.5	− 5.56
2.	− 5.5	− 5.6	− 6.0	− 5.9	− 5.9	− 5.8	− 5.6	− 4.4	− 4.6	− 4.0	− 3.7	− 3.7	− 3.5	− 2.8	− 2.3	− 2.7	− 2.4	− 2.6	− 2.9	− 3.4	− 3.6	− 3.3	− 3.4	− 3.8	− 4.06
3.	− 3.8	− 3.4	− 3.3	− 3.4	− 3.2	− 3.0	− 2.3	− 0.6	− 1.1	− 1.2	− 1.1	− 0.5	0.0	− 0.5	− 0.9	− 1.2	− 1.5	− 1.9	− 2.0	− 2.1	− 2.4	− 2.6	− 2.8	− 3.1	− 2.00
4.	− 3.1	− 3.4	− 3.5	− 3.4	− 3.4	− 3.3	− 3.3	− 2.2	− 2.3	− 2.0	− 1.2	− 1.1	− 1.3	− 1.5	− 1.6	− 1.6	− 1.9	− 1.9	− 2.4	− 3.1	− 3.1	− 3.4	− 3.4	− 3.5	− 2.54
5.	− 3.3	− 4.0	− 3.5	− 3.4	− 3.4	− 3.1	− 3.3	− 2.4	− 2.4	− 2.2	− 1.6	− 0.9	− 0.9	− 0.1	− 1.0	− 0.4	− 0.2	− 0.2	− 0.4	− 0.7	− 1.0	− 1.0	− 0.9	− 0.9	− 1.72
6.	− 0.8	− 0.8	− 0.8	− 0.6	− 0.3	0.2	0.8	1.0	0.2	0.7	0.2	0.5	0.9	0.6	0.5	0.0	− 0.4	− 0.5	− 0.4	− 0.8	− 1.6	− 1.5	− 1.4	− 1.4	− 0.24
7.	− 1.4	− 1.5	− 1.4	− 1.2	− 1.0	− 0.9	− 0.8	0.5	0.3	0.8	2.0	0.0	− 0.9	− 1.7	0.1	− 0.8	− 1.6	− 1.1	− 1.0	− 1.2	− 1.0	− 1.9	− 2.6	− 3.0	− 0.89
8.	− 3.4	− 3.7	− 4.0	− 4.5	− 5.2	− 5.0	− 5.0	− 3.6	− 3.3	− 2.4	− 1.9	0.0	− 0.4	− 1.3	− 1.3	− 2.2	− 2.9	− 3.7	− 3.9	− 4.5	− 4.8	− 5.0	− 5.7	− 5.7	− 3.48
9.	− 6.1	− 5.7	− 6.1	− 6.6	− 6.9	− 7.0	− 7.3	− 6.6	− 6.6	− 7.1	− 7.3	− 7.3	− 6.2	− 6.2	− 5.5	− 5.2	− 4.9	− 5.2	− 5.8	− 6.2	− 6.4	− 6.9	− 6.9	− 7.3	− 6.39
10.	− 7.6	− 7.5	− 7.7	− 7.8	− 7.7	− 6.9	− 5.8	− 3.5	− 2.9	− 2.2	− 1.1	− 0.2	− 0.4	0.6	0.4	− 1.1	− 1.9	− 1.0	− 2.2	− 1.8	− 2.7	− 2.8	− 2.8	− 3.1	− 3.33
11.	− 4.0	− 4.5	− 5.7	− 5.7	− 5.7	− 5.1	− 4.9	− 4.4	− 4.2	− 3.6	− 3.6	− 3.3	− 3.0	− 2.6	− 2.8	− 2.9	− 3.1	− 3.5	− 3.7	− 3.8	− 3.9	− 3.8	− 3.6	− 3.8	− 3.97
12.	− 3.9	− 3.6	− 3.4	− 3.3	− 3.5	− 3.4	− 3.2	− 3.1	− 2.9	− 3.0	− 3.0	− 2.9	− 3.0	− 2.8	− 3.1	− 3.0	− 2.9	− 2.0	− 2.4	− 2.8	− 3.0	− 2.8	− 2.7	− 2.5	− 3.00
13.	− 2.4	− 2.9	− 3.0	− 3.3	− 3.1	− 2.8	− 2.4	− 1.4	− 1.1	− 0.9	− 0.4	− 0.5	0.3	1.2	1.3	1.5	2.0	1.9	1.7	0.9	0.7	0.7	0.7	0.7	− 0.44
14.	0.6	0.4	0.2	0.3	0.6	1.3	1.6	2.2	1.9	2.5	2.8	3.5	4.3	4.6	4.8	4.5	4.1	4.9	5.1	4.8	4.8	4.6	4.3	2.1	2.95
15.	3.9	3.2	3.9	2.8	2.1	2.5	2.9	3.3	2.9	3.1	0.4	0.6	1.3	2.1	1.7	1.8	1.7	1.2	0.8	0.4	0.6	0.6	0.5	− 0.1	1.84
16.	− 0.3	− 1.2	− 1.4	− 1.4	− 1.7	− 2.0	− 2.8	− 3.6	− 3.6	− 4.2	− 4.1	− 3.4	− 3.7	− 3.4	− 3.1	− 3.3	− 3.8	− 4.8	− 4.8	− 4.4	− 4.3	− 4.1	− 4.0	− 4.0	− 3.23
17.	− 4.1	− 4.1	− 4.0	− 3.9	− 4.0	− 3.8	− 3.7	− 3.2	− 3.0	− 3.0	− 3.0	− 2.7	− 2.6	− 2.7	− 2.5	− 2.1	− 2.5	− 2.1	− 1.6	− 1.4	− 1.4	− 1.2	− 1.1	− 1.0	− 2.70
18.	− 1.0	− 1.0	− 1.3	− 1.4	− 1.2	− 1.2	− 1.3	− 0.8	− 0.9	− 0.8	− 1.0	− 0.9	− 0.8	− 0.4	− 0.1	− 0.1	− 0.2	− 0.2	− 0.2	− 0.2	− 0.1	− 0.2	− 0.3	− 0.6	− 0.68
19.	− 0.8	− 1.0	− 1.1	− 1.1	− 1.0	− 0.5	− 0.4	− 0.6	− 0.6	− 0.6	− 0.6	− 0.4	0.0	0.1	0.1	0.1	0.0	0.0	− 0.4	− 0.5	− 0.7	− 1.2	− 1.5	− 1.5	− 0.59
20.	− 1.5	− 1.3	− 0.9	− 0.7	− 0.7	− 0.6	− 0.8	− 0.2	− 0.5	− 0.4	− 0.4	− 0.5	− 0.5	− 0.7	− 0.6	− 0.8	− 1.0	− 1.1	− 1.6	− 2.2	− 3.5	− 4.4	− 4.9	− 4.8	− 1.44
21.	− 5.0	− 5.2	− 5.6	− 6.0	− 5.8	− 5.5	− 5.4	− 5.0	− 5.1	− 4.2	− 4.5	− 3.4	− 2.5	− 2.2	− 1.5	− 1.5	− 1.5	− 1.3	− 1.7	− 2.2	− 2.2	− 2.3	− 2.3	− 2.5	− 3.52
22.	− 2.4	− 2.4	− 2.4	− 2.4	− 2.5	− 2.5	− 2.9	− 1.5	− 1.8	− 1.8	− 1.3	− 1.0	− 0.3	− 0.4	− 0.2	− 1.0	− 1.1	− 1.3	− 1.8	− 1.7	− 1.5	− 1.5	− 1.9	− 2.1	− 1.65
23.	− 2.3	− 2.9	− 3.0	− 3.1	− 3.1	− 3.1	− 2.9	− 2.8	− 3.0	− 2.1	− 2.1	− 1.6	− 2.0	− 2.3	− 1.9	− 1.5	− 0.9	− 1.9	− 2.1	− 2.5	− 3.1	− 3.3	− 3.8	− 3.9	− 2.55
24.	− 4.1	− 4.1	− 4.6	− 4.7	− 5.1	− 5.2	− 4.8	− 4.1	− 4.0	− 4.0	− 4.1	− 3.6	− 3.7	− 3.6	− 4.0	− 4.1	− 4.0	− 3.9	− 3.9	− 3.4	− 3.2	− 3.2	− 3.1	− 2.9	− 3.98
25.	− 2.3	− 2.3	− 2.2	− 2.2	− 1.9	− 2.0	− 2.9	− 2.9	− 3.0	− 2.9	− 2.6	− 1.9	− 2.3	− 2.0	− 1.0	− 0.3	0.3	0.0	0.3	− 0.8	− 1.0	− 1.4	− 1.5	− 1.6	− 1.68
26.	− 1.5	− 1.7	− 1.8	− 2.1	− 1.8	− 1.4	− 0.3	1.0	0.7	0.2	0.6	1.1	1.0	1.4	1.4	1.5	1.1	1.1	0.9	0.7	0.4	0.3	0.4	0.2	0.14
27.	0.2	− 0.1	− 0.4	− 0.8	− 0.8	− 0.4	0.0	1.8	1.9	1.9	2.0	2.0	2.0	1.9	2.2	2.2	2.0	1.2	1.1	0.9	0.8	0.7	0.6	0.5	0.98
28.	0.2	0.0	0.0	0.0	0.4	0.8	0.8	0.8	1.1	1.1	0.6	1.3	1.8	2.2	3.2	1.2	1.4	1.7	1.4	1.1	0.9	0.6	0.1	0.1	0.95
29.	− 0.2	− 0.4	− 0.5	− 0.1	0.1	0.1	0.4	0.8	0.8	1.2	1.5	1.7	2.1	2.0	2.2	1.8	2.4	2.3	1.9	1.9	1.9	0.9	1.1	0.9	1.12
30.	0.6	0.1	0.6	0.1	0.1	0.1	0.1	0.6	1.4	1.8	2.6	3.5	4.4	5.0	5.8	6.1	6.2	6.1	4.9	4.1	3.5	3.1	2.1	2.0	2.70
31.	1.8	1.3	1.2	1.0	1.2	1.7	1.5	2.2	2.1	1.5	2.1	2.5	2.2	2.8	2.4	2.8	1.3	0.7	0.3	− 0.7	− 0.7	− 0.9	− 1.1	− 1.0	1.18
Mittel	−2.26	−2.45	−2.54	−2.64	−2.63	−2.40	−2.26	−1.54	−1.56	−1.38	−1.26	−0.92	−0.73	−0.58	−0.40	−0.56	−0.68	−0.78	−1.01	−1.30	−1.50	−1.68	−1.85	−2.04	− 1.54
August																									
1.	− 0.7	− 1.3	− 1.5	− 2.0	− 1.8	− 1.2	− 1.6	− 1.2	− 1.6	− 1.3	− 0.6	− 0.4	0.1	0.8	1.3	2.0	0.2	0.0	− 0.6	− 1.8	− 1.0	− 1.5	− 1.0	− 0.9	− 0.73
2.	− 1.0	− 1.1	− 1.2	− 1.0	− 0.9	− 0.7	0.2	0.3	0.2	0.0	0.4	1.1	1.6	2.5	1.5	1.6	2.1	1.6	1.0	0.3	0.1	0.0	− 0.2	− 0.4	0.33
3.	− 0.5	− 0.7	− 0.7	− 0.9	− 0.3	0.5	0.4	1.1	1.4	1.4	1.9	2.5	2.4	3.1	3.0	2.1	2.7	2.4	1.7	1.4	0.6	0.6	0.8	0.9	1.16
4.	0.7	1.4	1.1	0.6	0.7	1.5	1.5	1.3	1.9	2.4	3.3	4.3	5.1	5.2	4.0	3.3	3.3	2.7	2.3	1.7	1.8	1.4	1.1	1.1	2.24
5.	0.7	0.5	0.4	0.7	0.7	1.2	1.4	1.5	1.9	2.0	2.0	2.6	3.4	3.7	4.0	3.9	3.3	2.3	2.0	0.7	0.8	1.0	1.1	1.3	1.80
6.	1.5	1.4	1.4	1.6	1.6	1.7	1.2	1.8	1.5	1.6	1.4	1.8	2.7	3.3	2.8	− 0.4	− 0.8	− 0.9	− 0.7	− 1.0	− 1.4	− 1.5	− 1.5	− 1.7	0.73
7.	− 1.9	− 2.0	− 1.9	− 2.3	− 2.5	− 3.4	− 3.4	− 3.0	− 2.9	− 3.0	− 2.9	− 2.6	− 2.3	− 2.9	− 2.4	− 3.0	− 3.2	− 3.2	− 3.4	− 3.8	− 4.0	− 4.8	− 5.0	− 5.2	− 3.13
8.	− 5.0	− 5.2	− 5.6	− 5.3	− 4.7	− 4.2	− 4.8	− 5.6	− 4.8	− 3.6	− 3.2	− 2.8	− 2.2	− 1.7	− 1.7	− 1.7	− 2.0	− 2.0	− 2.4	− 2.2	− 2.0	− 2.0	− 1.6	− 1.5	− 3.24
9.	− 1.7	− 1.5	− 1.5	− 1.7	− 3.2	− 3.8	− 3.3	− 2.8	− 3.5	− 3.4	− 3.8	− 3.5	− 3.4	− 3.0	− 3.3	− 3.0	− 3.1	− 3.0	− 3.0	− 3.4	− 3.9	− 4.4	− 4.4	− 4.2	− 3.16
10.	− 4.3	− 4.5	− 4.8	− 5.2	− 5.3	− 5.2	− 4.8	− 3.2	− 3.2	− 2.7	− 2.4	− 2.5	− 3.3	− 2.8	− 2.7	− 2.4	− 2.8	− 3.2	− 3.3	− 3.4	− 3.4	− 3 7	− 3.5	− 3.8	− 3.60
11.	− 3.9	− 3.9	− 3.4	− 3.2	− 3.0	− 2.3	− 1.8	− 0.5	− 0.3	0.0	0.4	0.9	1.1	1.2	1.3	1.3	1.1	1.1	1.1	0.9	0.4	0.1	0.1	0.1	− 0.47
12.	0.1	0.0	− 0.1	− 0.1	− 0.1	0.1	0.9	2.0	2.2	1.1	1.3	1.2	1.2	1.4	0.9	1.2	1.2	1.3	0 6	0.6	0.3	0.0	0.0	− 0.3	0.71
13.	− 0.7	− 0.8	− 0.6	− 0.5	− 0.6	− 1.1	− 0.6	− 0.1	0.0	− 0.6	− 0.5	0.3	− 0.4	− 1.3	− 1.4	− 1.5	− 1.6	− 3.0	− 2.5	− 2.6	− 3.2	− 3.2	− 3.4	− 3.8	− 1.40
14.	− 4.7	− 4.9	− 6.8	− 8.8	− 8.4	− 5.0	− 4.0	− 3.2	− 3.0	− 3.2	− 3.5	− 3.6	− 3.7	− 3.6	− 3.4	− 3.1	− 2.9	− 3.0	− 2.9	− 2.9	− 2.9	− 3.1	− 3.4	− 3.7	− 4.07
15.	− 3.8	− 3.8	− 3.9	− 3.8	− 3.8	− 3.8	− 3.8	− 3.9	− 4.1	− 4.7	− 4.7	− 4.4	− 4.4	− 4.6	− 4.3	− 4.4	− 4.6	− 4.8	− 4.9	− 4.9	− 4.8	− 4.9	− 5.1	− 5.3	− 4.40
16.	− 5.6	− 5.6	− 5.6	− 5.7	− 5.7	− 5.7	− 5.6	− 5.2	− 5.3	− 5.2	− 5.0	− 4.6	− 4.6	− 4.2	− 4.9	− 4.5	− 4.3	− 4.5	− 4.7	− 4.3	− 4.0	− 3.9	− 4.0	− 4.2	− 4.87
17.	− 4.1	− 4.9	− 4.7	− 5.0	− 4.9	− 4.6	− 5.2	− 3.2	− 3.2	− 3.2	− 2.4	− 2.5	− 1.9	− 1.7	− 0.9	− 0.6	− 0.1	− 0.1	− 0.2	− 0.9	− 1.5	− 1.7	− 1.9	− 2.0	− 2.56
18.	− 2.0	− 1.9	− 2.0	− 2.0	− 1.9	− 1.8	− 1.0	0.4	− 0.7	− 0.8	− 0.5	0.0	0.7	1.4	1.4	1.5	1.6	1.6	1.5	1.5	1.5	1.5	1.7	1.7	0.14
19.	1.7	1.8	1.7	1.5	1.5	1.6	2.0	2.7	2.6	2.6	3.4	3.8	4.5	5.0	2.9	3.2	2.9	3.5	2.6	1.9	1.6	2.0	2.5	2.5	2.58
20.	1.7	2.0	1.7	1.6	1.4	1.8	1.5	3.0	3.5	3.5	3.0	1.4	0.8	1.0	1.1	1.3	1.3	1.1	0.9	0.9	0.8	0.4	0.2	0.3	1.51
21.	− 0.3	− 0.4	− 0.5	− 0.6	− 1.3	− 1.0	− 1.2	− 0.9	− 0.8	− 1.0	− 1.0	− 1.2	− 1.4	− 1.4	− 1.2	− 1.3	− 2.1	− 1.9	− 2.2	− 2.2	− 2.3	− 2.1	− 2.0	− 2.3	− 1.36
22.	− 2.3	− 2.3	− 2.7	− 3.0	− 3.4	− 3.3	− 3.2	− 2.8	− 2.7	− 2.8	− 2.4	− 2.0	− 2.0	− 1.0	− 0.4	0.3	0.2	0.0	− 0.5	− 0.6	− 0.8	0.1	− 0.2	0.3	− 1.56
23.	0.6	0.4	0.0	0.0	0.0	1.5	2.2	3.5	3.4	3.0	3.0	2.9	4.1	4.4	5.1	5.1	5.5	5.0	4.8	4.1	3.8	3.6	3.4	3.1	3.02
24.	2.9	2.3	2.1	2.2	2.1	2.3	2.5	2.9	3.2	3.4	4.4	4.4	5.3	5.4	6.5	5.8	6.5	4.2	3.9	3.7	3.0	2.9	2.7	2.8	3.64
25.	2.2	2.3	1.5	1.4	0.8	1.6	0.8	1.5	1.4	1.4	1.6	2.3	2.6	2.5	2.7	2.6	2.1	2.0	1.4	1.3	0.6	0.4	0.0	− 0.6	1.52
26.	− 0.3	− 0.8	− 0.2	− 1.1	− 0.7	− 0.1	0.2	0.9	0.8	1.1	1.2	1.3	1.7	2.5	2.5	2.4	2.5	2.4	2.5	2.3	2.3	1.9	1.6	1.4	1.18
27.	1.4	2.3	2.1	2.0	2.2	2.6	2.7	2.7	3.2	3.7	3.8	4.4	5.8	4.5	3.6	4.1	4.0	3.4	3.4	3.3	3.0	2.7	3.0	3.0	3.20
28.	2.4	2.7	2.2	2.2	2.3	2.3	2.5	3.1	3.2	3.2	3.3	3.5	4.3	4.5	4.6	4.8	4.9	4.7	4.2	3.9	3.8	3.8	3.9	3.7	3.50
29	3.7	3.6	3.2	3.5	3.5	3.6	3.8	4.2	4.2	4.3	4.7	4.7	5.5	6.2	6.2	5.5	5.3	5.0	4.8	4.8	4.8	4.6	4.7	5.1	4.56
30.	4.8	4.9	5.2	5.5	5.6	5.6	5.0	4.9	4.8	4.9	5.1	5.2	3.6	5.2	4.1	5.1	5.4	4.0	3.7	3.2	2.0	1.1	0.7	0.9	4.19
31.	0.5	0.4	0.4	0.6	0.9	0.6	0.7	0.2	0.4	1.6	2.2	2.8	4.2	5.4	4.5	4.9	4.4	4.1	3.2	2.9	2.2	1.8	1.8	1.6	2.18
Mittel	−0.58	−0.63	−0.80	−0.93	−0.94	−0.60	−0.48	0.08	0.12	0.18	0.44	0.69	1.00	1.32	1.21	1.16	1.06	0.74	0.46	0.17	−0.06	−0.22	−0.25	−0.33	0.12

Thermometer-Registrierung. **Zugspitze.** 1913.

September

Datum	1a	2a	3a	4a	5a	6a	7a	8a	9a	10a	11a	12m	1p	2p	3p	4p	5p	6p	7p	8p	9p	10p	11p	12mn	Mittel
1.	1.5	1.5	1.2	1.5	1.7	2.2	2.3	2.6	2.8	3.8	4.0	4.8	4.7	4.2	2.9	2.9	2.2	2.2	0.9	1.4	0.8	0.7	0.6	0.4	2.24
2.	0.3	0.5	0.5	0.4	0.3	0.2	0.5	2.2	1.8	1.8	2.4	3.4	4.0	4.2	4.6	3.9	3.5	2.6	2.1	1.5	0.8	0.6	0.4	0.4	1.79
3.	0.3	0.3	0.2	0.2	0.3	0.8	0.8	1.4	1.5	1.6	2.0	2.6	3.8	4.2	4.5	4.8	4.8	4.4	3.3	3.2	3.5	3.5	3.5	3.4	2.45
4.	3.6	3.3	3.1	3.0	2.9	3.3	3.6	4.2	4.5	4.9	5.4	6.0	6.3	6.8	7.4	7.4	7.1	6.6	6.1	6.0	5.8	5.7	5.5	3.8	5.10
5.	3.6	3.2	3.0	3.0	2.8	3.0	3.5	4.7	3.9	1.3	1.8	1.7	0.7	0.5	0.4	0.4	0.7	0.5	0.6	− 0.2	0.4	0.3	0.2	0.5	1.69
6.	0.4	0.3	0.1	− 0.1	− 0.2	− 0.1	0.0	0.1	0.0	0.0	0.4	0.4	1.5	2.6	2.6	2.5	2.5	1.8	1.4	0.6	0.8	0.5	0.5	0.4	0.79
7.	0.5	0.5	0.6	0.9	0.9	0.9	1.2	1.7	1.7	2.6	2.7	3.2	3.9	4.4	4.9	4.9	4.3	3.1	2.3	2.0	1.9	1.7	1.8	1.9	2.27
8.	1.5	1.8	2.0	2.0	2.0	2.0	2.4	4.3	4.8	4.6	4.5	4.3	4.6	5.3	5.1	5.2	4.6	4.1	3.4	3.0	2.6	2.6	2.3	1.4	3.35
9.	1.3	1.2	1.3	1.2	1.4	1.5	2.0	2.5	2.9	3.0	3.3	4.1	4.4	4.6	5.0	4.3	4.1	2.8	2.3	2.1	1.0	0.9	0.8	0.7	2.45
10.	0.6	0.6	0.3	0.1	0.0	0.0	− 0.1	− 0.3	− 0.4	− 1.2	− 2.6	− 2.8	− 3.5	− 3.5	− 3.9	− 3.9	− 4.3	− 5.3	− 5.3	− 5.5	− 6.0	− 6.2	− 7.0	− 7.1	− 2.80
11.	− 7.7	− 7.9	− 8.3	− 8.9	− 8.7	− 8.1	− 7.8	− 6.9	− 7.0	− 6.9	− 5.6	− 5.1	− 4.3	− 2.4	− 2.3	− 1.7	− 2.5	− 2.5	− 2.6	− 2.4	− 1.0	− 1.0	− 1.0	− 0.1	− 4.71
12.	− 0.2	− 0.2	0.4	0.7	0.7	0.7	0.9	1.4	1.8	2.2	2.9	3.4	2.6	2.5	1.9	2.7	1.9	0.9	0.0	− 0.1	− 0.5	0.0	0.1	0.3	1.13
13.	0.3	0.2	0.2	0.2	0.4	0.4	1.2	1.5	1.5	1.9	1.9	1.8	2.1	2.1	1.5	1.6	1.7	1.5	1.2	0.9	0.8	1.3	1.6	1.4	1.22
14.	1.5	1.5	1.3	1.3	1.1	1.2	1.6	1.6	1.4	1.7	1.9	2.3	2.4	2.5	3.5	3.5	2.6	2.2	1.9	1.8	1.5	1.1	0.8	0.7	1.79
15.	0.4	0.3	0.2	0.0	− 0.2	− 0.2	− 0.2	0.5	0.6	0.8	1.5	1.7	1.7	1.2	0.8	0.5	− 0.3	− 1.5	− 3.1	− 2.3	− 2.3	− 2.1	− 2.3	− 2.0	− 0.26
16.	− 2.0	− 2.0	− 2.1	− 2.5	− 2.9	− 2.8	− 2.5	− 0.7	− 0.5	0.4	0.2	− 0.2	− 0.1	0.2	0.8	0.6	− 0.2	− 0.4	− 0.8	− 0.4	− 0.2	− 0.8	− 1.3	− 1.4	− 0.90
17.	− 1.6	− 1.5	− 1.7	− 1.7	− 1.7	− 1.7	− 1.1	− 0.9	− 0.2	0.3	0.4	0.2	0.7	0.7	0.5	0.5	− 0.7	− 0.6	− 0.8	− 1.4	− 1.6	− 2.0	− 2.8	− 2.7	− 0.89
18.	− 2.0	− 1.5	− 1.3	− 1.2	− 1.3	− 2.0	− 2.5	− 1.5	− 1.5	− 1.2	− 0.5	− 0.2	0.2	0.7	1.0	1.6	0.6	0.4	− 0.3	− 0.3	− 0.8	− 1.0	− 1.8	− 2.0	− 0.77
19.	− 2.0	− 2.6	− 2.4	− 2.2	− 2.2	− 2.4	− 2.4	− 1.5	− 1.5	− 0.9	− 1.4	− 1.2	− 0.9	− 1.4	− 1.6	− 2.4	− 2.8	− 3.3	− 3.5	− 3.9	− 3.8	− 3.8	− 3.7	− 3.9	− 2.40
20.	− 3.9	− 4.2	− 4.2	− 4.7	− 4.8	− 4.5	− 5.2	− 5.2	− 5.2	− 5.1	− 3.8	− 2.8	− 1.8	− 1.8	− 1.7	− 2.0	− 2.3	− 2.8	− 3.0	− 3.8	− 4.0	− 4.0	− 4.2	− 4.7	− 3.74
21.	− 4.8	− 5.0	− 5.1	− 5.7	− 5.6	− 5.6	− 6.2	− 5.2	− 5.2	− 5.2	− 5.2	− 5.2	− 5.2	− 5.3	− 5.3	− 5.0	− 5.0	− 5.7	− 6.4	− 6.3	− 6.4	− 6.5	− 6.7	− 6.6	− 5.60
22.	− 6.8	− 7.1	− 7.2	− 6.9	− 6.7	− 6.5	− 6.3	− 5.8	− 5.3	− 5.0	− 4.7	− 4.2	− 3.9	− 3.3	− 3.3	− 3.1	− 3.1	− 3.8	− 4.6	− 5.8	− 5.8	− 5.9	− 5.9	− 5.7	− 5.28
23.	− 5.4	− 5.3	− 5.6	− 5.7	− 5.6	− 5.6	− 5.4	− 5.3	− 5.3	− 5.1	− 4.8	− 4.7	− 4.7	− 4.6	− 4.6	− 4.7	− 4.9	− 5.1	− 4.8	− 4.9	− 5.3	− 5.5	− 5.6	− 7.2	− 5.24
24.	− 7.6	− 7.5	− 7.4	− 7.3	− 6.9	− 6.9	− 6.4	− 6.1	− 5.7	− 5.4	− 1.4	− 2.1	− 2.1	− 1.3	0.0	− 1.5	− 1.6	− 1.8	− 1.9	− 2.1	− 2.1	− 2.3	− 3.1	− 3.4	− 3.91
25.	− 4.0	− 4.2	− 4.0	− 3.6	− 3.3	− 2.8	− 2.8	− 2.7	− 2.6	− 2.6	− 1.9	− 0.9	− 0.8	− 1.2	− 0.9	− 0.9	− 1.6	− 2.1	− 2.8	− 3.1	− 3.0	− 2.9	− 4.3	− 4.9	− 2.66
26.	− 5.5	− 6.1	− 6.1	− 6.1	− 5.6	− 6.0	− 5.8	− 4.9	− 4.8	− 3.6	− 3.2	− 2.4	− 2.4	− 2.0	− 1.4	− 1.0	− 1.2	− 1.1	− 1.4	− 1 3	− 1.3	− 1.3	− 1.9	− 1.3	− 3.24
27.	− 1.6	− 1.6	− 1.7	− 1.3	− 1.4	− 1.6	− 2.0	− 1.1	− 0.8	− 0.5	− 0.3	− 0.3	− 0.3	− 0.3	− 0.4	0.2	0.2	− 0.7	− 0.1	− 0.1	− 0.4	− 0.7	− 0.9	− 1.0	− 0.78
28.	− 1.2	− 1.2	− 1.2	− 1.4	− 1.8	− 2.3	− 1.9	− 0.5	− 0.5	− 1.2	− 0.9	− 1.2	− 0.7	− 0.9	− 0.9	− 1.0	− 1.5	− 2.1	− 1.9	− 2.4	− 1.6	− 2.3	− 2.6	− 2.8	− 1.50
29.	− 2.9	− 3.2	− 3.3	− 3.3	− 3.2	− 3.2	− 2.7	− 2.4	− 2.1	− 2 7	− 2.5	− 1.8	− 1.1	− 1.2	− 0.8	− 0.9	− 1.1	− 1.8	− 1.9	− 1.8	− 1.8	− 1.9	− 2.5	− 3.0	− 2.21
30.	− 3.2	− 3.7	− 3.5	− 3.4	− 2.7	− 3.3	− 2.4	− 1.0	− 1.2	0.2	1.0	0.5	1.1	1.2	0.8	0.3	0.3	0.2	0.4	− 0.2	0.2	− 0.1	0.2	− 0.2	− 0.77
Mittel	−1.55	−1.65	−1.69	−1.72	−1.68	−1.65	−1.46	−0.78	−0.69	−0.52	−0.08	0.18	0.43	0.62	0.70	0.66	0.27	−0.24	−0.64	−0.87	−0.93	−1.05	−1.31	−1.49	− 0.71

Oktober

1.	− 0.7	− 1.4	− 1.6	− 0.9	− 0.9	− 0.8	− 0.6	− 0.5	− 0.5	− 0.4	− 0.2	− 0.2	0.4	0.5	0.8	0.6	0.2	0.2	0.1	0.3	0.0	0.4	0.2	− 0.2	− 0.22
2.	− 0.1	− 0.6	− 0.8	− 1.4	− 1.6	− 1.8	− 1.5	− 1.1	− 1.0	− 0.6	− 0.6	− 0.3	0.1	0.5	0.8	1.1	0.4	0.3	− 0.3	− 0.6	0.1	− 0.1	− 0.4	− 0.5	− 0.42
3.	− 0.6	− 1.3	− 1.7	− 1.5	− 1.2	− 1.3	− 1.1	− 0.9	− 0.8	− 0.3	0.3	0.3	0.7	0.8	1.2	1.1	0.4	− 0.2	− 0.3	− 0.3	− 0.2	− 0.4	− 1.0	− 1.0	− 0.39
4.	− 0.9	− 0.8	− 0.8	− 0.6	− 0.7	− 0.7	− 0.6	0.3	0.8	1.3	1.9	2.2	1.1	0.0	− 0.2	− 0.2	− 0.2	− 0.2	− 0.2	− 0.1	− 0.1	0.0	− 0.4	− 1.4	− 0.02
5.	− 1.6	− 1.8	− 1.8	− 1.8	− 2.0	− 1.9	− 1.9	− 1.1	− 0.9	− 0.9	− 0.4	− 0.1	0.2	0.3	− 0.7	− 0.6	− 1.0	− 1.2	− 1.5	− 2.8	− 3.6	− 3.6	− 3.6	− 3.7	− 1.58
6.	− 3.6	− 3.6	− 3.6	− 3.5	− 3.8	− 4.6	− 4.7	− 4.4	− 4.4	− 2.9	− 2.4	− 1.6	− 1.5	− 1.4	− 1.3	− 1.0	− 1.2	− 1.0	− 1.0	− 1.0	− 1.0	− 1.0	− 1.1	− 1.3	− 2.37
7.	− 1.4	− 1.4	− 1.5	− 1.5	− 1.7	− 2.0	− 2.0	− 0.9	− 0.9	− 0.4	− 0.2	0.2	0.6	0.6	0.7	0.6	0.5	0.2	0.2	0.2	0.4	0.3	0.3	0.3	− 0.37
8.	0.3	0.3	0.2	0.1	0.1	0.2	0.4	0.6	0.6	0.5	0.5	0.5	0.7	1.0	0.8	0.5	0.5	0.7	0.4	0.1	− 0.2	− 0.9	− 4.0	− 4.6	− 0.03
9.	− 5.1	− 6.0	− 6.0	− 6.7	− 6.2	− 6.3	− 6.4	− 6.6	− 6.6	− 6.6	− 6.5	− 6.5	− 5.9	− 4.2	− 4.9	− 4.8	− 4.7	− 5.2	− 5.4	− 5.4	− 5.4	− 5.4	− 5.6	− 5.7	− 5.75
10.	− 5.7	− 6.0	− 6.1	− 6.4	− 6.4	− 6.8	− 6.8	− 6.2	− 5.8	− 6.2	− 5.7	− 4.4	− 3.6	− 3.7	− 3.7	− 3.6	− 3.8	− 4.1	− 3.9	− 3.9	− 3.8	− 3.8	− 3.7	− 2.6	− 4.90
11.	− 3.5	− 3.4	− 3.4	− 3.6	− 3.6	− 3.3	− 3.0	− 2.0	− 1.9	− 1.6	− 1.4	− 1.2	− 0.9	− 1.3	− 1.5	− 1.8	− 2.3	− 2.6	− 3.4	− 3.6	− 3.1	− 2.7	− 2.7	− 2.9	− 2.53
12.	− 3.3	− 3.7	− 4.3	− 4.5	− 4.3	− 4.9	− 5.0	− 5.1	− 5.2	− 5.1	− 5.1	− 5.5	− 5.4	− 5.4	− 5.1	− 5.8	− 6.4	− 6.9	− 6.8	− 6.6	− 6.6	− 6.8	− 6.8	− 6.8	− 5.48
13.	− 6.8	− 6.6	− 6.4	− 6.4	− 6 2	− 6.6	− 6 8	− 6.6	− 6.7	− 6.4	− 6.3	− 6.1	− 6.8	− 6.8	− 6.8	− 7.4	− 7.5	− 7.6	− 7.7	− 7.8	− 7.9	− 8.5	− 9.5	− 9.6	− 7.16
14.	−12.0	−12.7	−12.8	−12.0	−11.2	− 9.8	− 8.8	− 7.8	− 7.4	− 6.9	− 6.3	− 5.8	− 5.5	− 5.0	− 4.9	− 4.2	− 3.9	− 3.0	− 2.9	− 2.1	− 1.4	− 1.4	− 1.4	− 1.3	− 6.27
15.	− 1.3	− 1.3	− 1.3	− 1.2	− 1.3	− 0.8	− 0.2	0.5	0.3	0.8	− 0.2	− 0.6	− 0.9	− 2.3	− 3.6	− 4.0	− 4.4	− 5.3	− 6.5	− 7.8	− 5.4	− 5.6	− 5.6	− 5.1	− 2.63
16.	− 4.4	− 3.7	− 3.8	− 4.6	− 3.8	− 3.9	− 3.3	− 3.0	− 3.9	− 3.2	− 2.8	− 1.7	− 1.8	− 1.7	− 0.9	− 1.8	− 2.0	− 2.0	− 2.2	− 1.7	0.3	0.4	0.4	1.9	− 2.22
17.	1.1	0.6	0.4	1.1	0.9	1.0	1.8	2.2	2.5	2.8	2.9	3.5	3.7	3.9	3.9	4.1	3.8	3.7	3.7	3.3	3.1	2.9	2.7	2.4	2.58
18.	2.4	3.1	3.8	4.0	4.2	4.7	4.8	5.2	5.3	4.2	4.1	4.3	5.0	4.8	5.3	6.1	5.6	4.8	5.2	4.6	5.0	5.3	5.3	4.7	4.66
19.	4.7	4.2	4.2	4.3	4.1	4.5	5.4	5.4	5.1	4.9	5.2	5.2	5.0	4.8	4.4	4.8	4.3	4.3	4.3	4.0	3.8	3.8	4.1	4.1	4.54
20.	3.2	2.9	3.0	2.3	2.2	2.0	1.8	1.8	1.8	2.2	3.0	3.5	4.3	4.2	4.2	4.0	3.2	3.1	3.4	4.5	4.7	4.4	4.3	3.7	3.24
21.	3.2	3.0	2.6	2.9	2.0	1.8	1.8	2.3	2.7	2.5	2.7	2.1	2.2	3.0	3.0	3.0	2.6	2.9	3.9	3.8	3.9	4.1	3.8	3.7	2.90
22.	2.8	1.5	1.7	1.8	2.4	2.3	2.5	3.2	2.7	2.4	2.3	0.7	1.5	2.0	1.8	1.7	1.7	1.0	0.5	− 0.4	− 0.4	− 0.4	− 0.5	− 0.7	1.42
23.	− 0.5	− 0.5	− 0.6	− 0.9	− 0.7	− 0.8	− 0.9	0.5	1.1	1.6	2.3	2.8	2.9	2.9	2.6	2.4	1.5	1.6	0.6	0.7	0.8	0.5	0.4	0.1	0.85
24.	− 0.4	− 0.6	− 0.9	− 2.5	− 2.0	− 1.7	− 1.2	− 1.2	− 1.4	− 1.4	− 1.2	− 1.1	− 1.0	− 0 8	− 0.8	− 0.7	− 0.7	− 0.7	− 0.7	− 0.7	− 0.8	− 0.9	− 1.1	− 1.3	− 1.08
25.	− 1.4	− 1.9	− 2.4	− 1.8	− 1.4	− 0.9	− 1.2	− 1.3	− 1.1	− 0.6	− 0.1	0.3	0.5	1.0	1.3	1.3	1.6	1.4	2.1	1.7	1.8	1.4	1.1	0.9	0.10
26.	1.3	1.4	1.9	2.0	2.5	2.8	2.9	3.8	3.6	3.4	4.0	4.9	4.8	4.6	4.2	4.4	4.2	3.7	3.8	2.9	2.6	2.2	2.7	1.7	3.18
27.	2.4	2.1	1.3	0.7	0.6	0.3	0.6	0.3	1.3	1.4	0.8	1.0	1.7	1.8	1.6	1.0	0.7	0.5	0.3	0.4	0.2	0.9	0.9	0.2	0.96
28.	0.3	0.3	0.1	− 0.8	− 0.6	− 1.0	0.4	1.7	2.2	1.5	1.1	0.0	0.9	1.8	1 8	0.7	0.4	0.0	0.4	0.4	1.0	1.4	0.7	0.2	0,62
29.	− 0.5	− 0.6	− 0.7	− 0.8	− 0.9	− 1.0	− 0.9	− 0.9	− 0.2	− 0.1	0.0	0.1	0.9	0.6	0.8	0.3	− 0.2	− 0.3	− 0.5	− 0.4	− 0.6	− 0.8	− 1.3	− 1.7	− 0.40
30.	− 1.8	− 2.2	− 1.4	− 1.5	− 0.5	− 0.7	− 0.8	− 0.5	− 0.5	− 1.2	− 0.9	− 0.4	− 0.8	− 1.2	− 1.2	− 1.3	− 1.5	− 2.4	− 2.5	− 2.5	− 2.6	− 2.8	− 3.5	− 3 6	− 1.60
31.	− 3.4	− 3.3	− 3.2	− 3.5	− 3.6	− 3.9	− 3.9	− 3.1	− 3.3	− 2.1	− 2.5	− 2.2	− 2.0	− 1.9	− 1.8	− 1.8	− 2.1	− 1.8	− 1.8	− 1.8	− 0.8	− 0.7	− 0.6	− 0.6	− 2.32
Mittel	−1.20	−1.42	−1.48	−1.59	−1.47	−1.48	−1.26	−0.82	−0.73	−0.56	−0.38	−0.20	0.04	0.11	0.06	−0.04	−0.33	−0.52	−0.60	−0.73	−0.52	−0.58	−0.84	−1.02	− 0.73

Thermometer-Registrierung. **Zugspitze.** 1913.

November

Datum	1ª	2ª	3ª	4ª	5ª	6ª	7ª	8ª	9ª	10ª	11ª	12m	1P	2P	3P	4P	5P	6P	7P	8P	9P	10P	11P	12mn	Mittel
1.	– 0.4	– 0.3	– 0.9	– 0.5	– 1.0	– 0.8	– 1.0	– 0.2	0.5	0.8	1.9	1.6	1.7	2.3	1.6	0.8	0.4	0.2	– 0.4	– 0.6	0.0	0.4	0.0	– 0.2	0.25
2.	– 1.0	– 1.2	– 1.4	– 1.2	– 1.6	– 1.9	– 1.8	– 3.4	– 4.2	– 3.9	– 4.4	– 4.1	– 3.8	– 3.5	– 3.6	– 3.7	– 4.0	– 3.5	– 3.2	– 2.8	– 2.5	– 2.0	– 2.4	– 2.4	– 2.81
3.	– 2.1	– 2.0	– 1.8	– 1.7	– 1.6	– 1.3	– 0.5	0.2	0.2	0.4	0.5	0.6	0.9	0.3	– 0.6	– 1.4	– 2.6	– 3.3	– 3.8	– 3.7	– 3.7	– 4.3	– 4.4	– 4.3	– 1.67
4.	– 4.0	– 4.3	– 4.3	– 4.5	– 4.6	– 4.3	– 4.1	– 4.3	– 5.0	– 3.7	– 3.5	– 3.0	– 2.9	– 2.8	– 3.3	– 3.2	– 3.4	– 3.5	– 3.6	– 3.7	– 4.3	– 3.8	– 3.5	– 3.0	– 3.78
5.	– 3.1	– 3.1	– 3.0	– 3.2	– 3.9	– 4.1	– 4.6	– 4.3	– 3.6	– 3.2	– 2.9	– 2.6	– 2.3	– 2.3	– 2.5	– 2.1	– 1.7	– 2.2	– 2.4	– 2.6	– 2.0	– 2.0	– 2.4	– 3.3	– 2.89
6.	– 3.7	– 4.0	– 4.0	– 4.3	– 5.9	– 6.5	– 7.0	– 7.3	– 7.5	– 8.6	– 9.5	– 9.7	– 9.6	– 9.6	– 9.7	– 9.7	– 10.6	– 11.6	– 11.0	– 11.4	– 11.2	– 10.7	– 10.7	– 9.3	– 8.46
7.	– 9.2	– 8.3	– 8.3	– 8.7	– 9.1	– 9.4	– 9.4	– 8.6	– 10.4	– 11.2	– 11.2	– 10.6	– 10.5	– 11.5	– 11.5	– 11.7	– 11.6	– 11.8	– 11.6	– 11.4	– 11.4	– 11.4	– 11.5	– 11.5	– 10.49
8.	– 11.5	– 11.7	– 11.9	– 11.7	– 11.7	– 11.6	– 11.6	– 11.7	– 12.0	– 11.9	– 11.6	– 11.3	– 10.5	– 10.7	– 11.2	– 11.5	– 12.3	– 12.5	– 11.4	– 11.4	– 8.7	– 7.8	– 7.4	– 7.2	– 10.95
9.	– 7.5	– 7.4	– 7.6	– 7.7	– 7.5	– 6.6	– 6.5	– 5.8	– 6.1	– 5.7	– 5.3	– 5.5	– 5.1	– 4.6	– 4.7	– 4.8	– 4.9	– 4.9	– 4.7	– 4.7	– 4.5	– 4.6	– 4.6	– 4.6	– 5.66
10.	– 4.7	– 4.5	– 4.4	– 4.4	– 4.4	– 4.3	– 4.1	– 3.7	– 3.3	– 3.0	– 3.0	– 2.7	– 2.9	– 2.8	– 2.4	– 1.7	– 0.4	0.2	– 0.1	0.5	1.8	1.2	1.1	1.3	– 2.11
11.	0.8	0.7	0.0	– 0.2	– 1.2	– 0.5	– 1.1	– 0.6	– 0.4	– 0.7	0.1	0.9	0.2	0.2	– 0.2	– 0.2	– 0.5	– 0.6	– 1.1	– 0.7	– 0.6	– 0.7	– 0.9	– 1.5	– 0.37
12.	– 1.3	– 1.3	– 1.4	– 1.1	– 1.0	– 1.2	– 1.6	– 1.0	– 0.1	– 0.2	0.4	0.1	0.0	0.6	0.5	0.4	0.2	– 0.2	– 0.2	– 0.4	– 0.7	– 1.0	– 1.5	– 1.6	– 0.57
13.	– 2.1	– 2.3	– 4.1	– 5.1	– 5.6	– 5.5	– 5.0	– 4.6	– 5.2	– 5.4	– 5.4	– 5.7	– 5.6	– 5.7	– 5.9	– 6.3	– 6.6	– 6.9	– 7.7	– 8.6	– 8.9	– 9.1	– 9.3	– 9.3	– 6.08
14.	– 9.3	– 9.0	– 9.0	– 8.7	– 8.1	– 7.9	– 7.4	– 8.6	– 8.4	– 7.8	– 8.6	– 8.3	– 8.6	– 8.0	– 9.0	– 9.6	– 9.9	– 8.6	– 8.1	– 8.1	– 8.2	– 8.1	– 7.9	– 7.9	– 8.46
15.	– 8.0	– 8.2	– 8.6	– 8.9	– 9.0	– 8.8	– 9.0	– 9.1	– 9.5	– 9.9	– 10.1	– 10.0	– 10.0	– 10.0	– 10.2	– 10.3	– 10.5	– 10.8	– 10.9	– 11.0	– 10.8	– 11.0	– 11.1	– 10.9	– 9.86
16.	– 11.0	– 11.6	– 11.7	– 11.8	– 11.3	– 10.8	– 10.3	– 10.0	– 9.7	– 9.3	– 8.7	– 8.6	– 8.7	– 9.8	– 10.6	– 10.1	– 9.8	– 10.3	– 10.3	– 10.2	– 9.8	– 9.7	– 10.1	– 10.1	– 10.18
17.	– 10.0	– 9.9	– 9.7	– 9.6	– 9.4	– 9.2	– 8.9	– 8.8	– 8.9	– 8.7	– 8.3	– 8.2	– 8.0	– 6.9	– 5.2	– 4.1	– 4.1	– 3.7	– 3.9	– 4.3	– 3.0	– 3.6	– 3.9	– 3.8	– 6.84
18.	– 4.1	– 4.3	– 4.3	– 4.2	– 4.3	– 4.4	– 4.5	– 4.0	– 4.3	– 4.3	– 4.5	– 4.6	– 4.6	– 4.5	– 4.3	– 4.4	– 4.6	– 4.3	– 4.3	– 5.1	– 5.4	– 5.6	– 5.8	– 6.0	– 4.61
19.	– 6.2	– 6.5	– 6.7	– 6.9	– 7.1	– 7.3	– 6.3	– 5.9	– 5.6	– 5.5	– 5.8	– 5.6	– 5.5	– 5.6	– 5.7	– 6.0	– 6.9	– 7.5	– 7.8	– 8.0	– 8.1	– 9.0	– 10.1	– 11.1	– 6.95
20.	– 10.9	– 10.7	– 10.9	– 10.6	– 10.2	– 9.6	– 8.7	– 8.2	– 8.1	– 8.0	– 7.4	– 7.7	– 6.8	– 5.6	– 5.8	– 5.7	– 5.7	– 5.4	– 5.3	– 4.8	– 4.4	– 3.7	– 2.7	– 2.5	– 7.06
21.	– 3.1	– 3.5	– 3.2	– 2.5	– 2.4	– 1.9	– 2.1	– 1.7	– 1.9	– 1.9	– 1.6	– 1.7	– 2.2	– 2.1	– 2.3	– 2.3	– 2.7	– 3.3	– 2.9	– 2.8	– 1.9	– 2.6	– 2.5	– 3.0	– 2.42
22.	– 3.0	– 3.2	– 3.9	– 4.2	– 4.7	– 5.1	– 6.2	– 5.9	– 5.9	– 5.9	– 5.3	– 5.0	– 4.9	– 5.3	– 4.6	– 4.4	– 4.5	– 4.4	– 4.6	– 4.1	– 4.0	– 4.4	– 4.1	– 3.9	– 4.65
23.	– 3.9	– 3.0	– 2.5	– 2.1	– 2.3	– 2.7	– 2.9	– 2.5	– 2.5	– 2.1	– 2.4	– 1.9	– 1.9	– 2.0	– 3.5	– 2.6	– 2.5	– 2.2	– 2.4	– 2.8	– 3.2	– 3.2	– 3.7	– 3.7	– 2.69
24.	– 4.2	– 4.8	– 5.3	– 5.7	– 5.8	– 6.4	– 6.4	– 5.9	– 5.7	– 5.5	– 6.1	– 6.1	– 6.2	– 6.0	– 6.3	– 6.5	– 6.9	– 7.7	– 7.9	– 8.0	– 8.1	– 8.3	– 8.6	– 8.4	– 6.53
25.	– 8.6	– 8.6	– 9.1	– 9.4	– 10.1	– 10.2	– 10.2	– 10.1	– 10.3	– 10.3	– 10.2	– 10.2	– 9.9	– 10.0	– 10.1	– 10.1	– 10.2	– 10.3	– 10.3	– 10.3	– 10.3	– 10.3	– 10.1	– 9.9	– 9.96
26.	– 9.9	– 9.8	– 9.8	– 10.0	– 10.3	– 10.4	– 10.4	– 9.6	– 9.8	– 9.6	– 9.7	– 9.6	– 8.6	– 8.0	– 7.9	– 7.8	– 7.7	– 7.8	– 8.6	– 7.6	– 7.6	– 7.8	– 7.3	– 8.8	– 8.93
27	– 9.9	– 10.0	– 9.7	– 9.7	– 9.9	– 10.6	– 8.8	– 8.7	– 9.4	– 9.6	– 9.4	– 9.6	– 10.5	– 10.5	– 11.5	– 11.7	– 11.6	– 11.9	– 11.9	– 11.8	– 11.7	– 11.7	– 11.3	– 11.2	– 10.53
28.	– 11.1	– 10.8	– 10.3	– 10.1	– 9.3	– 7.7	– 6.7	– 5.3	– 4.4	– 4.8	– 5.3	– 5.8	– 5.7	– 4.8	– 4.8	– 4.8	– 4.5	– 3.9	– 3.2	– 3.1	– 3.0	– 3.7	– 4.5	– 4.9	– 5.94
29.	– 5.4	– 5.8	– 6.1	– 6.4	– 6.8	– 7.0	– 7.2	– 6.9	– 6.7	– 6.1	– 5.7	– 5.0	– 4.9	– 4.8	– 4.7	– 4.3	– 4.2	– 4.2	– 4.7	– 6.1	– 7.0	– 7.5	– 7.7	– 7.8	– 5.96
30.	– 7.9	– 8.0	– 7.8	– 7.5	– 7.1	– 7.1	– 6.2	– 6.3	– 6.1	– 6.3	– 4.6	– 5.6	– 6.0	– 5.1	– 3.8	– 3.5	– 3.2	– 3.4	– 3.3	– 3.3	– 3.7	– 3.9	– 3.9	– 3.9	– 5.31
Mittel	– 5.88	– 5.91	– 6.06	– 6.09	– 6.24	– 6.17	– 6.02	– 5.76	– 5.81	– 5.73	– 5.59	– 5.52	– 5.45	– 5.30	– 5.46	– 5.44	– 5.58	– 5.68	– 5.72	– 5.76	– 5.56	– 5.66	– 5.76	– 5.82	– 5.75

Dezember

Datum	1ª	2ª	3ª	4ª	5ª	6ª	7ª	8ª	9ª	10ª	11ª	12m	1P	2P	3P	4P	5P	6P	7P	8P	9P	10P	11P	12mn	Mittel
1.	– 4.0	– 4.1	– 4.6	– 5.0	– 5.7	– 5.9	– 6.3	– 6.0	– 6.2	– 5.9	– 6.2	– 6.1	– 6.2	– 6.4	– 6.7	– 6.8	– 7.0	– 7.2	– 7.2	– 7.2	– 7.2	– 7.6	– 7.6	– 7.6	– 6.28
2.	– 7.7	– 7.7	– 8.1	– 8.0	– 7.9	– 7.8	– 7.7	– 7.5	– 7.7	– 8.1	– 7.9	– 8.2	– 8.2	– 8.1	– 7.9	– 7.8	– 7.8	– 7.9	– 7.8	– 7.8	– 7.8	– 7.9	– 7.7	– 7.87	
3.	– 7.4	– 7.1	– 7.1	– 5.9	– 5.6	– 5.6	– 6.0	– 6.1	– 5.8	– 5.9	– 6.1	– 6.1	– 6.2	– 5.7	– 5.6	– 5.6	– 5.8	– 5.6	– 5.6	– 5.5	– 5.3	– 5.4	– 5.1	– 4.5	– 5.86
4.	– 4.5	– 4.4	– 4.4	– 4.8	– 4.5	– 4.6	– 4.8	– 4.6	– 4.7	– 4.4	– 4.3	– 5.2	– 5.6	– 6.7	– 6.8	– 7.0	– 6.8	– 6.7	– 7.3	– 8.5	– 11.0	– 12.2	– 12.5	– 12.9	– 6.63
5.	– 13.1	– 13.3	– 14.2	– 14.6	– 15.5	– 15.7	– 15.8	– 16.3	– 16.3	– 16.5	– 16.5	– 16.0	– 16.1	– 15.8	– 15.9	– 16.1	– 16.7	– 17.2	– 16.8	– 15.3	– 14.5	– 14.1	– 14.1	– 14.1	– 15.44
6.	– 14.1	– 14.2	– 14.2	– 14.2	– 14.1	– 14.1	– 14.1	– 14.0	– 13.7	– 13.0	– 12.2	– 11.6	– 11.1	– 10.7	– 10.2	– 10.1	– 10.1	– 9.8	– 9.8	– 9.7	– 9.7	– 9.7	– 9.5	– 9.5	– 11.81
7.	– 9.4	– 9.3	– 9.4	– 9.5	– 9.8	– 10.3	– 10.9	– 11.3	– 11.9	– 12.2	– 12.5	– 13.2	– 13.4	– 13.8	– 14.2	– 14.8	– 15.2	– 15.4	– 15.6	– 15.7	– 16.1	– 17.1	– 17.9	– 18.6	– 13.23
8.	– 18.9	– 18.9	– 18.9	– 18.9	– 18.8	– 18.8	– 18.7	– 17.9	– 18.2	– 17.9	– 17.8	– 17.7	– 17.7	– 17.8	– 18.0	– 17.9	– 17.9	– 17.8	– 17.4	– 17.2	– 17.2	– 16.6	– 15.4	– 14.9	– 17.80
9.	– 12.5	– 10.5	– 11.7	– 10.0	– 10.4	– 9.8	– 8.5	– 7.9	– 7.9	– 7.8	– 7.6	– 7.6	– 7.0	– 6.0	– 5.4	– 5.4	– 5.3	– 5.3	– 5.3	– 5.4	– 5.4	– 5.6	– 5.7	– 5.7	– 7.49
10.	– 6.1	– 6.3	– 6.4	– 6.4	– 6.4	– 6.4	– 6.5	– 6.5	– 7.1	– 7.4	– 8.2	– 8.6	– 9.4	– 9.6	– 9.8	– 10.4	– 10.9	– 11.2	– 11.6	– 12.1	– 12.3	– 12.2	– 12.2	– 12.1	– 9.00
11.	– 11.9	– 11.6	– 11.3	– 11.1	– 11.0	– 10.8	– 10.8	– 10.6	– 10.5	– 10.3	– 10.1	– 10.0	– 9.9	– 9.8	– 9.6	– 9.6	– 9.4	– 9.2	– 9.6	– 9.3	– 9.6	– 9.0	– 9.0	– 8.1	– 10.09
12.	– 9.3	– 9.9	– 9.9	– 9.3	– 8.1	– 8.2	– 8.5	– 7.8	– 7.4	– 6.6	– 6.6	– 6.8	– 7.0	– 7.4	– 7.7	– 8.0	– 8.8	– 8.9	– 9.1	– 9.2	– 9.2	– 8.9	– 9.0	– 9.0	– 8.36
13.	– 9.1	– 9.4	– 10.1	– 10.3	– 10.3	– 9.5	– 9.2	– 9.1	– 9.3	– 8.8	– 8.7	– 8.7	– 9.1	– 9.0	– 9.4	– 9.7	– 10.1	– 10.3	– 10.4	– 10.7	– 10.9	– 11.1	– 11.2	– 11.6	– 9.83
14.	– 12.0	– 12.3	– 12.4	– 12.5	– 13.0	– 13.3	– 13.3	– 13.0	– 13.6	– 13.6	– 13.7	– 13.7	– 13.8	– 14.0	– 14.3	– 14.2	– 14.1	– 14.0	– 14.1	– 14.2	– 14.3	– 14.3	– 14.6	– 14.5	– 13.62
15.	– 14.4	– 14.3	– 14.2	– 14.1	– 14.0	– 13.9	– 13.8	– 13.8	– 13.7	– 13.4	– 13.5	– 13.6	– 13.4	– 13.0	– 13.0	– 12.6	– 11.7	– 10.9	– 9.9	– 9.4	– 9.1	– 8.5	– 8.1	– 7.5	– 12.24
16.	– 7.3	– 7.5	– 7.6	– 7.6	– 7.4	– 7.3	– 7.2	– 7.1	– 7.2	– 7.4	– 7.4	– 7.7	– 7.7	– 7.8	– 8.1	– 8.9	– 9.2	– 9.8	– 10.0	– 10.4	– 10.7	– 10.9	– 11.0	– 11.3	– 8.52
17.	– 11.5	– 11.7	– 12.0	– 12.3	– 12.5	– 12.5	– 12.6	– 12.0	– 12.0	– 12.0	– 12.0	– 12.0	– 11.9	– 12.0	– 12.1	– 12.1	– 12.3	– 12.3	– 12.3	– 12.6	– 12.7	– 12.8	– 12.9	– 12.9	– 12.25
18.	– 12.9	– 12.9	– 13.0	– 12.9	– 12.8	– 13.0	– 12.9	– 12.2	– 12.4	– 12.3	– 12.2	– 12.1	– 12.1	– 12.1	– 12.6	– 12.8	– 12.9	– 13.3	– 13.4	– 13.4	– 13.3	– 13.7	– 13.8	– 13.9	– 12.87
19.	– 13.5	– 12.7	– 12.9	– 11.7	– 11.8	– 12.9	– 12.9	– 12.6	– 13.5	– 13.3	– 13.5	– 13.1	– 13.6	– 13.0	– 12.3	– 11.9	– 11.1	– 10.7	– 10.7	– 10.6	– 10.8	– 10.9	– 10.9	– 10.6	– 12.15
20.	– 10.1	– 10.1	– 10.2	– 10.0	– 10.0	– 9.9	– 10.0	– 9.9	– 9.6	– 9.3	– 9.0	– 9.0	– 8.7	– 8.7	– 8.7	– 8.8	– 8.6	– 8.6	– 8.6	– 8.7	– 8.7	– 8.5	– 8.4	– 8.5	– 9.19
21.	– 8.6	– 8.7	– 8.5	– 8.9	– 8.9	– 8.3	– 8.1	– 7.7	– 7.6	– 7.3	– 7.1	– 7.1	– 7.3	– 7.9	– 7.8	– 7.8	– 8.0	– 7.6	– 7.3	– 8.0	– 7.6	– 8.0	– 8.3	– 8.0	– 7.93
22	– 8.0	– 7.8	– 8.1	– 8.1	– 7.9	– 7.8	– 8.0	– 7.9	– 8.1	– 8.2	– 8.2	– 6.8	– 6.8	– 6.8	– 6.8	– 6.7	– 6.7	– 6.8	– 6.9	– 7.3	– 6.4	– 6.8	– 6.7	– 6.8	– 7.35
23.	– 7.1	– 7.1	– 6.8	– 6.6	– 6.5	– 7.0	– 7.6	– 7.8	– 8.0	– 7.6	– 7.6	– 7.9	– 7.9	– 8.1	– 8.7	– 8.7	– 8.4	– 8.7	– 8.8	– 8.3	– 8.3	– 8.6	– 8.6	– 7.8	– 7.83
24.	– 7.6	– 7.6	– 7.1	– 7.7	– 6.7	– 7.0	– 7.2	– 6.7	– 7.2	– 7.4	– 7.4	– 7.4	– 7.2	– 7.2	– 7.8	– 7.4	– 8.4	– 8.9	– 9.4	– 11.6	– 11.5	– 11.4	– 12.5	– 13.3	– 8.48
25.	– 15.3	– 15.7	– 16.3	– 16.8	– 17.6	– 17.8	– 17.6	– 17.4	– 17.7	– 17.7	– 18.0	– 18.6	– 18.5	– 18.6	– 18.5	– 18.7	– 18.9	– 18.9	– 19.0	– 19.1	– 19.1	– 19.1	– 19.3	– 19.6	– 18.08
26.	– 16.8	– 15.0	– 14.6	– 14.3	– 14.2	– 13.7	– 13.5	– 13.5	– 13.3	– 13.3	– 13.3	– 13.5	– 13.4	– 13.1	– 12.2	– 11.0	– 10.0	– 9.7	– 9.3	– 9.2	– 9.1	– 9.1	– 9.5	– 9.8	– 12.27
27.	– 9.6	– 9.4	– 9.2	– 9.2	– 8.9	– 8.6	– 8.4	– 8.2	– 8.0	– 7.8	– 7.8	– 7.4	– 7.4	– 7.3	– 7.6	– 8.2	– 8.4	– 8.6	– 9.0	– 9.1	– 9.2	– 9.2	– 9.2	– 9.1	– 8.53
28.	– 8.8	– 8.7	– 9.0	– 8.2	– 8.2	– 8.1	– 8.3	– 8.6	– 8.9	– 8.9	– 9.0	– 9.1	– 8.9	– 8.7	– 8.1	– 8.8	– 8.4	– 8.9	– 9.6	– 10.2	– 13.0	– 14.2	– 15.0	– 15.2	– 9.70
29.	– 16.1	– 16.2	– 16.6	– 17.2	– 17.5	– 18.0	– 18.3	– 18.2	– 18.1	– 18.1	– 17.7	– 17.9	– 18.1	– 18.4	– 18.9	– 19.4	– 20.0	– 20.0	– 20.0	– 20.1	– 20.3	– 20.4	– 20.4	– 20.4	– 18.60
30.	– 20.4	– 20.4	– 20.4	– 20.5	– 20.5	– 20.7	– 20.9	– 20.8	– 20.8	– 20.7	– 20.4	– 20.4	– 20.2	– 19.7	– 19.8	– 20.3	– 20.8	– 21.0	– 21.2	– 21.2	– 21.2	– 21.5	– 21.5	– 21.5	– 20.70
31.	– 21.7	– 21.7	– 21.7	– 21.8	– 21.8	– 21.8	– 21.7	– 21.4	– 21.9	– 21.8	– 21.5	– 21.4	– 21.2	– 21.1	– 21.1	– 21.1	– 21.2	– 21.2	– 21.3	– 21.3	– 21.6	– 21.7	– 21.9	– 22.0	– 21.54
Mittel	– 11.28	– 11.18	– 11.32	– 11.24	– 11.23	– 11.26	– 11.29	– 11.11	– 11.23	– 11.13	– 11.10	– 11.11	– 11.13	– 11.11	– 11.15	– 11.24	– 11.32	– 11.37	– 11.43	– 11.56	– 11.71	– 11.84	– 11.91	– 11.87	– 11.34

Hygrometer-Registrierung. **Zugspitze.** 1913.

Januar

Datum	1a	2a	3a	4a	5a	6a	7a	8a	9a	10a	11a	12m	1p	2p	3p	4p	5p	6p	7p	8p	9p	10p	11p	12mn	Mittel
1.	46	49	48	47	48	57	48	51	55	55	64	67	63	67	68	68	68	68	65	64	64	62	61	67	59.2
2.	67	68	63	64	67	69	72	67	65	66	68	73	73	71	70	69	70	70	72	73	76	77	78	89	70.7
3.	92	81	81	80	81	82	100	91	91	85	76	74	76	75	70	65	66	70	71	77	80	80	78	79	79.2
4.	76	77	76	77	76	75	73	77	79	80	78	76	74	74	71	70	68	66	65	66	64	65	67	69	72.5
5.	70	69	71	71	71	66	72	67	69	68	66	66	66	64	66	65	66	68	69	69	69	69	71	64	68.0
6.	65	64	63	66	66	68	68	66	62	61	58	55	57	55	58	57	63	74	86	91	92	93	93	92	69.7
7.	94	93	94	95	97	100	99	97	99	100	100	100	100	100	95	76	68	65	64	59	56	54	49	55	83.7
8.	58	56	49	49	46	44	42	40	37	34	31	30	31	39	36	38	38	43	43	42	45	46	47	40	41.8
9.	30	29	26	26	28	33	40	40	36	48	50	54	61	54	62	59	48	42	35	41	45	41	40	40	42.0
10.	52	62	50	50	81	82	86	86	89	72	49	80	98	100	100	100	100	100	100	100	100	100	100	100	84.9
11.	100	100	100	100	100	100	100	100	100	100	100	100	100	100	100	100	100	100	100	100	100	100	100	100	100.0
12.	100	100	100	100	100	100	100	100	100	100	100	100	100	100	100	100	100	100	100	100	100	100	100	100	100.0
13.	100	100	100	100	100	100	100	61	70	70	84	90	95	100	100	100	100	100	100	100	100	99	99	99	94.5
14.	98	99	99	99	99	100	100	93	98	100	100	95	96	92	89	90	85	86	85	84	87	85	85	90	93.1
15.	93	91	93	88	94	96	95	94	93	100	100	100	100	100	100	100	100	100	100	97	95	96	98	99	96.8
16.	100	100	99	98	97	98	100	98	100	100	100	100	100	100	100	100	100	99	95	91	67	68	79	86	94.8
17.	98	97	96	96	91	98	98	90	100	100	100	100	98	100	100	100	100	100	100	100	100	100	100	100	98.4
18.	100	100	100	100	100	100	100	100	100	100	100	100	100	100	100	100	100	100	100	100	100	100	100	100	100.0
19.	100	100	100	100	100	100	100	100	100	100	100	100	100	100	100	100	100	99	97	93	86	82	79	80	96.5
20.	83	87	87	86	87	87	90	95	100	100	97	100	100	100	100	100	100	100	100	100	100	100	87	77	94.3
21.	79	79	79	79	85	88	88	83	96	100	100	100	100	100	100	96	96	96	100	100	100	100	100	100	93.5
22.	100	100	100	100	100	100	100	100	100	100	100	100	100	100	100	100	100	100	100	100	100	100	100	100	100.0
23.	100	100	100	100	100	100	100	100	100	100	100	100	100	100	100	100	100	100	100	100	100	100	100	100	100.0
24.	100	100	100	100	100	100	100	99	97	88	83	63	57	55	52	54	55	59	63	62	58	58	59	59	75.9
25.	58	59	61	62	61	62	60	61	59	63	61	64	64	64	66	72	85	100	100	100	100	100	100	99	74.2
26.	99	100	100	100	100	100	100	100	100	100	100	100	100	100	100	100	100	100	100	100	100	100	99	98	99.8
27.	98	97	96	95	95	94	95	75	76	85	84	87	91	90	89	86	85	81	80	78	75	70	72	73	85.3
28.	73	84	98	96	90	89	95	91	91	100	100	100	100	100	100	100	100	100	100	100	100	100	100	100	96.1
29.	100	100	100	100	100	100	100	100	100	100	100	100	100	100	100	100	100	100	100	100	100	100	100	100	100.0
30.	100	100	100	100	100	100	100	93	96	95	96	98	99	100	100	100	100	100	100	100	100	100	98	98	98.9
31.	97	96	96	95	96	96	95	85	88	88	94	96	98	100	100	100	100	100	100	100	100	100	100	100	96.7
Mittel	84.7	85.1	84.7	84.5	85.7	86.6	87.6	83.9	85.4	85.7	85.1	86.1	87.0	87.1	86.8	86.0	85.8	86.6	86.8	86.7	85.8	85.3	85.1	85.6	85.8

Februar

1.	100	100	100	100	100	100	100	100	100	100	100	100	100	95	96	97	98	100	100	100	100	100	100	100	99.4
2.	100	91	90	89	90	89	90	92	100	100	100	100	100	100	100	100	100	100	100	100	100	100	98	96	96.9
3.	95	93	100	100	100	100	100	100	100	100	100	100	100	100	100	100	100	100	100	100	100	100	89	83	98.3
4.	63	61	50	51	61	58	55	52	43	43	43	40	40	41	36	55	65	71	67	76	72	63	73	72	56.3
5.	67	65	61	58	56	58	60	60	60	60	59	57	55	56	57	58	60	61	59	59	60	60	61	63	59.6
6.	64	64	67	71	74	85	86	85	85	85	85	90	78	80	80	85	90	89	81	81	81	82	85	87	80.8
7.	91	96	97	90	94	93	85	89	86	95	92	70	56	61	52	55	53	45	42	42	38	35	31	35	67.6
8.	47	46	38	34	33	33	36	38	38	38	39	39	43	56	90	100	100	100	100	100	100	96	92	88	63.5
9.	84	80	75	71	66	61	55	55	53	51	52	43	41	33	30	28	36	54	57	53	45	37	31	30	50.9
10.	30	31	36	38	56	80	92	97	92	34	24	26	28	29	33	32	29	32	33	34	35	33	35	61	43.8
11.	98	99	99	98	99	99	100	100	100	100	100	100	100	100	100	100	100	85	59	54	48	47	46	45	86.5
12.	46	46	46	57	65	63	58	59	61	60	64	61	59	67	66	63	68	75	78	82	100	100	98	97	68.3
13.	94	70	71	78	87	80	75	54	58	59	40	73	69	57	42	34	40	97	100	100	100	100	100	100	74.1
14.	100	100	100	100	100	100	100	100	100	100	100	100	100	100	100	100	100	100	100	72	70	63	57	56	92.4
15.	56	57	57	56	56	56	55	41	40	40	40	39	38	37	36	34	31	30	31	33	36	43	61	80	45.1
16.	86	92	95	93	97	96	100	100	100	100	100	100	100	100	100	100	100	100	100	100	100	100	100	100	98.3
17.	100	100	100	100	100	100	100	79	95	100	100	98	100	100	98	100	100	99	97	98	100	95	94	92	97.7
18.	87	81	75	74	69	79	76	71	70	70	68	64	62	63	64	64	71	71	75	76	74	70	69	50	70.5
19.	36	32	31	32	36	47	60	63	63	64	62	61	64	65	66	65	64	62	60	62	50	54	56	61	54.8
20.	63	67	78	73	74	73	85	85	87	85	83	83	84	81	85	95	98	100	99	94	92	91	76	74	83.5
21.	73	66	63	62	55	70	65	65	66	67	64	62	60	62	63	59	61	57	59	72	65	60	41	34	61.3
22.	30	28	27	25	25	35	51	69	61	56	58	60	62	64	64	60	60	58	58	57	55	55	55	57	51.3
23.	62	63	69	74	79	83	78	77	76	74	70	68	60	58	55	52	50	49	50	47	45	42	42	43	61.1
24.	41	42	41	38	38	38	36	39	41	38	37	37	35	35	40	40	37	32	34	35	35	35	34	33	37.1
25.	32	30	26	24	24	23	23	26	23	27	23	22	24	25	26	28	31	34	35	38	43	46	38	39	29.6
26.	39	42	42	42	41	40	40	41	43	42	43	42	40	40	43	44	46	46	46	47	48	51	54	53	44.0
27.	55	55	75	67	60	86	100	88	89	85	80	77	70	75	76	78	82	100	100	100	100	100	100	100	83.3
28.	100	100	100	100	100	100	100	100	100	100	100	100	100	100	100	100	100	100	100	100	100	100	100	100	100.0
Mittel	69.3	67.8	68.2	67.7	69.1	72.3	73.6	72.3	72.5	70.5	68.8	68.3	66.7	67.1	67.8	68.8	70.4	73.1	72.1	71.9	71.1	69.9	68.4	68.9	69.9

Hygrometer-Registrierung. **Zugspitze.** 1913.

März

Datum	1a	2a	3a	4a	5a	6a	7a	8a	9a	10a	11a	12m	1p	2p	3p	4p	5p	6p	7p	8p	9p	10p	11p	12mn	Mittel
1.	100	100	100	100	100	100	100	100	87	86	82	77	71	65	64	66	65	64	67	70	70	68	68	64	80.6
2.	60	59	61	63	64	62	62	60	60	58	59	58	59	58	60	63	64	65	69	67	68	70	71	70	62.9
3.	67	69	94	100	100	100	100	100	100	100	100	100	100	58	61	50	48	41	41	40	40	44	46	100	75.0
4.	100	94	84	94	95	100	100	100	100	100	100	100	100	100	100	100	100	52	40	35	30	31	30	31	79.8
5.	31	38	84	87	93	95	100	100	85	71	74	71	77	80	82	86	90	94	96	98	95	88	82	68	81.9
6.	59	55	51	42	40	34	34	36	38	40	40	41	41	42	43	43	44	45	45	44	44	45	46	50	43.4
7.	48	48	52	52	50	51	52	52	53	57	58	54	55	53	60	58	62	64	67	68	70	69	69	66	57.8
8.	71	71	71	72	71	72	75	93	89	92	93	94	95	95	100	100	100	100	100	100	100	100	100	100	89.8
9.	100	100	100	100	100	100	100	100	100	100	100	100	100	95	100	100	100	100	96	86	75	69	60	52	93.0
10.	48	44	45	42	45	47	56	63	68	70	84	100	100	100	100	100	100	100	100	100	100	98	100	100	79.6
11.	99	99	95	92	97	99	100	100	100	100	99	98	97	87	87	83	81	86	89	90	90	95	99	100	94.3
12.	100	100	100	100	100	70	75	65	61	58	40	34	32	34	34	32	32	44	44	40	32	39	46	51	56.8
13.	57	58	61	65	69	69	70	69	68	64	62	61	64	67	73	76	80	84	93	93	100	100	100	100	75.1
14.	98	93	98	100	100	99	94	95	89	91	91	89	84	82	86	84	84	82	84	83	85	82	80	79	88.8
15.	78	78	78	80	82	84	84	84	96	92	90	90	98	100	100	100	100	100	100	100	100	98	98	97	92.0
16.	96	96	95	93	81	58	52	56	64	66	59	62	60	68	74	78	80	78	74	71	69	66	67	67	72.1
17.	66	62	55	54	53	58	62	58	60	59	56	67	75	73	68	75	75	74	76	76	75	78	83	90	67.8
18.	95	97	100	100	100	99	100	100	100	100	100	100	100	100	100	100	100	100	100	100	100	93	91	93	98.7
19.	100	100	91	84	84	84	76	69	70	69	75	79	78	78	80	82	100	100	100	100	100	89	90	97	86.5
20.	100	97	100	100	100	100	100	100	100	100	99	100	100	100	100	98	96	93	90	87	85	87	89	90	96.3
21.	91	95	96	93	94	95	95	100	100	100	99	98	97	100	100	100	100	100	100	100	100	100	100	97	97.9
22.	99	98	96	98	97	94	95	93	91	95	98	99	96	97	96	95	93	93	92	95	88	90	90	92	94.6
23.	97	100	99	100	99	96	99	98	100	95	93	100	100	100	100	100	100	100	100	100	100	100	100	100	99.0
24.	100	100	100	100	100	100	100	100	100	100	100	100	100	100	100	100	100	100	100	100	100	88	97	97	99.3
25.	99	100	100	100	100	100	98	95	94	94	92	91	86	89	95	91	86	84	83	76	55	50	54	63	86.5
26.	75	77	79	83	76	72	72	70	71	66	65	61	61	70	76	84	91	98	100	100	96	94	97	96	80.4
27.	97	99	94	97	97	94	100	100	100	98	93	91	96	100	100	100	100	98	97	96	95	91	82	67	95.1
28.	64	76	75	80	76	71	70	69	63	64	64	69	69	70	70	72	71	59	60	60	56	57	56	59	66.7
29.	59	60	61	62	64	66	68	64	64	70	71	73	74	74	75	76	78	80	78	77	78	75	72	73	70.5
30.	71	67	69	68	70	70	69	68	62	57	54	53	58	56	56	56	57	57	57	57	58	58	61	63	61.3
31.	66	74	72	76	74	73	77	82	85	89	88	88	90	95	97	95	92	93	96	95	95	96	100	100	87.0
Mittel	80.4	80.8	82.5	83.1	82.9	81.0	81.8	81.9	81.2	80.7	79.9	80.6	81.1	80.2	81.8	82 0	82.9	81.5	81.7	80.8	79.0	77.7	78.2	79.7	81.0

April

1.	99	100	100	100	100	100	100	100	100	100	100	100	100	100	100	100	100	100	100	100	100	100	100	100	100.0
2.	100	100	100	100	100	100	100	100	100	100	100	100	100	100	100	100	100	100	100	100	100	97	95	95	99.5
3.	95	95	96	97	97	97	97	96	100	100	98	94	92	91	88	84	83	83	81	82	88	96	96	96	92.6
4.	97	98	98	95	95	95	95	89	82	84	87	92	91	89	90	87	86	88	90	88	88	92	93	94	91.0
5.	94	94	95	96	94	92	95	95	93	88	91	92	96	89	89	85	84	84	86	83	79	83	66	59	87.6
6.	60	59	67	72	67	84	79	75	75	91	96	96	98	100	100	100	100	100	100	100	100	100	100	100	88.3
7.	100	100	100	100	100	100	100	100	100	100	99	100	100	100	100	99	98	96	97	100	100	92	96	96	98.8
8.	94	94	95	98	100	100	100	97	100	99	100	100	100	99	98	100	100	100	100	100	100	99	98	98	98.8
9.	98	99	100	99	100	99	100	100	100	100	90	90	92	97	100	100	100	100	100	100	100	100	100	100	98.5
10.	100	100	100	100	100	100	100	100	100	100	100	100	100	100	100	100	100	100	100	100	100	100	100	100	100.0
11.	100	100	100	100	100	100	100	100	100	100	100	100	100	100	100	100	100	100	100	100	100	100	100	100	100.0
12.	100	100	100	100	100	100	100	100	100	100	100	100	100	100	100	100	100	100	100	100	100	100	100	100	100.0
13.	100	100	100	100	100	100	100	100	100	100	100	100	85	90	91	91	90	100	100	100	100	100	100	100	97.8
14.	100	100	100	100	100	100	100	81	93	95	95	95	96	96	94	91	89	92	88	92	96	100	98	99	95.4
15.	98	98	98	98	99	99	100	75	75	77	84	86	89	85	82	84	83	84	84	82	83	84	83	82	87.2
16.	79	78	75	71	67	67	63	52	54	53	51	49	58	69	70	76	80	80	81	81	82	84	88	95	71.0
17.	99	100	99	99	99	100	100	100	100	100	100	100	100	100	100	100	100	100	100	100	100	100	100	100	99.8
18.	100	100	100	100	100	100	100	100	100	100	100	100	100	100	100	100	100	100	100	100	100	100	100	100	100.0
19.	100	100	100	100	100	100	100	94	99	100	99	100	100	99	100	100	99	95	98	100	100	100	100	100	99 3
20.	100	100	100	100	100	100	100	100	100	100	100	100	100	100	100	100	100	100	100	100	100	100	100	100	100.0
21.	100	100	100	100	100	100	100	100	100	100	100	100	100	100	100	100	100	100	100	100	100	100	100	100	100.0
22.	100	100	100	100	100	100	100	100	100	100	99	98	97	96	96	98	96	92	91	89	85	87	87	91	95.9
23.	89	91	92	95	96	98	98	90	97	96	96	98	96	96	94	96	99	100	100	100	100	95	91	90	95.5
24.	90	87	89	88	90	85	82	82	81	84	87	87	79	81	81	75	74	73	75	80	86	85	96	98	84.0
25.	97	93	92	93	91	91	93	92	92	93	95	92	93	88	97	92	100	100	100	99	100	95	95	95	94.5
26.	92	99	95	90	89	87	85	80	79	75	77	81	86	94	91	80	82	85	95	92	92	97	89	89	87.5
27.	84	77	76	76	76	70	58	63	65	66	79	83	87	89	88	84	87	84	84	86	87	86	89	92	79.8
28.	96	94	98	99	99	99	100	100	100	96	98	100	98	94	98	99	100	92	93	93	90	96	100	100	97.2
29.	99	99	96	100	100	100	100	96	89	100	100	97	97	93	90	87	78	80	86	90	92	100	97	96	94.3
30.	95	80	77	75	71	71	73	67	75	77	78	76	70	65	70	74	80	83	82	84	82	83	82	82	77.2
Mittel	95.2	94.5	94.6	94.7	94.3	94.5	93.9	90.8	91.6	92.5	93.3	93.5	93.3	93.3	93.6	92.7	92.9	93.0	93.7	94.0	94.3	95.0	94.6	94.9	93.7

Hygrometer-Registrierung. **Zugspitze.** 1913.

Mai

Datum	1a	2a	3a	4a	5a	6a	7a	8a	9a	10a	11a	12m	1p	2p	3p	4p	5p	6p	7p	8p	9p	10p	11p	12mn	Mittel
1.	84	83	78	76	74	71	68	56	72	72	78	79	79	80	79	80	85	87	90	99	100	100	100	100	82.1
2.	99	100	100	100	100	100	100	100	100	99	96	99	99	97	93	97	100	100	100	100	100	100	100	100	99.1
3.	100	100	100	100	100	100	100	80	80	75	76	80	94	92	96	91	95	100	99	99	100	100	99	98	93.9
4.	94	91	87	97	98	98	100	84	89	90	96	94	94	96	90	94	99	100	100	100	98	99	98	98	95.2
5.	98	98	96	98	99	100	100	100	100	100	100	100	100	100	100	100	100	100	100	100	100	100	100	100	99.5
6.	100	100	100	100	100	100	100	100	100	100	100	85	87	98	100	100	100	100	100	100	100	100	100	100	98.8
7.	100	100	100	100	100	100	100	100	100	100	100	100	100	100	100	100	100	100	100	100	100	99	99	98	99.8
8.	99	99	99	98	85	75	82	73	75	74	76	75	82	90	91	90	90	90	90	93	95	96	98	100	88.1
9.	99	100	100	100	99	100	100	100	100	100	100	98	92	80	83	80	80	81	91	91	89	91	92	93	93.3
10.	94	92	96	92	85	85	80	76	76	74	78	81	91	96	93	91	89	91	93	87	96	99	99	99	88.9
11.	100	100	100	100	100	100	100	100	100	100	100	100	100	100	100	100	100	100	100	100	100	100	100	100	100 0
12.	100	100	100	100	100	100	100	100	100	100	100	97	86	88	91	98	100	100	100	100	100	98	96	94	97.8
13.	91	87	80	80	71	72	58	47	53	51	53	58	79	87	89	93	100	100	88	84	78	80	75	75	76.2
14.	76	73	76	78	77	77	78	70	77	66	79	83	86	86	88	92	94	94	96	97	83	82	83	81	82.2
15.	82	87	87	88	83	83	80	84	85	84	86	93	88	87	84	82	83	87	94	97	91	88	89	87	86.6
16.	89	89	89	95	96	93	87	85	78	84	94	95	92	93	91	92	88	88	95	100	100	97	87	96	91.4
17.	96	99	99	99	97	97	100	100	100	98	96	98	94	94	98	98	94	94	94	100	100	100	98	94	97.4
18.	95	94	92	88	93	93	93	93	98	98	99	99	100	100	100	100	100	100	100	100	100	100	100	100	97.3
19.	100	100	100	100	100	100	100	100	100	100	99	95	98	100	100	100	100	100	100	100	100	100	100	100	99.7
20.	100	100	100	100	100	100	100	100	100	100	100	100	100	100	100	100	100	100	100	100	100	100	100	100	100,0
21.	100	100	100	100	100	100	100	78	81	59	48	47	44	39	39	38	36	34	32	31	44	49	49	47	62.3
22.	43	37	53	69	81	87	93	83	81	97	96	99	100	100	100	99	100	100	100	100	100	100	100	100	88.3
23.	100	100	100	100	100	100	100	100	100	100	100	100	100	100	100	100	100	100	100	100	100	100	100	100	100,0
24.	100	100	100	100	100	100	100	100	100	100	100	100	100	100	100	100	100	100	100	100	100	100	100	100	100,0
25.	100	100	100	100	100	100	100	83	79	98	89	78	91	92	95	91	92	73	76	72	61	55	51	43	84.1
26.	48	45	49	50	50	49	51	51	51	50	49	48	59	86	93	95	100	98	100	100	100	100	98	94	71.4
27.	100	100	100	100	100	100	100	96	86	92	93	92	94	93	95	98	94	96	97	97	100	100	100	100	96.8
28.	100	100	100	100	100	100	100	100	100	100	100	100	100	100	100	100	100	100	100	100	100	100	100	100	100,0
29.	100	100	100	100	100	100	100	88	90	95	90	92	90	88	88	79	78	78	78	80	81	86	88	83	89.7
30.	76	73	69	65	58	66	73	67	69	74	76	71	72	69	70	75	85	93	98	94	87	90	90	83	76.8
31.	83	88	88	89	84	79	73	69	70	72	80	81	79	83	83	81	79	72	78	80	80	77	80	80	79.5
Mittel	91.8	91.5	91.5	92.3	91.3	91.1	90.8	85.9	86.8	87.2	88.0	87.6	89.4	90.8	91.3	91.4	92.3	92.1	93.2	93.6	93.0	93.1	92.5	91.7	90.8

Juni

1.	85	86	84	82	81	80	78	88	88	78	88	84	80	76	71	69	68	68	70	71	74	73	74	76	78 0
2.	77	78	76	73	70	68	61	64	59	63	78	76	75	81	78	88	98	94	91	88	85	78	74	80	77,2
3.	88	77	70	66	69	65	67	63	72	84	84	85	84	83	90	86	84	80	82	79	81	79	79	74	78.0
4.	74	75	80	89	90	81	72	69	68	68	74	72	77	75	77	78	82	86	81	80	85	84	87	90	78.9
5.	91	87	89	97	95	85	83	84	90	85	84	77	74	83	77	82	88	94	84	94	84	91	100	97	87.3
6.	96	96	96	96	97	97	97	97	96	96	96	96	95	95	97	99	100	100	100	100	100	100	100	100	97.6
7.	100	100	100	100	100	100	100	100	100	100	99	96	95	94	89	98	97	92	94	76	58	56	52	49	89.4
8.	51	57	59	69	73	59	65	62	62	62	66	69	70	85	87	85	88	90	91	90	75	64	68	83	72.1
9.	91	95	97	98	99	100	100	100	95	100	100	100	99	97	100	100	100	100	100	100	100	100	100	100	98,8
10.	100	100	100	100	100	100	100	100	100	100	99	98	97	86	92	93	88	86	84	91	89	90	91	92	94.8
11.	92	93	91	89	86	77	77	84	85	90	93	94	93	97	99	97	100	100	100	100	100	100	100	100	93.2
12.	100	100	100	100	100	100	100	98	97	100	100	100	100	100	100	100	100	100	100	100	100	100	100	100	100,0
13.	100	100	100	100	100	100	100	100	100	100	100	100	100	100	100	100	100	100	100	100	100	100	100	100	100.0
14.	100	100	100	100	100	100	100	94	93	81	53	54	79	84	85	82	75	48	61	51	60	69	69	67	79.4
15.	67	43	29	24	29	39	47	55	56	58	55	57	56	66	66	71	76	63	58	49	45	47	50	54	52.5
16.	58	58	57	59	60	61	58	55	65	71	79	83	80	88	83	94	80	75	46	50	50	51	49	51	65.0
17.	53	55	54	55	56	56	55	59	60	73	75	74	77	84	93	82	87	96	96	85	84	88	93	96	74.4
18.	98	88	96	100	99	99	98	95	87	82	80	88	82	79	78	71	69	85	95	98	98	90	97	96	89.5
19.	95	97	99	99	99	98	98	100	100	100	100	98	99	98	99	99	100	100	100	100	100	100	99	99	99.0
20.	98	98	97	97	96	96	94	93	97	96	96	96	97	94	91	92	94	97	98	100	100	100	100	100	96.5
21.	100	100	100	100	100	100	100	100	100	100	100	100	100	100	100	100	100	100	100	100	100	100	100	100	100,0
22.	100	100	100	100	100	100	100	100	100	100	100	100	100	100	100	100	100	100	100	100	100	100	100	100	100,0
23.	100	100	100	100	100	100	100	98	97	100	100	97	100	100	100	98	93	100	97	100	92	98	94	100	98.5
24.	73	70	77	83	84	89	95	96	93	100	100	100	100	100	100	100	100	100	100	100	100	100	100	100	94.2
25.	100	100	100	100	100	100	100	100	100	100	100	100	100	100	100	100	100	100	100	100	100	100	100	100	100.0
26.	100	100	100	100	100	100	100	100	100	100	100	100	100	100	100	100	100	100	100	100	100	100	100	100	100,0
27.	100	100	100	100	100	100	100	100	100	100	100	100	100	100	100	100	100	100	100	100	100	100	100	100	100,0
28.	100	100	100	100	100	100	100	100	100	100	100	100	100	100	100	100	100	100	100	100	100	100	100	100	100.0
29.	100	100	100	100	100	100	100	100	100	100	100	100	100	100	100	100	100	100	100	100	100	100	100	100	100.0
30.	100	100	100	100	100	100	100	100	100	100	100	100	100	100	100	100	100	100	100	100	100	100	100	100	100,0
Mittel	89.6	88.4	88.4	89.2	89.4	88.3	88.2	88.5	88.7	89.6	90.0	89.8	90.3	91.5	91.7	92.1	92.2	91.8	90.9	90.1	88.7	88.6	89.2	90.1	89.8

Hygrometer-Registrierung. **Zugspitze.** 1913.

Datum	1a	2a	3a	4a	5a	6a	7a	8a	9a	10a	11a	12m	1p	2p	3p	4p	5p	6p	7p	8p	9p	10p	11p	12mn	Mittel
Juli																									
1.	100	100	100	100	100	100	100	100	100	100	100	100	100	100	100	100	100	100	100	100	100	100	100	100	100.0
2.	100	100	100	100	100	100	100	100	100	100	100	100	100	100	100	100	100	100	100	100	100	100	100	100	100.0
3.	100	100	100	100	100	100	100	100	100	100	100	100	100	100	100	100	100	100	100	100	100	100	100	100	100.0
4.	100	100	100	100	100	100	100	100	100	100	100	100	100	100	100	100	100	100	100	100	100	100	100	100	100.0
5.	100	100	100	100	100	100	100	100	100	100	100	100	100	100	100	100	100	100	100	100	100	100	100	100	100.0
6.	100	100	100	100	100	100	100	100	100	100	100	100	100	100	100	100	100	100	100	100	100	100	100	100	100.0
7.	100	100	100	100	100	100	100	100	100	100	100	100	97	100	100	99	100	100	100	100	100	100	100	100	99.8
8.	100	100	100	100	100	100	100	97	97	95	94	90	89	94	94	95	98	100	100	100	100	100	100	100	97.6
9.	100	100	100	100	100	100	100	100	100	100	100	100	100	100	100	100	100	100	100	100	96	94	96	95	99.2
10.	95	95	96	95	95	96	96	94	94	96	96	97	97	95	97	98	100	100	100	100	100	100	100	100	97.2
11.	100	100	100	100	100	100	100	100	100	100	100	100	100	100	100	100	100	100	100	100	100	100	100	100	100.0
12.	100	100	100	100	100	100	100	100	100	100	100	100	100	100	100	100	100	100	100	100	100	100	100	100	100.0
13.	100	100	100	100	100	100	100	87	86	55	55	66	82	93	96	98	98	99	100	100	81	78	87	93	89.8
14.	93	75	77	75	80	72	71	61	64	66	69	69	70	76	71	77	76	78	70	68	69	73	80	97	74.0
15.	75	82	74	91	100	99	100	100	100	100	100	100	100	100	100	100	100	100	100	100	100	100	100	100	96.7
16.	100	100	100	100	100	100	100	100	100	100	100	100	100	100	100	100	100	100	100	100	100	100	100	100	100.0
17.	100	100	100	100	100	100	100	100	100	100	100	100	100	100	100	100	100	100	100	100	100	100	100	100	100.0
18.	100	100	100	100	100	100	100	100	100	100	100	100	100	100	100	100	100	100	100	100	100	100	100	100	100.0
19.	100	100	100	100	100	100	100	100	100	100	100	100	100	100	100	100	100	100	100	100	100	100	100	100	100.0
20.	100	100	100	100	100	100	100	100	100	100	100	100	100	100	100	100	100	100	100	100	100	100	100	100	100.0
21.	100	100	100	100	100	100	100	100	100	100	100	100	100	100	100	100	100	100	100	100	100	100	100	100	100.0
22.	100	100	100	100	100	100	100	100	100	100	100	100	100	100	100	100	100	100	100	100	100	100	100	100	100.0
23.	100	100	100	100	100	100	100	100	100	100	100	100	100	100	100	100	100	100	100	100	100	100	100	100	100.0
24.	100	100	100	100	100	100	100	100	100	100	100	100	100	100	100	100	100	100	100	100	100	100	100	100	100.0
25.	100	100	100	100	100	100	100	98	99	97	100	100	96	91	89	90	92	96	96	89	90	89	88	89	95.4
26.	95	97	97	95	98	98	99	90	93	93	95	97	99	100	100	100	100	100	100	100	100	100	99	99	97.7
27.	99	100	100	100	100	94	95	94	96	95	98	92	96	99	100	100	100	100	100	100	100	100	100	95	98.0
28.	94	96	94	95	91	91	82	85	95	94	98	99	92	98	94	100	100	100	100	100	100	100	100	100	95.8
29.	100	100	100	100	100	100	98	100	100	100	99	99	98	97	98	99	100	100	100	100	100	99	99	99	99.4
30.	99	99	98	98	98	98	97	87	57	52	56	77	79	77	77	85	86	92	72	79	90	98	77	98	84.4
31.	89	91	80	89	68	80	67	63	43	81	44	43	70	81	87	94	94	73	56	53	42	39	92	38	69.0
Mittel	98.0	97.9	97.3	98.0	97.7	97.7	96.9	95.4	94.3	94.3	93.7	94.5	95.6	96.8	96.9	97.9	98.2	98.0	96.6	96.4	95.7	95.8	97.4	96.9	96.6
August																									
1.	50	50	46	48	39	35	33	38	38	28	40	46	81	80	80	73	87	89	61	60	44	58	42	32	53.3
2.	37	37	66	57	58	35	34	37	42	48	91	91	91	87	100	97	90	92	100	99	95	93	94	91	73.6
3.	94	97	95	98	95	87	90	89	89	98	100	90	91	84	97	90	83	83	80	79	86	85	84	87	89.6
4.	88	79	81	81	82	78	76	70	68	78	83	73	75	85	90	97	100	100	100	99	98	99	99	99	86.6
5.	85	80	75	62	96	91	91	86	85	89	86	72	70	71	70	71	95	94	94	98	93	89	88	85	84.0
6.	84	84	81	81	86	91	97	97	97	96	98	96	83	87	97	100	100	100	100	100	100	100	100	100	94.0
7.	100	100	100	100	100	100	100	100	100	100	100	100	100	100	100	100	100	100	100	100	100	100	100	100	100.0
8.	100	100	100	100	100	100	100	100	100	100	100	98	99	99	99	99	100	100	100	100	100	100	100	100	99.8
9.	100	100	100	100	100	100	100	100	100	100	100	100	100	100	100	100	100	100	100	100	100	100	100	100	100 0
10.	100	100	100	100	100	100	100	99	99	100	100	100	100	100	100	100	100	100	100	100	100	100	100	100	99.9
11.	96	95	94	93	92	91	90	84	84	85	90	91	93	97	97	98	98	97	97	97	97	97	97	97	93.6
12.	97	91	94	97	97	94	88	90	89	97	100	100	99	97	98	98	98	99	99	99	100	100	100	100	96 7
13.	100	100	100	100	100	100	100	100	100	100	100	100	100	100	100	100	100	100	100	100	100	99	99	100	99.9
14.	99	99	99	98	99	100	100	100	100	100	100	100	100	100	100	100	100	100	100	100	100	100	100	100	99.8
15.	100	100	100	100	100	100	100	100	100	100	100	100	100	100	100	100	100	100	100	100	100	100	100	100	100.0
16.	99	100	100	100	100	100	100	100	100	100	100	100	100	100	100	100	100	100	100	100	100	100	100	100	100.0
17.	100	100	100	100	100	99	89	80	78	91	79	92	99	98	99	99	99	99	98	98	86	87	62	80	92.2
18.	82	61	72	87	82	75	73	65	65	66	74	81	92	94	94	93	93	91	94	92	94	94	92	94	83.3
19.	92	88	93	94	97	94	97	96	95	93	93	90	92	96	100	88	99	100	100	99	100	100	99	99	95.6
20.	99	99	97	95	98	98	98	100	100	100	100	100	100	100	100	100	100	100	100	100	100	100	100	100	99.3
21.	100	100	100	100	100	100	100	100	100	100	100	100	100	100	100	100	100	100	100	100	100	100	100	100	100.0
22.	100	100	100	100	100	100	100	100	100	100	100	100	97	100	84	95	86	56	57	59	76	60	47	50	86.1
23.	44	49	56	60	69	68	69	55	55	56	53	62	63	74	75	81	73	74	72	50	53	61	71	80	63.5
24.	83	72	74	72	63	97	94	92	78	75	75	65	66	70	71	84	79	95	85	79	94	92	97	97	81.2
25.	96	96	97	97	97	98	98	100	100	99	100	100	100	100	99	100	100	100	100	100	100	99	99	99	98.9
26.	99	99	96	55	77	83	93	88	78	78	78	82	84	93	91	84	95	98	67	62	67	48	46	60	79.2
27.	55	68	78	83	77	66	68	72	72	69	69	65	61	78	94	92	98	98	56	41	61	66	72	73	72.2
28.	67	69	54	44	40	48	60	64	65	65	68	74	70	78	89	96	97	95	90	82	78	77	72	72	71.4
29.	68	70	75	70	70	69	67	67	70	76	73	80	80	83	83	90	87	82	78	74	82	88	70	59	75.5
30.	64	71	71	63	64	66	80	85	87	87	88	95	96	95	90	84	82	87	87	93	100	100	100	99	84.8
31.	99	99	99	99	98	98	98	100	98	97	92	95	94	92	92	92	95	95	96	96	96	97	96	97	96.3
Mittel	86.4	85.6	86.9	85.0	86.3	85.8	86.5	85.6	84.9	86.2	88.0	88.3	89.5	91.5	93.2	93.6	94.6	94.5	90.7	88.9	90.3	90.0	87.9	88.7	88.7

Hygrometer-Registrierung. **Zugspitze.** 1913.

Datum	1a	2a	3a	4a	5a	6a	7a	8a	9a	10a	11a	12m	1p	2p	3p	4p	5p	6p	7p	8p	9p	10p	11p	12mn	Mittel
September																									
1.	97	98	98	93	90	86	88	84	83	81	83	86	92	96	98	99	100	100	100	89	93	94	96	99	92.6
2.	99	98	97	97	96	95	94	92	93	95	91	85	87	90	88	97	99	99	99	98	98	98	99	99	95.1
3.	98	99	99	99	99	100	100	100	100	96	96	96	91	90	93	98	100	100	96	80	69	68	70	78	92.3
4.	82	84	86	85	82	82	80	78	77	79	78	75	76	79	75	74	76	76	83	82	85	88	90	96	81.2
5.	98	98	98	86	88	90	91	89	96	98	97	98	98	98	98	99	99	99	99	100	100	100	100	100	96.5
6.	100	99	98	98	98	98	98	99	100	98	96	94	93	91	92	92	93	94	95	95	96	96	96	96	96.0
7.	96	89	75	90	91	92	92	94	94	88	89	79	78	83	81	81	78	63	76	65	67	61	69	62	80.5
8.	66	68	81	82	82	84	84	83	80	77	85	90	91	86	89	88	92	87	97	89	92	92	96	96	85.7
9.	97	98	96	95	93	93	93	95	92	86	92	89	87	89	89	96	100	100	100	100	100	100	100	100	95.0
10.	100	100	100	100	100	100	100	100	100	99	99	98	98	99	99	100	100	100	100	100	100	100	100	100	99.7
11.	100	100	100	100	100	100	100	100	100	100	97	79	69	84	72	76	60	60	59	47	50	50	48	47	79.1
12.	46	46	46	45	45	47	48	43	44	44	51	51	55	62	60	76	66	60	64	90	94	92	77	73	59.4
13.	83	90	85	85	75	76	79	75	77	76	81	82	88	93	95	95	96	96	93	93	89	86	82	79	85.4
14.	79	80	81	82	84	85	80	85	91	89	93	93	96	94	95	93	95	91	95	91	91	93	93	95	89.3
15.	100	100	100	100	100	100	100	99	100	96	96	96	99	100	100	100	99	99	98	98	98	98	98	97	98.8
16.	97	97	97	97	95	95	89	84	85	82	88	96	98	94	93	91	92	94	94	90	92	97	100	98	93.1
17.	100	100	100	100	100	100	98	99	99	99	95	98	94	94	93	86	100	93	93	97	96	96	100	93	96.8
18.	79	73	71	74	74	87	94	95	97	96	97	98	96	98	97	95	98	99	99	99	99	99	100	99	92.2
19.	99	99	99	99	100	100	100	100	100	94	100	99	97	96	96	97	98	98	98	99	100	100	100	100	98.7
20.	100	99	100	100	100	100	100	99	100	100	99	99	97	96	96	97	98	98	99	99	100	100	100	100	99.0
21.	100	100	100	100	100	100	100	94	93	92	92	93	93	93	94	95	97	97	98	99	100	100	100	100	97.1
22.	100	100	100	100	100	100	100	97	99	99	99	99	100	100	100	100	100	99	98	98	98	98	98	99	99.2
23.	99	99	99	99	100	100	100	99	100	99	100	100	100	100	100	100	100	100	100	100	100	100	99	97	99.6
24.	95	93	85	72	71	70	70	69	68	76	81	78	79	75	78	83	91	93	95	94	94	93	85	88	82.3
25.	75	76	84	88	90	90	94	93	87	87	94	93	91	96	100	100	97	97	88	86	91	95	71	66	88.7
26.	56	53	64	74	55	54	54	54	58	52	52	47	50	54	29	59	62	66	77	89	90	88	91	76	62.7
27.	75	76	81	79	79	80	85	84	84	81	79	83	88	96	97	88	82	80	74	65	66	62	62	63	78.7
28.	63	63	59	61	62	64	65	70	77	90	94	99	98	98	97	96	97	94	88	87	86	83	85	89	81.9
29.	88	92	94	99	95	99	94	86	92	92	96	93	89	87	88	91	87	92	86	92	87	88	83	87	90.7
30.	90	92	83	83	82	89	89	68	72	65	66	74	77	82	84	91	96	93	90	93	91	89	88	88	84.0
Mittel	88.6	88.6	88.5	88.7	87.5	88.5	88.6	86.9	87.9	86.9	88.5	88.0	88.2	89.8	88.9	91.1	91.6	90.6	91.0	90.1	90.4	90.1	89.2	88.7	89.0
Oktober																									
1.	88	90	91	92	93	88	88	89	93	93	93	97	100	96	94	95	93	93	93	91	88	69	71	71	89.5
2.	68	71	71	79	77	79	78	78	77	78	79	80	85	86	89	92	92	92	90	90	85	84	76	78	81.4
3.	79	85	86	84	83	82	82	79	78	77	78	80	80	83	85	89	93	93	94	94	92	93	92	84	85.2
4.	79	76	76	78	78	81	83	88	83	80	77	75	76	91	94	95	94	95	94	94	94	95	95	95	86.1
5.	96	97	98	99	98	99	100	100	100	100	95	93	93	92	92	94	95	97	98	99	100	99	99	99	97.2
6.	100	100	100	100	100	100	100	98	97	97	97	96	94	94	96	93	95	92	87	83	82	82	86	89	94.1
7.	93	93	94	91	90	92	92	97	94	88	92	90	86	86	87	86	81	82	81	81	82	83	82	80	87.6
8.	83	86	88	89	85	85	86	82	84	89	88	90	90	91	95	96	95	94	97	100	100	100	100	100	91.4
9.	100	100	100	100	100	100	100	100	100	100	95	86	94	89	95	98	98	97	97	99	100	100	98	98	97.7
10.	97	97	97	96	95	94	94	82	89	82	75	71	63	58	54	63	69	69	69	72	75	74	70	72	78.2
11.	69	75	80	61	32	26	24	27	24	23	30	38	48	56	59	68	76	82	87	99	100	100	100	100	61.8
12.	100	100	100	100	100	100	100	100	100	100	100	100	100	100	100	100	100	100	100	100	100	100	100	100	100.0
13.	100	100	100	100	100	100	100	100	100	100	100	100	100	100	100	100	100	100	100	100	100	99	97	97	99.7
14.	94	92	87	63	67	55	47	37	37	37	37	36	34	34	33	30	27	25	22	22	20	18	18	17	41.2
15.	18	19	18	16	16	15	15	14	16	14	18	20	21	30	32	35	36	42	45	53	95	95	95	96	36.5
16.	98	100	100	100	96	95	87	79	93	57	32	27	33	30	23	23	23	25	28	34	22	16	13	14	52.0
17.	13	13	19	30	31	33	34	37	38	38	41	42	41	40	42	42	40	41	43	35	43	49	47	50	36.8
18.	47	35	27	22	14	22	25	20	19	28	30	30	31	32	31	32	26	22	21	24	26	20	18	22	26.0
19.	22	24	24	24	23	22	22	24	22	24	26	28	29	32	34	34	35	35	33	39	36	36	33	30	28.8
20.	34	33	34	35	36	36	38	39	40	40	34	32	35	43	49	54	56	53	52	43	33	31	30	24	38.9
21.	25	27	32	32	33	33	34	44	44	44	45	49	52	54	54	55	56	54	53	55	58	58	58	57	46.1
22.	59	59	68	76	74	74	73	69	72	73	73	73	73	70	69	72	73	78	81	86	88	90	98	98	75.8
23.	95	93	89	91	84	81	86	80	67	54	65	53	54	57	62	63	61	63	68	65	59	60	70	85	71.0
24.	87	86	86	93	100	100	100	100	100	100	100	100	100	100	100	100	100	100	100	100	100	100	100	100	98.0
25.	100	100	100	100	100	100	100	92	82	74	74	76	80	78	76	73	71	69	62	57	55	56	60	56	78.8
26.	56	53	49	46	42	38	35	36	46	50	52	51	55	62	67	67	75	73	71	74	76	79	78	83	58.9
27.	81	83	90	96	96	96	92	83	80	80	83	87	86	85	88	92	90	92	91	91	80	80	61	65	85.3
28.	63	60	59	59	60	61	56	58	59	71	78	86	81	80	78	84	91	99	95	95	90	85	84	93	76.0
29.	98	100	100	100	100	100	100	100	100	100	98	93	91	90	89	89	90	92	90	88	89	90	91	94	94.7
30.	91	96	92	94	88	88	93	97	93	100	90	76	90	100	98	97	93	100	99	97	100	98	93	92	94.4
31.	97	99	100	98	96	97	100	93	96	90	91	92	93	89	92	94	94	91	88	82	72	68	65	63	89.2
Mittel	75.2	75.5	76.0	75.6	73.8	73.3	73.0	71.7	71.7	70.4	69.9	69.6	70.6	71.9	72.8	74.4	74.8	75.5	75.2	75.6	75.5	74.4	73.5	74.3	73.5

Hygrometer-Registrierung. **Zugspitze.** 1913.

November

Datum	1a	2a	3a	4a	5a	6a	7a	8a	9a	10a	11a	12m	1p	2p	3p	4p	5p	6p	7p	8p	9p	10p	11p	12m	Mittel
1.	59	55	55	52	51	50	50	47	36	39	57	44	43	44	48	55	57	64	69	69	70	73	79	87	56.4
2.	89	90	95	92	93	93	94	98	98	97	97	95	96	88	86	86	82	55	54	45	37	30	32	33	77.3
3.	29	28	32	31	30	30	28	35	29	25	22	23	26	28	35	40	72	65	85	77	81	88	81	79	45.8
4.	76	81	84	100	96	99	100	100	93	100	100	99	100	100	99	99	99	100	100	100	100	95	94	95	96.2
5.	96	100	100	100	100	100	100	94	91	90	83	90	91	94	95	94	89	87	91	85	77	82	80	90	91.6
6.	100	100	100	100	100	100	100	100	100	100	100	100	100	100	100	100	100	98	95	83	84	85	82	82	96.2
7.	82	83	81	81	82	86	88	89	100	100	100	95	92	100	100	100	100	100	100	100	100	100	100	100	94.1
8.	100	100	100	100	100	100	100	100	100	100	100	100	100	100	98	98	96	96	95	100	100	100	100	100	99.3
9.	100	100	100	100	100	100	100	100	100	100	100	100	100	100	100	100	100	100	100	100	100	100	100	100	100.0
10.	100	100	100	100	100	100	100	100	100	100	98	97	92	92	93	92	91	87	85	80	77	73	74	73	91.8
11.	73	74	75	76	80	81	83	73	81	88	87	86	85	84	85	84	86	87	91	92	91	91	90	92	84.0
12.	90	87	91	91	89	90	93	82	83	82	83	83	85	84	85	84	84	83	82	81	83	86	88	91	85.8
13.	96	99	94	97	98	99	100	93	96	100	100	100	100	100	100	100	100	100	100	100	100	100	100	100	98.8
14.	100	100	100	100	100	100	100	97	99	100	97	95	94	91	89	89	91	87	82	86	90	93	94	95	94.5
15.	96	97	96	97	98	99	100	100	100	100	100	100	100	100	100	100	100	100	100	100	100	100	100	100	99.3
16.	100	100	100	100	100	100	100	100	100	100	100	100	100	100	100	100	100	100	100	100	100	100	100	100	100.0
17.	100	100	100	100	100	100	100	100	100	100	100	100	100	100	100	100	100	100	100	100	100	100	100	100	100.0
18.	100	100	100	100	100	100	100	100	94	89	90	91	91	91	87	75	70	76	84	81	78	78	78	76	88.7
19.	77	85	86	94	96	100	100	100	100	100	100	100	100	100	100	100	100	100	100	100	100	99	96	81	96.4
20.	68	61	70	69	68	63	62	68	62	64	63	64	69	79	75	80	74	75	75	75	82	87	79	71	71.0
21.	67	71	74	75	73	74	72	70	71	69	66	67	68	68	65	63	64	62	60	60	58	55	54	54	65.8
22.	55	55	58	59	62	63	68	76	82	85	81	79	80	83	79	81	82	83	85	86	86	78	74	70	74.6
23.	71	65	62	59	60	61	59	59	59	58	59	59	58	59	60	54	52	50	49	53	54	58	62	67	58.6
24.	73	74	79	77	80	81	80	81	80	78	94	98	100	100	100	100	100	100	100	100	100	100	100	100	90.6
25.	100	100	100	100	100	100	100	100	100	100	100	100	100	100	100	100	100	100	100	100	100	100	100	99	100.0
26.	97	96	95	94	92	91	90	92	95	95	94	91	82	73	62	55	73	72	68	59	57	56	49	59	78.6
27.	66	68	99	84	89	91	100	100	100	100	100	100	100	100	100	100	100	100	100	100	100	100	100	100	95.7
28.	100	100	100	100	100	100	100	100	100	100	100	100	100	100	100	100	100	100	100	100	100	100	100	100	100.0
29.	100	100	100	100	100	100	100	100	100	100	100	100	100	100	100	100	100	100	98	96	89	91	90	86	97.9
30.	86	84	84	89	90	82	84	81	86	86	94	87	87	95	99	100	100	99	100	100	100	99	98	98	92.0
Mittel	84.6	85.1	87.0	87.2	87.6	87.8	88.4	87.8	87.8	88.2	88.8	88.1	88.0	88.4	88.0	87.6	88.7	87.5	88.3	86.9	86.5	86.6	85.8	85.9	87.4

Dezember

Datum	1a	2a	3a	4a	5a	6a	7a	8a	9a	10a	11a	12m	1p	2p	3p	4p	5p	6p	7p	8p	9p	10p	11p	12m	Mittel
1.	97	97	96	94	93	92	89	82	84	78	85	83	85	83	84	84	86	86	88	91	93	97	99	96	89.3
2.	95	96	96	97	98	99	100	100	100	100	99	98	98	97	98	99	100	100	100	100	100	99	98	98	98.5
3.	97	96	95	95	96	95	93	88	80	77	76	74	73	70	71	72	73	73	71	71	67	66	65	65	79.1
4.	65	61	61	61	61	60	65	65	65	65	69	71	73	76	81	84	84	88	92	100	100	100	100	100	77.0
5.	100	100	100	100	100	100	100	100	100	100	100	100	100	100	100	100	100	100	100	100	100	98	98	100	99.8
6.	100	100	100	100	100	100	100	100	100	100	100	100	100	100	100	100	100	100	100	100	100	100	100	100	100.0
7.	100	100	100	100	100	100	100	100	100	100	100	100	100	100	100	100	100	100	100	100	100	100	100	100	100.0
8.	100	100	100	100	100	100	100	100	100	100	100	100	100	100	96	88	84	79	78	75	76	73	81	87	92.4
9.	94	98	97	99	99	100	100	100	100	100	100	100	100	100	100	100	100	100	100	100	100	100	100	100	99.5
10.	100	100	100	100	100	100	100	100	100	100	100	100	100	100	100	100	100	100	100	100	100	100	100	100	100.0
11.	100	100	100	100	100	100	100	100	100	100	100	100	100	100	100	100	100	100	100	100	100	99	98	97	99.8
12.	96	95	94	92	92	91	90	97	95	91	91	92	91	89	89	87	83	81	81	82	82	82	84	85	88.8
13.	87	88	88	91	95	100	100	100	100	100	100	100	100	100	100	100	100	100	100	100	100	100	100	100	97.9
14.	100	100	100	100	100	100	100	100	100	100	100	100	100	100	100	100	100	100	100	100	100	100	100	100	100.0
15.	100	100	100	100	100	100	100	100	100	100	100	100	100	100	100	100	100	100	100	100	100	100	100	100	100.0
16.	100	100	100	100	100	100	100	100	100	100	100	100	100	100	100	85	84	82	82	82	83	83	85	84	93.8
17.	86	88	88	89	91	94	94	89	94	95	94	94	94	95	97	98	100	100	100	100	100	100	100	100	95.0
18.	100	100	100	100	100	100	100	100	97	95	96	96	95	95	93	92	91	92	92	93	94	95	96	95	96.1
19.	94	94	93	92	91	89	89	80	83	88	88	91	90	82	82	77	71	68	72	71	69	71	71	66	81.8
20.	65	65	63	61	61	62	60	61	62	64	64	67	68	67	67	69	68	65	65	66	65	64	60	58	64.0
21.	57	56	50	52	55	51	45	45	48	52	50	49	44	42	48	56	61	61	60	53	44	49	49	52	51.2
22.	51	48	44	41	40	36	39	44	41	39	38	38	37	37	37	37	36	35	34	35	34	33	34	32	38.3
23.	34	36	44	45	40	38	36	36	38	38	38	34	38	41	48	43	44	45	43	37	38	35	32	33	38.9
24.	30	36	40	31	36	37	37	38	37	40	40	37	41	42	46	51	54	58	57	75	95	100	100	100	52.4
25.	100	100	100	100	100	100	100	100	100	100	100	100	100	100	100	100	100	100	100	100	100	99	98	97	99.8
26.	100	100	100	100	100	100	100	100	99	95	93	89	86	76	74	76	77	80	80	76	74	71	76	68	87.1
27.	64	61	56	54	56	59	60	62	68	64	65	64	64	65	68	70	73	75	71	69	66	75	72	74	65.6
28.	71	73	74	77	77	68	70	61	63	66	69	70	75	77	80	81	82	84	91	99	100	100	100	100	79.5
29.	100	100	100	100	100	100	100	100	100	100	100	100	100	100	100	100	100	100	100	100	100	100	100	100	100.0
30.	100	100	100	100	100	100	100	100	100	100	100	100	100	100	100	100	100	100	100	100	100	100	100	100	100.0
31.	100	100	100	100	100	100	100	100	100	100	100	100	100	100	100	100	100	100	100	100	100	100	100	100	100.0
Mittel	86.5	86.7	86.4	86.2	86.5	86.2	86.0	85.4	85.6	85.4	85.6	85.4	85.5	85.0	85.8	85.4	85.5	85.5	85.7	86.3	86.4	86.7	87.0	86.7	86.0

Anemometer-Registrierung. **Zugspitze.** 1913.

Datum	0–1a	1–2a	2–3a	3–4a	4–5a	5–6a	6–7a	7–8a	8–9a	9–10a	10–11a	11a–m	0–1p	1–2p	2–3p	3–4p	4–5p	5–6p	6–7p	7–8p	8–9p	9–10p	10–11p	11p–mn	Mittel
Januar																									
1.	4.7	5.2	7.0	8.1	7.1	5.2	8.1	8.1	7.9	8.4	10.6	9.0	8.4	9.0	6.5	4.9	4.1	5.2	4.9	3.6	2.8	2.3	1.8	2.0	6.04
2.	3.6	5.5	5.5	3.6	4.4	4.7	4.9	4.2	4.2	3.3	3.9	4.9	4.2	4.2	3.3	3.9	3.3	2.5	3.1	2.5	1.5	2.5	<1.0	<1.0	3.49
3.	1.5	<1.0	0.0	<1.0	0.0	<1.0	2.8	1.8	2.3	2.0	1.8	1.5	1.3	2.0	2.0	1.8	2 3	2.3	2,0	3.1	1.5	1.8	3.1	3.1	1.69
4.	2.3	2.5	2.3	1.8	<1.0	<1.0	<1.0	3.1	3.9	2.8	3.3	3.6	4.7	4.9	5.2	5.2	5.5	4.7	5.5	5.5	6.0	5.7	4.7	4.9	3.67
5.	7.1	5.7	5.2	4.4	2.3	1.5	1.5	3.9	7.1	7.1	7.6	8.4	9.0	9.2	9.2	10.6	11.1	11.4	9.2	9.0	7.6	6.5	9.0	9.2	7.20
6.	8.6	5.7	5.5	4.4	3.3	3.1	3.3	4.9	7.1	7.1	5.5	6.3	9.0	9.5	8.4	5.5	5.5	4.1	4.7	5.5	6.0	5.2	5.2	4.7	5.75
7.	4.4	3.1	2.0	2.3	2.5	1.5	<1.0	<1.0	<1.0	<1.0	1.5	1.8	2.3	5.5	6.8	6.0	4.7	4.4	6.5	5.5	5.2	6.3	5.5	5.5	3.47
8.	4.1	4.1	4.1	3.3	3.1	1.5	2.5	3.9	4.9	5.7	5.5	4.4	2.3	4.1	6.3	6.3	6.0	5.5	3.1	4.1	3.9	3.1	2.5	2.5	4.03
9.	2.3	<1.0	<1.0	1.5	<1.0	<1.0	<1.0	2.5	2.3	2.3	3.1	3.6	3.9	3.9	2.8	3.6	3.6	3.3	2.0	2,8	4.1	3.9	4.4	3.9	2.49
10.	4.1	4.4	5.5	6.0	4.1	4.7	6.8	6.5	6.3	7.1	8.1	8.1	7.3	7.3	6.0	4.9	4.9	6.3	7.3	8.4	6.3	6.8	6.8	6.8	6.28
11.	6.7	6.7	6.6	6.6	6.6	6.5	6.5	6.4	7.5	7.2	12.2	11.1	13.3	12.2	11.4	10.0	7.5	7.5	8.6	6.4	7.7	9.1	7.2	7.5	8.29
12.	8.3	8.6	9.5	10.4	11.3	12.2	13.0	13.8	10.4	12.6	10.9	11.2	9.0	9.8	10.7	10.9	16.1	10.9	9.8	9.5	8.7	9.5	9.8	9.0	10,66
13.	8.0	7.9	6.7	5.6	4.5	3.4	2.3	2.3	1.4	2.0	3.1	10.1	9.4	7.2	8.3	9 7	11.4	9.1	6.1	5.8	5.3	5.0	4.8	4.5	6.00
14.	5.3	5.6	5.3	5.3	5.6	8.0	7.2	7.2	8.0	9.1	8.9	6.1	9.7	9.1	5.3	5 6	8.0	9.1	9.1	8.6	9.7	8.3	6.4	8.3	7.45
15.	9.7	10 5	11.2	12.0	12.7	13.5	14.3	15.0	6.7	8.0	12.5	11.4	7.5	6.7	6.4	6.9	6.4	8,0	8.6	8.3	9.7	11.4	10,0	8.9	9.85
16.	7.7	5.8	4.2	4.8	5.8	6.9	6.1	6.9	7.5	6.7	4.2	5.0	6.4	8.0	4.2	4.5	10,0	10.8	11.6	11,1	8.9	7.7	10,8	10.0	7.32
17.	16.1	13.9	10.0	11.9	15.2	7.5	9.4	11.1	15.8	13.6	11.9	15.8	17.8	14.2	13.9	15.2	11.4	11.6	8.3	5.8	7.5	12.7	11.4	12.2	12,26
18.	10.5	10.7	10.9	11.1	11.3	11.5	11.7	11.9	5.3	4.8	5.8	4.5	5.3	4.8	6.1	6.9	8.0	8.0	7.5	6 4	7.5	11.6	8.6	7.7	8.27
19.	8.1	8.5	8.9	9.2	9.6	10.0	10.4	10.8	9.1	6.9	6.9	5.8	7.5	9.1	10,8	11,6	11.6	11.4	11,1	13.9	13.6	14,2	13.0	13.3	10,22
20.	11.9	13.3	11.4	10.3	12.6	12.2	13.0	13.9	16.9	16.1	13.9	11.9	10.3	7.2	6.4	5.3	7.5	7.2	7.2	6.4	5.6	4.2	5.0	7.5	9.88
21.	10.7	11.2	14.6	16.1	13.2	13.2	12.9	16.3	18.9	15.5	14.1	12.6	14.1	12.1	10.4	11.8	10.4	11.8	11.5	12.9	13.5	11.5	10.7	12.9	13.04
22.	12.1	11.2	11.4	11.6	11.8	12 0	12.2	12.4	8.7	10.7	15.8	10.9	9.3	10.1	16.3	13.5	13.2	12.1	13.5	13.5	13.5	13.2	9.7	9.3	12.00
23.	9.8	10.3	10.8	11.3	11.9	12.4	12.9	12.1	12 4	15.8	14.4	16.1	20.0	16.9	18.0	28.5	32.3	26 9	28.3	25.2	19 7	17.8	14.2	18.6	17.36
24.	18.4	18.1	17.8	17.5	17.2	17.0	16.7	16.4	14.4	17.2	17.5	18.4	20.0	16.9	14.2	13.9	13.9	11.4	11.9	14.4	16.4	14.2	14.2	14.7	15.95
25.	13.9	11.6	12.6	11.6	12.6	13.6	14.7	13.6	14.2	13.0	15.0	13.9	11.5	14.2	12.5	11.1	12,2	11.9	14.4	11.1	8 9	11.4	8.3	9.7	12,40
26.	9.9	10.1	10.3	10.5	10.8	11.0	11.2	11.4	10.0	6.7	11.4	7.5	9.7	7.5	8.4	9.5	8.7	10.4	7.0	7.3	8.1	10.4	10.7	8.7	9.47
27.	8.0	7.3	6.6	5.9	5.2	4.5	3.8	3.1	3.1	3 4	6.4	7.5	6.4	9.0	8.4	8.4	10,1	12.4	12,1	12,1	13.5	12,6	10.4	11.8	8,00
28.	12.1	11.2	11.5	12.6	12.1	10.1	11.8	12,1	12.9	6.4	7.3	5.9	5.6	5.6	5.3	6.7	6.7	7.3	7.5	6.7	6.4	8.7	8.1	6.7	8.64
29.	6.7	6.8	6.8	6.9	6.9	6.9	7.0	7.0	9.8	12.7	9.3	6.7	6.7	8.1	9.8	8.1	7.3	6.1	6.1	6.4	6.4	6.4	4.7	4.2	7.24
30.	3.7	3.7	3.1	3.1	4.7	3.1	2.5	5.0	6.4	5.9	5.0	4.2	4.7	5.0	5.3	4.7	4.4	4.7	4.2	3.9	3 4	3.9	3.7	5.0	4.32
31.	4.7	5.9	4.7	8.7	7.8	9.3	12.4	17.8	16.9	17.2	24.8	28.5	20.3	18.6	14.4	11.2	11.8	12.4	13 2	15.5	13.5	13.5	13.5	11.8	13.68
Mittel	7.90	7.58	7.48	7.69	7.62	7.32	7.80	8.56	8.46	8.30	9.10	8.93	8.95	8.77	8.48	8.60	9.04	8.73	8.58	8.43	8.14	8.43	7.68	7.90	8.27
Februar																									
1.	11.9	12.0	12.1	12.3	12.4	12.5	12.6	12.7	10.4	9.6	9.6	11.0	11.8	14.5	16.7	13.4	17.2	15.8	18.9	19.2	18.9	13.9	9.0	7.4	13.16
2.	9.9	24.2	26.4	19.4	22.1	18.3	26.9	14.7	8.5	7.7	11.0	13.1	14.8	13.4	10.4	11.5	11.8	8,0	7.7	8.2	7.4	11.2	13.9	17.5	14,06
3.	19.4	20.5	20.5	19.2	19.7	18 3	17.8	16.4	15.3	18.0	18.0	13.4	15.8	13.9	15.3	11.5	13.1	16.6	14.1	10.9	12.1	11.5	10.7	15.2	15.72
4.	11.2	17.5	20.0	17.5	15.8	11.8	10.4	10.7	12.6	13.5	9.0	9 3	9.5	8.7	7.3	5.9	6.7	7.0	6.4	7.8	5.9	5.9	4.5	3.1	9.92
5.	5.9	7.8	7.0	8.4	9.3	9.5	8.7	9.3	10.9	8.7	8.1	9.3	9.3	8.4	8.1	8.1	7.3	8.7	9.3	9.8	11.2	10.4	11.2	10.9	8.98
6.	11.5	9.8	8.1	6.4	4.7	3.0	1.3	0.0	3.9	3.7	5.3	5.9	6.4	5.9	6.4	9.0	10.1	9 5	8.4	7.5	6.4	3.9	4.5	5.6	6,13
7.	5.6	6.1	5.6	5.0	4.5	3.7	4.2	4.7	5.9	4.2	4.7	5.0	2.0	3.1	4.5	3.9	5.0	5.3	3.7	2.8	2.5	2.0	1.7	1.7	4.06
8.	3.4	5.6	7.3	7.5	7.5	8.1	6.4	3 7	7.5	9.3	9.5	9.5	7.8	6.1	7.5	10.9	9 0	8.1	7.0	8.4	7.0	5.8	3 7	2.7	7.05
9.	1.2	1.6	1.6	2.1	2.9	4.2	6.9	6.9	7.2	4.8	5.3	5.6	6.6	7.7	8.0	6.3	7.4	7.4	8.8	11.2	8.8	8.0	8.2	8.8	6.15
10.	7.4	6.6	5.6	8.2	7.4	7.7	5.6	6.3	5.0	5.3	9.0	6.1	4.0	4.0	2.9	3.5	3.5	4.8	7.2	9.0	10.1	10.1	9.9	9.3	6.60
11.	12.3	10.7	10.5	10.3	10.0	9.8	9.5	9.3	7.4	5.8	9.6	12.3	12.1	9.6	10.7	10.7	11.0	11.2	11.2	11.8	11.2	10.4	9 6	9.0	10.25
12.	9.3	9.9	9.3	9.6	9.6	10.7	11.5	10.7	13.4	12.3	11.0	12.1	9.6	8.2	7.4	7.2	7.4	8.2	7.2	8.5	7.7	12.1	7.2	4.2	9.35
13.	5.3	5.8	6.3	5.6	5.3	8.8	8.8	14.5	13.1	8.5	11.2	9.3	13.9	15.0	11.8	11.8	7.7	8.8	13.4	9.6	11.0	12.3	12.4	12.4	10.11
14.	12.5	12.5	12.6	12.7	12.7	12.8	12.8	12.9	7.5	5.3	7.5	6.7	6.7	5.6	4.5	5.3	4.2	3.7	7.8	11.2	12.9	14.6	13.5	15.2	9.74
15.	8.1	8.1	10.4	9.3	9.5	10.7	10.1	11.8	13.8	11.2	12.1	10.1	10.4	9.3	8.4	8.7	7.5	5.6	6.1	6.1	5.9	5.9	7.0	6.7	8.87
16.	7.0	7.8	7.0	9.3	10.7	11.2	9.5	11.8	10.4	7.0	8.7	6.1	5.6	5.6	4.2	3.1	1.4	<1.0	2.5	<1.0	<1.0	2.5	2.3	1.4	5.75
17.	3.1	5.0	4.5	3.1	3.4	3.1	2.8	3.9	4.0	5.8	6.6	5.0	5.0	6.3	6.3	8.2	9.3	8.0	6.6	5.0	5.0	5.0	5.6	6.1	5.28
18.	7.2	6.1	5.6	4.5	4.8	5.0	3.5	4.0	2.4	2.4	2.4	2.7	1.2	2.1	3.2	4.2	4.5	5.0	5.3	4.8	3.5	3.5	3.2	3.7	3.95
19.	3.2	2.4	4.5	3.5	1.2	4.2	8.5	11.0	5.0	11.8	10.7	9.3	11.2	11.2	12.1	12.1	9.9	8.8	6.1	2.9	1.2	<1.0	1.9	2.9	6.53
20.	3.2	1.9	4.2	4.0	3.2	3.7	3.2	4.0	3.5	3.7	4.2	6.1	7.7	7.2	5.8	6.3	6.3	6.9	6.9	7.4	6.3	4.5	1.9	1.9	4.75
21.	2.9	4.5	5.8	6.6	7.2	6.3	6.1	5.0	4.2	4.0	2.1	1.9	1.6	1.9	1.2	<1.0	1.2	3.2	4.2	6.1	6.6	5.8	6.6	6.6	4.28
22.	5.8	5.8	4.2	4.8	6.1	6.6	6.9	6.9	7.2	5.0	6.9	7.2	7.2	6.6	6.9	5.6	5.6	6.6	6.1	6.3	6.9	6.9	6.9	7.2	6.34
23.	7.4	6.1	5.0	5.8	5.6	5.3	5.3	6.1	6.3	5.3	5.0	5.6	7.4	6.9	7.2	6.6	8.5	9.6	10.4	12.6	13.1	14.5	13.9	14.9	8.02
24.	10.4	9.9	10.7	9.0	8.2	8.8	5.8	4.5	3.2	<1.0	<1.0	0.0	1.2	2.4	2.7	2.9	4.0	6.3	5.3	5.0	6.1	5.8	6.1	5.6	5 25
25.	4 8	3.5	3.5	1.6	1.9	1.6	1.9	2.7	5.6	4.8	4.0	3.7	4.0	4.2	4.0	5.3	6.1	4.8	4.8	5.6	3.7	2.4	3.7	4.0	3.84
26.	2.7	2.7	2.7	<1.0	1.2	1.9	2.1	4.2	5.6	5.3	4.8	5.0	4.8	6.9	8.0	8.8	7.7	7.4	7.4	7.4	6.1	5.0	4.0	5.0	4.90
27.	5.8	6.0	6.2	6.3	6.4	6.5	6.7	6.9	6.6	6.9	7.2	6.3	7.2	9.6	9.3	8.5	10.7	10.7	10.4	13.7	11.8	10.7	9.6	8.0	8,25
28.	7.2	7.4	7.6	7.8	8.0	8,1	8.3	8.5	8.2	5.8	5.3	4.2	5.0	6.1	6.9	6.9	5.8	6 6	5.3	5.0	3.7	4.0	4.2	2.4	6.18
Mittel	7.34	8.14	8.39	7.89	7.90	7.94	8.00	8.00	7.66	7.03	7.49	7.21	7.47	7.51	7.42	7.40	7.50	7.63	7.80	8.03	7.64	7.49	7.03	7.05	7.62

Anemometer-Registrierung. **Zugspitze.** 1913.

März

Datum	0–1a	1–2a	2–3a	3–4a	4–5a	5–6a	6–7a	7–8a	8–9a	9–10a	10–11a	11a–m	0–1p	1–2p	2–3p	3–4p	4–5p	5–6p	6–7p	7–8p	8–9p	9–10p	10–11p	11p–mn	Mittel
1.	1.9	2.8	3.7	4.6	5.3	6.2	7.1	8.0	7.2	6.9	8.5	9.3	9.0	8.5	7.4	5.6	6.1	6.9	9.3	9.6	10.1	10.1	7.7	8.0	7.08
2.	8.0	7.7	6.9	7.7	8.8	10.1	10.1	10.4	9.9	9.0	8.2	6.9	7.2	8.2	7.7	9.3	10.1	10.7	13.1	14.5	11.5	11.8	13.1	13.7	9.78
3.	12.3	12.9	9.6	11.8	12.1	10.1	9.9	6.6	4.5	7.8	5.6	6.1	7.0	8.4	8.1	8.4	8.4	10.4	8.4	9.8	12.1	9.5	8.1	8.7	9.03
4.	7.3	8.4	15.8	10.7	13.2	10.4	10.7	10.7	12.1	12.6	9.5	7.8	12.6	10.9	10.7	9.8	9.0	10.9	10.1	8.7	9.5	7.8	6.4	5.6	10.05
5.	6.7	7.3	7.8	12.4	13.2	13.2	13.5	12.1	14.6	10.9	11.8	9.5	9.0	9 3	7.5	6.4	5.9	5.9	6.4	7.8	5.9	7.0	7.8	5.6	9.06
6.	5.3	7.5	6.7	8.1	9.3	9.8	9.5	9.8	11.5	9.3	9.3	9.0	8.4	9.8	9.5	10.1	11.2	10.4	11.2	9.8	10.9	11.8	10.7	11.5	9.60
7.	10.9	9.0	7.8	10.1	10.7	9.8	9.3	10.1	11.5	8.7	8.4	10.1	10.4	9.3	9.3	9.5	8.7	10.7	10.7	9.0	9.5	7.8	7.8	9.3	9.52
8.	8.1	9.5	11.8	8.1	7.8	11.2	10.1	10.1	14.9	13.2	13.5	9.5	9.5	10.7	7.3	7.8	5.0	9.5	12.6	13.8	6.1	2.8	5.6	7.8	9.43
9.	7.4	7.0	6.6	6.2	5.7	5.3	4.9	4.5	4.0	4.0	2.9	2.9	2.9	1.9	3.5	3.5	4.2	2.7	3.5	4.2	4.5	6.3	7.2	6.9	4.70
10.	6.6	8 5	8.0	7.4	9.6	9.6	7.4	9.9	13.1	12.9	11.8	9.0	10.7	9.6	9.0	9.3	11.0	15.6	16.1	17.2	13.9	13.4	10.4	10.1	10.84
11.	9.6	10.7	13.1	13.1	12.6	8.8	7.7	9.9	9.6	12.6	9.9	8.2	8.5	9.3	6.1	8.5	9.0	10.1	11.8	12.6	9.6	8.2	8.8	9.6	9.91
12.	11.2	7.7	5.8	5.8	5.6	10.4	11.5	13.4	10.1	8.5	5.6	6.1	4.8	3.7	3.5	2.7	1.9	1.9	4.2	6.1	4.8	7.4	9.6	9.9	6.76
13.	11.8	14.2	11.5	11.5	8.0	7.7	5.8	6.1	5.6	4.8	6.1	5.6	5.6	3.7	2.1	3.7	4.5	4.2	4.2	8.5	9.9	9.6	9.0	7.4	7.13
14.	5.3	6.9	8.8	7.4	7.7	9.0	6.9	7.7	8.2	8.2	5.8	4.2	7.7	6.1	5.0	5.0	5.3	8.2	10.4	10.4	11.5	10.4	9.6	9.9	7.73
15.	10.1	10.1	9.9	7.2	8.0	9.9	11.2	11.2	11.8	11.2	13.7	8.2	6.3	6.9	6.6	4.8	7.7	5.8	5.8	3.2	3.2	4.0	4.5	5.5	7.78
16.	6.5	7.5	8.5	9.5	10.5	11.5	14.2	12.3	15.0	11.5	12.1	12.6	14.2	14.5	8.5	6.1	6.1	6.9	10.7	12.9	17.2	17.2	15.8	12.3	11.42
17.	14.2	13.9	17.5	17.5	16.1	18.3	16.7	17.5	22.1	16.7	15.8	13.4	13.9	16.1	19.4	24.2	24.8	24.2	25.9	22.6	21.6	20.3	20.0	15.3	18.67
18.	13.4	12.9	12.9	11.2	9.9	8.5	7.2	6.6	4.2	5.3	4.8	4.5	4.5	4.5	4.0	3.2	2.4	2.4	2.9	2.4	1.2	1.6	2.4	2.1	5.63
19.	6.1	9.9	11.0	11.5	14.5	14.2	17.2	16.4	20.3	18.0	16.9	17.5	21.8	21.8	20.0	19.7	24.2	24.8	25.0	24.5	22.4	18.6	17.8	19.4	18.06
20.	21.6	18.9	16.9	15.6	17.5	14.5	14.7	11.2	15.8	11.2	10.1	9.3	11.2	11.5	11.2	9.6	10.1	11.8	16.1	16.4	16.9	15.3	15.3	15.0	14.07
21.	15.3	12.9	13.7	16.9	14.7	15.8	13.9	15.3	16.1	15.0	15.6	13.9	13.9	11.8	8.0	7.4	9.3	9.3	10.7	11.2	11.8	10.7	9.3	8.8	12.55
22.	9.6	9.3	8.8	14.7	14.7	10.4	11.2	12.3	15.6	15.8	16.1	17.2	13.7	13.9	15.0	17.8	18.3	17.2	20.5	17.2	19.4	20.0	17.8	14.5	15.04
23.	12.9	13.9	16.1	18.9	17.8	13.4	11.2	10.1	10.9	11.5	11.2	8.1	9.8	7.5	7.8	7.8	7.0	6.1	6.7	6.7	5.9	7.5	9.5	10.7	10.38
24.	7.0	6.0	5.0	4.0	3.0	2.0	1.0	< 1.0	8.1	8.4	7.5	8.7	6.7	3.9	2.8	4.2	2.8	3.1	1.7	0.0	0.0	0.0	< 1.0	0.0	3.66
25.	4.2	6.7	8.1	8.4	8.7	8.4	10.7	9.5	7.8	5.6	5.3	7.8	9.3	9.5	8.7	6.4	7.5	7.0	7.8	7.3	9.8	11.5	12.9	13.5	8.43
26.	15.2	18.9	22.0	21.7	20.9	16.1	9.8	12.4	13.5	12.1	12.6	11.2	10.4	11.8	12.6	14.4	15.8	20,0	18.6	12.1	12.6	6.4	6.4	9.3	14.03
27.	12.6	12.1	10.8	9.5	8.2	6.8	5.5	4.2	3.1	2.3	3.9	3.9	5.3	2.5	2.3	2.3	4.2	4.5	4.5	4.5	5.3	7.0	6.7	7.3	5.80
28.	9.0	9.0	10.9	10.9	7.5	7.8	8.4	7.0	7.4	9.6	11.2	11.8	9.6	9.0	8.0	8.2	5.6	2.7	4.5	7.4	6.3	8.0	5.6	5.6	7.96
29.	6.6	9.9	12.6	14.5	14.2	16.7	14.5	18.0	22.4	13.7	18.9	18.6	16.7	16.1	15.3	14.5	14.5	16.1	15.8	16.7	22.9	22.9	21.0	18.6	16.32
30.	17.8	14.2	11.8	11.5	12.6	14.5	13.4	12.9	13.2	14.4	13.2	12.4	18.3	14.6	17.2	14.9	14.4	13.5	10.7	7.0	12.6	12.1	12.6	11.5	13.39
31.	11.2	13.5	17.2	15.5	20.9	23.7	20.0	17.8	18.9	12.4	16.9	18.6	18.0	14.6	12.6	12.9	12.6	12.9	11.8	12.6	13.2	10.9	11.5	11.5	15.07
Mittel	9.86	10.31	10.89	11.09	11.27	11.10	10.49	10.48	11.71	10.45	10.41	9.74	10.22	9.67	89.3	8.97	9.28	9.88	10.70	10.54	10.71	10.25	10.06	9.84	10.29

April

1.	9.8	10.4	9.5	7.8	7.3	8.1	7.3	6.7	6.1	8.1	9.8	8.4	10.4	8.7	9.8	10.4	7.5	4.2	2.8	1.7	0.0	0.0	2.3	3.9	6.71
2.	4.5	4.1	3.7	3.3	3.0	2.6	2.2	1.8	1.4	0.0	0.0	0.0	0.0	0.0	0.0	< 1.0	< 1.0	0.0	< 1.0	< 1.0	4.7	6.4	7.8	8.7	2.43
3.	8.5	8.3	8.1	7.2	6.3	6.1	5.8	5.6	7.0	6.1	6.4	6.4	5.3	3.4	< 1.0	< 1.0	0.0	< 1.0	< 1.0	1.4	4.2	7.3	7.3	7.3	5.08
4.	7.3	6.1	5.0	5.0	5.0	6.1	7.8	10.9	9.5	10.9	9.5	8.1	9.0	9.0	7.8	8.7	7.0	5.3	9.3	12.4	17.2	15.5	14.9	16.6	9.33
5.	16.9	19.2	17.8	17.5	22.0	22.8	23.7	23.7	24.5	24.2	15.8	17.5	15.2	13.5	11.8	10.7	6.4	8.7	6.6	8.0	8.5	8.8	3.5	< 1.0	14.51
6.	< 1.0	< 1.0	2.4	2.1	2.9	3.5	4.8	3.2	3.9	3.9	3.9	2.5	2.3	2.5	5.3	4.7	4.5	5.0	7.3	7.5	6.4	12.1	10.4	9.3	4.68
7.	7.8	7.4	7.0	6.5	6.0	5.5	5.1	4.7	4.2	3.4	1.4	< 1.0	1.4	< 1.0	< 1.0	1.7	< 1.0	0.0	< 1.0	< 1.0	< 1.0	< 1.0	< 1.0	< 1.0	3.00
8.	< 1.0	< 1.0	< 1.0	< 1.0	< 1.0	< 1.0	< 1.0	< 1.0	0.0	0.0	3.1	2.8	1.7	1.4	< 1.0	< 1.0	0.0	0.0	0.0	0.0	< 1.0	< 1.0	1.4	1.7	1.00
9.	< 1.0	< 1.0	< 1.0	< 1.0	< 1.0	< 1.0	< 1.0	0.0	0.0	< 1.0	1.4	2.8	2.0	2.3	1.7	0.0	0.0	0.0	0.0	0.0	0.0	0.0	0.0	0.0	0.76
10.	0.3	0.5	0.8	1.0	1.3	1.5	1.8	2.0	3.1	4.5	5.9	5.0	3.7	4.5	5.9	5.3	5.3	6.7	5.6	4.7	10.4	13.2	10.4	9.8	4.72
11.	10.7	10.9	12.1	12.0	11.8	11.7	11.6	11.5	8.4	9.3	9.0	5.6	5.6	5.3	9.5	8.4	8.1	8.4	9.8	10.4	5.6	4.5	7.0	7.3	8.94
12.	9.5	12.9	15.8	15.5	14.9	13.8	11.8	16.1	23.7	22.3	18.9	10.9	11.5	16.1	12.6	11.5	8.7	4.2	5.9	6.1	4.2	3.4	3.1	5.0	11.60
13.	4.2	3.1	2.3	2.3	2.5	3.9	4.2	4.5	4.5	2.8	2.5	1.4	3.7	3.4	3.1	3.4	2.8	4.5	5.0	3.9	3.9	3.9	3.4	3.4	3.44
14.	2.5	2.5	< 1.0	< 1.0	< 1.0	1.4	1.4	< 1.0	1.7	2.8	2.3	< 1.0	< 1.0	< 1.0	< 1.0	< 1.0	1.4	2.0	4.2	4.2	4.7	4.7	2.3	2.5	2.07
15.	4.7	7.0	4.5	2.0	1.7	3.7	7.0	5.9	6.4	5.3	4.2	4.5	3.4	4.2	4.5	4.5	3.9	4.5	4.2	4.2	4.2	3.4	2.5	2.0	4.37
16.	4.7	4.2	3.9	4.2	2.8	4.2	5.3	7.3	8.7	9.8	8.1	7.5	8.4	8.4	9.5	10.1	10.7	10.1	10.4	11.5	10.9	10.9	11.8	10.1	8.06
17.	15.5	17.2	13.2	13.8	13.5	13.2	12.9	12.6	13.2	9.5	9.3	10.7	10.7	9.3	12.4	13.2	14.4	13.5	12.6	10.4	8.1	5.6	6.1	8.1	11.63
18.	6.4	6.4	6.7	7.0	7.4	7.8	8.1	8.4	5.0	3.1	2.3	< 1.0	< 1.0	9.3	9.3	7.8	5.6	5.0	3.9	3.9	5.0	4.7	7.0	8.7	5.87
19.	10.4	8.1	7.8	6.7	7.8	6.4	7.0	6.7	6.1	8.4	11.2	12.1	8.7	8.1	9.0	10.4	10.9	12.1	11.8	12.4	11.5	10.9	12.1	11.5	9.50
20.	12.1	12.0	11.9	11.8	11.8	11.7	11.6	11.5	9.5	8.7	7.3	7.5	8.1	9.8	10.4	11.2	9.8	10.4	9.3	8.1	8.7	9.3	6.7	9.0	9.93
21.	8.8	8.6	8.4	8.1	7.9	7.7	7.5	7.3	10.1	9.0	8.1	6.4	4.7	5.9	5.6	6.1	7.5	9.5	8.4	9.0	10.1	11.2	7.8	7.5	7.97
22.	7.1	6.8	6.4	6.1	5.7	5.4	5.0	4.7	5.0	3.7	2.3	2.3	1.7	1.7	1.7	3.1	2.8	5.3	4.5	5.0	3.4	2.3	2.0	3.1	4.05
23.	3.9	4.2	3.1	1.4	2.3	3.1	3.4	3.4	< 1.0	< 1.0	3.7	4.7	4.2	2.8	2.8	2.5	2.8	3.4	6.4	6.4	6.7	3.6	4.5	2.0	3.55
24.	4.2	6.1	5.3	3.9	4.2	5.9	4.7	5.6	5.6	6.1	5.3	5.0	3.1	3.4	3.1	2.3	< 1.0	1.4	1.7	7.3	11.2	9.3	7.8	7.3	5.03
25.	5.9	5.6	5.9	2.0	3.9	7.3	9.3	12.4	14.4	10.7	8.4	9.8	10.4	8.4	8.7	2.5	< 1.0	2,0	4.2	3.4	2,8	3.9	4.2	4.5	6.32
26.	5.9	5.3	5.3	4.5	4.5	4.7	4.2	4.5	5.0	3.9	3.7	3.9	3.4	4.5	5.0	4.7	4.2	4.5	4.7	4.7	4.7	6.1	6.7	7.5	4.84
27.	6.4	6.7	5.6	5.3	4.2	4.2	3.7	< 1.0	0.0	0.0	< 1.0	< 1.0	2,3	2.8	2.5	3.1	2.8	1.4	0.0	0.0	0.0	1.4	1.7	2.3	2.48
28.	2,5	1.7	< 1.0	2,0	2.5	2.8	3.7	3.9	3.7	3.9	3.9	3.1	2.8	2,3	2.3	2,3	1.7	< 1.0	< 1.0	< 1.0	0.0	< 1.0	2,0	< 1.0	2,21
29.	2.8	3.1	3.1	2.5	2.5	2.0	2.0	1.7	2.3	3.4	3.9	2.5	3.4	3.7	3.7	3.7	3.4	2.5	2,3	3.1	3.1	2.5	3.1	4.2	2.94
30.	3.1	2.3	3.1	2.0	0.0	< 1.0	< 1.0	0.0	< 1.0	< 1.0	2,3	2,8	2.5	2,3	1.7	2,0	2.5	3.1	3.7	4.2	3.7	4.5	4.2	5.0	2.46
Mittel	6.31	6.46	6.09	5.55	5.62	6,00	6.20	6.32	6.50	6.23	5.83	5.27	5.05	5.30	5.46	5.28	4.62	4.66	4.95	5.23	5.53	5.81	5.50	5.71	5.65

Anemometer-Registrierung. **Zugspitze.** 1913.

Datum	0-1a	1-2a	2-3a	3-4a	4-5a	5-6a	6-7a	7-8a	8-9a	9-10a	10-11a	11a · m	0-1p	1-2p	2-3p	3-4p	4-5p	5-6p	6-7p	7-8p	8-9p	9-10p	10-11p	11p-mn	Mittel
Mai																									
1.	6.4	5.6	4.2	4.5	3.1	2.3	<1.0	<1.0	4.2	3.1	3.1	3.7	2.8	3.1	3.4	3.7	3.1	<1.0	1.7	2.5	3.7	2.3	2.8	3.1	3.14
2.	2.8	2.5	2.1	1.8	1.4	<1.0	<1.0	0.0	0.0	<1.0	0.0	0.0	<1.0	<1.0	1.4	2.5	3.7	3.7	3.4	2.5	2.3	1.7	1.7	2.3	1.70
3.	2.5	2.7	2.8	3.0	3.2	3.3	3.5	3.7	5.3	4.2	3.4	2.8	3.7	4.7	3.7	2.8	2.3	2.0	3.1	2.8	2.5	2.5	1.7	1.5	3.07
4.	<1.0	<1.0	<1.0	<1.0	<1.0	0.0	0.0	0.0	1.7	3.1	4.5	5.9	5.9	5.0	4.2	4.2	2.8	2.8	1.7	1.7	2.5	3.7	4.7	5.9	2.72
5.	4.7	3.7	4.7	3.7	3.1	2.0	2.0	2.5	2.5	2.5	3.4	2.5	2.5	1.7	2.3	1.7	2.3	2.3	3.4	3.7	4.5	3.9	2.8	3.1	2.98
6.	3.4	4.2	3.7	3.5	3.3	3.1	3.0	2.8	<1.0	<1.0	<1.0	1.4	<1.0	1.7	2.5	2.3	2.8	2.8	2.0	2.5	3.4	4.2	4.5	4.2	2.72
7.	5.1	6.0	6.9	7.7	8.6	9.5	10.4	8.1	7.0	6.1	6.4	6.1	5.6	5.0	7.3	5.9	5.0	4.5	6.1	3.7	4.2	5.0	4.7	6.4	6.30
8.	6.7	4.5	6.7	9.3	9.3	7.5	5.3	4.5	6.7	8.1	9.8	10.9	9.3	7.0	5.0	5.6	6.7	6.1	7.0	7.5	7.3	6.7	5.6	5.3	7.02
9.	6.6	7.2	7.2	5.6	7.2	6.1	5.6	5.0	4.5	3.7	2.4	2.4	1.9	1.2	2.1	2.1	1.6	1.9	2.1	2.1	2.7	3.7	2.9	2.9	3.78
10.	3.7	2.9	4.5	4.2	3.9	3.4	2.8	<1.0	<1.0	1.4	1.4	3.1	4.2	7.0	6.1	5.0	5.0	5.3	5.0	5.6	6.1	6.1	5.0	5.9	4.15
11.	6.7	7.5	8.3	9.0	9.7	10.5	11.3	12.1	10.1	8.7	8.7	5.9	8.7	10.9	9.8	9.5	9.5	7.8	7.5	7.3	6.4	6.4	6.4	5.0	8.49
12.	4.5	5.3	3.9	2.5	1.4	0.0	0.0	0.0	0.0	<1.0	<1.0	<1.0	<1.0	1.7	2.5	3.7	2.8	4.5	3.4	3.1	3.4	2.8	3.1	3.4	2.33
13.	3.7	4.2	3.4	4.5	3.9	3.9	3.4	2.8	2.5	2.0	2.5	1.4	3.7	5.0	5.3	5.9	5.9	4.7	5.3	5.0	3.1	3.9	5.0	5.6	4.03
14.	4.5	2.8	1.4	2.5	3.1	3.9	4.5	4.7	5.9	2.8	3.4	4.2	5.0	2.8	3.7	5.6	7.0	7.5	7.8	8.4	10.4	13.2	15.5	13.5	6.00
15.	14.9	12.4	12.1	13.8	9.0	8.7	7.8	10.7	12.6	7.0	10.4	9.3	7.3	7.3	7.0	7.3	7.8	11.5	12.1	12.9	12.9	14.1	12.4	10.4	10.49
16.	12.4	13.5	12.6	13.2	9.3	9.3	10.9	9.5	10.4	10.1	7.8	12.1	9.3	5.6	7.3	7.8	6.1	6.4	7.8	9.3	10.4	12.1	10.9	13.2	9.89
17.	16.3	10.9	10.9	10.8	10.7	10.7	10.7	8.4	7.4	9.5	10.7	11.2	11.2	10.7	8.7	9.8	11.5	9.8	8.7	9.8	9.3	13.2	12.6	10.9	10.60
18.	9.5	9.8	11.8	10.7	11.8	12.9	12.6	11.8	11.5	8.7	8.4	6.4	8.7	6.7	6.4	5.0	3.7	5.9	7.5	9.3	8.4	7.5	6.4	6.5	8.66
19.	6.6	6.8	6.9	7.0	7.1	7.3	7.4	7.5	6.7	5.6	6.4	5.0	3.7	6.4	6.4	4.7	3.7	4.5	10.4	9.3	7.8	9.5	5.6	3.4	6.49
20.	5.0	5.6	5.6	5.5	5.5	5.4	5.4	5.3	6.1	5.6	7.8	5.9	8.1	6.1	8.4	7.8	5.9	8.1	6.7	5.6	5.6	5.6	5.8	6.0	6.18
21.	6.2	6.4	6.6	6.8	7.0	7.1	7.3	7.5	7.8	8.4	9.5	8.7	7.3	6.7	5.3	4.2	4.2	4.2	4.5	2.5	2.5	2.8	2.5	2.8	5.78
22.	3.7	5.9	8.7	9.0	7.5	8.7	9.3	10.1	9.0	9.0	8.8	6.9	8.0	8.2	6.9	7.2	6.9	7.7	9.3	7.7	11.2	9.0	7.2	7.2	8.05
23.	7.1	7.1	7.1	7.0	7.0	7.0	6.9	6.9	6.3	3.7	6.6	6.9	5.6	5.3	7.4	5.8	5.0	6.3	8.8	14.2	12.9	18.3	17.2	17.3	8.49
24.	7.3	7.4	7.5	7.5	7.6	7.7	7.7	17.8	12.9	14.7	16.4	11.5	5.8	3.5	2.7	1.9	2.4	3.5	4.2	5.9	6.4	3.7	3.1	2.3	7.14
25.	2.5	2.0	2.3	2.0	2.0	2.3	2.5	5.0	6.4	4.7	6.4	6.4	5.3	3.1	2.5	3.4	3.1	3.7	5.6	4.7	4.5	5.6	5.0	5.3	4.01
26.	5.6	5.6	5.0	4.5	3.7	4.2	3.1	3.4	4.2	4.5	3.9	2.8	1.4	2.5	5.0	3.4	2.8	3.1	4.2	5.3	5.9	6.7	7.3	8.4	4.44
27.	8.4	7.3	10.7	9.3	8.7	5.9	4.2	3.7	7.0	6.4	6.7	5.3	5.0	5.6	6.1	6.7	5.3	7.0	7.0	7.0	7.0	9.0	10.7	12.1	7.17
28.	9.0	9.0	9.0	8.9	8.8	8.8	8.7	8.7	9.3	14.1	11.8	11.5	11.2	11.2	10.7	10.1	14.4	14.4	13.2	11.5	11.5	8.1	8.1	7.7	10.40
29.	7.3	6.9	6.6	6.3	5.9	5.5	5.1	4.7	5.0	3.4	5.0	5.0	6.1	6.1	6.1	6.4	4.5	3.4	4.7	4.2	3.1	2.8	5.0	6.4	5.23
30.	6.1	6.4	5.6	5.0	4.7	5.9	6.4	3.7	<1.0	2.8	5.6	5.3	4.5	5.6	3.4	2.3	3.1	4.7	4.2	3.7	2.8	2.3	4.5	11.2	4.62
31.	9.3	7.0	3.9	3.1	3.4	3.1	2.5	1.4	<1.0	2.0	3.4	3.9	5.3	8.1	8.7	7.5	7.0	5.9	7.3	9.5	9.3	8.7	8.7	9.0	5.79
Mittel	6.44	6.13	6.25	6.23	5.87	5.71	5.56	5.62	5.71	5.45	6.02	5.66	5.49	5.37	5.43	5.22	5.09	5.39	5.99	6.16	6.26	6.62	6.43	6.72	5.87
Juni																									
1.	8.4	7.8	10.4	10.4	7.8	6.4	7.5	10.4	11.5	13.8	8.1	10.1	10.7	9.0	10.7	9.8	9.8	11.2	7.5	8.7	9.8	11.5	7.5	7.0	9.41
2.	9.8	9.3	6.7	7.8	5.3	6.7	2.8	3.7	4.2	4.7	6.7	5.3	5.0	5.9	6.7	6.1	6.1	4.7	5.6	8.1	6.4	7.8	5.9	6.4	6.15
3.	10.1	10.9	9.3	4.7	2.3	2.5	2.0	3.1	5.6	4.7	3.9	4.2	5.6	5.0	5.6	6.4	6.4	9.3	7.8	8.1	8.1	7.5	8.4	7.5	6.21
4.	3.9	2.5	3.4	2.8	2.3	6.1	7.3	8.7	8.7	6.1	5.9	5.6	5.0	5.6	6.7	7.0	8.1	7.8	14.9	13.8	8.4	7.3	3.7	5.6	6.55
5.	5.3	8.1	8.7	6.1	7.8	9.3	7.5	7.5	7.5	8.4	8.7	8.7	9.0	9.0	7.0	5.9	8.7	9.3	7.3	9.3	9.5	7.3	6.7	6.6	7.88
6.	6.4	6.3	6.1	5.6	5.8	5.6	5.5	5.3	3.4	5.9	5.0	7.8	5.0	5.6	5.3	5.0	5.0	7.8	10.1	9.0	7.0	8.7	7.0	6.5	6.29
7.	6.0	5.5	5.0	4.5	3.9	3.3	2.8	2.3	3.4	<1.0	<1.0	1.7	1.4	<1.0	<1.0	<1.0	1.4	<1.0	1.4	0.0	2.3	6.1	4.5	3.4	2.70
8.	3.1	3.7	6.4	10.1	10.1	6.7	5.6	6.4	5.0	4.5	7.3	9.8	7.5	7.5	7.3	6.1	6.4	4.7	3.4	5.0	8.4	7.8	7.5	8.1	6.60
9.	6.1	5.6	5.9	8.1	7.8	7.8	5.9	6.7	8.4	6.7	4.7	5.0	5.3	5.6	5.9	7.8	9.8	7.3	6.4	5.9	5.0	6.4	7.5	7.5	6.63
10.	7.5	7.5	7.5	7.5	7.5	7.5	7.5	7.5	9.3	8.4	7.3	5.9	7.0	10.1	10.1	10.1	7.8	8.7	9.3	9.3	8.7	9.8	9.0	9.3	8.34
11.	9.3	9.5	10.7	10.4	10.7	8.7	9.3	9.0	9.3	9.5	9.3	8.4	7.5	8.7	8.7	8.1	7.8	7.3	7.3	6.7	7.0	7.8	7.0	7.0	8.54
12.	7.8	8.1	7.3	7.5	7.6	7.8	7.9	8.1	9.0	8.4	7.5	7.0	7.3	9.0	9.8	8.7	9.8	9.8	9.3	7.5	5.9	8.1	9.5	7.8	8.19
13.	7.8	7.9	7.9	8.0	8.0	8.0	8.1	8.1	8.1	5.9	6.1	7.3	8.4	9.0	8.7	9.5	7.8	6.7	6.4	6.1	9.0	6.4	5.6	5.3	7.50
14.	5.6	5.3	4.8	4.3	3.9	3.5	3.0	2.5	2.5	3.1	4.2	2.5	2.0	1.4	2.0	2.8	3.9	2.8	1.4	<1.0	1.4	5.3	5.9	6.1	3.38
15.	5.9	4.5	5.6	5.6	5.0	3.1	3.4	4.5	4.5	3.4	2.3	1.4	1.4	<1.0	1.7	2.3	2.8	4.5	5.3	5.9	5.6	5.6	5.0	5.0	3.97
16.	5.9	5.9	6.7	6.4	5.3	5.0	7.0	7.5	7.0	5.9	3.4	2.5	1.4	2.0	2.8	3.7	4.5	3.9	6.7	6.7	6.7	6.7	6.7	8.1	5.35
17.	8.7	8.1	7.3	8.7	8.4	7.5	7.3	7.3	7.3	4.7	4.2	4.5	3.7	3.7	2.8	3.1	3.4	3.9	3.7	2.8	3.9	3.9	3.9	4.5	5.30
18.	7.0	7.0	5.6	4.2	3.9	3.9	3.1	2.5	2.3	1.7	<1.0	2.0	2.3	3.1	3.7	2.5	2.5	2.0	2.3	2.3	3.4	4.2	4.5	6.1	3.47
19.	4.5	4.2	4.2	4.7	4.7	4.7	4.7	4.7	4.7	4.7	3.1	4.2	5.0	5.3	5.9	7.0	7.5	8.7	13.2	14.1	9.0	5.6	4.5	3.7	5.94
20.	3.4	3.7	2.8	3.7	2.3	2.3	2.3	2.8	3.7	3.7	1.7	1.4	2.3	<1.0	<1.0	2.3	1.7	2.3	2.0	2.8	0.0	<1.0	0.0	1.3	2.15
21.	2.6	3.9	5.2	6.5	7.8	9.1	10.4	9.3	7.8	6.4	5.6	4.5	4.5	4.7	3.9	4.2	4.2	4.5	4.7	4.7	4.2	5.0	4.2	4.1	5.50
22.	4.1	4.0	4.0	3.9	3.9	3.8	3.8	3.7	4.5	3.7	3.7	4.2	4.2	5.3	4.7	4.5	4.5	4.2	5.3	4.2	4.0	4.2	6.1	5.8	4.35
23.	5.7	5.6	5.4	5.2	5.0	4.9	4.8	1.9	2.1	3.7	2.7	2.7	2.4	2.9	4.5	4.8	2.7	2.7	4.0	4.5	6.9	6.1	5.8	7.7	4.36
24.	7.7	8.2	8.5	6.1	8.2	9.6	8.5	8.2	8.0	6.1	8.5	7.4	6.9	6.3	5.8	6.6	9.9	8.0	8.5	9.9	7.4	6.9	7.2	9.9	7.85
25.	8.5	6.1	5.8	5.6	5.7	5.9	6.0	6.1	5.3	3.5	2.4	2.9	2.4	<1.0	5.3	5.8	5.3	5.6	5.8	7.4	9.0	5.3	6.1	6.4	5.38
26.	6.7	7.0	7.2	7.4	7.6	7.9	8.2	8.5	9.0	6.4	8.1	7.0	8.1	9.8	9.0	8.4	6.4	7.8	5.6	5.0	5.9	7.0	5.3	5.4	7.28
27.	5.4	5.5	5.5	5.6	5.7	5.7	5.8	5.9	8.4	9.5	10.4	10.1	9.3	9.0	9.5	9.5	11.5	10.1	8.4	9.3	10.4	10.1	7.8	8.0	8.18
28.	8.2	8.3	8.5	8.6	8.8	8.9	9.1	9.3	7.5	8.7	8.7	9.5	10.4	10.1	10.1	11.5	8.1	9.3	9.5	9.8	8.4	9.0	8.7	10.9	9.16
29.	11.0	11.1	11.1	11.2	11.2	11.3	11.4	11.5	15.8	15.8	15.2	12.6	12.9	13.2	13.8	12.1	13.2	14.9	14.6	11.5	15.5	15.2	16.3	15.5	13.25
30.	14.8	14.1	13.4	12.7	11.9	11.2	10.5	9.8	10.4	6.4	4.2	5.0	7.2	5.3	4.2	2.8	2.8	3.1	2.5	2.3	3.1	3.1	3.1	2.8	6.95
Mittel	6.91	6.84	6.90	6.81	6.54	6.49	6.30	6.43	6.81	6.18	5.70	5.71	5.71	5.87	6.14	6.18	6.33	6.46	6.67	6.73	6.68	6.89	6.36	6.64	6.43

Anemometer-Registrierung. **Zugspitze.** 1913.

Datum	0–1a	1–2a	2–3a	3–4a	4–5a	5–6a	6–7a	7–8a	8–9a	9–10a	10–11a	11a–m	0–1p	1–2p	2–3p	3–4p	4–5p	5–6p	6–7p	7–8p	8–9p	9–10p	10–11p	11p–mn	Mittel
Juli																									
1.	2.8	2.8	2.3	2.0	1.7	1.4	< 1.0	< 1.0	2.5	3.7	5.0	6.1	7.0	7.3	7.5	7.0	7.0	4.7	5.3	4.5	4.2	3.4	3.7	4.1	4.08
2.	4.5	4.9	5.3	5.7	6.1	6.5	6.9	7.3	8.7	9.0	9.3	6.7	5.6	7.3	7.3	7.3	6.4	5.3	5.3	5.9	6.4	3.9	4.5	6.4	6.35
3.	7.5	5.3	5.3	4.5	4.7	3.7	3.7	3.7	4.7	4.2	4.2	4.7	5.0	4.2	5.9	4.5	4.7	5.3	3.9	3.9	5.0	4.5	3.7	4.1	4.62
4.	4.4	4.8	5.2	5.6	5.9	6.3	6.6	7.0	5.3	4.8	4.0	4.2	4.0	4.5	5.3	5.0	6.3	6.3	6.1	6.1	5.8	5.0	4.8	5.1	5.35
5.	5.4	5.8	6.1	6.4	6.7	7.0	7.4	7.7	6.9	6.3	4.0	3.5	5.0	5.8	5.6	6.1	6.6	5.8	5.0	3.7	3.7	3.7	3.2	4.0	5.48
6.	5.0	6.0	7.0	8.1	9.2	10.3	11.3	12.3	10.7	10.1	8.0	6.6	7.4	6.6	7.2	6.1	7.7	6.1	3.2	< 1.0	1.9	8.5	6.6	5.3	7.18
7.	5.6	5.2	4.9	4.6	4.2	3.9	3.5	3.2	3.7	4.2	1.6	1.6	2.4	4.0	4.8	5.3	6.6	4.5	< 1.0	0.0	0.0	0.0	< 1.0	< 1.0	3.20
8.	< 1.0	< 1.0	1.5	1.7	2.0	2.3	2.6	2.9	2.1	3.7	2.7	2.4	1.9	2.4	2.4	2.4	3.2	4.0	5.8	5.3	5.0	4.8	5.8	6.1	3.13
9.	6.6	7.4	6.3	6.9	7.7	8.5	9.3	10.1	8.2	10.1	9.0	7.4	6.9	8.2	7.4	5 8	6.6	6.6	5.3	4.8	4.5	4.5	4.5	3.5	6.92
10.	5.0	5.8	5.6	5.3	7.4	8.0	6.3	10.1	12.3	9.9	8.8	9.6	8.2	6 6	5.6	5.3	4.5	4.2	5.3	6.3	6.3	3.7	2.1	< 1.0	6.38
11.	0.0	3.2	5.3	5.5	5.7	5.9	6.1	6.3	6.6	5.6	4.5	5.8	5.0	4.8	5.8	4.5	4.8	5.0	5.3	5.6	5.8	5.6	5.5	5.4	5.15
12.	5.4	5.3	5.2	5.1	5.0	5.0	4.9	4.8	4.2	4.5	4.8	4.8	5.6	6.1	5.0	6.9	6.3	4.5	4.0	5.6	2.9	3.2	3.5	3.2	4.83
13.	4.2	2.4	2.7	2.9	3.7	3.2	4.2	5.3	5.0	3.2	2.4	2.7	2.1	2.1	3.7	3.5	3.7	3.7	5.0	6.9	8.0	8.2	8.5	8.2	4.40
14.	7.2	7.4	6.6	6.6	6.9	7.7	6.9	5.8	8.8	5.6	5.3	4.5	4.0	4.8	5.8	4.8	5.0	4.5	4.2	5.6	5.6	6.1	8.2	7.7	6.07
15.	9.9	11.2	9.0	4.5	5.8	6.3	6.3	5.3	4.8	3.7	6.1	6.1	6.1	4.5	4.2	5.0	4.2	4.8	5.0	4.0	< 1.0	1,6	3.2	5.0	5.32
16.	4.4	3.8	3.2	2.6	2.0	< 1.0	< 1.0	< 1.0	1.4	5.6	5.3	4.7	4.5	4.7	4.5	5.0	4.7	6.4	6.7	9.3	7.0	7.5	7.0	7.1	4.60
17.	7.1	7.2	7.3	7.4	7.6	7.8	7.9	8.0	8.1	6.7	6.4	6.1	5.0	7.3	7.3	7.5	6.7	7.0	9.3	8.7	7.5	7.0	6.8	6.5	7.26
18.	6.3	6.1	5.9	5.6	5.4	5.2	4.9	4.7	5.3	4.7	3.7	3.7	3.9	4.2	4.2	4.5	4.5	5.0	5.3	3.7	4.2	4.7	7.3	7.4	5.02
19.	7.5	7.6	7.7	7.7	7.8	7.9	8.0	8.1	10.1	11.8	8.1	9.0	10.4	8.7	11.5	11.2	9.8	9.0	9.8	8.1	8.1	10.4	10.1	9.8	9.09
20.	9.5	9.2	9.0	8.7	8.4	8.1	7.8	7.5	8.0	8.5	8.8	9.0	9.3	9.3	9.3	9.6	9.9	10.1	9.6	9.0	9.6	12.1	11.8	11.5	9.32
21.	11.2	10.9	10.5	10.1	9.9	9.6	9.3	9.0	6.6	6.6	7.4	6.9	5.3	6.1	5.3	5.3	6.1	5.6	6.3	7.2	6.6	8.5	7.2	6.9	7.69
22.	7.2	7.7	8.2	8.7	9.2	9.7	10.2	10.7	10.4	9.6	7.7	6.6	8.2	8.2	9.3	7.7	7.4	9.6	7.2	8.5	11.0	8.8	7.2	8.2	8.63
23.	8.1	8.0	7.9	7.8	7.7	7.6	7.5	7.4	10.4	7.5	7.5	7.8	7.8	8.1	8.4	6.7	3.9	3.9	6.1	8.1	8.4	6.4	5.3	5.0	7.22
24.	5.0	5.1	5.1	5.2	5.2	5.2	5.3	5.3	3.7	4.2	5.0	5.0	3.9	3.9	5.3	4.7	8.1	8.1	7.3	7.3	7.3	7.3	7.5	7.1	5.71
25.	6.7	6.3	5.9	5.5	5.1	4.7	4.3	3.9	3.9	4.7	4.5	2.8	3.7	3.9	2.0	2.5	< 1.0	1.4	1.4	2.0	1.7	2.3	2.5	3.1	3.58
26.	2.8	2.3	2.8	3.1	2.5	3.4	2.3	4.5	5.0	5.0	5.3	4.2	4.2	3.9	4.7	5.0	5.6	5.6	6.1	8.1	7.8	7.8	8.1	5.3	4.81
27.	3.9	5.3	5.1	4.9	4.8	4.6	4.5	2.5	2.3	3.7	4.7	4.7	3.7	5.9	5.0	4.7	5.6	4.7	5.0	4.5	4.5	5.3	3.4	3.7	4.46
28.	2.8	4.2	5.0	4.7	5.0	3.1	3.9	7.0	6.7	5.6	6.1	5.6	2.5	3.4	5.0	4.5	5.9	10.7	10.4	10.1	7.5	5.9	5.0	5.0	5.65
29.	6.1	6.7	7.0	7.0	7.3	8.1	7.5	7.5	9.0	7.0	6.1	7.3	6.7	8.7	9.3	9.3	10.1	11.8	11.5	13.8	10.4	9.3	10.9	9.8	8.68
30.	12.1	10.4	10.9	13.2	9.3	7.3	7.0	6.1	5.6	1.7	2.5	4.2	3.7	3.4	4.7	3.1	5.0	3.1	4.5	5.6	6.4	4.2	3.9	3.9	5.91
31.	5.9	5.6	5.6	5.6	2.5	5.0	6.4	6.1	5.0	4.2	2.8	< 1.0	< 1.0	1.7	1.7	3.1	2.5	3.4	4.7	4.7	5.6	4.7	4.5	5.6	4.12
Mittel	5.84	5.96	5.98	5.91	5.88	5.95	5.96	6.20	6.32	5.99	5.54	5.33	5.16	5.50	5.84	5.61	5.82	5.83	5.84	6.06	5.80	5.77	5.72	5.68	5.81
August																									
1.	6.3	5.6	5.0	5.3	5.8	7.7	6.6	6.1	4.8	6.6	5.3	3.5	2.9	2.4	1 9	< 1.0	2.1	2.4	2.7	4.5	4.8	5.6	4.0	4.5	4.48
2.	4.0	5.0	4.5	4.0	4.2	4.2	4.8	6.1	4.5	3.7	2.9	2.1	1.6	< 1.0	< 1.0	< 1.0	< 1.0	2.1	2.4	2.1	2.1	1.9	2.7	2.9	2.99
3.	2.9	3.7	4.8	4.5	5.3	5.0	3.7	4.5	4.2	4.2	6.6	5.0	3.5	4.0	2.4	3.5	3.2	3.7	3.2	3.7	4.8	5.3	5.0	4.5	4.22
4.	2.7	< 1.0	1.6	3.7	< 1.0	< 1.0	3.2	5.8	4.5	0.0	< 1.0	1.9	< 1.0	2.4	2.7	2.7	2.9	3.7	5.8	5.3	5.8	5 0	4.5	5.6	3.12
5.	6.3	5.8	6.3	6.3	6.1	6.6	6.1	6.1	8.5	5.3	6.1	5.8	4.8	4.2	5.3	6.1	5.0	8.0	9.3	10.7	8.5	9.3	10.1	10.4	6.96
6.	8.5	9.9	10.7	12.1	8.0	8.5	9.9	9.3	8.5	8.8	6.9	7.2	8.5	7.2	4.8	5.6	6.1	7.4	9.3	7.4	6.9	6.3	5.8	5.7	7.89
7.	5.6	5.5	5.3	5.2	5.1	5.0	4.9	4.8	3.2	5.8	4.5	4.8	4.2	4.8	4.5	4.5	5.3	5.0	5.6	5.8	5.6	6.1	6.1	5.0	5.09
8.	5.3	5.4	5.6	5.7	5.9	6.0	6.1	6.3	6 6	5.6	4.8	4.5	5.0	4.8	4.8	3.5	4.5	4.2	4.2	5.0	6.6	6.6	5.6	5.3	5.33
9.	5.6	6.1	7.4	6.1	4.8	3.5	3.5	3.2	4.0	4.5	4.2	5.6	6.6	8.0	6.9	6.1	6.9	5.6	4.8	6.1	7.2	9.6	9.2	8.8	6.01
10.	8.4	8.0	7.7	7.3	7.0	6.6	6.2	5.8	8.0	8.2	8.2	8.8	9.0	8.2	8.2	7.7	6.9	5.8	4.5	6.6	6.1	7.4	7.1	6.8	7.27
11.	6.5	6.1	5.8	5.8	6.1	6.3	7.4	9.9	10.4	11.2	8.2	7.7	7.4	6.1	6.1	6.6	9.0	9.0	6.9	8.0	9.9	10.4	10.1	9.0	7.91
12.	8.8	8.8	9.3	7.2	7.2	12.1	9.6	8.5	9.0	10.1	7.7	8.2	9.9	8.0	6.9	5.6	4.8	4.2	6.3	6.1	6.3	6.9	8.5	7.4	7.81
13.	6.9	6.4	5.9	5.3	4.7	4.2	3.7	3.2	3.5	3.5	3.5	2.9	4.0	5.0	5.6	5.6	5.0	4.5	8.8	5.3	6.3	6.6	4.5	5.8	5.03
14.	5.8	6.6	6.1	5.8	5.6	6.9	6.1	6.3	7.4	7.7	9.0	6.9	6.9	8.5	9.9	8.0	8.0	7.4	8.2	9.9	10.1	10.4	9.0	12.9	7.89
15.	10.4	11.0	9.0	9.3	9.6	9.8	10.1	10.4	10.1	9.0	9.9	8.2	9.9	8.8	10.4	8.8	9.6	9.3	11.2	12.1	10.4	9.0	9.9	8.2	9.77
16.	8.6	9.0	9.4	9.7	10.0	10.4	10.8	11.2	12.9	9.6	11.2	11.2	11.2	11.2	11.2	10.1	7.7	9.0	8.2	9.3	8.5	10.4	8.0	8.1	9.87
17.	8.1	8.2	8.2	8.3	8.4	8.4	8.5	8.2	11.2	8.7	7.0	6.4	6.4	5.3	4.7	5.0	3.9	5.6	7.0	7.0	6.7	6.4	6.1	5.9	7.07
18.	5.9	7.3	7.3	3.1	4.7	4.5	5.0	5.6	6.1	6.4	7.3	10.1	5.9	4.2	4.7	5.9	4.7	5.0	3.1	3.4	3.1	5.3	7.3	7.3	5.55
19.	8.7	9.8	9.8	6.4	6.1	7.3	5.9	5.0	7.8	7.5	7.0	6.1	5.3	4.7	4.2	13.5	8.4	6.1	5.9	4.7	6.1	7.8	8.7	10.9	7.24
20.	8.7	13.2	9.0	9.3	7.5	5.3	4.7	4.2	3.9	3.1	3.9	4.7	7.0	6.4	6.4	5.6	6.7	7.0	7.0	8.7	8.7	6.1	8.4	7.3	6.78
21.	7.0	6.7	6.4	6.0	5.6	5.3	5.0	4.7	4.2	2.8	3.7	6.7	7.8	9.0	10.4	9.5	9.0	8.7	9.8	7.8	7.0	7.0	10.4	9.8	7.10
22.	9.9	10.1	10.2	10.4	10.5	10.6	10.8	10.9	6.9	4.8	4.8	3.5	4.0	3.2	2.1	1.6	1.6	3.2	2.9	2.1	2.1	2.1	2.7	2.9	5.58
23.	2.7	2.7	4.8	5.3	5.3	3.2	2.9	5.0	4.2	5.3	4.8	4.8	4.2	2.4	1.6	2.4	4.8	6.6	4.5	4.2	5.8	4.0	2.7	4.2	4.10
24.	4.5	5.6	7.7	9.6	9.3	7.7	7.7	4.8	4.5	3.2	2.4	2.7	2.4	1.9	2.1	1.9	2.4	2.1	6.1	5.3	5.3	6.1	6.6	6.9	4.95
25.	5.8	6.1	6.9	7.2	8.8	8.2	8.2	7.7	8.2	9.0	9.0	8.2	8.5	9.9	9.6	9.3	9.9	7.4	7.2	7.7	9.0	8.5	7.7	6.6	8.11
26.	8.0	7.2	6.9	8.2	8.0	8.2	7.7	8.5	7.7	6.9	6.3	6.6	5 3	5.6	6.3	8.0	7.4	7.7	8.5	8.8	8.0	8.2	9.6	10.4	7.71
27.	9.3	9.0	9.0	7.4	9.3	10.4	9.0	9.3	10.7	6.1	6.3	5.0	4.8	6.3	6.1	6.6	7.4	8.0	8.0	8.0	7.7	6.3	8.2	8.2	7.77
28.	7.2	8.0	8.2	6.9	6.9	7.2	8.0	8.0	6.9	3.5	5.3	5.0	3.5	3.5	4.0	4.5	4.8	5.8	5.8	5.8	6.3	6.3	7.4	7.2	6.08
29.	7.2	5.6	5.6	6.3	6.9	6.3	6.6	9.0	9.0	8.0	5.0	4.5	3.2	2.4	2.4	3.2	4.0	5.0	4.0	4.0	4.2	2.9	3.5	1.9	5.03
30.	1.9	4.8	6.6	8.5	9.0	7.7	11.0	12.1	8.5	5.6	6.6	5.0	4.5	7.7	8.0	9.6	7.4	7.7	4.5	2.9	2.7	4.0	2.7	4.8	6.41
31.	4.5	6.6	4.2	4.5	5.0	5.0	4.8	4.2	6.1	2.4	2.9	3.5	5.6	5.3	5.0	5.0	3.5	3.5	3.5	3.5	4.2	4.2	5.0	6.1	4.50
Mittel	6.52	6.93	6.94	6.80	6.70	6.75	6.73	6.93	6.97	6.04	5.88	5.71	5.67	5.56	5.49	5.74	5.61	5.83	6.10	6.19	6.35	6.52	6.68	6.82	6.31

Anemometer-Registrierung. **Zugspitze.** 1913.

September

Datum	0–1ª	1–2ª	2–3ª	3–4ª	4–5ª	5–6ª	6–7ª	7–8ª	8–9ª	9–10ª	10–11ª	11ª–m	0–1ᵖ	1–2ᵖ	2–3ᵖ	3–4ᵖ	4–5ᵖ	5–6ᵖ	6–7ᵖ	7–8ᵖ	8–9ᵖ	9–10ᵖ	10–11ᵖ	11ᵖ–mn	Mittel
1.	5.3	6.3	7.4	8.8	8.8	8.2	9.3	8.2	6.3	4.2	6.1	5.6	5.8	4.8	6.1	7.7	4.5	6.9	9.0	11.0	9.6	7.4	7.2	5.6	7.09
2.	3.7	4.0	4.5	4.8	2.7	3.7	3.5	3.5	3.2	4.8	4.5	4.0	4.5	5.0	3.7	4.0	4.2	4.5	5.0	5.6	6.1	9.0	9.9	7.2	4.82
3.	10.1	10.4	8.2	9.0	9.0	9.0	9.3	9.6	7.7	6.1	5.8	4.2	4.0	4.0	3.7	2.9	3.7	5.0	5.6	6.3	6.9	6.6	6.3	5.6	6.63
4.	6.6	5.8	5.6	7.2	6.9	7.2	7.4	8.2	9.3	5.3	5.0	4.8	5.8	7.4	6.3	5.8	5.0	5.6	5.3	5.3	4.8	6.1	6.9	8.5	6.34
5.	11.0	12.1	12.6	11.8	8.8	5.0	4.0	4.8	3.7	4.2	5.6	3.2	4.2	8.0	6.3	6.9	5.8	6.6	9.0	7.7	10.4	11.2	12.6	10.4	7.75
6.	8.8	8.8	8.8	9.0	9.0	10.1	9.0	6.3	5.6	6.6	5.0	4.5	4.0	4.5	2.7	2.4	3.2	3.2	2.7	4.5	4.8	4.5	2.9	2.7	5.57
7.	4.2	4.5	4.5	4.8	4.8	5.8	4.2	4.2	4.5	2.9	3.2	3.7	3.2	3.7	2.4	2.7	2.4	2.7	1.6	1.9	2.4	2.7	2.7	2.7	3.43
8.	0.0	2.1	2.7	3.2	3.7	4.8	5.8	4.8	3.2	2.9	2.1	2.9	3.5	2.4	2.1	2.1	2.7	2.7	1.9	0.8	1.2	1.9	2.7	3.2	2.73
9.	4.2	4.2	2.7	3.5	3.7	1.9	2.4	4.0	3.7	4.5	4.0	4.2	5.6	4.5	4.5	3.5	5.0	6.6	7.4	6.3	5.8	4.2	5.3	5.8	4.48
10.	5.3	6.1	7.7	9.0	7.7	4.8	6.2	7.6	9.0	10.7	8.8	6.9	5.0	5.3	5.6	5.8	6.0	6.2	6.3	6.5	6.7	6.5	6.3	6.1	6.75
11.	5.9	5.7	5.6	5.4	5.2	5.0	4.8	3.9	3.0	2.1	2.9	2.7	2.1	3.7	5.8	5.6	7.7	6.6	5.0	6.6	5.6	5.0	3.5	3.5	4.70
12.	5.0	5.8	6.1	6.1	5.8	4.5	4.0	3.5	2.7	3.5	3.2	3.5	4.0	4.5	5.6	3.7	4.2	6.3	6.9	6.9	5.8	5.6	5.0	5.6	4.91
13.	5.0	4.2	5.0	4.8	5.3	4.5	5.0	5.3	6.6	6.1	8.0	9.3	6.9	5.6	7.7	7.7	8.2	11.8	12.6	12.9	12.9	12.3	12.3	12.6	8.03
14.	12.6	9.6	10.4	8.2	5.8	4.8	4.0	3.5	4.5	7.4	5.8	5.8	7.2	7.2	7.4	6.3	11.0	11.8	12.1	12.6	12.3	10.7	9.9	8.2	8.30
15.	6.3	6.3	6.3	7.4	10.1	11.2	13.7	18.0	22.1	18.3	11.8	8.5	7.4	8.5	8.0	7.4	7.4	7.4	7.4	7.4	7.4	7.4	7.4	7.4	9.60
16.	7.4	7.4	7.4	7.4	7.4	7.4	7.4	7.4	8.2	7.7	6.1	4.8	3.7	4.5	4.5	3.2	3.2	4.8	5.6	6.1	5.6	6.1	6.3	5.8	6.06
17.	5.8	6.6	6.3	5.3	5.0	6.1	8.5	9.0	7.4	5.0	4.2	5.0	5.3	4.5	4.0	3.5	5.3	5.0	5.6	5.6	5.0	4.0	5.6	6.3	5.58
18.	6.9	5.6	5.3	4.5	2.7	4.0	4.0	3.2	21.6	11.5	8.2	6.9	3.7	3.2	2.7	1.9	1.9	2.4	1.9	2.1	2.4	2.9	3.2	3.5	4.84
19.	3.7	4.0	4.2	4.5	4.8	5.0	5.3	5.6	5.6	5.0	2.9	2.7	1.9	3.2	2.1	2.4	3.7	4.1	4.5	4.8	6.9	6.6	5.8	4.2	4.31
20.	4.0	3.5	3.5	3.5	3.5	3.5	3.7	3.7	3.7	3.7	3.7	3.7	3.1	3.7	5.6	7.3	9.8	6.7	5.3	5.0	5.6	4.2	4.2	4.2	4.52
21.	4.2	6.1	5.0	4.2	4.2	3.7	3.1	5.0	6.7	7.0	5.6	4.5	5.6	6.4	7.3	5.6	5.0	8.1	6.4	5.3	5.0	6.7	5.6	4.5	5.45
22.	3.7	3.1	2.5	2.5	3.4	4.7	5.9	7.0	5.3	3.9	2.8	3.1	3.4	3.7	3.9	2.8	3.1	3.7	4.2	3.9	3.9	5.0	5.6	5.6	4.03
23.	6.4	5.6	5.3	3.9	4.2	3.9	3.7	3.1	3.9	7.0	7.0	6.7	8.9	7.3	5.9	5.3	4.5	3.4	6.1	6.4	5.3	3.9	4.2	3.9	5.24
24.	4.5	6.4	6.7	5.3	4.5	3.4	3.1	4.5	3.9	6.4	5.3	6.4	5.6	4.5	5.0	5.6	5.9	5.6	4.2	4.2	2.5	5.0	6.7	6.7	5.08
25.	7.5	5.6	5.3	6.1	6.4	8.4	8.9	10.0	6.7	6.4	5.3	3.4	3.1	5.3	6.1	5.6	6.4	9.8	9.3	9.3	10.9	9.8	8.1	11.4	7.30
26.	10.1	9.0	10.1	11.5	12.1	8.1	8.1	8.6	6.4	5.9	5.9	4.2	4.2	4.2	3.7	4.2	4.7	4.2	3.7	4.5	5.9	5.9	5.9	3.9	6.46
27.	4.5	5.0	4.5	3.1	2.5	2.3	2.0	2.3	3.7	5.6	7.8	7.5	7.8	10.3	9.7	6.4	4.2	2.8	2.0	2.5	2.8	3.7	3.7	4.5	4.63
28.	4.7	3.7	3.4	3.9	3.7	2.8	3.4	3.7	2.3	2.3	4.2	5.0	5.6	4.7	5.0	5.3	4.2	4.7	3.7	3.4	2.0	1.4	2.0	3.7	3.70
29.	2.3	2.5	2.5	2.3	2.5	1.7	0.3	1.7	2.3	4.5	5.0	6.4	5.3	4.7	3.4	4.5	3.4	4.2	4.7	6.4	7.3	7.3	7.3	6.4	4.12
30.	7.3	7.0	7.8	5.9	6.4	6.1	7.0	7.5	6.1	6.7	7.0	7.3	9.3	8.7	9.3	10.9	10.1	8.7	11.5	7.8	8.4	9.3	8.4	7.8	8.01
Mittel	5.90	5.90	5.93	5.90	5.69	5.39	5.57	5.93	6.30	5.94	5.43	5.05	4.99	5.27	5.20	4.97	5.21	5.74	5.88	5.99	6.07	6.10	6.11	5.92	5.68

Oktober

1.	6.4	3.7	5.3	3.9	3.1	2.5	2.0	2.5	4.2	4.2	4.7	7.5	7.5	8.4	7.8	7.0	5.3	7.0	5.9	7.8	10.7	10.1	9.3	8.4	6.05
2.	8.7	8.1	7.3	6.4	8.1	7.5	7.0	7.0	7.0	7.5	7.0	7.3	7.8	7.3	6.1	4.2	5.0	5.9	7.0	7.3	8.1	9.1	8.1	7.3	7.17
3.	6.4	10.1	9.8	8.7	8.7	7.8	6.4	6.4	7.5	3.1	2.3	3.9	4.5	5.0	3.9	3.1	3.9	5.3	5.6	5.6	6.1	7.8	9.3	11.2	6.35
4.	12.1	8.1	8.7	10.1	7.8	7.0	9.3	9.3	9.3	8.7	7.5	5.3	5.6	6.1	7.3	9.3	6.7	6.1	5.3	6.4	5.9	4.7	4.5	3.7	7.28
5.	4.7	5.0	7.3	5.3	4.5	5.1	5.8	6.4	8.4	7.0	8.1	7.0	5.3	2.8	4.5	6.2	8.0	9.7	11.5	13.2	15.0	14.0	14.0	13.0	7.99
6.	13.0	12.0	11.0	11.0	10.0	10.0	9.0	8.5	8.1	10.4	10.1	8.8	10.1	8.0	5.8	8.0	9.9	8.8	9.9	10.7	8.8	9.1	9.4	9.6	9.58
7.	9.9	7.2	8.0	11.2	12.3	10.7	9.0	8.5	10.7	8.8	8.5	11.0	11.0	14.2	14.5	17.5	15.3	14.2	15.3	13.9	17.2	16.9	19.2	19.4	12.68
8.	14.2	15.8	13.9	18.0	18.6	16.1	14.5	13.7	18.0	17.8	17.8	13.1	15.8	13.9	15.3	13.1	16.4	9.9	7.4	5.3	6.3	6.9	7.3	7.7	13.20
9.	6.9	6.8	6.7	6.6	6.6	6.5	6.4	6.3	6.9	10.1	12.6	10.4	8.0	7.7	7.4	6.9	4.5	6.3	7.2	5.8	5.6	3.7	3.5	4.5	6.83
10.	4.8	5.0	5.3	5.6	5.8	6.1	6.3	5.8	4.5	5.0	6.3	11.2	10.4	10.7	12.1	10.7	12.1	10.4	11.8	12.9	11.0	10.4	8.5	8.0	8.36
11.	8.8	10.4	7.2	6.9	7.7	6.1	4.5	6.3	8.8	9.9	8.5	7.2	8.0	7.2	8.0	8.2	8.2	6.6	5.8	6.9	6.3	5.3	5.6	4.2	7.19
12.	3.5	4.8	5.0	5.0	4.2	4.0	5.3	6.6	6.6	6.4	6.3	8.5	8.0	9.9	10.1	6.3	8.0	7.2	7.4	5.8	7.4	8.2	8.2	6.6	6.64
13.	5.6	5.6	5.6	5.6	5.6	5.6	5.6	4.5	4.2	2.4	5.0	3.2	3.5	2.7	4.0	3.7	4.5	3.5	3.7	4.0	4.2	2.9	3.7	3.7	4.28
14.	3.5	6.6	11.0	6.3	6.6	8.5	8.8	8.8	9.0	8.0	9.9	8.0	6.9	6.9	8.0	7.4	6.3	5.6	5.3	6.0	5.6	5.0	4.2	4.2	6.96
15.	4.1	4.1	4.0	4.0	3.9	3.9	3.8	3.8	3.7	3.7	5.3	5.3	7.2	7.7	10.4	6.6	8.0	8.2	6.1	6.9	8.2	7.7	6.9	5.8	5.80
16.	6.3	3.5	1.9	2.4	0.4	1.2	2.9	5.3	4.8	5.3	5.0	5.0	5.3	4.2	3.7	4.2	4.5	4.5	5.0	4.2	5.8	8.8	6.3	6.6	4.46
17.	5.8	5.6	6.1	7.4	5.8	6.3	7.2	7.2	8.0	8.0	9.0	11.0	8.0	6.9	8.0	5.6	3.2	3.2	3.5	3.5	3.5	5.0	5.8	4.8	6.18
18.	4.2	4.0	5.0	4.8	5.3	4.8	3.5	4.5	5.0	6.6	7.4	6.9	5.8	6.1	5.6	4.2	1.9	0.4	0.4	1.2	0.8	2.4	2.7	3.5	4.04
19.	3.7	5.0	7.4	8.8	6.1	7.4	8.0	7.2	8.2	10.1	10.1	6.6	7.7	9.6	7.7	6.9	6.1	6.6	3.5	2.4	3.7	2.4	2.1	1.2	6.19
20.	4.0	4.2	3.2	3.7	4.5	4.8	5.0	6.3	6.3	7.4	5.8	4.2	5.0	7.4	7.2	6.3	8.5	10.4	7.2	8.8	6.3	5.0	3.5	4.2	5.80
21.	5.0	4.5	5.3	9.0	6.6	6.6	6.0	9.3	10.1	9.6	11.8	10.1	15.0	12.3	18.9	18.6	15.8	19.7	14.7	18.9	18.9	15.8	18.9	19.4	12.53
22.	14.2	16.7	13.7	17.8	13.9	13.9	15.6	14.7	16.4	15 0	15.3	10.1	11.5	11.5	10.1	14.5	6.1	6.6	4.2	7.2	9.6	9.3	14.7	11.5	12.25
23.	16.4	15.8	18.0	12.6	11.8	8.8	9.6	12.9	14.2	13.4	11.2	15.8	13.9	12.6	9.6	10.1	9.0	7.7	9.3	9.0	7.2	4.8	5.6	9.6	11.20
24.	4.8	4.5	3.7	5.6	6.6	7.2	6.6	5.6	5.8	5.6	5.3	4.8	6.1	6.3	9.9	6.6	6.6	6.9	7.7	6.3	5.8	6.6	5.3	5.6	6.08
25.	5.3	5.8	5.0	5.8	5.6	5.9	6.3	6.6	6.9	5.0	5.0	7.4	7.4	9.3	11.2	9.0	7.2	5.8	8.0	8.0	9.0	8.0	6.1	3.5	6.80
26.	4.0	4.5	5.3	8.0	7.2	8.2	8.5	12.3	13.4	14.7	14.5	13.1	12.6	14.7	14.2	14.2	15.6	13.7	15.6	15.6	19.2	13.7	14.5	9.6	11.95
27.	10.4	11.0	8.8	9.0	9.9	9.3	11.0	7.2	8.2	8.2	9.3	8.2	12.1	10.4	8.2	8.0	8.8	9.0	12.3	13.4	16.1	14.5	16.1	11.5	10.45
28.	11.2	14.5	16.4	12.3	17.8	13.4	13.7	13.9	18.3	13.1	12.6	8.0	17.5	16.4	18.9	14.7	10.7	6.9	10.4	12.3	12.3	9.9	11.5	11.5	13.26
29.	11.2	11.2	12.9	10.7	10.4	9.9	8.8	9.6	7.7	6.9	6.3	8.8	6.3	5.0	4.0	6.1	6.1	10.1	11.5	16.9	17.2	18.9	19.2	11.8	10.31
30.	13.7	9.3	9.9	9.0	8.0	7.2	10.1	8.8	8.5	5.3	3.5	4.5	5.6	4.8	5.0	5.3	4.8	4.8	5.3	5.6	4.8	4.5	4.2	4.2	6.53
31.	3.2	1.6	0.8	2.4	2.9	2.4	2.4	3.5	5.8	4.5	4.8	4.2	4.8	4.8	4.5	4.5	5.6	6.3	6.1	5.6	4.5	5.3	6.3	6.9	4.32
Mittel	7.61	7.58	7.69	7.89	7.62	7.25	7.38	7.72	8.53	8.12	8.29	7.95	8.52	8.41	8.77	8.29	7.83	7.65	7.74	8.32	8.75	8.28	8.53	7.83	8.02

Anemometer-Registrierung. **Zugspitze.** 1913.

Datum	0–1ª	1–2ª	2–3ª	3–4ª	4–5ª	5–6ª	6–7ª	7–8ª	8–9ª	9–10ª	10–11ª	11ª–m	0–1ᵖ	1–2ᵖ	2–3ᵖ	3–4ᵖ	4–5ᵖ	5–6ᵖ	6–7ᵖ	7–8ᵖ	8–9ᵖ	9–10ᵖ	10–11ᵖ	11ᵖ–mn	Mittel
November																									
1.	7.4	7.4	10.1	8.8	10.1	9.3	7.7	9.0	8.2	5.8	4.2	4.8	5.3	5.8	5.0	5.0	5.6	3.2	4.0	6.1	7.4	7.7	6.9	5.3	6.67
2.	4.2	3.7	4.8	5.3	5.3	5.8	7.2	5.8	7.2	4.5	4.8	5.3	4.5	5.3	5.8	5.6	6.3	7.2	6.1	8.5	7.7	4.8	5.6	5.3	5.69
3.	4.2	4.8	6.3	4.8	6.6	8.5	8.8	6.1	7.2	9.9	8.8	6.3	6.9	8.5	5.8	5.8	5.8	7.4	7.2	7.2	8.0	6.6	7.7	6.3	6.90
4.	6.1	7.4	8.0	5.0	7.4	8.8	8.2	6.3	8.8	7.7	6.3	4.8	3.5	3.2	4.5	6.3	6.1	5.6	4.8	2.9	2.4	4.2	5.6	5.6	5.81
5.	5.0	5.0	4.0	2.9	3.5	4.0	4.0	5.3	6.6	8.5	7.4	6.9	4.2	6.9	10.1	9.0	9.6	10.4	8.5	9.6	11.0	9.9	8.5	12.1	7.20
6.	9.3	10.4	11.0	6.9	5.3	6.9	8.2	5.8	6.6	5.8	5.0	6.3	6.3	6.1	7.2	6.4	5.6	4.0	2.9	3.2	4.5	4.0	3.7	9.3	6.28
7.	8.2	7.4	7.7	7.2	5.6	5.8	5.6	5.6	4.2	5.6	5.3	4.0	3.5	3.5	5.8	6.1	5.0	5.0	5.0	4.2	7.4	8.2	6.3	6.7	5.79
8.	7.1	7.5	7.9	8.3	8.7	9.1	9.5	9.9	5.6	5.8	4.0	4.5	5.0	5.3	5.6	6.1	6.9	7.7	8.8	6.6	11.5	12.6	10.7	9.3	7.67
9.	7.4	6.6	5.6	6.3	4.8	4.8	6.1	7.4	6.1	6.9	9.9	7.7	6.1	7.6	9.0	7.7	9.0	9.3	8.2	11.2	14.7	7.4	7.4	7.3	7.69
10.	7.1	7.0	6.8	6.7	6.6	6.4	6.3	5.9	5.6	4.2	4.5	3.2	4.0	3.5	4.2	6.9	6.9	5.8	6.1	6.9	8.2	8.0	7.2	9.9	6.16
11.	10.7	9.6	9.0	11.0	12.9	14.2	8.5	11.5	13.4	16.1	13.4	16.1	20.5	19.4	20.0	15.8	16.7	19.4	13.9	16.1	16.7	20.0	18.3	19.4	15.11
12.	20.0	16.7	14.2	15.0	13.9	15.6	16.7	20.0	18.6	13.9	14.7	19.2	16.9	14.2	16.7	22.1	23.4	20.1	21.5	23.4	21.8	25.8	16.3	14.9	18.15
13.	11.9	12.2	7.3	4.9	4.9	5.2	5.2	4.7	4.7	4.7	5.2	3.1	4.1	6.3	8.7	7.3	6.8	4.9	5.2	9.0	8.7	6.3	7.3	7.5	6.50
14.	7.6	7.8	7.9	8.1	8.2	8.4	8.5	12.8	12.2	13.0	11.7	14.9	8.4	10.0	11.9	10.6	11.7	13.3	14.7	17.7	17.7	12.9	7.4	9.6	11.13
15.	8.0	5.6	5.8	7.0	8.3	9.4	10.7	6.1	5.6	5.6	6.3	5.0	3.7	6.6	9.6	8.5	11.0	10.1	10.1	6.9	6.6	11.5	8.5	5.6	7.59
16.	6.1	6.3	7.5	8.7	9.8	11.0	12.2	13.4	13.4	8.0	7.7	10.4	18.0	17.2	23.9	15.0	18.0	22.6	15.8	11.8	21.3	14.7	15.6	10.4	13.28
17.	9.0	10.9	12.8	14.7	16.6	18.6	20.5	22.4	16.1	14.2	15.0	9.3	12.1	12.3	21.8	15.8	14.6	13.4	10.1	7.7	8.8	7.7	8.0	8.0	13.35
18.	8.0	8.0	8.0	8.0	8.0	8.0	8.0	8.0	6.6	5.6	8.5	7.2	5.6	8.0	9.6	10.4	12.3	11.5	11.8	10.7	10.1	12.6	10.1	12.9	9.06
19.	12.3	8.2	8.5	7.7	8.8	11.0	9.0	6.9	6.1	6.9	9.9	9.2	8.5	6.6	6.6	6.5	7.8	7.2	7.2	7.0	8.1	4.7	4.2	5.6	7.69
20.	7.5	8.6	6.7	4.4	5.8	6.4	7.5	7.5	7.8	8.4	5.9	9.3	9.5	8.4	6.4	5.6	5.0	5.3	5.3	4.7	6.7	9.5	7.8	4.7	6.86
21.	2.5	2.0	4.7	7.0	9.0	8.7	9.5	11.2	12.4	15.2	11.8	12.9	10.9	11.5	11.5	10.7	14.4	11.5	13.8	13.8	14.4	12.9	12.6	12.4	10.72
22.	11.5	13.2	9.5	11.2	10.4	7.0	6.4	5.3	7.3	10.4	11.5	9.8	9.0	9.8	10.1	7.5	7.8	7.0	4.7	2.5	2.5	4.2	5.6	7.0	7.97
23.	6.7	3.4	3.9	4.5	5.9	8.7	9.0	7.5	7.5	8.4	7.5	8.7	8.4	5.9	6.7	6.1	7.3	5.9	3.9	6.1	9.5	10.7	8.7	8.1	7.04
24.	7.0	9.0	5.6	5.6	11.5	9.3	9.5	13.2	12.6	3.9	5.6	7.5	6.4	5.9	7.5	5.9	5.8	3.2	2.7	2.9	2.9	4.2	4.8	4.5	6.54
25.	2.1	1.6	1.2	1.2	1.2	2.1	3.1	4.0	2.9	2.4	3.5	4.2	5.6	4.8	4.0	4.0	3.7	4.5	3.2	2.9	2.7	2.1	1.6	1.2	2.91
26.	1.6	1.2	2.1	2.9	3.8	4.6	5.5	6.3	7.2	7.4	7.7	8.2	9.0	8.0	6.9	5.3	4.5	4.5	6.1	6.1	4.8	6.1	6.9	7.7	5.60
27.	8.2	7.7	10.4	9.6	12.6	11.0	10.1	11.5	15.6	11.5	15.3	13.1	15.6	13.1	11.5	10.9	10.4	8.0	6.9	5.8	7.0	8.2	8.2	6.1	10.35
28.	7.7	9.3	10.9	12.5	14.1	15.7	17.3	18.9	15.0	14.7	17.0	19.2	20.4	21.5	20.5	17.5	9.6	10.1	10.3	10.4	8.4	9.8	11.2	10.9	13.87
29.	10.4	8.7	8.7	9.1	9.5	9.9	10.3	10.7	7.5	4.7	7.8	7.8	6.4	6.1	7.5	9.8	9.5	9.9	10.2	10.6	11.2	10.9	11.4	8.1	9.03
30.	8.4	9.8	8.9	12.0	12.0	9.5	8.6	8.9	10.9	9.0	8.7	8.7	7.8	10.1	8.4	7.5	6.7	5.3	4.5	4.2	5.9	7.8	7.3	4.7	8.15
Mittel	7.77	7.57	7.53	7.58	8.37	8.79	8.92	9.26	8.98	8.29	8.50	8.59	8.54	8.71	9.76	8.92	9.13	8.78	8.12	8.22	9.29	9.20	8.38	8.21	8.56
Dezember																									
1.	4.2	5.9	6.1	4.7	3.9	3.9	7.8	8.1	9.5	9.8	9.8	10.4	11.5	14.4	11.2	10.4	11.2	9.5	10.1	12.1	12.9	13.2	9.0	7.8	9.06
2.	7.8	5.3	4.7	4.2	5.1	6.0	6.9	7.8	7.5	7.5	9.8	9.8	8.1	7.5	7.3	5.6	7.0	8.7	8.1	7.3	7.0	6.4	6.4	5.6	6.98
3.	5.0	4.7	4.2	5.0	7.0	6.1	8.5	10.9	12.9	12.1	14.4	12.6	15.2	13.5	13.2	11.8	15.2	12.6	13.5	14.4	14.9	11.5	13.5	14.4	11.13
4.	11.8	14.4	12.6	14.1	9.8	10.9	10.7	14.9	18.3	17.8	15.5	18.0	12.9	10.4	12.1	17.8	13.8	10.9	9.0	6.1	3.4	9.8	10.7	9.3	12.29
5.	7.3	7.3	7.3	7.3	7.3	7.3	7.3	7.3	5.0	9.8	9.3	8.1	7.5	7.5	10.1	5.3	8.7	14.1	15.8	16.9	19.7	18.9	15.5	16.9	10.31
6.	12.4	10.1	10.1	8.8	7.5	8.7	9.8	8.1	13.5	10.7	10.1	12.1	12.4	10.9	10.9	11.2	11.5	11.8	12.1	10.4	8.1	5.0	5.0	5.0	9.84
7.	12.0	12.0	12.0	12.0	12.0	10.4	10.4	10.9	9.3	7.5	10.4	7.8	7.8	7.8	7.0	9.8	7.0	6.7	5.9	8.4	7.3	7.8	9.5	11.5	9.30
8.	10.9	9.8	6.1	6.6	7.0	7.5	7.9	8.4	10.1	7.0	5.0	3.9	4.7	5.3	6.1	8.1	10.4	9.5	8.4	9.3	10.1	9.8	12.6	12.4	8.20
9.	14.4	14.8	15.1	15.5	15.8	16.2	16.5	16.9	12.1	10.1	11.2	12.4	10.1	7.3	9.3	7.5	8.7	9.8	7.8	8.7	7.3	5.3	8.1	9.8	11.28
10.	8.4	6.7	6.7	7.8	6.7	7.3	10.3	13.2	11.2	13.5	16.6	13.8	14.6	9.3	13.5	11.2	12.1	7.8	8.7	9.5	14.9	16.3	15.8	16.3	11.34
11.	16.9	18.0	16.8	15.6	14.5	13.3	12.1	10.9	11.5	12.9	15.5	13.5	11.8	12.1	12.6	7.3	8.2	9.0	7.5	7.3	9.5	7.8	6.7	6.7	11.58
12.	6.1	8.1	8.7	6.7	9.8	7.8	5.6	5.0	9.0	10.4	5.3	7.8	8.4	11.8	11.8	7.0	7.5	10.4	14.4	11.2	12.6	8.1	10.9	10.7	8.96
13.	11.5	12.4	13.2	9.3	8.8	8.3	7.8	7.3	6.6	5.0	4.5	4.0	6.0	8.0	5.3	6.4	7.4	11.2	9.3	7.7	5.0	5.0	3.7	4.2	7.41
14.	4.8	5.4	6.0	6.6	7.2	7.8	8.4	9.0	6.3	7.2	6.1	4.2	9.0	11.3	13.5	15.8	16.9	19.2	14.9	13.5	13.5	19.7	19.5	15.5	10.89
15.	19.2	16.3	18.0	16.6	11.8	12.1	12.5	12.9	10.6	12.3	8.9	9.8	6.7	8.6	8.4	8.4	10.3	9.2	11.7	10.0	13.1	10.3	10.6	10.9	11.63
16.	11.2	11.5	11.9	12.2	12.5	12.8	13.1	13.4	13.2	13.1	10.9	10.3	7.8	10.3	8.6	8.9	10.6	10.9	10.0	10.9	10.3	10.9	10.3	10.6	11.09
17.	10.9	14.0	9.2	9.5	9.2	9.5	9.2	8.9	8.7	8.4	8.1	8.9	6.4	7.0	5.6	3.9	3.9	3.0	3.3	3.0	2.5	2.0	2.5	1.4	6.63
18.	1.0	0.7	0.7	0.0	0.3	0.3	0.0	1.4	0.7	2.0	1.4	0.3	1.4	2.2	2.2	2.0	3.0	2.8	2.5	2.2	1.4	3.0	3.9	3.9	1.64
19.	6.1	5.0	4.4	5.6	3.6	2.0	2.0	3.6	5.0	7.5	5.6	7.0	10.9	11.2	8.9	10.3	10.0	6.7	4.4	5.0	9.2	11.4	11.4	9.5	6.93
20.	7.5	8.1	8.4	8.1	8.4	8.4	8.4	9.2	9.2	9.5	10.0	7.8	7.8	6.7	5.6	4.7	4.4	5.3	4.7	5.6	6.1	6.1	6.1	5.0	7.13
21.	5.0	3.6	3.3	4.4	4.7	4.4	3.9	2.5	4.4	3.3	4.4	3.9	2.2	4.2	3.9	4.2	5.0	5.6	6.4	5.3	5.6	5.3	4.4	6.1	4.42
22.	6.1	5.3	6.1	5.3	6.4	6.7	7.0	7.5	6.1	7.2	6.4	5.6	4.2	4.4	4.7	4.4	5.8	7.2	6.1	5.0	4.2	3.3	2.5	3.3	5.45
23.	1.7	2.2	3.0	4.2	5.3	4.2	5.6	7.0	6.4	6.7	7.2	7.2	7.8	10.9	13.7	12.3	8.6	6.4	5.8	6.7	6.7	6.7	7.0	5.6	6.62
24.	6.1	7.5	7.5	7.0	7.8	8.1	8.1	8.4	8.4	7.5	5.0	6.4	7.5	7.8	10.9	10.6	10.6	11.2	10.1	11.2	11.8	9.3	4.5	4.8	8.25
25.	5.4	6.0	6.6	7.2	7.8	8.4	9.0	9.6	9.3	7.7	7.2	6.5	5.8	9.9	10.1	9.0	9.9	10.1	7.2	8.5	10.1	8.5	6.6	10.1	8.19
26.	13.7	13.7	15.3	14.2	12.3	10.1	11.2	12.6	9.0	8.2	7.7	8.0	9.9	9.9	10.7	12.9	15.3	15.6	15.3	11.8	9.6	11.0	14.7	17.8	12.10
27.	17.5	17.5	17.2	13.1	16.7	15.3	14.5	15.6	18.0	19.7	17.8	17.8	18.9	15.6	13.4	12.1	13.1	11.0	13.4	10.4	11.2	13.7	12.1	12.9	14.94
28.	14.2	13.4	11.0	14.2	13.9	16.1	13.7	18.3	21.0	21.0	22.6	22.1	22.4	27.8	29.3	27.8	25.9	19.4	14.5	8.8	7.4	12.6	12.6	9.3	17.47
29.	8.8	8.3	7.8	7.3	6.8	6.3	5.8	5.3	4.8	2.7	1.2	1.2	1.6	2.4	3.2	4.8	5.0	4.5	3.5	4.2	4.0	4.0	3.7	3.7	4.62
30.	4.5	5.8	4.8	4.6	4.4	4.1	3.9	3.7	2.9	3.2	2.1	1.9	2.7	3.5	2.9	2.9	2.4	1.2	1.9	2.4	1.9	4.2	1.9	2.1	3.16
31.	2.2	2.4	2.5	2.6	2.8	2.9	3.1	3.2	2.4	3.5	3.2	2.7	2.1	3.2	2.4	1.6	1.9	2.4	1.6	3.5	5.0	4.2	3.7	3.2	2.85
Mittel	8.86	8.91	8.62	8.40	8.29	8.17	8.42	9.09	9.13	9.19	8.81	8.57	8.58	9.12	9.30	8.90	9.40	9.15	8.64	8.30	8.59	8.75	8.56	8.59	8.76

Täglicher Gang der meteorologischen Elemente auf der Zugspitze im Jahre 1913.

Luftdruck
500 mm +

Monat	1ª	2ª	3ª	4ª	5ª	6ª	7ª	8ª	9ª	10ª	11ª	12m	1p	2p	3p	4p	5p	6p	7p	8p	9p	10p	11p	12mn	Mittel
Jan.	25.57	25.52	25.50	25.35	25.23	25.16	25.13	25.16	25.31	25.45	25.42	25.20	25.03	24.99	25.05	25.05	25.11	25.16	25.28	25.26	25.35	25.38	25.37	25.30	25.26
Febr.	27.66	27.59	27.48	27.33	27.26	27.22	27.25	27.36	27.46	27.65	27.77	27.78	27.68	27.64	27.59	27.58	27.62	27.68	27.78	27.78	27.79	27.84	27.80	27.74	27.60
März	28.63	28.51	28.35	28.22	28.19	28.17	28.26	28.35	28.51	28.74	28.74	28.83	28.82	28.84	28.83	28.80	28.77	28.74	28.83	28.86	28.87	28.88	28.88	28.82	28.64
April	24.37	24.21	24.13	24.02	23.96	24.01	24.11	24.12	24.21	24.41	24.45	24.49	24.55	24.54	24.55	24.57	24.58	24.52	24.56	24.66	24.69	24.68	24.67	24.59	24.40
Mai	28.83	28.67	28.57	28.48	28.46	28.50	28.57	28.61	28.66	28.81	28.89	28.97	29.01	29.08	29.06	29.01	29.01	29.01	29.02	29.06	29.18	29.17	29.17	29.09	28.87
Juni	33.26	33.09	33.01	32.97	32.96	33.01	33.09	33.15	33.18	33.37	33.40	33.44	33.45	33.47	33.39	33.45	33.39	33.30	33.30	33.34	33.45	33.42	33.37	33.30	33.27
Juli	30.54	30.37	30.25	30.20	30.15	30.23	30.27	30.29	30.40	30.58	30.65	30.76	30.80	30.89	30.85	30.84	30.81	30.76	30.75	30.80	30.84	30.83	30.77	30.67	30.60
Aug.	32.66	32.52	32.43	32.29	32.27	32.28	32.35	32.45	32.59	32.77	32.81	32.91	32.99	33.02	33.00	33.01	32.99	32.97	33.00	33.11	33.12	33.10	33.06	32.98	32.78
Sept.	31.78	31.66	31.50	31.35	31.27	31.28	31.29	31.40	31.51	31.66	31.76	31.87	31.88	31.88	31.89	31.83	31.79	31.75	31.84	31.87	31.90	31.86	31.79	31.70	31.68
Okt.	31.93	31.85	31.73	31.66	31.66	31.66	31.75	31.88	31.99	32.04	32.04	31.96	31.92	31.91	31.91	31.90	31.94	31.99	32.00	32.04	32.10	32.15	32.13	32.11	31.93
Nov.	29.52	29.50	29.37	29.26	29.21	29.21	29.28	29.42	29.52	29.66	29.63	29.48	29.43	29.31	29.37	29.42	29.44	29.58	29.61	29.61	29.67	29.67	29.71	29.71	29.48
Dez.	25.95	25.95	25.87	25.76	25.67	25.73	25.75	25.82	25.97	26.16	26.01	25.80	25.60	25.57	25.53	25.57	25.64	25.61	25.69	25.73	25.72	25.69	25.70	25.64	25.76
Mittel	29.23	29.12	29.02	28.91	28.86	28.87	28.92	29.00	29.11	29.28	29.30	29.20	29.26	29.26	29.25	29.25	29.26	29.26	29.31	29.34	29.39	29.39	29.37	29.30	29.19

Temperatur

Monat	1ª	2ª	3ª	4ª	5ª	6ª	7ª	8ª	9ª	10ª	11ª	12m	1p	2p	3p	4p	5p	6p	7p	8p	9p	10p	11p	12mn	Mittel
Jan.	-10.29	-10.21	-10.20	-10.20	-10.20	-10.24	-10.41	-10.15	-10.09	- 9.97	- 9.86	- 9.78	- 9.65	- 9.63	- 9.81	- 9.93	-10.21	-10.23	-10.33	-10.38	-10.43	-10.41	-10.47	-10.55	-10.15
Febr.	-12.01	-12.10	-12.11	-12.04	-12.09	-12.05	-12.05	-11.45	-11.25	-10.96	-10.69	-10.35	-10.30	-10.24	-10.46	-10.74	-11.11	-11.30	-11.59	-11.78	-11.81	-11.99	-11.94	-11.99	-11.43
März	- 7.67	- 7.62	- 7.77	- 7.83	- 7.98	- 7.91	- 7.81	- 7.36	- 7.23	- 7.17	- 7.03	- 6.71	- 6.58	- 6.46	- 6.45	- 6.52	- 6.72	- 6.95	- 7.06	- 7.06	- 7.16	- 7.28	- 7.24	- 7.25	- 7.20
April	- 8.80	- 8.78	- 8.81	- 8.79	- 8.77	- 8.65	- 8.36	- 7.46	- 7.48	- 7.22	- 6.73	- 6.34	- 6.09	- 5.94	- 6.17	- 6.37	- 6.77	- 7.25	- 7.77	- 8.03	- 8.19	- 8.53	- 8.65	- 8.69	- 7.69
Mai	- 4.29	- 4.40	- 4.53	- 4.63	- 4.56	- 4.48	- 4.06	- 3.19	- 3.16	- 2.92	- 2.73	- 2.09	- 2.03	- 1.87	- 1.80	- 1.73	- 1.90	- 2.29	- 2.87	- 3.19	- 3.44	- 3.57	- 3.83	- 3.99	- 3.23
Juni	- 1.25	- 1.36	- 1.46	- 1.60	- 1.50	- 1.21	- 0.93	- 0.40	- 0.40	- 0.18	0.07	0.34	0.58	0.95	0.91	0.77	0.57	0.31	- 0.12	- 0.50	- 0.81	- 1.02	- 1.19	- 1.45	- 0.45
Juli	- 2.26	- 2.45	- 2.54	- 2.64	- 2.63	- 2.40	- 2.26	- 1.54	- 1.56	- 1.38	- 1.26	- 0.92	- 0.73	- 0.58	- 0.40	- 0.56	- 0.68	- 0.78	- 1.01	- 1.30	- 1.50	- 1.68	- 1.85	- 2.04	- 1.54
Aug.	- 0.58	- 0.63	- 0.80	- 0.93	- 0.94	- 0.60	- 0.48	0.08	0.12	0.18	0.44	0.69	1.00	1.32	1.21	1.16	1.06	0.74	0.46	0.17	- 0.06	- 0.22	- 0.25	- 0.33	0.12
Sept.	- 1.55	- 1.65	- 1.69	- 1.72	- 1.68	- 1.65	- 1.46	- 0.78	- 0.69	- 0.52	- 0.08	0.18	0.43	0.62	0.70	0.66	0.27	- 0.24	- 0.64	- 0.87	- 0.93	- 1.05	- 1.31	- 1.49	- 0.71
Okt.	- 1.20	- 1.42	- 1.48	- 1.59	- 1.47	- 1.48	- 1.26	- 0.82	- 0.73	- 0.56	- 0.38	- 0.20	0.04	0.11	0.06	- 0.04	- 0.33	- 0.52	- 0.60	- 0.73	- 0.52	- 0.58	- 0.84	- 1.02	- 0.73
Nov.	- 5.88	- 5.91	- 6.06	- 6.09	- 6.24	- 6.17	- 6.02	- 5.76	- 5.81	- 5.73	- 5.59	- 5.52	- 5.45	- 5.30	- 5.46	- 5.44	- 5.58	- 5.68	- 5.72	- 5.76	- 5.56	- 5.66	- 5.76	- 5.82	- 5.75
Dez.	-11.28	-11.18	-11.32	-11.24	-11.23	-11.26	-11.29	-11.11	-11.23	-11.13	-11.10	-11.11	-11.13	-11.11	-11.15	-11.24	-11.32	-11.37	-11.43	-11.56	-11.71	-11.84	-11.91	-11.87	-11.34
Mittel	- 5.59	- 5.64	- 5.73	- 5.78	- 5.77	- 5.68	- 5.53	- 5.00	- 4.96	- 4.80	- 4.58	- 4.32	- 4.16	- 4.01	- 4.07	- 4.17	- 4.39	- 4.63	- 4.89	- 5.08	- 5.18	- 5.31	- 5.44	- 5.54	- 5.01

Relative Feuchtigkeit

Monat	1ª	2ª	3ª	4ª	5ª	6ª	7ª	8ª	9ª	10ª	11ª	12m	1p	2p	3p	4p	5p	6p	7p	8p	9p	10p	11p	12mn	Mittel
Jan.	84.7	85.1	84.7	84.5	85.7	86.6	87.6	83.9	85.4	85.7	85.1	86.1	87.0	87.1	86.8	86.0	85.8	86.6	86.8	86.7	85.8	85.3	85.1	85.6	85.8
Febr.	69.3	67.8	68.2	67.7	69.1	72.3	73.6	72.3	72.5	70.5	68.8	68.3	66.7	67.1	67.8	68.8	70.4	73.1	72.1	71.9	71.1	69.9	68.4	68.9	69.9
März	80.4	80.8	82.5	83.1	82.9	81.0	81.8	81.9	81.2	80.7	79.9	80.6	81.1	80.2	81.8	82.0	82.9	81.5	81.7	80.8	79.0	77.7	78.2	79.7	81.0
April	95.2	94.5	94.6	94.7	94.3	94.5	93.9	90.8	91.6	92.5	93.3	93.5	93.3	93.3	93.6	92.7	92.9	93.0	93.7	94.0	94.3	95.0	94.6	94.9	93.7
Mai	91.8	91.5	91.5	92.3	91.3	91.1	90.8	85.9	86.8	87.2	88.0	87.6	89.4	90.8	91.3	91.4	92.3	92.1	93.2	93.6	93.0	93.1	92.5	91.7	90.8
Juni	89.6	88.4	88.4	89.2	89.4	88.3	88.2	88.5	88.7	89.6	90.0	89.8	90.3	91.5	91.7	92.1	92.2	91.8	90.9	90.1	88.7	88.6	89.2	90.1	89.8
Juli	98.0	97.9	97.3	98.0	97.7	97.7	96.9	95.4	94.3	94.3	93.7	94.5	95.6	96.8	96.9	97.9	98.2	98.0	96.6	96.4	95.7	95.8	97.4	96.9	96.6
Aug.	86.4	85.6	86.9	85.0	86.3	85.8	86.5	85.6	84.9	86.2	88.0	88.3	89.5	91.5	93.2	93.6	94.6	94.5	90.7	88.9	90.3	90.0	87.9	88.7	88.7
Sept.	88.6	88.6	88.5	88.7	87.5	88.5	88.6	86.9	87.9	86.9	88.5	88.0	88.2	89.8	88.9	91.1	91.6	90.6	91.0	90.1	90.4	90.1	89.2	88.7	89.0
Okt.	75.2	75.5	76.0	75.6	73.8	73.3	73.0	71.7	71.7	70.4	69.9	69.6	70.6	71.9	72.8	74.4	74.8	75.5	75.2	75.6	75.5	74.4	73.5	74.3	73.5
Nov.	84.9	85.1	87.0	87.2	87.6	87.8	88.4	87.8	87.8	88.2	88.8	88.1	88.0	88.4	88.0	87.6	88.7	87.5	88.3	86.9	86.5	86.6	85.8	85.9	87.4
Dez.	86.5	86.7	86.4	86.2	86.5	86.2	86.0	85.4	85.6	85.4	85.6	85.4	85.5	85.0	85.8	85.4	85.5	85.5	85.7	86.3	86.4	86.7	87.0	86.7	86.0
Mittel	85.9	85.6	86.0	86.0	86.0	86.1	86.3	84.7	84.9	84.8	85.0	85.0	85.4	86.1	86.6	86.9	87.5	87.5	87.2	86.8	86.4	86.1	85.7	86.0	86.0

Stündliche Windgeschwindigkeiten
in m pro Sekunde

Monat	0–1ª	1–2ª	2–3ª	3–4ª	4–5ª	5–6ª	6–7ª	7–8ª	8–9ª	9–10ª	10–11ª	11ª–m	0–1p	1–2p	2–3p	3–4p	4–5p	5–6p	6–7p	7–8p	8–9p	9–10p	10–11p	11p–mn	Mittel
Jan.	7.90	7.58	7.48	7.69	7.62	7.32	7.80	8.56	8.46	8.30	9.10	8.93	8.95	8.77	8.48	8.60	9.04	8.73	8.58	8.43	8.14	8.43	7.68	7.90	8.27
Febr.	7.34	8.14	8.39	7.89	7.90	7.94	8.00	8.00	7.66	7.03	7.49	7.21	7.47	7.51	7.42	7.40	7.50	7.63	7.80	8.03	7.64	7.49	7.03	7.05	7.62
März	9.86	10.31	10.89	11.09	11.27	11.10	10.49	10.48	11.71	10.45	10.41	9.74	10.22	9.67	8.93	8.97	9.28	9.88	10.70	10.54	10.71	10.25	10.06	9.84	10.29
April	6.31	6.46	6.09	5.55	5.62	6.00	6.20	6.32	6.50	6.23	5.83	5.27	5.05	5.30	5.46	5.28	4.62	4.66	4.95	5.23	5.53	5.81	5.50	5.71	5.65
Mai	6.44	6.13	6.25	6.23	5.87	5.71	5.56	5.62	5.71	5.45	6.02	5.66	5.49	5.37	5.43	5.22	5.09	5.39	5.99	6.16	6.26	6.62	6.43	6.72	5.87
Juni	6.91	6.84	6.90	6.81	6.54	6.49	6.30	6.43	6.81	6.18	5.70	5.71	5.71	5.87	6.14	6.18	6.33	6.46	6.67	6.73	6.68	6.89	6.36	6.64	6.43
Juli	5.84	5.96	5.98	5.91	5.88	5.95	5.96	6.20	6.32	5.99	5.54	5.33	5.16	5.50	5.84	5.61	5.82	5.83	5.84	6.06	5.80	5.77	5.72	5.68	5.81
Aug.	6.52	6.93	6.94	6.80	6.70	6.75	6.73	6.93	6.97	6.04	5.88	5.71	5.67	5.56	5.49	5.74	5.61	5.83	6.10	6.19	6.35	6.52	6.68	6.82	6.31
Sept.	5.90	5.90	5.93	5.90	5.69	5.39	5.57	5.93	6.30	5.94	5.43	5.05	4.99	5.27	5.20	4.97	5.21	5.74	5.88	5.99	6.07	6.10	6.11	5.92	5.68
Okt.	7.61	7.58	7.69	7.89	7.62	7.25	7.38	7.72	8.53	8.12	8.29	7.95	8.52	8.41	8.77	8.29	7.83	7.65	7.74	8.32	8.75	8.28	8.53	7.83	8.02
Nov.	7.77	7.57	7.53	7.58	8.37	8.79	8.92	9.26	8.98	8.29	8.50	8.59	8.54	8.71	9.76	8.92	9.13	8.78	8.12	8.22	9.29	9.20	8.38	8.21	8.56
Dez.	8.86	8.91	8.62	8.40	8.29	8.17	8.42	9.09	9.13	9.19	8.81	8.57	8.58	9.12	9.30	8.90	9.40	9.15	8.64	8.30	8.59	8.75	8.56	8.59	8.76
Mittel	7.27	7.36	7.39	7.31	7.28	7.24	7.28	7.55	7.76	7.27	7.25	6.98	7.03	7.09	7.19	7.01	7.07	7.14	7.25	7.35	7.48	7.51	7.25	7.24	7.27

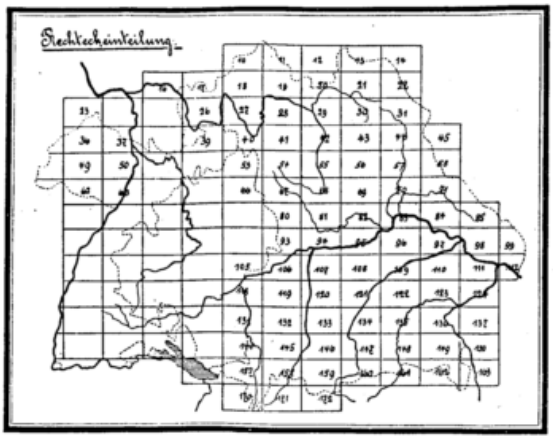
Beobachtungen

über

Gewitter in Bayern

während des Jahres 1913.

Die statistische Bearbeitung des bayerischen Materiales über Gewitter und Hagelfälle erfolgte in gleicher Weise wie im Vorjahre. Die nachfolgenden Tabellen geben für 30 Stationen der Pfalz und 465 Stationen des rechtsrheinischen Bayern für jeden Monat und für das Jahr die Anzahl der beobachteten Gewitter und der Gewittertage. Die Zahl der Hagelfälle ist den einzelnen Häufigkeitszahlen der Gewitter als Exponent beigesetzt. Die Zahl der Tage mit Hagelfall wurde nur für das Jahr gegeben.



Die Rechtecknummer, welche in der Spalte vor dem Stationsnamen beigedruckt ist, bezieht sich auf die in obenstehendem Kärtchen dargestellte Einteilung des bayerischen Gebietes.

Bei der Bearbeitung der Gewitterstatistik hat sich ergeben, dass die Anzahl gleichzeitig oder in kurzen Zwischenräumen nacheinander auftretender Gewitter von den Beobachtern sehr verschieden beurteilt wurde. So kam es, dass die Statistik für benachbarte Orte oft gewaltige Unterschiede in der Zahl der Gewitter lieferte. Um die Gewitterstatistik einheitlicher zu gestalten, wird daher in Zukunft nicht mehr die Anzahl der Gewitter, sondern die Anzahl der Stunden, in denen Donner gehört wurde, festgestellt werden.

Zahl der Gewitter (Die Zahl der Hagelfälle ist in den einzelnen Monaten als Exponent beigesetzt.)													Rechteck Nr.	Station	Jahressumme der Hageltage	Zahl der Gewittertage											
Jan.	Febr.	März	April	Mai	Juni	Juli	Aug.	Sept.	Okt.	Nov.	Dez.	Jahr				Jan.	Febr.	März	April	Mai	Juni	Juli	Aug.	Sept.	Okt.	Nov.	Dez.	Jahr
														Pfalz.														
–	–	1	2	12	8^2	1	4	2	3	1	–	34	23	Duchroth	2	–	–	1	2	6	6	1	3	2	3	1	–	25
–	–	1^1	–	4	4	–	?	?	1	–	–	?	35	Rammelsbach	?	–	–	1	–	3	4	–	?	?	1	–	–	?
–	–	1	2	3	8	2	3	4	–	–	–	23	36	Gehrweiler	–	–	–	1	2	3	6	2	3	3	–	–	–	20
–	–	1	1	3	7	2	5	3	–	–	–	22	„	Rockenhausen	–	–	–	1	1	3	6	1	5	3	–	–	–	20
–	–	1	6	6^1	11	–	5	4	–	–	–	33	„	Schallodenbach	1	–	–	1	3	5	7	–	4	2	–	–	–	22
–	–	1	3	7	5	3	3	4^1	–	1	–	27	37	Einselthum	1	–	–	1	3	5	4	3	3	3	–	1	–	23
–	–	2	7	8	10^1	5	6	5	–	–	–	43	„	Kirchheimbolanden	1	–	–	2	4	5	7	4	4	3	–	–	–	29
–	–	1^1	2	4	8	4	5	1	–	1	–	26	48	Mittelbexbach	1	–	–	1	2	4	6	4	4	1	–	1	–	23
–	–	1^1	1	4	7	2	6	3	2	1	–	27	„	Obermiesau	1	–	–	1	1	3	5	2	5	3	2	1	–	23
1	–	–	1	4^1	8	1	5	3	2	1	–	26	49	Elmstein	1	1	–	–	1	3	7	1	5	2	2	1	–	23
–	–	1^1	4	7	15^1	4	5	5	1	1^1	–	43	„	Kaiserslautern	3	–	–	1	3	5	11	4	4	4	1	1	–	34
–	–	1	4	3^1	10^1	1	?	?	–	1^1	–	?	„	Kirchmohr	?	–	–	1	3	3	7	1	?	?	–	1	–	?
1	–	1^1	3	2	7^2	1	2	3	1	1	–	22	„	Landstuhl	2^1	1	–	1	3	2	5	1	2	3	1	1	–	20
–	–	1^1	–	4	8^3	1	7	–	–	–	–	21	„	Mittelbrunn	4	–	–	1	–	2	5	1	6	–	–	–	–	15
–	–	2	4	5	8	2	4	2	1	1	–	29	„	Trippstadt	–	–	–	2	3	3	6	2	4	1	1	1	–	23
–	–	1	3	4	6	1	1	1	1	1	–	19	„	Waldleiningen	–	–	–	1	2	3	6	1	1	1	1	1	–	17
2	–	3^1	3	7	6	–	1	2	–	–	–	24	50	Hambach	1	1	–	2	2	4	4	–	1	2	–	–	–	16
–	–	–	1	9	13^1	1	1	3	–	–	–	28	„	Hassloch	1	–	–	–	1	4	7	1	1	3	–	–	–	17
–	–	2^1	1	4	9	2	3	6^1	1	1^1	–	29	„	Ludwigshafen	3	–	–	2	1	4	7	2	3	4	1	1	–	25
1	–	–	1	9	11	3	5	7	–	–	–	37	„	Neustadt a. H.	–	1	–	–	1	4	8	3	5	4	–	–	–	26
–	–	1	1	?	7^1	3	2	4	–	–	–	?	„	Oggersheim	?	–	–	1	1	?	6	3	2	2	–	–	–	?
–	$-^1$	1^1	3^1	8	5^1	6	5	2	2	2^1	–	34	61	Zweibrücken	5	–	–	1	3	6	5	5	5	2	1	2	–	30
1^1	1	–	1	2	4	1	5	2	1	1	–	19	62	Burgalben	1	1	1	–	1	1	4	1	5	2	1	1	–	18
–	–	1	–	2	2	2	1	2	1	1	–	12	„	Dahn	–	–	–	1	–	2	2	2	1	2	1	1	–	12
–	–	2	2^1	10	7	3	7	3	1	–	–	35	„	Hinterweidenthal	1	–	–	1	1	4	5	3	4	2	1	–	–	21
–	–	–	3	7	10	2	4	5	–	–	–	31	63	Edenkoben	–	–	–	–	2	5	7	2	4	5	–	–	–	25
–	–	2	2	8	7^1	3	3	3	1	–	–	29	„	Landau	1	–	–	2	1	5	5	3	3	3	1	–	–	23
–	1^1	1	–	1	7	2	3	3^1	1	–	–	19	76	Hagenbach	2	–	1	1	–	1	5	2	3	3	1	–	–	17
–	–	2	–	4	7	2	5	5^1	1	–	–	26	„	Kandel	1	–	–	2	–	3	5	2	4	3	1	–	–	20
–	1^1	1	2	7	12^1	4	7	5^1	1	–	–	40	„	Wörth	3	–	1	1	2	4	6	4	6	3	1	–	–	28

[1]) Juni: 1 Hageltag.

Zahl der Gewitter (Die Zahl der Hagelfälle ist in den einzelnen Monaten als Exponent beigesetzt.)													Rechteck Nr.	Station	Jahressumme der Hageltage	Zahl der Gewittertage											
Jan.	Febr.	März	April	Mai	Juni	Juli	Aug.	Sept.	Okt.	Nov.	Dez.	Jahr				Jan.	Febr.	März	April	Mai	Juni	Juli	Aug.	Sept.	Okt.	Nov.	Dez.	Jahr
														Bayern.														
–	–	1	4	11	5^{1}	2	1	2	–	–	–	26	10	Kreuzberg (Rhön)	1	–	–	1	2	6	4	2	1	1	–	–	–	17
–	–	1	1	10	7^{1}	2	1^{1}	1	1	–	–	24	„	Oberelsbach	2	–	–	1	1	6	5	2	1	1	1	–	–	18
–	–	1	1	10	10	1	–	2	1	2^{1}	–	28	„	Steinach o. S.	1	–	–	1	1	6	3	1	–	2	1	1	–	16
1	–	2	5^{2}	16^{1}	12^{2}	3^{1}	2	2	2	2^{1}	–	47	„	Volkersberg	$6^{1})$	1	–	2	2	6	5	3	2	1	1	1	–	24
–	–	–	–	12	13^{1}	–	2	4	1	–	–	32	11	Mellrichstadt	1	–	–	–	–	6	6	–	1	2	1	–	–	15
–	–	–	–	13	9	1	–	–	–	–	–	23	„	Neustadt a. S.	–	–	–	–	–	6	5	1	–	–	–	–	–	12
–	–	1	1	20	20	5	4	5	1	1	–	58	„	Rödelmaier	–	–	–	1	1	6	9	4	3	2	1	1	–	28
–	–	–	1	9	10^{1}	5	?	?	–	1^{1}	–	?	13	Berg	?	–	–	–	1	5	7	3	?	?	–	1	–	?
–	–	–	2	12^{1}	8^{2}	5	4	4	–	–	–	35	„	Effelter	3	–	–	–	2	6	5	5	4	4	–	–	–	26
–	–	–	1	10	9^{1}	3	–	2	–	–	–	25	„	Ludwigstadt	1	–	–	–	1	4	6	3	–	2	–	–	–	16
–	–	–	2	8^{1}	8^{1}	1	–	3	–	–	–	22	„	Tschirn	2	–	–	–	2	5	7	1	–	3	–	–	–	18
–	–	–	–	8	8	1	3	4^{2}	–	–	–	24	14	Hof	2	–	–	–	–	5	5	1	3	4	–	–	–	18
1	–	2	–	3	4	–	1	1	–	–	–	12	16	Kahl	–	1	–	2	–	2	4	–	1	1	–	–	–	11
1	–	1	1	4	15	4	–	–	–	1	–	27	17	Ernstkirchen	–	1	–	1	1	4	3	1	–	–	–	1	–	12
2^{2}	–	1	3	7^{1}	6	2	3	–	–	1	–	25	„	Heigenbrücken	$2^{2})$	1	–	1	3	5	5	2	2	–	–	1	–	20
1^{1}	–	3	4	9	8	4	5	1	1	–	–	36	„	Mittelsinn	1	1	–	3	4	5	6	4	3	1	1	–	–	28
1	–	–	4	8	7^{1}	4	1	–	–	1^{1}	–	26	„	Partenstein	2	1	–	–	4	4	6	2	1	–	–	1	–	19
1	–	1	–	12	10	2	4	4	–	1	–	35	18	Bonnland	–	1	–	1	–	6	5	2	3	1	–	1	–	20
1	–	2	2	8^{2}	9	6	1	1	1	1^{1}	–	32	„	Dittlofsroda	3	1	–	2	2	5	7	6	1	1	1	1	–	27
–	–	1	1	14^{1}	19^{1}	1	–	1	1	1	–	39	„	Bad Kissingen	2	–	–	1	1	7	7	1	–	1	1	1	–	20
2	–	1	3	9	7	4	1	–	–	1	–	28	„	Schönau	–	1	–	1	2	5	5	4	1	–	–	1	–	20
–	–	1	2	9^{3}	14	4	2	1	2	–	–	35	„	Schwärzelbach	$2^{3})$	–	–	1	1	5	8	4	2	1	1	–	–	23
1	–	2	2	12	7^{1}	3	?	2	–	2	–	?	„	Wernfeld	?	1	–	1	2	6	6	3	?	1	–	1	–	?
–	–	1	2	13	15^{1}	7	7	3	1	–	–	49	19	Bischofsheim	1	–	–	1	2	6	9	6	5	3	1	–	–	33
–	–	1	–	11	9	3	2	–	–	1	–	27	„	Schweinfurt	–	–	–	1	–	6	6	3	2	–	–	1	–	19
–	–	–	1	10^{1}	6	2	2	–	–	–	–	21	20	Ebensfeld	1	–	–	–	1	6	4	2	2	–	–	–	–	15
–	–	1	2	12	9	5	5	4	–	1	–	39	„	Gereuth	–	–	–	1	2	9	6	5	5	3	–	1	–	32
–	–	–	2	9	4	2	2	1	–	–	–	20	„	Lichtenfels	–	–	–	–	1	5	3	2	2	1	–	–	–	14
–	–	–	2	14	6	3	3	3	–	–	–	31	„	Mitwitz	–	–	–	–	2	6	4	3	2	2	–	–	–	19
–	–	1	1	14^{1}	6	2	2	2	–	–	–	28	„	Vierzehnheiligen	1	–	–	1	1	6	3	2	2	1	–	–	–	16
–	–	–	1	10	12	6	3	2	–	–	–	34	21	Kulmbach	–	–	–	–	1	6	7	6	3	2	–	–	–	25
–	–	–	1	7	6	9	2	3	–	–	–	28	„	Marienweiher	–	–	–	–	1	5	5	8	2	2	–	–	–	23
–	–	–	–	9	7^{1}	4	2	1	–	1	–	24	„	Marktschorgast	1	–	–	–	–	5	5	4	2	1	–	1	–	18
–	–	–	–	9	10^{1}	4	4	6	–	–	–	33	„	Münchberg	1	–	–	–	–	6	6	4	3	4	–	–	–	23
–	–	2	1	7	13^{2}	8^{1}	4	4	–	–	–	39	„	Presseck	3	–	–	2	1	5	10	8	2	3	–	–	–	31
–	–	–	2	12^{1}	18^{3}	9	1	3	–	–	–	45	22	Arzberg	4	–	–	–	1	6	6	5	1	3	–	–	–	22
–	–	–	3	15	12^{1}	13	–	2^{1}	–	1	1	47	„	Wunsiedel	2	–	–	–	2	6	7	7	–	2	–	1	1	26
1	–	2	3	9	6	3	2	2	–	2	–	30	26	Esselbach	–	1	–	1	3	7	6	3	2	1	–	2	–	26
2^{1}	–	3	3	12^{1}	12^{1}	4	4	$-^{1}$	–	2^{1}	–	42	„	Luitpoldheim	6	1	–	2	2	6	7	4	4	–	–	1	–	27
1	–	1	4	7	12	2	2	1	–	1	–	31	„	Strassbessenbach	–	1	–	1	3	5	7	2	2	1	–	1	–	23
1^{1}	–	2	9^{1}	9	13	3	5	–	1	1^{1}	–	44	„	Waldaschaff	3	1	–	2	7	7	9	3	4	–	1	1	–	35
1^{1}	–	2	7	15	11	6	5	5	–	2	–	54	„	Wintersbach	1	1	–	2	5	8	7	5	3	3	–	2	–	36
2	–	1	3	18	9^{1}	8	4	2	–	4^{1}	–	51	27	Estenfeld	2	1	–	1	2	8	6	7	2	1	–	1	–	29
1	–	1	2	9	14	5	?	?	–	1	–	?	„	Karlstadt	?	1	–	1	1	4	9	3	?	?	–	1	–	?
–	–	1	1	8^{2}	9	5	5	3	–	2	–	34	„	Obereisenheim	$1^{4})$	–	–	1	1	4	6	5	3	2	–	1	–	23
1	–	1	3	11	7	5^{1}	?	3	–	2^{1}	–	?	„	Remlingen	?	1	–	1	3	4	6	5	?	2	–	1	–	?
2	–	2	2	16	11	6	3	2	–	2	–	46	„	Urspringen	–	1	–	1	2	5	7	6	3	1	–	1	–	27
–	–	1	1	10	6^{1}	5	3	4	–	1	–	31	„	Werneck	1	–	–	1	1	8	5	5	3	3	–	1	–	27
1	–	1	2	5	9	3	1	2	–	1	–	25	„	Zellingen	–	1	–	1	2	4	7	3	1	1	–	1	–	21
–	–	–	–	10	15^{3}	4^{1}	9	3	–	2^{1}	1	43	28	Altenschönbach	5	–	–	–	–	4	13	4	7	3	–	1	1	33
–	–	1	–	10	8	2	3	3	–	2	–	29	„	Burgwindheim	–	–	–	1	–	6	5	2	3	3	–	1	–	21
–	–	1	–	12^{1}	11^{2}	7	6	2	–	2^{2}	–	41	„	Gerolzhofen	5	–	–	1	–	7	5	7	3	2	–	1	–	26
–	–	1	1	13	?	4	1	2	–	3	–	?	„	Zeilitzheim	?	–	–	1	1	6	?	4	1	1	–	1	–	?
–	–	1	4	12^{1}	12	5^{1}	4	4	–	1	–	43	29	Bamberg	2	–	–	1	4	6	6	3	4	4	–	1	–	29
–	–	1^{1}	2	5	3	1	–	–	–	1	–	13	„	Heiligenstadt	1	–	–	1	1	3	2	1	–	–	–	1	–	9
–	–	–	2	14	12^{1}	4^{1}	6	3	1	1^{1}	–	43	„	Peulendorf	3	–	–	–	2	6	6	3	6	2	1	1	–	27
–	–	–	2	8^{1}	6	4	1	2	–	2	–	25	„	Reundorf	1	–	–	–	2	6	4	3	1	1	–	1	–	18
–	–	1	3	19^{1}	14	8	11	6	3	3	–	68	„	Rossdorf	1	–	–	1	3	8	7	4	6	5	3	1	–	38
–	–	–	4	17	14^{1}	8	5	5	–	3	–	56	„	Walsdorf	1	–	–	–	3	7	6	5	4	4	–	1	–	30
–	–	–	1	10	9^{2}	4	2	2	–	–	–	28	„	Wonsees	2	–	–	–	1	5	6	3	2	2	–	–	–	19
–	–	–	2	9^{1}	10^{3}	6	2	3	–	–	–	32	30	Bayreuth	4	–	–	–	2	5	6	3	2	3	–	–	–	21
–	–	–	1	6^{1}	7	5	2	2	–	–	–	23	„	Lindenhardt	1	–	–	–	1	4	5	4	2	2	–	–	–	18
–	–	–	2	10	5	7	2	4	–	–	–	30	„	Oberwaiz	–	–	–	–	2	5	3	4	2	3	–	–	–	19
–	–	–	2^{1}	5^{1}	3	2	–	–	–	–	–	12	„	Waischenfeld	2	–	–	–	2	4	3	2	–	–	–	–	–	11
1	–	–	2	8^{1}	10^{1}	12^{1}	1	4^{1}	–	1	–	39	31	Alexandersbad	4	1	–	–	1	6	5	7	1	4	–	1	–	26
–	–	–	–	11^{1}	11	13	2^{1}	2	–	–	–	39	„	Bärnau	2	–	–	–	–	5	7	6	2	2	–	–	–	22
–	–	–	1	7^{1}	7^{1}	6	1	3	–	–	–	25	„	Erbendorf	2	–	–	–	1	5	5	5	1	2	–	–	–	19
–	–	–	2	10	10^{3}	6	3	3	–	–	–	34	„	Fuchsmühl	$-^{5})$	–	–	–	2	7	9	5	3	3	–	–	–	29
1	–	–	–	13^{2}	17	11	1	2	–	–	–	44	„	Maiersreuth	2	1	–	–	–	5	8	5	1	2	–	–	–	22
–	–	–	1	14^{1}	12^{1}	6	1	2	–	–	–	36	„	Waldeck	2	–	–	–	1	4	4	4	1	2	–	–	–	16
–	–	–	3	12	8^{1}	9	–	2	–	–	–	34	„	Witzlasreuth	1	–	–	–	1	7	4	6	–	2	–	–	–	20
–	–	–	–	11^{1}	12	9	4	5	–	–	–	41	32	Mähring	1	–	–	–	–	6	6	6	4	3	–	–	–	25
1^{1}	–	4	3	8^{1}	11^{3}	4	3	1	1	3^{1}	–	39	39	Böttigheim	6	1	–	3	3	4	9	4	3	1	1	2	–	31
1^{1}	–	2	6	19^{1}	13	7	5	6	2	4^{2}	–	65	„	Engelberg	$3^{6})$	1	–	1	5	7	7	6	5	5	2	2	–	41
1^{1}	–	2	9	18	13	?	2	3	–	3^{1}	–	?	„	Miltenberg	?	1	–	2	5	7	7	?	2	3	–	2	–	?
1^{1}	–	2	4	10	10	4	4	4	–	2	–	39	„	Stadtprozelten	1	1	–	1	2	6	7	6	4	3	2	–	1	–	26
–	–	2	4	10	11	8	3	7	–	2	–	47	40	Bibelried	–	–	–	1	3	7	7	6	3	4	–	2	–	33
–	–	1	2	12^{1}	13^{1}	9	3	4	–	3^{1}	–	47	„	Dettelbach	3	–	–	1	2	9	6	7	3	3	–	1	–	32
–	–	–	–	–	7	4	2	3	–	–	–	16	„	Höchberg	–	–	–	–	–	–	5	4	2	3	–	–	–	14
–	–	–	–	6	8^{2}	3	1	2	–	1	–	21	„	Kitzingen	2	–	–	–	–	5	6	3	1	2	–	1	–	18

[1]) April: 1 Hageltag. [2]) Januar: 1 Hageltag. [3]) Mai: 2 Hageltage. [4]) Mai: 1 Hageltag. [5]) Juni: 1 Hageltag. [6]) November: 1 Hageltag.

Zahl der Gewitter (Die Zahl der Hagelfälle ist in den einzelnen Monaten als Exponent beigesetzt.)													Rechteck-Nr.	Station	Jahressumme der Hageltage	Zahl der Gewittertage											
Jan.	Febr.	März	April	Mai	Juni	Juli	Aug.	Sept.	Okt.	Nov.	Dez.	Jahr				Jan.	Febr.	März	April	Mai	Juni	Juli	Aug.	Sept.	Okt.	Nov.	Dez.	Jahr
–	–	1	2	6	4	5	2	1	–	2	–	23	40	Mainbernheim	–	–	–	1	2	4	4	4	2	1	–	1	–	19
–	–	–	2	11	10	6	1	1	–	–	–	31	„	Ochsenfurt	–	–	–	–	2	6	6	6	1	1	–	–	–	22
–	–	1	2	8	7	7	1	?	–	?	–	?	„	Segnitz	?	–	–	1	2	6	6	6	1	?	–	?	–	?
1	–	1	4	10	6	4	2	3	–	2	–	33	„	Unteraltertheim	–	1	–	1	3	6	5	4	2	2	–	1	–	25
1	–	1	1^{1}	9	11^{1}	5	2	2	–	2^{1}	–	34	„	Würzburg	3	1	–	1	1	5	7	5	2	1	–	1	–	24
–	–	–	2	14	11	6	3	3	–	2^{1}	–	41	41	Breitenlohe	1	–	–	–	2	7	5	4	2	3	–	1	–	24
–	–	–	–	8	7	3	3	2	–	3^{1}	–	26	„	Burghaslach	1	–	–	–	–	6	4	3	2	2	–	1	–	18
–	–	–	1	6	11	1	–	2^{1}	–	1^{1}	–	22	„	Castell	2	–	–	–	1	4	5	1	–	1	–	1	–	13
–	–	–	2	12	8	4	3	4	–	–	–	33	„	Lonnerstadt	–	–	–	–	2	7	5	4	3	3	–	–	–	24
1	–	3	4	18	14	8	3	4	–	2	1	58	„	Nenzenheim	–	1	–	2	4	10	6	8	2	3	–	1	1	38
–	–	–	1^{1}	6^{1}	5	3	1	1	–	1	–	18	„	Schwarzenberg	2	–	–	–	1	4	5	3	1	1	–	1	–	16
–	–	–	–	9^{1}	12	4	6	3	–	3^{2}	–	37	„	Wachenroth	2^{1})	–	–	–	–	6	4	3	3	3	–	1	–	20
–	–	–	5	16	16	5	6^{1}	6^{1}	–	4^{3}	–	58	42	Erlangen	3^{1})	–	–	–	4	8	7	4	2	4	–	1	–	30
–	–	–	4	10	11^{1}	6	4	5^{1}	–	3	–	43	„	Gräfenberg	2	–	–	–	1	5	6	5	3	3	–	1	–	24
–	–	–	1	7	12^{1}	6	2^{1}	5^{1}	–	3	–	36	„	Hiltpoltstein	3	–	–	–	1	4	6	4	2	4	–	1	–	22
–	–	–	2	15	9	5	3^{1}	3	–	1^{2}	–	38	„	Steppach	2^{1})	–	–	–	2	7	5	4	3	2	–	1	–	24
–	–	–	4^{1}	7^{2}	7	3	3	3	–	2	–	29	43	Gössweinstein	2^{2})	–	–	–	3	3	5	3	3	3	–	1	–	21
–	–	–	1^{1}	3	–	3	–	–	–	1^{1}	–	8	„	Hannesreuth	2	–	–	–	1	3	–	3	–	–	–	–	–	8
–	–	–	4	13^{2}	9	12	1	7^{2}	–	$-^{1}$	–	46	„	Pappenberg	4^{2})	–	–	–	3	4	4	9	1	4	–	–	–	25
–	–	–	1	7	5	4^{1}	–	2	–	–	–	19	„	Speinshardt	1	–	–	–	1	3	4	4	–	2	–	–	–	14
–	–	–	1	5^{3}	1^{1}	–	–	2	–	–	–	9	„	Vilseck	3^{3})	–	–	–	1	3	1	–	–	2	–	–	–	7
–	–	–	1	10^{1}	4	7	$-^{1}$	1	–	–	–	23	44	Grafenwöhr	2	–	–	–	1	4	4	6	–	1	–	–	–	16
–	–	–	–	5	3	2	–	2	–	–	–	12	„	Mantel	–	–	–	–	–	3	3	2	–	2	–	–	–	10
–	–	–	2	8	10	4	1	2	–	–	–	27	„	Neunkirchen	–	–	–	–	2	5	7	4	1	2	–	–	–	21
–	–	–	–	4	8	3	1	1	–	–	–	17	„	Plössberg	–	–	–	–	–	3	7	3	1	1	–	–	–	15
–	–	–	1	5	5^{1}	3	–	2	–	–	–	16	„	Pressath	1	–	–	–	1	4	4	3	–	2	–	–	–	14
–	–	–	2^{1}	8^{2}	12^{1}	10^{1}	1	3	–	–	–	36	„	Roggenstein	4^{2})	–	–	–	2	7	8	8	1	3	–	–	–	29
–	–	–	2	3	7	9	1	3	–	–	–	25	„	Vohenstrauss	–	–	–	–	2	2	4	5	1	3	–	–	–	17
–	–	–	1	6	11^{3}	9	1	3	–	–	–	31	„	Waldthurn	1^{4})	–	–	–	1	4	8	6	1	3	–	–	–	23
–	–	–	1	7	7^{1}	2	1	1	–	–	–	19	„	Weiden	1	–	–	–	1	5	5	2	1	1	–	–	–	15
–	–	2	3	15	15^{1}	5	–	4	–	–	–	44	53	Stalldorf	1	–	–	1	2	8	6	3	–	3	–	–	–	23
–	–	–	2	7	3	2	–	1	–	1^{1}	–	16	„	Welbhausen	1	–	–	–	2	5	2	2	–	1	–	1	–	13
–	–	–	1	11	4	4	–	2	–	2	–	24	54	Bergel	–	–	–	–	1	8	3	4	–	2	–	1	–	19
–	–	–	1	9	8	5	–	2	–	1^{1}	–	26	„	Dietenhofen	1	–	–	–	1	5	5	4	–	2	–	1	–	18
–	–	–	3	11	6	3	?	?	–	1	–	?	„	Ipsheim	?	–	–	–	3	7	3	3	?	?	–	1	–	?
–	–	–	2	11^{1}	6	5	3	3	–	1	–	31	„	Obernzenn	1	–	–	–	2	8	5	5	2	2	–	1	–	25
–	–	–	6	12	6	3	1	1	–	1	–	30	„	Steinach b. R.	–	–	–	–	5	8	5	3	1	1	–	1	–	24
–	–	–	2	12^{1}	12	5^{1}	2	3	–	2^{2}	–	38	„	Windsheim	3^{1})	–	–	–	2	8	5	4	1	2	–	1	–	23
–	–	–	3^{1}	12	14	7	1	5	–	2^{2}	–	44	55	Beerbach	2^{1})	–	–	–	2	7	8	4	1	2	–	1	–	25
–	–	–	1	11^{1}	12	4	–	5^{1}	–	2^{1}	–	35	„	Burgfarrnbach	3	–	–	–	1	8	6	4	–	3	–	1	–	23
–	–	–	2	7	4	4	–	1	–	–	–	18	„	Feucht	–	–	–	–	2	4	2	3	–	1	–	–	–	12
–	–	–	–	2	3	2	–	1	–	1	–	9	„	Hagenbüchach	–	–	–	–	–	2	3	2	–	1	–	1	–	9
–	–	–	1	12	10	3	3	1	–	2	–	32	„	Langenzenn	–	–	–	–	1	7	5	3	2	1	–	1	–	20
–	–	–	4	16^{1}	12	11	4	5^{1}	–	1	–	53	„	Nürnberg	2	–	–	–	3	9	8	9	3	4	–	1	–	37
–	–	–	1	4	7^{1}	1	2	1	–	1^{1}	–	17	„	Puschendorf	2	–	–	–	1	3	5	1	1	1	–	1	–	13
–	–	–	2	11	15	5	–	2	–	1^{1}	–	36	„	Rossstall	1	–	–	–	2	7	7	5	–	2	–	1	–	24
–	–	–	1	10^{1}	9^{1}	5	–	3	–	1^{1}	–	29	56	Altdorf	3	–	–	–	1	5	6	5	–	2	–	1	–	20
–	–	–	4	12^{3}	11	9	2	4	1	1^{1}	–	44	„	Amberg	4	–	–	–	4	6	7	7	2	2	1	1	–	30
–	–	–	1	10	10	8^{1}	–	2	–	1	–	32	„	Hahnbach	1	–	–	–	1	5	5	6	–	2	–	1	–	20
–	–	–	1^{1}	10^{1}	5^{1}	3	–	1	–	3^{2}	–	23	„	Hersbruck	4^{1})	–	–	–	1	7	3	3	–	1	–	1	–	16
–	–	–	2	12	12	14	–	?	–	2^{2}	–	?	„	Hohenkemnath	?	–	–	–	2	5	5	6	–	?	–	1	–	?
–	–	–	3	14^{2}	7	7	–	3	–	4	–	38	„	Holenstein	1^{2})	–	–	–	2	4	2	5	–	1	–	1	–	15
–	–	–	1	11^{2}	10^{1}	8	–	1	–	2	–	33	„	Michaelspoppenricht	3	–	–	–	1	5	5	5	–	1	–	1	–	18
–	–	–	2	10^{1}	8	6	–	3	–	3	–	32	„	Sulzbach	1	–	–	–	2	5	4	6	–	2	–	1	–	20
–	–	–	–	4^{2}	5^{1}	5^{1}	–	1	1	–	–	16	57	Aschach	4	–	–	–	–	3	4	5	–	1	1	–	–	14
1	–	–	5	18	12	20	1	3	–	1	–	61	„	Böhmischbruck	–	1	–	–	4	8	7	8	1	3	–	1	–	33
–	–	–	2	5	7	8	–	4	–	–	–	26	„	Luhe	–	–	–	–	2	4	4	7	–	4	–	–	–	21
–	–	–	–	3	4	1	–	1	–	1^{1}	–	10	„	Nabburg	1	–	–	–	–	3	2	1	–	1	–	1	–	8
–	–	–	2	9^{2}	10^{2}	10	2	2	–	1^{1}	–	36	„	Oberviechtach	5	–	–	–	2	5	6	6	2	2	–	1	–	24
–	–	–	3	13^{1}	9	7	2	5	–	2	–	41	„	Pfreimd	1	–	–	–	2	5	6	6	2	5	–	2	–	28
1	–	–	5	14^{1}	12^{1}	10	–	7	–	3	–	52	„	Schwarzenfeld	2	1	–	–	3	8	6	6	–	6	–	1	–	31
–	–	–	3	6^{2}	9	15^{1}	4	8	–	1	–	46	„	Tännesberg	3	–	–	–	2	4	6	9	4	7	–	1	–	33
–	–	–	4	8	19	18	3	3	–	2	–	57	58	Winklarn	–	–	–	–	4	5	8	7	2	2	–	1	–	29
–	–	–	2^{1}	6	6	3	2	?	–	2^{1}	–	?	66	Erzberg	?	–	–	–	2	3	5	2	2	?	–	1	–	?
–	–	1	6	22^{2}	9^{1}	7^{1}	6	5	1	2^{1}	1	60	„	Lohr b. D.	4^{2})	–	–	1	4	11	7	5	6	4	1	1	1	41
–	–	–	2	14	8	6	3^{1}	3	1	4^{2}	–	41	67	Ansbach	2^{1})	–	–	–	2	9	5	5	3	2	1	1	–	28
–	–	–	4	18^{1}	10^{1}	8	4	5	1	2	–	52	„	Arberg	2	–	–	–	3	9	7	7	4	2	1	1	–	34
–	–	–	2	8	7	4	1	1	1	–	–	24	„	Aurach	–	–	–	–	2	5	5	3	1	1	1	–	–	18
–	–	–	3	16^{1}	13	6	3	3	1	2	–	47	„	Colmberg	1	–	–	–	3	9	7	6	3	3	1	1	–	33
–	–	–	1	6	7	4	2	1	–	–	–	21	„	Eschenbach	–	–	–	–	1	5	4	4	2	1	–	–	–	17
–	–	–	2	7	6^{1}	4	3	2	1	1	–	26	„	Herrieden	1	–	–	–	2	7	6	3	3	2	1	1	–	25
–	–	1	2^{1}	12	10^{1}	4	4	1	1	1	–	36	„	Mosbach	2	–	–	1	2	7	6	3	4	1	1	1	–	26
–	–	–	3	13	9	6	3	3	–	2	–	39	„	Ornbau	–	–	–	–	3	7	6	5	3	2	–	1	–	27
–	–	–	4	15^{2}	8^{1}	1	3	2	1	2	–	36	„	Schillingsfürst	3	–	–	–	3	9	7	1	3	2	1	1	–	27
–	–	1	3	16^{2}	10	3^{1}	5	1	1	2^{1}	2	44	„	Weinberg	4	–	–	1	3	8	7	2	3	1	1	1	2	29
–	–	–	5^{1}	13^{1}	5	2	3	1	1	1^{1}	–	31	„	Wörnitz	3	–	–	–	3	8	4	1	3	1	1	1	–	22
–	–	–	2	9^{1}	7	3	2	1	–	1	–	25	68	Allersberg	1	–	–	–	1	4	3	3	2	1	–	1	–	15
–	–	–	1	5	7	2	1^{1}	1	–	1	–	18	„	Hilpoltstein	1	–	–	–	1	4	3	2	1	1	–	1	–	13
–	–	–	1	5	3	4	–	4	–	1	–	18	„	Schwabach	–	–	–	–	1	4	3	4	–	2	–	1	–	15
–	–	–	2	16	12	3	1	1	–	2	–	37	69	Freystadt	–	–	–	–	1	7	3	3	1	1	–	1	–	17
1	–	1	1	9	6^{1}	8	–	3	–	–	–	29	„	Habsberg	1	1	–	1	1	5	4	6	–	2	–	–	–	20
–	–	–	–	7	5	3	–	1	–	1^{1}	–	17	„	Hohenburg	1	–	–	–	–	4	3	3	–	1	–	1	–	12

[1]) November: 1 Hageltag. [2]) Mai: 1 Hageltag. [3]) Mai: 2 Hageltage. [4]) Juni: 1 Hageltag.

Zahl der Gewitter (Die Zahl der Hagelfälle ist in den einzelnen Monaten als Exponent beigesetzt.)													Rechteck Nr.	Station	Jahressumme der Hageltage	Zahl der Gewittertage											
Jan.	Febr.	März	April	Mai	Juni	Juli	Aug.	Sept.	Okt.	Nov.	Dez.	Jahr				Jan.	Febr.	März	April	Mai	Juni	Juli	Aug.	Sept.	Okt.	Nov.	Dez.	Jahr
–	–	–	1	11	8	3	–	1	–	1	–	25	69	Neumarkt i. O.	–	–	–	–	1	5	2	2	1	1	–	1	–	12
–	–	–	2	9	11	8	1	1	–	1	–	33	„	Velburg	–	–	–	–	2	5	4	4	1	1	–	1	–	18
–	–	–	1	8^3	8^1	11	1	3	–	1^1	–	33	70	Burglengenfeld	5	–	–	–	1	5	5	8	1	3	–	1	–	24
–	–	–	1	10^1	11^1	11	1	4	–	1^1	–	39	„	Dietldorf	3	–	–	–	1	7	6	8	1	3	–	1	–	27
–	–	–	1	10	11	8^2	1	4^1	–	3^1	–	38	„	Ensdorf	4	–	–	–	1	6	6	4	1	3	–	1	–	22
–	–	–	1	9	8	9	1	4	–	2^2	–	34	„	Kreuzberg b. Schwandorf	1^1)	–	–	–	1	5	5	6	1	3	–	1	–	22
–	–	–	2	7	8	7^1	2	2	–	1	–	29	„	Leonberg	1	–	–	–	2	4	6	5	2	2	–	1	–	22
–	–	–	–	6^1	5^1	4^1	2	2	–	1	–	20	„	Nittenau	3	–	–	–	–	4	4	3	1	2	–	1	–	15
–	–	–	1	5	5	5	2	4	–	2^1	–	24	71	Cham	1	–	–	–	1	3	5	4	2	4	–	1	–	20
–	–	–	4	1	2	3	2	4	–	1	–	17	„	Furth	–	–	–	–	4	1	1	3	2	4	–	1	–	16
–	–	–	–	2	3^1	2	2	2^1	–	–	–	11	„	Roding	2	–	–	–	–	2	3	1	2	2	–	–	–	10
–	–	–	3	8	9^1	9	3	3	–	2^1	–	37	„	Roetz	2	–	–	–	3	4	7	7	2	3	–	1	–	27
–	–	–	3	11	12	10	3^1	5	–	2	–	46	„	Runding	1	–	–	–	3	4	7	6	2	5	–	1	–	28
–	–	–	1^1	13	11^2	3	3	3	1	1^1	–	36	80	Dinkelsbühl	4	–	–	–	1	8	7	2	3	3	1	1	–	26
–	–	–	3	13	10	7	4	4	1	3	–	45	„	Gunzenhausen	–	–	–	–	3	7	8	6	4	2	1	1	–	32
–	–	–	4	16	8	7^1	7	5	–	1	–	48	„	Maihingen	1	–	–	–	4	5	7	4	6	3	–	1	–	30
–	–	–	1^1	7^1	7	1	3	2	–	1	1	23	„	Schopfloch	2	–	–	–	1	7	6	1	3	2	–	1	1	22
–	–	–	2	10	9	6	6	4	–	3^2	–	40	„	Wassertrüdingen	2^1)	–	–	–	2	7	8	6	6	3	–	1	–	33
–	–	–	2	9^1	4	5	6	2	–	4^1	–	32	81	Pfofeld	2	–	–	–	2	6	4	5	6	2	–	1	–	26
–	–	–	2	8	7	5	5	2	–	2^1	–	31	„	Weissenburg	1	–	–	–	2	5	5	4	5	2	–	1	–	24
–	–	–	2	5^2	6	7	3	2	–	1	–	26	„	Wettelsheim	2	–	–	–	2	4	5	4	3	2	–	1	–	21
–	–	–	2	6	6	2	–	7	–	1	–	24	82	Altmühlmünster	–	–	–	–	2	4	5	2	–	3	–	1	–	17
–	–	–	1	8	5	3	1	3	–	2	–	23	„	Beratzhausen	–	–	–	–	1	4	4	3	1	2	–	1	–	16
–	–	–	2	11	11	7	1	5	–	2	–	39	„	Berching	–	–	–	–	1	5	6	4	1	3	–	1	–	21
–	–	–	2	5	7	11	1	2	–	1	–	29	„	Hemau	–	–	–	–	2	4	5	8	1	2	–	1	–	23
–	–	–	2	9^1	7	6	?	?	–	1	–	?	„	Irlahüll	?	–	–	–	2	5	6	6	?	?	–	1	–	?
–	–	–	4	8	8	7	1	4	–	1	–	33	„	Kelheim	–	–	–	–	3	5	7	7	1	3	–	1	–	27
–	–	–	4	10^1	12	8^1	1	5	–	–	–	40	„	Pondorf	2	–	–	–	2	7	7	5	1	2	–	–	–	24
–	–	–	2	11	9	10	1	2	–	1^1	–	36	„	Schlott	1	–	–	–	2	6	7	8	1	2	–	1	–	27
–	–	–	–	6	10	4	1	1	–	1	–	23	83	Abbach	–	–	–	–	–	5	7	4	1	1	–	1	–	19
–	–	–	–	10	7	7	2	2	–	1	–	29	„	Donaustauf	–	–	–	–	–	7	5	7	2	2	–	1	–	24
–	–	–	2	4	6	7	1	2	–	1	–	23	„	Eichhofen	–	–	–	–	2	3	6	7	1	2	–	1	–	22
–	–	–	1	12^1	9^1	5	1	2	–	1	–	31	„	Frauenberg	2	–	–	–	1	7	5	4	1	2	–	1	–	21
–	–	–	–	12	13	8	1	4	–	1^1	–	39	„	Kiefenholz	1	–	–	–	–	5	8	5	1	3	–	1	–	23
–	–	–	–	12	15	7	2	5	–	1	–	42	„	Köfering	–	–	–	–	–	6	7	5	1	3	–	1	–	23
–	–	–	3	10^1	13	14	5	2	–	1	–	48	„	Kürn	1	–	–	–	2	5	8	8	4	2	1	1	–	30
–	–	–	–	9	9	10	2	3	–	1	–	34	„	Regensburg	–	–	–	–	–	5	6	7	6	2	3	1	–	25
–	–	–	–	9	7	6	1	1	–	1	–	25	84	Falkenstein	–	–	–	–	–	5	5	4	1	1	–	1	–	17
–	–	–	3	11	17^1	11^1	6	8	1	2	–	59	„	Viechtach	2	–	–	–	3	8	10	10	5	7	1	1	–	45
–	–	–	2^1	9^2	10	7^1	1	6^1	–	1	–	36	85	Buchenau	5	–	–	–	2	6	7	6	1	4	–	1	–	27
–	–	–	–	6^1	9	7	2	3	–	1	–	28	„	Gotteszell	1	–	–	–	–	5	5	7	2	3	–	1	–	23
–	–	–	–	4^1	4	6	–	2	–	–	–	16	„	Kirchdorf	1	–	–	–	–	3	4	5	–	2	–	–	–	14
–	–	–	–	7	8	8	–	4	–	1	–	28	„	Regen	–	–	–	–	–	5	6	6	–	4	–	1	–	22
–	–	–	2	7	11	7	1	4	–	1	–	33	„	Rinchnach	–	–	–	–	2	6	7	6	1	4	–	1	–	27
–	–	–	1	8	7	5	4	–	–	1	–	26	93	Donauwörth	–	–	–	–	1	6	6	4	4	–	–	1	–	22
–	–	–	4^1	10^1	9	8	7	5	–	1	–	44	„	Fronhofen	2	–	–	–	4	6	5	8	6	5	–	1	–	35
–	–	–	3	11^2	11	8	10	2^1	–	1	–	46	„	Mündling	3	–	–	–	3	7	6	6	8	2	–	1	–	33
–	–	–	4^1	8^2	8^1	8	7^1	3	–	1	–	39	„	Nördlingen	4^2)	–	–	–	4	7	6	5	6	2	–	1	–	31
–	–	–	–	5^2	4^1	4	3	–	–	–	–	16	94	Breitenfurt	3	–	–	–	–	3	4	3	3	–	–	–	–	13
–	–	–	2	9	6	3	4	1	1	1	–	27	„	Burgheim	–	–	–	–	2	8	5	3	4	1	1	1	–	25
–	–	–	2	17	12	9^1	1	4	–	3	–	48	„	Eichstätt	1	–	–	–	2	7	5	1	3	–	2	–	–	27
–	–	–	2	9^2	8	6	2	1	–	3^2	–	31	„	Monheim	4	–	–	–	2	6	6	4	2	1	–	2	–	23
–	–	–	3	10	7	6	5	1	–	2	–	34	„	Rain	–	–	–	–	3	6	6	5	5	1	–	2	–	28
–	–	–	1	9	7	9	5	–	–	4^1	–	35	„	Tagmersheim	1	–	–	–	1	5	6	7	5	–	–	2	–	26
–	–	1	2	8	7	3	8	3	–	–	–	32	95	Ingolstadt	–	–	–	1	2	5	7	6	3	–	–	–	–	27
–	–	–	1	10	5	7	1	–	–	1	–	25	„	Weltenburg	–	–	–	–	1	7	5	6	1	–	–	1	–	21
–	–	–	1	5^1	7^1	2	3	3^1	–	–	–	21	96	Ergoldsbach	3	–	–	–	1	4	6	2	3	3	–	–	–	19
–	–	–	1	5	14	2	3	4	–	1^1	–	30	„	Oberroning	1	–	–	–	1	2	7	2	2	3	–	1	–	18
–	–	–	2	6	8	4	3	4	–	1^1	–	28	„	Rohr	1	–	–	–	2	4	6	4	2	3	–	1	–	22
–	–	–	–	2	6	–	–	5	–	–	–	13	„	Schierling	–	–	–	–	–	1	3	–	–	2	–	–	–	6
–	–	–	–	6^1	7	3	4	5	–	1	–	26	97	Altenbuch	1	–	–	–	–	5	6	3	4	3	–	1	–	22
–	–	–	–	7	?	3	1	6	–	1	–	?	„	Deggendorf	?	–	–	–	–	4	?	3	1	5	–	1	–	?
–	–	–	–	11^2	8	4	7^1	6	–	–	–	36	„	Irlbach	3	–	–	–	–	7	7	4	5	3	–	–	–	26
–	–	–	–	5	5	3	1	?	–	–	–	?	„	Leiblfing	?	–	–	–	–	2	4	3	1	?	–	–	–	?
–	–	–	1	3	5	2	4	2	–	1	–	18	„	Martinsbuch	–	–	–	–	1	2	5	2	4	2	–	1	–	17
–	–	–	1	12^1	8	8	5	7	–	1	–	42	„	Metten	1	–	–	–	1	6	5	7	5	6	–	1	–	31
–	–	–	–	7^1	9^1	4	4	5	–	1	–	30	„	Pfelling	2	–	–	–	–	4	6	4	4	4	–	1	–	23
–	–	–	–	9	9	1	5	4	–	1	–	29	„	Pilsting	–	–	–	–	–	4	5	1	4	3	–	1	–	18
–	–	–	–	6	7	1	1	3	–	–	–	18	„	Puchhausen	–	–	–	–	–	3	7	1	1	2	–	–	–	14
–	–	–	–	7	3	3	3	5	–	1	–	22	„	Reissing	–	–	–	–	–	3	2	2	3	2	–	1	–	13
–	–	–	–	10^2	11^1	6	7	8	–	1	–	43	„	Straubing	3	–	–	–	–	7	6	5	4	4	–	1	–	27
–	–	–	–	3	9	2	2^1	5	–	1	–	22	98	Aussernzell	1	–	–	–	–	3	5	2	2	5	–	1	–	18
–	–	–	1	4^2	5	–	1	6	–	1^1	–	18	„	Fürstenstein	3	–	–	–	1	4	5	–	1	4	–	1	–	16
–	–	–	–	10	9	9	1	1	–	–	–	30	„	Grafenau	–	–	–	–	–	6	6	5	1	1	–	–	–	19
–	–	–	–	11	6	6^1	–	?	–	–	–	?	„	Greising	?	–	–	–	–	6	4	6	–	?	–	–	–	?
–	–	–	–	13	13	5	3	7	–	1	–	42	„	Hengersberg	–	–	–	–	–	4	6	5	3	6	–	1	–	25
–	–	–	–	6	9	–	4	4	–	1^1	–	24	„	Osterhofen	1	–	–	–	–	3	5	–	3	3	–	1	–	15
–	–	–	–	6	5	2	1	3	–	–	–	17	„	Perlesreut	–	–	–	–	–	5	3	2	1	2	–	–	–	13
–	–	–	1	6^1	13	5	3	7	–	1	–	36	„	Schönberg	1	–	–	–	1	6	7	5	2	5	–	1	–	27
–	–	–	2	5^1	8^2	2	2	4	–	1	–	24	99	Bischofsreut	3	–	–	–	2	5	7	2	1	4	–	1	–	22
–	–	1	3	10	13	4	2	5	–	1	–	39	„	Grainet	–	–	–	1	2	6	5	4	1	4	–	1	–	24
–	–	–	3	6^1	6^1	5	2	4	–	1	–	27	„	Schwarzental	2	–	–	–	2	5	5	5	1	4	–	1	–	23

[1]) November: 1 Hageltag. [2]) Mai: 1 Hageltag.

Zahl der Gewitter (Die Zahl der Hagelfälle ist in den einzelnen Monaten als Exponent beigesetzt.)														Rechteck Nr.	Station	Jahressumme der Hageltage	Zahl der Gewittertage											
Jan.	Febr.	März	April	Mai	Juni	Juli	Aug.	Sept.	Okt.	Nov.	Dez.	Jahr				Jan.	Febr.	März	April	Mai	Juni	Juli	Aug.	Sept.	Okt.	Nov.	Dez.	Jahr
–	–	1	2	5^{1}	1	1	1	2	–	1^{1}	–	14	99		Waldkirchen	2	–	–	1	2	4	1	1	1	2	–	1	–	13
–	–	–	3^{1}	5^{1}	5	–	4	1	–	–	–	18	105		Oberelchingen	2	–	–	–	3	4	5	–	3	1	–	–	–	16
–	–	–	3^{1}	7	8	3	5	1	–	–	–	27	106		Affaltern	1	–	–	–	3	6	7	3	4	1	–	–	–	24
–	–	–	5^{2}	10	6	–	1	2	–	–	–	24	„		Emersacker	1	–	–	–	3	5	5	–	1	2	–	–	–	16
–	–	–	2	2	3	1	2	–	–	–	–	10	„		Glött	–	–	–	–	2	2	2	1	2	–	–	–	–	9
–	–	–	4	3	10	1	6	2	–	–	–	26	„		Günzburg	–	–	–	–	2	2	7	1	4	2	–	–	–	18
–	–	–	8	14	16	9	11	6	–	–	–	64	„		Rettenbach	–	–	–	–	5	10	9	6	7	5	–	–	–	42
–	–	–	4	7^{2}	4	1	1	–	–	–	–	17	„		Steinheim	2	–	–	–	3	5	4	1	1	–	–	–	–	14
–	–	–	3^{1}	7	5	3^{1}	3	2	–	–	–	23	„		Wertingen	2	–	–	–	3	4	3	2	3	1	–	–	–	16
–	–	–	1	6^{2}	6	1	3	1	–	–	–	18	107		Alsmoos	2	–	–	–	1	3	5	1	2	1	–	–	–	13
–	–	–	5^{3}	8	8^{1}	2	6	3	–	1	–	33	„		Herbertshofen	4	–	–	–	3	6	5	1	4	3	–	1	–	23
–	–	–	2^{1}	8	6	3	6	2	–	1	–	28	„		Karlshuld	1	–	–	–	2	7	6	3	5	2	–	1	–	26
–	–	1	2	14^{1}	9	3	3	3	–	2	–	37	„		Kühbach	1	–	–	1	2	7	7	3	3	3	–	2	–	28
–	–	–	4^{1}	3	5	4	1	–	–	1	–	18	„		Mertingen	1	–	–	–	3	3	5	3	1	–	–	1	–	16
–	–	1	2	12	12	6	9	4	1	1	–	48	„		Niederaynbach	–	–	–	1	2	7	8	3	6	4	1	1	–	33
–	–	1	3	5^{1}	7	2	2	3	–	–	–	23	108		Geisenfeld	1	–	–	1	3	4	5	2	2	3	–	–	–	20
–	–	1^{1}	2	11^{1}	10	4	5	4	–	1^{1}	–	38	„		Gerolsbach	3	–	–	1	2	6	7	4	4	4	–	1	–	29
–	–	–	2	8	13	5	3	3	–	1	–	35	„		Hohenwart	–	–	–	–	2	3	8	2	3	3	–	1	–	22
–	–	–	?	4	10^{1}	–	5	?	–	–	–	?	„		Mainburg	?	–	–	–	?	2	6	–	3	?	–	–	–	?
–	–	–	1	6	5	1	5	1	–	1	–	20	„		Pfaffenhofen a. I.	–	–	–	–	1	2	4	1	5	1	–	1	–	15
–	–	–	1	11^{1}	9	5^{1}	4	5	–	1	–	36	„		Scheyern	2	–	–	–	1	5	7	4	3	5	–	1	–	26
–	–	–	1	10^{1}	8^{2}	2	7	3	–	–	–	31	„		Wolnzach	3	–	–	–	1	6	6	2	5	3	–	–	–	23
–	–	1	1	10	12	3	6	2	1	1	–	37	109		Bruckberg	–	–	–	1	1	4	9	3	4	2	1	1	–	26
–	–	–	1	6^{1}	5	3	4	2	3	1	–	25	„		Essenbach	1	–	–	–	1	4	5	3	4	2	3	1	–	23
–	–	1^{1}	1	16^{1}	14	6	7	6	2	2^{1}	–	55	„		Gramelkam	3	–	–	1	1	7	8	6	4	6	1	1	–	35
–	–	1	–	4	7^{1}	3	4	2	–	1	–	22	„		Gündlkofen	1	–	–	1	–	4	7	3	4	2	–	1	–	22
–	–	1	1	8^{1}	10^{1}	2	6	2	–	–	–	30	„		Isareck	2	–	–	1	1	3	7	2	3	1	–	–	–	18
–	–	1	–	6^{2}	6^{2}	4	5	3	1	1	–	27	„		Landshut	4	–	–	1	–	5	6	4	4	3	1	1	–	25
–	–	1	1	6^{2}	6^{2}	–	10	–	–	1	–	25	„		Margarethenried	3^{1})	–	–	1	1	2	5	–	2	–	–	1	–	12
–	–	–	–	6	8^{2}	2	5	2	–	1	–	24	„		Pfeffenhausen	2	–	–	–	–	3	7	2	4	2	–	1	–	19
–	–	–	–	5^{1}	5	3	6	3	–	2	–	24	„		Weihenstephan b. L.	1	–	–	–	–	2	5	3	4	3	–	1	–	18
–	–	–	2	12	10	3	8	5	–	–	–	40	110		Dietersburg	–	–	–	–	1	4	6	3	5	5	–	–	–	24
–	–	–	–	11	7	2	5	1	1	1	–	28	„		Dingolfing	–	–	–	–	–	3	5	2	4	1	1	1	–	17
–	–	1	–	7	9	–	6	1	–	1^{1}	–	25	„		Falkenberg	1	–	–	1	–	3	6	–	4	1	–	1	–	16
–	–	–	–	–	6^{1}	–	2	–	–	1^{1}	–	9	„		Frontenhausen	2	–	–	–	–	–	6	–	2	–	–	1	–	9
–	–	1	2	2	8	–	3	1	–	1	–	18	„		Malgersdorf	–	–	–	1	2	2	4	–	2	1	–	1	–	13
–	–	1	2	9	16^{1}	1	4	4	–	1^{1}	–	38	„		Reisbach	2	–	–	1	2	3	9	1	4	4	–	1	–	25
–	–	–	1	7	7	1	1	2	–	1^{1}	–	20	111		Hutthurm	1	–	–	–	1	5	4	1	1	2	–	1	–	15
–	–	–	1	9	10	1	4	2	–	1	–	28	„		Neuhaus	–	–	–	–	1	4	7	1	3	2	–	1	–	19
–	–	–	1	12	14	2	5	4	–	1	–	39	„		Ortenburg	–	–	–	–	1	4	8	2	3	3	–	1	–	22
–	–	–	–	7	7	?	3	5	–	1	–	?	„		Pleinting	?	–	–	–	–	4	5	?	3	5	–	1	–	?
–	–	–	1	9	13	1	4	2	–	1	–	31	„		Schweiklberg	–	–	–	–	1	5	8	1	4	2	–	1	–	22
–	–	–	1	4	7^{1}	2	3	4	–	1	–	22	112		Wegscheid	1	–	–	–	1	4	5	2	3	4	–	1	–	20
–	–	–	1	6^{1}	9^{4}	–	–	4	–	1^{1}	–	21	„		Wildenranna	4^{2})	–	–	–	1	5	4	–	3	1	–	1	–	14
–	–	–	2^{1}	?	7^{2}	5	5	2	–	–	–	?	118		Pfaffenhofen a. R.	?	–	–	–	2	?	7	5	5	2	–	–	–	?
–	–	–	4	8^{1}	7	3	3	5	–	–	–	30	„		Vöhringen	1	–	–	–	3	6	3	3	3	4	–	–	–	22
–	–	–	2	4	7^{1}	2	6	3^{1}	–	–	–	24	„		Weissenhorn	2	–	–	–	2	4	7	2	3	3	–	–	–	21
–	–	–	1	3	8	3^{1}	7	1	–	–	–	23	119		Balzhausen	1	–	–	–	1	2	5	3	5	1	–	–	–	17
–	–	–	4	7	6	–	5	1	–	–	–	23	„		Burgau	–	–	–	–	3	5	5	–	5	1	–	–	–	19
–	–	–	1	2	7	–	3	1	–	–	–	14	„		Dinkelscherben	–	–	–	–	1	2	6	–	3	1	–	–	–	13
–	–	–	5	12	9	4	4	2	–	–	–	36	„		Horgauergreut	–	–	–	–	3	7	7	3	3	2	–	–	–	25
–	–	–	2	7^{1}	14	?	10	2	–	–	–	?	„		Krumbach	?	–	–	–	2	5	8	?	6	2	–	–	–	?
–	–	–	7	5^{1}	5	1	8	–	–	–	–	26	„		Reinhardshofen	1	–	–	–	4	3	4	1	6	–	–	–	–	18
–	–	–	4	8	9	3	5	1	–	–	–	30	„		Strassberg	–	–	–	–	3	6	6	2	4	1	–	–	–	22
–	–	–	3	10^{1}	9^{1}	3	7	3	–	–	–	35	„		Wettenhausen	2	–	–	–	3	8	8	3	5	3	–	–	–	30
–	–	–	2	10^{2}	12	1^{1}	3	2	1	1^{1}	–	32	120		Aichach	3^{4})	–	–	–	1	4	6	1	3	2	1	1	–	19
–	–	–	1	3	6	3	3	3^{1}	–	1	–	20	„		Altomünster	1	–	–	–	1	3	6	3	3	3	–	1	–	20
–	–	–	3^{1}	6	13^{2}	3	6	3	1	–	–	35	„		Augsburg	2^{1})	–	–	–	3	5	7	3	5	3	1	–	–	27
–	–	–	?	5	6	–	3	1	–	–	–	?	„		Dasing	?	–	–	–	?	5	6	–	2	1	–	–	–	?
–	–	–	4	5	11	2	5	2^{1}	1	–	–	30	„		Derching	1	–	–	–	3	3	6	1	4	2	1	–	–	20
–	–	–	?	2	4	3	3	1	–	–	–	?	„		Mering	?	–	–	–	?	2	4	3	3	1	–	–	–	?
–	–	–	2	11	9	5	6	3	–	1	–	37	121		Aufkirchen	1	–	–	–	1	6	7	4	4	3	–	1	–	26
–	–	–	–	12^{1}	13^{1}	6	7	3	–	1^{1}	–	42	„		Dachau	3	–	–	–	–	6	8	5	6	3	–	1	–	29
–	–	1	1	5	13	5	6	3	–	–	–	34	„		Garching b. M.	–	–	–	1	1	4	6	4	5	3	–	–	–	24
–	–	1^{1}	–	3^{1}	–	1^{1}	1	–	–	1	–	7	„		Hohenkammer	3	–	–	1	–	2	–	1	1	–	–	1	–	6
–	–	1	2	9	8	–	2	3	–	1	–	26	„		Jetzendorf	–	–	–	1	2	4	7	–	2	3	–	1	–	20
–	–	1	1	8	12	4	2	5	–	–	–	33	„		Weichs	–	–	–	1	1	5	8	4	2	5	–	–	–	26
–	–	1	–	4	14	6	6	5	–	1	1	38	„		Weihenstephan b. Fr.	–	–	–	1	–	3	7	4	4	5	–	1	1	26
–	–	1	–	8	5	2	5	2	1	1	–	25	122		Altfraunhofen	–	–	–	1	–	2	5	2	4	2	1	1	–	18
–	–	–	2	14^{1}	15	1	9	4	1	2^{2}	–	48	„		Bockhorn	2^{3})	–	–	–	1	6	7	1	4	2	1	1	–	23
–	–	1	1	?	17	6	11	6	1	1	–	?	„		Eberspoint	?	–	–	1	1	?	9	4	5	4	1	1	–	?
–	–	–	–	9	9	2	6	3	1	1	–	31	„		Hohenpolding	–	–	–	–	–	5	9	2	5	3	1	1	–	26
–	–	–	–	6	6	6	7	?	–	–	–	?	„		Langenpreising	?	–	–	–	–	4	6	6	6	?	–	–	–	?
–	–	–	–	8^{1}	12	2	7	1	–	1	–	31	„		Moosen	1	–	–	–	–	6	8	2	6	1	–	1	–	24
–	–	1	–	10^{2}	9^{1}	5	6	2	1	1	–	35	„		Neufraunhofen	2^{4})	–	–	1	–	4	6	4	4	2	1	1	–	23
–	–	1	–	7^{1}	5	2^{1}	6^{1}	2	–	–	–	23	„		Velden	3	–	–	1	–	3	4	2	5	2	–	–	–	17
–	–	–	?	10	9^{2}	3	7	?	1	1	–	?	„		Vilsbiburg	?	–	–	–	?	5	7	3	5	?	1	1	–	?
–	–	1^{1}	1	12	13	4	7	3	1	1	–	43	„		Vilsheim	1	–	–	1	1	6	9	4	6	3	1	1	–	32
–	–	1	1	9	13^{3}	7	8	4	–	1	–	44	123		Anzenberg	2^{2})	–	–	1	1	5	8	5	5	3	–	1	–	29
–	–	–	–	10^{1}	7^{1}	4	4	5	–	–	–	30	„		Ecksberg	2	–	–	–	–	4	6	4	4	4	–	–	–	22
–	–	1	1	10^{1}	11^{1}	1	8^{1}	5	–	1^{1}	–	38	„		Eggenfelden	4	–	–	1	1	6	8	1	6	4	–	1	–	28
–	–	–	2	18	14	4	7	4	–	2	–	51	„		Mühldorf	–	–	–	–	2	9	9	3	4	4	–	1	–	32

[1]) Juni: 1 Hageltag. [2]) Juni: 2 Hageltage. [3]) November: 1 Hageltag. [4]) Mai: 1 Hageltag.

Zahl der Gewitter (Die Zahl der Hagelfälle ist in den einzelnen Monaten als Exponent beigesetzt.)													Rechteck Nr.	Station	Jahressumme der Hageltage	Zahl der Gewittertage											
Jan.	Febr.	März	April	Mai	Juni	Juli	Aug.	Sept.	Okt.	Nov.	Dez.	Jahr				Jan.	Febr.	März	April	Mai	Juni	Juli	Aug.	Sept.	Okt.	Nov.	Dez.	Jahr
–	–	–	–	3	5^{1}	2	2	–	–	–	–	12	123	Neuötting	1	–	–	–	–	2	5	1	1	–	–	–	–	9
–	–	1	1^{1}	9	7	3	?	3	–	1	–	?	„	Perach	?	–	–	1	1	4	6	3	?	3	–	1	–	?
–	–	–	1	11	16	2	4^{1}	4	–	–	–	38	„	Pfarrkirchen	1	–	–	–	1	3	9	2	4	4	–	–	–	23
–	–	–	–	4	9	3	6	4	–	1	–	27	„	Reischach	–	–	–	–	–	2	7	3	4	4	–	1	–	21
–	–	1	–	11^{1}	10^{1}	4	7	2	–	2	–	37	„	St. Veit	2	–	–	1	–	5	7	4	5	2	–	1	–	25
–	–	1	1	10	13	2	7	1	–	–	–	35	„	Staudach	–	–	–	1	1	5	7	2	5	1	–	–	–	22
–	–	–	–	7	8	1	3	3	–	–	–	22	124	Kirchberg	–	–	–	–	–	4	7	1	2	3	–	–	–	17
–	–	–	2	14	12	2	6	3	–	1	–	40	„	Kirn	–	–	–	–	2	5	8	2	3	3	–	1	–	24
–	–	–	2^{1}	5	9	1	3	2	–	–	–	22	„	Tettenweis	1	–	–	–	2	4	8	1	3	2	–	–	–	20
–	–	–	–	2	8	–	1	4	–	1	–	16	„	Triftern	–	–	–	–	–	1	5	–	1	3	–	1	–	11
–	–	–	4	5	6^{1}	2	3	1	–	–	–	21	131	Heimertingen	1	–	–	–	4	5	5	2	3	1	–	–	–	20
–	–	–	3	10	11^{1}	5	5	3	–	–	–	37	„	Osterberg	1	–	–	–	3	8	8	4	3	3	–	–	–	29
–	–	–	4	6	8^{1}	6	6	1	–	–	–	31	132	Buchloe	1	–	–	–	3	6	7	2	4	1	–	–	–	23
–	–	–	3	7^{1}	8	5	8	4	–	–	–	35	„	Erkheim	1	–	–	–	2	6	7	5	5	4	–	–	–	29
–	–	–	3	11	13	6	12	5	1	–	–	51	„	Loppenhausen	–	–	–	–	3	6	8	3	4	5	1	–	–	30
–	–	–	2	7^{1}	8^{1}	7^{1}	7	3	–	1	–	35	„	Mindelheim	3	–	–	–	2	6	7	4	5	3	–	1	–	28
–	–	–	–	?	10^{2}	6^{2}	?	2	–	–	–	?	„	Türkheim	?[1]	–	–	–	1	?	7	1	?	2	–	–	–	?
–	–	–	1	4	9	4^{1}	4	1	–	–	–	23	„	Tussenhausen	1	–	–	–	1	4	8	2	4	1	–	–	–	20
–	–	–	2	9^{1}	8^{1}	1	1	3	1	–	–	25	133	Breitbrunn	2	–	–	–	2	7	6	1	1	2	1	–	–	20
–	–	–	4	8	7^{2}	1^{1}	4	2	–	–	–	26	„	Eching	3	–	–	–	4	7	7	1	4	2	–	–	–	25
–	–	–	2^{1}	7^{1}	7	3	7	1	–	–	–	27	„	Egling	2	–	–	–	2	5	5	2	4	1	–	–	–	19
–	–	–	1	2	8	2	6	1	–	–	–	20	„	Fürstenfeldbruck	–	–	–	–	1	2	6	2	4	1	–	–	–	16
–	–	–	1^{1}	10	8^{1}	3	4	2	–	–	–	28	„	Hechendorf	2	–	–	–	1	6	6	2	4	2	–	–	–	21
–	–	–	1	5	6^{3}	1	4	3	1	–	–	21	„	Oberalting	3	–	–	–	1	3	4	1	4	3	1	–	–	17
–	–	–	1	3	6	4	11	3	–	–	–	28	„	Puch	–	–	–	–	1	3	5	3	7	3	–	–	–	22
–	–	–	2	7^{4}	7	4^{1}	9	5	–	–	–	34	„	St. Ottilien	5	–	–	–	2	6	5	2	8	4	–	–	–	27
–	–	–	–	5^{2}	8	2	6	1	–	–	–	22	134	Anzing	2	–	–	–	–	4	6	2	6	1	–	–	–	19
–	–	–	1	7^{1}	9^{1}	4	8^{1}	6	–	1^{1}	–	36	„	Feldkirchen bei München	4	–	–	–	1	5	8	3	7	5	–	1	–	30
–	–	–	1	10^{1}	14^{1}	6	7	6^{1}	–	1	–	45	„	Ismaning	3	–	–	–	1	5	8	5	5	5	–	1	–	30
–	–	–	1	6^{1}	10^{1}	6	11^{1}	4^{1}	–	1^{1}	–	39	„	München	5	–	–	–	1	4	8	5	6	4	–	1	–	29
–	–	–	1	2	5^{1}	3	–	2	–	–	–	13	„	Oberhaching	1	–	–	–	1	2	4	3	–	2	–	–	–	12
–	–	–	1^{1}	9^{3}	12	6^{1}	11	5	1	1	–	46	„	Prinz-Ludwigshöhe	4[2]	–	–	–	1	5	7	4	6	4	1	1	–	29
–	–	–	3	7	9	3	3	3	–	–	–	28	135	Albaching	–	–	–	–	3	5	7	3	3	2	–	–	–	23
–	–	–	–	12^{1}	16	3	8	6	–	1	1	47	„	Aschau	1	–	–	–	–	7	8	3	6	5	–	1	1	31
–	–	–	3^{1}	7	14^{1}	5	5	4	–	–	–	38	„	Attel	2	–	–	–	3	5	10	4	3	4	–	–	–	29
–	–	1	2	7	10	3	6	6	–	–	–	35	„	Gars	–	–	–	1	2	6	8	3	6	5	–	–	–	31
–	–	–	–	11	12^{1}	1	5	3	–	–	–	32	„	Haag	1	–	–	–	–	6	9	1	4	2	–	–	–	22
–	–	–	2	8	11^{2}	–	6	5	–	–	–	32	„	Hohenlinden	2	–	–	–	2	5	6	–	5	4	–	–	–	22
–	–	–	2	10	14	10	8	5	–	–	–	49	„	Kircheiselfing	–	–	–	–	2	7	10	5	6	5	–	–	–	35
–	–	1	1	7	14	4	8	3	1	–	–	39	„	Ottenhofen	–	–	–	1	1	5	8	3	6	3	1	–	–	28
–	–	–	–	3	9	?	2	3	–	–	–	?	„	Pemmering	?	–	–	–	–	3	7	?	2	2	–	–	–	?
–	–	–	3^{1}	10	18^{4}	5	9^{1}	6^{1}	–	1	–	52	„	Schnaitsee	6[3]	–	–	–	2	7	11	5	6	6	–	1	–	38
–	–	–	3	15	23	7	3	6^{1}	–	–	–	57	„	Wasserburg	1	–	–	–	3	8	10	5	3	5	–	–	–	34
–	–	–	3	10^{2}	11^{1}	3	8	5	–	2	–	42	136	Burghausen	2[4]	–	–	–	3	6	9	3	6	4	–	1	–	32
–	–	–	3	9	9^{2}	1	5	4	–	–	–	31	„	Engelsberg	1[5]	–	–	–	3	8	6	1	4	4	–	–	–	26
–	–	–	3	19	20	7	13	9	–	–	–	71	„	Feldkirchen bei Trostberg	–	–	–	–	2	8	8	5	6	6	–	–	–	35
–	–	1	–	5	4^{2}	–	2	2	–	1	–	15	„	Haiming	2	–	–	1	–	3	4	–	2	2	–	1	–	13
–	–	–	2	6^{1}	9	7^{1}	7	5	–	–	–	36	145	Dietmannsried	2	–	–	–	2	5	9	7	4	5	–	–	–	32
–	–	–	2	4	7	4	5	5^{1}	–	–	–	27	„	Ebersbach	1	–	–	–	1	2	6	3	4	4	–	–	–	20
–	–	–	3	3^{2}	7^{2}	2	6	3	–	–	–	24	„	Haldenwang	4	–	–	–	3	3	7	2	4	3	–	–	–	22
–	–	–	3	4	5^{1}	4	7^{1}	4	–	–	–	27	„	Mussenhausen	2	–	–	–	3	4	4	2	6	4	–	–	–	23
–	–	–	7	9^{1}	14^{2}	9^{1}	11	11	–	–	–	61	„	Ottobeuren	3	–	–	–	3	7	8	6	6	7	–	–	–	37
–	–	–	3	8	11^{2}	7	8	4	1	–	–	42	146	Andechs	2	–	–	–	3	5	8	4	7	3	1	–	–	31
–	–	–	2	5	3	8	9	5	–	–	–	32	„	Diessen	–	–	–	–	2	3	2	3	7	4	–	–	–	21
–	–	–	1	6	3	1	4	2	1	–	–	18	„	Herrsching	–	–	–	–	1	5	3	1	4	2	1	–	–	17
–	–	–	2^{1}	5	8^{3}	4	6	2	1	–	–	28	„	Hohenpeissenberg	4	–	–	–	2	4	7	3	6	2	1	–	–	25
–	–	–	1	3	8	2	8	2^{1}	–	–	–	24	„	Ludenhausen	1	–	–	–	1	2	6	2	7	1	–	–	–	19
–	–	–	5	5	8^{1}	4	10	8^{1}	2	–	–	42	„	Peiting	2	–	–	–	4	4	7	3	9	5	1	–	–	33
–	–	–	3	10	7^{1}	5	10	2	1	–	–	38	„	Perchting	1	–	–	–	3	7	6	3	7	1	1	–	–	28
–	–	–	5	5	7^{2}	2	7^{1}	5	1	–	1	33	„	Schongau	3	–	–	–	3	4	6	2	6	4	1	–	1	27
–	–	–	3^{1}	11^{2}	8	6	10	3	1	–	–	42	„	Seeshaupt	3	–	–	–	3	7	8	3	5	2	1	–	–	29
–	–	–	3	10	9	6	13	5	1	–	–	47	„	Tutzing	–	–	–	–	3	6	7	3	7	4	1	–	–	31
–	–	–	2	8	7	2	4	2	1	–	–	26	„	Unterhausen	–	–	–	–	2	5	6	2	4	2	1	–	–	22
–	–	–	5	12	12^{2}	6	8	3	2	–	–	48	147	Ammerland	2	–	–	–	4	5	8	3	5	2	1	–	–	28
–	–	–	3^{1}	6	8	6	4	2	–	–	–	29	„	Assenhausen	1	–	–	–	3	4	7	4	3	2	–	–	–	23
–	–	–	1^{1}	7	10^{1}	3	6	3	–	–	–	30	„	Dietramszell	2	–	–	–	1	6	9	3	4	2	–	–	–	25
–	–	–	–	3	8^{3}	1	5	–	1	–	–	18	„	Grossdingharting	3	–	–	–	–	2	6	1	3	–	1	–	–	13
–	–	–	1^{1}	10	10	1	7	3	–	–	–	32	„	Holzkirchen	1	–	–	–	1	6	6	1	6	3	–	–	–	23
–	–	–	1^{1}	3^{1}	9	2	5	–	–	–	–	20	„	Königsdorf	2	–	–	–	1	?	7	1	3	–	–	–	–	?
–	–	1	4	9	7	3	7^{2}	4	1	–	–	36	„	Münsing	2	–	–	1	3	5	6	2	6	4	1	–	–	28
–	–	–	1	4	2	2	2	?	–	–	–	?	„	Oed	?	–	–	–	1	2	2	2	2	?	–	–	–	?
–	–	–	1	5	4^{3}	6	9	7	1	1	–	34	„	Schäftlarn	2	–	–	–	1	4	4	3	8	5	1	1	–	27
–	–	1	2	6^{2}	5^{1}	4	5	3	1	–	–	27	„	Starnberg	2[4]	–	–	1	2	4	5	4	4	3	1	–	–	24
–	–	–	1	1	4	5	7	2	2	–	–	22	„	Westerham	–	–	–	–	1	1	4	1	5	2	1	–	–	15
–	–	–	2^{1}	3	8^{1}	–	3	1	–	–	–	17	148	Bad Aibling	2	–	–	–	2	3	7	–	3	1	–	–	–	16
–	–	–	2	2	1	5	4	–	–	–	–	19	„	Kematen	–	–	–	–	2	2	1	3	2	–	–	–	–	10
–	–	–	3^{1}	10	11	7	11	2	1	–	–	45	„	Pang	1	–	–	–	3	7	10	6	8	2	1	–	–	37
–	–	–	3^{1}	6^{1}	3	4	7	2	–	–	–	25	„	Riedering	2	–	–	–	2	5	3	3	3	2	–	–	–	18
–	–	–	1^{1}	4	5^{1}	2^{1}	2	1	–	–	–	15	„	Rosenheim	3	–	–	–	1	4	5	2	2	1	–	–	–	15
–	–	–	3	6	11	6	5	1	–	–	–	32	„	Söchtenau	–	–	–	–	3	5	11	5	3	1	–	–	–	28
–	–	–	3	6	13	6	7	?	–	–	–	?	„	Söllhuben	?	–	–	–	2	4	8	4	4	?	–	–	–	?
–	–	–	4	2	9	2	9	6	1	–	–	33	„	Vogtareuth	–	–	–	–	3	2	7	2	6	4	1	–	–	25

[1]) Iuli: 1 Hageltag. [2]) Mai: 2 Hageltage. [3]) Juni: 3 Hageltage. [4]) Mai: 1 Hageltag. [5]) Juni: 1 Hageltag.

Zahl der Gewitter (Die Zahl der Hagelfälle ist in den einzelnen Monaten als Exponent beigesetzt.)													Rechteck Nr.	Station	Jahressumme der Hageltage	Zahl der Gewittertage											
Jan.	Febr.	März	April	Mai	Juni	Juli	Aug.	Sept.	Okt.	Nov.	Dez.	Jahr				Jan.	Febr.	März	April	Mai	Juni	Juli	Aug.	Sept.	Okt.	Nov.	Dez.	Jahr
–	–	–	1	6	8^{1}	2	9	2	–	–	–	28	149	Anger	1	–	–	–	1	3	5	2	6	2	–	–	–	19
–	–	–	2	11	13^{2}	3^{1}	9	6	–	–	–	44	„	Baumburg	2[1])	–	–	–	2	7	7	3	6	5	–	–	–	30
–	–	–	1	5	8	–	5	1	–	–	–	20	„	Bergen	–	–	–	–	1	3	6	–	4	1	–	–	–	15
–	–	–	–	4	8^{1}	3	8	2	–	–	–	25	„	Chieming	1	–	–	–	–	3	5	2	5	2	–	–	–	17
–	–	–	1	7	17^{2}	11	13^{1}	5	–	1	–	55	„	Frauenchiemsee	3	–	–	–	1	5	13	9	7	5	–	1	–	41
–	–	–	?	5	5	3	5	2	–	–	–	?	„	Laufen	?	–	–	–	?	3	3	1	4	2	–	–	–	?
–	–	–	3	9^{1}	12	4	8	6^{2}	1^{1}	1	–	44	„	Maria-Eck	4	–	–	–	3	6	8	4	6	5	1	1	–	34
–	–	–	4	11^{1}	10^{2}	5	5	7	–	1	–	43	„	St. Georgen	3	–	–	–	3	7	7	4	4	7	–	1	–	33
–	–	–	3	16^{1}	18^{3}	5	17^{2}	7	–	1^{1}	–	67	„	Surrberg	7[2])	–	–	–	1	6	11	4	7	5	–	1	–	35
–	–	–	2	6	11	3	13^{1}	7	–	–	–	42	„	Traunstein	1[3])	–	–	–	1	4	7	3	7	4	–	–	–	26
–	–	–	1	7	9	4	8	4	1	–	–	34	„	Waging	–	–	–	–	1	6	6	3	5	3	1	–	–	25
–	–	–	1	6^{1}	8^{1}	3	10^{1}	7	–	–	–	35	156	Lindau-Reutin	3	–	–	–	1	5	5	2	8	5	–	–	–	26
–	–	–	2	9	11	3	7	6	–	–	–	38	„	Unterreitnau	–	–	–	–	2	8	8	3	7	5	–	–	–	33
–	–	–	2	6	9^{1}	4	3	4	–	–	–	28	157	Niedersonthofen	1	–	–	–	2	5	7	3	3	4	–	–	–	24
–	–	1	4	10	13^{2}	3	11	3	–	1^{1}	–	45	„	Oberstaufen	3	–	–	1	2	6	10	2	8	3	–	1	–	33
–	–	–	?	4	7^{2}	3	8	4	–	1	–	?	„	Weiler	?	–	–	–	?	3	6	2	6	4	–	1	–	?
–	–	–	6	8	12^{3}	8	11	7^{1}	1	–	–	53	158	Bernbeuren	4	–	–	–	3	4	8	6	7	5	1	–	–	34
–	–	–	3	2	6	3	5	3	2	–	–	24	„	Füssen	–	–	–	–	3	2	3	3	4	3	1	–	–	19
–	–	–	2	8^{2}	10^{2}	8	7	6	–	–	–	41	„	Kempten	4	–	–	–	2	5	9	6	5	5	–	–	–	32
–	–	–	1	7	6^{1}	2	3^{2}	2	1	–	–	22	„	Markt Oberdorf	6	–	–	–	1	5	5	2	3	2	1	–	–	19
–	–	–	5	2	9^{2}	1	5	2	1	–	–	25	„	Mittersulzberg	2	–	–	–	3	2	7	1	4	2	1	–	–	20
–	–	–	2	6	10^{2}	–	1	2	–	–	–	21	„	Nesselwang	1[1])	–	–	–	2	5	6	–	1	2	–	–	–	16
–	–	–	3^{1}	1	3	2	4	–	1	–	–	14	159	Ammerhöfe	1	–	–	–	2	1	3	2	3	–	1	–	–	12
–	–	–	?	8	10^{3}	6	12	3	1	–	–	?	„	Eglfing-Uffing	?	–	–	–	?	8	7	3	8	2	1	–	–	?
–	–	–	5^{1}	8^{1}	14^{1}	8^{1}	14	4	1	–	–	54	„	Ettal	4	–	–	–	2	7	8	7	7	2	1	–	–	34
–	–	–	4	10	10^{2}	7	7	3	1	–	–	42	„	Huglfing	2	–	–	–	2	7	9	4	7	2	1	–	–	32
–	–	–	6	12	16^{2}	4	8	5	1	–	–	52	„	Iffeldorf	1	–	–	–	3	8	14	4	7	4	1	–	–	41
–	–	–	2	10^{1}	12^{3}	6	8^{1}	4	–	–	–	42	„	Kohlgrub	5	–	–	–	2	7	10	5	5	4	–	–	–	33
–	–	–	4	8^{1}	11^{1}	8	11	4	1	–	–	47	„	Linderhof	2	–	–	–	3	7	9	4	8	4	1	–	–	36
–	–	–	3	11^{1}	12^{2}	6	8	2	1	–	–	43	„	Murnau	3	–	–	–	2	9	8	3	5	2	1	–	–	30
–	–	–	1	8	7^{1}	2	7	3^{1}	2	–	–	30	„	Ohlstadt	2	–	–	–	1	7	5	2	5	3	1	–	–	24
–	–	–	3	?	8	2	6	4^{1}	–	–	–	?	„	Ramsau	?	–	–	–	3	?	6	1	3	3	–	–	–	?
–	–	–	7^{1}	10	12^{4}	7	10	4	1	–	–	51	„	Rottenbuch	5	–	–	–	4	7	10	4	9	4	1	–	–	39
–	–	–	–	13	15	7	13	2	–	–	–	50	„	Schlehdorf	–	–	–	–	–	7	10	5	7	2	–	–	–	31
–	–	–	–	3	4	2	1	1	–	–	–	11	160	Bichl	–	–	–	–	–	3	4	2	1	1	–	–	–	11
–	–	–	2	6	4^{1}	3	2	1	–	–	–	18	„	Fall	1	–	–	–	2	4	4	3	1	1	–	–	–	15
–	–	–	2	4	6	2	7	1	–	–	–	22	„	Hausham	–	–	–	–	2	3	5	2	4	1	–	–	–	17
–	–	–	2	10^{1}	10^{1}	5	13	5	–	–	–	45	„	Jachenau	2	–	–	–	1	7	8	4	6	4	–	–	–	30
–	–	–	–	3^{1}	5^{1}	–	3	–	–	–	–	11	„	Lengries	2	–	–	–	–	3	4	–	3	–	–	–	–	10
–	–	–	–	2	7	3^{1}	6	3	–	–	–	21	„	Miesbach	1	–	–	–	–	2	6	3	6	3	–	–	–	20
–	–	–	–	3	3	–	2	1	–	–	–	9.	„	Reichesbeuern	–	–	–	–	–	3	3	–	2	1	–	–	–	9
–	–	–	3^{1}	6	10	3	5	–	–	–	–	27	„	Schaftlach	1	–	–	–	2	5	8	3	5	–	–	–	–	23
–	–	1	1	7	7^{1}	3	8	1	1	–	–	29	„	Tegernsee	1	–	–	1	1	6	6	3	6	1	1	–	–	25
–	–	–	3	20	15^{1}	6^{1}	12	6	1	–	–	63	„	Tölz (Bad)	1	–	–	–	2	9	10	4	8	3	1	–	–	37
–	–	–	4	4^{1}	11^{1}	3	7^{1}	5	–	2	–	36	161	Hohenaschau	3	–	–	–	2	4	9	3	5	5	–	1	–	29
–	–	–	1	9	7	6	6	6	–	–	–	35	„	Kiefersfelden	–	–	–	–	1	7	7	3	5	4	–	–	–	27
–	–	–	2	7	10^{1}	9	10^{2}	6	1	2	–	47	„	Nussdorf	3	–	–	–	2	6	9	6	6	4	1	1	–	35
–	–	–	–	6	5	1	5	1	–	–	–	18	162	Inzell	–	–	–	–	–	5	4	1	2	1	–	–	–	13
–	–	–	1	5	6	2	7	8	–	–	–	29	„	Reichenhall	–	–	–	–	1	4	5	2	4	4	–	–	–	20
–	–	–	–	3	3	1	2	1	–	2	–	12	„	Reit i. W.	–	–	–	–	–	2	3	1	2	1	–	1	–	10
–	–	–	2	7	10	10	12	6	–	2	–	49	163	Berchtesgaden	–	–	–	–	1	5	6	5	7	4	–	2	–	30
–	–	–	1	4	11	3	7	3	–	–	–	29	170	Oberstdorf	–	–	–	–	1	3	8	3	6	2	–	–	–	23
–	–	–	2	5	13^{2}	3	12	5	–	–	–	41	„	Sonthofen	1[1])	–	–	–	1	3	8	2	6	5	–	–	1	26
–	–	–	–	4^{1}	9^{1}	1	2	2	–	–	–	18	„	Untermaiselstein	1	–	–	–	–	3	6	1	2	2	–	–	–	14
–	–	–	–	1^{1}	9	4	7	5^{1}	–	–	–	26	171	Oberjoch	2	–	–	–	–	1	7	4	6	3	–	–	–	21
–	–	–	1	5	10	14	7	3	–	–	–	40	172	Mittenwald	–	–	–	–	1	3	8	6	6	3	–	–	–	27
–	–	–	4^{1}	8	12	12	8	6	1	–	–	51	„	Partenkirchen	1	–	–	–	2	7	7	5	5	5	1	–	–	32

[1]) Juni: 1 Hageltag. [2]) Mai: 3 Hageltage. [3]) August: 1 Hageltag.

Übersicht über die Witterungsverhältnisse im Königreiche Bayern

während des Januar 1913.

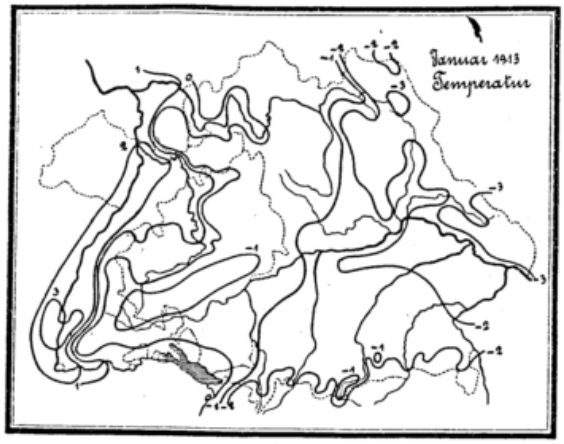
Der diesjährige Januar war vorwiegend mild, während der ersten Dekade trocken, vom 11. bis zum 25. ziemlich niederschlagsreich und vom 26. bis Monatsende wieder trocken. Zu Beginn des Monats lagerte hoher Druck über Zentral- und Südosteuropa, während tiefe Depressionen im hohen Norden unseres Erdteiles vorüberzogen und mit südlichen Ausläufern bald mehr, bald weniger weit nach West- und Zentraleuropa hereingriffen. In der Pfalz hatten diese Randstörungen am 2., sowie am 6. und 7. sogar geringfügige Niederschläge zur Folge, im übrigen Bayern erschöpfte sich ihr Einfluss in stärkeren Bewölkungsschwankungen, nur im Alpengebiete und in dessen unmittelbarem Vorlande herrschte unter Föhneinfluss andauernd heiteres und sonniges Wetter. Die Temperaturen lagen zu Beginn des Monats einige Grade über dem Mittelwerte, gingen aber bis zum Ende der ersten Dekade immer weiter zurück, ohne aber beträchtliche Frostgrade zu verursachen. Der Kern des barometrischen Maximums hatte sich vom 8. ab nach dem Ostseegebiete verlagert und als am 10. Januar noch Störungen jenseits der Alpen sich ausbildeten, trat über unserem ganzen Gebiete Trübung ein, welche in den Alpen auch Niederschläge im Gefolge hatte. Am Morgen des 11. Januar erschien eine tiefe Depression nordwestlich von Grossbritannien, welche mit einem Ausläufer weit nach den zentralen Lagen hereinreichte. Die Niederschläge ergriffen nun unser ganzes Gebiet und bedeckten dasselbe mit einer geschlossenen Schneelage. In den nächsten Tagen war die Luftdruckverteilung nur unwesentlichen Änderungen unterworfen. Die allgemeine Lage war gekennzeichnet durch das Verharren des hohen Druckes über Nordskandinavien und Lappland und die bald mehr, bald weniger erfolgreichen Vorstösse der atlantischen Depression im Westen und Südwesten des Erdteiles. Am 12., im Alpengebiete auch am 13. fielen noch allenthalben Niederschläge, erst am 14., als der Hochdruck über Zentraleuropa etwas an Raum gewann, trat stellenweise Aufklaren ein. Die Besserung war aber nur sehr kurzdauernd, denn rasch gewannen wieder Absplitterungen der atlantischen Depression die Oberhand und gaben zunächst in der Pfalz, vom 16. ab aber in ganz Süddeutschland zu verbreiteten, jedoch nur wenig intensiven Niederschlägen Anlass. Der Hochdruck verlagerte sich allmählich nach dem Südosten des Erdteiles und gab das Nord- und Ostseegebiet den ozeanischen Störungen frei. Nachdem bis um die Monatsmitte bei östlicher, also kontinentaler Luftzufuhr die Temperaturen im Grossen und Ganzen sinkende Tendenz gezeigt hatten, trat vom 16. ab mit dem Aufkommen westlicher, zeitweise lebhafter Winde starke Temperatursteigerung ein. Die häufigen Niederschläge fielen, wenigstens in den niederen Lagen, vorwiegend als Regen, oder als ein Gemisch von Regen und Schnee. Die für die Jahreszeit auffallend milde und niederschlagsreiche Witterung erhielt sich bis zum 25. Januar. Am Morgen dieses Tages lag ein Minimum über den Dänischen Inseln, hoher Luftdruck über dem atlantischen Ozean. Das Depressionsgebiet wanderte in raschem Zuge ostwärts ab und nun rückte der hohe Druck nach dem Kontinent herein. Bereits am 26. trat über unserem ganzen Gebiete Aufklaren ein, nur im Alpengebiete und in dessen unmittelbarem Vorlande traten noch weitere Niederschläge auf. Die nächtliche Ausstrahlung verursachte einen kräftigen Temperaturrückgang, der aber doch nicht zu sehr strengen Frostgraden führte, da eine geschlossene Schneedecke fehlte. Am 27. lag der Kern des Hochdruckes über Bayern und brachte nun unserem ganzen Gebiete einen klaren Wintertag. Schon aber drangen neue ozeanische Störungen von der Biskayasee her nach Zentraleuropa vor und schwächten den Hochdruck. Es kam jedoch nur in der Pfalz und im Alpengebiet zu Trübung mit leichten Niederschlägen. Erst der letzte Monatstag brachte nochmals verbreitete, wenn auch nur wenig intensive Niederschläge. Ein Ausläufer niedrigen Druckes erstreckte sich an diesem Tage von Island über die Nordsee bis an den nördlichen Alpenrand. An der Vorderseite dieses Ausläufers traten heftige südliche Winde auf, welche starke Temperatursteigerung brachten, so dass die Niederschläge zumeist als Regen fielen.

Aus der Schilderung des zeitlichen Witterungsverlaufes entnehmen wir, dass mildes Wetter während der meisten Tage vorherrschend war. Vergleichen wir die Monatsmittel der Temperatur mit den aus langjährigen Beobachtungsreihen abgeleiteten Normalbeträgen, so ergeben sich für alle unsere Beobachtungsorte positive Differenzen. In der Pfalz, sowie in einigen, den häufigen Föhneinflüssen in besonderem Masse ausgesetzten alpinen Tallagen, übertraf die diesjährige Januartemperatur den Durchschnittsbetrag um mehr als 2, im unteren Maintale, sowie stellenweise im Alpenvorland um mehr als 1 1/2 Grad. Nur die Stationen des Donautales von Kelheim abwärts, des Naabgebietes und ausgesprochene Mittelgebirgslagen leiteten Differenzen von weniger als 1 Grad ab.

Die geographische Verteilung der Mitteltemperaturen über Süddeutschland ist auf dem ersten der beigegebenen Kärtchen dargestellt. In der Rheinebene, im unteren Main- und Neckargebiet, sowie im Uferland des Bodensees wurden positive Temperaturmittel, in den geschützten Lagen zwischen Vogesen und Schwarzwald bis zu mehr als 3 Grad, berechnet. Je weiter man nach Osten vorschreitet, um so niedriger werden die Werte des Temperaturmittels. Der

sonst so deutlich ausgesprochene Einfluss des Geländeaufbaues auf den Verlauf der Isothermen tritt etwas zurück hinter die Einwirkungen eines vorwiegend maritimen oder kontinentalen Witterungsregimes. Das gleiche gilt in Bezug auf die mittleren Extreme. Auffallend hohe mittlere Maxima wurden in einigen alpinen Tallagen abgeleitet, in denen der häufige Föhneinschlag der Witterung mit besonderer Intensität wirksam war. Es wurden daselbst mittlere Höchsttemperaturen von mehr als 3, vereinzelt sogar mehr als 5 Grad verzeichnet, das sind Werte, die sonst nur in den klimatisch bevorzugtesten Gegenden Süddeutschlands, in der Rheinebene und am Gestade des Bodensees erreicht wurden. Negative mittlere Maxima wurden nur in den eigentlichen Mittelgebirgslagen berechnet. Das mittlere Minimum weist in der Rheinebene die höchsten Beträge von teils etwas über, teils etwas unter null Grad auf. Auffallend niedrige Minimaltemperaturen wurden wieder auf dem Gelände südlich der Donau bis etwa zur Isohypse 500 m erhalten, die mit −5 bis −6 Grad den Werten unserer Alpenstationen und Mittelgebirgslagen im Osten Bayerns gleichkommen. Der häufige Föhneinfluss im Alpengebiet, der untertags eine starke Erwärmung, nachts aber bei wolkenlosem und sehr reinem Himmel auch wieder eine sehr intensive Ausstrahlung brachte, hatte eine beträchtliche mittlere Tagesschwankung der Temperatur zur Folge. Es wurden für dieses Element Werte von 7 bis 9 Grad erhalten, während im grössten Teile unseres Gebietes nur 4 bis 6 Grad verzeichnet wurden.

Auf dem zweiten der beigedruckten Kärtchen ist die Verteilung der während des Berichtsmonats gefallenen Niederschlagsmengen über Süddeutschland zur Darstellung gebracht. Die Monatssummen übertrafen an der überwiegenden Mehrzahl unserer Beobachtungsorte den langjährigen Durchschnitt um geringe Beträge, nur im Algäu wurde eine Monatssumme gemessen, die nahezu das Doppelte der normalen ausmacht. Dort, sowie auf den höchsten Erhebungen des nördlichen und südlichen Schwarzwaldes wurden auch die bedeutendsten Niederschlagsmengen mit mehr als 200 mm erreicht. Im übrigen bedarf die Karte der Niederschlagsverteilung keiner weiteren Erläuterung.





Die Niederschlagshäufigkeit des Januar war ziemlich beträchtlich, indem in der Zeit vom 11. bis zum 25. fast täglich Regen- und Schneefälle in grösserer Verbreitung zu konstatieren waren. Den milden Temperaturen entsprechend, die während des grössten Teiles der Niederschlagsperiode herrschten, fielen die Niederschläge in grosser Häufigkeit als Regen oder doch als ein Gemisch von Regen und Schnee. Erwähnenswert sind die ergiebigen Schneefälle, die in der Nacht vom 11. auf 12. über ganz Süddeutschland auftraten. Am Morgen dieses Tages bestand in der Pfalz eine Schneedecke von 10 bis 30 cm Mächtigkeit. Im rechtsrheinischen Bayern wurden Schneehöhen von über 10 cm im Spessart- und Rhöngebiet, stellenweise auf der Frankenhöhe, sowie auf dem Gebiete südwestlich einer Linie gemessen, die vom Quellgebiet der Wörnitz nach der Südostecke Bayerns verläuft. Auch am 12. dauerten die Schneefälle noch fort und brachten eine weitere Steigerung der Schneehöhen, so dass am Morgen des 13. nur engbegrenzte Gebiete eine Schneedecke von weniger als 10 cm Mächtigkeit trugen. Während der folgenden Tage trat keine wesentliche Änderung in der Schneebedeckung ein, als aber vom 16. ab die Temperaturen stark anstiegen trat intensive Schneeschmelze ein und bereits am 19. war die Pfalz, am 25. auch das Maingebiet, sowie ausgedehnte Bezirke des Donaugebietes in den tieferen Lagen vollständig ausgeapert.

Die mittlere Bewölkungsziffer schwankt im grössten Teile unseres Gebietes zwischen 7 und 8 Zehnteln der vollen Bedeckung. Eine Begünstigung erfuhr das Alpengebiet und dessen unmittelbares Vorland durch die häufige Föhneinwirkung, so dass hier nur 5 oder 6 Zehntel als mittlerer Bewölkungsgrad sich ergaben. Auch im hinteren Bayerischen Walde bestanden gleich günstige Verhältnisse. In diesen Gebieten war auch die Zahl der heiteren Tage am grössten (7 bis 12), während im übrigen Bayern nur wenige, im Durchschnitt 3 heitere Tage gezählt wurden. Umgekehrt verhält es sich bei den trüben Tagen, die an der Mehrzahl unserer Stationen mit einer Häufigkeit von 15 bis 20, im Alpengebiete, sowie in den Mittelgebirgen an unserer Ostgrenze aber nur von 10 bis 13 gezählt wurden.

Die mittleren auf Meeresniveau reduzierten Barometerstände weisen ein schwaches in der Richtung von Ost nach West gerichtetes Gefälle auf. An den meisten Orten waren Winde aus östlichen Richtungen vorherrschend.

München, den 26. Februar 1913. Alt.

Tabelle I.

Station	Höhe über Normal-Null m	Luftdruck in mm: höchster am	höchster mm	tiefster am	tiefster mm	Monatsmittel lokal	Monatsmittel auf Meeresniveau reduziert	Temperatur C°: Mittel um 7a	2p	9p	Mittlere Tagestemperatur	Mittleres Maximum	Mittleres Minimum	Mittel aus Maximum u. Minimum	Mittlere Schwankung	Station
Ludwigshafen a. Rh.	100.3	26.	763.3	21.	735.9	753.9	763.3	1.3	3.8	2.2	2.4	4.6	– 0.1	2.3	4.6	Ludwigshafen a. Rh.
Kahl a. M.	114.1	26.	761.7	21.	735.1	752.6	763.4	– 0.4	2.2	0.5	0.7	3.8	– 2.2	0.8	6.0	Kahl a. M.
Landau i. Pf.	149.9	26.	757.6	21.	732.0	748.9	763.0	– 0.6	3.1	1.6	1.7	4.2	– 0.5	1.9	4.6	Landau i. Pf.
Würzburg	179.3	5.	756.0	21.	730.8	746.9	763.8	– 0.8	1.7	0.2	0.3	2.4	– 1.9	0.2	4.3	Würzburg
Bad Kissingen	209.2	5.	753.3	21.	727.9	744.5	764.2	– 1.4	1.0	– 0.5	– 0.3	1.6	– 3.0	– 0.7	4.6	Bad Kissingen
Kaiserslautern	242.2	26.	749.4	21.	723.2	740.5	763.0	1.0	3.1	1.7	1.9	4.1	– 0.4	1.8	4.5	Kaiserslautern
Luitpoldheim	250							– 1.6	0.2	– 0.7	– 0.7	1.3	– 2.6	– 0.7	3.9	Luitpoldheim
Bamberg	287.7	6.	746.4	21.	722.3	737.5	764.5	– 2.0	1.1	– 1.0	– 0.7	2.2	– 3.3	– 0.6	5.5	Bamberg
Nürnberg	309.1	6.	744.5	21.	721.3	735.3	764.2	– 1.4	1.3	– 0.5	– 0.3	2.1	– 2.6	– 0.3	4.7	Nürnberg
Passau	309.3	6.	745.6	21.	725.2	736.7	765.9	– 3.4	0.0	– 1.9	– 1.8	0.4	– 4.3	– 2.0	4.6	Passau
Metten	320							– 4.5	– 0.5	– 2.5	– 2.5	0.1	– 5.9	– 2.9	6.0	Metten
Regensburg	354.3	6.	741.2	21.	719.2	732.0	765.3	– 3.2	– 1.3	– 2.3	– 2.3	– 0.3	– 4.4	– 2.3	4.1	Regensburg
Bayreuth	363.3	6.	739.9	21.	715.9	730.8	764.7	– 2.2	0.3	– 1.3	– 1.1	1.1	– 3.8	– 1.3	4.9	Bayreuth
Burghausen	365	6.	740.1	21.	719.5	731.0	765.2	– 3.5	0.0	– 2.2	– 2.0	0.9	– 5.0	– 2.0	6.0	Burghausen
Ingolstadt	368							– 3.0	– 0.1	– 2.1	– 1.8	1.1	– 5.2	– 2.0	6.3	Ingolstadt
Karlshuld	382.0	6.	738.3	21.	716.2	729.0	764.8	– 3.4	– 0.5	– 2.4	– 2.2	1.4	– 5.3	– 2.0	6.8	Karlshuld
Cham	386							– 2.9	– 0.5	– 2.2	– 1.9	1.0	– 4.3	– 1.6	5.4	Cham
Landshut	397.7	6.	736.8	21.	715.4	727.5	764.8	– 3.2	0.3	– 1.9	– 1.6	1.8	– 5.8	– 2.0	7.6	Landshut
Lindau i. B. (Reutin)	401.7	5.	736.0	21.	714.9	727.3	764.5	– 0.3	1.8	0.3	0.5	3.3	– 2.6	0.4	5.9	Lindau i. B. (Reutin)
Eggenfelden	417							– 3.9	– 0.8	– 2.4	– 2.4	0.8	– 5.1	– 2.2	5.9	Eggenfelden
Rohr	426							– 3.4	– 0.8	– 2.9	– 2.5	– 0.2	– 4.5	– 2.3	4.4	Rohr
Weissenburg i. B.	431	6.	733.2	21.	711.6	724.8	764.9	– 2.1	0.9	– 1.1	– 0.9	1.6	– 3.4	– 0.9	5.0	Weissenburg i. B.
Nördlingen	435.6	6.	732.2	21.	709.9	723.3	764.0	– 2.0	0.7	– 1.0	– 0.9	1.5	– 3.1	– 0.8	4.6	Nördlingen
Ansbach	437.5	6.	732.2	21.	709.4	723.6	764.3	– 2.7	0.6	– 1.7	– 1.4	1.6	– 3.8	– 1.1	5.5	Ansbach
Hof	476.1	7.	727.9	21.	704.4	719.5	763.7	– 2.8	– 0.3	– 2.4	– 2.0	0.4	– 4.7	– 2.2	5.0	Hof
Bad Reichenhall	477	6.	729.8	21.	709.2	720.6	764.8	– 3.0	0.6	– 1.6	– 1.4	2.3	– 4.2	– 1.0	6.6	Bad Reichenhall
Augsburg	499.6	6.	727.5	21.	705.8	718.6	764.8	– 2.0	0.8	– 1.2	– 0.9	1.8	– 3.3	– 0.7	5.1	Augsburg
Amberg M.H.B.	519							– 3.9	– 1.6	– 2.9	– 2.8	0.8	– 5.6	– 2.4	6.4	Amberg M.H.B.
München C.-St.	526.4	6.	724.8	2.	704.2	716.1	764.6	– 2.0	0.8	– 0.9	– 0.7	2.1	– 3.5	– 0.7	5.6	München C.-St.
Alexandersbad	590							– 4.1	– 1.8	– 3.4	– 3.2	– 0.9	– 5.6	– 3.2	4.7	Alexandersbad
Traunstein	597	6.	718.9	21.	698.6	710.3	765.4	– 3.8	– 0.1	– 2.6	– 2.3	0.8	– 5.2	– 2.2	5.9	Traunstein
Berchtesgaden	600							– 4.1	0.0	– 2.4	– 2.2	0.6	– 5.3	– 2.2	5.9	Berchtesgaden
Ottobeuren	660.0	6.	712.6	21.	693.0	704.2	764.5	– 2.3	0.9	– 1.7	– 1.2	2.1	– 4.3	– 1.1	6.4	Ottobeuren
Partenkirchen	716.8	6.	708.5	21.	688.7	699.8	765.2	– 3.2	1.4	– 2.2	– 1.6	2.3	– 5.1	– 1.4	7.4	Partenkirchen
Tegernsee	727.8	5./6.	707.0	21.	687.6	698.8	764.8	– 0.8	1.8	– 0.6	0.0	3.7	– 3.5	0.1	7.2	Tegernsee
Buchenau	750	6.	705.0	21.	685.0	696.1	764.7	– 4.5	– 0.7	– 3.6	– 3.1	0.0	– 5.7	– 2.9	5.7	Buchenau
Schaftlach	760							– 3.8	0.4	– 2.7	– 2.2	1.4	– 5.9	– 2.2	7.3	Schaftlach
Oberstdorf	811.4	5.	699.6	21.	679.5	691.4	765.2	– 3.0	1.9	– 2.4	– 1.5	3.3	– 5.7	– 1.2	9.0	Oberstdorf
Ettal	879.5	5.	693.0	21.	672.9	683.9	762.9?	– 2.8	0.9	– 2.1	– 1.5	4.1	– 4.9	– 0.4	9.0	Ettal
Mittenwald	911.8	6.	691.5	21.	672.2	682.9	764.5	– 2.2	2.6	– 0.7	– 0.3	3.2	– 4.0	– 0.4	7.2	Mittenwald
Hohenpeissenberg	994.1	6.	683.7	21.	664.1	675.2	763.7	– 0.9	0.0	– 0.8	– 0.6	2.2	– 3.8	– 0.8	6.0	Hohenpeissenberg
Zugspitze	2964	5.	533.7	21.	516.6	525.2		–10.4	– 9.6	–10.4	–10.2	– 8.0	–12.2	–10.1	4.2	Zugspitze

Tabelle II.

Station	Temperatur C°: höchste am	höchste C°	tiefste am	tiefste C°	grösste Schwankung am	grösste Schwankung C°	Dampfdruck Monatsmittel mm	Relative Feuchtigkeit %: Monatsmittel	kleinste am	kleinste %	grösste am	grösste %	Bewölkung Monatsmittel	Niederschlag: grösster am	grösster mm	Monats-Summe mm	Station
Ludwigshafen a. Rh.	23., 24.	9.8	14.	– 4.6	23.	9.6	4.5	81	27.	40	4., 5.	96	7.7	12.	13.8	39.0	Ludwigshafen a. Rh.
Kahl a. M.	24.	9.0	13.	– 9.9	26.	10.7	4.2	83	26.	50	1., 18.	100	7.2	13.	8.0	40.6	Kahl a. M.
Landau i. Pf.	25.	12.1	30.	– 5.2	26.	9.5	4.4	83	30.	54	12.	97	7.2	12.	26.4	65.4	Landau i. Pf.
Würzburg	24.	8.5	30.	– 7.6	31.	11.4	4.0	82	29., 30.	51	öfters	98	7.5	13.	18.0	49.4	Würzburg
Bad Kissingen	24.	7.2	15.	–10.1	31.	11.3	3.9	84	30.	48	öfters	98	8.2	13.	11.2	53.7	Bad Kissingen
Kaiserslautern	23.	8.7	30.	– 4.3	23.	7.7	4.6	86	26., 27.	56	1.	100	7.9	12.	15.6	68.7	Kaiserslautern
Luitpoldheim	25.	7.1	15.	– 9.1	17.	8.3	3.9	87	11.	54	öfters	100	8.2	13.	16.5	67.8	Luitpoldheim
Bamberg	24.	7.6	15.	–10.5	31.	11.1	3.7	83	27.	41	öfters	100	7.8	13.	9.4	42.0	Bamberg
Nürnberg	25.	7.0	15.	– 9.9	31.	10.4	3.9	85	27.	48	öfters	100	7.0	13.	11.6	38.9	Nürnberg
Passau	24.	4.8	15.	–15.8	15.	10.0	3.4	82	30.	35	2., 20.	100	7.3	13.	16.0	46.6	Passau
Metten	24.	5.0	15.	–18.6	30.	14.6	3.5	89	30.	46	öfters	100	7.0	13.	12.9	57.4	Metten
Regensburg	24.	6.0	15.	–14.6	31.	8.8	3.5	88	30.	48	öfters	100	8.5	19.	9.6	44.9	Regensburg
Bayreuth	öfters	6.0	15.	–10.7	31.	11.6	3.6	83	30.	44	18., 19.	96	7.1	22.	10.2	33.2	Bayreuth
Burghausen	25.	7.0	16.	–15.9	16.	12.9	3.6	87	30.	56	19.	100	7.6	13.	11.7	44.4	Burghausen
Ingolstadt	25.	6.8	16.	–13.6	21.	11.4	3.5	86	30.	47	7., 18.	98	8.0	13.	11.6	43.4	Ingolstadt
Karlshuld	25.	7.2	15.	–15.7	21.	12.9	3.3	82	30.	44	2., 21.	98	6.8	13.	14.3	48.0	Karlshuld
Cham	20.	5.6	15.	–13.9	31.	11.3							7.5	13.	11.2	44.8	Cham
Landshut	25.	7.9	15.	–14.3	21.	14.7	3.5	85	30.	43	öfters	100	7.6	18.	10.9	46.4	Landshut
Lindau i. B. (Reutin)	31.	8.9	16.	– 6.6	17.	11.5	4.3	89	21.	53	öfters	100	8.1	12.	17.9	77.4	Lindau i. B. (Reutin)
Eggenfelden	25.	6.7	15., 16.	–13.4	18.	14.1							7.1	24.	9.9	46.5	Eggenfelden
Rohr	24.	6.5	15.	–15.1	21.	9.7							6.8				Rohr
Weissenburg i. B.	26.	6.3	16.	–10.3	31.	9.4	3.9	87	27.	44	16., 21.	100	7.0	24.	7.2	42.9	Weissenburg i. B.
Nördlingen	25.	7.1	15.	–10.4	31.	9.9	3.8	87	27.	53	öfters	98	7.6	12.	9.8	48.8	Nördlingen
Ansbach	25.	7.0	15.	–10.8	31.	10.6	3.6	84	30.	43	6.	95	6.4	13.	12.3	48.0	Ansbach
Hof	25.	4.6	15.	–13.8	31.	12.7	3.6	86	30.	59	öfters	100	6.8	22.	12.2	35.6	Hof
Bad Reichenhall	1.	8.9	16.	–14.2	31.	15.0	3.5	85	1.	34	öfters	100	6.7	13.	19.3	110.5	Bad Reichenhall
Augsburg	25.	8.0	15.	–11.1	17.	11.9	3.9	89	27.	57	öfters	100	7.9	12.	12.0	47.0	Augsburg
Amberg M.H.B.	1., 15.	7.0	15.	–16.0	31.	11.8							7.8	13.	15.5	49.1	Amberg M.H.B.
München C.-St.	25.	9.4	15.	–11.5	31.	11.9	3.6	82	1., 25.	51	öfters	100	7.1	12.	17.3	42.4	München C.-St.
Alexandersbad	26.	3.8	15.	–17.2	31.	12.2	3.4	91	27.	51	öfters	100	7.1	13.	10.1	58.7	Alexandersbad
Traunstein	1.	7.8	16.	–13.5	31.	13.0	3.4	86	1.	34	22.	100	6.4	13.	14.7	79.4	Traunstein
Berchtesgaden	24.	6.1	15.	–13.1	31.	11.7	3.4	89	1.	57	öfters	100	5.2	24.	22.7	128.6	Berchtesgaden
Ottobeuren	1.	7.5	14.	–11.2	1.	12.5	3.8	89	1.	44	öfters	100	6.0	12.	37.9	79.2	Ottobeuren
Partenkirchen	5., 6.	7.3	16.	–10.0	5.	15.2	3.4	84	1.	38	öfters	100	5.4	12.	38.0	98.8	Partenkirchen
Tegernsee	1.	9.7	15.	– 8.6	4.	13.9	3.6	79	1.	19	öfters	100	6.2	12.	30.5	116.4	Tegernsee
Buchenau	5.	5.8	15.	–12.9	30.	9.8	3.1	81	30.	32	öfters	100	5.1	24.	29.0	138.8	Buchenau
Schaftlach	1.	8.1	15.	–14.0	31.	14.0	3.5	87	1.	48	öfters	100	7.0	12.	28.6	123.6	Schaftlach
Oberstdorf	25.	8.1	15.	–10.8	25.	15.0	3.5	84	9.	45	3., 30.	100	5.2	24.	31.1	196.5	Oberstdorf
Ettal	5., 31.	8.2	8., 10.	– 8.9	8.	15.0	3.5	84	5.	40	öfters	100	5.3	13.	30.2	133.7	Ettal
Mittenwald	5.	7.3	10.	–11.5	25.	13.0	3.6	80	1.	35	öfters	100	5.4	12.	28.3	90.4	Mittenwald

Tabelle III.

Station	Tage mit										Tage				Anzahl der beobachteten Windrichtungen									Station
	Niederschlägen		Schneefall	Schneedecke	Graupeln	Hagel	Gewitter	Nebel	Reif	Tau	heitere	trübe	Frost	Winter	N	NE	E	SE	S	SW	W	NW	Stille	
	≥ 0.1mm	≥ 1.0mm																						
Ludwigshafen a. Rh.	13	9	5	6	1	–	–	6	7	–	2	18	17	3	18	5	17	2	10	32	1	3	5	Ludwigshafen a. Rh.
Kahl a. M.	10	9	4	7	–	–	1	2	6	–	3	15	23	1	1	1	12	18	9	19	3	2	28	Kahl a. M.
Landau i. Pf.	17	11	6	11	–	–	–	1	7	–	5	18	20	3	–	40	1	1	–	42	2	7	–	Landau i. Pf.
Würzburg	14	10	6	9	–	–	1	2	9	–	3	20	23	9	3	1	16	26	1	12	21	2	11	Würzburg
Bad Kissingen	15	13	8	11	1	–	–	4	10	–	2	24	24	9	23	17	12	1	12	8	9	4	7	Bad Kissingen
Kaiserslautern	21	13	9	6	2	–	–	5	5	–	2	19	17	2	1	6	8	23	1	–	29	7	18	Kaiserslautern
Luitpoldheim	16	11	9	11	–	1	1	3	5	–	2	22	24	11	4	19	9	–	2	19	5	1	34	Luitpoldheim
Bamberg	25	10	11	9	1	–	–	–	12	1	3	18	26	7	1	–	10	10	24	20	14	3	11	Bamberg
Nürnberg	10	10	9	11	4	–	–	10	15	–	4	15	25	8	2	1	19	38	10	12	7	4	–	Nürnberg
Passau	10	8	6	15	–	–	–	7	13	–	4	18	27	13	–	–	15	–	–	2	9	–	67	Passau
Metten	10	9	7	20	–	–	–	6	11	–	3	15	29	14	2	2	14	4	10	10	15	4	32	Metten
Regensburg	11	9	9	?	–	–	–	6	3	–	–	22	27	19	–	1	8	1	7	44	11	–	21	Regensburg
Bayreuth	12	8	9	9	–	–	–	2	14	–	3	17	27	9	1	–	37	27	2	6	13	1	6	Bayreuth
Burghausen	13	8	9	12	–	–	–	5	11	–	4	19	30	15	5	18	18	3	3	7	1	–	38	Burghausen
Ingolstadt	13	8	11	12	1	–	–	5	12	–	2	19	28	8	2	4	42	13	4	7	15	3	3	Ingolstadt
Karlshuld	9	8	6	13	–	–	–	1	3	–	1	10	28	10	–	24	22	1	–	7	18	–	21	Karlshuld
Cham	11	9	9	14	–	–	–	4	6	–	–	11	29	10	3	12	38	2	1	21	15	–	1	Cham
Landshut	10	8	6	12	–	–	–	3	20	–	3	19	30	9	1	6	41	4	2	5	22	2	10	Landshut
Lindau i. B. (Reutin)	16	10	10	9	1	–	–	5	6	–	–	18	27	7	14	11	1	2	19	1	10	8	27	Lindau i. B. (Reutin)
Eggenfelden	18	8	8	14	–	–	–	9	24	–	5	16	30	13	1	28	34	5	–	7	13	5	–	Eggenfelden
Rohr											3	16	29	18	1	28	2	28	2	8	9	15	–	Rohr
Weissenburg i. B.	14	10	9	11	–	–	–	1	10	–	3	16	26	11	3	4	19	18	21	14	8	3	3	Weissenburg i. B.
Nördlingen	13	9	9	13	1	–	–	2	11	–	3	16	26	12	–	1	22	30	10	14	12	2	2	Nördlingen
Ansbach	11	10	9	12	–	–	–	1	11	–	6	15	27	11	1	1	20	10	12	10	14	1	24	Ansbach
Hof	12	8	10	10	–	–	–	10	8	–	2	12	28	11	4	7	6	32	21	12	5	6	–	Hof
Bad Reichenhall	15	12	11	21	–	–	–	6	2	–	3	14	29	10	–	–	17	1	2	12	23	2	36	Bad Reichenhall
Augsburg	13	8	8	13	–	–	–	8	19	–	2	15	26	11	2	3	27	21	1	30	2	3	4	Augsburg
Amberg M.H.B.	18	10	11	15	–	1	–	12	?	–	3	19	31	9	4	14	28	23	5	1	15	–	3	Amberg M.H.B.
München C.-St.	13	8	9	12	–	–	–	9	14	–	2	11	25	10	–	1	34	6	–	28	–	2	22	München C.-St.
Alexandersbad	13	11	13	20	–	–	1	2	11	–	3	13	30	15	–	5	31	9	–	7	9	6	26	Alexandersbad
Traunstein	14	12	11	21	1	–	–	2	7	–	6	15	31	14	1	4	33	9	17	6	22	1	–	Traunstein
Berchtesgaden	15	13	12	21	–	–	–	1	8	–	11	11	31	12	–	–	3	–	–	–	–	–	90	Berchtesgaden
Ottobeuren	14	12	12	21	1	–	–	7	6	–	8	12	28	8	–	8	9	5	3	35	1	–	32	Ottobeuren
Partenkirchen	14	13	9	21	–	–	–	1	4	–	8	10	31	7	1	–	–	6	17	–	1	1	67	Partenkirchen
Tegernsee	12	12	9	21	–	–	–	6	4	–	5	12	28	4	3	–	7	30	7	–	25	4	17	Tegernsee
Buchenau	13	10	13	20	–	–	–	1	10	–	12	11	30	13	–	2	41	3	1	2	25	–	19	Buchenau
Schaftlach	15	11	10	21	–	–	–	7	11	–	3	14	30	11	1	2	33	–	6	1	30	1	19	Schaftlach
Oberstdorf	16	16	11	31	–	–	–	3	?	–	9	11	31	4	19	1	–	3	3	9	11	12	35	Oberstdorf
Ettal	15	15	12	31	–	–	–	7	?	–	10	10	31	3										Ettal
Mittenwald	16	14	14	21	2	–	–	1	1	–	7	10	29	3	6	5	–	4	35	10	8	2	23	Mittenwald
Hohenpeissenberg	13	12	12	21	–	–	–	19	2	–	7	13	27	6	2	12	10	14	–	26	19	6	4	Hohenpeissenberg
Zugspitze	15	12	15	31	1	–	–	19	–	–	6	12	31	30	10	1	1	7	4	15	11	44	–	Zugspitze

Übersicht über die Witterungsverhältnisse im Königreiche Bayern

während des Februar 1913.

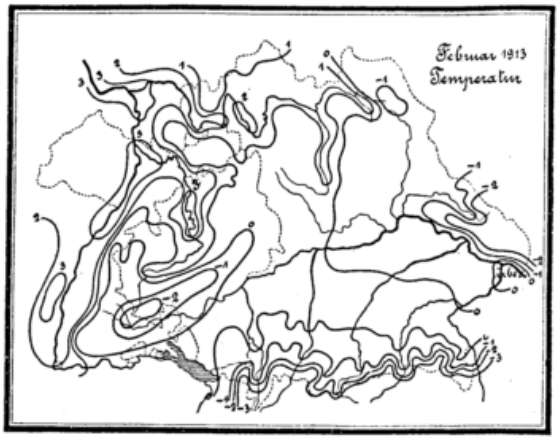
Die regnerische Witterung, welche am 31. Januar eingesetzt hatte, dauerte auch während der ersten Tage des Februar noch fort. Am Morgen des 1. lag ein tiefes Depressionszentrum bei Island und entsandte einen Ausläufer niedrigen Druckes südwärts bis in die Biskayasee. Ausserdem waren am Südfusse der Alpen wie auch über Zentraleuropa noch kleinere Störungen in der Luftdruckverteilung vorhanden. Bis zum folgenden Tage war der Ausläufer nach Deutschland vorgedrungen und gleichzeitig hatte sich vor der Ostseeküste ein tiefes Depressionszentrum ausgebildet. Von Südwesten drängte hoher Druck über Frankreich nach dem Alpengebiete vor. Die Witterung war andauernd unbeständig: auf der Vorderseite des Ausläufers klarte es stellenweise auf, doch trat schon nach wenigen Stunden wieder Trübung mit Regen- und Schneefällen auf. Auch am 3. und 4. Februar war die Wirkung der ostwärts abziehenden Tiefdruckfurche noch nicht ganz überwunden, wenn auch eine merkliche Besserung der Wetterlage zu konstatieren war. Erst am 5. gelangte das barometrische Maximum, dessen Kern nach den Ostalpen vorgedrungen war, zur Herrschaft, so dass über unserem ganzen Gebiete Aufklaren eintrat. Zwar gewannen in den nächsten Tagen noch Ausläufer und Randgebilde nördlicher Depressionen vorübergehend an Einfluss, doch erschöpfte sich derselbe zumeist in zeitweise stärkerer Bewölkung. Nur am 8., im Alpengebiete auch in der Zeit vom 11. bis 14., fielen stellenweise Niederschläge von nennenswerter Intensität.

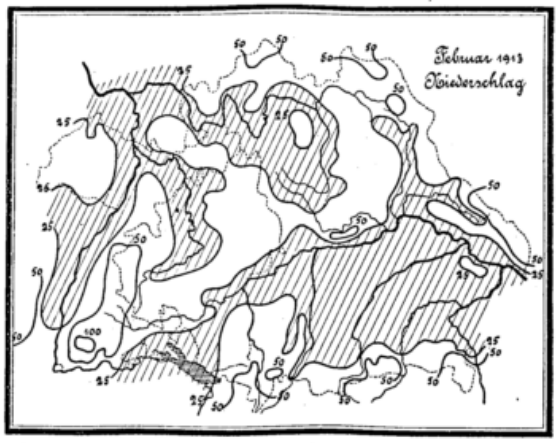
Die Temperaturen, welche bis zum 11. mehrere Grade über dem langjährigen Mittel gelegen waren, begannen nun langsam zu sinken, nachdem sich der Kern des Hochdruckes nach der Nordsee und den britischen Inseln verlagert hatte. Dieser Ortsveränderung des Maximalkernes entsprach gleichzeitig die Ausbreitung niedrigen Luftdruckes über dem Mittelmeere und über Südwesteuropa, unter dessen Einwirkung auch zeitweise geringfügige Niederschläge sich einstellten. Mit dem 18. Februar beginnt eine ununterbrochene neuntägige Schönwetterperiode, die mit ihrer beständigen Reinheit des Himmels zu den Seltenheiten gehört. Das Maximum des Luftdruckes lag nunmehr meist nordöstlich von unserem Gebiete, so dass östliche bis nordöstliche Winde die kalte und trockene kontinentale Luft nach Zentraleuropa hereintrugen. Im südlichen Bayern beherrschte zeitweilig noch Föhnlage die Witterung. Von lokalen Nebelbildungen und leichter kurzdauernder Bewölkung abgesehen, herrschte bis zum 26. Februar andauernd klarer Himmel. Unter solchen Umständen war die nächtliche Ausstrahlung und die damit verbundene Abkühlung der untersten Luftschichten sehr intensiv, so dass das Thermometer häufig auf tiefe Frostgrade herabsank. Andererseits war aber auch die Einstrahlung in den Mittagsstunden schon recht fühlbar, und insbesondere in Südbayern, wo noch die Föhnwirkung hinzukam, wurden verhältnismässig hohe Mittagstemperaturen verzeichnet.

Die beiden letzten Monatstage brachten wieder eine Verschlechterung des Wetters. Am Morgen des 27. erstreckte sich eine Furche niedrigen Druckes vom hohen Norden Europas über Skandinavien, die Nordsee und Frankreich bis zu den Pyrenäen, während hoher Druck bei Island lagerte. Der Durchzug des Ausläufers brachte Trübung und Niederschläge und, da nun die kontinentale Luftzufuhr durch eine ozeanische ersetzt wurde, Temperatursteigerung. Die Niederschläge gingen in der Pfalz und in den tieferen Lagen des Maingebietes ausnahmslos als Regen, im Donaugebiete meist als ein Gemisch von Regen und Schnee nieder.

Aus dieser kurzen Schilderung des zeitlichen Witterungsverlaufes ergibt sich die allgemeine Charakterisierung des Berichtsmonats als einer auffallend heiteren und sonnenreichen, hingegen niederschlagsarmen Witterungsperiode. Die Temperaturtagesmittel lagen in der ersten Hälfte des Monats, in welcher die maritime Luftzufuhr vorherrschte, zumeist mehrere Grade über dem langjährigen Mittel, in der zweiten Monatshälfte hingegen, in welcher östliche und nordöstliche Winde die kalte und trockene Luft Russlands unserem Gebiete zuführten, zumeist etwas unter den Normalwerten. Bildet man die Differenzen der Monatsmittel der Temperatur gegen die auf die Beobachtungsperiode 1881 bis 1910 bezogenen langjährigen Mittelwerte, so ergeben sich für die überwiegende Mehrheit unserer Stationen positive Beträge von 0.7 bis 1.8 Grad. Nur im Alpenvorland und im Gebiete der östlichen Mittelgebirge ergaben sich positive Differenzen von weniger als einem halben Grad, im eigentlichen Alpengebiet zwischen Inn und Bodensee sogar negative Abweichungen bis nahezu einem Grad. Erwähnen wir noch, dass die Niederschläge über unserem ganzen Gebiete zu gering ausfielen, und zwar im östlichen und südöstlichen Bayern noch nicht einmal die Hälfte, im übrigen Bayern und in der Rheinpfalz nur wenig mehr als die Hälfte der normalen Niederschlagssummen lieferten, so haben wir alles mitgeteilt, was zur allgemeinen Charakterisierung des Berichtsmonats erforderlich ist.

Auf dem ersten der beigegebenen Kärtchen ist die Verteilung der Temperatur über Süddeutschland dargestellt. Von besonderem Interesse ist der Verlauf der Nullgrad-Isotherme. Dieselbe umfasst den Schwarzwald und den Schwäbischen Jura, ausserdem den Frankenjura und das ganze Naabgebiet sowie das Gelände zwischen den äussersten Moränen und der Donau. Endlich erkennt man noch als drittes Frostgebiet die Alpen und deren Vorland. Die Gebiete mit positiven Mitteltemperaturen sind einerseits jene, in welchen der maritime Einfluss in hohem Masse wirksam war, also das Rhein- und Maingebiet, andererseits die schwäbisch bayerische Hochebene, welche durch häufige, mitunter sehr kräftige Föhnwirkung begünstigt war. Ähnliche Darstellungen ergaben sich auch für die geographische Verteilung der mittleren Extreme. Die mittlere Schwankung betrug an der Mehrzahl unserer Beobachtungsorte zwischen 7 und 9 Grad, nur im Gebiete der Algäuer und Bayerischen Alpen sowie in der Gegend zwischen Landshut und der Lechmündung wurden Werte von über 10 Grad aufgezeichnet. Frost trat in grosser Häufigkeit ein. In Süd- und Ostbayern blieben nur wenige Tage frostfrei (2 bis 6), im Rhein- und Maingebiet war meistenorts an 17 bis 18 Tagen, in der Pfälzer Rheinebene sogar nur an 13 bis 14 Tagen Frost zu verzeichnen. Hingegen war die Anzahl der Wintertage verhältnismässig gering. In der Pfalz und in den begünstigten Lagen des Maingebietes, ferner am Bodenseeufer und an einigen Orten Südbayerns (Landshut, Karlshuld, Passau) wurde überhaupt kein Tag mit negativer Höchsttemperatur notiert, an den übrigen Flachlandstationen kamen 1 oder 2 Wintertage zur Aufzeichnung und erst mit dem Anstieg gegen die Gebirge steigerte sich deren Zahl auf 5 bis 7, wobei die eigentlichen Hochlagen noch nicht berücksichtigt sind.





Auf dem zweiten der beigedruckten Kärtchen ist die geographische Verteilung der Niederschlagsmengen über Süddeutschland zur Darstellung gebracht. Wie schon erwähnt, fielen die Monatssummen erheblich geringer aus, als nach vieljährigen Erfahrungen zu erwarten gewesen wäre. Den ausgedehnten Trockengebieten, die auf unserer Karte durch Schraffierung hervorgehoben sind, stehen nur engbegrenzte Bezirke maximaler Niederschlagsmengen mit über 50 oder gar über 100 mm gegenüber. Dieselben gehören ausschliesslich den höheren Lagen der Gebirge an. Die Niederschlagshäufigkeit wie auch die Niederschlagsdichte waren gering, wie dies schon aus der Schilderung des zeitlichen Witterungsverlaufes hervorgeht. Der milden Temperatur entsprechend, welche zumeist während der niederschlagsreicheren Zeit herrschte, fielen die Niederschläge vorzugsweise als Regen, selbst an ausgesprochenen Gebirgslagen. Zur Bildung einer geschlossenen Schneedecke über unserem ganzen Gebiete kam es nicht mehr. Die am 31. Januar und in der Nacht zum 1. Februar gefallenen Schneefälle betrafen hauptsächlich das Main- und Naabgebiet, brachten aber nur in den eigentlichen Mittelgebirgsgegenden Schneehöhen von nennenswerter Mächtigkeit zustande. Die milde Witterung der folgenden Wochen hatte aber ein rasches Abschmelzen der Neuschneedecke zur Folge, so dass sich die Schneegrenze immer weiter gegen die höheren Lagen der Gebirge zurückzog. Erst in der Nacht vom 27. auf 28. Februar und an diesem Tage selbst fielen neuerliche Schneefälle, welche über grössere Bezirke eine, wenn auch nur schwache Schneedecke ausbreiteten. Doch auch diese Neuschneelage schmolz bald wieder ab.

Die mittlere Bewölkungsziffer war, wie nach dem bisher Mitgeteilten zu erwarten stand, auffallend gering. Sie schwankte an der Mehrzahl unserer Beobachtungsorte zwischen 3 und 5 Zehnteln der vollen Bedeckung. Die Zahl der heiteren Tage betrug in der Rheinebene und im unteren Maingebiet sowie im Alpengebiete und in dessen unmittelbarem Vorlande mehr als 10 und übertraf die der trüben Tage um Beträchtliches. An den Stationen der noch nicht aufgeführten Gebietsteile wurden zumeist 7 bis 10 heitere und auch ebenso viele trübe Tage gezählt.

Die mittleren, auf Meeresniveau reduzierten Barometerstände weisen im grossen und ganzen ein schwaches, von Ost nach West gerichtetes Gefälle auf. Dementsprechend waren auch meistenorts Winde aus östlichen Richtungen vorherrschend.

München, 20. März 1913. Alt.

Tabelle I.

Station	Höhe über Normal-Null m	Luftdruck in mm: höchster am	höchster mm	tiefster am	tiefster mm	Monatsmittel lokal	Monatsmittel auf Meeresniveau reduziert	Temperatur C°: Mittel um 7a	2p	9p	Mittlere Tagestemperatur	Mittleres Maximum	Mittleres Minimum	Mittel aus Maximum u. Minimum	Mittlere Schwankung	Station
Ludwigshafen a. Rh.	100.3	9.	770.1	2.	744.8	759.3	768.8	1.0	6.8	3.6	3.8	7.2	0.0	3.6	7.2	Ludwigshafen a. Rh.
Kahl a. M.	114.1	9.	767.8	2.	740.7	757.8	768.6	– 0.7	6.1	1.5	2.1	7.3	– 2.3	2.5	9.5	Kahl a. M.
Landau i. Pf.	149.9	9.	764.4	1.	739.2	754.1	768.2	0.3	6.3	2.3	2.8	7.1	– 0.5	3.3	7.6	Landau i. Pf.
Würzburg	179.3	9.	762.4	2.	734.0	751.9	768.7	– 0.4	5.9	1.7	2.2	6.3	– 1.5	2.4	7.8	Würzburg
Bad Kissingen	209.2	11.	759.9	2.	731.1	749.3	769.4	– 1.7	5.6	0.5	1.2	6.2	– 3.1	1.6	9.3	Bad Kissingen
Kaiserslautern	242.2	9.	755.9	2.	732.4	745.8	768.5	– 0.5	6.0	1.9	2.3	6.6	– 1.5	2.5	8.1	Kaiserslautern
Luitpoldheim	250							– 1.0	4.4	1.4	1.6	5.1	– 2.2	1.5	7.3	Luitpoldheim
Bamberg	287.7	9.	752.7	2.	724.7	742.3	769.2	– 1.7	5.6	0.9	1.4	6.4	– 2.7	1.8	9.1	Bamberg
Nürnberg	309.1	9.	750.3	2.	723.2	739.9	768.7	– 1.0	4.8	1.1	1.5	5.5	– 2.1	1.7	7.6	Nürnberg
Passau	309.3	9.	751.1	2.	727.5	740.6	769.7	– 3.2	3.6	– 0.3	0.0	4.2	– 3.9	0.1	8.0	Passau
Metten	320							– 3.7	2.9	– 0.5	– 0.5	3.5	– 5.3	– 0.9	8.8	Metten
Regensburg	354 3	9.	746.6	2.	721.4	736.2	769.4	– 2.8	2.5	– 0.2	– 0.2	3.4	– 3.6	– 0.1	6.9	Regensburg
Bayreuth	363.3	9.	745.7	2.	717.3	735.4	769.3	– 1.5	4.1	0.5	0.9	5.1	– 3.0	1.1	8.1	Bayreuth
Burghausen	365	9.	745.9	2.	721.1	735.0	769.2	– 3.2	4.5	– 1.1	– 0.2	5.1	– 4.4	0.3	9.5	Burghausen
Ingolstadt	368							– 3.4	4.4	– 0.5	0.0	5.3	– 4.9	0.2	10.2	Ingolstadt
Karlshuld	382.0	9.	744.0	2.	718.4	733.3	769.0	– 3.6	3.8	– 0.8	– 0.3	5.2	– 4.8	0.2	9.9	Karlshuld
Cham	386							– 2.4	3.4	– 0.4	0.2	4.9	– 3.5	0.7	8.4	Cham
Landshut	397.7	9.	742.6	2.	717.4	731.5	768.8	– 3.4	4.3	– 0.8	– 0.2	5.5	– 5.6	0.0	11.1	Landshut
Lindau i. B. (Reutin)	401.7	9.	742.1	2.	719.9	731.1	768.7	– 2.4	3.9	– 0.1	0.4	6.0	– 3.8	1.1	9.8	Lindau i. B. (Reutin)
Eggenfelden	417							– 3.5	3.3	– 1.1	– 0.6	5.1	– 4.5	0.3	9.7	Eggenfelden
Rohr	426							– 2.8	3.2	– 1.4	– 0.6	3.7	– 3.9	– 0.1	7.5	Rohr
Weissenburg i. B.	431	9.	739.6	2.	714.6	729.3	769.4?	– 1.7	4.3	0.1	0.7	5.0	– 3.0	0.9	8.0	Weissenburg i. B.
Nördlingen	435.6	9.	738.4	2.	712.9	727.9	768.3	– 2.0	4.5	0.2	0.8	5.2	– 3.0	1.1	8.2	Nördlingen
Ansbach	437.5	9.	738.8	2.	712.2	728.3	769.0	– 2.5	4.4	– 0.4	0.3	5.0	– 3.8	0.6	8.8	Ansbach
Hof	476.1	11.	733.6	2.	706.3	724.0	768.2	– 2.8	3.0	– 1.0	– 0.5	3.8	– 4.7	– 0.4	8.4	Hof
Bad Reichenhall	477	9.	735.7	2.	711.2	724.6	768.8	– 2.3	4.8	– 0.6	0.3	6.3	– 3.6	1.4	9.9	Bad Reichenhall
Augsburg	499.6	9.	733.8	2.	708.5	723.1	769.3	– 1.3	4.4	0.6	1.0	5.0	– 2.4	1.3	7.4	Augsburg
Amberg M.H.B.	519							– 2.4	2.3	– 0.4	– 0.2	5.0	– 3.9	0.5	8.9	Amberg M.H.B.
München C.-St.	526.4	9.	731.1	2.	706.7	720.3	768.8	– 1.2	4.4	0.6	1.1	5.1	– 2.4	1.4	7.5	München C.-St.
Alexandersbad	590							– 3.4	1.6	– 1.5	– 1.2	2.5	– 4.7	– 1.1	7.2	Alexandersbad
Traunstein	597	9.	725.2	2.	701.2	714.5	769.6	– 3.9	3.3	– 1.8	– 1.0	3.7	– 5.0	– 0.6	8.8	Traunstein
Berchtesgaden	600							– 4.7	2.7	– 1.9	– 1.4	3.6	– 6.0	– 1.2	9.6	Berchtesgaden
Ottobeuren	660.0	9.	718.8	2.	697.6	708.3	768.9	– 3.3	3.5	– 1.5	– 0.7	4.3	– 4.6	– 0.1	8.9	Ottobeuren
Partenkirchen	716.8	9.	714.7	2.	692.0	703.9	769.7	– 5.1	3.5	– 2.7	– 1.7	4.2	– 6.2	– 1.0	10.4	Partenkirchen
Tegernsee	727.8	9.	713.3	27.	692.3	702.9	769.4	– 2.3	3.4	– 1.1	– 0.3	4.3	– 4.3	0.0	8.5	Tegernsee
Buchenau	750	9.	710.4	2.	687.6	700.2	769.0	– 4.3	1.3	– 3.1	– 2.3	2.7	– 5.6	– 1.4	8.3	Buchenau
Oberstdorf	811.4	9.	705.9	2.	684.1	695.4	769.8	– 6.2	1.9	– 4.2	– 3.2	3.4	– 8.5	– 2.6	11.9	Oberstdorf
Ettal	879 5	9.	698.7	2.	676.0	688.0	767.8?	– 5.0	1.2	– 2.9	– 2.4					Ettal
Mittenwald	911.8	9.	697.3	2.	675.9	686.6	769.2	– 4.2	2.9	– 2.7	– 1.7	3.6	– 6.3	– 1.3	9.9	Mittenwald
Hohenpeissenberg	994.1	9.	689.8	2.	668.0	679.2	768.5	– 2.6	0.6	– 1.7	– 1.4	1.5	– 4.2	– 1.4	5.7	Hohenpeissenberg
Zugspitze	2964	10.	537.7	17.	517.0	527.6		–12.1	–10.2	–11.8	–11.5	– 8.7	–14.9	–11.8	6.2	Zugspitze

Tabelle II.

Station	Temperatur C°: höchste am	höchste C°	tiefste am	tiefste C°	grösste Schwankung am	grösste Schwankung C°	Dampfdruck Monatsmittel mm	Relative Feuchtigkeit %: Monatsmittel	kleinste am	kleinste %	grösste am	grösste %	Bewölkung Monatsmittel	Niederschlag: grösster am	grösster mm	Monats-Summe mm	Station
Ludwigshafen a. Rh.	7.	12.4	21.	– 5.8	26.	13.7	4.2	68	24.	31	12.	96	4.0	9.	6.6	21.8	Ludwigshafen a. Rh.
Kahl a. M.	7.	11.8	25.	–10.2	25.	19.2	4.3	76	19.	36	öfters	97	4.4	1.	13.2	30 6	Kahl a. M.
Landau i. Pf.	7.	12.2	25.	– 6.1	25.	15.1	4.1	70	25.	32	10., 12.	96	3.8	2.	17.1	35.0	Landau i. Pf.
Würzburg	7.	10.9	25.	– 9.0	26.	16.1	4.0	72	24.	36	9.	98	4.0	1.	9.1	22.3	Würzburg
Bad Kissingen	7.	10.9	25.	–10.1	25., 26.	17.4	3.9	75	21.	33	öfters	98	4.4	2.	13.8	38.6	Bad Kissingen
Kaiserslautern	10.	11.8	21.	– 9.0	25.	17.7	4.2	75	12.	27	öfters	100	4.5	2.	15.2	36.7	Kaiserslautern
Luitpoldheim	7.	10.9	21.	– 8.8	26.	14.4	4.1	77	15.	41	öfters	100	4.1	1.	14.8	37.0	Luitpoldheim
Bamberg	7.	11.0	25.	– 9.8	26.	18.0	4.0	75	24.	24	öfters	100	6.1	1.	10.1	24.9	Bamberg
Nürnberg	7.	10.0	21., 24.	– 8.3	24.	15.5	3.9	74	25., 26.	36	26., 28.	100	5.1	1.	4.9	18.2	Nürnberg
Passau	24.	8.1	21.	– 9.5	24.	16.6	3.5	73	24.	24	öfters	100	4.8	4.	6.7	17.3	Passau
Metten	24.	8.1	21.	–11.3	24.	19.0	3.5	78	24.	20	öfters	100	4 4	4.	10.0	31.1	Metten
Regensburg	11.	8.3	24.	– 9.8	24.	14.8	3.7	79	24.	43	öfters	98	6.5	1.	7.4	17.8	Regensburg
Bayreuth	7.	9.7	21.	–11.3	24.	17.0	3.8	74	24.	29	8.	95	5.0	1.	8.6	24.9	Bayreuth
Burghausen	8.	10.7	23.	– 9.6	24., 25.	17.1	3.5	76	25.	27	8.	100	4.5	1.	3.1	7.5	Burghausen
Ingolstadt	11.	10.7	25.	–12.4	25.	21.2	3.6	77	24.	27	9., 10.	100	5.4	1.	11.7	23.3	Ingolstadt
Karlshuld	11.	10.3	21., 25.	–11.5	25.	19.5	3.5	76	24.	31	öfters	100	4.3	2.	13.4	20.5	Karlshuld
Cham	25.	11.0	24.	– 8.9	25.	19.1							6.1	4.	6.8	14.5	Cham
Landshut	11.	10.7	22., 25.	–11.4	27.	20.6	3.4	73	24.	21	öfters	98	4.6	1.	5.4	10.9	Landshut
Lindau i. B. (Reutin)	2.	12.3	20.	– 9.4	26.	16.2	3.8	77	26.	47	öfters	100	3.4	3.	12.8	34.1	Lindau i. B. (Reutin)
Eggenfelden	27.	9.0	22.	–10.2	25., 27.	18.0							4.9	3.	3.0	12.9	Eggenfelden
Rohr	11.	9.0	22.	– 9.9	27.	14.7							4.7				Rohr
Weissenburg i. B.	11.	9.8	21.	–11.0	25.	16.3							5.0	1.	12.1	33.8	Weissenburg i. B.
Nördlingen	7.	9.3	21.	–10.1	25.	17.0	3.8	76	25.	33	10.	100	4.7	1.	15.5	32.7	Nördlingen
Ansbach	7., 11.	9.4	20.	–11.2	25.	17.6	3.6	73	26.	31	27.	94	3.8	1.	5.7	20.1	Ansbach
Hof	25., 26.	9.0	18.	–13.3	26.	21.4	3.6	78	26.	26	1., 12.	100	6.6	1.	11.8	33.9	Hof
Bad Reichenhall	8.	12.1	19.	–11.9	24.	17.1	3.4	71	24.	19	20., 21.	100	3.7	4.	10.8	34.3	Bad Reichenhall
Augsburg	11.	9.5	23.	– 8.3	25.	13.5	3.9	74	25.	37	öfters	100	4.3	28.	4.7	15.2	Augsburg
Amberg M.H.B.	7., 10.	9.0	18.	–11.3	24.	14.6							5.2	1.	12.3	30.9	Amberg M.H.B.
München C.-St.	6.	10.9	19.	– 9.0	24.	13.7	3.4	66	27.	29	14.	93	4.3	1.	2.9	11.2	München C.-St.
Alexandersbad	25.	7.1	19.	–12.0	25.	18.1	3.6	81	24.	28	2.	100	4.9	1.	26.7	60.7	Alexandersbad
Traunstein	8.	10.0	20.	–11.4	24.	15.8	3.1	72	24.	24	öfters	96	4.3	1.	10.8	26.0	Traunstein
Berchtesgaden	8.	9.1	19.	–13.6	24.	16.1	3.2	74	25.	32	öfters	100	3.7	4.	18.0	44.4	Berchtesgaden
Ottobeuren	27.	10.1	24.	–12.0	24.	18.3	3.4	75	27.	23	öfters	100	3.6	3.	11.7	31.2	Ottobeuren
Partenkirchen	27.	9.7	19.	–15.1	20.	16.3	2.9	71	27.	21	11., 12.	100	3.5	1.	10.2	31.1	Partenkirchen
Tegernsee	7.	9.8	19.	–13.1	24.	17.2	3.2	69	24.	28	22.	100	3.6	1.	14.0	41.2	Tegernsee
Buchenau	24.	7.0	15.	–11.8	24.	14.8	2.9	72	24.	18	öfters	100	4.5	4.	33.4	56.9	Buchenau
Oberstdorf	2.	9.2	19.	–17.9	24.	17.6	3.0	78	25.	33	öfters	100	3.7	3.	18.8	69.8	Oberstdorf
Ettal							3.1	78	27.	34	öfters	100	3.2	1.	13.6	39.1	Ettal
Mittenwald	25.	8.2	17.	–16.2	5.	14.1	3.1	75	24.	29	öfters	100	4.0	1.	9.9	33.4	Mittenwald
Hohenpeissenberg	5.	7.7	18.	–12.8	24.	9.0	2.8	67	10.	23	öfters	100	4.0	1.	7.9	18.2	Hohenpeissenberg

Tabelle III.

Station	Tage mit										Tage				Anzahl der beobachteten Windrichtungen									Station
	Niederschlägen		Schneefall	Schneedecke	Graupeln	Hagel	Gewitter	Nebel	Reif	Tau	heitere	trübe	Frost	Winter	N	NE	E	SE	S	SW	W	NW	Stille	
	≥ 0,1mm	≥ 1,0mm																						
Ludwigshafen a. Rh.	5	4	1	–	–	–	–	2	12	–	10	4	13	–	17	14	1	6	14	19	7	3	3	Ludwigshafen a. Rh.
Kahl a. M.	8	6	1	–	–	–	–	1	9	–	11	6	17	–	–	7	15	4	5	19	1	2	31	Kahl a. M.
Landau i. Pf.	7	4	–	–	–	–	–	–	5	–	14	6	14	–	–	37	1	2	5	19	11	9	–	Landau i. Pf.
Würzburg	10	6	–	–	–	–	–	12	8	–	10	5	16	–	5	2	16	2	1	17	15	9	17	Würzburg
Bad Kissingen	9	6	3	–	–	–	–	3	14	3	9	6	18	–	12	13	11	3	14	8	7	2	14	Bad Kissingen
Kaiserslautern	7	5	2	–	1	–	–	5	12	–	7	5	16	–	–	5	24	4	1	–	25	3	22	Kaiserslautern
Luitpoldheim	14	6	2	–	–	–	–	3	9	–	10	7	18	1	21	5	7	4	1	16	–	–	30	Luitpoldheim
Bamberg	26	5	3	–	2	–	–	1	6	3	5	9	18	–	7	3	8	1	15	12	22	8	8	Bamberg
Nürnberg	6	6	1	–	–	–	1	14	11	–	7	8	17	1	3	8	16	15	5	14	9	6	8	Nürnberg
Passau	8	4	1	3	–	–	–	6	13	–	9	7	25	–	–	–	19	–	–	–	8	4	53	Passau
Metten	10	6	6	18	–	–	–	3	18	–	8	5	25	1	–	5	10	3	6	15	16	5	24	Metten
Regensburg	7	5	1	?	1	–	–	1	10	–	–	10	20	2	4	12	15	4	2	29	5	1	12	Regensburg
Bayreuth	8	5	3	1	1	–	–	3	12	–	7	6	19	1	7	6	27	6	1	4	19	8	6	Bayreuth
Burghausen	7	4	2	–	–	–	–	1	21	–	9	7	25	3	8	4	12	4	1	13	1	–	41	Burghausen
Ingolstadt	8	6	1	–	1	–	–	3	16	–	7	9	25	1	1	7	30	10	4	4	19	5	4	Ingolstadt
Karlshuld	5	3	1	–	–	–	–	2	19	–	8	5	22	–	–	29	7	2	–	5	14	2	25	Karlshuld
Cham	7	6	2	–	–	–	–	4	7	–	–	7	24	1	–	33	6	–	4	14	27	–	–	Cham
Landshut	7	4	–	–	–	–	–	–	21	–	9	7	24	–	3	6	29	3	1	6	27	1	8	Landshut
Lindau i. B. (Reutin)	7	4	1	–	1	–	–	1	13	3	12	4	22	–	16	22	1	1	16	2	14	3	9	Lindau i. B. (Reutin)
Eggenfelden	16	5	2	–	–	–	–	6	22	–	7	6	24	1	–	23	20	2	–	10	12	17	–	Eggenfelden
Rohr								1	12	–	9	6	23	5	–	4	24	14	1	23	4	6	8	Rohr
Weissenburg i. B.	6	6	2	–	–	–	–	2	17	–	7	6	18	–	1	13	23	8	9	10	11	3	6	Weissenburg i. B.
Nördlingen	7	6	2	–	–	–	–	2	15	3	9	5	18	1	6	11	13	9	5	16	8	8	8	Nördlingen
Ansbach	7	6	2	–	–	–	–	1	7	–	9	3	22	2	–	10	12	1	4	8	10	4	35	Ansbach
Hof	11	6	5	3	–	–	–	9	13	–	3	13	22	4	18	11	2	6	16	14	7	10	–	Hof
Bad Reichenhall	7	7	3	9	–	–	–	–	7	–	11	5	20	2	–	3	16	5	6	14	28	–	12	Bad Reichenhall
Augsburg	6	5	3	–	–	–	–	3	15	–	7	5	17	4	1	12	15	10	3	28	–	7	8	Augsburg
Amberg M.H.B.	11	6	4	4	2	–	–	8	7	–	7	7	25	1	14	11	13	6	14	4	19	1	2	Amberg M.H.B.
München C.-St.	9	5	4	1	1	–	–	3	21	–	10	4	16	5	1	3	25	3	3	18	4	7	20	München C.-St.
Alexandersbad	8	4	6	12	–	–	–	1	11	–	9	7	22	7	7	7	13	1	4	2	20	7	23	Alexandersbad
Traunstein	9	5	5	6	–	–	–	–	17	–	8	5	26	5	2	2	34	7	6	3	26	4	–	Traunstein
Berchtesgaden	8	6	6	28	–	–	–	1	11	–	11	6	26	5	–	–	8	2	–	–	3	–	71	Berchtesgaden
Ottobeuren	6	5	4	2	1	–	–	1	17	–	14	4	24	6	1	18	22	7	–	19	2	1	14	Ottobeuren
Partenkirchen	8	7	4	28	1	–	–	–	?	–	13	4	27	6	2	–	–	12	20	–	2	13	35	Partenkirchen
Tegernsee	7	6	3	28	–	–	–	?	7	–	12	5	21	6	1	1	8	39	6	1	10	5	13	Tegernsee
Buchenau	10	8	5	28	1	–	–	2	3	–	10	7	26	1	2	8	20	–	–	2	19	2	31	Buchenau
Oberstdorf	8	7	4	28	–	–	–	2	?	–	13	6	27	7	20	–	2	2	4	6	8	13	29	Oberstdorf
Ettal	8	8	7	28	1	–	–	1	?	–	14	2												Ettal
Mittenwald	9	8	5	28	1	–	–	–	7	–	11	6	28	5	8	5	2	–	22	8	4	5	30	Mittenwald
Hohenpeissenberg	7	6	6	28	–	–	–	10	5	–	11	3	24	9	–	22	11	7	1	17	19	6	1	Hohenpeissenberg
Zugspitze	9	8	9	28	–	–	–	7	–	–	10	3	28	28	22	2	10	10	8	6	9	15	2	Zugspitze

Übersicht über die Witterungsverhältnisse im Königreiche Bayern

während des März 1913.

Die mittlere Luftdruckverteilung zeigt im vergangenen Monat über unserem Gebiete ein ausgesprochenes Gefälle von Südost nach Nordwest und dementsprechend in Süd- und Südostbayern vorherrschend südliche bis östliche, in der Pfalz und Nordwestbayern südwestliche bis westliche Winde. Damit ist auch der allgemeine Charakter der Witterung festgelegt: das Alpengebiet weist alle Erscheinungen häufiger Föhnwinde auf, viel Sonnenschein, geringe Bewölkung, wenig Niederschlag, hohe Temperaturen; Nordbayern, vorwiegend im Bereiche ozeanischer Luftzufuhr gelegen, hatte stärkere Bewölkung, normale oder nur wenig unter dem Normal bleibende Niederschlagsverhältnisse, hohe Temperaturen. In der Tat ist dies das Gesamtbild des Monats.

Die Temperaturmittelwerte übertreffen das langjährige Normal allenthalben um 3—4°, der März 1913 ist mit dem März 1912 einer der wärmsten seit einer langen Reihe von Jahren. Besonders gross ist der Überschuss in den durch Föhn ausgezeichneten alpinen Tallagen der Loisach und Isar, sowie der Salzach, ausserdem in einigen als klimatisch besonders geschützt bekannten Gegenden des unteren Maingebietes.

Die Niederschlagsmenge ist im Verhältnis zum langjährigen Mittel am geringsten ausgefallen im äussersten Südosten Bayerns, der sonst nicht diesen Ruf geniesst, und anschliessend noch in dem zwischen Isar und Inn gelegenen Gelände. Reichenhall und Berchtesgaden haben nur 30—40 % des Durchschnittswertes erreicht, die Stationen des genannten anschliessenden Bereiches 50—70 %. Im Maingebiet schwanken die Werte zwischen 70 und 80 %, die Pfalz weist 90—100 % auf. Über das Normalmass hinaus gehen die Niederschlagsmengen in der Zone, die vom Bodensee nordostwärts quer durch Bayern bis zum Fichtelgebirge sich erstreckt, also speziell dem Bodenseegelände selbst, dem Algäu, dem Donauflussgebiet bis zum Regen, dem Frankenjura und dem Fichtelgebirge. In diesen Bezirken bewegen sich die Monatssummen des Niederschlags zwischen 100 und 150 %, durchschnittlich sind etwa 125 % gefallen.

Im einzelnen gestaltete sich der Witterungsverlauf, in grossen Zügen gesehen, folgendermassen:

Die mit dem Schlusse des Februar eingetretene Verschlechterung der Witterung fand noch im Laufe des 28. Februar mit dem Abzuge des die Störung bewirkenden Tiefdruckausläufers ihr Ende. Am Morgen des 1. lag über Westeuropa ein Barometermaximum, das ziemlich rasch ostwärts wanderte, gefolgt von einer tiefen isländischen Depression. Diese gewann aber nur unwesentlichen Einfluss auf die Pfalz und Nordbayern, wo stärkere Bewölkung und leichte Strichregen am 3. und 4. März auftraten. Südbayern reagierte auf die vorbeiziehende Depression mit Föhn, der sich bis zum 7. März erhalten konnte, da das Hochdruckgebiet sich schliesslich über ganz Süd- und Südosteuropa ausgebreitet hatte.

Der anfänglich durch Ausstrahlung und Nordostwinde im Barometermaximum verursachte Temperaturrückgang verwandelte sich mit dem Eintritt südwestlicher Winde in einen intensiven Anstieg, so dass vom 3. an bis zum 7. die Temperaturtagesmittel sich um 5—8° über dem Normalwerte bewegten.

Erst als am 7. März die nördlich vorbeiziehende Depression einen Vorstoss von Nordskandinavien nach der Ostsee ausführte und die Winde von SW nach NW drehten, traten zuerst in der Pfalz und in Nordwestbayern, im Laufe des 8. März auch in Südbayern stärkere Niederschläge auf, die in der Nacht vom 8./9. im rechtsrheinischen Bayern in Schnee übergingen und dort auch eine, allerdings nur in den höheren Lagen bemerkenswerte Schneedecke lieferten. Mit dem Einbruch der Nordwestwinde erfolgte ein empfindlicher Temperatursturz, der bis zum 9. anhielt und die Temperaturtagesmittel innerhalb zweier Tage um nahezu 10° verminderte.

Ein am Morgen des 9. März von den Azoren aus vordringendes äusserst intensives Barometermaximum beendigte schnell die Schlechtwetterperiode. Es wiederholten sich im grossen und ganzen die Verhältnisse, die während der ersten sieben Tage des Monats bestanden hatten; mit der Abwanderung des Hochdruckgebietes nach Osten und seiner nachträglichen Ausbreitung über Südeuropa setzte wieder ozeanische, in Südbayern alpine Luftzufuhr ein, die Temperaturen stiegen an, und zwar im Süden stärker als im Norden. Eine Periode von sieben heiteren milden Tagen hielt sich bis zum 17. März.

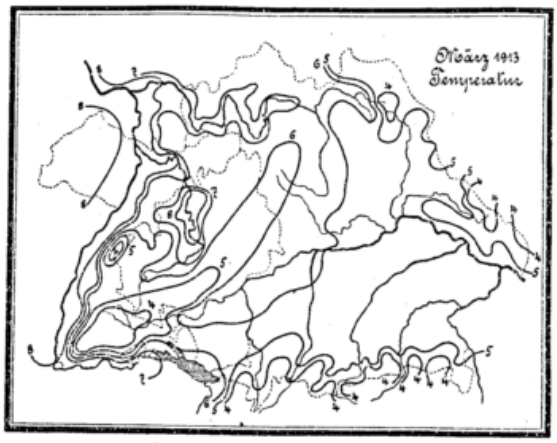
Am Morgen des 17. lag über England ein ziemlich tiefes Luftdruckminimum, das bis zum 18. nach Südskandinavien vordrang und von da aus einen Ausläufer quer durch den Kontinent bis ins Mittelmeer entwickelte. Der damit verbundene Übergang zu nordwestlichen Winden brachte neuerdings einen Temperatursturz, der die Tagesmittel der Temperatur wieder um mehr als 10° vom 17. bis zum 18. herabdrückte. Die Niederschläge fielen auch in den niederen Lagen als Schnee. Am Morgen des 18. war nur die Rheinpfalz und der grösste Teil des Maingebietes schneefrei. Auch im Laufe des 18. dauerten die Schneefälle noch an, was eine weitere Ausdehnung der Schneedecke zur Folge hatte. Aber eine am 19. vordringende neue tiefe Depression, die auch wieder von England aus ansetzte, brachte rasch Erwärmung durch ozeanische Winde, die niederen Lagen verloren ihre Neuschneedecke wieder, teils infolge der steigenden Temperaturen, teils durch die schon am Abende des 19. einsetzenden Regenfälle. Vom 19. bis zum 25. war die Witterung unbeständig. Mit Ausnahme des 21. und 22., während deren unser Gebiet auf der Vorderseite einer tiefen atlantischen Depression gelegen war und Südbayern wieder Föhnlage hatte, herrschte meist bedeckter Himmel. Am Morgen des 24. reichte von Skandinavien

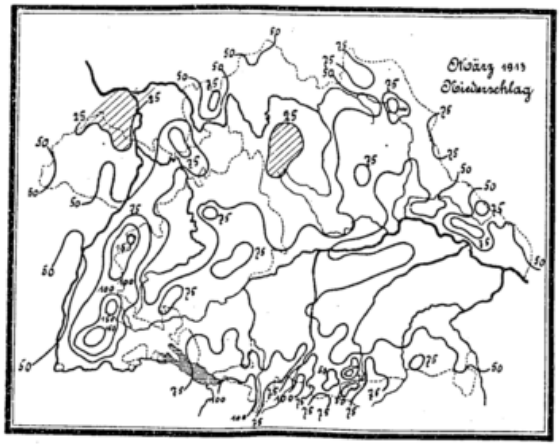
bis Oberitalien eine Tiefdruckfurche über Osteuropa, unter deren Einfluss auf unserem ganzen Gebiete Niederschläge bei stark sinkenden Temperaturen auftraten.

Ein am 24. von Südwesteuropa vordringendes Hochdruckgebiet brachte für den Rest des Monats die Rückkehr zu vorwiegend heiterem mildem Wetter, das nur auf einige Stunden während des 27. in nennenswerter Weise durch ein flaches Luftdruckminimum über Ungarn gestört wurde. Vom 28. an erfolgte auf der Vorderseite einer von der Biskayasee aus sehr langsam vordringenden Depression ein krättiger Temperaturanstieg, der meist am 30. den Höhepunkt erreichte.

Das erste der beigegebenen Kärtchen zeigt die geographische Verteilung der mittleren Temperatur des Monats. Das Bild ist in den grossen Zügen das gewöhnliche: Rhein-, Main- und Neckargebiet mit 7—8 ° am meisten begünstigt, verhältnismässig hohe Temperatur auch noch im Alpenvorland (5—6 °), mit dem Anstieg gegen das Gebirge normale Abnahme der Werte.

Die Karten der Temperaturextreme weisen einige interessante Züge auf. Im allgemeinen zeigen sie natürlich ein ähnliches Bild wie die Karte der Mitteltemperaturen, doch fallen die hohen Maxima im Gebiete der schwäbisch-bayerischen Hochebene auf, die hauptsächlich der grossen Anzahl von Föhntagen zuzuschreiben sind. Bad Reichenhall übertrifft z. B. mit 14.0 ° die wärmsten Lagen des Rhein- und Maingebietes, die nur Werte zwischen 12 ° und 13 ° erreichen. Da aber auf dem voralpinen Hochplateau andererseits die nächtliche Ausstrahlung besonders wirksam ist, so fällt eben dasselbe Gebiet, das durch ungewöhnlich hohe Maxima aus dem klimatischen Rahmen der Gegend heraustritt, auch durch tiefe Minima auf. Das hat zur Folge, dass auf der ganzen Hochebene im März 1913 die mittlere tägliche Temperaturschwankung ausserordentlich gross ist.





Die Anzahl der Frosttage ist in Südbayern durchschnittlich 10—14, auch die Mittelgebirgslagen an der Ostgrenze des Königreiches hatten an soviel Tagen Frost. In der Pfalz kamen nur 3—4 Tage, im übrigen Bayern 6—9 Tage mit negativen Minimaltemperaturen zur Aufzeichnung. Schaden verursachten diese meist am Anfang des Monats gelegenen Frosttage für die Vegetation noch nicht, doch liess die ungewöhnliche Verfrühung der gesamten Vegetationsentwicklung die Möglichkeit späterer Kälterückfälle befürchten.

Das zweite Kärtchen gibt die geographische Verteilung der Niederschlagsmengen über Süddeutschland wieder. Auch hier kommt der Gesamtcharakter des Monats zum Ausdruck. Geringe Werte des Niederschlags im Alpengebiete, insbesondere in Südostbayern als eine Folge des Föhns, hohe Niederschlagssummen im Schwarzwald, dessen Streichrichtung sich der vorherrschenden Windrichtung rechtwinklig entgegenstellt und dadurch Geländeniederschläge verursacht, die auch die höchsten im Alpengebiete erreichten übertreffen.

Die Niederschlagshäufigkeit ist, wenn man alle, auch unerhebliche Regenmengen in Betracht zieht, in Südbayern 10—15, in Nordbayern 14—16; stärkere Niederschläge von mindesten 1.0 mm sind ziemlich gleichmässig an 7—8 Tagen gefallen.

Die Intensität pro Regentag schwankt im ersten Falle zwischen 2 und 7 mm, wobei das Bodenseegebiet und das Algäu die höchsten Werte aufweisen. Für die stärkeren Niederschläge ergibt sich eine mittlere Dichte von 3—10 mm; auch hier fällt der Südwesten durch hohe Werte auf.

Schneefälle sind, wie schon aus der Schilderung des zeitlichen Verlaufs der Witterung hervorging, nur während der drei Kälteeinbrüche gefallen, also an 3—4 Tagen. Nur die höheren Lagen hatten 5—10 Schneetage.

Eine Schneedecke hat sich nur im rechtsrheinischen Bayern in den niederen Lagen an einem oder zwei Tagen gebildet. Die eigentlichen Gebirgsstationen hatten an mehr als 10 Tagen eine zusammenhängende Decke, doch aperten auch hier unter dem Einflusse des Föhns und der wirksamen Bestrahlung die Südabhänge völlig aus.

Die Bewölkung war, wie schon eingangs erwähnt, am geringsten in Südbayern im Gebiete der südlichen Winde, wo durchschnittlich $^5/_{10}$ der vollen Bedeckung beobachtet wurden; im übrigen Bayern schwanken die Werte zwischen $^6/_{10}$ bis $^7/_{10}$. Dem entspricht die Anzahl der Sonnenscheinstunden:

München $155\,^1/_2$, Mittenwald $132\,^1/_4$, Kaiserslautern $93\,^3/_4$, Luitpoldheim 100, Alexandersbad $99\,^3/_4$.

In Südbayern war die Anzahl der heiteren Tage 6—10, in Nordbayern und der Pfalz 1—5; entsprechend hatte Südbayern 4—10 trübe Tage, Nordbayern 7—14.

München, 29. April 1913.

Weickmann.

Tabelle I.

Station	Höhe über Normal-Null m	Luftdruck in mm: höchster am	höchster mm	tiefster am	tiefster mm	Monatsmittel lokal	Monatsmittel auf Meeresniveau reduziert	Temperatur C°: Mittel um 7ª	2ᵖ	9ᵖ	Mittlere Tagestemperatur	Mittleres Maximum	Mittleres Minimum	Mittel aus Maximum u. Minimum	Mittlere Schwankung	Station
Ludwigshafen a. Rh.	100.3	9.	769.2	19.	739.3	754.8	764.0	5.9	11.9	9.0	8.9	12.8	4 5	8.6	8.3	Ludwigshafen a. Rh.
Kahl a. M.	114.1	9.	766.4	19.	736.8	753.0	763.5	5.1	11.1	7.3	7.8	12.8	3.0	7.9	9.8	Kahl a. M.
Landau i. Pf.	149.9	9.	763.7	19.	735.5	750.1	763.8	5.6	11.8	7.5	8.1	12.8	4.1	8.4	8.7	Landau i. Pf.
Würzburg	179.3	9.	760.8	19.	730.3	747.2	763.6	4.7	11.5	7.3	7.7	12.2	3.5	7.8	8.7	Würzburg
Bad Kissingen	209.2	9.	758.1	19.	727.7	744.8	764.0	3.9	10.6	6.0	6.6	11.7	1.9	6.8	9.8	Bad Kissingen
Kaiserslautern	242.2	9.	755.1	19.	727.1	741.7	763.8	4.8	10.6	7.0	7.3	11.6	3.5	7.5	8.1	Kaiserslautern
Luitpoldheim	250							4.3	9.7	6.7	6.8	10.8	2.9	6.9	7.9	Luitpoldheim
Bamberg	287.7	9.	751.3	19.	721.3	737.9	764.1	3.6	10.6	6.3	6.7	12.2	2.3	7.3	9.9	Bamberg
Nürnberg	309.1	9.	749.2	19.	720.0	735.9	764.0	4.3	10.4	6.6	7.0	11.2	3.2	7.2	8.0	Nürnberg
Passau	309.3	9.	749.6	19.	724.1	737.1	765.4	1.9	10.2	5.6	5.8	10.9	1.0	6.0	9.9	Passau
Metten	320							1.9	9.9	5.8	5.8	11.3	− 0.2	5.5	11.5	Metten
Regensburg	354.3	9.	745.2	19.	717.2	732.6	764.9	2.2	9.5	5.6	5.7	10.6	1.1	5.9	9.5	Regensburg
Bayreuth	363.3	9.	743.2	19.	714.5	731.3	764.3	3.9	9.5	6.0	6.3	10.8	1.6	6.2	9.2	Bayreuth
Burghausen	365	9.	744.8	19.	718.7	731.8	765.1	2.0	11.3	4.5	5.6	12.7	0.5	6.6	12,2	Burghausen
Ingolstadt	368							2.0	11.1	5.1	5.8	12.7	0.3	6.5	12.4	Ingolstadt
Karlshuld	382.0	9.	742.9	19.	715.1	729.7	764.5	1.8	10.5	4.9	5.5	12.1	0 3	6.2	11.9	Karlshuld
Cham	386							2.5	9.5	5.6	5.8	11.6	1.4	6.5	10.1	Cham
Landshut	397.7	9.	741.1	19.	714.3	728.4	764.7	2.0	11.1	4.9	5.7	13.1	− 0.7	6.2	13.8	Landshut
Lindau i. B. (Reutin)	401.7	9.	741.9	17.	715.7	728.6	765.0	3.1	10.1	6.1	6.4	12.8	0.8	6.8	12.1	Lindau i. B. (Reutin)
Eggenfelden	417							1.9	10.3	5.1	5.6	12.5	0.8	6.6	11.7	Eggenfelden
Rohr	426							3.1	9.9	4.7	5.6	10.3	1.1	5.7	9.1	Rohr
Weissenburg i. B.	431	9.	738.7	19.	710.4	725.8	764.6	4.5	10.2	6.4	6.9	11.2	2.7	7.0	8.5	Weissenburg i. B.
Nördlingen	435.6	9.	737.6	19.	709.7	724.5	763.7	3.6	10.5	6.1	6.6	11.6	2.5	7.0	9.1	Nördlingen
Ansbach	437.5	9.	737.8	19.	709.1	724 6	764.2	3.3	9.9	5.2	5.9	10.8	1.8	6.3	9.0	Ansbach
Hof	476.1	9.	732.2	19.	703.6	719.9	763.0	2.2	8.3	3.7	4.5	9.4	− 0.2	6.4	9.6	Hof
Bad Reichenhall	477	9.	734.4	19.	708.6	721.9	764.9	3.5	12.1	5.5	6.6	14.0	2.0	8.0	12.0	Bad Reichenhall
Augsburg	499.6	9.	733.1	19.	706.0	719.9	764.7	3.7	10.9	6.7	7.0	11.6	2.9	7.3	8.7	Augsburg
Amberg M.H.B.	519							2.1	8.3	5.0	5.1	10.0	0.6	5.3	9.4	Amberg M.H.B.
München C.-St.	526.4	9.	730.1	19.	704.5	717.4	764.5	4.1	11.2	6.9	7.3	12.2	2.8	7.5	9.5	München C.-St.
Alexandersbad	590							1.3	7.0	3.4	3.8	8.3	− 0.1	4.1	8.4	Alexandersbad
Traunstein	597	9.	724.3	19.	698.6	712.0	765.6	1.6	10.0	3.9	4.9	11.1	0.1	5.6	11.0	Traunstein
Berchtesgaden	600							0.7	9.7	4.0	4.6	11.3	− 0.3	5.5	11.7	Berchtesgaden
Ottobeuren	660.0	9.	718.4	19.	694.3	705.9	764.8	3.2	9.7	4.7	5.6	10.9	0.7	5.8	10.2	Ottobeuren
Partenkirchen	716.8	9.	713.9	19.	689.3	701.6	765.6	1.2	11.0	3.8	4.9	12.3	− 0.3	6.0	12.6	Partenkirchen
Tegernsee	727.8	9.	712.0	17., 19.	688.2	700.7	765.4	4.0	9.4	4.7	5.7	11.3	0.6	6.0	10 6	Tegernsee
Buchenau	750	9.	708.8	19.	683.9	697.6	765.8	0.1	6.7	2.3	2.9	8.0	− 1.1	3.5	9.1	Buchenau
Oberstdorf	811.4	9.	705.5	17.	681.1	693.4	765.8	0.1	8.7	2.3	3.3	10.4	− 2.2	4.1	12.6	Oberstdorf
Ettal	879 5	9.	697.9	19.	673.3	686.1	763.89	0 9	8.0	2.9	3·7	10.8	− 0.9	4.9	11.7	Ettal
Mittenwald	911.8	9.	696.2	19.	673.1	684.8	765.0	1.6	9.6	3.8	4.7	10.9	− 0.2	5.4	11.0	Mittenwald
Hohenpeissenberg	994.1	9.	688.7	19.	665.1	677.5	764.4	2.7	7.2	4.3	4.6	8.8	1.1	4.9	7.7	Hohenpeissenberg
Zugspitze	2964	6.	536.2	18.	516.3	528.7		− 7.8	− 6.5	− 7.2	− 7.2	− 4.4	−10.0	− 7.2	5.6	Zugspitze

Tabelle II.

Station	Temperatur C°: höchste am	höchste C°	tiefste am	tiefste C°	grösste Schwankung am	grösste Schwankung C°	Dampfdruck Monatsmittel mm	Relative Feuchtigkeit %: Monatsmittel	kleinste am	kleinste %	grösste am	grösste %	Bewölkung Monatsmittel	Niederschlag: grösster am	grösster mm	Monatssumme mm	Station
Ludwigshafen a. Rh.	31.	22.0	2.	− 3.4	31.	15.8	5.8	68	31.	32	22.	95	6.3	21.	11.4	38.6	Ludwigshafen a. Rh.
Kahl a. M.	31.	23.7	2.	− 6.3	31.	20.7	5.8	73	15., 26.	35	25.	100	6.2	21.	8.4	31.2	Kahl a. M.
Landau i. Pf.	31.	21.2	2.	− 4.1	28., 31.	15.2	6.0	73	15.	38	28.	96	6.7	21.	8.2	47.3	Landau i. Pf.
Würzburg	31.	23.2	2.	− 7.1	31.	18.4	5.5	70	31.	28	öfters	96	5.9	21.	13.3	32.9	Würzburg
Bad Kissingen	31.	22.7	2.	− 8.5	31.	17.9	5.4	74	31.	32	öfters	98	6.7	21.	8.8	36.6	Bad Kissingen
Kaiserslautern	30.	20.1	2.	− 5.9	31.	14.7	5.8	75	2.	35	12.	100	7.3	21.	13.2	45.8	Kaiserslautern
Luitpoldheim	31.	22.3	2.	− 7.0	31.	17.6	5.9	78	1.	43	öfters	100	6.3	18.	7.9	46.0	Luitpoldheim
Bamberg	30.	22.7	2.	− 8.2	31.	17.0	5.7	77	31.	27	20.	99	8.1	21.	8.1	30 6	Bamberg
Nürnberg	30.	21.7	2.	− 5.7	31.	13.8	5.6	75	17., 31.	34	25.	100	6.7	18.	10.5	44.6	Nürnberg
Passau	30.	22.3	2.	− 6.5	30.	19.1	5.1	73	29.	32	4., 5.	100	5.9	25.	8.1	23.9	Passau
Metten	30.	22.0	2.	− 7 2	29.	21.0	5.4	78	31.	30	öfters	100	5.6	25.	15.1	43.5	Metten
Regensburg	30.	19.3	2.	− 7.2	17.	14.8	5.6	81	14., 17.	45	öfters	100	6.6	25.	14.4	36.4	Regensburg
Bayreuth	30.	20.8	2.	− 9.6	30.	15.6	5.5	75	31.	32	10.	98	7.0	24.	11.0	41.5	Bayreuth
Burghausen	30.	22.8	2.	− 7.1	30.	20.8	5.4	79	17.	23	öfters	100	6.0	25.	9.6	29 8	Burghausen
Ingolstadt	30.	21.8	2.	− 6.2	31.	19.9	5.4	77	17.	29	19.	100	6.3	24.	14.7	50.8	Ingolstadt
Karlshuld	30., 31.	22.9	2.	− 7.6	31.	21.0	5.6	81	1.	34	öfters	100	5.5	24.	18.6	56.3	Karlshuld
Cham	30.	20.8	2.	− 7.0	22.	18.8							7.0	25.	19.0	47.5	Cham
Landshut	22.	24.0	2.	− 8.4	30.	22.7	5.2	75	17.	25	öfters	98	5.9	25.	18.4	41.3	Landshut
Lindau i. B. (Reutin)	30.	21.9	2.	− 5.4	17.	17.0	5.2	75	30.	19	9.	100	4.7	24.	20.1	87.1	Lindau i. B. (Reutin)
Eggenfelden	31.	21.4	2.	− 6.8	17.	20.4							6.0	25.	13.4	42.4	Eggenfelden
Rohr	30.	20.0	2.	− 6.3	17.	15.8							5.7				Rohr
Weissenburg i. B.	30.	20.2	2.	− 4.9	30.	13.7	5.9	77	17.	34	18.	100	6.7	24.	11.2	43.0	Weissenburg i. B.
Nördlingen	31.	19.8	2.	− 6.1	17.	13.7	5.4	74	17.	24	9., 21.	97	6.7	18.	13.3	46.1	Nördlingen
Ansbach	30.	21.2	2.	− 8.2	30.	15.6	5.5	78	17.	30	25.	96	5.3	18.	9.8	38.2	Ansbach
Hof	30.	19.7	2.	−14.6	30.	18.5	5.1	79	17.	34	öfters	100	6.6	24.	17.6	67.6	Hof
Bad Reichenhall	30.	26.3	2.	− 7.3	29.	20.4	5.0	68	30.	18	18.	100	4.8	19.	12.2	38.9	Bad Reichenhall
Augsburg	31.	21.4	2.	− 4.8	19., 31.	13.9	6.0	79	17., 31.	45	23.	99	5.3	24.	19.1	51.6	Augsburg
Amberg M.H.B.	31.	20.2	2.	− 8.4	31.	14.9							6.3	24.	16.0	52.0	Amberg M.H.B.
München C.-St.	30.	24.0	2.	− 5.8	30.	16.1	5.1	67	30.	20	24.	97	5.3	25.	18.5	45.3	München C.-St.
Alexandersbad	31.	18.5	2.	−13.1	31.	15.1	5.1	82	17.	37	öfters	100	5.9	24.	18.2	77.1	Alexandersbad
Traunstein	30.	23.0	2.	− 8.6	30.	18.5	4.6	71	17., 30.	20	10., 11.	96	5.0	19.	18.4	71.8	Traunstein
Berchtesgaden	30.	21.9	2.	−10.7	29.	20.4	4.7	75	30.	15	öfters	98	5.3	19.	13.0	30.1	Berchtesgaden
Ottobeuren	30.	21.0	19.	− 8.4	29.	16.6	4.9	72	30.	27	18.	100	4.7	24.	20.9	64.5	Ottobeuren
Partenkirchen	29., 30.	22.0	2.	− 9.4	29.	17.9	4.2	67	30.	19	18., 24.	100	4.5	25.	11.3	46 5	Partenkirchen
Tegernsee	30.	22.2	2.	− 9.3	29.	16 0	4.3	64	30.	14	26.	100	5.0	9.	10.7	49.1	Tegernsee
Buchenau	30.	21.5	2.	−12.8	30.	17.2	4.6	79	29, 31.	32	4.	100	5.9	11.	13.5	71.3	Buchenau
Oberstdorf	31.	20.3	2.	−13.0	19.	22.2	4.2	73	30.	15	öfters	100	5.3	9.	24.0	99.3	Oberstdorf
Ettal	29.	20.1	2.	−10.1	19.	18.9	4.3	74	30.	19	öfters	100	4 4	9, 25.	16.6	71.2	Ettal
Mittenwald	30., 31.	19.0	3.	− 9.8	3.	15.2	4.4	70	30.	20	öfters	100	5.5	25.	13.1	53.6	Mittenwald
Hohenpeissenberg						12.2	4.2	68	30.	15	öfters	100	5.5	25.	20.5	84.1	Hohenpeissenberg

Tabelle III.

Station	Tage mit: Niederschlägen ≥ 0.1mm	Niederschlägen ≥ 1.0mm	Schneefall	Schneedecke	Graupeln	Hagel	Gewitter	Nebel	Reif	Tau	Tage: heitere	trübe	Frost	Winter	Anzahl der beobachteten Windrichtungen: N	NE	E	SE	S	SW	W	NW	Stille	Station
Ludwigshafen a. Rh.	14	8	1	–	–	1	2	–	3	–	3	10	3	–	4	5	4	6	27	32	6	2	7	Ludwigshafen a. Rh.
Kahl a. M.	9	6	–	–	–	–	3	–	5	1	5	10	6	–	–	4	3	12	6	50	2	2	14	Kahl a. M.
Landau i. Pf.	15	8	–	–	–	–	2	–	3	5	4	12	4	–	–	22	1	4	–	52	10	4	–	Landau i. Pf.
Würzburg	14	8	2	–	–	–	1	4	5	5	5	6	5	–	2	1	13	6	5	14	26	8	18	Würzburg
Bad Kissingen	16	11	3	–	–	–	1	1	6	7	3	14	9	–	11	2	6	3	22	25	13	7	4	Bad Kissingen
Kaiserslautern	16	7	4	–	1	1	1	2	5	2	1	12	4	–	–	1	7	5	1	7	38	9	25	Kaiserslautern
Luitpoldheim	19	11	4?	–	–	–	3	3	2	4	3	11	6	–	2	6	2	–	4	44	1	–	34	Luitpoldheim
Bamberg	29	9	5	–	3	–	1	–	4	5	2	18	8	–	1	–	3	7	19	24	27	7	5	Bamberg
Nürnberg	12	11	4	–	3	1	–	1	3	2	3	12	6	–	4	2	10	13	16	30	10	7	1	Nürnberg
Passau	12	8	1	–	–	–	–	8	5	2	4	11	8	–	1	–	16	–	5	3	12	2	54	Passau
Metten	14	8	3	–	–	–	–	3	12	5	6	7	18	–	–	2	7	9	13	5	11	9	37	Metten
Regensburg	10	6	2	–	–	–	–	3	6	–	2	9	9	–	4	6	8	11	14	19	17	4	10	Regensburg
Bayreuth	14	7	3	–	1	–	–	2	6	2	2	14	10	–	2	1	11	21	5	25	19	6	4	Bayreuth
Burghausen	15	7	7	–	–	–	–	5	10	4	3	9	14	–	–	7	9	4	3	22	2	–	46	Burghausen
Ingolstadt	15	10	5	1	1	–	1	1	10	4	2	7	14	–	–	4	27	4	1	14	36	4	3	Ingolstadt
Karlshuld	14	9	3	1	–	–	–	5	9	1	2	5	12	–	–	9	6	–	–	10	28	–	40	Karlshuld
Cham	13	8	3	–	–	–	–	5	2	–	–	8	9	–	6	–	14	–	–	13	60	–	–	Cham
Landshut	12	7	2	–	–	–	1	1	14	–	2	9	17	–	3	8	11	2	–	3	44	6	16	Landshut
Lindau i. B. (Reutin)	12	9	6	2	–	–	–	1	10	8	10	9	17	–	8	8	2	–	25	6	12	10	22	Lindau i. B. (Reutin)
Eggenfelden	21	8	4	–	–	–	1	3	11	6	4	9	12	–	1	19	6	8	1	14	22	22	–	Eggenfelden
Rohr									6	–	2	6	10	–	2	11	–	8	4	31	13	24	–	Rohr
Weissenburg i. B.	15	10	4	1	–	–	–	2	6	–	2	11	6	–	–	5	2	9	19	34	19	4	1	Weissenburg i. B.
Nördlingen	15	8	4	1	–	–	–	–	4	7	2	10	6	–	1	3	8	11	9	35	18	4	4	Nördlingen
Ansbach	16	10	4	2	–	–	–	1	5	–	6	7	10	–	2	3	4	–	9	24	26	5	20	Ansbach
Hof	18	9	10	2	–	–	–	11	6	2	1	8	14	–	8	4	5	10	30	26	5	4	1	Hof
Bad Reichenhall	13	8	6	4	1	–	–	–	8	–	8	4	6	–	–	1	20	–	12	20	16	–	24	Bad Reichenhall
Augsburg	13	10	4	3	1	–	–	–	8	1	4	8	7	–	3	4	4	16	3	44	9	6	4	Augsburg
Amberg M.H.B.	16	10	6	2	4	–	–	4	7	3	2	9	12	–	5	3	13	9	9	6	42	4	2	Amberg M.H.B.
München C.-St.	15	8	6	3	1	–	–	1	9	9	9	10	7	–	–	1	6	15	3	35	8	9	16	München C.-St.
Alexandersbad	15	11	6	2	–	–	–	2	5	4	4	9	14	1	2	–	7	4	1	19	29	8	23	Alexandersbad
Traunstein	15	10	7	7	–	–	–	–	9	4	5	4	12	–	2	2	23	6	14	3	37	6	–	Traunstein
Berchtesgaden	10	6	5	19	–	–	–	1	8	2	7	7	14	–	–	–	19	1	–	–	–	–	73	Berchtesgaden
Ottobeuren	12	10	7	4	1	–	–	1	11	3	11	9	11	–	–	11	4	1	2	62	2	1	10	Ottobeuren
Partenkirchen	9	8	6	16	–	–	–	–	5	–	10	5	16	–	3	–	–	10	21	3	8	7	41	Partenkirchen
Tegernsee	9	7	6	14	–	–	1	–	1	–	9	6	10	–	4	–	7	35	13	–	17	6	11	Tegernsee
Buchenau	17	11	12	21	–	–	–	1	1	–	8	12	14	2	–	2	27	4	1	5	28	1	25	Buchenau
Oberstdorf	13	13	9	29	–	–	–	1	–	–	9	10	21	–	14	3	–	2	8	12	15	4	35	Oberstdorf
Ettal	11	8	8	20	–	–	–	1	2	–	11	6	17	–										Ettal
Mittenwald	10	7	7	9	–	–	–	1	7	1	6	7	16	–	11	7	4	1	30	9	4	2	25	Mittenwald
Hohenpeissenberg	12	7	9	16	–	–	–	9	3	–	8	10	11	2	3	10	6	3	2	26	35	7	1	Hohenpeissenberg
Zugspitze	14	8	14	31	3	–	–	17	–	–	1	12	31	30	12	1	1	11	20	9	18	20	1	Zugspitze

Sommertage: Reichenhall: 2.

Übersicht über die Witterungsverhältnisse im Königreiche Bayern

während des April 1913.

Die Differenz des diesjährigen Temperaturmittels für April gegen den langjährigen Durchschnittswert fiel an den meisten Beobachtungsstellen nur gering aus. Die negativen Abweichungen, die im Alpengebiet zwischen Bodensee und Isar und in dessen unmittelbarem Vorlande sowie in der südlichen Rheinpfalz sich ergaben, erreichten zumeist nur 1 bis 2 Zehntel. Nur Lindau verzeichnete eine Differenz von — 0.6°. Auch die positiven Differenzen stiegen nur im Gebiete des Bayerischen Waldes sowie im äussersten Südosten Bayerns auf mehr als 0.5, in Reichenhall und Berchtesgaden bis auf 0.9° an. Aus diesen ziemlich normalen mittleren Temperaturverhältnissen darf aber keineswegs auch auf einen regelmässigen zeitlichen Verlauf der Temperatur während des Berichtsmonats geschlossen werden. Es traten im Gegenteil innerhalb kurzer Zeit Temperaturgegensätze hervor, wie sie zu den Seltenheiten gehören. Konnten doch die beiden Stationen Weissenburg i. B. und Nördlingen sowohl einen Winter- wie auch einen Sommertag notieren.

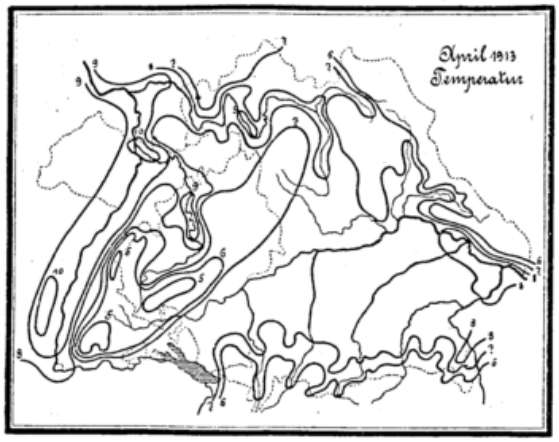
Zu Beginn des Monats lagen die Mitteltemperaturen um wenige Grade über dem Mittel. Mit der zweiten Pentade setzte ein schroffer Temperatursturz ein, der bis zum 13. anhielt und die Temperaturtagesmittel bis zu 10° unter den Normalbetrag herabdrückte. Hierauf erfolgte ein ebenso steiler Anstieg der Temperaturen, so dass bereits am 16. oder 17. normale Beträge erreicht waren. Bis Mitte der 5. Pentade unterlagen nun die Temperaturen nur geringen Schwankungen, dann trat neuerdings ein kräftiger Temperaturanstieg ein, der bis zum Ende des Monats andauerte und nun auf 8—10° über das normale Niveau hinaufführte.

Niederschläge fielen während der ersten beiden Dekaden mit ziemlicher Häufigkeit, ohne jedoch erhebliche Intensität zu erreichen. Während der letzten Dekade traten Regenfälle nur selten und mit ungenügender Stärke auf, so dass bei den herrschenden, hohen Temperaturen eine Austrocknung des Bodens zu Stande kam, welche stellenweise ungünstig auf die Entwicklung der Vegetation einwirkte. Im allgemeinen blieben die Niederschlagssummen des diesjährigen April um 10—50 % hinter den Durchschnittsmengen zurück, nur im oberen Main- und im Naabgebiete, ausserdem auch an einigen anderen, eng begrenzten Bezirken ergaben sich Regensummen, welche das langjährige Mittel übertrafen.

Nach diesen kurzen Angaben über die allgemeinen Temperatur- und Niederschlagsverhältnisse des April soll zunächst wieder eine flüchtige Skizze des zeitlichen Witterungsverlaufes entworfen werden: Während der beiden ersten Monatstage stand die Witterung unter der Herrschaft tiefen Druckes, dessen Zentren über der Nord- und Ostsee lagerten und Ausläufer weit in die zentralen Lagen herein entsandten. Noch im Laufe des 2. zogen aber die Störungen nach Nordrussland ab und hoher Druck setzte sich zunächst über Jütland und Umgebung, später über dem Norwegischen Meere fest. Die Niederschläge hörten auf, und am 3. trat fast überall Aufklaren ein, das auch am folgenden Tage noch anhielt. Eine Depression drang jedoch rasch von der Iberischen Halbinsel über Frankreich gegen Süddeutschland und in der Folge nach den Ostseeprovinzen und Russland vor und verursachte bereits am 5. stärkere Bewölkung, vom 6. ab auch wieder Niederschläge bei rasch sinkenden Temperaturen. Die allgemeine Luftdruckverteilung: hoher Druck im Westen und Nordwesten des Erdteiles, niedriger Luftdruck im Osten und Südosten, blieb nun bis zum 13. April erhalten und bildete die Voraussetzung für den empfindlichen Kälterückfall dieser Zeit. Bei vorwiegend trübem Himmel, der jede stärkere Einstrahlung verhinderte, wehten kalte nördliche bis nordwestliche Winde. Es fielen häufige, wenn auch nur leichte Niederschläge, welche bis zum 10. vorwiegend als Regen, dann zumeist als Schnee oder ein Gemisch von Regen und Schnee niedergingen. Sehr beträchtliche Frostgrade traten aber erst in der Nacht vom 12. zum 13. und vom 13. zum 14. April auf, als Aufklaren eintrat. Auch die folgenden Nächte brachten noch recht empfindliche Kälte, andererseits aber gestattete der vorwiegend heitere Himmel untertags eine wirksame Zustrahlung, so dass die Mittagstemperaturen in stetigem Anstiege begriffen waren. Über die Intensität des Frostes in den Morgenstunden des 13. und 14. April gibt die entsprechende Spalte der Tabelle II Auskunft. Am Morgen des 16. April lag ein tiefes Depressionszentrum zwischen Island und Schottland; und von dort erstreckte sich ein Ausläufer niedrigen Druckes südwärts bis in die Biskayasee. Mit dem östlichen Vordringen der Tiefdruckfurche nahm die Bewölkung zunächst in der Pfalz, dann auch im rechtsrheinischen Bayern rasch zu, In der Pfalz und im westlichen Teile des rechtsrheinischen Bayern trat der Witterungswechsel bereits am Abend des 16., im östlichen Bayern erst in den Vormittagsstunden des 17. April ein. Zahlreiche kleinere Störungen und Ausläufer nördlicher Depressionen zogen in der Folge über Zentraleuropa hinweg und verliehen der Witterung unbeständigen Charakter. Die auftretenden Niederschläge, die bei stetig steigenden Temperaturen in den tieferen Lagen allenthalben als Regen fielen, erreichten keine erhebliche Ergiebigkeit. Bis zum Morgen des 21. war ein barometrisches Maximum vom Südwesten Europas nach Deutschland vorgedrungen. Es trat Aufklaren ein und infolge ungehinderter nächtlicher Ausstrahlung vorübergehend Temperaturrückgang. Auch während der beiden folgenden Tage herrschte vorwiegend heiteres Wetter, nur im Alpengebiet machten sich kleinere Störungen geltend. Am 24. und 25. kam es auch in der Pfalz und im ganzen rechtsrheinischen

Bayern wieder zu stärkerer Bewölkung und leichten Regenfällen, stellenweise eingeleitet durch Gewitter, doch bereits vom 26. ab herrschte wieder vorwiegend heiteres und sonniges Wetter bei stark steigenden Temperaturen. Bis Monatsende dauerte das sommerliche Wetter, das nur stellenweise am 27., 28., 29. und 30. durch Gewitterbildung eine Unterbrechung erfuhr.

Auf dem ersten der beigegebenen Kärtchen ist die geographische Verteilung der Mitteltemperaturen über Süddeutschland dargestellt. In der Rheinebene wurden Temperaturmittel von mehr als 9, in besonders begünstigten Lagen sogar von über 10° berechnet. Mehr als 8° ergaben sich für den grössten Teil der Mainniederungen sowie für das untere Donautal von Straubing abwärts und den Reichenhaller Talkessel. Die Isotherme für 7° schliesst im allgemeinen die Mittelgebirgsgegenden gegen das flachere Land ab. Mit dem Anstieg gegen die Gebirge nimmt die Temperatur weiter ab, auffallend rasch im nördlichen und südlichen Schwarzwalde und auf der Rauhen Alb. Das mittlere Maximum erreichte in der Rheinebene und im Maintale, ausserdem aber auch auf dem Gebiete, das sich vom Donaumoos nach der Landshuter Gegend hinzieht, sowie im Tale von Reichenhall Werte von über 14°. Die Isotherme für 13° umfasst noch die ganze Rheinpfalz, das Bodenseegebiet, das untere Donau-, Inn- und Salzachtal sowie das untere Naab- und Regengelände. Die Gebirgslagen, ausserdem die Stationen der oberschwäbischen Hochebene ostwärts bis zu den bayerischen Seen verzeichneten mittlere Maxima von weniger als 12°. Das mittlere Minimum betrug in den mildesten Strichen (Rheinebene und Neckartal) 4—6° und nahm mit wachsender Höhe erst langsam, dann immer rascher ab. Erwähnenswert sind die auffallend tiefen





Minima im Quellgebiet der Donau und der thüringischen Saale, woselbst für das fragliche Element Werte von —0.1° ermittelt wurden. Ausserdem finden wir das Gebiet zwischen dem unteren Lech und der Landshuter Gegend, das wir schon durch relativ hohe Maxima hervortreten sahen, nun andererseits durch verhältnismässig tiefe Minima (1.0—1.5°) ausgezeichnet. Auf diesem Gebiete erreichte die mittlere Schwankung Beträge von mehr als 13°, während im übrigen Bayern für dieses Element nur 9—12° ermittelt wurden. Der heftige Kälterückfall, der die Zeit vom 6.—15. ausfüllt, brachte selbst in sehr begünstigten Lagen an 3—5 Tagen Frostgrade, während in anderen Gegenden die Zahl der Frosttage auf mehr als 10 anwuchs. In der Zeit der grössten Kälte waren an einzelnen Stationen sogar ein oder zwei Wintertage zu zählen. Andererseits traten gegen Ende des Monats an der Mehrzahl der Beobachtungsorte mindestens 1 Sommertag, in bevorzugten Lagen sogar deren 3—4 auf. Nähere Einzelheiten mögen den entsprechenden Rubriken der Tabelle III entnommen werden.

Auf dem zweiten der beigedruckten Kärtchen ist die Verteilung der Monatssummen des Niederschlages über Süddeutschland dargestellt. Wie wir schon erwähnten, blieben die Niederschlagsmengen zumeist ziemlich beträchtlich hinter den langjährigen Mittelwerten zurück. Niederschlagssummen von mehr als 100, in den besonders exponierten Lagen sogar von mehr als 150 mm finden sich nur im Odenwald, im Schwarzwald, im Algäu sowie im Bayerischen Walde. Der grösste Teil Süddeutschlands meldete Niederschlagsmengen von weniger als 50 mm. Die Niederschlagshäufigkeit war während der beiden ersten Monatsdrittel ziemlich erheblich, doch erreichten die Regen- und Schneemengen nirgends beträchtlichere Beträge. Selbst wenn man nur die stärkeren Niederschläge von mindestens 1.0 mm Messungsergebnis in Betracht zieht, ergab sich zumeist nur eine Dichte von 2—5 mm, und nur im Alpengebiet zwischen Bodensee und Inn sowie im Gebiete der östlichen Waldgebirge ergaben sich Beträge bis zu 7 und 8 mm. Im letzten Monatsdrittel traten nur selten und dann meist nur geringfügige Regenfälle auf. Die Zeit des Kälterückfalles brachte unserem ganzen Gebiete Schneefälle, im südlichen Bayern mit Ausnahme der Donauniederung und des Bodenseeufers an 5—9 Tagen. Nähere Angaben hierüber sowie über das Auftreten einer Schneedecke sind wieder den entsprechenden Spalten der Tabelle III zu entnehmen.

Die mittlere Bewölkungsziffer schwankte über unserem ganzen Gebiete zwischen 5 und 7 Zehnteln der vollen Bedeckung, die Zahl der heiteren Tage steigerte sich in den begünstigten Lagen (Bodensee, Donaumoos, Maintal) bis auf 8, die Zahl der trüben Tage blieb zumeist unter 12.

Die mittleren auf Meeresniveau reduzierten Barometerstände bewegen sich zwischen 759 und 760 mm und weisen nach keiner Seite hin ein ausgesprochenes Gefälle auf. Winde aus westlichen Richtungen waren an der Mehrzahl der Beobachtungsorte vorherrschend.

München, 21. Mai 1913. Alt.

Tabelle I.

Station	Höhe über Normal-Null m	Luftdruck in mm: höchster am	höchster mm	tiefster am	tiefster mm	Monatsmittel lokal	Monatsmittel auf Meeresniveau reduziert	Temperatur C°: Mittel um 7ª	2ᵖ	9ᵖ	Mittlere Tagestemperatur	Mittleres Maximum	Mittleres Minimum	Mittel aus Maximum u. Minimum	Mittlere Schwankung	Station
Ludwigshafen a. Rh.	100.3	2.	758.1	12.	739.5	750.7	759.7	6.9	13.6	10.7	10.5	14.2	5.6	9.9	8.5	Ludwigshafen a. Rh.
Kahl a. M.	114.1	2.	756.5	12.	740.1	749.2	759.7	6.4	12.9	7.8	8.7	14.7	3.0	8.9	11.7	Kahl a. M.
Landau i. Pf.	149.9	2.	752.4	12.	733.9	746.1	759.6	8.1	13.0	8.7	9.6	14.1	5.0	9.5	9.1	Landau i. Pf.
Würzburg	179.3	2.	750.1	7.	732.9	743.1	759.3	6.0	13.2	8.6	9.1	14.2	4.0	9.1	10.2	Würzburg
Bad Kissingen	209.2	2.	748.2	7.	730.8	741.2	760.2	4.5	12.9	7.0	7.9	13.8	2.8	8.3	11.0	Bad Kissingen
Kaiserslautern	242.2	2.	744.8	12.	725.8	738.0	759.9	5.5	12.2	8.0	8.4	13.1	3.7	8.4	9.4	Kaiserslautern
Luitpoldheim	250							4.5	11.5	7.9	7.9	12.3	3.3	7.8	9.1	Luitpoldheim
Bamberg	287.7	2./22.	740.8	7.	723.2	733.9	759.8	4.9	12.6	7.3	8.0	14.2	2.6	8.4	11.6	Bamberg
Nürnberg	309.1	2.	738.4	7.	721.4	731.5	759.3	5.4	11.9	8.0	8.3	12.7	3.5	8.1	9.2	Nürnberg
Passau	309.3	14.	739.1	7.	721.8	732.2	760.1	4.9	12.5	8.0	8.4	13.2	3.2	8.2	10.0	Passau
Metten	320							5.4	12.5	7.8	8.4	13.9	2.3	8.1	11.6	Metten
Regensburg	354.3	22.	734.7	7.	717.3	727.9	759.7	4.6	11.5	7.4	7.7	12.4	3.0	7.7	9.4	Regensburg
Bayreuth	363.3	2.	734.2	7.	716.4	727.3	759.9	4.7	11.7	7.2	7.7	13.1	1.8	7.4	11.3	Bayreuth
Burghausen	365	22.	733.3	12.	715.9	726.7	759.5	5.0	12.7	6.3	7.6	13.6	2.6	8.1	11.0	Burghausen
Ingolstadt	368							4.2	12.6	6.7	7.5	14.0	1.3	7.6	12.7	Ingolstadt
Karlshuld	382.0	2.	731.7	12.	715.5	725.1	759.4	4.1	12.1	6.7	7.4	14.5	1.4	8.0	13.1	Karlshuld
Cham	386							4.0	12.4	6.8	7.5	13.9	2.4	8.1	11.4	Cham
Landshut	397.7	22.	730.3	12.	713.3	723.7	759.4	4.7	12.5	6.6	7.6	15.0	1.1	8.1	13.8	Landshut
Lindau i. B. (Reutin)	401.7	2.	731.2	12.	711.6	723.7	759.6	5.6	11.1	7.5	7.9	13.2	3.0	8.1	10.2	Lindau i. B. (Reutin)
Eggenfelden	417							5.2	11.9	6.8	7.7	12.5	2.7	7.6	9.8	Eggenfelden
Rohr	426							5.3	11.6	5.6	7.0	12.2	2.3	7.2	9.9	Rohr
Weissenburg i. B.	431	2.	727.7	12.	711.6	721.3	759.8	5.8	11.8	6.9	7.8	12.7	2.5	7.6	10.2	Weissenburg i. B.
Nördlingen	435.6	2.	726.6	12.	709.2	720.0	758.9	4.7	12.0	6.9	7.6	12.9	2.8	7.9	10.1	Nördlingen
Ansbach	437.5	2.	727.1	12.	710.2	720.4	759.6	4.5	11.3	6.0	6.9	12.3	1.9	7.1	10.3	Ansbach
Hof	476.1	22.	723.0	7.	705.5	716.3	759.0	2.8	11.3	4.6	5.8	12.4	− 0.1	6.2	11.5	Hof
Bad Reichenhall	*)							5.9	12.8	6.9	8.1	14.5	3.9	9.2	10.5	Bad Reichenhall
Augsburg	499.6	2.	721.7	12.	704.1	715.2	759.5	5.1	11.5	7.7	8.0	12.7	3.8	8.2	9.0	Augsburg
Amberg M.H.B.	519							4.5	10.6	6.5	7.0	13.3	2.3	7.8	11.1	Amberg M.H.B.
München C.-St.	526.4	2.	719.2	12.	702.2	712.7	759.4	5.7	11.5	8.0	8.3	12.5	4.2	8.4	8.4	München C.-St.
Alexandersbad	590							3.0	9.9	4.7	5.6	10.9	0.6	5.7	10.3	Alexandersbad
Traunstein	597	20./29.	713.3	12.	694.5	707.1	760.0	4.6	11.0	6.1	6.9	12.0	2.4	7.2	9 6	Traunstein
Berchtesgaden	600							4.5	11.5	6.3	7.1	12.2	2.6	7.4	9.5	Berchtesgaden
Ottobeuren	660.0	29.	707.6	12.	690.5	701.3	759.7	4.2	10.4	5.1	6.2	11.6	1.7	6.7	9.9	Ottobeuren
Partenkirchen	716.8	29.	703.9	12.	685.5	696.8	759.9	4.0	11.0	5.3	6.4	12.3	1.9	7.1	10.4	Partenkirchen
Tegernsee	727.8	29.	702.4	12.	683.7	695.7	759.8	5.4	9.8	5.3	6.4	11.4	2.6	7.0	8.8	Tegernsee
Buchenau	750	29.	700.1	12.	681.5	693.0	759.1	2.9	9.0	4.5	5.2	10.3	1.0	5.6	9.3	Buchenau
Oberstdorf	811.4	29.	695.5	12.	677.0	688.6	759.8	3.3	10.3	4.3	5.5	11.4	0.7	6.1	10.7	Oberstdorf
Ettal	879.5	29.	688.5	12.	669.8	681.5	758.3?	3.1	9.2	4.1	5.1	11.4	0.8	6.1	10.6	Ettal
Mittenwald	911.8	29.	687.3	12.	668.3	680.0	759.3	3.7	10.0	4.9	5.9	11.4	1.3	6.4	10.1	Mittenwald
Hohenpeissenberg	994.1	29.	680.2	12.	661.3	673.0	759.3	3.5	7.6	4.3	4.9	9.1	1.7	5.4	7.4	Hohenpeissenberg
Zugspitze	2964	29.	533.7	12.	511.7	524.5		− 8.4	− 5.9	− 8.2	− 7.7	− 4.9	−10.1	− 7.5	5.2	Zugspitze

*) Alte Aufstellung geändert; neue Höhe noch nicht genau bekannt.

Tabelle II.

Station	Temperatur C°: höchste am	höchste C°	tiefste am	tiefste C°	grösste Schwankung am	grösste Schwankung C°	Dampfdruck Monatsmittel mm	Relative Feuchtigkeit %: Monatsmittel	kleinste am	kleinste %	grösste am	grösste %	Bewölkung Monatsmittel	Niederschlag: grösster am	grösster mm	Monats-Summe mm	Station
Ludwigshafen a. Rh.	30.	27.4	14.	− 4.0	22.	14.6	5.9	63	16.	23	14.	100	5.8	20.	4.3	21.8	Ludwigshafen a. Rh.
Kahl a. M.	30.	28.9	14.	− 6.8	30.	21.0	6.3	72	30.	30	6., 20.	98	5.3	11.	7.5	33.1	Kahl a. M.
Landau i. Pf.	30.	26.1	14.	− 4.5	27.	15.1	6.3	68	30.	30	12.	98	6.2	13.	9.4	39.7	Landau i. Pf.
Würzburg	30.	26.2	14.	− 4.5	27.	17.7	5.9	67	16., 23.	27	1., 21.	96	5.5	20.	5.9	20.0	Würzburg
Bad Kissingen	30.	26.6	13.	− 6.9	24.	18.7	5.9	72	12.	31	21.	98	5.5	2.	6.6	33.4	Bad Kissingen
Kaiserslautern	30.	25.0	13, 14	− 5.4	27.	16.7	6.1	72	30.	33	12.	100	6.3	18.	7.7	44.3	Kaiserslautern
Luitpoldheim	30.	24.5	14.	− 5.3	16.	16.5	6.6	79	12.	41	21.	100	5.0	20.	7.8	41.2	Luitpoldheim
Bamberg	30.	26.5	13.	− 6.6	28.	19.0	5.8	70	15.	27	2.	99	6.4	20.	10.2	42.9	Bamberg
Nürnberg	30.	24.8	13.	− 5.0	24.	16.8	5.8	69	27.	27	6., 18.	98	5.8	20.	7.9	29.9	Nürnberg
Passau	30.	24.4	13.	− 3.7	30.	21.5	5.6	69	4.	26	21.	97	6.3	7.	23.8	44.8	Passau
Metten	30.	25.6	13.	− 5.6	24.	19.6	5.9	71	4.	15	3., 6.	100	5.8	7.	49.6	77.3	Metten
Regensburg	30.	23.8	13.	− 5.4	30.	15.6	6.2	76	30.	32	2.	99	6.3	7.	10.3	22.3	Regensburg
Bayreuth	30.	27.8	13.	− 7.5	27.	20.4	5.7	71	23., 30.	27	6.	98	6.0	20.	8.4	34.0	Bayreuth
Burghausen	30.	25.9	13.	− 5.7	27.	20.0	5.9	74	4., 5.	26	4.	96	6.0	7.	13.4	45.3	Burghausen
Ingolstadt	30.	27.3	13.	−13.6	30.	20.7	5.8	73	4.	27	15.	100	6.2	20.	5.3	25.7	Ingolstadt
Karlshuld	29.	27.7	13.	−14.7	29.	22.2	6.0	76	22.	25	öfters	100	5.7	13.	6.2	28.3	Karlshuld
Cham	30.	26.9	13.	− 6.0	24.	19.9							6.9	7.	36.0	55.2	Cham
Landshut	27.	28.0	13.	−12.8	27.	22.8	5.7	71	22.	28	2.	98	5.8	18.	7.1	31.7	Landshut
Lindau i. B. (Reutin)	30.	25.7	13.	− 7.1	4.	17.7	6.0	74	30.	36	öfters	94	5.5	2.	15.2	75.1	Lindau i. B. (Reutin)
Eggenfelden	30.	24.3	13.	− 8.6	19., 27.	16.1							6.6	7.	22.5	50.2	Eggenfelden
Rohr	30.	24.1	13.	− 8.8	27.	16.5							5.6				Rohr
Weissenburg i. B.	30.	25.4	13.	− 9.0	24.	18.7	6.1	73	30.	34	20., 21.	97	6.1	2.	3.5	17.3	Weissenburg i. B.
Nördlingen	30.	25.9	13.	− 7.6	30.	16.7	5.7	71	22., 23.	34	21.	97	6.2	13.	8.7	26.5	Nördlingen
Ansbach	30.	25.4	13.	− 8.3	27.	17.8	5.6	72	30.	34	öfters	94	5.3	20.	5.2	28.8	Ansbach
Hof	30.	27.1	12.	−11.4	24.	23.1	5.4	76	27.	23	öfters	100	5.9	7.	12.0	45.5	Hof
Bad Reichenhall	30.	25.8	13.	− 3.9	23.	17.1	5.7	70	5.	19	18.	97	6.6	12.	7.3	45.8	Bad Reichenhall
Augsburg	30.	26.1	13.	− 7.5	27.	17.1	6.6	79	27.	46	12.	100	5.8	13.	12.8	53.5	Augsburg
Amberg M.H.B.	30.	26.0	13.	− 7.4	28.	15.7							5.3	7.	19.5	43.9	Amberg M.H.B.
München C.-St.	30.	24.4	13.	− 6.9	27.	14.0	5.6	67	5.	20	2., 3.	97	6.6	13.	14.2	44.8	München C.-St.
Alexandersbad	30.	24.6	12.	− 8.6	24.	18.4	5.5	77	27.	36	27.	100	4 9	26.	13.0	55.2	Alexandersbad
Traunstein	29., 30.	23.2	13.	− 6.4	öfters	17.0	5.7	74	5.	23	12., 13.	100	6.4	13.	10.2	64.4	Traunstein
Berchtesgaden	30.	22.5	13.	− 4.8	19.	15.8	5.4	71	5.	25	11.	96	6.8	9., 18.	6.5	50.4	Berchtesgaden
Ottobeuren	30.	23.4	13.	−12.0	28.	15.2	5.5	76	öfters	34	öfters	100	6.0	3.	22.1	86.3	Ottobeuren
Partenkirchen	30.	23.3	13.	− 8.9	16.	16.5	5.3	73	4.	25	öfters	100	6.2	28.	14.5	76.1	Partenkirchen
Tegernsee	30.	23.7	13.	− 7.6	16.	16.5	5.1	69	5.	24	11., 12.	98	6.6	13.	14.8	70.2	Tegernsee
Buchenau	30.	23.0	13.	− 9.3	24.	15.1	5.4	76	4.	38	7., 10.	99	5.9	7.	24.0	71.8	Buchenau
Oberstdorf	30.	22.0	14.	−11.3	16.	19.1	5.2	75	4.	26	9., 20.	98	6.3	18.	16.2	113.6	Oberstdorf
Ettal	30.	22.7	13.	−10.0	16.	15.8	5.2	76	27.	25	9.	100	5.9	13.	17.1	81.6	Ettal
Mittenwald	30.	22.1	14.	− 8.9	16.	15.5	5.1	73	16.	40	11.	100	6.7	28.	7.3	53.8	Mittenwald
Hohenpeissenberg	30.	20.3	13.	− 9.4	1.	13.9	4.8	73	16., 27.	34	öfters	100	6.7	21.	14.1	75.1	Hohenpeissenberg

Tabelle III.

Station	Tage mit										Tage				Anzahl der beobachteten Windrichtungen									Station
	Niederschlägen		Schneefall	Schneedecke	Graupeln	Hagel	Gewitter	Nebel	Reif	Tau	heitere	trübe	Sommer	Frost	N	NE	E	SE	S	SW	W	NW	Stille	
	≥ 0.1mm	≥ 1.0mm																						
Ludwigshafen a. Rh.	14	9	4	1	–	–	1	1	2	1	6	9	2	3	12	16	1	8	11	17	10	2	13	Ludwigshafen a. Rh.
Kahl a. M.	10	9	1	–	–	–	–	1	6	6	5	8	3	9	1	10	4	3	7	23	2	6	34	Kahl a. M.
Landau i. Pf.	15	8	4	2	–	–	1	–	3	8	6	13	3	5	1	33	–	7	1	28	6	14	–	Landau i. Pf.
Würzburg	11	6	4	–	–	1	1	4	3	10	8	11	3	7	4	5	18	7	3	18	8	7	20	Würzburg
Bad Kissingen	14	8	4	1	1	–	1	2	4	10	5	10	4	8	13	9	13	1	15	16	10	6	7	Bad Kissingen
Kaiserslautern	18	10	3	2	1	–	3	–	4	7	4	11	–	6	2	6	14	6	1	5	18	5	33	Kaiserslautern
Luitpoldheim	16	11	3	–	1	–	2	1	6	6	8	9	–	8	5	2	10	5	4	25	5	1	33	Luitpoldheim
Bamberg	30	8	4	–	1	–	4	1	8	10	5	12	4	8	4	6	6	3	16	10	29	6	10	Bamberg
Nürnberg	12	7	1	1	–	–	2	1	7	3	5	11	–	6	5	8	17	8	7	13	10	17	5	Nürnberg
Passau	14	11	3	3	–	–	1	3	3	7	8	12	–	7	–	–	14	2	3	1	15	8	47	Passau
Metten	13	6	3	2	–	–	1	2	8	12	7	8	2	12	1	1	14	4	17	4	18	8	23	Metten
Regensburg	11	7	3	–	–	–	–	–	1	1	1	11	–	7	8	7	8	8	3	15	13	8	20	Regensburg
Bayreuth	12	9	1	–	1	–	2	4	9	5	6	10	4	11	3	7	25	9	3	13	13	9	8	Bayreuth
Burghausen	13	11	3	1	2	–	3	1	6	4	5	12	1	10	3	2	16	2	4	29	3	–	31	Burghausen
Ingolstadt	12	6	4	1	2	–	2	1	7	13	5	11	2	10	3	9	21	7	–	13	24	5	8	Ingolstadt
Karlshuld	13	9	4	3	–	1	2	4	6	5	8	9	4	11	–	21	4	2	–	11	31	2	19	Karlshuld
Cham	13	9	3	2	1	–	1	5	5	?	1	7	3	10	5	5	27	1	–	9	35	7	1	Cham
Landshut	14	7	6	1	1	–	–	1	9	4	7	9	4	12	5	9	21	1	1	7	29	3	14	Landshut
Lindau i. B. (Reutin)	13	10	4	2	2	–	1	1	2	13	8	10	1	5	7	11	1	2	19	8	12	5	25	Lindau i. B. (Reutin)
Eggenfelden	22	8	8	2	–	–	1	3	7	10	5	11	–	8	2	20	10	9	2	10	15	22	–	Eggenfelden
Rohr											5	6	–	10	7	9	10	16	–	31	1	15	1	Rohr
Weissenburg i. B.	14	8	4	–	2	–	2	1	4	2	2	10	1	11	10	11	8	8	5	10	14	7	17	Weissenburg i. B.
Nördlingen	16	7	6	3	–	1	4	1	5	5	5	11	1	8	7	12	12	3	4	13	22	9	8	Nördlingen
Ansbach	14	9	4	1	–	–	2	–	7	5	8	9	1	11	2	9	9	–	1	8	17	6	38	Ansbach
Hof	15	8	4	2	1	–	–	6	8	4	2	8	3	13	24	8	7	7	12	13	6	13	–	Hof
Bad Reichenhall	16	11	6	4	–	–	1	–	–	6	5	13	1	5	1	2	17	7	11	13	15	1	23	Bad Reichenhall
Augsburg	17	12	6	3	1	1	4	1	5	7	4	10	1	5	3	14	14	4	–	24	1	20	10	Augsburg
Amberg M.H.B.	13	10	4	2	3	–	5	7	7	15	6	6	1	9	11	13	13	6	6	2	29	6	4	Amberg M.H.B.
München C.-St.	16	9	8	4	–	–	1	–	3	10	3	12	–	6	–	9	18	4	–	23	4	12	20	München C.-St.
Alexandersbad	14	9	4	1	1	–	1	–	10	7	7	7	–	13	5	17	9	2	3	2	22	10	20	Alexandersbad
Traunstein	17	13	5	4	1	–	1	–	4	1	3	12	–	8	–	6	20	6	13	3	38	4	–	Traunstein
Berchtesgaden	15	14	7	4	–	–	1	–	5	13	2	12	–	8	–	–	26	1	–	–	–	–	63	Berchtesgaden
Ottobeuren	14	11	8	5	1	–	2	4	7	7	4	9	–	8	3	19	3	8	–	33	–	4	20	Ottobeuren
Partenkirchen	19	11	6	4	–	1	3	–	1	6	2	9	–	7	5	–	–	7	13	–	2	26	37	Partenkirchen
Tegernsee	13	13	5	6	–	–	1	–	–	3	5	13	–	7	2	2	5	24	11	–	17	13	16	Tegernsee
Buchenau	16	10	6	7	1	1	2	–	4	6	5	11	–	13	1	2	32	5	1	3	21	–	25	Buchenau
Oberstdorf	18	16	8	6	–	–	1	3	1	7	4	12	–	10	22	–	1	3	1	4	12	10	37	Oberstdorf
Ettal	18	14	7	8	–	1	2	2	2	9	5	9	–	10										Ettal
Mittenwald	15	12	9	6	–	–	1	–	1	6	4	12	–	8	8	9	3	–	19	11	1	3	36	Mittenwald
Hohenpeissenberg	16	11	9	8	–	1	2	12	–	1	5	12	–	11	3	17	12	6	–	17	25	8	2	Hohenpeissenberg
Zugspitze	21	15	21	30	5	–	–	26	–	–	1	18	–	30	8	–	1	24	4	5	12	24	12	Zugspitze

Wintertage: Rohr 2, Weissenburg 1, Nördlingen 1, Alexandersbad 1, Traunstein 1, Partenkirchen 1, Buchenau 2, Obersdorf 1, Tegernsee 1, Mittenwald 1, Hohenpeissenberg 4, Zugspitze 22.

Übersicht über die Witterungsverhältnisse im Königreiche Bayern

während des Mai 1913.

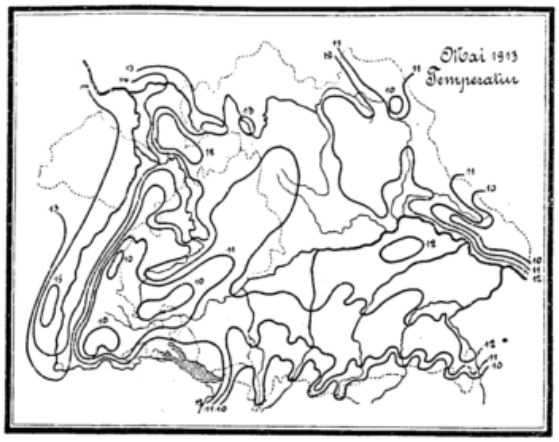
Die Witterungsverhältnisse des diesjährigen Mai waren, wenn wir von lokalen Ausnahmen absehen, ziemlich normale. Die Mitteltemperaturen des Monats weisen gegen die langjährigen Durchschnittswerte nur geringe Differenzen auf, wobei allerdings die negativen Abweichungen in der Überzahl sind. Nur in der Rheinpfalz und im unteren Maintale ergaben sich positive Differenzen grösseren Betrages (von 0.5 bis 0.8 Grad). Auch die Niederschlagsmengen weichen im grossen und ganzen nicht sehr stark von den Normalsummen ab, wenn auch lokale Ausnahmen von dieser Regel zu konstatieren sind. So ergab sich beispielsweise für Regensburg eine Monatssumme des Niederschlages, welche das 1.8fache des langjährigen Mittels darstellt. Dortselbst ging am 17. Mai in den Mittagsstunden während eines Gewitters ein wolkenbruchartiger Regen nieder, der allein eine Niederschlagsmenge von nahezu 50 mm lieferte.

Der zeitliche Verlauf der Witterung war sehr abwechslungsreich; trübe und regnerische Perioden wechselten mit Schönwetterperioden, so dass sowohl eine günstige Verteilung der Niederschläge wie auch eine genügende Besonnung gegeben war. Der zeitliche Gang der Temperatur, dargestellt durch die Werte der Temperaturtagesmittel, weist allerdings ziemlich beträchtliche Schwankungen auf. Am 1. Mai lagen die Temperaturen noch mehrere Grade über dem normalen Betrage, um aber bereits am folgenden Tage auf das normale Niveau zurückzugehen. Bis zum 12. Mai bewegten sich die Temperaturen nur in geringer Entfernung von den normalen Werten, zumeist etwas unterhalb derselben. Dann erfolgte ein kräftiger Temperaturanstieg, der bis zum 16. Mai anhielt und 4 bis 5 Grad über das durchschnittliche Niveau hinaufführte. Ein ziemlich steiler Wärmerückgang endete am 19. oder 20. mit ungefähr gleichstarken Abweichungen nach der anderen Seite. Während der letzten Dekade stiegen die Temperaturen, von geringen Rückfällen abgesehen, stetig an, um gegen Monatsende die höchsten Beträge mit 5 bis 6 Grad über dem Mittel zu erreichen.

Der zeitliche Verlauf der Gesamtwitterung stellt sich an Hand der täglichen Luftdruckkarten ungefähr, wie folgt, dar: Am Morgen des 1. Mai befand sich ein Minimum über dem nordwestlichen Deutschland, während hoher Luftdruck im hohen Norden und im Südwesten Europas lagerte. In der Pfalz herrschte bereits am Morgen Trübung, während im übrigen Bayern noch heiteres und sehr warmes Wetter bestand. Erst als im Laufe des Tages das Minimum ostwärts weiter vordrang, griff die Trübung auch auf das rechtsrheinische Bayern über und brachte verbreitete Regenfälle. Gleichzeitig trat fühlbare Abkühlung ein. Das Minimum zog zwar in der Folge rasch nordostwärts nach den russischen Ostseeprovinzen, gefolgt von einem schwachen Barometermaximum, eine durchgreifende Besserung des Wetters trat jedoch nicht ein, da bereits ein neuer, kräftig entwickelter Ausläufer von den britischen Inseln vorstiess und auch über dem Mittelmeere und Ungarn Störungen vorhanden waren. Bis zum 7. Mai dauerte, von kurzwährendem Aufklaren abgesehen, trübes, kühles und regnerisches Wetter fort. Am Morgen dieses Datums lagerte eine tiefe Depression westlich von Irland, während hoher Luftdruck im Norden Europas, ein sekundäres Maximum über der iberischen Halbinsel vorhanden war. Bei der nun erfolgenden Ausbreitung des nördlichen Hochdruckes gegen den Kontinent und der Lage der Depression im Westen und später im Südwesten des Erdteiles kamen allmählich östliche Winde auf, die stellenweise bereits am 7., allenthalben jedoch im Verlaufe des 8. Mai Aufklaren brachten. Die Besserung, mit der auch eine kräftige Temperatursteigerung verbunden war, dauerte aber nur wenige Tage. Das Barometermaximum hielt den fortwährenden Angriffen der westlichen Depression nicht stand; es zog sich zunächst mehr und mehr vom Kontinent zurück und verlor dann auch sehr an Intensität. Bereits am 11. stand die Witterung unseres Gebietes wieder völlig unter zyklonalem Einflusse; bei vorwiegend trübem Himmel gingen verbreitete Regenfälle nieder. Den abziehenden Störungen folgte zwar wiederum ein schmales Hochdruckgebiet, doch blieb auch am 12. der unfreundliche Witterungscharakter noch erhalten. Erst als bis zum 13. ein ausgedehntes und sehr intensives Barometermaximum vom Europäischen Nordmeere kräftig über ganz Nordeuropa vordrang, traten wieder östliche Winde und damit Aufklaren ein. Auch während der folgenden Tage blieb bei andauernd und starkansteigenden Temperaturen der günstige Witterungscharakter erhalten, wenn auch vom 15. ab der Himmel zeitweise Bewölkung aufwies. Ein Wetterumschlag ereignete sich dann am 17. Mai. Das Maximum hatte sich allmählich nach Ost- und Südosteuropa verlagert und nun war einer vom Ozean vordringenden Depression der Weg nach Norden freigegeben. Ein Minimum von auffallender Tiefe drang am 17. über Norddeutschland nach der norwegischen Küste vor und fand bald Anschluss an ein zweites Depressionszentrum, das von Südwesteuropa in raschem Zuge nach den dänischen Inseln sich verlagert hatte. Der Witterungsumschlag wurde vielenorts durch ein Gewitter eingeleitet und hatte insbesondere einen fühlbaren Temperaturrückgang im Gefolge. Obschon die zyklonalen Störungen rasch gegen Osten abzogen, war ihr Einfluss doch mehrere Tage wirksam und erst am 20. führte das von Südwesteuropa mächtig vordringende Maximum wieder zu Aufklaren und langsamer Temperatursteigerung. Von diesem Tage ab bis Monatsende blieb der allgemeine Charakter der Luftdruckverteilung über Zentraleuropa der gleiche. Hoher Luftdruck und Ausläufer nördlicher Depressionen wechseln in rascher Folge ihre Herrschaft, so dass auch

die Witterung mehrfachen Änderungen unterworfen war. Dabei war die Witterungsumkehr vom antizyklonalen zum zyklonalen Regime meist durch verbreitete Gewitter eingeleitet. Diese verursachten auch zeitweise Abkühlung, während im allgemeinen die Temperaturen stetig anstiegen.

Gehen wir nun zur kurzen Betrachtung der räumlichen Verteilung der Mittelwerte der hauptsächlichsten meteorologischen Elemente über, so sehen wir in dem beigegebenen Kärtchen der Temperaturverteilung das gewohnte Bild. Die kartographischen Darstellungen sowohl für die Mitteltemperaturen wie auch für die mittleren Extreme gleichen bis auf geringfügige Abweichungen den aus langjährigen Reihen konstruierten Kartenbildern. Die mittlere Schwankung beziffert sich an der überwiegenden Mehrzahl unserer Beobachtungsorte auf 10 bis 12 Grad, nur das Gebiet, das sich vom Donaumoos nach der Landshuter Gegend hinzieht, weist für das fragliche Element Werte von 13 und 14 Grad auf. In der Zeit der starken Temperaturdepressionen, also ungefähr am 8. und um den 20. Mai, wurden stellenweise auch negative Minima aufgezeichnet. In Hof und in Alexandersbad kamen fünf, in Oberstdorf im Algäu vier Tage mit Frost zur Aufzeichnung. Im Flachlande wurde nur an vereinzelten, durch starke nächtliche Ausstrahlung ausgezeichneten Orten an ein oder zwei Tagen leichter Frost beobachtet (Bamberg, Landshut, Metten). Andererseits gelangten aber auch an allen unseren Beobachtungsorten mit Ausnahme der Hochstationen Hohenpeissenberg und Zugspitze mindestens ein Sommertag mit einem Maximum von mehr als 25 Grad zur Notierung. In dem bereits obenerwähnten Gebiete grösster Schwankung, das die Orte Ingolstadt, Karlshuld und Landshut umfasst, ferner in der Pfälzer Rheinebene und im unteren Maingebiet wurden sogar sechs bis acht Sommertage gezählt. Nähere diesbezügliche Angaben mögen den entsprechenden Spalten der beigedruckten Tabelle III entnommen werden.





Das zweite beigegebene Kärtchen stellt die geographische Verteilung der Niederschlagsmengen über Süddeutschland dar. Im allgemeinen erkennen wir eine recht gleichmässige Verteilung von Monatsmengen, welche zwischen den Grenzen von 50 und 100 mm liegen. Zusammenhängende Gebiete mit grösseren Monatssummen als 100 mm bilden nur der Schwarzwald sowie das Alpengebiet und dessen Vorland. Sonst treten nur die besonders exponierten Lagen der Mittelgebirge und Gebietsstriche, in denen auffallend starke Gewitterregen niedergegangen sind, als verhältnismässig engbegrenzte Bezirke höherer Niederschlagsergiebigkeit hervor. Auf der anderen Seite sind aber auch die Gebiete mit weniger als 50 mm monatlicher Regenmenge nur von relativ geringem Umfange. Die Niederschlagshäufigkeit war, wie dies schon aus der Schilderung des zeitlichen Witterungsverlaufes hervorgeht, ziemlich beträchtlich, und zwar waren die Regenfälle recht gleichmässig über den ganzen Monat verteilt. Berücksichtigt man alle Tage, von denen überhaupt eine messbare Regenmenge vorliegt, so ergaben sich für die Mehrzahl der Orte 16 bis 18, für die Stationen des Alpengebiets zwischen Bodensee und Inn 18 bis 20 Regentage.

Die mittlere Bewölkungsziffer schwankt zumeist zwischen 5 und 6 Zehnteln der vollen Bedeckung. Eine etwas höhere Zahl ergab sich für die Umgebung von Nürnberg sowie für das Naabgebiet. Die Anzahl der heiteren Tage betrug im rechtsrheinischen Bayern meist zwischen 4 und 6, in der Pfalz wurde die letzte Grenze allenthalben noch etwas überstiegen. Auch im diesseitigen Bayern finden sich lokale Ausnahmen, das heisst Überschreitungen der Grenzen nach beiden Richtungen, doch muss in dieser Hinsicht wieder auf die Tabelle III verwiesen werden. Die Anzahl der trüben Tage bezifferte sich auf 8 bis 11, ohne dass grössere zusammenhängende Gebiete auffallender Begünstigung oder Benachteiligung zu erkennen wären.

Die mittleren, auf Meeresniveau reduzierten Barometerstände schwanken mit geringer Amplitude um den Wert 761 mm, ohne dass ein Gefälle nach irgendeiner bevorzugten Richtung zutage treten würde. Winde aus westlichen Richtungen waren, wenigstens an den Flachlandstationen, vorherrschend.

München, den 20. Juni 1913. Alt.

Tabelle I.

Station	Höhe über Normal-Null m	Luftdruck in mm: höchster am	höchster mm	tiefster am	tiefster mm	Monatsmittel lokal	Monatsmittel auf Meeresniveau reduziert	Temperatur C°: Mittel um 7ª	um 2ᵖ	um 9ᵖ	Mittlere Tagestemperatur	Mittleres Maximum	Mittleres Minimum	Mittel aus Maximum u. Minimum	Mittlere Schwankung	Station
Ludwigshafen a. Rh.	100.3	25.	762.2	5.	742.4	752.2	761.2	11.7	19.4	15.2	15.4	20.2	9.8	15.0	10.4	Ludwigshafen a. Rh.
Kahl a. M.	114.1	25.	760.4	4.	739.9	750.9	761.1	11.9	17.9	12.5	13.7	20.4	7.6	14.0	12.8	Kahl a. M.
Landau i. Pf.	149.9	25.	756.5	4.	737.4	747.6	760.9	13.6	18.6	13.3	14.7	19.7	8.8	14.3	10.9	Landau i. Pf.
Würzburg	179.3	26.	754.6	4.	733.8	744.9	760.9	10.6	17.2	12.7	13.3	18.7	8.0	13.3	10.7	Würzburg
Bad Kissingen	209.2	26.	752.6	4./5.	732.4	742.9	761.7	9.6	16.9	11.3	12.2	18.1	7.0	12.6	11.1	Bad Kissingen
Kaiserslautern	242.2	25.	749.0	4.	729.6	739.8	761.3	10.7	17.4	12.6	13.3	19.1	7.8	13.5	11.3	Kaiserslautern
Luitpoldheim	250							8.8	15.8	11.5	11.9	16.7	6.8	11.7	9.9	Luitpoldheim
Bamberg	287.7	26.	745.5	5.	724.4	735.8	761.4	10.5	16.5	11.3	12.4	18.3	7.0	12.6	11.3	Bamberg
Nürnberg	309.1	26.	743.2	5.	723.1	733.5	760.9	11.0	16.3	12.4	13.0	17.3	8.2	12.8	9.2	Nürnberg
Passau	309.3	26.	743.5	4./5.	723.0	734.2	761.6	9.4	16.8	12.3	12.7	17.8	7.5	12.7	10.3	Passau
Metten	320							10.2	16.9	11.7	12.6	18.9	6.6	12.8	12.2	Metten
Regensburg	354.3	26.	739.6	5.	719.1	730.0	761.4	9.6	15.3	11.5	12.0	16.9	7.3	12.1	9.7	Regensburg
Bayreuth	363.3	26.	739.1	5.	717.8	729.2	761.4	9.8	16.3	11.6	12.3	18.5	6.4	12.4	12.1	Bayreuth
Burghausen	365	öfters	737.8	4.	718.2	728.9	761.2	9.5	17.2	10.7	12.0	18.8	6.1	12.4	12.7	Burghausen
Ingolstadt	368							9.5	17.3	10.9	12.1	18.8	5.8	12.3	13.0	Ingolstadt
Karlshuld	382.0	25.	736.4	5.	716.2	727.3	761.1	9.7	17.0	10.9	12.2	19.6	5.7	12.6	13.9	Karlshuld
Cham	386							8.6	15.9	11.2	11.7	18.2	7.1	12.6	11.1	Cham
Landshut	397.7	25./26.	735.0	5.	714.7	725.9	761.1	10.7	17.0	10.9	12.4	20.2	6.1	13.2	14.1	Landshut
Lindau i. B. (Reutin)	401.7	24.	734.4	4.	715.6	725.9	761.3	10.1	15.9	12.1	12.5	18.1	7.2	12.6	10.9	Lindau i. B. (Reutin)
Eggenfelden	417							10.8	17.0	11.1	12.5	17.9	6.5	12.2	11.3	Eggenfelden
Rohr	426							10.3	16.5	10.0	11.7	17.4	7.1	12.2	10.3	Rohr
Weissenburg i. B.	431	26.	732.3	5.	712.9	723.3	761.2	11.6	16.5	11.3	12.7	17.5	7.2	12.4	10.3	Weissenburg i. B.
Nördlingen	435.6	25.	731.3	4.	711.8	722.2	760.5	9.8	16.4	11.3	12.2	17.8	7.4	12.6	10.4	Nördlingen
Ansbach	437.5	26.	731.9	5.	712.0	722.6	761.2	10.2	16.1	10.7	11.9	17.5	6.3	11.9	11.1	Ansbach
Bad Reichenhall	470.4	24.	729.0	5.	708.2	719.9	761.3	10.6	16.7	10.6	12.1	18.6	7.4	13.0	11.2	Bad Reichenhall
Hof	476.1	26.	727.7	5.	706.9	718.3	760.3	8.9	15.5	8.9	10.6	16.8	4.1	10.4	12.7	Hof
Augsburg	499.6	24.	726.6	5.	706.5	717.4	761.1	9.8	17.0	12.1	12.8	18.0	7.9	12.9	10.1	Augsburg
Amberg M.H.B.	519							9.1	15.0	10.6	11.3	17.2	6.6	11.9	10.6	Amberg M.H.B.
München C.-St.	526.4	24.	724.0	5.	704.0	715.1	761.1	10.2	16.6	11.6	12.5	17.6	8.0	12.8	9.6	München C.-St.
Alexandersbad	590							8.0	13.6	8.8	9.8	15.0	4.2	9.6	10.9	Alexandersbad
Traunstein	597	24./25.	718.3	5.	698.3	709.5	761.7	9.3	15.4	10.0	11.2	16.6	6.1	11.4	10.5	Traunstein
Berchtesgaden	600							8.8	15.4	10.4	11.3	16.4	6.3	11.4	10.1	Berchtesgaden
Ottobeuren	660.0	24.	712.9	5.	694.2	704.0	761.5	9.6	15.8	9.1	10.9	17.0	5.6	11.3	11.4	Ottobeuren
Partenkirchen	716.8	24.	708.1	5.	688.5	699.2	761.4	8.6	15.8	10.0	11.1	17.0	6.2	11.6	10.8	Partenkirchen
Tegernsee	727.8	24.	707.2	5.	687.3	698.3	761.5	9.6	14.9	9.1	10.7	16.3	6.4	11.4	9.9	Tegernsee
Buchenau	750	26.	704.8	5.	684.1	695.7	760.9	7.4	13.0	8.8	9.5	15.8	5.5	10.7	10.3	Buchenau
Oberstdorf	811.4	24.	699.8	5.	680.5	691.2	761.2	8.4	15.1	8.6	10.2	16.7	4.3	10.5	12.4	Oberstdorf
Ettal	879.5	24.	693.0	5.	673.0	684.0	759.7?	8.8	14.3	8.6	10.0	16.4	5.4	10.9	11.0	Ettal
Mittenwald	911.8	24.	691.5	5.	671.3	682.7	761.1	8.4	14.6	8.1	9.8	15.9	4.9	10.4	11.1	Mittenwald
Hohenpeissenberg	994.1	24.	684.5	5.	665.1	675.8	760.9	8.4	12.5	8.2	9.3	13.8	5.8	9.8	8.0	Hohenpeissenberg
Zugspitze	2964	26.	528.5	5.	516.4	528.9		− 4.1	− 1.9	− 3.4	− 3.2	− 0.4	− 5.6	− 3.0	4.3	Zugspitze

Tabelle II.

Station	Temperatur C°: höchste am	höchste C°	tiefste am	tiefste C°	grösste Schwankung am	grösste Schwankung C°	Dampfdruck Monatsmittel mm	Relative Feuchtigkeit %: Monatsmittel	kleinste am	kleinste %	grösste am	grösste %	Bewölkung Monatsmittel	Niederschlag: grösster am	grösster mm	Monats-Summe mm	Station
Ludwigshafen a. Rh.	27.	30.8	8.	2.0	27.	15.8	8.1	64	29.	27	8.	97	5.2	11.	12.4	58.8	Ludwigshafen a. Rh.
Kahl a. M.	30.	30.4	20.	0.1	26.	21.0	8.6	73	14., 29.	34	8., 19.	100	5.9	19.	9.0	58.2	Kahl a. M.
Landau i. Pf.	30., 31.	29.2	8.	1.9	27., 29.	15.7	8.6	68	29.	29	23.	97	5.3	11.	17.7	56.2	Landau i. Pf.
Würzburg	31.	28.0	8.	2.9	10.	16.3	8.4	74	14.	30	7.	98	5.9	2.	16.6	70.7	Würzburg
Bad Kissingen	31.	27.1	20.	1.0	27.	17.9	8.4	79	20.	33	8.	100	6.4	12.	10.8	77.2	Bad Kissingen
Kaiserslautern	27., 30.	28.5	8.	1.2	26.	18.4	8.3	73	29.	31	23.	96	5.9	2.	15.8	58.9	Kaiserslautern
Luitpoldheim	31.	27.7	4.	1.9	29.	15.2	8.6	83	15.	42	öfters	100	5.8	2.	8.9	61.4	Luitpoldheim
Bamberg	31.	27.9	20.	− 0.3	22., 27.	17.5	8.4	77	14.	34	17., 20.	100	7.2	12.	12.4	89.3	Bamberg
Nürnberg	30.	27.7	9.	3.2	27.	14.4	8.2	73	20.	30	12.	98	6.4	12.	12.1	63.6	Nürnberg
Passau	30.	26.7	10., 21.	1.7	30.	16.8	8.4	77	1., 14.	37	21.	100	6.0	29.	10.0	59.5	Passau
Metten	30.	27.8	9.	− 0.3	30.	19.6	8.1	74	1.	28	öfters	99	5.9	18.	16.5	63.9	Metten
Regensburg	30.	25.9	21.	1.4	22.	15.4	8.4	80	1.	41	12.	99	6.5	18.	48.8	101.6	Regensburg
Bayreuth	31.	29.9	20.	0.9	15., 26.	19.1	8.1	76	14.	34	11., 12.	98	6.1	29.	22.3	93.0	Bayreuth
Burghausen	30.	29.5	14.	0.0	30.	21.7	8.0	76	1.	32	6., 8.	100	5.7	23.	11.0	76.0	Burghausen
Ingolstadt	30.	29.8	21.	− 1.1	30.	20.6	8.2	76	1.	34	8.	98	6.1	12.	11.8	54.9	Ingolstadt
Karlshuld	30.	32.8	öfters	0.0	30.	25.5	8.2	77	1.	25	11.	99	5.4	12.	14.9	76.0	Karlshuld
Cham	30.	28.1	9., 21.	1.3	22.	17.8							6.8	18.	14.0	50.2	Cham
Landshut	30.	33.0	8.	− 0.5	30.	23.0	7.9	73	1.	28	11., 22.	98	5.5	28.	28.2	78.0	Landshut
Lindau i. B. (Reutin)	31.	28.7	8.	0.1	22.	16.7	8.2	75	21.	38	24.	99	5.3	24.	11.8	96.5	Lindau i. B. (Reutin)
Eggenfelden	30.	28.1	21.	0.9	27.	18.8							5.6	29.	9.4	45.4	Eggenfelden
Rohr	30.	27.1	21.	0.7	22.	17.0							5.3				Rohr
Weissenburg i. B.	30.	27.7	8.	1.7	22.	17.0	8.9	79	14.	44	12., 25.	99	6.1	12.	17.4	86.6	Weissenburg i. B.
Nördlingen	30.	28.5	8.	1.4	22.	16.3	7.8	73	29.	34	24.	94	5.9	31.	24.5	93.3	Nördlingen
Ansbach	30.	27.2	8.	0.4	30.	18.1	7.8	68	29.	34	17.	97	5.6	2.	18.8	87.1	Ansbach
Bad Reichenhall	30.	28.2	8.	1.9	10.	17.8	7.8	74	1.	27	12.	99	5.6	20.	27.4	104.6	Bad Reichenhall
Hof	31.	27.9	21.	− 1.7	27.	22.2	7.5	77	14.	31	25.	99	6.1	7.	10.9	60.6	Hof
Augsburg	31.	28.1	21.	1.5	21.	15.8	8.0	73	21.	34	11.	100	5.7	24.	12.6	65.6	Augsburg
Amberg M.H.B.	30.	28.0	9.	1.1	30.	17.1							6.3	18.	47.0	122.4	Amberg M.H.B.
München C.-St.	30.	28.3	9.	2.8	10.	15.1	7.4	69	1.	31	11.	94	5.5	12.	15.4	96.4	München C.-St.
Alexandersbad	30.	25.1	9.	− 1.2	27.	16.6	7.4	81	14.	37	12.	100	5.1	2.	9.5	63.6	Alexandersbad
Traunstein	30.	26.1	8.	0.9	26.	17.2	7.7	76	1., 22.	41	28.	99	5.9	20.	23.1	131.5	Traunstein
Berchtesgaden	30.	26.0	22.	0.7	30.	18.1	7.3	74	1.	27	20.	96	5.7	20.	26.3	109.4	Berchtesgaden
Ottobeuren	30.	28.0	8.	− 0.8	22.	17.4	7.7	76	16.	40	12.	96	4.8	24.	20.3	109.2	Ottobeuren
Partenkirchen	30.	26.3	21.	0.1	22.	16.3	7.5	76	1.	32	23., 24.	100	5.8	24.	30.0	168.1	Partenkirchen
Tegernsee	30.	26.0	6.	1.6	10.	15.2	7.1	73	16., 22.	35	3.	98	5.8	31.	22.5	122.7	Tegernsee
Buchenau	31.	25.6	21.	− 0.1	15.	16.0	7.5	83	1.	36	11.	99	6.0	17.	26.4	136.0	Buchenau
Oberstdorf	30.	27.0	8.	− 2.1	30.	18.2	6.9	74	29.	30	24.	100	6.0	24.	20.2	100.1	Oberstdorf
Ettal	30.	26.1	8.	− 1.2	26.	18.5	7.0	75	16., 30.	36	3.	99	5.6	24.	35.5	145.7	Ettal
Mittenwald	30.	26.2	8.	− 2.7	8.	18.6	7.0	76	1.	36	3.	100	6.2	24.	37.8	136.0	Mittenwald
		23.7	6.	0.5	1.	14.9	6.3	72	öfters	37	öfters	100	6.0	24.	22.7	73.6	Hohenpeissenberg

Tabelle III.

Station	Tage mit										Tage				Anzahl der beobachteten Windrichtungen									Station
	Niederschlägen		Schneefall	Schneedecke	Graupeln	Hagel	Gewitter	Nebel	Reif	Tau	heitere	trübe	Sommer	Frost	N	NE	E	SE	S	SW	W	NW	Stille	
	≥0.1mm	≥1.0mm																						
Ludwigshafen a. Rh.	18	13	–	–	–	–	4	2	–	2	10	10	7	–	7	7	8	5	11	28	11	3	13	Ludwigshafen a. Rh.
Kahl a. M.	17	14	–	–	–	–	3	3	–	9	5	10	7	–	–	2	7	11	13	21	8	1	30	Kahl a. M.
Landau i. Pf.	18	10	–	–	–	–	8	1	–	13	8	9	6	–	–	33	2	9	2	26	15	6	–	Landau i. Pf.
Würzburg	18	15	–	–	–	–	5	5	–	12	4	8	4	–	2	1	9	12	7	24	13	2	23	Würzburg
Bad Kissingen	18	17	–	–	–	2	7	4	–	12	3	11	4	–	10	8	12	4	11	10	18	10	10	Bad Kissingen
Kaiserslautern	16	10	–	–	–	–	6	3	–	16	7	11	5	–	–	–	11	12	1	–	22	11	36	Kaiserslautern
Luitpoldheim	18	16	–	–	–	1	7	9	–	8	6	10	2	–	–	1	13	5	3	27	1	–	43	Luitpoldheim
Bamberg	19	14	–	–	1	–	6	–	–	16	3	14	5	1	3	–	8	11	20	6	26	13	6	Bamberg
Nürnberg	17	12	–	–	–	1	6	5	–	10	4	11	3	–	4	4	21	9	9	14	16	14	2	Nürnberg
Passau	13	12	–	–	2	–	5	8	2	11	5	8	2	–	–	1	15	1	–	6	30	2	38	Passau
Metten	16	13	–	–	–	1	6	3	1	14	4	9	5	2	1	2	7	7	7	8	32	4	25	Metten
Regensburg	15	14	–	–	–	–	6	1	1	–	2	12	1	–	10	6	5	5	7	23	17	3	17	Regensburg
Bayreuth	13	12	–	–	–	1	5	3	3	14	3	11	6	–	2	5	24	13	–	10	18	15	6	Bayreuth
Burghausen	17	15	–	–	2	1	5	6	–	14	7	10	4	–	3	5	7	4	1	27	5	1	40	Burghausen
Ingolstadt	18	12	–	–	–	–	6	1	2	21	5	11	7	2	1	6	21	10	–	6	39	7	3	Ingolstadt
Karlshuld	15	14	–	–	–	–	6	3	–	17	6	10	7	–	–	12	10	–	–	15	25	–	31	Karlshuld
Cham	16	12	–	–	–	–	3	11	–	–	–	10	4	–	1	2	25	2	3	12	44	3	1	Cham
Landshut	17	14	–	–	–	2	6	–	2	9	6	10	8	1	4	4	20	–	3	6	40	5	11	Landshut
Lindau i. B. (Reutin)	20	18	–	–	1	1	5	–	–	17	7	10	4	–	3	12	–	–	31	7	17	4	19	Lindau i. B. (Reutin)
Eggenfelden	16	10	–	–	–	1	8	3	2	15	4	8	3	–	–	17	14	–	–	12	21	29	–	Eggenfelden
Rohr											4	7	3	–	1	5	6	18	5	34	6	16	2	Rohr
Weissenburg i. B.	19	15	–	–	–	–	6	1	–	13	6	11	2	–	5	12	13	6	8	10	24	6	9	Weissenburg i. B.
Nördlingen	16	12	–	–	–	1	8	–	1	6	6	10	4	–	7	6	18	6	4	10	29	6	7	Nördlingen
Ansbach	17	13	–	–	–	–	8	1	4	13	8	9	3	–	5	3	13	1	4	6	24	8	29	Ansbach
Bad Reichenhall	18	14	–	–	–	–	3	–	–	9	6	11	4	–	–	10	18	–	4	10	27	–	24	Bad Reichenhall
Hof	16	14	1	–	–	–	6	9	4	18	2	9	5	5	7	9	10	18	6	20	9	14	–	Hof
Augsburg	16	13	–	–	–	–	5	–	1	12	6	10	4	–	1	7	20	11	1	27	10	10	6	Augsburg
Amberg M.H.B.	21	14	–	–	–	3	7	11	1	12	4	8	3	–	8	14	15	5	9	4	27	4	7	Amberg M.H.B.
München C.-St.	16	14	–	–	1	1	3	1	2	13	5	8	2	–	–	16	12	2	–	34	7	7	15	München C.-St.
Alexandersbad	17	13	1	–	2	1	5	–	4	12	5	9	1	5	3	9	20	2	–	9	16	11	23	Alexandersbad
Traunstein	17	16	–	–	–	–	5	–	1	4	4	10	1	–	1	3	26	6	6	8	36	7	–	Traunstein
Berchtesgaden	15	14	–	–	–	–	5	–	1	17	4	10	1	–	–	–	15	3	–	–	1	–	74	Berchtesgaden
Ottobeuren	18	15	–	–	2	1	7	1	6	10	7	7	3	1	2	21	7	2	–	37	3	5	16	Ottobeuren
Partenkirchen	21	17	–	–	–	–	8	–	1	9	6	10	2	–	2	–	–	15	4	–	2	25	45	Partenkirchen
Tegernsee	20	17	–	–	–	–	6	–	–	–	5	10	2	–	–	3	6	33	7	–	14	7	23	Tegernsee
Buchenau	19	16	–	–	1	2	5	1	5	13	6	13	1	1	1	2	30	1	–	2	37	2	18	Buchenau
Oberstdorf	18	16	–	–	1	–	4	–	5	12	6	11	2	4	28	1	1	3	1	6	13	15	25	Oberstdorf
Ettal	20	17	4	–	2	1	7	–	4	13	6	9	2	2										Ettal
Mittenwald	19	17	1	–	–	–	4	–	2	4	4	10	2	2	8	9	3	3	13	4	2	7	44	Mittenwald
Hohenpeissenberg	19	14	1	–	1	–	5	9	–	1	7	12	–	–	1	23	12	6	1	12	26	8	4	Hohenpeissenberg
Zugspitze *)	20	16	15	31	4	–	3	20	–	–	1	16	–	31	17	4	2	17	14	4	7	24	4	Zugspitze

*) 17 Wintertage.

Übersicht über die Witterungsverhältnisse im Königreiche Bayern

während des Juni 1913.

Der diesjährige Juni wies mehrere, ihrem allgemeinen Charakter nach sehr verschiedene Witterungsperioden auf. Während der ersten vier Monatstage herrschte vorwiegend heiteres und warmes Wetter, das aber durch zahlreiche, wenn auch räumlich beschränkte Gewitter häufige Unterbrechungen fand. Insbesondere am 4. Juni verursachte der Durchzug einer flachen Tiefdruckfurche über unserem Gebiet eine intensive Gewittertätigkeit. Die Temperaturen, welche mehrere Grade über den Normalwerten gelegen hatten, erfuhren einen empfindlichen Rückgang, der bis zum 6. um geringe Beträge unter das durchschnittliche Niveau herabführte. Der Temperatursturz darf natürlich nicht einzig und allein auf die Wirkung der Gewitter gesetzt werden, sondern bildete die Begleiterscheinung einer Änderung des allgemeinen Witterungscharakters. Bis zum 4. Juni war die Luftdruckverteilung mit einem Barometermaximum über Ost- und Südosteuropa und Tiefdruck über dem Atlantischen Ozean und den europäischen Küstengebieten, kontinentaler Luftzufuhr und all ihren Begleiterscheinungen günstig, während sich von da ab ein völliger Umschwung in der allgemeinen Wetterlage vollzog. Der bereits erwähnte Durchzug einer Tiefdruckfurche war gefolgt von einem von Spanien und Frankreich vordringenden Keil hohen Druckes, so dass nunmehr ozeanische Luftzufuhr aufkam. Es trat empfindliche Abkühlung, sowie Trübung mit Niederschlägen ein, bis am 8. Juni das machtvolle Vorrücken des Hochdruckes bis Westrussland die Wirkung der östlichen Tiefdruckstörung aufhob. Das Barometermaximum konnte sich aber nur kurze Zeit behaupten. Ein Ausläufer einer tiefen über Skandinavien gelegenen Depression entwickelte sich südwärts über die Ostsee bis zu den Karpathenländern und drängte am 9. den Hochdruck nach Südwesteuropa zurück. Es trat wieder stärkere Bewölkung mit stellenweisen Niederschlägen auf. Die skandinavische Depression zog zwar gegen das nördliche Eismeer ab, aber rasch folgte eine neue tiefe Störung vom Atlantischen Ozean nach und erhielt sich mit abnehmender Intensität über dem Ostseegebiete bis zum 14. Insbesondere am 11. machte sich der Einfluss der Depression in recht unfreundlicher Weise geltend. Stürmische West- und Nordwestwinde führten kühle ozeanische Luft aus hohen Breiten nach Zentraleuropa herein und brachten die Temperaturen, die ungefähr in normaler Höhe gelegen waren, neuerdings zum Sinken. Niederschläge traten nur vereinzelt und mit geringer Intensität auf. Erst als am 12. und an den beiden folgenden Tagen durch die östliche Verlagerung der Depression die nordwestliche Strömung über Zentraleuropa allgemein vorherrschend wurde, kam es zu ausgedehnteren, wenn auch keineswegs erheblichen Regenfällen.

Im Verlaufe des 13. Juni erschöpfte sich dann die Wirkung der nordöstlichen Depression allmählich und ein von Westen vordringendes intensives Barometermaximum brachte in der Pfalz und in Nordwestbayern rasches Aufklaren. In Ost- und Südbayern verzögerte sich die Herrschaft des hohen Druckes bis zum kommenden Vormittag, einerseits unter dem Einflusse schwacher Reste, die über Polen an der Rückseite der abziehenden Depression zurückgeblieben waren, andererseits unter der Einwirkung eines vom Nord- zum Südfusse der Alpen gerichteten Druckgefälles.

Mit dem 14. nimmt eine Schönwetterperiode ihren Anfang, welche bei andauernd klarem Himmel bis zum 18. dauerte und als eine Folge ungestörter Einstrahlung und der Zufuhr warmer kontinentaler Luftmassen rasche und intensive Erwärmung brachte. Das kontinentale Barometermaximum konnte aber dem Ansturme der Depressionen, die sowohl vom Atlantik, wie von Russland gegen Zentraleuropa vordrangen, nicht lange standhalten. Bereits am 18. riefen kleinere Störungen in der Luftdruckverteilung zunehmende Bewölkung und vereinzelte Gewitterbildung hervor. Sehr intensiv wurde die Gewittertätigkeit am 19., an welchem Datum die bereits am Vortage eingeleitete Abkühlung sehr fühlbar wurde. Die Bewölkung hatte sich bis zu völliger Trübung gesteigert und die Gewitter waren stellenweise von recht ergiebigen Regenfällen begleitet. Damit war der Anfang einer langdauernden Periode vorwiegend trüber, kühler und niederschlagsreicher Witterung gegeben. Mit auffallender Konstanz erhielt sich die für die Wetterlage unseres Gebietes sehr ungünstige Luftdruckverteilung mit einer mehr oder weniger tiefen Depression über der Ostsee und Westrussland, sowie Störungen jenseits der Alpen. Der Hochdruck lag im Westen unseres Gebietes und breitete sich bald mehr nach den zentralen Lagen herein, bald mehr nordwärts über die britischen Inseln aus. In diesem Falle traten dann kräftige nordwestliche Winde auf, welche insbesondere in Süd- und Ostbayern zu Niederschlägen von grosser Ergiebigkeit Anlass gaben.

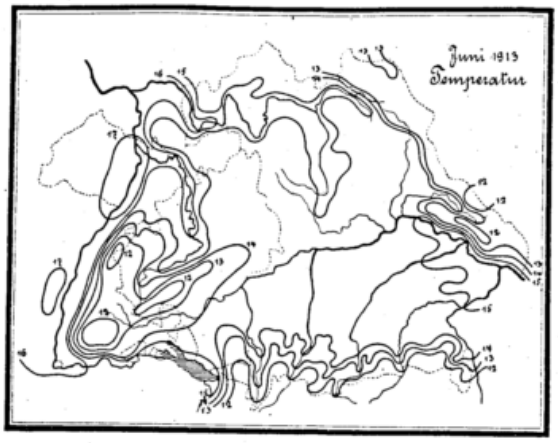
Aus dieser gedrängten Witterungsgeschichte des Juni entnehmen wir in erster Linie die Tatsache, dass Perioden der verschiedensten, ja direkt gegensätzlichen Witterungsformen auf einander folgten. Diese Erkenntnis ist notwendig, um die Bedeutung der Mittelwerte der meteorologischen Elemente richtig einschätzen zu können. Die abgeleiteten Zahlenwerte sind entstanden aus der Vereinigung weit ab stehender Extreme und geben eigentlich nur ein Mass ab für das Gewicht, mit welchem besonders intensiv auftretende oder lang dauernde Wettertypen eingehen.

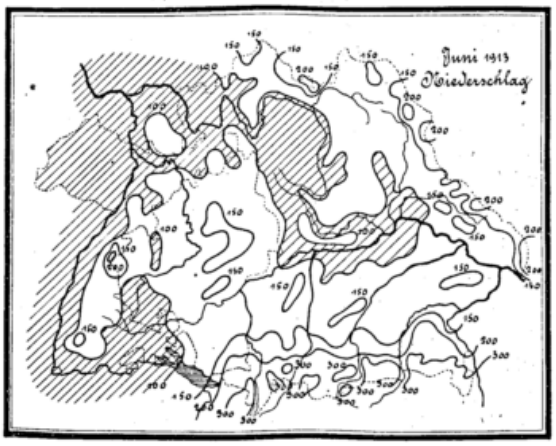
Betrachten wir zunächst die Differenzen der Temperaturmittel des diesjährigen Juni gegen die langjährigen Mittel, so erkennen wir, dass der Einfluss der kühlen Witterung, hauptsächlich der letzten Monatsdekade, überwiegt. Die

Differenzen fielen an allen unseren Beobachtungsorten negativ aus. Sie bezifferten sich in der Pfalz und in den niedrigeren Lagen (etwa bis 500 m Seehöhe) des rechtsrheinischen Bayern zumeist auf weniger, in den höheren Lagen auf etwas mehr als 1 Grad. Am geringsten fielen die Abweichungen in der Rheinpfalz, im Rottale und im Saaletale bei Hof aus, woselbst nur 2 bis 3 Zehntelgrade vom Durchschnittswerte fehlten.

Wenden wir uns dem nächst wichtigsten Elemente, dem Niederschlage zu, so finden wir nur zwei engbegrenzte Bezirke, an welchen die aus langjährigen Reihen ermittelten Durchschnittsbeträge der Niederschlagssummen nicht ganz erreicht wurden: die westliche und südliche Rheinpfalz sowie das Donaumoos und die Donauebene bei Ingolstadt. In allen anderen Gebietsteilen wurden die normalen Mengen mehr oder weniger beträchtlich überschritten. Wie sehr das Auftreten heftiger Gewitterregen von oft sehr geringer räumlicher Ausdehnung die in Frage stehenden Zahlen beeinflusst, dafür bieten die Beobachtungen der Station Würzburg ein deutliches Beispiel. Dortselbst wurde eine Monatssumme von 163.5 mm erhalten, die dem 2.7fachen des langjährigen Durchschnittes gleichkommt. Die hohe Monatssumme, welche Würzburg aus der ganzen Umgebung hervortreten lässt, wurde verursacht durch einen ungewöhnlich heftigen Wolkenbruch, der in der ersten Nachthälfte vom 3. zum 4. Juni niederging und in kurzer Zeit eine Regenhöhe von 78 mm anfallen liess. Nur dieser eine, ungemein starke Gewitterregen, der sich hauptsächlich über dem Stadtgebiete Würzburg erschöpfte, bedingt die Ausnahmestellung dieses Ortes. Ähnliche, wenn auch nicht so scharf hervortretende Verhältnisse finden sich auch an anderen Stationen wieder.

Die mittlere Bewölkungsziffer schwankt an der überwiegenden Mehrzahl unserer Beobachtungsorte zwischen 6 und 7 Zehnteln der vollen Bedeckung. Gering war die Anzahl der heiteren Tage, die nur an einigen wenigen Orten 5





überschritt, aber auch die Zahl der trüben Tage kam nur ausnahmsweise der Hälfte aller Monatstage gleich. Nähere diesbezügliche Angaben mögen den entsprechenden Spalten der Tabelle III entnommen werden.

Die mittleren, auf Meeresniveau reduzierten Barometerstände weisen ein merkliches, in der Richtung von Südwest nach Nordost gerichtetes Gefälle auf. Winde aus westlichen Richtungen waren an fast allen Orten vorherrschend. Nur an einigen alpinen Tallagen waren Winde aus Nord und Nordwest neben Stillen in der Überzahl.

Die beiden beigedruckten Kärtchen geben die geographische Verteilung der wichtigsten Elemente, Temperatur und Niederschlag über Süddeutschland wieder. Die höchsten Mitteltemperaturen mit mehr als 16, stellenweise mehr als 17 Grad wurden in der Rheinebene und in den niederen Tallagen der Rheinzuflüsse verzeichnet. Die Isotherme für 15 Grad begreift noch in sich das ganze Main- und Regnitztal, das untere bayerische Donautal sowie das Ufergelände des Bodensees. Hart am Fusse der höheren Mittelgebirge und der Alpen verläuft die Isotherme für 14 Grad, auf welche dann bei weiterer Erhebung rasch die Linien noch niedrigerer Werte folgen. Ähnliche Bilder zeigen im allgemeinen auch die kartographischen Darstellungen für die mittleren Extreme. Wie so häufig, haben wir nur wieder das Gebiet zwischen dem unteren Lech und der mittleren Isar hervorzuheben, das sich ebensosehr durch auffallend tiefe Minima wie durch verhältnismässig sehr hohe Maxima auszeichnet. Hier erreichte auch die mittlere Schwankung ihre höchsten Werte mit mehr als 12, vereinzelt sogar mehr als 13 Grad. Die geographische Verteilung der Zahl der Sommertage zeigt keine hervortretende Merkwürdigkeit; die Häufigkeitswerte selbst sind für die einzelnen Stationen in der Tabelle III zusammengestellt.

Die Karte der Niederschlagsverteilung lässt einen recht unregelmässigen Verlauf der Isohyeten erkennen, wie es in einem Monat, dessen Niederschläge zu einem beträchtlichen Teile von Gewittern herrühren, nicht verwunderlich ist. Das Alpengebiet und dessen unmittelbares Vorland tritt als niederschlagsreichstes Gebiet mit Regenmengen von mehr als 300 mm hervor. An besonders exponierten Lagen wurden sogar Monatsmengen von mehr als 400 mm erreicht, doch gestattet der kleine Massstab unseres Kärtchens nicht, derartige Details noch zum Ausdruck zu bringen.

München, den 23. Juli 1913. Alt.

Tabelle I.

Station	Höhe über Normal-Null m	Luftdruck in mm: höchster am	höchster mm	tiefster am	tiefster mm	Monatsmittel lokal	Monatsmittel auf Meeresniveau reduziert	Temperatur C°: Mittel um 7a	2p	9p	Mittlere Tagestemperatur	Mittleres Maximum	Mittleres Minimum	Mittel aus Maximum u. Minimum	Mittlere Schwankung	Station
Ludwigshafen a. Rh.	100.3	14.	763.2	10.	750.8	756.2	765.1	14.9	21.2	17.3	17.7	22.1	12.9	17.5	9.2	Ludwigshafen a. Rh.
Kahl a. M.	114.1	14.	761.9	10.	749.0	754.6	764.8	14.8	20.0	14.6	16.0	22.1	10.9	16.5	11.3	Kahl a. M.
Landau i. Pf.	149.9	14.	757.8	1.	746.5	751.1	764.3	16.0	20.6	16.1	17.2	22.0	12.3	17.2	9.7	Landau i. Pf.
Würzburg	179.3	14.	756.0	10.	742.8	748.4	764.3	14.1	19.5	15.2	16.0	20.9	11.0	16.0	9.8	Würzburg
Bad Kissingen	209.2	14.	753.7	10.	740.9	746.3	764.9	13.0	19.5	14 5	15.3	20.8	10.3	15.5	10.5	Bad Kissingen
Kaiserslautern	242.2	14.	749.8	10.	738 9	743.6	765.1	14.0	20.2	15.2	16.2	21.8	11.3	16.6	10.5	Kaiserslautern
Luitpoldheim	250							12.0	17.9	14.3	14.6	18.7	9.9	14.3	8.8	Luitpoldheim
Bamberg	287.7	14.	746.6	10.	733.7	739.2	764.7	13.3	18.9	14.2	15.1	21.0	9.9	15.4	11.1	Bamberg
Nürnberg	309.1	14.	744.3	10.	732.0	737.1	764.3	14.2	18.7	15.1	15.8	19.6	11.0	15.3	8.5	Nürnberg
Passau	309.3	15.	744.2	1.	731.8	737.2	764.3	13.1	19.1	14.6	15.4	20.0	10.8	15.4	9.2	Passau
Metten	320							13.4	19.5	14.4	15.4	21.2	9.8	15.5	11.4	Metten
Regensburg	354.3	14.	740.6	25.	729.1	733.5	764.7	13.1	18.3	14.4	15.0	19.3	10.4	14 9	8.9	Regensburg
Bayreuth	363.3	15.	739.9	10.	726 9	732.6	764.5	13.2	18.3	14.5	15.1	20.5	9 9	15.2	10.6	Bayreuth
Burghausen	365	14.	738.6	1.	728.1	732.4	764.5	13.3	19.3	13.1	14.7	21.1	10 0	15.5	11.1	Burghausen
Ingolstadt	368							12.9	19.5	13.3	14.7	21.1	8.6	14.9	12.5	Ingolstadt
Karlshuld	382.0	14.	737.2	1.	726.5	730.9	764.4	13.0	19.5	13.6	14.9	22.4	8.9	15.6	13.5	Karlshuld
Cham	386							12.0	18.2	13.8	14.4	20.2	9.7	14.9	10.6	Cham
Landshut	397.7	14.	735.8	25.	725.0	729.4	764.5	13.4	19.3	13.3	14 8	22.2	9.6	15.9	12.6	Landshut
Lindau i. B. (Reutin)	401.7	28.	734.2	1.	724.0	729.9	765.2	13.7	17.8	14.9	15.3	19.7	10.8	15.3	8.8	Lindau i. B. (Reutin)
Eggenfelden	417							14.7	18.7	13.8	15.2	20.2	10.1	15.2	10.1	Eggenfelden
Rohr	426							13.3	18.3	13.3	14.5	19.7	10.1	14.9	9.7	Rohr
Weissenburg i. B.	431	14.	733.3	1.	722.7	727.0	764.9	14.7	18.7	14.0	15.4	19 6	10.5	15.1	9.2	Weissenburg i. B.
Nördlingen	435.6	14.	732.2	1.	721.0	725.9	764.1	13.0	18.7	13.6	14.7	19.6	10.3	15.0	9.2	Nördlingen
Ansbach	437.5	14.	732.6	10.	721.5	726.3	764.7	13.3	18.2	13.2	14.5	19.8	9.5	14.6	10.3	Ansbach
Bad Reichenhall	470.4	14.	729.6	1.	718.8	723.5	764.7	13.4	18.1	13.5	14.6	20.1	10.1	15.1	10.0	Bad Reichenhall
Hof	476.1	15.	728.6	11.	715.9	721.4	764.8	12.5	17.8	12.1	13.6	19.5	7.9	13.7	11.6	Hof
Augsburg	499.6	14.	727.3	1.	716.5	721.3	764.8	13.3	18.8	14.5	15.3	19.8	10.5	15.2	9.4	Augsburg
Amberg M.H.B.	519							12.2	17.4	13.2	14.0	20.4	9.4	14.9	11.0	Amberg M.H.B.
München C.-St.	526.4	14.	724.5	25.	714.6	718.8	764.6	13.4	18.3	14.3	15.1	19.5	11.1	15.3	8.5	München C.-St.
Alexandersbad	590							11.4	15.7	11.9	12.7	17.1	8.2	12.6	8.9	Alexandersbad
Traunstein	597	14.	718.7	25.	708.8	713.1	765.1	12.8	17.1	12.5	13.7	18.1	9.3	12.7	8.8	Traunstein
Berchtesgaden	600							12.2	17.4	12.8	13.8	18.5	8.8	13.7	9.6	Berchtesgaden
Ottobeuren	660.0	14.	712.9	1.	702.9	707.9	765.1	12.7	17.7	12.1	13.6	19.3	9.1	14.2	10.2	Ottobeuren
Partenkirchen	716.8	14.	708.0	1.	698.7	703.2	765.2	11.1	16.7	11.9	12.9	18.2	8.9	13.5	9.3	Partenkirchen
Tegernsee	727.8	14.	707.6	25.	698.0	702.2	765.1	12.4	16.4	11.9	13.2	17.7	9.2	13.4	8.5	Tegernsee
Buchenau	750	14./15.	705.4	25.	694.3	699.1	764.0	10.6	15.4	11.3	12.2	17.6	8.4	13.0	9.2	Buchenau
Schaftlach	760							12.3	17.0	12.5	13.6	19.1	8.3	13.7	10.8	Schaftlach
Oberstdorf	811.4	28.	700.2	1.	690.5	695.3	765.1	11.9	17.0	11.3	12.9	18.2	7.5	12.9	10.7	Oberstdorf
Ettal	879 5	18.	692.7	25.	683.6	688.1	763.5?	11.8	15.8	10.7	12.3	18.9	8.4	13.6	10.5	Ettal
Mittenwald	911.8	14.	691.1	25.	682.4	686.6	764.6	11.1	16.5	10.5	12.1	17.9	7.0	12.5	10.9	Mittenwald
Hohenpeissenberg	994.1	14.	684.5	25.	675.8	679.8	764.7	10.8	13.7	10.7	11.5	15.8	8.3	12.0	7.5	Hohenpeissenberg
Zugspitze	2964	15.	537.5	25.	527.3	533.3		- 0.9	1.0	- 0.8	- 0.4	2.0	- 2.4	- 0.2	4.4	Zugspitze

Tabelle II.

Station	Temperatur C°: höchste am	höchste C°	tiefste am	tiefste C°	grösste Schwankung am	grösste Schwankung C°	Dampfdruck Monatsmittel mm	Relative Feuchtigkeit %: Monatsmittel	kleinste am	kleinste %	grösste am	grösste %	Bewölkung Monatsmittel	Niederschlag: grösster am	grösster mm	Monats-Summe mm	Station
Ludwigshafen a. Rh.	1.	30.1	öfters	10.0	17.	17.2	9.3	63	15.	24	29.	95	6.0	28.	14.6	78.9	Ludwigshafen a. Rh.
Kahl a. M.	17.	31.2	14.	4.0	17.	23.4	9.9	72	17.	30	18., 24.	97	6.4	5.	20.4	84.2	Kahl a. M.
Landau i. Pf.	18.	28.3	7.	7.8	17.	15.2	9.7	66	10.	27	27.	95	6.3	22.	10.1	41.7	Landau i. Pf.
Würzburg	3.	29.1	14.	6.1	4.	18.1	9.7	72	17.	32	19.	97	5.8	4.	78.0	163.5	Würzburg
Bad Kissingen	3.	29.7	15.	3.6	18.	19.7	9.9	75	10.	34	23.	98	6.0	22.	27.2	121.2	Bad Kissingen
Kaiserslautern	18.	29.9	15.	6.1	17.	19.8	9.3	68	15.	24	27., 29.	94	7.1	5.	13.7	54.2	Kaiserslautern
Luitpoldheim	3.	26.4	14.	4.4	18.	16.4	9.8	79	10.	40	29.	100	6.1	4.	26.5	101.6	Luitpoldheim
Bamberg	3.	29.4	14.	4.2	17.	17.9	9.8	76	17.	34	23.	100	7.5	22.	31.6	95.8	Bamberg
Nürnberg	4.	28.3	14.	5.6	18.	16.5	9.6	72	16., 17.	35	22.	99	6.6	21.	13.3	67.2	Nürnberg
Passau	1.	27.9	15.	4.3	18.	17.4	10.3	78	16.	36	21.	97	6.7	26.	29.5	116.8	Passau
Metten	4.	29.6	15.	3.0	18.	19.6	9.9	75	16.	29	öfters	99	6.6	30.	21.1	107.3	Metten
Regensburg	3.	27.0	15.	4.0	18.	17.6	10.1	78	3.	45	6., 20.	98	6.6	20.	22.3	88.4	Regensburg
Bayreuth	3.	29.6	15.	3.1	17.	20 7	9.2	72	17.	31	21.	97	7.1	22.	30.8	118.8	Bayreuth
Burghausen	3.	29.5	15.	3.3	18.	22.5	9.7	77	16.	23	29.	98	6.3	26.	23.0	128.8	Burghausen
Ingolstadt	3.	29.8	8.	3.1	18.	24.5	9.6	76	16.	28	29.	97	6.4	7.	13.7	68.6	Ingolstadt
Karlshuld	18.	31.7	17.	3.0	18.	26.9	9.8	77	17.	36	öfters	98	5.9	7.	12.2	74.9	Karlshuld
Cham	2.	30.1	13.	3.0	18.	20.4							7.1	21.	46.8	175.4	Cham
Landshut	2.	31.3	15.	4.9	18.	24.8	9.4	74	16.	22	27., 29.	99	6.0	3.	29.0	125.4	Landshut
Lindau i. B. (Reutin)	1.	28.1	8.	6.2	1.	16.8	10.0	77	1.	43	25.	98	6.0	26.	36.0	190.0	Lindau i. B. (Reutin)
Eggenfelden	1.	28.0	15.	4.1	18.	20.2							6.7	3.	26.4	150.4	Eggenfelden
Rohr	2.	28.1	15.	4.7	18.	19.6							5.9				Rohr
Weissenburg i. B.	1.	28.0	8.	5.7	18.	17.2	10.5	79	17.	43	öfters	98	6.6	4.	20.0	110.7	Weissenburg i. B.
Nördlingen	3.	27.9	15.	5.4	17.	17.1	9.2	73	17.	34	20.	96	6.1	21.	20.7	112.0	Nördlingen
Ansbach	öfters	27.8	15.	4.0	17.	21.2	9.0	73	17.	33	22., 29.	96	6.0	21.	15.2	86.6	Ansbach
Bad Reichenhall	3.	29.0	15.	4.6	18.	18.9	9.7	78	18.	34	30.	99	6.2	30.	50.0	258.3	Bad Reichenhall
Hof	2.	28.7	15.	- 0.4	17.	24.5	9.0	76	17.	24	öfters	98	6.8	21.	38.7	147.5	Hof
Augsburg	4.	29.2	19.	5.8	18.	17.9	9.1	70	17.	28	29.	96	6.2	6.	20.1	140.3	Augsburg
Amberg M.H.B.	4.	28.2	14.	5.0	18.	17.5							6.7	22.	18.5	96.2	Amberg M.H.B.
München C.-St.	1.	27.7	15.	6.4	17.	15.3	9.0	71	17.	31	20., 26.	95	6.4	3.	45.0	177.3	München C.-St.
Alexandersbad	2.	26.6	15.	1.8	18.	18.0	8.8	79	18.	31	öfters	100	5.6	21.	58 0	140.9	Alexandersbad
Traunstein	3.	27.0	15.	4.0	17.	17.5	9.5	80	15.	36	29.	100	6.4	26.	44.9	224.5	Traunstein
Berchtesgaden	1.	27.3	15.	3.5	18.	17.3	9.1	77	1., 15.	35	9., 20.	96	6.8	21.	45.2	252.4	Berchtesgaden
Ottobeuren	1.	29.0	8.	4.5	17.	19.8	9.6	80	3.	43	20.	98	5.8	28.	25.6	154.0	Ottobeuren
Partenkirchen	1.	28.2	8.	5.1	1.	16.4	8.9	81	1.	13	27., 29.	100	6.1	30.	28.5	187.0	Partenkirchen
Tegernsee	1.	27.0	15.	5.7	17.	15.9	8.9	78	15., 17.	37	öfters	98	6.2	21.	47.5	286.2	Tegernsee
Buchenau	1.	27.4	13.	3.0	17.	16.4	9.1	85	18.	47	21.	100	6.6	1.	23.1	168.2	Buchenau
Schaftlach	18.	27.0	8.	4.4	17.	20.3	9.4	80	18.	44	öfters	99	7.0	26.	39.8	224.2	Schaftlach
Oberstdorf	1.	27.4	8.	1.9	4.	18.4	8.5	77	1.	29	20.	100	6.7	28.	38.2	222.1	Oberstdorf
Ettal	1.	30.0	8.	4.1	17.	19.1	8.6	79	1.	29	19., 29.	99	6.3	30.	45.0	288.8	Ettal
Mittenwald	1.	26.8	8.	1.4	8.	18.9	8.5	80	16.	37	19., 26.	100	6.3	21.	34.1	210.5	Mittenwald
Hohenpeissenberg	1.	23.2	15., 30.	5.2	8.	11.7	7.9	78	17.	42	öfters	100	6.5	21.	31.7	212.6	Hohenpeissenberg
Zugspitze	18.	8.9	29.	- 7.4	6.	7.7	4.0	90	15.	45	öfters	100	7.8	21.	29.0	203.1	Zugspitze

Tabelle III.

Station	Tage mit										Tage				Anzahl der beobachteten Windrichtungen									Station
	Niederschlägen		Schneefall	Schneedecke	Graupeln	Hagel	Gewitter	Nebel	Reif	Tau	heitere	trübe	Tropen	Sommer	N	NE	E	SE	S	SW	W	NW	Stille	
	≥ 0.1 mm	≥ 1.0 mm																						
Ludwigshafen a. Rh.	16	11	–	–	–	–	6	–	–	–	4	9	1	6	10	5	2	2	14	30	15	5	7	Ludwigshafen a. Rh.
Kahl a. M.	16	11	–	–	–	–	5	–	–	6	6	10	1	8	1	3	10	9	6	27	9	6	19	Kahl a. M.
Landau i. Pf.	16	9	–	–	–	1	5	–	–	–	5	9	–	7	–	21	1	3	–	37	13	15	–	Landau i. Pf.
Würzburg	19	13	–	–	–	1	7	2	–	8	7	10	–	6	–	1	1	10	2	13	38	4	21	Würzburg
Bad Kissingen	18	10	–	–	–	1	9	1	–	10	4	6	–	6	9	2	7	2	5	11	33	10	11	Bad Kissingen
Kaiserslautern	17	8	–	–	–	1	11	1	–	4	3	15	–	6	4	1	10	1	3	3	21	22	25	Kaiserslautern
Luitpoldheim	19	13	–	–	–	1	7	7	–	8	5	9	–	2	1	3	2	5	6	20	12	3	38	Luitpoldheim
Bamberg	20	11	–	–	–	–	7	1	–	18	3	16	–	5	3	1	1	13	6	14	25	20	7	Bamberg
Nürnberg	15	14	–	–	–	1	8	2	1	15	3	12	–	6	5	2	7	8	3	13	26	25	1	Nürnberg
Passau	18	14	–	–	–	–	6	2	–	7	4	14	–	5	–	–	11	5	3	2	49	–	20	Passau
Metten	17	11	–	–	–	–	9	1	–	15	6	16	–	6	–	–	4	8	5	12	38	5	18	Metten
Regensburg	17	13	–	–	–	–	7	–	–	4	3	11	–	4	3	1	10	3	3	24	31	5	10	Regensburg
Bayreuth	17	13	–	–	–	3	6	1	–	8	3	13	–	7	–	3	10	6	1	12	33	15	10	Bayreuth
Burghausen	21	15	–	–	1	1	10	4	–	9	4	13	–	7	6	3	4	1	1	26	13	5	31	Burghausen
Ingolstadt	17	11	–	–	–	–	7	1	–	24	4	12	–	8	2	4	14	3	–	18	39	10	–	Ingolstadt
Karlshuld	13	13	–	–	–	–	6	1	–	10	6	11	3	10	–	3	12	1	2	23	25	3	21	Karlshuld
Cham	19	16	–	–	–	–	5	9	–	–	–	15	1	6	–	1	15	1	3	12	51	7	–	Cham
Landshut	19	15	–	–	–	2	7	–	–	7	6	12	3	11	3	4	13	1	1	4	55	4	5	Landshut
Lindau i. B. (Reutin)	17	15	–	–	–	1	6	–	–	15	7	14	–	6	4	7	–	–	31	6	23	6	13	Lindau i. B. (Reutin)
Eggenfelden	17	12	–	–	–	1	9	2	–	12	4	15	–	5	3	12	12	2	1	7	32	21	–	Eggenfelden
Rohr											4	9	–	6	3	8	11	4	–	20	7	37	–	Rohr
Weissenburg i. B.	18	14	–	–	–	–	6	1	–	7	4	12	–	5	7	6	6	7	6	14	25	15	4	Weissenburg i. B.
Nördlingen	17	15	–	–	–	1	7	–	–	2	4	12	–	5	4	3	11	5	6	9	35	12	5	Nördlingen
Ansbach	18	15	–	–	–	–	6	–	–	14	3	11	–	5	2	5	6	1	3	4	28	15	26	Ansbach
Bad Reichenhall	16	14	–	–	–	–	5	–	–	10	8	14	–	5	–	10	8	1	7	10	27	3	24	Bad Reichenhall
Hof	21	13	–	–	–	–	6	4	–	15	3	11	–	6	14	8	2	7	11	13	14	21	–	Hof
Augsburg	16	16	–	–	–	1	9	–	–	5	4	14	–	6	1	5	9	7	1	24	13	26	4	Augsburg
Amberg M.H.B.	20	16	–	–	–	–	8	5	–	11	4	10	–	6	6	4	14	2	5	2	46	9	2	Amberg M.H.B.
München C.-St.	18	15	–	–	–	1	8	–	–	12	5	14	–	5	–	6	8	2	–	23	20	8	23	München C.-St.
Alexandersbad	16	13	–	–	–	1	7	–	1	9	4	6	–	1	7	11	8	3	2	4	21	20	14	Alexandersbad
Traunstein	18	18	–	–	–	–	7	–	–	4	4	13	–	4	2	–	18	4	12	3	42	9	–	Traunstein
Berchtesgaden	18	15	–	–	–	–	6	–	–	14	4	14	–	3	–	–	15	1	–	–	–	–	74	Berchtesgaden
Ottobeuren	20	17	–	–	1	2	7	–	–	11	6	13	–	6	2	13	6	2	–	45	3	2	17	Ottobeuren
Partenkirchen	21	16	–	–	–	–	8	–	–	11	6	13	–	4	5	–	–	12	4	2	4	16	47	Partenkirchen
Tegernsee	18	17	–	–	–	1	6	–	–	?	5	13	–	3	1	1	11	21	2	–	13	14	27	Tegernsee
Buchenau	22	15	–	–	–	–	8	1	–	17	6	15	–	4	–	4	29	2	–	12	36	2	5	Buchenau
Schaftlach	19	19	–	–	2	–	8	–	–	7	4	14	–	6	5	4	13	4	3	5	40	3	13	Schaftlach
Oberstdorf	17	16	–	–	1	–	9	1	–	12	4	16	–	3	21	1	2	3	7	3	16	8	29	Oberstdorf
Ettal	17	17	–	–	–	1	7	3	–	12	5	14	–	5										Ettal
Mittenwald	19	16	–	–	–	–	8	–	–	11	5	13	–	4	12	8	3	4	8	4	–	2	49	Mittenwald
Hohenpeissenberg	19	16	–	–	1	3	7	14	–	–	5	12	–	–	1	10	9	5	–	26	30	7	2	Hohenpeissenberg
Zugspitze	20	17	17	30	3	–	5	25	–	–	–	16	–	–	12	–	–	12	10	4	7	43	2	Zugspitze

Ausserdem wurden beobachtet: 1 Frosttag in Hof, 30 Frost- und 10 Wintertage auf der Zugspitze.

Übersicht über die Witterungsverhältnisse im Königreiche Bayern

während des Juli 1913.

Die Periode vorwiegend trüber regnerischer Witterung, welche am 19. Juni ihren Anfang genommen hatte, erstreckte sich auch noch weit in den Juli herein. Mit kurzer Unterbrechung am 13. und 14. dauerte das trübe feuchtkalte Wetter bis zum 25. Von diesem Tage ab bestand heiteres und trockenes wärmeres Wetter, das nur durch lokale Gewitter da und dort eine kurzdauernde Unterbrechung erfuhr.

Bis zum 8. Juli war die Witterung von einer Luftdruckverteilung beherrscht, welche mit bemerkenswerter Konstanz ihren ungünstigen Grundzug beibehielt. Niedriger Luftdruck behauptete seine Lage über Westrussland und dem Ostseegebiete, während ein barometrisches Maximum über den britischen Inseln und den benachbarten Meeresteilen sich erhielt. Bei vorwiegend nordwestlichen und westlichen Winden herrschte andauernd wolkiges bis trübes Wetter mit häufigen Regenfällen. In der Rheinpfalz und im nordwestlichen Bayern gestaltete sich die Witterung insofern etwas günstiger, als Niederschläge seltener und zumeist auch nur mit geringer Intensität auftraten. Bis zum Morgen des 9. Juli hatte sich das westliche Hochdruckgebiet südlich verlagert und gab neuen, vom Ozean herannahenden Störungen den Weg nach Kontinentaleuropa frei. In raschem Zuge überquerten dieselben die zentralen Lagen und mündeten in die über Osteuropa unverändert erhalten gebliebene Depression ein. Der Witterungscharakter blieb andauernd ungünstig, wenn auch vom 10. ab eine langsame Temperaturzunahme zu konstatieren war. Im Verlaufe des 12. Juli verlagerte sich ein schwaches sekundäres Maximum von der Biskayasee über Südfrankreich nach dem Alpengebiete und dessen nördliches Vorland. In der Pfalz und in Nordwestbayern trat bereits in den Morgenstunden dieses Datums Aufklaren ein, das dann im Laufe des Tages auch auf das übrige Bayern übergriff und nur das unmittelbare Alpenvorland und den äussersten Osten unseres Gebietes unbeeinflusst liess. Erst der 13. Juli brachte unserem ganzen Gebiete einen heiteren und trockenen Tag, sowie starke Erwärmung, welche im südlichen Bayern bei stark föhnigem Einschlage besonders wirksam war. Auch am 14. dauerte die warme sommerliche Witterung noch fort, doch machten sich im äussersten Westen bereits wieder die Anzeichen eines baldigen Witterungswechsels geltend. Eine Tiefdruckfurche zog gegen Zentraleuropa heran und hatte bereits am Abend des 15. unser Gebiet überquert und sich mit der immer noch vorhandenen westrussischen Depression vereinigt. Rasch war wieder Trübung eingetreten und die verbreiteten Niederschläge waren von einem empfindlichen Temperaturrückgang begleitet. Nun stellte sich allmählich wieder die alte ungünstige Druckverteilung her. Das Maximum, welches zunächst noch über der Biskayasee lag, wanderte langsam nordwärts nach den britischen Inseln und später nach dem Norwegischen Meere, während über der Ostsee und Westrussland andauernd niedriger Druck sich ausbreitete. Westliche bis nordwestliche Winde führten unserem Gebiete kühle und feuchte ozeanische Luft zu und bedingten bis zum 23. eine nicht nur unfreundliche, sondern auch für das Gedeihen der Kulturpflanzen höchst nachteilige Witterung.

Die sehnlichst erwartete Besserung trat erst am 25. ein. Die östliche Depression hatte sich langsam südwärts nach dem Schwarzen Meere verlagert, so dass der hohe Druck über das Ostseegebiet und Zentraleuropa sich ausbreiten konnte. Der Wind drehte über Nord nach Nordost und, als der Luftdruck von der Biskayasee hereinzufallen begann, nach Ost. Die kontinentale Luftzufuhr hatte Aufheiterung und kräftige Erwärmung zur Folge. Allerdings waren bereits am 28. wieder Störungen nach der Ostsee eingebrochen und auch die östliche Depression hatte wieder ihren früheren Besitzstand erreicht, doch blieb zunächst noch der Einfluss dieser Tiefdruckgebiete auf Süddeutschland ausgeschaltet. Nur lokale Gewitter bildeten stellenweise eine kurzdauernde Unterbrechung der sommerlichen Witterung.

Die Temperatursteigerungen, die am 13. und 14. sowie während der Schönwetterperiode am Ende des Monats zu verzeichnen waren, wurden zwar nach den auffallend kühlen Tagen der zyklonalen Witterungsperioden als sehr beträchtlich empfunden, führten aber keineswegs zu Wärmegraden, wie wir sie im Hochsommer erwarten dürften. Zumeist erreichten die Temperaturtagesmittel der wärmsten Tage nur wenige Grade mehr, als die Normalmittel dieser Daten betragen. Die Monatsmittel der Temperatur blieben unter solchen Umständen natürlich sehr beträchtlich hinter den Durchschnittsbeträgen zurück. Die Differenzen betrugen fast ausnahmslos mehr als 2 Grad, an der Mehrzahl unserer Beobachtungsorte jedoch über 3 Grad. Im grossen ganzen weist das Maingebiet etwas günstigere Verhältnisse auf als das Donaugebiet, in dem wieder das Gelände, das wir unter dem politischen Begriff Niederbayern zusammenfassen, sowie das Ries etwas begünstigt erscheinen. Die grössten Differenzen ergaben sich im unmittelbaren Alpenvorland, wo dieselben stellenweise sehr nahe an 4 Grad heranreichen (z. B. Lindau mit 3.7 Grad).

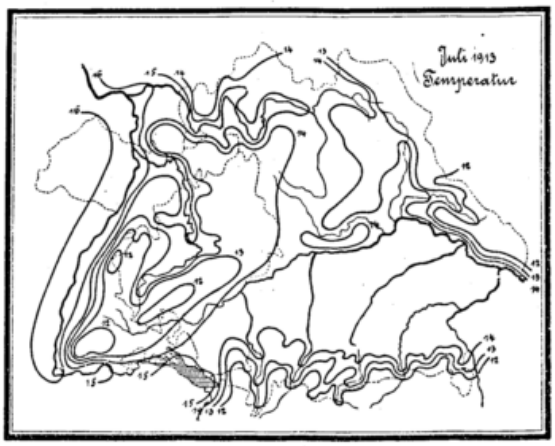
Wenden wir, um zu einer allgemeinen Charakteristik des Berichtsmonats zu gelangen, unsere Aufmerksamkeit noch den Niederschlagsverhältnissen zu, so kommen wir zu einem zahlenmässigen Resultat, das mit unserer Erinnerung an den auffallend regenreichen Juli dieses Jahres nicht im Einklange steht. Im grössten Teile Nordbayerns wie auch in der südlichen Rheinpfalz ergaben sich Monatssummen des Niederschlages, welche den aus langjährigen Reihen abgeleiteten Durchschnittsbetrag nicht ganz erreichten, ja stellenweise sogar sehr beträchtlich unter demselben blieben. In Nürnberg wurde bei-

spielsweise nur ein Drittel der normalen Niederschlagsmenge erhalten. Im südlichen Bayern ergaben sich Regensummen, die den Durchschnitt um 10 bis 50 Prozent überschritten; nur ausnahmsweise leiteten sich im Alpenvorlande noch grössere Mehrbeträge ab. Um diese Zahlen richtig einzuschätzen, muss man sich erinnern, dass die mittleren Regenmengen des Juli im Alpengebiete und in dessen unmittelbarem Vorlande sehr beträchtliche sind, z. B. in Oberstdorf im Algäu zirka 200 mm, so dass auch Mehrbeträge von 30 bis 50 Prozent schon sehr erhebliche Mengen darstellen.

Die mittlere Bewölkung des Berichtsmonats schwankt an den Beobachtungsorten unseres Gebietes zwischen 6 und 8 Zehnteln der vollen Bedeckung. Wie bereits aus der Schilderung des zeitlichen Witterungsverlaufes hervorgeht, sind diese Zahlen abgeleitet aus Beobachtungsdaten, welche sehr gegensätzlichen Wettertypen entstammen.

Über die Anzahl der heiteren und trüben Tage an den einzelnen Orten geben die entsprechenden Spalten der Tabelle III Auskunft.

Die geographische Verteilung der Mitteltemperaturen über Süddeutschland ist auf dem ersten der beigegebenen Kärtchen dargestellt. Die oberrheinische Tiefebene stellt, wie gewöhnlich, das klimatisch am meisten begünstigte Gebiet





Süddeutschlands dar. Dortselbst wurden Temperaturmittel von mehr als 16, vereinzelt sogar von mehr als 17 Grad verzeichnet. Die Isotherme für 15 Grad schliesst das untere und mittlere Maintal, das Neckartal bis Stuttgart aufwärts sowie das Uferland des Bodensees ein. Auffallend tiefe Temperaturen wurden im württembergischen Unterland aufgezeichnet. Gerabronn im Jagsttale berechnete beispielsweise ein Temperaturmittel von 13.3 Grad, während das viel höher gelegene Ottobeuren im bayerischen Oberschwaben 13.4 Grad aufzeichnete. Selbstverständlich nimmt mit dem Anstiege gegen die Gebirge die Mitteltemperatur weiter ab, und zwar, dem vorwiegend zyklonalen Witterungscharakter des Berichtsmonats entsprechend, ziemlich rasch. Auch die Kärtchen der geographischen Verteilung der mittleren Extreme lassen die oberrheinische Tiefebene und die anschliessenden tieferen Tallagen der Rheinzuflüsse als die bevorzugtesten Gebiete Süddeutschlands hervortreten. Ausgezeichnet ist wieder das Gebiet, das sich vom Donaumoos bis in die Gegend von Landshut hinzieht, und zwar sowohl durch auffallend hohe mittlere Maxima, welche selbst jene in der Rheinebene noch überragen, wie andererseits durch verhältnismässig geringe mittlere Minima. In dieser Gegend erreichte demzufolge die mittlere Tagesschwankung der Temperatur ihre höchsten Werte mit mehr als 12 Grad, während an der überwiegenden Mehrzahl unserer Beobachtungsstellen diese Grösse zwischen 8 und 10 Grad sich bewegt.

Auf dem zweiten der beigegebenen Kärtchen ist die geographische Verteilung der monatlichen Niederschlagssummen über Süddeutschland dargestellt. Die beträchtlichsten Regenmengen wurden im Alpengebiete und in dessen unmittelbarem Vorlande gemessen, wo allenthalben mehr als 200, in den eigentlichen Gebirgslagen mehr als 300 und an besonders exponierten Stellen sogar mehr als 400 mm anfielen. Ausserdem ergaben sich nur noch in den höchsten Lagen des nördlichen und südlichen Schwarzwaldes sowie des Bayerischen Waldes Monatsmengen von mehr als 200 mm. Von Interesse ist der Verlauf der Kurven für 100 mm. In der Pfalz und im Nordwesten Süddeutschlands grenzen die Isohyeten von 100 mm die niederschlagsreicheren Mittelgebirgsgegenden gegen die regenärmeren Niederungen ab. Hingegen trennt die Kurve, welche vom nördlichen Bayerischen Wald in der allgemeinen Richtung von Ost nach West nach dem nördlichen Schwarzwalde sich hinzieht, das regenärmere nördliche von dem niederschlagsreicheren südlichen Bayern. Als Trockengebiet erscheint Nordostbayern, woselbst in tieferen Lagen noch weniger als 50 mm monatlicher Regenanfall zu verzeichnen waren. Dass die Niederschlagshäufigkeit eine sehr beträchtliche war, geht bereits aus der Schilderung des zeitlichen Witterungsverlaufes hervor. Auch hier ist in der Richtung von Nord nach Süd ein Anwachsen der Werte zu verzeichnen.

München, den 20. August 1913. Alt.

Tabelle I.

Station	Höhe über Normal-Null m	Luftdruck in mm: höchster am	höchster mm	tiefster am	tiefster mm	Monatsmittel lokal	Monatsmittel auf Meeresniveau reduziert	Temperatur C°: Mittel um 7a	2p	9p	Mittlere Tagestemperatur	Mittleres Maximum	Mittleres Minimum	Mittel aus Maximum u. Minimum	Mittlere Schwankung	Station
Ludwigshafen a. Rh.	100.3	1.	759.8	6., 7.	746.8	753.1	762.0	14.0	20.0	16.5	16.7	20.5	12.3	16.4	8.1	Ludwigshafen a. Rh.
Kahl a. M.	114.1	1.	757.7	7.	745.3	751.9	762.0	13.8	18.6	14.0	15.1	20.9	9.9	15.4	11.0	Kahl a. M.
Landau i. Pf.	149.9	1.	754.1	7.	743.0	748.5	761.7	15.7	19.8	15.1	16.4	21.0	11.7	16.3	9.3	Landau i. Pf.
Würzburg	179.3	1.	751.1	7.	738.9	745.4	761.3	13.2	18.7	14.4	15.2	19.8	10.8	15.3	9.0	Würzburg
Bad Kissingen	209.2	1.	748.3	7.	737.3	743.6	762.2	12.6	18.6	13.8	14.7	19.8	10.1	15.0	9.7	Bad Kissingen
Kaiserslautern	242.2	1.	747.1	23.	734.1	740.8	762.2	12.7	18.5	14.3	14.9	20.3	10.2	15.2	10.0	Kaiserslautern
Luitpoldheim	250							11.6	16.7	13.6	13.9	17.8	9.9	13.8	7.9	Luitpoldheim
Bamberg	287.7	1., 27.	740.9	7.	730.1	736.3	761.7	12.4	18.2	13.4	14.4	20.6	10.0	15.3	10.6	Bamberg
Nürnberg	309.1	27.	738.7	7.	728.1	734.1	761.3	13.1	18.4	14.5	15.1	19.1	10.8	14.9	8.3	Nürnberg
Passau	309.3	18., 27.	738.9	10.	729.3	734.4	761.6	12.2	18.0	14.3	14.7	19.1	10.7	14.9	8.4	Passau
Metten	320							12.4	18.9	14.1	14.9	21.0	9.4	15.2	11.7	Metten
Regensburg	354.3	18.	735.0	6.	724.6	730.6	761.6	12.5	17.5	14.1	14.5	18.7	10.5	14.6	8.3	Regensburg
Bayreuth	363.3	27.	734.2	7.	723.6	729.6	761.5	12.1	17.8	13.8	14.4	19.5	9.6	14.6	10.2	Bayreuth
Burghausen	365	18.	734.1	6.	723.6	729.3	761.4	12.6	18.6	13.2	14.4	20.5	9 9	15.2	10.6	Burghausen
Ingolstadt	368							12.1	19.0	13.4	14.5	20.8	8.4	14.6	12.4	Ingolstadt
Karlshuld	382.0	1.	732.4	6.. 7.	722.0	727.8	761.3	12.5	18.7	13.6	14.6	21.3	8.6	15.0	12.7	Karlshuld
Cham	386							11.1	17.6	13.3	13.8	19.3	9.8	14.6	9.5	Cham
Landshut	397.7	18.	731.3	6.	720.8	726.5	761.5	13.0	18.6	13.4	14.6	21.8	9.7	15.8	12.1	Landshut
Lindau i. B. (Reutin)	401.7	18.	732.3	6.	721.2	726.9	762.0	12.9	17.5	14.5	14.9	18.9	10.6	14.8	8.3	Lindau i. B. (Reutin)
Eggenfelden	417							13.4	18.6	13.5	14.8	19.6	10.2	14.9	9.4	Eggenfelden
Rohr	426							12.5	17.6	13.2	14.2	19.0	9.5	14.2	9.5	Rohr
Weissenburg i. B.	431	1.	728.8	7.	718.3	724.1	761.8	13.8	18.4	13.5	14.8	19.2	10.0	14.6	9.1	Weissenburg i. B.
Nördlingen	435.6	1.	727.7	6.	717.1	722.9	760.9	12.2	18.1	13.6	14.4	19.5	10.4	14.9	9.1	Nördlingen
Ansbach	437.5	18.	727.9	7.	717.3	723.3	761.4	12.6	17.9	12.8	14.0	19.0	9.4	14.2	9.6	Ansbach
Bad Reichenhall	470.4	18.	725.5	6.	714.8	720.6	761.7	12.5	17.2	13.2	14.0	19.3	10.5	14.9	8.8	Bad Reichenhall
Hof	476.1	27.	723.5	7.	713.0	718.6	760.2	11.3	17.1	11.6	12.9	18.8	8.4	13.6	10.5	Hof
Augsburg	499.6	1.	723.1	6.	712.0	718.2	761.4	12.5	18.7	14.3	14.9	19.7	10.8	15.3	8.8	Augsburg
Amberg M.H.B.	519							11.8	17.2	12.8	13.7	20.3	9.4	14.9	11.0	Amberg M.H.B.
München C.-St.	526.4	18.	721.6	6.	710.0	715.8	761.5	12.7	18.4	14.3	14.9	19.3	11.2	15.3	8.1	München C.-St.
Alexandersbad	590							11.3	15.2	11.7	12.5	16.4	8.9	12.6	7.5	Alexandersbad
Traunstein	597	18.	714.9	6.	704.8	710.3	762.1	12.0	16.6	12.4	13.3	17.8	9.6	13.7	8.2	Traunstein
Berchtesgaden	600							11.5	16.3	12.4	13.1	17.5	9.2	13.4	8.2	Berchtesgaden
Ottobeuren	660.0	17.	710.1	6.	699.3	705.0	762.1	12.2	17.4	12.1	13.4	18.6	9.1	13.9	9.5	Ottobeuren
Partenkirchen	716.8	18.	705.4	6.	694.3	700.4	762.3	10.2	15.3	11.5	12.1	16.7	8.8	12.8	7.9	Partenkirchen
Tegernsee	727.8	18.	704.1	6.	693.6	699.4	762.3	11.2	15.1	11.6	12.4	16.3	9.2	12.7	7.0	Tegernsee
Buchenau	750	27.	701.2	6.	690.9	696.2	761.0	10.2	14.6	10.8	11.6	16.0	8.3	12.1	7.6	Buchenau
Oberstdorf	811.4	18.	697.3	7.	687,1	692.4	762.0	10.8	16.0	11.1	12.2	17.6	8.0	12.8	9.6	Oberstdorf
Ettal	879 5	18.	690.2	6.	679.6	685.4	760.7	10.1	14.6	10.4	11.4	17.2	7.8	12.5	9.4	Ettal
Mittenwald	911.8	17.	688.6	6.	678.0	683.8	761.9	9.7	15.0	10.1	11.2	16.6	7.4	12,0	9.2	Mittenwald
Hohenpeissenberg	994.1	18.	681.7	6.	671.8	677.1	761.4	10.1	13.8	10.7	11.3	15.5	8.3	11.9	7.2	Hohenpeissenberg
Zugspitze	2964	14.	536.4	11.	524.8	530.7		- 2.3	- 0.6	- 1.5	- 1.5	0.5	- 3.3	- 1.4	3.8	Zugspitze

Tabelle II.

Station	Temperatur C°: höchste am	höchste C°	tiefste am	tiefste C°	grösste Schwankung am	grösste Schwankung C°	Dampfdruck Monatsmittel mm	Relative Feuchtigkeit %: Monatsmittel	kleinste am	kleinste %	grösste am	grösste %	Bewölkung Monatsmittel	Niederschlag: grösster am	grösster mm	Monats-Summe mm	Station
Ludwigshafen a. Rh.	14.	28.3	21.	8.8	28.	13.7	9.9	71	31.	36	19.	96	6.2	24.	21.2	102.6	Ludwigshafen a. Rh.
Kahl a. M.	14., 28.	28.0	1.	4.3	30.	19.0	10.4	81	31.	36	22.	100	6.7	20.	13.7	58.6	Kahl a. M.
Landau i. Pf.	14.	28.7	7.	7.3	14.	15.7	10.1	72	31.	40	20.	97	6.0	24.	17.8	68 1	Landau i. Pf.
Würzburg	14.	26.6	10.	7.7	14.	14.9	10.0	78	31.	36	öfters	98	6.4	20.	7.9	46.4	Würzburg
Bad Kissingen	14.	26.3	10.	6.1	14.	16.2	10.0	80	31.	39	öfters	98	6.7	20.	6.7	47.0	Bad Kissingen
Kaiserslautern	14.	28.0	1.	5.0	14.	17.3	9.9	79	14.	38	23.	98	7.1	24.	46.7	97.1	Kaiserslautern
Luitpoldheim	14.	24.5	10.	6.2	14.	14.3	10.1	85	31.	47	öfters	98	6.7	20.	8.5	64.8	Luitpoldheim
Bamberg	14.	27.9	10.	5.9	14.	17.4	10.0	82	31.	41	13.	100	7.5	20.	8 8	47.5	Bamberg
Nürnberg	14.	26.7	2.	8.1	14.	14.8	9.9	78	31.	31	11., 18.	97	7.6	20.	8.9	29.9	Nürnberg
Passau	14.	24.9	22.	5.8	27.	14.1	10.3	83	29.	50	23.	99	7.8	9.	34.1	131.7	Passau
Metten	14.	27.2	2.	4.8	13.	18.2	10.1	81	29.	35	öfters	99	7.0	9.	36.0	125.7	Metten
Regensburg	14.	24 6	2.	6.9	14.	13.2	10.1	82	31.	42	22.	100	7.2	9.	28.4	107.1	Regensburg
Bayreuth	14.	28.5	2.	5.4	14.	17.8	9.6	79	14.	39	29.	97	7.6	20.	9.2	41.1	Bayreuth
Burghausen	14., 26.	27.6	10.	3.0	26.	19.2	9.9	82	10.	35	7.	99	7.1	9.	37.0	157.4	Burghausen
Ingolstadt	14.	29.5	2.	3.2	14.	21.7	10.0	81	29.	39	öfters	98	7.5	25.	12.9	70.3	Ingolstadt
Karlshuld	14.	29.0	2.	4.0	14.	21.0	10.0	81	13.	31	4., 25.	100	7.1	5.	22.4	97.0	Karlshuld
Cham	14.	26.9	2.	6.1	14.	16.9							8.3	9.	23.1	87.0	Cham
Landshut	14.	30.3	2.	4.4	14.	20.2	9.9	80	29.	31	8., 24.	100	7.2	9.	36.8	107.0	Landshut
Lindau i. B. (Reutin)	27.	25.4	10.	6.3	14.	14.7	10.1	80	28.	46	öfters	97	6.6	9.	39.2	208.6	Lindau i. B. (Reutin)
Eggenfelden	14.	26.1	10.	6.0	14.	16.5							7.2	9.	49.3	157.2	Eggenfelden
Rohr	14.	27.3	10.	5.0	14.	17.3							6.6				Rohr
Weissenburg i. B.	14.	26.8	10.	6.9	28.	15.1	10.5	82	14., 29.	51	6.	99	7.3	5.	24.7	85.4	Weissenburg i. B.
Nördlingen	14.	26.3	10.	6.4	14.	15.0	9.6	79	31.	44	27.	97	7.3	12.	16.2	89.0	Nördlingen
Ansbach	14.	27.0	10.	5.6	14.	16.7	9.3	77	14.	46	öfters	96	6.3	23.	11.3	61.3	Ansbach
Bad Reichenhall	14.	28.2	10.	5.4	14.	16.4	9.8	82	2.	39	öfters	99	7.2	20.	33.8	276.2	Bad Reichenhall
Hof	14.	27.0	31.	3.6	13.	22.5	9.3	83	14.	40	öfters	99	7.6	20.	10.1	41.7	Hof
Augsburg	14.	28.4	10.	6.2	14.	16.7	9.4	75	10.	36	26.	97	6.8	9.	18.2	95.0	Augsburg
Amberg M.H.B.	14.	28.0	2.	5.6	14.	16.7							6.7	7.	9.5	57.5	Amberg M.H.B.
München C.-St.	14.	27.6	10.	6.8	14.	14.6	9.2	74	14.	34	19.	98	7.2	9.	50.9	157.9	München C.-St.
Alexandersbad	14.	23.1	2.	5.0	28.	12.8	9.2	84	14.	49	öfters	100	6.4	25.	12.7	64.1	Alexandersbad
Traunstein	14.	24.6	10.	4.0	14.	14.8	9.5	83	10, 13.	41	22., 23.	100	7.4	9.	42.3	218.4	Traunstein
Berchtesgaden	14.	24.1	10.	2.7	14.	15.9	9.1	81	10.	38	18.	96	8.0	20.	23.6	258.1	Berchtesgaden
Ottobeuren	14.	26.4	1.	4.8	13.	15.7	9.1	79	14.	39	17.	99	7.2	23.	43.3	198.9	Ottobeuren
Partenkirchen	14.	25.9	10.	4.2	14.	15.9	9.2	87	14.	42	öfters	100	7.1	9.	39.3	253.3	Partenkirchen
Tegernsee	14.	25.0	9.	4.3	14.	13.3	9.0	83	31.	48	18., 19.	99	7.3	9.	53.0	278.9	Tegernsee
Buchenau	14.	23.3	10.	5.1	14.	13.7	9.0	87	13.	45	18.	100	7.8	9.	37.2	188.3	Buchenau
Oberstdorf	14.	26.3	9.	2.2	14.	19.3	8.7	81	14.	30	20.	99	7.6	9.	40.7	314.9	Oberstdorf
Ettal	14.	27.8	9.	4.0	14.	19.3	8.7	86	13.	49	29.	100	7.0	9.	48.1	319.9	Ettal
Mittenwald	14.	25.1	9.	3.0	10., 14.	16.1	8.5	85	14.	37	18., 29.	100	7.8	9.	52.5	271.7	Mittenwald
Hohenpeissenberg	14.	24.4	9.	4.2	14.	11.8	7.8	79	14.	36	öfters	100	7.7	9.	37.3	175.2	Hohenpeissenberg
Zugspitze	30.	6.5	10.	- 7.8	10.	8.8	4.0	96	31.	42	öfters	100	8.8	9.	21.9	240.1	Zugspitze

Tabelle III.

Station	Tage mit										Tage				Anzahl der beobachteten Windrichtungen									Station
	Niederschlägen		Schneefall	Schneedecke	Graupeln	Hagel	Gewitter	Nebel	Reif	Tau	heitere	trübe	Tropen	Sommer	N	NE	E	SE	S	SW	W	NW	Stille	
	∥V 0,1mm	∥V 1,0mm																						
Ludwigshafen a. Rh.	16	11	–	–	–	–	2	–	–	3	6	11	–	7	10	9	2	6	8	27	12	7	12	Ludwigshafen a. Rh.
Kahl a. M.	16	12	–	–	–	–	–	3	–	5	4	15	–	5	–	2	6	9	4	34	3	1	34	Kahl a. M.
Landau i. Pf.	13	8	–	–	–	–	3	–	–	12	8	14	–	4	–	29	2	2	–	21	11	28	–	Landau i. Pf.
Würzburg	17	12	–	–	–	–	5	5	–	12	3	9	–	2	–	4	6	4	–	9	24	16	30	Würzburg
Bad Kissingen	18	13	–	–	–	–	1	5	–	11	3	13	–	3	12	4	11	1	9	13	26	4	13	Bad Kissingen
Kaiserslautern	15	11	–	–	–	1	4	5	–	15	2	17	–	4	8	2	10	2	4	2	19	13	33	Kaiserslautern
Luitpoldheim	20	14	–	–	–	–	4	12	–	10	2	13	–	–	–	3	9	–	3	29	7	2	40	Luitpoldheim
Bamberg	22	12	–	–	–	1	3	5	–	16	1	16	–	3	9	1	2	2	9	8	32	14	16	Bamberg
Nürnberg	12	11	–	–	–	–	6	12	–	14	1	17	–	1	2	3	4	8	6	12	25	26	7	Nürnberg
Passau	17	15	–	–	–	–	–	15	–	2	3	18	–	–	–	–	22	3	–	4	45	1	18	Passau
Metten	19	15	–	–	–	–	7	6	–	16	3	13	–	5	1	3	6	–	3	14	32	7	27	Metten
Regensburg	17	14	–	–	–	–	6	–	–	14	2	13	–	–	7	3	2	2	8	20	30	11	10	Regensburg
Bayreuth	17	10	–	–	1	–	6	12	–	15	1	18	–	2	1	8	5	5	–	8	24	21	21	Bayreuth
Burghausen	23	18	–	–	–	–	3	7	–	12	1	17	–	5	–	3	1	–	–	15	26	14	34	Burghausen
Ingolstadt	19	15	–	–	1	–	3	2	–	21	2	17	–	5	1	4	10	3	1	35	26	8	5	Ingolstadt
Karlshuld	18	15	–	–	–	–	4	2	–	12	3	18	–	5	–	8	–	–	1	17	30	1	36	Karlshuld
Cham	24	13	–	–	–	–	4	16	–	–	–	15	–	1	3	11	2	–	2	7	60	8	–	Cham
Landshut	22	17	–	–	–	–	4	1	–	9	2	17	1	5	2	3	5	–	1	9	43	3	27	Landshut
Lindau i. B. (Reutin)	20	18	–	–	–	–	2	–	–	16	5	14	–	2	3	7	1	1	34	10	18	–	19	Lindau i. B. (Reutin)
Eggenfelden	27	17	–	–	–	–	1	1	–	12	2	15	–	1	5	9	2	3	–	17	29	28	–	Eggenfelden
Rohr											2	14	–	1	2	25	2	–	–	3	22	38	1	Rohr
Weissenburg i. B.	17	12	–	–	1	–	4	4	–	3	1	14	–	2	1	8	7	6	7	12	27	16	9	Weissenburg i. B.
Nördlingen	19	13	–	–	–	–	5	1	–	8	2	17	–	3	7	6	3	4	5	16	34	12	6	Nördlingen
Ansbach	17	13	–	–	–	–	5	–	–	16	5	13	–	1	7	3	1	–	–	3	25	21	33	Ansbach
Bad Reichenhall	25	23	–	–	–	–	2	–	–	6	4	17	–	3	1	3	7	2	7	15	22	3	33	Bad Reichenhall
Hof	21	11	–	–	–	–	1	7	–	16	1	13	–	2	24	2	–	1	10	17	16	23	–	Hof
Augsburg	18	15	–	–	–	–	3	1	–	11	4	14	–	3	6	10	1	–	3	35	13	16	9	Augsburg
Amberg M.H.B.	19	14	–	–	–	–	9	4	–	13	3	11	–	2	17	3	6	2	4	4	42	10	5	Amberg M.H.B.
München C.-St.	24	18	–	–	–	–	4	1	–	9	3	18	–	1	–	3	5	–	–	23	28	9	25	München C.-St.
Alexandersbad	14	12	–	–	–	1	7	3	–	9	2	11	–	–	9	15	6	–	1	5	21	26	10	Alexandersbad
Traunstein	25	21	–	–	–	–	3	–	–	3	1	15	–	–	5	4	5	4	16	4	50	5	–	Traunstein
Berchtesgaden	22	21	–	–	–	–	5	1	–	12	1	21	–	–	–	1	14	1	–	–	–	–	77	Berchtesgaden
Ottobeuren	22	19	–	–	–	1	6	1	–	12	4	18	–	1	–	5	6	1	1	48	7	3	22	Ottobeuren
Partenkirchen	26	21	–	–	–	–	5	–	–	8	5	16	–	1	5	1	–	9	5	–	4	13	56	Partenkirchen
Tegernsee	23	22	–	–	–	–	2	–	–	?	3	17	–	–	–	–	6	32	–	1	8	4	42	Tegernsee
Buchenau	22	17	–	–	–	1	6	1	–	16	2	20	–	–	1	2	32	1	–	5	31	4	17	Buchenau
Oberstdorf	24	22	–	–	–	–	3	4	–	10	2	21	–	1	11	1	1	2	18	3	14	10	33	Oberstdorf
Ettal	26	22	–	–	–	1	6	–	–	12	2	14	–	1										Ettal
Mittenwald	26	22	–	–	–	–	5	1	–	6	3	21	–	1	–	9	6	5	9	3	2	–	59	Mittenwald
Hohenpeissenberg	24	21	–	–	–	–	4	15	–	1	3	20	–	–	5	11	6	1	–	25	24	19	2	Hohenpeissenberg
Zugspitze *)	25	24	18	31	5	–	4	30	–	–	–	25	–	–	18	2	2	5	1	1	4	56	4	Zugspitze

*) 28 Frosttage, 12 Wintertage.

Übersicht über die Witterungsverhältnisse im Königreiche Bayern

während des August 1913.

Das heitere Sommerwetter, das gegen Ende des Juli eingetreten war, hielt auch während der ersten Tage des August noch an. Vom 5. ab trat dann eine Änderung des Wetters ein; die Bewölkung nahm im allgemeinen zu, die Temperaturen sanken und häufige Niederschläge traten auf. Erst vom 22. August ab herrschte wieder vorwiegend heiteres und sommerlich warmes Wetter, das nur durch vereinzelte gewitterige Störungen auf kurze Zeit unterbrochen wurde.

Da in den Perioden heiteren Wetters die Temperaturen nur wenig über das normale Niveau hinausgingen, in der 17tägigen Epoche vorwiegend bewölkten und regnerischen Wetters jedoch erheblich unter den Durchschnittswerten lagen, so mussten die Monatsmittel der Temperatur ziemlich erheblich unter den Normalbeträgen bleiben. An der überwiegenden Mehrzahl unserer Beobachtungsorte betrugen die Differenzen zwischen dem diesjährigen und dem aus langen Reihen abgeleiteten Temperaturmittel zwischen 1 und 2 Grad, nur vereinzelt wurde auch diese Grenze noch überschritten.

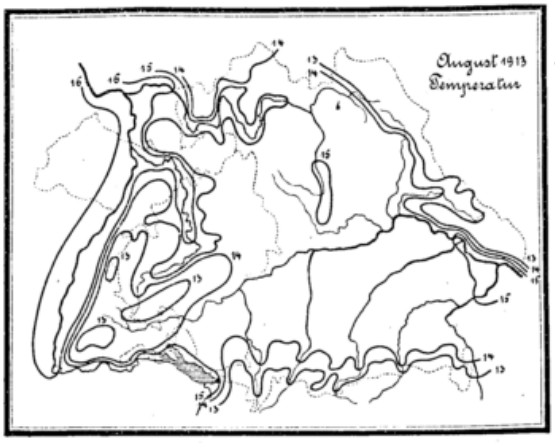
Betrachten wir, um zu einer allgemeinen Charakteristik des Berichtsmonats zu gelangen, auch noch kurz die Niederschlagsverhältnisse, so müssen wir das Alpengebiet und dessen unmittelbares Vorland, ferner das Gelände zwischen dem unteren Lech und der unteren Isar, sowie das obere Main- und Naabgebiet als niederschlagsreich ansprechen, indem in den angeführten Gegenden die Regenmengen des August den langjährigen Betrag um 10 bis 30 Prozent übertrafen. Im übrigen Bayern, sowie in der Pfälzer Rheinebene wurden 50 bis 90 Prozent des normalen Betrages gemessen, nur in der Westpfalz und an den östlichen Abhängen von Spessart und Rhön ergaben sich noch geringere Verhältniswerte.

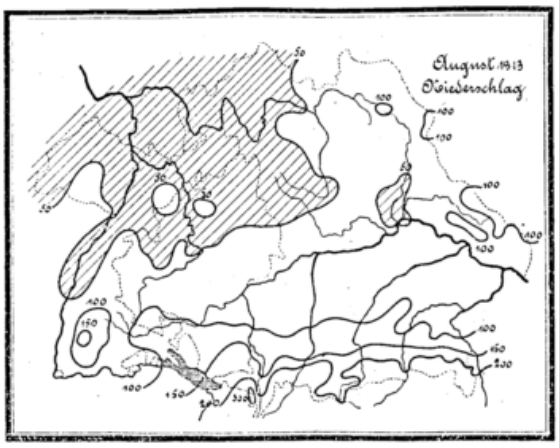
Der zeitliche Verlauf der Witterung möge an Hand der täglichen Wetterkarten in seinen hauptsächlichsten Phasen kurz geschildert werden: Zu Beginn des Monats lag ein barometrisches Maximum westlich der britischen Inseln und von dort erstreckte sich hoher Druck bis Nordwestdeutschland herein. Niedriger Barometerstand bedeckte Südost- und Südeuropa. Diese Luftdruckverteilung, welche in ihren Grundzügen bis zum 4. August erhalten blieb, bedingte über Süddeutschland nordöstliche Winde und vorwiegend heiteres, trockenes und mässig warmes Wetter. Bis zum Morgen des 5. August war eine Depression vom nördlichen Eismeere nach dem Ostseegebiete eingebrochen, welche das Hochdruckgebiet über Zentraleuropa rasch nach den britischen Inseln zurückdrängte. Die Bewölkung nahm zu und bei stark sinkenden Temperaturen kam es zu verbreiteten Niederschlägen. Da über Russland hoher Luftdruck bestand, so fand die Ostseedepression keinen Abzugsweg; sie blieb mit nur geringen Ortsveränderungen über dem Ostseegebiete liegen, wobei sie mit Ausläufern und Randgebilden bald mehr, bald weniger weit nach Zentraleuropa hereingriff. Die Witterung über unserem Gebiete trug dementsprechend unbeständigen Charakter; die Bewölkung war raschen Änderungen unterworfen, zeitweise fiel bei andauernd kühlen Temperaturen leichter Regen. Bis zum Morgen des 12. August war eine neue Depression vom Schwarzen Meere nach Westrussland vorgedrungen und hatte mit den über der Ostsee vorhandenen Störungen Verbindung gefunden. Die durch den Zuzug verstärkte Ostseedepression wurde nun wieder das beherrschende Aktionszentrum für die Witterung unseres Gebietes. Die Bewölkung nahm zu und die Regenfälle traten mit vermehrter Häufigkeit und verstärkter Intensität auf. Insbesondere vom 15. ab, als sich die Depression südwärts nach den Karpathenländern verlagert hatte und im Nordwesten unseres Gebietes gleichzeitig der Luftdruck anstieg, gestaltete sich die Witterung sehr unfreundlich. Bei nordwestlichen Winden herrschte meist trübes, kühles und regnerisches Wetter. Die Depression behielt aber ihre eingeschlagene südliche Richtung nicht bei, sondern wandte sich bald wieder nach dem Ostseegebiete zurück. Bereits am 18. hatte sie die ostpreussische Ostseeküste erreicht, um bis zum folgenden Tage noch etwas weiter nordwärts sich zu verlagern. Bis zum 21. August blieb nun die Depression über der Ostsee stationär und bedingte Fortdauer des vorwiegend trüben und regnerischen Wetters. Die Temperaturen hatten vom 16. ab eine allmähliche Steigerung erfahren, die bis zum 19. oder 20. anhielt. Der 21. brachte wieder einen merklichen Temperaturrückgang. Eine durchgreifende Änderung der Luftdruckverteilung und damit auch der Witterung trat am 22. ein. Von Südwesten her drang hoher Druck kräftig nach Zentraleuropa vor, so dass die Wirkung der Ostseedepression ausgeschaltet wurde. Gleichzeitig war bei Island ein neues tiefes Minimum erschienen, welches sich rasch gegen Skandinavien ausbreitete und die Ostseedepression in sich aufnahm. Über ganz Zentraleuropa klarte es auf und als sich der Maximalkern noch weiter ostwärts verlagerte, stiegen am 23. und 24. auch die Temperaturen kräftig an. Neue Störungen, welche sich in der Ostsee entwickelt hatten, konnten in der Nacht vom 24. auf den 25. August nur eine kurzdauernde Verschlechterung des Wetters verursachen. Bald erlangte wieder hoher Luftdruck die Herrschaft über die Witterung unseres Gebietes und behauptete dieselbe bis gegen Monatsende. Bis zum Morgen des 30. waren Störungen von der Biskayasee nach Nordfrankreich und die südliche Nordsee vorgedrungen und hatten in der Pfalz und in Nordwestbayern stärkere Bewölkung und stellenweise Regen zur

Folge. Auch im Mittelmeere hatten sich flache Minima ausgebildet, welche im Alpengebiete und in dessen unmittelbarem Vorlande Niederschläge hervorriefen. Im übrigen Bayern äusserten sich die Störungen nur durch zeitweise Zunahme der Bewölkung.

Von den kartographischen Darstellungen bezieht sich die erste auf die Temperaturverteilung über Süddeutschland. Die höchsten Mitteltemperaturen mit mehr als 16, stellenweise auch mehr als 17 Grad wurden in der oberrheinischen Tiefebene und in den tieferen Tallagen der Rheinzuflüsse ermittelt. Mit wachsender Seehöhe nehmen die Mitteltemperaturen ab, so dass die Isothermen, wie gewöhnlich, ziemlich genau dem Verlaufe der Höhenkurven folgen. Dies gilt auch für die entsprechenden Darstellungen der mittleren Extreme mit einer fast in jedem Monate zu konstatierenden Ausnahme. Das Gebiet, das sich vom Nordrand der bayerischen Hochebene (diese begrenzt durch die Isohypse für 500 m) nach der Donauebene hinabsenkt, ist wieder durch auffallend hohe mittlere Maximalwerte ausgezeichnet, welche nicht nur die entsprechenden Beträge der milden oberrheinischen Tiefebene erreichen, sondern dieselben stellenweise nicht unerheblich überragen. Andererseits finden sich auf dem gleichen Gebiete mittlere Minima, welche denen in den eigentlichen Gebirgslagen ermittelten nahe stehen und stellenweise um 4 bis 5 Grad unter den korrespondierenden Werten liegen, welche an den Stationen der Rheinebene abgeleitet wurden. Aus diesen Verhältnissen resultierte für das fragliche Gebiet eine mittlere Schwankung, welche mit mehr als 13 und 14 Grad in keiner anderen Gegend erreicht wurde. Zumeist schwankt der Wert für dieses Element zwischen 9 und 12 Grad, nur im unteren Maintal und vereinzelt auch in anderen engbegrenzten Bezirken wurden noch Beträge über 12 Grad berechnet.

Die Zahl der Sommertage war nur gering, wie dies bei dem Vorwiegen zyklonaler Witterung zu erwarten war. In der Rheinebene, ferner im Maintale bis Bamberg aufwärts, sowie auf dem Gebiete, das sich vom Donaumoos gegen





Landshut erstreckt, wurden zwischen 5 und 10 Sommertage gezählt, andererseits kam in den Mittelgebirgsgegenden und im Alpengebiete überhaupt kein Tag mit einer Maximaltemperatur von mehr als 25 Grad zur Aufzeichnung. Nähere Angaben mögen der entsprechenden Rubrik der beigedruckten Tabelle III entnommen werden.

Unser zweites Kärtchen bezieht sich auf die Niederschlagsverteilung in Süddeutschland. Zunächst finden wir im Nordwesten Süddeutschlands ein ausgedehntes Trockengebiet mit monatlichen Regenmengen unter 50 mm. Mit dem Anstiege gegen die Kammhöhe des Jurazuges wächst die Niederschlagsmenge an, erreicht aber erst auf den Höhen des Fichtelgebirges, des Bayerischen und Böhmer Waldes, des südlichen Schwarzwaldes, sowie im Alpenvorland mehr als 100 mm. Im Alpengebiete nimmt mit wachsender Erhebung des Geländes die Regenmenge sehr schnell zu und erreicht in besonders exponierten Lagen über 250 und selbst 300 mm. Das Kartenbild zeigt deutlich, dass die Niederschläge des Berichtsmonats vorzugsweise als Geländeregen bei nordwestlichen Winden fielen. Aus der Schilderung des zeitlichen Verlaufes des Witterungsverlaufes wissen wir, dass die Niederschläge hauptsächlich in der Zeit vom 5. bis 21. August fielen. Über die maximalen Niederschlagsmengen gibt die entsprechende Spalte der Tabelle II Aufschluss.

Die mittlere Bewölkungsziffer bewegte sich an der überwiegenden Mehrzahl unserer Beobachtungsorte zwischen 5 und 6 Zehnteln der vollen Bedeckung. Überschreitungen der angeführten Grenzen fanden nur innerhalb kleiner Bezirke und in sehr geringem Masse statt. Die Zahl der heiteren Tage war am grössten in der Pfälzer Rheinebene und am Uferland des Bodensee, wo mehr als 10 solcher Tage gezählt wurden. Andererseits wurden im Osten Südbayerns, aber auch an einigen durch häufige nebelige Trübungen benachteiligten Lagen Nordbayerns nur weniger als 5 heitere Tage aufgezeichnet. Die Zahl der trüben Tage schwankt an der Mehrzahl unserer Stationen zwischen 9 und 12.

Die mittleren auf Meeresniveau reduzierten Barometerstände liegen nahe bei 763 mm, ohne ein allgemeines Gefälle nach einer bestimmten Richtung erkennen zu lassen. Die vorherrschenden Windrichtungen waren West und Nordwest, wo nicht die Konfiguration des Geländes eine lokale Ablenkung bedingte.

München, den 22. September 1913. Alt.

Tabelle I.

Station	Höhe über Normal-Null m	Luftdruck in mm: höchster am	höchster mm	tiefster am	tiefster mm	Monatsmittel lokal	Monatsmittel auf Meeresniveau reduziert	Temperatur C°: Mittel um 7a	2p	9p	Mittlere Tagestemperatur	Mittleres Maximum	Mittleres Minimum	Mittel aus Maximum u. Minimum	Mittlere Schwankung	Station
Ludwigshafen a. Rh.	100.3	26.	761.7	30.	748.7	754.4	763.2	14.0	21.2	17.8	17.7	21.7	12.6	17.1	9.1	Ludwigshafen a. Rh.
Kahl a. M.	114.1	26.	760.2	6.	748.2	753.1	763.3	13.4	20.6	14.5	15.7	22.1	10.0	16.0	12.1	Kahl a. M.
Landau i. Pf.	149.9	26.	756.0	9.	744.6	749.4	762.7	15.6	20.8	15.7	16.9	21.6	12.1	16.9	9.5	Landau i. Pf.
Würzburg	179.3	26.	754.5	9.	741.9	746.5	762.4	12.6	19.9	15.1	15 7	20.8	11.0	15.9	9.8	Würzburg
Bad Kissingen	209.2	26.	752.6	9.	740.3	745.0	763.6	11.3	19.5	13.9	14.7	21.1	9.1	15.1	12.0	Bad Kissingen
Kaiserslautern	242.2	26.	748.8	30.	736.4	742.0	763.4	12.4	20.3	15.1	15.7	21.1	10.4	15.7	10.8	Kaiserslautern
Luitpoldheim	250							11.2	18.6	14.6	14.8	19.4	9.3	14.3	10.0	Luitpoldheim
Bamberg	287.7	26.	745.5	6.	732.5	737.8	763.2	11.8	19.1	14.1	14.8	21.0	9.8	15.4	11.2	Bamberg
Nürnberg	309.1	26.	743.4	6.	729.7	735.6	762.8	12.5	19.0	15.1	15.4	19.7	10.2	15.0	9.6	Nürnberg
Passau	309.3	26.	742.4	6.	730.8	735.9	763.2	12.0	19.5	14.5	15.1	20.4	10.6	15.5	9.8	Passau
Metten	320							12.3	19.6	14.1	15.0	21.1	9.0	15.1	12.0	Metten
Regensburg	354.3	26.	739.4	6.	725.9	732.0	763.2	11.9	18.6	14.3	14.8	19.4	10.3	14.8	9.1	Regensburg
Bayreuth	363.3	26.	739.2	6.	725.7	731.2	763.2	11.3	18.8	14.0	14.5	20.1	9.0	14.5	11.1	Bayreuth
Burghausen	365	26.	737.7	6.	724.3	730.8	762.9	12.3	19.7	13.2	14.6	21.4	8.8	15.1	12.6	Burghausen
Ingolstadt	368							11.6	20.1	13.6	14.7	21.7	8.6	15.1	13.1	Ingolstadt
Karlshuld	382.0	26.	736.5	6.	722.8	729.2	762.7	12.4	19.3	14.0	14.9	21.7	7.9	14.8	13.8	Karlshuld
Cham	386							11.0	18.7	14.0	14.4	20.5	9.7	15.1	10.8	Cham
Landshut	397.7	26.	734.9	6.	721.5	727.8	762.8	12.0	19.9	13.3	14.6	23.3	9.2	16.2	14.1	Landshut
Lindau i. B. (Reutin)	401.7	26.	733.9	6.	722.8	727.9	763.0	13.3	18.9	15.3	15.7	20.5	11.1	15.8	9.4	Lindau i. B. (Reutin)
Eggenfelden	417							13.3	19.2	13.7	15.0	20.5	9.7	15.1	10.8	Eggenfelden
Rohr	426							12.6	18.8	13.6	14.6	19.9	9.5	14.7	10.5	Rohr
Weissenburg i. B.	431	26.	733.4	6.	719.3	725.4	763.1	13.8	19.0	13.8	15.1	19.9	10.1	15.0	9.8	Weissenburg i. B.
Nördlingen	435.6	26.	731.3	6.	717.9	724.1	762.2	12.1	19.0	14.1	14.8	20.2	10.4	15.3	9.8	Nördlingen
Ansbach	437.5	26.	731.9	6.	718.9	724.7	763.0	12.0	18.6	12.8	14.1	19.5	9.1	14.3	10.3	Ansbach
Bad Reichenhall	470.4	26.	728.7	6., 30.	716.9	722.0	763.0	13.2	18.7	13.8	14.8	20 6	10.8	15.7	9.8	Bad Reichenhall
Hof	476.1	26.	727.5	6.	715.6	720.1	761.9	9.9	17.9	11.6	12.7	19.1	7.1	13.1	12.0	Hof
Augsburg	499.6	26.	726.7	6.	712.6	719.8	763.3	12.6	19.7	15.1	15.6	20.6	10.2	15.4	10.4	Augsburg
Amberg M.H.B.	519							11.8	17.6	13.5	14.1	20.4	10.0	15.2	10.4	Amberg M.H.B.
München C.-St.	526.4	26.	724.0	6.	710.6	717.1	762.7	13.2	19.5	15.2	15.7	20.3	11.6	15.9	8.7	München C.-St.
Alexandersbad	590							10.2	15.8	11.7	12.4	17.0	8.1	12.6	8.9	Alexandersbad
Traunstein	597	26.	718.0	6.	705.8	711.5	763.2	11.8	18.0	13.1	14.0	18.9	9 7	14.3	9.3	Traunstein
Berchtesgaden	600							11.7	17.6	13.2	13.9	18.3	9.7	14.0	8.6	Berchtesgaden
Ottobeuren	660.0	26.	712.4	6.	701.5	706.2	763.2	12.5	19.0	12.8	14.3	19.9	9.2	14.5	10.7	Ottobeuren
Partenkirchen	716.8	26.	708.2	6.	694.7	701.7	763.5	10.9	17.3	12.7	13.4	18.5	9.4	13.9	9.0	Partenkirchen
Tegernsee	727.8	26.	706.9	6.	693.9	700.7	763.3	12.7	17.3	12.6	13.8	18.2	10.1	14.1	8.1	Tegernsee
Buchenau	750	26.	704.6	6.	692.8	697.8	762.6	10.3	16.0	11.0	12.1	17.2	8.8	13.0	8.5	Buchenau
Oberstdorf	811.4	26.	699.3	6.	686.6	693.5	763.1	10.8	18.2	11.7	13.1	19.0	7.9	13.5	11.1	Oberstdorf
Ettal	879.5	26.	692.7	8.	679.5	686.6	761.7?	11.2	16.8	11.3	12.6	18.4	8.3	13.4	10.1	Ettal
Mittenwald	911.8	26.	691.4	6.	679.8	685.2	763.2	10.5	16.9	10.9	12.3	18.0	7.7	12.8	10.3	Mittenwald
Hohenpeissenberg	994.1	26.	684.1.	6.	672.6	678.4	762.5	11.5	15.3	12.1	12.8	16.0	10.1	13.1	5.9	Hohenpeissenberg
Zugspitze	2964	26.	538.4	9.	527.4	532.8		− 0.5	1.3	− 0.1	0.2	2.3	− 1.7	0.3	4.0	Zugspitze

Tabelle II.

Station	Temperatur C°: höchste am	höchste C°	tiefste am	tiefste C°	grösste Schwankung am	grösste Schwankung C°	Dampfdruck Monatsmittel mm	Relative Feuchtigkeit %: Monatsmittel	kleinste am	kleinste %	grösste am	grösste %	Bewölkung Monatsmittel	Niederschlag: grösster am	grösster mm	Monats-Summe mm	Station
Ludwigshafen a. Rh.	4.	27.4	5., 7.	10.0	4.	16.4	9.9	68	1.	28	öfters	94	4.6	15.	12.8	43.7	Ludwigshafen a. Rh.
Kahl a. M.	23.	27.8	7.	4.1	3.	18.9	10.1	77	23.	30	14.	100	5.5	15.	17.6	41.1	Kahl a. M.
Landau i. Pf.	4.	27.8	18.	8.7	4.	14.0	10.3	71	4.	34	9.	98	5.4	5.	14.0	45.4	Landau i. Pf.
Würzburg	24.	27.0	8.	7.8	3.	17.1	9.8	76	4.	37	11.	99	5.1	5.	15.3	35.8	Würzburg
Bad Kissingen	24.	27.4	8.	5.2	24.	19.0	9.6	79	1.	33	22.	99	5.5	17.	4.8	18.9	Bad Kissingen
Kaiserslautern	4.	27.1	7.	6.0	3.	18.1	9.7	74	1., 7.	35	öfters	94	5.8	11.	4.3	24 6	Kaiserslautern
Luitpoldheim	4., 23.	24.8	7., 8.	5.3	23.	16.6	9.9	80	1., 23.	44	22.	99	5.9	11.	8.9	18.8	Luitpoldheim
Bamberg	24.	28.1	8.	4.8	24.	17.2	10.0	80	1.	41	15.	100	6.7	16.	15.5	62.3	Bamberg
Nürnberg	24.	26.4	8.	6.4	4.	16.1	9.3	73	1.	33	16.	97	5.7	16.	25.0	45.0	Nürnberg
Passau	24.	26.0	1., 9.	7.1	23.	16.4	10.7	84	23.	38	19., 30.	99	6.3	7.	10.3	62.6	Passau
Metten	4.	26.5	8.	4.9	1.	19.6	10.4	82	1.	34	19.	100	5.6	18.	24.5	89.4	Metten
Regensburg	4.	24.3	27.	6.5	27.	14.5	10.4	84	4.	39	20., 22.	100	5.1	17.	10.5	49.9	Regensburg
Bayreuth	24.	28.0	27.	4.2	4.	20.0	9.5	79	1.	42	20.	99	5.7	16.	19.6	81.8	Bayreuth
Burghausen	5.	28.5	28.	4.0	24.	19.8	10.3	83	1.	38	öfters	100	5.7	22.	22.1	95.2	Burghausen
Ingolstadt	4.	28.0	1.	3.4	4.	20.8	10.0	81	1.	34	20.	98	5.8	16.	16.2	67.6	Ingolstadt
Karlshuld	4.	29.0	27.	2.8	4.	21.6	10.3	81	4.	33	28.	100	5.5	17.	23.4	87.6	Karlshuld
Cham	24.	27.4	1.	5.0	4.	18.9							6.4	17.	17.6	73.9	Cham
Landshut	24.	32.2	27.	5.2	24.	22.0	10.1	81	1.	34	öfters	99	5.3	21.	24.4	96.4	Landshut
Lindau i. B. (Reutin)	5.	25.9	11., 18.	8.1	23.	16.9	10.8	81	1.	41	6.	99	5.0	7.	33.3	156.5	Lindau i. B. (Reutin)
Eggenfelden	24.	27.1	9.	5.3	24.	18.3							6.0	16.	15.5	72.0	Eggenfelden
Rohr	4.	26.3	27.	5.5	4.	17.8							5.6				Rohr
Weissenburg i. B.	24.	26.1	öfters	6.9	3.	17.1	10.6	82	4.	45	18.	99	5.9	16.	27.9	55 4	Weissenburg i. B.
Nördlingen	4.	27.0	9.	7.7	23., 24.	15.9	9.8	78	4.	35	6., 20.	97	6.0	6.	19.8	62.1	Nördlingen
Ansbach	24.	26.2	8.	5.4	3.	16.7	9.1	76	1.	39	16.	97	4.7	10.	8.6	32.2	Ansbach
Bad Reichenhall	24.	28.0	16.	7.0	29.	16.7	10.3	82	27.	40	öfters	99	5.8	16.	44.9	180.5	Bad Reichenhall
Hof	24.	27.1	27.	1.6	24.	20.6	9.2	84	23.	41	öfters	99	6.4	17.	22.7	67.5	Hof
Augsburg	4.	27.3	11.	7.2	23.	17.1	9.8	75	1., 4.	35	14.	97	5.5	7.	16.2	81.9	Augsburg
Amberg M.H.B.	4.	27.0	7., 9.	6.2	23.	16.9							5.6	16.	18.0	75.8	Amberg M.H.B.
München C.-St.	24.	27.7	16.	8.6	23.	14.7	9.6	73	4.	32	19., 21.	95	5 6	16.	33.6	98.0	München C.-St.
Alexandersbad	24.	24.7	9.	3.4	24.	16.2	9.0	84	1.	44	öfters	100	5.0	16.	16.0	45.7	Alexandersbad
Traunstein	24.	25.8	11.	6.4	24.	15.7	10.1	84	3.	40	15., 22.	99	5.8	16.	60.9	181.6	Traunstein
Berchtesgaden	24.	24.4	öfters	6.2	23.	16.1	9.6	82	27.	43	öfters	96	6.4	16.	40.0	193.0	Berchtesgaden
Ottobeuren	24.	26.1	18.	6.0	23.	17.2	9.5	78	4.	38	20., 21.	97	5.1	7., 21.	18.8	113.9	Ottobeuren
Partenkirchen	24.	25.4	17.	5.2	23.	15.0	9.5	84	5.	33	öfters	100	5.0	25.	35.3	196.9	Partenkirchen
Tegernsee	24.	25.7	15.	7.3	24.	13.7	9.4	79	24.	42	21.	99	5.5	16.	40.5	211.6	Tegernsee
Buchenau	24.	23.6	1.	5.5	23.	15.1	9.2	86	23., 26.	44	17., 18.	100	5.6	17.	41.3	124.3	Buchenau
Oberstdorf	29.	24.5	17.	3.0	23.	19.2	9.2	82	23.	23	öfters	100	5.6	21.	36.8	233.6	Oberstdorf
Ettal	24.	24.9	17.	4.3	23.	16.2	9.1	83	5.	35	12.	100	4.9	7.	33.5	221.5	Ettal
Mittenwald	24., 29.	24.6	17.	3.7	27.	16.4	8.9	83	24.	35	öfters	100	5.8	20.	24.1	202.8	Mittenwald
Hohenpeissenberg	24.	22.7	16.	6.5	23.	9.9	8.3	76	23.	34	öfters	100	6.0	20.	49.7	182.6	Hohenpeissenberg
Zugspitze	24.	7.7	14.	− 8.9	23.	6.4	4.2	89	1.	33	öfters	100	7.3	7.	25.1	188.4	Zugspitze

Tabelle III.

Station	Tage mit Niederschlägen ≥ 0,1 mm	Tage mit Niederschlägen ≥ 1,0 mm	Schneefall	Schneedecke	Graupeln	Hagel	Gewitter	Nebel	Reif	Tau	Tage heitere	Tage trübe	Tropen	Sommer	Anzahl der beobachteten Windrichtungen N	NE	E	SE	S	SW	W	NW	Stille	Station
Ludwigshafen a. Rh.	13	9	–	–	–	–	3	1	–	8	12	7	–	5	16	5	1	5	9	17	9	11	20	Ludwigshafen a. Rh.
Kahl a. M.	6	5	–	–	–	–	1	–	–	16	8	10	–	8	–	7	6	4	4	20	6	3	43	Kahl a. M.
Landau i. Pf.	12	8	–	–	–	–	3	–	–	12	10	10	–	6	1	37	2	2	1	19	6	25	–	Landau i. Pf.
Würzburg	13	9	–	–	–	–	2	6	–	15	7	8	–	5	1	3	5	4	4	7	9	24	36	Würzburg
Bad Kissingen	10	7	–	–	–	–	–	4	–	17	8	9	–	4	13	3	3	2	11	8	12	8	33	Bad Kissingen
Kaiserslautern	11	10	–	–	–	–	4	6	–	20	7	12	–	4	3	2	7	6	–	5	14	7	49	Kaiserslautern
Luitpoldheim	12	5	–	–	–	–	4	9	–	15	6	12	–	–	–	2	1	4	3	33	13	5	32	Luitpoldheim
Bamberg	16	10	–	–	–	–	4	1	–	23	2	13	–	6	7	–	5	6	11	7	25	22	10	Bamberg
Nürnberg	9	6	–	–	1	–	3	7	–	18	5	10	–	2	5	6	12	7	8	7	16	22	10	Nürnberg
Passau	14	10	–	–	–	–	2	22	–	–	1	9	–	2	–	–	4	–	10	12	22	–	45	Passau
Metten	15	11	–	–	–	–	6	7	–	19	4	9	–	4	1	3	6	8	7	4	21	10	33	Metten
Regensburg	16	12	–	–	–	–	2	5	–	20	9	7	–	–	5	5	4	5	3	18	20	8	25	Regensburg
Bayreuth	9	8	–	–	–	–	2	4	–	21	6	10	–	3	4	5	17	8	1	7	24	14	13	Bayreuth
Burghausen	18	12	–	–	–	–	6	10	–	13	4	9	–	3	3	3	1	–	–	4	16	8	58	Burghausen
Ingolstadt	15	11	–	–	1	–	6	1	–	24	5	9	–	5	–	7	20	2	1	11	32	15	5	Ingolstadt
Karlshuld	15	10	–	–	–	–	5	8	–	14	8	9	–	6	–	10	7	–	–	8	26	1	41	Karlshuld
Cham	16	11	–	–	–	–	2	11	–	–	–	6	–	3	4	9	8	1	1	8	49	13	–	Cham
Landshut	16	12	–	–	–	–	5	2	–	16	6	7	1	10	4	5	12	1	1	10	32	6	22	Landshut
Lindau i. B. (Reutin)	19	16	–	–	–	1	8	–	–	20	11	10	–	3	2	16	–	1	27	3	21	5	18	Lindau i. B. (Reutin)
Eggenfelden	17	12	–	–	–	1	6	7	–	18	4	11	–	1	4	14	7	3	1	16	23	25	–	Eggenfelden
Rohr											5	5	–	2	–	20	17	2	–	13	16	25	–	Rohr
Weissenburg i. B.	16	10	–	–	–	–	5	3	–	18	4	10	–	2	8	9	7	6	8	12	21	17	5	Weissenburg i. B.
Nördlingen	14	11	–	–	–	1	6	1	–	11	6	12	–	2	8	4	5	11	3	10	22	14	16	Nördlingen
Ansbach	17	7	–	–	–	1	3	–	–	19	11	6	–	2	8	5	2	–	1	5	13	16	43	Ansbach
Bad Reichenhall	20	16	–	–	–	–	4	–	–	10	6	10	–	3	–	3	14	1	6	22	16	1	30	Bad Reichenhall
Hof	14	10	–	–	–	–	3	8	–	22	1	10	–	3	17	4	1	10	7	11	9	34	–	Hof
Augsburg	13	10	–	–	–	–	5	1	–	13	6	11	–	4	2	13	5	6	–	26	8	18	15	Augsburg
Amberg M.H.B.	13	9	–	–	–	–	2	8	–	17	4	11	–	2	23	6	6	6	2	2	26	13	9	Amberg M.H.B.
München C.-St.	16	14	–	–	–	1	6	1	–	16	7	9	–	2	1	4	10	3	–	25	17	10	23	München C.-St.
Alexandersbad	8	7	–	–	–	–	1	2	–	15	7	7	–	–	6	11	3	–	2	5	27	15	24	Alexandersbad
Traunstein	18	14	–	–	1	1	7	2	–	15	3	9	–	1	3	3	20	4	15	2	37	9	–	Traunstein
Berchtesgaden	21	18	–	–	–	–	7	1	–	15	4	10	–	–	–	–	12	–	–	–	–	–	81	Berchtesgaden
Ottobeuren	20	15	–	–	–	–	6	2	–	16	9	10	–	1	–	14	4	3	–	33	1	5	33	Ottobeuren
Partenkirchen	20	17	–	–	–	–	5	–	–	13	8	11	–	1	3	–	–	12	10	2	3	15	48	Partenkirchen
Tegernsee	19	15	–	–	–	–	6	–	–	4	6	10	–	1	–	–	19	29	5	2	10	7	21	Tegernsee
Buchenau	14	13	–	–	1	–	1	1	–	21	6	10	–	–	–	5	34	–	1	3	23	3	24	Buchenau
Oberstdorf	18	17	–	–	–	–	6	2	–	20	8	11	–	–	26	1	–	–	15	4	9	8	30	Oberstdorf
Ettal	19	16	–	–	–	–	7	1	–	19	10	8	–	–										Ettal
Mittenwald	17	17	–	–	–	–	6	–	–	12	5	12	–	–	2	8	3	2	13	1	2	3	59	Mittenwald
Hohenpeissenberg	18	16	–	–	–	–	6	10	–	2	6	12	–	–	4	20	7	7	–	20	20	12	3	Hohenpeissenberg
Zugspitze*)	19	17	13	23	5	–	5	27	–	–	1	15	–	–	16	–	–	5	4	7	10	48	3	Zugspitze

*) 20 Frosttage, 7 Wintertage.

Übersicht über die Witterungsverhältnisse im Königreiche Bayern

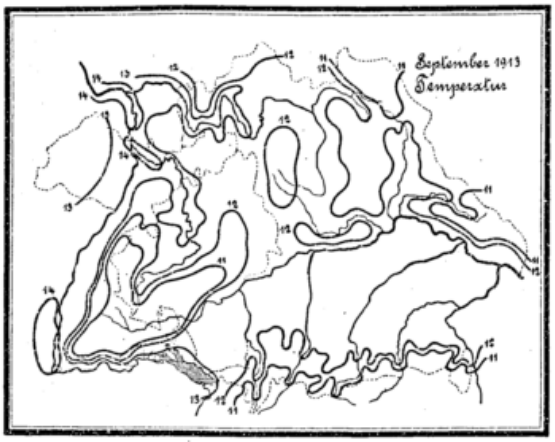
während des September 1913.

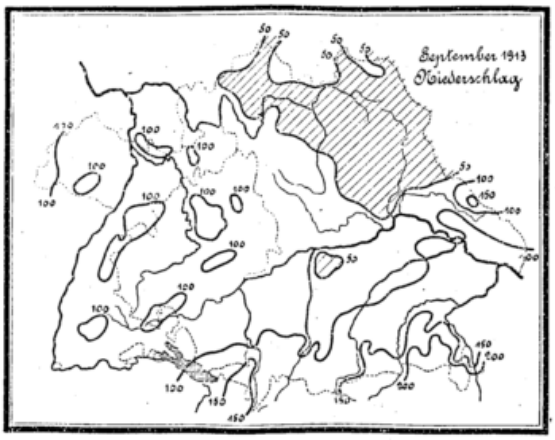
Die Schönwetterperiode, welche, von kurzdauernden Unterbrechungen abgesehen, bereits das letzte Drittel des August erfüllt hatte, setzte sich auch während der ersten Septembertage noch fort. Ein schwaches Barometermaximum lag über dem Alpengebiete, während längs der deutschen Nord- und Ostseeküste Depressionen hinzogen, die aber auch nur von geringer Intensität waren. Zeitweise gewannen südliche Ausläufer dieser ostwärts ziehenden Tiefdruckgebiete Einfluss auf die Witterung unseres Gebietes, so dass kurzdauernde Regenfälle, vielenorts begleitet von elektrischen Entladungen, das vorwiegend heitere und warme Wetter unterbrachen. Bis zum 3. September hatten sich die Tiefdruckstörungen nach Westrussland verlagert, und über Skandinavien war ein intensives barometrisches Maximum zur Ausbildung gelangt, das mit abnehmender Intensität bis Zentraleuropa hereinreichte. Die Niederschläge hörten ganz auf und es herrschte vorwiegend heiteres, mässig warmes Wetter. Als aber von der Biskayasee herein Tiefdruckstörungen nach Zentraleuropa vordrangen und mit den über Osteuropa und dem Mittelmeere vorhandenen Depressionen in Verbindung traten, kamen am 4. neuerdings Gewitter mit Niederschlägen auf, und bis zum folgenden Tage hatte sich eine ausgesprochene Schlechtwettersituation ausgebildet. Bei sinkenden Temperaturen herrschte Trübung mit ziemlich ergiebigen Regenfällen. Erst am 7. September gewann der Einfluss eines gegen die zentralen Lagen vordringenden Hochdruckgebietes die Oberhand über die zyklonalen Störungen, so dass es wieder aufklarte. Obwohl das Maximum sehr intensiv war, fiel es doch sehr rasch seinem Zerfall anheim. Eine tiefe Depression war bei Island erschienen und entsandte während ihres östlichen Vormarsches weit ausgreifende südliche Ausläufer nach Zentraleuropa herein. Zudem zehrten auch flache Depressionen über dem Mittelmeere an dem Bestande des kontinentalen Hochdruckes. Letztere hatten bereits am 8. im Alpengebiete und in dessen Vorland schwache Regenfälle zur Folge, während im übrigen Bayern und in der Pfalz noch heiteres, trockenes Wetter bestand. Aber bereits am folgenden Tage kam es über unserem ganzen Gebiete zu Störungen, die aber in der Pfalz und in Nordbayern sowohl nach Ergiebigkeit wie nach Zeitdauer viel weniger bedeutend waren als im südlichen Bayern. Sehr ungünstig gestaltete sich die Luftdruckverteilung am 10. September. Von Nordskandinavien erstreckte sich eine Tiefdruckfurche über die Ostsee bis in das Gebiet der Ostalpen, während hoher Luftdruck von bedeutender Intensität über den britischen Inseln lagerte. Bei nordwestlichen Winden nahmen die Temperaturen noch weiter ab und bei bewölktem Himmel fielen über unserem ganzen Gebiete Niederschläge, deren Ergiebigkeit wiederum im Alpengebiete und in dessen Vorland am bedeutendsten war. Da hoher Luftdruck rasch von Westen vordrang, so erfolgte bereits am 11. wieder Aufklaren, das auch am folgenden Tage noch anhielt. Bereits war aber eine neue tiefe Depression vor den britischen Inseln erschienen und suchte gegen den Kontinent vorzudringen. Zunächst hielt aber das kontinentale Hochdruckgebiet den Angriffen noch stand, wenn es auch an Intensität und Ausdehnung immer mehr abnahm. Allmählich drangen Absplitterungen der westlichen Depression immer weiter gegen die zentralen Gebietsteile Europas vor, so dass nunmehr die Witterung unbeständigen Charakter annahm. Die Temperaturen waren vom 12. ab wieder angestiegen, ohne aber das normale Niveau in nennenswertem Grade zu überschreiten. Die Bewölkung hatte vom 14. ab ebenfalls zugenommen und war dann raschen Wechseln unterworfen. Niederschläge fielen häufig, waren aber im allgemeinen nur von geringer Stärke. Erst vom 17. September ab, als niedriger Druck fast den ganzen Kontinent bedeckte, wurden die Niederschläge ergiebiger. Bis zum 23. blieb der ungünstige Charakter der Luftdruckverteilung und damit der Witterung erhalten. Die Temperaturen waren vom 14. ab wieder im Sinken begriffen und mehrere Grade unter das normale Niveau herabgestiegen. Mit dem kräftigen Anstiege des Luftdruckes über Ost- und Zentraleuropa trat dann am 24. die ersehnte Besserung ein. In der Folge entwickelte sich ein sehr intensives Barometermaximum über Nordosteuropa, das sich unter weiterer Zunahme seiner Intensität allmählich nach Osteuropa verlagerte. Bei nordöstlichen bis östlichen Winden herrschte andauernd heiteres und trockenes, aber kühles Herbstwetter. Auch die für den Herbst typischen Morgennebel traten mit grosser Häufigkeit auf. Bis Monatsende erfuhr die Witterung keine nennenswerte Änderung.

Dieser kurzen Schilderung des zeitlichen Witterungsverlaufes ist bereits zu entnehmen, dass kühle Temperaturen vorherrschend waren. Nur zu Beginn und gegen die Mitte des Berichtsmonats wurden beispielsweise in München einige Tagesmittel der Temperatur berechnet, welche um mehr als 2 Grad über den aus langjährigen Reihen abgeleiteten Durchschnittswerten lagen. Andererseits waren aber auch die Abweichungen nach der anderen Seite im allgemeinen nicht erheblich und überstiegen nur an wenigen Tagen den Betrag von 2 bis 3 Grad. Bildet man die Differenzen der Monatsmittel gegen das langjährige Mittel, so erhält man für die weitaus überwiegende Anzahl unserer Beobachtungsstellen negative Werte, die aber nur an wenigen Orten, so beispielsweise in Lindau und in Kaiserslautern, den Betrag von 1 Grad übersteigen. An vielen Stationen betrugen die negativen Differenzen nur wenige Zehntelgrade, ja in Eggenfelden, Metten und Cham leiteten sich sogar positive Abweichungen von allerdings recht minimalem Grade ab.

Die geographische Verteilung der Temperaturmittel über Süddeutschland ist auf dem ersten der beigegebenen Kärtchen zur Darstellung gebracht. Die höchsten Werte mit mehr als 13, in besonders bevorzugten Gegenden sogar mit mehr als 14 Grad, wurden in der Rheinebene, sowie im unteren und mittleren Maintal und am Ufergelände des Bodensees erhalten. Mit wachsender Seehöhe nimmt die Temperatur ab, eine Tatsache, die durch den Verlauf der Isothermen in

Abhängigkeit vom topographischen Aufbau des Geländes zum Ausdruck kommt. Selbstverständlich konnten bei dem kleinen Massstabe des Kärtchens nur die Hauptzüge der Temperaturverteilung dargestellt werden, während lokale Anomalien, sowie die Einflüsse vereinzelter Bodenerhebungen nicht berücksichtigt werden konnten. Ähnliche Bilder lieferten auch die kartographischen Darstellungen für die mittleren Extreme. Das mittlere Maximum erreichte in der oberrheinischen Tiefebene, sowie im Maintale Beträge von mehr als 18 und 19 Grad. Werte der gleichen Grössenordnung wurden auch wieder auf dem Gebiete südlich der Donau bis zu einer Seehöhe von etwa 500 m verzeichnet, ausserdem noch in Cham und in Amberg. Im grössten Teile des Flachlandes bewegten sich die mittleren Maxima zwischen 17 und 18 Grad; erst mit dem steileren Anstiege gegen die Gebirge ergaben sich noch tiefere Mittelwerte. Das mittlere Minimum berechnete sich in den mildesten Gegenden Süddeutschlands, wie in der oberrheinischen Tiefebene, im Neckartale, sowie am Ufer des Bodensees auf 9 bis 11 Grad. Auffallend tiefe Minima ergaben sich im Gebiete der Frankenhöhe (Ansbach 6.8), im Fichtelgebirge (Alexandersbad 5 8, Hof 4.8), sowie im Donaumoos und dessen weiterer Umgebung (Karlshuld 5.8, Ingolstadt 6.5). Diese Gebiete zeichnen sich folgerichtig auch durch verhältnismässig hohe Werte der mittleren täglichen Temperaturschwankung aus, die in Hof und Karlshuld mit 13.0 Grad ihre Maximalwerte erreicht. Die warme Witterung am Anfang des Monats liess in Ingolstadt, Karlshuld an 3 und in Landshut an 7 Tagen die Maximaltemperaturen über 25 Grad ansteigen, sodass diese Tage als Sommertage zu registrieren waren. Auch im unteren Inntale, sowie im Salzachtale und im Kessel von Reichenhall, ausserdem in der Umgebung von Cham wurde je 1 Sommertag notiert. Im Fichtelgebirge und in dessen nächster Umgebung brachte die starke Strahlungskälte in der Nacht vom 25. auf 26. September bereits den ersten Frost. In Alexandersbad wurde ein Minimum von — 0.6, in Bayreuth ein solches von — 0.5 und in





Hof ein solches von — 2.2 Grad verzeichnet. An letztgenanntem Orte fiel auch noch in der Nacht vom 12. auf 13. die Temperatur um 1 Grad unter den Gefrierpunkt, während in der Nacht vom 24. auf den 25. der Nullpunkt gerade erreicht wurde.

Auf dem zweiten der beigegebenen Kärtchen ist die Verteilung der Niederschlagsmengen über Süddeutschland zur Darstellung gebracht. Die grössten Niederschlagssummen treffen wir im Alpengebiete und in dessen unmittelbarem Vorlande an, obwohl dortselbst, wenigstens soweit die Talstationen in Betracht kommen, noch nicht einmal die nach langjährigen Aufzeichnungen zu erwartenden Durchschnittsmengen angefallen sind. Auch auf dem in unserer Karte durch Schraffen herausgehobenen Trockengebiete wurden die normalen Regenmengen des September nicht ganz, stellenweise, wie zum Beispiel in Alexandersbad, noch nicht einmal zur Hälfte erreicht. Relativ grosse Monatssummen ergaben sich in der Rheinpfalz, sowie im unteren Inngebiet, vereinzelt auch noch an anderen engbegrenzten Bezirken, an denen der Anfall heftiger Gewitterregen die Monatssumme erheblich vergrösserte. So brachte beispielsweise ein Gewitterregen in Nürnberg am Morgen des 3. September eine Regenmenge von 50.2 mm, während zum gleichen Termine im benachbarten Weissenburg i. B. nur 2.9 mm angefallen waren. Andererseits wurde an dieser Station am Morgen des 7. eine Regenhöhe von 31.6 mm gemessen, während Nürnberg nur 2.8 mm aufzeichnete. Die Niederschlagshäufigkeit des September war, wie dies schon aus der Schilderung des zeitlichen Witterungsverlaufes hervorgeht, ziemlich beträchtlich, insbesondere in der Zeit vom 14. bis 23., in welchem Intervall an jedem Tage in Bayern Regen fiel.

Die mittleren Bewölkungszahlen schwanken an der überwiegenden Mehrzahl unserer Beobachtungsorte zwischen 4 und 6 Zehnteln der vollen Bedeckung. Diese günstigen Verhältnisse leiten sich hauptsächlich aus der vom 24. September bis Monatsschluss währenden Schönwetterperiode ab. Wo Nebelbildungen selten waren, wie in Buchenau und Alexandersbad, ergaben sich noch niedrigere Werte (3.9) des mittleren Bewölkungsgrades. Die Zahl der heiteren und trüben Tage stellen sich im grossen Durchschnitte ziemlich gleich. Wie sich das Zahlenverhältnis an den einzelnen Beobachtungsorten gestaltet, darüber geben die entsprechenden Spalten der Tabelle III Auskunft.

Die mittleren, auf Meeresniveau reduzierten Barometerstände zeigen ein schwaches, von Nordost nach Südwest gerichtetes Gefälle. Winde aus östlichen Richtungen waren an der Mehrzahl der Stationen vorherrschend.

München, den 22. Oktober 1913. Alt.

Tabelle I.

Station	Höhe über Normal-Null m	Luftdruck in mm: höchster am	höchster mm	tiefster am	tiefster mm	Monatsmittel lokal	Monatsmittel auf Meeresniveau reduziert	Temperatur C°: Mittel um 7a	2p	9p	Mittlere Tagestemperatur	Mittleres Maximum	Mittleres Minimum	Mittel aus Maximum u. Minimum	Mittlere Schwankung	Station
Ludwigshafen a. Rh.	100.3	26.	758.9	17.	742.5	753.7	762.7	11.6	18.3	14.9	14.9	18.9	10.5	14.7	8.4	Ludwigshafen a. Rh.
Kahl a. M.	114.1	26.	758.2	17.	742.1	752.7	762.9	10.3	18.3	12.4	13.3	19.5	8.0	13.8	11.5	Kahl a. M.
Landau i. Pf.	149.9	22., 26.	753.1	17.	738.6	748.8	762.2	11.9	17.6	13.0	13.9	18.3	9.9	14.1	8.4	Landau i. Pf.
Würzburg	179.3	26.	752.5	17.	735.2	746.5	762.5	9.8	17.3	12.6	13.1	18.0	8.9	13.4	9.1	Würzburg
Bad Kissingen	209.2	26.	750.4	14.	733.9	744.8	763.6	8.8	17.6	11.1	12.2	18.5	7.3	12.9	11.2	Bad Kissingen
Kaiserslautern	242.2	8., 22.	745.6	17.	730.8	741.2	762.8	10.0	17.0	12.2	12.8	17.5	8.5	13.0	8.9	Kaiserslautern
Luitpoldheim	250							8.9	16.7	12.3	12.5	17.2	7.7	12.5	9.5	Luitpoldheim
Bamberg	287.7	26.	743.4	14.	726.4	737.6	763.2	9.1	17.3	11.9	12.5	19.1	7.6	13.4	11.5	Bamberg
Nürnberg	309.1	26.	741.0	14.	724.5	735.4	762.8	9.9	17.0	12.6	13.0	17.5	8.3	12.9	9.2	Nürnberg
Passau	309.3	26.	741.4	17.	724.5	735.6	763.2	10.0	17.5	12.6	13.2	19.0	8.7	12.9	10.1	Passau
Metten	320							9.4	17.7	12.0	12.8	18.5	7.2	12.9	11.4	Metten
Regensburg	354.3	26.	737.5	17.	720.4	731.7	763.1	9.3	16.2	11.7	12.2	17.3	8.0	12.6	9.3	Regensburg
Bayreuth	363.3	26.	737.1	17.	720.5	731.1	763.4	8.3	17.1	11.6	12.2	18.7	6.3	12.5	12.4	Bayreuth
Burghausen	365	26.	735.7	17.	719.0	730.4	762.7	9.0	17.1	11.1	12.0	18.1	7.2	12.6	11.0	Burghausen
Ingolstadt	368							8.5	17.8	11.1	12.1	19.1	6.5	12.8	12.6	Ingolstadt
Karlshuld	382.0	26.	734.2	17.	717.4	728.8	762.7	8.4	16.9	11.0	11.8	18.8	5.8	12.3	13.0	Karlshuld
Cham	386							8.7	17.4	11.8	12.4	18.8	7.7	13.3	11.1	Cham
Landshut	397.7	26.	732.8	17.	715.9	727.3	762.7	9.2	17.4	11.2	12.2	19.9	7.0	13.4	12.8	Landshut
Lindau i. B. (Reutin)	401.7	22.	732.2	17.	715.8	727.1	762.4	11.2	16.1	12.8	13.2	17.4	9.7	13.6	7.8	Lindau i. B. (Reutin)
Eggenfelden	417							9.8	16.8	11.3	12.3	17.9	7.6	12.7	10.3	Eggenfelden
Rohr	426							9.6	16.5	11.6	12.3	17.4	8.1	12.8	9.2	Rohr
Weissenburg i. B.	431	26.	730.0	17.	713.3	725.0	763.0	10.2	17.0	11.5	12.5	17.7	7.7	12.7	10.0	Weissenburg i. B.
Nördlingen	435.6	26.	728.6	17.	712.2	723.6	762.2	9.4	16.8	11.8	12.5	17.8	8.2	13.0	9.6	Nördlingen
Ansbach	437.5	26.	729.5	17.	713.0	724.2	762.9	8.6	16.5	10.6	11.6	17.3	6.8	12.1	10.5	Ansbach
Bad Reichenhall	470.4	26.	726.4	17.	710.3	721.3	762.6	10.5	16.9	11.3	12.5	19.1	8.6	13.9	10.5	Bad Reichenhall
Hof	476.1	8.	725.7	17.	709.9	720.1	762.3	7.3	16.6	9.1	10.5	17.7	4.8	11.2	13.0	Hof
Augsburg	499.6	26.	723.8	17.	706.7	719.0	762.7	9.9	16.6	12.5	12.9	17.4	9.0	13.2	8.4	Augsburg
Amberg M.H.B.	519							9.1	15.7	11.5	11.9	18.1	7.5	12.8	10.6	Amberg M.H.B.
München C.-St.	526.4	26.	721.4	17.	705.0	716.4	762.4	10.6	16.9	12.3	13.0	17.5	9.3	13.4	8.2	München C.-St.
Alexandersbad	590							7.4	14.9	9.3	10.2	15.8	5.8	10.8	10.0	Alexandersbad
Traunstein	597	26.	715.5	17.	699.5	710.8	763.1	8.8	15.8	10.7	11.5	16.9	7.5	12.2	9.4	Traunstein
Berchtesgaden	600							9.2	16.1	11.0	11.8	17.1	7.7	12.4	9.5	Berchtesgaden
Ottobeuren	660.0	21.	710.0	17.	693.7	705.3	762.8	9.5	15.9	10.6	11.7	16.6	7.5	12.0	9.2	Ottobeuren
Partenkirchen	716.8	21, 22.	705.1	17.	690.1	700.6	762.8	9.1	15.2	10.5	11.3	16.6	7.9	12.2	8.7	Partenkirchen
Tegernsee	727.8	22.	703.9	17.	688.2	699.7	762.6	10.7	16.0	11.0	12.2	17.1	8.4	12.7	8.7	Tegernsee
Buchenau	750	26.	702.6	17.	686.9	697.3	762.5	8.0	15.1	9.4	10.5	16.2	6.7	11.5	9.4	Buchenau
Oberstdorf	811.4	22.	697.0	17.	681.3	692.4	762.5	8.3	15.7	10.0	11.0	16.6	6.3	11.4	10.3	Oberstdorf
Ettal	879.5	öfters	689.5	17.	674.7	685.9	761.5?	8.4	14.2	9.5	10.4	16.2	6.8	11.5	9.4	Ettal
Mittenwald	911.8	22.	688.1	17.	673.2	684.0	762.2	9.1	15.7	9.7	11.0	17.0	6.5	11.8	10.5	Mittenwald
Hohenpeissenberg	994.1	8., 26.	681.1	17.	766.6	677.4	762.3	9.4	12.7	9.9	10.5	13.6	8.1	10.9	5.5	Hohenpeissenberg
Zugspitze	2964	8.	536.3	17.	523.7	531.7		- 1.5	0.6	- 0.9	- 0.7	1.6	- 2.6	- 0.5	4.3	Zugspitze

Tabelle II.

Station	Temperatur C°: höchste am	höchste C°	tiefste am	tiefste C°	grösste Schwankung am	grösste Schwankung C°	Dampfdruck Monatsmittel mm	Relative Feuchtigkeit %: Monatsmittel	kleinste am	kleinste %	grösste am	grösste %	Bewölkung Monatsmittel	Niederschlag: grösster am	grösster mm	Monats-Summe mm	Station
Ludwigshafen a. Rh	1.	24.1	26.	5.4	30.	13.5	9.6	77	12.	35	20., 30.	99	5.0	15.	28.4	91.8	Ludwigshafen a. Rh.
Kahl a. M.	1., 3.	24.2	12.	1.3	12.	18.5	9.5	82	8.	42	19., 30.	100	4.7	15.	14.0	60.4	Kahl a. M.
Landau i. Pf.	2.	24.5	30.	5.1	30.	14.1	9.8	82	12.	43	6., 24.	100	5.9	6.	19.5	82.1	Landau i. Pf.
Würzburg	1.	23.1	26.	2.9	13.	14.4	9.3	83	12.	46	öfters	99	5.0	18.	17.1	52.2	Würzburg
Bad Kissingen	1.	22.8	26.	1.2	9.	16.9	8.9	83	8.	46	16., 20.	99	4.5	18.	11.7	50.2	Bad Kissingen
Kaiserslautern	3.	22.9	25.	3.3	13.	15.7	9.4	84	12.	44	19.	98	6.0	18.	17.5	73.8	Kaiserslautern
Luitpoldheim	3.	22.4	26.	1.4	9.	16.1	9.1	84	8.	50	öfters	98	4.9	18.	15.1	45.4	Luitpoldheim
Bamberg	2.	24.8	26.	2.1	2.	16.2	8.9	81	8.	44	3., 19.	100	5.1	7.	13.4	37.2	Bamberg
Nürnberg	1.	23.4	12.	3.2	9.	13.8	8.6	77	8.	43	24.	98	5.4	3.	50.2	86.0	Nürnberg
Passau	4.	25.5	12.	3.1	4.	15.8	9.7	85	8.	51	25., 29.	100	5.8	6.	41.9	114.4	Passau
Metten	1.	24.6	13., 25.	2.0	13.	16.0	9.1	82	12., 28.	45	öfters	100	4.6	20.	19.4	83.1	Metten
Regensburg	4.	22.6	12., 26.	3.0	14.	15.0	9.1	85	12.	51	öfters	100	4.3	6.	19.6	55.1	Regensburg
Bayreuth	14.	24.1	26.	- 0.6	9.	19.7	8.4	80	8., 12.	46	24.	100	4.6	22.	7.7	27.2	Bayreuth
Burghausen	2.	25.3	25.	2.3	14.	16.5	9.0	85	12.	41	öfters	100	5.6	7.	25.2	132.5	Burghausen
Ingolstadt	1.	26.6	25.	0.0	13.	20.1	8.9	83	12.	41	öfters	99	5.1	24.	9.4	42.8	Ingolstadt
Karlshuld	1.	27.1	öfters	0.0	13.	21.9	9.2	87	3.	49	öfters	100	4.5	6.	13.8	58.0	Karlshuld
Cham	1.	25.1	12.	2.0	9.	20.1							5.5	20.	25.0	52.8	Cham
Landshut	1.	28.0	12.	2.0	13.	22.0	8.9	84	12.	43	öfters	100	4.5	20.	31.3	91.3	Landshut
Lindau i. B. (Reutin)	1.	23.4	24.	4.5	24.	13.2	9.9	86	11.	58	öfters	99	5.8	11.	56.9	141.6	Lindau i. B. (Reutin)
Eggenfelden	2.	25.0	25.	1.9	13.	16.0							4.7	6.	46.0	146.5	Eggenfelden
Rohr	1.	23.6	26.	2.4	1., 13.	13.4							5.0				Rohr
Weissenburg i. B.	4.	24.3	25.	1.4	28.	15.8	9.5	85	12., 14.	51	24., 25.	100	5.2	7.	31.6	90.8	Weissenburg i. B.
Nördlingen	4.	24.8	25.	2.2	13.	14.9	8.9	82	12.	44	öfters	99	5.4	6.	10.0	54.6	Nördlingen
Ansbach	1.	24.2	26.	0.4	13.	16.3	8.3	80	8.	43	öfters	97	4.4	7.	18.2	67.0	Ansbach
Bad Reichenhall	4.	25.6	25.	1.8	29.	16.4	9.3	84	29.	44	öfters	99	4.8	11.	24.9	146.6	Bad Reichenhall
Hof	2.	24.7	26.	- 2.2	9.	22.2	8.1	84	13.	38	öfters	100	5.7	18.	13.6	37.4	Hof
Augsburg	1.	24.3	26.	3.7	13.	14.1	8.9	80	1.	48	29.	100	5.6	21.	10.8	56.6	Augsburg
Amberg M.H.B.	1	25.0	26	2.5	14.	14.9							4.0	3.	27.0	51.8	Amberg M.H.B.
München C.-St.	4.	24.6	26.	3.9	13.	13.1	8.9	79	2., 11.	44	29.	99	5.3	10.	30.5	100.5	München C.-St.
Alexandersbad	2.	21.4	26.	- 0.5	13.	17.1	8.0	85	13.	51	öfters	100	3.9	10.	6.0	21.1	Alexandersbad
Traunstein	4.	24.0	25.	1.9	13.	15.0	8.9	87	2.	42	öfters	100	5.5	2.	30.8	214.3	Traunstein
Berchtesgaden	4.	23.1	25.	1.4	27.	15.7	8.7	83	29.	36	22.	98	4.8	6.	24.7	143.8	Berchtesgaden
Ottobeuren	1.	24.6	24.	0.9	13.	15.6	8.6	83	1., 2.	47	öfters	100	5.9	11.	25.1	103.2	Ottobeuren
Partenkirchen	4.	23.4	28.	2.5	16.	13.9	8.8	86	30.	50	öfters	100	5.2	10.	18.1	88.7	Partenkirchen
Tegernsee	4.	23.5	27.	2.8	13.	12.5	8.9	82	14.	42	19.	99	5.5	20.	42.3	154.6	Tegernsee
Buchenau	4.	22.0	26.	1.3	14.	14.8	8.2	85	1.	51	22.	99	3.9	3.	41.4	139.5	Buchenau
Oberstdorf	3., 4.	23.3	24.	1.8	12.	14.6	8.5	85	16.	48	7., 18.	100	6.1	11.	26.8	107.2	Oberstdorf
Ettal	4.	23.7	27.	1.6	16.	14.0	8.6	89	2.	58	öfters	100	4.9	11.	22.1	110.7	Ettal
Mittenwald	4.	24.1	27.	0.4	28.	16.3	8.1	81	16.	38	öfters	99	5.6	11.	19.6	94.5	Mittenwald
Hohenpeissenberg	4.	21.0	27.	2.7	10.	9.5	8.0	84	2.	51	öfters	100	6.4	11.	23.2	94.8	Hohenpeissenberg
Zugspitze	4.	7.9	11.	- 8.9	24.	8.3	4.0	90	12.	48	öfters	100	6.3	2., 6.	20.0	124.1	Zugspitze

Tabelle III.

Station	Tage mit Niederschlägen ≥ 0,1mm	Tage mit Niederschlägen ≥ 1,0mm	Schneefall	Schneedecke	Graupeln	Hagel	Gewitter	Nebel	Reif	Tau	Tage heitere	Tage trübe	Tage Sommer	Tage Frost	Anzahl der beobachteten Windrichtungen N	NE	E	SE	S	SW	W	NW	Stille	Station
Ludwigshafen a. Rh.	15	12	–	–	–	1	4	15	–	13	7	7	–	–	9	17	6	5	5	25	4	4	15	Ludwigshafen a. Rh.
Kahl a. M.	12	9	–	–	–	–	2	5	–	4	8	9	–	–	2	5	13	10	6	15	–	1	38	Kahl a. M.
Landau i. Pf.	18	11	–	–	–	–	3	2	–	11	7	10	–	–	–	44	–	1	–	24	4	17	–	Landau i. Pf.
Würzburg	13	10	–	–	–	–	1	17	–	5	7	7	–	–	–	–	8	11	8	10	5	6	42	Würzburg
Bad Kissingen	11	9	–	–	–	–	1	4	3	17	9	6	–	–	21	6	10	1	9	5	19	2	17	Bad Kissingen
Kaiserslautern	15	10	–	–	–	–	3	17	–	14	4	9	–	–	2	1	18	8	1	2	9	7	42	Kaiserslautern
Luitpoldheim	13	9	–	–	–	1	–	14	–	18	8	6	–	–	6	2	15	1	2	30	2	2	30	Luitpoldheim
Bamberg	15	8	–	–	–	–	4	5	1	21	8	8	–	–	12	–	2	8	22	7	15	16	8	Bamberg
Nürnberg	10	10	–	–	–	1	4	5	–	21	9	6	–	–	3	8	30	17	2	8	3	14	5	Nürnberg
Passau	11	11	–	–	–	–	3	18	–	19	2	11	1	–	–	–	23	–	9	8	12	–	38	Passau
Metten	14	11	–	–	–	–	6	5	–	21	9	7	–	–	1	2	9	15	13	2	21	7	20	Metten
Regensburg	13	9	–	–	–	–	3	5	–	17	11	7	–	–	11	7	6	8	3	7	17	6	25	Regensburg
Bayreuth	10	8	–	–	–	–	3	10	2	21	8	6	–	1	1	3	36	14	–	3	11	13	9	Bayreuth
Burghausen	12	11	–	–	–	–	4	18	–	18	3	7	1	–	5	8	6	1	–	7	9	9	45	Burghausen
Ingolstadt	13	8	–	–	–	–	3	5	1	19	5	4	3	–	2	2	39	9	1	4	22	8	3	Ingolstadt
Karlshuld	10	10	–	–	–	–	2	17	–	19	7	7	3	–	–	14	18	–	–	11	10	–	37	Karlshuld
Cham	11	7	–	–	–	–	4	8	–	–	2	6	1	–	–	1	48	–	2	6	27	5	1	Cham
Landshut	14	10	–	–	–	–	3	3	–	20	8	5	7	–	1	2	40	–	1	3	26	–	17	Landshut
Lindau i. B. (Reutin)	15	11	–	–	–	–	6	–	–	23	2	9	–	–	9	16	–	–	18	2	21	–	24	Lindau i. B. (Reutin)
Eggenfelden	14	12	–	–	–	–	4	6	–	20	9	6	–	–	5	17	30	2	–	6	14	16	–	Eggenfelden
Rohr											7	8	–	–	6	26	17	–	–	11	10	19	1	Rohr
Weissenburg i. B	15	11	–	–	–	–	2	7	4	17	9	8	–	–	3	14	16	12	4	13	10	4	14	Weissenburg i. B.
Nördlingen	16	12	–	–	–	–	3	4	–	13	3	7	–	–	1	8	21	13	3	6	19	7	12	Nördlingen
Ansbach	15	9	–	–	–	–	3	7	3	13	8	4	–	–	2	6	14	3	–	4	10	7	44	Ansbach
Bad Reichenhall	15	14	–	–	–	–	4	3	–	13	10	8	1	–	–	2	17	4	–	5	23	–	39	Bad Reichenhall
Hof	12	8	–	–	–	2	4	9	1	23	3	10	–	2	18	7	5	13	10	7	9	18	3	Hof
Augsburg	13	12	–	–	–	–	3	8	–	11	3	7	–	–	1	11	12	19	–	23	5	8	11	Augsburg
Amberg M.H.B.	14	8	–	–	–	–	2	14	–	20	11	3	–	–	12	18	18	4	5	–	11	13	9	Amberg M.H.B.
München C.-St.	15	13	–	–	–	1	2	3	–	23	6	5	–	–	1	12	24	1	–	17	4	7	24	München C.-St.
Alexandersbad	10	5	–	–	–	1	4	6	6	21	9	2	–	1	7	7	20	6	1	–	6	13	30	Alexandersbad
Traunstein	14	12	–	–	1	–	4	3	–	19	4	7	–	–	–	2	40	7	7	3	27	4	–	Traunstein
Berchtesgaden	14	14	–	–	–	–	4	6	1	13	6	7	–	–	–	–	15	–	–	–	–	–	75	Berchtesgaden
Ottobeuren	13	11	–	–	–	–	7	12	1	18	3	8	–	–	–	18	5	3	–	25	–	5	34	Ottobeuren
Partenkirchen	15	11	–	–	–	–	5	–	–	13	5	7	–	–	2	–	–	6	13	–	4	20	45	Partenkirchen
Tegernsee	13	11	–	–	1	–	1	–	3	–	3	6	–	–	–	–	9	44	–	–	9	13	15	Tegernsee
Buchenau	14	11	–	–	–	1	3	1	6	15	12	8	–	–	–	2	40	1	–	6	20	1	20	Buchenau
Oberstdorf	15	12	–	–	2	–	2	7	–	18	5	10	–	–	23	–	–	–	4	4	12	11	36	Oberstdorf
Ettal	15	15	–	–	–	–	2	6	2	19	6	4	–	–										Ettal
Mittenwald	13	12	–	–	–	–	3	–	–	12	4	9	–	–	4	8	–	3	20	5	4	5	41	Mittenwald
Hohenpeissenberg	16	13	–	–	–	–	2	14	1	11	3	11	–	–	2	20	21	4	–	14	20	5	4	Hohenpeissenberg
Zugspitze *)	16	12	9	30	6	1	4	22	2	–	3	14	–	22	10	–	1	22	12	10	9	24	2	Zugspitze

*) 10 Wintertage.

Übersicht über die Witterungsverhältnisse im Königreiche Bayern

während des Oktober 1913.

Die Periode schönen Wetters, die nach einer Reihe unbeständiger, vorwiegend trüber Tage am 24. September, also zur Zeit des mittleren Beginnes des sog. „Altweibersommers", eingesetzt hatte, erhielt sich noch während der drei ersten Tage des Oktober. Erst am 4. Oktober gelang es dem vereinten Ansturm zweier, von der Biskayasee und Nordskandinavien aus gegen Zentraleuropa vordringenden Tiefdruckgebiete, das kontinentale Barometermaximum zu zerstören; bis zum Morgen des 5. war an Stelle des hohen Druckes eine Teildepression über Schlesien, Polen und Ungarn vorgerückt, unter deren Einfluss insbesondere im südlichen und östlichen Bayern stärkere Niederschläge erfolgten.

Für eine ganze Dekade war damit die Herrschaft des hohen Druckes aufgehoben. Wenn es im Verlaufe dieser Zeit auch nicht zu Niederschlägen von besonderer Intensität kam, so war doch trübes Wetter vorherrschend und nur wenige Tage blieben ohne Regen. Gelegentliche Versuche des hohen Druckes, sich auf dem Kontinente wieder festzusetzen, wurden immer wieder vereitelt durch Teildepressionen, die vom Kanal aus gegen die Ostsee durchbrachen. Solche Situationen bestanden am 7. und besonders am 10. Oktober, wo in meridionaler Richtung verlaufende Hochdruckrücken Europa durchzogen und mit der Aufheiterung der Witterung die Hoffnung auf ein Wiedererstarken des hohen Druckes brachten. Die Wirkung war aber beidemal nur von kurzer Dauer. Überraschend war der Umschlag bei dem zweiten der erwähnten Fälle, der sich vom 10. bis zum 12. Oktober abwickelte. Der Hochdruckrücken vom 10. hatte sich bis zum 11. zu einem wohlausgebildeten und intensiven kontinentalen Barometermaximum gestaltet, das den Fortbestand heiteren Herbstwetters gesichert erscheinen liess. Da löste sich von einer auf dem Ozeane westlich der britischen Inseln gelegenen Depression am Eingang zum Kanale ein kleines, aber äusserst aktives Teilminimum los, bohrte sich mitten in den Kernbereich des hohen Druckes ein und brachte eine gänzliche Sprengung des kräftigen Barometermaximums zustande. Damit war für zwei, im Alpengebiete sogar für drei Tage wieder unbeständiges Wetter vorherrschend. Erst im Laufe des 13. gelang es den versprengten Teilen des hohen Druckes, sich wiederum über dem Ostseegebiete und den dänischen Inseln zusammenzuschliessen. Eine am gleichen Tage über Island auftretende Depression bewirkte sodann eine Verlagerung des so entstandenen Maximums nach Osteuropa, so dass am 14. über unserem ganzen Gebiete heiteres oder wolkenloses Wetter eintrat. Der weitere Vormarsch des isländischen Tiefdruckgebietes verursachte zwar ein Abwandern des hohen Druckes über das Schwarze Meer hinweg und noch einmal unerhebliche, im Laufe des 15. erfolgende Niederschläge, aber ein neues, von Westen nachrückendes Barometermaximum, das gleichfalls ostwärts wanderte, sich jedoch mit grosser Hartnäckigkeit über Osteuropa festsetzte, riss nun für die ganze zweite Hälfte des Monats unbestritten die Herrschaft an sich. Es entwickelte sich über Süddeutschland vorwiegend heiteres, zeitweise herbstlich nebeliges Wetter ohne nennenswerte Störungen.

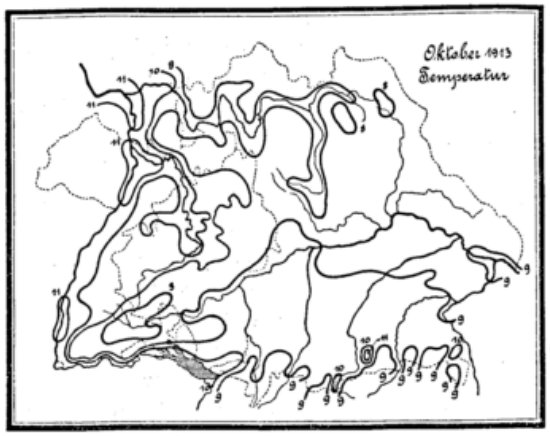
Die Temperaturen, die vom Anfange des Monats bis zum 7. unter dem Einflusse milder südwestlicher Winde immer 2 bis 5^0 über dem Mittel gelegen waren, hatten in jener Periode trüber regnerischer Tage einen beträchtlichen Rückgang erfahren, so dass sie am 14. ca. 5^0 unter das Mittel zu liegen kamen. Unter dem Einflusse des wiedererstarkenden Hochdrucks näherten sich vom 14. an die Tagesmittel der Temperatur wieder dem langjährigen Durchschnittswerte, und stiegen vom 20. an, als mit dem Abwandern des Maximums gegen Osten südwestliche Winde aufkamen, rasch über das Mittel. Im Alpengebiete kam dazu noch eine sehr beträchtliche Föhnwirkung, die in der Zeit vom 26. bis 29. Oktober ihren Höhepunkt erreichte. In München lagen während dieser Föhnperiode die Tagesmittel der Temperatur um 8 bis 12^0 über dem Durchschnittswerte.

Aus dieser Schilderung des zeitlichen Verlaufs der Witterung wird man schon den Eindruck gewonnen haben, dass im grossen ganzen während des Berichtsmonates die Witterungsverhältnisse günstig waren, und zwar hauptsächlich auch für die landwirtschaftlichen Bedürfnisse. „Alle Arten Hackfrüchte konnten leicht und billig geerntet werden. Die

Neubestellung der Felder mit Wintersaat ging unter den besten Bedingungen glatt vonstatten, die frühzeitig eingebrachten Saaten weisen demgemäss durchweg einen schönen Stand auf. Die Trauben, die sich in den nasskalten Sommermonaten schlecht entwickelten, nahmen an Qualität, soweit sie gesund waren, auch an Quantität wesentlich zu. Einzelne Besitzer in der Mittelhardt konnten die Weinlese unterbrechen und in den November verschieben. Die Rübenernte ist vorzüglich ausgefallen; die Wiesen lieferten zum Teil einen dritten Ertrag." Diese Angaben unserer Beobachter illustrieren die rein statistischen Ergebnisse in interessanter Weise und lassen den Charakter des vergangenen Oktobers als eines gelinden sonnigen Herbstmonats deutlich hervortreten.

Die Differenz der Monatsmitteltemperatur gegen den langjährigen Durchschnittswert war am grössten im Alpengebiete mit seinen vielen warmen Föhntagen. Von den höheren Lagen und den ausgesprochenen Föhntälern abgesehen, wo der Überschuss mehr als 3^0 (!) erreichte, ergab sich ein Mehrbetrag der Temperatur von 2 bis 3^0 in Oberbayern und Südschwaben mit Ausnahme des Bodenseebezirkes. Von da nimmt die Differenz in nordöstlicher Richtung ab, so dass im niederbayerischen Donaugebiet nur noch 0.7^0 oder 0.8^0 zu verzeichnen sind. Mit der Erhebung im Bayerischen und Böhmerwalde erfolgt wieder ein Anstieg auf 1 bis $1\,1/2^0$, während in der Oberpfalz, dem Fichtelgebirge und dem oberen Maintale wieder positive Differenzen von weniger als 1^0 auftreten. In der Pfalz sowie im Gebiete der Frankenhöhe und des Frankenjura schwanken die Werte zwischen 1 und $1\,1/2^0$. Der Bodensee, der auf alle derartigen Schwankungen ausgleichend wirkt, und zudem vermöge seiner häufigen Föhnwinde in dem zum Königreiche Bayern gehörigen Teile ohnehin eine sehr hohe Oktobertemperatur besitzt, hat nur einen Überschuss von 0.6^0 erzielt.

Diesem Bilde der geographischen Verteilung der Differenzen der Temperaturmittel entspricht das Kärtchen der Mitteltemperatur, das hier in gewohnter Weise beigegeben ist. Auf den ersten Blick fallen in die Augen die hohen Temperaturen im Alpengebiete. An einzelnen besonders begünstigten Föhnlagen wurden Temperaturen erreicht, die





denen des klimatisch bevorzugten Rhein-, Main- und Neckartales gleichkommen. Besonders das Gelände des Tegernsees, das obere Isartal (Mittenwald) sowie das Reichenhaller Becken treten durch hohe Temperaturen hervor (mehr als 10 und 11^0). Für alle Einzelheiten sei auf das Kärtchen verwiesen sowie auf die Tabelle I. Das Bild der Verteilung der mittleren Maximaltemperaturen deckt sich in allen wesentlichen Zügen mit dem der Mitteltemperatur. In der Rheinebene, sowie im unteren Main- und Neckartale stieg das Monatsmittel der täglichen Höchsttemperatur auf 15 bis 16^0 an, Werte, die ebenfalls in den vorerwähnten Föhnstrichen des Alpenvorlandes auftreten. Sonst schwanken im Alpenvorland die Werte zwischen 14 und 15^0, während im übrigen Bayern zusmeist 13.5 bis 14^0 berechnet wurden.

Die geographische Verteilung der mittleren Minima zeigt einige interessante Züge. Es treten hier Rheinebene und Neckartal durch relativ hohe Minima (6 bis 8^0) beträchtlich aus dem Rahmen heraus. Die Föhnwirkung im Alpenvorlande hat gegenüber der nächtlichen Wärmeausstrahlung nicht ausgereicht, ähnliche Beträge zu erzielen, vielmehr bewegt sich hier das mittlere Minimum nur zwischen 5 und 7^0. Die auch sonst durch ihre tiefen Minimaltemperaturen bekannten bayerischen Moose zeigen nur 3 bis 4^0.

Dem Umstande entsprechend, dass im Alpenvorlande der Föhneinfluss zwar im Verein mit der bei klarem Himmel wirksamen Insolation hohe Tagestemperaturen erzielte, aber nicht ausreichend war, um auch die durch die Reinheit der Luft vermehrte nächtliche Wärmeausstrahlung zu kompensieren, ist die mittlere Temperaturschwankung hier ungleich grösser als in der Rheinebene sowie im Main- und Neckartale; sie beträgt durchschnittlich 10^0. Dieser Wert wurde auch noch anschliessend im Gebiete der oberbayerischen Moore sowie im Bayerischen und Böhmerwald, ausserdem im Fichtelgebirge erreicht. Im übrigen Bayern betrug die mittlere Temperaturschwankung 7 bis 9^0.

Sommertage sind nicht mehr zur Aufzeichnung gelangt, Frosttage nur im rechtsrheinischen Bayern, und zwar in Südbayern einer oder zwei, mit Ausnahme der bekannten Frostherde, in denen vier Tage mit Frost beobachtet wurden, in Nordbayern zwei bis drei. Die grösste Anzahl Frosttage weisen auf Alexandersbad im Fichtelgebirge 8 und Hof 6.

Über das Verhalten der Niederschläge ist schon aus den Angaben über den zeitlichen Verlauf der Witterung hervorgegangen, dass sich dieselben im allgemeinen auf die erste Monatshälfte beschränkten und nur geringe Intensität erlangten. Demgemäss hat sich ergeben, dass die Monatssummen überall mit Ausnahme der Stationen Burghausen, Bad Reichenhall und Berchtesgaden unter dem Durchschnittswerte geblieben sind. Am geringsten war die Niederschlagsmenge in der Pfalz, wo nur 30 bis 40% des Normalbetrages angefallen sind. Durchschnittlich ergeben sich 50 bis 70%. Die Monatssummen schwanken zwischen 25 und 100 mm. Ihre geographische Verteilung ist in dem zweiten Kärtchen dargestellt.

Die Anzahl der Tage, an denen Niederschlag gefallen ist, bewegt sich zwischen 8 und 12, stärkere Niederschläge sind nur an 5 bis 8 Tagen gefallen. Die Niederschlagsdichte war am grössten in den Salzburger Alpen, wo an jedem Regentag durchschnittlich 8 bis 10 mm gefallen sind. In den Gebieten, die ungefähr mit der 25 mm-Zone des Niederschlagskärtchens zusammenfallen, war die mittlere Niederschlagsmenge nur 3 bis 4 mm.

Die Bewölkung war am geringsten (ca $^5/_{10}$) im Alpengebiet, im übrigen Bayern ohne wesentlichen Unterschied $^6/_{10}$ bis $^7/_{10}$. Demgemäss ist auch die Anzahl der heiteren Tage am grössten (5 bis 10) im Alpengebiet, in den Niederungen machen sich die herbstlichen Nebel geltend, so dass meist nur 2 bis 4 heitere Tage aufgezeichnet wurden. In der Pfalz wurde nur von einer Station (Landau) ein heiterer Tag aufgezeichnet. Die Anzahl der trüben Tage ist an den alpinen Stationen 4 bis 5, in den Niederungen 10 bis 12.

Die mittleren, auf Meeresniveau reduzierten Barometerstände zeigen kein ausgesprochenes Druckgefälle, es lässt sich nur konstatieren, dass die westlichsten Stationen die tiefsten, die östlichen die höchsten Barometerstände aufweisen. Dagegen durchzieht eine sehr markante Windscheide unser Gebiet, welche vorherrschend westliche und südwestliche Winde von vorwiegend östlichen trennt. Diese Windscheide verläuft vom Gebirge her in der Richtung des Inntales bis in die Gegend von Wasserburg, wendet sich dann gegen Landshut und mit einer westlichen Ausbuchtung gegen Augsburg und Donauwörth, von wo sie den Westabhängen des Frankenjura entlang nach Norden sich erstreckt.

München, den 24. November 1913. Weickmann.

Tabelle I.

Station	Höhe über Normal-Null m	Luftdruck in mm						Temperatur C°							Station
		höchster		tiefster		Monatsmittel		Mittel um			Mittlere Tagestemperatur	Mittleres		Mittel aus Maximum u. Minimum	Mittlere Schwankung	
		am	mm	am	mm	lokal	auf Meeresniveau reduziert	7a	2p	9p		Maximum	Minimum			
Ludwigshafen a. Rh.	100.3	14.	767.4	8.	743.6	753.9	763.0	8.7	14.6	11.3	11.5	15.0	7.4	11.2	7.6	Ludwigshafen a. Rh.
Kahl a. M.	114.1	14.	766.0	8.	741.4	752.8	763.2	7.1	14.2	8.8	9.7	15.2	5.1	10.1	10.1	Kahl a. M.
Landau i. Pf.	149.9	14.	761.9	8.	740.2	749.2	762.7	8.3	14.2	10.1	10.7	15.0	7.1	11.0	7.9	Landau i. Pf.
Würzburg	179.3	14.	760.5	8.	734.8	746.8	763.1	7.1	13.4	8.9	9.5	13.7	5.9	9.8	7.8	Würzburg
Bad Kissingen	209.2	14.	758.9	8.	734.0	745.6	764.1	6.1	13.0	7.6	8.5	13.3	4.9	9.1	8.4	Bad Kissingen
Kaiserslautern	242.2	14.	753.0	8.	731.7	741.1	762.9	7.4	14.8	9.5	10.3	15.3	6.3	10.8	9.0	Kaiserslautern
Luitpoldheim	250							6.7	11.9	8.8	9.0	12.5	5.4	8.9	7.1	Luitpoldheim
Bamberg	287.7	14.	751.3	8.	726.8	737.8	763.8	6.1	13.0	8.4	9.0	14.2	5.0	9.6	9.2	Bamberg
Nürnberg	309.1	14.	749.1	8.	725.0	735.7	763.5	6.6	13.5	9.0	9.6	13.8	5.6	9.7	8.3	Nürnberg
Passau	309.3	14.	748.6	8.	726.4	736.4	764.3	6.3	13.5	8.6	9.3	14.3	5.2	9.7	9.1	Passau
Metten	320							5.4	12.9	7.7	8.4	13.5	3.8	8.7	9.7	Metten
Regensburg	354.3	14.	744.8	8.	722.2	732.3	764.2	6.0	11.3	7.9	8.3	12.2	5.0	8.6	7.1	Regensburg
Bayreuth	363.3	14.	745.0	8.	720.8	731.3	763.9	5.9	12.9	8.1	8.8	13.7	4.6	9.1	9.2	Bayreuth
Burghausen	365	14.	742.5	8.	721.2	731.0	763.8	6.1	13.1	7.5	8.5	14.0	4.5	9.3	9.5	Burghausen
Ingolstadt	368							5.4	12.9	7.9	8.5	14.0	4.1	9.1	9.9	Ingolstadt
Karlshuld	382.0	14.	741.3	29.	720.0	729.3	763.7	5.2	12.3	7.4	8.1	13.5	3.5	8.5	10.0	Karlshuld
Cham	386							5.6	12.7	7.6	8.4	13.8	4.3	9.1	9.5	Cham
Landshut	397.7	14.	739.9	8.	717.1	727.9	763.7	5.5	13.5	7.8	8.6	14.9	4.1	9.5	10.8	Landshut
Lindau i. B. (Reutin)	401.7	13.	737.1	8.	716.3	727.4	763.2	8.0	13.5	9.6	10.2	15.3	6.2	10.7	9.2	Lindau i. B. (Reutin)
Eggenfelden	417							5.4	12.6	7.6	8.3	13.4	4.4	8.9	9.0	Eggenfelden
Rohr	426							5.7	12.1	7.7	8.3	12.5	4.4	8.5	8.1	Rohr
Weissenburg i. B.	431	14.	737.3	29.	716.3	725.3	763.8	6.7	13.8	8.7	9.5	14.2	5.4	9.8	8.8	Weissenburg i. B.
Nördlingen	435.6	14.	736.2	8.	713.5	724.0	762.9?	6.1	13.2	8.5	9.1	13.6	5.1	9.4	8.4	Nördlingen
Ansbach	437.5	14.	737.2	8.	713.6	724.3	763.5	5.7	13.4	7.9	8.7	13.8	4.5	9.2	9.3	Ansbach
Bad Reichenhall	470.4	14.	732.7	8.	712.3	721.8	763.7	7.2	15.2	9.1	10.1	16.2	5.7	11.0	10.5	Bad Reichenhall
Hof	476.1	14.	733.3	8.	710.5	720.0	762.6	5.2	13.1	5.7	7.4	13.8	2.7	8.3	11.0	Hof
Augsburg	499.6	14.	730.7	8.	708.6	719.2	763.5	6.8	13.5	9.4	9.8	13.8	6.0	9.9	7.8	Augsburg
Amberg M.H.B.	519							5.3	11.0	7.8	8.0	12.5	4.2	8.4	8.3	Amberg M.H.B.
München C.-St.	526.4	14.	727.9	8.	706.4	716.8	763.2	8.3	14.4	9.9	10.7	14.9	6.9	10.9	8.0	München C.-St.
Alexandersbad	590							4.5	11.5	6.1	7.1	12 2	3.1	7.6	9.0	Alexandersbad
Traunstein	597	14.	722.0	8.	702.4	711.1	763.9	5.8	14.1	8.2	9.1	14.6	5.0	9.8	9.6	Traunstein
Berchtesgaden	600							6.4	14.4	8.4	9.4	15.1	5.0	10.0	10.1	Berchtesgaden
Ottobeuren	660.0	13.	715.7	8.	695.5	705.6	763.8	6.7	14.1	8.1	9 2	14.8	5.0	9.9	9.8	Ottobeuren
Partenkirchen	716.8	14.	711.1	8.	691.6	701.1	763.8	6.5	14.7	8.7	9.6	15.8	5.6	10.7	10.3	Partenkirchen
Tegernsee	727.8	13.	710.0	8.	690.2	700.2	763.5	9.6	14.9	10.2	11.2	16.4	7.0	11.7	9.4	Tegernsee
Buchenau	750	14.	7087.	5.	688.7	697.7	763.5	5.4	13.3	6.7	8.0	13.8	4.3	9.1	9.4	Buchenau
Oberstdorf	811.4	13.	701.6	8.	683.0	692.7	763.4	5.6	14.2	7.4	8.6	15.1	3.6	9.4	11.5	Oberstdorf
Ettal	879 5	13.	695.2	8.	676.7	685.9	762.0?	6.5	13.1	8.7	9.2	14.7	4.9	9.8	9.8	Ettal
Mittenwald	911.8	13.	693.3	8.	675.4	684.4	762.9	7.7	14.8	9.1	10.2	15.4	5.4	10.4	10.0	Mittenwald
Hohenpeissenberg	994.1	13, 14.	686.5	8.	669.1	677.6	762.1	8.6	11.6	9.2	9.7	12.2	7.1	9.7	5.1	Hohenpeissenberg
Zugspitze	2964	25.	537.0	5.	525.6	531.9		- 1.3	0.1	- 0.5	- 0.6	1.4	- 2.6	- 0.6	4.0	Zugspitze

Tabelle II.

Station	Temperatur C° höchste am	höchste C°	tiefste am	tiefste C°	grösste Schwankung am	grösste Schwankung C°	Dampfdruck Monatsmittel mm	Relative Feuchtigkeit % Monatsmittel	kleinste am	kleinste %	grösste am	grösste %	Bewölkung Monatsmittel	Niederschlag grösster am	grösster mm	Monatssumme mm	Station
Ludwigshafen a. Rh	3.	21.4	14.	1.4	17.	11.8	8.2	81	14.	36	öfters	98	6.8	23.	3.8	22.9	Ludwigshafen a. Rh.
Kahl a. M.	3.	21.0	21.	– 1.3	2.	15.7	8.1	87	14.	47	öfters	100	5.4	12.	8.2	32.4	Kahl a. M.
Landau i. Pf.	3.	21.2	14.	1.3	28.	12.3	8.4	87	14.	41	19.	100	6.5	9.	5.8	17.7	Landau i. Pf.
Würzburg	3.	20.1	14.	– 0.2	2., 18.	12.5	7.8	86	14.	46	öfters	100	6.2	16.	5.3	20.2	Würzburg
Bad Kissingen	3.	19.6	14.	– 1.8	18.	13.4	7.5	88	14.	45	öfters	100	6.6	5.	15.5	53.0	Bad Kissingen
Kaiserslautern	2.	20.2	18.	0.4	25.	14.4	7.9	84	14.	46	öfters	100	6.1	8.	15.2	29.6	Kaiserslautern
Luitpoldheim	3.	19.7	14.	– 0.8	18.	11.9	7.7	89	14.	56	23.	100	6.4	10.	8.3	34.5	Luitpoldheim
Bamberg	3.	21.3	15.	– 1.4	7.	13.2	7.5	87	14.	52	öfters	100	7.4	5.	28.8	51.0	Bamberg
Nürnberg	4.	19.5	11.	– 0.9	11.	13.1	7.5	84	14.	47	öfters	100	6.4	9.	7.4	25.9	Nürnberg
Passau	8.	20.9	15.	– 3.0	22.	15.2	7.8	87	11., 17.	51	öfters	100	6.7	31.	9.9	39.7	Passau
Metten	8.	21.2	15.	– 3.8	26.	15.0	7.5	88	8.	51	öfters	100	5.8	13.	10.4	31.7	Metten
Regensburg	1.	17.4	15.	– 2.0	23.	11.6	7.5	91	14.	55	öfters	100	6.4	13.	10.2	22.7	Regensburg
Bayreuth	3.	20.6	14.	– 2.8	2.	13.7	7.3	85	7.	52	öfters	100	6.4	13.	10.0	27.3	Bayreuth
Burghausen	8.	20.9	15.	– 3.0	22.	14.6	7.5	88	14.	46	öfters	100	6.5	31.	15.7	59.0	Burghausen
Ingolstadt	7.	19.6	15.	– 3.4	1.	17.0	7.5	88	14.	52	öfters	100	7.6	9.	6.3	20.3	Ingolstadt
Karlshuld	1.	18.7	15.	– 6.1	1.	17.2	7.5	91	14.	50	öfters	100	6.2	5.	6.0	21.2	Karlshuld
Cham	4.	20.2	15.	– 4.0	4.	15.2							6.0	13.	7.0	22.0	Cham
Landshut	8.	22.0	15.	– 4.0	28.	15.8	7.5	87	14.	51	öfters	100	7.1	5.	7.2	30.1	Landshut
Lindau i. B. (Reutin)	28., 29.	22.6	15.	– 0.3	28.	17.5	7.9	85	22.	30	öfters	100	5.7	9.	21.7	43.0	Lindau i. B. (Reutin)
Eggenfelden	8.	21.7	15.	– 3.1	22.	14.4							6.9	6.	12.1	40.1	Eggenfelden
Rohr	1.	18.0	15.	– 2.9	1.	13.6							6.6				Rohr
Weissenburg i. B.	29.	19.4	15.	– 0.7	1.	14.2	7.9	87	14.	60	öfters	100	6.3	9.	9.3	30.2	Weissenburg i. B.
Nördlingen	2.	18.5	15.	– 1.4	1.	12.9	7.5	86	14.	49	öfters	100	6.9	9.	7.5	23.9	Nördlingen
Ansbach	3., 8.	19.0	15.	– 1.5	23.	13.9	7.1	82	14.	46	öfters	97	6.2	13.	6.9	28.8	Ansbach
Bad Reichenhall	8.	22.2	15.	– 1.6	22.	19.0	7.7	82	26.	46	öfters	100	4.7	14.	19.2	88.0	Bad Reichenhall
Hof	3.	20.1	14.	– 5.9	19.	18.9	6.9	86	14.	46	öfters	100	6.9	13.	7.0	28.5	Hof
Augsburg	8.	20.0	15.	– 1.5	26.	11.1	7.7	84	9.	54	22.	100	6.0	6.	8.9	23.9	Augsburg
Amberg M.H.B.	5.	17.8	15.	– 2.9	3.	11.6							6.5	13.	11.0	30.8	Amberg M.H.B.
München C.-St.	8.	22.9	15.	– 0.8	26.	14.6	7.6	79	9., 31.	43	18., 20.	100	6.3	6.	8.5	31.2	München C.-St.
Alexandersbad	3.	18.6	14.	– 4.2	19.	15.3	6.9	89	14.	54	öfters	100	6.4	13.	10.4	24.8	Alexandersbad
Traunstein	8.	22.2	15.	– 2.5	22.	17.6	7.3	84	8.	39	9.	99	4.8	6.	15.2	78.0	Traunstein
Berchtesgaden	8.	20.5	15.	– 2.4	22.	17.9	6.9	78	8.	38	5., 14.	98	4.0	13.	25.5	96.6	Berchtesgaden
Ottobeuren	8.	21.9	15.	– 2.0	28.	15.3	7.2	81	8.	47	19., 21.	100	4.6	9.	17.4	35.9	Ottobeuren
Partenkirchen	26., 29.	22.3	15.	– 0.5	18.	15.2	6.8	76	26.	28	5.	100	3.8	6.	27.4	67.7	Partenkirchen
Tegernsee	22.	23.6	14.	– 0.3	22.	18.2	7.1	72	22.	19	4.	98	4.9	6.	15.5	60.9	Tegernsee
Buchenau	22.	20.9	15.	– 5.0	22.	16.0	6.6	80	22.	19	6., 7.	98	4.2	13.	15.2	39.4	Buchenau
Oberstdorf	26.	19.8	15.	– 3.1	25.	15.7	6.7	80	29.	30	13.	100	5.0	9.	36.0	73.8	Oberstdorf
Ettal	8.	21.0	15.	– 1.2	22.	16.5	6.6	77	21.	22	17.	100	4.5	6.	23.1	77.8	Ettal
Mittenwald	26.	20.3	18.	0.0	18.	16.9	6.3	69	21.	21	öfters	100	4.9	6.	20.4	69.2	Mittenwald
Hohenpeissenberg	8.	18.8	14.	– 1.5	8.	122.	6.4	72	22.	30	öfters	100	5 6	9.	14.8	54.5	Hohenpeissenberg
Zugspitze	18.	6.5	14.	–12.8	14.	11.4	3.1	73	15.	15	öfters	100	5.3	6.	14.0	59.4	Zugspitze

Tabelle III.

Station	Tage mit Niederschlägen ≥ 0.1mm	Niederschlägen ≥ 1.0mm	Schneefall	Schneedecke	Graupeln	Hagel	Gewitter	Nebel	Reif	Tau	Tage heitere	trübe	Frost	Winter	Anzahl der beobachteten Windrichtungen N	NE	E	SE	S	SW	W	NW	Stille	Station
Ludwigshafen a. Rh.	14	8	–	–	–	–	2	20	1	16	–	11	–	–	18	3	6	6	24	21	1	2	12	Ludwigshafen a. Rh.
Kahl a. M.	10	8	–	–	–	–	–	4	3	–	5	8	5	–	–	1	5	14	6	21	1	–	45	Kahl a. M.
Landau i. Pf.	11	5	–	–	–	–	2	6	1	5	1	11	–	–	–	29	2	6	2	31	10	13	–	Landau i. Pf.
Würzburg	14	5	–	–	–	–	–	15	4	6	3	10	1	–	–	–	3	15	6	21	10	1	37	Würzburg
Bad Kissingen	9	8	–	–	–	–	1	16	3	9	1	11	3	–	15	10	4	2	10	16	11	6	19	Bad Kissingen
Kaiserslautern	11	6	–	–	–	–	1	13	3	11	–	5	–	–	1	1	9	10	2	1	20	3	46	Kaiserslautern
Luitpoldheim	9	7	–	–	–	–	–	14	2	5	3	12	2	–	–	5	8	1	2	22	–	–	55	Luitpoldheim
Bamberg	11	7	–	–	–	–	–	14	4	17	1	12	2	–	3	–	1	8	28	16	19	6	12	Bamberg
Nürnberg	8	8	–	–	–	–	–	14	2	13	2	13	2	–	1	1	14	36	11	7	7	3	13	Nürnberg
Passau	8	5	–	–	–	–	–	24	5	3	2	11	2	–	–	–	22	1	10	1	16	–	43	Passau
Metten	9	5	–	–	–	–	–	15	6	16	3	7	6	–	2	4	19	10	7	6	14	3	28	Metten
Regensburg	8	4	–	–	–	–	–	13	3	8	1	10	2	–	3	4	23	19	6	10	8	1	19	Regensburg
Bayreuth	9	6	–	–	–	–	–	14	3	18	2	10	4	–	3	–	38	22	3	4	14	3	6	Bayreuth
Burghausen	9	8	–	–	–	–	–	14	2	21	2	8	2	–	4	10	11	–	1	–	7	4	56	Burghausen
Ingolstadt	14	3	–	–	–	–	–	16	4	15	2	16	4	–	–	3	31	19	1	10	19	4	6	Ingolstadt
Karlshuld	8	6	–	–	–	–	–	17	3	16	4	9	4	–	–	12	18	–	–	6	17	1	39	Karlshuld
Cham	10	4	–	–	–	–	–	22	3	12	–	6	2	–	–	11	31	2	–	12	36	1	–	Cham
Landshut	18	7	–	–	–	–	1	13	2	8	2	16	4	–	3	7	26	3	–	2	26	–	26	Landshut
Lindau i. B. (Reutin)	8	5	–	–	–	–	–	7	–	26	5	4	1	–	14	21	1	–	21	1	19	4	12	Lindau i. B. (Reutin)
Eggenfelden	26	8	–	–	–	–	–	15	5	19	1	8	4	–	–	37	17	6	3	7	11	12	–	Eggenfelden
Rohr								15	3	5	1	11	3	–	–	28	14	5	7	20	11	4	4	Rohr
Weissenburg i. B.	11	8	–	–	–	–	–	10	4	9	2	11	2	–	1	10	12	24	11	14	8	5	8	Weissenburg i. B.
Nördlingen	8	6	–	–	–	–	–	13	3	18	2	14	1	–	4	5	14	24	9	8	13	6	10	Nördlingen
Ansbach	8	7	–	–	–	–	1	15	3	5	4	11	3	–	–	5	3	3	3	7	12	3	57	Ansbach
Bad Reichenhall	9	8	–	–	–	–	–	6	3	14	9	8	2	–	–	1	22	–	13	9	17	1	30	Bad Reichenhall
Hof	13	8	–	–	–	–	–	18	3	20	–	9	6	–	6	1	4	19	31	12	10	4	6	Hof
Augsburg	6	5	–	–	–	–	1	11	3	7	3	9	1	–	1	19	17	16	–	17	6	8	9	Augsburg
Amberg M.H.B.	22	7	–	–	–	–	1	16	3	6	2	9	3	–	4	10	19	17	10	1	12	3	17	Amberg M.H.B.
München C.-St.	10	6	–	–	–	–	–	8	4	20	4	12	1	–	–	8	10	8	5	22	3	7	30	München C.-St.
Alexandersbad	10	5	–	–	–	–	–	13	5	12	2	12	8	–	4	1	6	23	2	6	9	13	29	Alexandersbad
Traunstein	10	9	–	–	–	–	–	6	5	13	6	5	2	–	1	8	43	4	9	2	23	3	–	Traunstein
Berchtesgaden	11	11	–	–	1	–	–	4	6	13	10	5	1	–	–	–	20	–	–	–	–	–	73	Berchtesgaden
Ottobeuren	5	4	–	–	–	–	–	7	5	21	9	7	2	–	2	14	5	10	1	26	–	2	33	Ottobeuren
Partenkirchen	10	7	–	–	–	–	1	–	2	13	11	4	1	–	2	–	–	8	23	–	–	14	46	Partenkirchen
Tegernsee	10	6	–	–	–	–	1	–	2	2?	5	7	1	–	2	–	4	49	1	–	16	9	12	Tegernsee
Buchenau	8	7	–	–	–	–	–	1	8	15	12	6	2	–	1	2	29	2	1	11	22	–	25	Buchenau
Oberstdorf	10	9	–	–	–	–	–	6	4	20	7	4	3	–	33	1	–	4	7	–	5	11	32	Oberstdorf
Ettal	11	9	–	–	–	–	1	2	6	13	11	4	2	–										Ettal
Mittenwald	8	8	–	–	–	–	–	–	1	7	8	7	–	–	4	3	–	–	33	8	8	1	36	Mittenwald
Hohenpeissenberg	12	8	–	–	1	–	1	7	1	9	7	9	1	–	–	16	9	15	6	23	11	9	4	Hohenpeissenberg
Zugspitze	9	8	9	31	3	–	–	15	5	–	7	7	24	9	8	–	7	20	22	9	9	17	1	Zugspitze

Übersicht über die Witterungsverhältnisse im Königreiche Bayern

während des November 1913.

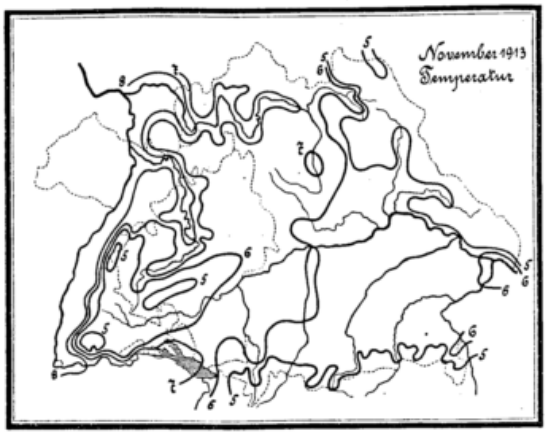
Bei vorwiegend trübem Himmel war der diesjährige November sehr mild und niederschlagsreich. Die Differenzen der Temperaturmittel gegen die langjährigen Durchschnittswerte bezifferten sich an der überwiegenden Mehrzahl unserer Beobachtungsorte auf 3 bis 4 Grad, nur im Alpengebiete und in dessen unmittelbarem Vorlande, sowie in den Mittelgebirgslagen im Osten Bayerns blieben die Differenzwerte etwas unter der erstgenannten Grenze zurück. Lindau berechnete sogar nur einen Temperaturüberschuss von 1.9 Grad, eine Tatsache, die aus der temperaturausgleichenden Wirkung der grossen Seefläche wohl zu erklären ist.

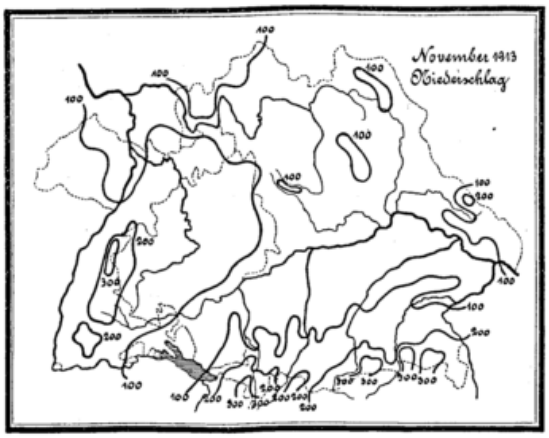
Dass die Niederschlagssummen des November relativ hoch ausfielen, ergibt sich aus dem Vergleich derselben mit den langjährigen Durchschnittswerten. Setzt man diese Werte gleich der Einheit, so betrugen die diesjährigen Monatssummen an der weitaus überwiegenden Anzahl unserer Beobachtungsstellen mehr als 1.5, ja vielenorts sogar über 2.0 und an ganz besonders exponierten Lagen des Alpengebietes sogar über 3.0. Nur im Gebiete des Fichtelgebirges und der oberen Naab ergaben sich geringere Niederschlagsmengen, welche den Normalbetrag nicht oder nur um Geringes übertrafen.

Nach dieser flüchtigen Charakterisierung des Berichtsmonats in Bezug auf die beiden wichtigsten Elemente, Temperatur und Niederschlag, lassen wir zunächst einen Abriss der Witterungsgeschichte folgen: Am Morgen des 1. November lag ein intensives Barometermaximum im Südosten des Erdteiles, von wo es sich mit abnehmender Intensität westwärts nach dem Alpengebiet herein erstreckte. Minima befanden sich in der Gegend von Island und reichten mit südlichen Ausläufern bis in die Biscayasee herab. In der Folge zogen diese Ausläufer längs der Küsten des Kanales und der Nordsee nach der Ostsee, wobei sich ihr Einfluss insbesondere in der Pfalz, sowie in Nordbayern durch Trübung und zeitweise leichte Niederschläge geltend machte. Im südlichen Bayern bestand unter Föhneinfluss vorwiegend heiterer Himmel und nur ganz vereinzelt kam es zu kurzdauernden schwachen Regenfällen. Die Temperaturen lagen allenthalben hoch. Die Situation wurde auch für Südbayern ungünstiger, als eine tiefe Depression im Verlaufe des 3. November von dem Norwegischen Meere über Skandinavien in das Ostseegebiet einbrach, so dass über ganz Osteuropa der Luftdruck sank, während über den britischen Inseln hoher Druck sich festsetzte. Die südlichen und südwestlichen Winde gingen nun in westliche und nordwestliche über, unser ganzes Gebiet hatte bei bewölktem Himmel zeitweise Niederschläge und allmählichen Temperaturrückgang zu verzeichnen. Insbesondere vom 5. auf 6. erfolgte eine recht fühlbare Abkühlung, als die Ostsee-Depression vom Westen her neuen Zuzug gewann. Die Witterung blieb nun andauernd ungünstig, indem eine Störung nach der anderen von den britischen Inseln über die Nordsee nach dem Osten vordrang. Vom 8. ab hatte der Vormarsch einer neuen atlantischen Depression wieder südliche Winde und damit Erwärmung zur Folge, bereits vom 11. ab hatten jedoch die Temperaturen wieder fallende Tendenz, da sich Störungen in der Ostsee mit mehr oder minder nachhaltigem Einfluss geltend machten. Dabei fielen bei vorwiegend trübem Himmel häufige, ja an manchen Orten täglich Niederschläge. Eine Aenderung der allgemeinen Wetterlage bereitete sich erst am 18. vor. Im Südosten Europas entwickelte sich ein barometrisches Maximum, welches in der Folge noch weiter erstarkte und dem Aufkommen weiterer Störungen im Osten unseres Gebietes erfolgreichen Widerstand leistete. Bereits am 19. trat teilweises Autklaren ein, doch machten sich zeitweilig noch Randgebilde einer über Skandinavien hinziehenden Depression geltend. Erst der 20. brachte wenigstens in Südbayern heiteres und sonniges Wetter, während in der Pfalz und in Nordbayern noch immer kleinere Störungen durch das Auftreten von stärkerer Bewölkung sich äusserten. Am 21. morgens erstreckte sich ein kräftig ausgebildeter Ausläufer einer tiefen über dem europäischen Nordmeere gelegenen Depression über die britischen Inseln nach der Biscayasee, so dass über ganz West- und Zentraleuropa zum Teil lebhafte südliche bis südwestliche Winde wehten. In Südbayern trat wieder ausgesprochenes Föhnwetter ein, dessen typischen Eigenschaften sich noch verstärkten, als bis zum folgenden Tage der Ausläufer nach dem Kontinente übertrat. Auch am 23. hielt das über Zentraleuropa gelegene barometrische Maximum dem Ansturme des Ausläufers noch Stand, wenn auch die Bewölkung bereits zunahm. Erst am 24. verursachte eine nach Süddeutschland vorgedrungene Störung Trübung und verbreitete Niederschläge. Mit dem Aufhören der Föhnlage waren vom 23. ab auch die Temperaturen wieder erheblich gesunken. Zwar kam es am 26. November vorübergehend noch einmal zur Ausbildung eines über Zentraleuropa verlaufenden Hochdruckrückens, so dass wenigstens in Südbayern eine kurzdauernde Besserung eintrat, doch war das kontinentale Maximum nicht kräftig genug, den Einbruch einer Depression in das Ostseegebiet zu verhindern. Am 27. und 28. herrschte trübes, kühles und regnerisches Wetter, wobei die Niederschläge im Alpengebiete zum Teil sehr ergiebig waren. (Vergleiche Tabelle II.) Während der beiden letzten Monatstage drang zwar von der Biscayasee her ein intensives Hochdruckgebiet kräftig gegen Zentraleuropa vor, doch trat eine durchgreifende Besserung nicht mehr ein. Die Niederschläge hörten allmählich auf und auch die Temperaturen stiegen wieder an.

Übergehend zur Betrachtung der geographischen Verteilung der wichtigsten klimatologischen Mittelwerte, finden wir in dem beigedruckten Kärtchen I. das gewohnte Bild der Temperaturverteilung über Süddeutschland. Abgesehen von der bereits erwähnten Tatsache, dass die Temperaturwerte durchschnittlich um drei Grad zu hoch ausfielen,

weist die kartographische Darstellung normale Verhältnisse auf. Die höchsten Temperaturen wurden in der Rheinebene und der Rheinpfalz, dann im unteren und mittleren Maingebiet, sowie am Uferland des Bodensees ermittelt. Im allgemeinen nehmen dann die Temperaturen mit steigender Seehöhe ab, so dass sich der Verlauf der Isothermen sehr nahe dem der Isohypsen anschliesst. Erwähnenswert ist nur noch die Kurve für sechs Grad, welche das rechtsrheinische Bayern in unregelmässigem Zuge vom Quellgebiet des Mains nach dem Bodensee durchzieht. Diese Linie trennt den kälteren, mehr unter kontinentalen Einflüssen stehenden Osten von dem oceanischen Einwirkungen mehr zugänglichen Westen. Auch die entsprechenden Darstellungen für die mittleren Extreme zeigen ähnliche Bilder. Die Isothermen zeigen auch hier in erster Linie eine deutliche Abhängigkeit von der Topographie des Geländes, ausserdem die gewohnte Erscheinung weitabstehender Extreme auf dem Gebiete nördlich der bayerischen Hochebene nach der Donau hin. Dort, sowie in den alpinen Tallagen erreichte die mittlere tägliche Temperaturschwankung Werte von über $6^1/_2$ Grad, während an der Mehrzahl unserer Beobachtungsstellen der entsprechende Wert zwischen vier und sechs Grad sich bewegt. Die andauernd milden Temperaturen sanken nur selten und dann nur auf kurze Zeit unter den Gefrierpunkt. In der Pfälzer Rheinebene, in den begünstigten Tallagen des unteren und mittleren Mains wurden negative Minima überhaupt nicht verzeichnet, aber auch an den übrigen Flachlandstationen zählte man im allgemeinen höchstens bis zu drei Frosttagen. Eine Ausnahme bilden nur die Orte auf der bereits einmal erwähnten Abdachung der bayerischen Hochebene nach der Donau, woselbst vier bis fünf Tage mit negativem Minimum verzeichnet wurden. In den eigentlichen Gebirgslagen wurden natürlich noch mehr Frosttage gezählt, doch wurden in den Höhen, bis zu welchen grössere Ansiedlungen hinaufreichen, nicht mehr als acht Tage mit Frost verzeichnet. Wintertage, das sind Tage mit negativem Temperaturmaximum, wurden nicht beobachtet, ausgenommen natürlich die eigentlichen Hochlagen der Gebirge. Auf der Zugspitze in circa 3000 Meter Seehöhe stieg beispielsweise die Höchsttemperatur nur mehr an sechs Tagen über den Gefrierpunkt.





Auf dem zweiten der beigedruckten Kärtchen ist die geographische Verteilung der Niederschlagsmengen über Süddeutschland zur Darstellung gebracht. Wie schon eingangs erwähnt, waren an der überwiegenden Mehrzahl unserer Stationen Niederschlagssummen angefallen, welche den langjährigen Durchschnitt mehr oder weniger beträchtlich überschritten. Insbesondere das westliche Süddeutschland, sowie das Alpengebiet und dessen unmittelbares Vorland verzeichneten relativ hohe Monatsmengen, an den besonders exponierten Stellen mehr als 300, ja vereinzelt sogar mehr als 400 mm. Die Niederschlagshäufigkeit war, wie dies bereits auch der Schilderung des zeitlichen Witterungsverlaufes zu entnehmen ist, sehr bedeutend, indem nur in den Tagen vom 20. bis 23. eine nennenswerte Regenpause eintrat. Sonst brachte jeder Tag in irgend einer Gegend Bayerns Niederschlag. Bei der vorwiegenden Zufuhr milder oceanischer Luft gingen die Niederschläge meist als Regen nieder, in den tieferen Lagen sogar ausnahmslos. Im Alpengebiet, sowie in den höheren Lagen des Bayerischen Waldes und des Fichtelgebirges traten in der Zeit vom 6. bis 9., ferner wieder um die Mitte und gegen Ende des November leichte Schneefälle auf, die aber nur in den eigentlichen Hochlagen zur Bildung einer zusammenhängenden Schneedecke führten. Schnee mit Regen vermischt wurde auch auf der Bayerischen Hochebene, auf der Frankenhöhe und an anderen Stellen vereinzelt beobachtet.

Die mittlere Bewölkungsziffer schwankte an der Mehrzahl unserer Beobachtungsorte zwischen acht und neun Zehnteln der vollen Bedeckung. Nur auf der Frankenhöhe und im südöstlichen Bayerischen Walde, ferner im Alpengebiete und auf der vorgelagerten Bayerischen Hochebene wurde ein mittlerer Bewölkungsgrad von nur sieben bis acht Zehnteln, stellenweise sogar von weniger als sieben Zehnteln errechnet. Während die Zahl der heiteren Tage nur sehr gering war, in ausgedehnten Gebieten sogar auf Null herabsank, erreichte die Anzahl der trüben Tage hohe Werte, die nur vereinzelt im Alpengebiete und in dessen Vorland unter 15 blieben. Wie sich diese Verhältnisse an den einzelnen Beobachtungsorten gestalteten, ist aus den entsprechenden Spalten der Tabelle III. zu entnehmen.

Die mittleren auf Meeresniveau reduzierten Barometerstände weisen ein von Süd nach Nord gerichtetes, schwaches Gefälle auf. Winde aus westlicher und südwestlicher Richtung waren im allgemeinen vorherrschend, nur an einigen alpinen Tallagen wurden andere Windrichtungen oder auch Stillen in grösster Häufigkeit verzeichnet.

München, den 23. Dezember 1913. Alt.

Tabelle I.

Station	Höhe über Normal-Null m	Luftdruck in mm: höchster am	höchster mm	tiefster am	tiefster mm	Monatsmittel lokal	Monatsmittel auf Meeresniveau reduziert	Temperatur C°: Mittel um 7ª	2ᵖ	9ᵖ	Mittlere Tagestemperatur	Mittleres Maximum	Mittleres Minimum	Mittel aus Maximum u. Minimum	Mittlere Schwankung	Station
Ludwigshafen a. Rh.	100.3	19.	766.4	13.	739.4	754.7	763.9	8.0	10.5	9.0	9.1	11.2	6.8	9.0	4.4	Ludwigshafen a. Rh.
Kahl a. M.	114.1	19.	763.9	13.	738.3	753.0	763.5	7.2	9.8	7.7	8.1	11.2	5.2	8.2	6.0	Kahl a. M.
Bad Dürkheim	130.3	19.	762.1	13.	736.7	751.5	763.5	7.7	10.2	8.2	8.1	11.8	5.8	8.8	6.0	Bad Dürkheim
Landau i. Pf.	149.9	19.	761.8	13.	735.6	750.0	763.6	7.8	10.2	8.3	8.6	11.0	6.6	8.8	4.3	Landau i. Pf.
Würzburg	179.3	19.	758.1	13.	732.3	746.9	763.2	6.9	9.8	7.6	8.0	10.3	5.4	7.9	4.9	Würzburg
Bad Kissingen	209.2	19.	755.3	14.	729.5	744.5	763.6	5.8	8.6	6.1	6.7	9.4	3.9	6.6	5.4	Bad Kissingen
Kaiserslautern	242.2	19.	752.7	13.	727.1	741.8	763.8	7.8	9.7	7.9	8.3	10.3	6.0	8.1	4.2	Kaiserslautern
Luitpoldheim	250							6.1	8.4	6.9	7.1	9.0	4.2	6.6	4.8	Luitpoldheim
Bamberg	287.7	19.	748.4	14.	723.5	737.8	764.0	5.4	8.7	6.0	6.5	10.1	3.5	6.8	6.5	Bamberg
Nürnberg	309.1	19.	746.6	13.	722.2	735.8	763.8	6.2	8.9	6.9	7.2	9.5	4.8	7.2	4.7	Nürnberg
Passau	309.3	20.	746.5	13.	724.1	736.9	765.2	5.1	7.9	5.9	6.2	8.8	3.9	6.3	4.9	Passau
Metten	320							4.2	7.5	5.1	5.5	8.5	2.1	5.3	6.4	Metten
Regensburg	354.3	19.	743.1	13.	719.1	732.5	764.7	4.8	7.3	5.5	5.8	8.4	3.4	5.9	5.0	Regensburg
Bayreuth	363.3	19.	741.1	14.	716.6	730.9	763.9	5.4	8.0	6.1	6.4	9.0	3.4	6.2	5.6	Bayreuth
Burghausen	365	19.	742.4	13.	718.7	731.7	764.9	4.6	8.1	5.0	5.7	8.9	2.8	5.9	6.1	Burghausen
Ingolstadt	368							4.8	8.3	5.4	6.0	9.6	2.9	6.3	6.7	Ingolstadt
Karlshuld	382.0	19.	740.3	13.	716.7	729.7	764.4	4.5	8.0	5.2	5.7	9.3	2.8	6.0	6.6	Karlshuld
Cham	386							4.4	7.9	5.0	5.6	9.2	2.6	5.9	6.5	Cham
Landshut	397.7	19.	739.0	13.	714.9	728.4	764.6	4.6	8.2	5.2	5.8	9.9	2.4	6.1	7.5	Landshut
Lindau i. B. (Reutin)	401.7	19.	739.1	13.	716.0	729.1	765.5	5.9	8.6	6.6	6.9	10.0	4.4	7.2	5.6	Lindau i. B. (Reutin)
Eggenfelden	417							4.3	7.7	4.8	5.4	8.5	2.8	5.7	5.7	Eggenfelden
Rohr	426							4.6	7.8	5.3	5.7	8.4	3.2	5.8	5.3	Rohr
Weissenburg i. B.	431	19.	735.9	13.	712.7	725.6	764.5	5.8	8.7	6.4	6.8	9.3	4.4	6.8	4.8	Weissenburg i. B.
Nördlingen	435.6	19.	735.3	13.	711.5	724.4	763.6	5.8	8.9	6.4	6.9	9.6	4.5	7.0	5.0	Nördlingen
Ansbach	437.5	19.	735.3	13.	710.8	723.7	763.2	5.2	8.0	5.7	6.2	8.7	3.4	6.0	5.3	Ansbach
Bad Reichenhall	470.4	19.	733.2	13.	710.2	722.7	765.1	5.1	8.7	5.7	6.3	9.9	3.4	6.7	6.5	Bad Reichenhall
Hof	476.1	19.	728.5	14.	704.8	719.2	762.1	4.4	7.1	4.4	5.0	8.1	1.6	4.9	6.4	Hof
Augsburg	499.6	19.	730.7	13.	706.9	719.8	764.7	5.8	8.9	6.7	7.0	9.4	4.5	6.9	4.9	Augsburg
Amberg M.H.B.	519							4.1	6.5	4.7	5.0	8.4	2.4	5.4	6.0	Amberg M.H.B.
München C.-St.	526.4	19.	728.0	13.	704.8	717.5	764.6	6.1	9.0	6.7	7.1	9.7	4.5	7.1	5.2	München C.-St.
Alexandersbad	590							3.4	5.7	4.3	4.4	7.2	2.1	4.6	5.1	Alexandersbad
Traunstein	597	19.	722.2	13.	699.5	711.8	765.4	4.7	8.2	5.0	5.7	9.0	2.9	5.9	6.1	Traunstein
Berchtesgaden	600							3.5	7.6	4.6	5.1	8.2	2.1	5.2	6.1	Berchtesgaden
Ottobeuren	660.0	19.	716.7	13.	693.7	706.4	765.2	5.0	7.8	5.7	6.1	8.8	3.3	6.1	5.5	Ottobeuren
Partenkirchen	716.8	19.	712.0	13.	689.6	701.9	765.8	3.3	8.1	4.1	4.9	9.7	2.2	6.0	7.5	Partenkirchen
Tegernsee	727.8	19.	710.1	13.	688.9	700.7	765.3	5.4	8.3	5.3	6.1	9.8	3.3	6.6	6.5	Tegernsee
Buchenau	750	19.	707.1	13.	684.3	697.3	764.2	3.0	5.3	3.1	3.6	6.4	1.5	4.0	4.9	Buchenau
Oberstdorf	811.4	19.	703.2	13.	681.3	693.8	765.9	3.2	7.7	3.4	4.4	8.8	1.0	4.9	7.8	Oberstdorf
Ettal	879.5	19.	696.2	13.	674.2	686.6	764.1?	3.2	6.8	3.9	4.5	8.3	1.7	5.0	6.6	Ettal
Mittenwald	911.8	19.	694.1	13.	673.0	685.0	765.1	3.3	7.8	4.8	5.2	8.8	1.4	5.1	7.4	Mittenwald
Hohenpeissenberg	994.1	19.	687.0	13.	666.1	677.8	764.7	4.3	5.7	4.8	4.9	7.1	3.0	5.1	4.1	Hohenpeissenberg
Zugspitze	2964	20.	537.0	13.	518.4	529.4	–	– 6.0	– 5.3	– 5.6	– 5.6	– 3.3	– 7.7	– 5.5	4.4	Zugspitze

Tabelle II.

Station	Temperatur C°: höchste am	höchste C°	tiefste am	tiefste C°	grösste Schwankung am	grösste Schwankung C°	Dampfdruck Monatsmittel mm	Relative Feuchtigkeit %: Monatsmittel	kleinste am	kleinste %	grösste am	grösste %	Bewölkung Monatsmittel	Niederschlag: grösster am	grösster mm	Monats-Summe mm	Station
Ludwigshafen a. Rh.	10.	15.1	20.	0.9	5., 20.	7.8	7.2	83	19.	51	10.	98	8.5	13.	17.8	79.1	Ludwigshafen a. Rh.
Kahl a. M.	1.	15.5	20.	– 1.8	19.	11.5	7.3	89	19.	56	öfters	100	8.4	13.	17.9	86.8	Kahl a. M.
Bad Dürkheim	1.	14.4	21.	0.3	19., 22.	10.0	7.5	89	19.	62	5., 21.	100	8.0	13.	10.7	60.3	Bad Dürkheim
Landau i. Pf.	2.	14.3	20.	0.0	20.	8.7	7.6	88	2.	60	10.	100	8.4	13.	22.2	95.5	Landau i. Pf.
Würzburg	1.	14.9	20.	0.7	22.	11.2	6.9	85	6.	57	11., 12.	99	8.6	13.	15.2	76.5	Würzburg
Bad Kissingen	2.	12.8	20.	– 1.1	22.	11.9	6.7	89	4.	50	12., 17.	99	8.3	17.	15.8	110.0	Bad Kissingen
Kaiserslautern	1.	16.4	20.	– 1.2	1.	9.8	7.2	87	1., 19.	60	10.	99	8.8	13.	13.5	91.3	Kaiserslautern
Luitpoldheim	2.	12.7	20.	– 2.5	22.	10.1	6.7	88	19.	59	4., 5.	100	8.6	17.	28.8	124.9	Luitpoldheim
Bamberg	1.	17.5	20.	– 1.6	1.	15.8	6.5	89	19.	46	12.	99	8.5	13.	20.9	82.0	Bamberg
Nürnberg	1.	14.9	20.	– 0.1	1.	10.1	6.6	86	19.	62	öfters	98	8.0	17.	12.5	67.8	Nürnberg
Passau	1.	14.7	22.	– 0.6	1., 23.	10.3	6.6	91	14.	62	öfters	100	8.5	29.	17.6	91.4	Passau
Metten	1.	13.7	21.	– 2.9	23.	13.3	6.4	92	19.	64	öfters	100	8.0	18.	19.4	99.0	Metten
Regensburg	1.	17.0	20.	– 2.0	1.	13.3	6.4	92	2.	64	1.	100	8.3	17.	12.6	51.2	Regensburg
Bayreuth	1.	15.2	21.	– 0.9	1.	11.0	6.3	87	20.	52	1.	100	8.7	13.	11.5	57.4	Bayreuth
Burghausen	2., 5.	13.3	21.	– 2.8	3.	10.6	6.4	91	14.	50	öfters	100	8.6	17.	29.4	133.1	Burghausen
Ingolstadt	2.	15.3	20.	– 3.3	3.	12.9	6.4	89	8.	59	1., 22.	100	8.4	17.	15.4	52 6	Ingolstadt
Karlshuld	5.	15.2	20.	– 3.6	3.	14.2	6.5	93	2.	60	öfters	100	7.2	17.	15.5	47.1	Karlshuld
Cham	1.	16.8	20.	– 3.0	1.	15.5							8.6	17.	13.8	55.2	Cham
Landshut	3.	15.3	20.	– 4.0	3.	14.0	6.4	91	2.	62	1., 23.	100	8.1	17.	21.3	63.7	Landshut
Lindau i. B. (Reutin)	2.	16.4	23.	– 1.0	2.	10.4	6.5	87	14.	58	öfters	100	8.2	28.	23.8	153.4	Lindau i. B. (Reutin)
Eggenfelden	2.	13.4	21.	– 4.1	21.	11.9							8.4	29.	20.3	101.6	Eggenfelden
Rohr	3.	13.0	20.	– 1.8	1.	10.3							7.9				Rohr
Weissenburg i. B.	1.	14.5	20.	– 1.3	1.	11.0	6.8	90	16.	71	öfters	100	8.5	17.	21.7	66.2	Weissenburg i. B.
Nördlingen	1.	14.5	20.	– 0.8	21.	11.4	6.5	87	2.	57	öfters	99	8.5	17.	11.5	53.3	Nördlingen
Ansbach	1.	13.8	20.	– 1.8	1.	11.1	6.1	84	2.	54	10., 28.	99	7.4	17.	27.1	109.7	Ansbach
Bad Reichenhall	1.	16.0	24.	– 0.9	5.	11.9	6.2	86	21.	54	26.	100	7.0	29.	52.1	261.0	Bad Reichenhall
Hof	1.	15.0	5.	– 4.4	1.	15.0	6.0	89	4.	54	öfters	100	8.3	15.	13.7	52.1	Hof
Augsburg	1.	15.2	21.	– 0.8	1.	11.5	6.5	85	1., 2.	61	28.	99	7.4	17.	12.0	62.4	Augsburg
Amberg M.H.B.	3.	15.1	20.	– 2.4	3.	11.7							8.0	17.	13.7	61.7	Amberg M.H.B.
München C.-St.	3.	15.3	21.	0.0	21.	11.2	6.3	83	14.	54	29.	98	7.6	17.	11.2	85.2	München C.-St.
Alexandersbad	1.	13.8	20.	– 1.8	5.	9.6	5.9	93	19.	69	öfters	100	8.0	17.	13.8	97.9	Alexandersbad
Traunstein	3.	15.0	20.	– 0.9	21.	12.4	6.1	88	21.	44	öfters	100	7.3	29.	42.5	224.7	Traunstein
Berchtesgaden	1.	13.7	20.	– 1.0	1.	11.0	5.9	88	1.	50	4.	100	7.2	29.	48.2	262.2	Berchtesgaden
Ottobeuren	1.	16.0	20.	– 1.8	1.	12.9	6.1	85	1.	57	öfters	100	7.0	18.	12.9	103.4	Ottobeuren
Partenkirchen	1.	17.6	27.	– 1.6	12.	13.4	5.6	86	1., 21.	48	öfters	100	6.6	29.	38.5	163.9	Partenkirchen
Tegernsee	1.	16.3	19.	0.5	11.	13.0	5.7	79	11., 14.	48	17.	99	6.8	17.	35.0	193.9	Tegernsee
Buchenau	1.	14.7	20.	– 3.3	1.	10.8	5.7	94	2.	70	öfters	100	7.8	29.	29.6	146.0	Buchenau
Oberstdorf	1.	15.2	30.	– 2.9	1.	13.7	5.5	85	1.	47	öfters	98	7.3	17.	35.8	221.0	Oberstdorf
Ettal	12.	16.0	27.	– 1.8	12.	13.0	5.5	87	1.	55	öfters	100	6.8	17.	28.8	150.8	Ettal
Mittenwald	1.	15.2	27.	– 2.8	12.	13.3	5.3	80	21.	37	25., 26.	100	7.3	29.	58.6	195.6	Mittenwald
Hohenpeissenberg	1.	13.0	27.	– 1.0	11.	7.4	5.3	82	21.	20	öfters	100	7.4	17.	18.3	103.6	Hohenpeissenberg
Zugspitze	1.	2.5	8.	–12.5	6.	9.6	2.6	88	2.	28	öfters	100	5.0	14.	16.2	112.4	Zugspitze

Tabelle III.

Station	Tage mit										Tage				Anzahl der beobachteten Windrichtungen									Station
	Niederschlägen		Schneefall	Schneedecke	Graupeln	Hagel	Gewitter	Nebel	Reif	Tau	heitere	trübe	Frost	Winter	N	NE	E	SE	S	SW	W	NW	Stille	
	≥ 0.1mm	≥ 1.0mm																						
Ludwigshafen a. Rh.	22	17	–	–	–	1	1	11	2	3	–	23	1	–	2	6	2	11	18	46	4	–	1	Ludwigshafen a. Rh.
Kahl a. M.	19	17	–	–	–	–	–	1	1	–	–	20	1	–	–	–	3	7	8	43	6	3	20	Kahl a. M.
Bad Dürkheim	20	19	–	–	–	–	?	5	–	–	–	16	–	–	5	2	1	1	26	35	15	4	1	Bad Dürkheim
Landau i. Pf.	23	19	–	–	–	–	–	1	–	1	2	22	–	–	–	5	–	7	1	63	10	4	–	Landau i. Pf.
Würzburg	23	14	–	–	–	1	1	4	3	2	–	22	–	–	2	1	2	5	3	35	10	11	21	Würzburg
Bad Kissingen	22	17	–	–	–	–	1	3	1	3	–	19	1	–	14	3	–	–	18	19	25	7	4	Bad Kissingen
Kaiserslautern	23	19	–	–	–	1	1	4	1	1	–	23	1	–	2	–	6	1	1	6	48	10	16	Kaiserslautern
Luitpoldheim	26	14	–	–	–	2	1	8	2	–	–	21	1	–	–	1	2	1	1	49	9	1	26	Luitpoldheim
Bamberg	21	12	–	–	–	–	1	6	3	7	–	20	2	–	–	1	2	2	21	23	31	3	7	Bamberg
Nürnberg	19	14	–	–	1	–	1	8	5	6	1	20	1	–	1	–	6	19	11	24	20	3	6	Nürnberg
Passau	22	19	1	–	–	1	1	23	–	1	–	18	4	–	–	–	21	1	2	2	24	–	40	Passau
Metten	19	16	–	–	1	–	1	7	5	4	2	21	5	–	1	2	14	10	1	8	26	5	23	Metten
Regensburg	22	12	–	–	1	–	1	9	3	1	–	20	3	–	–	10	7	17	7	28	14	–	7	Regensburg
Bayreuth	17	10	–	–	1	–	–	4	1	2	–	21	2	–	–	–	16	18	–	13	39	1	3	Bayreuth
Burghausen	22	14	–	–	1	–	1	12	3	1	–	21	5	–	2	8	3	1	–	11	26	–	39	Burghausen
Ingolstadt	24	11	–	–	2	–	–	5	2	1	–	20	5	–	–	2	15	9	2	16	38	3	5	Ingolstadt
Karlshuld	16	11	–	–	–	–	1	6	4	1	2	14	5	–	–	3	12	–	–	22	27	2	24	Karlshuld
Cham	21	11	–	–	–	1	1	17	4	1	–	16	4	–	–	2	11	–	2	12	62	1	–	Cham
Landshut	21	13	–	–	1	–	1	5	4	2	1	20	4	–	–	2	10	1	4	8	49	1	15	Landshut
Lindau i. B. (Reutin)	18	17	–	–	–	–	–	6	1	8	1	18	3	–	7	7	2	1	26	5	15	6	21	Lindau i. B. (Reutin)
Eggenfelden	26	19	–	–	–	1	1	11	4	8	–	20	4	–	4	16	3	4	–	8	38	17	–	Eggenfelden
Rohr			–	–	1	1	1	8	3	–	–	19	5	–	7	2	3	2	–	33	14	29	–	Rohr
Weissenburg i. B.	20	11	1	–	1	1	1	6	2	–	–	23	1	–	1	1	1	6	18	26	29	5	3	Weissenburg i. B.
Nördlingen	21	16	–	–	–	–	1	7	2	6	–	22	2	–	–	4	1	12	13	26	28	–	6	Nördlingen
Ansbach	22	18	1	–	2	1	1	3	1	–	3	18	2	–	1	1	3	2	1	15	45	3	19	Ansbach
Bad Reichenhall	20	16	–	–	–	–	–	4	1	3	4	15	3	–	–	4	5	1	6	18	27	1	28	Bad Reichenhall
Hof	18	11	–	–	–	–	–	6	3	6	–	20	7	–	3	1	3	12	16	29	20	6	–	Hof
Augsburg	18	12	–	–	–	–	–	8	4	1	1	15	1	–	–	–	7	3	3	50	14	4	9	Augsburg
Amberg M.H.B.	27	16	–	–	–	1	1	19	4	1	1	20	4	–	–	6	10	9	12	–	47	2	4	Amberg M.H.B.
München C.-St.	21	14	1	–	1	1	2	4	4	6	3	17	–	–	–	1	4	11	1	51	8	3	11	München C.-St.
Alexandersbad	19	17	–	–	1	–	1	3	2	2	–	17	5	–	4	2	5	9	7	15	15	19	14	Alexandersbad
Traunstein	21	17	3	–	–	–	–	–	5	5	3	15	2	–	3	3	13	8	16	6	38	3	–	Traunstein
Berchtesgaden	18	16	2	–	–	–	2	6	7	2	3	16	6	–	–	–	4	1	–	–	2	–	83	Berchtesgaden
Ottobeuren	20	16	1	–	–	–	–	4	5	2	2	13	2	–	–	3	1	6	1	70	–	–	9	Ottobeuren
Partenkirchen	18	16	1	1	1	–	–	–	5	3	3	12	3	–	2	–	–	12	20	1	2	8	45	Partenkirchen
Tegernsee	19	16	4	–	–	–	–	–	–	–	4	14	–	–	–	2	2	47	2	4	12	12	9	Tegernsee
Buchenau	21	16	6	4	2	–	1	6	7	4	4	21	6	–	–	4	10	–	–	1	54	–	21	Buchenau
Oberstdorf	20	16	3	2	1	–	–	2	6	5	3	15	8	–	8	1	–	–	12	9	21	5	34	Oberstdorf
Ettal	20	17	5	1	1	–	–	1	8	7	3	11	5	–										Ettal
Mittenwald	18	15	6	1	–	–	–	–	3	1	2	16	8	–	3	3	1	3	26	12	3	–	39	Mittenwald
Hohenpeissenberg	21	17	5	1	–	–	–	17	2	4	3	15	4	–	1	4	6	5	3	36	26	7	2	Hohenpeissenberg
Zugspitze	19	16	22	30	–	–	–	23	–	–	2	12	30	24	5	–	–	9	11	7	14	44	–	Zugspitze

Übersicht über die Witterungsverhältnisse im Königreiche Bayern

während des Dezember 1913.

Wie sein Vormonat war auch der Dezember abnorm warm und niederschlagsreich. Die Mitteltemperaturen überragten die aus langjährigen Reihen abgeleiteten Normalwerte an fast allen unseren Beobachtungsorten um mehr als 2 Grad, in den Tallagen des Main und der Mainzuflüsse sogar um mehr als 3 Grad. Relativ niedrige Temperaturwerte ergaben sich nur an den Stationen des Alpengebietes und dessen Vorlandes zwischen Bodensee und Inn, woselbst die Abweichungen vom Durchschnittswert weniger als 2, stellenweise sogar weniger als 1 Grad betrugen. Ein Unterschied in den Temperaturverhältnissen des Dezembers und seines Vormonats soll aber gleich hervorgehoben werden. Während die hohen Temperaturmittel des Novembers aus andauernd milder Witterung resultierten, waren sie im Berichtsmonat das Ergebnis dreier auffallend warmer Perioden, die durch schroffe Kälteeinbrüche voneinander getrennt waren. Bei der Schilderung des zeitlichen Witterungsverlaufes werden diese Verhältnisse noch nähere Beleuchtung finden.

Die monatlichen Niederschlagsmengen waren an der Mehrzahl unserer Beobachtungsstellen grösser als die durchschnittlichen Summen, insbesondere im Alpengebiete und in dessen unmittelbarem Vorlande, wo der Mehrbetrag im allgemeinen zwischen 60 und 100 Prozent der normalen Monatssumme schwankte. In den niedrigeren Lagen berechneten sich zumeist nur geringfügige Überschüsse, ja in der westlichen Rheinpfalz, sowie auf einem Gebiete, das sich vom Donaulauf zwischen Dillingen und Regensburg nördlich und südlich ausbreitet, ergaben sich sogar Niederschlagsmengen, die um Geringes hinter dem Durchschnittsbetrage zurückblieben.

Erwähnen wir noch, dass wolkiges bis trübes Wetter vorherrschend war, so ist die allgemeine Charakteristik des diesjährigen Dezembers gegeben, als eines Wintermonates, in welchem die Einflüsse atlantischer Depressionen dominierten. Dem entspricht auch die auf der Zugspitze in zirka 3000 Meter Seehöhe abgeleitete Mitteltemperatur von — 11.5 Grad, welche um 1.7 Grad unter der normalen Temperatur des Dezember zurückblieb. Rasche Temperaturabnahme mit der Höhe ist eine Eigentümlichkeit zyklonaler Wetterlage.

Am Anfange des Monats lag eine tiefe Depression über Nordskandinavien, während hoher Luftdruck von der Biscayasee keilförmig über Frankreich nach dem Alpengebiete hereinreichte. Zahlreiche sekundäre Störungen, welche am Nordrande des barometrischen Maximums hinzogen, verliehen der Witterung unbeständigen Charakter; in Südbayern trat zeitweise Föhn auf. Die skandinavische Depression zog zwar rasch nach Nordrussland ab, ihr folgten aber rasch neue atlantische Minima nach, welche immer weiter nach dem Kontinente hereingriffen. Die Witterung zeigte fortdauernd den Charakter des Unbeständigen und vom 4. ab begannen die Temperaturen stark zu sinken. In der Folge gestaltete sich die Luftdruckverteilung über Europa äusserst unregelmässig, doch blieb eine im Osten unseres Gebietes verlaufende Tiefdruckfurche das beherrschende Aktionszentrum, so dass bei nordwestlichen Winden wolkiges bis trübes, nasskaltes Wetter fortbestand. Bis zum Morgen des 8. hatte sich ein intensives Maximum über Frankreich und Süddeutschland entwickelt. Die Niederschläge liessen zwar nach, doch kam es zu keiner durchgreifenden Besserung. Denn die Ausläufer einer neuen über dem Europäischen Nordmeere ostwärts ziehenden Depression machten bald wieder ihre Wirkung geltend, so dass bei westlichen Winden neuerdings Erwärmung und Regenfälle eintraten. Bis zum Morgen des 10. Dezember hatte sich über der Ostsee ein selbständiges Minimum entwickelt, so dass wieder nordwestliche Luftströme Zentraleuropa überfluteten. Bei trübem Himmel traten verstärkte Niederschläge auf, ohne dass jedoch die Temperaturen weiter abnahmen. Bis zum 16. Dezember erfuhr die Witterung keine nennenswerte Änderung. Die Ostsee bildete fortdauernd das Mündungsgebiet atlantischer Depressionen, so dass die ozeanische Luftzufuhr über Zentraleuropa erhalten blieb. Ein Umschlag bereitete sich erst vor, als ein über der Nordsee gelegenes Tiefdruckzentrum nicht ostwärts, sondern südostwärts nach Westdeutschland vordrang und gleichzeitig über der Nordsee ein intensives Barometermaximum sich festsetzte. Bereits am 17., noch mehr aber am 18., als nordöstliche Winde aufkamen, trat starke Abkühlung ein und mit dem weiteren Erstarken des Hochdruckes klarte es auch auf. Bis zum 23. hielt der Hochdruck den Angriffen der atlantischen Depressionen Stand, so dass vorwiegend heiteres, stellenweise nebeliges Wetter andauerte. Im Gebirge trat bei klarem Himmel starke Temperaturumkehr auf, die am intensivsten am 22. ausgebildet war. An diesem Tage verzeichneten morgens 7 Uhr:

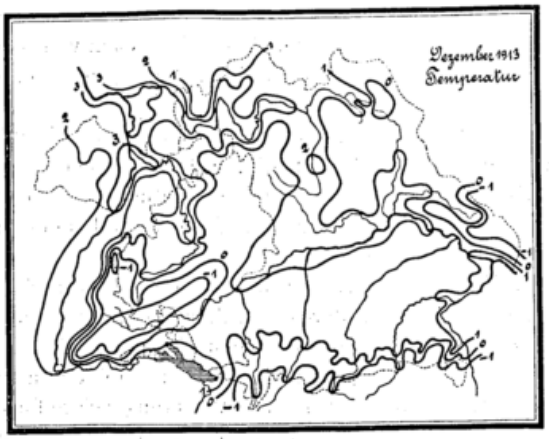
Partenkirchen (716.8 m) . . . . . — 5.0°
Ettal (879.5 m) . . . . . — 4.6° (— 5.8°),
Mittenwald (911.8 m) . . . . . — 3.6° (— 6.0°),
Hohenpeissenberg (994.1 m) . . . . . — 0.4° (— 6.4°),
Hirschberg (1512 m) . . . . . — 0.0° (— 9.0°),
Zugspitze (3000 m) . . . . . — 8.0° (—16.4°).

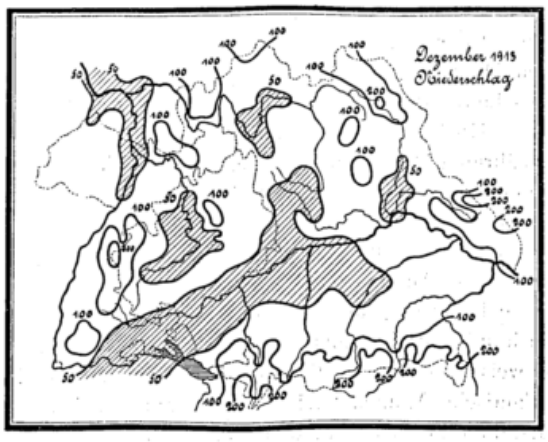
Die in Klammern beigesetzten Temperaturwerte würden bestanden haben, wenn von Partenkirchen ausgehend der vertikale Temperaturgradient — 0.5° pro 100 m gewesen wäre.

Bereits am Abend des 23. Dezember hatte eine gegen Skandinavien vordringende Depression ihren Wirkungsbereich bis nach der Pfalz ausgebreitet, so dass dortselbst schwache Schneefälle eintraten. Allmählich griff die Trübung auch auf das rechtsrheinische Bayern über, so dass es vom 24. ab allenthalben zu Regen- und Schneefällen kam. Die

Temperaturen zeigten im allgemeinen steigende Tendenz. Der nach Innerrussland abziehenden Depression folgten rasch neue atlantische Störungen nach, so dass bis zum 28. unbeständiges, vorwiegend trübes Wetter fortbestand. Von diesem Tage ab verhinderte ein von den britischen Inseln nach Skandinavien reichender Rücken hohen Druckes den Zuzug neuer ozeanischer Störungen. Da aber über Westrussland eine Depression bestehen blieb, traten verbreitete Schneefälle mit schroffem Temperaturrückgang ein, welche bis Monatsende anhielten.

Auf dem ersten der beigegebenen Kärtchen ist die geographische Verteilung der Mitteltemperaturen über Süd deutschland zur Darstellung gebracht. Die Abhängigkeit im Verlaufe der Isothermen von der Topographie des Geländes kommt deutlichst zum Ausdruck, weiterhin eine verhältnismässig rasche Abnahme der Temperatur mit wachsender Seehöhe, eine Folge der vorwiegend cyclonalen Witterung. Ganz ähnliche Darstellungen ergaben sich auch für die mittleren Extreme. Die mittlere Schwankung erreichte ihre höchsten Beträge mit mehr als 5, stellenweise sogar mit mehr als 6 Grad im Alpengebiete und in dessen Vorland, sowie im Gebiete des südlichen Schwarzwaldes und des Kaiserstuhles, ferner auf dem Gebiete zwischen Unterlauf des Lech, Südrand des Frankenjura und Mittellauf der Isar (Gegend von Landshut). Die Zahl der Frosttage erreichte ihre Maximalwerte im Alpengebiete, sowie im Gebiete des Bayerischen Waldes, woselbst zumeist mehr als 20 Tage, vielerorts auch mehr als 25 Tage mit negativem Minimum verzeichnet wurden. Nur besonders bevorzugte Orte, wie Bad Reichenhall und Tegernsee wiesen günstigere Verhältnisse auf. Im übrigen Bayern betrug die Zahl der Frosttage meist zwischen 15 und 20, nur in der Umgebung von Würzburg, sowie in der Pfälzer Rheinebene wurden noch niedrigere Zahlen notiert. (Würzburg, Landau i. Pf. 11, Ludwigshafen 9.) Relativ gering war die Häufigkeit von Wintertagen: die höchsten Zahlen auf bayerischem Gebiete notierten Buchenau bei Zwiesel, Alexandersbad im Fichtelgebirge und Hohenpeissenberg mit 11. Diesbezügliche Angaben ausserbayerischer Beobachtungsstellen stehen nicht zur Verfügung.





Das zweite Kärtchen stellt die geographische Verteilung der Monatssummen des Niederschlages über Süddeutschland dar. Die höchsten Niederschlagssummen wurden natürlich in den Gebirgsgegenden gemessen, im Alpengebiete, sowie an den höheren Erhebungen des Bayerischen Waldes, des Fichtelgebirges und des nördlichen Schwarzwaldes mehr als 200 mm. Daneben finden wir ausgedehnte Gebiete relativ geringer Niederschlagsmengen, die sich meist an die Südostseite von Höhenzügen anlehnen. So ergibt sich unter der Annahme nordwestlicher Winde ein Trockengebiet im Windschatten von Spessart und Rhön, ein zweites, weit ausgedehntes an der Leeseite von Schwarzwald, Schwäbischer Jura und Frankenhöhe usw. Die Niederschlagshäufigkeit war, wie dies bereits aus der Schilderung des zeitlichen Witterungsverlaufes hervorging, im allgemeinen recht beträchtlich. Berücksichtigt man alle Tage, an denen Regen oder Schnee in messbarer Menge fiel, so ergeben sich im rechtsrheinischen Bayern fast an allen Beobachtungsstellen mehr als 20 Niederschlagstage, in der Pfalz und im unteren Maingebiet zwischen 15 und 20. Nähere Einzelheiten mögen den entsprechenden Spalten der Tabelle III entnommen werden.

In den tieferen Lagen, etwa bis zu 400 m Seehöhe aufwärts, fielen die Niederschläge vorwiegend als Regen oder doch als ein Gemisch von Regen und Schnee. In grösseren Seehöhen war Schneefall vorherrschend, aber selbst in Erhebungen von 1000 Metern wurde noch an einigen wenigen Tagen Regen beobachtet. So kam es, dass nur in den eigentlichen Gebirgslagen eine dauernde Schneedecke zustande kam, während sich in den tieferen Lagen eine solche nur jeweils kurze Zeit erhalten konnte. In der Pfälzer Rheinebene, ferner in der Donauebene bis Straubing abwärts, sowie am Ufergelände des Bodensees wurde nur an 2 bis 3 Tagen eine Schneedecke von geringer Mächtigkeit gemessen.

Die mittlere Bewölkungsziffer schwankte im allgemeinen zwischen 7 und 9 Zehnteln der vollen Bedeckung, eine Folge der unter zyklonalen Einflüssen häufigen und oft tagelang bestehenden Trübung. Nur im Alpengebiete finden sich etwas günstigere Verhältnisse, indem an den alpinen Talstationen zumeist ein mittlerer Bewölkungsgrad von weniger als 7 Zehnteln berechnet wurde. Dementsprechend waren trübe Tage häufig, heitere Tage nur in geringer Anzahl zu verzeichnen. Auch in dieser Hinsicht darf auf die betreffenden Spalten der Tabelle III verwiesen werden.

Die mittleren, auf Meeresniveau reduzierten Barometerstände weisen ein schwaches, in der Richtung von Südwest nach Nordost gerichtetes Gefälle auf. Die vorherrschende Windrichtung war Südwest bis West, wo nicht lokale Verhältnisse modifizierend einwirkten, wie in den alpinen Tallagen.

München, den 20. Januar 1914. Alt.

Tabelle I.

Station	Höhe über Normal-Null m	Luftdruck in mm: höchster am	höchster mm	tiefster am	tiefster mm	Monatsmittel lokal	Monatsmittel auf Meeresniveau reduziert	Temperatur C°: Mittel um 7ª	2ᵖ	9ᵖ	Mittlere Tagestemperatur	Mittleres Maximum	Mittleres Minimum	Mittel aus Maximum u. Minimum	Mittlere Schwankung	Station
Ludwigshafen a. Rh.	100.3	21.	768.3	28.	733.8	755.8	765.2	2.7	4.4	3.2	3.4	5.0	1.7	3.4	3.3	Ludwigshafen a. Rh.
Kahl a. M.	114.1	21.	766.1	28.	732.7	753.9	764.6	1.9	3.6	2.0	2.4	5.2	− 0.3	2.5	5.6	Kahl a. M.
Bad Dürkheim	130.3	21.	765.1	28.	730.1	752.3	764.5	2.8	4.1	2.7	3.1	5.4	0.4	2.9	5.0	Bad Dürkheim
Landau i. Pf.	149.9	21.	762.2	28.	729.0	750.9	764.8	2.4	4.1	2.5	2.9	5.0	1.2	3.1	3.8	Landau i. Pf.
Würzburg	179.3	21.	760.4	28.	724.4	747.3	764 0	2.4	4.0	2.6	2.9	4.6	1.0	2.8	3 6	Würzburg
Bad Kissingen	209 2	21.	757.1	28.	724.7	744.7	764.2	1.7	3.4	1.9	2.2	4.2	0.0	2.1	4.2	Bad Kissingen
Kaiserslautern	242.2	21.	754.2	28.	720.7	742.8	765.4	1.8	3.1	1.6	2.0	4.0	0.1	2.0	3.8	Kaiserslautern
Luitpoldheim	250							1.7	2.7	1.6	1.9	3.5	− 0.3	1.6	3.8	Luitpoldheim
Bamberg	287.7	21.	750.5	28.	7150.	737.6	764.3	0.9	2.7	1.4	1 6	4.1	− 0.6	1.8	4.6	Bamberg
Nürnberg	309.1	21.	748.1	28.	714.4	735.6	764.2	1.2	3.2	1.9	2.1	4.1	0.0	2.0	4.1	Nürnberg
Passau	309.3	21.	748.3	28.	716.9	736.4	765.1	0.8	2.5	1.3	1.5	3.6	− 0 3	1.7	3.9	Passau
Metten	320							− 0.3	1.8	0.5	0.6	2.9	− 1.8	0.6	4.7	Metten
Regensburg	354.3	21.	743.9	28.	712.8	732.1	764.9	0.3	2.3	1.1	1.2	3.4	− 0.7	1.3	4.1	Regensburg
Bayreuth	363.3	21.	743.5	28.	709.0	730.5	764.1	0.8	2.5	1.3	1.5	3.6	− 0.7	1.4	4.3	Bayreuth
Burghausen	365	21.	742.9	28.	713.0	731.3	765.1	0.1	3.2	0.8	1.2	4.0	− 1.6	1.2	5.7	Burghausen
Ingolstadt	368							0.0	2.7	0.8	1.1	4.0	− 1.7	1.2	5.7	Ingolstadt
Karlshuld	382.0	21.	741.3	28.	709.9	729.5	764.9	− 0.4	2.5	0.7	0.9	3.9	− 1.7	1.1	5.7	Karlshuld
Cham	386							0.1	2.1	0.9	1.0	3.9	− 1.0	1.4	4.9	Cham
Landshut	397.7	21.	739.3	28.	709.0	727.9	765.9	0.0	2.9	0.6	1.0	4.1	− 2.3	0.9	6.5	Landshut
Lindau i. B. (Reutin)	401.7	21.	740.4	28.	708.5	729.3	766.4	0.5	2.9	1.4	1.6	4.8	− 1.1	1.8	5.9	Lindau i. B. (Reutin)
Eggenfelden	417							− 0.2	2.4	0.3	0.7	3.1	− 1.8	0.7	4.8	Eggenfelden
Rohr	426							− 0.2	2.2	0.4	0.7	2.7	1.4	0.7	4.0	Rohr
Weissenburg i. B.	431	21.	737.4	28.	705.6	725.3	765.0	0.6	2.7	1.2	1.4	3.5	− 0.9	1.3	4.4	Weissenburg i. B.
Nördlingen	435.6	21.	735.7	28.	705.6	724.2	764.3	0.3	2.7	0.9	1.2	3.4	− 0.8	1.3	4.3	Nördlingen
Ansbach	437.5	21.	735.7	28.	704.1	724.2	764.6	0.0	2.4	0.4	0.8	3.3	− 1.4	0.9	4.7	Ansbach
Bad Reichenhall	470.4	21.	733.4	28.	703.6	722.1	765.4	0.4	2.6	0.5	1.0	4.1	− 1.5	1.3	5.6	Bad Reichenhall
Hof	476.1	20.	731.1	28.	697.0	718.3	762.0?	− 0.2	1.4	− 0.1	0.3	2.4	− 2.0	0.2	4.3	Hof
Augsburg	499.6	21.	731.5	28.	699.9	719.6	765.4	0.4	2.9	1.0	1.3	3.5	− 1.1	1.2	4.6	Augsburg
Amberg M.H.B.	519							− 0.6	1.3	0.2	0.3	2.8	− 2.2	0.3	5.0	Amberg M.H.B.
München C.-St.	526.4	21.	728.3	28.	697.8	717.0	765.2	0.9	3.4	1.1	1.6	4.4	− 0.7	1.8	5.1	München C.-St.
Alexandersbad	590							− 0.8	0.4	− 0.8	− 0.5	1.5	− 2.4	− 0.5	3.9	Alexandersbad
Traunstein	597	21.	721.2	28.	693.0	711.1	765.8	− 0.8	2.1	− 0.3	0.0	3.1	− 2.1	0.5	5.2	Traunstein
Berchtesgaden	600							− 0.1	1.9	− 0.7	− 0.1	2.7	− 2.9	− 0.1	5.6	Berchtesgaden
Ottobeuren	660.0	21.	716.9	28.	687.0	706.0	766.3	− 0.9	1.5	− 0.6	− 0.1	2.6	− 2.6	0.0	5.2	Ottobeuren
Partenkirchen	716.8	21.	711.8	28.	682.4	701.0	766.2	− 1.3	2.1	− 0.9	− 0.3	3.0	− 3.2	− 0.1	6.2	Partenkirchen
Tegernsee	727.8	21.	710.8	28.	680.8	700.0	765.7	0.3	3.0	0.5	1.1	4.3	− 1.6	1.4	6.0	Tegernsee
Buchenau	750	21.	706.9	28.	679.1	696.0	764.2	− 2.0	0.1	− 1.9	− 1.4	1.0	− 3.6	− 1.3	4.6	Buchenau
Oberstdorf	811.4	21.	703.1	29.	676.2	693.1	766.6	− 2.0	1.7	− 1.7	− 1.0	3.2	− 4.5	− 0.6	7.6	Oberstdorf
Ettal	879.5	21.	695.8	28.	667.2	685.5	764.6?	− 1.8	0.6	− 1.6	− 1.1	2.6	− 3.8	− 0.6	6.4	Ettal
Mittenwald	911.8	21.	694.4	28.	666.4	683.9	765.4	− 1.2	1.9	− 1.0	− 0.3	2.6	− 3.5	− 0.5	6.1	Mittenwald
Hohenpeissenberg	994.1	21.	686.6	28.	659.4	676.6	765.2	− 1.0	0.4	− 0.6	− 0.5	2.0	− 2.8	− 0.4	4.8	Hohenpeissenberg
Zugspitze	2964	21.	536.2	29.	508.7	525.7	–	−11.3	−11.1	−11.7	−11.5	− 9.2	−13.5	−11.4	4.3	Zugspitze

Tabelle II.

Station	Temperatur C°: höchste am	höchste C°	tiefste am	tiefste C°	grösste Schwankung am	grösste Schwankung C°	Dampfdruck Monatsmittel mm	Relative Feuchtigkeit %: Monatsmittel	kleinste am	kleinste %	grösste am	grösste %	Bewölkung Monatsmittel	Niederschlag: grösster am	grösster mm	Monats-Summe mm	Station
Ludwigshafen a. Rh	4., 11.	10.1	23.	− 5.2	4.	6.2	4.8	81	18.	52	28.	97	7.7	29.	14.2	41.7	Ludwigshafen a. Rh
Kahl a. M.	3.	11.1	31.	−10.1	4.	9.8	4.9	86	19.	53	öfters	100	7.9	29.	32.7	67.2	Kahl a. M.
Bad Dürkheim	4.	11.3	31.	− 5.9	4.	10.5							7.2	29.	15.0	42.3	Bad Dürkheim
Landau i. Pf.	13.	11.0	23.	− 5.6	13., 29.	6.9	4.9	85	20.	60	22., 23.	100	7.6	29.	25.9	55.1	Landau i. Pf.
Würzburg	4.	10.0	21.	− 5.6	4.	8.1	4.7	82	20.	58	21.	98	8.3	29.	12.2	46.7	Würzburg
Bad Kissingen	4.	9.8	21.	− 7.3	20.	9.1	4.8	85	18.	55	7., 24.	100	7.7	29.	17.8	83.6	Bad Kissingen
Kaiserslautern	4.	9.0	23.	− 6.9	23.	7.9	4.8	87	20.	55	öfters	100	8.5	29.	20.6	60.4	Kaiserslautern
Luitpoldheim	3.	8.1	31.	− 6.8	4.	8.8	4.5	84	18.	58	26., 28.	100	7.3	29.	22.5	105.0	Luitpoldheim
Bamberg	4.	9.2	21.	− 6.6	20.	10.7	4.6	87	19.	57	öfters	100	8.9	29.	11.4	57.9	Bamberg
Nürnberg	3.	10.0	21.	− 7.0	20.	8.5	4.7	87	19.	62	8., 22.	100	8.3	11., 29.	6.0	49.3	Nürnberg
Passau	3.	10.6	20.	− 7.5	20.	8.3	4.7	88	19.	50	öfters	100	8.0	11.	16.1	105.0	Passau
Metten	3.	9.0	20.	− 9.5	4.	9.4	4.5	91	6., 18.	71	öfters	100	7.7	16.	19.4	108.7	Metten
Regensburg	3.	9.0	20., 21.	− 7.0	4.	7.8	4.4	86	27.	54	öfters	100	8.0	11.	9.6	44.1	Regensburg
Bayreuth	4.	9.0	21.	− 8.5	20.	10.4	4.4	85	19.	59	11.	100	8.4	29.	12.6	59.0	Bayreuth
Burghausen	27.	11.3	20., 24.	− 7.1	27.	13.7	4.3	85	27.	28	öfters	100	7.5	12.	16.5	70.5	Burghausen
Ingolstadt	3.	12.0	21.	− 9.2	24.	14.0	4.3	85	27.	45	öfters	98	8.0	11., 28.	7.9	36.2	Ingolstadt
Karlshuld	3.	11.2	21.	−10.8	4.	14.0	4.3	85	27.	35	öfters	100	7.2	28.	7.3	28.3	Karlshuld
Cham	3.	10.4	21.	− 7.8	4.	10.4							7.8	18.	8.8	49.9	Cham
Landshut	3.	12.0	21.	− 9.2	4.	14.7	4.3	84	27.	45	öfters	100	7.9	11.	10.5	57.3	Landshut
Lindau i. B. (Reutin)	4.	12.4	20.	− 7.7	4.	13.7	4.3	84	26.	52	öfters	100	7.9	7.	24.8	87.9	Lindau i. B. (Reutin)
Eggenfelden	3.	10.2	20.	− 7.5	4.	10.0							8.1	11.	13.0	77.3	Eggenfelden
Rohr	3.	9.9	20.	− 7.8	4.	9.0							8.0				Rohr
Weissenburg i. B.	3.	10.1	23.	− 7.8	23.	9.0	4.5	87	19.	64	7.	100	8.3	28.	10.9	40.3	Weissenburg i. B.
Nördlingen	3.	10.0	23.	− 9.1	23.	9.0	4.4	85	27.	39	24., 28.	99	7.4	28.	7.5	32.3	Nördlingen
Ansbach	3.	10.4	20.	− 9.1	4.	9.8	4.3	84	4.	62	2., 11.	97	7.5	29.	10.9	69.6	Ansbach
Bad Reichenhall	3.	10.9	23.	− 8.8	23.	11.3	4.1	82	27.	50	2.	99	6.9	11.	31.1	179.8	Bad Reichenhall
Hof	4.	8.5	21.	−11.6	21.	11.4	4.2	88	18., 19.	60	öfters	100	8.4	29.	15.8	79.1	Hof
Augsburg	3.	11.6	23.	− 8.8	23.	9.1	4.3	83	4.	54	öfters	100	7.5	28.	7.3	40.5	Augsburg
Amberg M.H.B.	3.	9.1	öfters	− 7.4	4.	9.1							8.0	11.	7.5	62.1	Amberg M.H.B.
München C.-St.	3.	13.3	23.	− 8.9	23.	11.7	4.1	79	27.	27	22., 23.	100	7.5	12.	9.3	46.0	München C.-St.
Alexandersbad	4.	7.5	21.	−10.2	21.	9.4	4.1	91	24.	66	öfters	100	8.0	29.	20.9	101.1	Alexandersbad
Traunstein	1.	10.9	21.	− 8.9	27.	12.0	4.0	85	27.	22	öfters	100	7.1	30.	26.1	160.6	Traunstein
Berchtesgaden	1.	9.2	20.	− 9.3	27.	10.4	4.0	85	27.	50	2.	97	6.7	11.	30.1	163.2	Berchtesgaden
Ottobeuren	4.	10.3	21.	−13.7	23.	14.6	3.9	83	23.	42	öfters	100	6.8	7.	15.0	78.4	Ottobeuren
Partenkirchen	27.	12.4	20.	−10.2	27.	18.7	3.8	82	27.	30	öfters	100	6.3	7.	27.0	122.2	Partenkirchen
Tegernsee	1.	13.7	20.	− 7.5	27.	15.4	3.8	75	27.	23	6.	98	6.9	11.	25.0	142.0	Tegernsee
Buchenau	3.	7.5	19.	−12.2	20.	12.0	3.9	90	19.	57	öfters	100	7.9	11.	34.7	213.3	Buchenau
Oberstdorf	27.	11.5	20.	−15.1	27.	20.3	3.6	80	27.	18	öfters	98	6.8	7.	26.1	184.1	Oberstdorf
Ettal	27.	11.5	20.	−10.4	27.	19.3	3.5	80	28.	33	9., 18.	98	6.5	7.	33.2	147.5	Ettal
Mittenwald	3.	10.3	8.	−10.2	9.	12.1	3 6	77	27.	40	öfters	100	7.3	7.	23.0	117.6	Mittenwald
Hohenpeissenberg	3.	10.2	31.	− 9.5	9.	10.8	3.4	78	27.	19	öfters	100	7.0	7.	19.4	91.3	Hohenpeissenberg
Zugspitze	1.	− 3.7	31.	−21.9	9.	11.9	1.6	86	22.	34	öfters	100	7.0	14.	13.5	81 2	Zugspitze

Tabelle III.

Station	Tage mit										Tage				Anzahl der beobachteten Windrichtungen									Station
	Niederschlägen		Schneefall	Schneedecke	Graupeln	Hagel	Gewitter	Nebel	Reif	Tau	heitere	trübe	Frost	Winter	N	NE	E	SE	S	SW	W	NW	Stille	
	≧ 0.1mm	≧ 1.0mm																						
Ludwigshafen a. Rh.	15	7	7	2	–	–	–	3	7	–	3	20	9	3	13	10	–	–	11	57	2	–	–	Ludwigshafen a. Rh.
Kahl a. M.	14	10	5	5	–	–	–	1	4	–	2	19	16	1	3	5	3	–	1	43	11	1	26	Kahl a. M.
Bad Dürkheim	17	8	3	2	1	–	–	1	4	–	1	13	15	1	11	3	–	–	15	37	18	6	3	Bad Dürkheim
Landau i. Pf.	16	11	3	3	–	–	–	1	2	–	3	19	11	2	1	16	1	2	–	50	15	8	–	Landau i. Pf.
Würzburg	19	11	9	4	2	–	–	1	7	–	2	23	11	1	6	1	7	1	–	7	41	24	6	Würzburg
Bad Kissingen	21	16	8	5	–	–	–	1	6	–	2	17	15	4	16	3	2	1	22	22	21	3	3	Bad Kissingen
Kaiserslautern	20	13	9	5	–	–	–	4	7	–	2	23	15	4	1	6	5	1	–	3	46	16	15	Kaiserslautern
Luitpoldheim	23	15	8	5	3	–	–	–	3	–	2	15	16	5	1	4	2	–	1	44	11	3	27	Luitpoldheim
Bamberg	24	13	11	5	–	–	–	5	2	1	1	25	16	4	5	1	2	1	9	30	29	12	4	Bamberg
Nürnberg	13	12	7	4	–	–	–	10	8	–	2	22	15	2	9	3	6	3	9	30	21	9	3	Nürnberg
Passau	20	18	6	10	–	–	–	15	4	–	1	17	16	4	–	1	17	–	3	–	44	2	26	Passau
Metten	23	20	10	11	1	–	–	3	6	1	2	20	18	6	1	2	7	4	1	2	37	12	27	Metten
Regensburg	19	11	9	3	–	–	–	1	6	1	1	20	17	7	7	3	5	2	13	39	21	–	3	Regensburg
Bayreuth	21	14	10	5	1	–	–	–	6	–	2	23	16	5	3	3	8	3	–	11	54	8	3	Bayreuth
Burghausen	21	14	9	7	1	–	–	4	8	–	3	17	19	5	–	3	6	–	–	10	32	5	37	Burghausen
Ingolstadt	21	8	8	3	3	–	–	1	8	–	1	21	18	5	4	–	11	2	1	12	54	8	1	Ingolstadt
Karlshuld	17	7	8	1	–	–	–	1	7	–	4	18	17	5	–	3	5	–	–	20	43	3	19	Karlshuld
Cham	22	14	10	6	–	–	–	6	4	–	–	15	18	5	–	–	9	–	–	8	72	2	2	Cham
Landshut	20	13	9	2	1	–	–	1	5	–	3	20	19	5	1	1	7	–	–	4	71	3	6	Landshut
Lindau i. B. (Reutin)	17	13	5	2	1	–	–	6	5	3	1	15	16	6	15	9	1	1	25	5	19	2	16	Lindau i. B. (Reutin)
Eggenfelden	23	13	12	9	–	–	–	3	14	–	1	20	18	7	–	19	–	1	–	7	41	25	–	Eggenfelden
Rohr					–	–					–	18	19	9	–	12	–	–	–	–	15	66	–	Rohr
Weissenburg i. B	22	12	12	6	1	–	–	1	7	–	2	22	16	5	4	2	7	2	4	25	41	5	3	Weissenburg i. B.
Nördlingen	22	13	9	6	–	–	–	1	5	3	4	19	16	6	–	8	–	3	4	24	35	9	10	Nördlingen
Ansbach	25	18	14	5	2	–	–	2	1	–	4	20	17	4	4	4	3	–	–	11	52	8	11	Ansbach
Bad Reichenhall	21	20	13	13	–	–	–	–	5	1	7	17	19	4	–	1	7	–	9	12	32	1	31	Bad Reichenhall
Hof	22	16	14	11	–	–	–	3	4	–	–	21	19	7	6	6	–	2	9	24	27	19	–	Hof
Augsburg	17	9	10	6	–	–	–	4	6	–	3	16	17	5	–	3	4	3	1	56	9	13	4	Augsburg
Amberg M.H.B.	26	17	14	18	1	–	–	5	1	1	3	21	23	5	4	6	2	5	6	3	62	2	3	Amberg M.H.B.
München C.-St.	21	10	11	7	1	–	–	4	8	–	2	19	16	6	–	3	5	3	–	54	8	7	13	München C.-St.
Alexandersbad	24	20	16	17	–	–	–	–	2	–	2	19	18	11	20	3	1	4	5	12	19	20	9	Alexandersbad
Traunstein	23	20	14	20	1	–	–	1	2	1	3	16	20	9	–	7	2	4	12	2	59	7	–	Traunstein
Berchtesgaden	21	16	16	27	–	–	–	2	7	–	6	16	22	7	–	–	1	–	–	–	5	–	87	Berchtesgaden
Ottobeuren	20	17	11	20	–	–	–	2	4	–	4	15	17	7	–	6	1	3	–	68	1	2	12	Ottobeuren
Partenkirchen	19	18	14	27	–	–	–	–	–	–	6	15	24	8	7	2	–	7	20	1	3	11	42	Partenkirchen
Tegernsee	20	18	16	12	1	–	–	–	–	–	6	17	18	5	1	–	2	36	–	1	7	22	24	Tegernsee
Buchenau	25	25	20	27	–	–	–	4	1	–	2	19	23	11	–	3	17	1	–	4	50	2	16	Buchenau
Oberstdorf	19	19	16	27	–	–	–	1	3	1	5	15	27	6	13	–	–	–	5	8	17	18	32	Oberstdorf
Ettal	21	19	17	27	1	–	–	1	3	–	5	14	25	6										Ettal
Mittenwald	18	17	17	27	2	–	–	2	1	–	3	18	26	7	4	1	–	9	20	5	11	10	33	Mittenwald
Hohenpeissenberg	21	13	18	23	–	–	–	16	3	–	4	16	27	11	–	6	4	1	1	29	35	14	3	Hohenpeissenberg
Zugspitze	23	19	23	31	–	–	–	–	–	–	3	15	31	31	19	2	7	2	4	2	16	40	1	Zugspitze

Münchener Aerologische Studien

von **A. Schmauss.**

No. 3. Der extreme Typus IV der Temperaturzustandskurve.

Die Temperaturzustandskurve der Troposphäre schlägt die Brücke zwischen zwei festgegebenen Temperaturen: der Temperatur T_1, die an der Erde herrscht, und der Temperatur T_2, der Temperatur der Stratosphäre.

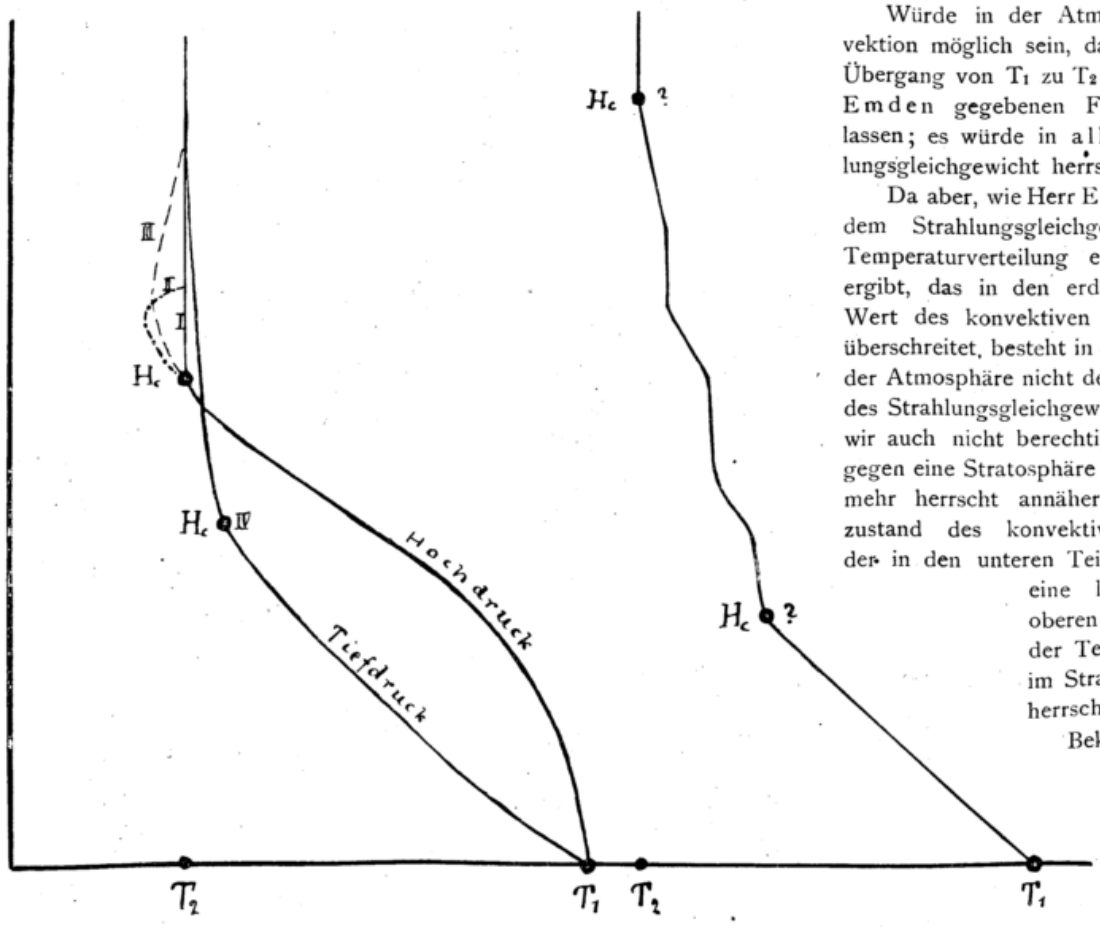


Fig. 1

Würde in der Atmosphäre keine Konvektion möglich sein, dann würde sich dieser Übergang von T_1 zu T_2 nach den von Herrn Emden gegebenen Formeln [1]) berechnen lassen; es würde in allen Schichten Strahlungsgleichgewicht herrschen.

Da aber, wie Herr Emden zeigt, die nach dem Strahlungsgleichgewichte angeordnete Temperaturverteilung ein Temperaturgefälle ergibt, das in den erdnahen Schichten den Wert des konvektiven Gleichgewichtes weit überschreitet, besteht in den unteren Schichten der Atmosphäre nicht der Temperaturzustand des Strahlungsgleichgewichtes — sonst wären wir auch nicht berechtigt eine Troposphäre gegen eine Stratosphäre abzugrenzen —, vielmehr herrscht annähernd der Temperaturzustand des konvektiven Gleichgewichtes, der in den unteren Teilen der Troposphäre eine langsamere, in den oberen eine raschere Abnahme der Temperatur ergibt, als im Strahlungsgleichgewichte herrschen würde.

Bekanntlich lassen sich für den Übergang von der Temperatur T_1 auf T_2 in der Troposphäre zwei Grundtypen festlegen:

1. schwache Temperaturabnahme in den unteren, starke in den oberen Schichten der Troposphäre — im allgemeinen der Temperaturzustand im Hochdruckgebiete. (Der Anschluss an die Temperatur T_2 kann sich nach den Typen I, II, III vollziehen, wie bereits früher dargelegt wurde.)

2. starke Temperaturabnahme in den unteren, schwache Temperaturabnahme in den oberen Schichten der Atmosphäre — im allgemeinen der Temperaturzustand im Tiefdruckgebiete. Gewöhnlich ist die Temperaturabnahme der oberen Schichten so schwach, dass man ohne weitere Überlegung H_c, die Höhe des konvektiven Systems, dorthin schreibt, wo die starke Temperaturabnahme, das Charakteristikum des „konvektiven Systems" ihr Ende findet.

---

[1]) R. Emden, Münch. Akad. B. 1913 (im Drucke).

H_c ist in Tiefdruckgebieten im allgemeinen tiefer als in Hochdruckgebieten. Die schwache Temperaturabnahme im Typus IV oberhalb H_c dürfte sich sehr den von Herrn Emden berechneten Werten nähern: es ist die Temperaturabnahme des Strahlungsgleichgewichtes der über H_c gelegenen Atmosphäre.

Gelegentlich erhält man einen Typus IV, der schon in sehr geringen Höhen ein Ende der normalen Temperaturabnahme bringt (s. Fig. 1 rechts), dann aber einen stufenweisen Übergang zur Temperatur T_2 aufweist, so dass man die Frage erörtern muss, ob das konvektive System im tiefen Punkte oder erst dort sein Ende erreicht, wo die Temperatur bis auf T_2 gesunken ist. Gegen die erstere Annahme scheint die Tatsache zu sprechen, dass in dem Teile der stufenförmigen Temperaturabnahme noch gelegentlich Gradienten > 0.5 vorkommen können.

Wir wollen die Untersuchungen an einigen bemerkenswerten Fällen durchführen.

1. Die Diagramme vom 11. und 12. April 1912.

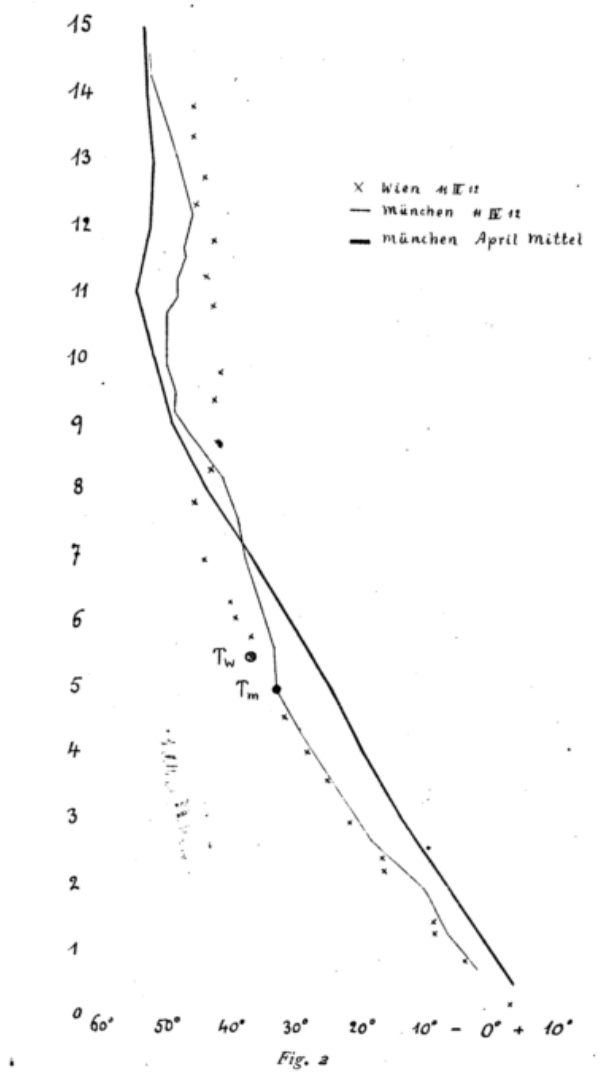


Fig. 2

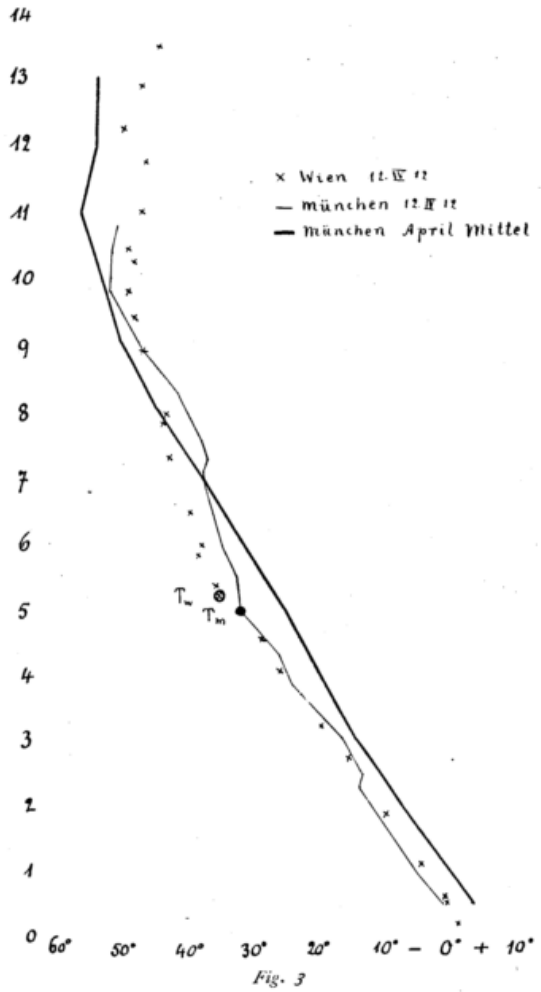


Fig. 3

In den Diagrammen der Fig. 2 und 3 ist, schwach ausgezogen, die Temperaturzustandskurve von München vom 11. und 12. April eingezeichnet; die Kreuze geben die Temperaturbeobachtungen, welche von den gleichen Tagen in Wien gewonnen worden sind.

Die Übereinstimmung ist in den unteren Schichten eine ausgezeichnete, erst ab 5000 m traten an beiden Tagen grössere Abweichungen auf.

Wir behaupten, dass in dieser Höhe das Ende der Troposphäre anzusetzen ist, also

am	11. April	12. April
in München T_m	4940 m	4970 m
in Wien T_w	5480 m	5200 m

Die hervorragende Übereinstimmung der Temperaturangaben der unteren 5000 m zwischen München und Wien weist auf eine Kohärenz der betreffenden Luftschichten hin, wie sie nur bei aussergewöhnlichen Wetterlagen möglich ist.

In der Tat befanden sich München und Wien an beiden Tagen im Bereiche tiefer über Osteuropa gelegener Depressionen. Hoher über Westeuropa liegender Druck verursachte ungewöhnlich kräftige nordwestliche Winde. Es

waren die mittleren Windrichtungen und Windgeschwindigkeiten, wie sie sich, was bei dieser Wetterlage erlaubt ist, aus der Richtung und Entfernung des Landungsortes errechnen:

	am 11. April 1910		am 12. April 1910	
	Richtung	Geschwindigkeit	Richtung	Geschwindigkeit
in München	N 35° W	31 m/sec.	N 23° W	40 m/sec.
in Wien	N 27° W	19 m/sec.	N 10° W	26 m/sec.

Es herrschte demnach auch in den Windrichtungen sehr gute Übereinstimmung, nur waren die Windstärken über dem den Zentralalpen nähergelegenen München grösser als über Wien (Einschnürung der Stromlinien); an beiden Orten finden wir eine Linksdrehung des Windes vom 11. auf den 12., um 12° in München, um 17° in Wien, ferner ein Zunehmen der Windgeschwindigkeit vom 11. zum 12., um 9 m in München, um 7 m in Wien, wobei freilich noch die verschiedene Dauer und verschiedene Höhe der Aufstiege in Rücksicht zu ziehen wäre.

Angesichts dieser Übereinstimmung wäre es nicht zu begreifen, warum sie in 5000 m ihr Ende haben sollte, also gerade in der Höhe, in welcher sonst die Temperaturwerte entfernter Orte sich einander zu **nähern** pflegen, auch wenn in den unteren Schichten Unstimmigkeiten durch lokale Einflüsse vorhanden sind.

Nehmen wir dagegen an, dass die an diesen Tagen dank der kräftigen Luftbewegung sehr homogene Troposphäre in rund 5000 m (bzw. 5250 m) ihr Ende fand, dann werden die Differenzen sofort verständlich: in der Stratosphäre kommen mit dem Strahlungsgleichgewicht auch wieder lokale Einflüsse zum Durchbruch.

Dass wir den Beginn der Stratosphäre nicht etwa nach 10 km zu verlegen haben, macht auch die Betrachtung der mittleren Temperaturzustandskurve wahrscheinlich: Hebung des konvektiven Systems bedeutet ja stets Temperaturerniedrigung in den oberen Schichten; statt dessen sehen wir, dass vom 11. April ab 7150 m, vom 12. April ab 7000 m die Atmosphäre über München wärmer war als dem Mittel entspricht, d. h. diese Schichten gehörten nicht mehr dem konvektiven Systeme an.

2. Die Diagramme vom (3. u.) 4. November 1910.

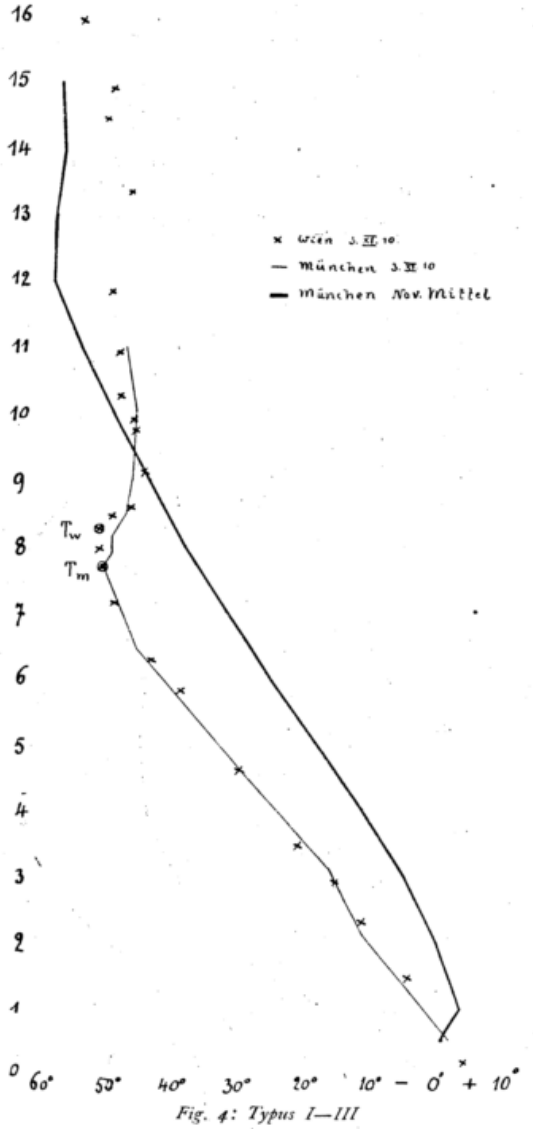


Fig. 4: Typus I—III

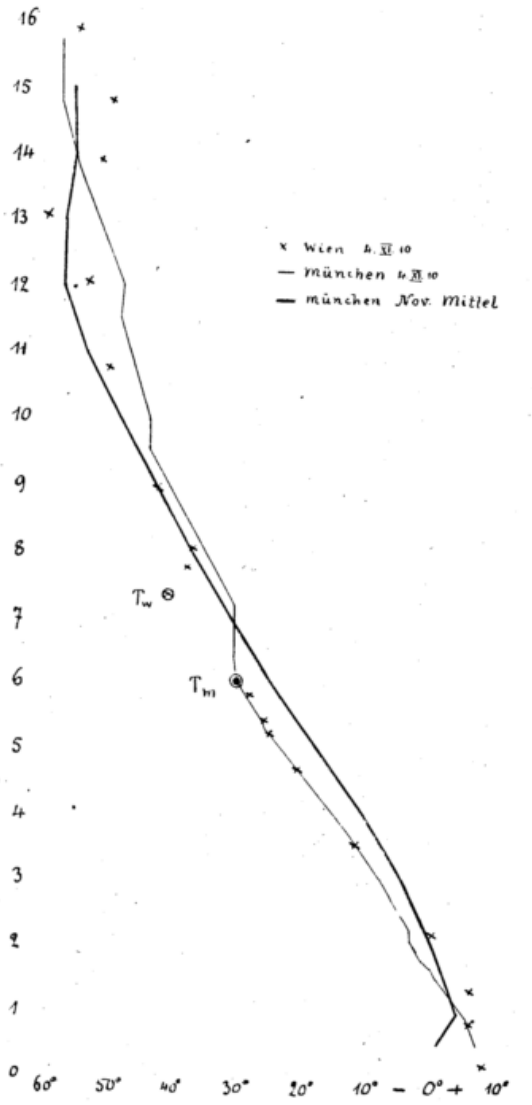


Fig. 5: Typus II

Schon am 2. November wurde ein Typus IV registriert mit sehr tiefem Ende der Troposphäre; wir wollen aber zunächst die Registrierung vom 4. November betrachten, weil von diesem Tage auch von dem Wiener Registrierballonaufstiege die meteorologischen Verhältnisse bekannt sind.

Eingestreut zwischen die beiden Tage finden wir am 3. November einen Mischtypus I mit III, der manchen Anhaltspunkt zu geben vermag und deshalb ebenfalls graphisch dargestellt wurde.

Zunächst konstatieren wir wiederum die in Studie 2 abgeleitete Gesetzmässigkeit: Es waren die mittleren Windrichtungen, Windgeschwindigkeiten und Höhen der Troposphäre über München an den 3 Tagen

	2. November	3. November	4. November
mittlere Windrichtung	S 77° W	N 76° W	W
„ Windgeschwindigkeit	28 m	21 m	44 m
Höhe der Troposphäre	7310 m	7720 m	6030 m

Das heisst: der grössten mittleren von West nach Ost erfolgenden Luftversetzung entsprach die geringste Erstreckung der Troposphäre. Der 3. November muss, wie sich auch noch bei der Betrachtung der Luftdruckverteilung ergeben wird, einem anderen Systeme angehört haben: Der Ansatz der Stratosphäre war so präzise, dass man über den Beginn derselben nicht im unklaren sein kann.

Dagegen war am 4. November 1910 eine ähnliche Unklarheit gegeben wie an den beiden oben betrachteten Apriltagen 1912.

Zunächst konstatieren wir auch hier eine (mit Ausnahme der untersten Schichten) hervorragende Übereinstimmung der Temperaturzustandskurven bis hinauf zu 6000 m. Die gleichen Überlegungen wie oben führen dahin, dort das Ende des konvektiven Systems anzusetzen.

Im Wiener Diagramme liegt das Ende wesentlich höher; wenn unsere Annahmen und das Ergebnis der Studie 2 zu Recht besteht, muss die mittlere Luftversetzung über Wien geringer gewesen sein, ganz ähnlich wie im ersten Beispiele.

In der Tat ergibt sich:

	am 3. November 1910		4. November 1910	
	München	Wien	München	Wien
mittlere Windrichtung	N 76° W	W	W	N 87° W
„ Windgeschwindigkeit	21 m	17 m	44 m	36 m
Höhe der Troposphäre	7720 m	8260 m	6030 m	7340 m

Da soeben die Veröffentlichungen der Internationalen Kommission für wissenschaftliche Luftschiffahrt vom Jahre 1910 abgeschlossen wurden, sind wir in der Lage, die Verhältnisse in Mitteleuropa an den drei Novembertagen zu studieren. In den Isobarenkarten der Fig. 6—8 sind eingetragen die mittlere Fahrtrichtung und Fahrtgeschwindigkeit sowie das Ende der Troposphäre von den Orten, von welchen hohe Registrierballonaufstiege vorliegen.

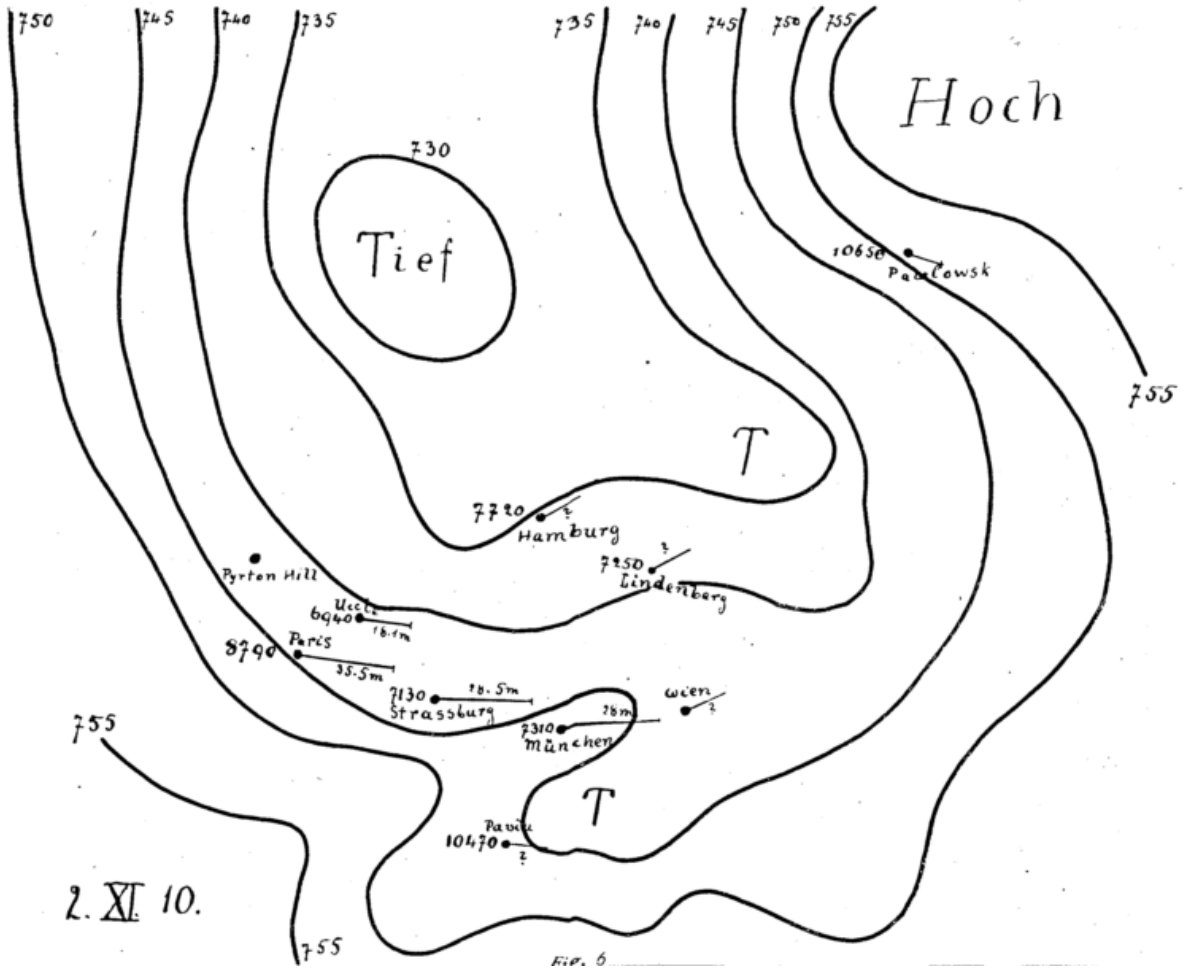
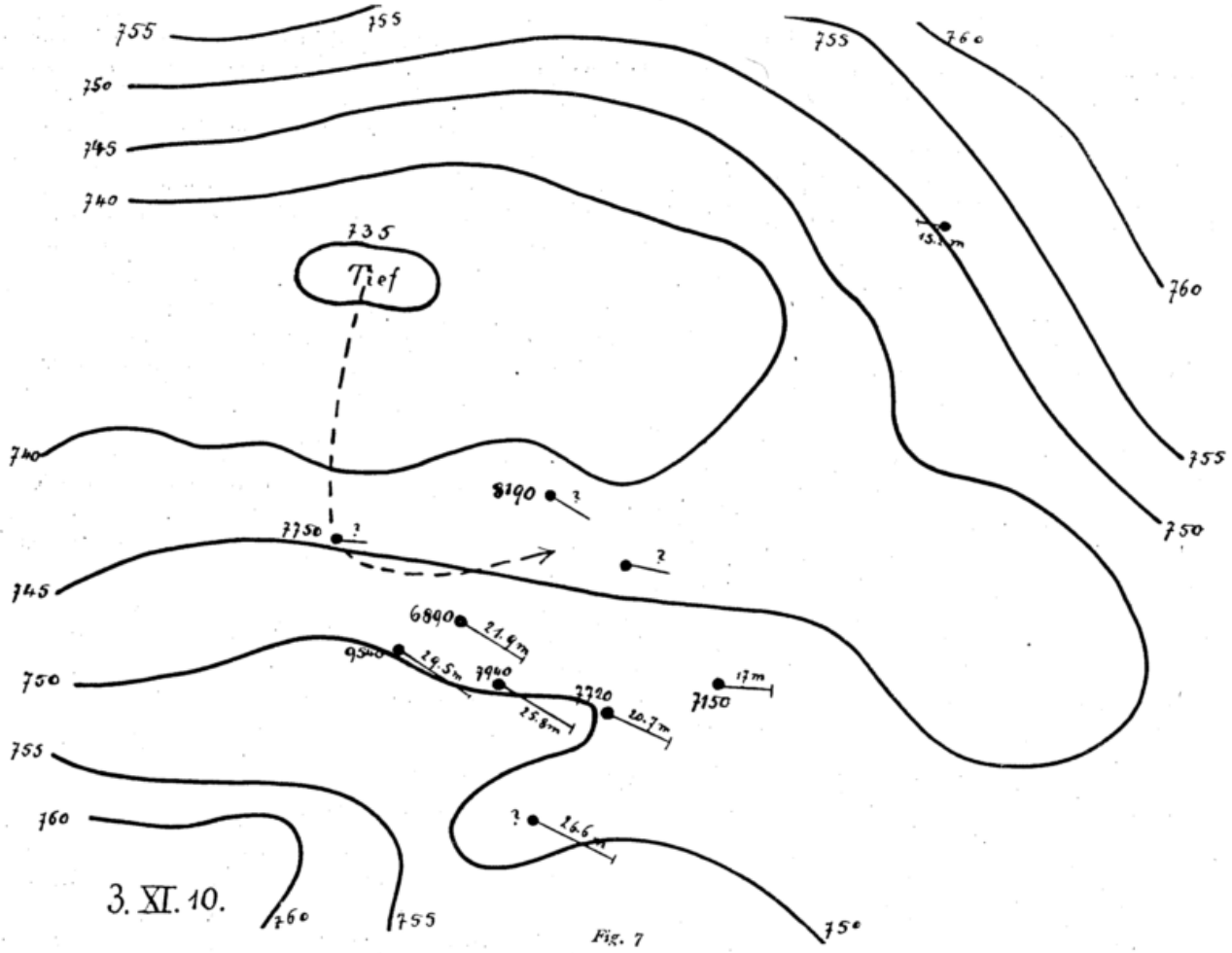
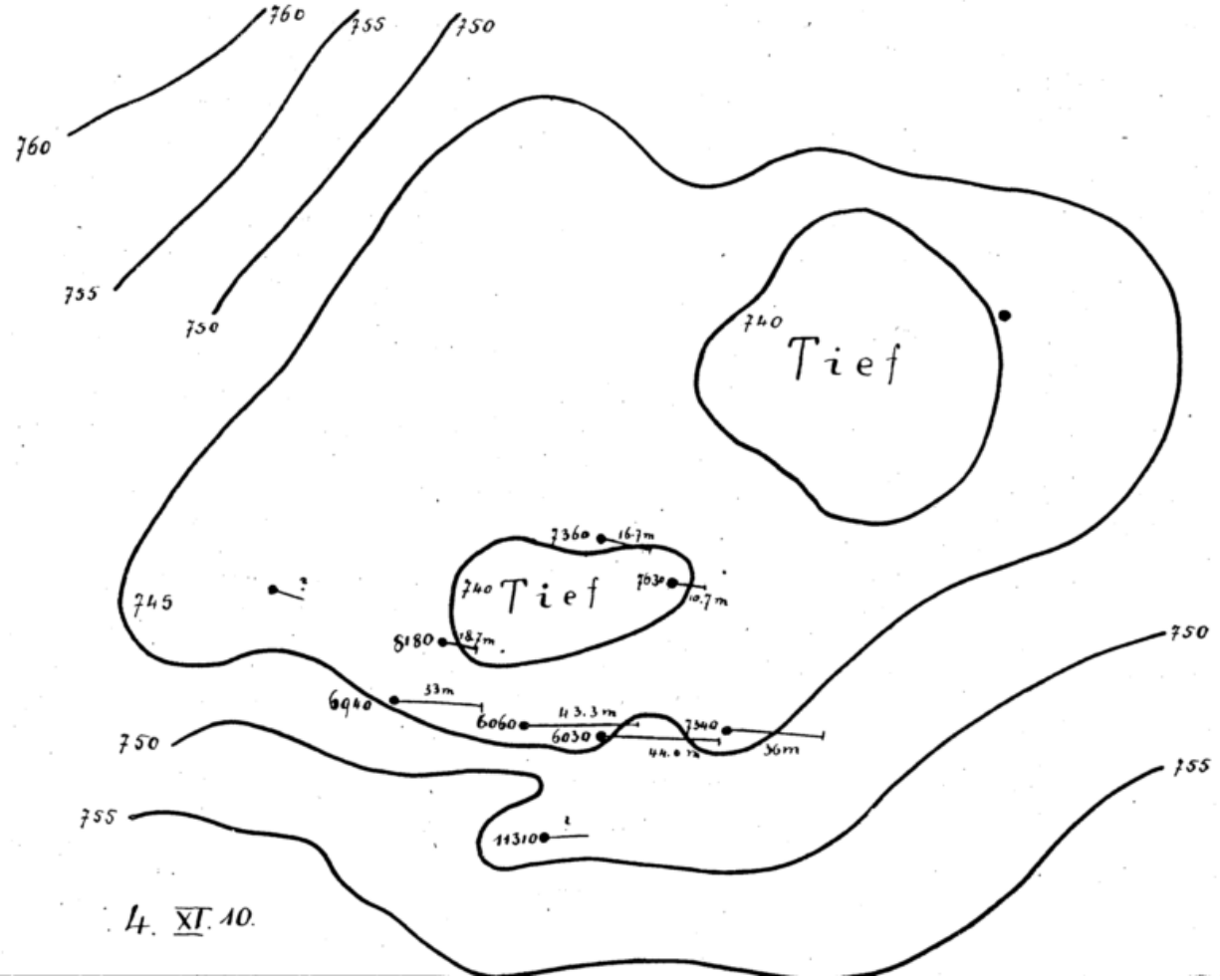


Fig. 6



3. XI. 10.

Fig. 7



4. XI. 10.

Wir sehen am 2. November westlich von Süd-Norwegen eine Depression, den Rest eines sehr intensiven Tiefdruckgebietes, das am Vortage an der gleichen Stelle gelegen war. Am Südrande dieser Depression fand über Zentraleuropa eine recht gleichförmige Luftversetzung statt, wie aus Fig. 6 hervorgeht.

Mit Ausnahme von Paris und des jenseits der Alpen gelegenen Pavia lag der Beginn der Stratosphäre tief, entsprechend den grossen west-östlichen Geschwindigkeiten der Luftversetzung.

Bis zum 3. November breitete sich relativ hoher Druck über Zentraleuropa aus, das Zentrum der Depression verlagerte sich unter gleichzeitiger Verflachung nach dem Norden von Schottland. Während aber am 2. November die Luftversetzung in Bezug auf das Depressionszentrum konvergent gewesen war, bemerken wir am 3. November an allen Stationen Divergenz.

Der Satz, dass sich das Zentrum einer Depression in der Richtung der Divergenz verlagere, findet wiederum seine Bestätigung: Das Tiefdruckgebiet wandert über England und den Kanal nach Norddeutschland. Die Stratosphäre, welche am 3. November unter dem Einflusse des Zwischenhochs in grösseren Höhen als am 2. angetroffen worden war, ging bis zum 4. wieder herab, entsprechend der gewaltigen Steigerung der west-östlichen Luftbewegung.

An diesem Tage zeigt sich wieder deutlichst, dass nicht der Stand des Ortsbarometers für die Höhe der Stratosphäre massgebend ist: an den Orten Uccle, Hamburg und Lindenberg wurde die Stratosphäre in höherer Lage angetroffen als an den vom Zentrum der Depression weiter entfernten Orten Paris, Strassburg, München und Wien die jedoch im Gegensatze zu den erstgenannten Orten eine doppelte und dreifache west-östliche Drift hatten (Bestätigung des Ergebnisses der Studie 2.)

Noch ein anderes Ergebnis lässt sich aus Fig. 8 herauslesen: Hamburg und Lindenberg hatten an der Erde östliche Luftzufuhr, die Ballone landeten aber östlich von den Aufstiegsorten, d. h. die über Norddeutschland liegende Depression war nur ein flaches Teilminimum des grossen über Nordeuropa liegenden Tiefdruckgebietes.

Ein Teil der geringen über Hamburg und Lindenberg ermittelten „mittleren" Windgeschwindigkeiten ist darauf zurückzuführen, dass die Ballone zuerst nach West und erst später nach Osten getrieben wurden.

Als gemeinsames Resultat der beiden Untersuchungen ergibt sich:

I. Auf der Süd- und Westseite sehr tiefer Depressionen findet die Troposphäre um so früher ihr Ende, je grösser die West-Ostbewegung ist. Da in diesen niedrigen Höhen die Temperatur der Stratosphäre auf dem Wege der Konvektion noch nicht erreicht ist, weist das Temperaturdiagramm noch eine ziemlich beträchtliche Temperaturabnahme auf, die auf den ersten Blick die Zugehörigkeit der betreffenden Schichten zur Troposphäre vermuten liesse. Es wurde aber gezeigt, dass das nicht der Fall ist.

Dass die erwähnte Temperaturabnahme nicht stetig verläuft, ist nicht besonders zu verwundern. Nur in einer ganz unwahrscheinlich homogenen Atmosphäre würden keine „Stufen" vorhanden sein.

II. Die tiefsten bisher in München beobachteten Lagen der Stratosphäre sind demnach:

2. November 1910 . . .	7310 m	11. April 1912 . . .	4940 m
4. November 1910 . . .	6030 m	12. April 1912 . . .	4970 m

bei den Windverhältnissen:	Windrichtung	Windgeschwindigkeit
2. November 1910	N 35° W	31 m/sec.
4. November 1910	N 23° W	40 m/sec.
11. April 1912	N 77° W	21 m/sec.
12. April 1912	W	44 m/sec.

III. Die Temperatur der Stratosphäre, d. h. die aus dem Strahlungsgleichgewicht der Atmosphäre für die Höhen ab etwa 9000 m sich ergebende Temperatur von −55 bezw. −57 (nach den Berechnungen der Herren E. Gold und R. Emden), wird bei dem extremen Typus IV erst in sehr grossen Höhen erreicht, **trotzdem** die Troposphäre bereits in sehr niedrigen Höhen ihr Ende erreicht, z. B. in München am 4. November 1910 in 14840 m, in Wien in 16910 m.

Auf die in geringen Höhen beendete Troposphäre folgt demnach eine mehr oder minder mächtige Übergangsschicht, die zwar der Stratosphäre zuzuzählen ist, sich aber nicht im vollen Strahlungsgleichgewicht befindet.

Der Grund hiefür kann vielleicht in einer absteigenden Bewegung der in Frage kommenden Schichten liegen. Die Zugehörigkeit zur Stratosphäre schliesst nämlich vertikale Bewegungen keineswegs aus. Wenn die Luft z. B. durch Ausstrahlung oder Einstrahlung in der Zeiteinheit ebensoviel Wärme verlieren oder absorbieren würde, als sie auf Grund von Druckänderungen empfängt oder abgibt, wäre trotz der vertikalen Bewegung Isothermie vorhanden, falls sie vorher bestanden hat. [1])

[1]) Vergl. hiezu die „Messungen der Füllungstemperatur eines Freiballons" (K. Bassus und A. Schmauss, Zeitschrift für Flugtechnik und Motorluftschiffahrt 1911 und 1912).

Münchener Aerologische Studien

von **A. Schmauss.**

No. 4. Vertikalbewegungen in der Stratosphäre.

Den bisherigen theoretischen Betrachtungen über die Stratosphäre lag stets die Vorstellung zugrunde, dass in derselben nur mehr horizontale Bewegungen der Atmosphäre vorhanden seien. Die Abgrenzung einer Stratosphäre gegen eine Troposphäre, eines advektiven Systems gegen ein konvektives beruht auf dieser Vorstellung, die einer Prüfung unterzogen werden soll.

Es lassen sich, wie früher gezeigt wurde[1]), Vertikalbewegungen der Atmosphäre aus der Steiggeschwindigkeit der Registrierballone ermitteln. Damals ergab sich, dass an der Grenze der Troposphäre und Stratosphäre gelegentlich erhebliche Vertikalbewegungen der Atmosphäre stattfinden[2]), was inzwischen auch von Herrn W. Peppler an der Hand des Lindenberger Materiales bestätigt wurde[3]). Wir wollen zuerst diese nochmals genauer studieren.

I. Vertikalbewegungen an der unteren Grenze der Stratosphäre.

Die Untersuchung der Bewegungen in der Grenzschicht zwischen Troposphäre und Stratosphäre wurde wieder aufgenommen, weil sämtliche 10 damals benützten Aufstiege eine starke Abnahme der Steiggeschwindigkeit des Registrierballons mit dem Eintritt in die Stratosphäre ergeben hatten.

Dieses einseitige Resultat liess Zweifel an der Brauchbarkeit der Methode aufkommen, da als ständiges Strömungsbild eine Aufwärtsbewegung der Atmosphäre unterhalb oder eine Abwärtsbewegung oberhalb der Grenze von Troposphäre und Stratosphäre nicht denkbar wäre. Die einzigen Momente, mit denen man das Resultat hätte verteidigen können, waren die Einseitigkeit der Aufstiege, die alle um 8^h morgens stattgefunden hatten, und eine gewisse Einseitigkeit der Wetterlagen, an welchen die Aufstiege erfolgt waren.

Demgegenüber verdiente eine andere Erklärungsmöglichkeit Beachtung: dass die Abnahme der Steiggeschwindigkeit ein Temperatureffekt sei, zumal etwa 1000 m nach dem Eintritte in die Stratosphäre die Steiggeschwindigkeit wieder regelmässig anstieg.

Wenn wir von den Erfahrungen am Freiballon ausgehen[4]), ist ein Temperaturüberschuss der Füllung über die Luft auch beim stark ventilierten Registrierballon wahrscheinlich. Genaueren Aufschluss werden die von Herrn Assmann in Aussicht gestellten Messungen[5]) der Füllungstemperatur eines Registrierballons liefern.

Nehmen wir an, auch beim Registrierballon trete durch Absorption der Sonnenstrahlung ein Temperaturüberschuss der Füllung ein. Dann steigt der geschlossene Gummiballon mit wachsender Steigkraft so lange, bis der maximale Temperaturüberschuss erreicht ist. (Möglich, dass damit das von Herren Hergesell[6]) und Cave[7]) gefundene Resultat erklärt werden kann, dass Pilotballone in den unteren Schichten der Atmosphäre vorwiegend eine aufsteigende Bewegung derselben erkennen lassen.) Der Ballon befindet sich dann im Strahlungsgleichgewicht, das die den Strahlungsverhältnissen entsprechende maximale Temperaturdifferenz zwischen Füllung und Luft aufrecht erhält.

Tritt der Ballon in eine Inversion ein, dann hat der Temperaturüberschuss der Füllung augenblicklich einen kleineren Betrag; bis durch Absorption von Sonnenstrahlung der Unterschied wieder ausgeglichen ist, hat der Ballon eine etwas verminderte Steigkraft (umgekehrt beim Eintritt in eine Atmosphäre mit starker Temperaturabnahme).

Zur Prüfung dieser Frage wurden drei Überlegungen angestellt:

1. Wenn die beobachtete Abnahme der Steiggeschwindigkeit ein Temperatureffekt sein sollte, dann durfte sie nur beim Eintritt in eine Inversion gefunden werden (bei den Typen II und III der Temperaturkurve), nicht aber beim Eintritt in eine Isothermie (bei Typus I).

---

[1]) Met. Zeitschr. 1912 S. 78.
[2]) Met. Zeitschr. 1912 S. 193.
[3]) Lindenberger Jahrbuch 1911 S. 243.
[4]) K. Bassus und A. Schmauss, Zeitschrift für Flugtechnik und Motorluftschiffahrt 1911 und 1912 (5 Abhandlungen).
[5]) Lindenberger Jahrbuch 1911 S. XXVI.
[6]) H. Hergesell, Konferenz Monaco 1909.
[7]) J. P. Cave, The Structure of the Atmosphere usw.

Das war nicht der Fall. Auch bei einer Reihe von Typen I war die Abnahme der Steiggeschwindigkeit beim Eintritt in die Stratosphäre zu finden.

2. Bei Nachtaufstiegen durfte die Erscheinung nicht angetroffen werden.

Die Prüfung erfolgte an dem Materiale von Trappes, woselbst wegen der Sonnenstrahlung die Aufstiege jeweils mehrere Stunden vor Sonnenaufgang veranstaltet wurden. Wir greifen einen Aufstieg heraus (vom 1. III. 1911). Es betrug die Steiggeschwindigkeit:

von 0—1 km	3.6 m/sec.	5—6 km	5.0 m/sec.
1—2	3.9	6—7	5.5
2—3	4.2	7—8	6.1
3—4	4.8	8—9	5.4
4—5	5.0	9—10	5.8

Wir bemerken zuerst einen stetigen, später einen sehr raschen Anstieg bis 8 km. Dann folgt eine Abnahme, die nicht darauf zurückgeführt werden kann, dass der Ballon in 8 km seine Prallhöhe erreichte (in Trappes wurden Papierballone benützt), denn zwischen 9—10 km finden wir eine erneute Zunahme der Steiggeschwindigkeit. Dagegen belehrt uns das Thermogramm, dass in 8 km das Ende der Troposphäre anzusetzen ist.

Ähnlich waren die Ergebnisse der anderen durchgerechneten Aufstiege.

3. Es wurden alle bisherigen Münchener Aufstiege daraufhin durchgerechnet, ob stets mit dem Eintritte des Ballons in die Stratosphäre eine Abnahme der Steiggeschwindigkeit erfolgt.

Zur Prüfung dieser Frage konnten nur die Aufstiege benützt werden, welche einerseits weit genug in die Stratosphäre hineingeführt hatten, damit man sicher war, dass eine eventuelle Abnahme der Steiggeschwindigkeit nicht einem Undichtwerden des Ballons zuzuschreiben war, andererseits durfte die Abnahme der Steiggeschwindigkeit sich nicht fortsetzen, weil sonst eine Schuld des Ballons gegeben zu sein schien. Es wäre zwar merkwürdig, wenn das dem Platzen oft vorhergehende Undichtwerden des Ballons gerade mit dem Eintritt in die Stratosphäre einsetzen sollte, doch wurden zur Vorsicht solche Fälle nicht mit hereingezogen. Ferner wurden in dieser Zusammenstellung einstweilen die Typen IV fortgelassen.

Nach dieser Ausscheidung standen 62 Fälle zur Verfügung. Es ergab sich in 37 Fällen eine Abnahme der Steiggeschwindigkeit mit nachfolgender erneuter Zunahme derselben, in 16 Fällen wurde eine Zunahme mit nachfolgender Abnahme angetroffen, in 9 Fällen war keine Änderung der Steiggeschwindigkeit vorhanden.

Demnach ist das frühere vorläufige Ergebnis dahin zu ergänzen:

Es finden an der Grenze von Troposphäre und Stratosphäre sehr häufig Vertikalbewegungen statt und zwar überwiegend in dem Sinne, dass mit dem Eintritt in die Stratosphäre eine Abnahme der Steiggeschwindigkeit eintritt.

Ein systematischer Fehler in der Ermittelung der Steiggeschwindigkeit etwa durch Abnahme der Steigkraft des Ballons beim Eintritt in die Stratosphäre kann nicht vorliegen, da in einer stattlichen Anzahl von Fällen keine Veränderung oder sogar eine Zunahme zu beobachten war.

Die Erklärung des Überwiegens einer Abnahme der Steiggeschwindigkeit lässt sich auf Grund des wichtigen, von W. Peppler[1]) abgeleiteten Satzes geben:

Die vertikale Luftversetzung findet von Flächen geringerer horizontaler Strömungsgeschwindigkeit zu Flächen grösserer statt.

Das Studium der Strömungsverhältnisse in der Stratosphäre hat mit ziemlicher Sicherheit ergeben[2]), dass mit dem Beginne der Stratosphäre überwiegend eine Abnahme der (horizontalen) Windgeschwindigkeit stattfindet. Dann muss aber, wie W. Peppler gezeigt hat, die über einer rascher bewegten Atmosphäre lagernde Luft absteigende Bewegung bekommen.

K. Bassus und G. Nadler[3]) haben festgestellt, dass das Abflauen des Windes für den Beginn der Stratosphäre so sehr charakteristisch ist, dass man denselben aus dieser Abnahme der Windgeschwindigkeit festlegen kann. Ähnlich können wir hier sagen:

Der Sprung in der Steiggeschwindigkeit des Registrierballons ist so charakteristisch, dass man auch ohne Kenntnis des Temperaturdiagrammes den Beginn der Stratosphäre daraus entnehmen könnte. Es wurden viele Berechnungen nach dieser Richtung durchgeführt und erst nachträglich die Temperaturregistrierungen befragt.

Es wurde noch untersucht, ob eine Verschiedenheit der einzelnen Typen der Temperaturzustandskurve (siehe Münchener Registrierballonfahrten 1909 S. 29) auch in dem Verhalten der Steiggeschwindigkeit zum Ausdruck kommt. Die Anzahl der Fälle ist noch klein, so dass aus dem folgenden Ergebnis keine weitergehenden Schlüsse gezogen werden sollen.

Es wurde berechnet die Steiggeschwindigkeit 500–1000 m unterhalb der Stratosphäre (v_1), dann in den untersten 500–1000 m der Stratosphäre (v_2) sowie in den darauffolgenden 500–1000 m (v_3). Die Mittelbildung war trotz der verschiedenen Aufstiegsmethoden (Tandem oder Fallschirm) bezw. der verschiedenen Steigkräfte statthaft, da stets die Steiggeschwindigkeit ein stetiges Anwachsen mit der Höhe ergeben müsste, wenn keine Vertikalbewegungen vorhanden wären. Es ergab sich:

---

[1]) W. Peppler, l. c.

[2]) K. Bassus, Beitr. zur Physik der freien Atmosphäre 2. S. 92.

[3]) G. Nadler, Met. Zeitschr. 1908 S. 40.

a) Abnahme der Steiggeschwindigkeit beim Eintritt in die Stratosphäre:

	Typus I	Typus II	Typus III
v_1	5.2	6.7	5.0
v_2	4.2	5.0	3.8
v_3	4.3	5.9	4.4
Anzahl	16	10	11

b) Zunahme der Steiggeschwindigkeit beim Eintritt in die Stratosphäre:

v_1	4.7	5.9	5.5
v_2	5.4	8.1	6.4
v_3	5.2	6.1	5.6
Anzahl	8	2	6

Sowohl die Reihen a) wie b) lassen erkennen, dass der Typus II die grössten, der Typus I die kleinsten Kontraste aufweist[1]).

Weiters sehen wir, dass v_1 im Falle a) stets grösser als v_3, im Falle b) stets kleiner als v_3 ist.

D. h. 1. die Abnahme der Steiggeschwindigkeit des Ballons beim Eintritt in die Stratosphäre setzt sich zusammen aus einer Aufwärtsbewegung der Atmosphäre unterhalb, einer Abwärtsbewegung derselben oberhalb der Grenze der Troposphäre.

2. in den Fällen einer Zunahme der Steiggeschwindigkeit des Ballons beim Eintritt in die Stratosphäre setzt sich diese zusammen aus einer Abwärtsbewegung der Atmosphäre unterhalb, einer Aufwärtsbewegung derselben oberhalb der Grenze der Troposphäre.

Das Ergebnis 2. ist weniger sicher als das Ergebnis 1., weil auch ein ganz ungestörter Aufstieg nach den Formeln von H. Hergesell[2]) ein langsames Anwachsen der Steiggeschwindigkeit des Ballons ergeben muss.

Die Ergebnisse bestätigen die Theorie W. Pepplers, wenn wir noch die Vermutung aussprechen, dass in den Fällen b) eine Visierung, falls sie möglich gewesen wäre, beim Eintritt in die Stratosphäre statt der gewöhnlichen Abnahme eine Zunahme der Windgeschwindigkeit ergeben hätte.

Unter den Fällen b) war auch ein Aufstieg mit einer bis zum höchsten Punkte durchgeführten Visierung, die eine Prüfung gestattete.

11. Januar 1909.

Die Windgeschwindigkeit blieb bis hinauf zu 8470 m unter 11 m/sec. Es trat dann eine starke Zunahme ein; sie betrug von 8470—10200 m 17 m/sec., von 10200—10600 m 16 m/sec., von 10660—11530 m 13 m/sec. und blieb grösser, als sie in der Troposphäre gewesen war.

Die Troposphäre endete in 9600 m, so dass in diesem Beispiel in der Tat die oben ausgesprochene Vermutung ihre Bestätigung fand.

II. Vertikalbewegungen in höheren Schichten der Stratosphäre.

War mit dem Ergebnis I bereits die Ansicht widerlegt, dass in der Stratosphäre keine nennenswerten Vertikalbewegungen vorkommen könnten, so ergab sich die Vermutung, dass auch im weiteren Verlaufe solche angetroffen würden. Die wiederholt bei Visierungen festgestellten Schwankungen der Windgeschwindigkeit, die „Schichtungen" in der Stratosphäre und andere Erscheinungen waren der Annahme günstig.

Die Genauigkeit der zur Ableitung der Steiggeschwindigkeit berechneten Grössen.

Um eine Schwankung der Steiggeschwindigkeit des Ballons durch eine entsprechende Vertikalbewegung der Atmosphäre deuten zu können, musste eine Untersuchung über die Genauigkeit der zur Ableitung benützten Grundwerte vorangehen.

Die von uns benützten Bosch'schen Registrierinstrumente haben wir so reguliert, dass 1 mm H_g $\frac{1}{10}$ mm auf dem Diagramm entspricht. $\frac{1}{10}$ mm ist die Grenze der Ablesemöglichkeit, folglich die 1 mm H_g entsprechende Höhenstufe die Grenze der Höhenbestimmung.

1 mm H_g entspricht in	13000 m	rund 60 m
	15000 m	„ 90 m
	17000 m	„ 120 m

Nehmen wir 90 m als Grenze, dann dürfen wir, wenn wir Änderungen der Steiggeschwindigkeiten um 10 % ihres Betrages als Grenze der instrumentellen Ungenauigkeiten ansetzen, bei der Ermittelung der Steiggeschwindigkeit nicht unter ein Intervall von 900 m heruntergehen.

Wesentlich günstiger liegen die Verhältnisse bei der Ermittelung der Zeit. Die Trommel rückt in 1 Minute um 3.65 mm vor, es können also noch Zeitunterschiede von $\frac{1}{36}$ Minute d. h. rund 2 Sekunden direkt abgelesen werden. Da der Ballon bei einer Steiggeschwindigkeit von

3 m/sec.	die Strecke von 900 m	in 300 Sek.
4 „		225 „
5 „		180 „

zurücklegt, sind also die Zeitangaben mindestens 10 mal genauer zu machen als die Höhenangaben.

---

[1]) Die durchwegs grösseren Absolutwerte bei Typus II finden ihre Erklärung in der grösseren Höhe des Beginns der Stratosphäre dortselbst.

[2]) H. Hergesell, Ill. Aeron. Mittl. 1903 S. 163.

Die Betrachtungen gelten nur für die Ermittelung von Einzelwerten. Nimmt man gelegentlich kleinere Höhenstufen als 900 m, dann muss die Grenze der Schwankungen der Steiggeschwindigkeit, die noch als reell anzusehen sind, hinaufgesetzt werden.

Steiggschwindigkeiten des Ballons bei sehr hohen Aufstiegen (München).

Datum	m	m/sec.
4. VII. 06.	— 1 110	4.9
	— 2 270	4.8
	— 3 330	4.4
	— 4 720	5.2
	— 5 190	5.1
	— 6 090	5.0
	— 7 160	5.9
	— 8 120	5.3
	— 8 990	4.8
	— 9 930	5.2
	— 11 050	6.2
	— 12 030	8.2
	— 12 660	5 2
	— 13 160	4.2
	— 14 420	7.0
	— 15 390	5.4
	— 16 650	7.0

Ende der Troposphäre in 12 030 m. Abnahme beim Eintritt, grosse Schwankungen in der Stratosphäre.

Datum	m	m/sec.
5. VII. 06.	— 1 140	5.2
	— 2 500	5.7
	— 3 420	5.1
	— 4 090	5.6
	— 4 780	5.8
	— 5 620	7.0
	— 6 670	5.8
	— 7 790	6.2
	— 8 710	5.1
	— 9 650	5.2
	— 10 510	4.8
	— 11 370	7.2
	— 11 800	2 4
	— 12 830	4.3
	— 13 720	4.9

Ende der Troposphäre in 11 370 m. Starke Abnahme beim Eintritt in die Stratosphäre.

Datum	m	m/sec.
2. V. 07.	— 2 270	4 9
	— 3 680	5.1
	— 6 430	5.5
	— 7 490	5.5
	— 8 320	6.3
	— 9 540	5.6
	— 10 850	5.9
	— 12 550	5.9
	— 14 280	6.9
	— 14 820	4.7
	— 15 810	5.3
	— 19 350	5.5

Ende der Troposphäre in 6430 m, keine Änderung beim Eintritt, grosse Schwankungen in der Stratosphäre.

Datum	m	m/sec.
3. X. 07.	— 1 350	4.2
	— 2 820	4.6
	— 3 940	4.9
	— 5 010	4.7
	— 9 360	5.1
	— 11 480	5.9
	— 12 300	5.7
	— 12 940	5.0
	— 13 960	5.7
	— 14 900	5.4
	— 17 130	5.2

Ende der Troposphäre in 12 300 m. Abnahme beim Eintritt, wenig Schwankung in der Stratosphäre.

Datum	m	m/sec.
29. VII. 08.	— 1 290	4.6
	— 2 460	5.2
	— 4 160	5.4
	— 5 170	5.6
	— 5 930	4.9
	— 8 080	6.2
	— 10 050	7.9
	— 10 910	6.0
	— 12 010	5.0
	— 12 890	5.3
	— 15 100	6.5

Ende der Troposphäre in 12 010 m. Abnahme vor dem Eintritt, Zunahme mit dem Eintritt in die Stratosphäre.

Datum	m	m/sec.
7. V. 09.	— 2 450	5.7
	— 5 240	5.9
	— 8 170	6.8
	— 10 600	7.8
	— 11 800	8.8
	— 12 520	7.5
	— 13 440	8.8
	— 14 460	8,2
	— 14 940	9 2
	— 16 280	12.4
	— 18 570	10.4
	— 20 880	10.3
	— 24 530	15.3

Ende der Troposphäre in 12 520 m. Zunahme beim Eintritt, grosse Schwankungen in der Stratosphäre.

Datum	m	m/sec.
6. V. 09.	— 2 710	5.6
	— 5 700	6,0
	— 10 310	6.9
	— 11 240	6.9
	— 11 750	7.0
	— 13 030	7.4
	— 14 200	7.4
	— 15 900	8.9
	— 17 540	9.2

Ende der Troposphäre in 11 240 m. Keine Änderung beim Eintritt, gleichmässiges Anwachsen in der Stratosphäre.

Datum	m	m/sec.
7. X. 09.	— 2 120	3.1
	— 4 920	3.4
	— 7 040	4.0
	— 9 690	4.3
	— 10 790	4.2
	— 15 240	4.5
	— 16 680	4.0
	— 17 550	5.5
	— 18 090	2.2
	— 20 410	3.8

Ende der Troposphäre in 10 790 m, keine Änderung beim Eintritt, grosse Schwankungen in der Stratosphäre.

Datum	m	m/sec.
14. IV. 10.	— 3 850	3.3
	— 5 330	3.2
	— 10 420	3.9
	— 10 850	5.1
	— 11 380	4.6
	— 12 710	4.4
	— 13 740	5.6
	— 14 550	5.3
	— 17 590	7.4
	— 19 910	6.6

Ende der Troposphäre in 10 420 m. Zunahme beim Eintritt, starke Schwankungen in der Stratosphäre.

Datum	m	m/sec.
8. VIII. 10.	— 2 560	4.3
	— 6 710	4.1
	— 9 880	4.3
	— 11 130	3.7
	— 12 180	3.5
	— 14 440	4.1
	— 15 150	3.8

Ende der Troposphäre in 9 880 m, keine markanten Veränderungen d. Steiggeschwindigkeit.

Datum	m	m/sec.
9. VIII. 10	— 2 120	2.4
	— 4 960	2,3
	— 6 140	2.8
	— 7 430	2.9
	— 9 270	3.7
	— 11 650	3.5
	— 12 390	3.9
	— 12 710	1.9
	— 13 220	2.9
	— 15 540	3.3

Ende der Troposphäre in 12 390 m. Abnahme beim Eintritt, nachherige Zunahme.

Datum	m	m/sec.
1. IX. 10.	— 3 280	3.8
	— 6 650	4.5
	— 9 370	4.4
	— 10 440	4.2
	— 10 980	3.3
	— 12 120	3 6
	— 13 940	3.7
	— 16 610	4.3
	— 17 450	3.6

Ende der Troposphäre in 10 440 m, etwas geringere Steiggeschwindigkeiten in der Stratosphäre.

Datum	m	m/sec.
14. IX. 11.	— 3 080	4.3
	— 5 040	5.0
	— 6 610	4.7
	— 7 800	5.4
	— 9 340	6.1
	— 10 820	5.0
	— 11 800	5.8
	— 12 610	4.7
	— 13 270	4.4
	— 14 050	4.5
	— 15 350	4.4
	— 16 650	4.4
	— 17 110	4.4

Ende der Troposphäre in 12610 m, beträchtliche Schwankungen in der Troposphäre, bemerkenswerte Konstanz i. d. Stratosphäre.

Datum	m	m/sec.
6. XII. 11.	— 2 660	2.6
	— 4 630	2.4
	— 5 910	2.5
	— 7 110	2.8
	— 8 470	2.3
	— 10 240	3.1
	— 11 330	2.7
	— 11 810	2.8
	— 12 580	2.7
	— 13 290	3.4
	— 14 410	3.6

Ende der Troposphäre in 11 810 m.

Datum	m	m/sec.
11. IV. 12.	— 1 900	3.8
	— 2 680	2.9
	— 4 340	6.0
	— 4 940	5.1
	— 6 950	5.2
	— 8 160	5.6
	— 9 170	4 6
	— 9 850	3.6
	— 10 680	4.8
	— 11 510	3.4
	— 12 260	4.1
	— 13 050	5.4
	— 14 250	4.8

Ende der Troposphäre in 9170 m. Abnahme beim Eintritt, beträchtliche Schwankungen in der Stratosphäre.

Datum	m	m/sec.
4. VII. 12.	— 2 310	3.5
	— 4 260	4.0
	— 6 120	7.0
	— 8 240	4.1
	— 10 310	4.2
	— 11 110	3.9
	— 12 000	3.2
	— 14 160	3.8
	— 15 880	4.6

Ende der Troposphäre in 11 110 m. Abnahme beim Eintritt, gleichmässige Zunahme in der Stratosphäre.

Datum	m	m/sec.
5. VII. 12.	— 2 920	4.2
	— 4 870	4.3
	— 7 060	4.4
	— 9 890	4.5
	— 10 900	4.1
	— 12 580	4.0
	— 15 750	4.7

Ende der Troposphäre in 9 890 m. Bemerkenswert geringe Schwankungen sowohl in Troposphäre als in Stratosphäre.

Datum	m	m/sec.
2. VII. 12.	— 1 680	4.1
	— 2 970	4.7
	— 4 150	4.1
	— 6 810	5.0
	— 8 180	4.5
	— 9 520	4.6
	— 10 200	5.0
	— 10 870	3.9
	— 11 470	4.4
	— 12 110	4.1
	— 13 790	3.6
	— 14 400	5.7

Ende der Troposphäre in 10 200 m. Abnahme beim Eintritt in die Stratosphäre.

Datum	m	m/sec.
3. VIII. 12.	— 2 420	2.9
	— 4 000	2.3
	— 7 490	2.3
	— 8 640	2.6
	— 10 250	3.4
	— 11 690	3.0
	— 13 330	2.9
	— 14 610	2.6
	— 15 750	3.2
	— 16 730	3.4
	— 17 490	4.0

Ende der Troposphäre in 10 250 m. Keine markanten Schwankungen der Steiggeschwindigkeit.

Datum	m	m/sec.
2. X. 12.	— 1 770	4.3
	— 4 050	4.5
	— 7 020	4.9
	— 8 300	5.8
	— 10 330	4.9
	— 11 720	4.1
	— 13 450	4.6
	— 14 250	5.7
	— 15 670	8.0
	— 17 290	4.7
	— 2 0530	5.7

Ende der Troposphäre in 10 330 m. Abnahme beim Eintritt, Sehr beträchtliche Schwankungen in der Stratosphäre.

Datum	m	m/sec.
3. X. 12.	— 2 130	3.9
	— 4 850	4.0
	— 6 820	4.5
	— 9 210	5.8
	— 10 810	4.0
	— 11 510	3.0
	— 13 860	3.9
	— 15 540	3.0
	— 16 970	3.2
	— 17 560	2.9

Ende der Troposphäre in 9 210 m. Dauernde Abnahme der Steiggeschwindigkeit in der Stratospäre.

Datum	m	m/sec.
4. X. 12.	— 2 040	3.9
	— 3 880	3.7
	— 6 400	4.1
	— 8 420	3.4
	— 9 980	3.6
	— 10 760	3.2
	— 11 900	3.4
	— 13 000	3.0
	— 14 710	3.4
	— 16 110	3.1

Ende der Troposphäre in 9980 m, bemerkenswert konstante Steigggeschwindigkeit in der Stratosphäre.

Datum	m	m/sec.
5. XII. 12.	— 1 910	3.3
	— 3 670	3.4
	— 5 750	3.7
	— 6 880	3.3
	— 9 220	3.5
	— 11 380	4.3
	— 11 930	6.1
	— 12 360	6.2
	— 14 440	5.1
	— 15 500	2.0
	— 16 640	4.4

Ende der Troposphäre in 11 930 m, sehr grosse Steiggeschwindigkeit in der Grenzschicht, grosse Schwankungen in der Stratosphäre.

Datum	m	m/sec.
3. I. 13.	— 2 130	4.1
	— 3 300	4.7
	— 4 850	4.5
	— 6 670	4.6
	— 10 780	6.6
	— 11 100	7.5
	— 12 100	4.8
	— 13 100	4.1
	— 14 090	3.9
	— 15 530	4.2

Ende der Troposphäre in 10 780 m, sehr grosse Steiggeschwindigkeit in der Grenzschicht, verhältnismässig konstante in der Stratosphäre.

Datum	m	m/sec.
6. II. 13. 8a	— 2 130	4.1
	— 3 300	4.7
	— 4 850	4.5
	— 6 670	4.6
	— 10 780	6.6
	— 11 110	7.5
	— 12 100	4.8
	— 13 100	4.1
	— 14 090	3.9
	— 15 330	4.2

Ende der Troposphäre in 10 780 m, grosse Steiggeschwindigkeit in der Grenzschicht.

Datum	m	m/sec.
6. II. 13. 2p	— 3 000	4.4
	— 4 030	4.5
	— 5 240	5.1
	— 8 160	5.3
	— 10 450	5.1
	— 11 070	5.4
	— 12 150	4.8
	— 13 240	4.6
	— 14 900	4.6
	— 15 880	5.5
	— 19 220	6.3

Ende der Troposphäre in 11 070 m, Abnahme beim Eintritt, Zunahme in den höheren Schichten der Stratosphäre.

Datum	m	m/sec.
7. II. 13. 8a	— 2 680	3.9
	— 3 950	4.6
	— 5 170	4.1
	— 6 590	4.8
	— 7 480	3.6
	— 9 260	4.2
	— 10 660	4.0
	— 13 380	4.3
	— 15 000	5.1
	— 16 350	7.1

Ende der Troposphäre in 10 660 m, keine Änderung beim Eintritt, aber starker Anstieg in den höheren Schichten der Stratosphäre.

Datum	m	m/sec.
7. II. 13. 2p	— 5 020	4.4
	— 6 690	4.8
	— 8 260	5.1
	— 9 700	4.2
	— 10 770	4.9
	— 13 160	4.9
	— 13 700	3.7
	— 14 450	4.9
	— 15 590	4.0
	— 16 780	4.1
	— 17 790	4.5
	— 18 360	7.1

Ende der Troposphäre in 10 770 m, keine Änderung beim Eintritt, aber grosse Schwankungen in der Stratosphäre.

Datum	m	m/sec.
4. IV. 13.	— 3 400	4.5
	— 6 290	4.8
	— 7 920	4.6
	— 9 310	5.5
	— 10 950	4.5
	— 11 700	3.6
	— 13 080	3.3
	— 13 870	3.7
	— 14 250	4.9

Ende der Troposphäre in 10 950 m, Abnahme beim Eintritt in die Stratosphäre, hernach wieder Anstieg.

Die Zusammenstellung lässt erkennen, dass nur selten[1]) die Stratosphäre frei ist von Vertikalbewegungen. Da meistens Schichten von entgegengesetzter Vertikalbewegung aneinander grenzen, lässt sich zunächst nur die relative Vertikalbewegung ermitteln; erst der Vergleich mit dem aus grösseren Stufen (von etwa 5000 m) gewonnenen Mittelwerte gibt Aufschluss über den Sinn und die Grösse der Einzelbewegung. Darnach kommen in besonderen Fällen Vertikalbewegungen von 1—2 m/sec. vor.

Das Ergebnis wurde auch an einigen sehr hohen Aufstiegen anderer Institute nachgeprüft und für richtig befunden. Von der Mitteilung des betreffenden Zahlenmateriales kann hier wohl abgesehen werden.

Es wurde noch der Versuch gemacht, die Vertikalbewegungen in Beziehung zur Luftdruckverteilung zu setzen bezw. synoptisch darzustellen, doch konnte ein Resultat noch nicht gewonnen werden.

[1]) Die wenigen Fahrten, bei welchen die Steiggeschwindigkeit normales Verhalten zeigte, erhöhen das Vertrauen in die Realität der Störungen.

III. Instrumenteller Nachweis inhomogener Strömungsverhältnisse in der Stratosphäre.

Dass in der Stratosphäre inhomogene Strömungsverhältnisse der Atmosphäre herrschen, lässt sich gelegentlich aus den Diagrammen selbst ersehen. Es wurde schon früher auf die Bedeutung der Marken hingewiesen[1]), mit denen die Diagramme manchmal durchsetzt sind. Sie verraten immer Erschütterungen, denen das System ausgesetzt ist. Diese Marken zeigen eine ausgesprochene Häufung in der Stratosphäre, so dass manchmal auf die Strecke mehrerer Kilometer die Registrierungen von Strichen durchsetzt sind.

Ein Unterschied besteht hiebei zwischen der früher gebrauchten Tandemanordnung und der jetzigen Fallschirmmethode.

Bei der Tandemmethode reagiert das Instrument im Aufstiege auf jede Unstetigkeit des Windes, die sich auf die beiden Ballone verschieden äussert. Das Abstiegsdiagramm weist demgegenüber einen wenig gestörten Verlauf auf. Bei der Fallschirmmethode haben wir im Aufstiege nur einen Ballon und daher verhältnismässige Ruhe, während der Fallschirm im Abstiege stark auf Windstösse reagiert. So kommt es, dass bei solchen Fahrten das Abstiegsdiagramm bis zum Wiedereintritt in die Troposphäre mit solchen Marken durchsetzt ist, wie z. B. aus den Diagrammen vom 4. XI. 1910 und vom 4. X. 1912 der beigegebenen Tafel hervorgeht. Der Rohrthermograph, der Barograph und der Hygrograph reagieren auf solche Stösse leichter als der in der Vertikalen gut gesicherte Lamellenthermograph[2]).

An dem Diagramm vom 4. X. 1912 sind übrigens schon am Barogramm die verschiedenen Steig- und Fallgeschwindigkeiten zu erkennen, wovon man sich durch Anlegen eines Tangentenlineales überzeugen kann; weniger deutlich liegen die Verhältnisse beim 4. XI. 1910.

Gelegentlich brachten die Ruckbewegungen sogar die Uhr zum Stehen. Da der Stillstand gerade beim Wiedereintritt in die Troposphäre, bei welchem die kräftigsten Stösse zu erfolgen pflegen, eintrat, kommt eine andere Erklärung (wie Eindicken des Öles usw.) in Wegfall. Der nächste Ruck machte dann die Uhr wieder frei.

Einmal verfing sich nahe am höchsten Punkte der Abszissenhebel und der Barographenhebel; genau beim Wiedereintritt in die Troposphäre gelang es dem letzteren, loszukommen (14. IV. 1910).

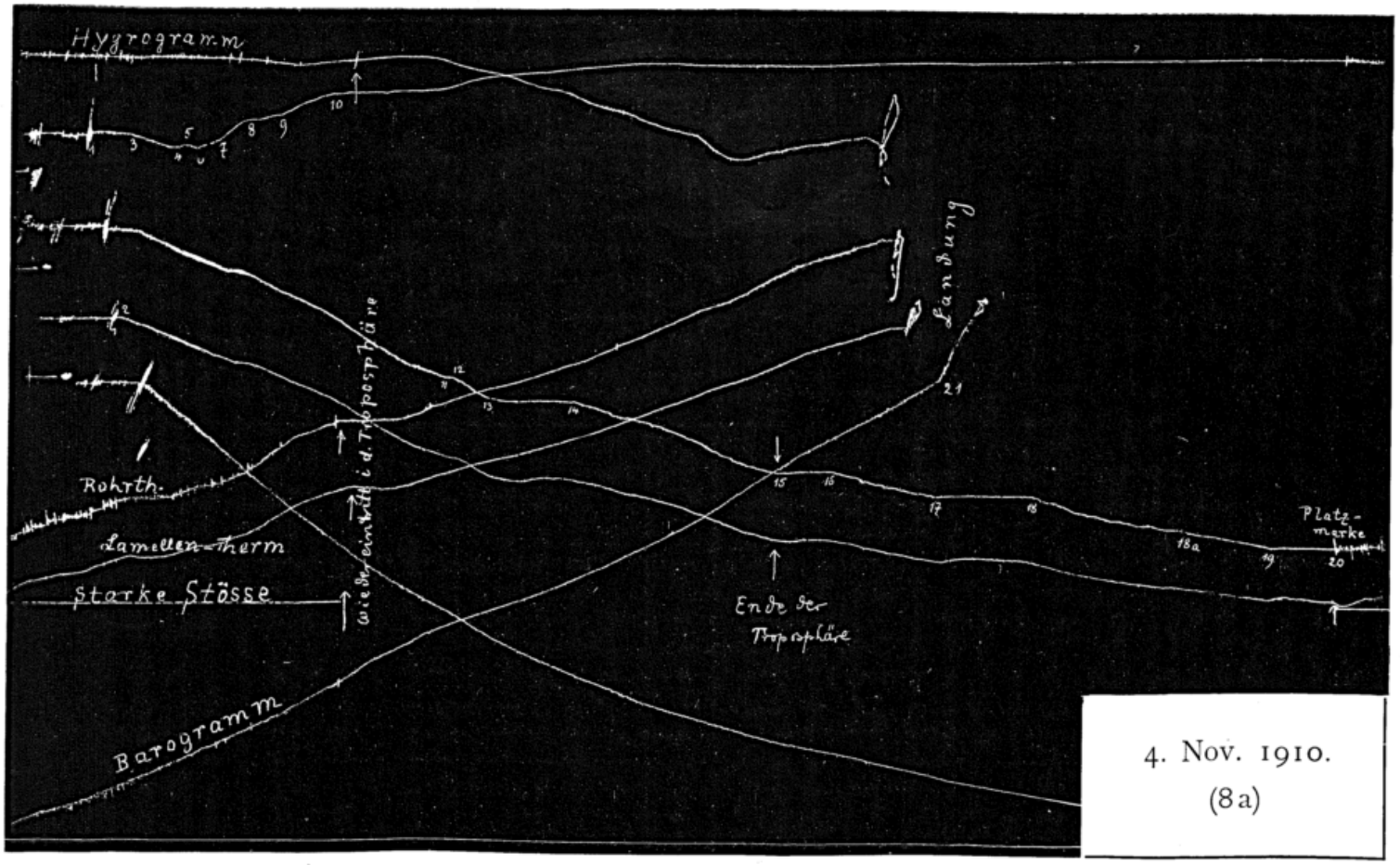
Wenn auch gelegentlich Ruckbewegungen vorkommen werden beim Übertritt des Ballons oder Fallschirms in Luft von anderer horizontaler Bewegung, verraten doch die häufigen Marken unbedingt Vertikalbewegungen. Der Eindruck gewaltiger Bewegung, den jedes Thermoisoplethendiagramm in der Stratosphäre macht, wird dadurch gestützt.

So sehr man sich versucht fühlt, solche Bewegungen mit dem bequemen Ausdruck „turbulent" zu bezeichnen, ist es doch nicht angängig, diesen in der Hydrodynamik genau definierten Begriff auf jede nicht homogene Strömung der Atmosphäre zu übertragen.

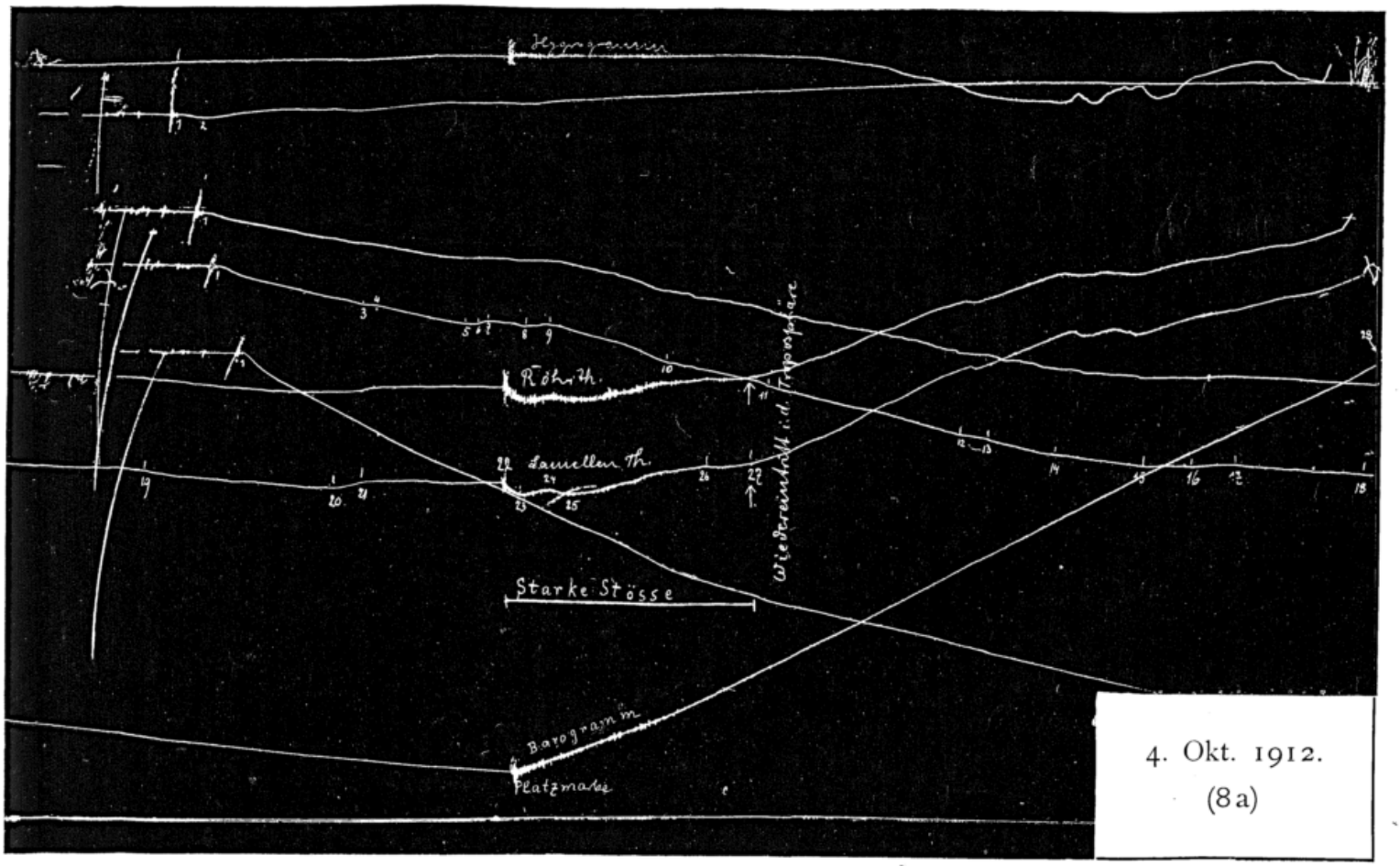
---

[1]) Münchener Registrierballonfahrten 1907 S. 11.

[2]) Durch den Nachweis, dass nur in einzelnen Abschnitten einer Fahrt die Diagramme mit Marken durchsetzt zu sein brauchen, widerlegt sich der Einwand, dass das gelegentliche Fehlen derselben nur auf bessere Lagerung des Instrumentes zurückzuführen sei. Die bei unstetiger Bewegung der Atmosphäre geschriebenen Marken sind stets so gross wie die sog. Platzmarken. Da diese noch bei jeder Fahrt zu erkennen waren, geht daraus hervor, dass der gelegentlichen Verschiedenheit der Bindung des Instrumentes keine wesentliche Bedeutung zukommt, sondern dass uns das Fehlen oder Vorhandensein der Marken als Aufschluss über die Homogenität der Strömung gelten darf.



4. Nov. 1910.
(8a)



4. Okt. 1912.
(8a)

Münchener Aerologische Studien

von **A. Schmauss.**

No. 5. Die Veränderlichkeit der Steiggeschwindigkeit von Registrierballonen.

In einer vor kurzem erschienenen Arbeit [1]) unterzieht Herr Dietzius den Vorschlag [2]), aus der Änderung der Steiggeschwindigkeit von Registrierballonen Vertikalbewegungen der Atmosphäre abzuleiten, einer eingehenden Kritik. Seine Ausführungen geben zu einer Reihe von Bemerkungen Anlass.

1. Es lag mir ferne, zu behaupten, dass aus dem Vergleich der Steiggeschwindigkeiten von Registrierballonen mit den normalen Werten „ohne weiteres" (D. S. 1) die vertikalen Luftbewegungen ermittelt werden könnten. In Studie No. 4 ist bereits auf die Grössenordnung hingewiesen, welche die Abweichungen besitzen müssen, um als reell gelten zu dürfen. Ich habe, das war ausdrücklich bemerkt, die „normalen" Werte nicht aus der Hergesellschen Formel errechnet (D. S. 2), sondern von der Untersuchung Hergesells einzig das Resultat übernommen, dass die Steiggeschwindigkeit geschlossener Gummiballone proportional dem reziproken Werte der sechsten Wurzel aus dem Luftdruck wächst [3]). Die von mir zugrunde gelegten „Normalwerte" waren Mittelwerte aus einer grossen Reihe von Registrierballon-Aufstiegen; ob die Hergesell-**Formel** zur Ableitung der Steiggeschwindigkeit aus der Steigkraft und dem Ballongewichte für die grossen Ballongewichte übernommen werden darf, war für mich bedeutungslos. Es brauchte daher auch nicht untersucht zu werden, ob die Anwendung der Formel auf den mit dem Instrument belasteten, darum einen anderen Luftwiderstand bietenden Ballon erlaubt sei (D. S. 3—5), da der Barograph die nötige und schwierige Rechnung ausführte.

Der Vorschlag des Herrn Dietzius, Normalwerte für die Steiggeschwindigkeit dadurch zu gewinnen, dass man wiederholt Registrierballone von demselben Gewicht und Auftrieb benützt und aus den Barogrammen die mittlere Steiggeschwindigkeit ableitet, ist in meinen früheren Untersuchungen bereits ausgeführt. Damit wird das Urteil hinfällig, „dass das Ausserachtlassen dieses Umstandes", (nämlich der Nichtanwendbarkeit der Hergesell-Formel auf die Steiggeschwindigkeit der Registrierballone) „eine Fehlerquelle darstellt, welche die beobachteten Steiggeschwindigkeiten zu klein erscheinen lässt, somit absteigende Luftströme vortäuscht" (D. S. 4).

2. Herr Dietzius macht darauf aufmerksam, dass die Fallgeschwindigkeit des Fallschirms nicht konstant ist, sondern wegen der Zunahme der Dichte der Luft abnimmt. Dieser Satz war auch mir bekannt, er scheidet aber aus, weil ich stets nur plötzliche Änderungen der Sinkgeschwindigkeit in den Kreis der Betrachtung gezogen habe.

Demnach ist der Ausspruch (D. S. 6) unangebracht: „Infolge dieses Versehens wird auch durch den Verlauf des Falles in den oberen Schichten der Atmosphäre ein absteigender Luftstrom vorgetäuscht und das Resultat bestätigt, dass der Beginn der isothermen Zone durch einen absteigenden Luftstrom ausgezeichnet sei."

Ich habe schon früher gezeigt, dass in günstigen Fällen auch in der Veränderlichkeit der Fallgeschwindigkeit des Fallschirmes vertikale Bewegungen der Atmosphäre ihren Ausdruck finden [4]). Es seien einige Beispiele aus dem Lindenberger Jahrbuche 1912 angeführt, die dartun, dass nicht etwa eine auf fehlerhafte Berechnung u. dergl. zurückzuführende Münchener Spezialität (etwa durch die Alpennähe verursacht) vorliegt.

Wir wollen nur solche Fälle nehmen, in welchen die Sinkgeschwindigkeit des Fallschirms eine vorübergehende Zunahme erfuhr; dann musste im Aufstiege eine entsprechende Änderung der Steiggeschwindigkeit in der gleichen Höhenlage zu beobachten sein.

---

[1]) R. Dietzius, Wien, Ber. 1913, Märzheft.

[2]) Vgl. Protokoll der Wiener Sitzung 1912 S. 38.

[3]) S. Met. Zeitschrift 1912 S. 78.

[4]) Vgl. die einschränkende Bemerkung in Met. Zeitschrift 1912 S. 194.

Abstieg			Aufstieg		Abstieg			Aufstieg	
Datum	Höhe	m/sec.	Höhe	m/sec.	Datum	Höhe	m/sec.	Höhe	m/sec.
1. II. 12.	15 650—13 050	7.1	12 800—15 650	5.4	4. VII. 12.	15 600—14 500	5.6	14 270—15 600	7.0
	13 050— 9 900	7.2	8 100—12 800	5.0		14 500—11 730	5.2	11 700—14 270	8.3
	9 900— 6 350	5.6	5 190— 8 100	6.5		11 730— 9 800	6.2	9 720—11 700	7.6
Vollkommene Symetrie der Änderungen.					Vollkommene Symmetrie der Änderungen.				
21. VIII. 12.	11 900— 9 350	4.9	10 000—11 900	4.7	14. IX. 12.	22 900—19 950	11.4	19 900—22 900	7.1
	9 350— 8 200	3.1	8 620—10 000	8.9		19 950—17 200	13.1	17 250—19 900	11.5
	8 200— 6 570	3.7	6 330— 8 620	7.1		17 200—14 000	10.0	14 000—17 250	12.2
Vollkommene Symmetrie der Änderungen.					Übereinstimmung der Änderung in 17 200 (17 250) m. Keine Übereinstimmung der Änderung in 19 950 (19 900) m.				
7. XI. 12.	6 700— 4 720	3.6	4 890— 6 940	4.4					
	4 720— 3 620	4.6	3 420— 4 890	3.9					
	3 620— 1 870	3.5	1 620— 3 420	4.1					
Vollkommene Symmetrie der Änderungen.									

Wenn man nicht mit einer Änderung der Anordnung der Ballonreste zu rechnen hätte, könnte man auch aus der Sinkgeschwindigkeit des am Fallschirm hängenden Instrumentes quantitative Angaben über Vertikalbewegungen der Atmosphäre bekommen.

3. Aus der nun folgenden Untersuchung des Herrn Dietzius über die einzelnen Faktoren, welche die Steiggeschwindigkeit eines Registrierballons beeinflussen können, trennen wir die Faktoren, welche eine stetige Änderung desselben zur Folge haben, von denen, welche eine unstetige Änderung ergeben müssen. Die erste Gruppe interessiert uns nicht weiter, da es sich nur um den Nachweis der Realität solcher vertikaler Bewegungen in der Atmosphäre handelt, welche sich in den plötzlichen Änderungen der Steiggeschwindigkeit der Registrierballone ausdrücken.

a) der wichtigste Faktor, der auch in Studie 4 kurz besprochen wurde, ist der Einfluss der Differenz der Füllungs- und Lufttemperatur auf die Tragkraft und damit auf die Steiggeschwindigkeit des Ballons. Von allen Einwänden des Herrn Dietzius ist dieser jedenfalls der ernsteste. Wir haben (D. S. 20) das Ergebnis, dass bei einem Temperaturunterschied grosse prozentuelle Änderungen der Steiggeschwindigkeit eintreten, die für die von uns gebrauchten Registrierballone in der folgenden Tabelle enthalten sind:

	Temperaturdifferenz Füllung — Luft				
	10°	20°	30°	40°	50°
Änderung der Steiggeschwindigkeit in %	14.1	25.9	36.2	45.2	53.3

Wir haben daher die Frage zu erörtern, ob sprungweise, z. B. beim Eintritt in die Stratosphäre, die Temperaturdifferenz Füllung — Luft sich um erhebliche Beträge ändern kann.

Wie schon in Studie No. 4 kann ich zu dieser Frage nur indirekte Untersuchungen vorlegen, bis die vom Lindenberger Aeronautischen Observatorium in Aussicht gestellten [1]) Messungen der Füllungstemperatur eines Registrierballons vorliegen werden.

Ich möchte hier die Überlegung nur für den Fall durchführen, dass der Ballon (und mit ihm die Füllung) beim Eintritt in die Stratosphäre noch nicht in das Strahlungsgleichgewicht gekommen ist.

Wir gehen nicht fehl, wenn wir annehmen, dass auch bei den dünnen Gummiballonen (ähnlich wie bei den Freiballonen) die adiabatische Abkühlung der Füllung und die Temperaturänderung durch die Ventilation des Ballons an der entgegentretenden Luft durch Absorption der Sonnenstrahlung überkompensiert wird. Dadurch entsteht ein Temperaturüberschuss der Füllung über die Luft.

Die Ventilationswirkung ist u. a. abhängig von der Temperaturdifferenz zwischen Ballon und Luft; sie wird im Aufstieg wachsen und einen stetigen Anstieg bis zum Eintritt in die Stratosphäre aufweisen. Mit dem Eintritt in dieselbe vermindert sich die Ventilationswirkung, da die Temperatur der umgebenden Luft nicht mehr abnimmt. Der Ballon kann jetzt rascher in das Strahlungsgleichgewicht kommen, als das ohne das Vorhandensein der Stratosphäre der Fall gewesen wäre. Es ist auch durchaus wahrscheinlich, dass mit dem Eintritt in die Stratosphäre eine (vielleicht sprunghafte) Zunahme der Sonnenstrahlung eintritt (über dem Ci-Niveau) [2]).

Demnach steigt die Temperaturdifferenz zwischen Füllung und Luft und mit ihr die Steigkraft des Ballons; jedenfalls tritt keine Abnahme derselben ein, wie Herr Dietzius annimmt.

Ich komme daher zu dem entgegengesetzten Resultate wie Herr Dietzius: Auf Grund der Temperaturdifferenz zwischen Füllung und Luft wäre viel eher eine **Zunahme** der Steiggeschwindigkeit beim Eintritt in die Stratosphäre als eine Abnahme zu erklären.

Übrigens dürften die in Frage kommenden Inversionen, wie die bisherigen Fahrten erkennen lassen, nie solche Beträge annehmen, dass die Temperaturdifferenz Füllung — Luft eine momentane Änderung um mehr als 5°

[1]) Lindenberger Jahrbuch 1911 S. XXVI.

[2]) Vergl. R. Assmann, Berl. Ber. 1902 S. 495.

erfährt. Wir haben aber gelegentlich viel grössere Änderungen der Steiggeschwindigkeit beobachtet, als einer solchen Temperaturänderung entsprechen würde.

Die neuesten Messungen der Füllungstemperatur eines Freiballons [1]) scheinen Herrn Dietzius entgangen zu sein, sonst hätte er wohl nicht die Kritik des Herrn K. Wegener [2]) an einer früheren Feststellung übernommen: Wir haben in einer früheren Mitteilung [3]) dargelegt, dass ein damals benützter Ballon fiel, obwohl die Füllungstemperatur stetig anstieg. Das sollte nicht so interpretiert werden, als stellten wir eine dabei eintretende dynamische Erwärmung des Füllgases in Abrede, sondern sollte der bis dahin geltenden Ansicht entgegentreten, dass der Fall eines Ballons — von Vertikalströmen abgesehen — fast stets auf eine (wenn auch vorübergehende) Abminderung der Füllungstemperatur zurückzuführen sei.

Um das Schwimmen eines Ballons auf einer Inversionsschicht zu erklären, braucht man nicht auf die dynamischen Temperaturänderungen der Füllung zurückgreifen, wie dies Herr Dietzius (S. 34) tut.

Ein wertvoller Beweis dafür, dass nicht Temperatureinflüsse vertikale Bewegungen vortäuschen, liegt, wie ich glaube, darin, dass auch bei Nachtaufstiegen grosse Schwankungen der Steiggeschwindigkeit von Registrierballonen stattfinden. In Studie No. 4 war zum Beleg ein Aufstieg von Trappes mitgeteilt. Es seien noch die Berechnungen der Nachtaufstiege angefügt [4]), welche anlässlich des Durchganges des Kometen im Mai 1910 veranstaltet worden waren.

Uccle 18. V. 10. 9^{25} p		Uccle 19. V. 10. 2^{02} a		Pavia 18. V. 10. 10^{35} p.		Pavia 19. V. 10. 3 a.		Strassburg 19. V. 3^{05} a.	
m	m/sec.	m	m/sec.	m	m/sec.	m	m/sec.	m	m/sec.
100— 1 000	3.7	100— 630	4.4	77— 1 100	2.4	77— 1 300	5.1	140— 1 240	4.3
1 000— 2 850	3.9	630— 6 400	4.4	1 100— 1 930	2.8	1 300— 2 290	5.5	1 240— 2 660	4.1
2 850— 4 300	3.0	6 400—10 760	4.6	1 930— 2 520	3.3	2 290— 3 380	6.1	2 660— 3 850	4.0
4 300— 6 600	3.8	10 760—11 350	4.9	2 520— 3 150	3.5	3 380— 4 110	6.1	3 850— 4 570	3.8
6 600— 8 800	4.6	11 350—11 760	3.4	3 150— 4 060	3.0	4 110— 5 000	5.9	4 570— 5 000	3.4
8 800— 9 800	4.2	11 760—12 190	3.6	4 060— 4 820	3.2	5 000— 5 600	6.7	5 000— 6 000	3.1
9 810—11 010	5.0	12 190—12 600	3.4	4 820— 5 310	2.7	5 600—10 670	6.5	6 000— 7 000	3.4
11 010—11 420	3.5	12 600—13 370	3.2	5 310— 6 000	2.9	10 670—11 130	7.7	7 000— 8 000	4.4
11 420—11 900	4.0	13 370—13 960	2.5	6 000— 7 460	3.0	11 130—11 610	8.0	8 000— 9 000	4.9
11 900—12 620	3.0	13 960—14 360	3.3	7 460— 8 350	3.9	11 610—11 850	8.0	9 000—10 000	4.5
12 620—13 280	2.8	14 360—15 180	3.4					10 000—11 000	3.8
13 280—14 200	3.8	15 180—15 790	2.6						
14 200—15 350	3.2								
15 350—16 230	3.7								

Lindenberg 18. V. 10. 10^{37} p.		Lindenberg 19. V. 10. 4^{06} a.		München 19. V. 10. 3 a.		Ekaterinburg 19. V. 10. 2^{03} a.	
m	m/sec.	m	m/sec.	m	m/sec.	m	m/sec.
120— 1 250	4.6	120— 1 430	3.4	520— 1 000	4.1	270— 1 500	1.4
1 260— 2 070	4.9	1 430— 3 270	3.5	1 000— 4 920	4.7	1 500— 2 500	1.5
2 070— 4 830	5.4	3 270— 6 560	4.1	4 920— 6 360	4.2	2 500— 4 000	1.3
4 830— 6 740	4.6	6 560— 9 000	4 6	6 360— 7 730	3.8	4 000— 5 000	1.3
6 740— 8 700	5.0	9 000—11 500	4.7	7 730—11 770	4.6	5 000— 6 000	1.5
8 700—11 950	5.0	11 500—12 580	5.0	11 770—12 090	3.7	6 000— 7 000	1.2
11 950—12 410	5.8	12 580—13 190	4.1	12 090—12 950	4.2	7 000— 8 000	1.3
12 410—13 000	3.6	13 190—15 720	5.7	12 950—14 030	2.7	8 000— 8 230	1.4
13 000—13 560	6.2	15 720—16 550	5.0			8 230— 9 000	1.8
13 560—15 270	3.3	16 550—17 400	8.6			9 000—10 000	1.9

In der Zusammenstellung fällt auf, dass Ekaterinburg wesentlich kleinere Schwankungen der Steiggeschwindigkeit hatte als die übrigen Stationen.

Vielleicht lassen sich einmal später solche Unterschiede aus der Luftdruckverteilung verstehen.

b) Herr Dietzius weist daraufhin, dass bei Pilotballonen keine nennenswerten Änderungen der Steiggeschwindigkeiten vorkämen, während aus den Barogrammen der Registrierballone ein viel häufigeres Vorkommen von grösseren Änderungen der Steiggeschwindigkeit abgeleitet werde. „Wären diese Änderungen durch vertikale Luftströmungen verursacht, so müssten sich bei den doppelt verfolgten Pilotballonen Änderungen der Steiggeschwindigkeit von derselben Grössenordnung ergeben. Dies ist aber durchaus nicht der Fall“ (D. S. 23).

Ich weiss nicht, wie Herr Dietzius zu diesem Urteil gelangen konnte. Wir lesen z. B. in der Untersuchung des Herrn Tetens [5]) über Doppelvisierungen:

„Vergleichen wir nun z. B. den Pilotballon No. 43 vom 22. Juni. Bis 12 Minuten nach dem Auflassen ist er doppelt verfolgt worden. Während dieser 12 Minuten betrug die durchschnittliche Aufstiegsgeschwindigkeit 2.0 m, es wäre also hier im Mittel eine Ausgleichung von Auf- und Abwärtsbewegung der Atmosphäre anzunehmen, wenn der Ballon genau auf 2 m pro sec. gefüllt ist. Wie die Auswertung der Doppelverfolgung zeigt, sind die Schwankungen der Aufstiegsbewegung nicht unerheblich: während der ersten 2 Minuten ist er

[1]) K. Bassus und A. Schmauss, Zeitschrift für Luftschiffahrt und Flugtechnik 1912 S. 258

[2]) K. Wegener, Beitr. zur Physik der freien Atm. V p. 63.

[3]) K. Bassus und A. Schmauss, l. c. 1911 S. 216.

[4]) Entnommen den Veröffentlichungen der Internationalen Kommission.

[5]) O. Tetens, Lindenberger Jahrbuch 1910 S. 188 u. 190.

nur mit 1 m pro sec. aufgestiegen, dann schneller. 6 Minuten nach dem Auflassen findet eine starke Zunahme von 1.5 m auf 2.4 m pro sec. statt."

Dann noch das Schlussergebnis der Untersuchung des Herrn Tetens:

„Bei einer Durchsicht der 30 vorliegenden Beispiele erkennt man, dass die vorkommenden Schwankungen in den Vertikalgeschwindigkeiten oft von derselben Grössenordnung wie die der Horizontalbewegung sind. Für die Auswertung der einfachen Pilotverfolgungen wird man hiernach das Axiom der gleichmässigen Vertikalbewegung höchstens im grossen und ganzen beibehalten dürfen."

Daraus kann man doch nicht das Lindenberger Resultat, „dass die **mittlere** Abweichung der Steiggeschwindigkeit vom Mittel nur 0,4 m pro sec. betragen habe" (D. S. 29), gegen meine Interpretation der Schwankungen der Steiggeschwindigkeit (als verursacht durch Vertikalbewegungen der Atmosphäre) auslegen [1]).

c) Was die Genauigkeitsgrenze anlangt, mit welcher Änderungen der Steiggeschwindigkeiten aus den instrumentellen Angaben ermittelt werden können, so deckt sich die Untersuchung des Herrn Dietzius (D. S. 40—43) mit den diesbezüglichen Ausführungen in Studie No. 4. Es hindert demnach nichts, die Steiggeschwindigkeiten für verhältnissmässig kleine Intervalle zu berechnen, wenn man sich nur der Genauigkeitsgrenze bewusst ist.

Dagegen möchte ich dem Vorschlage des Herrn Dietzius nicht beipflichten: „Es wäre" (im Wiener Beschlusse) „der Zusatz empfehlenswert gewesen, im Gegensatze zu den Gradienten die Steiggeschwindigkeiten nur auf grosse Höhenintervalle zu beziehen." Ich fürchte, dass man dabei über manche interessante Einzelheit hinübermitteln würde; insbesondere gibt die Änderung der Steiggeschwindigkeit des Ballons erst richtigen Aufschluss über die Bewertung des Temperaturgradienten. Wenn der Ballon in einer aufsteigenden Luftschicht steigt, wird ein ganz anderer Temperaturgradient registriert werden, als wenn sich die gleiche Luftmasse in absteigender Bewegung befindet [2]).

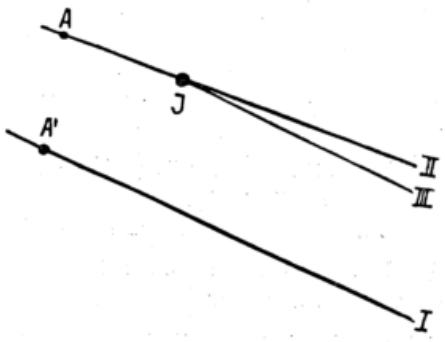
Aus diesem Grunde muss dringend die Forderung aufrecht erhalten werden, für die gleichen Intervalle die Berechnung der Steiggeschwindigkeit durchzuführen, für welche die Berechnung des Temperaturgradienten erfolgt.

Ob sich die aus Registrierballonfahrten abgeleiteten Vertikalbewegungen der Atmosphäre auch synoptisch verwerten lassen, vermag ich noch nicht zu sagen. Wahrscheinlich ist es nicht, denn die über grösseren Gebieten stattfindenden Vertikalbewegungen der Atmosphäre sind wohl zu klein, um aus Registrierballonaufstiegen abgeleitet zu werden. Dagegen wird die „Veränderlichkeit" der Aufstiegsgeschwindigkeit charakteristisch sein für bestimmte Luftdruckverteilungen, ähnlich, wie es die „Böigkeit" der horizontalen Luftbewegung ist.

d) Herr Dietzius erörtert (D. S. 43—47) den Einfluss der Temperaturkorrektion der Aneroide auf das Aussehen der Barogramme und kommt zu dem Resultate, dass beim Eintritt in die Stratosphäre eine Verflachung des Barogramms eintreten müsse, wodurch ein Abnehmen der Steiggeschwindigkeit vorgetäuscht werde.

Selbst bei den grossen Temperaturkorrektionen, die unsere Aneroide meistens hatten, ist der Unterschied der Temperaturkorrektionen, die vor dem Eintritt in die Stratosphäre stetig gewachsen sind, und innerhalb derselben nahezu konstante Werte aufweisen, viel zu klein, um etwa mit den von uns früher beschriebenen Änderungen der an die Barogramme angelegten Tangente verglichen zu werden.

Ausserdem komme ich auf Grund einer einfachen Überlegung zu dem entgegengesetzten Ergebnis als Herr Dietzius. In der beigegebenen Figur stelle die Kurve I eine Barographenregistrierung dar, die von einem idealen, korrektionslosen Instrument geliefert würde. Da unsere Aneroide negative Korrektion haben, ist die (übertrieben gezeichnete) wirkliche Registrierung durch II dargestellt. Jedem in A abgelesenen Barometerstand entspricht in Wirklichkeit ein niederer A'.



Ohne das Vorhandensein der Stratosphäre würden die Differenzen zwischen den beiden Kurven stetig wachsen. Bei J sei der Inversionsbeginn. Von hier ab bleibt die Temperaturkorrektion annähernd konstant, es tritt demnach eine Abzweigung nach III ein.

Statt also, wie Herr Dietzius meint, in J eine Verflachung der Barographkurve zu bekommen, müsste man — wenn der Unterschied überhaupt sichtbar wäre — eine scheinbare Zunahme der Steiggeschwindigkeit herauslesen.

Übrigens habe ich alle Steiggeschwindigkeiten aus den Höhen gerechnet und nicht nach der Tangente an der Barographenkurve bestimmt, so dass schon aus diesem Grunde der Einwand des Herrn Dietzius nicht zutrifft.

e) Was den Einfluss des Luftwiderstandes anlangt (D. S. 47—49), dem ein aufsteigender Ballon unterliegt, so mag deshalb eine Korrektion der Hergesellschen Formel angezeigt sein. Auf meine Berechnung trifft das nicht zu, da ich bei den späteren Betrachtungen nicht die Steiggeschwindigkeit im untersten Höhenkilometer — dort sind zu viel

---

[1]) Vergl. noch die Abhandlung des Herrn W. Peppler in dem soeben erschienenen Lindenberger Jahrbuch 1912: „Die Variabilität der Steiggeschwindigkeit von Pilotballons und ihre Beziehung zur Turbulenz und vertikalen Luftbewegungen", sowie J. S. Dines, der im Quart. Journ. Met. Soc. 1913 S. 238 an der Hand eines Pilotballonaufstiegs Vertikalbewegungen der Atmosphäre nachweist.

[2]) Vergl. A. Schmauss Münchener Registrierballonfahrten 1907 Anhang I: Über den wahren und scheinbaren aus Registrierballonfahrten abzuleitenden Temperaturgradienten; oder H. von Ficker, Met. Zeitschrift 1913 S. 216, 287.

Störungen vorhanden —, sondern die mittlere Steiggeschwindigkeit zwischen 500 und 10000 m als Ausgangswert genommen habe[1]). Dadurch wurde allen solchen sich stetig verändernden Einflüssen Rechnung getragen.

Der Einwand (D. S. 50), dass der Luftwiderstand variabel sei, dem der Trag- und Signalballon bzw. das Instrument dadurch unterliegen, dass sie bald in die gleichen, bald (durch Pendelung) in andere Luftmassen eintauchen, erledigt sich durch den Hinweis, dass bei der Fallschirmmethode die gleichen Änderungen der Steiggeschwindigkeit angetroffen werden. Insbesondere wird wohl nur in den seltensten Fällen das 50 m unter dem Ballon hängende Instrument „in dieselben Luftmassen" eintauchen.

f) Der Überdruck des Füllgases (D. S. 50—56) sowie die Diffusion von Füllgas durch die Ballonwand (D. S. 56) vermögen im allgemeinen nur stetige Änderungen der Steiggeschwindigkeit zu erklären, scheiden demnach bei der Frage der Realität grösserer Schwankungen aus. Ich habe nie die Abnahme der Steiggeschwindigkeit als reell angesehen, wenn nicht der Abnahme auch wieder eine Zunahme folgte.

g) Man könnte den Einwänden des Herrn Dietzius noch einen anfügen: Die Berechnung der Temperaturkorrektion der Aneroide erfolgt unter der Annahme, dass das Bourdonrohr jeweils die Temperatur der Luft habe. Diese Annahme trifft wegen der grösseren Masse des Barometerorganes kaum zu. Man errechnet daher im Aufstieg in der Troposphäre etwas zu grosse Höhen und damit etwas zu grosse Steiggeschwindigkeiten des Ballons. In der Stratosphäre gleichen sich die Temperaturunterschiede aus, die berechneten Höhen werden richtig, die Steiggeschwindigkeiten scheinbar kleiner.

Gegen diese Deutung lassen sich die gleichen Einwände wie gegen manche der Argumente des Herrn Dietzius machen: Es kommen auch Zunahmen der Steiggeschwindigkeit beim Eintritt in die Stratosphäre bzw. keine Veränderungen vor, insbesondere aber finden sich auch innerhalb der Troposphäre bei geringen Änderungen der Temperaturgradienten grosse Sprünge in den berechneten Steiggeschwindigkeiten.

Zusammenfassung: Die von Herrn Dietzius angegebenen Fehlerquellen hindern nicht, die gelegentlich grossen Veränderungen der Steiggeschwindigkeit der Registrierballone als durch Vertikalbewegungen der Atmosphäre verursacht anzunehmen. Insbesondere kann das Resultat der häufigen Abnahme der Steiggeschwindigkeit beim Eintritte in die Stratosphäre nicht im Sinne des Herrn Dietzius ausgelegt werden[2]).

Wenn auch der in Studie No. 4 gegebene Erklärungsversuch, der sich auf die Anschauungen W. Pepplers[3]) stützt, noch nicht zu befriedigen mag, möchte ich doch darauf hinweisen, dass

1. Vertikalbewegung mit Isothermie wohl verträglich ist,

2. Die Einseitigkeit des Resultats (überwiegend Abnahme der Steiggeschwindigkeit beim Eintritt in die Stratosphäre) durchaus nicht entsprechende vertikale Bewegungen der Atmosphäre ausschliesst.

Die einfachste Erklärung der Abnahme der Steiggeschwindigkeit der Ballone beim Eintritt in die Stratosphäre wäre die Annahme, dass in den unteren Kilometern derselben häufig eine **ungeordnete Bewegung** herrscht (der naheliegende Ausdruck „turbulent" sei absichtlich vermieden).

Studie No. 4 hat an den dort wiedergegebenen Barogrammen erkennen lassen, dass der Fallschirm, solange er in der Stratosphäre fällt, vielfach Stösse erfährt. Auch die Schichtungen, welche die Thermogramme aufweisen, und die gelegentlich grossen Temperaturänderungen in der kurzen Zwischenzeit des Auf- und Abstieges sprechen für eine ungeordnete Bewegung.

Für den Aufstieg eines Ballones in einer solchen Atmosphäre ist zweifellos ein grösserer „effektiver" Luftwiderstand gegeben, als wenn der Ballon in einer ruhenden oder derart bewegten Atmosphäre aufsteigt, dass nur stetige Änderungen der Windrichtung und Windgeschwindigkeit auf grössere Erstreckung erfolgen.

---

[1]) Met. Zeitschrift 1912 S. 80.

[2]) Man vergl. auch W. van Bemmelen: Die Erforschung des tropischen Luftozeans in Niederländisch Ost-Indien (5. Heft aus Luftfahrt und Wissenschaft, herausgeg. von J. Sticker 1913). Herr van Bemmelen berichtet dort auf S. 5 von der plötzlichen Abnahme der Steiggeschwindigkeit von Pilotballonen (!) beim Eintritt in die Stratosphäre, ist aber auch geneigt, dieselbe durch eine Veränderung der Temperaturdifferenz Füllung — Luft zu erklären.

[3]) W. Peppler, Lindenberger Jahrbuch 1911 S. 243.

Der Föhn in Lindau.

Von **A. Schmauss.**

Seit kurzem sind an der Station in Lindau Registrierinstrumente aufgestellt, welche unter der sorgfältigen Bedienung des dortigen Beobachters, Herrn Westermayr, bereits einige sehr interessante Diagramme geliefert haben. Mit der Aufstellung wurde einem speziellen Wunsche des Vorstandes der Drachenstation in Friedrichshafen, Herrn Dr. Kleinschmidt, Rechnung getragen, der ein genaues Studium der meteorologischen Verhältnisse des Bodensees beabsichtigt.

Möchte die vorliegende Studie Anlass geben, dass auch die anderen Uferstaaten die Besetzung des Bodenseegestades mit Registrierinstrumenten baldigst besorgen, damit, ähnlich wie es H. von Ficker im Innsbrucker Gebiete tat, in einigen speziellen Fragen die grösste Klarheit geschaffen werde.

Lindau liegt in der Richtung des im Bodensee ausmündenden Rheintales. Man sollte daher ein leichtes Ansprechen auf jeden aus dem Rheintale kommenden Föhn erwarten. Schon die wenigen bis jetzt vorliegenden Registrierungen lassen erkennen, dass dies nicht der Fall ist.

Wir wollen dieses Ergebnis mit einigen Beispielen belegen und zur Charakterisierung den Unterschied zwischen Lindau und dem durch H. v. Ficker populär gewordenen Föhnort Mittenwald hervorheben, von welchem ebenfalls gute Diagramme dank unserem treubewährten Beobachter, Herrn Tiefenbrunner, vorliegen.

14. September 1913.

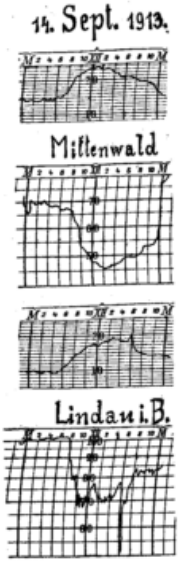


Fig. 1.

Von etwa 8 morgens an herrschte in Mittenwald Föhn. Um 1 p betrug die Temperatur 24°, während gleichzeitig in dem um 500 m tiefer gelegenen Lindau nur 18° aufgezeichnet wurden.

In Lindau kam der Föhn zunächst nicht durch. Man sieht zwar ebenfalls von 8 a an die Temperatur steigen, die Feuchtigkeit abnehmen; die Änderungen halten sich aber durchaus im Rahmen der Tagesperiode. Nur das Hygrogramm lässt an seinen Zacken den in der Höhe vorhandenen Föhn ahnen.

Die Temperatur war bereits im Fallen begriffen; auch im Gang der relativen Feuchtigkeit drückt sich schon das Nahen des Abends aus, da gelingt es kurz vor 6 p dem Föhn, für ganz kurze Zeit durchzubrechen. Die Temperatur, die auf 18° gesunken war, geht hinauf auf 20° und erreicht damit ihr Tagesmaximum; die relative Feuchtigkeit geht zurück bis auf 51%, womit auch für dieses Element das Tagesextrem erreicht wurde.

Schon nach wenigen Minuten wird der Föhn wieder vom Boden abgehoben. Temperatur und Feuchtigkeit gehen auf die Werte zurück, die sie bei ungestörtem Fortgang der Elemente eingenommen haben würden. Man kann sich leicht davon überzeugen, wenn man sich die Diagramme über die Störung kurz vor 6 p stetig fortgesetzt denkt.

Der Föhn ist also durch eine Luftzufuhr ersetzt worden, die bereits vorher bestanden hatte und in der Zwischenzeit nur bei Seite geschoben worden war.

7. und 8. Oktober 1913.

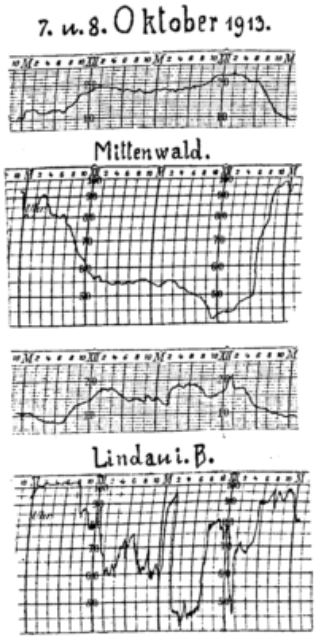


Fig. 2.

Eine konstante Föhnströmung scheint in Lindau schwer zustande zu kommen. Am Vormittag des 7. Oktober trat im ganzen Alpenvorlande intensiver Föhn ein unter dem Einflusse einer tiefen, vom Kanale aus vordringenden Depression. Der bayerische Föhnort par excellence Mittenwald hatte bis zum 8. Oktober 6^{50} p konstanten Föhn. Während der ganzen Nacht vom 7. auf 8. Oktober betrug die Temperatur ca 18^{0} bei einer relativen Feuchtigkeit von 55%. Um die Mittagsstunden stieg die Temperatur bis auf 22.5^{0} an, die relative Feuchtigkeit sank auf 42%. Um 6^{30} p setzte in Mittenwald die „Rückseite" der Depression ein, der Föhn war beendet.

Der Vergleich der Diagramme von Mittenwald mit denen von Lindau lässt den wichtigen Unterschied der beiden Orte deutlich erkennen: In Mittenwald weht der einmal durchgebrochene Föhn unverändert weiter, solange die auslösende Luftdruckverteilung anhält, in Lindau stellen sich grosse Föhnpausen ein. Das Thermogramm und noch mehr das Hygrogramm legen Zeugnis ab von dem Kampf, den der Föhn in Lindau um seine Existenz zu führen hat. Am 8. Oktober 7^{50} a schien seine Herrschaft beendet; da gelang es ihm um 12^{10} p nochmals für kurze Zeit mit imponierender Stärke durchzubrechen. Um 5^{10} setzte in Lindau die „Rückseite" der Depression ein, nachdem bereits vorher der Föhn am Erdboden sein Ende gefunden hatte.

An der Drachenstation Friedrichshafen wurden am Morgen vom 7. Oktober E 5 m/sec, vom 8. Oktober NW 5 m/sec gemessen. Erst einige hundert Meter über dem Seespiegel wurde die Föhnströmung angetroffen mit einer entsprechenden Temperaturumkehr über den kalten Bodenschichten.

21. bis 22. Oktober 1913.

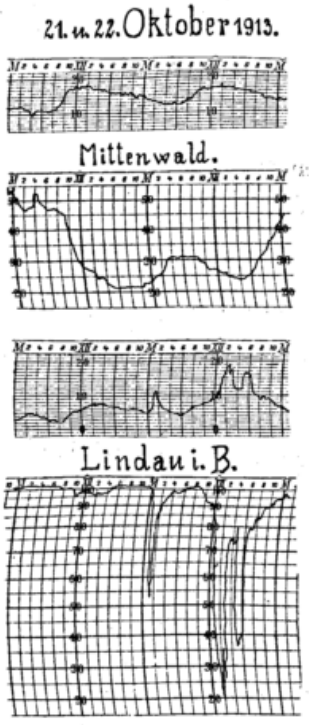


Fig. 3.

Ein noch prägnanteres Beispiel dafür, dass der Föhn in Lindau vornehmlich in einzelnen Stössen weht, finden wir am 21. und 22. Oktober 1913.

Das ganze Alpenvorland hatte an diesen Tagen konstanten Föhn, wie man wieder den Diagrammen von Mittenwald entnehmen wolle. In Lindau dagegen kam der Föhn nur in drei Stössen zum Durchbruch, während im übrigen eine kalte Nebelschicht dem Boden auflagerte.

Der Durchbruch des Föhns ist nicht an die warme Tageszeit gebunden. Ausser den beiden um Mittag und um 4^{50} p registrierten Föhnstössen findet sich noch ein äusserst präziser Stoss um Mitternacht.

Auch Friedrichshafen hatte am 21. Oktober zur Zeit des Morgenaufstiegs Nebel. Die Föhnströmung und die zugehörige Temperaturumkehr wurden erst 500 m über dem See angetroffen.

Auch hier kann man wieder durch Überschneiden der Zacken und Nasen den Gang der Temperatur und Feuchtigkeit extrapolieren, wie er sich ergeben hätte, wenn der Föhn nicht durchgebrochen wäre. Man erhält dadurch den Gang der meteorologischen Elemente in der Bodenschicht ausserhalb des Föhns.

26. Oktober 1913.

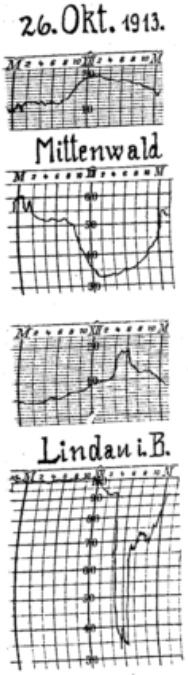


Fig. 4.

Eine intensive Föhnlage im nördlichen Alpenvorlande war am 26. Oktober 1913 gegeben. In Lindau dagegen herrschte Nebel; erst um 4 p gelang es dem Föhn, für kurze Zeit durchzubrechen; er brachte eine Temperatursteigerung von 10° auf 19.5°, einen Rückgang der Feuchtigkeit bis 33%, womit nahezu die extremen Temperaturen und Feuchtigkeiten von Mittenwald an diesem Tage erreicht wurden.

1. November 1913.

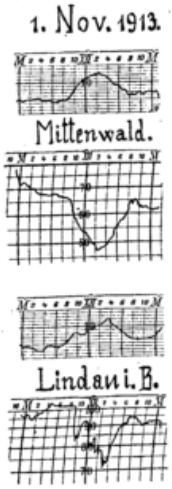


Fig. 5.

Wie schwer in Lindau der Föhn zum Durchbruch kommt, zeigte sich am 1. November 1913.

Von Frankreich her nahte ein Teilminimum einer bei Island liegenden Depression; das ganze Alpenvorland reagierte darauf mit starkem Föhn. Nur Lindau meldete Nebel und reihte sich damit den Stationen Nordbayerns ein. Die Diagramme lassen einige erfolglose Versuche des Föhns erkennen, durch die kalte Bodenluft durchzudringen.

Resultat.

Aus den mitgeteilten Registrierungen geht hervor, dass in Lindau der Föhn meist stossweise weht. Es treten ganz unerwartet häufige und langdauernde Föhnpausen auf im Gegensatze zu Mittenwald, wo der Föhn, wenn er einmal durchgebrochen ist, anhält, bis die den Föhn bedingende Luftdruckverteilung beendet ist.

Die Erklärung für das eigentümliche Verhalten des Föhns in Lindau ist in den Föhnstudien H. von Fickers zu finden: Der Eintritt des Föhns in die Niederung hängt davon ab, ob die vor dem Ausbruch des Föhns dort lagernde kalte Luft abfliessen kann.

In Mittenwald fällt die Talrichtung mit der Föhnrichtung zusammen, daher flutet der Föhnstrom in das Vorland hinaus und wird nur selten von den beiderseitig anstehenden Kaltluftkeilen unterbrochen. Dagegen ist Lindau durch einen Höhenkranz nach Norden und Osten vollständig abgeschlossen. Der über dem Bodensee liegende Kaltluftsee kann nicht in der Richtung des Föhns abfliessen. Selbst wenn es daher dem Föhn gelungen ist, nach Lindau durchzubrechen, droht seiner Herrschaft stets Gefahr durch die am Bodensee nur zur Seite geschobenen kalten Luftmassen.

Für Lindau ergibt sich daraus ein sehr wichtiges klimatologisches Moment, indem dort Nebel und Sonnenschein, Kälte mit Wärme bei Föhnperioden in steter Abwechslung einander folgen und es zu einem der kontrastreichsten Orte des bayerischen Alpenvorlandes machen.

Es ist nicht ausgeschlossen, dass der dem Bodensee auflagernde Kaltluftsee rhythmische Schwankungen (Seiches) ausführt, wodurch die innerhalb der Föhnzeiten und Föhnpausen vorhandenen kürzeren Schwankungen ihre Erklärung finden würden.

Münchener Pilotballonbeobachtungen 1913.

Nr. 1. 1. Januar. 8^{05} a; Bew. o ⊙, ∞⁰, ⌴.

Stufenwerte m	Wind Richtung	Wind Geschwindigkeit m p. s.	Stufenwerte m	Wind Richtung	Wind Geschwindigkeit m p. s.
540	SE	1.7	1540—1740	N 86° W	12.9
540— 740	S 25° W	5.7	1740—1940	S 89° W	19.2
740—1140	S 80° W	4.5	1940—2140	S 85° W	15.5
1140—1340	S 72° W	6.4	2140—2940		13.0
1340—1540	S 86° W	9.7			

Nr. 2. 2. Januar. 9^{45} a; Bew. 7⁰ ⊙, a-st, ∞², ⌴.

540	SW	1.7	3940—4340	S 20° W	7.4
540— 740	S 85° W	6.9	4340—4540	S 25° W	8.2
740— 940	N 82° W	5.4	4540—4740		6.7
940—2740	Grössere Schleife nach rechts		4740—4940	S 35° W	6.7
2740—2940	S 48° E	5.6	4940—5140		5.1
2940—3140		6.5	5140—5340	S 18° W	7.1
3140—3340	S 34° E		5340—5540		8.8
3340—3540	S 15° E	6.9	5540—5740	S 28° W	8.8
3540—3740	S 2° E		5740—6740	S 41° W	11.0
3740—3940	S 7° W		6740—7140	S 34° W	17.1

Nr. 3. 3. Januar. 9^{30} a; Bew. 7⁰ ≡¹, a-cu SSW langsam, ⌴.

540	C		2940—3140	N 58° E	5.4
540— 940	S	2.0	3140—3340		4.4
940—1340	S 73° E	2.8	3340—3540	N 77° E	2.6
1340—1540	S 81° E	3.8	3540—3740	N 51° E	3.4
1540—1740	N 88° E	2.8	3740—4140	N 59° E	
1740—2140	N 62° E	3.5	4140—4340	N 57° E	2.2
2140—2340	N 75° E	4'6	4340—4540		4.3
2340—2540		5.5	4540—4740	N 87° E	4.3
2540—2740	N 77° E	5.5	4740—5140	S 40° E	3.1
2740—2940		5.8			

Nr. 4. 3. Januar. 1^{16} p; Bew. 7¹ ⊙, a-cu, ∞².

540	NE	1.7	1380—1800	N 41° E	3.1
540— 680	N 75° E	1.9	1800—1940	N 49° E	4.4
680— 960	N 61° E	0.7	1940—2080	N 61° E	2.3
960—1240	E	1.7	2080—2220		3.9
1240—1380	N 41° E	1.7	2220—2500	N 69° E	3.9

4. Januar Kein Aufstieg wegen ≡.

Nr. 5. 5. Januar. 10^{33} a; Bew. o ⊙ ≡¹, V.

550	C		1750—1950	S 49° W	2.1
550— 850	S 25° W	3.0	1950—2150	S 32° W	3.1
850—1150	S	4.7	2150—2350	S 3° W	2.4
1150—1350		8.3	2350—2550	S 14° E	3.9
1350—1550	S 8° E	8.3	2550—2750	S 20° W	6.3
1550—1750	S 24° E	1.4	2750—2950	S 30° E	7.5

Nr. 6. 6. Januar. 8^{40} a; Bew. 3⁰ ⊙, ci-st i. W, Dunst- und Rauchkranz, V.

550	C		2950—3150	S 31° E	5.0
550—1550	Ballon im Zenith		3150—3550	S 5° W	6.0
1550—1950	S 85° E	2.0	3550—3950		6.0
1950—2150	N 65° E	3.5	3950—4150	S 42° W	8.2
2150—2350		4.5	4150—4350		10.0
2350—2750	E	5.5	4350—5750	S 54° W	10.0
2750—2950	S 65° E	5.0			

Nr. 7. 7. Januar. 9^{00} a; Bew. 3^0 ⊙, ci-st, ≡^{0}.

Stufenwerte m	Wind Richtung	Wind Geschwindigkeit m p. s.	Stufenwerte m	Wind Richtung	Wind Geschwindigkeit m p. s.
550	NE	1.7	5750— 5950	S 3° W	2.4
550— 850	S 40° E	1.0	5950— 6150	S 28° E	
850— 950		2.4	6150— 6350		2.4
950—1150	S 5° E	0.4	6350— 6550	S 20° E	3.5
1150—1350	S 80° W	1.4	6550— 7150		4.7
1350—1550	N 88° W	2.8	7150— 7350	S 26° E	5.3
1550—1750	N 65° W	4.1	7350— 7550	S 2° W	4.3
1750—1950	N 70° W	5.4	7550— 7950	S 25° W	3.9
1950—2150	N 81° W	3.7	7950— 8150		9.0
2150—2350	S 87° W	3.5	8150— 8350	S 7° E	4.7
2350—2550	N 72° W	3.0	8350— 8750	S 7° W	8.9
2550—2750	N 38° W	3.5	8750— 8950	S 13° E	5.2
2750—2950		6.0	8950— 9150	N 56° E	7.9
2950—3150	N 45° W	3.0	9150— 9350		11.0
3150—3350	N 72° W	1.5	9350— 9550	N 42° E	13.3
3350—3750	S 70° W	<1.0	9550— 9950		17.2
3750—3950	S 13° W	2.2	9950—10350	N 38° E	17.2
3950— 4150	S 2° E		10350—10550	N 30° E	18.7
4150—4350	S 50° W	4.3	10550—10750	N 34° E	
4350—4550		2.5	10750—10950	N 40° E	24.0
4550—4750	S 75° W	2.5	10950—11150	N 45° E	
4750—4950	N 63° W	2.2	11150—11550	N 50° E	15.6
4950—5150	S 70° W		11550—11750		10.5
5150—5350	S 21° W	1.1	11750—11950	N 37° E	11.0
5350—5750	S 3° W		11950—12150	N 25° E	

Nr. 8. 8. Januar. 1^{50} p; Bew. 10^1, st.

550	ENE	3.1	550—650	N 80° E	4.6

9. u. 10. Januar. Kein Aufstieg wegen tiefliegender st-Schicht.

11. u. 12. Januar. Kein Aufstieg wegen ◍ u. ✳.

Nr. 9. 13. Januar. 8^{30} a; Bew. 9^1, st-cu NW mässig, ∞^{0}.

550	SW	1.7	950—1350	N 63° W	3.1
550—750	S 70° W	3.4	1350—1550	N 77° W	4.7
750—950	N 66° W	3.1			

14. Januar. Kein Aufstieg wegen tiefliegender st-Schicht.

Nr. 10. 15. Januar. 8^{33} a; Bew. 4^1, a-cu, st-cu, Rauchkranz.

550	E	4.8	3150—3550	S 83° W	3.1
550— 750	S 57° E	4.9	3550—3950	S 74° W	
750— 950	S 70° E		3950—4150	S 48° W	2.2
950—1150	S 51° E	3.6	4150—4550	S 77° W	4.3
1150—1350	S 8° W		4550—4750		6.3
1350—1750	S 8° E	1.6	4750—4950	S 57° W	2.2
1750—1950	S 50° E		4950—5150		4.5
1950—2150	N 76° W	1.2	5150—5350		6.5
2150—2350	N 47° W	2.3	5350—5550	S 63° W	6.5
2350—2550	N 22° W	3.7	5550—5750	S 70° W	
2550—2950	N 63° W	3.1	5750—6150	S 64° W	8.8
2950—3150	N 79° W		6150—6350	S 60° W	

Nr. 11. 15. Januar. 0^{11} p; Bew. 4^0⊙, ci-st, a-cu, Dunst- u. Rauchkranz.

550	NE	1.7	3350—3550	S 80° W	4.9
550—1150	S 22° E	2.5	3550—3750	S 58° W	5.8
1150—1350	S 18° W		3750—4150	S 70° W	6.5
1350—1550	S 42° W	2.1	4150—4550	S 75° W	
1550—1750		0.6	4550—4750	S 70° W	7.3
1750—1950	S 57° W	1.8	4750—4950	S 62° W	
1950—2150	S 45° W	2.1	4950—5150	S 58° W	10.7
2150—2350	S 4° W	1.8	5150—5350	S 50° W	10.7
2350—2750	S 15° E		5350—5550		12.8
2750—2950	S 12° W	2.3	5550— 5950	S 43° W	10.6
2950—3150	S 31° W	3.4	5950 - 6150	S 47° W	13.8
3150—3350	S 45° W	4.4			

Nr. 12. 16. Januar. 9^{20} a; Bew. 8^0, a-cu, st-cu W langsam, Dunstkranz. Während der Visierung Eintreten von C und Umschlagen des Windes nach SW.

550	E	1.7	1950—2150	S 4° W	2.2
550— 750	S 29° E	4.5	2150—2350	S 21° W	4.0
750— 950		3.6	2350 - 2550		6.3
950—1150		2.6	2550—2750	S 41° W	5.3
1150—1350	S 2° W	2.3	2750—2950	S 64° W	
1350—1550	S 41° W	1.5	2950—3150	S 85° W	
1550—1750	S 4° W	2.7	3150—3350	S 70° W	6.3
1750—1950		3.7	3350—3750	S 50° W	

Nr. 13. 17. Januar. 11^{45} a; Bew. 8^{1} ⊙, st, st-cu SW mässig, Dunstkranz.

Stufenwerte m	Wind Richtung	Wind Geschwindigkeit m p. s.	Stufenwerte m	Wind Richtung	Wind Geschwindigkeit m p. s.
550	SW	1.7	1350—1550	S 83° W	17.0
550— 750	S 30° W	4.0	1550—1750	S 76° W	18.0
750— 950	S 72° W	8.0	1750—1950	S 67° W	19.0
950—1150	N 88° W	10.0	1950—2350		16.0
1150—1350	W	13.0	2350—2550	S 64° W	18.0

Nr. 14. 18. Januar. 8^{20}a; Bew. 6^{1}, a-cu SW mässig, st-cu, Gebirge schwach sichtbar, föhnig.

550	SW	4.8	3150—3350	S 77° W	16.2
550— 750	S 52° W	8.0	3350—3550	S 75° W	23.2
750— 950	S 74° W	13.0	3550—3950		15.5
950—1150		15.7	3950—4350	S 65° W	20.3
1150—1350	S 86° W	19.1	4350—5150	S 61° W	
1350—2150		20.5	5150—5550	S 70° W	20.4
2150—2750	S 80° W	19.0	5550—5750	S 81° W	
2750—3150	S 77° W	22.0			

19. u. 20. Januar. Kein Aufstieg wegen tiefliegender st-Schicht.

Nr. 15. 21. Januar. 0^{33} p; Bew. 8°, ci-st SW rasch, Gebirge gut sichtbar, föhnig.

550	SW	6.7	1750—1950	S 71° W	24.0
550— 750	S 69° W	8.0	1950—2150		24.0
750— 950		10.0	2150—2350	S 70° W	29.0
950—1150		14.1	2350—2750		20.8
1150—1350	S 71° W	19.2	2750—3350	S 74° W	20.8
1350—1750		29.0			

22. Januar. Kein Aufstieg wegen ◍ und ⚹.

Nr. 16. 23. Januar. 9^{45} a; Bew. 9^{1}, st-cu SW mässig, ∞^{2}.

550	S	1.7	950—1150	S 86° W	3.3
550—750	S 65° W	1.8	1150—1350	S 89° W	2.2
750—950	S 76° W	3.1	1350	Wolkenhöhe	

24. Januar. Kein Aufstieg wegen tiefliegender st-Schicht.

Nr. 17. 25. Januar. 10^{10} a; Bew. 3°, a-st / st-cu SW mässig, ∞^{1}.

550	SW	3.1 (böig)	1550—1750	W	13.0
550 - 750		5.0	1750—1950	N 75° W	10.0
750— 950	S 80° W	13.0	1950—2150		14.0
950—1150		19.0	2150—2350	W	14.0
1150—1550		17.0			

26. Januar. Kein Aufstieg wegen ◍ und ⚹.

Nr. 18. 27. Januar. 8^{37} a; Bew. o ⊙, Dunstkranz.

550	ESE	3.1	2550—2750	N 67° W	2.3
550— 750	S 64° E	6.8	2750—2950	N 35° W	5.2
750— 950	S 69° E	8.9	2950—3150	N 24° W	6.5
950—1550	S 74° E	8.0	3150—3550	N 32° W	6.0
1550—1950		4.3	3550—3750	N 48° W	9.5
1950—2350	S 63° E	3.1	3750—3950	N 36° W	11.5
2350—2550		1.4			

Nr. 19. 27. Januar. 11^{25} a; Bew. 1° ⊙, ci, ∞^{0}.

550	SE	4.8	2150—2350	N 54° W	1.4
550— 750	S 69° E	6.3	2350—2550	N 42° W	4.1
750— 950	S 72° E	10.3	2550—2750	N 35° W	
950—1150	S 70° E		2750—2950	N 27° W	5.3
1150—1350		6.6	2950—3150	N 52° W	
1350—1550	S 54° E	5.4	3150—3350	N 73° W	7.5
1550—1950		2.8	3350—3550	N 78° W	12.0
1950—2150		2.0	3550—3750	N 37° W	11.5

Nr. 20. 27. Januar. 0^{04} p; Bew. 1° ⊙, ci-st. Dunstkranz.

550	SE	4.8	2150—2350	S 35° E	1.2
550— 750	S 63° E	4.5	2350—2550	N 58° W	2.2
750—1150	S 71° E	10.6	2550—2750	N 40° W	2.2
1150—1350	S 57° E	8.6	2750—2950		5.8
1350—1550		6.8	2950—3150	N 28° W	6.0
1550— 1750	S 47° E	4.8	3150—3350	N 43° W	
1750—1950		4.5	3350—3550	N 76° W	9.5
1950—2150	S 35° E	2.5	3550—3750	N 65° W	13.2

Nr. 21. 27. Januar. 1^{04} p; Bew. 1^0 ⊙, ci-st i. S.

Stufenwerte m	Wind Richtung	Wind Geschwindigkeit m p. s.	Stufenwerte m	Wind Richtung	Wind Geschwindigkeit m p. s.
550	SE	4.8	1750—1950	S 42° E	2.9
550— 950	S 68° E	6.8	1950—2150	S 10° W	<1.0
950—1150	S 57° E	7.8	2150—2350	N 59° W	1.6
1150—1350		4.9	2350—2550	N 46° W	3.3
1350—1550	S 50° E	4.9	2550—2950		4.9
1550—1750	S 32° E	2.9	2950—3350	N 73° W	8.2

Nr. 22. 27. Januar. 1^{35} p; Bew. 1^0 ⊙, ci-st; Gebirge schwach sichtbar.

550	SE	4.8	1550—1750	S 36° E	2.8
550— 750	S 65° E	3.6	1750—1950	S 12° E	1.0
750— 950		8.5	1950—2150	N 57° W	
950—1150	S 57° E	6.6	2150—2350	N 45° W	2.7
1150—1350	S 53° E		2350—2750		4.7
1350—1550	S 44° E	2.8	2750—3150	N 75° W	7.3

Nr. 23. 27. Januar. 3^{05} p; Bew. 1^0 ⊙, ci-st i. SE, i. S ∞; Gebirge schwach sichtbar.

550	ESE	3.1	2350—2550	N 56° W	5.2
550— 750	N 71° E	2.0	2550—2750	N 88° W	9.2
750— 950	S 30° E	5.6	2750—2950	N 65° W	11.4
950—1150	S 56° E	8.2	2950—3150		16.5
1150—1350	S 44° E	3.3	3150—3750	N 49° W	16.5
1350—1550	S 20° E	1.8	3750—3950	N 43° W	17.3
1550—1750	S 80° W	1.4	3950—4350	N 40° W	19.6
1750—1950	N 54° W	2.0	4350—4550	N 36° W	22.0
1950—2150		3.9	4550—4750	N 27° W	
2150—2350	N 34° W	4.3			

28. und 29. Januar. Kein Aufstieg wegen tiefliegender st-Schicht.

Nr. 24. 30. Januar. 8^{33} a; Bew. 2^1 ⊙, fr-cu i. SE, Dunst- und Rauchkranz.

550	E	3.1	3550—3750	N 19° E	5.5
550— 750	S 88° E	7.2	3750—3950	N 7° W	8.0
750— 950		9.8	3950—4150	N 14° W	9.5
950—1350		10.3	4150—4350	N 22° W	12.8
1350—1550	S 77° E	8.0	4350—4550	N 27° W	
1550—1950		6.6	4550—4750	N 30° W	13.6
1950—2350		4.5	4750—4950	N 18° W	17.0
2350—2550	E	5.0	4950—5150	N 37° W	13.8
2550—2750	N 62° E	4.0	5150—5350	N 18° W	17.7
2750—2950	N 42° E	2.3	5350—5950	N 23° W	19.8
2950—3150		4.0	5950—6150	N 34° W	19.6
3150—3350	N 25° E	3.8	6150—6750	N 25° W	
3350—3550	N				

31. Januar. Kein Aufstieg wegen tiefliegender st-Schicht und ◍.

Nr. 25. 1. Februar. 0^{05} p; Bew. 4^1, ci-st, ci-cu, st-cu.

550	SW	4.8	1750—1950	S 80° W	14.0
550— 750	S 66° W	4.7	1950—2150	S 85° W	
750— 950	S 80° W	7.8	2150—2550	S 80° W	18.5
950—1150		9.5	2550—2950	S 82° W	
1150—1350	S 85° W	9.5	2950—3950	S 76° W	18.0
1350—1750		11.6			

2. und 3. Februar. Kein Aufstieg wegen ● und tiefliegender st-Schicht.

Nr. 26. 4. Februar. 11^{30} a; Bew. 3^0, ci-st, a-st, Dunstkranz.

550	SW	8.8	1550—1750	N 85° W	12.0
550— 750	S 77° W	7.2	1750—1950	W	17.0
750— 950	S 84° W	11.5	1950—2150	N 76° W	12.2
950—1350	N 85° W	16.0	2150—2350	N 72° W	13.0
1350—1550	N 82° W				

Nr. 27. 5. Februar. 7^{45} a; Bew. 6^1, st, st-cu, Dunstkranz.

550	SE	1.7	2550—2950	S 66° W	8.5
550—1150	S 64° E	3.3	2950—3350	S 74° W	
1150—1350	S 43° E	2.5	3350—3550	S 87° W	
1350—1550	S 80° W	5.8	3550—3750	S 75° W	6.9
1550—1750	S 70° W	5.8	3750—3950	S 70° W	
1750—1950		3.6	3950—4550	S 63° W	5.1
1950—2350	S 47° W	6.5	4550—5150	S 56° W	5.8
2350—2550	S 57° W	7.0	5150—5750	S 75° W	7.3

Nr. 28. 5. Februar. 0^{15}; Bew. 4^0 ⊙, ci, ci-st i. S, Gebirge schwach sichtbar.

Stufenwerte m	Wind Richtung	Wind Geschwindigkeit m p. s.	Stufenwerte m	Wind Richtung	Wind Geschwindigkeit m p. s.
550	ESE	3.1	2950—3150	S 61° W	4.8
550— 750	S 58° E	4.5	3150—3750	S 51° W	7.5
750— 950	S 74° E	7.0	3750—3950		7.5
950—1150	S 32° E	4.5	3950—4150	S 53° W	8.5
1150—1550	S 88° W	6.1	4150—4350		11.0
1550—1750	S 53° W	5.2	4350—4750	S 32° W	11.0
1750—1950	S 85° W	8.7	4750—5350	S 43° W	9.0
1950—2550	S 61° W	9.1	5350—5950		7.3
2550—2950		10.5	5950—6150	S 59° W	12.3

6. Februar. Zwei Registrierballonvisierungen.

Nr. 29. 7. Februar. 8^{16} a; Bew. 3^0 ⊙, a-cu W langsam, ≡⁰.

550	S	3.1	2150—2350	S 73° W	9.3
550— 750	S 70° W	6.8	2350—2550	S 82° W	
750— 950	N 85° W	8.5	2550—2750	S 88° W	11.2
950—1150		6.2	2750—2950	N 78° W	9.4
1150—1350	S 87° W	6.2	2950—3150		6.1
1350—1550	S 80° W	5.3	3150—3350	N 67° W	4.8
1550—1750	S 71° W	5.3	3350—3550		2.8
1750—2150		7.0			

Nr. 30. 8. Februar. 8^{15} a; Bew. 2^1 ⊙, st, ci-st, SSW langsam, Rauch- und Dunstkranz.

550	S	3.1	1750—1950	N 87° W	15.6
550— 750	S 61° W	8.0	1950—2150	S 86° W	
750— 950	S 86° W		2150—2350	S 67° W	14.0
950—1150	N 88° W	13.7	2350—2750	S 89° W	
1150—1350	N 83° W		2750—2950	S 70° W	16.5
1350—1550	N 79° W		2950—3550		11.5
1550—1750	W	13.0	3550—3950	S 60° W	8.4

Nr. 31. 9. Februar. 8^{30} a; Bew. 0 ⊙ ≡¹; nach der Visierung: Bew. 8^0 ⊙, st-cu SW mässig.

550	C		2550—3150	N 4° E	5.2
550—1150			3150—3350		8.4
1150—1350	S 80° W	1.9	3350—3550		8.4
1350—1550	S 88° W	2.8	3550—3750	N 20° E	12.3
1550—2150	S 70° W		3750—4150		18.1
2150—2350	N 49° W	2.1	4150—4350	N 15° E	19.1
2350—2550	N 12° E	5.2	4350—4550	N 24° E	

Nr. 32. 10. Februar. 8^{57} a; Bew. 2^1 ⊙, a-cu i. W, st-cu i. W und N, ∞².

550	SW	1.7	2150—2550	N 45° W	3.5
550— 750	S 57° W	2.9	2550—2750	N 15° E	12.1
750— 950	S 43° W	1.4	2750—3150	N 25° E	8.9
950—1150		2.9	3150—3550	N 32° E	8.6
1150—1350	N 34° W	1.7	3550—3750	N 28° E	
1350—1550		2.3	3750—3950	N 21° E	8.2
1550—1950	N 59° W	2.3	3950—4150	N 26° E	10.8
1950—2150		3.5	4150—4950	N 19° E	

Nr. 33. 11. Februar. 8^{30} a; Bew. 10^1, a-st, fr-ni, ▨ tr.

550	SW	3.1	1110—1390	N 27° W	4.7
550— 690	N 80° W	5.4	1390—1530	N 29° W	5.7
690— 970	N 73° W		1530—1950	N 19° W	6.9
970—1110	N 39° W	3.8			

Nr. 34. 12. Februar. 9^{30} a; Bew. 10^1 ≡¹, a-st, st-cu NE mässig, im Zenith einige Lücken bl. Himmels.

550	C		1670—1950	N 12° E	7.8
550— 830	Ballon im Zenith		1950—2090	N 26° E	7.3
830—1110	N 62° E	3.1	2090—2230	N 43° E	10.6
1110—1390	N 39° E	4.9	2230—2370	N 38° E	
1390—1530		6.4	2370—2510	N 24° E	12.4
1530—1670	N 23° E	7.8	2510—2930	N 34° E	

Nr. 35. 13. Februar. 8^{45} a; Bew. 3^0 ⊙, ci i. W u. N, Dunst- u. Rauchkranz.

550	C		2150—2350	N 46° E	10.3
550—1350	Ballon im Zenith		2350—2550	N 39° E	11.0
1350—1550	N 46° E	5.2	2550—2750		14.3
1550—1750	N 36° E		2750—2950	N 48° E	14.3
1750—1950	N 22° E	6.7	2950—3350	N 54° E	19.7
1950—2150	N 52° E	10.3	3350—3750	N 46° E	21.1

14. Februar. Kein Aufstieg wegen tiefliegender st-Schicht.

Nr. 36. 15. Februar. 8^{25} a; Bew. 1^0 ⊙, ci-st i. E.

550	E	3.1	1550—1950	S 88° E	14.3
550— 950		6.7	1950—2350	N 84° E	19.0
950—1150	S 81° E	7.7	2350—2750	N 79° E	22.1
1150—1350		11.6	2750—2950	N 67° E	25.5
1350—1550	S 87° E	12.7			

Nr. 37. 16. Februar. 9^{25} a; Bew. 2^{0} ⊙, ci-cu NE langsam, Dunstkranz.

Stufenwerte m	Wind Richtung	Wind Geschwindigkeit m p. s.	Stufenwerte m	Wind Richtung	Wind Geschwindigkeit m p. s.
550	E	1.7	2150—2350	N 26° E	4.0
550 — 750	N 88° E	6.0	2350 - 2750	N 37° E	8.0
750 — 950		7.5	2750—2950		9.0
950—1150		8.5	2950—3150		12.0
1150—1350	N 70° E	8.5	3150—3350	N 48° E	12.0
1350—1550		7.5	3350—3550	N 39° E	17.5
1550—1750		8.2	3550—3750		14.0
1750—1950		6.5	3750—3950	N 44° E	13.5
1950—2150	N 55° E	6.5	3950—4350		18.0

Nr. 38. 17. Februar. 11^{40} a; Bew. 5^{1}, cu-st E mässig.

550	NE	4.8	750— 950	N 70° E	6.7
550—750	N 76° E	4.5	950—1350	S 85° E	6.5

Nr. 39. 18. Februar. 8^{31} a; Bew. o ⊙, Dunstkranz.

550	E	4.8	2550—2750	S 60° E	4.6
550— 750	N 80° E	6.0	2750—3350		5.4
750— 950	S 88° E	9.5	3350—3550	S 68° E	5.4
950 - 1350	S 76° E		3550—3950		9.1
1350—1550	S 84° E	3.7	3950—4150	S 74° E	9.1
1550—1750		7.1	4150—4550	S 81° E	9.3
1750—2150	S 75° E	7.1	4550—6350	S 86° E	9.8
2150—2350	S 67° E	7.1	6350—6950	S 80° E	15.7
2350—2550		4.6			

Nr. 40. 19. Februar. 8^{25} a; Bew. o ⊙, Rauchkranz.

550	E	4.8	1750—2150	S 69° E	11.2
550— 750	N 87° E	7.8	2150—2350	S 60° E	11.2
750—1150	S 77° E	12.6	2350—2550		10.6
1150—1350	S 82° E		2550—2750		8.5
1350—1750	S 76° E	10.6	2750—2950	S 46° E	8.5

Nr. 41. 20. Februar. 8^{50} a; Bew. o ⊙, Dunstkranz.

550	SE	1.7	4950—5350	Schleife nach links	1.6
550— 950	S	1.5	5350—5550	S	1.6
950—1150	S 32° E	2.0	5550—5750	S 5° E	
1150—1950	S 10° E	1.9	5750—5950	N 37° W	3.6
1950—2150	N 65° E	1.2	5950—6150	S 20° E	6.0
2150—2350	N 41° E	1.8	6150—6550	S 53° E	2.6
2350—2550	N 30° E	2.9	6550—6750	S 69° E	
2550—3550	Schleife nach links	ca. 1.5	6750—6950	S 47° E	8.8
3550—3750	S 71° E	1.5	6950—7750	S 53° E	7.0
3750—3950		2.7	7750—8150	S 60° E	
3950—4150	S 85° E	2.7	8150—8550	S 50° E	10.8
4150—4550	Schleife nach links	2.0	8550—8750	S 58° E	
4500—4950		<1.0	8758—9350	S 41° E	9.0

Nr. 42. 21. Februar. 9^{00} a; Bew. o ⊙, Dunstkranz.

550	E	1.7	3550—3750	N 50° W	
550— 750	N 87° E	1.7	3750—3950	N 65° W	2.4
750— 950		2.9	3950—4150	N 75° W	
950—1150	S 77° E	2.9	4150—4750	N 48° W	
1150—1550	N 49° E	2.3	4750—4950	N 80 W	1.6
1550—1950	N 68° E		4950—5150		1.6
1950—2350	N 58° E	1.4	5150—5350	N 78° W	7.5
2350—2550	N 42° E		5350—5550		12.3
2550—2750	N 7° W	3.3	5550—5750		14.5
2750—2950	N 15° E		5750—5950	N 80° W	19.0
2950—3150	N 56° W	1.3	5950—6150	N 67° W	
3150—3350	N 77° W	4.4	6150—6550	N 85° W	20.0
3350—3550	N 61° W	2.4	6550—6950	W	

Nr. 43. 22. Februar. 7^{30} a; Bew. 8^{0}, cu-st ENE mässig, ∞°, ⌙.

550	E	1.7	950—1150	N 88° E	10.5
550—750	S 85° E	6.5	1150—1350	N 83° E	
750—950	N 88° E	9.5			

Nr 44. 23. Februar. 8^{20} a; Bew. 8^{1} ⊙ ≡¹, st-cu SE langsam.

550	C		1150—1550	N 78° E	6.1
550— 950	N 80° E	3.6	1550—1750		4.4
950—1150		5.7	1750—1950	N	3.0

Nr. 45. 23. Februar. 10^{32} a; Bew. o ⊙, ∞°.

550	E	3.1	2550—2750	N 63° E	
550— 750	N 84° E	3.8	2750—2950	N 47° E	9.7
750—1350		5.7	2950—3150	N 65° E	
1350—1550	S 87° E	5.7	3150—3550	N 50° E	9.7
1550—1750	S 52° E	3.6	3550—3750		12.8
1750—2150	N 78° E	8.0	3750—4350	N 37° E	12.8
2150—2350	N 56° E	9.3	4350—4550		19.8
2350—2550	N 69° E	14.5			

Nr. 46. 24. Februar. 8^{19} a; Bew. o ⊙, Dunst- u. Rauchkranz.

Stufenwerte m	Wind Richtung	Wind Geschwindigkeit m p. s	Stufenwerte m	Wind Richtung	Wind Geschwindigkeit m p. s.
550	SE	3.1	3750—3950	N 48° E	5.8
550— 750	S 60° E	6.0	3950—4350	N 41° E	5.8
750— 959	S 74° E	9 0	4350—4750		9.1
950—1150		10.2	4750—5350	N 34° E	
1150—1950	S 54° E	7.5	5350—5550	N 26° E	9.1
1950—2150		3.5	5550—5950	N 42° E	
2150—2350	S 24° E	5.6	5950—6550	N 36° E	10.6
2350—2550	S 37° E		6550—6750		14.0
2550—2750	S 17° E	5.6	6750—7550	N 26° E	14.0
2750—3150		ca 1.0	7550—7750	N 30° E	
3150—3350		ca 1.0	7750—8150	N 45° E	17.5
3350—3550	N 48° E	2.0	8150—8950	N 38° E	
3550—3750		3.2			

Nr. 47. 25. Februar. 8^{56} a; Bew. 1^0 ⊙ ≡¹, ci-st i. NW.

550	C		3750—4150	N 63° E	5.4
550— 750	S 53° W	1.6	4150—4350	N 58° E	8.2
750— 950	S 79° W		4350—4550	N 65° E	
950—1250	S 30° W	2.6	4550—4750	N 75° E	
1250—1350	S 62° W		4750—4950	N 70° E	9.0
1350—1550	S 28° W	2.4	4950—5350	N 60° E	
1550—1750	S 2° E		5350—5750	N 65° E	
1750—1950	S 68° E	1 5	5750—6750	N 56° E	6.8
1950—2350	S 2° E		6750—6950	N 70° E	
2350—2550	S 73° E	3.8	6950 – 7550	N 65° E	7.0
2550—2750	N 55° E	1.5	7550—8150	N 70° E	9.0
2750—3350	N 86° E	5.5	8150—8350	N 74° E	
3350 – 3550	N 82° E	4.3	8350—9750	N 85° E	6.4
3550—3750	N 63° E	3.2			

Nr. 48. 26. Februar. 11^{20} a; Bew. ◔ ⊙, ∞^0.

550	W	1.7	3550 3750	S 8° E	8.0
550— 750		1.5	3750—3950		10 3
750— 950	S 86° W	4.2	3950—4150	S 3° W	6.2
950—1350		6.2	4150—4350		11.8
1350—1750	N 82° W	6.2	4350—4950	S 4° E	11.8
1750—1950	S 80° W	4.8	4950—5150		14.0
1950—2350	S 48° W	4.4	5150—6350	S 9° E	11.3
2350—2750	S 16° W	4.3	6350—7150		12.8
2750—3350	S 10° W	6,8	7150—7550	S 18° E	12.8
3350 - 3550	S 8° E	9.8			

Nr. 49. 27. Februar. 8^{10} a; Bew. 7^0 ⊙, ci-st S mässig, st-cu, ∞^0, ⊕.

550	S	1.7	2950—3350	W	4.9
550— 750	S 40° W	3.6	3350 - 3750	N 79° W	7.1
750— 950		2.6	3750—4150	S 80° W	7.3
950 – 1350	S 53° W	4.3	4150 - 4550	S 50° W	8.7
1350 – 2150	S 76° W		4550—4750	S 62° W	
2150—2750	S 68° W	5.4	4750—5350	S 53° W	
2750 – 2950	W	3.5			

28. Februar. Kein Aufstieg wegen ◍.

Nr. 50. 1. März. 11^{40} a; Bew. 5^0 ⊙, cu { obere Schicht NE mässig. untere Schicht SW mässig.

550	NE	3.1	950—1150	N 58° E	3.3
550—750	N 70° E	5.6	1150—1350	N 33° E	1.9
750—950		2.5	1350—1550	N 18° E	3.6

Nr. 51. 2. März. 8^{28} a; Bew. o ⊙.

550	SE	1.7	2150—2350	N 5° E	5.3
550— 750	S 58° E	4.6	2350—2550		8.2
750— 950	S 75° E	6.7	2550—2750		10.0
950—1150	S 82° E	6.7	2750—3150	N 2° E	10.0
1150—1350		4.5	3150—3350	N 5° E	14.9
1350—1550	N 64° E	3.0	3350—3550	N 2° W	
1550—1950	N 22° E	2.2	3550—4750	N 10° W	22.0
1950—2150	N 5° E	3 4			

Nr. 52. 3. März. 9^{00} a; Bew. 3^0 ⊙, ci-st NW langsam, Dunstkranz.

550	SW	1 7	1350 - 1550	N 62° W	5.1
550— 750	S 66° W	5.7	1550—1950		7.9
750— 950	S 82° W		1950—2350	N 77° W	10.5
950—1150	N 85° W	5.1	2350 - 2550	N 71° W	11.0
1150—1350	N 70° W		2550—2950	N 76° W	8.5

Nr. 53. 4. März. 9^{45} a; Bew. 8^1, st-cu W mässig.

550	SW	4.8	690—830	S 73° W	13.3
550—690	S 63° W	7.0	830—970	S 83° W	18.8

Nr. 54. 5. März. 7^{15} a; Bew. 3^1 ⊙, ci-st NW langsam, st, ∞⁰.

Stufenwerte m	Wind Richtung	Wind Geschwindigkeit m p. s.	Stufenwerte m	Wind Richtung	Wind Geschwindigkeit m p. s.
550	SW	3.1	2150—2950	N 72° W	15.0
550— 750	S 68° W	9.8	2950—3350	N 65° W	16.2
750—1350	W		3350—3750	N 57° W	
1350—1750	S 80° W	12.5	3750—4750	N 67° W	20.6
1750—1950	S 69° W		4750—5150	N 36° W	13.5
1950—2150	S 82° W	13.8			

Nr. 55. 6. März. 9^{08} a; Bew. o ⊙, ∞².

550	SE	3.1	1390—1530	S 78° W	6.5
550— 690	S 49° W	4.0	1530—1670		11.0
690— 830	S 27° W	2.5	1670—2090	S 74° W	11.1
830—1250	S 40° W	2.4	2090—2510	S 84° W	
1250—1390	S 53° W				

Nr. 56. 7. März. 9^{40} a; Bew. 10⁰, a-st.

550	SW	4.8	1110—1250	W	15.1
550— 690	S 70° W	7.5	1250—1390	N 83° W	15.1
690— 830		12.9	1390—1670		17.0
830— 970	S 79° W	15.1	1670—1950	S 84° W	17.0
970—1110	S 84° W		1950—2370	S 75° W	22.7

Nr. 57. 8. März. 0^{20} p; Bew. 9^1, st-cu SW mässig.

550	SW	6.7	970—1250	S 77° W	19.4
550—830	S 68° W	13.0	1250—1530		25.4
830—970	S 73° W	17.2			

Nr. 58. 9. März. 8^{57} a; Bew. 8⁰ ≡⁰, ci-st NW rasch, cu-st WNW mässig.

550	WNW	4.8	550—830	N 78° W	4.3

Nr. 59. 10. März. 0^{00} p; Bew. 10¹, a-st, Gebirge gut sichtbar, föhnig.

550	SW	4.8	1550—1750	N 85° W	11.8
550— 750	S 65° W	5.8	1750—1950	N 79° W	
750—1150	S 78° W	7.3	1950—2150	N 74° W	10.1
1150—1550	N 88° W	11.7	2150—2350	N 26° W	6.0

Nr. 60. 11. März. 9^{05} a; Bew. 2⁰ ⊙, a-cu WNW mässig, a-st, ∞¹.

550	SW	1.7	1550—1750	N 83° W	7.1
550— 750	S 70° W	3.5	1750—1950		8.2
750— 950	S 87° W	5.2	1950—2150	N 78° W	8.2
950—1150	N 86° W	6.3	2150—2350	N 73° W	11.2
1150—1550		7.1	2350—2550	N 62° W	14.6

Nr. 61. 12. März. 8^{15} a; Bew. 9⁰, st-cu WNW mässig, ∞⁰.

550	SW	1.7	950—1050	N 52° W	5.3
550—950	N 65° W	9.0			

Nr. 62. 13. März. 8^{07} a; Bew. 4⁰ ⊙ ≡⁰, ci-st.

550	SW	1.7	1550—1950	N 85° W	10.3
550— 750	S 73° W	4.3	1950—2350	W	10.3
750— 950	S 84° W	8.0	2350—2750		16.3
950—1550	W	10.3			

Nr. 63. 14. März. 8^{15} a; Bew. 3⁰ ⊙, ci-st, ∞¹.

550	SW	3.1	2550—3150	N 72° W	10.2
550— 750	S 84° W	7.2	3150—3550	N 64° W	
750—1150		13.7	3550—4150	N 76° W	8.5
1150—1750	S 71° W	12.4	4150—4750	N 68° W	
1750—1950	S 77° W	13.3	4750—4950	N 50° W	5.8
1950—2350	S 85° W		4950—5350	N 15° W	
2350—2550	W	10.2			

Nr. 64. 15. März. 8^{40} a; Bew. 2⁰ ⊙, ci-st i. S., cu SW rasch.

550	W	4.8	950—1350	S 81° W	21.4
550—750	S 71° W	9.5	1350—1750	S 76° W	21.8
750—950	S 81° W	14.8			

Nr. 65. 16. März. 8^{28} a; Bew. o ⊙; Föhnlage, Gebirge schwach sichtbar.

550	SE	3.1	1750—2150	S 62° W	10.2
550— 750	S 37° E	6.0	2150—2350	S 72° W	11.3
750— 950	S 8° E	5.1	2350—2550		14.7
950—1350	S 21° W		2550—3550	S 65° W	15.8
1350—1750	S 55° W	5.8			

Nr. 66. 17. März. 8^{14} a; Bew. 2^0 ⊙ ≡^{0}, ci, Föhnlage.

Stufenwerte m	Wind Richtung	Wind Geschwindigkeit m p. s.	Stufenwerte m	Wind Richtung	Wind Geschwindigkeit m p. s.
550	S	1.7	1550—1950	S 27° W	7.4
550— 750	S 13° W	1.3	1950—2150	S 53° W	8.8
750— 950	S 50° W	1.7	2150—2350	S 64° W	11.7
950—1150	S 68° W	3.2	2350—2550	S 74° W	13.2
1150—1350	S 17° W	2.1	2550—2750	S 83° W	9.9
1350—1550		7.1			

18. März. Kein Aufstieg wegen ✳.

Nr. 67. 19. März. 9^{14} a; Bew. 9^1, st-cu, ∞^{0}.

550	S	1.7	1950—2150	S 71° W	14.4
550— 750	S 33° W	2.3	2150—2350	S 64° W	14.4
750— 950	S 4° E	2.3	2350—2550		17.6
950—1150		3.3	2550—2750	S 60° W	14.7
1150—1350	S 6° W	3.3	2750—3150	S 71° W	14.7
1350—1550	S 42° W	4.4	3150—3350		16.2
1550—1750	S 71° W	9 2	3350—3550	S 65° W	16,2
1750—1950		12.3			

Nr. 68. 20. März. 8^{25} a; Bew. 7^0 ⊙, ci-st / a-cu W rasch, fr-cu SW rasch, Föhnlage, ganze Gebirgskette gut sichtbar.

550	SW	6.7	1150—1350	S 87° W	24.3
550— 750	S 71° W	9.1	1350—1550		23.0
750— 950		13.0	1550—1750	W	
950—1150	S 81° W	15.7	1750—2150	N 84° W	23.0

21. März. Kein Aufstieg wegen ◍.

Nr. 69. 22. März. 8^{04} a; Bew. 2^1 ⊙, st-cu, ∞, Gebirge sehr gut sichtbar.

550	S	1.7	2950—3350	S 27° W	7.6
550— 750	S 17° W	2.2	3350—3750	S 45° W	11.4
750—1350	S 2° E	1.1	3750—3950	S 50° W	11.6
1350—1950	S 45° E	2.9	3950—4350	S 65° W	
1950—2150	S 13° E	3.3	4350—4550	S 75° W	11.6
2150—2350	S 17° W	7.1	4550—4750		14.0
2350—2950	S 33° W	7.3	4750—5350	S 56° W	15.3

Nr. 70. 23. März. 8^{45} a; Bew. 9^2, st-cu, st, ∞^{2}.

550	C	—	830 —970	N 11° E	5.1
550—830	N 20° E	3.9	970—1250	N 180° W	

24. März. Kein Aufstieg wegen ◍.

25. März. Kein Aufstieg wegen tiefliegender st-Schicht.

Nr. 71. 26. März. 11^{50} a; Bew. 6^0, ci-cu, ci-st.

550	E	8.8	1350—1550	S 57° E	6.5
550— 750	E	9.5	1550—1750	S 48° E	5.0
750— 950		10.5	1750—1950		3.5
950—1150	N 86° E	10.0	1950—2150	S 23° E	3.0
1150—1350	S 74° E	9.0	2150—2350	S 11° W	2.5

Nr. 72. 27. März. 8^{20} a; Bew. 9^1, st-cu.

550	SW	4.8	1350—1550	N 69° W	11.8
550— 750	S 75° W	6.3	1550—1950	N 64° W	14.7
750 — 950	N 87° W	9.5	1950—2150	N 60° W	10.0
950—1150	N 76° W	9.6	2150—2350	N 85° W	5.3
1150—1350		11.2	2350—2550	S 62° W	9.5

Nr. 73. 28. März. 8^{24} a; Bew. o ⊙, Dunstkranz, Gebirge schwach sichtbar, Föhnlage.

550	SE	3.1	3150—3350	S 32° W	8.5
550— 750	S 69° E	6.0	3350—3550	S 37° W	
750—1150		12.5	3550—4150	S 47° W	9.5
1150—1350	S 63° E	10.3	4150—4950	S 58° W	12.9
1350—1550	S 47° E	6.0	4950—5350	S 55° W	17.0
1550—1750	S 72° E	2.0	5350—5950	S 54° W	15.0
1750—1950	S	2.2	5950—6150	S 66° W	15.0
1950—2150		3.7	6150—6750		18.0
2150—2350	S 14° E	2.5	6750—6950	S 75° W	
2350—2550	S 14° W	3.0	6950—7350	S 82° W	16.8
2550—2750	S 3° E	4.7	7350—7550	S 86° W	
2750—3150	S 27° W				

Nr. 74. 29. März. 8^{10} a; 9^{1}, ci-st, st-cu.

Stufenwerte m	Wind Richtung	Wind Geschwindigkeit m p. s.	Stufenwerte m	Wind Richtung	Wind Geschwindigkeit m p. s.
550	SE	1.7	2950—3150	S 16° W	7.0
550— 750	S 54° E	7.0	3150—3350	S 43° W	9.0
750— 950	S 61° E	11.5	3350—3550	S 37° W	13.0
950—1150	S 38° E	8.0	3550—3950	S 29° W	10.5
1150—1350	S 12° E	6.5	3950—4150	S 25° W	10.0
1350—1550		5.5	4150—4550	S 10° W	
1550—1950		2.4	4550—4750	S	12.5
1950—2150		3.7	4750—4950		14.0
2150—2750	S	4.9	4950—5150	S 5° W	14.0
2750—2950	S 7° E	6.0	5150—5350		17.0

Nr. 75. 30. März. 8^{10} a; Bew. 8° ⊙, ci-st, Gebirge schwach sichtbar, Föhnlage.

550	SE	3.1	2950—3150	S	3.9
550— 950	S 62° E	4.1	3150—3350	S 14° W	5.3
950—1350	S 47° E	5.4	3350—3550		7.0
1350—1550	S 31° E		3550—3750		9.6
1550—1750	S 40° E		3750—4350	S 10° W	11.3
1750—1950	S 64° E	5.2	4350—4950	S 22° W	14.0
1950—2350	S 73° E		4950—5150	S 25° W	17.0
2350—2550	S 44° E	2.5	5150—5750	S 20° W	15.0
2550—2950	S 13° E	3.9	5750—7150		15.0

Nr. 76. 31. März. 8^{15} a; Bew. 10°, a-st S mässig, st-cu, Gebirge sehr gut sichtbar.

550	SE	4.8	2550—2750	S 25° W	3.9
550— 750	S 5° E	10.0	2750—2950	S 9° W	10.5
750— 950		14.3	2950—3550	S 16° E	11.3
950—1150	S 2° E	14.3	3550—3750	S 2° E	12.4
1150—1350	S 5° W	11.5	3750—4150	S 12° W	12.4
1350—1550	S 18° W	8.7	4150—4350		18.0
1550—1750	S 33° W	7.0	4350—4550	S 16° W	18.0
1750—2350	S 56° W	4.0	4550—5350	S 32° W	15.4
2350—2550	S 64° W	2.6	5350—5950		17.3

1. April. Kein Aufstieg wegen tiefliegender st-Schicht.

2. April. Kein Aufstieg wegen ◍.

Nr. 77. 3. April. 8^{00} a; Bew. 10^{1} ≡°, st E mässig.

550	E	3.1	550—650	S 84° E	3.6

Nr. 78. 4. April. 7^{40} a; Bew. 1° ⊙, ci-st, Dunst- und Rauchkranz.

550	E	3.1	3150—3550	S 50° E	8.2
550— 750	S 62° E	5.7	3550—3750	S 45° E	7.0
750— 950		8.0	3750—3950	S 63° E	6.2
950—1350	S 65° E	8.3	3950—4350	S 80° E	9.0
1350—1750	S 71° E		4350—4950	S 57° E	13.3
1750—2150	S 65° E	8.3	4950—5350	S 61° E	
2150—2550		10.3	5350—5550	S 55° E	
2550—3150	S 55° E	8.7			

Nr. 79. 5. April. 9^{12} a; Bew. 9^{1} ⊙^{1}, ci-st S rasch, st-cu SE rasch, Gebirge gut sichtbar, föhnig.

550	SE	4.8	1810—1950	S 2° E	6.2
550— 690	S 67° E	5.8	1950—2090	S 50° E	8.8
690—1390		13.7	2090—2230	S 39° E	12.5
1390—1670	S 62° E	10.6	2230—2370	S 21° E	12.5
1670—1810	S 48° E		2370—2930		15.7

Nr. 80. 6. April. 8^{38} a; Bew. 9°, a-st, st-cu, Gebirge gut sichtbar.

550	NW	1.7	1350—1550	N 13° W	3.7
550— 750	N 71° W	3.0	1550—1750	N 6° E	4.1
750— 950		4.6	1750—2550	N 14° E	5.0
950—1150	N 41° W	5.5	2550—2750	N 6° W	4.2
1150—1350		4.2	2750—2950	N 19° W	

Nr. 81. 7. April. 10^{25} a; Bew. 9^{1}, st-cu W rasch.

550	W	4.8	690—970	S 82° W	5.4
550—690	S 82° W	5.8			

8. und 9. April. Kein Aufstieg wegen tiefliegender st-Schicht.

Nr. 82. 10. April. 9^{10} a; Bew. 6° ⊙, ci-st, st-cu W mässig.

550	W	1.7	1350—1550	N 81° W	7.8
550— 750	N 80° W	3.0	1550—1750		9.7
750— 950		5.5	1750—1950	W	12.6
950—1350	N 85° W	7.8	1950—2350	S 81° W	

11. und 12. April. Kein Aufstieg wegen ✕.

Nr. 83. 13. April. 9^{04} a; Bew. 3^0 ⊙, ci-st, Dunstkranz.

Stufenwerte m	Wind Richtung	Wind Geschwindigkeit m p. s.	Stufenwerte m	Wind Richtung	Wind Geschwindigkeit m p. s.
550	WNW	1.7	3750—3950	N 44° W	5.0
550— 950		2.5	3950—4350	N 28° W	3.6
950—1350		4.0	4350—4550	N 43° W	1.2
1350—1750	N 15° W	6.5	4550—4750	S 10° E	2.0
1750—1950		7.5	4750—4950	S 5° E	3.5
1950—2350		8.0	4950—5150	S 16° W	6.0
2350—2550		6.0	5150—5350	S 18° W	7.0
2550—2750	N 42° W	5.0	5350—5950	S 24° W	8.3
2750—2950		4.5	5950—6150	S 31° W	7.5
2950—3150	N 50° W	6.0	6150—6350	S 52° W	
3150—3350	N 62° W		6350—6750	S 45° W	6.3
3350—3550	N 45° W	5.5	6750—7150	S 61° W	6.1
3550—3750	N 33° W	5.0	7150—7350	S 4° E	5.0

Nr. 84. 14. April. 7^{25} a; Bew. 2^0 ⊙, ci-st am Horizont, st-cu i. SW, Dunstkranz.

550	W	3.1	3550—3750	N 42° E	9.5
550— 750	N 71° W	2.2	3750—3950	N 50° E	
750— 950	N 38° W	2.7	3950—4150	N 55° E	9.8
950—1150	N 7° W		4150—4350		7.6
1150—1350	N 15° E	4.5	4350—4550	N 49° E	7.6
1350—1550		5.7	4550—4750	N 27° E	
1550—1750	N 20° E	5.7	4750—4950	N 23° E	9.5
1750—1950	N 5° E	5.7	4950—5150	N 34° E	
1950—2150		3.2	5150—5350	N 43° E	7.0
2150—2350	N 21° W	1.8	5350—6150		10.6
2350—2550	S 72° W	1.3	6150—6550	N 24° E	9.1
2550—2750	N 38° E	3.3	6550—6750		12.5
2750—2950	N 46° E	6.4	6750—6950	N 12° E	15.0
2950—3350	N 41° E	8.4	6950—7150		18.6
3350—3550	N 36° E	9.5	7150—7350	N 22° E	20.2

Nr. 85. 15. April. 8^{10} a; Bew. 1^0 ⊙ ≡^{0}, a-cu i. W., Dunstkranz.

550	C		2350—2750	N 52° E	5.6
550— 750	N 82° W	1.1	2750—3350	N 65° E	6.9
750— 950		1.7	3350—3550	N 50° E	
950—1550	N 31° W	1.8	3550—4150	N 29° E	7.0
1550—1750	N 55° W		4150—4550	N 15° E	10.0
1750—1950	N 17° W	1.4	4550—5150	N 27° E	11.3
1950—2150	N	1.9	5150—6150	N 18° E	12.2
2150—2350	N 35° E	3.7			

Nr. 86. 16. April. 8^{45} a; Bew. 0 ⊙.

550	SW	1.7	1950—2150	S 74° W	6.7
550— 750	S 61° W	3.0	2150—2550	S 81° W	
750— 950		3.4	2550—2750	N 80° W	
950—1150	S 69° W	3.4	2750—2950	N 45° W	
1150—1350	S 81° W	4.3	2950—3150	N 9° W	9.2
1350—1750		8.7	3150—3350		11.8
1750—1950	S 67° W	6.7	3350—4750	N 27° W	13.4

Nr. 87. 17. April. 8^{45} a; Bew. 10^1, st-cu SW rasch, Gebirge sehr gut sichtbar.

550	SW	8.8 (böig.)	1110—1390	N 88° W	15.6
550— 690	S 75° W	9.5	1390—1670		14.1
690— 970	S 76° W	13.1	1670 1810	S 87° W	14.1
970—1110	S 82° W	15.6			

18. April. Kein Aufstieg wegen tiefliegender st-Schicht.

Nr. 88. 19. April. 8^{16} a; Bew. 3^0 ⊙, ci-st W mässig, st am Horizont, ∞^{1}, Gebirge sehr gut sichtbar.

550	S	3.1	950—1350	S 65° W	11.8
550—750	S 12° W	4.0	1350—1750	S 69° W	14.7
750—950	S 53° W	6.9	1750—1950	S 84° W	15.6

20. April. Kein Aufstieg wegen ◍.

Nr. 89. 21. April. 8^{05} a; Bew. 1^0 ⊙, a-st, Dunst- und Rauchkranz.

550	E	1.7	1550—1750	N 64° W	4.3
550— 750	S 67° E	2.0	1750—2150	N 82° W	6.7
750— 950		1.6	2150—2350	N 69° W	10.8
950—1150	S 41° E	1.3	2350—3150	N 74° W	14.0
1150—1350	S 42° W		3150—3350	N 63° W	15.2
1350—1550	N 85° W	3.2	3350—3950	N 52° W	19.2

Nr. 90. 22. April. 7^{35} a; Bew. 1° ⊙, ci-cu, Rauch- und Dunstkranz.

Stufenwerte m	Wind Richtung	Wind Geschwindigkeit m. p. s.	Stufenwerte m	Wind Richtung	Wind Geschwindigkeit m p. s.
550	E	1.7	2350—2550	N 62° W	5.7
550— 750	N 87° E	2.5	2550—2750	N 51° W	
750— 950		5.5	2750—2950	N 38° W	
950—1150	N 68° E	5.2	2950—3150	N 31° W	5.1
1150—1350	S 89° E	3.0	3150—3550	N 45° W	8.1
1350—1550	N 65° E	0.7	3550—3750	N 32° W	
1550—1750	N 48° W	3.4	3750—4150	N 48° W	8.9
1750—1950		6.0	4150—4950	N 45° W	10.5
1950—2150	N 56° W	7.2	4950—5150	N 49° W	13.5
2150—2350	N 62° W	7.2			

Nr. 91. 23. April. 8^{05} a; Bew. 4° ⊙, ci-st WNW langsam, Dunstkranz.

550	E	1.7	3750—3950	N 73° W	10.3
550— 750	S 79° E	3.1	3950—4550	N 68° W	10.3
750— 950	N 83° E	7.4	4550—4750		8.7
950—1350		8.1	4750—4950	N 76° W	8.7
1350—1550	N 79° E	6.3	4950—5150		11.0
1550—1750	N 70° E	3.8	5150—5550	N 70° W	13.1
1750—1950	N 83° W	4.4	5550—5950	N 76° W	13.1
1950—2150		2.8	5950—6150		15.1
2150—2350	N 53° W	4.2	6150—6750	N 67° W	15.1
2350—2750	N 69° W	5.7	6750—6950	N 78° W	10.5
2750—3150	N 77° W	6.4	6950—7150	N 82° W	16.0
3150—3350		8.0	7150—7350	S 88° W	17.7
3350—3550	W	8.0	7350—7750	N 85° W	
3550—3750	N 79° W	9.5			

Nr. 92. 23. April. 0^{40} p; Bew. 5° ⊙, a-cu W mässig, st-cu, cu.

550	E	3.1	1550—1750	S 14° W	0.5
550— 750	N 71° E	3.3	1750—1950	N 70° W	2.9
750—1150	N 82° E	3.8	1950—2150	N 60° W	3.7
1150—1350	N 75° E	2.3	2150—2350	S 82° W	6.4
1350—1550	N 61° E	2.8			

Nr. 93. 24. April. 8^{03} a; Bew. 9¹, st-cu W langsam.

550	E	1.7	1950—2150	S 67° W	6.3
550— 750	S 78° E	3.7	2150—2350	S 63° W	9.8
750— 950		6.4	2350—2550	S 59° W	12.3
950—1150	S 87° E	4.8	2550—2950	S 60° W	12.5
1150—1350	S 33° E	2.3	2950—3150	S 63° W	12.5
1350—1550	S 79° W	3.0	3150—3350		10.5
1550—1950		4.2	3350—3750	S 70° W	10.6

Nr. 94. 25. April. 8^{00} a; Bew. 10¹, st-cu SW mässig, ∞ °.

550	SE	3.1	2150—2350	S 18° W	6.0
550— 750	S 45° E	6.0	2350—2550	S 35° W	7.3
750— 950	S 54° E		2550—2750	S 39° W	10.5
950—1150	E	7.2	2750—2950		12.0
1500	Umkehrpunkt	ca. 1.0	2950—3150	S 51° W	12.5
1550—1750	S 19° E	1.7	3150—3350	S 55° W	15.2
1750—1950		4.2	3350—3550		21.5
1950—2150	S	5.3			

Nr. 95. 26. April. 8^{00} a; Bew. 9¹, st-cu SW mässig, ∞ °. Nach d. Visierung: 8°⊙, a-st, st am Horizont.

550	SW	1.7	3350—3630	S 47° W	7.3
550— 690	S 87° W	2.7	3630—3910	S 56° W	7.1
690— 830	N 60° W		3910 - 4050	S 32° W	
830— 970	N 2° E	4.5	4050—4190	S 42° W	
970—1110		3.7	4190—4330	S 27° W	
1110—1530	N 41° W	2.7	4330—4470	S 10° W	8.7
1530—1670		ca. 1.0	4470—4750	S 4° W	8.7
1670—1950	S 41° W	2.4	4750—4890		7.2
1950—2650	S 15° W	5.7	4890—5310	S 14° W	7.2
2650—2930	S 36° W	5.3	5310—6150	S 15° W	9.1
2930—3210	S 40° W	5.3	6150—6430	S 24° W	
3210—3350		7.4			

8^{30} a: Wind dreht von SW auf NW.

Nr. 96. 27. April. 8^{00} a. Bew. 3° ⊙ ≡°, ci-st, st-cu SE langsam, cu in Auflösung.

550	C	1.8	3550—3750	S 35° E	3.6
550— 750	S 32° W		3750—3950		5.3
750 — 950	S 15° W	2.9	3950— 4550	S 43° E	6.0
950—1150	S		4550—4950	S 37° E	7.3
1150—1350	S 46° W	2.6	4950—5150	S 45° E	7.6
1350—1550	S 64° W	1.5	5150—5350	S 51° E	7.6
1550—1750	S 25° W		5350—5750		10.0
1750—1950	S 29° E	1.9	5750—6550	S 37° E	9.8
1950—2350		2.8	6550—6750	S 35° E	9.5
2350—2950	S 52° E	2.8	6750—6950	S 31° E	
2950—3150	E		6950—7350	S 21° E	
3150—3550	S 56° E	1.8			

Nr. 97. 28. April. 7^{59} a. Bew. 3^{1} ⊙, a-cu NE mässig, cu, Gebirge sehr gut sichtbar.

Stufenwerte m	Wind Richtung	Wind Geschwindigkeit m p. s.	Stufenwerte m	Wind Richtung	Wind Geschwindigkeit m p. s.
550	SW	6.7	2550—2750	N 31° E	3.7
550— 750	S 55° W	9.5	2750—2950	N 18° E	
750— 950	S 72° W	9.7	2950—3150	N 40° E	2.6
950—1150	S 80° W		3150—3350	N 88° E	
1150—1350	W	6.8	3350—3550		3.1
1350—1550	N 73° W	4.9	3550—3750	S 84° E	4.1
1550—1750		2.1	3750—3950		5.2
1750—1950	N 54° E	2.7	3950—4150	N 81° E	6.3
1950—2350		3.8	4150—4350	N 66° E	6.9
2350—2550	N 40° E	3.7	4350—4550		9.0

Nr. 98. 29. April. 8^{00} a; Bew. o ⊙, ∞ ^{0}.

550	SW	1.7	4550— 4750	N 70° E	4.0
550— 750	S 65° W	2.5	4750— 4950	N 82° E	
750— 950	S 81° W	0.6	4950— 5150	E	3.0
950—1150	N 7° W		5150— 5350	S 57° E	4.5
1150—1350	N 47° E	1.1	5350— 6150		5.0
1350—1550	N 60° E	1.1	6150— 6550	S 48° E	5.4
1550—1750		2.2	6550— 6750	S 54° E	
1750—1950	N 74° E	1.6	6750— 7350	S 60° E	7.6
1950—2150	E		7350— 7750	S 44° E	7.9
2150—2350	S 71° E		7750— 8150	S 53° E	8.2
2350—2550	N 81° E	2.2	8150— 8750	S 63° E	8.9
2550—2750	N 70° E		8750— 8950	S 46° E	8.8
2750—3150	N 60° E	3.6	8950— 9550	S 33° E	
3150—3750	N 84° E	5.4	9550— 9950	S 38° E	10.5
3750—4150	N 75° E	4.9	9950—10150		15.9
4150—4550	E	4.5	10150—10750	S 45° E	15.9

Nr. 99. 30. April. 8^{03} a; Bew. 1^{0} ⊙, cu i. S, ∞ ^{0}, Gebirge sichtbar.

550	SW	1.7	5550— 5950	S 40° E	6.2
550— 750	S 38° W	3.0	5950— 6350	S 46° E	
750— 950	S 69° W	4.7	6350— 6750	S 57° E	5.6
950—1150	S 86° W	6.1	6750— 6950	S 60° E	5.6
1150—1350	W	5.1	6950— 7150		8.3
1350—1550		4.2	7150— 8150	S 75° E	8.3
1550—1750		1.8	8150— 8550	S 80° E	7.0
1750—1950		2.7	8550— 8950	N 81° E	
1950—2150	S 45° E	3.8	8950— 9550	N 72° E	6.2
2150—2350		2.9	9550— 9950	N 72° E	
2350—2750		2.4	9950—10350	N 60° E	6.6
2750—2950	S 59° E		10350—10550	N 69° E	6.6
2950—3150	S 65° E	2.4	10550—10750		7.5
3150—3550	S 80° E		10750—10950	N 60° E	7.5
3550—3750	S 72° E		10950—11150		8.0
3750—4350	S 51° E	3.8	11150—11650	N 43° E	6.5
4350—4550	S 45° E	4.9	11650—11850		2.5
4550—4750	S 62° E	4.9	11850—12250	N 64° W	
4750—5350		6.2	12250—12450	N 37° W	3.7
5350—5550	S 58° E	6.2			

Nr. 100. 1. Mai. 8^{04} a; Bew. 1^{0} ⊙, a-cu, Gebirge sehr gut sichtbar.

550	SW	3.1	4350—4550	S 10° E	
550— 750	S 77° W	3.5	4550—4750	S 25° E	
750— 950	N 76° W	5.2	4750—4950	S 17° E	5.5
950—1150	N 85° W		4950—5150	S 13° E	
1150—1550	S 71° W		5150—5550		4.7
1550—2150	S 61° W	4.6	5550—5750	S 13° W	6.2
2150—2350	S 55° W		5750—5950		3.5
2350—2550	S 18° W		5950—6350		7.6
2550—2750	S	3.6	6350—6550	S 3° E	5.2
2750—3750	S 23° E	5.3	6550—7350	S 9° W	4.3
3750—4150	S 34° E	5.5	7350—8550	S 25° W	
4150—4350	S 18° E				

In 8550 m vermutlich Beginn der Stratosphäre; variable Windrichtungen und Geschwindigkeiten bis 12750 m. Von 12750—13750 m wieder S-Wind in einer Stärke von ca. 3 m p. s.

2. Mai. Kein Aufstieg wegen ◍ und tiefliegender st-Schicht.

Nr. 101. 3. Mai. 8^{08} a; Bew. 6^{0} ⊙, a-cu, cu NE langsam.

550	NE	1.7	1950—2150	N 88° E	4.6
550— 750	N 71° E	1.4	2150—2350	S 60° E	4.7
750—1150	N 85° E	3.2	2350—2550	S 3° E	
1150—1350	S 88° E		2550—3150	S 10° W	3.2
1350—1750	S 44° E	3.9	3150—3550	S 24° W	5.3
1750—1950	S 66° W	3.3			

Nr. 102. 4. Mai. 8^{08} a; Bew. 7° ⊙, st-cu, cu.

Stufenwerte m	Wind Richtung	Wind Geschwindigkeit m p. s.	Stufenwerte m	Wind Richtung	Wind Geschwindigkeit m p. s.
550	SW	1.7	1550—1750	S 59° W	5.5
550— 750	S 78° W	2.3	1750—1950	S 65° W	4.8
750— 950	S 52° W	1.6	1950—2150	S 60° W	3.3
950—1150	S 77° W	2.5	2150—2350	S 85° W	3.4
1150—1350	S 62° W	3.0	2350—2550	S 80° W	1.3
1350—1550	S 55° W	3.5			

5. und 6. Mai. Kein Aufstieg wegen tiefliegender st-Schicht.

7. Mai. Kein Aufstieg wegen ▨.

Nr. 103. 8. Mai. 8^{10} a; Bew. o ⊙.

550	SW	1.7	1750—1950	N 78° W	3.8
550— 750	S 38° W	1.5	1950—2150	N 85° W	3.3
750— 950	S 65° W	1.2	2150—2350		5.7
950—1150	N 4° W	2.5	2350—2550	N 75° W	7.5
1150—1550	N 19° W	1.5	2550—2950		8.6
1550—1750	N 20° W	2.0	2950—3350		10.3

Nr. 104. 9. Mai. 8^{05} a; Bew. 1° ⊙, a-cu.

550	E	3.1	3350—3950	N 28° W	7.5
550— 750	S 86° E	3.5	3950 - 4350	N 45° W	6.8
750— 950	S 75° E	6.3	4350—4750		5.1
950—1150		5.6	4750—4950	N 28° W	3.8
1150—1355		1.5	4950—5150	N 5° W	3.8
1500	Umkehr	< 1.0	5150—5350	N 2° E	4.6
1550—1750	W	2.0	5350—5550		4.6
1750—2150	N 50° W	4.0	5550—5750	N 18° E	6.0
2150—2350		3.3	5750—5950	N 5° E	6.0
2350—2550		4.9	5950—6150	N 2° W	5.7
2550—2750	N 35° W	4.9	6150—6350	N 11° W	
2750—2950		8.0	6350—6550		
2950—3350	N 46° W	9.5			

Nr. 105. 10. Mai. 8^{00} a; Bew. o ⊙, ∞°.

550	E	1.7	4350— 4550	N 64° W	5.0
550— 750	S 80° E	3.0	4550— 4750	N 78° W	5.2
750— 950	S 56° E		4750— 5150	S 88° W	5.4
950—1350	S 80° E	3.5	5150— 5550	S 88° W	2.9
1350—1550	N 10° E	2.2	5550— 6350		5.1
1550—1750	N 43° W	3.4	6350— 6950	S 86° W	4.4
1750—2350	N 63° W		6950— 7350	S 70° W	4.2
2350—2550	N 54° W	3.0	7350— 7550	S 55° W	
2550—2750	N 37° W		7550— 8350		6.4
2750—2950		2.7	8350— 8550	S 46° W	4.2
2950—3150	N 62° W	3.3	8550— 8950		3.4
3150—3350		4.2	8950— 9350		5.9
3350—3550	N 35° W	4.4	9350— 9750	S 85° W	6.1
3550—3750	N 25° W		9750— 9950	N 85° W	9.8
3750—3950	N 11° W		9950—10750	W	8.0
3950—4150	N 35° W	2.1	10750 - 10950	N 84° W	11.0
4150—4350	N 57° W		10950—11750	N 76° W	

11. und 12. Mai. Kein Aufstieg wegen ▨.

Nr. 106. 13. Mai. 3^{30} p.; Bew. 2° ⊙, st-cu am Horizont.

550	E	6.7	3550—3750	S 62° W	4.2
550— 750	N 61° W	8.8	3750—3950	S 77° W	4.2
750— 950	N 70° W		3950—4150		3.1
950—1150	N 76° W		4150—4550	N 74° W	2.5
1150—1350	N 87° W	7.0	4550—4750	N 52° W	2.2
1350—1550	S 70° W		4750—4950		2.5
1550—1750	S 50° W	4.4	4950—5150	N 35° W	4.1
1750—2150	S 73° W	4.2	5150—5550	N 44° W	5.1
2150—2550	S 86° W	4.1	5550—5750	N 85° W	4.3
2550—2950	S 70° W		5750—5950	N 75° W	4.8
2950—3350	S 75° W	2.6	5950—6550	N 47° W	3.7
3350—3550	S 62° W		6550—7150		

Nr. 107. 14. Mai. 8^{00} a; Bew. o ⊙.

550	E	4.8	2550—2950	S 40° E	4.3
550— 750	S 80° E	5.5	2950—3150	S 53° E	
750— 950	S 72° E	6.9	3150—3350	S 60° E	3.1
950—1350	S 65° E	6.9	3350—3950	S 52° E	1.8
1350—1550		4.7	3950—4150	N 70° W	1.2
1550—1950	S 56° E	5.8	4150—4350	S 72° W	
1950 - 2550		4.4			

Nr. 108. 14. Mai. 9^{30} a; Bew. o ⊙.

Stufenwerte m	Wind Richtung	Wind Geschwindigkeit m p. s.	Stufenwerte m	Wind Richtung	Wind Geschwindigkeit m p. s.
550	E	4.8	5150— 5350	S 27° W	2.7
550— 750	S 80° E	5.3	5350— 6350	S 15° W	3.3
750— 950	S 72° E	6.4	6350— 6950	S 29° W	3.5
950—1350	S 66° E	6.3	6950— 7350		1.5
1350—1550	S 36° E	4.3	7350— 7550	S 68° W	< 1.0
1550—1950		5.5	7550— 7950		2.5
1950—2350	S 28° E	4.0	7950— 8150	N 78° W	3.0
2350—2550		4.9	8150— 8750	N 85° W	3.9
2550—2750	S 33° E	4.9	8750— 9550	N 87° W	4.0
2750—2950		3.9	9550— 9750		2.3
2950—3550	S 47° E	3.2	9750—10350	S 80° W	2.5
3550—3750	S 16° E	1.5	10350—10750	N 74° W	3.9
3750—4150	S 44° W	2.7	10750—10950		7.8
4150—4750	S 59° W	3.7	10950—11150	S 85° W	9.0
4750—4950	S 45° W	4.5	11150—11350		11.0
4950—5150		3.5			

Nr. 109. 15. Mai. 9^{53} a; Bew. 6° ⊙, ci-st SW langsam, ∞² i. S. Nach Visierung: Auftreten von a-cu.

550	NE	1.7	3350—3550	S 71° W	6.2
550— 750	N 29° E	2.0	3550—3950	S 73° W	7.0
750—1150	S 60° W	1.7	3950—4550		8.0
1150—1550		2.7	4550—4950		11.1
1550—1750	S 44° W	2.7	4950—5150	S 67° W	14.5
1750—1950	S 71° W	3.8	5150—5550		10.0
1950—2150	S 50° W	4.7	5550—5750		6.5
2150—2750		6.8	5750—5950	W	9.0
2750—3150	S 65° W	7.7	5950—6150	S 63° W	11.5
3150—3350		6.2	6150—6350		15.5

Nr. 110. 16. Mai. 7^{54} a; Bew. 5°, ci-st SW mässig.

550	NE	1.7	3950—4150	S 52° W	3.6
550— 750	N 77° E	3.3	4150—4750	N 84° W	
750— 950	S 61° E	3.5	4750—4950	S 71° W	5.8
950—1150	S 42° E		4950—5150		7.4
1150—1550	S 48° E	4.2	5150—5350	S 61° W	
1550—1950	S 55° E	4.5	5350—5750	S 66° W	7.3
1950—2150	S 63° E	3.8	5750—6150	S 63° W	
2150—2550	S 45° E	3.5	6150—6350	S 58° W	6.7
2550—2750	S 34° E		6350—6550	S 46° W	7.5
2750—2950	S 8° E	2.3	6550—7150	S 37° W	10.2
2950—3150		3.4	7150—7350		12.1
3150—3350	S 31° W	4.6	7350—7550	S 40° W	12.1
3350—3550		6.7	7550—7750	S 52° W	
3550—3950		4 0	7750—7950	S 70° W	13.6

17. Mai. Kein Aufstieg wegen ▨.

Nr. 111. 18. Mai. 8^{15} a; Bew. 7°, a-cu / st-cu } S langsam.

550	SW	3.1	1750—1950	S 60° W	12.3
550— 750	S 73° W	6.5	1950—2150	S 53° W	13.3
750— 950	S 76° W	9.8	2150—2350	S 59° W	11.5
950—1150		11.6	2350—2550	S 64° W	16.5
1150—1350	S 80° W	16.3	2550—2750	S 68° W	14.2
1350—1550		17.3	2750—2950	S 63° W	15.0
1550—1750	S 65° W	9.8	2950—3150	S 67° W	13.0

19. Mai. Kein Aufstieg wegen tiefliegender st-Schicht.

20. Mai. Kein Aufstieg wegen tiefliegender st-Schicht und ▨.

Nr. 112. 21. Mai. 8^{06} a, Bew. o ⊙, Dunstkranz.

550	C		2750—2950	N 35° E	8.3
550— 950	S 48° E	1.1	2950—3750	N 24° E	10.6
950—1350	C		3750—4150	N 21° E	15.1
1350—1550	N 15° E	1.0	4150—4350		19.4
1550—1750	N 11° E	2.5	4350—4550	N 25° E	19.4
1750—1950	N 30° E	3.6	4550—5150	N 21° E	18.7
1950—2350	N 44° E	4.4	5150—5350	N 14° E	20.2
2350—2550		4.9			
2550—2750		6.0			

Nr. 113. 22. Mai. 8^{00} a; Bew. 3° ⊙, ci-st NW langsam.

550	SW	1.7	950—1350	S 85° W	9.6
550— 750	S 66° W	4.5	1350—1750	W	12.8
750— 950		6.1			

23. Mai. Kein Aufstieg wegen tiefziehender st-cu.

Nr. 114. 24. Mai. 11^{06} a; Bew. 5^{1} ⊙, ci-st, cu.

Stufenwerte m	Wind Richtung	Wind Geschwindigkeit m p. s.	Stufenwerte m	Wind Richtung	Wind Geschwindigkeit m p. s.
550	SW	1.7	1350—1550	N 15° W	0.8
550— 750	S 67° W	1.0	1550—1750	N 57° W	1.4
750— 950	S 26° W	1.4	1750—1950	N 10° E	2.8
950—1150		0.4	1950—2150	N 29° E	7.6
1150—1350	S 62° W	0.9	2150—2350	N 34° E	8.2

Nr. 115. 25. Mai. 8^{25} a; Bew. 4^{1}, cu N langsam.

550	NE	1.7	1150—1350	N 32° E	1.7
550— 750	N	1.5	1350—1550	N 27° E	2.5
750— 950	N 80° E	0.5	1550—1750	N 24° E	2.5
950—1150	N 72° E	1.0	1750—2150		1.8

Nr. 116. 26. Mai. 8^{00} a; Bew. o ⊙, ∞°.

550	C		2950—3350	N 20° W	5.1
550— 750	S 75° E	2.0	3350—3550	N 15° W	6.5
750— 950		3.0	3550—3750		9.5
950—1150	S 64° E	8.0	3750—4550	N 23° W	9.4
1150—1350		5.4	4550—4950	N 19° W	9.6
1350—1550	S 75° E	4.8	4950—5350	N 26° W	
1550—1750	N 84° E		5350—6150	N 18° W	8.9
1750—1950	N 34° E	5.8	6150—6550		8.1
1950—2150	N 47° E	4.5	6550—6950	N 17° W	6.6
2150—2350		3.3	6950—7350		9.8
2350—2550	N 30° E	3.0	7350—8350	N 22° W	9.8
2550—2750	N 7° W	3.6	8350—8750	N 18° W	9.8
2750—2950	N 27° W	4.3	8750—9750		10.2

Nr. 117. 27. Mai. 8^{02} a; Bew. 7^{1} ⊙, st-cu W mässig.

550	SW	1.7	1150—1350	S 51° W	5.4
550— 750	S 58° W	4.3	1350—1750	S 66° W	5.2
750— 950		6.4	1750—1950	S 73° W	4.9
950—1150	S 40° W	5.4	1950—2350	W	3.8

28. Mai. Kein Aufstieg wegen tiefziehender st-cu.

Nr. 118. 29. Mai. 8^{01} a; Bew. 3^{0} ⊙, ci-st NW mässig, cu, ∞¹.

550	SW	1.7	2950—3350	N 17° E	13.6
550— 750	S 63° W	2.0	3350—3750	N 13° E	13.1
750— 950	S 69° W	3.7	3750—3950		11.0
950—1350	S 85° W	4.5	3950—4350	N 5° E	11.0
1350—1550		3.7	4350—4550	N 4° E	12.2
1550—1750	S 74° W	1.1	4550—4750	N 11° W	
1750—1950	N 62° E	1.5	4750—4950	N 22° W	9.6
1950—2150		2.6	4950—5150	N 36° W	9.6
2150—2350	N 18° E	9.7	5150—5550		12.9
2350—2550	N 3° W	8.3	5550—5950	N 40° W	16.6
2550—2950	N 24° E	13.6	5950—6750	N 30° W	18.3

Nr. 119. 30. Mai. 8^{08} a; Bew. 3^{0} ⊙, ci-st, a-cu, Dunstkranz.

550	SE	1.7	3150—3350		5.2
550— 750	S 57° W	3.5	3350—3550	S 57° W	7.6
750— 950	W	7.7	3550—3950		9.1
950—1150		6.1	3950—4150	S 63° W	9.1
1150—1550	S 83° W	4.7	4150—4350	S 69° W	9.1
1550—1750	S 70° W		4350—5150		6.0
1750—1950	S 59° W	4.9	5150—5550	S 58° W	4.2
1950—2350	S 44° W	4.9	5550—5750	S 70° W	6.0
2350—2550		3.7	5750—5950	S 86° W	6.0
2550—3150	S 78° W	4.8	5950—6950		8.6

Nr. 120. 31. Mai. 8^{03} a; Bew. o ⊙, ∞ i. E., Gebirge schwach sichtbar. Nach Visierung: i. W. Auftreten von a-st.

550	C		4150—4350	N 81° W	
550— 750	S 61° W	0.8	4350—5150	S 82° W	
750— 950	S 79° W	1.8	5150—5550	S 75° W	6.5
950—1150	N 35° W	2.2	5550—5750	S 88° W	
1150—1350	N 64° W	4.8	5750—5950	N 78° W	
1350—1550	N 45° W	1.7	5950—6150	S 88° W	6.5
1550—1750	N 63° W	1.7	6150—6550		8.1
1750—1950		3.8	6550—6750	N 80° W	11.8
1950—2550	N 25° W	3.8	6750—6950	S 80° W	
2550—2750	N 53° W		6950—7550	S 76° W	10.4
2750—3150	N 48° W	4.1	7550—8150	S 87° W	
3150—4150	N 70° W	5.8			

No. 121. 1. Juni. 8^{08} a; Bew. 1^0 ⊙, ci-st i. W.

Stufenwerte m	Wind Richtung	Wind Geschwindigkeit m p. s.	Stufenwerte m	Wind Richtung	Wind Geschwindigkeit m p. s.
550	NE	3.1	2350—2950	S 62° E	5.4
550— 750	N 68° E	2.7	2950—3150	S 55° E	6.0
750 · 1150	S 74° E	7.1	3150—3350	S 37° E	
1150 – 1350	S 58° E	8.5	3350—3550	S 25° E	9.0
1350—1550	S 54° E	10.5	3550—3750	S 35° E	
1550—1750	S 51° E	11.2	3750—3950	S 42° E	7.0
1750—1950	S 47° E	7.3	3950—4150	S 58° E	4.0
1950—2150	S 43° E	5.1	4150—4350	S 49° E	8.5
2150—2350		4.3			

Nr. 122. 2. Juni. 8^{03} a; Bew. 1^0 ⊙, ci i. W.

550	N	1.7	2550—3750	S 34° E	5.6
550— 750	N	1.8	3750—4150	S 41° E	8.0
750— 950	N 39° E	3.4	4150 – 4350	S 29° E	8.8
950—1150	N 77° E		4350—4750	S 7° E	
1150 – 1350	N 46° E	3.1	4750—5150	S 10° W	
1350—1550	N 75° E		5150—6150	S 18° W	8.0
1550—2150	S 38° E	3.2	6150—6550	S 33° W	6.7
2150—2350	S 63° E	3.4	6550—6950	S 45° W	
2350 - 2550	S 42° E	3.4	6950 – 7550	S 33° W	9.0

Nr. 123. 3. Juni. 8^{11} a; Bew. 3^0 ⊙, ci-st, cu, Gebirge schwach sichtbar.

550	SE	4.8	5750— 5950	S 40° E	6.0
550— 750	S 40° E	8.3	5950— 6350	S 29° E	6.0
750— 950		11.4	6350— 6550	S 6° W	
950—1150	S 50° E	7.3	6550— 6750	S 10° E	7.1
1150—1750	S 36° E		6750— 6950	S 22° E	
1750—1950	S 29° E	7.3	6950— 7550	S 26° E	7.1
1950—2150		5.8	7550— 7750		9.3
2150—3150	N 50° E	1.9	7750— 8150	S 18° E	9.3
3150—4350	Variable Richtung ca	1.5	8150— 8350		6.2
4350—4550	S 13° W	1.9	8350— 8550		6.2
4550—4750	S 17° E	3.3	8550— 9150	S 12° E	10.3
4750—4950	S 33° E	5.1	9150— 9350		9.3
4950—5150		3.5	9350— 9550	S 4° E	9.3
5150—5550	S 68° E	2.1	9550— 9950		10.5
5550—5750	S 40° E	4.3	9950—10350	S 13° E	10.5

Nr. 124. 4. Juni. 8^{02} a; Bew. 1^0 ⊙, a-st i SE.

550	NE	1.7	5350— 6550	S 45° W	2.3
550— 750	N 53° E	2.2	6550— 7150	S	3.6
750—1150	S 44° E	3.2	7150— 7550	S 15° W	
1150 – 1550	S 58° E	3.5	7550— 7750	N 84° W	1.2
1550—2550	S 45° E	3.7	7750— 7950	S 33° W	3.5
2550—2750	S 47° E	3.3	7950— 8550	S 6° E	6.2
2750—3350	S 26° E	4.6	8550— 9150	S 28° E	
3350—3550	S 12° E	5.0	9150— 9750	S 40° E	
3550—3750	S 13° W	3.8	9750 – 9950	S 30° E	7.9
3750—3950	S 62° W	3.3	9950—10550	S 34° E	
3950—4150	S 74° W	3.8	10550—11550	S 41° E	
4150—4750	S 48° W	4.6	11550—11750	S 32° E	13.8
4750—4950	S 37° W		11750—12550	S 25° E	13.8
4950—5150	S 26° W	3.5	12550—12950		19.7
5150—5350	S 26° W	2.3			

Nr. 125. 5. Juni. 8^{01} a; Bew. 2^0 ⊙, cu, Gebirge gut sichtbar.

550	SW	4.8	2150 - 2350	S 18° W	9.0
550— 750	S 85° W	6.1	2350—2550	S 32° W	10.5
750— 950		4.4	2550—2950	S 41° W	10.6
950—1150	N 80° W	5.0	2950—3150	S 35° W	
1150—1350		3.7	3150—3750	S 40° W	9.9
1350—1550	S 72° W	4.9	3750—4350	S 45° W	
1550—1750	S 63° W	1.9	4350—5350	S 53° W	14.5
1750—1950	S 22° W	3.6	5350—5950	S 40° W	19.0
1950—2150	S 4° W	5.7			

6. Juni. Kein Aufstieg wegen ◍.

7. Juni. Kein Aufstieg wegen tiefliegender st-Schicht.

Nr. 126. 8. Juni. 8^{04} a; Bew. 0 ⊙, Gebirge gut sichtbar.

550	SE	1.7	1550—1750	S 18° W	3.4
550— 950	S 53° E	1.5	1750—1950		4.2
950—1150		2.8	1950 – 2150	S 30° W	2.8
1150—1350	S 40° E	2.8	2150—2350	S 45° W	3.6
1350—1550	S 12° E		2350—2550		5.0

9. Juni. Kein Aufstieg wegen ◍ und tiefliegender st-Schicht.

Nr. 127. 10. Juni. 8^{02} a; Bew. 8^0 ⊙, a-st.

Stufenwerte m	Wind Richtung	Wind Geschwindigkeit m p. s.	Stufenwerte m	Wind Richtung	Wind Geschwindigkeit m p. s.
550	SW	4.8	1350—1750	S 83° W	12.3
550— 750	S 85° W	4.1	1750—2750		17.0
750— 950		5.3	2750—2950	N 84° W	14.9
950—1350	W	11.1	2950—3550	N 75° W	

11. Juni. Kein Aufstieg wegen tiefziehender st-cu.

12. Juni. Kein Aufstieg wegen ◍ und tiefliegender st-Schicht.

Nr. 128. 13. Juni. 8^{04} a; Bew. 10^1, st-cu W mässig.

550	SW	4.8	970—1110	S 75° W	5.3
550— 690	S 62° W	3.5	1110—1250	S 85° W	
690— 970	S 81° W	5.0	1250—1510	N 83° N	

Nr. 129. 13. Juni. 10^{30} a; Bew. 9^1 ⊙, st-cu W mässig.

540	SW	3.1	1110—1240	N 60° W	2.9
540— 820	S 76° W	1.6	1240—1380		4.3
820 — 960		3.3	1380—1520		7.0
960—1100	N 86° W	2.9			

Nr. 130. 13. Juni. 1^{11} p; Bew. 10^1, st-cu W mässig.

540	NW	1.7	960—1660	S 87° W	4.6
540—680	N 72° W	2.6	1660—1800	N 84° W	8.0
680—820	N 80° W		1800—1940		11.1
820—960	S 74° W		1940—2080		12.6

Nr. 131. 14. Juni. 8^{03} a; Bew. 7^1, st-cu NE langsam.

550	NE	1.7	690—830	N 67° E	1.1
550—690	N 52° E	0.9			

Nr. 132. 14. Juni. 8^{56} a; Bew. 7^1, st-cu NE langsam.

540	NE	1.7	820— 960	N 43° E	2.1
540—680	N 77° E	2.2	960—1240	N 54° E	2.0
680—820	N 66° E		1240—1380	N 26° E	1.5

Nr. 133. 14. Juni. 10^{50} a; Bew. 6^0 ⊙, cu N langsam.

540	NW	1.7	820— 960	N 66° E	1.9
540— 680	N	2.0	960—1100	N 37° E	2.7
680— 820	N 46° E	1.2	1100—1380	N 71° E	1.0

Nr. 134. 14. Juni. 3^{41} p; Bew. 1^1 ⊙, cu am Horizont.

am **Flugfeld Puchheim.**

530	NE	1.7	1930—2330	N 51° W	2.1
530— 930	N 63° E	2.3	2330—2730	N 20° W	3.6
930—1330	N 49° E	4.0	2730—2930		6.7
1330—1530	N 71° W	2.3	2930—3130	N 8° W	8.3
1530—1930		<1.0	3130— 3530		9.5

Nr. 135. 14. Juni. 4^{20} p; Bew. 0 ⊙.

am **Flugfeld Puchheim.**

530	NE	1.7	1090—1510	N 62° E	8.6
530— 670	N 60° E	4.2	1510—1650		4.0
670— 950	N 58° E	5.2	1650—1930		4.5
950—1090	N 64° E		1930—2210	Umkehrpunkt	ca. 1.0

Nr. 136. 15. Juni. 7^{55} a; Bew. 2^0 ⊙, ci-st am Horizont.

550	E	6.7	2550—2750	N 23° E	6.7
550— 750	S 85° E	4.0	2750—2950	N 23° E	5.5
750— 950		8.6	2950—3150	N 39° E	9.0
950—1150		9.1	3150—3950		10.7
1150—1550	N 85° E	6.5	3950—4550	N 25° E	10.9
1550—1750	N 68° E	5.7	4550—5750	N 5° W	8.0
1750—2150	N 52° E	5.7	5750—6950	N 6° E	9.9
2150—2350		6.2	6950—7750	N 3° W	11.9
2350—2550	N 38° E	6.2	7750—8550	N 11° W	

Nr. 137. 15. Juni. 11^{35} a; Bew. 1^0 ⊙, ci-st.

550	NE	5–6 m böig	1950—2090	N 58° E	4.4
550— 690	N 83° E	8.5	2090—2230	N 32° E	2.0
690— 970		16.2	2230—2360		2.0
970—1110		8.0	2370—2510	N 14° E	4.0
1110—1390		5.0	2510—2930		6.7
1390—1530	S 85° E	7.3	2930—3070	N 31° E	6.4
1530—1810		4.8	3070—3210	N 41° E	6.4
1810—1950		5.3	3210—3630		8.7

Nr. 138. 15. Juni. 1^{05} p; Bew. 1^0 ⊙, cu i. S.

Stufenwerte m	Wind Richtung	Wind Geschwindigkeit m p. s.	Stufenwerte m	Wind Richtung	Wind Geschwindigkeit m p. s.
550	NE	5.8 böig	1810—1950	N 83° W	2.0
550— 690	N 64° E	7.2	1950—2370	N 4° W	1.5
690— 830		10.2	2370—3210	N 13° E	7.4
830— 970	N 69° E	13.1	3210—3770	N 30° E	6.6
970—1110	N 74° E		3770—3910	N 24° E	8.3
1110—1250	N 85° E	11.2	3910—4050	N 14° E	
1250—1810	S 85° E	4.7			

Nr. 139. 15 Juni. 3^{30} p; Bew. 2^0 ⊙, ci-st.
am **Flugfeld Puchheim.**

530	E	4.8	1650 1790	N 50° W	1.5
530— 810	N 68° E	6.6	1790—2210	N 20° W	
810— 950		5.5	2210—2350	N 13° E	3.5
950 – 1230	E	4.7	2350—2770	N 3° W	4.6
1230—1650	N 82° E	8.7	2770 3050	N 15° E	

Nr 140. 16. Juni. 8^{03} a; Bew. 1^0 ⊙, ci-st, Gebirge schwach sichtbar.

550	E	4.8	2350—2550		4.6
550 – 750	N 84° E	4.5	2550—2750	N 6° W	5.7
750— 950	S 87° E	6.2	2750—2950		7.0
950—1150		8.3	2950—3750	N 21° W	7.0
1150—1350	S 69° E	6.3	3750 – 4350	N 17° W	9.0
1350—1550	S 78° E	5.1	4350—4750	N 2° W	
1550—1750	N 76° E	4.0	4750—5350	N 6° E	
1750—1950	N 30° W	< 1.0	5350—5550	N 12° E	12.0
1950—2150		2.0	5550—8350	N	
2150—2350	N 13° W	3.2	8350—9950	N 3° W	

Nr. 141. 17. Juni. 8^{02} a; Bew. o ⊙, Dunstkranz.

550	E	3.1	5550— 6750	N 21° E	5.6
550—1350	S 66° E	3.3	6750— 7750	N 7° W	5.4
1350—2550	N 57° W	4.5	7750— 8750	N 12° W	9.0
2550—2950	N 39° W	8.4	8750— 9750	N 24° W	8.0
2950—3950	N 32° W		9750—10150	N 14° W	
3950 – 4350	N 24° W	8.8	10150 – 10550	N 23° W	8.0
4350—5150	N 11° W		10550—12150		10.2
5150—5550	N 7° W		12150—13550	N 13° W	10.2

Nr. 142. 18. Juni. 7^{55} a; Bew. 1^0 ⊙, ci-st, ∞°.

550	C		4350— 4550	N 42° W	7.2
550— 750	S 72° W	1.8	4550 – 4750	N 38° W	
750— 950	S 17° W	2.2	4750— 5550	N 17° W	4.5
950—1150	S		5550— 6150	N 49° W	5.7
1150—1350	S 53° W	2.7	6150— 6550	N 40° W	7.5
1350—1550	S 44° W		6550— 7350	N 35° W	5.8
1550—1750	S 79° W	3.7	7350— 7750	N 5° W	7.0
1750—1950	N 76° W	4.7	7750— 8350		8.5
1950—2350	N 68° W	6.9	8350— 8550	N 12° W	12.2
2350—2750	N 62° W	7.4	8550— 8750		
2750—2950	N 53° W		8750— 9350	N 3° W	12.2
2950—3550	N 43° W	7.2	9350—10150	N 10° W	
3550 – 4150	N 51° W		10150—10550	N 2° W	
4150—4350	N 48° W				

19. mit 23. Juni. Kein Aufstieg wegen ungünstigen Wetters.

Nr. 143. 24. Juni. 8^{05} a; Bew. 9^0 ⊙, a-st.

550	SW	1.7	2350—2550	S 75° W	9.6
550— 750	S 61° W	4.0	2550—2750	S 83° W	
750— 950		4.7	2750—2950	S 89° W	8.4
950—1150	S 16° W	3.0	2950—3550	N 81° W	5.8
1150—1350	S 42° W	3.7	3550 – 3750		9.2
1350—1550	S 68° W	5.1	3750 – 3950		7.2
1550—1750	S 75° W	6.2	3950—4150	S 83° W	10.6
1750—1950	S 77° W	8.0	4150—4550	S 71° W	
1950—2350	S 83° W	8.6			

25.—29. Juni. Kein Aufstieg wegen ⊜.

30. Juni. Kein Aufstieg wegen tief- und raschziehender st-cu.

Nr. 144 1. Juli. 8^{07} a; Bew. 8^0 ⊙, a-cu NW langsam.

540	W	3.1	1660—1800	N 73° W	5.8
540— 680	S 82° W	3.8	1800—1940	N 63° W	
680— 820	N 80° W	7.2	1940—2500	N 40° W	6.7
820—1240	N 73° W	9.7	2500—2640	N 22° W	
1240—1660	N 55° W	8.5			

Nr. 145. 2. Juli. 8^{10} a; Bew. 3^1 ⊙, st-cu W mässig.

Stufenwerte m	Wind Richtung	Wind Geschwindigkeit m p. s.	Stufenwerte m	Wind Richtung	Wind Geschwindigkeit m p. s.
540	W	3.1	740— 940	N 87° W	4.1
540— 740	N 87° W	3.3	940—1140		5.9

3. mit 7. Juli. Kein Aufstieg wegen ungünstiger Witterung.

Nr. 146. 8. Juli. 8^{30} a; Bew. 10^0, a-st, st-cu.

540	NW	1.7	1140—1340	S 50° W	0.6
540— 740	N 15° E	1.5	1340—1940		2.6
740— 940	N 31° E	1.2	1940—2140	S 29° W	1.8
940—1140	Umkehr	< 0.5			

9. Juli. Kein Aufstieg wegen tiefziehender st-cu.

Nr. 147. 10. Juli. 8^{08} a; Bew. 3^0 ⊙, a-cu, a-st, ∞^{0}.

540	SE	1.7	2340—2740	S 65° W	6.4
540— 940	S 67° E	3.8	2740—2940		6.4
940—1140	S 51° E		2940—3540	S 84° W	5.9
1140—1340	S 22° E	2.6	3540—3740		10.5
1340—1540	S 16° W	2.9	3740—3940	S 72° W	10.5
1540—1740	S 48° W	3.4	3940—4140		12.0
1740—2340	S 65° W	4.7			

11. und 12. Juli. Kein Aufstieg wegen tiefliegender st-Schicht.

Nr. 148. 13. Juli. 9^{37} a; Bew. 2^0 ⊙, cu W langsam.

540	C		2740—2940	N 48° W	5.1
540— 740	S 48° W	2.0	2940—3140	N 55° W	5.9
740— 940	S 13° W	0.9	3140—3340	N 41° W	5.3
940—1140	S 3° E	0.5	3340—3540	N 30° W	5.5
1140—1340	S 88° W		3540—3740	N 28° W	7.0
1340—1540	N 43° W	1.8	3740—4140	N 34° W	6.5
1540—1740	N 37° W	2.2	4140—4540	N 37° W	7.5
1740—2140	N 50° W	2.4	4540—4740	N 48° W	8.3
2140—2340	N 16° W	1.9	4740—5140	N 53° W	7.1
2340—2540		3.0	5140—5340	N 52° W	9.1
2540—2740	N 11° W	4.3	5340—5540	N 40° W	10.0

Nr. 149. 14. Juli. 8^{02} a; Bew. 0 ⊙.

540	S	1.7	2140—2340	W	6.1
540—1140	S 37° W	3.0	2340—2540		8.2
1140—1540		1.9	2540—2740	N 85° W	9.2
1540—1740	S 62° W	3.2	2740—2940	N 75° W	
1740—2140	S 80° W	6.1	2940—3940	N 71° W	10.2

15. mit 17. Juli. Kein Aufstieg wegen ▨.

Nr. 150. 18. Juli. 11^{33} a; Bew. 8^0 ⊙, cu WNW langsam.

540	W	3.1	820— 960	N 84° W	5.6
540—680	N 87° W	4.4	960—1240	N 78° W	6.2
680—820		6.9	1240—2360		4.2

19. und 20. Juli. Kein Aufstieg wegen tiefziehender st-cu.

Nr. 151. 21. Juli. 8^{06} a; Bew. 7^0 ⊙, cu WSW rasch.

540	W	4.8	740—1140	S 84° W	5.3
540—740	N 82° N	4.2			

22. mit 25 Juli. Kein Aufstieg wegen ungünstigen Wetters.

No. 152. 26. Juli. 8^{03} a; Bew. 0 ⊙ ≡^{0}.

550	C		3150—3350	S 37° E	4.8
550—1150	N 53° E	1.7	3350—3750	S 5° E	1.5
1150—1550	N 77° E	1.9	3750—3950	S 42° E	
1550—1750	S 60° E	2.3	3950—4150	S 18° W	2.0
1750—1950	S 45° E	2.5	4150—4350	S 5° W	
1950—2150	N 78° E	2.3	4350—4550	S 75° W	3.0
2150—2350	N 65° E	2.1	4550—4750	S 84° W	
2350—2550	N 85° E	2.3	4550—5350	N 55° W	4.0
2550—2750	S 70° E	2.6	5350—5550	N 69° W	5.8
2750—2950	S 57° E	3.0	5550—5750	N 46° W	7.0
2950—3150	S 48° E	3.8			

Nr. 153. 27. Juli. 8^{10} a; Bew. 3^0 ⊙, ci-st NW mässig, ∞^1.

Stufenwerte m	Wind Richtung	Wind Geschwindigkeit m p. s.	Stufenwerte m	Wind Richtung	Wind Geschwindigkeit m p. s.
550	C		3750—3950	N 53° W	4.3
550— 950	S 52° E	1.3	3950—4150	N 69° W	5.1
950—1150		2.6	4150—5550	N 74° W	6.1
1150—1350	S 70° E	1.6	5550—6150	N 73° W	7.1
1350—1750	N 80° E	1.3	6150—6750		7.1
1750—2150	S 60° E	1.1	6750—6950	N 64° W	8.5
2150—2350	N 60° W		6950—7350		9.6
2350—2550	N 67° W	3.7	7350—7550		13.0
2550—2750	N 73° W	4.3	7550—7750	N 73° W	13.0
2750—3550	N 80° W	4.5	7750—8950		15.2
3550—3750	N 60° W	4.3			

Nr. 154. 28. Juli. 8^{27} a; Bew. 1^0 ⊙, a-cu.

550	C		5150— 5550		3.0
550— 750	N 47° E	1.0	5550— 5950		4.6
750 - 950	N 63° W	1.4	5950— 7150	N 48° W	1.7
950—1350	S 66° W	1.6	7150— 7750		4.5
1350—1550	S 5° E	2.2	7750— 7950		2.5
1550—1750	S 45° E	3.5	7950— 8550	N 77° W	2.5
1750—1950	S	1.2	8550— 8750		1.5
1950—2150	N 87° W	2.8	8750— 9150	N 31° W	1.5
2150—2750		2.9	9150— 9350		3.3
2750—2950	N 68° W	4.6	9350— 9750	N 13° W	3.3
2950—3150		6.5	9750—11150		3.7
3150—3350		7.8	11150—11550		6.0
3350—3950	N 65° W	6.5	11550—12550	N 54° W	11.4
3950—4350		5.1	12550—13550		13.3
4350—5150	N 83° W	3.9			

Nr. 155. 29. Juli. 8^{03} a; Bew. 1^0 ⊙, a-st i. SE, ∞^1.

550	W	3.1	750—950	N 77° W	6.0
550—750	S 82° W	4.9			

Nr. 156. 30. Juli. 7^{48} a; Bew. 7^1 ⊙, st-cu.

550	E	3.1	750—950	N 58° E	2.7
550—750	N 68° E	2.7			

Nr. 157. 31. Juli. 8^{00} a; Bew. 0 ⊙.

550	E	1.7	3150—3350	N	6.0
550— 750	N 71° E	4.0	3350—3550		7.2
750—1150	S 83° E	10.0	3550—3950	N 7° W	8.7
1150—1350	S 88° E		3950—4350	N 20° W	8 9
1350—1550	N 74° E	9.2	4350—5350	N 5° E	9.0
1550—1750	N 62° E	10.6	5350—6550	N 7° E	12.8
1750—1950	N 51° E	10.6	6550—7150	N 14° E	12 8
1950—2350	N 37° E	5.5	7150—7350	N 20° E	18.0
2350—2750		4.4	7350—7550		18.0
2750—2950	N 25° W	3.0	7550—7750	N 30° E	14.0
2950—3150		4.8	7750—8950	N 34° E	

Nr. 158. 1. August. 8^{00} a; Bew. 0 ⊙, ∞^0.

550	C	1.6	1750—2150	N 54° E	9.6
550— 950	N 63° E	3.6	2150—2350	N 45° E	9.0
950—1150		4.5	2350—2550	N 40° E	10.0
1150—1350		5.3	2550—2950	N 32° E	7.3
1350—1550	N 57° E	7.4	2950—3150		9.5
1550—1750					

Nr. 159. 2. August. 8^{30} a; Bew. 3^0 ⊙, ci-st, ∞^0.

550	W	1.7	2750—2950	N 20° E	5.6
550— 750	S 70° W	1.2	2950 - 3350		9.8
750—1350	im Zenith	—	3350—3950	N 12° E	9.8
1350—1950	N 3° E	3.2	3950—4150		9.8
1950—2150	N 19° W	4.5	4150—4950	N 8° E	11.8
2150—2350	N 41° W	3.9	4950—5350		8.5
2350—2550	N 10° W		5350—5550		12.0
2550—2750	N 27° E	5.6			

Nr. 160. 3. August. 7^{53} a; Bew. 1^0 ⊙, ci-st i. E, ∞^0. Nach Visierung: 2^0 ⊙, a-cu.

550	C	3.8	5750—6350	N 42° E	9.0
550— 750	N 78° E	6.4	6350—6750	N 24° E	7.5
750— 950	N 83° E	5.5	6750—6950	N 35° E	10.1
950—1150		5.4	6950—7550		8 7
1150—1350	S 80° E	6.6	7550—7750	N 51° E	9.1
1350—1550	E	5.7	7750—7950	N 75° E	6 8
1550—1750	N 83° E	4.8	7950—8150	S 84° E	3.0
1750—1950		4.3	8150—8550		6.0
1950—2150	N 68° E	7.7	8550—8750	N 71° E	6.7
2150—2350		7.7	8750—8950		9.0
2350—2550	N 73° E	8.3	8950—9150	N 71° E	7.1
2550—3350	N 57° E	7.3	9150—9550		12.1
3350—5750					

Nr. 161. 4. August. 7^{55} a; Bew. 0 ⊙ ≡°.

Stufenwerte m	Wind Richtung	Wind Geschwindigkeit m p. s.	Stufenwerte m	Wind Richtung	Wind Geschwindigkeit m p. s.
550	C		3150 – 3350	N 32° E	1.5
550— 950	N 23° E	1.3	3350—3950	N 2° E	1.9
950—1350		1.9	3950—4550	N 32° E	2.6
1350 – 1550	N 3° E	1.7	4550—4750	N 46° E	3.3
1550—1750		0.3	4750—5750	N 14° E	3.5
1750—1950	N 70° E	0.5	5750—6750	N 2° E	2.2
1950—2550	N 53° E	2.1	6750—7550		4.1
2550—3150	N 64° E	2.3	7550—8150	N 2° E	3.3

Nr. 162. 5. August. 8^{00} a; Bew. 4° ⊙, a-cu, W mässig, st-cu.

550	NW	3.1	2350 – 2550	S 83° W	12.9
550— 750	N 74° W	5.5	2550 – 2750		9 2
750— 950		8.8	2750—3150	S 66° W	10.1
950—1150	N 86° W	16.3	3150—3350	S 75° W	14.8
1150—1350	S 88° W	18.6	3350—3550	S 85° W	8.9
1350—1950	S 82° W	12 9	3550—3750		12.0
1950—2150	N 88° W	10.9	3750—3950	S 83° W	17.5
2150—2350	S 72° W	10.0	3950—4150		12.3

6. August. Kein Aufstieg wegen ▨.

Nr. 163. 7. August. 8^{14} a; Bew. 7^{1} ⊙, st-cu SW langsam.

550	NW	3.1	2750—3150	N 77° W	13 0
550— 750	N 38° W	2.3	3150—3350	N 85° W	18.2
750— 950	N 64° W	1.1	3350—3550		11.0
950—1350	N 35° W	0.6	3550—3750	S 58° W	17.8
1350—1750	N 46° W	2.2	3750—3950	S 78° W	13 9
1750—2350	N 41° W	3.2	3950—4150	S 50° W	24 c
2350—2550	N 65° W	6.8	4150—4550	S 68° W	16.5
2550—2750	N 71° W	8.7			

Nr. 164. 8. August. 8^{20} a; Bew. 8° ⊙, a-st, st-cu.

550	NW	1.7	2150—2350		3.2
550— 750	N 88° W	1.3	2350—2550	N 71° W	5.2
750—1150	S 32° W		2550—2750		7.4
1150—1350	S 52° W	1.1	2750—2950	W	9.1
1350 – 1550	N 67° W	2.0	2950—3150	S 75° W	7.1
1550—2150		2.9			

9. August. Aufstieg wegen tiefliegender st-Schicht.

Nr. 165. 10. August. 8^{32} a; Bew. 8° ⊙, a-cu / cu SW mässig.

550	SW	6.7	1950—2350	S 82° W	14.3
550— 750	S 84° W	9.5	2350—2550	S 77° W	17.2
750— 950		10.3	2550—2950	S 82° W	14.8
950 – 1950	N 89° W	11 6	2950—3350	S 74° W	11.8

Nr. 166. 11. August. 8^{33} a; Bew. 7°, cu Sw mässig, ⊙ ztw. durchscheinend.

540	S	1.7	1540—2140	S 83° W	8.5
540— 740	S 50° W	2.7	2140—2540	S 76° W	9.1
740— 940	S 84° W	6.0	2540 – 2940	S 66° W	12.1
940—1140	S 78° W	6.0	2940—3140	S 70° W	14.2
1140 – 1540		7.8	3140—3540		15.6

12. August. Kein Aufstieg wegen ▨.

13. August. Kein Aufstieg wegen tiefziehender st-cu.

14. und 15. August. Kein Aufstieg wegen ▨.

16. August. Kein Aufstieg wegen ▨ und tiefziehender st-cu.

Nr. 167. 17. August. 9^{38} a; Bew. 9^{1}, ci, a-st W rasch.

550	SW	8.8	1350—1550	S 87° W	14.0
550— 950	S 75° W		1550—1750	N 84° W	15.0
950—1150	S 81° W	18.0	1750—1950	S 89° W	
1150—1350	S 87° W	17.0			

Nr. 168. 18. August. 8^{20} a; Bew. 10^{1}, st.

540	NW	1.7	680— 820	S 80° W	2.2
540— 680	N 58° W	1 8			

Nr. 169. 19. August. 0^{30} p; Bew. 5^0 ⊙, ci, st.

Stufenwerte m	Wind Richtung	Wind Geschwindigkeit m p. s.	Stufenwerte m	Wind Richtung	Wind Geschwindigkeit m p. s.
550	N	1.7	1250—1390	N 84° W	4.5
550— 690	N 6° E	2.8	1390—1530	N 88° W	5.0
690— 830	N 41° E	2.1	1530—1670	S 87° W	6.6
830— 970	N 18° E	2.0	1670—1810	S 85° W	8.5
970—1110	N 71° E	2.2	1810—1950	S 83° W	9.6
1110—1250	S 84° W	3.1			

20. und 21. August. Kein Aufstieg wegen ⊜.

Nr. 170. 22. August. 9^{07} a: Bew. 7^0 ⊙, a-cu / cu } WNW mässig.

540	SW	3.1 (böig)	940—1140	} N 68° W	5.2
540— 740	N 86° W	5.8	1140—1340		7.1
740— 940	N 80° W	5.2	1340—1540		8.3

Nr. 171. 23. August. 8^{05}; Bew. o ⊙, ∞°.

540	SE	3.1	6940— 8740	Schleife nach rechts.	
540— 740	S 56° E	6.3	8740— 9340	} N 54° W	4.0
740—1140	S 63° E	9.1	9340— 9740		6.0
1140—1540	} S 54° E	6.8	9740—10140	N 30° W	} 8.1
1540—1940	}	5.0	10140—10340	N 50° W	
1940—2540	S 23° E	4.0	10340—10540	}	9.3
2540—5140	Schleife nach rechts.		10540—10740	N 32° W	11.9
5140—5340	N 77° E	4.6	10740—10940		15.8
5340—5540	N 50° E	} 7.8	10940—11340		15.8
5540—5740	N 28° E		11340—11540		11.1
5740—5940	N 35° E	} 8.6	11540—11740	N 27° W	8.5
5940—6340	N 27° E		11740—12140		7.4
6340—6740	} N 7° E	8.9	12140—12740		4.5
6740—6940	}	6.5			

Nr. 172. 24. August. 8^{15} a; Bew. o ⊙, ∞°.

550	SE	1.7	1750—2150	N 84° W	7.1
550— 750	S 50° W	4.0	2150—2750	N 71° W	7.1
750—1350	N 83° W	2.5	2750—3150	N 83° W	8.3
1350—1550	S 89° W	5.3	3150—3350	} S 89° W	11.1
1550—1750	N 64° W	4.4	3350—3550		7.1

25. August. Kein Aufstieg wegen tiefziehender st-cu.

Nr. 173. 26. August. 9^{00} a; Bew. 2^0 ⊙, a-cu.

550	NE	} 1.8	1550—1950	N 13° W	2.7
550— 750	N 75° E		1950—2150	N 68° W	1.8
750— 950	S 89° E	} 2.9	2150—2350	N 10° W	3.3
950—1150	N 75° E		2350—2750	N 36° W	7.8
1150—1350	N 40° E	2.7	2750—3350	N 42° W	11.2
1350—1550	N 23° E	2.5			

Nr. 174. 27. August. 8^{00} a; Bew. 0 ⊙, ∞°.

550	E	1.7	4350—4750	N 8° W	7.0
550— 750	N 84° E	2.5	4750—5350	N 24° W	8.3
750— 950	N 71° E	6.0	5350—5550	N 18° W	10.0
950—1350	N 85° E	5.2	5550—5750	N	10.0
1350—1550	N 72° E	4.2	5750—6350	N 6° W	10.7
1550—1750	N 80° E	2.2	6350—6550	} N 23° W	13.0
1750—1950	N 54° E	2.5	6550—7150		9.0
1950—2350	N 30° E	2.5	7150—7350	N 3° W	9.8
2350—2550	N 12° E	2.0	7350—8350	N 23° W	9.8
2550—2950	N 38° W	3.8	8350—8550	N 10° W	14.0
2950—3550	N 22° W	5.4	8550—8750	N 25° W	11.5
3550—3950	N 10° W	4.3	8750—9150	N 21° W	16.4
3950—4150	N 19° W	6.0	9150—9350	} N 27° W	18.0
4150—4350	N 23° W	8.7	9350—9550		14.2

Nr. 175 28. August. 8^{05} a; Bew. 1^0 ⊙, ci-st, fr-st SE rasch.

550	SE	3.1	4150— 4350	N 10° W	4.3
550— 750	}	4.7	4350— 5750	N 18° E	3.5
750— 950	} S 75° E	11.0	5750— 5950	N 31° E	2.5
950—1150	}	9.3	5950— 6350	N 5° W	2.6
1150—1350	} S 69° E	7.9	6350— 7150	} N 45° W	2.7
1350—1550	}	4.7	7150— 7350		5.0
1550—1750	S 80° E	3.0	7350— 7550	} N 26° W	4.8
1750—1950	N 77° E	2.5	7550— 8150		2.4
1950—2150	Umkehr		8150— 8950	N 31° W	6.6
2150—2350	N 50° W	} 2.3	8950— 9550	N 50° W	5.7
2350—2550	N 37° W		9550— 9950	N 61° W	} 5.0
2550—2750	N 4° W	3.7	9950—10150	N 16° W	
2750—2950	N 20° W	5.0	10150—10750	N 37° W	4.0
2950—3150	N 31° W	6.1	10750—10950	N 49° W	4.0
3150—3350	N 31° W	7.8	10950—11150	N 37° W	8.0
3350—3550	N 27° W	} 7.8	11150—11350	} N 57° W	5.0
3550—3750	N 45° W		11350—11550		10.0
3750—4150	N 27° W	6.8			

Nr. 176. 29. August. 11^{55} a; Bew. 4° ⊙, ci-st, cu.

Stufenwerte m	Wind Richtuug	Wind Geschwindigkeit m p. s	Stufenwerte m	Wind Richtung	Wind Geschwindigkeit m p. s
550	NE	3.1	2950—3150	N 73° W	9.0
550— 750	N 5.° E	3.0	3150—3950	N 75° W	7.4
750— 950	S 88° E	2.8	3950—4150	N 70° W	5.0
950—1150	S 65° E	2.4	4150—4550		9.0
1150—1350	S 35° W	1.0	4550—4950	N 73° W	10.0
1350—1550	W	2.0	4950 - 5750	N 69° W	10 8
1550—1950		7 0	5750—6150		7.0
1950—2350	N 83° W	7.5	6150—7350	N 80° W	8.2
2350 - 2950	N 81° W	9.0	7350 -- 8550		11 0

Nr. 177. 30. August. 8^{00} a; Bew. 9^{1} ≡°, st-cu.

550	5E	1.7	2150—3350	S 18° E	4.5
550— 750	S 7° E	2.0	3350—3750	S 9° E	6.0
750—1150	S 43° E	4.7	3750—3950	S 4° E	6.5
1150—1350	S 41° E	3.7	3950—4150	S 18° W	
1350—2150	S 27° E	3.5	4150—4350	S 25° W	5.5

Nr. 178. 31. August. 8^{45} a; Bew. 9^{1}, a-st, a-cu.

550	C		1550—1750	N 57° W	3.7
550— 750			1750—1950	N 73° W	4.5
750— 950	N 85° W	3.0	1950—2550	S 78° W	6.1
950—1350	N 83° W	3.7	2550—3950	N 80° W	8.7
1350--1550	N 65° W	3.4	3950—4150	W	5.7

Nr. 179. 1. September. 9^{15} a; Bew. 5° ⊙, ci, ci-st, a-cu.

550	C		2750 —3350	S 85° W	8.5
550—2150	Richt rasch wechs.	2.7	3350—3550	S 68° W	7 7
2150—2350	S 50° W	2.9	3550—4150	S 49° W	7.9
2350—2550	S 63° W	5.4	4150—4750	S 66° W	10.7
2550 – 2750	S 80° W	6.5	4750—5350	S 72° W	8.7

Nr. 180. 2. September. 8^{10} a; Bew. 1^{1} ⊙, a-cu, cu.

550	SW	1.7	2350—2750	S 76° W	9.7
550— 750	S 75° W	4.0	2750—2950	S 65° W	10 0
750— 950	W	7.4	2950—3150	S 74° W	13.6
950—1150	N 77° W	8.0	3150—3350	S 78° W	9.5
1150—1350	N 85° W	7.2	3350—4150	S 83° W	10.6
1350—1750	W	8.7	4150—4750		10.0
1750—1950	N 86° W	10.1	4750—5350	W	12.3
1950—2350	S 88° W	8.9	5350—7350		10 0

Nr. 181. 3. September. 8^{05} a; Bew. 0 ⊙, Dunstkranz.

550	C		2150—2950	W	6.4
550— 950	S 8° W	0.8	2950—3350	N 77° W	8.0
950—1150	S 43° W	2.0	3350—3550	N 88° W	
1150—1350	N 87° W	3.5	3550—3950	N 83° W	13.5
1350 –1750	N 66° W	5.1	3950—4350	N 76° W	12.9
1750 –2150	N 82° W	7.5	4350—5350	N 67° W	11.1

Nr. 182. 4. September. 8^{16} a; Bew. 3° ⊙, ci-st NE langsam, ∞°.

550	E	1.7	2350—2950	S 83° W	7.4
550— 750	S 54° E	2.3	2950—3150	N 84° W	9 5
750— 950	S 64° E	9.2	3150—3550	N 70° W	11 0
950—1150	S 80° E	6.8	3550—4350	N 81° W	12.6
1150—1350		4 5	4350—4550	N 88° W	13.0
1350—1550	S 73° E	3.2	4550—4950	N 68° W	11.0
1550—1750	S 20° E	2.0	4950—5150	N 79° W	13.0
1750—1950	S 51° W	2.3	5150 - 5550	W	12.3
1950—2350	S 78° W	3.9	5550—5750	S 85° W	20.0

5. mit 7. September. Kein Aufstieg wegen tiefliegender st-Schicht und ▨.

Nr. 183. 8. September. 9^{54} a; Bew. 7° ⊙, ci-st, a-st.

550	E	4.8	5750— 6350	S 27° E	2.7
550 1150	N 83° E	6.1	6350— 7550	W	2.6
1150—1550	S 66° E	7.3	7550— 8550	N 54° W	5.1
1550—2550	S 45° E	2.4	8550— 9350	N 84° W	8.3
2550—3350	S	1.7	9350—10150	S 85° W	10.5
3350—3550	S 61° E	4.5	10150—10550	N 79° W	8.3
3550—4950	S 45° E	1.2	10550—10950	S 77° W	14.3
4950—5750	S 27° E	2.0			

Nr. 184. 9. September. 8^{23} a; Bew. 0 ⊙, ∞².

550	C		5950— 7150	S 31° E	5.7
550—1350	S 82° W	4.6	7150— 8350	S 54° E	2.3
1350—1950	W	7.2	8350— 9350	S 84° E	1.9
1950—2750	S 42° W	5.0	9350— 9750	S 47° W	2.8
2750—3950	S 3° W	2.8	9750—10350	S 81° W	5.6
3950—5950	S 48° E	4.8	10350 – 12950	W	13 6

10. und 11. September. Kein Aufstieg wegen ▨ und tiefziehender Wolken.

Nr. 185. 12. September. 8^{19}a; Bew. 3⁰ ⊙, ci-cu, ci-st NW mässig, fr-cu am Horizont.

Stufenwerte m	Wind Richtung	Wind Geschwindigkeit m p. s.	Stufenwerte m	Wind Richtung	Wind Geschwindigkeit m p. s.
550	E	4.8	4550— 6150	N 10⁰ W	8.3
550— 750	S 95⁰ E	5.8	6150— 7150	N 8⁰ W	9.6
750—1350	S 91⁰ E	7.4	7150— 8150	N 8⁰ W	11.6
1350—1550	N 68⁰ E	3.2	8150—10550	N 7⁰ E	13.4
1550—3550	N 11⁰ E	2.3	10550—11350	N 14⁰ E	21.8
3550—4550	N 22⁰ W	6.3	11350—12350	N 24⁰ E	17.3

Nr. 186. 12. September. 5^{00}p; Bew. o ⊙, a-st am Horizont, Gebirge schwach sichtbar.

550	E	3.1	3750— 4950	N 67⁰ W	7.7
550— 750	N 69⁰ E	6.0	4950— 5550	N 31⁰ W	5.0
750—1150	E		5550— 6550	N 6⁰ E	7.0
1150—1350	S 67⁰ E	5.5	6550— 7750	N 27⁰ E	8.7
1350—1550	S 32⁰ E	1.9	7750— 9150	N 15⁰ E	13.2
1550—1950	N 32⁰ W	0.9	9150—11750	N 54⁰ E	21.5
1950—2950	S 85⁰ W	3.0	11750—13150	N 31⁰ E	14.8
2950—3150	N 25⁰ W	4.0	13150—14150	N 67⁰ W	6.0
3150—3750	N 73⁰ W	6.3			

Nr. 187. 13. September. 8^{03}a; Bew. o ⊙ ≡⁰.

550	C		5150— 6750	S 18⁰ W	4.0
550—1150	S 88⁰ W	4.4	6750— 8550	S	4.7
1150—1350	W	6.1	8550— 9550	S 50⁰ W	6.8
1350—1950	S 86⁰ W	9.0	9550—10750	S 32⁰ W	5.3
1950—3550	S 75⁰ W	7.4	10750—12550	S 64⁰ E	5.2
3550—5150	S 49⁰ W	4.0	12550—13150	S 37⁰ W	7.8

Nr. 188. 14. September. 8^{01}a; Bew. 8^{1}, a-cu / st-cu SW langsam, ∞².

550	C		1550—1750	S 65⁰ E	3.0
550— 750	S 43⁰ E	2.4	1750—1950	S 35⁰ E	2.7
750— 950	S 13⁰ E		1950—2550	S 4⁰ E	3.5
950—1150	S 70⁰ E	3.7	2550—2750	S 31⁰ W	4.5
1150—1550	S 85⁰ E	2.7			

Nr. 189. 15. September. 8^{18}a; Bew. 7⁰ ⊙, ci-st SW mässig, cu / st-cu NE rasch, Gebirge schwach sichtbar.

550	NE	1.7	2150—2950	S 8⁰ E	9.0
550— 950	N 63⁰ E	4.5	2950—5350	S 38⁰ W	16.3
950—1350	S 83⁰ E	8.8	5350—6550	S 24⁰ W	24.4
1350—1550	S 63⁰ E	10.0	6550—7550	S 37⁰ W	30.0
1550—2150	S 24⁰ E	11.8			

Nr. 190. 16. September. 8^{03}a; Bew. 1⁰ ⊙, a-cu SE mässig, Gebirge gut sichtbar.

550	E	1.7	2550—3350	S 54⁰ W	8.0
550— 950	S 86⁰ E	7.3	3350—3750	S 83⁰ W	7.5
950—1350	S 68⁰ E	9.0	3750—6550	S 44⁰ W	17.2
1350—2150	S 35⁰ E	7.0	6550—7550		24.5
2150—2550	S 8⁰ E	6.5			

Nr. 191. 17. September. 8^{09}a; Bew. 2⁰ ⊙, a-cu SSE mässig, st-cu, ∞¹.

550	E	1.7	2550—3350	S 14⁰ W	7.6
550— 750	S 54⁰ E	2.0	3350—4150	S 33⁰ W	12.1
750—1550	S 8⁰ E	7.5	4150—4750		23.5
1550—2150	S	9.0	4750—5950	S 32⁰ W	30.0
2150—2550	S 19⁰ E	8.8			

18. mit 23. September. Kein Aufstieg wegen tiefziehender Wolken und ▨.

Nr. 192. 24. September. 8^{06}a; Bew. 3⁰ ⊙, ci-str NW mässig.

550	E	1.7	2750—3350	N 43⁰ E	2.5
550— 750	S 56⁰ E	3.6	3350—3550	N 18⁰ E	5.8
750—1150	S 84⁰ E	6.7	3550—4550	N 3⁰ W	8.2
1150—1750	N 78⁰ E	2.7	4550—5550	N	10.8
1750—2750	C	—	5550—7550	N 16⁰ W	23.7

25. September. Kein Aufstieg, Hochnebeldecke.

Nr. 193. 26. September. 9^{17}a; Bew. 1⁰ ⊙, fr-cu ESE mässig.

550	E	3.1	950—2350	S 76⁰ E	6.4
550—750		2.8	2350—3750	N 57⁰ E	10.9
750—950	S 75⁰ E	5.8			

Nr. 194. 26. September. 11^{15}a; Bew. 1⁰ ⊙, fr-cu ESE mässig.

550	E	4.8	2150—2550	N 73⁰ E	8.8
550— 750	S 80⁰ E	6.5	2550—3550	N 56⁰ E	10.7
750—1150	E	7.0	3550—5350		13.9
1150—1750	S 52⁰ E	6.8	5350—6350	N 46⁰ E	17.2
1750—2150	S 75⁰ E	7.8			

Nr. 195. 27. September. 0^{15} p; Bew. 4^1 ⊙, fr-cu E mässig.

Stufenwerte m	Wind Richtung	Wind Geschwindigkeit m p. s.	Stufenwerte m	Wind Richtung	Wind Geschwindigkeit m p. s.
550	E	3.1	1150—1550	S 81° E	11.8
550— 750	S 74° E	5.5	1550—3750	S 61° E	16.2
750—1150	N 83° E	6.6			

28. September. Kein Aufstieg wegen tiefliegender st-Schicht.

Nr. 196. 29. September. 11^{16} a; Bew. 0 ⊙, ∞².

550	NE	1.7	5750— 6750	S 32° E	5.8
550— 750	N 74° E	2.0	6750— 8750	S 29° E	6.0
750— 950	S 16° E	2.2	8750—10550	S 24° W	2.4
950—1350	S	2.9	10550—11550	S 69° W	3.2
1350—1950	N 74° E	1.2	11550—12950	S 36° W	3.3
1950—2150	S 40° E	1.0	12950—13350	W	2 1
2150—2950	S 29° W	1.9	13350—13750	S 72° E	6.6
2950—3350	S 4° E	4.0	13750—14750	S 4° W	3.0
3350—4150	S 31° E	5.4	14750—15550	S 18° E	8,3
4150—5750	S 61° E	5.1	15550—15950	S	7.8

Nr. 197. 30. September. 8^{08} a; Bew. 0 ⊙, Dunst- und Rauchkranz. Nach Visierung: 1° ⊙, a-cu WNW m.

550	C	—	2950—3550	S 84° E	3.0
550— 950	S 65° E	2.6	3550—3950	N 27° W	2.0
950—1550	S 56° E	3.3	3950—4550	N 86° W	2.8
1550—2150	S 60° E	5.9	4550—5350	S 83° W	5.0
2150—2950	S 78° E	7.0	5350—5950	S 88° W	12.0

Nr. 198. 1. Oktober. 9^{18} a; Bew. 3° ⊙, a-cu NW langsam.

550	E	3.1	4350— 4750	N 85° E	2.0
550— 950	S 75° E	2.9	4750— 5150	S 41° E	2.8
950—1350	S 47° E	2.7	5150— 5350	S 18° W	3.0
1350—1550	S 5° E	4.5	5350— 6350	S 43° W	5.4
1550—1750	S 59° E	3.0	6350— 6750	S 80° W	5.9
1750—2150	N 80° E	1.4	6750— 7750	N 81° W	8.5
2150—2350	S 9° E	1.5	7750— 8750	S 87° W	9.0
2350—2750	S 70° W	1.0	8750—10350	S 79° W	10.6
2750—3150	S 15° W	2.0	10350—11550	S 70° W	13.9
3150—3550	S 41° W	4.6	11550—12950	S 52° W	10.5
3550—4350	S 15° W	3.8	12950—13350	S 60° W	26.6

Nr. 199. 2. Oktober. 3^{39} p; Bew. 0 ⊙, ∞ i. S.

550	NW	1.8	1550—2550	S 82° W	6.8
550— 750	N 34° W	2.0	2550—4150	S 65° W	9.4
750— 950	N	1.1	4150—5350	S 55° W	7.5
950—1150	N 40° E	0.7	5358—6550	S 49° W	9.7
1150—1350	N 47° W	2.9	6550—7950	S 60° W	13.8
1350—1550	N 61° W	4.3	7950—9750	S 66° W	16.3

Nr. 200. 3. Oktober. 8^{40} a; Bew. 0 ⊙, Dunstkranz.

550	W	1.7	2350—2750	S 68° W	5.9
550— 750	N 86° W	3.0	2750—2950	S 46° W	5.0
750— 950		5.3	2950—3150	S 34° W	7.2
950—1550	S 80° W	5.0	3150—3350	S 23° W	8.5
1550—1750	N 88° W	3.0	3350—3550	S 14° W	4.2
1750—1950	S 78° W	2.1	3550—3750	S 79° W	1.1
1950—2150	S 36° W	2.6	3750—4150	N 70° W	3.9
2150—2350	S 59° W	4.1			

Nr. 201. 3. Oktober. 11^{19} a; Bew. 1° ⊙, st-cu i. NW, ∞².

550	C		2950—3350	S 40° W	5.0
550— 950	S 67° W	2.0	3350—4150	S 62° W	5.5
950—1750		3.8	4150—4350	S 55° W	8.0
1750—1950	S 54° W	5.1	4350—4550	S 79° W	7.0
1950—2950	S 72° W	5.5	4550—4950	S 70° W	11.2

Nr. 202. 4. Oktober. 8^{10} a; Bew. 6° ⊙, ci-st, st-cu SW langsam, Dunst- und Rauchkranz.

550	SE	1.7	3750—3950	S 29° W	5.4
550— 750	S 72° E	1.0	3950—4350	S 37° W	5.3
750— 950	E	2.2	4350—4550	S 72° W	6.0
950—1150	N 70° E	2.6	4550—4750	S 56° W	9.0
1150—1350	S 49° E	3.5	4750—5550	S 70° W	12.3
1350—1550	S 50° E	5.5	5550—5750	S 79° W	12.5
1550—1750	S 40° E	6.0	5750—6350	S 65° W	15.0
1750—1950	S 25° E	5.5	6350—6550	S 54° W	17.5
1950—2150	S	3.2	6550—7350	S 56° W	20 5
2150—2350	S 33° W	3.3	7350—7550	S 66° W	21.0
2350—3350	S 58° W	5.0	7550—7950	S 52° W	
3350—3750	S 50° W	4.4			

5. Oktober. Kein Aufstieg wegen tiefziehender Wolken.

Nr. 203. 6. Oktober. 1^{28} p; Bew. 7⁰ ⊙, ci-st, st-cu.

Stufenwerte m	Wind Richtung	Wind Geschwindigkeit m p. s.	Stufenwerte m	Wind Richtung	Wind Geschwindigkeit m p. s.
550	S	1.7	1750—2150	S 89⁰ W	12.0
550 — 750	S 44⁰ W	1.1	2150—2350	S 82⁰ W	13.0
750— 950	S 32⁰ W	1.2	2350—2550	S 72⁰ W	10.4
950—1150	S 67⁰ W	3.6	2550—3150	S 62⁰ W	16.0
1150—1550	S 62⁰ W	8.7	3150—3350	S 76⁰ W	14.3
1550—1750	S 78⁰ W	10.7			

Nr. 204. 7. Oktober. 8^{01} a; Bew. 3⁰ ⊙ ≡⁰, ci-st.

550	SE	3.1	3150—3750	S 80⁰ W	15.3
550— 950	S 3⁰ E	2.9	3750—4350	S 75⁰ W	12.9
950—1150	S 9⁰ W	3.7	4350—4550	S 57⁰ W	12.5
1150—1550	S 30⁰ W	5.6	4550—4950	S 82⁰ W	12.3
1550—1750	S 49⁰ W	7.0	4950—5350	S 66⁰ W	13.0
1750—2350	S 77⁰ W	7.6	5350—5550	S 88⁰ W	11.5
2350—2550	S 73⁰ W	8.1	5550—6350	S 86⁰ W	16.5
2550—3150	S 77⁰ W	14.5	6350—6750	N 85⁰ W	12.5

Nr. 205. 8. Oktober. 8^{04} a; Bew. 9⁰, ci-st, st-cu W mässig.

550	SE	3 1	3750—3950	S 29⁰ W	12 0
550— 950	S 4⁰ W	8.5	3950 — 4150	S 65⁰ W	13.5
950—1150	S 6⁰ W	7.0	4150—4550	S 55⁰ W	13.0
1150—1350	S 13⁰ W	8.0	4550—5150	S 48⁰ W	13.3
1350 - 1550	S 34⁰ W	10.7	5150—5350		18.0
1550—1950	S 43⁰ W	12.3	5350—5550	S 66⁰ W	11.0
1950—3150	S 49⁰ W	10.5	5550—6350	S 45⁰ W	19.5
3150—3350	S 52⁰ W	6.5	6350—6950	S 50⁰ W	18.3
3350—3750		11.4	6950—7550	S 55⁰ W	24 8

Nr. 206. 9. Oktober. 8^{45} a; Bew. 3⁰ ⊙, a-cu SW mässig, ganze Gebirgskette sehr gut sichtbar.

550	SW	4.8	950—1350	S 73⁰ W	19.5
550—750	S 59⁰ W	7.2	1350—2150	S 84⁰ W	22.0
750—950	S 64⁰ W	14.4	2150—3150	S 8.⁰ W	16.8

10. Oktober. Kein Aufstieg wegen tiefziehender st-cu Wolken.

Nr. 207. 11. Oktober. 8^{10} a; Bew. 4⁰ ⊙, ci-st, ci-cu / a-cu } WSW langsam, Dunstkranz.

550	NE	1.7	2350—2550	N 89⁰ W	10.5
550 750	S 78⁰ E	6.0	2550—3350	N 84⁰ W	11.0
750—1350		8.2	3350—4150	N 77⁰ W	14.4
1350—1550	S 50⁰ E	6.6	4150—4750	N 65⁰ W	16.4
1550—1750	S 61⁰ E	4.9	4750 - 4950	N 71⁰ W	16.0
1750—1950	S 24⁰ E	3.0	4950—6550	N 56⁰ W	19.2
1950—2150	N 81⁰ W	3.3	6550—7350	N 66⁰ W	20.0
2150—2350		7.8	7350—7950	N 68⁰ W	24.1

Nr. 208. 12. Oktober. 8^{30} a; Bew. 2⁰ ⊙, a-st SW rasch.

550	SW	4.8	950—1550	S 87⁰ W	19 2
550—750	S 74⁰ W	7.8	1550—2150	S 84⁰ W	23.3
750—950	S 82⁰ W	12.3			

13. Oktober. Kein Aufstieg wegen ≡ und ●.

Nr. 209. 14. Oktober. 8^{10} a; Bew. 0 ⊙, ∞¹.

550	NE	3.1	1750—2350	S 88⁰ E	14.5
550— 750	N 69⁰ E	5 5	2350—2950	N 84⁰ E	17.0
750— 950	S 85⁰ E	11.7	2950—3550	N 72⁰ E	18.7
950—1350	E	9 9	3550—3750		28.0
1350—1750	S 74⁰ E	9.7			

Nr. 210. 15. Oktober. 11^{41} a; Bew. 10⁰ ≡¹, a-st. Nach Visierung: NW 1; 10⁰ ≡⁰, a-st.

550	SW	1.7	3770—3910	N 34⁰ W	8.0
550— 690	S 84⁰ W	3.8	3910—4050	S 85⁰ W	14.0
690— 830	N 83⁰ W	5.6	4050—4190	N 85⁰ W	9.0
830—1110	W	7.4	4190—4330	N 63⁰ W	9.0
1110—1250	N 79⁰ W	9.9	4330—4470	N 80⁰ W	11.0
1250—1670	S 80⁰ W	8.9	4470—4750	N 68⁰ W	6.3
1670—1810	N 65⁰ W	6.7	4750—5030	N 86⁰ W	5.3
1810—1950	N 74⁰ W	9.5	5030—5170	S 80⁰ W	7.5
1950—2090	N 89⁰ W	10.3	5170—5310	N 89⁰ W	7.0
2090—2370	S 82⁰ W	9 5	5310—5450	S 53⁰ W	2.0
2370—2650	N 88⁰ W	9.9	5450—5590	S 59⁰ W	11.0
2650—3070	N 79⁰ W	11.1	5590—5730	S 29⁰ W	10.0
3070—3210	N 76⁰ W	13.5	5730—5870	S 62⁰ W	
3210 3490	N 66⁰ W	8.5	5870—6010	S 45⁰ W	5.0
3490—3770	N 82⁰ W	9.0			

16. Oktober. Kein Aufstieg wegen ≡.

Nr. 211. 17. Oktober. 0^{00} p; Bew. 5^{1}, $\left.\begin{matrix}\text{fr-cu}\\ \text{cu}\end{matrix}\right\}$ ENE rasch.

Stufenwerte m	Wind: Richtung	Wind: Geschwindigkeit m p. s.	Stufenwerte m	Wind: Richtung	Wind: Geschwindigkeit m p. s.
550	NE	3.1	2350—2550	S 92° E	9.8
550— 750	N 73° E	3.0	2550—3150	S 78° E	10.1
750— 950		7.8	3150—3350	S 78° E	9.0
950—1150	N 88° E	10.5	3350—3950	N 69° E	7.3
1150—1750	S 78° E	10.1	3950—4550	N 73° E	10.3
1750—1950	S 55° E	8.6	4550—5550	N 72° E	11.7
1950—2350	S 64° E	7.2	5550—5750	N 76° E	21.0

18. Oktober. Ballon nach 50 Min. im Nebel, Azimut N 18° W; p ≡^{1}.

Nr. 211. 19. Oktober. 11^{00}a; Bew. 0 ⊙, Dunstkranz.

550	C	—	4150— 4550	S 44° E	3.3
550— 750	S 68° E	2.0	4550— 5550	S 66° E	8.8
750—1150	S 52° E	2.9	5550— 7550	S 79° E	12.1
1150—1550	S 83° E	3.3	7550— 8550	S 79° E	8.3
1550—2150	S 58° E	4.6	8550—10550	S 71° E	8.7
2150—4150	S 24° E	4.8	10550—10950	S 63° E	18.3

Nr. 212. 20. Oktober. 9^{10}a; Bew. 0 ⊙ ≡$^{0-1}$.

550	C	—	2350—2550	N 65° W	2.7
550— 750	S 30° W	1.6	2550—3550	S 42° W	3.1
750— 950	N 80° W	4.8	3550—3750	N 77° E	5.2
950—1950	S 84° W	4.3	3750—4150	S 66° E	3.3
1950—2350	W	4.0	4150—4750	S 28° E	9.9

Nr. 213. 20. Oktober. 0^{55}p; Bew. 0 ⊙, ∞^{1}.

550	NNE	1.8	2750—3750	S 20° W	4.4
550— 750	N 66° E	2.3	3750—4550	S 38° W	5.8
750— 950	S 69° E	1.0	4550—4950	S 7° W	8.5
950—1150	S 31° W	2.3	4950 6350	S 22° E	10.7
1150—1550	S 70° W	2.0	6350—7350	S 32° E	15.2
1550—2150	N 72° W	3.0	7350—8750	S 19° E	18.3
2150—2350	S 5° W	2.8	8750—9350	S 28° E	15.6
2350—2750	S 34° W	3.9			

21. Oktober. Kein Aufstieg wegen ≡.

Nr. 214. 22. Oktober. 8^{10}a; Bew. 4° ⊙, a-str SE langsam, ∞^{2}. Nach Visierung: 6° ⊙, ci.NW langsam, a-str-Filz.

550	NE	3.1	2950—3350	S 82° E	8.1
550— 750	S 72° E	5.0	3350—3750	S 51° E	7.5
750—1350	S 16° E	4.7	3750—4150	S 3° W	8.0
1350—1950	S 61° E	5.3	4150—5950	S 23° W	10.4
1950—2950	N 81° E	7.0	5650	a-st-Höhe	—

Nr. 215. 23. Oktober. 9^{10}a; Bew. 0 ⊙, ∞^{2}.

550	N	1.6	2550—3750	S 44° W	10.3
550— 750			3750—4350	S 36° W	10.0
750— 950	N 53° E	1.8	4350—5950	S 50° W	12.4
950—1550	S 84° E	5.3	5950—7150	S 30° W	10.0
1550—1750	S 50° E	5.2	7150—8550	S 45° W	16.2
1750—2550	S 16° W	7.0	8550—8950	S 36° W	16 7

24. Oktober. Kein Aufstieg wegen tiefziehender st-cu-Wolken.

Nr. 216. 25. Oktober. 8^{47}a; Bew. 0 ⊙, ∞^{2}.

550	C	—	4750— 5750	N 45° W	9.5
550— 750	S	1.2	5750— 6150	N 64° W	11.7
750—1150	S 42° W	1.5	6150— 6950	N 30° W	8.3
1150—1350	S 75° W	1.9	6950— 9750	N 23° W	4.5
1350—2150	S 87° W	7.8	9750—11150	N	3.3
2150—4150	N 82° W	8.3	11150—11350	N 59° E	6.7
4150—4750	N 7° W	2.0	11350—11750	N 12° E	7.5

Nr. 217. 26. Oktober. 8^{12}a; Bew. 6° ⊙, a-st, a-cu, Dunstkranz.

550	SE	1.8	2550—2750	S 27° E	3.6
550— 950	S 16° E	6.0	2750—2950	S 9° E	5.0
950—1150	S 32° E	7.0	2950—3150	S 12° W	4.5
1150—1350	S 40° E	5.8	3150—3550	S 32° W	7.3
1350—1550	S 54° E	6.5	3550—3750	S 48° W	7 8
1550—1750	S 61° E	6.7	3750—5550	S 56° W	10.9
1750—1950	S 83° E	6.0	5550—5950	S 61° W	12.5
1950—2350	N 86° E	6.9	5950—6150	S 80° W	13.0
2350—2550	S 73° E	3.0			

Nr. 218. 27. Oktober. 8^{00} a; Bew. o ⊙, Dunstkranz.

Stufenwerte m	Wind Richtung	Wind Geschwindigkeit m p. s.	Stufenwerte m	Wind Richtung	Wind Geschwindigkeit m p. s.
550	S	1.8	3350—4550	S 59° W	9.0
550— 750	S 60° W	2.0	4550—5150	S 70° W	15.5
750—1550	N 79° W	2.1	5150—6550		18.1
1550—2150	S 3° E	4.3	6550—8950	S 62° W	19.4
2150—2750	S 7° W	7.2	8950—9350	S 33° W	28.3
2750—3350	S 38° W	9.8			

Nr. 219. 28. Oktober. 8^{15} a; Bew. 7° ⊙, ci-str, a-str, ∞¹, Gebirge sichtbar.

550	SE	3.1	2750—3150	S 74° W	3.6
550— 950	S 16° E	7.0	3150—3750		8.7
950—1550	S 43° E	6.0	3750—5150	S 67° W	13.9
1550—2350	S 34° E	7.8	5150—6350	S 55° W	15.1
2350—2750	S 58° E	2.8	6350—8950	S 50° W	17.9

Nr. 220. 29. Oktober. 0^{20} p; Bew. 9¹, st-cu S mässig.

550	NE	1.8	3750—4350	S 51° W	6.9
550— 750	S	4.0	4350—5150	S 26° W	10.0
750—2150	S 6° W	10.2	5150—5950		16.4
2150—2550	S 34° W	9.0	5950—6550	S 18° W	17.5
2550—3750	S 51° W	12.5			

In 6530 m Eintritt in die Wolkendecke.

Bemerkung: Ballon zieht anfangs mit leichter NE-strömung auf und gelangt in 650 m in die S-strömung.

Nr. 221. 30. Oktober. 9^{05} a; Bew. 9°, a-str, str-cu S mässig.

550	NW	1.8	2510—2790	S 2° E	2.8
550 - 690	N 64° W	4.4	2790—3070	S 55° W	2.4
690— 830	N 46° W	3.9	3070—3490	S 5° W	1.9
830—1110	N 5° E	1.7	3490—4050	S 16° E	4.3
1110—1250	S 35° E	3.2	4050—4750	S 8° E	8.0
1250—1670	S 18° E	5.5	4750—5310	S 14° E	10.7
1670—2090	S 15° W	4.7	5310—5870	S	13.9
2090—2510	S 10° E	3.7			

Nr. 222. 31. Oktober. 9^{17} a; Bew. 3° ⊙, Ci, ci-st SW langsam, ci-cu, a-cu S mässig, a-st.

550	S	1.8	2950—3350	S 56° W	7.4
550— 750	S 40° W		3350—3950	S 80° W	5.7
750—1350	S 42° W	2.8	3950—4550	N 85° W	7.4
1350—2150	S 69° W	5.2	4550—5750	S 78° W	10.2
2150—2550	S 72° W	5.0	5750—7550	S 86° W	11.0
2550—2950	S 46° W	4.9	7550—9750	N 87° W	14.8

Nr. 223. 1. November. 8^{18} a; Bew. 3° ⊙, ci-st SW langsam, Dunstkranz, Gebirge teilweise sichtbar.

550	S	1.7	4350— 6350	S 58° W	11.2
550— 950	S 15° W	3.5	6350— 8350	S 77° W	10.0
950—1950	S 45° E	4.8	8350— 8750	S 57° W	10.5
1950—2950	S 19° W	2.9	8750—10550	S 82° W	11.5
2950—3550	S 48° W	5.1	10550—11750	W	13.3
3550—4350		9.0			

Nr. 224. 2. November. 9^{15} a; Bew. 1¹ ⊙, a-cu / st-cu SW mässig, Gebirge gut sichtbar.

550	SW	4.8	1550—2150	S 81° W	15.4
550— 750	S 74° W	8.0	2150—2950	S 72° W	17.0
750— 950	W	10.0	2950—4150	S 78° W	15.9
950—1550	N 87° W	11.4	4150—4750	N 80° W	21.7

Nr. 225. 3. November. 9^{55} a; Bew. 10°, a-st, Gebirge gut sichtbar, Föhnlage. Nach Visierung: Gebirge stark verschleiert

550	S	3.1	1950—2950	S 75° W	15.1
550— 750	S 47° W	7.0	2950—4350	S 80° W	16.0
750— 950	S 49° W	11.5	4350—4750	S 87° W	14.5
950—1350	S 75° W	12.3	4750—5550	S 78° W	13.3
1350—1750	S 86° W	11.8	5550—6150	S 82° W	16.7
1750—1950	S 80° W	16.0			

4. November. Kein Aufstieg wegen ◍.

Nr. 226. 5. November. 9^{37} a; Bew. 4° ⊙, st-cu, ∞¹. Nach Visierung: 8¹ ⊙, st-cu SW mässig.

550	W	1.7	2350—2950	S 77° W	10 5
550— 750	S 38° W	3.5	2950—3350	S 85° W	13.3
750—1150	S 74° W	7.9	3350—3950	N 87° W	8.8
1150—1550	S 83° W	8.2	3950—4550	S 59° W	8.1
1550—2350	S 67° W	7 5	4550	Höhe der st-cu	

6. und 7. November. Kein Aufstieg wegen ◍ und tiefziehender Wolken.

Nr. 227. 8. November. 11^{45} a; Bew. 5^1 ⊙, a-cu, cu W rasch, Bewölkungsgrad rasch wechselnd.
Nach Visierung: 8^1 ⊙, cu W rasch.

Stufenwerte m	Wind Richtung	Wind Geschwindigkeit m p. s.	Stufenwerte m	Wind Richtung	Wind Geschwindigkeit m p. s.
550	SW	6 7	Höhe der cu 1500 m.		
550—1350	S 85° W	10.5			

9. mit 11. November. Kein Aufstieg wegen ungünstiger Witterung.

Nr. 228. 12. November. 8^{35} a; Bew. 9^1, a-st S mässig, st-cu SW langsam.

550	SE	3.1	1150—1350	S 40° E	3.7
550— 750	S 50° E	7.0	1350—1550	S 37° W	5.0
750— 950	S 55° E	11.0	1550—2550	S 55° W	6.6
950—1150	S 48° E	5.6	2550—3350	S 55° W	11.1

13. November. Kein Aufstieg wegen ◍.

Nr. 229. 14. November. 8^{20} a; Bew. 2^1 ⊙, ci-cu, ci-st, st-cu am Horizont, Gebirge gut sichtbar, föhnig.

550	SW	8 0	950—1150	S 86° W	22.5
550—750	S 76° W	9 0	1150—1550	N 87° W	20.5
750—950	S 76° W	19.5			

15. mit 18. November. Kein Aufstieg wegen ungünstiger Witterung.

Nr. 230. 19. November. 8^{44} a; Bew. 5^1 ⊙, st-cu, fr-cu WSW mässig, Gebirge sehr gut sichtbar, föhnig.
Nach Visierung: 7^1 ⊙, ci-cu (gestreift) SW langsam, a-cu, st-cu W mässig, Gebirge verschleiert.

550	SW	8.0	1950—2550	S 80° W	20.0
550— 950	S 77° W	10.3	2550—4950	N 84° W	17.2
950—1950	W	20.0			

Nr. 231. 20. November. 8^{44} a; Bew. 2^1 ⊙, a-st, st-cu, ∞^{1}. Nach Visierung: ∞^{2}.

550	SE	1.8	2350—2950	N 77° W	12.0
550— 750	S	5.5	2950—3750	N 68° W	13.6
750—1150	S 44° W	4.0	3750—4450	N 51° W	13.8
1150—2350	S 86° W	9.0			

Nr. 232. 21. November. 10^{52} a; Bew. 0 ⊙ ≡^{0}. Nach Visierung: ≡$^{1-2}$.

550	C		2350—2750	S 64° W	11.2
550—1150	S 22° W	2 4	2750—3150	S 48° W	12.0
1150—1550	N 77° W	5.9	3150—4750	S 60° W	12.1
1550—1950	S 67° W	5.4	4750—6350	S 67° W	15 0
1950—2350	S 40° W	9.9			

Nr. 233. 22. November. 8^{45} a; Bew. 7^0, ci-st, a-st, Gebirge gut sichtbar.

550	SW	4.8	2350—2550	S 81° W	7.5
550— 750	S 31° W	6.0	2550—3550	S 50° W	9.3
750—1150	S 69° W	7.3	3550—4550	S 50° W	13.3
1150—2350	N 78° W	12.3	4550—5550	S 50° W	20.0

Nr. 234. 23. November. 9^{00} a; Bew. 8^0 ⊙ ≡^{0}, ci-st, fr-st NE rasch.

550	E	3.1	750—1150	N 88° E	15.7
550—750	N 62° E	7.6			

24. mit 29. November. Kein Aufstieg wegen tiefliegender Wolken und ◍.

Nr. 235. 30. November. 9^{20} a; Bew. 1^0 ⊙, fr-cu SW rasch.

550	SW	3.1	1750—2350	S 73° W	13.1
550— 750	S 68° W	4.0	2350—3150	N 64° W	11.8
750—1150	S 86° W	12.9	3150—3550	N 45° W	11.4
1150—1750	S 86° W	14 8	3550—4550	N 47° W	15.2

Nr. 236. 1. Dezember. 8^{38} a; Bew. 0 ⊙, ∞^{0}, am nördlichen Horizont cu-mauer.

550	SW	3.8	1150—1750	N 83° W	14.8
550— 750	S 72° W	9.0	1750—2950	W	17.2
750—1150	W	16.2	2950—3550	N 78° W	20.0

Nr. 237. 1. Dezember. 3^{43} p; Bew. 1^0 ⊙, ci-st i. N., cu-mauer am nördlichen Horizont, ganze Gebirgskette sehr gut sichtbar.

550	SW	4.8	1350 - 1950	N 86° W	17.0
550— 750	W	8.0	1950—2550	S 87° W	18.9
750—1350	W	13.5	2550—3150	N 80° W	22.5

2. Dezember. Kein Aufstieg wegen ◍.

Nr. 238. 3. Dezember. 8^{55} a; Bew. 5^0 ⊙, ci, ci-str im N, ∞^{2}, st-Bank am nördlichen Horizont, Gebirge schwach sichtbar.

550	SE	3.8	2550—3350	N 75° W	14.6
550— 750	S 56° W	6.0	3350—4150	N 66° W	14 6
750—1150	W	10.5	4150—6150	N 57° W	18.5
1150—2550	S 79° W	13.3			

Nr. 239. 4. Dezember. 8^{00} a; Bew. 4^0 ⊙, ci-st, Dunstkranz.

Stufenwerte m	Wind Richtung	Wind Geschwindigkeit m p. s.	Stufenwerte m	Wind Richtung	Wind Geschwindigkeit m p. s.
550	SW	1.7	1350—1550	S 65° W	8.0
550— 750	S 64° W	4.0	1550—2150	S 61° W	10.1
750—1150	S 80° W	16.7	2150—2350	S 45° W	6.0
1150—1350	S 76° W	12.6			

Nr. 240. 5. Dezember. 8^{37} a; Bew. 5^1, a-st. st-cu WNW rasch, Gebirge schwach sichtbar.
Nach Visierung: 9^1, st-cu WNW rasch.

550	SW	6.7	1150—1350	W	16.0
550— 750	S 73° W	8.0	1350—1950	N 75° W	17.3
750—1150		14.4	1950	Höhe der st-cu	

6. mit 15. Dezember. Kein Aufstieg wegen ungünstigen Wetters.

Nr. 241. 16. Dezember. 1^{05} p; Bew. 3^0 ⊙, ci NW langsam, st-cu W mässig. Nach Visierung: 6^1 ⊙, st-cu vorwiegend.

550	W	1.7	1350—2950	N 87° W	17.3
550— 750	N 75° W	5.5	2950—3350	N 77° W	16.1
750— 950	N 83° W	7.0	3350—3550	N 57° W	9.3
950—1350	W	11.7			

17. mit 19. Dezember. Kein Aufstieg wegen ▨ und tiefziehender Wolken.

Nr. 242. 20. Dezember. 8^{40} a; Bew. 0 ⊙, Rauchkranz. Während der Visierung einzelne ci E langsam.

550	E	1.7	2550—3350	N 85° E	9.2
550— 750	S 80° E	4.7	3350—3750	S 78° E	10.0
750—1150		9.5	3750—4550		16.2
1150—1550	S 84° E	12.5	4550—5550	S 71° E	15.8
1550—2450	S 68° E	10.3	5550—6950	S 86° E	19.8

Nr. 243. 22. Dezember. 9^{56} a; Bew. 4^0 ⊙ ≡^{0}, ci-st.

550	W	3.1	6750— 7550	N 26° W	6.0
550— 750	N 83° W	3.8	7550— 8350	C	
750—1550		7.3	8350—10550		5.5
1550—2150	N 79° W	6.5	10550—11550	N 29° E	6.7
2150—2550	N 68° W	6.2	11550—12350		4.6
2550—3150	N 45° W	5.1	12350—12950	N 20° W	3.9
3150—3950	N 29° W	2.5	12950—13550	N 27° E	2.8
3950—5150	N 42° W	4.2	13550—13750	W	8.3
5150—5750	N 4° E	3.9	13750—14550	N 13° W	13.3
5750—6150	C		14550—15150		10.0
6150—6750	Richt. stark wechs.	1.7			

Nr. 244. 23. Dezember. 9^{00} a; Bew. 1^0 ⊙, ci-st / a-st NW langsam, Rauchkranz, ≡^{1} i. SE.
Nach Visierung: ≡ $^{1-2}$.

550	SSW	3.1	3150—3350	S 66° W	13.2
550— 750	S 51° W	6.0	3350—4350	N 88° W	14.0
750— 950	W	9.5	4350—4950	N 85° W	13.9
950—1550	S 64° W	8.8	4950—5750	N 74° W	12.9
1550—2950	S 73° W	9.9	5750—6750	N 60° W	14.5
2950—3150	W	13.2	6750—7550	N 47° W	13.3

Nr. 245. 24. Dezember. 8^{26} a; Bew. 4^0 ⊙, ci-cu SSW langsam, a-st, fr-st WSW rasch, ganze Gebirgskette gut sichtbar.
Nach Visierung: ∞^{2}, Gebirge nicht mehr sichtbar.

550	SW	6.7	1350—1950	W	14.7
550 750	S 63° W	13.3	1950—2550	S 75° W	13.6
750—1350	N 84° W	16.7			

25. mit 31. Dezember. Kein Aufstieg wegen ungünstigen Wetters.

Die Münchener Registrierballonfahrten im Jahre 1913

von

August Schmauss.

Mit einem Anhang: 1. Auswertung der am 25. V. 1913 aufgefundenen Registrierung vom 3. I. 1912.
2. Allgemeine Ergebnisse der Fahrten von 1906—1913.

Vorwort.

Für das Jahr 1913 waren von der Internationalen Kommission für Luftschiffahrt 23 Aufstiegstage festgesetzt worden.

An den kleinen Serienaufstiegen vom Februar und August wurde ausser dem obligatorischen Aufstiege um 8 a ein weiterer um 2 p veranstaltet. Um eine noch vollkommenere „Diagnose" (Bjerknes) zu ermöglichen, wurden an den Aufstiegstagen des November je 3 Aufstiege (8 a, 12 m, 4 p) veranstaltet. Ich glaube, dass man immer mehr die Serienaufstiege ausbauen sollte, eventuell unter Fortfall der Einzelaufstiege.

Das Instrument vom 8. Mai ist noch nicht aufgefunden worden. Zur Auswertung standen demnach 34 Fahrten zur Verfügung, welche sämtlich gute Registrierungen gebracht haben. Es waren dies die Aufstiege vom:

3. Januar	5., 6., 7., 9., 10. Mai	4. September
6., 7., 8. Februar 8 a	12. Juni	2. Oktober
2 p	3. Juli	5., 6., 7. November 8 a
6. März	6., 7., 8. August 8 a	12 m
4. April	2 p	4 p
		4. Dezember.

Ausserdem sind die Ergebnisse zweier Freiballonfahrten eingeschoben, die an den Vortagen der Februar- und Märzaufstiege dank einem liebenswürdigen Entgegenkommen des K. B. Luft- und Kraftfahrbataillons veranstaltet wurden. Die Höhen- und Temperaturangaben wurden einem aspirierten Boschschen Instrumente entnommen.

Höhen- und Druckangaben der Registrierballonfahrten sind, wie schon im Vorjahre im alten und neuen Masssystem (Bjerknes) mitgeteilt. Bis inklusive August erfolgte die Originalberechnung in mm und m, deren Werte erst nachträglich in mb und Geopotential umgerechnet wurden. Nachdem die im Bjerknes-Institut gemachten Arbeiten R. Wengers und J. Regers die Möglichkeit und Notwendigkeit dargetan hatten, die Originalrechnung in mm und Geopotential vorzunehmen und erst nachträglich die Umrechnung in mb und m zu besorgen, wurde ab September darnach verfahren. Da die Untersuchung R. Wengers die Genauigkeit der Höhenberechnung erwiesen hatte, wurden ab September die Werte des Geopotentials (dyn. meter) nicht mehr auf Zehner abgerundet.

Bei der Vorbereitung und Veranstaltung der Aufstiege stand mir wieder Sekretär K. Brunner treu zur Seite. Die Auswertung der Diagramme sowie die Originalberechnung habe ich stets selbst vorgenommen, die Umrechnung von einem in das andere Masssystem besorgten die Assistenten Dr. Zistler und Bux, welche auch die Visierungen bearbeiteten.

Der Anregung des Herrn v. Hann entsprechend sind in der Zusammenstellung der Temperaturen des Jahres wieder die Abweichungen des Luftdruckes und der Temperatur von ihren Mittelwerten aufgenommen worden, welche in München und auf der Zugspitze an den einzelnen Aufstiegstagen herrschten.

Es wurde dabei nicht der gerade zur Aufstiegsstunde geltende Wert zugrunde gelegt, um von mehr zufälligen Abweichungen unabhängig zu sein. Betreffs der Berechnung darf auf die Registrierballonfahrten 1912 verwiesen werden.

Ferner hat es sich als wünschenswert erwiesen, bei Serienaufstiegen dem Thermoisoplethendiagramm eine Kopie des Orts-Baro- und Thermogrammes beizufügen, was für die 6 August- und 9 November-Fahrten geschehen ist.

Betreffs instrumenteller Angaben wolle man in den früheren Publikationen nachsehen. Wir bedienten uns ausschliesslich des Fallschirmes und eines Ballons, der mit einer freien Steigkraft von 0,5—0,6 k hochging. Bei den letzten Fahrten trugen unsere Instrumente nur mehr einen Lamellenthermographen. Der Rohrthermograph ergibt, wie jetzt eine langjährige Erfahrung zeigt, entweder ausgezeichnete Übereinstimmung mit dem Lamellenthermographen, oder es weichen seine Angaben gleich so weit ab, dass man nach dem ganzen Aussehen des Diagramms dem Lamellenthermographen den Vorzug geben musste. In beiden Fällen ist demnach die Mitnahme des Rohrthermographen entbehrlich, wodurch sich Einsparungen an den Kosten und Gewichten der Apparate erzielen lassen.

Bezüglich des Hygrographen sei für nichteingeweihte Leser angefügt, dass das Instrument nicht bloss auf Veränderungen der Feuchtigkeit, sondern auch auf Veränderungen der Temperatur reagieren muss. Abnahme der Temperatur äussert sich wie Abnahme der relativen Feuchtigkeit; man darf daher den Feuchtigkeitsangaben nur einen qualitativen Wert beimessen; insbesondere darf nicht die bei allen Fahrten zutage tretende scheinbare Abnahme des mittleren Feuchtigkeitsgehaltes mit wachsender Höhe als reell angesehen werden. (Näheres vergl. R 1907 S. 8.)

Ein Vergleich der in der freien Atmosphäre über München und auf der Zugspitze ermittelten Feuchtigkeiten müsste aus diesem Grunde scheinbar ergeben, dass die Atmosphäre um den Gipfel feuchter sei als in der freien Atmosphäre. Dieser Umstand muss auch den Betrag des von E. Kleinschmidt[1]) nachgewiesenen wirklichen Feuchtigkeitsüberschusses eines isolierten Berggipfels gegenüber der freien Atmosphäre vergrössern.

Noch mehr als in früheren Jahren wurde der den Auswertungen beigegebene Text aus Ersparnisrücksichten gekürzt. Eventuelle Bearbeitungen werden in der Form der „Münchener Aerologischen Studien" gegeben, von denen bis jetzt No. 1—5 erschienen ist.

Es darf noch darauf hingewiesen werden, dass an der Meteorologischen Zentralstation tunlichst tägliche Pilotvisierungen veranstaltet werden, deren Ergebnisse auch für die Registrierballonaufstiege von Wert sind. Es erfolgt daher die Veröffentlichung derselben gleichzeitig durch die Assistenten Dr. Zistler und K. Bux.

München, im Januar 1914.

A. Schmauss.

---

[1]) E. Kleinschmidt, Beitr. zur Physik der fr. Atm. VI. S. 16. 1913.

Ergebnisse der einzelnen Fahrten des Jahres 1913.

3. Januar 1913.

Instrument Bosch No. 407.
Temperaturkorrektion des Aneroïds:
$$d\,p = -\Delta T\,(0.595 - 0.000457 \cdot p).$$
Zeit des Aufstiegs: 8^{34} a M. E. Z. (verzögert zur Ermöglichung einer Visierung).
Witterung beim Aufstieg:
a) Wind, Bewölkung, Form, Richtung und Geschwindigkeit der Wolken etc.: $S_{0\cdot1}\ O\ \infty^2$
b) Temperatur beim Aufstieg: -5.1^0; relative Feuchtigkeit: 100%.

Temperatur 2 Stunden vor dem Aufstieg: -4.7^0, nach dem Aufstieg: -4.8^0.
Maximum des Vortages: $+5.0^0$.
Maximum des Aufstiegstages: $+0.5^0$ um 0 a.
Minimum des Aufstiegstages: -5.1^0 um 8^{30} a.
Name, Seehöhe, Entfernung und Richtung des Landungsortes: Aschheim ca. 520 m, 11 km, N 85° E.
Mittlere Steiggeschwindigkeit: 4,8 m/sec.
Mittlere Fluggeschwindigkeit: 2 m/sec.
Ventilation bis zur Maximalhöhe > 0.6.

Ergebnis der Registrierung:

Zeit h	m	s	Seehöhe m	Luftdruck mm	mb	Seehöhe Geopot.	Temperatur C° Lam.	Rohr.	Gradient △ t/100 m	Relative Feuchtigkeit %	Steiggeschwindigkeit des Ballons m/sec.	Bemerkungen
0	0	0	516	718	957	506	- 5.1	- 5.1				
									-2.35	100	4.3	Aufstieg. Starke Bodeninversion.
	1	13	820	691	921	810	1.6	2.1		98		516—1710 m Ballon nahe dem Zenith.
			1 000	676	901	980		3.0				
					900	**990**			-0.52		3.4	
	2	43	1 130	665	890	1 110	**3.9**	**3.7**		88		Höchste Temperatur.
			1 500	635	847	1 470		1.7				1710—1970 m N 72° E 3.2 m
					800	**1 920**			0.55		4.3	
			2 000	597	796	1 960		- 1.0				1970—2230 m N 72° E 4.8 m
	6	37	2 130	587	783	2 090	- 1.4	- 1.8		78		2230—2770 m N 65° E 4.5 m
			2 500	541	721	2 450		- 3.9				2770—3040 m N 73° E 3.2 m
					700	**2 910**			0.58		4.7	
			3 000	523	697	2 940		- 6.8				3040—3600 m N 65° E 2.6 m
	10	49	3 300	506	675	3 240	- 8.4	- 8.6		76		
			4 000	461	615	3 920		-14.6				3600—3870 m E 1.2 m
					600	**4 100**			0.85		4.5	Weitere Verfolgung wegen des sich verstärkenden Nebels unmöglich. Rechtsdrehung jedenfalls fortgesetzt.
	15	49	4 640	424	565	4 550	-18.9	-20.0		76		
	16	37	4 850	412	549	4 750	-19.6	-20.3	0.14	77	4.5	Bis zur Stratosphäre sehr gleichmässige Temperaturabnahme.
			5 000	404	539	4 900		-21.3				
					500	**5 460**			0.68		4.6	
			6 000	354	472	5 880		-28.1				
	23	9	6 670	320	427	6 540	-32.0	-32.7		74		
			7 000	305	407	6 860		-35.3				
					400	**6 960**						
			8 000	242	323	7 840		-43.1	0.78		6.6	
			9 000	225	**300**	**8 820**		-50.9				
			10 000	193	257	9 800		-58.7				
	33	21	10 780	171	228	10 560	-63.7	-64.8		70		Tiefste Temperatur. Ende der Troposphäre.
			11 000	165	220	10 770		-63.4	-0.61		7.5	
	34	5	11 110	162	216	10 880	-62.1	-62.7		70		
					200	**11 400**			-0.45		4.8	
			12 000	142	189	11 750		-58.7				
	37	34	12 100	138	184	11 860	-57.5	-58.2		71		
			13 000	120	160	12 730		-56.0	-0.22		4.1	
	41	42	13 100	118	157	12 830	-55.3	-56.0		71		
			14 000	102	136	13 700		-56.2	0.02		3.9	
	45	48	14 090	101	135	13 790	-55.3	-56.2		71		
			15 000	87	116	14 680		-56.4	0.02		4.2	
	50	42	**15 330**	83	111	15 000	-55.9	-56.5		71		Höchster Punkt.
	59	9	11 160	161	215	10 930	-62.5	-64.3				Wiedereintritt in die Troposphäre.
1	25	51	1 120	666	888	1 100	**3.9**	**2.8**				Höchste Temperatur im Abstiege.
1	28	0		[710]								Landung.

München lag am 3. Januar am Westrande eines sehr stabilen kontinentalen Hochdruckgebietes, das durch seine verhältnismässig geringen Frostgrade bemerkenswert war. Man sah deutlich, dass wegen der mangelnden Schneedecke keine grössere Kälte sich entwickeln konnte.

Ein Vergnügen bereitete die gute Übereinstimmung der Temperaturangaben der beiden Thermographen (vergl. Ein- und Austritt aus der Troposphäre, Maximum der Bodeninversion beim Auf- und Abstiege), deren Wert durch ein gutes Aneroid (vergl. die Höhenlage der maximalen Temperatur in der Bodeninversion im Auf- und Abstiege) vorteilhaft unterstützt wurde.

Bemannter Ballon 5. Februar 1913.

Zeit h m	Seehöhe m	Temperatur C°	Gradient △t/100m	Relative Feuchtigkeit %	Ventilation	Bemerkungen
9 2	520	3.4	0.28	75	Aspirierter, an einer Äquatorleine hängender Meteorograph.	Aufstieg.
7	700	2.9	0.0	71		Schwache Isothermie über dem Rauchmeer der Stadt München.
20	740	2.9	0.60	71		
	1 000	1.3				
33	1 310	− 0.5	-5.60	76		Obere Dunstgrenze, messerscharf über ganz Bayern zu erkennen.
42	1 430	6.2	0.11	41		
	1 500	6.1				
59	1 780	5.8	0 94	14		Föhngradient, ausserordentliche Trockenheit.
11 13	1 950	4.2		10		
	2 000	4.0	0.25			Eingelagerte Sperrschicht.
	2 500	2.8				
54	2 580	2.6	0.95	11		Föhngradient.
12 5	3 020	− 1.6		19		Höchster Punkt.

Windrichtung und Windgeschwindigkeit
nach dem um 7^{45} a aufgesandten Pilotballon (vom Freiballon bestätigt).

Stufenwerte m	Wind Richtung	Wind Geschwindigkeit m p. s.	Stufenwerte m	Wind Richtung	Wind Geschwindigkeit m p. s.
520	ESE_1		2550—2950	S 66° W	8.5
520— 550	SE	1.7	2950—3350	S 74° W	
550—1150	S 64° E	3.3	3350—3550	S 87° W	
1150—1350	S 43° E	2.5	3550—3750	S 75° W	6.9
1350—1550	S 80° W	5.8	3750—3950	S 70° W	6.9
1550—1750	S 70° W		3950—4550	S 63° W	5.1
1750—1950		3.6	4550—5150	S 56° W	5.8
1950—2350	S 47° W	6.5	5150—5750	S 75° W	7.3
2350—2550	S 57° W	7.0			

Bemerkenswert war die scharfe obere Dunstgrenze in 1310 m, mit welcher eine starke Temperaturumkehr und eine Drehung des Windes von ESE auf WSW verbunden war. Über der Dunstgrenze herrschte aussergewöhnliche Trockenheit (Föhn). In prachtvoller Klarheit schienen die beschneiten Berge der nördlichen Alpenkette auf der Dunstschichte zu stehen. Diese bildete gleichzeitig die obere Grenze der Cu, die sich von der Donau ab zu einem geschlossenen St vereinigten. Nur die höchsten Gipfel des Bayerischen und Böhmerwaldes tauchten daraus hervor.

6. Februar 1913 8 a.

Instrument Bosch No. 424.

Temperatur-Korrektion des Aneroïdes:

$$dp = -\Delta T\,(0.580 - 0.000457 \cdot p).$$

Zeit des Aufstiegs: 8^{09} a M. E. Z.

Witterung beim Aufstieg:

a) Wind, Bewölkung, Form, Richtung und Geschwindigkeit der Wolken etc.: SSW_4, $9^{o\text{-}1}$ st cu aus WNW mäss. im SE Quadranten cu, allmähliches Aufklaren.

b) Temperatur beim Aufstieg: 4.0°; relative Feuchtigkeit: 63 %.

Temperatur 2 Stunden vor dem Aufstieg: 3.5°, nach dem Aufstieg: 6.5°.

Maximum des Vortages: 8.5°.

Maximum des Aufstiegstages: 11.5° um 2^{30} p.

Minimum des Aufstiegstages: 1.2° um. 3^{30} a.

Name, Seehöhe, Entfernung und Richtung des Landungsortes: Altfraunhofen in Niederbayern 510 m, ca 56.5 km N 54° E.

Mittlere { Steiggeschwindigkeit: 4.5 m/sec; Fluggeschwindigkeit: 10 m/sec.

Ventilation noch in Maximalhöhe > 0.5.

Ergebnis der Registrierung:

Zeit h m s	Seehöhe m	Luftdruck mm	mb	Seehöhe Geopot.	Temperatur C° Rohr.	Lam.	Gradient △ t/100 m	Relative Feuchtigkeit %	Steiggeschwindigkeit des Ballons m/sec.	Bemerkungen
0 0 0.	516	720	960	506	4.0	4.0	0.44	63		Aufstieg. an Erde S SW 4
15	610	712	949	600	4.0	3.6		63	4.1	
55	740	700	933	730	5.3	5.4	−1.30	62		Temperaturumkehr. 870—1120 m W 9.2 m
1 56	1 000	679	905	970	**5.9**	**6.0**	−0.24	58		Höchste Temperatur. 1120—1250 m W 6,2 m
			900	**1 010**						1250—1380 m N 84° W 8,7 m
	1 500	637	849	1 470		2.9	0.61		3.8	1380—1510 m N 76° W 8,7 m
4 16	1 550	634	845	1 520	4.0	2.6		58		Kleine Isothermie. 1510—1640 m N 76° W 10,0 m
4 45	1 640	627	836	1 610	4.0	2.6	0.0	57		
	2 000	600	**800**	**1 960**		0.1				1640—2420 m W 10,0 m
	2 500	563	751	2 450		− 3.4	0.70		4.4	2420—2560 m S 49° W 5,2 m
9 30	2 880	536	715	2 820	− 4.0	− 6.1		56		2560—2690 m S 49° W 6,5 m
	3 000	528	704	2 940		− 6.7				2690—2820 m S 40° W 6,5 m
			700	**2 980**			0.54		4.6	2820—3340 m S 40° W 8,0 m
	4 000	462	616	3 920		−12.1				3340—3730 m S 50° W 10,2 m
13 50	4 080	459	612	4 000	− 9.4	−12.6		66		Kleine Isothermie. 3730—3990 m S 61° W 10,2 m
14 19	4 230	450	**600**	**4 150**	− 9.5	−12.6	0.0	66	[5.2]	3990—4380 m S 61° W 8,8 m
	5 000	408	544	4 900		−18.7				4380—4640 m S 26° W 6,5 m
			500	**5 530**						
	6 000	356	475	5 880		−26.6	0.79		4.7	
23 56	6 960	310	413	6 820	−26.7	−34.1		70		Fast isotherm.
	7 000	307	409	6 860		−34.1	0.06		[6.2]	
24 23	7 120	303	404	6 980	−26.9	−34.2		70		
			400	**7 020**						
	8 000	265	353	7 840		−39.7				
	9 000	228	304	8 820		−46.0	0.63		4.4	
			300	**8 890**						
	10 000	197	263	9 800		−52.3				
35 23	10 050	196	261	9 840	−47.1	−52.7		69		
36 46	10 560	181	241	10 340	−49.5	−56.7	0.78	69	6.1	Ende der Troposphäre.
	11 000	168	224	10 770		−57.8	0.26		4.3	Übergangsschicht.
39 11	11 180	164	219	10 950	−52.0	−58.3		69		Tiefste Temperatur.
			200	**11 510**						
	12 000	144	192	11 750		−57.7	−0.07		3.8	
44 30	12 400	135	180	12 140	−51.7	−57.5		69		
46 25	12 890	125	167	12 620	−48.0	−53.2	−0.88		4.3	Höchste Temperatur innerhalb der Stratosphäre.
	13 000	122	163	12 730		−53.3				
	14 000	105	140	13 700		−53.8	0.05		4.6	
50 40	14 070	104	139	13 770	−48.1	−53.8				
	15 000	89	119	14 680		−55.5				
	16 000	77	103	15 660		−57.3	0.18		5.2	
57 15	**16 070**	76	101	15 720	−51.3	−57.3				Höchster Punkt.
1 1 45	12 570	129	172	12 310	−48.0	−53.2				Entspricht im Aufstiege der Höhe 12890 m.
1 4 44	11 210	163	217	10 980	−51.4	−58.1				Entspricht im Aufstiege der Höhe 11180 m.
1 6 34	10 230	190	253	10 020	−51.2	−56.7				Entspricht im Aufstiege der Höhe 10560 m. Wiedereintritt in die Troposphäre.
1 33 52										Landung.

6. Februar 1913 2p.

Instrument Bosch No. 428.

Temperatur-Korrektion des Aneroïdes:

$$dp = -\Delta T\,(0.456 - 0.000457 \cdot p).$$

Zeit des Aufstiegs: 2^{01} p M. E. Z.

Witterung beim Aufstieg:

a) Wind, Bewölkung, Form, Richtung und Geschwindigkeit der Wolken etc.: W 1° ⊙ zerstreute Ci in SW, ci cu im E und NE.

b) Temperatur beim Aufstieg: 10.2°; relative Feuchtigkeit: 50%.
Temperatur 2 Stunden vor dem Aufstieg: 9.2°, nach dem Aufstieg: 9.1°.
Maximum des Vortages: 8.5°.
Maximum des Aufstiegstages: 11.5° um 2^{30} p.
Minimum des Aufstiegstages: 1.2° um 2^{30} a.
Name, Seehöhe, Entfernung und Richtung des Landungsortes: Atting Post Taufkirchen 450 m, 48 km N 63° E.
Mittlere { Steiggeschwindigkeit: 5.1 m/sec. / Fluggeschwindigkeit: 8 m/sec.
Ventilation noch in Maximalhöhe noch 0.5.

Ergebnis der Registrierung:

Zeit h m s	Seehöhe m	Luftdruck mm	mb	Seehöhe Geopot.	Temperatur C° Rohr.	Lam.	Gradient Δt/100 m	Relative Feuchtigkeit %	Steiggeschwindigkeit des Ballons m/sec.	Bemerkungen
0 0 0	516	719	959	506	10.2	10.2		50		Aufstieg, grosse Temp. Gradienten in den unteren Schichten.
	1 000	689	919	980		6.0				
			900	**1 020**			0.88		4.3	
	1 500	637	849	1 470		1.6				
4 23	1 640	626	835	1 610	2.1	0.2	0.23	62	4.8	
5 09	1 860	609	812	1 820	1.7	- 0.3		60		
			800	**1 920**						
	2 000	597	797	1 960		- 1.3	0 70		4.6	
	2 500	559	745	2 450		- 4.8				
9 19	3 000	527	703	2 940	- 7.1	- 8.3		58		
			700	**2 960**			0.49		4.6	
10 8	3 220	512	683	3 120	- 7.4	- 9.4		59		
	4 000	462	616	3 920		-13.7	0.55		4.5	
13 7	4 030	461	615	3 950	-11.8	-13.8		62		
			600	**4 130**						
	5 000	403	537	4 900		-20.8	0.72		5.1	
17 4	5 240	392	523	5 140	-20.7	-22.5		59		
			500	**5 450**						
	6 000	353	471	5 880		-27.6				
	7 000	308	411	6 860		-34.3	0.67		5.3	
			400	**7 040**						
	8 000	265	353	7 840		-41.0				
26 17	8 160	259	345	8 000	-42.0	-42.1		60		
26 53	8 420	249	332	8 250	-42.0	-42.1	0.0		[7.4]	
	9 000	227	303	8 820		-45.5				
			300	**8 890**			0.59		5.1	
	10 000	196	261	9 800		-51.4				
33 31	10 450	183	244	10 230	-54 0	-54.1				Ueberleitung zur Stratosphäre.
	11 000	168	224	10 770		-56.3	0.40		5.4	
35 27	11 070	166	221	10 840	-56.6	-56.6				Ende der Troposphäre.
			200	**11 480**						
	12 000	143	191	11 750		-56.3	-0.03		4.8	
39 14	12 150	140	187	11 900	-55.9	-56.3				
	13 000	122	163	12 730		-53.7	-0.30		4.6	
43 12	13 240	118	157	12 960	-52.7	-53.0				Höchste Temperatur innerhalb der Stratosphäre.
	14 000	104	139	13 700		-54.7	0.22		4.6	
49 11	14 900	91	121	14 590	-55.2	-56.6				
	15 000	89	119	14 680		-56.6	-0.04		5.5	
52 8	15 880	78	104	15 540	-55.9	-56.2				
	16 000	77	103	15 660		-56.3				
			100	**15 820**						
	17 000	67	89	16 630		-56.9	0.06		6.3	
	18 000	57	76	17 610		-57.5				
	19 000	48	64	18 580		-58.1				
1 0 55	**19 220**	46	61	18 790	-56.8	-58.3				Höchster Punkt, tiefste Temperatur.
1 8 46	12 970	123	164	12 700	-55.8	-56.2				Entspricht im Aufstiege der Höhe 13 240 m
1 11 59	11 070	166	221	10 840	-57.3	-57.1				Wiedereintritt in die Troposphäre (genau in der gleichen Höhe wie im Aufstiege).
1 42 41										Landung.

an Erde W 1

516—1040 m	S 76° W	4.4 m
1040—1310 m	S 72° W	4.4 m
1310—1590 m	S 68° W	4.4 m
1590—1860 m	N 83° W	10.6 m
1860—2130 m	W	8.2 m
2130—2650 m	S 82° W	8.2 m
2650—2920 m	S 71° W	8.0 m
2920—3200 m	S 64° W	8.0 m
3200—3490 m	S 54° W	8.0 m
3490—3780 m	S 65° W	8.0 m
3780—4070 m	S 65° W	6.4 m
4070—4660 m	S 40° W	5.3 m
4660—4950 m	S 54° W	5.9 m
4950—5240 m	S 73° W	7.5 m
5240—5550 m	S 46° W	6.2 m
5550—5870 m	S 34° W	7.0 m
5870—6180 m	S 9° W	7.0 m
6180—6500 m	S 17° W	7.0 m
6500—6810 m	S 11° E	7.0 m
6810—7120 m	S	7.0 m

Eintritt in die ci cu.

7. Februar 1913 8 a.

Instrument Bosch No. 526.
Temperatur-Korrektion des Aneroïdes:
$$dp = -\Delta T\,(0.534 - 0.000457 \cdot p).$$
Zeit des Aufstiegs: 8^{01} a M. E. Z.
Witterung beim Aufstieg:

a) Wind, Bewölkung, Form, Richtung und Geschwindigkeit der Wolken etc.: SSW_2 O ∞, ein ganz schmaler alt cu Streifen, von N nach S erstreckt. ⌴°; während und nach der Visierung stärkere Bewölkungs-Zunahme.

b) Temperatur beim Aufstieg: 1.6°, relative Feuchtigkeit: 74 %.

Temperatur 2 Stunden vor dem Aufstieg: 1.2°, nach dem Aufstieg: 4.2°.
Maximum des Vortages: 11.5°.
Maximum des Aufstiegstages: 10.0^{0} um 2^{10} p.
Minimum des Aufstiegstages: 1.2^{0} um 6 a.
Name, Seehöhe, Entfernung und Richtung des Landungsortes: Reichersdorf bei Talham 700 m, 41 km, S 31° E.
Mittlere { Steiggeschwindigkeit: 4.4 m/sec. / Fluggeschwindigkeit: 7 m/sec.
Ventilation in Maximalhöhe noch 0.6.

Ergebnis der Registrierung:

Zeit h m s	Seehöhe m	Luftdruck mm	Luftdruck mb	Seehöhe Geopot.	Temperatur C° Rohr.	Temperatur C° Lam.	Gradient △ t/100 m	Relative Feuchtigkeit %	Steiggeschwindigkeit des Ballons m/sec.	Bemerkungen			
0 0 0	516	724	965	506	1.6	1.6		74		Aufstieg.	an Erde S S W 2		
20	580	718	957	570	1.6	1.7	−0.15	74	3.6	Bodeninversion.	516— 750 m	S 72° W	7.5 m
1 23	810	698	931	800	**5.8**	**5.7**	−1.74	70		Höchste Temperatur.	750— 980 m	N 87° W	7.5 m
	1 000	680	907	980		4.4					980—1210 m	N 78° W	4.8 m
			900	**1 040**			0.68		3.9		1210—1440 m	S 86° W	5.9 m
	1 500	640	853	1 470		1.0							
6 8	1 940	607	809	1 900	− 1.5	− 1.9		70			1440—1900 m	S 75° W	5.9 m
	2 000	601	801	1 960		− 2.3					1900—2400 m	S 75° W	7.8 m
			800	**1 970**			0.70		3.9				
	2 500	565	753	2 450		− 5.8					2400—2670 m	S 81° W	10.3 m
9 19	2 680	552	736	2 630	− 6.9	− 7.1		76		Kleine Isothermie.			
9 39	2 750	547	729	2 720	− 6.9	− 7.1	0	73	3.6		2670—2930 m	N 88° W	10.3 m
	3 000	531	708	2 940		− 8.3					2930—3440 m	N 70° W	5.6 m
			700	**3 020**			0.48		4.6				
13 57	3 950	468	624	3 870	−12.8	−12.9		74					
	4 000	465	620	3 920		−13.1					3440—4450 m	N 46° W	3.2 m
			600	**4 160**			0.42		4.0				
15 19	4 290	448	597	4 200	−14.0	−14.3		69		Sehr gleichmässige Temperatur-abnahme.			
	5 000	409	545	4 900		−20.1	0.80		4.1		4450—5760 m	N 29° W	7.7 m
18 53	5 170	398	531	5 070	−21.3	−21.4		71					
			500	**5 520**									
	6 000	356	475	5 880		−27.2	0.70		4.8		5760—6600 m	N 21° W	7.1 m
23 49	6 590	327	436	6 470	−31.2	−31.4		74			Ballon in Wolken.		
	7 000	307	409	6 860		−33.9							
			400	**7 040**			0.61		3.7				
27 46	7 480	288	384	7 330	−36.8	−36.8		72					
	8 000	266	355	7 840		−40.3							
	9 000	230	307	8 820		−47.0							
			300	**8 960**			0.67		4.2				
34 56	9 260	221	295	9 070	−48.5	−48.7		72					
	10 000	197	263	9 800		−53.4	0.63		4.0				
39 25	10 340	187	249	10 130	−54.9	−55.5		72					
40 44	10 660	178	237	10 440	−56.3	−56.6	0.35	71	3.9	Ende der Troposphäre.			
	11 000	170	227	10 770		−56.5							
			200	**11 580**									
	12 000	146	195	11 750		−56.1	−0.04		4.3				
	13 000	123	164	12 730		−55.7							
51 14	13 380	116	155	13 100	−54.7	−55.5		70					
52 21	13 770	109	145	13 480	−51.3	−53.6	−0.48	70	6.0				
	14 000	106	141	13 700		−53.5							
56 30	15 000	90	120	14 680	−52.0	−52.9	−0.06	69	4.9				
	16 000	77	103	15 660		−54.1							
			100	**15 880**			0.12		7.1				
59 38	**16 350**	73	97	16 000	−52.8	−54.5		67		Höchster Punkt.			
1 07 40	10 430	185	247	10 210	−55.6	−56.3				Wiedereintritt in die Troposphäre.			
1 37 34	[630]	[714]	[952]	[617]						Landung.			

7. Februar 1913 2 p.

Instrument Bosch No. 529.

Temperatur-Korrektion des Aneroïdes:

$$d\,p = -\,\Delta T\,(0.450 - 0.000457 \cdot p).$$

Zeit des Aufstiegs: 1^{56} p M. E. Z.

Witterung beim Aufstieg:

a) Wind, Bewölkung, Form, Richtung und Geschwindigkeit der Wolken etc.: SW_1 1^0 ⊙ einzelne cu.

b) Temperatur beim Aufstieg: 8.6°; relative Feuchtigkeit: 57 %.

Temperatur 2 Stunden vor dem Aufstieg: 7.0°, nach dem Aufstieg: 7.8°.

Maximum des Vortages: 11.5°.

Maximum des Aufstiegstages: 10.0° um 2^{10} p.

Minimum des Aufstiegstages: 1.2° um 6 a.

Name, Seehöhe, Entfernung und Richtung des Landungsortes: Bad Aibling 490 m, 47 km, S 46.5° E.

Mittlere { Steiggeschwindigkeit: 4.6 m/sec. / Fluggeschwindigkeit: 7 m/sec.

Ventilation in Maximalhöhe noch 0.6.

Ergebnis der Registrierung:

Zeit h m s	Seehöhe m	Luftdruck mm	mb	Seehöhe Geopot	Temperatur C° Rohr.	Lam.	Gradient △ t/100 m	Relative Feuchtigkeit %	Steiggeschwindigkeit des Ballons m/sec.	Bemerkungen			
0 0 0	516	725	967	506	8.6	8.6		57		Aufstieg, starke Temperaturabnahme.	an Erde SW 1		
	1 000	680	907	980		4.8					516— 780 m	S 50° W	3.8 m
			900	**1 050**			0.80		4 2		780—1310 m	S 75° W	4.9 m
	1 500	641	855	1 470		0.8					1310—1580 m	S 81° W	6.4 m
4 19	1 590	635	847	1 560	0.7	0.0		65		Fast isotherm.	1580—1840 m	S 64° W	10.8 m
	2 000	603	804	1 960		- 0.8					1840—2010 m	S 53° W	10.8 m
			800	**2 000**			0.19		4.4		2010—2370 m	S 88° W	9.8 m
7 14	2 370	576	768	2 320	- 1.7	- 1.5		57					
	2 500	566	755	2 450		- 2.1	0.46				2370—2640 m	N 56° W	6.3 m
8 14	2 610	559	745	2 560	- 2.5	- 2.6		53	4.0		2640—2900 m	N 37° W	6.3 m
	3 000	533	711	2 940		- 5.5					2900—3170 m	N 37° W	4.8 m
			700	**3 070**							3170—3430 m	N 28° W	3.5 m
	4 000	467	623	3 920		-12.9	0.74		4.6		3430—4490 m	N	5.2 m
			600	**4 200**									
14 35	4 350	446	595	4 260	-15.5	-15.5		46			4490—4750 m	N 20° W	8.3 m
	5 000	409	545	4 900		-18.9	0.52		4.5		4750—5020 m	N 43° E	9.8 m
17 2	5 020	408	544	4 920	-18.4	-19.0		44			5020—5320 m	N 43° E	12.5 m
			500	**5 550**							5320—5900 m	N 43° E	14.7 m
	6 000	358	477	5 880		-26.4	0.75		4.8		5900—6490 m	N 31° E	14.7 m
22 46	6 690	324	432	6 560	-31.6	-31.6		43			6490—6790 m	N 18° E	12.7 m
	7 000	310	413	6 860		-33.7					6790—7080 m	N 8° E	12.7 m
			400	**7 080**			0.68		5.1		7080—7970 m	N	11.5 m
	8 000	267	356	7 840		-40.5					7970—8810 m	N	17.5 m
27 58	8 260	258	344	8 090	-42.2	-42.3		43			8810—9080 m	N	14.8 m
	9 000	231	308	8 820		-46.7							
			300	**8 990**			0 60		4.2		9080— 9350 m	N	10.8 m
33 54	9 700	208	277	9 500	-50.7	-51.0		43			9350— 9630 m	N	22.8 m
	10 000	199	265	9 800		-52 3	0.43		4.9		9630— 9900 m	N	18.0 m
37 21′	10 770	176	235	10 550	-56.2	-55.6		42		Ende der Troposphäre.	9900—10700 m	N 21° W	12.8 m
	11 000	170	227	10 770		-55.5	-0.05		4.9		10700—11000 m	N 21° W	9.4 m
			200	**11 580**		-55 2							
	12 000	146	195	11 750		-55.0					11000—12100 m	N 50° W	9.4 m
	13 000	124	165	12 730		-54.5	-0.05		4.9		12100—13180 m	N 50° W	16.7 m
45 22	13 160	121	161	12 890	-56.1	-54.4		42			13180—13460 m	N 68° W	16.7 m
47 54	13 700	111	148	13 420	-54.8	-52.7	-0.31		3.7				
	14 000	106	141	13 700		-53.2	0.17		5.9				
49 05	14 130	104	139	13 830	-54.8	-53.4					13460—14730 m	N 81° W	16.7 m
50 28	14 450	99	132	14 140	-54.3	-52.2	-0.38		3.9				
52 01	14 920	92	123	14 600	-53.8	-52.7	0.11		5.1		14730—14990 m	N 74° W	18.0 m
	15 000	90	120	14 680		-52.7	0.05		3.6				
56 58	15 990	78	104	15 640	-52.9	-53.2							
	16 000	77	103	15 660		-53.2					14990—16290 m	S 88° W	18.0 m
			100	**15 830**			-0.09		4.1				
1 0 11	16 780	69	92	16 410	-52.9	-52.5					16290—16880 m	N 86° W	21.6 m

Zeit h m s	Seehöhe m	Luftdruck mm	Luftdruck mb	Seehöhe Geopot.	Temperatur C° Rohr.	Temperatur C° Lam.	Gradient △ t/100 m	Relative Feuchtigkeit %	Steiggeschwindigkeit des Ballons m/sec.	Bemerkungen
	17 000	67	89	16 630		-52.3	-0.13		4.5	
1 3 55	17 790	59	79	17 410	-52.0	-51.2				16880—18060 m N 78° W 21.6 m
	18 000	57	76	17 610		-51.5	0.14		7.1	
1 5 16	**18 360**	54	72	17 960	-52.3	-52.0				Höchster Punkt. 18060—18360 m S 77° W 21.6 m
										Das Platzen des Ballons wurde im Fernrohr nach 1 Stunde 5 Minuten 24 Sekunden beobachtet!
1 17 40	10 510	182	243	10 290	-56.5	-55.3				Wiedereintritt in die Troposphäre.
1 49 40										Landung.

8. Februar 1913 8 a.

Instrument Bosch No. 561.

Temperatur-Korrektion des Aneroïdes:

$$d\,p = -\Delta T\,(0.540 - 0.000457 \cdot p).$$

Zeit des Aufstiegs: 8° a M. E. Z.

Witterung beim Aufstieg:

a) Wind, Bewölkung, Form, Richtung und Geschwindigkeit der Wolken etc.: $S^{2\cdot3}$ O ⊙ ⌣ einzelne ci, einzelne langgestreckte alt cu am Horizonte.

b) Temperatur beim Aufstieg: 1.4°; relative Feuchtigkeit: 56%.

Temperatur 2 Stunden vor dem Aufstieg: 1.0°, nach dem Aufstieg: 6.0°.

Maximum des Vortages: 10.0°.

Maximum des Aufstiegstages: 10.2° um 12 m.

Minimum des Aufstiegstages: 1.0° zwischen 2 und 6 a.

Name, Seehöhe, Entfernung und Richtung des Landungsortes: Esterndorf Post Dorfen 440 m, 42 km, N 71° E.

Mittlere { Steiggeschwindigkeit: 4.3 m/sec. / Fluggeschwindigkeit: 8 m/sec.

Ventilation in Maximalhöhe noch 0 7.

Ergebnis der Registrierung:

Zeit h m s	Seehöhe m	Luftdruck mm	Luftdruck mb	Seehöhe Geopot.	Temperatur C° Rohr.	Temperatur C° Lam.	Gradient △ t/100 m	Relative Feuchtigkeit %	Steiggeschwindigkeit des Ballons m/sec.	Bemerkungen
0 0 0	516	724	965	506	1.4	1.4		56		Aufstieg. Starke Bodeninversion. Höchste Temperatur. Sehr geringe R. F. an Erde S 2—3.
1 28	900	691	921	880	**7.5**	**7.6**	-1.64	37	4.3	516—780 m S 66° W 11.1 m
	1 000	682	909	980		7.0				780—1810 m W 16.0 m
			900	**1 060**						
	1 500	642	856	1 470		4.1				
	2 000	604	805	1 960		1.1	0.59		4.2	1810—2070 m W 14.3 m
			800	**2 020**						2070—2330 m S 81° W 14.3 m
	2 500	567	756	2 450		-1.8				2330—2590 m S 75° W 14.3 m
8 13	2 620	558	744	2 570	-4.7	-2.5		23		2590—2850 m S 75° W 16.5 m
9 33	2 980	533	711	2 920	-5.7	-3.3	0.22	21	4.5	
	3 000	531	708	2 940		-3.4				2850—3770 m S 67° W 8.9 m
			700	**3 020**			0.56		4.5	3770—3630 m S 63° W 8.9 m
11 56	3 620	491	655	3 550	-9.4	-6.9		19		3630—3890 m S 63° W 7.6 m
	4 000	469	625	3 920		-9.2				3890—4150 m S 43° W 7.6 m
			600	**4 250**						4150—4400 m S 28° W 8.2 m
	5 000	412	549	4 900		-15.3	0.61		4.4	
19 2	5 520	383	511	5 410	-21.4	-18.5		15		4400—5690 m S 12.5 m
			500	**5 570**			0.74		5.0	5690—5950 m S 25° W 11.0 m
20 18	5 900	364	485	5 780	-24.5	-21.3		14		5950—6920 m S 47° W 11.0 m
	6 000	359	479	5 880		-21.8	0.52		4.0	
23 7	6 570	332	443	6 440	-28.3	-24.8		13		6920—7490 m S 70° W 9.1 m
	7 000	312	416	6 860		-28.1				
			400	**7 150**			0.77		4.4	
26 50	7 560	289	385	7 410	-36.2	-32.4		16		7490—8010 m S 51° W 5.8 m
	8 000	272	363	7 840		-35.2	0.63			8010—8260 m S 56° W 5.8 m
30 55	8 510	252	336	8 340	-42.7	-38.4		16	3.9	8260—8770 m S 78° W 4.7 m
	9 000	235	313	8 820		-42.1				8770—9030 m N 77° W 7.0 m
			300	**9 110**			0.75		4.7	9030—10050 m N 66° W 9.0 m
	10 000	202	269	9 800		-49.6				10050—10300 m N 53° W 10.0 m

Zeit h m s	Seehöhe m	Luftdruck mm	mb	Seehöhe Geopot.	Temperatur C° Rohr.	Lam.	Gradient △ t/100 m	Relative Feuchtigkeit %	Steiggeschwindigkeit des Ballons m/sec.	Bemerkungen		
	11 000	163	217	10 770		-57.1	0.75		4.7		10300—10810 m N 78° W	10.0 m
42 43	11 850	151	201	11 600	-67.6	-63.4		16			10810—11570 m N 49° W	6.7 m
			200	**11 610**							11570—11830 m N 65° W	6.7 m
	12 000	147	196	11 750		-64.0	0.42		3.1			
44 32	12 180	143	191	11 930	-68.9	-64.8		16		Ende der Troposphäre.	11830—12970 m N 77° W	12.0 m
48 33	12 970	126	168	12 700	-58.0	-54.2	-1.34		3.3	Höchster Punkt.		
	[13 000]					[-53.8]				Extrapoliert.		
51 16	11 700	154	205	11 460	-67.7	-63.9				Das Platzen des Ballons wurde im Fernrohre nach 48 Min. 30 Sec. beobachtet! Wiedereintritt in die Troposphäre.		
1 23 1	660	710	947	650	**5.9**	**6.6**				Höchste Temperatur der im Abstieg wieder angetroffenen Bodeninversion.		
1 23 55		[728]	[971]							Landung.		

8. Februar 1913 2 p.

Instrument Bosch No. 562.

Temperatur-Korrektion des Aneroïdes:

$$d\,p = -\Delta T\,(0.446 - 0.000457 \cdot p).$$

Zeit des Aufstiegs: 2° p.

Witterung beim Aufstieg:

a) Wind, Bewölkung, Form, Richtung und Geschwindigkeit der Wolken etc.: W_4 10^1 ◍ cu ni aus W rasch.

b) Temperatur beim Aufstieg: 6.1°; relative Feuchtigkeit: 71%.

Temperatur 2 Stunden vor dem Aufstieg: 10.2°, nach dem Aufstieg: 4.8°.

Maximum des Vortages: 10.0°.

Maximum des Aufstiegstages: 10.2° um 12 m.

Minimum des Aufstiegstages: 1.0° zwischen 2 und 6 a.

Name, Seehöhe, Entfernung und Richtung des Landungsortes: Berg ob Landshut 500 m, 62 km, N 41° E.

Mittlere { Steiggeschwindigkeit: 5.1 m/sec. Fluggeschwindigkeit: 17 m/sec.

Ergebnis der Registrierung:

Zeit h m s	Seehöhe m	Luftdruck mm	mb	Seehöhe Geopot.	Temperatur C° Rohr.	Lam.	Gradient △ t/100 m	Relative Feuchtigkeit %	Steiggeschwindigkeit des Ballons m/sec.	Bemerkungen
0 0 0	516	724	965	506	6.1	6.1		71		Aufstieg. Starke Temperaturabnahme.
	1 000	679	905	980		2.1				
			900	**1 040**			0.79		4.4	
	1 500	640	853	1 470		- 1.9				
3 54	1 530	638	851	1 500	- 2.0	- 2.0		96		
4 37	1 700	625	833	1 670	- 2.2	- 2.1	0.01	96	3.6	
	2 000	602	803	1 960		- 4.5				
			800	**1 980**			0.48		4.0	
	2 500	564	752	2 450		- 5.6				
8 53	2 730	548	731	2 680	- 7.3	- 7.0		100		Maximum der R.F.
	3 000	529	705	2 940		- 8.3				
			700	**3 000**			0.48		3.7	
	4 000	464	619	3 920		-13.1				
14 53	4 080	460	613	4 000	-14.3	-13.5		88		
			600	**4 150**						
	5 000	405	540	4 900		-18.2	0.51		4.8	
			500	**5 490**						
21 35	6 000	355	473	5 880	-24.8	-23.4		38		
	7 000	309	412	6 860		-30.6				
			400	**7 070**			0.72		5.6	
26 25	7 630	283	377	7 480	-37.0	-35.1		38		
26 52	7 750	278	371	7 590	-37.2	-35.2	0.08	38	4.4	Rohrthermogramm von hier ab unbrauchbar.
	8 000	268	357	7 840		-37.1				
	9 000	231	308	8 820		-44.6	0.75		5.5	
30 46	9 040	230	307	8 860		-44.9		40		
			300	**8 990**						
	10 000	198	264	9 800		-52.3	0.77		4.8	
35 55	**10 530**	183	244	10 310		-56.3		40		Höchster Punkt. Stratosphäre noch nicht erreicht.
1 0 3										Landung.

Wetterlage: Am 5. Februar lag hoher Druck über Zentral- und Südeuropa, Nordeuropa gehörte Tiefdruckgebieten an. Im Alpenvorlande hatte die Witterung föhnigen Einschlag. Schon am Abend schien das barometrische Maximum nach Südosteuropa

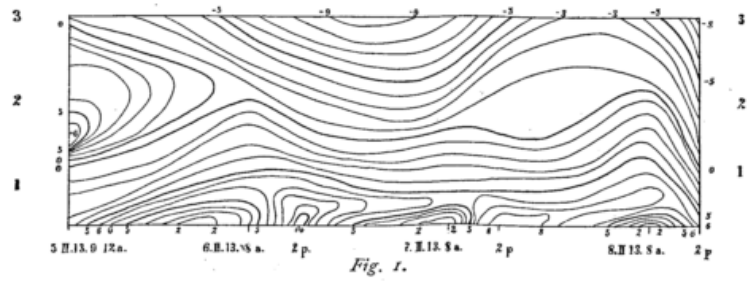


Fig. 1.

abzuwandern, auch noch am Morgen des 6. Februar lag der Kern über der Balkanhalbinsel. Trotz — oder vielleicht wegen der Vertiefung einer vor Island liegenden Depression verstärkte sich jedoch der Hochdruck wieder, so dass am 7. Februar der Kern über dem Alpengebiet festgestellt wurde. Erst am 8. Februar, als die atlantische Depression nach Skandinavien fortgerückt war und mit einem südlichen Ausläufer nach Zentraleuropa hereingriff, zog das Maximum ostwärts ab. Die Rückseite des Ausläufers setzte auf unserem Gebiete gerade zur Zeit des Nachmittagsaufstieges ein, schon am folgenden Morgen war aber intensiver hoher Druck, von den Azoren ausgehend, nachgerückt, so dass sich wiederum über Zentraleuropa ein kontinentales Maximum ausbildete.

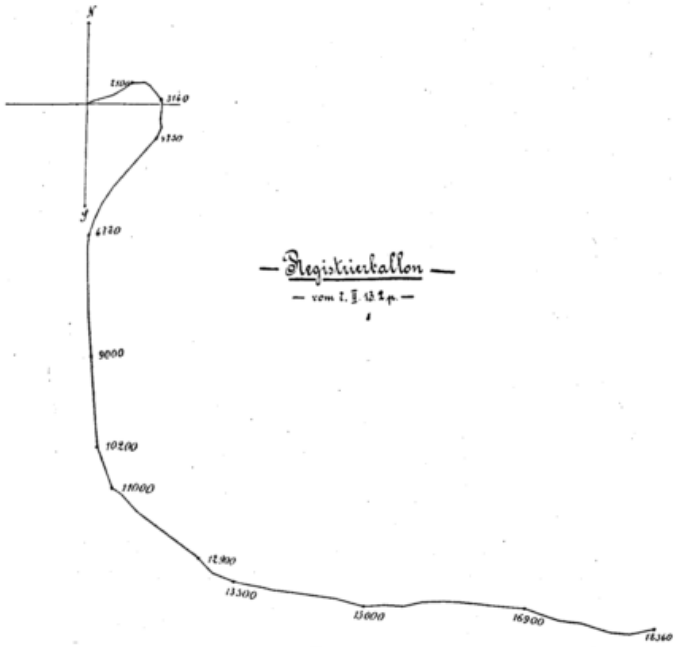


Fig. 3.

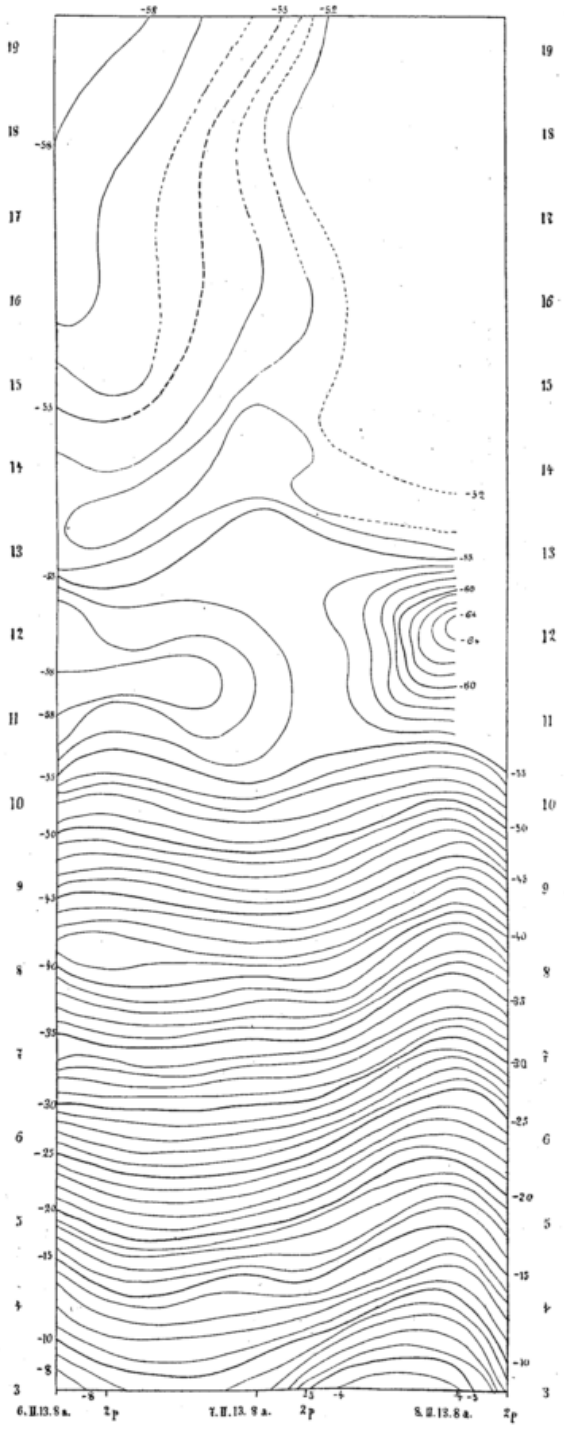


Fig. 2

Freiballon vom 5. März 1913.

Zeit h m	Seehöhe m	Temperatur C°	Gradient △t/100m	Relative Feuchtigkeit %	Bemerkungen
9 28	520	7.9		64	Abfahrt. Wetter: 3¹ ⊙, ci, ci st aus NW langsam, dunstig.
	1 000	3.8	0.86		
	1 500	– 0.5			
10 19	1 720	– 2.4		85	
10 41	1 780	0.8	-5.3	41	
	2 000	– 1.1	0.85		
12 46	2 300	– 3.6		62	Höchster Punkt.

Pilotballon vom 5. März 1913.
Aufstieg 7^{45} a.

Stufenwerte m	Wind Richtung	Wind Geschwindigkeit m p. s.	Stufenwerte m	Wind Richtung	Wind Geschwindigkeit m p. s.
550	SW	3.1	2150—2950	N 72° W	15.0
550— 750	S 68° W	9.8	2950—3350	N 65° W	16.2
750—1350	W		3350 - 3750	N 57° W	
1350—1750	S 80° W	12.5	3750—4750	N 67° W	20.6
1750—1950	S 69° W		4750—5150	N 36° W	13.5
1950—2150	S 82° W	13.8			

6. März 1913.

Instrument Bosch No. 149.

Temperatur-Korrektion des Aneroïdes:

$$dp = -\Delta T\,(0.610 - 0.000457 \cdot p).$$

Zeit des Aufstiegs: 7^{57} a M. E. Z.

Witterung beim Aufstieg:

a) Wind, Bewölkung, Form, Richtung und Geschwindigkeit der Wolken etc.: SW_2 1^0 ⊙ am nördlichen Horizonte stratus, ∞ ringsum am Horizonte.

b) Temperatur beim Aufstieg: 2.6°; relative Feuchtigkeit: 81%.

Temperatur 2 Stunden vor dem Aufstieg: 1.8°, nach dem Aufstieg: 7.1°.

Maximum des Vortages: 11.7°.

Maximum des Aufstiegstages: 12.2° um 2^{30} p.

Minimum des Aufstiegstages: 2.7° um 6^{20} a.

Name, Seehöhe, Entfernung und Richtung des Landungsortes: Marktl am Inn 350 m, 97 km, N 48° E.

Mittlere { Steiggeschwindigkeit: 4.8 m/sec. / Fluggeschwindigkeit: 17 m/sec.

Ventilation in der Maximalhöhe noch 0.7.

Ergebnis der Registrierung:

Zeit h m s	Seehöhe m	Luftdruck mm	Luftdruck mb	Seehöhe Geopot.	Temperatur C° Rohr.	Temperatur C° Lam.	Gradient △t/100 m	Relative Feuchtigkeit %	Steiggeschwindigkeit des Ballons m/sec.	Bemerkungen			
0 0 0	516	727	969	506	2.6	2.6	-1.78	81	4.4	Aufstieg. Bodeninversion.	an Erde SW 2		
0 44	710	710	947	700	6.9	6.0		78		Höchste Temperatur.	516— 770 m	S 13° W	2.4 m
	1 000	682	909	980		4.2					770—1160 m	S 28° W	1.2 m
			900	**1 080**			0.61		4.1				
	1 500	643	857	1 470		1.1					1160—1550 m	S 47° W	3.1 m
4 10	1 550	640	853	1 520	1.9	0.9		86		Nochmalige Inversion.			
5 11	1 800	620	827	1 770	3.4	2.6	-0.66	71	4.2				
	2 000	606	808	1 960		1.9					1550—2000 m	S 68° W	10.6 m
			800	**2 040**			0.37		4.5				
	2 500	569	759	2 450		0.0					2000—2450 m	S 85° W	10.6 m
8 52	2 790	548	731	2 740	0.1	- 1.1		56		Von hier ab gleichmässige, nicht besonders starke Temperaturabnahme.			
	3 000	534	712	2 940		- 2.4					2450—3100 m	N 85° W	14.2 m
			700	**3 090**									
	4 000	471	628	3 920		- 8.8	0.64		4.4		3100—4390 m	S 85° W	12.8 m
			600	**4 260**									
15 16	4 470	442	589	4 380	-10.6	-11.9		41			4390—4710 m	S 78° W	12.8 m
	5 000	411	548	4 900		-15.7					4710—5390 m	S 85° W	16.8 m
			500	**5 550**							5390—5730 m	S 80° W	16 8 m
	6 000	359	479	5 880		-22.8	0.71		5.1		5730—6060 m	N 81° W	16.8 m
21 43	6 440	339	452	6 310	-25.4	-26.0		40					
23 25	6 920	317	423	6 780	-27.3	-28.0		39			6060—7110 m	S 85° W	16.8 m
	7 000	313	417	6 860		-28.4	0.41		4.7				
			400	**7 180**									
	8 000	272	363	7 840		-34.0	0.56		5.4		7110—8070 m	S 85° W	23.4 m
28 16	8 490	254	339	8 320	-35.0	-36.8		39			8070—8710 m	S 77° W	23.4 m
	9 000	234	312	8 820		-40.3					Ballon im Dunst nicht mehr zu sehen.		
			300	**9 100**			0.69		5.1				
	10 000	203	271	9 800		-47.2							
34 32	10 410	191	255	10 200	-46.0	-50.1		39					

Zeit h m s	Seehöhe m	Luftdruck mm	mb	Seehöhe Geopot.	Temperatur C° Rohr.	Lam.	Gradient △t/100 m	Relative Feuchtigkeit %	Steiggeschwindigkeit des Ballons m/sec.	Bemerkungen
	11 000	175	233	10 770		-53.5		Hygrogramm nur mehr gerade Linie.		
			200	**11 720**			0.57		5.9	
	12 000	149	199	11 750		-59.2				
41 44	12 930	128	171	12 660	-60.3	-64.4				Überleitung zur Stratosphäre.
	13 000	126	168	12 730		-64.6	0.23		4.4	
44 25	13 640	114	152	13 350	-62.1	-66.0				Tiefste Temperatur.
	14 000	107	143	13 700		-64.4	0.45		3.7	
46 58	14 200	104	139	13 900	-61.9	-63.5				
49 37	**14 950**	92	123	14 630	-58.3	-61.2	-0.30		4.8	Höchster Punkt.
	[15 000]					[-61.0]				Extrapoliert.
52 28	13 500	116	155	13 220	-64.7	-65.8				Tiefste im Abstieg registrierte Temperatur; die beiden bodennahen Inversionen sind im Abstiegdiagramm nur mehr angedeutet.
1 33 24	[460]	[732]	[975]	[450]						Landung. Höhe nach Karte 350 m.

Am Vortage wurde eine Freiballonfahrt veranstaltet, deren Ergebnisse in der Tabelle niedergelegt sind. Die durch die Pilotvisierung festgestellten Windverhältnisse wurden auch durch die Freifahrt bestätigt, nur lag die an der Grenze des unteren W und oberen NW vorhandene Inversion am Ostrande der Alpen um rund 400 m tiefer als über dem westlichen Teile des bayerischen Alpenvorlandes. Da die Inversion sehr scharf sichtbar war, konnte diese Absenkung gut festgestellt werden.

Die Witterung hatte den Charakter von Westwetter mit föhnigem Einschlage. Eine tiefe Depression lag vom 4. bis 7. März vor der norwegischen Küste, das ganze Mittelmeergebiet gehörte hohem Drucke an.

4. April 1913.

Instrument Bosch No. 208.

Temperatur-Korrektion des Aneroïdes:

$$dp = -\Delta T\,(0.470 - 0.000457 \cdot p).$$

Zeit des Aufstiegs: 7^{56} a M. E. Z.

Witterung beim Aufstieg:

a) Wind, Bewölkung, Form, Richtung und Geschwindigkeit der Wolken etc.: E_1 O ⊙ ci u. ci cu am nördlichen Horizonte ziehen aus SE.

b) Temperatur beim Aufstieg: 6.0°, relative Feuchtigkeit: 75%.

Temperatur 2 Stunden vor dem Aufstieg: 4.0°, nach dem Aufstieg: 10.2°.

Maximum des Vortages: 14.0°.

Maximum des Aufstiegstages: 16.8° um 3 p.

Minimum des Aufstiegstages: 3.8° um 6^{10} a.

Name, Seehöhe, Entfernung und Richtung des Landungsortes: Langweid am Lech 430 m, 67 km, N 54° W.

Mittlere { Steiggeschwindigkeit: 4.3 m/sec. Fluggeschwindigkeit: 14 m/sec.

Ventilation in Maximalhöhe noch 0.5.

Ergebnis der Registrierung:

Zeit h m s	Seehöhe m	Luftdruck mm	mb	Seehöhe Geopot.	Temperatur C° Rohr.	Lam.	Gradient △t/100 m	Relative Feuchtigkeit %	Steiggeschwindigkeit des Ballons m/sec.	Bemerkungen			
0 0 0	516	711	948	506	6.0	6.0		75		Aufstieg.	516— 670 m	N 82° E	5.0 m
0 36	700	695	927	690	5.1	4.9	0.59	75	5.1	Beginn einer Inversion.	670— 800 m	S 70° E	9.8 m
			900	**930**									
1 42	960	673	897	940	**8.0**	**8.6**	-1.40	63	4.0	Höchste Temperatur.			
	1 000	671	895	980		8.5					800—1040 m	S 53° E	9.8 m
3 11	1 350	642	856	1 320	7.3	7.2	0.36	55	4.4		1040—1310 m	S 62° E	8.7 m
	1 500	632	843	1 470		6.2					1310—1570 m	S 68° E	8.7 m
			800	**1 870**							1570—1840 m	S 74° E	8.7 m
	2 000	594	792	1 960		2.9					1840—2110 m	S 61° E	8.7 m
	2 500	558	744	2 450		- 0.4	0.66		4.5		2110—2650 m	S 61° E	8.2 m
			700	**2 930**									
	3 000	524	699	2 940		- 3.7					2650 - 3450 m	S 48° E	7.0 m
10 48	3 400	497	663	3 330	- 7.3	- 6.3		44			3450—3990 m	S 67° E	5.6 m
	4 000	460	613	3 920		- 9.7							
			600	**4 100**			0.56		4.4				
14 29	4 380	438	584	4 290	-13.2	-11.8		43			3990—4530 m	S 52° E	12.7 m

Zeit h m s	Seehöhe m	Luftdruck mm	mb	Seehöhe Geopot.	Temperatur C° Rohr	Lam.	Gradient △t/100 m	Relative Feuchtigkeit %	Steiggeschwindigkeit des Ballons m/sec.	Bemerkungen
	5 000	404	539	4 900		−16.0				4530—5130 m S 60° E 12.7 m
			500	**5 430**			0.68		5.0	5130—5430 m S 41° E 10.0 m
	6 000	352	469	5 880		−22.8				Ballon plötzlich nicht mehr zu sehen.
20 53	6 290	339	452	6 160	−26.4	−24.8		43		
	7 000	308	411	6 860		−30.3				
			400	**7 050**			0.77		4.6	
26 48	7 920	269	359	7 760	−38.9	−37.4		43		
	8 000	266	355	7 840		−38.0				
	9 000	229	305	8 820		−45.3	0.73		5.5	
			300	**8 940**						Übergang zur Stratosphäre.
31 1	9 310	219	292	9 120	−47.7	−47.6		43		
	10 000	197	263	9 800		−51.5	0.56		4.5	
37 2	10 950	170	227	10 720	−57.5	−56.8		43		Tiefste Temperatur, Ende der Troposphäre.
	11 000	168	224	10 770		−56.4	−0.73		3.1	
37 52	11 100	166	221	10 870	−56.8	−55.7		43		
39 4	11 410	158	211	11 170	−56.5	−56.3	0.19	43	4.3	
40 33	11 700	151	201	11 460	−56.0	−55.2	−0.38		3.2	
			200	**11 510**			0.12		3.5	
41 22	11 870	147	196	11 620	−56.5	−55.4				
	12 000	144	192	11 750		−54.0	−1.06		2.7	
43 16	12 180	140	187	11 930	−53.9	−52.1				
	13 000	124	165	12 730		−50.8	−0.16		3.4	
47 35	13 080	122	163	12 810	−51.7	−50.7				
49 20	13 410	116	155	13 130	−50.5	−49.5	−0.36		3.1	
51 11	13 870	108	144	13 580	−51.1	−50.2	0.15		4.2	
	14 000	106	141	13 700		−50.0	−0.13		4.9	
52 26	14 240	102	136	13 940	−50.5	−49.7				
54 5	**14 500**	98	131	14 190	−51.2	−50.4	0.27		2.7	Höchster Punkt.
1 1 1	11 140	174	232	10 910	−59.8	−57.7				Tiefste im Abstiege registrierte Temperatur.
										Wiedereintritt in die Troposphäre.
										Bodeninversion beim Abstieg abgeschwächt wieder angetroffen.
1 20 36	[650]	[699]								Landung. Seehöhe nach Karte 430 m.

Hygrogramm nur mehr gerade Linie

Am 3. bis 5. April war der nicht häufige Fall in der Luftdruckverteilung gegeben, dass über der iberischen Halbinsel ein als Aktionszentrum für ganz Zentraleuropa wirkendes Tiefdruckgebiet lag. Hoher Druck fand sich im Norden Europas, ebenfalls mit bemerkenswerter Stabilität, so dass bis in grosse Höhen hinauf recht gleichmässige Südostströmung über unserem Gebiete herrschte.

Von einem bald nach dem Registrierballon abgegangenen Freiballon wurde die Konstanz der Strömungsverhältnisse auf eine Strecke von 260 km bis hinauf zu einer Seehöhe von 4200 m konstatiert. Der Ballon landete nach $7^1/_4$ Stunden in Richtung N 62° W, die mittlere Geschwindigkeit war 10 m/sec, also etwas grösser, als am Morgen über München festgestellt worden war.

5. Mai 1913.

Instrument Bosch No. 116.

Temperatur-Korrektion des Aneroïdes:

$$dp = \Delta T\,(0.055 - 0.000457 \cdot p).$$

Zeit des Aufstiegs: 7^{52} a M.E.Z.

Witterung beim Aufstieg:

a) Wind, Bewölkung, Form, Richtung und Geschwindigkeit der Wolken etc.: nachts vorher Sturm und Regen, am Morgen W_2, 10^1 alt st, cu st aus WNW langsam.

b) Temperatur beim Aufstieg: 6.1°; relative Feuchtigkeit: 77 %.

Temperatur 2 Stunden vor dem Aufstieg: 5.8°, nach dem Aufstieg: 7.5°.

Maximum des Vortages: 15.0°.

Maximum des Aufstiegstages: 9.3° um 12 m.

Minimum des Aufstiegstages: 5.5° um 5 a.

Name, Seehöhe, Entfernung und Richtung des Landungsortes: Langenpettenbach bei Indersdorf 520 m, 30 km, N 30° W [NB. Wind an Erde W_2].

Mittlere { Steiggeschwindigkeit: 4.9 m/sec. Fluggeschwindigkeit: 6 m/sec.

Ventilation in der Maximalhöhe noch 0 6.

Ergebnis der Registrierung:

Zeit h m s	Seehöhe m	Luftdruck mm	mb	Seehöhe Geopot.	Temperatur C° Rohr.	Lam.	Gradient △ t/100 m	Relative Feuchtigkeit %	Steiggeschwindigkeit des Ballons m/sec.	Bemerkungen
0 0 0	516	705	940	506	6.1	6.1		77		Aufstieg, starke Temperaturabnahme.
			900	**850**			0.90		3.9	
						1.7				
	1 000	665	887	980						
2 12	1 030	662	883	1 010	1.5	1.5		87		erstes Max. der R.F.
	1 500	625	833	1 470		- 1.2				
			800	**1 790**			0.57		4.3	
						- 4.1				
	2 000	586	781	1 960				84		
7 49	2 480	551	735	2 430	- 6.5	- 6.7				
	2 500	549	732	2 450		- 6.7				
			700	**2 820**			0.10			
9 9	2 870	524	699	2 820	- 7.2	- 7.1		91	4.6	
	3 000	516	688	2 940		- 7.7	0.49			
10 28	3 220	501	668	3 160	- 8.9	- 8 8		94		zweites Max. der R.F.
13 13	3 990	453	604	3 910	-13.5	-12.9	0.53	94		geringe Gradienten.
	4 000	453	604	3 920		-12.9			5.0	
			600	**3 960**			0.23			
14 2	4 300	435	580	4 220	-13.9	-13.6		92		Von hier ab gleichmässige und starke Temperaturabnahme.
	5 000	398	531	4 900		-19.0				
			500	**5 300**			0.77		4.9	
						-26.7				
	6 000	346	461	5 880				80		
20 23	6 160	338	451	6 040	-29.7	-28.0				
	7 000	300	**400**	**6 860**		-34 8	0.81		6.4	
24 41	7 810	267	356	7 750	-43.7	-41.3		79		
	8 000	260	347	7 840		-42.7				
			300	**8 760**			0.76		6.1	
						-50.3				
	9 000	223	297	8 820				81		
27 56	9 010	223	297	8 830	-53.6	-50.4				Überleitung zur Stratosphäre.
29 28	9 580	204	272	9 380	-54.5	-52.6	0.38	77	6.5	Ende der Troposphäre, tiefste Temperatur.
30 17	9 820	196	261	9 620	-53.9	-52.3	- 0.12	77		
	10 000	191	255	9 800		-51.4			5.2	
31 28	10 220	185	247	10 010	-52.4	-50.4	- 0.51	77		
32 29	10 390	180	240	10 180	-52.8	-50.9	0.29	76	3.4	
33 56	10 730	171	228	10 510	-50.9	-49.2	- 0.51	74		
	11 000	164	219	10 770		-48.5				
			200	**11 310**			- 0.27		4.7	
						-45.8				
	12 000	140	187	11 750		-45.4		72		Höchste Temperatur in der Stratosphäre.
38 58	12 130	137	183	11 880	-48.7	-47.4	0.44	70	5.1	
40 26	12 580	128	171	12 320	-49.6	-47.0	- 0.09		4.4	
	13 000	120	160	12 750		-46.5		68		
43 56	13 520	111	148	13 240	-48.7	-46.7			4.3	
	14 000	103	137	13 700		-47.2	0.05			
	15 000	88	117	14 680		-47.3		65		Höchster Punkt.
50 44	**15 290**	85	113	14 960	-48.7					
1 02 0	9 300	213	284	9 110	-55.7	-52.8		62		Wiedereintritt in die Troposphäre.
1 29 3	[570]	[700]	[933]	[563]						Landung [Höhe nach der Karte 520 m].

an Erde W 2 in NW 2 rasch übergehend.

516— 980 m	N 78° W	4.1 m
980—1230 m	N 60° W	4.8 m
1230—1490 m	N 67° W	4.3 m
1490—2010 m	S 80° W	4.3 m
2010—2270 m	S 88° W	4.3 m
2270—2540 m	N 3° W	1.8 m
2540—2830 m	S 78° E	7.2 m
2830—2910 m	S 65° E	11.4 m

Ballon in Wolken.

6. Mai 1913.

Instrument Bosch No. 208.
Temperatur-Korrektion des Aneroïdes:
$$dp = -\Delta T\,(0.471 - 0.000457 \cdot p).$$
Zeit des Aufstiegs: 7^{58} a M. E. Z.

Witterung beim Aufstieg:
a) Wind, Bewölkung, Form, Richtung und Geschwindigkeit der Wolken etc.: W 2 9^1 st cu aus W mässig rasch (nachts ◍).

b) Temperatur beim Aufstieg: 6.5°, relat. Feuchtigkeit 84 %.
Temperatur 2 Stunden vor dem Aufstieg: 5.2°, nach dem Aufstieg: 7.3°.
Maximum des Vortages: 8.8°.
Maximum des Aufstiegstages: 10.3° um 3^{30} p.
Minimum des Aufstiegstages: 5.0° um 4 a.

Name, Seehöhe, Entfernung und Richtung des Landungsortes: Eichenau bei Puchheim, ca 530 m, 16 km fast rein W von München.
Mittlere { Steiggeschwindigkeit: 4.8 m/sec. / Fluggeschwindigkeit: 3.5 m/sec.
Ventilation in Maximalhöhe 0.8.

Ergebnis der Registrierung:

Zeit h m s	Seehöhe m	Luftdruck mm	mb	Seehöhe Geopot.	Temperatur C° Rohr.	Lam.	Gradient △ t/100 m	Relative Feuchtigkeit %	Steiggeschwindigkeit des Ballons m/sec.	Bemerkungen
0 0 0	516	706	941	506	6.5	6.5		84		Aufstieg, starke Temperaturabnahme.
			900	**860**			0.88		3.8	
	1 000	665	887	980		2.2				
1 53	1 010	664	885	1 000	1.8	2.1		96		Maximum der R. F.
	1 500	627	836	1 470		- 0.6				
			800	**1 810**						
	2 000	589	785	1 960		- 3.3	0.55			
	2 500	551	735	2 450		- 6.1			4.7	
			700	**2 810**						
8 51	2 990	517	689	2 930	- 9.8	- 8.7		94		Kleiner Gradient.
	3 000	515	687	2 940		- 8.7	0.27			
10 3	3 330	495	660	3 260	-10.9	- 9.6		92		
12 8	3 940	457	609	3 860	-12.3	-14.0	0.72	93	4.4	
	4 000	453	604	3 920		-14.5				
			600	**3 970**			0.73		4.8	
15 48	4 990	397	529	4 890	-23.6	-21.7		79		
	5 000	396	528	4 900		-21.7	0.40		3.7	
16 29	5 140	389	519	5 040	-23.7	-22.3		76		
			500	**5 270**						
	6 000	345	460	5 880		-28.1	0.68		5.3	
21 33	6 770	310	413	6 640	-36.1	-33.4		71		
	7 000	300	**400**	**6 860**		-35.1				
	8 000	259	345	7 840		-42.5	0.74		5.2	
26 51	8 460	242	323	8 290	-47.9	-45.9		69		
			300	**8 750**						
	9 000	223	297	8 820		-48.8	0.54		5.9	
29 8	9 270	214	285	9 080	-53.0	-50.3		69		Tiefste Temperatur. Ende der Troposphäre.
	10 000	192	256	9 800		-49.5	-0.11		4.2	
32 21	10 080	189	252	9 870	-52.0	-49.4				
34 17	10 590	175	233	10 370	-50.1	-47.6	-0.36		4.4	
35 7	10 820	169	225	10 600	-50.1	-47.4	-0.09		4.7	
	11 000	164	219	10 770		-47.3				
			200	**11 350**			-0.04		4.5	
38 8	11 640	149	199	11 400	-49.6	-47.1				
	12 000	141	188	11 750		-46.9	-0.06			
41 9	12 440	132	176	12 180	-49.0	-46.6			4.4	
43 5	**12 950**	122	163	12 680	-48.8	-46.4	-0.04			Höchster Punkt.
	[13 000]					[-46.4]				Extrapoliert.
50 41	9 080	219			-53.0	-49.7				Tiefste Temperatur im Abstieg.
1 15 36		[713]								Landung.

7. Mai 1913.

Instrument Bosch No. 424.
Temperatur-Korrektion des Aneroïdes:
$$dp = -\Delta T\ (0.515 - 0.000457 \cdot p).$$
Zeit des Aufstiegs: 7^{56} a M. E. Z.
Witterung beim Aufstieg:
a) Wind, Bewölkung, Form, Richtung u. Geschwindigkeit der Wolken etc.: SW_2 10^1 st ohne erkennbaren Zug, nachts ●.
b) Temperatur beim Aufstieg: 7.2°; relative Feuchtigkeit: 80 %.
Temperatur 2 Stunden vor dem Aufstieg: 6.1°, nach dem Aufstieg: 9.3°.
Maximum des Vortages: 10.3°.
Maximum des Aufstiegstages: 10.3° um 12 m.
Minimum des Aufstiegstages: 5.3° um 3 a, 4.5° um 12 p.

516—640 m	N 76° W	2.5 m
640—860 m	S 83° W	5.6 m
860—980 m	W	7.4 m

Ballon in den st cu eingetreten.

Name, Seehöhe, Entfernung und Richtung des Landungsortes: Kreiling bei Hohenlinden ca 530 m, 23 km, fast rein E von München.

Mittlere { Steiggeschwindigkeit: 4.7 m/sec. Fluggeschwindigkeit: 4.3 m/sec.

Ventilation in Maximalhöhe 0.6.

Ergebnis der Registrierung:

Zeit h m s	Seehöhe m	Luftdruck mm	Luftdruck mb	Seehöhe Geopot.	Temperatur C° Lam.	Gradient △t/100 m	Relative Feuchtigkeit %	Steiggeschwindigkeit des Ballons m/sec.	Bemerkungen
0 0 0	516	709	945	506	7.2		80		Aufstieg Ballon nach 3 Min. im st verschwunden. Windrichtung bis dahin W; schwache Temperaturabnahme.
			900	**900**				5.5	
	1 000	668	891	980	6.1	0.23			
1 42	1 080	662	883	1 060	5.9		90		
	1 500	630	840	1 470	3.1				
			800	**1 850**					
	2 000	591	788	1 960	- 0.3	0.67		4.5	
	2 500	554	739	2 450	- 3.7				
7 4	2 540	552	736	2 490	- 3.9		95		
			700	**2 860**					
	3 000	520	693	2 940	- 7.0	0.66		3.8	
10 41	3 370	496	661	3 300	- 9.4		100		Maximale Rel. Feucht.
11 7	3 500	488	651	3 430	- 9.0	- 0.32	100	4.8	Leichte Inversion.
	4 000	458	611	3 920	-11.8				
			600	**4 050**		0.55		5.0	
	5 000	400	533	4 900	-17.3				
17 23	5 390	380	507	5 280	-19.4		97		
			500	**5 370**					
	6 000	349	465	5 880	-23.4	0.66		5.3	
20 20	6 340	334	445	6 210	-25.6		83		
	7 000	305	407	6 860	-29.5				
			400	**6 970**		0.59		5.2	
24 55	7 780	273	364	7 620	-34.1		68		
	8 000	265	353	7 840	-35.7				
	9 000	229	305	8 820	-42.9	0.72		4.7	
29 41	9 110	225	**300**	**8 930**	-43.7		64		
	10 000	196	261	9 800	-49.2	0.61		4.5	
34 29	10 400	185	247	10 190	-51.6		64		Überleitung zur Stratosphäre.
35 20	10 650	178	237	10 430	-51.8	0.08		4.7	Tiefste Temperatur. Ende der Troposphäre.
36 23	10 910	171	228	10 690	-49.8	- 0.77		4.2	
	11 000	169	225	10 770	-50.0	0.20		4.3	
			200	**11 510**		0.20		4.3	
39 50	11 810	149	199	11 570	-51.6				
	12 000	144	192	11 750	-50.4	- 0.64		4.1	
41 5	12 120	142	189	11 870	-49.6				
	13 000	124	165	12 730	-47.0	- 0.29		4.1	
45 23	13 170	121	161	12 900	-46.5				
48 31	13 870	109	145	13 580	-45.9	- 0.09		3.7	Höchste Temperatur in der Stratosphäre.
	14 000	107	143	13 700	-46.1				
	15 000	92	123	14 680	-47.3	0.12		5.1	
	16 000	78	104	15 660	-48.5				
56 2	**16 160**	77	103	15 820	-48.6				Höchster Punkt.
56 56	15 360	87	116	15 040	-50 1				Einige interessante Punkte des Abstiegsdiagrammes.
59 24	13 530	115	153	13 250	-47.4				Höchste Temperatur in der Stratosphäre.
1 2 25	11 740	151	201	11 500	-48.6				
1 3 27	11 160	165	220	10 930	-50.8				
1 4 46	10 490	183	244	10 270	-49.3				Entspricht im Aufstieg der Höhe 10910.
1 6 2	9 870	201	268	9 670	-49.8				Tiefste Temperatur im Abstiege.
1 29 44	[800]	[684]	[912]	[794]					Landung.

8. Mai 1913. Das Instrument No. 425 ist noch nicht gefunden worden.

9. Mai 1913.

Instrument Bosch No. 427.

Temperatur-Korrektion des Aneroïdes:

$$d\,p = -\sqrt{T}\,(0.480 - 0.000457 \cdot p).$$

Zeit des Aufstiegs: 7^{47} a M. E. Z.

Witterung beim Aufstieg:

a) Wind, Bewölkung, Form, Richtung und Geschwindigkeit der Wolken etc.: E_2 1^0 ⊙ cu aus E rasch, nachts ⌙°.

b) Temperatur beim Aufstieg: 5.8°, relative Feuchtigkeit: 79 %.

Temperatur 2 Stunden vor dem Aufstieg: 3.3°, nach dem Aufstieg: 10.4°.

Maximum des Vortages: 14.0°.

Maximum des Aufstiegstages: 15.5° um 3 p.

Minimum des Aufstiegstages: 3.3° um 5—6 a.

Name, Seehöhe, Entfernung und Richtung des Landungsortes: Kleinhöhenrain bei Aibling, ca 610 m, 37 km, S 45° E.

Mittlere { Steiggeschwindigkeit: 4.3 m/sec. / Fluggeschwindigkeit: 6.0 m/sec.

Ventilation genügt bis 15 350 m.

Ergebnis der Registrierung:

Zeit h m s	Seehöhe m	Luftdruck mm	mb	Seehöhe Geopot.	Temperatur C° Rohr.	Lam.	Gradient △ t/100 m	Relative Feuchtigkeit %	Steiggeschwindigkeit des Ballons m/sec.	Bemerkungen			
0 0 0	516	713	951	506	5.8	5.8		79		Aufstieg.	an Erde E 2		
1 35	880	682	909	860	4.3	2.9	0.80	85	3.8	Temperaturumkehr.	516— 740 m	S 78° E	3.2 m
			900	**940**							740— 970 m	S 78° E	5.8 m
2 00	970	674	899	950	4.4	4.9	-2.1	86			970— 1250 m	S 78° E	6.3 m
	1 000	672	896	980		5.0			4.6				
3 1	1 260	651	868	1 230	5.4	5.9	-0.35	76					
3 46	1 450	636	848	1 420	**5.7**	**6.4**	-0.26	68	4.3	Höchste Temp.	1250— 1510 m	N 86° E	1.4 m
	1 500	631	841	1 470		6.2	0.41		4.7		1510— 1790 m	N 77° W	1.4 m
5 10	1 840	606	808	1 800	5.4	4.8		65					
			800	**1 860**									
	2 000	593	791	1 960		4.0					1790— 2590 m	N 48° W	4.3 m
	2 500	559	745	2 450		1.5	0.50		4.4		2590— 2850 m	N 30° W	5.6 m
	3 000	525	**700**	**2 940**		- 1.0					2850— 3130 m	N 44° W	8.8 m
9 32	3 010	524	699	2 950	0.3	- 1.0		60		Min. der R. F.	3130— 3400 m	N 44° W	11.3 m
11 00	3 400	499	665	3 330	- 2.2	- 3.6	0.67	68			3400— 3700 m	N 26° W	8.8 m
11 40	3 610	486	648	3 540	- 3.3	- 4.9	0.62	66	5.2		3700— 3990 m	N 40° W	7.2 m
	4 000	462	616	3 920		- 7.5					3990— 4270 m	N 40° W	4.9 m
			600	**4 120**			0.66		4.8		4270— 4560 m	N 40° W	7.7 m
16 20	4 940	409	545	4 840	-12.0	-13.7		74		Zweites Max. der R. F.	4560— 4840 m	N 32° W	3.6 m
	5 000	405	540	4 900		-14.1					4840— 5380 m	N 14° W	3.6 m
			500	**5 470**							5380— 5650 m	N 14° W	5.8 m
	6 000	355	473	5 880		-20.3	0.62		4.4		5650— 5910 m	N 7° E	5.8 m
	7 000	310	413	6 860		-26.5					5910— 6180 m	N 6° W	5.8 m
			400	**7 080**							6180— 6440 m	N 17° W	5.8 m
26 14	7 570	286	381	7 420	-29.8	-29.9		69			6440— 6710 m	N 20° W	5.8 m
	8 000	269	359	7 840		-33.1	0.74		4.5		6710— 7770 m	N 40° W	5.8 m
29 7	8 350	256	341	8 180	-35.9	-35.7		67			7770— 8040 m	N 29° W	5.8 m
	9 000	234	312	8 820		-39.6					8040— 9320 m	N 17° W	8.7 m
			300	**9 080**			0.59		4.2		9320— 9830 m	N 6° W	8.7 m
	10 000	201	268	9 800		-45.5					9830—10080 m	N 37° W	8.7 m
	11 000	173	231	10 770		-51.4					10080—10830 m	N 14° W	10.9 m
41 25	11 440	161	215	11 200	-54.8	-54.1	0.59		4.2	Beginn der Stratosphäre.	10830—11340 m	N 24° W	10.9 m
			200	**11 650**							11310—11580 m	N 73° W	5 5 m
	12 000	148	197	11 750		-55.0	0.17		3.8		11580—11800 m	N 73° W	9.7 m
44 31	12 160	144	192	11 900	-55.9	-55.3				Tiefste Temp.	11800—12030 m	N 55° W	12.6 m
46 36	12 620	134	179	12 360		-54.1	-0.26		3.7		12030—12480 m	N 45° W	12.6 m
	13 000	126	168	12 730		-51.9	-0.58		3.9		12480—12940 m	N 77° W	9.0 m
48 43	13 120	124	165	12 850		-51.2					12940—13190 m	N 77° W	15.0 m
51 49	13 950	109	145	13 660		-50.3	-0.11		4.5		13190—14010 m	N 70° W	15.0 m
	14 000	108	144	13 700		-50.3					14010—14330 m	N 65° W	15.0 m
	15 000	93	124	14 680		-50.5	0.02		5.3		14330—14970 m	N 65° W	12.4 m
56 13	15 350	88	117	15 020		-50.6					14970—15280 m	N 65° W	6.1 m

Hygrogramm nur mehr gerade Linie

Zeit h m s	Seehöhe m	Luftdruck mm	Luftdruck mb	Seehöhe Geopot.	Temperatur C° Rohr.	Temperatur C° Lam.	Gradient △ t/100 m	Relative Feuchtigkeit %	Steiggeschwindigkeit des Ballons m/sec.	Bemerkungen
	16 000	80	107	15 660	Rohrthermogramm nicht mehr brauchbar.	-50.2	-0.06	Hygrogramm nur mehr gerade Linie	3.9	15280—15490 m W 9.5 m; 15490—15960 m W 13.4 m; 15960—17540 m W 8.2 m
			100	**16 020**						
	17 000	68	91	16 630		-49.6				
1 5 41	**17 540**	63	84	17 160		-49.3				Höchster Punkt. Das Platzen des Ballons wurde in der 66. Min. beobachtet.
1 13 46	12 160	144	192	11 910		-55.6				Tiefste Temp. im Abstieg (im Aufstieg in der genau gleich. Höhe).
1 15 32	11 060	169	225	10 830		-55.0				Entspricht dem Aufstieg 11440 m.
1 42 8	1 350	644	859	1 320		- 7.9				Wiedereintritt in die (Boden-) Inversion.
1 43 22	980	673	897	960		- 4.3				
1 43 55	640	702	936	630		- 5.2				Landung. Höhe nach der Karte ca. 610 m.

10. Mai 1913.

Instrument Bosch No. 526.

Temperatur-Korrektion des Aneroïdes:

$$dp = -\Delta T\,(0.534 - 0.000457 \cdot p).$$

Zeit des Aufstiegs: 7^{49} a M. E. Z.

Witterung beim Aufstieg:

a) Wind, Bewölkung, Form, Richtung und Geschwindigkeit der Wolken etc.: E_{1-2} o ⊙, nachts ⌴°.

b) Temperatur beim Aufstieg: 7.1°, relat. Feuchtigkeit 75%.

Temperatur 2 Stunden vor dem Aufstieg: 4.8°, nach dem Aufstieg: 12.5°.

Maximum des Vortages: 15.5°.

Maximum des Aufstiegstages: 18.8° um 4 p.

Minimum des Aufstiegstages: 4.5° um 5 a.

Name, Seehöhe, Entfernung und Richtung des Landungsortes: im Ebersberger Park beim Forsthaus Anzig, ca 540 m, 24 km, fast rein E von München.

Mittlere { Steiggeschwindigkeit: 4.2 m/sec. Fluggeschwindigkeit: 4.5 m/sec.

Ventilation in der Maximalhöhe 0.6

Ergebnis der Registrierung:

Zeit h m s	Seehöhe m	Luftdruck mm	Luftdruck mb	Seehöhe Geopot.	Temperatur C° Rohr.	Temperatur C° Lam.	Gradient △ t/100 m	Relative Feuchtigkeit %	Steiggeschwindigkeit des Ballons m/sec.	Bemerkungen
0 0 0	516	713	951	506	7.1	7.1	0.62	75	4.2	Aufstieg. Starke Temperaturumkehr. an Erde E 2
50	730	695	927	720	5.6	5.8		76		
1 23	890	681	908	870	8.0	8.5	-1.62	73	5.1	
			900	**950**						
	1 000	672	896	980		8.9	-0.41		4.7	516— 1070 m S 70° E 2.7 m
1 49	1 010	671	895	1 000	8.9	9.0		61		1070— 1340 m E 3.6 m
	1 500	632	843	1 470		9.6				
3 43	1 540	630	840	1 510	**9.5**	**9.7**	-0.13	37	4.6	1340— 1610 m N 70° E 7.3 m
4 58	1 880	604	805	1 840	8.4	8.6	0.32	36		Höchste Temperatur, Minimum der R. F. 1610— 1890 m N 85° W 9.9 m
			800	**1 910**						1890— 2300 m N 85° W 3.0 m
	2 000	596	795	1 960		7.7				2300— 2430 m N 9° W 4.4 m
	2 500	561	748	2 450		3.7	0.80			2430— 2700 m N 42° W 2.7 m
9 2	2 970	528	704	2 910	- 0.8	- 0.1		52	4.5	Zweites Maximum der R. F.
	3 000	526	701	2 940		- 0.3				2700— 3240 m N 61° W 3.1 m
			700	**2 960**			0.62			
10 34	3 390	501	668	3 370	- 3.3	- 2.7		52		3240— 3500 m N 30° W 4.2 m
11 58	3 750	479	639	3 680	- 4.7	- 3.6	0.25	42	4.2	3500— 4040 m N 30° W 1.6 m
	4 000	463	617	3 920		- 4.9				4040— 4320 m N 64° W 4.3 m
			600	**4 140**			0.53		5.0	4320— 4600 m S 70° W 4.3 m
15 32	4 750	421	561	4 660	- 9.7	- 8.9		39		
	5 000	407	543	4 900		-10.4				4600— 5440 m N 82° W 4.5 m
			500	**5 520**			0.61		4.6	
19 32	5 860	364	485	5 720	-16.6	-15.6		36		5440— 5970 m W 5.0 m
	6 000	358	477	5 880		-16.6				5970— 6430 m N 82° W 5.0 m
	7 000	311	415	6 860		-23.7				6430— 6650 m S 77° W 4.4 m
			400	**7 130**			0.71		3.8	6650— 6880 m S 69° W 3.6 m
28 56	7 990	272	363	7 830	-32.3	-30.7		33		6880— 7110 m S 57° W 3.6 m
	8 000	272	363	7 840		-30.8				7110— 7340 m S 63° W 4.7 m
30 48	8 480	254	339	8 310	-36.1	-34.8	0.85	33	4.3	7340— 8010 m S 70° W 6.0 m
	9 000	236	315	8 820		-38.6				8010— 8270 m N 85° W 3.5 m
			300	**9 160**			0.72		3.9	8270— 8760 m S 59° W 3.2 m
	10 000	204	272	9 800		-45.8				8760— 8990 m S 80° W 5.3 m
40 18	10 680	183	244	10 460	-51.8	-50.6		33		8990— 9220 m S 86° W 6.7 m

Zeit h m s	Seehöhe m	Luftdruck mm	mb	Seehöhe Geopot.	Temperatur C° Rohr.	Lam.	Gradient △ t/100 m	Relative Feuchtigkeit %	Steiggeschwindigkeit des Ballons m/sec.	Bemerkungen			
	11 000	175	233	10 770		-52.2	} 0.52		} 4.1		9220—10390 m	N 86° W	4.0 m
45 22	11 920	151	201	11 670		-57.0				Überleitung zur Stratosphäre.	10390—11350 m	N 74° W	} 4.8 m
			200	**11 700**							11350—11840 m	N 78° W	
	12 000	149	199	11 750		-57.3	} 0.35		} 3.8		11840—12290 m	N 82° W	5.6 m
47 49	12 480	138	184	12 220		-59.0				Tiefste Temperatur	12290—12530 m	N 75° W	8.4 m
	13 000	127	169	12 730		-58.4	} -0.12		} 4.8	Ende der Troposphäre. Abflauen des Windes ohne Richtungsänderung	12530—12820 m	N 57° W	} 3.6 m
50 40	13 310	121	161	13 030		-58.0					12820—13110 m	N 42° W	
	14 000	109	145	13 700		-54.2	} -0.55		} 3.7		13110—13380 m	} N 78° W	2.8 m
54 48	**14 210**	105	140	13 910		-53.1				Höchster Punkt.	13380—13820 m		6.1 m
										Das Platzen des Ballons wurde im Fernrohre mit der 55. Minute als „erfolgt" konstatiert.			
57 40	12 420	139	185	12 160		-60.0				Tiefste Temperatur im Abstiege.	13820 - 14210 m	N 52° W	2.5 m
1 28 16		707								Landung.			

Rohrthermogramm nicht mehr brauchbar

Hygrogramm nur mehr gerade Linie

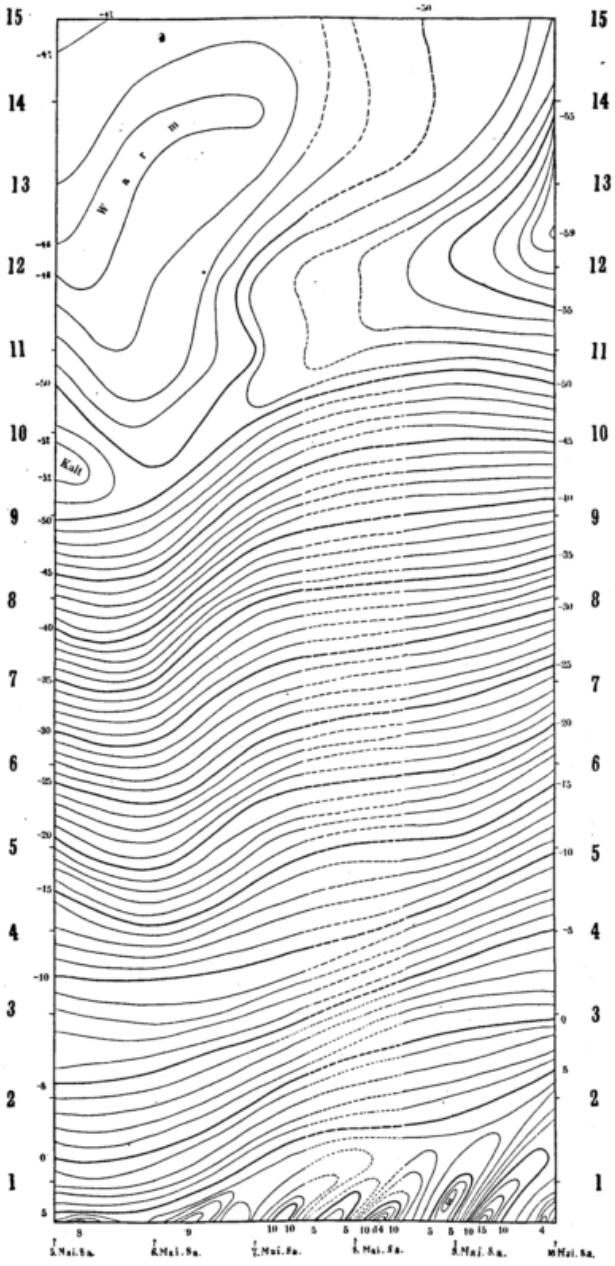


Fig. 4.

Am ersten Aufstiegstage lag ganz Zentraleuropa im Bereiche niederen Druckes, der am 6. Mai nach Südosten abwanderte, da von Skandinavien aus ein intensives Hochdruckgebiet vorrückte. Gleichzeitig entsandte das Azorenmaximum einen Keil hohen Druckes nach Frankreich, so dass am 7. Mai zwischen beiden Hochdruckgebieten nur mehr eine schmale Rinne frei war für kleinere atlantische Störungen, welche in die im wesentlichen über der Balkanhalbinsel konzentrierte Depression einmündeten. Ein grosses atlantisches Tiefdruckgebiet dagegen fand den Weg nach Zentraleuropa verschlossen. Das nördliche Hochdruckgebiet erwies sich imstande, bis zum 10. Mai den Angriff abzuwehren, erst am Abend des 10. Mai wich das Maximum ostwärts aus.

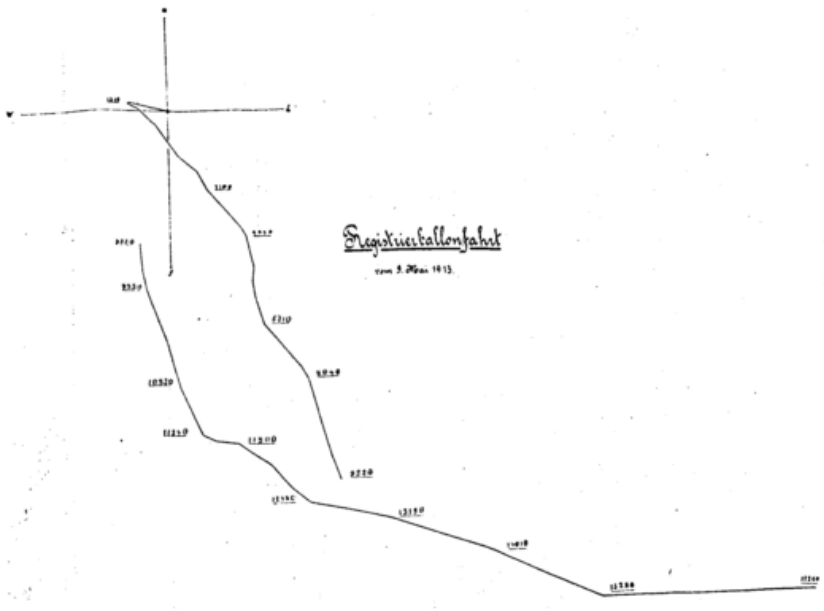


Fig. 5.

Am 9. und 10. Mai gelangen Visierungen bis weit in die Stratosphäre hinein. Wir entnehmen der Kurve vom 9. Mai einen deutlichen Knick beim Eintritt in die Stratosphäre, auch die Temperaturschichtungen innerhalb derselben

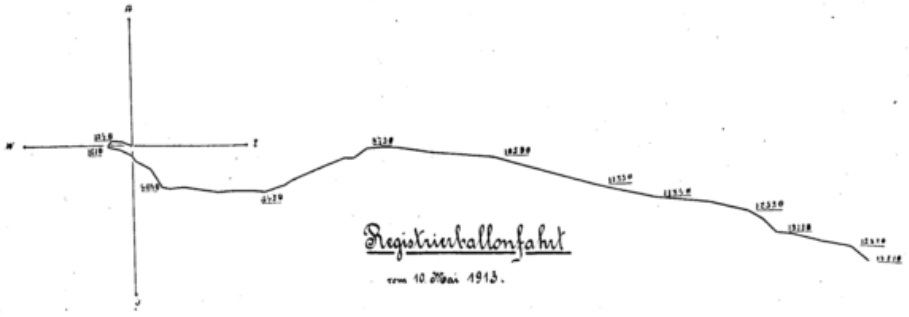


Fig. 6.

finden ihren Ausdruck in Veränderungen der Windrichtung. Auch am 10. Mai drückt sich der Eintritt in die Stratosphäre in der Visierung aus.

12. Juni 1913.

Instrument Bosch No. 149.

Temperatur-Korrektion des Aneroïdes:

$$d\,p = -\,\Delta T\,(0.625 - 0.000457 \cdot p).$$

Zeit des Aufstiegs: 8^{8} a M. E. Z.

Witterung beim Aufstieg:

a) Wind, Bewölkung, Form, Richtung und Geschwindigkeit der Wolken etc.: W_{4-5} (böig) 10^{1} $\frac{\text{st cu aus W rasch,}}{\text{a st durchscheinend}}$ Gebirge gut sichtbar, etwas föhnig.

b) Temperatur beim Aufstieg: 15.6°; relative Feuchtigkeit: 67 %.

Temperatur 2 Stunden vor dem Aufstieg: 15.0°, nach dem Aufstieg: 15.8°.

Maximum des Vortages: 18.8°.

Maximum des Aufstiegstages: 15.9° um 9^{50} a.

Minimum des Aufstiegstages: 12.8° um 1^{20} a, 11.0° um 4 p, 11.0° um 12 p.

Name, Seehöhe, Entfernung und Richtung des Landungsortes: Im Leonberggebiete bei St. Wolfgang, Oberösterreich, ca. 500 m, 150 km, S 66° E.

Mittlere { Steiggeschwindigkeit: 4.7 m/sec. Fluggeschwindigkeit: 32 m/sec.

Ventilation in der Maximalhöhe noch 0.8.

Ergebnis der Registrierung:

Zeit h m s	Seehöhe m	Luftdruck mm	Luftdruck mb	Seehöhe Geopot.	Temperatur C° Rohr.	Temperatur C° Lam.	Gradient △ t/100 m	Relative Feuchtigkeit %	Steiggeschwindigkeit des Ballons m/sec.	Bemerkungen
0 0 0	516	716	955	506	15.6	15.6		67		Aufstieg. Ballon nach 3 Min in die Wolken eingetreten.
	1 000	676	901	980		11.7				
			900	**990**						
							0.81			
	1 500	637	849	1 470		7.6				
			800	**1 930**					5.2	
4 45	1 990	599	799	1 950	2.6	3.6		95		Maximum der R.F.
	2 000	598	797	1 960		3.6				
							0.55			
	2 500	561	748	2 450		0.8				
7 21	2 800	542	723	2 750	- 2.2	- 0.8		86		
	3 000	529	705	2 940		- 0.8				
							0.0		6.5	
8 2	3 060	524	**700**	**3 000**	- 2.4	- 0.8		73		Bemerkenswertes Mi der R.F. mit sofortiger erneuter Zunahme.
9 45	3 620	489	652	3 550	- 3.0	- 1.7	0.16	100	5.3	Volle Sättigung. (Wird auch im Abstieg wieder angetroffen.)
	4 000	465	620	3 920		- 3.1				
			600	**4 170**			0.36		4.8	
13 9	4 590	432	576	4 500	- 6.3	- 5.2		100		
	5 000	410	547	4 900		- 7.3				
			500	**5 590**			0.51		5.1	
17 14	5 860	367	489	5 740	-13.7	-11.6		96		Fast isotherm.
	6 000	361	481	5 880		-11.7				
19 34	6 420	341	555	6 290	-13.7	-11.8	0.04	83	4.0	
21 16	6 880	321	428	6 740	-15.5	-13.9	0.46	67	4.5	
	7 000	316	421	6 860		-14.7				
			400	**7 230**			0.66		4.6	
	8 000	276	368	7 840		-21.3				
28 15	8 820	247	329	8 650	-28.9	-26.8		49		

Zeit h m s	Seehöhe m	Luftdruck mm	mb	Seehöhe Geopot.	Temperatur C° Lam.	Rohr.	Gradient △ t/100 m	Relative Feuchtigkeit %	Steiggeschwindigkeit des Ballons m/sec.	Bemerkungen
	9 000	241	321	8 820		-28.2				
			300	**9 300**			0.79		3.5	
	10 000	209	279	9 800		-36.1				
35 40	10 370	198	264	10 170	-40.8	-39.0		42		
	11 000	181	241	10 770		-43.4				
	12 000	155	207	11 750		-50.4	0.70		6.1	
			200	**11 970**						
41 5	12 350	147	196	12 090	-53.9	-52.8		40		
43 5	12 940	134	179	12 670		-57.5	0.80		4.9	
	13 000	132	176	12 730		-58.0	0.83	Hygrogramm nur mehr gerade Linie.	3.4	
45 13	13 380	125	167	13 100		-61.1				Beginn der Stratosphäre.
45 38	**13 480**	123	164	13 200		-61.1	0.0		4.0	Höchster Punkt.
45 56	13 330	126	168	13 050		-61.6				Wiedereintritt in die Troposphäre.
1 18 54		690								Landung.

Am 12. Juni lag unser Gebiet auf der Rückseite einer tiefen nordöstlichen Depression, welche in gewohnter Weise mit einem südlich der Alpen gelegenen Tiefdruckgebiete im Zusammenhange stand.

3. Juli 1913.

Instrument Bosch No. 529.

Temperatur-Korrektion des Aneroïdes:

$$d\,p = -\Delta T\,(0.450 - 0.000457 \cdot p).$$

Zeit des Aufstiegs: 8^{h} a. M. E. Z.

Witterung beim Aufstieg:

a) Wind, Bewölkung, Form, Richtung und Geschwindigkeit der Wolken etc.: NW_1 10^1 st cu aus NW langsam.

b) Temperatur beim Aufstieg: 11.6°, relative Feuchtigkeit: 86%.

Temperatur 2 Stunden vor dem Aufstieg 11.0°, nach dem Aufstieg: 13.0°.

Maximum des Vortages: 17.5°.

Maximum des Aufstiegstages: 17.0° um 3 p.

Minimum des Aufstiegstages: 10.0° um 3^{30} a.

Name, Seehöhe, Entfernung und Richtung des Landungsortes: Leutstetten bei Mühltal 620 m, 20 km, S 45° W.

Mittlere { Steiggeschwindigkeit: 4.3 m/sec. Fluggeschwindigkeit: 3.0 m/sec.

Ventilation genügt bis 17 280 m.

Ergebnis der Registrierung:

Zeit h m s	Seehöhe m	Luftdruck mm	mb	Seehöhe Geopot.	Temperatur C° Rohr.	Lam.	Gradient △ t/100 m	Relative Feuchtigkeit %	Steiggeschwindigkeit des Ballons m/sec.	Bemerkungen
0 0 0	516	716	955	506	11.6	11.6		86		Aufstieg. Grosser Gradient an Erde NW.
			900	**970**			0.88		4.3	
	1 000	674	899	980		7.3				
2 26	1 150	663	884	1 130	5.7	6.0		96		Fast isotherm.
3 22	1 390	644	859	1 360	5.3	5.4	0.25	91	6.0	
	1 500	635	847	1 490		4.7	0.66		4.5	
4 38	1 720	618	824	1 690	2.4	3.2		100		Volle Sättigung, Ballon tritt in den St cu ein, bis dahin WNW.
			800	**1 930**						
	2 000	598	797	1 960		2.3	0.31		4.3	
6 25	2 180	584	779	2 140	1.2	1.8		100		
	2 500	561	748	2 450		- 0.3				
	3 000	526	701	2 940		- 3.6	0.65		4.5	
			700	**2 960**						
11 1	3 410	500	667	3 340	- 7.9	- 6.2		100		Kurze, aber kräftige Inversion.
11 32	3 500	494	659	3 430	- 7.7	- 5.3	-0.96	85	3.1	Gleichmässige, im Mittel nicht bedeutende Temp.-Abnahme.
	4 000	464	619	3 920		- 8.4				
			600	**4 160**			0.62		4.5	
14 20	4 260	448	598	4 180	-12.0	-10.0		80		

Zeit h m s	Seehöhe m	Luftdruck mm	Luftdruck mb	Seehöhe Geopot.	Temperatur C° Rohr.	Temperatur C° Lam.	Gradient △ t/100 m	Relative Feuchtigkeit %	Steiggeschwindigkeit des Ballons m/sec.	Bemerkungen
	5 000	410	547	4 900		-14.4				
			500	**5 570**			0.60		4.7	
	6 000	359	479	5 880		-20.4				
22 32	6 580	331	441	6 450	-25.8	-23.8		60		
	7 000	312	416	6 860		-26.6				
			400	**7 130**			0.67		4.1	
26 21	7 530	290	387	7 380	-32.2	-30.2		59		
27 52	7 960	273	364	7 800	-35.7	-34.0	0.89		4.7	
	8 000	270	360	7 840		-34.2				
31 37	8 940	237	316	8 760	-42.0	-39.5	0.56		4.3	
	9 000	234	312	8 820		-39.8				
			300	**9 100**			0.50		3.9	
36 9	9 980	203	271	9 780	-47.5	-44.8				
	10 000	202	269	9 800		-44.9	0.29		3.8	Überleitung zur Stratosphäre.
38 13	10 460	189	252	10 240	-48.6	-46.2				Eintritt in die Stratosphäre.
	11 000	174	232	10 770		-45.9	-0.05		4.3	
41 42	11 360	165	220	11 120	-48.3	-45.7		Hygrogramm nur mehr gerade Linie		
	12 000	150	**200**	**11 750**		-44.7	-0.15		4.1	
46 25	12 510	139	185	12 250	-48.1	-44.0				Höchste (strahlungsfrei gemessene) Temperatur in der Stratosphäre
	13 000	130	173	12 730		-44.2	0.04		3.8	
51 56	13 770	115	153	13 480	-48.2	-44.5				
	14 000	112	149	13 700		-44.7	0.08		4.0	
56 23	14 840	98	131	14 520	-48.2	-45.3				
	15 000	96	128	14 680		-45.1	-0.12		4.4	
58 49	15 490	89	119	15 150	-48.2	-44.5				
59 56	15 790	85	113	15 450	-48.3	-45.8	0.42		4.6	
	16 000	82	109	15 660		-45.8				
			100	**16 260**			-0.01		4.6	
	17 000	71	95	16 630		-45.7				
1 5 25	17 280	68	91	16 900	-48.3	-45.7				Von hier ab Ventilation kaum mehr genügend, vergl. Abstieg.
	18 000	61	81	17 610		(-45.7)				
	19 000	53	71	18 580		(-45.7)				
1 12 41	**19 190**	51	68	18 770	(-47.0)	(-43.2)				Höchster Punkt.
1 13 16	18 340	58	77	17 940	-49.0	-48.1				Tiefste Temperatur im Abstiege.
1 22 43	11 280	168	224	11 050	-48.8	-44.5				Höchste Temp. in der Strat. entspr. 12510 m im Aufst.
1 24 58	10 060	202	269	9 850	-48.8	-46.8				Wiedereintritt in die Troposphäre.
1 50 16	(527)	715	953	517						Landung.

Die Fahrt vom 3. Juli fiel herein in eine Regenperiode, welche mehrere Wochen anhielt und verursacht war durch den hartnäckigen Bestand der Luftdruckverteilung: T im Osten, H im Westen unseres Gebietes.

6. August 1913.

Instrument Bosch No. 116.

Temperatur-Korrektion des Aneroïdes:

$$d\,p = -\Delta T\,(0.055 - 0.000457 \cdot p).$$

Zeit des Aufstiegs: 8^{04} a. M. E. Z.

Witterung beim Aufstieg:

a) Wind, Bewölkung, Form, Richtung und Geschwindigkeit der Wolken etc.: SW² 10¹ ● ni aus W l. (◍ bis 11 a, ab 11^{10} Zerreissen der Wolkendecke).

b) Temperatur beim Aufstieg: 14.7°, relative Feuchtigkeit: 91 %.

Temperatur 2 Stunden vor dem Aufstieg: 14.3°, nach dem Aufstieg: 16.5°.

Maximum des Vortages: 24.7°.

Maximum des Aufstiegstages: 21.3° um 1^{10} p.

Minimum des Aufstiegstages: 13.3° um 4^{10} a, 12.2° um 12 p.

Name, Seehöhe, Entfernung und Richtung des Landungsortes: Rossbach bei Arnstorf, ca. 380 m, 105 km, N 74° E.

Mittlere { Steiggeschwindigkeit: 5.8 m/sec. Fluggeschwindigkeit: 18 m/sec.

Ventilation genügt bis 19 200 m.

Ergebnis der Registrierung:

Zeit h m s	Seehöhe m	Luftdruck mm	mb	Seehöhe Geopot.	Temperatur C° Rohr.	Lam.	Gradient △ t/100 m	Relative Feuchtigkeit %	Steiggeschwindigkeit des Ballons m/sec.	Bemerkungen
0 0 0	516	713	951	506	14.7	14.7		91		Aufstieg.
			900	**960**			0.56			
	1 000	673				12.0			4.3	
2 02	1 040	670	893	1 020	11.8	11 8		91		
3 22	1 350	645	860	1 320	10.1	10.4	0.44	81		Erstes Minimum der R.F.
	1 500	634				9.4				
4 35	1 680	620	827	1 650	7.7	8.1	0.70	83	4.1	
			800	**1 910**						
	2 000	597				6.6	0.46		3.6	
6 56	2 190	580	777	2 140	5.7	5.8		86		Ungefähre Höhe der ni.
	2 500	561				4.0	0.57		3.8	
9 46	2 840	538	717	2 780	1.8	2.1		95		
	3 000	528				1.3				
			700	**3 050**						
	4 000	469				- 3.5	0 48			
			600	**4 240**					3.9	
18 28	4 820	419	559	4 720	- 8.0	- 7.4		79		Sehr gleichmässige und starke Temperaturabnahme.
	5 000	413				- 8.6				
			500	**5 580**			0 65			
22 31	5 770	370	493	5 560	-14.7	-13.6		69		
	6 000	360				-15.4				
	7 000	315				-23.3	0.79		4.7	
			400	**7 200**						
28 07	7 350	299	399	7 210	-28.0	-26.0		59		
	8 000	274				-33.9	0.90		4.9	
33 19	8 900	240	320	8 720	-41.7	-40.0		51		
	9 000	236				-40.9				
			300	**9 160**			0.94		5.3	
	10 000	204				-50.3				
37 31	10 240	196	261	10 030	-53 8	-52.6		47		
38 20	10 650	184	245	10 430	-55.3	-53.8	0.30	46	8.5	Tiefste Temperatur, Beginn der Stratosphäre (Typus II).
	11 000	174				-49.7	-1.16		6.3	
39 29	11 080	172	229	10 850	-48.6	-48.8		50		
	11 900	152	203	11 650	-47.1	-46.0	-0.34	49	7.3	
			200	**730**						
	12 000	149				-45 8	-0.16		5.9	
43 59	12 840	132	176	12 570	-46.0	-44.5		47		
	13 000	128				-44.4				
	14 000	112				-44.1	-0.03		6 6	
48 32	14 630	101	135	14 320	-46.0	-43.9		46		Erstes Maximum der T, es folgen mehrere Schichtungen.
	15 000	96				-44.2				
	16 000	83				-44 9	0.07		6.4	
52 23	16 110	81	108	15 760	-46.9	-45.0		45		
			100	**16 320**						
	17 000	72				-44.3	-0.08		8.7	
55 23	17 680	64	85	17 300	-45.7	-43.8				
	18 000	62				-44.0				
	19 000	53				-44.5	0.05		9.5	
58 03	19 200	51	68	18 780	-46.5	-44.6				
	20 000	44				-44.1				
	21 000	38				-43.5	-0.06		10.8	
	22 000	33				-42.8				
1 3 10	**22 550**	31	41	22 040	-46.1	-42.5				Höchster Punkt.
1 7 05	15 360	91	121	15 030	-47.4	-47.0				Einige Punkte des Abstiegsdiagrammes.
1 10 45	11 530	162	216	11 290	-46.0	-46.3				
1 12 17	10 280	195	260	10 070	-50.4	-51.4				Wiedereintritt in die Troposphäre.
1 37 5										Landung.

Hygrogramm nur mehr gerade Linie.

6. August 1913 2 p.

Instrument Bosch No. 407.

Temperatur-Korrektion des Aneroïdes:

$$dp = -\Delta T\,(0.342 - 0.000457 \cdot p)$$

Zeit des Aufstiegs: 2^{17} p.

Witterung beim Aufstieg:

a) Wind, Bewölkung, Form, Richtung und Geschwindigkeit der Wolken etc.: SW^1 7^1 ⊙ $\frac{ci\ st -}{cu\ aus\ WSW\ mässig.}$

b) Temperatur beim Aufstieg: 19.9°; relative Feuchtigkeit 63%.

Temperatur 2 Stunden vor dem Aufstieg: 20.0°, nach dem Aufstieg: 13.6°.

Maximum des Vortages: 24.7°.

Maximum des Aufstiegstages: 21.3° um 1^{10} p.

Minimum des Aufstiegstages: 13.3° um 4^{10} a, 12.2° um 12 p.

Name, Seehöhe, Entfernung und Richtung des Landungsortes: Künzing in Niederbayern, ca 400 m, 130 km, N 65° E.

Mittlere { Steiggeschwindigkeit: 4.7 m/sec. / Fluggeschwindigkeit: 19 m/sec.

Ventilation in 16000 m noch 0.5.

Ergebnis der Registrierung:

Zeit h	m	s	Seehöhe m	L mm	ruck mb	Seehöhe Geopot.	Temperatur C° Lam.	Gradient △t/100 m	Relative Feuchtigkeit %	Steiggeschwindigkeit des Ballons m/sec.	Bemerkungen
0	0	0	516	711	948	506	19.9		63		Aufstieg. Zunahme der R. F.
					900	**860**					
			1 000	666			15.7	0.87		5 3	
			1 500	631			11.3				
	3	37	1 660	621	828	1 630	10.0		88		Fast Isotherm.
	4	12	1 820	609	812	1 780	9.8	0.12	81	4.6	Sehr gleichmässige Temperaturabnahme
					800	**1 890**					
			2 000	595			8.6				
			2 500	559			5.4	0.64		4.8	
	7	51	2 880	535	713	2 820	3.0		82		
					700	**2 990**					
			3 000	528			2.3				
			4 000	466			- 3.9	0.62		4.7	
					600	**4 220**					
	13	04	4 340	447	596	4 250	- 6.1		65		
			5 000	410			-10.1	0.60		4.6	
	17	03	5 450	387	516	5 340	-12.8		60		
					500	**5 580**					
			6 000	361			-15 5	0.61		4.9	
	21	35	6 780	324	432	6 650	-20.9		78		
			7 000	315			-21.9				
					400	**7 210**		0 47		3.8	
	24	23	7 420	297	396	7 270	-23.9		76		
			8 000	275			-28.2				
			9 000	238			-35 6	0.74		5.7	
					300	**9 180**					
	30	59	9 700	215	287	9 510	-40.9		70		
			10 000	206			-43.5				
			11 000	177			-52.3	0.88		5.4	
	35	37	11 210	171	228	10 980	-54.2				Überleitung zur Stratosphäre.
	36	25	11 440	165	220	11 200	-54.8	0.26		4.9	Tiefste Temperatur, Eintritt in die Stratosphäre.
	38	31	11 920	153	204	11 670	-53.1	-0.35			
			12 000	151			-52.7			3.8	
					200	**11 800**		-0.46			
	42	38	12 880	132	176	12 610	-48.7				
			13 000	130			-48.7				
			14 000	112			-48.9	0.01		4.6	
	47	51	14 320	106	141	14 020	-48.9				
			15 000	96			-48.8				
			16 000	82			-48.6	-0.02		4.1	
	55	58	16 340	78	104	15 990	-48.5				Von hier ab Barogramm unbrauchbar. Der Ballon steigt noch höher. Er platzt 67 Min. 30 Sek. nach dem Aufstiege. Zum Vergleich einige Angaben des Abstiegs.

Hygrogramm nur mehr gerade Linie

Windrichtung und Geschwindigkeit:

516 m	C	
516— 830 m	N 68° W	3.3 m
830—1150 m	S 28° W	2.4 m
1150—1460 m	S 17° E	4.1 m
1460—1760 m	S 55° W	4.1 m
1760—2340 m	W	8.2 m

Ballon in die Wolken eingetreten.

Zeit h m s	Seehöhe m	Luftdruck mm	mb	Seehöke Geopot.	Temperatur C° Lam.	Gradient △ t/100 m	Relative Feuchtigkeit %	Steiggeschwindigkeit des Ballons m/sec.	Bemerkungen
1 13 34	16 440	77	103	16 090	-53.8				
1 15 46	14 950	97	129	14 630	-50.6				
1 16 30	14 560	103	137	14 250	-50.0				
1 19 27	13 090	129	172	12 820	-51.1				
1 23 17	11 320	170	227	11 080	-55.7				Wiedereintritt in die Troposphäre.
1 53 44	[540]	[712]	[949]	[527]					Landung, Höhe nach Karte 400 m ca.

7. August 1913 8 a.

Instrument Bosch No. 427.

Temperatur-Korrektion des Aneroïdes:

$$d\,p = -\Delta T\,(0.480 - 0.000457 \cdot p).$$

Zeit des Aufstiegs: 7^{58} a M. E. Z.

Witterung beim Aufstieg:

a) Wind, Bewölkung, Form, Richtung und Geschwindigkeit der Wolken etc.: NW^1 8^1 st cu, cu aus SW langsam; zwischen 8—9 a sehr rasches, vorübergehendes Aufklaren.

b) Temperatur beim Aufstieg: 12.3°; relative Feuchtigkeit 86 %.

Temperatur 2 Stunden vor dem Aufstieg: 13.0°, nach dem Aufstieg: 15.0°.

Maximum des Vortages: 21.3°.

Maximum des Aufstiegstages: 15.2° um 11^{50} a.

Minimum des Aufstiegstages: 12.0° um 5^{30} a, 11.7° um 12 p.

Name, Seehöhe, Entfernung und Richtung des Landungsortes: Kampelsberg Post Dietfurt an der Rott ca 420 m, 87 km, N 71° E.

Mittlere { Steiggeschwindigkeit: 4.5 m/sec. Fluggeschwindigkeit: 13 m/sec.

Ventilation in der Maximalhöhe noch 0.6.

Ergebnis der Registrierung:

Zeit h m s	Seehöhe m	Luftdruck mm	mb	Seehöhe Geopot.	Temperatur C° Lam.	Rohr.	Gradient △ t/100 m	Relative Feuchtigkeit %	Steiggeschwindigkeit des Ballons m/sec.	Bemerkungen	Windrichtung und Geschwindigkeit: an Erde NW^1		
0 0 0	516	716	955	506	12.3	12.3		86		Aufstieg			
1 17	860	687	916	840	9.7	10.0	0.67	93	4.5		516— 790 m	N 48° W	1.5 m
	1 000	676				9.1					790—1020 m	N 74° W	1.7 m
			900	**990**							1020—1250 m	S 83° W	1.4 m
	1 500	636				6.0	0.62		3.8		1250—1480 m	N 49° W	1.6 m
5 17	1 780	614	819	1 750	4.3	4.3		88			1480—1710 m	N 49° W	2.2 m
			800	**1 920**							1710—1970 m	N 49° W	3.1 m
	2 000	597				2.7	0.73		4.3		1970—2220 m	N 30° W	3.8 m
7 40	2 390	569	759	2 340	- 0.6	- 0.2		87		Erstes Mi der R. F.			
	2 500	560				- 0.9	0.63		4.4		2220—2480 m	N 59° W	5.2 m
9 19	2 820	539	719	2 770	- 2.9	- 2.9		97		Geringe Temperaturabnahme.	2480—2740 m	N 70° W	9.2 m
	3 000	526				- 3.4					2740—3000 m	N 79° W	12.7 m
			700	**2 960**			0.29		4.2		3000—3250 m	N 84° W	16.3 m
10 47	3 200	514	685	3 140	- 3.9	- 4.0		95			3250—3470 m	S 74° W	16.3 m
12 18	3 540	492	656	3 470	- 3.9	- 4.0	0.0	99	3.8	Sehr gleichmässige und nicht besonders starke Temperaturabnahme,	Der Ballon war wegen der Sonnennähe nicht mehr weiter zu verfolgen.		
	4 000	463				- 7.0							
			600	**4 140**									
	5 000	406				-13.6	0.66		4.5	Die relative Feuchtigkeit nimmt stetig ab.			
			500	**5 520**									
20 22	5 710	371	495	5 600	-18.3	-18.3		86					
	6 000	358				-20.2							
	7 000	312	416	6 860		-26.6	0.64		4.9				
			400	**7 110**									
26 22	7 480	291	388	7 330	-30.1	-29.6		66					
	8 000	271				-32.8							
	9 000	234				-39.0	0.62		6.0				
			300	**9 100**									
32 16	9 610	214	285	9 410	-42.9	-42.7		65		Beginn der Stratosphäre (Typ. I).			

Zeit h m s	Seehöhe m	Luftdruck mm	Luftdruck mb	Seehöhe Geopot.	Temperatur C° Lam.	Temperatur C° Rohr.	Gradient △ t/100 m	Relative Feuchtigkeit %	Steiggeschwindigkeit des Ballons m/sec.	Bemerkungen
	10 000	202				-43.3	0.15	Hygrogramm ohne weiteee Struktur.	4.4	Mehrere Schichtungen.
36 13	10 660	183	244	10 440	-44.0	-44.3		64		
	11 000	174				-44.1	-0.06		4.4	
39 19	11 480	162	216	11 240	-43.8	-43.8				
	12 000	150	**200**	**11 750**		-44.0	0.03		4.0	
45 46	13 000	129	145	13 700	-44.8	-44.3				
	14 000	109				-44.8	0.05		4.0	
50 49	14 260	107	143	13 960	-45.5	-44.9				
	15 000	95				-45.9	0.14		3.9	
54 32	**15 120**	94	125	14 800	-45.5	-46.1				Höchster Punkt.
55 15	14 450	104	139	14 140	-47.7	-48.0				Einige Punkte des Abstieges. Die Temp. fällt weiter. Tiefste Temp.
56 26	13 450	121	161	13 170	-46.9	-46.4				Mehrere Schichtungen.
57 51	12 300	144	192	12 040	-47.0	-46.9				
59 28	11 120	172	229	10 890	-45.6	-44.9				
1 1 25	9 720	212	283	9 520	-45.1	-43.3				Wiedereintritt in die Troposphäre.
1 13 37	3 260	510	680	3 200	- 5.2	- 3.1				Entspricht der im Aufstiege zwischen 2820 und 3540 m gelegenen Schicht mit geringer Temperaturabnahme.
1 14 11	3 070	522	696	3 010	- 6.3	- 5.2				
1 22 23	470	720	960	460						Landung. Seehöhe nach der Karte ca. 420 m.

7. August 1913 2 p.

Instrument Bosch No. 408.

Temperatur-Korrektion des Aneroïdes:

$$dp = -\Delta T\,(0.160 - 0.000457 \cdot p).$$

Zeit des Aufstiegs: 2^{0} p. M. E. Z.

Witterung beim Aufstieg:

a) Wind, Bewölkung, Form, Richtung und Geschwindigkeit der Wolken etc.: $SE^{2}\ 9^{1}$ cu st aus WNW langsam.

b) Temperatur beim Aufstieg; 14.8^{0}, relative Feuchtigkeit: 70%.

Temperatur 2 Stunden vor dem Aufstieg: 15.0^{0}, nach dem Aufstieg: 14.5^{0}.

Maximum des Vortages: 21.3^{0}.

Maximum des Aufstiegstages: 15.2^{0} um 11^{50} a.

Minimum des Aufstiegstages: 12.0^{0} um 5^{30} a, 11.7^{0} um 12 p.

Name, Seehöhe, Entfernung und Richtung des Landungsortes: Rohrbach 440 m, 78 km, N 78 ° E.

Mittlere { Steiggeschwindigkeit: 5.2 m/sec. Fluggeschwingigkeit: 18 m/sec.

Ventilation in der Maximalhöhe noch 0.9.

Ergebnis der Registrierung:

Zeit h m s	Seehöhe m	Luftdruck mm	Luftdruck mb	Seehöhe Geopot.	Temperatur C° Rohr.	Temperatur C° Lam.	Gradient △ t/100 m	Relative Feuchtigkeit %	Steiggeschwindigkeit des Ballons m/sec.	Bemerkungen
0 0 0	516	716	955	506	14.8	14.8		70		Aufstieg. Auswertung nach dem strukturreichen Hygrogramme. Windrichtung und Geschwindigkeit: 516— 830 m S 37° E 7.8 m
	1 000	675				9.8				830—1090 m C
			900	**1 010**			1.03		4.8	
	1 500	637				4.7				1090—1380 m N 15° W 4.8 m
3 48	1 610	627	836	1 580	4.1	3.5		92		Ballon in cu eingetreten.
			800	**1 910**						
	2 000	597				0.2	0.85		3.3	
6 06	2 070	592	789	2 030	0.4	- 0.4		96		Erstes Maximum der R.F.
7 17	2 380	569	759	2 330	- 1.6	- 1.7	0.41	95	4.4	
	2 500	560				- 2.3				
8 21	2 610	553	737	2 560	- 2.9	- 2.8	0.48	88	3.5	
9 41	2 960	529	705	2 900	- 4.0	- 4.0	0.34	84	4.4	
	3 000	527				- 4.2				
			700	**2 990**			0.57		3.9	
12 39	3 410	499	665	3 350	- 6.7	- 6.6		94		Zweites Maximum der R.F.
13 16	3 940	466	621	3 870	- 9.8	-10.4	0.72	87	5.3	

Zeit h m s	Seehöhe m	Luftdruck mm	mb	Seehöhe Geopot.	Temperatur C° Rohr.	Lam.	Gradient △ t/100 m	Relative Feuchtigkeit %	Steiggeschwindigkeit des Ballons m/sec.	Bemerkungen
	4 000	462				−10.6				
			600	**4 100**			0.32		4.8	
15 53	4 680	423	564	4 590	−12.0	−12.8		61		
	5 000	406				−14.4	0.51		4.4	
17 13	5 030	404	540	4 930	−12.3	−14.6		56		Rohrthermogramm von hier ab unbrauchbar.
			500	**5 500**						
	6 000	353				−21.2	0.68			
	7 000	308				−28.0			5.7	
23 32	7 220	300	**400**	**7 080**		−29.5		50		
	8 000	268				−35.4	0.76			
26 05	8 090	265	353	7 930		−36.1		48		
28 13	8 950	234	312	8 770		−39.8	0.43	48	6.7	
	9 000	231				−40.2				
			300	**8 990**			0.71		5.8	
29 37	9 430	218	291	9 230		−43.2		48		Überleitung zur Stratosphäre.
	10 000	200				−45.3	0.36		7.0	Hygrogramm nur mehr gerade Linie.
31 34	10 240	193	257	10 030		−46.1				
	11 000	172				−49.2	0.41		8.2	
33 10	11 040	171	228	10 810		−49.4				Tiefste Temperatur, Ende der Troposphäre.
34 50	11 560	158	211	11 330		−44.6	−0.92		4.9	
			200	**11 650**						
	12 000	147				−45.3	0.15		5.1	
	13 000	127				−46.8				
39 46	**13 020**	127	169	12 740		−46.8				Höchster Punkt.
										Einige Punkte des Abstieges:
42 26	11 610	157	209	11 370		−45.8				Entspricht im Aufstiege der Höhe 11560 m.
44 21	10 590	183	244	10 370		−48.6				Entspricht im Aufstiege der Höhe 11040 m.
45 17	10 140	196	261	9 930		−46.7				Entspricht im Aufstiege der Höhe 10240 m.
46 35	9 650	211	281	9 450		−46.4				Entspricht im Aufstiege der Höhe 9430 m.
1 13 00	500	717	956	594						Landung. Höhe nach der Karte 440 m.

8. August 1913 8 a.

Instrument Bosch No. 526.

Temperatur-Korrektion des Aneroïdes:

$$dp = -\Delta T\,(0.534 - 0.000457 \cdot p).$$

Zeit des Aufstiegs: 8^{20} a (Aufstieg verzögert, da der erste Ballon platzte).

Witterung beim Aufstieg:

a) Wind, Bewölkung, Form, Richtung und Geschwindigkeit der Wolken etc.: NW_1, 7^1 ⊙ $\frac{\text{alt st W mässig}}{\text{cu W langsam im E.}}$

b) Temperatur beim Aufstieg: 11.8°, relative Feuchtigkeit: 89%.

Temperatur 2 Stunden vor dem Aufstieg: 11.5°, nach dem Aufstieg: 15.0°.

Maximum des Vortages: 15.2°.

Maximum des Aufstiegstages: 15.5° um 2^{20} p.

Minimum des Aufstiegstages: 10.2° um 4 a, 11.0° um 12 p.

Name, Seehöhe, Entfernung und Richtung des Landungsortes: Mühldorf 410 m, 73 km, N 82° E.

Mittlere { Steiggeschwindigkeit: 4.1 m/sec. / Fluggeschwindigkeit: 15 m/sec.

Ventilation in der Maximalhöhe noch 0.7.

Ergebnis der Registrierung:

Zeit h m s	Seehöhe m	Luftdruck mm	mb	Seehöhe Geopot.	Temperatur C° Rohr.	Lam.	Gradient △ t/100 m	Relative Feuchtigkeit %	Steiggeschwindigkeit des Ballons m/sec.	Bemerkungen	
											Windrichtung und Geschwindigkeit:
0 0 0	516	716	955	506	11.8	11.8	0.94	89	2.7	Aufstieg. Auswertung bis 5130 m nach dem sehr charakteristischen Hygrogramme.	516— 710 m N 64° W 6.8 m
0 47	640	705	940	630	11.2	10.6		100			
	1 000	676				8.1					710— 900 m S 19° E 3.3 m
			900	**1 020**			0.69		3.3		
2 50	1 050	671	895	1 030	8.5	7.8		60		Erstes Minimum der R.F.	

Zeit h m s	Seehöhe m	Luftdruck mm	Luftdruck mb	Seehöhe Geopot.	Temperatur C° Rohr.	Temperatur C° Lam.	Gradient △ t/100 m	Relative Feuchtigkeit %	Steiggeschwindigkeit des Ballons m/sec.	Bemerkungen
4 21	1 310	650	867	1 290	6.3	5.6	0.85	72	2.9	900—1250 m S 9° W 2.5 m
4 47	1 410	642	856	1 480	5.5	5.0	0.60	68	3.9	
	1 500	635				4.5	0.59		4.3	
5 35	1 620	626	835	1 590	4.6	3.8		74		
7 05	1 950	601	801	1 910	2.1	1.2	0.79	56		Zweites Minimum der R.F.
			800	**1 920**						
	2 000	597				0.9	0.68		3.7	1250—2150 m N 56° W 3.0 m
	2 500	560				− 2.5				
11 47	2 990	527	703	2 930	− 5.8	− 5.9		100		2150—2810 m N 79° W 6.3 m
	3 000	525	**700**	**2 940**		− 6.0	0.47		4.3	Voller Sättigungszustand. Ballon in Wolken. (Alto stratus.)
13 01	3 310	506	675	3 240	− 7.1	− 7.4		100		
14 20	3 590	488	651	3 520	− 7.8	− 7.9	0.18	41	3.5	
	4 000	463				− 9.5	0.40		3.7	
16 41	4 110	456	608	4 030	-10.2	-10.0		28		Drittes Minimum der R.F., nochmalige starke Zunahme derselben.
			600	**4 140**			0.66		4.2	
18 36	4 600	428	571	4 510	-13.0	-13.2		46		
	5 000	426				-15.1	0.47		4.0	
20 49	5 130	399	532	5 030	-15.5	-15.7		61		
			500	**5 500**						
	6 000	356				-20.8	0.59		4.6	
27 13	6 910	314	419	6 770	-25.7	-26.2		67		
	7 000	309				-26.9				
			400	**7 080**			0.83			
	8 000	269				-35.3				
32 27	8 510	250	333	8 340	-38 5	-39 5		67	5.1	
	9 000	232				-42.7				
			300	**9 040**			0.65			
	10 000	200				-49.2				
38 12	10 270	192	256	10 060	-50.7	-51.0		59		Tiefste Temperatur, Ende der Troposphäre.
	11 000	172				-47.1	-0.54		3.6	(Rohrthermogramm verwischt.)
41 57	11 070	170	227	10 840		-46.7		51		
44 10	**11 470**	160	213	11 230		-45.5	-0.30	46	3.0	Höchster Punkt
45 28	10 950	173	231	10 720		-45.8		45		
47 36	10 130	196	261	9 920	-51.3	-50 8		45		Tiefste Temp. des Abstieges, Wiedereintritt in die Stratosphäre.
1 22 06	360	730	973	353						Landung. Höhe nach der Karte 410 m.

8. August 1913 2 p.

Instrument Bosch No. 150.

Temperatur-Korrektion des Aneroïdes:

$$d\,p = -\Delta T\,(0.323 - 0.000457 \cdot p).$$

Zeit des Aufstiegs: 2^{18} p. M. E. Z.

Witterung beim Aufstieg:

a) Wind, Bewölkung, Form, Richtung und Geschwindigkeit der Wolken etc.: W_1 7° ⊙ st cu W langsam.

b) Temperatur beim Aufstieg: 15.2°; relative Feuchtigkeit: 59%.

Temperatur 2 Stunden vor dem Aufstieg: 13.0°, nach dem Aufstieg: 14.0°.

Maximum des Vortages: 15.2°.

Maximum des Aufstiegstages: 15.5 um 2^{20} p.

Minimum des Aufstiegstages: 10.2° um 4 a, 11.0° um 12 p.

Name, Seehöhe, Entfernung und Richtung des Landungsortes: Erharding bei Mühldorf 380 m, 76 km, N 81° E.

Mittlere { Steiggeschwindigkeit: 5.4 m/sec. Fluggeschwindigkeit 18 m/sec.

Ventilation in der Maximalhöhe noch 0.6.

Ergebnis der Registrierung:

Zeit h m s	Seehöhe m	Luftdruck mm	mb	Seehöhe Geopot.	Temperatur C° Lam.	Gradient △ t/100 m	Relative Feuchtigkeit %	Steiggeschwindigkeit des Ballons m/sec.	Bemerkungen
									Windrichtung und Geschwindigkeit
0 0 0	516	716	955	506	15.2		59		Aufstieg. Adiabat. Gradient. 516— 760 m S 14° W 7.2 m
	1 000	676			10.2	1.04		4.1	760—1010 m N 1.0 m
			900	**990**					1010—1260 m W 2.6 m
3 16	1 320	650	867	1 300	6.8		67		
	1 500	637			5.7	0.62		4.3	1260—1770 m N 64° W 4.9 m
5 45	1 970	600	**800**	**1 930**	2.8		70		
	2 000	598			2.6				1770—2290 m N 83° W 9.8 m
	2 500	562			0.0	0.53		4.2	
9 04	2 810	540	720	2 760	– 1.7		66		
	3 000	527			– 2.7				2290—3390 m S 71° W 14.1 m
			700	**2 970**		0.50		4.9	
	4 000	466			– 7.6				3390—3980 m S 56° W 8.8 m
13 38	4 180	454	605	4 090	– 8.5		84		Maximum der R. F. vermutlich untere Wolkengrenze, der Ballon bis hieher sichtbar.
			600	**4 180**					
	5 000	407			–12.7				
			500	**5 500**		0.51		5.4	
	6 000	357			–17.8				
19 22	6 020	356	475	5 900	–17.9		84		
	7 000	314			–23.7				
			400	**7 170**		0.59		6.0	
	8 000	272			–29.6				
25 25	8 210	263	351	8 050	–30.9		80		
	9 000	235			–36.7				
			300	**9 090**		0.74		6.7	
28 58	9 640	214	285	9 450	–41.4		76		Überleitung zur Stratosphäre.
	10 000	202			–43.1				
	11 000	174			–47.8	0.47		6.9	
32 35	11 140	171	228	10 920	–48.5				Tiefste Temperatur, Ende der Troposphäre.
	12 000	150	**200**	**11 750**	–46.8				Hygrogramm nur mehr gerade Linie.
	13 000	128			–44.8	–0.20		4.9	
40 57	13 610	118	157	13 320	–43.5				Höchste Temperatur in der Stratosphäre.
	14 000	112			–43.8				
	15 000	96			–44.4	0.07		5.5	
47 50	15 880	84	112	15 540	–45.0				
	16 000	82			–44.9				
			100	**16 350**		–0.06		5.9	
	17 000	71			–44.3				
52 26	**17 500**	66	88	17 120	–44.0				Höchster Punkt.
54 54	13 370	122	163	13 070	–42.9				Höchste Temperatur in der Stratosphäre (entspricht im Aufstiege der Höhe 13 610 m).
56 59	11 080	172	229	10 850	–48.3				Wiedereintritt in die Troposphäre.
1 8 42									Landung.

Der Sommer 1913 war auf unserem Gebiete mit äusserst unbeständigem Wetter bedacht. Einzig vom 26. Juli mit 4. August trat eine Unterbrechung ein, die eine Reihe heiterer, bei der Lage des Hochdruckes über den britischen Inseln mässig warmer Tage brachte.

An den Ballontagen vollzog sich der Rückschlag, eingeleitet durch eine Serie von Gewittern, die im wesentlichen Ausläufern eines über die Ostsee gelegenen Tiefdruckgebietes entstammten. Atlantischen Depressionen war der Vormarsch anfangs noch durch das westliche Barometermaximum verlegt, erst am 8. August öffnete sich die Bahn durch den Rückgang des hohen Druckes nach Island.

Wenn wir es nicht schon wüssten, dass für den Eintritt einer Gewitterbö im allgemeinen horizontale Temperaturdifferenzen massgebend sind und nicht vertikale Labilität, würden es die beiden Nachmittagsaufstiege vom 6. bzw. 8. August dartun. Am 6. August zog um 3^{50}, am 8. August um 3^{40} p ein Gewitter über München hinweg. Die

Temperaturregistrierungen der 2 p Aufstiege ergaben in beiden Fällen keine anormalen Werte des vertikalen Gradienten. (Der Einbruch der Bö am 6. August sowie die übrigen Unregelmässigkeiten im Gange der Lufttemperatur in den

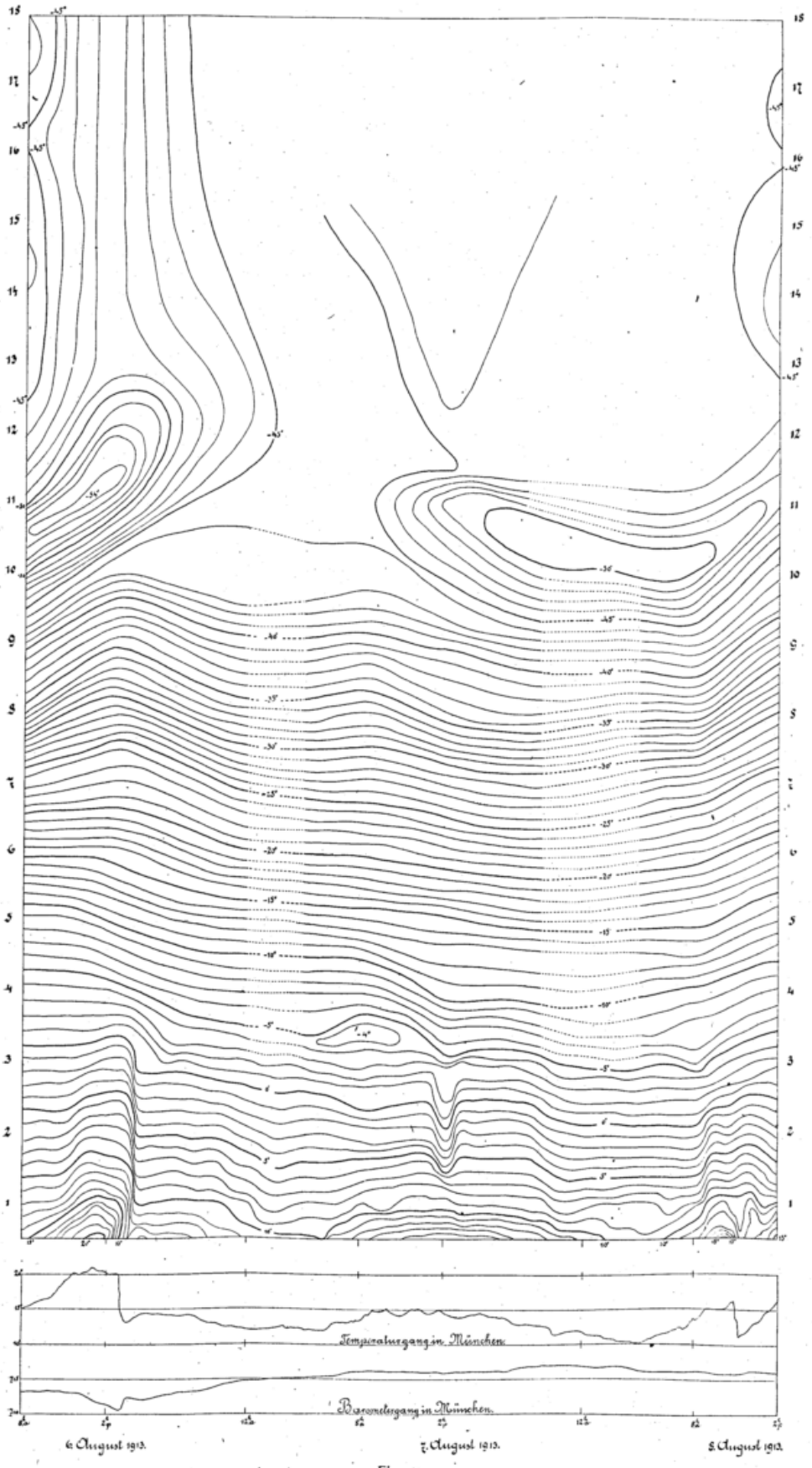


Fig. 7.

erdnahen Schichten sind mit Zuhilfenahme der Registrierungen von München, Hohenpeissenberg und Zugspitze genau eingezeichnet.

Von besonderem Interesse sind die Temperaturänderungen an der Grenze der Troposphäre und Stratosphäre sowie deren Höhenänderungen.

	6. VIII. 8 a	6. VIII. 2 p	7. VIII. 8 a	7. VIII. 2 p	8. VIII. 8 a	8. VIII. 2 p
Beginn der Stratosphäre	10650 m	11440 m	9610 m	11040 m	10270 m	11140 m
Eintrittstemperatur	−53.8°	−54.8°	−42.7°	−49.4°	−51.0°	−48.5°
Typus	II	III	I (IV)	II	II (III)	III

Es fällt auf, dass der Beginn der Stratosphäre am Morgen an allen 3 Tagen wesentlich tiefer lag als am Mittag. Ob diese Höhenschwankung zufällig ist, oder ob sich darin eine Tagesperiode ausdrückt, kann nach diesem einen allerdings überraschenden Beispiele noch nicht gesagt werden. Die früheren Doppelaufstiege können wegen besonderer Umstände (Typus IV, geringere Höhen usw.) nicht herangezogen werden.

Dass es sich nicht um Vorgänge handelt, welche mit der Luftdruckverteilung in einem einfachen Zusammenhange stehen, geht aus einer Zusammenstellung der Topographie der Hauptisobarenflächen hervor.

	6. VIII. 8 a	6. VIII. 2 p	7. VIII. 8 a	7. VIII. 2 p	8. VIII. 8 a	8. VIII. 2 p	
500 mb	5580	5580	5520	5500	5500	5500	Geopot.
300 mb	9160	9180	9100	8990	9040	9090	„
200 mb	11730	11800	11750	11650	[11550]	11750	„

Erst die nahe an, bzw. in der Stratosphäre gelegenen Hauptisobarenflächen 300 und 200 mb weisen grössere Höhenschwankungen auf.

Die grossen in der Substratosphäre vorkommenden Temperaturänderungen brauchen nicht, wie F. M. Exner [1]) meint, durch entsprechende Druckschwankungen bedingt zu sein. Es können auch durch Strahlungsvorgänge im Sinne Emdens [2]) grosse Temperaturänderungen hervorgebracht werden.

4. September 1913.

Instrument Bosch No. 561.

Temperatur-Korrektion des Aneroïdes:

$$dp = -\Delta T\,(0.562 - 0.000457 \cdot p).$$

Zeit des Aufstiegs: 8^{02} a M. E. Z.

Witterung beim Aufstieg:

a) Wind, Bewölkung, Form, Richtung und Geschwindigkeit der Wolken etc.: E_1 3° ⊙ ci, ci st aus NW mässig, untertags stark zunehmende Bewölkung.

b) Temperatur beim Aufstieg: 15.8°; relative Feuchtigkeit 81 %.

Temperatur 2 Stunden vor dem Aufstieg: 13.2°, nach dem Aufstieg: 19.7°.

Maximum des Vortages: 22.3°.

Maximum des Aufstiegstages: 23.3° um 2° p.

Minimum des Aufstiegstages: 13.1° um 5^{50} a.

Name, Seehöhe, Entfernung und Richtung des Landungsortes: Emertsham bei Trostberg, ca 500 m, 74 km, S 81° E.

Mittlere { Steiggeschwindigkeit: 4.3 m/sec. / Fluggeschwindigkeit: 14 m/sec.

Ventilation in 15000 m 0.6.

Ergebnis der Registrierung:

Zeit h m s	Seehöhe m	Luftdruck mm	Luftdruck mb	Seehöhe Geopot.	Temperatur C° Lam.	Gradient Δt/100 m	Relative Feuchtigkeit %	Steiggeschwindigkeit des Ballons m/sec.	Bemerkungen	Windrichtung und Geschwindigkeit		
0 0 0	516	718	957.2	506	15.8	0.15	81	5.5	Aufstieg. Fast isotherm.	516— 960 m	S 68° E	6.6 m
0 48	780	696	927.9	764	15.4		73		Inversion.			
	1000	678			16.9	−0.68		4.4	Weitere Auswertung nach dem sehr strukturreichen Hygrogramme.	960—1460 m	S 85° E	3.0 m
1 44	1030	679	905.2	969	17.1		58					
			900	**1017**		0.23		3.1				
3 22	1330	652	869.2	1305	16.4		49					
	1500	640			15.4	0.60		3.4		1460—1660 m	S 3° E	1.7 m
5 11	1700	624	831.9	1666	14.2		58			1660—1870 m	S 57° W	3.2 m
	2000	601			12.7					1870—2080 m	S 81° W	6.4 m
			800	**1986**		0.51		3.5		2080—2450 m		
6 57	2070	597	795.9	2028	12.3		49					
7 55	2270	583	777.3	2221	10.8	0.77	51	3.4				
8 56	2440	571	761.3	2390	9.3	0.87	60	2.8		2450—2690 m	S 89° W	7.1 m
	2500	566			9.0					2690—2920 m	N 80° W	9.5 m
10 55	2900	540	719.9	2841	6.9	0.52	43	3.9		2920—3360 m	N 72° W	9.7 m

[1]) F. M. Exner, Met. Zeitschr. 1913 S. 435.

[2]) R. Emdens, Ber. der Bayer. Akad. 1913 S. 55 ff.

Zeit h m s	Seehöhe m	Luftdruck mm	Luftdruck mb	Seehöhe Geopot.	Temperatur C° Lam.	Gradient △ t/100 m	Relative Feuchtigkeit %	Steiggeschwindigkeit des Ballons m/sec.	Bemerkungen			
	3 000	533			6.1					3360— 4020 m	S 88° W	11.7 m
			700	**3 066**		0.73		3.7				
15 55	4 000	471	627.9	3 923	− 1.2		40		Isothermie.	4020— 4180 m	N 79° W	12.3 m
17 47	4 310	453	603.9	4 228	− 1.3	0.03	44	2.8		4180— 4580 m	N 67° W	10.2 m
										4580 — 5730 m	W	13.7 m
			600	**4 279**				3.7				
	5 000	416			− 5.4							
21 51	5 220	404	538.6	5 113	− 6.6	0.59	35					
			500	**5 679**						5730— 6190 m	N 78° W	15.0 m
	6 000	365			−11.2			4 0				
25 26	6 070	362	482 6	5 945	−11.6		31			6190— 8190 m	N 88° W	15.7 m
	7 000	320			−17.8							
29 44	7 050	318	424.0	6 905	−18.1	0.66	38	3.8				
			400	**7 329**								
32 39	7 760	289	385.3	7 600	−22.7	0.65	40	4.1	Hygrogramm nur mehr gerade Linie.			
	8 000	280			−24.9					8190— 9700 m	N 81° W	18.8 m
34 43	8 410	264	352.0	8 240	−28.6	0.90		5.3				
	9 000	244			−33.1							
			300	**9 342**		0.76		5.0				
39 32	9 850	215	286.6	9 649	−39.5					9700—10860 m	N 89° W	26.1 m
	10 000	211			−40.5							
	11 000	182			−46.8	0.63		6.8		10860—11970 m	N 73° W	32.2 m
43 36	11 520	168	224.0	11 282	−50.1				Überleitung zur Stratosphäre.			
	12 000	156			−52.2					11970—13220 m	N 79° W	24.8 m
			200	**12 000**		0.45		5.4				
48 08	12 980	134	178.6	12 703	−56.6				Tiefste Temperatur.			
	13 000	134			−56.6					13220—13490 m	S 37° W	30.1 m
51 03	13 780	118	157.3	13 493	−56.6	0.00		4.6		13490—13770 m	N 35° W	40.1 m
	14 000	114			−55.3					13770—14060 m	S 64° W	30.0 m
52 59	14 350	108	144.0	14 046	−53.6	−0.53		4.9		14060—14600 m	S 88° W	7.5 m
	15 000	97			−52.7							
56 58	**15 320**	93	124.0	14 991	−52.2	−0.14		4.0	Höchster Punkt.			
1 01 43	12 640	141	188.0	12 376	−57.0				Wiedereintritt in die Stratosphäre.			
1 29 19		729							Landung.			

Am 4. September lag München am Südrande eines Hochdruckgebietes, das sich von Finnland aus in einem breiten Rücken bis nach den britischen Inseln und über Zentraleuropa ausdehnte. Vor der Biskayasee lag eine Depression, deren Einfluss sich auf die Abstossung kleinerer Gewittersäcke beschränkte.

Wie aus der Richtung des Landungsortes hervorgeht, war das Hochdruckgebiet nur flach, schon in 1660 m kehrte sich der Druckgradient um. Das Ergebnis ist für den praktischen Wetterdienst von Interesse. Es zeigt, dass divergente Winde in den höheren Luftschichten einer Depression nicht den Weg weisen müssen.

2. Oktober 1913.

Instrument Bosch No. 131.

Temperatur-Korrektion des Aneroïdes:

$$d\,p = -\,\Delta T\,(0.350 - 0.000457 \cdot p).$$

Zeit des Aufstiegs: 8° M. E. Z.

Witterung beim Aufstieg:

a) Wind, Bewölkung, Form, Richtung und Geschwindigkeit der Wolken etc.: W_1 10^1 st (typischer Hochnebel) zerriss bald nach dem Aufstiege in fr st.

b) Temperatur beim Aufstieg: 11.4°, relative Feuchtigkeit: 95 %.

Temperatur 2 Stunden vor dem Aufstieg: 10.9°, nach dem Aufstieg: 12.4°.

Maximum des Vortages: 17.1°.

Maximum des Aufstiegstages: 16.5° um 3^{30} p.

Minimum des Aufstiegstages: 10.8° um 4^{50} a.

Name, Seehöhe, Entfernung und Richtung des Landungsortes: Attenkirchen bei Freising 520 m, 42.5 km, N 20.5° E.

Mittlere { Steiggeschwindigkeit: 4.0 m/sec. / Fluggeschwindigkeit: 8.3 m/sec.

Ventilation genügt bis 14 000 m.

Ergebnis der Registrierung:

Zeit h m s	Seehöhe m	Luftdruck mm	Luftdruck mb	Seehöhe Geopot.	Temperatur C° Rohr.	Temperatur C° Lam.	Gradient △ t/100 m	Relative Feuchtigkeit %	Steiggeschwindigkeit des Ballons m/sec.	Bemerkungen
0 0	516	717.2	956.2	506	11.4	11.4		95		Aufstieg. Schwache Temperaturabnahme.
	1 000	679				9.7	0.36		3.2	
2 35	1 020	675	**900**	**998**	9.0	9.6		98		
3 19	1 170	663	883.9	1 151	9.0	9.2	0.26	92	3.4	Temperaturumkehr.
4 15	1 400	645	859.9	1 368	9.9	10.0	−0.36	79	4 1	
	1 500	637				9.6	0.40		3 8	
6 43	1 970	602	802.6	1 926	7.5	7.7		65		Erstes Minimum der R.F.
			800	**1 952**						
	2 000	600				7.5	0.68		3.9	
	2 500	564				4.1				
9 38	2 650	554	738.6	2 591	2.2	3.1		65		Die Feuchtigkeit nimmt nochmals vorübergehend zu.
	3 000	530				0.5	0.72		3.4	
			700	**3 013**						
12 40	3 260	513	683.9	3 194	− 2.5	− 1.3		70		Zweites Maximum der R.F.
	4 000	467				− 4.0	0.37		3.2	
17 22	4 170	457	609.3	4 090	− 4.6	− 4.7		51		
			600	**4 208**						
	5 000	411				−10.5	0 70			
			500	**5 584**						
23 52	5 800	370	493.3	5 683	−17.1	−16.1		44	4 2	
	6 000	360				−17.5				
	7 000	315				−24.6	0.69			
29 05	7 110	310	413.3	6 968	−25.4	−25.5		45		
			400	**7 199**			1.12		4.7	
30 01	7 370	299	398.6	7 223	−27.3	−28.4		44		
	8 000	274				−33.9	0.88		3.1	
34 57	8 280	263	350.6	8 113	−38.0	−36.4		44		Starke Zunahme der Steiggeschwindigkeit bis zum Eintritt in die Stratosphäre, auch am Barogramme direkt sichtbar.
	9 000	237				−40.9				
			300	**9 155**			0.63		6.8	
38 20	9 660	215	286.6	9 460	−45.4	−45.1		44		
	10 000	204				−47.6	0.72		6.7	
40 34	10 550	188	250.6	10 327	−52.6	−51.5		43		Ende der Troposphäre.
41 53	10 870	179	238.6	10 640	−52.9	−52.0	0.16		4.0	Stratosphäre fast isotherm anschliessend (Typ J.).
	11 000	175				−51.5	−0.34		3.9	
43 08	11 160	171	228.0	10 926	−52.6	−51.0				
45 19	11 630	159	212.0	11 391	−52.6	−51.3	0.06		3.7	
	12 000	150	**200**	**11 762**		−50.3	0.27		3.5	
48 08	12 240	145	193.3	11 980	−50.6	−49.7				Höchste Temperatur in der Stratosphäre.
48 37	12 510	139	185.3	12 252	−50.7	−50.3	0.21		9.9	Die grosse Steiggeschwindigkeit ist kein blosses Rechnungsergebnis, auch im Barogramm kommt sie deutlichst zum Ausdruck.
	13 000	119				−50.7	0.09		3.8	
51 25	13 160	126	168.0	12 878	−52.1	−50.9				
53 22	13 530	119	158.6	13 245	−51.2	−50 5	−0.11		3.2	
	14 000	110				−50.7	0.05		4.5	
56 08	14 290	106	141.3	13 982	−51.4	−50.9				
58 48	**14 860**	97	129.3	14 547	−52.1	−51.4	0.09		3.6	Höchster Punkt. Aus dem Abstiege einige weitere Punkte, deren korrespondierende Aufstiegspunkte beigeschrieben sind.
59 44	14 220	107	142.7	13 920	−54.2	−52.7				Temperatur fällt. Ventilation offenbar im letzten Teile des Aufstieges nicht mehr ganz genügend.
1 1 10	13 430	121	161.3	13 146	−52.9	−51.8				
1 3 10	12 340	143	190.6	12 088	−52.8	−51.8				
1 4 14	11 960	152	202.6	11 698	−51.2	−50.2				Höchste Temperatur in der Stratosphäre (12240 m).
1 5 14	11 370	166	221.3	11 136	−51.4	−51.8				Entspr. 11630 m.
1 6 10	10 920	178	237.3	10 691	−52.6	−51.3				Entspr. 11160 m.
1 6 46	10 530	189	252.0	10 308	−54.0	−52.5				Wiedereintritt in die Troposphäre (10550 m).
1 23 52	1 350	649	865.2	1 319	10.9	11.1				Entspr. 1400 m.
1 24 16	1 170	663	883.9	1 144	7.3	8.6				Entspr. 1170 m.
1 25 56	496	719	958.6	486	10.3	10.3				Landung.

Am 2. Oktober lag München auf der Grenze zwischen einem östlichen Hochdruck und einem westlichen Tiefdruckgebiete.

5. November 1913 8^{40} a.

Instrument Bosch No. 116.

Temperatur-Korrektion des Aneroïdes:

$$dp = -\Delta T\ (0.100 - 0.000457 \cdot p).$$

Zeit des Aufstiegs: 8^{40} a. M. E. Z.

Witterung beim Aufstieg:

a) Wind, Bewölkung, Form, Richtung und Geschwindigkeit der Wolken etc.: $E_1\ 10^1 \equiv^0$ st cu aus SW mässig.

b) Temperatur beim Aufstieg: 9.1°; relative Feuchtigkeit 89 %.

Temperatur 2 Stunden vor dem Aufstieg: 8.5°; nach dem Aufstieg: 13.3°.

Maximum des Vortages: 11.8°.

Maximum des Aufstiegstages: 14.8° um 3′ p.

Minimum des Aufstiegstages: 7.0° um 3^{30} a,

Name, Seehöhe, Entfernung und Richtung des Landungsortes: Oberwies Post Unterneukirchen 460 m, 81 km, N 87° E.

Mittlere { Steiggeschwindigkeit: 5.1 m/sec. / Fluggeschwindigkeit: 12 m/sec.

Ventilation in der Maximalhöhe noch 0.5.

Ergebnis der Registrierung:

Zeit h m s	Seehöhe m	Luftdruck mm	Luftdruck mb	Seehöhe Geopot.	Temperatur C° Lam.	Gradient △ t/100 m	Relative Feuchtigkeit %	Steiggeschwindigkeit des Ballons m/sec.	Bemerkungen
									Windrichtung und Geschwindigkeit
0 0	516	714.3	952.3	506	9.1	0.00	89	5.0	Aufstieg, zunächst Isothermie, dann Inversion. 516— 800 m S 50° W 5.7 m
0 21	620	705	939.9	612	9.1		89		
0 50	750	694	925.2	735	10.2	-0.85	74	4.6	
			900	**961**					800—1120 m S 76° W 10.2 m
	1 000	672			8.9	0.50		5.4	
	1 500	633			6.4		94		
3 27	1 590	626	834.6	1 566	6.0				
			800	**1 903**					
	2 000	595			3.9	0.53		4.6	1120—2180 m S 83° W 13.4 m
	2 500	560			1.2		96		Ballon in die Wolken eingetreten.
7 03	2 600	555	739.9	2 518	0.6				
	3 000	528			- 1.8	0.61			
			700	**2 951**			93	4.8	3200—4850 m kleine Temperaturgradienten.
9 13	3 200	513	683.9	3 132	- 3.0	0.39	82		
10 44	3 640	485	646.6	3 567	- 4.7	0.49	79		
11 58	3 980	464	618.6	3 906	- 6.4				
	4 000	462			- 6.5	0.44		5.2	
			600	**4 139**			48		Weiterhin Temperaturabnahme unter den gewohnten Beträgen.
14 43	4 850	415	553.3	4 754	-10.2	0.60	50	3.3	
15 23	4 980	408	543.9	4 884	-11.0				
	5 000	406			-11.1	0.67		5.1	
			500	**5 512**			63		
	6 000	356			-17.8				
19 50	6 360	340	453.3	6 227	-20.2	0.48		5.5	
	7 000	312			-23.3		50		
			400	**7 130**					
23 17	7 500	291	388.0	7 347	-25.7	0.57		5.0	
	8 000	271			-28.6		46		
	9 000	235			-34.2	0.71		5.9	
28 53	9 170	229	305.8	8 988	-35.3				
			300	**9 104**			46		Von hier ab Hygrogramm nur mehr gerade Linie.
	10 000	203			-41.2	0.57		4.1	
31 43	10 170	198	264.0	9 962	-42.4		-		Überleitung zur Stratosphäre.
	11 000	175			-47.1	0.36		4.5	
36 06	11 220	169	225.3	10 991	-48.4		-		Beginn der Stratosphäre.
	12 000	150	**200**	**11 757**	-51.2	-0.01		3.9	
40 58	12 550	138	184.0	12 286	-53.1		-		
	13 000	128			-53.0				
44 35	13 400	121	161.3	13 118	-53.0		-		

Zeit h m s	Seehöhe m	Luftdruck mm	Luftdruck mb	Seehöhe Geopot.	Temperatur C° Lam.	Gradient △ t/100 m	Relative Feuchtigkeit %	Steiggeschwindigkeit des Ballons m/sec.	Bemerkungen
	14 000	110			-52.2	-0.13	-	4.7	
48 18	14 450	103	137.3	14 141	-51.6				
	15 000	94			-52.2				
	16 000	80			-53.3	0.11		5.5	
			100	**16 151**					
	17 000	69			-54.4		-		
58 35	**17 840**	61	81.3	17 451	-55.4				Ballon steigt noch höher, Registrierung unbrauchbar wegen Strahlungseinflusses.
1 13 19	16 870	71	94.7	16 502	-57.3				Tiefste Temperatur im Abstiege.
			100	**16 160**					
1 18 23	13 290	126	168	12 916	-53.4				Höchste Temperatur in der Stratosphäre.
1 20 33	12 070	150	**200**	11 820	-55.0				Wiedereintritt in die Troposphäre.
1 53 51		714	951.9						Landung.

5. November 1913 12 p.

Instrument Bosch No. 149.

Temperatur-Korrektion des Aneroïdes:

$$d\,p = -\Delta T\,(0.550 - 0.000457\,p)$$

Zeit des Aufstiegs: 12^{00} p. M. E. Z.

Witterung beim Aufstieg:

a) Wind, Bewölkung, Form, Richtung und Geschwindigkeit der Wolken etc.: SW_1 10^1 st cu, aus SW mässig, st in Zerteilung begriffen.

b) Temperatur beim Aufstieg: 13.5°; relative Feuchtigkeit 73%.

Temperatur 2 Stunden vor dem Aufstieg: 12.0°, nach dem Aufstieg: 13.9°.

Maximum des Vortages: 11.8°.

Maximum des Aufstiegstages: 14.8° um 3 p.

Minimum des Aufstiegstages: 7.0° um 3^{30} a.

Name, Seehöhe, Entfernung und Richtung des Landungsortes: Tittmoning 460 m, 91.5 km, S 84° E.

Mittlere { Steiggeschwindigkeit: 4.8 m/sec. Fluggeschwindigkeit: 15 m/sec.

Ventilation in 17 000 m noch 0.6.

Ergebnis der Registrierung:

Zeit h m s	Seehöhe m	Luftdruck mm	Luftdruck mb	Seehöhe Geopot.	Temperatur C° Lam.	Gradient △ t/100 m	Relative Feuchtigkeit %	Steiggeschwindigkeit des Ballons m/sec.	Bemerkungen	Windrichtung und Geschwindigkeit		
0 0	516	713.1	950.7	506	13.5		73		Aufstieg, starke Temperaturabnahme.	516— 810 m	S 59° W	5.3 m
			900	**954**		0.83		4.9				
	1 000	672			9.5					810—1100 m	S 71° W	7.1 m
2 34	1 270	651	867.9	1 246	7.2		89					
	1 500	632			6.1	0.49		4.2		1100—1380 m	N 85° W	6.9 m
			800	**1 897**								
5 29	2 000	595	793.2	1 965	3.6		89			1380—2140 m	S 85° W	11.0 m
	2 500	559			1.0	0.52		4.5				
8 45	2 890	533	710.6	2 832	- 1.0		96					
	3 000	525	**700**	**2 949**	- 1.7	0.64		4.3		2140—3470 m	S 69° W	13.3 m
12 49	3 940	466	621.3	3 867	- 7.8		99		Ballon in Wolken. Inversion.			
	4 000	462			- 7.5	-0.50		3.8				
13 20	4 060	459	611.9	3 983	- 7.2		95					
			600	**4 134**		0.45		4.4				
16 20	4 860	414	551.9	4 766	-10.8		79					
	5 000	406			-11.7	0.66		4.8				
			500	**5 505**								
	6 000	356			-18.3							
22 10	6 550	331	441.3	6 416	-21.9		71					
	7 000	311			-24.5	0.58		5.3				
			400	**7 118**								
26 04	7 790	279	372.0	7 629	-29.1		63					

Zeit h m s	Seehöhe m	Luftdruck mm	mb	Seehöhe Geopot.	Temperatur C° Lam.	Gradient △t/100 m	Relative Feuchtigkeit %	Steiggeschwindigkeit des Ballons m/sec.	Bemerkungen
	8 000	271			-30.7				
	9 000	235			-38.1	0.74		4.9	
			300	**9 100**					
31 41	9 440	220	293.3	9 250	-41.3		62		
	10 000	202			-45.2	0.70		5.5	
33 43	10 120	199	265.3	9 912	-46.0		61		Hygrogramm ohne weitere Bedeutung.
35 32	10 820	179	238.6	10 594	-52.0	0.86		6.4	Überleitung zur Stratosphäre.
	11 000	174			-52.3	0.19		4.5	
39 38	11 920	151	201.3	11 668	-54.1				Starke Temperaturabnahme auf kurze Strecke.
			200	**11 709**					
	12 000	149			-54.8	0.86		4.6	
40 07	12 040	148	197.3	11 793	-55.2				Beginn der Stratosphäre.
	13 000	127			-52.4	-0.29		4.2	
44 01	13 030	127	169.3	12 758	-52.3				
	14 000	109			-51.9	-0.04		5.4	
48 00	14 330	104	138.7	14 023	-51.7				Höchste Temperatur in der Stratosphäre.
	15 000	94			-53.0				
	16 000	80			-55.0	0.20		5.1	
			100	**16 438**					
56 06	16 790	71	94.7	16 424	-56.5				
	17 000	68			-56.4	-0.07		4.9	
58 41	**17 550**	63	84.0	17 171	-56.0				Höchster Punkt.
			100	**16 088**					
59 56	16 360	76	101.3	16 008	-57.1				Entspricht im Aufstiege 16790 m.
1 4 30	13 060	127	169.3	12 786	-52.0				Entspricht im Aufstiege 14330 m.
1 5 25	12 620	136	181.3	12 355	-54.6				
1 6 22	12 210	145	193.3	11 954	-55.3				Entspricht im Aufstiege 11920 m.
			200	**11 741**					
1 9 22	11 080	173	230.6	10 849	-53.7				Wiedereintritt in die Troposphäre.
1 43 54		722							Landung.

5. November 1913 4 p.

Instrument Bosch No. 609.

Temperatur-Korrektion des Aneroïdes:

$$dp = -\Delta T\,(0.140 - 0.000\,457 \cdot p).$$

Zeit des Aufstiegs: 4° p M. E. Z.

Witterung beim Aufstieg:

a) Wind, Bewölkung, Form, Richtung und Geschwindigkeit der Wolken etc.: SW_2, 10^1 st cu aus SW mässig.

b) Temperatur beim Aufstieg: 13.8°, relative Feuchtigkeit: 65 %.

Temperatur 2 Stunden vor dem Aufstieg: 13.9°, nach dem Aufstieg: 12.8°.

Maximum des Vortages: 11.8°.

Maximum des Aufstiegstages: 14.8° um 3 p.

Minimum des Aufstiegstages: 7.0° um 3^{80} a.

Name, Seehöhe, Entfernung und Richtung des Landungsortes: Pinsdorf (Oberösterreich) 510 m, 170 km S 83° E.

Mittlere { Steiggeschwindigkeit: 3.6 m/sec. / Fluggeschwindigkeit: 19 m/sec.

Ventilation genügt bis 13 450 m.

Ergebnis der Registrierung:

Zeit h m s	Seehöhe m	Luftdruck mm	mb	Seehöhe Geopot.	Temperatur C° Lam.	Gradient △t/100 m	Relative Feuchtigkeit %	Steiggeschwindigkeit des Ballons m/sec.	Bemerkungen			
										Windrichtung und Geschwindigkeit		
0 0 0	516	712.0	949.2	506	13.8		65		Aufstieg. Starke Temperaturabnahme.	516— 660 m	N 63° W	1.4 m
			900.0	**941**						660— 800 m	N 5° W	4.4 m
	1 000	673			10.4	0.70		4.8		800—1090 m	S 55° W	13.7 m
	1 500	634			6.9					1090—1380 m	S 79° W	5.6 m
3 44	1 590	625	833.2	1 564	6.2		73		Viele Störungsschichten, stets kleinere Steiggeschwindigkeit.			
5 17	1 870	604	805.2	1 837	4.8	0.50	73	3.0	I. Störungsschichte.			

Zeit h m s	Seehöhe m	Luftdruck mm	mb	Seehöhe Geopot.	Temperatur C° Lam.	Gradient △ t/100 m	Relativve Feuchtigkeit %	Steiggeschwindigkeit des Ballons m/sec.	Bemerkungen
			800	**1 888**					
	2 000	598			3.7	0.83		4.2	1380—2050 m S 85° W 11.3 m
7 14	2 360	569	758.6	2 309	0.8		80		2050—2300 m S 69° W 10.2 m
	2 500	560			0.0	0.58		3.9	Ballon in Wolken verdeckt.
9 07	2 800	538	717.3	2 747	– 1.8		88		
	3 000	525	**700**	**2 937**	– 2.0	0.12		3.6	II. Störungsschichte.
10 17	3 060	521	694.6	2 997	– 2.1		90		
12 52	3 650	483	643.9	3 580	– 6.9	0.81	90	3.8	
13 42	3 820	473	630.6	3 741	– 6.7	–0.12	87	3.3	III. Störungsschichte.
	4 000	462			– 7.8				
			600	**4 120**		0.59		4.2	
15 27	4 250	447	595.9	4 171	– 9.3		89		
16 11	4 410	438	583.9	4 326	– 9.2	–0.06	86	3.6	IV. Störungsschichte.
	5 000	406			–12.1	0.49		3.1	
21 26	5 380	386	514.6	5 273	–13.9		71		
			500	**5 481**					
	6 000	356			–18.5	0.75		3.3	
29 11	6 930	313	417.3	6 790	–25.5		62		Hygrogramm nur mehr gerade Linie.
	7 000	310			–25.4	–0.21		2.0	V. Störungsschichte.
29 53	7 020	309	412.0	6 882	–25.3				
			400	**7 089**		0.63		3.7	
31 28	7 360	295	393.3	7 208	–27.4				
	8 000	271			–32.9	0.86		4.5	
35 31	8 440	253	337.3	8 270	–36.8				
	9 000	235			–41.2				
			300	**9 056**		0.78		5.0	
	10 000	201			–49.0				
41 10	10 150	197	262.6	9 940	–50.1				Überleitung zur Stratosphäre.
	11 000	173			–54.8	0.55		3.1	
48 53	11 610	157	209.3	11 366	–58.2				Beginn der Stratosphäre, zunächst noch schwache Temperaturabnahme.
			200	**11 646**		0.21		6.0	
49 48	11 940	149	198.6	11 690	–58.9				Tiefste Temperatur.
	12 000	148			–58.5	–0.68		2.0	
54 12	12 470	137	182.6	12 210	–55.3				
	13 000	126			–55.0	–0.05		3.1	
59 30	13 450	119	158.6	13 172	–54.8				Höchste Temperatur in der Stratosphäre, starke Temperaturabnahme. Ballon schwimmt.
1 2 50	13 650	114	152.0	13 358	–56.6	0.94		1.0	
	14 000	107			–56.4	0.06		1.7	
1 12 14	**14 610**	98	130.7	14 300	–56.0				Höchster Punkt, Ballon nicht geplatzt.
1 25 05	13 100	124	165.3	12 829	–54.4				Höchste Temperatur im Abstiege [13 450 m].
1 30 36	11 970	148	197.3	11 720	–56.9				
			200	**11 639**					Überleitung zur Stratosphäre.
1 32 16	11 680	155	206.6	11 437	–59.3				Wiedereintritt in die Stratosphäre.
1 32 51	11 600	157	209.3	11 357	–59.3				
2 29 00		678							Landung.

6. November 1913 8 a.

Instrument Bosch No. 208.
Temperatur-Korrektion des Aneroïdes:
$$dp = -\Delta T\ (0.277 - 0.000457 \cdot p).$$
Zeit des Aufstiegs: 8° a M. E. Z.

Witterung beim Aufstieg:
a) Wind, Bewölkung, Form, Richtung und Geschwindigkeit der Wolken etc.: SW$_3$ 10^1 cu ni, fr ni aus W rasch, ztw. ◍°.

b) Temperatur beim Aufstieg: 7.6°, relative Feuchtigkeit: 84 %.
Temperatur 2 Stunden vor dem Aufstieg: 9.6°, nach dem Aufstieg: 7.4°.
Maximum des Vortages: 14.8°.
Maximum des Aufstiegstages: 11.0° um 12 a.
Minimum des Aufstiegstages: 4.6° um 12 p.
Name, Seehöhe, Entfernung und Richtung des Landungsortes: Metten 315 m, 128 km, N 52.5° E.
Mittlere { Steiggeschwindigkeit: 4.1 m/sec. / Fluggeschwindigkeit: 20 m/sec.
Ventilation in 17000 m 0.4.

Ergebnis der Registrierung:

Zeit h m s	Seehöhe m	Luftdruck mm	Luftdruck mb	Seehöhe Geopot.	Temperatur C° Lam.	Gradient △t/100 m	Relative Feuchtigkeit %	Steiggeschwindigkeit des Ballons m/sec.	Bemerkungen
									Windrichtung und Geschwindigkeit
0 0 0	516	709.9	946.5	506	7.6		84		Aufstieg 516—740 m N 79° W 8.2 m
			900	**910**		0.78		3.7	740—960 m N 40° W 1.3 m
1 57	950	673	897.2	935	4.2		92		Ballon in Wolken.
	1000	670			3.9	0.52		3.3	
4 22	1440	634	845.2	1407	1.7		88		
	1500	628			1.7	-0.05			Es folgen mehrere kleine Isothermien.
5 10	1630	619	825.2	1595	1.8		73	4.0	
			800	**1839**		0.68			
	2000	592			- 0.7				
7 03	2080	585	799.9	2038	- 1.3		73		
7 23	2130	581	774.6	2091	- 1.3	0.00	69	2.7	
	2500	556			- 3.8				
			700	**2873**		0.68		3.9	
	3000	521			- 7.2				
12 06	3230	505	673.3	3169	- 8.8		79		
12 55	3420	493	657.3	3351	- 8.6	-0.11	81	3.8	
	4000	456			-11.3				
			600	**4040**		0.47		4.2	
18 25	4810	411	547.9	4715	-15.2		86		Von hier ab gleichmässige Temperaturabnahme.
	5000	400			-16.4				
			500	**5389**				4.4	
	6000	352			-22.6				
23 20	6090	347	462.6	5974	-23.2	0.62	79		
	7000	308			-28.8			5.0	
			400	**7005**					
27 55	7470	287	382.6	7320	-31.7		76		
	8000	267			-36.0				
	9000	230			-44.1	0.81		4.9	
33 11	9020	229	305.3	8838	-44.2		72		
			300	**8952**		0.67		5.3	
35 48	9850	202	269.3	9652	-49.8		71		
	10000	197			-51.0	0.79		4.9	
37 31	10390	186	248.0	10174	-54.0		71		Überleitung zur Stratosphäre.
	11000	169			-56.5	0.41		3.5	
40 56	11080	167	222.6	10850	-56.8				Ende der Troposphäre.
42 49	11470	157	209.3	11232	-56.2	-0.15			
			200	**11516**					
	12000	144			-54.1	-0.39		3.8	
47 34	12540	133	177.3	12279	-52.0				Höchste Temperatur in der Stratosphäre.
	13000	124			-52.9	0.20		3.9	
51 75	13540	114	152.0	13251	-54.0				
	14000	106			-53.2	-0.17		2.7	
54 59	14070	105	140.0	13771	-53.1				
57 43	14780	94	125.3	14468	-54.0	0.13		4.4	
	15000	91			-53.9				
	16000	77			-53.6				
			100	**15886**		-0.03		4.0	
	17000	66			-53.3				
1 9 01	**17460**	62	82.7	17084	-53.2				Höchster Punkt

Zeit h m s	Seehöhe m	Luftdruck mm	Luftdruck mb	Seehöhe Geopot.	Temperatur C° Lam.	Gradient △ t/100 m	Relative Feuchtigkeit %	Steiggeschwindigkeit des Ballons m/sec.	Bemerkungen
			100	**15 889**					Aus dem Abstiegsdiagramme.
1 10 48	15 990	78	104.0	15 643	-54.1				
1 11 52	14 990	91	121.3	14 672	-53.1				
1 12 17	14 710	95	126.7	14 398	-54.0				
1 16 52	11 810	149	198.6	11 566	-53.5				Entspricht im Aufstieg 12 540 m.
			200	**11 521**					
1 18 17	10 970	170	226.6	10 740	-56.5				Wiedereintritt in die Troposphäre.
1 49 24		722	962.6						Landung.

6. November 1913 12 p.

Instrument Bosch No. 349.

Temperatur-Korrektion des Aneroïdes:

$$dp = -\Delta T\,(0.081 - 0.000457\,p).$$

Zeit des Aufstiegs: 12^{00} M.E.Z.

Witterung beim Aufstieg:

a) Wind, Bewölkung, Form, Richtung und Geschwindigkeit der Wolken etc.: WSW_2, 10^1 st, fr cu aus W mässig.

b) Temperatur beim Aufstieg: 7.9^0; relative Feuchtigkeit: 77 %.

Temperatur 2 Stunden vor dem Aufstieg: 7.4^0, nach dem Aufstieg: 7.3^0.

Maximum des Vortages: 14.8^0.

Maximum des Aufstiegstages: 11.0^0 um 12 a.

Minimum des Aufstiegstages: 4.6^0 um 12 p.

Name, Seehöhe, Entfernung und Richtung des Landungsortes: Straubing 330 m, 112 km, N 43° E.

Mittlere { Steiggeschwindigkeit: 4.4 m/sec. / Fluggeschwindigkeit: 19 m/sec.

Ventilation in 14000 m noch 0.5.

Ergebnis der Registrierung:

Zeit h m s	Seehöhe m	Luftdruck mm	Luftdruck mb	Seehöhe Geopot	Temperatur C° Lam.	Gradient △ t/100 m	Relative Feuchtigkeit %	Steiggeschwindigkeit des Ballons m/sec.	Bemerkungen	Windrichtung und Geschwindigkeit
0 0 0	516	710.8	947.6	506	7.9		77		Aufstieg.	516— 770 m W 5.2 m
			900	**919**		0.88		4.2		
	1 000	672			3.6					770—1020 m W 7.0 m
2 46	1 220	652	869.2	1 194	1.7		93			
	1 500	630			0.0					1020—1770 m N 64° W 9.8 m
			800	**1 844**		0.59		4.1		
	2 000	592			- 3.0					
6 01	2 020	590	786.6	1 976	- 3.0		96			
	2 500	555			- 5.7					1770—2260 m N 82° W 8.2 m
			700	**2 872**		0.56		4.2		
	3 000	521			- 8.5					2260—2770 m N 74° W 12.4 m
10 01	3 020	519	691.9	2 960	- 8.6		95			
12 33	3 760	471	627.9	3 689	-14.1	0.74	96	4.9		2770—3310 m N 53° W 4.8 m
	4 000	457			-16.0				Ballon durch Wolken verdeckt.	
			600	**4 026**		0.79		3.6		
14 37	4 210	444	591.9	4 125	-17.6		95		Inversion. 1te Störungsschicht.	
15 11	4 330	437	582.6	4 243	-16.8	-0.66	95	3.5		
15 58	4 500	427	569.3	4 412	-17.3	0.29		3.7		
16 33	4 700	416	554.6	4 604	-18.3	0.51		5.6		
16 52	4 770	412	549.3	4 673	-18.3	0.00		3.7		
	5 000	400			-20.0					
			500	**5 353**		0.72		4.8		
19 39	5 560	370	493.3	5 450	-24.0				2te Störungsschicht	
20 19	5 760	360	479.9	5 648	-24.4	0.20		5.0		
20 44	5 860	355	473.3	5 747	-24.2	-0.20		4.1		
	6 000	348			-24.7					
22 05	6 220	338	450.6	6 097	-25.4	0 32		4.5		

Zeit h m s	Seehöhe m	Luftdruck mm	Luftdruck mb	Seehöhe Geopot.	Temperatur C° Lam.	Gradient Δ t/100 m	Relative Feuchtigkeit %	Steiggeschwindigkeit des Ballons m/sec.	Bemerkungen
	7 000	303			−30.9				
			400	**6 933**		0.71		6.0	
26 51	7 940	265	353.3	7 783	−37.6				
	8 000	263			−38.0				
	9 000	227			−45.5	0.75		6.0	
			300	**8 868**					
30 49	9 390	214	285.3	9 194	−48.3				
	10 000	195			−52.1	0.62		4.7	
33 35	10 160	190	253.3	9 954	−53.1				Ende der Troposphäre.
37 00	10 880	170	226.6	10 657	−53.2	0.01		3.5	
	11 000	167			−52.7				
			200	**11 450**		−0.38		2.6	
40 33	11 720	149	198.6	11 495	−50.0				
	12 000	143			−49.7	−0.11		3.8	
43 19	12 340	136	181.3	12 080	−49.3				Höchste Temperatur in der Stratosphäre.
	13 000	124			−51.6	0.35		2.8	
48 06	13 140	120	160.0	12 878	−52.1				
50 08	13 610	112	149.3	13 319	−51.0	−0.24		3.8	
	14 000	106			−51.7	0.18		2.9	
53 18	**14 150**	103	137.3	13 852	−52.1				Höchster Punkt.
55 25	13 900	107	142.7	13 606	−51.3				Entspricht im Aufstiege 13140 m.
57 27	13 320	117	156.0	13 039	−50.9				Höchste Temperatur im Abstiege.
1 0 27	12 290	137	182.6	12 036	−51.3				Entspricht im Aufstiege 11720 m.
			200	**11 457**					
1 1 31	11 530	154	205.3	11 291	−53.3				Entspricht im Aufstiege 10880 m.
1 3 24	10 640	177	236.0	10 415	−54.2				Wiedereintritt in die Troposphäre.
1 37 54		730							Landung.

6. November 1913 4 p.

Instrument Bosch No. 407.

Temperatur-Korrektion des Aneroïdes:

$$dp = -\Delta T\,(0.200 - 0.000457 \cdot p).$$

Zeit des Aufstiegs: 4° p M. E. Z.

Witterung beim Aufstieg:

a) Wind, Bewölkung, Form, Richtung und Geschwindigkeit der Wolken etc.: SW_3 10^1 fr cu, fr ni aus W rasch.

b) Temperatur beim Aufstieg: 6.2°; relative Feuchtigkeit: 85%.

Temperatur 2 Stunden vor dem Aufstieg: 7.3°, nach dem Aufstieg: 5.7°.

Maximum des Vortages: 14.8°.

Maximum des Aufstiegstages: 11.0° um 12 a.

Minimum des Aufstiegstages: 4.6° um 12 p.

Name, Seehöhe, Entfernung und Richtung des Landungsortes: Wörth an der Isar 370 m, 78 km, N 48° E.

Mittlere { Steiggeschwindigkeit: 4.8 m/sec. / Fluggeschwindigkeit: unbekannt.

Ventilation genügt bis zur erreichten Höhe.

Ergebnis der Registrierung:

Zeit h m s	Seehöhe m	Luftdruck mm	Luftdruck mb	Seehöhe Geopot.	Temperatur C° Lam.	Gradient Δ t/100 m	Relative Feuchtigkeit %	Steiggeschwindigkeit des Ballons m/sec.	Bemerkungen	Windrichtung und Geschwindigkeit
0 0 0	516	710.5	947.2	506	6.2		85		Aufstieg.,	516— 800 m S 85° W 6.7 m
			900	**914**						
	1 000	673			3.0					
	1 500	631			− 0.3	0.66		4.8		
			800	**1 836**						
	2 000	591			− 3.6					800—2240 m N 76° W 17.6 m
6 03	2 260	571	761.3	2 219	− 5.3		88		Kurze Sperrschicht.	
	2 500	591			− 5.9	0.24		4.5		
7 08	2 560	550	733.3	2 507	− 6.0		81			

Zeit h m s	Seehöhe m	Luftdruck mm	mb	Seehöhe Geopot.	Temperatur C° Lam.	Gradient △ t/100 m	Relative Feuchtigkeit %	Steiggeschwindigkeit des Ballons m/sec.	Bemerkungen
			700	**2 862**					
	3 000	520			− 9.0	0.69		4.4	
8 52	3 010	519	691.9	2 950	− 9.1		89		Sperrschicht. 2240—3030 m S 85° W 11.2 m
9 51	3 280	501	667.9	3 218	− 9.8	0.26	72	4.6	
11 16	3 710	474	631.9	3 634	−12.3	0.59	64	5.0	3030— 3550 m N 48° W 6.7 m
	4 000	456			−14.9				Ballon in die Wolken eingetreten.
			600	**4 019**		0.88		4.3	
15 49	4 890	405	539.9	4 789	−22.7		65		Isothermie.
	5 000	398			−22.7	0.00		5.2	
16 17	5 030	397	529.3	4 931	−22.7		66		
			500	**5 339**		0.50		4.8	
18 25	5 650	365	486.6	5 533	−25.8		68		
19 10	5 830	356	474.6	5 710	−26.5	0.39	68	4.2	
	6 000	343			−27.7	0.61		5.5	
22 37	6 970	303	404.0	6 833	−33.5		68		
	7 000	301			−33.7				
			400	**6 901**		0.55		4.7	
23 42	7 280	290	386.6	7 134	−35.2		69		Ballon steigt noch weiter, keine weitere Registrierung.

7. November 1913 8 a.

Instrument Bosch No. 408.

Temperatur-Korrektion des Aneroïdes:

$$dp = -\Delta T\,(0.307 - 0.000457 \cdot p).$$

Zeit des Aufstiegs: 8° a M. E. Z.

Witterung beim Aufstieg:

a) Wind, Bewölkung, Form, Richtung und Geschwindigkeit der Wolken etc.: SW_1 10^1 a st, ztw. ◍[1].

b) Temperatur beim Aufstieg: 4.4°; relative Feuchtigkeit: 81 %.

Temperatur 2 Stunden vor dem Aufstieg: 3.6°, nach dem Aufstieg: 6.6°.

Maximum des Vortages: 11.0°.

Maximum des Aufstiegstages: 6.6° um 2 p.

Minimum des Aufstiegstages: 3.0° um 4 a.

Name, Seehöhe, Entfernung und Richtung des Landungsortes: Bayerbach–Ergoldsbach 390 m, 83 km, N 42° E.

Mittlere { Steiggeschwindigkeit: 4.0 m/sec. / Fluggeschwindigkeit: 15 m/sec.

Ventilation in 13820 m 0.5.

Ergebnis der Registrierung:

Zeit h m s	Seehöhe m	Luftdruck mm	mb	Seehöhe Geopot.	Temperatur C° Lam.	Gradient △ t/100 m	Relative Feuchtigkeit %	Steiggeschwindigkeit des Ballons m/sec.	Bemerkungen	Windrichtung und Geschwindigkeit
0 0 0	516	709.3	945.6	506	4.4	0.32	81	4.9	Aufstieg, zunächst schwache Temperaturabnahme.	516— 660 m N 45° W 1.0 m
1 09	860	680	906.6	840	3.3		83			
			900	**899**					Von hier ab sehr gleichmässige und verhältnismässig starke Temperaturabnahme.	
	1 000	667			2.4	0.65		4.6		
2 10	1 140	657	875.9	1 113	1.5		87			660—1630 m N 87° W 9.2 m
	1 500	627			− 0.4					
			800	**1 822**		0.54		4.5		
	2 000	590			− 3.1					1630—2160 m S 44° W 5.5 m
5 33	2 050	586	781.3	2 006	− 3.4		89			
	2 500	553			− 6.5					2160—2410 m S 9° E 5.8 m
			700	**2 847**		0.69		4.2		
	3 000	518			−10.0					2410—3170 m S 38° W 10.2 m
11 02	3 440	490	653.3	3 366	−13.0		83		Hygrogramm nur mehr gerade Linie.	3170—3420 m S 57° W 6.5 m

Zeit h m s	Seehöhe m	Luftdruck mm	mb	Seehöhe Geopot.	Temperatur C° Lam.	Gradient △ t/100 m	Relative Feuchtigkeit %	Steiggeschwindigkeit des Ballons m/sec.	Bemerkungen
									3420—3890 m S 75° W 11.4 m
	4 000	454			−16.8				
			600	**3 996**		0.68		4.2	Ballon in die Wolken eingetreten.
16 49	4 880	404	538.6	4 780	−22.8				
	5 000	397			−23.8				
			500	**5 310**		0.86		4.4	
	6 000	346			−32.4				
22 56	6 580	318	424.0	6 450	−37.4				
			400	**6 838**					
	7 000	299			−41.4	0.96		4.6	
27 42	7 910	261	348.0	7 750	−50.1				
	8 000	257			−50.8	0.85		4.4	
31 05	8 810	227	302.6	8 626	−57.7				Scharfes Einsetzen der Stratosphäre (Typus II).
			300	**8 679**					Steiggeschwindigkeit nimmt deutlich ab, am Barogramm Knick sichtbar.
	9 000	220			−55.1	−1.39		3.6	
32 25	9 090	217	289.3	8 907	−53.7				
35 08	9 620	200	266.6	9 426	−50.5	−0.60		3.3	
	10 000	189			−49.7	−0.21		3.3	
41 26	10 890	165	220.0	10 662	−47.8				
	11 000	162			−47.6				
			200	**11 277**		−0.20		3.3	
46 41	11 930	141	188.0	11 680	−45.7				
	12 000	140			−45.7				
48 02	12 170	136	181.3	11 916	−45.7	0.06		3.0	Höchste Temperatur in der Stratosphäre.
	13 000	120			−47.9				
51 24	13 110	118	157.3	12 836	−48.1	0.26		4.7	
52 02	13 170	117	156.0	12 889	−47.3	−1.48		3.1	
55 16	**13 820**	106	141.3	13 528	−48.9	0.24			Höchster Punkt.
	[14 000	102]			[−49.2]				Extrapoliert.
									Aus dem Abstiegsdiagramme:
58 35	12 320	133	177.3	12 063	−46.7				Höchste Temperatur im Abstiege.
1 2 04	10 420	177	236.0	10 206	−47.1				
1 2 38	10 160	184	245.3	9 957	−49.2				Entspricht der kurzen, aber deutlichen Inversion im Aufstiege bei 13 110—13 170 m.
1 3 51	9 550	202	269.3	9 358	−50.3				
1 5 36	8 770	228	304.0	8 593	−55.5				Wiedereintritt in die Troposphäre. Fallgeschwindigkeit nimmt deutlich ab.
1 35 12		706							Landung.

7. November 1913 12 p.

Instrument Bosch No. 424.

Temperaturkorrektion des Aneroïdes:

$$d\,p = -\Delta T\,(0.545 - 0.000457 \cdot p).$$

Zeit des Aufstiegs: 12° M. E. Z.

Witterung beim Aufstieg:

a) Wind, Bewölkung, Form, Richtung und Geschwindigkeit der Wolken etc.: SW_2 10^0 $\frac{\text{a st} -}{\text{fr cu aus SW mässig.}}$

b) Temperatur beim Aufstieg: 6.4°; relative Feuchtigkeit: 82 %.

Temperatur 2 Stunden vor dem Aufstieg: 6.6°, nach dem Aufstieg: 5.8°.

Maximum des Vortages: 11.0°.

Maximum des Aufstiegstages: 6.6° um 2 p.

Minimum des Aufstiegstages: 3.0° um 4 a.

Name, Seehöhe, Entfernung und Richtung des Landungsortes: Essenbach bei Landshut 440 m, 71 km, N 42° E.

Mittlere { Steiggeschwindigkeit: 4,7 m/sec. Fluggeschwindigkeit: 12 m/sec.

Ventilation in 15000 m noch 0.4.

Ergebnis der Registrierung:

Zeit h m s	Seehöhe m	Luftdruck mm	mb	Seehöhe Geopot.	Temperatur C° Lam.	Gradient △ t/100 m	Relative Feuchtigkeit %	Steiggeschwindigkeit des Ballons m/sec.	Bemerkungen
0 0 0	516	709.0	945.2	506	6.4		82		Aufstieg.
			900	**898**		0.92		4.2	
	1 000	668			1.9				
2 00	1 030	666	887.9	1 005	1.7		87		
	1 500	628			- 1.6				
			800	**1 817**		0.70		4.1	
	2 000	589			- 5.1				
6 18	2 080	583	777.3	2 039	- 5.7		90		
	2 500	552			- 8.0				
			700	**2 836**		0.56		3.8	Ballon in Wolken.
9 53	2 910	524	698.6	2 851	-10.3		83		
	3 000	517			-10.9				
	4 000	455			-17.2				
			600	**3 992**		0.63		4.4	
15 13	4 330	435	579.9	4 242	-19.3		82		
	5 000	397			-24.6				
			500	**5 307**		0.79		5.5	
20 04	5 930	349	465.3	5 811	-31.9		83		
	6 000	345			-32.4				
			400	**6 820**		0.74		6.0	
	7 000	298			-39.8				
24 23	7 480	278	370.6	7 326	-43.3		81		
	8 000	257			-47.2				
			300	**8 696**		0.75		7.3	
	9 000	220			-54.7				
28 47	9 410	207	276.0	9 216	-57.8		82		Ende der Troposphäre (Typus II).
29 30	9 660	199	265.3	9 460	-52.2	-2.25	80	5.8	Seltene Temperaturumkehr.
	10 000	190			-51.4	-0.23		7.9	
32 21	11 000	162	216.0	10 776	-49.1		79		Hygrogramm nur noch gerade Linie.
			200	**11 272**					
	12 000	140			-46.7	-0.24		5.0	
35 45	12 020	139	185.3	11 767	-46.7				
36 39	12 410	131	174.6	12 154	-47.8	0.28		7.4	
38 22	12 670	126	168.0	12 404	-46.4	-0.55		2.5	Höchste Temperatur.
	13 000	120			-46.5				
	14 000	103			-46.8	0.03		3.5	
48 04	14 690	93	124.0	14 377	-47.1				
	15 000	88			-47.8	0.21		3.2	
54 42	**15 960**	76	101.3	15 617	-49.8				Höchster Punkt.
	[16 000]	[76]			[-49.9]				Extrapolierte Werte.
			[100]	**[15 766]**					
57 22	14 080	102	136.0	13 786	-47.5				
1 1 37	11 700	146	194.6	11 458	-46.0				Höchste Temperatur im Abstiege.
			200	**11 279**					
1 5 43	9 580	201	268.0	9 378	-49.2				Entspricht im Aufstiege 960 m.
1 7 08	9 020	219	292.0	8 833	-54.2				Wiedereintritt in die Troposphäre, nicht mehr so scharf wie im Aufstiege.
1 39 56		719							Landung.

Windrichtung und Geschwindigkeit

516— 640 m	S 31° W	2.3 m
640— 770 m	S 49° W	9.0 m
770—1030 m		2.9 m
1030—1520 m		8.1 m
1520—2010 m	S 74° W	6.0 m
2010—2710 m	S 60° W	5.4 m

7. November 1913 4 p.

Instrument Bosch No. 562.
Temperatur-Korrektion des Aneroïdes:
$$dp = -\Delta T\,(0.435 - 0.000457 \cdot p).$$
Zeit des Aufstiegs: 4° p M. E. Z.
Witterung beim Aufstieg:

a) Wind, Bewölkung, Form, Richtung und Geschwindigkeit der Wolken etc.: SE_1 10^1 a st, Zug nicht erkennbar, vereinzelt st cu aus W langsam.
b) Temperatur beim Aufstieg: 6.4°; relative Feuchtigkeit: 76 %.

Temperatur 2 Stunden vor dem Aufstieg: 6.6°, nach dem Aufstieg: 5.9°.
Maximum des Vortages: 11.0°.
Maximum des Aufstiegstages: 6.6° um 2 p.
Minimum des Aufstiegstages: 3.0° um 4 a.
Name, Seehöhe, Entfernung und Richtung des Landungsortes: Eittingermoos b. Erding 440 m, 36 km N 42.5° E.
Mittlere { Steiggeschwindigkeit: 4.0 m/sec. / Fluggeschwindigkeit: 8 m/sec.
Ventilation genügt bis zur erreichten Höhe.

Ergebnis der Registrierung:

Zeit h m s	Seehöhe m	Luftdruck mm	Luftdruck mb	Seehöhe Geopot.	Temperatur C° Lam.	Gradient △t/100 m	Relative Feuchtigkeit %	Steiggeschwindigkeit des Ballons m/sec.	Bemerkungen	Windrichtung und Geschwindigkeit		
0 0 0	516	708.7	944.8	506	6.4		76		Aufstieg.	516— 760 m	S 42° W	2.1 m
			900	**894**		0.70			Troposphäre bemerkenswert frei von Isothermien.			
	1 000	669			3.0					760—1010 m	S 53° W	3.8 m
3 36	1 410	635	846.6	1 377	0.2		78	4.1		1010—1260 m	N 79° W	5.9 m
	1 500	628			− 0.3					1260—1500 m	S 77° W	5.5 m
			800	**1 818**		0.58						
5 51	1 960	592	789.3	1 923	− 3.0		77					
	2 000	589			− 3.4	0.86		4.4				
7 38	2 430	558	743.9	2 379	− 7.0		80					
	2 500	552			− 7.4					1500—2510 m	N 83° W	7.1 m
			700	**2 842**		0.58		3.8				
	3 000	517			−10 3							
10 29	3 080	513	683.9	3 017	−10.8		77			2510—3200 m	N 78° W	5.2 m
	4 000	454			−16.5					3200—3450 m		2.7 m
			600	**3 991**		0.62		4.1		3450—3690 m	N 69° W	2.7 m
15 32	4 310	436	581 3	4 223	−18.4		77		Hygrogramm nur nur mehr gerade Linie.	3690—4180 m		5.0 m
	5 000	397			−23.7					4180—4430 m	S 86° W	4.2 m
			500	**5 305**		0.76		4.5	Ballon in Wolken.			
21 53	6 000	345	460.0	5 889	−31.4							
			400	**6 844**								
	7 000	298			−39.4	0.80		4.2				
28 05	7 550	276	368.0	7 401	−43.7							
	8 000	258			−47.4	0.82		4.1				
33 23	8 860	226	301.3	8 677	−54.4				Überleitung zur Stratosphäre.			
			300	**8 707**								
	9 000	221			−55.0	0.41		4.7				
35 48	9 550	203	270.6	9 349	−57.2				Tiefste Temperatur.			
37 46	9 970	190	253.3	9 762	−53.7	−0.83		3.6				
	10 000	189			−53.6							
43 38	**10 880**	165	220.0	10 657	−51.2	−0.27		2.6	Höchster Punkt.			
	11 000	162			[-50.9]							
			[**200**]	[**11 262**]	[-51.0]				[Extrapoliert.]			
46 48	10 040	188	250.6	9 831	−53.1				Abstieg; entspricht im Aufstiege 9970 m.			
48 22	9 550	203	270.6	9 350	−57.3				Entspricht im Aufstiege 9550 m.			
50 31	8 950	223	297.3	8 764	−55.9				Entspricht im Aufstiege 8860 m.			
1 19 04		685							Landung.			

Die Novemberaufstiege haben den interessanten Fall eines von der Substratosphäre ausgehenden Kälteeinbruches gebracht. Hierüber wird eine Studie in der Met. Zeitschr. erscheinen. Aus Ersparnisrücksichten müssen wir auf den Abdruck an dieser Stelle verzichten und fügen nur das Thermoisplethendiagramm bei (Fig. 8).

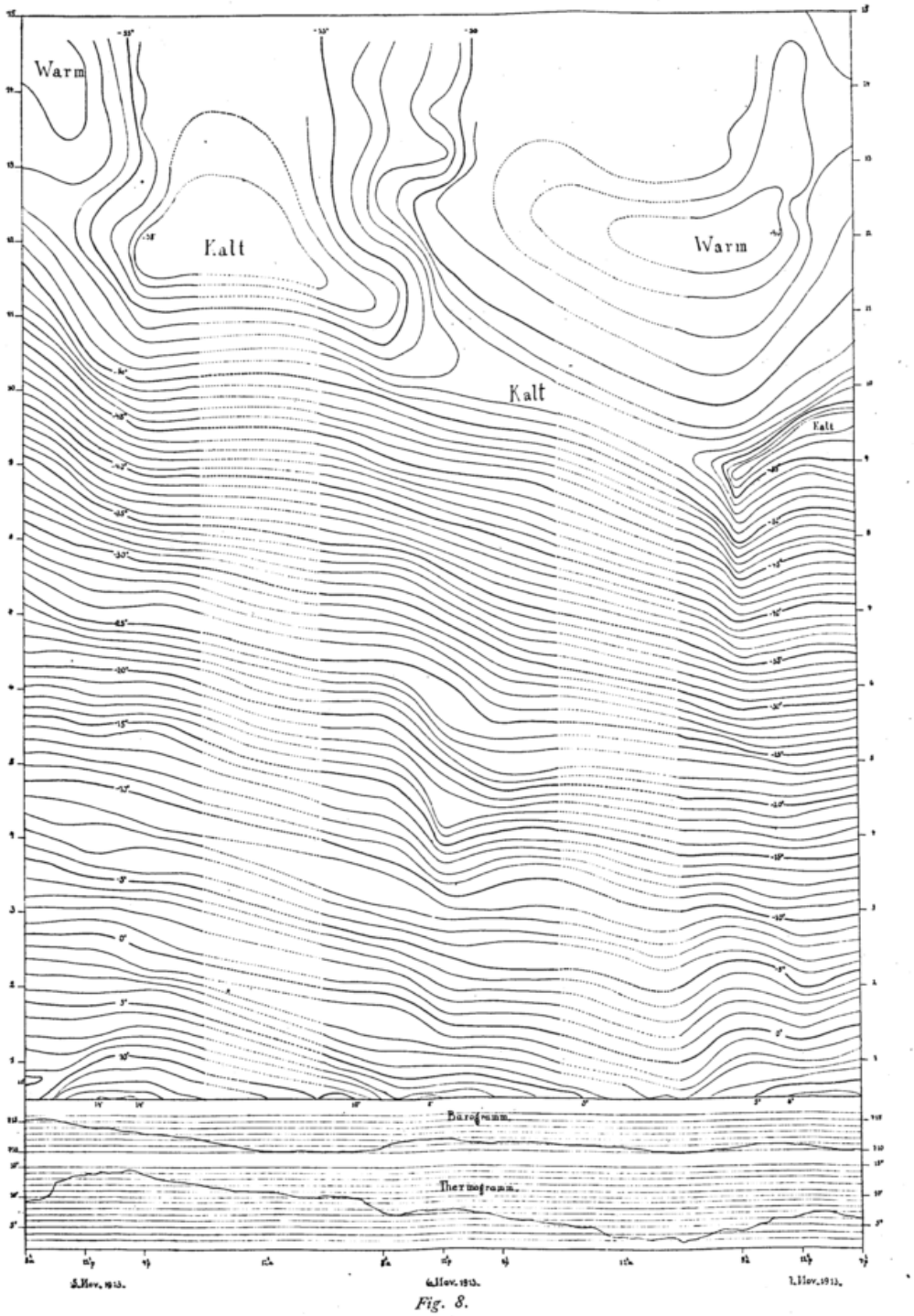


Fig. 8.

4. Dezember 1913.

Instrument Bosch No. 608.

Temperatur-Korrektion des Aneroïdes:

$$dp = -\Delta T\,(0.156 - 0.000457 \cdot p).$$

Zeit des Aufstiegs: 8^{02} a M. E. Z.

Witterung beim Aufstieg:

a) Wind, Bewölkung, Form, Richtung und Geschwindigkeit der Wolken etc.: $SSW_2\ 4^0\ \odot\ \frac{ci\ st\ SW\ m}{alt\ st}$

b) Temperatur beim Aufstieg: 3.7^0, relat. Feuchtigkeit 61 %

Temperatur 2 Stunden vor dem Aufstieg: 3.5°, nach dem Aufstieg: 8.5°.
Maximum des Vortages: 12.4°.
Maximum des Aufstiegstages: 11.5° um 2^{05} p.
Minimum des Aufstiegstages: 3.6° um 3^{10} a.

Name, Seehöhe, Entfernung und Richtung des Landungsortes: Eichendorf 380 m, 102 km, N 56° E.
Mittlere { Steiggeschwindigkeit: 4.4 m/sec. Fluggeschwindigkeit: 20 m/sec.
Ventilation in 14 000 m 0.8.

Ergebnis der Registrierung:

Zeit h m s	Seehöhe m	Luftdruck mm	Luftdruck mb	Seehöhe Geopot.	Temperatur C° Rohr.	Temperatur C° Lam.	Gradient △ t/100 m	Relative Feuchtigkeit %	Steiggeschwindigkeit des Ballons m/sec.	Bemerkungen	Windrichtung und Geschwindigkeit		
0 0 0	516	713.0	950.6	506	3.7		−1.78	61	4.6	Aufstieg.			
0 38	690	698	930.6	676	6.8			57		Starke Inversion in 2 Etappen.	516— 780 m	S 66° W	7.5 m
			900	**945**									
	1 000	673			7.5		−0.23		4.2				
3 01	1 290	649	865.2	1 262	8.2			46					
	1 500	633			7.0		0.57		4.5		780—1550 m	S 80° W	20.6 m
5 02	1 830	607	809.2	1 798	5.1			40					
			800	**1 889**			−0.25		3.7				
5 35	1 960	598	797.2	1 918	5.4			38					
	2 000	595			5.1								
	2 500	559			1.8		0.65		3.6		1550—2480 m	S 56° W	9.4 m
10 13	2 960	528	703.9	2 900	− 1.1			34		Hygrogramm ohne Struktur.			
	3 000	525	**700**	**2 944**	− 1.4						2480—3410 m	S 42° W	12.6 m
	4 000	463			− 8.8		0.74		4.2				
			600	**4 126**									
15 26	4 260	447	595.9	4 177	−10.8						3410—4160 m	S 63° W	15.8 m
	5 000	406			−16.5		0.77		4.7				
19 25	5 370	386	514.6	5 264	−19.4					Isothermie auch im Abstiege.	4160—5260 m	S 73° W	23.0 m
19 47	5 490	380	506.6	5 379	−19.4		0.00		5.1				
			500	**5 475**									
	6 000	355			−22.2		0.55		5.3				
22 05	6 220	344	458.6	6 097	−23.4					Schwacher Gradient.			
22 40	6 390	336	448.0	6 260	−24.0		0.35		4.9				
	7 000	309			−28.5						5260—6820 m	S 57° W	20.8 m
			400.0	**7 064**			0.74		5.4				
27 22	7 930	271	361.3	7 765	−35.3								
	8 000	269			−35.8								
	9 000	232			−43.5		0.77		4.6				
31 50	9 170	226	301.3	8 979	−44.8								
			300	**9 010**									
	10 000	200			−50.8		0.72		4.8				
36 56	10 620	181	241.3	10 404	−55.3					Überleitung zur Stratosphäre.			
	11 000	171			−57.7		0.63		3.5				
40 08	11 290	163	217.3	11 056	−59.5					Ende der Troposphäre.			
41 56	11 650	154	205.3	11 405	−59.7		0.06		3.3				
			200	**11 563**									
	12 000	146			−60.8		0.32		5.0				
44 41	12 470	135	180.0	12 205	−62.3								
	13 000	124			−61.0		−0.25		3.5				
47 57	13 150	121	161.3	12 872	−60.6								
	14 000	105			−61.1		0.06		4.5				
51 26	**14 090**	104	138.7	13 794	−61.2					Höchster Punkt.			
56 44	11 380	161	214.6	11 138	−61.4					Wiedereintritt in die Troposphäre. Die Bodeninversion wird mit allen Einzelheiten wieder angetroffen.			
1 25 26		726								Landung.			

Am 4. Dezember lag München am Südrande einer tiefen, skandinavischen Depression. Da Südosteuropa hohem Druck angehörte, war im nördlichem Alpenvorlande intensiver Föhn gegeben.

Zusammenfassung von Ergebnissen des Jahres 1913.

Seehöhe der Nullgradisotherme bei den einzelnen Fahrten.

3. Januar	1810 m	9. Mai	2800 m	5. November 8 a	2700 m
6. Februar 8 a	2010 m	10. Mai	2960 m	12 p	2690 m
2 p	1730 m	12. Juni	2650 m	4 p	2500 m
7. Februar 8 a	1650 m	3. Juli	2460 m	6. November 8 a	1890 m
2 p	1590 m	6. August 8 a	3270 m	12 p	1500 m
8. Februar 8 a	2190 m	2 p	3370 m	4 p	1450 m
2 p	1270 m	7. August 8 a	2370 m	7. November 8 a	1420 m
6. März	2500 m	2 p	2020 m	12 p	1270 m
4. April	2440 m	8. August 8 a	2130 m	4 p	1440 m
5. Mai	1290 m	2 p	2500 m	4. Dezember	2780 m
6. Mai	1390 m	4. September	3840 m		
7. Mai	1960 m	2. Oktober	3070 m		

Die Temperaturen der freien Atmosphäre im Jahre 1913.

	München Abweichung vom Mittel		Zugspitze Abweichung vom Mittel		516 m	1 km	2 km	3 km	4 km	5 km	6 km	7 km	8 km	9 km	10 km	11 km	12 km	13 km	14 km	15 km	16 km	17 km	18 km	19 km	20 km	21 km	22 km
	Luftdr.	Temp	Luftdr.	Temp.																						
	mm	°	mm	°																						
3. Januar	1.4	0.9	0.4	3.2	-5.1	3.0	-1.0	- 6.8	-14.6	-21.3	-28.1	-35.3	-43.1	-50.9	-58.7	-63.4	-58.7	-56.0	-56.2	-56.4						
6. Febr. 8 a	4.3	5.2	6.7	5.4	4.0	6.0	0.1	- 6.7	-12.1	-18.7	-26.6	-34.1	-39.7	-46.0	-52.3	-57.8	-57.7	-53.3	-53.8	-55.5	-57.3					
2 p	4.5	6.1	6.4	4.3	10.2	6.0	-1.3	- 8.3	-13.7	-20.8	-27.6	-34.3	-41.0	-45.5	-51.4	-56.3	-56.3	-53.7	-54.7	-56.6	-56.3	-56.9	-57.5	-58.1		
7. Febr. 8 a	8.0	4.7	8.9	4.0	1.6	4.4	-2.3	- 8.3	-13.1	-20.1	-27.2	-33.9	-40.3	-47.0	-53.4	-56.5	-56.1	-55.7	-53.5	-52.9	-54.1					
2 p	8.9	5.0	9.5	5.0	8.6	4.8	-0.8	- 5.5	-12.9	-18.9	-26.4	-33.7	-40.5	-46.7	-52.3	-55.5	-55.0	-54.5	-53.2	-52.7	-53.2	-52.3	-51.5			
8. Febr. 8 a	9.4	4.2	9.7	3.7	1.4	7.0	1.1	- 3.4	- 9.2	-15.3	-21.8	-28.1	-35.2	-42.1	-49.6	-57.1	-64.0	[-53.8]								
2 p	9.5	4.5	9.4	2.9	6.1	2.1	-4.5	- 8.3	-13.2	-18.2	-23.4	-30.6	-37.1	-44.6	-52.3											
6. März	11.1	3.8	11.1	5.6	2.6	4.2	1.9	- 2.4	- 8.8	-15.7	-22.8	-28.4	-34.0	-40.3	-47.2	-53.5	-59.2	-64.6	-64.4	[-61.0]						
4. April	- 3.3	2.9	- 2.3	1.1	6.0	8.5	2.9	- 3.7	- 9.7	-16.0	-22.8	-30.3	-38.0	-45.3	-51.5	-56.4	-54.0	-50.8	-50.0							
5. Mai	-10.3	-4.4	-13.2	-6.2	6.1	1.7	-4.1	- 7.7	-12.9	-19.0	-26.7	-34.8	-42.7	-50.3	-51.4	-48.5	-45.8	-47.0	-46.7	-47.2						
6. Mai	- 8.8	-4.3	-12.2	-5.9	6.5	2.2	-3.3	- 8.7	-14.5	-21.7	-28.1	-35.1	-42.5	-48.8	-49.5	-47.3	-46.9	[-46.4]								
7. Mai	- 5.4	-4.5	- 9.0	-5.2	7.2	6.1	-0.3	- 7.0	-11.8	-17.3	-23.4	-29.5	-35.7	-42.9	-49.2	-50.0	-50.4	-47.0	-46.1	-47.3	-48.5					
9. Mai	- 2.9	-2.0	- 3.5	1.8	5.8	5.0	4.0	- 1.0	- 7.5	-14.1	-20.3	-26.5	-33.1	-39.6	-45.5	-51.4	-55.0	-51.9	-50.3	-50.5	-50.2	-49.6				
10. Mai	- 2.5	0.0	- 3.0	2.8	7.1	8.9	7.7	- 0.3	- 4.9	-10.4	-16.6	-23.7	-30.8	-38.6	-45.8	-52.2	-57.3	-58.4	-54.2							
12. Juni	1.4	-1.0	- 0.7	-1.7	15.6	11.7	3.6	- 0.8	- 3.1	- 7.3	-11.7	-14.7	-21.3	-28.2	-36.1	-43.4	-50.4	-58.0								
3. Juli	- 1.8	-3.0	- 5.4	-3.8	11.6	7.3	2.3	- 3.6	- 8.4	-14.4	-20.4	-26.6	-34.2	-39.8	-44.9	-45.9	-44.7	-44.2	-44.7	-45.1	-45.8	-45.7				
6. Aug. 8 a	- 4.4	-0.3	- 8.2	-0.8	14.7	12.0	6.6	1.3	- 3.5	- 8.6	-15.4	-23.3	-33 9	-40.9	-50.3	-49.7	-45.8	-44.4	-44.1	-44.2	-44.9	-44.3	-44.0	-44.5	-44.1	-43.5	-42.8
2 p	- 4.9	-0.7	- 6.3	-0.8	19.9	15.7	8.6	2.3	- 3.9	-10.1	-15.5	-21.9	-28.2	-35.6	-43.5	-52 3	-52.7	-48.7	-48.9	-48.8	-48.6					
7. Aug. 8 a	- 1.9	-3.4	- 6.4	-4.7	12.3	9.1	2.7	- 3.4	- 7.0	-13.6	-20.2	-26.6	-32.8	-39.0	-43.3	-44.1	-44.0	-44.3	-44.8	-45.9						
2 p	- 1.2	-3.5	- 6.3	-5.2	14.8	9.8	0.2	- 4.2	-10.6	-14.4	-21.2	-28.0	-35.4	-40.2	-45.3	-49.2	-45.3	-46.8								
8. Aug. 8 a	- 1.5	-3.9	- 6.3	-4.9	11.8	8.1	0.9	- 6.0	- 9.5	-15.1	-20.8	-26.9	-35.3	-42.7	-49.2	-47.1										
2 p	- 1.7	-3.9	- 6.5	-4.6	15.2	10.2	2.6	- 2.7	- 7.6	-12.7	-17.8	-23.7	-29.6	-36.7	-43.1	-47.8	-46.8	-44.8	-43.8	-44.4	-44.9	-44.3				
4. Sept.	- 0.3	5.4	2.2	4.5	15.8	16.9	12.7	6.1	- 1.2	- 5.4	-11.2	-17.8	-24.9	-33.1	-40.5	-46.8	-52.2	-56.6	-55.3	-52.7						
2. Okt.	0.5	4.5	2.3	0.9	11.4	9.7	7.5	0.5	- 4.0	-10.5	-17.5	-24.6	-33.9	-40.9	-47.6	-51.5	-50.3	-50.7	-50.7							
5. Nov. 8 a	- 2.9	8.1	- 4.3	0.4	9.1	8.9	3.9	- 1.8	- 6.5	-11.1	-17.8	-23.3	-28.6	-34.2	-41.2	-47.1	-51.2	-53.0	-52.2	-52.2	-53.3	-54.4				
12 p	- 3.1	8.4	- 5.3	-1.4	13.5	9.5	3.6	- 1.7	- 7.5	-11.7	-18.3	-24.5	-30.7	-38.1	-45.2	-52.3	-54.8	-52.4	-51.9	-53.0	-55.0	-56.4				
4 p	- 3.1	8.4	- 5.3	-1.4	13.8	10.4	3.7	- 2.0	- 7.8	-12.1	-18.5	-25.4	-32.9	-41.2	-49.0	-54.8	-58.5	-55.0	-56.4							
6. Nov. 8 a	- 6.4	5.7	- 6.6	-2.9	7.6	3.9	-0.7	- 7.2	-11.3	-16.4	-22.6	-28.8	-36.0	-44.1	-51.0	-56.5	-54.1	-52.9	-53.2	-53.9	-53.6	-53.3				
12 p	- 6.4	4.7	- 7.0	-2.8	7.9	3.6	-3.0	- 8.5	-16.0	-20.0	-24.7	-30.9	-38.0	-45.5	-52.1	-52.7	-49.7	-51.6	-51.7							
4 p	- 6.4	4.7	- 7.0	-2.8	6.2	3.0	-3.6	- 9.0	-14.9	-22.7	-27.7	-33.7														
7. Nov. 8 a	- 7.0	3.7	- 3.8	-2.7	4.4	2.4	-3.1	-10.0	-16.8	-23.8	-32.4	-41.4	-50.8	-55.1	-49.7	-47.6	-45.7	-47.9								
12p	- 7.2	3.7	- 3.1	-2.4	6.4	1.9	-5.1	-10.9	-17.2	-24.6	-32.4	-39.8	-47.2	-54.7	-51.4	-49.1	-46.7	-46.5	-46.8	-47.8	[-49.9]					
4 p	- 7.2	3.7	- 3.1	-2.4	6.4	3.0	-3.4	-10.3	-16.5	-23.7	-31.4	-39.4	-47.4	-55.0	-53.6	[-50.9]										
4. Dez.	- 3.2	7.3	- 1.5	2.8	3.7	7.5	5.1	- 1.4	- 8.8	-16.5	-22.2	-28.5	-35.8	-43.5	-50.8	-57.7	-60.8	-61.0	-61.1							
Mittel						6.9	1.3	- 4.5	-10.0	-15.9	-22.4	-29.1	-36.1	-42.9	-48.4	-51.6	-52.3	-51.7	-51.6	-51.0	-51.1	-50.8	-51.0	-51.3	-44.1	-43.5	-42.8
Anzahl der Fahrten						34	34	34	34	34	34	34	33	33	33	32	30	30	25	19	14	9	3	2	1	1	1

Anhang I.

3. Januar 1912.

Instrument Bosch No. 408.
Temperatur-Korrektion des Aneroïdes:

$$d\,p = -\Delta T\,(0.398 - 0.000457 \cdot p).$$

Zeit des Aufstiegs: 8° a M. E. Z.
Witterung beim Aufstieg:
a) Wind, Bewölkung, Form, Richtung und Geschwindigkeit der Wolken etc.: W_1 10^1 st aus WSW (wellig).
b) Temperatur beim Aufstieg: 3.8°, relative Feuchtigkeit: 79 %.
Temperatur 2 Stunden vor dem Aufstieg 3.4°, nach dem Aufstieg: 5.9°.

Maximum des Vortages: 3.5°.
Maximum des Aufstiegstages: 10.0° um 12^{50} p.
Minimum des Aufstiegstages: 3.2° um 5^{40} a.
Name, Seehöhe, Entfernung und Richtung des Landungsortes: auf dem Seeberg bei Bayrischzell, ca 1500 m, 64 km, S 30° E.
Mittlere { Steiggeschwindigkeit: 3.5 m/sec. / Fluggeschwindigkeit: 16 m/sec.
Ventilation in der Maximalhöhe 1.1.

Ergebnis der Registrierung:

Zeit h	m	s	Seehöhe m	Luftdruck mm	mb	Seehöhe Geopot.	Temperatur C° Rohr.	Lam.	Gradient △ t/100 m	Relative Feuchtigkeit %	Steiggeschwindigkeit des Ballons m/sec.	Bemerkungen
0	0	0	516	722	963	506	3.8	3.8		79		Aufstieg zunächst Isothermie dann Inversion.
	1	1	730	703	937	720	3.8	3.8	0.0	74	3.6	
			1 000	680	907	980		4.7				
					900	**1 040**			-0.35		3.6	
	3	1	1 160	667	889	1 140	5.0	5.3		86		Höchste Temperatur.
			1 500	639	582	1 470		3.2				
	5	42	1 710	623	831	1 680	1.7	1.9	0.62	96	3.2	Nochmals Isothermie.
	6	48	1 960	604	805	1 920	1.7	1.9	0.0	89	4.4	Wachsende Gradienten.
			2 000	601	801	1 960		1.7				
					800	**1 970**						
			2 500	565	753	2 450		- 0.7				
			3 000	531	708	2 940		- 3.1	0.48		3.9	
					700	**3 020**						
	12	41	3 350	507	676	3 280	- 5.0	- 4.8		44		
			4 000	466	621	3 920		- 8.6	0.59		3.2	
	16	23	4 060	463	617	3 980	- 9.0	- 9.0		44		
					600	**4 180**						
			5 000	408	544	4 900		-17.3	0.88		3.9	
	21	22	5 240	396	528	5 140	-19.5	-19.4		52		
					500	**5 520**						
			6 000	357	476	5 880		-25.3	0.78		3.4	
	25	28	6 090	353	471	5 970	-26.0	-26.0		54		
			7 000	309	412	6 860		-32.1				
					400	**7 070**			0.67		3.4	
	33	8	7 650	283	377	7 500	-37.1	-36.5		46		
			8 000	268	357	7 840		-39.0				
			9 000	231	308	8 820		-46.0				
					300	**9 010**			0.70		3.4	
			10 000	199	265	9 800		-53.0				
	44	59	**10 100**	196	261	9 890	-54.5	-53.8		48		Höchster Punkt. Stratosphäre nicht erreicht.
1	4	40	ca 1280	657	876	1 260	2.2	3.4				Landung: Höhe nach Angabe des Fin ers 1500 m.

Das Instrument gehört dem kleinen Serienanfstieg vom Januar 1912 an. Eine kurze Skizze der Wetterlage wurde bereits in R 1912 gegeben.

Anhang II.

Zusammenstellung der Ergebnisse nach den Fahrten 1906—1913.

Jährlicher Gang der Temperatur.

(Die Anzahl der zur Mittelbildung verwendeten Werte ist in ( ) beigesetzt.)

	1	2	3	4	5	6	7	8	9	10	11	12
Januar	- 2.2(12)	- 4.8(12)	- 9.4(12)	-14.1(12)	-21.2(12)	-28.4(11)	-36.2(11)	-44.3(11)	-52.2(11)	-57.5(10)	-60.4(7)	-57.9(7)
Februar	- 1.0(14)	- 5.4(14)	- 9.9(14)	-15.4(14)	-21.4(13)	-28.0(13)	-34.6(12)	-42.4(12)	-47.7(12)	-52.3(11)	-55.9(10)	-57.8(7)
März	2.8(9)	- 4.0(9)	- 9.6(9)	-16.4(9)	-23.0(9)	**-31.5**(9)	-37.8(9)	**-44.5**(8)	-49.8(7)	-51.9(7)	-52.5(5)	-53.5(5)
April	0.7(13)	- 6.4(12)	**-13.1**(12)	-18.9(12)	**-24.2**(11)	-30.5(11)	-36.7(11)	-43.5(11)	-49.2(11)	-52.2(11)	-54.9(8)	-53.1(8)
Mai	8.6(17)	3.4(17)	- 2.2(17)	- 7.9(16)	-14.5(16)	-21.1(16)	-28.2(16)	-35.4(16)	-42.9(16)	-49.2(15)	-52.9(14)	-55.2(13)
Juni	**12.8**(10)	**7.5**(9)	1.3(9)	- **3.2**(9)	- **8.7**(9)	-16.4(9)	**-21.6**(9)	-29.1(9)	**-36.9**(9)	-43.9(9)	-50.8(9)	-55.3(8)
Juli	**12.8**(25)	11.7(24)	**1.7**(24)	- 3.6(24)	- 9.1(24)	-15.5(24)	-22.3(24)	-29.3(23)	-36.7(23)	-44.7(23)	-49.6(23)	-51.7(21)
August	12.1(18)	5.5(18)	- 0.2(17)	- 5.4(17)	-10.5(17)	-17.0(17)	-23.1(17)	-30.4(16)	-37.4(16)	-44.2(16)	-49.6(16)	**-49.8**(13)
September	12.2(13)	7.4(13)	1.6(13)	- 4.0(13)	- 9.5(13)	**-15.3**(13)	-21.8 12)	**-28.7**(12)	**-36.3**(12)	**-43.1**(12)	**-48.9**(11)	-54.2(9)
Oktober	8.3(16)	3.7(16)	- 0.8(15)	- 5.5(15)	-11.2(15)	-17.5(15)	-23.8(15)	-30.7(15)	-37.4(14)	-43.7(14)	-49.9(14)	-52.4(13)
November	4.5(19)	- 0.2(19)	- 5.6(18)	-11.9(18)	-18.2(18)	-25.1(18)	-31.8(18)	-38.3(17)	-44.5(17)	-48.8(17)	-52.6(17)	-54.0(12)
Dezember	1.3(17)	- 2.9(17)	- 8.4(17)	-15.4(17)	-22.1(16)	-28.9(15)	-36.3(15)	-42.6(15)	-48.2(14)	-53.1(13)	-56.6(11)	-59.9(9)
Jahr	6.1	0.9	- 4.5	-10.1	-16.1	-22.9	-29.5	-36.6	-43.2	-48.7	-52.9	-54.6
Schwankung	15.0	13.9	14.8	15.7	15.5	16.2	16.2	15.8	13.5	14.4	11.5	10.1
Anzahl der Fahrten	183	180	177	176	173	171	169	165	162	158	145	124

	13	14	15	16	17	18	19	20	21	22	23	24
Januar	-56.4(6)	-58.2(3)	-56.4(1)									
Februar	-53.8(7)	-53.7(8)	-54.3(5)	-57.8(3)	-54.6(2)	-54.5(2)	-58.1(1)					
März	-55.0(3)	**-64.4**(1)	-61.0(1)									
April	-52.1(4)	-52.5(3)	-54.2(1)	-55.0(1)	-55.8(1)	-55.9(1)	-54.9(1)					
Mai	-53.3(12)	-51.1(8)	-49.6(6)	-50.2(5)	-50.6(4)	-50.2(3)	-50.1(2)	-49.1(1)	-48.2(1)	-47.3(1)	-46.8(1)	-48.3(1)
Juni	-56.1(8)	-56.3(5)	-54.7(3)	-57.4(1)								
Juli	-50.4(15)	-48.9(10)	-47.8(7)	-48.3(4)	-46.5(2)							
August	**-48.6**(12)	**-48.8**(10)	**-48.0**(8)	**-45.8**(4)	**-43.9**(3)	**-44.0**(1)	**-44.5**(1)	**-44.1**(1)	-43.5(1)	-42.5(1)		
September	-57.2(8)	-57.2(7)	-55.0(6)	-52.8(4)	-52.5(3)							
Oktober	-53.9(9)	-54.5(8)	-53.4(8)	-53.5(5)	-54.4(4)	-56.2(2)	-54.8(2)	-53.7				
November	-53.5(11)	-53.2(9)	-53.6(7)	-52.9(4)	-54.7(3)							
Dezember	-61.2(8)	-60.9(5)	-62.5(2)	-65.2(1)								
Jahr	-54.4	-54.9	-54.2	-53.9	-51.6	-52.2	-52.5	-49.0				
Schwankung	12.6	-15.6	14.5	19.4	11.9	12.2	13.6	9.6				
Anzahl der Fahrten	103	74	52	35	22	9	7	4	2	2	1	1

Jährlicher Gang der Temperaturgradienten (1906—1913)

(abgeleitet aus obigen Werten, also ohne Zurückgreifen auf die Einzelgradienten.)

	1—2	2—3	3—4	4—5	5—6	6—7	7—8	8—9	9—10	10—11	11—12	12—13
Januar	0.26	0.46	0.47	0.71	0.72	0.78	0.81	0.79	0.53	0.29	-0.25	-0.15
Februar	0.44	0.45	0.55	0.60	0.66	0.66	0.78	0.53	0.46	0.36	0.19	-0.40
März	0.68	0.56	0.68	0.66	0.85	0.63	0.67	0.53	0.21	0.06	0.10	0.15
April	0.71	0.67	0.58	0.53	0.63	0.62	0.68	0.57	0.30	0.27	-0.18	-0.10
Mai	0.52	0.56	0.57	0.66	0.66	0.71	0.72	0.75	0.63	0.37	0.23	-0.19
Juni	0.53	0.62	0.45	0.55	0.77	0.52	0.75	0.72	0.76	0.69	0.45	0.08
Juli	0.53	0.58	0.53	0.55	0.64	0.68	0.70	0.74	0.80	0.49	0.21	-0.13
August	0.66	0.57	0.52	0.51	0.65	0.61	0.73	0.70	0.68	0.54	0.02	-0.08
September	0.48	0.58	0.56	0.55	0.58	0.65	0.69	0.76	0.68	0.58	0.53	0.30
Oktober	0.46	0.45	0.47	0.57	0.63	0.63	0.69	0.67	0.63	0.62	0.25	0.15
November	0.47	0.54	0.63	0.63	0.69	0.67	0.65	0.62	0.43	0.38	0.14	-0.05
Dezember	0.42	0.55	0.70	0.67	0.68	0.74	0.63	0.56	0.49	0.35	0.33	0.13
Jahr	0.52	0.54	0.56	0.60	0.68	0.66	0.71	0.66	0.55	0.42	0.17	-0.02

	13—14	14—15	15—16	16—17	17—18	18—19	19—20	20—21	21—22	22—23	23—24
Januar	0.18	-0.18									
Februar	-0.01	0.06	0.35	-0.32	-0.01	0.36					
März											
April	0.04	0.17	0.08	0.08	0.01	-0.10					
Mai	-0.22	-0.15	0.06	0.04	-0.04	-0.01	0.10	-0.09	-0.09	-0.05	0.15
Juni	0.02	-0.16	0.27								
Juli	-0.15	-0.09	0.05	-0.18							
August	0.02	-0.08	-0.22	-0.19	0.01	0.05	-0.04	-0.06	-0.07		
September	0.00	-0.22	-0.22	-0.03							
Oktober	0.06	-0.09	0.01	0.09	0.18	-0.14	-0.11				
November	-0.03	0.04	-0.07	0.18							
Dezember	-0.03	0.16	0.27								
Jahr	—	—	—	—	—	—	—	—	—	—	—


ERNST PLATZ
1913

Das Klima der Zugspitze

von

Anton Huber

Einleitung.

Die meteorologische Hochstation auf der Zugspitze.

Allgemeines über Bergobservatorien.

Die Erforschung der Vorgänge in den höheren Schichten der Atmosphäre ist für die Meteorologie eine Lebensbedingung.

Die notwendigen Beobachtungen können auf zweierlei Wegen erhalten werden: Durch Verwendung des Ballons, durch Drachen usw., oder durch Errichtung von hochgelegenen Stationen, vorzugsweise auf Berggipfeln.

Bei den grossen Erfolgen, die besonders in den letzten zehn Jahren die wissenschaftliche Luftschiffahrt aufzuweisen hat, drängt sich unwillkürlich die Frage nach der Entbehrlichkeit der Bergobservatorien auf. Beide Methoden der Erforschung der höheren Luftschichten haben ihre Vorzüge und ihre Fehler. Die Luftschiffahrt und die Bergstationen wollen sich nicht den Rang ablaufen, sondern sich gegenseitig ergänzen. Wenn auch die mit dem Registrierballon erreichbaren Höhen ganz kollossale sind, so werden wir — auch bei der reichsten Entfaltung der wissenschaftlichen Aeronautik — von ihr doch nur Stichproben aus den höheren Schichten erhalten. Im Gegensatz hierzu liegt die Notwendigkeit der Bergobservatorien vor allem in der beständigen Beobachtung der meteorologischen Elemente. Die — überdies unberechtigte — Geringschätzung, deren sich die Bergobservatorien verschiedentlich erfreuen, weil es auch ihnen nicht gelang, eine neue Ära in den Wetterprognosen herbeizuführen, kann man — wie auch wohl Hann*) meint — bei den wichtigen Ergebnissen, die sie lieferten, ruhig mit in den Kauf nehmen.

Wenn auch schon in früheren Zeiten eine geringe Anzahl von Bergobservatorien bestand, so kann man doch von einem System erst seit den Jahren reden, wo die Internationalen Meteorologen-Kongresse die allgemeine Aufmerksamkeit auf diese Frage lenkten. Den Vorstand des österreichischen Beobachtungsnetzes Julius von Hann hatte der Internationale Meteorologen-Kongress zu Wien 1873 beauftragt, für die nächste Konferenz in Rom 1879 einen Bericht über die Beobachtungen auf Hochstationen und Ballonfahrten auszuarbeiten und Vorschläge zu machen. Hann's warmem Appell war es zu verdanken, dass man überall bemüht war, Gipfel- oder wenigstens hochgelegene Stationen zu errichten.

Die Bergobservatorien der verschiedenen Staaten.

Wir wollen uns hier mit einer möglichst kurzen Aufzählung der wichtigsten Gipfelstationen begnügen.

An erster Stelle ist Österreich zu nennen, das durch seine Hochstationen auf dem Obir (2140 m) und vor allem auf dem Sonnblick (3106 m) ganz besonders wichtige Beiträge zur wissenschaftlichen Meteorologie geliefert hat, dank der intensiven Bearbeitung des Beobachtungsmateriales, vorzüglich durch Hann. Erwähnenswert sind ferner noch die Stationen auf dem Schafberg (1776 m) und der Schmittenhöhe (1968 m). Wichtige Resultate liefert auch das einzige Balkanobservatorium, die in Bosnien gelegene Bjelašnica (2067 m).

Nun kurz zu unserem engeren Gebiete. Bayern besitzt schon seit dem Jahre 1781, seit der Tätigkeit der Societas Meteorologica Palatina, eine Höhenstation auf dem Hohenpeissenberg (994,1 m). Die Station auf dem Wendelstein (1724 m) und Hirschberg (1512 m) lieferten früher manch wertvolles Resultat; erstere musste im laufenden Jahre wieder aufgehoben werden. Im Jahre 1900 trat Bayern besonders hervor durch die Errichtung einer meteorologischen Hochstation auf der Zugspitze (2962,2 m). Von den Bergstationen in den deutschen Mittelgebirgen ist vor allem zu nennen der Brocken (1148 m), die Schneekoppe (1603 m) und der Gebweiler Belchen (1394 m).

*) Hann, „Die gegenwärtigen Ziele der meteorologischen Forschung“ (Internationale Direktoren-Konferenz Innsbruck) XV. Jahresbericht des Sonnblick-Vereins 1906, pag. 4.

Die Schweiz besitzt eine wichtige Hochstation auf dem Säntis (2500 m). Weiter führen wir noch an den Pilatus (2070 m), Rigi (1790 m), Gäbris (1250 m) und Chaumont (1128 m).

Frankreich besitzt Observatorien von gutem Rufe auf dem Pic du Midi (2859 m), das schon eine lange Geschichte hinter sich hat, auf dem Puy de Dôme (1465 m) und dem Mont Mounier (2740 m). Von kleineren Stationen abgesehen, erwähnen wir noch den Mont Ventoux (1900 m) und den Mont Aigoual (1567 m). Das (1892 erbaute) Observatorium Janssen auf dem Gipfel des Montblanc (4810 m) musste der Schneeverhältnisse halber abgebrochen werden, während das tiefergelegene Observatorium Vallot (4358 m) wenigstens im Sommer seinen Zweck noch erfüllt.

Italien, das bereits in dem Observatorium auf dem Aetna (2942 m), auf dem Monte Cimone (2165 m) und auf dem Vesuv (1300 m?) meteorologische Stationen errichtet hatte, ist in den letzten Jahren durch das — allerdings nur im Sommer bezogene — Osservatorio „Regina Margherita" auf dem Monte Rosa (4560 m) besonders hervorgetreten.

Mit Bedauern ist zu konstatieren, dass in England das Observatorium auf dem Ben Nevis (1343 m) nach zwanzigjähriger erfolgreicher Tätigkeit geschlossen wurde.

Das Observatorium in Tiflis hat wenigstens für die Sommermonate die Errichtung einer Station auf dem Ararat (5172 m) geplant.

Indien, das bereits aus den Fünfziger und Sechziger Jahren des vorigen Jahrhunderts meteorologische Beobachtungen auf dem Augustia Peak (1890 m) aufzuweisen hat, ist vertreten durch die Stationen auf dem Dobadetta Peak (2633 m) und besonders durch das astrophysikalische Observatorium auf dem Kodaikánal (2343 m).

Auch das Manila Weather Bureau hat auf dem Mount Mirador (1512 m) eine Station errichtet.

Japan besitzt auf dem Issai-Kyozon (1956 m) eine Hochstation (?) und tritt neuerdings besonders durch die Station auf dem isolierten Gipfel des Tsukubasan (876 m) hervor.

Auf den zu Afrika zu rechnenden kanarischen Inseln entstand im Jahre 1909 auf deutsche Initiative ein (provisorisches) Observatorium auf dem Pic von Teneriffa in 2400 m Höhe. Ausserdem plant die spanische Regierung dort ein ständiges Observatorium.

Nordamerika besass in dem (leider aufgelassenen) Observatorium auf dem Pikes Peak (4308 m) eine sehr wichtige Hochstation. Weiter sind zu nennen die Stationen auf dem Mount Whitney (4420 m), dem Mount Rose (3291 m) und dem Mount Washington (1915 m). Man darf Nordamerika nicht verlassen, ohne eines um die wissenschaftliche Luftschiffahrt und die Bergobservatorien hochverdienten Mannes zu gedenken: Abbot Lawrence Rotch. Wenn auch sein Observatorium in den Blue Hills (195 m) bei Boston sich nur mit einer sehr bescheidenen Seehöhe repräsentiert, so verdankt ihm doch die meteorologische Forschung hochwichtige Resultate. Mit welcher Gründlichkeit Rotch zu Werke ging, beweist allein schon der Umstand, dass er sämtliche Bergobservatorien besuchte und studierte[1]).

Südamerika hat in der Nähe der peruanischen Stadt Arequipa meteorologische Hochstationen auf dem Mont Cachani (5075 m) und auf dem Misti (5852 m). Letztere ist die höchste Station der Erde. Diese mit Registrierapparaten ausgerüsteten Stationen werden öfteren Revisionen unterstellt.

Auch Australien besitzt ein Bergobservatorium auf dem Mount Kosziusko (2234 m).

Nach dieser allgemeinen Betrachtung, wollen wir uns speziell mit der Hochstation auf der Zugspitze beschäftigen.

Zur Geschichte der meteorologischen Hochstation Zugspitze.

Der Deutsche und Oesterreichische Alpenverein, der der meteorologischen Forschung schon wiederholt tatkräftige Beihilfe leistete, hat zunächst die Anregung zur Errichtung einer Hochstation auf dem Gipfel der Zugspitze, der höchsten Erhebung des bayerischen Alpenanteils, gegeben.

Im Jahre 1897 wurde das Unterkunftshaus der Sektion München des D. u. Oe. A.V. auf der Zugspitze eröffnet. Herr Kommerzienrat Wenz, der Erbauer des Münchener Hauses, hatte in vorsorgender Weise schon früher Herrn Geheimen Regierungsrat Professor Dr. W. v. Bezold-Berlin, den Organisator und ersten Direktor des meteorologischen Dienstes in Bayern, um ein Gutachten über die ev. Errichtung einer Hochstation auf der Zugspitze ersucht. Ein zweites Gutachten hatte sich der Zentralausschuss des D. u. Oe. A.V. von Herrn Hofrat Professor Dr. J. v. Hann-Wien erbeten. In beiden, bereitwilligst erteilten Antworten wurde auf die ausserordentlich günstige Lage der Zugspitze hingewiesen; Hann nannte die Errichtung eines Observatoriums geradezu eine patriotische Tat. Leider gestattet der Raum die wörtliche Wiedergabe dieser beiden Gutachten nicht[2]).

Auf der XXIX. (XXV.) Generalversammlung[3]) des Alpenvereins zu Nürnberg am 13. August 1898 erstattete der 1. Präsident Herr Ministerialrat v. Burkhard einen eingehenden Bericht über die Verhandlungen zur Errichtung der Hochstation. Bereits im Frühjahr 1898 interessierte sich der Finanzausschuss der Kammer der Abgeordneten für das Projekt; auch hatte sich der Alpenverein des Wohlwollens der K. Staatsregierung versichert. Auf Grund der Gutachten Bezolds und Hanns stellte der Zentralausschuss des Alpenvereins an das K. Staatsministerium des Innern für Kirchen- und Schulangelegenheiten die Bitte, die Errichtung der Hochstation in geneigte Erwägung zu ziehen. In der Plenar-

[1]) Rotch, „The mountain meteorological stations of Europe". American meteorological Journal Vol. II. pg. 445, 500, 538.

[2]) Veröffentlicht in dem Aufsatz von F. Erk „Ein meteorologisches Observatorium auf der Zugspitze" in den „Mitteilungen des Deutschen und Oesterreichischen Alpenvereins" 1898 pag. 121, 133.

[3]) Protokoll hierüber in den „Mitteilungen" 1898 pag. 220—227.

sitzung der Kammer der Abgeordneten[1]) vom 20. April 1898 wurde die Sache von verschiedenen Abgeordneten sympathisch besprochen. Seine Exzellenz der Herr Staatsminister v. Landmann sprach wiederholt seine Geneigtheit und die Hoffnung auf einen erfreulichen Abschluss der Verhandlungen aus. Einen erschwerenden Faktor jedoch führte der Direktor der meteorologischen Zentralstation Dr. F. Erk ein, indem er für das Zugspitzobservatorium einen wissenschaftlichen Beobachter als unbedingt notwendig erklärte.[2]) Die im Landtage geäusserten Bedenken, dass sich schwerlich wissenschaftlich gebildete junge Männer finden würden, konnten erfreulicher Weise von der Zentralstation zerstreut werden. Denn: „In dem Lande der wissenschaftlichen Begeisterung, in dem Lande eines Humboldt, Schaubach, Schlagintweit, in einem Vereine, in dem Barth und Hofmann Vorkämpfer waren, in dem Lande mit einer studentischen Jugend, um die uns die Welt beneidet, war man sicher, nicht blos einen, sondern mehrere junge wissenschaftliche Kräfte zu finden, die sich unter allerdings nicht geringen Entbehrungen, jedoch freiwillig und freudig in den Dienst der Wissenschaft stellen.“[3])

Der Kostenvoranschlag für das Zugspitzobservatorium betrug 20,000 Mk., obwohl man sich auf das Allernotwendigste beschränkte und die Schwierigkeiten des Baues, den Materialtransport andererseits berücksichtigen musste. Die Kosten der Bauleitung sind jedoch nicht eingerechnet, da auch hiefür auf die uneigennützige Beihilfe des Herrn Kommerzienrates Wenz gerechnet werden konnte.

Das Ergebnis der weiteren Verhandlungen ist in der Entschliessung des K. Staatsministeriums des Innern für Kirchen- und Schulangelegenheiten vom 29. Juli 1898 ad Nr. 13281 zusammengefasst.[4]) Nach eingeholter Allerhöchster Ermächtigung wurde dem Zentralausschuss des D. u. Oe. A.V. die Zusicherung erteilt, dass in den Budgetentwurf für die XXV. Finanzperiode ein Zuschuss von 12,000 Mk. als Maximalbeitrag zum Bau des Observatoriums auf der Zugspitze, ferner eine Summe von 6000 Mk. für die erste Einrichtung und ein weiterer Betrag von 6000 Mk. für den jährlichen Betrieb eingestellt wurde.[5])

Dem Alpenverein verblieb zur Bestreitung eine Summe von 8000 Mk., wozu die Generalversammlung des Alpenvereins zu Nürnberg ihre Zustimmung erklärte.

Bereits am 29. Juli 1900 konnte die meteorologische Hochstation auf der Zugspitze eröffnet werden.

Von den Gästen, die der feierlichen Eröffnung beiwohnten, seien hervorgehoben: Als Vertreter des K. Staatsministeriums des Innern für Kirchen- und Schulangelegenheiten Herr Ministerialrat v. Bumm, die beiden Präsidenten des Zentralausschusses des D. u. Oe. A.V. Herr Ministerialrat W. v. Burkhard und Herr Professor Dr. L. Oberhummer. Vom Ausschuss der Alpenvereinssektion München der 1. Vorstand Herr Professor Dr. Rothpletz und der 1. Schriftführer Herr Schöpping, der Erbauer des meteorologischen Turmes Herr Kommerzienrat Wenz, weiter der Direktor der K. B. meteorologischen Zentralstation Dr. F. Erk und der Assistent Joseph Enzensperger, der mit dem Eröffnungstage seinen Dienst als wissenschaftlicher Beobachter antrat. Herr Ministerialrat v. Burkhard hielt die Eröffnungsrede. Er hob die Bemühungen der Abgeordneten Dr. Orterer, Dr. Daller, Huber, Dr. Schädler, Wagner, Dr. Günther und Dr. Casselmann um die Finanzierung des Unternehmens hervor und gedachte der unermüdlichen Tätigkeit des Herrn Kommerzienrats Wenz, des Herrn Sailer-Garmisch, der den Transport der Materialien besorgte, dann des Herrn Oberingenieurs Bredauer. Schliesslich bat Ministerialrat v. Burkhard den Vertreter der K. Staatsregierung, das Observatorium zu übernehmen.

Herr Ministerialrat von Bumm erwiderte:

„Ich folge Ihrem Ersuchen, die kostbare Gabe in die Hand der Staatsregierung zu übernehmen. Ich freue mich, Zeuge dieses erhebenden Aktes zu sein, der sich vor unseren Augen auf dem höchsten Gipfel Deutschlands und Bayerns vollzieht. Zunächst möchte ich Ihnen eine allerhöchste Entschliessung bekanntgeben: Se. Königl. Hoheit der Prinzregent haben allergnädigst geruht: 1. Zu genehmigen, dass in Angliederung an die Königl. Meteorologische Zentralstation in München ein Observatorium auf der Zugspitze mit der Bezeichnung „Meteorologische Hochstation“ errichtet werde. 2. Bei diesem Anlasse dem derzeitigen 1. Präsidenten des Deutschen und Österreichischen Alpenvereins K. Ministerialrat und Kronanwalt W. Burkhard, die Ludwigsmedaille für Kunst und Wissenschaft und dem Kommerzienrate A. Wenz den Verdienstorden vom heil. Michael 4. Klasse zu verleihen. Die erste Auszeichnung bedeutet auch eine Ehrung des Deutschen und Oesterreichischen Alpenvereins. Die zweite Auszeichnung gilt dem Erbauer des Zugspitzturmes, dem Manne, der seine Kraft und seine reiche Erfahrung in den Dienst des Unternehmens gestellt hat, der auf dem schönsten, grossartigsten Fleck deutscher Erde diesen Bau hervorgezaubert hat. Ich habe noch einen weiteren Auftrag zu erfüllen: Der Herr Staatsminister hat mich beauftragt, Ihnen seine Grüsse und Glückwünsche zu übermitteln. Es ist mir eine sehr angenehme Pflicht, diesen Auftrag zu erfüllen. Ich habe im Namen der Staatsregierung auch allen Anderen zu danken, die das Werk gefördert haben. Ich danke den Kammern des Landtages, der Presse und nicht zuletzt auch Herrn Dr. Erk, der hauptsächlich dazu beigetragen hat, aus dem Observatorium das zu machen, was es ist. Die Besichtigung des Observatoriums hat heute vormittags stattgefunden und hat ergeben, dass alles zur Zufriedenheit ausgefallen ist. Alle Voraussetzungen sind erfüllt, dass das Haus in die Hand des Staates übergehen kann.“

---

[1]) Protokoll der K. d. Abg., Stenographischer Bericht 1898, Bd. XII pag. 49.

[2]) Auf Anfrage des C.A. hielt Hann die Aufstellung eines wissenschaftlichen Beobachters als höchstes Ziel, doch fürs erste nicht für absolut geboten.

[3]) So schreibt Burkhard in „Das Observatorium auf der Zugspitze“. Zeitschrift des D. u. Oe. A.V. 1900, pag. 1—7.

[4]) cf. auch „Mitteilungen“ 1898 pag. 224.

[5]) Die jährlichen Betriebskosten stellen sich jetzt auf rund 8000 M.

Die Verwaltung der Hochstation wurde dann vom Ministerialkommissär dem Direktor der meteorologischen Zentralstation übertragen, der im Namen des Instituts und der meteorologischen Wissenschaft dankte und einige herzliche Worte an den Beobachter Enzensperger richtete.[1])

Beschreibung des Observatoriums.

W. v. Burkhard hat bereits früher eine Beschreibung der Einrichtung des Zugspitzobservatoriums an anderer Stelle[2]) gegeben. Der Zweck vorliegender Arbeit erfordert auch hierauf näher einzugehen, wobei natürlich eine Anlehnung an oben zitierten Aufsatz nicht zu vermeiden war.

Bereits bei der Erbauung des „Münchenerhauses" wurde zwischen diesem und dem Westgipfel der Zugspitze der Bauplatz für den meteorologischen Turm durch Absprengung gewonnen und vom Grundeigentümer, dem bayerischen Staat, vertragsmässig in widerruflicher Weise überlassen.[3])

Wie bereits erwähnt ist das Observatorium ein Turmbau. (Tafel I [Titelbild] u. II.)

Das Erdgeschoss des meteorologischen Turmes ist aus Mauerwerk von 1 m Stärke aufgeführt, seine lichte Höhe beträgt 3 m bei einer Bodenfläche von 16 qm. Es liegt zum Teil direkt am Fels und stösst auch an den gemauerten Giebel des Münchenerhauses an. Der Hauptgrund für die Aufführung des Sockels in Mauerwerk ist der Umstand, dass er als Beschwerung der Turmverankerung dienen soll. Bei den Erfahrungen, die man an ähnlich gebauten alpinen Schutzhütten machte, eignen sich derartige Räume nicht zum Wohnen. Das Erdgeschoss hat daher lediglich den Zweck als Vorratskammer für Holz, Briketts usw. zu dienen und einen direkten Eingang vom Freien in den Raum des 1. Stockwerkes zu vermeiden.

Auf diesem massiven Steinsockel aufgebaut erheben sich die beiden oberen Stockwerke des Turmes, die als Wohn- und Arbeitsräume dienen. Jeder dieser Räume hat bei einer Bodenfläche von 16 qm eine Höhe von 2.20 m.

Dieser Oberbau ist in Holzkonstruktion ausgeführt, da nur zwischen abgedichteten Holzwänden auf einen trockenen und leicht zu heizenden Raum zu rechnen ist. Das Hauptaugenmerk wurde auf die Abdichtung der Wände gerichtet und zwar wurde nach dem Prinzip der Abdichtung mittelst stagnierender Luft verfahren. Die 20 cm breiten Lufträume zwischen den Holzwänden sind in der Mitte durch eingenagelte Pappendeckel in zwei getrennte Lufträume von 10 cm Breite geteilt. Die äussere Abdichtung ist gebildet durch eine gefalzte Bretterverschalung und einen Teerpappenüberzug, auf dem dann die äussere Verkleidung aus verzinktem Eisenrippenblech angebracht ist. Auf der Nordseite des Turmes erstreckt sich diese Blechbekleidung auch noch über das Mauerwerk des Sockels bis zum Boden. Die innere Abdichtung ist hergestellt mittelst einer gefalzten Verschalung, einer Teerpappenlage, einer Schicht in Gips verlegter 4 cm starker Korksteine, einer Lage Packpapier und hierauf ruht eine Verkleidung von Steigfilz wie er von Papierfabriken abgelegt wird. Aus verschiedenen Gründen wurde jedoch nach einigen Jahren über den Filz noch eine helle Holzvertäfelung angebracht. Der Fussboden hat statt des Fehlbodens eine Lage Korksteine und ist von oben und unten mit gefalzten Brettern beschlagen, worauf dann Papierfilz und darüber Linoleum befestigt ist. Die Plattform des Turmes ist ausser mit den verschiedenen Brettern und Teerpappenlagen noch mit Rippenblech überdeckt. Die vier Fensteröffnungen der beiden Zimmer haben Doppelfenster und können noch mit Läden geschlossen werden. Die Beheizung erfolgt durch einen im 1. Stock (Wohnraum) aufgestellten gemauerten Kachelsesselofen, mit dem man viel bessere Erfahrungen machte als mit dem früher benützten Dauerbrandofen. Das Abzugsrohr durchdringt den 2. Stock und hält auch diesen mässig temperiert. Unmittelbar hinter dem Ofen ist am Rauchrohr ein stark verzinkter Eisenkasten von 80 l Inhalt angeschraubt, damit die Wärme des Rohres und des Ofens den eingeworfenen Schnee schmilzt und das Wasser vorwärmt. Unten am Kasten befindet sich ein Ablasshahn.

Die beigegebenen Pläne von Wenz geben uns Aufschlüsse über die Raumverteilung und beantworten noch mehrere technisehe Fragen.

Das Treppenhaus führt durch alle Räume des Turmes, ist aber in jedem derselben abgeschlossen. Eine Falltüre führt auf die Plattform des Turmes. Wie erwähnt, eignet sich das Erdgeschoss nur zur Aufbewahrung des Brennmateriales. Der 1. Stock ist der Wohn- und Arbeitsraum des Beobachters. Die Disposition der Möbel ersieht man am besten aus beigegebenem Plane. Der Raum im 2. Stock dient als Instrumenten- und Proviantraum. Vor dem Nordfenster ist der Skreen befestigt. Auch die Empfangs- und Sendeapparate der drahtlosen Station fanden im 2. Stock ihre Aufstellung. (Tafel III)

Bei der Berechnung der Konstruktion wurde die auf dem Sonnblick gemessene grösste Orkangeschwindigkeit von 60 m/sec., also ein Druck von 500 kg/m² zu grunde gelegt. Zur grösstmöglichen Sicherheit sind 16 Anker von 6—7 qcm Querschnitt angebracht. Sie sind 1½ m in den Fels eingelassen, sind mit dem Steinsockel des Parterre mit Eisenquerstäben verbunden und gehen durch die Holzkonstruktion bis zur Plattform. Ausserdem sind noch vier starke Stahlseile über den Turm gelegt und ebenfalls im Fels verankert.

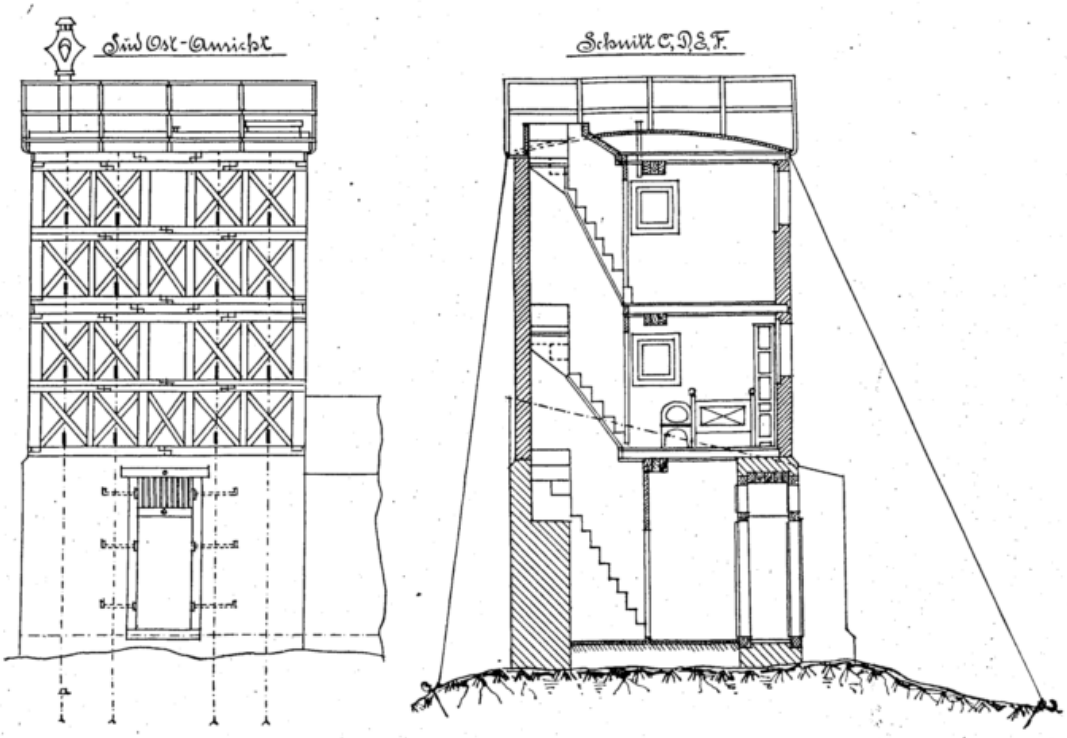
---

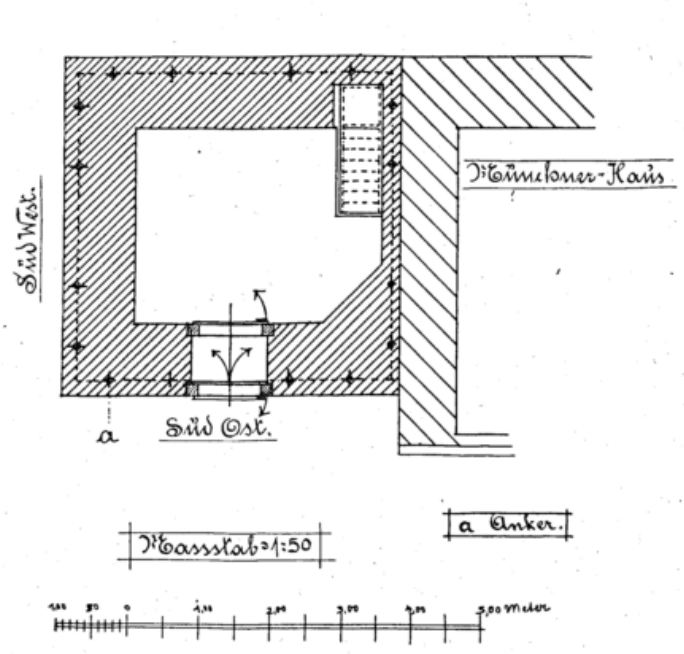
[1]) Eine ausführlichere Schilderung der Eröffnung des Observatoriums siehe in den „Mitteilungen" 1900 pag. 165—166.

[2]) Zeitschrift des D. u. Oe. A.-V. 1900 pag. 1—7.

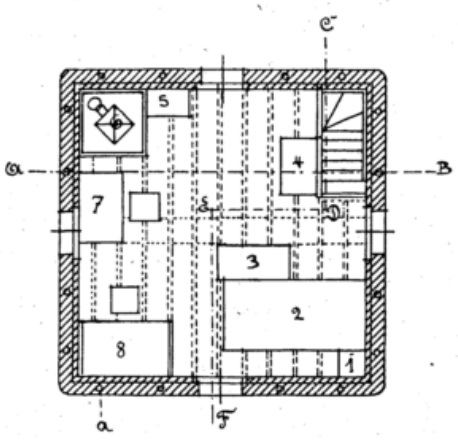
[3]) „Der in der Zeitschrift 1900 pag. 2 enthaltene Satz betr. den Bauplatz ist insofern falsch als die Sektion München nichts erworben hat. Die Sektion München hat nur die Erlaubnis bekommen auf dem ärarischen Grunde auf der Zugspitze ein Haus zu erbauen, und zwar ist dies immer widerruflich." (Auf Anfrage Mitteilung von Herrn A. Wenz.)

Pläne für den Meteorologischen Turm von Adolph Wenz.





Erdgeschoss.



Möbel-Verzeichnis

№	Gegenstand	№	Gegenstand
1.	Nachttisch	5.	Küchenschr.
2.	Bett	6.	Ofen
3.	Lehnstuhl	7	Tisch
4.	Kasten	8	Schreibtisch

Disposition der Möbel im I. Stock.

Die Kosten[1]) des Baues, der mit Rücksicht auf die Lage ganz einfach und ohne jeden äusseren Schmuck gehalten wurde, belaufen sich auf rund 20,000 Mk. Ungefähr je ein Drittel entfällt auf den Ankauf des Materiales, den Transport (26 Pf. pro kg) und die Arbeit. Von den Baukosten übernahm der Staat 12,000 Mk., den Rest der Alpenverein. Dieser niedrige Kostenpreis[2]) konnte nur durch die mit Rücksicht auf das gemeinnützige Unternehmen an den Tag gelegte Opferwilligkeit der beteiligten Firmen erzielt werden.

Es wurde die Aufnahme des meteorologischen Turmes in den Landbauunterhaltungsetat des K. Staatsministeriums des Innern für Kirchen- und Schulangelegenheiten verfügt und die Bauunterhaltung dem K. Landbauamte Weilheim übertragen, mit der Auflage, sich des sachverständigen Beirats des Kommerzienrats Wenz zu bedienen.

Zur Erinnerung an die Übergabe des Turmes wurde an der Südseite des Observatoriums neben der Eingangstüre eine eherne Tafel angebracht, die folgende Inschrift trägt:

„Dieser Thurm wurde vom Centralausschusse des Deutschen und Oesterreichischen Alpen-Vereines auf Anregung seines 1. Präsidenten W. Burkhard, unter tatkräftiger Förderung seitens der königl. bayerischen Staatsregierung durch den Kommerzienrat A. Wenz erbaut und im Sommer 1900 dem Staate zur Benützung für das neuerrichtete meteorologische Observatorium übergeben."



Noch eine zweite eherne Tafel ist am Observatorium angebracht. Diese Plakette, welche 1 : 0.70 m misst, ein Werk des Professors Waderé, hat die Sektion München des D. u. Oe. A.-V. zum Andenken an den ersten Beobachter Joseph Enzensperger gestiftet. Die Enthüllung, die am 7. August 1904 stattfand, nahm unter zahlreicher Beteiligung einen würdigen Verlauf[3]).

Die Telephonleitung.

Bereits in den Monaten August und September 1896 erbaute das damalige Oberpostamt München auf Kosten der Sektion München des Alpenvereins von der Umschaltestelle Partenkirchen durch das Raintal zum Zugspitzgipfel eine telephonische Verbindung; die Gesamtlänge dieser Oberleitung betrug 21 km.[4]) Zu einem Winterbetrieb war diese niemals geeignet. Im Jahre 1899 wurde die Zugspitzleitung von der Sektion München dem Staate kostenlos überlassen[5]).

Mit der Errichtung der meteorologischen Hochstation auf der Zugspitze im Jahre 1900 ergab sich die Notwendigkeit, die Telephonleitung auch im Winter brauchbar zu erhalten. Man verdoppelte daher die Leitung von Partenkirchen bis zur Knorrhütte und benützte 3 mm starken Bimetalldraht. Von der Knorrhütte bis zur Zugspitze wurde auf eine Länge von 3.7 km ein profilbewehrtes Kabel mit zwei gummiumpressten und mit geteertem Hanf umsponnenen Kupferleitern gelegt. Hiebei boten Schwierigkeiten der zu überquerende Schneeferner und die grosse Sandreisse. Das Kabel erlitt in der Folge nur wenige (aber kostspielige) Störungen durch Blitz- oder Steinschlag; die Oberleitung Knorrhütte—Partenkirchen dagegen war relativ oft durch stürzende Bäume, Gewitter- oder Hochwasserschäden, durch Lawinen oder Schneedruck gestört. Die Behebung dieser Störungen im Winter, noch mehr im lawinenreichen Frühjahr, gehörten sicher zu den unangenehmsten Zweigen des Telephontechnikers. Im Jahre 1907 wurde an besonders gefährdeten Stellen die Oberleitung verlegt und eine wesentliche Verbesserung durch Anwendung von Gussstahldraht erzielt; auch wurde das Kabel durch verschiedene Ausrüstungen gegen Blitzschlag geschützt. Im schneereichen Frühjahr 1910 trat auf der lawinengefährdeten Strecke Blaue-Gumpe—Knorrhütte eine mehrmalige Unterbrechung der Oberleitung ein, die erst nach 6 Wochen wieder behoben werden konnte. Um derartige, sowohl für den Dienstbetrieb als die persönliche Sicherheit des Beobachters misslichen Störungen für die Zukunft zu vermeiden, liess im Herbst 1910 das K. Verkehrsministerium unter Mitwirkung des K. Staatsministeriums des Innern für Kirchen- und Schulangelegenheiten durch die K. Oberpostdirektion München in dankenswerter Weise die von der Zugspitze bis zur Knorrhütte bestehende Kabelleitung um 5.2 km bis zur Vorderen Blauen Gumpe verlängern, so dass von da an die Zugspitzleitung im oberen Teile aus 8,9 km Kabel, im unteren

[1]) Vergleiche dagegen die teilweise enormen Kosten anderer Hochstationen (Ben Nevis 250,000 M.!) Burkhard „Zeitschrift" 1900 pag. 3.

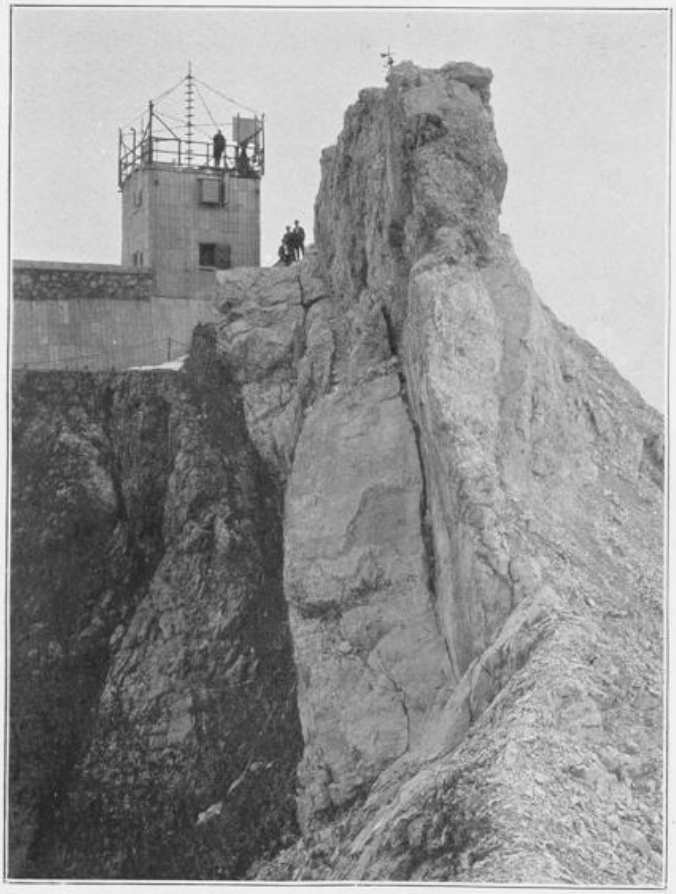
[2]) Detaillierte Abrechnung:

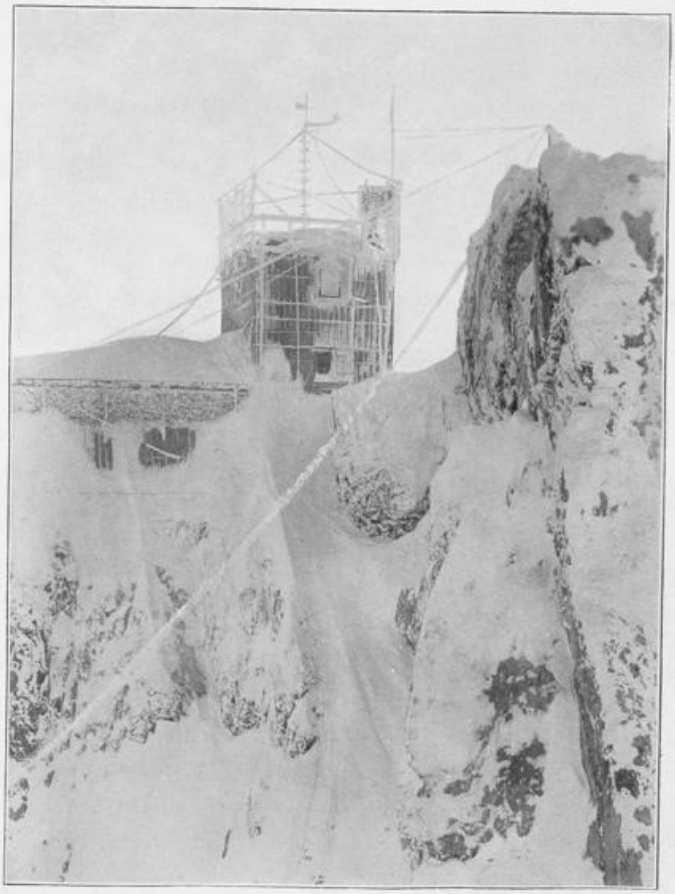
1. Holzkonstruktion	2,320 00	M.
2. Aufstellung, Mauerwerk, Transportkosten	11,683.77	„
3. Sonstige Arbeitslöhne	432.84	„
4. Baumaterialien	3,395.12	„
5. Allgemeine Auslagen des Bauleiters	897.19	„
6. Unkosten des C. A.	387.05	„
7. Reserve für Nachforderungen	348.69	„
	19,464.66	M.
Einrichtung	985.05	„
	20,449.71	M.

[3]) Näheres „Mitteilungen" 1904 pag. 198.

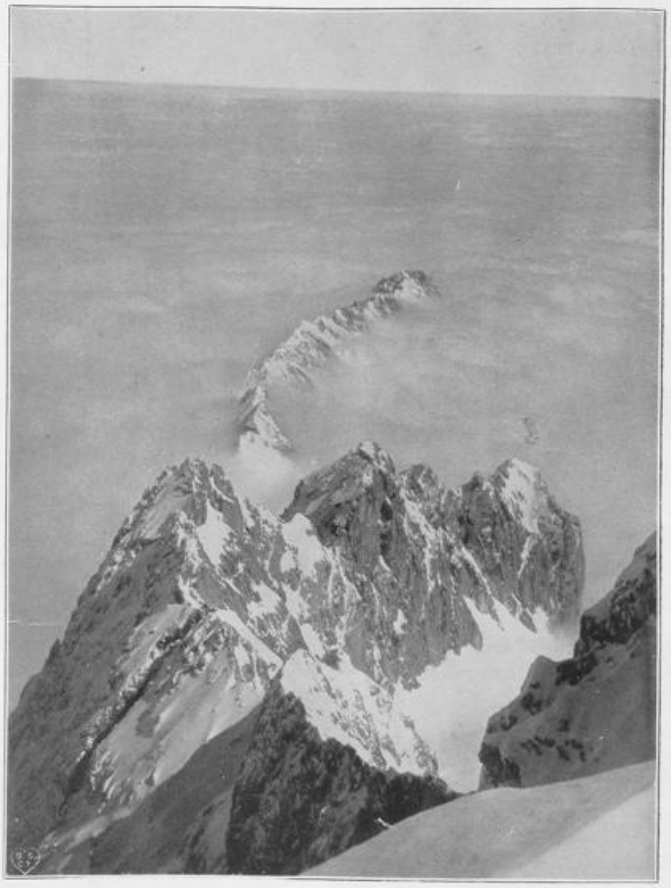
[4]) Näheres: „Geschichte der Alpenvereinssektion München". 1900. pg. 186.

[5]) Die Mitteilung der betr. Daten über technische Ausrüstung usw. verdanke ich dem Entgegenkommen der K. Oberpostdirektion München.









aus 11,6 km Luftleitung besteht. Für diese neue Kabelanlage gelangte ein Papierkabel (System Krarup) mit 4 Doppeladern, einfachem Bleimantel und teilweise Flachdraht-, teilweise Profilbewehrung mit Juteumspinnung zur Verwendung[1]). Seit dieser Zeit ist auf der Zugspitzleitung — von Störungen kleinerer Art, wie sie auch bei Flachlandleitungen vorkommen, abgesehen — ein ununterbrochener Betrieb erzielt worden. Die meteorologische Hochstation Zugspitze ist als Teilnehmer an das Ortstelephonnetz Garmisch-Partenkirchen gegen die entsprechende Pauschgebühr angeschlossen.

Drahtlose Telegraphie.

Bereits vor der Genehmigung der Kabelverlängerung im Jahre 1910 hat das K. Staatsministerium zur Errichtung einer Station für drahtlose Telegraphie auf der Zugspitze die Erlaubnis erteilt und Mittel bereitgestellt[2]).

Im gleichen Jahre war man jedoch wegen der vorgerückten Jahreszeit über die Vorarbeiten noch nicht hinausgekommen. Zunächst wurde das ganze Motoraggregat, das wie die Apparate von der Deutschen Telefunken-Gesellschaft in Berlin bezogen wurde, in der K. Hauptwerkstätte Neuaubing durchgeprüft. In dankenswerter Weise wurden dort die betreffenden Beobachter jeweils in der Bedienung des Motors unterwiesen, während Herrn Dr. Dieckmann-Gräfelfing, dessen Hilfe der Zentralstation von Anfang an zu Gebote stand, die Unterweisung in der Bedienung der elektrischen Apparate zu danken ist. Im Jahre 1911 erbaute das K. Landbauamt Weilheim isoliert vom meteorologischen Turm — ein kleines Häuschen zur Aufnahme des Benzinmotors und Wechselstromgenerators. Die grössten Schwierigkeiten bereitete die Antennen-Frage. Rauhfrost und Winddruck sprachen gegen die Aufstellung einer Schirmantenne oder anderer weit verspannter Antennen. Es wurden daher zunächst 60 m lange lose Drähte nach N ins bayerische Schneekar hinabgelassen. Die mangelhafte Isolierung einerseits und das von vornherein zu schwach berechnete Sendeaggregat andererseits erlaubten nur eine Reichweite bis zum Eibsee, wo eine temporäre Station errichtet war. Herr Dr. Dieckmann erzielte jedoch mit dieser Antenne (und dem Blitzkabel als Gegengewicht) sehr gute Hörempfänge aus Norddeich. Im Jahre 1912 wurden weitere Verbesserungen vorgenommen. Als Antenne dient jetzt ein über das bayerische Schneekar vom äusseren Nord- zum Ostgrat hinübergelegtes isoliertes Stahlseil (mit Kupferseil umwickelt) von 10 mm Stärke und 120 m Länge. Senkrecht dazu verlaufen vom inneren Nordgrat zum Observatorium drei 40 m lange Stahlseile (4 mm stark und mit Kupferseil umwickelt). Ein dicker Kupferdraht führt dann die Energie dem Empfänger zu. Als Gegengewicht dient der Turm und das ins Höllental führende, $5^1/_2$ km lange Blitzkabel. Die Sendeanlage, die von der Telefunkengesellschaft nicht wesentlich verbessert wurde, verfügt leider über zu wenig Energie. Wenn man deshalb anch vorerst auf Abgabe drahtloser Telegramme verzichten muss, so wurden doch durch den Empfang sehr schöne Resultate erzielt, worüber von anderer Seite berichtet wird. Die Antenne hat — allerdings unter beständiger Kontrolle und Reparatur vonseiten des Beobachters — den Winter 1912/13 gut überstanden. (Tafel II, III und IV.)

Das Blitzkabel.

Wie die Telephonanlage, so wurde auch das Blitzkabel bereits beim Bau des „Münchener Hauses" gelegt[3]).

Nach Einholung verschiedener Gutachten wurde schliesslich bestimmt, das Blitzkabel von der Zugspitze bis ins fliessende Wasser ins Höllental hinabzuführen. Die Gesamtlänge des 20 mm starken Kabels beträgt $5^1/_2$ km. Um Störungen tunlichst zu vermeiden, wurde das Blitzkabel mit Umgehung des Höllentalferners über die Riffelköpfe gelegt und an allen Stellen entsprechend gesichert.

Über den Blitzschutz von hochgelegenen Häusern ist schon viel debattiert worden. Bis jetzt sind auf der Zugspitze keine bedenklichen Einwirkungen von Blitzschlägen wahrgenommen worden. Wenn auch die Sommergewitter sehr häufig und stark sind, so darf man, da der Blitzableiter am nassen Fels verankert ist, auch bei einer Unterbrechung doch auf gute Erdung rechnen. Grosse Bedenken hatte man früher bei den Wintergewittern wegen der guten Isolierung durch den trockenen Pulverschnee. Ich für meinen Teil halte die über den Turm gelegten Drahtseile, die tief im Fels verankert sind, als genügende Erdung. Wie früher erwähnt, ist der Turm aussen mit Rippenblech bekleidet; zur Förderung der elektrischen Ausstrahlung ist er noch mit Stacheldraht umwunden. Über der Plattform ist noch für die Windfahne und das Anemometer ein 5 m hohes Eisengestänge aufgeführt. Erwähnt sei nur die Tatsache, dass es unmöglich ist, bei Elmsfeuer auf der Plattform selbst die Strahlenbündel zu erzielen, erst ausserhalb des Bereiches des Gestänges zeigt sich die Erscheinung. Der meteorologische Turm ist dank seiner Umkleidung ein Faradayscher Käfig — im Innern (ev. sogar auf der Plattform) wird man nach Erdung der Telephonleitung vor Blitzgefahr sicher sein.

Ich kann es eigentlich nicht verhehlen, dass man viel zu sehr durch grosse Gewitterfurcht voreingenommen ist. Man tut jedoch schliesslich lieber des Guten zuviel.

---

[1]) Die Firma Felten u. Guillaume-Mühlheim a. Rh. lieferte der K. Oberpostdirektion München Kabel und Gussstahldraht mit sehr namhaftem Preisnachlass.

[2]) Vergleiche „Meteorologisches Jahrbuch für Bayern" 1910—1912, pag. XI, XII.

[3]) „Geschichte der Alpenvereinssektion München" 1900, pag. 316.

Die Beobachter.

Der verstorbene Direktor der meteorologischen Zentralstation Dr. F. Erk war es, der mit grosser Entschiedenheit für einen wissenschaftlich gebildeten Beobachter eintrat.

Die Herren, die den Posten auf der Zuspitze anstreben, sind Freiwillige. In der Regel sind es Assistenten der Zentralstation, die die beiden Lehramtsexamina für Mathematik und Physik abgelegt haben. Andere Herren, die sich bewerben, werden ein Jahr vorher in den Dienst eingeweiht.

Der Beobachter bleibt allein, nur in Gesellschaft seines Hundes ein Jahr ohne Unterbrechung auf der Zugspitze und übernimmt sein Amt in der Regel am 1. September. Wenn auch vieles für die Ablösung nach einem Jahr spricht, so muss man doch zugeben, dass bei der Vielseitigkeit des Dienstes eigentlich ein Jahr sich gerade zum Einarbeiten in die schwierigen Verhältnisse eignet.

Der Funktionsbezug des wissenschaftlichen Beobachters betrug früher 1620 M. Mit Inkrafttreten des neuen bayerischen Gehaltsregulativs am 1. Januar 1909 wurde der jährliche Funktionsbezug auf 3000 M. erhöht.

Die Lieferung des gesamten Proviantes, des Getränkes, der Beheizung, tlw. der Ausrüstung sowie die Bestreitung des Transportes geht auf Kosten der Hochstation. Während der Zeit der Bewirtschaftung des Münchener Hauses bezieht der Beobachter das Essen von dort.

Als 1. Beobcchter fungierte vom 19. Juli 1900 bis 31. Juli 1901 Joseph Enzensperger. Er hat es als Erster unternommen allein auf der Zugspitze ein Jahr im Dienste der Wissenschaft zu verbringen. Ein tragisches Geschick wollte es, dass er von den Kerguelen, auf denen er als Mitglied der Deutschen Südpolarexpedition unter E. v. Drygalskis Leitung weilte, nicht mehr in die Heimat zurückkehren sollte. — Nach kurzer Aushilfe durch Dr. J. Reger übernahm vom 1. September 1901 bis 16. September 1902 Dr. Albert Peppler den Dienst. Dann folgten Max Kleiber (17. September 1902 bis 31. August 1903), Ludwig Gsell (1. September 1903 bis 31. August 1904), Dr. Joseph Reger (1. September 1904 bis 16. September 1905), Dr. Joseph Jaufmann (17. September 1905 bis 31. August 1906), Ludwig Gsell (1. September 1906 bis 31. August 1907), Martin Sperer (1. September 1907 bis 30. November 1907), Ludwig Gsell (30. November 1907 bis 19. August 1908), Dr. Anton Huber (20. August 1908 bis 31. August 1909), Otto Friedrich (1. September 1909 bis 31. August 1910), Dr. Albert Bauer (1. September 1910 bis 31. August 1911), Joseph Höllerer (1. September 1911 bis 31. August 1912), Karl Bux (1. September 1912 bis 31. August 1913), und Dr. Peregrin Zistler (ab 1. September 1913).

Mit der Dissertation[1]) „Untersuchungen über den radioaktiven Zustand der Atmosphäre nach Beobachtungen an der Hochstation Zugspitze" promovierte Joseph Jaufmann.

Der Verfasser promovierte mit der Dissertation „Das Klima der Zugspitze," worüber im Nachstehenden des Näheren eingegangen werden soll.

Die Illustrationen.

Die Ausstattung vorliegender Arbeit mit Bildern war nur möglich geworden durch das weitestgehende Entgegenkommen von zahlreichen Interessenten.

In erster Linie bin ich zu Dank verpflichtet den früheren Beobachtern auf der Zugspitze Herrn Dr. Albert Bauer, prakt. Arzt in Nesselwang und Herrn Karl Bux, Assistent an d. M. C. St. sowie Herrn Hofphotographen Max Beckert-Partenkirchen für die photographischen Aufnahmen, die sie mir in selbstloser Weise zur Verfügung gestellt haben.

Die Beigabe der Bilder erforderte aber auch die Inanspruchnahme privater Hilfe: Herr Robert Leicht jr.-Vaihingen a. F. spendete 350 M., Herr Albert Printz-Karlsruhe 130 M., Herr Dr. Albert Voltz-München 100 M., Herr Kommerzienrat Adolph Wenz-Grosshesselohe 20 M.

Ferner fanden wir grosses Entgegenkommen bei der Graphischen Kunstanstalt Brend'amour, Simhart & Co., bei E. Mühlthaler's Buch- und Kunstdruckerei A.G., sowie der Graphischen Kunstanstalt Meisenbach, Riffarth & Co. in München.

Allen Gönnern sei auch an dieser Stelle der verbindlichste Dank zum Ausdruck gebracht.

Erklärung.

Tafel I. Titelbild; nach einer Originalzeichnung von Kunstmaler Ernst Platz-München. Blick auf die Zugspitze vom Grat zum Ostgipfel: Meteorologische Hochstation und Münchener Haus.

Tafel II. Die oberen zwei Aufnahmen zeigen das Observatorium von N gesehen, im Sommer und im Winter; auf letzterem Bilde ist die Antennenanlage deutlich zu sehen. NB.! Die Plattform des Turmes überragt den Gipfel noch um 1 m! — Blick auf den 2000 m tiefer gelegenen Eibsee und die Ammergauer Gruppe im Winter. Höllentalferner, Riffelwandspitzen und Waxensteinkamm; über dem Loisachtal und Voralpen Nebelmeer in ca 2200 m Höhe. (M. Beckert, K. Bux bezw. A. Bauer.)

Tafel III. Interieuraufnahme vom 2. und 1. Stock. Oben die Station für drahtlose Telegraphie, unten die Schreibtischecke des Wohnraumes. (K. Bux.)

---

[1]) Meteorologisches Jahrbuch für Bayern 1907.

Tafel IV. Zugspitzgipfel vom N-Grat aus gesehen. Blick von E auf den N.-Grat. Wichtig die Antennenanlage. — Von den unteren zwei Aufnahmen zeigt die eine die Aussicht über den unteren Teil des Plattachs ins Inntal, im Hintergrund die Hohen Tauern, Zillertaler und Stubai. (Markante Spitzen: Olperer und Habicht.) Die andere Aufnahme gibt den Blick ins Talbecken von Lermoos mit den Algäuer Bergen im Hintergrund (Hochvogel, Säntis!) (K. Bux bezw. A. Bauer.)

Tafel V. Die Zugspitze vom Plattachferner aus. Blick vom Observatorium auf Zugspitz-Ostgipfel (links Höllental) und Schneefernerkopf. (A. Bauer.)

Tafel VI. Nebelmeer über dem Raintal in ca. 2100 m. Im Hintergrund Karwendel und Tauern. — Nebelmeer über Gais- und Inntal in ca. 2100 m. Im Hintergrund Zillertaler-, Stubaier- und Oetztalergruppe. Westlicher Anschluss des vorhergehenden Bildes auf den nächsten zwei Aufnahmen. Obere Grenze des Nebelmeeres in ca. 2600—2700 m. (A. Bauer.)

Tafel VII. Am oberen Teil des Zugspitzgrates „Beim doppelten Drahtseil". Am aperen Fels rechts ist das Telephonkabel sichtbar. — Das Robinsonsche Schalenkreuzanemometer mit Glatteis (oben) und Rauhfrostansatz (unten) (A. Bauer bezw. K. Bux.)

Tafel VIII. Das Observatorium im Rauhfrost. (Eine Aufnahme vom Dache des Münchener Hauses, die andere vom Westgipfel.) Die anderen zwei Aufnahmen sind Details: Die Ecke des mit Rauhfrost überzogenen Turmgestänges bei der Falltüre und der (gegen Sturm durch einen Blechschirm geschützte) Kamin. (A. Bauer.)

Das Klima der Zugspitze.

Die Hochstation Zugspitze hat schon vielfach in wichtigen Fragen der Physik der Atmosphäre Aufschluss zu geben vermocht; das Vorhandensein einer 10jährigen Beobachtungsreihe veranlasste die Meteorologische Zentralstation, eine Bearbeitung in Angriff zu nehmen, die mir übertragen wurde. Fast gleichzeitig machte auch Herr Geheimrat Professor Dr. Günther auf die Notwendigkeit der Bearbeitung des Beobachtungsmateriales der Zugspitze aufmerksam.

Es ist mir eine angenehme Pflicht, an dieser Stelle Herrn Professor Dr. Emden für das grosse Interesse, das er vorliegender Arbeit entgegenbrachte und für sein liebenswürdiges Entgegenkommen meinen verbindlichsten Dank auszusprechen.

Die Lage der Hochstation, ihre Ausrüstung und die Aufstellung.

Die Lage der meteorologischen Hochstation auf der Zugspitze, $H = 2962.2$ m, $\varphi = 47^0\ 25'$, $\lambda = 10^0\ 59' = 43^m\ 56^s$, ist eine reine Gipfellage. Gegen Süden fällt die Zugspitze, die höchste Erhebung eines langen Gratrückens, in einer zutage tretenden Schichtfläche ca. 500 m steil gegen das „Platt" mit dem Plattachferner ab. Gegen Norden bietet sich unvermittelt der grossartige Blick in die schauerliche Tiefe des bayerischen Schneekars. 2000 m tiefer liegt der Eibsee. Gegen Westen fällt die Zugspitze in gewaltigen Steilwänden gegen das österreichische Schneekar ab. Es ist dies der markante Absturz, der für die Gebirgsaussicht von der schwäbisch-bayerischen Hochebene typisch ist. Vom Culminationspunkt zweigt ein kurzer Grat zum wenig niedrigeren Ostgipfel der Zugspitze. Die hier abbrechenden Steilwände umschliessen den im obersten Boden des Höllentals eingebetteten Höllentalferner.

Das Observatorium, ein 9 m hoher Turmbau mit quadratischer Basis (16 qm), steht, angebaut an das „Münchener Haus" der Sektion München des Deutschen und Österreichischen Alpenvereins, in nächster Nähe des Zugspitzwestgipfels 2963.3 m, einer unbedeutenden Graterhebung. Die Plattform des Turmes überragt den Gipfel noch um 1 m. Auf der Nordseite des Turmes befindet sich im 2. Stocke zur Aufnahme der Apparate ein eiserner Fensterschrein, $3^1/_2$ m über der Mündung einer ins bayerische Schneekar abfallenden Steilrinne. Ein starker Bretterschirm schützt den Schrein gegen etwaige Bestrahlung im Sommer von Westen her. In Verwendung stehen neben der gewöhnlichen Ausrüstung ein grosser und zwei kleine Barographen sowie je zwei Thermo- und Hygrographen, System Richard, letztere seit einigen Jahren mit 24 Stunden-Uhren versehen; ferner stehen 2 Assmannsche Aspirationspsychrometer zur Verfügung. Auf der Plattform des Turmes ist der Sonnenscheinautograph (Campbell-Stokes) montiert, auf der Südseite ist auch der Regenmesser 1 m über dem Boden des Turmdaches aufgestellt. Der höchste Punkt des über der Plattform errichteten Eisengestänges trägt die Windfahne. Das kleine Robinsonsche Schalenkreuzanemometer, verbunden mit einem Richardschen Comptographen, ist etwa $1^1/_2$ m über der Plattform an deren Ostseite montiert; in letzteren Jahren erfolgte eine Verlegung zur Windfahne. Eine kritische Beleuchtung störender Einflüsse, wie sie sich besonders bei Messung der Windstärke und der Niederschlagsmenge geltend macht, wird an geeigneter Stelle gegeben werden.

Als Vergleichsstationen für die Zugspitze diente das am Fusse derselben gelegene Partenkirchen 716,8 m. Wir sahen uns jedoch bald veranlasst, statt dieser durch eine eigenartige Talkessellage beeinflussten Station den freigelegenen Hohenpeissenberg 994.1 m zu wählen. Von den Hochstationen dienten zum Vergleich in hervorragender Weise im Westen der Säntis 2500.1 m und im Osten der Sonnblick 3106.5 m.

Soweit es am Platze war, sind von der Zugspitze die klimatologisch wichtigen Daten vollständig mitgeteilt, von den anderen Hochstationen und den Basisstationen im allgemeinen nur die entsprechenden Mittelwerte. Vorzugsweise wurde grosses Gewicht darauf gelegt nur homogene und synchrone Reihen (1901—1910) zu verwerten. Aus diesem Grunde wurde auch auf die Verwertung der Beobachtungen vom Jahre 1900 verzichtet, da bekanntlich laut internationaler Vereinbarung ab 1. Januar 1901 die Beobachtungstermine auf die Stunden 7 a, 2 p, und 9 p festgelegt wurden.

Im nachstehenden wollen wir nun auf die Besprechung der klimatischen Verhältnisse der Zugspitze eingehen.

Der Luftdruck.

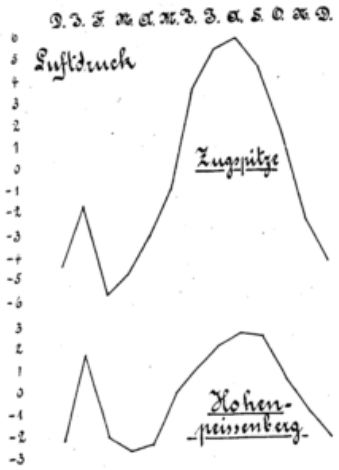
Für das Klima eines Ortes ist der Luftdruck in der Regel von ziemlich untergeordneter Bedeutung, so dass sich an ihn speziell nur wenige Erörterungen knüpfen lassen.

Die in nachfolgender Tabelle mitgeteilten zehnjährigen Mittel sind durchweg auf 0° und Normalschwere reduziert.

Luftdruckmittel 1901/1910.

	Partenkirchen	Hohenpeissenberg	Zugspitze	Säntis	Sonnblick
Jan.	**702.83**	678.22	527.85	560.81	517.49
Febr.	678.72	674.47	**523.89**	**556.89**	**513 71**
März	697.85	**673.91**	524.73	557.38	514.74
April	**696.79**	674 14	526.45	558 78	516.45
Mai	699.66	676.42	530.59	562.40	520.79
Juni	700.46	677.44	532.94	564.65	523.10
Juli	701.55	678.45	534.76	566 44	525.00
Aug.	702.09	**679 02**	**535 29**	**566 84**	**525.55**
Sept.	702.18	678.92	533.89	565.59	524.13
Okt.	700.54	676.97	530.93	562.78	421.33
Nov.	699.54	675.54	527.11	559.57	517.20
Dez.	698.48	674.28	525.20	557.89	515.40
Jahr	700.10	676.53	529.49	562.78	519.57

Im jährlichen Verlauf des Luftdruckes fällt auf der Zugspitze das Maximum auf den August, das Minimum auf den Februar. Die durch thermische Einflüsse bedingte Hebung und Senkung der Niveauflächen ist unverkennbar.



Übereinstimmend mit der Zugspitze verzeichnen auch die Hochstationen auf dem Säntis und auf dem Sonnblick die Luftdruckextreme ebenfalls im August und im Februar. Der Hohenpeissenberg, der die vorliegende Ebene um etwa 400 m überragt, verzeichnet das Maximum ebenfalls im August, das Minimum jedoch im März. Der Hohenpeissenberg zeigt also teilweise die Eigenschaften einer Gipfelstation. Eine gänzlich abweichende Stellung nimmt bei diesem Vergleiche die Basisstation Partenkirchen ein: Das Minimum des Luftdruckes fällt auf den April, das Maximum auf den Monat mit der tiefsten Temperatur, den Januar.

Die Jahresschwankung auf der Zugspitze beträgt 11.4 mm und übertrifft somit die des Hohenpeissenberg[1]) mit 5.1 mm und die von Partenkirchen mit 6.0 mm etwa um das Doppelte. Säntis und Sonnblick, welche die Extreme in denselben Monaten aufweisen wie die Zugspitze, haben eine Jahresschwankung von 10.0 mm bezw. 11.8 mm.

Ganz evident ist hier die Zunahme der Jahresschwankung mit der Seehöhe zum Ausdrucke gebracht. Aus der Luftdruckschwankung auf dem Hohenpeissenberg und der Zugspitze berechnet sich eine Zunahme der Jahresschwankung von 0,35 mm pro hundert Meter Anstieg, so dass also:

$$\Delta A = 1.03 + 0.35\ H.$$

Innerhalb des Zeitraumes 1901/1910 wurden folgende absolut höchsten und tiefsten Barometerstände beobachtet:

Partenkirchen	Max. 718.2 mm	am 28. Januar 1905
	Min. 674.5 mm	am 30. November 1903
Hohenpeissenberg	Max. 693.2 mm	am 28. Januar 1905
	Min. 649.8 mm	am 30. November 1903
Zugspitze	Max. 544.3 mm	am 24. November 1906
	Min. 505.0 mm	am 30. November 1903

[1]) Die Jahresschwankung ist bei Hohenpeissenberg und Partenkirchen natürlich nicht gleich der Differenz August—Februar. Letztere beträgt 4.6 bezw. 3.4 mm.

Säntis	Max. 576.2 mm	am 23., 24. November 1906
	Min. 537.5 mm	am 30. November 1903
Sonnblick	Max. 534.7 mm	am 3. Juli 1905
	Min. 496.2 mm	am 30. November 1903.

Die absolute Barometerschwankung beträgt somit für

Partenkirchen	43.7 mm
Hohenpeissenberg	43.4 mm
Säntis	38.7 mm
Zugspitze	39.3 mm
Sonnblick	38.5 mm

Mit grosser Gleichmässigkeit wurde der absolut tiefste Luftdruck im November 1903 beobachtet; das höchste Maximum ist nicht so einheitlich aufgetreten, wobei wohl in erster Linie Temperatureinflüsse sich geltend gemacht haben dürften.

Der Jahresverlauf des Luftdruckes weist ein sekundäres Maximum im Januar auf.

Das Hauptmaximum der Hochstationen im August beruht auf einer Ausdehnung der unterhalb lagernden Luftschichten nach oben. Für die Talstationen ist mit der Hebung der Niveauflächen ein Fallen des Luftdruckes verbunden, da die Luftmassen in höheren Niveaus abfliessen. In Partenkirchen übertrifft das Maximum im Januar das (auf den September verschobene) sommerliche Maximum um ca. 0.6 mm. Dieses Maximum im Januar zeigt durchweg — trotz der grossen Temperaturgegensätze zwischen Berg und Tal im Winter — so gleichmässiges Auftreten an allen Stationen dass es unbedingt auf eine dynamische Ursache zurückzuführen ist.

Der Luftdruckverlauf im Jahre ist also eine Doppelwelle. Für die Talstation Partenkirchen ist der eine Wellenberg sehr breit. Der Luftdruck bleibt vom Juni bis zum Oktober über dem Mittel. Der zweite Wellenberg im Januar ist etwa gerade so hoch, die Erhebung über das Mittel erstreckt sich jedoch hier nur auf ein Monat. Gut ausgeprägt erscheint auch das Wellental im Winter und Frühjahr, von Februar bis April wird das Jahresmittel nicht erreicht.

Im allgemeinen zeigt der Verlauf des Luftdruckes auf den Hochstationen dasselbe Bild. Wesentlich anders ist die Abweichung vom Mittel beim Hauptmaximum im August und beim Minimum im Februar. Das sekundäre Maximum im Januar bleibt um ansehnliche Beträge hinter dem Augustmaximum zurück. Es zeigt sich auf den Hochstationen eine Vereinfachung des Luftdruckganges, eine Annäherung an eine einfache Welle. Klengel[1]) meint, dass in noch grösseren Höhen die sekundäre Anschwellung im Winter gänzlich verschwände, vielleicht auch schon in der Höhe des Pic du Midi bei einer längeren Beobachtungsreihe. Die Wirkung der Zeitdauer mache sich deutlich an zwei Sonnblickkurven bemerkbar. Bei Zugrundelegung eines 30jährigen (allerdings) reduzierten Mittels zeige sich eine einfache Welle."

Die oben mitgeteilten zehnjährigen Mittel zeigen auch bei den Hochstationen das Januarmaximum noch scharf ausgeprägt.

Der Luftdruck an den drei Hochstationen Säntis, Zugspitze und Sonnblick verläuft im allgemeinen parallel. Die grösste Luftdruckdifferenz zwischen Säntis und Zugspitze hat der kälteste Monat, der Februar, mit 33.0 mm, die geringste liegt im August mit 31.6 mm. Der unter ganz anderen klimatischen Verhältnissen stehende Sonnblick hat die extremsten Differenzen gegen die Zugspitze im Januar mit 10.4 mm und im Oktober mit 9.6 mm; ein sekundäres Minimum ist jedoch auch hier im August erkennbar.

Es erübrigt nun noch, wenigstens in Kürze, die absolute und mittlere Veränderlichkeit, sowie die „Fehler" der Luftdruckmittel der Zugspitze der Reihe 1901/1910 zu besprechen. Hierbei ist dem Worte „Fehler" die weitestgehende Bedeutung zuzulegen, da es sich um Grössen handelt, „welchen reale Vorgänge in der Natur entsprechen"[2]). Die absolute Veränderlichkeit der Luftdruckmittel der Zugspitze im Dezennium 1901/1910 ist für die einzelnen Monate folgende:

Jan.	Febr.	März	April	Mai	Juni	Juli	Aug.	Sept.	Okt.	Nov.	Dez.	(Jahr)
4.8	**12.8**	9.8	7.1	6.6	3 7	5 2	**2 9**	3.6	9.1	8.6	10.2	(1.6)

Die Monate Februar und August, also die Monate mit dem tiefsten und höchsten Temperaturmittel, weisen die grösste und die kleinste absolute Veränderlichkeit der Luftdruckwerte auf. In denselben Monaten liegen auch die Extreme der mittleren Veränderlichkeit und daher auch die des mittleren wahrscheinlichen Fehlers, wie nachfolgende Tabelle zeigt:

Jan.	Febr.	März	April	Mai	Juni	Juli	Aug.	Sept.	Okt.	Nov.	Dez.	(Jahr)
1.1	**2.7**	2.2	2.3	1.6	1.1	1.3	**0.7**	1.0	1.8	2.3	2.4	(0.5)
0.30	**0.74**	0.60	0.63	0.44	0.30	0.36	**0.19**	0.27	0.49	0.63	0.66	(0.14)

Der Besprechung des täglichen Ganges der einzelnen meteorologischen Elemente ist ein eigener, späterer Abschnitt vorbehalten. Im Anschluss an die Besprechung der allgemeinen Luftdruckverhältnisse sei nur noch auf die barometrische Höhenmessung der Zugspitze weiter eingegangen.

[1]) Klengel „Das Klima des Pic du Midi" in „Ausland" 66. Jahrgang 1893 pag. 440.

[2]) Vergl. Meyer „Anleitung zur Bearbeitung usw." pag. 33 und 34.

Die barometrische Messung der Zugspitzhöhe.

Wie wir dem Schriftenverkehr zwischen der k. k. Zentralanstalt für Meteorologie und Geodynamik in Wien und der K. B. Meteorologischen Zentralstation entnehmen, wurden bereits in früheren Jahren Bedenken über das Barometer bezw. die Seehöhe der Zugspitze laut.

So schreibt auch J. von Hann in der „Meteorologischen Zeitschrift“ [1]), wo der erste vollständige Jahrgang der meteorologischen Beobachtungen auf der Zugspitze kurz besprochen und mit den Sonnblickbeobachtungen verglichen wurde, folgendes:

„Die korrespondierenden Barometerstände und Temperaturen ergeben einen Höhenunterschied von 162 m, was auf beträchtliche Korrektionen der Barometer schliessen lassen würde (3106 m bis 2964 m gibt nur 142 m), denn im Jahresmittel ist sicherlich in rund 3000 m keine entsprechende Isobarendifferenz vorhanden gewesen.“

Wir werden speziell auf diesen letzteren Punkt des weiteren noch mehr zurückkommen.

Um die eventuelle Instrumentenkorrektion des Zugspitzbarometers festzustellen, besuchte Herr Direktor Dr. Schmauss die Zugspitze und konstatierte auf Grund zahlreicher Beobachtungen am Hypsothermometer, dass das Zugspitzbarometer bis auf 0.1 mm genau mit dem Siedethermometer übereinstimmte.

So erschien eine genaue barometrische Berechnung der Seehöhe der Zugspitze als wünschenswert.

Auf trigonometrischem Wege ergibt sich der Landesaufnahme [2]) zufolge die Seehöhe über N. N. des Signalsockels auf dem Zugspitzwestgipfel zu 2963,3 m. Die Höhendifferenz des Signalsockels und des unteren Barometerniveaus beträgt — 1.5 m, so dass sich auf trigonometrischem Wege für das Barometer der Zugspitze 2961.8 m über N. N. ergibt.

Zur Berechnung der Meereshöhe der Zugspitze gebrauchten wir die ausführliche barometrische Höhenformel mit genauer Berücksichtigung der Schwereänderung und des Einflusses der absoluten Feuchtigkeit.

Die Seehöhen der bayerischen Basisstationen wurden von den betreffenden Stellen neu eingemessen. Die Seehöhen der Österreichischen und Schweizer Stationen sind den betreffenden Jahrbüchern entnommen oder uns in dankenswerter Weise von den Zentralanstalten mitgeteilt worden.

Die benutzten Barometerstände wurden durchweg mit der Schwerekorrektion versehen; die genaue Berechnung derselben erfolgte auf Grund der Korrektion auf die Breite $\varphi = 45^0$

$$C_1 = 0.00259 \cos 2\varphi \cdot b$$

und der stets negativen Korrektion auf das Meeresniveau

$$C_2 = 0.000000196 \cdot b \cdot h$$

so dass sich als Cg ergab für Innsbruck + 0.06 mm, Partenkirchen + 0.06 mm, Mittenwald + 0.03 mm, Hohenpeissenberg + 0.04 mm, Säntis — 0.16 mm, Zugspitze — 0.19 mm, Sonnblick — 0.21 mm.

Wie durchwegs, sind auch hier die Mittel der Jahre 1901/1910 für alle Stationen zu grunde gelegt. Die hier notwendigen Daten für Temperatur und Dampfdruck sind einem späteren Abschnitt vorliegender Arbeit entnommen.

Die Ausgangswerte für die barometrische Höhenmessung sind folgende:

	b	t	e	h
Innsbruck	711.20	8.14	6.5	580.7
Partenkirchen	700.10	6.57	6.7	716.8
Mittenwald	683.58	5.03	6.0	911.8
Hohenpeissenberg	676.53	5.88	5.7	994.1
Säntis	561.67	— 2.69	3.2	2500.1
Zugspitze	529.49	— 5.26	2.9	?
Sonnblick	519.57	— 6.80	2.5	3106.5

Das Ideal einer barometrischen Höhenbestimmung ist natürlich die Messung bei möglichst geringen Horizontalentfernungen. Oben angeführte Stationen liegen meist in nicht zu grosser Entfernung von der Zugspitze. Der Säntis dagegen ist 125 km, der Sonnblick 135 km entfernt.

Die Sonnblickwerte liefern ein relativ gutes Resultat, dagegen ergibt die Zugrundelegung der Säntisdaten eine auffällige Nichtübereinstimmung. Der Temperaturgradient Säntis-Zugspitze beträgt normal 0.58°; selbst eine mit 1° Fehler behaftete Mitteltemperatur würde die Höhendifferenz dieser beiden Gipfelstationen nur um 1.7 m ändern.

Bei Benutzung der Beobachtungsresultate vom Säntis (und Sonnblick) ist daher noch Rücksicht zu nehmen auf die „Isobarenkorrektion“, d. h. man hat auf die mittleren Luftdruckunterschiede im gleichen Niveau zu achten.

Da es sich um Hochstationen handelte, schien uns die Verwendung der Isobarenkarten in Hann „Die Verteilung des Luftdruckes über Mittel- und Süd-Europa“ Wien 1887 nicht statthaft zu sein. Zur ersten Orientierung benützten wir vorerst die in den täglichen Wetterberichten der k. k. Zentralanstalt publizierten, auf 2500 m Seehöhe reduzierten Barometerablesungen (7 a) der Hochstationen. Es zeigte sich im allgemeinen ein Druckgefälle von W nach E. In einzelnen Fällen (z. B. bei Westkeil) war die Schweizer Station von hohem Druck sehr begünstigt.

Für das Jahr 1908, das wir speziell nach diesem Gesichtspunkte hin näher untersuchten, berechneten wir für 7^h a im Niveau 2500 m folgende (relativen) Luftdruckwerte

	Säntis		Zugspitze		Sonnblick
	562.69		562.24		561.17
Differenz:		0.45		1.07.	

[1]) 19. Jahrgang 1902, pag. 120

[2]) Die diesbezügliche Angabe verdanken wir Herrn Topographen Lutz vom topographischen Bureau des Generalstabes.

Soviel diene zur allgemeinen Orientierung. Vom Sonnblick wollen wir vorerst noch absehen. Gegen die Zugspitze ist also der Barometerstand vom Säntis (1908, 7^h a im Niveau 2500 m) um ca. 0.4 mm zu hoch. Diese vorhandenen Druckunterschiede finden, wie wir sehen werden, durch einen von W nach E sich erstreckenden Keil hohen Druckes ihre Erklärung.

Zur weiteren Bestätigung dieser Tatsache bietet sich uns ein Hilfsmittel in den Windverhältnissen der Zugspitze. In einem späteren Abschnitte untersuchten wir auf Grund der 3 Terminsbeobachtungen die Häufigkeit der einzelnen Windrichtungen unter Berücksichtigung der zugehörigen Stärke; zugrunde gelegt waren die Jahre 1901—1910; den abgeleiteten Resultaten kommt also doch eine entsprechende Genauigkeit zu. Auf Grund der Häufigkeitszahlen und der Stärke der einzelnen Windrichtungen liess sich als resultierende Windrichtung für die Zugspitze ableiten: W 31^0 N 2.0 m/sec.

Es ist nun die weitere Frage: Welchem Luftdruckgradienten Säntis—Zugspitze entspricht eine Luftbewegung von 2.0 m/sec?

Entspricht h der gehobenen Luftmasse, so ist die Gradientkraft

$$1.)\quad G = g \cdot \frac{dh}{dx};$$

zwischen dem Druck p, der Dichte ϱ und der Höhe h einer Luftsäule besteht bekanntlich die Beziehung

$$2.)\quad dp = -\varrho\, dh$$

aus der Gleichung

$$p \cdot v = RT$$

folgt

$$\varrho = \frac{p}{RT}.$$

so dass also Gleichung 2.) wird

$$2'.)\quad dp = -\frac{p}{RT} \cdot dh$$

hieraus

$$dh = -RT \cdot \frac{dp}{p}$$

dh ist die Höhe der Luftsäule, die dem Überdruck dp entspricht.

Substituiert man dh in die Gleichung 1., so wird die Gradientkraft

$$1'.)\quad G = -g \cdot \frac{RT}{p} \cdot \frac{dp}{dx}$$

Ist nun v die Windgeschwindigkeit, w die Winkelgeschwindigkeit der Erde und α der Ablenkungswinkel, so ist:

$$3.)\quad G \cdot \sin\alpha = 2 \cdot w \cdot v \cdot \sin\varphi + \frac{v^2}{r}$$

Hierbei ist φ die geographische Breite und r der Krümmungsradius der Bahnkurve. In unserem vorliegenden Falle, der Bewegung im Niveau 2500 m, setzen wir $\alpha = 90^0$; für die geradlinige Bewegung wird dann $r = \infty$.

Dann ist

$$G = 2 \cdot w \cdot v \cdot \sin\varphi$$

somit nach 1'.)

$$-g \cdot \frac{RT}{p} \cdot \frac{dp}{dx} = 2 \cdot w \cdot v \cdot \sin\varphi.$$

Unter „Gradient" versteht man bekanntlich die Druckdifferenz längs der Einheitsstrecke 111 km. Aus obiger Gleichung folgt nun:

$$dp = -2 \cdot w \cdot v \cdot \sin\varphi \cdot \frac{p}{g} \cdot \frac{1}{RT}\, dx.$$

Hierbei haben die Konstanten die folgenden Werte:

$2w = 0.0001461)$ $\quad v = 2.0$ m/sec.
$dx = 111000$ m $\quad R = 29.3$
φ (rund) $47^1/_2{}^0$;

ferner ist: $\quad p = 529$ mm, $T = 268^0$.

Es wird dann:

$$dp = 2 \cdot 0.000146 \cdot \frac{111000}{9.81} \cdot \frac{0.526}{29.3 \cdot 268}$$

also

$$dp = -0.163 \text{ mm}.$$

Reduziert man diese Zahl auf das Niveau 2500 m und berücksichtigt die Entfernungen Säntis—Zugspitze = 125 km und Zugspitze—Sonnblick = 155 km, so erhält man im Niveau 2500 m folgende Luftdruckabnahme vom

Säntis—Zugspitze 0.20 mm,
Zugspitze—Sonnblick 0.23 mm.

---

[1]) Aus Hann, Lehrbuch der Meteorologie, II. Aufl., pag. 561.

Beim Sonnblick dürfte ev. auch seine relativ niedrige Temperatur (der Sonnblick ist um 0.8 ° zu kalt) von Einfluss auf den geringen Luftdruck sein. Weiter wollen wir jedoch hier nicht darauf eingehen; es war uns vor allem darum zu tun, auf Grund der Windverhältnisse uns ein annäherndes Bild von der Grössenordnung des Luftdruck-Gradienten Säntis—Zugspitze zu verschaffen.

Um nun für die Höhenmessung von den Hochstationen brauchbare Werte zu erhalten, reduzieren wir die Zugspitzwerte auf 2500 m und vergleichen mit dem Luftdruck vom Säntis. Man erhält dann

als berechneten Wert: 561.32 mm
als beobachteten Wert: 561.67 mm
also $\Delta b = 0.35$ mm.

Führen wir die entsprechende Rechnung für die Zugspitze und Sonnblick durch, so erhalten wir im Niveau 3106.5 mm

als berechneten Wert: 519.83 mm
als beobachteten Wert: 519.57 mm
und daher $\Delta b = 0.26$ mm.

Diese eben abgeleiteten Werte für die Druckunterschiede stimmen sowohl dem Sinne als auch der Grössenordnung nach mit den vorher aus den Windwegen berechneten Resultaten gut überein.

Setzt man die mit dieser „Isobarenkorrektion" versehenen Luftdruckmittel nun in die barometrische Höhenformel ein, so liefern auch Säntis und Zugspitze keine auffälligen Resultate mehr.

Das Resultat der einzelnen Höhenmessungen war folgendes:

Basis	Seehöhe	Höhen-differenz	Seehöhe der Zugspitze
Innsbruck	580.7 m	+ 2379.5 m	= 2960.2 m
Partenkirchen	716.8 m	+ 2247.7 m	= 2964.5 m
Mittenwald	911.8 m	+ 2049.6 m	= 2961.4 m
Hohenpeissenberg	994.1 m	+ 1969.2 m	= 2963.3 m
Säntis	2500.1 m	+ 461.5 m	= 2961.6 m
Sonnblick	3106.5 m	— 144.5 m	= 2962.0 m

Aus diesen sechs Werten berechnet sich das Mittel für die Seehöhe der Zugspitze zu 2962.17 m. Als Seehöhe des Zugspitzbarometers ergibt sich also **2962.2 m.**

Es erübrigt sich nun noch, auf die Fehler[1]) der barometrischen Höhenmessung einzugehen.

Bezeichnet man mit S die Summe der Fehlerquadrate von n einzelnen Bestimmungen, so ist der mittlere Fehler der einzelnen Messung

$$\varepsilon = \pm \sqrt{\frac{S}{n-1}}$$

und der mittlere Fehler des Mittelwertes

$$E = \pm \sqrt{\frac{S}{n(n-1)}} = \frac{\varepsilon}{\sqrt{n}}$$

In unserem speziellen Falle der Berechnung der Zugspitzhöhe beträgt der mittlere Fehler der einzelnen Messung $\varepsilon = \pm 1.5$ m, der mittlere Fehler des Mittelwertes $E = \pm 0.6$ m. Daher beträgt der wahrscheinliche Fehler

beim einzelnen Werte: $\pm$ 1.0 m
beim Mittelwerte: $\pm$ 0.4 m

Der trigonometrisch bestimmte Wert für die Seehöhe des Zugspitzbarometers 2961.8 m erreicht die barometrisch berechnete Höhe 2962.2 m bis auf 0.4 m, ein Resultat, das als zufriedenstellend anzusehen ist, zumal wenn man überlegt, welch grossen Einfluss die Temperatur auf die barometrische Höhenberechnung ausübt.

Differenziert man die Höhenformel

$$h = A\ (\log b_0 - \log b_1)\ (1 + \alpha\, \vartheta)$$

nach ϑ (wobei $\vartheta = \frac{t_0 + t_1}{2}$ ist), so ist

$$dh = A\ (\log b_0 - \log b_1)\ \alpha\, d\, \vartheta.$$

Durch Elimination von $(\log b_0 - \log b_1)$ und Umformung erhält man

$$dh = \frac{d\,\vartheta}{273 + \vartheta'} \cdot h,$$

wobei ϑ' die ursprünglich benützte Mitteltemperatur darstellt[2]).

Für 1° Fehler in der Annahme der Mitteltemperatur ergeben sich bei den Resultaten folgende Differenzen:

Basisstation	Höhendifferenz	Einfluss von 1° Fehler
Innsbruck	2379.5 m	8.7 m
Partenkirchen	2247.7 m	8.2 m
Mittenwald	2049.6 m	7.5 m
Hohenpeissenberg	1969.2 m	7.2 m
Säntis	461.5 m	1.7 m
Sonnblick	144.5 m	0.6 m

[1]) Vergl. Kohlrausch, Lehrbuch der prakt. Physik, pag. 2.
[2]) Vergl. auch Hann, Lehrbuch der Meteorologie II, pag. 611.





Je grösser die Höhendifferenz h ist, desto grösser auch der Einfluss der Temperatur. Besonders an den in tiefen Tälern liegenden Stationen ist die Temperatur überdies lokalen Modifikationen unterworfen. Wir verweisen vor allem auf den Nachweis Pernters[1]), dass die Mitteltemperatur Innsbrucks im Jahresdurchschnitt durch den Föhn um 0.6° zu hoch ausfällt, andererseits auf das für stagnierende kalte Luftmassen günstige Talbecken von Partenkirchen. In dem von S nach N verlaufenden Isartale bei Mittenwald[2]) macht sich oft ganz lokal die saugende Wirkung des Föhns geltend.

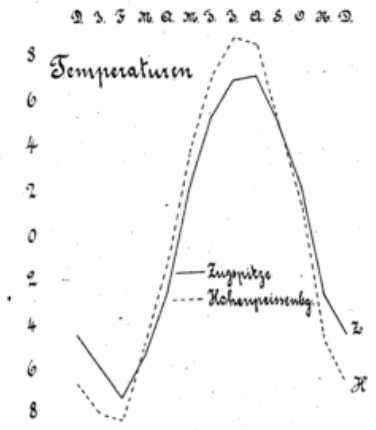
Die Temperatur.

Viel grösseres Interesse als der Luftdruck beansprucht die Temperatur. Hier bietet sich für vergleichende Betrachtungen ein weit ausgedehntes Gebiet. Abgesehen von der Diskussion der Mittelwerte, die ja nur im allgemeinen klimatische Verhältnisse darstellen, sei nur hingewiesen auf die für das Klima typische Häufigkeit bestimmter Temperaturen und auf die Temperaturveränderungen von Tag zu Tag. Eine Vergleichung mit den Basisstationen sowohl, als auch mit anderen Hochstationen und der freien Atmosphäre bietet interessante Gesichtspunkte.

Die Temperaturmittel.

In nachstehender Tabelle seien zunächst die Temperaturmittel der Reihe 1901/1910 der Zugspitze, dann von Partenkirchen und Hohenpeissenberg sowie vom Säntis und Sonnblick mitgeteilt:

	Partenkirchen	Hohenpeissenberg	**Zugspitze**	Säntis	Sonnblick
Januar . .	— **2.98**	— 2.10	— 11.22	— 8.66	— 13.34
Februar .	— 2.30	— **2.46**	— **12.57**	— **10.44**	— **14.59**
März . . .	2.13	1.03	— 10.61	— 8.36	— 12.55
April . . .	6.25	4.60	— 7.70	— 4.96	— 9.03
Mai . . .	10 87	9.46	— 3.18	— 0.74	— 4.34
Juni . . .	13.96	12.91	0.06	2.91	— 0.90
Juli . . .	**15.47**	**14.72**	1.61	4.66	0.78
August . .	15.14	14.36	**1.77**	**4.76**	**0.97**
September.	11.86	10.78	— 0.38	2.30	— 2.58
Oktober .	8.05	7.19	— 3.19	— 0.68	— 4.70
November .	1.77	1.23	— 7.94	— 5.48	— 9.61
Dezember .	— 1.57	— 0.82	— 9.78	— 7.54	— 11.71
Jahr . . .	6.57	5.88	— 5.26	— 2.69	— 6 80



Der jährliche Gang der Temperatur auf der Zugspitze zeigt den von den Hochstationen her gewohnten Gang. Um Wiederholungen zu vermeiden, wurde die Temperaturverteilung in den einzelnen Jahreszeiten später bei der „Abnahme der Temperatur mit der Höhe" einer vergleichenden Besprechung unterzogen.

In obiger Tabelle repräsentiert sich Partenkirchen als typische Talstation. Januar und Dezember sind im Monatsmittel noch kälter als auf dem höheren, jedoch frei gelegenen Hohenpeissenberg. In Partenkirchen fallen die Extreme auf den Januar und Juli, auf dem Hohenpeissenberg liegt das Maximum ebenfalls im Juli, während das Minimum auf den Februar verschoben ist.

Die drei Hochstationen haben im zehnjährigen Mittel übereinstimmend die Extremwerte im Februar und im August. Zwischen Zugspitze und Sonnblick zeigen sich aber Unterschiede von prinzipieller Natur, die in der kontinentaleren Lage des Tauerngipfels begründet sind.

Nachstehende Tabelle gibt uns Aufschluss über die Ab- und Zunahme der Temperaturmittel von einem Monat zum anderen und dient so als Illustration der vorhergehenden Mittelwerte.

Änderung des Temperaturmittels

	vom Dez. zum Jan.	Jan. Febr.	Febr. März	März April	April Mai	Mai Juni	Juni Juli	Juli Aug.	Aug. Sept.	Sept. Okt.	Okt. Nov.	Nov. Dez.
Partenkirchen	— 1.41	+ 0.68	+ 4 43	+ 4.12	+ 4.62	+ 3.09	+ 1.51	— **0.33**	— 3.28	— 3.81	— **6 28**	— 3.34
Hohenpeissenberg	— 1.28	— **0.36**	+ 3.49	+ 3.57	+ 4.86	+ 3.45	+ 1.81	— **0.36**	— 3.58	— 3.59	— **5.96**	— 2.05
Zugspitze	— 1.44	— 1.35	+ 1.96	+ 2.91	+ 4.52	+ 3.24	+ 1.55	+ **0.16**	— 2.15	— 2.81	— **4.75**	— 1.84
Säntis	— 1.12	— 1.78	+ 2.08	+ 3.40	+ 4.22	+ 3.65	+ 1.75	+ **0.10**	— 2.46	— 2.98	— **4.80**	— 2.06
Sonnblick	— 1.63	— 1.25	+ 2.04	+ 3.52	+ 4 69	+ 3.44	+ 1.68	+ **0.19**	— 3.55	— 2.12	— **4.91**	— 2.10

[1]) Pernter, „Über die Häufigkeit, die Dauer und die meteorologischen Eigenschaften des Föhns in Innsbruck". Sitzungsberichte der Wiener Akademie Bd. CIV 1895, pag. 450.

[2]) Mittenwald ist eine exzessive Föhnstation; dies zeigt sich besonders deutlich, wenn man die Häufigkeit südlicher Winde in Mittenwald mit der vom Hohenpeissenberg vergleicht. Im März beträgt die Häufigkeit südlicher Winde auf der Zugspitze 34.0%, in Mittenwald 38.1%, auf dem Hohenpeissenberg dagegen nur 16.8%. Auf dem Hohenpeissenberg dürfte der Föhn oft nicht durchdringen. Weiteres bei der Besprechung der Windverhältnisse.

Die grösste Wärmesteigerung findet statt vom April zum Mai, und zwar sind die Zahlenwerte an allen 5 Stationen quantitativ wenig verschieden. Die stärkste Abkühlung tritt ein vom Oktober zum November, und zwar macht sich dieselbe vornehmlich an den Basisorten Partenkirchen und Hohenpeissenberg bemerkbar. Die Abkühlung beim Übergange vom Oktober zum November ist von den drei Hochstationen am intensivsten auf dem Sonnblick; auf Säntis und Zugspitze ist dieselbe trotz der grossen Höhendifferenz nahezu gleichgross. Der Sonnblick hat sowohl eine grössere maximale Erwärmung als auch Abkühlung wie die Zugspitze. Am wenigsten verändern sich die Monatsmittel vom Juli zum August; an den Basisstationen tritt die kleinste Abkühlung, an den Gipfelstationen die geringste Erwärmung ein. Eine ebenso kleine Temperaturänderung tritt auf dem Hohenpeissenberg vom Januar zum Februar ein.

Im Anschluss hieran empfiehlt es sich, wenigstens in Kürze, auf die absolute Veränderlichkeit und die Fehler der Temperaturmittel der Zugspitze einzugehen.

Die absolute Veränderlichkeit der Temperaturmittel der Zugspitze auf Grund der Beobachtungen des Zeitraumes 1901/1910 ist für die einzelnen Monate folgende:

Jan.	Febr.	März	April	Mai	Juni	Juli	Aug.	Sept.	Okt.	Nov.	Dez.	(Jahr)
5.0	7.2	4.2	6.6	7.4	3.3	4.6	**2.0**	3.7	**8.6**	5.4	7.1	(1.7)

Wenn wir uns kurz an den Gang der absoluten Veränderlichkeit des Luftdruckes (pag. 13) erinnern, so finden wir bei diesem Element, das doch auf einem Berggipfel mit mehr als 2000 m relativer Höhe sehr stark von der Temperatur der unterhalb lagernden Luftschicht beeinflusst wird, die Extreme im Februar und im August. Die absolute Veränderlichkeit der Temperatur dagegen ist sehr unregelmässig. Das Minimum fällt auf den August, das Maximum jedoch auf den Oktober. Relativ hohe Werte haben der Dezember und der Februar; auch der Mai zeichnet sich durch eine grosse absolute Temperaturveränderlichkeit aus.

Anders dagegen verhält sich die mittlere Veränderlichkeit und daher auch der mittlere wahrscheinliche Fehler:

Jan.	Febr.	März	April	Mai	Juni	Juli	Aug.	Sept.	Okt.	Nov.	Dez.	(Jahr)
1.4	**1.9**	1.1	1.7	1.3	0.9	1.2	**0.6**	1.3	1.6	1.6	1.3	(0.4)
0.38	**0.52**	0.30	0.47	0.36	0.25	0.33	**0.16**	0.36	0.44	0.44	0.36	(0.13)

Die Extremwerte werden hier in Übereinstimmung mit dem Luftdruck in den Monaten Februar und August aufgezeichnet.

Reduktion auf langjährige Reihen.

Die Normaltemperatur der Zugspitze haben wir durch Bildung der Differenzen gegen die Stationen Partenkirchen und Hohenpeissenberg[1] sowie Sonnblick[2] abzuleiten versucht. Von einer Benützung der Säntiswerte wurde mit Rücksicht auf die Verlegung der Station[3] abgesehen. Wir teilen hier die einzelnen Werte auch der Vergleichsstationen mit, da auch die Temperaturdifferenzen in den einzelnen Monaten einiges Interesse haben dürften.

Hohenpeissenberg—Zugspitze 1901/1910.

Jan.	Febr.	März	April	Mai	Juni	Juli	Aug.	Sept.	Okt.	Nov.	Dez.	Jahr
— 9.1	— 10.1	— 11.6	— 12.3	— 12.6	— 12.9	— **13.1**	— 12.6	— 11.2	— 10.4	— 9.2	— **9.0**	— 11.1

Hohenpeissenberg normal 1881/1910

— **2.2**	— 1.4	1.2	5.1	9.5	13.2	**14.8**	14.5	11.2	6.7	2.1	— 0.9	6.1

Zugspitze normal 1881/1910 red.

— 11.3	— **11.5**	— 10.4	— 7.2	— 3.1	0.3	1.7	**1.9**	0.0	— 3.7	— 7.1	— 9.9	— 5.0

Partenkirchen—Zugspitze 1901/1910

— **8.2**	— 10.3	— 12.7	— 14.0	— **14.1**	— 13.9	— 13.8	— 13.4	— 12.2	— 11.2	— 9.7	— **8.2**	— 11.8

Partenkirchen normal 1881/1910

— **3.3**	— 1.5	2.1	6.5	10.8	14.1	**15.5**	15.2	12.2	7.5	2.5	— 1.9	6.6

Zugspitze normal 1881/1910 red.

— 11.5	— **11.8**	— 10.6	— 7.5	— 3.3	0.2	1.7	**1.8**	0.0	— 3.7	— 7.2	— 10.1	— 5.2

Zugspitze—Sonnblick 1901/1910

2.1	2.0	1.9	1.3	1.2	1.0	**0.8**	**0.8**	**2.2**	1.5	1.7	1.9	1.5

Sonnblick normal 1887/1911

— 13.3	— **14.0**	— 12.3	— 9.0	— 4.4	— 1.1	**0.9**	**0.9**	— 1.3	— 4.9	— 8.5	— 11.8	— 6.6

Zugspitze normal 1887/1911 red.

— 11.2	— **12.0**	— 10.4	— 7.7	— 3.2	— 0.1	**1.7**	**1.7**	0.9	— 3.4	— 6.8	— 9.9	— 5.1

[1]) Die Mittel sind der „Klimatologie von Süddeutschland II. Teil, Temperaturmittel bezogen auf die Periode 1881—1910“ von E. Alt entnommen.
[2]) Aus: 21. Jahresbericht des Sonnblickvereins 1912, pag. 9.
[3]) Vergl. Maurer, Billwiller jr. und Hess „Das Klima der Schweiz“ 1909, I. Band, pag. 192.

Die aus der Reduktion nach Partenkirchen und Hohenpeissenberg resultierenden Werte für die Zugspitze zeigen voneinander nur ganz geringe Unterschiede. Als Mittel aus diesen zwei reduzierten Reihen ergibt sich:

Zugspitze normal 1881 – 1910 red.

Jan.	Febr.	März	April	Mai	Juni	Juli	Aug.	Sept.	Okt.	Nov.	Dez.	Jahr
— 11.4	— **11.7**	— 10.5	— 7.4	— 3.2	0.3	1.7	**1.9**	0.0	— 3.7	— 7.1	— 10.0	— 5.1

Das Normalmittel zeigt gegen das zehnjährige Mittel 1901/1910 nur wenig Änderung. Das Septembermittel ist um etwa 0.4° wärmer geworden; auch die extrem tiefe Temperatur des Februar hat sich um 0.9° gemildert und kommt daher der des Januar sehr nahe.

Die mittleren Extreme und die mittlere Temperatur-Schwankung.

Von grosser Bedeutung für die Charakteristik des Klimas eines Ortes sind die Extremtemperaturen und die Schwankung, denen die Temperatur unterworfen ist. Wir wollen uns zuerst mit den mittleren Extremen beschäftigen. Die Differenz beider bezeichnet man als mittlere oder aperiodische Schwankung im Gegensatz zur periodischen Schwankung, die als die Differenz zwischen höchstem und tiefstem Wert des täglichen Ganges eines Elementes definiert ist. Da wir an dieser Stelle einen Vergleich der aperiodischen mit der periodischen Schwankung für wesentlich erachten, so sind die entsprechenden Daten dem entsprechenden Abschnitte vorweggenommen.

Bei Auswahl der Vergleichsstationen konnten wir uns auf Partenkirchen und Hohenpeissenberg beschränken.

Partenkirchen

	Jan.	Febr.	März	April	Mai	Juni	Juli	Aug.	Sept.	Okt.	Nov.	Dez.	Jahr
Mittl. Max.	**1.9**	3.4	8.3	12.6	17.3	19.9	**21.4**	21.1	17.4	13.8	6.7	2.7	12.2
Mittl. Min.	— **7.3**	— 6.5	— 2.7	1.0	4.9	8.5	9.9	**10.0**	7.4	3.9	— 1.9	— 5.1	1.9
aperiod. Schwkg.	9.2	9.9	11.0	11.6	**12.5**	11.3	11.5	11.1	10.0	9.9	8.6	**7.8**	10.4

Hohenpeissenberg

	Jan.	Febr.	März	April	Mai	Juni	Juli	Aug.	Sept.	Okt.	Nov.	Dez.	Jahr
Mittl. Max.	0.7	**0.5**	4.5	8.8	13.9	17.5	**19.4**	18.9	14.3	10.4	4.1	2.0	9.6
Mittl. Min.	— 6.0	— **6.1**	— 3.0	0.2	4.7	8.3	**10.0**	9.8	7.2	3.7	— 2.0	— 4.2	1.9
aperiod. Schwkg.	6.7	6.6	7.5	8.6	9.2	9.2	**9.4**	9.1	7.2	6.7	**6.1**	6.2	7.7
period. Schwkg.[1])	**1.7**	2.7	3.3	4.1	4.9	4.7	**5.2**	4.7	3.8	2.9	**1.7**	**1.7**	3.4

Zugspitze

	Jan.	Febr.	März	April	Mai	Juni	Juli	Aug.	Sept.	Okt.	Nov.	Dez.	Jahr
Mittl. Max.	— 8.4	— **9.7**	— 7.7	— 4.9	— 0.4	3.0	4.4	**4.8**	2.4	0.9	— 5.5	— 7.2	— 2.5
Mittl. Min.	— 14.0	— **15.2**	— 13.3	— 10.2	— 5.7	— 2.5	— 0.9	— **0.8**	— 2.6	— 5.3	— 10.3	— 12.3	— 7.8
aperiod. Schwkg.	5.6	5.5	5.6	5.3	5.3	5.5	5.3	5.6	5.0	**6.2**	**4.9**	5.1	5.2
period. Schwkg.	1.1	1.6	2.0	2.7	2.8	**3.1**	2.7	2.6	2.2	1.9	1.2	**0.9**	2.0

Im jährlichen Gang der mittleren Extreme zeigt sich natürlich im allgemeinen das vom Temperaturmittel her gewohnte Bild, in einigen Fällen ist eine Verschiebung der Extremwerte zu konstatieren. Auffällig erscheint ferner noch der Umstand, dass die mittleren Minima in den Wintermonaten in Partenkirchen selbst im zehnjährigen Mittel tiefer liegen, als auf dem Hohenpeissenberg. Das Maximum der mittleren Schwankung fällt an den drei Stationen auf verschiedene Monate. Partenkirchen — am meisten vom Boden beeinflusst — verzeichnet es im Mai, dem Monat grösster Wärmezunahme, der Hohenpeissenberg im Juli, also dem Monat mit höchster Temperatur, die Zugspitze hat die grösste aperiodische Temperaturschwankung im Oktober. Der Herbst bringt eben der Hochstation noch vielfach relativ warme Tage, andererseits verursacht ein Wettersturz im Oktober in kurzer Zeit winterliche Temperaturen. Im Gesamtmittel zeigt sich deutlich die Gesetzmässigkeit der Abnahme der Schwankung mit der Höhe: Sie beträgt auf der Zugspitze nur die Hälfte von der in Partenkirchen. Die Minima der Schwankung fallen auf den November bezw. Dezember.

Zum Vergleiche sind beim Hohenpeissenberg und der Zugspitze auch die täglichen Amplituden (periodische Schwankung) beigesetzt. Der Unterschied der beiden Schwankungen im jährlichen Gang fällt sofort auf[2]). Auf der Zugspitze erreicht die aperiodische Schwankung den grössten Wert im Oktober, den kleinsten im November, während die tägliche Amplitude ihre Extreme im Juni und im Dezember, also zur Zeit des höchsten und tiefsten Sonnenstandes, hat. Am deutlichsten tritt dieser Unterschied hervor, wenn man das Halbjahr Oktober—März dem Halbjahr April—September gegenüberstellt[2]):

[1]) Berechnet auf Grund der Jahre 1911/12, seit 1911 registriert Hohenpeissenberg auch Temperatur.

[2]) Vergleiche in dieser Hinsicht auch Trabert „Der tägliche Gang der Temperatur und des Sonnenscheins auf dem Sonnblickgipfel" pag. 21.

Hohenpeissenberg

	Oktober—März	April—September
Mittl. Schwankung	6.65	8.78
Tägliche Amplit.	2.32	4.56

Zugspitze

	Oktober—März	April—September
Mittl. Schwankung	5.48	5.33
Tägl. Amplit.	1.45	2.68

Die tägliche Amplitude ist abhängig vom Sonnenstande und von der hierdurch bedingten Veränderung der Wärmezufuhr: Sie ist im Sommerhalbjahr etwa das Doppelte von der im Winterhalbjahr. Auf die aperiodische Schwankung ist von grossem Einfluss einerseits der tägliche Gang der Temperatur, andererseits auch die interdiurne Veränderlichkeit der Temperatur, auf die wir später noch näher eingehen werden.

In obiger Tabelle zeigt sich noch ein erwähnenswerter Unterschied zwischen Hohenpeissenberg und Zugspitze, auf den wir noch hinweisen möchten. Im Winterhalbjahr ist die mittlere Schwankung auf dem Hohenpeissenberg kleiner als im Sommerhalbjahr, auf der Zugspitze dagegen ist sie in der Sommerhälfte kleiner.

Es mag überhaupt von Interesse sein die mittleren Extreme und die Schwankung nach Jahreszeiten miteinander zu vergleichen:

	Winter	Frühjahr	Sommer	Herbst	Jahr
Partenkirchen					
Mittl. Max.	2.66	12.73	20.80	12.61	12.20
Mittl. Min.	— 6,29	1.03	9.50	3.12	1.85
aperiod. Schwankung	8.94	11.70	11.30	9.49	9.35
Hohenpeissenberg					
Mittl. Max.	1.06	9.04	18.58	9.62	9.57
Mittl. Min.	— 5.44	0.62	9.33	2.94	1.87
aperiod. Schwankung	6.51	8.42	9.24	6.67	7.70
periodische Schwankung	2.02	4.12	4.87	2.77	3.44
Zugspitze					
Mittl. Max.	— 8 44	— 4.34	4.07	— 0.72	— 2.52
Mittl. Min.	— 13.82	— 9.73	— 1.38	— 6,08	— 7.75
aperiod. Schwankung	5.38	5.39	5.41	5.35	5.23
periodische Schwankung	1.20	2.50	2.80	1.76	1.96

In Partenkirchen und auf dem Hohenpeissenberg zeigt die Schwankung, wie die mittleren Extreme, einen deutlich ausgeprägten jahreszeitlichen Gang. Auf der Zugspitze ist die mittlere Schwankung in den einzelnen Jahreszeiten nur wenig Änderungen unterworfen. Es vereinfacht sich eben der Temperaturverlauf auf der Zugspitze. Die periodische Temperaturschwankung zeigt einen deutlich ausgesprochenen Gang; die Amplituden sind auf der Zugspitze, der grösseren Seehöhe entsprechend kleiner als auf dem Hohenpeissenberg. Auf eine Tatsache, die bereits früher erwähnt wurde, sei auch hier nochmals hingewiesen. Temperaturumkehr macht sich so stark geltend, dass selbst im zehnjährigen Mittel das mittlere Minimum im Winter auf dem Hohenpeissenberg um fasst 1° höher ist als in Partenkirchen.

Die absoluten Temperaturextreme.

Zur deutlichen Hervorhebung des Höhenklimas, mag sich eine zusammenfassende Vergleichung der höchsten und tiefsten Temperaturen im Dezennium 1901/1910 verlohnen:

Absolute Maxima:

	Partenkirchen		Hohenpeissenberg		Zugspitze	
1901	30.5	1. VI.	26.1	1. VI.	11.4	9. VIII.
1902	30.2	19. VIII.	27.0	15. VII.	13.0	4. IX.
1903	30.4	23. VIII.	25 5	3. VII.	14.2	1. IX.
1904	29.4	17. V.	27.5	17. VI.	14,6	31. V.
1905	**34.0**	1. VII.	**30.4**	4. VII.	**17.4**	2. VII.
1906	31.4	3. VIII.	28.7	27. VI. 1. VIII.	11.8	3. VIII.
1907	29.7	6. VIII.	27.1	5. VIII.	13.0	6 VIII.
1908	30.1	12. VII.	29.1	9. VI.	10.9	28. VII.
1909	27.2	22. VI. 10. IX.	26 4	23. VII.	10,6	8. VIII.
1910	29.3	22. VIII.	28.3	21. VIII.	10,8	22. VIII.
Absolut:	34 0	1. VII. 1905	30.4	4. VII. 1905	17 4	2. VII. 1905

Absolute Minima:

	Partenkirchen		Hohenpeissenberg		Zugspitze	
1901	— 24.0	15. II.	— 20.4	6. I.	— 29.4	16. II.
1902	— 16.0	8.—10. XII.	— 16.0	6. XII.	— 23.8	27. I.
1903	— 21.0	18. I.	— 17.6	15. I.	— 23.1	19. IV.
1904	— 17.0	4. I.	— 14.0	1. III.	— 25.0	31. XII.
1905	— 26.7	2. I.	— 23.0	3. I.	**— 34.6**	2. I.
1906	— 21.5	25. I.	— 19.2	25. I.	— 26.4	30. XII.
1907	**— 27.0**	23. I.	**— 26.3**	23. I.	— 26.1	2. II.
1908	— 21.0	3. I.	— 19.0	3. I.	— 24.0	3. II.
1909	— 20.0	25. II.	— 17.4	24. II.	— 27.8	24. II.
1910	— 14.8	11. II.	— 11.7	2. II.	— 26.3	24. I.
Absolut:	— 27.0	23. I. 1907	— 26.3	23. I. 1907	— 34.6	2. I. 1905

Es ist eine charakteristische Eigenschaft des Hochgebirgsklimas, dass es sich infolge der exponierten Lage der Berggipfel nicht durch besonders grosse Winterkälte, sondern hauptsächlich durch relativ niedrige Sommertemperaturen auszeichnet. Wie wir der vorstehenden Tabelle entnehmen, liegen die Jahresmaxima der Zugspitze meistens bei 11°. In dem anormal heissen Sommer 1905 erreichte die Zugspitze die hohe Temperatur von 17.4°. Die höchsten Temperaturen sind in ihrer Eintrittszeit grossen Schwankungen unterworfen: einigemale trat das Maximum erst im Herbst, einmal auch bereits im Mai auf.

Bei den Minimaltemperaturen ist der tiefste Wert meist im Februar zu erwarten. Was wir bereits im vorigen Absatz erwähnten, zeigt sich hier nochmals in aller Deutlichkeit: Die Jahresminima vom Hohenpeissenberg sind durchweg höher als die von Partenkirchen. Die Eintrittsbedingungen für tiefe Temperaturen an Talstationen sind andere wie an den Bergstationen. An ersteren tritt dieselbe im Barometermaximum durch intensive Ausstrahlung ein, während die Berge ihre tiefen Temperaturen bei stürmischem Wetter erreichen. Umsomehr fällt es daher auf, dass die Zugspitze vereinzelt nicht so tiefe Jahresextreme erreicht wie Partenkirchen. Als tiefste Temperatur beobachtete die Zugspitze bis jetzt — 34.6°.

Die Talstationen stehen eben unter dem starken Einfluss des erwärmten oder abgekühlten Bodens, während auf einem freien Gipfel dieser verschärfende Einfluss sich nicht geltend machen kann.

Die absolute Temperaturschwankung.

Die an unseren drei Vergleichsstationen von 1901—1910 beobachteten Extreme waren also folgende:

Maxima:

Partenkirchen: 34.0° am 1. Juli 1905
Hohenpeissenberg: 30.4° am 4. Juli 1905
Zugspitze: 17.4° am 2. Juli 1905

Minima:

Partenkirchen[1]: — 27.0° am 23. Januar 1907
Hohenpeissenberg[2]: — 26.3° am 23. Januar 1907
Zugspitze: — 34.6° am 2. Januar 1905

Somit ergibt sich als

Absolute Schwankung:

Partenkirchen: 61.0°
Hohenpeissenberg: 56.7°
Zugspitze: 52.0°

Die Extremwerte selbst weisen eine grosse Veränderlichkeit auf, wie ein Vergleich der höchsten und tiefsten Extreme ergibt:

	grösstes Max.	kleinstes Max.	Δ	Tiefstes Min.	Höchstes Min.	Δ
Partenkirchen:	34.0	27.2	6.8	— 27.0	— 14.8	12.2
Hohenpeissenberg:	30.4	25.5	4.9	— 26.3	— 11.7	14.6
Zugspitze:	17.4	10.6	6.8	— 34.6	— 23.1	11.5

Der Spielraum, innerhalb dessen sich die Jahresmaxima bewegen, ist ziemlich gering, während die Minima in den extremsten Fällen bedeutend weiter auseinanderliegen können. Der abnorm hohe Wert 17.4 als Maximum der Zugspitze wirkt etwas störend, sonst würde man wohl allgemein behaupten können, dass auch die Veränderungen der Extreme — ähnlich wie die Schwankung — mit der Seehöhe geringer werden.

[1]) Das Minimum des Jahres 1905 (2. Januar) betrug — 26.7°. Das extrem warme Jahr 1905 erreicht somit eine absolute Schwankung von 60.7°.
[2]) Im extremen Jahr 1905 betrug das Minimum — 23.0°.

Die Abnahme der Temperatur mit der Höhe.

Es erübrigt noch auf Grund der Temperaturmittel die Abnahme der Temperatur mit der Höhe einer eingehenderen Betrachtung zu unterziehen. Vor allem betrachteten wir den Gradienten Partenkirchen—Zugspitze und Hohenpeissenberg—Zugspitze, wobei es sich als nützlich erwies, die Mittel um 7 a, 2 p und 9 p gesondert zu untersuchen. Auch Vergleiche der Gradienten Säntis—Zugspitze und Zugspitze—Sonnblick liefern interessante Daten.

Temperaturgradient Partenkirchen—Zugspitze:

	7 a	2 p	9 p	Mittel
Januar	**0.30**	0.49	**0.34**	**0.37**
Februar	0.40	0.61	0.43	0.46
März	0.48	**0.77**	0.44	0.57
April	**0.56**	**0.77**	0.58	0.62
Mai	**0.56**	**0.77**	0.58	**0.63**
Juni	**0.56**	0.73	**0.59**	0.62
Juli	0.55	0.75	**0.59**	0.62
August	0.52	0.74	0.56	0.60
September	0.47	0.68	0.52	0.54
Oktober	0.42	0.65	0.42	0.50
November	0.37	0.56	0.40	0 43
Dezember	0.33	**0.43**	**0.34**	**0.37**
Winter	**0.34**	**0.51**	**0.37**	**0.40**
Frühjahr	0.53	**0.77**	0.53	0.60
Sommer	**0.54**	0.74	**0.58**	**0.61**
Herbst	0.42	0.63	0.45	0.49
Jahr	0.46	0.67	0.49	0.52

Temperaturgradient Hohenpeissenberg—Zugspitze:

	7 a	2 p	9 p	Mittel
Januar	**0.46**	0.48	0.48	0.47
Februar	0.51	0.55	0.50	0.52
März	0.57	0.69	0.59	0.60
April	0.60	0.69	0.61	0.63
Mai	0.62	0.71	0.62	0.64
Juni	0.64	0.70	0.63	0.65
Juli	**0.65**	**0.73**	**0.65**	**0.67**
August	0.61	0 70	0.63	0.64
September	0.54	0.62	0.56	0.57
Oktober	0.52	0.57	0.48	0.53
November	**0.46**	0.48	0.47	0.47
Dezember	0.47	**0.42**	**0.46**	**0.46**
Winter	**0.47**	**0.48**	**0.48**	**0.48**
Frühjahr	0.59	0.70	0.60	0.62
Sommer	**0.63**	**0.71**	**0.63**	**0.65**
Herbst	0.50	0.55	0.50	0.52
Jahr	0.55	0.61	0.46	0.57

Die Abnahme der Temperatur pro 100 m Erhebung beim Anstieg Partenkirchen—Zugspitze und Hohenpeissenberg—Zugspitze wird stark modifiziert[1]) durch die Tallage Partenkirchens einerseits und die freiere Gipfellage des Hohenpeissenbergs andererseits.

Im ersten Falle nimmt die Temperatur nach oben am langsamsten ab im Dezember und Januar. Leider macht sich hier der Mangel einer Zwischenstation zur staffelweisen Berechnung des Gradienten geltend; denn im Winter findet beim vertikalen Aufstieg vom Tale zuerst bekanntlich eine nicht unbeträchtliche Temperaturzunahme und dann erst die Abnahme statt. In den Monaten, wo in den Tälern strengste Winterkälte herrscht, erfreuen sich die Hochstationen der Temperaturumkehr. Im langjährigen Monatsmittel treten natürlich diese Fälle nicht mehr hervor. Die Abnahme der Temperatur mit der Höhe ist am grössten im Mai. Während im Tale die Temperaturen rasch ansteigen und sich auch der Boden stark erwärmt hat die Zugspitze noch tiefen Winter: Das Maimittel der Zugspitztemperatur ist etwas niedriger als das Januarmittel von Partenkirchen. Auf der Zugspitze wird eben ein grosser Teil der Wärme zur Schneeschmelze

[1]) Vergl. „Der heisse Sommer 1911 usw." pag. 3 u. 4.

verbraucht. Aus diesem Grunde zeigt sich eben vom April bis Juli wenig Veränderung der vertikalen Temperaturabnahme. Der grosse Temperaturgradient findet seine Erklärung in dem relativ kalten Sommer in Zugspitzhöhe und der durch übermässige Erhitzung des Partenkirchener Talbeckens noch verschärften Gegensätze.

Die Wirkung der Einstrahlung ist auch sehr deutlich in der Veränderung des Gradienten mit der Tageszeit bemerkbar. Um 7a und 9p ist die Temperaturabnahme pro Hundertmeter nahezu gleich (0.46 bezw. 0.49), um 2p ist sie jedoch ca 0.20° grösser : 0.67. Im Mittel findet die rascheste Abnahme im Frühjahr und Sommer in den Nachmittagsstunden statt.

Die Beiziehung des Hohenpeissenberg[1]) als Basis gibt einfachere Verhältnisse.

Das Maximum im jährlichen Verlauf fällt auf den Sommer, speziell auf den Juli. Dies zeigt sich eindeutig an den Mittelwerten der drei Terminsbeobachtungen. Strahlungskälte und damit verbundene Inversion bedingen die langsame Temperaturänderung mit der Höhe im Winter, besonders im Dezember. Wie bei Partenkirchen, so kommt auch beim Hohenpeissenberg als Ausgangspunkt die relativ langsame Temperaturabnahme in den Herbstmonaten auch im Mittel noch zahlenmässig zum Ausdruck.

Im allgemeinen haben diese Daten mehr meteorologisches als klimatologisches Interesse.

Trotzdem sei es aber noch gestattet auf den Gradienten Säntis—Zugspitze kurz einzugehen, obwohl die grosse Horizontalentfernung der beiden Berggipfel störend sein könnte. Die Gradienten im Winter, Frühjahr und Herbst zeigen nur geringe Verschiedenheit: 0.50—0.53—0.54. Im Sommer wird der relativ hohe Wert von 0.62° erreicht. Im allgemeinen hat der 2500 m hohe Säntis im jährlichen Verlauf ähnliche Verhältnisse der Schneebedeckung wie die Zugspitze. Dagegen ist im Sommer der Einfluss der bedeutenderen Seehöhe der Zugspitze deutlich erkennbar.

In der freien Atmosphäre nimmt in der Schichte 1000 – 3000 m die Temperatur[2]) am langsamsten ab im Winter, am raschesten jedoch im Frühjahr.

Nachstehend fassen wir noch die wichtigsten Werte zusammen und fügen noch einige denselben zugrunde gelegten Jahreszeitenmittel bei.

Temperaturmittel:

	Winter	Frühjahr	Sommer	Herbst
Partenkirchen	— 2.3	6.4	14.9	7.2
Hohenpeissenberg	— 1.8	5.0	14 0	6.4
Säntis	— 8 9	— 4.7	4.1	— 1 3
Zugspitze	— 11.2	— 7.2	1.1	— 3.8
Sonnblick	— 13.2	— 8.6	0.3	— 5.6

Temperaturgradient:

	Winter	Frühjahr	Sommer	Herbst
Hohenpeissenberg—Zugspitze	**0.48**	0.62	**0.65**	0.52
Freie Atmosphäre 1000 m—3000 m	**0.40**	**0.62**	0.57	0.49
Säntis—Zugspitze	**0.50**	0.53	0.62	0.54

Jahresmittel der Gradienten:

Partenkirchen—Zugspitze	0 52	Säntis—Zugspitze	0.54
Hohenpeissenberg—Zugspitze	0.57	Freie Atmosphäre 1000 m—3000 m	0.53

Die Ableitung eines Temperaturgradienten Zugspitze—Sonnblick ist wegen der klimatisch anderen Lage des Sonnblicks nicht gut möglich. Wir wollen jedoch unter Zugrundelegung des Gradienten Hohenpeissenberg—Zugspitze berechnen, welche Temperatur der 3106 m hohe Sonnblick haben müsste, wenn er in der Nähe der Zugspitze stünde.

Temperatur des Sonnblick:

	Berechnet	Beobachtet	△		△
Januar	— 11.80	— 13.34	— **1.54**		
Februar	— 13.30	— 14.59	— 1.29	Winter	— **1.37**
März	— 11.45	— 12.55	— 1.10		
April	— 8.59	— 9.03	— 0.44		
Mai	— 4.09	— 4.34	— 0.25	Frühjahr	— 0.60
Juni	— 0.87	— 0.90	— **0.03**		
Juli	0.67	0.78	0.11		
August	0.86	0 97	0.11	Sommer	**0.06**
September	— 1.18	— 2.58	— 1 40		
Oktober	— 3 94	— 4 70	— 0.76		
November	— 8.60	— 9 61	— 1.01	Herbst	— 1.06
Dezember	— 10.43	— 11.71	— 1.28		
Jahr	— 6.04	— 6.80	— 0 76		

[1]) Schmauss hat in den „Münchener Registrierballonfahrten 1907" pag. 50 auf Grund der Mittel Sept. 1901 bis Aug. 1906 den Gradienten Hohenpeissenberg—Zugspitze berechnet. Die dort konstatierte Verschiebung des Minimums der 2p Ablesung auf der Zugspitze auf den Januar ist im Mittel 1901/10 nicht mehr vorhanden.

[2]) Aus Schmauss „Die Münchener Registrierballonfahrten im Jahre 1911" pag. 41.

Der in der Zentralkette gelegene Sonnblick hat wesentlich andere Temperaturverhältnisse als die am Nordrande der nördlichen Kalkalpen gelegene Zugspitze. Trotz der grösseren Seehöhe, die eine Milderung der Temperaturgegensätze bedingen würde, macht sich die kontinentalere Lage des Sonnblicks durch eine Verschärfung der Gegensätze geltend. Am grössten ist die Differenz zwischen berechnetem und beobachtetem Temperaturmittel im Monat Januar (Sonnblick ist um 1.5° zu kalt), am geringsten ist sie im Juni. Nur Juli und August sind tatsächlich wärmer als der durch Rechnung gewonnene Wert. Im allgemeinen sind auf dem Sonnblick Winter, Frühjahr und Herbst zu kalt, der Sommer um einen geringen Betrag zu warm. Im Jahresmittel ergibt sich für den Sonnblick eine um 0.8° zu tiefe Mitteltemperatur.

Die Seehöhe der Nullgradisotherme.

Ein anschauliches Bild vom Jahresverlauf der Temperatur in der Vertikalen erhält man, wenn man mit Hilfe des Temperaturgradienten Hohenpeissenberg—Zugspitze die Seehöhe der Nullgradisotherme berechnet.

	Seehöhe der Nullisotherme	Änderung der Seehöhe von Monat zu Monat
Januar	(550 m)	(— 30 m)
Februar	(**520** m)	+ 650 m
März	1170 m	+ 550 m
April	1720 m	+ **750** m
Mai	2470 m	+ 510 m
Juni	2980 m	+ 210 m
Juli	3190 m	+ 50 m
August	**3240** m	— 350 m
September	2890 m	— 540 m
Oktober	2350 m	— **1090** m
November	1260 m	(— 440 m)
Dezember	(820 m)	
Jahr	2030 m	

Hier zeigt sich ganz sinnfällig der jährliche Temperaturgang!

Der Natur der Sache nach kommt diesen Zahlen nur relative Bedeutung zu. Im Winter liegt die Nullisotherme unter der Höhe des Hohenpeissenberg; die in Klammern beigesetzten Zahlenwerte sind daher nicht diskutabel.

Der intensiven Temperatursteigerung im Frühjahr entsprechend, nimmt die Seehöhe der Nullinie vom April zum Mai um 750 m zu. Vom Oktober zum November tritt eine rapide Senkung um ca. 1100 m ein.

Im Jahresdurchschnitt ergibt sich für die Nullgradisotherme eine Seehöhe von 2030 m.

Die barometrische Mitteltemperatur.

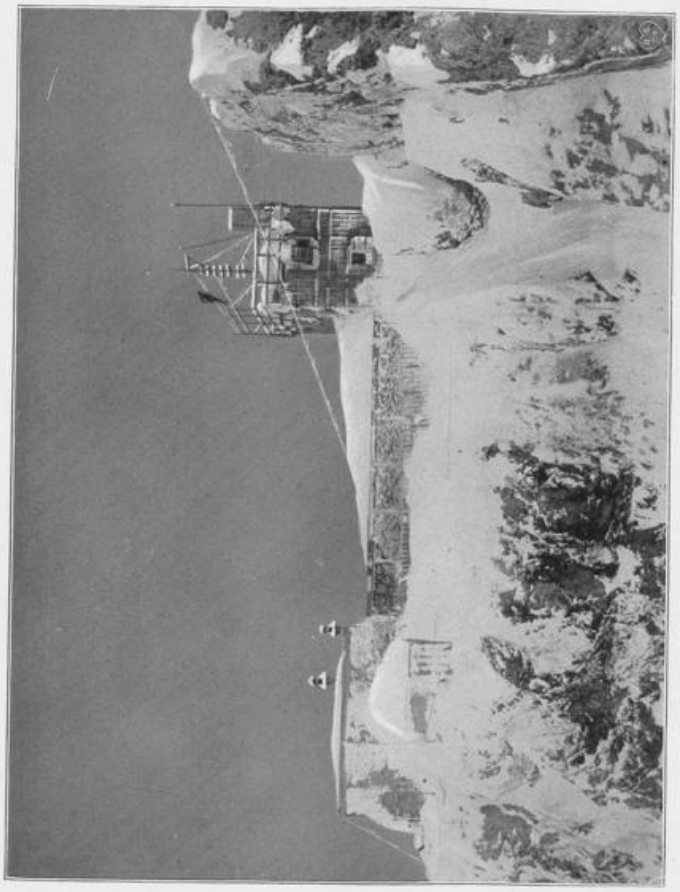
Wir haben eben gesehen, wie gross der Einfluss des erwärmten oder abgekühlten Bodens auf die Temperaturverhältnisse ist. Wir wollen auf diesen Punkt noch etwas näher eingehen.

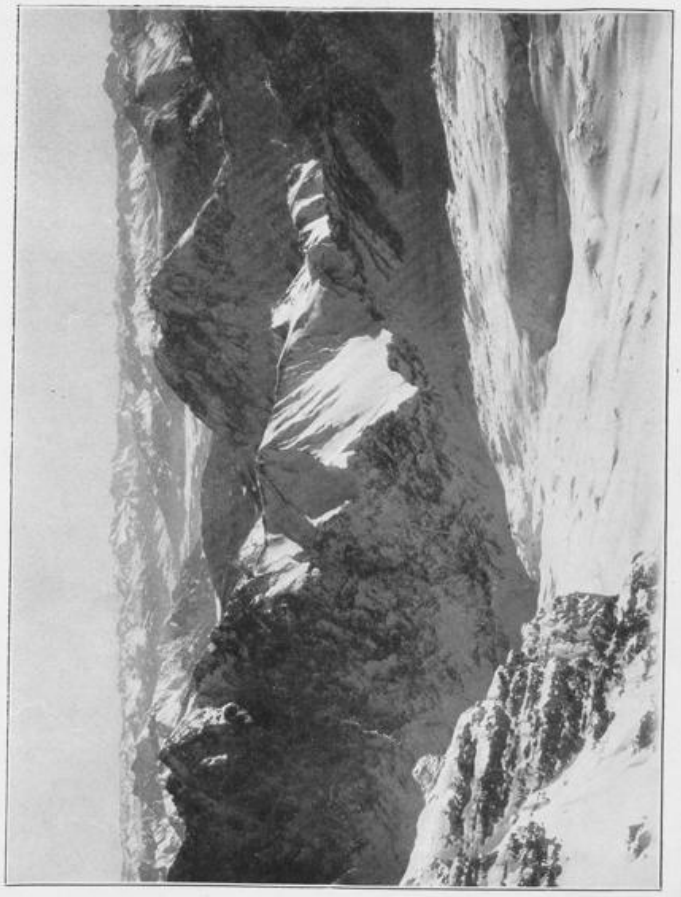
Die Höhendifferenz zweier Orte ist eine Funktion der Barometerstände und der Mitteltemperatur der Luftsäule. Umgekehrt lässt sich bei gegebenem Δh und bekannten Barometerständen aus der barometrischen Höhenformel die Mitteltemperatur Θ bestimmen. Vergleicht man nun Θ mit der aus den Thermometerablesungen der beiden Stationen gebildeten Mitteltemperatur $\frac{t_1 + t_2}{2}$, so zeigen sich prinzipielle Unterschiede. Nach diesen Gesichtspunkten haben wir nun die Mitteltemperaturen Θ und $\frac{t_1 + t_2}{2}$ für die Luftsäule Hohenpeissenberg—Zugspitze berechnet:

	Θ	$\frac{t_1 + t_2}{2}$	Δ
Januar	— 5.12	— 6.66	— 1.54
Februar	— **8.47**	— **7.52**	+ 0.95
März	— 6.17	— 4.79	+ **1.38**
April	— 2.21	— 1.55	+ 0.67
Mai	4.58	3.14	— 1.44
Juni	6.95	6.49	— 0.46
Juli	8.14	**8.17**	+ 0.03
August	**9.34**	8.07	— 1.27
September	6.52	5.20	— 1.32
Oktober	5.67	2.00	— **3.67**
November	— 1.10	— 3.36	— 2.26
Dezember	— 5.17	— 5.30	— 0.13
Jahr	0.96	0.31	— 0.65









Die mittlere Temperatur $\frac{t_1 + t_2}{2}$ ist sehr stark beeinflusst von der Art der Aufstellung und der Unterlage (ev. Schneebedeckung) an beiden Stationen. Im Jahresdurchschnitt ist $\frac{t_1 + t_2}{2}$ um etwa 0.7° kälter als Θ. Ziehen wir den jährlichen Gang der Differenzen in Betracht, so ergibt sich zugunsten der mittleren Temperatur für die Monate Februar-April inkl. ein Überschuss von 1°. Dies sind aber gerade die Monate in denen auf der Zugspitze sehr tiefe Temperaturen und daher relativ geringer Luftdruck herrschen, während auf dem Hohenpeissenberg die Frühjahrstemperaturen sich ziemlich stark bemerkbar machen. Im Juli ist der Unterschied der beiden Mitteltemperaturen nahezu Null; im Oktober weichen sie am meisten voneinander ab, und zwar beträgt der Überschuss von Θ nahezu 4°. In den Herbstmonaten dürfte die oft ungehinderte starke nächtliche Ausstrahlung die Ursache der starken Temperaturerniedrigung sein.

Aus diesen (relativen) Betrachtungen ergibt sich, dass an acht Monaten des Jahres $\frac{t_1 + t_2}{2}$ kleiner ist als Θ. Der Grund hierfür liegt offenbar in der Tatsache, dass die Berge im Mittel meist kälter sind als die freie Atmosphäre in gleicher Seehöhe, eine Frage, auf die wir im Nachstehenden bald näher eingehen werden.

Vorher wollen wir jedoch noch kurz für die einzelnen Terminswerte die Differenzen: Temperaturmittel — barometrische Mitteltemperatur bilden:

	Jan.	Febr.	März	April	Mai	Juni	Juli	Aug.	Sept.	Okt.	Nov.	Dez.	Jahr
7 a	— 2.8	0.0	**+ 0.7**	+ 0.3	— 1.5	— 0.5	— 0.3	— 1.7	— 1.8	**— 4.3**	— 2.7	— 1.1	— 1.2
2 p	0.0	+ 3.7	**+ 4.0**	**+ 4.0**	+ 1.5	+ 2.3	+ 2.5	+ 1.6	**+ 1.6**	**— 0.9**	0.0	+ 1.7	+ 1.9
9 p	— 2.5	**+ 0.7**	+ 0.1	+ 0.6	— 1.9	— 0.9	— 0.7	— 1.9	— 1.4	**— 3.6**	— 2.7	— 1.1	— 1.1

7 a und 9 p, also die von der Einstrahlung am wenigsten oder gar nicht beeinflussten Tagesstunden, verhalten sich nahezu gleich: Das Temperaturmittel ist um 1° zu niedrig. Dagegen ist um 2 p die Mitteltemperatur um rund 2° höher als die barometrisch berechnete Temperatur der Luftsäule. Der Einfluss der Einstrahlung ist unverkennbar.

Im allgemeinen zeigt sich auch hier im einzelnen, dass die Monate Februar, März und April im Temperaturmittel die wärmsten sind, dass dagegen im Oktober (auch um 2 p), das Temperaturmittel weit unter der barometrischen Mitteltemperatur bleibt.

Die Berge und die freie Atmosphäre.

Wie wir im vorigen Abschnitt bereits erwähnten, erhält man interessante Gesichtspunkte, wenn man die Temperaturverhältnisse der Berge mit denen der freien Atmosphäre in gleicher Seehöhe vergleicht.

In nachstehender Tabelle sind die Temperaturen von Hohenpeissenberg, Säntis, Zugspitze und Sonnblick denen in 1000 m, 2500 m bezw. 3000 m Höhe der freien Atmosphäre gegenübergestellt.

Säntis und noch mehr der Sonnblick sind der grossen horizontalen Entfernung wegen mit einem Fehler behaftet; immerhin lassen sich wichtige Resultate ableiten.

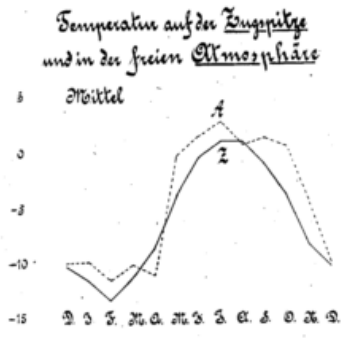
Die Mitteltemperaturen für die verschiedenen Seehöhen der freien Atmosphäre sind den „Münchener Registrierballonfahrten im Jahre 1911" von Schmauss, pag. 41 entnommen; sie beziehen sich etwa auf 8ʰ a.

Für die Bergstationen wurden als Vergleichswerte die Temperaturmittel von 7ʰ a, als der den Ballonfahrten nächsten Terminsablesung, genommen.

Die Temperaturverhältnisse auf den Bergen (7 a) und in der freien Atmosphäre über München (etwa 8 a):

	Hohen-peissenberg	Atmosph. 1000 m	Δ	Säntis	Atmosph. 2500 m[1])	Δ	Zugspitze	Atmosph. 3000 m	Δ	Sonnblick	Δ
Januar	— 2.7	— 3.4	+ 0.7	— 9.0	— 7.7	— 1.3	— 11.6	— 9.9	— 1.7	— 13.7	— 3.8
Februar	**— 3.4**	**— 5.6**	**+ 2.2**	**— 10.9**	**— 9.8**	— 1.1	**— 13.4**	**— 11.5**	— 1.9	**— 15.2**	— 3.7
März	— 0.2	1.3	— 1.5	— 8.8	— 7.2	— 1.6	— 11.4	— 10.2	— 1.2	— 13.3	**+ 3.1**
April	3.1	2.4	+ 0.7	— 5.4	— 7.6	**+ 2.2**	— 8.7	— 11.1	**+ 2.4**	— 10.0	+ 1.1
Mai	8.1	11.2	— 3.1	— 1.2	2.4	— 3.6	— 4.0	— 0.5	— 3.5	— 5.2	— 4.7
Juni	11.9	12.9	— 1.0	2.5	4.8	— 2.3	— 0.6	1.3	— 1.9	— 1.6	— 9.2
Juli	**13.6**	**13.9**	— 0.3	**4.1**	**5.7**	— 1.6	**0.9**	**2.6**	— 1.7	0.0	— 2.6
August	13.0	12.1	+ 0.9	**4.1**	3.4	+ 0.7	**0.9**	0.6	+ 0.3	**0.2**	— 0.4
September	9.5	12.0	— 2.5	1.8	4.2	— 2.4	— 1.1	1.2	— 2.3	— 2.3	— 3.5
Oktober	6.2	10.2	— 4.0	— 1.2	3.7	**— 4.9**	— 3.9	1.4	**— 5.3**	— 5.3	**— 6.7**
November	0.6	5.0	**— 4.4**	— 5.8	— 1.3	— 4.5	— 8.4	— 4.4	— 4.0	— 9.9	— 5.5
Dezember	— 1.3	1.1	— 2.4	— 7.8	— 7.0	— 0.8	— 10.3	— 10.0	— 0.3	— 12.0	— 2.0
Jahr	4.9	7.0	— 2.1	— 3.1	— 0.7	— 2.4	— 6.0	— 3.6	— 2.4	— 7.4	— 3.8

[1]) Interpoliert aus den Werten von 2000 m und 3000 m.



Im allgemeinen finden wir auch hier die Tatsache bestätigt, dass im Mittel die Berge kälter sind als die freie Atmosphäre.

Der Hohenpeissenberg ist in den Wintermonaten Januar und Februar wärmer als die freie Atmosphäre über München in 1000 m absoluter Höhe. Man dürfte nicht fehlgehen, den Grund hiefür in der winterlichen Temperaturumkehr im Gebirge zu suchen, n deren Maximalgebiet der Hohenpeissenberg liegt. Säntis und Zugspitze befinden sich bereits über der Inversionsschichte: Säntis ist um 1.3°, die Zugspitze um 1.7° zu kalt. Im März ist die Differenz durchweg negativ und nahezu von der gleichen Grösse. Der April, neben dem Oktober der interessanteste Monat im Temperaturgang, ist auf den Bergen viel wärmer als in der freien Atmosphäre: Der Hohenpeissenberg ist um 0.7°, der Säntis um 2.2° und die Zugspitze um 2.4° wärmer. Für den Hohenpeissenberg eine Erklärung zu finden, hält nicht schwer: Der Schnee ist meist schon geschmolzen und im Frühjahr wird auch die Erwärmung vom Boden her schon sehr kräftig. Im April ist für den Säntis und die Zugspitze das Maximum des Überschusses über die Temperatur der freien Atmosphäre zu verzeichnen: Er beträgt an den beiden Hochstationen mehr als 2°. Interessant ist ein Vergleich mit den höheren Schichten der Atmosphäre. Wie die isoplethäre Darstellung[1]) zeigt, tritt in der Stratosphäre das Frühjahrsminimum im April ein, im März ist ganz deutlich eine Senkung der Isothermen zu konstatieren. Offenbar ist die freie Atmosphäre im April noch relativ kalt, während die Berge, wenn auch nicht viel, sich als gehobene Ländermassen erwärmen können. In den Monaten Mai, Juni und Juli sind die Berge durchweg zu kalt; der Mai ist auf den Bergen besonders kalt. In diesen Monaten tritt aber durchweg die stärkste Temperatursteigerung ein. Es liessen sich hiefür mehrere Punkte anführen, warum die Berge kälter sind: Die Schneebedeckung der Berge, die Isothermien der freien Atmosphäre, der an den Bergen öfter ausgelöste Vorgang der Konvektion usw. Es dürfte sich jedoch empfehlen, Einzeluntersuchungen nicht vorzugreifen.

Der August als der Monat mit höchstem Temperaturmittel ist auf den Bergen wärmer als in der freien Atmosphäre: Gehobene Ländermassen erwärmen sich sehr stark. Deutlich tritt auch die Abnahme des Überschusses mit wachsender Seehöhe hervor; der Sonnblick sogar ist um einen geringen Betrag zu kalt. Mit Ausnahme des Sonnblick ist der September an allen drei Vergleichsstationen gleichmässig zu kalt.

Im Oktober, November und Dezember sind die Berge gegen die freie Atmosphäre viel zu kalt; die Abweichungen im Oktober liegen zwischen 4° und 7°. Der „schöne Herbst" scheint sich also hier nicht zu äussern: Gerade in dem Wärmeüberschuss der freien Atmosphäre liegt ein typisches Moment des Herbstwetters: Es finden sich vielfach Inversionen oder mindestens Isothermien vor, die die relativ hohe Temperatur der Atmosphäre erklären, während auf den Bergen die starke nächtliche Ausstrahlung das Temperaturmittel erniedrigt, andererseits durch den starken vertikalen Luftaustausch die Ausbildung von Isothermien verhindert wird. Auch hier sei wiederum auf die oben zitierte isoplethäre Darstellung von Schmauss hingewiesen, wo sich bis zur Stratosphäre hinauf eine kräftige Hebung der Isothermen zeigt.

Von Interesse dürfte auch eine Zusammenfassung der Temperaturverhältnisse nach Jahreszeiten sein, wobei natürlich Einzelheiten verloren gehen.

	Winter	Frühjahr	Sommer	Herbst	Jahr
Hohenpeissenberg	— 2.5	3.7	12.8	5.4	4.9
1000 m	— 2.6	5.0	13.0	9.1	7.0
Δ	+ 0.1	— 1.3	— 0.2	— 3.7	— 2.1
Säntis	— 9.2	— 5.1	3.6	— 1.7	— 3.1
2500 m	— 8.2	— 4.1	4.6	2.2	— 0.7
Δ	— 1.0	— 1.0	— 1.0	— 3.9	— 2.4
Zugspitze	— 11.8	— 8.0	0.4	— 4.5	— 6.0
3000 m	— 10.5	— 7.3	1.5	— 0.6	— 3.6
Δ	— 1.3	— 0.7	— 1.1	— 3.9	— 2.4
Sonnblick	— 13.6	— 9.5	— 0.5	— 5.8	— 7.4
3000 m	— 10.5	— 7.3	1.5	— 0.6	— 3.6
Δ	— 3.1	— 2.2	— 2.0	— 5.2	— 3.8

Temperaturdifferenz Herbst-Frühling

	Gesamtmittel:
Partenkirchen:	0.8
Hohenpeissenberg:	1.4
Säntis:	3.4
Zugspitze:	3.4
Sonnblick:	3.0

[1]) Schmauss, „Münchener Registrierballonfahrten im Jahre 1910", pag. 36.

	7a:	Δ
Hohenpeissenberg:	1.7	
		— 2.4
1000 m:	4.1	
Säntis:	3.4	
		— 2 9
2500 m:	6.3	
Zugspitze:	3.5.	
		— 3.2
3000 m:	6.7	
Sonnblick:	3.7	
		— 3.0

Um Wiederholungen zu vermeiden, sei von einer Diskussion obiger Daten abgesehen. Wir wollen lediglich auf den Temperaturunterschied zwischen Herbst und Frühjahr kurz eingehen.

Das Temperaturmittel des Herbstes liegt durchweg höher als das des Frühjahrs; besonders macht sich dies an den Hochstationen bemerkbar; Zugspitze und Säntis haben eine Differenz von etwa $3^1/_2{}^0$ aufzuweisen. Einerseits macht sich hier die im Frühjahr konstatierte Temperaturerniedrigung infolge der Schneeschmelze, andererseits die durch stabile Wetterlagen bedingte hohe Herbsttemperatur geltend. In der freien Atmosphäre tritt der Unterschied im (allerdings kurzen) Mittel noch stärker hervor. Der Temperaturüberschuss Herbst-Frühling ist auf den Bergen um 2^0—3^0 kleiner als in der freien Atmosphäre.

Diese Tatsache gibt uns Anlass die Temperaturschwankungen in der freien Atmosphäre mit denen auf den Bergen näher zu vergleichen; wir wollen uns jedoch auf die Besprechung der Jahresamplitude beschränken.

Die Jahresamplitude auf Bergen und in der freien Atmosphäre.

Unter Jahresamplitude verstehen wir die Differenz zwischen höchstem und niedrigstem Temperaturmonatsmittel. Um einen Vergleich mit der Atmosphäre [1]) zu ermöglichen, sind auch hier den Bergstationen die Temperaturmittel von 7a, als der den Ballonaufstiegen nächstgelegenen Beobachtungszeit zugrunde gelegt.

Jahresschwankung der Temperatur.

Hochstationen 7a:		Freie Atmosphäre:	
Hohenpeissenberg:	17.0	1000 m:	19.5
Säntis:	15.0	2500 m:	15.4
Zugspitze:	14.3	Zugspitzhöhe:	14.2
Sonnblick:	15.4	Sonnblickhöhe:	14.1

Von der Station Hohenpeissenberg in rund 1000 m Seehöhe abgesehen, stimmen die Jahresschwankungen auf den Bergen und in der freien Atmosphäre gut überein; Säntis zeigt eine Übereinstimmung bis auf $0{,}4^0$; ein für die noch kurze Reihe der Registrierballonfahrten sehr günstiges Resultat ist die Übereinstimmung mit den Zugspitzbeobachtungen. Vermöge ihrer günstigen Lage am Nordrande der Alpen partizipiert die Zugspitze an den Schwingungen der freien Atmosphäre.

Berechnet man die Abnahme der Jahresschwankung pro 100 m Erhebung so ergibt sich:

aus Hohenpeissenberg—Zugspitze:	0.14^0
für die freie Atmosphäre:	0.27^0.

Die Amplitude des jährlichen Temperaturganges nimmt also in der freien Atmosphäre doppelt so rasch ab als auf den Bergen.

Berechnet man nun unter der Voraussetzung $\Delta A = -0.14\,h$ für den Sonnblick die Jahresschwankung so erhält man 14.2^0, während der beobachtete Wert 15.4^0 beträgt. Die tatsächliche Jahresschwankung des Sonnblickgipfels ist also um 1.2^0 zu gross, was offenbar in der klimatisch anders gearteten Lage des Sonnblicks liegen muss. Wie wir pag. 57 sahen, ist die Augusttemperatur des Sonnblick nur um 0.1^0 zu hoch. Die Vergrösserung der Jahresschwankung ist also zum grössten Teil auf Rechnung der grossen Februarkälte zu setzen.

Hier äussert sich deutlich der Einfluss der Lage des Sonnblicks. Das Tauerngebiet, in erster Linie die Täler, sind bekannt durch ihre strenge Winterkälte. Die kontinentalere Lage, bezw. die zentrale Lage in einem Gebirgsstocke, vergrössert eben die Temperaturgegensätze. Der Sonnblick ist vom nördlichen und südlichen Rande der Alpen je ca 180 km entfernt, während nördlich von Zugspitze oder Säntis bereits in ca 30 km sich die Ebene ausdehnt. Die Zugspitze liegt überdies 155 km, der Säntis 280 km westnordwestlich bezw. westlich vom Sonnblick. Bei diesen Entternungen machen sich also auch in 2500—3000 m Seehöhe die klimatischen Verhältnisse eines verschärften oder gemilderten Landklimas noch deutlich bemerkbar [2]).

---

[1]) Entnommen den „Münchener Registrierballonfahrten im Jahre 1911", pag. 41.

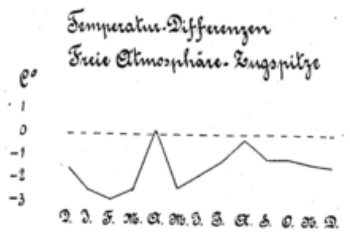
[2]) Nach Trabert „Der tägliche Gang der Temperatur und des Sonnenscheins auf dem Sonnblickgipfel" beträgt die Jahresschwankung sogar 16.4^0.

Die auf Grund der Münchener Registrierballonfahrten abgeleiteten Temperatur mittel für verschiedene Seehöhen sind wenigstens für die geringeren Höhen ganz zuverlässig, um wenigstens qualitative Schlüsse daraus zu ziehen.

Immerhin dürfte es aber zur Ergänzung noch empfehlenswert sein, auf Einzelwerte zurückzugehen. Wir haben nun die in der freien Atmosphäre über München in 3000 m Seehöhe gemessenen Temperaturen[1]) mit den gleichzeitig (8^ha) auf der Zugspitze notierten verglichen. Wir fanden nun, dass in 80.8 % Fällen die Zugspitze kälter war als die freie Atmosphäre, in 19,2 % dagegen wärmer. Besonders häufig ist die Zugspitze im April, sowie im September und Oktober wärmer als die freie Atmosphäre. Die mittleren Differenzen der Temperaturen Atmosphäre minus Zugspitze haben folgende Werte:

Jan.	Febr.	März	April	Mai	Juni	Juli	Aug.	Sept.	Okt.	Nov.	Dez.	Jahr
— 2.5	— 2.9	— 2.5	0.2	— 2.4	— 1.8	— 1.2	— 0.2	— 1.1	— 1.1	— 1.3	— 1.4	— 1.4

Die Zugspitze ist — mit Ausnahme des April — durchweg kälter als die Atmosphäre in gleicher Höhe über München, im Jahresmittel um — 1.4°.



Ganz auffällig ist der grosse Temperaturüberschuss im April. H. von Ficker[2]) hat eine Erklärung für den Wärmeüberschuss der Berge über die freie Atmosphäre bei Föhn gegeben; es liegt nahe für die relativ hohe Apriltemperatur der Zugspitze neben der Föhnwirkung noch die starke Erwärmung durch Einstrahlung im Frühjahr geltend zu machen. Im März und Mai dagegen ist die Zugspitze um nahezu 2.5° kälter als die Atmosphäre. Im August ist der Berg im Temperaturmittel nur wenig unter dem der freien Atmosphäre. Sehr gross dagegen ist die Abweichung im kältesten Monat des Berggipfels, im Februar: nahezu 3°. Die Monate September bis Dezember sind um etwas mehr als 1° zu kalt, die Veränderung von einem Monat zum anderen ist aber sehr gering.

Für die einzelnen Jahreszeiten ergeben sich folgende Temperaturdifferenzen zwischen freier Atmosphäre und Zugspitze:

Winter	Frühjahr	Sommer	Herbst	Jahr
— 2.3	— 1.6	— 1.1	— 1.2	— 1.4

Was den monatlichen und jahreszeitlichen Verlauf der Temperaturunterschiede betrifft, so finden wir bei der Zugspitze im allgemeinen ähnliche Verhältnisse, wie Hildebrandt[3]) für den Brocken fand. Auf dem Brocken macht sich der starke Temperaturanstieg im Mai ganz intensiv bemerkbar, dasselbe gilt für die Sommermonate, wo sich die geringsten Differenzen ergeben. Wie oben bereits hervorgehoben wurde, tritt auf der Zugspitze der April besonders hervor, während sich der Mai wieder durch relativ grosse Kälte auszeichnet. Es ist sicher anzunehmen, dass bei Zugrundelegung einer grösseren Beobachtungsreihe auch für die Zugspitze für alle Monate sich eine negative Temperaturabweichung ergeben wird.

Über den Tagesverlauf des Temperaturunterschiedes zwischen freier Atmosphäre und Zugspitze lässt sich wegen der geringen Anzahl der Ballonaufstiege zu anderen als den Morgenstunden nur wenig sagen. Die zur Verfügung stehenden 5 Ballonfahrten aus dem Jahre 1912 lassen zum Teil einen Wärmeüberschuss[4]) des Berges um 2^hp erkennen, es zeigen sich jedoch auch Abweichungen im anderen Sinne. Im Sommer sind untertags ohne Zweifel die Berge wärmer als die freie Atmosphäre[5]). Finsterwalder und Sohncke haben wichtige Resultate über die Temperaturunterschiede zwischen Berg und Atmosphäre im bayrischen Alpengebiet abgeleitet, auf die wir hier wenigstens in Kürze hinweisen wollen. Unter anderem finden wir hier bereits die Tatsache angeführt, dass im Winter die freie Atmosphäre höhere Temperaturen aufweist als die Gebirgsstationen. Auf die dort weiter abgeleiteten Resultate über den täglichen Gang des Temperaturunterschiedes usw. können wir wegen der geringen Anzahl der uns aus den späteren Tagesstunden zur Verfügung stehenden Aufstiege nicht weiter eingehen.

Es dürfte wohl überdies den Rahmen vorliegender Arbeit überschreiten, wollten wir auf die Besprechung der Temperaturunterschiede zwischen Bergen und der freien Atmosphäre bei verschiedenen Wetterlagen und Windrichtungen einlassen.

Der Jahresverlauf der Temperatur nach Pentadenmitteln.

Die bis jetzt besprochenen Daten beruhen durchweg auf Monatsmitteln. Hiebei gehen viele interessante Momente verloren. Auf Untersuchung von Einzelfällen des näheren einzugehen, ist nicht Aufgabe der Klimatologie. Es verlohnt sich, zur Mittelbildung eine weniger ausgleichende Zusammenfassung zu wählen, als es die Monatsmittel sind, beispielsweise die Zusammenfassung nach fünftägigen Perioden.

Der Temperaturgang nach Monatsmitteln zeigt ein ziemlich regelmässiges Bild. In der Wirklichkeit besteht bei der Unbeständigkeit der Witterung in unseren Breiten der Temperaturverlauf aus einer offenbar nicht gesetzmässig bestimmten Aufeinanderfolge von Erwärmungen und Abkühlungen. Wählt man z. B. Pentadenmittel, so kommt dieser beständige Wechsel deutlich zum Ausdruck. Wir wollen uns jedoch nicht verhehlen, dass den vorliegenden zehnjährigen Pentadenmitteln kein allzu grosses Gewicht beigelegt werden darf.

[1]) Die entsprechenden Werte sind den „Münchener Registrierballonfahrten" von Schmauss (1907 bis 1912 inkl.) entnommen.

[2]) H. von Ficker „Temperatur und Feuchtigkeit bei Föhn in der freien Atmosphäre", Sitzungsberichte der Kais. Akademie zu Wien 1912 pag. 6.

[3]) A. Hildebrandt „Vergleich der Temperatur auf dem Brocken und in der gleichen Höhe der freien Atmosphäre auf Grund neuerer Ballon- und Drachenaufstiege." Inaug.-Diss. Rostock. Stuttgart 1911.

[4]) Vergl. A. Roschkott „Untersuchungen über Böenbildung im Gebirge", Sitzungsberichte der Kais. Akademie zu Wien 1912, pag. 4.

[5]) „Einige Ergebnisse wissenschaftlicher Fahrten des Münchener Vereines für Luftschiffahrt", Met. Zeit. 1894, pag. 361—376.

Nachstehend berechneten wir für die Zugspitze die Pentadenmittel aus den Beobachtungen von 1901/1910. Des schrofferen Gegensatzes halber wählten wir diesmal als Vergleichsstation nicht den Hohenpeissenberg, sondern Partenkirchen. Wir fügen auch noch für die einzelnen Pentaden die Abnahme der Temperatur mit der Höhe bei.

Pentade	Partenkirchen	Zugspitze	Gradient
1.	— **5.0**	— 7.7	**0.12**
2.	— 1.6	— 10.0	0.38
3.	— 2.4	— 11.6	0.41
4.	— 2.8	— 9.8	0.31
5.	— 4.2	— 11.4	0.32
6.	— 1.8	— 12.5	0.48
7.	— 3.2	— **14.0**	0.48
8.	— 1.6	— 11.2	0.42
9.	— 2.8	— 13.0	0.45
10.	— 2.1	— 13.1	0.49
11.	— 1.2	— 12.6	0.51
12.	0.1	— 11.3	0.51
13.	0.4	— 10.8	0.50
14.	1.7	— 10.6	0.55
15.	1.7	— 11.8	0.60
16.	3.6	— 9.3	0.58
17.	2.5	— 10.5	0.58
18.	3.5	— 10.5	0.62
19.	4.7	— 9.1	0.61
20.	4.7	— 8.9	0.60
21.	7.5	— 6.2	0.61
22.	6.5	— 7.9	**0.64**
23.	7.2	— 7.0	0.63
24.	6.9	— 7.2	0.63
25.	8.0	— 6.0	0.62
26.	9.1	— 5.0	0.63
27.	11.0	— 3.0	0.62
28.	11.0	— 3.4	**0.64**
29.	11.7	— 2.0	0.61
30.	13.1	— 0.7	0.61
31.	15.0	1.3	0.61
32.	12.8	— 1.0	0.61
33.	13.0	— 0.7	0.61
34.	13.6	— 0.5	0.63
35.	14.2	— 0.2	**0.64**
36.	15.1	1.4	0.61
37.	15.5	1.9	0.60
38.	14.6	0.7	0.62
39.	14.5	0.6	0.62
40.	**16.4**	2.4	0.62
41.	15.4	1.8	0.60
42.	15.9	2.3	0.60
43.	16.2	**2.6**	0.60
44.	15.8	2.4	0.60
45.	15.4	1.8	0.60
46.	15.2	1.0	0.63
47.	14.9	1.6	0.59
48.	14.4	1.4	0.58
49.	13.8	1.0	0.57
50.	13.7	0.7	0.58
51.	13.7	1.4	0.55
52.	10.7	— 2.1	0.57
53.	10.2	— 1.0	0.50
54.	11.5	— 1.0	0.56
55.	11.2	— 0.8	0.53
56.	10.1	— 1.8	0.53
57.	8.5	— 3.4	0.53
58.	8.8	— 2.6	0.51
59.	7.2	— 3.8	0.49
60.	5.6	— 4.8	0.46
61.	6.2	— 3.7	0.44
62.	3.9	— 4.8	0.39
63.	3.2	— 6.8	0.44
64.	2.4	— 7.4	0.43
65.	0.0	— 9.8	0.43
66.	— 0.3	— 10.8	0.47
67.	0.1	— 8.8	0.40
68.	— 0.3	— 8.9	0.38
69.	— 0.7	— 9.9	0.40
70.	— 1.3	— 9.8	0.38
71.	— 1.5	— 8.7	0.32
72.	— 2.4	— 9.0	0.29
73.	— 3.6	— 12.9	0.41

Im Tale, in Partenkirchen, ist die 1. Pentade die kälteste des Jahres, die 40. die wärmste. Auf der Zugspitze macht sich auch hier eine Verspätung der Extreme bemerkbar: die kälteste Pentade ist die 7., die wärmste die 43.

Der Temperaturanstieg im Mai (25.—31. Pentade) ist sehr regelmässig; ein Auftreten der Kälterückfälle im Mai ist weder in Partenkirchen noch auf der Zugspitze selbst in den wenig nivellierenden zehnjährigen Pentadenmitteln zu erkennen. Offenbar ist die Verteilung der Kälterückfälle über das ganze Monat ziemlich gleichmässig. Andererseits betrifft dieses Phänomen, wenigstens teilweise, nur die bodennahen Schichten, die sich durch Nachtfröste noch weiter abkühlen. Die Hochstation Zugspitze wird hievon öfters nicht oder nur in geringerem Masse betroffen, obwohl sich andererseits die Wirkung der Temperaturrückfälle noch bis 10000 m nachweisen lässt. Anders dagegen steht es mit den Kälterückfällen im Juni, welche Hann[1]) „die ausgeprägteste und verbreitetste Störung des normalen Temperaturganges" nennt, „die selbst im 100jährigen Tagesmittel noch nachgewiesen werden kann". Dieser Junikälterückfall ist auf der Zugspitze in den Pentadenmitteln (31.—37. Pentade) markant ausgeprägt. Die Temperaturerniedrigung im Mittel ist auf der Zugspitze ebenso stark wie in Partenkirchen. Die Ursache dieser Kälterückfälle im Juni ist bedingt durch typische Wetterlagen.

Die Wärmeperioden des Herbstes treten auf der Zugspitze im zehnjährigen Pentadenmittel im September ebenfalls noch deutlich hervor. Im Oktober und November sind gleichfalls noch relativ warme Perioden zu erkennen. Weiter können wir hierauf an dieser Stelle nicht mehr eingehen. Es sei nur auf die Übereinstimmung mit den Untersuchungen Maurers[2]) über die „Temporäre Schneegrenze und mittlere Schmelzwasserhöhen im Schweizerischen Alpengebiet nach neueren Erhebungen" hingewiesen.

Hervorzuheben ist noch, dass bereits Anfang Juni (31. Pentade) auf der Zugspitze das Temperaturmittel über Null liegt und dass es von Ende Juni bis etwa Mitte September (36.—51. Pentade) auch über Null bleibt. Das Pentadenmittel liegt auf der Zugspitze also in 17 Fällen über Null.

In vorstehender Tabelle sind auch für die einzelnen Pentaden die Gradienten Partenkirchen—Zugspitze berechnet. Sie liefern ein anschauliches Bild von dem jährlichen Gang der Temperaturabnahme mit der Höhe. Im Gesamtmonatsmittel gehen leider immer wichtige Details verloren. Es kann nicht Aufgabe vorliegender Abhandlung sein, auf synoptische Untersuchungen, seien sie auch noch so verlockend, einzugehen. So z. B. erweckt gleich in der 1. Pentade der geringe Temperaturgradient 0.12° unser Interesse. Hier zeigt sich ganz deutlich die winterliche Temperaturumkehr; nur ein Beispiel sei hier angeführt:

Im Temperaturmittel der ersten fünf Januartage verzeichnete

	1908	1909
Partenkirchen	— 12.3	— 9.9
Zugspitze	— 11.3	— 8.7

[1]) Hann, Lehrbuch der Meteorologie II. Aufl., pag. 85.

[2]) Meteorologische Zeitschrift 1909, pag. 539.

Die Zugspitze ist selbst im Pentadenmittel um 1.0° bezw. 1.2° wärmer als Partenkirchen.

Die jährliche Veränderung der vertikalen Temperaturabnahme — kleiner Gradient im Winter, grosser im Sommer — ist sehr regelmässig, was bei der grossen Veränderlichkeit der Temperatur ziemlich auffällig ist.

Die interdiurne Veränderlichkeit der Temperatur.

Vom allgemeinen klimatologischen Standpunkt aus ergeben sich interessante Gesichtspunkte bei Betrachtung der Veränderung der Temperatur von Tag zu Tag, der sog. interdiurnen Veränderlichkeit der Temperatur. Sie ist ein Mass für die grössere oder geringere Gleichförmigkeit der Temperatur und gibt uns Aufschluss über die starken Temperaturveränderungen.

Mittlere interdiurne Temperaturdifferenzen[1]).

	Innsbruck	Zugspitze	Säntis	Sonnblick
Januar	**2.47**	**3.23**	2.39	2.58
Februar	2.01	2.87	2.12	2.37
März	**1.87**	2.66	2.18	**2.43**
April	2.01	2.14	1.90	2.04
Mai	2.06	1.79	**1.79**	**1.55**
Juni	**2.20**	**1.67**	2.03	1.59
Juli	2.01	1.96	**2.15**	**1.75**
August	1.59	**2.14**	1.92	**1.62**
September	**1.40**	**1.71**	**1.87**	1.64
Oktober	1.67	1.87	2.16	2.16
November	1.65	2.44	2.20	2.17
Dezember	2.27	2.63	**2.63**	**2.73**
Jahr	1.93	2.26	2.11	2.05

Absolute Monats- und Jahresextreme der interdiurnen Temperaturdifferenzen.

	Innsbruck:		Zugspitze:	
Änderung:	positive	negative	positive	negative
Januar	**14.8**	7.3	**12.6**	**13.0**
Februar	9.6	8.2	12.5	11.8
März	6.9	7.9	9.0	9.8
April	6.7	8.1	10.8	10.0
Mai	6.7	**11.8**	6.3	**6.5**
Juni	8.2	9 8	**5.7**	8.5
Juli	6.6	9.9	6.6	8.2
August	5.4	9.1	6.2	9.7
September	**4.9**	**7.2**	8.3	9.2
Oktober	7.6	9.6	9.1	10.7
November	6.7	7.7	10.8	10.7
Dezember	9.4	10.3	9.9	10.7
Jahr	14.8	11.8	12.6	13.0

Zur Angabe der Genauigkeit obiger Tabellen sei noch beigefügt, dass sich die Zugspitzdaten auf den Zeitraum 1901/1910, Innsbruck ebenfalls auf 10 Jahre und Säntis und Sonnblick auf je 4 Jahre beziehen; es stehen also bedauerlicher Weise nicht die gleichen Reihen zur Verfügung.

Von allen Stationen, die wir hier miteinander vergleichen, ist die interdiurne Temperaturdifferenz am grössten auf der Zugspitze. Die extremsten Monate sind der Januar und der Juni. In denselben Monaten hat auch Innsbruck die grössten Jahreswerte. Auf der Zugspitze jedoch ist die Temperaturveränderung im Juni am geringsten, während Innsbruck ein Maximum verzeichnet. Beim Säntis und Sonnblick sind die Extreme verschoben: das Maximum fällt auf den Dezember, das Minimum auf den Mai. Im Tale (Innsbruck) tritt die kleinste mittlere Temperaturveränderung im September auf; in diesem Monat haben auch die Hochstationen, der Konstanz guten Wetters im Herbst entsprechend, ein relatives Minimum.

In der zweiten Tabelle sind die grössten interdiurnen Temperaturänderungen in Innsbruck und auf der Zugspitze verglichen. Der Maximalbetrag der Temperatursteigerung 14.8° in Innsbruck ist eine durch Föhn bedingte Erwärmung[2]). Die Abkühlung sommerlicher Gewitter brachte eine Erniedrigung des Temperaturtagesmittel um 11.8° zustande. Auch bei den extremen Werten fallen die kleinsten Erwärmungen und Abkühlungen (4.9° und 7.2°) auf den September. Auf

[1]) Die interdiurne Veränderlichkeit der ausserbayerischen Stationen ist entnommen aus: Hann, „Die Veränderlichkeit der Temperatur in Österreich" Denkschriften der Kais. Akademie der Wissenschaften, Band 58, Wien 1891.

[2]) Vergl. H. v. Ficker „Klimatographie von Tirol und Vorarlberg". Wien 1909, pag. 19.

der Zugspitze haben wir das Maximum der Veränderlichkeit sowohl bei Erwärmung als bei Abkühlung im Januar. Die starke Temperatursteigerung von einem Tag zum anderen mit 12.6° trat auf der Zugspitze ebenfalls bei Föhn, unter stürmischen südlichen Winden ein, während die intensive Abkühlung von 13.0° ein winterlicher Schneesturm brachte. Die kleinsten exzessiven Temperaturänderungen hat die Zugspitze im Juni oder Mai.

Im allgemeinen zeigt sich also, dass sowohl die Erwärmungen als auch hauptsächlich die Abkühlungen auf der Zugspitze sehr intensiv auftreten. Wie die Mittelwerte zeigen, ist von allen Stationen die interdiurne Veränderlichkeit auf der Zugspitze am grössten. Auffällig ist die Verschiebung des Minimums. Wenn auch die Veränderlichkeit auf der Zugspitze im Herbste gering ist, so überwiegt doch der Mai und Juni, Monate, in denen besonders im Tale Gewitter starke Abkühlung auf intensive Erwärmung bringen.

Es mag der Vollständigkeit halber noch eine Tabelle, die mittleren Monatsextreme der Temperaturdifferenzen, beigegeben sein, die noch einen interessanten Vergleich gestattet:

	Erwärmung		Abkühlung	
	Innsbruck	Zugspitze	Innsbruck	Zugspitze
Januar	**8.3**	**8.2**	5.8	**8.9**
Februar	5.7	7.4	5.6	8.7
März	4.8	6.7	5.3	7.7
April	4.7	6.7	6.1	6.3
Mai	4.9	4.8	6.4	**4.3**
Juni	5.3	**4.2**	6.2	5.7
Juli	4.4	4.7	**6.7**	6.0
August	3.7	4.7	4.8	6.3
September	**3.3**	5.0	**4.5**	5.7
Oktober	4.3	5.7	6.0	6.6
November	5.3	6.6	5.2	7.2
Dezember	6.8	7.2	6.3	7.7
Jahr	5.1	6.0	5.7	6.8

Es erübrigt nun, auf das Verhältnis der Erwärmungen und der Abkühlungen noch etwas einzugehen.

Aus nachstehender Tabelle ersehen wir, wieviele Tage in den einzelnen Monaten der Zugspitze Erwärmung und wieviele Abkühlung bringen. Die Häufigkeitszahlen sind, um die einzelnen Monate miteinander vergleichen zu können, auf die „Normallänge" des Monats reduziert.

	Anzahl der Tage mit	
	Erwärmung	Abkühlung
Januar	14.3	15.7
Februar	16.0	14.0
März	14.4	15.6
April	15.5	14.5
Mai	**17.8**	**12.2**
Juni	16.0	14.0
Juli	15.9	14.1
August	15.9	14.1
September	14.8	15.2
Oktober	14.6	15.4
November	14.9	15.1
Dezember	**13.7**	**16.3**
Jahr	186.3	178.7

Natürlich überwiegt in den Monaten April bis August die Häufigkeit der positiven Temperaturänderungen. Auffällig ist, dass der Monat mit den tiefsten Temperaturen mehr Erwärmungen als Abkühlungen aufweist; offenbar hat dies seinen Grund darin, dass auf Bergen tiefe Temperaturen meist nicht lange vorherrschen. Der Mai hat die meisten Tage mit Erwärmung (und daher die wenigsten Fälle von Abkühlung), im Dezember ist das Verhältnis gerade umgekehrt.

Wir haben oben gesehen, dass im Januar die Zugspitze sich im extremsten Falle von einem Tag zum anderen um ca 13° erwärmen und im gleichen Monat sich in derselben Zeit wieder um 13° abkühlen kann. Sinnfälliger wird die Grösse der Temperaturänderung von 26° (absolut), wenn wir uns überlegen, dass, bei Voraussetzung eines Gradienten von 0.58°, diese Zahl auch durch einen Höhenunterschied von ca 4500 m dargestellt werden kann. Es ist nun interessant, zu erfahren, mit welcher Häufigkeit derartige intensive Temperaturänderungen auftreten.

In nachstehender Tabelle erhalten wir Aufschluss über die Häufigkeit bestimmter interdiurner Temperaturveränderungen, und zwar getrennt nach Erwärmungen und Abkühlungen. Die Zahlen geben die Häufigkeit in Prozenten an und sind daher ohne weiteres miteinander vergleichbar.

Häufigkeit der Erwärmungen auf der Zugspitze.

Zwischen:	0—1.9	2—3.9	4—5.9	6—7.9	8—9.9	10—11.9	12—13.9	
Januar	19.7	13.5	7.1	5.5	1.3	—	0.3	47.4
Februar	23.1	18.4	6.7	4.6	0.4	0.4	0.4	54.0
März	20.3	17.4	5.8	3.5	1.3	—	—	48.3
April	31.0	13.0	4.7	2.0	0.7	0.3	—	51.7
Mai	38.1	15.5	5.2	0.6	—	—	—	59.4
Juni	38.0	12.0	3.3	—	—	—	—	53.3
Juli	29.7	19.7	2.6	0.6	—	—	—	52.6
August	30.6	17.4	4.2	0.6	—	—	—	52.8
September	34.7	11.0	1.7	1.3	0.3	—	—	49.0
Oktober	33.9	10.0	1.6	2.3	0.6	—	—	48.4
November	26.0	14.0	6.7	2.3	0.3	0.3	—	49.6
Dezember	20.6	14.2	6.5	2.9	1.3	—	—	45.5
Jahr	28.8	14.7	4.7	2.2	0.5	0.1	0.1	51.0

Häufigkeit der Abkühlungen auf der Zugspitze.

Zwischen:	0—1.9	2—3.9	4—5.9	6—7.9	8—9.9	10—11.9	12—13.9	
Januar	16.1	17.4	11.0	4.8	1.9	0.3	1.0	52.5
Februar	18.1	16.6	5.3	4.3	—	1.8	—	46.1
März	24.2	14.8	8.1	2.3	2.3	—	—	51.7
April	29.7	11.0	4.7	2.0	0.7	0.3	—	48.4
Mai	27.1	8.1	4.2	1.3	—	—	—	40.7
Juni	30.0	11.7	3.3	1.0	0.7	—	—	46.7
Juli	27.4	14 2	3.2	2.3	0.3	—	—	47.4
August	22.9	14.8	7.4	1.6	0.3	—	—	47.0
September	33.3	12.0	4.7	0.7	0.3	—	—	51.0
Oktober	32.3	12.3	4.5	1.6	0.6	0.3	—	51.6
November	23.7	14.7	9.0	1.7	1.0	0.3	—	50.4
Dezember	27.7	15.2	6.5	2.9	1.9	0.3	—	54.5
Jahr	26.0	13.7	6.0	2.2	0.8	0.3	0.1	49.0

Grosse Temperaturveränderungen von Tag zu Tag sind sehr selten; die grössten Häufigkeitszahlen, sowohl der Erwärmungen als der Abkühlungen, liegen zwischen 0^0 und 2^0. Von 4^0 ab scheint jedoch die Häufigkeit der Abkühlungen grösser zu sein wie die der Erwärmungen. Auffällig, und für den Sommer des Höhenklimas typisch, ist das Fehlen grösserer Erwärmungen im Sommer. Während sich sonst bei dem Gang der interdiurnen Veränderlichkeit deutlich die Abhängigkeit vom Sonnenstande zeigt, ist hier im Juni keine Erwärmung über 6^0 zu konstatieren!

Temperaturveränderungen über 6^0 sind überhaupt sehr selten. Die Verteilung auf die einzelnen Monate ist folgende:

Erwärmungen über 6^0

Jan.	Febr.	März	April	Mai	Juni	Juli	Aug.	Sept.	Okt.	Nov.	Dez.	Jahr
7.1	5.8	4 8	3.0	0.6	—	0.6	0.6	1.6	2.9	2.9	4.2	2.8

Abkühlungen über 6^0

8.0	6.1	4.6	3.0	1.3	1.7	2.6	1.9	**1.0**	2.5	3.0	5.1	3.4

Eine weitere Diskussion obiger Daten erübrigt sich. Als typisch ist noch das Minimum grösserer Abkühlungen im Herbst zu nennen.

Häufigkeit bestimmter Temperaturen.

Die Charakterisierung des Klimas eines Ortes auf Grund des arithmetischen Mittels ist unzureichend. Es sind noch vielfach ergänzende Angaben, wie Schwankung der Temperatur, Grösse der Maxima und Minima usw., notwendig.

Auch dann erhält man noch keine eindeutige Vorstellung von den klimatischen Verhältnissen. Geben wir beispielsweise an: Während einer langjährigen (vielleicht 50jährigen) Beobachtungsreihe war das Maximum der Temperatur 32^0, das Minimum -25^0; dann ist die klimatische Bedeutung dieser Daten sehr gering; denn wir bestimmen hiedurch lediglich einzelne Wettertypen, im vorliegenden Falle sogar nur einen Fall: die Wärmewirkung des Barometermaximums im Sommer und im Winter. Der Fall des Eintretens solch extremer Temperaturen kann unter Umständen ganz vereinzelt sein.

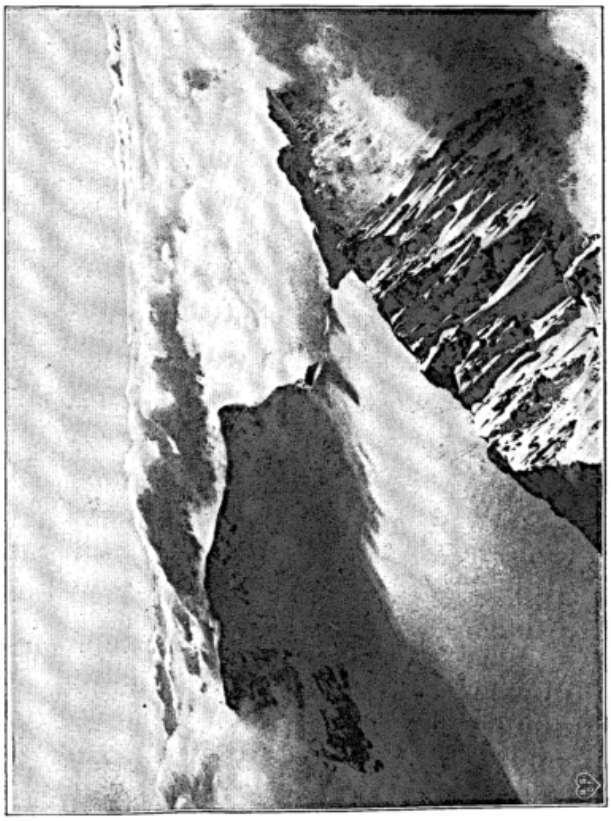
Als durchaus angebracht erscheint es daher, neben der gewöhnlichen Methode der Mittelbildung die Häufigkeit bestimmter Temperaturen zu würdigen.

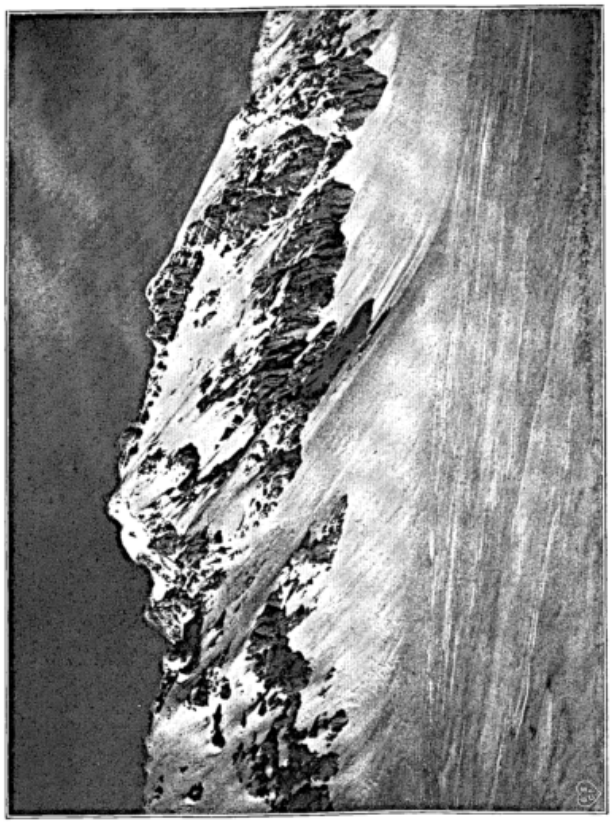
Wir haben auf Grund der Beobachtungen der Jahre 1901/1910 für die Zugspitze und ihre Basisstation auf dem Hohenpeissenberg die Häufigkeitszahlen des Temperaturtagesmittels bestimmt, und zwar nach Stufen von 5 zu 5 Grad. Für die Zugspitze berechneten wir ferner noch die prozentuale Häufigkeit der Maxima und Minima.

Hohenpeissenberg.

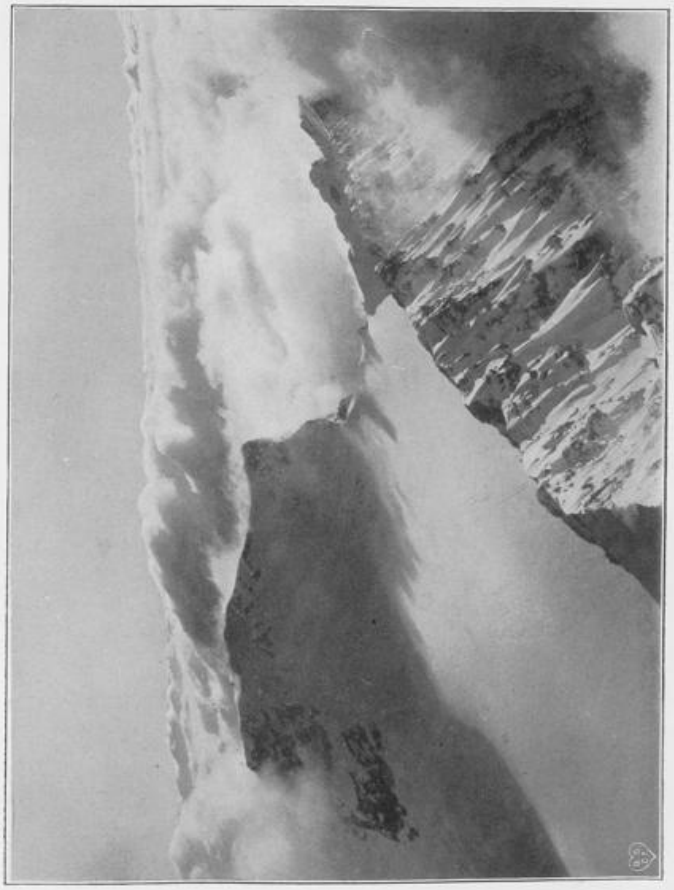
Häufigkeit bestimmter Tagesmittel der Temperatur.

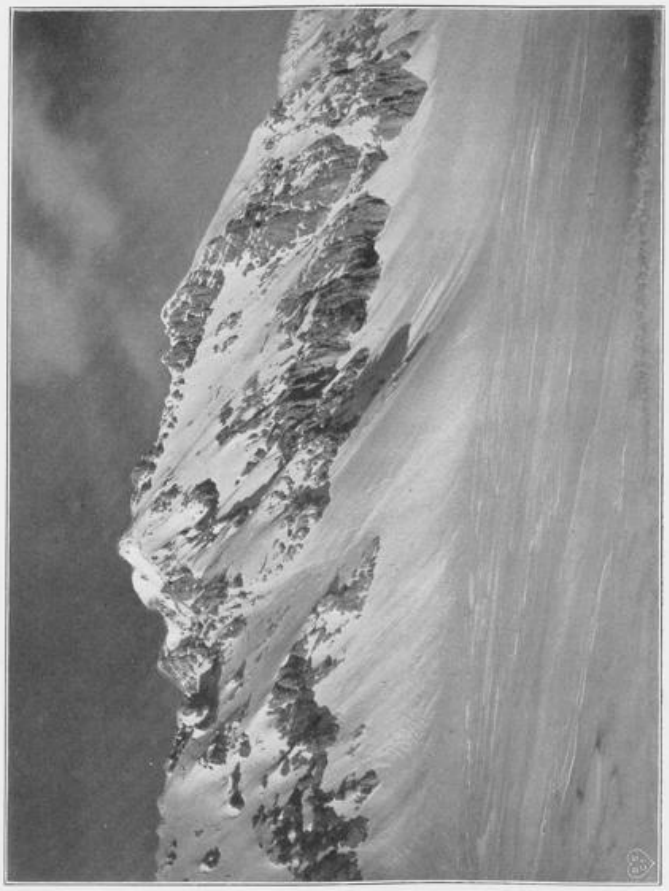
Zwischen:	— 25	— 20	— 15	— 10	— 5	0	5	10	15	20	25
und:	— 20	— 15	— 10	— 5	0	5	10	15	20	25	30
Januar	0.3	1.9	3.9	19.4	36.5	31.6	6.1				
Februar		0.4	5.0	24.1	43.3	20.9	5.7	0.7			
März				7.7	34.8	40.0	14.8	2.6			
April				0.7	15.0	38.0	33.7	11.3	1.3		
Mai					1.6	21.6	29.0	31.3	15.5	1.0	
Juni						2.3	23.0	44.3	26.7	3.7	
Juli						0.3	12.9	38.1	39.7	8.7	0.3
August						0.3	12.9	42.3	38.1	6.5	
September						0.7	39.3	40.3	14.3	2.3	
Oktober				0.6	6.5	25.2	37.4	27.4	2.9		
November				7.7	27.3	44.3	16.3	4.3			
Dezember			3.9	10.3	41.9	36.1	7.7				

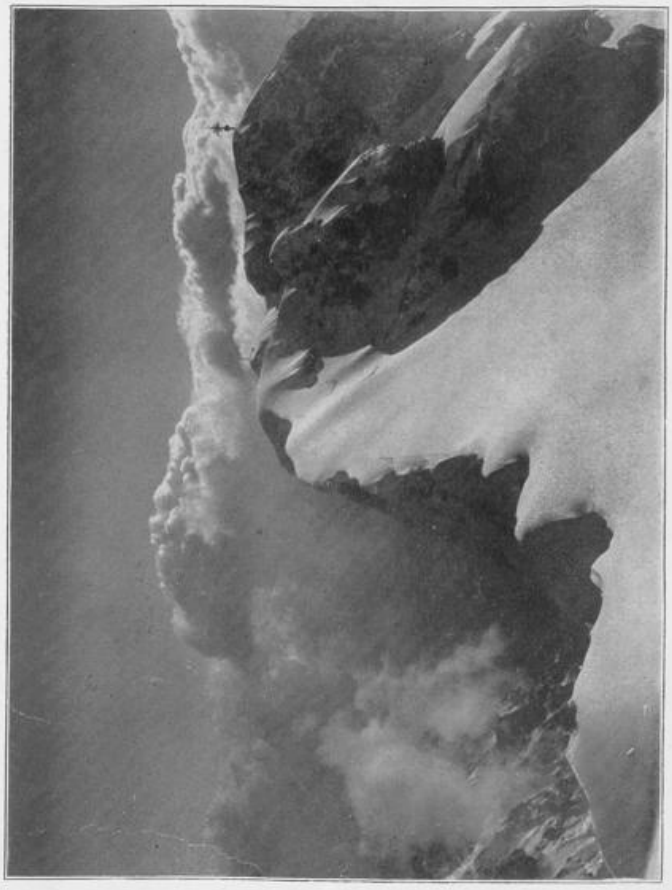












Zwischen:	— 25	— 20	— 15	— 10	— 5	0	5	10	15	20	25
und:	— 20	— 15	— 10	— 5	0	5	10	15	20	25	30
Winter	0.1	0.8	4.3	17.9	40.6	29.5	6.5	0.2			
Frühjahr				2.8	17.1	33.2	25.8	15.1	5.6	0.3	
Sommer						1.0	16.3	41.6	34.8	6.3	0.1
Herbst				2.8	11.3	24.4	31.0	24.0	5.7	0.8	
Jahr	0.1	0.2	1.0	5.8	17.1	22.0	19.9	20.3	11.6	1.9	0.0

Zugspitze.

Häufigkeit bestimmter Tagesmittel der Temperatur.

Zwischen:	— 35	— 30	— 25	— 20	— 15	— 10	— 5	0	5	10
und:	— 30	— 25	— 20	— 15	— 10	— 5	0	5	10	15
Januar	0.3	0.3	4.2	17.1	31.6	38.7	7.7			
Februar		0.7	6.7	21.3	40.1	27.0	4.3			
März			1.6	12.3	38.1	41.0	7.1			
April			1.0	4.0	22.7	44.7	25.7	2.0		
Mai				0.7	14.2	24.2	39.7	19.7	1.6	
Juni						7.3	41.7	45.0	6.0	
Juli						3.2	29.0	50.6	16.5	0.6
August						2.6	25.8	54.8	16.8	
September					1.3	15.0	41.0	37.0	5.7	
Oktober				0.3	9.7	18.7	50.6	20.6		
November			0.3	8.7	20.7	42.7	25.3	2.3		
Dezember			1.0	11.9	28.1	47.4	11.6			
Winter	0.1	0.3	3.9	16.6	33.0	38.0	8.0			
Frühjahr			0.9	5.7	25.0	36.5	24.1	7.3	0.5	
Sommer						4.3	32.1	50.2	13.2	0.2
Herbst			0.1	3.0	10.6	25.4	39.1	20.0	1.9	
Jahr	0.0	0.1	0.2	6.3	17.1	26.0	25.9	19.5	3.9	0.1

Zugspitze.

Häufigkeit bestimmter Temperatur-Maxima.

Zwischen:	— 35	— 30	— 25	— 20	— 15	— 10	— 5	0	5	10	15
und	— 30	— 25	— 20	— 15	— 10	— 5	0	5	10	15	20
Januar			2.9	6.5	21.3	43.2	25.5	0.7			
Februar			2.5	12.8	25.9	37.2	17.7	7.1			
März			0.3	4.8	23.5	43.9	25.8	1.6			
April				1.0	9.7	35.7	42.0	11.3	0.3		
Mai					1.0	11.9	40.6	35.2	9.4	1.9	
Juni						1.7	1.9	47.0	31.0	1.3	
Juli						0.3	13.9	38.7	39.4	7.1	0.6
August						0.3	11.6	35.2	44.5	8.4	
September						2.7	26.3	45.3	21.7	4.0	
Oktober					1.9	13.2	36.1	43.5	4.8	0.3	
November			0.3	4.3	11.0	31.0	42.0	11.3			
Dezember			0.7	3.2	16.1	49.0	29.7	1.3			
Winter			2.0	7.2	21.0	44.5	24.5	0.9			
Frühjahr			0.1	2.0	11.4	30.4	36.1	16.1	3.3	0.7	
Sommer						0.8	14.8	40.2	38.4	5.7	0.2
Herbst			0.1	1.4	4.3	15.6	34.8	33.5	8.8	1.4	
Jahr			0.5	2.6	9.1	22.7	27.5	22.8	12.7	1.9	0.1

Zugspitze.

Häufigkeit bestimmter Temperatur-Minima.

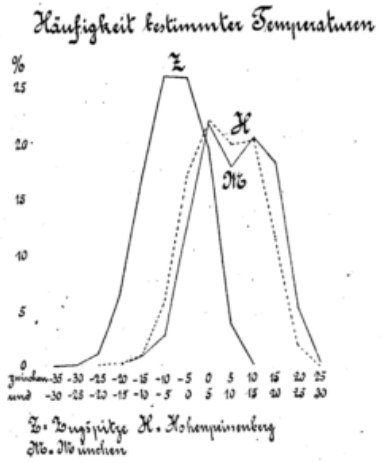
Zwischen:	— 35	— 30	— 25	— 20	— 15	— 10	— 5	0	5
und:	— 30	— 25	— 20	— 15	— 10	— 5	0	5	10
Januar	0.6	3.2	9.4	23.9	39.4	21.9	1.6		
Februar		2.8	11.7	33.0	37.2	14.2	1.1		
März			6.8	25.2	45.2	21.6	1.3		
April			2.0	13.0	32.7	40.7	11.3	0.3	
Mai				1.9	14.5	35.2	41.0	7.4	
Juni						20.7	56.3	22.3	1.0
Juli						14.5	50.6	32.3	2.6
August						10.6	41.9	44.8	2.6
September					3.0	24.3	45.7	25.7	1.3
Oktober				1.6	15.2	25.5	49.7	8.1	
November		0.3	3.0	15.3	32.3	34.0	14.7	0.3	
Dezember		1.0	5.2	25.2	38.7	28.7	1.3		
Winter	0.2	2.3	8.6	27.2	38.5	21.8	1.3		
Frühjahr			2.9	13.4	30.8	32.4	17.9	2.6	
Sommer						15.4	49.6	33.3	2.1
Herbst		0.1	1.0	5.6	16.8	27.9	36.8	11.3	0.4
Jahr	0.1	0.6	3.1	11.1	21.6	24.9	26.5	11.9	0.6

Das häufigste Temperaturtagesmittel auf der Zugspitze ist zwischen — 5 ° und — 10 ° gelegen, fast ebenso häufig sind Werte im Intervall zwischen 0° und — 5 °. Das Jahresmittel der Temperatur — 5.3 fällt also sehr genau in das Gebiet der häufigsten Temperaturen. In diesem Umstand und in dem charakteristischen Verlauf der Häufigkeitskurve zeigt sich wieder ein wesentlicher Punkt für die Eigenschaften des Höhenklimas. Wenn wir zum Vergleich mit der Zugspitze ausser dem Hohenpeissenberg auch noch München heranziehen, so erkennen wir folgendes:

Die grösste Häufigkeit eines Temperaturintervalles ist für

München	21.7 %	Hohenpeissenberg	22.0 %	Zugspitze	26.0 %

Auf der Zugspitze ist die Häufigkeit des wahrscheinlichsten Mittels um 4 % grösser als in der Ebene. Der Temperaturgang auf der Zugspitze ist also wesentlich einfacher als an den Basisstationen.



Es zeigt sich noch ein anderes für die Zugspitze wesentliches Merkmal.

Wie bereits erwähnt, ist der An- und Abstieg der Häufigkeitskurve für die Zugspitze sehr steil, das Maximum ist jedoch nicht scharf eindeutig ausgeprägt, indem Temperaturen zwischen — 10° und — 5° nur um 0.1 % häufiger sind als solche zwischen — 5° und 0°. Auf dem Hohenpeissenberg ist das Maximum der Temperaturen zwischen 0° und 5° deutlich ausgebildet, jedoch tritt zwischen 10° und 15° ein zweites, wenn auch schwächeres Maximum hinzu. Für die Häufigkeit der Temperaturmittel in München C.St. ergeben sich auf Grund der Reihe 1901/1910 folgende Prozentzahlen:

Temperaturmittel zwischen:

— 20	— 15	— 10	— 5	0	5	10	15	20	25
— 15	— 10	— 5	0	5	10	15	20	25	30
0.1	1.0	2.8	12.4	21.7	17.9	20.5	18.1	5.3	0.3

In dieser Reihe treten beide Häufigkeitsmaxima sehr deutlich hervor. Eine noch stärkere Hervorhebung der beiden Maxima tritt in München ein, wenn man die Reihe 1891/1910 zugrunde legt.

Auch hierin zeigt sich eine Vereinfachung des Temperaturverlaufes auf der Hochstation Zugspitze gegenüber den Flachlandstationen; eine zehnjährige Reihe bereits liefert auf der Zugspitze also ein ziemlich gutes Bild von der Häufigkeit der Temperaturwerte.

Zur allgemeinen Charakterisierung der Temperaturverhältnisse der Zugspitze und des Hohenpeissenbergs sei obigen Tabellen noch entnommen, dass das Tagesmittel der Temperatur auf der Zugspitze in 23.4 % aller Fälle über Null, in 76.6 % unter Null liegt; auf dem Hohenpeissenberg stehen 75.8 % positiven Mitteln 24.2 % negative gegenüber.

Aus den letzten zwei Tabellen entnehmen wir die Bestätigung der Tatsache, dass das Klima der Hochregion nicht durch abnorm tiefe Winterminima, sondern durch relativ niedrige Sommermaxima charakterisiert wird. Dies äussert sich sehr gut in den Häufigkeitszahlen der Extremtemperaturen. Minima tiefer als — 20° sind schon sehr selten, unter — 30° ganz vereinzelt; ebenso verhält es sich mit den Maximaltemperaturen über 10° und 15°. Im übrigen darf wohl der Kürze halber auf die Tabellen verwiesen werden. In denselben ist beim Temperaturmaximum und -Minimum die grösste Häufigkeitszahl ganz eindeutig festgelegt.

Wir sehen also aus obiger Zusammenstellung deutlich, dass die Mitteilung gewisser Temperaturextreme nur dann klimatologischen Wert haben kann, wenn man sie mit einem bestimmten „Gewicht," wie die Häufigkeit, einführt.

Es erübrigt nur noch die Angabe der Häufigkeit positiver und negativer Temperaturextreme auf der Zugspitze:

	über Null	unter Null
Maxima	37.4 %	62.6 %
Minima	12.5 %	87.5 %

Diese Zahlen sind, nebenbei bemerkt, natürlich identisch mit der Häufigkeit der Frost- und Wintertage.

Die Luftfeuchtigkeit.

Bei Besprechung der Feuchtigkeitsverhältnisse der Zugspitze wollen wir des Vergleiches halber auch die entsprechenden Beobachtungen vom Hohenpeissenberg und Partenkirchen beifügen. Im Folgenden stellen wir die entsprechenden zehnjährigen Mittel der relativen Feuchtigkeit und des Dampfdruckes zusammen.

Partenkirchen

	Jan.	Febr.	März	April	Mai	Juni	Juli	Aug.	Sept.	Okt.	Nov.	Dez.	Jahr
7a	88	89	85	85	84	90	90	92	**94**	90	89	90	89
2p	72	66	58	**57**	58	63	64	63	68	66	72	**78**	66
9p	89	89	85	**84**	**84**	89	88	91	**93**	90	90	90	89
Mittel	83	83	**76**	**76**	**76**	81	80	82	85	82	84	**86**	81
7a	**3.0**	3.1	3.8	5.2	7.1	9.3	**10.2**	10.1	8.4	6.2	4.2	3.4	6.2
2p	**3.5**	**3.5**	4.1	5.3	7.3	9.5	10.6	**10.7**	9.2	7.1	4.8	3.9	6.6
9p	**3.3**	3.4	4.3	5.6	7.6	9.9	10.8	**11.0**	9.2	6.9	4.5	3.6	6.7
Mittel	**3.2**	3.3	4.0	4.4	7.3	9.5	10.5	**10.6**	8.9	6.7	4.5	3.6	6.5

	Winter	Frühjahr	Sommer	Herbst	Jahr	Winter	Frühjahr	Sommer	Herbst	Jahr
7a	89	**85**	90	**91**	89	**3.2**	5.3	**9.8**	6.3	6.2
2p	**72**	58	63	69	66	**3.6**	5.6	**10.3**	7.0	6.6
9p	89	**84**	89	**91**	89	**3.4**	5.8	**10.5**	6.9	6.7
Mittel	**84**	**76**	81	**84**	81	**3.4**	5.3	**10.2**	6.7	6.5

Absolute Feuchtigkeit in g/m³

Jan.	Febr.	März	April	Mai	Juni	Juli	Aug.	Sept.	Okt.	Nov.	Dez.	Jahr
3.5	3.6	4.2	4.5	7.5	9.6	10.6	**10.6**	9.1	6.9	4.7	3.9	6.7

Hohenpeissenberg

	Jan.	Febr.	März	April	Mai	Juni	Juli	Aug.	Sept.	Okt.	Nov.	Dez.	Jahr
7a	78	83	79	81	**77**	78	**77**	79	**86**	82	83	81	81
2p	75	76	68	65	**63**	66	65	65	75	76	**81**	79	71
9p	79	84	79	79	76	79	**75**	77	**86**	84	84	82	82
Mittel	77	81	75	75	**72**	74	**72**	74	82	80	**83**	81	77
7a	**3.0**	**3.0**	3.5	4.6	6.1	8.0	**8.8**	8.6	7.6	5.8	3.9	3.4	5.5
2p	**3.2**	**3.2**	3.8	4.8	6.5	8.4	**9.3**	9.2	8.3	6.4	4.3	3.6	5.9
9p	**3.0**	3.1	3.8	4.8	6.4	8.2	8.9	**9.0**	8.0	6.2	4.2	3.5	5.8
Mittel	3.2	**3.1**	3.7	4.8	6.3	8.2	**9.0**	**9.0**	8.0	6.1	4.1	3.5	5.7

	Winter	Frühjahr	Sommer	Herbst	Jahr	Winter	Frühjahr	Sommer	Herbst	Jahr
7a	81	79	**78**	**83**	81	**3.1**	4.7	**8.5**	5.8	5.5
2p	**77**	**65**	**65**	**77**	71	**3.3**	5.0	**9.0**	6.4	5.9
9p	81	78	**77**	**84**	82	**3.2**	5.0	**8.7**	6.1	5.8
Mittel	80	74	**73**	**82**	77	**3.3**	4.9	**8.4**	6.1	5.7

Absolute Feuchtigkeit in g/m³

Jan.	Febr.	März	April	Mai	Juni	Juli	Aug.	Sept.	Okt.	Nov.	Dez.	Jahr
3.4	**3.3**	3.9	5.0	6.5	8.3	**9.1**	9.0	8.1	6.3	4.2	3.7	6.0

Zugspitze.

	Jan.	Febr.	März	April	Mai	Juni	Juli	Aug.	Sept.	Okt.	Nov.	Dez.	Jahr
7a	78	83	83	**88**	86	87	86	**88**	83	**72**	76	80	82
2p	76	81	80	88	87	90	**91**	90	86	81	**74**	77	83
9p	76	83	82	90	90	92	**93**	92	87	84	**75**	78	85
Mittel	76	83	82	89	87	**90**	**90**	**90**	85	82	**75**	79	84
7a	1.5	**1.4**	1.6	2.2	3.0	3.8	**4.3**	**4.3**	3.5	2.8	1.9	1.7	2.7
2p	**1.6**	**1.6**	1.8	2.6	3.5	4.6	**5 2**	**5.2**	4.2	3.2	2.0	1.9	3.1
9p	**1.5**	**1.5**	1.7	2.4	3 3	4 1	**4.7**	**4.7**	3 9	3 0	1.9	1.7	2.9
Mittel	**1.5**	**1.5**	1.7	2.4	3.3	4.2	**4.7**	**4.7**	3.9	3 0	1 9	1.8	2 9

	Winter	Frühjahr	Sommer	Herbst	Jahr	Winter	Frühjahr	Sommer	Herbst	Jahr
7a	80	**85**	84	**77**	82	**1.5**	2.3	**4.1**	2.7	2.7
2p	**78**	85	**90**	80	83	**1.7**	2.7	**5.0**	3.1	3.1
9p	**79**	88	**92**	82	85	**1.6**	2.4	**4 5**	2.9	2.9
Mittel	**79**	**86**	**86**	81	84	**1.6**	2 5	**4 6**	2.9	2.9

Absolute Feuchtigkeit in g/m³.

Jan.	Febr.	März	April	Mai	Juni	Juli	Aug.	Sept.	Okt.	Nov.	Dez.	Jahr
1.7	**1.7**	1.9	2.6	3.5	4.5	5.0	**5.0**	4.1	3.2	2.1	1.9	3.1

Der Gang der relativen Feuchtigkeit zeigt, dass an der Talstation Partenkirchen die Mittel viel höher sind als auf dem freigelegenen Hohenpeissenberg. Auf der Zugspitze, wo oft in der für das Höhenklima typischen Weise ganz geringe Feuchtigkeitsgrade (oft $< 10\,\%$) in kurzer Zeit mit völliger Sättigung wechseln, lassen sich im allgemeinen keine Beziehungen zu den Basisorten angeben. Im Mittel ist die relative Feuchtigkeit meist grösser; der Dampfdruck zeigt eine von der Temperatur und Luftdruck bestimmte Veränderung. Dementsprechend liegen die Extreme des Dampfdruckes und der absoluten Feuchtigkeit in den Monaten niedrigster und höchster Temperatur. Auf der Zugspitze fallen die Extreme der relativen Feuchtigkeit in die Monate Juli und August, wo die Konvektion am stärksten ist, das Minimum liegt im Oktober und November, auch der Januar zeichnet sich durch relative Lufttrockenheit aus. Anders liegt die Sache bei Partenkirchen und Hohenpeissenberg. Den nebeligen Trübungen des Herbstes verdankt die Niederung die grosse relative Feuchtigkeit, während gleichzeitig in der Höhe bei heiterstem Wetter abnorm niedrige Feuchtigkeitsgrade gemessen werden. Auf dem Hohenpeissenberg herrscht die geringste mittlere relative Feuchtigkeit im Mai, in Partenkirchen im April und Mai. H. v. Ficker[1]) weist eine Deutung dieses Minimums durch Föhn, der ja im April sehr häufig ist, zurück, da im gleichen Monat auch Südtirol das Minimum hat. Das Aprilminimum ist vielmehr durch den starken Temperaturanstieg im Frühjahr zu erklären.

Beim täglichen Gang des Dampfdruckes macht sich natürlich der Einfluss der Temperatur geltend. An den beiden Basisstationen ist in der Regel die relative Feuchtigkeit um 2 p am geringsten, auf der Zugspitze zeigt sich untertags, besonders im Sommer, eine Zunahme derselben; offenkundig im Zusammenhang mit dem Gang derBewölkung, auf die wir im nächsten Teile zu sprechen kommen.

Die Bewölkung.

Die mittlere Bewölkung ist eines der wichtigsten klimatischen Elemente, insbesondere auch wegen ihres Zusammenhanges mit der Temperatur. Die tägliche und jährliche Bewölkungsziffer ist vorzugsweise durch die topographische Lage eines Ortes bestimmt.

Nachstehend sind die entsprechenden Daten für die Zugspitze und die Fussstation Partenkirchen mitgeteilt.

Mittlere Bewölkung.

Partenkirchen:

Jan.	Febr.	März	April	Mai	Juni	Juli	Aug.	Sept.	Okt.	Nov.	Dez.	Jahr
4.9	6.0	5.8	6.2	5.9	**6.3**	5.7	5.4	5.8	5.5	5.9	5.7	5.8

Zugspitze:

5.3	6.4	6.5	7.4	7.2	**7.7**	7.5	7.1	6.0	5 6	5.5	5.9	6.5

	Partenkirchen:					Zugspitze:				
	Winter	Frühjahr	Sommer	Herbst	Jahr	Winter	Frühjahr	Sommer	Herbst	Jahr
7a	5.8	**5 9**	**5.5**	5.8	5.8	6.6	6.7	**6.8**	**5.7**	6.4
2p	**5 8**	**6.4**	6.2	5.9	6.1	**6.2**	7.8	**8.2**	**6.2**	7.1
9p	**5.0**	**5.6**	5.5	5.5	5.4	5.4	6.7	**7.0**	**5.3**	6 1
Mittel	**5.5**	**6.0**	5.8	5.7	5.8	5.9	7.0	**7.4**	**5 7**	6.5

[1]) H. v. Ficker „Klimatographie von Tirol und Vorarlberg" pag. 20.

Partenkirchen:

	7 a	2 p	9 p	Mittel
März bis August:	5.7	6.3	5.6	5.9
September bis Februar:	5.8	5.8	5.3	5.6

Zugspitze:

März bis August:	6.7	8.0	6.9	7.2
September bis Februar:	6.1	6 2	5.3	5.8

Die Extreme der mittleren Bewölkung fallen auf der Talstation und auf dem Berge auf dieselben Monate. Die grösste Bewölkungsziffer hat der Juni, die kleinste der Januar. Der täglichen Wärmezufuhr entsprechend ist in den Mittagsstunden die Bewölkungsziffer grösser als früh oder abends, mit Ausnahme im November, wo die herbstlichen Nebel untertags aufgelöst werden. Die tägliche Schwankung des Bewölkungsmittels ist am kleinsten im Januar und November; auf der Zugspitze ist sie am grössten im Juni und Juli, in Partenkirchen im (Mai und) Juli. Das grosse Bewölkungsmittel in den Sommermonaten, besonders um 2 p, findet ohne weiteres seine Erklärung in der Konvektion. Die Zusammenfassung nach Jahreszeiten zeigt deutlich die Gegensätze zwischen Partenkirchen und Zugspitze.

Instruktive ergänzende Daten liefern die Häufigkeitszahlen der heiteren und trüben Tage[1]) und der Tage mit Nebel. Die Zahlen geben an, wieviele Tage eines Monats heiter oder trüb waren, wobei durchweg die Reduktion auf das Normalmonat vorgenommen wurde.

Anzahl der heiteren und trüben Tage:

Partenkirchen.

	Jan.	Febr.	März	April	Mai	Juni	Juli	Aug.	Sept.	Okt.	Nov.	Dez.	Jahr
Heiter	**10.2**	4.5	6.3	4.0	3.6	**3.2**	3.9	5.3	6.3	6.8	5.3	5.3	66.6
Trüb	**8.1**	10.3	10.0	9 8	8.6	**10.5**	7.3	6 9	9.7	8.6	9 6	8.9	110.8

Zugspitze.

Heiter	**7.6**	4.1	4 0	2.0	1.9	1.3	**0 8**	2.9	6 7	5.8	7.3	5.1	50.7
Trüb	10.0	10 8	12 0	15.1	14.1	**16.6**	14 6	13.3	12 1	**8.9**	9.6	9.8	150 6

	Partenkirchen		Zugspitze	
	Heiter	Trüb	Heiter	Trüb
Winter	**20.5**	27.6	17.3	**31.0**
Frühjahr	14.4	**29.4**	8.2	42.5
Sommer	**12.9**	**25.5**	**5.1**	**46.0**
Herbst	18 8	28.3	**20.1**	31.1
Jahr	66.6	110.8	50.7	150.6

Anzahl der Tage mit Nebel.

Partenkirchen.

Jan.	Febr.	März	April	Mai	Juni	Juli	Aug.	Sept.	Okt.	Nov	Dez.	Jahr
1.1	3.5	3.4	0.9	0.8	**0.2**	0 3	**0.2**	2.4	**3.9**	1.9	3.4	22.5

Zugspitze.

14.7	18.3	20.1	23.7	22.9	**25.8**	24.3	22.4	19.0	16 6	15.4	15.2	244.7

	Partenkirchen	Zugspitze
Winter:	8.1	48.8
Frühjahr:	5.3	69.0
Sommer:	0.7	75.0
Herbst:	8.4	51.9
Winterhalbjahr:	16.5	100.7
Sommerhalbjahr:	6.0	144.0
Jahr:	22.5	244.7

Der Verlauf der Häufigkeit der heiteren und trüben Tage weist interessante Verschiedenheiten zwischen Partenkirchen und Zugspitze auf. Auch das Maximum liegt bei den trüben Tagen im Juni; die wenigsten heiteren Tage überhaupt hat der Sommer. Die Zugspitze hat die wenigsten trüben Tage im Oktober, die meisten heiteren im Januar; Partenkirchen zeigt die günstigsten Verhältnisse im Januar.

[1]) Bewölkungsmittel < 2.0 bzw. > 8.0.

Auf die Bewölkungsziffer, besonders auf der Zugspitze, hat die Nebelbildung grossen Einfluss. Auf den Einfluss der Windrichtung auf die Nebelbildung und Bewölkungsziffer werden wir später zu sprechen kommen; hier werde lediglich in Kürze die Häufigkeit diskutiert. Als störend wurde der Umstand empfunden, dass Nebeltage, die den ganzen Tag über trüb waren, in der Statistik nicht zu trennen sind von Tagen, an welchen sich der Nebel untertags wieder auflöste, Angaben, die von hoher klimatischer Bedeutung wären.

Auf der Zugspitze ist die Häufigkeit der Tage mit Nebel sehr gross: 245 pro Jahr, das ist 67 %; 25.8 Tage also 86 % treffen. auf den Juni, 14.7 Tage, somit 47 % fallen auf den Januar.

Weitere spezielle Daten mögen den Tabellen entnommen werden.

Der Sonnenschein.

Die Bewölkungsschätzungen um 7 a, 2 p und 9 p stellen nur Stichproben dar. Als Ergänzung des Bewölkungsmittel kann die Aufzeichnung des Sonnenscheins dienen. Mit Rücksicht auf die grossen instrumentellen und persönlichen Fehler, die beim Campbell-Stokesschen Apparat die Registrierung belasten, geben wir die Daten nur mit aller Zurückhaltung bekannt.

Anzahl der Tage mit Sonnenschein:

	Jan.	Febr.	März	April	Mai	Juni	Juli	Aug.	Sept.	Okt.	Nov.	Dez.	Jahr
Partenkirchen	18.3	18.9	21.6	23.5	24.5	25.5	**26.4**	25.9	23.9	22.1	19.4	**17.0**	27.4
Zugspitze	20.0	**17.9**	21.9	20.3	21.7	20.9	21.2	22.1	22.7	**23.4**	20.8	18.5	25.9

Mittlere Anzahl der Stunden mit Sonnenschein:

Partenkirchen	77	88	126	130	151	144	166	176	147	123	83	57	1513
Zugspitze	121	102	128	115	132	128	124	143	152	142	119	90	1534

Verhältnis des wirklichen Sonnenscheins zum möglichen (%):

Partenkirchen	31.0	28.5	35.8	31.8	33.9	28.5	36.6	**41.1**	38.0	38.1	29.5	**23.7**	39.7
Zugspitze	**46.5**	33.1	36.4	27.9	29.5	**26.8**	27.4	34.0	40.3	44.9	42.6	35.9	35.4

An der Talstation werden im Juli die meisten Tage mit Sonne verzeichnet, die wenigsten im Dezember. Auf der Hochstation Zugspitze ist der trübste Monat der Februar, der am meisten begünstigte der Oktober. Das Verhältnis des wirklichen Sonnenscheins zum möglichen gibt ebenfalls typische Unterschiede zwischen der Berg- und der Talstation. Partenkirchen hat im August 41 % Sonnenschein, im Dezember nur 24 %. Die Zugspitze hat ihren sonnenscheinreichsten Monat im Januar mit 47 %, den trübsten im Juni mit 27 %. Wie sehr dies Verhältnis in einzelnen Monaten wechseln kann, sieht man am besten aus extremen Fällen: Der Mai 1902 hatte nur 11 % Sonne, der Januar 1903 66 %, der Oktober 1908 sogar 75 %! Der Unterschied in der Sonnenscheindauer zwischen Partenkirchen und Zugspitze ist am grössten im Januar und Juli. Im Januar hat die Zugspitze 16 % mehr Sonne als Partenkirchen, im Juli dagegen um 9 % weniger.

Ganz evident ist also die Bevorzugung des Berggipfels zur Zeit der tiefsten Temperaturen mit dem meisten Sonnenschein, andererseits die geringere prozentuale Sonnenscheindauer zur Zeit des längsten Tages; im letzteren Falle liegt die Ursache vor allem in der starken Bewölkungszunahme untertags im Sommer.

Ganz deutlich sind auch noch folgende kurzen Tabellen, die das Sommerhalbjahr der Winterhälfte gegenüberstellen:

Häufigkeit der Tage mit Sonnenschein:

	Partenkirchen	Zugspitze
Frühjahr und Sommer	55.6 %	51.2 %
Herbst und Winter	44.4 %	48.8 %

Prozentuale Häufigkeit des Sonnenscheins:

	Partenkirchen	Zugspitze
Frühjahr und Sommer	52.4 %	42.8 %
Herbst und Winter	47.6 %	57.2 %

Aus obiger Gegenüberstellung ist die Bevorzugung der Hochstation im Herbst und Winter deutlich erkennbar: Die Zugspitze hat in der kälteren Jahreshälfte um 10 % mehr Sonne als Partenkirchen.

Der Niederschlag.

Eines der wichtigsten klimatischen Elemente ist der Niederschlag. Die Messung desselben auf Berggipfeln ist jedoch sehr ungenau. Die „Niederschlagssumme" auf einem sturmumbrandeten Berge ist lediglich die Bilanz zwischen gefallenem und angewehtem Niederschlag einerseits und weggewehtem andererseits. Auffälligerweise scheinen die auf der Zugspitze gewonnenen Resultate relativ gut zu sein. Die mitgeteilten zehnjährigen Mittel von Partenkirchen und Hohenpeissenberg, vorzüglich aber der Zugspitze können keinen Anspruch auf grosse Genauigkeit erheben, wir wollen ihnen nur provisorische Bedeutung beilegen.

Partenkirchen.

	Mittel 1901/1910	Auf Normalmonat red.	% der Jahressumme
Januar	75.5	71.7	5.7
Februar	**61.9**	**65.6**	**4.7**
März	78.6	74.7	5.9
April	117.8	117.8	8.9
Mai	119.3	113.4	9.0
Juni	173.3	**173.3**	13.1
Juli	175.4	166.6	13.2
August	**179.5**	170.5	**13.5**
September	124.9	124.9	9.4
Oktober	75.0	71.3	5.7
November	69.0	69 0	5.2
Dezember	76.4	72.6	5.8
Winter	**213.8**		**16.2**
Frühjahr	315.7		23.8
Sommer	**528.2**		**39.8**
Herbst	268.9		20.3
Jahr	1326.6		

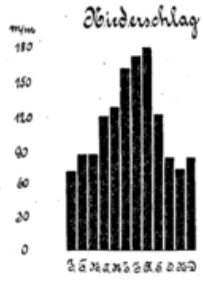
Hohenpeissenberg.

	Mittel 1901/1910	Auf Normalmonat red.	% der Jahressumme
Januar	55.3	52.5	5.3
Februar	**49.9**	52.9	**5.0**
März	54.0	51.3	5.4
April	84.2	84.2	8.4
Mai	91.9	87.3	9 2
Juni	**141.5**	**141.5**	**14.1**
Juli	136.5	129.7	13.6
August	130.1	123.6	13.0
September	93.4	93.4	9.3
Oktober	52.3	**49.7**	5.2
November	52.3	52.3	5.2
Dezember	59.0	56.1	5.9
Winter	**164.2**		**16.2**
Frühjahr	230.1		23.0
Sommer	**408.1**		**40.7**
Herbst	198.0		19.7
Jahr	1000.4		

Zugspitze

	Mittel 1901/1910	Auf Norm. red.	% der Jahressumme
Januar	75.0	**71.2**	**5.2**
Februar	80.7	85.5	6.2
März	90.5	86.0	6.3
April	120.4	120.4	8.8
Mai	134.4	127.7	9.3
Juni	162.7	162.7	11.9
Juli	183.4	174.3	12.7
August	**192.0**	**182.4**	**13.3**
September	121.4	121.4	8.9
Oktober	87.7	83.3	6.1
November	**73.0**	73.0	5.3
Dezember	87.2	82.8	6.0
Winter	**242.8**		**17.4**
Frühjahr	345.3		24.4
Sommer	**538.1**		**37.9**
Herbst	282.0		20.3
Jahr	1408.2		

Die Jahressumme des Niederschlages auf der Zugspitze mit 1408 mm entspricht der an anderen alpinen Hochstationen gemessenen. Bei der jahreszeitlichen Verteilung der Niederschläge zeigt sich in markanter Weise der Temperatureinfluss auf die Feuchtigkeitsverhältnisse: Das Maximum liegt im Sommer, das Minimum im Winter; der niederschlagreichste Monat auf der Zugspitze ist der August, der ärmste der Januar (ev. noch der November). In Partenkirchen sind die Extreme (der reduzierten Summen) verschoben auf den gewitterreichen Juni und den Februar, auf dem Hohenpeissenberg auf den Juni und Oktober. Eine Diskussion weiterer Details dürfte sich erübrigen.



Die Differenz zwischen Sommer und Winter beträgt in Prozenten der Jahressumme

für:	Partenkirchen	24%
	Hohenpeissenberg	25%
	Zugspitze	21%

Die Differenz der Niederschlagssummen zwischen Zugspitze und den Basisstationen beträgt

	Winter	Frühjahr	Sommer	Herbst	Jahr
Zugspitze—Partenkirchen	29.0	29.6	9.9	13.1	81.6
Zugspitze—Hohenpeissenberg	78.6	115.2	130 0	84.0	407.8

Auffällig ist die geringe Differenz der Niederschlagssummen zwischen Partenkirchen und Zugspitze, besonders im Sommer. Gross dagegen ist die Abweichung vom Hohenpeissenberg, der um 400 mm weniger misst, am grössten ist die Differenz auch hier im Sommer.

Nur kurz sei die vertikale Verteilung des Niederschlags im Zugspitzgebiet berührt. Im dreijährigen Mittel 1908/1910 ergibt sich folgende Verteilung:

	Station	Seehöhe	Jahressumme
1.	Partenkirchen	717 m	1422 mm
2.	Untergrainau [1])	748 m	1310 mm
3.	Raintaler Bauer [1])	942 m	1867 mm
4.	Eibsee [1])	973 m	1270 mm
5.	Kreuzeck [1])	1652 m	1531 mm
6.	Zugspitze	2962 m	1558 mm

Die Zugspitze liegt sicher weit über der Zone des maximalen Niederschlages, ihre Höhe dürfte vermutungsweise etwa in mehr als 1500 m liegen. Sehr störend wirkt der lokale Einfluss der Lage der Stationen: z. B. haben wir in Untergrainau und am Eibsee ganz geringe Niederschläge, die sich nur durch ihre Lage an der Leeseite der Ammergauer die Berge erklären lassen.

Von besonderer Wichtigkeit ist auch noch die Frage nach den grössten Niederschlagssummen eines Jahres, welche nachstehende Tabelle enthält:

	Partenkirchen		Hohenpeissenberg		Zugspitze	
Jahr	mm	am	mm	am	mm	am
1901	98.0	3. VIII.	42.4	16. VI.	55 0	10. X.
1902	32.0	28. VII.	26.9	18. VI	40.2	23. V.
1903	44.0	30. VII.	42.2	22. VI.	34.3	18. IV.
1904	56 0	26. VIII.	45.3	28. IX.	52 2	24. II.
1905	70.0	7. VIII.	47.3	12. VIII.	36.2	11. X.
1906	44.0	22. VI.	55.9	29. VI.	59.7	25. IV.
1907	49.2	16. VIII.	34.1	27. V.	38.1	23. VI.
1908	49.8	9. VIII.	50.6	31. VIII.	50.1	31. VIII.
1909	47.5	14. IV.	42.3	12. VII.	45.6	10 XII.
1910	86.0	14. VI.	94.5	18. VII.	93.4	14. VI.
Maximum:	98.0	3. VIII. 1901	94.5	18. VII. 1910	93.4	14. VI. 1910

Wichtig ist noch die Angabe der Tage, an welchen Niederschläge fallen. Nachstehend folgen die mittleren Zahlen der Niederschlagstage für die üblichen Schwellenwerte $\geq$0.1 mm und $\geq$1.0 mm. Von einer Reduktion auf Normalmonat wurde abgesehen, ebenso von der Berechnung der Niederschlagswahrscheinlichkeit.

Niederschlagshäufigkeit für Niederschläge $\geq$ 0.1 mm.

	Jan.	Febr.	März	April	Mai	Juni	Juli	Aug.	Sept.	Okt.	Nov.	Dez.	Jahr
Partenkirchen	13.8	16.0	16.0	19.6	20.3	**21.2**	20.4	18.4	16.4	**12 2**	12.8	13.2	200.3
Hohenpeissenberg	13.4	15.1	14.4	16.9	17.9	**18.1**	17.8	16.5	14.6	**13.0**	14.2	13.4	185.3
Zugspitze	14.5	17.2	18.9	21.2	21.5	21.2	**22 2**	21.0	16.5	**12.4**	13.4	13.8	213.8

[1]) Den Publikationen des k. b. hydrotechnischen Bureaus entnommen.









	Partenkirchen	Hohenpeissenberg	Zugspitze
Winter	43.0	41.9	45.5
Frühjahr	55.9	49.2	61.6
Sommer	**60.0**	**52.4**	**64.4**
Herbst	**41.4**	**41.8**	**42.3**
Jahr	200.3	185.3	213.8

Niederschlagshäufigkeit für Niederschläge ≧ 1.0 mm.

	Jan.	Febr.	März	April	Mai	Juni	Juli	Aug.	Sept.	Okt.	Nov.	Dez.	Jahr
Partenkirchen	10.1	12.0	11.7	13.7	15.9	**17.3**	16.6	14.6	13.0	10.0	10.1	**9.7**	154.7
Hohenpeissenberg	10.0	11.3	10.5	12.8	14.1	**14.7**	14.3	12.7	11.9	**8.5**	9.4	10.5	140.7
Zugspitze	10.7	11.9	13.8	16.3	16.6	18.0	**19.0**	18.3	13.4	**9.5**	10.4	9.9	167.8

	Partenkirchen	Hohenpeissenberg	Zugspitze
Winter	**31.8**	31.8	**32.5**
Frühjahr	41.3	37.4	46.7
Sommer	**48.5**	**41.7**	**55.3**
Herbt	33.1	**29.8**	33.3
Jahr	154.7	140.7	167.8

Beachtenswert ist vor allem, dass von allen drei Stationen die Zugspitze die meisten Tage mit Niederschlag hat, besonders aber der Umstand, dass Partenkirchen durchweg mehr Niederschlagstage (und auch eine grössere Niederschlagssumme) hat als der Hohenpeissenberg, was offenbar durch die Lage der Station in einem Talkessel mit Erhebungen von ca 2000 m relativer Höhe im Süden desselben bedingt ist.

Der Vollständigkeit halber folgen noch die Zusammenstellungen der Tage mit Schneefall und Schneedecke, sowie der Tage mit Gewitter.

Anzahl der Tage mit Schneefall.

	Jan.	Febr.	März	April	Mai	Juni	Juli	Aug.	Sept.	Okt.	Nov.	Dez.	Jahr
Partenkirchen	8.6	**10.0**	8.5	6.2	1.8	—	—	—	0.1	1.4	5.4	7.4	49.4
Hohenpeissenberg	10.4	**12.5**	11.0	8.7	4.4	0.2	—	—	0.2	2.4	7.0	10.2	66.8
Zugspitze	15.0	16.3	18.4	**20.1**	19.5	17.0	11.9	**11.1**	12.4	12.2	13.2	13.9	181.0

	Partenkirchen	Hohenpeissenberg	Zugspitze
Winter	**26.0**	**33.1**	45.2
Frühjahr	16.5	24.1	**58.0**
Sommer	—	—	40.0
Herbst	6.9	9.6	**37.8**
Jahr	49.4	66.8	181.0

Während im Tale die meisten Tage mit Schneefall im Februar auftreten, schneit es auf der Zugspitze am meisten im April. Das Frühjahr überhaupt bringt der Höhe viele Schneetage. Die wenigsten Tage mit Schneefall auf der Zugspitze hat nicht der Sommer sondern der Herbst!

Anzahl der Tage mit Schneedecke.

	Jan.	Febr.	März	April	Mai	Juni	Juli	Aug.	Sept.	Okt.	Nov.	Dez.	Jahr
Partenkirchen	28.3	**27.4**	18.7	5.5	0.7	—	—	—	—	0.6	7.3	23.8	112.3
Hohenpeissenberg	25.9	**25.8**	19.9	6.7	2.3	—	—	—	—	2.3	9.5	21.7	114.1
Zugspitze	**31.0**	**28.2**	**31.0**	**30.0**	**31.0**	28.6	17.5	**12.1**	18.5	22.3	27.0	**31.0**	308.2

	Partenkirchen	Hohenpeissenberg	Zugspitze
Winter	**79.5**	**73.4**	**90.2**
Frühjahr	24.9	28.9	**92.0**
Sommer	—	—	**58.2**
Herbst	7.9	11.8	67.8
Jahr	112.3	114.1	308.2

An 308 Tagen im Jahresmittel liegt auf der Zugspitze Schnee; sogar der wärmste Monat August hat im Mittel noch an 12 Tagen eine Schneedecke. Interessant ist auch ferner der Umstand, dass der freigelegene und höhere Hohenpeissenberg die nahezu gleiche Anzahl Tage mit Schneedecke hat, wie Partenkirchen.

Die Schätzung der Stärke der Schneedecke auf der Zugspitze ist ein Unding, da der Schnee beständig vom Winde transportiert wird und oftmals meterhohe Anwehungen neben apergefegten Felspartien liegen. Da beispielsweise für hydrographische Zwecke es sehr wichtig ist, die Dicke der Schneelage zu kennen, wurden in neuester Zeit auf dem Plattachferner Stangen aufgestellt, an denen von der Zugspitze aus mittels Fernrohr bei sichtigem Wetter die Ablesungen vorgenommen werden.[1]) Um einen ungefähren Überblick über die Schneemengen auf der Zugspitze zu geben, stellen wir aus der zehnjährigen Reihe für jeden Monat immer das kleinste und das absolut grösste Maximum der geschätzten Schneehöhe (in cm) gegenüber. Wir bitten aber, die Zahlen mit Reserve aufzunehmen.

Die maximale Schneehöhe der Zugspitze liegt

	im Jan.	Febr.	März	April	Mai	Juni	Juli	Aug.	Sept.	Okt.	Nov.	Dez.	
zwischen:	90	110	170	165	155	40	5	10	10	5	5	65	
und:	400	445	530	525	540	275	100	125	125	165	162	266	cm

Die Häufigkeit der Gewittertage ist auf der Zugspitze wenig von der in Partenkirchen verschieden. Im Mittel ist die

Anzahl der Tage mit Gewitter:

	Jan.	Febr.	März	April	Mai	Juni	Juli	August	Sept.	Okt.	Nov.	Dez.	Jahr
Partenkirchen	0.3	—	—	1.5	4.2	7.5	**9.6**	7.3	2.1	0.5	0.1	0.1	33.9
Zugspitze	0.2	—	—	0.8	4.6	7.8	**10.3**	7.8	3.7	0.8	—	—	36.6

Das Maximum der Gewittertätigkeit fällt auf den Juli, vereinzelt treten auch Wintergewitter auf. Die auf der Zugspitze etwas grösseren Häufigkeitszahlen haben ihre Erklärung wohl in dem grösseren Gesichtskreise der Hochstation.

Ehe wir den Abschnitt über den Niederschlag beschliessen, wollen wir noch kurz auf die Häufigkeit und Dauer von Niederschlags- und Trockenperioden[2]) eingehen. Im allgemeinen sind solche Betrachtungen nur von Wert für die Landwirtschaft oder die Hydrographie. Es lassen sich jedoch auch für die Hochregionen Berechtigungsgründe, wie Einfluss auf die Schneelage, Gletscherbewegung usw. anführen.

Mittlere Dauer von Niederschlags- und Trockenperioden auf der Zugspitze.

	Jan.	Febr.	März	April	Mai	Juni	Juli	Aug.	Sept.	Okt.	Nov.	Dez.
Niederschlag	3.8	3.4	4.2	**5.8**	**5.8**	5.2	5.4	4.1	4.3	**2.9**	3.0	**2.9**
Trockenzeit	3.5	2.4	2.5	**1.9**	2.5	2.1	2.2	**1.9**	3.5	**5.3**	4.3	3.9

Maximale Dauer von Niederschlags- und Trockenperioden.

	Jan[3])	Febr.	März	April	Mai	Juni	Juli	Aug.	Sept.	Okt.	Nov.	Dez.
Niederschlag	**34**	14	19	18	**34**	26	26	11	18	19	**10**	11
Trockenzeit	15	8	8	8	8	9	9	9	**18**	**18**	17	14

Frühjahr und Sommer sind, wie auch aus diesen Tabellen folgt, die niederschlagreichsten Jahreszeiten. Der Herbst ist sowohl durch eine grosse absolute als mittlere Dauer der Trockenperioden sehr begünstigt.

Der Wind.

Wir wollen in diesem Abschnitt vorerst auf Grund der Schätzungen die Windverhältnisse der Zugspitze untersuchen. Einen Registrierapparat zur Aufzeichnung der Windrichtung besitzt die Zugspitze nicht; die uns zu Gebote stehende Registrierung der Geschwindigkeit ist vielfach störenden Einflüssen, wie Brandung am Gipfel oder Rauhfrostansatz am Schalenkreuz, unterworfen; überdies erstreckt sich die Beobachtungsreihe nur auf 3 Jahre. Um dem abzuhelfen, haben wir nach der von Assmann in „Die Winde in Deutschland" durchgeführten Methode die Winde des Zeitraumes 1901/10 sowohl nach Richtung als nach Stärke gesichtet[4]). Um, wenn auch nur annähernd, einen Ueberblick über den täglichen Gang des Windes zu gewinnen, erfolgte eine gesonderte Behandlung der 7a-, 2p- und 9p-Windschätzung.

Des Vergleiches halber ist später auch der Hohenpeissenberg herangezogen worden. Der Schluss ist der Einwirkung des Windes auf die Bewölkungsziffer sowie auf Regen- und Nebelbildung gewidmet.

---

[1]) Vergl. „Beobachtungen der meteorologischen Station in Bayern im Jahre 1911", pag. XI.

[2]) Unter Niederschlagsperiode oder Trockenperiode verstehen wir einfach die Aufeinanderfolge von Tagen mit oder ohne Niederschlag, ohne auf die Stärke des Niederschlags Rücksicht zu nehmen.

[3]) Greift eine Periode in einen anderen Monat über, so wurde die Zahl dem Monat zugeschrieben, auf den die meisten Tage fielen.

[4]) Eine Publikation des gesamten Arbeitsmateriales und der Einzelresultate ist hier an dieser Stelle nicht möglich. Das Material befindet sich nun im Archiv der k. b. meteorologischen Zentralstation, wo es Interessenten jederzeit zur Verfügung steht.

Häufigkeit der Windrichtungen auf der Zugspitze

(10jährige Mittel in %)

	N	NE	E	SE	S	SW	W	NW	C
Januar	16.7	3.9	4.0	13.1	**5.2**	7.7	12.5	32.5	4.4
Februar	**18.4**	3.5	2.8	13.1	8.5	8.2	10.7	31.1	**3.9**
März	14.1	2.6	2.6	11.3	**14.3**	8.4	12.4	29.5	4.9
April	15.6	**1.8**	2.5	12.0	11.7	**6.8**	12.0	31.5	6.0
Mai	12.6	2.7	3.3	18.6	11.9	8.0	9.6	24.6	8.6
Juni	15.3	**4.8**	2.7	12.2	11.7	7.8	9.0	27.9	8.6
Juli	12.0	1.9	1.3	7.1	7.8	8.0	13.3	**38.6**	6.7
August	**10.6**	1.9	**0.8**	**5.9**	9.4	**11.6**	**16.2**	36.8	6.8
September	16.9	4.5	2.9	13.6	12.7	10.0	**7.2**	21.7	**10.3**
Oktober	10.8	3.5	**4.8**	**19.3**	12.9	9.6	13.3	**18.7**	7.7
November	16.5	**4.8**	3.4	10.2	10.5	11.5	11.7	25.5	5.9
Dezember	14.8	2.9	2.8	14.0	12.0	10.2	12.8	25 4	5.0
Jahr	14.8	3.2	**2.8**	12.5	10.7	9.0	11.8	**28.6**	6.6

Nachstehende Tabellen bilden die Grundlagen für die Besprechung des täglichen Ganges der Windrichtung:

Winter.

	N	NE	E	SE	S	SW	W	NW	C
7 a	18.4	3.7	3.4	12.3	6.7	8.9	11.9	30.4	4.3
2 p	13.5	3.5	3.2	15.0	9.1	8.4	12.7	28.7	5.9
9 p	17.8	3.2	2.9	13.0	9.9	8.8	11.6	29.7	3.1

Frühjahr.

7 a	14.7	3.2	3.0	12.0	10.7	8.9	10.8	30.0	6.6
2 p	12.7	1 9	2.5	16.4	13.1	7.9	12.0	25.7	7.8
9 p	14.8	2.0	2.8	13.6	14.2	6.5	11.1	29.8	5.1

Sommer.

7 a	15.5	2.9	1.7	7.0	7.6	8 0	12.9	36.4	8.0
2 p	11.4	2.8	1.6	12.0	11.8	11.4	13.8	26.9	8.3
9 p	14.3	2.7	1.6	6.3	9.3	7.9	12.1	40.2	5.7

Herbst.

7 a	16.5	5.4	3.8	12.8	8.8	10.4	10.9	23.8	7.5
2 p	11.3	3.2	3.3	17.7	15.2	9.9	11.1	19.1	9.2
9 p	16.4	4.1	4.1	12.1	12.1	10.8	10 2	23.1	7.3

Gesamtmittel der Jahreszeiten.

Winter	**16.6**	3.4	3.2	13.4	**8.6**	8.7	12.1	29.6	**4.4**
Frühjahr	14.1	**2.4**	2.8	14.0	**12.7**	**7.8**	11.3	28.5	6.5
Sommer	**13.7**	2.8	**1.6**	**8.4**	9.6	9.1	**12.9**	**34.5**	7.3
Herbst	14.7	**4.2**	**3.7**	**14.2**	12.0	**10.4**	**10.8**	**21.9**	**8.0**

Jahr.

Stärke	N	NE	E	SE	S	SW	W	NW	C	Summe
0— 2 mps	2.0	0.7	0.5	2.2	1.6	1.2	1.6	2.7		12.5
über 2— 5 mps	5.1	1.4	1.1	4.4	3.0	2.7	4.1	8.9		**30.6**
über 5—10 mps	4.6	0.8	1.2	3.7	3.1	2.7	3.3	9.1		28.3
über 10—15 mps	2.4	0.3	0.2	1.7	2.2	1.8	1.9	5.7		16.3
über 15 mps	0.8	0.0	0.1	0.6	0.7	0.6	0.7	2.3		**5.7**
Summe	14.8	3.2	**2.8**	12.5	10.7	9.0	11.8	**28.6**	6.6	100

Im Jahresdurchschnitt fällt die grösste Häufigkeitszahl 28.6 % auf den NW-Wind; viel geringere Häufigkeit 14.8 % weist der N-Wind auf. Winde aus östlichen Richtungen sind sehr selten, relativ oft ist jedoch der SE vertreten.

Interessante Einzelheiten bieten sich bei Betrachtung der jahreszeitlichen Modifikationen; deutlich kommt hierbei die Abhängigkeit der Windrichtungen auf den Bergen von den, die typischen Wetterlagen bestimmenden, Depressionen zum Ausdruck.

Die Bestimmung des Zusammenhanges einzelner Windrichtungen mit bestimmten Wetterlagen ist Aufgabe synoptischer Untersuchungen, sodass wir uns kurz fassen wollen. NW- und N-Winde hängen enge zusammen mit der Rückseite

abziehender Depressionen[1]). Der im Winter, Frühjahr und Herbst häufige SE verdankt im allgemeinen wohl einer heranziehenden Mittelmeerdepression seine Häufigkeit. Pernter[2]) schreibt: „Die Windrichtung auf unseren höchsten Gipfeln wird von den wandernden Zyklonen bestimmt und entspricht nach dem Buys-Ballotschen Gesetze im wesentlichen den Isobaren im Meeresniveau.“ Im Frühjahr sind die NW- und N-Winde etwas weniger häufig. Auch die an der Vorderseite der Depressionen wehenden SW- und W-Winde haben sich etwas vermindert. Auffällig ist hingegen die grosse Häufigkeitszunahme der S-Winde. Im Sommer sind wieder W- und NW-Winde sehr häufig, während die Prozentzahlen für N, E und S im Mittel abnehmen. Deutlich ist das typische Herbstwetter, das wir schon in allen Elementen auf der Zugspitze markant ausgeprägt fanden, von den vorherrschenden Windrichtungen repräsentiert: Winde aus östlichen und südlichen Richtungen wehen am häufigsten, der NW-Wind erreicht sein Jahresminimum.

Interessant ist ferner der tägliche Gang des Windes auf der Zugspitze, auf den wir jedoch nur auf Grund der drei täglichen Terminsbeobachtungen schliessen können. Die Winde aus NW, N, NE und E haben ihre grösste Häufigkeit um 7 a und ihr Minimum um 2 p. Dagegen erreichen die Winde aus SE, S, SW und W um 2 p ihre grösste Frequenz: Diese Drehung mit der Sonne ist sehr deutlich ausgeprägt. Sie ist verursacht durch die infolge der Erwärmung eingetretenen Hebung der Niveauflächen und dem Abfliessen der Luft in der Höhe.

Auf einen Zusammenhang der Windverhältnisse auf der Zugspitze mit dem Windsysteme auf der vorgelagerten Hochebene werden wir geführt durch einen Vergleich mit dem Hohenpeissenberg. Zu diesem Zwecke wollen wir jedoch nur das notwendigste Zahlenmaterial mitteilen.

Häufigkeit der Windrichtungen auf dem Hohenpeissenberg.

(10jähriges Mittel, %).

	N	NE	E	SE	S	SW	W	NW	C
Januar	**1.4**	11.5	7.2	5.1	1.6	11.8	**49.5**	6.6	**5.3**
Februar	2.1	14.7	**5.8**	3.7	1.9	12.1	46.4	9.9	3.5
März	3.6	13.8	9.1	3.4	2.2	11.2	42.0	10.1	4.3
April	3.8	17.1	8.7	3.8	**1.0**	11.2	43.1	9.1	2.2
Mai	3.7	16.2	13.6	5.4	2.6	11.4	35.7	8.5	2.7
Juni	4.0	17.7	**15.2**	3.1	1.6	9.4	36.2	**10.8**	**2.0**
Juli	3.5	11.7	9.8	3.8	**1.0**	**13.0**	44.5	9.7	3.0
August	**6.1**	**9.4**	9.6	**2.7**	1.5	11.5	45.8	10.3	3.0
September	2.9	**21.8**	14.5	5.0	1.2	8.8	**34.0**	8.7	3.1
Oktober	3.3	17.3	11.1	**6.4**	2.4	9.8	38.7	7.9	3.1
November	3.0	15.4	10 7	4.0	2.1	13.2	41.8	**5.9**	3.9
Dezember	3.2	9.0	9.1	6.2	**3.8**	11.8	45.4	8.9	2.6
Jahr	3.4	14.7	10.3	4.4	**2.1**	11.3	**41.9**	8.9	3.2
				Winter.					
7 a	2.2	10.5	5.5	6.2	2.1	12.6	48.0	9.3	3.4
2 p	3.1	12.9	7.9	4.7	3.3	11.6	42.0	9.5	4.7
9 p	1.4	11.8	8.3	4.2	1.9	11.4	51.2	6.6	3.2
				Frühjahr.					
7 a	2.7	11.0	9.2	5.5	3.4	12.6	41.4	9.4	4.8
2 p	6.6	20.0	11.6	2.8	1.1	10.0	33.6	12.4	1.8
9 p	1.6	16.5	10.5	4.5	1.3	11.2	45.8	6 0	2.6
				Sommer.					
7 a	2.2	5.6	10.8	4.9	2.1	15.1	46.0	8.2	5.2
2 p	8.7	17.3	12.3	1.1	0.9	9.5	34.8	14.8	0.6
9 p	2.8	16.0	11.5	3.6	1.1	9.3	45.7	7.8	2.2
				Herbst.					
7 a	2.3	12.3	11.6	6.1	2.3	13.5	38.6	8.6	4.7
2 p	5.7	25.6	11.7	3.0	1.9	8.3	32.4	9.0	2.0
9 p	1.2	16.0	13.1	6.4	1.6	10.0	43.5	4.8	3.4

Auf dem Hohenpeissenberg sind die Westwinde mit 41.9% vorherrschend, auf der Zugspitze, der Drehung im Uhrzeigersinn entsprechend, NW. Auf dem Hohenpeissenberg ist auch die Häufigkeit der NE- und SW-Winde, in einzelnen Monaten auch der E-Winde, gross, während Winde aus SE und S (auch N) nur schwach vertreten sind.

[1]) Vergl. Bartholomew's Physikal Atlas Vol III. Plate 12.

[2]) „Die Windverhältnisse auf dem Sonnblick“ pag. 34.

Das entgegengesetzte Verhalten der nördlichen und südlichen Winde auf dem Hohenpeissenberg begründet eine etwas eingehendere Beschäftigung.

Auf der Zugspitze sind im Winter die N-Winde am häufigsten. Im August dagegen, wo man — allerdings im Widerspruch mit dem Umlaufen des Windes mit der Sonne — eine Vermehrung der Nordwinde durch Hebung der Niveauflächen im Alpenvorland erwarten sollte, sind sie am seltensten.

Die Häufigkeit der südlichen und südöstlichen Winde ist in der Zugspitzhöhe bedeutend grösser als auf dem Hohenpeissenberg; im allgemeinen sind bei SW-Wind die Unterschiede nicht besonders gross. Dass SE- und S-Winde oben in Zugspitzhöhe öfter auftreten als unten, hat seinen Grund darin, dass die Zugspitze schon längst auf eine ins Mittelmeer einziehende Depression reagiert oder dass oben in 3000 m Föhnströmung herrscht, die noch nicht bis zum Erdboden vorgedrungen ist[1]). Schmauss[2]) bringt die Häufigkeit der NE- und E-Winde auf dem Hohenpeissenberg in kausalen Zusammenhang mit den Südwinden der Zugspitze: „Es wird sich sogar ein System von Saugwinden einstellen, welche zunächst als N-Winde entstehend, durch das Gelände gezwungen in nordöstliche bezw. östliche Winde übergehen."

Einen weiteren Gesichtspunkt erhalten wir, wenn wir auf die einzelnen Monate zurückgehen und dabei vorzugsweise auf den täglichen Gang des Windes Rücksicht nehmen.

Auf der Zugspitze sind um 2 p S-Winde am häufigsten. Im Laufe des Vormittags und Mittags erwärmt sich die Ebene sehr stark, so dass sich die Luftmassen heben. Hiedurch entsteht in allen Niveaus ein Strömen der Luft gegen das Gebirge (also von N—S). Nun schiebt sich — und das halte ich für wesentlich zur Beurteilung der lokal modifizierten Verhältnisse — die ca 2000 m (absolut) hohe Gruppe der Ammergauer Berge zwischen Hohenpeissenberg und Zugspitze. So ist ein direktes Ansteigen des Landwindes am Zugspitzmassiv von der Ebene aus durch die Ammergauer Berge aufgehalten. Damit steht im Einklang die im Sommer Tag für Tag zu machende Beobachtung, dass die Ammergauer Gruppe durch starke cu-Entwicklung und Gewitterbildung bevorzugt ist. Die Zeichnung eines (nicht überhöhten) Profils Hohenpeissenberg—Ammergauer Gruppe—Zugspitze veranschaulicht die Situation.

Zur Charakterisierung des täglichen Ganges der Winddrehung geben wir im Nachfolgenden die Differenzen der Häufigkeitsprozente 2 p—7 a für Hohenpeissenberg und Zugspitze.

Hohenpeissenberg:

	N	NE	E	SE	S	SW	W	NW	C
Januar	+ 0.9	+ 2.6	+ 2.0	— 2.3	+ 1.6	— 1.6	— 4.2	— 1.6	+ 2.6
Februar	± 0.0	+ 3.9	+ 2.9	— 3.5	+ 1.1	— 0.7	— 4.3	± 0.0	+ 0.7
März	+ 3.2	+ 9.6	+ 1.3	— 0.7	— 2.6	— 2.6	— 6.1	+ 0.6	— 2.9
April	+ 4.0	+ 7.7	+ 2.7	— 2.7	— 1.3	— 1.3	— 8.3	+ 2.0	— 2.6
Mai	+ 4.5	+ 9.7	+ 3.2	— 4.8	— 2.9	— 3.8	— 9.0	+ 6.5	— 3.3
Juni	+ 6.3	+ 18.0	+ 0.7	— 2.0	— 2.0	— 6.7	— 14.3	+ 4.0	— 3.7
Juli	+ 6.4	+ 9.7	+ 0.6	— 5.8	— 0.7	— 2.9	— 10.0	+ 8.1	— 5.5
August	+ 6.8	+ 7.4	+ 3.3	— 3.3	— 1.0	— 7.1	— 9.3	+ 7.7	— 4.5
September	+ 3.0	+ 19.7	— 1.0	— 4.6	— 1.6	— 4.3	— 11.7	+ 4.0	— 3.3
Oktober	+ 3.2	+ 16.5	+ 1.3	— 4.5	± 0.0	— 9.0	— 4.2	+ 0.4	— 3.5
November	+ 4.0	+ 5.4	± 0.0	— 0.3	+ 0.3	— 2.3	— 2.7	— 3.0	— 1.3
Dezember	+ 1.6	+ 0.7	+ 3.3	+ 1.3	+ 1.0	— 0.7	— 9.4	+ 2.0	+ 0.6

Zugspitze:

	N	NE	E	SE	S	SW	W	NW	C
Januar	— 4.7	— 1.2	— 0.4	+ 1.9	+ 0.5	+ 2.1	+ 0.8	+ 0.5	+ 0.4
Februar	— 6.2	+ 1.1	— 1.0	+ 1.8	+ 3.4	— 2.7	+ 3.9	— 3.0	+ 2.8
März	— 2.8	± 0.0	± 0.0	+ 1.8	+ 2.1	— 2.3	+ 1.0	— 1.4	+ 1.6
April	— 0.1	— 2.0	— 1.5	+ 6.2	+ 2.0	— 0.6	+ 3.5	— 8.7	+ 1.3
Mai	— 3.1	— 1.9	— 0.1	+ 5.2	+ 3.1	+ 0.2	— 0.8	— 3.1	+ 0.6
Juni	— 7.2	+ 0.3	± 0.0	+ 6.0	+ 3.8	+ 0.8	+ 3.7	— 6.1	— 1.3
Juli	+ 11.7	— 0.4	— 0.2	+ 3.6	+ 4.3	+ 1.8	+ 1.5	— 9.8	+ 0.6
August	— 3.9	± 0.0	— 0.1	+ 5.5	+ 4.5	+ 7.5	— 2.4	— 12.3	+ 1.3
September	— 4.7	— 3.0	— 0.6	+ 8.0	+ 9.8	— 0.8	— 0.3	— 9.6	+ 1.3
Oktober	— 3.2	— 2.9	— 2.1	+ 5.8	+ 7.7	— 1.3	— 0.4	— 3.1	— 3.2
November	— 5.8	— 0.5	+ 1.2	+ 3.0	+ 1.5	+ 0.5	+ 1.2	— 1.6	+ 0.7
Dezember	— 4.4	— 0.4	+ 0.6	+ 4.4	+ 3.6	— 0.9	— 1.8	— 2.7	+ 1.6

Hieraus sind die Veränderungen des Windes von 7 a bis 2 p deutlich zu ersehen. Auf der Zugspitze nehmen mit fortschreitender täglicher Erwärmung fast ausschliesslich die SE- und S-Winde zu, in den Hochsommermonaten auch noch SW und teilweise W. Auf dem Hohenpeissenberg sind diese Richtungen (SE, S, SW und W) um 2 p weniger häufig als um 7 a. Vom täglichen Wärmegang wird auf dem Hohenpeissenberg am meisten der NE-Wind beeinflusst; im Juni beträgt die Zunahme von 7 a bis 2 p 18%, im September sogar fast 20%.

Wir glauben nicht fehlzugehen, wenn wir in der Häufigkeit der südlichen Winde der Zugspitze und der nordöstlichen auf dem Hohenpeissenberg im allgemeinen nicht eine Saugwirkung annehmen, sondern diese Winde einfach als abhängig von der, durch den täglichen Wärmegang verursachten, Luftbewegung betrachten. Beim Hohenpeissenberg dürften die Winde auch vielfach durch lokale Verhältnisse bedingt sein: Nordöstlich vom Hohenpeissenberg liegt das Ammertal, das sich zu dem nur 20 km entfernten Ammersee erstreckt. Auch der Starnbergersee ist nur 20 km vom Hohenpeissenberg entfernt. Das Hügelterrain zwischen den beiden Seen liegt nun genau im NE vom Hohenpeissenberg, so dass es ziemlich sicher erscheint, dass hiedurch die Häufigkeit der NE-Winde bestimmt wird.

Nach dieser kleinen Abschweifung, die wir jedoch zur Deutung wichtiger Punkte unternehmen mussten, kehren wir wieder zur Zugspitze zurück und untersuchen den Einfluss der **Windrichtung** auf die **Bewölkungsziffer** sowie die **Nebel-** und **Niederschlagshäufigkeit.**

Ohne weiteres ist evident, dass für die Zugspitze die Winde aus nördlichen Richtungen am meisten Trübung und Niederschläge bringen. Im Jahresdurchschnitt entfallen auf die einzelnen Windrichtungen folgende Bewölkungsmittel:

	N	NE	E	SE	S	SW	W	NW	C
7 a	6.3	5.2	4.6	5.7	6.0	5.8	6.3	7.5	5.2
2 p	7.8	6.3	5.3	6.3	6.2	6.3	7.0	8.4	6.1
9 p	6.5	6.3	4.9	5.2	5.3	5.0	5.9	7.5	5.0

[1]) Häufigkeit südlicher Winde im März: Zugspitze 34%, Mittenwald 38%, Hohenpeissenberg dagegen nur 17%.

[2]) „Die gleichzeitigen Windverhältnisse an den Stationen München—Harlaching, Hohenpeissenberg und Zugspitze" in „Meteorologische Beobachtungen in Bayern" 1909, pag. 2.

Um nicht zu weitläufig zu werden, wollen wir für die einzelnen Monate nur das Gesamtmittel der Bewölkung, für die Jahreszeiten jedoch auch noch die 3 Terminsmittel mitteilen.

	N	NE	E	SE	S	SW	W	NW	C
Januar	5.7	3.9	2.4	3.4	3 9	4.6	6.2	6.5	3.7
Februar	6.3	4.1	6.3	5.4	5.9	5.5	6.9	7.7	7.0
März	6.8	6.5	5.1	5.5	5.6	5.5	5.9	8.1	5.5
April	7.9	7.0	5.9	6.8	6.2	6.1	6.9	8.5	6.6
Mai	7.3	7.6	6.3	7.1	6.1	6.8	7.2	8.2	6.8
Juni	7.8	7.8	5.8	7 6	7.3	7.2	7.3	8.5	6.9
Juli	7.7	7.9	6.9	7.8	6.4	6.3	6.3	8.2	6.0
August	7.5	6.5	5.6	7 4	6.2	5.9	6.5	7.9	5.9
September	7.1	5 9	4.7	5.2	5.4	4.4	5.3	7.5	5.5
Oktober	6.3	6 6	4.8	5.4	4.9	5.0	5.1	7.4	4.8
November	5.6	4.0	3.1	4.9	5.8	5.6	6.1	6.7	3.4
Dezember	5.4	4 1	5.3	4.6	5.4	6.2	6.6	7.2	4 9

Der jährliche Gang der Bewölkung ist deutlich ausgeprägt: Das Minimum liegt im Spätherbst und im Winter, das Maximum im Sommer. N- und NW-Winde haben die grössten Bewölkungsmittel im Gefolge, wenn auch hervorgehoben werden muss, dass auch oft südliche Winde stärkere Bewölkung verursachen. Die geringste Bewölkung herrscht im allgemeinen bei östlichen Winden.

In den einzelnen Jahreszeiten ergibt sich folgender Zusammenhang zwischen Windrichtung und Bewölkungsmittel:

	N	NE	E	SE	S	SW	W	NW	C
Winter.									
7 a	6.1	3.9	4.4	5.1	5.9	5.8	7.1	7.0	5.3
2 p	6.2	4.2	4.5	4.8	5.2	6.2	6.7	7.5	3.1
9 p	5.4	4.0	4.2	3.5	4.8	4.5	5.9	6.8	3 8
Frühjahr.									
7 a	6.4	5.6	5.8	6.4	5.9	6.1	6.7	8.0	5.6
2 p	8.7	8.5	5.9	7.4	6.5	6.7	7.0	8.7	7.2
9 p	7.2	7.5	5.7	5.8	5.5	5.3	6.1	8.2	6.2
Sommer.									
7 a	6.5	7.2	5.2	7.3	6.3	5.5	6.0	7 6	5.2
2 p	9.3	7.8	7.4	7 9	7.3	6.9	8.0	9.1	7.7
9 p	7.5	7.7	5.6	7.4	6.4	6.5	6.4	8.0	5.9
Herbst.									
7 a	6.1	4.7	3.7	4.8	6.2	5.7	5.3	6.9	4.7
2 p	7.3	5.8	4.5	5.6	5.5	5.3	6.1	8 0	5.4
9 p	6.0	6.3	4.6	5.1	4.5	4.0	5.1	6.8	3.8

Wie schon erwähnt, macht sich überall der tägliche Bewölkungsgang geltend. Erwähnenswert ist noch, dass durch südliche Winde der tägliche Gang eine Unterbrechung, mindestens eine Schwächung, erleidet; so z. B. ist im Herbst und Winter von 7 a bis 2 p bei südlichen Winden (auch bei W) eine Abnahme der Bewölkungsziffer zu konstatieren.

Im wesentlichen Zusammenhang mit der Bewölkung steht die Nebelbildung. Um Wiederholungen zu vermeiden, wollen wir nach Mitteilung des Zahlenmaterials nur eine kurze Besprechung beifügen.

Prozentuale Verteilung des Nebels auf die Windrichtungen:

	N	NE	E	SE	S	SW	W	NW	C
Januar	25.1	2.5	1.3	1.5	0.4	1.3	12.9	52.2	2.7
Februar	32.3	1.5	1.2	6.3	0.8	1.2	5.0	49.0	2.7
März	17.4	3.9	1.9	5.2	4.4	1.3	9.9	53.5	2.6
April	21.1	1.7	1.2	6.1	3.4	2.7	8.4	50.2	5.0
Mai	18.9	3.8	3.8	15.9	2.0	4.4	9.7	41.4	7.4
Juni	19.4	5.6	1.9	10.2	6.1	3.9	6.5	40 8	5.5
Juli	18.1	1.8	1.4	6.5	2.9	2.9	11.6	52.1	2.5
August	15.4	2.5	0 8	5.5	2.6	3.7	10.2	54.6	4.9
September	25.5	5.1	2.5	8.2	7.4	4.5	3.5	33.5	9.9
Oktober	15.4	5.6	4.6	14.8	4.5	5.6	7.2	34.5	8.0
November	25.7	3.2	2.6	4.6	3.4	3.8	14.1	40.2	2.4
Dezember	21.9	0.9	0.9	9.2	0.9	2.3	10 2	50.1	3.2

Jahreszeitliche Verteilung:

Winter.

	N	NE	E	SE	S	SW	W	NW	C
7 a	27.1	1.4	1.8	5.5	0.4	1.1	9.7	50.0	3.2
2 p	20.9	2.0	0.4	7.6	—	2.0	7.3	53.3	4.4
9 p	26.3	2.0	1.2	4.2	1.8	1.8	10.7	50.4	1.2

Frühjahr.

7 a	16.7	3.2	1.5	6.4	2.6	3.5	9.2	51.2	5.6
2 p	21.0	2.4	2.1	11.2	3.2	2.9	9.4	41.4	5.8
9 p	18.5	3.3	3.1	8.9	3.6	2.1	8.5	48.4	3.6

Sommer.

7 a	18.6	3.8	1.4	7.9	3.0	2.0	8.7	50.7	3.9
2 p	18.3	3.4	1.7	10.0	5.0	3.4	10.4	41.7	6.1
9 p	16.8	2.7	1.0	4.9	3.6	5.1	9.4	53.5	3.0

Herbst.

7 a	23.4	5.5	2.7	6.2	2.9	5.3	7.4	38.8	7.8
2 p	19.2	3.6	3.1	12.8	7.3	4.6	8.0	32.9	8.4
9 p	22.1	5.1	3.7	8.4	5.4	4.2	8.4	37.3	5.3

Jahr.

7 a	21.0	3.4	1.8	6.6	2.3	2.8	8.8	48.3	5.0
2 p	19.8	3.0	1.9	10.5	4.1	3.3	9.1	42.2	6.2
9 p	20.2	3.3	2.2	6.6	3.7	3.5	9.2	48.1	3.3

Die prozentuale Häufigkeit des Nebels ist für

7 a	32.3 %
2 p	32.8 %
9 p	34.8 %

An 35.7% der drei Termine hat die Zugspitze Nebel.

Im Gegensatz zur Bewölkung tritt von 7 a bis 2 p sehr oft keine Zunahme des Nebels ein. NW-Wind bringt den meisten Nebel; bei N und NW ist um 2 p die Nebelhäufigkeit geringer als früh oder abends. Bei südlichen und östlichen Winden tritt vielfach im Laufe des Tages Zunahme des Nebels ein. Dass die Nebelhäufigkeit bei nördlichen Winden um 2 p geringer ist als bei den anderen Terminen, hat seinen Grund wohl in dem Überwiegen südlicher Winde. Ist der Einfluss des mit der Sonne umgehenden Windes erschöpft, so stellt sich bei NW wieder eine um 10% grössere Nebelhäufigkeit ein.

Bei den einzelnen Windrichtungen ist die Häufigkeit des Nebels folgende:

N	NE	E	SE	S	SW	W	NW	C
20.3	3.2	**2.0**	7.9	3.4	3.2	9.0	**46.2**	4.8

Reduziert man obige Daten auf gleiche Windanzahl (100), so verschiebt sich die Häufigkeit etwas:

N	NE	E	SE	S	SW	W	NW	C
49.1	35.7	24.8	22.7	**11.2**	12.7	27.4	**57.6**	26.1

Es trifft also auf 100 NW-Winde 58 mal Nebel, auf 100 S-Winde dagegen nur 11 mal.

Bei dem 3. Punkt, den wir hier erledigen wollen: die Häufigkeit des Niederschlags bei den einzelnen Windrichtungen, zeigen sich die gleichen Verhältnisse, so dass wir rasch hinweggehen können.

Von den Niederschlägen fallen um

7 a	31.8%
2 p	33.4%
9 p	34.8%

Zu einem der drei Termine ist also mit 21.3% Wahrscheinlichkeit Niederschlag zu erwarten.

Die prozentuale Häufigkeit nach Jahreszeiten geschieden gibt im allgemeinen nichts Neues.

Auf die einzelnen Windrichtungen entfallen folgende Häufigkeitszahlen:

N	NE	E	SE	S	SW	W	NW	C
21.5	3.4	**1.8**	5.6	3.1	3.9	9.3	**45.8**	5.6

oder bei Reduktion auf gleiche Windanzahl (100):

N	NE	E	SE	S	SW	W	NW	C
30.9	22.7	13.5	9.6	**6.2**	9.2	16.9	**34.0**	18.1

Naturgemäss tritt auch hier der grosse Prozentsatz der Niederschläge bei NW und N, also bei den gegen das Gebirge ansteigenden Winden, deutlich hervor.

Am Schlusse der Besprechung der Windverhältnisse erübrigt noch die Angabe der Sturmhäufigkeit, auf die wir übrigens bei der Behandlung der anemometrisch gewonnenen Werte noch zurückkommen werden. Es möge hier die tabellarische Übersicht genügen, die die Häufigkeit (%) der Winde von Stärke 8 der Beaufort-Skala, also von ca. 15 mps an, enthält:

	N	NE	E	SE	S	SW	W	NW	Summe
Januar	1.1	—	—	0.5	0.3	0.8	0.7	3.8	7.2
Februar	1.3	—	0.3	1.5	1.4	1.3	1.1	2.7	9.6
März	1.7	—	—	1.2	1.5	0.2	0.6	3.7	8.8
April	1.3	—	—	0.3	0.3	0.1	0.1	2.7	4.8
Mai	0.7	—	—	0.4	0.2	0.5	0.7	2.3	4.8
Juni	0.4	—	—	0.1	0.1	0.1	0.1	0.9	1.8
Juli	0.6	0.3	—	—	0.2	0.1	0.1	0.1	2.0
August	0.2	—	—	0.2	0.5	0.4	0.2	1.6	3.0
September	0.1	—	—	0.3	—	0.2	0.3	0.8	1.8
Oktober	0.4	—	0.2	0.9	0.5	1.1	1.3	1.3	5.6
November	1.2	—	0.1	0.9	1.4	1.2	1.2	2.9	9.2
Dezember	0.8	—	0.3	0.5	1.8	1.2	1.7	3.4	9.9
Winter	1.0	—	0.2	0.8	1.2	1.2	1.2	3.3	8.9
Frühjahr	1.2	—	—	0.6	0.7	0.2	0.5	2.9	6.2
Sommer	0.4	0.0	—	0.1	0.3	0.2	0.1	1.2	2.3
Herbst	0.6	—	0.1	0.7	0.6	0.9	0.9	1.8	5.5
Jahr: 7a	0.7	0.0	0.1	0.5	0.6	0.6	0.7	2.2	5.4
2p	0.7	—	0.1	0.5	0.5	0.5	0.6	2.0	4.8
9p	1.0	0.0	0.1	0.8	1.0	0.7	0.7	2.7	7.0
Jahr	0.8	0.0	0.1	0.6	0.7	0.6	0.7	2.3	5.7

Der tägliche Gang der meteorologischen Elemente.

Bei der Untersuchung des täglichen Ganges des Luftdruckes, der Temperatur und der Feuchtigkeit standen uns nur 4 Jahre, nämlich die Auswertungen der Jahre 1906—1909, bei der Anemometer-Registrierung nur 3 Jahre, 1907—1909 zur Verfügung. Zum eventuellen Vergleiche dienten uns die Luftdruckregistrierungen vom Hohenpeissenberg, ebenfalls von 1906—1909.

Die im täglichen Gange auftretenden unregelmässigen und regelmässigen (jährlichen) Änderungen der einzelnen Elemente, wodurch am Ende des Monats vom Anfang verschiedene Werte erreicht werden, verursachen um 12p oder 1a einen oft erheblichen Sprung im Gange der Kurve. Die Kurven wurden daher nach der von Lamont[1]) angegebenen Methode ausgeglichen.

Zur Veranschaulichung haben wir die entsprechenden Diagramme und Isoplethen beigegeben. Eine isoplethäre Darstellung der Windgeschwindigkeit bietet, wie der Versuch ergab, wegen der Kürze der Beobachtungsreihe (3 Jahre), bei diesem unruhigen Element noch keinen genügend abgerundeten Überblick.

Ehe wir auf eine Besprechung eingehen, wollen wir zuerst die Mittelwerte der Elemente und die Abweichungen vom Mittel, die den graphischen Darstellungen zugrunde liegen, der Wichtigkeit halber in extenso mitteilen.

Mittelwerte auf Grund der 4jährigen Registrierungen.

Zugspitze

	Jan.	Febr.	März	April	Mai	Juni	Juli	Aug.	Sept.	Okt.	Nov.	Dez.	Jahr
Luftdruck 500 mm +	28.13	22.88	23.53	25.98	31.40	33.16	34.13	35.46	34.36	32.31	28.36	24.10	29.48
Temperatur	−11.32	−13.86	−11.91	−8.05	−2.08	0.07	1.03	1.87	−0.65	−1.49	−7.31	−10.87	−5.38
Relative Feuchtigkeit	74.3	84.8	84.3	88.6	86.0	89.9	91.0	87.7	82.3	76.5	71.3	84.3	83.4
Windgeschwindigkeit (3 Jahre)	5.45	6.59	5.21	4.67	3.78	3.19	4.20	3.65	2.85	3.11	3.84	4.16	4.23

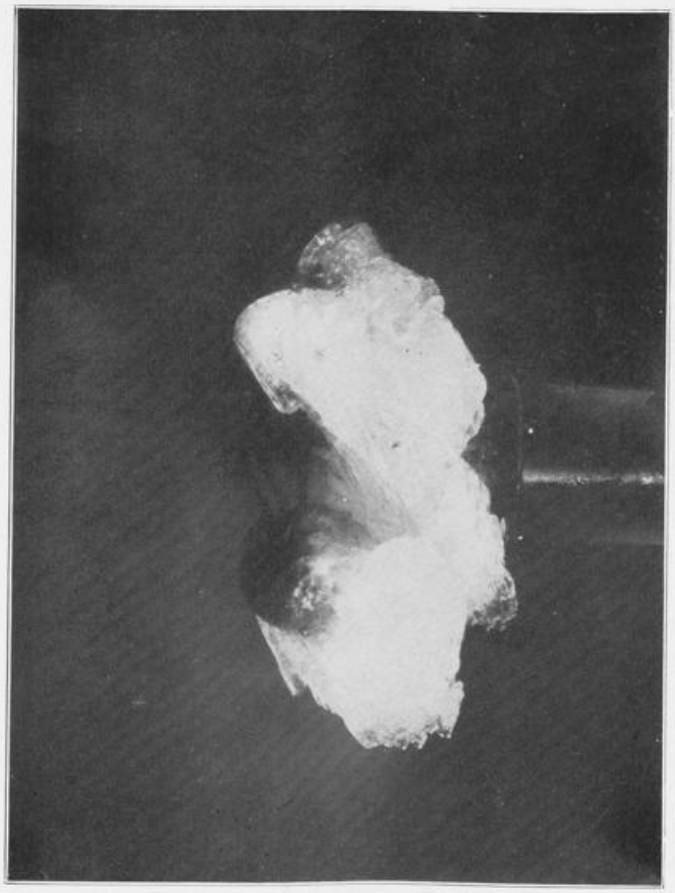
Hohenpeissenberg

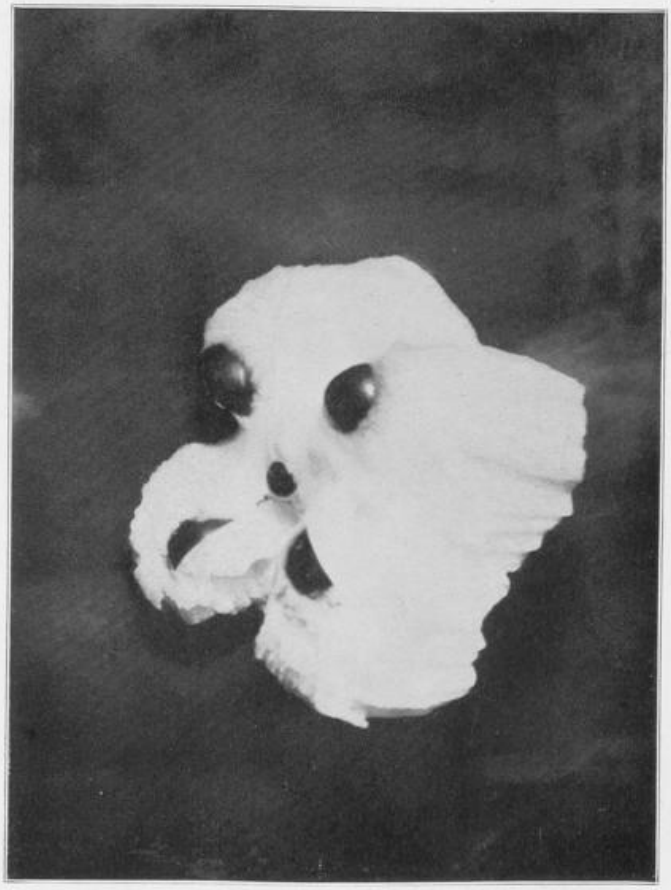
Luftdruck 600 mm +	78.80	74.19	73.55	74.22	77.04	77.89	78.42	79.44	79.67	77.56	76.59	73.64	76.75

Barometrische Mitteltemperatur der Luftsäule Hohenpeissenberg—Zugspitze.

−5.12	−8.47	−6.17	−2.21	4.58	6.95	8.14	9.34	6.52	5.67	−1.10	−5.17	0.96

[1]) Vergl. Hann, „Lehrbuch der Meteorologie" II. Aufl., pag. 573.







Täglicher Gang des Luftdruckes auf der Zugspitze.

	1ª	2ª	3ª	4ª	5ª	6ª	7ª	8ª	9ª	10ª	11ª	12m	1P	2P	3P	4P	5P	6P	7P	8P	9P	10P	11P	12mn	Amplitude
Abweichungen vom Mittelwerte.																									
Jan.	− 0.03	− 0.08	− 0.09	− 0.18	− 0.27	− 0.26	− 0.22	− 0.12	0.07	**0.27**	**0.27**	0.12	− 0.06	− 0.12	− 0.06	− 0.03	0.00	0.04	0.09	0.11	0.11	0.10	**0.12**	0.06	0.54
Febr.	0.02	− 0.06	− 0.21	− 0.32	− 0.38	− 0.41	− 0.34	− 0.23	− 0.11	0.06	**0.16**	0.10	− 0.04	− 0.11	− 0.09	− 0.02	0.02	0.12	0.15	0.19	**0.21**	0.20	0.18	0.10	0.62
März	0.13	− 0.02	− 0.18	− 0.33	− 0.39	− 0.40	− 0.36	− 0.28	− 0.18	− 0.03	0.08	**0.09**	0.06	0.02	0.03	0.02	0.04	0.14	0.22	0.29	0.34	**0.36**	0.29	0.24	**0.76**
April	0.04	− 0.11	− 0.22	− 0.36	− 0.41	− 0.38	− 0.33	− 0.31	− 0.22	− 0.05	0.02	0.07	0.12	**0.15**	0.12	0.12	0.14	0.13	0.18	0.29	**0.32**	0.29	0.24	0.18	0.73
Mai	− 0.05	− 0.20	− 0.32	− 0.44	− 0.44	− 0.40	− 0.37	− 0.24	− 0.14	− 0.04	0.17	0.21	**0.26**	**0.26**	0.23	0.19	0.15	0.12	0.13	0.22	**0.28**	**0.28**	0.19	0.10	0.72
Juni	− 0.01	− 0.17	− 0.32	− 0.41	− 0.43	− 0.41	− 0.34	− 0.24	− 0.19	− 0.06	0.00	0.15	0.19	0.19	**0.21**	0.17	0.12	0.12	0.14	0.16	**0.30**	0.29	0.24	0.15	0.73
Juli	0.03	− 0.14	− 0.30	− 0.38	− 0.44	− 0.43	− 0.39	− 0.31	− 0.19	− 0.05	0.05	0.16	0.18	0.20	**0.24**	0.19	0.16	0.17	0.15	0.22	**0.32**	0.31	0.25	0.18	**0.76**
Aug.	− 0.11	− 0.16	− 0.29	− 0.42	− 0.44	− 0.43	− 0.39	− 0.29	− 0.16	0.00	0.10	0.14	0.20	0.21	**0.22**	0.19	0.17	0.11	0.12	0.21	**0.27**	0.25	0.22	0.12	0.71
Sept.	0.03	− 0.11	− 0.24	− 0.35	− 0.40	− 0.41	− 0.34	− 0.29	− 0.11	0.01	0.10	0.13	**0.14**	**0.14**	0.12	0.11	0.09	0.10	0.16	0.24	**0.27**	0.24	0.20	0.12	0.68
Okt.	0.04	− 0.07	− 0.22	− 0.29	− 0.33	− 0.38	− 0.29	− 0.11	− 0.04	0.10	**0.18**	0.16	0.10	0.05	0.03	0.01	0.02	0.10	0.15	0.18	0.21	**0.22**	0.18	0.12	0.60
Nov.	− 0.01	− 0.08	− 0.19	− 0.25	− 0.28	− 0.28	− 0.21	− 0.10	0.02	**0.16**	**0.16**	0.06	0.00	− 0.08	− 0.08	− 0.05	0.01	0.08	0.11	0.16	**0.24**	0.21	0.17	0.08	0.52
Dez.	− 0.02	− 0.04	− 0.08	− 0.18	− 0.23	− 0.21	− 0.17	− 0.07	0.07	**0.29**	0.23	0.07	− 0.08	− 0.15	− 0.12	− 0.09	− 0.04	− 0.01	0.08	0.13	**0.14**	**0.14**	0.16	0.08	0.37
Amplitude	12.45	12.48	12.50	12.48	12.52	12.56	12.53	12.52	12.53	12.52	12.52	12.62	12.82	**12.90**	12.89	12.79	12.73	12.57	12.55	12.60	12.64	12.63	12.62	12.60	12.58
Jahr	− 0.02	− 0.10	− 0.28	− 0.32	− 0.37	− 0.36	− 0.30	− 0.21	− 0.12	0.07	**0.13**	**0.13**	0.09	0.07	0.07	0.07	0.08	0.11	0.15	0.20	0.23	**0.24**	0.20	0.12	0.61

Täglicher Gang der Temperatur auf der Zugspitze.

Abweichungen vom Mittelwerte.

Jan.	− 0.28	− 0.30	− 0.26	− 0.33	− 0.33	− 0.39	− 0.34	− 0.34	− 0.14	0.15	0.39	0.56	0.68	**0.70**	0.53	0.37	0.15	− 0.01	− 0.06	− 0.20	− 0.24	− 0.20	− **0.16**	− 0.17	1.09
Febr.	− 0.28	− 0.35	− 0.43	− 0.49	− 0.65	− 0.77	− 0.79	− 0.65	− 0.39	− 0.02	0.42	0.66	**0.80**	0.79	0.77	0.72	0.56	0.32	0.13	0.10	− 0.03	− 0.08	− 0.16	− 0.16	1.59
März	− 0.56	− 0.56	− 0.62	− 0.71	− 0.75	− 0.81	− 0.76	− 0.47	− 0.17	0.24	0.64	0.88	1.06	**1.15**	1.01	0.80	0.63	0.33	0.04	− 0.13	− 0.20	− 0.24	− 0.31	− 0.44	1.96
April	− 0.83	− 0.93	− 1.03	− 1.11	− 1.15	− 1.06	− 0.83	− 0.52	− 0.15	0.33	0.84	1.08	1.41	**1.55**	1.48	1.35	1.08	0.71	0.17	− 0.17	− 0.40	− 0.47	− 0.62	− 0.73	2.68
Mai	− 0.96	− 1.10	− 1.21	− 1.27	− 1.24	− 0.96	− 0.64	− 0.29	0.05	0.41	0.77	1.04	1.23	1.48	**1.51**	1.37	1.18	0.83	0.36	− 0.07	− 0.37	− 0.49	− 0.70	− 0.83	2.78
Juni	− 1.08	− 1.16	− 1.30	− 1.38	− 1.35	− 1.14	− 0.78	− 0.46	0.07	0.28	0.74	1.15	1.58	**1.71**	1.63	1.53	1.31	0.98	0.56	0.01	− 0.41	− 0.58	− 0.82	− 0.98	**3.09**
Juli	− 0.91	− 1.04	− 1.14	− 1.22	− 1.16	− 0.93	− 0.65	− 0.39	− 0.04	0.30	0.66	1.02	1.29	**1.46**	1.41	1.33	1.15	0.81	0.48	0.02	− 0.35	− 0.54	− 0.72	− 0.80	2.68
Aug.	− 0.87	− 0.93	− 0.94	− 1.03	− 1.10	− 1.04	− 0.87	− 0.56	− 0.20	0.25	0.68	0.94	1.15	1.37	**1.48**	1.45	1.23	0.90	0.44	− 0.02	− 0.37	− 0.50	− 0.65	− 0.77	2.58
Sept.	− 0.67	− 0.72	− 0.78	− 0.90	− 0.92	− 0.92	− 0.74	− 0.45	− 0.13	0.18	0.59	0.83	1.01	1.15	**1.23**	**1.23**	0.97	0.58	0.20	− 0.07	− 0.26	− 0.36	− 0.48	− 0.58	2.15
Okt.	− 0.48	− 0.58	− 0.68	− 0.71	− 0.78	− 0.82	− 0.74	− 0.49	− 0.13	0.29	0.66	0.84	0.96	**1.08**	**1.08**	1.01	0.67	0.27	0.03	− 0.15	− 0.26	− 0.28	− 0.32	− 0.42	1.90
Nov.	− 0.14	− 0.18	− 0.23	− 0.31	− 0.37	− 0.42	− 0.49	− 0.38	− 0.07	0.28	0.44	0.59	0.63	**0.67**	0.49	0.26	0.03	− 0.07	− 0.08	− 0.10	− 0.09	− 0.10	− 0.13	− 0.17	1.16
Dez.	− 0.02	− 0.14	− 0.26	− 0.31	− 0.34	− 0.41	− 0.41	− 0.33	− 0.14	0.10	0.36	0.37	0.47	**0.51**	0.34	0.21	0.04	− 0.01	− 0.04	− 0.06	− 0.01	− **0.04**	− 0.01	− 0.03	0.92
Amplitude	15.14	15.15	15.22	15.19	15.28	15.46	15.65	15.82	15.92	16.00	15.99	16.01	16.08	16.31	16.44	**16.46**	16.40	16.31	16.04	15.61	15.39	15.31	15.24	15.12	15.73
Jahr	− 0.61	− 0.67	− 0.76	− 0.82	− 0.83	− 0.80	− 0.67	− 0.45	− 0.14	0.23	0.60	0.83	1.03	**1.13**	1.12	0.97	0.75	0.46	0.18	− 0.07	− 0.26	− 0.32	− 0.43	− 0.51	1.96

Täglicher Gang der relativen Feuchtigkeit auf der Zugspitze.

Abweichungen vom Mittelwerte.

Jan.	0.0	0.2	− 0.2	0.5	0.2	0.7	0.6	0.6	− 0.1	− 0.5	− 0.2	0.1	− 1.0	− 0.5	0.1	0.8	**1.0**	0.4	0.1	− 0.5	0.0	0.0	− 0.8	− 1.0	2.0
Febr.	0.9	1.3	1.9	1.5	1.7	**2.7**	2.0	0.9	− 0.2	− 1.1	− 1.9	− 1.5	− 1.6	− 1.3	− 1.5	− 0.4	− 0.3	− **0.2**	− 0.5	− 1.1	− 1.3	− 0.7	− 0.5	0.8	4.6
März	1.4	0.9	0.3	0.7	0.7	0.8	0.7	0.3	− 0.5	− 1.0	− 2.5	− 2.5	− 2.4	− 2.1	− 0.3	0.8	1.1	**1.2**	1.0	1.0	0.5	0.0	0.2	0.7	3.7
April	1.1	0.2	− 0.2	− 0.9	− 1.7	− 1.7	− 1.9	− 2.0	− 3.1	− 3.2	− 3.4	− 1.9	− 0.7	0.1	0.8	0.7	1.6	2.4	**2.9**	2.8	2.5	2.6	2.0	1.1	6.3
Mai	1.3	1.3	0.9	0.4	− 0.4	− 0.9	− 2.1	− 2.6	− 3.8	− 4.5	− 4.6	− 3.3	− 2.1	− 1.2	− 0.2	1.1	3.0	3.1	**3.3**	**3.3**	3.2	2.2	1.7	1.6	7.9
Juni	1.1	0.3	0.2	0.6	− 0.2	1.9	− 3.0	− 4.6	− 5.1	− 4.1	− 1.4	− 0.7	− 0.8	0.2	0.8	1.9	2.2	2.4	2.5	2.6	**2.9**	1.4	1.8	1.3	8.0
Juli	0.4	0.1	0.0	0.1	− 1.3	− 2.3	− 4.1	− 4.3	− 4.0	− 3.9	− 3.0	− 1.5	− 0.1	1.4	2.2	3.0	4.1	**4.2**	3.3	3.1	1.9	0.9	0.3	− 0.2	8.5
Aug.	0.0	− 1.7	− 1.6	− 1.4	− 0.3	− 1.3	− 1.6	− 4.0	− 4.9	− 5.3	− 4.3	− 2.7	− 0.2	2.1	2.9	3.7	4.5	**4.7**	4.4	2.9	2.8	1.2	0.5	0.1	**10.0**
Sept.	− 0.9	0.3	0.2	0.7	0.8	0.0	− 2.1	− 3.1	− 3.6	− 4.7	− 4.1	− 2.2	0.7	1.8	2.3	2.7	**3.2**	2.8	2.5	1.4	1.0	0.6	− 0.1	0.0	7.9
Okt.	− 1.1	− 1.0	− 1.4	− 1.6	− 1.8	− 1.8	− 1.7	− 2.5	− 3.1	− 3.2	− 3.6	− 2.9	− 1.6	0.5	1.8	2.6	2.8	**4.7**	4.6	4.4	3.3	1.8	0.9	− 0.1	8.3
Nov.	0.1	1.1	1.9	1.8	1.7	**2.5**	1.6	1.0	− 0.7	− 0.5	− 3.4	− 2.3	− 1.5	− 1.2	− 0.4	**0.7**	− 0.4	− 0.3	− 0.2	− 0.8	− 0.9	− 1.3	− 0.4	0.3	5.9
Dez.	− 0.1	0.6	0.4	0.8	1.3	1.4	1.8	**1.9**	1.2	0.9	− 2.3	− 1.7	− 1.6	− 0.7	− 0.8	− 0.7	− 0.6	− 0.2	**0.0**	− 0.6	− 0.3	− 0.7	− 0.3	0.2	4.2
Jahr	0.4	0.3	0.2	0.3	0.1	− 0.2	− 0.9	− 1.6	− 2.3	− 2.6	− 2.9	− 1.7	− 1.1	− 0.1	0.6	1.4	1.8	2.1	2.0	1.5	1.3	0.6	0.4	0.4	5.0

Täglicher Gang der Windgeschwindigkeit auf der Zugspitze.

Abweichungen vom Mittelwerte.

Jan.	− 0.31	− 0.18	− 0.06	0.20	0.25	**0.26**	0.20	0.35	0.19	0.25	0.03	0.00	− 0.14	− 0.16	− 0.25	− 0.44	− 0.24	− 0.10	0.07	− 0.01	0.05	**0.07**	**0.07**	− 0.18	0.70
Febr.	− 0.27	− 0.34	− 0.14	− 0.19	− 0.07	− 0.25	− 0.22	0.16	0.25	0.09	0.33	0.16	− 0.03	− 0.22	− 0.02	− 0.17	− 0.09	**0.40**	0.19	− 0.10	− 0.21	**0.25**	**0.32**	0.04	0.70
März	− 0.14	− 0.12	− 0.18	0.01	− 0.05	− 0.17	− 0.27	− 0.12	− 0.31	− 0.34	− 0.02	− 0.29	− 0.38	− 0.22	0.05	0.13	0.07	0.21	0.25	0.44	0.42	**0.67**	0.43	− 0.11	1.05
April	0.35	0.27	0.11	0.25	0.09	0.08	− 0.27	− 0.04	− 0.18	− 0.20	− 0.03	− 0.20	− 0.49	− 0.63	− 0.32	− 0.30	− 0.26	− 0.03	0.04	0.02	0.33	**0.65**	0.48	0.28	1.28
Mai	0.04	0.01	0.31	**0.50**	0.38	0.14	0.00	0.02	− 0.01	0.10	− 0.07	− 0.20	− 0.49	− 0.49	− 0.53	− 0.54	− 0.34	0.01	0.22	− 0.17	0.10	**0.28**	0.19	0.17	1.04
Juni	0.17	0.25	0.25	0.29	0.31	**0.36**	0.30	0.29	− 0.03	− 0.19	− 0.44	− 0.53	− 0.68	− 0.52	− 0.46	− 0.35	− 0.19	− 0.06	0.11	0.26	0.26	**0.30**	0.12	0.06	1.04
Juli	0.41	**0.59**	0.47	0.45	0.35	0.37	0.27	0.17	− 0.13	− 0.47	− 0.60	− 0.74	− 0.95	− 0.81	− 0.52	− 0.31	− 0.16	0.13	0.21	0.12	0.21	0.29	**0.33**	0.28	**1.54**
Aug.	0.28	0.32	0.39	0.37	0.26	0.33	0.36	0.25	0.15	− 0.22	− 0.45	− 0.58	− 0.79	− 0.74	− 0.68	− 0.56	− 0.24	− 0.03	0.20	0.09	0.26	**0.59**	0.43	0.08	1.38
Sept.	0.07	0.23	**0.58**	0.39	0.27	0.30	0.17	0.11	− 0.04	− 0.06	− 0.19	− 0.46	− 0.57	− 0.69	− 0.66	− 0.45	− 0.27	− 0.04	0.24	0.24	0.18	**0.22**	**0.22**	0.03	1.27
Okt.	0.36	0.24	0.42	0.48	**0.54**	0.30	0.35	0.30	− 0.05	− 0.10	− 0.15	− 0.38	− 0.60	− 0.65	− 0.62	− 0.63	− 0.44	− 0.35	− 0.13	0.01	0.23	0.31	**0.32**	0.34	1.19
Nov.	0.03	0.08	0.05	0.18	0.22	**0.45**	0.35	0.31	0.05	− 0.01	− 0.09	− 0.31	− 0.45	− 0.25	− 0.43	− 0.20	− 0.04	− 0.10	− 0.01	− 0.14	− 0.14	0.09	**0.24**	0.02	0.90
Dez.	0.00	0.15	0.18	0.19	**0.42**	0.24	0.13	0.36	0.28	− 0.01	− 0.07	− 0.14	− 0.39	− 0.32	− 0.01	0.06	− 0.09	− 0.18	− 0.09	− 0.37	− 0.30	**0.15**	− 0.09	− 0.22	0.81
Jahr	0.08	0.12	0.20	**0.26**	0.25	0.20	0.08	0.18	0.01	− 0.10	− 0.15	− 0.31	− 0.50	− 0.47	− 0.37	− 0.32	− 0.17	− 0.02	0.11	0.06	0.11	0.32	0.25	0.06	0.76

Täglicher Gang des Luftdruckes auf dem Hohenpeissenberg.

Abweichungen vom Mittelwerte.

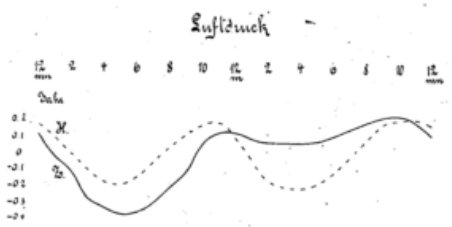
	1a	2a	3a	4a	5a	6a	7a	8a	9a	10a	11a	12m	1p	2p	3p	4p	5p	6p	7p	8p	9p	10p	11p	12 mn	Amplitude
Jan.	0.07	0.06	0.00	− 0.11	− 0.18	− 0.16	− 0.10	− 0 03	0.08	0.20	**0.25**	0.09	− 0.12	− 0 24	− 0.24	− 0.19	− 0.12	− 0.06	0.02	0.12	0 13	0.16	**0.19**	0.17	0.49
Febr.	0.09	0.04	− 0 07	− 0.19	− 0.24	− 0.23	− 0.15	− 0.04	0.03	0.10	**0.19**	0.15	0.00	− 0.13	− 0.18	− 0.15	− 0.10	− 0.03	0.09	0.13	0.19	**0.20**	**0.20**	1.17	0.44
März	0.19	0.12	− 0.07	− 0.16	− 0.24	− 0 21	− 0.12	− 0.05	0.05	0.09	**0.12**	0.07	− 0.05	− 0.21	− 0.23	− 0.25	− 0.20	− 0.05	0.09	0.19	0.28	0.27	**0.29**	0.25	0.54
April	0.18	0.05	− 0.08	− 0.20	− 0.24	− 0.16	− 0.05	0.02	0.07	**0.14**	**0.14**	0.07	− 0.03	− 0.15	− 0.25	− 0.32	− 0.28	− 0.21	− 0.06	0.13	0.28	**0.32**	0.31	0.20	**0 64**
Mai	0.12	0.01	− 0.11	− 0 18	− 0.16	− 0.08	0.02	0.11	0.18	**0.19**	0.18	0.10	0.01	− 0.11	− 0.19	− 0.26	− 0.26	− 0.24	− 0.14	− 0.03	0.13	0.19	**0.22**	**0.22**	0 48
Juni	0.19	0.02	− 0.12	− 0.17	− 0.14	− 0.07	0.04	0.11	**0.15**	0.14	0.13	0.08	− 0 05	− 0.17	− 0.23	− 0.26	− 0 29	− 0.23	− 0.12	0.01	0.25	0.29	**0.32**	0.25	0.61
Juli	0.22	0.09	− 0.03	− 0.11	− 0.15	− 0.08	− 0.01	0.04	0.05	**0.08**	**0.08**	0.03	− 0.04	− 0.15	− 0.18	− 0.21	− 0.23	− 0.23	− 0.15	− 0 04	0 20	0.26	**0.31**	0.30	0.54
Aug.	0.07	− 0.03	− 0.10	− 0.17	− 0.20	− 0.09	0.01	0.08	0.18	**0.21**	0.20	0.13	0.02	− 0 07	− 0.16	− 0.22	− 0.23	− 0.24	− 0.19	− 0 04	0.14	0.19	**0.22**	0.17	0.46
Sept.	− 0.03	− 0.17	− 0.22	− 0.28	− 0 30	− 0.23	− 0.13	− 0.04	0.08	0.20	**0.21**	0 17	0.05	− 0.05	− 0.14	− 0.17	− 0.15	− 0.11	0.03	0.12	**0.29**	0.28	0.25	0.20	0.59
Okt.	0.06	− 0.08	− 0.16	− 0 22	− 0.22	− 0.19	− 0.06	0.08	0 18	0.22	**0.23**	0.13	− 0.06	− 0.17	− 0.21	− 0.22	− 0.16	− 0 02	0.06	0.11	0.16	**0.18**	0.15	0.10	0.45
Nov.	− 0.08	− 0.08	− 0.12	− 0 17	− 0.15	− 0 13	0.01	0.11	0.16	**0 19**	0.18	0.05	− 0.08	− 0 19	− 0.19	− 0.13	− 0.08	0.04	0 07	0.11	**0.16**	0.13	0.11	0.06	0.38
Dez.	− 0.08	− 0.07	− 0.05	− 0.11	− 0.15	− 0.11	0.00	0.07	0.22	**0.33**	0.29	0.08	− 0.11	− 0.25	− 0.22	− 0.14	0.06	0.02	0.03	0.07	**0 08**	0.04	0.03	− 0 01	0.58
Amplitude	5.90	5.83	5.97	6.00	6.06	6.10	6.11	6.13	6.15	6.23	6.21	6.22	6.22	**6.28**	6.21	6.20	6.17	6.06	6.06	6.15	6.13	6.13	6 08	6 07	6.12
Jahr	0.10	0.00	− 0.09	− 0.17	− 0 19	− 0.14	− 0.05	0.04	0.12	0.18	**0.19**	0.10	− 0.03	− 0.16	− 0.20	− 0.21	− 0.18	− 0 12	− 0.02	0 08	0.19	0.21	**0.22**	0.18	0.43

Täglicher Gang der barometrischen Mitteltemperatur der Luftsäule Hohenpeissenberg—Zugspitze.

Abweichungen vom Mittelwerte.

Jan.	− 0.17	− 0.19	− 0.17	− 0.19	− 0.24	− 0.27	− 0.30	− 0.19	0.00	0.22	0.15	0.10	0.05	0.12	**0.25**	**0.25**	0.17	0.20	0.15	0.03	0.00	− 0.07	− 0.07	− 0.15	0.55
Febr.	− 0.09	− 0.16	− 0.28	− 0.33	− 0.38	− 0.48	− 0.43	− 0.40	− 0.26	− 0.02	0.00	− 0.09	− 0.07	− 0.02	0.10	0.22	0.22	**0.29**	0.15	0.19	0.10	0.07	0.05	− 0.07	0.77
März	− 0.03	− 0.22	− 0.27	− 0.39	− 0.41	− 0.46	− 0.54	− 0.49	− 0.41	− 0.20	− 0.03	0.10	0.19	0.39	**0.44**	**0.44**	**0.44**	0.37	0.32	0.32	0.27	**0.32**	0.15	0.15	0.98
April	− 0.20	− 0.30	− 0.33	− 0.40	− 0.48	− 0.53	− 0.60	− 0 65	− 0.55	− 0.33	− 0.18	0.05	0.30	0.55	0.65	0.73	**0.75**	0.60	0.48	0.38	0.20	0.07	0.00	− 0.10	1.40
Mai	− 0.31	− 0.44	− 0.50	− 0.65	− 0.68	− 0.73	− 0.84	− 0.71	− 0.60	− 0.26	0.06	0.27	0.53	0.75	**0.83**	**0 83**	0.75	0.67	0.51	0.51	0.37	0.27	0.00	− 0.18	1.67
Juni	− 0.35	− 0.43	− 0 43	− 0.61	− 0.72	− 0.77	− 0.83	− 0.69	− 0.64	− 0.37	− 0.22	0.19	0.49	0.70	**0.86**	0.81	0.76	0.76	0.51	0.33	0.22	0.11	− 0.05	− 0.10	1.69
Juli	− 0.30	− 0.46	− 0.59	− 0.62	− 0.68	− 0.84	− 0.84	− 0.73	− 0.49	− 0.24	− 0.03	0.24	0.22	0.73	**0.90**	0.81	0.79	0.81	0.62	0.57	0.41	0.24	− 0.03	− 0.08	**1.74**
Aug.	− 0.39	− 0.33	− 0.50	− 0.66	− 0.63	− 0.85	− 0.90	− 0.79	− 0.66	− 0.39	− 0.14	0.08	0.38	0.57	0.73	**0.79**	0.73	0.65	0.57	0.52	0.32	0.21	0.08	− 0.06	1.69
Sept.	0.11	0.06	− 0 16	− 0.29	− 0.37	− 0.53	− 0.50	− 0.56	− 0.37	− 0.32	− 0.10	− 0.02	0.21	0.41	0.49	**0.54**	0.46	0.41	0.30	0.14	0.06	0.03	0.00	− 0.10	1.10
Okt.	0.00	− 0.03	− 0.24	− 0.26	− 0.37	− 0.53	− 0.53	− 0.40	− 0.40	− 0.16	0.00	0.13	0.32	0.40	**0.48**	0.40	0.29	0.27	0.24	0.19	0.19	0.16	0.11	0.08	1.01
Nov.	− 0.07	− 0.08	− 0.20	− 0.23	− 0.33	− 0.36	− 0.46	− 0.41	− 0.25	0.00	0.02	0.02	0.10	0.12	0.12	0.10	0.12	0.07	0.10	0.12	**0.23**	0.20	0.15	0.02	0.69
Dez	0.08	0.05	− 0.05	− 0.17	− 0.19	− 0.24	− 0.34	− 0.27	− 0.19	0.08	0.00	0.03	0.03	0.03	0.10	0.05	0.03	− 0.05	0.13	0.15	0.17	0.22	**0.30**	0.20	0.64
Amplitude	17.51	17.64	17.59	17.48	17.56	17.44	17.34	17.42	17.41	17.44	17 67	17.98	18.26	**18.40**	18.34	18.38	18.32	18.17	18.23	18.14	18.03	17.95	17.84	17.82	17.81
Jahr	− 0.10	− 0.23	− 0.30	− 0.38	− 0.46	− 0.51	− 0.56	− 0.48	− 0.43	− 0.12	− 0.02	0.13	0.26	0.44	0.49	**0 52**	0.49	0.44	0.34	0.29	0.18	0.18	0.06	− 0.02	1.08

Wenn sich auch beim täglichen Gang des Luftdruckes auf der Zugspitze Momente finden, die in jedem Monat wieder anzutreffen sind, so ist es doch von Interesse, die Veränderungen des Luftdruckes von Monat zu Monat kennen zu lernen; im allgemeinen ist der Gang des Luftdruckes wesentlich von der Temperatur abhängig. Naturgemäss sind dabei die Wintermonate diejenigen, die einen relativ einfachen Verlauf der Tageskurve aufzuweisen haben.

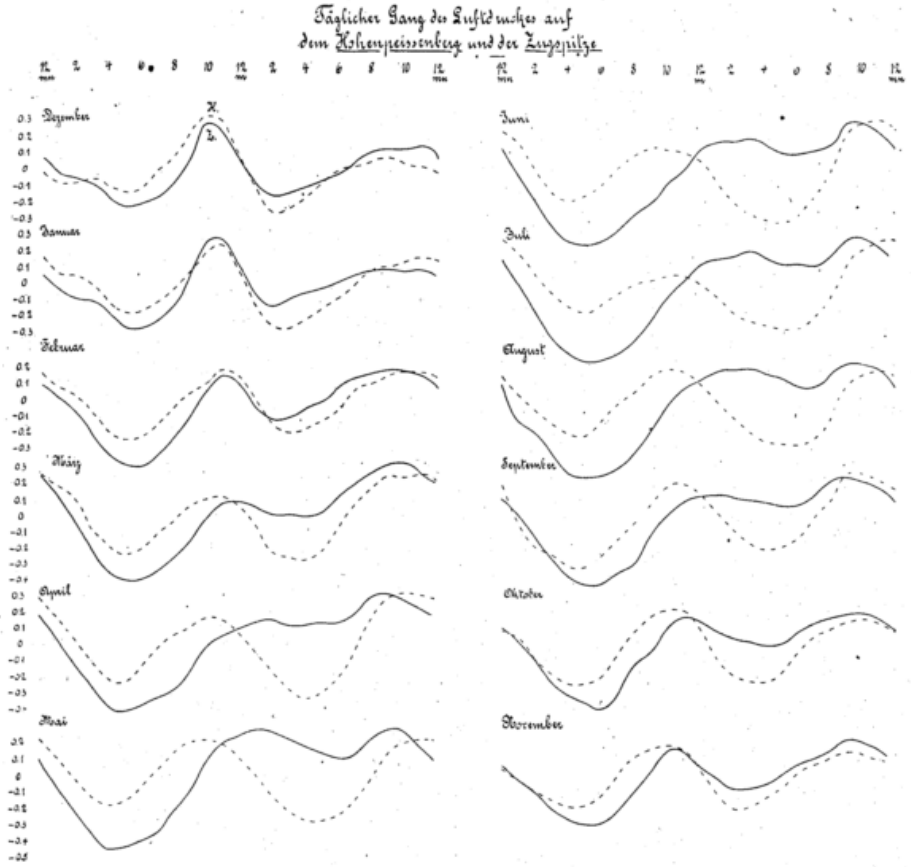


Im Dezember liegt das Hauptminimum des Luftdruckes um 5a, das Hauptmaximum um 10a. Bis 3p fällt die Luftdruckkurve zum sekundären Minimum. Hernach steigt der Luftdruck kräftig an bis etwa 8p; dann bleibt er nahezu auf der gleichen Höhe, bis um 9p oder 10p das relative Abendmaximum erreicht wird. Von Wichtigkeit erscheint uns der starke Anstieg zwischen 3p und 6p; wir werden hierauf bei der Besprechung des Luftdruckganges an trüben Tagen noch speziell zurückkommen. Im Januar liegen die Verhältnisse noch etwas einfacher als im Dezember. Das Hauptminimum am Morgen ist tiefer als im Vormonat: Dies ist offenbar der infolge der Erkaltung der unteren Luftschichten eingetretenen Senkung der Flächen gleichen Druckes zuzuschreiben. Das 10 Uhr-Maximum hat sich nicht verändert, jedoch ist das sekundäre Nachmittagsminimum stark verflacht. Der allgemeine Verlauf der Kurve in den Abendstunden hat sich nicht geändert, nur die Abweichungen vom Mittel sind geringer. Der Februar ist der Monat der tiefsten Temperaturen in der Höhe, wir erkennen auch wesentliche Modifikationen am täglichen Luftdruckgang. Von jetzt ab zeigt das Hauptminimum in den Morgenstunden das Bestreben, sich mehr und mehr zu vertiefen. Das 10 Uhr-Maximum verschiebt sich über Mittag in die Nachmittagsstunden. Das Minimum am Nachmittag wird daher äusserst flach. Der höchste Tageswert des Luftdruckes fällt vom Februar an auf 9p (bzw. 10p). Im März und April ist das Abendmaximum bedeutend stärker als das vormittägige; im Mai ist dagegen das Vormittagsmaximum wohl infolge der starken Erwärmung der Bodenschichten sehr stark ausgeprägt. In den Sommermonaten ist das Maximum am Nachmittag zeitlich bis 3p vorgerückt. Im Monat September weist die Barometerkurve den ruhigsten und gleichmässigsten Verlauf auf. Im Oktober und November herrscht das Abendmaximum noch vor, jedoch macht sich das Hervortreten des 10 Uhr-Maximums und die Vertiefung des Nachmittagsminimums bemerkbar.

Es zeigt sich also bereits an den nur vierjährigen Zugspitzwerten die für die Hochstationen typische Erscheinung: Das Minimum in den Nachmittagsstunden des Frühjahrs und Sommers verflacht sich, während das Abendmaximum sich verstärkt; im Herbst und Winter dagegen verflacht sich das Morgenminimum und wächst das Vormittagsmaximum.

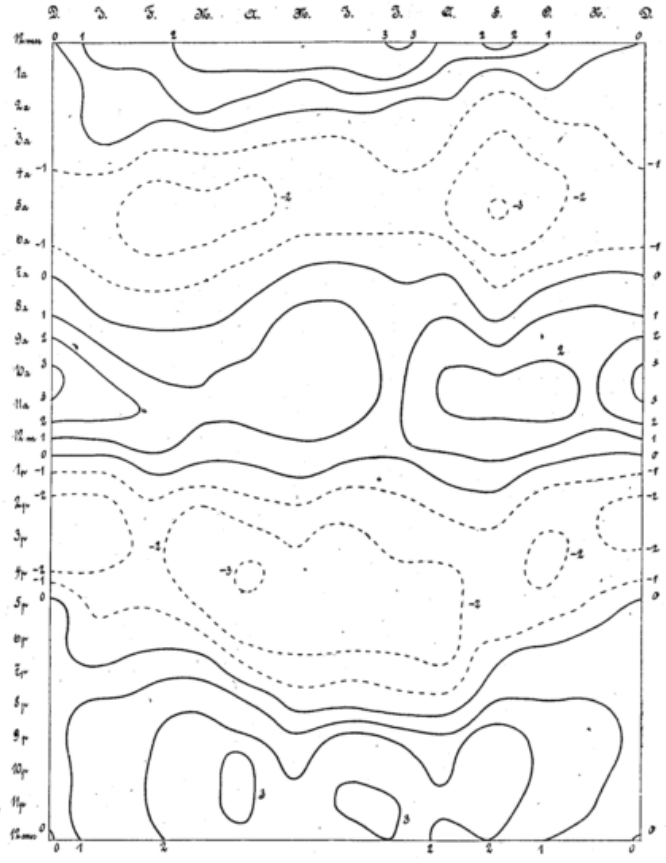
Der jährliche Gang der periodischen Schwankung hat die Form einer Doppelwelle. Dje Maxima mit 0.76 mm liegen im März und Juli. (Starke Erwärmung im Frühjahr und Sommer besonders im Tale). Ein relativ niedriger Wert liegt im Mai. Die geringste Amplitude tritt im Dezember mit 0.37 mm auf.

Eine wörtliche Schilderung vermag den Übergang von Monat zu Monat in der entsprechenden Weise nicht zu geben; das beste Bild über die Veränderungen der meteorologischen Elemente gewinnt man aus den graphischen und hauptsächlich aus den isoplethären Darstellungen, auf die wir hier nochmals verweisen wollen.

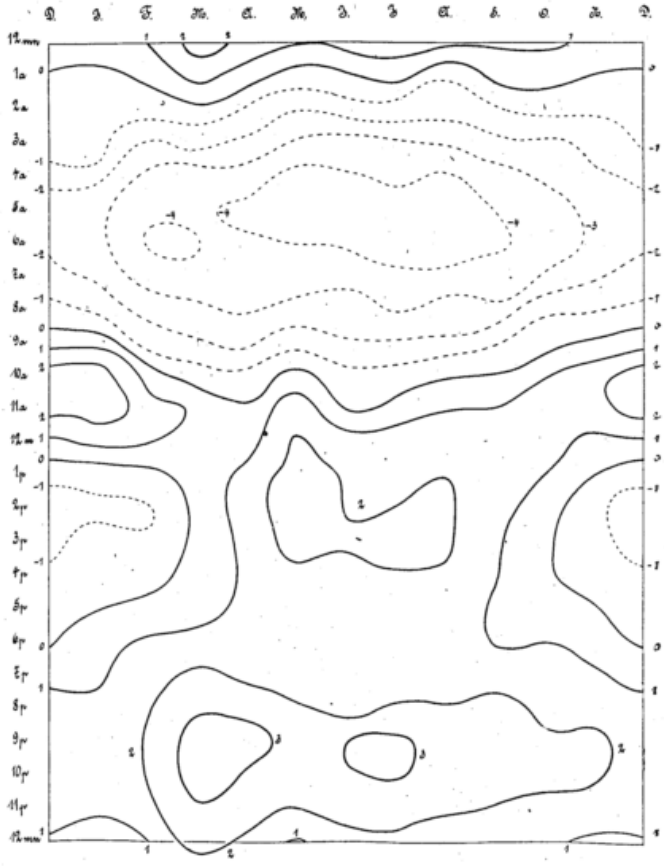


Als Vergleichsbeobachtungen seien noch kurz die Werte vom Hohenpeissenberg, die sich auf die gleiche, Reihe erstrecken, herangezogen. Im grossen und ganzen zeigt das von der Doppelschwankung bestimmte Bild wenig Veränderung. Die Eintrittszeit der Haupt- und Nebenminima ist etwa dieselbe wie auf der Zugspitze. Das Abendmaximum fällt um 1—2 Stunden später. Ein ganz wesentlicher Unterschied dagegen zeigt sich in dem Auftreten des sekundären Maximums in den Vormittagsstunden. Auf dem Hohenpeissenberg ist seine Eintrittszeit zwischen 9 a und 11 a. Auf der Zugspitze verschiebt sich dieses Maximum unter gleichzeitiger Verstärkung, als Folge der fortschreitenden Erwärmung im Frühjahr und Sommer, bis 3 p. Daher erhält das Minimum in den Nachmittagsstunden, das auf dem Hohenpeissenberg noch zumeist den tiefsten Wert vertritt, auf der Zugspitze nur mehr sekundäre Bedeutung. Die Amplituden der Basisstation Hohenpeissenberg stehen nicht unter dem Einfluss so mächtiger unterhalb des Gipfels lagernder Luftmassen wie auf der Zugspitze. Dementsprechend sind auch die Amplituden auf dem Hohenpeissenberg bedeutend kleiner als auf der Zugspitze der jährliche Gang derselben ist jedoch unregelmässiger; die Extreme fallen auf den April (0.64 mm) und den November (0.38 mm).

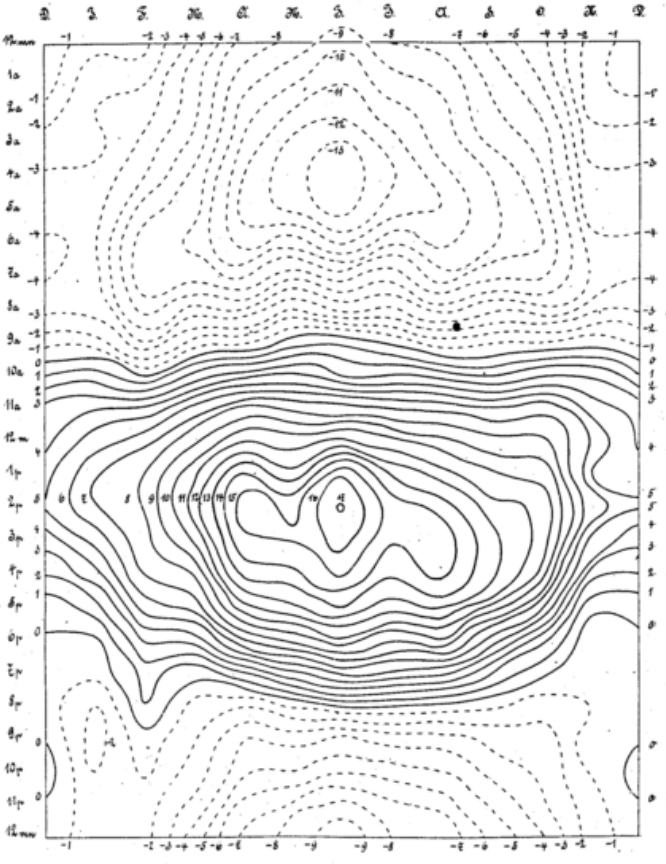
Den einfachsten und weitaus wichtigsten Gang zeigt die Temperatur. Von ihr wird ja, wie wir oben sahen, in besonderer Weise der Barometergang auf den Bergen beeinflusst. Die allgemeine Form des Temperaturverlaufes ist eine einfache Welle. Die Minima fallen spätestens um 7 a und verschieben sich mit fortschreitender Jahreszeit gegen Sonnenaufgang zu. Im Mai, Juni und Juli tritt auf der Zugspitze die tiefste Temperatur bereits um 4 a ein. Das Maximum der Temperatur fällt meist auf 2 p, in einzelnen Monaten ist es jedoch, vielleicht infolge zeitweiliger Bestrahlung, auf 3 p verschoben. Eine interessante Eigentümlichkeit ist im Temperaturgang auf der Zugspitze in den Abendstunden



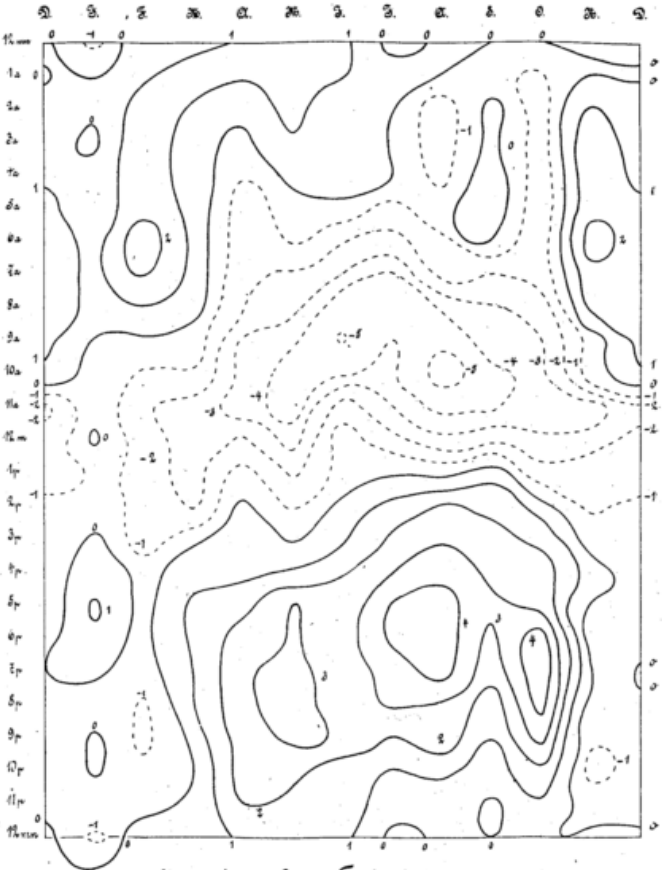
Hohenpeissenberg: Luftdruck



Zugspitze: Luftdruck

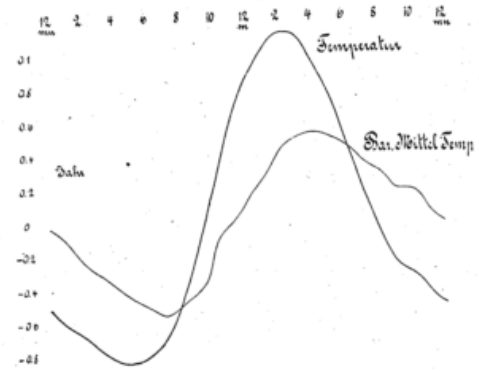


Zugspitze: Temperatur



Zugspitze: Relative Feuchtigkeit

zu bemerken, die besonders deutlich im November, Dezember und Januar hervortritt. Meist nach 9ʰp zeigt sich eine zwar schwach ausgeprägte, aber regelmässige Tendenz zu einem Temperaturanstieg. Absteigende Luftströmungen, eingeleitet von dem abends einsetzenden Bergwind, verursachen ein Nachsinken von Luft aus höheren Niveaus und daher dynamische Erwärmung.



Der Jahresverlauf der Amplitude des Temperaturganges ist sehr einfach und regelmässig. Der grösste Wert, 3.09° fällt auf den Juni, der niedrigste Wert 0.92° auf den Dezember. Die Extreme treten also nicht in den Monaten höchster und tiefster Temperatur sondern zur Zeit des höchsten und tiefsten Sonnenstandes auf.

Auf Grund der Barometerregistrierungen der Zugspitze und vom Hohenpeissenberg berechneten wir auch den täglichen Gang der barometrischen Mitteltemperatur; derselben ist natürlich nur relative Bedeutung beizumessen. Auf die Unterschiede im jährlichen Verlaufe zwischen der barometrischen Mitteltemperatur und $\frac{t_1 + t_2}{2}$ wurde bereits in einem früheren Abschnitt hingewiesen. Im täglichen Gang der Mitteltemperatur ist die Lage der Extremwerte keine so regelmässige wie beim Temperaturverlauf. Das Minimum liegt zwischen 6a und 8a; das Maximum liegt bedeutend später als das Temperaturmaximum der Zugspitze, auf keinen Fall tritt es vor 3ʰp ein. Interessant ist auch das Verhalten der barometrischen Mitteltemperatur in den Abendstunden, besonders im November und Dezember: Im November tritt das Tagesmaximum um 9p, im Dezember sogar erst um 11p ein.

Die Amplituden der barometrischen Mitteltemperatur, bei der die durch Erwärmung des Bodens verursachten Störungen nicht auftreten, bewegen sich zwischen 0.55° und 1.74°, sind also ziemlich gering. Die tiefsten und höchsten Werte fallen auf Januar und Juli, also auf die extremen Monate der Talstationen.

Beim täglichen Gang der relativen Feuchtigkeit zeigt sich deutlich der Einfluss der Temperatur und der Convektion. Das Minimum der Feuchtigkeit tritt meist am Vormittag ein, im Winter mehr in den Mittagstunden, im Sommer etwa um 8a bis 10a. Das Maximum liegt im allgemeinen zwischen 5p und 9p; in den Sommermonaten erscheint es später als in den übrigen Monaten. Die oben beim Gang der Temperatur und der barometrischen Mitteltemperatur besprochene, auf der Zugspitze sehr deutlich auftretende dynamische Erwärmung der Luft in den Abendstunden findet durch den Gang der relativen Feuchtigkeit eine entsprechende Bestätigung: Im November und Dezember tritt von 8p bezw. 9p bis 10p eine Abnahme der relativen Feuchtigkeit ein.



Die periodische Schwankung der relativen Feuchtigkeit bewegt sich zwischen 2.0% im Januar und 10.0% im August.

Für eine eingehende Besprechung des täglichen Verlaufes der Windstärke sind die zur Verfügung stehenden drei Jahrgänge noch zu wenig. Die auftretenden Fehler wie z. B. die Brandungserscheinungen am Gipfel, die Aufstellung, die nicht auf alle Winde gleich stark reagiert, vor allem aber die im Winter bei stürmischem Wetter auftretenden, oft einen Meter und mehr erreichenden, Rauhfrostansätze oder sommerliche Glatteisbildung, wodurch das Anemometer nachts oft ausser Betrieb gesetzt wird, sind so gross, dass wir nur mit Reserve eine Diskussion wagen. Eine gleichzeitige Anemometerregistrierung vom Hohenpeissenberg steht nicht zur Verfügung, die Aufzeichnungen beginnen dort erst später. Auf der Zugspitze liegt das Minimum der Windstärke meist zwischen 12 m und 2p; das Maximum zwisehen 9p und 10p (?)[1]) oder in einzelnen Monaten, vorzugsweise im Herbst und Winter in den Morgenstunden. Die periodische Schwankung der Windstärke ist im Januar und Februar mit 0.70 mps am kleinsten, im Juli mit 1.50 mps am grössten.

Es erübrigt nun noch auf einen Vergleich zwischen der anemometrisch gemessenen und der geschätzten Windstärke etwas einzugehen.

Auf Grund der sich über 10 Jahre erstreckenden Windstatistik berechneten wir aus den geschätzten Beaufortstufen nach Assmanns Beispiel die Windwege und somit die Geschwindigkeit pro Sec. Den Zahlen kommen natürlich nur relative Werte zu. Wir führten die Rechnung für 7a, 2p und 9p durch. Das Mittel aus diesen drei Stunden dürfte mit nicht zu grossem Fehler das Tagesmittel repräsentieren. Nachstehend der Vergleich zwischen Anemometer und Schätzung:

	Mittlere geschätzte Windgeschwindigkeit in mps				Mittlere gemessene Windgeschwindigkeit in mps			
	7a	2p	9p	Mittel	7a	2p	9p	Mittel
Januar	7.05	7.28	7.76	7.36	5.65	5.29	5.50	5.45
Februar	**7.89**	**7.58**	7.79	**7.75**	**6.37**	**6.37**	**6.38**	**6.59**
März	7.33	6.94	**7.83**	7.37	4.94	4.99	5.63	5.21
April	6.34	6.46	7.03	6.61	4.40	4.04	5.00	4.67
Mai	5.91	5.14	6.40	5.81	3.78	3.29	3.88	3.78

[1]) Wohl meist eine Folge der Reinigung des Anemometers von Rauhfrost um 9ʰp!

	Mittlere geschätzte Windgeschwindigkeit in mps				Mittlere gemessene Windgeschwindigkeit in mps			
	7a	2p	9p	Mittel	7a	2p	9p	Mittel
Juni	5.24	4.08	5.49	4.94	3.49	2.67	3.45	3.19
Juli	5.38	4.74	5.77	5.30	4.47	3.39	4.41	4.20
August	5.77	4.35	5.99	5.37	4.01	2.91	3.91	3.65
September	**4.57**	**3.87**	**5.10**	**4.51**	**3.02**	**2.16**	**3.03**	**2.85**
Oktober	5.93	5.41	6.28	5.87	3.46	2.46	3.34	3.11
November	6.73	6.64	7.12	6.83	4.19	3.59	3.70	3.84
Dezember	7.14	7.32	7.78	7.45	4.29	3.84	3.86	4.16
Jahr	6.27	5.82	6.70	6.24	4.31	3.76	4.34	4.23

Die Übereinstimmung im Gang ist eine gute, wenn sich auch in den Geschwindigkeiten grosse Abweichungen ergeben. Der hieraus abgeleitete Korrektionsfaktor: $\frac{\text{geschätzte}}{\text{gemessene}}$ Windstärke zeigt im Jahresgang folgenden Verlauf:



Jan.	Febr.	März	April	Mai	Juni	Juli	Aug.	Sept.	Okt.	Nov.	Dez.	Jahr
1.35	**1.18**	1.41	1.42	1.54	1.54	1.26	1.47	1.58	**1.89**	1.78	1.79	1.48

Im Winter und Frühjahr beträgt der Korrektionsfaktor 1.44, im Sommer 1.42 und im Herbst 1.75. Die mittlere Windstärke pro Jahr beträgt nach Messung den geringen Wert 4.2 mps, während die Schätzung 6.2 ergibt. Berechnen wir mit Zugrundelegung der Häufigkeitszahlen[1]) der einzelnen Windrichtungen und ihrer zugehörigen Geschwindigkeit die mittlere (resultierende) Windrichtung auf der Zugspitze, so ergibt sich als solche:

W 31° N 2.0 mps.

Eine Zahl, die wir bei der barometrischen Höhenmessung zum Nachweis des Luftdruckgradienten von W—E mitbenützten[2]).

Bei der Windgeschwindigkeit interessiert vor allem die grösste erreichte Stärke. Uns stehen nur die Werte des Robinsonschen Schalenkreuzes, also auch wieder mittlere Werte, zur Verfügung. In den Jahren 1907/1909 wurden auf der Zugspitze folgende maximale Tagesmittel der Windgeschwindigkeit (nicht reduziert) gemessen:

Jan.	Febr.	März	April	Mai	Juni	Juli	Aug.	Sept.	Okt.	Nov.	Dez.	Jahr
12.9	14.9	18.5	14.5	11.8	6.2	11.5	10.7	6.8	6.5	9.4	13.6	18.5
		aus späteren Jahren:			(13.2)	(12.7)	(15.5)	(10.3)	(15.7)	(15.3)	(17.6)	

Der Maximalwert 18.5 entsprechend korrigiert ergibt als grösstes Tagesmittel der Windgeschwindigkeit 26.1 mps.

Das grösste gemessene Stundenmittel war:

Jan.	Febr.	März	April	Mai	Juni	Juli	Aug.	Sept.	Okt.	Nov.	Dez.	Jahr
19.7	26.7	26.7	18.0	15.9	11.2	18.4	14.9	11.9	11.7	17.3	18.9	26.7
		aus späteren Jahren:			(21.0)		(20.7)	(17.7)	(23.9)	(25.5)	(30.0)	(30.0)

Die Werte 26.7 und 30.0 ergeben reduziert als grösste Stundenmittel der Zugspitze die (wahrscheinlicheren) Werte 31.5 mps und 53.7 mps.

Es ist beanstandet worden[3]), dass man die Mittelwerte der Anemometermessungen den Schätzungen unterordnet statt umgekehrt; gleichwohl konnten wir diese prinzipiellen Fehler anders nicht umgehen.

Die harmonische Analyse.

Im Anschluss an die Mitteilung und Besprechung des täglichen Ganges der meteorologischen Elemente wollen wir noch die harmonischen Konstituenten berechnen.

Jede periodische Erscheinung kann dargestellt werden in der Form:

$$y = a_0 + a_1 \sin(A_1 + x) + a_2 \sin(A_2 + 2x) + \cdots$$

oder

$$y = a_0 + p_1 \cos x + q_1 \sin x + p_2 \cos 2x + q_2 \sin 2x + \cdots$$

wobei $p = a \sin A$, $q = a \cos A$, also konstant sind.

Für unsere Betrachtungen genügt die Beschränkung auf zwei Glieder.

Setzt man für 1h a $x = 0$ so ergeben sich folgende Entwicklungen des täglichen Ganges:

---

[1]) pag. 43.
[2]) pag. 15.
[3]) Vergl. Köppen, Met. Zeitschrift 1888, pag. 239.

Zugspitze: Luftdruck.

Winter.

$$y = 525.03 - 0.021 \cos x - 0.114 \sin x + 0.035 \cos 2x - 0.150 \sin 2x \text{ oder}$$
$$y = 525.03 + 0.116 \sin (190.5 + x) + 0.154 \sin (166.9 + 2x).$$

Frühjahr.

$$y = 526.97 - 0.052 \cos x - 0.270 \sin x + 0.089 \cos 2x - 0.128 \sin 2x \text{ oder}$$
$$y = 526.97 + 0.275 \sin (190.9 + x) + 0.156 \sin (145.2 + 2x).$$

Sommer.

$$y = 534.25 - 0.094 \cos x - 0.294 \sin x + 0.100 \cos 2x - 0.119 \sin 2x \text{ oder}$$
$$y = 534.25 + 0.309 \sin (197.8 + x) + 0.155 \sin (140.0 + 2x).$$

Herbst.

$$y = 531.68 - 0.050 \cos x - 0.179 \sin x + 0.057 \cos 2x - 0.143 \sin 2x \text{ oder}$$
$$y = 531.68 + 0.186 \sin (195.8 + x) + 0.154 \sin (158.3 + 2x).$$

Jahr.

$$y = 529.48 - 0.052 \cos x - 0.218 \sin x + 0.073 \cos 2x - 0.133 \sin 2x \text{ oder}$$
$$y = 529.48 + 0.224 \sin (193.5 + x) + 0.152 \sin (151.1 + 2x).$$

Zugspitze: Temperatur[1]).

Winter.

$$y = -12.02 - 0.381 \cos x - 0.246 \sin x + 0.248 \cos 2x + 0.014 \sin 2x \text{ oder}$$
$$y = -12.02 + 0.454 \sin (237.1 + x) + 0.249 \sin (86.7 + 2x).$$

Frühjahr.

$$y = -7.35 - 1.037 \cos x - 0.498 \sin x + 0.255 \cos 2x + 0.072 \sin 2x \text{ oder}$$
$$y = -7.35 + 1.150 \sin (244.4 + x) + 0.265 \sin (74.3 + 2x).$$

Sommer.

$$y = 0.99 - 1.191 \cos x - 0.627 \sin x + 0.182 \cos 2x + 0.130 \sin 2x \text{ oder}$$
$$y = 0.99 + 1.345 \sin (242.3 + x) + 0.223 \sin (54.5 + 2x).$$

Herbst.

$$y = -3.15 - 0.676 \cos x - 0.334 \sin x + 0.264 \cos 2x + 0.047 \sin 2x \text{ oder}$$
$$y = -3.15 + 0.754 \sin (243.7 + x) + 0.269 \sin (79.9 + 2x).$$

Jahr.

$$y = -5.38 - 0.827 \cos x - 0.427 \sin x + 0.236 \cos 2x + 0.070 \sin 2x \text{ oder}$$
$$y = -538 + 0.931 \sin (242.7 + x) + 0.246 \sin (73.5 + 2x)$$

Zugspitze: Relative Feuchtigkeit.

Jahr.

$$y = 83.4 + 0.720 \cos x - 1.493 \sin x - 0.462 \cos 2x + 0.913 \sin 2x \text{ oder}$$
$$y = 83.4 + 0.984 \sin (132.9 + x) - 0.102 \sin (333.2 + 2x).$$

[1]) Eine Diskussion der halbtägigen Welle wurde, mit Rücksicht auf die Arbeit von J. Reger „Täglicher Temperaturgang in der freien Atmosphäre und doppelte Luftdruckschwankung" in den „Arbeiten des K. Preussischen Aeronautischen Observatoriums bei Lindenberg im Jahre 1912" gesondert in Angriff genommen.

Zugspitze: Windgeschwindigkeit [1]).

Jahr.

$$y = 4.23 + 0.278 \cos x + 0.069 \sin x$$
$$- 0.136 \cos 2x - 0.052 \sin 2x \text{ oder}$$
$$y = 4.23 + 0.287 \sin (76.0 + x) - 0.145 \sin (248.9 + 2x).$$

Hohenpeissenberg: Luftdruck.

Winter.

$$y = 675.54 + 0.023 \cos x - 0.012 \sin x$$
$$+ 0.014 \cos 2x - 0.166 \sin 2x \text{ oder}$$
$$y = 675.54 + 0.026 \sin (117.4 + x) + 0.166 \sin (175.3 + 2x).$$

Frühjahr.

$$y = 674.94 + 0.086 \cos x - 0.015 \sin x$$
$$+ 0.062 \cos 2x - 0.218 \sin 2x \text{ oder}$$
$$y = 674.94 + 0.089 \sin (99.7 + x) + 0.227 \sin (162.2 + 2x).$$

Sommer.

$$y = 678.58 + 0.078 \cos x + 0.033 \sin x$$
$$+ 0.066 \cos 2x - 0.199 \sin 2x \text{ oder}$$
$$y = 678.58 + 0.085 \sin (66.9^0 + x) + 0.210 \sin (161.5^0 + 2x).$$

Herbst.

$$y = 677.94 - 0.003 \cos x - 0.042 \sin x$$
$$- 0.001 \cos 2x - 0.208 \sin 2x \text{ oder}$$
$$y = 677.94 + 0.042 \sin (183.5^0 + x) + 0.202 \sin (180.2^0 2x).$$

Jahr.

$$y = 676.75 + 0.047 \cos x - 0.007 \sin x$$
$$+ 0.038 \cos 2x - 0.198 \sin 2x \text{ oder}$$
$$y = 676.75 + 0.048 \sin (99.0^0 + x) + 0.202 \sin (169.2^0 + 2x).$$

Eine allgemeine Diskussion obenstehender Formeln dürfte wohl zu weit führen. Wir wollen uns jedoch noch etwas eingehender mit dem Luftdruckgange beschäftigen.

Die tägliche Barometerschwankung ist als Interferenzphänomen einer einfachen und einer doppelten Welle aufzufassen [2]). Die „Harmonische Analyse" d. h. die Entwicklung in trigonometrische Reihen dient uns als Hilfsmittel zur Trennung der beiden Wellen.

Wie oben ausgeführt wurde, lässt sich der Barometerstand als Funktion der Zeit angeben:

$$y = a_0 + a_1 \sin (A_1 + x) + a_2 \sin (A_2 + 2x) + \ldots$$

wobei bekanntlich a_0 der Mittelwert, a_1, a_2 usw. die Amplituden, die A_1, $A_2 \ldots$ Konstante (Phasenzeiten) darstellen.

Die erste Welle ist im allgemeinen durch den täglichen Verlauf der Temperatur bestimmt. Ist a_1' die Amplitude des Luftdrucks an der Basisstation, A_1' die Phasenzeit, so repräsentiert die Gleichung

$$y = a_0' + a_1' \sin (A_1' + x)$$

die Luftdruckschwankung [3]). Für eine Bergstation wird a_1' im Verhältnisse der Barometerstände abnehmen; es wird $a_1 = a_1' \cdot \frac{b_1}{b_1'}$. Zur ganztägigen Luftdruckschwankung addiert sich noch die durch die ganztägige Temperaturwelle verursachte „thermische Druckschwankung".

Aus der Verbindung der Gleichungen

$$1. \quad dp = - \varrho \, dh$$

$$\text{und} \quad 2. \quad \varrho = \frac{p}{RT}$$

folgt bekanntlich, wenn wir noch statt p die Barometerstände einführen:

$$^e\log b = {}^e\log B - \frac{h}{RT}$$

Die Differenziation ergibt:

$$\frac{db}{b} = \frac{dB}{B} - \frac{h}{RT^2} \, dt \text{ oder}$$

$$db = dB \left(\frac{b}{B}\right) - \frac{b \cdot h}{RT^2} \, dt.$$

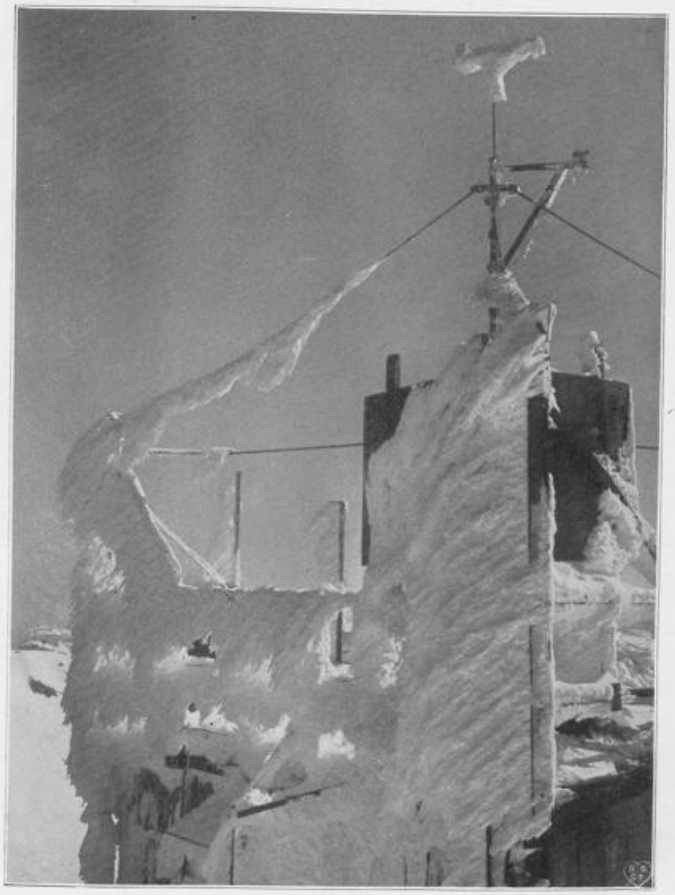
---

[1]) Bei der relativen Feuchtigkeit und besonders bei der Windgeschwindigkeit sind die 4 bezw. 3jährigen Reihen nicht hinreichend.

[2]) Vergl. Hann, „Untersuchungen über die tägliche Oszillation des Barometers", Denkschriften der Kais. Akademie zu Wien 1889 (u. 1892).

[3]) Vergl. Hann, Lehrbuch der Meteorologie II. Aufl., pag. 606.









Die ganztägige Druckschwankung in der Höhe wird also:

$$y = a_1' \frac{b}{B} \sin (A_1' + x) + \frac{b \cdot h}{RT^2} \sin (B_1' + x)\, b_1',$$

wenn b_1' und B_1' Amplitude und Phasenzeit der ganztägigen Temperaturschwankung[1]) sind.

Setzt man in die Formel

$$db = \frac{b \cdot h}{RT^2}\, dt$$

die entsprechenden Werte[2]) ein, so erhält man für $dt = 1^0$ das entsprechende db der Zugspitze. Es ergibt sich für 1^0 Temperaturänderung eine Luftdruckänderung von folgender Grösse:

Winter	0.520 mm
Frühjahr	0.498 mm
Sommer	0.475 mm
Herbst	0.491 mm
Jahr	0.497 mm

Bei der Zerlegung der täglichen Barometerschwankung interessiert am meisten die halbtägige Welle: Die Phasenzeit A_2 und besonders die Amplitude a_2.

Der Übersichtlichkeit halber stellen wir die oben für Hohenpeissenberg und Zugspitze[3]) abgeleiteten Resultate nochmals zusammen:

	Zugspitze		Hohenpeissenberg	
	a_2	A_2	a_2	A_2
Winter	0.154	166.9^0	0.166?	175.3^0
Frühjahr	0.156	145.2^0	0.227	162.2^0
Sommer	0.155	140.0^0	0.210	161.5^0
Herbst	0.154	158.3^0	0.202	180.2^0
Jahr	0.152	151.1^0	0.202	169.2^0

Die Eintrittszeit der Extreme ist auf der Zugspitze gegen den Hohenpeissenberg verspätet[4]), und zwar im

Winter	um	$8.4^0 = 33.6$ min.
Frühjahr	„	$17.0^0 = 68.0$ „
Sommer	„	$21.5^0 = 86.0$ „
Herbst	„	$21\,9^0 = 87.6$ „
Jahr	„	$18.1^0 = 72.4$ „

Es drängt sich nun des weiteren die Frage auf, ob die auf der Zugspitze beobachtete Amplitude a_2 — bekanntlich eine universelle Grösse — den der geographischen Breite der Zugspitze ($\varphi = 47^0\ 25'$) entsprechenden Wert erreicht.

Für die Abhängigkeit des a_2 von φ sind verschiedentlich Formeln aufgestellt worden[5]). Wie wir fanden, sind die Abweichungen im allgemeinen nur gering. Wir wählen die von Hann abgeleitete Formel

$$a_2 = 0.984 - 0.188 \sin \varphi - 0.978 \sin^2 \varphi$$

Für $\varphi = 47^0\ 25'$ wird $a_2 = 0.316$.

— Wie Broun[6]) nachwies, nehmen wenigstens in der Tropenzone die Amplituden a_2 im Verhältnis der Barometerstände bei Änderung der Seehöhe ab. In höheren Breiten scheint das Gesetz allerdings nicht mehr unbedingte Gültigkeit zu haben[5]).

Reduzieren wir nun das oben berechnete a_2 (= 0.316) auf die Zugspitzhöhe unter der Voraussetzung der Abnahme im Verhältnis $\frac{b}{B}$, so ergeben sich folgende Werte, die wir den „beobachteten" gegenüberstellen:

	a_2 beob.	a_2 berech. $\left(\frac{b}{B}\right)$
Winter	0.154	0.218
Frühjahr	0.156	0.219
Sommer	0.155	0.222
Herbst	0.154	0.221
Jahr	0.152	0.220

[1]) Die b_1' und B_1' sind infolge Fehlens einer Temperatur-Registrierung unbekannt.

[2]) Vergl. auch Hann, „Täglicher Gang des Barometers auf Pikes Peak (4308 m) und zu Colorado Springs" (1856 m), Met. Zeit. XXXIV 1899, pag. 87, 91.

[3]) NB. Für 1^h a ist $x = 0$.

[4]) Verspätung: Bayrischzell-Wendelstein 15.6^0; Bern (München)-Säntis 15.2^0 aus Hann, „Weitere Untersuchungen über die tägliche Oszillation des Barometers". Denkschriften der Kais. Akademie zu Wien 1892, pag. 8.

[5]) Vergl. Alt, „Die Doppeloszillation des Barometers, insbesondere im arktischen Gebiete", Met. Zeit. 1909, pag. 147.

[6]) Comptes rendus der Pariser Akademie, tome 76, pag. 1534, 1. Sem. 1873.

Wenn wir auch die 3. Dezimale ausser acht lassen, so zeigen sich doch zwischen dem tatsächlichen und dem berechneten Wert grosse Abweichungen. Hann[1]) bemerkt, dass die Amplitude a_2 stark beeinflusst wird von dem täglichen „Wärmegang" in den unterhalb des Gipfels gelegenen Luftschichten; auch die Auswertungsmethode hat Einfluss auf die Genauigkeit des Wertes. Des weiteren erwähnt auch Hann a. a. O., dass die Reduktion der a_2 von Wendelstein, St. Bernhard, Säntis und Puy de Dôme zu kleine[2]) Werte ergibt.

Reduzieren wir nun den für $\varphi = 47^0\ 25'$ berechneten Wert $a_2 = 0.316$ auf die Höhe der Zugspitze, jedoch unter Annahme einer stärkeren Änderung mit zunehmender Höhe im Verhältnis $\left(\frac{b}{B}\right)^2$, so erzielen wir nachstehendes Resultat:

Zugspitze	a_2 beob.	a_2 berech. $\left(\frac{b}{B}\right)^2$
Winter	0.154	0.151
Frühjahr	0.156	0.152
Sommer	0.155	0.156
Herbst	0.154	0.154
Jahr	0.152	0.153

Die Annahme des Reduktionsfaktors $\frac{b}{B}$ liefert für die Zugspitze zu grosse Werte, die Voraussetzung der Abnahme im Verhältnis der Quadrate der Barometerstände liefert ein der Wirklichkeit sehr nahe kommendes Resultat.

Für den Hohenpeissenberg wollen wir nun dasselbe durchführen. Die im Verhältnis $\frac{b}{B}$ reduzierten Werte 0.281, 0.281, 0.282, 0.282 und 0.281 sind ebenfalls zu gross. Die Reduktion im Verhältnis $b^2\ B^2$ ergibt folgendes:

Hohenpeissenberg	a_2 beob.	a_2 berech. $\left(\frac{b}{B}\right)^2$
Winter	0.166 ?	0.250
Frühjahr	0.227	0.249
Sommer	0.210	0.252
Herbst	0.202	0.251
Jahr	0.202	0.251

Hier zeigt sich nun ein prinzipieller Unterschied. Während auf der Zugspitze die beobachteten Werte mit den berechneten sehr gut übereinstimmen, tritt auf dem Hohenpeissenberg eine Differenz auf. Wir haben nun auch a_2 der von Hann angeführten Stationen reduziert und stellen die Resultate zusammen:

	a_2 beob.	a_2 ber. $\frac{b}{B}$	a_2 ber. $\left(\frac{b}{B}\right)^2$
Hohenpeissenberg	0.202	0.281	0.251
Puy de Dôme	0.211	0.265	0.222
Wendelstein	0.173	0.256	0.209
Säntis	0.167	0.235	0.174
Zugspitze	0.152	0.220	0.153
Sonnblick	0.187	0.216	0.148

Im allgemeinen liefert also die Reduktion im Verhältnis $\left(\frac{b}{B}\right)^2$ Resultate, die mit dem analysierten Werte gut übereinstimmen. Nun wollen wir versuchen, uns die auftretenden Differenzen zu erklären. Wie bereits erwähnt, hat Hann auf die Abhängigkeit des a_2 auf Bergen von der Temperatur der unterhalb liegenden Luftschichten hingewiesen. Je grösser also die relative Höhe eines Berges ist, desto mehr wird also a_2 beeinflusst sein; die Annahme der Änderung im Verhältnis $\frac{b}{B}$ ist dann zu klein, ganz nahe kommen dann die Reduktionen im Verhältnis $\left(\frac{b}{B}\right)^2$. Ganz deutlich zeigen dies die Werte für Puy de Dôme, Säntis und Zugspitze.

Wir werden unwillkürlich an die oft auftretenden Ähnlichkeiten zwischen dem Höhenklima und dem maritimen Klima erinnert: Je freier die Exposition und je geringer die gehobene Ländermasse desto weniger schroffe Gegensätze. Was wir oben an den Bergstationen besonders an der freigelegenen Zugspitze erläutert haben, tritt auch auf Inseln ebenso auf: Der Eintritt der Extreme ist verzögert und die Amplitude a_2 der halbtägigen Barometerschwankung ist kleiner als der normale, der geographischen Breite und Seehöhe entsprechende Wert.

Ehe wir jedoch den Abschnitt über den täglichen Gang der meteorologischen Elemente beschliessen, wollen wir noch auf eine spezielle Untersuchung etwas näher eingehen; nämlich auf das Verhalten der meteorologischen Elemente an heiteren und trüben Tagen.

---

[1]) Hann, Denkschriften der Kais. Ak. zu Wien 1892, pag. 12.

[2]) Hann reduziert dort auf das Meeresniveau; der Sinn der Abweichung ist also derselbe wie oben bei der Zugspitze.

Der Gang der meteorologischen Elemente an heiteren und trüben Tagen.

Die Untersuchung des Verhaltens der meteorologischen Elemente an Tagen mit extremem Witterungscharakter bietet verschiedene für die Verhältnisse der Zugspitze wichtige Momente. Soweit es das vorhandene Beobachtungsmaterial erlaubte, wurden auch wiederum für den Hohenpeissenberg dieselben Untersuchungen angestellt.

Unter einem „heiteren" Tag verstehen wir hier einen Tag mit einem Bewölkungsmittel < 0.5 und ununterbrochenem Sonnenschein, also Tage, an denen die Strahlung vollständig zur Geltung kommen konnte. Bei dieser strengen Auswahl ist leider die Anzahl der Tage, die auf der Zugspitze und dem Hohenpeissenberg den Bedingungen genügen, sehr gering; andererseits mussten Störungen, wie sie beispielsweise durch herbstliche und winterliche Bodennebel verursacht werden, eliminiert werden. Analog war dann ein „trüber" Tag bei nachfolgender Betrachtung ein solcher, an dem das Bewölkungsmittel sowohl auf dem Hohenpeissenberg als auf der Zugspitze $= 10.0$ war und an dem keine Sonne registriert wurde. Die Anzahl der trüben Tage ist genügend gross.

Eine getrennte Betrachtung für die einzelnen Jahreszeiten schien vor allem mit Rücksicht auf die Anzahl (45) der heiteren Tage nicht am Platze zu sein. Die aus den 180 trüben Tagen abgeleiteten Werte sind hinreichend genau.

Da die einzelnen ausgewählten Tage lediglich nach dem Gesichtspunkte der Grösse der Bewölkungsziffer ausgewählt sind und sonst miteinander in keiner weiteren Beziehung stehen, so wurde auf die Mitteilung eines „Mittels" verzichtet, sondern lediglich die Abweichungen der einzelnen Stundenwerte vom Tages„mittel", (das hier nur eine Zahl ohne physikalische Bedeutung repräsentiert), mitgeteilt. Nur bei den Temperaturverhältnissen musste zwecks Ableitung des Gradienten auf die „Mittel" zurückgegangen werden. Von einer „Ausgleichung" des täglichen Ganges wurde absichtlich Abstand genommen; denn hiedurch würden im vorliegenden Falle gerade die interessantesten Erscheinungen unkenntlich gemacht werden.

Ehe wir zur Besprechung übergehen, wollen wir zunächst das Material mitteilen, das auch den graphischen Darstellungen zugrunde liegt.

Gang der meteorologischen Elemente an heiteren und trüben Tagen.

(Abweichungen vom Mittel.)

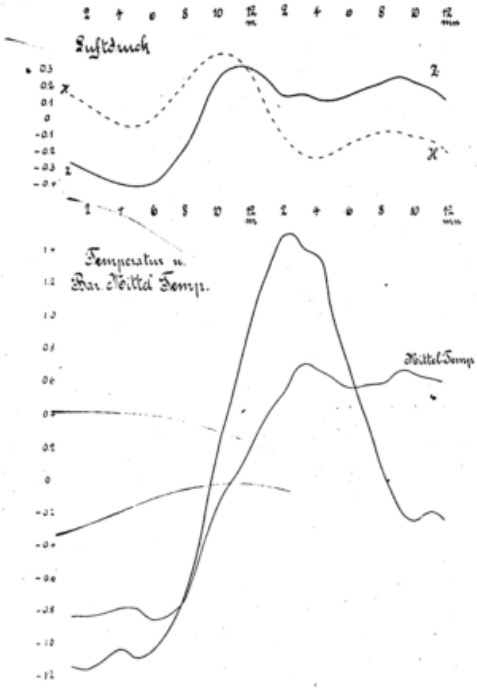
	1a	2a	3a	4a	5a	6a	7a	8a	9a	10a	11a	12 m	1p	2p	3p	4p	5p	6p	7p	8p	9p	10p	11p	12 mn
Heitere Tage: Zugspitze																								
Luftdruck:	-0.27	-0.32	-0.37	-0.40	-0.42	-0.41	-0.31	-0.19	0.02	0.22	0.30	0.28	0.22	0.13	0.14	0.11	0.10	0.13	0.17	0.20	0.24	0.20	0.17	0.09
Temperatur:	-1.14	-1.16	-1.10	-1.03	-1.10	-1.05	-0.90	-0.67	-0.24	0.28	0.55	0.97	1.26	1.48	1.39	1.36	0.98	0.63	0.38	0.07	-0.17	-0.25	-0.20	-0.27
Feuchtigkeit:	3.1	3.5	3.5	3.6	2.8	0.1	-2.2	-4.1	-6.8	-7.7	-7.3	-5.3	-2.9	-0.2	1.5	2.2	2.6	1.2	0.8	0.2	1.4	0.5	-0.1	-0.3
Windgeschwindigkeit:	0.50	0.57	0.58	0.56	0.63	0.68	0.67	0.66	0.13	-0.43	-0.77	-1.24	-1.27	-1.31	-1.10	-0.99	-0.49	-0.06	0.31	0.35	0.25	0.14	0.10	0.05
Trübe Tage: Zugspitze																								
Luftdruck:	0.12	-0.02	-0.20	-0.37	-0.46	-0.49	-0.46	-0.38	-0.28	-0.14	-0.08	-0.11	-0.16	-0.17	-0.11	-0.04	0.03	0.12	0.23	0.35	0.47	0.51	0.51	0.47
Temperatur:	0.21	0.12	0.00	-0.04	-0.06	-0.07	-0.02	0.01	0.16	0.32	0.48	0.57	0.60	0.54	0.39	0.22	0.04	-0.21	-0.35	-0.48	-0.56	-0.57	-0.72	-0.80
Windgeschwindigkeit:	-0.66	-0.76	-0.72	-0.47	-0.40	-0.34	-0.27	0.13	0.18	0.21	0.34	0.43	0.24	0.29	0.57	0.36	0.38	0.23	0.10	-0.02	-0.03	0.33	0.10	-0.34
Luftdruck (Tägl. Gang elim.)	0.14	0.08	0.08	0.05	-0.09	-0.13	-0.16	-0.17	-0.16	-0.21	-0.21	-0.24	-0.25	-0.24	-0.18	-0.11	-0.05	0.01	0.08	0.15	0.24	0.27	0.31	0.35
Temperatur (Tägl. Gang elim.)	0.82	0.79	0.76	0.78	0.77	0.73	0.65	0.44	0.30	0.09	-0.12	-0.26	-0.43	-0.59	-0.73	-0.75	-0.71	-0.67	-0.53	-0.41	-0.30	-0.25	-0.29	-0.29
Luftdruck: Hohenpeissenberg																								
Heitere Tage:	0.15	0.09	-0.02	-0.05	-0.06	-0.01	0.10	0.20	0.32	0.37	0.35	0.26	0.04	-0.12	-0.22	-0.25	-0.22	-0.16	-0.12	-0.09	-0.09	-0.12	-0.14	-0.22
Trübe Tage:	-0.27	-0.37	-0.49	-0.63	-0.71	-0.69	-0.59	-0.51	-0.38	-0.23	-0.15	-0.17	-0.18	-0.18	-0.12	-0.02	0.11	0.32	0.48	0.70	0.88	0.98	1.07	1.08
Trübe Tage (Tägl. Gang elim.)	-0.37	-0.37	-0.40	-0.46	-0.52	-0.55	-0.54	-0.55	-0.60	-0.41	-0.34	-0.27	-0.15	-0.02	0.08	0.19	0.29	0.44	0.50	0.62	0.69	0.77	0.85	0.90
Barometrische Mitteltemperatur der Luftsäule Hohenpeissenberg—Zugspitze.																								
Heitere Tage:	-0.83	-0.83	-0.81	-0.78	-0.78	-0.86	-0.83	-0.73	-0.44	-0.15	-0.06	-0.19	0.40	0.50	0.69	0.66	0.61	0.55	0.58	0.58	0.66	0.63	0.61	0.58
Trübe Tage:	0.67	0.55	0.37	0.25	0.17	0.10	-0.03	0.02	0.02	0.07	0.10	0.05	-0.05	-0.08	-0.03	-0.05	-0.13	-0.28	-0.30	-0.40	-0.45	-0.52	-0.60	0.77
Trübe Tage (Tägl. Gang elim.)	0.77	0.78	0.67	0.63	0.63	0.61	0.53	0.50	0.45	0.19	0.12	0.08	-0.21	-0.52	-0.52	-0.57	-0.62	-0.72	-0.64	-0.69	-0.63	-0.70	-0.66	-0.79

Beim Luftdruck[1]) interessiert uns vor allem die Frage, wie sich die tägliche Doppelschwankung verändert, wenn man nur Tage mit voller Einstrahlung oder vollständig bewölkte Tage betrachtet. Die Amplituden des Luftdruckganges an beiden Stationen sind sehr stark durch den Gang der Temperatur und der hiedurch bewirkten vertikalen Luftverlagerung beeinflusst.

[1]) Anm.: An stürmischen Tagen ist auf der Zugspitze der Luftdruck infolge Saugwirkung (weniger Druckwirkung) im Innern des Hauses grossen momentanen Schwankungen (oft mehr als 6 mm) unterworfen.

Es empfiehlt sich daher, die Besprechung des Temperaturganges einzuschalten.

Bei der Temperatur fällt sofort als markante Erscheinung eine Störung im täglichen Gange auf. Die heiteren Tage schliessen wärmer als sie begonnen haben; die trüben Tage schliessen kälter als der Anfang war: das Minimum ist daher bei letzteren nicht festgelegt[1]). Der Temperaturverlauf in den frühesten Morgenstunden der heiteren Tage zeigt im allgemeinen schwach steigende Tendenz. Ab 5^ha jedoch setzt ein gleichmässig starker Anstieg ein bis zum Maximum, das um 2p erreicht wird. Zunächst (bis 4p) ist der Temperaturrückgang nur schwach, aber dann erfolgt in raschem Tempo die weitere Temperaturabnahme bis 10^hp. Von 10^h bis 11^hp erfolgt eine geringe, aber deutlich ausgeprägte Zunahme der Temperatur, die ihre Erklärung in dem Herabsinken von Luft aus grösseren Höhen, also in dynamischen Ursachen, findet. Eine Erscheinung, auf die hinzuweisen sich uns schon wiederholt Gelegenheit bot.



Wesentlich verschieden ist der Verlauf der Temperatur an trüben Tagen (Figur pag. 61). Das tägliche Maximum erscheint hier nur als Störung in einer Kurve mit beständig fallender Tendenz; das Morgenminimum tritt um 6^ha ein und hat nur sekundäre Bedeutung. Von 6^ha an steigt die Temperatur anfangs langsam, dann mässig stark und erreicht (verfrüht) das Maximum um 1^hp. Hierauf erfolgt eine gleichmässige Abnahme der Temperatur bis Mitternacht, wo die tiefste Temperatur liegt. Auffälliger Weise tritt auch an trüben Tagen in den Abendstunden, gegen 10^hp, eine kleine Störung ein. Es tritt zwar nicht wie bei den heiteren Tagen Erwärmung auf, sondern die Temperatur zeigt zwischen 9^hp und 10^hp nur eine unbedeutende Abnahme (0.01 0).

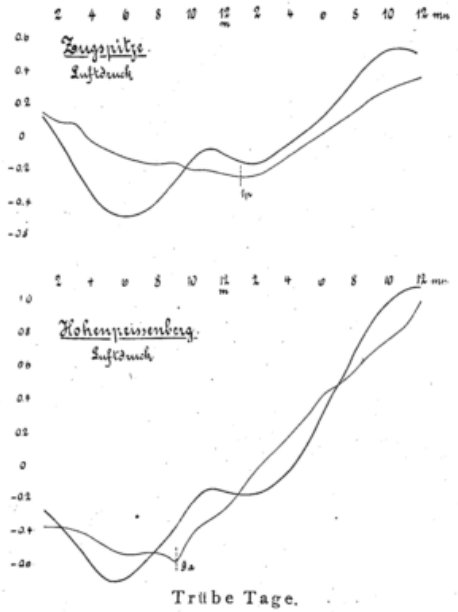
Mit Hilfe der Terminsbeobachtungen auf dem Hohenpeissenberg[2]) wurden auch noch für die extremen Tage die Temperaturgradienten berechnet:



	7 a	2 p	9 p	Mittel
Heitere Tage	0.36	0.41	0.39	0.39
Trübe Tage	0.55	0.58	0.57	0.57

Dem gleichmässigen Witterungsverlauf an extremen Tagen entspricht der schwach ausgeprägte tägliche Gang der Temperaturabnahme mit der Höhe; an trüben Tagen ist der Temperaturgradient grösser als an heiteren. Die trüben Tage bringen der Zugspitze bei Schneestürmen starken Temperatursturz, der auf dem Hohenpeissenberg sich nicht so stark geltend macht. Andererseits wieder dürften in der geringen Anzahl heiterer Tage einige typische Fälle von Temperaturumkehr enthalten sein.

Nun zurück zum Luftdruckgang! Für das Verhalten des Barometers auf der Zugspitze sind in erster Linie die Temperaturänderungen der unterhalb liegenden Luftschichten massgebend. An heiteren Tagen mit relativ kühlen Morgentemperaturen fällt auf der Zugspitze das 1. Luftdruckminimum (der Hauptwert) auf 5^ha. Gleichzeitig notiert es auch der Hohenpeissenberg, jedoch nur als sekundäres Extrem. Um 10^ha bezw. 11^ha erreicht der Luftdruck auf dem Hohenpeissenberg bezw. der Zugspitze den grössten Tageswert. Nachmittags tritt dann deutlich die Hebung der Niveauflächen hervor. Während auf dem Hohenpeissenberg ein rascher Abfall zum Tagesminimum um 4^hp erfolgt, fällt auf der Zugspitze der Luftdruck bedeutend schwächer bis zum Nachmittagsminimum um 5^hp. Um 9^hp bezw. 9^hp und 10^hp verzeichnen die beiden Stationen das Abendmaximum.



Trübe Tage.

Ein ganz anderes Bild zeigt der Gang des Luftdruckes an trüben Tagen. Das Morgenminimum, hier das Hauptminimum, haben Zugspitze und Hohenpeissenberg um 6^ha bezw. 5^ha, also etwa zur Zeit der tiefsten Morgentemperaturen. Von da an ist der weitere tägliche Gang gestört. Um 11^ha ist das, sonst sehr deutlich ausgeprägte, Maximum nur schwach angedeutet. Dann folgt um 2^hp bezw. 1^hp und 2^hp ein nur schwach angedeutetes Minimum. Seit 1p nimmt auf der Zugspitze die Temperatur beständig ab. Der Luftdruck an den beiden Vergleichsstationen steigt und zwar sehr stark und erreicht in den letzten Tagesstunden das Maximum.

Eliminiert man aus dem Gange des Luftdruckes und der Temperatur an trüben Tagen den täglichen Gang dieser beiden Elemente, so resultiert eine für die trüben Tage typische Luftdruck- und Temperaturkurve[3]).

[1]) Vergl. Trabert, „Der tägliche Gang der Temperatur und des Sonnenscheins auf dem Sonnblickgipfel". LIX. Bd. der Denkschriften der Akad. d. W. zu Wien, pag. 42.

[2]) Temperaturregistrierungen erst ab Januar 1911.

[3]) In den Zeichnungen schwächer angezogen.

Diese Kurve verläuft für den Barometergang ziemlich einfach:

Auf dem Hohenpeissenberg fällt sie langsam bis 9^h a. Ab 9a steigt diese Kurve des „aperiodischen Luftdruckganges" sehr kräftig bis zum Schluss des Tages. Auf der Zugspitze liegen die Verhältnisse ähnlich: In den Vormittagsstunden tritt ein schwaches Sinken der Kurve ein bis 1^h p. Von 1^hp an erfolgt dann ein kräftiger, jedoch nicht so rapider Anstieg wie auf dem Hohenpeissenberg. So findet auch der in den Kurven auftretende scheinbare Widerspruch des gleichzeitigen Steigens des Luftdruckes und Fallens der Temperatur eine sinngemässe Deutung. Der Abschluss des trüben Tages tritt ein auf der Rückseite abziehender Depressionen, also unter gleichzeitigem Luftdruckanstieg und Temperaturfall. Derselbe ist mit einem Transport kalter Luft verbunden[1]). Hierzu ist Zeit erforderlich. In diesem hier behandelten mittleren Fall ist die Zeitdifferenz zwischen dem starken Barometeranstieg auf dem Hohenpeissenberg und dem auf der Zugspitze etwa vier Stunden. Das Minimum der durch Subtraktion des täglichen Ganges vom typischen Gang an trüben Tagen gewonnenen Kurve fällt jedoch im Mittel nicht mit dem Luftdruckminimum zusammen, es liegt auf der Zugspitze um drei Stunden später. Leider vermissen wir hier sehr das Fehlen von Temperaturregistrierungen vom Hohenpeissenberg. Wir berechneten daher aus den Luftdruckwerten für die Luftsäule Hohenpeissenberg—Zugspitze die barometrischen Mitteltemperaturen für den Verlauf an mittleren, heiteren und trüben Tagen. Der Gang der barometrischen Mitteltemperatur an trüben Tagen zeigt im allgemeinen fallende Tendenz, nur untertags sind kleine Maxima zu erkennen, die durch den täglichen Temperaturgang verursacht sind. Eliminiert man auch hier den normalen Tagesgang, so resultiert ebenfalls eine Kurve mit fallender Tendenz, die besonders in der Zeit von 9—10 a und 12 m—2 p stark hervortritt. Der tägliche Verlauf der barometrischen Mitteltemperatur an heiteren Tagen zerfällt in drei Teile. In den ersten Tagesstunden ist der Gang nahezu geradlinig. Das Minimum tritt ein um 6^h a; dann erfolgt ein intensiver Temperaturanstieg bis 3^hp, wo der Maximalwert des Tages erreicht wird. Einem schwachen Fallen der Mitteltemperatur bis 6^hp folgt auf zwei Stunden ein wenig veränderter Temperaturgang. Sehr deutlich gelangt aber das sekundäre, dynamisch bedingte, Temperaturmaximum um 9^hp zum Ausdruck.



Trübe Tage.

Weitere Details würden zu synoptischen Untersuchungen führen und fallen daher ausserhalb des Rahmens vorliegender Arbeit. Nur soviel sei noch bemerkt: Es ist eine eigentümliche Erscheinung, dass in dem Verlauf des Luftdruckes des typischen trüben Tages sich auch im Mittel aus 180 Tagen kein weiterer Ausgleich in den einzelnen Stundenwerten geltend macht. Es scheinen also offenbar vorzugsweise die Nachmittagsstunden für starke Barometeranstiege und Temperaturstürze, also für kräftige Rückseitenentwicklung, sehr günstige Bedingungen zu stellen.

Es erübrigt nun, noch kurz auf das Verhalten des Ganges der relativen Feuchtigkeit und der Windstärke hinzuweisen. Der Gang der Windstärke an heiteren und trüben Tagen ist sehr einfach. An heiteren Tagen ist die Windgeschwindigkeit am schwächsten um Mittag und in den ersten Nachmittagsstunden; relativ gross ist sie um 7^hp und 8^hp, den grössten Wert erreicht sie etwa um 6^ha. Der tägliche Verlauf der relativen Feuchtigkeit an heiteren Tagen zeigt grosse Ähnlichkeit mit dem der Windstärke: Untertags (10^ha) das Minimum, in den Frühstunden (ca 4^ha) und nachmittags (5^hp) Maxima. Die Extreme der relativen Feuchtigkeit sind gegen die der Windstärke an heiteren Tagen um etwa 3 Stunden verfrüht. An trüben Tagen ist auf der Zugspitze die relative Feuchtigkeit meist 100%, der stündliche Verlauf der Windstärke ist hier nicht so einfach, wohl infolge der an diesen Tagen auftretenden starken Rauhfrostansätze. Das Maximum tritt im Mittel in den ersten Nachmittagsstunden auf und fällt etwa mit der Zeit des stärksten Luftdruckanstieges zusammen.

Zusammenfassung.

In der vorliegenden Arbeit, welche ein Bild der klimatischen Verhältnisse des Zugspitzgipfels zu geben versucht, ist als erstes Ergebnis die Mitteilung der auf der Beobachtungsreihe 1901—1910 beruhenden Mittelwerte der meteorologischen Elemente zu nennen.

Als Vergleichsstationen am Fusse der Zugspitze dienten Partenkirchen und vor allem der Hohenpeissenberg.

Bei Besprechung der Luftdruckverhältnisse hatten wir Veranlassung die Seehöhe des Zugspitzbarometers richtig zu stellen. Wir berechneten **2962.2** m statt wie bisher 2964 m.

Die Lufttemperatur war Gegenstand einer eingehenden Diskussion. Neben den Mittelwerten der Temperatur, den mittleren und absoluten Extremen, der Abnahme der Temperatur mit der Höhe und der interdiurnen Veränderlichkeit, bot die Häufigkeit bestimmter Temperaturstufen für die Charakteristik des Höhenklimas typische Momente.

---

[1]) Vergl. H. v. Ficker „Der Transport kalter Luftmassen über die Zentralalpen."

Ein Vergleich der Temperaturverhältnisse der Zugspitze mit denen der freien Atmosphäre in gleicher Seehöhe über München ergab prinzipielle Verschiedenheiten. Im Mittel ist die Zugspitze um 1.4° kälter als die freie Atmosphäre.

Der Vergleich mit den Verhältnissen auf den Hochstationen Säntis und Sonnblick, zwischen denen die Zugspitze sich räumlich einschaltet, lieferte uns die, durch die Windverhältnisse bestätigte, Existenz eines im Niveau der Hochstationen vorhandenen Luftdruckgradienten in westöstlicher Richtung.

Die Temperatur des Sonnblickgipfels ist, trotz seiner grösseren Seehöhe, infolge der kontinentalen Lage in der Mitte der Alpen, viel grösseren Schwankungen unterworfen als die am Nordrande der Alpen gelegene, besser exponierte Zugspitze.

Die Besprechung der Windverhältnisse des Zugspitzgipfels gab Anlass zu einem Vergleich mit denen der vorgelagerten schwäbisch-bayerischen Hochebene. Im Anschluss hieran wurde auf die Abhängigkeit der Bewölkung und der Niederschläge vom Winde auf der Zugspitze hingewiesen.

Schliesslich wurde der tägliche Gang der meteorologischen Elemente auf Grund meist vierjähriger Beobachtungsreihen berechnet. Besonders erwähnenswert halten wir folgende Erscheinung: Auf der Zugspitze zeigt sich beim Temperaturgang im Winter in den Abendstunden deutlich das Auftreten eines sekundären Maximums aus dynamischen Ursachen.

Nach der Mitteilung der harmonischen Konstituenten beschäftigten wir uns vor allem mit der Amplitude der halbtägigen Barometerschwankung. Die Abnahme der Amplitude mit der Seehöhe erfolgt um so rascher, je grösser die relative Erhebung eines Berges ist.

Die Untersuchung der Veränderungen des täglichen Ganges der meteorologischen Elemente an heiteren und trüben Tagen liefert, besonders an letzteren, interessante Resultate. Der rapide, für den Abschluss trüber Tage typische Barometeranstieg tritt auf der Zugspitze um vier Stunden später ein als auf dem Hohenpeissenberg.